

SEARS Y ZEMANSKY

# FÍSICA UNIVERSITARIA

con Física Moderna 1

**YOUNG Y FREEDMAN**



Pearson

# FACTORES DE CONVERSIÓN DE UNIDADES

## Longitud

$$1 \text{ m} = 100 \text{ cm} = 1000 \text{ mm} = 10^6 \mu\text{m} = 10^9 \text{ nm}$$

$$1 \text{ km} = 1000 \text{ m} = 0.6214 \text{ mi}$$

$$1 \text{ m} = 3.281 \text{ ft} = 39.37 \text{ in}$$

$$1 \text{ cm} = 0.3937 \text{ in}$$

$$1 \text{ in} = 2.540 \text{ cm}$$

$$1 \text{ ft} = 30.48 \text{ cm}$$

$$1 \text{ yd} = 91.44 \text{ cm}$$

$$1 \text{ mi} = 5280 \text{ ft} = 1.609 \text{ km}$$

$$1 \text{ \AA} = 10^{-10} \text{ m} = 10^{-8} \text{ cm} = 10^{-1} \text{ nm}$$

$$1 \text{ milla náutica} = 6080 \text{ ft}$$

$$1 \text{ año luz} = 9.461 \times 10^{15} \text{ m}$$

## Aceleración

$$1 \text{ m/s}^2 = 100 \text{ cm/s}^2 = 3.281 \text{ ft/s}^2$$

$$1 \text{ cm/s}^2 = 0.01 \text{ m/s}^2 = 0.03281 \text{ ft/s}^2$$

$$1 \text{ ft/s}^2 = 0.3048 \text{ m/s}^2 = 30.48 \text{ cm/s}^2$$

$$1 \text{ mi/h} \cdot \text{s} = 1.467 \text{ ft/s}^2$$

## Masa

$$1 \text{ kg} = 10^3 \text{ g} = 0.0685 \text{ slugs}$$

$$1 \text{ g} = 6.85 \times 10^{-5} \text{ slugs}$$

$$1 \text{ slug} = 14.59 \text{ kg}$$

$$1 \text{ u} = 1.661 \times 10^{-27} \text{ kg}$$

1 kg tiene un peso de 2.205 lb cuando  $g = 9.80 \text{ m/s}^2$

## Área

$$1 \text{ cm}^2 = 0.155 \text{ in}^2$$

$$1 \text{ m}^2 = 10^4 \text{ cm}^2 = 10.76 \text{ ft}^2$$

$$1 \text{ in}^2 = 6.452 \text{ cm}^2$$

$$1 \text{ ft}^2 = 144 \text{ in}^2 = 0.0929 \text{ m}^2$$

## Volumen

$$1 \text{ litro} = 1000 \text{ cm}^3 = 10^{-3} \text{ m}^3 = 0.03531 \text{ ft}^3 = 61.02 \text{ in}^3$$

$$1 \text{ ft}^3 = 0.02832 \text{ m}^3 = 28.32 \text{ litros} = 7.477 \text{ galones}$$

$$1 \text{ galón} = 3.788 \text{ litros}$$

## Tiempo

$$1 \text{ min} = 60 \text{ s}$$

$$1 \text{ h} = 3600 \text{ s}$$

$$1 \text{ día} = 86,400 \text{ s}$$

$$1 \text{ año} = 365.24 \text{ d} = 3.156 \times 10^7 \text{ s}$$

## Ángulo

$$1 \text{ rad} = 57.30^\circ = 180^\circ/\pi$$

$$1^\circ = 0.01745 \text{ rad} = \pi/180 \text{ rad}$$

$$1 \text{ revolución} = 360^\circ = 2\pi \text{ rad}$$

$$1 \text{ rev/min (rpm)} = 0.1047 \text{ rad/s}$$

## Rapidez

$$1 \text{ m/s} = 3.281 \text{ ft/s}$$

$$1 \text{ ft/s} = 0.3048 \text{ m/s}$$

$$1 \text{ mi/min} = 60 \text{ mi/h} = 88 \text{ ft/s}$$

$$1 \text{ km/h} = 0.2778 \text{ m/s} = 0.6214 \text{ mi/h}$$

$$1 \text{ mi/h} = 1.466 \text{ ft/s} = 0.4470 \text{ m/s} = 1.609 \text{ km/h}$$

$$1 \text{ Furlong/14 días} = 1.662 \times 10^{-4} \text{ m/s}$$

## Presión

$$1 \text{ Pa} = 1 \text{ N/m}^2 = 1.450 \times 10^{-4} \text{ lb/in}^2 = 0.0209 \text{ lb/ft}^2$$

$$1 \text{ bar} = 10^5 \text{ Pa}$$

$$1 \text{ lb/in}^2 = 6895 \text{ Pa}$$

$$1 \text{ lb/ft}^2 = 47.88 \text{ Pa}$$

$$1 \text{ atm} = 1.013 \times 10^5 \text{ Pa} = 1.013 \text{ bar} \\ = 14.7 \text{ lb/in}^2 = 2117 \text{ lb/ft}^2$$

$$1 \text{ mm Hg} = 1 \text{ torr} = 133.3 \text{ Pa}$$

## Energía

$$1 \text{ J} = 10^7 \text{ ergs} = 0.239 \text{ cal}$$

$$1 \text{ cal} = 4.186 \text{ J} \text{ (basada en caloría de } 15^\circ)$$

$$1 \text{ ft} \cdot \text{lb} = 1.356 \text{ J}$$

$$1 \text{ Btu} = 1055 \text{ J} = 252 \text{ cal} = 778 \text{ ft} \cdot \text{lb}$$

$$1 \text{ eV} = 1.602 \times 10^{-19} \text{ J}$$

$$1 \text{ kWh} = 3.600 \times 10^6 \text{ J}$$

## Equivalencia masa-energía

$$1 \text{ kg} \leftrightarrow 8.988 \times 10^{16} \text{ J}$$

$$1 \text{ u} \leftrightarrow 931.5 \text{ MeV}$$

$$1 \text{ eV} \leftrightarrow 1.074 \times 10^{-9} \text{ u}$$

## Potencia

$$1 \text{ W} = 1 \text{ J/s}$$

$$1 \text{ hp} = 746 \text{ W} = 550 \text{ ft} \cdot \text{lb/s}$$

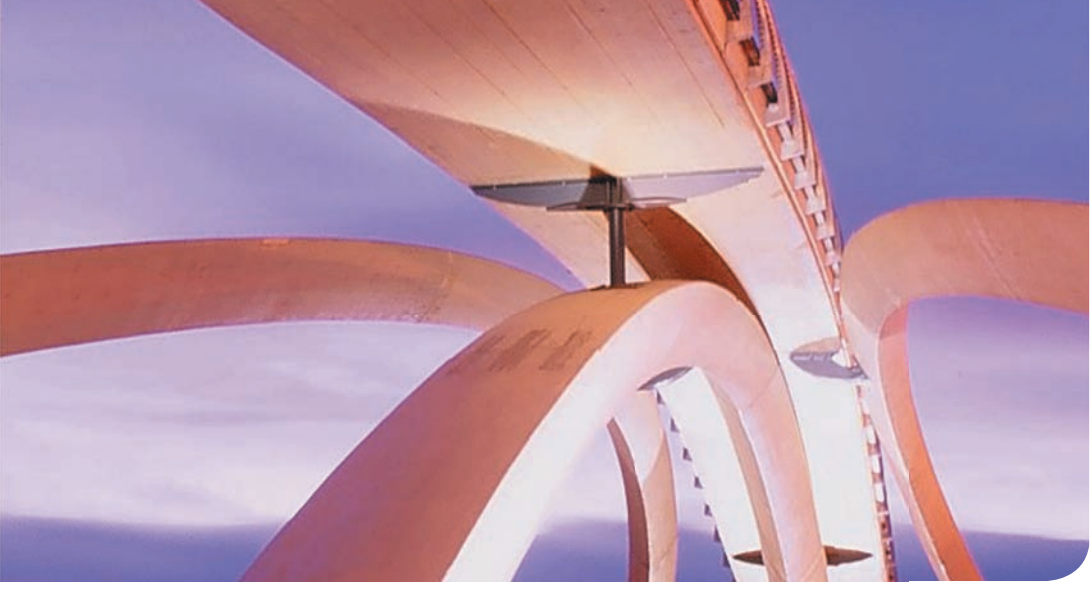
$$1 \text{ Btu/h} = 0.293 \text{ W}$$

SEARS Y ZEMANSKY

# FÍSICA UNIVERSITARIA

CON FÍSICA MODERNA 1





SEARS Y ZEMANSKY

# FÍSICA UNIVERSITARIA

CON FÍSICA MODERNA 1

HUGH D. YOUNG

ROGER A. FREEDMAN

University of California, Santa Barbara

CON LA CONTRIBUCIÓN DE

A. LEWIS FORD

Texas A&M University

TRADUCCIÓN

Ana Elizabeth García Hernández

Traductora especialista en ciencias

REVISIÓN TÉCNICA

Bertha Molina Brito

José Ignacio Cabrera Martínez

Pedro McCumber Chapa

Felipe Miguel Álvarez Siordia

Alejandro Bautista Orozco

Facultad de Ciencias

Universidad Nacional Autónoma de México

Daniel Esquivel Velazquez

Abraham Laurencio Martínez Bautista

Facultad de Ingeniería

Universidad Nacional Autónoma de México



Pearson

Datos de catalogación bibliográfica

YOUNG, HUGH D., FREEDMAN, ROGER A.

**Física universitaria con física moderna 1**

Pearson Educación de México, S.A. de C.V., 2018

ISBN: 978-607-32-4439-8

Área: Ciencias

Formato: 21 x 27 cm

Páginas: 760

Authorized translation from the English Language edition entitled *University physics with modern physics, 14<sup>th</sup> Edition, (capítulos 1-20)*, by Hugh D. Young, Roger A. Freedman, A. Lewis Ford, published by Pearson Education, Inc., Copyright © 2016. All rights reserved. ISBN 9780321973610

Traducción autorizada de la edición en idioma inglés titulada *University physics with modern physics, 14<sup>th</sup> Edition (capítulos 1-20)*, por Hugh D. Young, Roger A. Freedman, A. Lewis Ford, publicada por Pearson Education, Inc., Copyright © 2016. Todos los derechos reservados.

**Edición en español**

**Director general:** Sergio Fonseca ■ **Director de innovación y servicios educativos:** Alan David Palau ■ **Gerente de contenidos y servicios editoriales:** Jorge Luis Iñiguez ■ **Coordinadora de desarrollo de contenidos:** Lilia Moreno ■ **Editora especialista en contenidos de aprendizaje:** Rosa Díaz Sandoval ■ **Coordinadora de arte y diseño:** Mónica Galván ■ **Editor de desarrollo:** Bernardino Gutiérrez Hernández ■ **Traductora:** Ana Elizabeth García Hernández ■ **Correctora de estilo:** Lourdes Amador ■ **Gestor de arte y diseño:** José Hernández Garduño ■ **Lector de pruebas:** Guillermo González ■ **Diseñador de interiores:** FOCA Grupo Editorial ■ **Diseñador de portada:** FOCA Grupo Editorial ■ **Composición y diagramación:** FOCA Grupo Editorial

Esta edición en español es la única autorizada.

**Contacto:** soporte@pearson.com

Primera edición, 2018

ISBN LIBRO IMPRESO: 978-607-32-4439-8

ISBN LIBRO E-BOOK: 978-607-32-4441-1

D.R. © 2018 por Pearson Educación de México, S.A. de C.V.

Avenida Antonio Dovalí Jaime núm. 70

Torre B, Piso 6, Colonia Zedec Ed. Plaza Santa Fe

Delegación Álvaro Obregón, México, Ciudad de México, C. P. 01210

Cámara Nacional de la Industria Editorial Mexicana Reg. Núm. 1031

[www.pearsonenespañol.com](http://www.pearsonenespañol.com)

Impreso en México. *Printed in Mexico.*

1 2 3 4 5 6 7 8 9 0 - 21 20 19 18



Reservados todos los derechos. Ni la totalidad ni parte de esta publicación pueden reproducirse, registrarse o transmitirse, por un sistema de recuperación de información, en ninguna forma ni por ningún medio, sea electrónico, mecánico, fotoquímico, magnético o electroóptico, fotocopia, grabación o cualquier otro, sin permiso previo por escrito del editor.

**Pearson Hispanoamérica**

Argentina ■ Belice ■ Bolivia ■ Chile ■ Colombia ■ Costa Rica ■ Cuba ■ República Dominicana ■ Ecuador ■ El Salvador ■ Guatemala ■ Honduras ■ México ■ Nicaragua ■ Panamá ■ Paraguay ■ Perú ■ Uruguay ■ Venezuela

# AGRADECIMIENTOS A LA EDICIÓN EN ESPAÑOL

Pearson Educación agradece a los centros de estudio y profesores usuarios de esta obra por su apoyo y retroalimentación, elemento fundamental para esta nueva edición de *Física universitaria con física moderna 1*.

## MÉXICO

### *Instituto Politécnico Nacional*

#### *Escuela Superior de Ingeniería*

##### *Mecánica Eléctrica*

Aline Marina Ortega Martínez

Fernando Bucio Sánchez

### *Instituto Politécnico Nacional*

#### *Unidad Profesional Interdisciplinaria*

##### *en Ingeniería y Tecnologías Avanzadas*

Agustín Morales Hernández

Carlos Cruz Cruz

José de Jesús Silva Lomelí

Lev Guzmán Vargas

Ramón Gómez Aguilar

### *Instituto Politécnico Nacional*

#### *Unidad Profesional Interdisciplinaria*

##### *de Ingeniería*

##### *Campus Guanajuato*

Fidel Córdoba Valdés

Flavio Mancera Olivares

Héctor Archivaldo Vega Lira

José Marcos Falcón González

Juan Arturo Aranda Ruiz

Juan Erick Cerpa Calixto

Omar Vargas Ferro

Sinuhé Alejandro Pérez Payán

### *Tecnológico de Monterrey*

#### *Campus Aguascalientes*

Jessica Marcela Donnadieu Blanco

Jorge Wellesley Bourke

Juan Manuel Campos Sandoval

Raúl Gutiérrez Perucho

### *Tecnológico de Monterrey*

#### *Campus Chihuahua*

Miguel Ángel López Mariño

### *Tecnológico de Monterrey*

#### *Campus Ciudad Obregón*

Fernando Rea Haro

### *Tecnológico de Monterrey*

#### *Campus Guadalajara*

Alejandro Kadsumi Tomatani Sánchez

Humberto Hipólito García Díaz

José Julio Guedea Múzquiz

José Luis García Luna

Juan Carlos Quezada Andrade

Juan Jesús Díaz Guevara

Linda Margarita Medina Herrera

Luz María Gutiérrez Robles

María Eugenia Carbajal Rodarte

Miguel Ángel Castillo Cervantes

Omar Said Buassi Monroy

### *Tecnológico de Monterrey*

#### *Campus Laguna*

José Manuel Pardo Reguei

### *Tecnológico de Monterrey*

#### *Campus Monterrey*

Alfonso Serrano Heredia

Carlos Manuel Hinojosa Espinosa

Carlos Martínez Torteya

Genaro Zavala Enríquez

Jorge Alberto Lomas Treviño

Omar Olmos López

Santa Esmeralda Tejeda Torres

### *Tecnológico de Monterrey*

#### *Campus Sinaloa*

Edgar Alonso Chucuán Martínez

Levy Noé Inzunza Camacho

### *Tecnológico de Monterrey*

#### *Campus Sonora Norte*

Jesús Leopoldo Montijo Durán

Jesús Renato Montoya Morales

José Manuel Nieto Jalil

Julio Cesar Ávila Romero

Lázaro Alberto Ferrer Moreno

Leobardo López Pineda

Óscar Vidal Arellano Tánori

Parsons Christian Jeffrey Clive

Ricardo Quiñones Hernández

### *Tecnológico de Monterrey*

#### *Campus Zacatecas*

César Omar Bueno Ortiz

Tzinnia Gabriela Soto Bernal

### *U-erre*

Luis Saénz Esparza

### *Universidad Anáhuac*

#### *Campus México*

Enrique Zamora Gallardo

### *Universidad Autónoma de Guadalajara*

Alberto Federico Michaelis Quintana

### *Universidad Autónoma de Nayarit*

Cesar Humberto Arroyo Villa

### *Universidad Autónoma de Nuevo León*

Rogelio Martín de la Rosa Villarreal

Flor Yanhira Rentería Baltiérez

Jorge Félix Benítez Chávez

### *Universidad Autónoma de San Luis Potosí*

Raúl Martín Acosta Meza

*Universidad Autónoma del Estado*

*de México*

*Facultad de Ingeniería*

Balaam Valle Aguilar

Juan Carlos Pérez Merlo

Mireya Salgado Gallegos

*Universidad Autónoma Metropolitana*

*Unidad Azcapotzalco*

Gabriela del Valle

*Universidad de Guadalajara CUCEI*

Alberto Nigoche Netro

Eric Josafat Pulido Padilla

Gerardo Ramos Larios

Isabel Sainz Abascal

Javier W. Lau Sánchez

José Guzmán Hernández

José Luis Romero Ibarra

Marco Aurelio Martínez Aguilera

Mario Flores Pérez

Maryam Zuraya Fallad Chávez

Omar Rafael Torres Cortez

*Universidad de La Salle Bajío*

Alan David Blanco Miranda

Arturo Muñoz Lozano

Gerardo Olvera Barajas

Mauricio Salvatori Morales

*Universidad de Monterrey*

Héctor Antonio González Flores

*Universidad Iberoamericana*

*Campus Santa Fe*

José Humberto Mondragón Suárez

Lorena Arias Montaño

Mauricio Doníz Hernández

*Universidad Nacional Autónoma de México*

*Facultad de Estudios Superiores Cuautitlán C-4*

Baruch Arriaga Morales

Roberto Reyes Arce

Yolanda Benítez Trejo

*Universidad Panamericana*

*Campus Guadalajara*

Fidencio Tapia Rodríguez

Gabriel Marcelo Rubio González

Juan Carlos Beas Zepeda

Juan Carlos Flores Miramontes

Marcos Gómez Ortega

Renato Salomón Arroyo

*Universidad Popular Autónoma*

*del Estado de Puebla*

Mario Enrique López Medina

**COSTA RICA**

*Instituto Tecnológico de Costa Rica*

Carlos Adrián Jiménez Carballo

Carlos Roberto Gutiérrez Chaves

Dionisio Gutiérrez Fallas

Gerardo Lacy Mora

*Universidad de Costa Rica*

Fernando Ureña Elizondo

Herberth Morales Ríos

José Ralph García Vindas

Marcela Hernández Jiménez

Miguel Araya Arguedas

Randall Figueroa Mata

*Universidad Estatal a Distancia*

Diana Herrero Villareal

Fernando Ureña Elizondo

*Universidad Fidélitas*

Georgina González Chacón

Gerardo Noguera Vega

*Universidad Latina de Costa Rica*

Armando Ramón Nevares González

Óscar Andrés Arroyo Chavarría

*Universidad Nacional*

Carlos Brenes Rodríguez

Christian Chaverri Ramos

Daniel Ballesteros Sakson

Giovanni Sáenz Arce

**EL SALVADOR**

*Universidad Católica de El Salvador*

Néstor Josué Ramírez Martínez

*Universidad Centroamericana*

*José Simeón Cañas*

Mauricio Grande

*Universidad de El Salvador*

Benacio Henríquez Miranda

Carlos Eduardo Francia López

Samuel Adolfo Dueñas Aparicio

**GUATEMALA**

*Universidad de San Carlos de Guatemala*

Angélica Becilia Pacheco Mazariegos

Calixto Monteagudo Cordero

Eric Josué Jacobs

# CONTENIDO BREVE

---

## MECÁNICA

---

<b>1</b>	Unidades, cantidades físicas y vectores	1
<b>2</b>	Movimiento rectilíneo	34
<b>3</b>	Movimiento en dos o en tres dimensiones	67
<b>4</b>	Leyes de Newton del movimiento	101
<b>5</b>	Aplicación de las leyes de Newton	130
<b>6</b>	Trabajo y energía cinética	172
<b>7</b>	Energía potencial y conservación de la energía	203
<b>8</b>	Cantidad de movimiento, impulso y colisiones	237
<b>9</b>	Rotación de cuerpos rígidos	273
<b>10</b>	Dinámica del movimiento de rotación	303
<b>11</b>	Equilibrio y elasticidad	339
<b>12</b>	Mecánica de fluidos	369
<b>13</b>	Gravitación	398
<b>14</b>	Movimiento periódico	433

## ONDAS/ACÚSTICA

---

<b>15</b>	Ondas mecánicas	468
<b>16</b>	Sonido y oído	505

## TERMODINÁMICA

---

<b>17</b>	Temperatura y calor	545
<b>18</b>	Propiedades térmicas de la materia	584
<b>19</b>	Primera ley de la termodinámica	618
<b>20</b>	La segunda ley de la termodinámica	647

## ELECTROMAGNETISMO

---

<b>21</b>	Carga eléctrica y campo eléctrico	683
<b>22</b>	Ley de Gauss	722
<b>23</b>	Potencial eléctrico	752
<b>24</b>	Capacitancia y dieléctricos	785
<b>25</b>	Corriente, resistencia y fuerza electromotriz	816
<b>26</b>	Circuitos de corriente directa	848

<b>27</b>	Campo magnético y fuerzas magnéticas	881
<b>28</b>	Fuentes de campo magnético	921
<b>29</b>	Inducción electromagnética	955
<b>30</b>	Inductancia	990
<b>31</b>	Corriente alterna	1020
<b>32</b>	Ondas electromagnéticas	1050

## ÓPTICA

---

<b>33</b>	Naturaleza y propagación de la luz	1078
<b>34</b>	Óptica geométrica	1111
<b>35</b>	Interferencia	1160
<b>36</b>	Difracción	1186

## FÍSICA MODERNA

---

<b>37</b>	Relatividad	1218
<b>38</b>	Fotones: ondas de luz que se comportan como partículas	1254
<b>39</b>	Partículas que se comportan como ondas	1279
<b>40</b>	Mecánica cuántica I: Funciones de onda	1321
<b>41</b>	Mecánica cuántica II: Estructura atómica	1360
<b>42</b>	Moléculas y materia condensada	1407
<b>43</b>	Física nuclear	1440
<b>44</b>	Física de partículas y cosmología	1481

## APÉNDICES

---

A	El sistema internacional de unidades	A-1
B	Relaciones matemáticas útiles	A-3
C	El alfabeto griego	A-4
D	Tabla periódica de los elementos	A-5
E	Factores de conversión de unidades	A-6
F	Constantes numéricas	A-7
G	Datos astronómicos y prefijos de las potencias de 10	A-8
	Respuestas a los problemas de número impar	A-9
	Créditos	C-1
	Índice	I-1

# EL PUNTO DE REFERENCIA PARA LA CLARIDAD Y RIGOR

Desde su primera edición en inglés y en español, *Física Universitaria de Sears y Zemansky* ha sido famosa por su énfasis en los principios fundamentales y cómo aplicarlos. Este texto es conocido por su narrativa clara y completa y por su conjunto excepcionalmente amplio, profundo y reflexivo de los ejemplos presentados, herramientas clave para el desarrollo de la comprensión conceptual y las habilidades para resolver problemas.

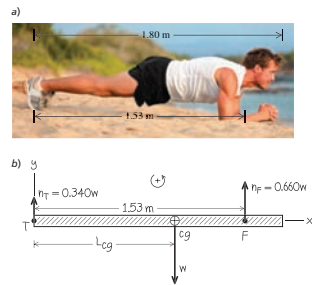
La presente edición en español, traducción de la **decimocuarta edición en inglés**, agrega nuevas características promovidas por la investigación de la enseñanza de la física. Un enfoque sobre el aprendizaje visual y nuevos tipos de problemas encabezan las mejoras destinadas a crear el mejor recurso de aprendizaje para los actuales estudiantes de física.

## ENFOQUE PARA LA SOLUCIÓN DE PROBLEMAS

### EJEMPLO 11.2 LOCALIZAR SU CENTRO DE GRAVEDAD MIENTRAS SE EJERCITA

La plancha (**figura 11.8a**) es una gran manera de fortalecer los músculos del abdomen, la espalda y los hombros. También puede utilizar esta posición de ejercicio para localizar su centro de gravedad. Sosteniendo la posición que simula una tabla con una báscula bajo sus dedos del pie y otra debajo de sus antebrazos, un atleta midió que el 66,0% de su peso estaba apoyado por sus antebrazos y el 34,0% por los dedos de los pies (es decir, las fuerzas normales totales de sus antebrazos y dedos de los pies eran de  $0.660w$  y  $0.340w$ , respectivamente, donde  $w$  es el peso del atleta). El tiene una altura de 1.80 m y, en la posición de plancha, la distancia de sus dedos de los pies a la

**11.8** Un atleta en posición de plancha.



mitad de sus antebrazos es de 1.53 m. ¿Qué tan lejos de sus dedos de los pies está su centro de gravedad?

#### SOLUCIÓN

**IDENTIFICAR Y PLANTEAR:** Se pueden usar las dos condiciones de equilibrio, ecuaciones (11.6), para el atleta en reposo. Por lo tanto, la fuerza y la fuerza netas sobre el atleta son iguales a cero. La figura 11.8b muestra un diagrama de cuerpo libre, junto con los ejes  $x$  y  $y$ , y la convención de que las torcas positivas van en sentido contrario a las manecillas del reloj. El peso  $w$  actúa en el centro de gravedad, que está entre los dos apoyos (como debe ser; vea la sección 11.2). Nuestra incógnita es la distancia  $l_{cg}$ , el brazo de palanca del peso con respecto a los dedos de los pies es  $T$ ; así que es razonable tomar las torcas con respecto a  $T$ . La torca debida al peso es negativa (tiende a causar una rotación en sentido de las manecillas del reloj), y la torca debida a la fuerza normal hacia arriba en los antebrazos es positiva (tiende a causar una rotación contraria a las manecillas del reloj) alrededor de  $T$ .

**EJECUTAR:** La primera condición de equilibrio se sat<sup>a</sup>ta (**figura 11.8b**):  $\sum F_y = 0$  porque no hay componentes de fuerza que  $\sum F_x = 0$  porque  $0.340w + 0.660w + (-w) = 0$ . Es ecuación de torca y despejamos  $L_{cg}$ :

$$\sum \tau_T = 0.340w(0) - wL_{cg} + 0.660w(1.53 \text{ m})$$

$$L_{cg} = 1.01 \text{ m}$$

**EVALUAR:** El centro de gravedad está ligeramente debajo de nuestro atleta (como sucede con la mayoría de la gente de los antebrazos que de sus dedos de los pies; por eso se soporan la mayor parte de su peso). Puede comprobar si esas cifras satisfacen la ecuación de la torca con respecto a los a **Usted entiendrá** que su centro de gravedad está a 0.52 m brazos, o (1.53 m) – (0.52 m) = 1.01 m de sus dedos de la mano.

◀ **EL ENFOQUE PARA SOLUCIÓN DE PROBLEMAS** basado en la investigación: **IDENTIFICACIÓN, PLANTEAMIENTO, EJECUCIÓN Y EVALUACIÓN**, se utiliza en cada ejemplo; método que también se emplea en los manuales de soluciones del profesor y del estudiante, y en la guía de estudio (todos en inglés). Este enfoque coherente enseña a los estudiantes a resolver problemas cuidadosamente en lugar de aplicar directamente las matemáticas.

### ESTRATEGIA PARA RESOLVER PROBLEMAS 3.1 MOVIMIENTO DE PROYECTILES

**NOTA:** También son útiles aquí las estrategias utilizadas en las secciones 2.4 y 2.5 para problemas de aceleración constante en línea recta.

**IDENTIFICAR los conceptos relevantes:** El concepto clave que debemos recordar es que durante el movimiento de un proyectil, la aceleración es hacia abajo y tiene magnitud constante  $g$ . Observe que las ecuaciones para el movimiento de proyectiles no son válidas durante el *lanzamiento* de una pelota, porque durante el lanzamiento actúan tanto la mano del lanzador como la gravedad. Las ecuaciones sólo se aplican *d*espués de que la pelota sale de la mano del lanzador.

**PLANTEAR el problema** con los siguientes pasos:

1. Defina su sistema de coordenadas y dibuje sus ejes. Normalmente lo más sencillo es tomar el eje  $x$  como horizontal y el eje  $y$  como vertical, y colocar el origen donde el cuerpo se vuelve un proyectil (como cuando la pelota sale de la mano del lanzador). Entonces, las componentes de la aceleración son  $a_x = 0$ ,  $a_y = -g$ , como en la ecuación (3.13); la posición inicial es  $x_0 = 0$  y  $y_0 = 0$ ; y puede usar las ecuaciones (3.19) a (3.22). (Si elige un origen diferente o ejes, tendrá que modificar estas ecuaciones).
2. Elabore una lista de las cantidades conocidas y las incógnitas, y determine cuáles incógnitas son sus objetivos. Por ejemplo, en algunos problemas se da la velocidad inicial (ya sea las componentes, o la magnitud y dirección) y se pide obtener las coordenadas y

componentes de velocidad en un instante posterior. Asegúrese de que tiene tantas ecuaciones como incógnitas por determinar. En cualquier caso, usará las ecuaciones (3.19) a (3.22). Las ecuaciones (3.23) a (3.26) también podrían ser útiles.

3. Plantee el problema con palabras y luego tradúcelo a símbolos. Por ejemplo, “cuándo llega la pelota a cierto punto?” (es decir, ¿en qué valor de  $t$ ?), “Dónde” está la partícula cuando la velocidad tiene cierto valor? (es decir, ¿cuánto valen  $x$  y  $y$  cuando  $v_x$  o  $v_y$  tienen ese valor?). Puesto que  $v_i = 0$  en el punto más alto de la trayectoria, la pregunta “¿cuándo alcanza el proyectil su punto más alto?” equivale a “¿cuánto vale  $t$  cuando  $v_y = 0$ ?” Asimismo, la pregunta “¿cuándo vuelve el proyectil a su altura inicial?” equivale a “¿cuánto vale  $t$  cuando  $y = y_0$ ?”.

**EJECUTAR la solución:** Use las ecuaciones elegidas para obtener las incógnitas. Resista la tentación de dividir la trayectoria en segmentos y analizarlos individualmente. ¡No hay que volver a comenzar cuando el proyectil llega a su altura máxima! Lo más fácil suele ser usar los mismos ejes y escala de tiempo durante todo el problema. Si necesita valores numéricos, utilice  $g = 9.8 \text{ m/s}^2$ . ¡Recuerde que  $g$  es positiva!

**EVALUAR la respuesta:** Como siempre, examine sus resultados para ver si son lógicos y si los valores numéricos son razonables.

### ESTRATEGIAS DE SOLUCIÓN DE PROBLEMAS ▶

enseña a los estudiantes cómo enfocarse en tipos específicos de problemas.

### PROBLEMA PRÁCTICO ¿CUÁNTO TIEMPO SE Tarda EN VACIAR?

Un gran tanque cilíndrico de diámetro  $D$  está abierto al aire libre en la parte superior. El tanque contiene agua hasta una altura  $H$ . Luego, se abre en la parte inferior del tanque un pequeño orificio circular con un diámetro  $d$ , donde  $d \ll D$  (**figura 12.32**). Desprecie los efectos de la viscosidad. a) Encuentre  $y$ , la altura del agua en el tanque en *tiempo*  $t$ , después de que se ha abierto el orificio, como una función de  $t$ . b) ¿Cuánto tiempo se tarda en vaciar el tanque por completo? c) Si se duplica la altura  $H$  inicial del agua en el tanque, ¿en qué factor aumenta el tiempo en que se vacía el tanque?

#### GUÍA DE SOLUCIÓN

##### IDENTIFICAR Y PLANTEAR

1. Dibuje un bosquejo de la situación que muestre todas las dimensiones importantes.
2. Elabore una lista de las cantidades desconocidas, y determine cuáles de éstas son las incógnitas que queremos despejar.
3. ¿Cuál es la rapidez con que el agua sale de la parte inferior del tanque? ¿Cómo se relaciona ésta con la rapidez del flujo de volumen de agua de salida del tanque? ¿Cómo está relacionada la rapidez de flujo de volumen con la razón de cambio de  $y$ ?
4. Utilice los resultados del paso 3 para escribir una ecuación para  $dy/dt$ .
5. Su resultado del paso 4 es una ecuación diferencial relativamente sencilla. Con sus conocimientos de cálculo, integre para encontrar  $y$  como una función de  $t$ . (*Sugerencia:* Una vez que haya hecho la integración, aún tendrá que hacer un poco de álgebra).

12.32 Un tanque de agua abierto y con un orificio en el fondo.



6. Utilice el resultado del paso 5 para determinar el momento en que el tanque es completamente vacío. ¿Cómo dependerá su resultado de la altura  $H$  inicial?

**EVALUAR**  
7. Compruebe si sus respuestas son razonables. Una buena comprobación es dibujar una gráfica de  $y$  en función de  $t$ . Seguir la gráfica, ¿cuál es el valor algebraico de  $dy/dt$  a diferentes horas? ¿Esto tiene sentido?

### ◀ Los PROBLEMAS PRÁCTICOS, que

ayudan a los estudiantes a pasar de ejemplos trabajados con un concepto único, a problemas con varios conceptos al final del capítulo, se han revisado de acuerdo con los comentarios del revisor, para garantizar que sean eficaces y tengan el nivel de dificultad apropiado.

# INFLUENCIA DE LO MÁS RECIENTE EN INVESTIGACIÓN EDUCATIVA

## PEDAGOGÍA INFORMADA POR DATOS E INVESTIGACIÓN

### LOS DATOS HABLAN

#### Gravitación

Cuando a los estudiantes se les planteó un problema relacionado con la superposición de fuerzas gravitacionales, más del 60% dio una respuesta incorrecta.

Errores comunes:

- Suponer que objetos de igual masa  $A$  y  $B$  deben ejercer atracción gravitacional de la misma intensidad sobre un objeto  $C$  (lo que no es cierto cuando  $A$  y  $B$  están a diferentes distancias de  $C$ ).
- No considerar la naturaleza vectorial de la fuerza (al sumar dos fuerzas que apuntan en direcciones diferentes, no es posible tan sólo sumar las magnitudes de las fuerzas).

◀ El texto de **LOS DATOS HABLAN**, alerta a los estudiantes acerca de los errores más comunes, estadísticamente hablando, durante la solución de problemas sobre un tema determinado.

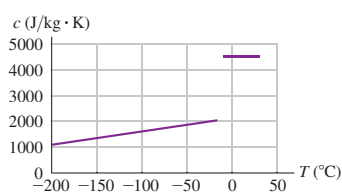
### PROBLEMAS DE TRANSICIÓN

**BIO PRESERVACIÓN DE CÉLULAS A TEMPERATURAS FRÍAS.** En el proceso de preservación criogénica, los materiales biológicos son enfriados a muy bajas temperaturas con la finalidad de retardar las reacciones químicas que pudieran dañar las células o los tejidos. Es importante evitar la formación de cristales de hielo durante la congelación. Un método para evitar la formación de hielo es colocar el material en una solución protectora llamada *crioprotectora*. A continuación, se listan valores de propiedades térmicas de un protector criogénico:

Punto de fusión	-20°C
Calor latente de fusión	$2.80 \times 10^5 \text{ J/kg}$
Calor específico (líquido)	$4.5 \times 10^3 \text{ J/kg} \cdot \text{K}$

**17.117** Mediciones cuidadosas indican que el calor específico de la fase sólida depende de la temperatura (figura P17.117). ¿Cómo se compara el tiempo real necesario para que este protector criogénico llegue al equilibrio con la placa fría en comparación con el tiempo predecible usando los valores de la tabla? Suponga que son correctos todos los valores diferentes del calor específico (sólido). El tiempo real *a*) será más corto; *b*) será más largo; *c*) será igual; *d*) depende de la densidad del protector criogénico.

Figura P17.117



$$x = (v_0 \cos \alpha_0)t \quad (3.19)$$

Coordenadas al tiempo  $t$  de un proyectil (la dirección positiva  $y$  es hacia arriba y  $x = y = 0$  en  $t = 0$ )

$$y = (v_0 \sin \alpha_0)t - \frac{1}{2}gt^2 \quad (3.20)$$

Rapidez en  $t = 0$  Dirección en  $t = 0$  Tiempo

$$v_x = v_0 \cos \alpha_0 \quad (3.21)$$

Componentes de la velocidad al tiempo  $t$  de un proyectil (la dirección positiva  $y$  es hacia arriba)

$$v_y = v_0 \sin \alpha_0 - gt \quad (3.22)$$

Rapidez en  $t = 0$  Dirección en  $t = 0$  Tiempo

La aceleración debida a la gravedad: Observe que  $g > 0$

◀ Ahora, **TODAS LAS ECUACIONES PRINCIPALES SE COMENTAN** para ayudar a los estudiantes a establecer una conexión entre el conocimiento conceptual y el conocimiento matemático de la física.

◀ Cada capítulo incluye de tres a cinco **PROBLEMAS DE TRANSICIÓN** (con formato del examen médico a nivel licenciatura de Estados Unidos). Estos problemas requieren que los estudiantes investiguen muchos aspectos de una situación física de la vida real, generalmente de tipo biológico, como se describe en el texto del problema.

## En cada capítulo se presentan **PROBLEMAS DE DATOS**.

Estos problemas de razonamiento basados en datos, muchos de los cuales son ricos en contexto, requieren que los estudiantes usen evidencia experimental presentada en un formato tabular o gráfico para formular conclusiones. ▼

**9.89 .. DATOS** Está reconstruyendo un Chevrolet 1965. Para decidir si reemplaza el volante por uno nuevo, de peso más ligero, desea determinar el momento de inercia del volante original de 35.6 cm de diámetro. Éste no es un disco uniforme, por lo que no puede utilizar  $I = \frac{1}{2}MR^2$  para calcular el momento de inercia. Usted retira el volante del auto y utiliza cojinetes de baja fricción para montarlo sobre una varilla horizontal fija que pasa a través del centro del volante, el cual luego puede girar de manera libre (aproximadamente a 2 m arriba del suelo). Después de pegar un extremo de una pieza larga de cuerda flexible al borde del volante, usted la enrolla varias vueltas alrededor del borde y suspende un bloque del metal de 5.60 kg del extremo libre de la cuerda. Al soltar el bloque desde el reposo, desciende mientras el volante gira. Con ayuda de una cámara fotográfica de alta velocidad, mide la distancia  $d$  que se ha movido el bloque hacia abajo en función del tiempo desde que se liberó. La ecuación para la gráfica que se muestra en la **figura P9.89** que da un buen ajuste para los puntos de datos es  $d = (165 \text{ cm/s}^2)t^2$ . *a)* Con base en la gráfica, ¿el bloque cae con aceleración constante? Explique. *b)* Utilice la gráfica para calcular la velocidad del bloque cuando ha descendido 1.50 m. *c)* Aplique conservación de la energía mecánica al sistema de volante y bloque para calcular el momento de inercia del volante. *d)* Usted se siente tranquilo al constatar que la cuerda no se rompió. Aplique la segunda ley de Newton al bloque para determinar la tensión en la cuerda conforme el bloque desciende.



▲ **SOLUCIONES EN VIDEO**, están ligadas a cada ejemplo trabajado y a cada problema práctico, y se puede acceder a ellos a través de los códigos QR que se encuentran a lo largo del libro. Estos videos guían a los estudiantes a través del proceso de solución de problemas, proporcionando un asistente de enseñanza virtual a cualquier hora del día.

**Example 9.17 Toboggan ride with friction II**

The same toboggan with the same coefficient of friction as in Example 5.16 accelerates down a steeper hill. Derive an expression for the acceleration in terms of  $g$ ,  $\alpha$ ,  $\mu_k$ , and  $w$ .

**SOLUTION**  
IDENTIFY and SET UP:

(b) Free-body diagram for toboggan:

EXECUTE:

$$w = mg$$

$$\sum F_x = mg \sin \alpha + (-f_k) = ma_x$$

$$\sum F_y = n + (-mg \cos \alpha) = 0$$

$$n = mg \cos \alpha$$

$$f_k = \mu_k n = \mu_k mg \cos \alpha$$

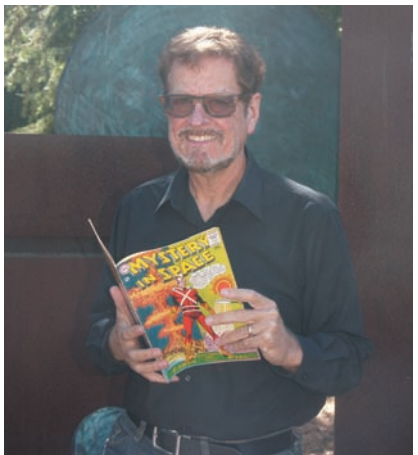
$$mg \sin \alpha + (-\mu_k mg \cos \alpha) = ma_x$$

◀ **DEMOSTRACIONES EN VIDEO** de los conceptos clave de física así como la evaluación para involucrar activamente a los estudiantes en la comprensión de conceptos clave, los cuales están disponibles a lo largo del libro mediante códigos QR.

# APLICACIONES

<b>Capítulo 1</b> Temperatura escalar, viento vectorial	10	<b>Capítulo 17</b> <b>BIO</b> Temperaturas corporales de los mamíferos <b>BIO</b> Piel contra grasa de ballena	548 566	<b>Capítulo 32</b> <b>BIO</b> Visión ultravioleta <b>BIO</b> Cirugía láser	1054 1065
<b>Capítulo 2</b> <b>BIO</b> Pruebas con humanos a grandes aceleraciones	46	<b>Capítulo 18</b> <b>BIO</b> Respiración y la ecuación del gas ideal <b>BIO</b> Energía de activación y actividad de la polilla	586 604	<b>Capítulo 33</b> <b>BIO</b> Transparencia e índice de refracción Polarización circular y películas 3-D Birrefringencia y pantallas de cristal líquido <b>BIO</b> Visión de las abejas y la luz polarizada del cielo	1083 1097 1098 1099
<b>Capítulo 3</b> <b>BIO</b> Caballos en una trayectoria curva Cuidado: ¡Se aproximan curvas cerradas!	71 85	<b>Capítulo 19</b> <b>BIO</b> La primera ley de la termodinámica durante el ejercicio <b>BIO</b> Exhalando adiabáticamente	624 635	<b>Capítulo 34</b> Parabólicas de televisión por satélite Inversión de una imagen invertida <b>BIO</b> Enfoque en el reino animal <b>BIO</b> Telefoto en los ojos de los camaleones	1118 1138 1140 1143
<b>Capítulo 4</b> Viaje en trineo con la primera ley de Newton Culpa de la segunda ley de Newton	106 111	<b>Capítulo 20</b> <b>BIO</b> Eficiencia biológica <b>BIO</b> Cambios de entropía en un organismo vivo	650 669	<b>Capítulo 35</b> <b>BIO</b> Diferencia de fase, diferencia de trayectorias y ubicación de una fuente de sonido por el oído humano <b>BIO</b> Interferencia y las alas de una mariposa <b>BIO</b> Escaneo de células con un interferómetro de Michelson	1163 1176 1177
<b>Capítulo 5</b> Fricción estática y limpiadores de parabrisas <b>BIO</b> Polen y resistencia del fluido <b>BIO</b> Movimiento circular en una centrífuga	144 148 155	<b>Capítulo 21</b> <b>BIO</b> Fuerzas eléctricas, sudor y fibrosis quística <b>BIO</b> Los tiburones y el "sexto sentido" <b>BIO</b> Un pez con un momento dipolar eléctrico	690 695 709	<b>Capítulo 36</b> <b>BIO</b> Medición del ADN con difracción Con telescopio más grande, mejor resolución <b>BIO</b> El disco de Airy en el ojo de un águila	1200 1206 1207
<b>Capítulo 6</b> <b>BIO</b> Trabajo y fibras musculares <b>BIO</b> Los tendones con resortes no ideales <b>BIO</b> Potencia muscular	173 186 190	<b>Capítulo 22</b> <b>BIO</b> Flujo a través de la boca de un tiburón peregrino <b>BIO</b> Distribución de carga en el interior de las células nerviosas <b>BIO</b> Por qué los relámpagos son verticales	726 738 741	<b>Capítulo 37</b> ¿Quién es la abuela? Velocidad relativa y sistemas de referencia Seguimiento de la conversión de masa-energía	1228 1234 1242
<b>Capítulo 7</b> <b>BIO</b> Conversión de energía potencial gravitacional en energía cinética <b>BIO</b> Energía potencial elástica de un guepardo Fuerzas no conservativas y energía interna en un neumático Topografía y gradiente de energía potencial Acróbatas en equilibrio	205 214 220 223 224	<b>Capítulo 23</b> <b>BIO</b> Electrocardiografía <b>BIO</b> Electrón-volts y radioterapia contra el cáncer <b>BIO</b> Gradiente de potencial a través de una membrana celular	760 762	<b>Capítulo 38</b> <b>BIO</b> Esterilización con fotones de alta energía <b>BIO</b> Absorción de rayos X e imágenes médicas Caza de la mariposa con Heisenberg	1260 1263 1270
<b>Capítulo 8</b> <b>BIO</b> Impulso del pájaro carpintero Búsqueda de planetas más allá de nuestro Sistema Solar <b>BIO</b> Propulsión a reacción de los calamares	239 258 258	<b>Capítulo 24</b> Capacitancia y pantallas táctiles Capacitores en la caja de herramientas <b>BIO</b> Membrana celular dieléctrica	773 791 800	<b>Capítulo 39</b> Uso de espectros para analizar una nube de gas interestelar <b>BIO</b> Pez fluorescente <b>BIO</b> Ojos de cuerpo negro Colores de las estrellas y ley de la radiación de Planck	1286 1293 1305 1306
<b>Capítulo 9</b> <b>BIO</b> Movimiento de rotación de las bacterias <b>BIO</b> Momento de inercia del ala de un ave	278 285	<b>Capítulo 25</b> <b>BIO</b> Resistividad y conducción nerviosa <b>BIO</b> ¡Peligro: Mantarraya eléctrica!	802 822 828	<b>Capítulo 40</b> Partículas en un polímero "caja" <b>BIO</b> Tunelamiento electrónico en enzimas	1333 1342
<b>Capítulo 10</b> <b>BIO</b> Combinación de movimiento de traslación y de rotación <b>BIO</b> Rodar para reproducirse	311 315	<b>Capítulo 26</b> <b>BIO</b> Electromiografía <b>BIO</b> Marcapasos y capacitores	859 864	<b>Capítulo 41</b> <b>BIO</b> Espín del electrón y datación de restos humanos <b>BIO</b> Configuraciones electrónicas y radioterapia para el cáncer de huesos Los rayos X en la ciencia forense	1381 1389 1393
<b>Capítulo 11</b> <b>BIO</b> Módulo de Young de un tendón <b>BIO</b> Esfuerzo volumétrico sobre un pez	348 350	<b>Capítulo 27</b> <b>BIO</b> Langostas espinosas y brújulas magnéticas <b>BIO</b> Campos magnéticos del cuerpo <b>BIO</b> Imagen de resonancia magnética	884 885 901	<b>Capítulo 42</b> <b>BIO</b> Cremallera molecular <b>BIO</b> Uso de cristales para determinar la estructura de las proteínas <b>BIO</b> Ingesta de un dispositivo semiconductor	1410 1414 1430
<b>Capítulo 12</b> <b>BIO</b> Cohesión líquida en los árboles <b>BIO</b> Manómetro para medir la presión arterial <b>BIO</b> Por qué las jirafas tienen presión sanguínea alta <b>BIO</b> Escuchar un flujo turbulento	370 375 382 386	<b>Capítulo 28</b> <b>BIO</b> Corrientes y magnetismo planetario <b>BIO</b> Campos magnéticos de IRM <b>BIO</b> Nanopartículas magnéticas en el tratamiento contra el cáncer	925 932	<b>Capítulo 43</b> Uso de isótopos para medir el clima prehistórico <b>BIO</b> Deuterio y toxicidad del agua pesada <b>BIO</b> Edificio radiactivo <b>BIO</b> Fabricación de isótopos radiactivos para medicina	1442 1446 1463 1468
<b>Capítulo 13</b> Caminata y carrera en la Luna <b>BIO</b> Riesgos biológicos de un viaje interplanetario	403 412	<b>Capítulo 29</b> <b>BIO</b> Exploración del cerebro con fMRI inducidas Las corrientes parásitas aumentan la potencia de los volcanes de los volcanes	944 956	<b>Capítulo 44</b> <b>BIO</b> Aniquilación de pares en el diagnóstico médico <b>BIO</b> Aceleradores lineales en medicina <b>BIO</b> Un fósil antiguo y uno reciente	1448 1486 1509
<b>Capítulo 14</b> <b>BIO</b> Frecuencias de las alas <b>BIO</b> Oscilaciones forzadas <b>BIO</b> Resonancia canina	434 455 456	<b>Capítulo 30</b> Inductores, transmisión de energía y relámpagos Erupción magnética solar	994 999		
<b>Capítulo 15</b> <b>BIO</b> Ondas en el cuerpo de una serpiente <b>BIO</b> Comer y las ondas transversales <b>BIO</b> Ondas superficiales y rapidez de nado de los patos	469 481 482	<b>Capítulo 31</b> <b>BIO</b> Medición de la grasa corporal mediante el análisis de la impedancia bioeléctrica <b>BIO</b> Riesgos de voltajes de caídas frente a voltajes de cd	1030 1039		
<b>Capítulo 16</b> <b>BIO</b> Pérdida del oído por la amplificación del sonido <b>BIO</b> Resonancia y la sensibilidad del oído	510 523				

# SOBRE LOS AUTORES



**Roger A. Freedman** es profesor de física en la University of California, en Santa Barbara (UCSB). El doctor Freedman estudió su licenciatura en los planteles de San Diego y Los Ángeles, y realizó su investigación doctoral en teoría nuclear en la Stanford University bajo la dirección del profesor J. Dirk Walecka. Llegó a la UCSB en 1981, después de haber sido profesor e investigador en la Washington University durante tres años.

En la UCSB el doctor Freedman ha impartido cátedra tanto en el departamento de Física como en la Escuela de Estudios Creativos, un organismo de la universidad que da cabida a estudiantes universitarios altamente dotados y motivados. Ha publicado artículos sobre física nuclear, física de partículas elementales y física de láseres. En años recientes ha trabajado para hacer de las clases de física una experiencia más interactiva a través de sistemas de respuestas en el salón de clases y videos para revisar antes de clase.

Durante la década de 1970 el doctor Freedman trabajó como rotulista de un libro cómico y ayudó en la organización del San Diego Comic-Con, (actualmente la convención más grande de la cultura popular), durante unos años en su inicio. Ahora, cuando no está en el aula o trabajando afanosamente ante una computadora, al doctor Freedman se le ve volando (tiene licencia de piloto comercial) o con su esposa, Caroline, animando a los equipos de remo de hombres y mujeres de la UCSB.



## A LA MEMORIA DE HUGH YOUNG (1930-2013)

**Hugh D. Young** fue profesor emérito de física en la Carnegie Mellon University. Cursó sus estudios de licenciatura y posgrado en esa universidad, donde obtuvo su doctorado en teoría de partículas fundamentales bajo la dirección de Richard Cutkosky. Se unió al grupo de profesores de Carnegie Mellon en 1956 y se retiró en 2004. También fue dos veces profesor invitado en la California University en Berkeley.

La carrera del doctor Young se centró por completo en la docencia a nivel de licenciatura. Escribió varios libros de texto para ese nivel, y en 1973 se convirtió en coautor de los bien conocidos libros de introducción a la física de Francis Sears y Mark Zemansky. Además de su papel en el texto de *Física Universitaria* de Sears y Zemansky, también es autor del texto de *College Physics* de Sears y Zemansky.

El doctor Young cursó un grado de bachiller como ejecutante de órgano en Carnegie Mellon en 1972 y fue durante varios años organista asociado en la Catedral de St. Paul, en Pittsburgh. A menudo se aventuraba en lugares desiertos para ir de excursión, escalar o explorar cuevas con estudiantes en el club de exploradores de Carnegie Mellon, el cual fundó como estudiante de posgrado y más adelante asesoró. El doctor Young y su esposa, Alice, alojaban en su casa hasta 50 estudiantes cada año para las cenas de acción de gracias.

Siempre generoso, el doctor Young agradeció de la siguiente manera: “quiero extender mi más sincero agradecimiento a mis colegas de Carnegie Mellon, especialmente a los profesores Robert Kraemer, Bruce Sherwood, Ruth Chabay, Helmut Vogel y Brian Quinn, por las muchas conversaciones estimulantes sobre la pedagogía de la física y por su apoyo y ánimo durante la escritura de varias ediciones sucesivas de este libro. Estoy igualmente en deuda con muchas generaciones de estudiantes de Carnegie Mellon que me ayudaron a aprender lo que es la buena enseñanza y la correcta escritura, al mostrarme lo que funciona y lo que no. Siempre es un placer y un privilegio expresar mi gratitud a mi esposa, Alice y a nuestros hijos, Gretchen y Rebeca, por su amor, apoyo, y sustento emocional durante la escritura de varias ediciones sucesivas de este libro. Que todos los hombres y mujeres sean bendecidos con un amor como el de ellos”. En Pearson apreciamos su colaboración, profesionalismo y buen carácter. Lo extrañaremos.

**A. Lewis Ford** es profesor de física en Texas A&M University. Cursó la licenciatura en Rice University en 1968, y en 1972 obtuvo un doctorado en física química de la Texas University, en Austin. Después de pasar un año de posdoctorado en la Harvard University, en 1973 se unió a Texas A&M University como profesor de física, en donde ha permanecido desde entonces. El área de investigación del profesor Ford es la física atómica teórica, con especialidad en colisiones atómicas. En Texas A&M University ha impartido una amplia variedad de cursos de licenciatura y posgrado, pero sobre todo de introducción a la física.

## AL ESTUDIANTE

# CÓMO TRIUNFAR EN FÍSICA SI SE INTENTA DE VERDAD

*Mark Hollabaugh, Em érito en la Normandale Community College*

La física estudia lo grande y lo pequeño, lo viejo y lo nuevo. Del átomo a las galaxias, de los circuitos eléctricos a la aerodinámica, la física es una gran parte del mundo que nos rodea. Es probable que esté siguiendo este curso de introducción a la física basado en el cálculo, porque lo requiera para materias posteriores que planee tomar como parte de su carrera en ciencias o ingeniería. Su profesor quiere que aprenda física y goce la experiencia y tiene mucho interés en ayudarlo a aprender esta fascinante disciplina. Ésta es parte de la razón por la que su profesor eligió este libro para el curso. También es la razón por la que los doctores Young y Freedman me pidieron que escribiera esta sección introductoria. ¡Queremos que triunfe!

El propósito de esta sección de *Física universitaria* es darle algunas ideas que lo ayuden en su aprendizaje. Al análisis breve de los hábitos generales y las estrategias de estudio seguirán sugerencias específicas de cómo utilizar el libro.

## PREPARACIÓN PARA ESTE CURSO

Si en el bachillerato estudió física, es probable que aprenda los conceptos más rápido que quienes no lo hicieron porque estará familiarizado con el lenguaje de la física. Si quiere tomar ventaja, forme un glosario de los nuevos términos que encuentre y asegúrese de entender cómo se usan en el campo de la física. De igual modo, si tiene estudios avanzados de matemáticas comprenderá con más rapidez los aspectos matemáticos de la física; pero aún con un nivel adecuado de matemáticas será de mucha utilidad repasar conceptos en libros como el de Arnold D. Pickar, *Preparing for General Physics: Math Skill Drills and Other Useful Help (Calculus Version)*. Es posible que su profesor asigne tareas de este repaso de matemáticas como auxilio para su aprendizaje.

## APRENDER A APRENDER

Cada uno de nosotros tiene un estilo diferente de aprendizaje y un medio preferido para hacerlo. Entender cuál es el suyo lo ayudará a centrarse en los aspectos de la física que tal vez le planteen dificultades y a emplear los componentes del curso que lo ayudarán a vencerlas. Es obvio que querrá dedicar más tiempo a aquellos aspectos que le impliquen más problema. Si usted aprende escuchando, las conferencias serán muy importantes; si aprende con explicaciones, será de ayuda trabajar con otros estudiantes; si le resulta difícil resolver problemas, dedique más tiempo a aprender cómo hacerlo. Es importante entender y desarrollar buenos hábitos de estudio. Quizá lo más importante que pueda hacer por usted mismo sea programar de manera regular el tiempo adecuado en un ambiente libre de distracciones.

### **Responda las siguientes preguntas para usted mismo:**

- ¿Soy capaz de utilizar los conceptos matemáticos fundamentales del álgebra, geometría y trigonometría? (Si no es así, planee un programa de repaso con ayuda de su profesor).
- En cursos similares, ¿qué actividad me ha dado más problemas? (Dedique más tiempo a eso). ¿Qué ha sido lo más fácil para mí? (Haga esto primero; lo ayudará a ganar confianza).
- ¿Entiendo el material mejor si leo el libro antes o después de la clase? (Quizás aprenda mejor si revisa rápido el material, asiste a clase y luego lee con más profundidad).

- ¿Dedico el tiempo adecuado a estudiar física? (Una regla práctica para una clase de este tipo es dedicar, en promedio, 2.5 horas de estudio fuera del aula por cada hora de clase. Esto significa que para un curso con cinco horas de clase programadas a la semana, debe destinar de 10 a 15 horas semanales al estudio de la física).
- ¿Estudio física diariamente? (¡Distribuya esas 10 a 15 horas a lo largo de toda la semana!) ¿A qué hora estoy en mi mejor momento para estudiar física? (Elija un horario específico del día y respételo).
- ¿Trabajo en un lugar tranquilo en el que puedo mantener mi concentración? (Las distracciones romperán su rutina y harán que pase por alto puntos importantes).

## TRABAJAR CON OTROS

Es raro que los científicos e ingenieros trabajen aislados; casi siempre trabajan de forma cooperativa. Aprenderá más y el proceso será más ameno si trabaja con otros estudiantes. Algunos profesores tal vez formalicen el uso del aprendizaje cooperativo o faciliten la formación de grupos de estudio. Es posible que desee formar su propio grupo no formal de estudio con miembros de su clase. Use su correo electrónico para estar en contacto con los demás; su grupo de estudio será un recurso excelente cuando se prepare para los exámenes.

## LAS CLASES Y LOS APUNTES

Un factor importante de cualquier curso universitario son las clases; y en física esto es especialmente cierto, ya que será frecuente que su profesor haga demostraciones de principios físicos, simulaciones por computadora o proyecte videos. Todas estas actividades de aprendizaje le ayudarán a comprender los principios básicos de la física. No falte a ninguna clase, y si lo hace por alguna razón especial, pida a un amigo o miembro de su grupo de estudio que le dé los apuntes y le diga lo que pasó.

En clase, tome notas rápidas y vea los detalles después. Es muy difícil tomar notas palabra por palabra, de modo que sólo escriba las ideas clave. Si su profesor utiliza un diagrama del libro de texto, deje espacio en el cuaderno y agréguelo más tarde. Después de clase, complete sus apuntes con la cobertura de cualquier faltante u omisión y anote los conceptos que necesite estudiar posteriormente. Haga referencias a las páginas del libro de texto, número de ecuación o de sección.

Haga las preguntas necesarias en clase, o vea a su profesor durante sus horas de oficina. Recuerde que la única pregunta “fuera de lugar” es la que no se hace. En su escuela quizás haya asistentes de profesor o tutores para ayudarlo con las dificultades que encuentre.

## EXÁMENES

Presentar un examen es estresante. Pero si se preparó de manera adecuada y descansó bien, la tensión será menor. La preparación para un examen es un proceso continuo; comienza en el momento en que termina el último examen. Debe analizar su examen inmediatamente y comprender los errores que haya cometido. Si resolvió un problema y cometió errores importantes, pruebe lo siguiente: tome una hoja de papel y divídala en dos partes con una línea de arriba hacia abajo. En una columna escriba la solución correcta del problema, y en la otra escriba lo que hizo y por qué, si es que lo sabe, y la razón por la que su propuesta de solución fue incorrecta. Si no está seguro de por qué cometió el error o de la forma de evitarlo, hable con su profesor. La física se construye de manera continua sobre ideas fundamentales y es importante corregir de inmediato cualquier mal entendido. *Cuidado:* si se prepara en el último minuto para un examen, no retendrá en forma adecuada los conceptos para el siguiente.

## AL PROFESOR

# PREFACIO

Este libro es el producto de más de seis décadas y media de liderazgo e innovación en la enseñanza de la física. Cuando en 1949 se publicó la primera edición de *Física Universitaria*, de Francis W. Sears y Mark W. Zemansky, su énfasis en los principios fundamentales de la física y la forma de aplicarlos fue un aspecto revolucionario entre los libros de la disciplina cuya base era el cálculo. El éxito de *Física Universitaria* en varios millones de estudiantes y profesores de todo el mundo da testimonio del mérito de este enfoque, y de las muchas innovaciones posteriores.

Al preparar esta nueva edición, hemos mejorado y desarrollado aún más el texto de este libro para asimilar las mejores ideas de la investigación educativa, con más instrucciones para la solución de problemas, liderando la pedagogía visual y conceptual, y agregando nuevas categorías de problemas de fin de capítulo.

## LO NUEVO EN ESTA EDICIÓN

- Todas las ecuaciones principales ahora incluyen anotaciones que describen la ecuación y explican los significados de los símbolos en la misma. Estas anotaciones ayudan a promover un procesamiento profundo de la información y a facilitar su retención.
- El texto de “Los datos hablan” contenido en la columna lateral de cada capítulo se basa en datos de miles de estudiantes y los alerta sobre los errores estadísticos más comunes que cometan cuando resuelven problemas.
- La actualización del contenido de física moderna incluye apartados sobre mediciones cuánticas (capítulo 40) y entrelazamiento cuántico (capítulo 41), así como los últimos datos sobre el bosón de Higgs y la radiación cósmica de fondo (capítulo 44).
- A lo largo del texto se incluyen aplicaciones adicionales de ciencias de la vida, la mayoría en forma de fotografías al margen con subtítulos explicativos, para ayudar a los estudiantes a ver cómo la física está conectada con muchos avances y descubrimientos en las ciencias de la vida.
- El texto se ha simplificado con un lenguaje más conciso y enfocado.
- Los cambios en el contenido final de cada capítulo incluyen los siguientes:
  - El 25-30% de los problemas son nuevos o se revisaron.
  - La mayoría de los capítulos incluyen de seis a diez problemas relacionados con ciencias de la vida.
  - Se incrementaron los problemas ricos en contexto para facilitar los mayores logros de aprendizaje que pueden ofrecer.
  - En cada capítulo se incluyen tres nuevos problemas de datos. Estos problemas de razonamiento basados en datos, por lo general ricos en contexto, requieren que los estudiantes usen evidencia experimental presentada en un formato tabular o gráfico, para formular conclusiones.
  - Cada capítulo incluye ahora de tres a cinco problemas nuevos de transición, los cuales siguen el formato que se utiliza en el examen médico de Estados Unidos a nivel licenciatura. Estos problemas requieren que los estudiantes investiguen varios aspectos de una situación física de la vida real, por lo general de biología natural, que se describe con un pasaje de lectura.
- Al principio de cada capítulo, en *Repase lo estudiado en la sección...* se indican los conceptos esenciales ya estudiados para que los estudiantes sepan lo que se necesita antes de sumergirse en el capítulo actual.

## CARACTERÍSTICAS CLAVE DE FÍSICA UNIVERSITARIA



- Más de 620 **códigos QR** a través del libro permiten a los estudiantes utilizar un teléfono móvil para ver un video (en inglés) de un profesor de física dando una relevante demostración sobre el tema (Demostraciones en video) o mostrar un ejemplo resuelto de física, narrado y animado (Soluciones en video).
- Incluidos al final del capítulo, los **Problemas prácticos**, muchos de ellos revisados, proporcionan una transición entre los ejemplos conceptuales y los problemas más desafiantes del final del capítulo. Cada problema práctico posee cierta dificultad y varios conceptos que a menudo incorporan ideas de capítulos anteriores. En lugar de una solución individual se proporciona un formato como **Guía de solución** que consiste en preguntas y sugerencias que mejoran la capacidad de los estudiantes para plantear y resolver problemas desafiantes con seguridad.
- **Conjuntos de problemas** profundos y extensos cubren un rango amplio de dificultad (con puntos azules para indicar el nivel de dificultad relativa) y ejercitan tanto la comprensión de la física como la habilidad para resolver problemas. Muchos de esos problemas se basan en situaciones complejas de la vida real.
- Este texto ofrece una cantidad más grande de **Ejemplos y Ejemplos conceptuales** que cualquier otro texto sobre el tema basado en el cálculo, permitiendo explorar la solución de problemas desafiantes que no se tratan en otros textos.
- Un **enfoque de solución de problemas (identificar, plantear, ejecutar, evaluar)**, basado en investigación, no sólo en cada problema, sino también en las estrategias de solución de problemas y en los manuales de soluciones y guías de estudio para el estudiante y el profesor. Este enfoque sistemático le enseña a los estudiantes a resolver problemas de manera pensante en lugar de aplicar directamente las matemáticas.
- Las **estrategias de solución de problemas** preparan a los estudiantes a enfocarse en tipos específicos de problemas.
- Las **figuras** usan un estilo gráfico simplificado enfocado en la física de una situación e incorporan más **notas explicativas** que en la edición anterior. Ambas técnicas han demostrado tener un efecto muy positivo en el aprendizaje.
- Muchas de las figuras que muestran las soluciones de los ejemplos a menudo tienen la forma de **dibujos a lápiz**, en blanco y negro, que representa directamente lo que un estudiante dibujaría en la solución de un problema.
- Los populares párrafos de **cuidado** se enfocan en los errores típicos y áreas problemáticas de los estudiantes.
- Las preguntas de **evalúe su comprensión** al final de una sección le permite a los estudiantes verificar su conocimiento sobre el tema y usar un formato de clasificación de opciones múltiples para identificar errores comunes.
- Los **resúmenes visuales** al final de cada capítulo presentan las ideas principales en palabras, ecuaciones y diagramas breves, que ayudan a los estudiantes a repasar más efectivamente.

## MATERIAL COMPLEMENTARIO PARA EL PROFESOR (en inglés)

**Nota:** Todos los suplementos siguientes, para profesores adscritos a una institución de educación superior, se pueden obtener siguiendo las instrucciones presentadas en el sitio web del libro: [www.pearsonenespañol.com/sears](http://www.pearsonenespañol.com/sears).

El **manual de soluciones para el profesor**, que preparó A. Lewis Ford (Texas A&M University) y Wayne Anderson, contiene soluciones completas y detalladas de todos los problemas de final de capítulo. Todas siguen de manera consistente el método de *identificar, plantear, ejecutar y evaluar* usado en el libro.

**Demostraciones en video**, vinculado a los códigos QR en el libro de texto, cuenta con videos de “pausa y pronóstico” de conceptos claves de física que pide a los alumnos realizar una predicción antes de ver el resultado.

**Soluciones en video** están vinculados a los códigos QR en el libro de texto. En estos videos un profesor explica y resuelve cada ejemplo y cada problema práctico.

## MATERIAL COMPLEMENTARIO PARA EL ESTUDIANTE (disponible en inglés en Estados Unidos)

La **Guía de estudio**, elaborada por Laird Kramer, refuerza el énfasis del libro en las estrategias de solución de problemas y los errores del estudiante. La *Guía de estudio para el volumen 1* (978-0-13-398361-6) cubre los capítulos 1 a 20, y la *Guía de estudio para el volumen 2* (978-0-13-398360-9) comprende los capítulos 21 a 44.

El **Manual de soluciones para el estudiante**, elaborado por Lewis Ford (Texas A&M University) y Wayne Anderson contiene soluciones detalladas, paso a paso, para más de la mitad de los problemas impares de final de capítulo. Todas las soluciones siguen en forma consistente el enfoque identificar, plantear, ejecutar y evaluar, usado en el libro. El *Manual de soluciones para el volumen 1* (978-0-13-398171-1) cubre los capítulos 1 a 20, y el *Manual de soluciones para el volumen 2* (978-0-13-396928-3) se ocupa de los capítulos 21 a 44.

**Tutoriales de introducción a la física** (978-0-13-097069-5) por Lillian C. McDermott y Peter S. Schaffer presenta una serie de tutoriales de física diseñados por uno de los principales grupos de investigación en enseñanza de la Física. Haciendo hincapié en el desarrollo de conceptos y habilidades de razonamiento científico, los tutoriales se centran en las dificultades conceptuales y de razonamiento específicas que los estudiantes tienden a encontrar. Existen también ediciones en español de estos tutoriales.

## AGRADECIMIENTOS

Me gustaría agradecer a los cientos de revisores y colaboradores que han ofrecido valiosos comentarios y sugerencias sobre la vida de este libro de texto. El éxito continuado de la física de *Física Universitaria* se debe en gran medida a sus contribuciones.

Miah Adel (U. de Arkansas en Pine Bluff), Edward Adelson (Ohio State U.), Julie Alexander (Camosun C.), Ralph Alexander (U. de Missouri en Rolla), J. G. Anderson, R. S. Anderson, Wayne Anderson (Sacramento City C.), Sanjeev Arora (Fort Valley State U.), Alex Azima (Lansing Comm. C.), Dilip Balamore (Nassau Comm. C.), Harold Bale (U. de North Dakota), Arun Bansil (Northeastern U.), John Barach (Vanderbilt U.), J. D. Barnett, H. H. Barschall, Albert Bartlett (U. de Colorado), Marshall Bartlett (Hollins U.), Paul Baum (CUNY, Queens C.), Frederick Beccetti (U. de Michigan), B. Bederson, David Bennum (U. de Nevada, Reno), Lev I. Berger (San Diego State U.), Angela Biselli (Fairfield U.), Robert Boeke (William Rainey Harper C.), Bram Boroson (Clayton State U.), S. Borowitz, A. C. Braden, James Brooks (Boston U.), Nicholas E. Brown (California Polytechnic State U., San Luis Obispo), Tony Buffa (California Polytechnic State U., San Luis Obispo), Shane Burns (Colorado C.), A. Capecelatro, Michael Cardamone (Pennsylvania State U.), Duane Carmony (Purdue U.), Troy Carter (UCLA), P. Catranides, John Cerne (SUNY en Buffalo), Shinil Cho (La Roche C.), Tim Chupp (U. de Michigan), Roger Clapp (U. de South Florida), William M. Cloud (Eastern Illinois U.), Leonard Cohen (Drexel U.), W. R. Coker (U. de Texas, Austin), Malcolm D. Cole (U. de Missouri en Rolla), H. Conrad, David Cook (Lawrence U.), Gayl Cook (U. de Colorado), Hans Courant (U. de Minnesota), Carl Covatto (Arizona State U.), Bruce A. Craver (U. de Dayton), Larry Curtis (U. de Toledo), Jai Dahiya (Southeast Missouri State U.), Dedra Demaree (Georgetown U.), Steve Detweiler (U. de Florida), George Dixon (Oklahoma State U.), Steve Drasco (Grinnell C.), Donald S. Duncan, Boyd Edwards (West Virginia U.), Robert Eisenstein (Carnegie Mellon U.), Amy Emerson Missouri (Virginia Institute of Technology), Olena Erhardt (Richland C.), William Faissler (Northeastern U.), Gregory Falabella (Wagner C.), William Fasnacht (U.S. Naval Academy), Paul Feldker (St. Louis Comm. C.), Carlos Figueroa (Cabrillo C.), L. H. Fisher, Neil Fletcher (Florida State U.), Allen Flora (Hood C.), Robert Folk, Peter Fong (Emory U.), A. Lewis Ford (Texas A&M U.), D. Frantszog, James R. Gaines (Ohio State U.), Solomon Gartenhaus (Purdue U.), Ron Gautreau (New Jersey Institute of Technology), J. David Gavenda (U. de Texas, Austin), Dennis Gay (U. de North Florida), Elizabeth George (Wittenberg U.), James Gerhart (U. de Washington), N. S. Gingrich, J. L. Glathart, S. Goodwin, Rich Gottfried (Frederick Comm. C.), Walter S. Gray (U. de Michigan), Paul Gresser (U. de Maryland), Benjamin Grinstein (UC, San Diego), Howard Grotch (Pennsylvania State U.), John Gruber (San Jose State U.), Graham D. Gutsche (U.S. Naval Academy), Michael J. Harrison (Michigan State U.), Harold Hart (Western Illinois U.), Howard Hayden (U. de Connecticut), Carl Helrich (Goshen C.), Andrew Hirsch (Purdue U.), Linda Hirst (UC, Merced), Laurent Hodges (Iowa State U.), C. D. Hodgman, Elizabeth Holden (U. de Wisconsin, Platteville), Michael Hones (Villanova U.), Keith Honey (West Virginia Institute of Technology), Gregory Hood (Tidewater Comm. C.), John Hubisz (North Carolina State U.), Eric Hudson (Pennsylvania State U.), M. Iona, Bob Jacobsen (UC, Berkeley), John Jaszcak (Michigan Technical U.), Alvin Jenkins (North Carolina State U.), Charles Johnson (South Georgia State C.), Robert P. Johnson (UC, Santa Cruz), Lorella Jones (U. de Illinois), Manoj Kaplinghat (UC, Irvine), John Karchek (GMI Engineering & Management Institute), Thomas Keil (Worcester Polytechnic Institute), Robert Kraemer (Carnegie Mellon U.), Jean P. Krisch (U. de Michigan), Robert A. Kromhout, Andrew Kunz (Marquette U.), Charles Lane (Berry C.), Stewart Langton (U. de Victoria), Thomas N. Lawrence (Texas State U.), Robert J. Lee, Alfred Leitner (Rensselaer Polytechnic U.), Frederic Liebrand (Walla Walla U.), Gerald P. Lietz (DePaul U.), Gordon Lind (Utah State U.), S. Livingston (U. of Wisconsin, Milwaukee), Jorge Lopez (U. de Texas, El Paso), Elihu Lubkin (U. de Wisconsin, Milwaukee), Robert Luke (Boise State U.), David Lynch (Iowa State U.), Michael Lysak (San Bernardino Valley C.), Jeffrey Mallow (Loyola U.), Robert Mania (Kentucky State U.), Robert Marchina (U. de Memphis), David Markowitz (U. de Connecticut), Philip Matheson (Utah Valley U.), R. J. Maurer, Oren Maxwell (Florida International U.), Joseph L. McCauley (U. de Houston), T. K. McCubbin, Jr. (Pennsylvania State U.), Charles McFarland (U. de Missouri en Rolla), James McGuire (Tulane U.), Lawrence McIntyre (U. de Arizona), Fredric Messing (Carnegie Mellon U.), Thomas Meyer (Texas A&M U.), Andre Mirabelli (St. Peter's C., New Jersey), Herbert Muether (SUNY, Stony Brook), Jack Munsee (California State U., Long Beach), Lorenzo Narducci (Drexel U.),

Van E. Neie (Purdue U.), Forrest Newman (Sacramento City C.), David A. Nordling (U.S. Naval Academy), Benedict Oh (Pennsylvania State U.), L. O. Olsen, Michael Ottinger (Missouri Western State U.), Russell Palma (Minnesota State U., Mankato), Jim Pannell (DeVry Institute of Technology), Neeti Parashar (Purdue U., Calumet), W. F. Parks (U. de Missouri), Robert Paulson (California State U., Chico), Jerry Peacher (U. de Missouri en Rolla), Arnold Perlmutter (U. de Miami), Lennart Peterson (U. de Florida), R. J. Peterson (U. de Colorado, Boulder), R. Pinkston, Ronald Poling (U. de Minnesota), Yuri Popov (U. de Michigan), J. G. Potter, C. W. Price (Millersville U.), Francis Prosser (U. de Kansas), Sheldon H. Radin, Roberto Ramos (Drexel U.), Michael Rapport (Anne Arundel Comm. C.), R. Resnick, James A. Richards, Jr., John S. Risley (North Carolina State U.), Francesc Roig (UC, Santa Barbara), T. L. Rokoske, Richard Roth (Eastern Michigan U.), Carl Rotter (U. de West Virginia), S. Clark Rowland (Andrews U.), Rajarshi Roy (Georgia Institute of Technology), Russell A. Roy (Santa Fe Comm. C.), Desi Saludes (Hillsborough Comm. C.), Thomas Sandin (North Carolina A&T State U.), Dhiraj Sardar (U. de Texas, San Antonio), Turner Sayman (Eastern Michigan U.), Bruce Schumm (UC, Santa Cruz), Melvin Schwartz (St. John's U.), F. A. Scott, L. W. Seagondollar, Paul Shand (U. de Northern Iowa), Stan Shepherd (Pennsylvania State U.), Douglas Sherman (San Jose State U.), Bruce Sherwood (Carnegie Mellon U.), Hugh Sieffkin (Greenville C.), Christopher Sirola (U. de Southern Mississippi), Tomasz Skwarczniak (Syracuse U.), C. P. Slichter, Jason Slinker (U. de Texas, Dallas), Charles W. Smith (U. de Maine, Orono), Malcolm Smith (U. de Lowell), Ross Spencer (Brigham Young U.), Julien Sprott (U. de Wisconsin), Victor Staniionis (Iona C.), James Stith (American Institute of Physics), Chuck Stone (North Carolina A&T State U.), Edward Strother (Florida Institute of Technology), Conley Stutz (Bradley U.), Albert Stwertka (U.S. Merchant Marine Academy), Kenneth Szpara-DeNisco (Harrisburg Area Comm. C.), Devki Talwar (Indiana U. de Pennsylvania), Fiorella Terenzi (Florida International U.), Martin Tiersten (CUNY, City C.), David Toot (Alfred U.), Greg Trayling (Rochester Institute of Technology), Somdev Tyagi (Drexel U.), Matthew Vannette (Saginaw Valley State U.), Eswara Venugopal (U. de Detroit, Mercy), F. Verbrugge, Helmut Vogel (Carnegie Mellon U.), Aaron Warren (Purdue U., North Central), Robert Webb (Texas A&M U.), Thomas Weber (Iowa State U.), M. Russell Wehr (Pennsylvania State U.), Robert Weidman (Michigan Technical U.), Dan Whalen (UC, San Diego), Lester V. Whitney, Thomas Wiggins (Pennsylvania State U.), Robyn Wilde (Oregon Institute of Technology), David Willey (U. of Pittsburgh, Johnstown), George Williams (U. de Utah), John Williams (Auburn U.), Stanley Williams (Iowa State U.), Jack Willis, Suzanne Willis (Northern Illinois U.), Robert Wilson (San Bernardino Valley C.), L. Wolfenstein, James Wood (Palm Beach Junior C.), Lowell Wood (U. de Houston), R. E. Worley, D. H. Ziebell (Manatee Comm. C.), George O. Zimmerman (Boston U.).

Además, me gustaría agradecer a mis colegas anteriores y actuales en la UCSB, como Rob Geller, Carl Gwinn, Al Nash, Elisabeth Nicol y Francesc Roig, por su apoyo incondicional y por muchos debates útiles. Tengo una especial deuda de gratitud con mis primeros maestros Willa Ramsay, Peter Zimmerman, William Little, Alan Schwettman y Dirk Walecka por mostrarme lo clara y comprometida que es la enseñanza de la física, y a Stuart Johnson por invitarme a ser coautor de *Física Universitaria*, novena edición. Agradecimientos especiales para Lewis Ford por la creación de una gran cantidad de nuevos problemas para esta edición, incluyendo la nueva categoría de problemas de DATOS; a Wayne Anderson, que cuidadosamente revisó y resolvió todos los problemas, junto con Forrest Newman y Michael Ottinger; y a Elizabeth George, quien proporcionó la mayoría de la nueva categoría de problemas de transición. Reconozco la labor de Tom Sandin por sus numerosas contribuciones a los problemas de final de capítulo, incluyendo la comprobación de todos ellos y escribir nuevos. Me quite el sombrero y una caravana ante Linda Hirst por contribuir con una serie de ideas que se convirtieron en nuevas características de Aplicaciones en esta edición. Quiero expresar especial agradecimiento al personal editorial de Pearson: a Nancy Whilton por su visión editorial; a Karen Karlin por su ojo atento y cuidadoso desarrollo de esta edición; a Charles Hibbard por su lectura cuidadosa de las pruebas de página; y a Beth Collins, Katie Conley, Sarah Kaubisch, Eric Schrader y Cindy Johnson por mantener fluidos los canales editoriales y de producción. Ante todo, quiero expresar mi gratitud y amor a mi esposa, Caroline, a quien dedico mi contribución a este libro. Hey, Caroline, la nueva edición por fin está hecha, ¡vamos a volar!

## ¡POR FAVOR, DÍGAME LO QUE PIENSA!

Acojo con satisfacción las comunicaciones de los estudiantes y profesores, especialmente respecto a errores o deficiencias que encuentre en esta edición. El fallecido Hugh Young y yo hemos dedicado mucho tiempo y esfuerzo para elaborar el mejor libro que sabíamos que podíamos escribir, y espero que le ayude a usted a enseñar y aprender física. A su vez, usted me puede ayudar dejándome saber ¡lo que todavía necesita mejorarse! Siéntase en libertad de contactarme ya sea electrónicamente o por correo normal. Sus comentarios serán apreciados grandemente.

Agosto de 2014

*Roger A. Freedman*  
Departamento de Física  
Universidad de California, Santa Bárbara  
Santa Bárbara, CA 93106-9530  
[airboy@physics.ucsb.edu](mailto:airboy@physics.ucsb.edu)  
<http://www.physics.ucsb.edu/~airboy/>  
Twitter: @RogerFreedman

# CONTENIDO

## MECÁNICA



### 1 UNIDADES, CANTIDADES FÍSICAS Y VECTORES

1.1 La naturaleza de la física	2
1.2 Cómo resolver problemas en física	2
1.3 Estándares y unidades	4
1.4 Uso y conversiones de unidades	6
1.5 Incertidumbre y cifras significativas	8
1.6 Estimaciones y órdenes de magnitud	10
1.7 Vectores y suma de vectores	10
1.8 Componentes de vectores	14
1.9 Vectores unitarios	18
1.10 Productos de vectores	19
Resumen	25
Preguntas/Ejercicios/Problemas	27

### 2 MOVIMIENTO RECTILÍNEO

2.1 Desplazamiento, tiempo y velocidad media	34
2.2 Velocidad instantánea	37
2.3 Aceleración media y aceleración instantánea	40
2.4 Movimiento con aceleración constante	45
2.5 Cuerpos en caída libre	50
2.6 Velocidad y posición por integración	53
Resumen	56
Preguntas/Ejercicios/Problemas	57

### 3 MOVIMIENTO EN DOS O EN TRES DIMENSIONES

3.1 Vectores de posición y velocidad	67
3.2 El vector aceleración	70
3.3 Movimiento de proyectiles	75
3.4 Movimiento en círculo	82
3.5 Velocidad relativa	86
Resumen	91
Preguntas/Ejercicios/Problemas	92

### 4 LEYES DE NEWTON DEL MOVIMIENTO

4.1 Fuerza e interacciones	102
4.2 Primera ley de Newton	105
4.3 Segunda ley de Newton	108
4.4 Masa y peso	114
4.5 Tercera ley de Newton	116
4.6 Diagramas de cuerpo libre	120
Resumen	121
Preguntas/Ejercicios/Problemas	123

### 5 APLICACIÓN DE LAS LEYES DE NEWTON

5.1 Empleo de la primera ley de Newton: Partículas en equilibrio	130
5.2 Uso de la segunda ley de Newton: Dinámica de partículas	135
5.3 Fuerzas de fricción	142
5.4 Dinámica del movimiento circular	150
5.5 Fuerzas fundamentales de la naturaleza	155
Resumen	157
Preguntas/Ejercicios/Problemas	159

### 6 TRABAJO Y ENERGÍA CINÉTICA

6.1 Trabajo	173
6.2 Energía cinética y el teorema trabajo-energía	177
6.3 Trabajo y energía con fuerza variable	183
6.4 Potencia	189
Resumen	192
Preguntas/Ejercicios/Problemas	193

### 7 ENERGÍA POTENCIAL Y CONSERVACIÓN DE LA ENERGÍA

7.1 Energía potencial gravitacional	203
7.2 Energía potencial elástica	212
7.3 Fuerzas conservativas y no conservativas	217
7.4 Fuerza y energía potencial	221
7.5 Diagramas de energía	224
Resumen	226
Preguntas/Ejercicios/Problemas	227

### 8 CANTIDAD DE MOVIMIENTO, IMPULSO Y COLISIONES

8.1 Cantidad de movimiento e impulso	238
8.2 Conservación de la cantidad de movimiento	243



<b>9</b>	<b>ROTACIÓN DE CUERPOS RÍGIDOS</b>	273
9.1	Velocidad y aceleración angulares	273
9.2	Rotación con aceleración angular constante	278
9.3	Relación entre cinemática lineal y cinemática angular	280
9.4	Energía en el movimiento de rotación	283
9.5	Teorema de los ejes paralelos	288
9.6	Cálculos de momento de inercia	289
	Resumen	292
	Preguntas/Ejercicios/Problemas	293

<b>10</b>	<b>DINÁMICA DEL MOVIMIENTO DE ROTACIÓN</b>	303
10.1	Torca	303
10.2	Torca y aceleración angular de un cuerpo rígido	306
10.3	Rotación de un cuerpo rígido en torno a un eje móvil	309
10.4	Trabajo y potencia en movimiento de rotación	315
10.5	Momento angular	317
10.6	Conservación del momento angular	320
10.7	Giróscopos y precesión	322
	Resumen	326
	Preguntas/Ejercicios/Problemas	327

<b>11</b>	<b>EQUILIBRIO Y ELASTICIDAD</b>	339
11.1	Condiciones de equilibrio	340
11.2	Centro de gravedad	340
11.3	Solución de problemas de equilibrio de cuerpos rígidos	343
11.4	Esfuerzo, deformación y módulos de elasticidad	347
11.5	Elasticidad y plasticidad	353
	Resumen	354
	Preguntas/Ejercicios/Problemas	356

<b>12</b>	<b>MECÁNICA DE FLUIDOS</b>	369
12.1	Gases, líquidos y densidad	369
12.2	Presión en un fluido	371
12.3	Flotación	376
12.4	Flujo de un fluido	379
12.5	Ecuación de Bernoulli	381
12.6	Viscosidad y turbulencia	385
	Resumen	388
	Preguntas/Ejercicios/Problemas	389

<b>13</b>	<b>GRAVITACIÓN</b>	398
13.1	Ley de Newton de la gravitación	398
13.2	Peso	402
13.3	Energía potencial gravitacional	405
13.4	Movimiento de satélites	407
13.5	Las leyes de Kepler y el movimiento de los planetas	410
13.6	Distribuciones esféricas de masa	414
13.7	Peso aparente y rotación terrestre	417
13.8	Agujeros negros	419
	Resumen	423
	Preguntas/Ejercicios/Problemas	424

<b>14</b>	<b>MOVIMIENTO PERIÓDICO</b>	433
14.1	Descripción de la oscilación	433
14.2	Movimiento armónico simple	435
14.3	Energía en el movimiento armónico simple	442
14.4	Aplicaciones del movimiento armónico simple	446
14.5	El péndulo simple	450
14.6	El péndulo físico	451
14.7	Oscilaciones amortiguadas	453
14.8	Oscilaciones forzadas y resonancia	455
	Resumen	457
	Preguntas/Ejercicios/Problemas	459

## ONDAS/ACÚSTICA

<b>15</b>	<b>ONDAS MECÁNICAS</b>	468
15.1	Tipos de ondas mecánicas	468
15.2	Ondas periódicas	470
15.3	Descripción matemática de una onda	473
15.4	Rapidez de una onda transversal	478
15.5	Energía del movimiento ondulatorio	482
15.6	Interferencia de ondas, condiciones de frontera y superposición	485
15.7	Ondas estacionarias en una cuerda	487
15.8	Modos normales de una cuerda	491
	Resumen	495
	Preguntas/Ejercicios/Problemas	496

<b>16</b>	<b>SONIDO Y OÍDO</b>	505
16.1	Ondas sonoras	505
16.2	Rapidez de las ondas sonoras	510

16.3	Intensidad del sonido	514
16.4	Ondas sonoras estacionarias y modos normales	518
16.5	Resonancia y sonido	522
16.6	Interferencia de ondas	524
16.7	Pulsos	526
16.8	Efecto Doppler	528
16.9	Ondas de choque	533
	Resumen	535
	Preguntas/Ejercicios/Problemas	537



## TERMODINÁMICA

---

<b>17</b>	<b>TEMPERATURA Y CALOR</b>	545
17.1	Temperatura y equilibrio térmico	545
17.2	Termómetros y escalas de temperatura	547
17.3	Termómetros de gas y la escala Kelvin	548
17.4	Expansión térmica	551
17.5	Cantidad de calor	556
17.6	Calorimetría y cambios de fase	559
17.7	Mecanismos de transferencia de calor	565
	Resumen	572
	Preguntas/Ejercicios/Problemas	573
20.4	Refrigeradores	654
20.5	Segunda ley de la termodinámica	656
20.6	El ciclo de Carnot	658
20.7	Entropía	664
20.8	Interpretación microscópica de la entropía	670
	Resumen	674
	Preguntas/Ejercicios/Problemas	676

<b>18</b>	<b>PROPIEDADES TÉRMICAS DE LA MATERIA</b>	584
18.1	Ecuaciones de estado	585
18.2	Propiedades moleculares de la materia	590
18.3	Modelo cinético-molecular del gas ideal	593
18.4	Capacidades caloríficas	599
18.5	Rapideces moleculares	602
18.6	Fases de la materia	604
	Resumen	607
	Preguntas/Ejercicios/Problemas	609

<b>19</b>	<b>PRIMERA LEY DE LA TERMODINÁMICA</b>	618
19.1	Sistemas termodinámicos	618
19.2	Trabajo realizado al cambiar el volumen	620
19.3	Trayectorias entre estados termodinámicos	622
19.4	Energía interna y la primera ley de la termodinámica	623
19.5	Tipos de procesos termodinámicos	628
19.6	Energía interna de un gas ideal	630
19.7	Capacidad calorífica de un gas ideal	631
19.8	Proceso adiabático para un gas ideal	634
	Resumen	637
	Preguntas/Ejercicios/Problemas	638

<b>20</b>	<b>SEGUNDA LEY DE LA TERMODINÁMICA</b>	647
20.1	Dirección de los procesos termodinámicos	647
20.2	Máquinas térmicas	649
20.3	Motores de combustión interna	652

## ELECTROMAGNETISMO

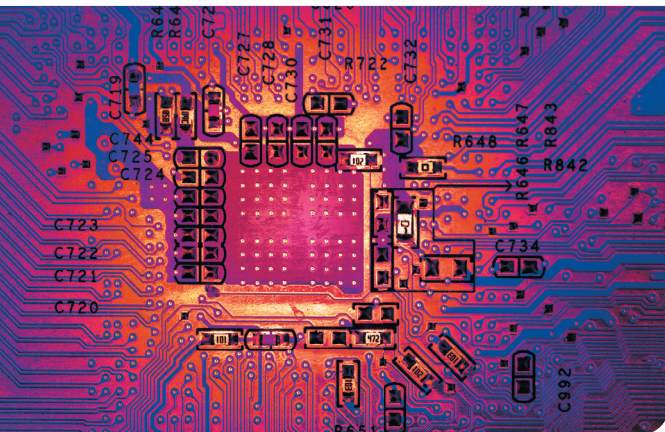
---

<b>21</b>	<b>CARGA ELÉCTRICA Y CAMPO ELÉCTRICO</b>	683
21.1	Carga eléctrica	684
21.2	Conductores, aislantes y cargas inducidas	687
21.3	Ley de Coulomb	690
21.4	El campo eléctrico y las fuerzas eléctricas	695
21.5	Cálculos de campos eléctricos	699
21.6	Líneas de campo eléctrico	705
21.7	Dipolos eléctricos	706
	Resumen	711
	Preguntas/Ejercicios/Problemas	712

<b>22</b>	<b>LEY DE GAUSS</b>	722
22.1	Carga y flujo eléctrico	722
22.2	Cálculo del flujo eléctrico	725
22.3	Ley de Gauss	729
22.4	Aplicaciones de la ley de Gauss	733
22.5	Cargas en conductores	738
	Resumen	743
	Preguntas/Ejercicios/Problemas	744

<b>23</b>	<b>POTENCIAL ELÉCTRICO</b>	752
23.1	Energía potencial eléctrica	752
23.2	Potencial eléctrico	759
23.3	Cálculo del potencial eléctrico	765
23.4	Superficies equipotenciales	769
23.5	Gradiente de potencial	771
	Resumen	775
	Preguntas/Ejercicios/Problemas	776

<b>24</b>	CAPACITANCIA Y DIELÉCTRICOS	785	27.5	Aplicaciones del movimiento de partículas cargadas	894
24.1	Capacitores y capacitancia	786	27.6	Fuerza magnética sobre un conductor que transporta corriente	896
24.2	Capacitores en serie y en paralelo	790	27.7	Fuerza y torca en una espira de corriente	900
24.3	Almacenamiento de energía en capacitores y energía de campo eléctrico	794	27.8	El motor de corriente directa	905
24.4	Dieléctricos	797	27.9	El efecto Hall	907
24.5	Modelo molecular de la carga inducida	803		Resumen	909
24.6	La ley de Gauss en los dieléctricos	805		Preguntas/Ejercicios/Problemas	911
	Resumen	806			
	Preguntas/Ejercicios/Problemas	808			
<b>25</b>	CORRIENTE, RESISTENCIA Y FUERZA ELECTROMOTRIZ	816	<b>28</b>	FUENTES DE CAMPO MAGNÉTICO	921
25.1	Corriente	817	28.1	Campo magnético de una carga en movimiento	921
25.2	Resistividad	820	28.2	Campo magnético de un elemento de corriente	924
25.3	Resistencia	823	28.3	Campo magnético de un conductor recto que transporta corriente	926
25.4	Fuerza electromotriz y circuitos	826	28.4	Fuerza entre conductores paralelos	929
25.5	Energía y potencia en circuitos eléctricos	832	28.5	Campo magnético de una espira circular de corriente	930
25.6	Teoría de la conducción metálica	836	28.6	Ley de Ampère	933
	Resumen	839	28.7	Aplicaciones de la ley de Ampère	936
	Preguntas/Ejercicios/Problemas	840	28.8	Materiales magnéticos	939
				Resumen	945
				Preguntas/Ejercicios/Problemas	947
<b>26</b>	CIRCUITOS DE CORRIENTE DIRECTA	848	<b>29</b>	INDUCCIÓN ELECTROMAGNÉTICA	955
26.1	Resistores en serie y en paralelo	848	29.1	Experimentos de inducción	956
26.2	Reglas o leyes de Kirchhoff	853	29.2	Ley de Faraday	957
26.3	Instrumentos de medición eléctrica	858	29.3	Ley de Lenz	965
26.4	Circuitos $R-C$	862	29.4	Fuerza electromotriz de movimiento	967
26.5	Sistemas de distribución de energía	867	29.5	Campos eléctricos inducidos	969
	Resumen	871	29.6	Corrientes parásitas	972
	Preguntas/Ejercicios/Problemas	872	29.7	Corriente de desplazamiento y ecuaciones de Maxwell	973
<b>27</b>	CAMPO MAGNÉTICO Y FUERZAS MAGNÉTICAS	881	29.8	Superconductividad	977
27.1	Magnetismo	881		Resumen	979
27.2	Campo magnético	883		Preguntas/Ejercicios/Problemas	980
27.3	Líneas de campo magnético y flujo magnético	887	<b>30</b>	INDUCTANCIA	990
27.4	Movimiento de partículas cargadas en un campo magnético	890	30.1	Inductancia mutua	990
			30.2	Autoinductancia e inductores	994
			30.3	Energía del campo magnético	997
			30.4	El circuito $R-L$	1000
			30.5	El circuito $L-C$	1004
			30.6	El circuito $L-R-C$ en serie	1008
				Resumen	1011
				Preguntas/Ejercicios/Problemas	1012
<b>31</b>	CORRIENTE ALTERNA	1020			
31.1	Fasores y corrientes alternas	1020			
31.2	Resistencia y reactancia	1023			
31.3	El circuito $L-R-C$ en serie	1028			
31.4	Potencia en circuitos de corriente alterna	1033			



<b>26</b>	CIRCUITOS DE CORRIENTE DIRECTA	848
26.1	Resistores en serie y en paralelo	848
26.2	Reglas o leyes de Kirchhoff	853
26.3	Instrumentos de medición eléctrica	858
26.4	Circuitos $R-C$	862
26.5	Sistemas de distribución de energía	867
	Resumen	871
	Preguntas/Ejercicios/Problemas	872
<b>27</b>	CAMPO MAGNÉTICO Y FUERZAS MAGNÉTICAS	881
27.1	Magnetismo	881
27.2	Campo magnético	883
27.3	Líneas de campo magnético y flujo magnético	887
27.4	Movimiento de partículas cargadas en un campo magnético	890

31.5	Resonancia en los circuitos de corriente alterna	1036
31.6	Transformadores	1038
	Resumen	1042
	Preguntas/Ejercicios/Problemas	1043

<b>32</b>	<b>ONDAS ELECTROMAGNÉTICAS</b>	1050
32.1	Ecuaciones de Maxwell y ondas electromagnéticas	1051
32.2	Ondas electromagnéticas planas y rapidez de la luz	1054
32.3	Ondas electromagnéticas sinusoidales	1059
32.4	Energía y cantidad de movimiento de las ondas electromagnéticas	1063
32.5	Ondas electromagnéticas estacionarias	1068
	Resumen	1071
	Preguntas/Ejercicios/Problemas	1072

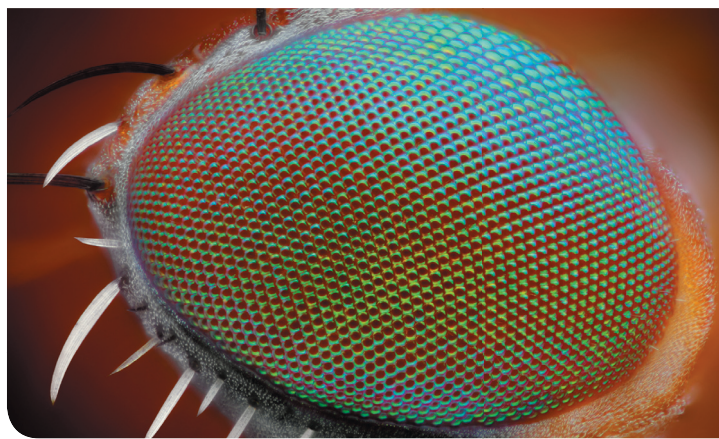
## ÓPTICA

---

<b>33</b>	<b>NATURALEZA Y PROPAGACIÓN DE LA LUZ</b>	1078
33.1	Naturaleza de la luz	1078
33.2	Reflexión y refracción	1080
33.3	Reflexión total interna	1086
33.4	Dispersión	1089
33.5	Polarización	1091
33.6	Esparcimiento de la luz	1099
33.7	Principio de Huygens	1100
	Resumen	1102
	Preguntas/Ejercicios/Problemas	1104

<b>34</b>	<b>ÓPTICA GEOMÉTRICA</b>	1111
34.1	Reflexión y refracción en una superficie plana	1111
34.2	Reflexión en una superficie esférica	1115
34.3	Refracción en una superficie esférica	1123
34.4	Lentes delgadas	1128
34.5	Cámaras fotográficas	1136
34.6	El ojo	1139
34.7	La lente de aumento	1143
34.8	Microscopios y telescopios	1144
	Resumen	1149
	Preguntas/Ejercicios/Problemas	1151

<b>35</b>	<b>INTERFERENCIA</b>	1160
35.1	Interferencia y fuentes coherentes	1160
35.2	Interferencia de la luz procedente de dos fuentes	1164
35.3	Intensidad en los patrones de interferencia	1167
35.4	Interferencia en películas delgadas	1171
35.5	Interferómetro de Michelson	1176
	Resumen	1178
	Preguntas/Ejercicios/Problemas	1179



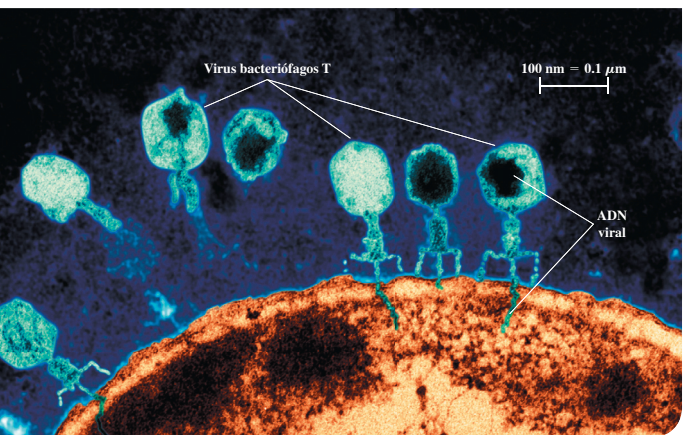
<b>36</b>	<b>DIFRACCIÓN</b>	1186
36.1	Difracción de Fresnel y de Fraunhofer	1186
36.2	Difracción con una sola rendija	1188
36.3	Intensidad en el patrón con una sola rendija	1191
36.4	Rendijas múltiples	1195
36.5	Rejilla de difracción	1197
36.6	Difracción de rayos X	1201
36.7	Aberturas circulares y poder de resolución	1204
36.8	Holografía	1207
	Resumen	1209
	Preguntas/Ejercicios/Problemas	1210

## FÍSICA MODERNA

---

<b>37</b>	<b>RELATIVIDAD</b>	1218
37.1	Invariancia de las leyes físicas	1218
37.2	Relatividad de la simultaneidad	1221
37.3	Relatividad de los intervalos de tiempo	1223
37.4	Relatividad de la longitud	1228
37.5	Transformaciones de Lorentz	1232
37.6	Efecto Doppler en ondas electromagnéticas	1236
37.7	Cantidad de movimiento relativista	1238
37.8	Trabajo y energía relativistas	1240
37.9	Mecánica newtoniana y relatividad	1244
	Resumen	1245
	Preguntas/Ejercicios/Problemas	1247

<b>38</b>	<b>FOTONES: ONDAS DE LUZ QUE SE COMPORTAN COMO PARTÍCULAS</b>	1254
38.1	Luz absorbida como fotones: el efecto fotoeléctrico	1254
38.2	Luz emitida como fotones: producción de rayos X	1260
38.3	Luz dispersada en forma de fotones: dispersión de Compton y producción de pares	1263
38.4	Dualidad onda-partícula, probabilidad e incertidumbre	1266
	Resumen	1273
	Preguntas/Ejercicios/Problemas	1274



<b>39</b>	<b>PARTÍCULAS QUE SE COMPORTAN COMO ONDAS</b>	1279	<b>42</b>	<b>MOLÉCULAS Y MATERIA CONDENSADA</b>	1407
39.1	Ondas del electrón	1279	42.1	Tipos de enlaces moleculares	1407
39.2	El átomo nuclear y los espectros atómicos	1285	42.2	Espectros moleculares	1410
39.3	Niveles de energía y el modelo atómico de Bohr	1290	42.3	Estructura de los sólidos	1414
39.4	El láser	1300	42.4	Bandas de energía	1418
39.5	Especetros continuos	1303	42.5	Modelo de electrones libres para los metales	1420
39.6	Repaso del principio de incertidumbre	1308	42.6	Semiconductores	1424
	Resumen	1311	42.7	Dispositivos semiconductores	1427
	Preguntas/Ejercicios/Problemas	1313	42.8	Superconductividad	1432
				Resumen	1432
				Preguntas/Ejercicios/Problemas	1434
<b>40</b>	<b>MECÁNICA CUÁNTICA I: FUNCIONES DE Onda</b>	1321	<b>43</b>	<b>FÍSICA NUCLEAR</b>	1440
40.1	Funciones de onda y la ecuación de Schrödinger unidimensional	1321	43.1	Propiedades de los núcleos	1440
40.2	Partícula en una caja	1331	43.2	Enlace nuclear y estructura nuclear	1446
40.3	Pozos de potencial	1336	43.3	Estabilidad nuclear y radiactividad	1450
40.4	Barreras de potencial y tunelamiento	1340	43.4	Actividad y vida media	1457
40.5	El oscilador armónico	1343	43.5	Efectos biológicos de la radiación	1461
40.6	Medición en mecánica cuántica	1348	43.6	Reacciones nucleares	1464
	Resumen	1351	43.7	Fisión nuclear	1466
	Preguntas/Ejercicios/Problemas	1353	43.8	Fusión nuclear	1470
				Resumen	1473
				Preguntas/Ejercicios/Problemas	1474
<b>41</b>	<b>MECÁNICA CUÁNTICA II: ESTRUCTURA ATÓMICA</b>	1360	<b>44</b>	<b>FÍSICA DE PARTÍCULAS Y COSMOLOGÍA</b>	1481
41.1	La ecuación de Schrödinger en tres dimensiones	1360	44.1	Partículas fundamentales y su historia	1481
41.2	Partícula en una caja de tres dimensiones	1362	44.2	Aceleradores y detectores de partículas	1486
41.3	El átomo de hidrógeno	1367	44.3	Partículas e interacciones	1490
41.4	El efecto Zeeman	1375	44.4	Quarks y gluones	1496
41.5	Espín del electrón	1378	44.5	El modelo estándar y más allá	1500
41.6	Átomos con muchos electrones y el principio de exclusión	1385	44.6	El universo en expansión	1502
41.7	Especetros de rayos X	1392	44.7	El principio del tiempo	1509
41.8	Entrelazamiento cuántico	1395		Resumen	1517
	Resumen	1399		Preguntas/Ejercicios/Problemas	1519
	Preguntas/Ejercicios/Problemas	1401			
<hr/>					
<b>APÉNDICES</b>					
A	El sistema internacional de unidades	A-1			
B	Relaciones matemáticas útiles	A-3			
C	El alfabeto griego	A-4			
D	Tabla periódica de los elementos	A-5			
E	Factores de conversión de unidades	A-6			
F	Constantes numéricas	A-7			
G	Datos astronómicos y prefijos de las potencias de 10	A-8			
	Respuestas a los problemas de número impar	A-9			
	Créditos	C-1			
	Índice	I-1			



**?** Los tornados son generados por tormentas severas, por lo que resulta esencial predecir la trayectoria de las tormentas. Si una de éstas se mueve a 15 km/h en dirección 37° al norte del este, ¿cuánto se moverá la tormenta hacia el norte en 2.0 h? **i.** 30 km; **ii.** 24 km; **iii.** 18 km; **iv.** 12 km; **v.** 9 km.

# 1

# UNIDADES, CANTIDADES FÍSICAS Y VECTORES

## OBJETIVOS DE APRENDIZAJE

Al estudiar este capítulo, usted aprenderá:

- 1.1** Qué es una teoría física.
- 1.2** Los cuatro pasos que puede usar para resolver cualquier problema en física.
- 1.3** Tres cantidades fundamentales de la física y cuáles son las unidades que los físicos utilizan para medirlas.
- 1.4** Cómo trabajar con unidades en sus cálculos.
- 1.5** Uso de cifras significativas en sus cálculos.
- 1.6** Cómo hacer aproximaciones con estimaciones del orden de magnitud.
- 1.7** La diferencia entre escalares y vectores, y cómo sumar y restar vectores gráficamente.
- 1.8** Qué son las componentes de un vector y cómo se utilizan para realizar cálculos.
- 1.9** Qué son los vectores unitarios y cómo se utilizan con las componentes para describir vectores.
- 1.10** Dos formas de multiplicar vectores: el producto escalar o producto punto y el producto vectorial o producto cruz.

**L**a física es una de las ciencias más fundamentales. Los científicos de todas las disciplinas utilizan las ideas de la física, como los químicos que estudian la estructura de las moléculas, los paleontólogos que intentan reconstruir la forma de caminar de los dinosaurios y los climatólogos que examinan cómo las actividades humanas afectan la atmósfera y los océanos. Asimismo, la física es la base de toda la ingeniería y la tecnología. Ningún ingeniero podría diseñar un televisor de pantalla plana, una prótesis de pierna o ni siquiera una mejor trampa para ratones, sin antes haber comprendido las leyes básicas de la física.

El estudio de la física también es una aventura. Usted lo encontrará desafiante, a veces frustrante y en ocasiones dolorosa; sin embargo, con frecuencia le brindará abundantes beneficios y satisfacciones. Si alguna vez se ha preguntado por qué el cielo es azul, cómo viajan las ondas de radio por el espacio vacío, o cómo un satélite permanece en órbita, encontrará las respuestas en la física básica. Sobre todo, apreciará la física como un logro sobresaliente del intelecto humano en su afán por entender nuestro mundo y a la humanidad misma.

En este capítulo inicial repasaremos algunos conceptos importantes que necesitaremos en nuestro estudio. Comentaremos la naturaleza de la física teórica y el uso de modelos idealizados para representar sistemas físicos. Presentaremos los sistemas de unidades que se emplean para especificar cantidades físicas y discutiremos la forma de describir la exactitud de un número. Estudiaremos ejemplos de problemas que no tienen (o para los cuales no es necesario obtener) una respuesta exacta, pero cuyas estimaciones resultan útiles e interesantes. Por último, examinaremos varios aspectos de los vectores y del álgebra vectorial que necesitaremos para describir y analizar cantidades físicas, como velocidad y fuerza, que tienen dirección además de magnitud.

## 1.1 LA NATURALEZA DE LA FÍSICA

La física es una ciencia *experimental*. Los físicos observan los fenómenos naturales e intentan encontrar los patrones que los describen. Tales patrones se denominan teorías físicas o, si están muy bien establecidos y se usan ampliamente, leyes o principios físicos.

**CUIDADO** Significado de la palabra “teoría” Decir que una idea es una teoría *no* implica que se trate de una divagación o de un concepto sin comprobar. Más bien, una teoría es una explicación de fenómenos naturales basada en observaciones y en los principios fundamentales aceptados. Un ejemplo es la bien establecida teoría de la evolución biológica, que es el resultado de extensas investigaciones y observaciones de varias generaciones de biólogos. □

### 1.1 Dos laboratorios de investigación.

(a) Según la leyenda, Galileo estudió el movimiento de cuerpos en caída libre soltándolos desde la Torre Inclinada de Pisa, Italia ...



... y estudió el movimiento de los péndulos observando la oscilación del candelabro de la catedral ubicada a un lado de la torre.

(b) La nave espacial Planck fue diseñada para el estudio de la radiación electromagnética débil que queda del Bing Bang de hace 13,800 millones de años.



Estos técnicos se reflejan en el espejo de luz de la nave espacial durante la prueba de prelanzamiento.

Para desarrollar una teoría en su campo de estudio, el físico debe aprender a hacer las preguntas adecuadas, a diseñar experimentos para intentar contestarlas y a deducir conclusiones apropiadas de los resultados. La **figura 1.1** muestra dos instalaciones experimentales famosas que se utilizaron para realizar experimentos físicos.

Cuenta la leyenda que Galileo Galilei (1564-1642) dejó caer objetos ligeros y pesados desde la parte superior de la Torre Inclinada de Pisa (figura 1.1a), para averiguar si sus velocidades de caída eran iguales o diferentes. Al examinar los resultados de sus experimentos (que en realidad fueron mucho más complejos de lo que cuenta la leyenda), dio el salto inductivo al principio, o la teoría, de que la aceleración de un cuerpo que cae es independiente de su peso.

El desarrollo de teorías físicas como la de Galileo a menudo es un proceso indirecto con callejones sin salida, suposiciones erróneas y el abandono de teorías infructuosas en favor de otras más promisorias. La física no es una mera colección de hechos y principios; también es el *proceso* que nos lleva a los principios generales que describen el comportamiento del universo físico.

Ninguna teoría se considera como la verdad final o definitiva. Siempre existe la posibilidad de que nuevas observaciones obliguen a modificarla o descartarla. Inherente en las teorías físicas, se encuentra el hecho de que podemos demostrar su falsedad encontrando comportamientos que no sean congruentes con ellas, pero nunca podremos comprobar que una teoría siempre es correcta.

Volviendo con Galileo, suponga que dejamos caer una pluma y una bala de cañón. Sin duda, *no* caen a la misma velocidad, lo cual no significa que Galileo estuviera equivocado, sino que su teoría estaba incompleta. Si soltamos tales objetos *en un vacío* para eliminar los efectos del aire, sí caerán a la misma velocidad. La teoría de Galileo tiene un **intervalo de validez**: sólo es válida para objetos cuyo peso es mucho mayor que la fuerza ejercida por el aire (debido a la resistencia y a la flotabilidad del objeto). Los objetos como las plumas y los paracaídas evidentemente se salen del intervalo.

## 1.2 CÓMO RESOLVER PROBLEMAS EN FÍSICA

En algún punto de sus estudios, casi todos los estudiantes de física sienten que, aunque entienden los conceptos, simplemente no pueden resolver los problemas. Sin embargo, en física, entender verdaderamente un concepto *significa* saber aplicarlo a diversos problemas. Aprender a resolver problemas es absolutamente indispensable; es imposible saber física sin poder *hacer* física.

¿Cómo aprendemos a resolver problemas de física? En todos los capítulos de este libro, usted encontrará *Estrategias para resolver problemas* que sugieren técnicas para plantear y resolver problemas con eficiencia y exactitud. Después de cada *Estrategia para resolver problemas* hay uno o más *Ejemplos* resueltos que muestran esas técnicas en acción. (Las *Estrategias para resolver problemas* también ayudan a evitar algunas técnicas *incorrectas* que quizás usted se sienta tentado a usar). Además, encontrará ejemplos adicionales que no están asociados con una *Estrategia específica para resolver problemas*. Asimismo, al final de cada capítulo se encuentra un *Problema práctico*

que usa más de un concepto clave del capítulo. Recomendamos al lector estudiar detenidamente esas estrategias y ejemplos, y resolver estos últimos por su cuenta.

Se utilizan diferentes técnicas para resolver distintos tipos de problemas de física y, por ello, este libro ofrece docenas de *Estrategias para resolver problemas*. No obstante, sea cual fuere el tipo de problema, hay ciertos pasos básicos que se deben seguir siempre. (Esos mismos pasos son igualmente útiles en problemas de matemáticas, ingeniería, química y muchos otros campos). En este libro, hemos organizado los pasos en cuatro etapas para la resolución de un problema.

Todas las *Estrategias para resolver problemas* y los *Ejemplos* del libro seguirán esos cuatro pasos. (En algunos casos, se agruparán los primeros dos o tres pasos). Le recomendamos seguir los mismos pasos al resolver problemas por su cuenta. Usted encontrará útil recordar el acrónimo **IPEE** para recordar *Identificar, Plantear, Ejecutar y Evaluar*.

## ESTRATEGIA PARA RESOLVER PROBLEMAS 1.1 CÓMO RESOLVER PROBLEMAS DE FÍSICA

**IDENTIFICAR** los conceptos relevantes: Use el planteamiento del problema para decidir qué conceptos de la física son relevantes. Identifique las **incógnitas** del problema, es decir, las cantidades cuyos valores está tratando de obtener, como la rapidez con que un proyectil choca contra el suelo, la intensidad del sonido producido por una sirena, o el tamaño de una imagen formada por una lente. Identifique las variables conocidas, establecidas o implicadas en el problema. Este paso es fundamental ya sea que la meta consista en obtener una expresión matemática o bien un valor numérico.

**PLANTEAR** el problema: Con base en los conceptos que haya identificado y en las variables conocidas y las incógnitas, seleccione las ecuaciones que usará para resolver el problema y decida cómo las empleará. Asegúrese de que las variables e incógnitas que haya identificado correspondan exactamente a las que se encuentran en las ecuaciones. Si es necesario, trace un bosquejo de la situación descrita en el problema. (Para elaborar los diagramas le serán útiles el papel cuadriculado, una regla graduada, un transportador y un compás).

Estime lo mejor que pueda cuáles serán sus resultados y, si es pertinente, pronostique cuál será el comportamiento físico del sistema. Los ejemplos resueltos en este libro incluyen sugerencias acerca de cómo hacer este tipo de estimaciones y pronósticos. Si esto parece complicado, no se preocupe, usted mejorará con la práctica.

**EJECUTAR** la solución: En este paso, se “hacen las matemáticas”. Estudie los ejemplos resueltos para saber lo que implica este paso.

**EVALUAR** la respuesta: Compare la respuesta con su estimación y, si hay alguna discrepancia, revise su procedimiento. Cuando su respuesta sea una expresión algebraica, asegúrese de que representa realmente lo que pasaría si sus variables se consideran con valores muy grandes o muy pequeños. Para referencias futuras, tome nota de cualquier respuesta que represente una cantidad de particular importancia. Pregúntese cómo podría contestar una versión más general o más difícil del problema que acaba de resolver.

## Modelos idealizados

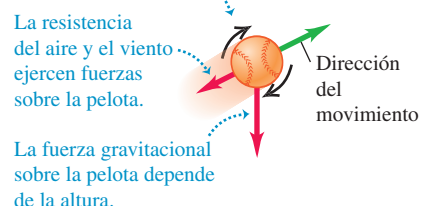
Cotidianamente usamos la palabra “modelo” para designar una réplica en miniatura, digamos, de un ferrocarril, o bien, para referirnos a una persona que exhibe ropa (o que se exhibe sin ella). En física, un **modelo** es una versión simplificada de un sistema físico demasiado complejo como para analizarse con todo detalle.

Por ejemplo, suponga que nos interesa analizar el movimiento de una pelota de béisbol lanzada al aire (**figura 1.2a**). ¿Qué tan complicado es el problema? La pelota no es perfectamente esférica (tiene costuras) y gira conforme viaja por el aire. El viento y la resistencia del aire afectan su movimiento, el peso de la pelota varía un poco al cambiar su altura, etcétera. Si tratamos de considerar todo esto, la complejidad del análisis nos abrumará. En vez de ello, creamos una versión simplificada del problema. Omitimos el tamaño y la forma de la pelota representándola como un objeto puntual o una **partícula**. Ignoramos la resistencia del aire como si la pelota se moviera en el vacío, y suponemos que su peso es constante. Ahora ya tenemos un problema manejable (**figura 1.2b**). Analizaremos este modelo con detalle en el capítulo 3.

Para crear un modelo idealizado del sistema, debemos pasar por alto algunos efectos menores, pero tenemos que ser cuidadosos de no omitir demasiado. Si ignoramos totalmente los efectos de la gravedad, nuestro modelo pronosticaría que si lanzamos la pelota hacia arriba, ésta se desplazaría en línea recta hasta desaparecer en el espacio. Un modelo útil es el que simplifica un problema lo suficiente para hacerlo manejable, pero sin omitir sus características esenciales.

**1.2** Para simplificar el análisis de *a)* una pelota de béisbol lanzada al aire, usamos *b)* un modelo idealizado.

(a) Una pelota real lanzada al aire  
La pelota gira y tiene forma compleja.



(b) Un modelo idealizado de la pelota de béisbol  
La pelota de béisbol se trata como un objeto puntual (o una partícula).  
No hay resistencia del aire.  
La fuerza gravitacional sobre la pelota es constante.  
Dirección del movimiento

Al usar un modelo para predecir el comportamiento de un sistema, la validez de la predicción está limitada por la validez del modelo. Por ejemplo, la predicción de Galileo con respecto a la caída de los cuerpos (vea la sección 1.1) corresponde a un modelo idealizado que no incluye los efectos de la resistencia del aire. El modelo funciona bastante bien para una bala de cañón, aunque no tan bien para una pluma.

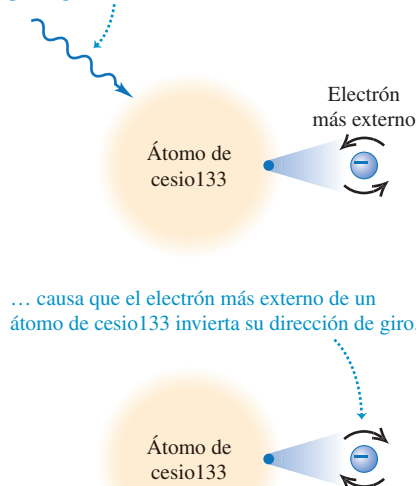
Los modelos idealizados desempeñan un papel primordial en este libro. Intente ubicarlos al estudiar las teorías físicas y sus aplicaciones a problemas específicos.

## 1.3 ESTÁNDARES Y UNIDADES

**1.3** Mediciones usadas para determinar *a)* la duración de un segundo y *b)* la longitud de un metro. Estas mediciones son útiles para el establecimiento de estándares, ya que ofrecen los mismos resultados sin importar dónde se realicen.

(a) Medición de un segundo

La radiación de microondas de una frecuencia de exactamente 9,192,631,770 ciclos por segundo...



Un reloj atómico usa este fenómeno para sincronizar las microondas a esta frecuencia exacta. Entonces cuenta un segundo por cada 9,192,631,770 ciclos.

(b) Medición de un metro



Como vimos en la sección 1.1, la física es una ciencia experimental. Los experimentos requieren mediciones, cuyos resultados suelen describirse con números. Un número empleado para describir cuantitativamente un fenómeno físico es una **cantidad física**. Dos cantidades físicas que lo describen a usted son, por ejemplo, su peso y su estatura. Algunas cantidades físicas son tan básicas que sólo podemos definirlas describiendo la forma de medirlas; una definición de este tipo recibe el nombre de **definición operacional u operativa**. Dos ejemplos son la medición de una distancia con una regla, o una fracción de tiempo con un cronómetro. En otros casos, definimos una cantidad física describiendo la forma de calcularla a partir de otras cantidades que *podemos* medir. Así, podríamos definir la rapidez promedio de un objeto en movimiento, como la distancia recorrida (medida con una regla) dividida entre el tiempo de recorrido (medido con un cronómetro).

Al medir una cantidad, siempre la comparamos con un estándar de referencia. Si decimos que un Ferrari 458 Italia tiene una longitud de 4.53 metros, queremos decir que es 4.53 veces más largo que un metro de madera, que previamente definimos con una longitud de 1 metro. Dicho estándar define una **unidad** de la cantidad. El metro es una unidad de distancia; y el segundo es una unidad de tiempo. Al describir una cantidad física con un número, siempre debemos especificar la unidad empleada; describir una distancia simplemente como "4.53" no tendría significado.

Las mediciones exactas y confiables requieren unidades de medida inmutables que puedan ser reproducidas por observadores en distintos lugares. El sistema de unidades empleado por los científicos e ingenieros en todo el mundo se denomina comúnmente "sistema métrico" aunque, desde 1960, su nombre oficial es **Sistema Internacional o SI** (que proviene del francés: *Système International*). En el apéndice A se presenta una lista de todas las unidades del SI y se definen las fundamentales.

### Tiempo

De 1889 a 1967, la unidad de tiempo se definió como cierta fracción del día solar medio (el tiempo promedio entre llegadas sucesivas del Sol al cenit). El estándar actual, adoptado en 1967, es mucho más preciso; se basa en un reloj atómico que usa la diferencia de energía entre los dos estados energéticos más bajos del átomo de cesio ( $^{133}\text{Cs}$ ). Al bombardearse con microondas justo con la frecuencia adecuada, el átomo de cesio sufre una transición entre dichos estados. Un **segundo** (que se abrevia como s) se define como el tiempo que tardan 9,192,631,770 ciclos de esta radiación de microondas (**figura 1.3a**).

### Longitud

En 1960 se estableció también un estándar atómico para el metro, utilizando la longitud de onda de la luz anaranjada-roja emitida por átomos excitados de kriptón ( $^{86}\text{Kr}$ ). Usando este estándar de longitud se comprobó que la rapidez de la luz en el vacío es de 299,792,458 m/s. En noviembre de 1983, el estándar de longitud se modificó otra vez, de manera que se *definió* que la rapidez de la luz en el vacío es exactamente

igual a 299,792,458 m/s. Así, la nueva definición de **metro** (que se abrevia m) es la distancia que recorre la luz en el vacío en 1/299,792,458 segundos (figura 1.3b). Éste es un estándar de longitud mucho más preciso que el basado en una longitud de onda de la luz.

## Masa

El estándar de masa, el **kilogramo** (que se abrevia kg), se define como la masa de un cilindro de una aleación de platino-iridio que se conserva en la Oficina Internacional de Pesos y Medidas en Sèvres, cerca de París (figura 1.4). Un estándar atómico de masa sería más fundamental; sin embargo, en la actualidad no podemos medir masas a escala atómica con tanta exactitud como a escala macroscópica. El *gramo* (que no es una unidad fundamental) es igual a 0.001 kilogramo.

Se pueden formar otras *unidades derivadas* a partir de las unidades fundamentales. Por ejemplo, las unidades de rapidez son metros por segundo, o m/s; éstas son unidades de longitud (m) divididas entre unidades de tiempo (s).

**1.4** El objeto de metal encerrado cuidadosamente dentro de estos envases de cristal es el kilogramo estándar internacional.



## Prefijos de unidades

Una vez definidas las unidades fundamentales, es fácil introducir unidades más grandes y más pequeñas para las mismas cantidades físicas. En el sistema métrico, estas otras unidades están relacionadas con las unidades fundamentales (o, en el caso de la masa, con el gramo) por múltiplos de 10 o  $\frac{1}{10}$ . Así, un kilómetro (1 km) equivale a 1000 metros, y un centímetro (1 cm) es  $\frac{1}{100}$  de un metro. Es común expresar los múltiplos de 10 o  $\frac{1}{10}$  en notación exponencial:  $1000 = 10^3$ ,  $\frac{1}{1000} = 10^{-3}$ , etcétera. Con esta notación,  $1 \text{ km} = 10^3 \text{ m}$  y  $1 \text{ cm} = 10^{-2} \text{ m}$ .

Los nombres de las unidades adicionales se obtienen agregando un **prefijo** al nombre de la unidad fundamental. Por ejemplo, el prefijo “kilo-”, abreviado k, siempre indica una unidad 1000 veces mayor; así

$$1 \text{ kilómetro} = 1 \text{ km} = 10^3 \text{ metros} = 10^3 \text{ m}$$

$$1 \text{ kilogramo} = 1 \text{ kg} = 10^3 \text{ gramos} = 10^3 \text{ g}$$

$$1 \text{ kilowatt} = 1 \text{ kW} = 10^3 \text{ watts} = 10^3 \text{ W}$$

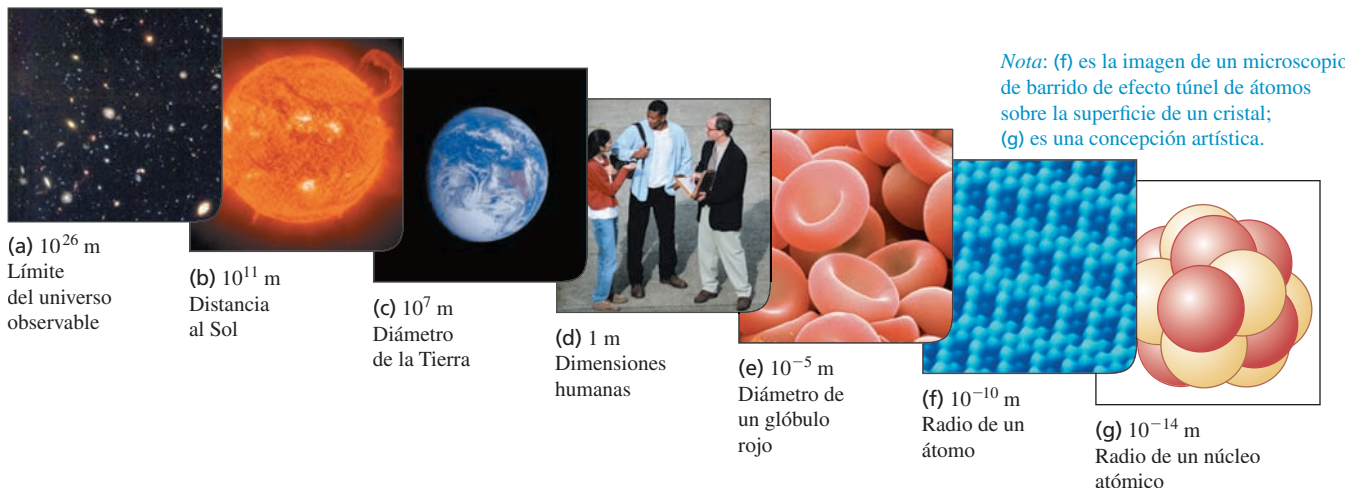
Una tabla en el apéndice A muestra los prefijos estándar del SI de unidades, con sus significados y abreviaturas.

La **tabla 1.1** presenta algunos ejemplos del uso de múltiplos de 10 y sus prefijos con las unidades de longitud, masa y tiempo. La **figura 1.5** muestra cómo se usan estos prefijos para describir distancias tanto grandes como pequeñas.

**TABLA 1.1** Algunas unidades de longitud, masa y tiempo

Longitud	Masa	Tiempo
1 nanómetro = $1 \text{ nm} = 10^{-9} \text{ m}$ <i>(unas cuantas veces el tamaño del átomo más grande)</i>	1 microgramo = $1 \mu\text{g} = 10^{-6} \text{ g} = 10^{-9} \text{ kg}$ <i>(masa de una partícula de polvo muy pequeña)</i>	1 nanosegundo = $1 \text{ ns} = 10^{-9} \text{ s}$ <i>(tiempo en que la luz recorre 0.3 m)</i>
1 micrómetro = $1 \mu\text{m} = 10^{-6} \text{ m}$ <i>(tamaño de algunas bacterias y células vivas)</i>	1 miligramo = $1 \text{ mg} = 10^{-3} \text{ g} = 10^{-6} \text{ kg}$ <i>(masa de un grano de sal)</i>	1 microsegundo = $1 \mu\text{s} = 10^{-6} \text{ s}$ <i>(tiempo en que la estación espacial recorre 8 mm)</i>
1 milímetro = $1 \text{ mm} = 10^{-3} \text{ m}$ <i>(diámetro del punto de un bolígrafo)</i>	1 gramo = $1 \text{ g} = 10^{-3} \text{ kg}$ <i>(masa de un clip sujetapapeles)</i>	1 milisegundo = $1 \text{ ms} = 10^{-3} \text{ s}$ <i>(tiempo en que un automóvil moviéndose con rapidez de autopista viaja 3 cm)</i>
1 centímetro = $1 \text{ cm} = 10^{-2} \text{ m}$ <i>(diámetro del dedo meñique)</i>		
1 kilómetro = $1 \text{ km} = 10^3 \text{ m}$ <i>(distancia de un paseo de 10 minutos caminando)</i>		

### 1.5 Algunas longitudes representativas en el universo.



**1.6** Muchos objetos comunes usan unidades tanto del SI como británicas. Un ejemplo es el velocímetro de un automóvil fabricado en Estados Unidos, que indica la rapidez tanto en kilómetros por hora (escala interior) como en millas por hora (escala exterior).



### El sistema británico

Por último, mencionamos el sistema británico de unidades que se usa sólo en Estados Unidos y unos cuantos países más; aunque en la mayoría de éstos se va reemplazando por el SI. En la actualidad, las unidades británicas se definen oficialmente en términos de las unidades del SI de la siguiente manera:

*Longitud:* 1 pulgada = 2.54 cm (exactamente)

*Fuerza:* 1 libra = 4.448221615260 newtons (exactamente)

El newton, que se abrevia N, es la unidad de fuerza en el SI. La unidad británica de tiempo es el segundo, que se define igual que en el SI. En física, las unidades británicas se emplean sólo en mecánica y termodinámica; no hay un sistema británico de unidades eléctricas.

En este libro usaremos unidades del SI en todos los ejemplos y problemas; no obstante, en ocasiones daremos equivalencias aproximadas en unidades británicas. Al resolver problemas con unidades del SI, usted puede hacer la conversión a las aproximaciones correspondientes del sistema británico, si le resultan más conocidas (**figura 1.6**). Sin embargo, debe tratar de *pensar* en unidades del SI la mayoría de las veces.

## 1.4 USO Y CONVERSIONES DE UNIDADES

Usamos ecuaciones para expresar las relaciones entre cantidades físicas representadas por símbolos algebraicos. Cada símbolo algebraico denota siempre tanto un número como una unidad. Por ejemplo,  $d$  podría representar una distancia de 10 m,  $t$  un tiempo de 5 s y  $v$  una rapidez de 2 m/s.

Toda ecuación siempre debe ser **dimensionalmente consistente**. No podemos sumar manzanas y automóviles; únicamente podemos sumar o igualar dos términos si tienen las mismas unidades. Por ejemplo, si un cuerpo que viaja con rapidez constante  $v$  recorre una distancia  $d$  en un tiempo  $t$ , estas cantidades se relacionan mediante la ecuación

$$d = vt$$

Si  $d$  se mide en metros, entonces el producto  $vt$  también debe expresarse en metros. Con los números anteriores como ejemplo, escribimos

$$10 \text{ m} = \left( 2 \frac{\text{m}}{\text{s}} \right) (5 \text{ s})$$

Como la unidad s en el denominador de m/s se cancela, el producto está en metros, como debe ser. En los cálculos, las unidades se tratan igual que los símbolos algebraicos con respecto a la multiplicación y la división.

**CUIDADO** En los cálculos utilice siempre unidades. Cuando un problema requiere de cálculos con números y unidades, *siempre* escriba los números con las unidades correctas durante todo el cálculo, como en el ejemplo anterior, lo cual es muy útil pues ayuda a verificar los cálculos. Si en alguna etapa del cálculo, una ecuación o expresión tiene unidades inconsistentes, usted ha cometido un error en alguna parte. En este libro *siempre* indicaremos las unidades en todos los cálculos, y recomendamos con insistencia al lector hacer lo mismo al resolver los problemas. ■

## ESTRATEGIA PARA RESOLVER PROBLEMAS 1.2 SOLUCIÓN DE PROBLEMAS DE FÍSICA

**IDENTIFICAR** los conceptos relevantes: En general, lo mejor es usar las unidades fundamentales del SI (longitud en metros, masa en kilogramos y tiempo en segundos) en todos los problemas. Si la respuesta se debe dar en otras unidades (kilómetros, gramos u horas, por ejemplo), espere hasta el final para efectuar la conversión.

**PLANTEAR** el problema y **EJECUTAR** la solución: Las unidades se multiplican y se dividen igual que los símbolos algebraicos ordinarios, lo cual facilita la conversión de una cantidad de un conjunto de unidades a otro: exprese la misma cantidad física en dos unidades distintas y forme una igualdad.

Por ejemplo, cuando decimos que  $1 \text{ min} = 60 \text{ s}$ , no queremos decir que el número 1 sea igual al número 60, sino que 1 min representa el mismo intervalo de tiempo que 60 s. Por ello, el cociente  $(1 \text{ min})/(60 \text{ s})$  es igual a 1, lo mismo que su recíproco  $(60 \text{ s})/(1 \text{ min})$ . Podemos multiplicar una cantidad por cualquiera de estos factores (conoci-

cidos como *multiplicadores unitarios*) sin alterar el significado físico de la misma. Por ejemplo, para determinar el número de segundos en 3 min, escribimos

$$3 \text{ min} = (3 \text{ min})\left(\frac{60 \text{ s}}{1 \text{ min}}\right) = 180 \text{ s}$$

**EVALUAR** la respuesta: Si convertimos las unidades correctamente, se eliminarán las unidades no deseadas, como en el ejemplo anterior. Si hubiéramos multiplicado 3 min por  $(1 \text{ min})/(60 \text{ s})$ , el resultado habría sido un absurdo  $\frac{1}{20} \text{ min}^2/\text{s}$ . Para asegurarse de convertir adecuadamente las unidades, usted debe incluirlas en *todas* las etapas del cálculo.

Por último, verifique si la respuesta es lógica. Por ejemplo, el resultado  $3 \text{ min} = 180 \text{ s}$  es razonable porque el segundo es más pequeño que el minuto, así que habrá más segundos que minutos en el mismo intervalo de tiempo.

### EJEMPLO 1.1 CONVERSIÓN DE UNIDADES DE RAPIDEZ



El récord mundial de rapidez terrestre es de 763.0 mi/h, establecido por Andy Green el 15 de octubre de 1997 en el automóvil con motor a reacción *Thrust SSC*. Expresé esta rapidez en metros/segundo.

#### SOLUCIÓN

**IDENTIFICAR, PLANTEAR y EJECUTAR:** Queremos convertir las unidades de rapidez de mi/h a m/s. Por lo tanto, debemos encontrar multiplicadores unitarios que relacionen: **i.** millas con metros y **ii.** horas con segundos. En el apéndice E se encuentran las igualdades  $1 \text{ mi} = 1.609 \text{ km}$ ,  $1 \text{ km} = 1000 \text{ m}$  y  $1 \text{ h} = 3600 \text{ s}$ . Para garantizar que se realicen todas las cancelaciones deseadas, la conversión se plantea como sigue:

$$763.0 \text{ mi/h} = \left(763.0 \frac{\text{mi}}{\text{h}}\right)\left(\frac{1.609 \text{ km}}{1 \text{ mi}}\right)\left(\frac{1000 \text{ m}}{1 \text{ km}}\right)\left(\frac{1 \text{ h}}{3600 \text{ s}}\right)$$

$$= 341.0 \text{ m/s}$$

**EVALUAR:** Este ejemplo muestra una regla práctica muy útil: la rapidez expresada en m/s es un poco menor que la mitad del valor expresado en mi/h, y un poco menor que la tercera parte del valor expresado en km/h. Por ejemplo, la rapidez habitual en una carretera es aproximadamente de  $30 \text{ m/s} = 67 \text{ mi/h} = 108 \text{ km/h}$ , y la rapidez típica de una caminata es de cerca de  $1.4 \text{ m/s} = 3.1 \text{ mi/h} = 5.0 \text{ km/h}$ .

### EJEMPLO 1.2 CONVERSIÓN DE UNIDADES DE VOLUMEN



Uno de los diamantes tallados más grandes del mundo es la Primera Estrella de África (montado en el cetro real británico y resguardado en la Torre de Londres). Su volumen es de 1.84 pulgadas cúbicas. ¿Cuál es su volumen en centímetros cúbicos? ¿Y en metros cúbicos?

#### SOLUCIÓN

**IDENTIFICAR, PLANTEAR y EJECUTAR:** Aquí vamos a convertir las unidades de volumen de pulgadas cúbicas ( $\text{in}^3$ ) tanto a centímetros cúbicos ( $\text{cm}^3$ ) como a metros cúbicos ( $\text{m}^3$ ). En el apéndice E se encuentra la igualdad  $1 \text{ in} = 2.540 \text{ cm}$ , a partir de la cual se obtiene que  $1 \text{ in}^3 = (2.54 \text{ cm})^3$ . Entonces, tenemos que

$$1.84 \text{ in}^3 = (1.84 \text{ in}^3)\left(\frac{2.54 \text{ cm}}{1 \text{ in}}\right)^3$$

$$= (1.84)(2.54)^3 \frac{\text{in}^3 \text{ cm}^3}{\text{in}^3} = 30.2 \text{ cm}^3$$

En el apéndice E también encontramos que  $1 \text{ m} = 100 \text{ cm}$ , de modo que

$$30.2 \text{ cm}^3 = (30.2 \text{ cm}^3)\left(\frac{1 \text{ m}}{100 \text{ cm}}\right)^3$$

$$= (30.2)\left(\frac{1}{100}\right)^3 \frac{\text{cm}^3 \text{ m}^3}{\text{cm}^3} = 30.2 \times 10^{-6} \text{ m}^3$$

$$= 3.02 \times 10^{-5} \text{ m}^3$$

**EVALUAR:** Siguiendo el patrón de estas conversiones, ¿puede ver que  $1 \text{ in}^3 \approx 16 \text{ cm}^3$  y que  $1 \text{ m}^3 \approx 60,000 \text{ in}^3$ ?

**1.7** Este accidente espectacular se debió a un error porcentual muy pequeño: recorrer unos cuantos metros de más en un viaje de cientos de miles de metros.



**TABLA 1.2** Uso de cifras significativas

**Multiplicación o división:**

El resultado no debe tener más cifras significativas que el número inicial con menos cifras significativas:

$$\begin{array}{r} 0.745 \times 2.2 \\ \hline 3.885 \end{array} = 0.42$$

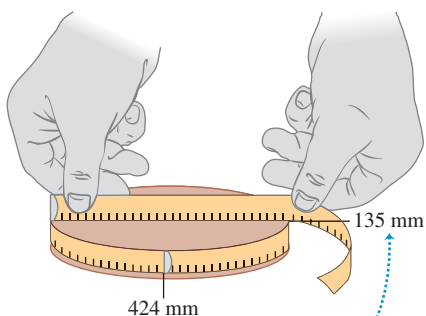
$$1.32578 \times 10^7 \times 4.11 \times 10^{-3} = 5.45 \times 10^4$$

**Suma o resta:**

El número de cifras significativas se determina por el número inicial con mayor incertidumbre (es decir, el menor número de dígitos a la derecha del punto decimal):

$$27.153 + 138.2 - 11.74 = 153.6$$

**1.8** Determinación del valor de  $\pi$  a partir de la circunferencia y el diámetro de un círculo.



Los valores medidos tienen únicamente tres cifras significativas, por lo que su razón calculada ( $\pi$ ) tiene también sólo tres cifras significativas.

## 1.5 INCERTIDUMBRE Y CIFRAS SIGNIFICATIVAS

Las mediciones siempre implican incertidumbre. Si medimos el espesor de la portada de una edición con cubierta dura de este libro con una regla común, la medición sólo será confiable hasta milímetros, y el resultado será de 3 mm. Sería *erróneo* dar este resultado como 3.00 mm; dadas las limitaciones del instrumento de medición, no se sabría si el espesor real es de 3.00 mm, 2.85 mm o 3.11 mm. Pero si se usa un micrómetro —un instrumento que mide distancias de forma confiable hasta 0.01 mm—, el resultado será 2.91 mm. La diferencia entre ambas mediciones radica en su **incertidumbre**. La medida con micrómetro tiene menor incertidumbre. La incertidumbre también se llama **error**, porque indica la máxima diferencia probable entre el valor medido y el real. La incertidumbre o el error de un valor medido depende de la técnica de medición empleada.

A menudo indicamos la **exactitud** de un valor medido (es decir, qué tanto creemos que se acerca al valor real) escribiendo el número, el símbolo  $\pm$  y un segundo número que indica la incertidumbre de la medición. Si el diámetro de una varilla de acero se expresa como  $56.47 \pm 0.02$  mm, esto implica que es poco probable que el valor real sea menor que 56.45 mm o mayor que 56.49 mm. En una notación abreviada de uso común, el número  $1.6454(21)$  significa  $1.6454 \pm 0.0021$ . Los números entre paréntesis indican la incertidumbre de los dígitos finales del número principal.

También podemos expresar la exactitud en términos del **error relativo** o **error porcentual** (también llamado *incertidumbre relativa* o *incertidumbre porcentual*). Un resistor rotulado como de “47 ohms  $\pm 10\%$ ” probablemente tiene una resistencia real que difiere de 47 ohms en menos del 10% de 47 ohms, esto es, unos 5 ohms. Es probable que la resistencia esté entre 42 y 52 ohms. En el caso del diámetro de la varilla antes citada, el error relativo es de  $(0.02 \text{ mm})/(56.47 \text{ mm})$ , que es aproximadamente 0.0004; el error porcentual es de  $(0.0004)(100\%)$ , o bien, de 0.04%. Incluso errores de aproximación muy pequeños llegan a ser muy significativos (**figura 1.7**).

En muchos casos, no se da explícitamente la incertidumbre de un número, sino que se indica con el número de dígitos significativos, o **cifras significativas**, en el valor medido. Nosotros dimos el espesor de la portada del libro como 2.91 mm, que tiene tres cifras significativas. Con ello queremos decir que los dos primeros dígitos son correctos, pero el tercero es incierto. El último dígito está en la posición de las centésimas, así que la incertidumbre sería de 0.01 mm. Dos valores con el *mismo* número de cifras significativas pueden tener *diferente* incertidumbre; una distancia expresada como 137 km también tiene tres cifras significativas, pero la incertidumbre es aproximadamente de 1 km. Una distancia dada como 0.25 km tiene dos cifras significativas (no se considera el cero a la izquierda del punto decimal); si lo dan como 0.250 km, éste tiene tres cifras significativas.

Cuando usamos números con incertidumbre para calcular otros números, el resultado también es incierto. Al multiplicar o dividir números, el resultado no puede tener más cifras significativas que el factor con menos cifras significativas. Por ejemplo,  $3.1416 \times 2.34 \times 0.58 = 4.3$ . Cuando sumamos y restamos números, lo que importa es la ubicación del punto decimal, no el número de cifras significativas. Por ejemplo,  $123.62 + 8.9 = 132.5$ . Aunque 123.62 tiene una incertidumbre aproximada de 0.01, la de 8.9 sería de 0.1, así que la suma debe tener esta misma incertidumbre (0.1) y escribirse como 132.5, no como 132.52. La **tabla 1.2** resume las reglas para las cifras significativas.

Como una aplicación de estas ideas, suponga que quiere verificar el valor de  $\pi$ , la razón entre la circunferencia y el diámetro de un círculo. El valor verdadero de esta razón considerando hasta 10 dígitos es 3.141592654. Para probarlo, dibuje un círculo grande, y mida el diámetro y la circunferencia con precisión de milímetros: obtendrá los valores de 424 mm y 135 mm (**figura 1.8**), los cuales dividirá con su calculadora  $(424 \text{ mm})/(135 \text{ mm})$  para obtener 3.140740741. Esto parecería no coincidir con el valor real de  $\pi$ , pero tenga en cuenta que cada una de sus mediciones tiene tres cifras significativas, de manera que su valor medido de  $\pi$  sólo puede tener tres cifras significativas y debería darse simplemente como 3.14. Dentro del límite de tres cifras significativas, este valor sí coincide con el valor verdadero.

En los ejemplos y problemas de este libro, por lo regular daremos valores numéricos con tres cifras significativas, así que sus respuestas no deberían tener más de tres cifras significativas. (En el mundo real, muchos números incluso tienen una exactitud menor. Un velocímetro de automóvil, por ejemplo, únicamente suele tener sólo dos cifras significativas). Incluso si usted realiza operaciones con una calculadora que despliega 10 dígitos, sería erróneo dar una respuesta de 10 dígitos, porque falsea la exactitud del resultado. Siempre redondee su respuesta final conservando solamente el número correcto de cifras significativas o, si hay duda, cuando mucho una más. En el ejemplo 1.1 habría sido erróneo dar la respuesta como 341.01861 m/s. Observe que, al reducir una respuesta así al número adecuado de cifras significativas, debemos *redondear, no truncar*. La calculadora indica que 525 m/311 m es 1.688102894; con tres cifras significativas, esto es, 1.69, no 1.68.

Al calcular con números muy grandes o muy pequeños, es mucho más fácil indicar las cifras significativas usando **notación científica**, también llamada **notación de potencias de 10**. La distancia de la Tierra a la Luna es aproximadamente de 384,000,000 m; pero esta forma del número no da idea de cuántas cifras significativas tiene. En vez de ello, recorremos el punto decimal ocho lugares a la izquierda (lo que equivale a dividir entre  $10^8$ ) y multiplicamos por  $10^8$ ; es decir,

$$384,000,000 \text{ m} = 3.84 \times 10^8 \text{ m}$$

De esta forma, es evidente que tenemos tres cifras significativas. El número  $4.00 \times 10^{-7}$  también tiene tres cifras significativas, aunque dos de ellas sean ceros. En notación científica, se acostumbra expresar la cantidad como un número entre 1 y 10 multiplicado por la potencia adecuada de 10.

Cuando aparecen un entero o una fracción en una ecuación general, tratamos ese número como si no tuviera incertidumbre. Por ejemplo, en la ecuación  $v_x^2 = v_{0x}^2 + 2a_x(x - x_0)$ , que es la ecuación (2.13) del capítulo 2, el coeficiente 2 es *exactamente* 2. Podríamos pensar que este coeficiente tiene un número infinito de cifras significativas (2.000000...). Lo mismo ocurre con el exponente 2 en  $v_x^2$  y  $v_{0x}^2$ .

Por último, cabe señalar que **precisión** no es lo mismo que *exactitud*. Un reloj digital barato que indica la hora como 10:35:17 A.M. es muy *preciso* (la hora se da con segundos); pero si el reloj está atrasado varios minutos, este valor no es muy *exacto*. Por otro lado, el reloj de nuestro abuelo puede ser muy exacto (es decir, da la hora correcta) pero, si no tiene segundero, no será muy preciso. Una medición de gran calidad es *tanto precisa como exacta*.

### EJEMPLO 1.3 CIFRAS SIGNIFICATIVAS AL MULTIPLICAR



La energía  $E$  en reposo de un objeto con masa  $m$  en reposo está dada por la famosa ecuación de Albert Einstein  $E = mc^2$ , donde  $c$  es la rapidez de la luz en el vacío. Calcule  $E$  (con tres cifras significativas) para un electrón con  $m = 9.11 \times 10^{-31}$  kg. La unidad del SI para  $E$  es el joule (J); 1 J = 1 kg · m<sup>2</sup>/s<sup>2</sup>.

#### SOLUCIÓN

**IDENTIFICAR y PLANTEAR:** La incógnita es la energía  $E$ . Nos dan el valor de la masa  $m$ ; en la sección 1.3 (o en el apéndice F) vemos que la rapidez de la luz es  $c = 2.99792458 \times 10^8$  m/s.

**EJECUTAR:** Si sustituimos los valores de  $m$  y  $c$  en la ecuación de Einstein, tenemos

$$\begin{aligned} E &= (9.11 \times 10^{-31} \text{ kg})(2.99792458 \times 10^8 \text{ m/s})^2 \\ &= (9.11)(2.99792458)^2(10^{-31})(10^8)^2 \text{ kg} \cdot \text{m}^2/\text{s}^2 \\ &= (81.87659678)(10^{[-31+(2 \times 8)]}) \text{ kg} \cdot \text{m}^2/\text{s}^2 \\ &= 8.187659678 \times 10^{-14} \text{ kg} \cdot \text{m}^2/\text{s}^2 \end{aligned}$$

Puesto que el valor de  $m$  se dio con sólo tres cifras significativas, debemos redondear esto a

$$E = 8.19 \times 10^{-14} \text{ kg} \cdot \text{m}^2/\text{s}^2 = 8.19 \times 10^{-14} \text{ J}$$

**EVALUAR:** Mientras que la energía en reposo contenida en un electrón parecería ridículamente pequeña, en la escala atómica es enorme. Comparemos nuestra respuesta con  $10^{-19}$  J, que es la energía que un solo átomo gana o pierde durante una reacción química común. ¡La energía en reposo de un electrón es aproximadamente 1,000,000 de veces mayor! (Analizaremos el significado de la energía en reposo en el capítulo 37).

**EVALÚE SU COMPRENSIÓN DE LA SECCIÓN 1.5** La densidad de un material es igual a su masa dividida entre su volumen. ¿Qué densidad (en  $\text{kg/m}^3$ ) tiene una roca de masa igual a 1.80 kg y cuyo volumen es  $6.0 \times 10^{-4} \text{ m}^3$ ? **i.**  $3 \times 10^3 \text{ kg/m}^3$ ; **ii.**  $3.0 \times 10^3 \text{ kg/m}^3$ ; **iii.**  $3.00 \times 10^3 \text{ kg/m}^3$ ; **iv.**  $3.000 \times 10^3 \text{ kg/m}^3$ ; **v.** cualquiera de estas respuestas; todas son matemáticamente equivalentes. |

## 1.6 ESTIMACIONES Y ÓRDENES DE MAGNITUD

Hemos destacado la importancia de conocer la exactitud de los números que representan cantidades físicas. No obstante, a menudo incluso la estimación muy burda de una cantidad puede darnos información útil. A veces sabemos cómo calcular cierta cantidad, pero tenemos que estimar los datos necesarios para el cálculo. O bien, el cálculo podría ser demasiado complicado para efectuarse con exactitud, así que lo aproximamos. En ambos casos, nuestro resultado es una estimación, que aun sería útil si tiene un factor de incertidumbre de 2, 10 o más. Con frecuencia, tales cálculos se denominan **estimaciones de orden de magnitud**. El gran físico nuclear italo-estadounidense Enrico Fermi (1901-1954) los llamaba “cálculos aproximados”.

Los ejercicios 1.17 a 1.23 del final de este capítulo son del tipo de estimación u orden de magnitud. La mayoría requiere estimar los datos de entrada necesarios. No intente consultar muchos datos; estímelos tan bien como pueda. Aun cuando difieran por un factor de 10, los resultados serán útiles e interesantes.

### EJEMPLO 1.4 ESTIMACIÓN DE ORDEN DE MAGNITUD

Suponga que usted escribe una novela de aventuras, donde el héroe huye a otro país con mil millones de dólares en oro en su maleta. ¿Puede alguien llevar esa cantidad de oro? ¿Cabría tanto oro en una maleta?

#### SOLUCIÓN

**IDENTIFICAR, PLANTEAR y EJECUTAR:** El oro se vende a unos \$1400 la onza, o aproximadamente \$100 por  $\frac{1}{14}$  onza. (El precio por onza varió entre \$200 y \$1900 más o menos durante los últimos veinte años). Una onza equivale a unos 30 gramos, de modo que \$100 en oro tienen una masa de  $\frac{1}{14}$  de 30 gramos, o aproximadamente de 2 gramos. Mil millones ( $10^9$ ) de dólares en oro tienen una masa  $10^7$  más grande, aproximadamente  $2 \times 10^7$  (20 millones) de gramos o  $2 \times 10^4$  (20,000)

kilogramos. Mil kilogramos tienen un peso en unidades británicas de aproximadamente una tonelada, por lo que ¡la maleta pesa aproximadamente 20 toneladas! Ningún ser humano podría levantar tanto peso.

¿Aproximadamente cuál es el *volumen* de este oro? La densidad del agua es  $10^3 \text{ kg/m}^3$ ; si el oro es mucho más denso que el agua y tiene una densidad 10 veces mayor que la del agua, entonces  $10^4 \text{ kg}$  de oro tendría un volumen de  $1 \text{ m}^3$ . Así  $10^9$  dólares de oro tienen un volumen de  $2 \text{ m}^3$ , muchas veces el volumen de una maleta.

**EVALUAR:** Es evidente que hay que reescribir la novela. Pruebe el cálculo ahora con una maleta llena de diamantes de cinco quilates (1 gramo), cada uno de los cuales vale \$500,000. ¿Funcionaría?



**Aplicación Temperatura escalar, viento vectorial** El nivel de confort de un día invernal depende de la temperatura, una cantidad escalar que puede ser positiva o negativa (digamos,  $+5^\circ\text{C}$  o  $-20^\circ\text{C}$ ), pero no tiene dirección. Ésta también depende de la velocidad del viento, una cantidad vectorial que tiene tanto magnitud como dirección (por ejemplo, 15 km/h hacia el este).



**EVALÚE SU COMPRENSIÓN DE LA SECCIÓN 1.6** ¿Podría estimar el número de dientes que hay en todos los estudiantes de su campus universitario? (Sugerencia: ¿Cuántos dientes tiene usted en su boca? ¡Cuéntelos!). |

## 1.7 VECTORES Y SUMA DE VECTORES

Algunas cantidades físicas, como el tiempo, la temperatura, la masa y la densidad se pueden describir completamente con un solo número y una unidad. No obstante, en física muchas otras cantidades importantes están asociadas con una *dirección* y no pueden describirse con un solo número. Un ejemplo sencillo es el desplazamiento de un avión: debemos indicar no únicamente qué tan rápidamente se desplaza, sino también en qué dirección. La rapidez del avión combinada con su dirección constituye una cantidad llamada *velocidad*. Otro ejemplo es la *fuerza*, que en física es un empuje o un tirón aplicado a un cuerpo. Para describir plenamente una fuerza hay que indicar no sólo su intensidad, sino también en qué dirección tira o empuja sobre un cuerpo.

Cuando una cantidad física se describe con un solo número, decimos que es una **cantidad escalar**. En cambio, una **cantidad vectorial** incluye tanto una **magnitud** (la cual indica “cuánto” o “qué tan grande”) como una dirección en el espacio. Los cálculos que combinan cantidades escalares usan las operaciones aritméticas ordinarias. Por ejemplo,  $6 \text{ kg} + 3 \text{ kg} = 9 \text{ kg}$ , o  $4 \times 2 \text{ s} = 8 \text{ s}$ . No obstante, la combinación de vectores requiere un conjunto de operaciones diferente.

Para entender mejor los vectores y su combinación, comenzemos con la cantidad vectorial más sencilla, el **desplazamiento**, que simplemente es un cambio en la posición de un objeto. El desplazamiento es una cantidad vectorial porque debemos establecer no solo qué tan lejos se mueve el objeto, sino también en qué dirección. Caminar 3 km al norte desde nuestra casa no nos lleva al mismo sitio que caminar 3 km al sureste; ambos desplazamientos tienen la misma magnitud pero diferente dirección.

Con frecuencia representamos una cantidad vectorial, como el desplazamiento, con una sola letra, como  $\vec{A}$  en la **figura 1.9a**. En este libro siempre simbolizaremos **los vectores con letras negritas y cursivas con una flecha arriba**, como recordatorio de que las cantidades vectoriales tienen propiedades diferentes de las cantidades escalares; la flecha nos recuerda que los vectores tienen dirección. Los símbolos manuscritos de los vectores *siempre* se escriben con una flecha arriba. Si no distingue entre cantidades vectoriales y escalares en su notación, probablemente tampoco lo hará en su mente, y probablemente se confundirá.

Al *dibujar* un vector, siempre trazamos una línea con punta de flecha. La longitud de la línea indica la magnitud del vector, y la dirección de la flecha es la del vector. El desplazamiento siempre es un segmento recto dirigido del punto inicial al punto final, aunque la trayectoria real seguida por el objeto sea curva (figura 1.9b). Observe que el desplazamiento no se relaciona directamente con la *distancia* total recorrida. Si el objeto llegara a  $P_2$  y volviera a  $P_1$ , el desplazamiento total sería *cero* (figura 1.9c).

Si dos vectores tienen la misma dirección, son **paralelos**; si tienen la misma magnitud y la misma dirección, son **iguales**, sea cual fuere su ubicación en el espacio. El vector  $\vec{A}'$  de  $P_3$  a  $P_4$  en la **figura 1.10** tiene iguales longitud y dirección que el vector  $\vec{A}$  de  $P_1$  a  $P_2$ . Ambos desplazamientos son iguales, aunque parten de puntos distintos. Escribimos esto como  $\vec{A}' = \vec{A}$  en la figura 1.10, usando un signo de igualdad en negritas para resaltar que la igualdad de dos cantidades vectoriales no es lo mismo que la igualdad de dos cantidades escalares. Dos vectores son iguales tan sólo si tienen la misma magnitud y la misma dirección.

Sin embargo, el vector  $\vec{B}$  de la figura 1.10 no es igual a  $\vec{A}$  porque su dirección es *opuesta*. Definimos el **negativo de un vector** como un vector con la misma magnitud que el original, pero con la dirección *opuesta*. El negativo de  $\vec{A}$  se representa con  $-\vec{A}$ , y usando un signo de resta en negritas para destacar el carácter vectorial de las cantidades. Si  $\vec{A}$  es de 87 m y apunta al sur, entonces  $-\vec{A}$  es de 87 m y apunta al norte. Así, la relación entre  $\vec{A}$  y  $\vec{B}$  en la figura 1.10 se escribe como  $\vec{A} = -\vec{B}$  o  $\vec{B} = -\vec{A}$ . Si dos vectores  $\vec{A}$  y  $\vec{B}$  tienen direcciones opuestas, independientemente de que sus magnitudes sean iguales o no, decimos que son **antiparalelos**.

Frecuentemente representamos la *magnitud* de una cantidad vectorial con la misma letra que usamos para el vector, pero en *cursiva normal sin la flecha arriba*. Por ejemplo, si el vector  $\vec{A}$  se desplaza 87 m al sur, entonces  $A = 87 \text{ m}$ . Una notación alternativa es el símbolo vectorial encerrado entre barras verticales en ambos lados:

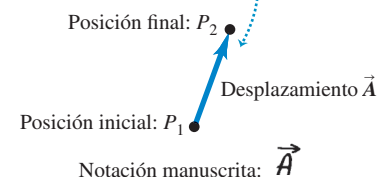
$$(\text{Magnitud de } \vec{A}) = A = |\vec{A}| \quad (1.1)$$

La magnitud de una cantidad vectorial es una cantidad escalar (un número) y *siempre es positiva*. Cabe señalar también que un vector nunca puede ser igual a un escalar porque son cantidades de tipo distinto. ¡La expresión “ $\vec{A} = 6 \text{ m}$ ” es tan absurda como “2 naranjas = 3 manzanas”!

Al dibujar diagramas con vectores, normalmente usamos una escala similar a la escala de los mapas. Por ejemplo, un desplazamiento de 5 km podría representarse con un vector de 1 cm de largo en un diagrama; y un desplazamiento de 10 km, con un vector de 2 cm de largo.

### 1.9 Desplazamiento como una cantidad vectorial.

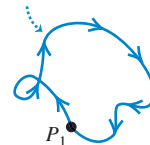
- (a) Un desplazamiento se representa con una flecha que apunta en la dirección del desplazamiento.



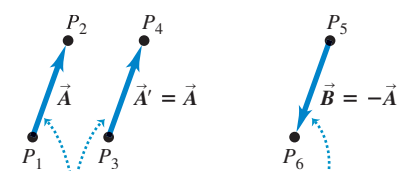
- (b) Un desplazamiento siempre es una línea recta dirigida desde la posición inicial hasta la posición final, y no depende de la trayectoria seguida incluso si ésta es curva.



- (c) El desplazamiento total de un viaje redondo es 0, sin importar la trayectoria seguida o la distancia recorrida.



### 1.10 Significado de vectores que tienen la misma magnitud, y la misma dirección o dirección opuesta.



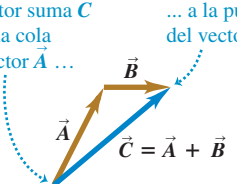
Los desplazamientos  $\vec{A}$  y  $\vec{A}'$  son iguales porque tienen la misma longitud y dirección opuesta.

El desplazamiento  $\vec{B}$  tiene la misma magnitud que  $\vec{A}$  pero dirección opuesta;  $\vec{B}$  es el negativo de  $\vec{A}$ .

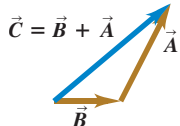
**1.11** Tres formas de sumar dos vectores.

(a) Podemos sumar dos vectores colocándolos punta con cola.

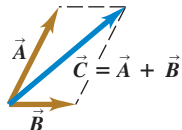
El vector suma  $\vec{C}$  va de la cola del vector  $\vec{A}$  ...



(b) Al invertir el orden de la suma se obtiene el mismo resultado:  $\vec{A} + \vec{B} = \vec{B} + \vec{A}$ . El orden no importa en la suma vectorial.



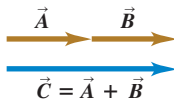
(c) También podemos sumar dos vectores colocándolos cola con cola y construyendo un paralelogramo.

**1.12** Suma de vectores que son

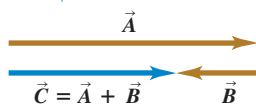
(a) paralelos y (b) antiparalelos.

(a) Sólo cuando dos vectores  $\vec{A}$  y  $\vec{B}$  son paralelos, la magnitud de su suma  $\vec{C}$  es igual a la suma de sus magnitudes:

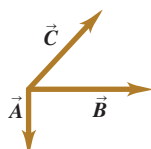
$$C = A + B.$$



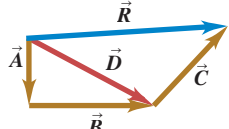
(b) Cuando  $\vec{A}$  y  $\vec{B}$  son antiparalelos, la magnitud de su suma  $\vec{C}$  es igual a la diferencia de sus magnitudes:  $C = |A - B|$ .

**1.13** Varias construcciones para obtener la suma vectorial  $\vec{A} + \vec{B} + \vec{C}$ .

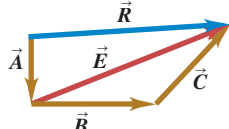
(a) Para determinar la suma de estos tres vectores ...



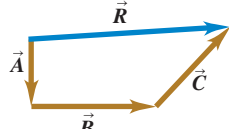
(b) ... podríamos sumar  $\vec{A}$  y  $\vec{B}$  para encontrar  $\vec{D}$  y luego sumar  $\vec{C}$  a  $\vec{D}$  para obtener la suma final (resultante)  $\vec{R}$  ...



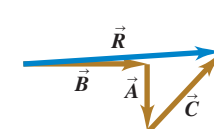
(c) ... o bien, podríamos sumar  $\vec{B}$  y  $\vec{C}$  para obtener  $\vec{E}$  y después sumar  $\vec{A}$  a  $\vec{E}$  para calcular  $\vec{R}$  ...



(d) ... o sumar  $\vec{A}$ ,  $\vec{B}$  y  $\vec{C}$  para obtener  $\vec{R}$  directamente ...



(e) ... o sumar  $\vec{A}$ ,  $\vec{B}$  y  $\vec{C}$  en cualquier otro orden y aun así obtener  $\vec{R}$ .

**Suma y resta de vectores**

Suponga que una partícula experimenta un desplazamiento  $\vec{A}$ , seguido por un segundo desplazamiento  $\vec{B}$ . El resultado final es el mismo como si la partícula hubiera partido del mismo punto y experimentado un solo desplazamiento  $\vec{C}$  (figura 1.11a). Llamamos al desplazamiento  $\vec{C}$  la **suma vectorial**, o **resultante**, de los desplazamientos  $\vec{A}$  y  $\vec{B}$ . Expresamos esta relación simbólicamente como

$$\vec{C} = \vec{A} + \vec{B} \quad (1.2)$$

El signo de suma en negritas destaca que sumar dos cantidades vectoriales requiere un proceso geométrico y no es lo mismo que sumar dos cantidades escalares como  $2 + 3 = 5$ . Al sumar vectores, por lo regular colocamos la *cola* del *segundo* vector en la *cabeza*, o *punta*, del *primer* vector (figura 1.11a).

Si efectuamos los desplazamientos  $\vec{A}$  y  $\vec{B}$  en orden inverso, primero  $\vec{B}$  y luego  $\vec{A}$ , el resultado será el mismo (figura 1.11b). Entonces,

$$\vec{C} = \vec{B} + \vec{A} \quad y \quad \vec{A} + \vec{B} = \vec{B} + \vec{A} \quad (1.3)$$

Esto indica que el orden de los términos en una suma de vectores no importa. En otras palabras, la suma de vectores sigue la ley *comutativa*.

La figura 1.11c muestra otra representación de la suma vectorial: si dibujamos los vectores  $\vec{A}$  y  $\vec{B}$  con sus colas en el mismo punto, el vector  $\vec{C}$  es la diagonal de un paralelogramo construido con  $\vec{A}$  y  $\vec{B}$  como dos lados adyacentes.

**CUIDADO** **Magnitudes en la suma de vectores** Es un error común suponer que si  $\vec{C} = \vec{A} + \vec{B}$ , entonces la magnitud  $C$  debería ser igual a la magnitud  $A$  más la magnitud  $B$ . En general, tal conclusión es *errónea*; para los vectores de la figura 1.11 es evidente que  $C < A + B$ . La magnitud de  $\vec{A} + \vec{B}$  depende de las magnitudes de  $\vec{A}$  y de  $\vec{B}$  y *también* del ángulo que forman  $\vec{A}$  y  $\vec{B}$ . Sólo en el caso especial en que  $\vec{A}$  y  $\vec{B}$  sean *paralelos*, la magnitud de  $\vec{C} = \vec{A} + \vec{B}$  es igual a la suma de las magnitudes de  $\vec{A}$  y  $\vec{B}$  (figura 1.12a). En cambio, cuando los vectores son *antiparalelos* (figura 1.12b), la magnitud de  $\vec{C}$  es la *diferencia* de las magnitudes de  $\vec{A}$  y  $\vec{B}$ . Si usted tiene el cuidado de distinguir entre cantidades escalares y vectoriales, evitará cometer errores en relación con la magnitud de una suma vectorial. ▀

La figura 1.13a muestra *tres* vectores  $\vec{A}$ ,  $\vec{B}$  y  $\vec{C}$ . En la figura 1.13b, se suman primero  $\vec{A}$  y  $\vec{B}$  para obtener la suma vectorial  $\vec{D}$ ; luego se suman los vectores  $\vec{C}$  y  $\vec{D}$  de la misma forma para obtener la resultante  $\vec{R}$ :

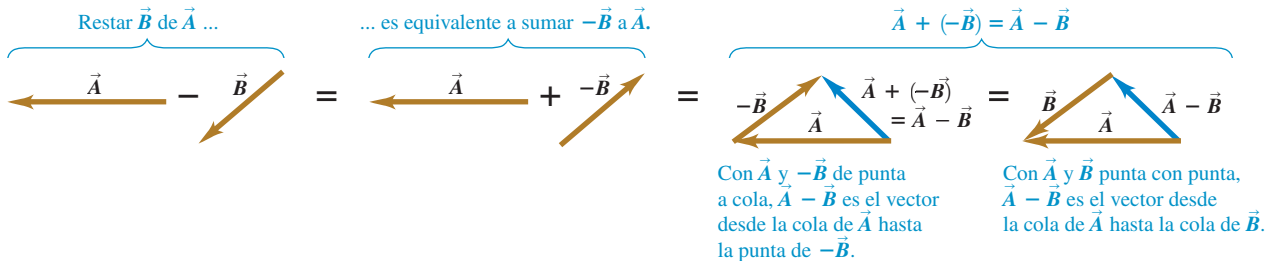
$$\vec{R} = (\vec{A} + \vec{B}) + \vec{C} = \vec{D} + \vec{C}$$

Como alternativa, sumamos primero  $\vec{B}$  y  $\vec{C}$  para obtener el vector  $\vec{E}$  (figura 1.13c) y luego sumamos  $\vec{A}$  y  $\vec{E}$  para obtener  $\vec{R}$ :

$$\vec{R} = \vec{A} + (\vec{B} + \vec{C}) = \vec{A} + \vec{E}$$

No necesitamos dibujar los vectores  $\vec{D}$  y  $\vec{E}$ ; basta con dibujar los vectores  $\vec{A}$ ,  $\vec{B}$  y  $\vec{C}$  en sucesión, con la cola de cada uno en la punta del vector anterior. La suma vectorial  $\vec{R}$  va de la cola del primer vector a la punta del último vector (figura 1.13d). El orden

**1.14** Para construir la diferencia vectorial  $\vec{A} - \vec{B}$ , puede colocar ya sea la cola de  $-\vec{B}$  en la punta de  $\vec{A}$ , o bien, colocar los dos vectores  $\vec{A}$  y  $\vec{B}$  punta con punta.



no importa; la figura 1.13e muestra un orden distinto, y el lector puede intentar otros. Vemos así que la suma de vectores obedece la ley *asociativa*.

Al igual que sumamos vectores, también podemos *restarlos*. Para aprender cómo, recuerde que el vector  $-\vec{A}$  tiene la misma magnitud que  $\vec{A}$  pero dirección opuesta. Definimos la diferencia  $\vec{A} - \vec{B}$  de dos vectores  $\vec{A}$  y  $\vec{B}$  como la suma vectorial de  $\vec{A}$  y  $-\vec{B}$ :

$$\vec{A} - \vec{B} = \vec{A} + (-\vec{B}) \quad (1.4)$$

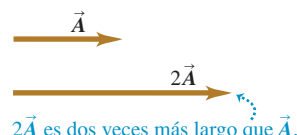
La **figura 1.14** muestra un ejemplo de resta de vectores.

Una cantidad vectorial, como el desplazamiento, se puede multiplicar por una cantidad escalar (un número ordinario). El desplazamiento  $2\vec{A}$  es un desplazamiento (cantidad vectorial) en la misma dirección que  $\vec{A}$  pero dos veces más largo; esto equivale a sumar  $\vec{A}$  a sí mismo (**figura 1.15a**). En general, cuando un vector  $\vec{A}$  se multiplica por un escalar  $c$ , el resultado  $c\vec{A}$  tiene magnitud  $|c|\vec{A}$  (el valor absoluto de  $c$  multiplicado por la magnitud del vector  $\vec{A}$ ). Si  $c$  es positivo,  $c\vec{A}$  tiene la misma dirección que  $\vec{A}$ ; si  $c$  es negativo,  $c\vec{A}$  tiene la dirección opuesta a la de  $\vec{A}$ . Así,  $3\vec{A}$  es paralelo a  $\vec{A}$ , pero  $-3\vec{A}$  es antiparalelo a  $\vec{A}$  (**figura 1.15b**).

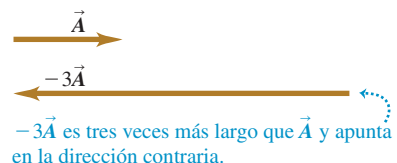
El escalar que multiplica un vector también puede ser una cantidad física. Por ejemplo, es posible que el lector conozca la relación  $\vec{F} = m\vec{a}$ ; la fuerza neta  $\vec{F}$  (una cantidad vectorial) que actúa sobre un cuerpo es igual al producto de la masa  $m$  del cuerpo (una cantidad escalar) y su aceleración  $\vec{a}$  (una cantidad vectorial). La dirección de  $\vec{F}$  es la misma que la de  $\vec{a}$  porque  $m$  es positiva, y la magnitud de  $\vec{F}$  es igual a la masa  $m$  multiplicada por la magnitud de  $\vec{a}$ . La unidad de fuerza es la unidad de masa multiplicada por la unidad de aceleración.

**1.15** Multiplicación de un vector por un escalar.

- (a) Al multiplicar un vector por un escalar positivo, la magnitud (longitud) del vector cambia, pero no su dirección.



- (b) Al multiplicar un vector por un escalar negativo, cambia su magnitud y se invierte su dirección.



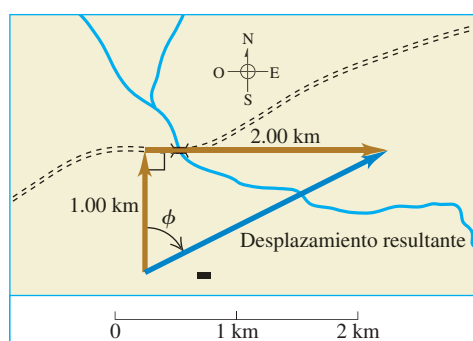
### EJEMPLO 1.5 SUMA DE DOS VECTORES EN ÁNGULOS RECTOS

Un esquiador de fondo viaja 1.00 km al norte y luego 2.00 km al este por un campo nevado horizontal. ¿A qué distancia y en qué dirección está con respecto al punto de partida?

#### SOLUCIÓN

**IDENTIFICAR y PLANTEAR:** El problema implica combinar dos desplazamientos en ángulos rectos entre sí. En este caso, las cantidades vectoriales se suman resolviendo un triángulo rectángulo, lo cual podemos hacer usando el teorema de Pitágoras y trigonometría básica. Las incógnitas son la distancia en línea recta y la dirección del esquiador con respecto a su punto de partida. La **figura 1.16** es un diagrama a escala de los dos desplazamientos del esquiador y el desplazamiento neto resultante. Describimos la dirección desde el punto de partida con el ángulo  $\phi$  (la letra griega  $\phi$ ). El desplazamiento parece ser un poco más de 2 km y la medición del ángulo con un transportador indica que  $\phi$  es aproximadamente igual a  $63^\circ$ .

**1.16** Diagrama vectorial a escala de un recorrido en esquí.



**EJECUTAR:** La distancia del punto inicial al punto final es igual a la longitud de la hipotenusa:

$$\sqrt{(1.00 \text{ km})^2 + (2.00 \text{ km})^2} = 2.24 \text{ km}$$

El ángulo  $\phi$  se obtiene con un poco de trigonometría (del apéndice B):

$$\tan \phi = \frac{\text{Cateto opuesto}}{\text{Cateto adyacente}} = \frac{2.00 \text{ km}}{1.00 \text{ km}} = 2.00$$

$$\phi = \arctan 2.00 = 63.4^\circ$$

Podemos describir la dirección como  $63.4^\circ$  al este del norte o  $90^\circ - 63.4^\circ = 26.6^\circ$  al norte del este.

**EVALUAR:** Nuestras respuestas ( $2.24 \text{ km}$  y  $\phi = 63.4^\circ$ ) están cerca de nuestras predicciones. En la sección 1.8 aprenderemos como sumar de manera fácil dos vectores que *no* forman un ángulo recto.

## LOS DATOS HABLAN

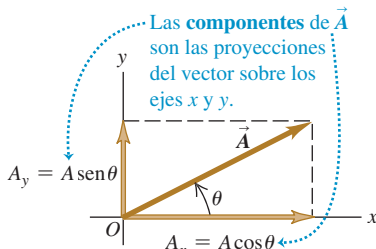
### Suma y resta vectorial

Cuando se les dio un problema de sumar o restar dos vectores, más del 28% de los estudiantes dieron una respuesta incorrecta.

Errores comunes:

- Cuando suman vectores, dibujan los vectores  $\vec{A}$ ,  $\vec{B}$  y  $\vec{A} + \vec{B}$  de forma incorrecta. El arreglo de punta a cola que se muestra en las figuras 1.11a y 1.11b es la forma más sencilla.
- Cuando restan vectores, dibujan los vectores  $\vec{A}$ ,  $\vec{B}$  y  $\vec{A} - \vec{B}$  de forma incorrecta. Recuerde que restar  $\vec{B}$  de  $\vec{A}$  es lo mismo que sumar  $-\vec{B}$  a  $\vec{A}$  (figura 1.14).

**1.17** Representación de un vector  $\vec{A}$  en términos de sus componentes  $A_x$  y  $A_y$ .



En este caso, tanto  $A_x$  como  $A_y$  son positivas.

### EVALÚE SU COMPRENSIÓN DE LA SECCIÓN 1.7

Dos vectores de desplazamiento,  $\vec{S}$  y  $\vec{T}$ , tienen magnitudes  $S = 3 \text{ m}$  y  $T = 4 \text{ m}$ . ¿Cuál de los siguientes resultados podría ser la magnitud de la diferencia vectorial  $\vec{S} - \vec{T}$ ? (Puede haber más de una respuesta correcta) **i.**  $9 \text{ m}$ ; **ii.**  $7 \text{ m}$ ; **iii.**  $5 \text{ m}$ ; **iv.**  $1 \text{ m}$ ; **v.**  $0 \text{ m}$ ; **vi.**  $-1 \text{ m}$ .

## 1.8 COMPONENTES DE VECTORES

En la sección 1.7 sumamos vectores usando un diagrama a escala y las propiedades de los triángulos rectángulos. Al medir un diagrama se obtiene tan sólo una exactitud muy limitada, y los cálculos con triángulos rectángulos funcionan únicamente cuando los dos vectores son perpendiculares. De modo que necesitamos entonces un método sencillo pero general para sumar vectores; éste se conoce como el *método de componentes*.

Para definir las componentes de un vector  $\vec{A}$ , partimos de un sistema rectangular de ejes de coordenadas (cartesiano) (figura 1.17). Si pensamos en  $\vec{A}$  como un vector de desplazamiento, podemos considerar a  $\vec{A}$  como la suma de un desplazamiento paralelo al eje  $x$  y un desplazamiento paralelo al eje  $y$ . Utilizamos los números  $A_x$  y  $A_y$  para indicarnos, respectivamente, el desplazamiento paralelo al eje  $x$  y el desplazamiento paralelo al eje  $y$ . Por ejemplo, si el eje  $+x$  apunta hacia el este y el eje  $+y$  apunta hacia el norte,  $\vec{A}$  en la figura 1.17 podría ser la suma de un desplazamiento de  $2.00 \text{ m}$  hacia el este y un desplazamiento de  $1.00 \text{ m}$  hacia el norte. Entonces,  $A_x = +2.00 \text{ m}$  y  $A_y = +1.00 \text{ m}$ . Podemos usar la misma idea para cualquier vector, no sólo para vectores de desplazamiento. Los números  $A_x$  y  $A_y$  se llaman las **componentes** de  $\vec{A}$ .

**CUIDADO** Las componentes no son vectores Las componentes  $A_x$  y  $A_y$  de un vector  $\vec{A}$  son tan sólo números: *no* son vectores. Por ello, las simbolizamos con letra cursiva normal sin flecha arriba, en vez de la letra cursiva negrita con flecha que está reservada para los vectores.

Podemos calcular las componentes del vector  $\vec{A}$  si conocemos la magnitud  $A$  y su dirección. Describiremos la dirección de un vector por su ángulo en relación con una dirección de referencia. En la figura 1.17 esta dirección de referencia es el eje  $x$  positivo, y el ángulo entre el vector  $\vec{A}$  y el eje  $x$  positivo es  $\theta$  (la letra griega theta). Imagine que, originalmente, el vector  $\vec{A}$  está sobre el eje  $+x$  y que luego usted lo hace girar hasta su dirección correcta, como indica la flecha sobre el arco del ángulo  $\theta$  en la figura 1.17. Si la rotación es del eje  $+x$  hacia el eje  $+y$ , como indica la figura 1.17, entonces,  $\theta$  es *positivo*; si la rotación es del eje  $+x$  al eje  $-y$ , entonces  $\theta$  es *negativo*. Por lo tanto, el eje  $+y$  está a un ángulo de  $90^\circ$ , el eje  $-x$  está a  $180^\circ$  y el eje  $-y$  está a  $270^\circ$  ( $o -90^\circ$ ). Si medimos  $\theta$  de esta manera, entonces, por la definición de las funciones trigonométricas,

$$\begin{aligned} \frac{A_x}{A} &= \cos \theta & y & \frac{A_y}{A} &= \sin \theta \\ A_x &= A \cos \theta & y & A_y &= A \sin \theta \end{aligned} \quad (1.5)$$

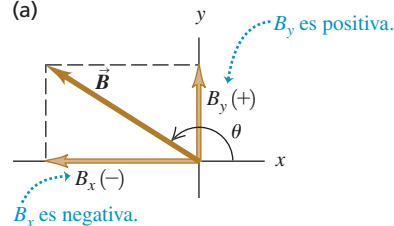
( $\theta$  medido del eje  $+x$  que gira hacia el eje  $+y$ )

En la figura 1.17,  $A_x$  y  $A_y$  son positivas, lo cual es consistente con las ecuaciones (1.5);  $\theta$  está en el primer cuadrante (entre  $0^\circ$  y  $90^\circ$ ) y el coseno y el seno de un ángulo en este cuadrante son positivos. En cambio, en la **figura 1.18a**, la componente  $B_x$  es negativa y la componente  $B_y$  es positiva (Si el eje  $+x$  apunta hacia el este y el eje  $+y$  apunta hacia el norte,  $\vec{B}$  podría representar un desplazamiento de 2.00 m al oeste y 1.00 m al norte. Ya que el oeste está en la dirección  $-x$  y el norte está en la dirección  $+y$ ,  $B_x = -2.00$  m es negativa y  $B_y = +1.00$  m es positiva.) De nuevo, esto es congruente con las ecuaciones (1.5); ahora  $\theta$  está en el segundo cuadrante, por lo que  $\cos \theta$  es negativo y  $\sin \theta$  es positivo. En la figura 1.18b tanto  $C_x$  como  $C_y$  son negativas ( $\cos \theta$  y  $\sin \theta$  son negativos en el tercer cuadrante).

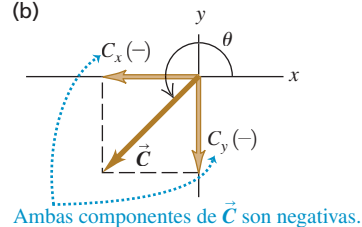
**CUIDADO Relación entre la magnitud de un vector y la dirección de sus componentes** Las ecuaciones (1.5) son correctas únicamente si el ángulo  $\theta$  se mide desde el eje  $x$  positivo, como se describe aquí. Si el ángulo del vector se da desde otra dirección de referencia, o se utiliza otro sentido de rotación, las relaciones son distintas. ¡Tenga cuidado! El ejemplo 1.6 ilustra este aspecto.

**1.18** Las componentes de un vector pueden ser números positivos o negativos.

(a)



(b)



## EJEMPLO 1.6 CÁLCULO DE COMPONENTES



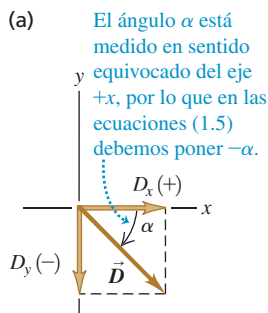
- a) ¿Cuáles son las componentes  $x$  y  $y$  del vector  $\vec{D}$  en la **figura 1.19a**? La magnitud del vector es  $D = 3.00$  m y el ángulo es  $\alpha = 45^\circ$ .  
 b) ¿Cuáles son las componentes  $x$  y  $y$  del vector  $\vec{E}$  en la figura 1.19b? La magnitud del vector es  $E = 4.50$  m y el ángulo  $\beta = 37.0^\circ$ .

### SOLUCIÓN

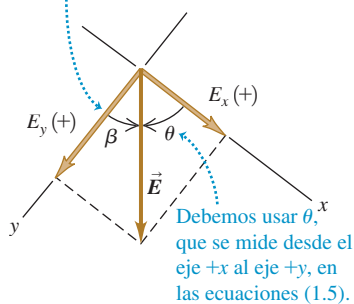
**IDENTIFICAR y PLANTEAR:** Podemos usar las ecuaciones (1.5) para calcular las componentes de estos vectores, pero debemos tener cuidado, ya que ninguno de los ángulos  $\alpha$  o  $\beta$  de la figura 1.19 está medido del eje  $+x$  al eje  $+y$ . A partir de la figura, estimamos que las longitudes de las componentes en el inciso a) son

### 1.19 Cálculo de las componentes $x$ y $y$ de vectores.

(a)



(b) El ángulo  $\beta$  está medido desde el eje  $+y$ , no desde el eje  $+x$ .



aproximadamente de 2 m, y las del inciso b) son de 3 y 4 m. Los signos de las componentes están indicados en la figura.

**EJECUTAR:** a) El ángulo entre  $\vec{D}$  y el eje  $x$  positivo es  $\alpha$  (la letra griega alfa) y se mide hacia el eje  $y$  *negativo*. Por consiguiente, en las ecuaciones (1.5) debemos usar el ángulo  $\theta = -\alpha = -45^\circ$ . Entonces, obtenemos

$$D_x = D \cos \theta = (3.00 \text{ m})(\cos(-45^\circ)) = +2.1 \text{ m}$$

$$D_y = D \sin \theta = (3.00 \text{ m})(\sin(-45^\circ)) = -2.1 \text{ m}$$

Si por descuido hubiéramos usado  $\theta = +45^\circ$  en las ecuaciones (1.5), habríamos obtenido  $D_y$  con el signo equivocado.

b) El eje  $x$  y el eje  $y$  forman ángulos rectos en la figura 1.19b, de modo que no importa que no se encuentren en posición horizontal y vertical, respectivamente. Pero no podemos usar el ángulo  $\beta$  (la letra griega beta) en las ecuaciones (1.5), porque  $\beta$  se mide desde el eje  $+y$ . En cambio, debemos usar el ángulo  $\theta = 90.0^\circ - \beta = 90.0^\circ - 37.0^\circ = 53.0^\circ$ . Luego, obtenemos

$$E_x = E \cos 53.0^\circ = (4.50 \text{ m})(\cos 53.0^\circ) = +2.71 \text{ m}$$

$$E_y = E \sin 53.0^\circ = (4.50 \text{ m})(\sin 53.0^\circ) = +3.59 \text{ m}$$

**EVALUAR:** Las respuestas en ambos incisos están cerca de nuestras predicciones. Sin embargo, pregúntese esto: ¿Por qué las respuestas del inciso a) tienen sólo dos cifras significativas?

## Cálculos de vectores usando componentes

Utilizar componentes hace relativamente fáciles diversos cálculos que implican vectores. Veamos tres ejemplos importantes: cálculo de la magnitud y la dirección de un vector, multiplicación de un vector por un escalar y cálculo de la suma vectorial de dos o más vectores.

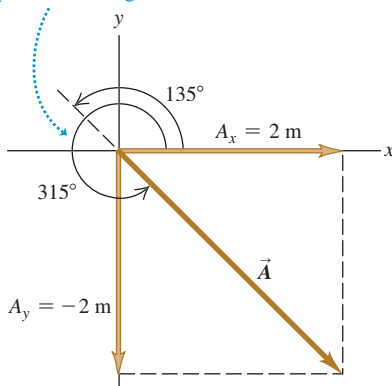
**CUIDADO** Cálculo de la dirección de un vector a partir de sus componentes Hay un pequeño inconveniente en el uso de las ecuaciones (1.7) para determinar  $\theta$ : dos ángulos cualesquiera que difieran  $180^\circ$  tienen la misma tangente. Suponga que  $A_x = 2\text{ m}$  y  $A_y = -2\text{ m}$  como en la figura 1.20; entonces,  $\tan \theta = -1$ . Sin embargo, hay dos ángulos con tangente  $-1$ :  $135^\circ$  y  $315^\circ$  (o bien,  $-45^\circ$ ). Para decidir cuál es correcto, debemos examinar las componentes individuales. Dado que  $A_x$  es positiva y  $A_y$  es negativa, el ángulo debe estar en el cuarto cuadrante; así que  $\theta = 315^\circ$  (o bien,  $-45^\circ$ ) es el valor correcto. La mayoría de las calculadoras de bolsillo dan  $\arctan(-1) = -45^\circ$ . En este caso es lo correcto, pero si tuviéramos  $A_x = -2\text{ m}$  y  $A_y = 2\text{ m}$ , entonces el ángulo correcto sería  $135^\circ$ . Asimismo, si  $A_x$  y  $A_y$  son negativas, la tangente es positiva, por lo que el ángulo estará en el tercer cuadrante. Siempre debe hacerse un dibujo, como la figura 1.20, para verificar cuál de las dos posibilidades es la correcta. ■

**1.20** Diagrama de vectores que indica los signos de sus componentes  $x$  y  $y$ .

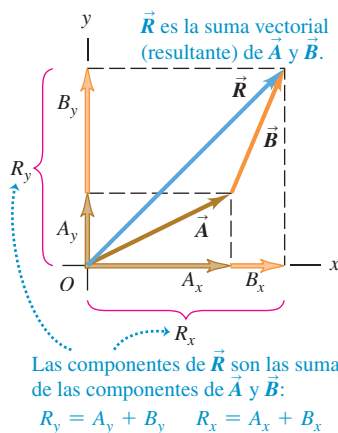
$$\text{Suponga que } \tan \theta = \frac{A_y}{A_x} = -1.$$

¿Cuál es el valor de  $\theta$ ?

Dos ángulos tienen tangentes de  $-1$ :  $135^\circ$  y  $315^\circ$ . El análisis del diagrama muestra que  $\theta$  debe ser igual a  $315^\circ$ .



**1.21** Cálculo de la suma vectorial (resultante) de  $\vec{A}$  y  $\vec{B}$  usando componentes.



1. **Cálculo de la magnitud y la dirección de un vector a partir de sus componentes.** Podemos describir un vector plenamente dando su magnitud y dirección, o bien, sus componentes  $x$  y  $y$ . Las ecuaciones (1.5) indican cómo determinar las componentes si conocemos la magnitud y la dirección. También podemos invertir el proceso y obtener la magnitud y la dirección a partir de las componentes. Aplicando el teorema de Pitágoras a la figura 1.17, vemos que la magnitud de un vector  $\vec{A}$  es

$$A = \sqrt{A_x^2 + A_y^2} \quad (1.6)$$

(Siempre tomamos la raíz positiva). La ecuación (1.6) es válida para cualesquiera de los ejes  $x$  y  $y$ , siempre y cuando sean perpendiculares entre sí. La expresión para la dirección vectorial proviene de la definición de la tangente de un ángulo. Si medimos  $\theta$  como un ángulo positivo desde el eje  $+x$  hacia el eje  $+y$  (como en la figura 1.17), entonces,

$$\tan \theta = \frac{A_y}{A_x} \quad \text{y} \quad \theta = \arctan \frac{A_y}{A_x} \quad (1.7)$$

Siempre usaremos la notación  $\arctan$  para la función tangente inversa. (Vea el ejemplo 1.5 en la sección 1.7). También suele usarse la notación  $\tan^{-1}$ , y una calculadora podría tener una tecla INV o 2ND para usarse con la tecla TAN.

2. **Multiplicación de un vector por un escalar.** Si multiplicamos un vector  $\vec{A}$  por un escalar  $c$ , cada componente del producto  $\vec{D} = c\vec{A}$  es el producto de  $c$  por la componente correspondiente de  $\vec{A}$ :

$$D_x = cA_x, \quad D_y = cA_y \quad (\text{componentes de } \vec{D} = c\vec{A}) \quad (1.8)$$

Por ejemplo, las ecuaciones (1.8) indican que cada componente del vector  $2\vec{A}$  es dos veces mayor que la componente correspondiente del vector  $\vec{A}$ , de manera que  $2\vec{A}$  está en la misma dirección que  $\vec{A}$  pero tiene el doble de magnitud. Cada componente del vector  $-3\vec{A}$  es tres veces mayor que la componente correspondiente del vector  $\vec{A}$  pero tiene el signo contrario, así que  $-3\vec{A}$  está en la dirección opuesta de  $\vec{A}$  y su magnitud es tres veces mayor. Por lo tanto, las ecuaciones (1.8) son congruentes con nuestro estudio de la sección 1.7 en relación con la multiplicación de un vector por un escalar (vea la figura 1.15).

3. **Uso de componentes para calcular la suma de vectores (resultante) de dos o más vectores.** La figura 1.21 muestra dos vectores,  $\vec{A}$  y  $\vec{B}$ , y su resultante  $\vec{R}$ , junto con las componentes  $x$  y  $y$  de los tres vectores. En el diagrama se observa que la componente  $R_x$  de la resultante es simplemente la suma ( $A_x + B_x$ ) de las componentes  $x$  de los vectores que se suman. Lo mismo sucede con las componentes  $y$ . En símbolos,

Cada componente de  $\vec{R} = \vec{A} + \vec{B} \dots$

$$R_x = A_x + B_x, \quad R_y = A_y + B_y \quad (1.9)$$

... es la suma de las componentes correspondientes de  $\vec{A}$  y  $\vec{B}$ .

La figura 1.21 muestra este resultado para el caso en que las componentes  $A_x$ ,  $A_y$ ,  $B_x$  y  $B_y$  son positivas. Dibuje diagramas adicionales para verificar que las ecuaciones (1.9) son válidas sin importar el signo de las componentes de  $\vec{A}$  y  $\vec{B}$ .

Si conocemos las componentes de dos vectores  $\vec{A}$  y  $\vec{B}$  cualesquiera usando las ecuaciones (1.5), podríamos calcular las componentes de la resultante  $\vec{R}$ . Luego, si necesitamos la magnitud y la dirección de  $\vec{R}$ , las obtendremos de las ecuaciones (1.6) y (1.7), cambiando las  $A$  por las  $R$ .

Podemos ampliar este procedimiento para calcular la suma de cualquier cantidad de vectores. Si  $\vec{R}$  es la suma vectorial de  $\vec{A}, \vec{B}, \vec{C}, \vec{D}, \vec{E}, \dots$ , entonces, las componentes de  $\vec{R}$  son

$$\begin{aligned} R_x &= A_x + B_x + C_x + D_x + E_x + \dots \\ R_y &= A_y + B_y + C_y + D_y + E_y + \dots \end{aligned} \quad (1.10)$$

Tan sólo hemos hablado de vectores que están en el plano  $xy$ ; no obstante, el método de componentes funciona también para vectores con cualquier dirección en el espacio. Podemos introducir un eje  $z$  perpendicular al plano  $xy$ ; entonces, en general, un vector  $\vec{A}$  tiene componentes  $A_x, A_y$  y  $A_z$  en las tres direcciones de coordenadas. La magnitud  $A$  está dada por

$$A = \sqrt{A_x^2 + A_y^2 + A_z^2} \quad (1.11)$$

Siempre tomamos la raíz positiva (**figura 1.22**). Además, las ecuaciones (1.10) para la suma vectorial  $\vec{R}$  tienen un tercer componente:

$$R_z = A_z + B_z + C_z + D_z + E_z + \dots$$

Nos hemos enfocado en la suma de vectores de *desplazamiento*, pero el método es aplicable a todas las cantidades vectoriales. Cuando estudiemos el concepto de fuerza en el capítulo 4, veremos que las fuerzas son vectores que obedecen las mismas reglas de la suma vectorial que se aplican al desplazamiento.

### ESTRATEGIA PARA RESOLVER PROBLEMAS 1.3 SUMA DE VECTORES

**IDENTIFICAR** los conceptos relevantes: Determine cuál es la incógnita. Podría ser la magnitud de la suma vectorial, la dirección o ambas.

**PLANTEAR** el problema: Dibuje los vectores que va a sumar y los ejes de coordenadas adecuados. Coloque la cola del primer vector en el origen de las coordenadas; coloque la cola del segundo vector en la punta del primer vector, y así sucesivamente. Trace la suma vectorial  $\vec{R}$  desde la cola del primer vector (en el origen) hasta la punta del último. Use su dibujo para estimar la magnitud y la dirección de  $\vec{R}$ . Elija las herramientas matemáticas que usará para realizar el cálculo completo: las ecuaciones (1.5) para determinar las componentes de los vectores dados  $y$ , si es necesario, las ecuaciones (1.10) para obtener las componentes de la suma vectorial, las ecuaciones (1.11) para determinar su magnitud, y las ecuaciones (1.7) para conocer su dirección.

**EJECUTAR** la solución como sigue:

1. Obtenga las componentes  $x$  y  $y$  de cada vector y anote los resultados en una tabla, como en el ejemplo 1.7. Si un vector se describe

con su magnitud  $A$  y su ángulo  $\theta$ , medido del eje  $+x$  al eje  $+y$ , las componentes están dadas por las ecuaciones 1.5:

$$A_x = A \cos \theta \quad A_y = A \sin \theta$$

Si los ángulos de los vectores se dan de otra forma, quizás con otra dirección de referencia, conviértalos en ángulos medidos desde el eje  $+x$  como en el ejemplo 1.6.

2. Sume algebraicamente las componentes  $x$  individuales, incluyendo los signos, para obtener  $R_x$ , la componente  $x$  de la resultante. Haga lo mismo con las componentes  $y$  para obtener  $R_y$ . Vea el ejemplo 1.7.
3. Calcule la magnitud de  $R$  y la dirección  $\theta$  de la resultante usando las ecuaciones (1.6) y (1.7):

$$R = \sqrt{R_x^2 + R_y^2} \quad \theta = \arctan \frac{R_y}{R_x}$$

**EVALUAR** la respuesta: Verifique que sus resultados de la magnitud y dirección de la suma vectorial concuerden con las estimaciones que hizo a partir de su dibujo. El valor de  $\theta$  obtenido con una calculadora puede tener un error de  $180^\circ$ ; el dibujo indicará el valor correcto.

### EJEMPLO 1.7 SUMA DE VECTORES USANDO SUS COMPONENTES



Tres participantes en un concurso de TV están colocados en el centro de un campo plano grande. A cada uno se le proporciona una regla graduada de un metro, un compás, una calculadora, una pala y (en diferente orden para cada concursante) los siguientes tres desplazamientos:

$\vec{A}$ : 72.4 m,  $32.0^\circ$  al este del norte

$\vec{B}$ : 57.3 m,  $36.0^\circ$  al sur del oeste

$\vec{C}$ : 17.8 m al sur

Los tres desplazamientos llevan al punto donde están enterradas las llaves de un Porsche nuevo. Dos concursantes comienzan a medir de

inmediato; sin embargo, el ganador *calcula* primero a dónde debe ir. ¿Qué calculó?

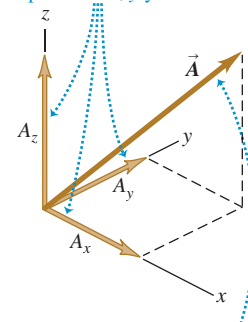
#### SOLUCIÓN

**IDENTIFICAR y PLANTEAR:** El objetivo es encontrar la suma (resultante) de los tres desplazamientos, así que se trata de un problema de suma de vectores. La situación se muestra en la **figura 1.23**. Elegimos el eje  $+x$  como el este, y el eje  $+y$  como el norte. Podemos estimar en el diagrama que la resultante  $\vec{R}$  mide aproximadamente unos 10 m,  $40^\circ$  al oeste del norte (lo cual corresponde a  $90^\circ + 40^\circ$ , o bien,  $\theta \approx 130^\circ$ ).

Continúa

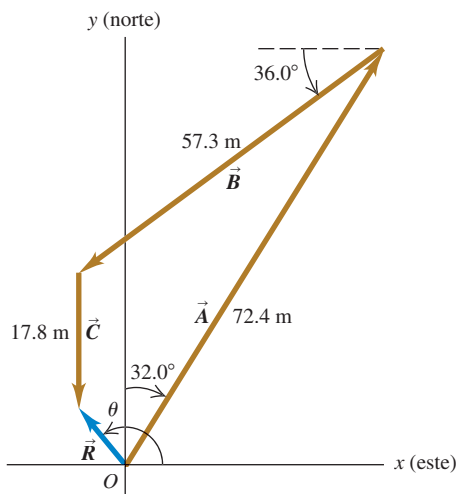
### 1.22 Un vector en tres dimensiones.

En tres dimensiones, un vector tiene componentes  $x$ ,  $y$  y  $z$ .



La magnitud del vector  $\vec{A}$  es  $A = \sqrt{A_x^2 + A_y^2 + A_z^2}$ .

**1.23** Tres desplazamientos vectoriales  $\vec{A}$ ,  $\vec{B}$  y  $\vec{C}$  y el desplazamiento resultante (suma vectorial)  $\vec{R} = \vec{A} + \vec{B} + \vec{C}$ .



**EJECUTAR:** Los ángulos de los vectores medidos del eje  $+x$  al eje  $+y$  son  $(90.0^\circ - 32.0^\circ) = 58.0^\circ$ ,  $(180.0^\circ + 36.0^\circ) = 216.0^\circ$ , y  $270^\circ$ , respectivamente. Ahora podemos usar las ecuaciones (1.5), para obtener las componentes de  $\vec{A}$ :

$$A_x = A \cos \theta_A = (72.4 \text{ m})(\cos 58.0^\circ) = 38.37 \text{ m}$$

$$A_y = A \sin \theta_A = (72.4 \text{ m})(\sin 58.0^\circ) = 61.40 \text{ m}$$

Hemos conservado una cifra significativa extra en las componentes; esperaremos hasta el final para redondear al número correcto de cifras significativas. La siguiente tabla muestra las componentes de todos los desplazamientos, su suma de las componentes y los demás cálculos de las ecuaciones (1.6) y (1.7).

Distancia	Ángulo	Componente x	Componente y
$A = 72.4 \text{ m}$	$58.0^\circ$	$38.37 \text{ m}$	$61.40 \text{ m}$
$B = 57.3 \text{ m}$	$216.0^\circ$	$-46.36 \text{ m}$	$-33.68 \text{ m}$
$C = 17.8 \text{ m}$	$270.0^\circ$	$0.00 \text{ m}$	$-17.80 \text{ m}$
		$R_x = -7.99 \text{ m}$	$R_y = 9.92 \text{ m}$

$$R = \sqrt{(-7.99 \text{ m})^2 + (9.92 \text{ m})^2} = 12.7 \text{ m}$$

$$\theta = \arctan \frac{9.92 \text{ m}}{-7.99 \text{ m}} = -51^\circ$$

La comparación del ángulo  $\theta$  en la figura 1.23 indica que el ángulo calculado es completamente diferente por  $180^\circ$ . El valor correcto es  $\theta = 180^\circ - 51^\circ = 129^\circ$ , o bien,  $39^\circ$  al oeste del norte.

**EVALUAR:** Los valores que calculamos para  $R$  y  $\theta$  concuerdan con nuestras estimaciones. Observe cómo el diagrama de la figura 1.23 facilitó la eliminación del error de  $180^\circ$  en la dirección de la resultante.

**EVALÚE SU COMPRENSIÓN DE LA SECCIÓN 1.8** Dos vectores  $\vec{A}$  y  $\vec{B}$  están en el plano  $xy$ . a) ¿Es posible que  $\vec{A}$  tenga la misma magnitud que  $\vec{B}$  pero componentes diferentes? b) ¿Es posible que  $\vec{A}$  tenga las mismas componentes que  $\vec{B}$  pero una magnitud diferente? |

## 1.9 VECTORES UNITARIOS

Un **vector unitario** es un vector con magnitud 1, sin unidades. Su única finalidad consiste en *direccionar*, es decir, señalar una dirección en el espacio. Los vectores unitarios proporcionan una notación conveniente para muchas expresiones que implican componentes de vectores. Siempre incluiremos un acento circunflejo o “sobrero” (^) sobre el símbolo de un vector unitario para distinguirlo de los vectores ordinarios, cuya magnitud podría ser 1 o alguna otra.

En un sistema de coordenadas  $x$ - $y$  podemos definir un vector unitario  $\hat{i}$  que apunte en la dirección del eje  $+x$  y un vector unitario  $\hat{j}$  que apunte en la dirección del eje  $+y$  (**figura 1.24a**). Así, expresamos  $\vec{A}$  en términos de sus componentes como

$$\vec{A} = A_x \hat{i} + A_y \hat{j} \quad (1.12)$$

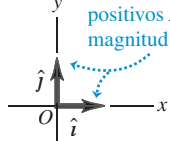
La ecuación (1.12) es un ecuación vectorial; cada término, como  $A_x \hat{i}$ , es una cantidad vectorial (figura 1.24b).

Usando vectores unitarios, podemos expresar la resultante  $\vec{R}$  de dos vectores  $\vec{A}$  y  $\vec{B}$  como:

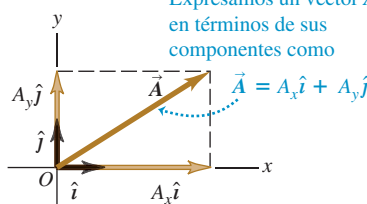
$$\begin{aligned} \vec{A} &= A_x \hat{i} + A_y \hat{j} \\ \vec{B} &= B_x \hat{i} + B_y \hat{j} \\ \vec{R} &= \vec{A} + \vec{B} \\ &= (A_x \hat{i} + A_y \hat{j}) + (B_x \hat{i} + B_y \hat{j}) \\ &= (A_x + B_x) \hat{i} + (A_y + B_y) \hat{j} \\ &= R_x \hat{i} + R_y \hat{j} \end{aligned} \quad (1.13)$$

- 1.24** a) Los vectores unitarios  $\hat{i}$  y  $\hat{j}$ .  
b) Expresión de un vector  $\vec{A}$  en términos de sus componentes.

(a) Los vectores unitarios  $\hat{i}$  y  $\hat{j}$  apuntan en las direcciones de los ejes positivos  $x$  y  $y$  y tienen una magnitud de 1.



(b) Expresamos un vector  $\vec{A}$  en términos de sus componentes como



La ecuación (1.13) replantea el contenido de las ecuaciones (1.9) en forma de una sola ecuación vectorial, en vez de dos ecuaciones de componentes.

Si no todos los vectores están en el plano  $xy$ , necesitamos una tercera componente. Introducimos un tercer vector unitario  $\hat{k}$  que apunta en la dirección del eje  $+z$  (**figura 1.25**). Por ende, las ecuaciones (1.12) y (1.13) se convierten en

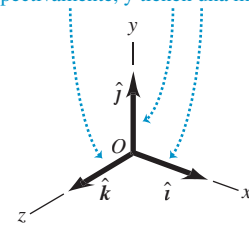
Cualquier vector se puede expresar en términos de sus componentes  $x$ ,  $y$  y  $z$  ...

$$\begin{aligned}\vec{A} &= A_x \hat{i} + A_y \hat{j} + A_z \hat{k} \\ \vec{B} &= B_x \hat{i} + B_y \hat{j} + B_z \hat{k} \\ \dots \text{y los vectores unitarios } \hat{i}, \hat{j} \text{ y } \hat{k}. &\end{aligned}\quad (1.14)$$

$$\begin{aligned}\vec{R} &= (A_x + B_x) \hat{i} + (A_y + B_y) \hat{j} + (A_z + B_z) \hat{k} \\ &= R_x \hat{i} + R_y \hat{j} + R_z \hat{k}\end{aligned}\quad (1.15)$$

### 1.25 Los vectores unitarios $\hat{i}$ , $\hat{j}$ y $\hat{k}$

Los vectores unitarios  $\hat{i}$ ,  $\hat{j}$  y  $\hat{k}$  apuntan en la dirección de los ejes  $x$ ,  $y$  y  $z$  positivos, respectivamente, y tienen una magnitud de 1.



### EJEMPLO 1.8 USO DE VECTORES UNITARIOS



Dados los dos desplazamientos

$$\begin{aligned}\vec{D} &= (6.00 \hat{i} + 3.00 \hat{j} - 1.00 \hat{k}) \text{ m} \\ \vec{E} &= (4.00 \hat{i} - 5.00 \hat{j} + 8.00 \hat{k}) \text{ m}\end{aligned}$$

determine la magnitud del desplazamiento  $2\vec{D} - \vec{E}$ .

#### SOLUCIÓN

**IDENTIFICAR y PLANTEAR:** Multiplicamos el vector  $\vec{D}$  por 2 (un escalar) y luego restamos el vector  $\vec{E}$  del resultado, para obtener el vector  $\vec{F} = 2\vec{D} - \vec{E}$ . La ecuación (1.8) indica que para multiplicar  $\vec{D}$  por 2, se multiplica cada una de sus componentes por 2. Después, se usa la ecuación (1.15) para efectuar la resta; recuerde de la sección 1.7 que restar un vector es lo mismo que sumar el negativo de ese vector.

**EJECUTAR:** Tenemos

$$\begin{aligned}\vec{F} &= 2(6.00 \hat{i} + 3.00 \hat{j} - 1.00 \hat{k}) \text{ m} - (4.00 \hat{i} - 5.00 \hat{j} + 8.00 \hat{k}) \text{ m} \\ &= [(12.00 - 4.00) \hat{i} + (6.00 + 5.00) \hat{j} + (-2.00 - 8.00) \hat{k}] \text{ m} \\ &= (8.00 \hat{i} + 11.00 \hat{j} - 10.00 \hat{k}) \text{ m}\end{aligned}$$

De la ecuación (1.11), la magnitud de  $\vec{F}$  es

$$\begin{aligned}F &= \sqrt{F_x^2 + F_y^2 + F_z^2} \\ &= \sqrt{(8.00 \text{ m})^2 + (11.00 \text{ m})^2 + (-10.00 \text{ m})^2} \\ &= 16.9 \text{ m}\end{aligned}$$

**EVALUAR:** Nuestra respuesta es del mismo orden de magnitud que las componentes más grandes implicadas en la suma. No esperaríamos que nuestra respuesta fuera mucho mayor que esto, pero podría ser mucho más pequeña.

**EVALÚE SU COMPRENSIÓN DE LA SECCIÓN 1.9** Coloque en orden de magnitud los siguientes vectores, donde el vector más grande sea el primero. **i.**  $\vec{A} = (3\hat{i} + 5\hat{j} - 2\hat{k}) \text{ m}$ ; **ii.**  $\vec{B} = (-3\hat{i} + 5\hat{j} - 2\hat{k}) \text{ m}$ ; **iii.**  $\vec{C} = (3\hat{i} - 5\hat{j} - 2\hat{k}) \text{ m}$ ; **iv.**  $\vec{D} = (3\hat{i} + 5\hat{j} + 2\hat{k}) \text{ m}$ .

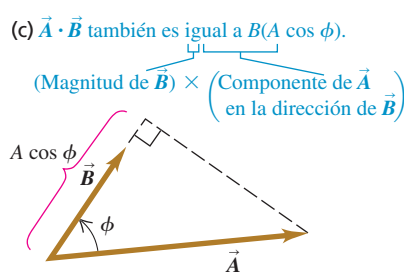
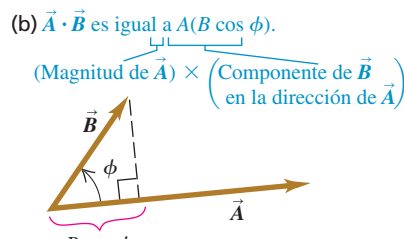
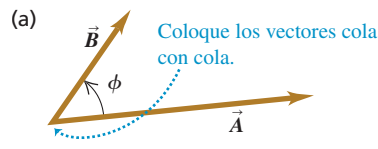
## 1.10 PRODUCTOS DE VECTORES

Hemos visto cómo la suma de vectores es consecuencia natural de combinar desplazamientos, y veremos lo útil que resulta en el cálculo de muchas otras cantidades vectoriales. También podemos expresar muchas relaciones físicas usando *productos* de vectores. Los vectores no son números ordinarios, así que no podemos aplicarles directamente la multiplicación ordinaria. Definiremos dos tipos de productos de vectores. El primero, llamado *producto escalar* o *producto punto*, produce un resultado escalar. El segundo, denominado *producto vectorial* o *producto cruz*, genera otro vector.

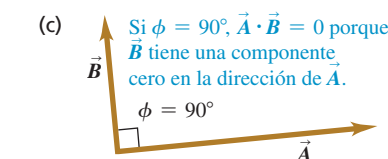
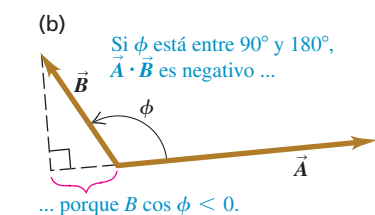
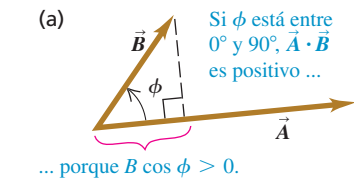
### Producto escalar

El **producto escalar** de dos vectores  $\vec{A}$  y  $\vec{B}$  se denota como  $\vec{A} \cdot \vec{B}$ . Debido a esta notación, el producto escalar también se denomina **producto punto**. Aun cuando  $\vec{A}$  y  $\vec{B}$  sean vectores, la cantidad  $\vec{A} \cdot \vec{B}$  es un escalar.

**1.26** Cálculo de producto escalar de dos vectores,  $\vec{A} \cdot \vec{B} = AB \cos \phi$ .



**1.27** El producto escalar  $\vec{A} \cdot \vec{B} = AB \cos \phi$  puede ser positivo, negativo o cero, dependiendo del ángulo entre  $\vec{A}$  y  $\vec{B}$ .



Para definir el producto escalar  $\vec{A} \cdot \vec{B}$ , dibujamos  $\vec{A}$  y  $\vec{B}$  con su cola en el mismo punto (**figura 1.26a**). El ángulo  $\phi$  (la letra griega fi) puede tomar valores entre  $0^\circ$  y  $180^\circ$ . La figura 1.26b muestra la proyección del vector  $\vec{B}$  sobre la dirección de  $\vec{A}$ ; esta proyección es la componente de  $\vec{B}$  en la dirección de  $\vec{A}$ , y es igual a  $B \cos \phi$ . (Podemos obtener componentes en *cualquier* dirección conveniente, no sólo en los ejes  $x$  y  $y$ ). Definimos  $\vec{A} \cdot \vec{B}$  como la magnitud de  $\vec{A}$  multiplicada por la componente de  $\vec{B}$  en la dirección de  $\vec{A}$ , o bien,

**Producto escalar o producto punto de los vectores  $\vec{A}$  y  $\vec{B}$**

$$\vec{A} \cdot \vec{B} = AB \cos \phi = |\vec{A}| |\vec{B}| \cos \phi$$

Magnitudes de  $\vec{A}$  y  $\vec{B}$

Ángulo entre  $\vec{A}$  y  $\vec{B}$  cuando los vectores se colocan con el mismo origen (cola con cola)

(1.16)

También podemos definir  $\vec{A} \cdot \vec{B}$  como la magnitud de  $\vec{B}$  multiplicada por la componente de  $\vec{A}$  en dirección de  $\vec{B}$ , como en la figura 1.26c. Así,  $\vec{A} \cdot \vec{B} = B(A \cos \phi) = AB \cos \phi$ , que es lo mismo que la ecuación (1.16).

El producto escalar es una cantidad escalar, no un vector, y puede ser positivo, negativo o cero. Si  $\phi$  está entre  $0^\circ$  y  $90^\circ$ ,  $\cos \phi > 0$  y el producto escalar es positivo (**figura 1.27a**). Cuando  $\phi$  está entre  $90^\circ$  y  $180^\circ$ , de modo que  $\cos \phi < 0$ , la componente de  $\vec{B}$  en la dirección de  $\vec{A}$  es negativa, y  $\vec{A} \cdot \vec{B}$  también es negativo (figura 1.27b). Por último, cuando  $\phi = 90^\circ$ ,  $\vec{A} \cdot \vec{B} = 0$  (figura 1.27c). *El producto escalar de dos vectores perpendiculares siempre es cero.*

Para dos vectores  $\vec{A}$  y  $\vec{B}$  cualesquiera,  $AB \cos \phi = BA \cos \phi$ . Esto significa que  $\vec{A} \cdot \vec{B} = \vec{B} \cdot \vec{A}$ . El producto escalar obedece la ley commutativa de la multiplicación; el orden de los dos vectores no importa.

Usaremos el producto escalar en el capítulo 6 para describir el trabajo realizado por una fuerza. En capítulos posteriores usaremos el producto escalar para varios fines: desde calcular potencial eléctrico hasta determinar el efecto de campos magnéticos variables sobre circuitos eléctricos.

### Cálculo del producto escalar usando componentes

Podemos calcular el producto escalar  $\vec{A} \cdot \vec{B}$  directamente si conocemos las componentes  $x$ ,  $y$  y  $z$  de  $\vec{A}$  y  $\vec{B}$ . Para saber cómo se hace, obtenemos primero los productos escalares de los vectores unitarios  $\hat{i}$ ,  $\hat{j}$  y  $\hat{k}$ . Todos los vectores unitarios tienen magnitud 1 y son perpendiculares entre sí. Por la ecuación (1.16),

$$\hat{i} \cdot \hat{i} = \hat{j} \cdot \hat{j} = \hat{k} \cdot \hat{k} = (1)(1) \cos 0^\circ = 1 \quad (1.17)$$

$$\hat{i} \cdot \hat{j} = \hat{i} \cdot \hat{k} = \hat{j} \cdot \hat{k} = (1)(1) \cos 90^\circ = 0$$

Ahora expresamos  $\vec{A}$  y  $\vec{B}$  en términos de sus componentes, realizamos el producto escalar entre estos vectores, así como entre los vectores unitarios:

$$\begin{aligned} \vec{A} \cdot \vec{B} &= (A_x \hat{i} + A_y \hat{j} + A_z \hat{k}) \cdot (B_x \hat{i} + B_y \hat{j} + B_z \hat{k}) \\ &= A_x \hat{i} \cdot B_x \hat{i} + A_x \hat{i} \cdot B_y \hat{j} + A_x \hat{i} \cdot B_z \hat{k} \\ &\quad + A_y \hat{j} \cdot B_x \hat{i} + A_y \hat{j} \cdot B_y \hat{j} + A_y \hat{j} \cdot B_z \hat{k} \\ &\quad + A_z \hat{k} \cdot B_x \hat{i} + A_z \hat{k} \cdot B_y \hat{j} + A_z \hat{k} \cdot B_z \hat{k} \quad (1.18) \\ &= A_x B_x \hat{i} \cdot \hat{i} + A_x B_y \hat{i} \cdot \hat{j} + A_x B_z \hat{i} \cdot \hat{k} \\ &\quad + A_y B_x \hat{j} \cdot \hat{i} + A_y B_y \hat{j} \cdot \hat{j} + A_y B_z \hat{j} \cdot \hat{k} \\ &\quad + A_z B_x \hat{k} \cdot \hat{i} + A_z B_y \hat{k} \cdot \hat{j} + A_z B_z \hat{k} \cdot \hat{k} \end{aligned}$$

Por las ecuaciones (1.17), vemos que seis de estos nueve términos son cero, y los otros tres que quedan simplemente dan

$$\text{Producto escalar o producto punto de los vectores } \vec{A} \text{ y } \vec{B} \quad \text{Componentes de } \vec{A} \\ \vec{A} \cdot \vec{B} = A_x B_x + A_y B_y + A_z B_z \quad \text{Componentes de } \vec{B} \quad (1.19)$$

Por lo tanto, *el producto escalar de dos vectores es la suma de los productos de sus respectivas componentes.*

El producto escalar permite calcular directamente el ángulo  $\phi$  entre dos vectores  $\vec{A}$  y  $\vec{B}$  cualesquiera cuyas componentes conocemos. En este caso, obtenemos el producto escalar de  $\vec{A}$  y  $\vec{B}$  con la ecuación (1.19). El ejemplo 1.10 de la siguiente página muestra cómo hacer esto.



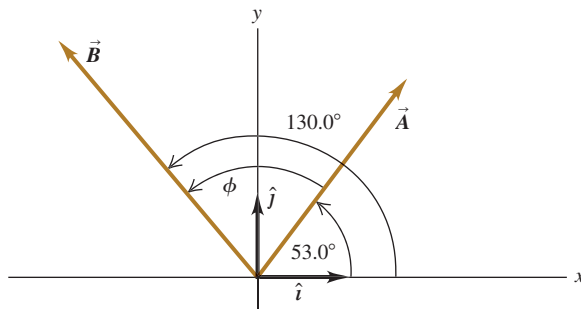
## EJEMPLO 1.9 CÁLCULO DE UN PRODUCTO ESCALAR

Determine el producto escalar  $\vec{A} \cdot \vec{B}$  de los dos vectores de la **figura 1.28**. Las magnitudes de los vectores son  $A = 4.00$  y  $B = 5.00$ .

## SOLUCIÓN

**IDENTIFICAR y PLANTEAR:** Podemos calcular el producto escalar de dos formas: usando las magnitudes de los vectores y el ángulo entre ellos (ecuación 1.16); o usando las componentes de los vectores (ecuación 1.19). Lo haremos de ambas formas, y los resultados se verificarán uno con otro.

**1.28** Dos vectores  $\vec{A}$  y  $\vec{B}$  en dos dimensiones.



**EJECUTAR:** El ángulo entre los dos vectores  $\vec{A}$  y  $\vec{B}$  es  $\phi = 130.0^\circ - 53.0^\circ = 77.0^\circ$ , así que la ecuación (1.16) nos da

$$\vec{A} \cdot \vec{B} = AB \cos \phi = (4.00)(5.00) \cos 77.0^\circ = 4.50$$

Para utilizar la ecuación (1.19) necesitamos calcular primero las componentes de los vectores. Los ángulos de  $\vec{A}$  y  $\vec{B}$  se dan con respecto al eje  $+x$ , medidos hacia el eje  $+y$ , de modo que usamos las ecuaciones (1.5):

$$\begin{aligned}A_x &= (4.00) \cos 53.0^\circ = 2.407 \\A_y &= (4.00) \sin 53.0^\circ = 3.195 \\B_x &= (5.00) \cos 130.0^\circ = -3.214 \\B_y &= (5.00) \sin 130.0^\circ = 3.830\end{aligned}$$

Como en el ejemplo 1.7, dejamos una cifra significativa de más en las componentes y redondearemos al final. La ecuación (1.19) ahora nos da

$$\vec{A} \cdot \vec{B} = A_x B_x + A_y B_y + A_z B_z$$

$$= (2.407)(-3.214) + (3.195)(3.830) + (0)(0) = 4.50$$

**EVALUAR:** Ambos métodos dan el mismo resultado, como debe de ser.



### EJEMPLO 1.10 CÁLCULO DE UN ÁNGULO CON EL PRODUCTO ESCALAR

Determine el ángulo entre los vectores

$$\vec{A} = 2.00\hat{i} + 3.00\hat{j} + 1.00\hat{k}$$

y

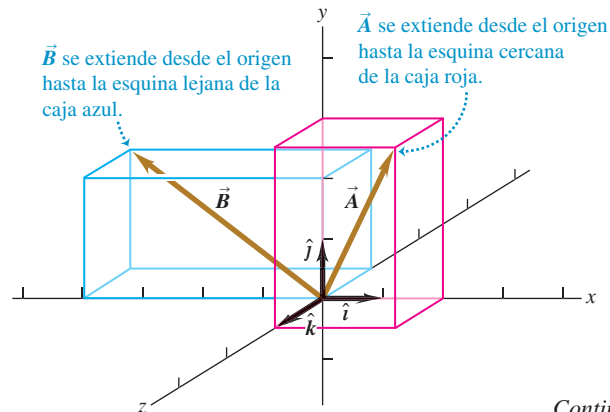
$$\vec{B} = -4.00\hat{i} + 2.00\hat{j} - 1.00\hat{k}$$

## SOLUCIÓN

**IDENTIFICAR y PLANTEAR:** Se nos dan las componentes  $x$ ,  $y$  y  $z$  de dos vectores. Nuestra incógnita es el ángulo  $\phi$  entre ellos (**figura 1.29**). Para calcular esto, resolvemos la ecuación (1.16),  $\vec{A} \cdot \vec{B} = AB \cos \phi$ , despejando  $\phi$  en términos del producto escalar  $\vec{A} \cdot \vec{B}$  y las magnitudes  $A$  y  $B$ . Podemos evaluar el producto escalar usando la ecuación (1.19),  $\vec{A} \cdot \vec{B} = A_x B_x + A_y B_y + A_z B_z$ , y obtenemos los valores de  $A$  y  $B$  con la ecuación (1.6).

### 1.29 Dos vectores en tres dimensiones.

$\vec{B}$  se extiende desde el origen hasta la esquina lejana de la caja azul.



*Continúa*

**EJECUTAR:** Resolvemos la ecuación (1.16) para despejar coseno de  $\phi$  y escribimos  $\vec{A} \cdot \vec{B}$  mediante la ecuación (1.19). El resultado es

$$\cos \phi = \frac{\vec{A} \cdot \vec{B}}{AB} = \frac{A_x B_x + A_y B_y + A_z B_z}{AB}$$

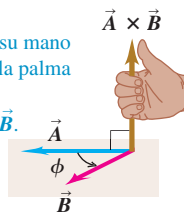
Se puede utilizar esta fórmula para encontrar el ángulo entre dos vectores  $\vec{A}$  y  $\vec{B}$  cualesquiera. En nuestro ejemplo, tenemos que  $A_x = 2.00$ ,  $A_y = 3.00$ , y  $A_z = 1.00$  y  $B_x = -4.00$ ,  $B_y = 2.00$ , y  $B_z = -1.00$ . Por lo tanto,

$$\begin{aligned}\vec{A} \cdot \vec{B} &= A_x B_x + A_y B_y + A_z B_z \\ &= (2.00)(-4.00) + (3.00)(2.00) + (1.00)(-1.00) \\ &= -3.00\end{aligned}$$

### 1.30 El producto vectorial a) $\vec{A} \times \vec{B}$ y b) $\vec{B} \times \vec{A}$ .

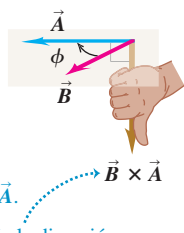
(a) Uso de la regla de la mano derecha para obtener la dirección de  $\vec{A} \times \vec{B}$

- 1 Coloque los vectores  $\vec{A}$  y  $\vec{B}$  cola con cola.
- 2 Apunte los dedos de su mano derecha hacia  $\vec{A}$  con la palma enfrente de  $\vec{B}$ .
- 3 Gire los dedos hacia  $\vec{B}$ .
- 4 El pulgar apunta hacia la dirección de  $\vec{A} \times \vec{B}$ .



(b) Uso de la regla de la mano derecha para encontrar la dirección de  $\vec{B} \times \vec{A} = -\vec{A} \times \vec{B}$  (el producto vectorial es anticomutativo)

- 1 Coloque los vectores  $\vec{B}$  y  $\vec{A}$  cola con cola.
- 2 Apunte los dedos de su mano derecha hacia  $\vec{B}$  con la palma enfrente de  $\vec{A}$ .
- 3 Gire los dedos hacia  $\vec{A}$ .
- 4 El pulgar apunta hacia la dirección de  $\vec{B} \times \vec{A}$ .
- 5  $\vec{B} \times \vec{A}$  tiene la misma magnitud que  $\vec{A} \times \vec{B}$  pero apunta en dirección opuesta.



Siempre hay *dos* direcciones perpendiculares a un plano dado, una a cada lado del plano. Elegimos cuál de éstas es la dirección de  $\vec{A} \times \vec{B}$  como sigue. Imagine que hace girar el vector  $\vec{A}$  alrededor de la línea perpendicular hasta alinearlo con  $\vec{B}$ , eligiendo el ángulo más pequeño entre  $\vec{A}$  y  $\vec{B}$ . Gire los dedos de su mano derecha alrededor de la perpendicular, con las puntas de los dedos señalando en la dirección de la rotación; entonces, el pulgar señalará la dirección de  $\vec{A} \times \vec{B}$ . Esta **regla de la mano derecha** se ilustra en la figura 1.30a y describe una manera de visualizarla.

$$\begin{aligned}A &= \sqrt{A_x^2 + A_y^2 + A_z^2} = \sqrt{(2.00)^2 + (3.00)^2 + (1.00)^2} \\ &= \sqrt{14.00}\end{aligned}$$

$$\begin{aligned}B &= \sqrt{B_x^2 + B_y^2 + B_z^2} = \sqrt{(-4.00)^2 + (2.00)^2 + (-1.00)^2} \\ &= \sqrt{21.00}\end{aligned}$$

$$\cos \phi = \frac{A_x B_x + A_y B_y + A_z B_z}{AB} = \frac{-3.00}{\sqrt{14.00} \sqrt{21.00}} = -0.175$$

$$\phi = 100^\circ$$

**EVALUAR:** Para verificar el resultado, observe que el producto escalar  $\vec{A} \cdot \vec{B}$  es negativo, lo cual significa que  $\phi$  está entre  $90^\circ$  y  $180^\circ$  (vea la figura 1.27), que concuerda con nuestra respuesta.

### Producto vectorial

El **producto vectorial** de dos vectores  $\vec{A}$  y  $\vec{B}$ , también llamado **producto cruz**, se denota como  $\vec{A} \times \vec{B}$ . Como su nombre indica, el producto vectorial es un vector en sí mismo. Usaremos este producto en el capítulo 10 para describir la torca y el momento angular; en los capítulos 27 y 28 lo emplearemos para describir campos magnéticos y fuerzas.

Para definir el producto vectorial  $\vec{A} \times \vec{B}$ , dibujamos de nuevo los dos vectores  $\vec{A}$  y  $\vec{B}$  con sus colas en el mismo punto (figura 1.30a). Entonces, los dos vectores están en un plano. Definimos el producto vectorial como una cantidad vectorial con dirección perpendicular a este plano (es decir, perpendicular tanto a  $\vec{A}$  como a  $\vec{B}$ ) y una magnitud igual a  $AB \sin \phi$ . Esto es, si  $\vec{C} = \vec{A} \times \vec{B}$ , entonces,

#### Magnitud del producto vectorial o producto cruz de los vectores $\vec{B}$ y $\vec{A}$

$$C = AB \sin \phi \quad (1.20)$$

Magnitud de  $\vec{A}$  y  $\vec{B}$       Ángulo entre  $\vec{A}$  y  $\vec{B}$  colocados con el mismo origen (cola con cola)

Medimos el ángulo  $\phi$  desde  $\vec{A}$  hacia  $\vec{B}$  tomando el más pequeño de los dos ángulos posibles, de manera que  $\phi$  está entre  $0^\circ$  y  $180^\circ$ . Por lo tanto,  $\sin \phi \geq 0$  y  $C$  en la ecuación (1.20) nunca es negativo, como corresponde a una magnitud vectorial. Observe también que cuando  $\vec{A}$  y  $\vec{B}$  son paralelos o antiparalelos,  $\phi = 0^\circ$  o  $180^\circ$ , y  $C = 0$ . Entonces, *el producto vectorial de dos vectores paralelos o antiparalelos siempre es cero*. En particular, *el producto vectorial de un vector consigo mismo es cero*.

**CUIDADO** **Producto vectorial contra producto escalar** Tenga cuidado de no confundir la expresión  $AB \sin \phi$  de la magnitud del producto vectorial  $\vec{A} \times \vec{B}$  con la expresión similar  $AB \cos \phi$  del producto escalar  $\vec{A} \cdot \vec{B}$ . Para ver la diferencia entre estas dos expresiones, suponga que variamos el ángulo entre  $\vec{A}$  y  $\vec{B}$ , a la vez que mantenemos constantes sus magnitudes. Cuando  $\vec{A}$  y  $\vec{B}$  son paralelos, la magnitud del producto vectorial será cero y el producto escalar será el máximo. Cuando  $\vec{A}$  y  $\vec{B}$  son perpendiculares, la magnitud del producto vectorial será la máxima y el producto escalar será cero. ■

De manera análoga, determinamos la dirección de  $\vec{B} \times \vec{A}$  girando  $\vec{B}$  hacia  $\vec{A}$  como en la figura 1.30b. El resultado es un vector *opuesto* al vector  $\vec{A} \times \vec{B}$ . ¡El producto vectorial no es comutativo, sino *anticommutativo*! De hecho, para dos vectores  $\vec{A}$  y  $\vec{B}$  cualesquiera,

$$\vec{A} \times \vec{B} = -\vec{B} \times \vec{A} \quad (1.21)$$

Como hicimos con el producto escalar, podemos interpretar geométricamente la magnitud del producto vectorial. En la figura 1.31a,  $B \sin \phi$  es la componente del vector  $\vec{B}$  que es *perpendicular* a la dirección del vector  $\vec{A}$ . Por la ecuación (1.20), la magnitud de  $\vec{A} \times \vec{B}$  es igual a la magnitud de  $\vec{A}$  multiplicada por la componente de  $\vec{B}$  perpendicular a  $\vec{A}$ . La figura 1.31b muestra que la magnitud de  $\vec{A} \times \vec{B}$  también es igual a la magnitud de  $\vec{B}$  multiplicada por la componente de  $\vec{A}$  perpendicular a  $\vec{B}$ . Observe que la figura 1.31 ilustra el caso donde  $\phi$  está entre  $0^\circ$  y  $90^\circ$ ; usted debería dibujar un diagrama similar para  $\phi$  entre  $90^\circ$  y  $180^\circ$ , con la finalidad de comprobar que es válida la misma interpretación geométrica de la magnitud de  $\vec{A} \times \vec{B}$ .

## Cálculo del producto vectorial usando componentes

Si conocemos las componentes de  $\vec{A}$  y  $\vec{B}$ , calculamos las componentes del producto vectorial usando un procedimiento similar al del producto escalar. Primero deducimos la tabla de multiplicación de los vectores unitarios  $\hat{i}$ ,  $\hat{j}$  y  $\hat{k}$ , los cuales son mutuamente perpendiculares (figura 1.32a). El producto vectorial de cualquier vector consigo mismo es cero, así que

$$\hat{i} \times \hat{i} = \hat{j} \times \hat{j} = \hat{k} \times \hat{k} = \mathbf{0}$$

El cero en negritas nos recuerda que cada producto es un *vector* cero; es decir, uno con todas sus componentes iguales a cero y con dirección indefinida. Usando las ecuaciones (1.20) y (1.21), y la regla de la mano derecha,

$$\begin{aligned} \hat{i} \times \hat{j} &= -\hat{j} \times \hat{i} = \hat{k} \\ \hat{j} \times \hat{k} &= -\hat{k} \times \hat{j} = \hat{i} \\ \hat{k} \times \hat{i} &= -\hat{i} \times \hat{k} = \hat{j} \end{aligned} \quad (1.22)$$

Podrá verificar estas ecuaciones observando la figura 1.32a.

Ahora expresamos  $\vec{A}$  y  $\vec{B}$  en términos de sus componentes y los vectores unitarios correspondientes, y desarrollamos la expresión del producto vectorial:

$$\begin{aligned} \vec{A} \times \vec{B} &= (A_x \hat{i} + A_y \hat{j} + A_z \hat{k}) \times (B_x \hat{i} + B_y \hat{j} + B_z \hat{k}) \\ &= A_x \hat{i} \times B_x \hat{i} + A_x \hat{i} \times B_y \hat{j} + A_x \hat{i} \times B_z \hat{k} \\ &\quad + A_y \hat{j} \times B_x \hat{i} + A_y \hat{j} \times B_y \hat{j} + A_y \hat{j} \times B_z \hat{k} \\ &\quad + A_z \hat{k} \times B_x \hat{i} + A_z \hat{k} \times B_y \hat{j} + A_z \hat{k} \times B_z \hat{k} \end{aligned} \quad (1.23)$$

También podemos reescribir los términos individuales en la ecuación (1.23) como  $A_x \hat{i} \times B_y \hat{j} = (A_x B_y) \hat{i} \times \hat{j}$ , etcétera. Evaluamos esto usando la tabla de multiplicar de los vectores unitarios en las ecuaciones (1.22) y luego agrupamos términos:

$$\vec{A} \times \vec{B} = (A_y B_z - A_z B_y) \hat{i} + (A_z B_x - A_x B_z) \hat{j} + (A_x B_y - A_y B_x) \hat{k} \quad (1.24)$$

Si comparamos la ecuación (1.24) con la ecuación (1.14) veremos que las componentes de  $\vec{C} = \vec{A} \times \vec{B}$  están dadas por

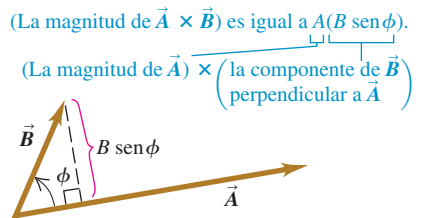
**Componentes del producto vectorial o producto cruz  $\vec{A} \times \vec{B}$**

$$C_x = A_y B_z - A_z B_y \quad C_y = A_z B_x - A_x B_z \quad C_z = A_x B_y - A_y B_x \quad (1.25)$$

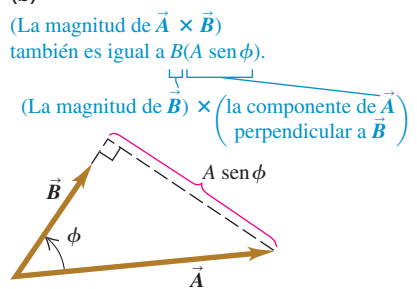
$A_x, A_y, A_z$  = componentes de  $\vec{A}$        $B_x, B_y, B_z$  = componentes de  $\vec{B}$

**1.31** Cálculo de la magnitud  $\vec{AB} \sin \phi$  del producto de dos vectores,  $\vec{A} \times \vec{B}$ .

(a)

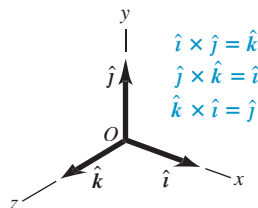


(b)

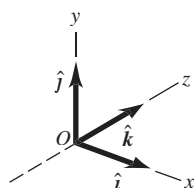


**1.32** a) Siempre utilizaremos un sistema de coordenadas de mano derecha, como éste. b) Nunca usaremos un sistema de coordenadas de mano izquierda (donde  $\hat{i} \times \hat{j} = -\hat{k}$ , etcétera).

a) Sistema de coordenadas de mano derecha



b) Sistema de coordenadas de mano izquierda; no lo usaremos aquí.



Si invertimos la dirección del eje  $z$  en el sistema de ejes de la figura 1.32a, obtenemos el sistema de la figura 1.32b. Aquí, como podrá comprobar el lector, la definición del producto vectorial da  $\hat{i} \times \hat{j} = -\hat{k}$  en vez de  $\hat{i} \times \hat{j} = \hat{k}$ . De hecho, todos los productos vectoriales de  $\hat{i}$ ,  $\hat{j}$  y  $\hat{k}$  tendrían signos opuestos a aquellos de las ecuaciones (1.22). Vemos que hay dos tipos de sistemas de coordenadas, que difieren en los signos de los productos vectoriales de los vectores unitarios. Un sistema de ejes donde  $\hat{i} \times \hat{j} = \hat{k}$ , como en la figura 1.32a, se conoce como **sistema de mano derecha**. Lo usual es utilizar *sólo* sistemas de mano derecha, algo que haremos a lo largo de este libro.



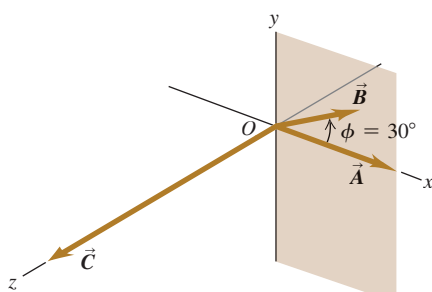
### EJEMPLO 1.11 CÁLCULO DE UN PRODUCTO VECTORIAL

El vector  $\vec{A}$  tiene una magnitud de 6 unidades y está sobre el eje  $+x$ .  $\vec{B}$  tiene una magnitud de 4 unidades y está en el plano  $xy$  formando un ángulo de  $30^\circ$  con el eje  $+x$  (**figura 1.33**). Calcule el producto vectorial  $\vec{C} = \vec{A} \times \vec{B}$ .

#### SOLUCIÓN

**IDENTIFICAR y PLANTEAR:** Obtendremos el producto vectorial de dos maneras, lo cual nos ayudará a hacer la verificación de nuestro resultado. Primero usaremos la ecuación (1.20) y la regla de la mano derecha; luego, usaremos las ecuaciones (1.25) para determinar el producto vectorial usando las componentes.

**1.33 Vectores  $\vec{A}$  y  $\vec{B}$  y su producto vectorial  $\vec{C} = \vec{A} \times \vec{B}$ .** El vector  $\vec{B}$  está en el plano  $xy$ .



**EJECUTAR:** Por la ecuación (1.20), la magnitud del producto vectorial es

$$AB \sin \phi = (6)(4)(\sin 30^\circ) = 12$$

De acuerdo con la regla de la mano derecha,  $\vec{A} \times \vec{B}$  tiene la dirección del eje  $+z$  (la dirección del vector unitario  $\hat{k}$ ), por lo tanto,  $\vec{C} = \vec{A} \times \vec{B} = 12\hat{k}$ .

Para usar las ecuaciones (1.25), primero determinamos las componentes de  $\vec{A}$  y  $\vec{B}$ . Observe que  $\vec{A}$  apunta a lo largo del eje  $x$ , por lo que su única componente distinta de cero es  $A_x$ . Para  $\vec{B}$ , la figura 1.33 muestra que  $\phi = 30^\circ$  se mide desde el eje  $+x$  hacia el eje  $+y$ , por lo que podemos utilizar las ecuaciones (1.5):

$$\begin{aligned} A_x &= 6 & A_y &= 0 & A_z &= 0 \\ B_x &= 4 \cos 30^\circ = 2\sqrt{3} & B_y &= 4 \sin 30^\circ = 2 & B_z &= 0 \end{aligned}$$

Luego, las ecuaciones (1.25) nos dan

$$\begin{aligned} C_x &= (0)(0) - (0)(2) = 0 \\ C_y &= (0)(2\sqrt{3}) - (6)(0) = 0 \\ C_z &= (6)(2) - (0)(2\sqrt{3}) = 12 \end{aligned}$$

Nuevamente tenemos que  $\vec{C} = 12\hat{k}$ .

**EVALUAR:** Ambos métodos dan el mismo resultado. Dependiendo de la situación, uno u otro enfoque será más conveniente.

**EVALÚE SU COMPRENSIÓN DE LA SECCIÓN 1.10** El vector  $\vec{A}$  tiene magnitud 2 y el vector  $\vec{B}$  tiene magnitud 3. Se sabe que el ángulo  $\phi$  entre  $\vec{A}$  y  $\vec{B}$  es **i.**  $0^\circ$ , **ii.**  $90^\circ$  o **iii.**  $180^\circ$ . Para cada una de las siguientes situaciones, determine cuál debe ser el valor de  $\phi$ . (En cada situación puede haber más de una respuesta correcta). **a)**  $\vec{A} \cdot \vec{B} = 0$ ; **b)**  $\vec{A} \times \vec{B} = \mathbf{0}$ ; **c)**  $\vec{A} \cdot \vec{B} = 6$ ; **d)**  $\vec{A} \cdot \vec{B} = -6$ ; **e)** (magnitud de  $\vec{A} \times \vec{B}$ ) = 6.



**Cantidades y unidades físicas:** Las tres cantidades físicas fundamentales son masa, longitud y tiempo. Las unidades básicas correspondientes del SI son el kilogramo, el metro y el segundo. Las unidades derivadas para otras cantidades físicas son productos o cocientes de las unidades básicas. Las ecuaciones deben ser dimensionalmente congruentes; dos términos sólo se pueden sumar cuando tienen las mismas unidades. (Vea los ejemplos 1.1 y 1.2).

**Cifras significativas:** La exactitud de una medición se indica con el número de cifras significativas o estableciendo un nivel de incertidumbre. Las cifras significativas del resultado de un cálculo se determinan mediante las reglas que se resumen en la tabla 1.2. Cuando únicamente disponemos de estimaciones burdas como datos de entrada, podemos estimar el orden de la magnitud del resultado. (Vea los ejemplos 1.3 y 1.4).

**Escalares, vectores y suma de vectores:** Las cantidades escalares son números y se combinan mediante las reglas habituales de la aritmética. Las cantidades vectoriales tienen tanto dirección como magnitud, y se combinan según las reglas de la suma vectorial. El negativo de un vector tiene la misma magnitud que éste pero apunta en la dirección opuesta.

**Componentes de vectores y suma de vectores:** La suma vectorial puede efectuarse con las componentes de los vectores. La componente  $x$  de  $\vec{R} = \vec{A} + \vec{B}$  es la suma de las componentes  $x$  de  $\vec{A}$  y  $\vec{B}$ , y las componentes  $y$  y  $z$  se obtienen de forma similar. (Vea los ejemplos 1.6 y 1.7).

**Vectores unitarios:** Los vectores unitarios señalan direcciones en el espacio y tienen magnitud 1, sin unidades. Los vectores unitarios  $\hat{i}$ ,  $\hat{j}$  y  $\hat{k}$ , alineados con los ejes  $x$ ,  $y$  y  $z$  de un sistema de coordenadas rectangular, tienen especial utilidad. (Vea el ejemplo 1.8).

**Producto escalar:** El producto escalar  $\vec{C} = \vec{A} \cdot \vec{B}$  de dos vectores  $\vec{A}$  y  $\vec{B}$  es una cantidad escalar. Se puede expresar en términos de las magnitudes de  $\vec{A}$  y  $\vec{B}$  y el ángulo  $\phi$  que forman, o bien, en términos de las componentes de  $\vec{A}$  y  $\vec{B}$ . El producto escalar es commutativo;  $\vec{A} \cdot \vec{B} = \vec{B} \cdot \vec{A}$ . El producto escalar de dos vectores perpendiculares es cero. (Vea los ejemplos 1.9 y 1.10).

## Cifras significativas en magenta

$$\pi = \frac{C}{2r} = \frac{0.424 \text{ m}}{2(0.06750 \text{ m})} = 3.14$$

$$123.62 + 8.9 = 132.5$$

$$\pi = \frac{c}{2r} = \frac{0.424 \text{ m}}{2(0.06750 \text{ m})} = 3.1$$

$$123.62 + 8.9 = 132.5$$

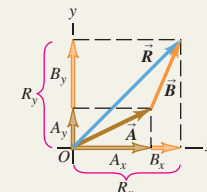
$$\vec{A} + \vec{B} = \vec{A} + \vec{B} = \vec{C}$$

$$R_x = A_x + B_x$$

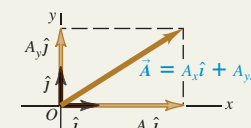
$$R_v = A_v + B_v$$

$$R_7 = A_7 + B_7$$

(1.9)



$$\vec{A} = A \hat{i} + B \hat{j} + C \hat{k} \quad (1.14)$$



$$\vec{A} \cdot \vec{B} = AB \cos \phi = |\vec{A}| |\vec{B}| \cos \phi \quad (1.16)$$

$$\vec{A} \cdot \vec{B} = A_x B_x + A_y B_y + A_z B_z \quad (1.15)$$

Producto escalar  $\vec{A} \cdot \vec{B} = AB \cos \phi$



**Productovectorial:** El producto vectorial  $\vec{C} = \vec{A} \times \vec{B}$  de dos vectores  $\vec{A}$  y  $\vec{B}$  es otro vector  $\vec{C}$ . La magnitud de  $\vec{A} \times \vec{B}$  depende de las magnitudes de  $\vec{A}$  y  $\vec{B}$ , así como del ángulo  $\phi$  entre los dos vectores. La dirección de  $\vec{A} \times \vec{B}$  es perpendicular al plano de los dos vectores multiplicados, según la regla de la mano derecha.

Las componentes de  $\vec{C} = \vec{A} \times \vec{B}$  se pueden expresar en términos de las componentes de  $\vec{A}$  y  $\vec{B}$ . El producto vectorial no es comutativo;  $\vec{A} \times \vec{B} = -\vec{B} \times \vec{A}$ .

El producto vectorial de dos vectores paralelos o antiparalelos es cero.

(Vea el ejemplo 1.11).

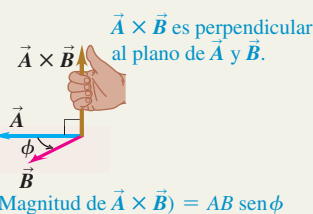
$$C = AB \sin \phi \quad (1.20)$$

$$C_x = A_y B_z - A_z B_y$$

(1.25)

$$C_y = A_z B_x - A_x B_z$$

$$C_z = A_x B_y - A_y B_x$$



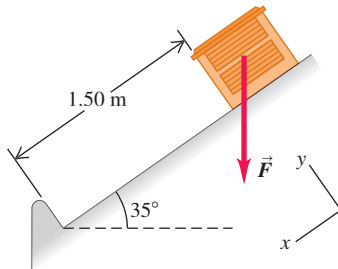
## PROBLEMA PRÁCTICO VECTORES EN EL TECHO



SOLUCIÓN

Una unidad de aire acondicionado está sujeta a un techo inclinado a un ángulo de  $35^\circ$  en relación con la horizontal (figura 1.34). Su peso actúa como una fuerza  $\vec{F}$  sobre la unidad de aire acondicionado en dirección vertical hacia abajo. Con el propósito de que la unidad no aplaste las baldosas del tejado, la componente del peso de la unidad perpendicular al techo no debe ser mayor de 425 N. (Un newton, o 1N, es la unidad de fuerza en el sistema SI, y es igual a 0.2248 lb). a) ¿Cuál es el peso máximo permitido de la unidad? b) Si los sujetadores fallan, la unidad se deslizará 1.50 m a lo largo del techo antes de que se detenga contra la cornisa. ¿Qué cantidad de trabajo hace la fuerza del peso sobre la unidad durante el deslizamiento, si la unidad tiene el peso calculado en el inciso a)? El trabajo realizado por una fuerza  $\vec{F}$  sobre un objeto que experimenta un desplazamiento  $\vec{s}$  es  $W = \vec{F} \cdot \vec{s}$ .

1.34 Unidad de aire acondicionado sobre un techo inclinado.



### GUÍA DE SOLUCIÓN

#### IDENTIFICAR y PLANTEAR

- Este problema implica vectores y sus componentes. ¿Cuáles son las cantidades conocidas? ¿Qué aspecto(s) del vector peso (magnitud, dirección y/o componentes determinadas) representa(n) la incógnita del inciso a)? ¿Qué aspectos debe conocer para resolver el inciso b)?
- Elabore un dibujo con base en la figura 1.34. Agregue los ejes  $x$  y  $y$  eligiendo la dirección positiva de cada uno. Sus ejes no tienen que ser horizontal y vertical, sino que deben ser perpendiculares entre sí. La figura 1.34 muestra una opción conveniente de ejes. El eje  $x$  es paralelo a la pendiente del techo
- Elija las ecuaciones que utilizará para determinar las incógnitas.

#### EJECUTAR

- Use la relación entre la magnitud y dirección de un vector y sus componentes para despejar la incógnita del inciso a). Tenga cuidado:

¿El ángulo de  $35^\circ$  es el adecuado para usarlo en la ecuación? (Sugerencia: Revise su dibujo).

- Asegúrese de que su respuesta tenga el número correcto de cifras significativas.
- Use la definición de producto escalar para despejar la incógnita en el inciso b). Una vez más, asegúrese de usar el número correcto de cifras significativas.

#### EVALUAR

- ¿Su respuesta del inciso a) incluye una componente cuyo valor absoluto es mayor que la magnitud del vector? ¿Es esto razonable?
- Hay dos maneras de obtener el producto escalar de dos vectores, una de las cuales se usó para resolver el inciso b). Verifique su respuesta realizando el cálculo de la otra manera. ¿Se obtiene la misma respuesta?

## Problemas

•, •, ••: Niveles de dificultad. **PA:** Problemas acumulativos que incorporan material de capítulos anteriores. **CALC:** Problemas que requieren cálculo. **DATOS:** Problemas que incluyen datos reales, evidencia científica, diseño experimental y/o razonamiento estadístico. **BIO:** Problemas de ciencias biológicas.

### PREGUNTAS PARA ANÁLISIS

**P1.1** ¿Cuántos experimentos correctos necesitamos para refutar una teoría? ¿Y para demostrarla? Explique su respuesta.

**P1.2** Suponga que se le pide calcular la tangente de 5.00 metros. ¿Es esto posible? ¿Por qué?

**P1.3** ¿Qué estatura tiene usted en centímetros? ¿Cuál es su peso en newtons?

**P1.4** En Estados Unidos el National Institute of Standards and Technology (NIST) tiene varias copias exactas del kilogramo estándar internacional. A pesar de una cuidadosa limpieza, estos estándares nacionales aumentan de masa a razón de aproximadamente  $1 \mu\text{g}/\text{año}$  en promedio, cuando se comparan cada más o menos 10 años con el kilogramo estándar internacional. ¿Es importante este cambio evidente? Explique su respuesta.

**P1.5** ¿Qué fenómenos físicos (además de un péndulo o un reloj de cesio) servirían para definir un estándar de tiempo?

**P1.6** Describa cómo podría medir el espesor de una hoja de papel con una regla común.

**P1.7** La cantidad  $\pi = 3.14159\dots$  no tiene dimensiones, ya que es un cociente de dos longitudes. Describa otras dos o tres cantidades geométricas o físicas adimensionales.

**P1.8** ¿Cuáles son las unidades de volumen? Suponga que otro estudiante le dice que un cilindro de radio  $r$  y altura  $h$  tiene un volumen dado por  $\pi r^3 h$ . Explique por qué esto no es correcto.

**P1.9** Cada uno de tres arqueros dispara cuatro flechas hacia un blanco. Las cuatro flechas de Joe quedan así: 10 cm arriba, 10 cm abajo, 10 cm a la izquierda y 10 cm a la derecha del centro del blanco. Las cuatro flechas de Moe quedan a menos de 1 cm de un punto que está a 20 cm del centro. Y las cuatro flechas de Flo quedan a menos de 1 cm del centro del blanco. El juez del concurso dice que uno de los arqueros es preciso pero no exacto, otro es exacto pero no es preciso, y el tercero es exacto y preciso. ¿Cuál descripción corresponde a cada arquero? Explique su razonamiento.

**P1.10** ¿El vector  $(\hat{i} + \hat{j} + \hat{k})$  es un vector unitario? ¿Es el vector  $(3.0\hat{i} - 2.0\hat{j})$  un vector unitario? Justifique sus respuestas.

**P1.11** Una pista de carreras circular tiene un radio de 500 m. ¿Cuál es el desplazamiento de una ciclista que sigue la pista del extremo norte al extremo sur? ¿Y cuándo da una vuelta completa? Explique su razonamiento.

**P1.12** ¿Puede usted encontrar dos vectores de diferente longitud que sumados den cero? ¿Qué restricciones de longitud son necesarias para que tres vectores tengan una resultante cero? Explique su razonamiento.

**P1.13** A veces hablamos de la “dirección del tiempo”: del pasado al futuro. ¿Eso significa que el tiempo es un vector? Explique su razonamiento.

**P1.14** Los controladores de tráfico aéreo dan instrucciones a los pilotos de la dirección hacia donde deben volar. Tales instrucciones se denominan “vectores”. Si éstas son las únicas instrucciones que se dan, ¿se está usando correctamente el término “vector”? ¿Por qué?

**P1.15** ¿Puede encontrar un vector de magnitud cero cuyas componentes sean distintas de cero? Explique su respuesta. ¿La magnitud de un vector puede ser menor que la magnitud de cualquiera de sus componentes? Explique su respuesta.

**P1.16** a) ¿Tiene sentido decir que un vector es *negativo*? ¿Por qué? b) ¿Tiene sentido decir que un vector es el negativo de otro? ¿Por qué? ¿Esta respuesta contradice lo que contestó en el inciso a)?

**P1.17** Si  $\vec{C} = \vec{A} + \vec{B}$ , ¿qué deberá ser cierto acerca de las direcciones y magnitudes de  $\vec{A}$  y  $\vec{B}$  si  $C = A + B$ ? ¿Qué deberá ser cierto acerca de las direcciones y magnitudes de  $\vec{A}$  y  $\vec{B}$  si  $C = 0$ ?

**P1.18** Si  $\vec{A}$  y  $\vec{B}$  son vectores distintos de cero, ¿es posible que  $\vec{A} \cdot \vec{B}$  y  $\vec{A} \times \vec{B}$  sean ambos cero? Explique su respuesta.

**P1.19** ¿Qué resulta de  $\vec{A} \cdot \vec{A}$ , el producto escalar de un vector consigo mismo? ¿Y de  $\vec{A} \times \vec{A}$ , el producto vectorial de un vector consigo mismo?

**P1.20** Sea  $\vec{A}$  cualquier vector distinto de cero. ¿Por qué  $\vec{A}/A$  es un vector unitario y qué dirección tiene? Si  $\theta$  es el ángulo entre  $\vec{A}$  y el eje  $+x$ , explique por qué  $(\vec{A}/A) \cdot \hat{i}$  se llama el *coseno director* de dicho eje.

**P1.21** La figura 1.7 muestra el resultado de un error inaceptable en el punto de parada de un tren. Si un tren viaja 890 km de Berlín a París y luego rebasa el fin de la vía 10.0 m, ¿cuál será el error porcentual en la distancia total recorrida? ¿Es correcto escribir la distancia total que cubre el tren como 890,010 m? Explique su respuesta.

**P1.22** Indique cuáles de las siguientes son operaciones matemáticas correctas: a)  $\vec{A} \cdot (\vec{B} - \vec{C})$ ; b)  $(\vec{A} - \vec{B}) \times \vec{C}$ ; c)  $\vec{A} \cdot (\vec{B} \times \vec{C})$ ; d)  $\vec{A} \times (\vec{B} \times \vec{C})$ ; e)  $\vec{A} \times (\vec{B} \cdot \vec{C})$ ? En cada caso, justifique su respuesta.

**P1.23** Considere los dos productos vectoriales  $\vec{A} \times (\vec{B} \times \vec{C})$  y  $(\vec{A} \times \vec{B}) \times \vec{C}$ . Dé un ejemplo que ilustre la regla general de que estos dos productos vectoriales no tienen la misma magnitud o dirección. ¿Puede elegir los vectores  $\vec{A}$ ,  $\vec{B}$  y  $\vec{C}$  de modo que esos dos productos vectoriales sí sean iguales? Si es así, dé un ejemplo.

**P1.24** Demuestre que, sin importar lo que sean  $\vec{A}$  y  $\vec{B}$ ,  $\vec{A} \cdot (\vec{A} \times \vec{B}) = 0$ . (Sugerencia: No busque una demostración matemática compleja. Más bien, revise la definición de la dirección del producto cruz).

**P1.25** a) Si  $\vec{A} \cdot \vec{B} = 0$ , ¿necesariamente se concluye que  $A = 0$  o que  $B = 0$ ? Explique su respuesta. b) Si  $\vec{A} \times \vec{B} = 0$ , ¿necesariamente se concluye que  $A = 0$  o que  $B = 0$ ? Explique su respuesta.

**P1.26** Si  $\vec{A} = \mathbf{0}$  para un vector en el plano  $xy$ , ¿se concluye que  $A_x = -A_y$ ? ¿Qué podría decir acerca de  $A_x$  y de  $A_y$ ?

### EJERCICIOS

#### Sección 1.3 Estándares y unidades

#### Sección 1.4 Uso y conversiones de unidades

**1.1** • A partir de la definición 1 in = 2.54 cm, determine a) cuántos kilómetros hay en 1.00 milla y b) cuántos pies hay en 1.00 km.

**1.2** •• Según la etiqueta de un frasco de aderezos para ensalada, el volumen del contenido es 0.473 litros (L). Use solo las conversiones 1 L = 1000 cm<sup>3</sup> y 1 in = 2.54 cm para expresar dicho volumen en pulgadas cúbicas.

**1.3** •• ¿Cuántos nanosegundos tarda la luz en viajar 1.00 ft en el vacío? (Este resultado es una cantidad útil de recordar).

**1.4** •• La densidad del oro es de 19.3 g/cm<sup>3</sup>. ¿Cuál es su equivalencia en kilogramos por metro cúbico?

**1.5** • El motor más potente que había para el automóvil clásico Chevrolet Corvette Sting Ray modelo 1963 desarrollaba 360 caballos de fuerza y tenía un desplazamiento de 327 pulgadas cúbicas. Exprese este desplazamiento en litros (L) usando sólo las conversiones 1 L = 1000 cm<sup>3</sup> y 1 in = 2.54 cm.

- 1.6** • Un campo cuadrado que mide 100.0 m por 100.0 m tiene un área de 1.00 hectárea. Un acre tiene un área de 43,600 ft<sup>2</sup>. Si un campo tiene un área de 12.0 acres, ¿cuál es su equivalencia en hectáreas?

**1.7** • ¿Cuántos años más tendrá usted dentro de 1.00 gigasegundo? (Suponga que un año tiene 365 días).

**1.8** • Mientras va conduciendo en un país extranjero, observa un letrero que indica el límite de velocidad en una carretera como 180,000 estadios (furlongs) por quincena. ¿Cuánto es esto en millas por hora? (Un furlong es  $\frac{1}{8}$  de milla, y una quincena equivale a 14 días. Originalmente, el estadio se refería a la longitud de un surco arado).

**1.9** • Ciertos automóviles híbridos que consumen poco combustible tienen un rendimiento de gasolina de 55.0 mpg (millas por galón). *a)* Si usted va manejando dicho auto en Europa y quiere comparar su rendimiento con el de otros vehículos europeos, exprese tal rendimiento en km/L ( $L = \text{litro}$ ). Utilice los factores de conversión del apéndice E. *b)* Si el depósito de gasolina de este automóvil tiene una capacidad de 45 L, ¿cuántas veces deberá llenar el depósito de gasolina para conducir 1500 km?

**1.10** • Las conversiones que siguen son comunes en física, además de muy útiles. *a)* Use  $1 \text{ mi} = 5280 \text{ ft}$  y  $1 \text{ h} = 3600 \text{ s}$  para convertir  $60 \text{ mph}$  a unidades de  $\text{ft/s}$ . *b)* La aceleración de un objeto en caída libre es de  $32 \text{ ft/s}^2$ . Use  $1 \text{ ft} = 30.48 \text{ cm}$  para expresar esta aceleración en unidades de  $\text{m/s}^2$ . *c)* La densidad del agua es de  $1.0 \text{ g/cm}^3$ . Convierta esta densidad a unidades de  $\text{kg/m}^3$ .

**1.11 • Neptunio.** En el otoño de 2002, un grupo de científicos de Los Alamos National Laboratory determinó que la masa crítica del neptunio-237 es de unos 60 kg. La masa crítica de un material fisionable es la cantidad mínima que debe reunirse para iniciar una reacción en cadena. Este elemento tiene una densidad de  $19.5 \text{ g/cm}^3$ . ¿Cuál será el radio de una esfera de este material que tiene dicha masa crítica?

**1.12 • BIO** *a)* La dosis diaria recomendada (DDR) del metal traza magnesio es de 410 mg/día para los hombres. Exprese esta cantidad en  $\mu\text{g}/\text{día}$ . *b)* La DDR del aminoácido lisina es de 12 mg por kg de peso corporal. ¿Cuántos gramos diarios debe recibir un adulto de 75 kg de peso? *c)* Una tableta multivitamínica típica contiene 2.0 mg de vitamina B<sub>2</sub> (riboflavina) y la DDR recomendada es de 0.0030 g/día. ¿Cuántas de estas tabletas debe tomar a diario una persona para obtener la cantidad adecuada de esta vitamina, suponiendo que no tiene ninguna otra fuente de abasto? *d)* La DDR para el elemento traza selenio es de 0.000070 g/día. Exprese esta dosis en mg/día.

**1.13 •• BIO Bacterias.** Las bacterias varían de tamaño, pero un diámetro de 2.0  $\mu\text{m}$  no es inusual. ¿Cuál es el volumen (en centímetros cúbicos) y el área superficial (en milímetros cuadrados) de una bacteria esférica de tal tamaño? (Consulte el apéndice B para fórmulas importantes).

## Sección 1.5 Incertidumbre y cifras significativas

**1.14** • Con una regla graduada de madera, usted determina que un trozo rectangular de lámina metálica mide 12 mm de longitud; por otro lado, usa un micrómetro para medir el ancho del trozo y obtiene 5.98 mm. Conteste las siguientes preguntas con las cifras significativas correctas. *a) ¿Qué área tiene el rectángulo? b) ¿Qué razón ancho/largo tiene el rectángulo? c) ¿Qué perímetro tiene el rectángulo? d) ¿Cuál es la diferencia entre la longitud y el ancho? e) ¿Cuál es la razón longitud/ancho?*

**1.15** • Un valor de aproximación útil y fácil de recordar para el número de segundos en un año es  $\pi \times 10^7$ . Determine el error porcentual en este valor. (Hay 365.24 días en un año).

**1.16** • Exprésate cada aproximación de  $\pi$  con seis cifras significativas a)  $22/7$  y b)  $335/113$ . c) ¿Con qué precisión son exactas estas aproximaciones?

escribe la cantidad de 200 en el expediente médico, pero olvida anotar las unidades. ¿Cuál de las siguientes cantidades sería posible que representaran ese valor de 200? a) Su masa en kilogramos; b) su estatura en metros; c) su estatura en centímetros; d) su estatura en milímetros; e) su edad en meses.

**1.18** • ¿Cuántos galones de gasolina se consumen en Estados Unidos en un día? Suponga que hay dos automóviles por cada tres personas, que cada auto recorre en promedio 10,000 millas por año, y que el auto promedio rinde 20 millas por galón.

**1.19 • BIO** ¿Cuántas veces parpadea un ser humano común durante toda su vida?

**1.20 • BIO** Cuatro astronautas están en una estación espacial esférica. a) Si, como suele ocurrir, cada uno de ellos inhala cerca de  $500 \text{ cm}^3$  de aire en cada respiración, ¿aproximadamente qué volumen de aire (en metros cúbicos) respiran estos astronautas en un año? b) ¿Qué diámetro (en metros) debería tener la estación espacial para contener todo este aire?

**1.21** • En la ópera *El oro del Rin* (*Das Rheingold*) de Wagner, la diosa Freia es rescatada de una pila de oro lo suficientemente alta y ancha como para esconderla de la vista. Determine el valor monetario de esta pila. La densidad del oro es de  $19.3 \text{ g/cm}^3$  y su valor es de alrededor de \$10 por gramo.

**1.22 • BIO** ¿Cuántas veces late el corazón de una persona en su vida? ¿Cuántos galones de sangre bombea? (Estime que el corazón bombea  $50 \text{ cm}^3$  de sangre en cada latido).

**1.23** • Usted utiliza agua para diluir cantidades pequeñas de sustancias químicas en el laboratorio, gota a gota. ¿Cuántas gotas de agua hay en una botella de 1.0 L? (Sugerencia: Comience por calcular el diámetro de una gota de agua).

## Sección 1.7 Vectores y suma de vectores

**1.24** • Con los vectores  $\vec{A}$  y  $\vec{B}$  de Figura E1.24

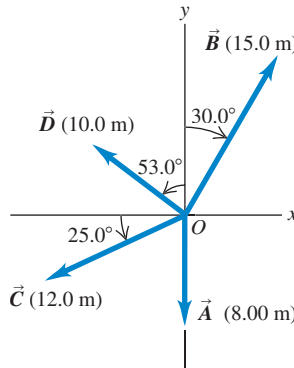
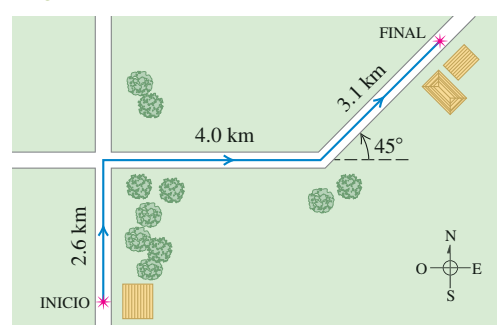


Figura F1.25



**1.26** Una espeleólogo está explorando una cueva y sigue un pasadizo de 180 m de longitud al oeste, luego 210 m  $45^\circ$  al este del sur, y después 280 m  $30^\circ$  al este del norte. Tras un cuarto desplazamiento

sin medir, vuelve al punto inicial. Con un diagrama a escala, determine la magnitud y la dirección del cuarto desplazamiento. (Vea también el ejercicio 1.61 donde este problema se enfoca de otra manera).

### Sección 1.8 Componentes de vectores

**1.27** • Calcule las componentes  $x$  y  $y$  de los vectores  $\vec{A}$ ,  $\vec{B}$ ,  $\vec{C}$  y  $\vec{D}$  de la figura E1.24.

**1.28** • Sea el ángulo  $\theta$  el que forma el vector  $\vec{A}$  con el eje  $+x$ , medido en sentido contrario a las manecillas del reloj a partir de ese eje. Determine el ángulo  $\theta$  para un vector que tiene las siguientes componentes: a)  $A_x = 2.00 \text{ m}$ ,  $A_y = -1.00 \text{ m}$ ; b)  $A_x = 2.00 \text{ m}$ ,  $A_y = 1.00 \text{ m}$ ; c)  $A_x = -2.00 \text{ m}$ ,  $A_y = 1.00 \text{ m}$ ; d)  $A_x = -2.00 \text{ m}$ ,  $A_y = -1.00 \text{ m}$ .

**1.29** • El vector  $\vec{A}$  tiene una componente  $y$   $A_y = +9.60 \text{ m}$ .  $\vec{A}$  tiene un ángulo de  $32.0^\circ$  en sentido contrario a las manecillas del reloj a partir del eje  $+y$ . a) ¿Cuál es la componente  $x$  de  $\vec{A}$ ? b) ¿Cuál es la magnitud de  $\vec{A}$ ?

**1.30** • El vector  $\vec{A}$  tiene una dirección de  $34.0^\circ$  en sentido de las manecillas del reloj a partir del eje  $-y$ . La componente  $x$  de  $\vec{A}$  es  $A_x = -16.0 \text{ m}$ . a) ¿Cuál es la componente  $y$  de  $\vec{A}$ ? b) ¿Cuál es la magnitud de  $\vec{A}$ ?

**1.31** • Para los vectores  $\vec{A}$  y  $\vec{B}$  de la figura E1.24, use el método de componentes para obtener la magnitud y la dirección de a) la suma vectorial  $\vec{A} + \vec{B}$ ; b) la suma vectorial  $\vec{B} + \vec{A}$ ; c) la diferencia vectorial  $\vec{A} - \vec{B}$ ; d) la diferencia vectorial  $\vec{B} - \vec{A}$ .

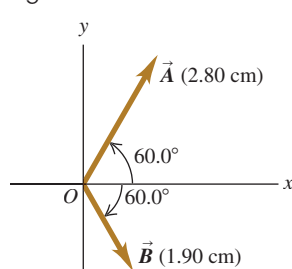
**1.32** • Un empleado del servicio postal conduce su camión por la ruta de la figura E1.25. Use el método de componentes para determinar la magnitud y la dirección de su desplazamiento resultante. En un diagrama de suma de vectores (a escala aproximada), muestre que el desplazamiento resultante obtenido del diagrama coincide cualitativamente con el obtenido con el método de componentes.

**1.33** • Un profesor de física desorientado conduce  $3.25 \text{ km}$  al norte,  $2.90 \text{ km}$  al oeste y  $1.50 \text{ km}$  al sur. Calcule la magnitud y la dirección del desplazamiento resultante, usando el método de componentes. En un diagrama de suma de vectores (a escala aproximada), muestre que el desplazamiento resultante obtenido del diagrama coincide cualitativamente con el obtenido con el método de componentes.

**1.34** • Calcule la magnitud y la dirección del vector representado por los siguientes pares de componentes: a)  $A_x = -8.60 \text{ cm}$ ,  $A_y = 5.20 \text{ cm}$ ; b)  $A_x = -9.70 \text{ m}$ ,  $A_y = -2.45 \text{ m}$ ; c)  $A_x = 7.75 \text{ km}$ ,  $A_y = -2.70 \text{ km}$ .

**1.35** • El vector  $\vec{A}$  mide  $2.80 \text{ cm}$  y está  $60.0^\circ$  sobre el eje  $x$  en el primer cuadrante. El vector  $\vec{B}$  mide  $1.90 \text{ cm}$  y está  $60.0^\circ$  bajo el eje  $x$  en el cuarto cuadrante (figura E1.35). Utilice las componentes para determinar la magnitud y la dirección de a)  $\vec{A} + \vec{B}$ ; b)  $\vec{A} - \vec{B}$ ; c)  $\vec{B} - \vec{A}$ . En cada caso, dibuje la suma o resta de vectores, y demuestre que sus respuestas numéricas concuerdan cualitativamente con el dibujo.

Figura E1.35



### Sección 1.9 Vectores unitarios

**1.36** • En cada caso, obtenga las componentes  $x$  y  $y$  del vector  $\vec{A}$ : a)  $\vec{A} = 5.0\hat{i} - 6.3\hat{j}$ ; b)  $\vec{A} = 11.2\hat{j} - 9.91\hat{i}$ ; c)  $\vec{A} = -15.0\hat{i} + 22.4\hat{j}$ ; d)  $\vec{A} = 5.0\vec{B}$ , donde  $\vec{B} = 4\hat{i} - 6\hat{j}$ .

**1.37** • Escriba cada uno de los vectores de la figura E1.24 en términos de los vectores unitarios  $\hat{i}$  y  $\hat{j}$ .

**1.38** • Dados dos vectores  $\vec{A} = 4.00\hat{i} + 7.00\hat{j}$  y  $\vec{B} = 5.00\hat{i} - 2.00\hat{j}$ , a) calcule las magnitudes de cada uno; b) escriba una expresión para  $\vec{A} - \vec{B}$  usando vectores unitarios; c) determine la magnitud y la dirección de la diferencia  $\vec{A} - \vec{B}$ . d) Dibuja un diagrama vectorial que

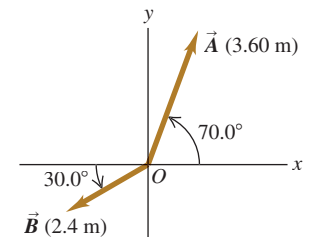
muestre  $\vec{A}$ ,  $\vec{B}$  y  $\vec{A} - \vec{B}$  y demuestre que su diagrama coincide cualitativamente con su respuesta del inciso c).

**1.39** • a) Escriba cada uno de los vectores de la figura E1.39 en términos de los vectores unitarios  $\hat{i}$  y  $\hat{j}$ .

b) Utilice vectores unitarios para expresar el vector  $\vec{C}$ , donde  $\vec{C} = 3.00\vec{A} - 4.00\vec{B}$ . c) Determine la magnitud y la dirección de  $\vec{C}$ .

**1.40** • Le dan dos vectores  $\vec{A} = -3.00\hat{i} + 6.00\hat{j}$  y  $\vec{B} = 7.00\hat{i} + 2.00\hat{j}$ . Los ángulos en contra de las manecillas del reloj son positivos.

a) ¿Qué ángulo forma  $\vec{A}$  con el eje  $+x$ ? b) ¿Qué ángulo hace  $\vec{B}$  con el eje  $x$ ? c) El vector  $\vec{C}$  es la suma de  $\vec{A}$  y  $\vec{B}$  por lo que  $\vec{C} = \vec{A} + \vec{B}$ . ¿Qué ángulo hace  $\vec{C}$  con el eje  $+x$ ?



**1.41** • Dados dos vectores  $\vec{A} = -2.00\hat{i} + 3.00\hat{j} + 4.00\hat{k}$  y  $\vec{B} = 3.00\hat{i} + 1.00\hat{j} - 3.00\hat{k}$ , a) determine la magnitud de cada vector; b) utilice vectores unitarios para escribir una expresión para el vector diferencia  $\vec{A} - \vec{B}$ ; y c) encuentre la magnitud del vector diferencia  $\vec{A} - \vec{B}$ . ¿Tiene la misma magnitud que  $\vec{B} - \vec{A}$ ? Explique su respuesta.

### Sección 1.10 Productos de vectores

**1.42** • a) Obtenga el producto escalar de los dos vectores  $\vec{A}$  y  $\vec{B}$  descritos en el ejercicio 1.38. b) Determine el ángulo entre estos dos vectores.

**1.43** • Para los vectores  $\vec{A}$ ,  $\vec{B}$  y  $\vec{C}$  de la figura E1.24, obtenga los productos escalares a)  $\vec{A} \cdot \vec{B}$ ; b)  $\vec{B} \cdot \vec{C}$ ; c)  $\vec{A} \cdot \vec{C}$ .

**1.44** • Determine el producto vectorial  $\vec{A} \times \vec{B}$  (expresado en vectores unitarios) de los dos vectores del ejercicio 1.38. ¿Cuál es la magnitud del producto vectorial?

**1.45** • Calcule el ángulo entre estos pares de vectores:

a)  $\vec{A} = -2.00\hat{i} + 6.00\hat{j}$  y  $\vec{B} = 2.00\hat{i} - 3.00\hat{j}$

b)  $\vec{A} = 3.00\hat{i} + 5.00\hat{j}$  y  $\vec{B} = 10.00\hat{i} + 6.00\hat{j}$

c)  $\vec{A} = -4.00\hat{i} + 2.00\hat{j}$  y  $\vec{B} = 7.00\hat{i} + 14.00\hat{j}$

**1.46** • Para los dos vectores de la figura E1.35, a) obtenga la magnitud y la dirección del producto vectorial  $\vec{A} \times \vec{B}$ ; b) determine la magnitud y la dirección de  $\vec{B} \times \vec{A}$ .

**1.47** • Para los vectores  $\vec{A}$  y  $\vec{D}$  de la figura E1.24, a) obtenga la magnitud y la dirección del producto vectorial  $\vec{A} \times \vec{D}$ ; b) calcule la magnitud y la dirección de  $\vec{D} \times \vec{A}$ .

**1.48** • Para los dos vectores  $\vec{A}$  y  $\vec{B}$  de la figura E1.39, a) obtenga el producto escalar  $\vec{A} \cdot \vec{B}$ ; b) determine la magnitud y dirección del producto vectorial  $\vec{A} \times \vec{B}$ .

### PROBLEMAS

**1.49** • **Estrellas de neutrones y enanas blancas.** Recuerde que la densidad es la masa dividida entre el volumen y consulte el apéndice B, cuando sea necesario. a) Calcule la densidad media de la Tierra en  $\text{g/cm}^3$ , suponiendo que nuestro planeta es una esfera perfecta. b) En unos 5 mil millones de años, al final de su tiempo de vida, nuestro Sol terminará como una enana blanca con aproximadamente la misma masa que tiene ahora pero con diámetro reducido a cerca de 15,000 kilómetros. ¿Cuál será la densidad en esta etapa? c) Una estrella de neutrones es el remanente de algunas supernovas (explosiones de estrellas gigantes). En general, las estrellas de neutrones tienen cerca de unos 20 km de diámetro y aproximadamente la misma masa que nuestro sol. ¿Cuál es la densidad típica de las estrellas de neutrones en  $\text{g/cm}^3$ ?

**1.50** • Un acre tiene una longitud de un estadio o furlong ( $\frac{1}{8}$  mi) y su ancho es un décimo de su longitud. *a)* ¿Cuántos acres hay en una milla cuadrada? *b)* ¿Cuántos pies cuadrados hay en un acre? Vea el apéndice E. *c)* Un acre-pie es el volumen de agua que cubriría un acre de terreno plano hasta 1 ft de profundidad. ¿Cuántos galones hay en 1 acre-pie?

**1.51** • **Un planeta similar a la Tierra.** En enero de 2006, unos astrónomos informaron el descubrimiento de un planeta comparable en tamaño a la Tierra, el cual orbita otra estrella y tiene una masa de casi 5.5 veces la masa terrestre. Se cree que está compuesto por una mezcla de piedra y hielo, de manera similar a Neptuno. Si este planeta tiene la misma densidad que Neptuno ( $1.76 \text{ g/cm}^3$ ), ¿cuál será su radio expresado en *a)* kilómetros y *b)* como múltiplo del radio terrestre? Consulte el apéndice F para más datos astronómicos.

**1.52** • **El máser de hidrógeno.** Un máser es un dispositivo tipo láser que produce ondas electromagnéticas con frecuencias en las bandas del espectro electromagnético de microondas y de ondas de radio. Las ondas de radio generadas por un máser de hidrógeno pueden servir como estándar de frecuencia. La frecuencia de estas ondas es de  $1,420,405,751.786$  hertz. (Un hertz es un ciclo por segundo). Un reloj controlado por un máser de hidrógeno tiene un error de 1 s en 100,000 años. En las siguientes preguntas, use únicamente tres cifras significativas. (El gran número de cifras significativas dadas para la frecuencia tan sólo ilustra la notable exactitud con que se midió). *a)* ¿Cuánto dura un ciclo de la onda de radio? *b)* ¿Cuántos ciclos ocurren en 1 h? *c)* ¿Cuántos ciclos habrán pasado durante la edad de la Tierra, estimada en  $4.6 \times 10^9$  años? *d)* ¿Qué error en segundos tendría un reloj de máser de hidrógeno después de un lapso semejante?

**1.53** • **BIO Respiración de oxígeno.** La densidad del aire en condiciones estándar de laboratorio es de  $1.29 \text{ kg/m}^3$ , y aproximadamente el 20% de ese aire es oxígeno. Normalmente, las personas inhalan medio litro de aire por respiración. *a)* ¿Cuántos gramos de oxígeno respira una persona en un día? *b)* Si el aire se almacena sin comprimirlo en un tanque cúbico, ¿qué longitud tiene cada lado del tanque?

**1.54** • Una lámina rectangular de aluminio tiene  $7.60 \pm 0.01$  cm de largo y  $1.90 \pm 0.01$  cm de ancho. *a)* Determine el área y la incertidumbre de ésta para el rectángulo. *b)* Verifique que la incertidumbre relativa del área sea igual a la suma de las incertidumbres relativas de la longitud y el ancho. (Se trata de un resultado general).

**1.55** • Conforme usted come galletas de chocolate de una bolsa, observa que cada galleta es un disco circular con un diámetro de  $8.50 \pm 0.02$  cm y un grosor de  $0.050 \pm 0.005$  cm. *a)* Obtenga el volumen promedio y su incertidumbre para una galleta. *b)* Obtenga la razón entre el diámetro y el grosor, así como la incertidumbre de esta razón.

**1.56** • **BIO** Los tejidos biológicos normalmente contienen un 98% de agua. Considerando que la densidad del agua es de  $1.0 \times 10^3 \text{ kg/m}^3$ , estime la masa de *a)* el corazón de un ser humano adulto; *b)* una célula de  $0.5 \mu\text{m}$  de diámetro; *c)* una abeja.

**1.57** • **BIO** Estime cuántos átomos hay en su cuerpo. (*Sugerencia:* Con base en sus conocimientos de biología y química, ¿cuáles son los tipos de átomos más comunes en su cuerpo? ¿Qué masa tiene cada tipo? El apéndice D da la masa atómica de diversos elementos, medida en unidades de masa atómica; el valor de una unidad de masa atómica (1 u) se incluye en el apéndice E).

**1.58** • Dos cuerdas en un plano vertical ejercen fuerzas de igual magnitud sobre un peso que cuelga, pero tiran con un ángulo de  $72.0^\circ$  entre éstas. ¿Qué tirón ejerce cada cuerda si su tirón resultante es de 372 N directamente hacia arriba?

**1.59** • Dos trabajadores tiran horizontalmente de una caja pesada, aunque uno de ellos tira dos veces más fuerte que el otro. El tirón más fuerte se aplica  $21.0^\circ$  al oeste del norte, y la resultante de estos

dos tirones es de 460.0 N directamente hacia el norte. Use las componentes vectoriales para calcular la magnitud de cada tirón y la dirección del tirón más débil.

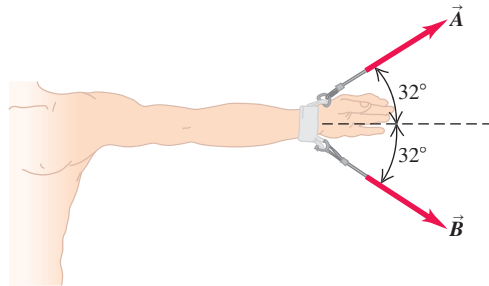
**1.60** • Tres cuerdas horizontales tiran de una piedra grande enterrada en el suelo, produciendo los vectores de fuerza  $\vec{A}$ ,  $\vec{B}$  y  $\vec{C}$  que se ilustran en la figura P1.60. Obtenga la magnitud y la dirección de una cuarta fuerza aplicada a la piedra que haga que la suma vectorial de las cuatro fuerzas sea cero.

**1.61** • Como observó en el ejercicio 1.26, una espeleólogo está explorando una cueva y sigue un pasadizo 180 m al oeste, luego 210 m  $45^\circ$  al este del sur, y después 280 m  $30^\circ$  al este del norte. Tras un cuarto desplazamiento sin medir, vuelve al punto inicial. Utilice el método de componentes para determinar la magnitud y dirección del cuarto desplazamiento. Dibuje el diagrama de la suma vectorial y demuestre que concuerda cualitativamente con su solución numérica.

**1.62** • **Aterrizaje de emergencia.** Un avión sale del aeropuerto de Galisteo y vuela 170 km en una dirección  $68.0^\circ$  al este del norte; luego, cambia el rumbo y vuela 230 km a  $36.0^\circ$  al sur del este, para efectuar inmediatamente un aterrizaje de emergencia en un potrero. ¿En qué dirección y qué distancia deberá volar una cuadrilla de rescate enviada por el aeropuerto para llegar directamente al avión averiado?

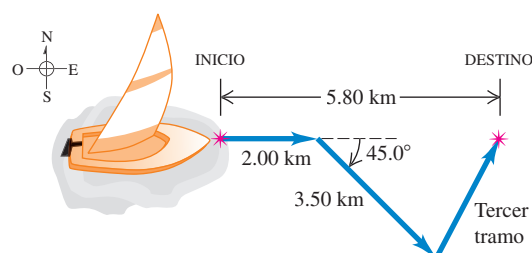
**1.63** • **BIO Hombro dislocado.** Se coloca a un paciente con una luxación en un hombro en un aparato de tracción, como el que se ilustra en la figura P1.63. Los tirones  $\vec{A}$  y  $\vec{B}$  tienen magnitudes iguales y deben combinarse para producir una fuerza de tracción hacia fuera de 12.8 N en el brazo del paciente. ¿De qué magnitud deben ser estos tirones?

Figura P1.63



**1.64** • Una marinero en un velero pequeño se topa con vientos cambiantes. Navega 2.00 km al este, luego 3.50 km al sureste y después otro tramo en una dirección desconocida. Su posición final es 5.80 km directamente al este del punto inicial (figura P1.64). Determine la magnitud y la dirección del tercer tramo. Dibuje el diagrama de suma vectorial y demuestre que concuerda cualitativamente con su solución numérica.

Figura P1.64



- 1.65** • Usted sale del aeropuerto en la Estación Universidad y vuela 23.0 km en una dirección a  $34.0^\circ$  al sur del este. Luego vuela 46.0 km hacia el norte. ¿Cuántos kilómetros y en qué dirección debe entonces volar para llegar a una pista de aterrizaje privada a 32.0 km al oeste del aeropuerto de la Estación Universidad?

**1.66** • En un vuelo de entrenamiento, un piloto estudiante vuela de Lincoln, Nebraska, a Clarinda, Iowa; luego a Saint Joseph, Missouri, y después a Manhattan, Kansas (**figura P1.66**). Las direcciones se muestran en relación con el norte:  $0^\circ$  es norte,  $90^\circ$  es este,  $180^\circ$  es sur y  $270^\circ$  es oeste. Use el método de componentes para calcular *a)* la distancia que debe volar para regresar a Lincoln desde Manhattan, y *b)* la dirección (respecto al norte) que debe seguir. Ilustre su solución con un diagrama vectorial.

**1.67** • Como una prueba de habilidades de orientación, en su clase de física se hace un concurso en un gran espacio al aire libre. A cada concursante se le dice que recorra 20.8 m hacia el norte desde el punto de partida, luego 38.0 m hacia el este y finalmente 18.0 m en la dirección  $33.0^\circ$  al oeste del sur. Después de los desplazamientos especificados, un concursante encontrará un dólar de plata escondido debajo de una roca. El ganador es la persona a quien le tome el menor tiempo llegar a la posición del dólar de plata. Recordando lo que ha aprendido en clase, trace una línea recta desde el punto de partida hasta la moneda escondida. ¿De qué largo y en qué dirección irá la recta?

**1.68** • **Regreso.** Un explorador en la Antártida deja su albergue durante una helada. Camina 40 pasos al noreste, 80 pasos a  $60^\circ$  al norte del oeste y 50 pasos al sur. Suponga que todos sus pasos tienen la misma longitud. *a)* Dibuje, aproximadamente a escala, los tres vectores y su resultante. *b)* Sálvelo de perderse irremediablemente indicándole el desplazamiento, calculado con el método de componentes, que lo llevará de regreso a su refugio.

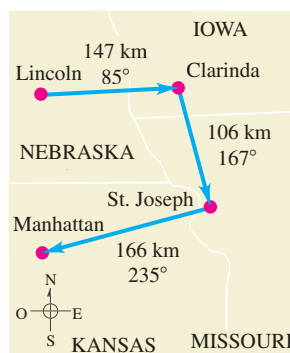
**1.69** • Usted está perdido en la noche en una gran extensión. Su GPS le dice que está a 122.0 m de su camión, en una dirección  $58.0^\circ$  al este del sur. Camina 72.0 m hacia el oeste a lo largo de una zanja. ¿Qué tanto más lejos y en qué dirección debe caminar para llegar a su camión?

**1.70** • Un barco zarpa de la isla de Guam y navega 285 km a  $62.0^\circ$  al norte del oeste. ¿Qué rumbo deberá tomar ahora y qué distancia deberá navegar para que su desplazamiento resultante sea de 115 km directamente al este de Guam?

**1.71** • **BIO Huesos y músculos.** El antebrazo de un paciente en terapia pesa 20.5 N y levanta un peso de 112.0 N. Estas dos fuerzas se dirigen verticalmente hacia abajo. Las únicas otras fuerzas apreciables que actúan sobre el antebrazo provienen del músculo bíceps (que actúa perpendicular al antebrazo) y la fuerza en el codo. Si el bíceps produce un tirón de 232 N cuando el antebrazo se alza  $43.0^\circ$  sobre la horizontal, determine la magnitud y la dirección de la fuerza que el codo ejerce sobre el antebrazo. (La suma de la fuerza del codo y la del bíceps debe equilibrar el peso del brazo y el peso que carga, así que su resultante tiene que ser 132.5 N hacia arriba).

**1.72** • Usted decide visitar su restaurante de comida rápida preferido del vecindario. Sale de su apartamento, baja 10 pisos en el elevador (cada piso tiene 3.0 m de altura) y camina 15 m al sur hacia la salida del edificio. Luego camina 0.200 km al este, da vuelta al norte y camina 0.100 km hasta la entrada del restaurante. *a)* Determine el desplazamiento entre su apartamento y el restaurante. Use notación

Figura P1.66



con vectores unitarios en su respuesta, dejando bien claro qué sistema de coordenadas eligió. *b)* ¿Qué distancia recorrió por el camino que siguió de su apartamento al restaurante y qué magnitud tiene el desplazamiento que calculó en el inciso *a*)?

**1.73** • Para seguir un mapa del tesoro, usted inicia en un viejo roble. Primero camina 825 m directamente al sur, luego da vuelta y camina 1.25 km a  $30.0^\circ$  al oeste del norte y, por último, camina 1.00 km a  $32.0^\circ$  al norte del este, donde usted encuentra el tesoro: ¡una biografía de Isaac Newton! *a)* Para regresar al viejo roble, ¿en qué dirección debería seguir y qué distancia tendrá que caminar? Utilice componentes para resolver este problema. *b)* Para saber si su cálculo en el inciso *a*) es razonable, verifíquelo con una solución gráfica elaborada aproximadamente a escala.

**1.74** • Un poste está a 52.0 m de donde usted se encuentra de pie, en una dirección  $37.0^\circ$  al norte del este. Un segundo poste se encuentra al sur de usted. ¿Cuál es la distancia entre el segundo poste y usted, si la distancia entre los dos postes es de 68.0 m?

**1.75** • Un perro corre en un campo 12.0 m hacia el este y luego 28.0 m a  $50.0^\circ$  al oeste del norte. ¿Qué distancia y en qué dirección debe correr el perro para terminar a 10.0 m al sur del punto inicial?

**1.76** • Ricardo y Jane están de pie bajo un árbol en medio de un potrero. Después entablan una discusión y se separan en direcciones diferentes. Ricardo camina 26.0 m a  $60.0^\circ$  al oeste del norte. Jane camina 16.0 m a  $30.0^\circ$  al sur del oeste. Luego se detienen y dan vuelta para verse de frente. *a)* ¿Cuál es la distancia entre ellos? *b)* En qué dirección debería caminar Ricardo para ir directamente hacia Jane?

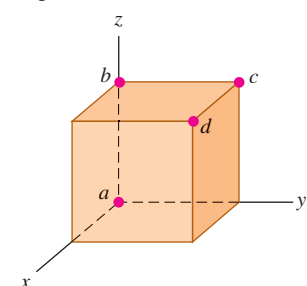
**1.77** • Usted acampa con dos amigos, Joe y Karl. Puesto que a los tres les gusta la privacidad, no levantan sus tiendas juntas. La de Joe está a 21.0 m de la suya, en dirección  $23.0^\circ$  al sur del este. La de Karl está a 32.0 m de la suya, en dirección  $37.0^\circ$  al norte del este. ¿Qué distancia hay entre las tiendas de Karl y de Joe?

**1.78** • **Ángulo de enlace del metano.** En la molécula de metano,  $\text{CH}_4$ , cada átomo de hidrógeno está en la esquina de un tetraedro regular, con el átomo de carbono en el centro. En coordenadas donde uno de los enlaces C—H esté en la dirección de  $\hat{i} + \hat{j} + \hat{k}$ , un enlace C—H adyacente está en la dirección  $\hat{i} - \hat{j} - \hat{k}$ . Calcule el ángulo entre estos dos enlaces.

**1.79** • Los vectores  $\vec{A}$  y  $\vec{B}$  tienen un producto escalar igual a  $-6.00$  y su producto vectorial tiene una magnitud igual a  $+9.00$ . ¿Cuál es el ángulo entre estos dos vectores?

**1.80** • Un cubo se coloca de modo que una esquina esté en el origen y tres aristas estén en los ejes  $x$ ,  $y$  y  $z$  de un sistema de coordenadas (**figura P1.80**). Use vectores para calcular *a)* el ángulo entre la arista sobre el eje  $z$  (línea  $ab$ ) y la diagonal que va del origen a la esquina opuesta (línea  $ad$ ); y *b)* el ángulo entre las aristas  $ac$  (la diagonal de una cara) y  $ad$ .

Figura P1.80



**1.81** • El vector  $\vec{A}$  tiene una magnitud igual a 12.0 m y el vector  $\vec{B}$  mide 16.0 m. El producto escalar  $\vec{A} \cdot \vec{B}$  es igual a  $112.0 \text{ m}^2$ . ¿Cuál es la magnitud del producto vectorial de estos dos vectores?

**1.82** • Obtenga un vector unitario perpendicular a los dos vectores dados en el ejercicio 1.41.

**1.83** • El producto escalar de los vectores  $\vec{A}$  y  $\vec{B}$  es  $+48.0 \text{ m}^2$ . El vector  $\vec{A}$  tiene una magnitud de 9.00 m y dirección igual a  $28.0^\circ$  al oeste del sur. Si el vector  $\vec{B}$  tiene una dirección de  $39.0^\circ$  al sur del este, ¿cuál es la magnitud de  $\vec{B}$ ?

**1.84** •• Dos vectores  $\vec{A}$  y  $\vec{B}$  tienen magnitudes  $A = 3.00$  y  $B = 3.00$ . Su producto vectorial es  $\vec{A} \times \vec{B} = -5.00\hat{k} + 2.00\hat{i}$ . ¿Qué ángulo forman  $\vec{A}$  y  $\vec{B}$ ?

**1.85** •• Le dan los vectores  $\vec{A} = 5.0\hat{i} - 6.5\hat{j}$  y  $\vec{B} = 3.5\hat{i} - 7.0\hat{j}$ . Un tercer vector  $\vec{C}$  está en el plano  $xy$  y es perpendicular a  $\vec{A}$ , y el producto escalar de  $\vec{C}$  con  $\vec{B}$  es 15.0. Con esta información, obtenga las componentes del vector  $\vec{C}$ .

**1.86** •• Más adelante encontraremos cantidades representadas por  $(\vec{A} \times \vec{B}) \cdot \vec{C}$ . a) Demuestre que para tres vectores cualesquiera  $\vec{A}$ ,  $\vec{B}$  y  $\vec{C}$ ,  $\vec{A} \cdot (\vec{B} \times \vec{C}) = (\vec{A} \times \vec{B}) \cdot \vec{C}$ . b) Calcule  $(\vec{A} \times \vec{B}) \cdot \vec{C}$ , para los tres vectores donde  $\vec{A}$  tiene magnitud  $A = 5.00$  y ángulo  $\theta_A = 26.0^\circ$  (medido del eje  $+x$  al  $+y$ ),  $\vec{B}$  tiene  $B = 4.00$  y  $\theta_B = 63.0^\circ$  y  $\vec{C}$  tiene magnitud 6.00 y sigue el eje  $+z$ .  $\vec{A}$  y  $\vec{B}$  están en el plano  $xy$ .

**1.87** •• **DATOS** Usted es un líder de equipo en una compañía farmacéutica. Varios técnicos preparan muestras, y desea comparar las densidades de las muestras (densidad = masa/volumen) utilizando los valores de masa y volumen que le han reportado. Lamentablemente, usted no especificó qué unidades usar. Los técnicos utilizaron diferentes unidades al indicar sus valores, como se muestra en la siguiente tabla.

ID de la muestra	Masa	Volumen
A	8.00 g	$1.67 \times 10^{-6} \text{ m}^3$
B	$6.00 \mu\text{g}$	$9.38 \times 10^6 \mu\text{m}^3$
C	8.00 mg	$2.50 \times 10^{-3} \text{ cm}^3$
D	$9.00 \times 10^{-4} \text{ kg}$	$2.81 \times 10^3 \text{ mm}^3$
E	$9.00 \times 10^4 \text{ ng}$	$1.41 \times 10^{-2} \text{ mm}^3$
F	$6.00 \times 10^{-2} \text{ mg}$	$1.25 \times 10^8 \mu\text{m}^3$

Presente los ID de la muestras en orden de densidad creciente de la muestra.

**1.88** •• **DATOS** Usted es un ingeniero que trabaja para una empresa de fabricación. Dos fuerzas  $\vec{F}_1$  y  $\vec{F}_2$  actúan sobre una parte componente de una pieza de equipo. Su jefe le pidió encontrar la magnitud de la mayor de ambas fuerzas. Y puede variar el ángulo entre  $\vec{F}_1$  y  $\vec{F}_2$  de  $0^\circ$  a  $90^\circ$  mientras que la magnitud de la fuerza resultante permanece constante. Y, puede medir la magnitud de la fuerza resultante que producen (la suma vectorial), pero no puede medir directamente la magnitud de cada fuerza independiente. Usted mide la magnitud de la fuerza resultante para cuatro ángulos  $\theta$  entre las direcciones de dos fuerzas como sigue:

$\theta$	Fuerza resultante (N)
$0^\circ$	8.00
$45.0^\circ$	7.43
$60.0^\circ$	7.00
$90.0^\circ$	5.83

a) ¿Cuál es la magnitud de la mayor de las dos fuerzas? b) Cuando se utiliza el equipo en la línea de producción, el ángulo entre las dos fuerzas es  $30.0^\circ$ . ¿Cuál es la magnitud de la fuerza resultante en este caso?

**1.89** •• **DATOS Navegación en el Sistema Solar.** La nave *Mars Polar Lander* se lanzó al espacio el 3 de enero de 1999. El 3 de

diciembre de 1999, el día en que la nave se posó en la superficie de Marte a gran velocidad y con alta probabilidad de desintegración, las posiciones de la Tierra y Marte estaban dadas por estas coordenadas:

	x	y	z
Tierra	0.3182 UA	0.9329 UA	0.0000 UA
Marte	1.3087 UA	-0.4423 UA	-0.0414 UA

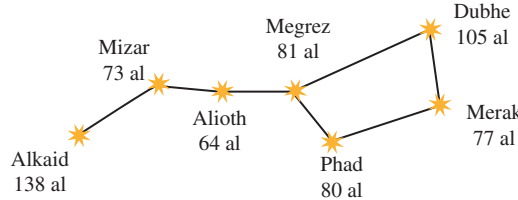
En estas coordenadas, el Sol está en el origen y el plano de la órbita de la Tierra está en el plano  $xy$ . La Tierra pasa por el eje  $+x$  una vez al año en el equinoccio de otoño, el primer día de otoño en el hemisferio norte (cerca del 22 de septiembre). Una UA o *unidad astronómica* es igual a  $1.496 \times 10^8$  km, la distancia media de la Tierra al Sol. a) Dibuje un diagrama que muestre las posiciones del Sol, la Tierra y Marte el 3 de diciembre de 1999. b) Calcule las siguientes distancias en UA el 3 de diciembre de 1999: i. del Sol a la Tierra; ii. del Sol a Marte; iii. de la Tierra a Marte. c) Visto desde la Tierra, ¿qué ángulo había entre la dirección al Sol y la dirección a Marte el 3 de diciembre de 1999? d) Indique si Marte se veía desde donde usted estaba el 3 de diciembre de 1999 a medianoche. (Cuando es la medianoche en su posición, el Sol está en el lado opuesto a usted en la Tierra).

## PROBLEMAS DE DESAFÍO

**1.90** •• **Pase completo.** En la Universidad Autónoma de Inmortalidad (UAI), el equipo de fútbol americano registra sus jugadas con desplazamientos vectoriales, siendo el origen la posición del balón al iniciar la jugada. En cierta jugada de pase, el receptor parte de  $+1.0\hat{i} - 5.0\hat{j}$ , donde las unidades son yardas,  $\hat{i}$  es a la derecha y  $\hat{j}$  es hacia delante. Los desplazamientos subsiguientes del receptor son  $+9.0\hat{i}$  (en movimiento antes de salir la jugada),  $+11.0\hat{j}$  (sale hacia delante),  $-6.0\hat{i} + 4.0\hat{j}$  (a un lado) y  $+12.0\hat{i} + 18.0\hat{j}$  (al otro lado). Mientras tanto, el mariscal de campo retrocedió  $-7.0\hat{j}$ . ¿Qué tan lejos y en qué dirección debe lanzar el balón el mariscal de campo? (Al igual que al entrenador, le recomendamos diagramar la situación antes de resolverla numéricamente).

**1.91** •• **Navegación en la Osa Mayor.** Las estrellas de la Osa Mayor parecen estar todas a la misma distancia de la Tierra, pero en realidad están muy lejanas entre sí. La figura P1.91 muestra las distancias desde la Tierra a cada estrella en años luz (al), es decir, la distancia que la luz viaja en un año. Un año luz es igual a  $9.461 \times 10^{15}$  m. a) Alkaid y Merak están separadas  $25.6^\circ$  en el firmamento. Dibuje un diagrama que muestre las posiciones relativas de Alkaid, Merak y el Sol. Calcule la distancia en años luz de Alkaid a Merak. b) Para un habitante de un planeta en órbita alrededor de Merak, ¿cuántos grados de separación en el cielo habría entre Alkaid y el Sol?

Figura P1.91



## PROBLEMAS DE TRANSICIÓN

**BIO CÁLCULO DE VOLUMEN PULMONAR EN SERES HUMANOS.** En los seres humanos, el oxígeno y el dióxido de carbono se intercambian en la sangre en muchos pequeños sacos llamados alveolos en los pulmones. Los alvéolos proporcionan una gran área superficial de intercambio de gases. Recientes mediciones cuidadosas muestran que el número total de alveolos en un par común de pulmones es aproximadamente  $480 \times 10^6$  y que el volumen promedio de un solo alveolo es  $4.2 \times 10^{-6} \text{ } \mu\text{m}^3$ . (El volumen de una esfera es  $V = \frac{4}{3}\pi r^3$  y el área de una esfera es  $A = 4\pi r^2$ ).

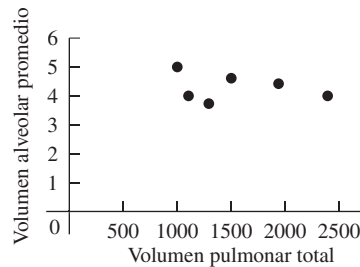
**1.92** ¿Cuál es el volumen total de la región de intercambio de gases de los pulmones? a)  $2000 \text{ } \mu\text{m}^3$ ; b)  $2 \text{ m}^3$ ; c)  $2.0 \text{ L}$  d)  $120\text{L}$ .

**1.93** Si suponemos que los alveolos son esféricos, ¿cuál es el diámetro de un alveolo común? a)  $0.20 \text{ mm}$ ; b)  $2 \text{ mm}$ ; c)  $20 \text{ mm}$  d)  $200 \text{ mm}$ .

**1.94** En las personas varía considerablemente el volumen pulmonar total. La figura P1.94 muestra los resultados de las mediciones del volumen pulmonar total y del volumen alveolar promedio de seis personas. A partir de estos datos, ¿puede usted inferir aproximadamente

la relación entre el tamaño alveolar, el volumen pulmonar total y el número de alveolos por persona? Cuando el volumen total de los pulmones aumenta, a) el número y volumen de alveolos por persona aumenta; b) el número de alveolos aumenta y el volumen de cada alveolo disminuye; c) el volumen de cada alveolo permanece constante y el número de alveolos aumenta; d) tanto el número de alveolos como el volumen de cada alveolo permanece constante.

Figura P1.94



## Respuestas

### Pregunta de inicio del capítulo ?

iii. Haga que el eje  $x$  apunte hacia el este y el eje  $+y$  al norte. Lo que intentamos obtener es la componente  $y$  del vector velocidad, el cual tiene una magnitud  $v = 15 \text{ km/h}$  y un ángulo  $\theta = 37^\circ$  medido del eje  $+x$  hacia el eje  $+y$ . Partiendo de las ecuaciones (1.5), tenemos que  $v_y = v \sin \theta = (15 \text{ km/h}) \sin 37^\circ = 9.0 \text{ km/h}$ . De modo que la tormenta se desplaza  $9.0 \text{ km}$  al norte en  $1 \text{ h}$  y  $18 \text{ km}$  al norte en  $2 \text{ h}$ .

### Respuesta a las secciones

#### Evalué su comprensión

**1.5 ii.** Densidad =  $(1.80 \text{ kg})/(6.0 \times 10^{-4} \text{ m}^3) = 3.0 \times 10^3 \text{ kg/m}^3$ . Cuando se multiplica o se divide, el número con menos cifras significativas determina el número de cifras significativas del resultado.

**1.6** La respuesta depende de cuántos estudiantes se inscribieron en la universidad.

**1.7 ii., iii. y iv.** El vector  $-\vec{T}$  tiene la misma magnitud que el vector  $\vec{T}$ , de modo que  $\vec{S} - \vec{T} = \vec{S} + (-\vec{T})$  es la *suma* de un vector de magnitud igual a  $3 \text{ m}$  y uno de  $4 \text{ m}$ . Esta suma tiene una magnitud de  $7 \text{ m}$  si  $\vec{S}$  y  $-\vec{T}$  son paralelos, y una magnitud de  $1 \text{ m}$  si  $\vec{S}$  y  $-\vec{T}$  son antiparalelos. La magnitud de  $\vec{S} - \vec{T}$  es de  $5 \text{ m}$  si  $\vec{S}$  y  $-\vec{T}$  son perpendiculares, de modo que los vectores  $\vec{S}$ ,  $\vec{T}$  y  $\vec{S} - \vec{T}$  forman un triángulo rectángulo 3-4-5. La respuesta **i.** es imposible porque la magnitud de la suma de dos vectores no puede ser mayor que la suma de las magnitudes; la respuesta **v.** es imposible porque la suma de dos vectores puede ser cero sólo si estos son antiparalelos y tienen la misma magnitud; y la respuesta **vi.** es imposible porque la magnitud de un vector no puede ser negativa.

**1.8 a) sí, b) no** Los vectores  $\vec{A}$  y  $\vec{B}$  pueden tener la misma magnitud pero diferentes componentes si apuntan en diferentes direcciones. Sin embargo, cuando tienen las mismas componentes, se trata del mismo vector ( $\vec{A} = \vec{B}$ ) y entonces deben tener la misma magnitud.

**1.9 Todos tienen la misma magnitud.** Los cuatro vectores,  $\vec{A}$ ,  $\vec{B}$ ,  $\vec{C}$  y  $\vec{D}$  apuntan en diferentes direcciones, pero todos tienen la misma magnitud:

$$\begin{aligned} A &= B = C = D = \sqrt{(\pm 3 \text{ m})^2 + (\pm 5 \text{ m})^2 + (\pm 2 \text{ m})^2} \\ &= \sqrt{9 \text{ m}^2 + 25 \text{ m}^2 + 4 \text{ m}^2} = \sqrt{38 \text{ m}^2} = 6.2 \text{ m} \end{aligned}$$

**1.10 a) ii.  $\phi = 90^\circ$ , b) i.  $\phi = 0^\circ$  o iii.  $\phi = 180^\circ$ , c) i.  $\phi = 0^\circ$ , d) iii.  $\phi = 180^\circ$ , e) ii.  $\phi = 90^\circ$**  a) El producto escalar es cero sólo si  $\vec{A}$  y  $\vec{B}$  son perpendiculares. b) El producto vectorial es cero sólo si  $\vec{A}$  y  $\vec{B}$  son paralelos o antiparalelos. c) El producto escalar es igual al producto de las magnitudes ( $\vec{A} \cdot \vec{B} = AB$ ) sólo si  $\vec{A}$  y  $\vec{B}$  son paralelos. d) El producto escalar es igual al negativo del producto de las magnitudes ( $\vec{A} \cdot \vec{B} = -AB$ ) sólo si  $\vec{A}$  y  $\vec{B}$  son antiparalelos. e) La magnitud del producto vectorial es igual al producto de las magnitudes [ $(\text{magnitud de } \vec{A} \times \vec{B}) = AB$ ] sólo si  $\vec{A}$  y  $\vec{B}$  son perpendiculares.

### Problema práctico

- a)  $5.2 \times 10^2 \text{ N}$
- b)  $4.5 \times 10^2 \text{ N} \cdot \text{m}$



Un corredor común gana rapidez gradualmente durante el curso de una carrera a trote y luego reduce la velocidad después de cruzar la línea de meta. ¿En qué parte del movimiento es preciso decir que el corredor se está acelerando? **i.** durante la carrera; **ii.** después de que el corredor cruza la línea de meta **iii.** en ambas; **iv.** en ninguna; **v.** la respuesta depende de que tan rápido el corredor gana rapidez durante la carrera.

# 2 MOVIMIENTO RECTILÍNEO

## OBJETIVOS DE APRENDIZAJE

Al estudiar este capítulo, usted aprenderá:

- 2.1 Cómo los conceptos de desplazamiento y de velocidad media nos ayudan a describir el movimiento rectilíneo.
- 2.2 El significado de velocidad instantánea; la diferencia entre velocidad y rapidez.
- 2.3 Cómo utilizar la aceleración media y la aceleración instantánea para describir cambios en la velocidad.
- 2.4 Cómo utilizar cuaciones y gráficas para resolver problemas que implican movimiento rectilíneo con aceleración constante.
- 2.5 Cómo resolver problemas donde un objeto está cayendo libremente sólo bajo la influencia de la gravedad.
- 2.6 Cómo analizar el movimiento rectilíneo cuando la aceleración no es constante.

Repase lo estudiado en la sección...

- 1.7 El vector desplazamiento.
- 1.8 Componentes de un vector.



ué distancia debe recorrer un avión comercial en la pista antes de alcanzar la rapidez de despegue? Cuando lanzamos una pelota de béisbol verticalmente, ¿qué tanto sube? Cuando se nos resbala un vaso de la mano, ¿cuánto tiempo tenemos para atraparlo antes de que choque contra el piso? Éste es el tipo de preguntas que usted aprenderá a contestar en este capítulo. Iniciaremos nuestro estudio de la física con la *mecánica*, que es el estudio de las relaciones entre fuerza, materia y movimiento. En este capítulo y el siguiente estudiaremos la *cinemática*, es decir, la parte de la mecánica que describe el movimiento. Después veremos la *dinámica*: que nos ayuda a entender por qué los objetos se mueven de maneras diferentes.

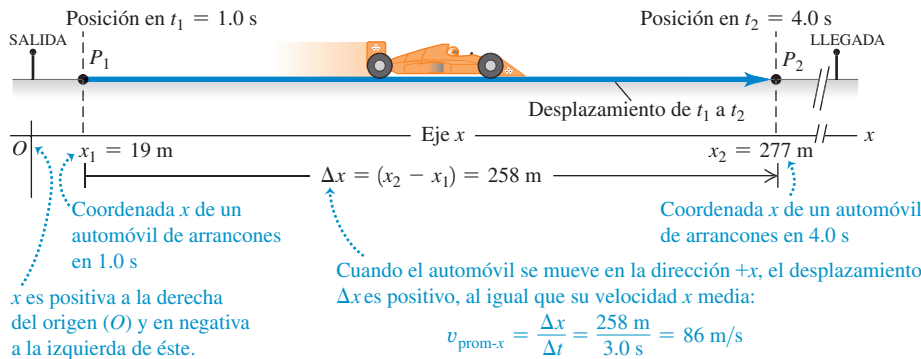
En este capítulo nos concentraremos en el tipo de movimiento más sencillo: un cuerpo que viaja en línea recta. Para describir este movimiento, introducimos las cantidades físicas *velocidad* y *aceleración*, las cuales en física tienen definiciones más precisas y algo distintas en comparación con las empleadas en el lenguaje cotidiano. Tanto la velocidad como la aceleración son cantidades *vectoriales*: como vimos en el capítulo 1, esto significa que tienen tanto magnitud como dirección y sentido. En este capítulo nos interesa sólo el movimiento rectilíneo, por lo que no necesitaremos aplicar toda el álgebra vectorial; no obstante, el uso de vectores será esencial en el capítulo 3, cuando consideremos el movimiento en dos o tres dimensiones.

Desarrollaremos ecuaciones sencillas para describir el movimiento rectilíneo en el caso especial en que la aceleración es constante. Un ejemplo es el movimiento de un objeto en caída libre. También consideraremos situaciones donde la aceleración varía durante el movimiento; en tales casos, es necesario utilizar integrales para describir el movimiento (si aún no ha estudiado integrales, la sección 2.6 es opcional).

## 2.1 DESPLAZAMIENTO, TIEMPO Y VELOCIDAD MEDIA

Suponga que una piloto de autos de arrancones conduce su vehículo por una pista recta (**figura 2.1**). Para estudiar su movimiento, necesitamos un sistema de coordenadas. Determinamos que el eje *x* va a lo largo de la trayectoria recta del auto, con el origen *O*

## 2.1 Posiciones de un automóvil de arranques en dos instantes durante su recorrido.



en la línea de salida. También elegimos un punto en el auto, digamos su extremo delantero, y representamos todo el vehículo con ese punto y lo tratamos como una **partícula**.

Una forma útil de describir el movimiento de la partícula que representa el vehículo es en términos del cambio en su coordenada  $x$  durante un intervalo de tiempo. Suponga que 1.0 s después del arranque, el frente del vehículo está en el punto  $P_1$ , a 19 m del origen, y que 4.0 s después del arranque está en el punto  $P_2$ , a 277 m del origen. El *desplazamiento* de la partícula se puede representar por un vector que apunta de  $P_1$  a  $P_2$  (vea la sección 1.7). La figura 2.1 muestra que este vector apunta a lo largo del eje  $x$ . La componente  $x$  (vea la sección 1.8) del desplazamiento es el cambio en el valor de  $x$ ,  $(277 \text{ m} - 19 \text{ m}) = 258 \text{ m}$ , que tuvo lugar en un lapso de  $(4.0 \text{ s} - 1.0 \text{ s}) = 3.0 \text{ s}$ . La **velocidad media** del automóvil durante este intervalo de tiempo se define como una cantidad *vectorial*, cuya componente  $x$  es el cambio de la posición en  $x$  dividido entre el intervalo de tiempo:  $(258 \text{ m})/(3.0 \text{ s}) = 86 \text{ m/s}$ .

En general, la velocidad media depende del intervalo de tiempo específico elegido. Durante un lapso de 3.0 s *antes* del arranque, la velocidad media sería cero, porque el automóvil estaba en reposo en la línea de salida y tuvo un desplazamiento cero.

Generalicemos el concepto de velocidad media. En el tiempo  $t_1$  el automóvil está en el punto  $P_1$ , con la coordenada  $x_1$ , y en el tiempo  $t_2$  está en el punto  $P_2$  con la coordenada  $x_2$ . El desplazamiento del automóvil en el intervalo de  $t_1$  a  $t_2$  es el vector de  $P_1$  a  $P_2$ . La componente  $x$  del desplazamiento, denotada con  $\Delta x$ , es el cambio en la coordenada  $x$ :

$$\Delta x = x_2 - x_1 \quad (2.1)$$

El automóvil de arranques se desplaza solamente a lo largo del eje  $x$ , de manera que las componentes  $y$  y  $z$  del desplazamiento son iguales a cero.

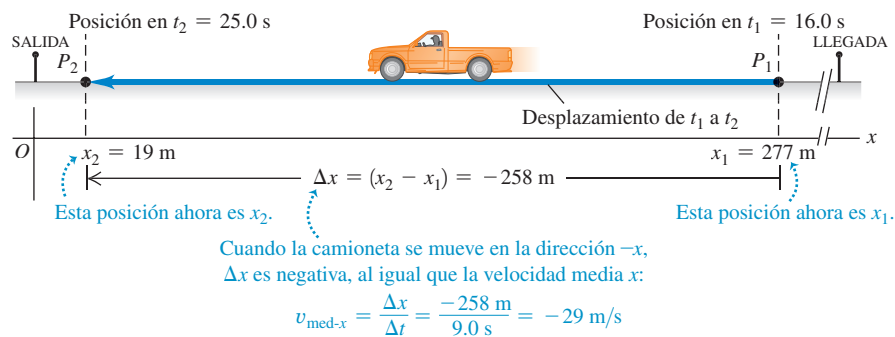
**CUIDADO Significado de  $\Delta x$**  Observe que  $\Delta x$  no es el producto de  $\Delta$  y  $x$ ; es sólo un símbolo que significa “el cambio en la cantidad  $x$ ”. Siempre usaremos la letra griega mayúscula  $\Delta$  (delta) para representar un *cambio* en una cantidad que se calcula restando el valor *initial* del valor *final*, y nunca a la inversa. Asimismo, el intervalo de tiempo de  $t_1$  a  $t_2$  es  $\Delta t$ , el cambio en la cantidad  $t$ :  $\Delta t = t_2 - t_1$  (tiempo final menos tiempo inicial).

La componente  $x$  de la velocidad media, o **velocidad media en  $x$** , es la componente  $x$  del desplazamiento,  $\Delta x$ , dividida entre el intervalo de tiempo  $\Delta t$  durante el cual ocurre el desplazamiento. Usamos el símbolo  $v_{\text{med-}x}$  para representar la velocidad media (el subíndice “media” indica que se trata de un valor medio, y el subíndice  $x$  indica que es la componente  $x$ ):

<b>Velocidad media en <math>x</math>, de una partícula en movimiento rectilíneo durante el intervalo de tiempo de <math>t_1</math> a <math>t_2</math></b>	<b>Componente <math>x</math> del desplazamiento de la partícula</b>
$v_{\text{med-}x} = \frac{\Delta x}{\Delta t} = \frac{x_2 - x_1}{t_2 - t_1}$	<b>Coordenada <math>x</math> final menos coordenada <math>x</math> inicial</b>
Intervalo de tiempo	Tiempo final menos tiempo inicial

(2.2)

**2.2** Posiciones de la camioneta de un oficial en dos instantes de su movimiento. Los puntos  $P_1$  y  $P_2$  ahora se refieren a las posiciones de la camioneta, no del automóvil; vemos que se trata del inverso de la figura 2.1.



En el ejemplo del automóvil de arrancones en la figura 2.1,  $x_1 = 19$  m,  $x_2 = 277$  m,  $t_1 = 1.0$  s y  $t_2 = 4.0$  s, así que la ecuación (2.2) da

$$v_{\text{med-}x} = \frac{277 \text{ m} - 19 \text{ m}}{4.0 \text{ s} - 1.0 \text{ s}} = \frac{258 \text{ m}}{3.0 \text{ s}} = 86 \text{ m/s}$$

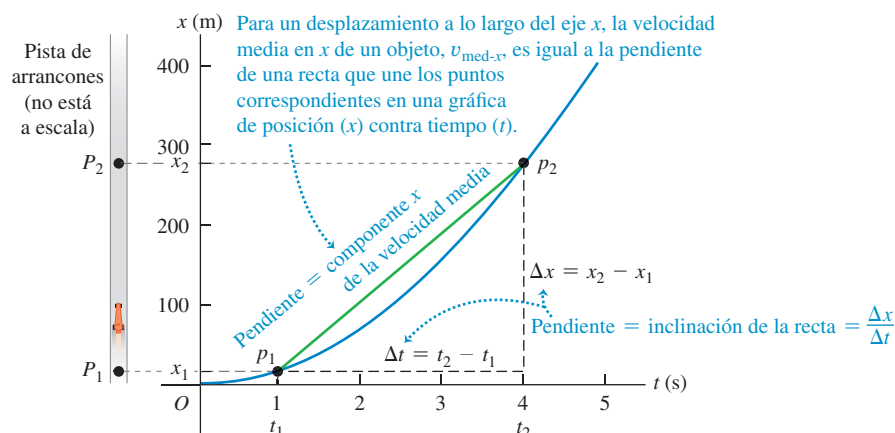
La velocidad media en  $x$  del automóvil es positiva, lo cual significa que, durante el intervalo, la coordenada  $x$  aumentó y el auto se movió en la dirección  $+x$  (a la derecha en la figura 2.1).

Si una partícula se mueve en la dirección  $x$  *negativa* durante un intervalo de tiempo, su velocidad media para ese lapso es negativa. Por ejemplo, suponga que la camioneta de un oficial se desplaza hacia la izquierda sobre la pista (**figura 2.2**). La camioneta está en  $x_1 = 277$  m en  $t_1 = 16.0$  s, y en  $x_2 = 19$  m en  $t_2 = 25.0$  s. Entonces,  $\Delta x = (19 \text{ m} - 277 \text{ m}) = -258 \text{ m}$  y  $\Delta t = (25.0 \text{ s} - 16.0 \text{ s}) = 9.0 \text{ s}$ . La componente  $x$  de la velocidad media es  $v_{\text{med-}x} = \Delta x / \Delta t = (-258 \text{ m}) / (9.0 \text{ s}) = -29 \text{ m/s}$ . La **tabla 2.1** muestra algunas reglas sencillas para identificar si la velocidad  $x$  es positiva o negativa.

**CUIDADO** Signo de la velocidad media en  $x$  En nuestro ejemplo  $v_{\text{med-}x}$  positiva significa movimiento a la derecha, como en la figura 2.1, y  $v_{\text{med-}x}$  negativa implica movimiento a la izquierda, como en la figura 2.2. Tales conclusiones son correctas *sólo* si la dirección  $+x$  es hacia la derecha. Si hubiésemos elegido el sentido de  $+x$  hacia la izquierda, la velocidad media  $x$   $v_{\text{med-}x}$  sería negativa para el automóvil que se mueve hacia la derecha y positiva para la camioneta que se mueve hacia la izquierda. En casi todos los problemas, podremos elegir la dirección del eje de coordenadas. Una vez tomada la decisión, ¡deberá tomarse en cuenta al interpretar los signos de  $v_{\text{med-}x}$  y otras cantidades que describen el movimiento!

En el movimiento rectilíneo, por lo general, llamaremos a  $\Delta x$  simplemente desplazamiento y a  $v_{\text{med-}x}$  la velocidad media. Sin embargo, no olvide que estas son realmente las componentes  $x$  de cantidades vectoriales que, en este caso especial, *únicamente* tienen componentes  $x$ . En el capítulo 3, los vectores de desplazamiento, velocidad y aceleración tendrán dos o tres componentes distintas de cero.

La **figura 2.3** es una gráfica de la posición del automóvil de arrancones en función del tiempo, es decir, una **gráfica  $x$ - $t$** . La curva de la figura *no* representa la trayectoria



**2.3** Gráfica de la posición de un automóvil de arrancones en función del tiempo.

del automóvil; ésta es una línea recta, como se observa en la figura 2.1. Más bien, la gráfica es una forma de representar visualmente cómo cambia la posición del automóvil con el tiempo. Los puntos  $p_1$  y  $p_2$  en la gráfica corresponden a los puntos  $P_1$  y  $P_2$  de la trayectoria del automóvil. La línea  $p_1p_2$  es la hipotenusa de un triángulo rectángulo con cateto vertical  $\Delta x = x_2 - x_1$  y cateto horizontal  $\Delta t = t_2 - t_1$ . La velocidad media en  $x$  del automóvil  $v_{\text{med-}x} = \Delta x / \Delta t$  es igual a la pendiente de la línea  $p_1p_2$ , es decir, el cociente del cateto vertical  $\Delta x$  entre el cateto horizontal  $\Delta t$  (la pendiente tiene unidades de metros divididos entre segundos, o m/s, unidades correctas para la velocidad media en  $x$ ).

La velocidad media en  $x$  depende sólo del desplazamiento total  $\Delta x = x_2 - x_1$ , que se da durante el intervalo  $\Delta t = t_2 - t_1$ , no de los pormenores de lo que sucede dentro de ese intervalo. En el tiempo  $t_1$ , una motocicleta podría haber rebasado al auto de arranques en el punto  $P_1$  de la figura 2.1, para después bajar la velocidad, pasando por  $P_2$  en el mismo instante  $t_2$  que el auto. Ambos vehículos tienen el mismo desplazamiento en el mismo lapso, así que tienen la misma velocidad media en  $x$ .

Si expresamos la distancia en metros y el tiempo en segundos, la velocidad media se mide en metros por segundo o (m/s) (**tabla 2.2**). Otras unidades de velocidad comunes son kilómetros por hora (km/h), pies por segundo (ft/s), millas por hora (mi/h) y nudos (1 nudo = 1 milla náutica/h = 6080 ft/h).

**EVALÚE SU COMPRENSIÓN DE LA SECCIÓN 2.1** Cada uno de los siguientes viajes en automóvil dura una hora. La dirección  $x$  positiva es hacia el este. **i.** El auto  $A$  viaja 50 km al este. **ii.** El auto  $B$  viaja 50 km al oeste. **iii.** El auto  $C$  viaja 60 km al este, luego da vuelta y viaja 10 km al oeste. **iv.** El auto  $D$  viaja 70 km al este. **v.** El auto  $E$  viaja 20 km al oeste, luego da vuelta y viaja 20 km al este. *a)* Clasifique los cinco viajes en orden de velocidad media en  $x$  de la más positiva a la más negativa. *b)* ¿Cuáles viajes, si acaso, tienen la misma velocidad media en  $x$ ? *c)* ¿Para cuál viaje, si acaso, la velocidad media en  $x$  es igual a cero? ■

## 2.2 VELOCIDAD INSTANTÁNEA

Hay ocasiones en que la velocidad media es lo único que necesitamos saber acerca del movimiento de una partícula. Por ejemplo, una carrera en pista recta es en realidad una competencia para determinar quién tuvo la mayor velocidad media,  $v_{\text{med-}x}$ . Se entrega el premio al competidor que haya recorrido el desplazamiento  $\Delta x$  de la línea de salida a la de meta en el menor intervalo de tiempo,  $\Delta t$  (**figura 2.4**).

Sin embargo, la velocidad media de una partícula durante un intervalo de tiempo no nos indica la rapidez, o la dirección, con que la partícula se movía en un instante determinado del intervalo. Para describirlo, necesitamos conocer la **velocidad instantánea**, es decir, la velocidad en un instante específico o en un punto específico de la trayectoria.

**CUIDADO** ¿Cuánto tiempo dura un instante? Podemos utilizar la frase “duró solo un instante” para referirnos a algo que duró un intervalo de tiempo muy corto. Sin embargo, en física un instante no tiene duración en absoluto; es sólo un valor de tiempo. ■

Para obtener la velocidad instantánea del auto de la figura 2.1 en el punto  $P_1$ , movemos el punto  $P_2$  cada vez más cerca del punto  $P_1$  y calculamos la velocidad media  $v_{\text{med-}x} = \Delta x / \Delta t$  para estos desplazamientos e intervalos de tiempo cada vez más cortos. Tanto  $\Delta x$  como  $\Delta t$  se hacen muy pequeños; pero su cociente no necesariamente lo hace. En el lenguaje del cálculo, el límite de  $\Delta x / \Delta t$  conforme  $\Delta t$  se acerca a cero es la **derivada** de  $x$  con respecto a  $t$  y se escribe  $dx/dt$ . Usamos el símbolo  $v_x$ , sin “med” en el subíndice, para la velocidad instantánea a lo largo del eje  $x$  o **componente  $x$  de la velocidad instantánea**:

La velocidad instantánea en  $x$  de una partícula en movimiento rectilíneo ...

... es igual al límite de la velocidad media en  $x$  cuando el intervalo de tiempo tiende a cero ...

$$v_x = \lim_{\Delta t \rightarrow 0} \frac{\Delta x}{\Delta t} = \frac{dx}{dt} \quad (2.3)$$

... y es igual a la razón de cambio instantánea de la coordenada  $x$  de la partícula.

### Magnitudes típicas de velocidad

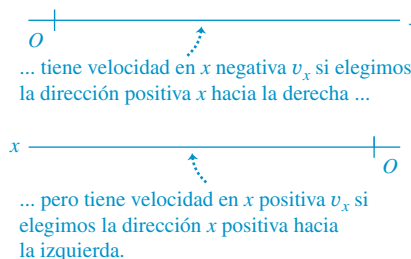
**TABLA 2.2**

Ritmo de un caracol	$10^{-3}$ m/s
Caminata rápida	2 m/s
Ser humano más rápido	11 m/s
Velocidades en carretera	30 m/s
Automóvil más rápido	341 m/s
Movimiento aleatorio de moléculas de aire	500 m/s
Avión más rápido	1000 m/s
Satélite de comunicación en órbita	3000 m/s
Electrón en un átomo de hidrógeno	$2 \times 10^6$ m/s
Luz que viaja en el vacío	$3 \times 10^8$ m/s

**2.4** El ganador de una competencia de natación de 50 m es el nadador cuya velocidad media tenga la mayor magnitud, es decir, quien cubra el desplazamiento  $\Delta x$  de 50 m en el tiempo transcurrido  $\Delta t$  más corto.



**2.5** En cualquier problema de movimiento rectilíneo, la elección de qué dirección es positiva y cuál negativa es decisión completamente suya.



El intervalo de tiempo  $\Delta t$  siempre es positivo, así que  $v_x$  tiene el mismo signo algebraico que  $\Delta x$ . Un valor positivo de  $v_x$  indica que  $x$  aumenta y el movimiento es en la dirección  $x$  positiva; un valor negativo de  $v_x$  indica que  $x$  disminuye y el movimiento es en la dirección  $x$  negativa. Un cuerpo puede tener  $x$  positiva y  $v_x$  negativa, o a la inversa;  $x$  nos indica dónde está el cuerpo, en tanto que  $v_x$  nos señala cómo se mueve (**figura 2.5**). Las reglas que presentamos en la tabla 2.1 (sección 2.1) para el signo de la velocidad media,  $v_{\text{med-}x}$ , también se aplican para el signo de la velocidad instantánea  $v_x$ .

La velocidad instantánea, al igual que la velocidad media, es una cantidad vectorial; y la ecuación (2.3) define su componente  $x$ . En el movimiento rectilíneo, las demás componentes de la velocidad instantánea son cero y, en este caso, llamaremos a  $v_x$  simplemente velocidad instantánea (en el capítulo 3 veremos el caso general donde la velocidad instantánea puede tener componentes  $x$ ,  $y$  y  $z$  distintas de cero). Al usar el término “velocidad”, siempre nos referiremos a la velocidad instantánea, no a la media.

Los términos “velocidad” y “rapidez” se usan indistintamente en el lenguaje cotidiano; no obstante, en física tienen significados diferentes. **Rapidez** denota la distancia recorrida dividida entre el tiempo, ya sea media o instantánea. Usaremos el símbolo  $v$  (sin subíndice) para denotar la rapidez instantánea, la cual mide qué tan rápido se mueve una partícula; la *velocidad* instantánea mide con qué rapidez y en qué dirección se mueve. La rapidez instantánea es la magnitud de la velocidad instantánea  $v$ , por lo tanto, nunca es negativa. Por ejemplo, una partícula con velocidad instantánea  $v_x = 25 \text{ m/s}$  y otra con  $v_x = -25 \text{ m/s}$  se mueven en direcciones opuestas con la misma rapidez instantánea de 25 m/s.

**CUIDADO** Rapidez media y velocidad media La rapidez media *no* es la magnitud de la velocidad media. Cuando César Cielo estableció un récord mundial en 2009 nadando 100.0 m en 46.91 s, su rapidez media fue de  $(100.0 \text{ m})/(46.91 \text{ s}) = 2.132 \text{ m/s}$ . No obstante, como nadó dos veces la longitud de una alberca de 50 m, terminó en el punto de donde partió, con un desplazamiento total de cero ¡y una *velocidad* media de cero! Tanto la rapidez media como la rapidez instantánea son escalares, no vectores, ya que no incluyen información de dirección. ■

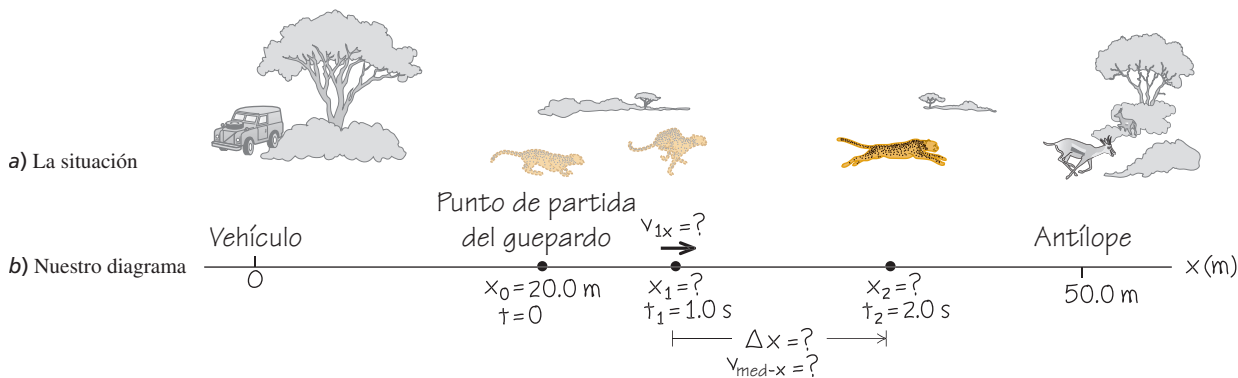


### EJEMPLO 2.1 VELOCIDADES MEDIA E INSTANTÁNEA

Un guepardo acecha 20 m al este de un observador (**figura 2.6a**). En el tiempo  $t = 0$ , el guepardo comienza a correr al este hacia un antílope que se encuentra 50 m al este del observador. Durante los primeros 2.0 s del ataque, la coordenada  $x$  del guepardo varía con el tiempo según la ecuación  $x = 20 \text{ m} + (5.0 \text{ m/s}^2)t^2$ . a) Obtenga el desplazamiento del guepardo entre  $t_1 = 1.0 \text{ s}$  y  $t_2 = 2.0 \text{ s}$ . b) Calcule

la velocidad media en dicho intervalo. c) Calcule la velocidad instantánea en  $t_1 = 1.0 \text{ s}$  tomando  $\Delta t = 0.1 \text{ s}$ , luego  $\Delta t = 0.01 \text{ s}$ , luego  $\Delta t = 0.001 \text{ s}$ . d) Deduzca una expresión general para la velocidad instantánea del guepardo en función del tiempo, y con ella calcule  $v_x$  en  $t = 1.0 \text{ s}$  y  $t = 2.0 \text{ s}$ .

**2.6** Un guepardo ataca a un antílope en una emboscada. Los animales no están a la misma escala que el eje.



**SOLUCIÓN**

**IDENTIFICAR y PLANTEAR:** La figura 2.6b muestra el movimiento del guepardo. Se usa la ecuación (2.1) para el desplazamiento, la ecuación (2.2) para la velocidad media y la ecuación (2.3) para la velocidad instantánea.

**EJECUTAR:** a) En  $t_1 = 1.0$  s y  $t_2 = 2.0$  s, las posiciones del guepardo  $x_1$  y  $x_2$  son

$$x_1 = 20 \text{ m} + (5.0 \text{ m/s}^2)(1.0 \text{ s})^2 = 25 \text{ m}$$

$$x_2 = 20 \text{ m} + (5.0 \text{ m/s}^2)(2.0 \text{ s})^2 = 40 \text{ m}$$

El desplazamiento en este intervalo de 1.0 s es

$$\Delta x = x_2 - x_1 = 40 \text{ m} - 25 \text{ m} = 15 \text{ m}$$

b) La velocidad media en  $x$  durante este intervalo es

$$v_{\text{med-}x} = \frac{x_2 - x_1}{t_2 - t_1} = \frac{40 \text{ m} - 25 \text{ m}}{2.0 \text{ s} - 1.0 \text{ s}} = \frac{15 \text{ m}}{1.0 \text{ s}} = 15 \text{ m/s}$$

c) Con  $\Delta t = 0.1$  s, el intervalo es de  $t_1 = 1.0$  s a un nuevo  $t_2 = 1.1$  s. En  $t_2$  la posición es

$$x_2 = 20 \text{ m} + (5.0 \text{ m/s}^2)(1.1 \text{ s})^2 = 26.05 \text{ m}$$

La velocidad media en  $x$  durante este intervalo de 0.1 s es

$$v_{\text{med-}x} = \frac{26.05 \text{ m} - 25 \text{ m}}{1.1 \text{ s} - 1.0 \text{ s}} = 10.5 \text{ m/s}$$

Al seguir este método, calculamos las velocidades medias en  $x$  de los intervalos de 0.01 s y 0.001 s. Los resultados son 10.05 m/s y 10.005 m/s. Al disminuir  $\Delta t$ , la velocidad media en  $x$  se acerca a 10.0 m/s, así que concluimos que la velocidad instantánea en  $t = 1.0$  s es de 10.0 m/s (en estos cálculos no se tomaron en cuenta las reglas de conteo de cifras significativas).

d) De la ecuación (2.3) la velocidad instantánea en  $x$  es  $v_x = dx/dt$ . La derivada de una constante es cero, y la derivada de  $t^2$  es  $2t$ , por lo tanto,

$$v_x = \frac{dx}{dt} = \frac{d}{dt}[20 \text{ m} + (5.0 \text{ m/s}^2)t^2] \\ = 0 + (5.0 \text{ m/s}^2)(2t) = (10 \text{ m/s}^2)t$$

En  $t = 1.0$  s, esto produce  $v_x = 10$  m/s, como vimos en el inciso c); en  $t = 2.0$  s,  $v_x = 20$  m/s.

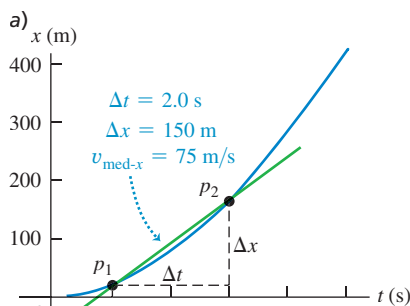
**EVALUAR:** Nuestros resultados muestran que el guepardo aumentó su rapidez de  $t = 0$  (cuando estaba en reposo) a  $t = 1.0$  s ( $v_x = 10$  m/s) y a  $t = 2.0$  s ( $v_x = 20$  m/s), lo cual es razonable: el guepardo recorrió sólo 5 m durante el intervalo  $t = 0$  a  $t = 1.0$  s; sin embargo, recorrió 15 m en el intervalo  $t = 1.0$  s a  $t = 2.0$  s.

## Obtención de la velocidad en una gráfica $x-t$

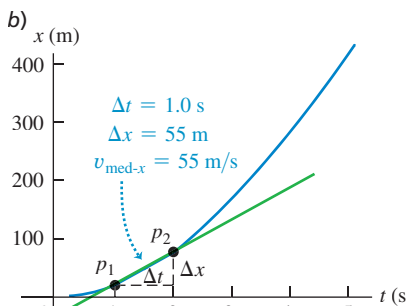
La velocidad de una partícula también puede obtenerse a partir de la gráfica de la posición de la partícula en función del tiempo. Suponga que queremos conocer la velocidad del automóvil de arranques de la figura 2.1 en  $P_1$ . En la figura 2.1, conforme  $P_2$  se acerca a  $P_1$ , el punto  $p_2$  en la gráfica  $x-t$  de las **figuras 2.7a** y **2.7b** se acerca al punto  $p_1$ , y la velocidad media  $x$  se calcula en intervalos  $\Delta t$  cada vez más cortos. En el límite en que  $\Delta t \rightarrow 0$ , ilustrado en la figura 2.7c, la pendiente de la línea  $p_1p_2$  es igual a la pendiente de la línea tangente a la curva en el punto  $p_1$ . Así, *en una gráfica de posición en función del tiempo para movimiento rectilíneo, la velocidad instantánea en cualquier punto es igual a la pendiente de la tangente a la curva en ese punto*.

Si la tangente a la curva  $x-t$  sube hacia la derecha, como en la figura 2.7c, entonces su pendiente es positiva, la velocidad  $x$  es positiva, y el movimiento es en la dirección positiva  $x$ . Si la tangente baja hacia la derecha, la pendiente de la gráfica  $x-t$  y la velocidad  $x$  son negativas, y el movimiento es en la dirección negativa  $x$ . Cuando la tangente es horizontal, la pendiente y la velocidad en  $x$  son cero. La **figura 2.8** (página siguiente) ilustra las tres posibilidades.

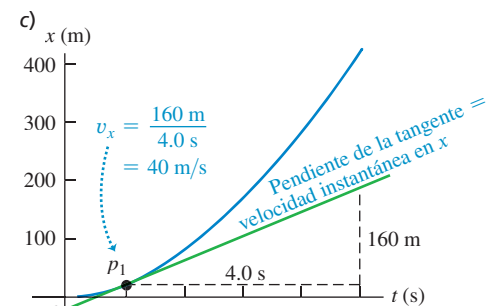
**2.7** Uso de una gráfica  $x-t$  al ir de a), b) velocidad media en  $x$  a c) velocidad instantánea en  $x$ ,  $v_x$ . En c) obtenemos la pendiente de la tangente a la curva  $x-t$  dividiendo cualquier intervalo vertical (en unidades de distancia) a lo largo de la tangente entre el intervalo horizontal correspondiente (en unidades de tiempo).



Cuando la velocidad media  $v_{\text{med-}x}$  se calcula en intervalos cada vez más cortos ...

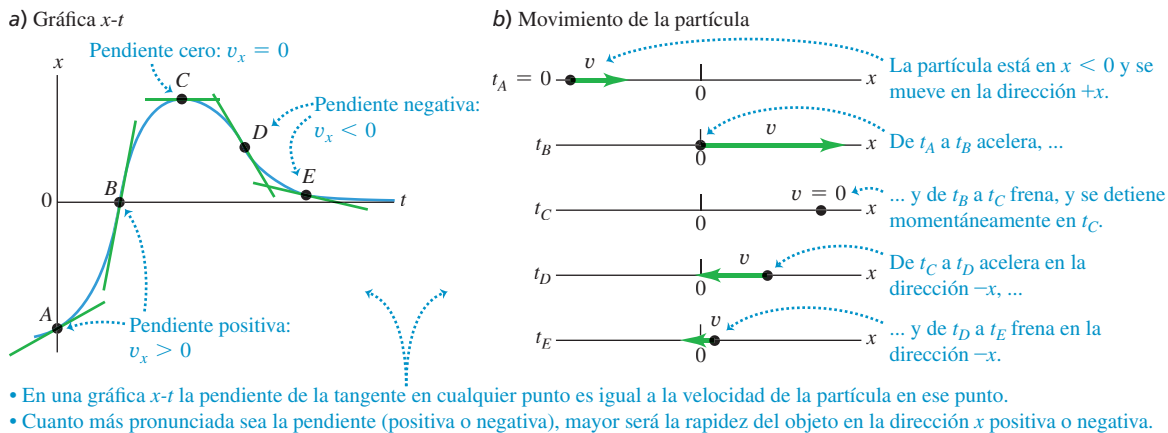


... su valor  $v_{\text{med-}x} = \Delta x / \Delta t$  se acerca a la velocidad instantánea.

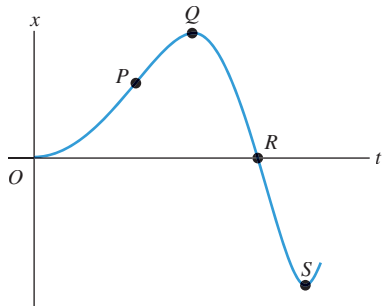


La velocidad instantánea en  $x$ ,  $v_x$  en un punto dado es igual a la pendiente de la tangente a la curva  $x-t$  en ese punto.

**2.8** a) Gráfica  $x$ - $t$  del movimiento de una partícula dada. b) Diagrama de movimiento que muestra la posición y velocidad de la partícula en cada uno de los instantes identificados en el diagrama  $x$ - $t$ .



**2.9** Gráfica  $x$ - $t$  de una partícula.



La figura 2.8 muestra realmente el movimiento de una partícula en dos formas: como a) una gráfica  $x$ - $t$  y como b) un **diagrama de movimiento** que indica la posición de la partícula en diversos instantes (como cuadros de un video del movimiento de la partícula), junto con flechas que representan su velocidad en cada instante. En este capítulo, usaremos tanto las gráficas  $x$ - $t$  como los diagramas de movimiento para ayudarle a entender el movimiento. Le recomendamos dibujar *no sólo* una gráfica  $x$ - $t$  sino también un diagrama de movimiento como parte de la solución de cualquier problema que implique movimiento.

**EVALÚE SU COMPRENSIÓN DE LA SECCIÓN 2.2** La figura 2.9 es una gráfica  $x$ - $t$  del movimiento de una partícula. a) Ordene los valores de la velocidad  $v_x$  de la partícula en los puntos P, Q, R y S del más positivo al más negativo. b) ¿En qué puntos  $v_x$  es positiva? c) ¿En cuáles puntos  $v_x$  es negativa? d) ¿En cuáles es cero? e) Ordene los valores de la *rapidez* de la partícula en los puntos P, Q, R y S del más rápido al más lento. ■

## 2.3 ACELERACIÓN MEDIA Y ACELERACIÓN INSTANTÁNEA

Así como la velocidad describe la tasa de cambio de la posición con el tiempo, la **aceleración** describe la tasa de cambio de la velocidad con el tiempo. Al igual que la velocidad, la aceleración es una cantidad vectorial. En el movimiento rectilíneo, su única componente distinta de cero está sobre el eje donde ocurre el movimiento. Como veremos, en el movimiento rectilíneo la aceleración puede referirse tanto al aumento como a la disminución de la rapidez.

### Aceleración media

Consideremos otra vez el movimiento de una partícula en el eje  $x$ . Suponga que, en el tiempo  $t_1$ , la partícula está en el punto  $P_1$  y tiene una componente  $x$  de velocidad (instantánea)  $v_{1x}$ , y en un instante posterior  $t_2$  está en el punto  $P_2$  y tiene una componente  $x$  de velocidad  $v_{2x}$ . Entonces, la componente  $x$  de la velocidad cambia en  $\Delta v_x = v_{2x} - v_{1x}$  en el intervalo  $\Delta t = t_2 - t_1$ . Definimos la **aceleración media** de la partícula al moverse de  $P_1$  a  $P_2$  como una cantidad vectorial cuya componente  $x$  es  $a_{\text{med-}x}$  (conocida como **aceleración media en }x**) igual a  $\Delta v_x$ , el cambio en la componente  $x$  de la velocidad, dividido entre el intervalo de tiempo  $\Delta t$ :

<b>Aceleración media</b> en $x$ de una partícula en movimiento rectilíneo durante el intervalo de tiempo de $t_1$ a $t_2$	$a_{\text{med-}x} = \frac{\Delta v_x}{\Delta t} = \frac{v_{2x} - v_{1x}}{t_2 - t_1}$	<b>Cambio en la componente <math>x</math> de la velocidad de la partícula</b> Intervalo de tiempo Tiempo final menos tiempo inicial	<b>Velocidad final en <math>x</math></b> menos <b>velocidad inicial en <math>x</math></b>
---	--	---	--

(2.4)

En el movimiento rectilíneo a lo largo del eje  $x$ , por lo general llamaremos simplemente aceleración media a  $a_{med-x}$  (veremos las otras componentes del vector aceleración media en el capítulo 3).

Si expresamos la velocidad en metros por segundo y el tiempo en segundos, la aceleración media está dada en metros por segundo por segundo. Esto suele escribirse como  $\text{m/s}^2$  y se lee “metros por segundo al cuadrado”.

**CUIDADO** No confunda velocidad con aceleración La velocidad describe el cambio de la posición de un objeto con el tiempo; nos indica con qué rapidez y en qué dirección se mueve el objeto. La aceleración describe cómo cambia la velocidad con el tiempo; es decir, nos dice cómo cambian la rapidez y la dirección del movimiento. Para ver la diferencia, imagínese a usted mismo abordo de un automóvil en movimiento. Si el automóvil acelera hacia adelante y aumenta su rapidez, usted se sentirá empujado hacia atrás hacia su asiento; si acelera hacia atrás y disminuye su rapidez, se sentiría empujado hacia adelante. Si la velocidad es constante y no hay aceleración, no tendrá sensación alguna (analizaremos la causa de estas sensaciones en el capítulo 4). ■

## EJEMPLO 2.2 ACCELERACIÓN MEDIA



Una astronauta sale de una nave espacial en órbita para probar una unidad personal de maniobras. Mientras se mueve en línea recta, su compañero a bordo mide su velocidad cada 2.0 s a partir del instante  $t = 1.0$  s:

$t$	$v_x$	$t$	$v_x$
1.0 s	0.8 m/s	9.0 s	-0.4 m/s
3.0 s	1.2 m/s	11.0 s	-1.0 m/s
5.0 s	1.6 m/s	13.0 s	-1.6 m/s
7.0 s	1.2 m/s	15.0 s	-0.8 m/s

Calcule la aceleración media y diga si la rapidez de la astronauta aumenta o disminuye durante cada uno de estos intervalos de 2.0 s:  
*a)*  $t_1 = 1.0$  s a  $t_2 = 3.0$  s; *b)*  $t_1 = 5.0$  s a  $t_2 = 7.0$  s; *c)*  $t_1 = 9.0$  s a  $t_2 = 11.0$  s; *d)*  $t_1 = 13.0$  s a  $t_2 = 15.0$  s.

### SOLUCIÓN

**IDENTIFICAR y PLANTEAR:** Usaremos la ecuación (2.4) para determinar la aceleración media  $a_{med-x}$  a partir del cambio de velocidad durante cada intervalo de tiempo. Para calcular los cambios en la rapidez, usaremos la idea de que la rapidez  $v$  es la magnitud de la velocidad instantánea  $v_x$ .

La parte superior de la figura 2.10 es la gráfica de velocidad  $x$  en función del tiempo. En esta gráfica  $v_x-t$ , la pendiente de la recta que une los puntos inicial y final de cada intervalo es la aceleración media  $a_{med-x} = \Delta v_x/\Delta t$  para ese intervalo. Las cuatro pendientes (y, por lo tanto, los signos de las aceleraciones medias) son, respectivamente, positiva, negativa, negativa y positiva. La tercera y cuarta pendientes (y, por lo tanto, las aceleraciones medias mismas) tienen una magnitud mayor que la primera y la segunda.

**EJECUTAR:** Usando la ecuación (2.4):

$$a) a_{med-x} = (1.2 \text{ m/s} - 0.8 \text{ m/s})/(3.0 \text{ s} - 1.0 \text{ s}) = 0.2 \text{ m/s}^2.$$

La rapidez (magnitud de la velocidad instantánea) aumenta de 0.8 m/s a 1.2 m/s.

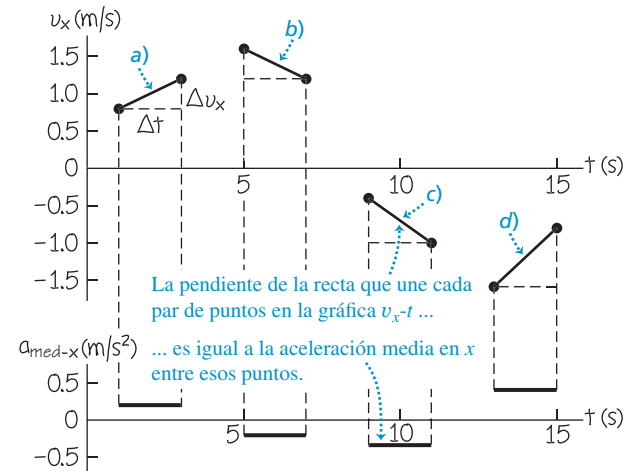
$$b) a_{med-x} = (1.2 \text{ m/s} - 1.6 \text{ m/s})/(7.0 \text{ s} - 5.0 \text{ s}) = -0.2 \text{ m/s}^2.$$

La rapidez disminuye de 1.6 m/s a 1.2 m/s.

$$c) a_{med-x} = [-1.0 \text{ m/s} - (-0.4 \text{ m/s})]/(11.0 \text{ s} - 9.0 \text{ s}) = -0.3 \text{ m/s}^2.$$

La rapidez aumenta de 0.4 m/s a 1.0 m/s.

**2.10** Gráficas de velocidad  $x$  contra tiempo (arriba) y aceleración media contra tiempo (abajo) del astronauta.



$$d) a_{med-x} = [-0.8 \text{ m/s} - (-1.6 \text{ m/s})]/(15.0 \text{ s} - 13.0 \text{ s}) = 0.4 \text{ m/s}^2.$$

La rapidez disminuye de 1.6 m/s a 0.8 m/s.

En la parte inferior de la figura 2.10, se graficaron los valores de  $a_{med-x}$ .

**EVALUAR:** Los signos y las magnitudes relativas de las aceleraciones medias concuerdan con nuestras predicciones cualitativas. Observe que cuando la aceleración media en  $x$  tiene el mismo signo algebraico que la velocidad inicial, como en los intervalos *a*) y *c*), la astronauta se mueve más rápidamente; cuando  $a_{med-x}$  tiene la dirección *opuesta* que la velocidad inicial, como en los intervalos *b*) y *d*), se frena. Por consiguiente, la aceleración positiva en  $x$  significa ir más rápido si la velocidad  $x$  es positiva [intervalo *a*)], pero ir más lento si la velocidad  $x$  es negativa [intervalo *d*)]. Asimismo, la aceleración en  $x$  negativa implica ir más rápido si la velocidad  $x$  es negativa [intervalo *c*)], pero ir más lento si la velocidad  $x$  es positiva [intervalo *b*)].

### 2.11 Automóvil del Grand Prix en dos puntos de la recta.



## Aceleración instantánea

Ahora definimos la **aceleración instantánea** con el mismo procedimiento que seguimos para la velocidad instantánea. Como ejemplo, suponga que un piloto de carreras está conduciendo en una recta, como se ilustra en la **figura 2.11**. Para definir la aceleración instantánea en el punto  $P_1$ , tomamos el punto  $P_2$  en la figura 2.11 cada vez más cerca de  $P_1$ , de modo que la aceleración media se calcule en intervalos cada vez más cortos. Así,

**La aceleración en  $x$  instantánea de una partícula en movimiento rectilíneo ...**

$$a_x = \lim_{\Delta t \rightarrow 0} \frac{\Delta v_x}{\Delta t} = \frac{dv_x}{dt}$$

... es igual al límite de la aceleración media  $x$  cuando el intervalo de tiempo tiende a cero ...

... y es igual a la razón de cambio instantánea de la velocidad en  $x$  de la partícula.

(2.5)

Observe que  $a_x$  en la ecuación (2.5) es realmente la componente  $x$  de la aceleración o la **aceleración instantánea**; en el movimiento rectilíneo, las demás componentes de este vector son cero. A partir de aquí, al hablar de “aceleración” nos referiremos siempre a la aceleración instantánea media, no a la aceleración media.

### EJEMPLO 2.3 ACCELERACIONES MEDIA E INSTANTÁNEA



Suponga que la velocidad  $v_x$  del automóvil en la figura 2.11 en un instante  $t$  está dada por la ecuación

$$v_x = 60 \text{ m/s} + (0.50 \text{ m/s}^3)t^2$$

- a) Calcule el cambio de velocidad en  $x$  del automóvil en el intervalo entre  $t_1 = 1.0 \text{ s}$  y  $t_2 = 3.0 \text{ s}$ . b) Determine la aceleración  $x$  media en este intervalo de tiempo. c) Calcule la aceleración instantánea en  $t_1 = 1.0 \text{ s}$  tomando  $\Delta t$  primero como  $0.1 \text{ s}$ , después como  $0.01 \text{ s}$  y luego como  $0.001 \text{ s}$ . d) Deduzca una expresión para la aceleración  $x$  instantánea en función del tiempo y úsela para determinar la aceleración  $a_x$  en  $t = 1.0 \text{ s}$  y  $t = 3.0 \text{ s}$ .

El cambio en la velocidad  $\Delta v_x$  entre  $t_1 = 1.0 \text{ s}$  y  $t_2 = 3.0 \text{ s}$  es

$$\Delta v_x = v_{2x} - v_{1x} = 64.5 \text{ m/s} - 60.5 \text{ m/s} = 4.0 \text{ m/s}$$

b) La aceleración media en  $x$  durante este intervalo de duración  $t_2 - t_1 = 2.0 \text{ s}$  es

$$a_{\text{med-}x} = \frac{v_{2x} - v_{1x}}{t_2 - t_1} = \frac{4.0 \text{ m/s}}{2.0 \text{ s}} = 2.0 \text{ m/s}^2$$

Durante este intervalo, la velocidad en  $x$  y la aceleración media en  $x$  tienen el mismo signo algebraico (positivo aquí) y el auto acelera.

c) Cuando  $\Delta t = 0.1 \text{ s}$ ,  $t_2 = 1.1 \text{ s}$ . Procediendo como antes, obtenemos

$$v_{2x} = 60 \text{ m/s} + (0.50 \text{ m/s}^3)(1.1 \text{ s})^2 = 60.605 \text{ m/s}$$

$$\Delta v_x = 0.105 \text{ m/s}$$

$$a_{\text{med-}x} = \frac{\Delta v_x}{\Delta t} = \frac{0.105 \text{ m/s}}{0.1 \text{ s}} = 1.05 \text{ m/s}^2$$

Repita este patrón para calcular  $a_{\text{med-}x}$  con  $\Delta t = 0.01 \text{ s}$  y  $\Delta t = 0.001 \text{ s}$ ; los resultados son  $a_{\text{med-}x} = 1.005 \text{ m/s}^2$  y  $a_{\text{med-}x} = 1.0005 \text{ m/s}^2$ , respectivamente. Al reducirse  $\Delta t$ , la aceleración media se acerca a  $1.0 \text{ m/s}^2$ , por lo que concluimos que la aceleración instantánea en  $t = 1.0 \text{ s}$  es  $1.0 \text{ m/s}^2$ .

d) Por la ecuación (2.5), la aceleración instantánea es  $a_x = dv_x/dt$ . La derivada de una constante es cero y la derivada de  $t^2$  es  $2t$ , por lo que

$$\begin{aligned} a_x &= \frac{dv_x}{dt} = \frac{d}{dt}[60 \text{ m/s} + (0.50 \text{ m/s}^3)t^2] \\ &= (0.50 \text{ m/s}^3)(2t) = (1.0 \text{ m/s}^3)t \end{aligned}$$

### SOLUCIÓN

**IDENTIFICAR y PLANTEAR:** Este caso es similar al ejemplo 2.1 de la sección 2.2, donde calculamos la velocidad media en  $x$  a partir del cambio en la posición en intervalos de tiempo cada vez más cortos, y obtuvimos una expresión para la velocidad instantánea en  $x$  derivando la posición en función del tiempo. En este ejemplo, tenemos exactamente lo mismo. Usaremos la ecuación (2.4) para obtener la *aceleración* en  $x$  media a partir del cambio en la *velocidad* en un intervalo de tiempo. Asimismo, usando la ecuación (2.5) obtendremos una expresión para la *aceleración* instantánea en  $x$  derivando la *velocidad* en función del tiempo.

**EJECUTAR:** a) Antes de aplicar la ecuación (2.4), debemos obtener la velocidad en cada instante a partir de la ecuación dada. En el instante  $t_1 = 1.0 \text{ s}$  y en el  $t_2 = 3.0 \text{ s}$ , las velocidades son

$$v_{1x} = 60 \text{ m/s} + (0.50 \text{ m/s}^3)(1.0 \text{ s})^2 = 60.5 \text{ m/s}$$

$$v_{2x} = 60 \text{ m/s} + (0.50 \text{ m/s}^3)(3.0 \text{ s})^2 = 64.5 \text{ m/s}$$

Cuando  $t = 1.0 \text{ s}$ ,

$$a_x = (1.0 \text{ m/s}^3)(1.0 \text{ s}) = 1.0 \text{ m/s}^2$$

Cuando  $t = 3.0 \text{ s}$ ,

$$a_x = (1.0 \text{ m/s}^3)(3.0 \text{ s}) = 3.0 \text{ m/s}^2$$

**EVALUAR:** Ninguno de los valores que obtuvimos en el inciso *d*) es igual a la aceleración media obtenida en *b*), lo cual se debe a que la aceleración instantánea del automóvil varía con el tiempo. La tasa de cambio de la aceleración con el tiempo se suele denominar “tirón”.

## Cálculo de la aceleración en una gráfica $v_x-t$ o una gráfica $x-t$

En la sección 2.2 interpretamos las velocidades media e instantánea en términos de la pendiente de una gráfica de posición contra tiempo. Igualmente, podemos entender mejor las aceleraciones media e instantánea graficando la velocidad instantánea  $v_x$  en el eje vertical y el tiempo  $t$  en el eje horizontal, es decir, usando una **gráfica  $v_x-t$**  (**figura 2.12**). Los puntos sobre la gráfica identificados como  $p_1$  y  $p_2$  corresponden a los puntos  $P_1$  y  $P_2$  de la figura 2.11. La aceleración media  $a_{\text{med-}x} = \Delta v_x / \Delta t$  durante este intervalo es la pendiente de la línea  $p_1p_2$ .

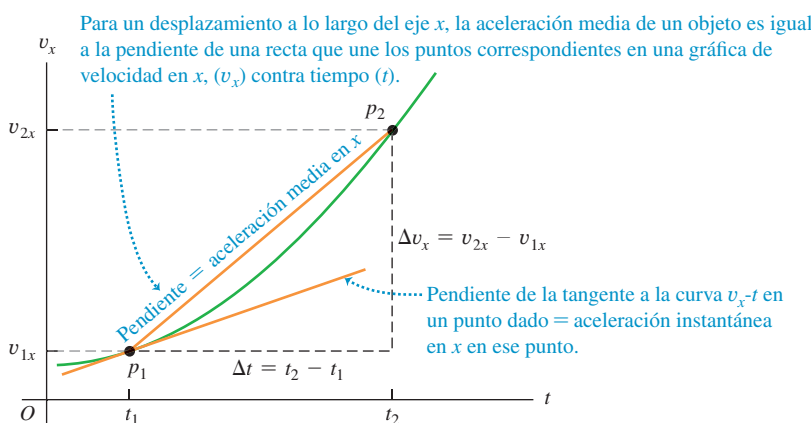
Al acercarse  $P_2$  a  $P_1$  en la figura 2.11,  $p_2$  se acerca a  $p_1$  en la gráfica  $v_x-t$  de la figura 2.12, y la pendiente de la línea  $p_1p_2$  se acerca a la pendiente de la tangente a la curva en el punto  $p_1$ . Así, *en una gráfica de velocidad en función del tiempo, la aceleración instantánea en  $x$  en cualquier punto es igual a la pendiente de la tangente a la curva en ese punto*. En la figura 2.12, las tangentes trazadas en diferentes puntos en la curva tienen pendientes diferentes, de manera que la aceleración instantánea varía con el tiempo.

**CUIDADO** Signos de la aceleración en  $x$  y de la velocidad en  $x$  Por sí mismo, el signo algebraico de la aceleración *no* nos indica si el cuerpo está acelerando o frenando; hay que comparar los signos de la velocidad en  $x$  y la aceleración en  $x$ . Si  $v_x$  y  $a_x$  tienen el *mismo* signo, el cuerpo está acelerando; si ambas son positivas, el cuerpo se mueve en la dirección positiva con rapidez creciente. Si ambas son negativas, el cuerpo se mueve en la dirección negativa con velocidad en  $x$  cada vez más negativa, y la rapidez aumenta nuevamente. Si  $v_x$  y  $a_x$  tienen signos *opuestos*, el cuerpo está frenando. Si  $v_x$  es positiva y  $a_x$  negativa, el cuerpo se mueve en dirección positiva con rapidez decreciente; si  $v_x$  es negativa y  $a_x$  positiva, el cuerpo se mueve en dirección negativa con una velocidad en  $x$  cada vez menos negativa, y de nuevo está frenando. La **tabla 2.3** resume estas ideas y la **figura 2.13** (página siguiente) ilustra algunas de ellas. 

En ocasiones se usa el término “desaceleración” para referirse a una reducción de la rapidez. Como esto puede implicar una  $a_x$  positiva o negativa, dependiendo del signo de  $v_x$ , evitaremos este término.

También conoceremos la aceleración de un cuerpo a partir de una gráfica de su *posición* contra el tiempo. Puesto que  $a_x = dv_x/dt$  y  $v_x = dx/dt$ , escribimos

$$a_x = \frac{dv_x}{dt} = \frac{d}{dt} \left( \frac{dx}{dt} \right) = \frac{d^2x}{dt^2} \quad (2.6)$$



### Reglas para el signo de la aceleración

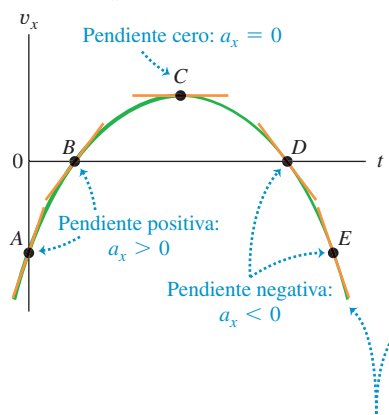
**TABLA 2.3**

Si la velocidad en $x$ es:	... la aceleración en $x$ es:
Positiva y creciente (se vuelve más positiva)	Positiva: la partícula se mueve en la dirección $+x$ y acelera
Positiva y decreciente (se vuelve menos positiva)	Negativa: la partícula se mueve en la dirección $+x$ y frena
Negativa y creciente (se vuelve menos negativa)	Positiva: la partícula se mueve en la dirección $-x$ y frena
Negativa y decreciente (se vuelve más negativa)	Negativa: la partícula se mueve en la dirección $-x$ y acelera

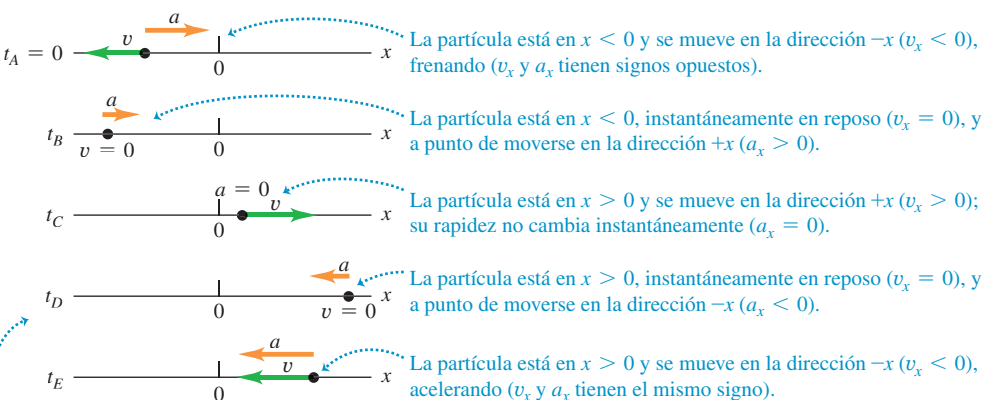
*Nota:* Estas reglas se aplican tanto a la aceleración  $a_{\text{med-}x}$  como a la aceleración instantánea  $a_x$ .

**2.12** Gráfica  $v_x-t$  del movimiento en la figura 2.11.

**2.13** a) Gráfica  $v_x-t$  del movimiento de una partícula diferente de la que se muestra en la figura 2.8. b) Diagrama de movimiento que indica la posición, velocidad y aceleración de la partícula en los instantes identificados en la gráfica  $v_x-t$ .

a) Gráfica  $v_x-t$ 

b) Movimiento de la partícula



• En la gráfica  $v_x-t$  la pendiente de la tangente en cualquier punto es igual a la aceleración de la partícula en tal punto.

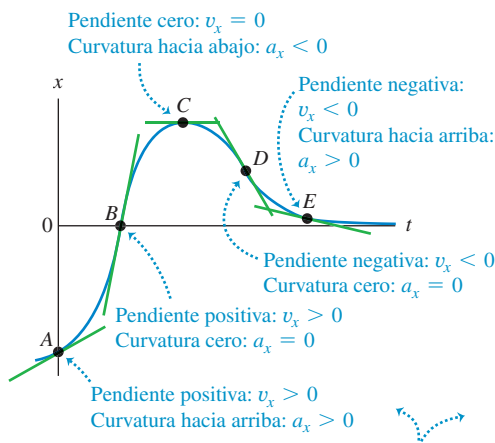
• Cuanto más pronunciada sea la pendiente (positiva o negativa), mayor será la aceleración de la partícula en la dirección positiva o negativa.

Es decir,  $a_x$  es la segunda derivada de  $x$  con respecto a  $t$ . La segunda derivada de cualquier función se relaciona directamente con la *concavidad* o *curvatura* de la gráfica de la función (figura 2.14). En un punto donde la gráfica  $x-t$  sea cóncava hacia arriba (curvada hacia arriba), tal como el punto A o E en la figura 2.14a, la aceleración en  $x$  es positiva y  $v_x$  aumenta. En un punto donde la gráfica  $x-t$  es cóncava hacia abajo (curvada hacia abajo), tal como el punto C en la figura 2.14a la aceleración en  $x$  es negativa y  $v_x$  disminuye. En un punto donde la gráfica  $x-t$  no tenga curvatura, tal como en los puntos de inflexión B y D en la figura 2.14a, la aceleración en  $x$  es cero y la velocidad es constante.

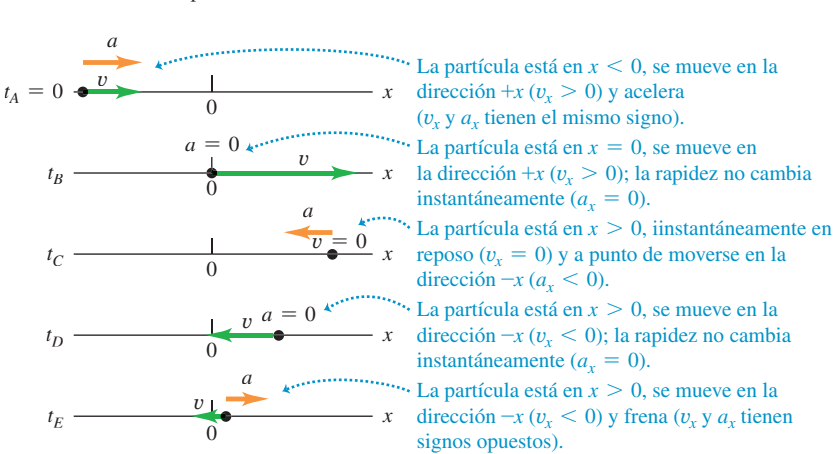
Examinar la curvatura de una gráfica  $x-t$  es una manera sencilla de determinar qué *signo* tiene la aceleración. Esta técnica es menos útil para determinar valores numéricos de la aceleración, ya que es difícil medir con exactitud la curvatura de una gráfica.

**EVALÚE SU COMPRENSIÓN DE LA SECCIÓN 2.3** Observe otra vez la gráfica  $x-t$  de la figura 2.9 al final de la sección 2.2. a) ¿En cuál de los puntos P, Q, R y S la aceleración  $a_x$  es positiva? b) ¿En cuáles es negativa? c) ¿En cuáles parece ser cero? d) En cada punto, indique si la velocidad aumenta, disminuye o se mantiene constante. ■

**2.14** a) La misma gráfica  $x-t$  de la figura 2.8a. b) Diagrama de movimiento que muestra la posición, velocidad y aceleración de la partícula en cada uno de los instantes identificados en la gráfica  $x-t$ .

a) Gráfica  $x-t$ 

b) Movimiento de la partícula



• En una gráfica  $x-t$  la curvatura en cualquier punto le indica la aceleración de la partícula en dicho punto.

• Cuanto mayor sea la curvatura (positiva si abre hacia arriba o negativa si abre hacia abajo), mayor será la aceleración de la partícula en la dirección  $x$  positiva o negativa.

## 2.4 MOVIMIENTO CON ACCELERACIÓN CONSTANTE

El movimiento acelerado más sencillo es el rectilíneo con aceleración *constante*. En este caso, la velocidad cambia al mismo ritmo a lo largo del movimiento. Como ejemplo, un cuerpo que cae tiene aceleración constante si los efectos del aire no son importantes. Lo mismo sucede con un cuerpo que se desliza por una pendiente o sobre una superficie horizontal áspera, o con un avión cuando es lanzado con catapulta desde la cubierta de un portaaviones.

La **figura 2.15** es un diagrama de movimiento que muestra la posición, velocidad y aceleración de una partícula que se mueve con aceleración constante. Las **figuras 2.16** y **2.17** representan este movimiento con gráficas. Puesto que la aceleración es constante, la **gráfica  $a_x-t$**  (aceleración contra tiempo) de la figura 2.16 es una recta horizontal. La gráfica de velocidad contra tiempo,  $v_x-t$ , tiene *pendiente constante* porque la aceleración es constante; entonces, es una línea recta (figura 2.17).

Cuando la aceleración en  $x$ ,  $a_x$  es constante, la aceleración media  $a_{\text{med-}x}$  para cualquier intervalo de tiempo es  $a_x$ . Lo anterior facilita la obtención de las ecuaciones para la posición  $x$  y la velocidad  $v_x$  en función del tiempo. Con la finalidad de encontrar una expresión para  $v_x$ , primero sustituimos  $a_{\text{med-}x}$  por  $a_x$  en la ecuación (2.4):

$$a_x = \frac{v_{2x} - v_{1x}}{t_2 - t_1} \quad (2.7)$$

Sean ahora  $t_1 = 0$  y  $t_2$  cualquier instante posterior  $t$ . Simbolizamos con  $v_{0x}$  la velocidad  $x$  en el instante inicial  $t = 0$ ; la velocidad en el instante posterior  $t$  es  $v_x$ . Entonces, la ecuación (2.7) se convierte en

$$a_x = \frac{v_x - v_{0x}}{t - 0} \quad \text{o bien}$$

velocidad en  $x$  al tiempo  $t$   
de una partícula con  
aceleración en  $x$  constante

velocidad en  $x$  de la partícula al tiempo 0

Aceleración en  $x$  constante de la partícula

Tiempo

$$v_x = v_{0x} + a_x t \quad (2.8)$$

En la ecuación (2.8) el término  $a_x t$  es el producto de la tasa constante de cambio en la velocidad,  $a_x$ , y el intervalo de tiempo  $t$ ; por consiguiente, es el cambio *total* de la velocidad  $x$  desde el instante inicial  $t = 0$  hasta un instante posterior  $t$ . La velocidad  $v_x$  en cualquier instante  $t$  es entonces la velocidad inicial  $v_{0x}$  (en  $t = 0$ ) más el cambio en la velocidad  $a_x t$  (vea la figura 2.17).

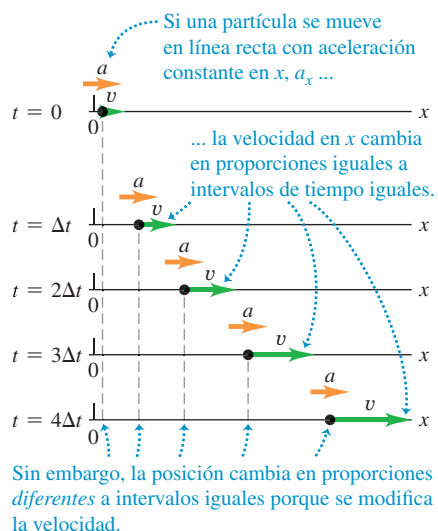
La ecuación (2.8) también indica que el cambio de velocidad  $v_x - v_{0x}$  de la partícula entre  $t = 0$  y un tiempo posterior  $t$  es igual al *área* bajo la gráfica  $a_x-t$  entre ambos instantes. Se puede verificar esto en la figura 2.16: bajo la curva hay un rectángulo con lado vertical  $a_x$  y lado horizontal  $t$ . El área del rectángulo es  $a_x t$ , que por la ecuación (2.8) es igual al cambio de velocidad  $v_x - v_{0x}$ . En la sección 2.6 veremos que aun cuando la aceleración en  $x$  no sea constante, el cambio de velocidad durante un intervalo de tiempo es igual al área bajo la curva  $a_x-t$ , aunque en tal caso la ecuación (2.8) no sea válida.

Ahora deduciremos una ecuación para la posición  $x$  en función del tiempo cuando la aceleración es constante. Para ello, usamos dos expresiones distintas para la velocidad media  $v_{\text{med-}x}$  en el intervalo de  $t = 0$  a cualquier tiempo  $t$  posterior. La primera proviene de la definición de  $v_{\text{med-}x}$ , ecuación (2.2), que se cumple independientemente de que la aceleración sea constante o no. Llamamos a la posición en el tiempo  $t = 0$  *posición inicial*, y la denotamos con  $x_0$ . La posición en el tiempo  $t$  posterior es simplemente  $x$ . Así, para el intervalo  $\Delta t = t - 0$ , el desplazamiento es  $\Delta x = x - x_0$ ; la ecuación (2.2) da

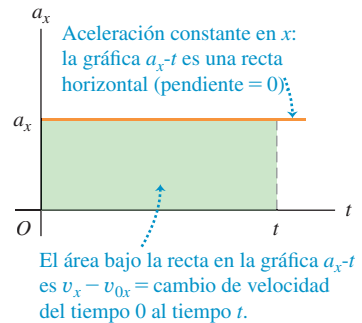
$$v_{\text{med-}x} = \frac{x - x_0}{t} \quad (2.9)$$

También podemos obtener otra expresión para  $v_{\text{med-}x}$  que es válida únicamente si la aceleración en  $x$  es constante, de modo que la velocidad cambia a ritmo constante.

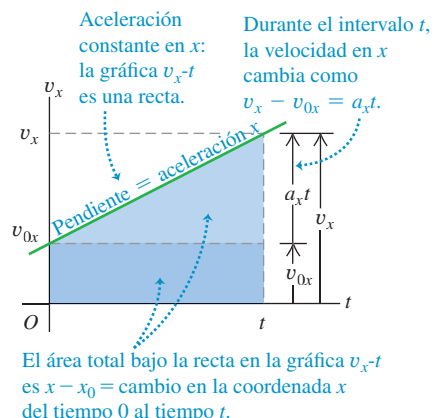
**2.15** Diagrama de movimiento para una partícula que se mueve en línea recta en la dirección  $+x$  con aceleración positiva constante  $a_x$ .



**2.16** Gráfica aceleración-tiempo ( $a_x-t$ ) para movimiento rectilíneo con aceleración positiva constante  $a_x$ .



**2.17** Gráfica velocidad-tiempo ( $v_x-t$ ) para movimiento rectilíneo con aceleración positiva constante  $a_x$ . La velocidad inicial  $v_{0x}$  también es positiva en este caso.



En este caso, la velocidad media en  $x$  para el intervalo de 0 a  $t$  es simplemente el promedio de las velocidades en  $x$  al principio y al final del intervalo:

$$v_{\text{med-}x} = \frac{1}{2}(v_{0x} + v_x) \quad (\text{sólo con aceleración constante en } x) \quad (2.10)$$

### BIO Aplicación Pruebas con humanos a grandes aceleraciones

En algunos experimentos llevados a cabo por la fuerza aérea estadounidense, entre las décadas de 1940 y 1950, se demostró que los seres humanos que conducían un trineo-cohete podían resistir aceleraciones tan grandes como  $440 \text{ m/s}^2$ . Las primeras tres fotografías de esta secuencia muestran al médico de la fuerza aérea John Stapp acelerando a partir del reposo a  $188 \text{ m/s}$  ( $678 \text{ km/h} = 421 \text{ mi/h}$ ) en sólo 5 s. Las fotografías 4 a 6 muestran incluso una magnitud más grande de aceleración conforme el cohete frenaba para detenerse.



**2.18 a)** Movimiento rectilíneo con aceleración constante. **b)** Gráfica de posición contra tiempo ( $x-t$ ) para este movimiento (el mismo que se ilustra en las figuras 2.15, 2.16 y 2.17). En este caso, la posición inicial  $x_0$ , la velocidad inicial  $v_{0x}$  y la aceleración  $a_x$  son todas positivas.

(Esta ecuación *no* se cumple si la aceleración varía durante el intervalo). También sabemos que, con aceleración constante, la velocidad  $v_x$  en un instante  $t$  está dada por la ecuación (2.8). Sustituyendo esa expresión por  $v_x$  en la ecuación (2.10),

$$\begin{aligned} v_{\text{med-}x} &= \frac{1}{2}(v_{0x} + v_{0x} + a_x t) && (\text{sólo con aceleración constante en } x) \\ &= v_{0x} + \frac{1}{2}a_x t \end{aligned} \quad (2.11)$$

Por último, igualamos las ecuaciones (2.9) y (2.11) y simplificamos:

$$v_{0x} + \frac{1}{2}a_x t = \frac{x - x_0}{t} \quad \text{o bien,}$$

**Posición de la partícula al tiempo 0**

**Posición al tiempo  $t$  de una partícula con aceleración en  $x$  constante**

$x = x_0 + v_{0x}t + \frac{1}{2}a_x t^2$

Velocidad en  $x$  de la partícula al tiempo 0      Aceleración en  $x$  constante de la partícula

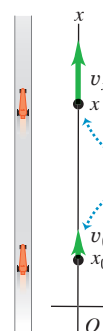
Esta ecuación (2.12) nos dice que la posición de la partícula al tiempo  $t$  es la suma de tres términos: su posición inicial en  $t = 0$ ,  $x_0$ , más el desplazamiento  $v_{0x}t$  que recorrería si su velocidad  $x$  fuera constante, más un desplazamiento adicional  $\frac{1}{2}a_x t^2$  causado por el cambio de velocidad.

Una gráfica de la ecuación (2.12), es decir, una gráfica  $x-t$  para movimiento con aceleración constante (**figura 2.18a**), siempre es una *parábola*. La figura 2.18b muestra una gráfica como ésta. La curva hace intersección con el eje vertical ( $x$ ) en  $x_0$ , la posición en  $t = 0$ . La pendiente de la tangente en  $t = 0$  es  $v_{0x}$ , la velocidad inicial en  $x$ , y la pendiente de la tangente en cualquier tiempo  $t$  es la velocidad  $v_x$  en ese instante. La pendiente y la velocidad en  $x$  aumentan continuamente, así que la aceleración  $a_x$  es positiva; usted también puede ver esto porque la gráfica de la figura 2.18b es cóncava hacia arriba (se curva hacia arriba). Si  $a_x$  es negativa, la gráfica  $x-t$  es una parábola cóncava hacia abajo (tiene curvatura hacia abajo).

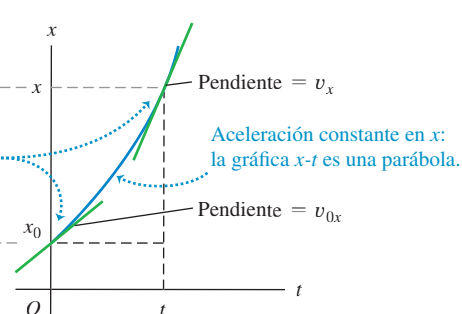
Si la aceleración en  $x$  es cero, la gráfica  $x-t$  es una recta; si hay una aceleración constante, el término adicional  $\frac{1}{2}a_x t^2$  en la ecuación (2.12) para  $x$  en función de  $t$  curva la gráfica en una parábola (**figura 2.19a**). Si la aceleración en  $x$  es cero, la gráfica  $v_x-t$  es una recta horizontal (la velocidad en  $x$  es constante). Agregando una aceleración en  $x$  constante en la ecuación (2.8) da una pendiente para la gráfica (figura 2.19b).

Veamos otra forma de derivar la ecuación 2.12. Así como el cambio de velocidad en  $x$  de la partícula es igual al área bajo la curva en la gráfica  $a_x-t$ , el desplazamiento (es decir, el cambio de posición) es igual al área bajo la curva en la gráfica  $v_x-t$ . Específicamente, el desplazamiento  $x - x_0$  de la partícula entre  $t = 0$  y cualquier instante  $t$  posterior es igual al área bajo la curva en la gráfica  $v_x-t$  entre esos dos instantes.

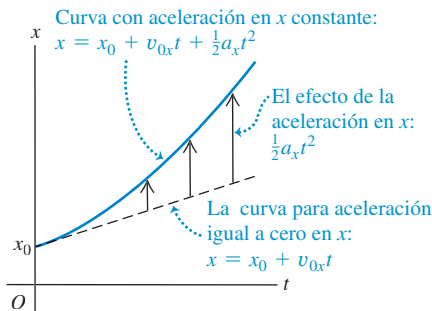
**a)** Un auto de carreras se mueve en la dirección  $x$  con aceleración constante



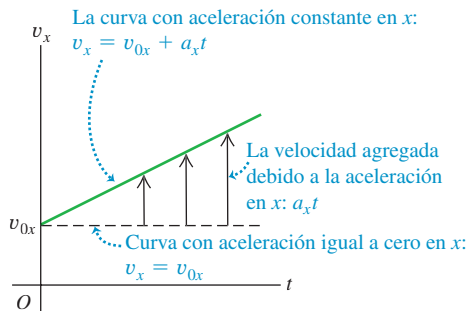
**b)** La gráfica  $x-t$



a) Gráfica  $x-t$  para una partícula que se mueve con aceleración constante positiva



b) Gráfica  $v_x-t$  para la misma partícula



**2.19** Cómo una aceleración constante en  $x$  influye en a) la gráfica  $x-t$  y b) la gráfica  $v_x-t$  de un cuerpo.

En la figura 2.17 el área bajo la curva se dividió en un rectángulo oscuro (con lado vertical  $v_{0x}$ , lado horizontal  $t$  y área  $v_{0x}t$ ) y un triángulo rectángulo claro (con lado vertical  $\frac{1}{2}(a_x)t$ , lado horizontal  $t$  y área  $\frac{1}{2}(a_x)(t) = \frac{1}{2}a_x t^2$ ). El área total bajo la curva  $v_x-t$  es  $x - x_0 = v_{0x}t + \frac{1}{2}a_x t^2$  que es congruente con la ecuación (2.12).

El desplazamiento durante un intervalo siempre puede obtenerse del área bajo la curva  $v_x-t$ , incluso si la aceleración *no* es constante; aunque en tal caso la ecuación (2.12) no sería válida (demostraremos esto en la sección 2.6).

A menudo es útil tener una relación para la posición, la velocidad y la aceleración (constante) que no involucre el tiempo. Para lograrlo, primero despejamos  $t$  de la ecuación (2.8) y luego sustituimos la expresión resultante en la ecuación (2.12):

$$t = \frac{v_x - v_{0x}}{a_x}$$

$$x = x_0 + v_{0x} \left( \frac{v_x - v_{0x}}{a_x} \right) + \frac{1}{2} a_x \left( \frac{v_x - v_{0x}}{a_x} \right)^2$$

Transferimos el término  $x_0$  al lado izquierdo y multiplicamos la ecuación por  $2a_x$ :

$$2a_x(x - x_0) = 2v_{0x}v_x - 2v_{0x}^2 + v_x^2 - 2v_{0x}v_x + v_{0x}^2$$

Por último,

$$v_x^2 = v_{0x}^2 + 2a_x(x - x_0) \quad (2.13)$$

velocidad en  $x$  al tiempo  $t$ ... velocidad en  $x$  de la partícula al tiempo 0  
de una partícula con ...  
aceleración en  $x$  constante  
Aceleración en  $x$  constante  
Posición de la  
partícula al tiempo  $t$  Posición de la  
partícula al tiempo 0

Podemos obtener una relación más útil igualando las dos expresiones para  $v_{\text{med-}x}$ , ecuaciones (2.9) y (2.10), y multiplicando por  $t$ . Al hacerlo, obtenemos

$$x - x_0 = \frac{1}{2}(v_{0x} + v_x)t \quad (2.14)$$

Posición al tiempo  $t$  de una partícula con aceleración en  $x$  constante  
Velocidad en  $x$  de la partícula al tiempo 0  
Posición de la partícula al tiempo 0 Tiempo

Observe que la ecuación (2.14) no incluye la aceleración en  $x$ ,  $a_x$ . Esta ecuación es útil cuando  $a_x$  es constante pero se desconoce su valor.

Las ecuaciones (2.8), (2.12), (2.13) y (2.14) son las *ecuaciones del movimiento uniformemente acelerado (con aceleración constante)* (**tabla 2.4**). Con ellas, podemos resolver *cualquier* problema que implique movimiento rectilíneo uniformemente acelerado de una partícula.

En el caso específico de movimiento con aceleración constante ilustrado en la figura 2.15 y graficado en las figuras 2.16, 2.17 y 2.18, los valores de  $x_0$ ,  $v_{0x}$  y  $a_x$  son positivos. Vuelva a dibujar las figuras para los casos donde sean negativas una, dos o las tres cantidades.

### Ecuaciones de movimiento con aceleración constante

**TABLA 2.4**

Ecuación	Cantidades que incluye
$v_x = v_{0x} + a_x t$ (2.8)	$t$ $v_x$ $a_x$
$x = x_0 + v_{0x}t + \frac{1}{2}a_x t^2$ (2.12)	$t$ $x$ $a_x$
$v_x^2 = v_{0x}^2 + 2a_x(x - x_0)$ (2.13)	$x$ $v_x$ $a_x$
$x - x_0 = \frac{1}{2}(v_{0x} + v_x)t$ (2.14)	$t$ $x$ $v_x$

## ESTRATEGIA PARA RESOLVER PROBLEMAS 2.1

## MOVIMIENTO CON ACCELERACIÓN CONSTANTE

**IDENTIFICAR** los conceptos relevantes: En casi todos los problemas de movimiento rectilíneo, usted podrá usar las ecuaciones de aceleración constante (2.8), (2.12), (2.13) y (2.14). Si usted encuentra una situación donde la aceleración no es constante, necesitará otra estrategia (vea la sección 2.6).

**PLANTEAR** el problema siguiendo estos pasos:

1. Lea el problema cuidadosamente. Elabore un diagrama de movimiento que muestre la ubicación de la partícula en los tiempos que nos interesan. Determine dónde colocar el origen de las coordenadas y cuál dirección del eje es positiva. A menudo lo más sencillo es colocar la partícula en el origen en  $t = 0$ ; así,  $x_0 = 0$ . Recuerde que elegir la dirección positiva del eje determina automáticamente las direcciones positivas de la velocidad y la aceleración en  $x$ . Si  $x$  es positiva a la derecha del origen,  $v_x$  y  $a_x$  también serán positivas hacia la derecha.
2. Identifique las cantidades físicas (tiempos, posiciones, velocidades y aceleraciones) que aparecen en las ecuaciones (2.8), (2.12), (2.13) y (2.14) y asigneles los símbolos adecuados:  $x$ ,  $x_0$ ,  $v_x$ ,  $v_{0x}$  y  $a_x$ , o bien, símbolos relacionados con ellos. Traduzca las palabras al lenguaje de la física: “¿Cuándo la partícula llega al punto más alto?” significa “¿Cuál es el valor de  $t$  cuando  $x$  tiene su máximo valor?”. En el ejemplo 2.4, la pregunta “¿Dónde está el motociclista cuando su rapidez es de 25 m/s?” significa “¿Cuánto vale  $x$  cuando  $v_x = 25$  m/s?”. Manténgase alerta con la información implícita. Por ejemplo, “un automóvil está detenido ante un semáforo” implica  $v_{0x} = 0$ .
3. Haga una lista de las cantidades como  $x$ ,  $x_0$ ,  $v_x$ ,  $v_{0x}$ ,  $a_x$  y  $t$ . Algunas serán conocidas y otras no. Escriba los valores de las conocidas e

identifique cuáles de las variables son las incógnitas. Tome nota de la ausencia de cualquiera de las cantidades que aparecen en las cuatro ecuaciones de aceleración constante.

4. Use la tabla 2.4 para identificar las ecuaciones aplicables (éstas son con frecuencia las ecuaciones que no incluyen las cantidades faltantes que identificó en el paso 3). Normalmente encontrará una ecuación única que solo contiene una de las incógnitas. Algunas veces debe identificar dos ecuaciones que contengan el mismo par de incógnitas.
5. Elabore gráficas que correspondan a las ecuaciones aplicables. La gráfica  $v_x-t$  de la ecuación (2.8) es una línea recta con pendiente igual a  $a_x$ . La gráfica  $x-t$  de la ecuación (2.12) es una parábola cóncava hacia arriba si  $a_x$  es positiva, y cóncava hacia abajo si es negativa.
6. Con base en su experiencia con estos problemas y tomando en cuenta lo que le indican las gráficas, haga predicciones cualitativas y cuantitativas acerca de la solución.

**EJECUTAR** la solución: Si se aplica una sola ecuación, despeje la incógnita usando sólo símbolos, sustituya los valores conocidos y calcule el valor de la incógnita. Si usted tiene dos ecuaciones con dos incógnitas, resuélvalas simultáneamente para encontrarlas.

**EVALUAR** la respuesta: Examine sus resultados para saber si son lógicos. ¿Están dentro del intervalo general de valores esperados?

## EJEMPLO 2.4 CÁLCULOS CON ACCELERACIÓN CONSTANTE



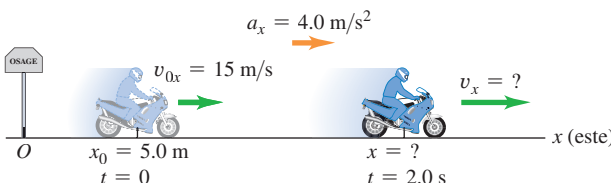
Un motociclista que viaja al este cruza una pequeña ciudad y viaja con aceleración constante de  $4.0 \text{ m/s}^2$  después de pasar los límites de la ciudad (**figura 2.20**). En el tiempo  $t = 0$ , está a  $5.0 \text{ m}$  al este del letrero de límite de la ciudad, y se desplaza al este a  $15 \text{ m/s}$ . a) Calcule su posición y velocidad en  $t = 2.0 \text{ s}$ . b) ¿Dónde está el motociclista cuando su velocidad es de  $25 \text{ m/s}$ ?

## SOLUCIÓN

**IDENTIFICAR y PLANTEAR:** La aceleración en  $x$  es constante, así que podemos usar las ecuaciones para aceleración constante. Tomamos el letrero como origen de coordenadas ( $x = 0$ ) y determinamos que el eje  $+x$  apunta al este (vea la figura 2.20, que también es un diagrama de movimiento). Las variables conocidas son la posición inicial y la velocidad,  $x_0 = 5.0 \text{ m}$  y  $v_{0x} = 15 \text{ m/s}$ , y la aceleración  $a_x = 4.0 \text{ m/s}^2$ . Las variables desconocidas en el inciso a) son los valores de la posición  $x$  y la velocidad  $v_x$  en el instante  $t = 2.0 \text{ s}$ ; la incógnita en el inciso b) es el valor de  $x$  cuando  $v_x = 25 \text{ m/s}$ .

**EJECUTAR:** a) Como conocemos los valores de  $x_0$ ,  $v_{0x}$  y  $a_x$ , la tabla 2.4 nos dice que podemos obtener tanto la posición  $x$  en  $t = 2.0 \text{ s}$ ,

**2.20** Un motociclista que viaja con aceleración constante.



usando la ecuación (2.12), como la velocidad en  $x$ ,  $v_x$ , en ese instante, con la ecuación (2.8):

$$\begin{aligned} x &= x_0 + v_{0x}t + \frac{1}{2}a_x t^2 \\ &= 5.0 \text{ m} + (15 \text{ m/s})(2.0 \text{ s}) + \frac{1}{2}(4.0 \text{ m/s}^2)(2.0 \text{ s})^2 \\ &= 43 \text{ m} \\ v_x &= v_{0x} + a_x t \\ &= 15 \text{ m/s} + (4.0 \text{ m/s}^2)(2.0 \text{ s}) = 23 \text{ m/s} \end{aligned}$$

b) Queremos encontrar el valor de  $x$  cuando  $v_x = 25 \text{ m/s}$ , pero no conocemos el momento en que el motociclista lleva tal velocidad. La tabla 2.4 nos dice que deberíamos utilizar la ecuación (2.13), que incluye  $x$ ,  $v_x$  y  $a_x$ , pero no incluye a  $t$ :

$$v_x^2 = v_{0x}^2 + 2a_x(x - x_0)$$

Despejando  $x$  y sustituyendo los valores conocidos,

$$\begin{aligned} x &= x_0 + \frac{v_x^2 - v_{0x}^2}{2a_x} \\ &= 5.0 \text{ m} + \frac{(25 \text{ m/s})^2 - (15 \text{ m/s})^2}{2(4.0 \text{ m/s}^2)} = 55 \text{ m} \end{aligned}$$

**EVALUAR:** Usted puede verificar el resultado del inciso b) usando primero la ecuación (2.8),  $v_x = v_{0x} + a_x t$ , para determinar el tiempo en el cual  $v_x = 25 \text{ m/s}$ , que resulta ser  $t = 2.5 \text{ s}$ . Luego, usted puede usar la ecuación (2.12),  $x = x_0 + v_{0x}t + \frac{1}{2}a_x t^2$ , para obtener  $x$ . Usted debe obtener  $x = 55 \text{ m}$ , la misma respuesta de arriba. Es el camino largo para resolver el problema. El método usado en el inciso b) es mucho más eficiente.

## EJEMPLO 2.5 DOS CUERPOS CON DIFERENTE ACCELERACIÓN



Una persona conduce su vehículo con rapidez constante de 15 m/s (aproximadamente 34 mi/h) y pasa por un cruce escolar, donde el límite de velocidad es de 10 m/s (aproximadamente 22 mi/h). En ese preciso momento, un oficial de policía en su motocicleta, que está detenido en el cruce, arranca para perseguir al infractor, con aceleración constante de  $3.0 \text{ m/s}^2$  (**figura 2.21a**). a) ¿Cuánto tiempo pasa antes de que el oficial de policía alcance al infractor? b) ¿A qué rapidez va el policía en ese instante? c) ¿Qué distancia total habrá recorrido cada vehículo hasta ahí?

### SOLUCIÓN

**IDENTIFICAR y PLANTEAR:** El oficial de policía y el conductor se desplazan con aceleración constante (cero en el caso del conductor), así que podemos usar las fórmulas de aceleración constante. Tomamos como origen el cruce, así que  $x_0 = 0$  para ambos, y consideramos la derecha como dirección positiva. Sea  $x_p$  la posición del policía y  $x_M$  la del conductor en cualquier instante. Las velocidades iniciales son  $v_{P0x} = 0$  y  $v_{M0x} = 15 \text{ m/s}$ ; las respectivas aceleraciones son  $a_{Px} = 3.0 \text{ m/s}^2$  y  $a_{Mx} = 0$ . Nuestra incógnita en el inciso a) es el tiempo tras el cual el policía alcanza al conductor, es decir, cuando ambos vehículos están en la misma posición  $x$ . La tabla 2.4 nos dice que la ecuación (2.12) es la adecuada para este inciso. En el inciso b) nos interesa la rapidez  $v$  del policía (la magnitud de su velocidad) en el tiempo obtenido en el inciso a). Utilizaremos la ecuación (2.8) para este inciso. En el inciso c) usaremos nuevamente la ecuación (2.12) para determinar la posición de cualquiera de los vehículos en ese tiempo.

La figura 2.21b ilustra la gráfica  $x-t$  de ambos vehículos. La línea recta representa el movimiento del conductor,  $x_M = x_{M0} + v_{M0x}t = v_{M0x}t$ . La gráfica del movimiento del oficial es la mitad derecha de una parábola cóncava hacia arriba:

$$x_p = x_{P0} + v_{P0x}t + \frac{1}{2}a_{Px}t^2 = \frac{1}{2}a_{Px}t^2$$

Un diagrama adecuado mostrará que el oficial y el conductor están en la misma posición ( $x_p = x_M$ ) en un tiempo  $t = 10 \text{ s}$ , aproximadamente, instante en el cual los dos han viajado 150 m a partir del cruce.

**EJECUTAR:** a) Para buscar el valor del tiempo  $t$  cuando el conductor y el policía están en la misma posición, establecemos que  $x_p = x_M$  igualando las expresiones anteriores y despejando  $t$ :

$$v_{M0x}t = \frac{1}{2}a_{Px}t^2$$

$$t = 0 \quad \text{o bien,} \quad t = \frac{2v_{M0x}}{a_{Px}} = \frac{2(15 \text{ m/s})}{3.0 \text{ m/s}^2} = 10 \text{ s}$$

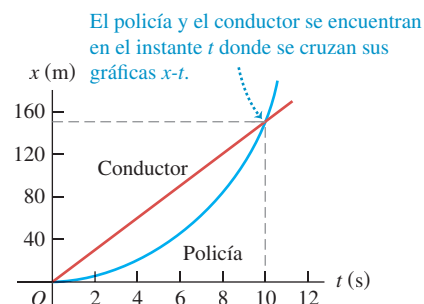
**2.21** a) Cuerpo en movimiento con aceleración constante que alcanza a un cuerpo en movimiento con velocidad constante. b) Gráfica de  $x$  contra  $t$  para cada vehículo.

a)



Conductor: velocidad en  $x$  constante

b)



Hay dos instantes en que los vehículos tienen la misma coordenada  $x$ , como lo indica la figura 2.21b. En  $t = 0$ , el conductor rebasa al oficial; en  $t = 10 \text{ s}$ , el oficial alcanza al conductor.

b) Queremos conocer la magnitud de la velocidad del policía  $v_{Px}$  en el instante  $t$  obtenido en a). Sustituyendo los valores de  $v_{P0x}$  y  $a_{Px}$  en la ecuación (2.8) junto con  $t = 10 \text{ s}$  del inciso a), obtenemos:

$$v_{Px} = v_{P0x} + a_{Px}t = 0 + (3.0 \text{ m/s}^2)(10 \text{ s}) = 30 \text{ m/s}$$

La rapidez del policía es el valor absoluto de esto, la cual también es igual a 30 m/s.

c) En 10 s, la distancia recorrida por el conductor es

$$x_M = v_{M0x}t = (15 \text{ m/s})(10 \text{ s}) = 150 \text{ m}$$

y la distancia que el policía recorre es

$$x_p = \frac{1}{2}a_{Px}t^2 = \frac{1}{2}(3.0 \text{ m/s}^2)(10 \text{ s})^2 = 150 \text{ m}$$

Así se comprueba que cuando el policía alcanza al conductor, ambos han recorrido la misma distancia después de 10 segundos.

**EVALUAR:** Los resultados de los incisos a) y c) concuerdan con las estimaciones del diagrama. Observe que en el instante en que el oficial alcanza al conductor, los dos vehículos *no* tienen la misma velocidad. En ese momento el conductor se desplaza a 15 m/s y el oficial se desplaza a 30 m/s. Se observa esto en la figura 2.21b. Donde las dos curvas  $x-t$  se cruzan, son diferentes sus pendientes (iguales a los valores de  $v_x$  para ambos vehículos).

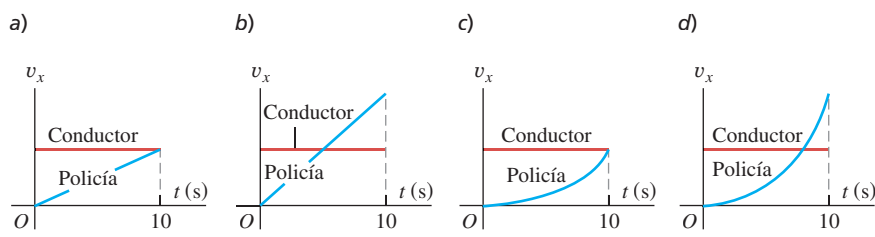
¿Es tan sólo una coincidencia que cuando los dos vehículos están en la misma posición, el oficial va al doble de la rapidez del conductor? La ecuación (2.14),  $x - x_0 = \frac{1}{2}(v_{0x} + v_x)t$ , da la respuesta. El conductor tiene velocidad constante, por lo que  $v_{M0x} = v_{Mx}$ , y el desplazamiento  $x - x_0$  que viaja el conductor en el tiempo  $t$  es  $v_{M0x}t$ . Ya que  $v_{P0x} = 0$  en el mismo instante  $t$  el oficial se desplaza  $\frac{1}{2}v_{Px}t$ . Si los dos vehículos cubren el mismo desplazamiento en el mismo tiempo, por lo que  $v_{M0x}t = \frac{1}{2}v_{Px}t$  y  $v_{Px} = 2v_{M0x}$ , es decir, el oficial tiene exactamente el doble de la velocidad del conductor. Observe que esto es así independientemente del valor de la aceleración del oficial.

**EVALÚE SU COMPRENSIÓN DE LA SECCIÓN 2.4** Se muestran cuatro posibles gráficas  $v_x-t$  para los dos vehículos del ejemplo 2.5. ¿Cuál es la gráfica correcta?

**2.22** Fotografía con múltiples destellos de una bola de billar en caída libre.



- La velocidad media en cada intervalo de tiempo es proporcional a la distancia entre imágenes.
- Esta distancia aumenta en forma continua, por lo que la velocidad de la bola está cambiando continuamente: se está acelerando hacia abajo.



## 2.5 CUERPOS EN CAÍDA LIBRE

El ejemplo más conocido de movimiento con aceleración (casi) constante es la caída de un cuerpo bajo la influencia de la atracción gravitacional de la Tierra. Dicho movimiento ha interesado a filósofos y científicos desde la Antigüedad. En el siglo IV a. C., Aristóteles pensaba (erróneamente) que los objetos pesados caían con mayor rapidez que los ligeros, en proporción a su peso. Diecinueve siglos después, Galileo (vea la sección 1.1) afirmó que los cuerpos caían con una aceleración constante e independiente de su peso.

Los experimentos indican que, si es posible omitir el efecto del aire, Galileo está en lo cierto: todos los cuerpos en un lugar específico caen con la misma aceleración hacia abajo, independientemente de su tamaño o peso. Si, además, la distancia de caída es pequeña en comparación con el radio terrestre, y si ignoramos los pequeños efectos debidos a la rotación del planeta, la aceleración es constante. El modelo idealizado que surge de tales supuestos se denomina **caída libre**, aunque también incluye el movimiento ascendente (en el capítulo 3 ampliaremos el estudio de la caída libre para incluir el movimiento de proyectiles, los cuales se desplazan en forma tanto horizontal como vertical).

La **figura 2.22** es una fotografía de una bola que cae, tomada con una lámpara estroboscópica que produce una serie de destellos intensos cortos, en intervalos de tiempo iguales. En cada destello, se registra una imagen fotográfica de la bola en ese instante. En la figura 2.22 el aumento en las distancias entre las imágenes indica que la bola acelera hacia abajo. Una medición cuidadosa revela que el cambio de velocidad es el mismo en cada intervalo, así que la aceleración de la bola en caída libre es constante.

La aceleración constante de un cuerpo en caída libre se llama **aceleración debida a la gravedad**, y denotamos su magnitud con la letra  $g$ . Por lo regular, usaremos el valor aproximado de  $g$  en la superficie terrestre o cerca de ella:

$$g = 9.80 \text{ m/s}^2 = 980 \text{ cm/s}^2 = 32.2 \text{ ft/s}^2 \quad (\text{valor aproximado cerca de la superficie terrestre})$$

El valor exacto varía según el lugar, así que normalmente daremos el valor de  $g$  en la superficie de la Tierra, con solo dos cifras significativas, como  $9.8 \text{ m/s}^2$ . En la superficie de la Luna, la aceleración debida a la gravedad es causada por la fuerza de atracción de la Luna, no de la Tierra, y  $g = 1.6 \text{ m/s}^2$ . Cerca de la superficie del Sol,  $g = 270 \text{ m/s}^2$ .

**CUIDADO**  $g$  siempre es un número positivo Como  $g$  es la *magnitud* de un vector, siempre es un número *positivo*. Si usted considera la dirección positiva hacia arriba, como lo hacemos en la mayoría de las situaciones que implican caída libre, la aceleración es negativa (hacia abajo) e igual a  $-g$ . Tenga cuidado con el signo de  $g$ , o tendrá muchas dificultades con los problemas de caída libre. ■

En los ejemplos que siguen usaremos las ecuaciones para aceleración constante que dedujimos en la sección 2.4. Sugerimos al lector que repase las estrategias de resolución de problemas 2.1 antes de estudiar estos ejemplos.

## LOS DATOS HABLAN

### Caída libre

Cuando se les dio a los estudiantes un problema de caída libre, más del 28% dieron una respuesta incorrecta.

Errores comunes:

- Confunden rapidez, velocidad y aceleración. La rapidez nunca puede ser negativa; la velocidad puede ser positiva o negativa, dependiendo de la dirección del movimiento. En la caída libre, la rapidez y la velocidad cambian continuamente, pero la aceleración (razón de cambio de la velocidad) es constante y hacia abajo.
- No se dan cuenta de que un cuerpo en caída libre que se mueve hacia arriba con una cierta rapidez que pasa un punto, pasará el mismo punto con la misma rapidez cuando se mueva hacia abajo (vea el ejemplo 2.7).



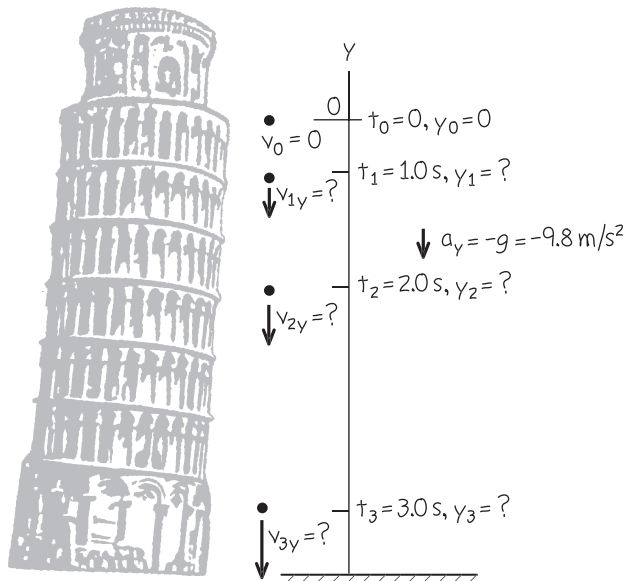
## EJEMPLO 2.6 MONEDA EN CAÍDA LIBRE

Se deja caer una moneda de un euro desde la Torre Inclinada de Pisa; la moneda cae libremente a partir del reposo. Calcule su posición y velocidad después de 1.0 s, 2.0 s y 3.0 s.

### SOLUCIÓN

**IDENTIFICAR y PLANTEAR:** “Cae libremente” significa “cae con aceleración constante debida a la gravedad”, así que podemos usar las ecuaciones para aceleración constante. El lado derecho de la

**2.23 Una moneda en caída libre a partir del reposo.**



**figura 2.23** muestra nuestro diagrama de movimiento para la moneda. El movimiento es vertical, de manera que usamos un eje de coordenadas vertical y llamaremos  $y$  a la coordenada en lugar de  $x$ . Tomaremos el origen  $O$  como el punto de partida y la dirección *hacia arriba* como positiva. La coordenada inicial  $y_0$  y la velocidad inicial  $v_{0y}$  son ambas cero. La aceleración  $y$  es hacia abajo, en la dirección negativa de  $y$ , así que  $a_y = -g = -9.8 \text{ m/s}^2$  (recuerde que, por definición,  $g$  es positiva). Nuestras incógnitas son los valores de  $y$  y  $v_y$  en los tres instantes especificados. Para obtenerlos, usamos las ecuaciones (2.12) y (2.8), sustituyendo  $x$  por  $y$ . La elección de la dirección hacia arriba como positiva significa que todas las posiciones y velocidades que calculemos serán negativas.

**EJECUTAR:** En un instante  $t$  después de que se suelta la moneda, su posición y su velocidad  $y$  son

$$y = y_0 + v_{0y}t + \frac{1}{2}a_yt^2 = 0 + 0 + \frac{1}{2}(-g)t^2 = (-4.9 \text{ m/s}^2)t^2$$

$$v_y = v_{0y} + a_yt = 0 + (-g)t = (-9.8 \text{ m/s}^2)t$$

Cuando  $t = 1.0 \text{ s}$ ,  $y = (-4.9 \text{ m/s}^2)(1.0 \text{ s})^2 = -4.9 \text{ m}$  y  $v_y = (-9.8 \text{ m/s}^2)(1.0 \text{ s}) = -9.8 \text{ m/s}$ ; después de 1 s, la moneda está 4.9 m debajo del origen ( $y$  es negativa) y tiene una velocidad hacia abajo ( $v_y$  es negativa) con magnitud de 9.8 m/s.

Las posiciones y las velocidades a los 2.0 s y 3.0 s se obtienen de la misma forma. Los resultados son  $y = -20 \text{ m}$  y  $v_y = -20 \text{ m/s}$  en  $t = 2.0 \text{ s}$ , y  $y = -44 \text{ m}$  y  $v_y = -29 \text{ m/s}$  en  $t = 3.0 \text{ s}$ .

**EVALUAR:** Todas nuestras respuestas son negativas, como se esperaba. Si hubiéramos elegido el eje  $y$  positivo apuntando hacia abajo, la aceleración habría sido  $a_y = +g$  y todas nuestras respuestas habrían sido positivas.

## EJEMPLO 2.7 MOVIMIENTO ASCENDENTE Y DESCENDENTE EN CAÍDA LIBRE

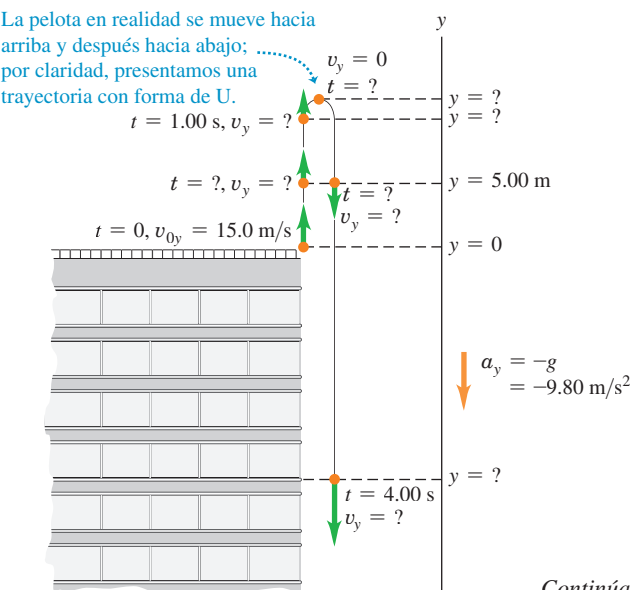


Usted lanza una pelota verticalmente hacia arriba desde el techo de un edificio alto. La pelota sale de su mano, en un punto a la altura del barandal de la azotea, con rapidez ascendente de 15.0 m/s; después, la pelota está en caída libre. Al bajar, la pelota apenas pasa el barandal. Determine *a*) la posición y velocidad de la pelota 1.00 s y 4.00 s después de soltarla; *b*) la velocidad cuando la pelota está 5.00 m sobre el barandal; *c*) la altura máxima alcanzada; y *d*) la aceleración de la pelota en su altura máxima.

### SOLUCIÓN

**IDENTIFICAR y PLANTEAR:** Las palabras “en caída libre” significan que la aceleración es constante y debida a la gravedad. Las incógnitas son la posición [en los incisos *a*) y *c*]), la velocidad [en los incisos *a*) y *b*)] y la aceleración [en el inciso *d*)]. Tomamos el origen en el punto donde la pelota sale de su mano, y la dirección positiva hacia arriba (**figura 2.24**). La posición inicial  $y_0$  es cero, la velocidad inicial  $v_{0y}$  es  $+15.0 \text{ m/s}$  y la aceleración es  $a_y = -g = -9.80 \text{ m/s}^2$ . En el inciso *a*), al igual que en el ejemplo 2.6, usaremos las ecuaciones (2.12) y (2.8) para calcular la posición y la velocidad en función del tiempo. En el inciso *b*), debemos obtener la velocidad en cierta *posición* (no en cierto tiempo), de modo que usaremos la ecuación (2.13).

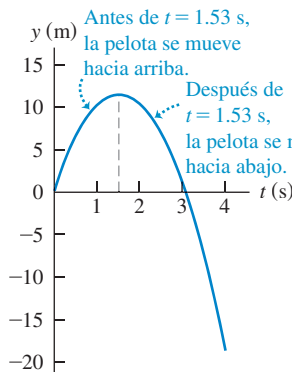
**2.24 Posición y velocidad de una pelota que se lanza verticalmente hacia arriba.**



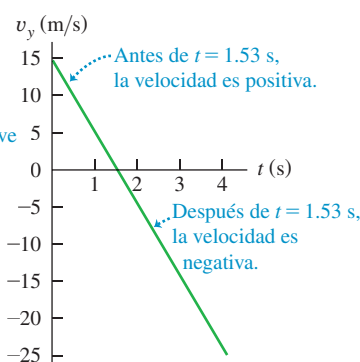
Continúa

**2.25** a) Posición y b) velocidad en función del tiempo para una pelota lanzada hacia arriba con una rapidez inicial de 15.0 m/s.

a) Gráfica  $y-t$  (la curvatura es hacia abajo porque  $a_y = -g$  es negativa)



b) Gráfica  $v_y-t$  (recta con pendiente negativa porque  $a_y = -g$  es constante y negativa)



La figura 2.25 muestra las gráficas  $y-t$  y  $v_y-t$  de la pelota. La gráfica  $y-t$  es una parábola cóncava hacia abajo que sube y luego baja, y la gráfica  $v_y-t$  es una línea recta con pendiente hacia abajo. Observe que la velocidad de la pelota es cero cuando se encuentra en su punto más alto.

**EJECUTAR:** a) La posición  $y$  y la velocidad  $v_y$  en el instante  $t$  están dadas por las ecuaciones (2.12) y (2.8), sustituyendo las  $x$  por  $y$ :

$$\begin{aligned} y &= y_0 + v_{0y}t + \frac{1}{2}a_yt^2 = y_0 + v_{0y}t + \frac{1}{2}(-g)t^2 \\ &= (0) + (15.0 \text{ m/s})t + \frac{1}{2}(-9.80 \text{ m/s}^2)t^2 \\ v_y &= v_{0y} + a_yt = v_{0y} + (-g)t \\ &= 15.0 \text{ m/s} + (-9.80 \text{ m/s}^2)t \end{aligned}$$

Cuando  $t = 1.00 \text{ s}$ , estas ecuaciones dan  $y = +10.1 \text{ m}$  y  $v_y = +5.2 \text{ m/s}$ . Es decir, la pelota está 10.1 m sobre el origen ( $y$  es positiva) y se mueve hacia arriba ( $v_y$  es positiva) con rapidez de 5.2 m/s, la cual es menor que la rapidez inicial pues la pelota frena mientras asciende. Cuando  $t = 4.00 \text{ s}$ , las ecuaciones dan  $y = -18.4 \text{ m}$  y  $v_y = -24.2 \text{ m/s}$ . La pelota pasó su punto más alto y está 18.4 m *debajo* del origen (ya que  $y$  es negativa); tiene movimiento *hacia abajo* ( $v_y$  es negativa) de magnitud 24.2 m/s. Conforme baja, la pelota gana rapidez, la ecuación (2.13) nos dice que se mueve a la rapidez inicial de 15.0 m/s cuando pasa hacia

abajo por su punto de lanzamiento y continúa ganando rapidez conforme desciende por debajo de este punto.

b) La velocidad  $v_y$  en cualquier posición  $y$  y está dada por la ecuación (2.13) sustituyendo las  $x$  por  $y$ :

$$\begin{aligned} v_y^2 &= v_{0y}^2 + 2a_y(y - y_0) = v_{0y}^2 + 2(-g)(y - 0) \\ &= (15.0 \text{ m/s})^2 + 2(-9.80 \text{ m/s}^2)y \end{aligned}$$

Con la pelota a 5.00 m sobre el origen,  $y = +5.00 \text{ m}$ , así que

$$\begin{aligned} v_y^2 &= (15.0 \text{ m/s})^2 + 2(-9.80 \text{ m/s}^2)(5.00 \text{ m}) = 127 \text{ m}^2/\text{s}^2 \\ v_y &= \pm 11.3 \text{ m/s} \end{aligned}$$

Obtenemos *dos* valores de  $v_y$ , porque la pelota pasa dos veces por el punto  $y = +5.00 \text{ m}$ , una subiendo ( $v_y$  positiva) y otra bajando ( $v_y$  negativa) (vea las figuras 2.24 y 2.25a).

c) En el instante en que la pelota llega al punto más alto  $y_1$ , su velocidad momentáneamente es cero:  $v_y = 0$ . Usamos la ecuación (2.13) para determinar  $y_1$ . Con  $v_y = 0$ ,  $y_0 = 0$  y  $a_y = -g$ , obtenemos:

$$\begin{aligned} 0 &= v_{0y}^2 + 2(-g)(y_1 - 0) \\ y_1 &= \frac{v_{0y}^2}{2g} = \frac{(15.0 \text{ m/s})^2}{2(9.80 \text{ m/s}^2)} = +11.5 \text{ m} \end{aligned}$$

d) **CUIDADO** Una idea errónea acerca de la caída libre Es un error común pensar que en el punto más alto del movimiento en caída libre, donde la velocidad es cero, la aceleración también es cero. Si fuera así, una vez que la pelota alcanza el punto más alto, ¡quedaría suspendida en el aire! Recuerde que la aceleración es la tasa de cambio de la velocidad, y la velocidad está cambiando continuamente. En todos los puntos, incluyendo el punto más alto, y para cualquier velocidad, incluyendo cero, la aceleración en caída libre siempre es  $a_y = -g = -9.80 \text{ m/s}^2$ .

**EVALUAR:** Una forma útil de verificar cualquier problema de caída libre consiste en dibujar las gráficas  $y-t$  y  $v_y-t$  como lo hicimos en la figura 2.25. Observe que éstas son gráficas de las ecuaciones (2.12) y (2.8), respectivamente. Dados los valores numéricos de la posición inicial, velocidad inicial y aceleración, se pueden elaborar fácilmente estas gráficas usando una calculadora graficadora o un programa de matemáticas en línea.

### EJEMPLO 2.8 ¿DOS SOLUCIONES O UNA?

Determine el instante en que la pelota del ejemplo 2.7, después de ser liberada, está 5.00 m por debajo del barandal.

#### SOLUCIÓN

**IDENTIFICAR y PLANTEAR:** Este problema se trata como el ejemplo 2.7, así que  $y_0$ ,  $v_{0y}$  y  $a_y = -g$  tienen los mismos valores que en ese problema. Sin embargo, en este ejemplo la incógnita es el instante en que la pelota se encuentra en  $y = -5.00 \text{ m}$ . Lo mejor es usar la ecuación (2.12), la cual nos da la posición y en función del tiempo  $t$ :

$$\begin{aligned} y &= y_0 + v_{0y}t + \frac{1}{2}a_yt^2 \\ &= y_0 + v_{0y}t + \frac{1}{2}(-g)t^2 \end{aligned}$$

Se trata de una ecuación cuadrática en  $t$ , que queremos despejar cuando  $y = -5.00 \text{ m}$ .

**EJECUTAR:** Replanteamos la ecuación de modo que tenga la forma cuadrática estándar para una  $x$  desconocida,  $Ax^2 + Bx + C = 0$ :

$$\left(\frac{1}{2}g\right)t^2 + (-v_{0y})t + (y - y_0) = At^2 + Bt + C = 0$$

Por comparación, identificamos  $A = \frac{1}{2}g$ ,  $B = -v_{0y}$  y  $C = y - y_0$ . La fórmula cuadrática (vea el apéndice B) nos indica que esta ecuación tiene *dos* soluciones:

$$\begin{aligned} t &= \frac{-B \pm \sqrt{B^2 - 4AC}}{2A} \\ &= \frac{-(-v_{0y}) \pm \sqrt{(-v_{0y})^2 - 4\left(\frac{1}{2}g\right)(y - y_0)}}{2\left(\frac{1}{2}g\right)} \\ &= \frac{v_{0y} \pm \sqrt{v_{0y}^2 - 2g(y - y_0)}}{g} \end{aligned}$$



Sustituyendo los valores  $y_0 = 0$ ,  $v_{0y} = +15.0 \text{ m/s}$ ,  $g = 9.80 \text{ m/s}^2$  y  $y = -5.00 \text{ m}$ , obtenemos

$$t = \frac{(15.0 \text{ m/s}) \pm \sqrt{(15.0 \text{ m/s})^2 - 2(9.80 \text{ m/s}^2)(-5.00 \text{ m} - 0)}}{9.80 \text{ m/s}^2}$$

Usted puede confirmar que las respuestas numéricas son  $t = +3.36 \text{ s}$  y  $t = -0.30 \text{ s}$ . La respuesta  $t = -0.30 \text{ s}$  no tiene sentido, puesto que se refiere al tiempo *antes* de soltar la pelota en  $t = 0$ . Así que la respuesta correcta es  $t = +3.36 \text{ s}$ .

**EVALUAR:** ¿Por qué obtuvimos una segunda solución ficticia? La explicación es que las ecuaciones de aceleración constante, como la ecuación (2.12), se basan en el supuesto de que la aceleración es constante para *todos* los valores de tiempo, ya sean positivos, negativos o cero. De modo que la solución  $t = -0.30 \text{ s}$  se refiere a un momento imaginario cuando una pelota en caída libre estaba 5.00 m debajo del barandal y elevándose para alcanzar su mano. Como la pelota no salió de su mano y entró en caída libre hasta  $t = 0$ , este resultado es pura ficción.

Repita estos cálculos para determinar los tiempos en que la pelota está 5.00 m *sobre* el origen ( $y = +5.00 \text{ m}$ ). Las dos respuestas son  $t = +0.38 \text{ s}$  y  $t = +2.68 \text{ s}$ ; ambos son valores positivos de  $t$  y se refieren al movimiento real de la pelota una vez soltada. El primer instante es cuando la pelota pasa por  $y = +5.00 \text{ m}$  de subida, y el segundo, cuando pasa por ahí de bajada [compare esto con el inciso b) del ejemplo 2.7 y nuevamente remítase a la figura 2.25a)].

Determine también los instantes en que  $y = +15.0 \text{ m}$ . En este caso, ambas soluciones requieren obtener la raíz cuadrada de un número negativo, así que *no* hay soluciones reales. Nuevamente la figura 2.25a indica por qué; en el inciso c) del ejemplo 2.7 vimos que la altura máxima de la pelota es  $y = +11.5 \text{ m}$ , así que  *nunca* llega a  $y = +15.0 \text{ m}$ . Aunque una ecuación cuadrática como la (2.12) siempre tiene dos soluciones, en ocasiones una o ambas soluciones carecen de sentido físico.

**EVALÚE SU COMPRENSIÓN DE LA SECCIÓN 2.5** Si usted lanza una pelota hacia arriba con cierta rapidez inicial, ésta cae libremente y alcanza una altura máxima  $h$  en un instante  $t$  después de que sale de su mano. a) Si usted avienta la pelota hacia arriba con el doble de la rapidez inicial, ¿qué nueva altura máxima alcanzará la pelota? i.  $h\sqrt{2}$ ; ii.  $2h$ ; iii.  $4h$ ; iv.  $8h$ ; v.  $16h$ . b) Si usted lanza la pelota hacia arriba con el doble de la rapidez inicial, ¿cuánto tiempo le tomará alcanzar su nueva altura máxima? i.  $t/2$ ; ii.  $t/\sqrt{2}$ ; iii.  $t$ ; iv.  $t\sqrt{2}$ ; v.  $2t$ .

## 2.6 VELOCIDAD Y POSICIÓN POR INTEGRACIÓN

Esta sección es para estudiantes que ya aprendieron algo de cálculo integral. En la sección 2.4 analizamos el caso especial de movimiento rectilíneo uniformemente acelerado. Si  $a_x$  no es constante, como sucede comúnmente, no podremos aplicar las ecuaciones que dedujimos en esa sección (figura 2.26). Pero aun si  $a_x$  varía con el tiempo, podemos usar la relación  $v_x = dx/dt$  para obtener la velocidad  $v_x$  en función del tiempo, si la posición  $x$  es una función conocida de  $t$ , y podemos usar  $a_x = dv_x/dt$  para obtener la aceleración  $a_x$  en función del tiempo si  $v_x$  es una función conocida de  $t$ .

Sin embargo, en muchas situaciones no se conocen la posición ni la velocidad en función del tiempo, pero sí la aceleración (figura 2.27). ¿Cómo obtenemos la posición y la velocidad en el movimiento rectilíneo a partir de la función de aceleración  $a_x(t)$ ?

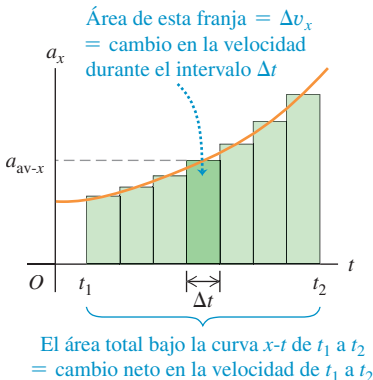
**2.26** Cuando pisamos hasta el fondo el pedal del acelerador de un automóvil, la aceleración resultante *no* es constante: cuanto mayor sea la rapidez del auto, más lentamente adquirirá rapidez adicional. Un automóvil ordinario tarda el doble en acelerar de 50 a 100 km/h que en acelerar de 0 a 50 km/h.



**2.27** El sistema de navegación inercial (INS, por *inertial navigation system*) a bordo de un avión comercial de largo alcance mantiene bajo supervisión la aceleración del avión. Los pilotos introducen la posición inicial y la velocidad antes del despegue, y el INS usa los datos de aceleración para calcular la posición y velocidad del avión durante el vuelo.



**2.28** Gráfica  $a_x-t$  para un cuerpo cuya aceleración no es constante.



La **figura 2.28** es una gráfica de aceleración contra tiempo para un cuerpo cuya aceleración no es constante. Podemos dividir el intervalo entre los tiempos  $t_1$  y  $t_2$  en muchos intervalos más pequeños, llamando  $\Delta t$  a uno representativo. Sea  $a_{\text{med-}x}$  la aceleración media durante  $\Delta t$ . Por la ecuación (2.4), el cambio de velocidad  $\Delta v_x$  durante  $\Delta t$  es

$$\Delta v_x = a_{\text{med-}x} \Delta t$$

Gráficamente,  $\Delta v_x$  es igual al área de la tira sombreada con altura  $a_{\text{med-}x}$  y ancho  $\Delta t$ , es decir, el área bajo la curva entre los lados derecho e izquierdo de  $\Delta t$ . El cambio total de velocidad en cualquier intervalo (digamos, de  $t_1$  a  $t_2$ ) es la suma de los cambios de velocidad  $\Delta v_x$  en los subintervalos pequeños. De esta manera, el cambio total de velocidad se representa gráficamente con el área *total* bajo la curva  $a_x-t$  entre las líneas verticales  $t_1$  y  $t_2$  (en la sección 2.4 demostramos que esto se cumplía para el caso especial donde la aceleración  $a_x$  es constante).

En el límite donde todos los  $\Delta t$  se hacen muy pequeños y muy numerosos, el valor de  $a_{\text{med-}x}$  para el intervalo de cualquier  $t$  a  $t + \Delta t$  se acerca a la aceleración instantánea  $a_x$  en el instante  $t$ . En este límite, el área bajo la curva  $a_x-t$  es la *integral* de  $a_x$  (que, en general, es una función de  $t$ ) de  $t_1$  a  $t_2$ . Si  $v_{1x}$  es la velocidad del cuerpo en  $t_1$ , y  $v_{2x}$  es la velocidad en  $t_2$ , entonces,

$$v_{2x} - v_{1x} = \int_{v_{1x}}^{v_{2x}} dv_x = \int_{t_1}^{t_2} a_x dt \quad (2.15)$$

El cambio en la velocidad  $v_x$  es la integral de la aceleración  $a_x$  con respecto al tiempo.

Podemos seguir exactamente el mismo procedimiento con la curva de la velocidad contra el tiempo. Si  $x_1$  es la posición de un cuerpo en  $t_1$ , y  $x_2$  es su posición en  $t_2$ , por la ecuación (2.2) el desplazamiento  $\Delta x$  en un intervalo  $\Delta t$  pequeño es  $v_{\text{med-}x} \Delta t$ , donde  $v_{\text{med-}x}$  es la velocidad media durante  $\Delta t$ . El desplazamiento total  $x_2 - x_1$  durante  $t_2 - t_1$  está dado por

$$x_2 - x_1 = \int_{x_1}^{x_2} dx = \int_{t_1}^{t_2} v_x dt \quad (2.16)$$

El cambio en la posición  $x$  (es decir, el desplazamiento) es la integral con respecto al tiempo de la velocidad  $v_x$ . Gráficamente, el desplazamiento entre  $t_1$  y  $t_2$  es el área bajo la curva  $v_x-t$  entre esos dos instantes. [Éste es el mismo resultado que obtuvimos en la sección 2.4 para el caso especial donde  $v_x$  está dada por la ecuación (2.8)].

Si  $t_1 = 0$  y  $t_2$  es cualquier instante posterior  $t$ , y si  $x_0$  y  $v_{0x}$  son la posición y la velocidad en  $t = 0$ , respectivamente, entonces reescribimos las ecuaciones (2.15) y (2.16) como:

$$\begin{aligned} &\text{Velocidad en } x \text{ de una} \\ &\text{partícula al tiempo } t \\ &v_x = v_{0x} + \int_0^t a_x dt \end{aligned} \quad \begin{aligned} &\text{Velocidad en } x \text{ de una partícula al tiempo 0} \\ &\text{Integral de la aceleración en } x \text{ de la partícula del tiempo 0 al tiempo } t \end{aligned} \quad (2.17)$$

$$\begin{aligned} &\text{Posición de una} \\ &\text{partícula al tiempo } t \\ &x = x_0 + \int_0^t v_x dt \end{aligned} \quad \begin{aligned} &\text{Posición de una partícula al tiempo 0} \\ &\text{Integral de la velocidad en } x \text{ de la partícula del tiempo 0 al tiempo } t \end{aligned} \quad (2.18)$$

Si conocemos la aceleración en  $x$ ,  $a_x$  en función del tiempo y conocemos la velocidad inicial  $v_{0x}$ , podemos usar la ecuación (2.17) para obtener la velocidad  $v_x$  en cualquier instante; en otras palabras, es posible obtener  $v_x$  en función del tiempo. Una vez conocida esta función, y dada la posición inicial  $x_0$ , podemos usar la ecuación (2.18) para calcular la posición  $x$  en cualquier instante.



## EJEMPLO 2.9 MOVIMIENTO CON ACCELERACIÓN VARIABLE

Sally conduce su Mustang 1965 por una autopista recta. En el instante  $t = 0$ , cuando avanza a 10 m/s en la dirección  $+x$ , pasa un letrero que está en  $x = 50$  m. Su aceleración en función del tiempo es:

$$a_x = 2.0 \text{ m/s}^2 - (0.10 \text{ m/s}^3)t$$

- a) Obtenga su velocidad  $v_x$  y su posición  $x$  en función del tiempo.  
b) ¿En qué momento es máxima su velocidad? c) ¿Cuál es esa velocidad máxima? d) ¿Dónde está el automóvil cuando alcanza la velocidad máxima?

### SOLUCIÓN

**IDENTIFICAR y PLANTEAR:** La aceleración en  $x$  es función del tiempo, así que *no podemos* usar las fórmulas para aceleración constante de la sección 2.4. En cambio, utilizamos la ecuación (2.17) con la finalidad de obtener una expresión para  $v_x$  en función del tiempo, y luego usamos ese resultado en la ecuación (2.18) para obtener una expresión de  $x$  en función de  $t$ . Despues, podremos contestar diversas preguntas acerca del movimiento.

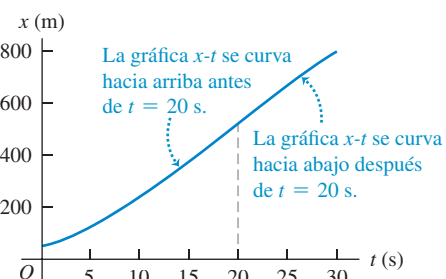
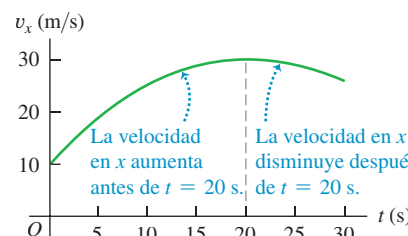
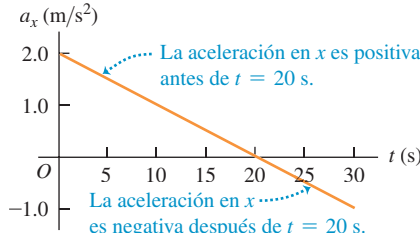
**EJECUTAR:** a) En  $t = 0$ , la posición de Sally es  $x_0 = 50$  m y su velocidad es  $v_{0x} = 10$  m/s. Para usar la ecuación (2.17), observamos que la integral de  $t^n$  (excepto para  $n = -1$ ) es  $\int t^n dt = \frac{1}{n+1}t^{n+1}$ . Así que

$$\begin{aligned} v_x &= 10 \text{ m/s} + \int_0^t [2.0 \text{ m/s}^2 - (0.10 \text{ m/s}^3)t] dt \\ &= 10 \text{ m/s} + (2.0 \text{ m/s}^2)t - \frac{1}{2}(0.10 \text{ m/s}^3)t^2 \end{aligned}$$

Luego, usamos la ecuación (2.18) para obtener  $x$  en función de  $t$ :

$$\begin{aligned} x &= 50 \text{ m} + \int_0^t [10 \text{ m/s} + (2.0 \text{ m/s}^2)t - \frac{1}{2}(0.10 \text{ m/s}^3)t^2] dt \\ &= 50 \text{ m} + (10 \text{ m/s})t + \frac{1}{2}(2.0 \text{ m/s}^2)t^2 - \frac{1}{6}(0.10 \text{ m/s}^3)t^3 \end{aligned}$$

**2.29** Posición, velocidad y aceleración del automóvil del ejemplo 2.9 en función del tiempo. ¿Puede usted demostrar que si continúa este movimiento, el automóvil se detendrá en  $t = 44.5$  s?



**EVALÚE SU COMPRENSIÓN DE LA SECCIÓN 2.6** Si la aceleración en  $x$ ,  $a_x$  de un objeto en movimiento rectilíneo se incrementa con el tiempo, la gráfica  $v_x-t$  será **i.** una línea recta, **ii.** cóncava hacia arriba (con curvatura hacia arriba) o **iii.** cóncava hacia abajo (con curvatura hacia abajo). **I**

La **figura 2.29** muestra las gráficas de  $a_x$ ,  $v_x$  y  $x$  en función del tiempo proporcionadas por las ecuaciones anteriores. Observe que, para cualquier  $t$ , la pendiente de la gráfica  $v_x-t$  es igual al valor de  $a_x$  y la pendiente de la gráfica  $x-t$  es igual al valor de  $v_x$ .

b) El valor máximo de  $v_x$  se da cuando la velocidad deja de aumentar y comienza a disminuir. En este instante,  $dv_x/dt = a_x = 0$ . De modo que igualamos con cero la expresión de  $a_x$  y despejamos  $t$ :

$$\begin{aligned} 0 &= 2.0 \text{ m/s}^2 - (0.10 \text{ m/s}^3)t \\ t &= \frac{2.0 \text{ m/s}^2}{0.10 \text{ m/s}^3} = 20 \text{ s} \end{aligned}$$

c) Obtenemos la velocidad máxima en  $x$  sustituyendo  $t = 20$  s, el tiempo del inciso b) cuando la velocidad es máxima, en la ecuación para  $v_x$  del inciso a):

$$\begin{aligned} v_{\max-x} &= 10 \text{ m/s} + (2.0 \text{ m/s}^2)(20 \text{ s}) - \frac{1}{2}(0.10 \text{ m/s}^3)(20 \text{ s})^2 \\ &= 30 \text{ m/s} \end{aligned}$$

d) Para determinar la posición del automóvil en el tiempo obtenido en el inciso b), sustituimos  $t = 20$  s en la expresión para  $x$  del inciso a):

$$\begin{aligned} x &= 50 \text{ m} + (10 \text{ m/s})(20 \text{ s}) + \frac{1}{2}(2.0 \text{ m/s}^2)(20 \text{ s})^2 \\ &\quad - \frac{1}{6}(0.10 \text{ m/s}^3)(20 \text{ s})^3 \\ &= 517 \text{ m} \end{aligned}$$

**EVALUAR:** La figura 2.29 nos ayuda a interpretar los resultados. La gráfica de la izquierda de esta figura indica que  $a_x$  es positiva entre  $t = 0$  y  $t = 20$  s, y negativa después. Es cero en  $t = 20$  s, cuando  $v_x$  es máxima (punto alto en la gráfica de en medio). El auto acelera hasta  $t = 20$  s (porque  $v_x$  y  $a_x$  tienen el mismo signo) y frena después de  $t = 20$  s (ya que  $v_x$  y  $a_x$  tienen signos opuestos).

Como  $v_x$  es máxima en  $t = 20$  s, la gráfica  $x-t$  (la gráfica de la derecha en la figura 2.29) tiene su pendiente positiva máxima en ese instante. Observe que la gráfica  $x-t$  es cóncava hacia arriba (se curva hacia arriba) entre  $t = 0$  y  $t = 20$  s, cuando  $a_x$  es positiva, y es cóncava hacia abajo (se curva hacia abajo) después de  $t = 20$  s, cuando  $a_x$  es negativa.

# CAPÍTULO 2 RESUMEN

SOLUCIONES A TODOS LOS EJEMPLOS



### Movimiento rectilíneo, velocidad media e instantánea:

Cuando una partícula se mueve en línea recta, describimos su posición con respecto al origen  $O$  mediante una coordenada como  $x$ . La velocidad media de la partícula,  $v_{\text{med-}x}$ , durante un intervalo  $\Delta t = t_2 - t_1$  es igual a su desplazamiento  $\Delta x = x_2 - x_1$  dividido entre  $\Delta t$ .

La velocidad instantánea  $v_x$  en cualquier instante  $t$  es igual a la velocidad media en el intervalo de tiempo de  $t$  a  $t + \Delta t$  en el límite donde  $\Delta t$  tiende a cero. De forma equivalente,  $v_x$  es la derivada de la posición con respecto al tiempo (vea el ejemplo 2.1).

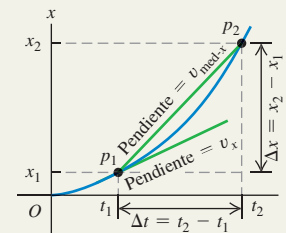
**Aceleración media e instantánea:** La aceleración media en  $x$ ,  $a_{\text{med-}x}$ , durante un intervalo  $\Delta t$  es igual al cambio de velocidad  $\Delta v_x = v_{2x} - v_{1x}$  durante ese lapso dividido entre  $\Delta t$ . La aceleración instantánea  $a_x$  es el límite de  $a_{\text{med-}x}$  cuando  $\Delta t$  tiende a cero, o la derivada de  $v_x$  con respecto a  $t$  (vea los ejemplos 2.2 y 2.3).

### Movimiento rectilíneo uniformemente acelerado:

Cuando la aceleración es constante, cuatro ecuaciones relacionan la posición  $x$  y la velocidad  $v_x$  en cualquier instante  $t$  con la posición inicial  $x_0$ , la velocidad inicial  $v_{0x}$  (ambas medidas en  $t = 0$ ) y la aceleración  $a_x$  (vea los ejemplos 2.4 y 2.5).

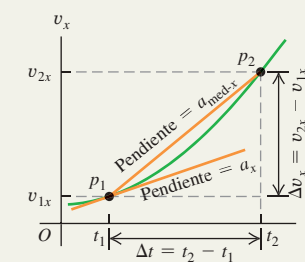
$$v_{\text{med-}x} = \frac{\Delta x}{\Delta t} = \frac{x_2 - x_1}{t_2 - t_1} \quad (2.2)$$

$$v_x = \lim_{\Delta t \rightarrow 0} \frac{\Delta x}{\Delta t} = \frac{dx}{dt} \quad (2.3)$$



$$a_{\text{med-}x} = \frac{\Delta v_x}{\Delta t} = \frac{v_{2x} - v_{1x}}{t_2 - t_1} \quad (2.4)$$

$$a_x = \lim_{\Delta t \rightarrow 0} \frac{\Delta v_x}{\Delta t} = \frac{dv_x}{dt} \quad (2.5)$$



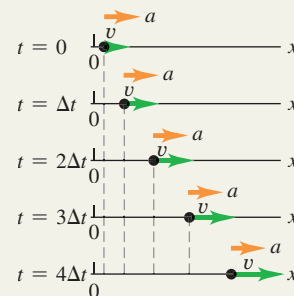
Sólo con aceleración en  $x$  constante:

$$v_x = v_{0x} + a_x t \quad (2.8)$$

$$x = x_0 + v_{0x}t + \frac{1}{2}a_x t^2 \quad (2.12)$$

$$v_x^2 = v_{0x}^2 + 2a_x(x - x_0) \quad (2.13)$$

$$x - x_0 = \frac{1}{2}(v_{0x} + v_x)t \quad (2.14)$$



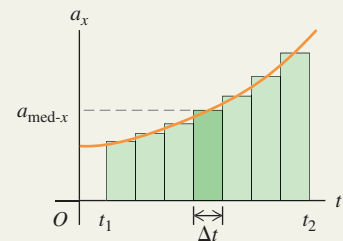
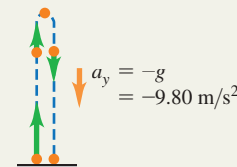
**Cuerpos en caída libre:** La caída libre es un caso especial del movimiento con aceleración constante. La magnitud de la aceleración debida a la gravedad es una cantidad positiva,  $g$ . La aceleración de un cuerpo en caída libre siempre es hacia abajo (vea los ejemplos 2.6 a 2.8).

### Movimiento rectilíneo con aceleración variable:

Cuando la aceleración no es constante, pero es una función conocida del tiempo, podemos obtener la velocidad y la posición en función del tiempo integrando la función de la aceleración (vea el ejemplo 2.9).

$$v_x = v_{0x} + \int_0^t a_x dt \quad (2.17)$$

$$x = x_0 + \int_0^t v_x dt \quad (2.18)$$





## PROBLEMA PRÁCTICO

## CAÍDA DE UN SUPERHÉROE

El superhéroe Linterna Verde se arroja de la azotea de un edificio. Cae libremente a partir del reposo, recorriendo la mitad de la distancia total hacia el suelo durante el último 1.00 s de su caída (Fig. 2.30). ¿Cuál es la altura  $h$  del edificio?

### GUÍA DE SOLUCIÓN

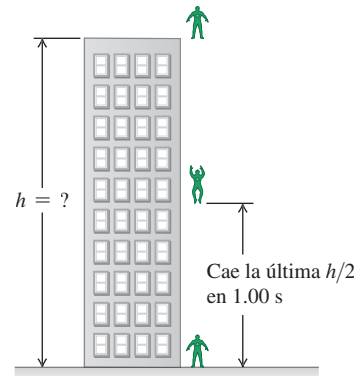
#### IDENTIFICAR y PLANTEAR

1. Se dice que Linterna Verde cae libremente a partir del reposo. ¿Qué implica esto en relación con su aceleración? ¿Y en relación con su velocidad inicial?
2. Elija la dirección del eje y positivo. Es más fácil hacer la misma elección que usamos en la sección 2.5, para objetos en caída libre.
3. Se puede dividir la caída de Linterna Verde en dos partes: de la azotea del edificio al punto medio del recorrido y del punto medio al suelo. Se sabe que la segunda parte de la caída dura 1.00 s. Identifique lo que necesita saber acerca del movimiento de Linterna Verde en el punto medio del recorrido para obtener la incógnita  $h$ . Luego elija dos ecuaciones, una para la primera parte de la caída y otra para la segunda, las cuales usará conjuntamente con la finalidad de obtener una expresión para  $h$  (hay varios pares de ecuaciones que se pueden elegir).

#### EJECUTAR

4. Use las dos ecuaciones para obtener la altura  $h$ . Observe que las alturas siempre son números positivos, de modo que su respuesta debería ser positiva.

#### 2.30 Esquema para este problema.



#### EVALUAR

5. Para verificar el resultado de  $h$ , use una de las tres ecuaciones de caída libre con la finalidad de conocer el tiempo que tarda Linterna Verde en caer **i.** de la azotea del edificio a la mitad del recorrido y **ii.** de la azotea del edificio al suelo. Si su respuesta para  $h$  es correcta, el tiempo del inciso **ii.** tiene que ser 1.00 s mayor que el tiempo del inciso **i.** Si no es así, necesita revisar y buscar los errores en el procedimiento de cálculo de  $h$ .

## Problemas

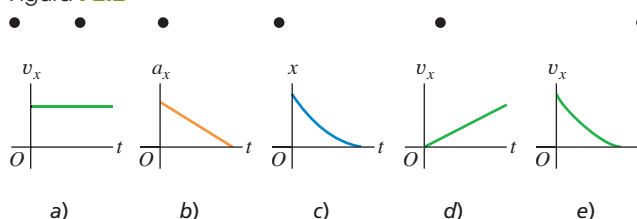
•, •, ••: Niveles de dificultad. **PA:** Problemas acumulativos que incorporan material de capítulos anteriores. **CALC:** Problemas que requieren cálculo. **DATOS:** Problemas que incluyen datos reales, evidencia científica, diseño experimental y/o razonamiento estadístico. **BIO:** Problemas de ciencias biológicas.

### PREGUNTAS PARA ANÁLISIS

**P2.1** ¿El velocímetro de un automóvil mide rapidez o velocidad? Explique su respuesta.

**P2.2** Los puntos negros en la parte superior del diagrama en la figura P2.2 representan una serie de fotografías de alta rapidez de un insecto que vuela en línea recta de izquierda a derecha (en la dirección  $+x$ ). ¿Cuál de las gráficas de la figura P2.2 es más probable que describa el movimiento del insecto?

Figura P2.2



**P2.3** ¿Un objeto con aceleración constante puede invertir la dirección en la que se mueve? ¿Puede invertirla *dos veces*? En cada caso, explique su razonamiento.

**P2.4** ¿En qué condiciones la velocidad media es igual a la velocidad instantánea?

**P2.5** Para un objeto, ¿es posible *a)* frenar mientras su aceleración incrementa en magnitud; *b)* aumentar su rapidez mientras disminuye su aceleración? En cada caso, explique su razonamiento.

**P2.6** ¿En qué condiciones la magnitud de la velocidad media es igual a la rapidez media?

**P2.7** Cuando un Dodge Viper está en el negocio de lavado de automóviles "Elwood", un BMW Z3 está en las calles Elm y Main. Luego, cuando el Dodge llega a Elm y Main, el BMW llega a "Elwood". ¿Cómo están relacionadas las velocidades de los automóviles entre estos dos instantes?

**P2.8** En el estado de Massachusetts un conductor fue citado en el tribunal por exceso de rapidez. La prueba contra el conductor era que una mujer policía observó al automóvil del conductor junto a un segundo auto en cierto momento, y la oficial ya había determinado que el segundo auto excedía el límite de rapidez. El conductor argumentó: "El otro auto me estaba rebasando, y yo no iba acelerando". El juez dictaminó contra él porque, según dijo, "si los autos estaban juntos, ambos iban a exceso de rapidez". Si usted fuera el abogado del conductor, ¿cómo defendería su caso?

**P2.9** ¿Puede usted tener desplazamiento 0 y velocidad media distinta de 0? ¿Y velocidad distinta de 0? Ilustre sus respuestas en una gráfica  $x-t$ .

**P2.10** ¿Puede usted tener aceleración 0 y velocidad distinta de 0? Explique usando una gráfica  $v_x-t$ .

**P2.11** ¿Puede usted tener velocidad cero y aceleración media distinta de cero? ¿Y velocidad cero y aceleración distinta de cero? Explique usando una gráfica  $v_x-t$  y dé un ejemplo de dicho movimiento.

**P2.12** Un automóvil viaja al oeste. ¿Puede tener una velocidad hacia el oeste y simultáneamente una aceleración hacia el este? ¿En qué circunstancias?

**P2.13** La camioneta del oficial en la figura 2.2 está en  $x_1 = 277$  m en  $t_1 = 16.0$  s, y en  $x_2 = 19$  m en  $t_2 = 25.0$  s. *a)* Dibuja dos posibles gráficas  $x$ - $t$  distintas para el movimiento de la camioneta. *b)* ¿La velocidad media  $v_{\text{med-}x}$  en el intervalo de  $t_1$  a  $t_2$  tiene el mismo valor en ambas gráficas? ¿Por qué?

**P2.14** Con aceleración constante, la velocidad media de una partícula es la mitad de la suma de sus velocidades inicial y final. ¿Se cumple esto si la aceleración *no* es constante? Explique su respuesta.

**P2.15** Usted lanza una pelota verticalmente hasta una altura máxima mucho mayor que su propia estatura. ¿La magnitud de la aceleración es mayor mientras se lanza o después de que se suelta? Explique su respuesta.

**P2.16** Demuestre estos enunciados. *a)* Si se lanza algo verticalmente hacia arriba, despreciando los efectos del aire, tendrá la misma rapidez cuando regrese al punto de lanzamiento que cuando se soltó. *b)* El tiempo de vuelo será el doble del tiempo que tarde en llegar a la altura máxima.

**P2.17** Un grifo de agua que gotea deja caer constantemente gotas cada 1.0 s. Conforme dichas gotas caen, ¿la distancia entre ellas aumenta, disminuye o permanece igual? Demuestre su respuesta.

**P2.18** Si se conocen la posición y la velocidad iniciales de un vehículo y se registra la aceleración en cada instante, con estos datos, ¿puede calcularse su posición después de cierto tiempo? Si esto es posible, explique cómo.

**P2.19** Desde la azotea de un rascacielos, usted lanza una pelota verticalmente hacia arriba con rapidez  $v_0$  y una pelota directamente hacia abajo con rapidez  $v_0$ . *a)* ¿Qué pelota tiene mayor rapidez cuando llega al suelo? *b)* ¿Cuál llega al suelo primero? *c)* ¿Cuál tiene un mayor desplazamiento cuando llega al suelo? *d)* ¿Cuál recorre la mayor distancia cuando llega al suelo?

**P2.20** Usted corre hacia el este con una velocidad constante de 3.00 m/s una distancia de 120.0 m y luego continúa corriendo hacia el este con una rapidez constante de 5.00 m/s otros 120.0 m. Para la carrera total de 240.0 m, ¿es su velocidad promedio de 4.00 m/s, mayor que 4.00 m/s o menor que 4.00 m/s? Explique su respuesta.

**P2.21** Un objeto es lanzado verticalmente hacia arriba y no encuentra resistencia del aire. ¿Cómo es posible que el objeto tenga una aceleración cuando detiene su movimiento en el punto más alto?

**P2.22** Cuando se deja caer un objeto de cierta altura, tarda el tiempo  $T$  para llegar al suelo sin resistencia del aire. Si se deja caer de una altura tres veces mayor que la original, ¿cuánto tiempo (en términos de  $T$ ) tardaría en llegar al suelo?

## EJERCICIOS

### Sección 2.1 Desplazamiento, tiempo y velocidad media

**2.1** • Un automóvil viaja en la dirección + $x$  sobre un camino recto y nivelado. En los primeros 4.00 s de su movimiento, la velocidad media del automóvil es  $v_{\text{med-}x} = 6.25$  m/s. ¿Qué distancia viaja el automóvil en 4.00 s?

**2.2** • En un experimento, se retiró a una pardela (un ave marina) de su nido, se le llevó a 5150 km de distancia y luego fue liberada. Si el origen es el nido y extendemos el eje + $x$  al punto de liberación, ¿cuál fue la velocidad media del ave en m/s *a)* en el vuelo de regreso, y *b)* desde que se retiró del nido hasta que regresó?

**2.3** • **Viaje a casa.** Suponga que usted normalmente conduce por la autopista que va de San Diego a Los Ángeles con una rapidez media de 105 km/h (65 m/h) y que el viaje le toma 1 h y 50 min. Sin embargo, un viernes por la tarde el tráfico le obliga a conducir la misma distancia con una rapidez media de sólo 70 km/h (43 mi/h). ¿Cuánto tiempo más tardará el viaje?

**2.4** • **De pilar a poste.** Partiendo de un pilar, usted corre 200 m al este (en la dirección + $x$ ) con rapidez media de 5.0 m/s, luego 280 m al oeste con rapidez media de 4.0 m/s hasta un poste. Calcule *a)* su rapidez media del pilar al poste y *b)* su velocidad media del pilar al poste.

**2.5** • Comenzando en la puerta de la casa de su rancho, usted camina 60.0 m hacia el este rumbo a su molino de viento, y luego da vuelta y camina lentamente 40.0 m hacia el oeste hasta una banca, donde se sienta y contempla la salida del sol. Cuando camina de su casa hacia el molino de viento transcurren 28.0 s y luego 36.0 s cuando camina del molino de viento hacia la banca. Considerando el recorrido total desde la puerta de su casa hasta la banca, ¿cuáles son *a)* su velocidad media y *b)* su rapidez media?

**2.6** • Un Honda Civic viaja en línea recta en carretera. Su distancia  $x$  a partir de un letrero de alto está dada en función del tiempo  $t$  por la ecuación  $x(t) = \alpha t^2 - \beta t^3$ , donde  $\alpha = 1.50$  m/s<sup>2</sup> y  $\beta = 0.0500$  m/s<sup>3</sup>. Calcule la velocidad media del automóvil para los intervalos *a)*  $t = 0$  a  $t = 2.00$  s; *b)*  $t = 0$  a  $t = 4.00$  s; *c)*  $t = 2.00$  s a  $t = 4.00$  s.

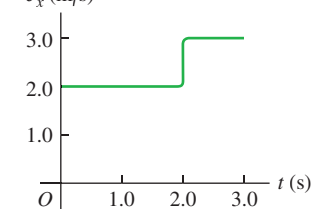
### Sección 2.2 Velocidad instantánea

**2.7** • **CALC** Un automóvil está detenido ante un semáforo. Después, viaja en línea recta y su distancia con respecto al semáforo está dada por  $x(t) = bt^2 - ct^3$ , donde  $b = 2.40$  m/s<sup>2</sup> y  $c = 0.120$  m/s<sup>3</sup>. *a)* Calcule la velocidad media del automóvil entre el intervalo  $t = 0$  a  $t = 10.0$  s. *b)* Calcule la velocidad instantánea del automóvil en  $t = 0$ ,  $t = 5.0$  s y  $t = 10.0$  s. *c)* ¿Cuánto tiempo después de que el auto arrancó vuelve a estar detenido?

**2.8** • **CALC** Un ave vuela hacia el este. Su distancia desde un rascacielos está dada por  $x(t) = 28.0$  m +  $(12.4$  m/s) $t$  −  $(0.0450$  m/s<sup>3</sup>) $t^3$ . ¿Cuál es la velocidad instantánea del ave cuando  $t = 8.00$  s?

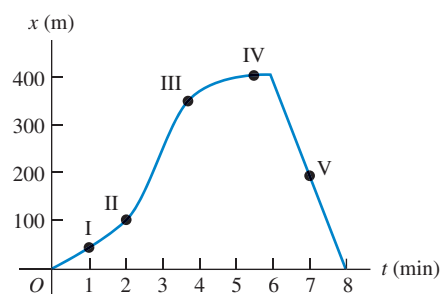
**2.9** • Una pelota se mueve en línea recta (el eje  $x$ ). En la **figura E2.9** la gráfica muestra la velocidad de esta pelota en función del tiempo. *a)* ¿Cuáles son la rapidez media y la velocidad media de la pelota durante los primeros 3.0 s? *b)* Suponga que la pelota se mueve de tal manera que el segmento de la gráfica después de 2.0 s es  $-3.0$  m/s en vez de  $+3.0$  m/s. En este caso, calcule la rapidez y la velocidad media de la pelota.

Figura E2.9



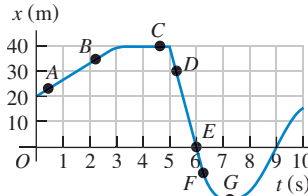
**2.10** • Un profesor de física sale de su casa y camina por la acera hacia la universidad. A los 5 min, comienza a llover y él regresa a casa. La distancia a su casa en función del tiempo se muestra en la **figura E2.10**. *a)* En cuál de los puntos indicados su velocidad es *a)* cero, *b)* constante y positiva, *c)* constante y negativa, *d)* de magnitud creciente y *e)* de magnitud decreciente?

Figura E2.10



**2.11** • Un automóvil de pruebas viaja en línea recta a lo largo del eje  $x$ . La gráfica de la figura E2.11 indica la posición  $x$  del automóvil en función del tiempo. Obtenga la velocidad instantánea en los puntos A a G.

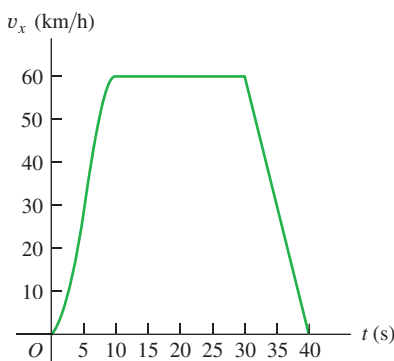
Figura E2.11



### Sección 2.3 Aceleración media e instantánea

**2.12** • La figura E2.12 es la gráfica de la velocidad de un automóvil, alimentado con energía solar, respecto del tiempo. El conductor del vehículo lo acelera, desde un letrero de alto, viaja 20 s con rapidez constante de 60 km/h y frena para detenerse 40 s después de partir del letrero. a) Calcule la aceleración media para estos intervalos: i.  $t = 0$  a  $t = 10$  s; ii.  $t = 30$  s a  $t = 40$  s; iii.  $t = 10$  s a  $t = 30$  s; iv.  $t = 0$  a  $t = 40$  s. b) ¿Cuál es la aceleración instantánea en  $t = 20$  s y en  $t = 35$  s?

Figura E2.12



**2.13** • ¡El automóvil más rápido (y más costoso)! La siguiente tabla presenta los datos de prueba del Bugatti Veyron Super Sport, el auto más rápido fabricado en la historia. El vehículo se desplaza en línea recta (en el eje  $x$ ).

Tiempo (s)	0	2.1	20.0	53
Rapidez (mi/h)	0	60	200	253

a) Elabore una gráfica  $v_x-t$  de la velocidad de este automóvil (en mi/h) en función del tiempo. ¿Su aceleración es constante? b) Calcule la aceleración media del auto (en  $\text{m/s}^2$ ) entre i. 0 y 2.1 s; ii. 2.1 s y 20.0 s; iii. 20.0 s y 53 s. ¿Estos resultados son congruentes con la gráfica del inciso a)? (Antes de decidirse a comprar este vehículo, le convendría saber que únicamente se fabricarán 300 unidades, que a su máxima rapidez se le acaba la gasolina en 12 minutos y ¡que cuesta 1.5 millones de dólares!).

**2.14** • **CALC** Un automóvil de carreras parte del reposo y viaja hacia el este en una pista recta y nivelada. Para los primeros 5.0 s del movimiento del automóvil, la componente hacia el este de la velocidad está dada por  $v_x(t) = (0.860 \text{ m/s}^3)t^2$ . ¿Cuál es la aceleración del automóvil cuando  $v_x = 12.0 \text{ m/s}$ ?

**2.15** • **CALC** Una tortuga camina en línea recta sobre lo que llamaremos eje  $x$  con la dirección positiva hacia la derecha. La ecuación de la posición de la tortuga en función del tiempo es  $x(t) = 50.0 \text{ cm} + (2.00 \text{ cm/s})t - (0.0625 \text{ cm/s}^2)t^2$ . a) Determine la velocidad inicial, posición inicial y aceleración inicial de la tortuga. b) ¿En qué instan-

te la tortuga tiene velocidad cero? c) ¿Cuánto tiempo después de ponerse en marcha regresa la tortuga al punto de partida? d) ¿En qué instantes  $t$  la tortuga está a una distancia de 10.0 cm de su punto de partida? ¿Qué velocidad (magnitud y dirección) tiene la tortuga en cada uno de esos instantes? e) Dibuje las gráficas:  $x-t$ ,  $v_x-t$  y  $a_x-t$  para el intervalo de  $t = 0$  a  $t = 40\text{s}$ .

**2.16** • Una astronauta salió de la Estación Espacial Internacional para probar un nuevo vehículo espacial. Su compañero mide los siguientes cambios de velocidad, cada uno en un intervalo de 10 s. Indique la magnitud, el signo y la dirección de la aceleración media en cada intervalo. Suponga que la dirección positiva es a la derecha. a) Al principio del intervalo, la astronauta se mueve hacia la derecha sobre el eje  $x$  a 15.0 m/s, y al final del intervalo se mueve hacia la derecha a 5.0 m/s. b) Al principio se mueve hacia la izquierda a 5.0 m/s y al final lo hace hacia la izquierda a 15.0 m/s. c) Al principio se mueve hacia la derecha a 15.0 m/s y al final lo hace hacia la izquierda a 15.0 m/s.

**2.17** • **CALC** La velocidad de un automóvil en función del tiempo está dada por  $v_x(t) = \alpha + \beta t^2$ , donde  $\alpha = 3.00 \text{ m/s}$  y  $\beta = 0.100 \text{ m/s}^3$ . a) Calcule la aceleración media entre  $t = 0$  y  $t = 5.00 \text{ s}$ . b) Calcule la aceleración instantánea en  $t = 0$  y en  $t = 5.00 \text{ s}$ . c) Dibuje las gráficas  $v_x-t$  y  $a_x-t$  para el movimiento del automóvil entre  $t = 0$  y  $t = 5.00 \text{ s}$ .

**2.18** • **CALC** La posición del parachoques (defensa) frontal de un automóvil de pruebas controlado por un microprocesador está dada por  $x(t) = 2.17 \text{ m} + (4.80 \text{ m/s}^2)t^2 - (0.100 \text{ m/s}^6)t^6$ . a) Obtenga su posición y aceleración en los instantes en que tiene velocidad cero. b) Dibuje las gráficas  $x-t$ ,  $v_x-t$  y  $a_x-t$  para el movimiento del frente del auto entre  $t = 0$  y  $t = 2.00 \text{ s}$ .

### Sección 2.4 Movimiento con aceleración constante

**2.19** • Un antílope corre con aceleración constante y cubre la distancia de 70.0 m entre dos puntos en 6.00 s. Su rapidez al pasar por el segundo punto es 15.0 m/s. a) ¿Qué rapidez tenía en el primer punto? b) ¿Qué aceleración lleva?

**2.20** • **BIO** ¿Desmayo? El piloto de un avión caza de combate quiere acelerar desde el reposo, con aceleración constante de  $5g$ , para alcanzar una rapidez Mach 3 (tres veces la rapidez del sonido) tan rápido como sea posible. Pruebas experimentales revelan que se desmayará si esta aceleración dura más de 5.0 s. Considere que la rapidez del sonido es de 331 m/s. a) ¿Durará el periodo de aceleración lo suficiente para causarle un desmayo? b) ¿Cuál es la mayor rapidez que puede alcanzar con una aceleración de  $5g$  antes de que se desmaye?

**2.21** • **Un lanzamiento rápido.** En el lanzamiento más rápido medido, una pelota de béisbol salió de la mano del pitcher con una rapidez de 45.0 m/s. Si el pitcher estuvo en contacto con la pelota una distancia de 1.50 m y produjo aceleración constante, a) ¿qué aceleración dio a la pelota, y b) ¿cuánto tiempo le tomó lanzarla?

**2.22** • **Servicio de tenis.** En el servicio de tenis más rápido medido, la pelota pierde contacto con la raqueta cuando tiene una rapidez de 73.14 m/s. En un servicio de tenis la pelota normalmente está en contacto con la raqueta 30.0 ms y está inicialmente en reposo. Suponga aceleración constante. a) ¿Cuál fue la aceleración de la pelota durante este servicio? b) ¿Qué distancia recorrió la pelota durante el servicio?

**2.23** • **BIO** **Bolsas de aire de un automóvil.** El cuerpo humano puede sobrevivir a un trauma por aceleración (parada repentina), si la magnitud de la aceleración es menor que  $250 \text{ m/s}^2$ . Si usted sufre un accidente automovilístico con rapidez inicial de 105 km/h (65 mi/h) y es detenido por una bolsa de aire que se infla desde el tablero, ¿en qué distancia debe ser detenido por la bolsa de aire para sobrevivir al percance?

**2.24 • BIO** Si un piloto acelera a más de  $4g$ , se comienza a desvanecer, pero no pierde completamente la conciencia. *a)* Suponiendo aceleración constante, ¿cuál es el instante más corto en el que el piloto, partiendo desde el reposo, puede llegar a Mach 4 (cuatro veces la rapidez del sonido) sin desvanecerse? *b)* ¿Qué tan lejos viajará el avión durante este periodo de aceleración? (Considere 331 m/s como la rapidez del sonido en el aire frío).

**2.25 • BIO Lesiones por la bolsa de aire.** Durante un accidente automovilístico, las bolsas de aire del vehículo se inflan y desaceleran a los pasajeros más suavemente que si golpearan el parabrisas o el volante directamente. Según las normas de seguridad, las bolsas producen una aceleración máxima de  $60g$  que dura solo 36 ms (o menos). ¿Qué distancia (en metros) recorre una persona antes de detenerse completamente en 36 ms con aceleración constante de  $60g$ ?

**2.26 • BIO Prevención de una fractura de cadera.** Las caídas que provocan fractura de cadera son la causa principal de daños e incluso de muerte en personas mayores. Por lo regular, la rapidez de la cadera en el impacto es de 2.0 m/s, aproximadamente. Si ésta se reduce a 1.3 m/s o menos, la cadera generalmente no se fractura. Una manera de lograr esto es usando almohadillas elásticas en la cadera. *a)* Si una almohadilla típica tiene 5.0 cm de grosor y se comprime 2.0 cm durante el impacto de una caída, ¿qué aceleración constante (en  $m/s^2$  y en  $g$ ) experimenta la cadera para reducir su rapidez de 2.0 m/s a 1.3 m/s? *b)* La aceleración que obtuvo en el inciso *a*) tal vez parezca elevada, pero para evaluar completamente sus efectos sobre la cadera, calcule cuánto tiempo dura.

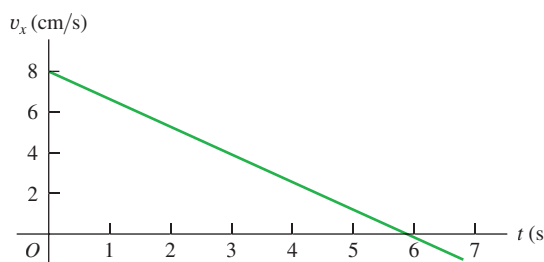
**2.27 • BIO ¿Somos marcianos?** Se ha sugerido, y no de broma, que la vida se pudo haber originado en Marte y haber llegado a la Tierra cuando un meteorito golpeó Marte y expulsó trozos de roca (que quizás contenían vida primitiva) liberándolas de la superficie. Los astrónomos saben que muchas rocas marcianas han llegado a la Tierra de esta manera (para información sobre una de éstas, busque en el sitio de Internet “ALH84001”). Una objeción a esta idea es que los microbios tendrían que haber experimentado enormes aceleraciones letales durante el impacto. Investiguemos qué tan elevada podría haber sido esta aceleración. Para escapar de Marte, los fragmentos de roca tendrían que alcanzar una velocidad de escape de 5.0 km/s, y esto sería más probable que sucediera en una distancia de 4.0 m durante el impacto. *a)* ¿Cuál sería la aceleración (en  $m/s^2$  y en  $g$ ) de este fragmento de roca, si la aceleración es constante? *b)* ¿Cuánto tiempo duraría esta aceleración? *c)* En experimentos, los científicos han encontrado que el 40% de las bacterias *Bacillus subtilis* sobreviviría después de una aceleración de  $450,000g$ . A la luz de su respuesta en el inciso *a*), ¿podemos descartar la hipótesis de que la vida podría haberse transferido de Marte a la Tierra?

**2.28 • Ingreso a la autopista.** Un automóvil está detenido en una rampa de acceso a una autopista, en espera de poder incorporarse al flujo vehicular. El conductor acelera por la rampa con aceleración constante para ingresar a la autopista. El auto parte del reposo, se desplaza en línea recta y tiene una rapidez de 20 m/s (45 mi/h) al llegar al final de la rampa que tiene 120 m de largo. *a)* ¿Qué aceleración tiene el automóvil? *b)* ¿Cuánto tiempo tarda el auto en salir de la rampa? *c)* El tráfico de la autopista circula con rapidez constante de 20 m/s. ¿Qué distancia recorre el tráfico mientras el auto se desplaza por la rampa?

**2.29 •** Durante el lanzamiento, el transbordador espacial pesa 4.5 millones de libras. Una vez lanzado, partiendo desde el reposo, tarda 8.00 s en alcanzar los 161 km/h, y al final del primer minuto, su rapidez es de 1610 km/h. *a)* ¿Cuál es la aceleración media (en  $m/s^2$ ) del transbordador *i.* durante los primeros 8.00 s, y *ii.* entre 8.00 s y el final del primer minuto? *b)* Suponiendo que la aceleración es constante durante cada intervalo (aunque no necesariamente la misma en ambos intervalos), ¿qué distancia recorre el transbordador *i.* durante los primeros 8.00 s, y *ii.* durante el intervalo de 8.00 s a 1.00 min?

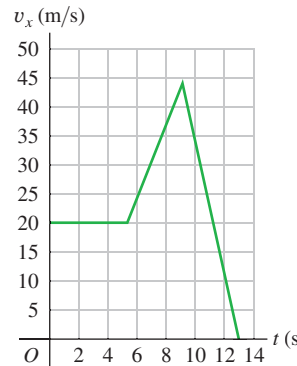
**2.30 •** Un gato camina en línea recta en lo que llamaremos eje *x* con la dirección positiva a la derecha. Usted, que es un físico observador, efectúa mediciones del movimiento del gato y elabora una gráfica de la velocidad del felino en función del tiempo (**figura E2.30**). *a)* Determine la velocidad del gato en  $t = 4.0$  s y en  $t = 7.0$  s. *b)* ¿Qué aceleración tiene el gato en  $t = 3.0$  s? ¿En  $t = 6.0$  s? ¿En  $t = 7.0$  s? *c)* ¿Qué distancia cubre el gato durante los primeros 4.5 s? ¿Entre  $t = 0$  y  $t = 7.5$  s? *d)* Dibuje gráficas claras de la aceleración del gato y su posición en función del tiempo, suponiendo que partió del origen.

Figura E2.30



**2.31 •** La gráfica de la **figura E2.31** indica la velocidad de un policía en motocicleta en función del tiempo. *a)* Calcule la aceleración instantánea en  $t = 3$  s, en  $t = 7$  s y en  $t = 11$  s. *b)* ¿Qué distancia recorre el policía en los primeros 5 s? ¿En los primeros 9 s? ¿Y en los primeros 13 s?

Figura E2.31

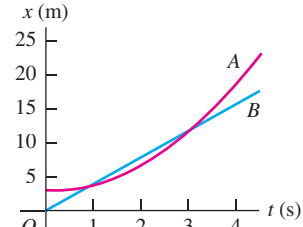


**2.32 •** Dos automóviles, *A* y *B*, se desplazan a lo largo del eje *x*. La **figura E2.32** es la gráfica de las posiciones de *A* y *B* contra el tiempo.

*a)* En diagramas de movimiento (como las figuras 2.13b y 2.14b), muestre la posición, velocidad y aceleración de cada automóvil en  $t = 0$ ,  $t = 1$  s y  $t = 3$  s. *b)* ¿En qué instante(s), si es el caso, *A* y *B* tienen la misma posición? *c)* Trace una gráfica de velocidad contra tiempo para *A* y para *B*. *d)* ¿En qué instante(s), si es el caso, *A* y *B* tienen la misma velocidad? *e)* ¿En qué instante(s), si es el caso, el automóvil *A* rebasa al auto *B*? *f)* ¿En qué instante(s), si es el caso, el automóvil *B* rebasa al *A*?

**2.33 •** Un pequeño bloque tiene una aceleración constante cuando se desliza hacia abajo sobre un plano inclinado sin fricción. El bloque se suelta a partir del reposo desde la parte superior del plano inclinado, y su rapidez después de que ha viajado 6.80 m hacia la parte inferior del plano inclinado es de 3.80 m/s. ¿Cuál es la rapidez del bloque cuando está a 340 m desde la parte superior del plano inclinado?

Figura E2.32



**2.34** • En el instante en que un semáforo se pone en luz verde, un automóvil que esperaba en el cruce arranca con aceleración constante de  $2.80 \text{ m/s}^2$ . En ese mismo instante, un camión que viaja con rapidez constante de  $20.0 \text{ m/s}$  rebasa al automóvil. *a)* ¿A qué distancia de su punto de partida el automóvil alcanza al camión? *b)* ¿Qué rapidez tiene el automóvil en ese momento? *c)* Dibuje una gráfica  $x-t$  del movimiento de ambos vehículos, tomando  $x = 0$  en el cruce. *d)* Dibuje una gráfica  $v_x-t$  del movimiento de los dos vehículos.

### Sección 2.5 Cuerpos en caída libre

**2.35** • *a)* Si una pulga puede saltar  $0.440 \text{ m}$  hacia arriba, ¿qué rapidez inicial tiene al separarse del suelo? *b)* ¿Cuánto tiempo está en el aire?

**2.36** • Una piedra pequeña se lanza verticalmente hacia arriba, con una velocidad de  $22.0 \text{ m/s}$ , del borde del techo de un edificio de  $30.0 \text{ m}$  de altura. La piedra cae sin golpear el edificio en su trayectoria hacia abajo hasta llegar a la calle. Se puede ignorar la resistencia del aire. *a)* ¿Cuál es la rapidez de la piedra justo antes de golpear la calle? *b)* ¿Cuánto tiempo transcurre desde que se lanza la roca hasta que llega a la calle?

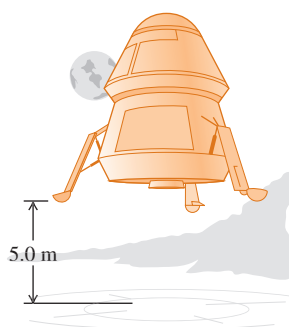
**2.37** • Un malabarista arroja un pino del juego de bolos verticalmente hacia arriba con una velocidad inicial de  $8.20 \text{ m/s}$ . ¿Cuánto tiempo transcurre hasta que el pino regresa a la mano del malabarista?

**2.38** • Usted lanza una bola de masilla verticalmente hacia el techo, el cual se encuentra a  $3.60 \text{ m}$  por encima del punto donde la masilla pierde contacto con su mano. La rapidez inicial de la masilla cuando abandona su mano es de  $9.50 \text{ m/s}$ . *a)* ¿Cuál es la rapidez de la masilla al llegar al techo? *b)* ¿Cuánto tiempo transcurre entre que la masilla pierde contacto con la mano y llega al techo?

**2.39** • Una pelota de tenis en Marte, donde la aceleración debida a la gravedad es de  $0.379g$  y la resistencia del aire es despreciable, es golpeada directamente hacia arriba y regresa al mismo nivel  $8.5 \text{ s}$  más tarde. *a)* ¿A qué altura del punto original llega la pelota? *b)* ¿Qué tan rápido se mueve exactamente después de ser golpeada? *c)* Elabore las gráficas de la posición vertical, la velocidad vertical y la aceleración vertical de la pelota en función del tiempo mientras se encuentra en el aire de Marte.

**2.40** • **Alunizaje.** Un vehículo espacial está bajando hacia la Base Lunar I (**figura E2.40**) lentamente por el retroempuje del motor de descenso. El motor se apaga cuando el vehículo está a  $5.0 \text{ m}$  sobre la superficie y tiene una velocidad descendente de  $0.8 \text{ m/s}$ . Con el motor apagado, el vehículo está en caída libre. ¿Qué rapidez tiene justo antes de tocar la superficie? La aceleración debida a la gravedad lunar es de  $1.6 \text{ m/s}^2$ .

Figura E2.40



**2.41** • **Prueba sencilla del tiempo de reacción.** Se sostiene un metro verticalmente por encima de su mano, de manera que su extremo inferior esté entre su pulgar y su índice. Al ver que sueltan el metro, usted lo detiene juntando esos dos dedos. Se puede calcular el tiempo de su reacción con base en la distancia que el metro cayó,

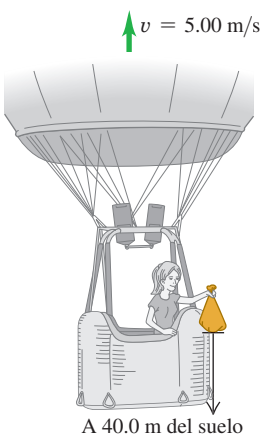
leyendo la escala en el punto donde lo tomó. *a)* Deduzca una relación para el tiempo de reacción en términos de la distancia  $d$  medida. *b)* Si la distancia medida es  $17.6 \text{ cm}$ , ¿cuál es el tiempo de reacción?

**2.42** • Se deja caer un ladrillo (rapidez inicial cero) desde la azotea de un edificio. El tabique llega al suelo en  $1.90 \text{ s}$ . Se puede despreciar la resistencia del aire, así que el ladrillo está en caída libre. *a)* ¿Qué altura (en m) tiene el edificio? *b)* ¿Qué magnitud tiene la velocidad del ladrillo al llegar al suelo? *c)* Dibuje las gráficas:  $a_y-t$ ,  $v_y-t$  y  $y-t$  para el movimiento del ladrillo.

**2.43** • **Falla en el lanzamiento.** Un cohete de  $7500 \text{ kg}$  despegó verticalmente desde la plataforma de lanzamiento con una aceleración constante hacia arriba de  $2.25 \text{ m/s}^2$  y no experimenta una considerable resistencia del aire. Cuando alcanza una altura de  $525 \text{ m}$ , sus motores fallan repentinamente y entonces la única fuerza que actúa ahora sobre él es la gravedad. *a)* ¿Cuál es la altura máxima que alcanzará este cohete desde la plataforma de lanzamiento? *b)* Después de que el motor falla, ¿cuánto tiempo pasará antes de que se estrelle contra la plataforma de lanzamiento, y qué rapidez tendrá justo antes del impacto? *c)* Dibuje las gráficas  $a_y-t$ ,  $v_y-t$  y  $y-t$  del movimiento del cohete desde el instante en que despegó hasta el instante justo antes de chocar contra la plataforma de lanzamiento.

**2.44** • El tripulante de un globo aerostático, que sube verticalmente con velocidad constante de magnitud  $5.00 \text{ m/s}$ , suelta un saco de arena cuando el globo está a  $40.0 \text{ m}$  sobre el suelo (**figura E2.44**). Después de que se suelta, el saco de arena está en caída libre. *a)* Calcule la posición y velocidad del saco a  $0.250 \text{ s}$  y  $1.00 \text{ s}$  después de soltarse. *b)* ¿Cuántos segundos tardará el saco en chocar contra el suelo después de soltarse? *c)* ¿Con qué velocidad chocará? *d)* ¿Qué altura máxima alcanza el saco en relación con el suelo? *e)* Dibuje las gráficas  $a_y-t$ ,  $v_y-t$  y  $y-t$  para el movimiento.

Figura E2.44



**2.45** • **BIO** El trineo impulsado por el cohete *Sonic Wind Núm. 2*, utilizado para investigar los efectos fisiológicos de las altas aceleraciones, corre sobre una vía recta horizontal de  $1070 \text{ m}$  (3500 ft). Desde el reposo, puede alcanzar una rapidez de  $224 \text{ m/s}$  (500 mi/h) en  $0.900 \text{ s}$ . *a)* Calcule la aceleración en  $\text{m/s}^2$ , suponiendo que es constante. *b)* ¿Cuál es la razón entre esta aceleración y la de un cuerpo en caída libre ( $g$ )? *c)* ¿Qué distancia se cubre en  $0.900 \text{ s}$ ? *d)* En una revista se aseguró que, al final de cierta prueba, la rapidez del trineo disminuyó de  $283 \text{ m/s}$  (632 mi/h) a cero en  $1.40 \text{ s}$ , y que en ese tiempo la magnitud de la aceleración fue mayor que  $40g$ . ¿Son congruentes tales cifras?

**2.46** • Se lanza un huevo casi verticalmente hacia arriba desde un punto cerca de la cornisa de un edificio alto; al bajar, apenas elude la cornisa y pasa por un punto  $30.0 \text{ m}$  abajo de su punto de partida  $5.00 \text{ s}$  después de perder contacto con la mano que lo lanzó. Desprecie la resistencia del aire. *a)* ¿Qué rapidez inicial tiene el huevo? *b)* ¿Qué altura alcanza respecto del punto de lanzamiento? *c)* ¿Qué magnitud tiene su velocidad en el punto más alto? *d)* ¿Qué magnitud y dirección tiene su aceleración en el punto más alto? *e)* Dibuje las gráficas  $a_y-t$ ,  $v_y-t$  y  $y-t$  para el movimiento del huevo.

**2.47** • En la Tierra, una roca de  $15 \text{ kg}$  se suelta desde el reposo y llega al suelo  $1.75 \text{ s}$  después. Cuando se suelta desde la misma altura en Encélado, una luna de Saturno, llega al suelo en  $18.6 \text{ s}$ . ¿Cuál es la aceleración debida a la gravedad en Encélado?

**2.48** • Un peñasco es expulsado verticalmente hacia arriba por un volcán, con una rapidez inicial de 40.0 m/s. Ignore la resistencia del aire. *a)* ¿En qué instante, después de ser expulsado, el peñasco sube a 20.0 m/s? *b)* ¿En qué instante baja a 20.0 m/s? *c)* ¿Cuándo es cero el desplazamiento con respecto a su posición inicial? *d)* ¿Cuándo es cero la velocidad del peñasco? *e)* ¿Qué magnitud y dirección tiene la aceleración cuando el peñasco está **i.** subiendo, **ii.** bajando, **iii.** en el punto más alto? *f)* Dibuje las gráficas  $a_y-t$ ,  $v_y-t$  y  $y-t$  para el movimiento.

**2.49** • Usted lanza una roca pequeña directamente hacia arriba desde el puente de una carretera que cruza un río. Cuando la roca va hacia abajo lo pasa a usted 6.00 s después de que la lanzó. ¿Cuál es la rapidez de la roca justo antes de que llegue al agua que se encuentra a 28 m del punto donde la lanzó. Desprecie la resistencia del aire.

**2.50** • **CALC** Un pequeño objeto se mueve a lo largo del eje  $x$  con aceleración  $a_x(t) = -(0.0320 \text{ m/s}^3)(15.0 \text{ s} - t)$ . En  $t = 0$  el objeto está a  $x = -14.0 \text{ m}$  y tiene velocidad  $v_{0x} = 8.00 \text{ m/s}$ . ¿Cuál es la coordenada  $x$  del objeto cuando  $t = 10.0 \text{ s}$ ?

## Sección 2.6 Velocidad y posición por integración

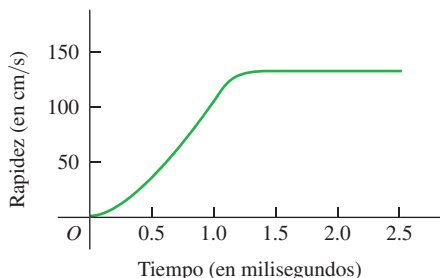
**2.51** • **CALC** Un cohete parte del reposo y se desplaza hacia arriba a partir de la superficie de la Tierra. La aceleración vertical del cohete durante los primeros 10.0 s de su movimiento está dada por  $a_y = (2.80 \text{ m/s}^3)t$ , donde la dirección  $+y$  es hacia arriba. *a)* ¿Cuál es la altura del cohete sobre la superficie de la Tierra en  $t = 10.0 \text{ s}$ ? *b)* ¿Cuál es la rapidez del cohete cuando alcanza una altura de 325 m sobre la superficie de la Tierra?

**2.52** • **CALC** La aceleración de un autobús está dada por  $a_x(t) = \alpha t$ , donde  $\alpha = 1.2 \text{ m/s}^2$ . *a)* Si la velocidad del autobús en el tiempo  $t = 1.0 \text{ s}$  es 5.0 m/s, ¿cuál será en  $t = 2.0 \text{ s}$ ? *b)* Si la posición del autobús en  $t = 1.0 \text{ s}$  es 6.0 m, ¿cuál será en  $t = 2.0 \text{ s}$ ? *c)* Dibuje las gráficas:  $a_x-t$ ,  $v_x-t$  y  $x-t$  para el movimiento.

**2.53** • **CALC** La aceleración de una motocicleta está dada por  $a_x(t) = At - Bt^2$ , donde  $A = 1.50 \text{ m/s}^3$  y  $B = 0.120 \text{ m/s}^4$ . La motocicleta está en reposo en el origen cuando  $t = 0$ . *a)* Obtenga su posición y velocidad en función de  $t$ . *b)* Calcule la velocidad máxima que alcanza.

**2.54** • **BIO Salto volador de la pulga.** La película de alta velocidad (3500 cuadros por segundo) con la que se filmó a una pulga saltarina de 210  $\mu\text{g}$  produjo los datos que se usaron para elaborar la gráfica de la **figura E2.54** (vea “The Flying Leap of the Flea”, de M. Rothschild, Y. Schlein, K. Parker, C. Neville y S. Sternberg, en *Scientific American*, noviembre de 1973). La pulga tenía una longitud aproximada de 2 mm y saltó con un ángulo de despegue casi vertical. Use la gráfica para contestar estas preguntas. *a)* La aceleración de la pulga es cero en algún momento? Si es así, ¿cuándo? Justifique su respuesta. *b)* Calcule la altura máxima que la pulga alcanzó en los primeros 2.5 ms. *c)* Determine la aceleración de la pulga a los 0.5 ms, 1.0 ms y 1.5 ms. *d)* Calcule la altura de la pulga a los 0.5 ms, 1.0 ms y 1.5 ms.

Figura E2.54



## PROBLEMAS

**2.55** • **BIO** Un velocista promedio puede mantener una aceleración máxima durante 2.0 s cuando su rapidez máxima es de 10 m/s. Después de alcanzar su rapidez máxima, su aceleración es igual a cero y entonces avanza a rapidez constante. Suponga que la aceleración es constante durante los primeros 2.0 s del recorrido, que parte del reposo y en línea recta. *a)* ¿Qué distancia ha recorrido el velocista cuando alcanza su máxima rapidez? *b)* ¿Cuál es la magnitud de su velocidad media en el recorrido de las siguientes longitudes? **i.** 50.0 m, **ii.** 100.0 m, **iii.** 200.0 m.

**2.56** • **CALC** Un vehículo lunar desciende en la superficie de la Luna. Hasta que el vehículo alcanza la superficie, su altura está dada por  $y(t) = b - ct + dt^2$ , donde  $b = 800 \text{ m}$  es la altura inicial del vehículo sobre la superficie,  $c = 60.0 \text{ m/s}$  y  $d = 1.05 \text{ m/s}^2$ . *a)* ¿Cuál es la velocidad inicial del vehículo en  $t = 0$ ? *b)* ¿Cuál es la velocidad del vehículo cuando toca la superficie lunar?

**2.57** • **Estudio de los terremotos.** Los terremotos producen varios tipos de ondas de choque. Las más conocidas son las ondas P (la inicial se deriva de *primaria* o *presión*) y las ondas S [por la inicial de secundaria o esfuerzo cortante en inglés (*shear*)]. En la corteza terrestre, las ondas P viajan a aproximadamente 6.5 km/s, en tanto que las ondas S se desplazan a unos 3.5 km/s. El tiempo de retraso, entre la llegada de estas dos clases de onda a una estación de monitoreo sísmico, indica a los geólogos a qué distancia ocurrió el terremoto. Si el tiempo de retraso es de 33 s, ¿a qué distancia de la estación sísmica sucedió el terremoto?

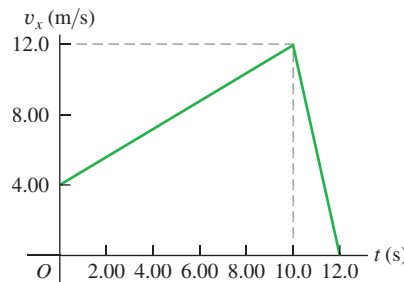
**2.58** • Se suelta un ladrillo desde la azotea de un edificio alto. Después de que ha caído por unos cuantos segundos, cae 40.0 m en un intervalo de tiempo de 1.00 s. ¿Qué distancia caerá durante el siguiente segundo? Desprecie la resistencia del aire.

**2.59** • Un cohete que lleva un satélite acelera verticalmente alejándose de la superficie terrestre. 1.15 s después del despegue, el cohete rebasa la parte superior de su plataforma de lanzamiento, que está a 63 m sobre el suelo; y después de otros 4.75 s, está a 1.00 km del suelo. Calcule la magnitud de la velocidad media del cohete en *a)* la parte de 4.75 s de su vuelo; *b)* los primeros 5.90 s de su vuelo.

**2.60** • Un tren subterráneo en reposo parte de una estación y acelera a una tasa de  $1.60 \text{ m/s}^2$  durante 14.0 s. Viaja con rapidez constante 70.0 s y frena a  $3.50 \text{ m/s}^2$  hasta detenerse en la siguiente estación. Calcule la distancia *total* recorrida.

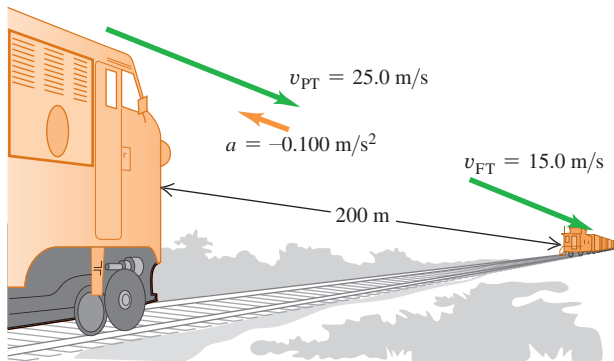
**2.61** • Una gacela corre en línea recta (el eje  $x$ ). En la **figura P2.61**, la gráfica muestra la velocidad de este animal en función del tiempo. Durante los primeros 12.0 s, obtenga *a)* la distancia total recorrida y *b)* el desplazamiento de la gacela. *c)* Dibuje una gráfica  $a_x-t$  que muestre la aceleración de la gacela en función del tiempo durante los primeros 12.0 s.

Figura P2.61



**2.62** • **Colisión.** El maquinista de un tren de pasajeros que se mueve a 25.0 m/s avista un tren de carga cuyo último vagón está 200 m más adelante en la misma vía (**figura P2.62**). El tren de carga se mueve con una rapidez de 15.0 m/s en la misma dirección que el tren de pasajeros. El maquinista del tren de pasajeros aplica de inmediato los frenos, causando una aceleración constante de  $0.100 \text{ m/s}^2$ , en dirección

Figura P2.62



opuesta a la de la velocidad del tren, mientras el tren de carga sigue con rapidez constante. Sea  $x = 0$  el punto donde está la parte frontal del tren de pasajeros cuando el maquinista aplica los frenos. a) ¿Atestiguarán las vacas de los alrededores una colisión? b) Si es así, ¿dónde ocurrirá? c) Dibuje en una sola gráfica las posiciones del frente del tren de pasajeros y la parte posterior del tren de carga.

**2.63** Una pelota parte del reposo y baja rodando una colina con aceleración uniforme, recorriendo 200 m durante el segundo lapso de 5.0 s de su movimiento. ¿Qué distancia cubrió durante el primer lapso de 5.0 s?

**2.64** Dos automóviles están separados 200 m y avanzan uno hacia el otro con una rapidez constante de 10 m/s. Sobre el frente de uno de ellos, un saltamontes lleno de energía salta hacia adelante entre los autos (¡sí que tiene patas fuertes!) con una velocidad horizontal constante de 15 m/s en relación con el suelo. El insecto salta en el instante en que cae, de manera que no pierde tiempo descansando en uno u otro auto. ¿Qué distancia total recorre el saltamontes antes de que los automóviles collisionen?

**2.65** Un automóvil y un camión parten del reposo en el mismo instante, con el automóvil a cierta distancia detrás del camión. El camión tiene aceleración constante de  $2.10 \text{ m/s}^2$ , y el automóvil una de  $3.40 \text{ m/s}^2$ . El automóvil alcanza al camión cuando éste ha recorrido 60.0 m. a) ¿Cuánto tiempo tarda el automóvil en alcanzar al camión? b) ¿Qué tan atrás del camión estaba inicialmente el automóvil? c) ¿Qué rapidez tienen los vehículos cuando avanzan juntos? d) Dibuje en una sola gráfica la posición de cada vehículo en función del tiempo. Sea  $x = 0$  la posición inicial del camión.

**2.66** Usted se encuentra en reposo en una parada de autobús. Pasa un autobús en movimiento con una rapidez constante de 5.00 m/s. Cuando la parte trasera del autobús le ha pasado 12.0 m, se da cuenta que es su autobús, así que empieza a correr hacia él con una aceleración constante de  $0.960 \text{ m/s}^2$ . ¿Cuánto tiene que correr para alcanzar la parte trasera del autobús, y qué tan rápido debe entonces correr? Un estudiante universitario promedio sería físicamente capaz de hacer esto?

**2.67** **Rebasado.** El conductor de un automóvil desea rebasar un camión que viaja a una rapidez constante de 20.0 m/s (aproximadamente 45 mi/h). Inicialmente, el automóvil también viaja a 20.0 m/s y su parachoques delantero está 24.0 m atrás del parachoques trasero del camión. El automóvil adquiere una aceleración constante de  $0.600 \text{ m/s}^2$  y regresa al carril del camión cuando su parachoques trasero está 26.0 m adelante del frente del camión. El automóvil tiene una longitud de 4.5 m, y el camión tiene una longitud de 21.0 m. a) ¿Cuánto tiempo necesita el automóvil para rebasar al camión? b) ¿Qué distancia recorre el automóvil en ese tiempo? c) ¿Qué rapidez final tiene el automóvil?

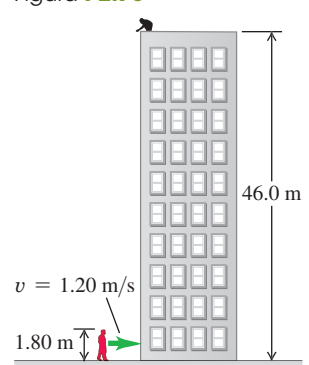
**2.68** **CALC** La velocidad medida de un objeto es  $v_x(t) = \alpha - \beta t^2$ , donde  $\alpha = 4.00 \text{ m/s}$  y  $\beta = 2.00 \text{ m/s}^3$ . En  $t = 0$ , el objeto está en  $x = 0$ . a) Calcule la posición y aceleración del objeto en función de  $t$ . b) ¿Qué desplazamiento positivo máximo tiene el objeto con respecto al origen?

**2.69** **CALC** La aceleración de una partícula está dada por  $a_x(t) = -2.00 \text{ m/s}^2 + (3.00 \text{ m/s}^3)t$ . a) Encuentre la velocidad inicial  $v_{0x}$  tal que la partícula tenga la misma coordenada  $x$  en  $t = 4.00 \text{ s}$  que en  $t = 0$ . b) ¿Cuál será la velocidad en  $t = 4.00 \text{ s}$ ?

**2.70** **Caída de un huevo.**

Figura P2.70

Imagine que está en la azotea del edificio de física, a 46.0 m del suelo (**figura P2.70**). Su profesor de la materia, quien mide 1.80 m de estatura, camina junto al edificio a una rapidez constante de 1.20 m/s. Si usted quiere dejar caer un huevo sobre la cabeza de su profesor, ¿dónde debería estar él cuando usted suelte el huevo? Suponga que el huevo está en caída libre.



**2.71** En la Tierra un volcán puede expulsar rocas verticalmente hasta una altura máxima  $H$ . a) ¿A qué altura (en términos de  $H$ ) llegarían estas rocas si un volcán en Marte las expulsara con la misma velocidad inicial? La aceleración debida a la gravedad en Marte es de  $3.71 \text{ m/s}^2$ , y se puede despreciar la resistencia del aire en ambos planetas. b) Si en la Tierra las rocas están en el aire un tiempo  $T$ , ¿por cuánto tiempo (en términos de  $T$ ) estarán en el aire en Marte?

**2.72** Un artista hace malabarismos con pelotas mientras realiza otras actividades. En un acto, arroja una pelota verticalmente hacia arriba y, mientras la pelota está en el aire, él corre de ida y vuelta hacia una mesa que está a 5.50 m de distancia a una rapidez constante de 3.00 m/s, regresando justo a tiempo para atrapar la pelota que cae. a) ¿Con qué rapidez inicial mínima debe lanzar la pelota hacia arriba para realizar dicha hazaña? b) ¿A qué altura respecto de su posición inicial está la pelota justo cuando él llega a la mesa?

**2.73** **¡Cuidado abajo!** Sam lanza, a partir del reposo, una bala de 16 lb directamente hacia arriba, imprimiéndole una aceleración constante de  $35.0 \text{ m/s}^2$  a lo largo de 64.0 cm, y soltándola a 2.20 m sobre el suelo. Ignore la resistencia del aire. a) ¿Qué rapidez tiene la bala cuando Sam la suelta? b) ¿Qué altura alcanza respecto del suelo? c) ¿Cuánto tiempo tiene Sam para retirarse del lugar antes de que la bala regrese a la altura de su cabeza, a 1.83 m sobre el suelo?

**2.74** Una maceta con flores cae del borde de una ventana y pasa frente a la ventana de abajo. Desprecie la resistencia del aire. La maceta tarda 0.380 s en pasar por esta ventana desde el borde superior hasta el inferior; la altura de la ventana es de 1.90 m. a) ¿A qué distancia debajo del punto desde el cual cayó la maceta se encuentra el borde superior de la ventana de abajo?

**2.75** Dos piedras se arrojan verticalmente hacia arriba desde el suelo; una tiene tres veces la velocidad inicial de la otra. a) Si la piedra más rápida tarda 10 s regresar al suelo, ¿cuánto tiempo le tomará regresar a la piedra más lenta? b) Si la piedra más lenta alcanza una altura máxima de  $H$ , ¿a qué altura (en términos de  $H$ ) llegará la piedra más rápida? Suponga caída libre.

**2.76** **Un cohete de varias etapas.** Al encenderse la primera etapa de un cohete de dos etapas, este empieza a moverse en la plataforma de lanzamiento con una aceleración constante de  $3.50 \text{ m/s}^2$  hacia arriba. A los 25.0 s después del lanzamiento, se enciende la segunda etapa durante 10.0 s, así que la velocidad del cohete es de  $132.5 \text{ m/s}$  hacia arriba,  $35.0 \text{ s}$  después del lanzamiento. Sin embargo, este impulso consume todo el combustible, de manera que luego de que la segunda etapa termina, la única fuerza que actúa sobre el cohete es la gravedad. Se desprecia la resistencia del aire. a) Determine la altura máxima que alcanza el cohete de dos etapas sobre la plataforma de lanzamiento. b) Una vez que termina la segunda etapa, ¿cuánto tiempo pasará antes de que el cohete caiga a la plataforma de lanzamiento? c) ¿Qué tan rápido se moverá el cohete de dos etapas justo al llegar a la plataforma?

**2.77** •• Durante su pasantía de verano en una compañía aeroespacial, usted diseñó un cohete pequeño de investigación. El cohete es lanzado a partir del reposo desde la superficie terrestre para alcanzar una altura máxima de 960 m sobre la superficie de la Tierra. Los motores de cohete le darán al cohete una aceleración hacia arriba de  $16.0 \text{ m/s}^2$  durante el tiempo  $T$  que están encendidos. Después de que se apagan los motores, el cohete está en caída libre. Desprecie la resistencia del aire. ¿Cuál debe ser el valor de  $T$  para que el cohete alcance la altura necesaria?

**2.78** •• Una profesora de física que está en reposo, efectuando una demostración al aire libre, de repente pierde el equilibrio, por lo que cae de lo alto de un acantilado y simultáneamente grita “¡Auxilio!”. Después de caer 3.0 s, escucha el eco de su grito proveniente del suelo del valle. La rapidez del sonido es de 340 m/s. a) ¿Qué altura tiene el acantilado? b) Si se desprecia la resistencia del aire, ¿con qué rapidez se estará moviendo la profesora justo antes de chocar contra el suelo? (Su rapidez real será menor que eso, debido a la resistencia del aire).

**2.79** •• Un helicóptero que lleva al doctor Malvado despegó con aceleración constante hacia arriba de  $5.0 \text{ m/s}^2$ . El agente secreto Austin Powers se sube de un salto al helicóptero justo cuando éste despegó. Los dos hombres forcejean durante 10.0 s, después de lo cual Powers apaga el motor y se lanza desde el helicóptero. Suponga que el helicóptero está en caída libre después de que se apaga el motor y que la resistencia del aire es insignificante. a) ¿Qué altura máxima, respecto del suelo, alcanza el helicóptero? b) 7.0 s después de saltar del helicóptero, Powers enciende un cohete que trae sujeto a la espalda, lo que le permite tener una aceleración total constante hacia abajo con magnitud de  $2.0 \text{ m/s}^2$ . ¿A qué distancia sobre el suelo está Powers cuando el helicóptero se estrella contra el piso?

**2.80** •• **Altura de acantilado.** Imagine que está escalando una montaña y que repentinamente se encuentra en el borde de un acantilado, envuelto en niebla. Para determinar la altura del acantilado, deja caer una piedra y 8.0 s después escucha el sonido que ésta hace al golpear el fondo del acantilado. a) Sin tomar en cuenta la resistencia del aire, ¿qué altura tiene el acantilado si la rapidez del sonido es de  $330 \text{ m/s}$ ? b) Suponga que se desprecia el tiempo que el sonido tarda en llegar a sus oídos. En ese caso, ¿habrá sobreestimado o subestimado la altura del acantilado? Explique su razonamiento.

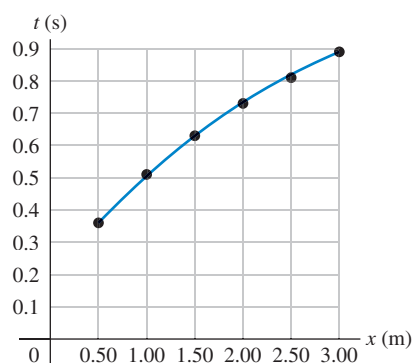
**2.81** •• **CALC** Un objeto se está moviendo a lo largo del eje  $x$ . En  $t = 0$  tiene una velocidad  $v_{0x} = 20.0 \text{ m/s}$ . Iniciando al tiempo  $t = 0$  este tiene una aceleración  $a_x = -Ct$  donde  $C$  tiene unidades de  $\text{m/s}^3$ . a) ¿Cuál es el valor de  $C$  si el objeto se para 8.00 s después de  $t = 0$ ? Para el valor de  $C$  que calculó en el inciso a) ¿qué distancia recorre el objeto durante los 8.00 s?

**2.82** •• Se lanza una pelota verticalmente hacia arriba desde el suelo con rapidez  $v_0$ . En el mismo instante, una segunda pelota (que inicialmente está en reposo) se deja caer de una altura  $H$  directamente encima del punto de lanzamiento de la primera. No hay resistencia del aire. a) Calcule el tiempo en el que chocarán las pelotas. b) Obtenga el valor de  $H$  en términos de  $v_0$  y  $g$ , de modo que, cuando choquen las pelotas, la primera esté en su punto más alto.

**2.83** •• **CALC** Dos automóviles,  $A$  y  $B$ , viajan en línea recta. La posición de  $A$  con respecto al punto de partida está dada, en función del tiempo, por  $x_A(t) = \alpha t + \beta t^2$ , con  $\alpha = 2.60 \text{ m/s}$  y  $\beta = 1.20 \text{ m/s}^2$ . La posición de  $B$  respecto del punto de partida es  $x_B(t) = \gamma t^2 - \delta t^3$ , con  $\gamma = 2.80 \text{ m/s}^2$  y  $\delta = 0.20 \text{ m/s}^3$ . a) ¿Cuál automóvil se adelanta justo después de salir del punto de partida? b) ¿En qué instante(s) los dos automóviles están en el mismo punto? c) ¿En qué instante(s) la distancia entre  $A$  y  $B$  no aumenta ni disminuye? d) ¿En qué instante(s)  $A$  y  $B$  tienen la misma aceleración?

**2.84** •• **DATOS** En su laboratorio de física usted libera un planeador pequeño a partir del reposo en diferentes puntos sobre una larga pista sin fricción que está inclinada un ángulo  $\theta$  arriba de la horizontal. Con una fotocelda electrónica, usted mide el tiempo  $t$  que le toma al planeador deslizarse una distancia  $x$  a partir del punto de liberación de la

Figura P2.84



parte inferior de la pista. En la **figura P2.84** se presentan sus mediciones, que muestran el ajuste de los datos trazados a un polinomio (cuadrático) de segundo orden. Se le pide encontrar la aceleración del planeador que se supone constante. Hay cierto error en cada medición, por lo que en lugar de usar un simple conjunto de valores  $x$  y  $t$ , puede ser más exacto usar métodos gráficos para obtener su valor medido de la aceleración a partir de la gráfica. a) ¿Puede trazar de nuevo los datos de la gráfica de tal forma que los puntos de los datos se encuentren cerca de una línea recta? (Sugerencia: Podría querer trazar  $x$  o  $t$ , o ambos, elevados a la misma potencia). b) Construya la gráfica que describió en el inciso a) y encuentre la ecuación de la recta que mejor ajusta los puntos de los datos. c) Utilice la línea recta ajustada del inciso b) para calcular la aceleración del planeador. d) El planeador se libera a una distancia  $x = 1.35 \text{ m}$  desde la parte inferior de la pista. Utilice el valor de la aceleración obtenido en el inciso c) para calcular la rapidez del planeador cuando llega a la parte inferior de la pista.

**2.85** •• **DATOS** En un experimento en un laboratorio de física, se suelta una pequeña bola de acero de diferentes alturas arriba del suelo y se mide la rapidez de la bola justo antes de que pegue en el suelo. Trazo sus datos en una gráfica que tiene la altura de liberación (en metros) sobre el eje vertical y la rapidez final al cuadrado (en  $\text{m}^2/\text{s}^2$ ) sobre el eje horizontal. En esta gráfica sus puntos de datos se encuentran cerca de una línea recta. a) Usando  $g = 9.80 \text{ m/s}^2$  y despreciando los efectos de la resistencia del aire, ¿cuál es el valor numérico de la pendiente de esta línea recta? (Incluya las unidades adecuadas). La presencia de la resistencia del aire reduce la magnitud de la aceleración hacia abajo, y el efecto de la resistencia del aire aumenta conforme aumenta la rapidez del objeto. Usted repite el experimento, pero esta vez con una pelota de tenis como el objeto que cae. La resistencia del aire tiene un gran efecto sobre los datos. b) ¿Es la rapidez final para una altura de liberación dada mayor que, menor que, o igual que cuando se desprecia la resistencia del aire? c) ¿Es aun una recta la gráfica de la altura de liberación contra el cuadrado de la rapidez final? Dibuje la forma cualitativa de la gráfica cuando está presente la resistencia del aire.

**2.86** •• **DATOS** Un carro modelo inicia a partir del reposo y viaja en una línea recta. Un teléfono celular inteligente montado sobre el carro tiene una app que transmite la magnitud de la aceleración del carro (medido por un acelerómetro) cada segundo. En la tabla se presentan los resultados:

Tiempo (s)	Aceleración $\text{m/s}^2$
0	5.95
1.00	5.52
2.00	5.08
3.00	4.55
4.00	3.96
5.00	3.40

Cada valor medido tiene cierto error experimental. *a)* Trace la aceleración contra el tiempo y encuentre la ecuación para la línea recta que da el mejor ajuste de los datos. *b)* Utilice la ecuación para  $a(t)$  que encontró en el inciso *a*) y determine  $v(t)$ , la rapidez del carro como una función del tiempo. Dibuje la gráfica de  $v$  contra  $t$ . ¿Es una línea recta esta gráfica? *c)* Utilice sus resultados del inciso *c*) para calcular la rapidez del carro en  $t = 5.00$  s. *d)* Calcule la distancia que viaja el carro entre  $t = 0$  y  $t = 5.00$  s.

## PROBLEMAS DE DESAFÍO

**2.87** En el salto vertical, un atleta se agazapa y salta hacia arriba tratando de alcanzar la mayor altura posible. Ni siquiera los campeones mundiales pasan mucho más de 1.00 s en el aire (“tiempo en suspensión”). Trate al atleta como partícula y sea  $y_{\text{máx}}$  su altura máxima con respecto al suelo. Para explicar por qué parece estar suspendido en el aire, calcule la razón entre el tiempo que está sobre  $y_{\text{máx}}/2$  y el tiempo que tarda en llegar del suelo a esa altura. Desprecie la resistencia del aire.

**2.88** Tomar el autobús. Una estudiante corre a más no poder para alcanzar su autobús, que está detenido en la parada, con una rapidez de 5.0 m/s. Cuando ella está aún a 40.0 m del autobús, éste se pone en marcha con aceleración constante de 0.170 m/s<sup>2</sup>. *a)* Durante qué tiempo y qué distancia debe correr la estudiante a 5.0 m/s para alcanzar al autobús? *b)* Cuando lo hace, ¿qué rapidez tiene el autobús? *c)* Dibuje una gráfica  $x-t$  para el estudiante y para el autobús, donde  $x = 0$  sea la posición inicial de la estudiante. *d)* Las ecuaciones que usó en el inciso *a*) para calcular  $t$  tienen una segunda solución, que corresponde a un instante posterior en que el estudiante y el autobús están otra vez en el mismo lugar, si continúan sus respectivos desplazamientos. Explique el significado de esta otra solución. ¿Qué rapidez tiene el autobús en ese punto? *e)* Si la rapidez del estudiante fuera de 3.5 m/s, ¿alcanzaría al autobús? *f)* ¿Qué rapidez mínima requiere la estudiante para apenas alcanzar al autobús? ¿Durante qué tiempo y qué distancia deberá correr en tal caso?

**2.89** Se lanza una pelota hacia arriba desde el borde de una azotea. Una segunda pelota se deja caer desde la azotea 1.00 s después. Desprecie la resistencia del aire. *a)* Si la altura del edificio es de 20.0 m, ¿cuál debe ser la rapidez inicial de la primera pelota para que ambas lleguen al suelo al mismo tiempo? En una sola gráfica dibuje la posición de cada pelota en función del tiempo, a partir del instante en que se lanzó la primera. Considere la misma situación, sólo que ahora la rapidez inicial  $v_0$  de la primera pelota es un dato, y la altura  $h$  del edificio es la incógnita. *b)* ¿Qué altura deberá tener el edificio para que las dos pelotas lleguen al suelo al mismo tiempo, si  $v_0$  es **i.** de 6.0 m/s y **ii.** de 9.5 m/s? *c)* Si  $v_0$  es mayor que cierto valor  $v_{\text{máx}}$ , no existe una  $h$  tal que permita que ambas pelotas lleguen al suelo simultáneamente. Obtenga  $v_{\text{máx}}$  cuyo valor tiene una interpretación física sencilla. ¿Cuál es? *d)* Si  $v_0$  es menor que cierto valor  $v_{\text{mín}}$ , no existe una  $h$  tal que permita que ambas pelotas lleguen al piso al mismo tiempo. Obtenga  $v_{\text{mín}}$  cuyo valor también tiene una interpretación física sencilla. ¿Cuál es?

## PROBLEMAS DE TRANSICIÓN

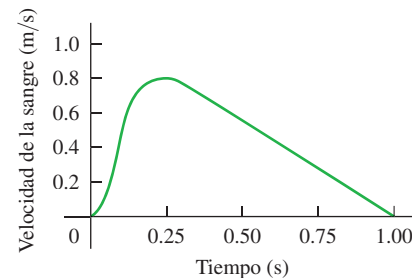
**BIO FLUJO SANGUÍNEO EN EL CORAZÓN.** El sistema circulatorio humano es cerrado, es decir, la sangre bombeada por el ventrículo izquierdo del corazón a las arterias está restringida por una serie de ramificaciones continuas de vasos que pasan a través de los capilares y luego a las venas de regreso al corazón. La sangre en cada una de las cuatro cámaras del corazón alcanza brevemente el reposo antes de ser expulsado por la contracción del músculo del corazón.

**2.90** Si la contracción del ventrículo izquierdo dura 250 m/s y la velocidad del flujo de sangre en la aorta (la gran arteria que sale del corazón) es de 0.80 m/s al final de la contracción, cuál es la aceleración media de un glóbulo rojo cuando sale del corazón? *a)* 310 m/s<sup>2</sup>; *b)* 31 m/s<sup>2</sup>; *c)* 3.2 m/s<sup>2</sup>; *d)* 0.32 m/s<sup>2</sup>.

**2.91** Si la aorta (diámetro  $d_a$ ) se ramifica en dos arterias igual tamaño con un área combinada igual a la de la aorta, ¿cuál es el diámetro de una de las ramas? *a)*  $\sqrt{d_a}$ ; *b)*  $d_a/\sqrt{2}$ ; *c)*  $2d_a$ ; *d)*  $d_a/2$

**2.92** La velocidad de la sangre en la aorta se puede medir directamente con técnicas de ultrasonido. Una gráfica típica de velocidad contra tiempo en un solo latido del corazón se muestra en la figura P2.92. ¿Cuál enunciado es la mejor interpretación de esta gráfica? *a)* El flujo de sangre cambia de dirección en aproximadamente 0.25 s; *b)* la rapidez del flujo sanguíneo cambia de dirección en unos 0.10 s; *c)* la aceleración de la sangre es de magnitud mayor en aproximadamente 0.25 s; *d)* la aceleración de la sangre es de magnitud mayor en unos 0.10 s.

Figura P2.92



## Respuestas

### Pregunta de inicio del capítulo ?

iii. Aceleración se refiere a *cualquier* cambio de velocidad, ya sea que aumente o disminuya.

### Respuesta a las secciones

#### Evalúe su comprensión

**2.1 a): iv., i. y iii. (vinculados), v., ii.; b): i. y iii.; c): v.** En *a*), la velocidad media es  $v_{\text{med-}x} = \Delta x/\Delta t$ . Para los cinco viajes,  $\Delta t = 1$  h. Para los viajes individuales, tenemos **i**.  $\Delta x = +50$  km,  $v_{\text{med-}x} = +50$  km/h; **ii**.  $\Delta x = -50$  km,  $v_{\text{med-}x} = -50$  km/h; **iii**.  $\Delta x = 60$  km – 10 km = +50 km,  $v_{\text{med-}x} = +50$  km/h; **iv**.  $\Delta x = +70$  km,  $v_{\text{med-}x} = +70$  km/h; **v**.  $\Delta x = -20$  km + 20 km = 0,  $v_{\text{med-}x} = 0$ . En *b*) ambos tienen  $v_{\text{med-}x} = +50$  km/h.

**2.2 a) P, Q y S (vinculados), R** La velocidad es *b*) positiva cuando la pendiente de la gráfica  $x$ - $t$  es positiva (**punto P**), *c*) negativa cuando la pendiente es negativa (**punto R**), y *d*) cero cuando la pendiente es cero (**puntos Q y S**). **e) R, P, Q y S (vinculados)** La rapidez es máxima cuando la pendiente de la gráfica  $x$ - $t$  es más pronunciada (ya sea positiva o negativa), y cero cuando la pendiente es cero.

**2.3 a) S**, donde la gráfica  $x$ - $t$  se curva (es cóncava) hacia arriba. **b) Q**, donde la gráfica  $x$ - $t$  se curva (es cóncava) hacia abajo. **c) P y R**, donde la gráfica  $x$ - $t$  es una línea recta (no se curva hacia arriba ni hacia abajo). **d) En P,  $a_x = 0$  (la velocidad **no cambia**); en Q,  $a_x < 0$  (la velocidad **disminuye**, es decir, cambia de positiva a cero y de**

cero a negativa); en R,  $a_x = 0$  (la velocidad **no cambia**); y en S,  $a_x > 0$  (la velocidad **aumenta**, es decir, cambia de negativa a cero y de cero a positiva).

**2.4 b)** La aceleración del oficial de policía es constante, de manera que su gráfica  $v_x$ - $t$  es una recta y su motocicleta se desplaza más rápido que el automóvil del conductor, cuando ambos vehículos se encuentran en  $t = 10$  s.

**2.5 a) iii.** Use la ecuación (2.13) sustituyendo  $x$  por  $y$  y  $a_y = -g$ ;  $v_y^2 = v_{0y}^2 - 2g(y - y_0)$ . La altura inicial es  $y_0 = 0$  y la velocidad a la altura máxima  $y = h$  es  $v_y = 0$ , así que  $0 = v_{0y}^2 - 2gh$  y  $h = v_{0y}^2/2g$ . Si la velocidad inicial aumenta en un factor de 2, la altura máxima aumentará en un factor de  $2^2 = 4$  y la pelota alcanzará la altura  $4h$ . **b) v.** Utilice la ecuación (2.8) reemplazando  $x$  por  $y$  y  $a_y = -g$ ;  $v_y = v_{0y} - gt$ . La velocidad y en la altura máxima es  $v_y = 0$ , así que  $0 = v_{0y} - gt$  y  $t = v_{0y}/g$ . Si la velocidad inicial se incrementa en un factor de 2, el tiempo para llegar a la altura máxima se incrementa en un factor de 2 y se vuelve  $2t$ .

**2.6 ii.** La aceleración  $a_x$  es igual a la pendiente de la gráfica  $v_x$ - $t$ . Si  $a_x$  aumenta, la pendiente de la gráfica  $v_x$ - $t$  también se incrementa y la curva es cóncava hacia arriba.

### Problema práctico

$$h = 57.1\text{m}$$



Si un ciclista está recorriendo una curva con una rapidez constante, ¿él está acelerando? Si es así, ¿cuál es la dirección de su aceleración? **i.** no; **ii.** sí, en la dirección de su movimiento; **iii.** sí, hacia dentro de la curva; **iv.** sí, hacia fuera de la curva; **v.** sí, pero en alguna otra dirección.

# 3 MOVIMIENTO EN DOS O EN TRES DIMENSIONES

## OBJETIVOS DE APRENDIZAJE

Al estudiar este capítulo, usted aprenderá:

- 3.1** Cómo representar la posición y la velocidad de una partícula, usando vectores, en dos o tres dimensiones.
- 3.2** Cómo determinar el vector aceleración de una partícula, y por qué una partícula puede tener una aceleración aun cuando su rapidez sea constante, y cómo interpretar las componentes de la aceleración de una partícula paralela y perpendicular a su trayectoria.
- 3.3** Cómo resolver problemas que implican la trayectoria curva que sigue un proyectil.
- 3.4** Cómo analizar el movimiento en una trayectoria circular, ya sea con rapidez constante o rapidez variable.
- 3.5** Cómo relacionar la velocidad de un cuerpo en movimiento visto desde dos marcos de referencia distintos.

Repase lo estudiado en la sección ...

- 2.1** Velocidad media en  $x$ .
- 2.2** Velocidad instantánea en  $x$ .
- 2.3** Aceleración media e instantánea en  $x$ .
- 2.4** Movimiento rectilíneo con aceleración constante.
- 2.5** El movimiento de cuerpos en caída libre.



¿Qué determina dónde cae una pelota de béisbol bateada? ¿Cómo se describe el movimiento de un carro de la montaña rusa en una curva, o el vuelo de un halcón que describe círculos? ¿Cuál golpea el suelo primero: una pelota de béisbol que simplemente se deja caer o una que se lanza horizontalmente?

No podemos contestar estas preguntas usando las técnicas del capítulo 2, donde se consideró que las partículas se movían sólo en línea recta. En lugar de ello, es necesario ampliar nuestras descripciones del movimiento a situaciones en dos y en tres dimensiones. Seguiremos empleando las cantidades vectoriales de desplazamiento, velocidad y aceleración; sin embargo, ahora no estarán a lo largo de una sola línea. Veremos que muchas clases de movimientos importantes se dan sólo en dos dimensiones, es decir, en un *plano*.

También necesitamos considerar cómo describen el movimiento de una partícula observadores diferentes que se mueven unos con respecto a otros. El concepto de *velocidad relativa* desempeñará un papel importante más adelante en este libro, cuando exploremos los fenómenos electromagnéticos y cuando presentemos la teoría especial de la relatividad de Einstein.

En este capítulo se conjunta el lenguaje de vectores que vimos en el capítulo 1 con el lenguaje de la cinemática del capítulo 2. Como antes, nos interesa describir el movimiento, no analizar sus causas. No obstante, el lenguaje que aprenderemos aquí será una herramienta esencial en capítulos posteriores, al estudiar la relación entre fuerza y movimiento.

## 3.1 VECTORES DE POSICIÓN Y VELOCIDAD

Veamos primero cómo describir el movimiento de una partícula en el espacio. Si la partícula está en el punto  $P$  en cierto instante, el **vector de posición**  $\vec{r}$  de la partícula en ese instante es un vector que va del origen del sistema de coordenadas al punto  $P$  (**figura 3.1** en la página siguiente). Las coordenadas cartesianas  $x$ ,  $y$  y  $z$  de  $P$  son las componentes  $x$ ,  $y$  y  $z$  del vector  $\vec{r}$ . Usando los vectores unitarios que presentamos en la sección 1.9, escribimos

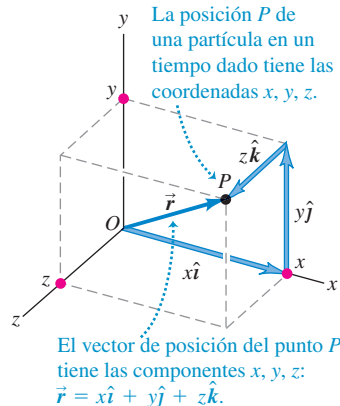
Vector de posición de  
una partícula en un instante dado .....  $\vec{r} = x\hat{x} + y\hat{y} + z\hat{z}$

Vectores unitarios en las direcciones  $x$ ,  $y$ ,  $y$   $z$

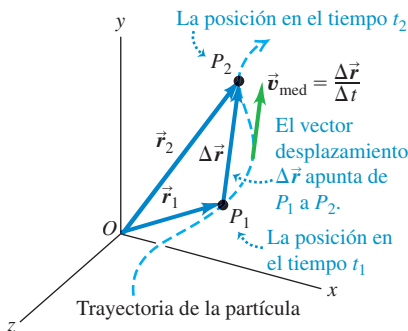
Coordenadas de la  
posición de la partícula

(3.1)

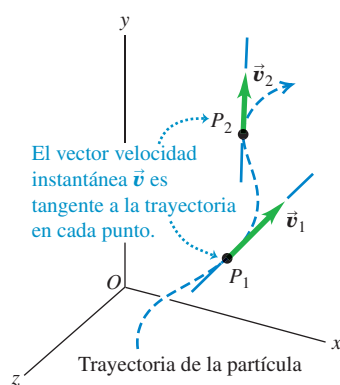
**3.1** El vector de posición  $\vec{r}$  del origen  $O$  al punto  $P$  tiene componentes  $x, y$  y  $z$ .



**3.2** La velocidad media  $\vec{v}_{\text{med}}$  entre los puntos  $P_1$  y  $P_2$  tiene la misma dirección que el desplazamiento  $\Delta\vec{r}$ .



**3.3** Los vectores  $\vec{v}_1$  y  $\vec{v}_2$  son las velocidades instantáneas en los puntos  $P_1$  y  $P_2$ , como se muestra en la figura 3.2.



Durante un intervalo de tiempo  $\Delta t$ , la partícula se mueve de  $P_1$ , donde su vector de posición es  $\vec{r}_1$ , a  $P_2$ , donde su vector de posición es  $\vec{r}_2$ . El cambio de posición (el desplazamiento) durante este intervalo es  $\Delta\vec{r} = \vec{r}_2 - \vec{r}_1 = (x_2 - x_1)\hat{i} + (y_2 - y_1)\hat{j} + (z_2 - z_1)\hat{k}$ . Definimos la **velocidad media**  $\vec{v}_{\text{med}}$  durante este intervalo igual que en el capítulo 2 para movimiento rectilíneo, como el desplazamiento dividido entre el intervalo de tiempo (**figura 3.2**):

Cambio en el vector de posición de la partícula

**Vector velocidad media de una partícula durante el intervalo de tiempo  $t_1$  a  $t_2$ :**

$$\vec{v}_{\text{med}} = \frac{\Delta\vec{r}}{\Delta t} = \frac{\vec{r}_2 - \vec{r}_1}{t_2 - t_1}$$

Intervalo de tiempo      Tiempo final menos tiempo inicial

Posición final menos posición inicial

Dividir un vector entre un escalar es en realidad un caso especial de *multiplicación* de un vector por un escalar, descrito en la sección 1.7; la velocidad media  $\vec{v}_{\text{med}}$  es igual al vector desplazamiento  $\Delta\vec{r}$  multiplicado por  $1/\Delta t$ . Observe que la componente  $x$  de la ecuación (3.2) es  $v_{\text{med},x} = (x_2 - x_1)/(t_2 - t_1) = \Delta x/\Delta t$ . Ésta es precisamente la ecuación (2.2), la expresión para la velocidad media en  $x$  que dedujimos en la sección 2.1 para el movimiento unidimensional.

Aquí definimos la **velocidad instantánea** igual que en el capítulo 2: como la tasa instantánea de cambio de posición con el tiempo. La diferencia clave es que tanto la posición  $\vec{r}$  como la velocidad instantánea  $\vec{v}$  ahora son los vectores:

El vector velocidad instantánea de una partícula ...

$$\vec{v} = \lim_{\Delta t \rightarrow 0} \frac{\Delta\vec{r}}{\Delta t} = \frac{d\vec{r}}{dt}$$

... es igual al límite de su velocidad media cuando el intervalo de tiempo se aproxima a cero ...

... y es igual a la razón de cambio instantánea de su vector de posición.

La *magnitud* del vector  $\vec{v}$  en cualquier instante es la *rapidez*  $v$  de la partícula en ese instante. La *dirección* de  $\vec{v}$  en cualquier instante es la dirección en que la partícula se mueve en ese instante.

Observe que conforme  $\Delta t \rightarrow 0$ , los puntos  $P_1$  y  $P_2$  de la figura 3.2 se acercan cada vez más. En el límite, el vector  $\Delta\vec{r}$  se vuelve tangente a la trayectoria. La dirección de  $\Delta\vec{r}$  en este límite también es la dirección de  $\vec{v}$ . Entonces, *en cualquier punto de la trayectoria, el vector velocidad instantánea es tangente a la trayectoria en ese punto* (**figura 3.3**).

A menudo es más sencillo calcular el vector velocidad instantánea empleando componentes. Durante cualquier desplazamiento  $\Delta\vec{r}$ , los cambios  $\Delta x$ ,  $\Delta y$  y  $\Delta z$  en las tres coordenadas de la partícula son las *componentes* de  $\Delta\vec{r}$ . Por lo tanto, las componentes  $v_x$ ,  $v_y$  y  $v_z$  de la velocidad instantánea  $\vec{v} = v_x\hat{i} + v_y\hat{j} + v_z\hat{k}$  son simplemente las derivadas con respecto al tiempo de las coordenadas  $x$ ,  $y$  y  $z$ :

Cada componente del vector velocidad instantánea de una partícula ...

$$v_x = \frac{dx}{dt}, \quad v_y = \frac{dy}{dt}, \quad v_z = \frac{dz}{dt}$$

... es igual a la razón de cambio instantánea de su coordenada correspondiente.

La componente  $x$  de  $\vec{v}$  es  $v_x = dx/dt$ , que es la ecuación (2.3) que obtuvimos para movimiento rectilíneo en la sección 2.2. De manera que la ecuación (3.4) es una ampliación directa de la idea de velocidad instantánea para el movimiento en tres dimensiones.

También podemos obtener la ecuación (3.4) derivando la ecuación (3.1). Los vectores unitarios  $\hat{i}$ ,  $\hat{j}$  y  $\hat{k}$  no dependen del tiempo, de modo que sus derivadas son iguales a cero; entonces,

$$\vec{v} = \frac{d\vec{r}}{dt} = \frac{dx}{dt}\hat{i} + \frac{dy}{dt}\hat{j} + \frac{dz}{dt}\hat{k} \quad (3.5)$$

Esto muestra otra vez que las componentes de  $\vec{v}$  son  $dx/dt$ ,  $dy/dt$  y  $dz/dt$ .

La magnitud del vector velocidad instantánea  $\vec{v}$ , es decir, la rapidez, se obtiene en términos de las componentes  $v_x$ ,  $v_y$  y  $v_z$  aplicando el teorema de Pitágoras:

$$|\vec{v}| = v = \sqrt{v_x^2 + v_y^2 + v_z^2} \quad (3.6)$$

La figura 3.4 muestra la situación cuando la partícula se mueve en el plano  $xy$ . En este caso,  $z$  y  $v_z$  son iguales a cero, y la rapidez (la magnitud de  $\vec{v}$ ) es

$$v = \sqrt{v_x^2 + v_y^2}$$

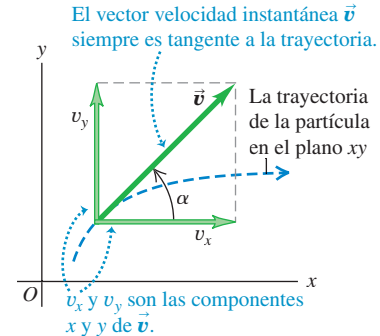
y la dirección de la velocidad instantánea  $\vec{v}$  está dada por el ángulo  $\alpha$  (la letra griega alfa) de la figura. Vemos que

$$\tan \alpha = \frac{v_y}{v_x} \quad (3.7)$$

(Se utiliza  $\alpha$  para la dirección del vector velocidad instantánea con la finalidad de evitar confusiones con la dirección  $\theta$  del vector de posición de la partícula).

De ahora en adelante, al usar el término “velocidad”, siempre nos referiremos al vector velocidad *instantánea*  $\vec{v}$  (no al vector velocidad media). Por lo regular, ni siquiera nos molestaríamos en llamar vector a  $\vec{v}$ ; el lector debe recordar que la velocidad es una cantidad vectorial con magnitud y dirección.

**3.4** Las dos componentes de velocidad para movimiento en el plano  $xy$ .



### EJEMPLO 3.1 CÁLCULO DE LAS VELOCIDADES MEDIA E INSTANTÁNEA

Un vehículo robot está explorando la superficie de Marte. El módulo de descenso estacionario es el origen de las coordenadas; y la superficie marciana circundante está en el plano  $xy$ . El vehículo, que representamos como un punto, tiene coordenadas  $x$  y  $y$  que varían con el tiempo:

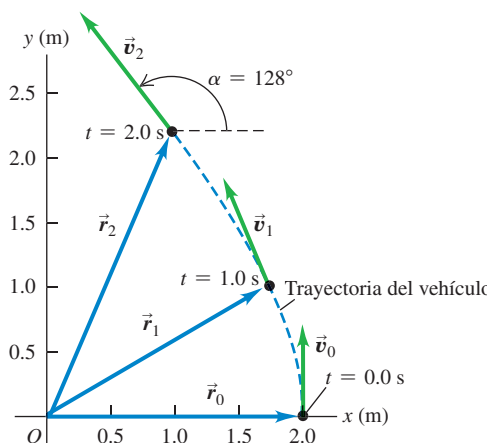
$$\begin{aligned} x &= 2.0 \text{ m} - (0.25 \text{ m/s}^2)t^2 \\ y &= (1.0 \text{ m/s})t + (0.025 \text{ m/s}^3)t^3 \end{aligned}$$

a) Determine las coordenadas del vehículo y su distancia con respecto al módulo en  $t = 2.0$  s. b) Calcule los vectores desplazamiento y velocidad media del vehículo entre  $t = 0.0$  s y  $t = 2.0$  s. c) Deduzca una expresión general para el vector velocidad instantánea  $\vec{v}$  del vehículo. Exprese  $\vec{v}$  en  $t = 2.0$  s en forma de componentes y en términos de magnitud y dirección.

#### SOLUCIÓN

**IDENTIFICAR y PLANTEAR:** Este problema implica movimiento en dos dimensiones, por lo que debemos usar las ecuaciones vectoriales obtenidas en esta sección. En la figura 3.5 se muestra la trayectoria del vehículo (línea punteada). Usaremos la ecuación (3.1) para la posición  $\vec{r}$ , la expresión  $\Delta\vec{r} = \vec{r}_2 - \vec{r}_1$  para el desplazamiento, la ecuación (3.2) para la velocidad media y las ecuaciones (3.5), (3.6) y (3.7) para la velocidad instantánea y su dirección y magnitud.

**3.5** En  $t = 0.0$  s el vehículo tiene el vector de posición  $\vec{r}_0$ , y el vector velocidad instantánea es  $\vec{v}_0$ . Asimismo,  $\vec{r}_1$  y  $\vec{v}_1$ , son los vectores en  $t = 1.0$  s;  $\vec{r}_2$  y  $\vec{v}_2$  son los vectores en  $t = 2.0$  s.



**EJECUTAR:** a) En el instante  $t = 2.0$  s las coordenadas del vehículo son

$$\begin{aligned} x &= 2.0 \text{ m} - (0.25 \text{ m/s}^2)(2.0 \text{ s})^2 = 1.0 \text{ m} \\ y &= (1.0 \text{ m/s})(2.0 \text{ s}) + (0.025 \text{ m/s}^3)(2.0 \text{ s})^3 = 2.2 \text{ m} \end{aligned}$$

La distancia del vehículo al origen en este instante es

$$r = \sqrt{x^2 + y^2} = \sqrt{(1.0 \text{ m})^2 + (2.2 \text{ m})^2} = 2.4 \text{ m}$$

b) Para obtener el desplazamiento y la velocidad media durante el intervalo dado, primero expresamos el vector de posición  $\vec{r}$  en función del tiempo  $t$ . De acuerdo con la ecuación (3.1), esto es:

$$\begin{aligned} \vec{r} &= x\hat{i} + y\hat{j} \\ &= [2.0 \text{ m} - (0.25 \text{ m/s}^2)t^2]\hat{i} \\ &\quad + [(1.0 \text{ m/s})t + (0.025 \text{ m/s}^3)t^3]\hat{j} \end{aligned}$$

En el instante  $t = 0.0$  s el vector de posición  $\vec{r}_0$  es

$$\vec{r}_0 = (2.0 \text{ m})\hat{i} + (0.0 \text{ m})\hat{j}$$

Del inciso a), en  $t = 2.0$  s, el vector de posición  $\vec{r}_2$  es

$$\vec{r}_2 = (1.0 \text{ m})\hat{i} + (2.2 \text{ m})\hat{j}$$

Por lo tanto, el desplazamiento entre  $t = 0.0$  s y  $t = 2.0$  s es

$$\begin{aligned} \Delta\vec{r} &= \vec{r}_2 - \vec{r}_0 = (1.0 \text{ m})\hat{i} + (2.2 \text{ m})\hat{j} - (2.0 \text{ m})\hat{i} \\ &= (-1.0 \text{ m})\hat{i} + (2.2 \text{ m})\hat{j} \end{aligned}$$

Durante este intervalo el vehículo se desplazó 1.0 m en la dirección negativa de  $x$  y 2.2 m en la dirección positiva de  $y$ . De acuerdo con la ecuación (3.2), la velocidad media en este intervalo es el desplazamiento dividido entre el tiempo transcurrido:

$$\begin{aligned} \vec{v}_{\text{med}} &= \frac{\Delta\vec{r}}{\Delta t} = \frac{(-1.0 \text{ m})\hat{i} + (2.2 \text{ m})\hat{j}}{2.0 \text{ s} - 0.0 \text{ s}} \\ &= (-0.50 \text{ m/s})\hat{i} + (1.1 \text{ m/s})\hat{j} \end{aligned}$$

Las componentes de esta velocidad media son  $v_{\text{med},x} = -0.50 \text{ m/s}$  y  $v_{\text{med},y} = 1.1 \text{ m/s}$ .

Continúa

c) De acuerdo con la ecuación (3.4), las componentes de la velocidad *instantánea* son las derivadas de las coordenadas respecto al tiempo:

$$v_x = \frac{dx}{dt} = (-0.25 \text{ m/s}^2)(2t)$$

$$v_y = \frac{dy}{dt} = 1.0 \text{ m/s} + (0.025 \text{ m/s}^3)(3t^2)$$

Así, el vector velocidad instantánea es

$$\vec{v} = v_x \hat{i} + v_y \hat{j}$$

$$= (-0.50 \text{ m/s}^2)t \hat{i} + [1.0 \text{ m/s} + (0.075 \text{ m/s}^3)t^2] \hat{j}$$

En el tiempo  $t = 2.0 \text{ s}$ , las componentes del vector velocidad  $\vec{v}_2$  son

$$v_{2x} = (-0.50 \text{ m/s}^2)(2.0 \text{ s}) = -1.0 \text{ m/s}$$

$$v_{2y} = 1.0 \text{ m/s} + (0.075 \text{ m/s}^3)(2.0 \text{ s})^2 = 1.3 \text{ m/s}$$

La magnitud de la velocidad instantánea (es decir, la rapidez) en  $t = 2.0 \text{ s}$  es

$$v_2 = \sqrt{v_{2x}^2 + v_{2y}^2} = \sqrt{(-1.0 \text{ m/s})^2 + (1.3 \text{ m/s})^2}$$

$$= 1.6 \text{ m/s}$$

La figura 3.5 muestra la dirección del vector velocidad  $\vec{v}_2$ , el cual tiene un ángulo  $\alpha$  entre  $90^\circ$  y  $180^\circ$  con respecto al eje positivo  $x$ . De la ecuación (3.7) tenemos

$$\arctan \frac{v_y}{v_x} = \arctan \frac{1.3 \text{ m/s}}{-1.0 \text{ m/s}} = -52^\circ$$

El ángulo es menor que  $180^\circ$ ; de manera que el valor correcto es  $\alpha = 180^\circ - 52^\circ = 128^\circ$ , o  $38^\circ$  al oeste del norte.

**EVALUAR:** Compare las componentes de la velocidad *media* que obtuvimos en el inciso b) para el intervalo de  $t = 0.0 \text{ s}$  a  $t = 2.0 \text{ s}$  ( $v_{\text{med},x} = -0.50 \text{ m/s}$ ,  $v_{\text{med},y} = 1.1 \text{ m/s}$ ) con las componentes de la velocidad *instantánea* en  $t = 2.0 \text{ s}$  que obtuvimos en el inciso c) ( $v_{2x} = -1.0 \text{ m/s}$ ,  $v_{2y} = 1.3 \text{ m/s}$ ). Al igual que sucede en una sola dimensión, el vector velocidad media  $\vec{v}_{\text{med}}$  durante un intervalo, en general, *no* es igual a la velocidad instantánea  $\vec{v}$  al final del intervalo (vea el ejemplo 2.1).

La figura 3.5 muestra los vectores de posición  $\vec{r}$  y los vectores velocidad instantánea  $\vec{v}$  en  $t = 0.0 \text{ s}$ ,  $1.0 \text{ s}$  y  $2.0 \text{ s}$  (se invita al lector a calcular estas cantidades en  $t = 0.0 \text{ s}$  y  $t = 1.0 \text{ s}$ ). Observe que  $\vec{v}$  es tangente a la trayectoria en todos los puntos. La magnitud de  $\vec{v}$  aumenta conforme el vehículo avanza, lo cual indica que su rapidez está aumentando.

### EVALÚE SU COMPRENSIÓN DE LA SECCIÓN 3.1

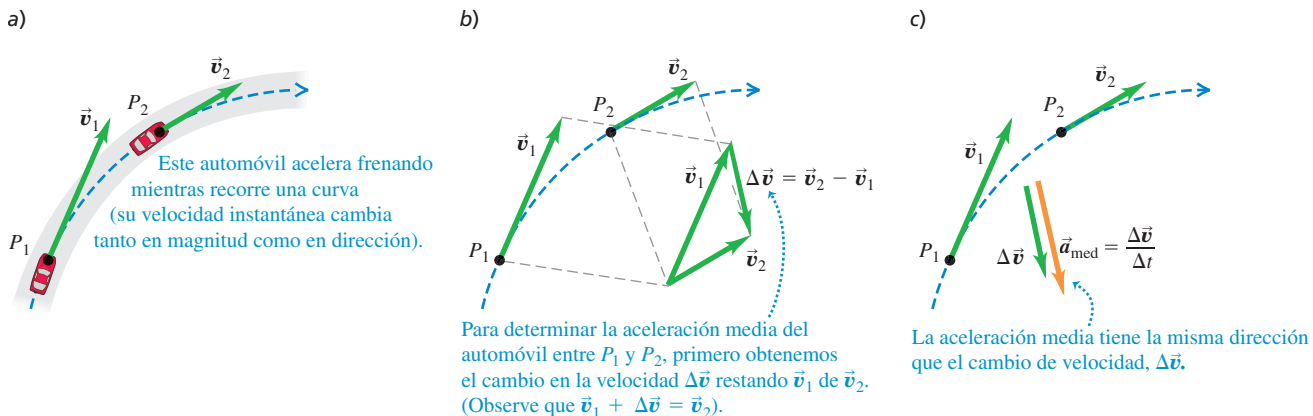
¿En cuál de las siguientes situaciones el vector velocidad media  $\vec{v}_{\text{med}}$  en un intervalo *sería* igual a la velocidad instantánea  $\vec{v}$  al final del intervalo? i. Un cuerpo que se mueve en una trayectoria curva a rapidez constante; ii. un cuerpo que se mueve en una trayectoria curva y aumenta su rapidez; iii. un cuerpo que se mueve en línea recta a rapidez constante; iv. un cuerpo que se mueve en línea recta y aumenta su rapidez.

## 3.2 EL VECTOR ACCELERACIÓN

Consideremos ahora la *aceleración* de una partícula que se mueve en el espacio. Al igual que en el movimiento rectilíneo, la aceleración describe cómo cambia la velocidad de la partícula; pero como ahora tratamos la velocidad como un vector, la aceleración describirá los cambios  *tanto* en la magnitud de la velocidad (es decir, la rapidez) *como* en la dirección de la velocidad (esto es, la dirección en que se mueve la partícula).

En la **figura 3.6a**, un automóvil (tratado como partícula) se desplaza en una trayectoria curva. Los vectores  $\vec{v}_1$  y  $\vec{v}_2$  representan las velocidades instantáneas del auto en el instante  $t_1$ , cuando el automóvil está en el punto  $P_1$ , y en  $t_2$  cuando se encuentra

**3.6 a)** Un automóvil se mueve a lo largo de una curva de  $P_1$  a  $P_2$ . **b)** Cómo obtener el cambio en la velocidad  $\Delta\vec{v} = \vec{v}_2 - \vec{v}_1$  mediante resta de vectores. **c)** El vector  $\vec{a}_{\text{med}} = \Delta\vec{v}/\Delta t$  representa la aceleración media entre  $P_1$  y  $P_2$ .



en el punto  $P_2$ . Durante el intervalo de tiempo de  $t_1$  a  $t_2$ , el *cambio vectorial de velocidad* es  $\vec{v}_2 - \vec{v}_1 = \Delta\vec{v}$ , de modo que  $\vec{v}_2 = \vec{v}_1 + \Delta\vec{v}$  (figura 3.6b). Definimos la **aceleración media**  $\vec{a}_{\text{med}}$  del automóvil en este intervalo como el cambio de velocidad dividido entre el intervalo de tiempo  $t_2 - t_1 = \Delta t$ :

**Cambio en la velocidad de la partícula**

**Vector aceleración media** de una partícula durante el intervalo de tiempo de  $t_1$  a  $t_2$

$$\vec{a}_{\text{med}} = \frac{\Delta\vec{v}}{\Delta t} = \frac{\vec{v}_2 - \vec{v}_1}{t_2 - t_1}$$

Intervalo de tiempo      Tiempo final menos tiempo inicial

Velocidad final menos la velocidad inicial

(3.8)



DEMO

La aceleración media es una cantidad *vectorial* en la misma dirección que el vector  $\Delta\vec{v}$  (figura 3.6c). La componente  $x$  de la ecuación (3.8) es  $a_{\text{med}-x} = (v_{2x} - v_{1x})/(t_2 - t_1) = \Delta v_x/\Delta t$ , que es exactamente la ecuación (2.4) para la aceleración media en movimiento rectilíneo.

Al igual que en el capítulo 2, definimos la **aceleración instantánea**  $\vec{a}$  (una cantidad *vectorial*) en el punto  $P_1$  como el límite de la aceleración media cuando el punto  $P_2$  se acerca a  $P_1$ , de modo que  $\Delta\vec{v}$  y  $\Delta t$  se acercan a cero (figura 3.7).

**El vector aceleración instantánea** de una partícula ...

$$\vec{a} = \lim_{\Delta t \rightarrow 0} \frac{\Delta\vec{v}}{\Delta t} = \frac{d\vec{v}}{dt}$$

... es igual al límite de este vector aceleración media cuando el intervalo de tiempo se aproxima a cero ...

... y es igual a la razón de cambio instantánea de su vector velocidad.

(3.9)

El vector velocidad  $\vec{v}$ , como vimos, es tangente a la trayectoria de la partícula. No obstante, el vector aceleración instantánea  $\vec{a}$  no tiene que ser tangente a la trayectoria. La figura 3.7a muestra que si la trayectoria es curva,  $\vec{a}$  apunta hacia el lado cóncavo de la trayectoria, es decir, hacia el interior de la curva descrita por la partícula. La aceleración es tangente a la trayectoria únicamente si la partícula se mueve en línea recta (figura 3.7b).

**CUIDADO** Cualquier partícula que sigue una trayectoria curva está acelerando Cuando una partícula sigue una trayectoria curva, su aceleración siempre es distinta de cero, aun si se mueve con rapidez constante. Quizás esta conclusión sea contraria a la intuición, pero más bien va contra el uso cotidiano de la palabra “aceleración” para indicar que la velocidad aumenta. La definición más precisa de la ecuación (3.9) indica que la aceleración es diferente de cero cuando el vector velocidad cambia de *cualquier* forma, ya sea en su magnitud, su dirección o en ambas. □

Para convencerse de que una partícula no tiene aceleración cero cuando se mueve en una trayectoria curva con rapidez constante, piense en lo que siente cuando viaja en automóvil. Si el auto acelera, usted tiende a moverse en dirección *opuesta* a la aceleración del vehículo (veremos por qué en el capítulo 4). Así, tendemos a movernos hacia atrás cuando el automóvil acelera hacia adelante (aumenta su velocidad), y hacia el frente cuando el automóvil acelera hacia atrás (es decir, cuando frena). Si el automóvil da vuelta en un camino horizontal, tendemos a deslizarnos hacia afuera de la curva; por lo tanto, el auto tiene una aceleración hacia adentro de la curva.

Normalmente nos interesaría la aceleración instantánea, no la media. A partir de ahora, usaremos el término “aceleración” para referirnos al vector aceleración instantánea  $\vec{a}$ .

Cada componente del vector aceleración  $\vec{a} = a_x \hat{i} + a_y \hat{j} + a_z \hat{k}$  es la derivada de la componente correspondiente de la velocidad:

**Cada componente del vector aceleración instantánea** de una partícula ...

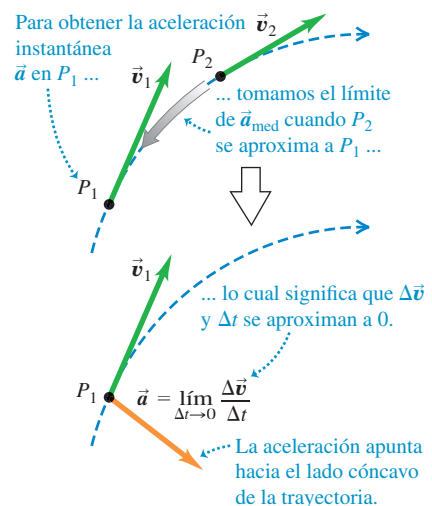
$$a_x = \frac{dv_x}{dt} \quad a_y = \frac{dv_y}{dt} \quad a_z = \frac{dv_z}{dt}$$

... es igual, respectivamente, a la razón de cambio instantánea de la componente correspondiente de su vector velocidad.

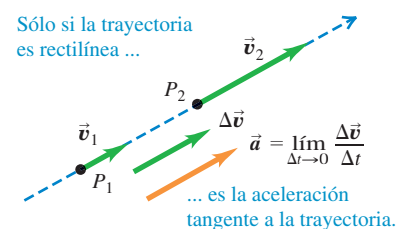
(3.10)

**3.7 a) Aceleración instantánea**  $\vec{a}$  en el punto  $P_1$  de la figura 3.6. **b) Aceleración instantánea** para movimiento rectilíneo.

a) Aceleración: trayectoria curva



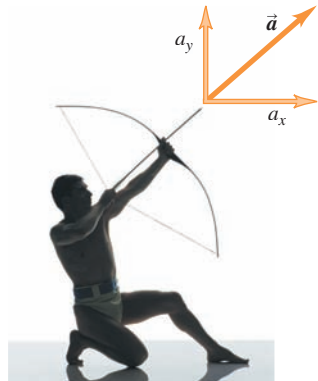
b) Aceleración: trayectoria en línea recta



**BIO Aplicación Caballos en una trayectoria curva** Al inclinarse y al golpear el suelo con sus cascos a cierto ángulo, estos caballos adquieren la aceleración lateral necesaria para realizar un cambio repentino de dirección.



**3.8** Cuando se dispara la flecha, su vector aceleración tiene tanto una componente horizontal ( $a_x$ ) como una componente vertical ( $a_y$ ).



En términos de vectores unitarios,

$$\vec{a} = \frac{d\vec{v}}{dt} = \frac{dv_x}{dt}\hat{i} + \frac{dv_y}{dt}\hat{j} + \frac{dv_z}{dt}\hat{k} \quad (3.11)$$

La componente  $x$  de las ecuaciones (3.10) y (3.11),  $a_x = dv_x/dt$ , es exactamente la ecuación (2.5) para la aceleración instantánea en una dimensión. La **figura 3.8** muestra un ejemplo de vector aceleración que tiene componentes tanto  $x$  como  $y$ .

Como cada componente de velocidad es la derivada de la coordenada correspondiente, expresamos las componentes  $a_x$ ,  $a_y$  y  $a_z$  del vector aceleración  $\vec{a}$  como

$$a_x = \frac{d^2x}{dt^2} \quad a_y = \frac{d^2y}{dt^2} \quad a_z = \frac{d^2z}{dt^2} \quad (3.12)$$



### EJEMPLO 3.2 CÁLCULO DE LAS ACCELERACIONES MEDIA E INSTANTÁNEA

Veamos otra vez los movimientos del vehículo robot del ejemplo 3.1.  
a) Obtenga las componentes de la aceleración media de  $t = 0.0$  s a  $t = 2.0$  s. b) Determine la aceleración instantánea en  $t = 2.0$  s.

#### SOLUCIÓN

**IDENTIFICAR y PLANTEAR:** En el ejemplo 3.1, obtuvimos las componentes de la velocidad instantánea del vehículo en el tiempo  $t$ :

$$\begin{aligned} v_x &= \frac{dx}{dt} = (-0.25 \text{ m/s}^2)(2t) = (-0.50 \text{ m/s}^2)t \\ v_y &= \frac{dy}{dt} = 1.0 \text{ m/s} + (0.025 \text{ m/s}^3)(3t^2) \\ &= 1.0 \text{ m/s} + (0.075 \text{ m/s}^3)t^2 \end{aligned}$$

Utilizaremos las relaciones vectoriales entre velocidad, aceleración media y aceleración instantánea. En el inciso a), determinamos los valores de  $v_x$  y  $v_y$  al principio y al final del intervalo, y después usamos la ecuación (3.8) para calcular las componentes de la aceleración media. En el inciso b) obtuvimos las expresiones de las componentes de la aceleración instantánea en cualquier tiempo  $t$  derivando las componentes de la velocidad respecto al tiempo, como en las ecuaciones (3.10).

**EJECUTAR:** a) En el ejemplo 3.1 vimos que para  $t = 0.0$  s las componentes de velocidad son

$$v_x = 0.0 \text{ m/s} \quad v_y = 1.0 \text{ m/s}$$

y que en  $t = 2.0$  s las componentes son

$$v_x = -1.0 \text{ m/s} \quad v_y = 1.3 \text{ m/s}$$

Así, las componentes de la aceleración media en el intervalo de  $t = 0.0$  s a  $t = 2.0$  s son

$$a_{\text{med-}x} = \frac{\Delta v_x}{\Delta t} = \frac{-1.0 \text{ m/s} - 0.0 \text{ m/s}}{2.0 \text{ s} - 0.0 \text{ s}} = -0.50 \text{ m/s}^2$$

$$a_{\text{med-}y} = \frac{\Delta v_y}{\Delta t} = \frac{1.3 \text{ m/s} - 1.0 \text{ m/s}}{2.0 \text{ s} - 0.0 \text{ s}} = 0.15 \text{ m/s}^2$$

b) Con las ecuaciones (3.10),

$$a_x = \frac{dv_x}{dt} = -0.50 \text{ m/s}^2 \quad a_y = \frac{dv_y}{dt} = (0.075 \text{ m/s}^3)(2t)$$

De modo que el vector aceleración instantánea  $\vec{a}$  en el tiempo  $t$  es

$$\vec{a} = a_x\hat{i} + a_y\hat{j} = (-0.50 \text{ m/s}^2)\hat{i} + (0.15 \text{ m/s}^3)\hat{j}$$

En el instante  $t = 2.0$  s, las componentes de la aceleración y el vector aceleración son

$$a_x = -0.50 \text{ m/s}^2 \quad a_y = (0.15 \text{ m/s}^3)(2.0 \text{ s}) = 0.30 \text{ m/s}^2$$

$$\vec{a} = (-0.50 \text{ m/s}^2)\hat{i} + (0.30 \text{ m/s}^2)\hat{j}$$

La magnitud de la aceleración en este instante es

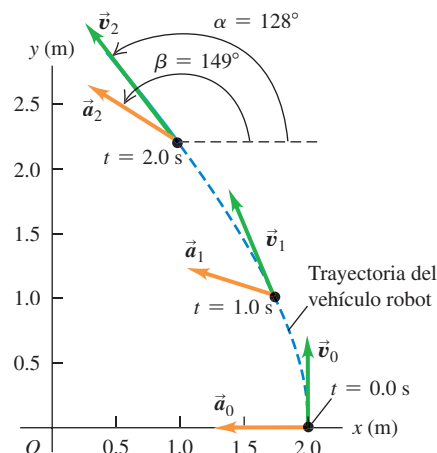
$$\begin{aligned} a &= \sqrt{a_x^2 + a_y^2} \\ &= \sqrt{(-0.50 \text{ m/s}^2)^2 + (0.30 \text{ m/s}^2)^2} = 0.58 \text{ m/s}^2 \end{aligned}$$

Un diagrama de este vector (**figura 3.9**) muestra que el ángulo  $\beta$  de la dirección de  $\vec{a}$  con respecto al eje  $x$  positivo está entre  $90^\circ$  y  $180^\circ$ . Con la ecuación (3.7), tenemos

$$\arctan \frac{a_y}{a_x} = \arctan \frac{0.30 \text{ m/s}^2}{-0.50 \text{ m/s}^2} = -31^\circ$$

Así que  $\beta = 180^\circ + (-31^\circ) = 149^\circ$ .

**3.9** Trayectoria del vehículo robot que muestra la velocidad y aceleración en  $t = 0.0$  s ( $\vec{v}_0$  y  $\vec{a}_0$ ),  $t = 1.0$  s ( $\vec{v}_1$  y  $\vec{a}_1$ ) y  $t = 2.0$  s ( $\vec{v}_2$  y  $\vec{a}_2$ ).



**EVALUAR:** La figura 3.9 muestra la trayectoria y los vectores velocidad y aceleración del vehículo en  $t = 0.0$  s,  $1.0$  s y  $2.0$  s (se invita al lector a utilizar los resultados del inciso b) para calcular la aceleración instantánea en  $t = 0.0$  s y  $t = 1.0$  s). Observe que  $\vec{v}$  y  $\vec{a}$  no están

en la misma dirección en ninguno de estos momentos. El vector velocidad  $\vec{v}$  es tangente a la trayectoria en cada punto (como siempre), y el de aceleración  $\vec{a}$  apunta hacia el lado cónvexo de ésta.

## Componentes perpendicular y paralela de la aceleración

Las ecuaciones (3.10) nos hablan acerca de las componentes del vector aceleración instantánea  $\vec{a}$  de una partícula a lo largo de los ejes  $x$ ,  $y$  y  $z$ . Otra manera útil de visualizar  $\vec{a}$  es en términos de su componente *paralela* a la trayectoria de la partícula, es decir, paralela a la velocidad, y su componente *perpendicular* a la trayectoria  $y$ , por lo tanto, perpendicular a la velocidad  $\vec{v}$  (**figura 3.10**). Es así porque la componente paralela  $a_{\parallel}$  nos habla acerca de los cambios en la *rapidez* de la partícula; mientras que la componente perpendicular  $a_{\perp}$  nos indica los cambios en la *dirección del movimiento* de la partícula. Para saber por qué las componentes paralela y perpendicular de  $\vec{a}$  tienen tales propiedades, consideremos dos casos especiales.

En la **figura 3.11a**, el vector aceleración tiene la misma dirección que la velocidad  $\vec{v}_1$ , de manera que  $\vec{a}$  tiene sólo una componente paralela  $a_{\parallel}$  (es decir,  $a_{\perp} = 0$ ). El cambio de velocidad  $\Delta\vec{v}$  en un intervalo pequeño  $\Delta t$  tiene la misma dirección que  $\vec{a}$  y, por consiguiente, que  $\vec{v}_1$ . La velocidad  $\vec{v}_2$  al final de  $\Delta t$  está en la misma dirección que  $\vec{v}_1$ , pero tiene mayor magnitud. Es decir, durante el intervalo de tiempo  $\Delta t$  la partícula de la figura 3.11a se movió en línea recta con rapidez creciente (compare con la figura 3.7b).

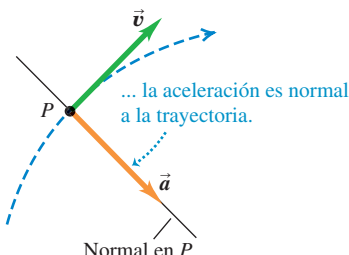
En la **figura 3.11b**, la aceleración es *perpendicular* a la velocidad, de manera que  $\vec{a}$  tiene sólo una componente perpendicular  $a_{\perp}$  (es decir,  $a_{\parallel} = 0$ ). En un intervalo de tiempo pequeño  $\Delta t$ , el cambio de velocidad  $\Delta\vec{v}$  es muy cercanamente perpendicular a  $\vec{v}_1$ , por lo que  $\vec{v}_1$  y  $\vec{v}_2$  tienen direcciones diferentes. Al aproximarse el intervalo  $\Delta t$  a cero, el ángulo  $\phi$  en la figura también se acerca a cero,  $\Delta\vec{v}$  se vuelve perpendicular tanto a  $\vec{v}_1$  como a  $\vec{v}_2$ , y  $\vec{v}_1$  y  $\vec{v}_2$  tienen la misma magnitud. Dicho de otro modo, la rapidez de la partícula no cambia, pero la dirección del movimiento se modifica y la trayectoria de la partícula se curva.

En el caso más general, la aceleración  $\vec{a}$  tiene componentes  *tanto* paralela *como* perpendicular a la velocidad  $\vec{v}$ , como en la figura 3.10. Entonces, cambiarán la rapidez de la partícula (descrita por la componente paralela  $a_{\parallel}$ ) y su dirección (descrita por la componente perpendicular  $a_{\perp}$ ).

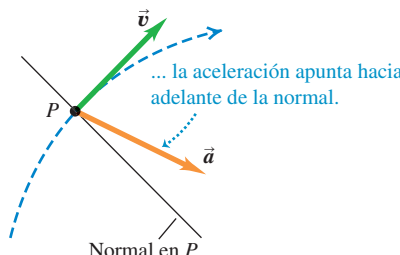
La **figura 3.12** muestra una partícula que se mueve sobre una trayectoria curva en tres situaciones distintas: rapidez constante, creciente y decreciente. Si la rapidez es constante,  $\vec{a}$  es perpendicular, o *normal*, a la trayectoria y a  $\vec{v}$  y apunta hacia el lado cónvexo de la trayectoria (figura 3.12a). Si la rapidez aumenta, todavía hay una componente perpendicular de  $\vec{a}$ , pero también una paralela con la misma dirección que  $\vec{v}$  (figura 3.12b). Entonces,  $\vec{a}$  apunta hacia adelante de la normal a la trayectoria (como en el ejemplo 3.2). Si la rapidez disminuye, la componente paralela tiene dirección opuesta a  $\vec{v}$ , y  $\vec{a}$  apunta hacia atrás de la normal a la trayectoria (figura 3.12c); compare con la figura 3.7a). Usaremos otra vez estas ideas en la sección 3.4 al estudiar el caso especial de movimiento en un círculo.

**3.12 Vectores de velocidad y aceleración de una partícula que pasa por un punto  $P$  en una trayectoria curva con rapidez a) constante, b) creciente y c) decreciente.**

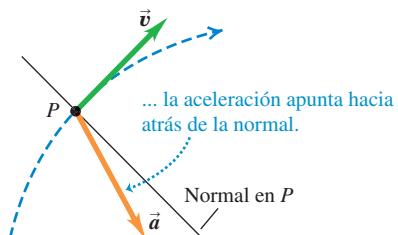
a) Cuando la rapidez es constante en una trayectoria curva ...



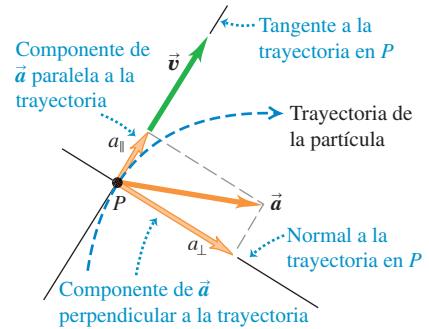
b) Cuando la rapidez se incrementa en una trayectoria curva ...



c) Cuando la rapidez disminuye en una trayectoria curva ...



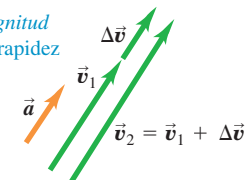
**3.10** La aceleración puede descomponerse en una componente  $a_{\parallel}$  paralela a la trayectoria (es decir, a lo largo de la tangente a la trayectoria) y una componente  $a_{\perp}$  perpendicular a la trayectoria (es decir, a lo largo de la normal a la trayectoria).



**3.11** El efecto de la aceleración con dirección a) paralela y b) perpendicular a la velocidad de la partícula.

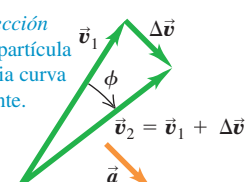
a) Aceleración paralela a la velocidad:

Sólo cambia la *magnitud* de la velocidad: la rapidez cambia, pero no la dirección.



b) Aceleración perpendicular a la velocidad:

Sólo cambia la *dirección* de la velocidad: la partícula sigue una trayectoria curva con rapidez constante.





SOLUCIÓN

**EJEMPLO 3.3 CÁLCULO DE LAS COMPONENTES PARALELA Y PERPENDICULAR DE LA ACCELERACIÓN**

Para el vehículo de los ejemplos 3.1 y 3.2, determine las componentes paralela y perpendicular de la aceleración en  $t = 2.0$  s.

**SOLUCIÓN**

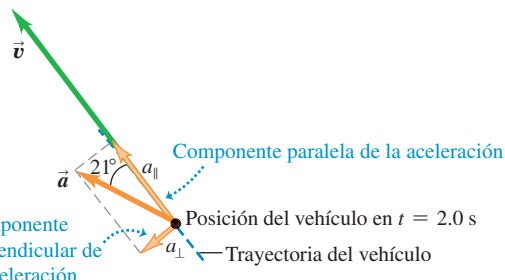
**IDENTIFICAR y PLANTEAR:** Queremos obtener las componentes del vector aceleración  $\vec{a}$  que sean paralela y perpendicular al vector velocidad  $\vec{v}$ . En los ejemplos 3.1 y 3.2 obtuvimos las direcciones de  $\vec{v}$  y  $\vec{a}$ , respectivamente; la figura 3.9 muestra los resultados. Con estas direcciones podemos determinar el ángulo entre los dos vectores y las componentes de  $\vec{a}$  con respecto a la dirección de  $\vec{v}$ .

**EJECUTAR:** En el ejemplo 3.2 vimos que en  $t = 2.0$  s la partícula tiene una aceleración de magnitud  $0.58 \text{ m/s}^2$  con un ángulo de  $149^\circ$  con respecto al eje positivo  $x$ . Por el ejemplo 3.1, sabemos que en ese instante el vector velocidad tiene un ángulo de  $128^\circ$  con respecto al eje  $x$  positivo. Por lo tanto, el ángulo entre  $\vec{a}$  y  $\vec{v}$  es  $149^\circ - 128^\circ = 21^\circ$  (figura 3.13). De modo que las componentes de aceleración paralela y perpendicular a  $\vec{v}$  son

$$a_{\parallel} = a \cos 21^\circ = (0.58 \text{ m/s}^2) \cos 21^\circ = 0.54 \text{ m/s}^2$$

$$a_{\perp} = a \sin 21^\circ = (0.58 \text{ m/s}^2) \sin 21^\circ = 0.21 \text{ m/s}^2$$

**3.13** Componentes paralela y perpendicular de la aceleración del vehículo en  $t = 2.0$  s.



**EVALUAR:** La componente paralela  $a_{\parallel}$  es positiva (tiene la misma dirección que  $\vec{v}$ ), lo cual indica que la rapidez aumenta en ese instante. El valor de  $a_{\parallel} = +0.54 \text{ m/s}^2$  significa que la rapidez está aumentando en ese instante a una tasa de  $0.54 \text{ m/s}$  por segundo. La componente perpendicular  $a_{\perp}$  no es cero, lo cual significa que en ese instante el vehículo está dando vuelta; es decir, el vehículo cambia de dirección y sigue una trayectoria curva.

**EJEMPLO CONCEPTUAL 3.4 ACCELERACIÓN DE UN ESQUIADOR**

SOLUCIÓN

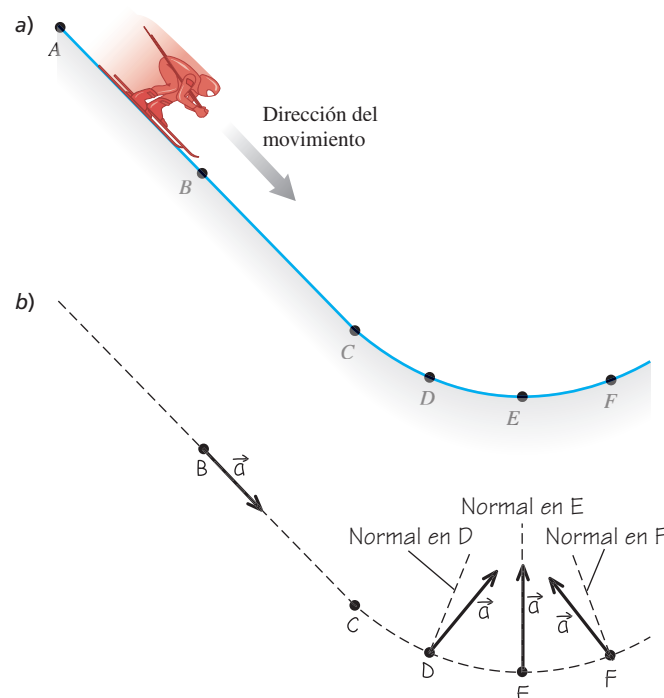
Un esquiador se desplaza sobre una rampa de salto (figura 3.14a). La rampa es recta entre  $A$  y  $C$ , y curva a partir de  $C$ . La rapidez del esquiador aumenta al moverse pendiente abajo del punto  $A$  al punto  $E$ , donde su rapidez es máxima, disminuyendo a partir de ahí. Dibuja la dirección del vector aceleración en los puntos  $B$ ,  $D$ ,  $E$  y  $F$ .

**SOLUCIÓN**

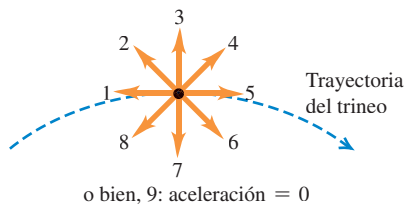
La figura 3.14b muestra la solución. En el punto  $B$ , el esquiador se desplaza en línea recta con rapidez creciente, así que su aceleración apunta cuesta abajo, en la misma dirección que su velocidad. En los puntos  $D$ ,  $E$ , y  $F$ , el esquiador sigue una trayectoria curva, así que su aceleración tiene una componente perpendicular a la trayectoria (hacia el lado cóncavo de la misma) en cada uno de estos puntos. En el punto  $D$  también existe una componente de la aceleración en la dirección del movimiento, porque su rapidez aún va en aumento. Por lo tanto, el vector aceleración apunta *adelante* de la normal a su trayectoria en el punto  $D$ . La rapidez del esquiador no cambia instantáneamente en  $E$ ; la rapidez es máxima en este punto, así que su derivada es cero. Por lo tanto, no hay componente paralela de  $\vec{a}$  y la aceleración es perpendicular al movimiento. En el punto  $F$  la aceleración tiene una componente *opuesta* a la dirección de su movimiento porque la rapidez está disminuyendo. De manera que el vector aceleración apunta *hacia atrás* de la normal a la trayectoria.

En la siguiente sección examinaremos la aceleración del esquiador después de que sale de la rampa.

**3.14 a)** La trayectoria del esquiador. **b)** Nuestra solución.



**EVALÚE SU COMPRENSIÓN DE LA SECCIÓN 3.2** Un trineo viaja por la cima de una colina cubierta de nieve. El trineo disminuye su rapidez conforme asciende por un lado de la colina y la aumenta cuando desciende por el otro lado. ¿Cuál de los vectores (1 a 9) en la figura muestra correctamente la dirección de la aceleración del trineo en la cima? (Considere el 9 como la aceleración cero). 



### 3.3 MOVIMIENTO DE PROYECTILES

Un **proyectil** es un cuerpo que recibe una velocidad inicial  $v_0$ , luego, sigue una trayectoria determinada completamente por los efectos de la aceleración gravitacional y la resistencia del aire. Una pelota bateada, un balón de fútbol lanzado y una bala disparada por un rifle son proyectiles. El camino que sigue un proyectil se conoce como su **trayectoria**.

Para analizar este tipo de movimiento tan común, partiremos de un modelo idealizado que representa el proyectil como una partícula con aceleración constante (debida a la gravedad), tanto en magnitud como en dirección. Se ignoran los efectos de la resistencia del aire, así como la curvatura y rotación de la Tierra. Como todos los modelos, éste tiene limitaciones. La curvatura de la Tierra debe considerarse en el vuelo de misiles de largo alcance; asimismo, la resistencia del aire es de importancia vital para un paracaidista. No obstante, aprenderemos mucho analizando este modelo sencillo. En el resto del capítulo, la frase “movimiento de proyectil” implicará que se desprecia la resistencia del aire. En el capítulo 5 veremos qué sucede cuando la resistencia no puede despreciarse.

El movimiento de un proyectil siempre se limita a un plano vertical, determinado por la dirección de la velocidad inicial (**figura 3.15**), lo cual se debe a que la aceleración causada por la gravedad es exclusivamente vertical: la gravedad no puede acelerar al proyectil de forma lateral. Por lo tanto, este movimiento es *bidimensional*. Llamaremos al plano de movimiento, el plano de coordenadas  $xy$ , con el eje  $x$  horizontal y el eje  $y$  vertical hacia arriba.

La clave del análisis del movimiento de proyectiles es que podemos tratar por separado las coordenadas  $x$  y  $y$ . En la **figura 3.16** se ilustra esto para dos proyectiles: una pelota roja que cae a partir del reposo y una pelota amarilla proyectada horizontalmente desde la misma altura. La figura muestra que el movimiento horizontal del proyectil amarillo *no* tiene efecto sobre su movimiento vertical. Para ambos proyectiles, la componente  $x$  de la aceleración es cero, y la componente  $y$  es constante e igual a  $-g$  (por definición,  $g$  siempre es positiva, pero por las direcciones de coordenadas elegidas,  $a_y$  es negativa). Entonces, *analizaremos el movimiento de un proyectil como una combinación de movimiento horizontal con velocidad constante y movimiento vertical con aceleración constante*.

Entonces podemos expresar todas las relaciones vectoriales de posición, velocidad y aceleración del proyectil con ecuaciones independientes para las componentes horizontal y vertical. Las componentes de  $\vec{a}$  son

$$a_x = 0 \quad a_y = -g \quad (\text{movimiento de proyectiles, sin resistencia del aire}) \quad (3.13)$$

Como las aceleraciones  $x$  y  $y$  son constantes, podemos usar las ecuaciones (2.8), (2.12), (2.13) y (2.14) directamente. Por ejemplo, suponga que en el tiempo  $t = 0$  la partícula está en el punto  $(x_0, y_0)$  y que en este instante sus componentes de velocidad tienen los valores iniciales  $v_{0x}$  y  $v_{0y}$ . Las componentes de la aceleración son  $a_x = 0$ ,  $a_y = -g$ . Considerando primero el movimiento en  $x$ , sustituimos  $a_x$  por 0 en las ecuaciones (2.8) y (2.12). Obtenemos

$$v_x = v_{0x} \quad (3.14)$$

$$x = x_0 + v_{0x}t \quad (3.15)$$

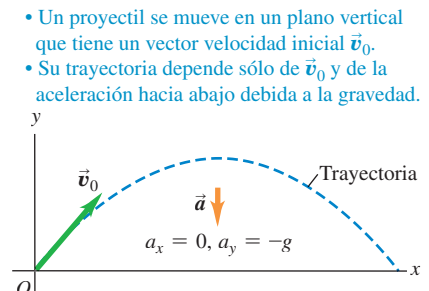
Para el movimiento en  $y$ , sustituimos  $x$  por  $y$ ,  $v_x$  por  $v_y$ ,  $v_{0x}$  por  $v_{0y}$ , y  $a_x$  por  $a_y = -g$ :

$$v_y = v_{0y} - gt \quad (3.16)$$

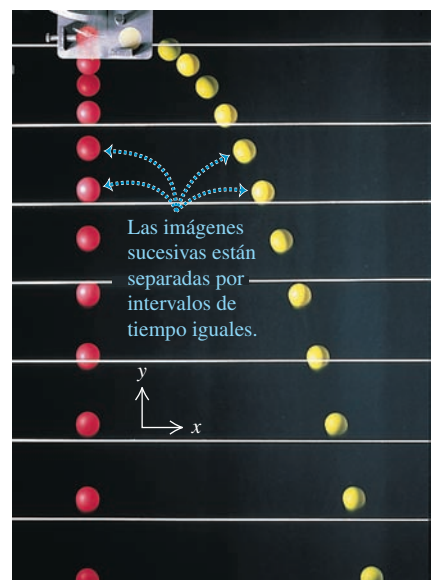
$$y = y_0 + v_{0y}t - \frac{1}{2}gt^2 \quad (3.17)$$



**3.15** Trayectoria idealizada de un proyectil.

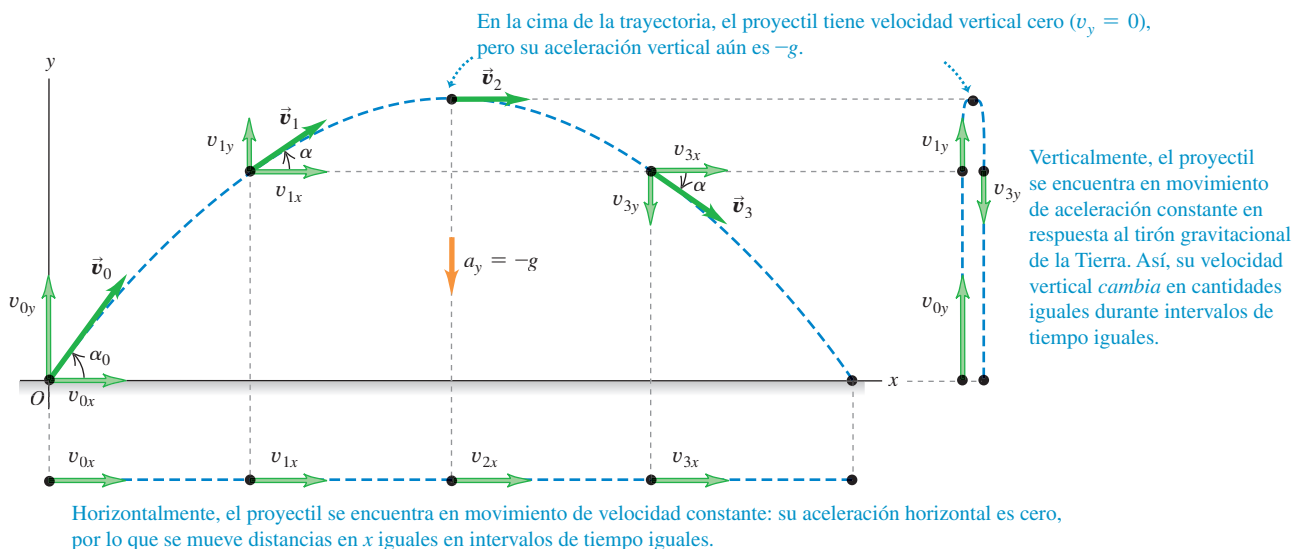


**3.16** La pelota roja se deja caer desde el reposo y la amarilla se proyecta horizontalmente al mismo tiempo.

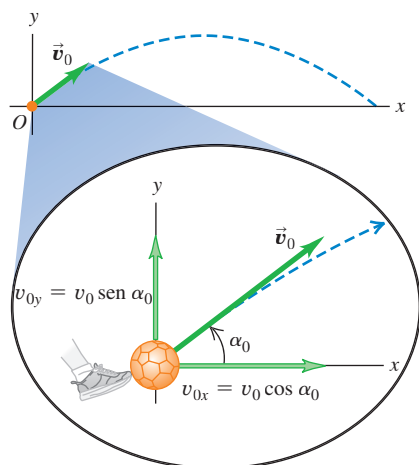


- En un instante determinado, ambas pelotas tienen la misma posición  $y$ , velocidad en  $y$  y aceleración en  $y$ , a pesar de tener diferentes posición y velocidad en  $x$ .
- El movimiento horizontal de la pelota amarilla no tiene efecto sobre su movimiento vertical.

**3.17** Si se desprecia la resistencia del aire, la trayectoria de un proyectil es una combinación de movimiento horizontal con velocidad constante y movimiento vertical con aceleración constante.



**3.18** Las componentes de la velocidad inicial  $v_{0x}$  y  $v_{0y}$  de un proyectil (como un balón de fútbol que se patea) se relacionan con la rapidez inicial  $v_0$  y el ángulo inicial  $\alpha_0$ .



Por lo general, lo más sencillo es tomar la posición inicial (en  $t = 0$ ) como el origen; así,  $x_0 = y_0 = 0$ . Este punto podría ser la posición de una pelota en el instante  $t$  cuando abandona la mano del lanzador, o bien, la posición de una bala cuando sale del cañón de un arma.

La figura 3.17 muestra la trayectoria de un proyectil que parte de (o pasa por) el origen en el tiempo  $t = 0$ , junto con su posición, velocidad y componentes de velocidad en intervalos iguales. La velocidad  $x$  es constante; la velocidad  $v_y$  cambia cantidades iguales en intervalos de tiempo iguales, exactamente como si el proyectil fuera lanzado verticalmente con la misma velocidad y inicial.

También podemos representar la velocidad inicial  $\vec{v}_0$  con su magnitud  $v_0$  (la rapidez inicial) y su ángulo  $\alpha_0$  con el eje  $+x$  (figura 3.18). En términos de esas cantidades, las componentes  $v_{0x}$  y  $v_{0y}$  de la velocidad inicial son

$$v_{0x} = v_0 \cos \alpha_0 \quad v_{0y} = v_0 \sin \alpha_0 \quad (3.18)$$

Si sustituimos las ecuaciones (3.18) en las ecuaciones (3.14) a (3.17), haciendo  $x_0 = y_0 = 0$ , obtenemos las siguientes ecuaciones que describen la posición y velocidad del proyectil de la figura 3.17 en cualquier instante  $t$ .



Coordenadas al tiempo  $t$  de un proyectil (la dirección positiva  $y$  es hacia arriba y  $x = y = 0$  en  $t = 0$ )

$$x = (v_0 \cos \alpha_0)t \quad (3.19)$$

$$y = (v_0 \sin \alpha_0)t - \frac{1}{2}gt^2 \quad (3.20)$$

Componentes de la velocidad al tiempo  $t$  de un proyectil (la dirección positiva  $y$  es hacia arriba)

$$v_x = v_0 \cos \alpha_0 \quad (3.21)$$

$$v_y = v_0 \sin \alpha_0 - gt \quad (3.22)$$

Rapidez en  $t = 0$  Dirección en  $t = 0$  Tiempo

Rapidez en  $t = 0$  Dirección en  $t = 0$  Tiempo

La aceleración debida a la gravedad: Observe que  $g > 0$

Podemos obtener mucha información de las ecuaciones (3.19) a (3.22). Por ejemplo, en cualquier instante  $t$ , la distancia  $r$  del proyectil al origen está dada por

$$r = \sqrt{x^2 + y^2} \quad (3.23)$$



**3.19** Las trayectorias casi parabólicas de una pelota que rebota

Las imágenes sucesivas de la pelota están separadas por intervalos de tiempo iguales.



La rapidez del proyectil (la magnitud de su velocidad) en cualquier instante es

$$v = \sqrt{v_x^2 + v_y^2} \quad (3.24)$$

La dirección de la velocidad, en términos del ángulo  $\alpha$  que forma con el eje positivo  $x$  (vea la figura 3.17), está dada por

$$\tan \alpha = \frac{v_y}{v_x} \quad (3.25)$$

El vector velocidad  $\vec{v}$  es tangente a la trayectoria en todos los puntos.

Podemos deducir una ecuación para la forma de la trayectoria en términos de  $x$  y  $y$  eliminando  $t$ . De las ecuaciones (3.20) y (3.21), obtenemos  $t = x/(v_0 \cos \alpha_0)$  y

$$y = (\tan \alpha_0)x - \frac{g}{2v_0^2 \cos^2 \alpha_0} x^2 \quad (3.26)$$

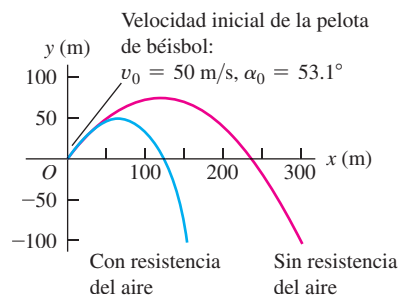
No se preocupe por los detalles de esta ecuación; lo importante es su forma general. Como  $v_0$ ,  $\tan \alpha_0$ ,  $\cos \alpha_0$  y  $g$  son constantes, la ecuación (3.26) tiene la forma

$$y = bx - cx^2$$

donde  $b$  y  $c$  son constantes. Ésta es la ecuación de una *parábola*. En el modelo simplificado de movimiento de proyectiles, la trayectoria siempre es una parábola (**figura 3.19**).

Cuando la resistencia del aire *no es* despreciable y debe considerarse, el cálculo de la trayectoria se vuelve mucho más complicado; los efectos de dicha resistencia dependen de la velocidad, por lo que la aceleración ya no es constante. La **figura 3.20** muestra una simulación computarizada de la trayectoria de una pelota de béisbol tanto sin resistencia del aire como con una resistencia proporcional al cuadrado de la rapidez de la pelota. Vemos que el efecto de la resistencia del aire es muy grande, la altura máxima y el alcance se reducen, y la trayectoria ya no es una parábola.

**3.20** La resistencia del aire tiene un efecto acumulativo considerable sobre el movimiento de una pelota de béisbol. En esta simulación, permitimos que la pelota caiga por debajo de la altura desde la cual se lanzó (por ejemplo, la pelota podría haberse lanzado desde un acantilado).



### EJEMPLO CONCEPTUAL 3.5 ACELERACIÓN DE UN ESQUIADOR (CONTINUACIÓN)

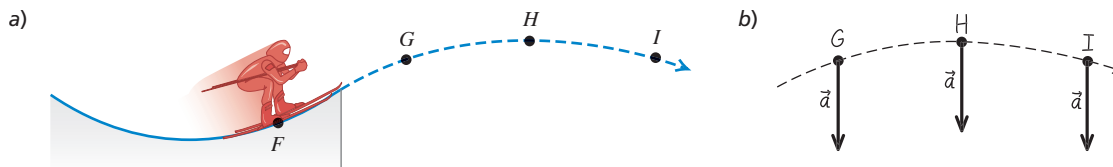
Consideremos de nuevo a la esquiadora del ejemplo conceptual 3.4. ¿Qué aceleración tiene en los puntos  $G$ ,  $H$  e  $I$  de la **figura 3.21a** después de que sale de la rampa? Desprecie la resistencia del aire.

#### SOLUCIÓN

La figura 3.21b muestra la respuesta. La aceleración de la esquiadora cambió de un punto a otro mientras estaba en la rampa, pero

tan pronto como sale de ésta, se convierte en un proyectil. Así, en los puntos  $G$ ,  $H$  e  $I$ , y de hecho en *todos* los puntos después de salir de la rampa, la aceleración de la esquiadora apunta verticalmente hacia abajo y tiene magnitud  $g$ . Por más compleja que sea la aceleración de una partícula antes de convertirse en proyectil, su aceleración como proyectil está dada por  $a_x = 0$ ,  $a_y = -g$ .

**3.21** a) Trayectoria de la esquiadora durante el salto. b) La solución.



**ESTRATEGIA PARA RESOLVER PROBLEMAS 3.1****MOVIMIENTO DE PROYECTILES**

**NOTA:** También son útiles aquí las estrategias utilizadas en las secciones 2.4 y 2.5 para problemas de aceleración constante en línea recta.

**IDENTIFICAR** los conceptos relevantes: El concepto clave que debemos recordar es que durante el movimiento de un proyectil, la aceleración es hacia abajo y tiene magnitud constante  $g$ . Observe que las ecuaciones para el movimiento de proyectiles no son válidas durante el *lanzamiento* de una pelota, porque durante el lanzamiento actúan tanto la mano del lanzador como la gravedad. Las ecuaciones sólo se aplican *después* de que la pelota sale de la mano del lanzador.

**PLANTEAR** el problema con los siguientes pasos:

- Defina su sistema de coordenadas y dibuje sus ejes. Normalmente lo más sencillo es tomar el eje  $x$  como horizontal y el eje  $y$  como vertical, y colocar el origen donde el cuerpo se vuelve un proyectil (como cuando la pelota sale de la mano del lanzador). Entonces, las componentes de la aceleración son  $a_x = 0$ ,  $a_y = -g$ , como en la ecuación (3.13); la posición inicial es  $x_0 = 0$  y  $y_0 = 0$ ; y puede usar las ecuaciones (3.19) a (3.22). (Si elige un origen diferente o ejes, tendrá que modificar estas ecuaciones).
- Elabore una lista de las cantidades conocidas y las incógnitas, y determine cuáles incógnitas son sus objetivos. Por ejemplo, en algunos problemas se da la velocidad inicial (ya sea las componentes, o la magnitud y dirección) y se pide obtener las coordenadas y

componentes de velocidad en un instante posterior. Asegúrese de que tiene tantas ecuaciones como incógnitas por determinar. En cualquier caso, usará las ecuaciones (3.19) a (3.22). Las ecuaciones (3.23) a (3.26) también podrían ser útiles.

- Plantee el problema con palabras y luego tradúzcalo a símbolos. Por ejemplo, ¿cuándo llega la partícula a cierto punto? (es decir, ¿en qué valor de  $t$ ?). ¿Dónde está la partícula cuando la velocidad tiene cierto valor? (es decir, ¿cuánto valen  $x$  y  $y$  cuando  $v_x$  o  $v_y$  tienen ese valor?). Puesto que  $v_y = 0$  en el punto más alto de la trayectoria, la pregunta “¿cuándo alcanza el proyectil su punto más alto?” equivale a “¿cuánto vale  $t$  cuando  $v_y = 0$ ?” Asimismo, la pregunta “¿cuándo vuelve el proyectil a su altura inicial?” equivale a “¿cuánto vale  $t$  cuando  $y = y_0$ ?”.

**EJECUTAR** la solución: Use las ecuaciones elegidas para obtener las incógnitas. Resista la tentación de dividir la trayectoria en segmentos y analizarlos individualmente. ¡No hay que volver a comenzar cuando el proyectil llega a su altura máxima! Lo más fácil suele ser usar los mismos ejes y escala de tiempo durante todo el problema. Si necesita valores numéricos, utilice  $g = 9.8 \text{ m/s}^2$ . ¡Recuerde que  $g$  es positiva!

**EVALUAR** la respuesta: Como siempre, examine sus resultados para ver si son lógicos y si los valores numéricos son razonables.

**EJEMPLO 3.6 CUERPO QUE SE PROYECTA HORIZONTALMENTE**

Un acróbata en motocicleta se lanza del borde de un risco. Justo en el borde, su velocidad es horizontal con magnitud de 9.0 m/s. Determine la posición, distancia desde el borde y velocidad de la motocicleta 0.50 s después de que sale del borde del risco.

**SOLUCIÓN**

**IDENTIFICAR y PLANTEAR:** La figura 3.22 muestra el diagrama de la trayectoria del motociclista. Una vez que el acróbata sale del risco, se mueve como un proyectil. Elegimos el origen de nuestro sistema de coordenadas en el borde del risco, así que  $x_0 = 0$  y  $y_0 = 0$ . La velocidad inicial  $\vec{v}_0$  en el borde del risco es horizontal (es decir,  $\alpha_0 = 0$ ), así que sus componentes son  $v_{0x} = v_0 \cos \alpha_0 = 9.0 \text{ m/s}$  y  $v_{0y} = v_0 \sin \alpha_0 = 0$ . Para determinar la posición de la motocicleta

en  $t = 0.50 \text{ s}$ , usamos las ecuaciones (3.19) y (3.20), luego calculamos la distancia al origen con la ecuación (3.23). Por último, usamos las ecuaciones (3.21) y (3.22) para determinar las componentes de velocidad en  $t = 0.50 \text{ s}$ .

**EJECUTAR:** De acuerdo con las ecuaciones (3.19) y (3.20), las coordenadas  $x$  y  $y$  de la motocicleta en  $t = 0.50 \text{ s}$  son

$$x = v_{0x}t = (9.0 \text{ m/s})(0.50 \text{ s}) = 4.5 \text{ m}$$

$$y = -\frac{1}{2}gt^2 = -\frac{1}{2}(9.80 \text{ m/s}^2)(0.50 \text{ s})^2 = -1.2 \text{ m}$$

El valor negativo de  $y$  indica que en este instante la motocicleta está por debajo de su punto inicial.

De acuerdo con la ecuación (3.23), la distancia de la motocicleta al origen en  $t = 0.50 \text{ s}$  es

$$r = \sqrt{x^2 + y^2} = \sqrt{(4.5 \text{ m})^2 + (-1.2 \text{ m})^2} = 4.7 \text{ m}$$

Según las ecuaciones (3.21) y (3.22), las componentes de la velocidad en  $t = 0.50 \text{ s}$  son

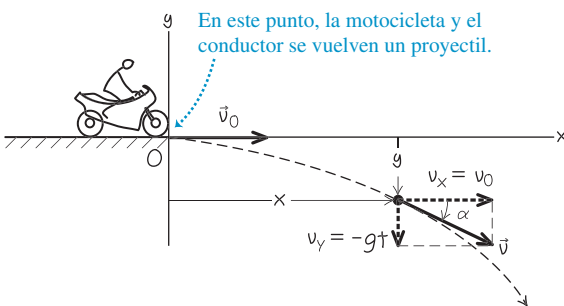
$$v_x = v_{0x} = 9.0 \text{ m/s}$$

$$v_y = -gt = (-9.80 \text{ m/s}^2)(0.50 \text{ s}) = -4.9 \text{ m/s}$$

La motocicleta tiene la misma velocidad horizontal  $v_x$  que cuando salió del risco en  $t = 0$  pero, además, hay una velocidad vertical  $v_y$  hacia abajo (negativa). El vector velocidad en  $t = 0.50 \text{ s}$  es

$$\vec{v} = v_x \hat{i} + v_y \hat{j} = (9.0 \text{ m/s}) \hat{i} + (-4.9 \text{ m/s}) \hat{j}$$

**3.22** Diagrama de este problema.



A partir de las ecuaciones (3.24) y (3.25) en  $t = 0.50$  s, la velocidad tiene magnitud  $v$  y ángulo  $\alpha$  dado por

$$v = \sqrt{v_x^2 + v_y^2} = \sqrt{(9.0 \text{ m/s})^2 + (-4.9 \text{ m/s})^2} = 10.2 \text{ m/s}$$

$$\alpha = \arctan \frac{v_y}{v_x} = \arctan \left( \frac{-4.9 \text{ m/s}}{9.0 \text{ m/s}} \right) = -29^\circ$$

La motociclista se está moviendo a 10.2 m/s en una dirección a  $29^\circ$  por abajo de la horizontal.

**EVALUAR:** Al igual que en la figura 3.17, el movimiento horizontal de la motocicleta no cambia por la gravedad; la motocicleta se sigue moviendo horizontalmente a 9.0 m/s, cubriendo 4.5 m en 0.50 s. La motocicleta tiene cero velocidad inicial vertical, de modo que cae verticalmente igual que un objeto que se suelta desde el reposo y desciende una distancia de  $\frac{1}{2}gt^2 = 1.2$  m en 0.50 s.

### EJEMPLO 3.7 ALTURA Y ALCANCE DE UN PROYECTIL I: UNA PELOTA DE BÉISBOL BATEADA



Un bateador golpea una pelota de béisbol de modo que ésta sale del bate con una rapidez  $v_0 = 37.0$  m/s y un ángulo  $\alpha_0 = 53.1^\circ$ . a) Calcule la posición de la pelota y su velocidad (magnitud y dirección) cuando  $t = 2.00$  s. b) Determine cuándo la pelota alcanza el punto más alto de su vuelo y su altura  $h$  en ese punto. c) Obtenga el *alcance horizontal*  $R$ , es decir, la distancia horizontal desde el punto de partida hasta donde la pelota cae al suelo, y la velocidad de la pelota justo antes de caer.

#### SOLUCIÓN

**IDENTIFICAR y PLANTEAR:** Como muestra la figura 3.20, la resistencia del aire afecta significativamente el movimiento de una pelota de béisbol; no obstante, por sencillez, en este ejemplo la ignoraremos y usaremos las ecuaciones del movimiento de proyectiles para describir el movimiento. La pelota sale del bate en  $t = 0$  a un metro más o menos arriba del nivel del suelo, pero ignoraremos esta distancia y supondremos que sale del nivel del suelo ( $y_0 = 0$ ). La figura 3.23 muestra el diagrama de la trayectoria de la pelota. Usaremos el mismo sistema de coordenadas que en las figuras 3.17 y 3.18, de modo que podremos usar las ecuaciones (3.19) a (3.22). Las incógnitas son a) la posición y velocidad de la pelota 2.00 s después de perder contacto con el bate, b) el tiempo  $t$  cuando la pelota alcanza su altura máxima (es decir, cuando  $v_y = 0$ ) y la coordenada  $y$  en ese momento, y c) la coordenada  $x$  cuando la pelota vuelve a tocar el suelo ( $y = 0$ ), y la componente vertical de la velocidad de la pelota en ese instante.

**EJECUTAR:** a) Queremos obtener  $x$ ,  $y$ ,  $v_x$  y  $v_y$  en  $t = 2.00$  s. La velocidad inicial de la pelota tiene las componentes

$$v_{0x} = v_0 \cos \alpha_0 = (37.0 \text{ m/s}) \cos 53.1^\circ = 22.2 \text{ m/s}$$

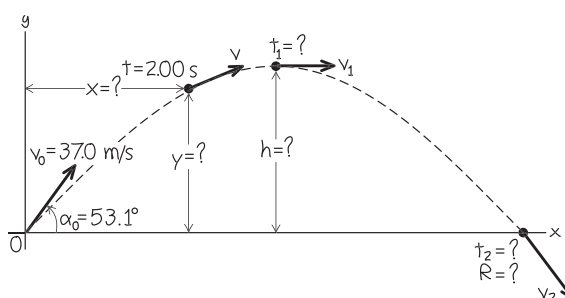
$$v_{0y} = v_0 \sin \alpha_0 = (37.0 \text{ m/s}) \sin 53.1^\circ = 29.6 \text{ m/s}$$

De acuerdo con las ecuaciones (3.19) a (3.22),

$$x = v_{0x}t = (22.2 \text{ m/s})(2.00 \text{ s}) = 44.4 \text{ m}$$

$$y = v_{0y}t - \frac{1}{2}gt^2 = (29.6 \text{ m/s})(2.00 \text{ s}) - \frac{1}{2}(9.80 \text{ m/s}^2)(2.00 \text{ s})^2 = 39.6 \text{ m}$$

**3.23** Diagrama de este problema.



$$v_x = v_{0x} = 22.2 \text{ m/s}$$

$$v_y = v_{0y} - gt = 29.6 \text{ m/s} - (9.80 \text{ m/s}^2)(2.00 \text{ s}) = 10.0 \text{ m/s}$$

La componente  $y$  de la velocidad es positiva en  $t = 2.00$  s, de modo que la pelota todavía va en ascenso (figura 3.23). La magnitud y dirección de la velocidad se obtienen de las ecuaciones (3.24) y (3.25):

$$v = \sqrt{v_x^2 + v_y^2} = \sqrt{(22.2 \text{ m/s})^2 + (10.0 \text{ m/s})^2} = 24.4 \text{ m/s}$$

$$\alpha = \arctan \left( \frac{10.0 \text{ m/s}}{22.2 \text{ m/s}} \right) = \arctan 0.450 = 24.2^\circ$$

La pelota se mueve a 24.4 m/s en una dirección  $24.2^\circ$  arriba de la horizontal.

b) En el punto más alto, la velocidad vertical  $v_y$  es cero. Sea ese instante  $t_1$ ; entonces,

$$v_y = v_{0y} - gt_1 = 0$$

$$t_1 = \frac{v_{0y}}{g} = \frac{29.6 \text{ m/s}}{9.80 \text{ m/s}^2} = 3.02 \text{ s}$$

La altura  $h$  en el punto más alto es el valor de  $y$  cuando  $t = t_1$ :

$$h = v_{0y}t_1 - \frac{1}{2}gt_1^2$$

$$= (29.6 \text{ m/s})(3.02 \text{ s}) - \frac{1}{2}(9.80 \text{ m/s}^2)(3.02 \text{ s})^2 = 44.7 \text{ m}$$

c) Obtendremos el alcance horizontal en dos pasos. Primero, determinamos el tiempo  $t_2$  cuando  $y = 0$  (la pelota está en el suelo):

$$y = 0 = v_{0y}t_2 - \frac{1}{2}gt_2^2 = t_2(v_{0y} - \frac{1}{2}gt_2)$$

Ésta es una ecuación cuadrática en  $t_2$ , con dos raíces:

$$t_2 = 0 \quad \text{y} \quad t_2 = \frac{2v_{0y}}{g} = \frac{2(29.6 \text{ m/s})}{9.80 \text{ m/s}^2} = 6.04 \text{ s}$$

La pelota está en  $y = 0$  en estos dos tiempos. La pelota *abandona* el suelo en  $t_2 = 0$ , y en  $t_2 = 2v_{0y}/g = 6.04$  s es cuando regresa al suelo.

El alcance horizontal  $R$  es el valor de  $x$  cuando la pelota vuelve al suelo, en  $t_2 = 6.04$  s:

$$R = v_{0x}t_2 = (22.2 \text{ m/s})(6.04 \text{ s}) = 134 \text{ m}$$

La componente vertical de la velocidad cuando la pelota toca el suelo es

$$v_y = v_{0y} - gt_2 = 29.6 \text{ m/s} - (9.80 \text{ m/s}^2)(6.04 \text{ s}) \\ = -29.6 \text{ m/s}$$

Continúa

Es decir,  $v_y$  tiene la misma magnitud que la velocidad vertical inicial  $v_{0y}$  pero dirección opuesta (hacia abajo). Como  $v_x$  es constante, el ángulo  $\alpha = -53.1^\circ$  (debajo de la horizontal) en este punto es el negativo del ángulo inicial  $\alpha_0 = 53.1^\circ$ .

**EVALUAR:** A menudo es útil verificar los resultados obteniéndolos de una forma distinta. Por ejemplo, también podemos determinar la altura máxima del inciso *b*) aplicando la fórmula de aceleración constante, la ecuación (2.13) para el movimiento en *y*:

$$v_y^2 = v_{0y}^2 + 2a_y(y - y_0) = v_{0y}^2 - 2g(y - y_0)$$

En el punto más alto,  $v_y = 0$  y  $y = h$ . Se debe despejar  $h$  de esta ecuación y obtener el mismo resultado calculado en el inciso *b*). ¿Es así?

Observe que el tiempo en que la pelota golpea el suelo,  $t_2 = 6.04$  s, es exactamente el doble del tiempo en que alcanza su punto máximo,  $t_1 = 3.02$  s. De modo que el tiempo de bajada es igual al tiempo de subida, lo cual *siempre* es así, si los puntos inicial y final tienen la misma elevación y se desprecia la resistencia del aire.

Note asimismo que  $h = 44.7$  m del inciso *b*) es comparable con la altura de 61.0 m del techo de la segunda base en Marlins Park en Miami, y el alcance horizontal  $R = 134$  m del inciso *c*) es mayor que la distancia de 99.7 m entre home y la barda del jardín derecho del Campo Safeco en Seattle. En realidad, debido a la resistencia del aire, (la cual se despreció), una pelota bateada con la velocidad inicial y el ángulo utilizados aquí no subirá tan alto ni llegará tan lejos como hemos calculado (vea la figura 3.20).



### EJEMPLO 3.8 ALTURA Y ALCANCE DE UN PROYECTIL II: ALTURA MÁXIMA, ALCANCE MÁXIMO

Para un proyectil lanzado con rapidez  $v_0$  a un ángulo inicial  $\alpha_0$  entre  $0^\circ$  y  $90^\circ$ , determine la altura máxima  $h$  y el alcance horizontal  $R$  (vea la figura 3.23). Para una  $v_0$  dada, ¿qué valor de  $\alpha_0$  da la altura máxima? ¿Y qué valor da el alcance horizontal máximo?

#### SOLUCIÓN

**IDENTIFICAR y PLANTEAR:** Éstos son casi los mismos incisos *b*) y *c*) del ejemplo 3.7, excepto que ahora buscamos expresiones generales para  $h$  y  $R$ . También nos interesan los valores de  $\alpha_0$  que dan los valores máximos de  $h$  y  $R$ . En el inciso *b*) del ejemplo 3.7 vimos que el proyectil alcanza el punto máximo de su trayectoria (de manera que  $v_y = 0$ ) en el tiempo  $t_1 = v_{0y}/g$ , y en el inciso *c*) determinamos que el proyectil regresa a su altura inicial (por lo que  $y = y_0$ ) en el tiempo  $t_2 = 2v_{0y}/g = 2t_1$ . Usaremos la ecuación (3.21) para determinar la coordenada  $y$  de  $h$  en  $t_1$ , y la ecuación (3.20) para calcular la coordenada  $x$  de  $R$  en  $t_2$ . Expresaremos nuestras respuestas en términos de la rapidez de lanzamiento  $v_0$  y el ángulo de disparo  $\alpha_0$  usando las ecuaciones (3.18).

**EJECUTAR:** De acuerdo con las ecuaciones (3.18),  $v_{0x} = v_0 \cos \alpha_0$  y  $v_{0y} = v_0 \sin \alpha_0$ . Por lo tanto, podemos escribir el tiempo  $t_1$  en que  $v_y = 0$  como

$$t_1 = \frac{v_{0y}}{g} = \frac{v_0 \sin \alpha_0}{g}$$

La ecuación (3.20) nos da la altura  $y = h$  en ese instante:

$$h = (v_0 \sin \alpha_0) \left( \frac{v_0 \sin \alpha_0}{g} \right) - \frac{1}{2} g \left( \frac{v_0 \sin \alpha_0}{g} \right)^2 = \frac{v_0^2 \sin^2 \alpha_0}{2g}$$

Para una rapidez de lanzamiento  $v_0$  dada, el valor máximo de  $h$  se da con  $\sin \alpha_0 = 1$  y  $\alpha_0 = 90^\circ$ ; es decir, cuando el proyectil se lanza verticalmente hacia arriba (si se lanza horizontalmente, como en el ejemplo 3.6,  $\alpha_0 = 0^\circ$  y la altura máxima es cero!).

El tiempo  $t_2$  en que el proyectil regresa al suelo es

$$t_2 = \frac{2v_{0y}}{g} = \frac{2v_0 \sin \alpha_0}{g}$$

El alcance horizontal  $R$  es el valor de  $x$  en este instante. De acuerdo con la ecuación (3.19), éste es

$$R = (v_0 \cos \alpha_0) t_2 = (v_0 \cos \alpha_0) \frac{2v_0 \sin \alpha_0}{g} = \frac{v_0^2 \sin 2\alpha_0}{g}$$

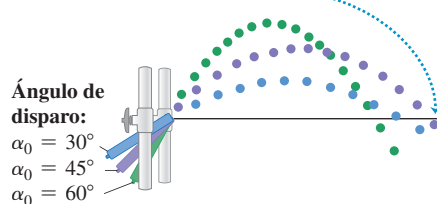
(Se usó la identidad trigonométrica  $2 \sin \alpha_0 \cos \alpha_0 = \sin 2\alpha_0$ , que se encuentra en el apéndice B). El valor máximo de  $\sin 2\alpha_0$  es 1; esto ocurre cuando  $2\alpha_0 = 90^\circ$ , o bien,  $\alpha_0 = 45^\circ$ . Este ángulo da el alcance máximo para una rapidez inicial dada si se desprecia la resistencia del aire.

**EVALUAR:** La figura 3.24 se basa en una fotografía compuesta de tres trayectorias de una pelota proyectada desde un pequeño cañón de resorte con ángulos de  $30^\circ$ ,  $45^\circ$  y  $60^\circ$ . La rapidez inicial  $v_0$  es aproximadamente igual en los tres casos. El alcance horizontal es mayor para el ángulo  $45^\circ$ . Los alcances son aproximadamente los mismos para los ángulos de  $30^\circ$  y  $60^\circ$ . ¿Puede usted demostrar que, para un valor dado de  $v_0$ , el alcance es igual para un ángulo inicial  $\alpha_0$  y para un ángulo inicial de  $90^\circ - \alpha_0$ ? (Éste no es el caso de la figura 3.24 debido a la resistencia del aire).

**CUIDADO** **Altura y alcance de un proyectil** No recomendamos memorizar las expresiones anteriores para  $h$ ,  $R$  y  $R_{\text{máx}}$ . Son aplicables sólo en las circunstancias especiales que describimos. En específico, las expresiones para el alcance  $R$  únicamente pueden utilizarse cuando las alturas de lanzamiento y aterrizaje son iguales. En muchos de los problemas al final de este capítulo, estas ecuaciones *no* deben aplicarse.

**3.24** Un ángulo de disparo de  $45^\circ$  produce el alcance horizontal máximo. El alcance es menor con ángulos de  $30^\circ$  y  $60^\circ$ .

Un ángulo de disparo de  $45^\circ$  produce el máximo alcance; con otros ángulos el alcance es menor.





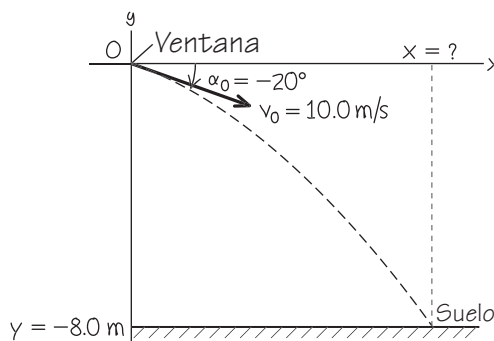
### EJEMPLO 3.9 ALTURAS INICIAL Y FINAL DISTINTAS

Usted lanza una pelota desde una ventana a 8.0 m del suelo. Cuando la pelota sale de su mano, se mueve a 10.0 m/s con un ángulo de  $20^\circ$  abajo de la horizontal. ¿A qué distancia horizontal de su ventana llegará la pelota al piso? Desprecie la resistencia del aire.

#### SOLUCIÓN

**IDENTIFICAR y PLANTEAR:** Al igual que en los ejemplos 3.7 y 3.8, queremos determinar la coordenada horizontal de un proyectil cuando tiene un valor de  $y$  determinado. La diferencia en este caso es que el valor de  $y$  *no* es el mismo que el valor inicial. Una vez más, elegimos el eje  $x$  como horizontal, y el eje  $y$  hacia arriba, y colocamos el origen de las coordenadas en el punto donde la pelota sale de su mano (**figura 3.25**). Así, tenemos  $v_0 = 10.0 \text{ m/s}$  y  $\alpha_0 = -20^\circ$  (el ángulo es negativo porque la velocidad inicial está debajo de la horizontal). Nuestra incógnita es el valor de  $x$  cuando la pelota llega al suelo en  $y = -8.0 \text{ m}$ . Usamos la ecuación (3.20) para obtener el instante  $t$  cuando esto sucede; después, calculamos el valor de  $x$  en ese instante con la ecuación (3.19).

**3.25** Diagrama para este problema.



**EJECUTAR:** Para determinar  $t$ , escribimos la ecuación (3.20) en la forma normal de una ecuación cuadrática en  $t$ :

$$\frac{1}{2}gt^2 - (v_0 \sin \alpha_0)t + y = 0$$

Las raíces de esta ecuación son

$$\begin{aligned} t &= \frac{v_0 \sin \alpha_0 \pm \sqrt{(-v_0 \sin \alpha_0)^2 - 4\left(\frac{1}{2}g\right)y}}{2\left(\frac{1}{2}g\right)} \\ &= \frac{v_0 \sin \alpha_0 \pm \sqrt{v_0^2 \sin^2 \alpha_0 - 2gy}}{g} \\ &= \frac{\left[(10.0 \text{ m/s}) \sin (-20^\circ)\right]}{9.80 \text{ m/s}^2} \\ &\quad \pm \sqrt{(10.0 \text{ m/s})^2 \sin^2 (-20^\circ) - 2(9.80 \text{ m/s}^2)(-8.0 \text{ m})} \\ &= -1.7 \text{ s} \quad \text{o bien,} \quad 0.98 \text{ s} \end{aligned}$$

Desechamos la raíz negativa, ya que se refiere a un tiempo previo al lanzamiento. La raíz positiva nos indica que la pelota llega al suelo en  $t = 0.98 \text{ s}$ . De acuerdo con la ecuación (3.19), la coordenada  $x$  de la pelota en ese instante es

$$x = (v_0 \cos \alpha_0)t = (10.0 \text{ m/s})[\cos(-20^\circ)](0.98 \text{ s}) = 9.2 \text{ m}$$

La pelota llega al suelo a una distancia horizontal de 9.2 m de la ventana.

**EVALUAR:** La raíz  $t = -1.7 \text{ s}$  es un ejemplo de solución “ficticia” para una ecuación cuadrática. Ya vimos esto en el ejemplo 2.8 de la sección 2.5; le recomendamos repasarlo.

### EJEMPLO 3.10 EL CUIDADOR DEL ZOOLÓGICO Y EL MONO

Un mono escapa del zoológico y sube a un árbol. Como el cuidador no logra atraerlo, dispara un dardo sedante directamente hacia el mono (**figura 3.26**), quien salta en el instante en que el dardo sale del cañón del rifle. Demuestre que el dardo golpeará al mono, *siempre* que lo alcance antes de que éste llegue al piso y se aleje.

#### SOLUCIÓN

**IDENTIFICAR y PLANTEAR:** Tenemos *dos* cuerpos que se mueven como proyectiles: el dardo y el mono. Ambos tienen posición y velocidad iniciales distintas; sin embargo, entran en movimiento de proyectil al mismo tiempo  $t = 0$ . Primero usaremos la ecuación (3.19) para encontrar el tiempo  $t$  en que las coordenadas  $x_{\text{mono}}$  y  $x_{\text{dardo}}$  son iguales. Luego, usaremos la ecuación (3.20) para verificar si  $y_{\text{mono}}$  y  $y_{\text{dardo}}$  también son iguales en ese instante; si lo son, el dardo golpeará al mono. Elegimos las direcciones  $x$  y  $y$  acostumbradas, y colocamos el origen de las coordenadas en el extremo del cañón del rifle (figura 3.26).

**EJECUTAR:** El mono cae verticalmente, así que  $x_{\text{mono}} = d$  en *todo* momento. La ecuación (3.19) nos indica que  $x_{\text{dardo}} = (v_0 \cos \alpha_0)t$ . Despejamos el tiempo  $t$  cuando las coordenadas  $x$  son iguales:

$$d = (v_0 \cos \alpha_0)t \quad \text{así que} \quad t = \frac{d}{v_0 \cos \alpha_0}$$

Se debe demostrar ahora que  $y_{\text{mono}} = y_{\text{dardo}}$  en este instante. El mono está en caída libre unidimensional; su posición en cualquier momento está dada por la ecuación (2.12) cambiando debidamente los símbolos. La figura 3.26 muestra que la altura inicial del mono arriba del cañón del rifle es  $y_{\text{mono}-0} = d \tan \alpha_0$ , así que

$$y_{\text{mono}} = d \tan \alpha_0 - \frac{1}{2}gt^2$$

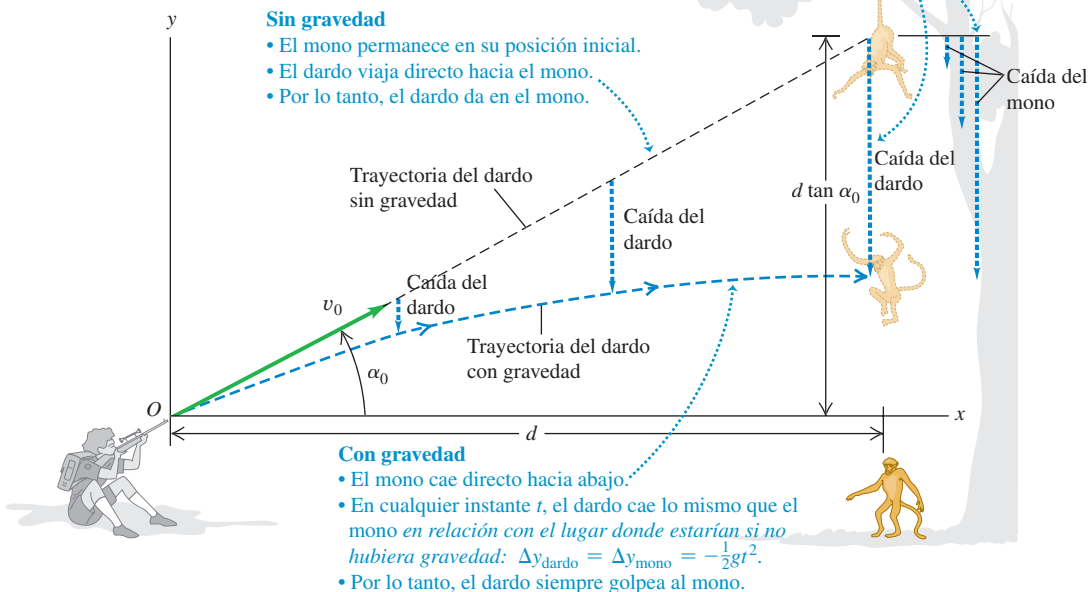
Según la ecuación (3.20),

$$y_{\text{dardo}} = (v_0 \sin \alpha_0)t - \frac{1}{2}gt^2$$

Continúa

**3.26** El dardo con sedante golpea al mono que cae.

Las flechas punteadas muestran qué tanto han caído el mono y el dardo en tiempos específicos, en relación con el lugar donde estarían si no hubiera gravedad.  
En cualquier instante, caen la misma distancia.

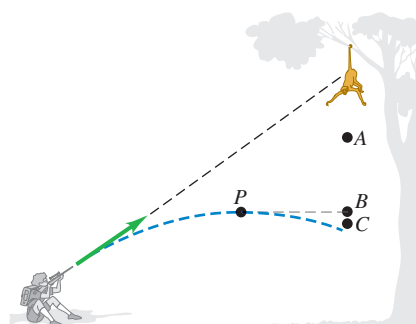


Comparando estas dos ecuaciones, vemos que si  $d \tan \alpha_0 = (v_0 \operatorname{sen} \alpha_0)t$  en el instante en que las dos coordenadas  $x$  son iguales, entonces  $y_{\text{mono}} = y_{\text{dardo}}$  (el dardo habrá acertado). Para demostrarlo, sustituimos  $t$  por  $d/(v_0 \cos \alpha_0)$ , el instante en que  $x_{\text{mono}} = x_{\text{dardo}}$ . Con seguridad, obtenemos

$$(v_0 \operatorname{sen} \alpha_0)t = (v_0 \operatorname{sen} \alpha_0) \frac{d}{v_0 \cos \alpha_0} = d \tan \alpha_0$$

**EVALUAR:** Hemos demostrado que, cuando las coordenadas  $y$  del dardo y el mono son iguales en el mismo instante, las coordenadas  $x$

también lo son; un dardo dirigido a la posición inicial del mono *siempre* lo golpeará, sin importar  $v_0$  (siempre que el mono no llegue al suelo primero). Este resultado es independiente de  $g$ , la aceleración debida a la gravedad. Sin gravedad ( $g = 0$ ), el mono no se movería, y el dardo viajaría en línea recta para golpearlo. Con gravedad, ambos “caen” la misma distancia  $gt^2/2$  por debajo de sus posiciones cuando  $t = 0$  y el dardo de todos modos golpea al mono (figura 3.26).



**EVALÚE SU COMPRENSIÓN DE LA SECCIÓN 3.3** En el ejemplo 3.10, suponga que el dardo sedante tiene una velocidad relativamente baja, de modo que el dardo alcanza su altura máxima en un punto  $P$  antes de golpear al mono, como se indica en la figura. Cuando el dardo está en  $P$ , ¿el mono estará en **i**. el punto  $A$  (más alto que  $P$ ), **ii**. el punto  $B$  (a la misma altura que  $P$ ) o **iii**. en el punto  $C$  (más abajo que  $P$ )? Desprecie la resistencia del aire. **|**

## 3.4 MOVIMIENTO EN CÍRCULO

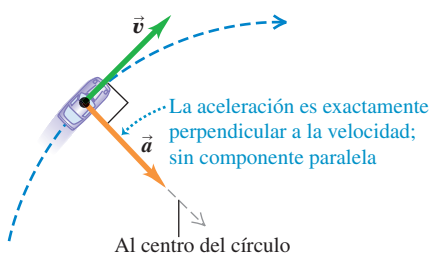
Cuando una partícula se mueve en una trayectoria curva, la dirección de su velocidad cambia, lo cual significa, como vimos en la sección 3.2, que la partícula *debe* tener una componente de aceleración perpendicular a la trayectoria, incluso si la rapidez es constante (vea la figura 3.11b). En esta sección calcularemos la aceleración para el importante caso especial de movimiento en círculo.

### Movimiento circular uniforme

Cuando una partícula se mueve en un círculo con *rapidez constante*, el movimiento se conoce como **movimiento circular uniforme**. Un automóvil que da vuelta en una curva de radio constante con rapidez constante, un satélite en órbita circular y un

**3.27** Un automóvil con movimiento circular. Si el automóvil tiene movimiento circular uniforme como en *a*), la rapidez es constante y la aceleración se dirige hacia el centro de la trayectoria circular (compare con la figura 3.12).

**a) Movimiento circular uniforme:** Rapidez constante en una trayectoria circular

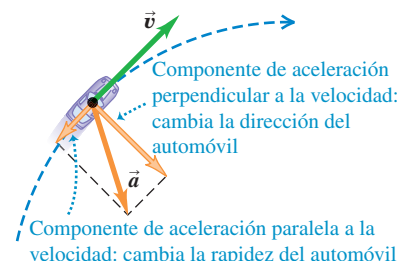


**b) El automóvil aumenta su rapidez en una trayectoria circular**

Componente de aceleración paralela a la velocidad: cambia la rapidez del automóvil

Componente de aceleración perpendicular a la velocidad: cambia la dirección del automóvil

**c) El automóvil disminuye su rapidez en una trayectoria circular**



patinador que describe un círculo con rapidez constante son ejemplos de este movimiento (**figura 3.27a**; compárela con la figura 3.12a). No hay componente de aceleración paralela (tangente) a la trayectoria; si la hubiera, cambiaría la rapidez. El vector aceleración es perpendicular (normal) a la trayectoria y, por lo tanto, se dirige hacia adentro (¡nunca hacia afuera!), al centro de la trayectoria circular. Esto causa el cambio en la dirección de la velocidad, sin que cambie la rapidez.

Se puede obtener una relación sencilla para la magnitud de la aceleración en movimiento circular uniforme. Iniciamos con la **figura 3.28a**, la cual muestra una partícula que se mueve con rapidez constante en una trayectoria circular de radio  $R$  con centro en  $O$ . La partícula se mueve una distancia  $\Delta s$  de  $P_1$  a  $P_2$  en un tiempo  $\Delta t$ . El cambio vectorial en la velocidad  $\Delta \vec{v}$  durante este tiempo se muestra en la figura 3.28b.

Los ángulos identificados como  $\Delta\phi$  en las figuras 3.28a y 3.28b son iguales porque  $\vec{v}_1$  es perpendicular a la línea  $OP_1$ , y  $\vec{v}_2$  es perpendicular a la línea  $OP_2$ . Por lo tanto, los triángulos en las figuras 3.28a y 3.28b son *semejantes*. Las razones de los lados correspondientes en triángulos semejantes son iguales, así que

$$\frac{|\Delta \vec{v}|}{v_1} = \frac{\Delta s}{R} \quad \text{o bien,} \quad |\Delta \vec{v}| = \frac{v_1}{R} \Delta s$$

La magnitud  $a_{\text{med}}$  de la aceleración media durante  $\Delta t$  es, entonces,

$$a_{\text{med}} = \frac{|\Delta \vec{v}|}{\Delta t} = \frac{v_1 \Delta s}{R \Delta t}$$

La magnitud  $a$  de la aceleración *instantánea*  $\vec{a}$  en el punto  $P_1$  es el límite de esta expresión conforme  $P_2$  se acerca a  $P_1$ :

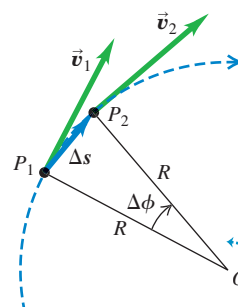
$$a = \lim_{\Delta t \rightarrow 0} \frac{v_1 \Delta s}{R \Delta t} = \frac{v_1}{R} \lim_{\Delta t \rightarrow 0} \frac{\Delta s}{\Delta t}$$

Si el intervalo  $\Delta t$  es muy corto,  $\Delta s$  es la distancia que se mueve la partícula en la trayectoria curva. De modo que el límite de  $\Delta s/\Delta t$  es la rapidez  $v_1$  en el punto  $P_1$ . Asimismo,  $P_1$  puede ser cualquier punto de la trayectoria, así que podemos omitir el subíndice y representar con  $v$  la rapidez en cualquier punto. Entonces,

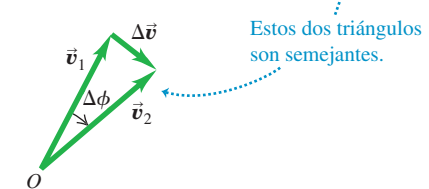
Magnitud de la aceleración de un objeto con movimiento circular uniforme  $a_{\text{rad}} = \frac{v^2}{R}$  Rapidez de un objeto circular del objeto

**3.28** Determinación del cambio de velocidad  $\Delta \vec{v}$ , aceleración media  $\vec{a}_{\text{med}}$  y aceleración instantánea  $\vec{a}_{\text{rad}}$  de una partícula que se mueve en círculo con rapidez constante.

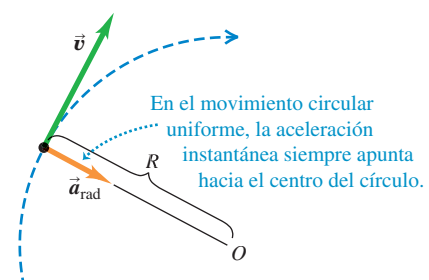
a) Una partícula se mueve una distancia  $\Delta s$  con rapidez constante en una trayectoria circular.



b) El cambio correspondiente en velocidad y aceleración media

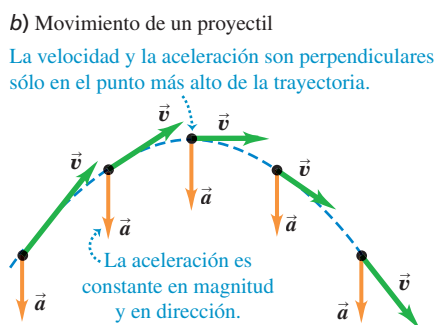
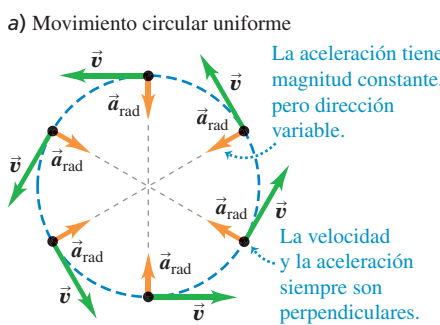


c) Aceleración instantánea



Se agrega el subíndice “rad” para recordar que la dirección de la aceleración instantánea en cualquier punto siempre se encuentra a lo largo de un radio del círculo (hacia el centro del círculo; vea las figuras 3.27a y 3.28c). En conclusión, *en el movimiento*

**3.29** Aceleración y velocidad *a*) de una partícula con movimiento circular uniforme y *b*) de un proyectil sin resistencia del aire.



## LOS DATOS HABLAN

### Aceleración en una trayectoria curva

Cuando a los estudiantes se les presenta un problema acerca de un objeto que sigue una trayectoria curva (no necesariamente la trayectoria parabólica de un proyectil), más del 46% dieron una respuesta incorrecta.

Los errores comunes son:

- La confusión entre el vector aceleración  $\vec{a}$  y el vector velocidad  $\vec{v}$ . Recuerde que  $\vec{a}$  es la razón de cambio de  $\vec{v}$ , y en una trayectoria curva  $\vec{a}$  y  $\vec{v}$  no pueden estar en la misma dirección (vea la figura 3.12).
- La confusión acerca de la dirección de  $\vec{a}$ . Si la trayectoria es curva,  $\vec{a}$  siempre tiene un componente hacia dentro de la curva (vea la figura 3.12).

circular uniforme, la magnitud  $a_{\text{rad}}$  de la aceleración instantánea es igual al cuadrado de la rapidez  $v$  dividido entre el radio  $R$  del círculo; su dirección es perpendicular a  $\vec{v}$  y hacia adentro sobre el radio (figura 3.29a).

Como la aceleración en el movimiento circular uniforme siempre apunta al centro del círculo, en ocasiones se le llama **aceleración centrípeta**. La palabra “centrípeta” se deriva de dos vocablos griegos que significan “que busca el centro”.

**CUIDADO** Movimiento circular uniforme contra movimiento de proyectiles Observe las diferencias entre la aceleración en un movimiento circular uniforme (figura 3.29a) y la aceleración en el movimiento de proyectiles (figura 3.29b). Es cierto que en ambas clases de movimiento la *magnitud* de la aceleración siempre es la misma. Sin embargo, en el movimiento circular uniforme la  de  $\vec{a}$  cambia continuamente, de manera que siempre apunta hacia el centro del círculo. En el movimiento de proyectiles, la dirección de  $\vec{a}$  es la misma en todo momento. ▀

También podemos expresar la magnitud de la aceleración en el movimiento circular uniforme en términos del **periodo *T*** del movimiento, es decir, el tiempo que dura una revolución (una vuelta completa alrededor del círculo). En un tiempo *T*, la partícula recorre una distancia igual a la circunferencia  $2\pi R$ , así que su rapidez es

$$v = \frac{2\pi R}{T} \quad (3.28)$$

Al sustituir esto en la ecuación (3.27), obtenemos la expresión alternativa

$$\text{Magnitud de la aceleración de un objeto con movimiento circular uniforme} \quad a_{\text{rad}} = \frac{4\pi^2 R}{T^2} \quad \begin{array}{l} \text{Radio de la trayectoria circular de un objeto} \\ \text{Periodo de movimiento} \end{array} \quad (3.29)$$

### EJEMPLO 3.11 ACCELERACIÓN CENTRÍPETA EN UN CAMINO CURVO

Un automóvil deportivo Aston Martin V8 Vantage tiene una “aceleración lateral” de  $0.96g = (0.96)(9.8 \text{ m/s}^2) = 9.4 \text{ m/s}^2$ . Ésta es la aceleración centrípeta máxima que puede tener el automóvil sin salirse derrapando de la trayectoria curva. Si el automóvil viaja a  $40 \text{ m/s}$  constantes (cerca de  $89 \text{ mi/h}$  o  $144 \text{ km/h}$ ), en una pista plana, ¿cuál es el radio *R* mínimo de curva sin peralte que puede tomar?

### SOLUCIÓN

**IDENTIFICAR, PLANTEAR y EJECUTAR:** El automóvil tiene movimiento circular uniforme porque se desplaza con rapidez constante en una curva, que es un segmento de un círculo. Se usa la ecuación (3.27) para obtener la incógnita *R* en términos de la aceleración

centrípeta dada  $a_{\text{rad}}$  y la rapidez *v*:

$$R = \frac{v^2}{a_{\text{rad}}} = \frac{(40 \text{ m/s})^2}{9.4 \text{ m/s}^2} = 170 \text{ m} \text{ (aproximadamente 560 ft)}$$

Éste es el radio de giro *mínimo* porque  $a_{\text{rad}}$  es la aceleración centrípeta *máxima*.

**EVALUAR:** El radio de giro mínimo *R* es proporcional al cuadrado de la rapidez; por lo tanto, incluso una reducción pequeña en la rapidez puede reducir *R* considerablemente. Por ejemplo, si *v* disminuye 20% (de 40 a  $32 \text{ m/s}$ ), *R* disminuirá 36% (de 170 a  $109 \text{ m}$ ).

Otra forma de reducir el radio requerido es *peraltar* la curva. Investigaremos esta opción en el capítulo 5.



SOLUCIÓN



### EJEMPLO 3.12 ACELERACIÓN CENTRÍPETA EN UN JUEGO MECÁNICO

En un juego mecánico, los pasajeros viajan con rapidez constante en un círculo horizontal de 5.0 m de radio, dando una vuelta completa cada 4.0 s. ¿Qué aceleración tienen?

#### SOLUCIÓN

**IDENTIFICAR y PLANTEAR:** La rapidez es constante, así que se trata de movimiento circular uniforme. Nos dan el radio  $R = 5.0$  m y el periodo  $T = 4.0$  s, así que se puede usar la ecuación (3.29) para calcular la aceleración directamente, o se puede calcular la rapidez  $v$  con la ecuación (3.28) y luego obtener la aceleración con la ecuación (3.27).

**EJECUTAR:** De acuerdo con la ecuación (3.29),

$$a_{\text{rad}} = \frac{4\pi^2(5.0 \text{ m})}{(4.0 \text{ s})^2} = 12 \text{ m/s}^2 = 1.3g$$

**EVALUAR:** Verificamos esta respuesta usando el segundo enfoque indirecto. A partir de la ecuación (3.28), la rapidez es

$$v = \frac{2\pi R}{T} = \frac{2\pi(5.0 \text{ m})}{4.0 \text{ s}} = 7.9 \text{ m/s}$$

La aceleración centrípeta es entonces,

$$a_{\text{rad}} = \frac{v^2}{R} = \frac{(7.9 \text{ m/s})^2}{5.0 \text{ m}} = 12 \text{ m/s}^2$$

Como en la figura 3.29a, la dirección de  $\vec{a}$  siempre es hacia el centro del círculo. La magnitud de  $\vec{a}$  es relativamente suave conforme el juego mecánico avanza; algunas montañas rusas someten a sus pasajeros a aceleraciones de hasta  $4g$ .

## Movimiento circular no uniforme

En esta sección, hemos supuesto que la rapidez de la partícula es constante conforme viaja alrededor de un círculo. Si la rapidez varía, tenemos un **movimiento circular no uniforme**. En el movimiento circular no uniforme, la ecuación (3.27) nos sigue dando la componente *radial* de la aceleración  $a_{\text{rad}} = v^2/R$ , que siempre es *perpendicular* a la velocidad instantánea y dirigida al centro del círculo. Sin embargo, puesto que la rapidez  $v$  tiene valores distintos en diferentes puntos del movimiento, el valor de  $a_{\text{rad}}$  no es constante. La aceleración radial (centrípeta) es mayor en el punto del círculo donde la rapidez es mayor.

En el movimiento circular no uniforme también hay una componente de aceleración *paralela* a la velocidad instantánea (vea las figuras 3.27b y 3.27c). Ésta es la componente  $a_{\parallel}$  que vimos en la sección 3.2, y aquí la llamamos  $a_{\tan}$  para destacar que es *tangente* al círculo. La componente de aceleración tangencial  $a_{\tan}$  es igual a la tasa de cambio de la *rapidez*. Entonces,

$$a_{\text{rad}} = \frac{v^2}{R} \quad \text{y} \quad a_{\tan} = \frac{d|\vec{v}|}{dt} \quad (\text{movimiento circular no uniforme}) \quad (3.30)$$

La componente tangencial tiene la misma dirección de la velocidad si la partícula acelera, y la dirección opuesta si frena (**figura 3.30**). Si la rapidez de la partícula es constante,  $a_{\tan} = 0$ .

#### Aplicación Cuidado: ¡Se aproximan curvas cerradas!

Estos carros de la montaña rusa tienen movimiento circular no uniforme: frenan y aceleran conforme se mueven alrededor de un lazo vertical. Las grandes aceleraciones implicadas en un viaje a alta velocidad alrededor de un lazo ajustado significan un esfuerzo adicional en los sistemas circulatorios de los pasajeros; por tal razón, las personas con afecciones cardíacas deben abstenerse de subirse a la montaña rusa.



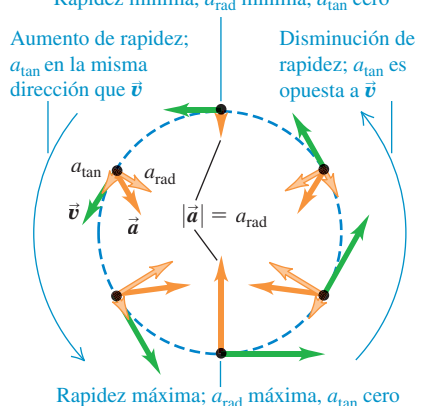
**3.30** Partícula que se mueve en un lazo vertical, como un carro de montaña rusa, con rapidez variable.

**CUIDADO** Movimiento circular uniforme contra no uniforme Observe que las dos cantidades

$$\frac{d|\vec{v}|}{dt} \quad \text{y} \quad \left| \frac{d\vec{v}}{dt} \right|$$

no son iguales. La primera, igual a la aceleración tangencial, es la tasa de cambio de la rapidez; es igual a cero siempre que una partícula se mueve con rapidez constante, incluso cuando cambia la dirección de su movimiento (como en el movimiento circular *uniforme*). La segunda es la magnitud de la aceleración vectorial; es igual a cero sólo cuando el vector aceleración de la partícula es cero, es decir, cuando la partícula se mueve en línea recta con rapidez constante. En el movimiento circular *uniforme*  $|d\vec{v}/dt| = a_{\text{rad}} = v^2/r$ ; en el movimiento circular *no uniforme* también existe una componente tangencial de la aceleración, de manera que  $|d\vec{v}/dt| = \sqrt{a_{\text{rad}}^2 + a_{\tan}^2}$ .

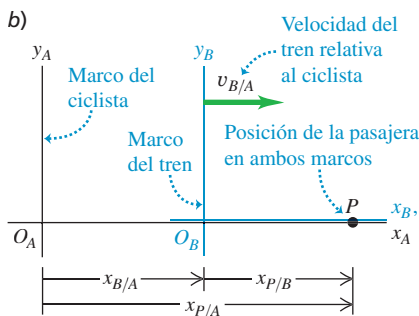
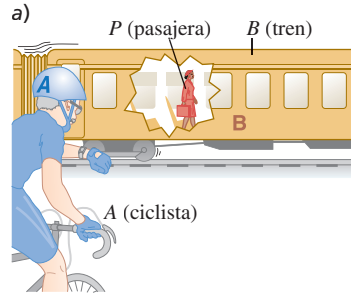
**EVALÚE SU COMPRENSIÓN DE LA SECCIÓN 3.4** Suponga que la partícula de la figura 3.30 experimenta una aceleración cuatro veces mayor en la parte inferior del lazo que en la parte superior del mismo. En comparación con la rapidez en la parte superior del lazo, ¿la rapidez en la parte inferior del lazo es i.  $\sqrt{2}$  veces mayor; ii. 2 veces mayor; iii.  $2\sqrt{2}$  veces mayor; iv. 4 veces mayor; o v. 16 veces mayor? ■



**3.31** Los pilotos de acrobacias aéreas enfrentan un complicado problema de velocidades relativas. Deben estar pendientes de su movimiento en relación con el aire (y así mantener un flujo suficiente de aire sobre las alas para la sustentación), su movimiento en relación con los otros aviones (para mantener una formación cerrada sin chocar) y su movimiento en relación con el público (para que los espectadores no los pierdan de vista).



**3.32 a)** Una pasajera camina dentro de un tren. **b)** La posición de la mujer relativa al marco de referencia del ciclista y al marco de referencia del tren.



## 3.5 VELOCIDAD RELATIVA

Sin duda, usted ha observado que cuando está detenido en el acotamiento de una autopista, los automóviles parecen moverse hacia adelante; pero un automóvil que avanza lentamente parece moverse hacia atrás cuando usted lo rebasa. En general, si dos observadores miden la velocidad de un mismo cuerpo en movimiento, obtienen diferentes resultados si uno de ellos se mueve en relación con el otro. La velocidad que un observador determinado percibe es la velocidad *relativa* a él, o simplemente la **velocidad relativa**. La figura 3.31 muestra una situación donde la comprensión de la velocidad relativa es extremadamente importante.

Primero consideraremos la velocidad relativa en línea recta, y luego la generalizaremos para un plano.

### Velocidad relativa en una dimensión

Una pasajera camina con una velocidad de 1.0 m/s por el pasillo del vagón de un ferrocarril que se mueve a 3.0 m/s (figura 3.32a). ¿Cuál es la velocidad de la pasajera? Es una pregunta sencilla, pero no tiene una sola respuesta. Para un segundo pasajero sentado en el tren, la mujer se mueve a 1.0 m/s. Para un ciclista que está detenido junto al tren, la pasajera se mueve a  $1.0 \text{ m/s} + 3.0 \text{ m/s} = 4.0 \text{ m/s}$ . Un observador en otro tren que va en la dirección opuesta daría otra respuesta. Debemos especificar quién es el observador y dar la velocidad *relativa* a él. La velocidad de la pasajera relativa al tren es 1.0 m/s, la velocidad relativa al ciclista es 4.0 m/s, etcétera. Cada observador, equipado en principio con un metro y un cronómetro, constituye lo que llamamos un **marco de referencia**. Así, un marco de referencia es un sistema de coordenadas más una escala de tiempo.

Sea  $A$  el marco de referencia del ciclista (en reposo con respecto al suelo) y  $B$  el marco de referencia del tren en movimiento. En el movimiento rectilíneo, la posición de un punto  $P$  relativa al marco de referencia  $A$  está dada por  $x_{P/A}$  (la posición de  $P$  con respecto a  $A$ ), y la posición de  $P$  con respecto al marco  $B$  está dada por  $x_{P/B}$  (vea la figura 3.32b). La posición del origen de  $B$  respecto al origen de  $A$  es  $x_{B/A}$ . La figura 3.32b indica que

$$x_{P/A} = x_{P/B} + x_{B/A} \quad (3.31)$$

En palabras, la coordenada de  $P$  en relación con  $A$  es igual a la coordenada de  $P$  en relación con  $B$  más la coordenada de  $B$  en relación con  $A$ .

La velocidad en  $x$  de  $P$  relativa al marco  $A$ , denotada con  $v_{P/A-x}$ , es la derivada de  $x_{P/A}$  con respecto al tiempo. Las otras velocidades se obtienen de igual manera, así que la derivada con respecto al tiempo de la ecuación (3.31) nos da la relación entre las velocidades:

$$\frac{dx_{P/A}}{dt} = \frac{dx_{P/B}}{dt} + \frac{dx_{B/A}}{dt} \quad \text{o bien,}$$

<b>Velocidad relativa en una línea:</b> velocidad en $x$ de $P$ respecto a $A$	$v_{P/A-x} =$	$v_{P/B-x} + v_{B/A-x}$ velocidad en $x$ de $P$ respecto a $B$	$v_{B/A-x}$ velocidad en $x$ de $B$ respecto a $A$
--	---------------	--	--

Volviendo al caso de la pasajera en el tren de la figura 3.32a, vemos que  $A$  es el marco de referencia del ciclista,  $B$  es el marco de referencia del tren, y el punto  $P$  representa a la pasajera. Usando la notación anterior, tenemos

$$v_{P/B-x} = +1.0 \text{ m/s} \quad v_{B/A-x} = +3.0 \text{ m/s}$$

Según la ecuación (3.32), la velocidad  $v_{P/A-x}$  de la pasajera relativa al ciclista es

$$v_{P/A-x} = +1.0 \text{ m/s} + 3.0 \text{ m/s} = +4.0 \text{ m/s}$$

como ya sabíamos.

En este ejemplo, ambas velocidades van hacia la derecha, y hemos tomado ésta como la dirección  $x$  positiva. Si la pasajera camina hacia la *izquierda* en relación con el tren, entonces,  $v_{P/B-x} = -1.0 \text{ m/s}$ , y su velocidad relativa al ciclista es  $v_{P/A-x} = -1.0 \text{ m/s} + 3.0 \text{ m/s} = +2.0 \text{ m/s}$ . La suma de la ecuación (3.32) siempre es algebraica, y cualquiera o todas las velocidades  $x$  pueden ser negativas.

Si la pasajera se asoma por la ventana, le parecerá que el ciclista estacionario se mueve hacia atrás; llamamos  $v_{A/P-x}$  a la velocidad del ciclista relativa a ella. Es evidente que ésta es el negativo de la velocidad de la *pasajera* en relación con el *ciclista*,  $v_{P/A-x}$ . En general, si  $A$  y  $B$  son dos puntos o marcos de referencia cualesquiera,

$$v_{A/B-x} = -v_{B/A-x} \quad (3.33)$$

## ESTRATEGIA PARA RESOLVER PROBLEMAS 3.2 VELOCIDAD RELATIVA

**IDENTIFICAR** los conceptos relevantes: Siempre que lea la frase “velocidad relativa a” o “velocidad con respecto a”, seguramente le resultarán útiles los conceptos de velocidad relativa.

**PLANTEAR** el problema: Dibuje e identifique todos los marcos de referencia del problema. Cada cuerpo en movimiento tiene su propio marco de referencia; asimismo, casi siempre se tiene que incluir el marco de referencia de la superficie terrestre. (Enunciados como “el automóvil viaja al norte a 90 km/h” se refieren implícitamente a la velocidad del vehículo relativa a la superficie terrestre). Use los títulos para identificar la incógnita. Por ejemplo, si quiere obtener la velocidad  $x$  de un automóvil ( $C$ ) con respecto a un autobús ( $B$ ), la incógnita es  $v_{C/B-x}$ .

**EJECUTAR** la solución: Despeje la incógnita empleando la ecuación (3.32). (Si las velocidades no tienen la misma dirección, será preciso usar la forma vectorial de esta ecuación, que deduciremos

más adelante en esta misma sección). Es importante observar el orden de los dobles subíndices en la ecuación (3.32):  $v_{B/A-x}$  significa “velocidad de  $B$  relativa a  $A$ ”. Estos subíndices obedecen a un tipo de álgebra. Si consideramos a cada uno como una fracción, la fracción del miembro izquierdo es el *producto* de las fracciones del miembro derecho:  $P/A = (P/B)(B/A)$ . Se puede aplicar esta regla a cualquier cantidad de marcos de referencia. Por ejemplo, si hay tres marcos de referencia distintos  $A$ ,  $B$  y  $C$ , la ecuación (3.32) se convierte en

$$v_{P/A-x} = v_{P/C-x} + v_{C/B-x} + v_{B/A-x}$$

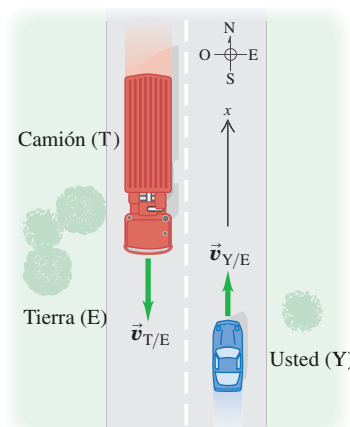
**EVALUAR** la respuesta: Verifique los signos menos ( $-$ ) en su respuesta. Si la incógnita es la velocidad  $x$  de un automóvil relativa a un autobús ( $v_{C/B-x}$ ), asegúrese de no haber calculado por equivocación la velocidad del *autobús* relativa al *automóvil* ( $v_{B/C-x}$ ). Si cometió este error, la ecuación (3.33) le dará la respuesta correcta.

## EJEMPLO 3.13 VELOCIDAD RELATIVA EN UN CAMINO RECTO



Usted viaja al norte en un camino recto de dos carriles con rapidez constante de 88 km/h. Un camión que viaja con rapidez constante de 104 km/h se acerca a usted en el otro carril (figura 3.33). Determine *a*) la velocidad del camión relativa a usted y *b*) su velocidad relativa al camión. *c*) ¿Cómo cambian las velocidades relativas una vez que ambos vehículos se han pasado? Considere este problema como unidimensional.

**3.33** Marcos de referencia para usted y el camión.



### SOLUCIÓN

**IDENTIFICAR y PLANTEAR:** En este problema sobre velocidades relativas en una recta, hay tres marcos de referencia: usted ( $Y$ ), el camión ( $T$ ) y la superficie de la Tierra ( $E$ ). Fijemos la dirección  $x$  positiva hacia el norte (figura 3.33). Entonces, su velocidad relativa a la Tierra es  $v_{Y/E-x} = +88 \text{ km/h}$ . En un principio, el camión se acerca a usted, así que debe ir hacia el sur, y su velocidad  $x$  relativa a la Tierra es  $v_{T/E-x} = -104 \text{ km/h}$ . Las incógnitas de los incisos *a*) y *b*) son  $v_{T/Y-x}$  y  $v_{Y/T-x}$ , respectivamente. Utilizaremos la ecuación (3.32) para obtener la primera incógnita, y la ecuación (3.33) para obtener la segunda.

**EJECUTAR:** *a*) Para obtener  $v_{T/Y-x}$ , escribimos la ecuación (3.32) para la velocidad conocida  $v_{T/E-x}$  y reacomodando:

$$\begin{aligned} v_{T/E-x} &= v_{T/Y-x} + v_{Y/E-x} \\ v_{T/Y-x} &= v_{T/E-x} - v_{Y/E-x} \\ &= -104 \text{ km/h} - 88 \text{ km/h} = -192 \text{ km/h} \end{aligned}$$

El camión se desplaza a 192 km/h en la dirección  $x$  negativa (al sur) en relación con usted.

b) De acuerdo con la ecuación (3.33),

$$v_{Y/T-x} = -v_{T/Y-x} = -(-192 \text{ km/h}) = +192 \text{ km/h}$$

Usted se desplaza a 192 km/h en la dirección positiva (al norte) en relación con el camión.

c) Las velocidades relativas *no* cambian después de que los vehículos se pasan. Las *posiciones* relativas de los cuerpos no importan. Después de que el camión lo pasa, aún se desplaza a 192 km/h

hacia el sur en relación con usted, pero ahora se aleja en vez de acercarse.

**EVALUAR:** Para comprobar la respuesta del inciso b), se usa la ecuación (3.32) directamente en la forma  $v_{Y/T-x} = v_{Y/E-x} + v_{E/T-x}$  (La velocidad en  $x$  de la Tierra relativa al camión es opuesta a la velocidad en  $x$  del camión con respecto a la Tierra:  $v_{E/T-x} = -v_{T/E-x}$ ). ¿Obtuvo el mismo resultado?

## Velocidad relativa en dos o tres dimensiones

Podemos ampliar el concepto de velocidad relativa para incluir el movimiento en un plano o en el espacio. Suponga que la pasajera de la figura 3.32a camina no por el pasillo del vagón, sino de un costado al otro, con rapidez de 1.0 m/s (**figura 3.34a**). Nuevamente describimos la posición  $P$  de la pasajera en dos marcos de referencia distintos:  $A$  para el observador detenido al lado del tren y  $B$  para el tren en movimiento; pero en vez de las coordenadas  $x$  usamos vectores de posición  $\vec{r}$  porque el problema es ahora bidimensional. Entonces, como muestra la figura 3.34b,

$$\vec{r}_{P/A} = \vec{r}_{P/B} + \vec{r}_{B/A} \quad (3.34)$$

Igual que antes, tomamos la derivada con respecto al tiempo de esta ecuación para obtener una relación entre las velocidades; la velocidad de  $P$  relativa a  $A$  es  $\vec{v}_{P/A} = d\vec{r}_{P/A}/dt$ , y así sucesivamente para las demás velocidades. Obtenemos

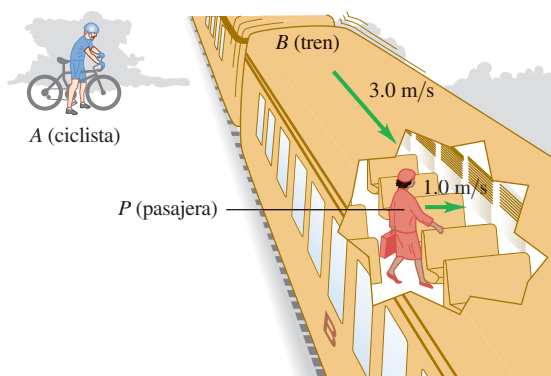
<b>Velocidad relativa en el espacio:</b>	$\vec{v}_{P/A} = \vec{v}_{P/B} + \vec{v}_{B/A}$	(3.35)
Velocidad de $P$ relativa a $A$	Velocidad de $P$ relativa a $B$	Velocidad de $B$ relativa a $A$

La ecuación (3.35) se conoce como *transformación galileana de la velocidad* y relaciona la velocidad de un cuerpo  $P$  con respecto al marco  $A$  y su velocidad con respecto al marco  $B$  ( $\vec{v}_{P/A}$  y  $\vec{v}_{P/B}$ , respectivamente), con la velocidad del marco  $B$  con respecto al marco  $A$  ( $\vec{v}_{B/A}$ ). Si las tres velocidades están en la misma línea, entonces la ecuación (3.35) se reduce a la ecuación (3.32) para las componentes de las velocidades a lo largo de esa línea.

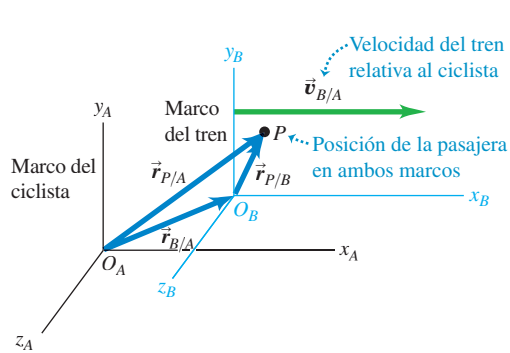
Si el tren se desplaza a una  $v_{B/A} = 3.0 \text{ m/s}$  en relación con el suelo y la velocidad de la pasajera relativa al vagón tiene magnitud  $v_{P/B} = 1.0 \text{ m/s}$ , su vector veloci-

**3.34 a)** Una pasajera camina a lo ancho de un vagón de ferrocarril. **b)** Posición de la mujer relativa al marco de referencia del ciclista y al marco del tren. **c)** Diagrama vectorial para la velocidad de la mujer relativa al suelo (el marco del ciclista),  $\vec{v}_{P/A}$ .

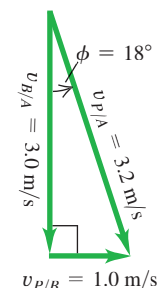
a)



b)



c) Velocidades relativas  
(vistas desde arriba)



dad  $\vec{v}_{P/A}$  relativo al suelo es como se muestra en la figura 3.34c. Entonces, el teorema de Pitágoras nos da

$$v_{P/A} = \sqrt{(3.0 \text{ m/s})^2 + (1.0 \text{ m/s})^2} = \sqrt{10 \text{ m}^2/\text{s}^2} = 3.2 \text{ m/s}$$

La figura 3.34c también indica que la *dirección* del vector velocidad de la pasajera relativa al suelo forma un ángulo  $\phi$  con el vector velocidad del tren  $\vec{v}_{B/A}$ , donde

$$\tan \phi = \frac{v_{P/B}}{v_{B/A}} = \frac{1.0 \text{ m/s}}{3.0 \text{ m/s}} \quad \text{y} \quad \phi = 18^\circ$$

Como en el caso del movimiento rectilíneo, tenemos la regla general de que si  $A$  y  $B$  son dos puntos o marcos de referencia *cualesquiera*,

$$\vec{v}_{A/B} = -\vec{v}_{B/A} \quad (3.36)$$

La velocidad de la mujer con respecto al tren es el negativo de la velocidad del tren con respecto a ella, etcétera.

A principios del siglo xx, Albert Einstein demostró que la relación de la suma de velocidades establecida en la ecuación (3.35) se debe modificar cuando la rapidez se aproxima a la rapidez de la luz, que se denota con  $c$ . Resulta que si la mujer de la figura 3.32a pudiera caminar por el pasillo a  $0.30c$  y el tren pudiera viajar a  $0.90c$ , entonces la rapidez de la mujer relativa al suelo no sería de  $1.20c$  sino de  $0.94c$ . ¡Nada puede viajar más rápido que la luz! Regresaremos a la *teoría especial de la relatividad* de Einstein en el capítulo 37.



### EJEMPLO 3.14 VUELO CON VIENTO CRUZADO

La brújula de un avión indica que se dirige hacia el norte, y su velocímetro indica que vuela a 240 km/h. Si hay un viento de 100 km/h de oeste a este, ¿cuál es la velocidad del avión relativa a la Tierra?

#### SOLUCIÓN

**IDENTIFICAR y PLANTEAR:** Se trata de un problema de velocidad en dos dimensiones (hacia el norte y hacia el este), así que tenemos un problema de velocidad relativa usando vectores. Nos dan la magnitud y dirección de la velocidad del avión (P) relativa al aire (A), así como la magnitud y dirección de la velocidad del viento, que es la velocidad del aire A con respecto a la Tierra (E):

$$\vec{v}_{P/A} = 240 \text{ km/h} \quad \text{al norte}$$

$$\vec{v}_{A/E} = 100 \text{ km/h} \quad \text{al este}$$

Usaremos la ecuación (3.35) para obtener nuestras incógnitas: la magnitud y dirección de la velocidad  $\vec{v}_{P/E}$  del avión relativa a la Tierra.

**EJECUTAR:** Usando la ecuación (3.35), tenemos

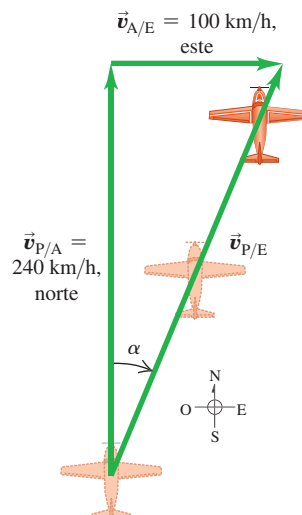
$$\vec{v}_{P/E} = \vec{v}_{P/A} + \vec{v}_{A/E}$$

La **figura 3.35** muestra las tres velocidades relativas en el triángulo rectángulo obtenido de esta suma vectorial; las incógnitas son la rapidez  $v_{P/E}$  y el ángulo  $\alpha$ . Del diagrama obtenemos

$$v_{P/E} = \sqrt{(240 \text{ km/h})^2 + (100 \text{ km/h})^2} = 260 \text{ km/h}$$

$$\alpha = \arctan\left(\frac{100 \text{ km/h}}{240 \text{ km/h}}\right) = 23^\circ \text{ E de N}$$

**3.35** El avión apunta al norte, pero el viento sopla al este, dando la velocidad resultante  $\vec{v}_{P/E}$  relativa a la Tierra.



**EVALUAR:** Se pueden verificar los resultados haciendo mediciones a escala del dibujo de la figura 3.35. El viento lateral aumenta la rapidez del avión relativa al suelo, pero desvía a la aeronave desviada.



### EJEMPLO 3.15 CORRECCIÓN POR VIENTO CRUZADO

Considerando el viento y la rapidez del avión del ejemplo 3.14, ¿qué dirección debería tomar el piloto para viajar al norte? ¿Cuál será su velocidad relativa a la Tierra?

#### SOLUCIÓN

**IDENTIFICAR y PLANTEAR:** Como en el ejemplo 3.14, se trata de un problema de velocidad relativa con vectores. La **figura 3.36** es un dibujo a escala de la situación. Nuevamente, los vectores se suman de acuerdo con la ecuación (3.35) y se forma un triángulo rectángulo:

$$\vec{v}_{P/E} = \vec{v}_{P/A} + \vec{v}_{A/E}$$

Como muestra la figura 3.36, el piloto apunta la nariz del avión con un ángulo  $\beta$  hacia el viento para compensar su efecto. Este ángulo, que nos da la dirección del vector  $\vec{v}_{P/A}$  (la velocidad del avión relativa al aire), es una de nuestras incógnitas. La otra es la rapidez del avión sobre el suelo, que es la magnitud del vector  $\vec{v}_{P/E}$  (la velocidad del avión relativa a la Tierra). Veamos las cantidades que conocemos y las que desconocemos:

$$\vec{v}_{P/E} = \text{magnitud desconocida} \quad \text{al norte}$$

$$\vec{v}_{P/A} = 240 \text{ km/h} \quad \text{dirección desconocida}$$

$$\vec{v}_{A/E} = 100 \text{ km/h} \quad \text{al este}$$

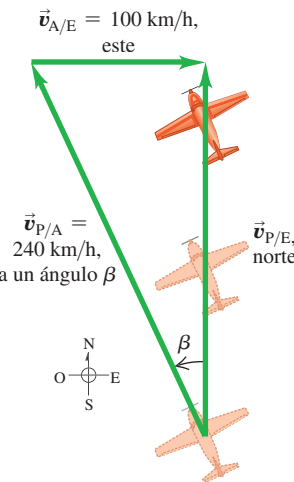
Podemos calcular las incógnitas empleando la figura 3.36 y trigonometría.

**EJECUTAR:** Por la figura 3.36, la rapidez  $v_{P/E}$  y el ángulo  $\beta$  son

$$v_{P/E} = \sqrt{(240 \text{ km/h})^2 - (100 \text{ km/h})^2} = 218 \text{ km/h}$$

$$\beta = \arcsen\left(\frac{100 \text{ km/h}}{240 \text{ km/h}}\right) = 25^\circ$$

**3.36** El piloto debe apuntar el avión en la dirección del vector  $\vec{v}_{P/A}$  para viajar al norte en relación con la Tierra.



El piloto debería dirigirse  $25^\circ$  al oeste del norte, y su rapidez con respecto al suelo es entonces de 218 km/h.

**EVALUAR:** Observe que había dos incógnitas, la magnitud de un vector y la dirección de un vector, tanto en este ejemplo como en el 3.14. La diferencia es que, en el ejemplo 3.14, la magnitud y dirección se referían al *mismo* vector ( $\vec{v}_{P/E}$ ), en tanto que en este ejemplo se refieren a vectores *distintos* ( $\vec{v}_{P/E}$  y  $\vec{v}_{P/A}$ ).

Mientras se espera que un *viento de frente* reduzca la rapidez de un avión en relación con el suelo, este ejemplo demuestra que un *viento cruzado* también lo hace. Es una triste realidad de la industria aeronáutica.

**EVALÚE SU COMPRENSIÓN DE LA SECCIÓN 3.5** Suponga que la nariz de un avión apunta al este y que la nave tiene una velocidad de vuelo de 150 km/h. Debido al viento, el avión se mueve al *norte* en relación con el suelo y su rapidez relativa al suelo es de 150 km/h. ¿Cuál es la velocidad del aire relativa a la Tierra? **i.** 150 km/h de este a oeste; **ii.** 150 km/h de sur a norte; **iii.** 150 km/h de sureste a noroeste; **iv.** 212 km/h de este a oeste; **v.** 212 km/h de sur a norte; **vi.** 212 km/h de sureste a noroeste; **vii.** no hay velocidad del aire posible que cause esto. **|**



**Vectores de posición, velocidad y aceleración:** El vector de posición  $\vec{r}$  de un punto  $P$  en el espacio es el vector del origen a  $P$ . Sus componentes son las coordenadas  $x$ ,  $y$  y  $z$ .

El vector velocidad media  $\vec{v}_{\text{med}}$  durante el intervalo de tiempo  $\Delta t$  es el desplazamiento  $\Delta \vec{r}$  (el cambio del vector de posición  $\vec{r}$ ) dividido entre  $\Delta t$ . El vector velocidad instantánea  $\vec{v}$  es la derivada de  $\vec{r}$  con respecto al tiempo, y sus componentes son las derivadas de  $x$ ,  $y$  y  $z$  con respecto al tiempo. La rapidez instantánea es la magnitud de  $\vec{v}$ . La velocidad  $\vec{v}$  de una partícula siempre es tangente a la trayectoria de la partícula (vea el ejemplo 3.1).

El vector aceleración media  $\vec{a}_{\text{med}}$  durante el intervalo de tiempo  $\Delta t$  es igual a  $\Delta \vec{v}$  (el cambio en el vector velocidad  $\vec{v}$ ) dividido entre  $\Delta t$ . El vector aceleración instantánea  $\vec{a}$  es la derivada de  $\vec{v}$  con respecto al tiempo, y sus componentes son las derivadas de  $v_x$ ,  $v_y$  y  $v_z$  con respecto al tiempo (vea el ejemplo 3.2).

La componente de aceleración paralela a la dirección de la velocidad instantánea afecta la rapidez; en tanto que la componente de  $\vec{a}$  perpendicular a  $\vec{v}$  afecta la dirección del movimiento (vea los ejemplos 3.3 y 3.4).

**Movimiento de proyectiles:** En el movimiento de proyectiles sin resistencia del aire,  $a_x = 0$  y  $a_y = -g$ . Las coordenadas y componentes de la velocidad son funciones sencillas del tiempo, y la forma de la trayectoria siempre es una parábola. Normalmente, el origen se coloca en la posición inicial del proyectil (vea los ejemplos 3.5 a 3.10).

**Movimiento circular uniforme y no uniforme:** Cuando una partícula se mueve en una trayectoria circular de radio  $R$  con rapidez constante  $v$  (movimiento circular uniforme), su aceleración  $\vec{a}$  está dirigida hacia el centro del círculo y es perpendicular a  $\vec{v}$ . La magnitud  $a_{\text{rad}}$  de la aceleración se puede expresar en términos de  $v$  y  $R$ , o en términos de  $R$  y el periodo  $T$  (el tiempo que tarda la partícula en dar una vuelta), donde  $v = 2\pi R/T$  (vea los ejemplos 3.11 y 3.12).

Si la rapidez en un movimiento circular no es constante (movimiento circular no uniforme), habrá una componente radial de  $\vec{a}$  dada por la ecuación (3.27) o la ecuación (3.29); pero también habrá una componente de  $\vec{a}$  paralela (tangencial) a la trayectoria; esta componente tangencial es igual a la tasa de cambio de la rapidez,  $dv/dt$ .

**Velocidad relativa:** Cuando un cuerpo  $P$  se mueve en relación con un cuerpo (o marco de referencia)  $B$ , y  $B$  se mueve en relación con  $A$ , denotamos la velocidad de  $P$  relativa a  $B$  con  $\vec{v}_{P/B}$ , la velocidad de  $P$  relativa a  $A$  con  $\vec{v}_{P/A}$  y la velocidad de  $B$  relativa a  $A$  con  $\vec{v}_{B/A}$ . Si todas estas velocidades están en la misma línea, sus componentes sobre la línea están relacionadas por la ecuación (3.32). De forma más general, estas velocidades están relacionadas por la ecuación (3.35). (Vea los ejemplos 3.13 a 3.15).

$$\vec{r} = x\hat{i} + y\hat{j} + z\hat{k} \quad (3.1)$$

$$\vec{v}_{\text{med}} = \frac{\vec{r}_2 - \vec{r}_1}{t_2 - t_1} = \frac{\Delta \vec{r}}{\Delta t} \quad (3.2)$$

$$\vec{v} = \lim_{\Delta t \rightarrow 0} \frac{\Delta \vec{r}}{\Delta t} = \frac{d\vec{r}}{dt} \quad (3.3)$$

$$v_x = \frac{dx}{dt}, \quad v_y = \frac{dy}{dt}, \quad v_z = \frac{dz}{dt} \quad (3.4)$$

$$\vec{a}_{\text{med}} = \frac{\vec{v}_2 - \vec{v}_1}{t_2 - t_1} = \frac{\Delta \vec{v}}{\Delta t} \quad (3.8)$$

$$\vec{a} = \lim_{\Delta t \rightarrow 0} \frac{\Delta \vec{v}}{\Delta t} = \frac{d\vec{v}}{dt} \quad (3.9)$$

$$a_x = \frac{dv_x}{dt}, \quad a_y = \frac{dv_y}{dt}, \quad a_z = \frac{dv_z}{dt} \quad (3.10)$$

$$x = (v_0 \cos \alpha_0) t \quad (3.19)$$

$$y = (v_0 \sin \alpha_0) t - \frac{1}{2} g t^2 \quad (3.20)$$

$$v_x = v_0 \cos \alpha_0 \quad (3.21)$$

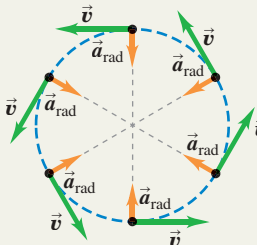
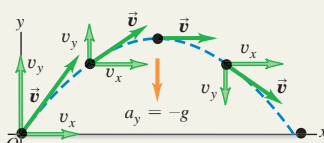
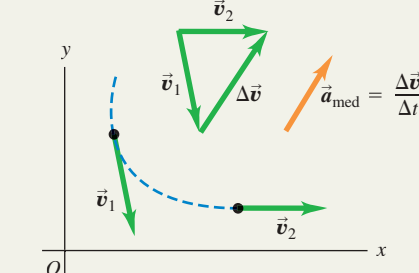
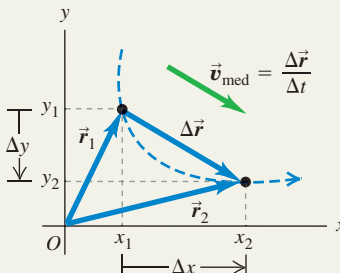
$$v_y = v_0 \sin \alpha_0 - gt \quad (3.22)$$

$$a_{\text{rad}} = \frac{v^2}{R} \quad (3.27)$$

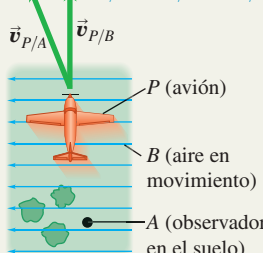
$$a_{\text{rad}} = \frac{4\pi^2 R}{T^2} \quad (3.29)$$

$$\vec{v}_{P/A-x} = v_{P/B-x} + v_{B/A-x} \quad (\text{velocidad relativa en una línea}) \quad (3.32)$$

$$\vec{v}_{P/A} = \vec{v}_{P/B} + \vec{v}_{B/A} \quad (\text{velocidad relativa en el espacio}) \quad (3.35)$$



$$\vec{v}_{B/A} \quad \vec{v}_{P/A} = \vec{v}_{P/B} + \vec{v}_{B/A}$$

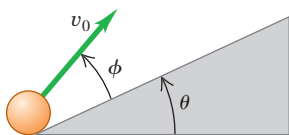


**PROBLEMA PRÁCTICO****LANZAMIENTO HACIA ARRIBA DE UN PLANO INCLINADO**

Se dispara una esfera con una velocidad inicial  $v_0$  a un ángulo  $\phi$  arriba de la superficie de un plano, que a la vez, está inclinado un ángulo  $\theta$  por encima de la horizontal (**figura 3.37**). *a)* Calcule la distancia, medida a lo largo del plano inclinado, del punto de lanzamiento al punto donde la esfera golpea el plano inclinado. *b)* ¿Cuál es el ángulo  $\phi$  que da el alcance máximo, medido a lo largo del plano inclinado? Desprecie la resistencia del aire.

**GUÍA DE SOLUCIÓN****IDENTIFICAR y PLANTEAR**

- Como no hay resistencia del aire, se trata de un problema de movimiento de proyectiles. El objetivo consiste en determinar el punto donde la trayectoria parabólica de la esfera cruza el plano inclinado.
- Elija los ejes  $x$  y  $y$  así como la posición del origen. Si tiene duda, use las sugerencias incluidas en la Estrategia de solución de problemas 3.1 de la sección 3.3.

**3.37** Lanzamiento de una esfera en un plano inclinado.

- En las ecuaciones de proyectiles de la sección 3.3, el ángulo de disparo  $\alpha_0$  se mide a partir de la horizontal. ¿Cuál es este ángulo en términos de  $\theta$  y  $\phi$ ? ¿Cuáles son las componentes iniciales  $x$  y  $y$  de la velocidad inicial de la esfera?
- Será necesario escribir una ecuación que relacione  $x$  y  $y$  de los puntos a lo largo del plano inclinado. ¿Cuál es esta ecuación? (Tenemos un asunto de geometría y trigonometría, no de física).

**EJECUTAR**

- Escriba las ecuaciones de las coordenadas  $x$  y  $y$  de la esfera en función del tiempo  $t$ .
- Cuando la esfera golpea el plano inclinado,  $x$  y  $y$  están relacionadas por la ecuación que se obtuvo en el paso 4. Con base en ello, ¿en qué tiempo  $t$  la esfera golpea el plano inclinado?
- Con base en la respuesta del paso 6, ¿en qué coordenadas  $x$  y  $y$  cae la esfera sobre el plano inclinado? ¿A qué distancia se encuentra este punto del punto de lanzamiento?
- ¿Qué valor de  $\phi$  proporciona la distancia *máxima* del punto de lanzamiento al punto de llegada? (Use sus conocimientos de cálculo).

**EVALUAR**

- Verifique sus respuestas para el caso en que  $\theta = 0$ , lo que corresponde a que el plano sea horizontal en lugar de inclinado. (Usted ya conoce las respuestas para este caso. ¿Sabepor qué?).

**Problemas**

•, •, ••: Niveles de dificultad. PA: Problemas acumulativos que incorporan material de capítulos anteriores. CALC: Problemas que requieren cálculo. DATOS: Problemas que incluyen datos reales, evidencia científica, diseño experimental y/o razonamiento estadístico. BIO: Problemas de ciencias biológicas.

**PREGUNTAS PARA ANÁLISIS**

**P3.1** Un péndulo simple (una masa que oscila en el extremo de una cuerda) se balancea en un arco circular. ¿Qué dirección tiene la aceleración de la masa en los extremos del arco? ¿Y en el punto medio? En cada caso, explique cómo obtuvo su respuesta.

**P3.2** Vuelva a dibujar la figura 3.11a como si  $\vec{a}$  fuera antiparalela a  $\vec{v}_1$ . ¿La partícula se mueve en línea recta? ¿Qué sucede con la rapidez?

**P3.3** Un proyectil se mueve en una trayectoria parabólica sin resistencia del aire. ¿Hay un punto donde  $\vec{a}$  sea paralela a  $\vec{v}$ ? ¿Y perpendicular a  $\vec{v}$ ? Explique su respuesta.

**P3.4** Un libro de física que se desliza sobre una mesa horizontal. Cuando sale por el extremo de la mesa, tiene una velocidad horizontal de magnitud  $v_0$ . El libro pega en el piso al tiempo  $t$ . Si la velocidad inicial del libro se duplica a  $2v_0$ , ¿qué le ocurre *a)* al tiempo que el libro está en el aire, *b)* a la distancia horizontal que viaja el libro mientras está en el aire, y *c)* a la rapidez del libro justo antes de que toque el piso? En específico, ¿cada una de estas cantidades permanece igual, se duplica o cambia en alguna otra forma? Explique su respuesta.

**P3.5** En el instante en que usted dispara una bala horizontalmente con un rifle, deja caer otra bala desde la altura del cañón. Si no hay resistencia del aire, ¿qué bala llegará primero al suelo? Explique su respuesta.

**P3.6** Se deja caer un paquete desde un avión que vuela en línea recta con altitud y rapidez constantes. Si se ignora la resistencia del aire, ¿qué trayectoria del paquete observaría el piloto? ¿Y una persona situada en el suelo?

**P3.7** Dibuje las seis gráficas de las componentes  $x$  y  $y$  de posición, velocidad y aceleración contra el tiempo, para el movimiento de un proyectil con  $x_0 = y_0 = 0$  y  $0 < \alpha_0 < 90^\circ$ .

**P3.8** Si una rana puede saltar con la misma rapidez inicial sin importar la dirección (hacia adelante o hacia arriba), ¿cuál es la altura vertical máxima a la cual puede saltar en relación con su alcance horizontal máximo,  $R_{\text{máx}} = v_0^2/g$ ?

**P3.9** Se dispara un proyectil hacia arriba con un ángulo  $\theta$  por encima de la horizontal con una rapidez inicial  $v_0$ . Al llegar a su máxima altura, ¿cuáles son su vector velocidad, su rapidez y su vector aceleración?

**P3.10** En el movimiento circular uniforme, ¿cuáles son la velocidad media y la aceleración media durante una revolución? Explique su respuesta.

**P3.11** En el movimiento circular uniforme, ¿cómo cambia la aceleración cuando la rapidez aumenta al triple? ¿Y cuando el radio se reduce por un factor de 2, es decir, a la mitad?

**P3.12** En el movimiento circular uniforme, la aceleración es perpendicular a la velocidad en cualquier instante. ¿Sigue siendo válido esto cuando el movimiento no es uniforme, es decir, cuando la rapidez no es constante?

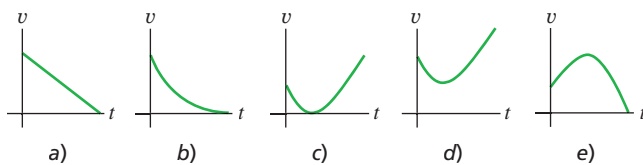
**P3.13** Incluso sin viento, las gotas de lluvia suelen dejar rayas diagonales en las ventanas laterales de un automóvil en movimiento. ¿Por qué? ¿Es la misma explicación para las rayas diagonales sobre el parabrisas?

**P3.14** En una tormenta con viento fuerte, ¿qué determina la orientación óptima para sostener un paraguas?

**P3.15** Usted está en la ribera oeste de un río que fluye al norte a 1.2 m/s. Usted nada con rapidez de 1.5 m/s relativa al agua, y el río tiene 60 m de ancho. ¿Qué trayectoria relativa a la Tierra le permitirá cruzar el río en el menor tiempo? Explique su razonamiento.

**P3.16** Se lanza una piedra hacia el aire con un ángulo por encima de la horizontal, y se ignora la resistencia del aire. ¿Cuál de las gráficas en la figura P3.16 describe mejor la *rapidez*  $v$  de la piedra en función del tiempo  $t$  mientras está en el aire?

Figura P3.16



## EJERCICIOS

### Sección 3.1 Vectores de posición y velocidad

**3.1** • Una ardilla tiene coordenadas  $x$  y  $y$  (1.1 m, 3.4 m) en el tiempo  $t_1 = 0$ , y coordenadas (5.3 m, -0.5 m) en  $t_2 = 3.0$  s. Para este intervalo, obtenga *a)* las componentes de la velocidad media, y *b)* la magnitud y dirección de esta velocidad.

**3.2** • Un rinoceronte se encuentra en el origen de las coordenadas en el tiempo  $t_1 = 0$ . Para el intervalo de  $t_1 = 0$  a  $t_2 = 12.0$  s, la velocidad media del animal tiene una componente  $x$  de -3.8 m/s y una componente  $y$  de 4.9 m/s. En  $t_2 = 12.0$  s, *a)* ¿qué coordenadas  $x$  y  $y$  tiene el rinoceronte? *b)* ¿A qué distancia está del origen?

**3.3** • **CALC** Un diseñador de páginas web crea una animación donde un punto en una pantalla de computadora tiene una posición

$$\vec{r} = [4.0 \text{ cm} + (2.5 \text{ cm/s}^2)t^2]\hat{i} + (5.0 \text{ cm/s})t\hat{j}.$$

*a)* Determine la magnitud y dirección de la velocidad media del punto entre  $t = 0$  y  $t = 2.0$  s. *b)* Calcule la magnitud y dirección de la velocidad instantánea en  $t = 0$ , en  $t = 1.0$  s y en  $t = 2.0$  s. *c)* Dibuje la trayectoria del punto de  $t = 0$  a  $t = 2.0$  s, y muestre las velocidades calculadas en el inciso *b*.

**3.4** • **CALC** La posición de una ardilla que corre por un parque está dada por  $\vec{r} = [(0.280 \text{ m/s})t + (0.0360 \text{ m/s}^2)t^2]\hat{i} + (0.0190 \text{ m/s}^3)t^3\hat{j}$ . *a)* ¿Cuáles son  $v_x(t)$  y  $v_y(t)$ , las componentes  $x$  y  $y$  de la velocidad de la ardilla, en función del tiempo? *b)* En  $t = 5.00$  s, ¿a qué distancia está la ardilla de su posición inicial? *c)* En  $t = 5.00$  s, ¿cuáles son la magnitud y dirección de la velocidad de la ardilla?

### Sección 3.2 El vector aceleración

**3.5** • Un jet vuela con altitud constante. En el instante  $t_1 = 0$ , tiene componentes de velocidad  $v_x = 90$  m/s,  $v_y = 110$  m/s. En  $t_2 = 30.0$  s, las componentes son  $v_x = -170$  m/s,  $v_y = 40$  m/s. *a)* Dibuje los vectores de velocidad en  $t_1$  y  $t_2$ . *En qué difieren?* Para este intervalo, calcule *b)* las componentes de la aceleración media, y *c)* la magnitud y dirección de dicha aceleración.

**3.6** • Un perro que corre en un campo abierto tiene componentes de velocidad  $v_x = 2.6$  m/s y  $v_y = -1.8$  m/s en  $t_1 = 10.0$  s. Para el intervalo de  $t_1 = 10.0$  s a  $t_2 = 20.0$  s, la aceleración media del perro tiene magnitud de  $0.45 \text{ m/s}^2$  y dirección de  $31.0^\circ$  medida del eje  $+x$

al eje  $+y$ . En  $t_2 = 20.0$  s, *a)* ¿qué componentes  $x$  y  $y$  tiene la velocidad del perro? *b)* ¿Qué magnitud y dirección tiene esa velocidad? *c)* Dibuje los vectores velocidad en  $t_1$  y  $t_2$ . *En qué difieren?*

**3.7** • **CALC** Las coordenadas de una ave que vuela en el plano  $xy$  están dadas por  $x(t) = \alpha t$  y  $y(t) = 3.0 \text{ m} - \beta t^2$ , donde  $\alpha = 2.4 \text{ m/s}$  y  $\beta = 1.2 \text{ m/s}^2$ . *a)* Dibuje la trayectoria del ave entre  $t = 0$  y  $t = 2.0$  s. *b)* Calcule los vectores velocidad y aceleración del ave en función del tiempo. *c)* Obtenga la magnitud y dirección de la velocidad y aceleración del ave en  $t = 2.0$  s. *d)* Dibuje los vectores velocidad y aceleración en  $t = 2.0$  s. En este instante, ¿el ave acelera, frena o su rapidez instantánea no cambia? ¿Está dando vuelta? Si es así, ¿en qué dirección?

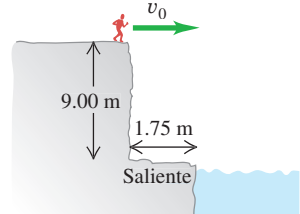
**3.8** • **CALC** Un automóvil controlado a distancia se mueve en un estacionamiento vacío. La velocidad del automóvil en función del tiempo está dada por  $\vec{v} = [5.00 \text{ m/s} - (0.0180 \text{ m/s}^3)t^2]\hat{i} + [2.00 \text{ m/s} + (0.550 \text{ m/s}^2)t]\hat{j}$ . *a)* ¿Cuáles son  $a_x(t)$  y  $a_y(t)$ , las componentes  $x$  y  $y$  de la velocidad del auto en función del tiempo? *b)* ¿Cuáles son la magnitud y dirección de la velocidad del auto en  $t = 8.00$  s? *c)* ¿Cuáles son la magnitud y dirección de su aceleración en  $t = 8.00$  s?

### Sección 3.3 Movimiento de proyectiles

**3.9** • Un libro de física que se desliza sobre una mesa horizontal a  $1.10 \text{ m/s}$  cae y llega al piso en  $0.480$  s. Desprecie la resistencia del aire. Calcule *a)* la altura de la mesa con respecto al piso; *b)* la distancia horizontal del borde de la mesa al punto donde cae el libro; *c)* las componentes horizontal y vertical, así como la magnitud y dirección de la velocidad del libro, justo antes de tocar el piso. *d)* Dibuje las gráficas  $x-t$ ,  $y-t$ ,  $v_x-t$  y  $v_y-t$  para el movimiento.

**3.10** • Una nadadora intrépida de  $510 \text{ N}$  de peso se lanza desde un risco con un impulso horizontal, como se muestra en la figura E3.10. ¿Qué rapidez mínima debe tener al saltar de lo alto del risco para no chocar con la saliente en la base, que tiene un ancho de  $1.75 \text{ m}$  y está  $9.00 \text{ m}$  abajo del borde del risco?

Figura E3.10



**3.11** • Dos grillos, Chirpy y Milada, saltan desde lo alto de un acantilado vertical. Chirpy simplemente se deja caer y llega al suelo en  $2.70$  s, en tanto que Milada salta horizontalmente con una rapidez inicial de  $95.0 \text{ cm/s}$ . ¿A qué distancia de la base del acantilado tocará Milada el suelo? Ignore la resistencia del aire.

**3.12** • Un mariscal de campo novato lanza un balón con una componente de velocidad inicial ascendente de  $12.0 \text{ m/s}$  y una componente de velocidad horizontal de  $20.0 \text{ m/s}$ . Desprecie la resistencia del aire. *a)* ¿Cuánto tiempo tardará el balón en llegar al punto más alto de la trayectoria? *b)* ¿A qué altura está este punto? *c)* ¿Cuánto tiempo pasa (desde que se lanza) para que el balón vuelva a su nivel original? ¿Cómo se compara este tiempo con el calculado en el inciso *a*? *d)* ¿Qué distancia horizontal viaja el balón durante este tiempo? *e)* Dibuje las gráficas  $x-t$ ,  $y-t$ ,  $v_x-t$  y  $v_y-t$  para el movimiento.

**3.13** • **Salto del río I.** Un automóvil que viaja horizontalmente llega al borde de un puente durante una tormenta y el conductor descubre que el río arrasó el puente. El conductor debe llegar al otro lado, así que decide saltar la brecha con su automóvil. La orilla donde se encuentra está  $21.3 \text{ m}$  arriba del río, mientras que la orilla opuesta está a sólo  $1.8 \text{ m}$  sobre las aguas. El río es un torrente embravecido con un ancho de  $48.0 \text{ m}$ . *a)* ¿Qué tan rápido deberá ir el auto cuando llegue al borde para saltar el río y llegar a salvo al otro lado? *b)* ¿Qué rapidez tendrá el auto justo antes de que aterrice al otro lado?

**3.14 • BIO El campeón saltador del mundo de los insectos.** El cercopoideo, *Philaenus spumarius*, tiene el récord mundial de salto entre los insectos. Con un salto a un ángulo de  $58.0^\circ$  arriba de la horizontal, algunos de estos bichos pequeños alcanzan una altura máxima de 58.7 cm arriba del nivel del suelo. (Vea la revista *Nature*, vol. 424, del 31 de julio de 2003, p. 509). a) ¿Cuál es la velocidad de despegue en este salto? b) ¿Cuál es la distancia horizontal que cubrió el insecto en este récord mundial de salto?

**3.15 •** Dentro de una nave espacial en reposo sobre la Tierra, una pelota rueda desde la parte superior de una mesa horizontal y cae al piso a una distancia  $D$  de la pata de la mesa. Esta nave espacial ahora desciende en el inexplorado planeta X. El comandante, el Capitán Curioso, hace rodar la misma pelota desde la misma mesa con la misma rapidez inicial que en la Tierra, y se da cuenta de que la pelota cae al piso a una distancia de  $2.76D$  de la pata de la mesa. ¿Cuál es la aceleración debida a la gravedad en el planeta X?

**3.16 •** Se dispara un proyectil desde el nivel del suelo con una velocidad inicial de 40.0 m/s a  $60.0^\circ$  por encima de la horizontal sin que sufra resistencia del aire. a) Determine las componentes horizontal y vertical de la velocidad inicial del proyectil. b) ¿Cuánto tarda el proyectil en alcanzar su punto más alto? c) Calcule su altura máxima por encima del suelo. d) ¿Qué tan lejos del punto de lanzamiento cae el proyectil al suelo? e) Determine las componentes horizontal y vertical de su aceleración y velocidad en el punto de su máxima altura.

**3.17 •** Un beisbolista de grandes ligas batea una pelota, de modo que ésta sale del bate con una rapidez de 30.0 m/s y un ángulo de  $36.9^\circ$  sobre la horizontal. Desprecie la resistencia del aire. a) ¿En cuáles dos instantes la pelota se encuentra a 10.0 m sobre el punto donde salió del bate? b) Determine las componentes horizontal y vertical de la velocidad de la pelota en cada uno de los dos instantes calculados en el inciso a). c) ¿Qué magnitud y dirección tiene la velocidad de la pelota al regresar al nivel en el que se bateó?

**3.18 •** Un atleta, lanzador de bala, arroja la bala a cierta altura sobre el nivel del suelo con velocidad de 12.0 m/s,  $51.0^\circ$  sobre la horizontal. La bala golpea el suelo 2.08 s después. Desprecie la resistencia del aire. a) ¿Cuáles son las componentes de la aceleración de la bala durante el vuelo? b) ¿Cuáles son las componentes de la velocidad de la bala al principio y al final de su trayectoria? c) A qué distancia horizontal llegó la bala? d) ¿Por qué la expresión para  $R$  del ejemplo 3.8 no da la respuesta correcta para el inciso c)? e) ¿A qué altura sobre el suelo se lanzó la bala? f) Dibuje las gráficas  $x-t$ ,  $y-t$ ,  $v_x-t$  y  $v_y-t$  para el movimiento.

**3.19 • Gane el premio.** En una feria, se puede ganar una jirafa de felpa lanzando una moneda a un platito, el cual está sobre una repisa más arriba del punto donde la moneda sale de la mano y a una distancia horizontal de 2.1 m desde ese punto (**figura E3.19**). Si usted lanza la moneda con velocidad de 6.4 m/s, a un ángulo de  $60^\circ$  sobre la horizontal, la moneda caerá en el platito. Desprecie la

resistencia del aire. a) ¿A qué altura está la repisa sobre el punto donde se lanza la moneda? b) ¿Qué componente vertical tiene la velocidad de la moneda justo antes de caer en el platito?

**3.20 •** Los bomberos lanzan un chorro de agua a un edificio en llamas, utilizando una manguera de alta presión que imprime al agua una rapidez de 25.0 m/s al salir por la boquilla. Una vez que sale de la manguera, el agua se mueve como proyectil. Los bomberos ajustan el ángulo de elevación  $\alpha$  de la manguera hasta que el agua tarda 3.00 s en llegar a un edificio que está a 45.0 m de distancia. Desprecie la resistencia del aire y suponga que la boquilla de la manguera está a nivel del suelo. a) Calcule  $\alpha$ . b) Determine la rapidez y aceleración del agua en el punto más alto de su trayectoria. c) ¿A qué altura sobre el suelo llega el agua sobre el edificio, y con qué rapidez lo hace?

**3.21 •** Un hombre está de pie en la azotea de un edificio de 15.0 m de altura y lanza una piedra con una rapidez de 30.0 m/s a un ángulo de  $33.0^\circ$  sobre la horizontal. Puede ignorar la resistencia del aire. Calcule a) la altura máxima que alcanza la piedra sobre la azotea; b) la magnitud de la velocidad de la piedra justo antes de golpear el suelo; y c) la distancia horizontal desde la base del edificio hasta el punto donde la piedra golpea el suelo. d) Dibuje las gráficas  $x-t$ ,  $y-t$ ,  $v_x-t$  y  $v_y-t$  para el movimiento.

**3.22 •** Un globo de 124 kg que lleva una canastilla de 22 kg desciende con velocidad constante de 20.0 m/s. Una piedra de 1.0 kg se lanza desde la canastilla con una velocidad inicial de 15.0 m/s perpendicular a la trayectoria del globo en descenso, medida en relación con una persona en reposo en la canastilla. Esa persona ve que la piedra choca contra el suelo 5.00 s después de lanzarse. Suponga que el globo continúa su descenso con la misma rapidez constante de 20.0 m/s. a) ¿A qué altura estaba el globo cuando se lanzó la piedra? b) ¿Y cuando chocó contra el suelo? c) En el instante en que la piedra tocó el suelo, ¿a qué distancia estaba de la canastilla? d) Determine las componentes horizontal y vertical de la velocidad de la piedra justo antes de chocar contra el suelo, relativas a un observador i. en reposo en la canastilla; ii. en reposo en el suelo.

### Sección 3.4 Movimiento en un círculo

**3.23 •** La Tierra tiene 6380 km de radio y gira una vez sobre su eje en 24 h. a) ¿Qué aceleración radial tiene un objeto en el ecuador? Dé su respuesta en  $m/s^2$  y como fracción de  $g$ . b) Si  $a_{rad}$  en el ecuador fuera mayor que  $g$ , los objetos saldrían volando hacia el espacio (veremos por qué en el capítulo 5). ¿Cuál tendría que ser el periodo de rotación de la Tierra para que esto sucediera?

**3.24 • BIO Mareos.** Mantenemos el equilibrio, al menos en parte, gracias a la endolinfa del oído interno. El giro de la cabeza desplaza este líquido, produciendo mareos. Suponga que un bailarín (o un patinador) gira muy rápido a 3.0 revoluciones por segundo alrededor de un eje vertical que pasa por el centro de su cabeza. Aun cuando la distancia varía de una persona a otra, el oído interno se encuentra aproximadamente a 7.0 cm del eje de giro. ¿Cuál es la aceleración radial (en  $m/s^2$  y en función de  $g$ ) de la endolinfa?

**3.25 • BIO Desmayo de un piloto**

**en un descenso en picada.** Un jet vuela en picada como se ilustra en la **figura E3.25**. La parte inferior de la trayectoria es un cuarto de círculo con un radio de curvatura de 280 m. De acuerdo con pruebas médicas, los pilotos pierden la conciencia a una aceleración mayor de  $5.5g$ . ¿A qué rapidez (en m/s y en mph) perdería la conciencia el piloto en este descenso?

Figura E3.19

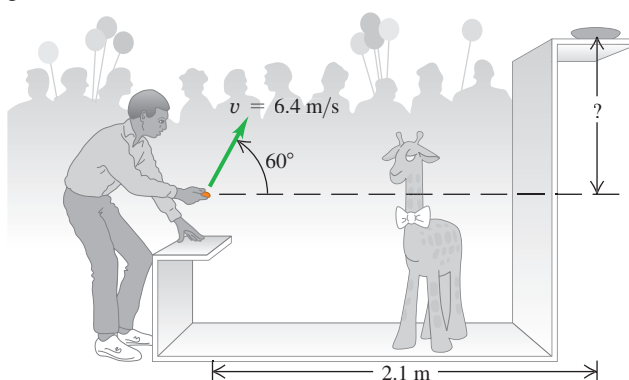
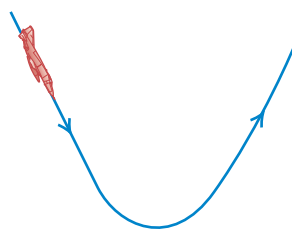


Figura E3.25



**3.26** • Un modelo de rotor de helicóptero tiene cuatro aspas, cada una de 3.40 m de longitud desde el eje central hasta la punta. El modelo gira en un túnel de viento a 550 rpm. *a)* ¿Qué rapidez lineal tiene la punta del aspa en m/s? *b)* ¿Qué aceleración radial tiene la punta del aspa, expresada como un múltiplo de la aceleración debida a la gravedad,  $g$ ?

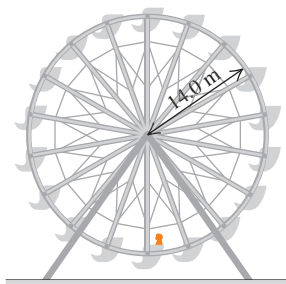
**3.27** • Una rueda de la fortuna de 14.0 m de radio gira sobre un eje horizontal en su centro (**figura E3.27**).

La rapidez lineal de un pasajero en el borde es constante e igual a 6.00 m/s. ¿Qué magnitud y dirección tiene la aceleración del pasajero al pasar *a)* por el punto más bajo de su movimiento circular? *b)* Y por el punto más alto de su movimiento circular? *c)* ¿Cuánto tiempo tarda una revolución de la rueda?

**3.28** • El radio de la órbita terrestre alrededor del Sol (suponiendo que fuera circular) es de  $1.50 \times 10^8$  km, y la Tierra la recorre en 365 días. *a)* Calcule la magnitud de la velocidad orbital de la Tierra en m/s. *b)* Calcule la aceleración radial de la Tierra hacia el Sol en m/s<sup>2</sup>. *c)* Repita los incisos *a)* y *b)* para el movimiento del planeta Mercurio (radio orbital =  $5.79 \times 10^7$  km, periodo orbital = 88.0 días).

**3.29** • **BIO Hipergravedad.** En el Centro de Investigación Ames de la NASA, se utiliza el enorme centrifugador “20-G” para probar los efectos de aceleraciones muy elevadas (“hipergravedad”) sobre los pilotos y los astronautas. En este dispositivo, un brazo de 8.84 m de largo gira en torno a uno de sus extremos en un plano horizontal, mientras el astronauta se encuentra sujeto con una banda en el otro extremo. Suponga que el astronauta está alineado en el brazo con su cabeza en el extremo exterior. La aceleración máxima sostenida a la que los seres humanos se han sometido en esta máquina comúnmente es de 12.5 $g$ . *a)* ¿Qué tan rápido debe moverse la cabeza del astronauta para experimentar esta aceleración máxima? *b)* ¿Cuál es la *diferencia* entre la aceleración de su cabeza y pies, si el astronauta mide 2.00 m de altura? *c)* ¿Qué tan rápido, en rpm (rev/min), gira el brazo para producir la aceleración sostenida máxima?

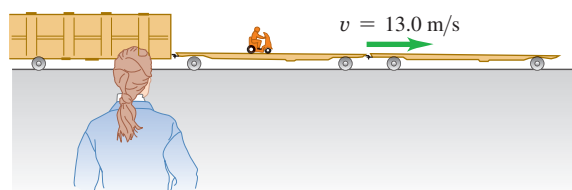
Figura E3.27



### Sección 3.5 Velocidad relativa

**3.30** • La plataforma de un ferrocarril viaja a la derecha con rapidez de 13.0 m/s relativa a un observador que está de pie en tierra. Alguien se mueve en motoneta sobre la plataforma (**figura E3.30**). ¿Qué velocidad (magnitud y dirección) tiene la motoneta relativa a la plataforma si su velocidad relativa al observador en el suelo es *a)* 18.0 m/s a la derecha? *b)* 3.0 m/s a la izquierda? *c)* Cero?

Figura E3.30

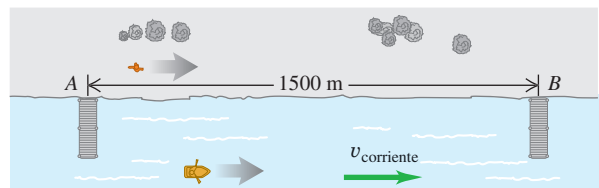


**3.31** • Una “banda móvil” en un aeropuerto se mueve a 1.0 m/s y tiene 35.0 m de largo. Si una mujer entra en un extremo y camina a

1.5 m/s en relación con la banda móvil, ¿cuánto tardará en llegar al otro extremo, si camina *a)* en la misma dirección en que se mueve la banda? *b)* Y en la dirección contraria?

**3.32** • Dos muelles, *A* y *B*, están situados en un río; *B* está 1500 m río abajo de *A* (**figura E3.32**). Dos amigos deben ir de *A* a *B* y regresar. Uno rema su bote con rapidez constante de 4.00 km/h relativa al agua; el otro camina por la orilla en tierra con rapidez constante de 4.00 km/h. La velocidad del río es 2.80 km/h en la dirección de *A* a *B*. ¿Cuánto tardará cada persona en hacer el viaje redondo?

Figura E3.32



**3.33** • Una canoa tiene una velocidad de 0.40 m/s al sureste, relativa a la Tierra. La canoa está en un río que fluye al este a 0.50 m/s en relación con la Tierra. Calcule la velocidad (magnitud y dirección) de la canoa relativa al río.

**3.34** • La nariz de un avión ultraligero apunta al sur, y el velocímetro indica 35 m/s. Hay un viento de 10 m/s que sopla al suroeste relativo a la Tierra. *a)* Dibuje un diagrama de suma vectorial que muestre la relación de  $\vec{v}_{P/E}$  (velocidad del avión relativa a la Tierra) con los dos vectores dados. *b)* Si *x* es al este y *y* al norte, obtenga las componentes de  $\vec{v}_{P/E}$ . *c)* Determine la magnitud y dirección de  $\vec{v}_{P/E}$ .

**3.35** • **Cruce del río I.** Un río fluye al sur con rapidez de 2.0 m/s. Un hombre cruza el río en una lancha de motor con velocidad relativa al agua de 4.2 m/s al este. El río mide 500 m de ancho. *a)* ¿Qué velocidad (magnitud y dirección) tiene la lancha relativa a la Tierra? *b)* ¿Cuánto tiempo tarda en cruzar el río? *c)* ¿A qué distancia al sur de su punto de partida llegará a la otra orilla?

**3.36** • **Cruce del río II.** *a)* ¿Qué dirección debería tomar la lancha del ejercicio 3.35 para llegar a un punto en la orilla opuesta directamente al este de su punto de partida? (La rapidez de la lancha relativa al agua sigue siendo 4.2 m/s). *b)* ¿Qué velocidad tendría la lancha relativa a la Tierra? *c)* ¿Cuánto tardaría en cruzar el río?

**3.37** • **BIO Aves migratorias.** Los gansos canadienses viajan principalmente en dirección norte-sur por mucho más de mil kilómetros en algunos casos, viajando a velocidades hasta de 100 km/h aproximadamente. Si una de estas aves vuela a 100 km/h en relación con el aire, pero hay un viento de 40 km/h que sopla de oeste a este, *a)* ¿a qué ángulo en relación con la dirección norte-sur debería volar esta ave, de modo que viaje directamente hacia el sur en relación con el suelo? *b)* ¿Cuánto tiempo le tomará al ganso cubrir una distancia terrestre de 500 km de norte a sur? (Nota: Incluso en noches nubladas, muchas aves pueden volar usando el campo magnético terrestre para identificar la dirección norte-sur).

**3.38** • Un piloto desea volar al oeste. Un viento de 80.0 km/h (aproximadamente 50 mi/h) sopla al sur. *a)* Si la rapidez (en aire estacionario) del avión es de 320.0 km/h (aproximadamente 200 mi/h), ¿qué dirección debería tomar el piloto? *b)* ¿Cuál es la rapidez del avión sobre el suelo? Ilustre con un diagrama vectorial.

## PROBLEMAS

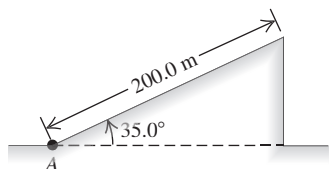
**3.39 • CALC** Se realiza el lanzamiento de un cohete, con un ángulo específico, desde la parte superior de una torre, cuya altura es  $h_0 = 50.0\text{ m}$ . A causa del diseño de los motores, sus coordenadas de posición tienen la forma  $x(t) = A + Bt^2$  y  $y(t) = C + Dt^3$ , donde  $A, B, C$  y  $D$  son constantes. Además, la aceleración del cohete 1.00 s después del lanzamiento es  $\vec{a} = (4.00\hat{i} + 3.00\hat{j})\text{ m/s}^2$ . Considere que la base de la torre es el origen de las coordenadas. *a)* Determine las constantes  $A, B, C$  y  $D$ , incluyendo sus unidades en el SI. *b)* En el instante posterior al lanzamiento del cohete, ¿cuáles son sus vectores de aceleración y velocidad? *c)* ¿Cuáles son las componentes  $x$  y  $y$  de la velocidad del cohete 10.0 s después del lanzamiento, y qué tan rápido se mueve el cohete? *d)* ¿Cuál es el vector de posición del cohete 10.0 s después del lanzamiento?

**3.40 ••• CALC** Un cohete de modelo defectuoso se mueve en el plano  $xy$  (la dirección  $+y$  es vertical hacia arriba). La aceleración del cohete tiene componentes dadas por  $a_x(t) = \alpha t^2$  y  $a_y(t) = \beta - \gamma t$ , donde  $\alpha = 2.50\text{ m/s}^4$ ,  $\beta = 9.00\text{ m/s}^2$  y  $\gamma = 1.40\text{ m/s}^3$ . En  $t = 0$  el cohete está en el origen y tiene velocidad  $\vec{v}_0 = v_{0x}\hat{i} + v_{0y}\hat{j}$  con  $v_{0x} = 1.00\text{ m/s}$  y  $v_{0y} = 7.00\text{ m/s}$ . *a)* Calcule los vectores de velocidad y posición en función del tiempo. *b)* ¿Qué altura máxima alcanza el cohete? *c)* ¿Qué desplazamiento horizontal tiene el cohete al volver a  $y = 0$ ?

**3.41 •• CALC** Si  $\vec{r} = bt^2\hat{i} + ct^3\hat{j}$ , donde  $b$  y  $c$  son constantes positivas, ¿cuándo el vector velocidad forma un ángulo de  $45.0^\circ$  con los ejes  $x$  y  $y$ ?

**3.42 •• CALC** La posición de una libélula que vuela paralela al suelo está dada en función del tiempo por  $\vec{r} = [2.90\text{ m} + (0.0900\text{ m/s}^2)t^2]\hat{i} - (0.0150\text{ m/s}^3)t^3\hat{j}$ . *a)* ¿En qué instante  $t$  el vector de velocidad del insecto forma un ángulo de  $30.0^\circ$  en el sentido de las manecillas del reloj a partir del eje  $+x$ ? *b)* En el tiempo calculado en el inciso *a*), ¿cuáles son la magnitud y dirección del vector de aceleración del insecto?

**3.43 •• PA** Un cohete de Figura P3.43 prueba se lanza acelerándolo a  $1.90\text{ m/s}^2$  sobre un plano inclinado de  $200.0\text{ m}$ , partiendo del reposo en el punto *A* (figura P3.43). El plano inclinado se eleva a  $35.0^\circ$  por encima de la horizontal, y en el instante en que el cohete sale del plano, sus motores se apagan y queda sujeto solamente a la gravedad (se puede ignorar la resistencia del aire). Determine *a)* la altura máxima sobre el suelo a la que llega el cohete, y *b)* el alcance horizontal máximo del cohete más allá del punto *A*.



**3.44 •• CALC** Una ave vuela en el plano  $xy$  con un vector velocidad dado por  $\vec{v} = (\alpha - \beta t^2)\hat{i} + \gamma t\hat{j}$ , donde  $\alpha = 2.4\text{ m/s}$ ,  $\beta = 1.6\text{ m/s}^3$  y  $\gamma = 4.0\text{ m/s}^2$ . La dirección  $+y$  es vertical hacia arriba. En  $t = 0$ , la ave está en el origen. *a)* Calcule los vectores de posición y aceleración del ave en función del tiempo. *b)* ¿Qué altura (coordenada  $y$ ) tiene la ave al volar sobre  $x = 0$  por primera vez después de  $t = 0$ ?

**3.45 ••** Un veterinario está en la selva provisto de una cerbatana cargada con un dardo sedante. El veterinario y un mono astuto de  $1.5\text{ kg}$  se encuentran a  $25\text{ m}$  arriba del suelo en árboles separados  $70\text{ m}$ . En el momento justo en que el veterinario dispara el dardo horizontalmente al mono, éste se deja caer del árbol en un intento vano por escapar del dardo. ¿Qué velocidad de salida mínima debe tener el dardo para golpear al mono antes de que éste llegue al suelo?

**3.46 ••• BIO Espiral ascendente.** Es común ver a las aves de presa ascender en corrientes calientes de aire. La trayectoria que siguen puede ser una trayectoria espiral. Es posible modelar un movimiento espiral como movimiento circular uniforme combinado con una velocidad constante hacia arriba. Suponga que un ave describe un círculo

completo con radio de  $6.00\text{ m}$  cada  $5.00\text{ s}$  y asciende verticalmente a razón constante de  $3.00\text{ m/s}$ . Determine lo siguiente: *a)* la rapidez del ave relativa al suelo; *b)* la aceleración del ave (magnitud y dirección); y *c)* el ángulo entre el vector de velocidad del ave y la horizontal.

**3.47 ••** Al combatir los incendios forestales, los aviones apoyan a los equipos terrestres dejando caer agua sobre el fuego. Un piloto practica tirando un bote con tinta roja, tratando de acertar a un blanco en el suelo. Si el avión vuela horizontalmente a  $90.0\text{ m}$  de altura con rapidez de  $64.0\text{ m/s}$  (143 mi/h), ¿a qué distancia horizontal del blanco el piloto debería soltar el bote? Desprecie la resistencia del aire.

**3.48 ••** Una doble de cine se deja caer desde un helicóptero que está a  $30.0\text{ m}$  sobre el suelo y se mueve con una velocidad constante, cuyas componentes son de  $10.0\text{ m/s}$  hacia arriba y  $15.0\text{ m/s}$  horizontal hacia el sur. Desprecie la resistencia del aire. *a)* ¿En qué punto del suelo (relativo a la posición del helicóptero cuando ella cae) se deberían haber colocado los colchones de hule-espuma para que amortigüen el golpe? *b)* Dibuje las gráficas  $x-t$ ,  $y-t$ ,  $v_x-t$  y  $v_y-t$  para su movimiento.

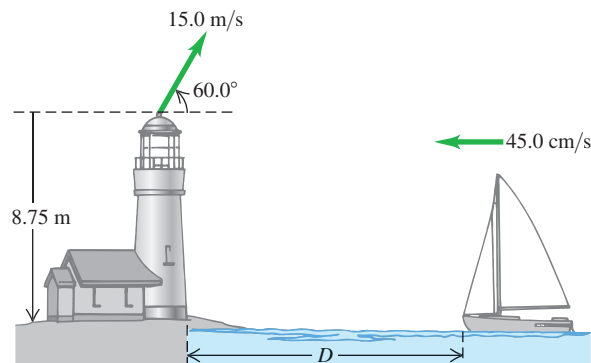
**3.49 ••** Un avión vuela con una velocidad de  $90.0\text{ m/s}$  a un ángulo de  $23.0^\circ$  arriba de la horizontal. Cuando está  $114\text{ m}$  directamente arriba de un perro parado en el suelo plano, se cae una maleta del compartimento de equipaje. ¿A qué distancia del perro caerá la maleta? Desprecie la resistencia del aire.

**3.50 ••** Un cañón, situado a  $60.0\text{ m}$  de la base de un risco vertical de  $25.0\text{ m}$  de altura, dispara un obús de  $15\text{ kg}$  con un ángulo de  $43.0^\circ$  sobre la horizontal, hacia el risco. *a)* ¿Qué velocidad inicial mínima debe tener el obús para liberar el borde superior del risco? *b)* El suelo en la parte superior del risco es plano, con una altura constante de  $25.0\text{ m}$  arriba del cañón. En las condiciones del inciso *a*), ¿a qué distancia del borde del risco cae el obús?

**3.51 • PA CALC** Un cohete de juguete es lanzado con una velocidad inicial de  $12.0\text{ m/s}$  en dirección horizontal desde la azotea de un edificio de  $30.0\text{ m}$  de alto. El motor del cohete produce una aceleración horizontal de  $(1.60\text{ m/s}^3)t$ , en la misma dirección de la velocidad inicial, y en la dirección vertical actúa  $g$ , hacia abajo. Se puede ignorar la resistencia del aire. ¿Qué distancia horizontal viaja el cohete antes de llegar al suelo?

**3.52 ••** Conforme un barco se acerca al muelle a  $45.0\text{ cm/s}$ , es necesario lanzarle la pieza de un equipo importante para que pueda atracar. El equipo se lanza a  $15.0\text{ m/s}$  a  $60.0^\circ$  por encima de la horizontal, desde lo alto de una torre en la orilla del agua, a  $8.75\text{ m}$  por encima de la cubierta del barco (figura P3.52). Para que el equipo caiga enfrente del barco, ¿a qué distancia  $D$  del muelle debería estar el barco cuando se lance el equipo? Ignore la resistencia del aire.

Figura P3.52



**3.53 ••• El jonrón más largo.** Según el *Libro de récords Guinness*, el jonrón más largo que se ha medido fue bateado por Roy "Dizzy" Carlyle en un juego de ligas menores. La pelota viajó  $188\text{ m}$  (618 ft) antes de caer al suelo fuera del parque. *a)* Suponiendo que la velocidad inicial de la pelota estuviera a  $45^\circ$  sobre la

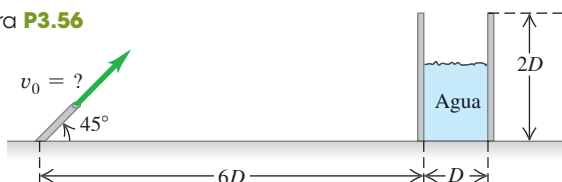
horizontal e ignorando la resistencia del aire, ¿cuál debió ser la rapidez inicial de la pelota, si se bateó en un punto a 0.9 m (3.0 ft) sobre el suelo? Suponga que el suelo es perfectamente plano. b) ¿A qué altura habría pasado la bola sobre una barda de 3.0 m (10 ft) situada a 116 m (380 ft) de *home*?

**3.54 • Una misión de auxilio.** Un avión deja caer pacas de heno para el ganado atrapado en una ventisca en las Grandes Llanuras. El piloto libera las pacas a 150 m arriba del nivel del suelo, cuando el avión vuela a 75 m/s en una dirección de  $55^\circ$  arriba de la horizontal. ¿A qué distancia enfrente del ganado debería el piloto tirar el heno para que las pacas caigan en el punto donde están atrapados los animales?

**3.55 •** Se lanza una pelota de béisbol con un ángulo de  $60^\circ$  sobre la horizontal y pega en un edificio de 18.0 m en un punto que está a 8.00 m arriba del punto desde donde se lanzó. Desprecie la resistencia del aire. a) Determine la magnitud de la velocidad inicial de la pelota (la velocidad con la que se lanzó la pelota). b) Encuentre la magnitud y dirección de la velocidad de la pelota justo antes de que pegue en el edificio.

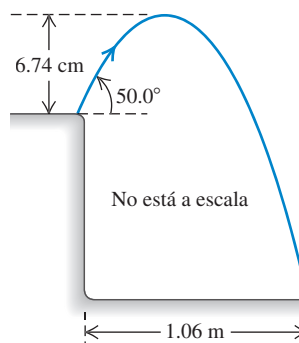
**3.56 •** Se utiliza una manguera para llenar de agua un contenedor cilíndrico grande de diámetro  $D$  y altura  $2D$ . La manguera lanza el agua a  $45^\circ$  sobre la horizontal, desde el mismo nivel que la base del tanque, y se encuentra a una distancia de  $6D$  (figura P3.56) de éste. ¿En qué intervalo de rapideces de lanzamiento ( $v_0$ ) el agua entrará en el contenedor? Desprecie la resistencia del aire, y exprese su respuesta en términos de  $D$  y de  $g$ .

Figura P3.56



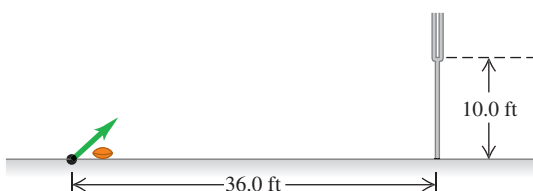
**3.57 •** Un saltamontes salta hacia el aire del borde de un risco vertical, como se muestra en la figura P3.57. Use la información de la figura para determinar a) la rapidez inicial del saltamontes y b) la altura del risco.

Figura P3.57



**3.58 • Patear un punto extra.** En fútbol de Canadá, después de anotar un touchdown, el equipo tiene la oportunidad de ganar un punto más pateando el balón por encima de una barra sostenida entre dos postes. La barra está colocada en posición horizontal a 10.0 ft por encima del suelo, y el balón se patea desde el nivel del suelo a una distancia horizontal de 36.0 ft con respecto a la barra (figura P3.58). Las medidas del fútbol se indican en unidades del sistema inglés pero, para este problema, realice la conversión a unidades del SI. a) Hay un ángulo mínimo por encima del suelo, de tal forma que si el balón se lanza por debajo de este ángulo, jamás podrá saltar por encima de la barra, sin importar la rapidez que le imprima la patada. ¿Cuál es ese ángulo? b) Si el balón se patea a  $45.0^\circ$  por encima de la horizontal, ¿cuál debe ser su rapidez inicial para apenas alcanzar a librarse la barra? Expresa tu respuesta en m/s y km/h.

Figura P3.58



**3.59 •• Cuidado!** Una bola de nieve rueda del techo de un granero con una inclinación hacia abajo de  $40^\circ$  (figura P3.59). El borde del techo está a 14.0 m del suelo y la bola tiene una rapidez de 7.00 m/s al salir del techo. Desprecie la resistencia del aire. a) ¿A qué distancia del borde del granero golpea la bola el piso si no golpea otra cosa al caer? b) Dibuje las gráficas  $x-t$ ,  $y-t$ ,  $v_x-t$  y  $v_y-t$  para el movimiento del inciso a). c) Un hombre de 1.9 m de estatura está de pie a 4.0 m del borde del granero. ¿Le caerá encima la bola de nieve?

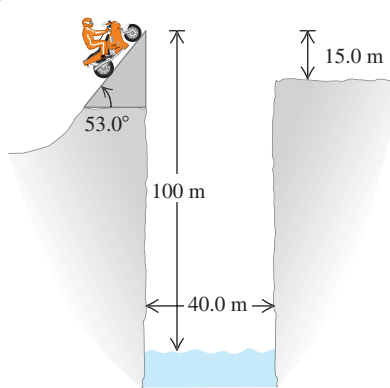
**3.60 •** Un muchacho que está 12.0 m sobre el suelo en un árbol lanza una pelota a su perro, que está de pie justo debajo del árbol y empieza a correr el instante en que se lanza la pelota. Si el muchacho lanza la pelota horizontalmente a 8.50 m/s, a) ¿qué tan rápido debe correr el perro para atrapar la bola cuando llega al suelo y b) ¿a qué distancia del árbol atrapará la pelota el perro?

**3.61 •** Supongamos que el muchacho del problema 3.60 lanza la pelota hacia arriba a  $60.0^\circ$  por encima de la horizontal, pero todo lo demás es lo mismo. Repita los incisos a) y b) de ese problema.

**3.62 •** Se lanza una piedra de la azotea de un edificio con velocidad  $v_0$  y ángulo  $\alpha_0$  con respecto a la horizontal. La altura del edificio es  $h$ . Puede ignorarse la resistencia del aire. Calcule la magnitud de la velocidad de la piedra justo antes de tocar el suelo, y demuestre que es independiente de  $\alpha_0$ .

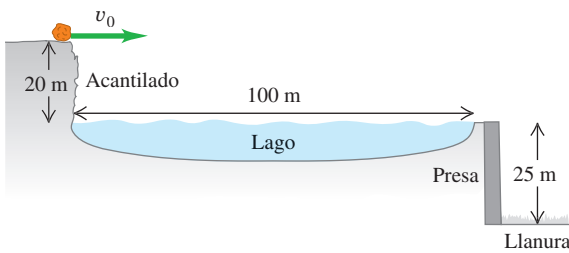
**3.63 • Salto del río II.** Un profesor de física hacía acrobacias audaces en su tiempo libre. Su última acrobacia fue un intento por saltar un río en motocicleta (figura P3.63). La rampa de despegue está inclinada  $53.0^\circ$ , el río mide 40.0 m de ancho y la ribera lejana está 15.0 m más abajo que la parte superior de la rampa. El río está a 100 m abajo de la rampa. Puede despreciarse la resistencia del aire. a) ¿Qué rapidez se necesita en la parte superior de la rampa para alcanzar apenas el borde de la ribera lejana? b) Si su rapidez es sólo la mitad del valor obtenido en a), ¿dónde cayó?

Figura P3.63



- 3.64** • Se lanza una pelota de 2.7 kg verticalmente hacia arriba con una rapidez inicial de 20.0 m/s desde el borde de un acantilado de 45.0 m de altura. En el instante de lanzamiento, una mujer comienza a correr alejándose de la base del acantilado con rapidez constante de 6.00 m/s. La mujer corre en línea recta sobre suelo plano, y puede despreciarse la acción de la resistencia del aire sobre la pelota. *a)* ¿Con qué ángulo arriba de la horizontal deberá lanzarse la pelota para que la corredora la atrape justo antes de que toque el suelo, y qué distancia corre la mujer antes de atrapar la pelota? *b)* Dibuje la trayectoria de la pelota vista por: **i.** una persona en reposo en el suelo; **ii.** la corredora.
- 3.65** • Un peñasco de 76.0 kg está rodando horizontalmente hacia el borde de un acantilado que está 20 m arriba de la superficie de un lago, como se indica en la **figura P3.65**. La parte superior de la cara vertical de una presa está a 100 m del pie del acantilado, al nivel de la superficie del lago. Hay una llanura 25 m debajo de la parte superior de la presa. *a)* ¿Qué rapidez mínima debe tener la roca al perder contacto con el acantilado para llegar hasta la llanura sin golpear la presa? *b)* ¿A qué distancia del pie de la presa caerá la roca en la llanura?

Figura P3.65



- 3.66** • **Lanzamiento de almuerzo.** Henrietta va a su clase de física trotando por la acera, a 3.05 m/s. Su esposo Bruce se da cuenta de que ella salió con tanta prisa que olvidó su almuerzo, así que corre a la ventana de su apartamento, que está a 38.0 m directamente arriba de la acera, para lanzárselo. Bruce lanza el almuerzo horizontalmente 9.00 s después de que Henrietta pasó debajo de la ventana, y ella lo atrapa corriendo. Desprecie la resistencia del aire. *a)* ¿Con qué rapidez inicial debe haber lanzado Bruce el almuerzo para que Henrietta lo atrapa justo antes de tocar la acera? *b)* ¿Dónde está ella cuando atrapa el almuerzo?

- 3.67** • Un carro lleva un lanzador de misil vertical que se desplaza horizontalmente con una velocidad constante de 30.0 m/s hacia la derecha. Éste lanza un cohete verticalmente hacia arriba. El misil tiene una velocidad inicial vertical de 40.0 m/s relativa al carro. *a)* ¿A qué altura se eleva el cohete? *b)* ¿Qué distancia recorre el carro mientras el cohete está en el aire? *c)* ¿Dónde aterriza el cohete respecto al carro?

- 3.68** • Una cuadrilla de bomberos utiliza un cañón de agua que dispara agua a 25.0 m/s en un ángulo fijo de 53.0° arriba de la horizontal. Los bomberos quieren dirigir el agua a un incendio que está 10.0 m sobre el nivel del suelo. ¿A qué distancia del edificio deben colocar su cañón? Hay *dos* posibilidades; ¿puede obtener las dos? (*Sugerencia:* Comience con un dibujo que muestre la trayectoria del agua).

- 3.69** • En medio de la noche usted está de pie a una distancia horizontal de 14.0 m de la alta cerca que rodea la finca de su tío rico. La parte superior de la cerca está a 5.00 m sobre el suelo. Ha grabado un mensaje importante en una piedra que quiere tirar encima de la cerca. El suelo es el nivel, y el ancho de la cerca es suficientemente pequeño como para despreciarse. Usted lanza la piedra desde una altura de 1.60 m sobre el terreno y a un ángulo de 56.0° arriba la horizontal. *a)* ¿Qué velocidad inicial mínima debe tener la piedra cuando la avienta para liberar la parte superior de la cerca? *b)* Para la velocidad inicial calculada en el inciso *a*), ¿a qué distancia horizontal más allá de la cerca aterrizará la piedra en la tierra?

- 3.70** ••• **PA ¡Bang!** Un estudiante está sentado en una plataforma a una altura  $h$  sobre el suelo. Lanza un petardo horizontalmente con una rapidez  $v$ . Sin embargo, un viento que sopla paralelo al suelo imprime al petardo una aceleración horizontal constante de magnitud  $a$ . El resultado es que el petardo cae al suelo directamente abajo del estudiante. Determine la altura  $h$  en términos de  $v$ ,  $a$  y  $g$ . Ignore el efecto de la resistencia del aire sobre el movimiento vertical.

- 3.71** •• El piloto de un avión fija un curso al oeste según la brújula y mantiene una rapidez de 220 km/h. Después de volar 0.500 h, el piloto se encuentra sobre una ciudad a 120 km al oeste y 20 km al sur de su punto de partida. *a)* Calcule la velocidad del viento (magnitud y dirección). *b)* Si dicha velocidad es de 40 km/h al sur, ¿qué curso debe fijar el piloto para viajar al oeste? Use la misma rapidez de vuelo de 220 km/h.

- 3.72** •• **Gotas de lluvia.** Cuando la velocidad de un tren es de 12.0 m/s al este, las gotas de lluvia que caen verticalmente con respecto a la Tierra dejan huellas inclinadas 30.0° con respecto a la vertical en las ventanillas del tren. *a)* ¿Qué componente horizontal tiene la velocidad de una gota con respecto a la Tierra? ¿Y con respecto al tren? *b)* ¿Qué magnitud tiene la velocidad de la gota con respecto a la Tierra? ¿Y con respecto al tren?

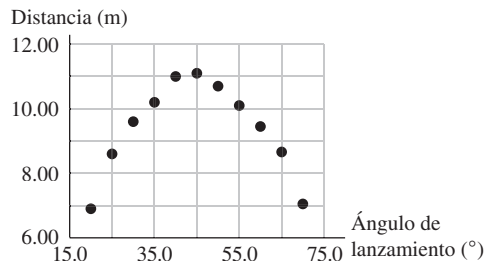
- 3.73** •• En un juego de la Copa Mundial de Fútbol, Juan corre al norte hacia la portería con una rapidez de 8.00 m/s relativa al suelo. Un compañero le pasa el balón, el cual lleva una rapidez de 12.0 m/s y se mueve en una dirección 37.0° al este del norte, relativa al suelo. ¿Qué magnitud y dirección tiene la velocidad del balón relativa a Juan?

- 3.74** •• Un elevador sube con rapidez constante de 2.50 m/s. Un perno se afloja y cae del techo del elevador, ubicado 3.00 m arriba del piso. *a)* ¿Cuánto tarda en llegar al piso del elevador? *b)* ¿Qué rapidez tiene el perno justo cuando toca el piso según un observador en el elevador? *c)* ¿Y según un observador de pie en uno de los pisos del edificio? *d)* Según el observador del inciso *c*), ¿qué distancia recorrió el perno entre el techo y el piso del elevador?

- 3.75** •• Dos jugadoras de fútbol, Mia y Alice, corren mientras Alice pasa el balón a Mia. Esta última corre hacia el norte con una rapidez de 6.00 m/s. La velocidad del balón relativa a Mia es de 5.00 m/s en una dirección de 30° al este del sur. ¿Cuáles son la magnitud y la dirección de la velocidad del balón relativa al suelo?

- 3.76** •• **DATOS** Una pistola de resorte proyecta una pequeña piedra desde el suelo con rapidez  $v_0$  a un ángulo de  $\theta_0$  arriba del suelo. Le han pedido determinar  $v_0$ . De la manera en que se construye la pistola de resorte, usted sabe que una buena aproximación a  $v_0$  es independiente del ángulo de lanzamiento. Está a nivel, en un campo abierto, se selecciona un ángulo de lanzamiento y se mide la distancia horizontal que viaja la roca. Se utiliza  $g = 9.80 \text{ m/s}^2$  y se desprecia la altura pequeña al final de la pistola de resorte arriba del suelo. Puesto que la medición tiene cierta incertidumbre en los valores medidos para el ángulo de lanzamiento y para el alcance horizontal, se repite la medición para diferentes ángulos de lanzamiento y se obtienen los resultados obtenidos en la **figura 3.76**. Se desprecia la resistencia del

Figura P3.76



aire porque no hay viento y la roca es pequeña y pesada. *a)* Seleccione una forma de representar los datos como una línea recta. *b)* Utilice la pendiente de la recta de mejor ajuste lineal de los datos del inciso *a*) para calcular  $v_0$ . *c)* Cuando el ángulo de lanzamiento es de  $36.9^\circ$ , ¿qué altura máxima alcanza la roca sobre el suelo?

**3.77 ••• DATOS** Usted ha construido una pistola de papa impulsada por aerosol de cabello y quiere encontrar la velocidad de salida  $v_0$  de la papa, es decir, la rapidez que tiene al salir por el extremo del cañón del arma. Utiliza la misma cantidad de aerosol de cabello cada vez que dispara el arma, y confirma disparando varias veces a la misma altura que la rapidez de salida es aproximadamente igual para cada disparo. Sube a una torre de retransmisión de microondas (por supuesto, con permiso) para lanzar las papas horizontalmente a diferentes alturas sobre el suelo. Su amigo mide la altura del cañón de la pistola arriba del suelo y el alcance  $R$  de cada papa. Obtiene los siguientes datos:

Altura del lanzamiento $h$	Alcance horizontal $R$
2.00 m	10.4 m
6.00m	17.1 m
9.00 m	21.3 m
12.00m	25.8 m

Cada uno de los valores de  $h$  y  $R$  tiene un error de medición: la velocidad de salida no es exactamente la misma cada vez, y el barril no es exactamente horizontal. Así que utiliza todas las mediciones para obtener la mejor estimación de  $v_0$ . No hay viento, así que decide despreciar la resistencia del aire. Utiliza  $g = 9.80 \text{ m/s}^2$  en su análisis *a)* Seleccione una forma de representar los datos como una línea recta. *b)* Utilice la pendiente de la recta de mejor ajuste del inciso *a*) para calcular el valor promedio de  $v_0$ . *c)* ¿Cuál sería el alcance horizontal de una papa que se dispara al nivel del suelo en un ángulo de  $30.0^\circ$  arriba de la horizontal? Utilice el valor de  $v_0$  que calculó en el inciso *b*).

**3.78 ••• DATOS** Usted es miembro de un equipo geológico en África Central. Su equipo viaja en un ancho río que fluye hacia el este. Usted debe determinar el ancho del río y la rapidez (la rapidez del agua relativa a la tierra). Tiene un pequeño bote con motor fuera de borda. Al medir el tiempo que le toma cruzar un estanque donde no fluye agua, calibra la apertura del acelerador para la rapidez del bote en aguas tranquilas. Ajusta esa apertura para que la rapidez del bote relativa al río sea una constante de  $6.00 \text{ m/s}$ . Al viajar hacia el norte a través del río, llega a la orilla opuesta en  $20.1 \text{ s}$ . Para el viaje de vuelta, cambia la apertura del acelerador para que la rapidez del bote relativa al agua sea de  $9.00 \text{ m/s}$ . Viaja al sur de una orilla a la otra y cruza el río en  $11.2 \text{ s}$ . *a)* ¿Qué tan ancho es el río, y cuál es la rapidez de la corriente? *b)* Con la apertura del acelerador para que la rapidez del bote relativa al agua sea de  $6.00 \text{ m/s}$ , ¿cuál es el tiempo más corto en el que podría cruzar el río y a dónde llegaría en la orilla?

## PROBLEMAS DE DESAFÍO

**3.79 ••• CALC** Un proyectil se lanza desde un punto  $P$ . Su movimiento es tal que su distancia respecto a  $P$  siempre aumenta. Determine el ángulo máximo arriba de la horizontal con que pudo haberse lanzado. Desprecie la resistencia del aire.

**3.80 •••** Dos estudiantes pasean en canoa por un río. Mientras van río arriba, dejan caer accidentalmente una botella vacía al agua, después de lo cual reman durante 60 minutos hasta llegar a un punto a  $2.0 \text{ km}$  río arriba. En ese momento, se dan cuenta de que la botella no está y, preocupados por la ecología, se dan vuelta y reman

río abajo. Alcanzan la botella (que se ha estado moviendo con la corriente)  $5.0 \text{ km}$  río abajo del punto donde se dieron la vuelta, y la recogen. *a)* Suponiendo que reman con rapidez constante, ¿con qué rapidez fluye el río? *b)* ¿Qué rapidez tendría la canoa en un lago tranquilo remando con la misma rapidez del inciso *a*)?

**3.81 ••• PA** Un cohete diseñado para colocar cargas pequeñas en órbita es transportado a una altitud de  $12.0 \text{ km}$  sobre el nivel del mar, por un avión comercial modificado. Cuando el avión está volando en línea recta, con rapidez constante de  $850 \text{ km/h}$ , deja caer el cohete. Después, el avión mantiene la misma altitud y rapidez, y sigue volando en línea recta. El cohete cae durante un lapso corto, después del cual se enciende el motor. A partir de ese momento, los efectos combinados del empuje y la gravedad imparten al cohete una aceleración constante de magnitud  $3.00g$  dirigida a un ángulo de  $30.0^\circ$  arriba de la horizontal. Por motivos de seguridad, el cohete deberá estar por lo menos a  $1.00 \text{ km}$  adelante del avión cuando vuelva a alcanzar la altitud de este. Hay que determinar el tiempo mínimo que el cohete debe tener antes de que su motor se encienda. Se puede ignorar la resistencia del aire. La respuesta debe incluir *i.* un diagrama que muestre las trayectorias de vuelo del cohete y del avión, identificadas en varios puntos con vectores que representen su velocidad y su aceleración; *ii.* una gráfica  $x-t$  que indique los movimientos del cohete y del avión; y *iii.* una gráfica  $y-t$  que muestre los movimientos del cohete y del avión. En el diagrama y las gráficas, indique los momentos cuando el cohete se deja caer, cuando el motor del cohete se enciende y cuando el cohete en ascenso alcanza la altura del avión.

## PROBLEMAS DE TRANSICIÓN

**BIO DISPERSIÓN BALÍSTICA DE SEMILLAS.** Algunas plantas dispersan sus semillas cuando la fruta se abre y se contrae, impulsando las semillas por el aire. La trayectoria de estas semillas se puede determinar usando una cámara de alta velocidad. En un experimento en un tipo de planta, las semillas se proyectan a  $20 \text{ cm}$  por arriba del nivel de la tierra con rapideces iniciales entre  $2.3 \text{ m/s}$  y  $4.6 \text{ m/s}$ . El ángulo de lanzamiento se mide desde la horizontal, con  $+90^\circ$  correspondiente a una velocidad inicial hacia arriba y de  $-90^\circ$  hacia abajo.

**3.82** El experimento está diseñado para que las semillas no se muevan más de  $0.20 \text{ m}$  entre fotogramas. ¿Para la cámara de alta velocidad, qué velocidad de fotogramas mínima se necesita para lograrlo? *a)*  $250 \text{ fotogramas/s}$ ; *b)*  $2500 \text{ fotogramas/s}$ ; *c)*  $25,000 \text{ fotogramas/s}$ ; *d)*  $250,000 \text{ fotogramas/s}$ .

**3.83** Aproximadamente, ¿cuánto tiempo tarda una semilla lanzada a  $90^\circ$  con la máxima rapidez inicial posible en llegar a su altura máxima? Desprecie la resistencia del aire. *a)*  $0.23 \text{ s}$ ; *b)*  $0.47 \text{ s}$ ; *c)*  $1.0 \text{ s}$ ; *d)*  $2.3 \text{ s}$ .

**3.84** Si una semilla es lanzada con un ángulo de  $0^\circ$  con la máxima rapidez inicial, ¿a qué distancia de la planta llegaría? Desprecie la resistencia del aire y suponga que la tierra es plana. *a)*  $20 \text{ cm}$ ; *b)*  $93 \text{ cm}$ ; *c)*  $2.2 \text{ m}$ ; *d)*  $4.6 \text{ m}$ .

**3.85** Se observa un gran número de semillas, y se registran sus ángulos de lanzamiento inicial. El rango de ángulos de proyección es de  $-51^\circ$  a  $75^\circ$ , con una media de  $31^\circ$ . Aproximadamente el 65% de las semillas se lanzan entre  $6^\circ$  y  $56^\circ$  (vea W. J. Garrison y colaboradores, "Ballistic seed projection in two herbaceous species," *Amer. J. Bot.*, septiembre de 2000, 87:9, 1257-1264). ¿Cuál de estas hipótesis apoya mejor los datos? Las semillas son preferiblemente lanzadas *a)* a ángulos que maximicen la altura que viajan arriba de la planta; *b)* a ángulos por debajo de la horizontal para expulsar las semillas en la tierra con más fuerza; *c)* a ángulos que maximicen la distancia horizontal que viajan las semillas desde la planta; *d)* a ángulos que minimicen el tiempo que las semillas están expuestas a la ire.

## Respuestas

### Pregunta de inicio del capítulo ?

**iii.** Un ciclista que va por una curva a rapidez constante tiene una aceleración dirigida hacia el interior de la curva (vea la sección 3.2, en especial, la figura 3.12a).

### Respuesta a las secciones

#### Evalué su comprensión

**3.1 iii.** Si la velocidad instantánea  $\vec{v}$  es constante durante un intervalo, su valor en cualquier punto (incluyendo el final del intervalo) es igual a la velocidad media  $\vec{v}_{\text{med}}$  durante el intervalo. En **i** y **ii**, la dirección de  $\vec{v}$  al final del intervalo es tangente a la trayectoria en ese punto; mientras que la dirección de  $\vec{v}_{\text{med}}$  apunta del inicio de la trayectoria al final de la misma (en la dirección del desplazamiento neto). En **iv**,  $\vec{v}$  y  $\vec{v}_{\text{med}}$  se encuentran a lo largo de la línea recta, aunque  $\vec{v}$  tiene una magnitud mayor porque la rapidez ha ido en aumento.

**3.2 Vector 7** En el punto más alto de la trayectoria del trineo, la rapidez es mínima. En ese punto, la rapidez no aumenta ni disminuye, y la componente paralela de la aceleración (es decir, la componente horizontal) es cero. La aceleración sólo tiene una componente perpendicular hacia el interior de la trayectoria curva del trineo. En otras palabras, la aceleración es hacia abajo.

**3.3 i.** Si no hubiera gravedad ( $g = 0$ ), el mono no caería y el dardo seguiría una trayectoria recta (que se indica como línea punteada). El

efecto de la gravedad es hacer que tanto el mono como el dardo caigan la misma distancia  $\frac{1}{2}gt^2$  por debajo de sus posiciones con  $g = 0$ . El punto *A* tiene la misma distancia debajo de la posición inicial del mono que el punto *P* debajo de la recta punteada, así que el punto *A* es donde encontraríamos al mono en el instante en cuestión.

**3.4 ii.** Tanto en la parte alta como en la baja del lazo, la aceleración es puramente radial y está dada por la ecuación (3.27). El radio *R* es el mismo en ambos puntos, así que la diferencia de aceleración se debe exclusivamente a las diferencias de rapidez. Puesto que  $a_{\text{rad}}$  es proporcional al cuadrado de *v*, la rapidez deberá ser dos veces mayor en la parte baja del lazo que en su parte alta.

**3.5 vi.** El efecto del viento es anular el movimiento hacia el este del avión e imprimirle un movimiento hacia el norte. Así que la velocidad del aire en relación con el suelo (la velocidad del viento) debe tener una componente de 150 km/h hacia el oeste y una componente de 150 km/h hacia el norte. La combinación de ambas es un vector con magnitud  $\sqrt{(150 \text{ km/h})^2 + (150 \text{ km/h})^2} = 212 \text{ km/h}$  que apunta hacia el noroeste.

### Problema práctico

$$\text{a)} R = \frac{2v_0^2 \cos(\theta + \phi) \sin \phi}{g} \quad \text{b)} \phi = 45^\circ - \frac{\theta}{2}$$



¿En qué circunstancias la barra presiona al pesista tanto como él empuja la barra?  
**i.** cuando tiene la barra fija;  
**ii.** cuando levanta la barra;  
**iii.** cuando baja la barra;  
**iv.** dos de **i**, **ii** y **iii**; **v.** ninguna de éstas.

# 4 LEYES DE NEWTON DEL MOVIMIENTO

## OBJETIVOS DE APRENDIZAJE

Al estudiar este capítulo, usted aprenderá:

- 4.1** Cuál es el significado del concepto de fuerza en física y por qué las fuerzas son vectores y el significado de fuerza neta sobre un objeto.
- 4.2** Qué sucede cuando la fuerza neta sobre un objeto es cero, y el significado de sistemas (o marcos) de referencia inerciales.
- 4.3** Cómo se determina la aceleración de un objeto con la fuerza neta que actúa sobre éste y su masa.
- 4.4** La diferencia entre la masa de un objeto y su peso.
- 4.5** Cómo están relacionadas las fuerzas que dos objetos ejercen entre sí.
- 4.6** Cómo usar un diagrama de cuerpo libre para ayudar a analizar las fuerzas sobre un objeto.

Repase lo estudiado en la sección ...

- 2.4** Movimiento rectilíneo con aceleración constante.
- 2.5** Movimiento de cuerpos en caída libre.
- 3.2** La aceleración como un vector.
- 3.4** Movimiento circular uniforme.
- 3.5** Velocidad relativa.

**E**n los dos últimos capítulos vimos cómo utilizar la *cinemática* para describir el movimiento en una, dos o tres dimensiones. Sin embargo, ¿qué *ocasiona* que los cuerpos se muevan como lo hacen? Por ejemplo, ¿por qué cae más lentamente una pluma de ave que una pelota de béisbol? ¿Por qué siente que lo empujan hacia atrás en un automóvil que acelera hacia adelante? Las respuestas a estas preguntas son el tema de la **dinámica**, es decir, la relación entre el movimiento y las fuerzas que lo provocan.

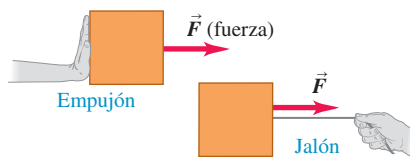
Los principios de la dinámica fueron establecidos claramente por primera vez por sir Isaac Newton (1642-1727), y actualmente se conocen como **leyes de Newton del movimiento**. La primera ley dice que si la fuerza neta sobre un cuerpo es cero, su movimiento no cambia. La segunda ley establece que un cuerpo se acelera cuando la fuerza neta *no* es cero. La tercera ley es una relación entre las fuerzas que ejercen dos cuerpos que interactúan entre sí.

Newton no *obtuvo* matemáticamente las tres leyes, sino que las *dedujo* de un sinúmero de experimentos realizados por otros científicos, especialmente Galileo Galilei (quien murió el mismo año en que nació Newton). Las leyes de Newton son la base de la **mecánica clásica** (también llamada **mecánica newtoniana**); al usarlas, podremos comprender la mayoría de los tipos de movimiento más conocidos. Las leyes de Newton requieren modificación sólo en situaciones que implican rapideces muy altas (cercañas a la rapidez de la luz) o en espacios muy pequeños (como el interior de un átomo).

El planteamiento de las leyes de Newton es sencillo, pero algunos estudiantes las encuentran difíciles de entender y manejar. La razón es que, antes de estudiar física, hemos pasado años caminando, lanzando pelotas, empujando cajas y haciendo muchas otras actividades que implican movimiento. Al hacerlo, hemos desarrollado ciertas ideas de “sentido común” con respecto al movimiento y sus causas. Sin embargo, muchas de tales ideas de “sentido común” no resisten un análisis lógico. Una buena parte de la tarea de este capítulo, y del resto de nuestro estudio de la física, es ayudar a reconocer cuándo las ideas del “sentido común” nos llevan al error, y cómo ajustar nuestra comprensión del mundo físico de modo que sea congruente con lo que nos indican los experimentos.

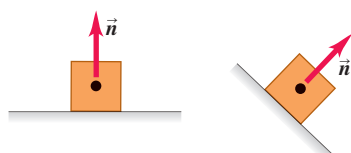
#### 4.1 Algunas propiedades de las fuerzas.

- Una fuerza es un empujón o un jalón.
- Una fuerza es una interacción entre dos objetos o entre un objeto y su entorno.
- Una fuerza es una cantidad vectorial con magnitud y dirección.

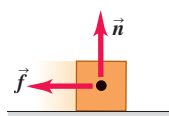


#### 4.2 Cuatro tipos de fuerzas comunes.

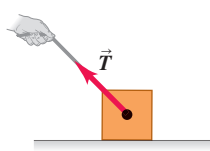
- a) **Fuerza normal  $\vec{n}$ :** Cuando un objeto descansa o se empuja sobre una superficie, ésta ejerce un empujón sobre el objeto que es perpendicular a la superficie.



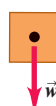
- b) **Fuerza de fricción  $\vec{f}$ :** Además de la fuerza normal, una superficie puede ejercer una fuerza de fricción sobre un objeto que es paralela a la superficie.



- c) **Fuerza de tensión  $\vec{T}$ :** La fuerza de un jalón ejercida sobre un objeto por una cuerda, un cordón, etcétera.



- d) **Peso  $\vec{w}$ :** El jalón de la gravedad sobre un objeto es una fuerza de largo alcance (una fuerza que actúa a la distancia).



## 4.1 FUERZA E INTERACCIONES

En el lenguaje cotidiano, **fuerza** es un empujón o un jalón. Una definición más adecuada es que una fuerza es una *interacción* entre dos cuerpos o entre un cuerpo y su entorno (**figura 4.1**). Por tal razón, siempre nos referimos a la fuerza que un cuerpo *ejerce* sobre un segundo cuerpo. Cuando empujamos un automóvil atascado en la nieve, ejercemos una fuerza sobre el auto; un cable de acero ejerce una fuerza sobre la viga que levanta en una construcción, etcétera. Como se ilustra en la figura 4.1, la fuerza es una cantidad *vectorial*: podemos empujar un cuerpo o jalar de él en direcciones diferentes.

Cuando una fuerza implica contacto directo entre dos cuerpos, como un empujón o un jalón que se ejerce con la mano sobre un objeto, la llamamos **fuerza de contacto**. Las **figuras 4.2a**, **4.2b** y **4.2c** muestran tres tipos comunes de fuerzas de contacto. La **fuerza normal** (figura 4.2a) es ejercida sobre un objeto por cualquier superficie con la cual esté en contacto. El adjetivo *normal* significa que la fuerza siempre actúa en dirección perpendicular a la superficie de contacto, sin importar el ángulo de esa superficie. En cambio, la **fuerza de fricción** (figura 4.2b) ejercida sobre un objeto por una superficie actúa *paralela* a la superficie, en la dirección opuesta al deslizamiento. La fuerza del jalón ejercida por una cuerda o por un cordel tenso sobre un objeto al cual se ata se llama **fuerza de tensión** (figura 4.2c). Cuando usted jala de la correa de su perro, la fuerza que tira del collar es una fuerza de tensión.

Además de las fuerzas de contacto, también hay **fuerzas de largo alcance** que actúan aunque los cuerpos estén separados por un espacio vacío. La fuerza entre dos imanes es un ejemplo de este tipo de fuerza, al igual que la fuerza de la gravedad (figura 4.2d); la Tierra atrae hacia sí cualquier objeto que se deje caer, incluso cuando no haya contacto directo entre el objeto y la Tierra. La fuerza de atracción gravitacional que la Tierra ejerce sobre un cuerpo se llama **peso**.

Para describir una fuerza vectorial  $\vec{F}$  debemos indicar la *dirección* en la cual actúa, así como su *magnitud*, es decir, la cantidad que describe “cuánto” o “qué tanto” la fuerza empuja o jala. La unidad de magnitud de fuerza en el SI es el **newton**, que se abrevia N (daremos una definición precisa del newton en la sección 4.3). La **tabla 4.1** presenta algunas magnitudes de fuerza comunes.

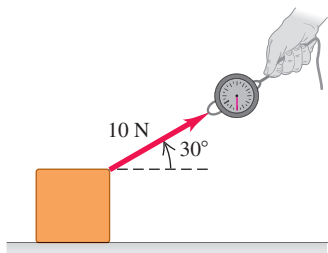
Un instrumento común para medir magnitudes de fuerza es la *balanza de resorte*, que consiste en un resorte en espiral dentro de una caja con una varilla unida a un extremo. Cuando se aplican fuerzas a los extremos del resorte, éste se estira y la cantidad de elongación depende de la fuerza. Se puede hacer una escala en la varilla y calibrarla usando varios cuerpos idénticos de 1 N de peso exacto cada uno. Cuando uno, dos o más de esos cuerpos se suspenden simultáneamente de la balanza, la fuerza total que estira el resorte es 1 N, 2 N y así sucesivamente, y podemos marcar las posiciones correspondientes en el puntero de 1 N, 2 N, etcétera. Luego podemos usar el instrumento para medir la magnitud de una fuerza desconocida. Se puede hacer un instrumento similar para fuerzas que empujan en vez de jalar.

**TABLA 4.1 Magnitudes de fuerzas comunes**

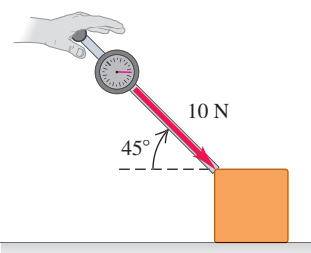
Fuerza gravitacional del Sol sobre la Tierra	$3.5 \times 10^{22} \text{ N}$
Peso de una ballena azul grande	$1.9 \times 10^6 \text{ N}$
Fuerza de tracción máxima de una locomotora	$8.9 \times 10^5 \text{ N}$
Peso de un apoyador de fútbol americano de 250 lb ( $\approx 113.4 \text{ kg}$ )	$1.1 \times 10^3 \text{ N}$
Peso de una manzana mediana	1 N
Peso de los huevos de insecto más pequeño	$2 \times 10^{-6} \text{ N}$
Fuerza de atracción eléctrica entre el protón y el electrón en un átomo de hidrógeno	$8.2 \times 10^{-8} \text{ N}$
Peso de una bacteria muy pequeña	$1 \times 10^{-18} \text{ N}$
Peso de un átomo de hidrógeno	$1.6 \times 10^{-26} \text{ N}$
Peso de un electrón	$8.9 \times 10^{-30} \text{ N}$
Fuerza de atracción gravitacional entre el protón y el electrón en un átomo de hidrógeno	$3.6 \times 10^{-47} \text{ N}$

**4.3** Uso de una flecha como vector para indicar la fuerza que ejercemos cuando *a*) jalamos un bloque con una cuerda, o *b*) lo empujamos con un palo.

*a)* Un jalón de 10 N dirigido a  $30^\circ$  por encima de la horizontal



*b)* Un empujón de 10 N dirigido a  $45^\circ$  por debajo de la horizontal



La figura 4.3 muestra una balanza de resorte que se utiliza para medir el jalón o el empujón que se aplica a una caja. En ambos casos, se dibuja un vector que representa la fuerza aplicada. La longitud del vector muestra la magnitud; cuanto más grande sea el vector, mayor será la magnitud de la fuerza.

## Superposición de fuerzas

Cuando se lanza una pelota, hay al menos dos fuerzas que actúan sobre ella: el empujón de la mano y el jalón hacia abajo que ejerce la gravedad. Los experimentos muestran que si dos fuerzas  $\vec{F}_1$  y  $\vec{F}_2$  actúan al mismo tiempo en el mismo punto de un cuerpo (figura 4.4), el efecto sobre el movimiento del cuerpo es el mismo que el de una sola fuerza  $\vec{R}$  igual a la suma vectorial o resultante de las fuerzas originales:  $\vec{R} = \vec{F}_1 + \vec{F}_2$ . En general, *el efecto de cualquier cantidad de fuerzas aplicadas a un punto de un cuerpo es el mismo que el de una sola fuerza igual a la suma vectorial de las fuerzas*. Este valioso principio se conoce como **superposición de fuerzas**.

Como las fuerzas son cantidades vectoriales y se suman como vectores, podemos utilizar todas las reglas de la matemática vectorial que aprendimos en el capítulo 1 para resolver problemas que impliquen vectores. Éste sería un buen momento para repasar las reglas para la suma vectorial que se presentaron en las secciones 1.7 y 1.8.

En la sección 1.8 vimos que es más fácil sumar vectores usando componentes, ya que con frecuencia describimos una fuerza  $\vec{F}$  en términos de sus componentes  $x$  y  $y$ ,  $F_x$  y  $F_y$ . Observe que los ejes de coordenadas  $x$  y  $y$  no tienen que ser horizontal y vertical, respectivamente. Por ejemplo, la figura 4.5 muestra una caja que es arrastrada hacia arriba sobre una rampa por una fuerza  $\vec{F}$ . En este caso es mejor elegir un eje paralelo y el otro perpendicular a la rampa. Para el caso que se muestra en la figura 4.5,  $F_x$  y  $F_y$  son ambas positivas; en otras situaciones, depende de su elección de ejes y de la orientación de la fuerza  $\vec{F}$ , cualquiera  $F_x$  o  $F_y$  puede ser negativa o cero.

**CUIDADO** Uso de una línea ondulada en diagramas de fuerza En la figura 4.5, se dibujó una línea ondulada sobre el vector fuerza  $\vec{F}$  para indicar que lo sustituimos por sus componentes  $x$  y  $y$ . De lo contrario, el diagrama incluiría la misma fuerza dos veces. Esto se hará en cualquier diagrama de fuerza donde una fuerza se sustituya por sus componentes. Busque esta línea ondulada en otras figuras de este capítulo y de capítulos subsecuentes. ▀

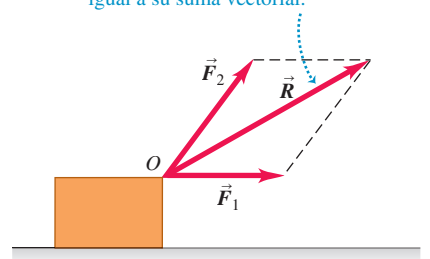
A menudo necesitaremos obtener la suma vectorial (resultante) de *todas* las fuerzas que actúan sobre un cuerpo. Esto se conoce como la **fuerza neta** que actúa sobre el cuerpo. Usaremos la letra griega  $\Sigma$  (sigma mayúscula) para expresar de forma abreviada la suma y en este sentido,  $\Sigma$  se conoce como el símbolo de sumatoria. Si las fuerzas son  $\vec{F}_1$ ,  $\vec{F}_2$ ,  $\vec{F}_3$ , etcétera, abreviaremos la suma como

$$\text{La fuerza neta que ..... } \vec{R} = \sum \vec{F} = \vec{F}_1 + \vec{F}_2 + \vec{F}_3 + \dots \quad (4.1)$$

actúa sobre un cuerpo ...  
... es la suma vectorial, o resultante, de todas las fuerzas que actúan sobre el cuerpo.

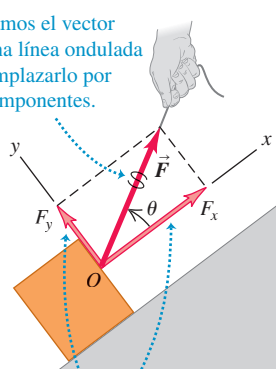
## 4.4 Superposición de fuerzas.

Dos fuerzas  $\vec{F}_1$  y  $\vec{F}_2$  que actúan sobre un cuerpo en el punto  $O$  tienen el mismo efecto que una sola fuerza  $\vec{R}$  igual a su suma vectorial.



**4.5**  $F_x$  y  $F_y$  son las componentes de  $\vec{F}$  paralela y perpendicular a la superficie del plano inclinado.

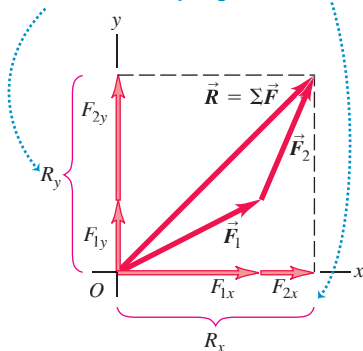
Marcamos el vector con una línea ondulada al reemplazarlo por sus componentes.



Los ejes  $x$  y  $y$  pueden tener cualquier orientación, sólo que sean mutuamente perpendiculares.

**4.6** Obtén las componentes de la suma vectorial (resultante)  $\vec{R}$  de dos fuerzas  $\vec{F}_1$  y  $\vec{F}_2$ .

La componente  $y$  de  $\vec{R}$  es igual a la suma de las componentes  $y$  de  $\vec{F}_1$  y  $\vec{F}_2$ . Lo mismo es válido para las componentes  $x$ .



Leemos  $\sum \vec{F}$  como la “suma vectorial de las fuerzas” o “la fuerza neta.” La componente  $x$  de la fuerza neta es la suma de las componentes  $x$  de cada una de las fuerzas, y es del mismo modo para las componentes  $y$  (**figura 4.6**).

$$R_x = \sum F_x \quad R_y = \sum F_y \quad (4.2)$$

Cada componente puede ser positiva o negativa, así que tenga cuidado con los signos al sumar.

Una vez que se tienen  $R_x$  y  $R_y$ , puede obtenerse la magnitud y la dirección de la fuerza neta  $\vec{R} = \sum \vec{F}$  que actúa sobre el cuerpo. La magnitud es

$$R = \sqrt{R_x^2 + R_y^2}$$

y el ángulo  $\theta$  entre  $\vec{R}$  y el eje  $+x$  se obtiene de la relación  $\tan \theta = R_y/R_x$ . Las componentes  $R_x$  y  $R_y$  pueden ser positivas, negativas o cero, y el ángulo  $\theta$  puede estar en cualquier cuadrante.

En problemas tridimensionales, las fuerzas pueden tener componentes  $z$ ; así que se agrega la ecuación  $R_z = \sum F_z$  a la ecuación (4.2). La magnitud de la fuerza neta es entonces

$$R = \sqrt{R_x^2 + R_y^2 + R_z^2}$$



### EJEMPLO 4.1 SUPERPOSICIÓN DE FUERZAS

Tres luchadores profesionales pelean por el mismo cinturón de campeonato. La **figura 4.7a** muestra las tres fuerzas horizontales que cada luchador aplica al cinturón, como se observa desde arriba. Las magnitudes de las tres fuerzas son  $F_1 = 250$  N,  $F_2 = 50$  N y  $F_3 = 120$  N. Obtenga las componentes  $x$  y  $y$  de la fuerza neta sobre el cinturón, así como la magnitud y dirección.

#### SOLUCIÓN

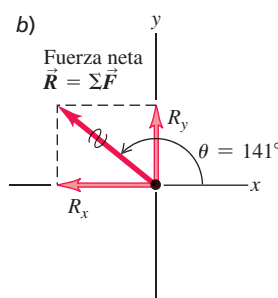
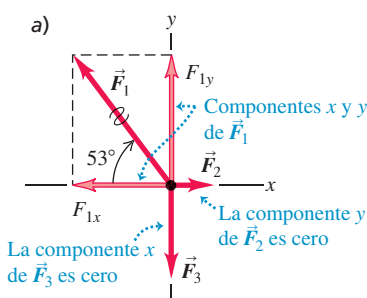
**IDENTIFICAR y PLANTEAR:** Se trata de un problema de suma vectorial donde los vectores representan fuerzas. Se desea calcular las componentes  $x$  y  $y$  de la fuerza neta  $\vec{R}$ , así que utilizaremos el método de componentes de la suma vectorial expresada en la ecuación (4.2). Una vez que tenemos las componentes de  $\vec{R}$ , calculamos su magnitud y dirección.

**EJECUTAR:** De acuerdo con la figura 4.7a, los ángulos entre las tres fuerzas  $\vec{F}_1$ ,  $\vec{F}_2$  y  $\vec{F}_3$  y el eje  $+x$  son  $\theta_1 = 180^\circ - 53^\circ = 127^\circ$ ,  $\theta_2 = 0^\circ$  y  $\theta_3 = 270^\circ$ . Las componentes  $x$  y  $y$  de las tres fuerzas son

$$F_{1x} = (250 \text{ N}) \cos 127^\circ = -150 \text{ N}$$

$$F_{1y} = (250 \text{ N}) \sin 127^\circ = 200 \text{ N}$$

**4.7 a)** Tres fuerzas que actúan sobre el cinturón. **b)** La fuerza neta  $\vec{R} = \sum \vec{F}$  y sus componentes.



$$F_{2x} = (50 \text{ N}) \cos 0^\circ = 50 \text{ N}$$

$$F_{2y} = (50 \text{ N}) \sin 0^\circ = 0 \text{ N}$$

$$F_{3x} = (120 \text{ N}) \cos 270^\circ = 0 \text{ N}$$

$$F_{3y} = (120 \text{ N}) \sin 270^\circ = -120 \text{ N}$$

De acuerdo con las ecuaciones (4.2), la fuerza neta  $\vec{R} = \sum \vec{F}$  tiene las componentes

$$R_x = F_{1x} + F_{2x} + F_{3x} = (-150 \text{ N}) + 50 \text{ N} + 0 \text{ N} = -100 \text{ N}$$

$$R_y = F_{1y} + F_{2y} + F_{3y} = 200 \text{ N} + 0 \text{ N} + (-120 \text{ N}) = 80 \text{ N}$$

La fuerza neta tiene una componente  $x$  negativa y una componente  $y$  positiva, como se muestra en la figura 4.7b.

La magnitud de  $\vec{R}$  es

$$R = \sqrt{R_x^2 + R_y^2} = \sqrt{(-100 \text{ N})^2 + (80 \text{ N})^2} = 128 \text{ N}$$

Para obtener el ángulo entre la fuerza neta y el eje  $+x$ , usamos la ecuación (1.7):

$$\theta = \arctan \frac{R_y}{R_x} = \arctan \left( \frac{80 \text{ N}}{-100 \text{ N}} \right) = \arctan(-0.80)$$

El arco tangente de  $-0.80$  es  $-39^\circ$ , pero la figura 4.7b muestra que la fuerza neta se encuentra en el segundo cuadrante. Por lo tanto, la solución correcta es  $\theta = -39^\circ + 180^\circ = 141^\circ$ .

**EVALUAR:** La fuerza neta *no* es cero, y vemos intuitivamente que el luchador 1 (quien ejerce la mayor fuerza,  $F_1 = 250$  N, sobre el cinturón) probablemente se quedará con el cinturón después del forcejío.

Se invita al lector a verificar la dirección de  $\vec{R}$  sumando gráficamente los vectores  $\vec{F}_1$ ,  $\vec{F}_2$  y  $\vec{F}_3$ . ¿Su diagrama revela que  $\vec{R} = \vec{F}_1 + \vec{F}_2 + \vec{F}_3$  apunta al segundo cuadrante como se determinó anteriormente?

**EVALÚE SU COMPRENSIÓN DE LA SECCIÓN 4.1** La figura 4.5 muestra una fuerza  $\vec{F}$  que actúa sobre una caja. Con los ejes  $x$  y  $y$  que se indican en la figura, ¿qué enunciado acerca de las componentes de la fuerza *gravitacional* que la Tierra ejerce sobre la caja (su peso) es *correcto*? **i.** Las componentes  $x$  y  $y$  son ambas positivas. **ii.** La componente  $x$  es cero y la componente  $y$  es positiva. **iii.** La componente  $x$  es negativa y la componente  $y$  es positiva. **iv.** Las componentes  $x$  y  $y$  son ambas negativas. **v.** La componente  $x$  es cero y la componente  $y$  es negativa. **vi.** La componente  $x$  es positiva y la componente  $y$  es negativa. **|**

## 4.2 PRIMERA LEY DE NEWTON

¿Cómo afectan al movimiento de un cuerpo las fuerzas que actúan sobre éste? Para contestar la pregunta, consideremos primero qué sucede cuando la fuerza neta sobre un cuerpo es *cero*. Sin duda el lector estará de acuerdo en que si un cuerpo se encuentra en reposo y ninguna fuerza neta actúa sobre él (es decir, no hay empujón ni jalón netos), el cuerpo permanecerá en reposo. Pero, ¿qué sucedería si la fuerza neta es cero y actúa sobre un cuerpo *en movimiento*?

Para saber qué sucede en ese caso, suponga que usted desliza un disco de hockey sobre una mesa horizontal, aplicándole una fuerza horizontal con la mano (**figura 4.8a**). Cuando usted deja de empujar, el disco *no* sigue moviéndose indefinidamente; se frena y se detiene. Para mantenerlo en movimiento, hay que seguir empujándolo (es decir, aplicando una fuerza). Podríamos llegar a la conclusión de “sentido común” de que los cuerpos en movimiento naturalmente se detienen y que se necesita una fuerza para mantener el movimiento.

Imagine ahora que usted empuja el disco en una superficie de hielo liso (**figura 4.8b**). Al dejar de empujar, el disco se desliza mucho más lejos antes de detenerse. Ponga el disco y empújelo en una mesa de hockey de aire, donde flota sobre un delgado “cojín” de aire, y llegará aún más lejos (**figura 4.8c**). En cada caso, lo que frena el disco es la *fricción*, una interacción entre la superficie inferior del disco y la superficie sobre la que se desliza. Cada superficie ejerce una fuerza de fricción sobre el disco, la cual se resiste a su movimiento; la diferencia entre los tres casos es la magnitud de la fuerza de fricción. El hielo ejerce menos fricción que la superficie de la mesa, y el disco viaja más lejos. Las moléculas de gas de la mesa de hockey de aire son las que menos fricción ejercen. Si pudieramos eliminar totalmente la fricción, el disco nunca se frenaría y no necesitaríamos fuerza alguna para mantener el disco en movimiento, una vez que este haya iniciado. Así, la idea de “sentido común” de que se requiere una fuerza para conservar el movimiento es *incorrecta*.

Experimentos como el que describimos demuestran que, si *ninguna* fuerza neta actúa sobre un cuerpo, éste permanece en reposo, *o bien*, se mueve con velocidad constante en línea recta. Una vez que un cuerpo se pone en movimiento, no se necesita una fuerza neta para mantenerlo en movimiento; tal observación se conoce como *primera ley de Newton del movimiento*:

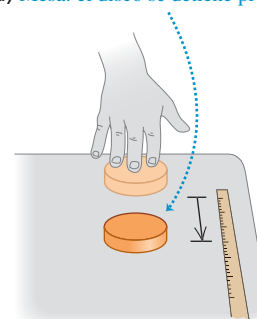
**PRIMERA LEY DE NEWTON DEL MOVIMIENTO:** Un cuerpo sobre el que no actúa una fuerza neta se mueve con velocidad constante (que puede ser cero) y aceleración cero.

La tendencia de un cuerpo a seguir moviéndose una vez iniciado su movimiento es resultado de una propiedad llamada **inercia**. Usamos inercia cuando tratamos de sacar salsa de tomate de una botella agitándola. Primero hacemos que la botella (y la salsa del interior) se mueva hacia adelante; al mover la botella bruscamente hacia atrás, la salsa tiende a seguir moviéndose hacia adelante y, con suerte, caerá en nuestra hamburguesa. La tendencia de un cuerpo en reposo a permanecer en ese estado también se debe a la inercia. Quizás el lector haya visto sacar un mantel de un jalón por debajo de la vajilla sin romper nada. La fuerza sobre la vajilla no basta para moverla mucho durante el breve lapso que toma jalar el mantel.

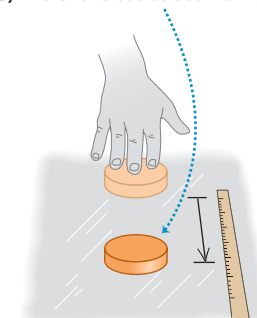
Cabe señalar que lo que importa en la primera ley de Newton es la fuerza *neta*. Por ejemplo, dos fuerzas actúan sobre un libro de física en reposo en una mesa horizontal: una fuerza de apoyo hacia arriba, o fuerza normal, ejercida por la mesa (vea la figura 4.2a) y la fuerza hacia abajo debida a la atracción gravitacional terrestre (una fuerza de largo alcance que actuaría aun si la mesa estuviera separada del suelo; vea la figura 4.2d). El empuje hacia arriba de la superficie es tan grande como la atracción gravitacional hacia

**4.8** Cuanto más resbaladiza sea la superficie, mayor será el desplazamiento del disco después de que se le da una velocidad inicial. En una mesa de hockey de aire (c), la fricción es casi cero y el disco sigue con velocidad casi constante.

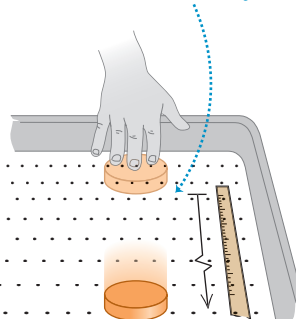
a) Mesa: el disco se detiene pronto.



b) Hielo: el disco se desliza más lejos.

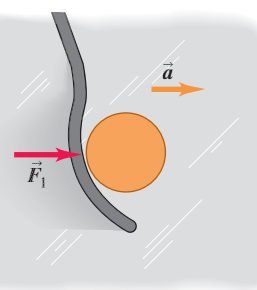


c) Mesa de hockey de aire: el disco se desliza aún más lejos.

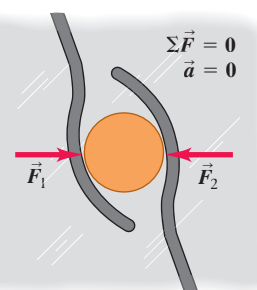


**4.9 a)** Un disco de hockey acelera en la dirección de la fuerza aplicada  $\vec{F}_1$ . **b)** Si la fuerza neta es cero, la aceleración es cero y el disco está en equilibrio.

a) Sobre una superficie sin fricción, un disco acelera cuando sobre él actúa una sola fuerza horizontal.



b) Un disco sobre el que actúan dos fuerzas cuya suma vectorial es cero se comporta como si no actuaran fuerzas sobre él.



**Aplicación Viaje en trineo con la primera ley de Newton** La fuerza de gravedad ejerce una fuerza hacia abajo sobre el niño y el trineo, pero se equilibra con una fuerza normal hacia arriba ejercida por el suelo. El pie del adulto ejerce una fuerza hacia adelante que se equilibra con la fuerza hacia atrás de la fricción sobre el trineo. Por lo tanto, no hay una fuerza neta sobre el niño y el trineo, y ambos se deslizan con velocidad constante.



abajo, así que la fuerza *neta* sobre el libro (es decir, la suma vectorial de ambas fuerzas) es cero. De acuerdo con la primera ley de Newton, si el libro está en reposo en la mesa, sigue en reposo. El mismo principio se aplica a un disco de hockey que se desliza en una superficie horizontal sin fricción: la resultante del empuje hacia arriba de la superficie y la atracción gravitacional hacia abajo es cero. Si el disco está en movimiento, sigue moviéndose con velocidad constante porque la fuerza *neta* que actúa sobre él es cero.

Veamos otro ejemplo. Suponga que un disco de hockey descansa en una superficie horizontal con fricción despreciable, como una mesa de hockey de aire o una plancha de hielo húmedo. Si el disco está inicialmente en reposo y luego una sola fuerza horizontal  $\vec{F}_1$  actúa sobre él (**figura 4.9a**), comenzará a moverse. Si el disco ya se estaba moviendo, la fuerza cambiará su rapidez, su dirección o ambas, dependiendo de la dirección de la fuerza. En este caso, la fuerza neta  $\vec{F}_1$  *no* es cero. (También hay dos fuerzas verticales: la atracción gravitacional terrestre y la fuerza normal hacia arriba ejercida por la superficie. Pero como ya dijimos, estas dos fuerzas se cancelan).

Suponga ahora que aplicamos una segunda fuerza  $\vec{F}_2$  (**figura 4.9b**), igual en magnitud a  $\vec{F}_1$  pero de dirección opuesta. Una fuerza es el negativo de la otra,  $\vec{F}_2 = -\vec{F}_1$  y su suma vectorial es cero:

$$\sum \vec{F} = \vec{F}_1 + \vec{F}_2 = \vec{F}_1 + (-\vec{F}_1) = \mathbf{0}$$

Otra vez vemos que, si el cuerpo está inicialmente en reposo, sigue en reposo; y si se mueve, seguirá moviéndose en la misma dirección con rapidez constante. Estos resultados indican que, en la primera ley de Newton, *si la fuerza neta es igual a cero, es lo mismo que si no hubiera fuerzas aplicadas*. Éste es justamente el principio de superposición de fuerzas que vimos en la sección 4.1.

Cuando un cuerpo está en reposo o se mueve con velocidad constante (en línea recta), decimos que el cuerpo está en **equilibrio**. Para que un cuerpo esté en equilibrio, no deben actuar fuerzas sobre él, o tienen que actuar varias fuerzas cuya resultante, es decir, la fuerza neta, sea cero:

**Primera ley de Newton:**  $\sum \vec{F} = \mathbf{0}$  ... debe ser igual a cero si el  
La fuerza neta sobre un cuerpo ... cuerpo está en equilibrio. (4.3)

Estamos suponiendo que el cuerpo puede representarse adecuadamente como una partícula puntual. Si el cuerpo tiene tamaño finito, tendremos que considerar también en qué parte del cuerpo se aplican las fuerzas. Volveremos a esto en el capítulo 11.

#### EJEMPLO CONCEPTUAL 4.2 FUERZA NETA CERO SIGNIFICA VELOCIDAD CONSTANTE

En la película clásica de ciencia ficción de 1950 *Rocketship X-M*, una nave viaja en el vacío del espacio exterior, lejos de cualquier estrella o planeta, cuando sus motores se descomponen. El resultado es que la nave baja su velocidad y se detiene. ¿Qué dice la primera ley de Newton acerca de esto?

#### SOLUCIÓN

Después de que el motor se detiene, no hay fuerzas que actúen sobre la nave espacial, de modo que, según la primera ley de Newton, *no* se detendrá, sino que seguirá moviéndose en línea recta con rapidez constante. En algunas películas de ciencia ficción se ha utilizado muy adecuadamente la ciencia; pero ésta no fue una de ellas.



SOLUCIÓN

### EJEMPLO CONCEPTUAL 4.3 VELOCIDAD CONSTANTE SIGNIFICA FUERZA NETA IGUAL A CERO

Usted conduce un Maserati Gran Turismo S en una pista de pruebas recta a una rapidez constante de 250 km/h, y rebasa a un Volkswagen Beetle 1971 que va a 75 km/h constantes. ¿Sobre qué auto es mayor la fuerza neta?

#### SOLUCIÓN

La palabra clave aquí es “neta”. Ambos automóviles están en equilibrio porque sus velocidades son constantes; por lo tanto, la primera ley de Newton dice que la fuerza *neta* sobre cada uno de ellos es cero.

Esto parece ir contra el “sentido común”, que nos indica que el automóvil más rápido debe estar impulsado por una fuerza mayor.

Gracias al motor de alta potencia de su Maserati, es verdad que la pista ejerce una fuerza hacia adelante sobre éste, la cual es mayor que la ejercida sobre el Volkswagen. Sin embargo, sobre los automóviles también actúa una fuerza *hacia atrás* debida a la fricción con el camino y la resistencia del aire. Cuando un automóvil viaja con velocidad constante, la suma vectorial de las fuerzas hacia atrás y hacia adelante es igual a cero. Existe más resistencia del aire sobre el Maserati, el cual se mueve más rápido, que sobre el Volkswagen, que se mueve más lento, así que el motor del Maserati debe ser más potente que el del Volkswagen.

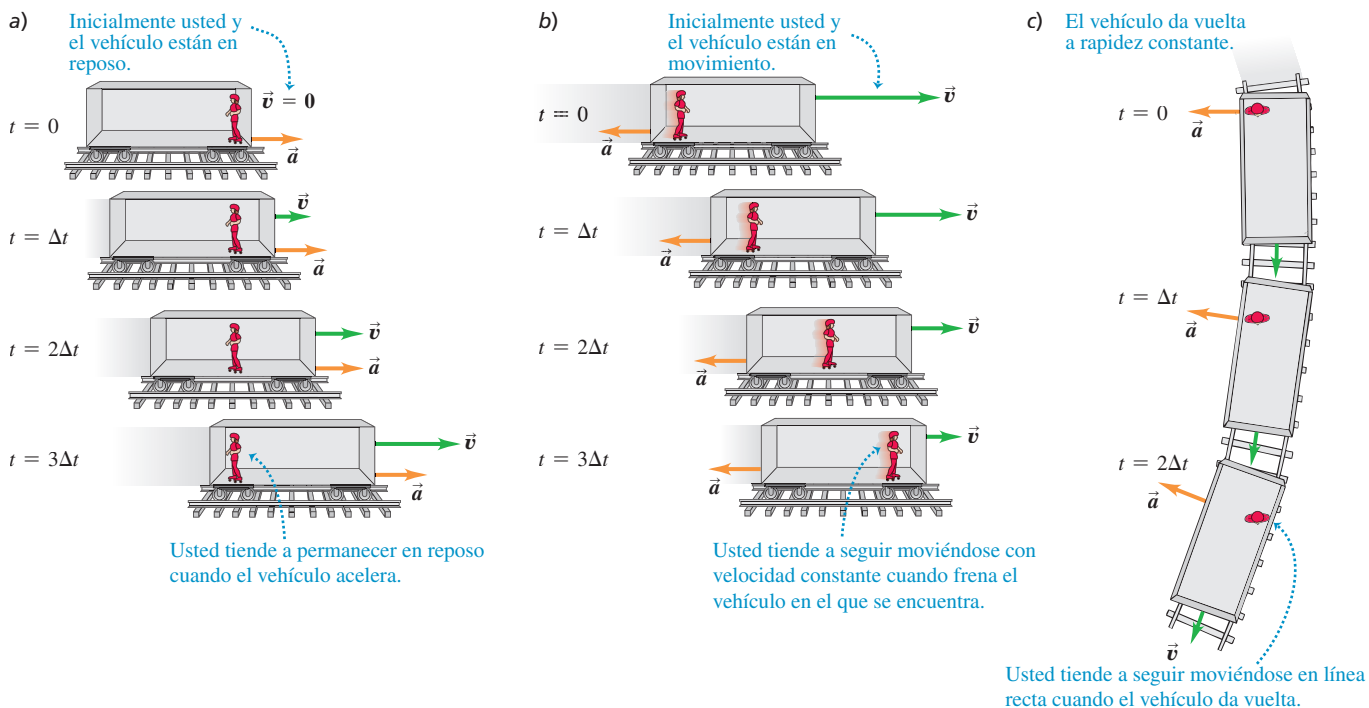
## Sistemas de referencia iniciales

Al analizar la velocidad relativa en la sección 3.5, presentamos el concepto de *sistema de referencia*, el cual resulta fundamental para las leyes de Newton del movimiento. Suponga que está en un autobús que viaja por una carretera recta y acelera. Si pudiera ponerse de pie en el pasillo usando patines, comenzaría a moverse *hacia atrás* en relación con el autobús, conforme éste aumenta su rapidez. En cambio, si el autobús frenara, usted empezaría a moverse hacia adelante por el pasillo. En ambos casos, parecería que no se cumple la primera ley de Newton: no actúa una fuerza neta sobre usted, pero su velocidad cambia. ¿Qué sucede aquí?

La cuestión es que el autobús acelera con respecto al suelo y éste *no* es un sistema de referencia adecuado para la primera ley de Newton, que es válida en algunos sistemas de referencia, pero no en otros. Un sistema de referencia donde *es* válida la primera ley de Newton es un **sistema (o marco) de referencia inercial**. La Tierra es aproximadamente un sistema de referencia inercial, pero el autobús no (la Tierra no es un sistema plenamente inercial debido a la aceleración asociada a su rotación y a su movimiento alrededor del Sol, aunque estos efectos son bastante pequeños; vea los ejercicios 3.23 y 3.28). Debido a que la primera ley de Newton se utiliza para definir lo que es un sistema de referencia inercial, a veces se le conoce como *ley de la inercia*.

La figura 4.10 nos ayuda a entender lo que sentimos al viajar en un vehículo que acelera. En la figura 4.10a, un vehículo está inicialmente en reposo y luego comienza a

**4.10** Viaje en un vehículo con aceleración.



acelerar hacia la derecha. Una pasajera en patines (los cuales casi eliminan los efectos de la fricción) prácticamente no tiene fuerza neta actuando sobre ella; por lo tanto, tiende a seguir en reposo en relación con el sistema de referencia inercial de la Tierra. Al acelerar el vehículo, la pasajera se mueve hacia atrás con respecto al vehículo. Del mismo modo, una pasajera en un vehículo que está frenando tiende a seguir moviéndose con velocidad constante relativa a la Tierra, por lo que esta pasajera se mueve hacia adelante con respecto al vehículo (figura 4.10b). El vehículo también acelera si se mueve con rapidez constante pero da vuelta (figura 4.10c). En este caso, la pasajera tiende a seguir moviéndose en línea recta con rapidez constante en relación con la Tierra; con respecto al vehículo, la pasajera se mueve hacia el exterior de la curva.

**4.11** Desde el sistema de referencia de este automóvil, parece que una fuerza empuja hacia adelante a los maniquíes para pruebas de choque, cuando el automóvil se detiene repentinamente. Sin embargo, tal fuerza no existe realmente: al detenerse el vehículo, los maniquíes se siguen moviendo hacia adelante como consecuencia de la primera ley de Newton.



En los casos de la figura 4.10, un observador en el sistema de referencia del vehículo podría concluir que hay una fuerza neta que actúa sobre la pasajera, ya que la velocidad de ella *relativa al vehículo* cambia en cada caso. Esto no es correcto; la fuerza neta sobre la pasajera es cero. El error del observador es tratar de aplicar la primera ley de Newton en el sistema de referencia del vehículo, que *no* es inercial y en el cual dicha ley no es válida (**figura 4.11**). En este libro *únicamente* usaremos sistemas de referencia iniciales.

Hemos mencionado sólo un sistema de referencia (aproximadamente) inercial: la superficie de la Tierra. No obstante, hay muchos otros. Si tenemos un sistema de referencia inercial *A*, donde se cumple la primera ley de Newton, *cualquier* otro sistema de referencia *B* también será inercial si se mueve con velocidad constante  $\vec{v}_{B/A}$  relativa a *A*. Para demostrarlo, usamos la relación de velocidad relativa de la ecuación (3.35) de la sección 3.5:

$$\vec{v}_{P/A} = \vec{v}_{P/B} + \vec{v}_{B/A}$$

Suponga que *P* es un cuerpo que se mueve con velocidad constante  $\vec{v}_{P/A}$  con respecto a un sistema inercial *A*. Por la primera ley de Newton, la fuerza neta sobre este cuerpo es cero. La velocidad de *P* relativa a otro sistema *B* tiene un valor distinto,  $\vec{v}_{P/B} = \vec{v}_{P/A} - \vec{v}_{B/A}$ . Pero si la velocidad relativa  $\vec{v}_{B/A}$  de ambos sistemas es constante, entonces  $\vec{v}_{P/B}$  también es constante, y *B* también es un sistema inercial; la velocidad de *P* en este sistema es constante y la fuerza neta sobre *P* es cero, así que la primera ley de Newton se cumple en *B*. Observadores en los sistemas *A* y *B* diferirán en cuanto a la velocidad de *P*, pero coincidirán en que la velocidad es constante (aceleración cero) y que no hay fuerza neta que actúe sobre *P*.

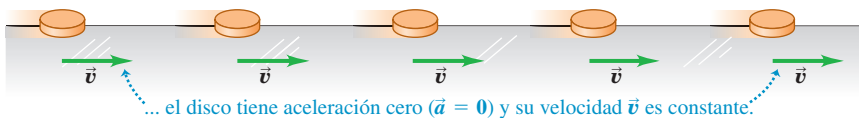
No hay un sistema de referencia inercial que sea preferible a todos los demás para formular las leyes de Newton. Si un sistema es inercial, todos los que se muevan con velocidad constante relativa a él serán iniciales. Desde tal perspectiva, el estado de reposo y el de movimiento con velocidad constante no son muy diferentes: ambos se dan cuando la suma vectorial de las fuerzas que actúan sobre el cuerpo es cero.

**EVALÚE SU COMPRENSIÓN DE LA SECCIÓN 4.2** ¿En cuál de las siguientes situaciones la fuerza neta sobre el cuerpo es cero? **i.** Un avión que vuela al norte con rapidez constante de 120 m/s y altitud constante; **ii.** un automóvil que sube en línea recta por una colina con pendiente de  $3^\circ$ , a una rapidez constante de 90 km/h; **iii.** un halcón que vuela en círculos con rapidez constante de 20 km/h a una altura constante de 15 m a campo abierto; **iv.** una caja con superficies lisas, sin fricción, que está en la parte trasera de un camión, cuando éste acelera hacia adelante en un camino plano a  $5 \text{ m/s}^2$ . **|**

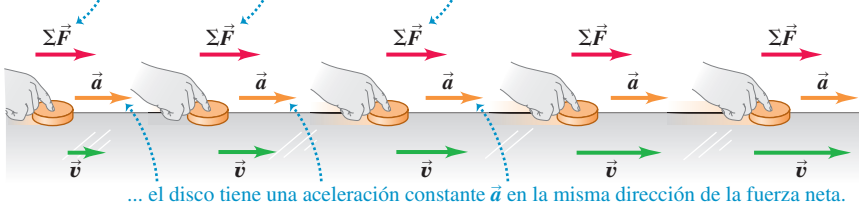
## 4.3 SEGUNDA LEY DE NEWTON

La primera ley de Newton nos dice que cuando una fuerza neta igual a cero actúa sobre un cuerpo, éste se mueve a velocidad constante y su aceleración es cero. En la **figura 4.12a**, un disco de hockey se desliza a la derecha sobre hielo húmedo, donde la fricción es despreciable, de modo que no actúan fuerzas horizontales sobre el disco; la fuerza de la gravedad hacia abajo y la fuerza de contacto hacia arriba ejercida por el hielo suman cero. Así, la fuerza neta  $\sum \vec{F}$  que actúa sobre el disco es cero, el disco tiene aceleración cero y su velocidad es constante.

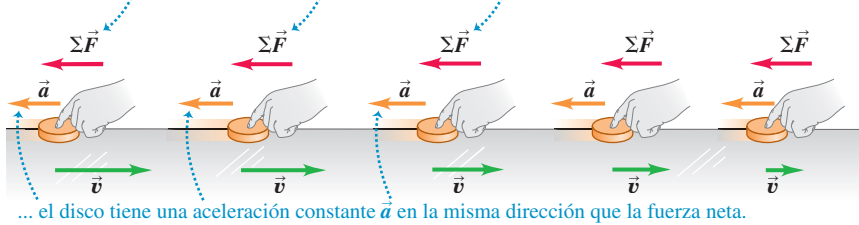
a) Si la fuerza neta que actúa sobre el disco es cero,  $\sum \vec{F} = 0$ , ...



b) Si una fuerza neta constante  $\sum \vec{F}$  actúa sobre el disco en la dirección de su movimiento ...



c) Si una fuerza neta constante  $\sum \vec{F}$  actúa sobre el disco en dirección opuesta a la dirección de su movimiento ...



Sin embargo, ¿qué sucede si la fuerza neta *no* es cero? En la figura 4.12b se aplica una fuerza horizontal constante al disco en la dirección de su movimiento. Entonces,  $\sum \vec{F}$  es constante y en la misma dirección horizontal que  $\vec{v}$ . Vemos que, mientras la fuerza actúa, la velocidad del disco cambia a ritmo constante; es decir, el disco se mueve con aceleración constante. La rapidez del disco aumenta, así que la aceleración  $\vec{a}$  tiene la misma dirección que  $\vec{v}$  y  $\sum \vec{F}$ .

En la figura 4.12c invertimos la dirección de la fuerza sobre el disco, de modo que  $\sum \vec{F}$  actúe en la dirección opuesta a  $\vec{v}$ . Aquí también el disco tiene una aceleración; se mueve cada vez más lentamente a la derecha. La aceleración  $\vec{a}$  en este caso es a la izquierda, en la misma dirección que  $\sum \vec{F}$ . Como en el caso anterior, el experimento muestra que la aceleración es constante si  $\sum \vec{F}$  es constante.

La conclusión es que *una fuerza neta que actúa sobre un cuerpo hace que éste acelere en la misma dirección de la fuerza neta*. Si la magnitud de la fuerza neta es constante, como en las figuras 4.12b y 4.12c, también lo será la magnitud de la aceleración.

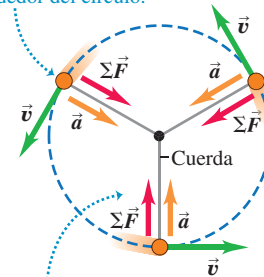
Estas conclusiones sobre fuerza neta y aceleración también son válidas para un cuerpo que se mueve en trayectoria curva. Por ejemplo, la figura 4.13 muestra un disco de hockey que se mueve en un círculo horizontal en una superficie de hielo con fricción despreciable. Se ata una cuerda al disco y a un palo clavado en el hielo; la cuerda ejerce una fuerza de tensión hacia adentro de magnitud constante sobre el disco. La fuerza neta y la aceleración tienen magnitud constante y están dirigidas al centro del círculo. La rapidez del disco es constante, así que se trata de un movimiento circular uniforme, como vimos en la sección 3.4.

La figura 4.14a ilustra otro experimento que explora la relación entre la aceleración y la fuerza neta. Aplicamos una fuerza horizontal constante a un disco de hockey en una superficie horizontal sin fricción, usando la balanza de resorte descrita en la sección 4.1, con el resorte estirado una cantidad constante. Al igual que en las figuras 4.12b y 4.12c, esta fuerza horizontal es igual a la fuerza neta sobre el disco. Si cambiamos la magnitud de la fuerza neta, la aceleración cambia en la misma proporción. Al duplicar la fuerza neta, se duplica la aceleración (figura 4.14b); al reducir a la mitad la fuerza neta, la aceleración se reduce a la mitad (figura 4.14c), y así sucesivamente. Muchos experimentos semejantes muestran que *para un cuerpo dado, la magnitud de la aceleración es directamente proporcional a la magnitud de la fuerza neta que actúa sobre él*.

**4.12** Análisis de la relación entre la aceleración  $\vec{a}$  de un cuerpo y la fuerza neta  $\sum \vec{F}$  que actúa sobre aquél, usando un disco de hockey sobre una superficie sin fricción.

**4.13** Vista superior de un disco de hockey con movimiento circular uniforme en una superficie horizontal sin fricción.

El disco se mueve con rapidez constante alrededor del círculo.



En cualquier punto, la aceleración  $\vec{a}$  y la fuerza neta  $\sum \vec{F}$  tienen la misma dirección, siempre hacia el centro del círculo.

**4.14** Para un cuerpo de cierta masa  $m$ , la magnitud de la aceleración  $\vec{a}$  del cuerpo es directamente proporcional a la magnitud de la fuerza neta  $\sum \vec{F}$  que actúa sobre él.

a) Una fuerza neta constante  $\sum \vec{F}$  provoca una aceleración constante  $\vec{a}$ .



b) Al duplicarse la fuerza neta, se duplica la aceleración.



c) Al reducirse a la mitad la fuerza neta, la aceleración se reduce a la mitad.



## Masa y fuerza

Nuestros resultados indican que para un cuerpo dado, la razón de la magnitud  $|\sum \vec{F}|$  de la fuerza neta y la magnitud  $a = |\vec{a}|$  de la aceleración es constante, sin importar la magnitud de la fuerza neta. Llamamos a esta razón *masa inercial* o simplemente *masa* del cuerpo y la indicamos con  $m$ . Es decir,

$$m = \frac{|\sum \vec{F}|}{a} \quad \text{o bien,} \quad |\sum \vec{F}| = ma \quad \text{o bien,} \quad a = \frac{|\sum \vec{F}|}{m} \quad (4.4)$$

La masa es una medida cuantitativa de la inercia, la cual se analizó en la sección 4.2. La última de las ecuaciones (4.4) indica que cuanto mayor sea su masa, más se “resiste” un cuerpo a ser acelerado. Cuando sostenemos en la mano una fruta en el supermercado y la movemos un poco hacia arriba y hacia abajo para estimar su peso, estamos aplicando una fuerza para saber cuánto acelera la fruta hacia arriba y hacia abajo. Si la fuerza ocasiona una aceleración grande, la fruta tiene una masa pequeña; si la misma fuerza genera sólo una aceleración pequeña, la fruta tiene una masa grande. De la misma forma, si golpeamos una pelota de ping-pong y un balón de baloncesto con la misma fuerza, el balón tendrá una aceleración mucho menor porque su masa es mucho mayor.

La unidad de masa en el SI es el **kilogramo**. En la sección 1.3 vimos que el kilogramo se define oficialmente como la masa de un cilindro de una aleación de platino-iridio que se encuentra en una bóveda cerca de París (figura 1.4). Usamos este kilogramo estándar, junto con las ecuaciones (4.4), para definir el **newton**:

**Un newton es la cantidad de fuerza neta que proporciona una aceleración de 1 metro por segundo al cuadrado a un cuerpo con masa de 1 kilogramo.**

Esta definición permite calibrar las balanzas de resorte y otros instrumentos que miden fuerzas. Por la forma como definimos el newton, está relacionado con las unidades de masa, longitud y tiempo. Para que las ecuaciones (4.4) sean dimensionalmente congruentes, debe cumplirse que

$$1 \text{ newton} = (1 \text{ kilogramo}) (1 \text{ metro por segundo al cuadrado}).$$

o bien,

$$1 \text{ N} = 1 \text{ kg} \cdot \text{m/s}^2$$

Esta relación se usará muchas veces en los próximos capítulos, así que téngala presente.

También podemos usar las ecuaciones (4.4) para comparar una masa con la masa estándar y así *medir* masas. Suponga que se aplica una fuerza neta constante  $\sum \vec{F}$  a un cuerpo de masa conocida  $m_1$  y se observa una aceleración de magnitud  $a_1$  (figura 4.15a). Luego se aplica la misma fuerza a otro cuerpo con masa desconocida  $m_2$  y se observa una aceleración de magnitud  $a_2$  (figura 4.15b). Entonces, según la ecuación (4.4),

$$m_1 a_1 = m_2 a_2$$

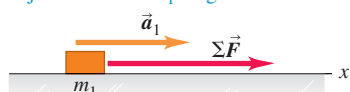
$$\frac{m_2}{m_1} = \frac{a_1}{a_2} \quad (\text{misma fuerza neta}) \quad (4.5)$$

Para la misma fuerza neta, la razón de las masas de dos cuerpos es el inverso de la razón de sus aceleraciones. En principio, podríamos usar la ecuación (4.5) para medir una masa desconocida  $m_2$ , pero suele ser más fácil determinar la masa indirectamente midiendo el *peso* del cuerpo. Volveremos a esto en la sección 4.4.

Cuando dos cuerpos de masas  $m_1$  y  $m_2$  se unen, vemos que la masa del cuerpo compuesto siempre es  $m_1 + m_2$  (figura 4.15c). Esta propiedad aditiva de la masa tal vez parezca evidente, pero debe verificarse experimentalmente. En última instancia, la masa de un cuerpo está relacionada con el número de protones, electrones y neutrones que contiene. Ésta no sería una buena forma de *definir* la masa porque no hay manera práctica de contar tales partículas. No obstante, el concepto de masa es la forma más importante de describir la cantidad de materia de un cuerpo.

**4.15** Para una fuerza neta constante determinada,  $\sum \vec{F}$ , que actúa sobre un cuerpo, la aceleración es inversamente proporcional a la masa del cuerpo. Las masas se suman como escalares ordinarios.

a) Una fuerza  $\sum \vec{F}$  conocida provoca que un objeto con masa  $m_1$  tenga una aceleración  $\vec{a}_1$ .



b) Al aplicar la misma fuerza  $\sum \vec{F}$  a un segundo objeto, se percibe la aceleración que nos permite medir la masa.



c) Cuando se unen dos objetos, el mismo procedimiento indica que su masa compuesta es la suma de sus masas individuales.



## Enunciado de la segunda ley de Newton

Los experimentos demuestran que la fuerza *neta* sobre un cuerpo hace que éste se acelere. Si se aplica a un cuerpo una combinación de fuerzas  $\vec{F}_1$ ,  $\vec{F}_2$ ,  $\vec{F}_3$ , etcétera, el cuerpo tendrá el mismo vector aceleración  $\vec{a}$  que cuando se aplica una sola fuerza igual a la suma vectorial  $\vec{F}_1 + \vec{F}_2 + \vec{F}_3 + \dots$ . En otras palabras, el principio de superposición de fuerzas (vea la figura 4.4) también se cumple cuando la fuerza neta no es cero y el cuerpo está acelerado.

La ecuación (4.4) relaciona la magnitud de la fuerza neta sobre un cuerpo con la magnitud de la aceleración que produce. También vimos que la dirección de la fuerza neta es igual a la dirección de la aceleración, sea la trayectoria del cuerpo recta o curva. Asimismo, las fuerzas que afectan el movimiento de un cuerpo son las fuerzas *externas*, ejercidas sobre el cuerpo por otros cuerpos en su entorno. Newton reunió todas estas relaciones y resultados experimentales en un solo enunciado conciso que ahora llamamos *segunda ley de Newton del movimiento*:

**SEGUNDA LEY DE NEWTON DEL MOVIMIENTO:** Si una fuerza externa neta actúa sobre un cuerpo, éste se acelera. La dirección de la aceleración es la misma que la de la fuerza neta. El vector de fuerza neta es igual a la masa del cuerpo multiplicada por la aceleración.

En símbolos,

**Segunda ley de Newton**  $\sum \vec{F} = m\vec{a}$  ... el cuerpo se acelera en la misma dirección que la fuerza neta.  
del movimiento: Si hay una fuerza neta sobre un cuerpo ... (4.6)

Masa del cuerpo

Un enunciado alternativo establece que la aceleración de un cuerpo es la misma que la fuerza neta que actúa sobre él, y es igual a la fuerza neta dividida entre la masa del cuerpo:

$$\vec{a} = \frac{\sum \vec{F}}{m}$$

La segunda ley de Newton es una ley fundamental de la naturaleza, la relación básica entre fuerza y movimiento. Casi todo el resto del capítulo y la totalidad del siguiente se dedican a explicar cómo se aplica este principio en diversas situaciones.

La ecuación (4.6) tiene muchas aplicaciones prácticas (**figura 4.16**). De hecho, el lector la ha usado toda su vida para medir la aceleración de su cuerpo. En su oído interno, células pilosas microscópicas detectan la magnitud y dirección de la fuerza que deben ejercer para acelerar pequeñas membranas junto con el resto del cuerpo. Por la segunda ley de Newton, la aceleración de las membranas, y por ende la de todo el cuerpo, es proporcional a esta fuerza y tiene la misma dirección. Así, ¡usted puede sentir la magnitud y dirección de su aceleración incluso con los ojos cerrados!

## Uso de la segunda ley de Newton

Existen por lo menos cuatro aspectos de la segunda ley de Newton que merecen atención especial. Primero, la ecuación (4.6) es *vectorial*. Normalmente la usaremos en forma de componentes, con una ecuación para cada componente de fuerza y la componente de aceleración correspondiente:

**Segunda ley de Newton:** Cada componente de la fuerza neta sobre un cuerpo ...

$$\sum F_x = ma_x \quad \sum F_y = ma_y \quad \sum F_z = ma_z \quad (4.7)$$

... es igual a la masa del cuerpo por la componente correspondiente de la aceleración.

Este conjunto de ecuaciones de componentes equivale a la ecuación vectorial única (4.6).

Segundo, el enunciado de la segunda ley de Newton se refiere a fuerzas *externas*. Es imposible que un cuerpo afecte su propio movimiento ejerciendo una fuerza sobre sí mismo; si esto fuera posible, ¡podríamos levantarnos hasta el techo jalando de nuestro cinturón! Por ello, sólo se incluyen fuerzas externas en la suma  $\sum \vec{F}$  de las ecuaciones (4.6) y (4.7).

**4.16** El diseño de las motocicletas de alto desempeño depende fundamentalmente de la segunda ley de Newton. Para aumentar al máximo la aceleración, el diseñador hace a la motocicleta lo más ligera posible (es decir, reduce la masa al mínimo) y utiliza el motor más potente posible (es decir, aumenta al máximo la fuerza).



**Aplicación Culpa de la segunda ley de Newton** Este automóvil se detuvo por la segunda ley de Newton: el árbol ejerció una fuerza externa sobre el auto, al darle una aceleración que redujo su velocidad a cero.



Tercero, las ecuaciones (4.6) y (4.7) sólo son válidas si la masa  $m$  es *constante*. Es fácil pensar en sistemas con masa variable, como un camión tanque con fugas, un cohete o un vagón de ferrocarril en movimiento que se impulsa con carbón; sin embargo, tales sistemas se manejan mejor usando el concepto de cantidad de movimiento lineal que veremos en el capítulo 8.



DEMO

Por último, la segunda ley de Newton únicamente es válida en sistemas de referencia iniciales, al igual que la primera ley. Por lo tanto, no es válida en el sistema de referencia de cualquiera de los vehículos con aceleración de la figura 4.10; con respecto a esos sistemas de referencia, la pasajera acelera aunque la fuerza neta sobre ella sea cero. Normalmente supondremos que la Tierra es una aproximación adecuada a un sistema inercial, aunque estrictamente no lo es por su rotación y movimiento orbital.

**CUIDADO**  $\vec{ma}$  no es una fuerza Tenga en cuenta que aun cuando el vector  $\vec{ma}$  sea igual a la suma vectorial  $\sum \vec{F}$  de todas las fuerzas que actúan sobre el cuerpo, el vector  $\vec{ma}$  no es una fuerza. La aceleración es el *resultado* de una fuerza neta distinta de cero; no es una fuerza por sí misma. Es “sentido común” pensar que hay una “fuerza de aceleración” que nos empuja contra el asiento cuando nuestro automóvil acelera hacia adelante desde el reposo. Pero *no existe tal fuerza*; más bien, nuestra inercia nos hace tender a permanecer en reposo con respecto a la Tierra y el automóvil que acelera (vea la figura 4.10a). Dicha confusión de “sentido común” surge al tratar de aplicar la segunda ley de Newton donde no es válida: en un sistema de referencia no inercial de un automóvil en aceleración. Nosotros siempre examinaremos el movimiento sólo en sistemas de referencia *iniciales*.

En el aprendizaje de cómo usar la segunda ley de Newton, empezaremos con ejemplos de movimiento rectilíneo. Después, en el capítulo 5, veremos casos más generales y desarrollaremos estrategias más detalladas para resolver problemas.



### EJEMPLO 4.4 CÁLCULO DE LA ACCELERACIÓN A PARTIR DE UNA FUERZA

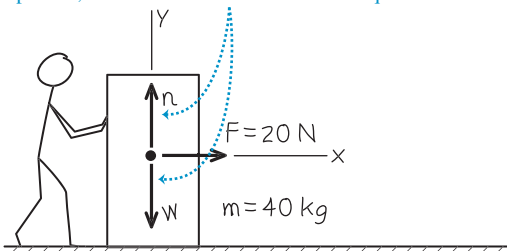
Un trabajador aplica una fuerza horizontal constante con magnitud de 20 N a una caja con masa de 40 kg que descansa en un piso plano con fricción despreciable. ¿Cuál es la aceleración de la caja?

#### SOLUCIÓN

**IDENTIFICAR y PLANTEAR:** En este problema intervienen una fuerza y una aceleración, de modo que se empleará la segunda ley de Newton. En *cualquier* problema que implique fuerzas, los primeros pasos consisten en elegir un sistema de coordenadas e identificar todas las fuerzas que actúan sobre el cuerpo en cuestión. Suele ser conveniente elegir un eje que apunte en la dirección de la aceleración del cuerpo o en la dirección opuesta que, en este caso, es horizontal. Por lo tanto, tomamos el eje  $+x$  en la dirección de la fuerza horizontal aplicada (es decir, la dirección en la que se acelera la caja) y el eje  $+y$  hacia arriba (figura 4.17). En casi todos los problemas de fuerzas que veremos (incluido éste), todos los vectores de fuerza están en un plano, así que no se usa el eje  $z$ .

**4.17** Diagrama de este problema. Las baldosas bajo la caja están recién enceradas, así que suponemos que la fricción es despreciable.

La caja no tiene aceleración vertical, de manera que las componentes verticales de la fuerza neta suman cero. Sin embargo, para una mejor perspectiva, mostramos las fuerzas verticales que actúan sobre la caja.



Las fuerzas que actúan sobre la caja son: **i.** la fuerza horizontal  $\vec{F}$  ejercida por el trabajador, cuya magnitud es 20 N; **ii.** el peso  $\vec{w}$  de la caja, es decir, la fuerza hacia abajo producida por la atracción gravitacional que ejerce la Tierra; y **iii.** la fuerza de soporte hacia arriba  $\vec{n}$  ejercida por el piso. Como en la sección 4.2, llamamos a  $\vec{n}$  fuerza *normal* porque es normal (perpendicular) a la superficie de contacto (usamos una  $n$  cursiva para evitar confusiones con la abreviatura N, de newton). Consideraremos que la fricción es despreciable, así que no hay fuerza de fricción.

Puesto que la caja no se mueve verticalmente, la aceleración y es cero:  $a_y = 0$ . Nuestra incógnita es la componente  $x$  de la aceleración,  $a_x$ . La obtendremos usando la segunda ley de Newton en forma de componentes, dada por las ecuaciones (4.7).

**EJECUTAR:** Por la figura 4.17, solamente la fuerza de 20 N ejercida por el trabajador tiene una componente  $x$  distinta de cero. Por lo tanto, la primera de las ecuaciones (4.7) nos indica que

$$\sum F_x = F = 20 \text{ N} = ma_x$$

Por lo tanto, la componente  $x$  de la aceleración es

$$a_x = \frac{\sum F_x}{m} = \frac{20 \text{ N}}{40 \text{ kg}} = \frac{20 \text{ kg} \cdot \text{m/s}^2}{40 \text{ kg}} = 0.50 \text{ m/s}^2$$

**EVALUAR:** La aceleración apunta en la dirección  $+x$ , igual que la fuerza neta. La fuerza neta es constante, así que la aceleración también es constante. Si conocemos la posición y velocidad iniciales de la caja, podremos calcular su posición y velocidad en cualquier instante posterior con las ecuaciones de aceleración constante del capítulo 2.

Para obtener  $a_x$ , no tuvimos que usar la componente  $y$  de la segunda ley de Newton, ecuaciones (4.7),  $\sum F_y = ma_y$ . Utilizando esta ecuación, ¿puede usted demostrar que la magnitud  $n$  de la fuerza normal en esta situación es igual al peso de la caja?



## EJEMPLO 4.5 CÁLCULO DE LA FUERZA A PARTIR DE LA ACCELERACIÓN

Una camarera empuja una botella de salsa cátsup con masa de 0.45 kg a la derecha sobre un mostrador horizontal liso. Al soltarla, la botella tiene una rapidez de 2.8 m/s y, luego, se frena por la fuerza de fricción horizontal constante ejercida por el mostrador. La botella se desliza 1.0 m antes de detenerse. ¿Qué magnitud y dirección tiene la fuerza de fricción que actúa sobre la botella?

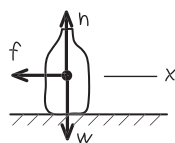
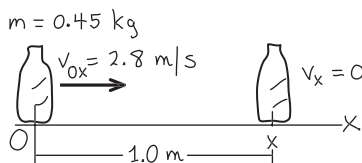
### SOLUCIÓN

**IDENTIFICAR y PLANTEAR:** Este problema implica fuerzas y aceleración (el frenado de la botella de salsa), así que usaremos la segunda ley de Newton para resolverlo. Como en el ejemplo 4.4, se elige un sistema de coordenadas y se identifican las fuerzas que actúan sobre la botella (**figura 4.18**). Elegimos el eje  $+x$  en la dirección en que se desliza la botella, y tomaremos como origen el punto donde la botella sale de la mano de la camarera. La fuerza de fricción  $f$  frena la botella, así que su dirección debe ser opuesta a la dirección de su velocidad (vea la figura 4.12c).

Nuestra incógnita es la magnitud  $f$  de la fuerza de fricción. La obtendremos usando la componente  $x$  de la segunda ley de Newton,

### 4.18 Diagrama de este problema.

Dibujamos un diagrama para el movimiento de la botella y uno que muestra las fuerzas sobre la botella.



ecuaciones (4.7). No hemos hablado de la componente  $x$  de la aceleración de la botella,  $a_x$ , pero sabemos que es constante porque la fuerza de fricción que causa la aceleración es constante. Por lo tanto, calculamos  $a_x$  usando la fórmula de aceleración constante de la sección 2.4. Conocemos las coordenadas  $x$  inicial y final de la botella ( $x_0 = 0$  y  $x = 1.0 \text{ m}$ ) y su velocidad en  $x$  inicial y final ( $v_{0x} = 2.8 \text{ m/s}$  y  $v_x = 0$ ), de modo que la ecuación más fácil de usar es la ecuación (2.13),  $v_x^2 = v_{0x}^2 + 2a_x(x - x_0)$ .

**EJECUTAR:** Resolvemos la ecuación (2.13) despejando  $a_x$ :

$$a_x = \frac{v_x^2 - v_{0x}^2}{2(x - x_0)} = \frac{(0 \text{ m/s})^2 - (2.8 \text{ m/s})^2}{2(1.0 \text{ m} - 0 \text{ m})} = -3.9 \text{ m/s}^2$$

El signo negativo indica que la aceleración de la botella es hacia la *izquierda* en la figura 4.18, opuesta a su velocidad, como debe ser, pues la botella se está frenando. La fuerza neta en la dirección  $x$  es la componente  $-f$  de la fuerza de fricción, así que

$$\begin{aligned}\sum F_x &= -f = ma_x = (0.45 \text{ kg})(-3.9 \text{ m/s}^2) \\ &= -1.8 \text{ kg} \cdot \text{m/s}^2 = -1.8 \text{ N}\end{aligned}$$

El signo negativo indica que la fuerza sobre la botella está dirigida a la izquierda. La *magnitud* de la fuerza de fricción es  $f = 1.8 \text{ N}$ .

**EVALUAR:** Para verificar el resultado, lo invitamos a repetir el cálculo con el eje  $+x$  dirigido a la *izquierda* en la figura 4.18. Encontrará que  $\sum F_x$  es igual a  $+f = +1.8 \text{ N}$  (porque la fuerza de fricción ahora está en la dirección  $+x$ ) y nuevamente encontrará que  $f = 1.8 \text{ N}$ . ¡Las respuestas de las *magnitudes* de las fuerzas no dependen de la elección de los ejes de coordenadas!

### Notas acerca de las unidades

Conviene hablar un poco acerca de las unidades. En el sistema métrico cgs (que no usamos aquí), la unidad de masa es el gramo ( $10^{-3} \text{ kg}$ ) y la unidad de distancia es el centímetro, que es igual a  $10^{-2} \text{ m}$ . La unidad cgs de fuerza se llama *dina*:

$$1 \text{ dina} = 1 \text{ g} \cdot \text{cm/s}^2 = 10^{-5} \text{ N}$$

En el sistema británico, la unidad de fuerza es la *libra* (o libra-fuerza) y la unidad de masa es el *slug* (**figura 4.19**). La unidad de aceleración es el pie por segundo al cuadrado, así que

$$1 \text{ libra} = 1 \text{ slug} \cdot \text{ft/s}^2$$

La definición oficial de libra es

$$1 \text{ libra} = 4.448221615260 \text{ newtons}$$

Conviene recordar que una libra es aproximadamente 4.4 N, y un newton es aproximadamente 0.22 lb. Otro hecho que resulta útil recordar es que un cuerpo con una masa de 1 kg tiene un peso de aproximadamente 2.2 lb en la superficie terrestre.

Las unidades de fuerza, masa y aceleración en los tres sistemas se listan en la **tabla 4.2**.

**EVALÚE SU COMPRENSIÓN DE LA SECCIÓN 4.3** Ordene las siguientes situaciones de acuerdo con la magnitud de la aceleración del objeto, de la más baja a la más alta.

- ¿Hay casos que tengan la misma magnitud de aceleración? **i.** Sobre un objeto de 2.0 kg actúa una fuerza neta de 2.0 N; **ii.** sobre un objeto de 2.0 kg actúa una fuerza neta de 8.0 N; **iii.** sobre un objeto de 8.0 kg actúa una fuerza neta de 2.0 N; **iv.** sobre un objeto de 8.0 kg actúa una fuerza neta de 8.0 N.

**4.19** A pesar de su nombre, la unidad inglesa de masa nada tiene que ver con el tipo de “slug” (babosa) mostrado aquí. Una babosa común de jardín tiene una masa de unos 15 gramos, lo cual equivale aproximadamente a  $10^{-3}$  slugs.



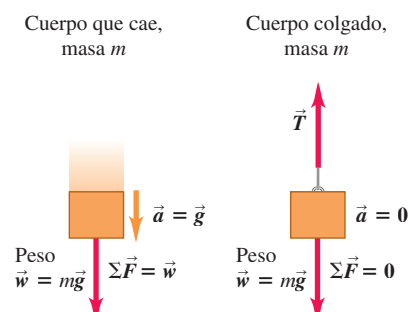
### Unidades de fuerza, masa y aceleración

Sistemas de unidades	Fuerza	Masa	Aceleración
SI	newton (N)	kilogramo (kg)	$\text{m/s}^2$
cgs	dina (dyn)	gramo (g)	$\text{cm/s}^2$
Británico	libra (lb)	slug	$\text{ft/s}^2$

## 4.4 MASA Y PESO

Una de las fuerzas más conocidas es el *peso* de un cuerpo, la fuerza gravitacional que la Tierra ejerce sobre el cuerpo (si usted estuviera en otro planeta, su peso sería la fuerza gravitacional que ese planeta ejerce sobre usted). Por desgracia, es común usar incorrectamente e indistintamente los términos *masa* y *peso* en la conversación cotidiana. Es absolutamente indispensable que el lector entienda con claridad las diferencias entre ambas cantidades físicas.

### 4.20 Relación entre masa y peso.



- La relación entre masa y peso es:  $\vec{w} = m\vec{g}$ .
- La relación es la misma si un cuerpo está cayendo o en reposo.

La masa describe las propiedades *inerciales* de un cuerpo; es lo que mantiene a la vajilla sobre la mesa cuando retiramos el mantel de un jalón. A mayor masa, se necesitará más fuerza para provocar una aceleración dada; esto se refleja en la segunda ley de Newton,  $\sum \vec{F} = m\vec{a}$ .

El peso, en cambio, es una *fuerza* ejercida sobre un cuerpo por la atracción de la Tierra. La masa y el peso están relacionados: los cuerpos con masa grande también tienen un peso grande. Sería difícil arrojar a cierta distancia un peñasco por su gran *masa*, y sería difícil levantarla del suelo por su enorme *peso*.

Para entender la relación entre masa y peso, observe que un cuerpo en caída libre tiene una aceleración de magnitud  $g$  (vea la sección 2.5) y, por la segunda ley de Newton, una fuerza debe producir esa aceleración. Si un cuerpo de 1 kg cae con una aceleración de  $9.8 \text{ m/s}^2$ , la fuerza requerida tiene la magnitud

$$F = ma = (1 \text{ kg})(9.8 \text{ m/s}^2) = 9.8 \text{ kg} \cdot \text{m/s}^2 = 9.8 \text{ N}$$

La fuerza que hace que el cuerpo se acelere hacia abajo es su peso. Cualquier cuerpo con una masa de 1 kg, cercano a la superficie terrestre, *debe* tener un peso de 9.8 N para alcanzar la aceleración que observamos en la caída libre. En términos más generales,

Magnitud del peso de un cuerpo	$w = mg$	Masa del cuerpo
		Magnitud de la aceleración debida a la gravedad

(4.8)

Por lo tanto, la magnitud  $w$  del peso de un cuerpo es directamente proporcional a su masa  $m$ . El peso de un cuerpo es una fuerza, una cantidad vectorial y podemos escribir la ecuación (4.8) como ecuación vectorial (**figura 4.20**):

$$\vec{w} = m\vec{g} \quad (4.9)$$

Recuerde que  $g$  es la *magnitud* de  $\vec{g}$ , la aceleración debida a la gravedad; por lo tanto,  $g$  siempre es positiva por definición. Así,  $w$ , dada por la ecuación (4.8), es la *magnitud* del peso y también siempre es positiva.



### EJEMPLO CONCEPTUAL 4.6 FUERZA NETA Y ACCELERACIÓN EN CAÍDA LIBRE

En el ejemplo 2.6 de la sección 2.5, se dejó caer, a partir del reposo, una moneda de un euro desde la Torre Inclinada de Pisa. Si la moneda cae libremente, considerando que los efectos del aire son despreciables, ¿cómo varía la fuerza neta sobre la moneda conforme ésta cae?

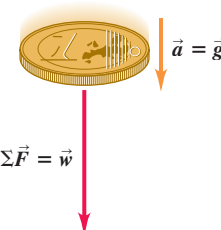
#### SOLUCIÓN

En caída libre, la aceleración  $\vec{a}$  de la moneda es constante e igual a  $\vec{g}$ . Por la segunda ley de Newton, la fuerza neta  $\sum \vec{F} = m\vec{a}$  también es constante e igual a  $m\vec{g}$ , que es el peso  $\vec{w}$  de la moneda (**figura 4.21**). La velocidad de la moneda cambia durante la caída, pero la fuerza neta que actúa sobre ella permanece constante (si esto le sorprende, debería volver a leer el ejemplo conceptual 4.3).

La fuerza neta sobre una moneda en caída libre es constante incluso si inicialmente se lanza hacia arriba. La fuerza que nuestra mano ejerce sobre la moneda al lanzarla es una fuerza de contacto, y

desaparece apenas la moneda pierde contacto con la mano. De aquí en adelante, la única fuerza que actúa sobre la moneda es su peso  $\vec{w}$ .

**4.21** La aceleración de un objeto en caída libre es constante, lo mismo que la fuerza neta que actúa sobre él.



## Variación de $g$ con la ubicación

Usaremos  $g = 9.80 \text{ m/s}^2$  para problemas en la Tierra (o bien, si los demás datos del problema se dan con sólo dos cifras significativas,  $g = 9.8 \text{ m/s}^2$ ). En realidad, el valor de  $g$  varía un poco en diferentes puntos de la superficie terrestre, entre  $9.78$  y  $9.82 \text{ m/s}^2$ , ya que la Tierra no es perfectamente esférica y por los efectos de su rotación y el movimiento orbital. En un punto donde  $g = 9.80 \text{ m/s}^2$ , el peso de un kilogramo estándar es  $w = 9.80 \text{ N}$ . En un punto donde  $g = 9.78 \text{ m/s}^2$ , el peso es  $w = 9.78 \text{ N}$ , pero la masa sigue siendo 1 kg. El peso de un cuerpo varía de un lugar a otro; la masa no.

Si llevamos un kilogramo estándar a la superficie lunar, donde la aceleración en caída libre (igual al valor de  $g$  en la superficie lunar) es de  $1.62 \text{ m/s}^2$ , su peso será  $1.62 \text{ N}$ , pero su masa será aún de 1 kg (**figura 4.22**). Un astronauta de  $80.0 \text{ kg}$  pesa ( $80.0 \text{ kg}$ ) ( $9.80 \text{ m/s}^2$ ) =  $784 \text{ N}$  en la Tierra, pero en la Luna sólo pesaría ( $80.0 \text{ kg}$ ) ( $1.62 \text{ m/s}^2$ ) =  $130 \text{ N}$ . En el capítulo 13 veremos cómo calcular el valor de  $g$  en la superficie lunar o en otros planetas.

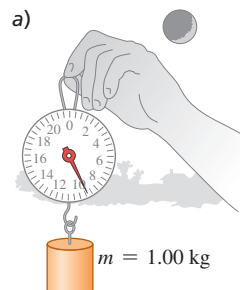
## Medición de masa y peso

En la sección 4.3 describimos una forma de comparar masas comparando sus aceleraciones cuando se someten a la misma fuerza neta. Generalmente, sin embargo, la forma más fácil de medir la masa de un cuerpo consiste en medir su peso, por lo general comparándolo con un estándar. La ecuación (4.8) afirma que dos cuerpos que tienen el mismo peso en cierto lugar también tienen la misma masa. Podemos comparar pesos con mucha precisión; la conocida balanza de brazos iguales (**figura 4.23**) puede determinar con gran precisión (hasta de 1 parte en  $10^6$ ) cuando los pesos de dos cuerpos son iguales y, por lo tanto, cuando sus masas lo son.

El concepto de masa desempeña dos papeles un tanto distintos en mecánica. El peso de un cuerpo (la fuerza gravitacional que actúa sobre él) es proporcional a su masa; podemos llamar *masa gravitacional* a la propiedad relacionada con interacciones gravitacionales. Por otro lado, podemos llamar *masa inercial* a la propiedad inercial que aparece en la segunda ley de Newton. Si estas dos cantidades fueran distintas, la aceleración debida a la gravedad podría ser distinta para diferentes cuerpos. Sin embargo, experimentos de gran precisión han concluido que *son* iguales, con una precisión mayor de 1 parte en  $10^{12}$ .

**CUIDADO** No confunda masa con peso En la vida cotidiana, con frecuencia se usan incorrectamente las unidades del SI para masa y peso. Expresiones incorrectas como “esta caja pesa 6 kg” son casi universales. Lo que queremos decir es que la *masa* de la caja, la cual quizás se determinó indirectamente *pesándola*, es de 6 kg. ¡Tenga cuidado de evitar este error en su trabajo! En el SI, el peso (una fuerza) se mide en newtons, en tanto que la masa se mide en kilogramos. ■

**4.22** El peso de una masa de 1 kilogramo a) en la Tierra y b) en la Luna.

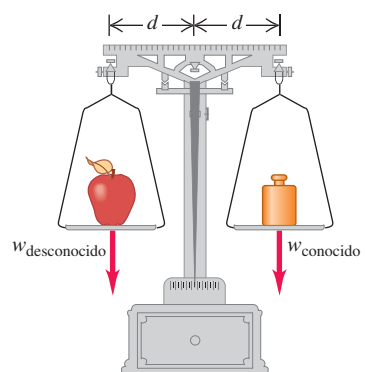


$$\begin{aligned} \text{En la Tierra:} \\ g &= 9.80 \text{ m/s}^2 \\ w &= mg = 9.80 \text{ N} \end{aligned}$$



$$\begin{aligned} \text{En la Luna:} \\ g &= 1.62 \text{ m/s}^2 \\ w &= mg = 1.62 \text{ N} \end{aligned}$$

**4.23** Una balanza de brazos iguales determina la masa de un cuerpo (como una manzana) comparando su peso con un peso conocido.



### EJEMPLO 4.7 MASA Y PESO

Un Rolls-Royce Phantom de  $2.49 \times 10^4 \text{ N}$  que viaja en la dirección  $+x$  hace una parada de emergencia; la componente  $x$  de la fuerza neta que actúa sobre él es  $-1.83 \times 10^4 \text{ N}$ . ¿Qué aceleración tiene?

#### SOLUCIÓN

**IDENTIFICAR y PLANTEAR:** Nuestra incógnita es la componente  $x$  de la aceleración del automóvil,  $a_x$ . Usaremos la segunda ley de Newton de la componente  $x$  para relacionar fuerza y aceleración, es decir, las ecuaciones (4.7). Para ello, necesitamos conocer la masa del automóvil. Sin embargo, dado que el newton es una unidad de fuerza, sabemos que  $2.49 \times 10^4 \text{ N}$  es el *peso* del automóvil, no su masa. Por

consiguiente, usaremos primero la ecuación (4.8) para determinar la masa del automóvil a partir de su peso. El automóvil tiene una velocidad  $x$  positiva y está frenando, de modo que su aceleración  $x$  es negativa.

**EJECUTAR:** La masa del automóvil es

$$\begin{aligned} m &= \frac{w}{g} = \frac{2.49 \times 10^4 \text{ N}}{9.80 \text{ m/s}^2} = \frac{2.49 \times 10^4 \text{ kg} \cdot \text{m/s}^2}{9.80 \text{ m/s}^2} \\ &= 2540 \text{ kg} \end{aligned}$$



Entonces,  $\sum F_x = ma_x$  nos da

$$\begin{aligned} a_x &= \frac{\sum F_x}{m} = \frac{-1.83 \times 10^4 \text{ N}}{2540 \text{ kg}} = \frac{-1.83 \times 10^4 \text{ kg} \cdot \text{m/s}^2}{2540 \text{ kg}} \\ &= -7.20 \text{ m/s}^2 \end{aligned}$$

**EVALUAR:** El signo negativo implica que el vector aceleración apunta en la dirección  $-x$ , como se esperaba. La magnitud de la aceleración

es bastante alta; los pasajeros de este automóvil experimentarán una enorme fuerza hacia atrás en sus hombros por los cinturones de seguridad.

La aceleración también es igual a  $-0.735g$ . El número  $-0.735$  es la razón entre  $-1.83 \times 10^4 \text{ N}$  (la componente  $x$  de la fuerza neta) y  $2.49 \times 10^4 \text{ N}$  (el peso). De hecho, la aceleración de un cuerpo expresada como múltiplo de  $g$  siempre es igual a la razón entre la fuerza neta que actúa sobre el cuerpo y su peso. ¿Entiende por qué?

**EVALÚE SU COMPRENSIÓN DE LA SECCIÓN 4.4** Suponga que un astronauta llega a un planeta donde  $g = 19.6 \text{ m/s}^2$ . En comparación con la Tierra, ¿le sería más fácil, más difícil o igual de fácil caminar ahí? ¿Le sería más fácil, más difícil o igual de fácil atrapar una pelota que se mueve horizontalmente a  $12 \text{ m/s}$ ? (Suponga que el traje espacial es un modelo ligero que no impide en absoluto los movimientos del astronauta). ▀

## 4.5 TERCERA LEY DE NEWTON

Una fuerza que actúa sobre un cuerpo siempre es el resultado de su interacción con otro cuerpo, así que las fuerzas siempre vienen en pares. No podemos jalar de una perilla sin que ésta tire de nosotros. Al patear un balón de fútbol, la fuerza hacia adelante que el pie ejerce sobre él lo lanza en su trayectoria, pero sentimos la fuerza que el balón ejerce sobre el pie.

En todos estos casos, la fuerza que ejercemos sobre el otro cuerpo tiene dirección opuesta a la que el cuerpo ejerce sobre nosotros. Los experimentos indican que, al interactuar dos cuerpos, las fuerzas que ejercen mutuamente son siempre *iguales en magnitud y opuestas en dirección*. Ésta es la *tercera ley de Newton del movimiento*:

**TERCERA LEY DE NEWTON DEL MOVIMIENTO:** Si el cuerpo A ejerce una fuerza sobre el cuerpo B (una “acción”), entonces, el cuerpo B ejerce una fuerza sobre el cuerpo A (una “reacción”). Estas dos fuerzas tienen la misma magnitud pero dirección opuesta, y actúan sobre cuerpos diferentes.

Por ejemplo, en la figura 4.24,  $\vec{F}_A$  sobre  $B$  es la fuerza aplicada por el cuerpo A (primer subíndice) sobre el cuerpo B (segundo subíndice), y  $\vec{F}_B$  sobre  $A$  es la fuerza aplicada por el cuerpo B (primer subíndice) sobre el cuerpo A (segundo subíndice). El enunciado matemático de la tercera ley es

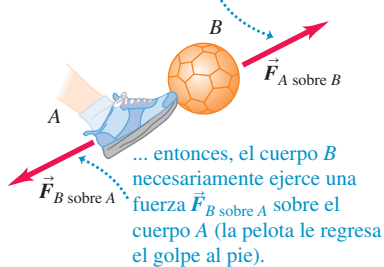
**Tercera ley de Newton:**  
Cuando dos cuerpos A y B ejercen fuerzas entre sí ...

... las dos fuerzas tienen la misma magnitud pero direcciones opuestas. (4.10)

*Nota:* Las dos fuerzas actúan sobre cuerpos diferentes.

**4.24** Tercera ley de Newton del movimiento.

Si el cuerpo A ejerce una fuerza  $\vec{F}_A$  sobre B sobre el cuerpo B (por ejemplo, un pie patea un balón) ...



Las dos fuerzas tienen la misma magnitud, pero dirección opuesta:  $\vec{F}_A$  sobre  $B = -\vec{F}_B$  sobre  $A$ .

No importa si un cuerpo es inanimado (como el balón de la figura 4.24) y el otro no lo es (como el pie de quien patea): necesariamente ejercen fuerzas entre sí que cumplen la ecuación (4.10).



En el enunciado de la tercera ley de Newton, “acción” y “reacción” son las dos fuerzas opuestas (en la figura 4.24,  $\vec{F}_A$  sobre  $B$  y  $\vec{F}_B$  sobre  $A$ ), y algunas veces las llamamos **par acción-reacción**, lo cual *no* implica una relación de causa y efecto. Podemos considerar cualquiera de las fuerzas como la “acción” y la otra como la “reacción”. A menudo decimos simplemente que las fuerzas son “iguales y opuestas” para indicar que tienen igual magnitud, pero dirección opuesta.

**CUIDADO** Las dos fuerzas en un par acción-reacción actúan sobre cuerpos diferentes. Destacamos que las dos fuerzas descritas en la tercera ley de Newton actúan sobre cuerpos *distintos*. Esto es importante en problemas que implican la primera o segunda ley de Newton, en los que actúan fuerzas sobre un solo cuerpo. Por ejemplo, la fuerza neta que actúa sobre el balón de la figura 4.24 es la suma vectorial del peso del balón y la fuerza  $\vec{F}_A$  sobre  $B$  ejercida por el pateador. No incluimos  $\vec{F}_B$  sobre  $A$  porque esta fuerza actúa sobre el pateador, no sobre el balón. ▀



DEMO

En la figura 4.24, las fuerzas de acción y reacción son de *contacto*, y sólo existen cuando los dos cuerpos se tocan. Sin embargo, la tercera ley de Newton también es válida para las fuerzas de *largo alcance* que no requieren contacto físico, como la atracción gravitacional. Una pelota de ping-pong ejerce una fuerza gravitacional hacia arriba sobre la Tierra, igual en magnitud a la fuerza gravitacional que la Tierra ejerce hacia abajo sobre la pelota. Si dejamos caer la pelota, ésta y la Tierra se aceleran una hacia la otra. La fuerza neta sobre cada cuerpo tiene la misma magnitud, pero la aceleración de la Tierra es pequeñísima porque su masa es muy grande. Y sin embargo, ¡se mueve!

### EJEMPLO CONCEPTUAL 4.8 ¿CUÁL FUERZA ES MAYOR?



Después de que su automóvil deportivo se descompone, usted lo empuja hacia el taller mecánico más cercano. Cuando el auto comienza a moverse, ¿cómo es la fuerza que usted ejerce sobre el vehículo en comparación con la que este ejerce sobre usted? ¿Y cómo se comparan esas fuerzas cuando usted empuja el automóvil con rapidez constante?

#### SOLUCIÓN

La tercera ley de Newton dice que, en *ambos* casos, la fuerza que usted ejerce sobre el auto es igual en magnitud y opuesta en dirección a la que el vehículo ejerce sobre usted. Es cierto que usted debe empujar con más fuerza para poner en movimiento el automóvil que para mantenerlo en movimiento; sin embargo, no importa qué tan fuerte empuje, el auto lo empuja a usted con tanta fuerza como usted a él. La tercera ley de Newton da el mismo resultado si los cuerpos están en reposo, moviéndose con velocidad constante o acelerando.

Quizá se pregunte cómo el automóvil “sabe” que debe empujarlo a usted con la misma magnitud de fuerza que usted ejerce sobre él. Podría ser útil visualizar las fuerzas que usted y el auto ejercen mutuamente como interacciones entre los átomos de la superficie de sus manos y los átomos de la superficie del automóvil. Tales interacciones son similares a diminutos resortes entre átomos adyacentes y un resorte comprimido ejerce fuerzas de la misma magnitud en ambos extremos.

No obstante, la razón fundamental por la que sabemos que objetos con distinta masa ejercen fuerzas de la misma magnitud entre sí es porque los experimentos nos indican que así es. La física es algo más que una mera colección de reglas y ecuaciones; más bien, es una descripción sistemática del mundo natural basada en la experimentación y la observación.

### EJEMPLO CONCEPTUAL 4.9 APLICACIÓN DE LA TERCERA LEY DE NEWTON: OBJETOS EN REPOSO



Una manzana está en reposo sobre una mesa en equilibrio. ¿Qué fuerzas actúan sobre la manzana? ¿Cuál es la fuerza de reacción para cada una de ellas? ¿Cuáles son los pares acción-reacción?

#### SOLUCIÓN

La figura 4.25a muestra las fuerzas que actúan sobre la manzana. En el diagrama,  $\vec{F}_{\text{Tierra sobre manzana}}$  es el peso de la manzana, es decir, la fuerza gravitacional hacia abajo ejercida *por* la Tierra *sobre* la manzana. Asimismo,  $\vec{F}_{\text{mesa sobre manzana}}$  es la fuerza hacia arriba ejercida *por* la mesa *sobre* la manzana.

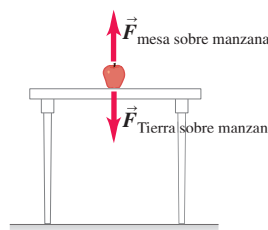
**4.25** Las dos fuerzas de un par acción-reacción siempre actúan sobre cuerpos distintos.

La figura 4.25b muestra uno de los pares acción-reacción que involucran a la manzana. Cuando la Tierra jala de la manzana, con una fuerza  $\vec{F}_{\text{Tierra sobre manzana}}$ , la manzana ejerce una fuerza igualmente intensa hacia arriba sobre la Tierra,  $\vec{F}_{\text{manzana sobre Tierra}}$ . Por la tercera ley de Newton (ecuación 4.10), tenemos:

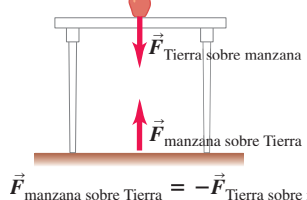
$$\vec{F}_{\text{manzana sobre Tierra}} = -\vec{F}_{\text{Tierra sobre manzana}}$$

Asimismo, la mesa empuja la manzana hacia arriba con fuerza  $\vec{F}_{\text{mesa sobre manzana}}$ , y la reacción correspondiente es la fuerza hacia

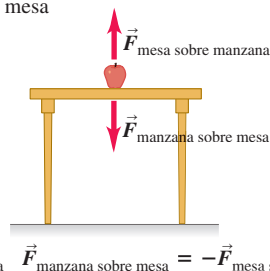
- a) Las fuerzas que actúan sobre la manzana



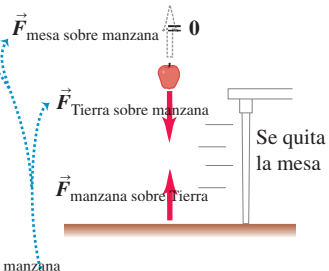
- b) El par acción-reacción para la interacción entre la manzana y la Tierra



- c) El par acción-reacción para la interacción entre la manzana y la mesa



- d) Se elimina una de las fuerzas que actúan sobre la manzana



Los pares acción-reacción siempre representan una interacción entre dos objetos distintos.

Las dos fuerzas sobre la manzana no pueden ser un par acción-reacción porque actuarían sobre el mismo objeto.

abajo  $\vec{F}_{\text{manzana sobre mesa}}$ , que la manzana ejerce sobre la mesa (figura 4.25c). Debido a este par acción-reacción tenemos

$$\vec{F}_{\text{manzana sobre mesa}} = -\vec{F}_{\text{mesa sobre manzana}}$$

Las dos fuerzas que actúan sobre la manzana,  $\vec{F}_{\text{mesa sobre manzana}}$  y  $\vec{F}_{\text{Tierra sobre manzana}}$ , no constituyen un par acción-reacción aunque sean iguales en magnitud y de dirección opuesta. No representan la interacción de dos cuerpos; son dos fuerzas distintas que actúan sobre el mismo cuerpo. La figura 4.25d muestra otra forma de mirar esto. Si

quitáramos repentinamente la mesa debajo de la manzana, las fuerzas  $\vec{F}_{\text{manzana sobre mesa}}$  y  $\vec{F}_{\text{mesa sobre manzana}}$  serían cero, pero  $\vec{F}_{\text{manzana sobre Tierra}}$  y  $\vec{F}_{\text{Tierra sobre manzana}}$  seguirían existiendo (la interacción gravitacional aún estaría presente). Puesto que  $\vec{F}_{\text{mesa sobre manzana}}$  ahora es cero, no puede ser el negativo de  $\vec{F}_{\text{Tierra sobre manzana}}$  (que es distinta de cero), y estas fuerzas no pueden ser un par acción-reacción. *Las dos fuerzas en un par acción-reacción nunca actúan sobre el mismo cuerpo.*

### EJEMPLO CONCEPTUAL 4.10 APLICACIÓN DE LA TERCERA LEY DE NEWTON: OBJETOS EN MOVIMIENTO



Un cantero arrastra un bloque de mármol sobre un piso jalando de una cuerda atada al bloque (figura 4.26a). El bloque podría estar o no en equilibrio. ¿Qué relaciones hay entre las diversas fuerzas? ¿Cuáles son los pares acción-reacción?

#### SOLUCIÓN

Usaremos los subíndices B para el bloque, R para la cuerda y M para el hombre. En la figura 4.26b el vector  $\vec{F}_M$  sobre R representa la fuerza ejercida por el *hombre sobre la cuerda*; su reacción es la fuerza de igual magnitud y opuesta  $\vec{F}_R$  sobre M ejercida por la *cuerda sobre el hombre*. De manera similar, el vector  $\vec{F}_R$  sobre B es la fuerza ejercida por la *cuerda sobre el bloque*; su reacción es la fuerza de igual magnitud y opuesta  $\vec{F}_B$  sobre R que el *bloque ejerce sobre la cuerda*. Las fuerzas en cada par de acción-reacción son de igual magnitud y opuestas:

$$\vec{F}_R \text{ sobre M} = -\vec{F}_M \text{ sobre R} \quad \text{y} \quad \vec{F}_B \text{ sobre R} = -\vec{F}_R \text{ sobre B}$$

Las fuerzas  $\vec{F}_M$  sobre R y  $\vec{F}_B$  sobre R (figura 4.26c) no son un par acción-reacción, porque ambas actúan sobre el *mismo cuerpo* (la cuerda); una acción y su reacción siempre deben actuar sobre cuerpos *distintos*. Asimismo, las fuerzas  $\vec{F}_M$  sobre R y  $\vec{F}_B$  sobre R no necesariamente tienen la misma magnitud. Si aplicamos la segunda ley de Newton a la cuerda, obtenemos

$$\sum \vec{F} = \vec{F}_M \text{ sobre R} + \vec{F}_B \text{ sobre R} = m_{\text{cuerda}} \vec{a}_{\text{cuerda}}$$

Si el bloque y la cuerda tienen una aceleración (es decir, si su rapidez está aumentando o disminuyendo), la cuerda no está en equilibrio y

$\vec{F}_M$  sobre R deberá tener distinta magnitud que  $\vec{F}_B$  sobre R. En contraste, las fuerzas de acción-reacción  $\vec{F}_M$  sobre R y  $\vec{F}_R$  sobre M siempre tienen la misma magnitud, al igual que  $\vec{F}_R$  sobre B y  $\vec{F}_B$  sobre R. Se cumple la tercera ley de Newton, ya sea que los cuerpos estén acelerando o no.

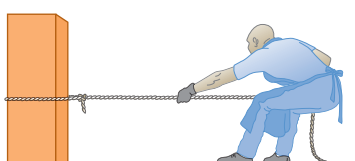
En el caso especial donde la cuerda se encuentra en equilibrio, las fuerzas  $\vec{F}_M$  sobre R y  $\vec{F}_B$  sobre R tienen igual magnitud y son opuestas en dirección. Pero esto es un ejemplo de la *primera* ley de Newton, no de la tercera: son dos fuerzas sobre el mismo cuerpo, no fuerzas ejercidas por un cuerpo sobre otro. Otra forma de ver esto es que, en el equilibrio,  $\vec{a}_{\text{cuerda}} = \mathbf{0}$  en la ecuación anterior. Entonces,  $\vec{F}_B$  sobre R =  $= -\vec{F}_M$  sobre R por la primera o la segunda ley de Newton.

Otro caso especial es cuando la cuerda está acelerando, pero tiene masa insignificante en comparación con el bloque o el hombre. En este caso,  $m_{\text{cuerda}} = 0$  en la ecuación anterior y, otra vez,  $\vec{F}_B$  sobre R =  $= -\vec{F}_M$  sobre R. Puesto que  $\vec{F}_B$  sobre R *siempre* es igual a  $-\vec{F}_R$  sobre B por la tercera ley de Newton (son un par acción-reacción), en este caso de la “cuerda sin masa”  $\vec{F}_R$  sobre B también es igual a  $\vec{F}_M$  sobre R.

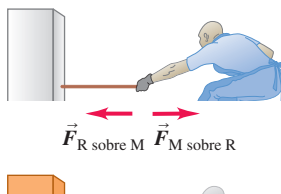
Para los casos de la “cuerda sin masa” y de la cuerda en equilibrio, la fuerza de la cuerda sobre el bloque es igual en magnitud y dirección a la fuerza del hombre sobre la cuerda (figura 4.26d). Es decir, podemos visualizar la cuerda “transmitiendo” al bloque la fuerza que ejerce el hombre sobre la cuerda. Éste es un punto de vista útil, pero recuerde que *sólo* es válido si la cuerda tiene masa insignificante o está en equilibrio.

#### 4.26 Identificación de las fuerzas que actúan cuando un hombre jala de una cuerda atada a un bloque.

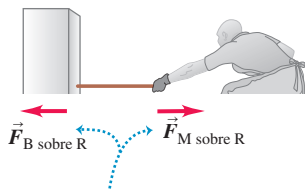
a) El bloque, la cuerda y el hombre



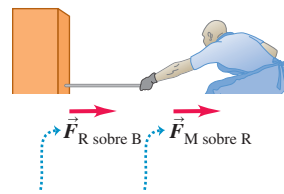
b) Los pares acción-reacción



c) No hay par acción-reacción



d) No necesariamente igual



## EJEMPLO CONCEPTUAL 4.11 ¿UNA PARADOJA DE LA TERCERA LEY DE NEWTON?

En el ejemplo conceptual 4.10 vimos que el hombre jala de la combinación cuerda-bloque con la misma fuerza con que esa combinación jala de él. ¿Por qué, entonces, el bloque se mueve mientras el hombre permanece en un solo lugar?

### SOLUCIÓN

Para resolver esta aparente contradicción, recuerde la diferencia entre la *segunda* ley de Newton y la *tercera*. Las únicas fuerzas que intervienen en la segunda ley son las que actúan sobre el cuerpo en cuestión. La suma vectorial de esas fuerzas determina la aceleración de ese cuerpo (si acaso acelera). En contraste, la tercera ley de Newton relaciona las fuerzas que dos cuerpos *distintos* ejercen *uno sobre el otro*. La tercera ley, por sí sola, nada nos dice acerca del movimiento de cualquiera de los dos cuerpos.

Cuando la combinación cuerda-bloque inicialmente está en reposo, comenzará a deslizarse si la fuerza que ejerce el hombre  $\vec{F}_M$  sobre  $R$  es *mayor* que la fuerza de fricción que ejerce el piso sobre el bloque (**figura 4.27**). (El bloque tiene base lisa, lo cual ayuda a reducir la fricción). Por lo tanto, hay una fuerza neta hacia la derecha sobre la combinación cuerda-bloque, de manera que acelera hacia la derecha. En contraste, el hombre *no* se mueve porque la fuerza neta que actúa sobre él es *cero*. Como el hombre tiene zapatos con suelas antideslizantes que no se resbalan sobre el piso, la fuerza de fricción que el piso ejerce sobre él es suficiente para equilibrar el jalón de la cuerda sobre él,  $\vec{F}_R$  sobre  $M$  (tanto el bloque como el hombre experimentan también una fuerza de gravedad hacia abajo y una fuerza normal hacia arriba ejercida por el piso, las cuales se equilibran entre sí y se anulan, por lo que no se incluyeron en la figura 4.27).

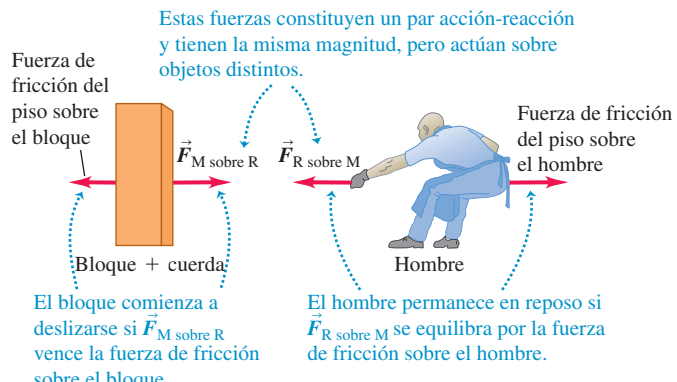
Una vez que el bloque se mueve con la rapidez deseada, el hombre no tendrá que jalar con tanta fuerza; solo deberá desarrollar la fuerza suficiente para equilibrar exactamente la fuerza de fricción sobre el bloque. Por consiguiente, la fuerza neta sobre el bloque en movimiento es cero, y el bloque se seguirá moviendo hacia el hombre con velocidad constante, según la primera ley de Newton.

Un cuerpo al cual se aplican fuerzas que jalan de sus extremos, como la cuerda de la figura 4.26, está en *tensión*. La **tensión** en cualquier punto es la magnitud de la fuerza que actúa en él (vea la figura 4.2c). En la figura 4.26b, la tensión en el extremo derecho de la cuerda es la magnitud de  $\vec{F}_M$  sobre  $R$  (o de  $\vec{F}_R$  sobre  $M$ ); y en el izquierdo, la magnitud de  $\vec{F}_B$  sobre  $R$  (o de  $\vec{F}_R$  sobre  $B$ ). Si la cuerda está en equilibrio y solamente actúan sobre ella fuerzas en sus extremos, la tensión es *igual* en ambos extremos y en toda la cuerda. Por lo tanto, si las magnitudes de  $\vec{F}_B$  sobre  $R$  y  $\vec{F}_M$  sobre  $R$  son de 50 N, la tensión en la cuerda es 50 N (*no* 100 N). El vector de fuerza *total*  $\vec{F}_B$  sobre  $R$  +  $\vec{F}_M$  sobre  $R$  que actúa sobre la cuerda en este caso *¡es cero!*

Hacemos hincapié nuevamente en que las dos fuerzas en un par acción-reacción *nunca* actúan sobre el mismo cuerpo. Recordar este hecho sencillo a menudo le ayudará a evitar confusiones acerca de los pares acción-reacción y de la tercera ley de Newton.

**EVALÚE SU COMPRENSIÓN DE LA SECCIÓN 4.5** Usted conduce su automóvil por un camino rural y un mosquito se estrella contra el parabrisas. ¿Qué tiene mayor magnitud: la fuerza que el auto ejerció sobre el mosquito o la que éste ejerció sobre el vehículo? ¿O son iguales las magnitudes? Si son diferentes, ¿cómo podemos conciliar este hecho con la tercera ley de Newton? Si son iguales, ¿por qué el mosquito se aplasta y el automóvil no sufre daños?

**4.27** Las fuerzas horizontales que actúan sobre la combinación bloque-cuerda (izquierda) y el hombre (derecha). (No se muestran las fuerzas verticales).



Concluimos que el bloque se acelera mientras el hombre no lo hace debido a las diferentes fuerzas de fricción que actúan sobre ellos. Si el piso estuviera recién encerado, de modo que la fricción entre el piso y los zapatos del hombre fuera pequeña, el jalón de la cuerda haría que el bloque empezara a deslizarse a la derecha y él comenzaría a deslizarse hacia la izquierda.

La moraleja de este ejemplo es que, al analizar el movimiento de un cuerpo, debemos recordar que únicamente las fuerzas que actúan *sobre* ese cuerpo determinan su movimiento. Desde esta perspectiva, la tercera ley de Newton es sólo una herramienta que nos ayuda a identificar las fuerzas.

## LOS DATOS HABLAN

### Fuerza y movimiento

Cuando a los estudiantes se les presenta un problema acerca de fuerzas actuando sobre un objeto y cómo éstas afectan el movimiento del objeto, más del 20% dieron la respuesta incorrecta.

Los errores comunes son:

- La confusión acerca de las fuerzas de contacto. Si sus dedos empujan un objeto, la fuerza que usted ejerce actúa sólo cuando sus dedos y el objeto están en contacto. Una vez que se rompe el contacto, no hay fuerza que actúe aun cuando el objeto continúe en movimiento.
- La confusión acerca de la tercera ley de Newton. La tercera ley relaciona las fuerzas que dos objetos ejercen entre sí. En sí misma, esta ley no puede decirle nada acerca de dos fuerzas que actúen sobre el mismo objeto.

## 4.6 DIAGRAMAS DE CUERPO LIBRE



**4.28** El simple acto de caminar depende esencialmente de la tercera ley de Newton. Para iniciar el movimiento hacia adelante, empujamos el suelo hacia atrás con el pie. Como una reacción, el suelo empuja nuestro pie (y por lo tanto todo nuestro cuerpo) hacia adelante con una fuerza de la misma magnitud. Esa fuerza *externa*, aplicada por el suelo, es la que acelera nuestro cuerpo hacia adelante.



**CUIDADO** **Fuerzas en los diagramas de cuerpo libre** Al terminar de dibujar un diagrama de cuerpo libre, usted *debe* ser capaz de contestar, para cada fuerza, la pregunta: ¿Qué otro cuerpo está aplicando dicha fuerza? Si no logra responderla, tal vez está tratando con una fuerza inexistente. Cuídense sobre todo de evitar fuerzas ficticias como “la fuerza de aceleración” o “la fuerza  $\vec{m}\ddot{a}$ ”, que mencionamos en la sección 4.3. |

Las tres leyes de Newton del movimiento incluyen todos los principios básicos que necesitamos para resolver una amplia gama de problemas de mecánica. Estas leyes tienen un planteamiento muy sencillo; sin embargo, el proceso de aplicarlas a situaciones específicas a menudo constituye un verdadero reto. En esta breve sección mencionaremos tres ideas clave y técnicas que se usan en cualquier problema donde intervienen las leyes de Newton. El lector aprenderá otras en el capítulo 5, donde se amplía el uso de las leyes de Newton a situaciones más complicadas.

1. *La primera ley de Newton y la segunda se refieren a un cuerpo específico.* Al usar la primera ley de Newton,  $\sum \vec{F} = \mathbf{0}$ , en una situación de equilibrio, o la segunda,  $\sum \vec{F} = m\vec{a}$ , en una situación de no equilibrio, tenemos que decidir desde un principio a qué cuerpo nos estamos refiriendo, lo cual tal vez parezca trivial pero no lo es.
2. *Sólo importan las fuerzas que actúan sobre el cuerpo.* La sumatoria  $\sum \vec{F}$  incluye todas las fuerzas que actúan *sobre* el cuerpo en cuestión. Por lo tanto, una vez que usted haya elegido el cuerpo que analizará, tendrá que identificar todas las fuerzas que actúan sobre él. No se confunda entre las fuerzas que actúan sobre un cuerpo y las fuerzas que éste ejerce sobre algún otro. Por ejemplo, para analizar a una persona que camina, incluiríamos en  $\sum \vec{F}$  la fuerza que el suelo ejerce sobre la persona al caminar, pero *no* la fuerza que la persona ejerce sobre el suelo (**figura 4.28**). Estas fuerzas forman un par acción-reacción y están relacionadas por la tercera ley de Newton; pero en  $\sum \vec{F}$  tan sólo entra el miembro del par que actúa sobre el cuerpo que se esté considerando.
3. *Los diagramas de cuerpo libre son indispensables para identificar las fuerzas relevantes.* Un **diagrama de cuerpo libre** es un diagrama que muestra únicamente el cuerpo elegido, “libre” de su entorno, con vectores que muestran las magnitudes y direcciones de todas las fuerzas aplicadas sobre el cuerpo. Ya mostramos algunos diagramas de cuerpo libre en las figuras 4.17, 4.18, 4.20 y 4.25a. No olvide incluir todas las fuerzas que actúan *sobre* el cuerpo, y cuídese también de *no* incluir fuerzas que el cuerpo ejerza sobre otro cuerpo. En particular, las dos fuerzas de un par acción-reacción *nunca* deben aparecer en el mismo diagrama de cuerpo libre, porque nunca actúan sobre el mismo cuerpo. Asimismo, tampoco se incluyen las fuerzas que un cuerpo ejerce sobre sí mismo, ya que aquéllas no pueden afectar su movimiento.

Si en un problema interviene más de un cuerpo, hay que analizarlo y dibujar un diagrama de cuerpo libre para cada cuerpo. Por ejemplo, la figura 4.26c muestra un diagrama de cuerpo libre por separado para la cuerda en el caso en que ésta se considera sin masa (no actúa fuerza gravitacional sobre ella). La figura 4.27 también muestra diagramas para el bloque y el cantero; sin embargo, *no* se trata de realmente diagramas de cuerpo libre porque no muestran todas las fuerzas que actúan sobre cada cuerpo (faltan las fuerzas verticales: la fuerza del peso ejercida por la Tierra y la fuerza normal hacia arriba ejercida por el piso).

La **figura 4.29** ilustra tres situaciones reales y los diagramas de cuerpo libre correspondientes. Observe que en cada situación una persona ejerce una fuerza sobre algo de su entorno; pero la fuerza que se destaca en el diagrama de cuerpo libre de la persona es la reacción de los objetos del entorno *sobre* la persona.

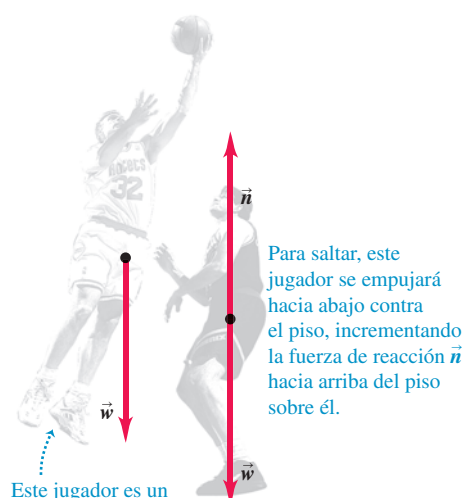
**EVALÚE SU COMPRENSIÓN DE LA SECCIÓN 4.6** La fuerza de flotación (o empuje) que se ilustra en la figura 4.29c es la mitad de un par acción-reacción. ¿Cuál fuerza es la otra mitad de este par? **i.** El peso del buzo; **ii.** la fuerza de empuje hacia adelante; **iii.** la fuerza de arrastre hacia atrás; **iv.** la fuerza hacia abajo que el buzo ejerce sobre el agua; **v.** la fuerza hacia atrás que el buzo ejerce sobre el agua al patalear. |

**4.29** Ejemplos de diagramas de cuerpo libre. En cada caso, el diagrama de cuerpo libre muestra todas las fuerzas externas que actúan sobre el objeto en cuestión.

a)



b)



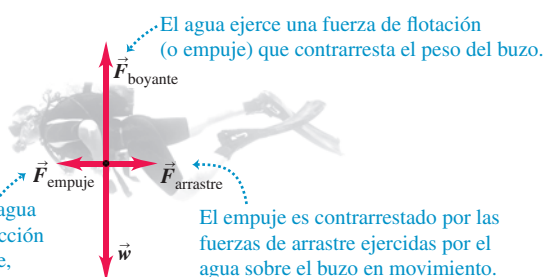
La fuerza del bloque de salida sobre la corredora tiene una componente vertical que contrarresta su peso, y una componente horizontal grande que la acelera.

Este jugador es un objeto en caída libre.

c)



El pataleo causa que el agua ejerza una fuerza de reacción hacia adelante, o empuje, sobre el buzo.



El empuje es contrarrestado por las fuerzas de arrastre ejercidas por el agua sobre el buzo en movimiento.

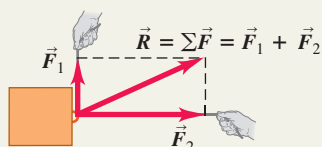
## CAPÍTULO 4 RESUMEN

SOLUCIONES A TODOS LOS EJEMPLOS



**Fuerza como vector:** La fuerza es una medida cuantitativa de la interacción de dos cuerpos. Es una cantidad vectorial. Si varias fuerzas actúan sobre un cuerpo, el efecto sobre su movimiento es igual al que se da cuando una sola fuerza, igual a la suma vectorial (resultante) de las fuerzas, actúa sobre el cuerpo (vea el ejemplo 4.1).

$$\vec{R} = \sum \vec{F} = \vec{F}_1 + \vec{F}_2 + \vec{F}_3 + \dots \quad (4.1)$$

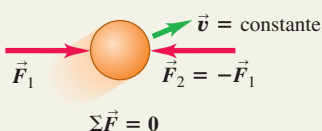


### La fuerza neta sobre un cuerpo y la primera ley de Newton:

La primera ley de Newton establece que, si la suma vectorial de todas las fuerzas que actúan sobre un cuerpo (*la fuerza neta*) es cero, el cuerpo está en equilibrio y tiene aceleración cero. Si el cuerpo está inicialmente en reposo, permanece en reposo; si está inicialmente en movimiento, sigue moviéndose con velocidad constante. Esta ley sólo es válida en sistemas de referencia inerciales (vea los ejemplos 4.2 y 4.3).

$$\sum \vec{F} = \mathbf{0}$$

(4.3)



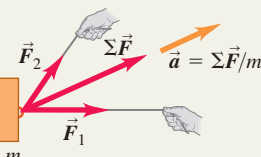
$$\Sigma \vec{F} = \mathbf{0}$$

**Masa, aceleración y segunda ley de Newton:**

Las propiedades iniciales de un cuerpo se caracterizan por su *masa*. La aceleración de un cuerpo bajo la acción de un conjunto de fuerzas dado es directamente proporcional a la suma vectorial de las fuerzas (la *fuerza neta*) e inversamente proporcional a la masa del cuerpo. Esta relación es la segunda ley de Newton. Al igual que la primera ley, únicamente es válida en sistemas de referencia iniciales. La unidad de fuerza se define en términos de las unidades de masa y aceleración. En el SI, la unidad de fuerza es el newton (N) igual a  $1 \text{ kg} \cdot \text{m/s}^2$  (vea los ejemplos 4.4 y 4.5).

$$\sum \vec{F} = m\vec{a}$$

(4.6)



$$\sum F_x = ma_x$$

$$\sum F_y = ma_y$$

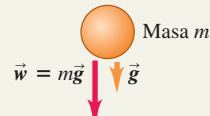
$$\sum F_z = ma_z$$

(4.7)

**Peso:** El peso  $\vec{w}$  de un cuerpo es la fuerza gravitacional ejercida sobre él por la Tierra. El peso es una cantidad vectorial. La magnitud del peso de un cuerpo en un lugar específico es igual al producto de su masa  $m$  por la magnitud de la aceleración debida a la gravedad  $g$  en ese lugar. Mientras que el peso de un cuerpo depende de su ubicación, la masa es independiente del lugar de medición (vea los ejemplos 4.6 y 4.7).

$$w = mg$$

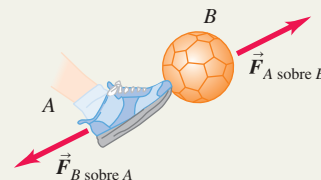
(4.8)

**Tercera ley de Newton y pares acción-reacción:**

La tercera ley de Newton indica que cuando dos cuerpos interactúan, ejercen fuerzas uno sobre otro que en todo instante son iguales en magnitud y opuestas en dirección. Estas fuerzas se denominan fuerzas de acción-reacción y cada una actúa sólo sobre uno de los dos cuerpos; nunca actúan sobre el mismo cuerpo (vea los ejemplos 4.8 a 4.11).

$$\vec{F}_A \text{ sobre } B = -\vec{F}_B \text{ sobre } A$$

(4.10)

**PROBLEMA PRÁCTICO****ESLABONES DE UNA CADENA**

Una estudiante sostiene una cadena que tiene tres eslabones, cada uno con una masa  $m = 0.250 \text{ kg}$ , con una cuerda ligera. La cuerda se une al eslabón superior de la cadena, para que no se balancee. Ella jala de la cuerda hacia arriba de modo que ejerce una fuerza ascendente de  $9.00 \text{ N}$  sobre la cadena. *a)* Elabore un diagrama de cuerpo libre de la cadena completa, considerada como un cuerpo, y uno para cada uno de los tres eslabones. *b)* Use los diagramas del inciso *a*) y las leyes de Newton para calcular *i.* la aceleración de la cadena, *ii.* la fuerza ejercida por el eslabón superior sobre el eslabón medio y *iii.* la fuerza ejercida por el eslabón medio sobre el eslabón inferior. Considere a la cuerda sin masa.

Identifique todos estos pares.

3. Use las listas para dibujar un diagrama de cuerpo libre para cada uno de los cuatro objetos. Elija los ejes de coordenadas.
4. Use las listas para determinar cuántas incógnitas existen en este problema. ¿Cuáles son éstas?

**EJECUTAR**

5. Escriba una ecuación de la segunda ley de Newton para cada uno de los cuatro objetos y una ecuación de la tercera ley de Newton por cada par de acción-reacción. Por lo menos debe tener tantas ecuaciones como incógnitas haya (vea el paso 4). ¿Así es?
6. Despeje las incógnitas de las ecuaciones.

**EVALUAR**

7. Verifique sus resultados sustituyéndolos en las ecuaciones del paso 6, lo cual es especialmente importante si usted terminó con más ecuaciones en el paso 5 de las que usó en el paso 6.
8. Ordene la fuerza de la cuerda sobre la cadena, la fuerza del eslabón superior sobre el eslabón medio y la fuerza del eslabón medio sobre el eslabón inferior, de la magnitud más pequeña a la más grande. ¿Es lógico este orden? Explique su respuesta.
9. Repita el problema para el caso en que la fuerza hacia arriba que ejerce la cuerda sobre la cadena es de sólo  $7.35 \text{ N}$ . ¿Tiene el mismo orden que el del paso 8? ¿Ese valor es razonable?

**GUÍA DE SOLUCIÓN****IDENTIFICAR y PLANTEAR**

1. Existen cuatro objetos de interés en este problema: la cadena como un todo y los tres eslabones individuales. Para cada uno de estos cuatro objetos, elabore una lista de fuerzas externas que actúan sobre él. Además de la fuerza de gravedad, su lista debe incluir sólo las fuerzas ejercidas por los otros objetos que *tocan* el objeto en cuestión.
2. Algunas de las fuerzas de las listas forman pares de acción-reacción (un par es la fuerza del eslabón superior sobre el eslabón medio y la fuerza del eslabón medio sobre el eslabón superior).

## Problemas

•, •, ••: Niveles de dificultad. **PA:** Problemas acumulativos que incorporan material de capítulos anteriores. **CALC:** Problemas que requieren cálculo. **DATOS:** Problemas que incluyen datos reales, evidencia científica, diseño experimental y/o razonamiento estadístico. **BIO:** Problemas de ciencias biológicas.

### PREGUNTAS PARA ANÁLISIS

**P4.1** ¿Un cuerpo puede estar en equilibrio si sólo una fuerza actúa sobre él? Explique su respuesta.

**P4.2** Una pelota lanzada verticalmente hacia arriba tiene velocidad cero en su punto más alto. ¿Está en equilibrio ahí? ¿Por qué?

**P4.3** Un globo con helio se mantiene en el aire sin ascender ni descender. ¿Está en equilibrio? ¿Qué fuerzas actúan sobre él?

**P4.4** Al volar de noche en un avión, en aire tranquilo, no tenemos sensación de movimiento, aunque el avión vaya a 800 km/h (500 mi/h). ¿Por qué?

**P4.5** Si se jala de los extremos de una cuerda en equilibrio con fuerzas de igual magnitud, pero dirección opuesta, ¿por qué la tensión total en la cuerda no es cero?

**P4.6** Usted ata un ladrillo al extremo de una cuerda y lo hace girar alrededor de usted en un círculo horizontal. Describa la trayectoria del ladrillo después de que usted repentinamente suelta la cuerda.

**P4.7** Si un automóvil se detiene repentinamente, los pasajeros tienden a moverse hacia adelante, respecto a sus asientos. ¿Por qué? Si el automóvil da una vuelta abrupta, los pasajeros tienden a deslizarse hacia un lado. ¿Por qué?

**P4.8** Algunas personas dicen que la “fuerza de inercia” (o la “fuerza de la cantidad de movimiento”) lanza a los pasajeros hacia adelante cuando un automóvil frena bruscamente. ¿Qué error tiene esa explicación?

**P4.9** Un pasajero de un autobús en movimiento, sin ventanillas, ve que una pelota que estaba en reposo en el pasillo comienza a moverse repentinamente hacia atrás. Piense en dos posibles explicaciones y en cómo determinar cuál es correcta.

**P4.10** Suponga que usted elige como unidades fundamentales la fuerza, la longitud y el tiempo, en vez de la masa, la longitud y el tiempo. ¿Qué unidades tendría la masa en términos de las unidades fundamentales?

**P4.11** ¿Por qué la Tierra es tan sólo un sistema de referencia aproximadamente inercial?

**P4.12** ¿La segunda ley de Newton se cumple para un observador en una vagoneta que acelera, frena o da vuelta? Explique su respuesta.

**P4.13** Algunos estudiantes llaman “fuerza de aceleración” a la cantidad  $\vec{m}\ddot{\vec{a}}$ . ¿Es correcto decir que esa cantidad es una fuerza? Si es así, ¿qué ejerce dicha fuerza? Si no, ¿cómo puede describirse mejor dicha cantidad?

**P4.14** La aceleración de un cuerpo que cae se mide en un elevador que viaja hacia arriba a una rapidez constante de 9.8 m/s. ¿Qué resultado se obtiene?

**P4.15** Se puede jugar a atrapar pelotas en un autobús que se mueve con rapidez constante en un camino recto, igual que si estuviera en reposo. ¿Podemos hacerlo si el autobús da vuelta con rapidez constante en un camino horizontal? ¿Por qué?

**P4.16** Los estudiantes algunas veces afirman que la fuerza de gravedad sobre un objeto es de  $9.8 \text{ m/s}^2$ . ¿Qué es incorrecto en este punto de vista?

**P4.17** ¿Por qué puede doler más patear un peñasco que un guijarro? ¿El peñasco *debe* doler más? Explique su respuesta.

**P4.18** “No es la caída lo que lastima, es la parada repentina al final”. Traduzca este dicho al lenguaje de las leyes de Newton del movimiento.

**P4.19** Una persona puede zambullirse en el agua desde una altura de 10 m sin lastimarse, pero si salta desde un edificio de 10 m de altura y cae en una acera de concreto, seguramente se lastimarán mucho. ¿A qué se debe la diferencia?

**P4.20** ¿Por qué por seguridad los automóviles se diseñan de tal forma que se aplasten por el frente y por detrás? ¿Y por qué no para colisiones de lado y volcaduras?

**P4.21** Si se levanta un peso grande con una cuerda que apenas lo resiste, es posible levantarla jalando uniformemente; pero si se da un jalón repentino, la cuerda se rompe. Explique lo anterior en términos de las leyes de Newton del movimiento.

**P4.22** Una caja grande cuelga del extremo de una cuerda vertical. ¿La tensión en la cuerda es mayor cuando la caja está en reposo, o cuando sube con rapidez constante? Si la caja sube, ¿la tensión en la cuerda es mayor cuando está acelerando, o cuando está frenando? Explique cada caso en términos de las leyes de Newton del movimiento.

**P4.23** ¿Cuál siente un mayor jalón por la gravedad terrestre, una piedra de 10 kg o una piedra de 20 kg? Si usted las deja caer, ¿por qué la piedra de 20 kg no cae con el doble de la aceleración de la piedra de 10 kg? Explique su razonamiento.

**P4.24** ¿Por qué es incorrecto decir que  $1.0 \text{ kg}$  es igual a  $2.2 \text{ lb}$ ?

**P4.25** Un caballo está enganchado a una carreta. Puesto que el carro jala hacia atrás del caballo tan fuerte como éste jala de la carreta, ¿por qué la carreta no está en equilibrio, sin importar qué tan fuerte el caballo jale de ella?

**P4.26** ¿Verdadero o falso? Usted ejerce un empujón  $P$  sobre un objeto y éste lo empuja a usted hacia atrás con una fuerza  $F$ . Si el objeto se mueve a velocidad constante, entonces,  $F$  es igual a  $P$ , pero si el objeto acelera, entonces,  $P$  debe ser mayor que  $F$ .

**P4.27** Un camión grande y un automóvil compacto chocan de frente. Durante la colisión, el camión ejerce una fuerza  $\vec{F}_T$  sobre  $C$  sobre el automóvil, y éste ejerce una fuerza  $\vec{F}_C$  sobre  $T$  sobre el camión. ¿Cuál fuerza tiene mayor magnitud, o acaso son iguales? ¿Su respuesta depende de la rapidez de cada vehículo antes del choque? ¿Por qué?

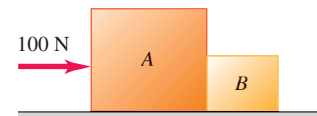
**P4.28** Cuando un automóvil se detiene en una carretera horizontal, ¿qué fuerza hace que frene? Cuando el auto aumenta su rapidez en la misma carretera, ¿qué fuerza hace que acelere? Explique su respuesta.

**P4.29** Un automóvil compacto empuja una camioneta grande averiada, y viajan por la carretera con la misma velocidad y aceleración. Cuando el auto acelera, ¿la fuerza que ejerce sobre la camioneta es mayor, menor o de la misma magnitud que la que la camioneta ejerce sobre él? ¿A cuál de los dos vehículos se aplica la mayor fuerza neta, o acaso son iguales las fuerzas netas? Explique su respuesta.

**P4.30** Considere dos personas que jalan en direcciones opuestas de los extremos de una cuerda. Por la tercera ley de Newton, la fuerza que  $A$  ejerce sobre  $B$  es tan grande como la que  $B$  ejerce sobre  $A$ . Entonces, ¿qué determina quién gana? (Sugerencia: Dibuje un diagrama de cuerpo libre que muestre todas las fuerzas que actúan sobre cada persona).

**P4.31** Las cajas  $A$  y  $B$  están en contacto sobre una superficie horizontal sin fricción. Usted empuja la caja  $A$  con una fuerza horizontal de 100 N (**figura P4.31**). La caja  $A$  pesa 150 N y la  $B$  pesa 50 N. La fuerza que la caja  $A$  ejerce sobre la caja  $B$  es igual a 100 N, mayor de 100 N o menor de 100 N? Explique su respuesta.

Figura P4.31



**P4.32** Un manual para aprendices de pilotos indica lo siguiente: “Cuando un avión vuela a una altitud constante, sin ascender ni descender, la fuerza ascendente de sustentación de las alas es igual al peso del avión. Cuando el avión asciende a ritmo constante, la

sustentación es mayor que el peso; cuando el avión desciende a ritmo constante, la sustentación es menor que el peso". ¿Son correctas tales afirmaciones? Explique su respuesta.

**P4.33** Si usted tiene las manos mojadas y no dispone de una toalla, puede eliminar el exceso de agua sacudiéndolas. ¿Por qué se elimina el agua así?

**P4.34** Si está en cuclillas (digamos, al examinar los libros del estante más bajo en una biblioteca o librería) y se levanta de forma repentina, probablemente sentirá un mareo temporal. ¿Cómo explican las leyes de Newton del movimiento este suceso?

**P4.35** Cuando un automóvil es golpeado por atrás, los pasajeros sienten un latigazo. Use las leyes de Newton del movimiento para explicar este fenómeno.

**P4.36** En un choque de frente entre dos automóviles, los pasajeros que no usan cinturón de seguridad podrían ser lanzados a través del parabrisas. Use las leyes de Newton del movimiento para explicar este fenómeno.

**P4.37** En un choque de frente entre un automóvil compacto de 1000 kg y uno grande de 2500 kg, ¿cuál experimenta mayor fuerza? Explique su respuesta. ¿Cuál experimenta mayor aceleración? ¿Por qué? Ahora explique por qué los pasajeros del auto más pequeño tienen mayor probabilidad de lesionarse que los del auto grande, aunque las carrocerías de ambos vehículos tengan la misma resistencia.

**P4.38** Suponga que está en un cohete sin ventanillas que viaja en el espacio profundo, lejos de cualquier otro objeto. Sin ver hacia afuera del cohete ni hacer contacto alguno con el mundo exterior, explique cómo podría determinar si el cohete: *a)* se mueve hacia adelante con una rapidez constante igual al 80% de la rapidez de la luz; y *b)* está acelerando hacia adelante.

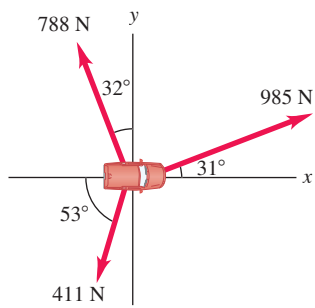
## EJERCICIOS

### Sección 4.1 Fuerza e interacciones

**4.1** • Dos perros tiran horizontalmente de cuerdas atadas a un poste; el ángulo entre las cuerdas es de  $60.0^\circ$ . Si Rover ejerce una fuerza de 270 N, y Fido, de 300 N, calcule la magnitud de la fuerza resultante y el ángulo que forma con respecto a la cuerda de Rover.

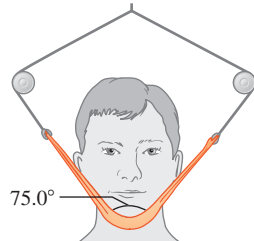
**4.2** • Unos trabajadores están tratando de liberar una camioneta atascada en el lodo. Para sacar el vehículo, usan tres cuerdas horizontales que producen los vectores de fuerza mostrados en la figura E4.2. *a)* Obtenga las componentes *x* y *y* de cada una de las tres cuerdas. *b)* Use las componentes para calcular la magnitud y dirección de la resultante de las tres cuerdas.

Figura E4.2



**4.3 • BIOL Herida bucal.** Debido a una lesión en la boca, un paciente debe usar un tirante (figura E4.3) que produce una fuerza neta hacia arriba de 5.00 N sobre su barbilla. La tensión es la misma a lo largo del tirante. ¿A qué tensión se debe ajustar el tirante para proporcionar la fuerza necesaria hacia arriba?

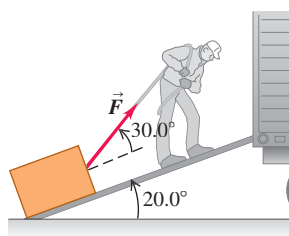
Figura E4.3



**4.4** • Un hombre arrastra hacia arriba un baúl por la rampa de un camión de mudanzas. La rampa está inclinada  $20.0^\circ$  y el hombre jala hacia arriba con una fuerza  $\vec{F}$  cuya dirección forma un ángulo de  $30.0^\circ$  con la rampa (figura E4.4). *a)* ¿Qué fuerza  $\vec{F}$  se necesita para que la componente  $F_x$  paralela a la rampa sea de 90.0 N? *b)* ¿Qué magnitud tendrá entonces la componente  $F_y$  perpendicular a la rampa?

**4.5** • Dos fuerzas,  $\vec{F}_1$  y  $\vec{F}_2$  actúan en un punto. La magnitud de  $\vec{F}_1$  es de 9.00 N, y su dirección es de  $60.0^\circ$  sobre el eje *x* en el segundo cuadrante. La magnitud de  $\vec{F}_2$  es 6.00 N, y su dirección es  $53.1^\circ$  bajo el eje *x* en el tercer cuadrante. *a)* Obtenga las componentes *x* y *y* de la fuerza resultante. *b)* Obtenga la magnitud de la fuerza resultante.

Figura E4.4



### Sección 4.3 Segunda ley de Newton

**4.6** • Un electrón (masa =  $9.11 \times 10^{-31}$  kg) sale del extremo de un cinescopio con rapidez inicial cero y viaja en línea recta hacia la rejilla donde es acelerado, a 1.80 cm de distancia, llegando a ella con rapidez de  $3.00 \times 10^6$  m/s. Si la fuerza de aceleración es constante, calcule *a)* la aceleración, *b)* el tiempo para llegar a la rejilla, y *c)* la fuerza neta en newtons (se desprecia la fuerza gravitacional sobre el electrón).

**4.7** • Un patinador de 68.5 kg, que se desliza inicialmente a 2.40 m/s sobre hielo áspero horizontal, llega al reposo de manera uniforme en 3.52 s debido a la fricción del hielo. ¿Qué fuerza ejerce la fricción sobre el patinador?

**4.8** • Usted entra en un elevador, se para sobre una báscula y oprime el botón de "subir". También recuerda que su peso normal es de 625 N. Comience a contestar cada una de las siguientes preguntas dibujando un diagrama de cuerpo libre. *a)* Si el elevador tiene una aceleración de  $2.50 \text{ m/s}^2$  hacia arriba ¿cuánto se lee en la báscula? *b)* Si usted sostiene desde el inicio un paquete de 3.85 kg con una cuerda vertical ligera, ¿cuál es la tensión en la cuerda una vez que el elevador comienza a acelerar, con la aceleración del inciso *a*)?

**4.9** • Una caja descansa sobre un estanque congelado que actúa como superficie horizontal sin fricción. Si un pescador aplica una fuerza horizontal de 48.0 N a la caja y produce una aceleración de  $2.20 \text{ m/s}^2$ , ¿qué masa tiene la caja?

**4.10** • Un estibador aplica una fuerza horizontal constante de 80.0 N a un bloque de hielo sobre un piso horizontal liso, donde la fricción es despreciable. El bloque parte del reposo y se mueve 11.0 m en 5.00 s. *a)* ¿Qué masa tiene el bloque de hielo? *b)* Si el trabajador deja de empujar a los 5.00 s, ¿qué distancia recorrerá el bloque en los siguientes 5.00 s?

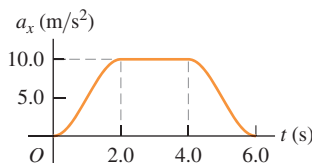
**4.11** • Un disco de hockey con masa de 0.160 kg está en reposo en el origen ( $x = 0$ ) sobre la pista de patinaje horizontal sin fricción. En el tiempo  $t = 0$ , un jugador aplica una fuerza de 0.250 N al disco, paralela al eje *x*, y deja de aplicarla en  $t = 2.00$  s. *a)* ¿Qué posición y rapidez tiene el disco en  $t = 2.00$  s? *b)* Si se aplicara otra vez esa fuerza en  $t = 5.00$  s, ¿qué posición y rapidez tiene el disco en  $t = 7.00$  s?

**4.12** • Una fuerza horizontal neta de 14.0 N actúa sobre una caja con una masa de 32.5 kg que inicialmente está en reposo en el piso de una bodega. *a)* ¿Qué aceleración se produce? *b)* ¿Qué distancia recorre la caja en 10.0 s? *c)* ¿Qué rapidez tiene después de 10.0 s?

**4.13** • Un carrito de juguete de 4.50 kg experimenta una aceleración en línea recta (el eje *x*). La gráfica de la figura E4.13 muestra esta aceleración en función del tiempo. *a)* Calcule la fuerza neta máxima sobre este carrito. ¿Cuándo ocurre esta fuerza máxi-

ma? b) ¿En qué instantes la fuerza neta sobre el carrito es constante? c) ¿Cuándo la fuerza neta es igual a cero?

Figura E4.13



- 4.14** • Un gato de 2.75 kg se mueve en línea recta (el eje  $x$ ). La figura E4.14 muestra una gráfica de la componente  $x$  de la velocidad de este gato en función del tiempo. a) Calcule la fuerza neta máxima sobre este gato. ¿Cuándo ocurre dicha fuerza? b) ¿En qué instante la fuerza neta sobre el gato es igual a cero? c) ¿Cuál es la fuerza neta cuando han transcurrido 8.5 s?

- 4.15** • Un pequeño cohete de 8.00 kg quema combustible que ejerce sobre él una fuerza hacia arriba, que varía con el tiempo (se supone una masa constante), mientras asciende sobre la plataforma de lanzamiento. Esta fuerza satisface la ecuación  $F = A + Bt^2$ . Las mediciones demuestran que en  $t = 0$ , la fuerza es de 100.0 N y al final de los primeros 2.00 s, es de 150.0 N. a) Determine las constantes  $A$  y  $B$ , incluyendo sus unidades en el SI. b) Obtenga la fuerza neta sobre este cohete y su aceleración **i.** en el instante posterior al de ignición y **ii.** 3.00 s después del inicio de la ignición. c) Suponga que usted estuvo usando el cohete en el espacio exterior, lejos de cualquier gravedad. ¿Cuál sería su aceleración 3.00 s después de la ignición?

#### Sección 4.4 Masa y peso

- 4.16** • La mochila de una astronauta pesa 17.5 N cuando está en la Tierra, pero sólo 3.24 N cuando está en la superficie de una luna. a) ¿Cuál es la aceleración debida a la gravedad en esa luna? b) ¿Cuál es la masa de la mochila en dicha luna?

- 4.17** • Supermán lanza un peñasco de 2400 N a un adversario. ¿Qué fuerza horizontal debe aplicar al peñasco para darle una aceleración horizontal de  $12.0 \text{ m/s}^2$ ?

- 4.18** • **BIO** a) Una pulga ordinaria tiene una masa de  $210 \mu\text{g}$ . ¿Cuántos newtons pesa? b) La masa de un cercopoideo normal es de 12.3 mg. ¿Cuántos newtons pesa? c) Un gato doméstico pesa normalmente 45 N. ¿Cuántas libras pesa y cuál es su masa en kilogramos?

- 4.19** • En la superficie de Io, una luna de Júpiter, la aceleración debida a la gravedad es  $g = 1.81 \text{ m/s}^2$ . Una sandía pesa 44.0 N en la superficie terrestre. a) ¿Qué masa tiene la sandía en la superficie terrestre? b) ¿Qué masa y peso tiene en la superficie del o?

#### Sección 4.5 Tercera ley de Newton

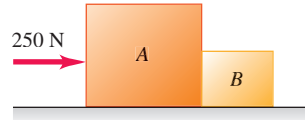
- 4.20** • Un automóvil pequeño de masa de 380 kg empuja a un camión grande de masa de 900 kg hacia el este sobre un camino horizontal. El automóvil ejerce una fuerza horizontal de 1600 N sobre el camión. ¿Cuál es la magnitud de la fuerza que el camión ejerce sobre el automóvil?

- 4.21** • **BIO** Una velocista de alto rendimiento puede arrancar del bloque de salida con una aceleración casi horizontal de magnitud  $15 \text{ m/s}^2$ . ¿Qué fuerza horizontal debe aplicar una corredora de 55 kg al bloque de salida durante el arranque para producir esta aceleración? ¿Qué cuerpo ejerce la fuerza que impulsa a la corredora: el bloque de salida o ella misma?

- 4.22** • La fuerza normal hacia arriba que el piso de un elevador ejerce sobre un pasajero que pesa 650 N es de 620 N. ¿Cuáles son las fuerzas de reacción a estas dos fuerzas? ¿El pasajero está acelerando? Si es así, ¿cuáles son la dirección y la magnitud de la aceleración?

- 4.23** • Las cajas *A* y *B* se encuentran en contacto sobre una superficie horizontal sin fricción (figura E4.23). La caja *A* tiene una masa de 20.0 kg y la caja *B* tiene una masa de 5.0 kg. Sobre la caja *A* se ejerce una fuerza horizontal de 250 N. ¿Cuál es la magnitud de la fuerza que la caja *A* ejerce sobre la caja *B*?

Figura E4.23



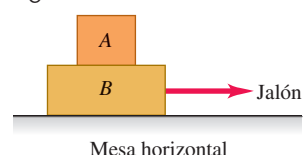
- 4.24** • Una estudiante con 45 kg de masa se lanza desde un trampolín alto. Tomando  $6.0 \times 10^{24} \text{ kg}$  como masa de la Tierra, ¿cuál es la aceleración de la Tierra hacia ella, si la de ella es de  $9.8 \text{ m/s}^2$  hacia la Tierra? Suponga que la fuerza neta sobre la Tierra es la fuerza de gravedad que la estudiante ejerce sobre aquélla.

#### Sección 4.6 Diagramas de cuerpo libre

- 4.25** • Dos cajas, *A* y *B*, descansan juntas sobre una superficie horizontal sin fricción. Las masas respectivas correspondientes son  $m_A$  y  $m_B$ . Se aplica una fuerza horizontal  $\vec{F}$  a la caja *A* y las dos cajas se mueven hacia la derecha. a) Dibuje los diagramas de cuerpo libre claramente especificados para cada caja *A* y *B*, e indique cuáles pares de fuerzas, si los hay, son pares acción-reacción según la tercera ley. b) Si la magnitud de  $\vec{F}$  es menor que el peso total de las dos cajas, ¿hará que se muevan las cajas? Explique su respuesta.

- 4.26** • Una persona jala horizontalmente del bloque *B* de la figura E4.26, haciendo que ambos bloques se muevan juntos como una unidad. Mientras este sistema se mueve, elabore un diagrama de cuerpo libre claramente especificado del bloque *A*, si a) la mesa no tiene fricción; y b) hay fricción entre el bloque *B* y la mesa, y el jalón es igual a la fuerza de fricción sobre el bloque *B* debido a la mesa.

Figura E4.26



Mesa horizontal

- 4.27** • Una pelota cuelga de una cuerda larga atada al techo del vagón de un tren que viaja al este sobre vías horizontales. Un observador dentro del tren ve que la pelota cuelga inmóvil. Dibuje un diagrama de cuerpo libre claramente especificado para la pelota, si a) el tren tiene velocidad uniforme y b) si el tren acelera de manera uniforme. ¿La fuerza neta sobre la pelota es cero en cualquier caso? Explique su respuesta.

- 4.28** • **PA** Una bala de rifle calibre .22 que viaja a  $350 \text{ m/s}$  golpea un árbol grande, penetrando a una profundidad de 0.130 m. La masa de la bala es de 1.80 g. Suponga una fuerza de frenado constante. a) ¿Cuánto tarda la bala en detenerse? b) ¿Qué fuerza, en newtons, ejerce el árbol sobre la bala?

- 4.29** • Una silla de 12.0 kg de masa descansa en un piso horizontal, que tiene cierta fricción. Usted empuja la silla con una fuerza  $F = 40.0 \text{ N}$  dirigida con un ángulo de  $37.0^\circ$  bajo la horizontal, y la silla se desliza sobre el piso. a) Dibuje un diagrama de cuerpo libre claramente especificado para la silla. b) Use su diagrama y las leyes de Newton para calcular la fuerza normal que el piso ejerce sobre la silla.

## PROBLEMAS

**4.30** •• Una caja grande que contiene su nueva computadora descansa en la plataforma de su camioneta, que está detenida en un semáforo. El semáforo cambia a verde, usted pisa el acelerador y la camioneta se acelera. Horrorizado, ve cómo la caja comienza a deslizarse hacia la parte de atrás de la camioneta. Dibuje un diagrama de cuerpo libre claramente especificado para la camioneta y otro para la caja, e indique los pares de fuerzas, si los hay, que sean pares acción-reacción según la tercera ley (la plataforma de la camioneta *no tiene* fricción).

**4.31** •• PA Una cubeta de 5.60 kg, llena de agua, se acelera hacia arriba con una cuerda de masa despreciable, cuya resistencia a la rotura es de 75.0 N. Si la cubeta parte del reposo, ¿cuál es el tiempo mínimo requerido para elevar la cubeta una distancia vertical de 12.0 m sin que la cuerda se rompa?

**4.32** •• PA Imagine que acaba de llegar al planeta X y deja caer una pelota de 100 g desde una altura de 10.0 m, la cual tarda 3.40 s en llegar al suelo. Puede ignorar cualquier fuerza que la atmósfera del planeta ejerza sobre la pelota. ¿Cuánto pesa la pelota de 100 g en la superficie del planeta X?

**4.33** •• Dos adultos y un niño quieren empujar un carrito con ruedas en la dirección  $x$  como se ilustra en la figura P4.33. Ambos adultos empujan con fuerzas horizontales  $F_1$  y  $F_2$  como se ilustra en la figura. a) Calcule la magnitud y dirección de la fuerza *más pequeña* que el niño debería ejercer. Se pueden despreciar los efectos de la fricción. b) Si el niño ejerce la fuerza mínima obtenida en el inciso a), el carrito acelerará a  $2.0 \text{ m/s}^2$  en la dirección  $+x$ . ¿Cuánto pesa el carrito?

**4.34** •• PA Los motores de un buque tanque se averiaron y el viento empuja la nave con rapidez constante de  $1.5 \text{ m/s}$  directo hacia un arrecife (figura P4.34). Cuando el barco está a 500 m del arrecife, el viento cesa y el maquinista logra poner en marcha los motores. El timón está atorado, así que la única opción es intentar acelerar hacia atrás para alejarse del arrecife. La masa del buque y su carga es de  $3.6 \times 10^7 \text{ kg}$  y los motores producen una fuerza horizontal neta de  $8.0 \times 10^4 \text{ N}$  sobre el buque. ¿Colisionará el barco contra el arrecife? Si lo hace, ¿se derramará el petróleo? El casco puede resistir impactos a una rapidez de  $0.2 \text{ m/s}$  o menos. Puede despreciarse la fuerza de retardo que el agua ejerce sobre el casco del buque.

Figura P4.33

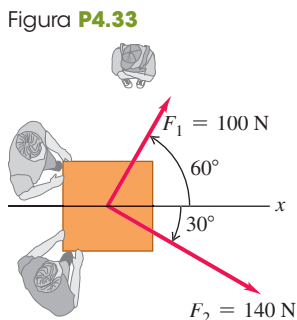
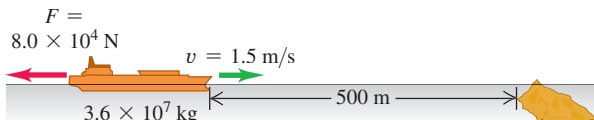


Figura P4.33



**4.35** •• PA BIO Salto vertical sin carrera. El jugador de baloncesto Darrell Griffith tiene el récord de salto vertical sin carrera de 1.2 m (4 ft). (Esto significa que subió 1.2 m después de que sus pies se separaron del piso). Griffith pesaba 890 N (200 lb). a) ¿Qué rapidez tenía al separarse del piso? b) Si sus pies tardaron 0.300 s en separarse del piso después de que Griffith inició su salto, ¿qué aceleración media (magnitud y dirección) tuvo mientras se estaba impulsando contra el piso? c) Dibuje su diagrama de cuerpo libre. En términos de las fuerzas del diagrama, ¿qué fuerza neta actuó sobre Griffith? Use las leyes de Newton y los resultados del inciso b) para calcular la fuerza media que aplicó sobre el piso.

**4.36** •• PA Un anuncio asegura que cierto automóvil puede “detenerse en una moneda de diez centavos”. ¿Qué fuerza neta sería necesaria

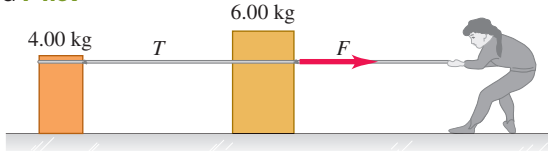
para detener un auto de 850 kg que viaja a 45.0 km/h en una distancia igual al diámetro de una moneda de 10 centavos de dólar, 1.8 cm?

**4.37** •• BIO Biomecánica humana. El lanzamiento de béisbol más rápido que se ha medido es de 46 m/s. Por lo regular, una pelota de béisbol tiene una masa de 145 g. Si el lanzador ejerció su fuerza (suponiendo una fuerza horizontal y constante) en una distancia de 1.0 m, a) ¿qué fuerza produjo sobre la pelota durante este lanzamiento de establecimiento del récord? b) Dibuje los diagramas de cuerpo libre de la pelota durante el lanzamiento y justo *después* de salir de la mano del lanzador.

**4.38** •• BIO Biomecánica humana. La medida del servicio de tenis más rápido, realizado por “Big Bill” Tilden en 1931, fue de 73.14 m/s. La masa de una pelota de tenis es de 57 g, y la pelota normalmente está en contacto con la raqueta durante 30.0 ms, partiendo del reposo. Suponiendo aceleración constante, a) ¿qué fuerza produjo la raqueta de Big Bill sobre la pelota de tenis si la golpeó horizontalmente? b) Dibuje los diagramas de cuerpo libre de la pelota de tenis durante el servicio y exactamente después de abandonar la raqueta.

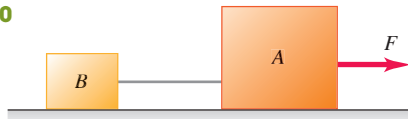
**4.39** • Dos cajas, una de 4.00 kg y la otra con una masa de 6.00 kg, descansan en la superficie sin fricción de un estanque congelado, unidas por una cuerda delgada (figura P4.39). Una mujer con zapatos de golf (los cuales le dan tracción sobre el hielo) aplica un jalón horizontal  $F$  a la caja de 6.00 kg y le imparte una aceleración de  $2.50 \text{ m/s}^2$ . a) ¿Qué aceleración tiene la caja de 4.00 kg? b) Dibuje un diagrama de cuerpo libre para la caja de 4.00 kg y úselo junto con la segunda ley de Newton para calcular la tensión  $T$  en la cuerda que une las dos cajas. c) Dibuje un diagrama de cuerpo libre para la caja de 6.00 kg. ¿Qué dirección tiene la fuerza neta sobre esta caja? ¿Cuál tiene mayor magnitud, la fuerza  $T$  o la fuerza  $F$ ? d) Use el inciso c) y la segunda ley de Newton para calcular la magnitud de la fuerza  $F$ .

Figura P4.39



**4.40** •• PA Dos bloques conectados mediante una cuerda horizontal ligera se encuentran sobre una superficie horizontal sin fricción. El bloque A tiene una masa de 15.0 kg y el B tiene masa  $m$ . Sobre el bloque A se aplica una fuerza horizontal constante  $F = 60.0 \text{ N}$  (figura P4.40). En los primeros 5.00 s después de aplicada la fuerza, el bloque A se mueve 18.0 m a la derecha. a) Mientras los bloques se mueven, ¿cuál es la tensión  $T$  en la cuerda que conecta los dos bloques? b) ¿Cuál es la masa del bloque B?

Figura P4.40



**4.41** • CALC Con la finalidad de estudiar los daños en aviones que collisionan con aves grandes, usted diseña un cañón para acelerar objetos del tamaño de un pollo, de modo que su desplazamiento en el cañón esté dado por  $x = (9.0 \times 10^3 \text{ m/s}^2)y^2 - (8.0 \times 10^4 \text{ m/s}^3)y^3$ . El objeto sale del cañón en  $t = 0.025 \text{ s}$ . a) ¿Qué longitud debe tener el cañón? b) ¿Con qué rapidez salen los objetos del cañón? c) ¿Qué fuerza neta debe ejercerse sobre un objeto de 1.50 kg en: i.  $t = 0$  y ii.  $t = 0.025 \text{ s}$ ?

**4.42** •• PA Un instrumento de 6.50 kg se cuelga de un alambre vertical dentro de una nave espacial que despega de la superficie de la Tierra. Esta nave parte del reposo y alcanza una altitud de 276 m en 15.0 s con aceleración constante. a) Dibuje un diagrama de cuerpo libre para el instrumento durante este tiempo. Indique qué fuerza es mayor. b) Obtenga la fuerza que ejerce el alambre sobre el instrumento.

**4.43 •• BIO Dinámica de insectos.** El cercopoideo (*Philaenus spumarius*), campeón saltador del mundo de los insectos, tiene una masa de 12.3 mg, y cuando salta (en la mayoría de los saltos de mayor energía), despega del suelo a una velocidad de 4.0 m/s en un salto vertical. El salto en sí dura 1.0 ms antes de que el insecto deje de tocar el piso. Suponiendo aceleración constante, *a)* dibuje un diagrama de cuerpo libre de este tremendo saltador durante el salto; *b)* calcule la fuerza que el suelo ejerce sobre el insecto durante el salto; y *c)* exprese la fuerza del inciso *b)* en términos del peso del insecto.

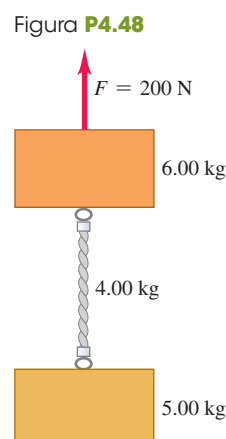
**4.44 •** Un elevador cargado, cuyos cables están muy desgastados, tiene masa total de 2200 kg, y los cables resisten una tensión máxima de 28,000 N. *a)* Dibuje el diagrama de cuerpo libre del elevador. En términos de las fuerzas de su diagrama, ¿qué fuerza neta actúa sobre el elevador? Aplique la segunda ley de Newton al elevador y calcule con qué aceleración máxima puede subir el elevador sin que se rompan los cables. *b)* ¿Cuál sería la respuesta al inciso *a)* si el elevador estuviera en la Luna, donde  $g = 1.62 \text{ m/s}^2$ ?

**4.45 •• PA** Después de la revisión anual, una persona sale del consultorio médico donde pesó 683 N. Al llegar al elevador encuentra que éste tiene una báscula. Determine la magnitud y dirección de la aceleración del elevador si en la báscula se lee *a)* 725 N y *b)* 595 N.

**4.46 ••• PA** La cabeza de un martillo de 4.9 N con velocidad inicial de 3.2 m/s hacia abajo es detenido en una distancia de 0.45 cm por un clavo en una tabla de pino. Además del peso, la persona que lo usa le aplica una fuerza descendente de 15 N. Suponga que la aceleración de la cabeza del martillo es constante mientras está en contacto con el clavo y se mueve hacia abajo. *a)* Dibuje un diagrama de cuerpo libre para la cabeza del martillo. Identifique la fuerza de reacción de cada fuerza de acción del diagrama. *b)* Calcule la fuerza hacia abajo  $\vec{F}$  ejercida por la cabeza del martillo sobre el clavo, mientras está en contacto con él y moviéndose hacia abajo. *c)* Suponga que la tabla es de madera dura y la distancia que el martillo recorre al detenerse es de solo 0.12 cm. Las fuerzas descendentes sobre el martillo son las mismas que las del inciso *b)*. ¿Qué fuerza  $\vec{F}$  ejerce ahora la cabeza del martillo sobre el clavo, mientras está en contacto con él y moviéndose hacia abajo?

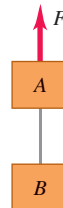
**4.47 •• PA Salto al suelo.** Un hombre de 75.0 kg se lanza desde una plataforma situada 3.10 m sobre el suelo. Mantiene las piernas rectas al caer pero, al tocar el piso, dobla las rodillas y, tratado como partícula, avanza 0.60 m más antes de detenerse. *a)* ¿Qué rapidez tiene al tocar el suelo? *b)* Tratándolo como partícula, ¿con qué aceleración (magnitud y dirección) se frena, si la aceleración se supone constante? *c)* Dibuje su diagrama de cuerpo libre. En términos de las fuerzas del diagrama, ¿qué fuerza neta actúa sobre él? Use las leyes de Newton y los resultados del inciso *b)* para calcular la fuerza media que sus pies ejercen sobre el piso al amortiguar la caída. Exprese la fuerza en newtons y como múltiplo de su peso.

**4.48 •• Los dos bloques de la figura P4.48** están unidos por una cuerda gruesa uniforme con masa de 4.00 kg. Se aplica una fuerza de 200 N hacia arriba, como se indica. *a)* Dibuje tres diagramas de cuerpo libre: uno para el bloque de 6.00 kg, otro para la cuerda de 4.00 kg y otro para el bloque de 5.00 kg. Para cada fuerza, indique qué cuerpo la ejerce. *b)* ¿Qué aceleración tiene el sistema? *c)* ¿Qué tensión hay en la parte superior de la cuerda? *d)* ¿Y en su parte media?



**4.49 •• PA** Dos cajas, *A* y *B*, están unidas a cada extremo de una cuerda vertical ligera (figura P4.49). A la caja *A*, se le aplica una fuerza constante hacia arriba  $F = 80.0 \text{ N}$ . Partiendo del reposo, la caja *B* desciende 12.0 m en 4.00 s. La tensión en la cuerda que une las dos cajas es de 36.0 N. *a)* ¿Cuál es la masa de la caja *B*? *b)* ¿Cuál es la masa de la caja *A*?

Figura P4.49



**4.50 •• PA Física extraterrestre.** Ha aterrizado en un planeta desconocido, Newtonia, y quiere saber cuánto pesan los objetos ahí. Cuando empuja una cierta herramienta, a partir del reposo, en una superficie horizontal sin fricción con una fuerza de 12.0 N, la herramienta se desplaza a 16.0 m en los primeros 2.00 s. Luego observa que al soltar esta herramienta a partir del reposo a 10.0 m arriba del suelo, tarda 2.58 s en llegar al suelo. ¿Cuánto pesa la herramienta en Newtonia y cuánto en la Tierra?

**4.51 •• PA CALC** Un objeto misterioso de masa igual a 45.0 kg es impulsado, a partir del reposo, por un cohete, en medio de un lago horizontal congelado y sin fricción. Luego se aplica una fuerza dirigida hacia el este y de magnitud  $F(t) = (16.8 \text{ N/s})t$ . ¿Qué distancia viaja el objeto en los primeros 5.00 s después de aplicar la fuerza?

**4.52 ••• CALC** En una prueba la posición de un helicóptero de entrenamiento de  $2.75 \times 10^5 \text{ N}$  está dada por  $\hat{r} = (0.020 \text{ m/s}^3)t^3\hat{i} + (2.2 \text{ m/s})t\hat{j} - (0.060 \text{ m/s}^2)t^2\hat{k}$ . Determine la fuerza neta sobre el helicóptero en  $t = 5.0 \text{ s}$ .

**4.53 •• DATOS** La tabla\* indica datos del desempeño de autos para diferentes tipos de ellos:

Armadora y modelo (año)	Masa (kg)	Tiempo (s) para llegar de 0 a 60 mph
Alpha Romeo 4C (2013)	895	4.4
Honda Civic 2.0i (2011)	1320	6.4
Ferrari F430 (2004)	1435	3.9
Ford Focus RS500 (2010)	1468	5.4
Volvo S60 (2013)	1650	7.2

\*Fuente: www.autosnout.com

*a)* Durante la aceleración de 0 a 60 mph, ¿cuál automóvil tiene el mayor promedio de fuerza neta actuando sobre él? ¿Cuál el más pequeño? *b)* Durante esta aceleración, ¿en qué auto la fuerza neta media sobre un pasajero de 72 kg sería la mayor? ¿En cuál la menor? *c)* Cuando el Ferrari F430 acelera de 0 a 100 mph en 8.6 s, ¿cuál es la fuerza neta media que actúa sobre él? ¿Cómo se compara esta fuerza neta con la fuerza neta media durante la aceleración de 0 a 60 mph? Explique por qué estas fuerzas netas medias podrían diferir. *d)* Comente por qué un auto tiene una velocidad tope. ¿Cuál es la fuerza neta sobre un Ferrari F430 cuando viaja a su velocidad tope de 196 mph?

**4.54 •• DATOS** Una caja de 8.00 kg se encuentra sobre el suelo. Una persona le da un empujón brusco y se encuentra que ha viajado 8.22 m en 2.8 s antes de que se detenga nuevamente. *a)* Con un diferente empujón la caja recorre 4.20 m en 2.0 s. ¿Piensa usted que la caja tiene aceleración constante conforme va disminuyendo su velocidad? Explique su razonamiento. *b)* Se le colocan libros encima de la caja para aumentar su masa. Al repetir el experimento, se le da un empujón a la caja y se mide en cuánto tiempo y en qué distancia se

detiene la caja. Los resultados, incluyendo el experimento inicial sin masa agregada, son los indicados en la tabla:

Masa agregada (kg)	Distancia (m)	Tiempo (s)
0	8.22	2.8
3.00	10.75	3.2
7.00	9.45	3.0
12.0	7.10	2.6

En cada caso, con el empujón, ¿se tiene la misma velocidad inicial? ¿Cuál es la relación entre la mayor velocidad inicial y la menor velocidad inicial para estos cuatro casos? c) ¿La fuerza horizontal media  $f$  ejercida sobre la caja por el piso es la misma en cada caso? Trace la gráfica de la magnitud de la fuerza  $f$  contra la masa total  $m$  de la caja más su contenido, y utilice su grafica para determinar una ecuación para  $f$  en función de  $m$ .

**4.55 •• DATOS** Se tiene a una persona audaz que va a lugares donde ninguna persona ha ido. Llega a un planeta distante y visita un laboratorio de pruebas de ingeniería. En un experimento, se tiene una cuerda corta y ligera que está unida a la parte superior de un bloque y se aplica una fuerza constante  $F$  dirigida hacia arriba al otro extremo de la cuerda. El bloque tiene una masa  $m$  e inicialmente se encuentra en reposo. Conforme varía  $F$ , se registra el tiempo para que el bloque se mueva hacia arriba como 8.00 m. Los valores obtenidos se indican en la tabla:

F(N)	Tiempo (s)
250	3.3
300	2.2
350	1.7
400	1.5
450	1.3
500	1.2

a) Trace la gráfica de  $F$  contra la aceleración  $a$  del bloque. b) Use su grafica para determinar la masa  $m$  del bloque y la aceleración de la gravedad  $g$  en la superficie del planeta. Observe que aun en ese planeta los valores medidos tienen algún error experimental.

## PROBLEMA DE DESAFÍO

**4.56 ••• CALC** Un objeto de masa  $m$  está en el origen, en reposo y en equilibrio. En  $t = 0$  se aplica una fuerza  $\vec{F}(t)$  con componentes

$$F_x(t) = k_1 + k_2 y \quad F_y(t) = k_3 t$$

donde  $k_1$ ,  $k_2$  y  $k_3$  son constantes. Calcule los vectores de posición  $\vec{r}(t)$  y velocidad  $\vec{v}(t)$  en función del tiempo.

## PROBLEMAS DE TRANSICIÓN

**BIO FUERZAS SOBRE EL CUERPO DE UN BAILARÍN.** Los bailarines experimentan grandes fuerzas asociadas con los saltos que hacen. Por ejemplo, cuando una bailarina baja después de un salto vertical, la fuerza ejercida sobre la cabeza por el cuello debe exceder el peso de la cabeza lo suficiente para causar que la cabeza reduzca la velocidad y se detenga. La cabeza tiene cerca del 9.4% de la masa de una persona común. El análisis del video del descenso de una bailarina de 65 kg después de un salto vertical muestra que la cabeza se desacelera de 4.0 m/s al reposo en un tiempo de 0.20 s.

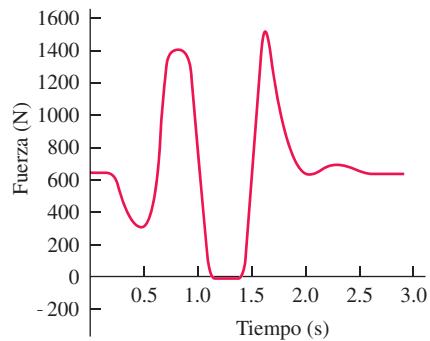
**4.57** ¿Cuál es la magnitud de la fuerza media que ejerce el cuello en la cabeza durante el descenso? a) 0 N; b) 60 N; c) 120 N; d) 180 N .

**4.58** Comparada con la fuerza que ejerce su cuello sobre su cabeza durante el descenso, la fuerza que ejerce la cabeza sobre su cuello es a) la misma; b) mayor; c) más pequeña; d) mayor durante la primera mitad del descenso y menor durante la segunda mitad del descenso.

**4.59** Mientras que la bailarina está en el aire manteniendo una postura fija, ¿cuál es la magnitud de la fuerza que su cuello ejerce sobre su cabeza? a) 0 N; b) 60 N; c) 120 N; d) 180 N .

**4.60** Las fuerzas sobre una bailarina pueden ser medidas directamente cuando ella realiza un salto sobre una placa de fuerzas que mide la fuerza entre sus pies y el suelo. En la figura P4.60 se muestra una gráfica de la fuerza contra el tiempo durante un salto vertical realizado sobre una placa de fuerzas. ¿Qué está sucediendo en 0.4 s? La bailarina está a) doblando sus piernas para que su cuerpo se acelere hacia abajo; b) elevando su cuerpo con sus piernas y casi lista para saltar; c) en el aire y en la parte superior de su salto; d) descendiendo y sus pies apenas han tocado el suelo.

Figura P4.60



## Respuestas

### Pregunta de inicio del capítulo ?

v. La tercera ley de Newton nos dice que la barra empuja al pesista tanto como el pesista empuja a la barra en *todas* las circunstancias, sin importar cómo se está moviendo la barra. Sin embargo, la magnitud de la fuerza que ejerce el pesista es diferente en circunstancias distintas. La magnitud de esta fuerza es igual al peso de la barra cuando la barra está en reposo, al moverse hacia arriba con una rapidez constante o al moverse hacia abajo con una rapidez constante; es mayor que el peso de la barra cuando ésta se acelera hacia arriba; y es menor que el peso de la barra cuando ésta se acelera hacia abajo. Sin embargo, en cada caso el empuje de la barra sobre el pesista tiene exactamente la misma magnitud que el empuje del pesista sobre la barra.

### Respuesta a las secciones

#### Evalúe su comprensión

**4.1 iv.** La fuerza gravitacional sobre la caja apunta verticalmente hacia abajo. En la figura 4.5 el eje *x* apunta hacia arriba a la derecha, y el eje *y* apunta hacia arriba a la izquierda. Por lo tanto, la fuerza gravitacional tiene tanto una componente *x* como una componente *y*, y ambas son negativas.

**4.2 i, ii y iv.** En i., ii. y iv. el cuerpo no acelera, por lo que la fuerza neta sobre él es cero. [En la situación iv., la caja permanece en reposo, vista en el sistema de referencia inercial del suelo, mientras el camión acelera hacia adelante, como la patinadora de la figura 4.10a]. En la situación iii., el halcón vuela en círculo; por lo tanto, está acelerando y *no* está en equilibrio.

**4.3 iii, i y iv (vinculados), ii.** La aceleración es igual a la fuerza neta dividida entre la masa. Por lo tanto, la magnitud de la aceleración en cada situación es

- i.  $a = (2.0 \text{ N})/(2.0 \text{ kg}) = 1.0 \text{ m/s}^2$ ;
- ii.  $a = (8.0 \text{ N})/(2.0 \text{ N}) = 4.0 \text{ m/s}^2$ ;
- iii.  $a = (2.0 \text{ N})/(8.0 \text{ kg}) = 0.25 \text{ m/s}^2$ ;
- iv.  $a = (8.0 \text{ N})/(8.0 \text{ kg}) = 1.0 \text{ m/s}^2$ .

**4.4** El astronauta requeriría esforzarse el doble para caminar porque su peso en ese planeta sería el doble que en la Tierra. En cambio, sería igual de fácil atrapar la pelota que se mueve horizontalmente. La *masa* de la pelota no cambia, así que la fuerza horizontal que el astronauta tendría que ejercer para detenerla (esto es, para impartirle la misma aceleración) sería la misma que en la Tierra.

**4.5** Por la tercera ley de Newton, las dos fuerzas tienen la misma magnitud. Como la masa del automóvil es mucho mayor que la del mosquito, el vehículo experimenta una aceleración minúscula, imperceptible, en respuesta a la fuerza del impacto. En cambio, el mosquito, con su masa tan pequeña, experimenta una aceleración catastróficamente alta.

**4.6 iv.** La fuerza de flotación (empuje) es una fuerza *hacia arriba* que el *agua* ejerce sobre el *buzo*. Por la tercera ley de Newton, la otra mitad del par acción-reacción es una fuerza *hacia abajo* que el *buzo* ejerce sobre el *agua* y tiene la misma magnitud que la fuerza de flotación. Es cierto que el peso del buzo también es hacia abajo y tiene la misma magnitud que el empuje; sin embargo, el peso actúa sobre el mismo cuerpo (el buzo) que la fuerza de flotación y, por lo tanto, estas fuerzas no constituyen un par acción-reacción.

#### Problema práctico

- a) i.  $2.20 \text{ m/s}^2$ ; ii.  $6.00 \text{ N}$ ; iii.  $3.00 \text{ N}$



?

Cada una de las semillas que se soplan de la cabeza de un diente de león (género *Taraxacum*) tiene una estructura de pluma llamada vilano, el cual actúa como un paracaídas y permite que la semilla sea llevada por el viento y que suavemente a la deriva llegue a la tierra. Si una semilla con su vilano desciende “hacia abajo” con una rapidez constante, ¿cuál de las fuerzas que actúan sobre la semilla tiene una magnitud mayor? **i.** la fuerza de la gravedad **ii.** la fuerza hacia arriba ejercida por el aire, **iii.** ambas fuerzas tienen la misma magnitud; **iv.** depende de la rapidez con la que desciende la semilla.

# 5 APLICACIÓN DE LAS LEYES DE NEWTON

## OBJETIVOS DE APRENDIZAJE

Al estudiar este capítulo, usted aprenderá:

- 5.1 Cómo usar la primera ley de Newton para resolver problemas donde intervienen fuerzas que actúan sobre un cuerpo en equilibrio.
- 5.2 Cómo usar la segunda ley de Newton para resolver problemas donde intervienen fuerzas que actúan sobre un cuerpo con aceleración.
- 5.3 La naturaleza de los diferentes tipos de fuerzas de fricción: de fricción estática, de fricción cinética, de fricción de rodamiento y de resistencia de fluidos; y cómo resolver problemas relacionados con tales fuerzas.
- 5.4 Cómo resolver problemas donde intervienen fuerzas que actúan sobre un cuerpo que se mueve en una trayectoria circular.
- 5.5 Las propiedades importantes de las cuatro fuerzas fundamentales de la naturaleza.

Repase lo estudiado en la sección ...

- 1.8 Determinación de las componentes de un vector a partir de su magnitud y dirección.
- 2.4 Movimiento rectilíneo uniformemente acelerado.
- 3.3 Movimiento de proyectiles.
- 3.4 Movimiento circular uniforme y no uniforme.
- 4.1 Superposición de fuerzas.
- 4.2 Primera ley de Newton.
- 4.3 Segunda ley de Newton.
- 4.4 Masa y peso.
- 4.5 Tercera ley de Newton.

**E**n el capítulo 4 vimos que las tres leyes de Newton del movimiento, que constituyen los cimientos de la mecánica clásica, tienen un planteamiento muy sencillo; no obstante, su *aplicación* a ciertas situaciones, como un velero para hielo que se desliza sobre un lago congelado, un trineo que se desliza colina abajo o un avión que efectúa una vuelta cerrada, requiere capacidad analítica y técnicas de solución de problemas. En este capítulo ampliaremos las destrezas para resolver problemas que el lector comenzó a desarrollar en el capítulo 4.

Comenzaremos con problemas de equilibrio, en los cuales se analizan las fuerzas que actúan sobre un cuerpo en reposo o que se mueve con velocidad constante. Luego se considerarán cuerpos que no están en equilibrio, para lo que necesitaremos examinar la relación entre fuerzas y movimiento. Aprenderemos a describir y analizar la fuerza de contacto que actúa sobre un cuerpo que descansa o se desliza sobre una superficie. También estudiaremos las fuerzas que actúan sobre un cuerpo que se mueve en un círculo con rapidez constante. Cerraremos el capítulo con una mirada breve a la naturaleza fundamental de la fuerza y las clases de fuerzas que hay en nuestro universo físico.

## 5.1 EMPLEO DE LA PRIMERA LEY DE NEWTON: PARTÍCULAS EN EQUILIBRIO

En el capítulo 4 vimos que un cuerpo está en *equilibrio* si se encuentra en reposo o se mueve con velocidad constante en un sistema de referencia inercial. Una lámpara que cuelga, una mesa de cocina y un avión que vuela en línea recta con altitud y rapidez constantes son ejemplos de situaciones de equilibrio. En esta sección sólo consideraremos el equilibrio de un cuerpo que puede modelarse como partícula. (En el capítulo 11 veremos cómo analizar un cuerpo en equilibrio que no se puede representar adecuadamente como si fuera una partícula; por ejemplo, un puente que está sostenido en varios puntos de su longitud). El principio físico fundamental es la primera ley de Newton:

**Primera ley de Newton:**  $\sum \vec{F} = \mathbf{0}$  ... debe ser cero para un cuerpo en equilibrio.

La fuerza neta sobre un cuerpo ...

La suma de las componentes en  $x$  de la fuerza sobre el cuerpo debe ser cero.

$$\sum F_x = 0$$

La suma de las componentes en  $y$  de la fuerza sobre el cuerpo debe ser cero.

$$\sum F_y = 0$$

Esta sección trata sobre el uso de la primera ley de Newton para resolver problemas de cuerpos en equilibrio. Quizás algunos de los problemas parezcan complicados; no obstante, lo importante es recordar que *todos* los problemas que implican partículas en equilibrio se resuelven de igual forma. La estrategia para resolver problemas 5.1 detalla los pasos a seguir para resolver todos estos problemas. Estudie detenidamente la estrategia, vea cómo se aplica en los ejemplos resueltos y trate de aplicarla al resolver los problemas de tarea.

## ESTRATEGIA PARA RESOLVER PROBLEMAS 5.1 PRIMERA LEY DE NEWTON: EQUILIBRIO DE UNA PARCÍCULA

**IDENTIFICAR** los conceptos relevantes: Se debe usar la *primera ley de Newton*, ecuaciones 5.1) en cualquier problema que implique fuerzas que actúan sobre un cuerpo en equilibrio, es decir, que esté en reposo o en movimiento con velocidad constante. Por ejemplo, un automóvil se encuentra en equilibrio cuando está estacionado, pero también cuando viaja por una carretera recta con rapidez constante.

Si en el problema intervienen varios cuerpos y éstos interactúan, también será preciso usar la *tercera ley de Newton*, la cual nos permite relacionar la fuerza que un cuerpo ejerce sobre un segundo cuerpo con la fuerza que este último ejerce sobre el primero.

Identifique la(s) incógnita(s). En los problemas de equilibrio, las incógnitas suelen ser la magnitud y dirección (el ángulo) de una de las fuerzas, o las componentes de ésta.

**PLANTEAR** el problema siguiendo estos pasos:

1. Elabore un dibujo muy sencillo de la situación física, con dimensiones y ángulos. ¡No tiene que ser una obra de arte!
2. Para cada cuerpo en equilibrio, dibuje un diagrama de cuerpo libre. Por ahora, consideramos el cuerpo como partícula, así que represéntelo con un punto grande. *No* incluya en el diagrama los otros cuerpos que interactúan con él, como la superficie donde descansa, o una cuerda que jala de él.
3. Pregúntese ahora qué interactúa con el cuerpo tocándolo o de alguna otra forma. En el diagrama de cuerpo libre, dibuje un vector fuerza para cada interacción e identifique cada fuerza con un símbolo que represente su *magnitud*. Si conoce el ángulo de la fuerza, dibújelo con exactitud e identifíquelo. Incluya el peso del cuerpo, a menos que su masa sea despreciable. Si se conoce la masa, use  $w = mg$  para obtener el peso. Una superficie en contacto con el cuerpo ejerce una fuerza normal perpendicular a la superficie y tal vez una fuerza de fricción paralela a la superficie. Una cuerda o una cadena, a lo largo de su longitud, solo pueden jalar de un cuerpo (no empujarlo).

4. En el diagrama de cuerpo libre *no* muestre todas las fuerzas que el cuerpo en cuestión *ejerce* sobre otro cuerpo. Las sumas de las ecuaciones (5.1) y (5.2) sólo incluyen fuerzas que actúan *sobre* el cuerpo. Para cada fuerza sobre el cuerpo, pregúntese “¿qué otro cuerpo causa esa fuerza?”. Si no puede contestar, tal vez esté imaginando una fuerza inexistente.
5. Elija sus ejes de coordenadas e incluyalos en su diagrama de cuerpo libre. (Si hay más de un cuerpo en el problema, es preciso elegir ejes por separado para cada cuerpo). Identifique la dirección positiva de cada eje. Si un cuerpo descansa o se desliza sobre una superficie plana, suele ser más sencillo tomar los ejes en las direcciones paralela y perpendicular a ella, aun si está inclinada.

**EJECUTAR** la solución como sigue:

1. Obtenga las componentes de cada fuerza a lo largo de cada uno de los ejes de coordenadas del cuerpo. Marque con una línea ondulada cada vector que se haya sustituido por sus componentes, para no tomarlo en cuenta dos veces. Aunque la *magnitud* de una fuerza siempre es positiva, sus *componentes* pueden ser positivas o negativas.
2. Igualé a cero la suma algebraica de las componentes  $x$  de las fuerzas. En otra ecuación, haga lo mismo con las componentes  $y$ . (*Nunca* sume componentes  $x$  y  $y$  en una sola ecuación).
3. Si hay dos o más cuerpos, repita los pasos anteriores para cada uno. Si los cuerpos interactúan, utilice la tercera ley de Newton para relacionar las fuerzas que ejercen entre sí.
4. Asegúrese de tener la misma cantidad de ecuaciones independientes y de incógnitas. Resuelva estas ecuaciones para obtener las incógnitas.

**EVALUAR** la respuesta: Verifique que sus resultados sean lógicos. Si la solución es una expresión simbólica o una fórmula, verifique que esta funcione para casos especiales (valores específicos o casos extremos de diversas cantidades), con los que pueda hacer una estimación rápida.

### EJEMPLO 5.1 EQUILIBRIO UNIDIMENSIONAL: TENSIÓN EN UNA CUERDA SIN MASA

Una gimnasta de masa  $m_G = 50.0$  kg se cuelga del extremo inferior de una cuerda colgante de masa despreciable. El extremo superior está fijo al techo de un gimnasio. a) ¿Cuánto pesa la gimnasta? b) ¿Qué fuerza (magnitud y dirección) ejerce la cuerda sobre ella? c) ¿Qué tensión hay en la parte superior de la cuerda?

#### SOLUCIÓN

**IDENTIFICAR y PLANTEAR:** La gimnasta y la cuerda están en equilibrio, así que aplicamos la primera ley de Newton a ambos cuerpos. Usaremos la tercera ley de Newton para relacionar las fuerzas que



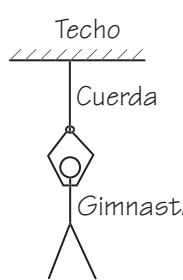
ejercen entre sí. Las incógnitas son el peso de la gimnasta,  $w_G$ , la fuerza que la parte inferior de la cuerda ejerce sobre la gimnasta (llamémosla  $T_C$  sobre  $G$ ) y la fuerza que el techo ejerce sobre la parte superior de la cuerda (llamémosla  $T_T$  sobre  $C$ ). La figura 5.1 muestra el diagrama de la situación y los diagramas de cuerpo libre de la gimnasta y la cuerda. Tomaremos el eje  $+y$  hacia arriba en cada diagrama. Todas las fuerzas actúan verticalmente, así que sólo tienen componente en  $y$ .

Las fuerzas  $T_C$  sobre  $G$  (la fuerza hacia arriba de la cuerda sobre la gimnasta en la figura 5.1b) y  $T_G$  sobre  $C$  (la fuerza hacia abajo de la gimnasta sobre la cuerda en la figura 5.1c) forman un par acción-reacción, así que por la tercera ley de Newton deben tener la misma magnitud.

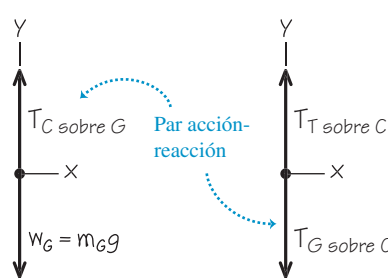
Observe que la figura 5.1c únicamente incluye las fuerzas que actúan *sobre* la cuerda. En particular, no incluye la fuerza que la *cuerda* ejerce sobre el *techo* (compare esto con el caso de la manzana en el ejemplo conceptual 4.9 de la sección 4.5).

### 5.1 Diagramas para este problema.

a) La situación



b) Diagrama de cuerpo libre de la gimnasta



c) Diagrama de cuerpo libre de la cuerda



**EJECUTAR:** a) La magnitud del peso de la gimnasta es el producto de su masa por la aceleración debida a la gravedad,  $g$ :

$$w_G = m_G g = (50.0 \text{ kg})(9.80 \text{ m/s}^2) = 490 \text{ N}$$

b) La fuerza gravitacional sobre la gimnasta (su peso) apunta en la dirección  $-y$ , así que su componente en esa dirección es  $-w_G$ . La fuerza hacia arriba que la cuerda ejerce sobre la gimnasta tiene magnitud desconocida  $T_C$  sobre  $G$  y una componente  $y$  positiva  $+T_C$  sobre  $G$ . Calculamos esto usando la primera ley de Newton de las ecuaciones (5.1):

Gimnasta:  $\sum F_y = T_C \text{ sobre } G + (-w_G) = 0$  así que

$$T_C \text{ sobre } G = w_G = 490 \text{ N}$$

La cuerda jala de la gimnasta *hacia arriba* con una fuerza  $T_C$  sobre  $G$  de 490 N de magnitud. (Por la tercera ley de Newton, la gimnasta jala de la cuerda *hacia abajo* con una fuerza de la misma magnitud,  $T_G$  sobre  $C$  = 490 N).

c) Hemos supuesto que la cuerda no tiene peso, así que las únicas fuerzas sobre ella son las ejercidas por el techo (fuerza hacia arriba de magnitud desconocida  $T_T$  sobre  $C$ ) y por la gimnasta (fuerza hacia abajo de magnitud  $T_G$  sobre  $C$  = 490 N). Por la primera ley de Newton, la fuerza vertical *neta* sobre la cuerda en equilibrio debe ser igual a cero:

Cuerda:  $\sum F_y = T_T \text{ sobre } C + (-T_G \text{ sobre } C) = 0$  así que

$$T_T \text{ sobre } C = T_G \text{ sobre } C = 490 \text{ N}$$

**EVALUAR:** La *tensión* en cualquier punto de la cuerda es la magnitud de la fuerza que actúa en ese punto. En el caso de esta cuerda sin peso, la tensión  $T_G$  sobre  $C$  en el extremo inferior tiene el mismo valor que la tensión  $T_T$  sobre  $C$  en el extremo superior. De hecho, en una cuerda ideal sin peso, la tensión tiene el mismo valor en todos los puntos de la cuerda. (Vea el análisis del ejemplo conceptual 4.10 de la sección 4.5).

### EJEMPLO 5.2 EQUILIBRIO UNIDIMENSIONAL: TENSIÓN EN UNA CUERDA CON MASA



Calcule la tensión en cada extremo de la cuerda del ejemplo 5.1, si el peso de la cuerda es de 120 N.

#### SOLUCIÓN

**IDENTIFICAR y PLANTEAR:** Al igual que en el ejemplo 5.1, las incógnitas son las magnitudes  $T_G$  sobre  $C$  y  $T_T$  sobre  $C$  de las fuerzas que actúan sobre las partes inferior y superior de la cuerda, respectivamente. De nuevo, aplicaremos la primera ley de Newton a la gimnasta y a la cuerda, y usaremos la tercera ley de Newton para relacionar las fuerzas que la gimnasta y la cuerda ejercen una sobre la otra. Una vez más, dibujamos diagramas de cuerpo libre individuales para la gimnasta (figura 5.2a) y para la cuerda (figura 5.2b). Pero ahora existe una *tercera* fuerza que actúa sobre la cuerda: el peso de ésta, con una magnitud  $w_C$  = 120 N.

**EJECUTAR:** El diagrama de cuerpo libre de la gimnasta es el mismo del ejemplo 5.1, así que su condición de equilibrio tampoco ha cambiado. Por la tercera ley de Newton,  $T_C$  sobre  $G$  =  $T_G$  sobre  $C$ , y tenemos nuevamente

$$\text{Gimnasta: } \sum F_y = T_C \text{ sobre } G + (-w_G) = 0 \quad \text{así que}$$

$$T_C \text{ sobre } G = T_G \text{ sobre } C = w_G = 490 \text{ N}$$

La condición de equilibrio  $\sum F_y = 0$  para la cuerda es ahora

$$\text{Cuerda: } \sum F_y = T_T \text{ sobre } C + (-T_G \text{ sobre } C) + (-w_C) = 0$$

Observe que la componente  $y$  de  $T_T$  sobre  $C$  es positiva porque apunta en la dirección  $+y$ , pero las componentes  $y$  tanto de  $T_G$  sobre  $C$  como de  $w_C$  son negativas. Despejamos  $T_T$  sobre  $C$  y sustituimos los valores  $T_G$  sobre  $C$  =  $T_C$  sobre  $G$  = 490 N y  $w_C$  = 120 N:

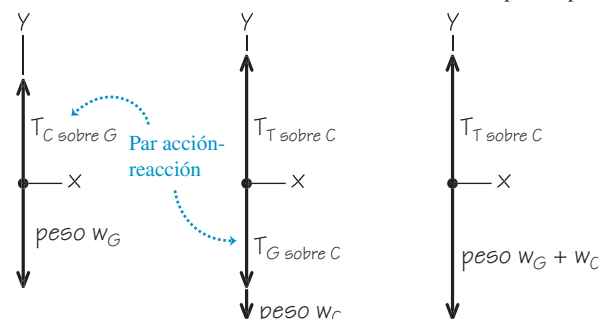
$$T_T \text{ sobre } C = T_T \text{ sobre } C + w_C = 490 \text{ N} + 120 \text{ N} = 610 \text{ N}$$

**5.2 Diagramas para este problema incluyendo el peso de la cuerda.**

a) Diagrama de cuerpo libre para la gimnasta

b) Diagrama de cuerpo libre para la cuerda

c) Diagrama de cuerpo libre para la gimnasta y la cuerda, considerados como un cuerpo compuesto



**EVALUAR:** Cuando incluimos el peso de la cuerda, la tensión es *diferente* en los dos extremos de la cuerda: 610 N en la parte superior y 490 N en la parte inferior. La fuerza  $T_T$  sobre  $C$  = 610 N que el techo ejerce debe sostener tanto el peso de 490 N de la gimnasta como el peso de 120 N de la cuerda.

Para ver esto más claramente, se dibuja un diagrama de cuerpo libre de un cuerpo compuesto por la gimnasta y la cuerda consideradas como unidad (figura 5.2c). Únicamente actúan dos fuerzas externas sobre este cuerpo compuesto: la fuerza  $T_T$  sobre  $C$  ejercida por el techo y el peso total  $w_G + w_C$  = 490 N + 120 N = 610 N. (Las

fuerzas  $T_G$  sobre C y  $T_C$  sobre G son *internas* al cuerpo compuesto. La primera ley de Newton sólo se aplica para fuerzas *externas*, de modo que las fuerzas internas no se consideran). Por lo tanto, la primera ley de Newton aplicada al cuerpo compuesto es

$$\text{Cuerpo compuesto: } \sum F_y = T_{\text{T sobre C}} + [-(w_G + w_C)] = 0$$

así que  $T_{\text{T sobre C}} = w_G + w_C = 610 \text{ N}$ .

El tratar a la gimnasta y la cuerda como cuerpo compuesto es más sencillo, pero así no podemos obtener la tensión  $T_G$  sobre C en el extremo inferior de la cuerda. *La moraleja es: Siempre que haya más de un cuerpo en un problema en el que intervienen las leyes de Newton, lo más pertinente es tratar a cada cuerpo individualmente.*

### EJEMPLO 5.3 EQUILIBRIO BIDIMENSIONAL



En la **figura 5.3a**, un motor de peso  $w$  cuelga de una cadena unida mediante un anillo  $O$  a otras dos cadenas, una sujetada al techo y la otra a la pared. Obtenga las expresiones para la tensión en cada una de las tres cadenas en términos de  $w$ . Los pesos de las cadenas y el anillo son despreciables comparados con el peso del motor.

#### SOLUCIÓN

**IDENTIFICAR y PLANTEAR:** Las incógnitas son las magnitudes de las tensiones  $T_1$ ,  $T_2$  y  $T_3$  en las tres cadenas (figura 5.3a). Todos los cuerpos están en equilibrio, así que usaremos la primera ley de Newton. Necesitamos tres ecuaciones independientes, una para cada incógnita. Sin embargo, la aplicación de la primera ley de Newton a un solo cuerpo únicamente nos da *dos* ecuaciones [las ecuaciones x y y de las ecuaciones (5.1)]. Por lo tanto, será preciso considerar más de un cuerpo en equilibrio. Examinaremos el motor (sobre el que actúa  $T_1$ ) y el anillo (que está unido a las tres cadenas, así que sobre él actúan las tres tensiones).

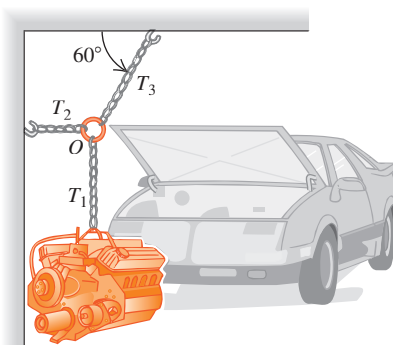
Las figuras 5.3b y 5.3c muestran los diagramas de cuerpo libre, incluyendo un sistema de coordenadas. Hay dos fuerzas que actúan sobre el motor: su peso  $w$  y la fuerza hacia arriba  $T_1$  ejercida por la cadena vertical. Las tres fuerzas que actúan sobre el anillo son las tensiones de la cadena vertical ( $T_1$ ), la de la cadena horizontal ( $T_2$ ) y la de la cadena inclinada ( $T_3$ ). Como la cadena vertical tiene peso despreciable, ejerce fuerzas de la misma magnitud  $T_1$  en ambos extremos (vea el ejemplo 5.1). (Si el peso de esta cadena no fuera despreciable, ambas fuerzas tendrían diferentes magnitudes, como la cuerda del ejemplo 5.2). El peso del anillo también es despreciable, así que no se incluye en la figura 5.3c.

**EJECUTAR:** Las fuerzas que actúan sobre el motor están solamente sobre el eje y; entonces, de acuerdo con la primera ley de Newton [ecuaciones (5.1)],

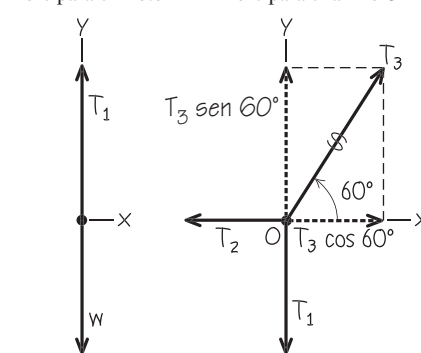
$$\text{Motor: } \sum F_y = T_1 + (-w) = 0 \quad \text{y} \quad T_1 = w$$

#### 5.3 Diagramas para este problema.

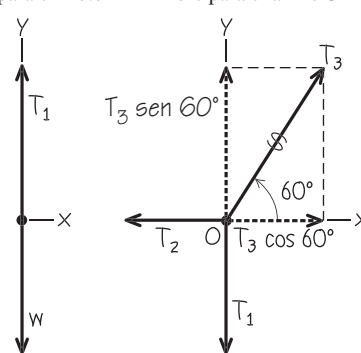
a) Motor, cadenas y anillo



b) Diagrama de cuerpo libre para el motor



c) Diagrama de cuerpo libre para el anillo O





SOLUCIÓN

**EJEMPLO 5.4 UN PLANO INCLINADO**

Un automóvil de peso  $w$  descansa sobre una rampa sujetada a un remolque (**figura 5.4a**). Solamente un cable unido al automóvil evita que baje de la rampa. (Los frenos y la transmisión del vehículo están desactivados). Calcule la tensión en el cable y la fuerza que la rampa ejerce sobre los neumáticos.

**SOLUCIÓN**

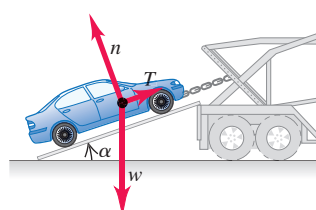
**IDENTIFICAR:** El automóvil está en equilibrio, así que usaremos la primera ley de Newton. La rampa ejerce una fuerza individual sobre cada neumático del vehículo; pero, por sencillez, juntaremos todas estas fuerzas en una sola. Otra simplificación es que despreciaremos la fuerza de fricción que la rampa ejerce sobre los neumáticos (vea la figura 4.2b). Por lo tanto, la rampa sólo ejerce una fuerza sobre el auto que es perpendicular a la rampa. Al igual que en la sección 4.1, llamaremos a esta fuerza la fuerza *normal* (vea la figura 4.2a). Las dos incógnitas son la magnitud  $n$  de la fuerza normal y la magnitud  $T$  de la tensión en el cable.

**PLANTEAR:** La figura 5.4 ilustra la situación y el diagrama de cuerpo libre para el automóvil. Las tres fuerzas que actúan sobre el automóvil son su peso (magnitud  $w$ ), la tensión del cable (magnitud  $T$ ) y la fuerza normal (magnitud  $n$ ). Observe que el ángulo  $\alpha$  entre la rampa y la horizontal es igual al ángulo  $\alpha$  entre el vector peso  $\vec{w}$  y la recta normal hacia abajo del plano de la rampa. Observe también que tomamos los ejes de coordenadas  $x$  y  $y$  paralelo y perpendicular a la rampa, de modo que únicamente se necesita calcular una fuerza (el peso) en las componentes  $x$  y  $y$ . Si eligiéramos ejes que fueran horizontal y vertical, tendríamos que descomponer tanto la fuerza normal como la tensión en componentes.

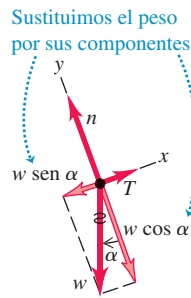
**EJECUTAR:** Para escribir las componentes  $x$  y  $y$  de la primera ley de Newton, necesitamos obtener las componentes del peso. Una complicación es que el ángulo  $\alpha$  en la figura 5.4b no se mide del eje  $+x$  al eje  $+y$ , así que *no podemos* usar las ecuaciones (1.5) directamente para obtener las componentes. (Quizás usted desee repasar la sección 1.8, para asegurarse de que comprende este detalle importante).

**5.4 Un cable sostiene un automóvil en reposo sobre una rampa.**

a) Automóvil sobre una rampa



b) Diagrama de cuerpo libre del automóvil



Una manera de obtener las componentes de  $\vec{w}$  es considerar los triángulos rectángulos de la figura 5.4b. El seno de  $\alpha$  es la magnitud de la componente  $x$  de  $\vec{w}$  (es decir, el cateto opuesto al ángulo  $\alpha$  del triángulo) dividida entre la magnitud  $w$  (la hipotenusa). Asimismo, el coseno de  $\alpha$  es la magnitud de la componente  $y$  (el cateto adyacente al ángulo  $\alpha$  del triángulo) dividida entre  $w$ . Ambas componentes son negativas, así que  $w_x = -w \sin \alpha$  y  $w_y = -w \cos \alpha$ .

Otra estrategia sería reconocer que una componente de  $\vec{w}$  debe intervenir en el sen  $\alpha$ , y la otra en el cos  $\alpha$ . Para decidir cuál es cuál, dibuje el diagrama de cuerpo libre, de modo que el ángulo  $\alpha$  sea apreciablemente mayor o menor que  $45^\circ$ . (Le recomendamos no ceder a la tendencia natural de dibujar tales ángulos cercanos a  $45^\circ$ ). Aquí dibujamos las figuras 5.4b de modo que  $\alpha$  sea menor que  $45^\circ$ , lo cual implica que  $\sin \alpha$  es menor que  $\cos \alpha$ . La figura muestra que la componente  $x$  de  $\vec{w}$  es menor que la componente  $y$ , así que en la componente  $x$  deberá intervenir  $\sin \alpha$ ; y en la componente  $y$ ,  $\cos \alpha$ . Obtenemos otra vez  $w_x = -w \sin \alpha$  y  $w_y = -w \cos \alpha$ .

En la figura 5.4b marcamos con una línea ondulada el vector original que representa el peso para recordar que no debemos tomarlo en cuenta dos veces. La primera ley de Newton nos da

$$\sum F_x = T + (-w \sin \alpha) = 0$$

$$\sum F_y = n + (-w \cos \alpha) = 0$$

(Recuerde que  $T$ ,  $w$  y  $n$  son *magnitudes* de vectores y, por lo tanto, son positivas). Al despejar  $T$  y  $n$ , obtenemos

$$T = w \sin \alpha$$

$$n = w \cos \alpha$$

**EVALUAR:** Los valores obtenidos para  $T$  y  $n$  dependen del valor de  $\alpha$ . Para verificar esta dependencia, examinaremos ciertos casos especiales. Si la rampa es horizontal ( $\alpha$  es cero), obtenemos  $T = 0$  y  $n = w$ . Como se esperaría, no se necesita la tensión  $T$  del cable para sostener al automóvil, y la fuerza normal  $n$  es igual en magnitud al peso. Si la rampa es vertical ( $\alpha = 90^\circ$ ), obtenemos  $T = w$  y  $n = 0$ . La tensión  $T$  del cable sostiene todo el peso del automóvil, y no hay empuje del automóvil sobre la rampa.

**CUIDADO** Quizá la fuerza normal y el peso no sean iguales Es un error común suponer que la magnitud  $n$  de la fuerza normal es igual al peso  $w$ : nuestro resultado demuestra que, en general, eso *no* siempre es cierto. Es mejor tratar a  $n$  como una variable y calcular su valor, como hicimos aquí. □

¿Cómo cambiarían los valores de  $T$  y  $n$  si el automóvil fuera jalado hacia arriba con rapidez constante? Esto también es una situación de equilibrio, pues la velocidad del automóvil es constante. Por lo tanto, el cálculo es idéntico, y  $T$  y  $n$  tienen los mismos valores que cuando el auto está en reposo. (Es verdad que  $T$  debe ser mayor que  $w \sin \alpha$  para *iniciar* el movimiento ascendente del automóvil por la rampa, pero eso no es lo que preguntamos).



SOLUCIÓN

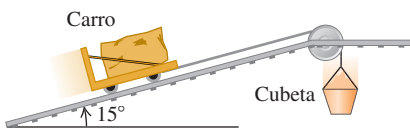
**EJEMPLO 5.5 EQUILIBRIO DE CUERPOS UNIDOS POR UN CABLE Y UNA POLEA**

Su empresa necesita transportar bloques de granito de una cantera por una pendiente de  $15^\circ$  y los desechos se acumulan en la cantera para llenar agujeros. Usted diseña un sistema donde una cubeta con desechos (de peso  $w_2$ , incluida la cubeta) jala de un bloque de granito en un carro (de peso  $w_1$ , incluido el carro), que tiene ruedas

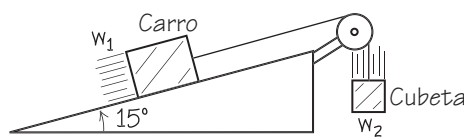
de acero y se encuentra sobre rieles también de acero, al caer verticalmente a la cantera (**figura 5.5a**). ¿Qué relación debe haber entre  $w_1$  y  $w_2$  para que el sistema funcione con rapidez constante. Desprecie la fricción en la polea y en las ruedas del carro, así como el peso del cable.

### 5.5 Nuestros diagramas para este problema.

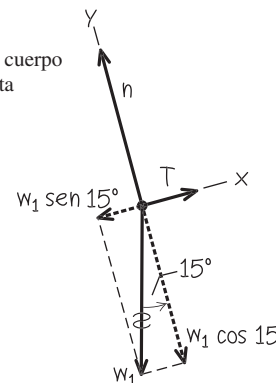
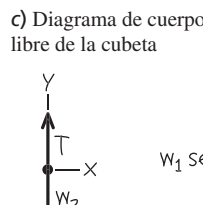
- a) Una cubeta llena de desechos jala de un carro que lleva un bloque de granito.



- b) Modelo idealizado del sistema.



- c) Diagrama de cuerpo libre de la cubeta



### SOLUCIÓN

**IDENTIFICAR y PLANTEAR:** El carro y la cubeta se mueven con velocidad constante (es decir, en línea recta con rapidez constante). Así que los dos cuerpos están en equilibrio y aplicamos la primera ley de Newton a cada uno. Nuestra incógnita es una expresión que relacione los pesos  $w_1$  y  $w_2$ .

La figura 5.5b es nuestro modelo idealizado del sistema y las figuras 5.5c y 5.5d son los diagramas de cuerpo libre. Las dos fuerzas que actúan sobre la cubeta son su peso  $w_2$  y la tensión hacia arriba ejercida por el cable. Al igual que en el automóvil sobre la rampa del ejemplo 5.4, sobre el carro actúan tres fuerzas: su peso  $w_1$ , la fuerza normal de magnitud  $n$  ejercida por los rieles y la fuerza de tensión del cable. Como se supuso que el cable tiene peso despreciable, las fuerzas de tensión que ejerce el cable sobre el carro y la cubeta tienen la misma magnitud  $T$ . (Estamos ignorando la fricción, así que suponemos que los rieles no ejercen ninguna fuerza sobre el carro paralela a la pendiente). Observe que podemos orientar los ejes de forma distinta para cada cuerpo; las opciones que se muestran son las más convenientes. Encontramos las componentes de la fuerza del peso de la misma manera que lo hicimos en el ejemplo 5.4 (Compare la figura 5.5d con la figura 5.4b).

**EJECUTAR:** Aplicando  $\sum F_y = 0$  a la cubeta en la figura 5.5c, tenemos

$$\sum F_y = T + (-w_2) = 0 \quad \text{así que} \quad T = w_2$$

Aplicando  $\sum F_x = 0$  al carro (y al bloque) en la figura 5.5d,

$$\sum F_x = T + (-w_1 \sin 15^\circ) = 0 \quad \text{por lo que} \quad T = w_1 \sin 15^\circ$$

Igualando ambas expresiones para  $T$ , se obtiene

$$w_2 = w_1 \sin 15^\circ = 0.26w_1$$

**EVALUAR:** Nuestro análisis no depende de la dirección en que se mueven el carro y la cubeta. Por lo tanto, el sistema puede moverse con rapidez constante en *cualquier* dirección, si el peso de la cubeta con desechos es el 26% del peso del carro y el bloque de granito. ¿Qué sucedería si  $w_2$  fuera mayor que  $0.26w_1$ ? ¿Y si fuera menor que  $0.26w_1$ ?

Observe que no fue necesario aplicar la ecuación  $\sum F_y = 0$  al carro y al bloque. ¿Puede usted demostrar que  $n = w_1 \cos 15^\circ$ ?

**EVALÚE SU COMPRENSIÓN DE LA SECCIÓN 5.1** Un semáforo de peso  $w$  cuelga de dos cables ligeros, uno a cada lado. Los dos cables cuelgan con un ángulo de  $45^\circ$  con respecto a la horizontal. ¿Qué tensión hay en cada cable? i.  $w/2$ ; ii.  $w/\sqrt{2}$ ; iii.  $w$ ; iv.  $w\sqrt{2}$ ; v.  $2w$ . **|**

## 5.2 USO DE LA SEGUNDA LEY DE NEWTON: DINÁMICA DE PARTÍCULAS

Ahora podemos analizar problemas de *dinámica*, donde aplicaremos la segunda ley de Newton a cuerpos sobre los cuales la fuerza neta *no* es cero. Tales cuerpos *no* están en equilibrio, es decir, tienen aceleración:

**Segunda ley de Newton:**  $\sum \vec{F} = m\vec{a}$  ... el cuerpo tiene *aceleración* en la misma dirección que la fuerza neta.  
Si la fuerza neta sobre un cuerpo no es cero ... Masa del cuerpo ... es igual a la masa del cuerpo por la componente de la aceleración correspondiente.

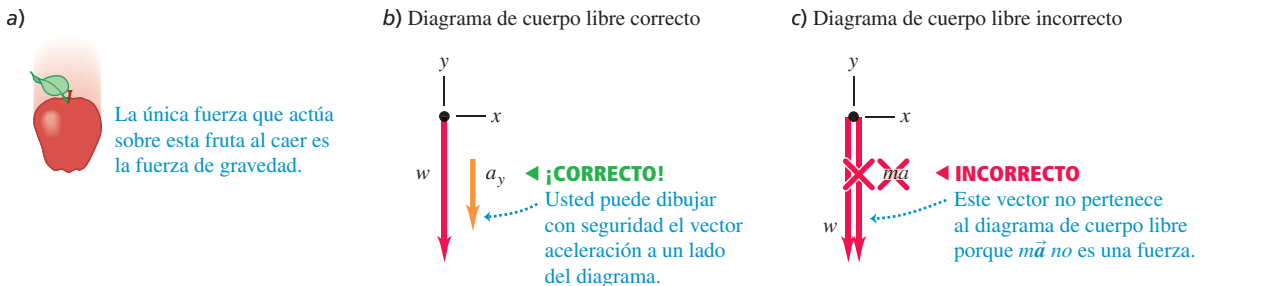
Cada componente de la fuerza neta sobre el cuerpo ...  $\sum F_x = ma_x$   $\sum F_y = ma_y$  ... corresponde.

(5.2)

### 5.6 Diagramas de cuerpo libre correcto e incorrecto para un cuerpo que cae.



La única fuerza que actúa sobre esta fruta al caer es la fuerza de gravedad.



La estrategia de solución de problemas que presentaremos en seguida es muy similar a la estrategia para resolver problemas 5.1, en cuanto al equilibrio, de la sección 5.1. Estúdiela con detenimiento, vea cómo se aplica en los ejemplos y úsela para resolver los problemas al final del capítulo. *Todos* los problemas de dinámica pueden resolverse con esta estrategia.

**CUIDADO**  $m\vec{a}$  no pertenece a los diagramas de cuerpo libre Recuerde que la cantidad  $m\vec{a}$  es el *resultado* de las fuerzas que actúan sobre un cuerpo, *no* es una fuerza. Al dibujar el diagrama de cuerpo libre de un cuerpo con aceleración (como la fruta de la figura 5.6a), *nunca* incluya “la fuerza  $m\vec{a}$ ” porque *no existe tal fuerza* (figura 5.6c). Repase la sección 4.3 si esto todavía no le ha quedado claro. En ocasiones dibujaremos el vector aceleración  $m\vec{a}$  junto a un diagrama de cuerpo libre, como en la figura 5.6b; pero *nunca* lo dibujaremos con su cola tocando el cuerpo (posición reservada exclusivamente para las fuerzas que actúan sobre el cuerpo). □

### ESTRATEGIA PARA RESOLVER PROBLEMAS 5.2 SEGUNDA LEY DE NEWTON: DINÁMICA DE PARTÍCULAS

**IDENTIFICAR** los conceptos relevantes: Se tiene que usar la segunda ley de Newton, ecuaciones (5.2), al resolver *cualquier* problema donde intervengan fuerzas que actúan sobre un cuerpo con aceleración.

Identifique la incógnita, que suele ser una aceleración o una fuerza; de lo contrario, habrá que usar otro concepto. Por ejemplo, suponga que le piden determinar con qué rapidez se está moviendo un trineo cuando llega al pie de una colina. La segunda ley de Newton le permitirá calcular la aceleración del trineo; después, tendrá que usar las relaciones para aceleración constante de la sección 2.4 y determinar la velocidad a partir de la aceleración.

**PLANTEAR** el problema siguiendo estos pasos:

1. Elabore un dibujo sencillo de la situación que muestre los cuerpos en movimiento. Dibuje un diagrama de cuerpo libre para cada cuerpo, que muestre todas las fuerzas que actúan sobre el mismo. [Las sumas en las ecuaciones (5.2) incluyen las fuerzas que actúan sobre el cuerpo, *no* las fuerzas que él ejerce sobre otros objetos]. Asegúrese de ser capaz de contestar la pregunta: “¿Qué otro cuerpo está aplicando esta fuerza?” para cada fuerza de su diagrama. Nunca incluya la cantidad  $m\vec{a}$  en su diagrama de cuerpo libre: ¡no es una fuerza!
2. Identifique cada fuerza con un símbolo algebraico para representar su magnitud. Por lo regular, una de las fuerzas será el peso del cuerpo; normalmente, lo mejor es identificarlo como  $w = mg$ .
3. Elija los ejes de coordenadas  $x$  y  $y$  para cada objeto y muéstrelas en cada diagrama de cuerpo libre. No olvide indicar cuál es la dirección positiva de cada eje. En caso de que se conozca la dirección de la aceleración, la situación normalmente se simplifica si se elige esa dirección como la dirección positiva de uno de los ejes. Si en el problema intervienen dos o más objetos y éstos se aceleran en direcciones distintas, se pueden usar distintos ejes para cada objeto.
4. Identifique otras ecuaciones que podría necesitar, además de la segunda ley de Newton,  $\sum \vec{F} = m\vec{a}$ . Por ejemplo, quizás requiera una o más de las ecuaciones para movimiento con aceleración constante. Si intervienen dos o más cuerpos, podrían existir relaciones entre sus movimientos; por ejemplo, cuando los cuerpos están unidos con una cuerda. Exprese todas esas relaciones en forma de ecuaciones que relacionen las aceleraciones de los cuerpos.

**EJECUTAR** la solución como sigue:

1. Para cada objeto, determine las componentes de las fuerzas a lo largo de cada eje de coordenadas. Cuando represente una fuerza en términos de sus componentes, marque con una línea ondulada el vector original para recordar no incluirlo dos veces.
2. Elabore una lista de todas las cantidades conocidas y desconocidas, identificando las incógnitas.
3. Para cada objeto, escriba una ecuación individual de cada componente de la segunda ley de Newton, en forma de las ecuaciones (5.2). Además, escriba las ecuaciones adicionales que identificó en el paso 4 de “Plantear”. (Se necesitan tantas ecuaciones como incógnitas haya).
4. Realice el trabajo fácil: ¡los cálculos! Resuelva las ecuaciones para obtener la(s) incógnita(s).

**EVALUAR** la respuesta: ¿Su respuesta tiene las unidades correctas? (Cuando sea pertinente, utilice la conversión  $1 \text{ N} = 1 \text{ kg} \cdot \text{m/s}^2$ ). ¿Tiene el signo algebraico adecuado? Si es posible, considere valores específicos o casos extremos, y compare los resultados con lo que esperaba intuitivamente. Pregúntese: “¿El resultado es lógico?”.



## EJEMPLO 5.6 MOVIMIENTO RECTILÍNEO CON UNA FUERZA CONSTANTE

Un velero para hielo descansa sobre una superficie horizontal sin fricción (**figura 5.7a**). Sopla un viento constante en la dirección de los patines del trineo, de modo que 4.0 s después de soltarse el velero, este adquiere una velocidad de 6.0 m/s (aproximadamente 22 km/h o 13 mi/h). ¿Qué fuerza constante  $F_W$  ejerce el viento sobre el velero? La masa total del velero más el tripulante es de 200 kg.

### SOLUCIÓN

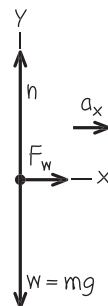
**IDENTIFICAR y PLANTEAR:** Nuestra incógnita es una de las fuerzas ( $F_W$ ) que actúan sobre el velero con aceleración, así que necesitaremos usar la segunda ley de Newton. Las fuerzas que actúan sobre este objeto y el tripulante (considerados como un solo objeto) son el peso  $w$ , la fuerza normal  $n$  ejercida por la superficie y la fuerza horizontal  $F_W$ . La figura 5.7b muestra el diagrama de cuerpo libre. La fuerza neta  $y$ , por lo tanto, la aceleración están dirigidas a la derecha, así que elegimos el eje  $+x$  en esa dirección. La aceleración es desconocida, así que habrá que calcularla. Como el viento es constante, se supone que ejerce una fuerza constante y la aceleración producida es constante, de modo que podremos usar una de las fórmulas de aceleración constante de la sección 2.4.

### 5.7 Los diagramas de este problema.

a) Velero para hielo y tripulante sobre hielo sin fricción



b) Diagrama de cuerpo libre del velero y su tripulante



El velero parte del reposo (su velocidad inicial es  $v_{0x} = 0$ ) y alcanza una velocidad  $v_x = 6.0 \text{ m/s}$  después del tiempo transcurrido  $t = 4.0 \text{ s}$ . Una ecuación que relaciona la aceleración  $a_x$  con esas cantidades es la ecuación (2.8),  $v_x = v_{0x} + a_x t$ . No hay aceleración vertical, así que la fuerza normal sobre el velero tiene una magnitud igual a su peso  $w$ .

**EJECUTAR:** Las cantidades *conocidas* son la masa  $m = 200 \text{ kg}$ , las velocidades inicial y final  $v_{0x} = 0$  y  $v_x = 6.0 \text{ m/s}$ , y el tiempo transcurrido  $t = 4.0 \text{ s}$ . Las tres *incógnitas* son la aceleración  $a_x$ , la fuerza normal  $n$  y la fuerza horizontal  $F_W$ . Por lo tanto, necesitamos tres ecuaciones.

Las primeras dos son las ecuaciones  $x$  y  $y$  para la segunda ley de Newton. La fuerza  $F_W$  tiene la dirección  $+x$ ; en tanto que las fuerzas  $n$  y  $w = mg$  tienen las direcciones  $+y$  y  $-y$ , respectivamente. Por lo tanto, tenemos

$$\sum F_x = F_W = ma_x$$

$$\sum F_y = n + (-mg) = 0 \quad \text{así que} \quad n = mg$$

La tercera ecuación es la relación de aceleración constante, la ecuación (2.8):

$$v_x = v_{0x} + a_x t$$

Para obtener  $F_W$ , primero despejamos  $a_x$  de esta ecuación y la sustituimos en la ecuación de  $\sum F_x$ :

$$a_x = \frac{v_x - v_{0x}}{t} = \frac{6.0 \text{ m/s} - 0 \text{ m/s}}{4.0 \text{ s}} = 1.5 \text{ m/s}^2$$

$$F_W = ma_x = (200 \text{ kg})(1.5 \text{ m/s}^2) = 300 \text{ kg} \cdot \text{m/s}^2$$

Como  $1 \text{ kg} \cdot \text{m/s}^2 = 1 \text{ N}$ , la respuesta final es

$$F_W = 300 \text{ N} \text{ (aproximadamente 67 lb)}$$

**EVALUAR:** Los valores que obtuvimos para  $F_W$  y  $n$  tienen unidades correctas de fuerza, y (como se esperaba) la magnitud  $n$  de la fuerza normal es igual a  $mg$ . ¿Es razonable que la fuerza  $F_W$  sea mucho menor que  $mg$ ?



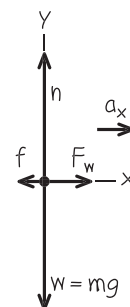
## EJEMPLO 5.7 MOVIMIENTO RECTILÍNEO CON FRICTION

Suponga que hay una fuerza de fricción horizontal constante con magnitud de 100 N que se opone al movimiento del velero del ejemplo 5.6. En este caso, ¿qué fuerza  $F_W$  constante debe ejercer el viento sobre el velero para producir la misma aceleración constante  $a_x = 1.5 \text{ m/s}^2$ ?

### SOLUCIÓN

**IDENTIFICAR y PLANTEAR:** Una vez más, la incógnita es  $F_W$ . Nos dan la aceleración, así que sólo necesitamos la segunda ley de Newton para obtener  $F_W$ . La **figura 5.8** muestra el nuevo diagrama de cuerpo libre. La única diferencia con respecto a la figura 5.7b es la adición de la fuerza de fricción  $f$ , que apunta en la dirección  $x$  (opuesta al movimiento). Como el viento debe ahora superar la fuerza de fricción para mantener la misma aceleración del ejemplo 5.6, se espera que el valor de  $F_W$  sea mayor que los 300 N obtenidos anteriormente.

**5.8 Diagrama de cuerpo libre del velero y su tripulante con una fuerza de fricción  $f$  opuesta al movimiento.**



Continúa

**EJECUTAR:** Ahora hay dos fuerzas con componente  $x$ : la fuerza del viento y la fuerza de fricción. La componente  $x$  de la segunda ley de Newton nos da

$$\sum F_x = F_W + (-f) = ma_x$$

$$F_W = ma_x + f = (200 \text{ kg})(1.5 \text{ m/s}^2) + (100 \text{ N}) = 400 \text{ N}$$

**EVALUAR:** El valor de la fuerza requerida  $F_W$  es 100 N mayor que la del ejemplo 5.6 porque ahora el viento debe empujar 100 N adicionales en contra de la fuerza de fricción.



### EJEMPLO 5.8 TENSIÓN EN UN CABLE DE ELEVADOR

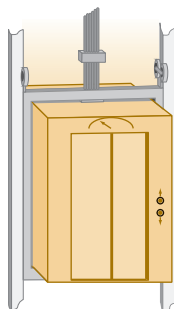
Un elevador y su carga tienen una masa total de 800 kg (figura 5.9a). Inicialmente, el elevador se mueve hacia abajo a 10.0 m/s; se freña hasta detenerse con aceleración constante en una distancia de 25.0 m. Calcule la tensión  $T$  en el cable de soporte mientras el elevador se está deteniendo.

#### SOLUCIÓN

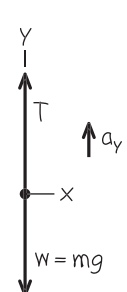
**IDENTIFICAR y PLANTEAR:** La incógnita es la tensión  $T$ , que obtendremos con la segunda ley de Newton. Al igual que en el ejemplo 5.6, tendremos que determinar la aceleración usando la fórmula de aceleración constante. El diagrama de cuerpo libre (figura 5.9b) muestra las dos fuerzas que actúan sobre el elevador: su peso  $w$  y la fuerza de tensión  $T$  del cable. El elevador baja disminuyendo su rapidez, así que su aceleración es hacia arriba; elegimos el eje  $+y$  en esa dirección.

#### 5.9 Los diagramas para este problema.

a) Elevador en descenso



b) Diagrama de cuerpo libre del elevador



El elevador se mueve en la dirección  $-y$ , así, su velocidad inicial  $v_{0y} = -10.0 \text{ m/s}$  y su desplazamiento  $y - y_0$  son negativos:  $v_{0y} = -10.0 \text{ m/s}$  y  $y - y_0 = -25.0 \text{ m}$ . La velocidad final es  $v_y = 0$ . Para obtener la aceleración  $a_y$  a partir de esta información, usaremos la ecuación (2.13) en la forma  $v_y^2 = v_{0y}^2 + 2a_y(y - y_0)$ . Una vez que tengamos  $a_y$ , la sustituiremos en la componente  $y$  de la segunda ley de Newton (ecuaciones 5.2) y despejaremos  $T$ . La fuerza neta debe apuntar hacia arriba para producir una aceleración ascendente, de modo que se espera que  $T$  sea mayor que el peso  $w = mg = (800 \text{ kg})(9.80 \text{ m/s}^2) = 7840 \text{ N}$ .

**EJECUTAR:** Escribamos primero la segunda ley de Newton. La fuerza de tensión actúa hacia arriba y el peso lo hace hacia abajo, así que

$$\sum F_y = T + (-w) = ma_y$$

Despejamos la incógnita  $T$ :

$$T = w + ma_y = mg + ma_y = m(g + a_y)$$

Para determinar  $a_y$ , reacomodamos la ecuación de aceleración constante  $v_y^2 = v_{0y}^2 + 2a_y(y - y_0)$ :

$$a_y = \frac{v_y^2 - v_{0y}^2}{2(y - y_0)} = \frac{(0)^2 - (-10.0 \text{ m/s})^2}{2(-25.0 \text{ m})} = +2.00 \text{ m/s}^2$$

La aceleración es hacia arriba (positiva), como debería ser.

Ahora se sustituye la aceleración en la ecuación de la tensión:

$$T = m(g + a_y) = (800 \text{ kg})(9.80 \text{ m/s}^2 + 2.00 \text{ m/s}^2) = 9440 \text{ N}$$

**EVALUAR:** La tensión es mayor que el peso, tal como se esperaba. ¿Nota usted que obtendríamos el mismo valor de  $T$  y  $a_y$ , si el elevador estuviera *ascendiendo y aumentando su rapidez a razón de 2.00 m/s<sup>2</sup>*?

### EJEMPLO 5.9 PESO APARENTE EN UN ELEVADOR CON ACCELERACIÓN

Una mujer de 50.0 kg se pone de pie sobre una báscula de baño dentro del elevador del ejemplo 5.8. ¿Qué valor marca la báscula?

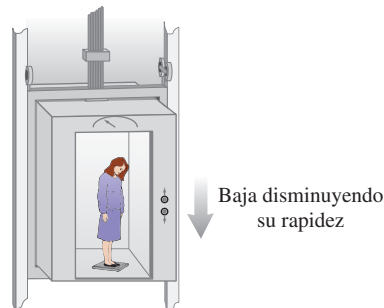
#### SOLUCIÓN

**IDENTIFICAR y PLANTEAR:** La báscula (figura 5.10a) marca la magnitud de la fuerza hacia abajo ejercida *por* la mujer *sobre* la báscula; de acuerdo con la tercera ley de Newton, esto es igual a la magnitud de la fuerza normal hacia arriba ejercida *por* la báscula *sobre* la mujer. Por lo tanto, nuestra incógnita es la magnitud  $n$  de la fuerza normal. Obtendremos  $n$  aplicando la segunda ley de Newton a la mujer. Conocemos la aceleración de la mujer: es la misma que la del elevador, que se calculó en el ejemplo 5.8.

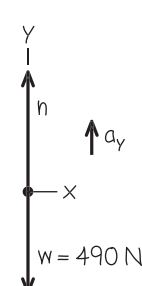
La figura 5.10b es un diagrama de cuerpo libre para la mujer. Las fuerzas que actúan sobre ella son la fuerza normal  $n$  ejercida por

#### 5.10 Diagramas para este problema.

a) Mujer en el elevador en descenso



b) Diagrama de cuerpo libre de la mujer



la báscula y su peso  $w = mg = (50.0 \text{ kg})(9.80 \text{ m/s}^2) = 490 \text{ N}$ . (La fuerza de tensión, que desempeñó un papel protagónico en el ejemplo 5.8, no aparece aquí porque no actúa sobre la mujer). Por el ejemplo 5.8, se sabe que la aceleración del elevador y de la mujer es  $a_y = +2.00 \text{ m/s}^2$ . Como en el ejemplo 5.8, la fuerza hacia arriba que acelera el cuerpo (en este caso, la fuerza normal sobre la mujer) tiene que ser mayor que el peso del cuerpo para que se produzca la aceleración hacia arriba.

**EJECUTAR:** Las egunda ley de Newton da

$$\begin{aligned}\sum F_y &= n + (-mg) = ma_y \\ n &= mg + ma_y = m(g + a_y) \\ &= (50.0 \text{ kg})(9.80 \text{ m/s}^2 + 2.00 \text{ m/s}^2) = 590 \text{ N}\end{aligned}$$

**EVALUAR:** El valor obtenido para  $n$  implica que, mientras el elevador se está deteniendo, la báscula empuja a la mujer hacia arriba con una fuerza de 590 N. Por la tercera ley de Newton, la mujer empuja la báscula hacia abajo con la misma fuerza, así que la báscula

marca 590 N, lo cual es 100 N más que su **peso real**. La lectura de la báscula es el **peso aparente** de la mujer, quien *siente* que el piso empuja con mayor fuerza sus pies hacia arriba que cuando el elevador está detenido o se mueve a velocidad constante.

¿Qué sentiría la mujer si el elevador estuviera acelerando *hacia abajo*, de modo que  $a_y = -2.00 \text{ m/s}^2$ ? Esto sucedería si el elevador estuviera subiendo con rapidez decreciente o bajando con rapidez creciente. Para obtener la respuesta a esta situación, simplemente insertamos el nuevo valor de  $a_y$  en la ecuación de  $n$ :

$$\begin{aligned}n &= m(g + a_y) = (50.0 \text{ kg})[9.80 \text{ m/s}^2 + (-2.00 \text{ m/s}^2)] \\ &= 390 \text{ N}\end{aligned}$$

Ahora la mujer siente que pesa solo 390 N, 100 N *menos* que su peso *w* real.

El lector puede sentir esos efectos dando unos pasos en un elevador que frena al descender (cuando su peso aparente es mayor que su peso *w*), o que se frena al ascender (cuando su peso aparente es menor que *w*).

## Peso e ingrávidez aparentes

Generalicemos el resultado del ejemplo 5.9. Cuando un pasajero de masa  $m$  viaja en un elevador con aceleración  $a_y$ , una báscula da como peso aparente del pasajero

$$n = m(g + a_y)$$

Cuando el elevador acelera hacia arriba,  $a_y$  es positiva y  $n$  es mayor que el peso del pasajero  $w = mg$ . Si el elevador acelera hacia abajo,  $a_y$  es negativa y  $n$  es menor que el peso del pasajero. Si el pasajero no sabe que el elevador está acelerando, sentirá que su peso cambia y, de hecho, la báscula así lo indica.

El caso extremo sucede cuando el elevador tiene una aceleración hacia abajo  $a_y = -g$ , es decir, cuando está en caída libre. En este caso,  $n = 0$  y el pasajero *siente* que no tiene peso. Asimismo, un astronauta en órbita alrededor de la Tierra en su nave espacial experimenta *ingrávidez aparente* (**figura 5.11**). En ambos casos, la persona no está verdaderamente en ingrávidez, porque sobre ella actúa una fuerza gravitacional; pero las *sensaciones* de las personas en caída libre son las mismas que experimentan quienes se encuentran en el espacio exterior sin experimentar gravedad. En ambos casos, la persona y su vehículo (elevador o nave) están cayendo juntos con la misma aceleración  $g$ , así que nada empuja a la persona contra el piso o las paredes del vehículo.

**5.11** Los astronautas en órbita sienten “ingrávidez” porque tienen la misma aceleración que su nave, *no* porque estén “fuera del alcance de la gravedad terrestre”. (En el capítulo 12 analizaremos con detalle los movimientos de los cuerpos en órbita).



## EJEMPLO 5.10 ACELERACIÓN CUESTA ABAJO

Un trineo cargado de estudiantes (peso total  $w$ ) se desliza hacia abajo por una pendiente nevada que tiene un ángulo constante  $\alpha$ , y el trineo está tan bien encerado que la fricción es despreciable. ¿Cuál es su aceleración?

### SOLUCIÓN

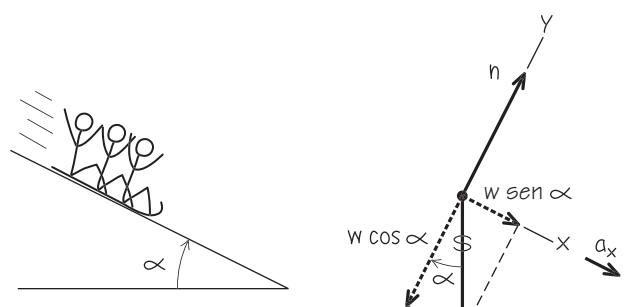
**IDENTIFICAR y PLANTEAR:** Nuestra incógnita es la aceleración, que obtendremos aplicando la segunda ley de Newton. No hay fricción, así que sólo dos fuerzas actúan sobre el trineo: su peso  $w$  y la fuerza normal  $n$  ejercida por la colina.

La **figura 5.12** muestra el diagrama de cuerpo libre. Tomamos los ejes paralelo y perpendicular a la superficie de la colina, así que la aceleración (que es paralela a la colina) está a lo largo de la dirección  $x$  positiva.

**5.12** Diagramas para este problema.

a) La situación

b) Diagrama de cuerpo libre del trineo



Continúa

**EJECUTAR:** La fuerza normal únicamente tiene componente  $y$ , pero el peso tiene tanto componente  $x$  como  $y$ :  $w_x = w \sin \alpha$  y  $w_y = -w \cos \alpha$ . (En el ejemplo 5.4, teníamos  $w_x = -w \sin \alpha$ ). La diferencia es que en el ejemplo 5.4 el eje  $+x$  era cuesta arriba y en la figura 5.12b es cuesta abajo). La línea ondulada de la figura 5.12b nos recuerda que descompusimos el peso en sus componentes. La aceleración es exclusivamente en la dirección  $+x$ , así que  $a_y = 0$ . La segunda ley de Newton en forma de componentes nos indica entonces que

$$\sum F_x = w \sin \alpha = ma_x$$

$$\sum F_y = n - w \cos \alpha = ma_y = 0$$

Puesto que  $w = mg$ , la ecuación para la componente  $x$  nos indica que  $mg \sin \alpha = ma_x$ , es decir,

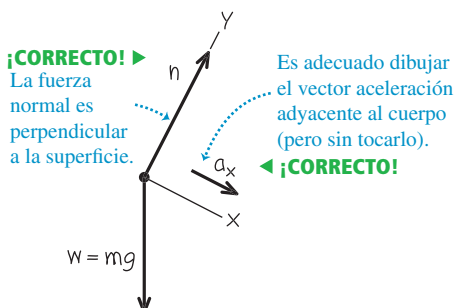
$$a_x = g \sin \alpha$$

Observe que no necesitamos la ecuación de la componente  $y$  para obtener la aceleración. ¡Ésa es la ventaja de elegir el eje  $x$  en la dirección de la aceleración! Lo que nos da la ecuación de la componente  $y$  es la magnitud de la fuerza normal que la colina ejerce sobre el trineo:

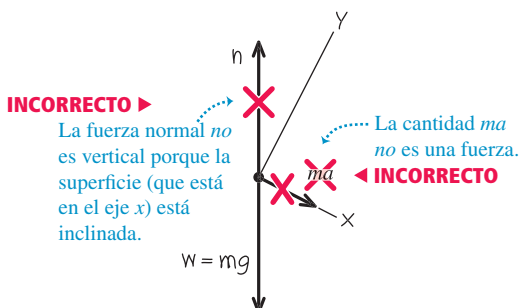
$$n = w \cos \alpha = mg \cos \alpha$$

### 5.13 Diagramas correcto e incorrecto de cuerpo libre para un trineo sobre una colina sin fricción.

a) Diagrama correcto de cuerpo libre para el trineo



b) Diagrama incorrecto de cuerpo libre para el trineo



### EJEMPLO 5.11 DOS CUERPOS CON LA MISMA ACCELERACIÓN



Usted empuja una bandeja de comida de 1.00 kg, sobre el mostrador del comedor, con una fuerza constante de 9.0 N. Al moverse, la bandeja empuja un envase de leche de 0.50 kg (**figura 5.14a**). La bandeja y el envase se deslizan sobre una superficie horizontal tan grasosa que puede despreciarse la fricción. Obtenga la aceleración de la bandeja y el envase, así como la fuerza horizontal que la bandeja ejerce sobre el envase de leche.

#### SOLUCIÓN

**IDENTIFICAR y PLANTEAR:** Las dos incógnitas son la aceleración del sistema bandeja-envase y la fuerza de la bandeja sobre el envase. Usaremos la segunda ley de Newton para obtener dos ecuaciones, una para cada incógnita. Plantearemos y resolveremos el problema de dos formas.

**Método 1:** Trataremos al envase (masa  $m_C$ ) y a la bandeja (masa  $m_T$ ) como cuerpos individuales, cada uno con su propio diagrama de cuerpo libre (figuras 5.14b y 5.14c). La fuerza  $F$  que usted ejerce sobre la bandeja no aparece en el diagrama de cuerpo libre del envase, el cual es acelerado por la fuerza (de magnitud  $F_{T \text{ sobre } C}$ ) que la bandeja ejerce sobre él. Por la tercera ley de Newton, el envase ejerce una fuerza de igual magnitud sobre la bandeja:  $F_{C \text{ sobre } T} = F_{T \text{ sobre } C}$ . Elegimos que la aceleración tenga la dirección  $+x$ ; la bandeja y el envase se mueven con la misma aceleración  $a_x$ .

**EVALUAR:** Observe que la fuerza normal  $n$  no es igual al peso del trineo (compare con el ejemplo 5.4). Observe también que la masa  $m$  no aparece en el resultado de la aceleración. Eso es porque la fuerza cuesta abajo sobre el trineo (una componente del peso) es proporcional a  $m$ , así que la masa se cancela cuando usamos  $\sum F_x = ma_x$  para calcular  $a_x$ . Por lo tanto, *cualquier* trineo, sin importar su masa, se desliza hacia abajo por una colina sin fricción con una aceleración  $g$  sen  $\alpha$ .

Si el plano es horizontal,  $\alpha = 0$  y  $a_x = 0$  (el trineo no se acelera); si el plano es vertical,  $\alpha = 90^\circ$  y  $a_x = g$  (el trineo está en caída libre).

**CUIDADO** Errores comunes en un diagrama de cuerpo libre La **figura 5.13** muestra tanto una forma correcta (figura 5.13a) como una *incorrecta* (figura 5.13b) de dibujar el diagrama de cuerpo libre del trineo. El diagrama de la figura 5.13b es incorrecto por dos razones: la fuerza normal debe ser perpendicular a la superficie (recuerde, “normal” significa perpendicular) y nunca tiene que incluirse la “fuerza  $ma$ ”. ■

**Método 2:** Podemos tratar a la bandeja y al envase como un cuerpo compuesto con masa  $m = m_T + m_C = 1.50 \text{ kg}$  (figura 5.14d). La única fuerza horizontal que actúa sobre este cuerpo compuesto es la fuerza  $F$  que usted ejerce. Las fuerzas  $F_{T \text{ sobre } C}$  y  $F_{C \text{ sobre } T}$  no intervienen porque son *internas* con respecto a este cuerpo compuesto, y la segunda ley de Newton nos dice que sólo las fuerzas *externas* afectan la aceleración de un cuerpo (vea la sección 4.3). Para determinar la magnitud  $F_{T \text{ sobre } C}$  nuevamente aplicaremos la segunda ley de Newton al envase, como en el método 1.

**EJECUTAR:** *Método 1:* Las ecuaciones de la componente  $x$  de la segunda ley de Newton son

$$\text{Bandeja: } \sum F_x = F - F_{C \text{ sobre } T} = F - F_{T \text{ sobre } C} = m_T a_x$$

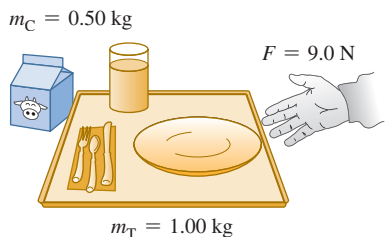
$$\text{Envase: } \sum F_x = F_{T \text{ sobre } C} = m_C a_x$$

Estas son dos ecuaciones simultáneas con las dos incógnitas  $a_x$  y  $F_{T \text{ sobre } C}$ . (Sólo necesitamos dos ecuaciones, lo cual significa que las componentes  $y$  no desempeñan ningún papel en este ejemplo). Una forma sencilla de despejar  $a_x$  de las dos ecuaciones es sumarlas; así se elimina  $F_{T \text{ sobre } C}$  y nos da

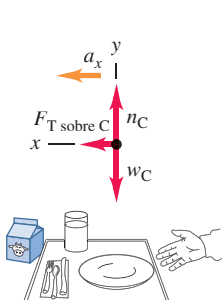
$$F = m_T a_x + m_C a_x = (m_T + m_C) a_x$$

**5.14** Se empujan una bandeja con comida y un envase de leche sobre el mostrador de un comedor.

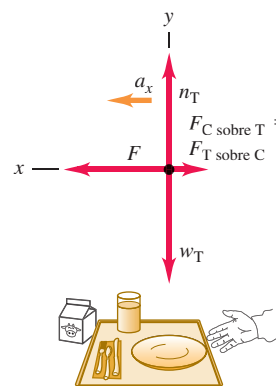
a) Un envase de leche y una bandeja con comida



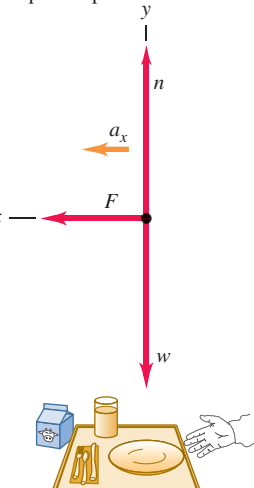
b) Diagrama de cuerpo libre para el envase de leche



c) Diagrama de cuerpo libre para la bandeja



d) Diagrama de cuerpo libre para el envase y la bandeja como cuerpo compuesto



Despejamos  $a_x$  en esta ecuación:

$$a_x = \frac{F}{m_T + m_C} = \frac{9.0 \text{ N}}{1.00 \text{ kg} + 0.50 \text{ kg}} = 6.0 \text{ m/s}^2 = 0.61g$$

Sustituimos este valor en la ecuación del envase y obtenemos

$$F_{T \text{ sobre } C} = m_C a_x = (0.50 \text{ kg})(6.0 \text{ m/s}^2) = 3.0 \text{ N}$$

**Método 2:** La componente  $x$  de la segunda ley de Newton para el cuerpo compuesto con masa  $m$  es

$$\sum F_x = F = ma_x$$

La aceleración de este cuerpo compuesto es

$$a_x = \frac{F}{m} = \frac{9.0 \text{ N}}{1.50 \text{ kg}} = 6.0 \text{ m/s}^2$$

Ahora examinamos solo el envase de leche y observamos que, si queremos impartirle una aceleración de  $6.0 \text{ m/s}^2$ , la bandeja deberá ejercer sobre él una fuerza de

$$F_{T \text{ sobre } C} = m_C a_x = (0.50 \text{ kg})(6.0 \text{ m/s}^2) = 3.0 \text{ N}$$

**EVALUAR:** Las respuestas son las mismas con ambos métodos. Para verificar las respuestas, observe que hay fuerzas diferentes a cada lado de la bandeja:  $F = 9.0 \text{ N}$  a la derecha y  $F_C \text{ sobre } T = 3.0 \text{ N}$  a la izquierda. Entonces, la fuerza neta horizontal sobre la bandeja es  $F - F_C \text{ sobre } T = 6.0 \text{ N}$ , que es exactamente la que se necesita para acelerar una bandeja de  $1.00 \text{ kg}$  a  $6.0 \text{ m/s}^2$ .

El método de tratar los dos cuerpos como un solo cuerpo compuesto funciona *únicamente* si ambos cuerpos tienen la misma magnitud y dirección de aceleración. Si las aceleraciones son distintas, deberemos tratar los dos cuerpos individualmente, como en el ejemplo que sigue.

## EJEMPLO 5.12 DOS CUERPOS CON LA MISMA MAGNITUD DE ACCELERACIÓN



En la **figura 5.15a**, un deslizador de masa  $m_1$  se mueve sobre un riel, con un colchón de aire, horizontal, sin fricción, en el laboratorio de física. El deslizador está conectado a una pesa de masa  $m_2$  mediante una cuerda ligera, flexible e inextensible que pasa por una pequeña polea fija sin fricción. Determine la aceleración de cada cuerpo y la tensión en la cuerda.

### SOLUCIÓN

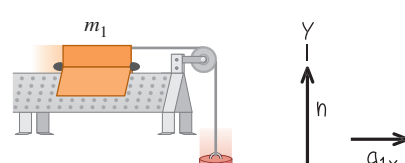
**IDENTIFICAR Y PLANTEAR:** El deslizador y la pesa se están acelerando, así que deberemos usar la segunda ley de Newton. Hay tres incógnitas: la tensión  $T$  en la cuerda y las aceleraciones de los dos cuerpos.

Ambos cuerpos se mueven en direcciones diferentes, una horizontal y otra vertical, así que no podemos considerarlos juntos como hicimos en el ejemplo 5.11. Las figuras 5.15b y 5.15c muestran los diagramas de cuerpo libre y los sistemas de coordenadas. Conviene hacer que ambos cuerpos se aceleren en la dirección positiva de un eje, por lo que elegimos la dirección  $+y$  para la pesa hacia abajo.

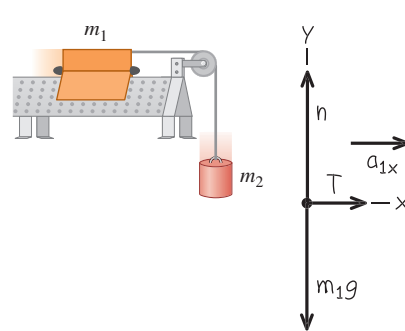
Consideraremos que no hay fricción en la polea y que la cuerda no tiene masa, así que la tensión  $T$  en toda ella es la misma y aplica una

**5.15** Los diagramas para este problema.

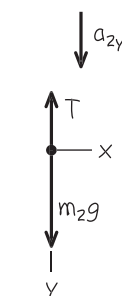
a) Aparato



b) Diagrama de cuerpo libre para el deslizador



c) Diagrama de cuerpo libre para la pesa



fuerza de magnitud  $T$  a cada cuerpo. (Quizá sea conveniente repasar el ejemplo conceptual 4.10, donde vimos la fuerza de tensión ejercida por una cuerda sin masa). Los pesos son  $m_1g$  y  $m_2g$ .

Continúa

Si bien las *direcciones* de las dos aceleraciones son distintas, sus *magnitudes* son iguales. (Ello se debe a que la cuerda no se estira; por lo tanto, ambos cuerpos deberán avanzar distancias iguales en tiempos iguales, y sus rapideces en cualquier instante tienen que ser iguales. Cuando las rapideces cambian, lo hacen en la misma cantidad en un tiempo dado, de manera que las aceleraciones de los dos cuerpos deben tener la misma magnitud  $a$ ). Expresamos esta relación como  $a_{1x} = a_{2y} = a$ , lo cual significa que sólo tenemos *dos* incógnitas:  $a$  y la tensión  $T$ .

¿Qué resultados se esperan? Si  $m_1 = 0$  (o, aproximadamente 0, cuando  $m_1$  es mucho menor que  $m_2$ ), la pesa caerá libremente con una aceleración  $g$ , y la tensión en la cuerda será igual a cero. Para  $m_2 = 0$  (o, aproximadamente 0, cuando  $m_2$  es mucho menor que  $m_1$ ), se esperan una aceleración y una tensión iguales a cero.

**EJECUTAR:** La segunda ley de Newton da

$$\text{Deslizador: } \sum F_x = T = m_1 a_{1x} = m_1 a$$

$$\text{Deslizador: } \sum F_y = n + (-m_1 g) = m_1 a_{1y} = 0$$

$$\text{Pesa: } \sum F_y = m_2 g + (-T) = m_2 a_{2y} = m_2 a$$

(No hay fuerzas sobre la pesa en la dirección  $x$ ). En estas ecuaciones, hemos usado  $a_{1y} = 0$  (el deslizador no se acelera verticalmente) y  $a_{1x} = a_{2y} = a$ .

La ecuación  $x$  para el deslizador y la ecuación para la pesa nos dan dos ecuaciones simultáneas para las incógnitas  $T$  y  $a$ :

$$\text{Deslizador: } T = m_1 a$$

$$\text{Pesa: } m_2 g - T = m_2 a$$

Sumamos estas ecuaciones para eliminar  $T$  y obtenemos:

$$m_2 g = m_1 a + m_2 a = (m_1 + m_2) a$$

así, la magnitud de la aceleración de cada cuerpo es

$$a = \frac{m_2}{m_1 + m_2} g$$

Sustituyendo esto en la ecuación del deslizador  $T = m_1 a$ ,

$$T = \frac{m_1 m_2}{m_1 + m_2} g$$

**EVALUAR:** La aceleración es, en general, menor que  $g$ , como se esperaba; la tensión en la cuerda evita que la pesa caiga libremente. La tensión  $T$  no es igual al peso  $m_2 g$  de la pesa, sino que es *menor* según el factor  $m_1/(m_1 + m_2)$ . Si  $T$  fuera igual a  $m_2 g$ , la pesa estaría en equilibrio, lo cual no sucede.

Como se predijo, la aceleración es igual a  $g$  para  $m_1 = 0$ , e igual a cero para  $m_2 = 0$ , y  $T = 0$  para  $m_1 = 0$  o  $m_2 = 0$ .

**CUIDADO** Quizá tensión y peso no sean lo mismo Es un error común suponer que, si un objeto está unido a una cuerda vertical, la tensión en la cuerda debe ser igual al peso del objeto. Así sucedía en el ejemplo 5.5, donde la aceleración era cero; pero la situación es distinta en este ejemplo! La única estrategia segura consiste en tratar *siempre* la tensión como una variable, como lo hicimos aquí. ■

### EVALÚE SU COMPRENSIÓN DE LA SECCIÓN 5.2

Imagine que usted detiene el deslizador del ejemplo 5.12, de modo que éste y la pesa están inicialmente en reposo. Da al deslizador un empujón hacia la izquierda en la figura 5.15a y luego lo suelta. La cuerda permanece tensa conforme el deslizador se mueve hacia la izquierda, queda instantáneamente en reposo y luego se mueve hacia la derecha. En el instante en que el deslizador tiene velocidad cero, ¿cuál es la tensión en la cuerda? i. Mayor que en el ejemplo 5.12; ii. la misma que en el ejemplo 5.12; iii. menor que en el ejemplo 5.12, pero mayor que cero; iv. cero. ■

## 5.3 FUERZAS DE FRICTION

Hemos visto varios problemas en que un cuerpo descansa o se desliza sobre una superficie que ejerce fuerzas sobre el cuerpo. Siempre que dos cuerpos interactúan por contacto directo de sus superficies (se tocan), describimos la interacción en términos de *fuerzas de contacto*. La fuerza normal es un ejemplo de una fuerza de contacto; en esta sección, veremos con detalle otra fuerza de contacto: la fuerza de fricción.

La fricción es importante en muchos aspectos de la vida cotidiana. El aceite del motor de un automóvil reduce la fricción entre piezas móviles; no obstante, sin fricción entre los neumáticos y el asfalto, el automóvil no podría avanzar ni dar vuelta. El arrastre del aire, esto es, la fuerza de fricción ejercida por el aire sobre un cuerpo que se mueve a través de él, reduce el rendimiento del combustible en los automóviles, pero hace que funcionen los paracaídas. Sin fricción, los clavos se desclavarían y la mayoría de las formas de locomoción animal serían imposibles (**figura 5.16**).

### Fricción cinética y estática

Si se intenta deslizar una caja pesada con libros por el piso, la caja no se moverá si no se aplica cierta fuerza mínima. Luego, la caja comienza a moverse y casi siempre podemos mantenerla en movimiento con menos fuerza de la que necesitamos inicialmente. Si se sacan algunos libros, se necesitará menos fuerza que antes para poner o mantener en movimiento la caja. ¿Qué enunciados generales se pueden hacer acerca de este comportamiento?



Primero, cuando un cuerpo descansa o se desliza sobre una superficie, podemos considerar que esta última ejerce una sola fuerza de contacto sobre el cuerpo, con componentes de fuerza perpendiculares y paralelas a la superficie (**figura 5.17**). La componente vectorial perpendicular es la fuerza normal, denotada con  $\vec{n}$ . La componente vectorial paralela a la superficie (y perpendicular a  $\vec{n}$ ) es la **fuerza de fricción**, denotada con  $\vec{f}$ . Si la superficie no tiene fricción, entonces  $\vec{f}$  será cero, pero habrá todavía una fuerza normal. (Las superficies sin fricción son una idealización inalcanzable, como la cuerda sin masa; aunque podemos aproximarlas si los efectos de la fricción son insignificantes). La dirección de la fuerza de fricción siempre es opuesta al movimiento relativo de las dos superficies.

El tipo de fricción que actúa cuando un cuerpo se desliza sobre una superficie es la **fuerza de fricción cinética**  $\vec{f}_k$ . El adjetivo “cinética” y el subíndice “*k*” (por la palabra en inglés *kinetics*) nos recuerdan que las dos superficies se mueven una con respecto a la otra. La *magnitud* de la fuerza de fricción cinética suele aumentar al incrementarse la fuerza normal. Es así porque se requiere más fuerza para deslizar por el piso una caja llena de libros que cuando la misma caja está vacía. Este principio también se usa en los sistemas de frenos de automóviles: si las zapatas se aprietan con más fuerza contra los discos giratorios, mayor será el efecto de frenado. En muchos casos, la magnitud de la fuerza de fricción cinética  $f_k$  que se determina en forma experimental es aproximadamente *proporcional* a la magnitud  $n$  de la fuerza normal.

$$\text{Magnitud de la fuerza de fricción cinética} \quad f_k = \mu_k n \quad \text{Coeficiente de fricción cinética} \quad (5.3) \quad \text{Magnitud de la fuerza normal}$$

donde  $\mu_k$  (se pronuncia “mu”, *ka*) es una constante llamada **coeficiente de fricción cinética**. Cuanto más resbalosa sea una superficie, menor será este coeficiente. Al ser un cociente de dos magnitudes de fuerza,  $\mu_k$  es un número puro sin unidades.

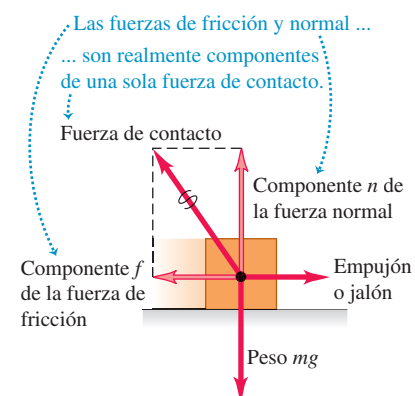
**CUIDADO** Las fuerzas de fricción y normal siempre son perpendiculares Recuerde que la ecuación (5.3) *no* es una ecuación vectorial porque  $\vec{f}_k$  y  $\vec{n}$  siempre son perpendiculares. Más bien, se trata de una relación escalar entre las magnitudes de las dos fuerzas. ■

La ecuación (5.3) sólo es una representación aproximada de un fenómeno complejo. A nivel microscópico, las fuerzas de fricción y la normal se deben a las fuerzas intermoleculares (fundamentalmente eléctricas) entre dos superficies ásperas en los puntos donde entran en contacto (**figura 5.18**). Al deslizarse una caja sobre el piso, se forman y rompen enlaces entre ambas superficies, y varía el número total de enlaces; por consiguiente, la fuerza de fricción cinética no es perfectamente constante. Si pulimos las superficies, realmente aumentaríamos la fricción, pues más moléculas podrían interactuar y enlazarse; juntar dos superficies lisas del mismo metal produciría una “soldadura fría”. Los aceites lubricantes funcionan porque una película de aceite entre dos superficies (como entre los pistones y las paredes de los cilindros de un motor) evita que entren en contacto realmente.

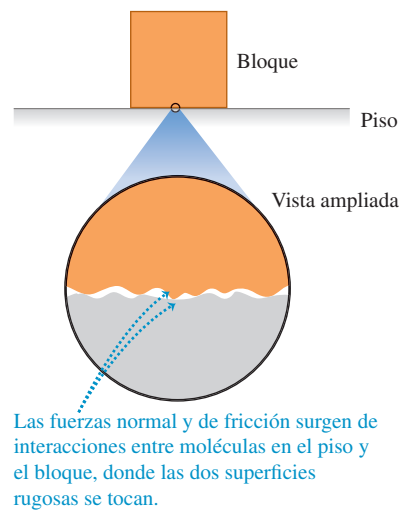
La **tabla 5.1** presenta algunos valores representativos de  $\mu_k$ . Aunque se dan dos cifras significativas, son valores aproximados, pues las fuerzas de fricción también dependen de la rapidez del cuerpo relativa a la superficie. Por ahora, ignoraremos este efecto y supondremos que  $\mu_k$  y  $f_k$  son independientes de la rapidez, para concentrarnos en los casos más sencillos. La tabla 5.1 también muestra coeficientes de fricción estática, que definiremos en seguida.

Las fuerzas de fricción también pueden actuar cuando *no* hay movimiento relativo. Si tratamos de deslizar por el piso la caja con libros, tal vez no se mueva porque el piso ejerce una fuerza de fricción igual y opuesta sobre la caja. Esta se llama **fuerza de fricción estática**  $\vec{f}_s$ .

**5.17** Cuando se empuja el bloque o se jala de él sobre una superficie, ésta última ejerce una fuerza de contacto sobre el bloque.



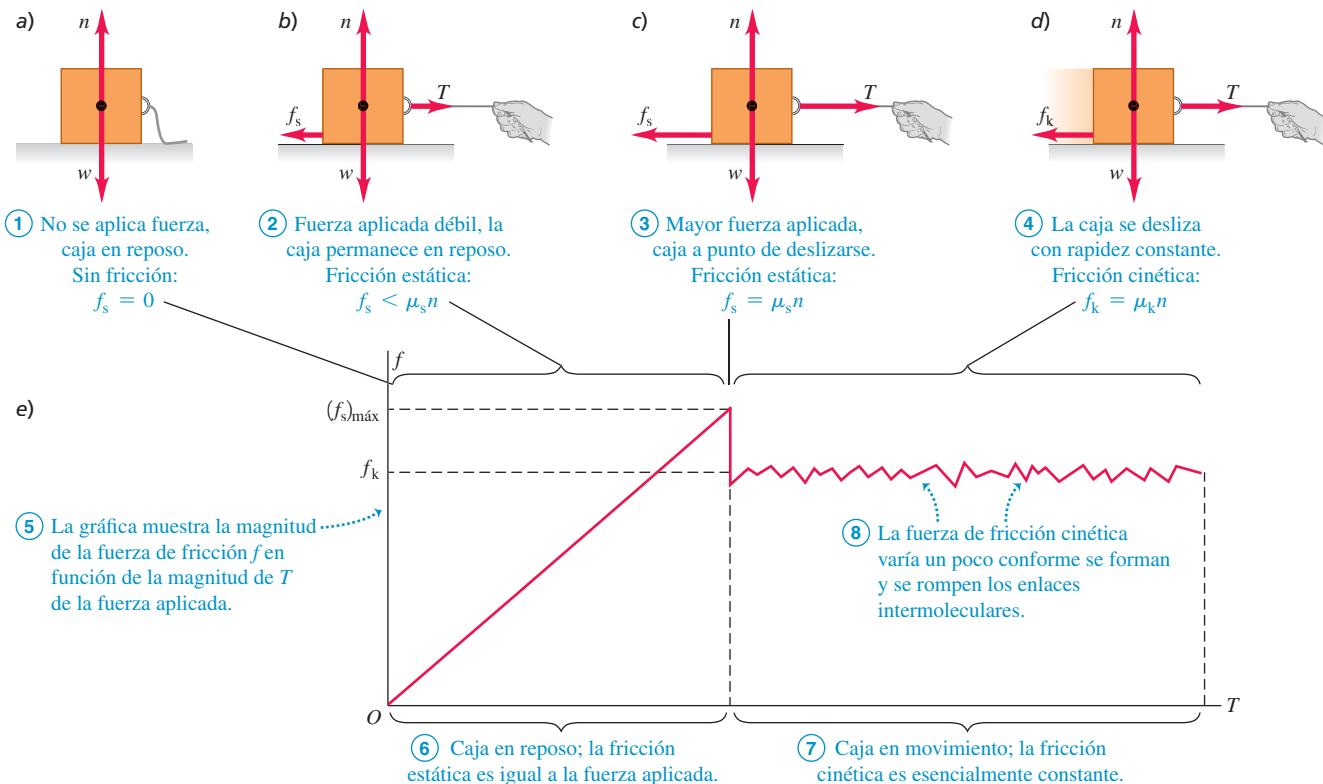
**5.18** Un punto de vista microscópico de las fuerzas de fricción y normal.



**Coeficientes de fricción aproximados**

Materiales	Coeficiente de fricción	
	estática, $\mu_s$	cinética, $\mu_k$
Acero sobre acero	0.74	0.57
Aluminio sobre acero	0.61	0.47
Cobre sobre acero	0.53	0.36
Latón sobre acero	0.51	0.44
Zinc sobre hierro colado	0.85	0.21
Cobre sobre hierro colado	1.05	0.29
Vidrio sobre vidrio	0.94	0.40
Cobre sobre vidrio	0.68	0.53
Teflón sobre teflón	0.04	0.04
Teflón sobre acero	0.04	0.04
Hule sobre concreto (seco)	1.0	0.8
Hule en concreto (húmedo)	0.30	0.25

**5.19** Cuando no hay movimiento relativo, la magnitud de la fuerza de fricción estática  $f_s$  es igual o menor que  $\mu_s n$ . Cuando hay movimiento relativo, la magnitud de la fuerza de fricción cinética  $f_k$  es igual a  $\mu_k n$ .



En la **figura 5.19a**, la caja está en reposo, en equilibrio, bajo la acción de su peso  $\vec{w}$  y la fuerza normal hacia arriba  $\vec{n}$ . La fuerza normal es igual en magnitud al peso ( $n = w$ ) y es ejercida por el piso sobre la caja. Ahora atamos una cuerda a la caja (figura 5.19b) y gradualmente aumentamos la tensión  $T$  en la cuerda. Al principio, la caja no se mueve porque, al aumentar  $T$ , la fuerza de fricción estática  $f_s$  también aumenta, pero su magnitud se mantiene igual a  $T$ .

En algún momento,  $T$  se vuelve mayor que la fuerza de fricción estática  $f_s$  máxima que la superficie puede ejercer; después, la caja “se suelta” y comienza a deslizarse. La figura 5.19c muestra las fuerzas cuando  $T$  tiene este valor crítico. Para un par de superficies dado, el valor máximo de  $f_s$  depende de la fuerza normal. Los experimentos revelan que, en muchos casos, ese valor máximo, llamado  $(f_s)_{\text{máx}}$ , es aproximadamente *proporcional* a  $n$ ; llamamos **coeficiente de fricción estática** al factor de proporcionalidad  $\mu_s$ . En la tabla 5.1 se dan valores representativos de  $\mu_s$ . En una situación específica, la fuerza de fricción estática real puede tener cualquier magnitud entre cero (cuando no hay otra fuerza paralela a la superficie) y un valor máximo dado por  $\mu_s n$ . Entonces,

$$\text{Magnitud de la fuerza de fricción estática} \quad f_s \leq (f_s)_{\text{máx}} = \mu_s n \quad \text{Coeficiente de la fricción estática} \quad (5.4)$$

Fuerza de fricción estática máxima

Magnitud de la fuerza normal

Al igual que la ecuación (5.3), ésta es una relación entre magnitudes, *no* de vectores. La igualdad únicamente se cumple cuando la fuerza aplicada  $T$  alcanza el valor crítico en que el movimiento está a punto de iniciar (figura 5.19c). Si  $T$  es menor que este valor (figura 5.19b), se cumple la desigualdad y debemos usar las condiciones de equilibrio ( $\sum \vec{F} = \mathbf{0}$ ) para obtener  $f_s$ . Si no se aplica fuerza ( $T = 0$ ), como en la figura 5.19a, tampoco hay fuerza de fricción estática ( $f_s = 0$ ).

Tan pronto como inicia el deslizamiento de la caja (figura 5.19d), la fuerza de fricción suele *disminuir* (figura 5.19e); es más fácil mantener la caja en movimiento que ponerla



en movimiento. Por lo tanto, el coeficiente de fricción cinética suele ser *menor* que el de fricción estática para un par de superficies dado, como se muestra en la tabla 5.1.

En algunas situaciones, las superficies se atan (fricción estática) y se deslizan (fricción cinética) de forma alterna. Esto es lo que causa el molesto rechinido del gis aplicado con un ángulo inadecuado a un pizarrón, o de los neumáticos que se derrapan en el asfalto. Un ejemplo más concluyente es el movimiento de un arco de violín contra una cuerda.

En el riel con aire que se usa en los laboratorios de física, los deslizadores se mueven con muy poca fricción pues se apoyan en una capa de aire. La fuerza de fricción depende de la velocidad; sin embargo, a rapideces comunes, el coeficiente de fricción efectivo es del orden de 0.001.

### EJEMPLO 5.13 FRICCIÓN EN MOVIMIENTO HORIZONTAL



Usted desea mover una caja de 500 N por un piso horizontal. Para comenzar a moverla, debe jalar con una fuerza horizontal de 230 N. Una vez que la caja comienza a moverse, puede mantenerse a velocidad constante con sólo 200 N. ¿Cuáles son los coeficientes de fricción estática y cinética?

#### SOLUCIÓN

**IDENTIFICAR y PLANTEAR:** La caja se encuentra en equilibrio si está en reposo o se mueve con velocidad constante, así que usamos la primera ley de Newton expresada por las ecuaciones (5.1). Usaremos las ecuaciones (5.3) y (5.4) para calcular las incógnitas  $\mu_s$  y  $\mu_k$ .

Las **figuras 5.20a** y **5.20b** muestran el diagrama de cuerpo libre un instante antes de que la caja comience a moverse, cuando la fuerza de fricción estática tiene su máximo valor posible,  $(f_s)_{\text{máx}} = \mu_s n$ . Una vez que la caja se mueve, la fuerza de fricción cambia a su forma

cinética (figura 5.20c). En ambas situaciones, actúan cuatro fuerzas sobre la caja: la fuerza hacia abajo del peso (magnitud  $w = 500$  N), la fuerza normal hacia arriba (magnitud  $n$ ) ejercida por el suelo, una fuerza de tensión (magnitud  $T$ ) a la derecha ejercida por la cuerda, y una fuerza de fricción a la izquierda ejercida por el suelo. Puesto que la cuerda de la figura 5.20a está en equilibrio, la tensión es la misma en ambos extremos. Por lo tanto, la fuerza de tensión que la cuerda ejerce sobre la caja tiene la misma magnitud que la fuerza que usted ejerce sobre la cuerda. Como es más fácil mantener la caja en movimiento que iniciarla, se espera que  $\mu_k < \mu_s$ .

**EJECUTAR:** Justo antes de que la caja comience a moverse (figura 5.20b), de acuerdo con las ecuaciones (5.1), tenemos

$$\begin{aligned}\sum F_x &= T + (-f_s)_{\text{máx}} = 0 \quad \text{así que} \quad (f_s)_{\text{máx}} = T = 230 \text{ N} \\ \sum F_y &= n + (-w) = 0 \quad \text{por lo tanto} \quad n = w = 500 \text{ N}\end{aligned}$$

Ahora resolvemos la ecuación (5.4),  $(f_s)_{\text{máx}} = \mu_s n$ , para el valor de  $\mu_s$ ,

$$\mu_s = \frac{(f_s)_{\text{máx}}}{n} = \frac{230 \text{ N}}{500 \text{ N}} = 0.46$$

Una vez que la caja está en movimiento (figura 5.20c), tenemos

$$\begin{aligned}\sum F_x &= T + (-f_k) = 0 \quad \text{así que} \quad f_k = T = 200 \text{ N} \\ \sum F_y &= n + (-w) = 0 \quad \text{por lo tanto,} \quad n = w = 500 \text{ N}\end{aligned}$$

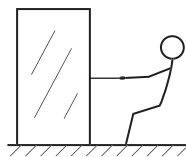
Usando  $f_k = \mu_k n$  de la ecuación (5.3), se obtiene:

$$\mu_k = \frac{f_k}{n} = \frac{200 \text{ N}}{500 \text{ N}} = 0.40$$

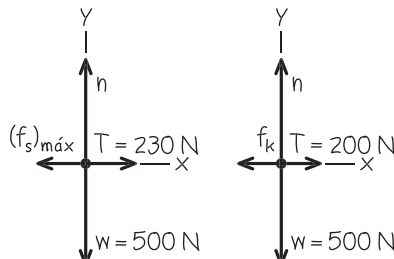
**EVALUAR:** Como se esperaba, el coeficiente de fricción cinética es menor que el coeficiente de fricción estática.

### 5.20 Diagramas para este problema.

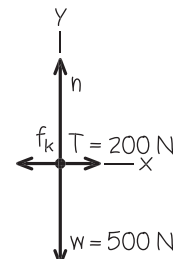
a) Se ejerce un jalón sobre una caja



b) Diagrama de cuerpo libre de la caja justo antes de comenzar a moverse



c) Diagrama de cuerpo libre de la caja que se mueve a rapidez constante



### EJEMPLO 5.14 LA FRICCIÓN ESTÁTICA PUEDE TENER UN VALOR MENOR QUE SU MÁXIMO



En el ejemplo 5.13, ¿qué fuerza de fricción existe si la caja está en reposo sobre la superficie y se le aplica una fuerza horizontal de 50 N?

#### SOLUCIÓN

**IDENTIFICAR y PLANTEAR:** La fuerza aplicada es menor que la fuerza máxima de fricción estática,  $(f_s)_{\text{máx}} = 230$  N. Por lo tanto, la caja permanece en reposo y la fuerza neta que actúa sobre ella es cero. La incógnita es la magnitud  $f_s$  de la fuerza de fricción. El

diagrama de cuerpo libre es el mismo de la figura 5.20b, pero sustituyendo  $(f_s)_{\text{máx}}$  por  $f_s$  y  $T = 230$  N por  $T = 50$  N.

**EJECUTAR:** Por las condiciones de equilibrio, ecuaciones (5.1), tenemos

$$\sum F_x = T + (-f_s) = 0 \quad \text{así que} \quad f_s = T = 50 \text{ N}$$

**EVALUAR:** La fuerza de fricción puede evitar el movimiento con cualquier fuerza horizontal aplicada de hasta  $(f_s)_{\text{máx}} = \mu_s n = 230$  N. Por debajo de ese valor,  $f_s$  tiene la misma magnitud que la fuerza aplicada.



### EJEMPLO 5.15 REDUCCIÓN AL MÍNIMO DE LA FRICCIÓN CINÉTICA

En el ejemplo 5.13, suponga que usted intenta mover la caja jalando de una cuerda hacia arriba con un ángulo de  $30^\circ$  sobre la horizontal. ¿Qué fuerza debe aplicar al jalar para mantener la caja en movimiento con velocidad constante? Suponga que  $\mu_k = 0.40$ .

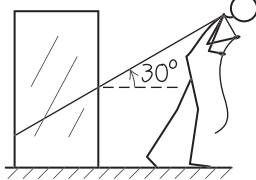
#### SOLUCIÓN

**IDENTIFICAR y PLANTEAR:** La caja está en equilibrio porque su velocidad es constante, así que aplicamos de nuevo la primera ley de Newton. Como la caja está en movimiento, el suelo ejerce una fuerza de fricción *cinética*. La incógnita es la magnitud  $T$  de la fuerza de tensión.

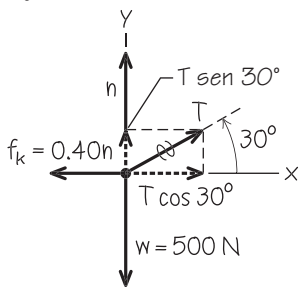
La figura 5.21 es un diagrama de cuerpo libre. La fuerza de fricción cinética  $f_k$  sigue siendo igual a  $\mu_k n$ ; pero ahora la fuerza normal

**5.21** Diagramas para este problema.

a) Se jala de una caja con cierto ángulo



b) Diagrama de cuerpo libre de la caja en movimiento



$n$  no es igual en magnitud al peso de la caja. La fuerza ejercida por la cuerda tiene una componente vertical que tiende a levantar la caja del piso. Esto *reduce*  $n$  y, por lo tanto, reduce  $f_k$ .

**EJECUTAR:** Por las condiciones de equilibrio y la ecuación (5.3),  $f_k = \mu_k n$ , tenemos

$$\sum F_x = T \cos 30^\circ + (-f_k) = 0 \text{ así que } T \cos 30^\circ = \mu_k n$$

$$\sum F_y = T \sin 30^\circ + n + (-w) = 0 \text{ por lo tanto, } n = w - T \sin 30^\circ$$

Tenemos dos ecuaciones para las dos incógnitas,  $T$  y  $n$ . Una manera de obtener  $T$  es sustituir la expresión de  $n$  de la segunda ecuación en la primera y, luego, despejar  $T$  de la ecuación resultante:

$$T \cos 30^\circ = \mu_k (w - T \sin 30^\circ)$$

$$T = \frac{\mu_k w}{\cos 30^\circ + \mu_k \sin 30^\circ} = 188 \text{ N}$$

Podemos sustituir este resultado en cualquiera de las ecuaciones originales para calcular  $n$ . Si usamos la segunda ecuación, obtendremos

$$n = w - T \sin 30^\circ = (500 \text{ N}) - (188 \text{ N}) \sin 30^\circ = 406 \text{ N}$$

**EVALUAR:** Como se esperaba, la fuerza normal es menor que el peso de 500 N de la caja. Resulta que la tensión requerida para mantener la caja en movimiento con velocidad constante es un poco menor que los 200 N de fuerza que se necesitan cuando se jala horizontalmente en el ejemplo 5.13. ¿Puede obtener el ángulo donde el jalón requerido sea *mínimo*?

### EJEMPLO 5.16 TRINEO CON FRICCIÓN I

Volvamos al trineo que analizamos en el ejemplo 5.10. La cera se desgastó y ahora hay un coeficiente de fricción cinética  $\mu_k$  diferente de cero. La pendiente tiene justo el ángulo necesario para que el trineo baje con velocidad constante. Obtenga el ángulo en términos de  $w$  y  $\mu_k$ .

#### SOLUCIÓN

**IDENTIFICAR Y PLANTEAR:** La incógnita es el ángulo  $\alpha$  de la pendiente. El trineo está en equilibrio porque su velocidad es constante, así que usamos la primera ley de Newton en la forma de las ecuaciones (5.1).

Tres fuerzas actúan sobre el trineo: su peso, la fuerza normal y la fuerza de fricción cinética. Como el movimiento es cuesta abajo, la fuerza de fricción cinética (que se opone al movimiento) está dirigida cuesta arriba. La figura 5.22 muestra el dibujo y el diagrama de cuerpo libre (compare con la figura 5.12b del ejemplo 5.10). De la ecuación (5.3) la magnitud de la fuerza de fricción cinética es  $f_k = \mu_k n$ . Se espera que cuanto mayor sea el valor de  $\mu_k$ , más pronunciada será la pendiente requerida.

**EJECUTAR:** Las condiciones de equilibrio son

$$\sum F_x = w \sin \alpha + (-f_k) = w \sin \alpha - \mu_k n = 0$$

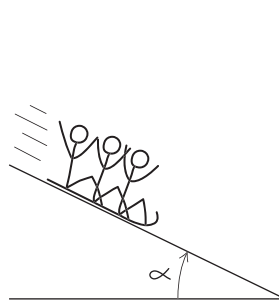
$$\sum F_y = n + (-w \cos \alpha) = 0$$

Al reordenar las dos ecuaciones, obtenemos

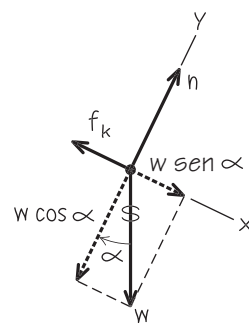
$$\mu_k n = w \sin \alpha \quad \text{y} \quad n = w \cos \alpha$$

**5.22** Diagramas para este problema.

a) La situación



b) Diagrama de cuerpo libre para el trineo



Al igual que en el ejemplo 5.10, la fuerza normal *no* es igual al peso. Se elimina  $n$  dividiendo la primera ecuación entre la segunda:

$$\mu_k = \frac{\sin \alpha}{\cos \alpha} = \tan \alpha \quad \text{así que} \quad \alpha = \arctan \mu_k$$

**EVALUAR:** El peso  $w$  no aparece en esta expresión. *Cualquier* trineo, sin importar su peso, bajará una pendiente con rapidez constante si el coeficiente de fricción cinética es igual a la tangente del ángulo de inclinación de la pendiente. La función arctangente se incrementa conforme aumenta su argumento, de modo que es verdad que el ángulo  $\alpha$  de inclinación se incrementa conforme  $\mu_k$  aumenta.



### EJEMPLO 5.17 TRINEO CON FRICTION II

El mismo trineo con el mismo coeficiente de fricción del ejemplo 5.16 se *acelera* hacia abajo por una pendiente más pronunciada. Deduza una expresión para la aceleración en términos de  $g$ ,  $\alpha$ ,  $\mu_k$  y  $w$ .

#### SOLUCIÓN

**IDENTIFICAR Y PLANTEAR:** El trineo está acelerando, por lo tanto, es preciso usar la segunda ley de Newton en su forma de las ecuaciones (5.2). La incógnita es la aceleración cuesta abajo.

El dibujo y el diagrama de cuerpo libre (**figura 5.23**) son casi los mismos que para el ejemplo 5.16. La componente  $y$  de la aceleración del trineo,  $a_y$ , sigue siendo cero, pero la componente  $x$ ,  $a_x$ , no lo es, por lo que hemos dibujado  $w \sin \alpha$ , la componente cuesta abajo del peso, como un vector más largo que el de la fuerza de fricción (cuesta arriba).

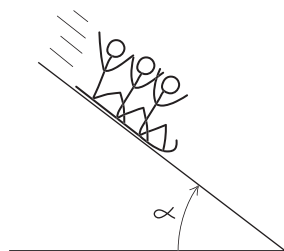
**EJECUTAR:** Nos conviene expresar el peso como  $w = mg$ . Entonces, utilizando la segunda ley de Newton en componentes,

$$\sum F_x = mg \sin \alpha + (-f_k) = ma_x$$

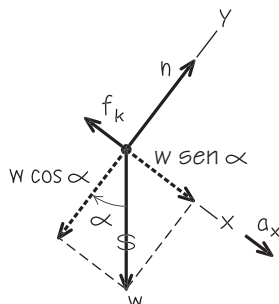
$$\sum F_y = n + (-mg \cos \alpha) = 0$$

**5.23** Diagramas para este problema.

a) La situación



b) Diagrama de cuerpo libre para el trineo



De la segunda ecuación y la ecuación (5.3), obtenemos una expresión para  $f_k$ :

$$n = mg \cos \alpha$$

$$f_k = \mu_k n = \mu_k mg \cos \alpha$$

Sustituimos esto en la ecuación de la componente  $x$  y despejamos  $a_x$ :

$$mg \sin \alpha + (-\mu_k mg \cos \alpha) = ma_x$$

$$a_x = g(\sin \alpha - \mu_k \cos \alpha)$$

**EVALUAR:** Al igual que en el caso del trineo sin fricción del ejemplo 5.10, la aceleración no depende de la masa  $m$  del trineo. Esto es porque todas las fuerzas que actúan sobre el trineo (peso, fuerza normal y fuerza de fricción cinética) son proporcionales a  $m$ .

Analicemos algunos casos especiales. Si la ladera es vertical ( $\alpha = 90^\circ$ ), entonces,  $\sin \alpha = 1$ ,  $\cos \alpha = 0$  y  $a_x = g$  (el trineo está en caída libre). Para cierto valor de  $\alpha$ , la aceleración es cero; esto pasa si

$$\sin \alpha = \mu_k \cos \alpha \quad \text{y} \quad \mu_k = \tan \alpha$$

Lo anterior concuerda con el resultado de velocidad constante del trineo en el ejemplo 5.16. Si el ángulo es incluso más pequeño,  $\mu_k \cos \alpha$  es mayor que  $\sin \alpha$  y  $a_x$  es negativa; si damos al trineo un empujón cuesta abajo para ponerlo en movimiento, se frenará y finalmente se detendrá. Por último, si la ladera no tiene fricción de modo que  $\mu_k = 0$ , llegamos al resultado del ejemplo 5.10:  $a_x = g \sin \alpha$ .

Observe que partimos de un problema sencillo (ejemplo 5.10) y lo extendimos a situaciones cada vez más generales. El resultado más general, el de este ejemplo, incluye *todos* los anteriores como casos especiales. No memorice este resultado, pero trate de entender cómo se obtuvo y qué significa.

Suponga ahora que se da al trineo un empujón inicial colina arriba. Ahora se invierte la dirección de la fuerza de fricción cinética, así que la aceleración es distinta del valor cuesta abajo. Resulta que la expresión para  $a_x$  es la misma que para la bajada, sólo que el signo menos cambia a signo más. ¿Puede demostrarlo?

## Fricción de rodamiento

Es mucho más fácil mover un archivero lleno de documentos sobre un piso horizontal usando un carrito con ruedas que deslizándolo. ¿Qué tanto más fácil es? Podemos definir un **coeficiente de fricción de rodamiento**  $\mu_r$ , que es la fuerza horizontal necesaria para lograr rapidez constante en una superficie plana, dividida entre la fuerza normal hacia arriba ejercida por la superficie. Los ingenieros de transporte llaman a  $\mu_r$  **resistencia a la tracción**, cuyos valores suelen estar entre 0.002 y 0.003 para ruedas de acero sobre rieles de acero, y de 0.01 a 0.02 para ruedas de caucho sobre concreto. Dichos valores explican en parte por qué en general el combustible rinde más en los ferrocarriles que en los camiones.

## Resistencia de fluidos y rapidez terminal

Si usted saca la mano por la ventanilla de un automóvil que viaja con gran rapidez, comprobará la existencia de la **resistencia de un fluido**, que es la fuerza que un fluido (ya sea gas o líquido) ejerce sobre un cuerpo que se mueve a través de él. El cuerpo en movimiento ejerce una fuerza sobre el fluido para hacerlo a un lado. Por la tercera ley de Newton, el fluido responde sobre el cuerpo con una fuerza igual y opuesta.

La *dirección* de la fuerza de resistencia de un fluido que actúa sobre un cuerpo siempre es opuesta a la dirección de la velocidad del cuerpo relativa al fluido. La *magnitud* de la fuerza de resistencia de un fluido suele aumentar al incrementarse la rapidez del

## LOS DATOS HABLAN

### Fricción estática

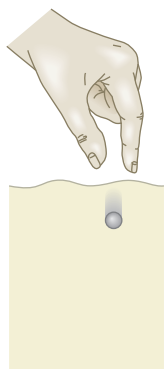
Cuando a los estudiantes se les dio un problema acerca de la magnitud  $f_s$  de la fuerza de fricción estática que actúa sobre un objeto de reposo, más del 36% dieron una respuesta incorrecta.

Errores comunes:

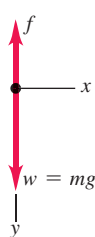
- Suponer que  $f_s$  es siempre igual a  $\mu_s n$  (coeficiente de fricción estática × fuerza normal sobre el objeto). Éste es el valor *máximo* de  $f_s$ ; el valor real puede ser cualquiera entre 0 y este máximo.
- Olvidar aplicar la primera ley de Newton al objeto en reposo. Ésta es la única manera correcta para encontrar el valor de  $f_s$  requerido para evitar que el objeto se acelere.

### 5.24 Movimiento con resistencia del fluido.

a) Una esfera de metal que cae en aceite

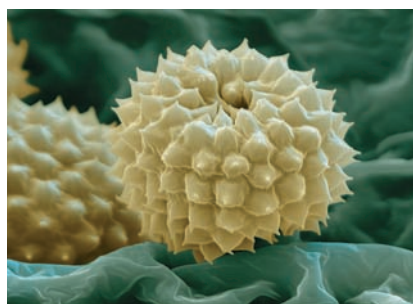


b) Diagrama de cuerpo libre de la esfera en aceite



#### BIO Aplicación Polen y resistencia del fluido

Estas esferas con puntas son granos de polen de la flor de ambrosía (*Ambrosia artemisiifolia*), que causa la fiebre del heno. Debido a su radio pequeño (aproximadamente  $10 \mu\text{m} = 0.01 \text{ mm}$ ), cuando se liberan en el aire, la fuerza de resistencia del fluido sobre ellas es proporcional a su rapidez. La rapidez terminal dada por la ecuación (5.8) es de sólo  $1 \text{ cm/s}$ , aproximadamente. Por lo tanto, incluso un viento moderado puede mantener los granos de polen en el aire y transportarlos a grandes distancias desde su origen.



cuerpo en el fluido. Esto es muy diferente de la fuerza de fricción cinética entre dos superficies en contacto, que casi siempre podemos considerar independiente de la rapidez. Para objetos pequeños que se mueven a rapideces muy bajas, la magnitud  $f$  de la fuerza de resistencia del fluido es aproximadamente proporcional a la rapidez  $v$  del cuerpo:

$$f = kv \quad (\text{resistencia del fluido a baja rapidez}) \quad (5.5)$$

donde  $k$  es una constante de proporcionalidad que depende de la forma y el tamaño del cuerpo, así como de las propiedades del fluido. La ecuación (5.5) es adecuada para partículas de polvo que caen a través del aire o para una esfera que se deja caer en aceite. Para objetos más grandes que se mueven a través del aire con la rapidez de una pelota de tenis o más rápido, la fuerza de resistencia es aproximadamente proporcional a  $v^2$ , en lugar de  $v$ , y se denomina **arrastre del aire** o tan sólo *arrastre*. Los aviones, las gotas de lluvia y los ciclistas experimentan el arrastre del aire. En este caso, sustituimos la ecuación (5.5) por

$$f = Dv^2 \quad (\text{resistencia de fluidos a alta rapidez}) \quad (5.6)$$

Por la dependencia de  $v^2$ , el arrastre aumenta rápidamente conforme se incrementa la rapidez. El arrastre sobre un automóvil común es insignificante a bajas rapideces, pero comparable con la resistencia a la tracción, o mayor que ésta, a velocidades de autopista. El valor de  $D$  depende de la forma y el tamaño del cuerpo, y de la densidad del aire. Verifique que las unidades de la constante  $k$  en la ecuación (5.5) sean  $\text{N}\cdot\text{s}/\text{m}$  o  $\text{kg/s}$ , y que las unidades de la constante  $D$  en la ecuación (5.6) sean  $\text{N}\cdot\text{s}^2/\text{m}^2$  o  $\text{kg/m}$ .

Por los efectos de la resistencia de fluidos, un objeto que cae en un fluido *no* tiene aceleración constante. Para describir su movimiento, no podemos usar las relaciones de aceleración constante del capítulo 2; en vez de ello, debemos partir de la segunda ley de Newton. Como un ejemplo, suponga que usted suelta una esfera de metal en la superficie de un cubo de aceite, y la esfera cae hasta el fondo (**figura 5.24a**). En este caso, la fuerza de resistencia del fluido está dada por la ecuación (5.5). ¿Cuáles son la aceleración, la velocidad y la posición de la esfera de metal en función del tiempo?

El diagrama de cuerpo libre se muestra en la figura 5.24b. Tomamos la dirección  $y$  positiva hacia abajo e ignoramos cualquier fuerza asociada con la flotación en el aceite. Puesto que la esfera se mueve hacia abajo, la rapidez  $v$  es igual a la componente  $y$  de la velocidad  $v_y$  y la fuerza de resistencia del fluido tiene la dirección  $-y$ . No hay componentes  $x$ , así que la segunda ley de Newton da

$$\sum F_y = mg + (-kv_y) = ma_y \quad (5.7)$$

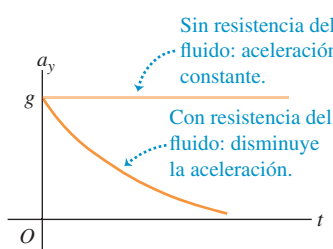
Al principio, cuando la esfera empieza a moverse,  $v_y = 0$ , la fuerza de resistencia es cero y la aceleración inicial es  $a_y = g$ . Al aumentar la rapidez, también se incrementa la fuerza de resistencia hasta ser igual en magnitud al peso. Ahora,  $mg - kv_y = 0$ , la aceleración se vuelve cero y ya no aumenta la rapidez. La rapidez final  $v_t$ , llamada **rapidez terminal**, está dada por  $mg - kv_t = 0$ , es decir,

$$v_t = \frac{mg}{k} \quad (\text{rapidez terminal, resistencia del fluido } f = kv) \quad (5.8)$$

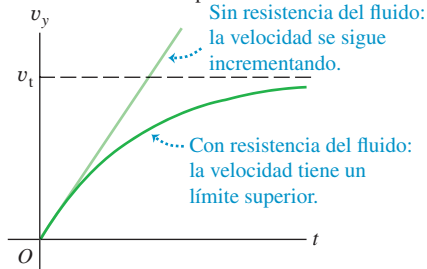
La **figura 5.25** muestra cómo varían la aceleración, la velocidad y la posición con el tiempo. Conforme transcurre el tiempo, la aceleración se acerca a cero y la velocidad

### 5.25 Gráficas de movimiento para un cuerpo que cae sin resistencia del fluido y con resistencia del fluido proporcional a la rapidez.

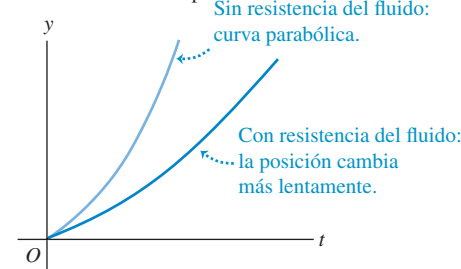
Aceleración contra tiempo



Velocidad contra tiempo



Posición contra tiempo



se aproxima a  $v_t$  (recuerde que elegimos la dirección positiva  $y$  hacia abajo). La pendiente de la gráfica de  $y$  contra  $t$  se hace constante al hacerse constante la velocidad.

Para saber de dónde salen las gráficas de la figura 5.25, debemos obtener la relación entre rapidez y tiempo en el intervalo antes de alcanzar la rapidez terminal. Volvemos a la segunda ley de Newton para la esfera que cae, que escribimos usando  $a_y = dv_y/dt$ :

$$m \frac{dv_y}{dt} = mg - kv_y$$

Después de reordenar términos y sustituir  $mg/k$  por  $v_t$ , integramos ambos miembros, recordando que  $v_y = 0$  cuando  $t = 0$ :

$$\int_0^v \frac{dv_y}{v_y - v_t} = -\frac{k}{m} \int_0^t dt$$

que ya integrada da

$$\ln \frac{v_t - v_y}{v_t} = -\frac{k}{m} t \quad \text{o bien,} \quad 1 - \frac{v_y}{v_t} = e^{-(k/m)t}$$

y, por último,

$$v_y = v_t [1 - e^{-(k/m)t}] \quad (5.9)$$

Observe que  $v_y$  se hace igual a la rapidez terminal  $v_t$  sólo en el límite donde  $t \rightarrow \infty$ ; la esfera no puede alcanzar la rapidez terminal en un intervalo de tiempo finito.

La derivada de  $v_y$  con respecto al tiempo en la ecuación (5.9) es  $a_y$ , y la integral de  $v_y$  en el tiempo es  $y$ . Dejamos las derivadas al lector; los resultados son

$$a_y = ge^{-(k/m)t} \quad (5.10)$$

$$y = v_t \left[ t - \frac{m}{k} (1 - e^{-(k/m)t}) \right] \quad (5.11)$$

Examine otra vez la figura 5.25, que muestra las gráficas de estas tres relaciones.

Al deducir la rapidez terminal en la ecuación (5.8), supusimos que la fuerza de resistencia del fluido era proporcional a la rapidez. En el caso de un objeto que cae con gran rapidez en el aire, de modo que la resistencia del fluido sea igual a  $Dv^2$  como en la ecuación (5.6), la rapidez terminal se alcanza cuando  $Dv^2$  es igual al peso  $mg$  (**figura 5.26a**). Usted puede demostrar que la rapidez terminal  $v_t$  está dada por

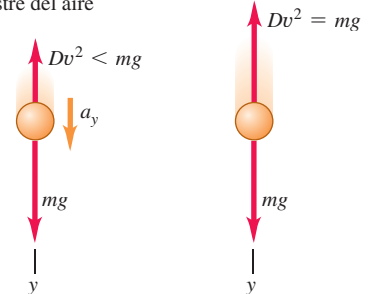
$$v_t = \sqrt{\frac{mg}{D}} \quad (\text{rapidez terminal, resistencia del fluido } f = Dv^2) \quad (5.12)$$

Esta expresión para la rapidez terminal explica por qué los objetos pesados tienden a caer en el aire con mayor rapidez que los ligeros. Dos objetos con el mismo tamaño pero con diferente masa (digamos, una pelota de ping-pong y una esfera de plomo del mismo radio) tienen la misma  $D$  pero diferente valor de  $m$ . El objeto con mayor masa tiene mayor rapidez terminal y cae más rápidamente. La misma idea explica por qué una hoja de papel cae más rápidamente si primero la arrugamos para formar una esfera: la masa  $m$  es la misma, pero el tamaño más pequeño reduce  $D$  (menos arrastre para una rapidez dada) y aumenta  $v_t$ . Los paracaidistas usan el mismo principio para controlar su descenso (figura 5.26b).

La **figura 5.27** muestra la trayectoria de una pelota de béisbol con y sin arrastre del aire, suponiendo un coeficiente  $D = 1.3 \times 10^{-3} \text{ kg/m}$  (adecuado para una pelota bateada al nivel del mar). Puede verse que tanto el alcance de la pelota como la altura máxima alcanzada son considerablemente menores que los resultados obtenidos cuando se desprecia el arrastre. Así, la trayectoria que calculamos en el ejemplo 3.7 (sección 3.3), despreciando la resistencia del aire, no es real. ¡El arrastre del aire es un factor importante en el juego de béisbol!

**5.26** a) Arrastre del aire y rapidez terminal. b) Los paracaidistas, al cambiar de posición sus brazos y piernas mientras caen, pueden alterar el valor de la constante  $D$  de la ecuación (5.6) y así ajustar la rapidez terminal de su caída [ecuación (5.12)].

a) Diagramas de cuerpo libre para caída con arrastre del aire

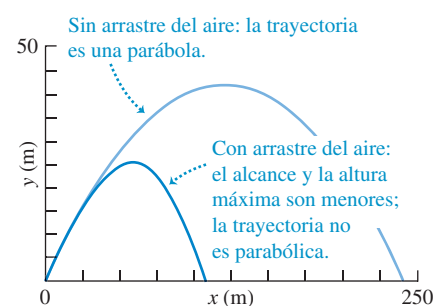


Antes de la rapidez terminal: Objeto con aceleración, fuerza de arrastre menor que el peso.  
En la rapidez terminal  $v_t$ : Objeto en equilibrio, fuerza de arrastre igual al peso.

b) Un paracaidista que cae con rapidez terminal



**5.27** Trayectorias generadas por computadora de una pelota de béisbol lanzada con una rapidez de 50 m/s a un ángulo de 35° sobre la horizontal. Observe que las escalas de los ejes horizontal y vertical son distintas.





### EJEMPLO 5.18 RAPIDEZ TERMINAL DE UN PARACAIIDISTA

Para un cuerpo humano que cae en el aire con brazos y piernas estirados (figura 5.26b), el valor numérico de la constante  $D$  de la ecuación (5.6) es aproximadamente  $0.25 \text{ kg/m}$ . Determine la rapidez terminal de un paracaidista ligero de  $50 \text{ kg}$ .

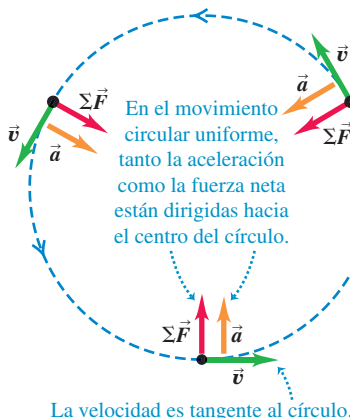
#### SOLUCIÓN

**IDENTIFICAR y PLANTEAR:** En este ejemplo se requiere la relación entre rapidez terminal, masa y coeficiente de arrastre. Usamos la ecuación (5.12) para obtener la incógnita  $v_t$ .

**EJECUTAR:** Para  $m = 50 \text{ kg}$ , obtenemos:

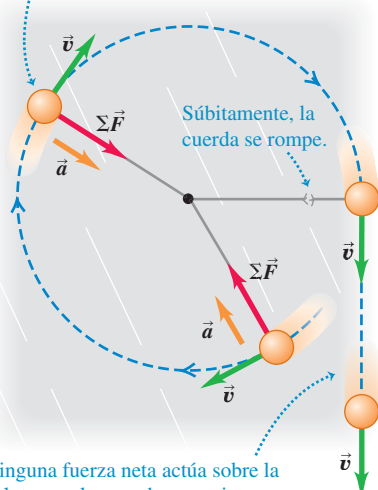
$$v_t = \sqrt{\frac{mg}{D}} = \sqrt{\frac{(50 \text{ kg})(9.8 \text{ m/s}^2)}{0.25 \text{ kg/m}}} = 44 \text{ m/s} \text{ (aproximadamente } 160 \text{ km/h o } 99 \text{ mi/h)}$$

**5.28** Fuerza neta, aceleración y velocidad en el movimiento circular uniforme



**5.29** ¿Qué sucede si la fuerza radial hacia adentro repentinamente deja de actuar sobre un cuerpo en movimiento circular?

Una pelota unida a una cuerda gira en un círculo sobre una superficie sin fricción.



Ninguna fuerza neta actúa sobre la pelota, por lo que ahora se rige por la primera ley de Newton: se mueve en línea recta a velocidad constante.

**EVALUAR:** La rapidez terminal es proporcional a la raíz cuadrada de la masa del paracaidista. De manera que un paracaidista con el mismo coeficiente de arrastre  $D$ , pero el doble de masa, tendría una rapidez terminal  $\sqrt{2} = 1.41$  veces mayor, o bien,  $63 \text{ m/s}$ . (Un paracaidista con mayor masa también tendría mayor área frontal y, por lo tanto, un mayor coeficiente de arrastre, por lo que su rapidez terminal sería un poco menor que  $63 \text{ m/s}$ ). Incluso la rapidez terminal de un paracaidista ligero de  $50 \text{ kg}$  es bastante alta y su fase de caída no dura mucho. Un lanzamiento desde  $2800 \text{ m}$  (9200 ft) hasta la superficie a rapidez terminal sólo tarda  $(2800 \text{ m})/(44 \text{ m/s}) = 64 \text{ s}$ .

Cuando el paracaidista abre su paracaídas, el valor de  $D$  aumenta considerablemente, y la rapidez terminal del hombre y el paracaídas se reduce drásticamente a un valor mucho menor.

#### EVALÚE SU COMPRENSIÓN DE LA SECCIÓN 5.3

Considere una caja que se coloca sobre superficies distintas. *a)* ¿En qué situación(es) *no* hay fuerza de fricción actuando sobre la caja? *b)* ¿En qué situación(es) hay una fuerza de fricción *estática* actuando sobre la caja? *c)* ¿En qué situación(es) hay una fuerza de fricción *cinética* sobre la caja? **i.** La caja está en reposo sobre una superficie horizontal áspera. **ii.** La caja está en reposo sobre una superficie inclinada áspera. **iii.** La caja está sobre la plataforma horizontal y áspera de un camión, el cual se mueve a velocidad constante en una carretera recta y horizontal, mientras la caja permanece en el mismo lugar a la mitad de la plataforma. **iv.** La caja está sobre la plataforma horizontal y áspera de un camión, el cual acelera en una carretera recta y horizontal, en tanto que la caja permanece en el mismo lugar a la mitad de la plataforma. **v.** La caja está sobre la plataforma horizontal y áspera de un camión, el cual sube una pendiente y la caja se desliza hacia la parte trasera del camión. **|**

## 5.4 DINÁMICA DEL MOVIMIENTO CIRCULAR

Estudiamos el movimiento circular uniforme en la sección 3.4, mostrando que, cuando una partícula se mueve en un círculo con rapidez constante, su aceleración tiene magnitud constante  $a_{\text{rad}}$  dada por

$$\text{Magnitud de la aceleración de un objeto en movimiento circular uniforme} \quad a_{\text{rad}} = \frac{v^2}{R} \quad \begin{array}{l} \text{Rapidez del objeto} \\ \text{Radio de la trayectoria} \\ \text{circular del objeto} \end{array} \quad (5.13)$$

El subíndice “rad” nos recuerda que en cada punto la aceleración siempre es radial hacia el centro del círculo, perpendicular a la velocidad instantánea. En la sección 3.4 explicamos por qué se le denomina *aceleración centrípeta* o *radial*.

También podemos expresar la aceleración centrípeta  $a_{\text{rad}}$  en términos del *periodo*  $T$ , el tiempo que tarda una revolución:

$$T = \frac{2\pi R}{v} \quad (5.14)$$

En términos del periodo,  $a_{\text{rad}}$  es

$$\text{Magnitud de la aceleración de un objeto con movimiento circular uniforme} \quad a_{\text{rad}} = \frac{4\pi^2 R}{T^2} \quad \begin{array}{l} \text{Radio de la trayectoria} \\ \text{circular del objeto} \\ \text{Periodo de movimiento} \end{array} \quad (5.15)$$

El movimiento circular uniforme, como todos los movimientos de una partícula, se rige por la segunda ley de Newton. Para hacer que la partícula acelere hacia el centro del círculo, la fuerza neta  $\sum \vec{F}$  sobre la partícula debe estar dirigida siempre hacia el centro (**figura 5.28**). La magnitud de la aceleración es constante, así que la magnitud  $F_{\text{neta}}$  de la fuerza neta también debe ser constante. Si la fuerza neta hacia adentro deja de actuar, la partícula saldrá disparada en una línea recta tangente al círculo (**figura 5.29**).

La magnitud de la aceleración radial está dada por  $a_{\text{rad}} = v^2/R$ , así que la magnitud  $F_{\text{neta}}$  de la fuerza neta sobre una partícula de masa  $m$ , en movimiento circular uniforme, debe ser

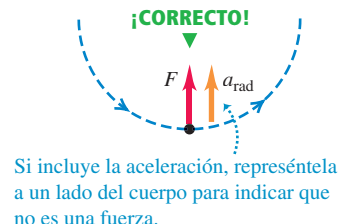
$$F_{\text{neta}} = ma_{\text{rad}} = m \frac{v^2}{R} \quad (\text{movimiento circular uniforme}) \quad (5.16)$$

El movimiento circular uniforme es resultado de *cualquier* combinación de fuerzas que produzca una fuerza neta  $\sum \vec{F}$  de magnitud constante y dirigida siempre hacia el centro del círculo. Observe que el cuerpo no necesita moverse alrededor de un círculo completo: la ecuación (5.16) es válida para *cualquier* trayectoria que se considere parte de un arco circular.

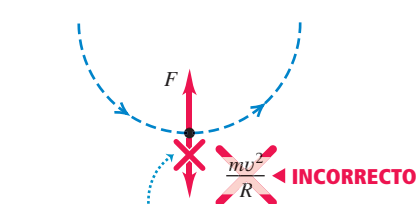
**CUIDADO** Evite usar “fuerza centrífuga”. La figura 5.30 muestra tanto un diagrama de cuerpo libre correcto para el movimiento circular uniforme (figura 5.30a) como un diagrama *incorrecto* (figura 5.30b) que se realiza comúnmente. La figura 5.30b es incorrecta porque incluye una fuerza adicional hacia afuera de magnitud  $m(v^2/R)$  para “mantener el cuerpo hacia afuera” o para “mantener el cuerpo en equilibrio”. Hay tres razones para no incluir tal fuerza hacia afuera, usualmente llamada *fuerza centrífuga* (el término “centrífugo” significa “que se aleja del centro”). En primer lugar, el cuerpo *no* “se dirige hacia afuera”: se encuentra en movimiento constante con trayectoria circular. Puesto que su velocidad está cambiando constantemente de dirección, el cuerpo está acelerado y *no* se encuentra en equilibrio. En segundo lugar, si *hubiera* una fuerza adicional hacia afuera para equilibrar la fuerza hacia adentro, no habría fuerza neta y el cuerpo se movería en línea recta, no en un círculo (figura 5.29). Y, en tercer lugar, la cantidad  $m(v^2/R)$  *no* es una fuerza; corresponde al lado  $m\ddot{a}$  de  $\sum \vec{F} = m\ddot{a}$ , y no aparece en  $\sum \vec{F}$  (figura 5.30a). Es cierto que un pasajero en un automóvil que sigue una curva en un camino horizontal tiende a deslizarse hacia fuera de la curva, como si respondiera a una “fuerza centrífuga”; no obstante, como vimos en la sección 4.2, lo que realmente sucede es que el pasajero tiende a seguir moviéndose en línea recta, y el costado del auto “choca” contra el pasajero cuando el vehículo da vuelta (figura 4.10c). *En un sistema de referencia inercial no existe ninguna “fuerza centrífuga”*. No volveremos a mencionar este término, y le recomendamos mucho no usarlo nunca. □

**5.30** Diagramas de cuerpo libre correcto e incorrecto para un cuerpo con movimiento circular uniforme.

a) Diagrama de cuerpo libre correcto



b) Diagrama de cuerpo libre incorrecto



### EJEMPLO 5.19 FUERZA EN EL MOVIMIENTO CIRCULAR UNIFORME

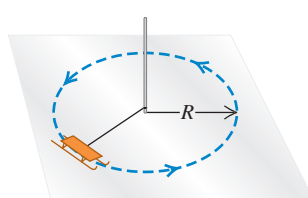
Un trineo con masa de 25.0 kg se encuentra en reposo sobre una plataforma horizontal de hielo prácticamente sin fricción. Está unido con una cuerda de 5.00 m a un poste clavado en el hielo. Una vez que se le da un empujón, el trineo da vueltas uniformemente alrededor del poste (figura 5.31a). Si el trineo efectúa cinco revoluciones completas cada minuto, calcule la fuerza  $F$  que la cuerda ejerce sobre él.

#### SOLUCIÓN

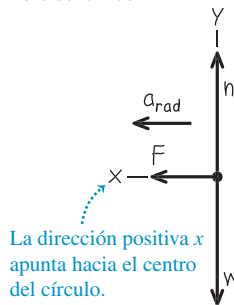
**IDENTIFICAR y PLANTEAR:** El trineo tiene movimiento circular uniforme, así que tiene una aceleración radial constante. Aplicaremos la segunda ley de Newton para determinar la magnitud  $F$  de la fuerza ejercida por la cuerda (nuestra incógnita).

**5.31 a)** La situación. **b)** Diagrama de cuerpo libre.

a) Trineo en movimiento circular uniforme



b) Diagrama de cuerpo libre del trineo



La figura 5.31b muestra el diagrama de cuerpo libre del trineo. La aceleración sólo tiene componente  $x$ : hacia el centro del círculo; por lo tanto, la denotamos con  $a_{\text{rad}}$ . No nos dan la aceleración, así que tendremos que determinar su valor con la ecuación (5.13) o con la (5.15).

**EJECUTAR:** Para la dirección  $x$ , la segunda ley de Newton da la fuerza  $F$ :

$$\sum F_x = F = ma_{\text{rad}}$$

Podemos obtener la aceleración centrípeta  $a_{\text{rad}}$  con la ecuación (5.15). El trineo se mueve en un círculo de radio  $R = 5.00 \text{ m}$ , con un periodo  $T = (60.0 \text{ s})/(5 \text{ rev}) = 12.0 \text{ s}$ , así que

$$a_{\text{rad}} = \frac{4\pi^2 R}{T^2} = \frac{4\pi^2 (5.00 \text{ m})}{(12.0 \text{ s})^2} = 1.37 \text{ m/s}^2$$

La magnitud  $F$  de la fuerza ejercida por la cuerda es

$$F = ma_{\text{rad}} = (25.0 \text{ kg})(1.37 \text{ m/s}^2) \\ = 34.3 \text{ kg} \cdot \text{m/s}^2 = 34.3 \text{ N}$$

**EVALUAR:** Se puede verificar el valor de  $a_{\text{rad}}$  obteniendo primero la rapidez mediante la ecuación (5.14),  $v = 2\pi R/T$  y usando, luego,  $a_{\text{rad}} = v^2/R$  de la ecuación (5.13). ¿Obtuvo el mismo resultado?

Se necesitaría una fuerza mayor si el trineo diera vueltas al círculo con mayor rapidez  $v$ . De hecho, si  $v$  aumentara al doble mientras  $R$  se mantiene igual,  $F$  sería cuatro veces mayor. ¿Puede usted demostrarlo? ¿Cómo cambiaría  $F$  si  $v$  no cambiara, pero el radio  $R$  aumentara al doble?



## EJEMPLO 5.20 EL PÉNDULO CÓNICO

Un inventor diseña un reloj de péndulo usando una lenteja de masa  $m$  en el extremo de un alambre delgado de longitud  $L$ . En vez de oscilar, la lenteja se mueve en un círculo horizontal con rapidez constante  $v$ , con el alambre formando un ángulo constante  $\beta$  con la vertical (**figura 5.32a**). Esto se conoce como **péndulo cónico** porque el alambre traza un cono. Calcule la tensión  $F$  en el alambre y el periodo  $T$  (el tiempo que tarda la lenteja en completar una revolución).

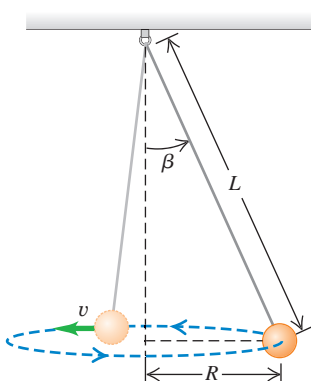
### SOLUCIÓN

**IDENTIFICAR y PLANTEAR:** Para obtener las incógnitas (la tensión  $F$  y el periodo  $T$ ), necesitamos dos ecuaciones, que serán las componentes horizontal y vertical de la segunda ley de Newton aplicada a la lenteja. Obtendremos la aceleración radial de la lenteja utilizando una de las ecuaciones para movimiento circular.

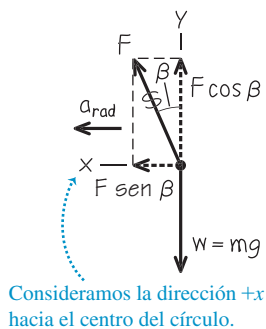
La figura 5.32b muestra el diagrama de cuerpo libre y el sistema de coordenadas de la lenteja en un instante determinado. Sólo hay dos fuerzas sobre la lenteja: el peso  $mg$  y la tensión  $F$  en el alambre.

**5.32 a)** La situación. **b)** Diagrama de cuerpo libre.

a) La situación



b) Diagrama de cuerpo libre de la lenteja



Observe que el centro de la trayectoria circular está en el mismo plano horizontal que la lenteja, *no* en el extremo superior del alambre. La componente horizontal de la tensión es la fuerza que produce la aceleración radial  $a_{\text{rad}}$ .

**EJECUTAR:** La lenteja no tiene aceleración vertical; la aceleración horizontal está dirigida al centro del círculo, así que usamos el símbolo  $a_{\text{rad}}$ . La segunda ley de Newton dice que

$$\begin{aligned}\sum F_x &= F \sin \beta = ma_{\text{rad}} \\ \sum F_y &= F \cos \beta + (-mg) = 0\end{aligned}$$

Éstas son las dos ecuaciones para las incógnitas  $F$  y  $\beta$ . La ecuación para  $\sum F_y$  da  $F = mg/\cos \beta$ , que es la expresión para la incógnita  $F$  en términos de  $\beta$ . Sustituyendo esto en la ecuación de  $\sum F_x$  y usando  $\sin \beta/\cos \beta = \tan \beta$ , tenemos

$$a_{\text{rad}} = g \tan \beta$$

Para relacionar  $\beta$  con el periodo  $T$ , usamos la ecuación (5.15) para  $a_{\text{rad}}$ , se despeja  $T$  y se inserta  $a_{\text{rad}} = g \tan \beta$ :

$$a_{\text{rad}} = \frac{4\pi^2 R}{T^2} \quad \text{o bien,} \quad T^2 = \frac{4\pi^2 R}{a_{\text{rad}}}$$

$$T = 2\pi \sqrt{\frac{R}{g \tan \beta}}$$

La figura 5.32a muestra que  $R = L \sin \beta$ . Sustituyendo esto y usando  $\sin \beta/\tan \beta = \cos \beta$ :

$$T = 2\pi \sqrt{\frac{L \cos \beta}{g}}$$

**EVALUAR:** Para una longitud  $L$  dada, al aumentar el ángulo  $\beta$ ,  $\cos \beta$  disminuye, el periodo  $T$  se reduce y la tensión  $F = mg/\cos \beta$  aumenta. Sin embargo, el ángulo nunca puede ser de  $90^\circ$ , pues ello requeriría que  $T = 0$ ,  $F = \infty$  y  $v = \infty$ . Un péndulo cónico no sería muy buen reloj porque el periodo depende de forma directa del ángulo  $\beta$ .

## EJEMPLO 5.21 RECORRIDO EN UNA CURVA PLANA



El automóvil deportivo del ejemplo 3.11 (sección 3.4) recorre una curva sin peralte de radio  $R$  (**figura 5.33a**). Si el coeficiente de fricción estática entre los neumáticos y la carretera es  $\mu_s$ , ¿cuál es la rapidez máxima  $v_{\text{máx}}$  con que el conductor puede tomar la curva sin derrapar?

### SOLUCIÓN

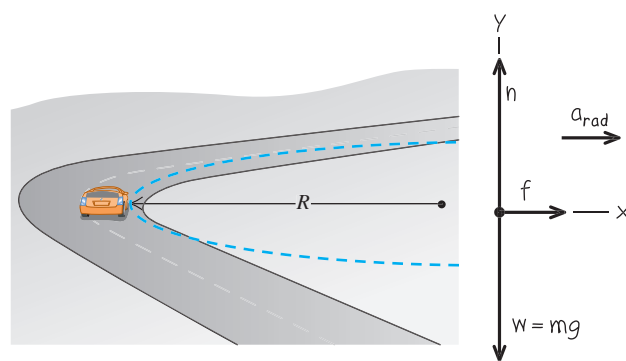
**IDENTIFICAR Y PLANTEAR:** La aceleración del automóvil al tomar la curva tiene magnitud  $a_{\text{rad}} = v^2/R$ , así que la rapidez máxima  $v_{\text{máx}}$  (nuestra incógnita) corresponde a la aceleración máxima  $a_{\text{rad}}$  y a la fuerza horizontal máxima, sobre el automóvil, hacia el centro de la trayectoria circular. La única fuerza horizontal que actúa sobre el auto es la fuerza de fricción ejercida por la carretera. Por lo tanto, para resolver este problema tendremos que usar la segunda ley de Newton, las ecuaciones de movimiento circular uniforme y lo que aprendimos acerca de la fuerza de fricción en la sección 5.3.

El diagrama de cuerpo libre de la figura 5.33b incluye el peso del automóvil  $w = mg$  y las dos fuerzas ejercidas por la carretera: la fuerza normal  $n$  y la fuerza horizontal de fricción  $f$ . La fuerza de fricción debe apuntar hacia el centro de la trayectoria circular para causar la

**5.33 a)** La situación. **b)** Diagrama de cuerpo libre.

a) El automóvil toma la curva en un camino plano

b) Diagrama de cuerpo libre del automóvil



aceleración radial. El automóvil no se desliza hacia el centro del círculo ni en la dirección opuesta, de modo que la fuerza de fricción es *estática*, con una magnitud máxima  $f_{\max} = \mu_s n$  [vea la ecuación (5.4)].

**EJECUTAR:** La aceleración hacia el centro de la trayectoria circular es  $a_{\text{rad}} = v^2/R$  y no hay aceleración vertical. Entonces tenemos

$$\sum F_x = f = ma_{\text{rad}} = m \frac{v^2}{R}$$

$$\sum F_y = n + (-mg) = 0$$

La segunda ecuación muestra que  $n = mg$ . La primera ecuación indica que la fuerza de fricción *necesaria* para mantener el automóvil en su trayectoria circular aumenta con la rapidez del vehículo. No obstante, la fuerza de fricción máxima *disponible* es  $f_{\max} = \mu_s n = \mu_s mg$ , y esto determina la rapidez máxima del automóvil. Si sustituimos  $f$  por  $\mu_s mg$  y  $v$  por  $v_{\max}$  en la primera ecuación,

$$\mu_s mg = m \frac{v_{\max}^2}{R} \quad \text{así que} \quad v_{\max} = \sqrt{\mu_s g R}$$

Por ejemplo, si  $\mu_s = 0.96$  y  $R = 230$  m, tenemos

$$v_{\max} = \sqrt{(0.96)(9.8 \text{ m/s}^2)(230 \text{ m})} = 47 \text{ m/s}$$

lo que equivale a casi 170 km/h (100 mi/h). Ésta es la rapidez máxima para dicho radio.

**EVALUAR:** Si la rapidez del automóvil es menor que  $v_{\max} = \sqrt{\mu_s g R}$ , la fuerza de fricción requerida es menor que el valor máximo  $f_{\max} = \mu_s mg$  y el automóvil puede tomar la curva fácilmente. Si intentamos tomar la curva con una rapidez *mayor* que la máxima, derraparemos. El automóvil aún podrá describir un círculo sin derrapar, pero el radio tendría que ser mayor.

La aceleración centrípeta máxima (llamada “aceleración lateral” en el ejemplo 3.11) es  $\mu_s g$ . Por ello, es mejor tomar las curvas a menor rapidez que la establecida como límite máximo, si el camino está mojado o cubierto de hielo, pues ambas situaciones reducen el valor de  $\mu_s$  y, por lo tanto, de  $\mu_s g$ .



### EJEMPLO 5.22 RECORRIDO EN UNA CURVA PERALTADA

Para un automóvil que viaja con cierta rapidez, es posible peralzar una curva con un ángulo tal que el automóvil no necesite fricción para mantener el radio con que da vuelta. Entonces el automóvil podría tomar con seguridad la curva aun sobre hielo húmedo. (Las carreras de trineos se basan en la misma idea). Un ingeniero propone reconstruir la curva del ejemplo 5.21 de modo que un automóvil con rapidez  $v$  pueda dar la vuelta sin peligro aunque no haya fricción (**figura 5.34a**). ¿Qué ángulo de peralte  $\beta$  debería tener la curva?

#### SOLUCIÓN

**IDENTIFICAR Y PLANTEAR:** Al no haber fricción, las únicas fuerzas que actúan sobre el automóvil son su peso y la fuerza normal. Como el camino tiene peralte, la fuerza normal (que actúa perpendicular a la superficie del camino) tiene una componente horizontal, la cual es la que produce la aceleración horizontal hacia el centro de la trayectoria circular del automóvil. Usaremos la segunda ley de Newton para obtener la incógnita  $\beta$ .

El diagrama de cuerpo libre (**figura 5.34b**) es muy similar al diagrama del péndulo cónico del ejemplo 5.20 (**figura 5.32b**). La fuerza normal que actúa sobre el automóvil desempeña el papel de la tensión ejercida por el alambre sobre la lenteja del péndulo.

**EJECUTAR:** La fuerza normal  $\vec{n}$  es perpendicular a la carretera y forma un ángulo  $\beta$  con respecto a la vertical (**figura 5.34b**); por lo tanto, tiene una componente vertical  $n \cos \beta$  y una componente

horizontal  $n \sin \beta$ . La aceleración en la dirección  $x$  es la aceleración centrípeta  $a_{\text{rad}} = v^2/R$ ; no hay aceleración en la dirección  $y$ . Entonces, las ecuaciones de la segunda ley de Newton son

$$\begin{aligned} \sum F_x &= n \sin \beta = ma_{\text{rad}} \\ \sum F_y &= n \cos \beta + (-mg) = 0 \end{aligned}$$

De la ecuación  $\sum F_y$ ,  $n = mg/\cos \beta$ . Si sustituimos esto en la ecuación  $\sum F_x$ , y usando  $a_{\text{rad}} = v^2/R$ , obtenemos una expresión para el ángulo de peralte:

$$\tan \beta = \frac{a_{\text{rad}}}{g} = \frac{v^2}{gR} \quad \text{así que} \quad \beta = \arctan \frac{v^2}{gR}$$

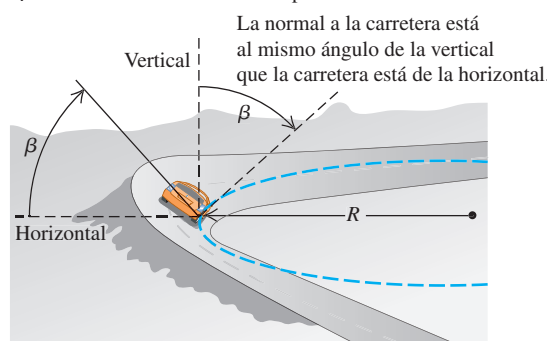
**EVALUAR:** El ángulo de peralte depende de la rapidez y el radio. Para un radio determinado, no hay un único ángulo para todas las rapideces. Al diseñar autopistas y vías de ferrocarril, lo usual es peralzar las curvas para la rapidez media del tráfico. Si  $R = 230$  m y  $v = 25$  m/s (correspondiente a una rapidez de autopista de 88 km/h o 55 mi/h), entonces,

$$\beta = \arctan \frac{(25 \text{ m/s})^2}{(9.8 \text{ m/s}^2)(230 \text{ m})} = 15^\circ$$

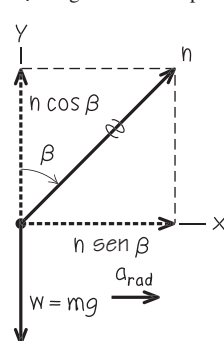
Este resultado está dentro del intervalo de ángulos de peralte reales usados en autopistas.

#### 5.34 a) La situación. b) Diagrama de cuerpo libre.

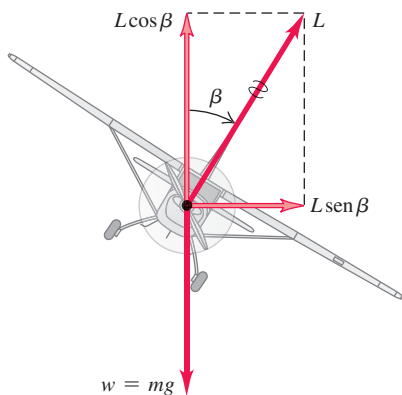
a) Un automóvil toma una curva peraltada



b) Diagrama de cuerpo libre del automóvil



**5.35** Un avión se inclina hacia un lado para dar un giro en esa dirección. La componente vertical de la fuerza de sustentación  $\vec{L}$  equilibra la fuerza de gravedad; la componente horizontal de  $\vec{L}$  causa la aceleración  $v^2/R$ .



## Curvas peraltadas y el vuelo de aviones

Los resultados del ejemplo 5.22 también son válidos para un avión cuando da vuelta mientras vuela horizontalmente (**figura 5.35**). Cuando un avión vuela en línea recta con rapidez constante y sin variar su altitud, su peso se equilibra exactamente con la fuerza de sustentación  $\vec{L}$  ejercida por el aire. (La fuerza de sustentación hacia arriba que el aire ejerce sobre las alas es una reacción al empuje hacia abajo que las alas ejercen sobre el aire, al moverse a través de éste). Para hacer que el avión dé vuelta, el piloto lo inclina hacia un lado para que la fuerza de sustentación tenga una componente horizontal, como en la figura 5.35. (El piloto también altera el ángulo con que las alas “muerden” el aire, de modo que la componente vertical de la sustentación siga equilibrando el peso). El ángulo de inclinación está relacionado con la rapidez  $v$  del avión y con el radio  $R$  de la vuelta por la misma expresión que vimos en el ejemplo 5.22:  $\tan \beta = v^2/gR$ . Si se desea que el avión dé una vuelta cerrada ( $R$  pequeño) con gran rapidez ( $v$  grande), tan  $\beta$  debe ser grande, y el ángulo de inclinación requerido  $\beta$  debe acercarse a  $90^\circ$ .

También podemos aplicar los resultados del ejemplo 5.22 al *piloto* de un avión. El diagrama de cuerpo libre del piloto es idéntico al de la figura 5.34b; el asiento ejerce la fuerza normal  $n = mg/\cos \beta$  sobre el piloto. Al igual que en el ejemplo 5.9,  $n$  es igual al peso aparente del piloto, que es mayor que su peso real  $mg$ . En una vuelta cerrada con un ángulo de inclinación  $\beta$  grande, el peso aparente del piloto puede ser enorme:  $n = 5.8mg$  con  $\beta = 80^\circ$  y  $n = 9.6mg$  con  $\beta = 84^\circ$ . Los pilotos llegan a desmayarse en tales vueltas porque el peso aparente de su sangre aumenta en la misma proporción, y el corazón no es lo bastante fuerte como para bombear al cerebro una sangre aparentemente tan “pesada”.

## Movimiento en un círculo vertical

En los ejemplos 5.19, 5.20, 5.21 y 5.22, el cuerpo se movía en un círculo horizontal. El movimiento en un círculo *vertical* no es diferente en principio; no obstante, hay que tratar con cuidado el peso del cuerpo. El ejemplo que sigue ilustra esa necesidad.



### EJEMPLO 5.23 MOVIMIENTO CIRCULAR UNIFORME EN UN CÍRCULO VERTICAL

Un pasajero en una rueda de la fortuna se mueve en un círculo vertical de radio  $R$  con rapidez constante  $v$ . El asiento permanece vertical durante su movimiento. Deduzca expresiones para la fuerza que el asiento ejerce sobre el pasajero en las partes superior e inferior del círculo.

#### SOLUCIÓN

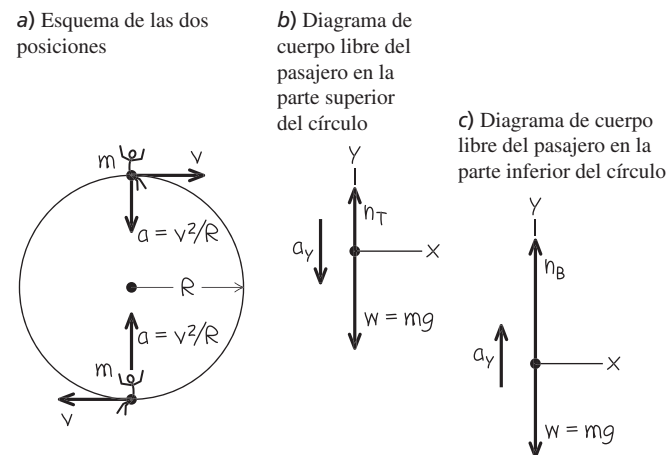
**IDENTIFICAR y PLANTEAR:** Las incógnitas son  $n_T$ , la fuerza normal hacia arriba que el asiento ejerce sobre el pasajero en la parte superior del círculo, y  $n_B$ , la fuerza normal en la parte inferior. Obtendremos esto aplicando la segunda ley de Newton y las ecuaciones del movimiento circular uniforme.

La **figura 5.36a** muestra la velocidad y aceleración del pasajero en las dos posiciones. La aceleración siempre está dirigida hacia el centro del círculo: hacia abajo cuando se encuentra en la parte superior, y hacia arriba cuando está en la parte inferior. En ambas posiciones, las únicas fuerzas que actúan son verticales: la fuerza normal hacia arriba y la fuerza de gravedad hacia abajo. Por lo tanto, sólo necesitamos la componente vertical de la segunda ley de Newton. Las figuras 5.36b y 5.36c son los diagramas de cuerpo libre para ambas posiciones. Tomamos la dirección  $+y$  hacia arriba en los dos casos (es decir, en dirección *opuesta* de la aceleración en la parte superior del círculo).

**EJECUTAR:** En la parte superior, la aceleración tiene magnitud  $v^2/R$ , pero su componente vertical es negativa porque su dirección es hacia abajo.

**5.36** Diagramas para este problema.

a) Esquema de las dos posiciones



Por lo tanto,  $a_y = -v^2/R$  y la segunda ley de Newton nos indica que

$$\text{Parte superior: } \sum F_y = n_T + (-mg) = -m \frac{v^2}{R} \quad \text{es decir,}$$

$$n_T = mg \left( 1 - \frac{v^2}{gR} \right)$$

En la parte inferior, la aceleración es hacia arriba, así que  $a_y = +v^2/R$  y la segunda ley de Newton nos dice que

$$\text{Parte inferior: } \sum F_y = n_B + (-mg) = +m\frac{v^2}{R} \quad \text{es decir,}$$

$$n_B = mg \left(1 + \frac{v^2}{gR}\right)$$

**EVALUAR:** El resultado obtenido para  $n_T$  nos dice que, en la parte superior de la rueda de la fortuna, la fuerza hacia arriba que el asiento

aplica al pasajero es *menor* en magnitud que el peso de éste,  $w = mg$ . Si la rueda gira con tal rapidez que  $g - v^2/R = 0$ , el asiento *no* aplica fuerza, y el pasajero está a punto de salir disparado. Si  $v$  aumenta aún más,  $n_T$  se hará negativa, y se requerirá una fuerza *hacia abajo* (como la de un cinturón de seguridad) para mantener al pasajero en el asiento. En cambio, en la parte inferior, la fuerza normal  $n_B$  siempre es *mayor que* el peso del pasajero. Se siente que el asiento empuja más firmemente que estando en reposo. Se observa que  $n_T$  y  $n_B$  son los valores del *peso aparente* del pasajero en las partes superior e inferior del círculo (vea la sección 5.2).

Si atamos una cuerda a un objeto y lo hacemos girar en un círculo vertical, no podremos aplicar directamente el análisis del ejemplo 5.23, porque en este caso  $v$  *no* es constante; excepto en las partes superior e inferior del círculo, la fuerza neta ( $y$  por ende, la aceleración) *no* apunta al centro del círculo (figura 5.37). Así,  $\sum \vec{F}$  y  $\vec{a}$  tienen una componente tangente al círculo, lo cual significa que la velocidad cambia. Por ello, tenemos un caso de movimiento circular *no uniforme* (vea la sección 3.4). Es más, no podemos usar las fórmulas de aceleración constante para relacionar las rapideces en distintos puntos porque *ni* la magnitud *ni* la dirección de la aceleración son constantes. La mejor forma de obtener las relaciones de rapidez que necesitamos consiste en usar el concepto de energía. Consideraremos esto en el capítulo 7.

**EVALÚE SU COMPRENSIÓN DE LA SECCIÓN 5.4** La atracción gravitacional de nuestro planeta mantiene los satélites en órbita. Un satélite en una órbita de radio pequeño se mueve con mayor rapidez que uno en una órbita amplia. Con base en esta información, ¿qué puede usted concluir acerca de la atracción gravitacional de la Tierra sobre el satélite? **i.** Se incrementa al aumentar la distancia hacia la Tierra. **ii.** Es la misma en todas las distancias desde la Tierra. **iii.** Disminuye al aumentar la distancia con respecto a la Tierra. **iv.** Por sí misma, esta información es insuficiente para contestar la pregunta. ■

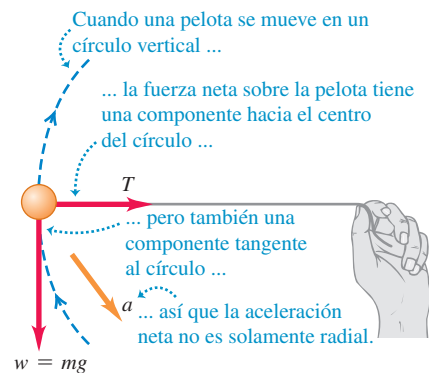
## 5.5 FUERZAS FUNDAMENTALES DE LA NATURALEZA

Hemos visto fuerzas de varios tipos: peso, tensión, fricción, resistencia de fluidos y la fuerza normal, y veremos más al seguir estudiando física. Pero, ¿exactamente cuántas clases distintas de fuerzas existen? Actualmente, se considera que todas las fuerzas son expresiones de tan sólo cuatro clases de fuerzas *fundamentales* o interacciones entre las partículas (figura 5.38, página siguiente). Dos de ellas las conocemos por la experiencia cotidiana; las otras dos implican interacciones entre partículas subatómicas que no podemos percibir directamente con nuestros sentidos.

Las **interacciones gravitacionales** incluyen la fuerza conocida del *peso*, que se debe a la acción de la atracción gravitacional terrestre sobre un cuerpo. La mutua atracción gravitacional entre las diferentes partes de la Tierra mantiene a nuestro planeta unido, lo mismo sucede en otros planetas (figura 5.38a). Newton reconoció que la atracción gravitacional del Sol mantiene a la Tierra en su órbita aproximadamente circular en torno al Sol. En el capítulo 13 estudiaremos las interacciones gravitacionales con mayor detalle y analizaremos su papel crucial en los movimientos de planetas y satélites.

La segunda clase cotidiana de fuerzas, las **interacciones electromagnéticas**, incluye las fuerzas eléctricas y magnéticas. Si deslizamos un peine por el cabello, al final, el peine tendrá una carga eléctrica; es posible usar la fuerza eléctrica ejercida por esta carga para atraer trocitos de papel. Todos los átomos contienen cargas eléctricas positiva y negativa, así que átomos y moléculas pueden ejercer fuerzas eléctricas unos sobre otros. Las fuerzas de contacto, incluidas la normal, la de fricción y la de resistencia de fluidos, son producto de la combinación de todas estas fuerzas ejercidas sobre los átomos de un cuerpo y los átomos de su entorno (figura 5.38b). Las fuerzas *magnéticas*, como las que se generan entre imanes o entre un imán y un trozo de hierro, en realidad son el resultado de cargas eléctricas en movimiento. Por ejemplo, un electroimán causa interacciones magnéticas porque las cargas eléctricas se mueven a

**5.37** Pelota que se mueve en un círculo vertical.



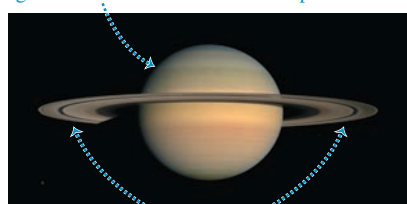
**BIO Aplicación Movimiento circular en una centrífuga** Una herramienta importante en la investigación de la medicina y las ciencias biológicas es la ultracentrifuga, un dispositivo que utiliza la dinámica del movimiento circular. Se llena un tubo con un solvente que contiene diversas partículas pequeñas (por ejemplo, sangre que contiene plaquetas y glóbulos blancos y rojos). El tubo se introduce en la centrifuga, que entonces gira a miles de revoluciones por minuto. El solvente proporciona la fuerza interior que mantiene las partículas en movimiento circular. Las partículas se alejan poco a poco del eje de rotación dentro del solvente. Ya que la velocidad de deriva depende del tamaño de partícula y densidad, las partículas de los diferentes tipos se separan en el tubo, así se hace el análisis mucho más fácil.



**5.38** Ejemplos de las interacciones fundamentales en la naturaleza.

a) La interacción gravitacional

Saturno se mantiene unido por la atracción gravitacional mutua de todas sus partes.



Las partículas que forman los anillos se mantienen en órbita por la fuerza gravitacional de Saturno.

b) La interacción electromagnética

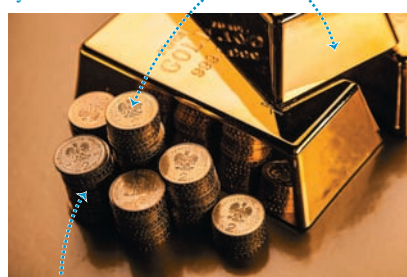
Las fuerzas de contacto entre el micrófono y la mano de la cantante son de naturaleza eléctrica.



Este micrófono utiliza efectos eléctricos y magnéticos para convertir sonido en una señal eléctrica que puede ser amplificada y grabada.

c) La interacción fuerte

El núcleo de un átomo de oro tiene 79 protones y 118 neutrones.



La interacción fuerte mantiene unidos los protones y neutrones y vence la repulsión eléctrica de los protones.

d) La interacción débil

Los científicos encuentran la edad de este cráneo antiguo midiendo su carbono-14 —una forma de carbono radiactivo— gracias a la interacción débil.



través de sus alambres. Estudiaremos las interacciones electromagnéticas en detalle en la segunda mitad de este libro.

En la escala atómica o molecular, las fuerzas gravitacionales no juegan ningún papel porque las fuerzas eléctricas son enormemente más fuertes: la repulsión eléctrica entre dos protones es más fuerte que su atracción gravitacional por un factor de aproximadamente  $10^{35}$ . Pero en cuerpos de tamaño astronómico, las cargas positivas y negativas están generalmente presentes en cantidades casi iguales y las interacciones eléctricas resultantes casi se cancelan. Las interacciones gravitacionales son la influencia dominante en el movimiento de los planetas y en la estructura interna de las estrellas.

Las otras dos clases de interacciones son menos conocidas. Una, es la **interacción fuerte**, que es responsable de mantener el núcleo de un átomo unido (figura 5.38c). Los núcleos contienen neutrones eléctricamente neutros y protones cargados positivamente. La fuerza eléctrica entre los protones cargados intenta separarlos; la fuerza fuerte entre las partículas nucleares es atractiva, lo que contrarresta esta repulsión y hace al núcleo estable. En este contexto la interacción fuerte también se llama *fuerza nuclear fuerte*. Tiene mucho menor alcance que las interacciones eléctricas, pero su alcance es mucho más fuerte. Sin la interacción fuerte, no existirían los núcleos de los átomos esenciales para la vida, como el carbono (seis protones, seis neutrones) y el oxígeno (ocho protones, ocho neutrones), y ¡usted podría no existir y no leería estas palabras!

Por último, la **interacción débil**. Su rango es tan corto que juega un papel solamente en la escala del núcleo o más pequeña. La interacción débil es responsable de una forma común de radiactividad llamado decaimiento beta, en la que un neutrón en un núcleo radiactivo se transforma en un protón y expulsa un electrón y una partícula casi sin masa llamada antineutrino. La interacción débil entre el antineutrino y materia

ordinaria es tan débil que ¡un antineutrino podría penetrar fácilmente una pared de plomo de 1 millón de kilómetros de espesor!

Un uso importante de la interacción débil es la *datación con radiocarbono*, una técnica que permite a los científicos determinar la edad de muchos especímenes biológicos (figura 5.38d). Los átomos de carbono ocurren naturalmente incluyendo el carbono-12 (con seis protones y seis neutrones en el núcleo) y el de carbono-14 (con dos neutrones adicionales). Los organismos vivos toman átomos de carbono de ambas clases de su ambiente, pero dejan de hacerlo cuando mueren. La interacción débil hace que los núcleos de carbono-14 sea inestables, uno de los neutrones cambia a un protón, un electrón y un antineutrino, y estos núcleos decaen con una razón conocida. Midiendo la fracción de carbono-14 que queda en los restos de un organismo, los científicos pueden determinar cuánto hace que el organismo murió.

En la década de 1960 los físicos formularon una teoría que describe las interacciones electromagnética y débil, como aspectos de una sola interacción *electrodébil*. Esta teoría ha superado todas las pruebas experimentales a las que se ha sometido, lo cual motivó a los físicos a realizar intentos similares que describan las interacciones fuerte, electromagnética y débil dentro de una sola *gran teoría unificada* (GTU), y se han dado ciertos pasos hacia una posible unificación de todas las interacciones en una *teoría del todo* (TOE, por las siglas de *theory of everything*). Tales teorías aún son especulativas y hay muchas preguntas sin respuesta en este campo de investigación tan activo.

## CAPÍTULO 5 RESUMEN

SOLUCIONES A TODOS LOS EJEMPLOS



**Aplicación de la primera ley de Newton:** Cuando un cuerpo está en equilibrio en un sistema de referencia inercial, es decir, en reposo o en movimiento con velocidad constante, la suma vectorial de las fuerzas que actúan sobre él debe ser cero (primera ley de Newton). Los diagramas de cuerpo libre son indispensables para identificar las fuerzas que actúan sobre el cuerpo en cuestión.

La tercera ley de Newton (acción y reacción) también suele necesitarse en problemas de equilibrio. Las dos fuerzas de un par acción-reacción *nunca* actúan sobre el mismo cuerpo. (Vea los ejemplos 5.1 a 5.5).

La fuerza normal ejercida por una superficie sobre un cuerpo *no* siempre es igual al peso del cuerpo. (Vea el ejemplo 5.4).

**Aplicación de la segunda ley de Newton:** Si la suma vectorial de las fuerzas que actúan sobre un cuerpo *no* es cero, el cuerpo tiene una aceleración, relacionada con la fuerza neta por la segunda ley de Newton.

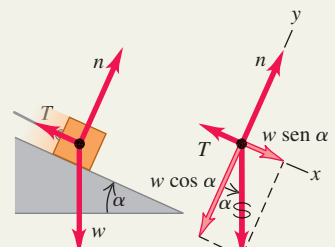
Al igual que en los problemas de equilibrio, los diagramas de cuerpo libre son indispensables para resolver problemas donde interviene la segunda ley de Newton, y la fuerza normal ejercida sobre un cuerpo no siempre es igual a su peso. (Vea los ejemplos 5.6 a 5.12).

Forma vectorial:

$$\sum \vec{F} = \mathbf{0}$$
(5.1)

En componentes:

$$\sum F_x = 0 \quad \sum F_y = 0$$

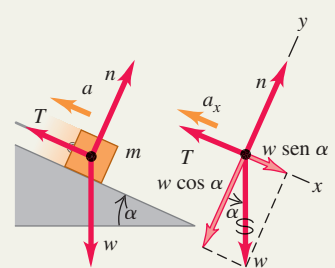


Forma vectorial:

$$\sum \vec{F} = m\vec{a}$$
(5.2)

En componentes:

$$\sum F_x = ma_x \quad \sum F_y = ma_y$$



**Fricción y resistencia de fluidos:** La fuerza de contacto entre dos cuerpos siempre puede representarse en términos de una fuerza normal  $\vec{n}$ , perpendicular a la superficie de contacto, y una fuerza de fricción  $\vec{f}$  paralela a la superficie.

Cuando un cuerpo se desliza sobre una superficie, la fuerza de fricción se denomina fricción *cinética*. Su magnitud  $f_k$  es aproximadamente igual a la magnitud de la fuerza normal  $n$  multiplicada por  $\mu_k$ , el coeficiente de fricción cinética.

Si un cuerpo *no* se mueve con respecto a la superficie, la fuerza de fricción se denomina fricción *estática*. La *máxima* fuerza de fricción estática posible es aproximadamente igual a la magnitud  $n$  de la fuerza normal multiplicada por el coeficiente de fricción estática  $\mu_s$ . La fuerza de fricción estática *real* puede variar entre cero y ese valor máximo, según la situación.  $\mu_s$  suele ser mayor que  $\mu_k$  para un par determinado de superficies en contacto. (Vea los ejemplos 5.13 a 5.17).

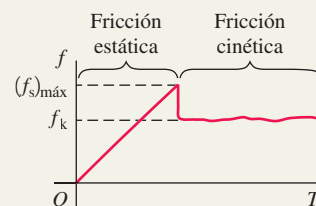
La fricción de rodamiento es similar a la fricción cinética; pero la fuerza de resistencia del fluido depende de la rapidez del objeto a través del fluido. (Vea el ejemplo 5.18).

Magnitud de la fuerza de fricción cinética:

$$f_k = \mu_k n \quad (5.3)$$

Magnitud de la fuerza de fricción estática:

$$f_s \leq (f_s)_{\max} = \mu_s n \quad (5.4)$$

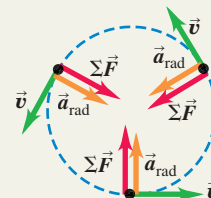


**Fuerzas en el movimiento circular:** En el movimiento circular uniforme, el vector aceleración apunta al centro del círculo. El movimiento se rige por la segunda ley de Newton  $\sum \vec{F} = m\vec{a}$ .

(Vea los ejemplos 5.19 a 5.23).

Acceleración en movimiento circular uniforme:

$$a_{\text{rad}} = \frac{v^2}{R} = \frac{4\pi^2 R}{T^2} \quad (5.13), (5.15)$$



## PROBLEMA PRÁCTICO DENTRO DE UN CONO GIRATORIO



Un bloque pequeño de masa  $m$  se coloca dentro de un cono invertido que gira sobre un eje vertical, de modo que la duración de una revolución del cono es  $T$  (figura 5.39). La pared del cono forma un ángulo  $\beta$  con la horizontal. El coeficiente de fricción estática entre el bloque y el cono es  $\mu_s$ . Si el bloque debe mantenerse a una altura constante  $h$  sobre el vértice del cono, ¿cuáles son *a*) el valor máximo de  $T$  y *b*) el valor mínimo de  $T$ ? (Es decir, obtenga las expresiones de  $T_{\max}$  y  $T_{\min}$  en términos de  $\beta$  y  $h$ ).

modo que  $T$  tiene su valor máximo  $T_{\max}$ ? ¿Cuál es la dirección de la fuerza de fricción cuando el cono gira lo más rápido posible, de modo que  $T$  tiene su valor mínimo  $T_{\min}$ ? En tales situaciones, ¿la fuerza de fricción estática tiene su *máxima* magnitud? ¿Por qué?

3. Elabore un diagrama de cuerpo libre para el bloque cuando el cono está girando con  $T = T_{\max}$  y un diagrama de cuerpo libre cuando el cono está girando con  $T = T_{\min}$ . Seleccione los ejes de coordenadas y recuerde que normalmente es más fácil elegir uno de los ejes en dirección de la aceleración.
4. ¿Cuál es el radio de la trayectoria circular que sigue el bloque? Exprese esto en términos de  $\beta$  y  $h$ .
5. Elabore una lista de las cantidades desconocidas e identifique cuáles de éstas son las incógnitas.

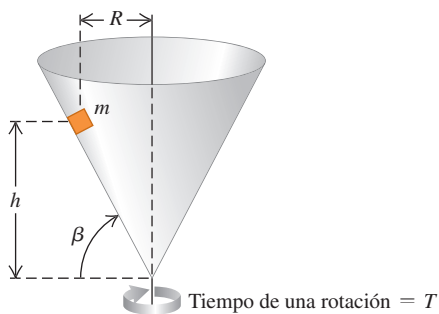
### EJECUTAR

6. Escriba la segunda ley de Newton en componentes para el caso en el cual el cono está girando con  $T = T_{\max}$ . Exprese la aceleración en términos de  $T_{\max}$ ,  $\beta$  y  $h$ , y la fuerza de fricción estática en términos de la fuerza normal  $n$ .
7. Resuelva estas ecuaciones despejando la incógnita  $T_{\max}$ .
8. Repita los pasos 6 y 7 para el caso en el cual el cono está girando con  $T = T_{\min}$ , y despeje la incógnita  $T_{\min}$ .

### EVALUAR

9. Usted terminará con unas expresiones bastante complicadas para  $T_{\max}$  y  $T_{\min}$ , de modo que verifíquelas con mucho cuidado. ¿Tienen las unidades correctas? ¿El tiempo mínimo  $T_{\min}$  es menor que el tiempo máximo  $T_{\max}$ , como debe ser?
10. ¿Cómo cambian las expresiones de  $T_{\max}$  y  $T_{\min}$  si  $\mu_s = 0$ ? Verifique sus resultados comparándolos con los del ejemplo 5.22 de la sección 5.4.

**5.39** Un bloque en el interior de un cono que gira.



## Problemas

•, •, ••: Niveles de dificultad. PA: Problemas acumulativos que incorporan material de capítulos anteriores. CALC: Problemas que requieren cálculo. DATOS: Problemas que incluyen datos reales, evidencia científica, diseño experimental y/o razonamiento estadístico. BIO: Problemas de ciencias biológicas.

A menos que se indique lo contrario, siempre considere poleas sin fricción y sin masa, así como resortes y cuerdas sin masa.

### PREGUNTAS PARA ANÁLISIS

**P5.1** Un hombre se sienta en una silla suspendida de una cuerda, la cual pasa por una polea suspendida del techo, y el hombre sujetá con sus manos el otro extremo de la cuerda. ¿Qué tensión hay en la cuerda y qué fuerza ejerce la silla sobre el hombre? Dibuja un diagrama de cuerpo libre para el hombre.

**P5.2** “En general, la fuerza normal no es igual al peso”. Dé un ejemplo en que ambas fuerzas tengan la misma magnitud y al menos dos ejemplos donde no sea así.

**P5.3** Se tiende una cuerda entre dos postes. Por más que se estira la cuerda, siempre cuelga un poco en el centro. Explique por qué.

**P5.4** Se conduce un automóvil cuesta arriba con rapidez constante. Analice las fuerzas que actúan sobre el automóvil. ¿Qué lo empuja cuesta arriba?

**P5.5** Por razones médicas, es importante que los astronautas en el espacio exterior determinen su masa corporal a intervalos regulares. Conciba una forma de medir la masa corporal en un entorno de aparente ingravidez.

**P5.6** Al empujar una caja hacia arriba de una rampa, ¿se requiere menos fuerza si se empuja horizontalmente o si se empuja en forma paralela a la rampa? ¿Por qué?

**P5.7** Una mujer en un elevador suelta su portafolios, pero éste no cae al piso. ¿Cómo se está moviendo el elevador?

**P5.8** Un bloque descansa sobre un plano inclinado con suficiente fricción para que no se deslice hacia abajo. Para empezar a mover el bloque, ¿es más fácil empujarlo hacia arriba o hacia abajo del plano? ¿Por qué?

**P5.9** Un cajón que se desliza por una rampa inclinada y luego se desliza hacia abajo de la rampa después de detenerse momentáneamente cerca de la parte superior. Hay fricción cinética entre la superficie de la rampa y el cajón. ¿Cuál es mayor? i. la aceleración del cajón subiendo la rampa; ii. la aceleración del cajón bajando la rampa; iii. ambas son iguales. Explique su respuesta.

**P5.10** Una caja con libros descansa en un piso horizontal. Para deslizarla sobre el piso con velocidad constante, ¿por qué se ejerce una fuerza menor si se jala de ella con un ángulo  $\theta$  sobre la horizontal, que si se empuja con el mismo ángulo bajo la horizontal?

**P5.11** En un mundo sin fricción, ¿cuál de las siguientes actividades podría usted realizar (o no realizar)? Explique su razonamiento.

a) Manejar por una curva de autopista sin peralte; b) saltar en el aire; c) empezar a caminar en una acera horizontal; d) subir por una escalera vertical; e) cambiar de carril en una carretera.

**P5.12** Al pararnos descalzos en una tina húmeda, nos sentimos firmemente sostenidos, pero aun así es muy posible correr el peligro de resbalar. Explique esto en términos de los dos coeficientes de fricción.

**P5.13** Imagine que empuja una caja grande desde la parte trasera de un elevador de carga hacia el frente, mientras el elevador viaja al siguiente piso. ¿En qué situación la fuerza que debe aplicar para mover la caja es mínima y en qué situación es máxima: cuando el elevador está acelerando hacia arriba, cuando está acelerando hacia abajo o cuando viaja con rapidez constante? Explique su respuesta.

**P5.14** A menudo se escucha decir a la gente “la fricción siempre se opone al movimiento”. Mencione al menos un ejemplo donde a) la fricción estática provoque movimiento y b) la fricción cinética provoque movimiento.

**P5.15** Si hay una fuerza neta sobre una partícula en movimiento circular uniforme, ¿por qué no cambia la rapidez de la partícula?

**P5.16** La curva de un camino tiene un peralte calculado para 80 km/h. Sin embargo, el camino está cubierto de hielo, y usted cuidadosamente planea conducir más despacio que ese límite. ¿Qué le puede suceder a su automóvil? ¿Por qué?

**P5.17** Usted hace girar una pelota en el extremo de una cuerda ligera en un círculo horizontal con rapidez constante. ¿Puede la cuerda estar realmente horizontal? Si no, ¿la cuerda estaría arriba o abajo de la horizontal? ¿Por qué?

**P5.18** No se incluyó la fuerza centrífuga en los diagramas de cuerpo libre de las figuras 5.34b y 5.35. Explique por qué no.

**P5.19** Frente a su grupo, un profesor hace girar en un círculo horizontal un tapón de hule atado al extremo de una cuerda; el profesor dice a Carolina, quien está sentada en la primera fila, que soltará la cuerda cuando el tapón esté exactamente frente al rostro de ella. ¿Debería preocuparse Carolina?

**P5.20** Para que las fuerzas sobre los pasajeros no sean excesivas, los juegos de feria que describen un circuito vertical se diseñan de manera que el circuito, en vez de ser un círculo perfecto, tenga un radio de curvatura mayor abajo que arriba. Explique por qué.

**P5.21** Se deja caer una pelota de tenis, desde el reposo, de la parte superior de un cilindro alto de vidrio, primero con el cilindro en vacío de modo que no haya resistencia del aire y, luego, con el cilindro lleno de aire. Se toman múltiples fotografías de ambas caídas. A partir de las fotos, ¿cómo puede usted saber cuál es cuál? ¿O no es posible saberlo?

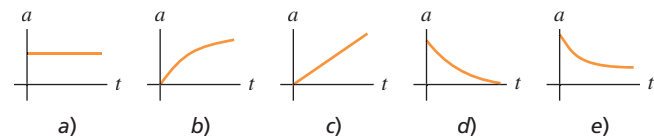
**P5.22** Si usted lanza una pelota de béisbol verticalmente hacia arriba con rapidez  $v_0$ , ¿cómo será su rapidez, cuando regrese al punto de lanzamiento, en comparación con  $v_0$ ? a) en ausencia de resistencia del aire? b) ¿Y en presencia de resistencia del aire? Explique su respuesta.

**P5.23** Usted lanza una pelota de béisbol verticalmente hacia arriba. Si no se desprecia la resistencia del aire, compare el tiempo que tarda la pelota en alcanzar su altura máxima con el tiempo que tarda en volver al punto de lanzamiento. Explique su respuesta.

**P5.24** Imagine que toma dos pelotas de tenis idénticas y llena una de agua. Deja caer las dos pelotas simultáneamente desde la azotea de un edificio alto. Si la resistencia del aire es insignificante, ¿cuál pelota llegará primero al piso? Explique su respuesta. ¿Y si la resistencia del aire no es insignificante?

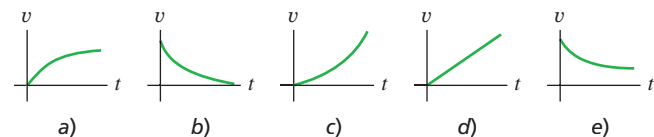
**P5.25** Se suelta una pelota desde el reposo y experimenta la resistencia del aire mientras cae. ¿Cuál de las gráficas de la figura P5.25 representa mejor su aceleración en función del tiempo?

Figura P5.25



**P5.26** Se suelta una pelota desde el reposo y experimenta la resistencia del aire mientras cae. ¿Cuál de las gráficas de la figura P5.26 representa mejor su componente de velocidad vertical en función del tiempo?

Figura P5.26



**P5.27** Cuando una pelota bateada se mueve con arrastre del aire, ¿recorre una distancia horizontal mayor **i.** mientras sube a su altura máxima; **ii.** mientras desciende de la altura máxima y baja al suelo; **iii.** o es la misma distancia horizontal en ambas partes de la trayectoria? Explique en términos de las fuerzas que actúan sobre la pelota.

**P5.28** “Se lanza una pelota del borde de un risco alto. Sea cual fuere el ángulo con que se lance, la resistencia del aire hará que llegue un momento en que la pelota caiga verticalmente”. Justifique esta afirmación.

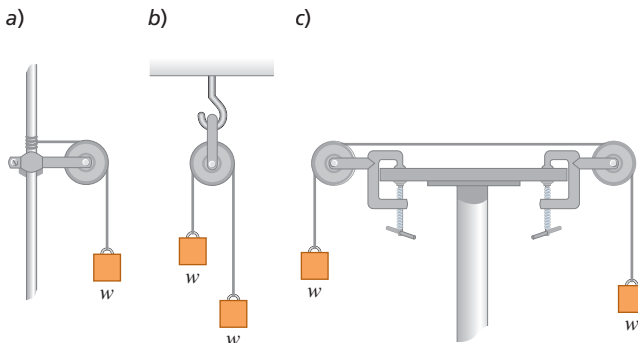
## EJERCICIOS

### Sección 5.1 Aplicación de la primera ley de Newton: Partículas en equilibrio

**5.1** • Dos pesas de 25.0 N cuelgan de los extremos opuestos de una cuerda que pasa por una polea ligera sin fricción. La polea está sujetada a una cadena que cuelga del techo. **a)** ¿Qué tensión hay en la cuerda? **b)** ¿Cuál es la tensión en la cadena?

**5.2** • En la figura E5.2, cada uno de los bloques suspendidos de la cuerda tiene un peso  $w$ . Las poleas no tienen fricción y el peso de las cuerdas es despreciable. En cada caso, dibuje el diagrama de cuerpo libre y calcule la tensión  $T$  en la cuerda en términos del peso  $w$ .

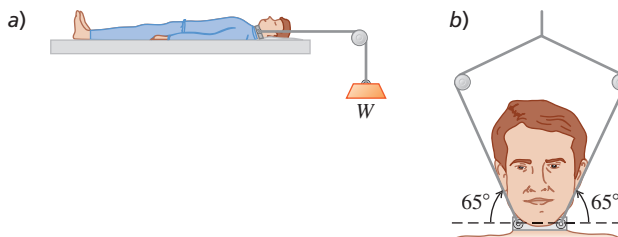
Figura E5.2



**5.3** • Una bola para demolición de 75.0 kg cuelga de una cadena uniforme de uso pesado, cuya masa es de 26.0 kg. **a)** Calcule las tensiones máxima y mínima en la cadena. **b)** ¿Cuál es la tensión en un punto a tres cuartos de distancia hacia arriba desde la parte inferior de la cadena?

**5.4** • **BIO Lesiones en la columna vertebral.** En el tratamiento de lesiones en la columna vertebral, a menudo es necesario aplicar algo de tensión para estirarla. Un dispositivo para hacerlo es la estructura de Stryker (figura E5.4a). Una pesa  $W$  está sujetada al paciente (algunas veces alrededor de un collarín, como se muestra en la figura E5.4b), y la fricción entre el cuerpo de la persona y la cama evita el deslizamiento. **a)** Si el coeficiente de fricción estática entre el cuerpo de un paciente de 78.5 kg y la cama es de 0.75, ¿cuál es la fuerza de tracción máxima a lo largo de la columna vertebral que puede generar la pesa  $W$  sin provocar que el paciente se deslice? **b)** En condiciones de máxima tracción, ¿cuál es la tensión en cada cable sujeto al collarín?

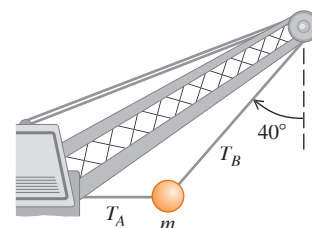
Figura E5.4



**5.5** • Un cuadro colgado en una pared está sostenido por dos alambres sujetos a sus esquinas superiores. Si los alambres forman el mismo ángulo con la vertical, ¿cuánto medirá el ángulo si la tensión en cada uno de los alambres es igual a 0.75 del peso del cuadro? (Ignore la fricción entre la pared y el cuadro).

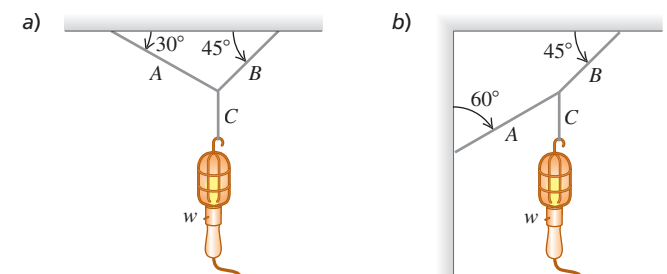
**5.6** • Una bola grande para demolición está sujetada por dos cables de acero ligeros (figura E5.6). Si su masa  $m$  de la bola para demolición es de 3620 kg, calcule **a)** la tensión  $T_B$  en el cable que forma un ángulo de  $40^\circ$  con la vertical y **b)** la tensión  $T_A$  en el cable horizontal.

Figura E5.6



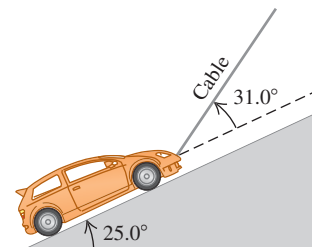
**5.7** • Calcule la tensión en cada cuerda de la figura E5.7 si el peso del objeto suspendido es  $w$ .

Figura E5.7



**5.8** • Sobre una rampa muy lisa (sin fricción), un automóvil de 1130 kg se mantiene en su lugar con un cable ligero, como se muestra en la figura E5.8. El cable forma un ángulo de  $31.0^\circ$  por arriba de la superficie de la rampa, y la rampa misma se eleva a  $25.0^\circ$  por arriba de la horizontal. **a)** Dibuje un diagrama de cuerpo libre para el automóvil. **b)** Obtenga la tensión en el cable. **c)** ¿Qué tan fuerte empuja la superficie de la rampa al automóvil?

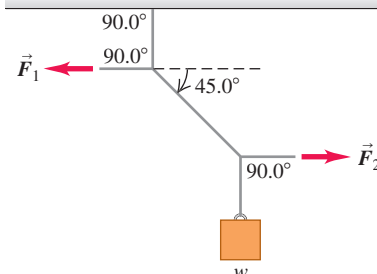
Figura E5.8



**5.9** • Un hombre empuja un piano de 180 kg de masa para que baje deslizándose con velocidad constante, por una rampa con una pendiente de  $19.0^\circ$  sobre la horizontal. Ignore la fricción que actúa sobre el piano. Calcule la magnitud de la fuerza aplicada por el hombre, si empuja **a)** en forma paralela a la rampa y **b)** en forma paralela al piso.

**5.10** • En la figura E5.10 el peso  $w$  es de 60.0 N. **a)** Calcule la tensión en la cuerda inclinada. **b)** Determine la magnitud de las fuerzas horizontales  $\vec{F}_1$  y  $\vec{F}_2$  que deben aplicarse para mantener el sistema en la posición indicada.

Figura E5.10



## Sección 5.2 Aplicación de la segunda ley de Newton: Dinámica de partículas

**5.11 •• BIO ¡Permanezca despierto!** Una astronauta se encuentra en el interior de una nave, de  $2.25 \times 10^6$  kg, que está despegando verticalmente de la plataforma de lanzamiento. Usted desea que esta nave alcance la velocidad del sonido (331 m/s) tan rápido como sea posible, pero los astronautas están cerca de perder el conocimiento a una aceleración mayor de  $4g$ . *a)* ¿Cuál es el empuje inicial máximo que los motores de la nave pueden realizar para evitar la pérdida del conocimiento? Inicie con un diagrama de cuerpo libre de la nave. *b)* ¿Qué fuerza, en términos de su peso  $w$ , ejerce la nave sobre la astronauta? Inicie con un diagrama de cuerpo libre de ella. *c)* ¿Cuál es el tiempo mínimo que le puede tomar a la nave alcanzar la velocidad del sonido?

**5.12 •** Un cohete de 125 kg (incluyendo todo su contenido) tiene un motor que produce una fuerza vertical constante (el *empuje*) de 1720 N. Dentro de este cohete, descansa sobre el piso una fuente de energía eléctrica de 15.5 N. *a)* Obtenga la aceleración del cohete. *b)* Cuando éste acelera inicialmente, ¿con qué fuerza el piso empuja la fuente de energía? (*Sugerencia:* Inicie con un diagrama de cuerpo libre para la fuente de energía eléctrica).

**5.13 •• PA Choque del Génesis.** El 8 de septiembre de 2004, la nave espacial *Génesis* se estrelló en el desierto de Utah porque su paracaídas no se abrió. La cápsula de 210 kg golpeó el suelo a 311 km/h y penetró en él hasta una profundidad de 81.0 cm. *a)* Suponiendo que era constante, ¿cuál fue su aceleración (en unidades de  $m/s^2$  y en  $g$ ) durante el choque? *b)* ¿Qué fuerza ejerció el suelo sobre la cápsula durante el choque? Exprese la fuerza en newtons y como múltiplo del peso de la cápsula. *c)* ¿Cuánto tiempo duró esta fuerza?

**5.14 •** Se jala de tres trineos sobre hielo horizontal sin fricción, usando cuerdas horizontales (figura E5.14). El jalón es de 190 N de magnitud. Determine *a)* la aceleración del sistema y *b)* la tensión en las cuerdas *A* y *B*.

Figura E5.14



**5.15 •• Máquina de Atwood.** Una carga de 15.0 kg de ladrillos cuelga del extremo de una cuerda que pasa por una polea pequeña sin fricción y tiene un contrapeso de 28.0 kg en el otro extremo (figura E5.15). El sistema se libera del reposo. *a)* Dibuje dos diagramas de cuerpo libre, uno para la carga de ladrillos y otro para el contrapeso. *b)* ¿Qué magnitud tiene la aceleración hacia arriba de la carga de ladrillos? *c)* ¿Qué tensión hay en la cuerda mientras la carga se mueve? Compare esa tensión con el peso de la carga de ladrillos y con el del contrapeso.

**5.16 •• PA** Un bloque de hielo de 8.00 kg, liberado del reposo en la parte superior de una rampa sin fricción de 1.50 m de longitud, se desliza hacia abajo y alcanza una rapidez de 2.50 m/s en la base de la rampa. *a)* ¿Qué ángulo forma la rampa con la horizontal? *b)* ¿Cuál sería la rapidez del hielo en la base de la rampa, si al movimiento se opusiera una fuerza de fricción constante de 10.0 N paralela a la superficie de la rampa?

**5.17 ••** Una cuerda ligera está atada a un bloque con masa de 4.00 kg que descansa en una superficie horizontal sin fricción. La cuerda horizontal pasa por una polea sin masa ni fricción, y un bloque de masa  $m$  cuelga del otro extremo. Al soltarse los bloques, la tensión en la cuerda es de 15.0 N. *a)* Dibuje dos diagramas de cuerpo libre, uno para cada bloque. *b)* ¿Cuál es la aceleración de cada bloque? *c)* Calcule la masa  $m$ . *d)* ¿Cómo se compara la tensión con el peso del bloque colgado?

**5.18 •• PA Diseño de pistas de aterrizaje.** Un avión de carga despega de un campo horizontal remolcando, uno detrás de otro, dos planeadores de 700 kg cada uno; la resistencia total (arrastre del aire más fricción con la pista) que actúa sobre cada planeador es constante e igual a 2500 N. La tensión en la cuerda de remolque entre el avión y el primer planeador no debe exceder de 12,000 N. *a)* Si se requiere una rapidez de 40 m/s para despegar, ¿qué longitud mínima debería tener la pista? *b)* ¿Qué tensión hay en la cuerda de remolque entre los dos planeadores durante la aceleración para el despegue?

**5.19 •• PA** Una enorme roca de 750.0 kg se levanta desde una cantera de 125 m de profundidad usando una cadena larga y uniforme, cuya masa es de 575 kg. Esta cadena tiene resistencia uniforme y en cualquier punto puede soportar una tensión máxima no mayor que 2.50 veces su peso sin romperse. *a)* ¿Cuál es la aceleración máxima que la roca puede tener para lograr salir de la cantera?, y *b)* ¿cuánto tiempo toma sacarla con aceleración máxima partiendo del reposo?

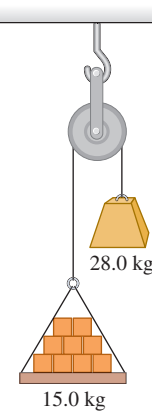
**5.20 •• Peso aparente.** Un estudiante de física cuyo peso es de 550 N se pone de pie sobre una báscula de baño dentro de un elevador de 850 kg (incluyendo al estudiante), el cual es soportado por un cable. Al comenzar a moverse el elevador, la báscula marca 450 N. *a)* Determine la aceleración del elevador (magnitud y dirección). *b)* ¿Cuál es la aceleración si la báscula marca 670 N? *c)* Si la lectura es 0, ¿debería preocuparse el joven? Explique su respuesta. *d)* En los incisos *a)* y *c)*, ¿cuál es la tensión en el cable?

**5.21 •• PA BIO Fuerza en un salto.** Una persona promedio puede alcanzar una altura máxima de 60 cm, cuando salta verticalmente desde una posición flexionada. Durante el salto, el cuerpo de la persona a partir de las rodillas normalmente se eleva una distancia de 50 cm. Para hacer los cálculos sencillos y obtener aún resultados razonables, suponga que el *cuero completo* se eleva esta altura durante el salto. *a)* Con qué rapidez inicial despega del suelo la persona para alcanzar una altura de 60 cm? *b)* Dibuje un diagrama de cuerpo libre de la persona durante el salto. *c)* En términos del peso  $w$  de la persona, ¿qué fuerza ejerce el suelo sobre esta durante el salto?

**5.22 PA CALC** Un cohete de prueba de 2540 kg se lanza verticalmente desde la plataforma de lanzamiento. Su combustible (de masa despreciable) genera una fuerza de propulsión, de manera que su velocidad vertical en función del tiempo está dada por  $v(t) = At + Bt^2$ , donde  $A$  y  $B$  son constantes, y el tiempo se mide desde el principio de la ignición. Al iniciar la ignición, el cohete tiene una aceleración ascendente de  $1.50 \text{ m/s}^2$ , y 1.00 s después una velocidad ascendente de  $2.00 \text{ m/s}$ . *a)* Determine  $A$  y  $B$ , incluyendo sus unidades en el SI. *b)* A los 4.00 s después de la ignición del combustible, ¿cuál será la aceleración del cohete?, y *c)* ¿qué fuerza de propulsión ejerce el combustible consumido sobre el cohete, despreciando la resistencia del aire? Exprese la propulsión en newtons y como múltiplo del peso del cohete. *d)* ¿Cuál era la propulsión inicial debida al combustible?

**5.23 •• PA CALC** Una caja de 2.00 kg se mueve a la derecha con una rapidez de 9.00 m/s sobre una superficie horizontal sin fricción. En  $t = 0$  se aplica una fuerza horizontal a la caja. La fuerza está dirigida a la izquierda y tiene una magnitud  $F(t) = (6.00 \text{ N/s}^2)t^2$ . *a)* ¿Qué distancia se mueve la caja a partir de su posición en  $t = 0$  antes de que su rapidez se reduzca a cero? *b)* Si se continúa aplicando la fuerza, ¿cuál es la rapidez de la caja en  $t = 3.00 \text{ s}$ ?

Figura E5.15



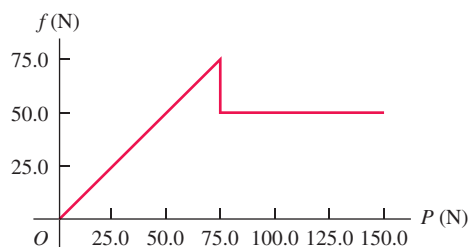
**5.24 • PA CALC** Una caja de 5.00 kg está colgada de una cuerda corta y vertical de masa despreciable. Una fuerza ascendente  $F(t)$  se aplica al extremo de la cuerda, y la altura de la caja arriba de su posición inicial está dada por  $y(t) = (2.80 \text{ m/s})t + (0.610 \text{ m/s}^3)t^3$ . ¿Cuál es la magnitud de la fuerza  $F$  cuando  $t = 4.00 \text{ s}$ ?

### Sección 5.3 Fuerzas de fricción

**5.25 • BIO Posición de Trendelenburg.** En emergencias con grandes pérdidas de sangre, el médico dará instrucciones de colocar al paciente en la posición de Trendelenburg, en la cual el pie de la cama se eleva para obtener el flujo máximo de sangre hacia el cerebro. Si el coeficiente de fricción estática entre un paciente normal y las sábanas es de 1.20, ¿cuál es el ángulo máximo que se puede inclinar la cama con respecto al piso antes de que el paciente comience a deslizarse?

**5.26 •** En un experimento de laboratorio acerca de la fricción, se jala de un bloque de 135 N que descansa sobre una mesa horizontal áspera con ayuda de un cable horizontal. El jalón aumenta gradualmente hasta que el bloque comienza a moverse y continúa aumentando a partir de entonces. La figura E5.26 muestra una gráfica de la fuerza de fricción sobre este bloque en función del jalón. *a)* Identifique las regiones de la gráfica donde hay fricción estática y fricción cinética. *b)* Calcule los coeficientes de fricción estática y cinética entre el bloque y la mesa. *c)* ¿Por qué la gráfica se dirige hacia arriba en la primera parte, pero luego se nivea? *d)* ¿Cómo se vería la gráfica si se colocara un ladrillo de 135 N sobre el bloque, y cuáles serían los coeficientes de fricción en ese caso?

Figura E5.26



**5.27 • PA** Un bodeguero empuja una caja de 16.8 kg de masa sobre una superficie horizontal con rapidez constante de 3.50 m/s. El coeficiente de fricción cinética entre la caja y la superficie es de 0.20. *a)* ¿Qué fuerza horizontal debe aplicar el trabajador para mantener el movimiento? *b)* Si se elimina la fuerza calculada en el inciso *a)*, ¿qué distancia se deslizaría la caja antes de detenerse?

**5.28 •** Una caja de bananas que pesa 40.0 N descansa en una superficie horizontal. El coeficiente de fricción estática entre la caja y la superficie es de 0.40, y el coeficiente de fricción cinética es de 0.20. *a)* Si no se aplica alguna fuerza horizontal a la caja en reposo, ¿qué tan grande es la fuerza de fricción ejercida sobre la caja? *b)* ¿Qué magnitud tiene la fuerza de fricción si un mono aplica una fuerza horizontal de 6.0 N a la caja inicialmente en reposo? *c)* ¿Qué fuerza horizontal mínima debe aplicar el mono para poner en movimiento la caja? *d)* ¿Qué fuerza horizontal mínima debe aplicar el mono para que la caja siga moviéndose con velocidad constante, una vez que haya comenzado a moverse? *e)* Si el mono aplica una fuerza horizontal de 18.0 N, ¿qué magnitud tiene la fuerza de fricción y qué aceleración tiene la caja?

**5.29 •** Una caja de herramientas de 45.0 kg descansa sobre un piso horizontal. Usted ejerce sobre ella un empuje horizontal cada vez mayor, y observa que la caja empieza a moverse cuando su fuerza excede 313 N. Después, debe reducir el empuje a 208 N para mantener la caja en movimiento a 25.0 cm/s constantes. *a)* ¿Cuáles son los coeficientes de fricción estática y cinética entre la caja y el piso? *b)* ¿Qué empuje debe

ejercer para darle una aceleración de 1.10 m/s<sup>2</sup>? *c)* Suponga que usted está realizando el mismo experimento con esta caja, pero ahora lo hace en la Luna, donde la aceleración debida a la gravedad es de 1.62 m/s<sup>2</sup>. *i.* ¿Cuál sería la magnitud del empuje para que la caja se moviera? *ii.* ¿Cuál sería su aceleración si mantuviera el empuje del inciso *b*)?

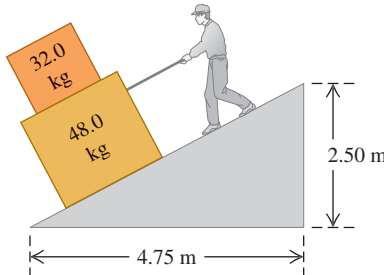
**5.30 •** Algunas rocas que se deslizan se aproximan a la base de una colina con una velocidad de 12 m/s. La colina se eleva a 36° por arriba de la horizontal y tiene coeficientes de fricción cinética y estática de 0.45 y 0.65, respectivamente, con las rocas. *a)* Calcule la aceleración de las rocas conforme suben por la colina. *b)* Una vez que una roca alcanza su punto más alto, ¿permanecerá allí o se deslizará cuesta abajo? Si permanece ahí, demuestre por qué. Si se desliza hacia abajo, calcule su aceleración cuesta abajo.

**5.31 •** Una caja de masa 10.0 kg se mueve sobre una rampa que se encuentra en inclinada un ángulo de 55.0° sobre la horizontal. El coeficiente de fricción cinética entre la caja y la superficie de la rampa es  $\mu_k = 0.300$ . Calcule la magnitud de la aceleración de la caja si la empuja con una fuerza constante  $F = 120.0 \text{ N}$  paralela a la superficie de la rampa y *a)* dirigida hacia abajo de la rampa, bajando la caja de la rampa; *b)* dirigida hacia arriba de la rampa, moviendo la caja hacia arriba de la rampa.

**5.32 •** Una camioneta a la que le falta la puerta trasera transporta una caja de herramientas, por lo que la caja caerá si la camioneta se mueve sin detenerse. Los coeficientes de fricción cinética y estática entre la caja y la plataforma de la camioneta son 0.355 y 0.650, respectivamente. Partiendo del reposo, ¿cuál es el tiempo mínimo que la camioneta puede acelerar de manera uniforme, hasta llegar a 30 m/s, sin que la caja se deslice? Elabore un diagrama de cuerpo libre para la caja de herramientas.

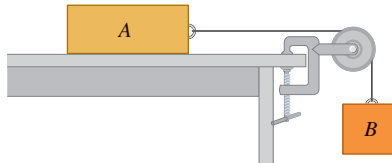
**5.33 •** Usted está bajando dos cajas, una encima de la otra, por una rampa jalando de una cuerda paralela a la superficie de la rampa (figura E5.33). Ambas cajas se mueven juntas a rapidez constante de 15.0 cm/s. El coeficiente de fricción cinética entre la rampa y la caja inferior es de 0.444, en tanto que el coeficiente de fricción estática entre ambas cajas es de 0.800. *a)* ¿Qué fuerza deberá ejercer para lograr esto? *b)* ¿Cuáles son la magnitud y la dirección de la fuerza de fricción sobre la caja superior?

Figura E5.33



**5.34 •** Considere el sistema de la figura E5.34. El bloque A pesa 45.0 N y el bloque B pesa 25.0 N. Una vez que el bloque B se pone en movimiento hacia abajo, desciende con rapidez constante. *a)* Calcule el coeficiente de fricción cinética entre el bloque A y la superficie de la mesa. *b)* Un gato, que también pesa 45.0 N, se queda dormido sobre el bloque A. Si ahora el bloque B se pone en movimiento hacia abajo, ¿qué aceleración (magnitud y dirección) tendrá?

Figura E5.34

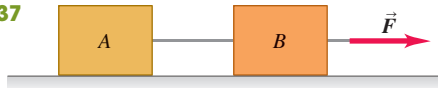


**5.35 • PA Distancia de frenado.** *a)* Si el coeficiente de fricción cinética entre neumáticos y pavimento seco es de 0.80, ¿cuál es la distancia mínima para que se detenga un automóvil que viaja a 28.7 m/s (aproximadamente 65 mi/h) bloqueando los frenos? *b)* En pavimento húmedo, el coeficiente de fricción cinética podría bajar a 0.25. ¿Con qué rapidez debemos conducir en pavimento húmedo para detenernos en la misma distancia que en el inciso *a*)? (*Nota:* Bloquear los frenos *no* es la forma más segura de detenerse).

**5.36 • PA** Una caja de 25.0 kg con libros de texto descansa sobre una rampa de carga que forma un ángulo  $\alpha$  con la horizontal. El coeficiente de fricción cinética es de 0.25; y el coeficiente de fricción estática, de 0.35. *a)* Al aumentar  $\alpha$ , determine el ángulo mínimo con que la caja comienza a resbalar. *b)* Con este ángulo, calcule la aceleración una vez que la caja se ha empezado a mover, y *c)* con este ángulo, calcule la rapidez con que se moverá la caja una vez que se haya deslizado 5.0 m por la rampa.

**5.37 •** Dos cajas unidas por una cuerda están sobre una superficie horizontal (figura E5.37). La caja *A* tiene una masa  $m_A$ , y la *B* una masa  $m_B$ . El coeficiente de fricción cinética entre las cajas y la superficie es  $\mu_k$ . Una fuerza horizontal  $\vec{F}$  jala de las cajas hacia la derecha con velocidad constante. En términos de  $m_A$ ,  $m_B$  y  $\mu_k$ , calcule *a)* la magnitud de la fuerza  $\vec{F}$  y *b)* la tensión en la cuerda que une los bloques. Incluya el(s) diagrama(s) de cuerpo libre que usó para obtener cada respuesta.

Figura E5.37



**5.38 •** Una caja de masa  $m$  se arrastra por un piso horizontal, cuyo coeficiente de fricción cinética es  $\mu_k$ , mediante una cuerda de la cual se jala con una fuerza ascendente de magnitud  $F$  y ángulo  $\theta$  sobre la horizontal. *a)* Obtenga una expresión en términos de  $m$ ,  $\mu_k$ ,  $\theta$  y  $g$  para la magnitud de la fuerza necesaria para mover la caja con rapidez constante. *b)* Un instructor de primeros auxilios, que sabe que usted estudia física, le pide averiguar qué fuerza necesitaría para deslizar con rapidez constante a un paciente de 90 kg por el piso, jalando de él con un ángulo de  $25^\circ$  sobre la horizontal. Arrastrando algunas pesas envueltas en unos pantalones viejos y con la ayuda de una balanza de resorte, usted determina que  $\mu_k = 0.35$ . Utilice el resultado del inciso *a*) para contestar la pregunta del instructor.

**5.39 • PA** Como se muestra en la figura E5.34, el bloque *A* (masa de 2.25 kg) descansa sobre una mesa y está conectado, mediante una cuerda horizontal que pasa por una polea ligera sin fricción, a un bloque colgado *B* (masa de 1.30 kg). El coeficiente de fricción cinética entre el bloque *A* y la superficie es de 0.450. Una vez que los bloques se sueltan a partir del reposo. Dibuje uno o más diagramas de cuerpo libre para calcular *a)* la rapidez de cada bloque después de moverse 3.00 cm y *b)* la tensión en la cuerda.

**5.40 •** Usted lanza una pelota de béisbol verticalmente hacia arriba. La fuerza de arrastre es proporcional a  $v^2$ . En términos de  $g$ , ¿cuál es la componente y de la aceleración que tiene la pelota cuando su rapidez es la mitad de la rapidez terminal *a)* mientras sube? *b)* ¿Y al bajar?

**5.41 •** Una caja grande de masa  $m$  descansa sobre un piso horizontal. Los coeficientes de fricción entre la caja y el piso son  $\mu_s$  y  $\mu_k$ . Una mujer empuja hacia abajo la caja con fuerza  $\vec{F}$  y un ángulo  $\theta$  bajo la horizontal. *a)* ¿Qué magnitud debe tener  $\vec{F}$  para que la caja se mueva con velocidad constante? *b)* Si  $\mu_s$  es mayor que cierto valor crítico, la mujer no podrá poner en movimiento la caja por más fuerte que empuje. Calcule dicho valor crítico de  $\mu_s$ .

**5.42 • a)** En el ejemplo 5.18 (sección 5.3), ¿qué valor de  $D$  se requiere para que  $v_t = 42$  m/s para el paracaidista? *b)* Si la hija del paracaidista, con masa de 45 kg, cae en el aire y tiene la misma  $D$  (0.25 kg/m) que su padre, ¿cuál será la rapidez terminal de la hija?

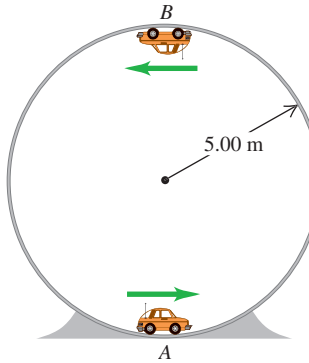
## Sección 5.4 Dinámica del movimiento circular

**5.43 •** Una piedra con masa 0.80 kg se une a un extremo de una cuerda de 0.90 m de largo. La cadena se rompe si su tensión excede 60.0 N. La piedra gira en un círculo de horizontal sobre una mesa sin fricción; el otro extremo de la cadena permanece fijo. *a)* Dibuje un diagrama de cuerpo libre de la piedra. *b)* Encuentre la rapidez máxima que puede alcanzar la piedra sin que la cuerda se rompa.

**5.44 • BIO Fuerza en la muñeca de una patinadora.** Una patinadora de hielo de 52 kg gira sobre un eje vertical a través de su cuerpo con los brazos extendidos horizontalmente; ella hace 2.0 vueltas cada segundo. La distancia de una mano a la otra es 1.50 m. Las medidas biométricas indican que cada mano tiene típicamente un 1.25% del peso del cuerpo. *a)* Dibuje un diagrama de cuerpo libre de una de las manos de la patinadora. *b)* ¿Qué fuerza horizontal debe ejercer su muñeca en su mano? *c)* Exprese la fuerza en el inciso *b*) como un múltiplo del peso de su mano.

**5.45 •** Un automóvil pequeño a control remoto con masa 1.60 kg se mueve a una rapidez constante de  $v = 12.0$  m/s en una pista formada por un círculo vertical dentro de un cilindro hueco de metal que tiene un radio de 5.00 m (figura E5.45). ¿Cuál es la magnitud de la fuerza normal ejercida sobre el auto por las paredes del cilindro en *a)* el punto *A* (parte inferior de la pista) y *b)* el punto *B* (parte superior de la pista)?

Figura E5.45



**5.46 •** Un carrito con masa de 0.800 kg viaja con rapidez constante en el interior de una pista circular vertical de radio igual a 5.00 m (figura E5.45). Si la fuerza normal ejercida por la pista sobre el carrito cuando está en la parte superior de la pista (punto *B*) es de 6.00 N, ¿cuál es la fuerza normal sobre el carrito cuando se encuentra en la parte inferior de la pista (punto *A*)?

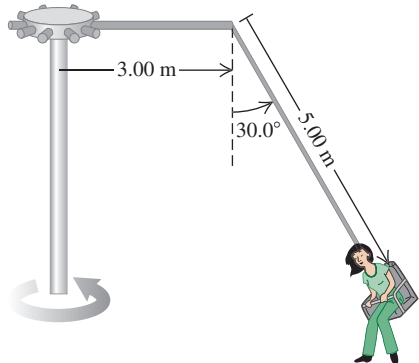
**5.47 •** Un modelo de automóvil pequeño con masa  $m$  viaja con rapidez constante dentro del interior de una pista que es un círculo vertical con radio de 5.00 m (figura E5.45). Si la fuerza normal ejercida por la pista sobre el auto cuando está en la parte inferior de la pista (punto *A*) es igual a  $2.50mg$ , ¿cuánto tiempo le tomará al auto para completar una revolución alrededor de la pista?

**5.48 •** Una curva plana (sin peralte) en una carretera tiene un radio de 170.0 m. Un automóvil toma la curva a una rapidez de 25.0 m/s. *a)* ¿Cuál es el coeficiente de fricción estática mínimo que evitaría que derrape? *b)* Suponga que la carretera está cubierta de hielo y el coeficiente de fricción estática entre los neumáticos y el pavimento es de sólo un tercio del resultado del inciso *a*). ¿Cuál debería ser la rapidez máxima del automóvil, de manera que pueda tomar la curva con seguridad?

**5.49 •** Un automóvil de 1125 kg y un camión de 2250 kg se acercan a una curva de la autopista que tiene un radio de 225 m. *a)* Con qué ángulo debería peralzar esta curva el ingeniero responsable, de modo que los vehículos que viajan a 65.0 mi/h puedan tomarla con seguridad, sin que importe la condición de sus neumáticos? ¿El camión pesado debería ir más lento que el automóvil más ligero? *b)* Cuando el auto y el camion tomen la curva a 65.0 mi/h, obtenga la fuerza normal sobre cada vehículo debida a la superficie de la autopista.

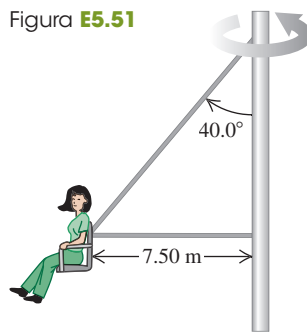
**5.50** • El “columpio gigante” de una feria local consiste en un eje vertical central con varios brazos horizontales unidos a su extremo superior. Cada brazo sostiene un asiento suspendido de un cable de 5.00 m, sujeto al brazo en un punto a 3.00 m del eje central (**figura E5.50**). *a)* Calcule el tiempo de una revolución del columpio, si el cable forma un ángulo de  $30.0^\circ$  con la vertical. *b)* ¿El ángulo depende del peso del pasajero para una velocidad de giro determinada?

Figura E5.50



**5.51** • En otra versión del “columpio gigante” (vea el ejercicio 5.50), el asiento está conectado a dos cables, uno de los cuales es horizontal (**figura 5.51**). El asiento gira en un círculo horizontal a una velocidad de 28.0 rpm (rev/min). Calcule la tensión en cada cable, si el asiento pesa 255 N y una persona de 825 N está sentada en él.

Figura 5.51



**5.52** • Un botón pequeño, colocado en una plataforma giratoria horizontal de 0.520 m de diámetro, gira junto con la plataforma a 40.0 rev/min, siempre que el botón no esté a más de 0.220 m del eje. *a)* ¿Qué coeficiente de fricción estática hay entre el botón y la plataforma? *b)* ¿A qué distancia del eje puede estar el botón, sin resbalar, si la plataforma gira a 60.0 rev/min?

**5.53** • **Estaciones espaciales giratorias.** Para los seres humanos, uno de los problemas de vivir en el espacio exterior es la aparente falta de peso. Una solución es diseñar estaciones espaciales que giren sobre su centro con rapidez constante, creando “gravedad artificial” en el borde exterior de la estación. *a)* Si el diámetro de la estación es de 800 m, ¿cuántas revoluciones por minuto se necesitarán para que la aceleración de la “gravedad artificial” sea de  $9.80 \text{ m/s}^2$ ? *b)* Si la estación espacial es un área de espera para pasajeros que van a Marte, sería deseable simular la aceleración debida a la gravedad en la superficie marciana ( $3.70 \text{ m/s}^2$ ). ¿Cuántas revoluciones por minuto se necesitan en este caso?

**5.54** • La rueda de la fortuna Cosmo Clock 21 de la ciudad de Yokohama, Japón, tiene 100 m de diámetro. Su nombre proviene de sus 60 brazos, cada uno de los cuales puede funcionar como un segundero (dando una vuelta cada 60.0 s). *a)* Determine la rapidez de los pasajeros con esta rotación. *b)* Un pasajero que normalmente pesa 882 N en una caseta de “adivine el peso” a nivel de suelo, ¿qué peso aparente tendrá en el punto más alto y el más bajo de la rueda?

*c)* ¿Cuánto tardaría una revolución, si el peso aparente del pasajero en el punto más alto fuera cero? *d)* ¿Cuál sería entonces su peso aparente en el punto más bajo?

**5.55** • Un avión describe un rizo (una trayectoria circular en un plano vertical) de 150 m de radio. La cabeza del piloto apunta siempre al centro del rizo. La rapidez del avión no es constante; es mínima en el punto más alto del rizo y máxima en el punto más bajo. *a)* En la parte superior, el piloto experimenta ingravidez. ¿Qué rapidez tiene el avión en este punto? *b)* En la parte inferior, la rapidez del avión es de 280 km/h. ¿Qué peso aparente tiene el piloto aquí? Su peso real es de 700 N.

**5.56** • Una piloto de acrobacias de 50.0 kg va en picada y sale de ella cambiando su curso en una trayectoria circular en un plano vertical. *a)* Si la rapidez del avión en el punto más bajo del círculo es de 95.0 m/s, ¿qué radio mínimo debería tener el círculo para que la aceleración en ese punto no exceda  $4.00g$ ? *b)* ¿Qué peso aparente tiene el piloto en ese punto más bajo?

**5.57** • **¡No se moje!** Se ata una cuerda a una cubeta con agua, la cual se hace girar en un círculo vertical de radio 0.600 m. ¿Qué rapidez mínima debe tener la cubeta en el punto más alto del círculo para no derramar agua?

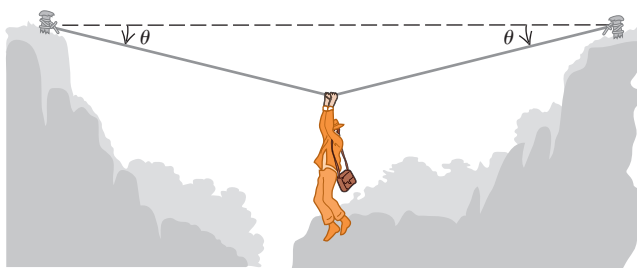
**5.58** • Una bola para jugar a los bolos que pesa 71.2 N (16.0 lb) cuelga del techo atada a una cuerda de 3.80 m. Se jala de la bola hacia un lado y luego se suelta; la bola oscila como péndulo. Al pasar la cuerda por la vertical, la rapidez de la bola es de 4.20 m/s. *a)* ¿Qué dirección y magnitud tiene la aceleración de la bola en ese instante? *b)* ¿Qué tensión hay en la cuerda en ese instante?

**5.59** • **BIO Efecto de una caminata sobre sangre.** Cuando una persona camina, sus brazos se balancean a través de un ángulo de  $45^\circ$  aproximadamente en  $\frac{1}{2}$ s. Como aproximación razonable, podemos suponer que el brazo se mueve con rapidez constante durante cada giro. Un brazo normal tiene 70.0 cm de largo, medido desde la articulación del hombro. *a)* ¿Cuál es la aceleración de una gota de sangre de 1.0 g en las puntas de los dedos en la parte inferior del giro? *b)* Elabore un diagrama de cuerpo libre de la gota de sangre del inciso *a*. *c)* Calcule la fuerza que el vaso sanguíneo debe ejercer sobre la gota de sangre del inciso *a*. *d)* Hacia dónde apunta esta fuerza? *e)* ¿Qué fuerza ejercería el vaso sanguíneo si el brazo no se balanceara?

## PROBLEMAS

**5.60** • Un arqueólogo explorador cruza lentamente, mano sobre mano, de un risco a otro colgado de una cuerda estirada entre los riscos. Se detiene a la mitad para descansar (**figura P5.60**). La cuerda se romperá si su tensión excede  $2.50 \times 10^4 \text{ N}$ , y la masa de nuestro héroe es de 90.0 kg. *a)* Si el ángulo  $\theta$  es de  $10.0^\circ$ , calcule la tensión en la cuerda. *b)* ¿Qué valor mínimo puede tener  $\theta$  sin que se rompa la cuerda?

Figura P5.60



- 5.61** ... Dos cuerdas están unidas a un cable de acero que sostiene una pesa que cuelga (figura P5.61). *a)* Dibuje un diagrama de cuerpo libre que muestre todas las fuerzas que actúan sobre el nudo que une las dos cuerdas al cable de acero. Con base en su diagrama de fuerzas, ¿cuál cuerda estará sometida a mayor tensión? *b)* Si

la tensión máxima que una cuerda resiste sin romperse es de 5000 N, determine el valor máximo de la pesa que las cuerdas pueden sostener sin riesgo. Desprecie el peso de las cuerdas y del cable de acero.

- 5.62** En la figura P5.62 un obrero levanta un peso  $w$  jalando hacia abajo de una cuerda con una fuerza  $\vec{F}$ . La polea superior está unida al techo con una cadena; en tanto que la polea inferior está unida al peso con otra cadena. Dibuje uno o más diagramas de cuerpo libre para calcular, en términos de  $w$ , la tensión en cada cadena y la magnitud de la fuerza  $\vec{F}$  si el peso sube con rapidez constante. Suponga que los pesos de la cuerda, las poleas y las cadenas son insignificantes.

- 5.63** En un taller de reparación un motor de carro que tiene masa 409 kg se coloca en su lugar por cuatro cables ligeros (figura P5.63). El cable A es horizontal, los cables B y D son verticales, y el cable C forma un ángulo de  $37.1^\circ$  con una pared vertical. Si la tensión en el cable A es de 722 N, ¿cuáles son las tensiones en los cables B y C?

Figura P5.61

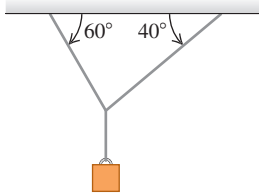


Figura P5.62

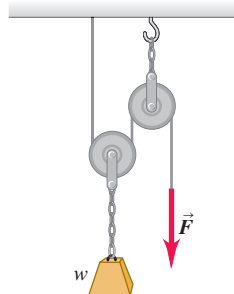
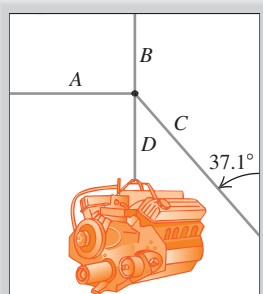
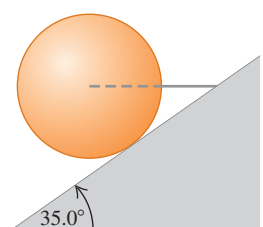


Figura P5.63



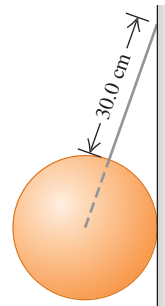
- 5.64** ... Un alambre horizontal sostiene una esfera uniforme sólida de masa  $m$ , sobre una rampa que se eleva  $35.0^\circ$  por arriba de la horizontal. La superficie de la rampa está perfectamente lisa, y el alambre se coloca alejándose del centro de la esfera (figura P5.64). *a)* Elabore el diagrama de cuerpo libre para la esfera. *b)* ¿Qué tan fuerte la superficie de la rampa empuja a la esfera? *c)* ¿Cuál es la tensión en el alambre?

Figura P5.64



- 5.65** ... Una esfera uniforme sólida de 45.0 kg, cuyo diámetro es de 32.0 cm, se apoya contra una pared vertical sin fricción, usando un alambre delgado de 30.0 cm con masa despreciable (figura P5.65). *a)* Elabore el diagrama de cuerpo libre para la esfera y úselo para determinar la tensión en el alambre. *b)* ¿Qué tan fuerte empuja la esfera a la pared?

Figura P5.65



- 5.66** ... PA Una caja se desliza con una velocidad constante de 4.00 m/s en la dirección  $+x$  sobre una superficie horizontal sin fricción. En  $x = 0$  la caja encuentra un parche áspero de la superficie, y entonces la superficie se hace aún más áspera. Entre  $x = 0$  y  $x = 2.00$  m, el coeficiente de fricción cinética entre la caja y la superficie es 0.200; entre  $x = 2.00$  m y  $x = 4.00$  m, es 0.400. *a)* ¿Cuál es la coordenada  $x$  del punto donde la caja alcanza el reposo? *b)* ¿Cuánto tiempo tomará al cuadro alcanzar el reposo después de que encuentra por primera vez el parche áspero en  $x = 0$ ?

- 5.67** ... PA BIO Fuerzas durante las flexiones de brazos en una barra. Las personas que practican flexiones de brazos en barra elevan su mentón justo sobre una barra, sosteniéndose sólo con sus brazos. Por lo regular, el cuerpo debajo de los brazos se eleva 30 cm aproximadamente en 1.0 s, partiendo del reposo. Suponga que el cuerpo de una persona de 680 N que practica tal ejercicio se eleva esta distancia de 30 cm y que la mitad de 1.0 s se emplea en acelerar hacia arriba y la otra mitad en acelerar hacia abajo, en ambos casos, de manera uniforme. Elabore un diagrama de cuerpo libre del cuerpo del individuo y, luego, úselo para determinar la fuerza que sus brazos deben ejercer sobre él durante la aceleración de subida.

- 5.68** ... PA CALC Una caja de 2.00 kg se suspende del extremo de una cuerda ligera vertical. Se aplica una fuerza dependiente del tiempo en el extremo superior de la cuerda y la caja se mueve hacia arriba con una velocidad cuya magnitud varía con el tiempo de acuerdo con  $v(t) = (2.00 \text{ m/s}^2)t + (0.600 \text{ m/s}^3)t^2$ . ¿Cuál es la tensión en la cuerda cuando la velocidad de la caja es de 9.00 m/s?

- 5.69** ... CALC Una caja de 3.00 kg que se encuentra varios cientos de metros arriba de la superficie terrestre está suspendida del extremo de una cuerda vertical corta de masa despreciable. Al extremo de la parte superior de la cuerda se aplica una fuerza hacia arriba que depende del tiempo, y esto provoca una tensión en la cuerda de  $T(t) = (36.0 \text{ N/s})t$ . La caja está en reposo en  $t = 0$ . Las únicas fuerzas sobre la caja son la tensión en la cuerda y la gravedad. *a)* ¿Cuál es la velocidad de la caja en **i.**  $t = 1.00$  s y **ii.**  $t = 3.00$  s? *b)* ¿Cuál es la distancia máxima que desciende la caja por debajo de su posición inicial? *c)* ¿Cuál es el valor de  $t$  cuando la caja regresa a su posición inicial?

- 5.70** ... PA Una caja de 5.00 kg se encuentra en reposo en la parte inferior de una rampa de 8.00 m de longitud que está inclinada  $30.0^\circ$  arriba de la horizontal. El coeficiente de fricción cinética es  $\mu_k = 0.40$ , y el coeficiente de fricción estática es  $\mu_s = 0.43$ . ¿Qué fuerza constante  $F$ , aplicada paralela a la superficie de la rampa, se requiere para empujar la caja a la parte superior en un tiempo de 6.00 s?

- 5.71** ... Dos cajas unidas por una cuerda horizontal ligera se encuentran en una superficie horizontal (figura E5.37). El coeficiente de fricción cinética entre las cajas y la superficie es  $\mu_k = 0.30$ . La caja B tiene una masa de 5.00 kg, y la caja A tiene una masa  $m$ . Se aplica una fuerza  $F$  con magnitud de 40.0 N y dirección de  $53.1^\circ$  por arriba de la horizontal a la caja de 5.00 kg, y ambas cajas se mueven a la derecha con  $a = 1.50 \text{ m/s}^2$ . *a)* ¿Cuál es la tensión  $T$  en la cuerda que une las cajas? *b)* ¿Cuál es la masa  $m$ ?

**5.72** •• Una caja de 6.00 kg se encuentra en reposo sobre una rampa con una pendiente de  $37.0^\circ$  arriba de la horizontal. El coeficiente de fricción cinética entre la caja y la rampa es  $\mu_k = 0.30$ . ¿Cuál es la fuerza *horizontal* que se requiere para mover la caja hacia arriba de la rampa con una aceleración constante de  $3.60 \text{ m/s}^2$ ?

**5.73** •• PA Una caja de 8.00 kg se coloca sobre una rampa inclinada a  $33.0^\circ$  sobre la horizontal. El coeficiente de fricción cinética entre la caja y la superficie de la rampa es  $\mu_k = 0.300$ . Una fuerza *horizontal* constante  $F = 26.0 \text{ N}$  se aplica a la caja (**figura P5.73**), y la caja se mueve hacia abajo de la rampa. Si la caja está inicialmente en reposo, ¿cuál es su rapidez 2.00 s después de que se aplica la fuerza?

**5.74** •• PA En la **figura P5.74**,  $m_1 = 20.0 \text{ kg}$  y  $\alpha = 53.1^\circ$ . El coeficiente de fricción cinética entre el bloque de masa  $m_1$  y la pendiente es  $\mu_k = 0.40$ . ¿Cuál debe ser la masa  $m_2$  del bloque que cuelga si éste desciende 12.0 m en los primeros 3.00 s después de que el sistema se suelta a partir del reposo?

Figura P5.73

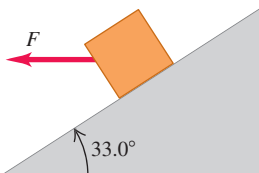
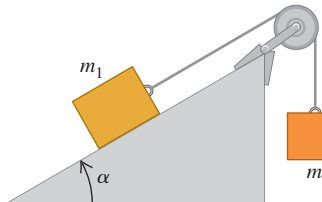
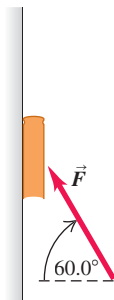


Figura P5.74



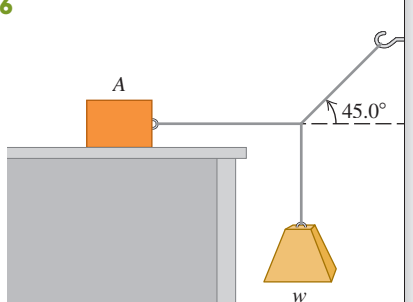
**5.75** •• PA Usted coloca un libro de masa 5.00 kg contra una pared vertical. Se aplica una fuerza constante  $\vec{F}$  al libro, donde  $F = 96.0 \text{ N}$  y la fuerza está en un ángulo de  $60.0^\circ$  sobre la horizontal (**figura P5.75**). El coeficiente de fricción cinética entre el libro y la pared es 0.300. Si el libro está inicialmente en reposo, ¿cuál será su rapidez después de que haya recorrido 0.400 m en la pared?

Figura P5.75



**5.76** •• El bloque A de la **figura P5.76** pesa 60.0 N. El coeficiente de fricción estática entre el bloque y la superficie donde descansa es 0.25. El peso  $w$  es de 12.0 N y el sistema está en equilibrio. a) Calcule la fuerza de fricción ejercida sobre el bloque A. b) Determine el peso máximo  $w$  con el cual el sistema permanecerá en equilibrio.

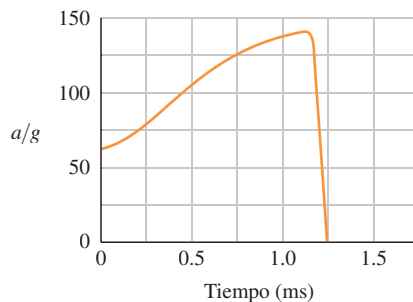
Figura P5.76



**5.77** •• Un bloque con masa  $m_1$  está colocado sobre un plano inclinado con ángulo  $\alpha$  y está unido a un segundo bloque, con masa  $m_2$ , colgado de una cuerda que pasa sobre una pequeña polea sin fricción (figura P5.74). El coeficiente de fricción estática es  $\mu_s$  y el coeficiente de fricción cinética es  $\mu_k$ . a) Determine la masa  $m_2$ , para la cual el bloque  $m_1$  se mueve hacia arriba con rapidez constante una vez que se inicia el movimiento. b) Calcule la masa  $m_2$ , para la cual el bloque  $m_1$  se mueve hacia abajo del plano con rapidez constante una vez que se inicia el movimiento. c) Para qué intervalo de valores de  $m_2$  los bloques permanecerán en reposo una vez liberados?

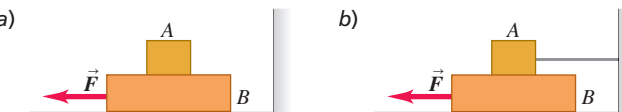
**5.78** •• BIOL **El salto volador de una pulga.** Una película de alta velocidad (3500 cuadros/segundo) produjo ciertos datos del salto de una pulga de  $210 \mu\text{g}$ , que permitieron trazar la gráfica de aceleración del insecto en función del tiempo, como se muestra en la **figura P5.78**. (Vea "The Flying Leap of the Flea", de M. Rothschild *et al.*, *Scientific American*, noviembre de 1973). La pulga tenía unos 2 mm de longitud y saltó con un ángulo de despegue casi vertical. Efectúe mediciones en la gráfica que le permitan contestar las siguientes preguntas: a) ¿Qué fuerza externa neta *initial* actúa sobre la pulga? Compárela con el peso de la pulga. b) ¿Qué fuerza externa neta *máxima* actúa sobre la pulga que salta? ¿Cuándo se presenta esa fuerza máxima? c) Use la gráfica para calcular la rapidez máxima de la pulga.

Figura P5.78



**5.79** •• El bloque A de la **figura P5.79** pesa 1.20 N, y el bloque B pesa 3.60 N. El coeficiente de fricción cinética entre todas las superficies es de 0.300. Determine la magnitud de la fuerza horizontal  $\vec{F}$  necesaria para arrastrar el bloque B hacia la izquierda con rapidez constante, a) si A descansa sobre B y se mueve con él (figura P5.79a), y b) si A permanece en reposo (figura P5.79b).

Figura P5.79



**5.80** •• PA **Diseño de elevadores.** Imagine que usted está diseñando un elevador para un hospital. La fuerza que el piso del elevador ejercerá sobre un pasajero no debe exceder 1.60 veces su peso. El elevador acelera hacia arriba con aceleración constante una distancia de 3.0 m y luego comienza a frenarse. ¿Qué rapidez máxima alcanza el elevador?

**5.81** •• PA CALC Usted está de pie sobre una báscula de baño en el elevador de un rascacielos. Su masa es de 64 kg. El elevador parte del reposo y asciende con una rapidez que varía con el tiempo según  $v(t) = (3.0 \text{ m/s}^2)t + (0.20 \text{ m/s}^3)t^2$ . En  $t = 4.0 \text{ s}$ , ¿qué valor marca la báscula?

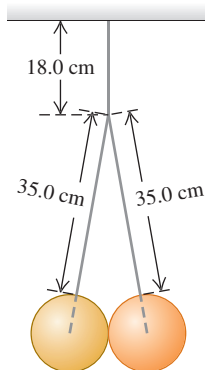
**5.82** • Un martillo cuelga del techo de un autobús atado con una cuerda ligera. El techo es paralelo a la carretera. El autobús viaja en línea recta por un camino horizontal. Se observa que el martillo cuelga en reposo con respecto al autobús cuando el ángulo entre la cuerda y el techo es de  $56.0^\circ$ . ¿Qué aceleración tiene el autobús?

**5.83** • Una caja de 40.0 kg está inicialmente en reposo en la plataforma de una camioneta de 1500 kg. El coeficiente de fricción estática entre la caja y la plataforma es de 0.30; y el de fricción cinética, de 0.20. Antes de cada una de las aceleraciones que se indican en seguida, la camioneta viaja hacia el norte con rapidez constante. Obtenga la magnitud y dirección de la fuerza de fricción que actúa sobre la caja, *a)* cuando la camioneta adquiere una aceleración de  $2.20 \text{ m/s}^2$  al norte, y *b)* cuando acelera a  $3.40 \text{ m/s}^2$  al sur.

**5.84** • Si el coeficiente de fricción estática entre una mesa y una cuerda gruesa uniforme es  $\mu_s$ , ¿qué fracción de la cuerda puede colgar por el borde de la mesa sin que la cuerda resbale?

**5.85** • Dos esferas idénticas de 15.0 kg y de 25.0 cm de diámetro están suspendidas de dos alambres de 35.0 cm (figura P5.85). El sistema completo está unido a un solo cable de 18.0 cm y las superficies de las esferas son perfectamente lisas. *a)* Obtenga la tensión en cada uno de los tres alambres. *b)* ¿Qué tanto empuja cada esfera a la otra?

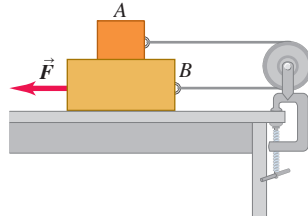
Figura P5.85



**5.86** • PA Tribunal de tránsito. Imagine que a usted se le cita a comparecer como testigo experto, en el juicio sobre una infracción de tránsito. Los hechos son los siguientes: un conductor frenó violentamente y se detuvo con aceleración constante. Las mediciones de sus neumáticos y de las marcas del derrape sobre el pavimento indican que, cuando bloqueó las llantas, el automóvil recorrió 192 ft antes de detenerse y que el coeficiente de fricción cinética entre el camino y sus neumáticos era de 0.750. El cargo es que el conductor iba a exceso de velocidad en una zona de 45 mi/h. Él se declara inocente. ¿Cuál es su conclusión: es culpable o inocente? ¿Qué tan rápido iba en el momento de aplicar los frenos?

**5.87** • El bloque *A* de la figura P5.87 pesa 1.90 N, y el bloque *B* pesa 4.20 N. El coeficiente de fricción cinética entre todas las superficies es de 0.30. Calcule la magnitud de la fuerza horizontal *F* necesaria para arrastrar *B* a la izquierda con rapidez constante, si *A* y *B* están conectados por una cuerda ligera y flexible que pasa por una polea fija sin fricción.

Figura P5.87

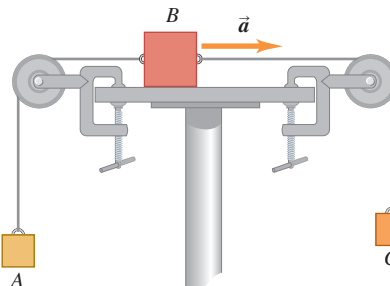


**5.88** • PA Pérdida de carga. Una caja de 12.0 kg descansa en el piso plano de un camión. Los coeficientes de fricción entre la caja y el piso son  $\mu_s = 0.19$  y  $\mu_k = 0.15$ . El camión se detiene ante un letrero de alto y luego arranca con aceleración de  $2.20 \text{ m/s}^2$ . Si la caja está a 1.80 m del borde trasero del camión cuando este arranca, ¿cuánto tardará la caja en caerse del camión? ¿Qué distancia recorrerá el camión en ese tiempo?

**5.89** • El bloque *A* de la figura P5.89 tiene una masa de 4.00 kg; y el bloque *B*, de 12.0 kg. El coeficiente de fricción cinética entre el bloque *B* y la superficie horizontal es de 0.25. *a)* ¿Qué masa tiene

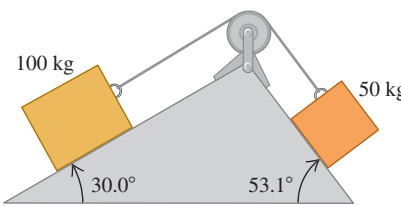
el bloque *C* si *B* se mueve a la derecha con aceleración de  $2.00 \text{ m/s}^2$ ? *b)* ¿Qué tensión hay en cada cuerda cuando el bloque *B* tiene esta aceleración?

Figura P5.89



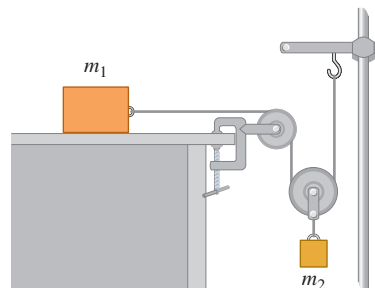
**5.90** • Dos bloques conectados por una cuerda que pasa por una polea pequeña sin fricción descansan en planos sin fricción (figura P5.90). *a)* ¿Hacia dónde se moverá el sistema cuando los bloques se sueltan del reposo? *b)* ¿Qué aceleración tendrán los bloques? *c)* ¿Qué tensión hay en la cuerda?

Figura P5.90



**5.91** • Determine la aceleración de cada bloque de la figura P5.91, en términos de  $m_1$ ,  $m_2$  y  $g$ . No hay fricción en ninguna parte del sistema.

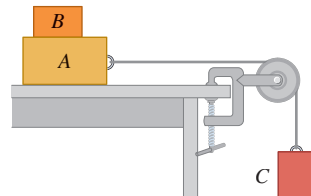
Figura P5.91



**5.92** • El bloque *B* con masa de 5.00 kg descansa sobre el bloque *A*, cuya masa es de 8.00 kg y el cual, a la vez, se encuentra sobre una mesa horizontal (figura P5.92). No hay fricción entre el bloque *A* y la mesa, pero el coeficiente de fricción estática entre el bloque *A* y el *B* es de 0.750.

Una cuerda ligera atada al bloque *A* pasa por una polea sin masa ni fricción, con el bloque *C* colgando en el otro extremo. ¿Qué masa máxima puede tener el bloque *C*, de modo que *A* y *B* aún se deslicen juntos cuando el sistema se suelte del reposo?

Figura P5.92

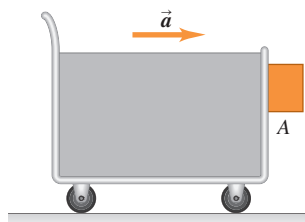


**5.93** Dos objetos con masas de 5.00 kg y 2.00 kg cuelgan a 0.600 m sobre el piso, atados a los extremos de una cuerda de 6.00 m que pasa por una polea sin fricción. Los objetos parten del reposo. Calcule la altura máxima que alcanza el objeto de 2.00 kg.

**5.94 • Fricción en un elevador.** Imagine que viaja en un elevador hacia el piso 18 de su residencia universitaria. El elevador acelera hacia arriba con  $a = 1.90 \text{ m/s}^2$ . Junto a usted hay una caja que contiene su nueva computadora; la caja y su contenido tienen una masa total de 36.0 kg. Mientras el elevador acelera hacia arriba, usted empuja la caja horizontalmente para deslizarla con rapidez constante hacia la puerta del elevador. Si el coeficiente de fricción cinética entre la caja y el piso del elevador es  $\mu_k = 0.32$ , ¿qué magnitud de fuerza debe aplicar?

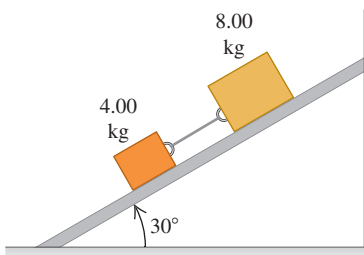
**5.95** • Un bloque se coloca contra el frente vertical de un carrito (**figura P5.95**). ¿Qué aceleración debe tener el carrito para que el bloque A no caiga? El coeficiente de fricción estática entre el bloque y el carrito es  $\mu_s$ . ¿Cómo un observador en el carrito describiría el comportamiento del bloque?

Figura P5.95



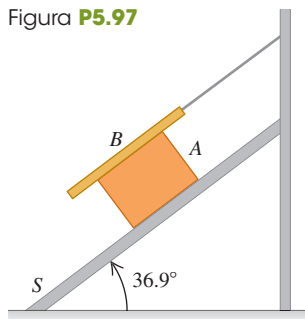
**5.96** Dos bloques con masas de 4.00 kg y 8.00 kg están conectados por una cuerda y bajan deslizándose por un plano inclinado a  $30.0^\circ$  (**figura P5.96**). El coeficiente de fricción cinética entre el bloque de 4.00 kg y el plano es de 0.25; y entre el bloque de 8.00 kg y el plano es de 0.35. *a)* Calcule la aceleración de cada bloque. *b)* Determine la tensión en la cuerda. *c)* ¿Qué sucede si se invierten las posiciones de los bloques, de manera que el bloque de 4.00 kg esté arriba del de 8.00 kg?

Figura P5.96



**5.97** El bloque A, de peso  $3w$ , se desliza con rapidez constante, bajando por un plano S inclinado  $36.9^\circ$ ; mientras la tabla B, de peso  $w$ , descansa sobre A, estando sujetada con una cuerda a la pared (**figura P5.97**). *a)* Dibuje un diagrama de todas las fuerzas que actúan sobre el bloque A. *b)* Si el coeficiente de fricción cinética es igual entre A y B, y entre S y A, determine su valor.

Figura P5.97



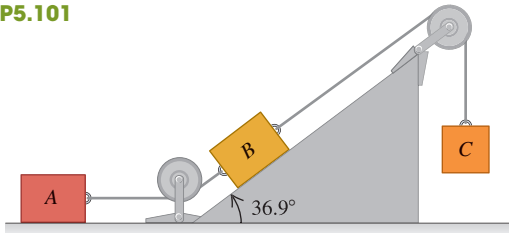
**5.98** • Jack está sentado en la silla de una rueda de la fortuna que gira con una velocidad angular constante de 0.100 rev/s. Cuando Jack pasa a través del punto más alto de su trayectoria circular, la fuerza ascendente que la silla ejerce sobre él es igual a una cuarta parte de su peso. ¿Cuál es el radio del círculo en el cual Jack viaja? Trátelo como una masa puntual.

**5.99 • Curva peraltada I.** En un camino horizontal, una curva de 120 m de radio tiene el peralte adecuado para una rapidez de 20 m/s. Si un automóvil toma dicha curva a 30 m/s, ¿qué coeficiente mínimo de fricción estática debe haber entre los neumáticos y la carretera para no derrapar?

**5.100 • Curva peraltada II.** Considere un camino húmedo peraltado como el del ejemplo 5.22 (sección 5.4), donde hay un coeficiente de fricción estática de 0.30 y un coeficiente de fricción cinética de 0.25 entre los neumáticos y la carretera. El radio de la curva es  $R = 50 \text{ m}$ . *a)* Si el ángulo de peralte es  $\beta = 25^\circ$ , ¿qué rapidez máxima puede tener el automóvil antes de derrapar hacia arriba por el peralte? *b)* ¿Qué rapidez mínima debe tener para no derrapar hacia abajo por el peralte?

**5.101** • Los bloques A, B y C se colocan como en la **figura P5.101** y se conectan con cuerdas de masa despreciable. Tanto A como B pesan 25.0 N cada uno, y el coeficiente de fricción cinética entre cada bloque y la superficie es de 0.35. El bloque C desciende con velocidad constante. *a)* Dibuje dos diagramas de cuerpo libre que muestren las fuerzas que actúan sobre A y sobre B. *b)* Calcule la tensión en la cuerda que une los bloques A y B. *c)* ¿Cuánto pesa el bloque C? *d)* Si se cortara la cuerda que une A y B, ¿qué aceleración tendría C?

Figura P5.101

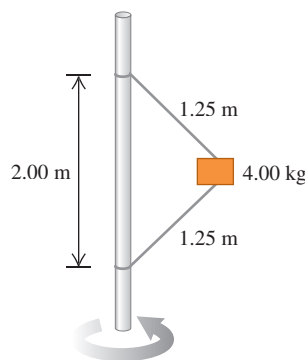


**5.102** • Imagine que va en un autobús escolar. Cuando éste toma una curva plana con rapidez constante, una lonchera con 0.500 kg de masa, colgada del techo del autobús con una cuerda de 1.80 m, se encuentra en reposo relativo al vehículo, en tanto que la cuerda forma un ángulo de  $30.0^\circ$  con la vertical. En esta posición, la lonchera está a 50.0 m del centro de curvatura de la curva. ¿Qué rapidez  $v$  lleva el autobús?

**5.103** • **CALC** Se lanza al agua una piedra hacia abajo con una rapidez de  $3mg/k$ , donde  $k$  es el coeficiente de la ecuación (5.5). Suponga que la relación entre resistencia del fluido y rapidez es la ecuación (5.5) y calcule la rapidez de la piedra en función del tiempo.

**5.104** • El bloque de 4.00 kg de la **figura P5.104** está sujeto a una varilla vertical con dos cuerdas. Cuando el sistema gira en torno al eje de la varilla, las cuerdas se extienden como se indica en el diagrama, y la tensión en la cuerda superior es de 80.0 N. *a)* ¿Qué tensión hay en la cuerda inferior? *b)* ¿Cuántas revoluciones por minuto realiza el sistema? *c)* Calcule las revoluciones por minuto con las que la cuerda inferior pierde su tensión. *d)* Explique qué sucede si el número de rpm es menor que en el inciso *c*.

Figura P5.104

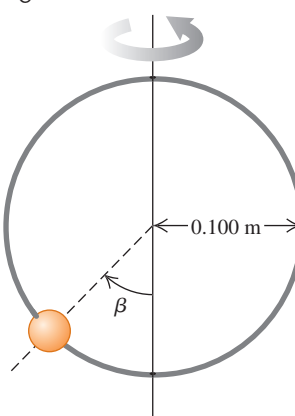


**5.105** • En el juego “Rotor” del parque de diversiones Six Flags Over Texas, la gente se paraba contra la pared interior de un cilindro vertical hueco de 2.5 m de radio. El cilindro comenzaba a girar y, al alcanzar una velocidad de rotación constante de 0.60 rev/s, el piso en que estaba parada la gente bajaba 0.5 m. La gente quedaba pegada a la pared sin tocar el piso. *a)* Dibuja un diagrama de fuerzas para un pasajero, una vez que haya bajado el piso. *b)* ¿Qué coeficiente de fricción estática mínimo se requiere para que un pasajero no resbale hacia abajo a la nueva posición del piso? *c)* ¿La respuesta al inciso *b*) depende de la masa del pasajero? (Nota: Al final, el cilindro se detenía gradualmente y las personas resbalaban por las paredes hacia el piso).

**5.106** • Una persona de 70 kg viaja en un carrito de 30 kg que se mueve a 12 m/s en la cima de una colina, cuya forma es un arco de círculo con radio de 40 m. *a)* ¿Qué peso aparente tiene la persona cuando el carrito pasa por la cima? *b)* Determine la rapidez máxima con que el carrito podría llegar a la cima sin perder contacto con la superficie. ¿Su respuesta depende de la masa del carrito o de la masa de la persona? Explique su respuesta.

**5.107** • Una cuenta pequeña puede deslizarse sin fricción por un aro circular de 0.100 m de radio, que está en un plano vertical. El aro gira con velocidad constante de 4.00 rev/s en torno a un diámetro vertical (**figura P5.107**). *a)* Calcule el ángulo  $\beta$  en que la cuenta está en equilibrio vertical. (Desde luego, tiene aceleración radial hacia el eje). *b)* ¿La cuenta podría mantenerse a la misma altura que el centro del aro? *c)* ¿Qué sucede si el aro gira a 1.00 rev/s?

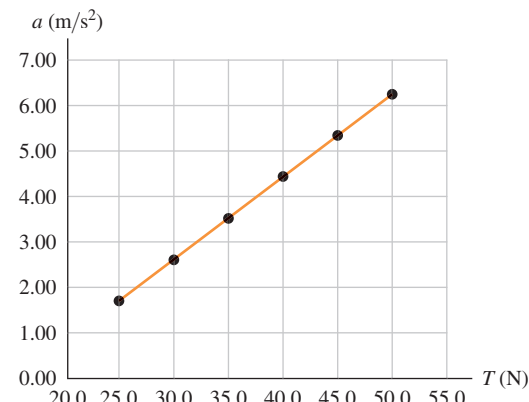
Figura P5.107



**5.108** • Una estudiante universitaria de física paga su colegiatura con lo que gana actuando en un carnaval. Ella conduce una motocicleta dentro de una esfera de plástico hueca y transparente. Una vez que adquiere suficiente rapidez, describe un círculo vertical de radio igual a 13.0 m. La estudiante tiene una masa de 70.0 kg, y su motocicleta tiene una masa de 40.0 kg. *a)* ¿Qué rapidez mínima debe tener en el punto más alto del círculo para que los neumáticos no pierdan contacto con la esfera? *b)* En el punto más bajo del círculo, su rapidez es el doble de la calculada en el inciso *a*). ¿Qué magnitud tiene la fuerza normal ejercida por la esfera sobre la motocicleta en ese punto?

**5.109** • **DATOS** En su laboratorio de física, un bloque de masa  $m$  está en reposo sobre una superficie horizontal. Usted conecta un cable ligero al bloque y aplica una fuerza horizontal en el extremo libre del cable. Encuentra que el bloque permanece en reposo hasta que la tensión  $T$  en la cuerda superior excede los 20.0 N. Para  $T > 20.0$  N, se mide la aceleración del bloque cuando  $T$  se mantiene en un valor constante, y traza los puntos de los resultados (**figura P5.109**). La ecuación de la recta que mejor se ajusta a sus datos es  $a = [0.182 \text{ m}/(\text{N} \cdot \text{s})]T - 2.842 \text{ m}/\text{s}^2$ . Para este bloque y la superficie, ¿cuáles son *a)* el coeficiente de fricción estática y *b)* el coeficiente de fricción cinética? *e)* Si el experimento se hiciera en la Luna de la Tierra, donde  $g$  es mucho menor que en la Tierra, ¿la gráfica de  $a$  contra  $T$  aún se ajustaría a una línea recta? Si es así, cómo serían la pendiente y la intersección de la recta diferentes de los valores en la figura P5.109? ¿O cada una de ellas serían iguales?

Figura P5.109



**5.110** • **DATOS** Una carretera que va hacia el este pasa sobre una pequeña colina. Usted conduce un automóvil de masa  $m$  con rapidez constante  $v$  sobre la parte superior de la colina, donde la forma de la carretera se aproxima bien a un círculo con radio  $R$ . Se han colocado sensores en la superficie de la carretera para medir la fuerza hacia abajo que ejercen los autos sobre la superficie para distintas rapideces. La tabla siguiente presenta valores de esta fuerza contra rapidez para su auto:

Rapidez (m/s)	6.00	8.00	10.0	12.0	14.0	16.0
Fuerza (N)	8100	7690	7050	6100	5200	4200

Trate al auto como una partícula. *a)* Trace los valores de tal manera que ajusten bien a una línea recta. Podría necesitar elevar la velocidad, la fuerza o ambos a alguna potencia. *b)* Utilice su gráfica del inciso *a)* para calcular  $m$  y  $R$ . *e)* ¿Qué rapidez máxima puede tener el vehículo en la parte superior de la colina y aún no perder contacto con la carretera?

**5.111** • **DATOS** Usted es un ingeniero que trabaja para una fábrica. Está diseñando un mecanismo que utilice un cable para arrastrar bloques de metales pesados una distancia de 8.00 m a lo largo de una rampa, que está inclinada  $40.0^\circ$  sobre la horizontal. El coeficiente de fricción cinética entre los bloques y la pendiente es  $\mu_k = 0.350$ . Cada bloque tiene una masa de 2170 kg. El bloque se colocará en la parte inferior de la rampa, se unirá el cable y luego se le dará al bloque un empujón momentáneo suficiente para superar la fricción estática. El bloque entonces se debe acelerar a una razón constante para moverse 8.00 m en 4.20 s. El cable está hecho de cuerda de alambre y es paralelo a la superficie de la rampa. La tabla presenta la resistencia a la ruptura del cable en función de su diámetro; la tensión de carga segura, que es el 20% de la resistencia a la ruptura y la masa por metro del cable:

Diámetro del cable (in.)	Resistencia a la ruptura (kN)	Carga segura (kN)	Masa por metro (kg/m)
$\frac{1}{4}$	24.4	4.89	0.16
$\frac{3}{8}$	54.3	10.9	0.36
$\frac{1}{2}$	95.2	19.0	0.63
$\frac{5}{8}$	149	29.7	0.98
$\frac{3}{4}$	212	42.3	1.41
$\frac{7}{8}$	286	57.4	1.92
1	372	74.3	2.50

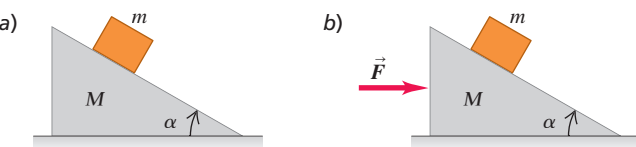
a) ¿Cuál es el diámetro mínimo del cable que se puede usar para jalar un bloque arriba de la rampa sin exceder el valor de la tensión de carga segura del cable? Desprecie la masa del cable y seleccione el diámetro de los indicados en la tabla. b) Necesita conocer los valores de carga segura para los diámetros que no están en la tabla, por lo que supone que la resistencia a la ruptura y el límite de carga segura son proporcionales al área transversal del cable. Dibuje una gráfica que ponga a prueba esta hipótesis y examine su exactitud. ¿Cuál es su estimación del valor de carga segura para un cable de diámetro  $\frac{9}{16}$  in.?

c) El coeficiente de fricción estático entre la caja y la rampa es  $\mu_s = 0.620$ , que es casi el doble del valor del coeficiente de fricción cinética. Si la maquinaria se atasca y el bloque se detiene en medio de la rampa, ¿cuál es la tensión en el cable? ¿Es más grande o más pequeña que el valor que tiene cuando el bloque se está moviendo? d) ¿Es la tensión real en el cable, en su extremo superior, más grande o más pequeña que el valor calculado cuando se desprecia la masa del cable? Si el cable es de 9.00 m de largo, ¿qué tan preciso es despreciar la masa del cable?

### PROBLEMAS DE DESAFÍO

**5.112 ... Movimiento de la cuña.** Una cuña de masa  $M$  descansa sobre una mesa horizontal, sin fricción. Un bloque de masa  $m$  se coloca en la cuña (figura P5.112a). No hay ninguna fricción entre el bloque y la cuña. El sistema se suelta a partir del reposo. a) Calcule la aceleración de la cuña, así como las componentes horizontal y vertical de la aceleración del bloque. b) ¿Sus respuestas al inciso a) reducen a los resultados correctos cuando  $M$  es muy grande? c) ¿Qué forma tiene la trayectoria del bloque, vista por un observador fijo en el piso?

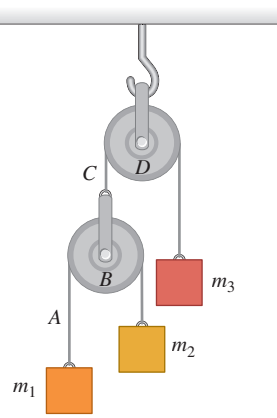
Figura P5.112



**5.113 ...** Una cuña de masa  $M$  descansa en una mesa horizontal sin fricción. Un bloque de masa  $m$  se coloca sobre la cuña y se aplica una fuerza horizontal  $\vec{F}$  a la cuña (figura P5.112b). ¿Qué magnitud debe tener  $\vec{F}$  para que el bloque permanezca a una altura constante sobre la mesa?

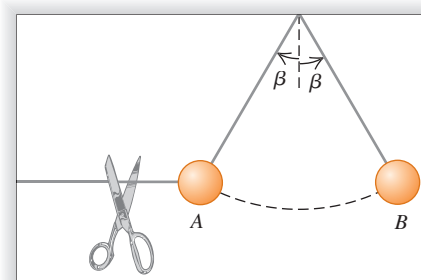
**5.114 ... Máquina de Atwood doble.** En la figura P5.114, las masas  $m_1$  y  $m_2$  están conectadas por una cuerda ligera  $A$  que pasa por una polea ligera sin fricción  $B$ . El eje de la polea  $B$  está conectado por otra cuerda ligera  $C$  a una masa  $m_3$  pasando por una segunda polea ligera sin fricción  $D$ . La polea  $D$  está suspendida del techo por un sujetador en su eje. El sistema se suelta del reposo. En términos de  $m_1$ ,  $m_2$ ,  $m_3$  y  $g$ , a) ¿qué aceleración tiene el bloque  $m_3$ ? b) ¿Y la polea  $B$ ? c) ¿Y el bloque  $m_1$ ? d) ¿Y el bloque  $m_2$ ? e) ¿Qué tensión tiene la cuerda  $A$ ? f) ¿Y la cuerda  $C$ ? g) ¿Qué dan sus expresiones para el caso especial en que  $m_1 = m_2$  y  $m_3 = m_1 + m_2$ ? ¿Es lógico esto?

Figura P5.114



**5.115 ...** Una bola se mantiene en reposo en la posición  $A$  en la figura P5.115 por dos cuerdas ligeras. Se corta la cuerda horizontal y la bola comienza a oscilar como un péndulo. La posición  $B$  está más alejada hacia la derecha de lo que la bola puede ir cuando oscila hacia adelante y hacia atrás. ¿Cuál es el cociente de la tensión en el soporte de la cuerda en  $B$  con su valor en  $A$  antes de que se corte la cuerda?

Figura P5.115



### PROBLEMAS DE TRANSICIÓN

**FRICCIÓN Y ZAPATOS PARA ESCALAR.** Los zapatos hechos para los deportes de escalar en pared y en roca están diseñados para proporcionar una gran cantidad de fricción entre el pie y la superficie del suelo. Estos zapatos en roca suave pueden tener un coeficiente de fricción estática de 1.2 y un coeficiente de fricción cinética de 0.90.

**5.116** Para una persona que use estos zapatos, ¿cuál es el ángulo máximo (con respecto a la horizontal) con que pueda pisar una roca lisa sin deslizarse? a)  $42^\circ$ ; b)  $50^\circ$ ; c)  $64^\circ$ ; d) mayor de  $90^\circ$ .

**5.117** Si la persona que camina sobre una superficie lisa de la roca se ha inclinado un ángulo grande tal que estos zapatos empiezan a resbalar, ¿qué pasará? a) se deslizará una distancia corta y se detendrá; b) se acelerará hacia debajo de la superficie; c) se deslizará hacia abajo de la superficie con rapidez constante; d) no podemos decir lo que va a pasar sin conocer su masa.

**5.118** Una persona con estos zapatos está de pie sobre una roca lisa y horizontal. Se empuja contra el suelo para empezar a correr. ¿Cuál es la aceleración horizontal máxima que puede tener sin deslizarse? a)  $0.20g$ ; b)  $0.75g$ ; c)  $0.90g$ ; d)  $1.2g$ .

## Respuestas

### Pregunta de inicio del capítulo ?

**iii.** La fuerza ascendente del aire tiene la misma magnitud que la fuerza de gravedad. Aunque la semilla y el vilano están descendiendo, su velocidad vertical es constante, por lo que su aceleración vertical es cero. De acuerdo con la primera ley de Newton, la fuerza neta vertical sobre la semilla y el vilano también debe ser cero. Las fuerzas verticales individuales se tienen que equilibrar.

### Respuesta a las secciones

#### Evalué su comprensión

**5.1 ii.** Los dos cables están dispuestos de forma simétrica, así que la tensión en cada uno tiene la misma magnitud  $T$ . La componente vertical de la tensión de cada cable es  $T \operatorname{sen} 45^\circ$  (o, de manera equivalente,  $T \cos 45^\circ$ ), así que la primera ley de Newton aplicada a las fuerzas verticales nos dice que  $2T \operatorname{sen} 45^\circ - w = 0$ . Por lo tanto,  $T = w/(2 \operatorname{sen} 45^\circ) = w/\sqrt{2} = 0.71w$ . Cada cable soporta la mitad del peso del semáforo, pero la tensión es mayor que  $w/2$  porque solo la componente vertical de la tensión contrarresta el peso.

**5.2 ii.** Sin importar cuál sea la velocidad instantánea del deslizador, su aceleración es constante y tiene el valor que se calculó en el ejemplo 5.12. De la misma forma, la aceleración de un cuerpo en caída libre es la misma si asciende o descende, o se encuentra en el punto máximo de su movimiento (vea la sección 2.5).

**5.3 a): i, iii; b): ii, iv; c): v.** En las situaciones **i** y **iii**, la caja no acelera (así que la fuerza neta sobre ella debe ser cero) y no hay otra

fuerza que actúe paralela a la superficie horizontal; por lo tanto, no se requiere fuerza de fricción para evitar el deslizamiento. En las situaciones **ii** y **iv** la caja comenzaría a deslizarse sobre la superficie si no hubiera fricción, así que la fuerza de fricción estática debe actuar para evitarlo. En la situación **v**, la caja se desliza sobre una superficie áspera, por lo que la fuerza de fricción cinética actúa sobre ella.

**5.4 iii.** Un satélite con masa  $m$  que gira alrededor de la Tierra con rapidez  $v$  en una órbita de radio  $r$  tiene una aceleración de magnitud  $v^2/r$ , así que la fuerza neta de la gravedad terrestre que actúa sobre él tiene magnitud  $F = mv^2/r$ . Cuanto más lejos esté el satélite de la Tierra, mayor será el valor de  $r$ , menor será el valor de  $v$  y, por ende, menores serán los valores de  $v^2/r$  y de  $F$ . En otras palabras, la fuerza gravitacional de la Tierra disminuye al aumentar la distancia.

### Problema práctico

$$a) T_{\max} = 2\pi \sqrt{\frac{h(\cos\beta + \mu_s \operatorname{sen}\beta)}{g \tan\beta (\operatorname{sen}\beta - \mu_s \cos\beta)}}$$

$$b) T_{\min} = 2\pi \sqrt{\frac{h(\cos\beta - \mu_s \operatorname{sen}\beta)}{g \tan\beta (\operatorname{sen}\beta + \mu_s \cos\beta)}}$$



Un lanzador de béisbol realiza un trabajo con su brazo para dar a la bola una propiedad llamada energía cinética, que depende de la masa y de la velocidad de la bola. ¿Cuál tiene la mayor energía cinética? **i.** una bola de masa de 0.145 kg moviéndose a 20.0 m/s; **ii.** una bola más pequeña de masa de 0.0145 kg moviéndose a 200 m/s; **iii.** una bola más grande de masa de 1.45 kg moviéndose a 20.0 m/s; **iv.** las tres bolas tienen la misma energía cinética; **v.** depende de las direcciones en que se mueven las bolas.

# 6 TRABAJO Y ENERGÍA CINÉTICA

## OBJETIVOS DE APRENDIZAJE

Al estudiar este capítulo, usted aprenderá:

- 6.1** Qué significa que una fuerza efectúe trabajo sobre un cuerpo, y cómo calcular el trabajo realizado.
- 6.2** La definición de energía cinética (energía de movimiento) de un cuerpo y cómo el trabajo total hecho sobre un cuerpo cambia la energía cinética de éste.
- 6.3** Cómo usar la relación entre trabajo total y cambio de energía cinética cuando las fuerzas no son constantes o cuando el cuerpo sigue una trayectoria curva, o al presentarse ambas situaciones.
- 6.4** Cómo resolver problemas que implican potencia (tasa de cambio para efectuar trabajo).

Repase lo estudiado en la sección ...

- 1.10** El producto escalar (o producto punto) de dos vectores.
- 2.4** Movimiento rectilíneo con aceleración constante.
- 4.3** Segunda ley de Newton.
- 4.5** Tercera ley de Newton.
- 5.1, 5.2** Uso de componentes para determinar la fuerza neta.

**S**uponga que trata de calcular la rapidez de una flecha disparada con un arco. Usted aplica las leyes de Newton y todas las técnicas de resolución de problemas que hemos aprendido, pero se encuentra con un obstáculo importante: después de que el arquero dispara la flecha, la cuerda del arco ejerce una fuerza *variable* que depende de la posición de la flecha. Por ello, los métodos sencillos que hemos aprendido no bastan para calcular la rapidez. No se preocupe; nos falta mucho para terminar el estudio de la mecánica, y hay otros métodos para manejar esta clase de problemas.

El nuevo método que vamos a presentar incorpora las ideas de *trabajo* y *energía*. La importancia de este último concepto surge del *principio de conservación de la energía*: la energía es una cantidad que se convierte de una forma a otra, pero no se crea ni se destruye. En un motor de automóvil, la energía química almacenada en el combustible se convierte parcialmente en la energía de movimiento del automóvil, y parcialmente en energía térmica. En un horno de microondas doméstico, la energía electromagnética se convierte en energía térmica para cocinar los alimentos. En éstos y todos los procesos en general, la energía *total*, es decir, la suma de toda la energía presente en diferentes formas, no cambia. Todavía no se ha encontrado alguna excepción.

Usaremos el concepto de energía en el resto del libro para estudiar una amplia gama de fenómenos físicos. Este concepto nos ayudará a entender por qué el motor de un automóvil funciona, cómo el flash de una cámara produce un destello de luz y el significado de la famosa ecuación de Einstein  $E = mc^2$ .

En este capítulo, no obstante, nos concentraremos en la mecánica. Conoceremos una forma importante de energía llamada *energía cinética* o energía de movimiento y su relación con el concepto de *trabajo*. También consideraremos la *potencia*, que es la rapidez con que se realiza trabajo. En el capítulo 7 ampliaremos las ideas de trabajo y energía cinética para entender más a fondo los conceptos de energía y conservación de la energía.

## 6.1 TRABAJO

Seguramente usted estará de acuerdo en que cuesta trabajo mover un sofá pesado por una habitación, levantar una pila de libros del piso para colocarla en un estante alto, o bien, empujar un automóvil averiado para retirarlo de la carretera. Desde luego, todos estos ejemplos coinciden con el significado cotidiano de *trabajo*: cualquier actividad que requiere un esfuerzo muscular o mental.

En física, el trabajo tiene una definición mucho más precisa. Al utilizar esta definición, descubriremos que, en cualquier movimiento, por complicado que sea, el trabajo total realizado sobre una partícula por todas las fuerzas que actúan sobre ella es igual al cambio en su *energía cinética*: una cantidad relacionada con la masa y la rapidez de la partícula. Esta relación se cumple aun cuando dichas fuerzas no sean constantes, una situación que puede ser difícil o imposible de manejar con las técnicas que estudiamos en los capítulos 4 y 5. Los conceptos de trabajo y energía cinética nos permitirán resolver problemas de mecánica que no podríamos haber resuelto antes.

En esta sección aprenderemos cómo se define el trabajo y cómo se calcula en diversas situaciones que implican fuerzas *constantes*. Más adelante en este capítulo deduciremos la relación entre trabajo y energía cinética, y aplicaremos después en problemas donde las fuerzas *no* son constantes.

Los tres ejemplos de trabajo antes mencionados, mover un sofá, levantar una pila de libros y empujar un automóvil, tienen algo en común; en todos los casos se realiza trabajo ejerciendo una *fuerza* sobre un cuerpo, mientras éste se *move* de un lugar a otro, es decir, experimenta un *desplazamiento* (**figura 6.1**). Se efectúa más trabajo si la fuerza es mayor (se empuja más fuerte el auto) o si el desplazamiento es mayor (se empuja el auto una mayor distancia).

La definición física del trabajo se basa en estas observaciones. Considere un cuerpo que experimenta un desplazamiento de magnitud  $s$  en línea recta. (Por ahora, supondremos que todo cuerpo puede tratarse como una partícula y despreciaremos cualquier rotación o los cambios en la forma del cuerpo). Mientras el cuerpo se move, una fuerza constante  $\vec{F}$  actúa sobre él en la dirección del desplazamiento  $\vec{s}$  (**figura 6.2**). Definimos el **trabajo**  $W$  realizado por esta fuerza constante en dichas condiciones como el producto de la magnitud  $F$  de la fuerza por la magnitud  $s$  del desplazamiento:

$$W = Fs \quad (\text{fuerza constante en dirección del desplazamiento rectilíneo}) \quad (6.1)$$

El trabajo efectuado sobre el cuerpo es mayor si la fuerza  $F$  o el desplazamiento  $s$  son mayores, de acuerdo con las observaciones anteriores.

**CUIDADO** **Trabajo =  $W$ , peso =  $w$**  No confunda la  $W$  mayúscula (trabajo) con la  $w$  minúscula (peso). Si bien los símbolos son similares, trabajo y peso son cantidades distintas. ■

La unidad de trabajo en el SI es el **joule** (que se abrevia J y se pronuncia "yul", nombrado así en honor del físico inglés del siglo XIX James Prescott Joule). En la ecuación (6.1), vemos que, en cualquier sistema de unidades, la unidad de trabajo es la unidad de fuerza multiplicada por la unidad de distancia. En el SI la unidad de fuerza es el newton y la unidad de distancia es el metro, así que 1 joule equivale a un *newton-metro* (N·m):

$$1 \text{ joule} = (1 \text{ newton}) (1 \text{ metro}), \text{ o bien, } 1 \text{ J} = 1 \text{ N} \cdot \text{m}$$

Si usted levanta un objeto con un peso de 1 N (aproximadamente el peso de una manzana de tamaño medio) una distancia de 1 m con una rapidez constante, usted ejerce 1-N de fuerza sobre el objeto en la misma dirección que el desplazamiento de 1-m y así hace 1 J de trabajo sobre éste.

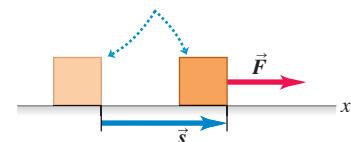
Como ilustración de la ecuación (6.1), pensemos en una persona que empuja un automóvil averiado. Si lo empuja y tiene un desplazamiento  $\vec{s}$  con una fuerza constante  $\vec{F}$  en la dirección del movimiento, la cantidad de trabajo que realiza sobre el auto está

**6.1** Estas personas realizan trabajo cuando empujan el vehículo, porque ejercen una fuerza sobre el auto al moverlo.



**6.2** Trabajo realizado por una fuerza constante que actúa en la misma dirección del desplazamiento.

Si un cuerpo tiene un desplazamiento  $\vec{s}$ , mientras una fuerza constante  $\vec{F}$  actúa sobre él en la misma dirección ...



... el trabajo realizado por la fuerza sobre el cuerpo es  $W = Fs$ .

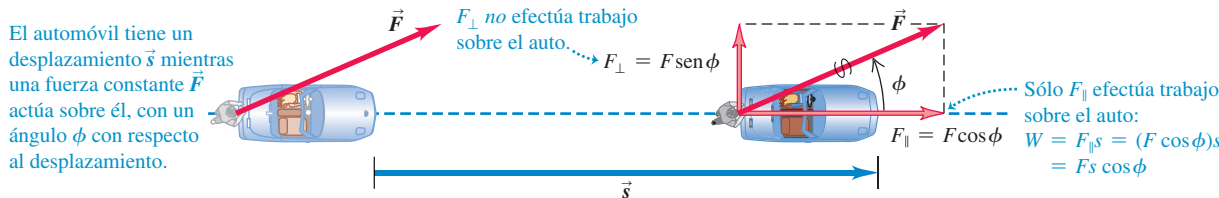
### B10 Aplicación Trabajo y fibras

**musculares** Nuestra habilidad para realizar trabajo sobre otros cuerpos proviene de nuestros músculos esqueléticos.

Las células alargadas del músculo esquelético, mostradas en esta micrográfica, tienen la habilidad de acortarse, provocando que el músculo, como un todo, se contraiga y ejerza una fuerza sobre los tendones a los cuales está unido. El músculo puede ejercer una fuerza aproximada de 0.3 N por milímetro cuadrado de área transversal: cuanto mayor sea el área de la sección transversal, más fibras tiene el músculo y mayor fuerza podrá ejercer al contraerse.



### 6.3 Trabajo realizado por una fuerza constante que actúa con un ángulo relativo al desplazamiento.



dada por la ecuación (6.1):  $W = Fs$ . Sin embargo, ¿qué ocurre si la persona empuja con un ángulo  $\phi$  con respecto al desplazamiento del automóvil (figura 6.3)? Entonces  $\vec{F}$  tiene una componente  $F_{\parallel} = F \cos \phi$  en la dirección del desplazamiento  $\vec{s}$  y una componente  $F_{\perp} = F \sin \phi$  que actúa perpendicular a  $\vec{s}$ . (Otras fuerzas actúan sobre el automóvil, no necesariamente en la dirección de  $\vec{F}$ , cuando se mueve en la dirección de  $\vec{s}$ ; sin embargo, únicamente nos interesa el trabajo realizado por la persona, así que sólo consideraremos la fuerza que aquélla ejerce). En tal caso, solamente la componente paralela  $F_{\parallel}$  contribuye a mover el automóvil, por lo que definimos el trabajo como el producto de esta componente de fuerza por la magnitud del desplazamiento. Por lo tanto,  $W = F_{\parallel}s = (F \cos \phi)s$ , o bien,

$$\text{Trabajo hecho sobre una partícula por una fuerza constante } \vec{F} \text{ durante el desplazamiento en línea recta } \vec{s} \quad W = F \cos \phi \quad \begin{matrix} \text{Magnitud de } \vec{F} \\ \text{Ángulo entre } \vec{F} \text{ y } \vec{s} \\ \text{Magnitud de } \vec{s} \end{matrix} \quad (6.2)$$

Si  $\phi = 0$ , de modo que  $\vec{F}$  y  $\vec{s}$  tienen la misma dirección, entonces  $\cos \phi = 1$  y volvemos a la ecuación (6.1).

La ecuación 6.2 tiene la forma del *producto escalar* de dos vectores, presentado en la sección 1.10:  $\vec{A} \cdot \vec{B} = AB \cos \phi$ . Quizás usted desee repasar esa definición. Por lo tanto, escribimos la ecuación (6.2) de forma más compacta:

$$\text{Trabajo hecho sobre una partícula por una fuerza constante } \vec{F} \text{ durante el desplazamiento en línea recta } \vec{s} \quad W = \vec{F} \cdot \vec{s} \quad \begin{matrix} \text{Producto escalar (producto punto) de los vectores } \vec{F} \text{ y } \vec{s} \end{matrix} \quad (6.3)$$

**CUIDADO** El trabajo es un escalar Veamos un aspecto fundamental: el trabajo es una cantidad *escalar*, aunque se calcule usando dos cantidades vectoriales (fuerza y desplazamiento). Una fuerza de 5-N hacia el este que actúa sobre un cuerpo que se mueve 6 m al este realiza exactamente la misma cantidad de trabajo que una fuerza de 5-N al norte que actúa sobre un cuerpo que se mueve 6 m al norte. ■



#### EJEMPLO 6.1 TRABAJO EFECTUADO POR UNA FUERZA CONSTANTE

a) Steve ejerce una fuerza constante de magnitud igual a 210 N (aproximadamente 47 lb) sobre el automóvil averiado de la figura 6.3, mientras lo empuja una distancia de 18 m. Además, un neumático se desinfló, así que, para lograr que el auto avance al frente, Steve debe empujarlo con un ángulo de  $30^\circ$  con respecto a la dirección del movimiento. ¿Cuánto trabajo efectúa Steve? b) Con ánimo de ayudar, Steve empuja un segundo automóvil averiado con una fuerza constante  $\vec{F} = (160 \text{ N})\hat{x} - (40 \text{ N})\hat{y}$ . El desplazamiento del automóvil es  $\vec{s} = (14 \text{ m})\hat{x} + (11 \text{ m})\hat{y}$ . ¿Cuánto trabajo efectúa Steve en este caso?

#### SOLUCIÓN

**IDENTIFICAR y PLANTEAR:** En ambos incisos, a) y b), la incógnita es el trabajo  $W$  efectuado por Steve. En los dos casos, la fuerza es constante y el desplazamiento es rectilíneo, así que usaremos la ecuación (6.2) o la (6.3). El ángulo entre  $\vec{F}$  y  $\vec{s}$  se da explícitamente en el inciso a), de manera que podemos aplicar directamente la ecuación

(6.2). En el inciso b), se proporcionan  $\vec{F}$  y  $\vec{s}$ , en términos de las componentes, de modo que es mejor calcular el producto escalar usando la ecuación (1.19):  $\vec{A} \cdot \vec{B} = A_x B_x + A_y B_y + A_z B_z$ .

**EJECUTAR:** a) A partir de la ecuación (6.2),

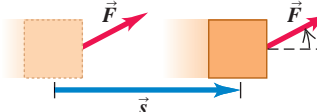
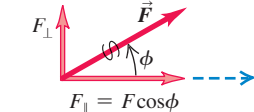
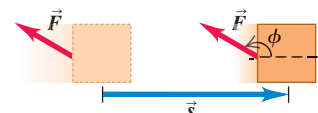
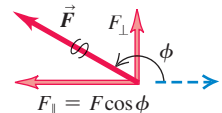
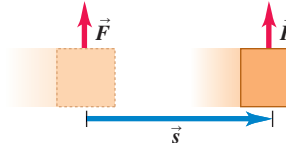
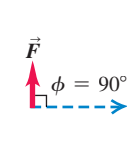
$$W = F \cos \phi = (210 \text{ N})(18 \text{ m}) \cos 30^\circ = 3.3 \times 10^3 \text{ J}$$

b) Las componentes de  $\vec{F}$  son  $F_x = 160 \text{ N}$  y  $F_y = -40 \text{ N}$ , y las componentes de  $\vec{s}$  son  $x = 14 \text{ m}$  y  $y = 11 \text{ m}$ . (No hay componentes  $z$  para ningún vector). Así, utilizando las ecuaciones (1.19) y (6.3), tenemos

$$\begin{aligned} W &= \vec{F} \cdot \vec{s} = F_x x + F_y y \\ &= (160 \text{ N})(14 \text{ m}) + (-40 \text{ N})(11 \text{ m}) \\ &= 1.8 \times 10^3 \text{ J} \end{aligned}$$

**EVALUAR:** En cada caso, el trabajo que efectúa Steve es mayor que 1000 J, lo cual indica que 1 joule es relativamente poco trabajo.

**6.4** Una fuerza constante  $\vec{F}$  puede hacer trabajo positivo, negativo o cero, dependiendo del ángulo entre  $\vec{F}$  y el desplazamiento  $\vec{s}$ .

Dirección de la fuerza (o de la componente de la fuerza)	Situación	Diagrama de fuerzas
a) La fuerza $\vec{F}$ tiene una componente en la dirección del desplazamiento: $W = F_{\parallel}s = (F \cos \phi)s$ El trabajo es <i>positivo</i> .		
b) La fuerza $\vec{F}$ tiene una componente opuesta a la dirección del desplazamiento: $W = F_{\parallel}s = (F \cos \phi)s$ El trabajo es <i>negativo</i> (porque $F \cos \phi$ es negativo para $90^\circ < \phi < 180^\circ$ ).		
c) La fuerza $\vec{F}$ (o componente $F_{\perp}$ de la fuerza) es perpendicular a la dirección del desplazamiento: La fuerza (o componente de la fuerza) no realiza trabajo sobre el objeto.		

## Trabajo: Positivo, negativo o cero

En el ejemplo 6.1, el trabajo efectuado al empujar los autos fue positivo. No obstante, es importante entender que el trabajo también puede ser negativo o cero. Ésta es la diferencia esencial entre la definición de trabajo en física y la definición “cotidiana” del mismo. Si la fuerza tiene una componente en la *misma dirección* que el desplazamiento ( $\phi$  entre 0 y  $90^\circ$ ),  $\cos \phi$  en la ecuación (6.2) es positivo y el trabajo  $W$  es *positivo* (figura 6.4a). Si la fuerza tiene una componente *opuesta* al desplazamiento ( $\phi$  entre  $90$  y  $180^\circ$ ),  $\cos \phi$  es negativo y el trabajo es *negativo* (figura 6.4b). Si la fuerza es *perpendicular* al desplazamiento,  $\phi = 90^\circ$  y el trabajo realizado por la fuerza es *cero* (figura 6.4c). Los casos donde el trabajo es cero y negativo ameritan mayor estudio; veamos algunos ejemplos.

Hay muchas situaciones donde actúan fuerzas, pero sin realizar trabajo. Quizás usted piense que “cuesta trabajo” sostener una barra de halterofilia inmóvil en el aire durante cinco minutos (figura 6.5); pero en realidad no se está realizando trabajo sobre la barra porque no hay desplazamiento. (Sostener la barra requiere que usted mantenga los músculos de los brazos contraídos, y esto consume energía almacenada en carbohidratos y grasas en su cuerpo. Cuando esta energía almacenada se utiliza para subir, sus músculos se sienten fatigados a pesar de no trabajar en la barra). Aun si usted camina con velocidad constante por un piso horizontal llevando un libro, no realiza trabajo sobre éste. El libro tiene un desplazamiento, pero la fuerza de soporte (vertical) que usted ejerce sobre el libro no tiene componente en la dirección (horizontal) del movimiento. Entonces  $\phi = 90^\circ$  en la ecuación (6.2) y  $\cos \phi = 0$ . Si un cuerpo se desliza por una superficie, el trabajo realizado sobre él por la fuerza normal es cero; y cuando una pelota atada a una cuerda se mueve con movimiento circular uniforme, el trabajo realizado sobre ella por la tensión en la cuerda es cero. En ambos casos, el trabajo es cero porque la fuerza no tiene componente en la dirección del movimiento.

¿Qué significa realmente realizar trabajo *negativo*? La respuesta está en la tercera ley de Newton del movimiento. Cuando un levantador de pesos baja una barra como en la figura 6.6a (página siguiente), sus manos y la barra se mueven juntas con el mismo desplazamiento  $\vec{s}$ . La barra ejerce una fuerza  $\vec{F}_{\text{barra}}$  sobre manos sobre sus manos en la misma dirección que el desplazamiento de éstas, así que el trabajo realizado por la *barra* sobre sus *manos* es positivo (figura 6.6b). Sin embargo, por la tercera ley de Newton, las manos del levantador de pesos ejercen una fuerza igual y opuesta  $\vec{F}_{\text{manos}} = -\vec{F}_{\text{barra}}$  sobre la barra (figura 6.6c). Esta fuerza, que evita que la barra se estrelle contra el piso, actúa opuesta al desplazamiento de la barra. Por consiguiente, el trabajo realizado por sus *manos* sobre la *barra* es negativo. Como las manos del levantador de pesos y la barra tienen el mismo desplazamiento, el trabajo

**6.5** Un levantador de pesos no realiza trabajo sobre una barra si la mantiene en reposo.



**6.6** Las manos de este levantador de pesas efectúan trabajo negativo sobre la barra, mientras que la barra realiza trabajo positivo sobre sus manos.

- a) Un levantador de pesas baja una barra al piso.

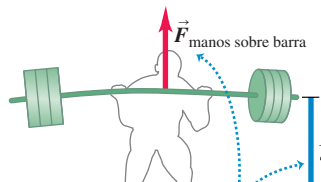


- b) La barra efectúa trabajo *positivo* sobre las manos del levantador de pesas.



La fuerza de la barra sobre las manos del levantador de pesas tiene la *misma* dirección que el desplazamiento de las manos.

- c) Las manos del levantador de pesas realizan trabajo *negativo* sobre la barra.



La fuerza de las manos del levantador de pesas sobre la barra es *opuesta* al desplazamiento de la barra.

realizado por sus manos sobre la barra es justo el negativo del efectuado por la barra sobre sus manos. En general, cuando un cuerpo realiza trabajo negativo sobre otro cuerpo, éste realiza una cantidad igual de trabajo *positivo* sobre el primero.

## LOS DATOS HABLAN

### Trabajo positivo, negativo y cero

Cuando a los estudiantes se les dio un problema para encontrar el trabajo hecho por una fuerza constante durante un desplazamiento en línea recta, más del 59% dieron una respuesta incorrecta.

Errores comunes:

- Se olvidaron de que una fuerza hace trabajo negativo si actúa en dirección opuesta a la dirección del desplazamiento del objeto.
- Se olvidaron de que si hay una fuerza y está actúa perpendicular a la dirección de este desplazamiento hace trabajo cero.

**CUIDADO** Tenga presente quién efectúa el trabajo. Siempre hablamos de trabajo realizado sobre un cuerpo específico *por* una fuerza determinada. Nunca olvide indicar exactamente qué fuerza realiza el trabajo en cuestión. Si levantamos un libro, ejercemos una fuerza hacia arriba sobre el libro y el desplazamiento de éste es hacia arriba, así que el trabajo realizado por la fuerza de levantamiento sobre el libro es positivo. En cambio, el trabajo realizado por la fuerza gravitacional (peso) sobre el libro que se levanta es *negativo*, porque tal fuerza es opuesta al desplazamiento hacia arriba. ■

### Trabajo total

¿Cómo calculamos el trabajo cuando *varias* fuerzas actúan sobre un cuerpo? Podemos usar las ecuaciones (6.2) o (6.3) para calcular el trabajo realizado por cada fuerza individual. Puesto que el trabajo es una cantidad escalar, el trabajo *total*  $W_{\text{tot}}$  realizado por todas las fuerzas sobre el cuerpo es la suma algebraica de los trabajos realizados por las fuerzas individuales. Otra forma de obtener  $W_{\text{tot}}$  es calcular la suma vectorial de las fuerzas (es decir, la fuerza neta) y usarla en lugar de  $\vec{F}$  en la ecuación (6.2) o en la (6.3). El siguiente ejemplo ilustra ambas técnicas.

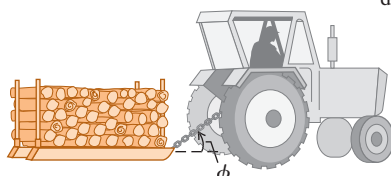
### EJEMPLO 6.2 TRABAJO REALIZADO POR VARIAS FUERZAS



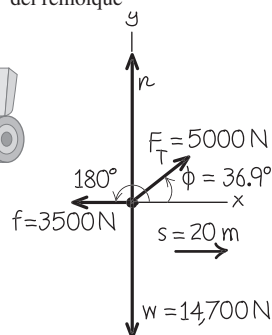
Un granjero engancha un remolque cargado con leña a su tractor y lo arrastra 20 m sobre el suelo horizontal (**figura 6.7a**). El peso total del remolque y la carga es de 14,700 N. El tractor ejerce una fuerza constante de 5000 N a  $36.9^\circ$  sobre la horizontal. Una fuerza de fricción de 3500 N se opone al movimiento del remolque. Calcule el trabajo realizado por cada fuerza que actúa sobre el remolque y el trabajo total de todas las fuerzas.

**6.7** Cálculo del trabajo realizado sobre un remolque con leña que es arrastrado por un tractor.

a)



b) Diagrama de cuerpo libre del remolque



### SOLUCIÓN

**IDENTIFICAR y PLANTEAR:** Todas las fuerzas son constantes y el desplazamiento del remolque es rectilíneo, de manera que podemos calcular el trabajo empleando los conceptos usados en esta sección. Obtendremos el trabajo total de dos maneras: **1.** sumando los trabajos efectuados por cada fuerza sobre el remolque y **2.** calculando el trabajo efectuado por la fuerza neta que actúa sobre el remolque. Primero dibujaremos un diagrama de cuerpo libre que muestre todas las fuerzas que actúan sobre el remolque y elegiremos un sistema de coordenadas (**figura 6.7b**). Conocemos el ángulo entre el desplazamiento (en la dirección +x) y cada una de las cuatro fuerzas: peso, fuerza normal, fuerza del tractor y fuerza de fricción. Por lo tanto, con la ecuación (6.2) calculamos el trabajo realizado por cada fuerza.

Como vimos en el capítulo 5, para obtener la fuerza neta sumamos las componentes de las cuatro fuerzas. La segunda ley de Newton nos dice que, como el movimiento del remolque es exclusivamente horizontal, la fuerza neta sólo tiene la componente horizontal.

**EJECUTAR:** **1.** El trabajo  $W_w$  realizado por el peso es cero, porque su dirección es perpendicular al desplazamiento (compare esto con la figura 6.4c). Por la misma razón, el trabajo  $W_n$  realizado por la fuerza normal es también cero. (Observe que no necesitamos calcular la magnitud  $n$  para concluir esto). Entonces,  $W_w = W_n = 0$ .

Nos queda el trabajo  $W_T$  efectuado por la fuerza  $F_T$  ejercida por el tractor y el trabajo  $W_f$  realizado por la fuerza de fricción  $f$ . De acuerdo con la ecuación (6.2),

$$\begin{aligned} W_T &= F_T s \cos 36.9^\circ = (5000 \text{ N})(20 \text{ m})(0.800) = 80,000 \text{ N} \cdot \text{m} \\ &= 80 \text{ kJ} \end{aligned}$$

La fuerza de fricción  $\vec{f}$  es opuesta al desplazamiento, así que  $\phi = 180^\circ$  y  $\cos \phi = -1$ . Nuevamente, por la ecuación (6.2),

$$\begin{aligned} W_f &= f s \cos 180^\circ = (3500 \text{ N})(20 \text{ m})(-1) = -70,000 \text{ N} \cdot \text{m} \\ &= -70 \text{ kJ} \end{aligned}$$

El trabajo total  $W_{\text{tot}}$  realizado por todas las fuerzas sobre el remolque es la suma *algebraica* del trabajo realizado por cada fuerza individual:

$$\begin{aligned} W_{\text{tot}} &= W_w + W_n + W_T + W_f = 0 + 0 + 80 \text{ kJ} + (-70 \text{ kJ}) \\ &= 10 \text{ kJ} \end{aligned}$$

**2.** En el segundo método, primero obtenemos la suma *vectorial* de todas las fuerzas (la fuerza neta) y después la usamos para calcular el trabajo total. La mejor forma de hacerlo es utilizando componentes. De la figura 6.7b,

$$\begin{aligned} \sum F_x &= F_T \cos \phi + (-f) = (5000 \text{ N}) \cos 36.9^\circ - 3500 \text{ N} \\ &= 500 \text{ N} \\ \sum F_y &= F_T \sin \phi + n + (-w) \\ &= (5000 \text{ N}) \sin 36.9^\circ + n - 14,700 \text{ N} \end{aligned}$$

No necesitamos la segunda ecuación; sabemos que la componente  $y$  de fuerza es perpendicular al desplazamiento, así que no realiza trabajo. Además, no hay componente  $y$  de aceleración, así que de cualquier forma  $\sum F_y$  debe ser cero. Por consiguiente, el trabajo total es el realizado por la componente  $x$  total:

$$\begin{aligned} W_{\text{tot}} &= (\sum \vec{F}) \cdot \vec{s} = (\sum F_x)s = (500 \text{ N})(20 \text{ m}) = 10,000 \text{ J} \\ &= 10 \text{ kJ} \end{aligned}$$

**EVALUAR:** Obtenemos el mismo valor de  $W_{\text{tot}}$  con los dos métodos, como debería ser. Observe también que la fuerza neta en la dirección  $x$  no es cero, así que al moverse el remolque se está acelerando. En la sección 6.2 volveremos a este ejemplo y veremos cómo usar el concepto de trabajo para analizar los cambios de rapidez del remolque.

**EVALÚE SU COMPRENSIÓN DE LA SECCIÓN 6.1** Un electrón se mueve en línea recta hacia el este con una rapidez constante de  $8 \times 10^7 \text{ m/s}$ . Sobre él actúan tres fuerzas: eléctrica, magnética y gravitacional. Durante un desplazamiento de 1 metro, el trabajo total efectuado sobre el electrón es **i.** positivo, **ii.** negativo, **iii.** cero; **iv.** no hay suficiente información para determinarlo. **I**

## 6.2 ENERGÍA CINÉTICA Y EL TEOREMA TRABAJO-ENERGÍA

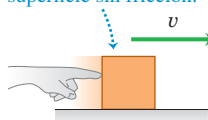
El trabajo total realizado por fuerzas externas sobre un cuerpo se relaciona con el desplazamiento del cuerpo, es decir, con los cambios en su posición; pero también está relacionado con los cambios en la *rapidez* del cuerpo. Para comprobarlo, considere la **figura 6.8**, que muestra tres ejemplos de un bloque que se desliza sobre una mesa sin fricción. Las fuerzas que actúan sobre el bloque son su peso  $\vec{w}$ , la fuerza normal  $\vec{n}$  y la fuerza  $\vec{F}$  ejercida por la mano.

En la figura 6.8a, la fuerza neta sobre el bloque está en la dirección de su movimiento. Por la segunda ley de Newton, esto significa que el bloque se acelera; la ecuación (6.1) nos indica también que el trabajo total  $W_{\text{tot}}$  efectuado sobre el bloque es

### 6.8 Relación entre el trabajo total efectuado sobre un cuerpo y el cambio en la rapidez del cuerpo.

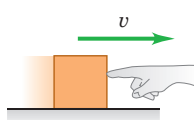
a)

Un bloque que se desliza hacia la derecha sobre una superficie sin fricción.



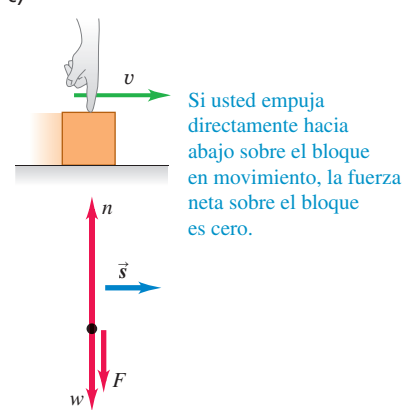
Si usted empuja a la derecha sobre el bloque en movimiento, la fuerza neta sobre el bloque es hacia la derecha.

b)

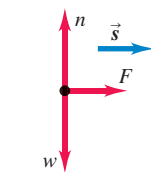


Si usted empuja a la izquierda sobre el bloque en movimiento, la fuerza neta sobre el bloque es hacia la izquierda.

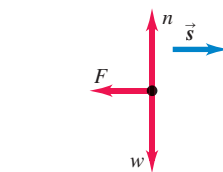
c)



Si usted empuja directamente hacia abajo sobre el bloque en movimiento, la fuerza neta sobre el bloque es cero.



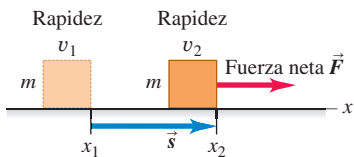
- El trabajo total efectuado sobre el bloque durante un desplazamiento  $\vec{s}$  es positivo:  $W_{\text{tot}} > 0$ .
- El bloque aumenta de rapidez.



- El trabajo total efectuado sobre el bloque durante un desplazamiento  $\vec{s}$  es negativo:  $W_{\text{tot}} < 0$ .
- El bloque se frena.

- El trabajo total realizado sobre el bloque durante un desplazamiento  $\vec{s}$  es cero:  $W_{\text{tot}} = 0$ .
- La rapidez del bloque permanece igual.

**6.9** Una fuerza neta constante  $\vec{F}$  realiza trabajo sobre un cuerpo en movimiento.



positivo. El trabajo total es *negativo* en la figura 6.8b porque la fuerza neta se opone al desplazamiento; aquí el bloque se frena. La fuerza neta es cero en la figura 6.8c, así que la rapidez del bloque no cambia y el trabajo total efectuado sobre él es cero. Podemos concluir que, *cuando una partícula se desplaza, se acelera si  $W_{\text{tot}} > 0$ , se frena si  $W_{\text{tot}} < 0$ , y mantiene su rapidez si  $W_{\text{tot}} = 0$* .

Hagamos más cuantitativas tales observaciones. En la **figura 6.9** una partícula con masa  $m$  se mueve en el eje  $x$  bajo la acción de una fuerza neta constante de magnitud  $F$  dirigida a lo largo del eje  $+x$ . La aceleración de la partícula es constante y está dada por la segunda ley de Newton (sección 4.3),  $F = ma_x$ . Suponga que la rapidez cambia de  $v_1$  a  $v_2$  mientras la partícula experimenta un desplazamiento  $s = x_2 - x_1$  desde el punto  $x_1$  al  $x_2$ . Usando una ecuación de aceleración constante, la ecuación (2.13) de la sección 2.4, y sustituyendo  $v_{0x}$  por  $v_1$ ,  $v_x$  por  $v_2$  y  $(x - x_0)$  por  $s$ , tenemos

$$v_2^2 = v_1^2 + 2a_xs$$

$$a_x = \frac{v_2^2 - v_1^2}{2s}$$

Al multiplicar esta ecuación por  $m$  e igualar  $ma_x$  a la fuerza neta  $F$ , obtenemos

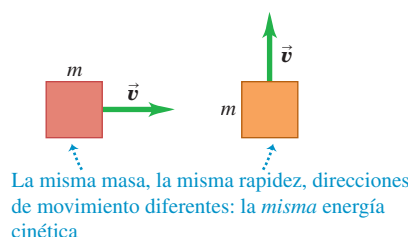
$$F = ma_x = m \frac{v_2^2 - v_1^2}{2s} \quad \text{y}$$

$$Fs = \frac{1}{2}mv_2^2 - \frac{1}{2}mv_1^2 \quad (6.4)$$

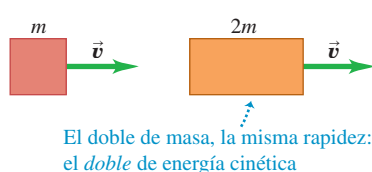
En la ecuación (6.4) el producto  $Fs$  es el trabajo efectuado por la fuerza neta  $F$  y, por lo tanto, es igual al trabajo total  $W_{\text{tot}}$  realizado por todas las fuerzas que actúan sobre la partícula. Llamamos a la cantidad  $\frac{1}{2}mv^2$  la **energía cinética**  $K$  de la partícula:

$$\begin{array}{ccc} \text{Energía cinética} & \cdots \cdots \cdots & \text{Masa de la partícula} \\ \text{de la partícula} & \rightarrow & \frac{1}{2}mv^2 \\ & \cdots \cdots \cdots & \text{Rapidez de la partícula} \end{array} \quad (6.5)$$

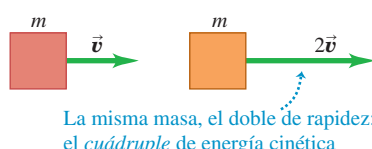
**6.10** Comparación de la energía cinética  $K = \frac{1}{2}mv^2$  de diferentes cuerpos.



La misma masa, la misma rapidez, direcciones de movimiento diferentes: la misma energía cinética



El doble de masa, la misma rapidez: el doble de energía cinética



La misma masa, el doble de rapidez: el cuádruple de energía cinética

Al igual que el trabajo, la energía cinética de una partícula es una cantidad escalar: tan sólo depende de la masa y la rapidez de la partícula, no de la dirección del movimiento (**figura 6.10**). La energía cinética nunca puede ser negativa y es cero únicamente si la partícula está en reposo.

Ahora podemos interpretar la ecuación (6.4) en términos de trabajo y energía cinética. El primer término del miembro derecho de la ecuación (6.4) es  $K_2 = \frac{1}{2}mv_2^2$ , la energía cinética final de la partícula (es decir, después del desplazamiento). El segundo término es la energía cinética inicial,  $K_1 = \frac{1}{2}mv_1^2$ , y la diferencia entre estos términos es el *cambio* de energía cinética. Entonces, la ecuación (6.4) nos dice que:

**Teorema trabajo-energía:** El trabajo efectuado por la fuerza neta sobre una partícula es igual al cambio de energía cinética de la partícula:

$$\begin{array}{ccccc} \text{El trabajo total hecho} & & & & \text{Cambio en la} \\ \text{sobre la partícula} = & \cdots \cdots \cdots & W_{\text{tot}} = K_2 - K_1 = \Delta K & \cdots \cdots \cdots & \text{energía cinética} \\ \text{Trabajo hecho por} & \cdots \cdots \cdots & \text{Energía cinética final} & \cdots \cdots \cdots & \text{Energía cinética inicial} \\ \text{la fuerza neta} & & & & \end{array} \quad (6.6)$$

Este **teorema trabajo-energía** concuerda con nuestras observaciones acerca del bloque de la figura 6.8. Si  $W_{\text{tot}}$  es *positivo*, la energía cinética *aumenta* (la energía cinética final  $K_2$  es mayor que la energía cinética inicial  $K_1$ ) y la partícula tiene mayor rapidez al final del desplazamiento que al principio. Si  $W_{\text{tot}}$  es *negativo*, la energía cinética *disminuye* ( $K_2$  es menor que  $K_1$ ) y la rapidez es menor después del desplazamiento. Si  $W_{\text{tot}} = 0$ , la energía cinética permanece igual ( $K_1 = K_2$ ) y la rapidez no cambia. Observe que el teorema trabajo-energía sólo indica los cambios en la *rapidez*, no en la velocidad, pues la energía cinética no depende de la dirección del movimiento.

Según la ecuación (6.4) o la (6.6), la energía cinética y el trabajo deben tener las mismas unidades. Por lo tanto, el joule es la unidad del SI tanto del trabajo como de la energía cinética (y, como veremos, de todos los tipos de energía). Para verificarlo,

observe que en el SI la cantidad  $K = \frac{1}{2}mv^2$  tiene unidades de  $\text{kg} \cdot (\text{m/s})^2$ , o bien,  $\text{kg} \cdot \text{m}^2/\text{s}^2$ ; recordemos que  $1 \text{ N} = 1 \text{ kg} \cdot \text{m/s}^2$ , así que

$$1 \text{ J} = 1 \text{ N} \cdot \text{m} = 1 (\text{kg} \cdot \text{m/s}^2) \cdot \text{m} = 1 \text{ kg} \cdot \text{m}^2/\text{s}^2$$

Puesto que usamos las leyes de Newton para deducir el teorema trabajo-energía, solamente podemos usarlo en un marco de referencia inercial. Observe también que dicho teorema es válido en *cualquier* marco inercial; sin embargo, los valores de  $W_{\text{tot}}$  y  $K_2 - K_1$  podrían diferir de un marco inercial a otro (porque el desplazamiento y la rapidez de un cuerpo pueden ser distintos en marcos diferentes).

Dedujimos el teorema trabajo-energía para el caso especial de movimiento rectilíneo con fuerzas constantes, y en los siguientes ejemplos sólo lo aplicaremos a ese caso especial. En la siguiente sección veremos que el teorema es válido en general, aun si las fuerzas no son constantes y la trayectoria de la partícula es curva.

## ESTRATEGIA PARA RESOLVER PROBLEMAS 6.1 TRABAJO Y ENERGÍA CINÉTICA

**IDENTIFICAR** los conceptos relevantes: El teorema trabajo-energía,  $W_{\text{tot}} = K_2 - K_1$ , es extremadamente útil en situaciones donde se desea relacionar la rapidez  $v_1$  de un cuerpo en un punto de su movimiento, con su rapidez  $v_2$  en otro punto. (El enfoque es menos útil en problemas donde interviene el *tiempo* que tarda un cuerpo en ir del punto 1 al punto 2, porque en el teorema trabajo-energía no interviene el tiempo). En estos problemas suele ser mejor utilizar las relaciones entre tiempo, posición, velocidad y aceleración descritas en los capítulos 2 y 3).

**PLANTEAR** el problema aplicando los siguientes pasos:

- Identifique las posiciones inicial y final del cuerpo, y dibuje un diagrama de cuerpo libre con todas las fuerzas que actúan sobre él.
- Elija un sistema de coordenadas. (Si el movimiento es rectilíneo, lo más fácil suele ser que las posiciones tanto inicial como final estén *sobre* uno de los ejes).
- Elabore una lista de las cantidades conocidas y desconocidas, e identifique las incógnitas. La incógnita puede ser la rapidez inicial o final; la magnitud de una de las fuerzas que actúan sobre el cuerpo, o el desplazamiento de este.

**EJECUTAR** la solución: Calcule el trabajo  $W$  efectuado por cada fuerza. Si la fuerza es constante y el desplazamiento es en línea recta, se puede usar la ecuación (6.2) o la (6.3). (Más adelante, en este capítulo, veremos cómo manejar fuerzas variables y trayectorias curvas).

Revise los signos;  $W$  debe ser positivo si la fuerza tiene una componente en la dirección del desplazamiento, negativo si la fuerza tiene una componente opuesta al desplazamiento, y cero si la fuerza y el desplazamiento son perpendiculares.

Sume los trabajos realizados por cada fuerza para obtener el trabajo total  $W_{\text{tot}}$ . Algunas veces es más fácil obtener la suma vectorial de las fuerzas (la fuerza neta) y luego calcular el trabajo efectuado por la fuerza neta; este valor también es  $W_{\text{tot}}$ .

Escriba expresiones para las energías cinética inicial y final,  $K_1$  y  $K_2$ . Tenga presente que en la energía cinética interviene la *masa*, no el *peso*; si se conoce el peso del cuerpo se usa  $w = mg$  para calcular la masa.

Por último, use la ecuación (6.6),  $W_{\text{tot}} = K_2 - K_1$ , y la ecuación (6.5),  $K = \frac{1}{2}mv^2$  para despejar la incógnita. Recuerde que el miembro derecho de la ecuación (6.6) es el cambio de la energía cinética del cuerpo entre los puntos 1 y 2, es decir, la energía cinética *final* menos la energía cinética *inicial*, nunca al revés. (Si logra predecir el signo de  $W_{\text{tot}}$ , puede saber si el cuerpo acelera o desacelera).

**EVALUAR** la respuesta: Compruebe que su respuesta sea lógica. Recuerde que la energía cinética  $K = \frac{1}{2}mv^2$  nunca puede ser negativa. Si obtiene una  $K$  negativa, quizás intercambió las energías inicial y final en  $W_{\text{tot}} = K_2 - K_1$  o cometió un error de signo en uno de los cálculos del trabajo.

## EJEMPLO 6.3 USO DEL TRABAJO Y LA ENERGÍA PARA CALCULAR LA RAPIDEZ

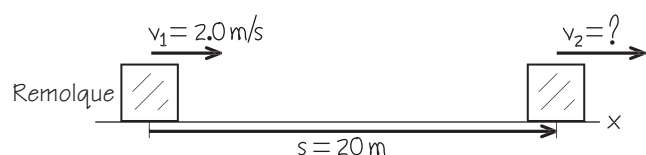


Veamos otra vez el remolque de la figura 6.7 y los resultados del ejemplo 6.2. Suponga que la rapidez inicial  $v_1$  del remolque es de  $2.0 \text{ m/s}$ . ¿Cuál es la rapidez del remolque después de avanzar  $20 \text{ m}$ ?

### SOLUCIÓN

**IDENTIFICAR y PLANTEAR:** Usaremos el teorema trabajo-energía, ecuación (6.6),  $W_{\text{tot}} = K_2 - K_1$ , pues se conoce la rapidez inicial  $v_1 = 2.0 \text{ m/s}$  y nos piden calcular la rapidez final  $v_2$ . La **figura 6.11** muestra el esquema de la situación. El movimiento es en la dirección positiva  $x$ . Ya calculamos el trabajo total de todas las fuerzas en el ejemplo 6.2:  $W_{\text{tot}} = 10 \text{ kJ}$ . Por lo tanto, la energía cinética del remolque y su carga debe aumentar en  $10 \text{ kJ}$ , y la rapidez del remolque también se debe incrementar.

**6.11** Esquema para este problema.



**EJECUTAR:** Para escribir expresiones de las energías cinéticas inicial y final, necesitamos la masa del remolque y la carga. El *peso* combinado es de  $14,700 \text{ N}$ , así que la masa es

$$m = \frac{w}{g} = \frac{14,700 \text{ N}}{9.8 \text{ m/s}^2} = 1500 \text{ kg}$$

Continúa

Entonces, la energía cinética inicial  $K_1$  es

$$\begin{aligned} K_1 &= \frac{1}{2}mv_1^2 = \frac{1}{2}(1500 \text{ kg})(2.0 \text{ m/s})^2 = 3000 \text{ kg} \cdot \text{m}^2/\text{s}^2 \\ &= 3000 \text{ J} \end{aligned}$$

La energía cinética final  $K_2$  es

$$K_2 = \frac{1}{2}mv_2^2 = \frac{1}{2}(1500 \text{ kg})v_2^2$$

El teorema trabajo-energía, ecuación (6.6), da

$$K_2 = K_1 + W_{\text{tot}} = 3000 \text{ J} + 10,000 \text{ J} = 13,000 \text{ J}$$

Igualando estas dos expresiones de  $K_2$ , sustituyendo  $1 \text{ J} = 1 \text{ kg} \cdot \text{m}^2/\text{s}^2$  y despejando  $v_2$ ,

$$v_2 = 4.2 \text{ m/s}$$

**EVALUAR:** El trabajo total es positivo, de manera que la energía cinética aumenta ( $K_2 > K_1$ ) y la rapidez aumenta ( $v_2 > v_1$ ).

Este problema también se puede resolver sin el teorema trabajo-energía. Es posible obtener la aceleración a partir de  $\sum \vec{F} = m\vec{a}$  y,

luego, usar las ecuaciones de movimiento con aceleración constante para calcular  $v_2$ . Como la aceleración está a lo largo del eje  $x$ ,

$$a = a_x = \frac{\sum F_x}{m} = \frac{500 \text{ N}}{1500 \text{ kg}} = 0.333 \text{ m/s}^2$$

Entonces, usando la ecuación (2.13),

$$\begin{aligned} v_2^2 &= v_1^2 + 2as = (2.0 \text{ m/s})^2 + 2(0.333 \text{ m/s}^2)(20 \text{ m}) \\ &= 17.3 \text{ m}^2/\text{s}^2 \\ v_2 &= 4.2 \text{ m/s} \end{aligned}$$

Éste es el mismo resultado que se obtuvo con el enfoque trabajo-energía; no obstante, ahí evitamos el paso intermedio de calcular la aceleración. Veremos varios ejemplos más en este capítulo y en el siguiente que *pueden* resolverse sin tomar en cuenta la energía, aunque si la consideramos, resultan más fáciles. Cuando un problema puede resolverse con dos métodos distintos, utilizar ambos (como lo hicimos aquí) es una buena forma de comprobar los resultados.

## EJEMPLO 6.4 FUERZAS SOBRE UN MARTILLO

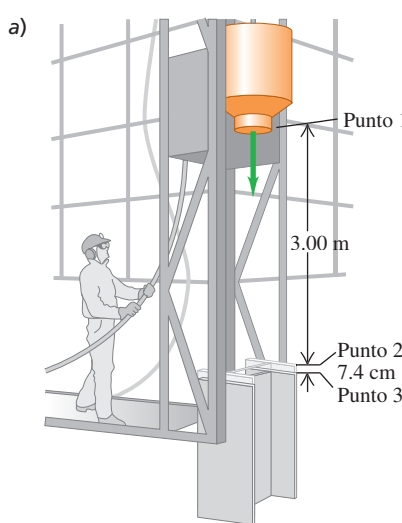


En un martinete, un martillo de acero de 200 kg se levanta 3.00 m sobre la parte superior de una viga vertical en forma de I que se va a clavar en el suelo (figura 6.12a). El martillo se suelta introduciendo la viga 7.4 cm en el suelo. Los rieles verticales que guían el martillo ejercen una fuerza de fricción constante de 60 N sobre aquél. Use el teorema trabajo-energía para determinar a) la rapidez del martillo justo cuando golpea la viga en forma de I y b) la fuerza media que el martillo ejerce sobre la viga. Desprecie los efectos del aire.

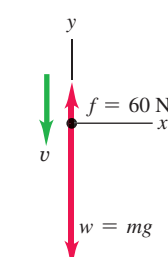
actúan sobre él. Aquí nos interesan *tres* posiciones: el punto 1, donde el martillo parte del reposo; el punto 2, donde hace contacto por primera vez con la viga; y el punto 3, donde el martillo y la viga se detienen (figura 6.12a). Las dos incógnitas son la rapidez del martillo en el punto 2 y la fuerza media que el martillo ejerce entre los puntos 2 y 3. Entonces, aplicaremos dos veces el teorema trabajo-energía: una para el movimiento de 1 a 2 y otra para el movimiento de 2 a 3.

**PLANTEAR:** La figura 6.12b muestra las fuerzas verticales sobre el martillo conforme cae del punto 1 al punto 2. (Podemos ignorar las fuerzas horizontales cualesquiera que pudieran estar presentes, pues no efectúan trabajo cuando el martillo se desplaza verticalmente). En esta parte del movimiento, la incógnita es la rapidez final del martillo,  $v_2$ .

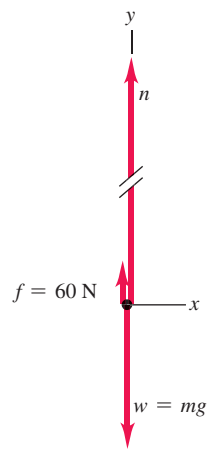
**6.12** a) Un martinete clava una viga en forma de I en el suelo. b), c) Diagramas de cuerpo libre. Las longitudes de los vectores no están a escala.



b) Diagrama de cuerpo libre del martillo que cae



c) Diagrama de cuerpo libre del martillo al clavar la viga en forma de I.



La figura 6.12c muestra las fuerzas verticales que actúan sobre el martillo durante el movimiento del punto 2 al punto 3. Además de las fuerzas representadas en la figura 6.12b, la viga en forma de I ejerce una fuerza normal hacia arriba de magnitud  $n$  sobre el martillo. En realidad, esta fuerza varía conforme el martillo se va deteniendo; pero, por sencillez, consideraremos  $n$  constante. Así,  $n$  representa el valor *medio* de esta fuerza hacia arriba durante el movimiento. La incógnita en esta parte del movimiento es la fuerza que el *martillo* ejerce sobre la viga; es la fuerza de reacción a la fuerza normal ejercida por la viga, así que por la tercera ley de Newton su magnitud también es  $n$ .

**EJECUTAR:** a) Del punto 1 al punto 2, las fuerzas verticales son el peso  $w = mg = (200 \text{ kg})(9.8 \text{ m/s}^2) = 1960 \text{ N}$  hacia abajo, y la fuerza de fricción  $f = 60 \text{ N}$  hacia arriba. La fuerza neta hacia abajo es entonces  $w - f = 1900 \text{ N}$ . El desplazamiento del martillo del punto 1 al punto 2 es  $s_{12} = 3.00 \text{ m}$  hacia abajo. El trabajo total realizado sobre el martillo del punto 1 al 2 es, entonces,

$$W_{\text{tot}} = (w - f)s_{12} = (1900 \text{ N})(3.00 \text{ m}) = 5700 \text{ J}$$

En el punto 1 el martillo está en reposo, así que su energía cinética  $K_1$  es cero. De manera que la energía cinética  $K_2$  en el punto 2 es igual al trabajo total realizado sobre el martillo entre los puntos 1 y 2:

$$W_{\text{tot}} = K_2 - K_1 = K_2 - 0 = \frac{1}{2}mv_2^2 - 0$$

$$v_2 = \sqrt{\frac{2W_{\text{tot}}}{m}} = \sqrt{\frac{2(5700 \text{ J})}{200 \text{ kg}}} = 7.55 \text{ m/s}$$

Ésta es la rapidez del martillo en el punto 2, justo antes de golpear la viga en forma de I.

b) Mientras el martillo se mueve hacia abajo del punto 2 al 3, su desplazamiento es  $s_{23} = 7.4 \text{ cm} = 0.074 \text{ m}$ , y la fuerza neta hacia abajo que actúa sobre él es  $w - f - n$  (figura 6.12c). El trabajo total realizado sobre el martillo durante el desplazamiento es

$$W_{\text{tot}} = (w - f - n)s_{23}$$

La energía cinética inicial en esta parte del movimiento es  $K_2$  que, de acuerdo con el inciso a), es igual a 5700 J. La energía cinética final es  $K_3 = 0$  (el martillo se detiene). Entonces, por el teorema trabajo-energía,

$$W_{\text{tot}} = (w - f - n)s_{23} = K_3 - K_2$$

$$n = w - f - \frac{K_3 - K_2}{s_{23}}$$

$$= 1960 \text{ N} - 60 \text{ N} - \frac{0 \text{ J} - 5700 \text{ J}}{0.074 \text{ m}} = 79,000 \text{ N}$$

La fuerza hacia abajo que el martillo ejerce sobre la viga en forma de I tiene esta misma magnitud, 79,000 N (unas 9 toneladas): más de 40 veces el peso del martillo.

**EVALUAR:** El cambio neto en la energía cinética del martillo del punto 1 al punto 3 es cero; una fuerza neta relativamente pequeña efectúa trabajo positivo a lo largo de una distancia grande y, luego, una fuerza neta mucho mayor realiza trabajo negativo en una distancia mucho más corta. Lo mismo sucede si usted acelera un automóvil gradualmente y choca contra una pared. La fuerza tan grande necesaria para reducir la energía cinética a cero en una distancia corta es lo que daña el automóvil y quizás al conductor.

## Significado de la energía cinética

El ejemplo 6.4 ilustra el significado físico de la energía cinética. El martillo se deja caer a partir del reposo y, al golpear la viga en forma de I, su energía cinética es igual al trabajo total realizado sobre él hasta ese punto por la fuerza neta. Esto se cumple en general: para acelerar una partícula de masa  $m$  desde el reposo (energía cinética igual a cero) hasta cierta rapidez  $v$ , el trabajo total efectuado sobre ella debe ser igual al cambio de energía cinética desde 0 hasta  $K = \frac{1}{2}mv^2$ :

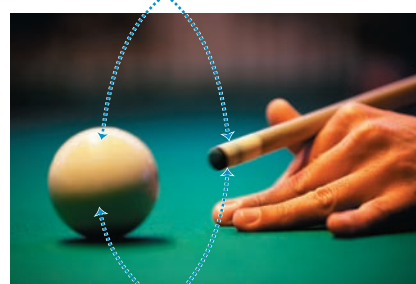
$$W_{\text{tot}} = K - 0 = K$$

Entonces, *la energía cinética de una partícula es igual al trabajo total que se efectuó para acelerarla desde el reposo hasta su rapidez actual* (figura 6.13). La definición  $K = \frac{1}{2}mv^2$  (ecuación 6.5) no se eligió al azar: es la *única* definición que coincide con esta interpretación de la energía cinética.

En la segunda parte del ejemplo 6.4, se usó la energía cinética del martillo para efectuar trabajo sobre la viga en forma de I y clavarla en el suelo. Esto nos brinda otra interpretación de la energía cinética: *La energía cinética de una partícula es igual al trabajo total que puede efectuar una partícula mientras se detiene*. Por tal razón, movemos hacia atrás la mano y el brazo cuando atrapamos una pelota. Al detenerse la pelota, realiza una cantidad de trabajo (fuerza por distancia) sobre la mano igual a la energía cinética inicial de la pelota. Al hacer la mano hacia atrás, aumentamos la distancia donde actúa la fuerza y así reducimos la fuerza ejercida sobre nuestra mano.

### 6.13 Impartiendo energía cinética a una bola de billar.

Cuando un jugador de billar golpea una bola blanca en reposo, la energía cinética de la bola después de ser golpeada es igual al trabajo que el taco efectuó sobre ella.



Cuanto mayor sea la fuerza ejercida por el taco y mayor sea la distancia que la bola se mueve mientras está en contacto con el taco, mayor será la energía cinética de la bola.



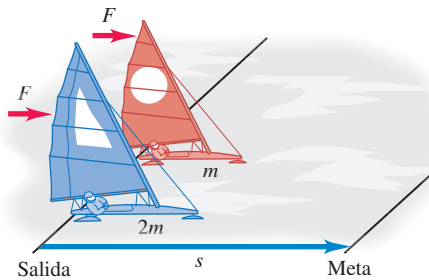
## EJEMPLO CONCEPTUAL 6.5 COMPARACIÓN DE ENERGÍAS CINÉTICAS

Dos veleros para hielo como el del ejemplo 5.6 (sección 5.2) compiten en un lago horizontal sin fricción (**figura 6.14**). Los veleros tienen masas  $m$  y  $2m$ , respectivamente; pero sus velas son idénticas, así que el viento ejerce la misma fuerza constante  $\vec{F}$  sobre cada velero. Ambos veleros parten del reposo y la meta está a una distancia  $s$ . ¿Cuál velero cruza la meta con mayor energía cinética?

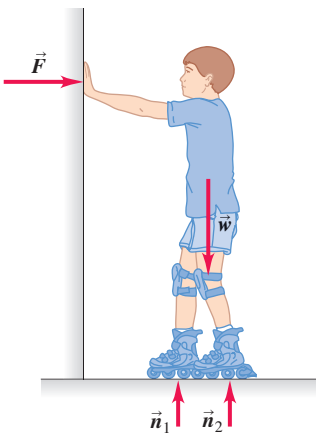
### SOLUCIÓN

Si usamos la definición matemática de energía cinética,  $K = \frac{1}{2}mv^2$ , ecuación (6.5), la respuesta a este problema no es tan evidente. El

**6.14** Carrera entre veleros en el hielo.



**6.15** Fuerzas externas que actúan sobre un patinador que se empuja contra una pared. El trabajo realizado por estas fuerzas es cero pero, aun así, la energía cinética del patinador cambia.



velero con masa  $2m$  tiene mayor masa, y podríamos suponer que alcanza mayor energía cinética en la línea de meta; no obstante, el velero más ligero de masa  $m$  tiene mayor aceleración y cruza la meta con mayor rapidez, por lo que podríamos suponer que *este* velero tiene mayor energía cinética. ¿Cómo decidimos?

La clave es recordar que *la energía cinética de una partícula es igual al trabajo total realizado para acelerarla desde el reposo*. Ambos veleros recorren la misma distancia  $s$  desde el reposo, y sólo la fuerza horizontal  $F$  en la dirección del movimiento realiza trabajo sobre ellos. Por lo tanto, el trabajo total efectuado entre la salida y la meta es el *mismo* para los dos veleros,  $W_{\text{tot}} = Fs$ . En la meta, cada velero tiene una energía cinética igual al trabajo  $W_{\text{tot}}$  efectuado sobre él, ya que cada velero partió del reposo. Así, *ambos* veleros tienen la *misma* energía cinética en la meta!

Quizás el lector piense que se trata de una pregunta “capciosa”, pero no es así. Si usted entiende realmente el significado físico de cantidades como la energía cinética, será capaz de resolver problemas más fácilmente y con mayor comprensión.

Observe que no tuvimos necesidad de conocer el tiempo que cada velero tardó en llegar a la meta. La razón es que el teorema trabajo-energía no hace referencia directa al tiempo, tan sólo al desplazamiento. De hecho, el velero de masa  $m$  tiene una mayor aceleración, por lo que tarda menos tiempo que el velero más grande de masa  $2m$  en llegar a la meta.

## Trabajo y energía cinética en sistemas compuestos

En esta sección nos hemos cuidado de aplicar el teorema trabajo-energía sólo a cuerpos que podemos representar como *partículas*, esto es, como masas puntuales en movimiento. En sistemas más complejos que deben representarse en términos de muchas partículas con diferentes movimientos, surgen aspectos más sutiles que no podemos ver con detalle en este capítulo; sólo veremos un ejemplo.

Considere a un niño parado en patines, sin fricción, sobre una superficie horizontal viendo hacia una pared rígida (**figura 6.15**). Él empuja la pared poniéndose en movimiento hacia la derecha. Las fuerzas que actúan sobre él son su peso  $\vec{w}$ , las fuerzas normales  $\vec{n}_1$  y  $\vec{n}_2$ , hacia arriba ejercidas por el suelo sobre sus patines, y la fuerza horizontal  $\vec{F}$  ejercida sobre el niño por la pared. No hay desplazamiento vertical, así que  $\vec{w}$ ,  $\vec{n}_1$  y  $\vec{n}_2$  no efectúan trabajo.  $\vec{F}$  es la fuerza que lo acelera a la derecha, pero las partes de su cuerpo donde se aplica esa fuerza (las manos del niño) no se mueven mientras actúa la fuerza, así que  $\vec{F}$  tampoco realiza trabajo. ¿De dónde proviene entonces la energía cinética del niño?

La explicación es que no es correcto representar al niño como una sola masa puntual. Diferentes partes de su cuerpo tienen movimientos distintos: las manos están estacionarias contra la pared mientras el torso se aleja de aquélla. Las diversas partes del cuerpo interactúan y una puede ejercer fuerzas y realizar trabajo sobre otra. Por lo tanto, la energía cinética *total* de este sistema de partes corporales *compuesto* puede cambiar, aunque las fuerzas aplicadas por cuerpos externos al sistema (como la pared) no realicen trabajo. En el capítulo 8 veremos más a fondo el movimiento de un conjunto de partículas que interactúan. Descubriremos que, al igual que sucede con el niño del ejemplo, la energía cinética total del sistema puede cambiar aun cuando el exterior no realice trabajo sobre alguna parte del sistema.

**EVALÚE SU COMPRENSIÓN DE LA SECCIÓN 6.2** Clasifique los siguientes cuerpos de acuerdo con su energía cinética, de menor a mayor. **i.** Un cuerpo de 2.0 kg que se mueve a 5.0 m/s; **ii.** un cuerpo de 1.0 kg que inicialmente estaba en reposo y que luego tiene 30 J de trabajo realizado sobre él; **iii.** un cuerpo de 1.0 kg que inicialmente estaba moviéndose a 4.0 m/s y luego tiene 20 J de trabajo efectuado sobre él; **iv.** un cuerpo de 2.0 kg que inicialmente estaba moviéndose a 10 m/s y luego realizó 80 J de trabajo sobre otro cuerpo. **|**

## 6.3 TRABAJO Y ENERGÍA CON FUERZA VARIABLE

Hasta ahora hemos considerado sólo trabajo efectuado por *fuerzas constantes*. Pero, ¿qué sucede cuando estiramos un resorte? Cuanto más lo estiramos, con más fuerza debemos jalar, así que la fuerza ejercida *no* es constante al estirarlo. También hemos analizado únicamente movimiento *rectilíneo*. Existen muchas situaciones en las cuales una fuerza, que varía en magnitud, dirección o en ambas, actúa sobre un cuerpo que sigue una trayectoria curva. Necesitamos aprender a calcular el trabajo realizado por la fuerza en estos casos más generales. Por fortuna, veremos que el teorema trabajo-energía se cumple aun cuando las fuerzas varíen y la trayectoria del cuerpo no sea recta.

### Trabajo efectuado por una fuerza variable, movimiento rectilíneo

Para agregar sólo una complicación a la vez, consideremos un movimiento rectilíneo en el eje  $x$  con una fuerza cuya componente  $F_x$  varía conforme el cuerpo se mueve. (Un ejemplo de la vida cotidiana es conducir un automóvil en una carretera recta, con señales de alto, de modo que el conductor pisa el acelerador y frena de manera alternada). Suponga que una partícula se mueve sobre el eje  $x$  de  $x_1$  a  $x_2$  (**figura 6.16a**). La figura 6.16b es una gráfica de la componente  $x$  de la fuerza en función de la coordenada  $x$  de la partícula. Para determinar el trabajo realizado por esta fuerza, se divide el desplazamiento total en segmentos pequeños,  $\Delta x_a$ ,  $\Delta x_b$ , etcétera (figura 6.16c). Aproximamos el trabajo realizado por la fuerza en el segmento  $\Delta x_a$  como la componente  $x$  media de fuerza  $F_{ax}$  en ese segmento multiplicada por el desplazamiento  $\Delta x_a$ . Hacemos esto para cada segmento y después sumamos los resultados de todos los segmentos. El trabajo realizado por la fuerza en el desplazamiento total de  $x_1$  a  $x_2$  es aproximadamente

$$W = F_{ax} \Delta x_a + F_{bx} \Delta x_b + \dots$$

En el límite donde el número de segmentos se vuelve muy grande y el ancho de los segmentos muy pequeño, la suma se convierte en la *integral* de  $F_x$  de  $x_1$  a  $x_2$ :

**Trabajo hecho sobre una partícula al variar la componente  $x$  de la fuerza  $F_x$  durante un desplazamiento en línea recta a lo largo del eje  $x$**

$$W = \int_{x_1}^{x_2} F_x dx$$

Límite superior = posición final  
Integral de la componente  $x$  de la fuerza  
Límite inferior = posición inicial

(6.7)

Observe que  $F_{ax} \Delta x_a$  es el *área* de la primera franja vertical de la figura 6.16c, y que la integral de la ecuación (6.7) representa el área bajo la curva de la figura 6.16b entre  $x_1$  y  $x_2$ . *En una gráfica de fuerza como una función de la posición, el trabajo total realizado por la fuerza está representado por el área bajo la curva entre las posiciones inicial y final.* Otra interpretación de la ecuación (6.7) es que el trabajo  $W$  es igual a la fuerza media que actúa a lo largo de todo el desplazamiento, multiplicada por el desplazamiento.

En el caso especial en que  $F_x$ , la componente  $x$  de la fuerza, es constante puede sacarse de la integral de la ecuación (6.7):

$$W = \int_{x_1}^{x_2} F_x dx = F_x \int_{x_1}^{x_2} dx = F_x(x_2 - x_1) \quad (\text{fuerza constante})$$

Pero  $x_2 - x_1 = s$ , el desplazamiento total de la partícula. Entonces, en el caso de una fuerza constante  $F$ , la ecuación (6.7) indica que  $W = Fs$ , lo cual coincide con la ecuación (6.1). La interpretación del trabajo como el área bajo la curva de  $F_x$  en función de  $x$  también es válida para una fuerza constante:  $W = Fs$  es el área de un rectángulo de altura  $F$  y ancho  $s$  (**figura 6.17**).

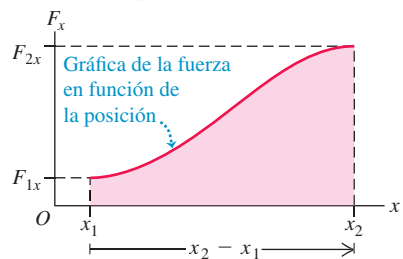
Apliquemos ahora lo aprendido al resorte estirado. Para mantener un resorte estirado una distancia  $x$  más allá de su longitud sin estirar, debemos aplicar una fuerza de igual

**6.16** Cálculo del trabajo efectuado por una fuerza variable  $F_x$  en la dirección  $x$  cuando una partícula se mueve de  $x_1$  a  $x_2$ .

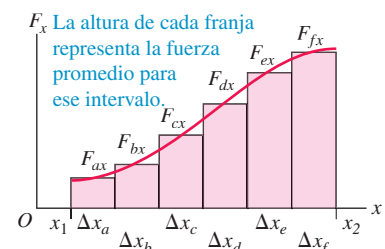
- a) La partícula se mueve de  $x_1$  a  $x_2$  en respuesta a una fuerza variable en la dirección  $x$



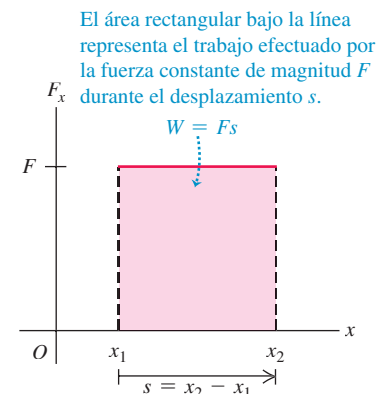
- b) La fuerza  $F_x$  varía con la posición  $x$  ...



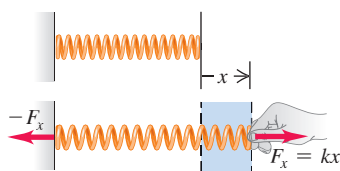
- c) ... pero en un desplazamiento corto  $\Delta x$ , la fuerza es esencialmente constante.



**6.17** Trabajo realizado por una fuerza constante  $F$  en la dirección  $x$  conforme una partícula se mueve de  $x_1$  a  $x_2$ .

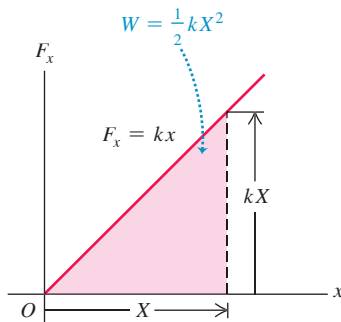


**6.18** La fuerza necesaria para estirar un resorte ideal es proporcional a su alargamiento:  $F_x = kx$ .



**6.19** Cálculo del trabajo efectuado para estirar un resorte una longitud  $X$ .

El área bajo la línea representa el trabajo realizado sobre el resorte cuando éste se estira de  $x = 0$  a un valor máximo  $X$ :



magnitud en cada extremo (**figura 6.18**). Si el alargamiento  $x$  no es excesivo, la fuerza aplicada al extremo derecho tiene una componente  $x$  directamente proporcional a  $x$ :

$$F_x = kx \quad (\text{fuerza requerida para estirar un resorte}) \quad (6.8)$$

donde  $k$  es una constante llamada **constante de fuerza** (o constante de resorte). Las unidades de  $k$  son de fuerza dividida entre distancia: N/m en el SI. Un resorte blando de juguete, como un Slinky™, tiene una constante de fuerza cercana a 1 N/m; para los resortes mucho más rígidos de la suspensión de un automóvil,  $k$  es del orden de  $10^5$  N/m. La observación de que la fuerza es directamente proporcional al alargamiento, cuando éste no es demasiado grande, fue realizada por Robert Hooke en 1678 y se conoce como **ley de Hooke**; sin embargo, no debería llamarse “ley”, pues es un enunciado acerca de un dispositivo específico, y no una ley fundamental de la naturaleza. Los resortes reales no siempre cumplen con precisión la ecuación (6.8), pero se trata de un modelo idealizado útil. Analizaremos la ley de Hooke más a fondo en el capítulo 11.

Para estirar un resorte, debemos efectuar trabajo. Aplicamos fuerzas iguales y opuestas a los extremos del resorte y las aumentamos gradualmente. Mantenemos fijo el extremo izquierdo, de modo que la fuerza aplicada en este punto no realiza trabajo. La fuerza en el extremo móvil *sí* efectúa trabajo. La **figura 6.19** es una gráfica de  $F_x$  en función de  $x$ , el alargamiento del resorte. El trabajo realizado por esta fuerza cuando el alargamiento va de cero a un valor máximo  $X$  es

$$W = \int_0^X F_x dx = \int_0^X kx dx = \frac{1}{2}kX^2 \quad (6.9)$$

También podemos obtener este resultado gráficamente. El área del triángulo sombreado de la figura 6.19, que representa el trabajo total realizado por la fuerza, es igual a la mitad del producto de la base y la altura:

$$W = \frac{1}{2}(X)(kX) = \frac{1}{2}kX^2$$

Esta ecuación también indica que el trabajo es la fuerza *media*  $kX/2$  multiplicada por el desplazamiento total  $X$ . Vemos que el trabajo total es proporcional al *cuadrado* del alargamiento final  $X$ . Para estirar un resorte ideal 2 cm, necesitamos efectuar cuatro veces más trabajo que para estirarlo 1 cm.

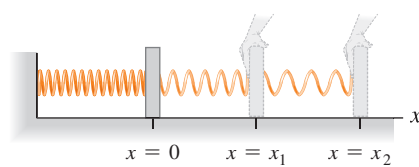
La ecuación (6.9) supone que el resorte no estaba estirado originalmente. Si el resorte ya está estirado una distancia  $x_1$ , el trabajo necesario para estirarlo a una distancia mayor  $x_2$  (**figura 6.20a**) es

$$W = \int_{x_1}^{x_2} F_x dx = \int_{x_1}^{x_2} kx dx = \frac{1}{2}kx_2^2 - \frac{1}{2}kx_1^2 \quad (6.10)$$

El lector debería utilizar lo que sabe de geometría para convencerse de que el área trapezoidal bajo la línea en la figura 6.20b está dada por la expresión de la ecuación (6.10).

**6.20** Cálculo del trabajo efectuado para estirar un resorte desde cierta extensión hasta una mayor extensión.

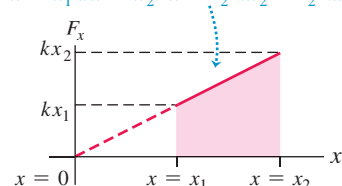
a) Estiramiento de un resorte de una elongación  $x_1$  a una elongación  $x_2$



b) Gráfica de fuerza contra distancia

El área trapezoidal bajo la gráfica representa el trabajo efectuado sobre el resorte para estirarlo de  $x = x_1$  a  $x = x_2$ :

$$W = \frac{1}{2}kx_2^2 - \frac{1}{2}kx_1^2$$



Si el resorte tiene espacios entre las espiras cuando no está estirado, puede comprimirse, y se cumple la ley de Hooke tanto para la compresión como para el estiramiento. En este caso, la fuerza y el desplazamiento tienen direcciones opuestas a las de la figura 6.18, así que  $F_x$  y  $x$  en la ecuación (6.8) son negativas. Como  $F_x$  y  $x$  se invierten, de nuevo la fuerza tiene la misma dirección del desplazamiento y el trabajo realizado por  $F_x$  otra vez es positivo. Entonces, el trabajo total sigue siendo el que se encuentra mediante la ecuación (6.9) o la (6.10), aun si  $X$  es negativo, o  $x_1$  o  $x_2$ , o ambos, son negativos.

**CUIDADO** Trabajo efectuado sobre un resorte contra trabajo efectuado por un resorte Observe que el trabajo que se determina mediante la ecuación (6.10) es el que *usted* debe efectuar *sobre* un resorte para cambiar su longitud. Por ejemplo, si estira un resorte que originalmente está relajado,  $x_1 = 0$ ,  $x_2 > 0$  y  $W > 0$ : la fuerza aplicada por usted a un extremo del resorte tiene la misma dirección que el desplazamiento, y el trabajo efectuado es positivo. En cambio, el trabajo que el *resorte* efectúa sobre el objeto al que se une está dado por el *negativo* de la ecuación (6.10). Por consiguiente, cuando estiramos un resorte, éste efectúa trabajo negativo sobre nosotros. ▀



### EJEMPLO 6.6 TRABAJO HECHO SOBRE UNA BALANZA DE RESORTE

Una mujer que pesa 600 N se sube a una báscula que contiene un resorte rígido (**figura 6.21**). En equilibrio, el resorte se comprime 1.0 cm bajo su peso. Calcule la constante de fuerza del resorte y el trabajo total efectuado sobre él durante la compresión.

#### SOLUCIÓN

**IDENTIFICAR y PLANTEAR:** En equilibrio, la fuerza hacia arriba ejercida por el resorte equilibra la fuerza hacia abajo del peso de la mujer. Usaremos este principio y la ecuación (6.8) para determinar la

constante de fuerza  $k$ , y emplearemos la ecuación (6.10) para calcular el trabajo  $W$  que la mujer efectúa sobre el resorte para comprimirlo. Hacemos que los valores positivos de  $x$  correspondan al alargamiento (hacia arriba en la figura 6.21), de modo que sean negativos tanto el desplazamiento del extremo del resorte ( $x$ ) como la componente  $x$  de la fuerza que la mujer ejerce sobre él ( $F_x$ ). La fuerza aplicada y el desplazamiento tienen la misma dirección, así que el trabajo realizado sobre el resorte es positivo.

**EJECUTAR:** La parte superior del resorte se desplaza  $x = -1.0 \text{ cm} = -0.010 \text{ m}$ , y la fuerza que la mujer aplica al resorte es  $F_x = -600 \text{ N}$ . De acuerdo con la ecuación (6.8), la constante de fuerza es

$$k = \frac{F_x}{x} = \frac{-600 \text{ N}}{-0.010 \text{ m}} = 6.0 \times 10^4 \text{ N/m}$$

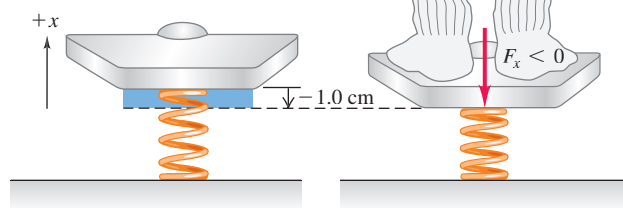
Entonces, usando  $x_1 = 0$  y  $x_2 = -0.010 \text{ m}$  en la ecuación (6.10), tenemos

$$\begin{aligned} W &= \frac{1}{2}kx_2^2 - \frac{1}{2}kx_1^2 \\ &= \frac{1}{2}(6.0 \times 10^4 \text{ N/m})(-0.010 \text{ m})^2 - 0 = 3.0 \text{ J} \end{aligned}$$

**EVALUAR:** El trabajo efectuado es positivo, como se esperaba. Nuestra selección arbitraria de la dirección positiva no afecta el valor de  $W$ . Compruébelo haciendo que la dirección  $+x$  sea hacia abajo, correspondiente a la compresión. ¿Obtendrá los mismos valores de  $k$  y  $W$ ?

#### 6.21 Compresión de un resorte en una báscula de baño.

Por la elección del eje, son negativos tanto la componente de fuerza como el desplazamiento. El trabajo sobre el resorte es positivo.



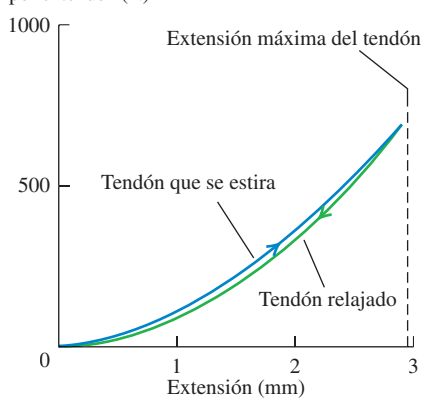
### Teorema trabajo-energía para movimiento rectilíneo, con fuerzas variables

En la sección 6.2 dedujimos el teorema trabajo-energía,  $W_{\text{tot}} = K_2 - K_1$ , para el caso especial de movimiento rectilíneo con fuerza neta constante. Ahora demostraremos que dicho teorema se cumple aun si la fuerza varía con la posición. Al igual que en la sección 6.2, consideraremos una partícula que experimenta un desplazamiento  $x$  bajo la acción de una fuerza neta con una componente  $F_x$ , a la que ahora se le permite variar. Como en la figura 6.16, dividimos el desplazamiento total  $x$  en muchos segmentos pequeños  $\Delta x$ . Aplicamos el teorema trabajo-energía, ecuación (6.6), a cada segmento porque el valor de  $F_x$  es aproximadamente constante en cada uno. El cambio de

**BIO Aplicación Los tendones son resortes no ideales** Los músculos ejercen fuerzas a través de los tendones que los sujetan a los huesos. Un tendon está formado por fibras largas, rígidas y elásticas de colágeno. La figura muestra cómo los tendones de las patas traseras de un ualabí (un canguro pequeño) se estiran como respuesta a la fuerza aplicada. El tendon no presenta el comportamiento rectilíneo sencillo de un resorte ideal, de modo que el trabajo realizado se tiene que calcular por integración [ecuación (6.7)]. El tendon ejerce menos fuerza mientras se relaja que cuando se alarga. Como resultado, el tendon relajado sólo efectúa aproximadamente el 93% del trabajo realizado para estirarlo.



Fuerza ejercida por el tendon (N)



energía cinética en el segmento  $\Delta x_a$  es igual al trabajo  $F_{ax}\Delta x_a$  y así sucesivamente. El cambio total de la energía cinética es la suma de los cambios en los segmentos individuales y, por lo tanto, igual al trabajo total efectuado sobre la partícula en todo el desplazamiento. Así,  $W_{\text{tot}} = \Delta K$  se cumple para fuerzas variables y también para fuerzas constantes.

Veamos una deducción alternativa del teorema trabajo-energía para una fuerza que varía con la posición, lo cual implica hacer un cambio de variable usando  $v_x$  en lugar de  $x$  en la integral del trabajo. Como preámbulo, recordemos que la aceleración  $a$  de una partícula puede expresarse de varias formas, usando  $a_x = dv_x/dt$ ,  $v_x = dx/dt$  y la regla de la cadena para derivadas:

$$a_x = \frac{dv_x}{dt} = \frac{dv_x}{dx} \frac{dx}{dt} = v_x \frac{dv_x}{dx} \quad (6.11)$$

Con este resultado, la ecuación (6.7) nos dice que el trabajo total efectuado por la fuerza neta  $F_x$  es

$$W_{\text{tot}} = \int_{x_1}^{x_2} F_x dx = \int_{x_1}^{x_2} m a_x dx = \int_{x_1}^{x_2} m v_x \frac{dv_x}{dx} dx \quad (6.12)$$

Ahora  $(dv_x/dx)dx$  es el cambio de velocidad  $dv_x$  durante el desplazamiento  $dx$ , así que podemos sustituir  $(dv_x/dx)dx$  por  $dv_x$  en la ecuación (6.12). Esto cambia la variable de integración de  $x$  a  $v_x$ , así que cambiamos los límites de  $x_1$  y  $x_2$  a las velocidades correspondientes en  $x$ ,  $v_1$  y  $v_2$ :

$$W_{\text{tot}} = \int_{v_1}^{v_2} m v_x dv_x$$

La integral de  $v_x dv_x$  es  $v_x^2/2$ . Sustituyendo los límites superior e inferior, tenemos finalmente

$$W_{\text{tot}} = \frac{1}{2}mv_2^2 - \frac{1}{2}mv_1^2 \quad (6.13)$$

que es lo mismo que la ecuación (6.6); por lo tanto, el teorema trabajo-energía es válido aun sin el supuesto de que la fuerza neta es constante.



### EJEMPLO 6.7 MOVIMIENTO CON FUERZA VARIABLE

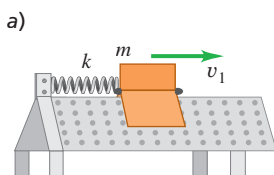
Un deslizador de riel, con aire, de masa igual a 0.100 kg se conecta al extremo del riel horizontal con un resorte cuya constante de fuerza es 20.0 N/m (**figura 6.22a**). Inicialmente, el resorte no está estirado y el deslizador se mueve con rapidez de 1.50 m/s a la derecha. Calcule

la distancia máxima  $d$  que el deslizador se mueve a la derecha, *a)* si el aire del riel está activado, de modo que no hay fricción; y *b)* si se corta el suministro de aire al riel, de modo que hay fricción cinética con coeficiente  $\mu_k = 0.47$ .

#### SOLUCIÓN

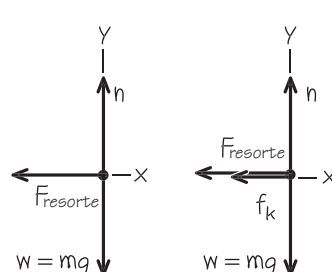
**IDENTIFICAR y PLANTEAR:** La fuerza ejercida por el resorte no es constante, así que *no podemos* usar las fórmulas de aceleración constante del capítulo 2 para resolver este problema. En cambio, utilizaremos el teorema trabajo-energía, ya que en el trabajo total realizado interviene la distancia recorrida (nuestra incógnita). En las figuras 6.22b y 6.22c, elegimos la dirección  $+x$  a la derecha (la dirección del movimiento del deslizador). Consideraremos  $x = 0$  en la posición inicial del deslizador (donde el resorte está relajado) y  $x = d$  (la incógnita) en la posición donde se detiene el deslizador. El movimiento es exclusivamente horizontal, así que solo las fuerzas horizontales realizan trabajo. Observe que la ecuación (6.10) da el trabajo efectuado por el *deslizador* sobre el *resorte* al estirarse; no obstante, para usar el teorema trabajo-energía necesitaremos el trabajo efectuado por el *resorte* sobre

- 6.22 a)** Deslizador sujeto a un riel, con aire, mediante un resorte.  
**b)** y **c)** Diagramas de cuerpo libre.



b) Sin fricción

c) Con fricción



el *deslizador*, es decir, el negativo de la ecuación (6.10). Se espera que el deslizador se mueva más rápido sin fricción que con fricción.

**EJECUTAR:** a) La ecuación (6.10) indica que conforme el deslizador se mueve de  $x_1 = 0$  a  $x_2 = d$ , efectúa una cantidad de trabajo  $W = \frac{1}{2}kd^2 - \frac{1}{2}k(0)^2 = \frac{1}{2}kd^2$  sobre el resorte. La cantidad de trabajo que el *resorte* efectúa sobre el *deslizador* es el negativo de éste:  $-\frac{1}{2}kd^2$ . El resorte se estira hasta que el deslizador llega instantáneamente al reposo, así que la energía cinética final es  $K_2 = 0$ . La energía cinética inicial es  $\frac{1}{2}mv_1^2$ , donde  $v_1 = 1.50 \text{ m/s}$  es la rapidez inicial del deslizador. Usando el teorema trabajo-energía, tenemos

$$-\frac{1}{2}kd^2 = 0 - \frac{1}{2}mv_1^2$$

Despejamos la distancia  $d$  que recorre el deslizador:

$$d = v_1 \sqrt{\frac{m}{k}} = (1.50 \text{ m/s}) \sqrt{\frac{0.100 \text{ kg}}{20.0 \text{ N/m}}} = 0.106 \text{ m} = 10.6 \text{ cm}$$

Después, el resorte estirado jala del deslizador hacia la izquierda, así que éste sólo se encuentra en reposo instantáneamente.

b) Si se desactiva el aire, debemos incluir el trabajo efectuado por la fuerza de fricción cinética. La fuerza normal  $n$  es igual en magnitud al peso del deslizador, ya que el riel es horizontal y no hay otras fuerzas verticales. La magnitud constante de la fuerza de fricción cinética es, entonces,  $f_k = \mu_k n = \mu_k mg$ , en dirección opuesta al desplazamiento, y el trabajo que efectúa es

$$W_{\text{fric}} = f_k d \cos 180^\circ = -f_k d = -\mu_k mg d$$

El trabajo total es la suma de  $W_{\text{fric}}$  y el trabajo efectuado por el resorte,  $-\frac{1}{2}kd^2$ . El teorema trabajo-energía indica que

$$\begin{aligned} -\mu_k mg d - \frac{1}{2}kd^2 &= 0 - \frac{1}{2}mv_1^2 \quad \text{o bien,} \\ \frac{1}{2}kd^2 + \mu_k mg d - \frac{1}{2}mv_1^2 &= 0 \end{aligned}$$

Ésta es una ecuación cuadrática para  $d$ . Las soluciones son

$$d = -\frac{\mu_k mg}{k} \pm \sqrt{\left(\frac{\mu_k mg}{k}\right)^2 + \frac{mv_1^2}{k}}$$

Tenemos

$$\begin{aligned} \frac{\mu_k mg}{k} &= \frac{(0.47)(0.100 \text{ kg})(9.80 \text{ m/s}^2)}{20.0 \text{ N/m}} = 0.02303 \text{ m} \\ \frac{mv_1^2}{k} &= \frac{(0.100 \text{ kg})(1.50 \text{ m/s})^2}{20.0 \text{ N/m}} = 0.01125 \text{ m}^2 \end{aligned}$$

de manera que

$$\begin{aligned} d &= -(0.02303 \text{ m}) \pm \sqrt{(0.02303 \text{ m})^2 + 0.01125 \text{ m}^2} \\ &= 0.086 \text{ m} \quad \text{o bien,} \quad -0.132 \text{ m} \end{aligned}$$

La cantidad  $d$  es un desplazamiento positivo, de manera que sólo tiene sentido el valor positivo de  $d$ . Así, con fricción, el deslizador se mueve una distancia  $d = 0.086 \text{ m} = 8.6 \text{ cm}$ .

**EVALUAR:** Observe que si establecemos que  $\mu_k = 0$ , la solución algebraica para  $d$  en el inciso b) se reduce a  $d = v_1 \sqrt{m/k}$ , el resultado con fricción igual a cero del inciso a). Con fricción, el deslizador se mueve una menor distancia. Una vez más, el deslizador se detiene instantáneamente y de nuevo la fuerza del resorte jala de él hacia la izquierda; el hecho de que se mueva o no dependerá de la magnitud de la fuerza de fricción *estática*. ¿Qué valor debería tener el coeficiente de fricción estática  $\mu_s$  para evitar que el deslizador resbale a la izquierda?

## Teorema trabajo-energía para movimiento a lo largo de una curva

Podemos generalizar más nuestra definición de trabajo para incluir una fuerza que varía de dirección y magnitud, con un desplazamiento a lo largo de una trayectoria curva. La figura 6.23a muestra una partícula que se mueve de  $P_1$  a  $P_2$  siguiendo una curva. Dividimos la curva entre esos puntos en muchos desplazamientos vectoriales infinitesimales, llamando a cada uno de estos  $d\vec{l}$ . Cada  $d\vec{l}$  es tangente a la trayectoria en su ubicación. Sea  $\vec{F}$  la fuerza en este punto cualquiera de la trayectoria, y sea  $\phi$  el ángulo entre  $\vec{F}$  y  $d\vec{l}$  en ese punto. De manera que el pequeño elemento de trabajo  $dW$  realizado sobre la partícula durante el desplazamiento  $d\vec{l}$  puede escribirse como

$$dW = \vec{F} \cdot d\vec{l} = F \cos \phi dl = F_{\parallel} dl$$

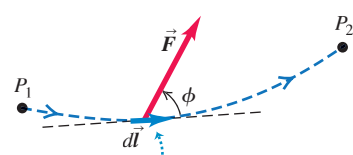
donde  $F_{\parallel} = F \cos \phi$  es la componente de  $\vec{F}$  en la dirección paralela a  $d\vec{l}$  (figura 6.23b). El trabajo total realizado por  $\vec{F}$  sobre la partícula al moverse de  $P_1$  a  $P_2$  es, entonces,

<p>Límite superior = posición final</p> <p>Trabajo hecho sobre una partícula por una fuerza variable <math>\vec{F}</math> a través una trayectoria curva</p>	<p>Producto escalar (producto punto) de <math>\vec{F}</math> y desplazamiento <math>d\vec{l}</math></p> <p>Límite inferior = posición inicial</p> <p>Ángulo entre <math>\vec{F}</math> y <math>d\vec{l}</math></p> <p>Componente de <math>\vec{F}</math> paralela a <math>d\vec{l}</math></p>	$W = \int_{P_1}^{P_2} \vec{F} \cdot d\vec{l} = \int_{P_1}^{P_2} F \cos \phi dl = \int_{P_1}^{P_2} F_{\parallel} dl \quad (6.14)$
--	---	--

La integral en la ecuación (6.14) (mostrada en tres versiones) se llama una *integral de línea*. En breve veremos cómo evaluar una integral de esta clase.

**6.23** Una partícula sigue una trayectoria curva de  $P_1$  a  $P_2$  bajo la acción de una fuerza  $\vec{F}$  que varía en magnitud y dirección.

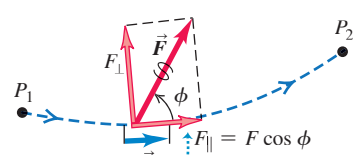
a)



En un desplazamiento infinitesimal  $d\vec{l}$ , la fuerza  $\vec{F}$  realiza un trabajo  $dW$  sobre la partícula:  

$$dW = \vec{F} \cdot d\vec{l} = F \cos \phi dl$$

b)



Sólo la componente de  $\vec{F}$  paralela al desplazamiento,  $F_{\parallel} = F \cos \phi$ , contribuye al trabajo efectuado por  $\vec{F}$ .

Ahora podemos demostrar que el teorema trabajo-energía, ecuación (6.6), se cumple aun con fuerzas variables y desplazamiento a lo largo de una trayectoria curva. La fuerza  $\vec{F}$  es prácticamente constante en cualquier segmento infinitesimal  $d\vec{l}$  de la trayectoria, así que aplicamos el teorema trabajo-energía para movimiento rectilíneo a ese segmento. Entonces, el cambio de energía cinética,  $K$ , de la partícula en ese segmento es igual al trabajo  $dW = F_{\parallel}dl = \vec{F} \cdot d\vec{l}$  realizado sobre la partícula. La suma de estos trabajos infinitesimales de todos los segmentos de la trayectoria nos da el trabajo total realizado, ecuación (6.14), que es igual al cambio total de energía cinética en toda la trayectoria. Por lo tanto,  $W_{\text{tot}} = \Delta K = K_2 - K_1$  se cumple *en general*, sean cuales fueren la trayectoria y las características de las fuerzas. Esto puede demostrarse con mayor rigor siguiendo pasos como los de las ecuaciones (6.11) a (6.13).

Observe que sólo la componente de la fuerza neta paralela a la trayectoria,  $F_{\parallel}$ , realiza trabajo sobre la partícula, así que únicamente dicha componente puede cambiar la rapidez y la energía cinética de la partícula. La componente perpendicular a la trayectoria,  $F_{\perp} = F \sin \phi$ , no afecta la rapidez de la partícula; sólo cambia su dirección.

Para evaluar la integral de línea de la ecuación (6.14) en un problema específico, necesitamos una descripción detallada de la trayectoria y de cómo varía  $\vec{F}$  a lo largo de aquélla. Normalmente expresamos la integral de línea en términos de alguna variable escalar, como en el ejemplo que sigue.



### EJEMPLO 6.8 MOVIMIENTO EN UNA TRAYECTORIA CURVA

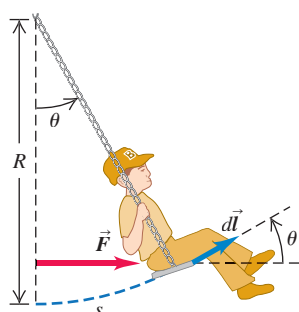
En un día de campo familiar, le piden empujar a su odioso primo Throckmorton en un columpio (**figura 6.24a**). Su peso es  $w$ , la longitud de las cadenas es  $R$ , y usted empuja a Throcky hasta que las cadenas forman un ángulo  $\theta_0$  con la vertical. Para ello, usted ejerce una fuerza horizontal variable  $\vec{F}$  que comienza en cero y aumenta en forma gradual apenas lo suficiente para que Throcky y el columpio se muevan lentamente y permanezcan casi en equilibrio durante el proceso. a) ¿Qué trabajo total realizan todas las fuerzas sobre Throcky? b) ¿Qué trabajo realiza la tensión  $T$  en las cadenas? c) ¿Qué trabajo efectúa usted aplicando la fuerza  $\vec{F}$ ? (Desprecie el peso de las cadenas y el asiento).

#### SOLUCIÓN

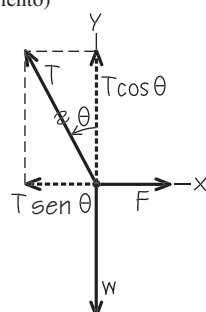
**IDENTIFICAR Y PLANTEAR:** El movimiento sigue una curva, así que usaremos la ecuación (6.14) para calcular el trabajo efectuado por la fuerza neta, por la fuerza de tensión y por la fuerza  $\vec{F}$ . La figura 6.24b muestra el diagrama de cuerpo libre y el sistema de coordenadas para algún punto arbitrario en el movimiento de Throcky. Se han sustituido las dos tensiones de las cadenas por una sola tensión,  $T$ .

**6.24** a) Se empuja al primo Throcky en un columpio. b) Diagrama de cuerpo libre

a)



b) Diagrama de cuerpo libre de Throcky (se desprecia el peso de las cadenas y del asiento)



**EJECUTAR:** a) Hay dos formas de determinar el trabajo total efectuado durante el movimiento: **1.** calculando el trabajo efectuado por cada fuerza y sumando después esas cantidades y **2.** calculando el trabajo efectuado por la fuerza neta. La segunda estrategia es mucho más fácil porque Throcky está casi en equilibrio en todos los puntos, así que la fuerza neta sobre él es cero, la integral de la fuerza neta de la ecuación (6.14) es cero y el trabajo total realizado sobre él es cero.

b) También es fácil calcular el trabajo efectuado por la tensión  $T$  de la cadena, porque esta fuerza es perpendicular a la dirección del movimiento en todos los puntos de la trayectoria. Por lo tanto, en todos los puntos, el ángulo entre la tensión de la cadena y el vector desplazamiento  $d\vec{l}$  es de  $90^\circ$ , y el producto escalar de la ecuación (6.14) es cero. De esta manera, el trabajo realizado por la tensión de la cadena es cero.

c) Para calcular el trabajo realizado por  $\vec{F}$ , necesitamos calcular la integral de línea de la ecuación (6.14). Dentro de la integral está la cantidad  $F \cos \phi dl$ ; veamos como expresar cada término de esta cantidad.

La figura 6.24a muestra que el ángulo entre  $\vec{F}$  y  $d\vec{l}$  es  $\theta$ , por lo que sustituimos a  $\phi$  en la ecuación (6.14) por  $\theta$ . El valor de  $\theta$  cambia cuando Throcky se mueve.

Para encontrar la magnitud  $F$  de  $\vec{F}$ , observe que la fuerza neta sobre Throcky es cero (él está casi en equilibrio en todos los puntos), por lo que  $\sum F_x = 0$  y  $\sum F_y = 0$ . A partir de la figura 6.24b obtenemos

$$\sum F_x = F + (-T \sin \theta) = 0 \quad \sum F_y = T \cos \theta + (-w) = 0$$

Si se elimina  $T$  de estas dos ecuaciones, se puede demostrar que  $F = w \tan \theta$ . Cuando el ángulo  $\theta$  aumenta, la tangente aumenta y  $F$  aumenta (tiene que empujar más fuerte).

Para determinar la magnitud  $dl$  del desplazamiento infinitesimal  $d\vec{l}$  observe que Throcky se mueve a lo largo del arco circular de radio  $R$  (figura 6.24a). La longitud del arco  $s$  es igual al radio  $R$  multiplicado por su longitud  $\theta$  (en radianes):  $s = R\theta$ . Por lo tanto, el desplazamiento  $d\vec{l}$  que corresponde al pequeño cambio del ángulo  $d\theta$  tiene magnitud  $dl = ds = R d\theta$ .

Cuando juntamos todas las piezas, la integral en la ecuación (6.14) será

$$W = \int_{P_1}^{P_2} F \cos \phi dl = \int_0^{\theta_0} (w \tan \theta) \cos \theta (R d\theta) = \int_0^{\theta_0} w R \sin \theta d\theta$$

(Recuerde que  $\tan \theta = \sin \theta / \cos \theta$ , entonces,  $\tan \theta \cos \theta = \sin \theta$ ). Hemos convertido la integral de *línea* en una integral *ordinaria* en términos del ángulo  $\theta$ . Los límites de integración son desde la posición inicial en  $\theta = 0$  hasta la posición final en  $\theta = \theta_0$ . El resultado final es

$$W = wR \int_0^{\theta_0} \sin \theta d\theta = -wR \cos \theta \Big|_0^{\theta_0} = -wR(\cos \theta_0 - 1) \\ = wR(1 - \cos \theta_0)$$

**EVALUAR:** Si  $\theta_0 = 0$ , no hay desplazamiento; en tal caso,  $\cos \theta_0 = 1$  y  $W = 0$ , como se esperaría. Conforme  $\theta_0$  se incrementa  $\cos \theta_0$  disminuye y  $W = wR(1 - \cos \theta_0)$  aumenta. Así que cuanto más empuja a lo largo del arco a Throcky, más trabajo hace. Puede confirmar que la cantidad  $R(1 - \cos \theta_0)$  es igual a  $h$ , el aumento en la altura de Throcky sobre el suelo durante el desplazamiento, por lo que, el trabajo efectuado para elevar a Throcky es tan sólo el peso multiplicado por la altura que se elevó.

Se pueden comprobar los resultados calculando el trabajo hecho por la gravedad  $\vec{w}$ . Del inciso *a*) el trabajo total hecho sobre Throcky es cero y del inciso *b*) el trabajo hecho por la tensión es cero. Así la gravedad debe hacer una cantidad negativa de trabajo que equilibre el trabajo hecho por la fuerza  $\vec{F}$  que calculamos en el inciso *c*).

Para variar, calculemos el trabajo hecho por la gravedad usando la forma de la ecuación (6.14) que implica la cantidad  $\vec{F} \cdot d\vec{l}$  y expresa la fuerza  $\vec{w}$  y el desplazamiento  $d\vec{l}$ , en términos de sus componentes  $x$  y  $y$ . La fuerza de la gravedad tiene componente  $x$ , igual a cero y componente  $y$  igual a  $-w$ . La figura 6.24a indica que  $d\vec{l}$  tiene una

magnitud  $ds$ , una componente  $x$  igual a  $ds \cos \theta$  y una componente  $y$  igual a  $ds \sin \theta$ .

Por lo tanto,

$$\vec{w} = \hat{j}(-w) \\ d\vec{l} = \hat{i}(ds \cos \theta) + \hat{j}(ds \sin \theta)$$

Se usa la ecuación (1.19) para calcular el producto escalar  $\vec{w} \cdot d\vec{l}$ :

$$\vec{w} \cdot d\vec{l} = (-w)(ds \sin \theta) = -w \sin \theta ds$$

Utilizando  $ds = Rd\theta$ , encontramos el trabajo efectuado por la fuerza de gravedad:

$$\int_{P_1}^{P_2} \vec{w} \cdot d\vec{l} = \int_0^{\theta_0} (-w \sin \theta) R d\theta = -wR \int_0^{\theta_0} \sin \theta d\theta \\ = -wR(1 - \cos \theta_0)$$

El trabajo efectuado por la gravedad es de hecho el negativo del trabajo hecho por la fuerza  $\vec{F}$  que calculamos en el inciso *c*). La gravedad hace trabajo negativo porque la fuerza jala hacia abajo mientras Throcky se mueve hacia arriba.

Como vimos antes  $R(1 - \cos \theta_0)$  es igual a  $h$ , el aumento en la altura de Throcky durante el desplazamiento. Por lo que el trabajo hecho por la gravedad a lo largo de la trayectoria curva es  $-mgh$ , el mismo trabajo que la gravedad habría hecho si Throcky se hubiera movido *directamente hacia arriba* una distancia  $h$ . Éste es un ejemplo de un resultado más general que demostraremos en la sección 7.1.

**EVALÚE SU COMPRENSIÓN DE LA SECCIÓN 6.3** En el ejemplo 5.20 (sección 5.4), analizamos un péndulo cónico. La rapidez de la lenteja del péndulo permanece constante mientras viaja por el círculo que se muestra en la figura 5.32a. *a*) En un círculo completo, ¿cuánto trabajo ejerce la fuerza de tensión  $F$  sobre la lenteja? **i.** Una cantidad positiva; **ii.** una cantidad negativa; **iii.** cero. *b*) En un círculo completo, ¿cuánto trabajo realiza el peso sobre la lenteja? **i.** Una cantidad positiva; **ii.** una cantidad negativa; **iii.** cero. **I**

## 6.4 POTENCIA

La definición de trabajo no hace referencia al tiempo utilizado para realizarlo. Si usted levanta una barra que pesa 100 N una distancia vertical de 1.0 m con velocidad constante, realiza  $(100 \text{ N})(1.0 \text{ m}) = 100 \text{ J}$  de trabajo, ya sea que tarde 1 segundo, 1 hora o 1 año para hacerlo. No obstante, muchas veces necesitamos saber con qué rapidez se efectúa el trabajo. Describimos esto en términos de *potencia*. En el habla cotidiana, “potencia” suele emplearse como sinónimo de “energía” o “fuerza”. En física usamos una definición mucho más precisa: **potencia** es la *rapidez* con que se efectúa trabajo; al igual que el trabajo y la energía, la potencia es una cantidad escalar.

El trabajo medio efectuado por unidad de tiempo, o **potencia media**  $P_{\text{med}}$ , se define como

$$\text{Potencia media durante el intervalo de tiempo } \Delta t \rightarrow P_{\text{med}} = \frac{\Delta W}{\Delta t} \quad \begin{array}{l} \text{Trabajo hecho durante el intervalo de tiempo} \\ \text{Duración del intervalo de tiempo} \end{array} \quad (6.15)$$

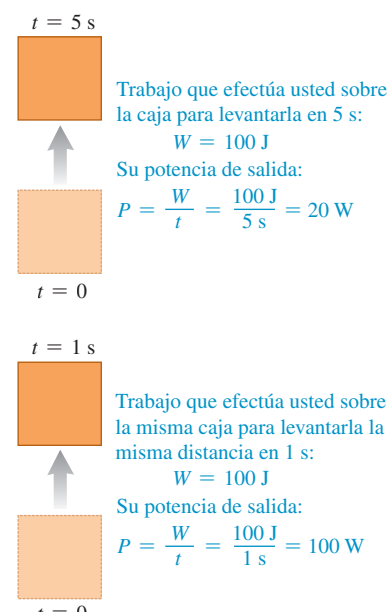
La rapidez con que se efectúa trabajo quizás no sea constante. Podemos definir la **potencia instantánea**  $P$  como el cociente de la ecuación (6.15) cuando  $\Delta t$  se approxima a cero:

$$\text{Potencia instantánea } P = \lim_{\Delta t \rightarrow 0} \frac{\Delta W}{\Delta t} = \frac{dW}{dt} \quad \begin{array}{l} \text{Razón de cambio del trabajo} \\ \text{hecho con respecto al tiempo} \end{array} \quad (6.16)$$

Potencia media sobre un intervalo de tiempo infinitesimalmente corto

En el SI la unidad de potencia es el **watt** (W), llamado así en honor del inventor inglés James Watt. Un watt es igual a un joule por segundo:  $1 \text{ W} = 1 \text{ J/s}$  (**figura 6.25**). También son de uso común el kilowatt ( $1 \text{ kW} = 10^3 \text{ W}$ ) y el megawatt ( $1 \text{ MW} = 10^6 \text{ W}$ ).

**6.25** En ambas situaciones se efectúa la misma cantidad de trabajo, pero la potencia (la rapidez a la que se realiza el trabajo) es diferente.

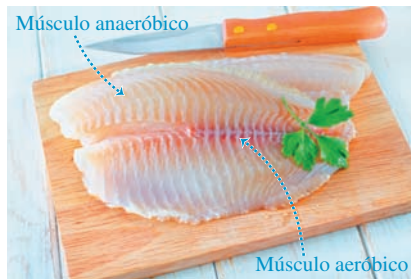


**6.26** Un caballo de potencia (746 W), un sistema de propulsión.



#### BIO Aplicación Potencia muscular

Los músculos esqueléticos proporcionan la potencia para que los animales se muevan. Las fibras musculares que dependen del metabolismo anaeróbico no requieren oxígeno; producen grandes cantidades de potencia, pero son útiles sólo para carreras cortas. Las fibras musculares que se metabolizan aeróbiamente utilizan oxígeno y producen pequeñas cantidades de potencia para intervalos largos. Ambos tipos de fibra son visibles en un filete de pescado. El músculo (anaeróbico) claro se usa para arranques de velocidad cortos, en tanto que el músculo oscuro (aeróbico) se utiliza para la natación sostenida.



#### EJEMPLO 6.9 FUERZA Y POTENCIA

Cada uno de los cuatro motores a reacción de un avión Airbus A380 desarrolla un empuje (fuerza hacia adelante sobre el avión) de 322,000 N (72,000 lb). Cuando el avión está volando a 250 m/s (900 km/h o aproximadamente 560 mi/h), ¿cuántos caballos de potencia desarrolla cada motor?

#### SOLUCIÓN

**IDENTIFICAR, PLANTEAR y EJECUTAR:** La incógnita es la potencia instantánea  $P$ , que es la rapidez con que el empuje efectúa trabajo. Se usa la ecuación (6.18). El empuje tiene la dirección del movimiento, así que  $F_{\parallel}$  es simplemente igual al empuje. Con  $v = 250 \text{ m/s}$ , cada motor desarrolla una potencia de:

$$P = F_{\parallel}v = (3.22 \times 10^5 \text{ N})(250 \text{ m/s}) = 8.05 \times 10^7 \text{ W}$$

$$= (8.05 \times 10^7 \text{ W}) \frac{1 \text{ hp}}{746 \text{ W}} = 108,000 \text{ hp}$$

**EVALUAR:** La rapidez de los aviones comerciales modernos se relaciona directamente con la potencia de los motores (figura 6.27).

Otra unidad común de potencia es el *caballo de potencia* (hp) (figura 6.26). El valor de esta unidad surge de los experimentos de James Watt, quien midió que en un minuto un caballo podría realizar un trabajo equivalente levantar 33,000 libras (lb) una distancia de 1 pie (ft) o 33,000 ft·lb. Entonces  $1 \text{ hp} = 33,000 \text{ ft}\cdot\text{lb}/\text{min}$ . Utilizando  $1 \text{ ft} = 0.3048 \text{ m}$ ,  $1 \text{ lb} = 4.448 \text{ N}$  y  $1 \text{ min} = 60 \text{ s}$ , podemos demostrar que

$$1 \text{ hp} = 746 \text{ W} = 0.746 \text{ kW}$$

El watt es una unidad común de potencia *eléctrica*; una bombilla eléctrica de 100 W convierte 100 J de energía eléctrica en luz y calor cada segundo. Sin embargo, los watts no son inherentemente eléctricos. Una bombilla podría especificarse en términos de caballos de potencia; y un motor de automóvil en términos de kilowatts.

El *kilowatt-hora* (kW·h) es la unidad comercial usual de energía eléctrica. Un kilowatt-hora es el trabajo total realizado en 1 hora (3600 s) cuando la potencia es 1 kilowatt ( $10^3 \text{ J/s}$ ), así que

$$1 \text{ kW}\cdot\text{h} = (10^3 \text{ J/s})(3600 \text{ s}) = 3.6 \times 10^6 \text{ J} = 3.6 \text{ MJ}$$

El kilowatt-hora es una unidad de *trabajo o energía*, no de potencia.

En mecánica, también expresamos la potencia en términos de fuerza y velocidad. Supongamos que una fuerza  $\vec{F}$  actúa sobre un cuerpo que tiene un desplazamiento vectorial  $\Delta\vec{s}$ . Si  $F_{\parallel}$  es la componente de  $\vec{F}$  tangente a la trayectoria (paralela a  $\Delta\vec{s}$ ), entonces el trabajo realizado por la fuerza es  $\Delta W = F_{\parallel}\Delta s$ , y la potencia media es

$$P_{\text{med}} = \frac{F_{\parallel}\Delta s}{\Delta t} = F_{\parallel} \frac{\Delta s}{\Delta t} = F_{\parallel} v_{\text{med}} \quad (6.17)$$

La potencia instantánea  $P$  es el límite de esta expresión cuando  $\Delta t \rightarrow 0$ :

$$P = F_{\parallel}v \quad (6.18)$$

donde  $v$  es la magnitud de la velocidad instantánea. También podemos expresar la ecuación (6.18) en términos del producto escalar:

<b>Potencia instantánea</b>	<b>con que una fuerza realiza trabajo sobre una partícula</b>	<b>Fuerza que actúa sobre la partícula</b>
<b>trabajo sobre una partícula</b>	<b><math>P = \vec{F} \cdot \vec{v}</math></b>	<b>Velocidad de la partícula</b>

(6.19)

**6.27** a) Avión impulsado por hélice y b) avión con motor a reacción.

a)



b)



Los motores más grandes de los aviones de hélice de la década de 1950 desarrollaban aproximadamente  $3400 \text{ hp}$  ( $2.5 \times 10^6 \text{ W}$ ) y tenían rapideces máximas del orden de  $600 \text{ km/h}$  (370 mi/h), aproximadamente. La potencia de cada motor de un Airbus A380 es más de 30 veces mayor, y permite al avión volar a cerca de  $900 \text{ km/h}$  (560 mi/h) y llevar una carga mucho más pesada.

Si los motores producen el empuje máximo mientras el avión está en reposo en tierra, de manera que  $v = 0$ , la potencia desarrollada por los motores es *cero*. ¡Fuerza y potencia no son lo mismo!





## EJEMPLO 6.10 UN "ASCENSO POTENTE"

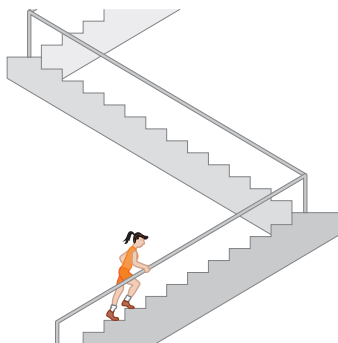
Una maratonista de 50.0 kg sube corriendo las escaleras de la Torre Willis de Chicago de 443 m de altura, el segundo edificio más alto de Estados Unidos (**figura 6.28**). ¿Qué potencia media desarrolla si llega a la azotea en 15.0 minutos? Exprese su respuesta en watts, en kilowatts y en caballos de potencia.

### SOLUCIÓN

**IDENTIFICAR y PLANTEAR:** Trataremos a la corredora como una partícula de masa  $m$ . La potencia media que desarrolla  $P_{\text{med}}$  debe ser suficiente para subirla a una rapidez constante contra la gravedad.

Podemos calcular  $P_{\text{med}}$  de dos maneras: **1.** determinando primero cuánto trabajo debe efectuar y luego dividiendo esa cantidad entre el tiempo transcurrido, como en la ecuación (6.15); o bien,

**6.28** ¿Cuánta potencia se necesita para subir corriendo las escaleras de la Torre Willis de Chicago en 15 minutos?



**2.** calculando la fuerza media hacia arriba que la corredora debe ejercer (en dirección del ascenso) y después multiplicándola por su velocidad hacia arriba, como en la ecuación (6.17).

**EJECUTAR:** **1.** Como en el ejemplo 6.8, para levantar una masa  $m$  contra la gravedad se requiere una cantidad de trabajo igual al peso  $mg$  multiplicado por la altura  $h$  que se levanta. Por lo tanto, el trabajo que la corredora debe efectuar es

$$\begin{aligned} W &= mgh = (50.0 \text{ kg})(9.80 \text{ m/s}^2)(443 \text{ m}) \\ &= 2.17 \times 10^5 \text{ J} \end{aligned}$$

Ella realiza el trabajo en 15.0 min = 900 s, así que, de acuerdo con la ecuación (6.15), la potencia media es

$$P_{\text{med}} = \frac{2.17 \times 10^5 \text{ J}}{900 \text{ s}} = 241 \text{ W} = 0.241 \text{ kW} = 0.323 \text{ hp}$$

**2.** La fuerza ejercida es vertical, y la componente vertical media de la velocidad es  $(443 \text{ m})/(900 \text{ s}) = 0.492 \text{ m/s}$ ; así, de acuerdo con la ecuación (6.17), la potencia media es

$$\begin{aligned} P_{\text{med}} &= F_{\parallel} v_{\text{med}} = (mg)v_{\text{med}} \\ &= (50.0 \text{ kg})(9.80 \text{ m/s}^2)(0.492 \text{ m/s}) = 241 \text{ W} \end{aligned}$$

que es el mismo resultado de antes.

**EVALUAR:** La potencia *total* desarrollada por la corredora será muchas veces mayor que 241 W. La razón es porque ella no es una partícula, sino un conjunto de partes que ejercen fuerzas entre sí y realizan trabajo, como el necesario para inhalar, exhalar y mover piernas y brazos. Lo que calculamos es sólo la parte de su gasto de potencia que se invierte en subirla a la azotea del edificio.

**EVALÚE SU COMPRENSIÓN DE LA SECCIÓN 6.4** El aire que circunda un avión en vuelo ejerce una fuerza de arrastre que actúa de manera opuesta al movimiento del avión. Cuando el Airbus A380 del ejemplo 6.9 vuela en línea recta a una altura constante y a una rapidez constante de 250 m/s, ¿cuál es la tasa con que la fuerza de arrastre efectúa trabajo sobre aquél? **i.** 432,000 hp; **ii.** 108,000 hp; **iii.** 0; **iv.** -108,000 hp; **v.** -432,000 hp. ■

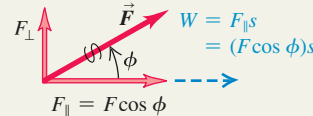


**Trabajo efectuado por una fuerza:** Cuando una fuerza constante  $\vec{F}$  actúa sobre una partícula que experimenta un desplazamiento rectilíneo  $\vec{s}$ , el trabajo realizado por la fuerza sobre la partícula se define como el producto escalar de  $\vec{F}$  y  $\vec{s}$ . La unidad de trabajo en el SI es 1 joule = 1 newton-metro ( $1 \text{ J} = 1 \text{ N}\cdot\text{m}$ ). El trabajo es una cantidad escalar, ya que puede ser positivo o negativo, pero no tiene dirección en el espacio. (Vea los ejemplos 6.1 y 6.2).

$$W = \vec{F} \cdot \vec{s} = F s \cos \phi$$

$\phi = \text{ángulo entre } \vec{F} \text{ y } \vec{s}$

(6.2), (6.3)



**Energía cinética:** La energía cinética  $K$  de una partícula es igual a la cantidad de trabajo necesario para acelerarla desde el reposo hasta la rapidez  $v$ . También es igual al trabajo que la partícula puede efectuar en el proceso de detenerse. La energía cinética es una cantidad escalar sin dirección en el espacio; siempre es positiva o cero, y sus unidades son las mismas que las de trabajo:  $1 \text{ J} = 1 \text{ N}\cdot\text{m} = 1 \text{ kg}\cdot\text{m}^2/\text{s}^2$ .

$$K = \frac{1}{2}mv^2$$

(6.5)

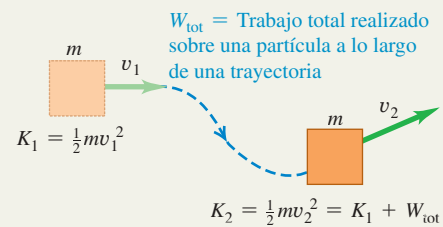

 Al duplicar  $m$ ,  $K$  se duplica

 Al duplicar  $v$ ,  $K$  se cuadriplica

**Teorema trabajo-energía:** Cuando actúan fuerzas sobre una partícula mientras ésta experimenta un desplazamiento, la energía cinética de la partícula cambia en una cantidad igual al trabajo total realizado sobre ella por todas las fuerzas. Esta relación, llamada teorema trabajo-energía, es válida para fuerzas tanto constantes como variables, y para trayectorias de la partícula tanto rectas como curvas; sin embargo, sólo es aplicable a cuerpos que pueden tratarse como partículas. (Vea los ejemplos 6.3 a 6.5).

$$W_{\text{tot}} = K_2 - K_1 = \Delta K$$

(6.6)



$$K_1 = \frac{1}{2}mv_1^2$$

$$K_2 = \frac{1}{2}mv_2^2 = K_1 + W_{\text{tot}}$$

**Trabajo efectuado por una fuerza variable o en una trayectoria curva:** Si la fuerza varía durante un desplazamiento rectilíneo, el trabajo que realiza está dado por una integral, la ecuación (6.7). (Vea los ejemplos 6.6 y 6.7). Si la partícula tiene una trayectoria curva, el trabajo efectuado sobre ella por una fuerza  $\vec{F}$  está dado por una integral en la que interviene el ángulo  $\phi$  entre la fuerza y el desplazamiento. Esta expresión es válida aun cuando la magnitud de la fuerza y el ángulo  $\phi$  varían durante el desplazamiento. (Vea el ejemplo 6.8).

$$W = \int_{x_1}^{x_2} F_x dx$$

(6.7)

$$W = \int_{P_1}^{P_2} \vec{F} \cdot d\vec{l}$$

(6.14)

$$= \int_{P_1}^{P_2} F \cos \phi dl = \int_{P_1}^{P_2} F_{\parallel} dl$$



**Potencia:** La potencia es la rapidez con que se efectúa trabajo. La potencia media  $P_{\text{med}}$  es la cantidad de trabajo  $\Delta W$  realizada en un tiempo  $\Delta t$  dividida entre ese tiempo. La potencia instantánea es el límite de la potencia media cuando  $\Delta t$  se acerca a cero. Cuando una fuerza  $\vec{F}$  actúa sobre una partícula que se mueve con velocidad  $\vec{v}$ , la potencia instantánea (rapidez con que la fuerza efectúa trabajo) es el producto escalar de  $\vec{F}$  y  $\vec{v}$ . Al igual que el trabajo y la energía cinética, la potencia es una cantidad escalar. Su unidad en el SI es 1 watt = 1 joule/segundo ( $1 \text{ W} = 1 \text{ J/s}$ ). (Vea los ejemplos 6.9 y 6.10).

$$P_{\text{med}} = \frac{\Delta W}{\Delta t}$$

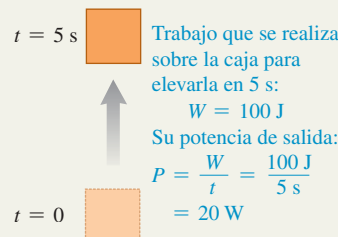
(6.15)

(6.16)

(6.19)

$$P = \lim_{\Delta t \rightarrow 0} \frac{\Delta W}{\Delta t} = \frac{dW}{dt}$$

$$P = \vec{F} \cdot \vec{v}$$



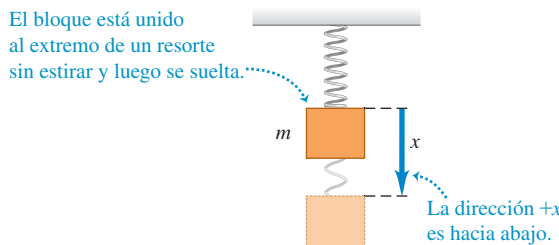
**PROBLEMA PRÁCTICO****RESORTE QUE NO CUMPLE LA LEY DE HOOKE**

Considere un resorte colgado, de masa despreciable, que *no* cumple la ley de Hooke. Cuando el resorte se estira hacia abajo una distancia  $x$ , la fuerza hacia arriba ejercida por el resorte tiene una magnitud  $\alpha x^2$ , donde  $\alpha$  es una constante positiva. Al inicio el resorte no está estirado cuando un bloque de masa  $m$  se sujetó a él. Luego el bloque se libera, estirando el resorte conforme cae (figura 6.29). a) ¿Con qué rapidez se mueve el bloque cuando cae una distancia  $x_1$ ? b) ¿A qué tasa realiza trabajo el resorte sobre el bloque en este punto? c) Calcule la distancia máxima  $x_2$  que se estira el resorte. d) ¿El bloque permanecerá en el punto determinado en el inciso c)?

**GUÍA DE SOLUCIÓN****IDENTIFICAR y PLANTEAR**

- La fuerza del resorte en este problema no es constante, de modo que se tiene que usar el teorema trabajo-energía. También se necesita la ecuación (6.7) para calcular el trabajo realizado por el resorte a lo largo de un desplazamiento determinado.

**6.29** El bloque está sujeto a un resorte que no cumple la ley de Hooke.



- Elabore un diagrama de cuerpo libre para el bloque, incluyendo la elección de los ejes de coordenadas. Observe que  $x$  representa la distancia que se *estira* el resorte, así que seleccione que la dirección  $+x$  sea hacia abajo, como en la figura 6.29. Sobre su eje de coordenadas, identifique los puntos  $x = x_1$  y  $x = x_2$ .
- Elabore una lista de las cantidades desconocidas e identifique cuáles son las incógnitas.

**EJECUTAR**

- Calcule el trabajo realizado por el resorte sobre el bloque conforme éste cae una distancia  $x$  arbitraria. (La integral no es difícil. Consulte el apéndice B si necesita un recordatorio). ¿El trabajo realizado por el resorte es positivo, negativo o cero?
- Calcule el trabajo realizado sobre el bloque por cualesquier otras fuerzas conforme el bloque cae una distancia arbitraria  $x$ . ¿El trabajo es positivo, negativo o cero?
- Use el teorema trabajo-energía para calcular las incógnitas. (También necesita usar una ecuación para la potencia). *Sugerencia:* Pregúntese lo siguiente: Cuando el resorte tiene su máxima elongación, ¿cuál es la rapidez del bloque?
- Para contestar el inciso d) considere la fuerza *neta* que actúa sobre el bloque cuando se encuentra en el punto calculado en el inciso c).

**EVALUAR**

- En la sección 2.5 vimos que después de que un objeto cae partiendo del reposo y ha caído libremente una distancia  $x_1$ , su rapidez es  $\sqrt{2gx_1}$ . Use esto para determinar si su respuesta del inciso a) es lógica. Además, pregúntese si el signo algebraico de su respuesta en el inciso b) es lógico.
- Calcule el valor de  $x$  donde la fuerza neta sobre el bloque sería cero. ¿Cómo se compara esto con su resultado de  $x_2$ ? ¿Es congruente con su respuesta del inciso d)?

**Problemas**

•, •, ••: Niveles de dificultad. PA: Problemas acumulativos que incorporan material de capítulos anteriores. CALC: Problemas que requieren cálculo. DATOS: Problemas que incluyen datos reales, evidencia científica, diseño experimental y/o razonamiento estadístico. BIO: Problemas de ciencias biológicas.

**PREGUNTAS PARA ANÁLISIS**

**P6.1** El signo de muchas cantidades físicas depende de la elección de las coordenadas. Por ejemplo, el valor de  $a_y$  para el movimiento en caída libre puede ser negativo o positivo, dependiendo de si elegimos como positiva la dirección hacia arriba o hacia abajo. ¿Lo mismo es válido para el trabajo? En otras palabras, ¿podemos hacer negativo el trabajo positivo con una elección diferente de las coordenadas? Explique su respuesta.

**P6.2** Un elevador es levantado por sus cables con rapidez constante. ¿El trabajo total realizado sobre él es positivo, negativo o cero? Explique su respuesta.

**P6.3** Se jala de una cuerda atada a un cuerpo y éste se acelera. Según la tercera ley de Newton, el cuerpo jala de la cuerda con una fuerza igual y opuesta. Entonces, ¿el trabajo total realizado es cero? Si así es, ¿cómo puede cambiar la energía cinética del cuerpo? Explique su respuesta.

**P6.4** Si se requiere un trabajo total  $W$  para dar a un objeto una rapidez  $v$  y una energía cinética  $K$ , partiendo del reposo, ¿cuáles serán la rapidez (en términos de  $v$ ) y la energía cinética (en términos de  $K$ ) del objeto, si efectuamos el doble de trabajo sobre él partiendo nuevamente del reposo?

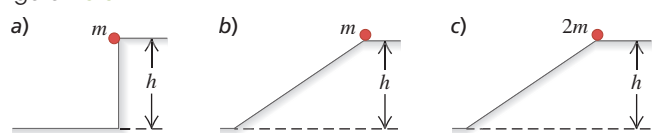
**P6.5** Si hubiera una fuerza neta distinta de cero sobre un objeto en movimiento, ¿el trabajo total realizado sobre él podría ser cero? Explique ilustrando su respuesta con un ejemplo.

**P6.6** En el ejemplo 5.5 (sección 5.1), compare el trabajo realizado sobre la cubeta por la tensión del cable y el trabajo realizado sobre el carro por dicha tensión.

**P6.7** En el péndulo cónico del ejemplo 5.20 (sección 5.4), ¿qué fuerza realiza trabajo sobre la lenteja conforme ésta gira?

**P6.8** En los casos que se ilustran en la **figura P6.8**, el objeto se suelta desde el reposo en la parte superior y no experimenta fricción ni resistencia del aire. ¿En cuál situación, si acaso, la masa tendrá i. la mayor rapidez en la parte inferior y ii. el mayor trabajo efectuado sobre ella en el tiempo que tarda en llegar a la parte inferior?

Figura P6.8



**P6.9** Una fuerza  $\vec{F}$  sobre el eje  $x$  tiene magnitud que depende de  $x$ . Dibuje una posible gráfica de  $F$  contra  $x$  tal que la fuerza no realice trabajo sobre un objeto que se mueve de  $x_1$  a  $x_2$ , aunque la magnitud de la fuerza nunca sea cero en este intervalo.

**P6.10** ¿La energía cinética de un automóvil cambia más al acelerar de 10 a 15 m/s o de 15 a 20 m/s? Explique su respuesta.

**P6.11** Un ladrillo con masa de 1.5 kg cae verticalmente con una rapidez de 5.0 m/s. Un libro de física de 1.5 kg se desliza sobre el piso a 5.0 m/s. Un melón de 1.5 kg viaja con una componente de velocidad horizontal de 3.0 m/s a la derecha y una componente vertical de 4.0 m/s hacia arriba. ¿Todos estos objetos tienen la misma velocidad? ¿Tienen la misma energía cinética? Para cada pregunta, describa su razonamiento.

**P6.12** ¿El trabajo *total* efectuado sobre un objeto durante un desplazamiento puede ser negativo? Explique su respuesta. Si el trabajo total es negativo, ¿su magnitud puede ser mayor que la energía cinética inicial del objeto? Explique su respuesta.

**P6.13** Una fuerza neta actúa sobre un objeto y lo acelera desde el reposo hasta una rapidez  $v_1$ , efectuando un trabajo  $W_1$ . ¿En qué factor debe aumentarse ese trabajo para lograr una rapidez final tres veces mayor, si el objeto parte del reposo?

**P6.14** Un camión que va frenando por una autopista tiene mucha energía cinética relativa a un automóvil de la policía que se encuentra detenido, pero ninguna energía cinética relativa al conductor del camión. En estos dos marcos de referencia, ¿se requiere el mismo trabajo para detener el camión? Explique su respuesta.

**P6.15** Usted sostiene un portafolio por el asa, con el brazo recto a su costado. ¿La fuerza que ejerce la mano efectúa trabajo sobre el portafolio *a)* cuando usted camina con rapidez constante por un pasillo horizontal, y *b)* cuando usa una escalera eléctrica para subir del primer piso al segundo de un edificio? Justifique su respuesta en cada caso.

**P6.16** Si un libro se desliza sobre una mesa, la fuerza de fricción realiza trabajo negativo sobre él. ¿Existe algún caso en que la fricción realice trabajo *positivo*? Explique su respuesta. (*Sugerencia:* Piense en una caja que se encuentra en la parte trasera de un camión quea celera).

**P6.17** Tómese el tiempo al subir corriendo una escalera y calcule la tasa media con que efectúa trabajo contra la fuerza de gravedad. Exprese su respuesta en watts y en caballos de potencia.

**P6.18 Física fracturada.** Muchos términos de la física se utilizan de manera inadecuada en el lenguaje cotidiano. En cada caso, explique los errores que hay. *a)* A una persona *fuerte* se le llama *llena de potencia*. ¿Qué error implica este uso del término *potencia*? *b)* Cuando un trabajador carga una bolsa de cemento siguiendo una trayectoria horizontal en una obra en construcción, la gente dice que él realizó mucho *trabajo*. ¿Es verdad?

**P6.19** Un anuncio de un generador eléctrico portátil asegura que el motor a diesel produce 28,000 hp para impulsar un generador eléctrico que produce 30 MW de potencia eléctrica. ¿Es esto posible? Explique su respuesta.

**P6.20** Un automóvil aumenta su rapidez mientras el motor produce potencia constante. ¿La aceleración es mayor al inicio de este proceso o al final? Explique su respuesta.

**P6.21** Considere una gráfica de potencia instantánea contra tiempo, cuyo eje  $P$  vertical comienza en  $P = 0$ . ¿Qué significado físico tiene el área bajo la curva  $P$  contra  $t$  entre dos rectas verticales en  $t_1$  y  $t_2$ ? ¿Cómo podría calcular la potencia media a partir de la gráfica? Dibuje una curva de  $P$  contra  $t$  que conste de dos secciones rectas y donde la potencia máxima sea igual al doble de la potencia media.

**P6.22** Una fuerza neta distinta de cero actúa sobre un objeto. ¿Alguna de las siguientes cantidades puede ser constante? *a)* La rapidez del objeto; *b)* la velocidad del objeto; *c)* la energía cinética del objeto.

**P6.23** Cuando se aplica cierta fuerza a un resorte ideal, éste se estira una distancia  $x$  desde su longitud sin estirar y efectúa un trabajo  $W$ . Si ahora se aplica el doble de fuerza, ¿qué distancia (en términos de  $x$ ) se estira el resorte desde su longitud sin estirar y cuánto trabajo (en términos de  $W$ ) se requiere para estirarlo esta distancia?

**P6.24** Si se requiere un trabajo  $W$  para estirar un resorte una distancia  $x$  desde su longitud sin estirar, ¿qué trabajo (en términos de  $W$ ) se requiere para estirar el resorte una distancia  $x$  adicional?

## EJERCICIOS

### Sección 6.1 Trabajo

**6.1** • Usted empuja su libro de física 1.50 m a lo largo de una mesa horizontal con un empuje horizontal de 2.40 N mientras que la fuerza de fricción opuesta es de 0.600 N. ¿Cuánto trabajo realiza cada una de las siguientes fuerzas sobre el libro? *a)* El empuje de 2.40 N, *b)* la fuerza de fricción, *c)* la fuerza normal de la mesa y *d)* la gravedad. *e)* ¿Cuál es la fuerza neta sobre el libro?

**6.2** • Un camión de remolque jala de un automóvil 5.00 km por una carretera horizontal usando un cable cuya tensión es de 1350 N. *a)* ¿Cuánto trabajo realiza el cable sobre el automóvil si jala de él horizontalmente? ¿Y si se jala a 35.0° sobre la horizontal? *b)* ¿Cuánto trabajo realiza el cable sobre el camión de remolque en ambos casos del inciso *a)*? *c)* ¿Cuánto trabajo efectúa la gravedad sobre el automóvil en el inciso *a)*?

**6.3** • Un obrero empuja horizontalmente una caja de 30.0 kg una distancia de 4.5 m en un piso plano, con velocidad constante. El coeficiente de fricción cinética entre el piso y la caja es de 0.25. *a)* ¿Qué magnitud de fuerza debe aplicar el obrero? *b)* ¿Cuánto trabajo efectúa dicha fuerza sobre la caja? *c)* ¿Cuánto trabajo efectúa la fricción sobre la caja? *d)* ¿Cuánto trabajo realiza la fuerza normal sobre la caja? ¿Y la gravedad? *e)* ¿Qué trabajo total se efectúa sobre la caja?

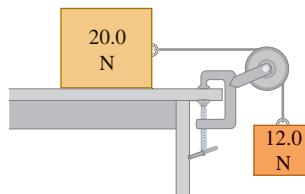
**6.4** • Suponga que el obrero del ejercicio 6.3 empuja hacia abajo con un ángulo de 30° bajo la horizontal. *a)* ¿Qué magnitud de fuerza debe aplicar el obrero para mover la caja con velocidad constante? *b)* ¿Qué trabajo realiza esta fuerza sobre la caja si se empuja una distancia de 4.5 m? *c)* ¿Qué trabajo realiza la fricción sobre la caja en este desplazamiento? *d)* ¿Cuánto trabajo realiza la fuerza normal sobre la caja? ¿Y la gravedad? *e)* ¿Qué trabajo total se efectúa sobre la caja?

**6.5** • Un pintor de 75.0 kg sube por una escalera de 2.75 m que está inclinada contra una pared vertical. La escalera forma un ángulo de 30.0° con la pared. *a)* ¿Cuánto trabajo realiza la gravedad sobre el pintor? *b)* ¿La respuesta del inciso *a)* depende de si el pintor sube a rapidez constante o de si acelera hacia arriba de la escalera?

**6.6** • Dos botes remolcadores jalan de un buque tanque averiado. Cada uno ejerce una fuerza constante de  $1.80 \times 10^6$  N, uno 14° al oeste del norte y el otro 14° al este del norte, jalando del buque tanque 0.75 km al norte. ¿Qué trabajo total efectúan sobre el buque tanque?

**6.7** • Dos bloques están unidos por una cuerda muy ligera que pasa por una polea sin masa y sin fricción (figura E6.7). Al viajar a rapidez constante, el bloque de 20.0 N se mueve 75.0 cm a la derecha y el bloque de 12.0 N se mueve 75.0 cm hacia abajo. Durante este proceso, ¿cuánto trabajo efectúan *a)* sobre el bloque de 12.0 N, *i.* la gravedad y *ii.* la tensión en la cuerda? *b)* ¿Cuánto trabajo efectúan sobre el bloque de 20.0 N, *i.* la gravedad, *ii.* la tensión en la cuerda, *iii.* la fricción

Figura E6.7



y iv) la fuerza normal? c) Obtenga el trabajo total efectuado sobre cada bloque.

**6.8** • Un carrito de supermercado cargado rueda por un estacionamiento por el que sopla un viento fuerte. Usted aplica una fuerza constante  $\vec{F} = (30 \text{ N})\hat{i} - (40 \text{ N})\hat{j}$  al carrito, mientras éste experimenta un desplazamiento  $\vec{s} = (-90 \text{ m})\hat{i} - (3.0 \text{ m})\hat{j}$ . ¿Cuánto trabajo efectúa la fuerza que usted aplica al carrito?

**6.9** • Una pelota de 0.800 kg se ata al extremo de una cuerda de 1.60 m de longitud y se hace girar en un círculo vertical. a) Durante un círculo completo, iniciando en cualquier punto, calcule el trabajo total efectuado sobre la pelota por: i. la tensión en la cuerda; ii. la gravedad. b) Repita el inciso a) para el movimiento a lo largo del semicírculo que va de la parte más baja a la más alta de la trayectoria.

**6.10** • En el área de clasificación del correo, un paquete de 12.0 kg se desliza 2.00 m hacia abajo de una rampa con una pendiente de  $53.0^\circ$  por debajo de la horizontal. El coeficiente de fricción cinética entre el paquete y la superficie de la rampa es de 0.40. Calcule el trabajo realizado sobre el paquete por a) la fuerza de fricción, b) la gravedad y c) la fuerza normal. d) ¿Cuál es el trabajo neto realizado sobre el paquete?

**6.11** • Una caja de cartón de 128.0 N se jala por una rampa de equipaje sin fricción inclinada  $30.0^\circ$  arriba de la horizontal con una cuerda que ejerce un jalón de 72.0 N paralelo a la superficie de la rampa. Si la caja viaja 5.20 m a lo largo de la superficie de la rampa, calcule el trabajo realizado en ésta por a) la cuerda, b) la gravedad y c) la fuerza normal de la rampa. d) ¿Cuál es el trabajo neto realizado sobre la caja? e) Supongamos que la cuerda está a un ángulo de  $50.0^\circ$  arriba de la horizontal, en vez de estar paralela a la superficie de la rampa. ¿Cuánto trabajo hace la cuerda sobre la caja en este caso?

**6.12** • Un monitor de computadora empacado, de 10.0 kg, es arrastrado hacia arriba, por la fricción, 5.50 m sobre una banda transportadora inclinada un ángulo de  $36.9^\circ$  por arriba de la horizontal. Si la rapidez del monitor es de 2.10 cm/s constantes, ¿cuánto trabajo se realiza sobre el monitor por a) la fricción, b) la gravedad y c) la fuerza normal de la banda transportadora?

**6.13** • Un cajón grande se coloca en el piso de un almacén. Paul y Bob aplican fuerzas horizontales constantes al cajón. La fuerza aplicada por Paul tiene una magnitud de 48.0 N y dirección  $61.0^\circ$  al sur del oeste. ¿Cuánto trabajo hace la fuerza de Paul durante un desplazamiento de la caja de 12.0 m en la dirección  $22.0^\circ$  al este del norte?

**6.14** • Usted aplica una fuerza constante  $\vec{F} = (-68.0 \text{ N})\hat{i} + (36.0 \text{ N})\hat{j}$  a un automóvil de 380 kg conforme éste avanza 48.0 m en una dirección a  $240.0^\circ$  en sentido antihorario a partir del eje  $+x$ . ¿Cuánto trabajo realiza la fuerza que usted aplica sobre el automóvil?

**6.15** • En una granja, usted empuja a un cerdo tozudo con una fuerza horizontal constante de 30.0 N de magnitud y dirección  $37.0^\circ$  en sentido antihorario a partir del eje  $+x$ . ¿Cuánto trabajo hace esta fuerza durante un desplazamiento del cerdo que es a)  $\vec{s} = (5.00 \text{ m})\hat{i}$ ; b)  $\vec{s} = -(6.00 \text{ m})\hat{j}$ ; c)  $\vec{s} = -(2.00 \text{ m})\hat{i} + (4.00 \text{ m})\hat{j}$ ?

## Sección 6.2 Energía cinética y teorema trabajo-energía

**6.16** • Un libro de 1.50 kg se desliza a lo largo de una superficie horizontal áspera. En el punto A se mueve a  $3.21 \text{ m/s}$ , y en el punto B ha disminuido a  $1.25 \text{ m/s}$ . a) ¿Cuánto trabajo se realiza sobre el libro entre A y B? b) Si se realizan  $-0.750 \text{ J}$  de trabajo sobre el libro de B a C, ¿con qué rapidez se mueve en el punto C? c) ¿Con qué rapidez se movería en C si se realizaran  $+0.750 \text{ J}$  de trabajo sobre él de B a C?

**6.17** • **BIO Energía animal.** Los guepardos adultos, los felinos grandes más rápidos, tienen una masa de 70 kg aproximadamente, y se les ha cronometrado corriendo con una rapidez de hasta  $72 \text{ mi/h}$  ( $32 \text{ m/s}$ ). a) ¿Cuántos joules de energía cinética tienen estos guepardos tan veloces? b) ¿Por qué factor cambiaría su energía cinética si la rapidez se duplicara?

**6.18** • **Algunas energías cinéticas comunes.** a) ¿En el modelo atómico de Bohr, el electrón del hidrógeno en estado fundamental tiene una rapidez orbital de  $2190 \text{ km/s}$ . ¿Cuál es su energía cinética? (Consulte el apéndice F). b) Si usted deja caer un peso de 1.0 kg (aproximadamente 2 lb) desde una altura de 1.0 m, ¿cuántos joules de energía cinética tendrá cuando llegue al suelo? c) ¿Es razonable que un niño de 30 kg pueda correr lo suficientemente rápido para tener  $100 \text{ J}$  de energía cinética?

**6.19** • **Cráter de meteorito.** Hace aproximadamente 50,000 años, un meteorito se estrelló contra la Tierra cerca de lo que actualmente es la ciudad de Flagstaff en Arizona. Mediciones realizadas en 2005 estiman que dicho meteorito tenía una masa aproximada de  $1.4 \times 10^8 \text{ kg}$  (unas 150,000 toneladas) y se impactó contra el suelo a  $12 \text{ km/s}$ . a) ¿Cuánta energía cinética transmitió este meteorito al suelo? b) ¿Cómo se compara esta energía con la energía liberada por una bomba atómica de 1.0 megatón? (Una bomba de un megatón libera la misma cantidad de energía que un millón de toneladas de TNT, y 1.0 ton de TNT libera  $4.184 \times 10^9 \text{ J}$  de energía).

**6.20** • Una sandía de 4.80 kg se deja caer del reposo desde la azotea de un edificio de 18.0 m y no experimenta una resistencia del aire significativa. a) Calcule el trabajo realizado por la gravedad sobre la sandía durante su desplazamiento desde la azotea hasta el suelo. b) Justo antes de estrellarse contra el suelo, ¿cuáles son i. la energía cinética y ii. la rapidez de la sandía? c) ¿Cuál de las respuestas en los incisos a) y b) sería diferente si hubiera una resistencia del aire considerable?

**6.21** • Use el teorema trabajo-energía para resolver los siguientes problemas. Utilice las leyes de Newton para comprobar sus respuestas. Desprecie la resistencia del aire en todos los casos. a) Una rama cae desde la parte superior de una secuoya de 95.0 m de altura, partiendo del reposo. ¿Con qué rapidez se mueve cuando llega al suelo? b) Un volcán expulsa una roca directamente hacia arriba 525 m en el aire. ¿Con qué rapidez se movía la roca justo al salir del volcán?

**6.22** • Use el teorema trabajo-energía para resolver los siguientes problemas. Utilice las leyes de Newton para comprobar sus respuestas. a) Una esquiadora que se desplaza a  $5.00 \text{ m/s}$  llega a una zona de nieve horizontal, áspera y larga, cuyo coeficiente de fricción cinética con los esquís es de 0.220. ¿Qué tan lejos viaja ella sobre esta zona antes de detenerse? b) Suponga que la zona áspera del inciso a) sólo tiene 2.90 m de longitud. ¿Con qué rapidez se movería la esquiadora al llegar al extremo de dicha zona? c) En la base de una colina congelada sin fricción que se eleva a  $25.0^\circ$  sobre la horizontal, un trineo tiene una rapidez de  $12.0 \text{ m/s}$  hacia la colina. ¿A qué altura vertical sobre la base llegará antes de detenerse?

**6.23** • Imagine que pertenece a la Cuadrilla de Rescate Alpino y debe proyectar hacia arriba una caja de suministros por una pendiente de ángulo constante  $\alpha$ , de modo que llegue a un esquiador varado que está a una distancia vertical  $h$  sobre la base de la pendiente. La pendiente es resbalosa, pero hay cierta fricción presente, con coeficiente de fricción cinética  $\mu_k$ . Use el teorema trabajo-energía para calcular la rapidez mínima que debe impartir a la caja en la base de la pendiente para que llegue al esquiador. Exprese su respuesta en términos de  $g$ ,  $h$ ,  $\mu_k$  y  $\alpha$ .

**6.24** • Se lanza una piedra de  $3.00 \text{ N}$  verticalmente hacia arriba desde el suelo. Se observa que, cuando está  $15.0 \text{ m}$  sobre el suelo, viaja a  $25.0 \text{ m/s}$  hacia arriba. Use el teorema trabajo-energía para determinar a) su rapidez en el momento de ser lanzada y b) su altura máxima.

**6.25** • Un trineo con masa de 12.00 kg se mueve en línea recta sobre una superficie horizontal sin fricción. En un momento de su trayectoria, su rapidez es  $4.00 \text{ m/s}$ ; después de haber viajado  $2.50 \text{ m}$  más allá de este punto, su rapidez es de  $6.00 \text{ m/s}$ . Utilice el teorema trabajo-energía para encontrar la fuerza que actúa sobre el trineo, suponiendo que esta fuerza es constante y que actúa en la dirección del movimiento del trineo.

**6.26** • Una masa  $m$  baje deslizándose por un plano inclinado liso que forma un ángulo  $\alpha$  con la horizontal, desde una altura vertical inicial  $h$ . *a)* El trabajo efectuado por una fuerza es la suma del trabajo efectuado por las componentes de la fuerza. Considere las componentes de la gravedad paralela y perpendicular a la superficie del plano. Calcule el trabajo efectuado sobre la masa por cada componente y use estos resultados para demostrar que el trabajo efectuado por la gravedad es exactamente el mismo que efectuaría si la masa cayera verticalmente por el aire desde una altura  $h$ . *b)* Use el teorema trabajo-energía para demostrar que la rapidez de la masa en la base del plano inclinado es la misma que tendría si se hubiera dejado caer desde la altura  $h$ , sea cual fuere el ángulo  $\alpha$  del plano. Explique cómo esta rapidez puede ser independiente del ángulo del plano. *c)* Use los resultados del inciso *b*) para obtener la rapidez de una piedra que baje deslizándose por una colina congelada sin fricción, partiendo del reposo 15.0 m arriba del pie de la colina.

**6.27** • Un “12-pack” de Omni-Cola (masa de 4.30 kg) está inicialmente en reposo en un piso horizontal. Luego, un perro entrenado que ejerce una fuerza horizontal con magnitud de 36.0 N lo empuja 1.20 m en línea recta. Use el teorema trabajo-energía para determinar la rapidez final si *a)* no hay fricción entre el 12-pack y el piso; *b)* el coeficiente de fricción cinética entre el 12-pack y el piso es de 0.30.

**6.28** • Un balón de fútbol soccer de 0.420 kg se mueve inicialmente con rapidez de 2.00 m/s. Un jugador lo patea, ejerciendo una fuerza constante de 40.0 N en la dirección del movimiento del balón. ¿A lo largo de qué distancia debe estar su pie en contacto con el balón para aumentar la rapidez de éste a 6.00 m/s?

**6.29** • Un vagón rojo de juguete con masa de 7.00 kg se mueve en línea recta sobre una superficie horizontal sin fricción. Tiene una rapidez inicial de 4.00 m/s y luego es empujado 3.0 m, en la dirección de la velocidad inicial, por una fuerza cuya magnitud es de 10.0 N. *a)* Use el teorema trabajo-energía para calcular la rapidez final del vagón. *b)* Calcule la aceleración producida por la fuerza y úsela en las relaciones de cinemática del capítulo 2 para calcular la rapidez final del vagón. Compare este resultado con el calculado en el inciso *a*).

**6.30** • Un bloque de hielo con masa de 2.00 kg se desliza 1.35 m hacia abajo por un plano inclinado a un ángulo de 36.9° bajo la horizontal. Si el bloque parte del reposo, ¿cuál será su rapidez final? Desprecie la fricción.

**6.31** • **Distancia para detenerse.** Un automóvil viaja por un camino horizontal con rapidez  $v_0$  en el instante en que los frenos se bloquean, de modo que las llantas se deslizan en vez de rodar. *a)* Use el teorema trabajo-energía para calcular la distancia mínima en que puede detenerse el auto en términos de  $v_0$ ,  $g$  y el coeficiente de fricción cinética  $\mu_k$  entre los neumáticos y el camino. *b)* ¿En qué factor cambiaría la distancia mínima de frenado, si **i.** se duplicara el coeficiente de fricción cinética, **ii.** se duplicara la rapidez inicial o **iii.** se duplicaran tanto el coeficiente de fricción cinética como la rapidez inicial?

**6.32** • Una caja de 30.0 kg se mueve inicialmente con una velocidad de magnitud igual a 3.90 m/s en una dirección 37.0° al oeste del norte. ¿Cuánto trabajo se debe realizar sobre la caja para cambiar su velocidad a 5.62 m/s en una dirección 63.0° al sur del este?

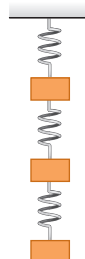
### Sección 6.3 Trabajo y energía con fuerzas variables

**6.33** • **BIO Reparación del corazón.** Un cirujano usa material de un corazón donado para reparar la aorta dañada de un paciente y necesita conocer las características de elasticidad del material de la aorta. Pruebas realizadas sobre una tira de 16.0 cm de la aorta donada revelan que se estira 3.75 cm cuando se aplica un jalón de 1.50 N sobre ella. *a)* ¿Cuál es la fuerza constante de esta tira de material? *b)* Si la distancia máxima que debe estirarse cuando se sustituya la aorta del corazón dañado es de 1.14 cm, ¿cuál es la fuerza máxima que podrá ejercer ahí?

**6.34** • Se requiere un trabajo de 12.0 J para estirar un resorte 3.00 cm con respecto a su longitud no estirada. *a)* ¿Cuál es la constante de fuerza de este resorte? *b)* ¿Qué fuerza se necesita para estirar 3.00 cm el resorte desde su longitud sin estirar? *c)* ¿Cuánto trabajo debe efectuarse para comprimir ese resorte 4.00 cm con respecto a su longitud no estirada, y qué fuerza se necesita para comprimirlo esta distancia?

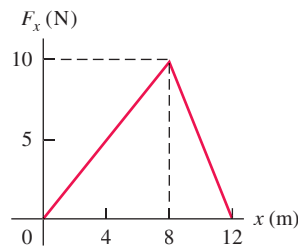
**6.35** • Tres masas idénticas de 8.50 kg cuelgan de tres resortes idénticos (**figura E6.35**). Cada resorte tiene una constante de fuerza de 7.80 kN/m y tenía 12.0 cm de longitud antes de que se le sujetara una masa. *a)* Dibuje un diagrama de cuerpo libre de cada masa. *b)* ¿Qué longitud tiene cada resorte cuando cuelga como se muestra? (Sugerencia: Aísle primero la masa de la parte inferior. Luego maneje las dos masas inferiores como un sistema. Por último, considere las tres masas como un sistema).

Figura E6.35



**6.36** • Una niña aplica una fuerza  $\vec{F}$  paralela al eje  $x$  a un trineo de 10.0 kg que se mueve sobre la superficie congelada de un estanque pequeño. La niña controla la rapidez del trineo, y la componente  $x$  de la fuerza que aplica varía con la coordenada  $x$  del trineo, como se ilustra en la **figura E6.36**. Calcule el trabajo efectuado por  $\vec{F}$  cuando el trineo se mueve *a)* de  $x = 0$  a  $x = 8.0$  m; *b)* de  $x = 8.0$  m a  $x = 12.0$  m; *c)* de  $x = 0$  a 12.0 m.

Figura E6.36



**6.37** • Suponga que el trineo del ejercicio 6.36 está inicialmente en reposo en  $x = 0$ . Use el teorema trabajo-energía para determinar la rapidez del trineo en *a)*  $x = 8.0$  m, y *b)*  $x = 12.0$  m. Puede despreciarse la fricción entre el trineo y la superficie del estanque.

**6.38** • Un resorte de fuerza constante de 300.0 N/m y longitud no estirada de 0.240 m es estirado por dos fuerzas, jalando en direcciones opuestas en los extremos opuestos del resorte, que aumentan a 15.0 N. ¿Cuánto se alarga ahora el resorte y cuál es la cantidad de trabajo necesaria para estirar esa distancia?

**6.39** • Una caja de 6.0 kg que se mueve a 3.0 m/s, sobre una superficie horizontal sin fricción, choca con un resorte ligero cuya constante de fuerza es de 75 N/cm. Use el teorema trabajo-energía para determinar la compresión máxima del resorte.

**6.40** • **Presión con las piernas.** Como parte de su rutina diaria de ejercicio, usted se acuesta boca arriba y empuja con los pies una plataforma conectada a dos resortes rígidos paralelos entre sí. Al empujar la plataforma, comprime los resortes. Realiza 80.0 J de trabajo al comprimir los resortes 0.200 m con respecto a su longitud no comprimida. *a)* ¿Qué fuerza debe aplicar para mantener la plataforma en esta posición? *b)* ¿Cuánto trabajo adicional debe realizar para mover la plataforma otros 0.200 m y qué fuerza máxima debe aplicar?

**6.41** • *a)* En el ejemplo 6.7 (sección 6.3), se calcula que, con el riel de aire desactivado, el deslizador viaja 8.6 cm antes de detenerse instantáneamente. ¿Qué tan grande debe ser el coeficiente de fricción estática  $\mu_s$  para evitar que el deslizador regrese a la izquierda? *b)* Si el coeficiente de fricción estática entre el deslizador y el riel es  $\mu_s = 0.60$ , ¿qué rapidez inicial máxima  $v_1$  puede imprimirse al deslizador y aun así permanecer en reposo luego de detenerse instantáneamente? Con el riel de aire desactivado, el coeficiente de fricción cinética es  $\mu_k = 0.47$ .

**6.42** • Un bloque de hielo de 4.00 kg se coloca contra un resorte horizontal que tiene constante de fuerza  $k = 200 \text{ N/m}$ , y está comprimido 0.025 m. El resorte se suelta y acelera al bloque sobre una superficie horizontal. Pueden despreciarse la fricción y la masa del resorte. *a)* Calcule el trabajo efectuado por el resorte sobre el bloque, durante el movimiento del bloque desde su posición inicial hasta que el resorte recupera su longitud sin comprimir. *b)* ¿Qué rapidez tiene el bloque al perder contacto con el resorte?

**6.43** • A un automóvil a escala, de 2.0 kg, controlado por radio, se le aplica una fuerza  $\vec{F}$  paralela al eje  $x$ , mientras el automóvil se mueve por una pista recta. La componente  $x$  de la fuerza varía con la coordenada  $x$  del automóvil (figura E6.43). Calcule el trabajo efectuado por la fuerza  $\vec{F}$  cuando el auto se mueve de *a)*  $x = 0$  a  $x = 3.0 \text{ m}$ ; *b)*  $x = 3.0 \text{ m}$  a  $x = 4.0 \text{ m}$ ; *c)*  $x = 4.0 \text{ m}$  a  $x = 7.0 \text{ m}$ ; *d)*  $x = 0$  a  $x = 7.0 \text{ m}$ ; *e)*  $x = 7.0 \text{ m}$  a  $x = 2.0 \text{ m}$ .

**6.44** • Suponga que el automóvil a escala de 2.0 kg del ejercicio 6.43 está inicialmente en reposo en  $x = 0$  y que  $\vec{F}$  es la fuerza neta que actúa sobre él. Use el teorema trabajo-energía para determinar la rapidez del auto en *a)*  $x = 3.0 \text{ m}$ ; *b)*  $x = 4.0 \text{ m}$ ; *c)*  $x = 7.0 \text{ m}$ .

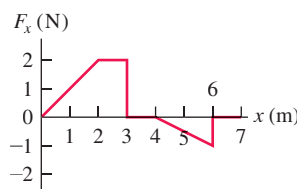
**6.45** • En un parque acuático, trineos con pasajeros se impulsan por una superficie horizontal resbaladiza liberando un resorte grande comprimido. El resorte, con una constante de fuerza  $k = 40.0 \text{ N/cm}$  y masa despreciable, descansa sobre la superficie horizontal sin fricción. Un extremo está en contacto con una pared fija; un trineo con pasajero, cuya masa total es de 70.0 kg, se empuja contra el otro extremo, comprimiendo el resorte 0.375 m. Luego se libera el trineo con velocidad inicial cero. ¿Qué rapidez tiene el trineo cuando el resorte *a)* regresa a su longitud no comprimida, y *b)* cuando aún está comprimido 0.200 m?

**6.46 • La mitad de un resorte.** *a)* Suponga que usted corta a la mitad un resorte ideal sin masa. Si el resorte completo tiene una constante de fuerza  $k$ , ¿cuál es la constante de fuerza de cada mitad, en términos de  $k$ ? (*Sugerencia:* Piense en el resorte original como dos mitades iguales, y que cada mitad produce la misma fuerza que el resorte completo. ¿Nota usted por qué las fuerzas deben ser iguales?) *b)* Si ahora corta el resorte en tres segmentos iguales, ¿cuál será la constante de fuerza de cada uno en términos de  $k$ ?

**6.47** • Un deslizador pequeño con masa de 0.0900 kg se coloca contra un resorte comprimido en la base de un riel de aire que tiene una pendiente de  $40.0^\circ$  sobre la horizontal. El resorte tiene una constante de fuerza  $k = 640 \text{ N/m}$  y masa despreciable. Al soltarse el resorte, el deslizador viaja una distancia máxima de 1.80 m sobre el riel antes de deslizarse hacia abajo. Antes de alcanzar esta distancia máxima, el deslizador pierde contacto con el resorte. *a)* ¿Qué distancia se comprimió originalmente el resorte? *b)* Cuando el deslizador haya recorrido 0.80 m por el riel de aire desde su posición inicial contra el resorte comprimido, ¿estará todavía en contacto con el resorte? ¿Qué energía cinética tiene el deslizador en ese punto?

**6.48** • Un albañil ingenioso construye un dispositivo para lanzar ladrillos hacia arriba de la pared donde está trabajando. Se coloca un ladrillo sobre un resorte vertical comprimido con constante de fuerza  $k = 450 \text{ N/m}$  y masa despreciable. Al soltarse el resorte, el ladrillo es empujado hacia arriba. Si un ladrillo con masa de 1.80 kg debe alcanzar una altura máxima de 3.6 m sobre su posición inicial, ¿qué distancia deberá comprimirse inicialmente el resorte? (El ladrillo pierde contacto con el resorte cuando éste recupera su longitud no comprimida. ¿Por qué?)

Figura E6.43



**6.49 • CALC** Se aplica una fuerza  $F(x) = 18.0 \text{ N} - (0.530 \text{ N/m})x$  en la dirección  $+x$  a una caja de 6.00 kg que descansa sobre la superficie horizontal, sin fricción, de un lago congelado.  $F(x)$  es la única fuerza horizontal sobre la caja. Si esta última se encuentra inicialmente en reposo en  $x = 0$ , ¿cuál es la rapidez después de viajar 14.0 m?

### Sección 6.4 Potencia

**6.50** • Una caja sobre una carreta motorizada parte del reposo y se mueve con una aceleración constante hacia el este, cuyo valor es  $a = 2.80 \text{ m/s}^2$ . Un trabajador ayuda a la carreta empujándola con una fuerza hacia el este de una magnitud que depende del tiempo, de acuerdo con  $F(t) = (5.40 \text{ N/s})t$ . ¿Cuál es la potencia instantánea suministrada por esta fuerza en  $t = 5.00 \text{ s}$ ?

**6.51** • ¿Cuántos joules de energía consume una bombilla eléctrica de 100 watts cada hora? ¿Con qué rapidez tendría que correr una persona de 70 kg para tener esa cantidad de energía cinética?

**6.52 • BIO ¿Debería caminar o correr?** Hay 5.0 km de su casa al laboratorio de física. Como parte de su programa de acondicionamiento físico, usted podría correr esa distancia a 10 km/h (lo cual consume energía a una tasa de 700 W), o caminar tranquilamente a 3.0 km/h (que consume una energía de 290 W). ¿Con cuál opción quemaría más energía, y cuánta (en joules) se quemaría? ¿Por qué el ejercicio más intenso quema menos energía que el ejercicio menos intenso?

**6.53 • Magnetoestrella.** El 27 de diciembre de 2004 los astrónomos observaron el destello de luz más grande jamás registrado, proveniente del exterior del Sistema Solar. Provenía de la estrella de neutrones altamente magnética SGR 1806-20 (una magnetoestrella). Durante 0.20 s, dicha estrella liberó tanta energía como nuestro Sol liberó durante 250,000 años. Si  $P$  es la potencia de salida media de nuestro Sol, ¿cuál era la potencia de salida media (en términos de  $P$ ) de esta magnetoestrella?

**6.54** • Una piedra de 20.0 kg se desliza por una superficie horizontal áspera a 8.00 m/s y finalmente se detiene debido a la fricción. El coeficiente de fricción cinética entre la piedra y la superficie es de 0.200. ¿Qué potencia media se produce por fricción hasta que la piedra se detiene?

**6.55** • Un equipo de dos personas en una bicicleta tandem debe superar una fuerza de 165 N para mantener una rapidez de 9.00 m/s. Calcule la potencia requerida por ciclista, suponiendo contribuciones iguales. Exprese su respuesta en watts y en caballos de potencia.

**6.56** • Un pequeño avión monomotor con masa de 700 kg gana altitud a razón de 2.5 m/s (150 m/min o 500 ft/min), cuando su motor de 75 kW (100 hp) está desarrollando su potencia máxima. ¿Qué fracción de la potencia del motor se está invirtiendo en hacer que el avión ascienda? (El resto se usa para vencer la resistencia del aire o se pierde por inefficiencias en la hélice y el motor).

**6.57 • Trabajar como caballo.** Imagine que su trabajo es levantar cajas de 30 kg una distancia vertical de 0.90 m del suelo a un camión. *a)* ¿Cuántas cajas tendría que cargar en el camión en 1 minuto, para que su gasto medio de potencia invertido en levantar las cajas sea de 0.50 hp? *b)* ¿Y para que fuera de 100 W?

**6.58** • Un elevador sin pasajeros tiene masa de 600 kg y está diseñado para subir con rapidez constante una distancia vertical de 20.0 m (5 pisos) en 16.0 s; es impulsado por un motor capaz de suministrar 40 hp al elevador. ¿Cuántos pasajeros como máximo pueden subir en el elevador? Suponga una masa de 65.0 kg por pasajero.

**6.59** • Un remolcador de esquiadores opera en una ladera a  $15.0^\circ$  con longitud de 300 m. La cuerda se mueve a 12.0 km/h y se suministra potencia para remolcar 50 pasajeros con una masa promedio por pasajero de 70.0 kg a la vez. Estime la potencia requerida para operar el remolcador.

**6.60** • Está aplicando una fuerza horizontal constante  $\vec{F} = (-8.00 \text{ N})\hat{i} + (3.00 \text{ N})\hat{j}$  a un cajón que se desliza sobre un piso de la fábrica. En el instante que la velocidad de la caja es  $\vec{v} = (3.20 \text{ m/s})\hat{i} + (2.20 \text{ m/s})\hat{j}$ , ¿cuál qué es la potencia instantánea suministrada por esta fuerza?

**6.61 • BIO** Un insecto volador común aplica una fuerza media igual al doble de su peso durante cada aleteo hacia abajo cuando está suspendido en el aire. Suponga que la masa del insecto es de 10 g y que las alas recorren una distancia media vertical hacia abajo de 1.0 cm en cada aleteo. Suponiendo 100 aleteos por segundo, estime la potencia de salida media del insecto.

## PROBLEMAS

**6.62 •• CALC** Una vaca terca intenta salirse del establo mientras usted la empuja cada vez con más fuerza para impedirlo. En coordenadas cuyo origen es la puerta del establo, la vaca se desplaza de  $x = 0$  a  $x = 6.9 \text{ m}$ , mientras usted aplica una fuerza con una componente  $F_x = -[20.0 \text{ N} + (3.0 \text{ N/m})x]$ . ¿Cuánto trabajo efectúa sobre la vaca la fuerza que usted aplica a lo largo de este desplazamiento?

**6.63 •** Un transportador de equipaje jala de una maleta de 20.0 kg, para subirla por una rampa inclinada  $32.0^\circ$  sobre la horizontal, con una fuerza  $\vec{F}$  de magnitud 160 N que actúa paralela a la rampa. El coeficiente de fricción cinética entre la rampa y la maleta es  $\mu_k = 0.300$ . Si la maleta viaja 3.80 m en la rampa, calcule el trabajo realizado sobre la maleta *a)* por  $\vec{F}$ ; *b)* por la fuerza gravitacional, *c)* por la fuerza normal, *d)* por la fuerza de fricción. *e)* Calcule el trabajo total realizado sobre la maleta. *f)* Si la rapidez de la maleta es cero en la base de la rampa, ¿qué rapidez tiene después de haber subido 3.80 m por la rampa?

**6.64 • BIO Flexiones de brazos.** Al hacer una flexión de brazos en una barra, un hombre levanta su cuerpo 0.40 m. *a)* ¿Cuánto trabajo efectúa por kilogramo de masa corporal? *b)* Los músculos que intervienen en el movimiento pueden generar aproximadamente 70 J de trabajo por kilogramo de masa muscular. Si el hombre apenas logra levantarse 0.40 m, ¿qué porcentaje de la masa corporal corresponde a esos músculos? (Como comparación, el porcentaje *total* de músculo en un hombre común de 70 kg con el 14% de grasa corporal es cercano al 43%). *c)* Repita el inciso *b)* para el pequeño hijo de tal hombre, cuyos brazos tienen la mitad de la longitud que los de su padre, pero cuyos músculos también pueden generar 70 J de trabajo por kilogramo de masa muscular. *d)* Los adultos y los niños tienen aproximadamente el mismo porcentaje de músculo en su cuerpo. Explique por qué para los niños suele ser más fácil que para sus padres hacer flexiones de brazos en una barra.

**6.65 ••** Considere los bloques del ejercicio 6.7 conforme se mueven 75.0 cm. Determine el trabajo total realizado sobre cada uno, *a)* si no hay fricción entre la mesa y el bloque de 20.0 N, y *b)* si  $\mu_s = 0.500$  y  $\mu_k = 0.325$  entre la mesa y el bloque de 20.0 N.

**6.66 ••** Un paquete de 5.00 kg baja 2.80 m deslizándose por una larga rampa con pendiente de  $24.0^\circ$  bajo la horizontal. El coeficiente de fricción cinética entre el paquete y la rampa es  $\mu_k = 0.310$ . Calcule el trabajo realizado sobre el paquete por *a)* la fricción, *b)* la gravedad, *c)* la fuerza normal. *d)* Calcule el trabajo total realizado sobre el paquete. *e)* Si el paquete tiene una rapidez de 2.20 m/s en la parte superior de la rampa, ¿qué rapidez tiene después de bajar deslizándose 2.80 m?

**6.67 •• PA BIO Latigazo cervical.** Cuando un automóvil es golpeado por detrás, los pasajeros experimentan una aceleración repentina hacia adelante, la cual puede provocar un daño severo al cuello, conocido como *latigazo cervical*. Durante una aceleración normal, los músculos del cuello desempeñan un papel importante en la aceleración de la cabeza, de modo que los huesos no se dañan. Pero durante una aceleración muy repentina, los músculos no reaccionan de

inmediato porque son flexibles, de manera que la mayoría de la aceleración es absorbida por los huesos del cuello. Pruebas experimentales han demostrado que estos huesos se fracturan si absorben más de 8.0 J de energía. *a)* Si un automóvil que espera en el semáforo es colisionado por atrás durante 10.0 ms, ¿cuál es la máxima rapidez que este automóvil y su conductor pueden alcanzar sin que se rompan los huesos del cuello, si la cabeza del conductor tiene una masa de 5.0 kg (la cual es la masa correcta para una persona de 70 kg)? Exprese su respuesta en m/s y en mph. *b)* ¿Cuál es la aceleración de los pasajeros durante la colisión del inciso *a)*, y qué tan grande es la fuerza que actúa para acelerar sus cabezas? Exprese la aceleración en m/s<sup>2</sup> y en g.

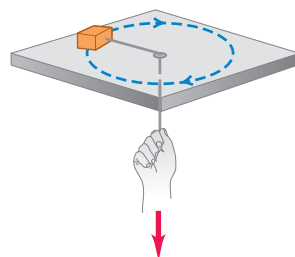
**6.68 •• CALC** Una fuerza neta a lo largo del eje *x* que tiene una componente  $F_x = -12.0 \text{ N} + (0.300 \text{ N/m}^2)x^2$  se aplica a un objeto de 5.00 kg que inicialmente se encuentra en el origen y se mueve en la dirección  $-x$  con una rapidez de 6.00 m/s. ¿Cuál es la rapidez del objeto cuando alcanza el punto  $x = 5.00 \text{ m}$ ?

**6.69 •• CALC Coeficientes de fricción variables.** Una caja resbala con una rapidez de 4.50 m/s por una superficie horizontal cuando, en el punto *P*, encuentra una sección áspera. Aquí, el coeficiente de fricción no es constante: inicia en 0.100 en *P* y aumenta linealmente con la distancia después de *P*, alcanzando un valor de 0.600 en 12.5 m más allá de *P*. *a)* Use el teorema trabajo-energía para calcular la distancia que la caja se desliza antes de detenerse. *b)* Determine el coeficiente de fricción en el punto donde se detuvo. *c)* ¿Qué distancia se habría deslizado la caja si el coeficiente de fricción, en vez de aumentar, se hubiera mantenido en 0.100?

**6.70 •• CALC** Considere un resorte que no obedece fielmente la ley de Hooke. Un extremo del resorte se encuentra fijo. Para mantenerlo estirado o comprimido una distancia *x*, se debe aplicar al extremo libre una fuerza con una componente  $F_x = kx - bx^2 + cx^3$ . Aquí,  $k = 100 \text{ N/m}$ ,  $b = 700 \text{ N/m}^2$  y  $c = 12,000 \text{ N/m}^3$ . Observe que  $x > 0$  cuando se estira el resorte y  $x < 0$  cuando se comprime. *a)* ¿Cuánto trabajo debe realizarse para estirar este resorte 0.050 m con respecto a su longitud no estirada? *b)* ¿Cuánto trabajo debe realizarse para comprimirlo 0.050 m con respecto a su longitud no estirada? *c)* ¿Es más fácil estirar o comprimir este resorte? Explique lo anterior en términos de la dependencia de  $F_x$  de *x*. (Muchos resortes reales tienen el mismo comportamiento cualitativo).

**6.71 •• PA** Un pequeño bloque con masa de 0.0600 kg se conecta a una cuerda que pasa por un orificio en una superficie horizontal sin fricción (**figura P6.71**). El bloque está girando a una distancia de 0.40 m del orificio con rapidez de 0.70 m/s. Luego, se jala de la cuerda por abajo, acortando el radio de la trayectoria del bloque a 0.10 m. Ahora la rapidez del bloque es de 2.80 m/s. *a)* ¿Qué tensión hay en la cuerda en la situación original, cuando el bloque tiene una rapidez  $v = 0.70 \text{ m/s}$ ? *b)* ¿Qué tensión hay en la cuerda en la situación final cuando el bloque tiene una rapidez  $v = 2.80 \text{ m/s}$ ? *c)* ¿Cuánto trabajo efectuó la persona que jaló de la cuerda?

Figura P6.71



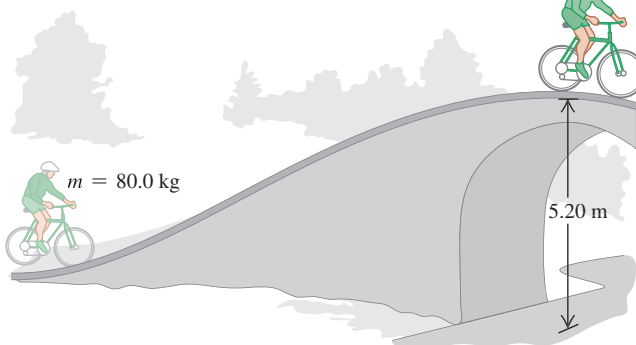
**6.72 •• CALC Bombardeo con protones.** Un protón con masa de  $1.67 \times 10^{-27} \text{ kg}$  es impulsado con una rapidez inicial de  $3.00 \times 10^5 \text{ m/s}$  directamente hacia un núcleo de uranio que está a 5.00 m. El protón es repelido por el núcleo de uranio con una fuerza de magnitud  $F = \alpha/x^2$ , donde *x* es la separación entre los dos objetos y  $\alpha = 2.12 \times 10^{-26} \text{ N}\cdot\text{m}^2$ . Suponga que el núcleo de uranio permanece en reposo. *a)* ¿Qué rapidez tiene el protón cuando está a 8.00 ×

$10^{-10}$  m del núcleo de uranio? b) Al acercarse el protón al núcleo de uranio, la fuerza de repulsión lo frena hasta detenerlo momentáneamente, después de lo cual el protón se aleja del núcleo de uranio. ¿Qué tanto se acerca el protón al núcleo? c) ¿Qué rapidez tiene el protón cuando está otra vez a 5.00 m del núcleo de uranio?

**6.73** •• Le piden diseñar amortiguadores de resorte para las paredes de un estacionamiento. Un automóvil de 1200 kg que rueda libremente a 0.65 m/s no debe comprimir el resorte más de 0.090 m antes de detenerse. ¿Qué constante de fuerza debería tener el resorte? Suponga que la masa del resorte es despreciable.

**6.74** •• Usted y su bicicleta tienen una masa combinada de 80.0 kg. Al llegar a la base de un puente, usted viaja a 5.00 m/s (**figura P6.74**). La altura vertical del puente que debe subir es de 5.20 m, y en la cima la rapidez disminuyó a 1.50 m/s. Desprecie la fricción y cualquier ineficiencia de la bicicleta o de sus piernas. a) ¿Qué trabajo total se efectúa sobre el hombre y su bicicleta al subir de la base a la cima del puente? b) ¿Cuánto trabajo realizó el hombre con la fuerza que aplicó a los pedales?

Figura P6.74



**6.75** •• Un libro de 2.50 kg se empuja contra un resorte horizontal de masa despreciable con una fuerza constante de 250 N/m, comprimiéndolo 0.250 m. Al soltarse, el libro se desliza sobre una mesa horizontal cuyo coeficiente de fricción cinética es  $\mu_k = 0.30$ . Use el teorema trabajo-energía para averiguar qué distancia recorre el libro desde su posición inicial hasta detenerse.

**6.76** •• El resorte de un rifle de resorte tiene masa despreciable y una constante de fuerza  $k = 400 \text{ N/m}$ . El resorte se comprime 6.00 cm y una esfera con masa de 0.0300 kg se coloca en el cañón horizontal contra el resorte comprimido. El resorte se libera y la esfera sale por el cañón. Éste mide 6.00 cm de largo, así que la esfera sale de él en el instante en que pierde contacto con el resorte. El rifle se sostiene con el cañón horizontal. a) Calcule la rapidez con que la esfera sale del cañón, despreciando la fricción. b) Calcule la rapidez con que la esfera sale del cañón, suponiendo que una fuerza de resistencia constante de 6.00 N actúa sobre la esfera mientras se mueve dentro del cañón. c) Para la situación del inciso b), ¿en qué posición dentro del cañón la esfera tiene mayor rapidez y cuál es esa rapidez? (En este caso, la rapidez máxima no se alcanza en el extremo del cañón).

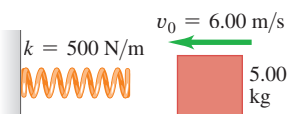
**6.77** •• Un extremo de un resorte horizontal con fuerza constante 130.0 N/m se une a una pared vertical. Un bloque de 4.00 kg sentado en el suelo se coloca contra el resorte. El coeficiente de fricción cinética entre el bloque y el piso es  $\mu_k = 0.400$ . Se aplica una fuerza constante  $\vec{F}$  para el bloque.  $\vec{F}$  tiene magnitud  $F = 82.0 \text{ N}$  y se dirige hacia la pared. En el momento en que el resorte se comprime 80.0 cm, ¿cuáles son a) la velocidad del bloque y b) la magnitud y dirección de la aceleración del bloque?

**6.78** •• Un extremo de un resorte horizontal con una constante de fuerza de 76.0 N/m se une a un poste vertical. Un bloque de 2.00 kg de hielo sin fricción se une al otro extremo y se apoya en el piso. El resorte está inicialmente sin estirar ni comprimir. Una fuerza horizontal constante de 54.0 N se aplica al bloque, en la dirección del poste. a) ¿Cuál es la velocidad del bloque cuando el resorte está estirado 0.400 m? b) En ese instante, ¿cuáles son la magnitud y dirección de la aceleración del bloque?

**6.79** • Un bloque de 5.00 kg se mueve con  $v_0 = 6.00 \text{ m/s}$  en una superficie horizontal sin fricción hacia un resorte, con una constante de fuerza  $k = 500 \text{ N/m}$ , que está unido a una pared (**figura P6.79**). El resorte tiene masa despreciable.

a) Calcule la distancia máxima que se comprimirá el resorte. b) Si dicha distancia no debe ser mayor que 0.150 m, ¿qué valor máximo debería tener  $v_0$ ?

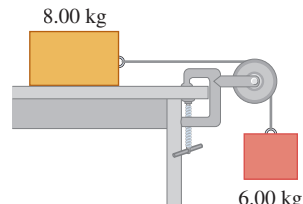
Figura P6.79



**6.80** •• Una profesora de física es empujada por una rampa inclinada hacia arriba a  $30.0^\circ$  por encima de la horizontal mientras está sentada en su silla de escritorio, que se desliza sobre rodillos sin fricción. La masa combinada de la profesora y la silla es de 85.0 kg. Ella es empujada 2.50 m a lo largo de la pendiente por un grupo de estudiantes que juntos ejercen una fuerza horizontal constante de 600 N. La rapidez de la profesora en la parte inferior de la rampa es de 2.00 m/s. Utilice el teorema trabajo-energía para encontrar su rapidez en la parte superior de la rampa.

**6.81** •• Considere el sistema de la **figura P6.81**. La cuerda y la polea tienen masas despreciables, y la polea no tiene fricción. Inicialmente el bloque de 6.00 kg se mueve hacia arriba y el bloque de 8.00 kg se mueve a la derecha, ambos con una rapidez de 0.900 m/s. Los bloques alcanzan el reposo después de moverse 2.00 m. Use el teorema trabajo-energía para calcular el coeficiente de fricción entre el bloque de 8.00 kg y la mesa.

Figura P6.81



**6.82** •• Considere el sistema de la **figura P6.81**. La cuerda y la polea tienen masas despreciables, y la polea no tiene fricción. El coeficiente de fricción cinética entre el bloque de 8.00 kg y la mesa es  $\mu_k = 0.250$ . Los bloques se liberan desde el reposo. Use el teorema trabajo-energía para calcular la rapidez del bloque de 6.00 kg después de que ha descendido 1.50 m.

**6.83** •• En una pista de hielo horizontal, prácticamente sin fricción, una patinadora que se mueve a 3.0 m/s encuentra una zona áspera que reduce su rapidez a 1.65 m/s debido a una fuerza de fricción que es del 25% del peso de la patinadora. Use el teorema trabajo-energía para determinar la longitud de la zona áspera.

**6.84** •• **BIO** Todas las aves, sea cual fuere su tamaño, deben desarrollar continuamente una potencia de entre 10 y 25 watts por kilogramo de masa corporal para volar batiendo las alas. a) El colibrí gigante de los Andes (*Patagona gigas*) tiene una masa de 70 g y aletea 10 veces por segundo al quedar suspendido. Estime el trabajo efectuado por ese colibrí en cada aleteo. b) Un atleta de 70 kg puede desarrollar una potencia de 1.4 kW durante unos cuantos segundos como máximo; la potencia de salida constante de un atleta común es del orden de sólo 500 W. ¿Es posible para un vehículo aéreo de propulsión humana poder volar por períodos largos batiendo las alas? Explique su respuesta.

**6.85** • Se requiere una bomba para elevar 800 kg de agua (aproximadamente 210 galones) por minuto desde un pozo de 14.0 m, expulsándola con una rapidez de 18.0 m/s. *a)* ¿Cuánto trabajo se efectuará por minuto para subir el agua? *b)* ¿Cuánto trabajo se efectuará para impartirle la energía cinética que tiene al salir? *c)* ¿Qué potencia desarrolla la bomba?

**6.86** •• La presa Grand Coulee Dam mide 1270 m de longitud y 170 m de altura. La potencia eléctrica producida por los generadores en su base es de aproximadamente 2000 MW. ¿Cuántos metros cúbicos de agua deben fluir cada segundo desde la parte superior de la presa para producir esta potencia, si el 92% del trabajo realizado sobre el agua por la gravedad se convierte en energía eléctrica? (Cada metro cúbico de agua tiene 1000 kg de masa).

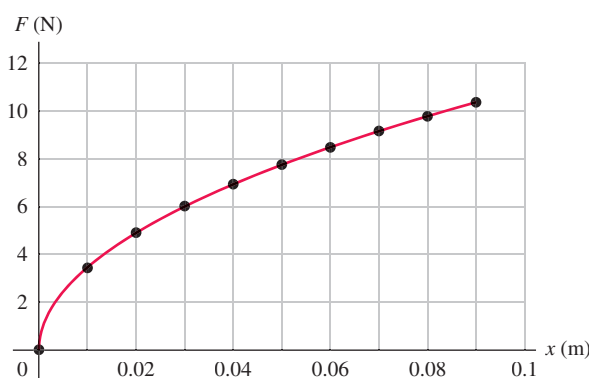
**6.87** •• Una estudiante de física pasa una parte del día caminando entre clases o por esparcimiento, y durante ese tiempo gasta energía a una tasa media de 280 W. El resto del día está sentada en clase, estudiando o descansando; durante estas actividades, gasta energía a una tasa media de 100 W. Si en un día (24 horas) ella gasta en total  $1.1 \times 10^7$  J de energía, ¿cuánto tiempo dedicó a caminar?

**6.88** • **CALC** Varias fuerzas actúan sobre un objeto. Una de ellas es  $\vec{F} = \alpha xy\hat{i}$ , una fuerza en la dirección  $x$  cuya magnitud depende de la posición del objeto, con  $\alpha = 2.50 \text{ N/m}^2$ . Calcule el trabajo realizado por esta fuerza sobre el objeto para cada uno de los siguientes desplazamientos del objeto: *a)* El objeto parte del punto ( $x = 0, y = 3.00 \text{ m}$ ) y se mueve paralelo al eje  $x$  hasta el punto ( $x = 2.00 \text{ m}, y = 3.00 \text{ m}$ ). *b)* El objeto parte del punto ( $x = 2.00 \text{ m}, y = 0$ ) y se mueve en la dirección  $y$  hasta el punto ( $x = 2.00 \text{ m}, y = 3.00 \text{ m}$ ). *c)* El objeto parte del origen y se mueve sobre la recta  $y = 1.5x$  hasta el punto ( $x = 2.00 \text{ m}, y = 3.00 \text{ m}$ ).

**6.89** • **BIO** **Potencia del corazón humano.** El corazón humano es una bomba potente y muy confiable; cada día admite y descarga unos 7500 L de sangre. Suponga que el trabajo que realiza el corazón es igual al requerido para levantar esa cantidad de sangre a la altura media de una mujer estadounidense (1.63 m). La densidad (masa por unidad de volumen) de la sangre es de  $1.05 \times 10^3 \text{ kg/m}^3$ . *a)* ¿Cuánto trabajo realiza el corazón en un día? *b)* ¿Qué potencia desarrolla en watts?

**6.90** • **DATOS** La figura P6.90 muestra los resultados de la medición de la fuerza  $F$  ejercida en ambos extremos de una banda de goma que se estira una distancia  $x$  desde su posición sin estirar. (Fuente: [www.sciencebuddies.org](http://www.sciencebuddies.org)) Los puntos de datos se ajustan bien por la ecuación  $F = 33.55x^{0.4871}$ , donde  $F$  está en newtons y  $x$  en metros. *a)* ¿Esta goma obedece la ley de Hooke en el intervalo de  $x$  que se muestra en la gráfica? Explique su respuesta. *b)* La rigidez de un resorte que obedece la ley de Hooke se mide por el valor de su constante de fuerza  $k$ , donde  $k = F/x$ . Esto se puede escribir como

Figura P6.90

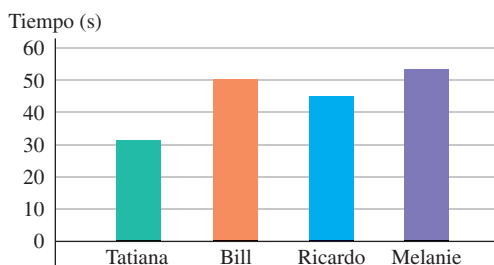


$k = dF/dx$  para enfatizar las cantidades que están cambiando. Defina  $k_{\text{eff}} = dF/dx$  y calcule  $k_{\text{eff}}$  en función de  $x$  para la banda de goma. Para un resorte que obedece la ley de Hooke,  $k_{\text{eff}}$  es constante, independiente de  $x$ . La rigidez de esta banda medida por  $k_{\text{eff}}$ , ¿aumenta o disminuye conforme  $x$  aumenta dentro del intervalo de datos? *c)* ¿Cuánto trabajo debe realizarse para estirar la banda de goma desde  $x = 0$  a  $x = 0.0400 \text{ m}$ ? ¿De  $x = 0.0400 \text{ m}$  a  $x = 0.0800 \text{ m}$ ? *d)* Uno de los extremos de la banda de goma está unido a la varilla vertical fija, y la banda se estira horizontalmente 0.0800 m de su longitud sin estirar. Un objeto de 0.300 kg sobre una superficie horizontal sin fricción está unido al extremo libre de la banda de goma y se libera a partir del reposo. ¿Cuál es la velocidad del objeto después de que ha recorrido 0.0400 m?

**6.91** •• **DATOS** En un experimento de laboratorio de física, uno de los extremos de un resorte horizontal que obedece la ley de Hooke está unido a la pared. El resorte se comprime 0.400 m, y un bloque con masa de 0.300 kg está unido a éste. Entonces se suelta el resorte y el bloque se mueve a lo largo de una superficie horizontal. Los sensores electrónicos miden la rapidez  $v$  del bloque después que ha recorrido una distancia  $d$  desde su posición inicial contra el resorte comprimido. En la tabla se muestran los valores medidos. *a)* Los datos muestran que la velocidad  $v$  del bloque aumenta y luego disminuye, el resorte regresa a su longitud sin estirar. Explique por qué ocurre esto, en términos del trabajo realizado sobre el bloque por las fuerzas que actúan sobre él. *b)* Utilice el teorema trabajo-energía para deducir una expresión de  $v^2$  en términos de  $d$ . *c)* Utilice una computadora con un programa graficador (por ejemplo, Excel o Matlab) para trazar la gráfica de los datos  $v^2$  (eje vertical) contra  $d$  (eje horizontal). La ecuación que se dedujo en el inciso *b*) debería mostrar que  $v^2$  es una función cuadrática de  $d$ , así en su gráfica, ajuste los datos a un polinomio de segundo orden (cuadrático) y haga que el programa graficador muestre la ecuación para esta línea de tendencia. Use esa ecuación para encontrar la máxima rapidez  $v$  del bloque y el valor de  $d$  en el que se produce esta velocidad. *d)* Comparando la ecuación del programa graficador con la fórmula deducida en el inciso *b*), calcule la constante de fuerza  $k$  del resorte y el coeficiente de fricción cinética para la fuerza de fricción que la superficie ejerce sobre el bloque.

**6.92** •• **DATOS** Para un experimento de laboratorio de física, cuatro compañeros suben las escaleras del sótano a la azotea de su edificio de física, una distancia vertical de 16.0 m. Los compañeros y sus masas son: Tatiana, 50.2 kg; Bill, 68.2 kg; Ricardo, 81.8 kg; y Melanie, 59.1 kg. El tiempo que tarda cada uno de ellos se muestra en la figura P6.92. *a)* Considerando sólo el trabajo realizado contra la gravedad, ¿cuál persona tenía la mayor potencia de salida media? ¿Y la más pequeña? *b)* Chang está en buena forma y tiene una masa de 62.3 kg. ¿Si su potencia media es 1.00 hp, ¿cuántos segundos le toma subir las escaleras?

Figura P6.92



## PROBLEMAS DE DESAFÍO

**6.93 ••• CALC** Un resorte con masa. Normalmente ignoramos la energía cinética de las espiras en movimiento de un resorte; sin embargo, intentemos obtener una aproximación razonable de esta cantidad. Considere un resorte de masa  $M$ , longitud en equilibrio  $L_0$  y constante de fuerza  $k$ . El trabajo efectuado para estirar o comprimir el resorte en una distancia  $L$  es  $\frac{1}{2}kX^2$ , donde  $X = L - L_0$ . Considere que el resorte descrito tiene un extremo fijo y el otro moviéndose con rapidez  $v$ . Suponga que la rapidez de los puntos a lo largo del resorte varía linealmente con la distancia  $l$  medida desde el extremo fijo. Suponga también que la masa  $M$  del resorte se distribuye uniformemente a lo largo del mismo. *a)* Calcule la energía cinética del resorte en términos de  $M$  y  $v$ . (*Sugerencia:* Divida el resorte en segmentos de longitud  $dl$ ; determine la rapidez de cada segmento en términos de  $l$ ,  $v$  y  $L$ ; calcule la masa de cada segmento en términos de  $dl$ ,  $M$  y  $L$ , e integre desde 0 hasta  $L$ . El resultado no es  $\frac{1}{2}Mv^2$ , ya que no todo el resorte se mueve con la misma rapidez). En un rifle de resorte, un resorte de masa 0.243 kg y constante de 3200 N/m se comprime 2.50 cm con respecto a su longitud no estirada. Cuando se jala del gatillo, el resorte empuja horizontalmente una esfera de 0.053 kg. El trabajo efectuado por la fricción es despreciable. Calcule la rapidez de la esfera cuando el resorte recupera su longitud no comprimida *b)* despreciando la masa del resorte y *c)* incluyendo, con ayuda de los resultados del inciso *a*), la masa del resorte. *d)* En el inciso *c)*, ¿qué energía cinética final tienen la esfera y el resorte?

**6.94 ••• CALC** Un avión en vuelo está sujeto a una fuerza de resistencia del aire proporcional al cuadrado de su rapidez  $v$ . Sin embargo, hay una fuerza de resistencia adicional porque el avión tiene alas. El aire que fluye sobre las alas es empujado hacia abajo y ligeramente hacia adelante de modo que, por la tercera ley de Newton, el aire ejerce una fuerza sobre las alas y el avión que es hacia arriba y ligeramente hacia atrás (figura P6.94). La fuerza hacia arriba es la fuerza de sustentación que mantiene al avión en vuelo, en tanto que la fuerza hacia atrás se denomina *arrastre inducido*. A las rapideces de vuelo, el arrastre inducido es inversamente proporcional a  $v^2$ , así que la fuerza de resistencia total del aire se puede expresar como  $F_{\text{aire}} = \alpha v^2 + \beta/v^2$ , donde  $\alpha$  y  $\beta$  son constantes positivas que dependen de la forma y el tamaño del avión y de la densidad del aire. Para un Cessna 150, un avión pequeño de un solo motor,  $\alpha = 0.30 \text{ N}\cdot\text{s}^2/\text{m}^2$  y  $\beta = 3.5 \times 10^5 \text{ N}\cdot\text{m}^2/\text{s}^2$ . En vuelo estable, el motor debe suministrar una fuerza hacia adelante que equilibre exactamente la fuerza de resistencia del aire. *a)* Calcule la rapidez (en km/h) a la que este avión tiene el *alcance* máximo (es decir, viaja mayor distancia) para una cantidad dada de combustible. *b)* Calcule la rapidez (en km/h) con la que el avión tendrá *permanencia* máxima en el aire.

Figura P6.94



## PROBLEMAS DE TRANSICIÓN

**BIO ENERGÍA DE LOCOMOCIÓN.** En un terreno plano, una persona de 70 kg requiere cerca de 300 W de energía metabólica para caminar a un ritmo constante de 5.0 km/h (1.4 m/s). Utilizando la misma potencia metabólica de salida, esa persona puede andar en bicicleta en el mismo terreno a 15 km/h.

**6.95** Con base en los datos dados, ¿cómo se compara la energía utilizada en andar en bicicleta 1 km con la usada en caminar 1 km? En bicicleta le toma *a)*  $\frac{1}{3}$  de la energía que caminar la misma distancia; *b)* la misma energía que caminar la misma distancia; *c)* 3 veces la energía de caminar la misma distancia; *d)* 9 veces la energía de caminar la misma distancia.

**6.96** Una persona de 70 kg camina a un ritmo constante de 5.0 km/h en una caminadora con una inclinación del 5.0%. (Es decir, la distancia vertical recorrida es 5.0% de la distancia horizontal recorrida). Si suponemos que la potencia metabólica necesaria es igual a la requerida para caminar sobre una superficie plana más la potencia para el ascenso vertical, ¿cuánta potencia se requiere? *a)* 300 W; *b)* 315 W; *c)* 350 W; *d)* 370 W.

**6.97** ¿Cuántas veces es mayor la energía cinética de la persona al andar en bicicleta que al caminar? Desprecie la masa de la bicicleta. *a)* 1.7; *b)* 3; *c)* 6; *d)* 9

## Respuestas

### Pregunta de inicio del capítulo ?

**ii.** La expresión para la energía cinética es  $K = \frac{1}{2}mv^2$ . Si calculamos  $K$  para las tres bolas, encontramos **i.**  $K = \frac{1}{2}(0.145 \text{ kg}) \times (20.0 \text{ m/s})^2 = 29.0 \text{ kg}\cdot\text{m}^2/\text{s}^2 = 29.0 \text{ J}$ , **ii.**  $K = \frac{1}{2}(0.0145 \text{ kg}) \times (200 \text{ m/s})^2 = 290 \text{ J}$  y **iii.**  $K = \frac{1}{2}(1.45 \text{ kg})(2.00 \text{ m/s})^2 = 2.90 \text{ J}$ . La bola más pequeña es la que tiene menos masa de las tres, pero también tiene la mayor velocidad y, por lo tanto, más energía cinética. Puesto que la energía cinética es un escalar, y no depende de la dirección del movimiento.

### Respuesta a las secciones

#### Evalúe su comprensión

**6.1 iii.** El electrón tiene velocidad constante, por lo que su aceleración es cero y (por la segunda ley de Newton), la fuerza neta sobre el electrón también es cero. De esta manera, el trabajo total efectuado por todas las fuerzas (igual al trabajo realizado por la fuerza neta) también debe ser cero. Las fuerzas individuales pueden efectuar trabajo diferente de cero, pero eso no es lo que se pregunta.

**6.2 iv, i, iii, ii.** El cuerpo **i.** tiene energía cinética  $K = \frac{1}{2}mv^2 = \frac{1}{2}(2.0 \text{ kg})(5.0 \text{ m/s})^2 = 25 \text{ J}$ . El cuerpo **ii.** tiene inicialmente energía cinética cero y después tiene 30 J de trabajo realizado sobre él, de manera que su energía cinética final es  $K_2 = K_1 + W = 0 + 30 \text{ J} = 30 \text{ J}$ . El cuerpo **iii.** tenía energía cinética inicial  $K_1 = \frac{1}{2}mv_1^2 = \frac{1}{2}(1.0 \text{ kg})(4.0 \text{ m/s})^2 = 8.0 \text{ J}$  y luego tenía 20 J de trabajo realizado sobre él, por lo que su energía cinética final es  $K_2 = K_1 + W = 8.0 \text{ J} + 20 \text{ J} = 28 \text{ J}$ . El cuerpo **iv.** tenía inicialmente energía cinética  $K_1 = \frac{1}{2}mv_1^2 = \frac{1}{2}(2.0 \text{ kg})(10 \text{ m/s})^2 = 100 \text{ J}$ ; cuando efectuó 80 J de trabajo sobre otro cuerpo, éste realizó -80 J de trabajo sobre el cuerpo **iv.**, así que la energía cinética final del cuerpo **iv.** es  $K_2 = K_1 + W = 100 \text{ J} + (-80 \text{ J}) = 20 \text{ J}$ .

**6.3 a) iii, b) iii.** En cualquier punto del movimiento de la lenteja del péndulo, tanto la fuerza de tensión como el peso actúan de forma perpendicular al movimiento, es decir, perpendicular a un desplazamiento infinitesimal  $d\vec{l}$  de la lenteja. (En la figura 5.32b, el desplazamiento  $d\vec{l}$  estaría dirigido hacia afuera del plano del diagrama de cuerpo libre). Por lo tanto, para cualquier fuerza, el producto escalar dentro de la integral de la ecuación (6.14) es  $\vec{F} \cdot d\vec{l} = 0$ , y el trabajo realizado en cualquier parte de la trayectoria circular (incluyendo un círculo completo) es  $W = \int \vec{F} \cdot d\vec{l} = 0$ .

**6.4 v.** El avión tiene una velocidad horizontal constante, así que la fuerza horizontal neta sobre él debe ser cero. Entonces, la fuerza de arrastre hacia atrás debe tener la misma magnitud que la fuerza hacia adelante debida al empuje combinado de los cuatro motores, lo cual significa que la fuerza de arrastre debe efectuar trabajo *negativo* sobre el avión con la misma tasa con que la fuerza de empuje combinada realiza trabajo *positivo*. El empuje combinado efectúa trabajo a una tasa de  $4(108,000 \text{ hp}) = 432,000 \text{ hp}$ , por lo que la fuerza de arrastre tiene que realizar trabajo a una tasa de  $-432,000 \text{ hp}$ .

### Problema práctico

$$a) v_1 = \sqrt{\frac{2}{m}(mgx_1 - \frac{1}{3}\alpha x_1^3)} = \sqrt{2gx_1 - \frac{2\alpha x_1^3}{3m}}$$

$$b) P = -F_{\text{resorte-1}}v_1 = -\alpha x_1^2 \sqrt{2gx_1 - \frac{2\alpha x_1^3}{3m}}$$

$$c) x_2 = \sqrt{\frac{3mg}{\alpha}}$$

d) No



¿ Cuando esta grulla canadiense (*Grus canadensis*) planea hacia un aterrizaje, desciende a lo largo de una trayectoria en línea recta con una rapidez constante. Durante el planeo, ¿qué sucede con la energía mecánica (la suma de energía cinética y la energía potencial gravitacional)?

- i. permanece constante;
- ii. aumenta debido al efecto de la gravedad; iii. se incrementa por el efecto del aire; iv. disminuye debido al efecto de la gravedad; v. se reduce por el efecto del aire.

# 7

# ENERGÍA POTENCIAL Y CONSERVACIÓN DE LA ENERGÍA

## OBJETIVOS DE APRENDIZAJE

Al estudiar este capítulo, usted aprenderá:

- 7.1 Cómo utilizar el concepto de energía potencial gravitacional en problemas que implican movimiento vertical.
- 7.2 Cómo utilizar el concepto de energía potencial elástica en problemas que implican un cuerpo en movimiento sujeto a un resorte estirado o comprimido.
- 7.3 La diferencia entre las fuerzas conservativas y no conservativas, y cómo resolver problemas donde ambos tipos de fuerzas actúan sobre un cuerpo en movimiento.
- 7.4 Cómo determinar las propiedades de una fuerza conservativa conociendo la función de energía potencial correspondiente.
- 7.5 Cómo emplear diagramas de energía para entender el movimiento rectilíneo de un objeto, bajo la influencia de una fuerza conservativa.

Repase lo estudiado en la sección ...

- 5.3 Energía cinética y resistencia del fluido.
- 5.4 Dinámica del movimiento circular.
- 6.1, 6.2 Trabajo y teorema trabajo-energía.
- 6.3 Trabajo hecho por un resorte ideal.

Cuando una clavadista se lanza a la alberca desde un trampolín, golpea el agua moviéndose bastante rápido, con mucha energía cinética, es decir, energía de movimiento. ¿De dónde proviene esa energía? La respuesta que dimos en el capítulo 6 fue que la fuerza gravitacional realiza trabajo sobre la clavadista al caer y su energía cinética aumenta en una cantidad igual al trabajo realizado.

No obstante, hay otra forma muy útil de ver el trabajo y la energía cinética. El nuevo enfoque se basa en el concepto de *energía potencial*, que es la energía asociada con la *posición* de un sistema, no con su movimiento. En este enfoque, hay una *energía potencial gravitacional* incluso cuando la clavadista está de pie en el trampolín. Al caer, la energía potencial se transforma en energía cinética.

Cuando la clavadista rebota en el extremo del trampolín antes de saltar, la tabla flexionada almacena otra clase de energía potencial llamada *energía potencial elástica*. Analizaremos la energía potencial elástica de sistemas sencillos como un resorte estirado o comprimido (la tercera clase importante de energía potencial está asociada con las fuerzas entre objetos con carga eléctrica, lo cual veremos nuevamente en el capítulo 23).

Demostraremos que, en algunos casos, la suma de las energías cinética y potencial de un sistema, llamada *energía mecánica total*, es constante durante el movimiento del sistema. Así llegamos al enunciado general de la *ley de conservación de la energía*, que es uno de los principios más fundamentales y trascendentales de la ciencia.

## 7.1 ENERGÍA POTENCIAL GRAVITACIONAL

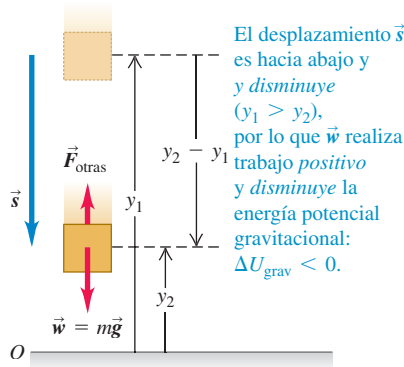
En muchas situaciones, parece que se almacena energía en un sistema para recuperarse después. Por ejemplo, hay que efectuar trabajo para levantar una roca pesada sobre la cabeza. Parece razonable que, al levantar la roca en el aire, en el sistema se está almacenando energía, la cual se convierte después en energía cinética al dejar caer la roca.

**7.1** A mayor altura de un balón de básquetbol, habrá mayor energía potencial gravitacional. Cuando un balón de básquetbol desciende, la energía potencial gravitacional se convierte en energía cinética y aumenta la rapidez del balón.

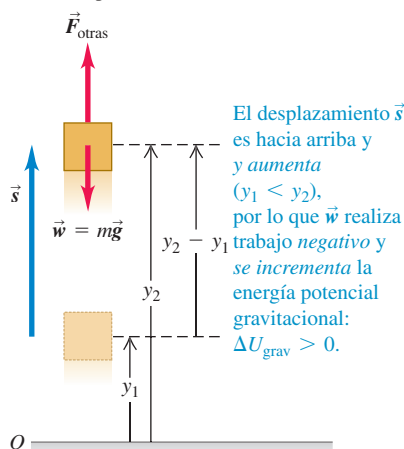


**7.2** Cuando un cuerpo se mueve verticalmente de una altura inicial  $y_1$  a una altura final  $y_2$ , la fuerza gravitacional  $\vec{w}$  efectúa trabajo y cambia la energía potencial gravitacional.

a) El cuerpo se mueve hacia abajo



b) El cuerpo se mueve hacia arriba



El ejemplo anterior sugiere la idea de una energía asociada con la *posición* de los cuerpos en un sistema. Este tipo de energía es una medida del *potencial* o *posibilidad* de efectuar trabajo. Al levantar una roca, existe la posibilidad de que la fuerza gravitacional realice trabajo sobre ella, pero sólo si la roca se deja caer al suelo. Por tal razón, la energía asociada con la posición se llama **energía potencial**. La energía potencial asociada con el peso de un cuerpo y con su altura sobre el suelo se denomina *energía potencial gravitacional* (**figura 7.1**).

Ahora tenemos *dos* formas de describir lo que sucede cuando un cuerpo cae sin resistencia del aire. Una forma, que aprendimos en el capítulo 6, consiste en afirmar que para un cuerpo que cae la energía cinética aumenta debido a que la fuerza de la gravedad terrestre hace trabajo sobre el cuerpo. La otra forma es decir que la energía cinética aumenta cuando disminuye la energía potencial gravitacional. Más adelante en esta sección utilizaremos el teorema trabajo-energía para demostrar que ambas descripciones son equivalentes.

Para empezar, deduzcamos la expresión de la energía potencial gravitacional. Consideremos un cuerpo de masa  $m$  que se mueve en el eje  $y$  (vertical), como en la **figura 7.2**. Las fuerzas que actúan sobre él son su peso, de magnitud  $w = mg$ , y tal vez algunas otras; llamamos a la suma vectorial (resultante) de todas las otras fuerzas  $\vec{F}_{\text{otras}}$ . Supondremos que el cuerpo permanece tan cerca de la superficie terrestre que el peso es constante (en el capítulo 13 veremos que el peso disminuye con la altura). Queremos determinar el trabajo efectuado por el peso cuando el cuerpo cae de una altura  $y_1$  sobre el origen a una altura menor  $y_2$  (**figura 7.2a**). El peso y el desplazamiento tienen la misma dirección, así que el trabajo  $W_{\text{grav}}$  efectuado sobre el cuerpo por su peso es positivo:

$$W_{\text{grav}} = Fs = w(y_1 - y_2) = mgy_1 - mgy_2 \quad (7.1)$$

Esta expresión también da el trabajo correcto cuando el cuerpo *sube* y  $y_2$  es mayor que  $y_1$  (**figura 7.2b**). En ese caso, la cantidad  $y_1 - y_2$  es negativa y  $W_{\text{grav}}$  es negativo porque el peso y el desplazamiento tienen direcciones opuestas.

La ecuación (7.1) muestra que podemos expresar  $W_{\text{grav}}$  en términos de los valores de la cantidad  $mgy$  al principio y al final del desplazamiento. Esta cantidad es la **energía potencial gravitacional**,  $U_{\text{grav}}$ :

<b>Energía potencial gravitacional</b> asociada con una partícula	$U_{\text{grav}} = mgy$	Coordenada vertical de la partícula (y aumenta si la partícula se mueve hacia arriba)
Masa de la partícula		Aceleración debida a la gravedad

(7.2)

Su valor inicial es  $U_{\text{grav}, 1} = mgy_1$  y su valor final es  $U_{\text{grav}, 2} = mgy_2$ . El cambio en  $U_{\text{grav}}$  es su valor final menos su valor inicial:  $\Delta U_{\text{grav}} = U_{\text{grav}, 2} - U_{\text{grav}, 1}$ . Con la ecuación (7.2), reescribimos la ecuación (7.1) para el trabajo realizado por la fuerza gravitacional durante el desplazamiento de  $y_1$  a  $y_2$  como

$$W_{\text{grav}} = U_{\text{grav}, 1} - U_{\text{grav}, 2} = -(U_{\text{grav}, 2} - U_{\text{grav}, 1}) = -\Delta U_{\text{grav}}$$

o bien,

<b>El trabajo hecho por la fuerza gravitacional</b> sobre una partícula ...	$W_{\text{grav}} = mgy_1 - mgy_2 = U_{\text{grav}, 1} - U_{\text{grav}, 2} = -\Delta U_{\text{grav}}$	<b>... es igual al negativo del cambio en la energía potencial gravitacional.</b>
Masa de la partícula		Aceleración debida a la gravedad
		Coordenadas verticales inicial y final de la partícula

(7.3)

El signo negativo de  $\Delta U_{\text{grav}}$  es *fundamental*. Cuando el cuerpo sube, y aumenta, el trabajo realizado por la fuerza gravitacional es negativo y aumenta la energía potencial gravitacional ( $\Delta U_{\text{grav}} > 0$ ). Si el cuerpo baja, y disminuye, la fuerza gravitacional realiza trabajo positivo y se reduce la energía potencial gravitacional ( $\Delta U_{\text{grav}} < 0$ ). Es como retirar dinero del banco (reducir  $U_{\text{grav}}$ ) y gastarlo (realizar trabajo positivo). La unidad de energía potencial es el joule (J), la misma del trabajo.

**CUIDADO** ¿A qué cuerpo “pertenece” la energía potencial gravitacional? No es correcto llamar a  $U_{\text{grav}} = mgy$  la “energía potencial gravitacional del cuerpo”, ya que  $U_{\text{grav}}$  es una propiedad *compartida* del cuerpo y la Tierra. El valor de  $U_{\text{grav}}$  se incrementa si la Tierra permanece fija y la altura aumenta; también se incrementa si el cuerpo está fijo y la Tierra se aleja de él. Observe que en la fórmula  $U_{\text{grav}} = mgy$  intervienen características tanto del cuerpo (su masa  $m$ ) como de la Tierra (el valor de  $g$ ). □

## Conservación de la energía mecánica (sólo fuerzas gravitacionales)

Si quiere saber para qué sirve la energía potencial gravitacional, suponga que el peso del cuerpo es la *única* fuerza que actúa sobre él:  $\vec{F}_{\text{otras}} = \mathbf{0}$ . Entonces, el cuerpo cae libremente sin resistencia del aire, y podría estar subiendo o bajando. Sea  $v_1$  su rapidez en  $y_1$ , y  $v_2$  en  $y_2$ . El teorema trabajo-energía (ecuación 6.6) indica que el trabajo total efectuado sobre el cuerpo es igual al cambio en su energía cinética;  $W_{\text{tot}} = \Delta K = K_2 - K_1$ . Si la gravedad es la única fuerza que actúa, entonces, por la ecuación (7.3),  $W_{\text{tot}} = W_{\text{grav}} = -\Delta U_{\text{grav}} = U_{\text{grav}, 1} - U_{\text{grav}, 2}$ . Juntándolo, tenemos

$$\Delta K = -U_{\text{grav}} \quad \text{o bien,} \quad K_2 - K_1 = U_{\text{grav}, 1} - U_{\text{grav}, 2}$$

que reescribimos como

**Si sólo la fuerza gravitacional realiza trabajo, se conserva la energía mecánica total:**

$$\begin{aligned} \text{Energía cinética inicial} \quad & \text{Energía potencial gravitacional inicial} \\ K_1 = \frac{1}{2}mv_1^2 & \quad U_{\text{grav}, 1} = mgy_1 \\ K_1 + U_{\text{grav}, 1} &= K_2 + U_{\text{grav}, 2} \\ \text{Energía cinética final} \quad & \text{Energía potencial gravitacional final} \\ K_2 = \frac{1}{2}mv_2^2 & \quad U_{\text{grav}, 2} = mgy_2 \end{aligned} \quad (7.4)$$

La suma  $K + U_{\text{grav}}$  de las energías cinética y potencial se llama  $E$ , la **energía mecánica total del sistema**. Por “sistema” nos referimos al cuerpo de masa  $m$  y la Tierra juntos, porque la energía potencial gravitacional  $U$  es una propiedad compartida de ambos cuerpos. Así,  $E_1 = K_1 + U_{\text{grav}, 1}$  es la energía mecánica total en  $y_1$ , en tanto que  $E_2 = K_2 + U_{\text{grav}, 2}$  es la energía mecánica total en  $y_2$ . La ecuación (7.4) dice que, cuando el peso del cuerpo es la única fuerza que realiza trabajo sobre él,  $E_1 = E_2$ . Es decir,  $E$  es constante, pues tiene el mismo valor en  $y_1$  que en  $y_2$ . No obstante, como las posiciones  $y_1$  y  $y_2$  son puntos arbitrarios en el movimiento del cuerpo, la energía mecánica total  $E$  tiene el mismo valor en *todos* los puntos durante el movimiento:

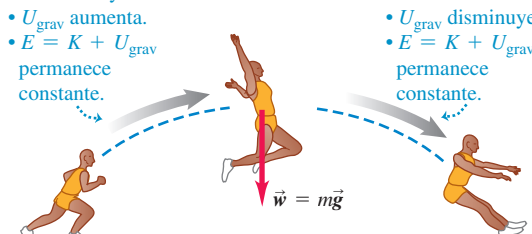
$$E = K + U_{\text{grav}} = \text{constante} \quad (\text{si sólo la fuerza de gravedad efectúa trabajo})$$

Una cantidad que siempre tiene el mismo valor es una cantidad que *se conserva*. Si sólo la fuerza de gravedad efectúa trabajo, la energía mecánica total es constante, es decir, se conserva (**figura 7.3**). Éste es nuestro primer ejemplo de la **conservación de la energía mecánica**.



### Al subir:

- $K$  disminuye.
- $U_{\text{grav}}$  aumenta.
- $E = K + U_{\text{grav}}$  permanece constante.



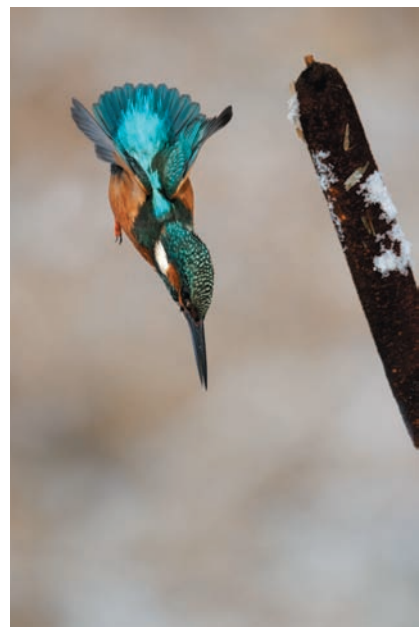
### Al bajar:

- $K$  aumenta.
- $U_{\text{grav}}$  disminuye.
- $E = K + U_{\text{grav}}$  permanece constante.

### BIO Aplicación Conversión de energía potencial gravitacional a energía cinética

Cuando un Martín pescador (*Alcedo atthis*) atrapa un succulento pescado, el ave se zambulle desde su percha con sus alas plegadas para reducir al mínimo la resistencia del aire.

Efectivamente la única fuerza que actúa sobre el ave inmersa es la fuerza de la gravedad, por lo que se conserva la energía mecánica: la energía potencial gravitacional disminuye cuando el ave desciende y se convierte en su energía cinética.



DEMO

**7.3** Mientras el atleta se encuentra en el aire, únicamente la fuerza gravitacional efectúa trabajo sobre él (si despreciamos los efectos menores de la resistencia del aire). La energía mecánica  $E$  (la suma de la energía cinética y potencial gravitacional) se conserva.

Cuando lanzamos una pelota al aire, su rapidez disminuye al subir, a medida que la energía cinética se convierte en energía potencial;  $\Delta K < 0$  y  $\Delta U_{\text{grav}} > 0$ . Al bajar, la energía potencial se convierte de nuevo en cinética y la rapidez de la pelota aumenta:  $\Delta K > 0$  y  $\Delta U_{\text{grav}} < 0$ . No obstante, la energía mecánica *total* (cinética más potencial) es la misma en todos los puntos del movimiento, siempre que ninguna otra fuerza aparte de la gravedad realice trabajo sobre la pelota (es decir, la resistencia del aire debe ser insignificante). Sigue siendo verdad que la fuerza gravitacional efectúa trabajo sobre el cuerpo cuando éste sube o baja, pero ya no tenemos que calcularlo de forma directa; basta ver cómo cambia el valor de  $U_{\text{grav}}$  para concretarlo completamente.

La ecuación (7.4) también es válida si hay otras fuerzas distintas de la gravedad pero *no* hacen trabajo. Veremos una situación de esta clase posteriormente en el ejemplo 7.4.

**CUIDADO** Elija la “altura cero” en cualquier sitio Cuando se trabaja con la energía potencial gravitacional, podemos elegir cualquier altura como  $y = 0$ . Si desplazamos el origen de  $y$ , los valores de  $y_1$  y  $y_2$  cambiarán, al igual que los valores de  $U_{\text{grav},1}$  y  $U_{\text{grav},2}$ ; sin embargo, tal cambio no tiene efecto en la *diferencia* de alturas  $y_2 - y_1$  ni en la *diferencia* de la energía potencial gravitacional  $U_{\text{grav},2} - U_{\text{grav},1} = mg(y_2 - y_1)$ . Como veremos en el ejemplo 7.1, la cantidad que tiene importancia física no es el valor de  $U_{\text{grav}}$  en cierto punto, sino la *diferencia* de  $U_{\text{grav}}$  entre dos puntos. Así, podemos definir  $U_{\text{grav}}$  como cero en cualquier punto. □



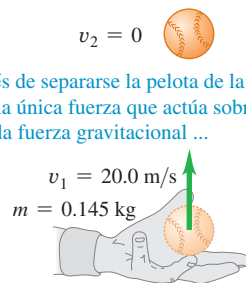
### EJEMPLO 7.1 ALTURA DE UNA PELOTA A PARTIR DE LA CONSERVACIÓN DE LA ENERGÍA

Usted lanza una pelota de béisbol con masa de 0.145 kg hacia arriba, dándole una velocidad inicial de magnitud igual a 20.0 m/s. Determine qué altura alcanza, despreciando la resistencia del aire.

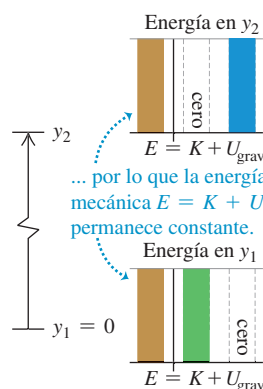
#### SOLUCIÓN

**IDENTIFICAR Y PLANTEAR:** Después de salir de su mano, únicamente la fuerza de gravedad realiza trabajo sobre la pelota. Por lo tanto, la energía mecánica se conserva y podemos usar la ecuación (7.4); el punto 1 será el punto donde la bola sale de la mano, y el punto 2 donde la pelota alcanza su altura máxima. Al igual que en la figura 7.2, elegimos la dirección positiva y hacia arriba. La rapidez de la pelota en el punto 1 es  $v_1 = 20.0$  m/s. En el punto más alto de su movimiento, la pelota está en reposo por un instante, así que  $v_2 = 0$ . Ubicamos el origen en el punto 1, de modo que  $y_1 = 0$  (**figura 7.4**). La incógnita es la distancia que la pelota recorre verticalmente entre los dos puntos, es decir, el desplazamiento  $y_2 - y_1 = y_2 - 0 = y_2$ .

**7.4** Despues de que la pelota sale de la mano, se conserva la energía mecánica  $E = K + U$ .



Después de separarse la pelota de la mano, la única fuerza que actúa sobre ella es la fuerza gravitacional ...



**EJECUTAR:** Tenemos que  $y_1 = 0$ ,  $U_{\text{grav},1} = mgy_1 = 0$  y  $K_1 = \frac{1}{2}mv_1^2 = 0$ . Así que la ecuación (7.4), que dice que  $K_1 + U_{\text{grav},1} = K_2 + U_{\text{grav},2}$ , se convierte en

$$K_1 = U_{\text{grav},2}$$

Como se observa en las gráficas de barras de energía de la figura 7.4, esta ecuación indica que la energía cinética de la pelota en el punto 1 se convierte totalmente en energía potencial gravitacional en el punto 2. Al sustituir  $K_1 = \frac{1}{2}mv_1^2$  y  $U_{\text{grav},2} = mgy_2$  y despejando  $y_2$ :

$$\frac{1}{2}mv_1^2 = mgy_2$$

$$y_2 = \frac{v_1^2}{2g} = \frac{(20.0 \text{ m/s})^2}{2(9.80 \text{ m/s}^2)} = 20.4 \text{ m}$$

**EVALUAR:** Como comprobación, utilice el valor dado de  $v_1$  y el resultado de  $y_2$  para calcular la energía cinética en el punto 1 y la energía potencial gravitacional en el punto 2. Los cálculos deberían ser iguales:  $K_1 = \frac{1}{2}mv_1^2 = 29.0 \text{ J}$  y  $U_{\text{grav},2} = mgy_2 = 29.0 \text{ J}$ . Observe que también podríamos haber obtenido el resultado de  $y_2 = v_1^2/2g$  utilizando la ecuación (2.13) como  $v_{2y}^2 = v_{1y}^2 - 2g(y_2 - y_1)$ .

¿Qué ocurre si elegimos otro origen? Por ejemplo, ¿qué sucede si lo colocamos 5.0 m debajo del punto 1, de modo que  $y_1 = 5.0 \text{ m}$ ? Entonces, la energía mecánica total en el punto 1 será en parte cinética y en parte potencial; en el punto 2 será puramente potencial porque  $v_2 = 0$ . Se determinará que la elección de este origen produce  $y_2 = 25.4 \text{ m}$ , pero nuevamente,  $y_2 - y_1 = 20.4 \text{ m}$ . En problemas como éste, corresponde a usted elegir la altura donde  $U_{\text{grav}} = 0$ ; la física no depende de su elección.

## Cuando otras fuerzas distintas de la gravedad realizan trabajo

Si otras fuerzas actúan sobre el cuerpo además de su peso, entonces  $\vec{F}_{\text{otras}}$  de la figura 7.2 no es cero. En el caso del martinet del ejemplo 6.4 (sección 6.2), la fuerza aplicada por el cable y la fricción de las guías verticales son ejemplos de fuerzas que podrían estar incluidas en  $\vec{F}_{\text{otras}}$ . El trabajo gravitacional  $W_{\text{grav}}$  aún está dado por la ecuación (7.3); pero el trabajo total  $W_{\text{tot}}$  es la suma de  $W_{\text{grav}}$  y el trabajo de  $\vec{F}_{\text{otras}}$ . Llamamos a este trabajo adicional  $W_{\text{otras}}$ , de modo que el trabajo total realizado por todas las fuerzas es  $W_{\text{tot}} = W_{\text{grav}} + W_{\text{otras}}$ . Igualando esto con el cambio de energía cinética,

$$W_{\text{otras}} + W_{\text{grav}} = K_2 - K_1 \quad (7.5)$$

Asimismo, por la ecuación (7.3),  $W_{\text{grav}} = U_{\text{grav},1} - U_{\text{grav},2}$ , así que la ecuación (7.5) se convierte en

$$W_{\text{otras}} + U_{\text{grav},1} - U_{\text{grav},2} = K_2 - K_1$$

que podemos reacomodar así:

$$K_1 + U_{\text{grav},1} + W_{\text{otras}} = K_2 + U_{\text{grav},2} \quad (\text{si otras fuerzas, además de la fuerza gravitacional, efectúan trabajo}) \quad (7.6)$$

Se pueden usar las expresiones adecuadas para los distintos términos de energía de la ecuación (7.6):

$$\frac{1}{2}mv_1^2 + mgy_1 + W_{\text{otras}} = \frac{1}{2}mv_2^2 + mgy_2 \quad (\text{si otras fuerzas, además de la fuerza de gravedad, efectúan trabajo}) \quad (7.7)$$

El significado de las ecuaciones (7.6) y (7.7) es el siguiente: *el trabajo realizado por todas las fuerzas distintas de la fuerza gravitacional es igual al cambio en la energía mecánica total  $E = K + U_{\text{grav}}$  del sistema, donde  $U_{\text{grav}}$  es la energía potencial gravitacional*. Si  $W_{\text{otras}}$  es positivo,  $E$  aumenta y  $K_2 + U_{\text{grav},2}$  es mayor que  $K_1 + U_{\text{grav},1}$ . Si  $W_{\text{otras}}$  es negativo,  $E$  disminuye (figura 7.5). En el caso especial en que sólo el peso del cuerpo realiza trabajo,  $W_{\text{otras}} = 0$ . Entonces, la energía mecánica total es constante y volvemos a la ecuación (7.4).

**7.5** Conforme este paracaidista va cayendo, la fuerza hacia arriba de la resistencia del aire realiza trabajo negativo  $W_{\text{otras}}$  sobre él. Por lo tanto, disminuye la energía mecánica total  $E = K + U$ .



- $\vec{F}_{\text{otras}}$  y  $\vec{s}$  son opuestas, por lo que  $W_{\text{otras}} < 0$ .
- Por lo tanto,  $E = K + U_{\text{grav}}$  debe disminuir.
- La rapidez del paracaídas permanece constante, por lo que  $K$  es constante.
- El paracaídas desciende, por lo que  $U_{\text{grav}}$  disminuye.

### ESTRATEGIA PARA RESOLVER PROBLEMAS 7.1 PROBLEMAS CON USO DE ENERGÍA MECÁNICA I

**IDENTIFICAR** los conceptos relevantes: Determine si conviene resolver el problema con métodos de energía, usando  $\sum \vec{F} = m\vec{a}$  directamente, o bien, mediante una combinación de estrategias. El enfoque de energía es mejor si el problema implica movimiento con fuerzas variables, o movimiento a lo largo de una trayectoria curva (que veremos más adelante en esta sección). Si el problema implica el tiempo transcurrido, el enfoque de energía no suele ser el mejor porque en él no interviene el tiempo directamente.

**PLANTEAR** el problema siguiendo estos pasos:

1. Si usa el enfoque de energía, primero identifique cuáles son los estados inicial y final (posiciones y velocidades) de los cuerpos en cuestión. Use el subíndice 1 para el estado inicial y el subíndice 2 para el estado final. Elabore dibujos que muestren los estados inicial y final.
2. Defina un sistema de coordenadas y elija el nivel donde  $y = 0$ . Seleccione la dirección y positiva hacia arriba (las ecuaciones en esta sección lo requieren).
3. Identifique todas las fuerzas que realicen trabajo sobre cada cuerpo y que no puedan describirse en términos de energía potencial. (Por

ahora, esto significa cualesquier fuerzas no gravitacionales. En la sección 7.2 veremos que el trabajo efectuado por un resorte ideal también puede expresarse como un cambio en la energía potencial). Dibuje un diagrama de cuerpo libre para cada cuerpo.

4. Elabore una lista de las cantidades conocidas y desconocidas, incluyendo las coordenadas y las velocidades en cada punto. Identifique las incógnitas.

**EJECUTAR** la solución: Escriba expresiones para las energías cinéticas y potenciales iniciales y finales  $K_1$ ,  $K_2$ ,  $U_{\text{grav},1}$  y  $U_{\text{grav},2}$ . Si ninguna otra fuerza realiza trabajo, use la ecuación (7.4). Si hay otras fuerzas que realicen trabajo, use la ecuación (7.6). Dibuje gráficas de barras que muestren los valores iniciales y finales de  $K$ ,  $U_{\text{grav},1}$  y  $E = K + U_{\text{grav}}$ . Luego despeje las incógnitas requeridas.

**EVALUAR** la respuesta: Verifique si su respuesta tiene sentido físico. Tenga presente que el trabajo gravitacional está incluido en  $\Delta U_{\text{grav}}$ , de modo que no lo incluya en  $W_{\text{otras}}$ .



SOLUCIÓN

## EJEMPLO 7.2 TRABAJO Y ENERGÍA AL LANZAR UNA PELOTA DE BÉISBOL

En el ejemplo 7.1, suponga que la mano sube 0.50 m al lanzar la pelota, la cual, al salir de la mano, tiene una velocidad hacia arriba de 20.0 m/s. *a)* Calcule la magnitud de la fuerza (suponiendo que es constante) que la mano ejerce sobre la pelota. *b)* Determine la rapidez de la pelota en un punto 15.0 m arriba del punto de donde salió de la mano. Desprecie la resistencia del aire.

### SOLUCIÓN

**IDENTIFICAR y PLANTEAR:** En el ejemplo 7.1, sólo la fuerza gravitacional efectuaba trabajo. En este ejemplo, debemos incluir el “otro” trabajo no gravitacional realizado por la mano. La figura 7.6 muestra un diagrama de la situación, incluyendo un diagrama de cuerpo libre de la pelota al ser lanzada. Sea 1 el punto donde la mano inicia su movimiento, el punto 2 donde la pelota sale de la mano y el punto 3 donde la pelota está 15.0 m arriba del punto 2. La fuerza no gravitacional  $\vec{F}$  de su mano únicamente actúa entre los puntos 1 y 2. Utilizando el mismo sistema de coordenadas del ejemplo 7.1, tenemos que  $y_1 = -0.50$  m,  $y_2 = 0$  y  $y_3 = 15.0$  m. La pelota parte del reposo en el punto 1, así que  $v_1 = 0$ , y la rapidez con que la pelota sale de la mano es  $v_2 = 20.0$  m/s. Las incógnitas son *a)* la magnitud  $F$  de la fuerza de la mano y *b)* la magnitud de la velocidad  $v_{3y}$  de la pelota en el punto 3.

**EJECUTAR:** *a)* Para determinar  $F$ , primero usaremos la ecuación (7.6) con la finalidad de calcular el trabajo  $W_{\text{otras}}$  efectuado por esta fuerza. Tenemos

$$K_1 = 0$$

$$U_{\text{grav},1} = mgy_1 = (0.145 \text{ kg})(9.80 \text{ m/s}^2)(-0.50 \text{ m}) = -0.71 \text{ J}$$

$$K_2 = \frac{1}{2}mv_2^2 = \frac{1}{2}(0.145 \text{ kg})(20.0 \text{ m/s})^2 = 29.0 \text{ J}$$

$$U_{\text{grav},2} = mgy_2 = (0.145 \text{ kg})(9.80 \text{ m/s}^2)(0) = 0$$

(No se preocupe de que  $U_{\text{grav},1}$  sea menor que cero, lo importante es la diferencia en la energía potencial de un punto al otro). De acuerdo con la ecuación (7.6),

$$K_1 + U_{\text{grav},1} + W_{\text{otras}} = K_2 + U_{\text{grav},2}$$

$$\begin{aligned} W_{\text{otras}} &= (K_2 - K_1) + (U_{\text{grav},2} - U_{\text{grav},1}) \\ &= (29.0 \text{ J} - 0) + [0 - (-0.71 \text{ J})] = 29.7 \text{ J} \end{aligned}$$

Pero como  $\vec{F}$  es constante y hacia arriba, el trabajo efectuado por  $\vec{F}$  es igual a la magnitud de la fuerza multiplicada por el desplazamiento:  $W_{\text{otras}} = F(y_2 - y_1)$ . De modo que

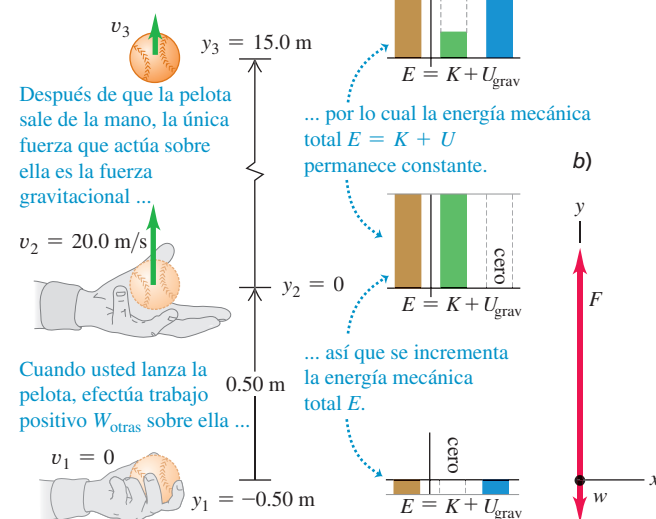
$$F = \frac{W_{\text{otras}}}{y_2 - y_1} = \frac{29.7 \text{ J}}{0.50 \text{ m}} = 59 \text{ N}$$

que es más de 40 veces el peso de la pelota (1.42 N).

*b)* Para obtener  $v_{3y}$ , observe que, entre los puntos 2 y 3, sólo actúa la fuerza de gravedad sobre la pelota. De modo que entre estos

**7.6 a)** Aplicación de los conceptos de energía al lanzamiento vertical hacia arriba de una pelota. **b)** Diagrama de cuerpo libre de la pelota al lanzarla.

a)



puntos la energía mecánica se conserva y  $W_{\text{otras}} = 0$ . De la ecuación (7.4), podemos despejar  $K_3$  y a partir de eso despejar  $v_{3y}$ :

$$K_2 + U_{\text{grav},2} = K_3 + U_{\text{grav},3}$$

$$U_{\text{grav},3} = mgy_3 = (0.145 \text{ kg})(9.80 \text{ m/s}^2)(15.0 \text{ m}) = 21.3 \text{ J}$$

$$\begin{aligned} K_3 &= (K_2 + U_{\text{grav},2}) - U_{\text{grav},3} \\ &= (29.0 \text{ J} + 0 \text{ J}) - 21.3 \text{ J} = 7.7 \text{ J} \end{aligned}$$

Como  $K_3 = \frac{1}{2}mv_{3y}^2$ , tenemos

$$v_{3y} = \pm \sqrt{\frac{2K_3}{m}} = \pm \sqrt{\frac{2(7.7 \text{ J})}{0.145 \text{ kg}}} = \pm 10 \text{ m/s}$$

El signo más o menos nos recuerda que la pelota pasa por el punto 3, cuando sube y cuando baje. La energía cinética de la pelota en el punto 3 es  $K_3 = 7.7 \text{ J}$  y, por lo tanto, su rapidez en ese punto no depende de la dirección del movimiento de la pelota. La velocidad  $v_{3y}$  es positiva (+10 m/s) cuando la pelota sube y negativa (-10 m/s) cuando baje: en cualquier caso, la rapidez  $v_3$  es 10 m/s.

**EVALUAR:** En el ejemplo 7.1, vimos que la pelota alcanza una altura máxima de  $y = 20.4 \text{ m}$ . En ese punto, toda la energía cinética que la pelota tenía cuando salió de la mano en  $y = 0$  ya se convirtió en energía potencial gravitacional. En  $y = 15.0 \text{ m}$ , la pelota está a tres cuartas partes del camino hacia su altura máxima, así que unas tres cuartas partes de su energía mecánica deberían estar en forma de energía potencial. ¿Puede demostrar que es así, con base en los valores obtenidos para  $K_3$  y  $U_{\text{grav},3}$ ?

## Energía potencial gravitacional en el movimiento con trayectoria curva

En nuestros primeros dos ejemplos, el cuerpo se movió a lo largo de una línea vertical recta. ¿Qué sucede si la trayectoria es inclinada o curva (figura 7.7a)? Sobre el cuerpo actúa la fuerza gravitacional  $\vec{w} = m\vec{g}$  y tal vez otras fuerzas cuya resultante se denomina  $\vec{F}_{\text{otras}}$ . Para calcular el trabajo efectuado por la fuerza gravitacional durante

este desplazamiento, se divide la trayectoria en pequeños segmentos  $\Delta\vec{s}$ ; la figura 7.7b muestra un segmento típico. El trabajo realizado por la fuerza gravitacional sobre este segmento es el producto escalar o producto punto de la fuerza por el desplazamiento. En términos de vectores unitarios, la fuerza es  $\vec{w} = m\vec{g} = -mg\hat{j}$  y el desplazamiento es  $\Delta\vec{s} = \Delta x\hat{i} + \Delta y\hat{j}$ , así que

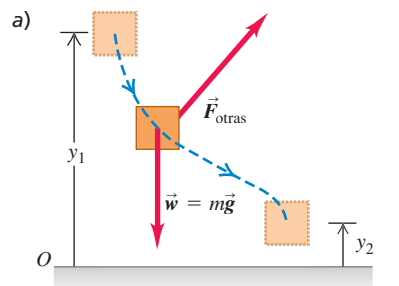
$$W_{\text{grav}} = \vec{w} \cdot \Delta\vec{s} = -mg\hat{j} \cdot (\Delta x\hat{i} + \Delta y\hat{j}) = -mg\Delta y$$

El trabajo efectuado por la fuerza gravitacional es el mismo que si el cuerpo se hubiera desplazado verticalmente una distancia  $\Delta y$ , sin considerar el desplazamiento horizontal. Esto se cumple para cada segmento, así que el trabajo *total* efectuado por la fuerza gravitacional es  $-mg$  multiplicado por el desplazamiento vertical *total* ( $y_2 - y_1$ ):

$$W_{\text{grav}} = -mg(y_2 - y_1) = mgy_1 - mgy_2 = U_{\text{grav},1} - U_{\text{grav},2}$$

que es igual a la ecuación (7.1) o (7.3), donde se supuso una trayectoria totalmente vertical. Así que, aun si la trayectoria de un cuerpo entre dos puntos es curva, el trabajo total efectuado por la fuerza de gravedad depende sólo de la diferencia de altura entre esos dos puntos. Este trabajo no se ve afectado por ningún movimiento horizontal que pueda darse. Por lo tanto, *podemos usar la misma expresión para la energía potencial gravitacional, sea recta o curva la trayectoria del cuerpo*.

**7.7** Cálculo del cambio de la energía potencial gravitacional en un desplazamiento a lo largo de una trayectoria curva.



b)

El trabajo realizado por la fuerza gravitacional sólo depende de la componente vertical del desplazamiento  $\Delta y$ .

$\vec{w} = m\vec{g}$

En este caso  $\Delta y$  es negativo.

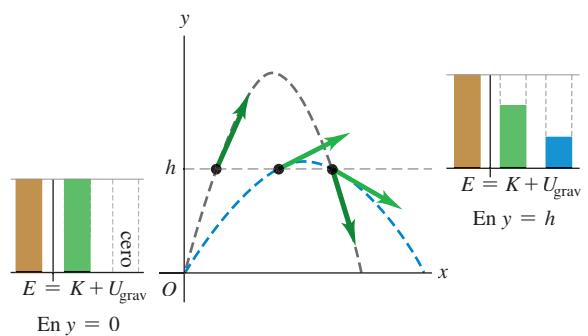
### EJEMPLO CONCEPTUAL 7.3 ENERGÍA EN EL MOVIMIENTO DE PROYECTILES

Se batean dos pelotas de béisbol idénticas con la misma rapidez y altura iniciales, pero con distintos ángulos de lanzamiento. Demuestre que, a cualquier altura  $h$ , ambas pelotas tienen la misma rapidez despreciando la resistencia del aire.

#### SOLUCIÓN

La única fuerza que actúa sobre cada pelota después de ser bateada es su peso, así que la energía mecánica total de cada pelota es constante. La figura 7.8 muestra las trayectorias de las dos pelotas, bateadas a la misma altura con la misma rapidez inicial  $y$ , por ende, la misma energía mecánica total, pero con diferentes ángulos iniciales. En todos los puntos con la misma altura, la energía potencial es la misma. Entonces, la energía cinética a esa altura debe ser igual para ambas pelotas y, por lo tanto, su rapidez es la misma.

**7.8** Para la misma rapidez y altura iniciales, la rapidez de un proyectil a una altura dada  $h$  siempre es la misma, si se desprecia la resistencia del aire.



### EJEMPLO 7.4 RAPIDEZ EN LA PARTE INFERIOR DE UN CÍRCULO VERTICAL

Un primo Throckmorton baja en patineta, a partir del reposo, por una rampa curva sin fricción. Si consideramos a Throcky y su patineta como una partícula, ésta describe un cuarto de círculo de radio  $R = 3.00 \text{ m}$  (figura 7.9, página siguiente). La masa total de Throcky y su patineta es de  $25.0 \text{ kg}$ . a) Calcule su rapidez en la parte inferior de la rampa. b) Determine la fuerza normal que actúa sobre él en la base de la rampa.

#### SOLUCIÓN

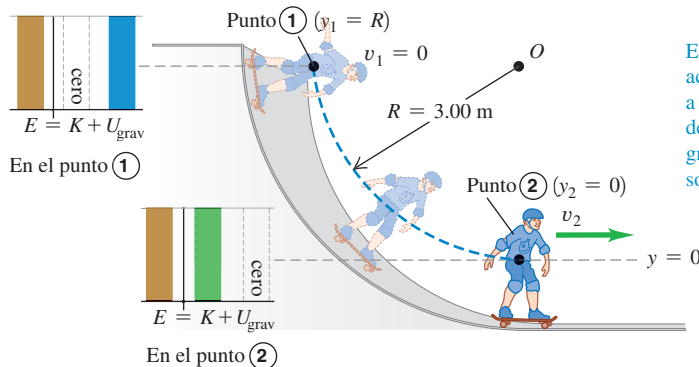
**IDENTIFICAR:** No podemos usar las ecuaciones de aceleración constante del capítulo 2, porque la aceleración de Throcky no es constante; la pendiente disminuye a medida que él desciende. En vez de ello, usaremos el enfoque de energía. Puesto que Throcky se mueve en un arco circular, también usaremos lo que aprendimos acerca del movimiento circular en la sección 5.4.

**PLANTEAR:** Las únicas fuerzas que actúan sobre Throcky son su peso  $y$  la fuerza normal  $\vec{n}$  ejercida por la rampa (figura 7.9b). Aunque  $\vec{n}$  actúa en toda la trayectoria, no efectúa trabajo porque  $\vec{n}$  siempre es perpendicular al desplazamiento de Throcky. Así,  $W_{\text{otras}} = 0$  y se conserva la energía mecánica. Trataremos a Throcky como una partícula ubicada en el centro de su cuerpo, tomemos 1 como su punto de partida y 2 (que sea  $y = 0$ ) como su punto más bajo. Tomamos la dirección y positiva hacia arriba; entonces,  $y_1 = R$  y  $y_2 = 0$ . Throcky parte del reposo en la parte superior, de manera que  $v_1 = 0$ . La incógnita en el inciso a) es su rapidez  $v_2$  en la parte inferior; en el inciso b), la incógnita es la magnitud  $n$  de la fuerza normal en el punto 2. Para calcular  $n$ , usaremos la segunda ley de Newton y la relación  $a = v^2/R$ .

Continúa

**7.9 a)** Throcky baja en patineta una rampa circular sin fricción. La energía mecánica total es constante. **b)** Diagrama de cuerpo libre para Throcky y su patineta en diferentes puntos de la rampa.

a)



**EJECUTAR:** a) Las diferentes cantidades de energía son

$$K_1 = 0 \quad U_{\text{grav},1} = mgR$$

$$K_2 = \frac{1}{2}mv_2^2 \quad U_{\text{grav},2} = 0$$

Por la conservación de la energía mecánica, ecuación (7.4),

$$K_1 + U_{\text{grav},1} = K_2 + U_{\text{grav},2}$$

$$0 + mgR = \frac{1}{2}mv_2^2 + 0$$

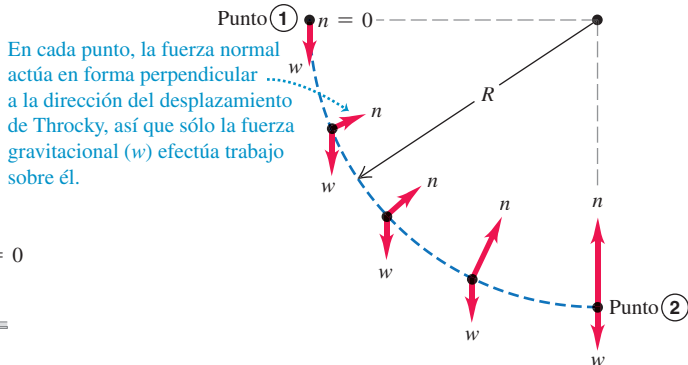
$$v_2 = \sqrt{2gR} = \sqrt{2(9.80 \text{ m/s}^2)(3.00 \text{ m})} = 7.67 \text{ m/s}$$

Esta respuesta no depende de que la rampa sea circular; Throcky tendría la misma rapidez  $v_2 = \sqrt{2gR}$  en la base de cualquier rampa de altura  $R$ , sin importar cuál sea su forma.

b) Para obtener  $n$  en el punto 2 empleando la segunda ley de Newton, necesitamos el diagrama de cuerpo libre en ese punto (figura 7.9b). En el punto 2, Throcky se mueve con rapidez  $v_2 = \sqrt{2gR}$  en un círculo de radio  $R$ ; su aceleración es hacia el centro del círculo y tiene magnitud

$$a_{\text{rad}} = \frac{v_2^2}{R} = \frac{2gR}{R} = 2g$$

b)



La componente  $y$  de la segunda ley de Newton es

$$\sum F_y = n + (-w) = ma_{\text{rad}} = 2mg$$

$$n = w + 2mg = 3mg$$

$$= 3(25.0 \text{ kg})(9.80 \text{ m/s}^2) = 735 \text{ N}$$

En el punto 2, la fuerza normal es el triple del peso de Throcky, un resultado independiente del radio  $R$  de la rampa. En los ejemplos 5.9 y 5.23 vimos que la magnitud de  $n$  es el *peso aparente*, así que en la base de la *parte curva* de la rampa, Throcky sentirá como si tuviera tres veces su peso real  $mg$ . Sin embargo, cuando llegue a la parte *horizontal* de la rampa a la derecha del punto 2, la fuerza normal disminuirá a  $w = mg$ , y Throcky sentirá su peso normal otra vez. ¿Entiende por qué?

**EVALUAR:** Este ejemplo ilustra una regla general acerca del papel de las fuerzas en problemas en que usamos técnicas de energía: lo que importa no es únicamente si *actúa* una fuerza, sino si *efectúa trabajo*. Si la fuerza no realiza trabajo, como la fuerza normal  $\vec{n}$  en este ejemplo, entonces no aparece en las ecuaciones (7.4) y (7.6).

### EJEMPLO 7.5 CÍRCULO VERTICAL CON FRICCIÓN

En el ejemplo 7.4, suponga que la rampa tiene fricción y que la rapidez de Throcky en la base es de sólo 6.00 m/s, no la de 7.67 m/s que calculamos. ¿Qué trabajo efectuó la fuerza de fricción sobre él?

#### SOLUCIÓN

**IDENTIFICAR y PLANTEAR:** El planteamiento es el mismo que el del ejemplo 7.4. La figura 7.10 muestra que de nuevo la fuerza normal no efectúa trabajo, pero ahora hay una fuerza de fricción  $\vec{f}$  que sí realiza el trabajo  $W_f$ . Entonces, el trabajo que no es gravitacional,  $W_{\text{otras}}$ , efectuado sobre Throcky entre los puntos 1 y 2, es igual a  $W_f$  y no es cero. La incógnita es  $W_f = W_{\text{otras}}$ , que obtendremos usando la ecuación (7.6). Como  $\vec{f}$  apunta en dirección opuesta al movimiento de Throcky,  $W_f$  es negativo.

**EJECUTAR:** Las cantidades de energía son

$$K_1 = 0$$

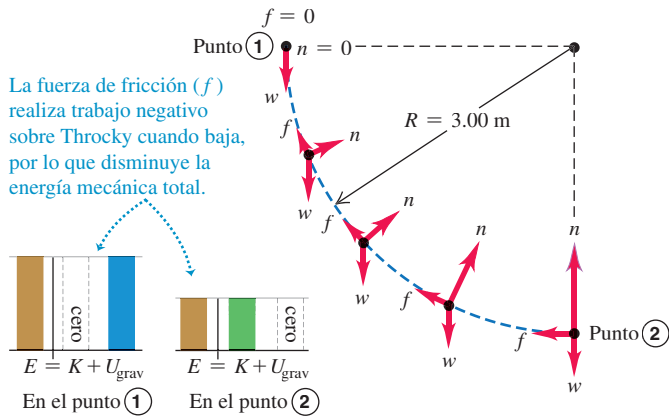
$$U_{\text{grav},1} = mgR = (25.0 \text{ kg})(9.80 \text{ m/s}^2)(3.00 \text{ m}) = 735 \text{ J}$$

$$K_2 = \frac{1}{2}mv_2^2 = \frac{1}{2}(25.0 \text{ kg})(6.00 \text{ m/s})^2 = 450 \text{ J}$$

$$U_{\text{grav},2} = 0$$



**7.10** Diagramas de cuerpo libre y gráficas de barras de la energía, para el caso en que Throcky baja en patineta por una rampa con fricción.



De acuerdo con la ecuación (7.6),

$$\begin{aligned} W_f &= W_{\text{otras}} \\ &= K_2 + U_{\text{grav},2} - K_1 - U_{\text{grav},1} \\ &= 450 \text{ J} + 0 - 0 - 735 \text{ J} \\ &= -285 \text{ J} \end{aligned}$$

El trabajo efectuado por la fuerza de fricción es  $-285 \text{ J}$  y la energía mecánica total *disminuye* en  $285 \text{ J}$ .

**EVALUAR:** El resultado de  $W_f$  es negativo. ¿Puede ver en los diagramas de cuerpo libre de la figura 7.10 por qué esto debe ser así?

Sería muy difícil aplicar la segunda ley de Newton  $\sum \vec{F} = m\vec{a}$  directamente al problema, porque las fuerzas normal y de fricción, así como la aceleración, están cambiando continuamente de magnitud y dirección conforme Throcky desciende. El enfoque de energía, en cambio, relaciona los movimientos en la parte superior y la base de la rampa, sin implicar los detalles del movimiento entre ellas.

### EJEMPLO 7.6 PLANO INCLINADO CON FRICCIÓN



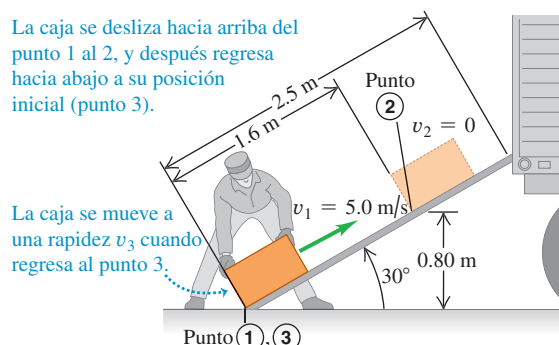
Deseamos subir una caja de  $12 \text{ kg}$  deslizándola por una rampa de  $2.5 \text{ m}$  inclinada  $30^\circ$ . Sin considerar la fricción un obrero calcula que puede subir la caja por la rampa dándole una rapidez inicial de  $5.0 \text{ m/s}$  en la base y soltándola. Sin embargo, la fricción *no* es despreciable; la caja sube  $1.6 \text{ m}$  por la rampa, se detiene y se desliza de regreso (**figura 7.11a**). *a)* Suponiendo que la fuerza de fricción que actúa sobre la caja es constante, calcule su magnitud. *b)* ¿Qué rapidez tiene la caja al volver a la base de la rampa?

#### SOLUCIÓN

**IDENTIFICAR y PLANTEAR:** La fuerza de fricción efectúa trabajo sobre la caja cuando se desliza del punto 1, en la base de la rampa, al punto 2, donde la caja se detiene por un instante ( $v_2 = 0$ ). La fricción también realiza trabajo conforme la caja vuelve a la base de la rampa, que llamaremos punto 3 (figura 7.11a). Tomaremos la dirección y positiva hacia arriba y  $y = 0$  ( $y$ , por lo tanto,  $U_{\text{grav}} = 0$ ) al nivel del piso (punto 1), de modo que  $y_1 = 0$ ,  $y_2 = (1.6 \text{ m}) \sin 30^\circ = 0.80 \text{ m}$  y  $y_3 = 0$ . Se sabe que  $v_1 = 5.0 \text{ m/s}$ . La incógnita en el inciso *a*) es  $f$ , la magnitud de la fuerza de fricción, conforme la caja se desliza hacia arriba; la calcularemos usando el enfoque de energía. En el inciso *b*), la incógnita es  $v_3$ , la rapidez de la caja en la base de la rampa. Calcularemos el trabajo realizado por la fricción cuando

- 7.11 a)** Una caja sube deslizándose por una rampa, se detiene y se desliza de regreso. **b)** Gráficas de barras de la energía para los puntos 1, 2 y 3.

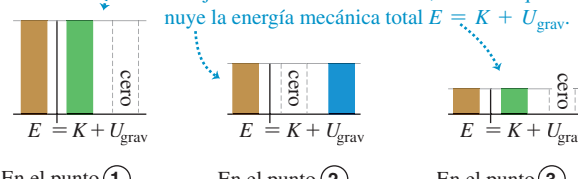
- a) La caja se desliza hacia arriba del punto 1 al 2, y después regresa hacia abajo a su posición inicial (punto 3).



La caja se mueve a una rapidez  $v_3$  cuando regresa al punto 3.

La fuerza de fricción efectúa trabajo negativo sobre la caja conforme ésta se mueve, de modo que disminuye la energía mecánica total  $E = K + U_{\text{grav}}$ .

b)



En el punto ①

En el punto ②

En el punto ③

la caja se desliza hacia abajo y, luego, usaremos el enfoque de energía para calcular  $v_3$ .

**EJECUTAR:** *a)* Las energías son

$$K_1 = \frac{1}{2}(12 \text{ kg})(5.0 \text{ m/s})^2 = 150 \text{ J}$$

$$U_{\text{grav},1} = 0$$

$$K_2 = 0$$

$$U_{\text{grav},2} = (12 \text{ kg})(9.8 \text{ m/s}^2)(0.80 \text{ m}) = 94 \text{ J}$$

$$W_{\text{otras}} = -fs$$

Aquí  $s = 1.6 \text{ m}$ . Con la ecuación (7.7), obtenemos

$$K_1 + U_{\text{grav},1} + W_{\text{otras}} = K_2 + U_{\text{grav},2}$$

$$W_{\text{otras}} = -fs = (K_2 + U_{\text{grav},2}) - (K_1 + U_{\text{grav},1})$$

$$= (0 + 94 \text{ J}) - (150 \text{ J} + 0) = -56 \text{ J} = -fs$$

$$f = \frac{W_{\text{otras}}}{s} = \frac{56 \text{ J}}{1.6 \text{ m}} = 35 \text{ N}$$

Actuando a lo largo de  $1.6 \text{ m}$ , la fuerza de fricción de  $35 \text{ N}$  reduce la energía mecánica de la caja, de  $150$  a  $94 \text{ J}$  (figura 7.11b).

*b)* Conforme la caja se mueve del punto 2 al 3, el trabajo realizado por la fricción tiene el mismo valor negativo que cuando va del punto 1 al 2 (la fuerza de fricción y el desplazamiento tienen sentidos opuestos, pero igual magnitud). Por lo tanto, el trabajo total efectuado por la fricción entre los puntos 1 y 3 es

$$W_{\text{otras}} = W_{\text{fric}} = -2fs = -2(56 \text{ J}) = -112 \text{ J}$$

A partir del inciso *a*),  $K_1 = 150 \text{ J}$  y  $U_{\text{grav},1} = 0$ ; además,  $U_{\text{grav},3} = 0$  ya que  $y_3 = 0$ . La ecuación (7.6) da, entonces,

$$K_1 + U_{\text{grav},1} + W_{\text{otras}} = K_3 + U_{\text{grav},3}$$

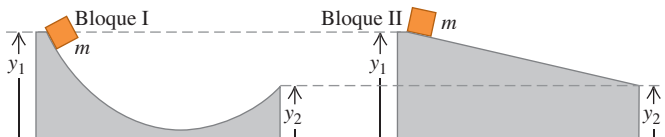
$$\begin{aligned} K_3 &= K_1 + U_{\text{grav},1} - U_{\text{grav},3} + W_{\text{otras}} \\ &= 150 \text{ J} + 0 - 0 + (-112 \text{ J}) = 38 \text{ J} \end{aligned}$$

La caja vuelve a la base de la rampa con sólo  $38 \text{ J}$  de los  $150 \text{ J}$  originales de energía mecánica (figura 7.11b). Como  $K_3 = \frac{1}{2}mv_3^2$ ,

$$v_3 = \sqrt{\frac{2K_3}{m}} = \sqrt{\frac{2(38 \text{ J})}{12 \text{ kg}}} = 2.5 \text{ m/s}$$

**EVALUAR:** Se perdió energía debido a la fricción, de modo que la rapidez  $v_3 = 2.5 \text{ m/s}$  cuando la caja regresa a la base de la rampa es menor que  $v_1 = 5.0 \text{ m/s}$  a la cual salió de ese punto. En el inciso *b*) aplicamos la ecuación (7.6) a los puntos 1 y 3, considerando el viaje redondo en conjunto. De forma alternativa, podríamos haber considerado la segunda parte del movimiento por sí mismo y aplicado la ecuación (7.6) a los puntos 2 y 3. Inténtelo. ¿Obtiene el mismo resultado para  $v_3$ ?

**EVALÚE SU COMPRENSIÓN DE LA SECCIÓN 7.1** La figura muestra dos rampas distintas sin fricción. Las alturas  $y_1$  y  $y_2$  son iguales en cada rampa. Si un bloque con masa  $m$  se suelta del reposo en el extremo izquierdo de cada rampa, ¿cuál bloque tendrá mayor rapidez al llegar al extremo derecho? **i.** El bloque I; **ii.** el bloque II; **iii.** la rapidez es la misma para ambos bloques.



## 7.2 ENERGÍA POTENCIAL ELÁSTICA

**7.12** El tendón de Aquiles, que va de la parte posterior del tobillo al hueso del talón, actúa como un resorte natural. Cuando se estira y luego se relaja, el tendón almacena y después libera energía potencial elástica. Esta acción de resorte reduce el trabajo que deben efectuar los músculos de la pierna al correr.



Hay muchas situaciones en las cuales encontramos energía potencial que no es de naturaleza gravitacional. Un ejemplo es la banda de hule o liga de una resortera. El trabajo es efectuado por la fuerza que estira la banda y ese trabajo se almacena en la banda hasta que ésta se suelta. Entonces, la banda le da energía cinética al proyectil.

Éste es el mismo patrón que vimos con la pelota de béisbol en el ejemplo 7.2: efectuar trabajo sobre el sistema para almacenar energía, la cual después se convierte en energía cinética. Describiremos el proceso de almacenar energía en un cuerpo deformable, como un resorte o una banda de hule, en términos de *energía potencial elástica* (**figura 7.12**). Un cuerpo es *elástico* si recupera su forma y tamaño originales después de deformarse.

Especificamente, consideraremos el almacenamiento de energía en un resorte ideal como los que estudiamos en la sección 6.3. Para mantener un resorte ideal estirado una distancia  $x$ , debemos ejercer una fuerza  $F = kx$ , donde  $k$  es la constante de fuerza del resorte. Muchos cuerpos elásticos presentan esta proporcionalidad directa entre la fuerza  $\vec{F}$  y el desplazamiento  $x$ , siempre que  $x$  sea lo suficientemente pequeña.

Procedemos igual que con la energía potencial gravitacional. Comenzamos con el trabajo realizado por la fuerza elástica (del resorte) y lo combinamos con el teorema trabajo-energía. La diferencia es que la energía potencial gravitacional es una propiedad compartida entre un cuerpo y la Tierra; y la energía potencial elástica sólo se almacena en el resorte (u otro cuerpo deformable).

La **figura 7.13** muestra el resorte ideal de la figura 6.18, con su extremo izquierdo fijo y el extremo derecho sujeto a un bloque de masa  $m$  que puede moverse sobre el eje  $x$ . En la figura 7.13a, el cuerpo está en  $x = 0$  cuando el resorte no está ni estirado ni comprimido. Movemos el bloque hacia un lado, estirando o comprimiendo el resorte, y luego lo soltamos. Al moverse el bloque de una posición  $x_1$  a otra posición  $x_2$ , ¿cuánto trabajo realiza la fuerza elástica (del resorte) sobre el bloque?

En la sección 6.3 vimos que el trabajo que debemos efectuar *sobre* el resorte para mover un extremo desde un alargamiento  $x_1$  hasta otro alargamiento distinto  $x_2$  es

$$W = \frac{1}{2}kx_2^2 - \frac{1}{2}kx_1^2 \quad (\text{trabajo efectuado } \text{sobre} \text{ un resorte}) \quad (7.8)$$

donde  $k$  es la constante de fuerza del resorte. Si estiramos más el resorte, realizamos trabajo positivo sobre él; si dejamos que el resorte se relaje sosteniendo un extremo, realizamos trabajo negativo sobre él. También vimos que esta expresión para el trabajo sigue siendo correcta si el resorte se comprime, de modo que  $x_1$  o  $x_2$ , o ambas, son negativas. Ahora, a partir de la tercera ley de Newton, el trabajo efectuado *por* el resorte es el negativo del realizado *sobre* él. Al cambiar los signos en la ecuación, vemos que, al desplazarse de  $x_1$  a  $x_2$ , el resorte efectúa un trabajo  $W_{\text{el}}$  dado por

$$W_{\text{el}} = \frac{1}{2}kx_1^2 - \frac{1}{2}kx_2^2 \quad (\text{trabajo efectuado } \text{por} \text{ un resorte}) \quad (7.9)$$

El subíndice “el” significa *elástico*. Si  $x_1$  y  $x_2$  son positivos y  $x_2 > x_1$  (figura 7.13b), el resorte efectúa trabajo negativo sobre el bloque, que se mueve en la dirección  $+x$  mientras el resorte jala de él en la dirección  $-x$ . El resorte se estira más y el bloque se

frena. Si  $x_1$  y  $x_2$  son positivos y  $x_2 < x_1$  (figura 7.13c), el trabajo del resorte es positivo al relajarse y el bloque se acelera. Si el resorte puede comprimirse o estirarse,  $x_1$  o  $x_2$ , o ambas, pueden ser negativas; sin embargo, la expresión para  $W_{\text{el}}$  sigue siendo válida. En la figura 7.13d,  $x_1$  y  $x_2$  son negativas, pero  $x_2$  lo es menos; el resorte comprimido efectúa trabajo positivo al relajarse, acelerando al bloque.

Al igual que hicimos con el trabajo gravitacional, podemos expresar en la ecuación (7.9) el trabajo realizado por el resorte en términos de una cantidad dada al principio y al final del desplazamiento. Esta cantidad es  $\frac{1}{2}kx^2$ , que definimos como la **energía potencial elástica**:

Energía potencial elástica  $U_{\text{el}} = \frac{1}{2}kx^2$  (7.10)  
 almacenada en el resorte

Fuerza constante del resorte  
 Alargamiento del resorte  
 $(x > 0 \text{ si se estira}, x < 0 \text{ si se comprime})$

La **figura 7.14** es una gráfica de la ecuación (7.10). La unidad de  $U_{\text{el}}$  es el joule (J), la misma de todas las cantidades de energía y trabajo: es evidente en la ecuación (7.10), pues si recordamos que las unidades de  $k$  son N/m y que  $1 \text{ N}\cdot\text{m} = 1 \text{ J}$ . Utilizamos la ecuación (7.10) para reescribir la ecuación (7.9) para el trabajo  $W_{\text{el}}$  hecho por el resorte:

El trabajo hecho por la fuerza elástica ... ... es igual al negativo del cambio en la energía potencial elástica.  
 $W_{\text{el}} = \frac{1}{2}kx_1^2 - \frac{1}{2}kx_2^2 = U_{\text{el},1} - U_{\text{el},2} = -\Delta U_{\text{el}}$  (7.11)  
 Constante de fuerza del resorte      Alargamiento inicial y final del resorte

Si un resorte estirado se estira aún más, como en la figura 7.13b,  $W_{\text{el}}$  es negativo y  $U_{\text{el}}$  aumenta; se almacena más energía potencial elástica en el resorte. Si un resorte estirado se relaja como en la figura 7.13c,  $x$  disminuye,  $W_{\text{el}}$  es positivo y  $U_{\text{el}}$  disminuye; el resorte pierde energía potencial elástica. Como muestra la figura 7.14,  $U_{\text{el}}$  es positiva para  $x$  tanto positiva como negativa, y las ecuaciones (7.10) y (7.11) son válidas en ambos casos. Cuanto más se comprima o estire un resorte, mayor será su energía potencial elástica.

**CUIDADO Energía potencial gravitacional contra energía potencial elástica** Una diferencia importante entre la energía potencial gravitacional  $U_{\text{grav}} = mgy$  y la energía potencial elástica  $U_{\text{el}} = \frac{1}{2}kx^2$  es que *no* tenemos la libertad de elegir  $x = 0$  donde queramos. En la ecuación (7.10),  $x = 0$  *debe* estar en la posición donde el resorte no está ni estirado ni comprimido. En esa posición, tanto su energía potencial elástica como la fuerza que ejerce son iguales a cero. ■

El teorema trabajo-energía establece que  $W_{\text{tot}} = K_2 - K_1$ , sin importar qué tipo de fuerzas actúan sobre el cuerpo. Si la fuerza elástica es la **única** que realiza trabajo sobre el cuerpo, entonces,

$$W_{\text{tot}} = W_{\text{el}} = U_{\text{el},1} - U_{\text{el},2}$$

y así

**Si sólo la fuerza elástica realiza trabajo, se conserva la energía mecánica total:**

Energía cinética inicial $K_1 = \frac{1}{2}mv_1^2$	Energía potencial elástica inicial $U_{\text{el},1} = \frac{1}{2}kx_1^2$	$K_1 + U_{\text{el},1} = K_2 + U_{\text{el},2}$
$K_1 + U_{\text{el},1}$	$K_2 + U_{\text{el},2}$	
Energía cinética final $K_2 = \frac{1}{2}mv_2^2$	Energía potencial elástica final $U_{\text{el},2} = \frac{1}{2}kx_2^2$	

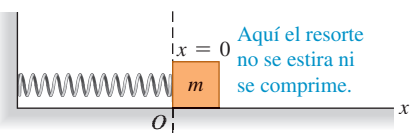
(7.12)

En este caso, *se conserva* la energía mecánica total  $E = K + U_{\text{el}}$  (la suma de las energías cinética y potencial elástica). Un ejemplo de ello es el movimiento del bloque en la figura 7.13, suponiendo que la superficie horizontal no tiene fricción, por lo que ninguna otra fuerza hace trabajo que el hecho por el resorte.

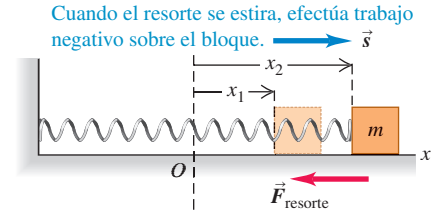
Para que la ecuación (7.12) sea estrictamente correcta, el resorte ideal *no debe tener masa*; si la tiene, también tendrá energía cinética cuando las espiras del resorte

**7.13** Cálculo del trabajo realizado por un resorte unido a un bloque sobre una superficie horizontal. La cantidad  $x$  es la extensión o compresión del resorte.

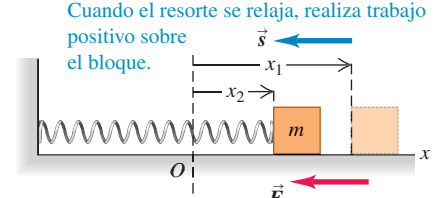
a)



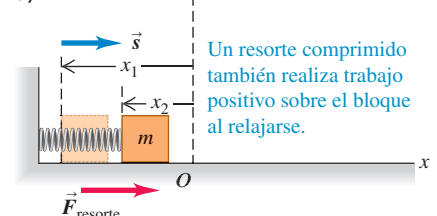
b)



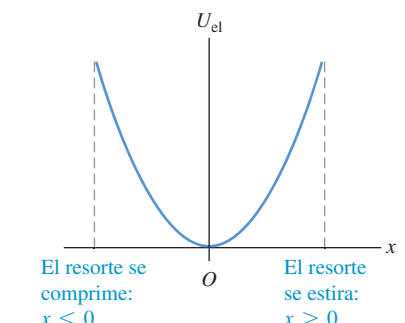
c)



d)

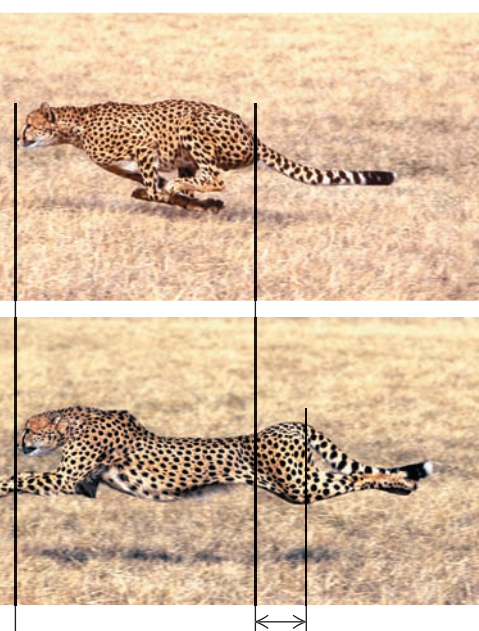


**7.14** La gráfica de la energía potencial elástica para un resorte ideal es una parábola:  $U_{\text{el}} = \frac{1}{2}kx^2$ , donde  $x$  es la extensión o compresión del resorte. La energía potencial elástica  $U_{\text{el}}$  nunca es negativa.



### BIO Aplicación Energía potencial elástica de un guepardo

Cuando un guepardo (*Acinonyx jubatus*) corre, su lomo se flexiona y se extiende una cantidad excepcional. La flexión del lomo estira los tendones y músculos elásticos a lo largo de la parte superior de la espina dorsal y también comprime a esta última, almacenando energía potencial elástica. Cuando el guepardo efectúa el siguiente salto, esa energía se libera, facilitándole correr con más eficiencia.



Diferencia en la longitud entre la nariz y la cola

**7.15** El salto en trampolín implica interacciones entre la energía cinética, la energía potencial gravitacional y la energía potencial elástica. Debido a la resistencia del aire y a las fuerzas de fricción con el trampolín, la energía mecánica no se conserva. Por eso, al cabo de un rato, los rebotes cesan, a menos que el individuo realice trabajo con sus piernas para compensar la pérdida de energía.



se mueven hacia adelante y hacia atrás. Podemos despreciar la energía cinética del resorte si su masa es mucho menor que la masa  $m$  del cuerpo conectado al resorte. Por ejemplo, un automóvil común tiene una masa de 1200 kg o más, y los resortes de su suspensión tienen masas de unos cuantos kilogramos, así que podemos despreciarlas si deseamos estudiar cómo rebota el auto sobre su suspensión.

### Situaciones con energía potencial tanto gravitacional como elástica

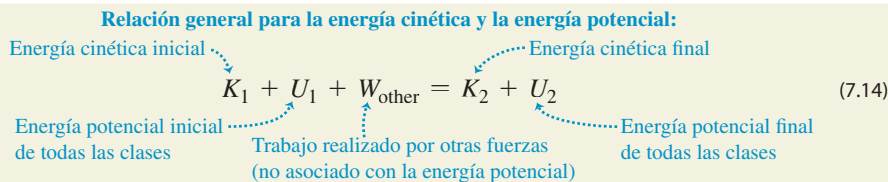
La ecuación (7.12) es válida si la única energía potencial del sistema es la elástica. ¿Qué sucede si tenemos fuerzas  *tanto* gravitacionales *como* elásticas, como en un bloque conectado al extremo inferior de un resorte que cuelga verticalmente? ¿Y qué ocurre si el trabajo también es efectuado por otras fuerzas que *no pueden* describirse en términos de energía potencial, como la fuerza de resistencia del aire sobre un bloque en movimiento? Entonces, el trabajo total es la suma del trabajo efectuado por la fuerza gravitacional ( $W_{\text{grav}}$ ), por la fuerza elástica ( $W_{\text{el}}$ ) y por otras fuerzas ( $W_{\text{otras}}$ ):  $W_{\text{tot}} = W_{\text{grav}} + W_{\text{el}} + W_{\text{otras}}$ . Entonces, el teorema trabajo-energía es

$$W_{\text{grav}} + W_{\text{el}} + W_{\text{otras}} = K_2 - K_1$$

El trabajo efectuado por la fuerza gravitacional es  $W_{\text{grav}} = U_{\text{grav},1} - U_{\text{grav},2}$  y el trabajo efectuado por el resorte es  $W_{\text{el}} = U_{\text{el},1} - U_{\text{el},2}$ . Por consiguiente, reescribimos el teorema trabajo-energía para este caso más general como

$$K_1 + U_{\text{grav},1} + U_{\text{el},1} + W_{\text{otras}} = K_2 + U_{\text{grav},2} + U_{\text{el},2} \quad (\text{válida en general}) \quad (7.13)$$

o bien, de manera equivalente,



donde  $U = U_{\text{grav}} + U_{\text{el}} = mgy + \frac{1}{2}kx^2$  es la *suma* de la energía potencial gravitacional y la energía potencial elástica. Para abreviar, simplemente llamamos  $U$  a la “energía potencial”.

La ecuación (7.14) es *la forma más general* de la relación entre energía cinética, energía potencial y trabajo realizado por otras fuerzas, la cual nos indica que:

**El trabajo realizado por todas las fuerzas distintas de la elástica o la gravitacional es igual al cambio de energía mecánica total  $E = K + U$  del sistema.**

El “sistema” se compone del cuerpo de masa  $m$ , la Tierra con la que interactúa a través de la fuerza gravitacional y el resorte cuya constante de fuerza es  $k$ .

Si  $W_{\text{otras}}$  es positivo,  $E = K + U$  aumenta; si  $W_{\text{otras}}$  es negativo,  $E$  disminuye. Si las fuerzas gravitacional y elástica son las *únicas* que efectúan trabajo sobre el cuerpo, entonces  $W_{\text{otras}} = 0$  y se conserva la energía mecánica total  $E = K + U$ . [Compare la ecuación (7.14) con las ecuaciones (7.6) y (7.7), que describen situaciones donde hay energía potencial gravitacional, pero no hay energía potencial elástica].

El salto en trampolín (**figura 7.15**) implica transformaciones entre la energía cinética, la energía potencial elástica y la energía potencial gravitacional. Cuando la persona desciende del punto más alto, la energía potencial gravitacional  $U_{\text{grav}}$  disminuye y la energía cinética  $K$  se incrementa. Mientras el individuo está en contacto con el trampolín, una parte de la energía mecánica se convierte en energía potencial elástica  $U_{\text{el}}$  que se almacena en los resortes del trampolín. En la parte inferior del salto, la persona hace un alto momentáneo ( $K = 0$ ) en el punto más bajo de la trayectoria ( $U_{\text{grav}}$  es mínima) y los resortes se estiran al máximo ( $U_{\text{el}}$  es máxima). Entonces, los resortes convierten su energía nuevamente en  $K$  y  $U_{\text{grav}}$ , al impulsar a la persona hacia arriba.

## ESTRATEGIA PARA RESOLVER PROBLEMAS 7.2 PROBLEMAS CON USO DE ENERGÍA MECÁNICA II

La Estrategia para resolver problemas 7.1 (sección 7.1) es igualmente útil para resolver aquellos que implican fuerzas elásticas además de gravitacionales. Lo único nuevo es que ahora la energía potencial  $U$  incluye la energía potencial elástica  $U_{el} = \frac{1}{2}kx^2$ , donde  $x$  es

el desplazamiento del resorte con *respecto a su longitud sin estirar*. El trabajo realizado por las fuerzas gravitacional y elástica se toma en cuenta en las energías potenciales; el trabajo de las otras fuerzas,  $W_{otras}$ , debe incluirse por separado.

### EJEMPLO 7.7 MOVIMIENTO CON ENERGÍA POTENCIAL ELÁSTICA

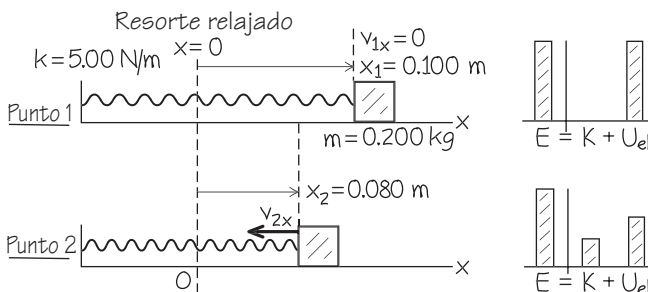


Un deslizador de masa  $m = 0.200 \text{ kg}$  descansa en un riel horizontal de aire, sin fricción, conectado a un resorte con una constante de fuerza  $k = 5.00 \text{ N/m}$ . Usted tira del deslizador, estirando el resorte 0.100 m y, luego, lo libera partiendo del reposo. El deslizador regresa a su posición de equilibrio ( $x = 0$ ). ¿Qué velocidad tiene cuando  $x = 0.080 \text{ m}$ ?

#### SOLUCIÓN

**IDENTIFICAR y PLANTEAR:** Al comenzar a moverse el deslizador, la energía potencial elástica se convierte en energía cinética. El deslizador permanece a la misma altura durante todo el movimiento, así que la energía potencial gravitacional no es un factor importante y  $U = U_{el} = \frac{1}{2}kx^2$ . La figura 7.16 muestra el diagrama. Sólo la fuerza

**7.16** Diagramas y gráficas de barras de la energía para este problema.



del resorte realiza trabajo sobre el deslizador, así que  $W_{otras} = 0$  en la ecuación (7.14). Designamos el punto 1 como el lugar donde se suelta el deslizador (es decir,  $x_1 = 0.100 \text{ m}$ ), en tanto que el punto 2 se ubica en  $x_2 = 0.080 \text{ m}$ . Conocemos la velocidad  $v_{1x} = 0$ ; la incógnita es  $v_{2x}$ .

**EJECUTAR:** Las energías son

$$K_1 = \frac{1}{2}mv_{1x}^2 = \frac{1}{2}(0.200 \text{ kg})(0)^2 = 0$$

$$U_1 = \frac{1}{2}kx_1^2 = \frac{1}{2}(5.00 \text{ N/m})(0.100 \text{ m})^2 = 0.0250 \text{ J}$$

$$K_2 = \frac{1}{2}mv_{2x}^2$$

$$U_2 = \frac{1}{2}kx_2^2 = \frac{1}{2}(5.00 \text{ N/m})(0.080 \text{ m})^2 = 0.0160 \text{ J}$$

Usamos la ecuación (7.14) con  $W_{otras} = 0$  para despejar  $K_2$  y luego calcular  $v_{2x}$ :

$$K_2 = K_1 + U_1 - U_2 = 0 + 0.0250 \text{ J} - 0.0160 \text{ J} = 0.0090 \text{ J}$$

$$v_{2x} = \pm \sqrt{\frac{2K_2}{m}} = \pm \sqrt{\frac{2(0.0090 \text{ J})}{0.200 \text{ kg}}} = \pm 0.30 \text{ m/s}$$

Elegimos la raíz negativa porque el deslizador se está moviendo en la dirección  $-x$ ; la respuesta es  $v_{2x} = -0.30 \text{ m/s}$ .

**EVALUAR:** Finalmente, el resorte invertirá el movimiento del deslizador, empujándolo de regreso en la dirección  $+x$  (vea la figura 7.13d). La solución  $v_{2x} = +0.30 \text{ m/s}$  nos indica que cuando el deslizador pase por  $x = 0.080 \text{ m}$  en su viaje de retorno, su rapidez será de  $0.30 \text{ m/s}$ , la misma que cuando pasó por este punto moviéndose hacia la izquierda.

### EJEMPLO 7.8 MOVIMIENTO CON ENERGÍA POTENCIAL ELÁSTICA Y TRABAJO EFECTUADO POR OTRAS FUERZAS



Suponga que el deslizador del ejemplo 7.7 está inicialmente en reposo en  $x = 0$ , con el resorte sin estirar. Usted aplica al deslizador una fuerza constante  $\vec{F}$  (de magnitud igual a  $0.610 \text{ N}$ ) en la dirección  $+x$ . ¿Qué velocidad tiene el deslizador cuando se movió a  $x = 0.100 \text{ m}$ ?

#### SOLUCIÓN

**IDENTIFICAR y PLANTEAR:** Aunque la fuerza aplicada  $\vec{F}$  es constante, la fuerza del resorte no lo es, así que la aceleración del deslizador no es constante. La energía mecánica total no se conserva debido al trabajo efectuado por la fuerza  $\vec{F}$ , así que  $W_{otras}$  en la ecuación (7.14) es diferente de cero. Al igual que en el ejemplo 7.7, despreciamos la energía potencial gravitacional porque no cambia la altura del deslizador. Por lo tanto, de nuevo tenemos que  $U = U_{el} = \frac{1}{2}kx^2$ . Esta vez tomamos el punto 1 en  $x_1 = 0$ , donde la velocidad es  $v_{1x} = 0$ ; y como punto 2,  $x = 0.100 \text{ m}$ . Entonces, el desplazamiento del

deslizador es  $\Delta x = x_2 - x_1 = 0.100 \text{ m}$ . La incógnita es  $v_{2x}$ , la velocidad en el punto 2.

**EJECUTAR:** La fuerza  $\vec{F}$  es constante y en la misma dirección del desplazamiento, de modo que el trabajo realizado por esta fuerza es  $F\Delta x$ . Entonces, las energías son

$$K_1 = 0$$

$$U_1 = \frac{1}{2}kx_1^2 = 0$$

$$K_2 = \frac{1}{2}mv_{2x}^2$$

$$U_2 = \frac{1}{2}kx_2^2 = \frac{1}{2}(5.00 \text{ N/m})(0.100 \text{ m})^2 = 0.0250 \text{ J}$$

$$W_{otras} = F\Delta x = (0.610 \text{ N})(0.100 \text{ m}) = 0.0610 \text{ J}$$

Continúa

Inicialmente, la energía mecánica total es cero; el trabajo realizado por  $\vec{F}$  aumenta la energía mecánica total a 0.0610 J, de los cuales  $U_2 = 0.0250 \text{ J}$  corresponden a energía potencial elástica. El resto es energía cinética. De acuerdo con la ecuación (7.14),

$$\begin{aligned} K_1 + U_1 + W_{\text{otras}} &= K_2 + U_2 \\ K_2 &= K_1 + U_1 + W_{\text{otras}} - U_2 \\ &= 0 + 0 + 0.0610 \text{ J} - 0.0250 \text{ J} = 0.0360 \text{ J} \\ v_{2x} &= \sqrt{\frac{2K_2}{m}} = \sqrt{\frac{2(0.0360 \text{ J})}{0.200 \text{ kg}}} = 0.60 \text{ m/s} \end{aligned}$$

Elegimos la raíz cuadrada positiva porque el deslizador se mueve en la dirección  $+x$ .

**EVALUAR:** ¿Qué cambiaría si desconectáramos el deslizador del resorte? Entonces,  $\vec{F}$  sería la única fuerza que efectúa trabajo, la energía potencial elástica sería cero en cualquier momento y la ecuación (7.14) nos daría

$$K_2 = K_1 + W_{\text{otras}} = 0 + 0.0610 \text{ J}$$

$$v_{2x} = \sqrt{\frac{2K_2}{m}} = \sqrt{\frac{2(0.0610 \text{ J})}{0.200 \text{ kg}}} = 0.78 \text{ m/s}$$

La respuesta  $v_{2x} = 0.60 \text{ m/s}$  es menor que 0.78 m/s porque el resorte efectúa trabajo negativo sobre el deslizador al estirarse (vea la figura 7.13b).

Si usted deja de empujar el deslizador cuando éste alcanza el punto  $x = 0.100 \text{ m}$ , la única fuerza que realiza trabajo sobre él es la fuerza del resorte. Por lo tanto, para  $x > 0.100 \text{ m}$ , la energía mecánica total  $E = K + U = 0.0610 \text{ J}$  es constante. Conforme el resorte continúa estirándose, el deslizador se frena y la energía cinética  $K$  disminuye mientras la energía potencial aumenta. El deslizador llegará al reposo en  $x = x_3$ ; en este punto, la energía cinética es cero y la energía potencial  $U = U_{\text{el}} = \frac{1}{2}kx_3^2$  es igual a la energía mecánica total, 0.0610 J. ¿Puede usted demostrar que  $x_3 = 0.156 \text{ m}$ ? (El deslizador se mueve otros 0.056 m después de que usted deja de empujar). Si no hay fricción, el deslizador permanecerá en reposo?

## EJEMPLO 7.9 MOVIMIENTO CON FUERZAS GRAVITACIONAL, ELÁSTICA Y DE FRICTION

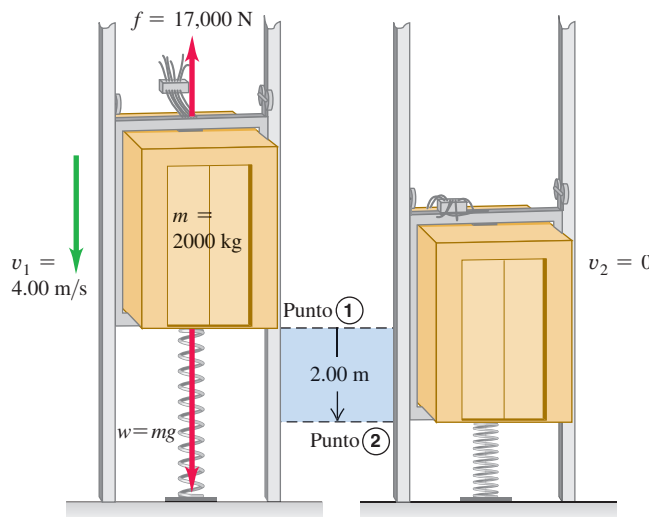


En una prueba, un elevador de 2000 kg (19,600 N) con cables rotos cae a 4.00 m/s cuando hace contacto con un resorte amortiguador en el fondo del cubo. El resorte está diseñado para detener el elevador, comprimiéndose 2.00 m al hacerlo (figura 7.17). Durante el movimiento, un freno de seguridad aplica una fuerza de fricción constante de 17,000 N al elevador. ¿Cuál es la constante de fuerza  $k$  necesaria para el resorte?

### SOLUCIÓN

**IDENTIFICAR y PLANTEAR:** Usaremos el enfoque de energía y la ecuación (7.14) para determinar  $k$ , que aparece en la expresión de energía potencial elástica. En este problema interviene energía potencial tanto gravitacional como elástica. La energía mecánica total no se conserva porque la fricción realiza un trabajo negativo  $W_{\text{otras}}$  sobre el elevador. Tomaremos como punto 1 la posición de la base del elevador cuando entra en contacto con el resorte, y como punto 2,

**7.17** La caída de un elevador es detenida por un resorte y una fuerza de fricción constante.



su posición cuando queda en reposo. Elegimos el origen en el punto 1, así que  $y_1 = 0$  y  $y_2 = -2.00 \text{ m}$ . Entonces, la coordenada del extremo superior del resorte después del contacto es la misma que la coordenada del elevador, y la energía potencial elástica en cualquier punto entre los puntos 1 y 2 es  $U_{\text{el}} = \frac{1}{2}ky^2$ . La energía potencial gravitacional es  $U_{\text{grav}} = mgy$ , como siempre. Conocemos las rapideces inicial y final del elevador y la magnitud de la fuerza de fricción, así que la única incógnita es la constante de fuerza  $k$ .

**EJECUTAR:** La rapidez inicial del elevador es  $v_1 = 4.00 \text{ m/s}$ , entonces, su energía cinética inicial es

$$K_1 = \frac{1}{2}mv_1^2 = \frac{1}{2}(2000 \text{ kg})(4.00 \text{ m/s})^2 = 16,000 \text{ J}$$

El elevador se detiene en el punto 2, por lo que  $K_2 = 0$ . En el punto 1, la energía potencial  $U_1 = U_{\text{grav}} + U_{\text{el}}$  es cero;  $U_{\text{grav}} = 0$  porque  $y_1 = 0$ , y  $U_{\text{el}} = 0$  porque el resorte no está comprimido. En el punto 2, hay energía potencial tanto gravitacional como elástica, de modo que

$$U_2 = mgy_2 + \frac{1}{2}ky_2^2$$

La energía potencial gravitacional en el punto 2 es

$$mgy_2 = (2000 \text{ kg})(9.80 \text{ m/s}^2)(-2.00 \text{ m}) = -39,200 \text{ J}$$

La “otra” fuerza es la fuerza de fricción constante de 17,000 N, que actúa opuesta al desplazamiento de 2.00 m, por lo que

$$W_{\text{otras}} = -(17,000 \text{ N})(2.00 \text{ m}) = -34,000 \text{ J}$$

Con estos términos en la ecuación (7.14),  $K_1 + U_1 + W_{\text{otras}} = K_2 + U_2$ :

$$K_1 + 0 + W_{\text{otras}} = 0 + (mgy_2 + \frac{1}{2}ky_2^2)$$

$$k = \frac{2(K_1 + W_{\text{otras}} - mgy_2)}{y_2^2}$$

$$= \frac{2[16,000 \text{ J} + (-34,000 \text{ J}) - (-39,200 \text{ J})]}{(-2.00 \text{ m})^2}$$

$$= 1.06 \times 10^4 \text{ N/m}$$

que es aproximadamente un décimo de la constante de fuerza de un resorte en la suspensión de un automóvil.

**EVALUAR:** Parecería que aquí hay una paradoja. La energía potencial elástica en el punto 2 es

$$\frac{1}{2}ky_2^2 = \frac{1}{2}(1.06 \times 10^4 \text{ N/m})(-2.00 \text{ m})^2 = 21,200 \text{ J}$$

Esto es *más* que la energía mecánica total en el punto 1:

$$E_1 = K_1 + U_1 = 16,000 \text{ J} + 0 = 16,000 \text{ J}$$

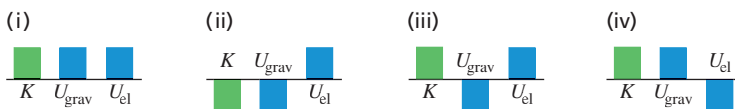
Sin embargo, la fuerza de fricción *disminuyó* la energía mecánica del sistema en 34,000 J entre los puntos 1 y 2. ¿Apareció energía de la nada? No. En el punto 2, que está por debajo del origen, también hay energía potencial gravitacional *negativa*,  $mgy_2 = -39,200 \text{ J}$ . Por lo tanto, la energía mecánica total en el punto 2 no es 21,200 J, sino

$$\begin{aligned} E_2 &= K_2 + U_2 = 0 + \frac{1}{2}ky_2^2 + mgy_2 \\ &= 0 + 21,200 \text{ J} + (-39,200 \text{ J}) = -18,000 \text{ J} \end{aligned}$$

que es justamente la energía mecánica inicial de 16,000 J menos los 34,000 J perdidos por la fricción.

¿El elevador se quedará en el fondo del cubo? En el punto 2 el resorte comprimido ejerce una fuerza hacia arriba de magnitud  $F_{\text{resorte}} = (1.06 \times 10^4 \text{ N/m})(2.00 \text{ m}) = 21,200 \text{ N}$ ; mientras que la fuerza hacia abajo que ejerce la fuerza gravitacional es sólo  $w = mg = (2000 \text{ kg})(9.80 \text{ m/s}^2) = 19,600 \text{ N}$ . Entonces, si no hubiera fricción, habría una fuerza neta hacia arriba de  $21,200 \text{ N} - 19,600 \text{ N} = 1600 \text{ N}$  y el elevador rebotaría. No obstante, el freno de seguridad ejerce una fuerza de fricción cinética de 17,000 N, y presumiblemente puede ejercer una fuerza de fricción estática máxima que sea aún mayor. Así, el freno evitará que el elevador rebote.

**EVALÚE SU COMPRENSIÓN DE LA SECCIÓN 7.2** Considere la situación del ejemplo 7.9 en el instante en que el elevador aún se desplaza hacia abajo y el resorte se comprime 1.00 m. En la figura, ¿cuál de las gráficas de barra de energía representa con mayor exactitud la energía cinética  $K$ , la energía potencial gravitacional  $U_{\text{grav}}$  y la energía potencial elástica  $U_{\text{el}}$  en ese instante?



## 7.3 FUERZAS CONSERVATIVAS Y NO CONSERVATIVAS

Al estudiar la energía potencial hemos hablado de “almacenar” energía cinética convirtiéndola en energía potencial, pensando siempre que podremos recuperarla nuevamente como energía cinética. Por ejemplo, una pelota lanzada hacia arriba se frena al convertir su energía cinética en energía potencial gravitacional; sin embargo, al bajar, la pelota se acelera conforme su energía potencial se convierte en energía cinética. Si no hay resistencia del aire, la pelota se mueve con la misma rapidez cuando regresa al punto de lanzamiento.

Otro ejemplo es el de un deslizador que se desplaza sobre un riel de aire horizontal sin fricción, que choca contra un amortiguador de resorte en el extremo del riel. Su resorte se comprime y el deslizador se detiene y luego el resorte rebota. Si no hay fricción, el deslizador termina con la misma rapidez y energía cinética que tenía antes de chocar. Aquí también hay una conversión bidireccional: de energía cinética a potencial y viceversa. En ambos casos, la energía mecánica total, cinética más potencial, es constante, o *se conserva* durante el movimiento.

### Fuerzas conservativas

Una fuerza que presenta esta característica de conversión bidireccional entre energías cinética y potencial es una **fuerza conservativa**. Hemos visto dos ejemplos de fuerzas conservativas: la gravitacional y la de un resorte (más adelante estudiaremos otra fuerza conservativa, la fuerza eléctrica entre objetos cargados). Una característica fundamental de las fuerzas conservativas es que su trabajo siempre es *reversible*. Algo que depositamos en el “banco” de energía puede retirarse después sin pérdida. Otro aspecto importante de las fuerzas conservativas es que un cuerpo puede moverse del punto 1 al 2 siguiendo varias trayectorias; pero el trabajo realizado por una fuerza conservativa es el mismo para todas las trayectorias (**figura 7.18**). De esta manera, si un cuerpo se mantiene cerca de la superficie terrestre, la fuerza gravitacional  $m\vec{g}$  es

## LOS DATOS HABLAN

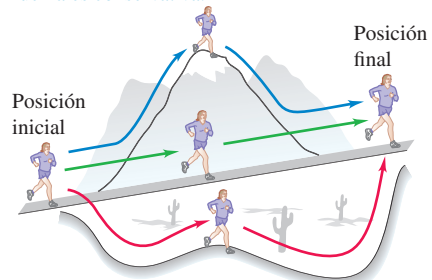
### Conservación de la energía

Cuando a los estudiantes se les dio un problema acerca de la conservación de la energía mecánica para el movimiento a lo largo de una trayectoria curva, más del 32% dieron una respuesta incorrecta. Errores comunes:

- Olvidar que el cambio en la energía potencial gravitacional a lo largo de una trayectoria curva depende sólo de la diferencia entre las alturas final e inicial, no de la forma de la trayectoria.
- Olvidar que si la gravedad es la única fuerza que hace trabajo, se conserva la energía mecánica. Entonces, el cambio en energía cinética a lo largo de la trayectoria únicamente se determina por el cambio en la energía potencial gravitacional. La forma de la trayectoria no importa.

**7.18** El trabajo realizado por una fuerza conservativa como la fuerza gravitacional depende sólo de los extremos de la trayectoria, no de la trayectoria específica seguida entre esos puntos.

El trabajo efectuado por la fuerza gravitacional es el mismo en las tres trayectorias, porque esta fuerza es conservativa.



independiente de la altura, y el trabajo realizado por esta fuerza solamente depende del cambio de altura. Si el cuerpo describe una trayectoria cerrada, volviendo al punto de partida, el trabajo *total* de la fuerza gravitacional siempre es cero.

En resumen, el trabajo realizado por una fuerza conservativa tiene cuatro propiedades:

1. Puede expresarse como la diferencia entre los valores inicial y final de una función de *energía potencial*.
2. Es reversible.
3. Es independiente de la trayectoria del cuerpo y depende sólo de los puntos inicial y final.
4. Si el punto inicial coincide con el punto final, el trabajo total es cero.

Si las *únicas* fuerzas que efectúan trabajo son conservativas, la energía mecánica total  $E = K + U$  es constante.

### Fuerzas no conservativas

No todas las fuerzas son conservativas. Considere la fuerza de fricción que actúa sobre la caja que se desliza por la rampa del ejemplo 7.6 (sección 7.1). Cuando el cuerpo sube y luego regresa al punto de partida, el trabajo total efectuado por la fuerza de fricción sobre él *no* es cero. Al invertirse la dirección del movimiento, también se invierte la fuerza de fricción, por lo que ésta realiza trabajo *negativo* en *ambas* direcciones. La fricción también actúa en un automóvil que se derrapa con frenos bloqueados y disminuye su rapidez (y su energía cinética). La energía cinética perdida no se puede recuperar invirtiendo el movimiento o de alguna otra manera, y la energía mecánica *no* se conserva. *No* hay función de energía potencial para la fuerza de fricción.

Asimismo, la fuerza de resistencia de fluidos (vea la sección 5.3) tampoco es conservativa. Si lanzamos una pelota hacia arriba, la resistencia del aire efectúa trabajo negativo sobre ella al subir y al bajar. La pelota regresa a la mano con menor rapidez y menos energía cinética que cuando se lanzó, y no hay forma de recuperar la energía mecánica perdida.

Una fuerza que no se conserva se llama **fuerza no conservativa**. El trabajo realizado por una fuerza no conservativa *no puede* representarse con una función de energía potencial. Algunas fuerzas no conservativas, como la fricción cinética o la resistencia de fluidos, hacen que la energía mecánica se pierda o se disipe; una fuerza de este tipo se llama **fuerza disipativa**. También hay fuerzas no conservativas que *aumentan* la energía mecánica. Los fragmentos de un petardo que estalla salen despedidos con una energía cinética muy grande, debido a una reacción química de la pólvora con el oxígeno. Las fuerzas liberadas por esta reacción no son conservativas porque el proceso es irreversible (*los trozos nunca se volverán a unir espontáneamente para formar un petardo!*).

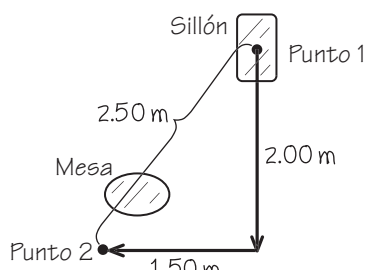


### EJEMPLO 7.10 EL TRABAJO DE FRICTION DEPENDE DE LA TRAYECTORIA

Usted está reacomodando sus muebles y desea mover 2.50 m un sillón de 40.0 kg a través de una habitación. Sin embargo, el camino rectilíneo está bloqueado por una pesada mesa de centro que no desea mover. Por lo tanto, mueve el sillón siguiendo una trayectoria de dos tramos que tienen 2.00 m y 1.50 m de longitud. En comparación con la trayectoria recta, ¿cuánto trabajo adicional debe realizar al empujar el sillón por la trayectoria de dos tramos? El coeficiente de fricción cinética es  $\mu_k = 0.200$ .

el efectuado por la *fricción*. La figura 7.19 muestra el diagrama. El sillón está en reposo tanto en el punto 1 como en el punto 2, así que  $K_1 = K_2 = 0$ . No hay energía potencial elástica (no hay resortes) y

**7.19** Diagrama para este problema.



### SOLUCIÓN

**IDENTIFICAR y PLANTEAR:** Aquí efectúan trabajo sobre el sillón tanto usted como la fuerza de fricción, así que debemos usar la relación de energía que incluye "otras" fuerzas. Usaremos esa relación para obtener un vínculo entre el trabajo efectuado por *usted* y

la energía potencial gravitacional no cambia porque el sillón sólo se mueve horizontalmente, de manera que  $U_1 = U_2$ . De la ecuación (7.14), se deduce que  $W_{\text{otras}} = 0$ . El “otro” trabajo realizado sobre el sillón es la suma del trabajo positivo que usted realiza,  $W_{\text{usted}}$ , más el trabajo negativo,  $W_{\text{fric}}$ , de la fuerza de fricción. Como la suma es cero, tenemos

$$W_{\text{usted}} = -W_{\text{fric}}$$

Por lo tanto, calcularemos el trabajo realizado por la fuerza de fricción para determinar  $W_{\text{usted}}$ .

**EJECUTAR:** Como el piso es horizontal, la fuerza normal sobre el sillón es igual a su peso  $mg$ , y la magnitud de la fuerza de fricción es  $f_k = \mu_k n = \mu_k mg$ . El trabajo que usted debe efectuar en cada trayectoria es entonces

$$\begin{aligned} W_{\text{usted}} &= -W_{\text{fric}} = -(-f_k s) = +\mu_k mgs \\ &= (0.200)(40.0 \text{ kg})(9.80 \text{ m/s}^2)(2.50 \text{ m}) \\ &= 196 \text{ J} \quad (\text{trayectoria rectilínea}) \end{aligned}$$

$$\begin{aligned} W_{\text{usted}} &= -W_{\text{fric}} = +\mu_k mgs \\ &= (0.200)(40.0 \text{ kg})(9.80 \text{ m/s}^2)(2.00 \text{ m} + 1.50 \text{ m}) \\ &= 274 \text{ J} \quad (\text{trayectoria acodada}) \end{aligned}$$

El trabajo extra que usted tiene que realizar es  $274 \text{ J} - 196 \text{ J} = 78 \text{ J}$ .

**EVALUAR:** La fricción realiza diferentes cantidades de trabajo sobre el sillón,  $-196 \text{ J}$  y  $-274 \text{ J}$ , por las dos trayectorias entre los puntos 1 y 2. Por consiguiente, la fricción es una fuerza *no conservativa*.



### EJEMPLO 7.11 ¿CONSERVATIVA O NO CONSERVATIVA?

En cierta región del espacio, la fuerza sobre un electrón es  $\vec{F} = Cx\hat{j}$ , donde  $C$  es una constante positiva. El electrón se mueve alrededor de una espira cuadrada en el plano  $xy$  (figura 7.20). Calcule el trabajo de  $\vec{F}$  sobre el electrón durante una vuelta en sentido contrario a las manecillas del reloj. ¿Esta fuerza es conservativa o no conservativa?

#### SOLUCIÓN

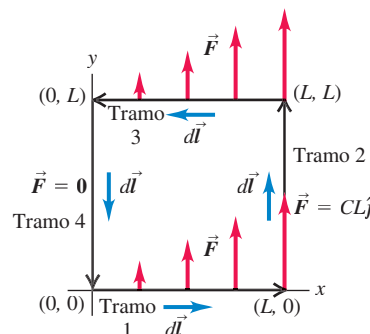
**IDENTIFICAR y PLANTEAR:** La fuerza  $\vec{F}$  no es constante y, en general, no está en la misma dirección que el desplazamiento. Para obtener el trabajo efectuado por  $\vec{F}$ , usaremos la expresión general del trabajo, ecuación (6.14):

$$W = \int_{P_1}^{P_2} \vec{F} \cdot d\vec{l}$$

donde  $d\vec{l}$  es un desplazamiento infinitesimal. Calcularemos el trabajo realizado en cada tramo del cuadrado y, luego, sumaremos los resultados para obtener el trabajo efectuado en el viaje completo. Si el trabajo del recorrido completo es cero, la fuerza  $\vec{F}$  es conservativa, y se puede representar mediante una función de energía potencial.

**EJECUTAR:** En el primer tramo, de  $(0, 0)$  a  $(L, 0)$ , la fuerza siempre es perpendicular al desplazamiento, así que  $\vec{F} \cdot d\vec{l} = 0$  y el trabajo

**7.20** Un electrón se mueve alrededor de una espira cuadrada mientras sobre él actúa la fuerza  $\vec{F} = Cx\hat{j}$ .



efectuado sobre el primer tramo es  $W_1 = 0$ . La fuerza tiene siempre el mismo valor  $\vec{F} = CL\hat{j}$  en el segundo tramo: de  $(L, 0)$  a  $(L, L)$ . El desplazamiento en este tramo está en la dirección  $+y$ , así que  $d\vec{l} = dy\hat{j}$  y

$$\vec{F} \cdot d\vec{l} = CL\hat{j} \cdot dy\hat{j} = CL dy$$

El trabajo efectuado en el segundo tramo es entonces

$$W_2 = \int_{(L, 0)}^{(L, L)} \vec{F} \cdot d\vec{l} = \int_{y=0}^{y=L} CL dy = CL \int_0^L dy = CL^2$$

En el tercer tramo, de  $(L, L)$  a  $(0, L)$ ,  $\vec{F}$  es otra vez perpendicular al desplazamiento, de manera que  $W_3 = 0$ . La fuerza es cero en el tramo final, de  $(0, L)$  a  $(0, 0)$ , así que  $W_4 = 0$ . Por lo tanto, el trabajo realizado por la fuerza  $\vec{F}$  en el viaje completo es

$$W = W_1 + W_2 + W_3 + W_4 = 0 + CL^2 + 0 + 0 = CL^2$$

Los puntos inicial y final son los mismos, pero el trabajo total de  $\vec{F}$  no es cero. Se trata de una fuerza *no conservativa*: *no puede* representarse mediante una función de energía potencial.

**EVALUAR:** Puesto que  $W > 0$ , la energía mecánica *aumenta* conforme el electrón viaja alrededor de la espira, que es lo que realmente sucede en una planta generadora de electricidad: Una espira de alambre se mueve en un campo magnético, el cual produce una fuerza no conservativa similar a la del ejemplo. Los electrones que se mueven en el alambre adquieren energía al dar vuelta a la espira, y esa energía se conduce a través de líneas de transmisión al consumidor (veremos cómo funciona en el capítulo 29).

Si el electrón viajara por la espira en el sentido de las manecillas del reloj, la fuerza  $\vec{F}$  no cambiaría, pero se invertiría la dirección de cada desplazamiento infinitesimal  $d\vec{l}$ . Por lo tanto, el trabajo tendría signo opuesto y, para el recorrido completo en el sentido de las manecillas del reloj, sería  $W = -CL^2$ . Tal comportamiento es distinto al de la fuerza de fricción no conservativa. El trabajo realizado por la fricción sobre un cuerpo que se desliza en cualquier dirección sobre una superficie estacionaria siempre es negativo (vea el ejemplo 7.6 en la sección 7.1).

### Aplicación Fuerzas no conservativas y energía interna en un neumático

Un neumático de un automóvil se deforma y dobla como un resorte cuando se rueda, pero no es un resorte ideal: fuerzas no conservativas como la fricción interna actúan dentro del caucho. Como resultado, se pierde energía mecánica y se convierte en la energía interna del neumático. Así la temperatura de un neumático aumenta conforme rueda, lo cual provoca que también aumente la presión del aire dentro del neumático. Por ello la presión de los neumáticos se comprueba mejor antes de que se maneje el vehículo, cuando el neumático está frío.



**7.21** Las baterías en el helicóptero radio controlado contienen  $2.4 \times 10^4$  J de energía eléctrica. Cuando esta energía se utiliza en elevarlo, disminuye la energía interna de las baterías en esta cantidad  $\Delta U_{\text{int}} = -2.4 \times 10^4$  J. Esa energía se convierte en energía cinética para hacer girar la hélice y que el helicóptero vaya más rápido, o bien, en la energía potencial gravitacional para hacer que el helicóptero suba.



### La ley de conservación de la energía

Las fuerzas no conservativas no pueden representarse en términos de energía potencial; sin embargo, describimos sus efectos en términos de energías distintas de la cinética y la potencial. Cuando un automóvil con frenos bloqueados se derrapa hasta detenerse, se calientan los neumáticos y el camino. La energía asociada a este cambio en el estado de los materiales se denomina **energía interna**. Cuando se eleva la temperatura de un cuerpo, aumenta su energía interna; si se reduce su temperatura, disminuye su energía interna.

Para captar el significado de la energía interna, consideremos un bloque que se desliza por una superficie áspera. Cuando se desliza, la fricción realiza trabajo *negativo* sobre el bloque, y el cambio de la energía interna del bloque y de la superficie es *positivo* (ambos se calientan). Experimentos meticulosos han demostrado que el aumento en la energía interna es *exactamente igual* al valor absoluto del trabajo efectuado por la fricción. Dicho de otro modo,

$$\Delta U_{\text{int}} = -W_{\text{otras}}$$

donde  $\Delta U_{\text{int}}$  es el cambio de la energía interna. Si lo sustituimos en la ecuación (7.14), vemos que

$$K_1 + U_1 - U_{\text{int}} = K_2 + U_2$$

Si escribimos  $\Delta K = K_2 - K_1$  y  $\Delta U = U_2 - U_1$ , expresamos finalmente esto como

Ley de conservación de la energía:

$$\Delta K + \Delta U + \Delta U_{\text{int}} = 0 \quad (7.15)$$

Cambio en la energía cinética      Cambio en la energía potencial      Cambio en la energía interna

Este enunciado trascendental es la forma general de la **ley de conservación de la energía**. En un proceso determinado, las energías cinética, potencial e interna de un sistema pueden cambiar; pero la *suma* de todos esos cambios siempre es cero. Una disminución en una forma de energía se compensa con un aumento en las otras (**figura 7.21**). Si ampliamos nuestra definición de energía para incluir la energía interna, la ecuación (7.15) indica que *la energía nunca se crea ni se destruye, solo cambia de forma*. No se ha observado aún una excepción a esta regla.

El concepto de trabajo desapareció en la ecuación (7.15); en cambio, sugiere que pensemos sólo en términos de conversión de energía de una forma a otra. Por ejemplo, si lanzamos una pelota de béisbol hacia arriba, convertimos parte de la energía interna de las moléculas de nuestro cuerpo en energía cinética de la pelota de béisbol, que se convierte en energía potencial gravitacional conforme la pelota sube, y otra vez en energía cinética al bajar. Si hay resistencia del aire, parte de la energía calienta el aire y la pelota, aumentando así su energía interna. La energía se convierte en la forma cinética cuando la pelota cae. Si atrapamos la pelota al caer, la energía que no se perdió en el aire se convertirá otra vez en energía interna; la pelota y su mano ahora están más calientes que al inicio.

En los capítulos 19 y 20 estudiaremos la relación entre la energía interna, los cambios de temperatura, el calor y el trabajo. Es el meollo del campo de la física llamado *termodinámica*.

#### EJEMPLO CONCEPTUAL 7.12 TRABAJO EFECTUADO POR LA FRICCIÓN

Examinemos otra vez el ejemplo 7.5 (sección 7.1), donde Throcky baja en patineta una rampa curva. Su energía cinética inicial es cero, y la potencial es 735 J. En la parte inferior, su energía cinética es de 450 J y la potencial es cero; por lo tanto,  $\Delta K = +450$  J y  $\Delta U = -735$  J. El trabajo  $W_{\text{otras}} = W_{\text{fric}}$  efectuado por las fuerzas de fricción es  $-285$  J, por lo que el cambio en la energía interna es  $\Delta U_{\text{int}} = -W_{\text{otras}} = +285$  J. Las ruedas y los cojinetes de la patineta, y también la rampa,

se calientan un poco. Según la ecuación (7.15), la suma de los cambios de energía es cero:

$$\Delta K + \Delta U + \Delta U_{\text{int}} = +450 \text{ J} + (-735 \text{ J}) + 285 \text{ J} = 0$$

La energía total del sistema se conserva (incluidas las formas de energía interna y no mecánica).



**EVALÚE SU COMPRENSIÓN DE LA SECCIÓN 7.3** En una planta hidroeléctrica, el agua que cae impulsa las turbinas (“ruedas de agua”), las cuales, a la vez, impulsan los generadores eléctricos. En comparación con la cantidad de energía potencial gravitacional liberada por el agua que cae, ¿cuánta energía eléctrica se produce? **i.** La misma; **ii.** más; **iii.** menos. **I**

## 7.4 FUERZA Y ENERGÍA POTENCIAL

En los dos tipos de fuerzas conservativas (gravitacional y elástica) que hemos estudiado, comenzamos con una descripción del comportamiento de la *fuerza* y, a partir de ello, dedujimos una expresión para la *energía potencial*. Por ejemplo, para un cuerpo de masa  $m$  en un campo gravitacional uniforme, la fuerza gravitacional es  $F_y = -mg$ . Vimos que la energía potencial correspondiente es  $U(y) = mgy$ . La fuerza que ejerce un resorte ideal sobre un cuerpo es  $F_x = -kx$ . La función de energía potencial correspondiente es  $U(x) = \frac{1}{2}kx^2$ .

No obstante, en el estudio de la física, el lector encontrará situaciones donde se tiene una expresión de la *energía potencial* en función de la posición y se necesita determinar la *fuerza* correspondiente. Veremos varios ejemplos de este tipo cuando estudiemos las fuerzas eléctricas más adelante: en general, es mucho más fácil calcular primero la energía potencial eléctrica y, luego, determinar la fuerza eléctrica correspondiente.

Veamos cómo calcular la fuerza que corresponde a una expresión de energía potencial dada. Primero, consideremos un movimiento rectilíneo sobre el eje  $x$ . Denotamos la componente  $x$  de la fuerza, que es función de  $x$ , con  $F_x(x)$ ; y la energía potencial, con  $U(x)$ . Esta notación nos recuerda que tanto  $F_x$  como  $U$  son *funciones* de  $x$ . Ahora recordamos que, en cualquier desplazamiento, el trabajo  $W$  efectuado por una fuerza conservativa es el negativo del cambio  $\Delta U$  de la energía potencial:

$$W = -\Delta U$$

Apliquemos esto a un pequeño desplazamiento  $\Delta x$ . El trabajo efectuado por  $F_x(x)$  durante este desplazamiento es aproximadamente igual a  $F_x(x)\Delta x$ . Decimos “aproximadamente” porque  $F_x(x)$  podría variar un poco en el intervalo  $\Delta x$ ; Por lo que

$$F_x(x) \Delta x = -\Delta U \quad \text{y} \quad F_x(x) = -\frac{\Delta U}{\Delta x}$$

Probablemente ya se imagina usted hacia dónde vamos. Tomaremos el límite  $\Delta x \rightarrow 0$ ; en este límite, la variación de  $F_x$  es despreciable y tenemos la relación exacta

<b>Fuerza a partir de la energía potencial: en un movimiento</b> ..... <b>en una dimensión, el valor de una fuerza conservativa en el punto x ...</b>	$F_x(x) = -\frac{dU(x)}{dx}$	<i>... es el negativo de la derivada en x de la función de energía potencial asociada.</i>
---	------------------------------	--

Este resultado es lógico; en las regiones donde  $U(x)$  cambia más rápidamente con  $x$  (es decir, donde  $dU(x)/dx$  es grande), se efectúa el trabajo máximo durante un desplazamiento dado, lo cual corresponde a una magnitud grande de fuerza. Además, si  $F_x(x)$  está en la dirección  $+x$ ,  $U(x)$  disminuye al aumentar  $x$ . Entonces,  $F_x(x)$  y  $dU(x)/dx$  deberían tener signos opuestos. El significado físico de la ecuación (7.16) es que *una fuerza conservativa siempre trata de llevar el sistema hacia una menor energía potencial*.

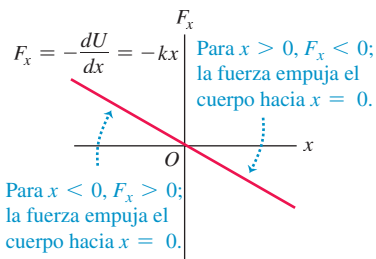
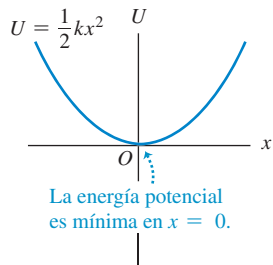
Como verificación, consideremos la función de la energía potencial elástica,  $U(x) = \frac{1}{2}kx^2$ . Si la sustituimos en la ecuación (7.16) se produce:

$$F_x(x) = -\frac{d}{dx}\left(\frac{1}{2}kx^2\right) = -kx$$

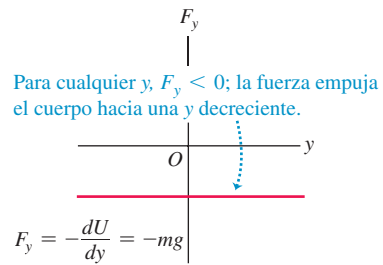
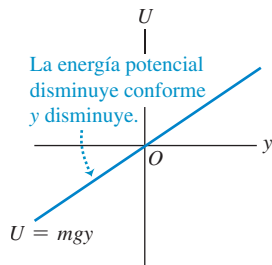
que es la expresión correcta para la fuerza ejercida por un resorte ideal (**figura 7.22a**, página siguiente). Asimismo,  $U(y) = mgy$  para la energía potencial gravitacional; teniendo cuidado de cambiar  $x$  a  $y$  en la elección del eje, entonces,  $F_y = -dU/dy = -d(mgy)/dy = -mg$ , que es la expresión correcta para la fuerza gravitacional (**figura 7.22b**).

**7.22** Una fuerza conservativa es el negativo de la derivada de la energía potencial correspondiente.

a) Energía potencial elástica y fuerza en función de  $x$



b) La energía potencial y la fuerza gravitacionales en función de  $y$



### EJEMPLO 7.13 FUERZA ELÉCTRICA Y SU ENERGÍA POTENCIAL

Una partícula con carga eléctrica se mantiene en reposo en  $x = 0$ ; mientras otra con carga idéntica puede moverse libremente en el eje  $+x$ . La energía potencial del sistema es  $U(x) = C/x$ , donde  $C$  es una constante positiva que depende de la magnitud de las cargas. Deduzca una expresión para la componente  $x$  de fuerza que actúa sobre la partícula móvil, en función de su posición.

#### SOLUCIÓN

**IDENTIFICAR y PLANTEAR:** Tenemos la función de energía potencial  $U(x)$ , y buscamos la función de la fuerza correspondiente usando la ecuación (7.16),  $F_x = -dU(x)/dx$ .

**EJECUTAR:** La derivada de  $1/x$  con respecto a  $x$  es  $-1/x^2$ , así que la fuerza sobre la partícula móvil con carga para  $x > 0$  es

$$F_x(x) = -\frac{dU(x)}{dx} = -C\left(-\frac{1}{x^2}\right) = \frac{C}{x^2}$$

**EVALUAR:** La componente  $x$  de fuerza es positiva, y corresponde a una interacción de repulsión entre cargas eléctricas iguales. Tanto la energía potencial como la fuerza son muy grandes cuando las partículas están muy juntas ( $x$  es pequeña), y ambas se vuelven menores conforme las partículas se alejan una de otra ( $x$  es grande); la fuerza empuja a la partícula móvil hacia valores positivos grandes de  $x$ , donde la energía potencial es menor (estudiaremos más a fondo las fuerzas eléctricas en el capítulo 21).

## Fuerza y energía potencial en tres dimensiones

Es posible extender este análisis a tres dimensiones, donde la partícula puede moverse en las direcciones  $x$ ,  $y$ ,  $z$  o todas a la vez, bajo la acción de una fuerza conservativa con componentes  $F_x$ ,  $F_y$  y  $F_z$ . Cada componente de la fuerza puede ser función de las coordenadas  $x$ ,  $y$  y  $z$ . La función de energía potencial  $U$  también es función de las tres coordenadas espaciales. El cambio de energía potencial  $\Delta U$  cuando la partícula se mueve una distancia pequeña  $\Delta x$  en la dirección  $x$  está dada otra vez por  $-F_x \Delta x$ ; no depende de  $F_y$  ni de  $F_z$ , que representan las componentes de fuerza perpendiculares al desplazamiento y que no efectúan trabajo. Tenemos de nuevo la relación aproximada

$$F_x = -\frac{\Delta U}{\Delta x}$$

Las componentes de fuerza  $y$  y  $z$  se determinan exactamente de la misma forma:

$$F_y = -\frac{\Delta U}{\Delta y} \quad F_z = -\frac{\Delta U}{\Delta z}$$

Para hacer que las relaciones sean exactas, tomamos los límites  $\Delta x \rightarrow 0$ ,  $\Delta y \rightarrow 0$  y  $\Delta z \rightarrow 0$  para que estos cocientes se conviertan en derivadas. Puesto que  $U$  puede ser función de las tres coordenadas, debemos recordar que, al calcular las derivadas, sólo una coordenada cambia a la vez. Calculamos la derivada de  $U$  con respecto a  $x$  suponiendo que  $y$  y  $z$  son constantes y solo  $x$  varía, etcétera. Estas derivadas se llaman

derivadas parciales y su notación habitual es  $\partial U/\partial x$ , etcétera; el símbolo  $\partial$  es una  $d$  modificada, por lo que escribimos

**Fuerza a partir de la energía potencial:** En un movimiento tridimensional, el valor en un punto dado de cada componente de una fuerza conservativa ...

$$F_x = -\frac{\partial U}{\partial x} \quad F_y = -\frac{\partial U}{\partial y} \quad F_z = -\frac{\partial U}{\partial z} \quad (7.17)$$

... es el negativo de la derivada parcial en ese punto de la función de energía potencial asociada.

Podemos usar vectores unitarios para escribir una expresión vectorial compacta única para la fuerza  $\vec{F}$ :

**Fuerza a partir de la energía potencial:** El valor del vector de una fuerza conservativa en un punto dado ...

$$\vec{F} = -\left( \frac{\partial U}{\partial x} \hat{i} + \frac{\partial U}{\partial y} \hat{j} + \frac{\partial U}{\partial z} \hat{k} \right) = -\vec{\nabla}U \quad (7.18)$$

... es el negativo del gradiente en ese punto de la función de energía potencial asociada.

En la ecuación (7.18) donde se obtiene la derivada parcial de  $U$  con respecto a cada coordenada, se multiplica por el vector unitario correspondiente y se suma vectorialmente. La operación se denomina **gradiente** de  $U$  y suele abreviarse  $\vec{\nabla}U$ .

Para comprobar, sustituimos en la ecuación (7.18) la función  $U = mgy$  para la energía potencial gravitacional:

$$\vec{F} = -\vec{\nabla}(mgy) = -\left( \frac{\partial(mgy)}{\partial x} \hat{i} + \frac{\partial(mgy)}{\partial y} \hat{j} + \frac{\partial(mgy)}{\partial z} \hat{k} \right) = (-mg) \hat{j}$$

que es la expresión que ya conocemos para la fuerza gravitacional.

### Aplicación Topografía y gradiente de energía potencial

Cuanto mayor sea la elevación de un excursionista en el Parque Nacional Banff de Canadá, mayor será la energía potencial  $U_{\text{grav}}$ . Visualice un eje  $x$  horizontal que va de oeste a este, y un eje horizontal que va de sur a norte. Entonces, la función  $U_{\text{grav}}(x, y)$  representa la elevación en función de la posición en el parque. Donde las pendientes de las montañas son muy pronunciadas,  $\vec{F} = -\vec{\nabla}U_{\text{grav}}$  tiene una magnitud grande y hay una fuerza intensa que empuja al excursionista por la superficie de la montaña hacia una región de menor elevación ( $y$ , por consiguiente, de menor  $U_{\text{grav}}$ ). No existe ninguna fuerza sobre la superficie del lago, y ésta tiene la misma elevación. Por lo tanto,  $U_{\text{grav}}$  es constante en todos los puntos de la superficie del lago, y  $\vec{F} = -\vec{\nabla}U_{\text{grav}} = \mathbf{0}$ .



### EJEMPLO 7.14 FUERZA Y ENERGÍA POTENCIAL EN DOS DIMENSIONES



Un disco de hockey se desliza sobre una mesa horizontal de aire sin fricción; sus coordenadas son  $x$  y  $y$ , y sobre él actúa una fuerza conservativa descrita por la función de energía potencial

$$U(x, y) = \frac{1}{2}k(x^2 + y^2)$$

Observe que  $r = \sqrt{x^2 + y^2}$  es la distancia sobre la superficie de la mesa desde el disco al origen. Encuentre una expresión vectorial para la fuerza que actúa sobre el disco y encuentre una expresión para la magnitud de la fuerza.

#### SOLUCIÓN

**IDENTIFICAR y PLANTEAR:** Al empezar con la función  $U(x, y)$ , necesitamos obtener las componentes vectoriales y la magnitud de la fuerza  $\vec{F}$  correspondiente. Obtendremos las componentes empleando la ecuación (7.18). La función  $U$  no depende de  $z$ , así que la derivada parcial de  $U$  con respecto a  $z$  es  $\partial U/\partial z = 0$  y la fuerza no tiene componente  $z$ ; luego, determinaremos la magnitud  $F$  de la fuerza empleando  $F = \sqrt{F_x^2 + F_y^2}$ .

**EJECUTAR:** Las componentes  $x$  y  $y$  de  $\vec{F}$  son

$$F_x = -\frac{\partial U}{\partial x} = -kx \quad F_y = -\frac{\partial U}{\partial y} = -ky$$

De acuerdo con la ecuación (7.18), la expresión vectorial de la fuerza es

$$\vec{F} = (-kx) \hat{i} + (-ky) \hat{j} = -k(x\hat{i} + y\hat{j})$$

La **magnitud** de la fuerza es

$$F = \sqrt{(-kx)^2 + (-ky)^2} = k\sqrt{x^2 + y^2} = kr$$

**EVALUAR:** Como  $x\hat{i} + y\hat{j}$  es el vector de posición  $\vec{r}$  de la partícula, podemos reescribir nuestro resultado como  $\vec{F} = -k\vec{r}$ . Esto representa una fuerza en dirección opuesta al vector de posición de la partícula, es decir, una fuerza dirigida hacia el origen,  $r = 0$ , que es la fuerza que se ejercería sobre el disco, si estuviera unido al extremo de un resorte que obedece la ley de Hooke y tiene longitud sin estirar despreciable en comparación con las demás distancias del problema (el otro extremo está unido a la mesa de aire de hockey en el origen  $r = 0$ ).

Para verificar el resultado, observe que  $U = \frac{1}{2}kr^2$ . Podemos calcular la fuerza a partir de esta expresión usando la ecuación (7.16) después de sustituir  $x$  por  $r$ :

$$F_r = -\frac{dU}{dr} = -\frac{d}{dr}\left(\frac{1}{2}kr^2\right) = -kr$$

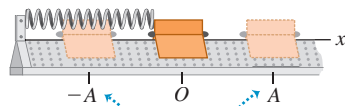
Igual que en nuestro resultado anterior, la fuerza tiene magnitud  $kr$ ; el signo menos indica que la fuerza está dirigida hacia el origen (en  $r = 0$ ).

**7.23 a)** Deslizador sobre un riel de aire.

El resorte ejerce una fuerza  $F_x = -kx$ .

**b)** Función de energía potencial.

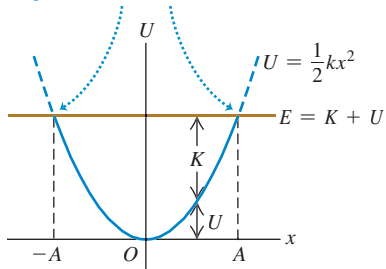
a)



Los límites del movimiento del deslizador están en  $x = A$  y  $x = -A$ .

b)

En la gráfica, los límites del movimiento son los puntos donde la curva de  $U$  interseca la línea horizontal que representa la energía mecánica total  $E$ .



#### Aplicación Acróbatas en equilibrio

Cada una de estas acróbatas se encuentra en equilibrio *inestable*. La energía potencial gravitacional es mínima sin importar hacia dónde se incline la acróbata. De modo que si ella comienza a caer, continuará cayendo.

Para permanecer en equilibrio, se requiere de la atención permanente de la acróbata.



#### EVALÚE SU COMPRENSIÓN DE LA SECCIÓN 7.4

Una fuerza conservativa  $F_x$  actúa sobre una partícula que se mueve a lo largo del eje  $x$ . En cierto punto, la fuerza es igual a cero. a) En ese punto, ¿cuál de los siguientes enunciadosacerca del valor de la función de energía potencial  $U(x)$  es correcto? i.  $U(x) = 0$ ; ii.  $U(x) > 0$ ; iii.  $U(x) < 0$ ; iv. no hay información suficiente para decidir. b) En ese punto, ¿cuál de los siguientes enunciadosacerca del valor de la derivada de  $U(x)$  es correcto? i.  $dU(x)/dx = 0$ ; ii.  $dU(x)/dx > 0$ ; iii.  $dU(x)/dx < 0$ ; iv. no hay información suficiente para decidir. |

## 7.5 DIAGRAMAS DE ENERGÍA

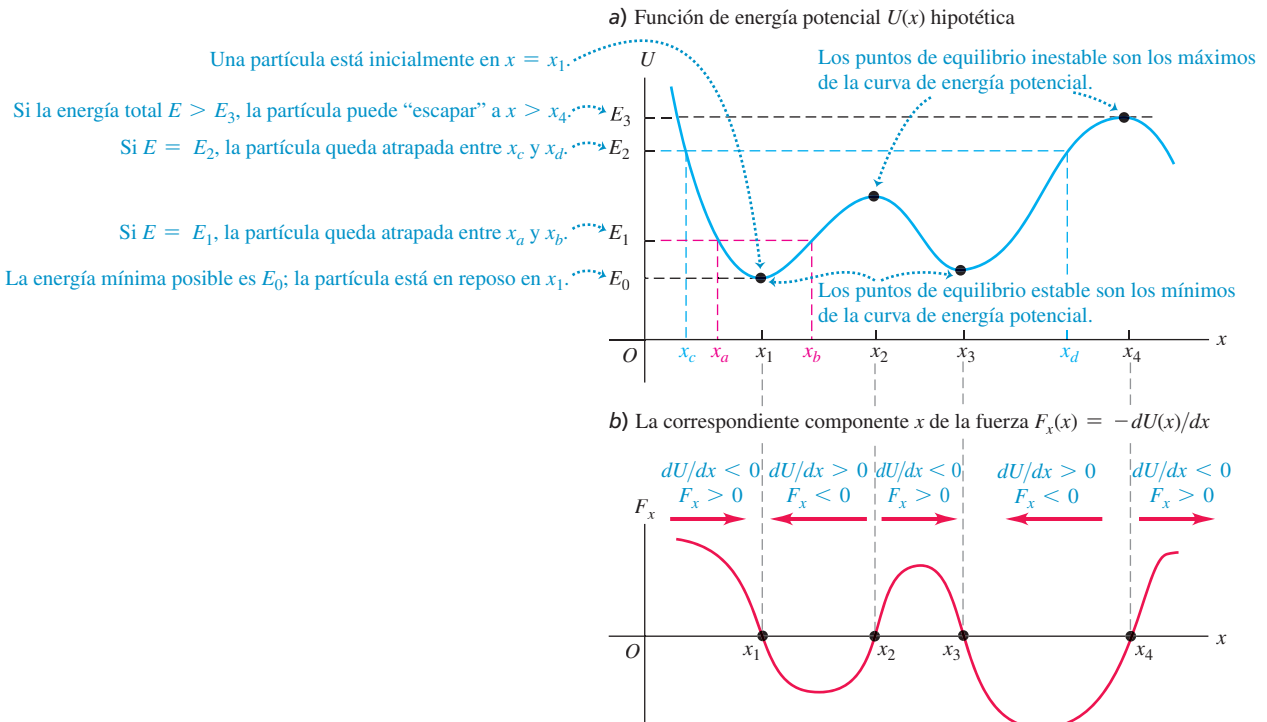
Cuando una partícula se mueve en línea recta bajo la acción de una fuerza conservativa, podemos entender mejor los movimientos posibles examinando la gráfica de la función de energía potencial  $U(x)$ . La figura 7.23a muestra un deslizador con masa  $m$  que se mueve en el eje  $x$  sobre un riel de aire. El resorte ejerce sobre él una fuerza de magnitud  $F_x = -kx$ . La figura 7.23b es la gráfica de la función de energía potencial correspondiente  $U(x) = \frac{1}{2}kx^2$ . Si la fuerza elástica del resorte es la única fuerza horizontal que actúa sobre el deslizador, la energía mecánica total  $E = K + U$  es constante e independiente de  $x$ . En ese caso, una gráfica de  $E$  en función de  $x$  es una recta horizontal. Empleamos el término **diagrama de energía** para una gráfica así, la cual muestra tanto la función de energía potencial  $U(x)$  como la energía de la partícula, bajo la influencia de la fuerza, que corresponde a  $U(x)$ .

La distancia vertical entre las curvas de  $U$  y  $E$  en cada punto representa la diferencia  $E - U$ , y es igual a la energía cinética  $K$  en ese punto. Vemos que  $K$  es máxima en  $x = 0$ , y cero en los valores de  $x$  donde se cruzan las curvas, identificadas como  $A$  y  $-A$  en la figura 7.23b. Así, la rapidez  $v$  es máxima en  $x = 0$  y cero en  $x = \pm A$ , los puntos del *máximo* desplazamiento posible desde  $x = 0$  para un valor dado de la energía total  $E$ . La energía potencial  $U$  nunca puede ser mayor que la energía total  $E$ , pues entonces  $K$  tendría que ser negativa, lo cual es imposible. El movimiento es una oscilación entre los puntos  $x = A$  y  $x = -A$ .

De la ecuación (7.16), en cada punto, la fuerza  $F_x$  sobre el deslizador es igual al negativo de la pendiente de la curva  $U(x)$ :  $F_x = -dU/dx$  (vea la figura 7.22a). Cuando la partícula está en  $x = 0$ , la pendiente y la fuerza son iguales a cero, y tenemos una posición de *equilibrio*. Si  $x$  es positiva, la pendiente de la curva de  $U(x)$  es positiva y  $F_x$  es negativa, dirigida hacia el origen. Si  $x$  es negativa, la pendiente es negativa y  $F_x$  es positiva, otra vez hacia el origen. Una fuerza así se denomina *fuerza restauradora*; si el deslizador se desplaza hacia cualquier lado de  $x = 0$ , la fuerza tiende a “restaurarlo” a  $x = 0$ . Una situación similar es una canica que rueda en una ensaladera de fondo redondo. Decimos que  $x = 0$  es un punto de **equilibrio estable**. Más generalmente, *todo mínimo de una curva de energía potencial es una posición de equilibrio estable*.

La figura 7.24a muestra una función de energía potencial  $U(x)$  hipotética, pero más general. La figura 7.24b ilustra la fuerza  $F_x = -dU/dx$  correspondiente, donde  $x_1$  y  $x_3$  son puntos de equilibrio estable. En ellos,  $F_x = 0$  porque la pendiente de la curva  $U(x)$  es igual a cero. Si la partícula se desplaza hacia cualquier lado, la fuerza la empuja hacia el punto de equilibrio. La pendiente de la curva  $U(x)$  también es cero en  $x_2$  y  $x_4$ , que también son puntos de equilibrio. Sin embargo, cuando la partícula se desplaza un poco a la derecha de cualquiera de ellos, la pendiente de la curva de  $U(x)$  se vuelve negativa, lo que corresponde a una  $F_x$  positiva que tiende a alejar más la partícula. Si ésta se desplaza un poco a la izquierda,  $F_x$  es negativa y también tiende a alejar a la partícula del equilibrio. Es similar a una canica que rueda sobre la parte superior de una bola de bolos. Los puntos  $x_2$  y  $x_4$  se llaman puntos de **equilibrio inestable**; *todo máximo de una curva de energía potencial es una posición de equilibrio inestable*.

**7.24** El máximo y el mínimo de una función de energía potencial  $U(x)$  corresponden a los puntos donde  $F_x = 0$ .



**CUIDADO Energía potencial y la dirección de una fuerza conservativa** La dirección de la fuerza sobre un cuerpo *no* está determinada por el signo de la energía potencial  $U$ ; lo que importa es el signo de  $F_x = -dU/dx$ . La cantidad físicamente significativa es la *diferencia* en el valor de  $U$  entre dos puntos (sección 7.1), que es lo que mide la derivada  $F_x = -dU/dx$ . Siempre se puede agregar cualquier constante a la función de energía potencial sin alterar la física de la situación. ■

Si la energía total es  $E_1$  y la partícula está inicialmente cerca de  $x_1$ , sólo puede moverse en la región entre  $x_a$  y  $x_b$  determinada por la intersección de las curvas de  $E_1$  y  $U$  (figura 7.24a). De nuevo,  $U$  no puede ser mayor que  $E_1$  porque  $K$  no puede ser negativo. Decimos que la partícula se mueve en un *pozo de potencial*, y  $x_a$  y  $x_b$  son los *puntos de retorno* de su movimiento (pues en ellos la partícula se detiene e invierte su dirección). Si aumentamos la energía total al nivel  $E_2$ , la partícula puede ampliar su movimiento, de  $x_c$  a  $x_d$ . Si la energía total es mayor que  $E_3$ , la partícula puede “escapar” y alcanzar valores indefinidamente grandes de  $x$ . En el otro extremo,  $E_0$  representa la energía total mínima posible que el sistema puede tener.

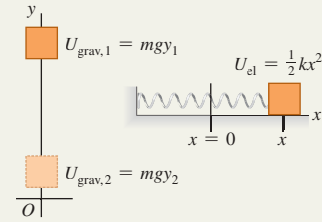
**EVALÚE SU COMPRENSIÓN DE LA SECCIÓN 7.5** En la figura 7.24b la curva tiene un máximo en un punto entre  $x_2$  y  $x_3$ . ¿Cuál enunciado describe correctamente lo que sucede a la partícula cuando se encuentra en ese punto? **i.** La aceleración de la partícula es cero. **ii.** La partícula acelera en la dirección positiva  $x$ ; la magnitud de la aceleración es menor que en cualquier otro punto entre  $x_2$  y  $x_3$ . **iii.** La partícula acelera en la dirección positiva  $x$ ; la magnitud de la aceleración es mayor que en cualquier otro punto entre  $x_2$  y  $x_3$ . **iv.** La partícula acelera en la dirección negativa  $x$ ; la magnitud de la aceleración es menor que en cualquier otro punto entre  $x_2$  y  $x_3$ . **v.** La partícula acelera en la dirección negativa  $x$ ; la magnitud de la aceleración es mayor que en cualquier otro punto entre  $x_2$  y  $x_3$ . ■


**Energía potencial gravitacional y energía potencial elástica:**

El trabajo efectuado sobre una partícula por una fuerza gravitacional constante puede representarse en términos de un cambio en la energía potencial gravitacional  $U_{\text{grav}} = mgy$ . Esta energía es una propiedad compartida de la partícula y la Tierra. La energía potencial también se asocia con la fuerza elástica  $F_x = -kx$  ejercida por un resorte ideal, donde  $x$  es la distancia de estiramiento o de compresión. El trabajo efectuado por esta fuerza se representa como un cambio en la energía potencial elástica del resorte,  $U_{\text{el}} = \frac{1}{2}kx^2$ .

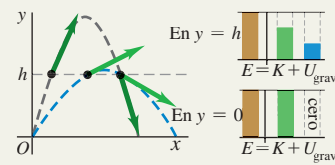
$$\begin{aligned} W_{\text{grav}} &= mgy_1 - mgy_2 \\ &= U_{\text{grav},1} - U_{\text{grav},2} \\ &= -\Delta U_{\text{grav}} \end{aligned} \quad (7.2), (7.3)$$

$$\begin{aligned} W_{\text{el}} &= \frac{1}{2}kx_1^2 - \frac{1}{2}kx_2^2 \\ &= U_{\text{el},1} - U_{\text{el},2} = -\Delta U_{\text{el}} \end{aligned} \quad (7.10), (7.11)$$


**Cuándo se conserva la energía mecánica total:**

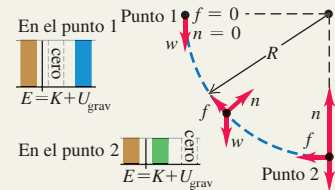
La energía potencial total  $U$  es la suma de las energías potenciales gravitacional y elástica:  $U = U_{\text{grav}} + U_{\text{el}}$ . Si sólo fuerzas gravitacional y elástica realizan trabajo sobre una partícula, se conserva la suma de las energías cinética y potencial. Esta suma,  $E = K + U$ , se denomina energía mecánica total (vea los ejemplos 7.1, 7.3, 7.4 y 7.7).

$$K_1 + U_1 = K_2 + U_2 \quad (7.4), (7.12)$$


**Cuándo no se conserva la energía mecánica total:**

Cuando fuerzas distintas de la gravitacional y la elástica efectúan trabajo sobre una partícula, el trabajo  $W_{\text{otras}}$  realizado por esas otras fuerzas es igual al cambio en la energía mecánica total (energía cinética más energía potencial total). (Vea los ejemplos 7.2, 7.5, 7.6, 7.8 y 7.9).

$$K_1 + U_1 + W_{\text{otras}} = K_2 + U_2 \quad (7.14)$$


**Fuerzas conservativas, fuerzas no conservativas y la ley de conservación de la energía:**

Todas las fuerzas son conservativas o no conservativas. Una fuerza conservativa es aquella para la cual la relación trabajo-energía cinética es totalmente reversible. El trabajo de una fuerza conservativa siempre puede representarse mediante una función de energía potencial; no sucede lo mismo con el trabajo de una fuerza no conservativa. El trabajo realizado por fuerzas no conservativas se manifiesta como cambios en la energía interna de los cuerpos. La suma de las energías cinética, potencial e interna siempre se conserva (vea los ejemplos 7.10 a 7.12).

$$\Delta K + \Delta U + \Delta U_{\text{int}} = 0 \quad (7.15)$$


**Cálculo de la fuerza a partir de la energía potencial:**

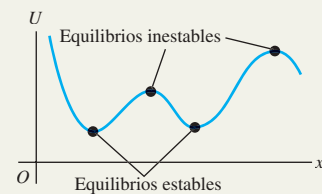
En un movimiento rectilíneo, una fuerza conservativa  $F_x(x)$  es el negativo de la derivada de la función de energía potencial  $U$  asociada a ella. En tres dimensiones, las componentes de una fuerza conservativa son las derivadas parciales negativas de  $U$  (vea los ejemplos 7.13 y 7.14).

$$F_x(x) = -\frac{dU(x)}{dx} \quad (7.16)$$

$$F_x = -\frac{\partial U}{\partial x} \quad F_y = -\frac{\partial U}{\partial y} \quad (7.17)$$

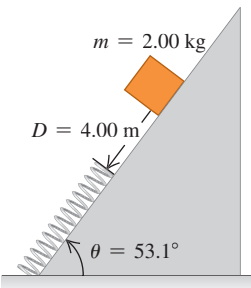
$$F_z = -\frac{\partial U}{\partial z}$$

$$\begin{aligned} \vec{F} &= -\left(\frac{\partial U}{\partial x}\hat{i} + \frac{\partial U}{\partial y}\hat{j} + \frac{\partial U}{\partial z}\hat{k}\right) \\ &= -\vec{\nabla}U \end{aligned} \quad (7.18)$$

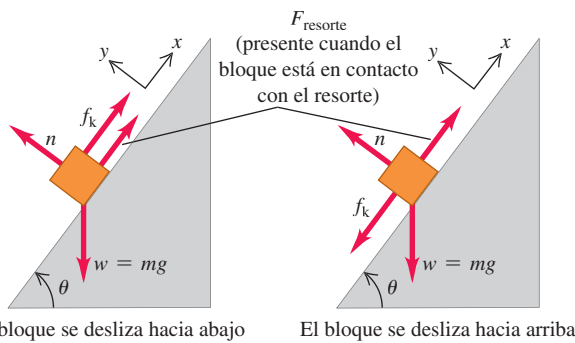


**PROBLEMA PRÁCTICO****RESORTE Y FRICCIÓN SOBRE UN PLANO INCLINADO**

Un paquete de 2.00 kg se suelta en un plano inclinado de  $53.1^\circ$ , a 4.00 m de un resorte largo, cuya constante de fuerza es de  $1.20 \times 10^2 \text{ N/m}$  y está sujeto a la base del plano inclinado (figura 7.25). Los coeficientes de fricción entre el paquete y el plano inclinado son  $\mu_s = 0.400$  y  $\mu_k = 0.200$ . La masa del resorte es despreciable. a) ¿Cuál es la compresión máxima del resorte? b) Al rebotar el paquete hacia arriba, ¿qué tanto se acerca a su posición inicial? c) ¿Cuál es el cambio en la energía interna del paquete y el plano inclinado a partir de que el paquete se libera, rebota y alcanza su altura máxima?

**7.25** Situación inicial.**GUÍA DE SOLUCIÓN****IDENTIFICAR y PLANTEAR**

- Este problema implica a la fuerza gravitacional, la fuerza del resorte y la fuerza de fricción, así como a la fuerza normal que actúa sobre el paquete. Como la fuerza del resorte no es constante, se deben usar métodos de energía. ¿La energía mecánica se conserva durante cualquier parte del movimiento? ¿Por qué?
- Dibuje los diagramas de cuerpo libre del paquete cuando se desliza hacia abajo y hacia arriba del plano inclinado, incluyendo los ejes de coordenadas (vea abajo). (Sugerencia: Si elige que  $x = 0$  se encuentre en el extremo del resorte sin comprimir, podrá usar  $U_{el} = \frac{1}{2}kx^2$  para la energía potencial elástica del resorte).



El bloque se desliza hacia abajo

El bloque se desliza hacia arriba

- Identifique los tres puntos críticos del movimiento del paquete: su posición inicial, su posición cuando llega al reposo con el resorte comprimido al máximo, y su posición máxima de rebote arriba del plano inclinado. (Sugerencia: Suponga que el paquete ya no está en contacto con el resorte en la última de estas posiciones. Si eso no es correcto, usted calculará un valor de  $x$  señalando que el resorte aún está parcialmente comprimido en ese punto).
- Elabore una lista de las cantidades desconocidas e identifique cuáles de éstas son las incógnitas.

**EJECUTAR**

- Calcule la magnitud de la fuerza de fricción que actúa sobre el paquete. ¿La magnitud de esta fuerza depende de si el paquete se mueve hacia arriba o hacia abajo del plano inclinado, o depende de si el paquete está en contacto o no con el resorte? ¿La dirección de la fuerza de fricción depende de alguna de estas situaciones?
- Escriba la ecuación general de energía para el movimiento del paquete entre los primeros dos puntos que identificó en el paso 3. Use esta ecuación para obtener la distancia que el resorte se comprime cuando el paquete está en el punto más bajo. (Sugerencia: Tendrá que resolver una ecuación cuadrática. Para identificar cuál de las dos soluciones de esta ecuación es la correcta, recuerde que la distancia que se comprime el resorte es positiva).
- Escriba la ecuación general de energía para el movimiento del paquete entre el segundo punto y el tercero que identificó en el paso 3. Use esta ecuación para determinar la distancia que rebota el paquete.
- Calcule el cambio de la energía interna durante el viaje de bajada y subida del paquete en el plano inclinado. Recuerde que el aumento de energía interna es igual a la disminución de la energía mecánica total.

**EVALUAR**

- En el inciso b) ¿era correcta la suposición de que el paquete no estaba en contacto con el resorte cuando alcanzó su altura máxima de rebote?
- Compruebe el resultado del inciso c) calculando el trabajo total realizado por la fuerza de fricción durante el recorrido completo. ¿Está de acuerdo con el resultado de la pregunta 8?

**Problemas**

•, •, ••: Niveles de dificultad. PA: Problemas acumulativos que incorporan material de capítulos anteriores. CALC: Problemas que requieren cálculo. DATOS: Problemas que incluyen datos reales, evidencia científica, diseño experimental y/o razonamiento estadístico. BIO: Problemas de ciencias biológicas.

**PREGUNTAS PARA ANÁLISIS**

**P7.1** Se lanza una pelota de béisbol verticalmente hacia arriba con rapidez inicial  $v_0$ . Si no se desprecia la resistencia del aire, cuando la pelota vuelva a su altura inicial su rapidez será menor que  $v_0$ . Explique esto usando conceptos de energía.

**P7.2** Un proyectil tiene la misma energía cinética inicial sin importar su ángulo de lanzamiento. ¿Por qué no alcanza la misma altura máxima en todos los casos?

**P7.3** Se deja caer un objeto, partiendo del reposo, de la parte superior de una rampa. Si la rampa no ejerce fricción, ¿la rapidez del objeto en la base de la rampa depende de la forma de la rampa o sólo de su altura? Explique su respuesta. ¿Y cuando la rampa sí tiene fricción?

**P7.4** Se deja caer al suelo un huevo a partir del reposo desde la azotea de un edificio. Un estudiante en la azotea observa la caída, y usa coordenadas con origen en la azotea; y otro estudiante en el suelo usa coordenadas con origen en el suelo. ¿Ambos estudiantes asignan valores iguales o diferentes a las energías potenciales gravitacionales inicial y final, al cambio de energía potencial gravitacional y a la energía cinética del huevo, justo antes de golpear el suelo? Explique su respuesta.

**P7.5** Un profesor de física tenía una bola para jugar a los bolos colgada de una cuerda muy larga sujetada al techo muy alto de un aula grande. Para demostrar su fe en la conservación de la energía,

retrocedía hasta un costado del estrado, tirando de la bola hasta que la cuerda tensa la dejaba llegar justo a la punta de su nariz, y luego la soltaba. La pesada bola describía un gran arco sobre el estrado y regresaba, deteniéndose momentáneamente justo frente a la nariz del inmóvil e impávido profesor. Sin embargo, un día, después de la demostración, alzó la vista justo a tiempo para ver que un estudiante en el otro lado del estrado *empujaba* la bola después de tirar de ella hasta tenerla frente a su nariz, tratando de repetir la demostración. Termine de contar la historia y explique el posiblemente trágico desenlace.

**P7.6** ¿Una fuerza de fricción puede en algún caso *aumentar* la energía mecánica de un sistema? De ser así, mencione algunos ejemplos.

**P7.7** Una clavadista rebota en un trampolín, subiendo un poco más alto cada rebote. Explique cómo aumenta la energía mecánica total.

**P7.8 Física fracturada.** A menudo las personas llaman *recibo de luz* a su recibo de electricidad, aun cuando la cantidad en la que se basa está expresada en *kilowatt·horas*. ¿Qué es lo que en realidad se cobra a los consumidores en el recibo?

**P7.9** a) Se levanta hacia arriba un libro una distancia vertical de 0.800 m. ¿Durante este desplazamiento, la fuerza gravitacional que actúa sobre el libro hace trabajo positivo o negativo? ¿La energía potencial gravitacional del libro aumenta o disminuye? b) Se suelta del reposo una lata de frijoles y cae hacia abajo una distancia vertical de 2.00 metros. ¿Durante este desplazamiento, la fuerza gravitacional que actúa sobre la lata puede hacer trabajo positivo o negativo? ¿La energía potencial gravitacional puede aumentar o disminuir?

**P7.10** a) Un bloque de madera se empuja contra un resorte, que está comprimido 0.080 m. ¿La fuerza sobre el bloque ejercida por el resorte hace trabajo positivo o negativo? ¿La energía potencial almacenada en el resorte aumenta o disminuye? b) Se coloca un bloque de madera contra un resorte vertical que está comprimido 6.00 cm. El resorte se libera y empuja el bloque hacia arriba. Desde el punto donde el resorte está comprimido 6.00 cm a donde está comprimido 2.00 cm de su longitud de equilibrio y el bloque se ha movido 4.00 cm hacia arriba, ¿la fuerza del resorte hace trabajo positivo o negativo en el bloque? ¿Durante este movimiento, la energía potencial almacenada en el resorte aumenta o disminuye?

**P7.11** Una piedra de 1.0 kg y otra de 10.0 kg se sueltan desde el reposo a la misma altura sin que experimenten resistencia del aire durante la caída. ¿Qué enunciado sobre estas piedras es verdadero? Justifique cada respuesta. a) Ambas tienen la misma energía potencial gravitacional inicial. b) Ambas tienen la misma aceleración conforme caen. c) Ambas llegan al suelo con la misma rapidez. d) Ambas tendrán la misma energía cinética cuando lleguen al suelo.

**P7.12** Dos objetos con diferentes masas se lanzan verticalmente en el aire al colocarlos en resortes comprimidos idénticos y soltar los resortes. Los dos resortes se comprimen la misma longitud antes de los lanzamientos. Desprecie la resistencia del aire y las masas de los resortes. ¿Cuál de estas afirmaciones sobre las masas son verdaderas? Justifique cada respuesta. a) Ambas alcanzan la misma altura máxima. b) En su altura máxima, ambas tienen la misma energía potencial gravitacional, si el potencial gravitacional inicial de cada masa se toma igual a cero.

**P7.13** Cuando la gente siente frío, a menudo frota sus manos una contra la otra para calentarlas. ¿Cómo se produce calor al hacer esto? ¿De dónde proviene el calor?

**P7.14** Una caja se desliza hacia abajo por una rampa, y las fuerzas de gravedad y de fricción realizan trabajo sobre ella. ¿El trabajo realizado por cada una de estas fuerzas puede expresarse en términos del cambio en una función de energía potencial? Para cada fuerza explique por qué.

**P7.15** En términos físicos, explique por qué la fricción es una fuerza no conservativa. ¿Puede almacenar energía para su uso futuro?

**P7.16** Puesto que sólo los cambios en la energía potencial son importantes en cualquier problema, un estudiante decide tomar la energía potencial elástica de un resorte como cero, cuando el resorte está estirado una distancia  $x_1$ . Entonces, el estudiante decide que  $U = \frac{1}{2}k(x - x_1)^2$ . ¿Esto es correcto? Explique su respuesta.

**P7.17** La figura 7.22a muestra la función de energía potencial para la fuerza  $F_x = -kx$ . Dibuje esa función para la fuerza  $F_x = +kx$ . Para esta fuerza, ¿ $x = 0$  es un punto de equilibrio? ¿Es equilibrio estable o inestable? Explique su respuesta.

**P7.18** La figura 7.22b muestra la función de energía potencial asociada con la fuerza gravitacional entre un objeto y la Tierra. Use esta curva para explicar por qué los objetos al soltarse siempre caen hacia la Tierra.

**P7.19** En un sistema de dos partículas, solemos considerar que la energía potencial de la fuerza entre las partículas se acerca a cero cuando la separación entre ellas se acerca al infinito. En tal caso, explique por qué la energía potencial con una separación no infinita es positiva si las partículas se repelen, y negativa si se atraen.

**P7.20** Explique por qué los puntos  $x = A$  y  $x = -A$  de la figura 7.23b se llaman *puntos de retorno*. ¿Cómo se relacionan los valores de  $E$  y  $U$  en un punto de retorno?

**P7.21** Una partícula está en *equilibrio neutro* si la fuerza neta que actúa sobre ella es cero, y permanece igual a cero si la partícula se desplaza un poco en cualquier dirección. Dibuje la función de energía potencial cerca de un punto de equilibrio neutro, para el caso de movimiento unidimensional. Dé un ejemplo de un objeto en equilibrio neutro.

**P7.22** La fuerza neta sobre una partícula de masa  $m$  tiene la función de energía potencial graficada en la figura 7.24a. Si la energía total es  $E_1$ , dibuje la curva de la rapidez  $v$  de la partícula contra su posición  $x$ . ¿En qué valor de  $x$  la rapidez es máxima? Dibuje  $v$  contra  $x$  si la energía total es  $E_2$ .

**P7.23** La función de energía potencial de una fuerza  $\vec{F}$  es  $U = \alpha x^3$ , donde  $\alpha$  es una constante positiva. ¿Qué dirección tiene  $\vec{F}$ ?

## EJERCICIOS

### Sección 7.1 Energía potencial gravitacional

**7.1** • En un día una alpinista de 75 kg asciende desde el nivel de 1500 m de un risco vertical hasta la cima a 2400 m. El siguiente día, desciende desde la cima hasta la base del risco, que está a una elevación de 1350 m. ¿Cuál es el cambio en su energía potencial gravitacional, a) durante el primer día y b) durante el segundo día?

**7.2 • BIO** ¿A qué altura podemos saltar? A partir de una posición en cuclillas, la altura máxima que un ser humano puede saltar es de aproximadamente 60 cm. ¿En cuánto se incrementa la energía potencial gravitacional de una persona de 72 kg por este salto? ¿De dónde proviene esta energía?

**7.3 • PA** Un saco de correo de 90.0 kg cuelga de una cuerda vertical de 3.5 m de longitud. Un trabajador de correos desplaza el saco a una posición lateral a 2.0 m de su posición original, manteniendo la cuerda tensa en todo momento. a) ¿Qué fuerza horizontal se necesita para mantener el saco en la nueva posición? b) Cuando el saco se mueve a esta posición, ¿cuánto trabajo realiza i. la cuerda y ii. el trabajador?

**7.4 • BIO Calorías nutricionales.** La *caloría nutricional*, igual a 4186 J, es una medida de la energía que se libera cuando el cuerpo metaboliza el alimento. Cierta marca de una barra de frutas y cereal contiene 140 calorías nutricionales por barra. a) Si un excursionista de 65 kg come una de estas barras, ¿qué altura debe escalar para “eliminar” las calorías, suponiendo que toda la energía del alimento se utiliza sólo en incrementar la energía potencial gravitacional? b) Si, como es normal, únicamente el 20% de las calorías nutricionales se convierte en energía mecánica, ¿cuál sería la respuesta del inciso a)? (Nota: En éste y los demás problemas, suponemos que el 100% de las calorías nutricionales ingeridas son absorbidas y utilizadas por el cuerpo. En realidad, eso no es verdad).

La “eficiencia metabólica” de una persona es el porcentaje de calorías ingeridas que realmente se usan; el resto es eliminado por el cuerpo. La eficiencia metabólica varía considerablemente de una persona a otra).

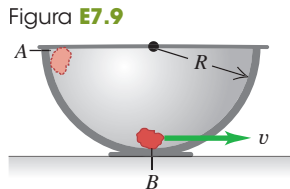
**7.5** • Se lanza una pelota de béisbol desde la azotea de un edificio de 22.0 m de altura con velocidad inicial de magnitud 12.0 m/s y dirigida con un ángulo de  $53.1^\circ$  sobre la horizontal. *a)* ¿Qué rapidez tiene la pelota justo antes de tocar el suelo? Use métodos de energía y desprecie la resistencia del aire. *b)* ¿Cuál es la respuesta del inciso *a*) si la velocidad inicial tiene un ángulo de  $53.1^\circ$  por *debajo* de la horizontal? *c)* Si se incluye el efecto de la resistencia del aire, ¿en qué inciso, *a*) o *b*), se obtiene la mayor rapidez?

**7.6** • Una caja de masa  $M$  parte del reposo en la cima de una rampa sin fricción, inclinada con un ángulo  $\alpha$  sobre la horizontal. Calcule su rapidez en la base de la rampa, a una distancia  $d$  desde donde inició. Obtenga la respuesta de dos maneras: *a)* Tome el nivel donde la energía potencial es cero como la base de la rampa con la dirección  $+y$  hacia arriba. *b)* Tome el nivel cero para la energía potencial como la cima de la rampa con la dirección  $+y$  hacia arriba. *c)* ¿Por qué no se tomó en cuenta la fuerza normal en la solución?

**7.7** • **BIO Energía de humanos contra energía de insectos.** Por su tamaño, la pulga común es uno de los saltadores mejor dotados del reino animal. Un ejemplar de 2.0 mm de longitud y 0.50 mg puede alcanzar una altura de 20 cm en un salto. *a)* Ignorando el arrastre del aire, ¿cuál es la velocidad de despegue de esta pulga? *b)* Calcule la energía cinética de la pulga en el despegue y su energía cinética por kilogramo de masa. *c)* Si un ser humano de 65 kg y 2.0 m de estatura pudiera saltar una altura comparada con su estatura igual a la que salta la pulga comparada con su longitud, ¿qué altura saltaría la persona y qué rapidez necesitaría en el despegue? *d)* De hecho, la mayoría de los humanos no pueden saltar más de 60 cm a partir de una posición en cuclillas. ¿Cuál es la energía cinética por kilogramo de masa en el despegue para esta persona de 65 kg? *e)* ¿Dónde almacena la pulga la energía que le permite realizar este salto repentino?

**7.8** • **BIO Fracturas de huesos.** La energía máxima que un hueso puede absorber sin romperse depende de características como su área transversal y su elasticidad. Se ha encontrado que esta energía medida en los huesos de las piernas, de  $6.0 \text{ cm}^2$  de área transversal, de humanos saludables es de alrededor de 200 J. *a)* ¿Aproximadamente de qué altura máxima puede saltar una persona de 60 kg y caer de manera rígida sobre ambos pies sin romperse las piernas? *b)* Probablemente le sorprenderá la pequeña magnitud de la respuesta del inciso *a*). Desde luego, la gente salta de alturas mucho mayores sin romperse las piernas. ¿Cómo es posible? ¿Qué más absorbe energía cuando un individuo salta de mayores alturas? (*Sugerencia:* Pregúntese lo siguiente. ¿Cómo aterrizó la persona del inciso *a*)? ¿Cómo aterriza normalmente la gente cuando salta de grandes alturas?). *c)* ¿Cuál podría ser una de las razones por las que los adultos mayores son mucho más proclives que los jóvenes a fracturarse los huesos con una simple caída (como una caída en la ducha)?

**7.9** • **PA** Una piedra pequeña con masa de 0.20 kg se libera del reposo en el punto *A*, que se encuentra en el borde de un tazón hemisférico grande de radio  $R = 0.50 \text{ m}$  (figura E7.9). Suponga que la piedra es pequeña en comparación con  $R$ , así que puede tratarse como partícula, y suponga que la piedra se desliza en vez de rodar. El trabajo efectuado por la fricción sobre la piedra al bajar del punto *A* al punto *B* en la base del tazón es de 0.22 J. *a)* Entre los puntos *A* y *B*, ¿cuánto trabajo es efectuado sobre la piedra por *i.* la fuerza normal y *ii.* la fuerza de gravedad? *b)* ¿Qué rapidez tiene la piedra al llegar a *B*? *c)* De las tres fuerzas que actúan sobre la piedra cuando se desliza hacia abajo del tazón, ¿cuáles (si es que hay) son constantes y cuáles no lo son? Explique su respuesta. *d)* Justo cuando la piedra llega al punto *B*, ¿cuál es la fuerza normal sobre ella en el fondo del tazón?



**7.10** • Una niña de 25.0 kg juega en un columpio con cuerdas de soporte de 2.20 m de largo. Su hermano la jala hacia atrás hasta que las cuerdas están a  $42.0^\circ$  respecto a la vertical y la suelta desde el reposo. *a)* ¿Cómo se compara su energía potencial justo cuando la soltó, con la energía potencial en la parte inferior del movimiento del columpio? *b)* ¿Cuál será su rapidez en la parte inferior? *c)* ¿Cuánto trabajo hace la tensión en las cuerdas, cuando se columpia desde la posición inicial hasta la parte inferior del movimiento?

**7.11** • En un parque de diversiones, usted está probando una nueva montaña rusa con un carro vacío de 120 kg de masa. Una parte de la vía es un rizo vertical con radio de 12.0 m. En la parte inferior del rizo (punto *A*), el carro tiene rapidez de 25.0 m/s; y en la parte superior (punto *B*), de 8.0 m/s. ¿Cuánto trabajo efectúa la fricción cuando el carro rueda del punto *A* al *B*?

**7.12** • **Tarzán y Jane.** Tarzán se encuentra en un árbol y ve a Jane en otro árbol. Él toma el extremo de una liana de 20 m que forma un ángulo de  $45^\circ$  con la vertical, se deja caer de la rama del árbol y describe un arco hacia abajo para llegar a los brazos de Jane. En este punto, su liana forma un ángulo de  $30^\circ$  con la vertical. Calcule la rapidez de Tarzán justo antes de llegar adonde está Jane, para determinar si la abrazará suavemente o la tirará de la rama. Desprecie la resistencia del aire y la masa de la liana.

**7.13** • **PA** Un horno de microondas de 10.0 kg se empuja para subirlo 6.00 m por la superficie de una rampa inclinada a  $36.9^\circ$  sobre la horizontal, aplicando una fuerza constante  $\vec{F}$  de magnitud 110 N, que actúa paralela a la rampa. El coeficiente de fricción cinética entre el horno y la rampa es de 0.250. *a)* ¿Qué trabajo realiza la fuerza  $\vec{F}$  sobre el horno? *b)* ¿Qué trabajo realiza la fuerza de fricción sobre el horno? *c)* Calcule el aumento en la energía potencial del horno. *d)* Use las respuestas de los incisos *a*, *b* y *c*) para calcular el aumento en la energía cinética del horno. *e)* Use  $\sum \vec{F} = m\vec{a}$  para calcular la aceleración del horno. Suponiendo que el horno parte del reposo, use la aceleración para calcular la rapidez del horno después de recorrer 6.00 m. Calcule con esto el aumento en la energía cinética del horno y compare su respuesta con la del inciso *d*).

## Sección 7.2 Energía potencial elástica

**7.14** • Un resorte ideal de masa despreciable tiene 12.00 cm de longitud cuando nada se une a él. Cuando usted cuelga un peso de 3.15 kg del resorte, mide una longitud de 13.40 cm. Si usted quisiera almacenar 10.0 J de energía potencial en este resorte, ¿cuál sería su longitud *total*? Suponga que sigue cumpliendo la ley de Hooke.

**7.15** • Una fuerza de 520 N estira cierto resorte una distancia de 0.200 m. *a)* ¿Qué energía potencial tiene el resorte cuando se estira 0.200 m? *b)* ¿Y cuando se le comprime 5.00 cm?

**7.16** • **BIO Tendones.** Como una aproximación razonable que cumple con la ley de Hooke, los tendones son fibras elásticas resistentes que sujetan los músculos a los huesos. En pruebas de laboratorio sobre un tendon específico, se encontró que, cuando un objeto de 250 g cuelga de él, el tendon se estira 1.23 cm. *a)* Calcule la constante de fuerza de este tendon en N/m. *b)* Debido a su espesor, la tensión máxima que este tendon puede soportar sin romperse es de 138 N. ¿Cuánto puede estirarse el tendon sin romperse y cuánta energía se almacena en ese punto?

**7.17** • Un resorte almacena energía potencial  $U_0$  cuando se comprime una distancia  $x_0$  desde su longitud sin comprimir. *a)* En términos de  $U_0$ , ¿cuánta energía almacena el resorte cuando se comprime *i.* el doble de la distancia y *ii.* la mitad de la distancia? *b)* En términos de  $x_0$ , ¿cuánto debe comprimirse desde su longitud sin comprimir para almacenar *i.* el doble de energía y *ii.* la mitad de energía?

**7.18** • Una resortera dispara una piedra pequeña de río de 10 g una distancia de 22.0 m verticalmente hacia arriba. *a)* ¿Cuánta energía potencial se almacenó en la banda de caucho de la resortera? *b)* Con la misma energía potencial almacenada en la banda, ¿a qué altura puede dispararse una piedra de 25 g? *c)* ¿Qué efectos físicos ignoró al resolver este problema?

**7.19** • Un resorte de masa despreciable tiene una constante de fuerza  $k = 800 \text{ N/m}$ . *a)* ¿Qué tanto debe comprimirse para almacenar en él 1.20 J de energía potencial? *b)* El resorte se coloca verticalmente con un extremo en el piso. Y en la parte superior del resorte se sostiene un libro de 1.60 kg que se suelta desde el reposo. Determine la distancia máxima que se comprimirá el resorte.

**7.20** • Un queso de 1.20 kg se coloca en un resorte vertical con masa despreciable y constante de fuerza  $k = 1800 \text{ N/m}$  que está comprimido 15.0 cm. Cuando se suelta el resorte, ¿qué altura alcanza el queso sobre su posición original? (El queso y el resorte *no* están unidos).

**7.21** • Un resorte de masa despreciable tiene una constante de fuerza  $k = 1600 \text{ N/m}$ . *a)* ¿Qué tanto debe comprimirse para almacenar en él 3.20 J de energía potencial? *b)* El resorte se coloca verticalmente con un extremo en el piso, y se deja caer sobre él un libro de 1.20 kg desde una altura de 0.800 m arriba de la parte superior del resorte. Determine la distancia máxima que se comprimirá el resorte.

**7.22** • *a)* ¿Qué rapidez tiene el elevador del ejemplo 7.9 (sección 7.2) después de haber bajado 1.00 m desde el punto 1 de la figura 7.17? *b)* ¿Qué aceleración tiene el elevador cuando está 1.00 m abajo del punto 1 de la figura 7.17?

**7.23** • Una masa de 2.50 kg se empuja contra un resorte horizontal, cuya constante de fuerza es de 25.0 N/cm, sobre una mesa de aire sin fricción. El resorte está sujeto a la mesa, en tanto que la masa no está sujetada al resorte de ninguna manera. Cuando el resorte se comprime lo suficiente como para almacenar 11.5 J de energía potencial en él, la masa se libera repentinamente del reposo. *a)* Determine la rapidez máxima que alcanza la masa. ¿Cuándo ocurre? *b)* ¿Cuál es la aceleración máxima de la masa y cuándo ocurre?

**7.24** • Un bloque de 2.50 kg sobre un piso horizontal está sujeto a un resorte horizontal inicialmente comprimido 0.0300 m. El resorte tiene una constante de fuerza de 840 N/m. El coeficiente de fricción cinética entre el piso y el bloque es  $\mu_k = 0.40$ . El bloque y el resorte se liberan a partir del reposo y el bloque se desliza por el piso. ¿Cuál es la rapidez del bloque cuando ha recorrido una distancia de 0.0200 m a partir de su posición inicial? (En este punto el resorte está comprimido 0.0100 m).

**7.25** • Le piden diseñar un resorte que imparta a un satélite de 1160 kg una rapidez de 2.50 m/s relativa a un transbordador espacial en órbita. El resorte debe imprimir al satélite una aceleración máxima de 5.00g. La masa del resorte, la energía cinética de retroceso del transbordador y los cambios en la energía potencial gravitacional serán despreciables. *a)* ¿Qué constante de fuerza debe tener el resorte? *b)* ¿Qué distancia tiene que comprimirse el resorte?

### Sección 7.3 Fuerzas conservativas y no conservativas

**7.26** • Un reparador de azoteas de 75 kg sube por una escalera vertical de 7.0 m al techo plano de una casa. Despues, camina 12 m sobre el techo, desciende por otra escalera vertical de 7.0 m y, por último, camina por el suelo regresando a su punto de partida. ¿Cuánto trabajo realizó sobre él la fuerza de gravedad *a)* cuando subió, *b)* cuando bajó, y *c)* cuando caminó por el techo y por el suelo? *d)* ¿Cuál es el trabajo total efectuado por la gravedad sobre él durante todo el recorrido? *e)* Con base en su respuesta al inciso *d*), ¿diría usted que la gravedad es una fuerza conservativa o no conservativa? Explique su respuesta.

**7.27** • Un libro de 0.60 kg se desliza sobre una mesa horizontal. La fuerza de fricción cinética que actúa sobre el libro tiene una magnitud de 1.8 N. *a)* ¿Cuánto trabajo realiza la fricción sobre el libro durante un desplazamiento de 3.0 m a la izquierda? *b)* Ahora el libro se desliza 3.0 m a la derecha, volviendo al punto inicial. Durante este segundo desplazamiento de 3.0 m, ¿qué trabajo efectúa la fricción sobre el libro? *c)* ¿Qué trabajo total efectúa la fricción sobre el libro durante el recorrido completo? *d)* Con base en su respuesta al inciso *c*), ¿diría que la fuerza de fricción es conservativa o no conservativa? Explique su respuesta.

**7.28** • **CALC** En un experimento, una de las fuerzas ejercidas sobre un protón es  $\vec{F} = -\alpha x^2 \hat{i}$ , donde  $\alpha = 12 \text{ N/m}^2$ . *a)* ¿Cuánto trabajo efectúa  $\vec{F}$  cuando el protón se desplaza sobre la recta del punto (0.10 m, 0) al punto (0.10 m, 0.40 m)? *b)* ¿Y sobre la recta del punto (0.10 m, 0) al punto (0.30 m, 0)? *c)* ¿Y sobre la recta del punto (0.30 m, 0) al punto (0.10 m, 0)? *d)* ¿ $\vec{F}$  es una fuerza conservativa? Explique su respuesta. Si  $\vec{F}$  es conservativa, ¿cuál es su función de energía potencial? Sea  $U = 0$  cuando  $x = 0$ .

**7.29** • Una esquiadora de 62.0 kg se desplaza a 6.50 m/s en una planicie horizontal, sin fricción, cubierta por la nieve, cuando encuentra una zona áspera de 4.20 m de longitud. El coeficiente de fricción cinética entre esta zona y sus esquís es de 0.300. Después de cruzar la zona áspera y regresar a la nieve libre de fricción, esquí de bajada por una colina sin fricción, cubierta de hielo de 2.50 m de altura. *a)* ¿Con qué rapidez se desplaza la esquiadora cuando llega a la parte inferior de la colina? *b)* ¿Cuánta energía interna se generó al cruzar la zona áspera?

**7.30** • Cuando un reparador de azoteas trabaja en un techo inclinado 36° arriba de la horizontal, accidentalmente golpea con el codo su caja de herramientas de 85.0 N, provocando que se deslice hacia abajo, a partir del reposo. Si parte a 4.25 m del extremo inferior del techo, ¿a qué rapidez se moverá la caja de herramientas cuando llegue al extremo del techo, si la fuerza de fricción cinética sobre ella es de 22.0 N?

### Sección 7.4 Fuerza y energía potencial

**7.31** • **CALC** Una fuerza paralela al eje  $x$  actúa sobre una partícula que se mueve sobre el eje  $x$ . La fuerza produce una energía potencial  $U(x)$  dada por  $U(x) = \alpha x^4$ , donde  $\alpha = 0.630 \text{ J/m}^4$ . ¿Cuál es la fuerza (magnitud y dirección) cuando la partícula está en  $x = -0.800 \text{ m}$ ?

**7.32** • **CALC** La energía potencial de un par de átomos de hidrógeno separados una distancia grande  $x$  está dada por  $U(x) = -C_6/x^6$ , donde  $C_6$  es una constante positiva. ¿Qué fuerza ejerce un átomo sobre el otro? ¿Esta fuerza es de atracción o de repulsión?

**7.33** • **CALC** Un bloque pequeño con masa de 0.0400 kg se mueve en el plano  $xy$ . La fuerza neta sobre el bloque está descrita por la función de energía potencial  $U(x, y) = (5.80 \text{ J/m}^2)x^2 - (3.60 \text{ J/m}^3)y^3$ . ¿Cuáles son la magnitud y dirección de la aceleración del bloque cuando se encuentra en el punto  $x = 0.300 \text{ m}$ ,  $y = 0.600 \text{ m}$ ?

**7.34** • **CALC** Sobre un objeto que se mueve en el plano  $xy$  actúa una fuerza conservativa descrita por la función de energía potencial  $U(x, y) = \alpha[(1/x^2) + (1/y^2)]$ , donde  $\alpha$  es una constante positiva. Deduzca una expresión para la fuerza expresada en términos de los vectores unitarios  $\hat{i}$  y  $\hat{j}$ .

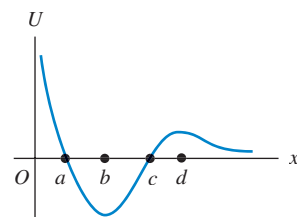
### Sección 7.5 Diagramas de energía

**7.35** • **CALC** La energía potencial de dos átomos en una molécula diatómica se aproxima mediante la ecuación  $U(r) = (a/r^{12}) - (b/r^6)$ , donde  $r$  es la distancia entre los átomos y  $a$  y  $b$  son constantes positivas. *a)* Determine la fuerza  $F(r)$  que actúa sobre un átomo en función de  $r$ . Elabore dos gráficas: una de  $U(r)$  contra  $r$  y otra de  $F(r)$  contra  $r$ . *b)* Encuentre la distancia de equilibrio entre los dos átomos. ¿Es estable el equilibrio? *c)* Suponga que los dos átomos están a la distancia

de equilibrio obtenida en el inciso b). ¿Qué energía mínima debe agregarse a la molécula para *disociarla*, es decir, para separar los dos átomos una distancia infinita? Ésta es la *energía de disociación* de la molécula. d) Para la molécula de CO, la distancia de equilibrio entre los átomos de carbono y oxígeno es de  $1.13 \times 10^{-10}$  m y la energía de disociación es de  $1.54 \times 10^{-18}$  J por molécula. Calcule los valores de las constantes a y b.

- 7.36** • Una canica se mueve sobre el eje x. La función de energía potencial se muestra en la figura E7.36. a) ¿En cuál de las coordenadas x marcadas es cero la fuerza sobre la canica? b) ¿Cuál de esas coordenadas es una posición de equilibrio estable? c) ¿Y cuál de equilibrio inestable?

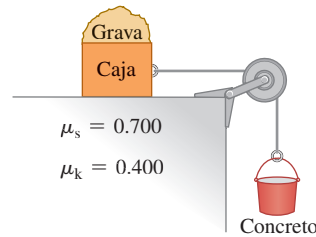
Figura E7.36



## PROBLEMAS

- 7.37** •• En una obra en construcción, una cubeta de 65.0 kg de concreto cuelga de un cable ligero (pero resistente), que pasa por una polea ligera sin fricción y está conectada a una caja de 80.0 kg ubicada en un techo horizontal (figura P7.37). El cable tira horizontalmente de la caja y una bolsa de grava de 50.0 kg descansa sobre la parte superior de la caja. Se indican los coeficientes de fricción entre la caja y el techo. a) Determine la fuerza de fricción sobre la bolsa de grava y sobre la caja. b) Repentinamente un trabajador quita la bolsa de grava. Utilice la conservación de la energía para calcular la rapidez de la cubeta, luego de que haya descendido 2.00 m partiendo del reposo (podrá verificar su respuesta resolviendo este problema utilizando las leyes de Newton).

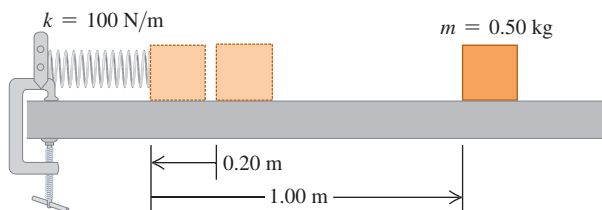
Figura P7.37



- 7.38** •• Dos bloques con diferente masa están unidos a cada uno de los extremos de una cuerda ligera, la cual pasa por una polea ligera sin fricción que está suspendida del techo. Los bloques se sueltan desde el reposo y el más pesado comienza a descender. Una vez que este bloque ha descendido 1.20 m, su rapidez es de 3.00 m/s. Si la masa total de los dos bloques es de 22.0 kg, ¿qué masa tiene cada bloque?

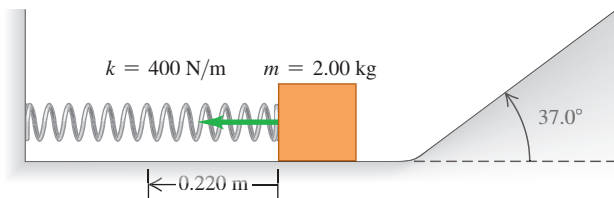
- 7.39** • Un bloque con masa de 0.50 kg se empuja contra un resorte horizontal de masa despreciable, comprimiéndolo 0.20 m (figura P7.39). Al soltarse, el bloque se mueve 1.00 m sobre una mesa horizontal antes de detenerse. La constante del resorte es  $k = 100 \text{ N/m}$ . ¿Cuál es el coeficiente de fricción cinética  $\mu_k$  entre el bloque y la superficie de la mesa?

Figura P7.39



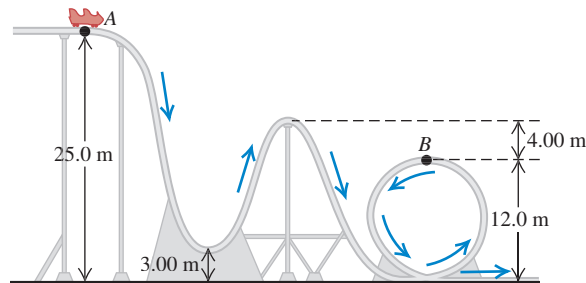
- 7.40** • Un bloque de 2.00 kg se empuja contra un resorte de masa despreciable y constante de fuerza  $k = 400 \text{ N/m}$ , comprimiéndolo 0.220 m. Al soltarse el bloque, se mueve por una superficie sin fricción que primero es horizontal y luego sube a  $37.0^\circ$  (figura P7.40). a) ¿Qué rapidez tiene el bloque al deslizarse sobre la superficie horizontal después de separarse del resorte? b) ¿Qué altura sobre el plano inclinado alcanza el bloque antes de detenerse y regresar?

Figura P7.40



- 7.41** •• El carrito de 350 kg de una montaña rusa inicia su recorrido, partiendo del reposo, en el punto A y se desliza hacia un rizo vertical en una superficie sin fricción (figura P7.41). a) ¿Con qué rapidez se mueve el carrito en el punto B? b) ¿Con qué fuerza se presiona contra las vías en el punto B?

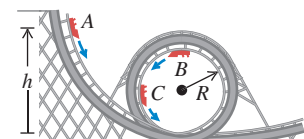
Figura P7.41



### 7.42 • PA Recorrido por un rizo vertical.

- El carrito de un juego en un parque de diversiones rueda sin fricción por la vía (figura P7.42), y parte del reposo en el punto A a una altura  $h$  arriba de la base del rizo. Trate el carrito como partícula. a) ¿Qué valor mínimo debe tener  $h$  (en términos de  $R$ ) para que el carrito se desplace por el rizo sin caer en la parte superior (el punto B)? b) Si  $h = 3.50R$  y  $R = 14.0 \text{ m}$ , calcule la rapidez, aceleración radial y aceleración tangencial de los pasajeros cuando el carrito está en el punto C, en el extremo de un diámetro horizontal. Elabore un diagrama a escala aproximada de las componentes de la aceleración.

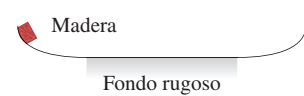
Figura P7.42



### 7.43 • Un trozo de madera de

- 2.0 kg resbala por una superficie curva (figura P7.43). Los lados curvos son perfectamente lisos; pero la parte inferior horizontal tiene una longitud de 30 m y es áspera, cuyo coeficiente de fricción cinética es de 0.20 con la madera. El trozo de madera parte del reposo 4.0 m arriba del fondo áspero. a) ¿Dónde se detendrá finalmente este objeto? b) ¿Cuál es el trabajo total que realiza la fricción desde que se suelta la madera hasta que se detiene?

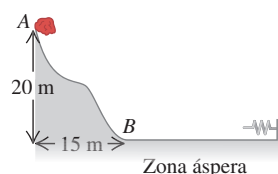
Figura P7.43



**7.44 • Subir y bajar la colina.** Una roca de 28 kg se acerca al pie de una colina con rapidez de 15 m/s. La ladera de la colina tiene un ángulo constante de  $40.0^\circ$  sobre la horizontal. Los coeficientes de fricción estática y cinética entre la colina y la roca son 0.75 y 0.20, respectivamente. a) Use la conservación de la energía para obtener la altura máxima por arriba del pie de la colina a la que subirá la roca. b) ¿La roca permanecerá en reposo en el punto más alto o se deslizará cuesta abajo? c) Si la roca resbala hacia abajo, calcule su rapidez cuando vuelva al pie de la colina.

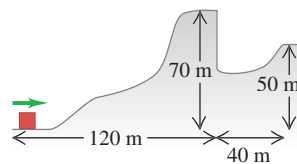
**7.45 •** Una piedra de 15.0 kg baja deslizándose una colina nevada (**figura P7.45**), partiendo del punto A con una rapidez de 10.0 m/s. No hay fricción en la colina entre los puntos A y B, pero sí en el terreno plano de la parte inferior, entre B y la pared. Después de entrar en la región áspera horizontal, la piedra recorre 100 m y choca con un resorte muy largo y ligero, cuya constante de fuerza es de 2.00 N/m. Los coeficientes de fricción cinética y estática entre la piedra y el suelo horizontal son de 0.20 y 0.80, respectivamente. a) ¿Qué rapidez tiene la piedra al llegar al punto B? b) ¿Qué distancia comprimirá la piedra al resorte? c) ¿La piedra se moverá otra vez después de haber sido detenida por el resorte?

Figura P7.45



**7.46 • PA** Un bloque de 2.8 kg que se desliza remonta la colina lisa, cubierta de hielo, como se ilustra en la **figura P7.46**. La cima de la colina es horizontal y está 70 m más arriba que su base. ¿Qué rapidez mínima debe tener el bloque en la base de la colina para no quedar atrapado en el foso (lado derecho) al otro lado de la colina?

Figura P7.46



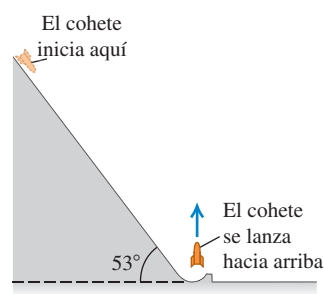
**7.47 •• Salto con bungee.** La cuerda de un *bungee* tiene 30.0 m de longitud y, cuando está estirada una distancia  $x$ , ejerce una fuerza restauradora de magnitud  $kx$ . Imagine que su suegro (masa de 95.0 kg) está de pie en una plataforma 45.0 m sobre el suelo, con un extremo del *bungee* atado firmemente a su tobillo; en tanto que el otro extremo está atado a la plataforma. Usted le prometió que, cuando se deje caer de la plataforma, caerá una distancia máxima de sólo 41.0 m antes de que el *bungee* lo detenga. Usted tenía varias cuerdas de *bungee* para elegir y las probó atándolas a un árbol y estirándolas jalando del otro extremo con una fuerza de 380.0 N. Durante esas pruebas, ¿qué distancia se estirará el *bungee* que debería elegir?

**7.48 ••** Imagine que está diseñando una rampa de entrega para unas cajas que contienen equipo de gimnasio. Las cajas de 1470 N tendrán una rapidez de 1.8 m/s en la parte más alta de una rampa con pendiente de  $22.0^\circ$  hacia abajo. La rampa ejerce una fuerza de fricción cinética de 515 N sobre cada caja, y la fricción estática máxima también tiene este valor. Cada caja comprimirá un resorte en la base de la rampa y se detendrá después de recorrer una distancia total de 5.0 m sobre la rampa. Una vez detenidas, las cajas no deben rebotar de regreso. Calcule la constante de fuerza que debe tener el resorte para satisfacer los criterios de diseño.

**7.49 ••** El Gran Sandini es un cirquero de 60 kg que es disparado por un cañón de resorte. No son comunes los hombres de su complejión, así que usted le ayudará a diseñar un nuevo cañón, el cual tendrá un resorte muy grande de masa muy pequeña y constante de fuerza de 1100 N/m, que se comprimirá con una fuerza de 4400 N. El interior del cañón está recubierto con teflón, por lo que la fuerza de fricción media es de únicamente 40 N durante los 4.0 m que el cirquero se mueve dentro de él. ¿Con qué rapidez sale el cirquero del extremo del cañón, 2.5 m arriba de su posición inicial en reposo?

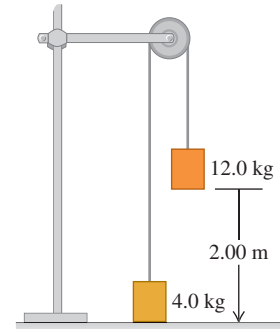
**7.50 •** Un cohete de 1500 kg despega con una rapidez inicial ascendente de 50.0 m/s. Para ayudar a los motores, los ingenieros lo lanzarán desde el reposo sobre una rampa que se eleva  $53^\circ$  por arriba de la horizontal (**figura P7.50**). En la base, la rampa da vuelta hacia arriba y lanza el cohete verticalmente. Los motores proporcionan un empuje hacia adelante constante de 2000 N, y la fricción con la superficie de la rampa es una constante de 500 N. ¿A qué distancia de la base de la rampa, medida a lo largo de la superficie, debe empezar a deslizarse el cohete?

Figura P7.50



**7.51 •** Un sistema que consta de dos cubetas de pintura conectadas por una cuerda ligera se suelta del reposo con la cubeta de pintura de 12.0 kg a 2.00 m sobre el piso (**figura P7.51**). Use el principio de conservación de la energía para calcular la rapidez con que esta cubeta golpea el piso. Ignore la fricción y la masa de la polea.

Figura P7.51



**7.52 •** Los siguientes datos son de una simulación por computadora de una pelota de béisbol de 0.145 kg al ser bateada, considerando la resistencia del aire:

$t$	$x$	$y$	$v_x$	$v_y$
0	0	0	30.0 m/s	40.0 m/s
3.05 s	70.2 m	53.6 m	18.6 m/s	0
6.59 s	124.4 m	0	11.9 m/s	-28.7 m/s

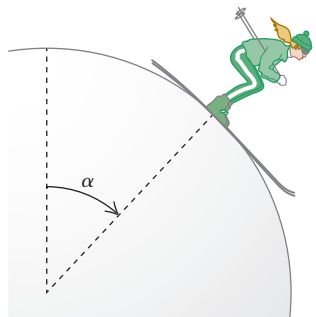
a) ¿Cuánto trabajo realizó el aire sobre la pelota al viajar ésta de su posición inicial a su máxima altura? b) ¿Y al bajar de la altura máxima a la altura inicial? c) Explique por qué la magnitud del trabajo calculado en el inciso b) es menor que la del calculado en el inciso a).

**7.53 • PA** Una papa de 0.300 kg está atada a un hilo de 2.50 m, y el otro extremo está atado a un soporte rígido. La papa se sostiene con el hilo tensado horizontalmente desde el punto de apoyo y se suelta. a) ¿Qué rapidez tiene la papa en el punto más bajo de su movimiento? b) ¿Qué tensión hay en el hilo en ese punto?

**7.54 •** Una esquiadora de 60.0 kg parte del reposo en la cima de una ladera de 65.0 m de altura. a) Si las fuerzas de fricción efectúan  $-10.5 \text{ kJ}$  de trabajo sobre ella al descender, ¿qué rapidez tiene al pie de la ladera? b) Ahora, la esquiadora se mueve horizontalmente y cruza un tramo de nieve suave, donde  $\mu_k = 0.20$ . Si el tramo de nieve tiene 82.0 m de ancho y la fuerza promedio de la resistencia del aire que actúa sobre la esquiadora es de 160 N, ¿qué rapidez tiene ella después de cruzar esa zona? c) Ahora, la esquiadora choca contra un montón de nieve, penetrando 2.5 m antes de detenerse. ¿Qué fuerza promedio ejerce la nieve sobre ella al detenerla?

**7.55 • PA** Una esquiadora comienza su recorrido en la parte superior de una enorme bola de nieve sin fricción, con rapidez inicial muy pequeña, y baja esquiando por el costado (**figura P7.55**). ¿En qué punto pierde ella contacto con la bola de nieve y sigue una trayectoria tangencial? Es decir, en el instante en que ella pierde contacto con la nieve, ¿qué ángulo  $\alpha$  forma con la vertical una línea radial que va del centro de la bola a la esquiadora?

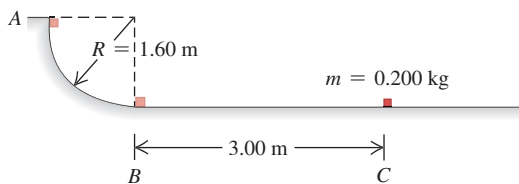
Figura P7.55



**7.56** •• Se arroja una pelota hacia arriba con una velocidad inicial de 15 m/s a un ángulo de  $60.0^\circ$  arriba de la horizontal. Use la conservación de la energía para determinar la altura máxima de la pelota.

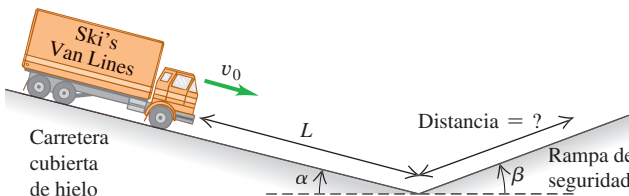
**7.57** •• En un puesto de carga de camiones de una oficina de correos, un paquete pequeño de 0.200 kg se suelta del reposo en el punto A de una vía que forma un cuarto de círculo con radio de 1.60 m (figura P7.57). El paquete es mucho menor que 1.60 m, por lo que puede tratarse como una partícula. El paquete se desliza por la vía y llega al punto B con rapidez de 4.80 m/s. A partir de aquí, el paquete se desliza 3.00 m sobre una superficie horizontal hasta el punto C, donde se detiene. a) ¿Qué coeficiente de fricción cinética tiene la superficie horizontal? b) ¿Cuánto trabajo realiza la fricción sobre el paquete al deslizarse éste por el arco circular entre A y B?

Figura P7.57



**7.58** •• Los frenos de un camión de masa  $m$  fallan al bajar por una carretera cubierta de hielo con un ángulo de inclinación  $\alpha$  constante hacia abajo (figura P7.58). Inicialmente, el camión baja con rapidez  $v_0$ . Después de bajar una distancia  $L$  con fricción despreciable, el conductor guía el camión desbocado hacia una rampa de seguridad con ángulo  $\beta$  constante hacia arriba. La rampa tiene una superficie arenosa blanda, donde el coeficiente de fricción por rodamiento es  $\mu_r$ . ¿Qué distancia sube el camión por la rampa antes de detenerse? Use métodos de energía.

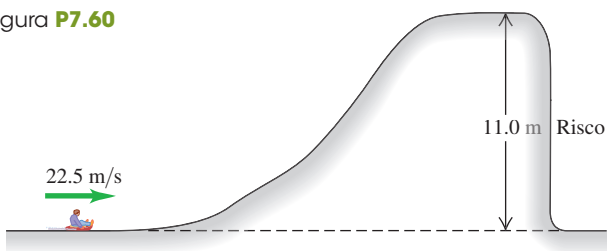
Figura P7.58



**7.59** •• **CALC** Cierto resorte no obedece la ley de Hooke; ejerce una fuerza de restauración  $F_x(x) = -\alpha x - \beta x^2$  si se estira o se comprime, donde  $\alpha = 60.0 \text{ N/m}$  y  $\beta = 18.0 \text{ N/m}^2$ . Se desprecia la masa del resorte. a) Calcule la función de energía potencial  $U(x)$  del resorte. Sea  $U = 0$  cuando  $x = 0$ . b) Un objeto con masa de 0.900 kg en una superficie horizontal sin fricción se une a este resorte, se jala de él hasta desplazarlo 1.00 m a la derecha (dirección  $+x$ ) para estirar el resorte, y se suelta. ¿Qué rapidez tiene el objeto cuando está 0.50 m a la derecha de la posición de equilibrio  $x = 0$ ?

**7.60** •• PA Un trineo junto con su pasajero que tienen una masa combinada de 125 kg viaja sobre la superficie cubierta de hielo de una colina perfectamente lisa (figura P7.60). ¿A qué distancia del pie del risco aterriza el trineo?

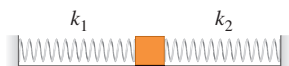
Figura P7.60



**7.61** •• **CALC** Una fuerza conservativa  $\vec{F}$  en la dirección de  $+x$  tiene magnitud  $F(x) = \alpha/(x + x_0)^2$ , donde  $\alpha = 0.800 \text{ N}\cdot\text{m}^2$  y  $x_0 = 0.200 \text{ m}$ . a) ¿Cuál es la función de energía potencial  $U(x)$  para esta fuerza? Sea  $U(x) \rightarrow 0$  cuando  $x \rightarrow \infty$ . b) Un objeto de masa  $m = 0.500 \text{ kg}$  se libera desde el reposo en  $x = 0$  y se mueve en la dirección  $+x$ . Si  $\vec{F}$  es la única fuerza que actúa sobre el objeto, ¿cuál es la velocidad del objeto cuando llega a  $x = 0.400 \text{ m}$ ?

**7.62** •• Un bloque de 3.00 kg está unido a dos resortes horizontales ideales, cuyas constantes de fuerza son  $k_1 = 25.0 \text{ N/cm}$  y  $k_2 = 20.0 \text{ N/cm}$  (figura P7.62).

Figura P7.62



El sistema está inicialmente en equilibrio sobre una superficie horizontal sin fricción. Ahora el bloque se empuja 15.0 cm a la derecha y se suelta del reposo. a) ¿Cuál es la rapidez máxima del bloque? b) ¿En qué parte del movimiento se registra la rapidez máxima? c) ¿Cuál es la compresión máxima del resorte?

**7.63** •• Un bloque de hielo de 0.150 kg se coloca contra un resorte horizontal comprimido montado en una mesa horizontal que está a 1.20 m sobre el piso. El resorte tiene una constante de fuerza de 1900 N/m, y está comprimido inicialmente 0.045 m. La masa del resorte es despreciable. El resorte se suelta y el bloque se desliza sobre la mesa, cae por el borde y se sigue deslizando por el piso. Si la fricción entre el hielo y la mesa es despreciable, ¿qué rapidez tiene el bloque al llegar al piso?

**7.64** •• Si un pez se sujet a un resorte vertical y se baje suavemente a su posición de equilibrio, el resorte se estira una distancia  $d$ . Si el mismo pez se sujet a resorte no estirado y se deja caer desde el reposo, ¿cuánto llega a estirar el resorte? (Sugerencia: Calcule la constante de fuerza del resorte en términos de  $d$  y la masa  $m$  del pez).

**7.65** •• **CALC** Usted es un ingeniero industrial con una compañía de envíos. Como parte del sistema de manejo de paquetes, se coloca una pequeña caja con una masa de 1.60 kg contra un resorte ligero que es comprimido 0.280 m. La constante de fuerza del resorte es  $k = 45.0 \text{ N/m}$ . El resorte y la caja se sueltan desde el reposo, y la caja viaja a lo largo de una superficie horizontal que tiene un coeficiente de fricción cinética con la caja de  $\mu_k = 0.300$ . Cuando la caja ha viajado 0.280 m y el resorte ha alcanzado su longitud de equilibrio, la caja pierde contacto con el resorte. a) ¿Cuál es la rapidez de la caja en el instante cuando abandona el resorte? b) ¿Cuál es la rapidez máxima de la caja durante su movimiento?

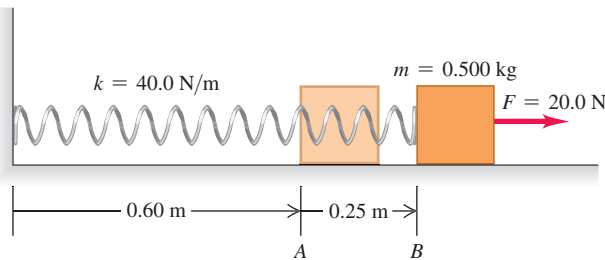
**7.66** •• Un cesto de peso despreciable cuelga verticalmente de una balanza de resorte que tiene una constante de fuerza de 1500 N/m. a) Si repentinamente se coloca en el cesto un ladrillo de 3.0 kg, calcule la distancia máxima que el resorte se estira. b) Si en vez de ello, usted suelta el ladrillo 1.0 m por arriba del cesto, ¿cuál será la elongación máxima del resorte?

**7.67 •• CALC** Un pez de 3.00 kg está sujeto al extremo inferior de un resorte vertical de masa despreciable y constante de fuerza igual a 900 N/m. Inicialmente, el resorte no está ni comprimido ni estirado. Se suelta el pez a partir del reposo. *a)* ¿Cuál es la rapidez después de que ha descendido 0.0500 m a partir de su posición inicial? *b)* ¿Cuál es la máxima rapidez del pez durante el descenso?

**7.68 •** Usted está diseñando un juego del parque de diversiones. Un carro con dos pasajeros que se mueve horizontalmente con rapidez  $v = 6.00 \text{ m/s}$ . Usted supone que la masa total del carro más los pasajeros es de 300 kg. El carro golpea un resorte ligero que está unido a la pared, el resorte se comprime momentáneamente y, luego, recupera su rapidez mientras se mueve hacia atrás en la dirección opuesta. Para que el juego sea emocionante pero seguro, la máxima aceleración del carro durante este movimiento debería ser 3.00g. Desprecie la fricción. *a)* la constante de fuerza requerida del resorte, *b)* la distancia máxima que se comprimirá el resorte?

**7.69 •** Un bloque de 0.500 kg unido a un resorte de 0.60 m y constante de fuerza  $k = 40.0 \text{ N/m}$  está en reposo con su cara posterior en el punto A de una mesa horizontal de aire sin fricción (**figura P7.69**). La masa del resorte es despreciable. Se mueve el bloque a la derecha de la superficie jalando con una fuerza horizontal constante de 20.0 N. *a)* ¿Qué rapidez tiene el bloque cuando su cara posterior llega al punto B, que está 0.25 m a la derecha del punto A? *b)* El bloque se suelta cuando la cara posterior del mismo alcanza el punto B. En el movimiento subsiguiente, ¿qué tanto se acerca el bloque a la pared a la que está sujeto el extremo izquierdo del resorte?

Figura P7.69



**7.70 •• PA** Un bloque pequeño con masa de 0.0400 kg se desliza en un círculo vertical de radio  $R = 0.500 \text{ m}$  en el interior de una pista circular. En una de las revoluciones, cuando el bloque se encuentra en la parte inferior de su trayectoria, el punto A, la magnitud de la fuerza normal ejercida por la pista sobre el bloque es de 3.95 N. En la misma revolución, cuando el bloque alcanza la parte superior de su trayectoria, el punto B, la magnitud de la fuerza normal ejercida sobre el bloque es de 0.680 N. ¿Cuánto trabajo realiza la fricción sobre el bloque cuando éste se desplaza del punto A al punto B?

**7.71 •• PA** Un bloque pequeño con masa de 0.0500 kg se desliza en un círculo vertical de radio  $R = 0.800 \text{ m}$  en el interior de una pista circular. No existe fricción entre la pista y el bloque. En la parte inferior de la trayectoria del bloque, la fuerza normal que la pista ejerce sobre el bloque tiene una magnitud de 3.40 N. ¿Cuál es la magnitud de la fuerza normal que la pista ejerce sobre el bloque, cuando se encuentra en la parte superior de su trayectoria?

**7.72 •• PA** **Péndulo.** Una piedrita de 0.12 kg está atada a un hilo sin masa de 0.80 m de longitud, formando un péndulo simple, que oscila con un ángulo máximo de  $45^\circ$  con la vertical. La resistencia del aire es despreciable. *a)* ¿Qué rapidez tiene la piedra cuando el hilo pasa por la posición vertical? *b)* ¿Qué tensión hay en el hilo cuando forma un ángulo de  $45^\circ$  con la vertical? *c)* ¿Y cuando pasa por la vertical?

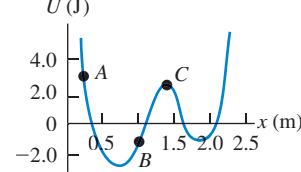
**7.73 ••** Un bloque de madera con masa de 1.50 kg se coloca contra un resorte comprimido en la base de una pendiente de  $30.0^\circ$  (punto A). Al soltarse el resorte, el bloque sube por la pendiente. En el punto B, 6.00 m pendiente arriba de A, el bloque tiene una rapidez de 7.00 m/s dirigida pendiente arriba y ya no está en contacto con el resorte. El coeficiente de fricción cinética entre el bloque y la pendiente es  $\mu_k = 0.50$ . La masa del resorte es despreciable. Calcule la energía potencial almacenada inicialmente en el resorte.

**7.74 •• CALC** Un pequeño objeto con masa  $m = 0.0900 \text{ kg}$  se mueve a lo largo del eje  $+x$ . La única fuerza en el objeto es una fuerza conservativa que tiene la función de energía potencial  $U(x) = -\alpha x^2 + \beta x^3$ , donde  $\alpha = 2.00 \text{ J/m}^2$  y  $\beta = 0.300 \text{ J/m}^3$ . El objeto se suelta del reposo para  $x$  pequeñas. Cuando el objeto está en  $x = 4.00 \text{ m}$ , *a)* ¿cuáles son su rapidez y *b)* aceleración (magnitud y dirección)? *c)* ¿Cuál es el valor máximo de  $x$  alcanzado por el objeto durante su movimiento?

**7.75 •• CALC** Varias fuerzas actúan sobre una cortadora controlada por un microprocesador. Una es  $\vec{F} = -\alpha xy^2 \hat{j}$ , que tiene la dirección y negativa y cuya magnitud depende de la posición de la cortadora. Para  $\alpha = 2.50 \text{ N/m}^3$ , considere el desplazamiento de la cortadora desde el origen hasta el punto  $x = 3.00 \text{ m}$ ,  $y = 3.00 \text{ m}$ . *a)* Calcule el trabajo efectuado sobre la cortadora por  $\vec{F}$  si el desplazamiento sigue la recta  $y = x$  que conecta ambos puntos. *b)* Calcule el trabajo efectuado sobre la cortadora por  $\vec{F}$  suponiendo ahora que la cortadora se mueve primero sobre el eje  $x$  hasta  $x = 3.00 \text{ m}$ ,  $y = 0 \text{ y}$ , luego, se mueve paralela al eje  $y$  hasta  $x = 3.00 \text{ m}$ ,  $y = 3.00 \text{ m}$ . *c)* Compare el trabajo realizado por  $\vec{F}$  siguiendo las dos trayectorias. ¿ $\vec{F}$  es conservativa o no conservativa? Explique su respuesta.

**7.76 •** Una partícula se mueve a lo largo del eje  $x$  y sobre ella actúa una sola fuerza conservativa paralela al eje  $x$ . Tal fuerza corresponde a la función de energía potencial graficada en la **figura P7.76**. La partícula se suelta del reposo en el punto A. *a)* ¿Qué dirección tiene la fuerza sobre la partícula en el punto A? *b)* ¿y en el punto B? *c)* ¿En qué valor de  $x$  es máxima la energía cinética de la partícula? *d)* ¿Qué fuerza actúa sobre la partícula en C? *e)* ¿Qué valor máximo de  $x$  alcanza la partícula durante su movimiento? *f)* ¿Qué valor o valores de  $x$  corresponden a puntos de equilibrio estable? *g)* ¿Y de equilibrio inestable?

Figura P7.76



**7.77 •• DATOS** Usted está diseñando un péndulo para un museo de la ciencia. El péndulo se hace uniendo una esfera de bronce con masa  $m$  en el extremo inferior de un alambre largo de metal ligero de longitud (desconocida)  $L$ . Un dispositivo en la parte superior del alambre mide la tensión en el alambre y transmite esa información a su computadora portátil. Cuando el alambre es vertical y la esfera está en reposo, el centro de la esfera está a 0.800 m sobre el piso y la tensión en el alambre es 265 N. Manteniendo el hilo tenso, luego jala la esfera a un lado (utilizando una escalera si es necesario) y la suelta suavemente. Registra la altura  $h$  del centro de la esfera sobre el suelo en el punto donde se suelta la esfera y la tensión  $T$  en el alambre conforme la esfera oscila a través de su punto más bajo. Recolecta sus resultados:

$h(\text{m})$	0.800	2.00	4.00	6.00	8.00	10.0	12.0
$T(\text{N})$	265	274	298	313	330	348	371

Suponga que la esfera puede tratarse como una masa puntual, desprecie la masa del alambre y considere que la energía mecánica se conserva a través de cada medición. a) Trace la gráfica de  $T$  frente a  $h$  y utilice esta gráfica para el cálculo de  $L$ . b) Si la resistencia a la ruptura del alambre es 822 N, ¿de qué altura máxima  $h$  se puede lanzar la esfera si la tensión en el alambre no debe exceder la mitad de la resistencia a la ruptura? c) El péndulo está oscilando cuando sale al final del día. Cierra las puertas del museo, y nadie entra en el edificio hasta volver a la mañana siguiente. Encontrará que la esfera cuelga en reposo. Utilizando consideraciones de energía, ¿cómo se puede explicar tal comportamiento?

**7.78 •• DATOS** Una rampa grande de hierro fundido está inclinada en un ángulo constante  $\theta = 52.0^\circ$  sobre la horizontal. Pequeños bloques, cada uno con masa 0.42 kg pero hechos de diferentes materiales, se sueltan desde el reposo a una altura  $h$  arriba de la parte inferior de la rampa. En cada caso el coeficiente de fricción estática es lo suficientemente pequeño como para que los bloques comiencen a deslizarse por la rampa en cuanto se sueltan. Se le pide que encuentre  $h$  para que cada bloque tenga una rapidez de 4.00 m/s cuando alcanza la parte inferior de la rampa. Se le dan los siguientes coeficientes de fricción (cinética) de deslizamiento para diferentes pares de materiales:

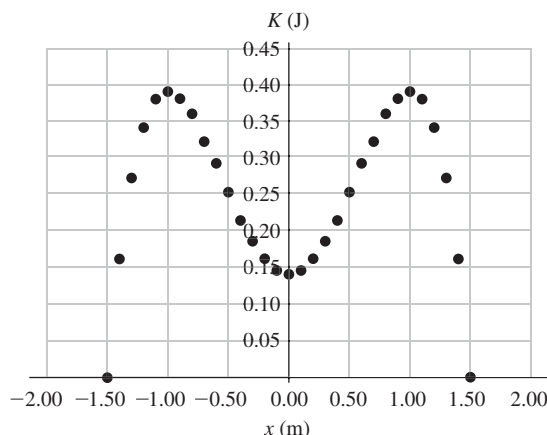
Material 1	Material 2	Coefficiente de fricción de deslizamiento
Hierro fundido	Hierro fundido	0.15
Hierro fundido	Cobre	0.29
Hierro fundido	Plomo	0.43
Hierro fundido	Zinc	0.85

Fuente: www.engineershandbook.com

a) Utilice consideraciones de trabajo y energía para encontrar el valor de  $h$  si el bloque está hecho de i. hierro fundido; ii. cobre; iii. zinc. b) ¿Cuál es el valor de  $h$  para el bloque de cobre si su masa se duplica a 0.84 kg? c) Para un bloque determinado, si  $\theta$  se aumenta mientras que  $h$  se mantiene constante, ¿la rapidez  $v$  del bloque en la parte inferior de la rampa, aumenta, disminuye o no cambia?

**7.79 •• DATOS** Una sola fuerza conservativa  $F(x)$  actúa sobre una pequeña esfera de masa  $m$  mientras que la esfera se mueve a lo largo del eje  $x$ . La esfera se suelta desde el reposo en  $x = -1.50$  m. Conforme se mueve la esfera, se mide su velocidad en función de la posición. Utilice los datos de velocidad para calcular la energía cinética  $K$ ; La figura P7.79 muestra sus datos. a) Sea  $U(x)$  la función de energía potencial para  $F(x)$ . ¿Es  $U(x)$  simétrica con respecto a  $x = 0$ ? [Si es así, entonces  $U(x) = U(-x)$ .] b) Si se hace  $U = 0$  en  $x = 0$ , ¿cuál es el valor de  $U$  en  $x = -1.50$  m? c) Trace la gráfica de  $U(x)$ . d) ¿En qué

Figura P7.79



valores de  $x$  (si existen) es  $F = 0$ ? e) ¿Para qué intervalo de valores de  $x$  entre  $x = -1.50$  m y  $x = +1.50$  m,  $F$  es positiva? f) Y negativa? f) Si se suelta la esfera del reposo en  $x = -1.30$  m, ¿cuál es el mayor valor que alcanza  $x$  durante su movimiento? g) Y el mayor valor de energía cinética que tiene durante su movimiento?

## PROBLEMA DE DESAFÍO

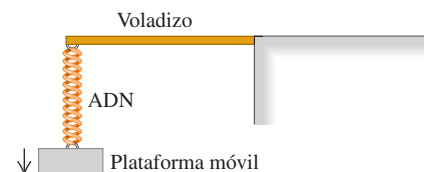
**7.80 ••• CALC** Un protón de masa  $m$  se mueve en una dimensión. La función de energía potencial es  $U(x) = (\alpha/x)^2 - (\beta/x)$ , donde  $\alpha$  y  $\beta$  son constantes positivas. El protón se libera del reposo en  $x_0 = \alpha/\beta$ . a) Demuestre que  $U(x)$  puede escribirse como

$$U(x) = \frac{\alpha}{x^2} \left[ \left( \frac{x_0}{x} \right)^2 - \frac{x_0}{x} \right]$$

Grafique  $U(x)$ . Calcule  $U(x_0)$  ubicando así el punto  $x_0$  en la gráfica. b) Calcule  $v(x)$ , la rapidez del protón en función de la posición. Grafique  $v(x)$  y describa el movimiento cualitativamente. c) ¿Para qué valor de  $x$  es máxima la rapidez del protón? ¿Cuál es el valor de esa rapidez máxima? d) ¿Qué fuerza actúa sobre el protón en el inciso c)? e) Si ahora el protón se libera en  $x_1 = 3\alpha/\beta$ , ubique  $x_1$  en la gráfica de  $U(x)$ . Calcule  $v(x)$  y describa cualitativamente el movimiento. f) En cada caso de protón liberado ( $x = x_0$  y  $x = x_1$ ), ¿qué valores máximos y mínimos de  $x$  se alcanzan durante el movimiento?

## PROBLEMAS DE TRANSICIÓN

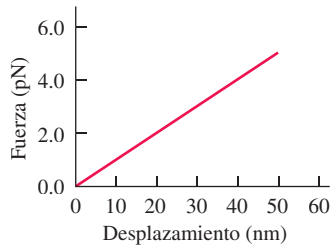
**BIO EL RESORTE DEL ADN.** En algunas situaciones una molécula de ADN con su estructura de doble hélice se puede comportar como un resorte. La fuerza requerida para estirar moléculas individuales de ADN bajo diferentes condiciones puede proporcionar información acerca de las propiedades biofísicas del ADN. Una técnica para medir la fuerza de estiramiento hace uso de un voladizo muy pequeño, que consiste en una viga que se apoya en un extremo y es libre de moverse en el otro extremo, como un pequeño trampolín. El voladizo está construido de modo que obedece ley de Hooke, es decir, el desplazamiento de su extremo libre es proporcional a la fuerza aplicada a éste. Ya que diferentes voladizos tienen constantes de fuerza distintas, la respuesta de los voladizos se debe primero calibrar aplicando una fuerza conocida y determinar la deflexión resultante del voladizo. Luego uno de los extremos de una molécula de ADN se une al extremo libre del voladizo, y el otro extremo de la molécula de ADN se une a una pequeña plataforma que se puede mover alejándose del voladizo, estirando el ADN. El ADN estirado jala al voladizo, desviando muy ligeramente el extremo del voladizo. La deflexión medida se utiliza para determinar la fuerza sobre la molécula de ADN.



**7.81** Durante el proceso de calibración, se observa que el voladizo se desvía 0.10 nm cuando se aplica a éste una fuerza de 3.0 pN. ¿Qué desviación del voladizo correspondería a una fuerza de 6.0 pN? a) 0.07 nm; b) 0.14 nm; c) 0.20 nm; d) 0.40 nm .

**7.82** Se coloca un segmento de ADN y se estira. La **figura P7.82** muestra una gráfica de la fuerza ejercida sobre el ADN como una función del desplazamiento de la plataforma. Con base en esta gráfica, ¿qué enunciado es la mejor interpretación del comportamiento del ADN en este intervalo de desplazamientos? El ADN *a*) no sigue la ley de Hooke debido a que su constante de fuerza aumenta conforme se incrementa la fuerza sobre éste; *b*) sigue la ley de Hooke y tiene una constante de fuerza de aproximadamente 0.1 pN/nm; *c*) sigue la ley de Hooke y tiene una constante de fuerza de 10 pN/nm; *d*) no sigue la ley de Hooke porque su constante de fuerza disminuye conforme aumenta la fuerza sobre éste.

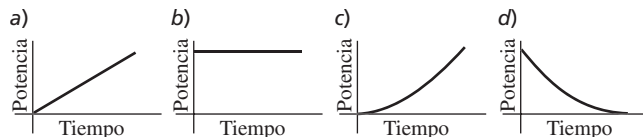
Figura P7.82



**7.83** Con base en la figura P7.82, ¿cuánta energía potencial elástica se almacena en el ADN cuando se estira 50 nm? *a*)  $2.5 \times 10^{-19}$  J; *b*)  $1.2 \times 10^{-19}$  J; *c*)  $5.0 \times 10^{-12}$  J; *d*)  $2.5 \times 10^{-12}$  J.

**7.84** La plataforma se mueve con una rapidez constante mientras se estira el ADN. ¿Cuál de las gráficas de la **figura P7.84** representan mejor la potencia suministrada a la plataforma contra al tiempo?

Figura P7.84



## Respuestas

### Pregunta de inicio del capítulo ?

v. Cuando la grulla desciende, la resistencia del aire en dirección opuesta al movimiento del ave evita que aumente su rapidez. Como la rapidez de la grulla permanece constante, su energía cinética  $K$  permanece constante, pero la energía potencial gravitacional  $U_{\text{grav}}$  disminuye cuando la grulla desciende. Por lo tanto, la energía mecánica total  $E = K + U_{\text{grav}}$  disminuye. La energía mecánica se pierde en calentar la piel de la grulla (es decir, en aumentar la energía interna de la grulla) y en perturbar el aire a través del cual pasa la grulla (un aumento en la energía interna del aire). Consulte la sección 7.3.

### Respuesta a las secciones

#### Evalúe su comprensión

**7.1 iii.** La energía cinética inicial  $K_1 = 0$ , la energía potencial inicial  $U_1 = mgy_1$  y la energía potencial final  $U_2 = mgy_2$  son las mismas para ambos bloques. La energía mecánica se conserva en ambos casos, así que la energía cinética final  $K_2 = \frac{1}{2}mv_2^2$  también es la misma para ambos bloques. Por lo tanto, ¡la rapidez en el extremo derecho es la *misma* en ambos casos!

**7.2 iii.** El elevador aún se mueve hacia abajo, de manera que la energía cinética  $K$  es positiva (recuerde que  $K$  nunca puede ser negativa); el elevador está debajo del punto 1, así que  $y < 0$  y  $U_{\text{grav}} < 0$ ; y el resorte se comprime, por lo que  $U_{\text{el}} > 0$ .

**7.3 iii.** A causa de la fricción en las turbinas y entre el agua y las turbinas, algo de la energía potencial se pierde al calentar el agua y el mecanismo.

**7.4 a) iv, b) i.** Si  $F_x = 0$  en un punto, entonces la derivada de  $U(x)$  en ese punto debe ser cero porque  $F_x = -dU(x)/dx$ . Sin embargo, esto no nos dice absolutamente nada acerca del *valor* de  $U(x)$  en ese punto.

**7.5 iii.** La figura 7.24b muestra la componente de fuerza  $F_x$ . Dnde ésta tiene su valor máximo (más positivo), la componente  $x$  de la fuerza y la aceleración  $x$  tienen valores más positivos que en los valores adyacentes de  $x$ .

### Problema práctico

- a)** 1.06m   **b)** 1.32m   **c)** 20.7 J



¿Cuál de las siguientes tres balas (todas de la misma longitud y diámetro) puede hacer más daño a esta zanahoria? **i.** una bala calibre 0.22 que se mueve a 220 m/s, como aquí se muestra; **ii.** una bala con la mitad de la masa que se mueve en el doble de rapidez; **iii.** una bala con el doble de masa moviéndose con la mitad de la rapidez; **iv.** todas hacen la misma cantidad de daño.

# 8 CANTIDAD DE MOVIMIENTO, IMPULSO Y COLISIONES

## OBJETIVOS DE APRENDIZAJE

Al estudiar este capítulo, usted aprenderá:

- 8.1** El significado de la cantidad de movimiento de una partícula y cómo el impulso de la fuerza neta que actúa sobre una partícula hace que varíe su cantidad de movimiento.
- 8.2** Las condiciones en las que la cantidad de movimiento total de un sistema de partículas es constante (es decir, se conserva).
- 8.3** Cómo usar la conservación de la cantidad de movimiento para resolver problemas en los que dos cuerpos colisionan entre sí y cuáles son las diferencias entre colisiones elásticas, inelásticas y totalmente inelásticas.
- 8.4** Cómo analizar lo que sucede en el importante caso especial de una colisión elástica.
- 8.5** Qué significa el centro de masa de un sistema y qué determina cómo se mueve el centro de masa.
- 8.6** Cómo analizar situaciones, como la propulsión de un cohete, en las cuales la masa de un cuerpo cambia conforme se mueve.

Repase lo estudiado en la sección ...

- 3.5** Velocidad relativa.
- 4.2** Sistemas de referencia inerciales.
- 6.1, 6.2** Trabajo, energía cinética y teorema trabajo-energía.
- 6.3** Trabajo efectuado por un resorte ideal.

**H**ay muchas preguntas relacionadas con fuerzas que no pueden contestarse aplicando directamente la segunda ley de Newton,  $\sum \vec{F} = \vec{m}\vec{a}$ . Por ejemplo, si una camioneta choca de frente contra un automóvil compacto, ¿qué determina hacia dónde se mueven los restos después del choque? Cuando usted juega billar, ¿cómo determina la dirección que debe dar a la bola blanca para introducir la bola 8 en la buchaca? Y cuando un meteorito choca contra la Tierra, ¿qué tanta de la energía cinética del meteorito se libera en el impacto?

Algo que tienen en común todas esas preguntas es que implican fuerzas acerca de las que sabemos muy poco: las fuerzas que actúan entre el auto y la camioneta, entre las dos bolas de billar, o entre el meteorito y la Tierra. Lo sobresaliente es que en este capítulo veremos que ¡no necesitamos saber *nada* acerca de tales fuerzas para contestar preguntas de este tipo!

Nuestro enfoque utiliza dos conceptos nuevos, *cantidad de movimiento* e *impulso*, y una nueva ley de conservación, la de *conservación de la cantidad de movimiento*, tan importante como la de conservación de la energía. La ley de conservación de la cantidad de movimiento es válida aun en situaciones en las cuales son inadecuadas las leyes de Newton, tales como cuerpos que se mueven con una rapidez muy alta (cercana a la de la luz) u objetos muy pequeños (como las partículas que constituyen los átomos). En el ámbito de la mecánica newtoniana, la conservación de la cantidad de movimiento nos permite analizar muchas situaciones que serían muy difíciles si tratáramos de aplicar las leyes de Newton directamente. Entre ellas están los *choques*, en los que dos cuerpos ejercen, uno sobre el otro, fuerzas muy grandes en un lapso muy corto. También vamos a utilizar las ideas de cantidad de movimiento para resolver problemas donde la masa de un objeto cambia a medida que se mueve, incluyendo el caso especial importante de un cohete (que pierde masa conforme gasta combustible).

## 8.1 CANTIDAD DE MOVIMIENTO E IMPULSO

En la sección 6.2 replanteamos la segunda ley de Newton para una partícula,  $\sum \vec{F} = m\vec{a}$ , en términos del teorema trabajo-energía, el cual nos ayudó a resolver muchos problemas de física y nos condujo a la ley de conservación de la energía. Volvamos a  $\sum \vec{F} = m\vec{a}$  y veamos otra forma útil de reformular esta ley fundamental.

### Segunda ley de Newton en términos de la cantidad de movimiento

Consideremos una partícula de masa constante  $m$ . Puesto que  $\vec{a} = d\vec{v}/dt$ , podemos escribir la segunda ley de Newton para esta partícula así:

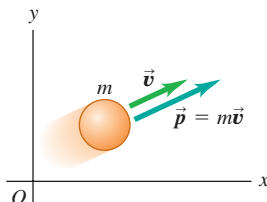
$$\sum \vec{F} = m \frac{d\vec{v}}{dt} = \frac{d}{dt}(m\vec{v}) \quad (8.1)$$

Podemos introducir la masa  $m$  en la derivada porque es constante. Así, la segunda ley de Newton dice que la fuerza neta  $\sum \vec{F}$  que actúa sobre una partícula es igual a la rapidez de cambio del producto de la masa por la velocidad de la partícula. Llamamos a este producto **cantidad de movimiento** (o también **momento** o **momentum lineal**) de la partícula:

**Cantidad de movimiento de una partícula (una cantidad vectorial)**  $\vec{p} = m\vec{v}$  Masa de la partícula  
Velocidad de la partícula

(8.2)

#### 8.1 Vectores de velocidad y vectores de cantidad de movimiento de una partícula



**La cantidad de movimiento  $\vec{p}$  es una cantidad vectorial;** la cantidad de movimiento de una partícula tiene la misma dirección que su velocidad  $\vec{v}$ .

**8.2** Cuando aterrizas después de saltar hacia arriba, su cantidad de movimiento cambia de un valor descendente, a cero. Es mejor aterrizar con las rodillas dobladas para que pueda flexionar las piernas: luego le toma un tiempo relativamente largo para detenerse, y la fuerza que el suelo ejerce sobre sus piernas es pequeña. Si usted aterriza con las piernas extendidas, se detiene en poco tiempo, la fuerza sobre sus piernas es mayor, y la posibilidad de lesión es mayor.



Cuanto mayores sean la masa  $m$  y la rapidez  $v$  de una partícula, mayor será la magnitud de su cantidad de movimiento  $mv$ . Sin embargo, tenga en mente que la cantidad de movimiento es una cantidad *vectorial* con la misma dirección que la velocidad de la partícula (**figura 8.1**). Un automóvil que viaja al norte a 20 m/s y un automóvil idéntico que viaja al este a 20 m/s tienen la misma *magnitud* de cantidad de movimiento ( $mv$ ), pero diferentes *vectores* de cantidad de movimiento ( $m\vec{v}$ ) porque sus direcciones son distintas.

A menudo expresamos la cantidad de movimiento de una partícula en términos de sus componentes. Si la partícula tiene componentes de velocidad  $v_x$ ,  $v_y$  y  $v_z$ , entonces sus componentes de cantidad de movimiento  $p_x$ ,  $p_y$  y  $p_z$  (a las que también llamamos componente  $x$  de la *cantidad de movimiento*, componente  $y$  de la *cantidad de movimiento* y componente  $z$  de la *cantidad de movimiento*) están dadas por

$$p_x = mv_x \quad p_y = mv_y \quad p_z = mv_z \quad (8.3)$$

Las tres ecuaciones de componentes son equivalentes a la ecuación (8.2).

Las unidades de la magnitud del vector cantidad de movimiento son las de masa por rapidez; las unidades del SI para cantidad de movimiento son kg·m/s.

Si ahora sustituimos la definición de cantidad de movimiento, ecuación (8.2), en la ecuación (8.1), tenemos

**Segunda ley de Newton en términos de cantidad de movimiento:**  $\sum \vec{F} = \frac{d\vec{p}}{dt}$  ... es igual a la razón de cambio de la cantidad de movimiento de la partícula.

(8.4)

**La fuerza neta (suma vectorial de todas las fuerzas) que actúa sobre una partícula es igual a la rapidez de cambio de la cantidad de movimiento de la partícula.** Ésta, y no  $\sum \vec{F} = m\vec{a}$ , es la forma como Newton planteó originalmente su segunda ley. Esta ley, ya sea en su forma  $\sum \vec{F} = m\vec{a}$  o como está en la ecuación 8.4, sólo es válida en sistemas de referencia inerciales (vea la sección 4.2). Según la ecuación (8.4), un cambio rápido de cantidad de movimiento requiere una fuerza neta grande, mientras que un cambio gradual de la cantidad de movimiento requiere una fuerza neta menor (**figura 8.2**).

### Teorema impulso-cantidad de movimiento

La cantidad de movimiento de una partícula,  $\vec{p} = m\vec{v}$ , y su energía cinética,  $K = \frac{1}{2}mv^2$ , dependen de la masa y la velocidad de la partícula. ¿Cuál es la diferencia fundamental entre ambas cantidades? Una respuesta puramente matemática es que la cantidad de

movimiento es un vector cuya magnitud es proporcional a la rapidez, en tanto que la energía cinética es un escalar proporcional al cuadrado de la rapidez. Sin embargo, para ver la diferencia física entre cantidad de movimiento y energía cinética, necesitamos definir primero una cantidad íntimamente relacionada con la cantidad de movimiento: el *impulso*.

Consideremos primero una partícula sobre la que actúa una fuerza neta constante  $\sum \vec{F}$  durante un tiempo  $\Delta t$ , de  $t_1$  a  $t_2$ . El **impulso** de la fuerza neta, denotado con  $\vec{J}$ , se define como el producto de la fuerza neta por el intervalo de tiempo:

$$\text{Impulso de una fuerza neta constante} \rightarrow \vec{J} = \sum \vec{F}(t_2 - t_1) = \sum \vec{F} \Delta t \quad (8.5)$$

Fuerza neta constante  
Intervalo de tiempo sobre el cual actúa la fuerza neta

El impulso es una cantidad vectorial; su dirección es la de la fuerza neta  $\sum \vec{F}$ . Las unidades de impulso en el SI son newton-segundo ( $N \cdot s$ ). Puesto que  $1 N = 1 \text{ kg} \cdot \text{m/s}^2$ , otras unidades para el impulso son  $\text{kg} \cdot \text{m/s}$ , las mismas de la cantidad de movimiento.

Para saber para qué nos sirve el impulso, volvamos a la segunda ley de Newton planteada en términos de cantidad de movimiento, ecuación 8.4. Si la fuerza neta  $\sum \vec{F}$  es constante,  $d\vec{p}/dt$  también es constante. En tal caso,  $d\vec{p}/dt$  es igual al cambio *total* de cantidad de movimiento  $\vec{p}_2 - \vec{p}_1$  durante un intervalo de tiempo  $t_2 - t_1$ , dividido entre dicho intervalo:

$$\sum \vec{F} = \frac{\vec{p}_2 - \vec{p}_1}{t_2 - t_1}$$

Si multiplicamos esta ecuación por  $(t_2 - t_1)$ ,

$$\sum \vec{F}(t_2 - t_1) = \vec{p}_2 - \vec{p}_1$$

Al comparar esto con la ecuación (8.5), terminamos con

**Teorema del impulso y la cantidad de movimiento:** El impulso de la fuerza neta sobre una partícula durante un intervalo de tiempo es igual al cambio de la cantidad de movimiento de la partícula durante ese intervalo:

$$\text{Impulso de la fuerza neta sobre un intervalo de tiempo} \rightarrow \vec{J} = \vec{p}_2 - \vec{p}_1 = \Delta \vec{p} \quad (8.6)$$

Cambio en la cantidad de movimiento  
Cantidad de movimiento final - Cantidad de movimiento inicial

El teorema impulso-cantidad de movimiento también se cumple si las fuerzas no son constantes. Para comprobarlo, integramos los dos miembros de la segunda ley de Newton  $\sum \vec{F} = d\vec{p}/dt$  con respecto al tiempo entre los límites  $t_1$  y  $t_2$ :

$$\int_{t_1}^{t_2} \sum \vec{F} dt = \int_{t_1}^{t_2} \frac{d\vec{p}}{dt} dt = \int_{\vec{p}_1}^{\vec{p}_2} d\vec{p} = \vec{p}_2 - \vec{p}_1$$

Vemos de la ecuación (8.6) que la integral de la izquierda es el impulso de la fuerza neta:

$$\text{Impulso de una fuerza neta general (ya sea variable o constante)} \rightarrow \vec{J} = \int_{t_1}^{t_2} \sum \vec{F} dt \quad (8.7)$$

Límite superior = tiempo final  
Integral con respecto al tiempo de la fuerza neta  
Límite inferior = tiempo inicial

Si la fuerza neta  $\sum \vec{F}$  es constante, la integral en la ecuación (8.7) se reduce a la ecuación (8.5). Podemos definir una fuerza neta media  $\vec{F}_{\text{med}}$  tal que, aun si  $\sum \vec{F}$  no es constante, el impulso  $\vec{J}$  esté dado por

$$\vec{J} = \vec{F}_{\text{med}}(t_2 - t_1) \quad (8.8)$$

Cuando  $\sum \vec{F}$  es constante,  $\sum \vec{F} = \vec{F}_{\text{med}}$  y la ecuación (8.8) se reduce a la ecuación (8.5).

La figura 8.3a muestra una gráfica de la componente  $x$  de la fuerza neta  $\sum F_x$  en función del tiempo durante un choque, lo cual podría representar la fuerza sobre un balón que está en contacto con el pie de un futbolista entre los tiempos  $t_1$  y  $t_2$ . La componente  $x$  del impulso durante ese intervalo está representada por el área roja bajo la curva entre  $t_1$  y  $t_2$ . Esta área es igual al área rectangular verde delimitada por  $t_1$ ,  $t_2$  y  $(F_{\text{med}})_x$ , así que  $(F_{\text{med}})_x(t_2 - t_1)$  es igual al impulso de la fuerza variable real durante el mismo intervalo. Observe que una fuerza grande que actúa durante un breve tiempo

### BIO Aplicación Impulso del pájaro carpintero

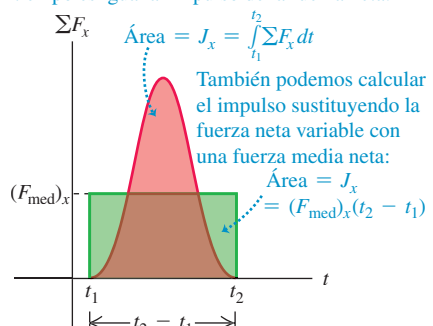
Al pájaro carpintero (*Dryocopus pileatus*) se le conoce por golpear su pico contra los árboles hasta 20 veces por segundo y hasta 12,000 veces en un día. La fuerza de impacto es de hasta 1200 veces el peso de la cabeza del ave. Como el impacto dura un tiempo corto, el impulso, es decir, el producto de la fuerza neta durante el impacto multiplicado por la duración del mismo, es relativamente pequeño. (El pájaro carpintero tiene un cráneo grueso de hueso esponjoso y un cartílago para absorber el impacto, ubicado en la base de la mandíbula inferior, para evitar cualquier daño).



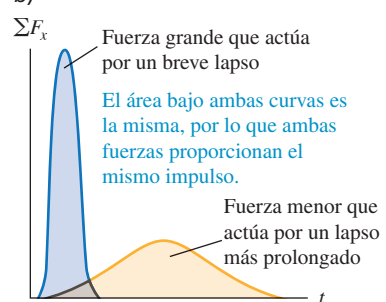
### 8.3 Significado del área bajo una gráfica de $\sum F_x$ contra $t$

a)

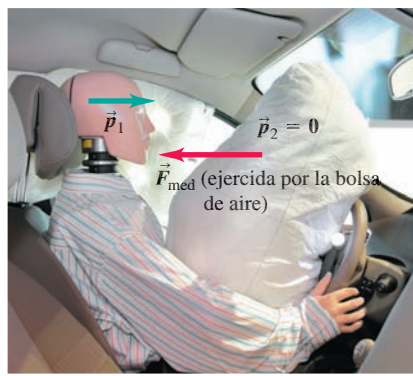
El área bajo la curva de la fuerza neta contra el tiempo es igual al impulso de la fuerza neta:



b)



**8.4** El teorema impulso-cantidad de movimiento explica cómo las bolsas de aire reducen la probabilidad de lastimarse al minimizar la fuerza sobre un ocupante de un automóvil.



- Teorema impulso-cantidad de movimiento:  $\vec{J} = \vec{p}_2 - \vec{p}_1 = \vec{F}_{\text{med}} \Delta t$
- El impulso es el mismo, no importa como se detenga el conductor (así que  $\vec{p}_2 = 0$ ).
- En comparación, al golpear el volante, la bolsa de aire hace que el conductor llegue al reposo en un intervalo de tiempo más largo  $\Delta t$ .
- Por lo tanto, con una bolsa de aire, la fuerza media  $\vec{F}_{\text{med}}$  sobre el conductor es menor.

puede tener el mismo impulso que una fuerza menor que actúa por un tiempo más prolongado, si las áreas bajo las curvas fuerza-tiempo son iguales (figura 8.3b). Usamos esta idea en la figura 8.2: Una fuerza pequeña que actúa durante un tiempo relativamente grande (como cuando alguien aterriza con sus piernas dobladas) tiene el mismo efecto que una fuerza grande que actúa durante un tiempo corto (como cuando alguien aterriza con sus piernas estiradas). Las bolsas de aire de los automóviles utilizan el mismo principio (**figura 8.4**).

Tanto el impulso como la cantidad de movimiento son vectores, y las ecuaciones (8.5) a (8.8) son vectoriales. En problemas específicos, suele ser más fácil usarlas en su forma de componentes:

$$\begin{aligned} J_x &= \int_{t_1}^{t_2} \sum F_x dt = (F_{\text{med}})_x(t_2 - t_1) = p_{2x} - p_{1x} = mv_{2x} - mv_{1x} \\ J_y &= \int_{t_1}^{t_2} \sum F_y dt = (F_{\text{med}})_y(t_2 - t_1) = p_{2y} - p_{1y} = mv_{2y} - mv_{1y} \end{aligned} \quad (8.9)$$

y lo mismo para la componente  $z$ .

## Comparación entre la cantidad de movimiento y la energía cinética

Ahora podemos ver la diferencia fundamental entre cantidad de movimiento y energía cinética. El teorema impulso-cantidad de movimiento  $\vec{J} = \vec{p}_2 - \vec{p}_1$  dice que los cambios en la cantidad de movimiento de una partícula se deben al impulso, el cual depende del *tiempo* durante el que actúa la fuerza neta. En cambio, el teorema trabajo-energía  $W_{\text{tot}} = K_2 - K_1$  nos dice que la energía cinética cambia cuando se realiza trabajo sobre una partícula; el trabajo total depende de la *distancia* en la que actúa la fuerza neta.

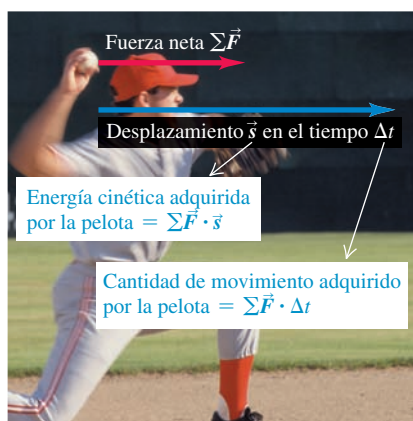
Consideremos una partícula que parte del reposo en  $t_1$ , de manera que  $\vec{v}_1 = \mathbf{0}$ . Su cantidad de movimiento inicial es  $\vec{p}_1 = m\vec{v}_1 = \mathbf{0}$ , y su energía cinética inicial es  $K_1 = \frac{1}{2}mv_1^2 = 0$ . Ahora, una fuerza neta constante igual a  $\vec{F}$  actúa sobre la partícula del tiempo  $t_1$  al tiempo  $t_2$ . En este intervalo, la partícula se mueve una distancia  $s$  en la dirección de la fuerza. De acuerdo con la ecuación (8.6), la cantidad de movimiento de la partícula en el instante  $t_2$  es

$$\vec{p}_2 = \vec{p}_1 + \vec{J} = \vec{J}$$

donde  $\vec{J} = \vec{F}(t_2 - t_1)$  es el impulso que actúa sobre la partícula. Así, *la cantidad de movimiento de una partícula es igual al impulso que la aceleró desde el reposo hasta su rapidez actual*; el impulso es el producto de la fuerza neta que aceleró la partícula por el *tiempo* requerido para la aceleración. En cambio, la energía cinética de la partícula en  $t_2$  es  $K_2 = W_{\text{tot}} = Fs$ , el trabajo total efectuado sobre la partícula para acelerarla desde el reposo. El *trabajo* total es igual al producto de la fuerza neta por la *distancia* necesaria para acelerar la partícula (**figura 8.5**).

Veamos una aplicación en la que se puede apreciar la diferencia entre cantidad de movimiento y energía cinética. Suponga que puede elegir entre atrapar una pelota de 0.50 kg que se mueve a 4.0 m/s o una de 0.10 kg que se mueve a 20 m/s. ¿Cuál es más fácil de atrapar? Ambas tienen la misma magnitud de cantidad de movimiento,  $p = mv = (0.50 \text{ kg})(4.0 \text{ m/s}) = (0.10 \text{ kg})(20 \text{ m/s}) = 2.0 \text{ kg}\cdot\text{m/s}$ , pero valores muy diferentes de energía cinética  $K = \frac{1}{2}mv^2$ ; la pelota grande y lenta tiene  $K = 4.0 \text{ J}$ , mientras que la pequeña y rápida tiene  $K = 20 \text{ J}$ . Puesto que la cantidad de movimiento es igual para ambas pelotas, las dos requieren el mismo *impulso* para detenerse. Pero detener la pelota de 0.10 kg con la mano requiere cinco veces más *trabajo* que detener la de 0.50 kg, porque la pelota pequeña tiene cinco veces más energía cinética. Por lo tanto, para una fuerza dada que ejerzamos con la mano, tardaremos el mismo tiempo (duración de la atrapada) en detener cualquiera de las pelotas; pero nuestra mano y nuestro brazo serán empujados cinco veces más hacia atrás, si decidimos atrapar la pelota pequeña y rápida. Para minimizar el esfuerzo del brazo, debemos optar por atrapar la pelota de 0.50 kg de menor energía cinética.

**8.5** La *energía cinética* de una pelota de béisbol lanzada es igual al trabajo que realiza el *pitcher* sobre ella (la fuerza multiplicada por la distancia que recorre la pelota durante el lanzamiento). La *cantidad de movimiento* de la pelota es igual al impulso que le imparte el *pitcher* (la fuerza multiplicada por el tiempo que le llevó hacer que la pelota alcanzara su rapidez).



Los teoremas impulso-cantidad de movimiento y trabajo-energía se basan en las leyes de Newton; son principios *integrales* que relacionan el movimiento en dos instantes separados por un intervalo finito. En cambio, la segunda ley de Newton misma (en cualquiera de las formas  $\sum \vec{F} = m\vec{a}$  o  $\sum \vec{F} = d\vec{p}/dt$ ) es un principio *diferencial* que implica la rapidez del cambio de velocidad o de cantidad de movimiento en cada instante.



### EJEMPLO CONCEPTUAL 8.1 CANTIDAD DE MOVIMIENTO CONTRA ENERGÍA CINÉTICA

Considere otra vez la carrera descrita en el ejemplo conceptual 6.5 (sección 6.2) entre dos veleros en un lago congelado sin fricción. Los botes tienen masas  $m$  y  $2m$ , y el viento ejerce la misma fuerza horizontal constante  $\vec{F}$  sobre cada uno (vea la figura 6.14). Los botes parten del reposo y cruzan la meta que está a una distancia  $s$ . ¿Cuál bote llega a la meta con mayor cantidad de movimiento?

#### SOLUCIÓN

En el ejemplo conceptual 6.5 se pedía comparar las *energías cinéticas* de los veleros al cruzar la meta. Se respondió recordando que la *energía cinética de un cuerpo es igual al trabajo total efectuado para acelerarlo desde el reposo*. Los dos veleros partieron del reposo, y el trabajo total efectuado fue el mismo para ambos (ya que la fuerza neta y el desplazamiento fueron iguales). Por lo tanto, los dos veleros cruzan la meta con la misma energía cinética.

De manera similar, para comparar las cantidades de movimiento de los veleros, usamos el concepto de que la *cantidad de movimiento*

de cada velero es igual al impulso que lo aceleró a partir del reposo. Como se expuso en el ejemplo conceptual 6.5, la fuerza neta sobre cada velero es igual a la fuerza constante horizontal  $\vec{F}$  del viento. Sea  $\Delta t$  el tiempo que un velero tarda en llegar a la meta, de manera que el impulso sobre el velero en ese tiempo es  $\vec{J} = \vec{F}\Delta t$ . Como el velero parte del reposo, esto es la cantidad de movimiento  $\vec{p}$  del velero en la meta:

$$\vec{p} = \vec{F}\Delta t$$

Ambos veleros están sujetos a la misma fuerza  $\vec{F}$ , pero tardan tiempos diferentes  $\Delta t$  en llegar a la meta. El velero de masa  $2m$  acelera más lentamente y tarda más tiempo en recorrer la distancia  $s$ ; por lo tanto, hay mayor impulso sobre este velero entre la salida y la meta. Así que el velero de masa  $2m$  cruza la meta con una magnitud mayor de cantidad de movimiento que el de masa  $m$  (pero con la misma energía cinética). ¿Puede el lector demostrar que el velero de masa  $2m$  tiene  $\sqrt{2}$  veces más cantidad de movimiento en la meta que el de masa  $m$ ?



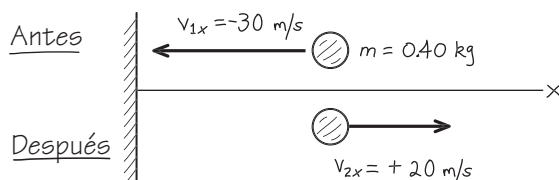
### EJEMPLO 8.2 UNA PELOTA GOLPEA UNA PARED

Suponga que lanza una pelota de 0.40 kg contra una pared, a la cual golpea moviéndose horizontalmente hacia la izquierda a 30 m/s y rebota horizontalmente a la derecha con rapidez de 20 m/s. a) Calcule el impulso de la fuerza neta sobre la pelota durante el choque con la pared. b) Si la pelota está en contacto con la pared durante 0.010 s, calcule la fuerza horizontal media que la pared ejerce sobre la pelota durante el impacto.

#### SOLUCIÓN

**IDENTIFICAR y PLANTEAR:** Nos dan información suficiente para determinar los valores inicial y final de la cantidad de movimiento de la pelota, así que podemos usar el teorema impulso-cantidad de movimiento para calcular el impulso. Luego, usaremos la definición de impulso para determinar la fuerza media. La figura 8.6 muestra el diagrama. El movimiento es puramente horizontal, así que sólo necesitamos un eje. Tomaremos la dirección de  $x$  positiva a la derecha. La incógnita en el inciso a) es la componente  $x$  del impulso,  $J_x$ , que obtendremos empleando las ecuaciones (8.9). En el inciso b), la incógnita es la componente  $x$  media de la fuerza ( $F_{\text{med}})_x$ ; una vez que conozcamos  $J_x$ , podremos obtener esa fuerza utilizando las ecuaciones (8.9).

**8.6** Diagrama para este problema.



**EJECUTAR:** a) Con el eje  $x$  que elegimos, las componentes  $x$  inicial y final de la cantidad de movimiento de la pelota son

$$p_{1x} = mv_{1x} = (0.40 \text{ kg})(-30 \text{ m/s}) = -12 \text{ kg} \cdot \text{m/s}$$

$$p_{2x} = mv_{2x} = (0.40 \text{ kg})(+20 \text{ m/s}) = +8.0 \text{ kg} \cdot \text{m/s}$$

De acuerdo con las ecuaciones (8.9), la componente  $x$  del impulso es igual al *cambio* en la componente  $x$  de la cantidad de movimiento:

$$J_x = p_{2x} - p_{1x}$$

$$= 8.0 \text{ kg} \cdot \text{m/s} - (-12 \text{ kg} \cdot \text{m/s}) = 20 \text{ kg} \cdot \text{m/s} = 20 \text{ N} \cdot \text{s}$$

b) El choque dura  $t_2 - t_1 = \Delta t = 0.010 \text{ s}$ . De acuerdo con la ecuación para la componente  $x$  de las ecuaciones (8.9),  $J_x = (F_{\text{med}})_x(t_2 - t_1) = (F_{\text{med}})_x\Delta t$ , así que

$$(F_{\text{med}})_x = \frac{J_x}{\Delta t} = \frac{20 \text{ N} \cdot \text{s}}{0.010 \text{ s}} = 2000 \text{ N}$$

**EVALUAR:** La componente  $x$  del impulso  $J_x$  es positiva; es decir, hacia la derecha en la figura 8.6. El impulso representa el “empuje” que la pared da a la pelota y es evidente que tal “empuje” es hacia la derecha.

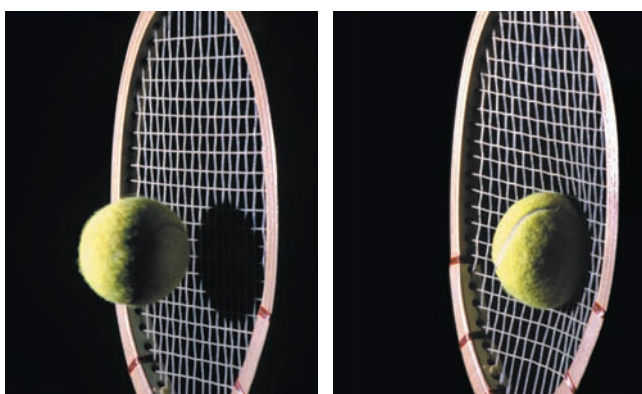
**CUIDADO** La cantidad de movimiento es un vector. Puesto que la cantidad de movimiento es un vector, tuvimos que incluir el signo negativo en  $p_{1x} = -12 \text{ kg} \cdot \text{m/s}$ . Si por descuido lo hubiéramos omitido, habríramos obtenido  $8.0 \text{ kg} \cdot \text{m/s} - (12 \text{ kg} \cdot \text{m/s}) = -4 \text{ kg} \cdot \text{m/s}$ , para el impulso. ¡Esta respuesta indicaría que la pared dio a la pelota un empuje a la *izquierda!* Recuerde la *dirección* de la cantidad de movimiento al efectuar sus cálculos. ■

Continúa

La fuerza que la pared ejerce sobre la pelota debe ser lo suficientemente grande (2000 N, igual al peso de un objeto de 200 kg) para modificar la cantidad de movimiento de la pelota en un lapso de tiempo tan corto. Las otras fuerzas que actúan sobre la pelota durante el choque son muy débiles en comparación; por ejemplo, la fuerza gravitacional es de sólo 3.9 N. Así, durante el breve lapso que dura el choque, podemos ignorar las demás fuerzas sobre la pelota. La figura 8.7 muestra el choque de una pelota de tenis sobre una raqueta.

Observe que el valor de 2000 N que calculamos es únicamente la fuerza horizontal *media* que la pared ejerce sobre la pelota durante el impacto, y corresponde a la línea horizontal  $(F_{\text{med}})_x$  de la figura 8.3a. La fuerza horizontal es cero antes del impacto, sube hasta un máximo y luego disminuye hasta cero cuando la pelota deja de estar en contacto con la pared. Si la pelota es relativamente rígida, como una de béisbol o de golf, el choque dura poco tiempo y la fuerza máxima es grande, como en la curva azul de la figura 8.3b. Si la pelota es más blanda, como una de tenis, el choque dura más tiempo y la fuerza máxima es menor, como en la curva naranja en la figura 8.3b.

**8.7** Por lo regular, una pelota de tenis está en contacto con la raqueta cerca de 0.01 s, y se aplana notablemente por la tremenda fuerza que sobre ella ejerce la raqueta.



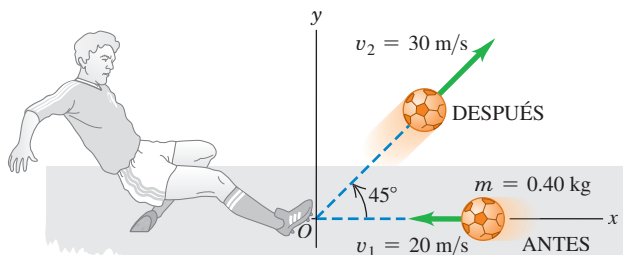
### EJEMPLO 8.3 PATEO DE UN BALÓN DE FÚTBOL



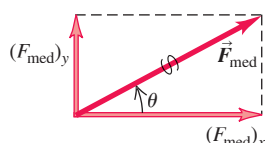
Un balón de fútbol soccer tiene una masa de 0.40 kg e inicialmente se mueve hacia la izquierda a 20 m/s; pero luego se patea de manera que adquiere una velocidad con magnitud de 30 m/s y dirección de  $45^\circ$  hacia arriba y a la derecha (figura 8.8a). Calcule el impulso de la fuerza neta y la fuerza neta media, suponiendo que el choque dura  $\Delta t = 0.010$  s.

**8.8** a) Patada a un balón de fútbol. b) Cálculo de la fuerza media sobre el balón a partir de sus componentes.

a) Diagrama antes y después



b) Fuerza media sobre el balón



componentes del impulso neto,  $J_x$  y  $J_y$ , sobre el balón, y las componentes de la fuerza neta media,  $(F_{\text{med}})_x$  y  $(F_{\text{med}})_y$ , sobre el balón. Las obtendremos usando el teorema impulso-cantidad de movimiento en su forma de componentes, ecuaciones (8.9).

**EJECUTAR:** Usando  $\cos 45^\circ = \sin 45^\circ = 0.707$ , obtenemos las componentes de velocidad para antes y después de patear el balón:

$$\begin{aligned}v_{1x} &= -20 \text{ m/s} & v_{1y} &= 0 \\v_{2x} &= v_{2y} = (30 \text{ m/s})(0.707) = 21.2 \text{ m/s}\end{aligned}$$

De las ecuaciones (8.9), las componentes del impulso son

$$\begin{aligned}J_x &= p_{2x} - p_{1x} = m(v_{2x} - v_{1x}) \\&= (0.40 \text{ kg})[21.2 \text{ m/s} - (-20 \text{ m/s})] = 16.5 \text{ kg} \cdot \text{m/s}\end{aligned}$$

$$\begin{aligned}J_y &= p_{2y} - p_{1y} = m(v_{2y} - v_{1y}) \\&= (0.40 \text{ kg})(21.2 \text{ m/s} - 0) = 8.5 \text{ kg} \cdot \text{m/s}\end{aligned}$$

De las ecuaciones (8.8), las componentes de la fuerza neta media son

$$(F_{\text{med}})_x = \frac{J_x}{\Delta t} = \frac{16.5}{0.010} = 1650 \text{ N} \quad (F_{\text{med}})_y = \frac{J_y}{\Delta t} = \frac{8.5}{0.010} = 850 \text{ N}$$

La magnitud y la dirección del vector fuerza  $\vec{F}_{\text{med}}$  son

$$\begin{aligned}F_{\text{med}} &= \sqrt{(1650 \text{ N})^2 + (850 \text{ N})^2} = 1.9 \times 10^3 \text{ N} \\&\theta = \arctan \frac{850 \text{ N}}{1650 \text{ N}} = 27^\circ\end{aligned}$$

El balón no estaba inicialmente en reposo, de modo que su velocidad final *no* tiene la misma dirección que la fuerza media que actúa sobre él.

**EVALUAR:**  $\vec{F}_{\text{med}}$  incluye la fuerza de gravedad, la cual es muy pequeña; el peso del balón es de sólo 3.9 N. Al igual que en el ejemplo 8.2, la fuerza media que actúa durante el choque es ejercida casi totalmente por el objeto que el balón golpea (en este caso, el pie del futbolista).

### SOLUCIÓN

**IDENTIFICAR y PLANTEAR:** El balón se mueve en dos dimensiones, por lo que debemos tratar la cantidad de movimiento y el impulso como cantidades vectoriales. Tomamos el eje *x* horizontal hacia la derecha; y el *y*, vertical hacia arriba. Las incógnitas son las

**EVALÚE SU COMPRENSIÓN DE LA SECCIÓN 8.1** Clasifique las siguientes situaciones de acuerdo con la magnitud del impulso de la fuerza neta, en orden decreciente. En cada situación, un automóvil de 1000 kg se desplaza a lo largo de una carretera recta de este a oeste. El automóvil inicialmente **i.** se desplaza hacia el este a 25 m/s y se detiene en 10 s. **ii.** se desplaza inicialmente hacia el este a 25 m/s y se detiene en 5 s. **iii.** está en reposo, y se le aplica una fuerza neta de 2000 N con dirección al este durante 10 s. **iv.** se desplaza hacia el este a 25 m/s y se le aplica una fuerza neta de 2000 N con dirección al oeste durante 10 s. **v.** se desplaza hacia el este a 25 m/s; en un lapso de 30 s, el automóvil invierte su sentido y termina desplazándose hacia el oeste a 25 m/s. ■

## 8.2 CONSERVACIÓN DE LA CANTIDAD DE MOVIMIENTO

El concepto de cantidad de movimiento tiene especial importancia en situaciones donde interactúan dos o más cuerpos. Para saber por qué, consideremos primero un sistema idealizado de dos cuerpos que interactúan entre sí, y con nada más; por ejemplo, dos astronautas que se tocan mientras flotan libremente en el espacio exterior en un ambiente de gravedad cero (**figura 8.9**). Consideremos a los astronautas como partículas. Cada partícula ejerce una fuerza sobre la otra; según la tercera ley de Newton, ambas fuerzas siempre son iguales en magnitud y opuestas en dirección. Por lo tanto, los *impulsos* que actúan sobre las dos partículas son iguales en magnitud y opuestos en dirección, y los cambios de cantidad de movimiento de las dos partículas también serán iguales y opuestos.

Repasemos lo anterior a la luz de ciertos términos nuevos. En cualquier sistema, las fuerzas que las partículas del sistema ejercen entre sí se denominan **fuerzas internas**; las fuerzas ejercidas sobre cualquier parte del sistema por algún objeto externo son **fuerzas externas**. Para el sistema de la figura 8.9, las fuerzas internas son  $\vec{F}_B$  sobre  $A$ , ejercida por la partícula  $B$  sobre la  $A$ , y  $\vec{F}_A$  sobre  $B$ , ejercida por la partícula  $A$  sobre la  $B$ . *No* hay fuerzas externas, así que tenemos un **sistema aislado**.

La fuerza neta sobre la partícula  $A$  es  $\vec{F}_B$  sobre  $A$  y la fuerza neta sobre la partícula  $B$  es  $\vec{F}_A$  sobre  $B$ , así que, por la ecuación (8.4), las razones de cambio de las cantidades de movimiento de ambas partículas son

$$\vec{F}_B \text{ sobre } A = \frac{d\vec{p}_A}{dt} \quad \vec{F}_A \text{ sobre } B = \frac{d\vec{p}_B}{dt} \quad (8.10)$$

La cantidad de movimiento de cada partícula cambia, pero tales cambios están relacionados entre sí por la tercera ley de Newton: las dos fuerzas  $\vec{F}_B$  sobre  $A$  y  $\vec{F}_A$  sobre  $B$  siempre son iguales en magnitud y opuestas en dirección. Es decir,  $\vec{F}_B$  sobre  $A = -\vec{F}_A$  sobre  $B$ , así que  $\vec{F}_B$  sobre  $A + \vec{F}_A$  sobre  $B = \mathbf{0}$ . Sumando las dos expresiones de la ecuación (8.10),

$$\vec{F}_B \text{ sobre } A + \vec{F}_A \text{ sobre } B = \frac{d\vec{p}_A}{dt} + \frac{d\vec{p}_B}{dt} = \frac{d(\vec{p}_A + \vec{p}_B)}{dt} = \mathbf{0} \quad (8.11)$$

Las razones de cambio de las dos cantidades de movimiento son iguales y opuestas, así que la razón de cambio de la suma vectorial  $\vec{p}_A + \vec{p}_B$  es cero. Ahora definimos la **cantidad de movimiento total**  $\vec{P}$  del sistema de dos partículas como la suma vectorial de las cantidades de movimiento de las partículas individuales. Es decir,

$$\vec{P} = \vec{p}_A + \vec{p}_B \quad (8.12)$$

Así, la ecuación (8.11) se convierte en

$$\vec{F}_B \text{ sobre } A + \vec{F}_A \text{ sobre } B = \frac{d\vec{P}}{dt} = \mathbf{0} \quad (8.13)$$

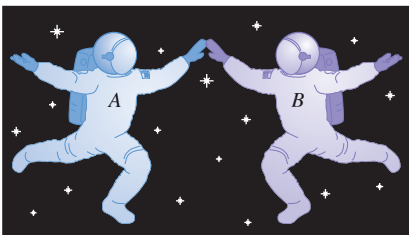
La rapidez de cambio de la cantidad de movimiento *total*  $\vec{P}$  es cero. Por lo tanto, la cantidad de movimiento total del sistema es constante, aunque pueden cambiar las cantidades de movimiento individuales de las partículas que constituyen el sistema.

Si también hay fuerzas externas, deben incluirse en el lado izquierdo de la ecuación (8.13), junto con las internas. En general, la cantidad de movimiento total no será constante; pero si la suma vectorial de las fuerzas externas es cero, como en la **figura 8.10**, dichas fuerzas no tienen efecto en el lado izquierdo de la ecuación (8.13), y  $d\vec{P}/dt$  será otra vez cero. Así, tenemos el siguiente resultado general:

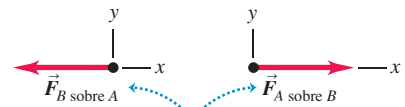
**Si la suma vectorial de las fuerzas externas sobre un sistema es cero, la cantidad de movimiento total del sistema es constante.**

Ésta es la forma más sencilla del **principio de conservación de la cantidad de movimiento**, el cual es una consecuencia directa de la tercera ley de Newton. La utilidad de este principio radica en que no depende de la naturaleza detallada de las fuerzas

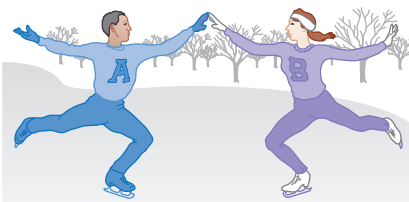
**8.9** Dos astronautas se empujan mutuamente mientras flotan libres en el entorno de gravedad cero del espacio exterior.



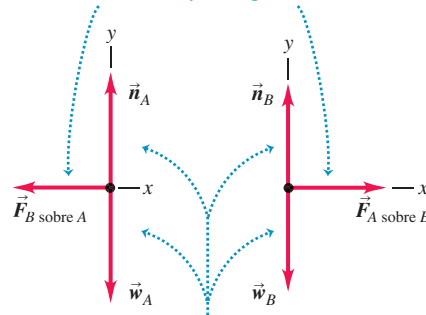
No hay fuerzas externas que actúen sobre el sistema de los dos astronautas, por lo que se conserva su cantidad de movimiento total.



Las fuerzas que los astronautas ejercen entre sí constituyen un par acción-reacción.



Las fuerzas que los patinadores ejercen uno sobre otro constituyen un par acción-reacción.



Aunque las fuerzas normales y gravitacionales son fuerzas externas, su suma vectorial es cero, por lo que se conserva la cantidad de movimiento total.

internas que actúan entre los miembros del sistema, así que podemos aplicarlo incluso si (como suele suceder) sabemos muy poco acerca de las fuerzas internas. Usamos la segunda ley de Newton para deducir este principio, por lo que debemos tener cuidado de usarlo únicamente en sistemas de referencia inerciales.

Podemos generalizar este principio para un sistema con cualquier número de partículas  $A, B, C, \dots$  que sólo interactúan entre sí. La cantidad de movimiento total del sistema es

**Cantidad de movimiento total de un sistema de partículas  $A, B, C, \dots$**

$$\vec{P} = \vec{p}_A + \vec{p}_B + \cdots = m_A \vec{v}_A + m_B \vec{v}_B + \cdots \quad (8.14)$$

... es igual al vector suma de las cantidades de movimiento de todas las partículas en el sistema.

Nuestro argumento es el mismo de antes: la razón de cambio total de la cantidad de movimiento del sistema debido a cada par acción-reacción de fuerzas internas es cero. Así, la razón de cambio total de la cantidad de movimiento del sistema entero es cero, siempre que la suma vectorial de las fuerzas externas que actúan sobre él sea cero. Las fuerzas internas pueden cambiar las cantidades de movimiento de las partículas individuales del sistema, pero no la cantidad de movimiento *total* del sistema.

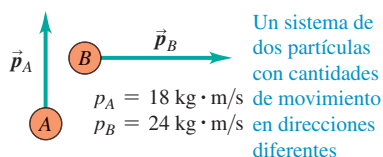
**CUIDADO** La conservación de la cantidad de movimiento significa la conservación de sus componentes Al aplicar la conservación de la cantidad de movimiento a un sistema, es indispensable recordar que la cantidad de movimiento es una cantidad *vectorial*. Por lo tanto, se debe usar una suma vectorial para calcular la cantidad de movimiento total de un sistema (**figura 8.11**). Por lo regular, el empleo de componentes es el método más sencillo. Si  $p_{Ax}, p_{Ay}$  y  $p_{Az}$  son las componentes de la cantidad de movimiento de la partícula  $A$ , y de manera similar para las demás partículas, entonces la ecuación (8.14) equivale a las ecuaciones de componentes

$$P_x = p_{Ax} + p_{Bx} + \cdots, \quad P_y = p_{Ay} + p_{By} + \cdots, \quad P_z = p_{Az} + p_{Bz} + \cdots \quad (8.15)$$

Si la suma vectorial de las fuerzas externas sobre el sistema es cero, entonces  $P_x, P_y$  y  $P_z$  son todos constantes. ■

En ciertos aspectos, el principio de conservación de la cantidad de movimiento es más general que el de conservación de la energía mecánica. Por ejemplo, la energía mecánica se conserva sólo si las fuerzas internas son *conservativas*, es decir, si permiten la conversión bidireccional entre las energías cinética y potencial; sin embargo, la conservación de la cantidad de movimiento es válida aun si las fuerzas internas *no* son conservativas. En este capítulo analizaremos situaciones donde se conservan tanto la cantidad de movimiento como la energía mecánica, y otras en que sólo se conserva la cantidad de movimiento. Estos dos principios juegan un papel fundamental en todas las áreas de la física, y los encontraremos durante todo nuestro estudio.

**8.11** Cuando se aplica la conservación de la cantidad de movimiento, ¡recuerde que se trata de una cantidad vectorial!



NO podemos calcular la magnitud de la cantidad de movimiento total ¡sumando las magnitudes de las cantidades de movimiento individuales!

$$P = p_A + p_B = 42 \text{ kg} \cdot \text{m/s} \quad \text{◀ INCORRECTO}$$

En vez de ello, usamos la suma vectorial:

$$P = |\vec{p}_A + \vec{p}_B|$$

$$= 30 \text{ kg} \cdot \text{m/s} \text{ en } \theta = 37^\circ \quad \text{◀ CORRECTO!}$$

## ESTRATEGIA PARA RESOLVER PROBLEMAS 8.1 CONSERVACIÓN DE LA CANTIDAD DE MOVIMIENTO

**IDENTIFICAR** los conceptos relevantes: Verifique que la suma vectorial de las fuerzas externas que actúan sobre el sistema de partículas sea cero. Si no es así, no se puede usar la conservación de la cantidad de movimiento.

**PLANTEAR** el problema siguiendo estos pasos:

- Trate cada cuerpo como partícula. Elabore dibujos de “antes” y “después”, incluyendo los vectores de velocidad. Asigne símbolos algebraicos a cada magnitud, ángulo y componente. Use letras para identificar cada partícula, y los subíndices 1 y 2 para las cantidades de “antes” y “después”. Incluya los valores conocidos.
- Defina un sistema de coordenadas y muéstrelo en sus diagramas; indique la dirección positiva de cada eje.
- Identifiquela sincónicas.

**EJECUTAR** la solución:

- Escriba una ecuación con símbolos, igualando las componentes  $x$  totales iniciales y finales de la cantidad de movimiento, usando  $p_x = mv_x$  para cada partícula. Escriba la ecuación correspondiente para las componentes  $y$ . Las componentes de velocidad pueden ser negativas o positivas, ¡de modo que tenga cuidado con los signos!
- En algunos problemas, las consideraciones de energía (analizadas en la sección 8.4) proporcionan ecuaciones que relacionan las velocidades.
- Resuelva estas ecuaciones para obtener las incógnitas.

**EVALUAR** la respuesta: ¿Es lógica la respuesta desde el punto de vista de la física? Si la incógnita es la cantidad de movimiento de un cuerpo dado, verifique que la dirección de la cantidad de movimiento sea razonable.

### EJEMPLO 8.4 RETROCESO DE UN RIFLE



Un tirador sostiene holgadamente un rifle de masa  $m_R = 3.00 \text{ kg}$ , de manera que éste puede retroceder libremente al hacer un disparo. Dispara una bala de masa  $m_B = 5.00 \text{ g}$  con una velocidad horizontal relativa al suelo de  $v_{Bx} = 300 \text{ m/s}$ . ¿Qué velocidad de retroceso  $v_{Rx}$  tiene el rifle? ¿Qué cantidad de movimiento y energía cinética finales tiene la bala? ¿Y el rifle?

#### SOLUCIÓN

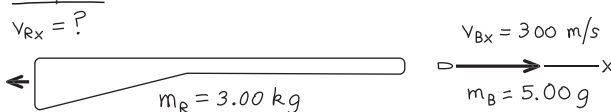
**IDENTIFICAR y PLANTEAR:** Si el tirador ejerce sobre el rifle fuerzas horizontales despreciables, entonces no hay fuerza horizontal neta sobre el sistema (bala y rifle) durante el disparo, y se conserva la cantidad de movimiento horizontal total del sistema. La figura 8.12 ilustra el caso. Sea el eje  $+x$  la dirección en que apunta el rifle. Inicialmente, el rifle y la bala están en reposo, así que la componente  $x$  inicial de la cantidad de movimiento total es cero. Una vez disparada la bala, su componente  $x$  de cantidad de movimiento es  $p_{Bx} = m_B v_{Bx}$ , y la del rifle, es  $p_{Rx} = m_R v_{Rx}$ . Las incógnitas son  $v_{Rx}$ ,  $p_{Bx}$ ,  $p_{Rx}$ ; y las energías cinéticas finales,  $K_B = \frac{1}{2} m_B v_{Bx}^2$  y  $K_R = \frac{1}{2} m_R v_{Rx}^2$ .

**8.12** Diagrama para este problema.

Antes



Después



**EJECUTAR:** La conservación de la componente  $x$  de la cantidad de movimiento total da

$$P_x = 0 = m_B v_{Bx} + m_R v_{Rx}$$

$$v_{Rx} = -\frac{m_B}{m_R} v_{Bx} = -\left(\frac{0.00500 \text{ kg}}{3.00 \text{ kg}}\right)(300 \text{ m/s}) = -0.500 \text{ m/s}$$

El signo negativo significa que el retroceso es en la dirección opuesta a la de la bala.

Las cantidades de movimiento y las energías cinéticas al final son

$$p_{Bx} = m_B v_{Bx} = (0.00500 \text{ kg})(300 \text{ m/s}) = 1.50 \text{ kg} \cdot \text{m/s}$$

$$K_B = \frac{1}{2} m_B v_{Bx}^2 = \frac{1}{2} (0.00500 \text{ kg})(300 \text{ m/s})^2 = 225 \text{ J}$$

$$p_{Rx} = m_R v_{Rx} = (3.00 \text{ kg})(-0.500 \text{ m/s}) = -1.50 \text{ kg} \cdot \text{m/s}$$

$$K_R = \frac{1}{2} m_R v_{Rx}^2 = \frac{1}{2} (3.00 \text{ kg})(-0.500 \text{ m/s})^2 = 0.375 \text{ J}$$

**EVALUAR:** La bala y el rifle tienen *cantidades de movimiento* finales iguales y opuestas por la tercera ley de Newton: porque se sometieron a la interacción de fuerzas iguales y opuestas durante el mismo *tiempo*, es decir, los impulsos son iguales y opuestos. Pero la bala viaja una *distancia* mucho mayor que el rifle durante la interacción. Por ello, la fuerza sobre la bala realiza mucho más trabajo que la fuerza sobre el rifle, dando a la bala una *energía cinética* mucho mayor que la del rifle. La razón de 600:1 de las dos energías cinéticas es igual al inverso de la razón de las masas; de hecho, puede demostrarse que esto siempre sucede en situaciones de retroceso (vea el ejercicio 8.26).

### EJEMPLO 8.5 CHOQUE EN UNA LÍNEA RECTA

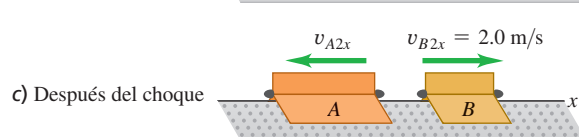
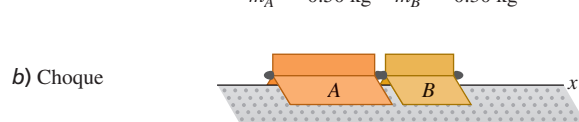
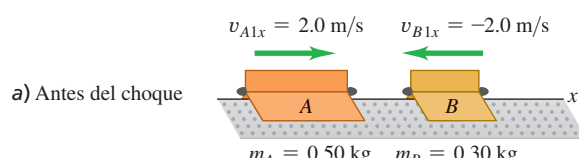


Dos deslizadores de masas diferentes se acercan uno al otro sobre un riel de aire sin fricción (figura 8.13a). Después de chocar (figura 8.13b), el deslizador  $B$  tiene una velocidad final de  $+2.0 \text{ m/s}$  (figura 8.13c). ¿Qué velocidad final tiene el deslizador  $A$ ? Compare los cambios en la cantidad de movimiento y la velocidad de los dos deslizadores.

#### SOLUCIÓN

**IDENTIFICAR y PLANTEAR:** Al igual que con los patinadores mostrados en la figura 8.10, la fuerza vertical total sobre los deslizadores es cero, y la fuerza neta sobre cada uno es la fuerza horizontal que cada deslizador ejerce sobre el otro. La fuerza externa neta sobre el sistema de dos deslizadores es cero, así que se conserva la cantidad de movimiento total. Tomamos el eje  $x$  positivo hacia la derecha. Nos dan las masas y las velocidades iniciales de los dos deslizadores, así como la velocidad final del deslizador  $B$ . Las incógnitas son  $v_{A2x}$ , la componente  $x$  final de la velocidad del deslizador  $A$ , y los cambios en la cantidad de movimiento y la velocidad de los dos deslizadores (es decir, el valor *después* del choque menos el valor *antes* del choque).

**8.13** Dos deslizadores chocan en un riel de aire.



Continúa

**EJECUTAR:** La componente  $x$  de la cantidad de movimiento total antes del choque es

$$\begin{aligned} P_x &= m_A v_{A1x} + m_B v_{B1x} \\ &= (0.50 \text{ kg})(2.0 \text{ m/s}) + (0.30 \text{ kg})(-2.0 \text{ m/s}) \\ &= 0.40 \text{ kg} \cdot \text{m/s} \end{aligned}$$

Esta es positiva (a la derecha en la figura 8.13) porque  $A$  tiene mayor magnitud de cantidad de movimiento que  $B$ . La componente  $x$  de la cantidad de movimiento total vale lo mismo después del choque, así que

$$P_x = m_A v_{A2x} + m_B v_{B2x}$$

Se despeja  $v_{A2x}$ :

$$\begin{aligned} v_{A2x} &= \frac{P_x - m_B v_{B2x}}{m_A} = \frac{0.40 \text{ kg} \cdot \text{m/s} - (0.30 \text{ kg})(2.0 \text{ m/s})}{0.50 \text{ kg}} \\ &= -0.40 \text{ m/s} \end{aligned}$$

Los cambios en las cantidades de movimiento  $x$  son

$$\begin{aligned} m_A v_{A2x} - m_A v_{A1x} &= (0.50 \text{ kg})(-0.40 \text{ m/s}) \\ &\quad - (0.50 \text{ kg})(2.0 \text{ m/s}) \\ &= -1.2 \text{ kg} \cdot \text{m/s} \end{aligned}$$

$$\begin{aligned} m_B v_{B2x} - m_B v_{B1x} &= (0.30 \text{ kg})(2.0 \text{ m/s}) \\ &\quad - (0.30 \text{ kg})(-2.0 \text{ m/s}) \\ &= +1.2 \text{ kg} \cdot \text{m/s} \end{aligned}$$

Los cambios en las velocidades  $x$  son

$$\begin{aligned} v_{A2x} - v_{A1x} &= (-0.40 \text{ m/s}) - 2.0 \text{ m/s} = -2.4 \text{ m/s} \\ v_{B2x} - v_{B1x} &= 2.0 \text{ m/s} - (-2.0 \text{ m/s}) = +4.0 \text{ m/s} \end{aligned}$$

**EVALUAR:** Los deslizadores estuvieron sujetos a la interacción de fuerzas iguales y opuestas en el mismo tiempo de la colisión. De acuerdo con el teorema impulso-cantidad de movimiento, experimentaron impulsos iguales y opuestos y, por lo tanto, cambios iguales y opuestos en la cantidad de movimiento. Sin embargo, de acuerdo con la segunda ley de Newton, el deslizador con menos masa ( $B$ ) tuvo mayor magnitud de aceleración y, por consiguiente, un mayor cambio de velocidad.

## EJEMPLO 8.6 CHOQUE EN UN PLANO HORIZONTAL



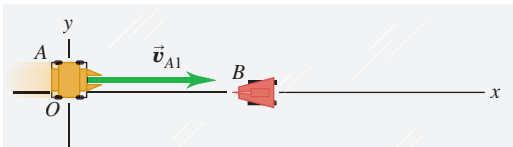
La figura 8.14a muestra dos robots combatientes que se deslizan sobre una superficie sin fricción. El robot  $A$ , con masa de 20 kg, se mueve inicialmente a 2.0 m/s en forma paralela al eje  $x$ . Choca con el robot  $B$ , cuya masa es de 12 kg y está inicialmente en reposo. Después del choque, el robot  $A$  se mueve a 1.0 m/s en una dirección que forma un ángulo  $\alpha = 30^\circ$  con su dirección inicial (figura 8.14b). ¿Qué velocidad final tiene el robot  $B$ ?

### SOLUCIÓN

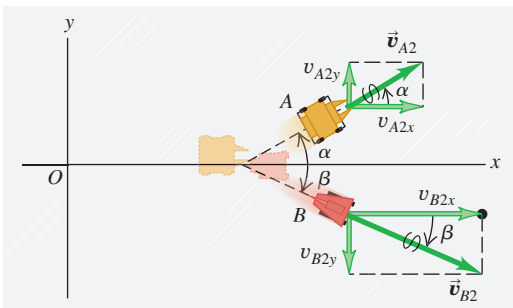
**IDENTIFICAR y PLANTEAR:** No hay fuerzas externas horizontales, así que se conservan las componentes  $x$  y  $y$  de la cantidad de movimiento

**8.14** Vista superior de las velocidades del robot.

a) Antes del choque



b) Despues del choque



total del sistema. Entonces, la suma de las componentes  $x$  de la cantidad de movimiento *antes* del choque (subíndice 1) debe ser igual a la suma *después* del choque (subíndice 2), y lo mismo con las sumas de las componentes  $y$ . La incógnita es  $\vec{v}_{B2}$ , la velocidad final del robot  $B$ .

**EJECUTAR:** Las ecuaciones de conservación de la cantidad de movimiento y sus soluciones para  $v_{B2x}$  y  $v_{B2y}$  son

$$\begin{aligned} m_A v_{A1x} + m_B v_{B1x} &= m_A v_{A2x} + m_B v_{B2x} \\ v_{B2x} &= \frac{m_A v_{A1x} + m_B v_{B1x} - m_A v_{A2x}}{m_B} \\ &= \frac{[(20 \text{ kg})(2.0 \text{ m/s}) + (12 \text{ kg})(0)]}{12 \text{ kg}} \\ &= 1.89 \text{ m/s} \end{aligned}$$

$$\begin{aligned} m_A v_{A1y} + m_B v_{B1y} &= m_A v_{A2y} + m_B v_{B2y} \\ v_{B2y} &= \frac{m_A v_{A1y} + m_B v_{B1y} - m_A v_{A2y}}{m_B} \\ &= \frac{[(20 \text{ kg})(0) + (12 \text{ kg})(0)]}{12 \text{ kg}} \\ &= -0.83 \text{ m/s} \end{aligned}$$

La figura 8.14b ilustra el movimiento del robot  $B$  después del choque. La magnitud de  $\vec{v}_{B2}$  es

$$v_{B2} = \sqrt{(1.89 \text{ m/s})^2 + (-0.83 \text{ m/s})^2} = 2.1 \text{ m/s}$$

y el ángulo de su dirección a partir de  $+x$  es

$$\beta = \arctan \frac{-0.83 \text{ m/s}}{1.89 \text{ m/s}} = -24^\circ$$

**EVALUAR:** Confirmemos que las componentes de cantidad de movimiento total son iguales antes y después del choque. En un principio, el robot A tiene una componente  $x$  de cantidad de movimiento  $m_A v_{A1x} = (20 \text{ kg})(2.0 \text{ m/s}) = 40 \text{ kg}\cdot\text{m/s}$  y la correspondiente componente  $y$  es cero; el robot B tiene cantidad de movimiento igual a cero. Despues del choque, las componentes de cantidad de movimiento son  $m_A v_{A2x} = (20 \text{ kg})(1.0 \text{ m/s})(\cos 30^\circ) = 17 \text{ kg}\cdot\text{m/s}$  y

$m_B v_{B2x} = (12 \text{ kg})(1.89 \text{ m/s}) = 23 \text{ kg}\cdot\text{m/s}$ ; la cantidad de movimiento total en  $x$  es de  $40 \text{ kg}\cdot\text{m/s}$ , igual que antes del choque. Las componentes  $y$  finales son  $m_A v_{A2y} = (20 \text{ kg})(1.0 \text{ m/s})(\sin 30^\circ) = 10 \text{ kg}\cdot\text{m/s}$ , y  $m_B v_{B2y} = (12 \text{ kg})(-0.83 \text{ m/s}) = -10 \text{ kg}\cdot\text{m/s}$ ; la componente  $y$  total de la cantidad de movimiento es cero, igual que antes del choque.

**EVALÚE SU COMPRENSIÓN DE LA SECCIÓN 8.2** Un juguete accionado por un resorte está en reposo sobre una superficie horizontal sin fricción. Cuando el resorte se suelta, el juguete se divide en las piezas con masas iguales  $A$ ,  $B$  y  $C$ , que se deslizan por la superficie. La pieza  $A$  se aleja en la dirección  $-x$ ; mientras que la  $B$  se aleja en la dirección  $-y$ . a) ¿Cuáles son los signos de las componentes de velocidad de la pieza  $C$ ? b) ¿Cuál de las tres piezas se mueve más rápido?

## 8.3 CONSERVACIÓN DE LA CANTIDAD DE MOVIMIENTO Y CHOQUES

Para la mayoría de las personas, el término *choque* probablemente significa un percance automovilístico. Sin embargo, ampliaremos su significado para incluir cualquier interacción intensa entre cuerpos, con duración relativamente corta. Así que no sólo incluimos accidentes automovilísticos, sino también bolas que chocan en una mesa de billar, neutrones que inciden sobre núcleos atómicos en un reactor nuclear y el encuentro cercano de una nave espacial con el planeta Saturno.

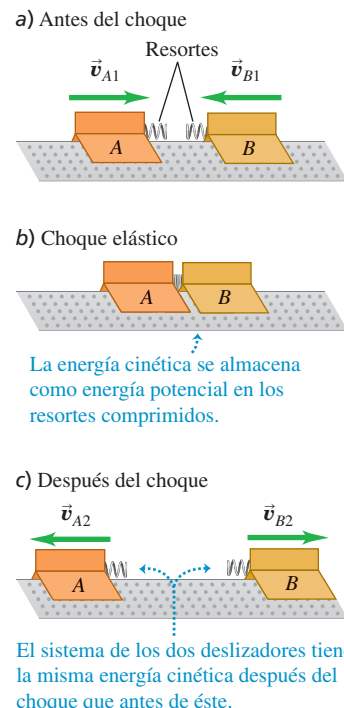
Si las fuerzas entre los cuerpos son mucho mayores que las externas, como suele suceder en la mayoría de los choques, podemos ignorar las fuerzas externas y tratar los cuerpos como un sistema *aislado*. Entonces, la cantidad de movimiento se conserva y la cantidad de movimiento total del sistema tendrá el mismo valor antes y después del choque. Dos automóviles que chocan en un cruce cubierto de hielo son un buen ejemplo. Incluso dos automóviles que chocan en pavimento seco se pueden tratar como un sistema aislado durante la colisión, si las fuerzas entre los autos son mucho mayores que las fuerzas de fricción del pavimento contra los neumáticos.

### Choques elásticos e inelásticos

Si las fuerzas entre los cuerpos son *conservativas*, de manera que no se pierde ni se gana energía mecánica en el choque, la energía *cinética* total del sistema es la misma antes y después del choque, lo cual se denomina **choque elástico**. Un choque entre dos canicas o dos bolas de billar es casi totalmente elástico. La figura 8.15 muestra un modelo de choque elástico. Al chocar los deslizadores, los resortes se comprimen temporalmente y parte de la energía cinética original se convierte por un momento en energía potencial elástica. Luego, los deslizadores rebotan, los resortes se estiran y la energía potencial se convierte en energía cinética.

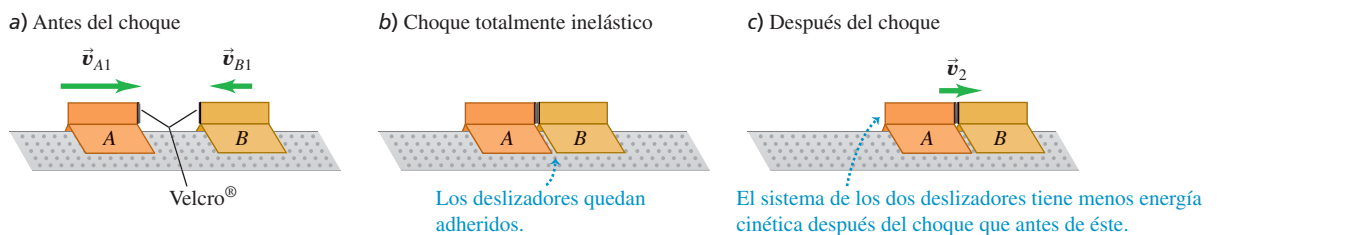
Un choque donde la energía cinética total final es *menor* que la inicial es un **choque inelástico**. Una albóndiga que cae en un plato de espagueti y una bala que se incrusta en un bloque de madera son ejemplos de choques inelásticos. Un choque inelástico en el que los cuerpos chocan y se mueven como uno solo después de la colisión es un **choque totalmente inelástico**. En la figura 8.16 se presenta un ejemplo; se han reemplazado los protectores de resorte de la figura 8.15 por una cinta Velcro® que hace que los dos cuerpos se adhieran.

**8.15** Dos deslizadores experimentan un choque elástico en una superficie sin fricción. Cada deslizador tiene un protector de resorte de acero que ejerce una fuerza conservativa sobre el otro deslizador.



DEMO

**8.16** Dos deslizadores experimentan un choque totalmente inelástico. Los protectores de resorte de los deslizadores se sustituyeron por cintas Velcro®, de manera que los deslizadores quedan adheridos después del choque.



**CUIDADO** Un choque inelástico no tiene que ser *totalmente* inelástico. En los choques inelásticos se incluyen muchas situaciones donde los cuerpos *no* se unen. Si dos automóviles chocan levemente y rebaten, el trabajo efectuado para deformar los parachoques (las defensas) no puede recuperarse como energía cinética de los automóviles, de manera que el choque es inelástico (**figura 8.17**). ■

**8.17** Losa utomóvilless edis eñanpa ra que los choques sean inelásticos, de manera que su estructura absorba tanta energía del choque como sea posible. Esta energía absorbida no puede recuperarse, pues se invierte en deformar de manera permanente el automóvil.



Recuerde esta regla: **En cualquier choque en el que se pueden ignorar las fuerzas externas, se conserva la cantidad de movimiento y la cantidad de movimiento total es la misma antes y después de la colisión; sólo en choques elásticos, la energía cinética total es igual antes y después de la colisión.**

### Choques totalmente inelásticos

Veamos qué sucede con la cantidad de movimiento y la energía cinética en un choque *totalmente* inelástico de dos cuerpos (*A* y *B*), como en la figura 8.15. Puesto que los cuerpos quedan unidos después del choque, tienen la misma velocidad final  $\vec{v}_2$ :

$$\vec{v}_{A2} = \vec{v}_{B2} = \vec{v}_2$$

La conservación de la cantidad de movimiento da la relación

$$m_A \vec{v}_{A1} + m_B \vec{v}_{B1} = (m_A + m_B) \vec{v}_2 \quad (\text{choque totalmente inelástico}) \quad (8.16)$$

Si conocemos las masas y las velocidades iniciales, podemos calcular la velocidad final común  $\vec{v}_2$ .

Suponga, por ejemplo, que un cuerpo con masa  $m_A$  y componente  $x$  inicial de velocidad  $v_{A1x}$  choca inelásticamente contra un cuerpo de masa  $m_B$  en reposo ( $v_{B1x} = 0$ ). Según la ecuación (8.16), la componente  $x$  de la velocidad  $v_{2x}$ , después del choque y común a ambos cuerpos, es

$$v_{2x} = \frac{m_A}{m_A + m_B} v_{A1x} \quad \begin{array}{l} (\text{choque totalmente inelástico,} \\ B \text{ inicialmente en reposo}) \end{array} \quad (8.17)$$

Verifiquemos que la energía cinética total después de este choque totalmente inelástico es menor que antes. El movimiento es sólo sobre el eje  $x$ , por lo que las energías cinéticas  $K_1$  y  $K_2$  antes y después del choque, respectivamente, son

$$K_1 = \frac{1}{2} m_A v_{A1x}^2$$

$$K_2 = \frac{1}{2} (m_A + m_B) v_{2x}^2 = \frac{1}{2} (m_A + m_B) \left( \frac{m_A}{m_A + m_B} v_{A1x} \right)^2 v_{A1x}^2$$

La razón entre las energías cinéticas final e inicial es

$$\frac{K_2}{K_1} = \frac{m_A}{m_A + m_B} \quad \begin{array}{l} (\text{choque totalmente inelástico,} \\ B \text{ inicialmente en reposo}) \end{array} \quad (8.18)$$

El lado derecho siempre es menor que la unidad porque el denominador siempre es mayor que el numerador. Aun si la velocidad inicial de  $m_B$  no es cero, la energía cinética después de un choque totalmente inelástico siempre es menor que antes.

**Atención:** No se recomienda memorizar las ecuaciones (8.17) y (8.18). Tan sólo se dedujeron para demostrar que siempre se pierde energía cinética en un choque totalmente inelástico.

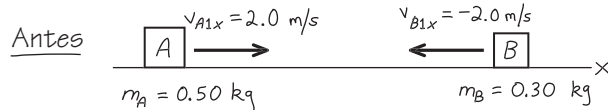
### EJEMPLO 8.7 CHOQUE TOTALMENTE INELÁSTICO

Revisaremos el choque descrito en el ejemplo 8.5 (sección 8.2); pero esta vez, los deslizadores están equipados para permanecer unidos después del choque. Calcule la velocidad final común  $x$  y compare las energías cinéticas inicial y final del sistema.

#### SOLUCIÓN

**IDENTIFICAR y PLANTEAR:** No hay fuerzas externas en la dirección  $x$ , así que se conserva la componente  $x$  de la cantidad de movimiento. La **figura 8.18** ilustra el diagrama. Las incógnitas son la velocidad final  $v_{2x}$  y las energías cinéticas inicial y final,  $K_1$  y  $K_2$ .

#### 8.18 Diagrama del problema.



**EJECUTAR:** Por la conservación de la cantidad de movimiento,

$$\begin{aligned} m_A v_{A1x} + m_B v_{B1x} &= (m_A + m_B) v_{2x} \\ v_{2x} &= \frac{m_A v_{A1x} + m_B v_{B1x}}{m_A + m_B} \\ &= \frac{(0.50 \text{ kg})(2.0 \text{ m/s}) + (0.30 \text{ kg})(-2.0 \text{ m/s})}{0.50 \text{ kg} + 0.30 \text{ kg}} \\ &= 0.50 \text{ m/s} \end{aligned}$$

Como  $v_{2x}$  es positiva, los deslizadores se mueven juntos a la derecha después del choque. Antes de éste, las energías cinéticas son

$$\begin{aligned} K_A &= \frac{1}{2} m_A v_{A1x}^2 = \frac{1}{2}(0.50 \text{ kg})(2.0 \text{ m/s})^2 = 1.0 \text{ J} \\ K_B &= \frac{1}{2} m_B v_{B1x}^2 = \frac{1}{2}(0.30 \text{ kg})(-2.0 \text{ m/s})^2 = 0.60 \text{ J} \end{aligned}$$

La energía cinética total antes del choque es  $K_1 = K_A + K_B = 1.6 \text{ J}$ . La energía cinética después del choque es

$$\begin{aligned} K_2 &= \frac{1}{2}(m_A + m_B)v_{2x}^2 = \frac{1}{2}(0.50 \text{ kg} + 0.30 \text{ kg})(0.50 \text{ m/s})^2 \\ &= 0.10 \text{ J} \end{aligned}$$

**EVALUAR:** La energía cinética final es sólo  $\frac{1}{16}$  de la original;  $\frac{15}{16}$  se convierten de energía mecánica en otras formas. Si hay una bola de goma de mascar entre los deslizadores, se aplasta y se calienta. Si hay un resorte entre los deslizadores que se comprime cuando éstos se enganchan, la energía se almacena como energía potencial del resorte. En ambos casos, se conserva la energía *total* del sistema, aunque la energía *cinética* no lo hace. Sin embargo, en un sistema aislado, la cantidad de movimiento *siempre* se conserva, sin importar que el choque sea elástico o no.

### EJEMPLO 8.8 EL PÉNDULO BALÍSTICO



La figura 8.19 muestra un péndulo balístico: un sistema sencillo para medir la rapidez de un proyectil. La bala, con masa  $m_B$ , tiene un choque totalmente inelástico con un bloque de madera de masa  $m_W$ , que cuelga como péndulo. Después del impacto, el bloque oscila hasta una altura máxima  $h$ . En términos de  $h$ ,  $m_B$  y  $m_W$ , ¿qué rapidez inicial  $v_1$  tiene la bala?

#### SOLUCIÓN

**IDENTIFICAR:** Analizaremos el suceso en dos etapas: **1.** la incrustación de la bala en el bloque y **2.** la oscilación del bloque. Durante la primera etapa, la bala se incrusta en el bloque con tal rapidez, que éste no se mueve notablemente. Las cuerdas de soporte permanecen casi verticales, así que la fuerza externa horizontal que actúa sobre el sistema formado por la bala y el bloque es insignificante, y se conserva la componente horizontal de la cantidad de movimiento. Sin embargo, la energía mecánica *no* se conserva en esta etapa, porque hay una fuerza no conservativa que realiza trabajo (la fuerza de fricción entre la bala y el bloque).

En la segunda etapa, el bloque y la bala se mueven juntos. Las únicas fuerzas que actúan sobre este sistema son la gravedad (una fuerza conservativa) y las tensiones de las cuerdas (que no efectúan trabajo). Por lo tanto, cuando el péndulo oscila, se conserva la *energía mecánica*. Sin

embargo, la cantidad de movimiento *no* se conserva durante esta etapa porque hay una fuerza externa neta (la fuerza de gravedad y las tensiones en las cuerdas no se cancelan cuando éstas se encuentran inclinadas).

**PLANTEAR:** Tomamos el eje  $x$  positivo hacia la derecha y el eje  $y$  positivo hacia arriba. La incógnita es  $v_1$ . Otra incógnita es la rapidez  $v_2$  del sistema inmediatamente después del choque. Usaremos la conservación de la cantidad de movimiento en la primera etapa para relacionar  $v_1$  con  $v_2$ , y la conservación de la energía en la segunda etapa para relacionar  $v_2$  con  $h$ .

**EJECUTAR:** En la primera etapa, todas las velocidades tienen la dirección  $+x$ . La conservación de la cantidad de movimiento da

$$\begin{aligned} m_B v_1 &= (m_B + m_W) v_2 \\ v_1 &= \frac{m_B + m_W}{m_B} v_2 \end{aligned}$$

Al principio de la segunda etapa, la energía cinética del sistema es  $K = \frac{1}{2}(m_B + m_W)v_2^2$ . El sistema oscila hacia arriba, se detiene momentáneamente a una altura  $h$ , donde su energía cinética es cero y su energía potencial es  $(m_B + m_W)gh$  y luego baja. La conservación de energía da

$$\begin{aligned} \frac{1}{2}(m_B + m_W)v_2^2 &= (m_B + m_W)gh \\ v_2 &= \sqrt{2gh} \end{aligned}$$

Sustituimos esta expresión de  $v_2$  en la ecuación de cantidad de movimiento:

$$v_1 = \frac{m_B + m_W}{m_B} \sqrt{2gh}$$

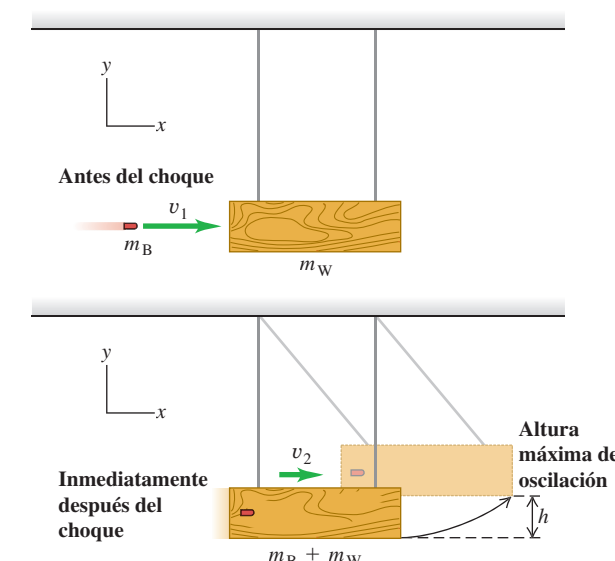
**EVALUAR:** Verifiquemos nuestras respuestas considerando algunas cifras reales:  $m_B = 5.00 \text{ g} = 0.00500 \text{ kg}$ ,  $m_W = 2.00 \text{ kg}$  y  $h = 3.00 \text{ cm} = 0.0300 \text{ m}$ . Entonces, tenemos

$$\begin{aligned} v_1 &= \frac{0.00500 \text{ kg} + 2.00 \text{ kg}}{0.00500 \text{ kg}} \sqrt{2(9.80 \text{ m/s}^2)(0.0300 \text{ m})} \\ &= 307 \text{ m/s} \end{aligned}$$

$$v_2 = \sqrt{2gh} = \sqrt{2(9.80 \text{ m/s}^2)(0.0300 \text{ m})} = 0.767 \text{ m/s}$$

La rapidez  $v_2$  del bloque justo después del impacto es *mucho* menor que la rapidez inicial  $v_1$  de la bala. Antes del impacto, la energía cinética de la bala es  $\frac{1}{2}(0.00500 \text{ kg})(307 \text{ m/s})^2 = 236 \text{ J}$ , y la del sistema justo después del impacto es  $\frac{1}{2}(2.005 \text{ kg})(0.767 \text{ m/s})^2 = 0.590 \text{ J}$ . Casi toda la energía cinética desaparece al astillarse la madera, y al calentarse la bala y el bloque.

8.19 Péndulo balístico.





### EJEMPLO 8.9 CHOQUE ENTRE AUTOMÓVILES

Un automóvil de 1000 kg viaja al norte a 15 m/s, y choca contra una vagoneta de 2000 kg que viaja al este a 10 m/s. Los ocupantes usan cinturones de seguridad y no hay lesionados; pero los dos automóviles se alejan del punto de impacto como uno solo. El ajustador de la aseguradora le pide calcular la velocidad de los vehículos justo después del impacto. ¿Qué le contesta?

#### SOLUCIÓN

**IDENTIFICAR y PLANTEAR:** Cualquier fuerza externa horizontal (como la fricción) sobre los automóviles durante el choque son muy pequeñas comparadas con las fuerzas que los automóviles en el choque ejercen entre sí (lo cual verificaremos más adelante). Trataremos los automóviles como un sistema aislado, de modo que se conserva la cantidad de movimiento del sistema. La figura 8.20 muestra el diagrama y los ejes  $x$  y  $y$  de coordenadas. Calculamos la cantidad de movimiento total,  $\vec{P}$ , antes del choque mediante las ecuaciones (8.15). La cantidad de movimiento tiene el mismo valor inmediatamente después del choque; por lo tanto, podemos calcular la velocidad  $\vec{V}$  justo después del choque (la incógnita) empleando la relación  $\vec{P} = M\vec{V}$ , donde  $M = m_C + m_T = 3000 \text{ kg}$  es la masa de los vehículos.

**EJECUTAR:** De acuerdo con las ecuaciones (8.15), las componentes de  $\vec{P}$  son

$$\begin{aligned} P_x &= p_{Cx} + p_{Tx} = m_C v_{Cx} + m_T v_{Tx} \\ &= (1000 \text{ kg})(0) + (2000 \text{ kg})(10 \text{ m/s}) \\ &= 2.0 \times 10^4 \text{ kg} \cdot \text{m/s} \\ P_y &= p_{Cy} + p_{Ty} = m_C v_{Cy} + m_T v_{Ty} \\ &= (1000 \text{ kg})(15 \text{ m/s}) + (2000 \text{ kg})(0) \\ &= 1.5 \times 10^4 \text{ kg} \cdot \text{m/s} \end{aligned}$$

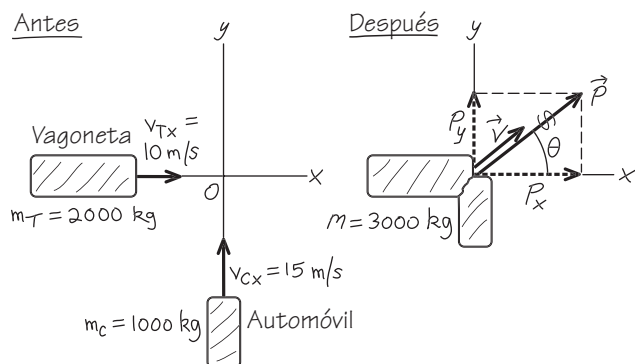
La magnitud de  $\vec{P}$  es

$$\begin{aligned} P &= \sqrt{(2.0 \times 10^4 \text{ kg} \cdot \text{m/s})^2 + (1.5 \times 10^4 \text{ kg} \cdot \text{m/s})^2} \\ &= 2.5 \times 10^4 \text{ kg} \cdot \text{m/s} \end{aligned}$$

y su dirección está dada por el ángulo  $\theta$  indicado en la figura 8.20:

$$\tan \theta = \frac{P_y}{P_x} = \frac{1.5 \times 10^4 \text{ kg} \cdot \text{m/s}}{2.0 \times 10^4 \text{ kg} \cdot \text{m/s}} = 0.75 \quad \theta = 37^\circ$$

**8.20** Diagrama para este problema.



Utilizando  $\vec{P} = M\vec{V}$ , la dirección de la velocidad  $\vec{V}$  justo después del choque es también  $\theta = 37^\circ$  y su magnitud es

$$V = \frac{P}{M} = \frac{2.5 \times 10^4 \text{ kg} \cdot \text{m/s}}{3000 \text{ kg}} = 8.3 \text{ m/s}$$

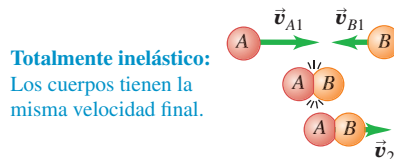
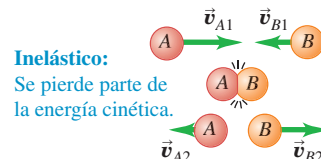
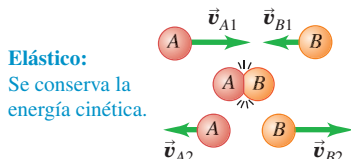
**EVALUAR:** Como se observa, la energía cinética inicial es  $2.1 \times 10^5 \text{ J}$ , y la final,  $1.0 \times 10^5 \text{ J}$ . El choque es inelástico, por lo que la energía cinética total después del choque es menor que antes.

Ahora se justifica nuestra suposición de que podemos despreciar las fuerzas externas sobre los vehículos durante el choque. El peso del automóvil es de 10,000 N aproximadamente; si el coeficiente de fricción cinética es de 0.5, la fuerza de fricción sobre el automóvil durante el impacto es de alrededor de 5000 N. La energía cinética inicial del automóvil es  $\frac{1}{2}(1000 \text{ kg})(15 \text{ m/s})^2 = 1.1 \times 10^5 \text{ J}$ , de modo que se deben realizar  $-1.1 \times 10^5 \text{ J}$  de trabajo para detenerlo. Si el automóvil se aplasta 0.20 m al detenerse, se necesitaría una fuerza de magnitud  $(1.1 \times 10^5 \text{ J})/(0.20 \text{ m}) = 5.5 \times 10^5 \text{ N}$ , que es 110 veces la fuerza de fricción. Por lo tanto, es razonable despreciar la fuerza de fricción externa comparada con las fuerzas internas que los vehículos ejercen uno sobre el otro.

### Clasificación de los choques

Es importante recordar que los choques se pueden clasificar considerando su energía (figura 8.21). Un choque donde la energía cinética se conserva se denomina *elástico* (examinaremos esto con mayor profundidad en la siguiente sección). Un choque en el que la energía cinética total disminuye se llama *inelástico*. Cuando dos cuerpos tienen una velocidad final común, decimos que el choque es *totalmente inelástico*. También hay casos donde la energía cinética final es *mayor* que el valor inicial. El retroceso de los rifles analizado en el ejemplo 8.4 (sección 8.2) es un ejemplo.

**8.21** Los choques se clasifican con base en consideraciones de energía.



Por último, hacemos hincapié una vez más en que, en ocasiones, utilizamos la conservación de la cantidad de movimiento incluso cuando hay fuerzas externas que actúan sobre el sistema, si la fuerza externa neta que actúa sobre los cuerpos que chocan es pequeña en comparación con las fuerzas internas durante el choque (como en el ejemplo 8.9).

**EVALÚE SU COMPRENSIÓN DE LA SECCIÓN 8.3** Para cada situación, indique si el choque es elástico o inelástico. Si es inelástico, indique si es totalmente inelástico. *a)* Usted deja caer de su mano una pelota que choca contra el piso, rebota y casi alcanza a regresar a su mano. *b)* Usted deja caer otra pelota de su mano y deja que choque contra el suelo. La pelota rebota y llega a la mitad de la altura de la que fue soltada. *c)* Usted deja caer una bola de arcilla de su mano. Cuando choca contra el suelo, la bola de arcilla se detiene. |

## 8.4 CHOQUES ELÁSTICOS

Como vimos en la sección 8.3, un *choque elástico* en un sistema aislado es aquel donde se conserva la energía cinética (al igual que la cantidad de movimiento). Estos choques ocurren cuando las fuerzas entre los cuerpos que chocan son *conservativas*. Si chocan dos bolas de billar, se aplastan un poco cerca de la superficie de contacto, pero luego rebotan. Parte de la energía cinética se almacena temporalmente como energía potencial elástica, pero al final se convierte de nuevo en energía cinética (**figura 8.22**).

Examinemos un choque elástico *unidimensional* entre dos cuerpos A y B, con todas las velocidades en la misma recta, la que elegimos como eje *x*. Así, las cantidades de movimiento y las velocidades sólo tienen componentes *x*. Llamamos  $v_{A1x}$  y  $v_{B1x}$  a las velocidades *x* antes del choque, y  $v_{A2x}$  y  $v_{B2x}$  a las velocidades después del choque. Por la conservación de la energía cinética, tenemos

$$\frac{1}{2}m_Av_{A1x}^2 + \frac{1}{2}m_Bv_{B1x}^2 = \frac{1}{2}m_Av_{A2x}^2 + \frac{1}{2}m_Bv_{B2x}^2$$

y la conservación de la cantidad de movimiento da

$$m_Av_{A1x} + m_Bv_{B1x} = m_Av_{A2x} + m_Bv_{B2x}$$

Si conocemos las masas  $m_A$  y  $m_B$  y las velocidades iniciales  $v_{A1x}$  y  $v_{B1x}$ , podemos resolver estas dos ecuaciones para determinar las velocidades finales  $v_{A2x}$  y  $v_{B2x}$ .

### Choques elásticos, un cuerpo inicialmente en reposo

La solución general de las ecuaciones anteriores es algo complicada, así que nos concentraremos en el caso especial en que el cuerpo B está en reposo antes del choque (es decir,  $v_{B1x} = 0$ ). Piense que el cuerpo B es el blanco que A debe golpear. Entonces, las ecuaciones de conservación de energía cinética y de la cantidad de movimiento son, respectivamente,

$$\frac{1}{2}m_Av_{A1x}^2 = \frac{1}{2}m_Av_{A2x}^2 + \frac{1}{2}m_Bv_{B2x}^2 \quad (8.19)$$

$$m_Av_{A1x} = m_Av_{A2x} + m_Bv_{B2x} \quad (8.20)$$

Podemos despejar  $v_{A2x}$  y  $v_{B2x}$  en términos de las masas y la velocidad inicial  $v_{A1x}$ . Esto implica operaciones algebraicas algo complicadas, pero vale la pena. ¡Sin sufrimiento, no hay ganancia! El enfoque más sencillo es un tanto indirecto, pero de pasada revela otra característica interesante de los choques elásticos.

Reacomodemos primero las ecuaciones (8.19) y (8.20) como sigue:

$$m_Bv_{B2x}^2 = m_A(v_{A1x}^2 - v_{A2x}^2) = m_A(v_{A1x} - v_{A2x})(v_{A1x} + v_{A2x}) \quad (8.21)$$

$$m_Bv_{B2x} = m_A(v_{A1x} - v_{A2x}) \quad (8.22)$$

Ahora dividimos la ecuación (8.21) entre la (8.22):

$$v_{B2x} = v_{A1x} + v_{A2x} \quad (8.23)$$

**8.22** Las bolas de billar casi no se deforman al chocar, y pronto recuperan su forma original. Por ello, la fuerza de interacción entre las bolas es casi perfectamente conservativa, y el choque es casi perfectamente elástico.



## LOS DATOS HABLAN

### Conservación de la cantidad de movimiento

Cuando a los estudiantes se les dio un problema acerca de la conservación de la cantidad de movimiento, más del 29% dieron una respuesta incorrecta.

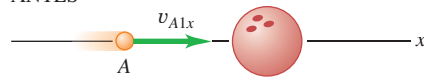
Errores comunes:

- Olvidar que la cantidad de movimiento  $\vec{p}$  es un vector. Sus componentes pueden ser positivas o negativas, dependiendo de la dirección de  $\vec{p}$ .
- Sumar incorrectamente la cantidad de movimiento. Si dos vectores cantidad de movimiento apuntan en direcciones diferentes. No se puede encontrar la cantidad de movimiento total simplemente sumando las magnitudes de las dos cantidades de movimiento.

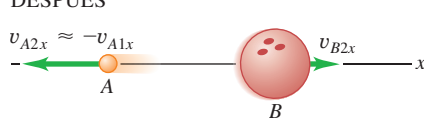
### 8.23 Colisiones elásticas unidimensionales entre cuerpos con diferentes masas.

a) Una pelota de ping-pong que se mueve le pega a una bola para jugar a los bolos inicialmente en reposo.

ANTES

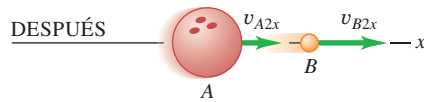
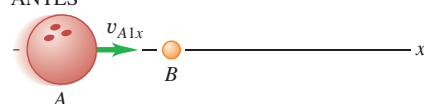


DESPUÉS



b) Una bola para jugar a los bolos que se mueve le pega a una pelota de ping-pong inicialmente estacionaria.

ANTES

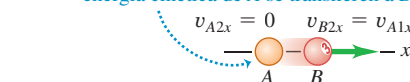


### 8.24 Choque elástico unidimensional entre cuerpos de igual masa.

Cuando un objeto A en movimiento tiene un choque elástico unidimensional con un objeto de igual masa B inmóvil ...



... toda la cantidad de movimiento y la energía cinética de A se transfieren a B.



Sustituimos esta expresión en la ecuación (8.22) para eliminar  $v_{B2x}$  y, luego, despejamos  $v_{A2x}$ :

$$\begin{aligned} m_B(v_{A1x} + v_{A2x}) &= m_A(v_{A1x} - v_{A2x}) \\ v_{A2x} &= \frac{m_A - m_B}{m_A + m_B} v_{A1x} \end{aligned} \quad (8.24)$$

Por último, sustituimos este resultado en la ecuación (8.23) para obtener

$$v_{B2x} = \frac{2m_A}{m_A + m_B} v_{A1x} \quad (8.25)$$

Ahora podemos interpretar los resultados. Suponga que A es una pelota de ping-pong y B es una bola para jugar a los bolos. Esperamos que A rebote después del choque con una velocidad casi igual a la original pero en la dirección opuesta (**figura 8.23a**), y que la velocidad de B sea mucho menor. Eso es precisamente lo que las ecuaciones predicen. Si  $m_A$  es mucho menor que  $m_B$ , la fracción de la ecuación (8.24) es aproximadamente igual a  $-1$ , y  $v_{A2x}$  es casi igual a  $-v_{A1x}$ . La fracción de la ecuación (8.25) es mucho menor que  $1$ , así que  $v_{B2x}$  es mucho menor que  $v_{A1x}$ . La figura 8.23b muestra el caso opuesto, en el que A es la bola para jugar a los bolos y B la pelota de ping-pong, y  $m_A$  es mucho mayor que  $m_B$ . ¿Qué cree usted que sucederá? Verifique sus predicciones con las de las ecuaciones (8.24) y (8.25).

Otro caso interesante se presenta cuando las masas son iguales (**figura 8.24**). Si  $m_A = m_B$ , entonces las ecuaciones (8.24) y (8.25) dan  $v_{A2x} = 0$  y  $v_{B2x} = v_{A1x}$ . Es decir, el cuerpo que al principio está en movimiento se detiene por completo, comunicándole toda su cantidad de movimiento y toda su energía cinética al cuerpo que estaba en reposo. Todos los jugadores de billar conocen muy bien este comportamiento.

## Choques elásticos y velocidad relativa

Volvamos ahora al caso general en que A y B tienen masa diferente. La ecuación (8.23) puede describirse así:

$$v_{A1x} = v_{B2x} - v_{A2x} \quad (8.26)$$

Aquí,  $v_{B2x} - v_{A2x}$  es la velocidad de B relativa a A *después* del choque; según la ecuación (8.26), esto es igual a  $v_{A1x}$ , que es el *negativo* de la velocidad de B relativa a A *antes* del choque (tratamos las velocidades relativas en la sección 3.5). La velocidad relativa tiene la misma magnitud, pero signo opuesto, antes y después del choque. El signo cambia porque A y B se están acercando antes del choque y alejándose después de él. Si vemos el choque desde otro sistema de coordenadas que se mueve con velocidad constante relativa al primero, las velocidades de los cuerpos son diferentes, pero las velocidades *relativas* son las mismas. Por lo que nuestro enunciado acerca de las velocidades relativas se cumple en general para *cualquier* choque elástico rectilíneo, aun si ningún cuerpo está inicialmente en reposo. *En un choque rectilíneo elástico de dos cuerpos, las velocidades relativas antes y después del choque tienen la misma magnitud pero signo opuesto*, lo cual significa que si B se está moviendo antes del choque, la ecuación (8.26) se convierte en

$$v_{B2x} - v_{A2x} = -(v_{B1x} - v_{A1x}) \quad (8.27)$$

Resulta que una relación *vectorial* similar a la ecuación (8.27) es una propiedad general de *todos* los choques elásticos, aun si ambos cuerpos se mueven inicialmente y las velocidades no están alineadas. Este resultado ofrece una definición alternativa y equivalente de choque elástico: *En un choque elástico, la velocidad relativa de los dos cuerpos tiene la misma magnitud antes y después del choque*. Siempre que se satisface esta condición, también se conserva la energía cinética total.

Si un choque elástico de dos cuerpos no es de frente, las velocidades no están alineadas. Si todas están en el mismo plano, cada velocidad final tiene dos componentes desconocidas y hay cuatro incógnitas en total. La conservación de la energía y la conservación de las componentes x y y de la cantidad de movimiento sólo dan tres ecuaciones. Para determinar las velocidades finales sin ambigüedad, necesitamos información adicional, como la dirección o la magnitud de una de esas velocidades.



## EJEMPLO 8.10 CHOQUE RECTILÍNEO ELÁSTICO UNIDIMENSIONAL

Repetiremos el experimento del choque en el riel de aire del ejemplo 8.5 (sección 8.2), pero agregando resortes ideales como parachoques a los deslizadores de modo que el choque sea elástico. ¿Cuáles son las velocidades finales de los deslizadores?

### SOLUCIÓN

**IDENTIFICAR y PLANTEAR:** La fuerza externa neta que actúa sobre el sistema es cero, por lo que se conserva la cantidad de movimiento del sistema. La figura 8.25 muestra el diagrama. Calcularemos las incógnitas,  $v_{A2x}$  y  $v_{B2x}$ , empleando la ecuación (8.27), la relación de la velocidad relativa en un choque elástico y la ecuación de conservación de la cantidad de movimiento.

**EJECUTAR:** De acuerdo con la ecuación (8.27),

$$\begin{aligned} v_{B2x} - v_{A2x} &= -(v_{B1x} - v_{A1x}) \\ &= -(-2.0 \text{ m/s} - 2.0 \text{ m/s}) = 4.0 \text{ m/s} \end{aligned}$$

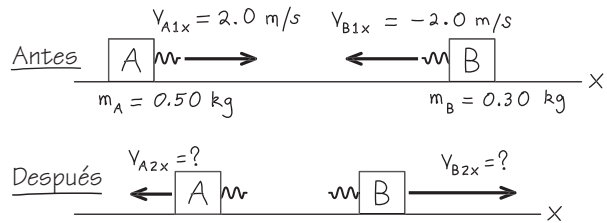
A partir de la conservación de la cantidad de movimiento,

$$\begin{aligned} m_A v_{A1x} + m_B v_{B1x} &= m_A v_{A2x} + m_B v_{B2x} \\ (0.50 \text{ kg})(2.0 \text{ m/s}) + (0.30 \text{ kg})(-2.0 \text{ m/s}) &= (0.50 \text{ kg})v_{A2x} + (0.30 \text{ kg})v_{B2x} \\ 0.50 v_{A2x} + 0.30 v_{B2x} &= 0.40 \text{ m/s} \end{aligned}$$

(Para obtener la última ecuación, dividimos ambos lados de la ecuación anterior entre 1 kg. Esto hace las unidades iguales a las de la primera ecuación). Resolviendo las ecuaciones simultáneamente,

$$v_{A2x} = -1.0 \text{ m/s} \quad v_{B2x} = 3.0 \text{ m/s}$$

**8.25** Diagrama de este problema.



**EVALUAR:** Ambos cuerpos invierten sus direcciones;  $A$  se mueve a la izquierda a 1.0 m/s, y  $B$  lo hace a la derecha a 3.0 m/s, lo cual difiere del resultado del ejemplo 8.5 porque ese choque no era elástico. El deslizador  $A$  con mayor masa desacelera durante el choque, así que pierde energía cinética. El deslizador  $B$  con menor masa acelera y gana energía cinética. La energía cinética total antes del choque (que calculamos en el ejemplo 8.7) es de 1.6 J. La energía cinética total después del choque es

$$\frac{1}{2}(0.50 \text{ kg})(-1.0 \text{ m/s})^2 + \frac{1}{2}(0.30 \text{ kg})(3.0 \text{ m/s})^2 = 1.6 \text{ J}$$

Las energías cinéticas antes y después de este choque elástico son iguales. La energía cinética se transfiere de  $A$  a  $B$ , sin que nada de ella se pierda en el proceso.

**CUIDADO** Atención a las ecuaciones de choques elásticos Este problema no se podría haber resuelto utilizando las ecuaciones (8.24) y (8.25), ya que estas sólo son válidas si el cuerpo  $B$  inicialmente está en reposo. ¡Asegúrese siempre de resolver el problema en cuestión empleando ecuaciones que sean válidas!

## EJEMPLO 8.11 FISIÓN MODERADA DE NEUTRONES EN UN REACTOR NUCLEAR

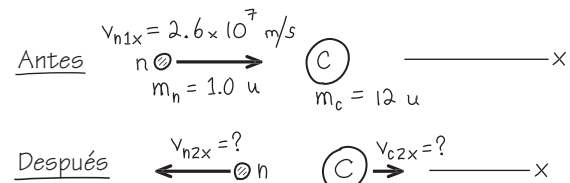


La fisión de núcleos de uranio en un reactor nuclear produce neutrones de alta rapidez. Antes de que un neutrón pueda generar fisiones adicionales eficientemente, debe ser frenado por choques sucesivos con núcleos en el *moderador* del reactor. El primer reactor nuclear (construido en 1942 en la Universidad de Chicago) usaba carbono (grafito) como moderador. Suponga que un neutrón (masa = 1.0 u) que viaja a  $2.6 \times 10^7 \text{ m/s}$  experimenta un choque elástico de frente contra un núcleo de carbono (masa = 12 u) inicialmente en reposo. Las fuerzas externas durante el choque son despreciables; calcule las velocidades después del choque. (1 u es la unidad de masa atómica, igual a  $1.66 \times 10^{-27} \text{ kg}$ ).

### SOLUCIÓN

**IDENTIFICAR y PLANTEAR:** Se desprecian las fuerzas externas, así que la cantidad de movimiento se conserva en el choque. El choque es elástico, de manera que también se conserva la energía cinética. La figura 8.26 muestra el diagrama. Tomamos el eje  $x$  en la dirección en que el neutrón se mueve inicialmente. Puesto que el choque es de frente, ambas partículas se mueven en este mismo eje después del choque. Como el núcleo de carbono está inicialmente en reposo, podemos usar las ecuaciones (8.24) y (8.25), reemplazando  $A$  por  $n$  (para el neutrón) y  $B$  por  $C$  (para el núcleo del carbono). Tenemos  $m_n = 1.0 \text{ u}$ ,  $m_C = 12 \text{ u}$  y  $v_{n1x} = 2.6 \times 10^7 \text{ m/s}$ . Las incógnitas son las velocidades finales  $v_{n2x}$  y  $v_{C2x}$ .

**8.26** Diagrama de este problema.



**EJECUTAR:** Dejaremos que usted realice los cálculos. (*Sugerencia:* No es necesario convertir las unidades de masa atómica a kilogramos). Los resultados son

$$v_{n2x} = -2.2 \times 10^7 \text{ m/s} \quad v_{C2x} = 0.4 \times 10^7 \text{ m/s}$$

**EVALUAR:** El neutrón termina con  $|m_n - m_C| / (m_n + m_C) = \frac{11}{13}$  de su rapidez inicial, y la rapidez del núcleo de carbono en retroceso es  $|2m_n / (m_n + m_C)| = \frac{2}{13}$  de la rapidez inicial del neutrón. La energía cinética es proporcional a la rapidez al cuadrado, así que la energía cinética final del neutrón es  $(\frac{11}{13})^2 \approx 0.72$  de su valor original. Despues de un segundo choque de frente, su energía cinética será  $(0.72)^2$ , es decir, cerca de la mitad de su valor original, y así sucesivamente. Despues de una docena de choques (algunos de los cuales son de frente), la rapidez del neutrón será lo suficientemente baja y podrá causar una reacción de fisión eficiente en un núcleo de uranio.



SOLUCIÓN

**EJEMPLO 8.12 CHOQUE ELÁSTICO BIDIMENSIONAL**

La figura 8.27 muestra un choque elástico de dos discos de hockey (masas  $m_A = 0.500 \text{ kg}$ ,  $m_B = 0.300 \text{ kg}$ ) en una mesa de aire sin fricción. El disco A tiene velocidad inicial de  $4.00 \text{ m/s}$  en la dirección  $+x$  y velocidad final de  $2.00 \text{ m/s}$  en una dirección  $\alpha$  desconocida. El disco B está inicialmente en reposo. Calcule la rapidez final  $v_{B2}$  del disco B y los ángulos  $\alpha$  y  $\beta$ .

### SOLUCIÓN

**IDENTIFICAR y PLANTEAR:** Usaremos las ecuaciones de conservación de la energía y conservación de la cantidad de movimiento en  $x$  y  $y$ . Las tres ecuaciones deberían ser suficientes para obtener las tres incógnitas del enunciado del problema.

**EJECUTAR:** Puesto que el choque es elástico, las energías cinéticas inicial y final del sistema son iguales:

$$\frac{1}{2}m_A v_{A1}^2 = \frac{1}{2}m_A v_{A2}^2 + \frac{1}{2}m_B v_{B2}^2$$

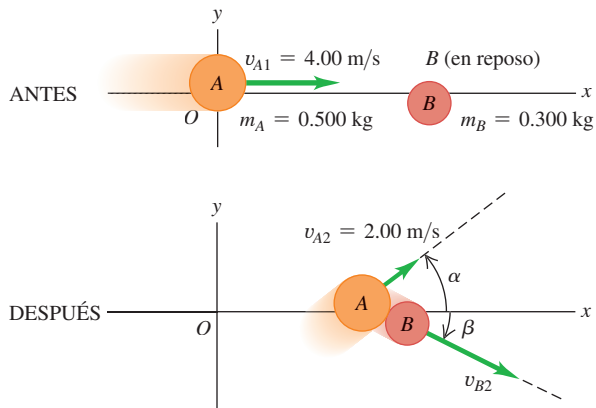
$$\begin{aligned} v_{B2}^2 &= \frac{m_A v_{A1}^2 - m_A v_{A2}^2}{m_B} \\ &= \frac{(0.500 \text{ kg})(4.00 \text{ m/s})^2 - (0.500 \text{ kg})(2.00 \text{ m/s})^2}{0.300 \text{ kg}} \end{aligned}$$

$$v_{B2} = 4.47 \text{ m/s}$$

La conservación de las componentes  $x$  y  $y$  de la cantidad de movimiento total da

$$\begin{aligned} m_A v_{A1x} &= m_A v_{A2x} + m_B v_{B2x} \\ (0.500 \text{ kg})(4.00 \text{ m/s}) &= (0.500 \text{ kg})(2.00 \text{ m/s})(\cos \alpha) \\ &\quad + (0.300 \text{ kg})(4.47 \text{ m/s})(\cos \beta) \\ 0 &= m_A v_{A2y} + m_B v_{B2y} \\ 0 &= (0.500 \text{ kg})(2.00 \text{ m/s})(\sin \alpha) \\ &\quad - (0.300 \text{ kg})(4.47 \text{ m/s})(\sin \beta) \end{aligned}$$

**8.27 Choque elástico que no es de frente.**



Hay dos ecuaciones simultáneas para  $\alpha$  y  $\beta$ . Dejamos al lector dar los detalles de la solución. (Sugerencia: Despeje  $\cos \beta$  en la primera ecuación y  $\sin \beta$  en la segunda; luego, eleve al cuadrado las ecuaciones y sumélas. Como  $\sin^2 \beta + \cos^2 \beta = 1$ , esto elimina  $\beta$  y deja una ecuación donde podemos despejar  $\cos \alpha$  y, por lo tanto,  $\alpha$ . Luego, se sustituye este valor en cualquiera de las dos ecuaciones para despejar  $\beta$ ). Los resultados son

$$\alpha = 36.9^\circ \quad \beta = 26.6^\circ$$

**EVALUAR:** Para comprobar las respuestas, nos aseguramos de que la componente  $y$  de la cantidad de movimiento sea cero antes y después del choque. En este caso, dichas componentes son

$$\begin{aligned} p_{A2y} &= (0.500 \text{ kg})(2.00 \text{ m/s})(\sin 36.9^\circ) = +0.600 \text{ kg} \cdot \text{m/s} \\ p_{B2y} &= -(0.300 \text{ kg})(4.47 \text{ m/s})(\sin 26.6^\circ) = -0.600 \text{ kg} \cdot \text{m/s} \end{aligned}$$

y la suma de estos valores es cero.

**EVALÚE SU COMPRENSIÓN DE LA SECCIÓN 8.4** Casi todos los reactores nucleares modernos usan agua como moderador (vea el ejemplo 8.11). ¿Las moléculas de agua (masa  $m_w = 18.0 \text{ u}$ ) son mejores o peores moderadores que los átomos de carbono? (Una ventaja del agua es que también actúa como refrigerante del núcleo radiactivo del reactor).

## 8.5 CENTRO DE MASA

Podemos replantear el principio de conservación de la cantidad de movimiento en una forma útil usando el concepto de **centro de masa**. Suponga que tenemos varias partículas con masas  $m_1$ ,  $m_2$ , etcétera. Las coordenadas de  $m_1$  son  $(x_1, y_1)$ , las de  $m_2$  son  $(x_2, y_2)$ , y así sucesivamente. Definimos el centro de masa del sistema como el punto con coordenadas  $(x_{cm}, y_{cm})$  dadas por

$$\begin{aligned} x_{cm} &= \frac{m_1 x_1 + m_2 x_2 + m_3 x_3 + \dots}{m_1 + m_2 + m_3 + \dots} = \frac{\sum_i m_i x_i}{\sum_i m_i} && \text{(centro de masa)} \quad (8.28) \\ y_{cm} &= \frac{m_1 y_1 + m_2 y_2 + m_3 y_3 + \dots}{m_1 + m_2 + m_3 + \dots} = \frac{\sum_i m_i y_i}{\sum_i m_i} \end{aligned}$$

Expresamos la posición del centro de masa como un vector  $\vec{r}_{\text{cm}}$ :

$$\begin{array}{l} \text{Vector de posición del} \\ \text{centro de masa de un} \\ \text{sistema de partículas} \end{array} \quad \begin{array}{l} \text{Vectores de posición de cada una de las partículas} \\ \vec{r}_{\text{cm}} = \frac{m_1 \vec{r}_1 + m_2 \vec{r}_2 + m_3 \vec{r}_3 + \dots}{m_1 + m_2 + m_3 + \dots} = \frac{\sum_i m_i \vec{r}_i}{\sum_i m_i} \\ \text{Masas de cada una de las partículas} \end{array} \quad (8.29)$$

Podemos decir que el centro de masa es una posición *media ponderada de la masa* de las partículas.



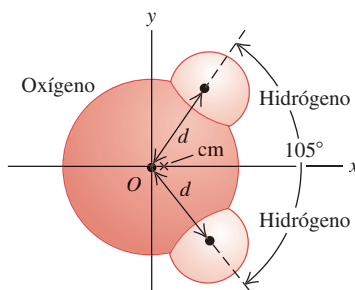
### EJEMPLO 8.13 CENTRO DE MASA DE UNA MOLÉCULA DE AGUA

La figura 8.28 muestra un modelo simple de la estructura de una molécula de agua. La separación entre el oxígeno y el hidrógeno es  $d = 9.57 \times 10^{-11}$  m. Cada átomo de hidrógeno tiene una masa de 1.0 u; y el de oxígeno, de 16.0 u. Determine la posición del centro de masa.

#### SOLUCIÓN

**IDENTIFICAR y PLANTEAR:** Casi toda la masa de los átomos se concentra en el núcleo, cuyo radio es apenas  $10^{-5}$  veces el radio del átomo. Así que podemos representar los átomos como partículas puntuales. El sistema de coordenadas se muestra en la figura 8.28, con el eje  $x$  a lo largo del eje de simetría de la molécula. Utilizaremos las ecuaciones (8.28) para encontrar  $x_{\text{cm}}$  y  $y_{\text{cm}}$ .

#### 8.28 ¿Dónde está el centro de masa de una molécula de agua?



En el caso de cuerpos sólidos, que tienen (al menos en el nivel macroscópico) una distribución continua de materia, las sumas de las ecuaciones (8.28) deben sustituirse por integrales. Los cálculos suelen ser complicados pero, en general, podemos decir tres cosas acerca de tales problemas (figura 8.29). Primero, si un cuerpo homogéneo tiene un centro geométrico, como una bola de billar, un terrón de azúcar o una lata de jugo de naranja congelado, el centro de masa está en el centro geométrico. Segundo, si un cuerpo tiene un eje de simetría, como una rueda o una polea, el centro de masa está sobre ese eje. Tercero, ninguna ley dice que el centro de masa debe estar dentro del cuerpo. Por ejemplo, el centro de masa de una rosquilla está en el centro del orificio.

### Movimiento del centro de masa

Para entender la importancia del centro de masa de un conjunto de partículas, debemos preguntar qué le sucede cuando las partículas se mueven. Las componentes  $x$  y  $y$  de velocidad del centro de masa,  $v_{\text{cm}-x}$  y  $v_{\text{cm}-y}$ , son las derivadas de  $x_{\text{cm}}$  y  $y_{\text{cm}}$  con respecto al tiempo. Asimismo,  $dx_1/dt$  es la componente  $x$  de velocidad de la partícula 1, por lo que  $dx_1/dt = v_{1,x}$ , y así sucesivamente. Al derivar las ecuaciones (8.28) con respecto al tiempo,

$$\begin{aligned} v_{\text{cm}-x} &= \frac{m_1 v_{1x} + m_2 v_{2x} + m_3 v_{3x} + \dots}{m_1 + m_2 + m_3 + \dots} \\ v_{\text{cm}-y} &= \frac{m_1 v_{1y} + m_2 v_{2y} + m_3 v_{3y} + \dots}{m_1 + m_2 + m_3 + \dots} \end{aligned} \quad (8.30)$$

**EJECUTAR:** El átomo de oxígeno está en  $x = 0$ ,  $y = 0$ . La coordenada  $x$  de cada átomo de hidrógeno es  $d \cos(105^\circ/2)$ ; las coordenadas  $y$  son  $\pm d \sin(105^\circ/2)$ . De acuerdo con las ecuaciones (8.28),

$$x_{\text{cm}} = \frac{[(1.0 \text{ u})(d \cos 52.5^\circ) + (1.0 \text{ u})(d \cos 52.5^\circ)]}{1.0 \text{ u} + 1.0 \text{ u} + 16.0 \text{ u}} = 0.068d$$

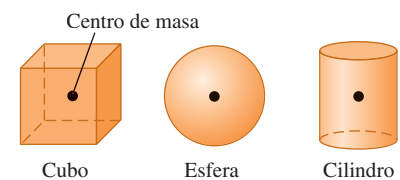
$$y_{\text{cm}} = \frac{[(1.0 \text{ u})(d \sin 52.5^\circ) + (1.0 \text{ u})(-d \sin 52.5^\circ)]}{1.0 \text{ u} + 1.0 \text{ u} + 16.0 \text{ u}} = 0$$

Al sustituir  $d = 9.57 \times 10^{-11}$  m, obtenemos

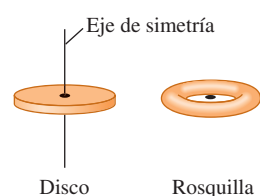
$$x_{\text{cm}} = (0.068)(9.57 \times 10^{-11} \text{ m}) = 6.5 \times 10^{-12} \text{ m}$$

**EVALUAR:** El centro de masa está mucho más cerca del átomo de oxígeno (ubicado en el origen) que de cualquiera de los átomos de hidrógeno, porque la masa del átomo de oxígeno es mucho mayor. El centro de masa está en el *eje de simetría* de la molécula. Si la molécula gira 180° sobre este eje, se verá exactamente igual que antes. La rotación no afecta la posición del centro de masa, así que *debe* estar en el eje de simetría.

#### 8.29 Localización del centro de masa de un objeto simétrico.



Si un objeto homogéneo tiene un centro geométrico, es ahí donde se localiza el centro de masa.



Si un objeto tiene un eje de simetría, el centro de masa estará sobre éste. El centro de masa no siempre está dentro del objeto, como en el caso de una rosquilla.

**8.30** La fuerza externa neta que actúa sobre la llave es casi cero, cuando la llave gira en una superficie horizontal lisa (vista desde arriba). Por lo tanto, el centro de masa se mueve en línea recta con velocidad casi constante.



Estas ecuaciones son equivalentes a la ecuación vectorial que se obtiene al derivar la ecuación (8.29) con respecto al tiempo:

$$\vec{v}_{\text{cm}} = \frac{m_1 \vec{v}_1 + m_2 \vec{v}_2 + m_3 \vec{v}_3 + \dots}{m_1 + m_2 + m_3 + \dots} \quad (8.31)$$

Denotamos la masa *total*  $m_1 + m_2 + \dots$  con  $M$ . Así, podemos reescribir la ecuación (8.31) como

Masa total de un sistema de partículas	Cantidad de movimiento de cada una de las partículas
$M\vec{v}_{\text{cm}} = m_1 \vec{v}_1 + m_2 \vec{v}_2 + m_3 \vec{v}_3 + \dots = \vec{P}$	
Velocidad del centro de masa	Cantidad de movimiento total del sistema

(8.32)

Así la *cantidad de movimiento total*  $\vec{P}$  de un sistema es igual a la *masa total multiplicada por la velocidad del centro de masa*. Al atrapar una pelota, realmente estamos atrapando un conjunto de un gran número de moléculas de masas  $m_1, m_2, m_3, \dots$  El impulso que sentimos se debe a la cantidad de movimiento total de ese conjunto; pero este impulso es el mismo como si estuviéramos atrapando una sola partícula de masa  $M = m_1 + m_2 + m_3 \dots$  que se mueve con velocidad  $\vec{v}_{\text{cm}}$ , la velocidad del centro de masa del conjunto. Así, la ecuación (8.32) ayuda a justificar la representación de un cuerpo como una partícula.

En un sistema de partículas sobre el que la fuerza neta externa es cero, de manera que la cantidad de movimiento total  $\vec{P}$  es constante, la velocidad del centro de masa  $\vec{v}_{\text{cm}} = \vec{P}/M$  también es constante. La **figura 8.30** muestra un ejemplo. El movimiento total de la llave parece complicado, pero el centro de masa sigue una línea recta, como si toda la masa estuviera concentrada en ese punto.

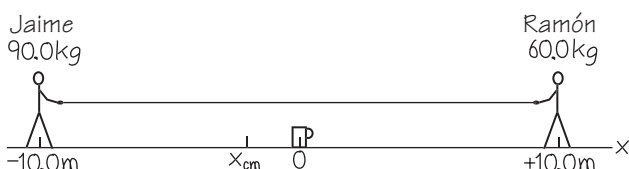
### EJEMPLO 8.14 ESTIRA Y AFLOJA EN EL HIELO

Jaime (masa de 90 kg) y Ramón (masa de 60 kg) están separados 20.0 m sobre un estanque congelado. A medio camino entre ellos hay un tarro de su bebida favorita. Los dos jalan de los extremos de una cuerda ligera que hay entre ellos. Cuando Jaime se ha movido 6.0 m hacia el tarro, ¿cuánto y en qué dirección se ha movido Ramón?

#### SOLUCIÓN

**IDENTIFICAR y PLANTEAR:** La superficie es horizontal y (suponemos) sin fricción, así que la fuerza externa neta que actúa sobre el sistema de Jaime, Ramón y la cuerda es cero; y se conserva su cantidad de movimiento total. Inicialmente no hay movimiento, así que la cantidad de movimiento total es cero. Por lo tanto, la velocidad del centro de masa es cero y permanece en reposo. Tomemos el origen en la posición del tarro, con el eje  $+x$  hacia Ramón. La **figura 8.31** muestra el diagrama. Usamos primero la ecuación (8.28) para calcular la posición del centro de masa; se desprecia la masa de la cuerda ligera.

**8.31** Diagrama de este problema.



**EJECUTAR:** Las coordenadas  $x$  iniciales de Jaime y Ramón son  $-10.0 \text{ m}$  y  $+10.0 \text{ m}$ , respectivamente, así que la coordenada  $x$  del centro de masa es

$$x_{\text{cm}} = \frac{(90.0 \text{ kg})(-10.0 \text{ m}) + (60.0 \text{ kg})(10.0 \text{ m})}{90.0 \text{ kg} + 60.0 \text{ kg}} = -2.0 \text{ m}$$

Al moverse Jaime 6.0 m hacia el tarro, su nueva coordenada  $x$  es  $-4.0 \text{ m}$ ; llamaremos a la nueva coordenada  $x$  de Ramón  $x_2$ . El centro de masa no se mueve, así que

$$x_{\text{cm}} = \frac{(90.0 \text{ kg})(-4.0 \text{ m}) + (60.0 \text{ kg})x_2}{90.0 \text{ kg} + 60.0 \text{ kg}} = -2.0 \text{ m}$$

$$x_2 = 1.0 \text{ m}$$

Jaime se ha movido 6.0 m y aún está a 4.0 m del tarro, pero Ramón se movió 9.0 m y está a únicamente 1.0 m de él.

**EVALUAR:** La razón de las distancias que los hombres se mueven,  $(6.0 \text{ m})/(9.0 \text{ m}) = \frac{2}{3}$ , es igual a la razón *inversa* de sus masas. ¿Puede decir por qué? Como la superficie no tiene fricción, los dos hombres seguirán moviéndose y chocarán en el centro de masa; Ramón llegará primero al tarro, cuyo resultado es independiente de la fuerza con que ellos jalan; si jalan con más fuerza, sólo se logrará que se muevan más rápido.

### Fuerzas externas y movimiento del centro de masa

Si la fuerza externa neta que actúa sobre un sistema de partículas no es cero, no se conserva la cantidad de movimiento total y cambia la velocidad del centro de masa. Veamos la situación con más detalle.



Las ecuaciones (8.31) y (8.32) dan la *velocidad* del centro de masa en términos de las velocidades de las partículas individuales. Derivamos estas ecuaciones con respecto al tiempo para demostrar que las *aceleraciones* están relacionadas de la misma forma. Sea  $\vec{a}_{\text{cm}} = d\vec{v}_{\text{cm}}/dt$  la aceleración del centro de masa; entonces,

$$M\vec{a}_{\text{cm}} = m_1\vec{a}_1 + m_2\vec{a}_2 + m_3\vec{a}_3 + \dots \quad (8.33)$$

Ahora,  $m_1\vec{a}_1$  es la suma vectorial de las fuerzas que actúan sobre la primera partícula, y así sucesivamente, por lo que el lado derecho de la ecuación (8.33) es igual a la suma vectorial  $\sum \vec{F}$  de *todas* las fuerzas que actúan sobre *todas* las partículas. Al igual que en la sección 8.2, podemos clasificar cada fuerza como *internal* o *externa*. La suma de todas las fuerzas que actúan sobre todas las partículas es entonces

$$\sum \vec{F} = \sum \vec{F}_{\text{ext}} + \sum \vec{F}_{\text{int}} = M\vec{a}_{\text{cm}}$$

Por la tercera ley de Newton, todas las fuerzas internas se cancelan en pares, y  $\sum \vec{F}_{\text{int}} = \mathbf{0}$ . Lo que queda en el lado izquierdo es la suma tan sólo de las fuerzas *externas*:

Fuerza neta externa sobre un cuerpo o un conjunto de partículas.  $\sum \vec{F}_{\text{ext}} = M\vec{a}_{\text{cm}}$

La masa total del cuerpo o conjunto de partículas  
Aceleración del centro de masa

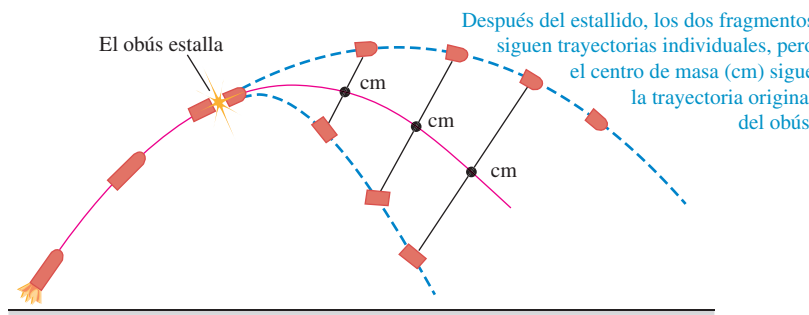
$$(8.34)$$

**Cuando fuerzas externas actúan sobre un cuerpo o un conjunto de partículas, el centro de masa se mueve como si toda la masa estuviera concentrada en ese punto, y sobre él actuara una fuerza neta igual a la suma de las fuerzas externas que actúan sobre el sistema.**

Se trata de un resultado básico en toda la mecánica. En realidad, hemos estado usando todo el tiempo; sin él, no podríamos representar un cuerpo como una partícula puntual al aplicar las leyes de Newton. Tal resultado explica por qué solamente fuerzas *externas* pueden afectar el movimiento de un cuerpo. Si usted jala de su cinturón hacia arriba, éste ejercerá una fuerza igual hacia abajo sobre sus manos; son fuerzas *internas* que se cancelan y no afectan el movimiento global del cuerpo.

Como ejemplo, suponga que un obús con una trayectoria parabólica (despreciando la resistencia del aire) estalla en vuelo dividiéndose en dos fragmentos de igual masa (**figura 8.32**). Los fragmentos siguen nuevas trayectorias parabólicas; pero el centro de masa sigue la trayectoria parabólica original, como si toda la masa aún estuviera concentrada ahí.

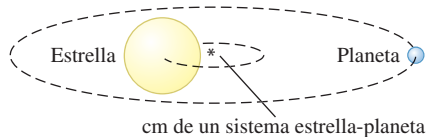
Esta propiedad del centro de masa es importante al analizar el movimiento de cuerpos rígidos. En el capítulo 10 se describe el movimiento de un cuerpo como la combinación de un movimiento de traslación del centro de masa y la rotación alrededor de un eje que pasa por el centro de masa. Tal propiedad también es importante en el movimiento de objetos astronómicos. No es correcto decir que la Luna está en órbita alrededor de la Tierra; más bien, ambos cuerpos se mueven en órbitas alrededor de su centro de masa.



**8.32** Un obús estalla en vuelo produciendo dos fragmentos. Si la resistencia del aire es despreciable, el centro de masa sigue la misma trayectoria que tenía el obús antes de estallar.

### Aplicación Búsqueda de planetas más allá de nuestro Sistema Solar

**Solar** Los planetas que orbitan estrellas distantes son tan débiles que no pueden ser vistos aun con los mejores telescopios. Pero se detectan usando la idea de que un planeta y su estrella dominante orbitan alrededor de su centro común de masa (cm). Si observamos una estrella "tambaleándose" alrededor de un punto, deducimos que hay un planeta compañero invisible y se puede determinar en realidad la masa del planeta. Cientos de planetas alrededor de estrellas distantes se han descubierto de esta manera.



cm de un sistema estrella-planeta

### BIO Aplicación Propulsión a reacción de los calamares

Tanto un motor a reacción como un calamar usan variaciones en su masa para obtener propulsión. Ambos incrementan su masa tomando un fluido a baja velocidad (aire en el caso del motor, y agua en el del calamar); luego, su masa disminuye al expulsar ese fluido a alta velocidad. El calamar de arrecife del Caribe (*Sepioteuthis sepiodea*), que aquí se muestra, utiliza la propulsión a reacción para saltar una altura de 2 m sobre el agua y volar una distancia total de 10 m: ¡cerca de 50 veces la longitud de su cuerpo!



**8.33** Un cohete que se mueve en el espacio exterior sin gravedad en *a)* al tiempo  $t$  y *b)* al tiempo  $t + dt$ .

Hay otra forma más útil de describir el movimiento de un sistema de partículas. Usando  $\vec{a}_{\text{cm}} = d\vec{v}_{\text{cm}}/dt$ , podemos reescribir la ecuación (8.33) como

$$M\vec{a}_{\text{cm}} = M \frac{d\vec{v}_{\text{cm}}}{dt} = \frac{d(M\vec{v}_{\text{cm}})}{dt} = \frac{d\vec{P}}{dt} \quad (8.35)$$

La masa total  $M$  del sistema es constante, así que podemos incluirla en la derivada. Al sustituir la ecuación (8.35) en la (8.34), obtenemos

$$\sum \vec{F}_{\text{ext}} = \frac{d\vec{P}}{dt} \quad (\text{cuerpo o sistema de partículas}) \quad (8.36)$$

Esta ecuación se parece a la (8.4). La diferencia es que la ecuación (8.36) describe un *sistema* de partículas, como un cuerpo, y la ecuación (8.4) describe una sola partícula. Las interacciones entre las partículas del sistema pueden alterar las cantidades de movimiento individuales de las partículas; sin embargo, la cantidad de movimiento *total*  $\vec{P}$  del sistema sólo puede cambiar si fuerzas externas actúan sobre el sistema.

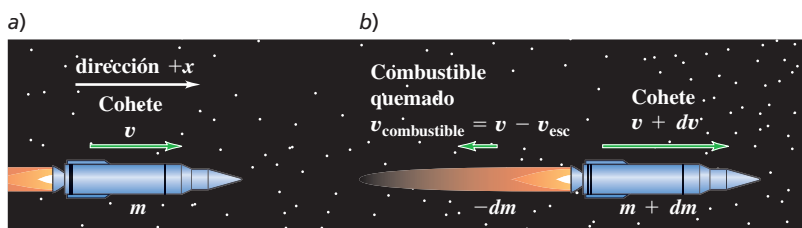
Si la fuerza externa neta es cero, las ecuaciones (8.34) y (8.36) muestran que la aceleración  $\vec{a}_{\text{cm}}$  del centro de masa es cero (así que la velocidad  $\vec{v}_{\text{cm}}$  del centro de masa es constante), y la cantidad de movimiento total  $\vec{P}$  también es constante. Lo anterior es nuestro enunciado de la sección 8.3: si la fuerza externa neta que actúa sobre un sistema es cero, se conserva la cantidad de movimiento.

**EVALÚE SU COMPRENSIÓN DE LA SECCIÓN 8.5** ¿El centro de masa en la figura 8.32 continuará en la misma trayectoria parabólica incluso después de que uno de los fragmentos golpee el suelo? ¿Por qué? |

## 8.6 PROPULSIÓN DE UN COHETE

Las consideraciones de la cantidad de movimiento son especialmente útiles para analizar un sistema donde las masas de sus partes cambian con el tiempo. En tales casos, no es posible usar la segunda ley de Newton  $\sum \vec{F} = m\vec{a}$  directamente porque  $m$  cambia. La propulsión de un cohete es un ejemplo típico e interesante de este tipo de análisis. Un cohete es impulsado hacia adelante por la expulsión hacia atrás de combustible quemado, que inicialmente estaba en la nave (lo cual explica por qué tal combustible también se denomina *propulsor*). La fuerza hacia adelante que actúa sobre el cohete es la reacción a la fuerza hacia atrás que actúa sobre el material expulsado. La masa total del sistema es constante, pero la del cohete disminuye al expulsarse material.

Como un ejemplo sencillo, consideremos un cohete encendido en el espacio exterior, donde no hay fuerza gravitacional ni resistencia del aire. Denotamos con  $m$  la masa del cohete, la cual cambiará al irse consumiendo el combustible. Elegimos el eje  $x$  en la dirección de movimiento del cohete. La figura 8.33a presenta el cohete en el instante  $t$ , cuando su masa es  $m$  y la componente  $x$  de su velocidad relativa a nuestro sistema de coordenadas es  $v$  (por sencillez, omitiremos el subíndice  $x$  en este análisis). La componente  $x$  de la cantidad de movimiento total en este instante es  $P_1 = mv$ . En un lapso corto  $dt$ , la masa del cohete cambia en  $-dm$ . Esta cantidad es intrínsecamente negativa porque la masa  $m$  del cohete *disminuye* con el tiempo. Durante  $dt$ , se expulsa una masa *positiva*  $-dm$  de combustible quemado. Sea  $v_{\text{esc}}$  la *rapidez* de escape de este material *relativa al cohete*. El



Al tiempo  $t$ , el cohete tiene masa  $m$  y componente  $x$  de la velocidad  $v$ .

Al tiempo  $t + dt$ , el cohete tiene masa  $m + dm$  (donde  $dm$  es intrínsecamente negativo) y componente  $x$  de la velocidad  $v + dv$ . El combustible quemado tiene componente  $x$  de la velocidad  $v_{\text{combustible}} = v - v_{\text{esc}}$  y la masa  $-dm$  (el signo menos se necesita para hacer  $-dm$  positivo ya que  $dm$  es negativo).



DEMO

combustible quemado se expulsa en dirección opuesta al movimiento, así que su componente  $x$  de velocidad relativa al cohete es  $-v_{\text{esc}}$ . La componente  $x$  de velocidad  $v_{\text{combustible}}$  del combustible quemado con respecto a nuestro sistema de coordenadas es, entonces,

$$v_{\text{combustible}} = v + (-v_{\text{esc}}) = v - v_{\text{esc}}$$

y la componente  $x$  de la cantidad de movimiento de la masa expulsada ( $-dm$ ) es

$$(-dm)v_{\text{combustible}} = (-dm)(v - v_{\text{esc}})$$

La figura 8.33b muestra, al final del intervalo de tiempo  $dt$ , la componente  $x$  de velocidad del cohete y el combustible sin quemar ha aumentado a  $v + dv$ , y su masa ha disminuido a  $m + dm$  (recuerde que  $dm$  es negativa). La cantidad de movimiento del cohete en este instante es

$$(m + dm)(v + dv)$$

Por lo tanto, la componente  $x$  total de cantidad de movimiento  $P_2$  del cohete más el combustible quemado en el instante  $t + dt$  es

$$P_2 = (m + dm)(v + dv) + (-dm)(v - v_{\text{esc}})$$

De acuerdo con nuestra suposición inicial, el cohete y el combustible son un sistema aislado. Así que se conserva la cantidad de movimiento y la componente  $x$  total de la cantidad de movimiento del sistema debe ser la misma en  $t$  y en  $t + dt$ :  $P_1 = P_2$ . Por lo tanto,

$$mv = (m + dm)(v + dv) + (-dm)(v - v_{\text{esc}})$$

lo cual puede simplificarse a

$$m \, dv = -dm \, v_{\text{esc}} - dm \, dv$$

Podemos despreciar el término  $(-dm \, dv)$  porque es el producto de dos cantidades pequeñas y, por lo tanto, mucho menor que los otros términos. Al desechar este término, dividiendo el resto entre  $dt$  y reordenando, obtenemos

$$m \frac{dv}{dt} = -v_{\text{esc}} \frac{dm}{dt} \quad (8.37)$$

Ahora  $dv/dt$  es la aceleración del cohete, así que el primer miembro de la ecuación (8.37) (masa por aceleración) es igual a la fuerza neta  $F$ , o *empuje*, que actúa sobre el cohete:

$$F = -v_{\text{esc}} \frac{dm}{dt} \quad (8.38)$$

El empuje es proporcional tanto a la rapidez relativa  $v_{\text{esc}}$  del combustible expulsado como a la masa de combustible expulsado por unidad de tiempo,  $-dm/dt$  (recuerde que  $dm/dt$  es negativa porque es la razón de cambio de la masa del cohete, así que  $F$  es positiva).

La componente  $x$  de la aceleración del cohete es

$$a = \frac{dv}{dt} = -\frac{v_{\text{esc}}}{m} \frac{dm}{dt} \quad (8.39)$$

Ésta es positiva porque  $v_{\text{esc}}$  es positiva (recuerde, es la *rapidez de escape*) y  $dm/dt$  es negativa. La masa  $m$  del cohete disminuye continuamente al consumirse el combustible. Si  $v_{\text{esc}}$  y  $dm/dt$  son constantes, la aceleración aumenta hasta agotarse el combustible.

La ecuación (8.38) nos dice que un cohete eficaz quema combustible rápidamente ( $-dm/dt$  grande), y lo expulsa con rapidez relativa alta ( $v_{\text{esc}}$  grande), como en la **figura 8.34**. En los albores de la propulsión a reacción, quienes no entendían la conservación de la cantidad de movimiento pensaban que un cohete no funcionaría en el espacio exterior porque “no tendría contra qué empujar”. Al contrario, los cohetes funcionan de manera óptima en el espacio ¡porque no hay resistencia del aire! El cohete de la figura 8.34 no está “empujando contra el suelo” para elevarse.

Si la rapidez de escape  $v_{\text{esc}}$  es constante, podemos integrar la ecuación (8.39) para obtener una relación entre la velocidad  $v$  en cualquier instante y la masa restante  $m$ . En el instante  $t = 0$ , sea la masa  $m_0$  y la velocidad  $v_0$ . Entonces, reescribimos la ecuación (8.39) como

$$dv = -v_{\text{esc}} \frac{dm}{m}$$

**8.34** Con la finalidad de dar suficiente empuje para elevar su carga en el espacio, el vehículo de lanzamiento *Atlas V* expelle más de 1000 kg de combustible quemado por segundo con una rapidez de casi 4000 m/s.



Cambiamos las variables de integración a  $v'$  y  $m'$ , para utilizar  $v$  y  $m$  como límites superiores (rapidez y masa finales). Integramos ambos lados usando los límites  $v_0$  a  $v$  y  $m_0$  a  $m$ , y sacamos la constante  $v_{\text{esc}}$  de la integral:

$$\int_{v_0}^v dv' = - \int_{m_0}^m v_{\text{esc}} \frac{dm'}{m'} = -v_{\text{esc}} \int_{m_0}^m \frac{dm'}{m'}$$

$$v - v_0 = -v_{\text{esc}} \ln \frac{m}{m_0} = v_{\text{esc}} \ln \frac{m_0}{m} \quad (8.40)$$

El cociente  $m_0/m$  es la masa original dividida entre la masa después de agotarse el combustible. En naves espaciales prácticas, esta razón se hace lo más grande posible para tener una ganancia máxima de rapidez, lo cual implica que la masa inicial del cohete es casi puro combustible. La velocidad final del cohete será mayor en magnitud (a menudo *mucho* mayor), que la rapidez relativa  $v_{\text{esc}}$  si  $\ln(m_0/m) > 1$ , es decir,  $m_0/m > e = 2.71828\dots$

Hemos supuesto en todo este análisis que el cohete se encuentra en el espacio exterior, sin gravedad. No obstante, la fuerza de gravedad debe tenerse en cuenta si el cohete se lanza desde la superficie de un planeta, como en la figura 8.34.



### EJEMPLO 8.15 ACCELERACIÓN DE UN COHETE

Un cohete está en el espacio exterior, lejos de cualquier planeta, cuando enciende su motor. El cohete expulsa el combustible a una tasa constante; en el primer segundo de encendido, el cohete expulsa  $\frac{1}{120}$  de su masa inicial  $m_0$  con rapidez relativa de 2400 m/s. ¿Cuál es la aceleración inicial del cohete?

#### SOLUCIÓN

**IDENTIFICAR Y PLANTEAR:** Conocemos la rapidez de escape del cohete,  $v_{\text{esc}}$ , y la fracción de la masa inicial perdida durante el primer segundo de encendido, con lo que podemos obtener  $dm/dt$ . Usaremos la ecuación (8.39) para calcular la aceleración del cohete.

**EJECUTAR:** La razón de cambio inicial de la masa es

$$\frac{dm}{dt} = -\frac{m_0/120}{1 \text{ s}} = -\frac{m_0}{120 \text{ s}}$$

De acuerdo con la ecuación (8.39),

$$a = -\frac{v_{\text{esc}}}{m_0} \frac{dm}{dt} = -\frac{2400 \text{ m/s}}{m_0} \left( -\frac{m_0}{120 \text{ s}} \right) = 20 \text{ m/s}^2$$

**EVALUAR:** La respuesta no depende de  $m_0$ . Si  $v_{\text{esc}}$  es la misma, la aceleración inicial es la misma para una nave de 120,000 kg que expulsa 1000 kg/s, que para un astronauta de 60 kg equipado con un cohete pequeño que expulsa 0.5 kg/s.



### EJEMPLO 8.16 RAPIDEZ DE UN COHETE

Suponga que  $\frac{3}{4}$  de la masa inicial del cohete del ejemplo 8.15 es combustible, de manera que el combustible se consume totalmente en 90 s a tasa constante. La masa final del cohete es  $m = m_0/4$ . Si el cohete parte del reposo en nuestro sistema de coordenadas, calcule su rapidez al final de ese tiempo.

#### SOLUCIÓN

**IDENTIFICAR, PLANTEAR y EJECUTAR:** Nos dan la velocidad inicial  $v_0 = 0$ , la rapidez de escape  $v_{\text{esc}} = 2400 \text{ m/s}$  y la masa final  $m$  como una fracción de la masa inicial  $m_0$ . Usamos la ecuación (8.40) para obtener la rapidez final  $v$ :

$$v = v_0 + v_{\text{esc}} \ln \frac{m_0}{m} = 0 + (2400 \text{ m/s}) (\ln 4) = 3327 \text{ m/s}$$

**EVALUAR:** Veamos qué sucede a medida que el cohete adquiere rapidez (para ilustrar este punto, usaremos más cifras de las significativas). Al principio, cuando la velocidad del cohete es cero, el combustible expulsado se mueve hacia atrás, en relación con nuestro sistema de coordenadas, a 2400 m/s. Conforme el cohete se mueve hacia adelante y acelera, la rapidez del combustible relativa a nuestro sistema de referencia disminuye; cuando la rapidez del cohete alcanza los 2400 m/s, esta rapidez relativa es *cero*. [Conociendo la tasa de consumo de combustible, es posible resolver la ecuación (8.40) para demostrar que esto ocurre en el instante  $t = 75.6 \text{ s}$  aproximadamente]. Después de este tiempo, en nuestro sistema el combustible quemado expulsado se mueve *hacia adelante*, no hacia atrás. En relación con nuestro sistema de referencia, la última parte del combustible expulsado tiene una velocidad hacia adelante de  $3327 \text{ m/s} - 2400 \text{ m/s} = 927 \text{ m/s}$ .

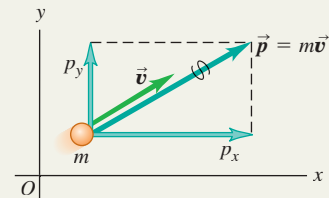
**EVALÚE SU COMPRENSIÓN DE LA SECCIÓN 8.6** a) Si un cohete en el espacio exterior, sin gravedad, tiene el mismo empuje en todo momento, ¿su aceleración es constante, creciente o decreciente? b) Si el cohete tiene la misma aceleración en todo momento, ¿el empuje es constante, creciente o decreciente? ■



**Cantidad de movimiento de una partícula:** La cantidad de movimiento  $\vec{p}$  de una partícula es una cantidad vectorial igual al producto de la masa  $m$  de la partícula por su velocidad  $\vec{v}$ . La segunda ley de Newton dice que la fuerza neta que actúa sobre una partícula es igual a la razón de cambio de la cantidad de movimiento de la partícula.

$$\vec{p} = m\vec{v} \quad (8.2)$$

$$\sum \vec{F} = \frac{d\vec{p}}{dt} \quad (8.4)$$

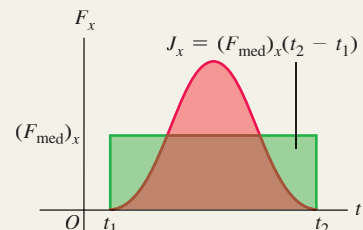


**Impulso y cantidad de movimiento:** Si una fuerza neta constante  $\sum \vec{F}$  actúa sobre una partícula durante un intervalo de tiempo  $\Delta t$  de  $t_1$  a  $t_2$ , el impulso  $\vec{J}$  de la fuerza neta es el producto de la fuerza neta por el intervalo de tiempo. Si  $\sum \vec{F}$  varía con el tiempo,  $\vec{J}$  es la integral de la fuerza neta en el intervalo de tiempo. En cualquier caso, el cambio en la cantidad de movimiento de una partícula durante un intervalo de tiempo es igual al impulso de la fuerza neta que actúa sobre tal partícula durante ese intervalo. La cantidad de movimiento de una partícula es igual al impulso que la aceleró desde el reposo hasta su rapidez actual (vea los ejemplos 8.1 a 8.3).

$$\vec{J} = \sum \vec{F}(t_2 - t_1) = \sum \vec{F} \Delta t \quad (8.5)$$

$$\vec{J} = \int_{t_1}^{t_2} \sum \vec{F} dt \quad (8.7)$$

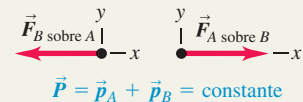
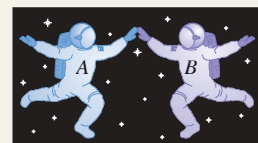
$$\vec{J} = \vec{p}_2 - \vec{p}_1 \quad (8.6)$$



**Conservación de la cantidad de movimiento:** Una fuerza interna es una fuerza ejercida por una parte de un sistema sobre otra. Una fuerza externa es una fuerza ejercida sobre cualquier parte del sistema por algún elemento externo al sistema. Si la fuerza externa neta que actúa sobre un sistema es cero, es constante la cantidad de movimiento total  $\vec{P}$  del sistema (la suma vectorial de las cantidades de movimiento de las partículas individuales que constituyen el sistema), es decir, se conserva. Cada componente de la cantidad de movimiento total se conserva individualmente (vea los ejemplos 8.4 a 8.6).

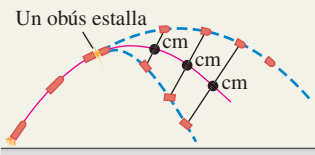
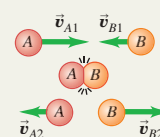
$$\begin{aligned} \vec{P} &= \vec{p}_A + \vec{p}_B + \dots \\ &= m_A \vec{v}_A + m_B \vec{v}_B + \dots \end{aligned} \quad (8.14)$$

Si  $\sum \vec{F} = \mathbf{0}$ , entonces  $\vec{P} = \text{constante}$ .



$$\vec{P} = \vec{p}_A + \vec{p}_B = \text{constante}$$

**Choques:** En todo tipo de choques, las cantidades de movimiento totales inicial y final son iguales. En un choque elástico entre dos cuerpos, las energías cinéticas totales inicial y final también son iguales, y las velocidades relativas inicial y final tienen la misma magnitud. En un choque inelástico entre dos cuerpos, la energía cinética total final es menor que la inicial. Si los dos cuerpos tienen la misma velocidad final, el choque es totalmente inelástico (vea los ejemplos 8.7 a 8.12).



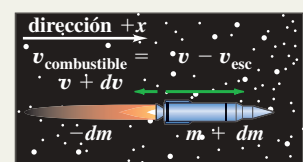
**Centro de masas:** El vector de posición del centro de masa de un sistema de partículas,  $\vec{r}_{cm}$ , es un promedio ponderado de las posiciones  $\vec{r}_1, \vec{r}_2, \dots$  de las partículas individuales. La cantidad de movimiento total  $\vec{P}$  de un sistema es igual a su masa total  $M$  multiplicada por la velocidad  $\vec{v}_{cm}$  de su centro de masa. El centro de masa se mueve como si toda la masa  $M$  estuviera concentrada en ese punto. Si la fuerza externa neta que actúa sobre el sistema es cero, la velocidad del centro de masa  $\vec{v}_{cm}$  es constante. Si la fuerza externa no es cero, el centro de masa se acelera como si fuera una partícula de masa  $M$  sobre la que actúa la misma fuerza externa neta (vea los ejemplos 8.13 y 8.14).

$$\begin{aligned} \vec{r}_{cm} &= \frac{m_1 \vec{r}_1 + m_2 \vec{r}_2 + m_3 \vec{r}_3 + \dots}{m_1 + m_2 + m_3 + \dots} \\ &= \frac{\sum_i m_i \vec{r}_i}{\sum_i m_i} \end{aligned} \quad (8.29)$$

$$\begin{aligned} \vec{P} &= m_1 \vec{v}_1 + m_2 \vec{v}_2 + m_3 \vec{v}_3 + \dots \\ &= M \vec{v}_{cm} \end{aligned} \quad (8.32)$$

$$\sum \vec{F}_{ext} = M \vec{a}_{cm} \quad (8.34)$$

**Propulsión de un cohete:** En la propulsión de cohetes, la masa de un cohete cambia al quemarse el combustible y ser expulsado de la nave. El análisis del movimiento del cohete debe incluir la cantidad de movimiento que se lleva el combustible quemado, así como la del cohete mismo (vea los ejemplos 8.15 y 8.16).



## PROBLEMA PRÁCTICO

## UN CHOQUE DESPUÉS DE OTRO



SOLUCIÓN

Una esfera *A* de masa igual a 0.600 kg se mueve inicialmente a la derecha a 4.00 m/s. La esfera *B*, de masa igual a 1.80 kg, se encuentra inicialmente a la derecha de la esfera *A* y se mueve a la derecha a 2.00 m/s. Después de que las esferas chocan, la esfera *B* se mueve a 3.00 m/s en la misma dirección de antes. *a)* ¿Cuál es la velocidad (magnitud y dirección) de la esfera *A* después del choque? *b)* ¿El choque es elástico o inelástico? *c)* Luego, la esfera *B* tiene un choque descentrado con una esfera *C*, cuya masa es de 1.20 kg y que inicialmente se encuentra en reposo. Después de este choque, la esfera *B* se mueve a 2.00 m/s a 19.0° de su dirección inicial. ¿Cuál es la velocidad (magnitud y dirección) de la esfera *C* después del choque? *d)* ¿Cuál es el impulso (magnitud y dirección) impartido a la esfera *B* por la esfera *C* cuando chocan? *e)* ¿Esta segunda colisión es elástica o inelástica? *f)* ¿Cuál es la velocidad (magnitud y dirección) del centro de masa del sistema de tres esferas (*A*, *B* y *C*) después del segundo choque? Ninguna fuerza externa actúa sobre las esferas de este problema.

## GUÍA DE SOLUCIÓN

## IDENTIFICAR Y PLANTEAR

- En estos choques, se conserva la cantidad de movimiento. ¿Puede explicar por qué?
- Elija los ejes *x* y *y*, y utilice su elección de los ejes para obtener las tres figuras que muestren las esferas **i.** antes del primer choque, **ii.** después del primer choque pero antes del segundo y **iii.** después del segundo choque. Asigne subíndices a los valores de cada una de las situaciones **i**, **ii** y **iii**.
- Elabore una lista de las incógnitas y elija las ecuaciones que usará paraobtenerlas.

## EJECUTAR

- Obtenga la velocidad de la esfera *A* después del primer choque. ¿*A* se frena o se acelera con tal choque? ¿Esto es lógico?
- Ahora que conoce las velocidades tanto de *A* como de *B* después del primer choque, determine si éste es elástico o inelástico (¿cómo se hace?).
- El segundo choque es bidimensional, de modo que tendrá que cumplirse que se conserven *ambas* componentes de la cantidad de movimiento. Use esto para calcular la rapidez y dirección de la esfera *C* después del segundo choque. (Sugerencia: Despues del primer choque, la esfera *B* tiene la misma velocidad hasta que golpea la esfera *C*).
- Use la definición de impulso para calcular el impulso impartido a la esfera *B* por la esfera *C*. Recuerde que el impulso es un vector.
- Use la misma técnica empleada en el paso 5 para determinar si el segundo choque es elástico o no.
- Calcule la velocidad del centro de masa después del segundo choque.

## EVALUAR

- Compare las direcciones de los vectores que obtuvo en los pasos 6 y 7. ¿Esto es una coincidencia? ¿Por qué?
- Calcule la velocidad del centro de masa antes y después del primer choque. Compare con el resultado del paso 9. Otra vez, ¿esto es una coincidencia? ¿Porqué ?

## Problemas

•, •, ••: Niveles de dificultad. PA: Problemas acumulativos que incorporan material de capítulos anteriores. CALC: Problemas que requieren cálculo. DATOS: Problemas que incluyen datos reales, evidencia científica, diseño experimental y/o razonamiento estadístico. BIO: Problemas de ciencias biológicas.

## PREGUNTAS PARA ANÁLISIS

**P8.1** Al partir leños con martillo y cuña, ¿es más efectivo un martillo pesado que uno ligero? ¿Por qué?

**P8.2** Suponga que usted atrapa una pelota de béisbol y, después, alguien le ofrece la opción de atrapar una bola de bolos con la misma cantidad de movimiento, o bien, con la misma energía cinética que la pelota de béisbol. ¿Qué elegiría? ¿Porq ué?

**P8.3** Al caer la lluvia, ¿qué pasa con su cantidad de movimiento al golpear el suelo? ¿Es válida su respuesta para la famosa manzana de Newton?

**P8.4** Un automóvil tiene la misma energía cinética si viaja al sur a 30 m/s, que si lo hace al noroeste a 30 m/s. ¿Su cantidad de movimiento es la misma en ambos casos? Explique su respuesta.

**P8.5** Un camión acelera conforme se frena en una autopista. Un sistema de referencia inercial está fijo al suelo con su origen en un poste. Otro sistema de referencia está fijo a un automóvil de policía que viaja en la autopista con velocidad constante. ¿La cantidad de movimiento del camión es la misma en ambos sistemas de referencia? Explique su respuesta. ¿La razón de cambio de la cantidad de movimiento del camión es la misma en los dos sistemas? Explique.

**P8.6** *a)* Si la cantidad de movimiento de un *solo* objeto puntual es igual a cero, ¿debe también la energía cinética del objeto ser cero? *b)* Si la cantidad de movimiento de un *par* de objetos puntuales es igual a cero, ¿debe también la energía cinética de esos objetos ser cero? *c)* Si la energía cinética de un par de objetos puntuales es igual a cero, ¿debe también la cantidad de movimiento de esos objetos ser cero? Explique su razonamiento en cada caso.

**P8.7** Una mujer de pie en una capa de hielo horizontal sin fricción lanza una roca grande con rapidez  $v_0$  y ángulo  $\alpha$  sobre la horizontal. Considere el sistema formado por la mujer y la roca. ¿Se conserva la cantidad de movimiento del sistema? ¿Por qué? ¿Se conserva cualquier componente de la cantidad de movimiento del sistema? Nuevamente, ¿por qué?

**P8.8** En el ejemplo 8.7 (sección 8.3), donde los deslizadores de la figura 8.18 quedan unidos después de chocar, el choque es inelástico, ya que  $K_2 < K_1$ . En el ejemplo 8.5 (sección 8.2), ¿el choque es inelástico? Explique su respuesta.

**P8.9** En un choque totalmente inelástico entre dos objetos que se unen después del choque, ¿es posible que la energía cinética final del sistema sea cero? De ser así, cite un ejemplo en el cual pudiera

ocurrir esto. Si la energía cinética final es cero, ¿cuál debe ser la cantidad de movimiento inicial del sistema? ¿La energía cinética inicial del sistema es igual a cero? Explique.

**P8.10** Puesto que la energía cinética de una partícula está dada por  $K = \frac{1}{2}mv^2$  y su cantidad de movimiento por  $\vec{P} = m\vec{v}$ , es fácil demostrar que  $K = p^2/2m$ . ¿Cómo es posible entonces tener un evento durante el cual la cantidad de movimiento total del sistema sea constante, pero cambie la energía cinética total?

**P8.11** En cada uno de los ejemplos 8.10 a 8.12 (sección 8.4), verifique que el vector de velocidad relativa de los dos cuerpos tenga la misma magnitud antes y después del choque. En cada caso, ¿qué sucede con la dirección del vector de velocidad relativa?

**P8.12** Si un vidrio cae al piso, es más probable que se rompa si el piso es de concreto que si es de madera. ¿Por qué? (Remítase a la figura 8.3b).

**P8.13** En la figura 8.23b, la energía cinética de la pelota de ping-pong es mayor después de su interacción con la bola para jugar a los bolos que antes. ¿De dónde proviene la energía adicional? Describa el suceso en términos de la conservación de energía.

**P8.14** Se dispara una ametralladora hacia una placa de acero. ¿La fuerza media que actúa sobre la placa por los impactos es mayor si las balas rebotan o si se aplastan y se quedan adheridas a la placa? Explique su respuesta.

**P8.15** Una fuerza neta de 4 N actúa durante 0.25 s sobre un objeto inicialmente en reposo y le imprime una rapidez final de 5 m/s. ¿Cómo podría una fuerza de 2 N producir esa rapidez final?

**P8.16** Una fuerza neta cuya componente  $x$  es  $\sum F_x$  actúa sobre un objeto desde el instante  $t_1$  hasta el  $t_2$ . La componente  $x$  de la cantidad de movimiento del objeto es la misma en ambos instantes, pero  $\sum F_x$  no siempre es cero en ese lapso. ¿Qué puede decir acerca de la gráfica de  $\sum F_x$  contra  $t$ ?

**P8.17** Un tenista golpea la pelota con la raqueta. Considere el sistema de la pelota y la raqueta. ¿La cantidad de movimiento total del sistema es el mismo justo antes y justo después del golpe? ¿La cantidad de movimiento total justo después del golpe es el mismo que 2 s después, cuando la pelota se encuentra en el punto más alto de su trayectoria? Explique cualquier diferencia entre ambos casos.

**P8.18** En el ejemplo 8.4 (sección 8.2), considere el sistema del rifle y la bala. ¿Qué rapidez tiene el centro de masa del sistema después del disparo? Explique su respuesta.

**P8.19** Se suelta del reposo un huevo desde una azotea de un edificio hasta el suelo. Conforme el huevo cae, ¿qué pasa con la cantidad de movimiento del sistema formado por el huevo y la Tierra?

**P8.20** Una mujer está de pie en el centro de un lago congelado perfectamente liso y sin fricción. Puede ponerse en movimiento arrojando objetos, pero suponga que no tiene nada que lanzar. ¿Puede llegar a la orilla sin lanzar nada?

**P8.21** En el punto más alto de su trayectoria parabólica, un obús explota en dos fragmentos. ¿Es posible que ambos fragmentos caigan en línea recta después de la explosión? ¿Por qué?

**P8.22** Cuando un objeto se divide en dos (por explosión, desintegración radiactiva, etcétera), el fragmento más ligero adquiere más energía cinética que el más pesado. Esto es una consecuencia de la conservación de la cantidad de movimiento, pero ¿puede explicarlo también empleando las leyes de Newton del movimiento?

**P8.23** Una manzana cae de un árbol sin experimentar resistencia del aire. Conforme cae, ¿cuál de los siguientes enunciados acerca de ella es verdadero? a) Sólo se conserva su cantidad de movimiento; b) únicamente se conserva su energía mecánica; c) se conservan tanto su cantidad de movimiento como su energía mecánica; d) se conserva su energía cinética.

**P8.24** Dos trozos de arcilla chocan y quedan pegados. Durante el choque, ¿cuál de los siguientes enunciados es verdadero? a) Sólo se conserva la cantidad de movimiento de la arcilla; b) únicamente se conserva la energía mecánica de la arcilla; c) se conservan tanto la cantidad de

movimiento como la energía mecánica de la arcilla; d) se conserva la energía cinética de la arcilla.

**P8.25** Dos objetos de masas  $M$  y  $5M$  están en reposo sobre una mesa horizontal sin fricción, con un resorte comprimido de masa despreciable entre ellos. Cuándo se suelta el resorte, ¿cuál de las siguientes afirmaciones son verdaderas? a) Los dos objetos reciben la misma magnitud de cantidad de movimiento. b) los dos objetos reciben cantidades iguales de energía cinética del resorte. c) el objeto más pesado gana más energía cinética que el objeto más ligero. d) el objeto más ligero adquiere más energía cinética que el objeto más pesado. Explique su razonamiento en cada caso.

**P8.26** Una camioneta SUV muy pesada choca de frente contra un automóvil compacto muy ligero. ¿Cuál de los siguientes enunciados acerca del choque es correcto? a) La cantidad de energía cinética que pierde la camioneta es igual a la cantidad de energía cinética que gana el auto compacto; b) la cantidad de movimiento que pierde la camioneta es igual a la cantidad de movimiento que gana el auto compacto; c) durante el choque, el automóvil compacto experimenta una fuerza considerablemente mayor que la camioneta; d) ambos vehículos pierden la misma cantidad de energía cinética.

## EJERCICIOS

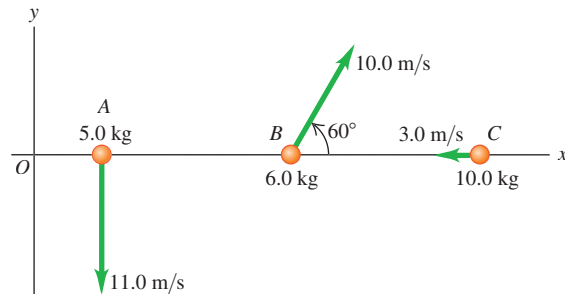
### Sección 8.1 Cantidad de movimiento e impulso

**8.1** • a) ¿Qué magnitud tiene la cantidad de movimiento de un camión de 10,000 kg que viaja con rapidez de 12.0 m/s? b) ¿Con qué rapidez tendría que viajar una camioneta SUV de 2000 kg para tener i. la misma cantidad de movimiento? ii. la misma energía cinética?

**8.2** • En una competencia de pista y campo, la bala tiene una masa de 7.30 kg y se lanza con una rapidez de 15.0 m/s a  $40.0^\circ$  por encima de la horizontal ubicada sobre la pierna izquierda extendida de un atleta. ¿Cuáles son las componentes iniciales horizontal y vertical de la cantidad de movimiento de esa bala?

**8.3** • Los objetos A, B, y C se mueven como se ilustra en figura E8.3. Encuentre las componentes x y y de la cantidad de movimiento neta de las partículas, si definimos que el sistema consiste en a) A y C, b) B y C, c) todos los tres objetos.

Figura E8.3



**8.4** • Dos vehículos se aproximan a una intersección. Uno es una camioneta pickup de 2500 kg que viaja a 14.0 m/s con dirección este-oeste (la dirección  $-x$ ), y el otro es un automóvil sedán de 1500 kg que va de sur a norte (la dirección  $+y$ ) a 23.0 m/s. a) Determine las componentes x y y de la cantidad de movimiento neta de este sistema. b) ¿Cuáles son la magnitud y dirección de la cantidad de movimiento neta?

**8.5** • Un liniero de fútbol americano de 110 kg corre hacia la derecha a 2.75 m/s, mientras otro liniero de 125 kg corre directamente hacia el primero a 2.60 m/s. ¿Cuáles son a) la magnitud y dirección de la cantidad de movimiento neta de estos dos atletas, y b) su energía cinética total?

**8.6 • BIO Biomecánica.** La masa de una pelota de tenis reglamentaria es de 57 g (si bien puede variar ligeramente), y las pruebas han demostrado que la pelota está en contacto con la raqueta durante 30 ms (este número también puede variar, dependiendo de la raqueta y del golpe). Aquí supondremos un contacto de 30.0 ms. El servicio de tenis más rápido que se conoce lo realizó "Big Bill" Tilden en 1931 con una rapidez de 73 m/s. *a)* ¿Qué impulso y qué fuerza ejerció Big Bill sobre la pelota de tenis en su servicio récord? *b)* Si el oponente de Big Bill devolvió su servicio con una rapidez de 55 m/s, ¿qué fuerza e impulso ejerció sobre la pelota, suponiendo sólo movimiento horizontal?

**8.7 • Fuerza de un golpe de golf.** Una pelota de golf de 0.0450 kg, en reposo, adquiere una rapidez de 25.0 m/s al ser golpeada por un palo. Si el tiempo de contacto entre el palo y la pelota es de 2.00 ms, ¿qué fuerza media actúa sobre la pelota? ¿Es significativo el efecto del peso de la pelota durante el tiempo de contacto? ¿Por qué?

**8.8 • Fuerza de un batazo.** Una pelota de béisbol tiene masa de 0.145 kg. *a)* Si se lanza con una velocidad de 45.0 m/s y después de batearla su velocidad es de 55.0 m/s en la dirección opuesta, determine la magnitud del cambio de cantidad de movimiento de la pelota y del impulso aplicado a ella con el bate. *b)* Si la pelota está en contacto con el bate durante 2.00 ms, calcule la magnitud de la fuerza media aplicada por el bate.

**8.9 •** Un disco de hockey de 0.160 kg se mueve en una superficie horizontal cubierta de hielo y sin fricción. En  $t = 0$ , el disco se mueve hacia la derecha a 3.00 m/s. *a)* Calcule la velocidad (magnitud y dirección) del disco después de que se aplica una fuerza de 25.0 N hacia la derecha durante 0.050 s. *b)* Si, en lugar de ello, se aplica una fuerza de 12.0 N dirigida a la izquierda, entre  $t = 0$  y  $t = 0.050$  s, ¿cuál es la velocidad final del disco?

**8.10 •** Un bate golpea una pelota béisbol de 0.145 kg. Justo antes del impacto, la pelota viaja horizontalmente a la derecha a 40.0 m/s; cuando deja el bate, la pelota viaja a la izquierda en un ángulo de 30° arriba de la horizontal con una velocidad de 52.0 m/s. Si la pelota y el bate están en contacto durante 1.75 ms, determine las componentes horizontales y verticales de la fuerza media sobre la pelota.

**8.11 • CALC** En el instante  $t = 0$ , un cohete de 2150 kg en el espacio exterior enciende un motor que ejerce una fuerza creciente sobre él en la dirección  $+x$ . Esta fuerza obedece la ecuación  $F_x = At^2$ , donde  $t$  es el tiempo, y tiene una magnitud de 781.25 N cuando  $t = 1.25$  s. *a)* Calcule el valor en el SI de la constante  $A$ , incluyendo sus unidades. *b)* ¿Qué impulso ejerce el motor sobre el cohete durante el intervalo de 1.50 s que comienza 2.00 s después de encender el motor? *c)* ¿Cuánto cambia la velocidad del cohete durante este intervalo? Suponga la masa constante.

**8.12 • BIO Fractura de un hueso.** Pruebas experimentales han demostrado que un hueso se romperá si experimenta una densidad de fuerza de  $1.03 \times 10^8$  N/m<sup>2</sup>. Suponga que una persona de 70.0 kg patina sin cuidado hacia una viga de metal que golpea con su frente y detiene completamente su movimiento hacia adelante. Si el área de contacto con la frente de la persona es de 1.5 cm<sup>2</sup>, ¿cuál es la máxima rapidez con la cual puede golpear la viga sin romperse un hueso cuando su cabeza está en contacto con la viga por 10.0 ms?

**8.13 •** Una piedra de 2.00 kg se desliza hacia la derecha por una superficie horizontal sin fricción a 5.00 m/s, cuando repentinamente es golpeada por un objeto que ejerce una gran fuerza horizontal sobre ella por un breve lapso. La gráfica en la figura E8.13 indica la magnitud de esa fuerza como función del tiempo. *a)* ¿Qué impulso ejerce esa fuerza

sobre la piedra? *b)* Calcule la magnitud y dirección de la velocidad de la piedra inmediatamente después de que la fuerza deja de actuar, si esa fuerza actúa *i*. hacia la derecha o *ii*. hacia la izquierda.

**8.14 • CALC** Partiendo en  $t = 0$ , se aplica una fuerza neta horizontal  $\vec{F} = (0.280 \text{ N/s})t\hat{i} + (-0.450 \text{ N/s}^2)t^2\hat{j}$  a una caja que tiene una cantidad de movimiento inicial  $\vec{p} = (-3.00 \text{ kg}\cdot\text{m/s})\hat{i} + (4.00 \text{ kg}\cdot\text{m/s})\hat{j}$ . ¿Cuál es la cantidad de movimiento de la caja en  $t = 2.00$  s?

**8.15 •** Durante su calentamiento para un partido, una jugadora de tenis golpea verticalmente una pelota de 57.0 g con su raqueta. Si la pelota está en reposo justo antes de ser golpeada y adquiere una altura de 5.50 m, ¿qué impulso dio la jugadora a la pelota?

### Sección 8.2 Conservación de la cantidad de movimiento

**8.16 •** Una astronauta de 68.5 kg está haciendo una reparación en el espacio en la estación espacial en órbita. Ella arroja una herramienta de 2.25 kg con una rapidez de 3.20 m/s en relación con la estación espacial. ¿Con qué rapidez y dirección comenzará a moverse la astronauta?

**8.17 •** Los gases en expansión que salen por el cañón de un rifle también contribuyen al retroceso. Cuando se dispara una bala de calibre 0.30 tiene una masa de 0.00720 kg y una rapidez de 601 m/s relativa al cañón del rifle, cuya masa es de 2.80 kg. El rifle, sostenido sin firmeza, retrocede a 1.85 m/s en relación con el suelo. Calcule la cantidad de movimiento de los gases al salir del cañón, en un sistema de coordenadas fijo al suelo.

**8.18 •** Dos patinadores artísticos, uno que pesa 625 N y el otro que pesa 725 N, se separan entre sí sobre hielo sin fricción. *a)* Si el patinador más pesado viaja a 1.50 m/s, ¿qué tan rápido viajará el más ligero? *b)* ¿Cuánta energía cinética se "crea" durante la maniobra de los patinadores, y de dónde proviene dicha energía?

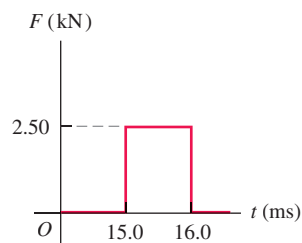
**8.19 • BIO Propulsión animal.** Los calamares y pulpos se impulsan a sí mismos expeliendo agua. Para hacerlo, guardan agua en una cavidad y luego contraen repentinamente esa cavidad para forzar la salida del agua a través de una abertura. Un calamar de 6.50 kg (incluyendo el agua en la cavidad) está en reposo, cuando de pronto ve un peligroso depredador. *a)* Si el calamar tiene 1.75 kg de agua en su cavidad, ¿con qué rapidez debe expeler esa agua para alcanzar una rapidez de 2.50 m/s y escapar así del depredador? Desprecie cualquier efecto de arrastre del agua circundante. *b)* ¿Cuánta energía cinética genera el calamar con esta maniobra?

**8.20 •** Suponga que usted está de pie en una plancha de hielo que cubre el estacionamiento del estadio de fútbol americano de Buffalo; la fricción entre sus pies y el hielo es insignificante. Un amigo le lanza un balón de 0.600 kg que viaja horizontalmente a 10.0 m/s. La masa de usted es de 70.0 kg. *a)* Si atrapa el balón, ¿con qué rapidez se moverán usted y el balón después? *b)* Si el balón lo golpea en el pecho y rebota moviéndose horizontalmente a 8.0 m/s en la dirección opuesta, ¿qué rapidez tendrá usted después del choque?

**8.21 •** En una mesa de aire horizontal sin fricción, el disco A (con masa de 0.250 kg) se mueve hacia el disco B (con masa de 0.350 kg) que está inicialmente en reposo. Despues del choque, el disco A se mueve a 0.120 m/s a la izquierda, y el B lo hace a 0.650 m/s a la derecha. *a)* ¿Qué rapidez tenía A antes del choque? *b)* Calcule el cambio de energía cinética total del sistema durante el choque.

**8.22 •** Cuando los automóviles están equipados con parachoques (defensas) flexibles, rebotan durante choques a baja rapidez, provocando daños menores. En un accidente de este tipo, un auto de 1750 kg viaja hacia la derecha a 1.50 m/s y choca contra un auto de 1450 kg que va hacia la izquierda a 1.10 m/s. Las mediciones indican que la rapidez del auto más pesado inmediatamente después del choque era de 0.250 m/s en su dirección original. Podemos ignorar la fricción de la carretera durante el choque. *a)* ¿Cuál era la rapidez del auto más ligero inmediatamente después del choque? *b)* Calcule el cambio en la energía cinética combinada del sistema de los dos vehículos durante este choque.

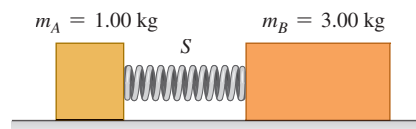
Figura E8.13



**8.23** • Dos masas idénticas de 0.900 kg se presionan contra los extremos opuestos de un resorte ligero con constante de fuerza de 1.75 N/cm, comprimiendo el resorte 20.0 cm a partir de su longitud normal. Calcule la rapidez de cada masa cuando se mueven libremente sobre una mesa horizontal sin fricción.

**8.24** • El bloque A de la figura E8.24 tiene una masa de 1.00 kg, y el B, de 3.00 kg. A y B se juntan de manera forzada, comprimiendo un resorte S entre ellos; luego, el sistema se suelta del reposo en una superficie plana sin fricción. El resorte, de masa despreciable, está suelto y cae a la superficie después de extenderse. El bloque B adquiere una rapidez de 1.20 m/s. a) ¿Qué rapidez final tiene A? b) ¿Cuánta energía potencial se almacenó en el resorte comprimido?

Figura E8.24



**8.25** • Un cazador que se encuentra sobre un estanque congelado y sin fricción utiliza un rifle que dispara balas de 4.20 g a 965 m/s. La masa del cazador (incluyendo su rifle) es de 72.5 kg; el hombre sostiene con firmeza el arma después de disparar. Calcule la velocidad de retroceso del cazador, si dispara el rifle a) horizontalmente y b) a 56.0° por encima de la horizontal.

**8.26** • Un núcleo atómico súbitamente se fisiona (se divide) en dos partes. El fragmento A, de masa  $m_A$ , viaja hacia la izquierda con una rapidez  $v_A$ . El fragmento B, de masa  $m_B$ , viaja hacia la derecha con una rapidez  $v_B$ . a) Con base en la conservación de la cantidad de movimiento, despeje  $v_B$  en términos de  $m_A$ ,  $m_B$  y  $v_A$ . b) Utilice los resultados del inciso a) para demostrar que  $K_A/K_B = m_B/m_A$ , donde  $K_A$  y  $K_B$  son las energías cinéticas de ambos fragmentos.

**8.27** • Dos patinadores de hielo, Daniel (masa de 65.0 kg) y Rebeca (masa de 45.0 kg) están practicando. Daniel se detiene para atar su agujeta y, cuando está detenido, es golpeado por Rebeca, quien se desplazaba a 13.0 m/s antes de chocar con él. Después del choque, Rebeca se mueve con una velocidad de magnitud igual a 8.00 m/s con un ángulo de 53.1° con respecto a su dirección original. Ambos patinadores se mueven en una superficie de patinaje horizontal y sin fricción. a) Calcule la magnitud y dirección de la velocidad de Daniel después del choque. b) ¿Cuál es el cambio en la energía cinética total de los dos patinadores como resultado del choque?

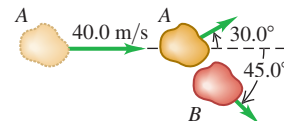
**8.28** • Usted está de pie sobre una gran plancha de hielo sin fricción, sosteniendo una gran roca. Para salir del hielo, usted avienta la roca de manera que ésta adquiere una velocidad relativa a la Tierra de 12.0 m/s, a 35.0° por arriba de la horizontal. Si su masa es de 70.0 kg y la masa de la roca es de 3.00 kg, ¿qué rapidez tiene usted después de lanzar la roca? (Vea la pregunta para análisis P8.7).

**8.29** • Usted (masa de 55 kg) está montando un patín sin fricción (masa de 5.0 kg) en línea recta con una velocidad de 4.5 m/s. Un amigo parado en un balcón arriba de usted deja caer un saco de harina de 2.5 kg directamente abajo en sus brazos. a) ¿Cuál es su nueva rapidez mientras usted sostiene el saco? b) Ya que el saco se cayó verticalmente, ¿cómo puede afectar su movimiento horizontal? Explique su respuesta. c) Ahora usted trata de librarse el peso extra lanzando el saco hacia arriba. ¿Cuál será su velocidad mientras el saco esté en el aire? Explique.

**8.30** • Una astronauta en el espacio no puede utilizar medios convencionales, como una báscula o balanza, para determinar la masa de un objeto. Pero cuenta con dispositivos para medir la distancia y el tiempo de manera exacta. Ella sabe que su masa es de 78.4 kg, pero no está segura de la masa de un enorme tanque de gas en el interior del cohete sin aire. Cuando el tanque se aproxima a ella a 3.50 m/s, empuja su cuerpo contra éste, lo que disminuye la rapidez del tanque a 1.20 m/s (pero no invierte su dirección) y le da a la astronauta una rapidez de 2.40 m/s. ¿Cuál es la masa del tanque?

**8.31** • **Choque de asteroides.** Dos asteroides de igual masa, pertenecientes al cinturón de asteroides entre Marte y Júpiter, chocan de forma oblicua. El asteroide A, que inicialmente viajaba a 40.0 m/s, se desvía 30.0° con respecto a su dirección original, mientras que el asteroide B, que inicialmente estaba en reposo, viaja a 45.0° con respecto a la dirección original de A (figura E8.31). a) Calcule la rapidez de cada asteroide después del choque. b) ¿Qué fracción de la energía cinética original del asteroide A se disipa durante el choque?

Figura E8.31



### Sección 8.3 Conservación de la cantidad de movimiento y choques

**8.32** • Dos patinadores chocan y quedan asidos sobre una pista de hielo sin fricción. Uno de ellos, cuya masa es de 70.0 kg, se movía hacia la derecha a 4.00 m/s, mientras que el otro, cuya masa es de 65.0 kg, se movía hacia la izquierda a 2.50 m/s. ¿Cuáles son la magnitud y dirección de la velocidad de estos patinadores inmediatamente después de que chocan?

**8.33** • Un pez de 15.0 kg, que nada a 1.10 m/s, repentinamente engulle un pez de 4.50 kg que estaba detenido. Desprecie los efectos de arrastre del agua. a) Calcule la rapidez del pez grande inmediatamente después de haberse comido al pequeño. b) ¿Cuánta energía mecánica se disipó durante esta comida?

**8.34** • Dos nutrias amorosas se deslizan una hacia la otra por una superficie horizontal lodosa (y, por lo tanto, sin fricción). Una de ellas, con masa de 7.50 kg, se desliza hacia la izquierda a 5.00 m/s; mientras que la otra, con masa de 5.75 kg, se desliza hacia la derecha a 6.00 m/s. Las nutrias quedan unidas después de chocar. a) Calcule la magnitud y la dirección de la velocidad de estas nutrias después del choque. b) ¿Cuánta energía mecánica se disipa durante este juego?

**8.35** • **Misión de impacto profundo.** En julio de 2005, en la misión ‘Impacto Profundo’ de la NASA, una sonda de 372 kg, que se desplazaba a 37,000 km/h, chocó directamente contra la superficie del cometa Tempel 1. La rapidez original del cometa en ese momento era de 40,000 km/h y su masa se estimó en el intervalo de  $(0.10 \text{ a } 2.5) \times 10^{14} \text{ kg}$ . Utilice el menor valor de la masa estimada. a) ¿Cuál es el cambio en la velocidad del cometa que se produjo por el choque? ¿Será perceptible ese cambio? b) Suponga que este cometa fuera a chocar contra la Tierra para fusionarse con ella. ¿En cuánto cambiaría la velocidad de nuestro planeta? ¿Sería apreciable ese cambio? (La masa de la Tierra es de  $5.97 \times 10^{24} \text{ kg}$ ).

**8.36** • Un automóvil deportivo de 1050 kg se desplaza hacia el oeste a 15.0 m/s por una carretera horizontal cuando choca contra un camión de 6320 kg, que viaja hacia el este por el mismo camino a 10.0 m/s. Los dos vehículos quedan unidos después del choque. a) ¿Qué velocidad (magnitud y dirección) tendrán los dos vehículos inmediatamente después del choque? b) ¿Qué rapidez debería llevar el camión para que ambos vehículos se detengan por el choque? c) Determine el cambio de energía cinética del sistema de los dos vehículos en las situaciones de los incisos a) y b). ¿En cuál situación tiene mayor magnitud el cambio de energía cinética?

**8.37** • En un campo de fútbol muy lodoso, un apoyador de 110 kg taclea a un corredor de 85 kg. Justo antes del choque, el apoyador resbala con una velocidad de 8.8 m/s hacia el norte, y el corredor lo hace con una velocidad de 7.2 m/s hacia el este. ¿Con qué velocidad (magnitud y dirección) se mueven juntos los dos jugadores inmediatamente después del choque?

**8.38 • Análisis de un accidente.** Dos automóviles chocan en una intersección. El automóvil *A*, con masa de 2000 kg, va de oeste a este; mientras que el automóvil *B*, con masa de 1500 kg, va de norte a sur a 15 m/s. Como resultado de este choque, los dos automóviles quedan enredados y después se mueven como uno solo. En su papel de testigo experto, usted inspecciona la escena y determina que, después del choque, los automóviles se movieron a un ángulo de 65° al sur del este del punto de impacto. *a)* Con qué rapidez se mueven los automóviles justo después del choque? *b)* ¿Con qué rapidez iba el automóvil *A* inmediatamente antes del choque?

**8.39 •** Jack (masa de 55.0 kg) está resbalando hacia el este con una rapidez de 8.00 m/s en la superficie de un estanque congelado. Él choca con Jill (masa de 48.0 kg), que está inicialmente en reposo. Después de la colisión, Jack viaja a 5.00 m/s en una dirección 34.0° al norte del este. ¿Cuál es la velocidad de Jill (magnitud y dirección) después del choque? Desprecie la fricción.

**8.40 • BIO Defensa de las aves.** Para proteger a sus crías en el nido, los halcones peregrinos vuelan tras las aves de rapiña (como los cuervos) con gran rapidez. En uno de tales episodios, un halcón de 600 g que vuela a 20.0 m/s choca contra un cuervo de 1.50 kg que vuela a 9.0 m/s. El halcón choca con el cuervo en ángulo recto con respecto a su trayectoria original y rebota a 5.0 m/s (estas cifras son estimaciones de uno de los autores, quien presenció este ataque en el norte de Nuevo México). *a)* ¿En qué ángulo cambió el halcón la dirección del vuelo del cuervo? *b)* ¿Cuál era la rapidez del cuervo inmediatamente después del choque?

**8.41 •** En el cruce de la Avenida Texas y el Paseo Universitario, un automóvil subcompacto amarillo de 950 kg que viaja al este por el Paseo choca con una camioneta *pickup* color rojo con masa de 1900 kg que viaja al norte por la Avenida Texas y no respetó el alto de un semáforo (**figura E8.41**). Los dos vehículos quedan unidos después del choque y se deslizan a 16.0 m/s en dirección 24.0° al este del norte. Calcule la rapidez de cada vehículo antes del choque. El choque tiene lugar durante una fuerte tormenta; las fuerzas de fricción entre los vehículos y el pavimento húmedo son despreciables.

**8.42 •** Una bala de 5.00 g se dispara horizontalmente hacia un bloque de madera de 1.20 kg que descansa en una superficie horizontal. El coeficiente de fricción cinética entre el bloque y la superficie es de 0.20. La bala queda incrustada en el bloque, que se desliza 0.310 m por la superficie antes de detenerse. ¿Qué rapidez tenía inicialmente la bala?

**8.43 • Péndulo balístico.** Una bala de rifle de 12.0 g se dispara a 380 m/s contra un péndulo balístico de 6.00 kg de masa, suspendido de una cuerda de 70.0 cm de longitud (vea el ejemplo 8.8, sección 8.3). Calcule *a)* la distancia vertical que sube el péndulo, *b)* la energía cinética inicial de la bala y *c)* la energía cinética de la bala y el péndulo inmediatamente después de que la bala se incrusta en el péndulo.

**8.44 • Combinación de las leyes de conservación.** Un bloque de 15.0 kg está sujeto a un resorte horizontal muy ligero con constante de fuerza de 500.0 N/m, que reposa sobre una mesa horizontal sin fricción (**figura E8.44**). De repente, es golpeado por una piedra

de 3.00 kg que viaja de forma horizontal a 8.00 m/s hacia la derecha, con lo cual la piedra rebota horizontalmente a 2.00 m/s hacia la izquierda. Calcule la distancia máxima que el bloque comprime el resorte después del choque.

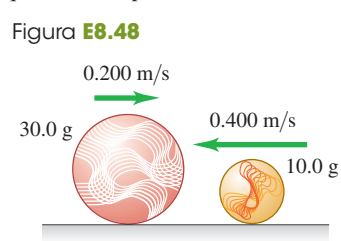
**8.45 • PA** Un adorno de 0.800 kg cuelga de un alambre de 1.50 m cuando es golpeado repentinamente por un proyectil de 0.200 kg que viaja en trayectoria horizontal a 12.0 m/s. El proyectil se incrusta en el adorno durante el choque. ¿Cuál es la tensión del alambre inmediatamente después del choque?

#### Sección 8.4 Choques elásticos

**8.46 •** Un deslizador de 0.150 kg se mueve a la derecha a 0.80 m/s en un riel de aire horizontal sin fricción y choca de frente con un deslizador de 0.300 kg que se mueve a la izquierda con una rapidez de 2.20 m/s. Calcule la velocidad final (magnitud y dirección) de cada deslizador si el choque es elástico.

**8.47 •** Los bloques *A* (masa de 2.00 kg) y *B* (masa de 6.00 kg) se mueven en una superficie horizontal sin fricción. En un principio, el bloque *B* está en reposo y el *A* se mueve hacia él a 2.00 m/s. Los bloques están equipados con protectores de resorte ideal, como en el ejemplo 8.10 (sección 8.4). El choque es de frente, así que todos los movimientos antes y después del choque están en una línea recta. *a)* Calcule la energía máxima almacenada en los protectores de resorte y la velocidad de cada bloque en ese momento. *b)* Determine la velocidad de cada bloque una vez que se han separado.

**8.48 •** Una canica de 10.0 g se desliza a la izquierda a 0.400 m/s sobre una acera horizontal de Nueva York, cubierta de hielo y sin fricción, y tiene un choque elástico de frente con una canica de 30.0 g que se desliza a la derecha con una velocidad de magnitud igual

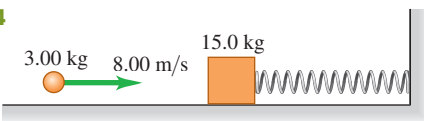


a) Determine la velocidad (magnitud y dirección) de cada canica después del choque (puesto que el choque es de frente, los movimientos son en una línea). b) Calcule el *cambio en la cantidad de movimiento* (es decir, la cantidad de movimiento después del choque menos la cantidad de movimiento antes del choque) para cada canica. Compare los valores obtenidos. c) Calcule el *cambio de energía cinética* (es decir, la energía cinética después del choque menos la energía cinética antes del choque) para cada canica. Compare los valores obtenidos.

**8.49 • Moderadores.** Los reactores nucleares canadienses usan moderadores de *agua pesada* donde se dan choques elásticos entre neutrones y deuterones de masa 2.0 u (vea el ejemplo 8.11 en la sección 8.4). *a)* ¿Qué rapidez tiene un neutrón, expresada como fracción de su rapidez original, después de un choque elástico de frente con un deuterón inicialmente en reposo? *b)* ¿Qué energía cinética tiene, expresada como fracción de su energía cinética original? *c)* ¿Cuántos choques sucesivos como este reducirán la rapidez de un neutrón a 1/59,000 de su valor original?

**8.50 •** Usted controla un acelerador de partículas que envía un haz de protones (masa *m*) a  $1.50 \times 10^7$  m/s contra un objetivo gaseoso de un elemento desconocido. El detector indica que algunos protones rebotan en la misma línea después de chocar contra uno de los núcleos del elemento desconocido. Todos esos protones tienen una rapidez de rebote de  $1.20 \times 10^7$  m/s. Suponga que la rapidez inicial del núcleo objetivo es despreciable y que el choque es elástico. *a)* Calcule la masa del núcleo del elemento desconocido. Exprese su respuesta en términos de la masa *m* del protón. *b)* ¿Qué rapidez tiene el núcleo desconocido inmediatamente después de este choque?

Figura E8.44



## Sección 8.5 Centro de masa

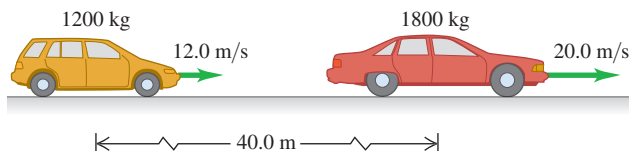
**8.51** • Tres bloques de chocolate de forma irregular tienen las siguientes masas y coordenadas de su respectivo centro de masa: **1.** 0.300 kg, (0.200 m, 0.300 m); **2.** 0.400 kg, (0.100 m, -0.400 m); **3.** 0.200 kg, (-0.300 m, 0.600 m). Determine las coordenadas del centro de masa del sistema formado por los tres bloques.

**8.52** • Calcule la posición del centro de masa del sistema formado por el Sol y Júpiter (como Júpiter tiene mayor masa que el resto de los planetas juntos, se obtendrá básicamente la posición del centro de masa del Sistema Solar). ¿El centro de masa está dentro o fuera del Sol? Use los datos del apéndice F.

**8.53** • **Plutón y Caronte.** El diámetro de Plutón mide aproximadamente 2370 km, y el diámetro de su satélite Caronte mide 1250 km. Aunque la distancia varía, sus centros a menudo están separados unos 19,700 km. Suponiendo que tanto Plutón como Caronte tienen la misma composición y, por consiguiente, la misma densidad media, determine la ubicación del centro de masa de este sistema en relación con el centro de Plutón.

**8.54** • Una camioneta SUV de 1200 kg avanza en una autopista recta a 12.0 m/s. Otro automóvil, con masa de 1800 kg y rapidez de 20.0 m/s, tiene su centro de masa 40.0 m adelante del centro de masa de la camioneta (**figura E8.54**). Determine *a)* la posición del centro de masa del sistema formado por los dos vehículos; *b)* la magnitud de la cantidad de movimiento total del sistema, a partir de los datos anteriores; *c)* la rapidez del centro de masa del sistema; *d)* la cantidad de movimiento total del sistema, usando la rapidez del centro de masa. Compare su resultado con el del inciso *b*.

Figura E8.54



**8.55** • La refacción de una máquina consiste en una barra delgada y uniforme de 4.00 kg y 1.50 m de longitud, colgada en forma perpendicular, mediante una bisagra, a una barra vertical similar cuya masa es de 3.00 kg y que mide 1.80 m de longitud. La barra más larga tiene una bola pequeña, pero densa, de 2.00 kg unida a uno de sus extremos (**figura E8.55**). ¿Qué distancia

se mueve horizontal y verticalmente el centro de masa de esta refacción, si la barra vertical se mueve alrededor del pivote 90° en sentido contrario a las manecillas del reloj para tener a la refacción completamente horizontal?

**8.56** • En un instante dado, el centro de masa de un sistema de dos partículas se encuentra sobre el eje *x* en *x* = 2.0 m y tiene una velocidad de  $(5.0 \text{ m/s})\hat{i}$ . Una partícula está en el origen. La otra tiene masa de 0.10 kg y está en reposo en el eje *x*, en *x* = 8.0 m. *a)* ¿Qué masa tiene la partícula que se localiza en el origen? *b)* Calcule la cantidad de movimiento total del sistema. *c)* ¿Qué velocidad tiene la partícula que se encuentra en el origen?

**8.57** • En el ejemplo 8.14 (sección 8.5), Ramón jala de la cuerda para impulsarse con una rapidez de 1.10 m/s. ¿Cuál es la rapidez de Jaime?

**8.58** • **CALC** Un sistema consta de dos partículas. En *t* = 0 una partícula está en el origen; la otra, cuya masa es de 0.50 kg, se encuentra

en el eje *y* en *y* = 6.0 m. En *t* = 0 el centro de masa del sistema está en el eje *y* en *y* = 2.4 m. La velocidad del centro de masa está dada por  $(0.75 \text{ m/s}^3)t^2\hat{i}$ . *a)* Calcule la masa total del sistema. *b)* Determine la aceleración del centro de masa en cualquier instante *t*. *c)* Calcule la fuerza externa neta que actúa sobre el sistema en *t* = 3.0 s.

**8.59** • **CALC** La cantidad de movimiento de un modelo de avión controlado por radio está dada por  $[(-0.75 \text{ kg}\cdot\text{m/s}^3)t^2 + (3.0 \text{ kg}\cdot\text{m/s})]\hat{i} + (0.25 \text{ kg}\cdot\text{m/s}^2)t\hat{j}$ . Determine las componentes *x*, *y* y *z* de la fuerza neta que actúa sobre el avión.

**8.60** • **BIO Cambio de su centro de masa.** Para mantener los cálculos muy sencillos, pero todavía razonables, modelaremos una pierna humana de 92.0 cm de longitud (medida a partir de la articulación de la cadera), suponiendo que las partes superior e inferior de la pierna (incluyendo el pie) tienen longitudes iguales y que cada una de ellas es uniforme. Para una persona de 70.0 kg, la masa de la parte superior de la pierna es de 8.60 kg, mientras que la de la parte inferior (incluyendo el pie) es de 5.25 kg. Determine la ubicación del centro de masa de esta pierna, en relación con la articulación de la cadera, si está *a)* estirada horizontalmente, y *b)* doblada por la rodilla para formar un ángulo recto con la parte superior de la pierna que permanece horizontal.

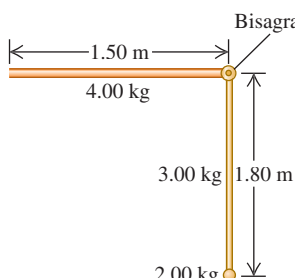
## Sección 8.6 Propulsión de cohetes

**8.61** • Un astronauta de 70 kg flota en el espacio en una unidad de maniobras tripulada (MMU, por *manned maneuvering unit*) de 110 kg y experimenta una aceleración de  $0.029 \text{ m/s}^2$  al disparar uno de sus impulsores. *a)* Si la rapidez del gas  $\text{N}_2$  que escapa, relativa al astronauta, es de 490 m/s, ¿cuánto gas se gasta en 5.0 s? *b)* ¿Qué empuje tiene el impulsor?

**8.62** • Un cohete pequeño quema 0.0500 kg de combustible cada segundo, expulsándolo como gas con una velocidad de 1600 m/s relativa al cohete. *a)* ¿Qué empuje tiene el cohete? *b)* ¿Funcionaría el cohete en el espacio exterior donde no hay atmósfera? Si es así, ¿cómo se podría guiar? ¿Podría frenarlo?

**8.63** • Sin duda, los cohetes alcanzan gran rapidez, pero, ¿qué rapidez máxima es razonable? Suponga que un cohete se enciende desde el reposo en una estación espacial donde la fuerza de gravedad es despreciable. *a)* Si el cohete expulsa gas con rapidez relativa de 2000 m/s y se desea que el cohete alcance una rapidez final de  $1.00 \times 10^{-3}c$ , donde *c* es la rapidez de la luz, ¿qué fracción de la masa total inicial del cohete *no* es combustible? *b)* ¿Cuál es esta fracción, si se desea alcanzar una rapidez final de 3000 m/s?

Figura E8.55



## PROBLEMAS

**8.64** • Una esfera de acero con masa de 40.0 g se deja caer desde una altura de 2.00 m sobre una plancha de acero horizontal, rebotando a una altura de 1.60 m. *a)* Calcule el impulso que se da a la esfera en el impacto. *b)* Si el contacto dura 2.00 ms, calcule la fuerza media que actúa sobre la esfera durante el impacto.

**8.65** • Una pelota de tenis de 0.560 N tiene una velocidad de  $(20.0 \text{ m/s})\hat{i} - (4.0 \text{ m/s})\hat{j}$ , justo antes de ser golpeada por una raqueta. Durante los 3.00 ms que la raqueta y la pelota están en contacto, la fuerza neta que actúa sobre la pelota es constante e igual a  $-(380 \text{ N})\hat{i} + (110 \text{ N})\hat{j}$ . *a)* ¿Qué componentes *x* y *y* tiene el impulso de la fuerza neta aplicada a la pelota? *b)* ¿Qué componentes *x* y *y* tiene la velocidad final de la pelota?

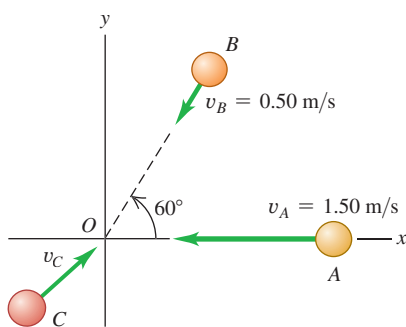
**8.66** • Tres discos de hockey idénticos en una mesa horizontal de aire tienen imanes repelentes. Se les junta y luego se les suelta simultáneamente. Todos tienen la misma rapidez en cualquier instante. Un disco se mueve al oeste. ¿Cuál es la dirección de la velocidad de cada uno de los otros dos discos?

**8.67** • Los bloques *A* (masa de 2.00 kg) y *B* (masa de 10.00 kg, a la derecha de *A*) se mueve sobre una superficie horizontal sin fricción. Inicialmente, el bloque *B* se mueve a la izquierda a 0.500 m/s y el bloque *A* se desplaza a la derecha a 2.00 m/s. Los bloques se equipan con topes de resortes ideales, como en el ejemplo 8.10 (sección 8.4). La colisión es frontal, por lo que todo movimiento antes y después es a lo largo de una línea recta. Encuentre *a*) la energía máxima almacenada en los topes de resorte y la velocidad de cada bloque en ese momento; *b*) la velocidad de cada bloque después de que se han separado.

**8.68** • Un vagón de ferrocarril se mueve sobre vías rectas sin fricción con resistencia del aire despreciable. En los casos que siguen, el vagón tiene inicialmente una masa total (vehículo y contenido) de 200 kg y viaja hacia el este a 5.00 m/s. Suponiendo que no se sale de la vía, calcule su *velocidad final* si: *a*) una masa de 25.0 kg se lanza lateralmente desde el vagón con velocidad de 2.00 m/s relativa a la velocidad inicial del vagón; *b*) una masa de 25.0 kg se lanza hacia atrás con velocidad de 5.00 m/s relativa al movimiento inicial del vagón; *c*) una masa de 25.0 kg se avienta al interior del vagón con velocidad de 6.00 m/s relativa al suelo y opuesta en dirección a la velocidad inicial del vagón.

**8.69** • Las esferas *A* (masa de 0.020 kg), *B* (masa de 0.030 kg) y *C* (masa de 0.050 kg) se acercan al origen deslizándose sobre una mesa de aire sin fricción. Las velocidades iniciales de *A* y *B* se indican en la figura P8.69. Las tres esferas llegan al origen simultáneamente y se unen. *a*) ¿Qué componentes *x* y *y* debe tener la velocidad inicial de *C* si después del choque los tres objetos tienen una velocidad de 0.50 m/s en la dirección +*x*? *b*) Si *C* tiene la velocidad obtenida en el inciso *a*), ¿cuál es el cambio en la energía cinética del sistema de las tres esferas como resultado del choque?

Figura P8.69



**8.70** •• Usted y sus amigos efectúan experimentos de física en un estanque congelado que sirve como superficie horizontal sin fricción. Sam, con masa de 80.0 kg, recibe un empujón y se desliza hacia el este. Abigail, con masa de 50.0 kg, recibe también un empujón y se desliza hacia el norte. Los dos chocan. Después del choque, Sam se mueve a  $37.0^\circ$  al norte del este con rapidez de 6.00 m/s, y Abigail, a  $23.0^\circ$  al sur del este con rapidez de 9.00 m/s. *a*) ¿Qué rapidez tenía cada uno antes del choque? *b*) ¿Cuánto disminuyó la energía cinética total de las dos personas durante el choque?

**8.71** • PA Un bloque de madera de 8.00 kg reposa en el extremo de una mesa sin fricción a 2.20 m arriba del suelo. Una bola de arcilla de 0.500 kg se desliza a través de la mesa con una rapidez de 24.0 m/s, golpea el bloque de madera y se adhiere a él. El objeto combinado abandona el extremo de la mesa y cae al suelo. ¿Qué distancia horizontal recorre el objeto cuando llega al suelo?

**8.72** •• PA Un pequeño bloque de madera con 0.800 kg de masa está suspendido del extremo inferior de una cuerda ligera de 1.60 m

de longitud. El bloque está en reposo inicialmente. Una bala de 12.0 g de masa se dispara al bloque con una velocidad horizontal  $v_0$ . La bala golpea el bloque y se incrusta en él. Después del choque, el objeto combinado oscila en el extremo de la cuerda. Cuando el bloque se eleva una altura vertical de 0.800 m, la tensión en la cuerda es de 4.80 N. ¿Cuál era la velocidad inicial  $v_0$  de la bala?

**8.73** • Combinación de las leyes de conservación. Un trozo de hielo de 5.00 kg se desliza a 12.0 m/s sobre el piso de un valle cubierto de hielo, cuando choca y se adhiere con otro pedazo de hielo de 5.00 kg que estaba en reposo (figura P8.73). Como el valle tiene hielo, no hay fricción. Después del choque, ¿qué altura sobre el suelo del valle alcanzan los pedazos combinados?

Figura P8.73



**8.74** • PA El bloque *B* (masa de 4.00 kg) está en reposo en el extremo de una plataforma lisa, a 2.60 m sobre el suelo. Bloque *A* (masa de 2.00 kg) se desliza con una velocidad de 8.00 m/s a lo largo de la plataforma hacia el bloque *B*. *A* le pega a *B* y rebota con una velocidad de 2.00 m/s. La colisión proyecta horizontalmente a *B* fuera de la plataforma. ¿Cuál es la rapidez de *B* justo antes de que pegue en el suelo?

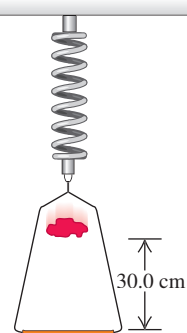
**8.75** • Dos bloques tienen un resorte comprimido entre ellos, como en el ejercicio 8.24. El resorte tiene una constante de fuerza de 720 N/m y se comprime inicialmente 0.225 m de su longitud original. Para cada bloque, ¿cuál es *a*) la aceleración justo después de que se liberan los bloques; *b*) la velocidad final después de que los bloques dejan el resorte?

**8.76** • Análisis de un accidente automovilístico. Suponga que lo llaman como testigo experto para analizar el siguiente accidente automovilístico: el automóvil *B*, con una masa de 1900 kg, estaba detenido ante un semáforo cuando fue golpeado por detrás por el automóvil *A*, con una masa de 1500 kg. Los automóviles se enganchan de los parachoques durante la colisión y se deslizan hasta detenerse con los frenos de todos los neumáticos bloqueados. Las mediciones de las marcas del derrape dejadas por los neumáticos miden 7.15 m de longitud. El coeficiente de fricción cinética entre los neumáticos y el pavimento es de 0.65. *a*) ¿Cuál era la rapidez del automóvil *A* inmediatamente antes del choque? *b*) Si el límite de rapidez es de 35 mph, ¿el automóvil *A* lo rebasó y, de ser así, por cuántas millas por hora se excedió el límite de velocidad?

**8.77** • Análisis de un accidente. Un automóvil sedán de 1500 kg atraviesa una gran intersección viajando de norte a sur cuando es golpeado por una camioneta SUV de 2200 kg que viaja de este a oeste. Los dos automóviles se enganchan debido al impacto y se deslizan como uno solo después del choque. Las mediciones en la escena del accidente indican que el coeficiente de fricción cinética entre los neumáticos de los automóviles y el pavimento es de 0.75 y los automóviles se deslizaron hasta detenerse 5.39 m al oeste y 6.43 m al sur del punto de impacto. ¿A qué rapidez viajaba cada automóvil justo antes del choque?

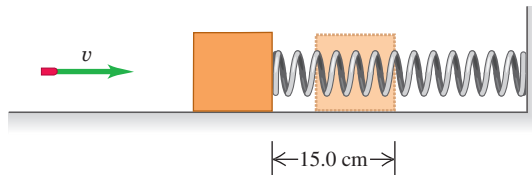
**8.78** •• PA Un bastidor de 0.150 kg, suspendido de un resorte, estira a éste 0.040 m. Un trozo de masilla de 0.200 kg en reposo se deja caer sobre el bastidor desde una altura de 30.0 cm (figura P8.78). ¿Qué distancia máxima baja el bastidor con respecto a su posición inicial de equilibrio?

Figura P8.78



- 8.79** • Una bala de rifle de 8.00 g golpea y se incrusta en un bloque con masa de 0.992 kg que descansa en una superficie horizontal sin fricción sujeto a un resorte (**figura P8.79**). El impacto comprime el resorte 15.0 cm. La calibración del resorte indica que se requiere una fuerza de 0.750 N para comprimirlo 0.250 cm. *a)* Calcule la magnitud de la velocidad del bloque inmediatamente después del impacto. *b)* ¿Qué rapidez tenía inicialmente la bala?

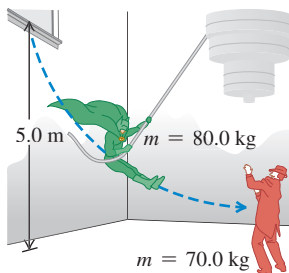
Figura P8.79



- 8.80** • **Rebote de una bala.** Una piedra de 0.100 kg descansa en una superficie horizontal sin fricción. Una bala de 6.00 g que viaja horizontalmente a 350 m/s golpea la piedra y rebota horizontalmente en ángulo recto de su dirección original, con rapidez de 250 m/s. *a)* Calcule la magnitud y la dirección de la velocidad de la piedra después del golpe. *b)* ¿Es perfectamente elástico el choque?

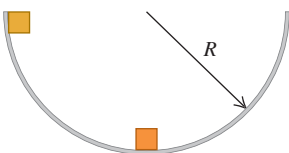
- 8.81** • Un doble de cine (masa de 80.0 kg) se pone de pie en un alfízar a 5.0 m sobre el piso (**figura P8.81**). Sujetando una cuerda atada a un candelabro, oscila hacia abajo para enfrentar al villano (masa de 70.0 kg), quien está de pie exactamente abajo del candelabro (suponga que el centro de masa del doble baja 5.0 m, y él suelta la cuerda justo al chocar con el villano). *a)* ¿Con qué rapidez comienzan a deslizarse los contrincantes entrelazados sobre el piso? *b)* Si el coeficiente de fricción cinética entre sus cuerpos y el piso es  $\mu_k = 0.250$ , ¿qué distancia se deslizan?

Figura P8.81



- 8.82** • **PA** Dos masas idénticas se sueltan del reposo en un tazón hemisférico liso de radio  $R$ , desde las posiciones que se muestran en la **figura P8.82**. Se puede despreciar la fricción entre las masas y la superficie del tazón. Si se unen cuando chocan, ¿qué altura por arriba del fondo del tazón alcanzarán las masas después de chocar?

Figura P8.82



- 8.83** • Una pelota con masa  $M$ , que se mueve horizontalmente a 4.00 m/s, choca elásticamente contra un bloque de masa  $3M$  que inicialmente está en reposo y cuelga del techo por medio de un alambre de 50.0 cm. Determine el ángulo máximo de oscilación del bloque después del impacto.

- 8.84** • **PA** Una esfera de plomo de 20.00 kg cuelga de un gancho atado a un alambre delgado de 2.80 m de longitud, y puede girar en un círculo completo. De forma repentina, un dardo de acero de 5.00 kg la golpea horizontalmente, incrustándose en ella. ¿Qué rapidez inicial mínima debe tener el dardo para que la combinación describa un círculo completo después del choque?

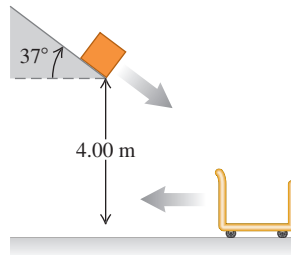
- 8.85** • Una bala de 4.00 g viaja horizontalmente con una velocidad de magnitud igual a 400 m/s y choca con un bloque de madera de 0.800 kg que estaba en reposo en una superficie horizontal. La bala atraviesa el bloque y sale con su rapidez reducida a 190 m/s. El bloque se desliza una distancia de 72.0 cm sobre la superficie con

respecto a su posición inicial. *a)* ¿Qué coeficiente de fricción cinética hay entre el bloque y la superficie? *b)* ¿En cuánto se reduce la energía cinética de la bala? *c)* ¿Qué energía cinética tiene el bloque en el instante en que la bala sale de él?

- 8.86** • Una bala de 5.00 g se dispara a través de un bloque de madera de 1.00 kg suspendido de una cuerda de 2.00 m de longitud. El centro de masa del bloque se eleva 0.38 cm. Calcule la rapidez de la bala al salir del bloque si su rapidez inicial es de 450 m/s.

- 8.87** • **PA** En el centro de distribución de una compañía de embarques, un carro abierto de 50.0 kg está rodando hacia la izquierda con rapidez de 5.00 m/s (**figura P8.87**). La fricción entre el carro y el piso es despreciable. Un paquete de 15.0 kg baja deslizándose por una rampa inclinada  $37^\circ$  sobre la horizontal y sale proyectado con una rapidez de 3.00 m/s. El paquete cae en el carro y siguen avanzando juntos. Si el extremo inferior de la rampa está a una altura de 4.00 m sobre el fondo del carro, *a)* ¿qué rapidez tendrá el paquete inmediatamente antes de caer en el carro? y *b)* ¿Qué rapidez final tendrá el carro?

Figura P8.87



- 8.88** • **Desintegración de neutrones.** Un neutrón en reposo se desintegra (se rompe) para producir un protón y un electrón. En la desintegración se libera energía, la cual aparece como energía cinética del protón y del electrón. La masa de un protón es 1836 veces la de un electrón. ¿Qué fracción de la energía total liberada se convertirá en energía cinética del protón?

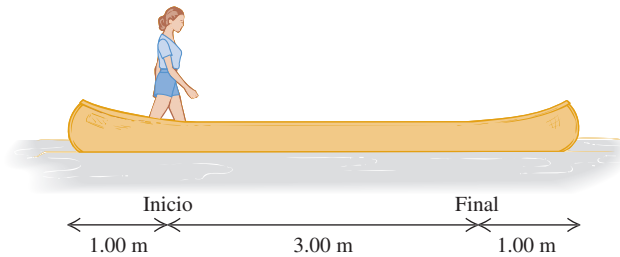
- 8.89** • **Antineutrino.** En la desintegración beta, un núcleo emite un electrón. Un núcleo de  $^{210}\text{Bi}$  (bismuto) en reposo experimenta la desintegración beta para producir  $^{210}\text{Po}$  (polonio). Suponga que el electrón emitido se mueve hacia la derecha con una cantidad de movimiento de  $5.60 \times 10^{-22} \text{ kg}\cdot\text{m/s}$ . El núcleo de  $^{210}\text{Po}$ , cuya masa es de  $3.50 \times 10^{-25} \text{ kg}$ , retrocede hacia la izquierda con rapidez de  $1.14 \times 10^3 \text{ m/s}$ . La conservación de la cantidad de movimiento requiere la emisión de una segunda partícula, llamada antineutrino. Calcule la magnitud y dirección de la cantidad de movimiento del antineutrino emitido en esta desintegración.

- 8.90** • Jonathan y Jane están sentados en un trineo en reposo sobre hielo sin fricción. Jonathan pesa 800 N; Jane, 600 N; y el trineo, 1000 N. Las dos personas ven una araña venenosa en el piso del trineo y saltan hacia afuera de inmediato. Jonathan salta a la izquierda con velocidad (relativa al hielo) de 5.00 m/s a  $30.0^\circ$  por arriba de la horizontal; y Jane salta a la derecha a 7.00 m/s (relativa al hielo) a  $36.9^\circ$  por arriba de la horizontal. Calcule la velocidad horizontal (magnitud y dirección) del trineo después del salto.

- 8.91** • Dos amigos, Burt y Ernie, están de pie en los extremos opuestos de un tronco uniforme que está flotando en un lago. El tronco tiene 3.0 m de longitud y masa de 20.0 kg. La masa de Burt es de 30.0 kg y la de Ernie de 40.0 kg. Inicialmente los dos amigos y el tronco están en reposo relativo a la orilla. Entonces Burt ofrece a Ernie una galleta, quien camina hacia el extremo del tronco de Burt para tomarla. En relación con la orilla, ¿qué distancia se mueve el tronco durante el tiempo en que Ernie llega con Burt? Ignore la fuerza horizontal que el agua ejerce sobre el tronco y suponga que ni Burt ni Ernie caen del tronco.

**8.92** Una mujer de 45.0 kg está de pie en una canoa de 60.0 kg y 5.00 m de longitud. Ella camina desde un punto a 1.00 m de un extremo hasta un punto a 1.00 m del otro extremo (figura P8.92). Si se ignora la resistencia del agua al movimiento de la canoa, ¿qué distancia se mueve la canoa durante este proceso?

Figura P8.92



**8.93** Usted está de pie en una plancha de concreto que descansa sobre un lago congelado. Suponga que no hay fricción entre la plancha y el hielo. La plancha pesa cinco veces más que usted. Si usted comienza a caminar a 2.00 m/s en relación con el hielo, ¿con qué rapidez relativa al hielo se moverá la plancha?

**8.94** PA En una exhibición de fuegos artificiales, se lanza un cohete desde el suelo con una velocidad de 18.0 m/s y una dirección de 51.0° arriba de la horizontal. Durante el vuelo, el cohete estalla en dos fragmentos de igual masa (vea la figura 8.32). a) ¿A qué distancia horizontal desde el punto de lanzamiento estará el centro de masa de las dos piezas después de que ambas hayan llegado al suelo? b) Si una sola pieza llega a una distancia horizontal de 26.0 m del punto de lanzamiento, ¿dónde está la otra pieza en tierra?

**8.95** Un obús en reposo de 7.0 kg explota y se divide en dos fragmentos, uno de masa igual a 2.0 kg y el otro de 5.0 kg. Si el fragmento más pesado gana 100 J de energía cinética a partir de la explosión, ¿cuánta energía cinética gana el más ligero?

**8.96** PA Un proyectil de 20.0 kg se dispara con un ángulo de 60.0° sobre la horizontal con una rapidez de 80.0 m/s. En el punto más alto de la trayectoria, el proyectil estalla en dos fragmentos de igual masa; uno cae verticalmente con rapidez inicial cero. Ignore la resistencia del aire. a) ¿A qué distancia del punto de disparo cae el otro fragmento si el terreno es plano? b) ¿Cuánta energía se libera en la explosión?

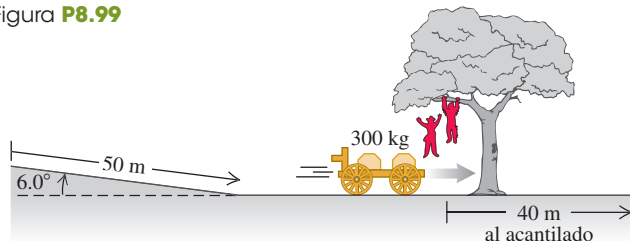
**8.97** PA Un cohete de fuegos artificiales se dispara verticalmente hacia arriba. En su altura máxima de 80.0 m, estalla y se divide en dos fragmentos, uno con masa de 1.40 kg y otro con masa de 0.28 kg. En la explosión, 860 J de energía química se convierten en energía cinética de los dos fragmentos. a) ¿Qué rapidez tiene cada fragmento inmediatamente después de la explosión? b) Se observa que los dos fragmentos caen al suelo al mismo tiempo. ¿Qué distancia hay entre los puntos donde caen? Suponga que el suelo es horizontal y que la resistencia del aire es despreciable.

**8.98** Un obús de 12.0 kg es disparado con un ángulo de 55.0° sobre la horizontal con una rapidez inicial de 150 m/s. En el punto más alto de la trayectoria, el obús estalla en dos fragmentos, uno con tres veces más masa que el otro. Los dos fragmentos llegan al suelo al mismo tiempo. Suponga que la resistencia del aire es despreciable. Si el fragmento más pesado cae en el punto desde el cual se lanzó el obús, ¿dónde caerá el fragmento más ligero y cuánta energía se habrá liberado en la explosión?

**8.99** PA Un bandido suelta una carreta con dos cajas de oro (masa total = 300 kg), que estaba en reposo 50 m cuesta arriba de una pendiente de 6.0°. El plan del bandido es que la carreta baje la cuesta, ruede por terreno plano y luego caiga en un cañón donde sus cómplices esperan. Sin embargo, en un árbol a 40 m del borde del cañón están el Llanero Solitario (masa de 75.0 kg) y Toro (masa de 60.0 kg),

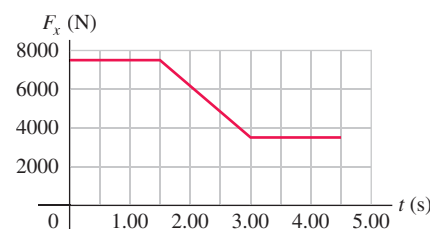
quienes se dejan caer verticalmente sobre la carreta al pasar ésta por debajo de ellos (figura P8.99). a) Si nuestros héroes necesitan 5.0 s para tomar el oro y saltar, ¿lo lograrán antes de que la carreta llegue al borde del risco? La carreta rueda con fricción despreciable. b) Cuando los héroes caen en la carreta, ¿se conserva la energía cinética del sistema de los héroes más la carreta? Si no, ¿ésta aumenta o disminuye, y por cuánto?

Figura P8.99



**8.100** DATOS Un automóvil Prius 2004 con un conductor de 150 lb y ningún pasajero pesa 3071 lb. El auto está inicialmente en reposo. A partir de  $t = 0$ , se aplica al auto una fuerza horizontal neta  $F_x(t)$  en la dirección  $+x$ . La fuerza en función del tiempo se presenta en la figura P8.100. a) Para el intervalo de tiempo  $t = 0$  a  $t = 4.50$  s, ¿cuál es el impulso aplicado al auto? b) Cuál es la rapidez del auto en  $t = 4.50$  s? c) En  $t = 4.50$  s, la fuerza neta de 3500 N es sustituida por una fuerza de frenado neta constante  $B_x = -5200$  N. Una vez que se aplica la fuerza de frenado, ¿cuánto tiempo tarda el auto en detenerse? d) ¿Cuánto trabajo debe hacer en el auto la fuerza de frenado para detenerlo? e) ¿Qué distancia viaja el auto desde el momento en que se aplica la fuerza de frenado por primera vez hasta que se detiene?

Figura P8.100



**8.101** DATOS En su trabajo en un laboratorio de policía, usted debe diseñar un aparato para medir las velocidades iniciales de balas disparadas por armas de fuego. Su solución es unir un bloque de madera de 2.00 kg que descansa sobre una superficie horizontal a un resorte horizontal ligero. El otro extremo del resorte está unido a una pared. Inicialmente el resorte está en su longitud del equilibrio. Se dispara horizontalmente una bala en el bloque y permanece incrustada en él. Despues de que la bala pega en el bloque, éste comprime al resorte una distancia máxima  $d$ . Usted ha medido que el coeficiente de fricción cinética entre el bloque y la superficie horizontal es 0.38. La tabla lista algunas armas de fuego que va a examinar:

ID de bala	Tipo	Masa de la bala (granos)	Velocidad inicial (ft/s)
A	.38Spec Glaser Blue	80	1667
B	.38Spec Federal	125	945
C	.44Spec Remington	240	851
D	.44Spec Winchester	200	819
E	0.45ACP Glaser Blue	140	1355

Un grano es una unidad de masa igual a 64.80 mg. a) De las bolas de la A a la E, ¿cuál va a producir la compresión máxima del resorte? ¿y la mínima? b) Usted quiere que la máxima compresión del resorte sea 0.25 m. ¿Cuál debe ser la constante de fuerza del resorte? c) Para la bala que produce la compresión mínima del resorte, ¿cuál es la compresión  $d$  si el resorte tiene la constante de fuerza que se calculó en el inciso b)?

**8.102 • DATOS** Para el Departamento de seguridad pública de Texas, usted está investigando un accidente que ocurrió temprano en una mañana brumosa en una sección remota de Texas Panhandle. Un automóvil Prius 2012 que viajaba hacia el norte se estrelló en una intersección con una Dodge Durango 2013 que viajaba hacia el este. Después de la colisión, los restos de los dos vehículos se unieron y se deslizaron a través del nivel del suelo hasta que golpearon un árbol. Usted mide que el árbol está a 35 pies del punto de impacto. La recta desde el punto de impacto al árbol está en una dirección a  $39^\circ$  al norte del este. De acuerdo con su experiencia usted estima que el coeficiente de fricción cinética entre el suelo y los restos es de 0.45. Poco antes del choque, un patrullero de la carretera con una pistola de radar midió la velocidad del Prius de 50 mph y, de acuerdo con un testigo, el conductor del Prius no hizo ningún intento de frenar. Cuatro personas con un peso total de 460 lb se encontraban en la Durango. La única persona en el Prius era el conductor de 150 libras. La Durango con sus pasajeros tenía un peso de 6500 lb, y el Prius con su conductor tenía un peso de 3042 lb. a) ¿Cuál fue la velocidad de la Durango justo antes de la colisión? b) ¿Qué tan rápido viajaban los restos justo antes de que chocaran contra el árbol?

## PROBLEMAS DE DESAFÍO

**8.103 • CALC Gota de lluvia de masa variable.** En un problema de propulsión de cohetes, la masa es variable. Un problema similar es una gota de lluvia que cae a través de una nube de gotitas de agua, algunas de las cuales se adhieren a la gota aumentando así su masa al caer. La fuerza sobre la gota es

$$F_{\text{ext}} = \frac{dp}{dt} = m \frac{dv}{dt} + v \frac{dm}{dt}$$

Suponga que la masa de la gota depende de la distancia  $x$  que ha caído. Entonces,  $m = kx$ , donde  $k$  es constante y  $dm/dt = kv$ . Puesto que  $F_{\text{ext}} = mg$ , esto da

$$mg = m \frac{dv}{dt} + v(kv)$$

O bien, dividiendo entre  $k$ ,

$$xg = x \frac{dv}{dt} + v^2$$

Ésta es una ecuación diferencial con solución de la forma  $v = at$ , donde  $a$  es la aceleración constante. Suponga que la velocidad inicial de la gota es cero. a) Usando la solución propuesta para  $v$ , calcule la aceleración  $a$ . b) Calcule la distancia que la gota cae en  $t = 3.00$  s. c) Con  $k = 2.00$  g/m, calcule la masa de la gota en  $t = 3.00$  s. [Otros aspectos interesantes del problema pueden consultarse en K. S. Krane, *American Journal of Physics*, vol. 49 (1981), pp. 113-117].

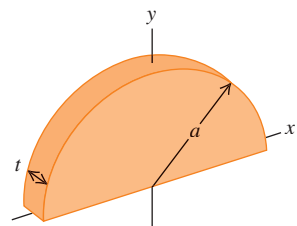
**8.104 • CALC** En la sección 8.5, calculamos el centro de masa considerando objetos constituidos por un número *finito* de masas puntuales u objetos que, por simetría, pueden representarse con un número finito de masas puntuales. Si la distribución de masa de un objeto sólido no permite una determinación sencilla del centro de masa mediante simetría, las sumas de las ecuaciones (8.28) deben generalizarse a integrales:

$$x_{\text{cm}} = \frac{1}{M} \int x dm \quad y_{\text{cm}} = \frac{1}{M} \int y dm$$

donde  $x$  y  $y$  son las coordenadas de un fragmento pequeño del objeto con masa  $dm$ . Se integra sobre todo el objeto. Considere una varilla delgada de longitud  $L$ , masa  $M$  y área transversal  $A$ . Sea el origen de coordenadas el extremo izquierdo de la varilla y el eje  $+x$  a lo largo de la varilla. a) Si la densidad  $\rho = M/V$  del objeto es uniforme, realice la integración anterior para demostrar que la coordenada  $x$  del centro de masa está en el centro geométrico de la varilla. b) Si la densidad del objeto varía linealmente con  $x$ , es decir,  $\rho = \alpha x$  (donde  $\alpha$  es una constante positiva), calcule la coordenada  $x$  del centro de masa de la varilla.

**8.105 • CALC** Use los métodos del problema de desafío 8.104 para calcular las coordenadas  $x$  y  $y$  del centro de masa de una placa metálica semicircular con densidad uniforme  $\rho$ , espesor  $t$  y radio  $a$ . La masa de la placa es entonces  $M = \frac{1}{2}\rho\pi a^2 t$ . Use el sistema de coordenadas de la figura P8.105.

Figura P8.105



## PROBLEMAS DE TRANSICIÓN

**BIO CANTIDAD DE MOVIMIENTO Y EL PEZ ARQUERO.** Los arqueros son peces tropicales que cazan soltando gotas de agua de su boca arriba de los insectos para derribarlos en el agua, donde los peces puedan comerlos. Un pez de 65 g en reposo justo en la superficie del agua puede expulsar una gota de 0.30 g de agua en una ráfaga corta de 5.0 ms. Mediciones de alta velocidad muestran que el agua tiene una rapidez de 2.5 m/s justo después de que el arquero la expulsa.

**8.106** ¿Cuál es la cantidad de movimiento de una gota de agua inmediatamente después de que sale de la boca del pez? a)  $7.5 \times 10^{-4}$  kg·m/s; b)  $1.5 \times 10^{-4}$  kg·m/s; c)  $7.5 \times 10^{-3}$  kg·m/s; d)  $1.5 \times 10^{-3}$  kg·m/s.

**8.107** ¿Cuál es la velocidad del pez arquero inmediatamente después de expulsar la gota de agua? a) 0.0025 m/s; b) 0.012 m/s; c) 0.75 m/s; d) 2.5 m/s.

**8.108** ¿Cuál es la fuerza media que el pez ejerce sobre la gota de agua? a) 0.00015 N; b) 0.00075 N; c) 0.075 N; d) 0.15 N.

**8.109** El pez dispara la gota de agua en un insecto que se desplaza en la superficie del agua, así que justo antes de que choque con el insecto, la gota sigue moviéndose con la velocidad que tenía cuando salió de la boca del pez. En el choque, la gota se pega al insecto, y la rapidez del insecto y del agua apenas después del choque se midió de 2.0 m/s. ¿Cuál es la masa del insecto? a) 0.038 g; b) 0.075 g; c) 0.24 g; d) 0.38 g.

## Respuestas

### Pregunta de inicio del capítulo ?

**ii.** Las tres balas tienen la misma magnitud de la cantidad de movimiento  $p = mv$  (el producto de la masa por la rapidez), pero la bala más rápida y ligera tiene el doble de la energía cinética  $K = \frac{1}{2}mv^2$  de la bala calibre 0.22, y cuatro veces la energía cinética de la bala más pesada. Por lo tanto, la bala más ligera puede efectuar la mayoría del trabajo sobre la zanahoria (y causar el mayor daño) en el proceso de detenerse (vea la sección 8.1).

### Respuesta a las secciones

#### Evalúe su comprensión

**8.1 v, i. y ii., (empate en segundo lugar), iii. y iv. (empate en tercer lugar)** Se usan dos interpretaciones del impulso de la fuerza neta: **1.** la fuerza neta multiplicada por el tiempo durante el que actúa la fuerza neta, y **2.** el cambio en la cantidad de movimiento de la partícula sobre la que actúa la fuerza neta. Nuestra elección del método depende de qué información se nos dé. Tomamos la dirección  $+x$  hacia el este. **i.** La fuerza no se conoce, así que usamos el método 2:  $J_x = mv_{2x} - mv_{1x} = (1000 \text{ kg})(0) - (1000 \text{ kg})(25 \text{ m/s}) = -25,000 \text{ kg}\cdot\text{m/s}$ , por lo que la magnitud del impulso es  $25,000 \text{ kg}\cdot\text{m/s} = 25,000 \text{ N}\cdot\text{s}$ . **ii.** Por los mismos razones y valores que en **i.**, usamos el método 2, y la magnitud del impulso, una vez más, es  $25,000 \text{ N}\cdot\text{s}$ . **iii.** La velocidad final no se conoce, así que usamos el método 1:  $J_x = (\sum F_x)_{\text{med}}(t_2 - t_1) = (2000 \text{ N})(10 \text{ s}) = 20,000 \text{ N}\cdot\text{s}$ , por lo que la magnitud del impulso es  $20,000 \text{ N}\cdot\text{s}$ . **iv.** Por la misma razón que en **iii.**, empleamos el método 1:  $J_x = (\sum F_x)_{\text{med}}(t_2 - t_1) = (-2000 \text{ N})(10 \text{ s}) = -20,000 \text{ N}\cdot\text{s}$ , de manera que la magnitud del impulso es  $20,000 \text{ N}\cdot\text{s}$ .

**v.** La fuerza no se conoce, así que usamos el método 2:  $J_x = mv_{2x} - mv_{1x} = (1000 \text{ kg})(-25 \text{ m/s}) - (1000 \text{ kg})(25 \text{ m/s}) = -50,000 \text{ kg}\cdot\text{m/s}$ , y la magnitud del impulso es  $50,000 \text{ kg}\cdot\text{m/s} = 50,000 \text{ N}\cdot\text{s}$ .

**8.2 a)  $v_{C2x} > 0$ ,  $v_{C2y} > 0$ , b) pieza C** No hay fuerzas horizontales externas, así que se conservan las componentes  $x$  y  $y$  de la cantidad de movimiento total del sistema. Las dos componentes son cero antes de soltarse el resorte, así que después deberán ser cero. Por lo tanto,

$$P_x = 0 = m_A v_{A2x} + m_B v_{B2x} + m_C v_{C2x}$$

$$P_y = 0 = m_A v_{A2y} + m_B v_{B2y} + m_C v_{C2y}$$

Nos dan que  $m_A = m_B = m_C$ ,  $v_{A2x} < 0$ ,  $v_{A2y} = 0$ ,  $v_{B2x} = 0$  y  $v_{B2y} < 0$ . Podemos resolver las ecuaciones anteriores para demostrar que  $v_{C2x} = -v_{A2x} > 0$  y  $v_{C2y} = -v_{B2y} > 0$ , por lo que las componentes de

velocidad de la pieza  $C$  son positivas. La pieza  $C$  tiene una rapidez  $\sqrt{v_{C2x}^2 + v_{C2y}^2} = \sqrt{v_{A2x}^2 + v_{B2y}^2}$ , que es mayor que la rapidez de cualquiera de las piezas  $A$  o  $B$ .

**8.3 a) elástico, b) inelástico, c) totalmente inelástico** En cada caso, la energía potencial gravitacional se convierte en energía cinética conforme la pelota cae, y el choque es entre la pelota y el suelo. En **a)** toda la energía inicial se convierte en energía potencial gravitacional, así que no se pierde energía cinética en el rebote, y el choque es elástico. En **b)** hay menos energía potencial gravitacional al final que al principio, por lo que algo de energía cinética se pierde en el rebote. Por consiguiente, el choque es inelástico. En **c)** la pelota pierde toda la energía cinética que tiene para dar, la pelota queda pegada al suelo y el choque es totalmente inelástico.

**8.4 peores** Después del choque con una molécula de agua inicialmente en reposo, la rapidez del neutrón es  $|(m_n - m_w)/(m_n + m_w)| = |(1.0 \text{ u} - 18 \text{ u})/(1.0 \text{ u} + 18 \text{ u})| = \frac{17}{19}$  de su rapidez inicial, y su energía cinética es  $(\frac{17}{19})^2 = 0.80$  del valor inicial. Por lo tanto, una molécula de agua es peor moderador que un átomo de carbono, cuyos valores son  $\frac{11}{13}$  y  $(\frac{11}{13})^2 = 0.72$ , respectivamente.

**8.5 no** Si la gravedad es la única fuerza que actúa sobre el sistema de dos fragmentos, el centro de masa seguirá la trayectoria parabólica de un objeto que cae libremente. Sin embargo, una vez que el fragmento toca tierra, el suelo ejerce una fuerza normal sobre ese fragmento. Por lo tanto, la fuerza neta sobre el sistema cambia, y la trayectoria del centro de masa se modifica en respuesta a ello.

**8.6 a) creciente, b) decreciente** De acuerdo con las ecuaciones (8.37) y (8.38), el empuje  $F$  es igual a  $m(dv/dt)$ , donde  $m$  es la masa del cohete y  $dv/dt$  es su aceleración. Como  $m$  disminuye con el tiempo, si el empuje  $F$  es constante, la aceleración deberá aumentar con el tiempo (la misma fuerza actúa sobre una masa menor); si la aceleración  $dv/dt$  es constante, el empuje deberá disminuir con el tiempo (se requiere una fuerza menor para acelerar una masa más pequeña).

### Problema práctico

- a)** 1.00 m/s a la derecha    **b)** Elástico
- c)** 1.93 m/s a  $-30.4^\circ$
- d)** 2.31 k g·m/s a  $149.6^\circ$     **e)** Inelástico
- f)** 1.67 m/s en dirección  $+x$



**?** Cada aspa en una hélice giratoria del avión es como una barra delgada larga. Si cada aspa se estirara hasta duplicar su longitud (mientras la masa y la rapidez angular de cada aspa y de la hélice permanecen constantes), ¿en qué factor aumentaría la energía cinética de las aspas giratorias? **i.** 2; **ii.** 4; **iii.** 8; **iv.** la energía cinética disminuiría, no aumentaría.

# 9 ROTACIÓN DE CUERPOS RÍGIDOS

## OBJETIVOS DE APRENDIZAJE

Al estudiar este capítulo, usted aprenderá:

- 9.1** Cómo describir la rotación de un cuerpo rígido en términos de las coordenadas, la velocidad y la aceleración angulares.
- 9.2** Cómo analizar la rotación de un cuerpo rígido cuando la aceleración angular es constante.
- 9.3** Cómo relacionar la rotación de un cuerpo rígido con la velocidad y la aceleración lineales de un punto en el cuerpo.
- 9.4** El significado del momento de inercia de un cuerpo en torno a un eje de rotación y cómo se relaciona con la energía cinética de rotación.
- 9.5** Cómo relacionar los valores del momento de inercia de un cuerpo para dos ejes de rotación diferentes, pero paralelos.
- 9.6** Cómo calcular el momento de inercia de cuerpos de diferente forma.

Repase lo estudiado en la sección ...

- 1.10** Producto vectorial de dos vectores.
- 2.2-2.4** Velocidad lineal, aceleración lineal y movimiento con aceleración constante.
- 3.4** Movimiento en un círculo.
- 7.1** Usar energía mecánica para resolver problemas.



¿Qué tienen en común los movimientos de una hélice de un avión, un disco Blu-ray, una rueda de la fortuna y una sierra circular? Ninguno puede representarse adecuadamente como un *punto* en movimiento; todos implican un cuerpo que *gira* alrededor de un eje que está fijo en algún sistema de referencia inercial.

La rotación se da en todos los niveles, desde el movimiento de los electrones en los átomos hasta los movimientos de galaxias enteras. Necesitamos desarrollar métodos generales para analizar el movimiento de un cuerpo en rotación. En este capítulo y en el siguiente consideraremos cuerpos con tamaño y forma definidos que, en general, pueden tener movimiento de rotación además de movimiento de traslación.

Muchos cuerpos reales son muy complejos; las fuerzas que actúan sobre ellos pueden deformarlos: estirarlos, torcerlos o aplastarlos. Por el momento, ignoraremos esas deformaciones y supondremos que el cuerpo tiene forma y tamaño perfectamente definidos e inmutables. Llamamos a este modelo idealizado **cuerpo rígido**. Este capítulo y el siguiente tratan principalmente del movimiento de rotación de cuerpos rígidos.

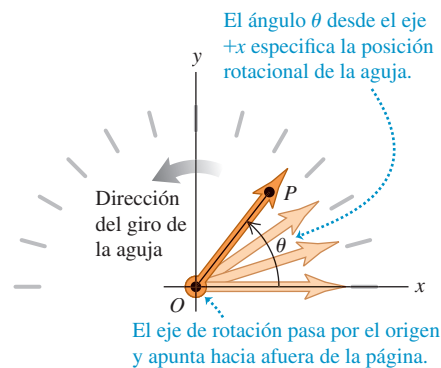
Comenzaremos con el lenguaje de la cinemática para *describir* el movimiento de rotación. Luego estudiaremos la energía cinética de rotación, la clave para aplicar los métodos de energía en el movimiento de rotación. En el capítulo 10 desarrollaremos los principios dinámicos que relacionan las fuerzas sobre un cuerpo con su movimiento de rotación.

## 9.1 VELOCIDAD Y ACCELERACIÓN ANGULARES

Para analizar el movimiento de rotación, pensemos primero en un cuerpo rígido que gira alrededor de un *eje fijo*, es decir, un eje que está en reposo en algún sistema de referencia inercial y que no cambia de dirección en relación con ese sistema. El cuerpo rígido en rotación podría ser la flecha de un motor, un trozo de carne en un asador giratorio o un carrusel.

La **figura 9.1** (página siguiente) muestra un cuerpo rígido que gira alrededor de un eje fijo, el cual pasa por el punto *O* y es perpendicular al plano del diagrama, al que llamamos *plano xy*. Una forma de describir la rotación de ese cuerpo sería elegir un punto específico *P* del cuerpo y seguir la pista a sus coordenadas *x* y *y*. Este método no es el

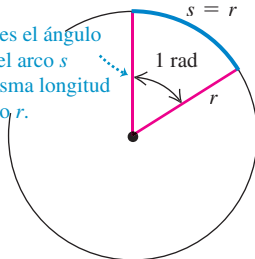
**9.1** Aguja de un velocímetro (un ejemplo de cuerpo rígido) que gira en sentido contrario a las manecillas del reloj alrededor de un eje fijo.



## 9.2 Medición de ángulos en radianes.

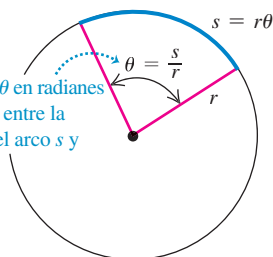
a)

Un radián es el ángulo en el cual el arco  $s$  tiene la misma longitud que el radio  $r$ .



b)

Un ángulo  $\theta$  en radianes es la razón entre la longitud del arco  $s$  y el radio  $r$ .



más conveniente, pues requiere dos números (las dos coordenadas  $x$  y  $y$ ) para especificar la posición rotacional del cuerpo. En vez de ello, observamos que la recta  $OP$  está fija en el cuerpo y gira con él. El ángulo  $\theta$  que esta recta forma con el eje  $+x$  es una sola **coordenada angular** que describe por completo la posición rotacional del cuerpo.

La coordenada angular  $\theta$  de un cuerpo rígido que gira alrededor de un eje fijo puede ser positiva o negativa. Si hacemos que los ángulos positivos se midan en sentido contrario a las manecillas del reloj desde el eje  $+x$ , entonces el ángulo  $\theta$  en la figura 9.1 es positivo. En cambio, si elegimos la dirección horaria como la rotación positiva,  $\theta$  será negativo en la figura 9.1. Cuando consideramos el movimiento rectilíneo de una partícula, fue indispensable especificar la dirección del desplazamiento positivo sobre esa recta; al analizar la rotación alrededor de un eje fijo, es igualmente indispensable especificar la dirección de rotación positiva.

La forma más natural de medir el ángulo  $\theta$  no es en grados, sino en **radianes**. Como se muestra en la **figura 9.2a**, un radián (1 rad) es el ángulo subtendido en el centro de un círculo por un arco cuya longitud es igual al radio del círculo. En la figura 9.2b, un ángulo  $\theta$  es subtendido por un arco de longitud  $s$  en un círculo de radio  $r$ . El valor de  $\theta$  (en radianes) es igual a  $s$  entre  $r$ :

$$\theta = \frac{s}{r} \quad \text{o bien,} \quad s = r\theta \quad (\theta \text{ en radianes}) \quad (9.1)$$

Un ángulo en radianes es la razón de dos longitudes, así que es un número puro, sin dimensiones. Si  $s = 3.0 \text{ m}$  y  $r = 2.0 \text{ m}$ , entonces  $\theta = 1.5$ , pero a menudo escribiremos esto como 1.5 rad, para distinguirlo de un ángulo medido en grados o revoluciones.

La circunferencia de un círculo (es decir, la longitud del arco que rodea al círculo) es  $2\pi$  veces el radio, así que hay  $2\pi$  (unos 6.283) radianes en una revolución completa ( $360^\circ$ ). Por lo tanto,

$$1 \text{ rad} = \frac{360^\circ}{2\pi} = 57.3^\circ$$

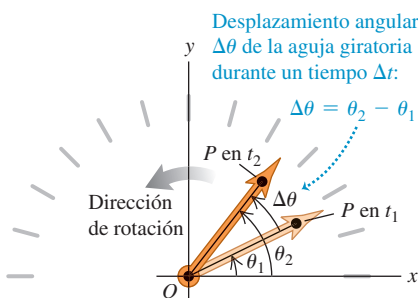
Asimismo,  $180^\circ = \pi \text{ rad}$ ,  $90^\circ = \pi/2 \text{ rad}$ , etcétera. Si insistiéramos en medir  $\theta$  en grados, tendríamos que incluir un factor adicional de  $(2\pi/360)$  en el lado derecho de  $s = r\theta$  en la ecuación (9.1). Al medir los ángulos en radianes, mantenemos lo más sencilla posible la relación entre el ángulo y la distancia a lo largo de un arco.

## Velocidad angular

La coordenada  $\theta$  de la figura 9.1 especifica la posición rotacional de un cuerpo rígido en un instante determinado. Podemos describir el *movimiento de rotación* del cuerpo rígido en términos de la razón de cambio de  $\theta$ , de forma análoga a como describimos el movimiento rectilíneo en el capítulo 2. En la **figura 9.3a**, una recta de referencia  $OP$  en un cuerpo que gira forma un ángulo  $\theta_1$  con el eje  $+x$  en el instante  $t_1$ . En un instante posterior  $t_2$ , el ángulo cambió a  $\theta_2$ . Definimos la **velocidad angular media**  $\omega_{\text{med-}z}$  (la

**9.3** a) Desplazamiento angular  $\Delta\theta$  de un cuerpo en rotación. b) Cada parte de un cuerpo rígido en rotación tiene la misma velocidad angular media  $\Delta\theta/\Delta t$ .

a)



b)



letra griega omega) del cuerpo en el intervalo  $\Delta t = t_2 - t_1$  como la razón entre el desplazamiento angular  $\Delta\theta = \theta_2 - \theta_1$  y  $\Delta t$ :

$$\omega_{\text{med-}z} = \frac{\theta_2 - \theta_1}{t_2 - t_1} = \frac{\Delta\theta}{\Delta t} \quad (9.2)$$

El subíndice  $z$  indica que el cuerpo de la figura 9.3a está girando en torno al eje  $z$ , que es perpendicular al plano del diagrama. La **velocidad angular instantánea**  $\omega_z$  es el límite de  $\omega_{\text{med-}z}$  cuando  $\Delta t$  tiende a cero:

**La velocidad angular instantánea**  
de un cuerpo rígido que gira en torno al eje  $z$ ...  $\omega_z = \lim_{\Delta t \rightarrow 0} \frac{\Delta\theta}{\Delta t} = \frac{d\theta}{dt}$  ... es igual al límite de la velocidad angular media cuando el intervalo de tiempo tiende a cero ... ... y es igual a la razón de cambio instantánea de la coordenada angular del cuerpo.

Cuando nos referimos simplemente a “velocidad angular”, hablamos de la velocidad angular instantánea, no de la velocidad angular media.

La velocidad angular  $\omega_z$  puede ser positiva o negativa, dependiendo de la dirección en que gira el cuerpo rígido (**figura 9.4**). La *rapidez angular*  $\omega$ , que usaremos en las secciones 9.3 y 9.4, es la magnitud de la velocidad angular. Al igual que la rapidez lineal  $v$ , la rapidez angular nunca es negativa.

**CUIDADO** **Velocidad angular contra velocidad lineal** Tenga presente la distinción entre velocidad angular  $\omega_z$  y velocidad lineal  $v_x$  (vea la sección 2.2). Si un objeto tiene una velocidad  $v_x$ , el objeto en su totalidad se *mueve* a lo largo del eje  $x$ . En contraste, si un objeto tiene una velocidad angular  $\omega_z$ , significa que está *girando* en torno al eje  $z$ . No quiere decir que el objeto se mueva a lo largo del eje  $z$ .

Distintos puntos de un cuerpo rígido en rotación recorren diferentes distancias en un tiempo dado, dependiendo de la distancia de cada punto al eje de rotación. No obstante, como el cuerpo es rígido, *todos* los puntos giran el mismo ángulo en el mismo tiempo (figura 9.3b). Por lo tanto, *en cualquier instante, todas las partes de un cuerpo rígido en rotación tienen la misma velocidad angular*.

Si el ángulo  $\theta$  está en radianes, la unidad de velocidad angular es el radián por segundo (rad/s). También suelen usarse otras unidades, como revoluciones por minuto (rev/min o rpm). Puesto que  $1 \text{ rev} = 2\pi \text{ rad}$ , dos conversiones útiles son

$$1 \text{ rev/s} = 2\pi \text{ rad/s} \quad \text{y} \quad 1 \text{ rev/min} = 1 \text{ rpm} = \frac{2\pi}{60} \text{ rad/s}$$

Es decir, 1 rad/s es alrededor de 10 rpm.

**9.4** La velocidad angular media de un cuerpo rígido (que aquí se muestra) y la velocidad angular instantánea pueden ser positivas o negativas.

Elegimos que el ángulo  $\theta$  crezca en sentido contrario a las manecillas del reloj.

**Rotación en sentido contrario a las manecillas del reloj**

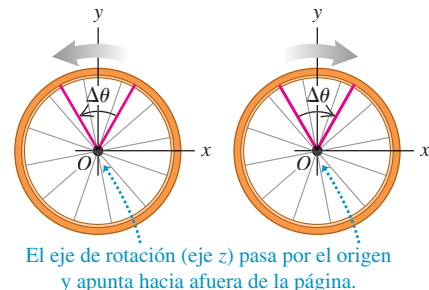
$\theta$  crece, por lo cual la velocidad angular es positiva.

**Rotación en sentido de las manecillas del reloj**

$\theta$  disminuye, por lo cual la velocidad angular es negativa.

$\Delta\theta > 0$ , por lo que  $\omega_{\text{med-}z} = \Delta\theta/\Delta t > 0$

$\Delta\theta < 0$ , por lo que  $\omega_{\text{med-}z} = \Delta\theta/\Delta t < 0$



El eje de rotación (eje  $z$ ) pasa por el origen y apunta hacia afuera de la página.



### EJEMPLO 9.1 CÁLCULO DE LA VELOCIDAD ANGULAR

La posición angular  $\theta$  de un volante de 0.36 m de diámetro está dada por

$$\theta = (2.0 \text{ rad/s}^3)t^3$$

- a) Calcule  $\theta$ , en radianes y en grados, en  $t_1 = 2.0 \text{ s}$  y  $t_2 = 5.0 \text{ s}$ .
- b) Calcule la distancia que recorre una partícula en el borde del volante durante el intervalo  $t_1 = 2.0 \text{ s}$  a  $t_2 = 5.0 \text{ s}$ .
- c) Determine la velocidad angular media, en rad/s y en rev/min, en ese intervalo.
- d) Calcule las velocidades angulares instantáneas en  $t_1 = 2.0 \text{ s}$  y  $t_2 = 5.0 \text{ s}$ .

### SOLUCIÓN

**IDENTIFICAR y PLANTEAR:** Las incógnitas son  $\theta_1$  y  $\theta_2$  (las posiciones angulares en los tiempos  $t_1$  y  $t_2$ , respectivamente), y el desplazamiento angular  $\Delta\theta = \theta_2 - \theta_1$ . Podemos determinarlas a partir de la expresión de  $\theta$  como función del tiempo. Conociendo  $\Delta\theta$ ,

calcularemos la distancia recorrida y la velocidad angular media entre  $t_1$  y  $t_2$  empleando las ecuaciones (9.1) y (9.2), respectivamente. Para calcular las velocidades angulares instantáneas  $\omega_{1z}$  (en el tiempo  $t_1$ ) y  $\omega_{2z}$  (en el tiempo  $t_2$ ), tomaremos la derivada de la ecuación de  $\theta$  con respecto al tiempo, como en la ecuación (9.3).

**EJECUTAR:** a) Sustituimos los valores de  $t$  en la ecuación dada para  $\theta$ :

$$\begin{aligned}\theta_1 &= (2.0 \text{ rad/s}^3)(2.0 \text{ s})^3 = 16 \text{ rad} \\ &= (16 \text{ rad})\frac{360^\circ}{2\pi \text{ rad}} = 920^\circ\end{aligned}$$

$$\begin{aligned}\theta_2 &= (2.0 \text{ rad/s}^3)(5.0 \text{ s})^3 = 250 \text{ rad} \\ &= (250 \text{ rad})\frac{360^\circ}{2\pi \text{ rad}} = 14,000^\circ\end{aligned}$$

Continúa

b) Durante el intervalo de  $t_1$  a  $t_2$ , el desplazamiento angular del volante es  $\Delta\theta = \theta_2 - \theta_1 = 250 \text{ rad} - 16 \text{ rad} = 234 \text{ rad}$ . El radio  $r$  es la mitad del diámetro, es decir, 0.18 m. Para usar la ecuación (9.1), los ángulos se *deben* expresar en radianes:

$$s = r\theta_2 - r\theta_1 = r\Delta\theta = (0.18 \text{ m})(234 \text{ rad}) = 42 \text{ m}$$

Omitimos “radianes” de las unidades de  $s$  porque  $\theta$  es un número adimensional; la distancia  $s$  se mide en metros, al igual que  $r$ .

c) De acuerdo con la ecuación (9.2),

$$\begin{aligned}\omega_{\text{med-}z} &= \frac{\theta_2 - \theta_1}{t_2 - t_1} = \frac{250 \text{ rad} - 16 \text{ rad}}{5.0 \text{ s} - 2.0 \text{ s}} = 78 \text{ rad/s} \\ &= \left(78 \frac{\text{rad}}{\text{s}}\right)\left(\frac{1 \text{ rev}}{2\pi \text{ rad}}\right)\left(\frac{60 \text{ s}}{1 \text{ min}}\right) = 740 \text{ rev/min}\end{aligned}$$

d) Según la ecuación (9.3):

$$\begin{aligned}\omega_z &= \frac{d\theta}{dt} = \frac{d}{dt}[(2.0 \text{ rad/s}^3)t^3] = (2.0 \text{ rad/s}^3)(3t^2) \\ &= (6.0 \text{ rad/s}^3)t^2\end{aligned}$$

En los instantes  $t_1 = 2.0 \text{ s}$  y  $t_2 = 5.0 \text{ s}$ , tenemos

$$\omega_{1z} = (6.0 \text{ rad/s}^3)(2.0 \text{ s})^2 = 24 \text{ rad/s}$$

$$\omega_{2z} = (6.0 \text{ rad/s}^3)(5.0 \text{ s})^2 = 150 \text{ rad/s}$$

**EVALUAR:** La velocidad angular  $\omega_z = (6.0 \text{ rad/s}^3)t^2$  aumenta con el tiempo. Nuestros resultados son congruentes con esto; la velocidad angular instantánea al final del intervalo ( $\omega_{2z} = 150 \text{ rad/s}$ ) es mayor que la inicial ( $\omega_{1z} = 24 \text{ rad/s}$ ), y la velocidad angular media  $\omega_{\text{med-}z} = 78 \text{ rad/s}$  para el intervalo está entre estos dos valores.

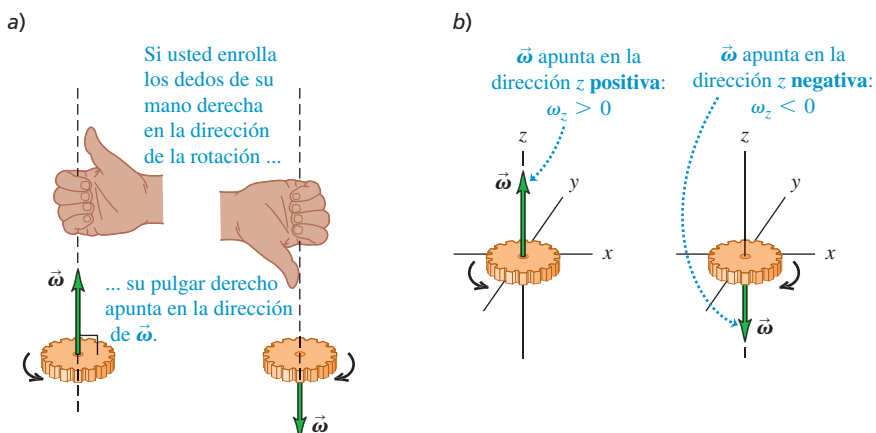
## Velocidad angular como vector

Como hemos visto, la notación para la velocidad angular  $\omega_z$  en torno al eje  $z$  recuerda la notación  $v_x$  para la velocidad ordinaria a lo largo del eje  $x$  (vea la sección 2.2). Así como  $v_x$  es la componente  $x$  del vector velocidad  $\vec{v}$ ,  $\omega_z$  es la componente  $z$  del vector velocidad angular  $\vec{\omega}$  dirigido a lo largo del eje de rotación. Como muestra la figura 9.5a, la dirección de  $\vec{\omega}$  está dada por la regla de la mano derecha que empleamos al definir el producto vectorial en la sección 1.10. Si la rotación es alrededor del eje  $z$ ,  $\vec{\omega}$  sólo tiene componente  $z$ , la cual es positiva si  $\vec{\omega}$  se encuentra a lo largo del eje  $z$  positivo, y negativa si  $\vec{\omega}$  se encuentra a lo largo del eje  $z$  negativo (figura 9.5b).

La formulación vectorial tiene especial utilidad en situaciones donde *cambia* la dirección del eje de rotación. Examinaremos brevemente estas situaciones al final del capítulo 10. Sin embargo, en el presente capítulo sólo consideraremos situaciones en las que el eje de rotación es fijo. Por consiguiente, en este capítulo, usaremos el término “velocidad angular” para referirnos a  $\omega_z$ , la componente de  $\vec{\omega}$  a lo largo del eje.

**CUIDADO** El vector velocidad angular es perpendicular al plano de rotación, así que no se encuentra en éste. Un error común es pensar que el vector velocidad angular  $\vec{\omega}$  apunta en la dirección en la que alguna parte particular del objeto se está moviendo. Otro error es pensar que  $\vec{\omega}$  es un “vector curvo” que apunta alrededor del eje de rotación en la dirección de la rotación (como las flechas curvas en las figuras 9.1, 9.3 y 9.4). ¡Nada de esto es verdad! La velocidad angular es un atributo de *todo* el cuerpo rígido que gira, no de alguna parte, y no hay nada como un vector curvo. Elegimos que la dirección  $\vec{\omega}$  esté a lo largo del eje de rotación, *perpendicular* al plano de rotación, ya que el eje es común a cada parte del cuerpo rígido que gira. ■

- 9.5** a) Regla de la mano derecha para determinar la dirección del vector velocidad angular  $\vec{\omega}$ . Si se invierte el sentido de la rotación, se invierte la dirección de  $\vec{\omega}$ .  
 b) Signo de  $\omega_z$  para la rotación a lo largo del eje  $z$ .



## Aceleración angular

Si cambia la velocidad angular de un cuerpo rígido, se produce una *aceleración angular*. Cuando una persona pedalea una bicicleta con más intensidad para hacer que las ruedas giren más rápidamente, o aplica los frenos para detener las ruedas, genera una aceleración angular sobre éstas.

Si  $\omega_{1z}$  y  $\omega_{2z}$  son las velocidades angulares instantáneas en  $t_1$  y  $t_2$ , definimos la **aceleración angular media**  $\alpha_{\text{med-}z}$  en el intervalo  $\Delta t = t_2 - t_1$  como el cambio de la velocidad angular dividido entre  $\Delta t$  (**figura 9.6**):

$$\alpha_{\text{med-}z} = \frac{\omega_{2z} - \omega_{1z}}{t_2 - t_1} = \frac{\Delta\omega_z}{\Delta t} \quad (9.4)$$

La **aceleración angular instantánea**  $\alpha_z$  es el límite de  $\alpha_{\text{med-}z}$  cuando  $\Delta t \rightarrow 0$ :

**La aceleración angular instantánea de un cuerpo rígido que gira alrededor del eje  $z$  ...**

$$\alpha_z = \lim_{\Delta t \rightarrow 0} \frac{\Delta\omega_z}{\Delta t} = \frac{d\omega_z}{dt} \quad (9.5)$$

... es igual al límite de la velocidad media angular cuando el tiempo tiende a cero ...

... y es igual a la razón de cambio instantánea de la velocidad angular del cuerpo.

La unidad usual de la aceleración angular es el radián por segundo por segundo, es decir,  $\text{rad/s}^2$ . De ahora en adelante, emplearemos el término “aceleración angular” para referirnos a la aceleración angular instantánea, no a la aceleración angular media.

Dado que  $\omega_z = d\theta/dt$ , también podemos expresar la aceleración angular como la segunda derivada de la coordenada angular:

$$\alpha_z = \frac{d}{dt} \frac{d\theta}{dt} = \frac{d^2\theta}{dt^2} \quad (9.6)$$

Probablemente el lector ya se percató de que estamos usando letras griegas para las variables de la cinemática angular:  $\theta$  para la posición,  $\omega_z$  para la velocidad angular y  $\alpha_z$  para la aceleración angular. Éstas son análogas a  $x$  para la posición,  $v_x$  para la velocidad y  $a_x$  para la aceleración, respectivamente, en el movimiento rectilíneo. En ambos casos, la velocidad es la razón de cambio de la posición con respecto al tiempo, en tanto que la aceleración es la razón de cambio de la velocidad con respecto al tiempo. Algunas veces, usaremos los términos “velocidad *lineal*” para  $v_x$  y “aceleración *lineal*” para  $a_x$  con la finalidad de distinguir claramente entre éstas y las cantidades *angulares* presentadas en el capítulo.

Si la aceleración angular  $\alpha_z$  es positiva, aumenta la velocidad angular  $\omega_z$ ; si  $\alpha_z$  es negativa,  $\omega_z$  disminuye. La rotación se está acelerando si  $\alpha_z$  y  $\omega_z$  tienen el mismo signo, y frenando si tienen signos opuestos (estas relaciones son idénticas a las que existen entre la aceleración *lineal*  $a_x$  y la velocidad *lineal*  $v_x$  en el movimiento rectilíneo; vea la sección 2.3).

### EJEMPLO 9.2 CÁLCULO DE LA ACCELERACIÓN ANGULAR

Para el volante del ejemplo 9.1, a) calcule la aceleración angular media entre  $t_1 = 2.0 \text{ s}$  y  $t_2 = 5.0 \text{ s}$ . b) Calcule las aceleraciones angulares instantáneas en  $t_1 = 2.0 \text{ s}$  y  $t_2 = 5.0 \text{ s}$ .

#### SOLUCIÓN

**IDENTIFICAR y PLANTEAR:** Usamos las ecuaciones (9.4) y (9.5) para la aceleración angular media e instantánea.

**EJECUTAR:** a) De acuerdo con el ejemplo 9.1, los valores de  $\omega_z$  en los dos instantes son

$$\omega_{1z} = 24 \text{ rad/s} \quad \omega_{2z} = 150 \text{ rad/s}$$

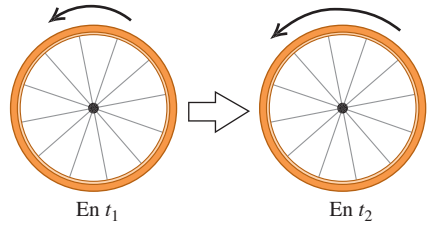
Según la ecuación (9.4), la aceleración angular media es

$$\alpha_{\text{med-}z} = \frac{150 \text{ rad/s} - 24 \text{ rad/s}}{5.0 \text{ s} - 2.0 \text{ s}} = 42 \text{ rad/s}^2$$

**9.6 Cálculo de la aceleración angular media de un cuerpo rígido que gira.**

La **aceleración angular media** es el cambio de la velocidad angular dividido entre el intervalo de tiempo:

$$\alpha_{\text{med-}z} = \frac{\omega_{2z} - \omega_{1z}}{t_2 - t_1} = \frac{\Delta\omega_z}{\Delta t}$$



b) En el ejemplo 9.1 encontramos que  $\omega_z = (6.0 \text{ rad/s}^3)t^2$  para el volante. Según la ecuación (9.5), el valor de  $\alpha_z$  en cualquier instante  $t$  es

$$\begin{aligned} \alpha_z &= \frac{d\omega_z}{dt} = \frac{d}{dt}[(6.0 \text{ rad/s}^3)(t^2)] = (6.0 \text{ rad/s}^3)(2t) \\ &= (12 \text{ rad/s}^3)t \end{aligned}$$

Por consiguiente,

$$\alpha_{1z} = (12 \text{ rad/s}^3)(2.0 \text{ s}) = 24 \text{ rad/s}^2$$

$$\alpha_{2z} = (12 \text{ rad/s}^3)(5.0 \text{ s}) = 60 \text{ rad/s}^2$$

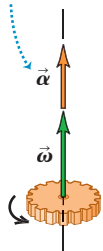
**EVALUAR:** Observe que la aceleración angular *no* es constante en esta situación. La velocidad angular  $\omega_z$  siempre aumenta porque  $\alpha_z$  siempre es positiva; además, la razón a la que aumenta la velocidad angular también está creciendo, ya que  $\alpha_z$  aumenta con el tiempo.



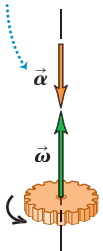
SOLUCIÓN

**9.7** Cuando el eje de rotación es fijo, los vectores aceleración angular y velocidad angular están sobre ese eje.

**α y ω en la misma dirección:** La rotación se acelera.



**α y ω en la dirección contraria:** La rotación se frena.



## Aceleración angular como un vector

Al igual que en el caso de la velocidad angular, resulta útil definir un *vector* aceleración angular  $\vec{\alpha}$ . Matemáticamente,  $\vec{\alpha}$  es la derivada con respecto al tiempo del vector velocidad angular  $\vec{\omega}$ . Si el objeto gira en torno al eje  $z$  fijo, entonces  $\vec{\alpha}$  sólo tiene componente  $\alpha_z$ . En este caso,  $\vec{\alpha}$  está en la misma dirección que  $\vec{\omega}$  si la rotación se está acelerando, y es opuesta a  $\vec{\omega}$  si frena (**figura 9.7**).

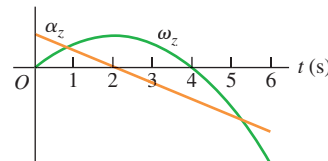
El vector  $\vec{\alpha}$  será especialmente útil en el capítulo 10 cuando veamos lo que sucede cuando el eje de rotación cambia de dirección. Sin embargo, en este capítulo el eje de rotación siempre estará fijo y sólo necesitaremos usar la componente  $z$ :  $\alpha_z$ .

### EVALÚE SU COMPRENSIÓN DE LA SECCIÓN 9.1

La figura muestra una gráfica de  $\omega_z$  y  $\alpha_z$  contra el tiempo, para un cuerpo rígido en rotación. a) ¿En qué intervalos de tiempo la rotación se acelera?

- i.  $0 < t < 2$  s; ii.  $2 \text{ s} < t < 4$  s; iii.  $4 \text{ s} < t < 6$  s.

b) ¿En qué intervalos de tiempo la rotación se frena?



## 9.2 ROTACIÓN CON ACCELERACIÓN ANGULAR CONSTANTE

En el capítulo 2, vimos que el movimiento rectilíneo es muy sencillo cuando la aceleración es constante. Lo mismo sucede con el movimiento de rotación alrededor de un eje fijo. Si la aceleración angular es constante, podemos deducir ecuaciones para la velocidad y la posición angulares siguiendo el mismo procedimiento que usamos para el movimiento rectilíneo en la sección 2.4. De hecho, las ecuaciones que vamos a deducir son idénticas a las ecuaciones (2.8), (2.12), (2.13) y (2.14) si sustituimos  $x$  por  $\theta$ ,  $v_x$  por  $\omega_z$ , y  $a_x$  por  $\alpha_z$ . Le sugerimos repasar la sección 2.4 antes de continuar.

Sea  $\omega_{0z}$  la velocidad angular de un cuerpo rígido en  $t = 0$ , y sea  $\omega_z$  su velocidad angular en cualquier instante posterior  $t$ . La aceleración angular  $\alpha_z$  es constante e igual al valor medio en cualquier intervalo. Usando la ecuación (9.4) en el intervalo de 0 a  $t$ , tenemos

$$\alpha_z = \frac{\omega_z - \omega_{0z}}{t - 0} \quad \text{o bien,}$$

Velocidad angular en el tiempo  
 $t$  de un cuerpo rígido con  
aceleración angular constante

$$\omega_z = \omega_{0z} + \alpha_z t \quad \begin{matrix} \text{Velocidad angular del cuerpo en el tiempo } 0 \\ \text{Tiempo} \\ \text{Aceleración angular constante del cuerpo} \end{matrix} \quad (9.7)$$

El producto  $\alpha_z t$  es el cambio total de  $\omega_z$  entre  $t = 0$  y el instante posterior  $t$ ; la velocidad angular  $\omega_z$  en el instante  $t$  es la suma del valor inicial  $\omega_{0z}$  y ese cambio total.

Con aceleración angular constante, la velocidad angular cambia a una tasa uniforme, así que su valor medio entre 0 y  $t$  es la media de los valores inicial y final:

$$\omega_{\text{med-}z} = \frac{\omega_{0z} + \omega_z}{2} \quad (9.8)$$

También sabemos que  $\omega_{\text{med-}z}$  es el desplazamiento angular total ( $\theta - \theta_0$ ) dividido entre el intervalo de tiempo ( $t - 0$ ):

$$\omega_{\text{med-}z} = \frac{\theta - \theta_0}{t - 0} \quad (9.9)$$

Si igualamos las ecuaciones (9.8) y (9.9), y multiplicamos el resultado por  $t$ , obtenemos

Aceleración angular  
en el tiempo  $t$  de un  
cuerpo rígido con  
aceleración angular  
constante

Posición angular del cuerpo en el tiempo 0  
 $\theta - \theta_0 = \frac{1}{2}(\omega_{0z} + \omega_z)t$   
Velocidad angular del cuerpo en el tiempo 0  
Velocidad angular del cuerpo en el tiempo  $t$

$$(9.10)$$



Para obtener una relación entre  $\theta$  y  $t$  que no incluya a  $\omega_z$ , sustituimos la ecuación (9.7) en la ecuación (9.10):

$$\theta - \theta_0 = \frac{1}{2} [\omega_{0z} + (\omega_{0z} + \alpha_z t)] t \quad \text{o bien,}$$

<b>Posición angular en el tiempo <math>t</math> de un cuerpo rígido con aceleración angular constante</b>	<b>Posición angular del cuerpo en el tiempo 0</b>	<b>Tiempo</b>
	$\theta = \theta_0 + \omega_{0z}t + \frac{1}{2}\alpha_z t^2$	
	<b>Velocidad angular del cuerpo en el tiempo 0</b>	<b>Aceleración angular constante del cuerpo</b>

(9.11)

Es decir, si en el tiempo inicial  $t = 0$  el cuerpo tiene una posición angular  $\theta_0$  y una velocidad angular  $\omega_{0z}$ , entonces su posición angular  $\theta$  en cualquier instante posterior  $t$  será la suma de tres términos: su posición angular inicial  $\theta_0$ , más la rotación  $\omega_{0z}t$  que tendría si la velocidad angular fuera constante, más una rotación adicional  $\frac{1}{2}\alpha_z t^2$  causada por el cambio en la velocidad angular.

Siguiendo el mismo procedimiento que para el movimiento rectilíneo de la sección 2.4, combinamos las ecuaciones (9.7) y (9.11) para obtener una relación entre  $\theta$  y  $\omega_z$  que no incluya  $t$ . Lo invitamos a efectuarlo, siguiendo el procedimiento que empleamos para obtener la ecuación (2.13). (Vea el ejercicio 9.12). Obtenemos

<b>Velocidad angular en el tiempo <math>t</math> de un cuerpo rígido con aceleración angular constante</b>	<b>Velocidad angular del cuerpo en el tiempo 0</b>	$\omega_z^2 = \omega_{0z}^2 + 2\alpha_z(\theta - \theta_0)$
		<b>Posición angular del cuerpo en el tiempo 0</b>
		<b>Posición angular del cuerpo en el tiempo <math>t</math></b>

(9.12)

**CUIDADO** Aceleración angular constante Tenga presente que estos resultados son válidos sólo si la aceleración angular  $\alpha_z$  es constante; no trate de aplicarlos a problemas donde  $\alpha_z$  no sea constante. En la **tabla 9.1** se muestra la analogía entre las ecuaciones (9.7), (9.10), (9.11) y (9.12), para rotación sobre un eje fijo y aceleración angular constante, y las ecuaciones correspondientes para el movimiento rectilíneo uniformemente acelerado. ▀

**Comparación de los movimientos lineal y angular con aceleración constante**

**TABLA 9.1**

Movimiento rectilíneo uniformemente acelerado	Rotación sobre un eje fijo con aceleración angular constante
$a_x = \text{constante}$	$\alpha_z = \text{constante}$
$v_x = v_{0x} + a_x t$	$\omega_z = \omega_{0z} + \alpha_z t$
$x = x_0 + v_{0x}t + \frac{1}{2}a_x t^2$	$\theta = \theta_0 + \omega_{0z}t + \frac{1}{2}\alpha_z t^2$
$v_x^2 = v_{0x}^2 + 2a_x(x - x_0)$	$\omega_z^2 = \omega_{0z}^2 + 2\alpha_z(\theta - \theta_0)$
$x - x_0 = \frac{1}{2}(v_{0x} + v_x)t$	$\theta - \theta_0 = \frac{1}{2}(\omega_{0z} + \omega_z)t$

### EJEMPLO 9.3 ROTACIÓN CON ACCELERACIÓN ANGULAR CONSTANTE

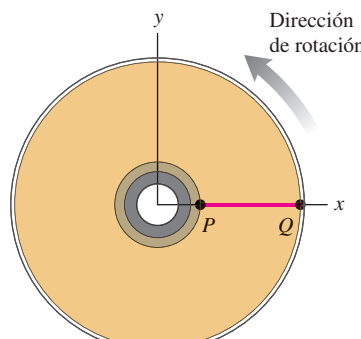


Usted acaba de ver una película en Blu-ray y el disco se está deteniendo. La velocidad angular del disco en  $t = 0$  es de 27.5 rad/s y su aceleración angular constante es de  $-10.0 \text{ rad/s}^2$ . En la superficie del disco se encuentra una recta  $PQ$  a lo largo del eje  $+x$  en  $t = 0$  (**figura 9.8**). a) ¿Qué velocidad angular tiene el disco en  $t = 0.300 \text{ s}$ ? b) ¿Qué ángulo forma la recta  $PQ$  con el eje  $+x$  en ese instante?

#### SOLUCIÓN

**IDENTIFICAR y PLANTEAR:** La aceleración angular del disco es constante, así que podemos usar cualquiera de las ecuaciones que dedujimos en esta sección (tabla 9.1). Las incógnitas son la velocidad angular  $\omega_z$  y el desplazamiento angular  $\theta$  en  $t = 0.300 \text{ s}$ . Puesto que se conocen  $\omega_{0z} = 27.5 \text{ rad/s}$ ,  $\theta_0 = 0$  y  $\alpha_z = -10.0 \text{ rad/s}^2$ , lo más fácil es usar las ecuaciones (9.7) y (9.11) para obtener las incógnitas.

**9.8** La recta  $PQ$  sobre un disco de Blu-ray que gira en  $t = 0$ .



Continúa

**EJECUTAR:** a) Por la ecuación (9.7), en  $t = 0.300$  s tenemos

$$\begin{aligned}\omega_z &= \omega_{0z} + \alpha_z t = 27.5 \text{ rad/s} + (-10.0 \text{ rad/s}^2)(0.300 \text{ s}) \\ &= 24.5 \text{ rad/s}\end{aligned}$$

b) Por la ecuación (9.11),

$$\begin{aligned}\theta &= \theta_0 + \omega_{0z}t + \frac{1}{2}\alpha_z t^2 \\ &= 0 + (27.5 \text{ rad/s})(0.300 \text{ s}) + \frac{1}{2}(-10.0 \text{ rad/s}^2)(0.300 \text{ s})^2 \\ &= 7.80 \text{ rad} = 7.80 \text{ rad} \left( \frac{1 \text{ rev}}{2\pi \text{ rad}} \right) = 1.24 \text{ rev}\end{aligned}$$

El disco ha girado una revolución completa más 0.24 de revolución, es decir,  $360^\circ$  más un ángulo adicional de  $(0.24 \text{ rev})(360^\circ/\text{rev}) = 87^\circ$ . Por lo tanto, la recta  $PQ$  forma un ángulo de  $87^\circ$  con el eje  $+x$ .

**EVALUAR:** La respuesta al inciso a) nos indica que disminuyó la velocidad angular del disco, como debe ser, puesto que  $\alpha_z < 0$ . También podemos usar el valor de  $\omega_z$  del inciso a) con la ecuación (9.12) para comprobar el resultado de  $\theta$  del inciso b). Para hacerlo, despejamos  $\theta$  de la ecuación (9.12):

$$\begin{aligned}\omega_z^2 &= \omega_{0z}^2 + 2\alpha_z(\theta - \theta_0) \\ \theta &= \theta_0 + \left( \frac{\omega_z^2 - \omega_{0z}^2}{2\alpha_z} \right) \\ &= 0 + \frac{(24.5 \text{ rad/s})^2 - (27.5 \text{ rad/s})^2}{2(-10.0 \text{ rad/s}^2)} = 7.80 \text{ rad}\end{aligned}$$

Esto coincide con el resultado anterior del inciso b).

**EVALÚE SU COMPRENSIÓN DE LA SECCIÓN 9.2** Suponga que el disco del ejemplo 9.3 originalmente estaba girando al doble de la tasa (esto es, a  $55.0 \text{ rad/s}$  en lugar de  $27.5 \text{ rad/s}$ ) y que frenó al doble de la tasa ( $-20.0 \text{ rad/s}^2$ , en vez de  $-10.0 \text{ rad/s}^2$ ). a) En comparación con la situación del ejemplo 9.3, ¿cuánto tiempo le tomaría al disco llegar al reposo? **i.** La misma cantidad de tiempo; **ii.** el doble de tiempo; **iii.** 4 veces más tiempo; **iv.**  $\frac{1}{2}$  del tiempo; **v.**  $\frac{1}{4}$  del tiempo. b) En comparación con la situación del ejemplo 9.3, ¿cuántas revoluciones giraría el disco antes de detenerse? **i.** El mismo número de revoluciones; **ii.** el doble de revoluciones; **iii.** 4 veces más revoluciones; **iv.**  $\frac{1}{2}$  de las revoluciones; **v.**  $\frac{1}{4}$  de las revoluciones. **I**

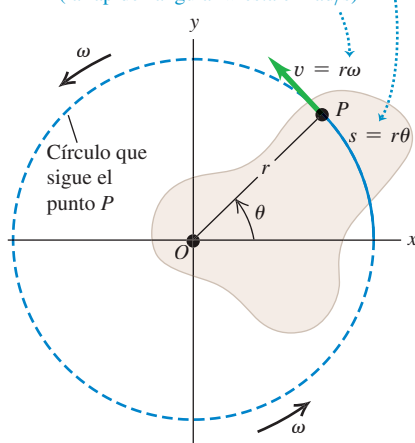
## 9.3 RELACIÓN ENTRE CINEMÁTICA LINEAL Y CINEMÁTICA ANGULAR

¿Cómo obtenemos la velocidad y aceleración lineales de un punto dado en un cuerpo rígido en rotación? Se necesita la respuesta para continuar con nuestro estudio de la rotación. Por ejemplo, si deseamos obtener la energía cinética de un cuerpo en rotación, debemos partir de  $K = \frac{1}{2}mv^2$  para una partícula, y esto requiere conocer la rapidez  $v$  de cada partícula del cuerpo. Entonces, vale la pena deducir relaciones generales entre la rapidez y la aceleración *angulares* de un cuerpo rígido que gira sobre un eje fijo, y la rapidez y la aceleración *lineales* de un punto o una partícula específicos del cuerpo.

**9.9** Cuerpo rígido que gira alrededor de un eje fijo y pasa por el punto  $O$ .

Distancia que recorre el punto  $P$  del cuerpo (el ángulo  $\theta$  está en radianes).

Rapidez lineal del punto  $P$  (la rapidez angular  $\omega$  está en rad/s)



### Rapidez lineal en la rotación de un cuerpo rígido

Cuando un cuerpo rígido gira alrededor de un eje fijo, todas sus partículas se mueven en una trayectoria circular que se encuentra en un plano perpendicular al eje y está centrado sobre éste. La rapidez de una partícula es directamente proporcional a la velocidad angular del cuerpo; cuanto más rápidamente gira el cuerpo, mayor es la rapidez de cada partícula. En la figura 9.9, el punto  $P$  está a una distancia constante  $r$  del eje de rotación, así que se mueve en un círculo de radio  $r$ . En cualquier instante, la ecuación (9.1) relaciona el ángulo  $\theta$  (en radianes) con la longitud del arco  $s$ :

$$s = r\theta$$

Al derivar con respecto al tiempo, se observa que  $r$  es constante para una partícula específica, y se toma el valor absoluto de ambos lados:

$$\left| \frac{ds}{dt} \right| = r \left| \frac{d\theta}{dt} \right|$$

Ahora,  $|ds/dt|$  es el valor absoluto de la razón de cambio de la longitud de arco, que es igual a la rapidez *lineal* instantánea  $v$  de la partícula. De manera análoga,  $|d\theta/dt|$  es

el valor absoluto de la razón de cambio del ángulo, y es la **rapidez angular** instantánea  $\omega$ , es decir, la magnitud de la velocidad angular instantánea en rad/s. Así,

$$\text{Rapidez lineal de un punto en un cuerpo rígido que gira} \quad v = r\omega \quad \text{Rapidez angular del cuerpo rígido que gira}$$

Distancia del punto al eje de rotación

(9.13)

Cuanto más lejos está un punto del eje, mayor será su rapidez lineal. La *dirección* del vector velocidad lineal es tangente a la trayectoria circular en todos los puntos (figura 9.9).

**CUIDADO Rapidez contra velocidad** Tenga presente la distinción entre las *rapideces* lineal y angular  $v$  y  $\omega$ , que aparecen en la ecuación (9.13), y las *velocidades* lineal y angular  $v_x$  y  $\omega_z$ . Las cantidades sin subíndices,  $v$  y  $\omega$ , nunca son negativas; son las magnitudes de los vectores  $\vec{v}$  y  $\vec{\omega}$ , respectivamente, y sus valores indican con qué rapidez ( $v$ ) se está moviendo la partícula o qué tan rápido gira el cuerpo ( $\omega$ ). Las cantidades correspondientes con subíndice,  $v_x$  y  $\omega_z$ , pueden ser positivas o negativas; su signo indica la dirección del movimiento. ■

## Aceleración lineal en la rotación de un cuerpo rígido

Podemos representar la aceleración  $\vec{a}$  de una partícula que se mueve en círculo en términos de sus componentes centrípeta y tangencial,  $a_{\text{rad}}$  y  $a_{\text{tan}}$  (figura 9.10), como hicimos en la sección 3.4. Le recomendamos repasar esa sección ahora. Vimos que la **componente tangencial de aceleración**  $a_{\text{tan}}$ , o componente paralela a la velocidad instantánea, actúa cambiando la *magnitud* de la velocidad de la partícula (su rapidez) y es igual a la razón de cambio de la rapidez. Derivando la ecuación (9.13), obtenemos

$$\text{Aceleración tangencial de un punto en un cuerpo rígido que gira} \quad a_{\text{tan}} = \frac{dv}{dt} = r \frac{d\omega}{dt} = r\alpha$$

Distancia al punto desde el eje de rotación

Razón de cambio de la rapidez lineal del punto      Razón de cambio de la rapidez angular del cuerpo

(9.14)

Esta componente de  $\vec{a}$  siempre es tangente a la trayectoria circular del punto  $P$  (figura 9.10).

La cantidad  $\alpha = d\omega/dt$  de la ecuación (9.14) es la razón de cambio de la *rapidez angular*. No es la misma que  $\alpha_z = d\omega_z/dt$ , que es la razón de cambio de la *velocidad angular*. Por ejemplo, consideremos un cuerpo que gira de modo que su vector velocidad angular apunta en la dirección  $-z$  (vea la figura 9.5b). Si la rapidez angular del cuerpo está aumentando a una tasa de 10 rad/s por segundo, entonces  $\alpha = 10 \text{ rad/s}^2$ . Sin embargo,  $\omega_z$  es negativa y se hace más negativa a medida que la rotación aumenta, así que  $\alpha_z = -10 \text{ rad/s}^2$ . La regla para la rotación en torno a un eje fijo es que  $\alpha$  es igual a  $\alpha_z$  si  $\omega_z$  es positiva, e igual a  $-\alpha_z$  si  $\omega_z$  es negativa.

La componente de  $\vec{a}$  en la figura 9.10 dirigida hacia el eje de rotación, la **componente centrípeta de aceleración**  $a_{\text{rad}}$ , está asociada con el cambio de *dirección* de la velocidad del punto  $P$ . En la sección 3.4 se dedujo la relación  $a_{\text{rad}} = v^2/r$ . Podemos expresar esto en términos de  $\omega$  mediante la ecuación (9.13).

$$\text{Aceleración centrípeta de un punto en un cuerpo rígido que gira} \quad a_{\text{rad}} = \frac{v^2}{r} = \omega^2 r$$

Rapidez lineal de ese punto      Rapidez angular del cuerpo

Distancia al punto desde el eje de rotación

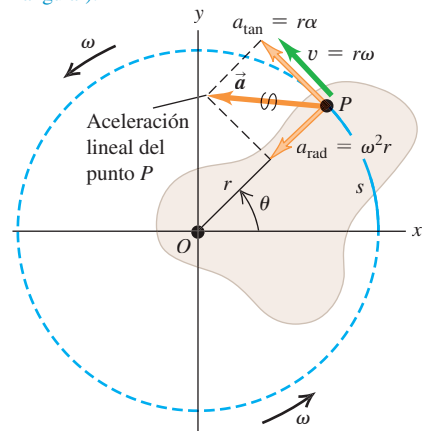
(9.15)

Esto se cumple en todo instante *aun cuando  $\omega$  y  $v$  no sean constantes*. La componente centrípeta siempre apunta hacia el eje de rotación.

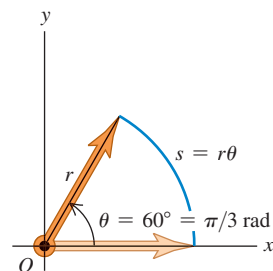
**CUIDADO Utilice ángulos en radianes** Es importante recordar que la ecuación (9.1),  $s = r\theta$ , es válida sólo si  $\theta$  se mide en radianes. Lo mismo sucede con todas las ecuaciones obtenidas a partir de ella, incluidas las ecuaciones (9.13), (9.14) y (9.15). Al usar estas ecuaciones, los ángulos *se deben* expresar en radianes, no en revoluciones ni en grados (figura 9.11). ■

**9.10** Cuerpo rígido cuya rotación está acelerando. La aceleración del punto  $P$  tiene una componente  $a_{\text{rad}}$  hacia el eje de rotación (perpendicular a  $\vec{v}$ ) y una componente  $a_{\text{tan}}$  a lo largo del círculo que sigue el punto  $P$  (paralela a  $\vec{v}$ ).

- Componentes de aceleración radial y tangencial:
- $a_{\text{rad}} = \omega^2 r$  es la aceleración centrípeta del punto  $P$ .
  - $a_{\text{tan}} = r\alpha$  significa que la rotación de  $P$  está aumentando (el cuerpo tiene aceleración angular).



**9.11** Al relacionar cantidades lineales y angulares, utilice siempre radianes.



En cualquier ecuación que relacione cantidades lineales con cantidades angulares, los ángulos SE DEBEN expresar en radianes ...

**¡CORRECTO! ▶**  $s = (\pi/3)r$

... nunca en grados ni en revoluciones.

**INCORRECTO! ▶**  $s = 60r$

Las ecuaciones (9.1), (9.13) y (9.14) también son válidas para cualquier partícula que tenga la misma velocidad tangencial de un punto en un cuerpo rígido en rotación. Por ejemplo, si una cuerda enrollada en un cilindro se desenrolla sin estirarse ni resbalar, su rapidez y aceleración en cualquier instante son iguales a la rapidez y aceleración tangencial del punto en el cual es tangente al cilindro. El mismo principio se cumple en las cadenas y ruedas dentadas de una bicicleta, en correas y poleas que giran sin deslizarse, etcétera. Más adelante en este capítulo y en el siguiente, tendremos varias oportunidades de usar dichas relaciones. Observe que la ecuación (9.15) para la componente centrípeta  $a_{\text{rad}}$  es aplicable a la cuerda o cadena *sólo* en los puntos de contacto con el cilindro o la rueda dentada. Los demás puntos no tienen la misma aceleración hacia el centro del círculo que tienen los puntos sobre el cilindro o la rueda dentada.



### EJEMPLO 9.4 LANZAMIENTO DE DISCO

Un lanzador de disco gira el disco en un círculo con radio de 80.0 cm. En cierto instante, el lanzador gira a 10.0 rad/s y la rapidez angular está aumentando a 50 rad/s<sup>2</sup>. Calcule las componentes de aceleración tangencial y centrípeta del disco, así como la magnitud de la aceleración, en ese instante.

#### SOLUCIÓN

**IDENTIFICAR y PLANTEAR:** Tratamos al disco como una partícula que sigue una trayectoria circular (**figura 9.12a**), así que podemos usar los conceptos que desarrollamos en esta sección. Conocemos el radio  $r = 0.800 \text{ m}$ ,  $\omega = 10.0 \text{ rad/s}$  y  $\alpha = 50.0 \text{ rad/s}^2$  (**figura 9.12b**). Usaremos las ecuaciones (9.14) y (9.15), respectivamente, para obtener las componentes de aceleración  $a_{\tan}$  y  $a_{\text{rad}}$ ; luego, calcularemos la magnitud de  $a$  aplicando el teorema de Pitágoras.

**EJECUTAR:** De acuerdo con las ecuaciones (9.14) y (9.15):

$$a_{\tan} = r\alpha = (0.800 \text{ m})(50.0 \text{ rad/s}^2) = 40.0 \text{ m/s}^2$$

$$a_{\text{rad}} = \omega^2 r = (10.0 \text{ rad/s})^2(0.800 \text{ m}) = 80.0 \text{ m/s}^2$$

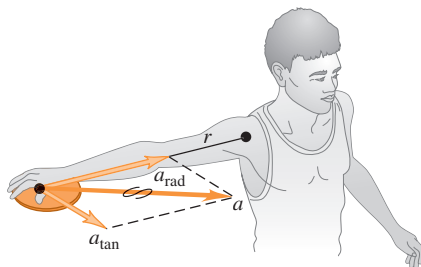
Entonces,

$$a = \sqrt{a_{\tan}^2 + a_{\text{rad}}^2} = 89.4 \text{ m/s}^2$$

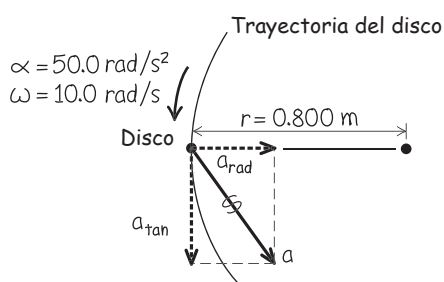
**EVALUAR:** Observe que omitimos la unidad “radián” de los resultados para  $a_{\tan}$ ,  $a_{\text{rad}}$  y  $a$ . Podemos hacerlo porque el “radián” es una cantidad adimensional. ¿Puede usted demostrar que, si la rapidez angular se duplica a 20.0 rad/s mientras  $\alpha$  permanece constante, la magnitud de la aceleración,  $a$ , aumenta a 322 m/s<sup>2</sup>?

**9.12** a) Lanzamiento de disco con giro circular. b) El diagrama muestra las componentes de la aceleración para el disco.

a)



b)



### EJEMPLO 9.5 DISEÑO DE UNA HÉLICE

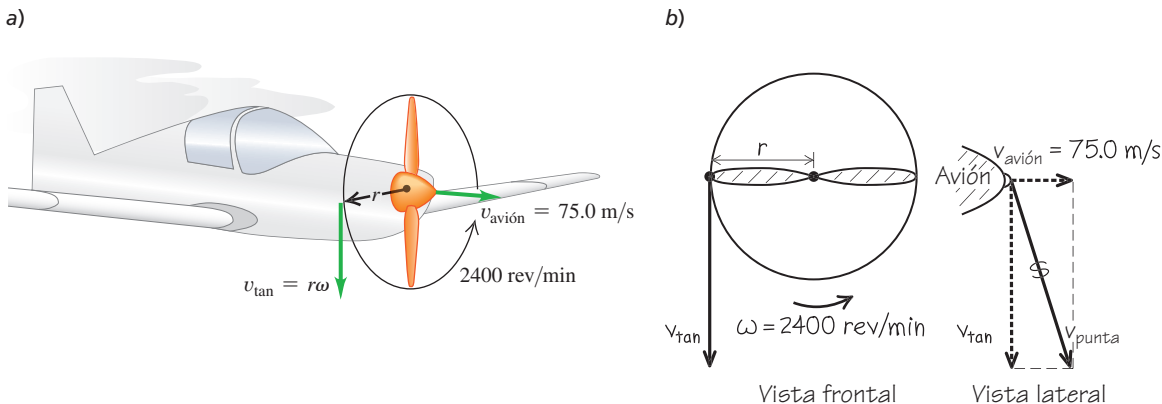
Imagine que le piden diseñar la hélice de un avión que va a girar a 2400 rpm (**figura 9.13a**). La rapidez de avance del avión en el aire debe ser de 75.0 m/s, y la rapidez de las puntas de las aspas de la hélice en el aire no debe exceder 270 m/s (esto es cerca del 80% de la rapidez del sonido en el aire). Si la rapidez de las puntas de la hélice fuera mayor, producirían un ruido ensordecedor). a) ¿Qué radio máximo puede tener la hélice? b) Con ese radio, ¿qué aceleración tiene la punta de la hélice?

#### SOLUCIÓN

**IDENTIFICAR y PLANTEAR:** Consideraremos una partícula en la punta de la hélice; las incógnitas son la distancia entre esa partícula y el eje, y su aceleración. La rapidez de esta partícula en el aire, debida tanto a la rotación de la hélice como al movimiento hacia adelante del avión, no puede exceder 270 m/s. La figura 9.13b indica que la velocidad  $\vec{v}_{\text{punta}}$  de una partícula en la punta de la hélice es la suma



**9.13** a) Avión impulsado en el aire por una hélice. b) Diagrama que muestra las componentes de la velocidad en la punta de la hélice.



vectorial de su velocidad tangencial debida a la rotación de la hélice de magnitud  $v_{\text{tan}} = \omega r$ , dada por la ecuación (9.13), y la velocidad hacia adelante del avión, de magnitud  $v_{\text{avión}} = 75.0 \text{ m/s}$ . El plano de rotación de la hélice es perpendicular a la dirección del vuelo, así que  $\vec{v}_{\text{tan}}$  y  $\vec{v}_{\text{avión}}$  son perpendiculares entre sí; de manera que podemos usar el teorema de Pitágoras para obtener una expresión para  $v_{\text{punta}}$ , a partir de  $v_{\text{tan}}$  y  $v_{\text{avión}}$ . Entonces, obtenemos  $v_{\text{punta}}$  igual a  $270 \text{ m/s}$  y despejamos el radio  $r$ . La rapidez angular de la hélice es constante, de manera que la aceleración de la punta de la hélice sólo tiene una componente radial, la cual obtendremos con la ecuación (9.15).

**EJECUTAR:** Primero convertimos  $\omega$  a rad/s (vea la figura 9.11):

$$\omega = 2400 \text{ rpm} = \left( 2400 \frac{\text{rev}}{\text{min}} \right) \left( \frac{2\pi \text{ rad}}{1 \text{ rev}} \right) \left( \frac{1 \text{ min}}{60 \text{ s}} \right) = 251 \text{ rad/s}$$

a) Segundo la figura 9.13b y la ecuación (9.13),

$$v_{\text{punta}}^2 = v_{\text{avión}}^2 + v_{\text{tan}}^2 = v_{\text{avión}}^2 + r^2\omega^2 \quad \text{por lo que}$$

$$r^2 = \frac{v_{\text{punta}}^2 - v_{\text{avión}}^2}{\omega^2} \quad \text{y} \quad r = \frac{\sqrt{v_{\text{punta}}^2 - v_{\text{avión}}^2}}{\omega}$$

Si  $v_{\text{punta}} = 270 \text{ m/s}$ , el radio máximo de la hélice es

$$r = \frac{\sqrt{(270 \text{ m/s})^2 - (75.0 \text{ m/s})^2}}{251 \text{ rad/s}} = 1.03 \text{ m}$$

b) La aceleración centrípeta de la partícula es, a partir de la ecuación (9.15),

$$\begin{aligned} a_{\text{rad}} &= \omega^2 r = (251 \text{ rad/s})^2 (1.03 \text{ m}) \\ &= 6.5 \times 10^4 \text{ m/s}^2 = 6600g \end{aligned}$$

La aceleración *tangencial*  $a_{\text{tan}}$  es cero porque  $\omega$  es constante.

**EVALUAR:** De acuerdo con  $\sum \vec{F} = m\vec{a}$ , la hélice debe ejercer una fuerza de  $6.5 \times 10^4 \text{ N}$  sobre cada kilogramo de material en la punta! Por eso, las hélices se fabrican con materiales resistentes; por lo general, se utiliza una aleación de aluminio.

**EVALÚE SU COMPRENSIÓN DE LA SECCIÓN 9.3** En un disco Blu-ray (vea la figura 9.8), se almacena información en un patrón codificado de orificios diminutos, los cuales están dispuestos en una pista que forma una espiral del centro al borde del disco. Cuando el disco gira dentro de un reproductor, la pista se escanea con rapidez *lineal* constante. ¿Cómo debe cambiar la rapidez de rotación  $\omega$  del disco mientras la cabeza lectora del reproductor se mueve a lo largo de la pista? i.  $\omega$  debe aumentar. ii.  $\omega$  debe disminuir. iii.  $\omega$  debe permanecer constante. I

## 9.4 ENERGÍA EN EL MOVIMIENTO DE ROTACIÓN

Un cuerpo rígido en rotación es una masa en movimiento, así que tiene energía cinética. Como veremos, podemos expresar esa energía cinética en términos de la rapidez angular del cuerpo y una nueva cantidad, llamada *momento de inercia*, que depende de la masa del cuerpo y de la forma en que se distribuye.

Para empezar, visualicemos un cuerpo formado por un gran número de partículas, con masas  $m_1, m_2, \dots$  a distancias  $r_1, r_2, \dots$  del eje de rotación. Identificamos las partículas con el subíndice  $i$ . La masa de la  $i$ -ésima partícula es  $m_i$  y su distancia *perpendicular* con respecto al eje de rotación es  $r_i$  (las partículas no tienen que estar todas en el mismo plano).

Cuando un cuerpo rígido gira alrededor de un eje fijo, la rapidez  $v_i$  de la  $i$ -ésima partícula está dada por la ecuación (9.13),  $v_i = r_i\omega$ , donde  $\omega$  es la rapidez angular del cuerpo. Diferentes partículas tienen distintos valores de  $r_i$ , pero  $\omega$  es igual para todas

## LOS DATOS HABLAN

### Relacionar cantidades lineales y angulares

Cuando a varios estudiantes se les planteó un problema acerca del movimiento de puntos sobre un cuerpo rígido que gira, más del 21% dieron una respuesta incorrecta.

Errores comunes:

- Confundir la aceleración centrípeta y tangencial. Los puntos sobre el cuerpo rígido tienen una aceleración centrípeta (radial)  $a_{\text{rad}}$  siempre que el cuerpo esté girando, pero tienen aceleración tangencial  $a_{\text{tan}}$  sólo si la rapidez angular está cambiando.
- Olvidar que los valores de  $a_{\text{rad}}$  y  $a_{\text{tan}}$  en un punto dependen de las distancias a los puntos desde el eje de rotación.

(de otra forma, el cuerpo no sería rígido). La energía cinética de la  $i$ -ésima partícula se expresa como

$$\frac{1}{2}m_i v_i^2 = \frac{1}{2}m_i r_i^2 \omega^2$$

La energía cinética *total* del cuerpo es la suma de las energías cinéticas de todas sus partículas:

$$K = \frac{1}{2}m_1 r_1^2 \omega^2 + \frac{1}{2}m_2 r_2^2 \omega^2 + \dots = \sum_i \frac{1}{2}m_i r_i^2 \omega^2$$

Sacando el factor común  $\omega^2/2$  de esta expresión, obtenemos

$$K = \frac{1}{2}(m_1 r_1^2 + m_2 r_2^2 + \dots) \omega^2 = \frac{1}{2} \left( \sum_i m_i r_i^2 \right) \omega^2$$



DEMO

La cantidad entre paréntesis, que se obtiene multiplicando la masa de cada partícula por el cuadrado de su distancia al eje de rotación y sumando los productos, se denota con  $I$  y es el **momento de inercia** del cuerpo para ese eje de rotación:

<b>Momento de inercia</b> de un cuerpo para un eje de rotación dado	<b>Masas de las partículas que forman el cuerpo</b> $I = m_1 r_1^2 + m_2 r_2^2 + \dots = \sum_i m_i r_i^2$	(9.16) <b>Distancias perpendiculares de las partículas desde el eje de rotación</b>
---	---	--

La palabra “momento” significa que  $I$  depende de la distribución espacial de la masa del cuerpo; nada tiene que ver con un “momento” de tiempo. Para un cuerpo con un eje de rotación dado y una masa total determinada, cuanto mayor sea la distancia del eje a las partículas que constituyen el cuerpo, mayor será el momento de inercia  $I$ . En un cuerpo rígido, las distancias  $r_i$  son constantes, e  $I$  es independiente de cómo gira el cuerpo en torno al eje dado. La unidad del momento de inercia en el SI es el kilogramo-metro<sup>2</sup> ( $\text{kg}\cdot\text{m}^2$ ).

Usando la ecuación (9.16), vemos que la **energía cinética de rotación**  $K$  de un cuerpo rígido es

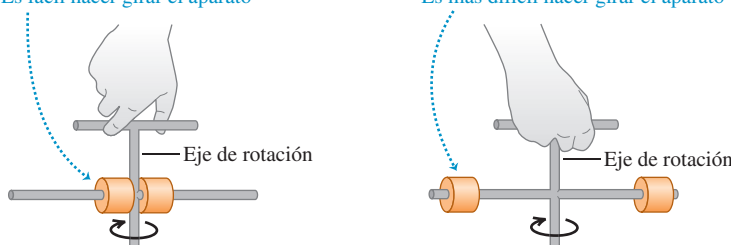
<b>Energía cinética de rotación</b> de un cuerpo rígido que gira alrededor de un eje	$K = \frac{1}{2} I \omega^2$	<b>Momento de inercia del</b> cuerpo para un eje de rotación dado Rapidez angular del cuerpo
--	------------------------------	---

La energía cinética dada por la ecuación (9.17) *no* es una nueva forma de energía; es simplemente la suma de las energías cinéticas de las partículas individuales que forman el cuerpo rígido en rotación. Para usar la ecuación (9.17),  $\omega$  *debe* medirse en radianes por segundo, no en revoluciones ni en grados por segundo, para obtener  $K$  en joules; la razón es que usamos  $v_i = r_i \omega$  en la deducción.

La ecuación (9.17) ofrece una interpretación física sencilla del momento de inercia: *cuanto mayor sea el momento de inercia, mayor será la energía cinética de un cuerpo rígido que gira con una rapidez angular  $\omega$* . En el capítulo 6 vimos que la energía cinética de un cuerpo es igual al trabajo efectuado para acelerar ese cuerpo desde el reposo. De esa forma, cuanto mayor sea el momento de inercia de un cuerpo, más difícil será ponerlo a girar si está en reposo, y más difícil será detener su rotación si ya está girando (**figura 9.14**). Por esta razón,  $I$  también se denomina *inercia rotacional*.

**9.14** Aparato que gira libremente en torno a un eje vertical. El momento de inercia se puede variar fijando los dos cilindros de igual masa en diferentes posiciones sobre la barra horizontal.

- Masa cercana al eje
- Momento de inercia pequeño
- Es fácil hacer girar el aparato
- Masa más lejos del eje
- Mayor momento de inercia
- Es más difícil hacer girar el aparato





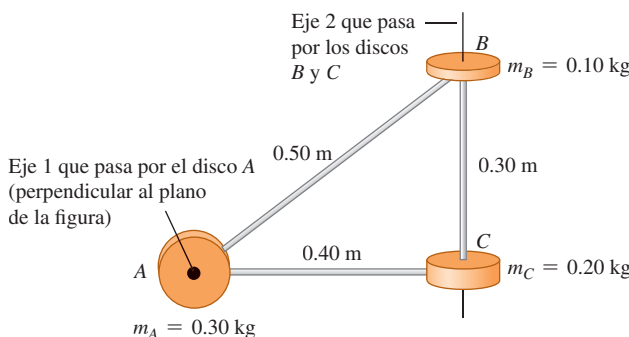
## EJEMPLO 9.6 MOMENTOS DE INERCIA PARA DIFERENTES EJES DE ROTACIÓN

La pieza de una máquina (**figura 9.15**) está formada por tres discos unidos por puntales ligeros. *a)* ¿Qué momento de inercia tiene este cuerpo con respecto al eje 1 que pasa por el centro del disco A y es perpendicular al plano del diagrama? *b)* ¿Qué momento de inercia tiene con respecto al eje 2 que pasa por el centro de los discos B y C? *c)* Si el cuerpo gira alrededor del eje 1 con rapidez angular  $\omega = 4.0 \text{ rad/s}$ , ¿qué energía cinética tiene?

### SOLUCIÓN

**IDENTIFICAR y PLANTEAR:** Consideraremos los discos como partículas masivas ubicadas en los centros de los discos, y a los puntales

#### 9.15 Pieza mecánica de forma inusual.



ligeros carentes de masa. En los incisos *a*) y *b*), usaremos la ecuación (9.16) para calcular los momentos de inercia. Conocido el momento de inercia con respecto al eje 1, usaremos la ecuación (9.17) en el inciso *c*) para calcular la energía cinética de rotación.

**EJECUTAR:** *a)* La partícula en el punto A está *sobre* el eje 1 que pasa por A, de modo que su distancia  $r$  al eje es cero, así que no contribuye al momento de inercia. Por lo tanto, sólo B y C contribuyen, y de la ecuación (9.16) se obtiene

$$\begin{aligned} I_1 &= \sum m_i r_i^2 = (0.10 \text{ kg})(0.50 \text{ m})^2 + (0.20 \text{ kg})(0.40 \text{ m})^2 \\ &= 0.057 \text{ kg} \cdot \text{m}^2 \end{aligned}$$

*b)* Las partículas en B y C están sobre el eje 2, así que ninguna contribuye al momento de inercia. Sólo A contribuye, y tenemos

$$I_2 = \sum m_i r_i^2 = (0.30 \text{ kg})(0.40 \text{ m})^2 = 0.048 \text{ kg} \cdot \text{m}^2$$

*c)* De acuerdo con la ecuación (9.17),

$$K_1 = \frac{1}{2} I_1 \omega^2 = \frac{1}{2}(0.057 \text{ kg} \cdot \text{m}^2)(4.0 \text{ rad/s})^2 = 0.46 \text{ J}$$

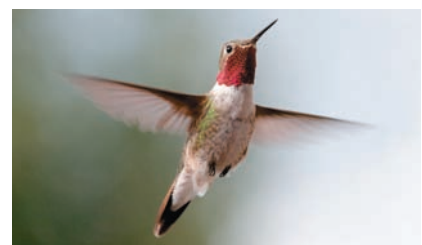
**EVALUAR:** El momento de inercia con respecto al eje 2 es mayor que el momento de inercia con respecto al eje 1. Por lo tanto, considerando los dos ejes, es más fácil hacer girar la pieza alrededor del eje 2.

**CUIDADO** El momento de inercia depende de la elección del eje. El ejemplo 9.6 demuestra que el momento de inercia de un cuerpo depende de la ubicación y orientación del eje. No basta con decir: "El momento de inercia de este cuerpo es de  $0.048 \text{ kg} \cdot \text{m}^2$ ". Debemos ser específicos y decir: "El momento de inercia de este cuerpo *con respecto al eje que pasa por B y C* es de  $0.048 \text{ kg} \cdot \text{m}^2$ ".

En el ejemplo 9.6, representamos el cuerpo como varias masas puntuales, y evaluamos la suma directamente con la ecuación (9.16). Si el cuerpo es una distribución continua de masa, como un cilindro o una placa sólidos, la suma se convierte en una integral y necesitamos usar el cálculo integral para determinar el momento de inercia. Daremos varios ejemplos de estos cálculos en la sección 9.6; mientras tanto, en la **tabla 9.2** (página siguiente) se indican los momentos de inercia de varias formas comunes en términos de sus masas y dimensiones. Todos los cuerpos mostrados en la tabla 9.2 son *uniformes*; es decir, la densidad tiene el mismo valor en todos los puntos dentro de las partes sólidas del cuerpo.

### BIO Aplicación Momento de inercia del ala de un ave

Cuando un ave aleata, hace girar sus alas arriba y abajo alrededor del hombro. Un colibrí tiene alas pequeñas con un momento de inercia pequeño, de modo que puede batir sus alas rápidamente (hasta 70 aleteos por segundo). En contraste, el cóndor de los Andes (*Vultur gryphus*) tiene alas muy grandes que son difíciles de agitar debido a su gran momento de inercia. En el despegue, los cóndores efectúan un aleteo por segundo aproximadamente, pero la mayoría de las veces prefieren planear mientras mantienen sus alas fijas.



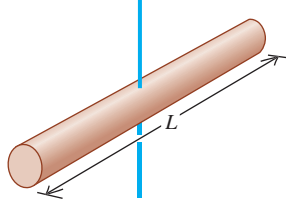
**CUIDADO** Cálculo del momento de inercia Es posible que el lector se sienta tentado a calcular el momento de inercia de un cuerpo suponiendo que toda la masa está concentrada en el centro de masa, multiplicando después la masa total por el cuadrado de la distancia del centro de masa al eje. Resista la tentación, ¡sería un error hacerlo! Por ejemplo, si una varilla delgada y uniforme de longitud  $L$  y masa  $M$  pivotea sobre un eje que pasa por un extremo, perpendicular a la varilla, el momento de inercia es  $I = ML^2/3$  [caso *b*) en la tabla 9.2]. Si tomáramos la masa como si estuviera concentrada en el centro, a una distancia  $L/2$  del eje, obtendríamos el resultado incorrecto  $I = M(L/2)^2 = ML^2/4$ .

Ahora que sabemos calcular la energía cinética de un cuerpo rígido en rotación, podemos aplicar los principios de energía del capítulo 7 al movimiento de rotación. Veamos ciertos aspectos de la estrategia para resolver problemas en la página siguiente, con los ejemplos que le siguen, para mostrar cómo se hace esto.

**TABLA 9.2** Momentos de inercia de diversos cuerpos

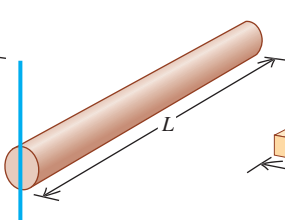
a) Varilla delgada,  
eje a través del centro

$$I = \frac{1}{12}ML^2$$



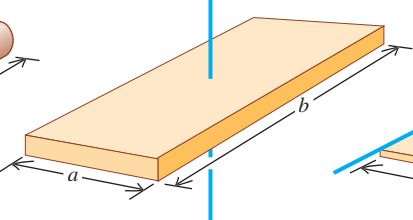
b) Varilla delgada,  
eje a través de un extremo

$$I = \frac{1}{3}ML^2$$



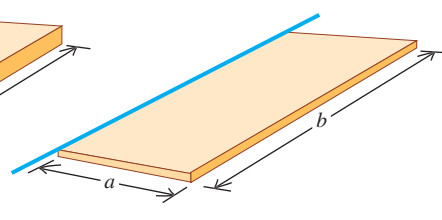
c) Placa rectangular,  
eje a través del centro

$$I = \frac{1}{12}M(a^2 + b^2)$$



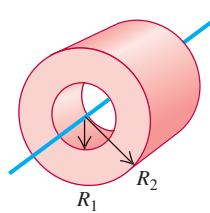
d) Placa rectangular delgada,  
eje a lo largo de un borde

$$I = \frac{1}{3}Ma^2$$



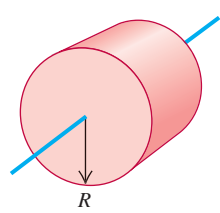
e) Cilindro hueco de pared gruesa

$$I = \frac{1}{2}M(R_1^2 + R_2^2)$$



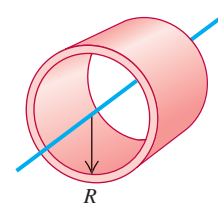
f) Cilindro sólido

$$I = \frac{1}{2}MR^2$$



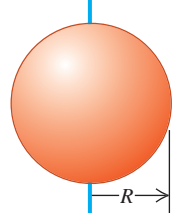
g) Cilindro hueco de pared delgada

$$I = MR^2$$



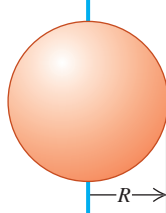
h) Esfera sólida

$$I = \frac{2}{5}MR^2$$



i) Esfera hueca de pared delgada

$$I = \frac{2}{3}MR^2$$



## ESTRATEGIA PARA RESOLVER PROBLEMAS 9.1 ENERGÍA DE ROTACIÓN

**IDENTIFICAR** los conceptos relevantes: Podemos usar las relaciones de trabajo-energía y la conservación de la energía para obtener relaciones entre la posición y el movimiento de un cuerpo rígido que gira en torno a un eje fijo. Por lo general, el método de energía no es útil para resolver problemas en los que interviene el tiempo. En el capítulo 10 veremos cómo tratar problemas de rotación de ese tipo.

**PLANTEAR** el problema siguiendo la estrategia para resolver problemas descrita en la sección 7.1, con las siguientes adiciones:

5. Use las ecuaciones (9.13) y (9.14) en problemas que incluyen una cuerda (o algo similar) enrollada en un cuerpo rígido que gira, si la cuerda no resbala. Estas ecuaciones relacionan la rapidez lineal y la aceleración tangencial de un punto de un cuerpo con la velocidad y la aceleración angulares del cuerpo (vea los ejemplos 9.7 y 9.8).
6. Use la tabla 9.2 para calcular momentos de inercia. Aplique el teorema de los ejes paralelos, ecuación (9.19) (que se deducirá en

la sección 9.5), con la finalidad de calcular momentos de inercia para rotación alrededor de ejes paralelos a los mostrados en la tabla.

**EJECUTAR** la solución: Escriba las expresiones de las energías cinética y potencial iniciales y finales  $K_1$ ,  $K_2$ ,  $U_1$  y  $U_2$  y la del trabajo no conservativo  $W_{\text{otras}}$  (si lo hay), donde  $K_1$  y  $K_2$  deben incluir ahora la energía cinética de rotación  $K = \frac{1}{2}I\omega^2$ . Sustituya estas expresiones en la ecuación (7.14),  $K_1 + U_1 + W_{\text{otras}} = K_2 + U_2$  (si se efectúa trabajo no conservativo), o la ecuación (7.12),  $K_1 + U_1 = K_2 + U_2$  (si sólo se efectúa trabajo conservativo), y despeje las incógnitas. Es útil dibujar gráficas de barras que muestren los valores iniciales y finales de  $K$ ,  $U$  y  $E = K + U$ .

**EVALUAR** la respuesta: Verifique que su respuesta sea lógica desde el punto de vista físico.

## EJEMPLO 9.7 CABLE QUE SE DESENROLLA I

Un cable ligero, y que no se estira, se enrolla alrededor de un cilindro sólido con masa de 50 kg y 0.120 m de diámetro, que gira alrededor de un eje fijo horizontal y está montado en cojinetes sin fricción (**figura 9.16**). Una fuerza constante de 9.0 N tira del extremo libre del cable una distancia de 2.0 m, haciendo girar el cilindro conforme se desenrolla sin resbalar. Si el cilindro está inicialmente en reposo, calcule su rapidez angular final y la rapidez final del cable.

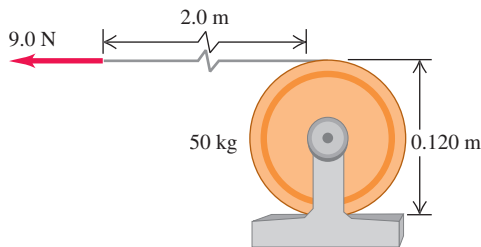
### SOLUCIÓN

**IDENTIFICAR:** Resolveremos este problema empleando métodos de energía. Supondremos que el cable tiene masa despreciable, de modo que sólo el cilindro tiene energía cinética. No hay cambios en la energía potencial gravitacional. Hay fricción entre el cable y el cilindro; pero como el cable no resbala, no hay movimiento del cable



SOLUCIÓN

**9.16** Un cable se desenrolla de un cilindro (vista lateral).



en relación con el cilindro y no se pierde energía mecánica por la fricción. Puesto que el cable tiene masa despreciable, la fuerza que el cable ejerce sobre el borde del cilindro es igual a la fuerza aplicada  $F$ .

**PLANTEAR:** El punto 1 es aquél donde el cable comienza a moverse. El cilindro inicialmente está en reposo, así que  $K_1 = 0$ . El punto 2 se presenta cuando el cable se ha movido una distancia  $s = 2.0 \text{ m}$ , y el cilindro tiene una energía cinética  $K_2 = \frac{1}{2}I\omega^2$ . Una de las incógnitas es  $\omega$ ; la otra es la rapidez del cable en el punto 2, que es igual a la rapidez tangencial  $v$  del cilindro en ese punto. Usaremos la ecuación (9.13) para obtener  $v$  a partir de  $\omega$ .

**EJECUTAR:** El trabajo efectuado sobre el cilindro es  $W_{\text{otras}} = Fs = (9.0 \text{ N})(2.0 \text{ m}) = 18 \text{ J}$ . Según la tabla 9.2, el momento de inercia es

$$I = \frac{1}{2}mR^2 = \frac{1}{2}(50 \text{ kg})(0.060 \text{ m})^2 = 0.090 \text{ kg} \cdot \text{m}^2$$

(El radio  $R$  es la mitad del diámetro del cilindro). De acuerdo con la ecuación (7.14),  $K_1 + U_1 + W_{\text{otras}} = K_2 + U_2$ , así que

$$0 + 0 + W_{\text{otras}} = \frac{1}{2}I\omega^2 + 0$$

$$\omega = \sqrt{\frac{2W_{\text{otras}}}{I}} = \sqrt{\frac{2(18 \text{ J})}{0.090 \text{ kg} \cdot \text{m}^2}} = 20 \text{ rad/s}$$

Según la ecuación (9.13), la rapidez tangencial final del cilindro, y por ende la rapidez final del cable, es

$$v = R\omega = (0.060 \text{ m})(20 \text{ rad/s}) = 1.2 \text{ m/s}$$

**EVALUAR:** Si la masa del cable no es despreciable, una parte de los 18 J de trabajo se convertirá en energía cinética del cable. Entonces, el cilindro adquiriría menos energía cinética y tendría menor rapidez angular que las calculadas aquí.

### EJEMPLO 9.8 CABLE QUE SE DESENROLLA II



Enrollamos un cable ligero y que no se estira en un cilindro sólido de masa  $M$  y radio  $R$ . El cilindro gira con fricción despreciable alrededor de un eje horizontal fijo. Atamos el extremo libre del cable a un bloque de masa  $m$  y soltamos el bloque a partir del reposo a una distancia  $h$  sobre el piso. Conforme el bloque cae, el cable se desenrolla sin estirarse ni resbalar. Calcule la rapidez del bloque que cae y la rapidez angular del cilindro cuando el bloque golpea el suelo.

#### SOLUCIÓN

**IDENTIFICAR:** Al igual que en el ejemplo 9.7, el cable no resbala y la fricción no efectúa trabajo. Suponemos que el cable tiene masa despreciable, de modo que las fuerzas que ejerce sobre el cilindro y sobre el bloque tienen igual magnitud. En el extremo superior, la fuerza y el desplazamiento tienen la misma dirección, y en el extremo inferior tienen direcciones opuestas, por lo que el cable no efectúa trabajo neto y  $W_{\text{otras}} = 0$ . Sólo la fuerza de gravedad realiza trabajo, y la energía mecánica se conserva.

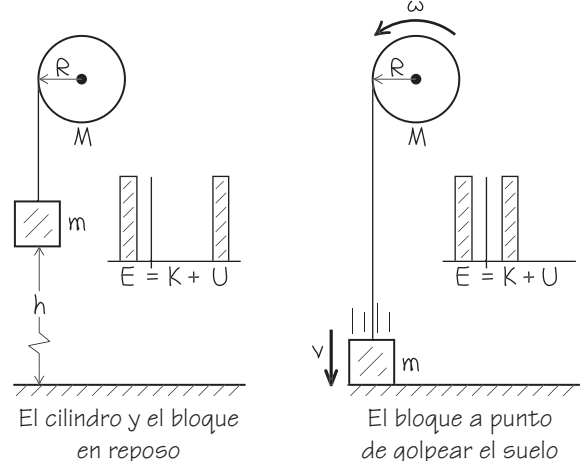
**PLANTEAR:** La figura 9.17a muestra la situación antes de que el bloque comience a caer (punto 1). La energía cinética es  $K_1 = 0$ . Tomamos la energía potencial gravitacional como cero cuando el bloque está en el piso (punto 2), por lo que  $U_1 = mgh$  y  $U_2 = 0$  (se ignora la energía potencial gravitacional del cilindro que gira, ya que su altura no cambia). Justo antes de que el bloque golpee el piso (figura 9.17b), tanto el bloque como el cilindro tienen energía cinética, por lo que

$$K_2 = \frac{1}{2}mv^2 + \frac{1}{2}I\omega^2$$

El momento de inercia del cilindro es  $I = \frac{1}{2}MR^2$ . Además,  $v = R\omega$ , ya que la rapidez del bloque que cae debe ser igual a la rapidez tangencial en la superficie exterior del cilindro.

**9.17** Diagramas para este problema.

a) Inicial (bloque en el punto 1)    b) Final (bloque en el punto 2)



**EJECUTAR:** Utilizamos las expresiones para  $K_1$ ,  $U_1$ ,  $K_2$  y  $U_2$ , y la relación  $\omega = v/R$  en la ecuación (7.4),  $K_1 + U_1 = K_2 + U_2$ , y despejamos  $v$ :

$$0 + mgh = \frac{1}{2}mv^2 + \frac{1}{2}\left(\frac{1}{2}MR^2\right)\left(\frac{v}{R}\right)^2 + 0 = \frac{1}{2}(m + \frac{1}{2}M)v^2$$

$$v = \sqrt{\frac{2gh}{1 + M/2m}}$$

La rapidez angular final  $\omega$  del cilindro es  $\omega = v/R$ .

**EVALUAR:** Si  $M$  es mucho mayor que  $m$ ,  $v$  es muy pequeña; si  $M$  es mucho menor que  $m$ ,  $v$  es casi igual a  $\sqrt{2gh}$ , que es la rapidez de un cuerpo en caída libre desde una altura  $h$ . Ambos resultados son los esperados.

**9.18** En la técnica de salto de altura llamada “salto Fosbury”, en honor de su inventor, la atleta arquea el cuerpo al pasar sobre la barra. Como resultado, su centro de masa realmente pasa *bajo* la barra. Esta técnica requiere de un menor aumento en la energía potencial gravitacional [ecuación (9.18)], que el método antiguo de saltar a horcajadas sobre la barra.



## Energía potencial gravitacional de un cuerpo

En el ejemplo 9.8, el cable tenía masa despreciable y podíamos ignorar su energía cinética y la energía potencial gravitacional asociada a él. Si la masa *no* es despreciable, necesitamos saber cómo calcular la *energía potencial gravitacional* asociada con dicho cuerpo. Si la aceleración de la gravedad  $g$  es la misma en todos los puntos del cuerpo, la *energía potencial gravitacional* es igual que si toda la masa estuviera concentrada en el centro de masa del cuerpo. Tomemos el eje  $y$  vertical hacia arriba. Entonces, para un cuerpo de masa total  $M$ , la energía potencial gravitacional  $U$  es simplemente

$$U = Mgy_{\text{cm}} \quad (\text{energía potencial gravitacional de un cuerpo}) \quad (9.18)$$

donde  $y_{\text{cm}}$  es la coordenada  $y$  del centro de masa. Esta expresión es válida para cualquier cuerpo, sea rígido o no (**figura 9.18**).

Para demostrar la ecuación (9.18), representamos otra vez el cuerpo como un conjunto de elementos de masa  $m_i$ . La energía potencial del elemento  $m_i$  es  $m_i g y_i$ , y la energía potencial total es

$$U = m_1 gy_1 + m_2 gy_2 + \dots = (m_1 y_1 + m_2 y_2 + \dots)g$$

Pero, según la ecuación (8.28), que define las coordenadas del centro de masa,

$$m_1 y_1 + m_2 y_2 + \dots = (m_1 + m_2 + \dots) y_{\text{cm}} = My_{\text{cm}}$$

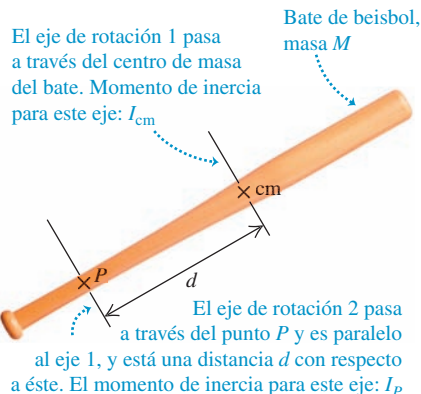
donde  $M = m_1 + m_2 + \dots$  es la masa total. Al combinar esto con la expresión anterior para  $U$ , tenemos que  $U = Mgy_{\text{cm}}$ , lo que coincide con la ecuación (9.18).

Aplicaremos la ecuación (9.18) en los problemas. Usaremos esta relación en el capítulo 10 al analizar problemas de cuerpo rígido cuando el eje de rotación se mueve.

**EVALÚE SU COMPRENSIÓN DE LA SECCIÓN 9.4** Suponga que el cilindro y el bloque del ejemplo 9.8 tienen la misma masa, de manera que  $m = M$ . Justo antes de que el objeto golpee el piso, ¿qué enunciado es correcto acerca de la relación entre la energía cinética del bloque que cae y la energía cinética de rotación del cilindro? **i.** El bloque tiene más energía cinética que el cilindro. **ii.** El bloque tiene menos energía cinética que el cilindro. **iii.** El bloque y el cilindro tienen cantidades iguales de energía cinética. |

## 9.5 TEOREMA DE LOS EJES PARALELOS

**9.19** Teorema de los ejes paralelos.



**Teorema de los ejes paralelos:**

$$I_P = I_{\text{cm}} + Md^2$$

<b>Teorema de los ejes paralelos:</b>		Masa del cuerpo
Momento de inercia de un cuerpo para un eje de rotación que pasa por el punto $P$	$I_P = I_{\text{cm}} + Md^2$	Distancia entre dos ejes paralelos
		Momento de inercia de un cuerpo para un eje paralelo que pasa por el centro de masa

(9.19)

Para demostrar este teorema, consideramos dos ejes paralelos al eje  $z$ : uno que pasa por el centro de masa, y el otro por un punto  $P$  (**figura 9.20**). Primero tomamos una rebanada muy delgada del cuerpo, paralela al plano  $xy$  y perpendicular al eje  $z$ . Tomamos el origen de nuestro sistema de coordenadas en el centro de masa del cuerpo; así, las coordenadas del centro de masa son  $x_{\text{cm}} = y_{\text{cm}} = z_{\text{cm}} = 0$ . El eje que pasa por el centro de masa atraviesa esta rebanada delgada en el punto  $O$ , y el eje paralelo la atraviesa en el punto  $P$ , cuyas coordenadas  $x$  y  $y$  son  $(a, b)$ . La distancia entre este eje y el que pasa por el centro de masa es  $d$ , donde  $d^2 = a^2 + b^2$ .

Podemos escribir una expresión para el momento de inercia  $I_P$  alrededor del eje que pasa por  $P$ . Sea  $m_i$  un elemento de masa de la rebanada, con coordenadas  $(x_i, y_i, z_i)$ . Entonces, el momento de inercia  $I_{cm}$  de la rebanada alrededor del eje que pasa por el centro de masa (en  $O$ ) es

$$I_{cm} = \sum_i m_i(x_i^2 + y_i^2)$$

El momento de inercia de la rebanada alrededor del eje que pasa por  $P$  es

$$I_P = \sum_i m_i[(x_i - a)^2 + (y_i - b)^2]$$

En estas expresiones no intervienen las coordenadas  $z_i$ , medidas perpendicularmente a las rebanadas, de manera que podemos ampliar las sumas para incluir *todas* las partículas de *todas* las rebanadas. Así,  $I_P$  se convierte en el momento de inercia de *todo* el cuerpo para un eje que pasa por  $P$ . Al expandir los cuadrados y reagrupar, se obtiene

$$I_P = \sum_i m_i(x_i^2 + y_i^2) - 2a \sum_i m_i x_i - 2b \sum_i m_i y_i + (a^2 + b^2) \sum_i m_i$$

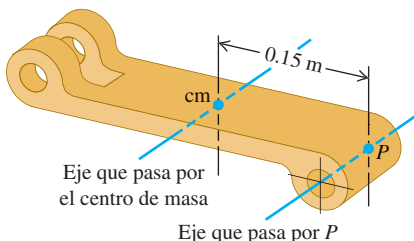
La primera suma es  $I_{cm}$ . De acuerdo con la ecuación (8.28), la definición de centro de masa, la segunda y la tercera sumas son proporcionales a  $x_{cm}$  y  $y_{cm}$ , que son cero porque tomamos el origen en el centro de masa. El último término es  $d^2$  multiplicado por la masa total, es decir,  $Md^2$ . Queda demostrado que  $I_P = I_{cm} + Md^2$ .

Como muestra la ecuación (9.19), un cuerpo rígido tiene menor momento de inercia con respecto a un eje que pasa por su centro de masa que con respecto a cualquier otro eje paralelo. Por ello, es más fácil poner a girar un cuerpo si el eje de rotación pasa por el centro de masa. Esto sugiere que, de algún modo, es más natural que un cuerpo en rotación gire sobre un eje que pasa por su centro de masa; haremos más cuantitativa esta idea en el capítulo 10.

### EJEMPLO 9.9 USO DEL TEOREMA DE EJES PARALELOS

La pieza de un acoplamiento mecánico (**figura 9.21**) tiene una masa de 3.6 kg. Su momento de inercia  $I_P$  alrededor de un eje que pasa a 0.15 m de su centro de masa es  $I_P = 0.132 \text{ kg}\cdot\text{m}^2$ . Calcule el momento de inercia  $I_{cm}$  alrededor de un eje paralelo que pasa por el centro de masa.

**9.21** Cálculo del  $I_{cm}$  a partir de una medición del  $I_P$ .



### SOLUCIÓN

**IDENTIFICAR, PLANTEAR y EJECUTAR:** Determinaremos la incógnita  $I_{cm}$  usando el teorema de ejes paralelos, ecuación (9.19). Reacomodamos la ecuación y obtenemos

$$\begin{aligned} I_{cm} &= I_P - Md^2 = 0.132 \text{ kg}\cdot\text{m}^2 - (3.6 \text{ kg})(0.15 \text{ m})^2 \\ &= 0.051 \text{ kg}\cdot\text{m}^2 \end{aligned}$$

**EVALUAR:** Como se esperaba,  $I_{cm}$  es menor que  $I_P$ ; el momento de inercia para un eje que pasa por el centro de masa es menor que para cualquier otro eje paralelo.

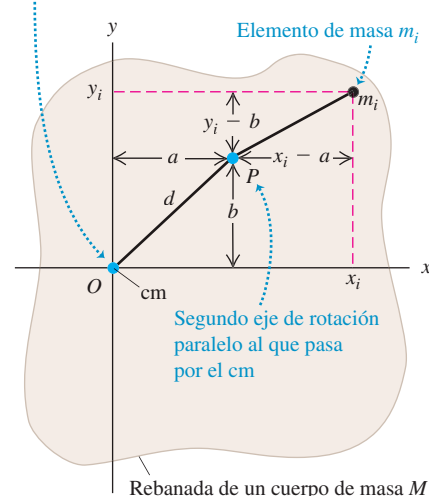
**EVALÚE SU COMPRENSIÓN DE LA SECCIÓN 9.5** Un taco de billar es una vara de madera con una composición uniforme; uno de sus extremos tiene un diámetro más grande que el otro. Utilice el teorema de los ejes paralelos para determinar si un taco de billar tiene un momento de inercia mayor **i.** para un eje que pasa por el extremo más grueso de la vara y es perpendicular a la longitud de ésta, o **ii.** para un eje que pasa por el extremo más delgado de la vara y es perpendicular a la longitud de ésta. **|**

## 9.6 CÁLCULOS DE MOMENTO DE INERCIA

Si un cuerpo rígido es una distribución continua de masa, como un cilindro o una esfera sólidos, no puede representarse con unas cuantas masas puntuales. En este caso, la *suma* de masas y distancias que define el momento de inercia [ecuación (9.16)] se vuelve una *integral*. Imagine que divide el cuerpo en elementos muy pequeños

**9.20** El elemento de masa  $m_i$  tiene coordenadas  $(x_i, y_i)$  con respecto a un eje de rotación que pasa por el centro de masa (cm), y coordenadas  $(x_i - a, y_i - b)$  con respecto al eje paralelo que pasa por el punto  $P$ .

Eje de rotación que pasa por el cm y es perpendicular al plano de la figura



solucion



de masa  $dm$ , de modo que todos los puntos de un elemento estén prácticamente a la misma distancia perpendicular del eje de rotación. Llamamos  $r$  a esta distancia, como antes. El momento de inercia es, entonces,

$$I = \int r^2 dm \quad (9.20)$$

Para evaluar la integral, debemos representar  $r$  y  $dm$  en términos de la misma variable de integración. Si tenemos un objeto prácticamente unidimensional, como las varillas delgadas *a* y *b* de la tabla 9.2, podemos usar una coordenada  $x$  a lo largo y relacionar  $dm$  con un incremento  $dx$ . Si el objeto es tridimensional, suele ser más fácil expresar  $dm$  en términos de un elemento de volumen  $dV$  y la *densidad*  $\rho$  del cuerpo. La densidad es la masa por unidad de volumen, es decir,  $\rho = dm/dV$ , así que también podemos escribir la ecuación (9.20) como

$$I = \int r^2 \rho dV$$

Esta expresión nos dice que el momento de inercia de un cuerpo depende de la forma en que su densidad varía dentro de su volumen (**figura 9.22**). Si la densidad del cuerpo es uniforme, podemos sacar  $\rho$  de la integral:

$$I = \rho \int r^2 dV \quad (9.21)$$

Para usar esta ecuación, debemos expresar el elemento de volumen  $dV$  en términos de las diferenciales de las variables de integración, tales como  $dV = dx dy dz$ . Siempre debemos elegir  $dV$  de modo que todos sus puntos estén casi a la misma distancia del eje de rotación. Los límites de la integral se determinan por la forma y las dimensiones del cuerpo. En el caso de cuerpos de forma regular, la integración suele ser sencilla.



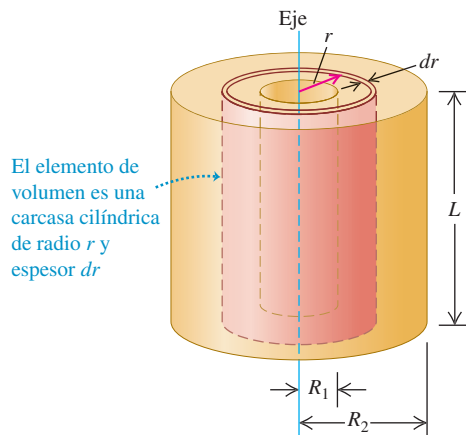
**9.22** Al medir las pequeñas variaciones en las órbitas de los satélites, los geofísicos pueden calcular el momento de inercia de la Tierra. Esto nos dice cómo está distribuida la masa de nuestro planeta en su interior. Los datos indican que la Tierra es mucho más densa en el núcleo que en sus capas exteriores.

### EJEMPLO 9.10 CILINDRO HUECO O SÓLIDO QUE GIRA ALREDEDOR DEL EJE DE SIMETRÍA



La **figura 9.23** ilustra un cilindro hueco con densidad uniforme de masa  $\rho$ , longitud  $L$ , radio interior  $R_1$  y radio exterior  $R_2$  (podría ser el cilindro de acero de una imprenta). Usando integración, calcule el momento de inercia alrededor del eje de simetría del cilindro.

**9.23** Cálculo del momento de inercia de un cilindro hueco alrededor de su eje de simetría.



#### SOLUCIÓN

**IDENTIFICAR y PLANTEAR:** Elegimos como elemento de volumen una carcasa cilíndrica delgada de radio  $r$ , espesor  $dr$  y longitud  $L$ ; todas sus partes están prácticamente a la misma distancia  $r$  del eje. El volumen de la carcasa es casi igual al de una lámina plana de espesor  $dr$ , longitud  $L$  y ancho  $2\pi r$  (la circunferencia de la carcasa). La masa de la carcasa es

$$dm = \rho dV = \rho(2\pi r L dr)$$

Usaremos esta expresión en la ecuación (9.20) e integraremos de  $r = R_1$  a  $r = R_2$ .

**EJECUTAR:** De acuerdo con la ecuación (9.20), el momento de inercia es

$$\begin{aligned} I &= \int r^2 dm = \int_{R_1}^{R_2} r^2 \rho(2\pi r L dr) \\ &= 2\pi\rho L \int_{R_1}^{R_2} r^3 dr = \frac{2\pi\rho L}{4} (R_2^4 - R_1^4) \\ &= \frac{\pi\rho L}{2} (R_2^2 - R_1^2)(R_2^2 + R_1^2) \end{aligned}$$

[En el último paso usamos la identidad  $a^2 - b^2 = (a - b)(a + b)$ ]. Expresemos este resultado en términos de la masa total  $M$  del cuerpo, que es su densidad  $\rho$  multiplicada por el volumen total  $V$ . El volumen del cilindro es

$$V = \pi L(R_2^2 - R_1^2)$$

así que la masa total  $M$  es

$$M = \rho V = \pi L \rho (R_2^2 - R_1^2)$$

Comparando con la expresión anterior de  $I$ , vemos que

$$I = \frac{1}{2} M (R_1^2 + R_2^2)$$

**EVALUAR:** Este resultado concuerda con el caso *e*) de la tabla 9.2. Si el cilindro es sólido, con radio exterior  $R_2 = R$  y radio interior  $R_1 = 0$ , su momento de inercia es

$$I = \frac{1}{2} MR^2$$

de acuerdo con el caso *f*). Si la pared del cilindro es muy delgada, tenemos que  $R_1 \approx R_2 = R$ , y el momento de inercia es

$$I = MR^2$$

de acuerdo con el caso *g*). Podríamos haber predicho este último resultado sin efectuar cálculos; en un cilindro de pared delgada, toda la masa está a la misma distancia  $r = R$  del eje, por lo que  $I = \int r^2 dm = R^2 \int dm = MR^2$ .

solucionario

### EJEMPLO 9.11 ESFERA UNIFORME DE RADIO $R$ , EJE A TRAVÉS DEL CENTRO

Calcule el momento de inercia de una esfera sólida con densidad uniforme de masa (como una bola de billar), alrededor de un eje que pasa por su centro.

#### SOLUCIÓN

**IDENTIFICAR y PLANTEAR:** Dividimos la esfera en discos sólidos delgados de espesor  $dx$  (**figura 9.24**), cuyo momento de inercia conocemos por el caso *f*) de la tabla 9.2. Integraremos sobre ellos para calcular el momento de inercia total.

**EJECUTAR:** El radio  $y$ , por lo tanto, el volumen y la masa del disco dependen de su distancia  $x$  al centro de la esfera. El radio  $r$  del disco que se muestra en la figura 9.24 es

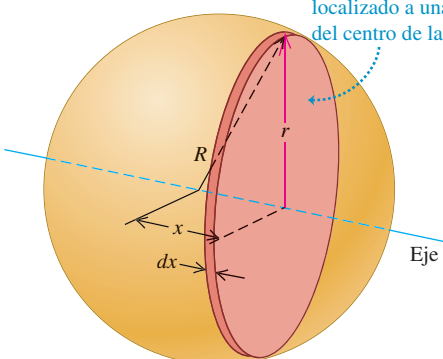
$$r = \sqrt{R^2 - x^2}$$

Su volumen es

$$dV = \pi r^2 dx = \pi(R^2 - x^2) dx$$

**9.24** Cálculo del momento de inercia de una esfera alrededor de un eje que pasa por su centro.

El elemento de masa es un disco de radio  $r$  y espesor  $dx$  localizado a una distancia  $x$  del centro de la esfera



y su masa es

$$dm = \rho dV = \pi \rho (R^2 - x^2) dx$$

De acuerdo con el caso *f*) de la tabla 9.2, el momento de inercia de un disco de radio  $r$  y masa  $dm$  es

$$\begin{aligned} dI &= \frac{1}{2} r^2 dm = \frac{1}{2}(R^2 - x^2)[\pi \rho (R^2 - x^2) dx] \\ &= \frac{\pi \rho}{2} (R^2 - x^2)^2 dx \end{aligned}$$

Integrando esta expresión de  $x = 0$  a  $x = R$ , obtenemos el momento de inercia del hemisferio derecho. Por simetría, el  $I$  total de la esfera completa —es decir, incluyendo ambos hemisferios— es el doble de esto:

$$I = (2) \frac{\pi \rho}{2} \int_0^R (R^2 - x^2)^2 dx$$

Realizando la integración, obtenemos

$$I = \frac{8\pi\rho R^5}{15}$$

El volumen de la esfera es  $V = 4\pi R^3/3$ , por lo que, en términos de su masa  $M$ , su densidad es

$$\rho = \frac{M}{V} = \frac{3M}{4\pi R^3}$$

Aquí, la expresión para  $I$  se convierte en

$$I = \left( \frac{8\pi R^5}{15} \right) \left( \frac{3M}{4\pi R^3} \right) = \frac{2}{5} MR^2$$

**EVALUAR:** Este resultado concuerda con el caso *h*) de la tabla 9.2. Observe que el momento de inercia  $I = \frac{2}{5}MR^2$  de una esfera sólida de masa  $M$  y radio  $R$  es menor que el momento de inercia  $I = \frac{1}{2}MR^2$  de un cilindro sólido con los mismos valores de masa y radio, porque la mayor parte de la masa de la esfera está cerca del eje.

**EVALÚE SU COMPRENSIÓN DE LA SECCIÓN 9.6** Dos cilindros huecos tienen los mismos radios interno y externo, así como la misma masa; sin embargo, tienen longitudes diferentes. Uno está hecho de madera de baja densidad y el otro de plomo de alta densidad. ¿Cuál cilindro tiene el mayor momento de inercia alrededor de su eje de simetría? **i.** El cilindro de madera; **ii.** el cilindro de plomo; **iii.** los dos momentos de inercia son iguales. |



**Cinemática rotacional:** Cuando un cuerpo rígido gira alrededor de un eje fijo (que por lo general se llama eje  $z$ ), su posición está descrita por una coordenada angular  $\theta$ . La velocidad angular  $\omega_z$  es la derivada de  $\theta$  con respecto al tiempo, y la aceleración angular  $\alpha_z$  es la derivada de  $\omega_z$  con respecto al tiempo, es decir, la segunda derivada de  $\theta$  (vea los ejemplos 9.1 y 9.2). Si la aceleración angular es constante, entonces  $\theta$ ,  $\omega_z$  y  $\alpha_z$  están relacionadas por ecuaciones sencillas de cinemática análogas a las del movimiento rectilíneo uniformemente acelerado (vea el ejemplo 9.3).

$$\omega_z = \lim_{\Delta t \rightarrow 0} \frac{\Delta \theta}{\Delta t} = \frac{d\theta}{dt} \quad (9.3)$$

$$\alpha_z = \lim_{\Delta t \rightarrow 0} \frac{\Delta \omega_z}{\Delta t} = \frac{d\omega_z}{dt} \quad (9.5)$$

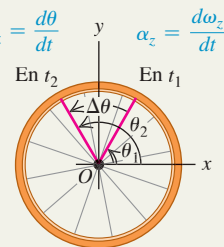
Sólo para  $\alpha_z$  constante:

$$\theta = \theta_0 + \omega_{0z}t + \frac{1}{2}\alpha_z t^2 \quad (9.11)$$

$$\theta - \theta_0 = \frac{1}{2}(\omega_{0z} + \omega_z)t \quad (9.10)$$

$$\omega_z = \omega_{0z} + \alpha_z t \quad (9.7)$$

$$\omega_z^2 = \omega_{0z}^2 + 2\alpha_z(\theta - \theta_0) \quad (9.12)$$

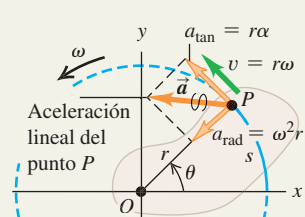


**Relación entre cinemática angular y cinemática lineal:** La rapidez angular  $\omega$  de un cuerpo rígido es la magnitud de su velocidad angular. La razón de cambio de  $\omega$  es  $\alpha = d\omega/dt$ . En el caso de una partícula de un cuerpo que está a una distancia  $r$  del eje de rotación, la rapidez  $v$  y las componentes de la aceleración  $\vec{a}$  están relacionadas con  $\omega$  y  $\alpha$  (vea los ejemplos 9.4 y 9.5).

$$v = r\omega \quad (9.13)$$

$$a_{\tan} = \frac{dv}{dt} = r \frac{d\omega}{dt} = r\alpha \quad (9.14)$$

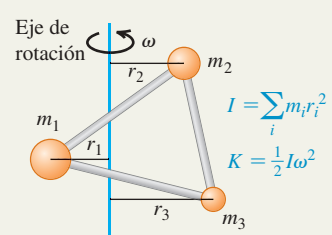
$$a_{\text{rad}} = \frac{v^2}{r} = \omega^2 r \quad (9.15)$$



**Momento de inercia y energía cinética de rotación:** El momento de inercia  $I$  de un cuerpo alrededor de un eje dado es una medida de su inercia rotacional: cuanto mayor sea el valor de  $I$ , más difícil será cambiar el estado de rotación del cuerpo. El momento de inercia se expresa como una suma de las partículas  $m_i$  que constituyen el cuerpo, cada una de las cuales está a una distancia perpendicular  $r_i$  del eje. La energía cinética de rotación de un cuerpo rígido que gira alrededor de un eje fijo depende de la rapidez angular  $\omega$  y del momento de inercia  $I$  para ese eje de rotación (vea los ejemplos 9.6 a 9.8).

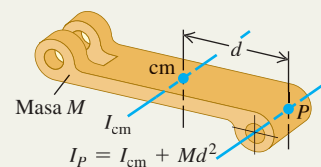
$$I = m_1 r_1^2 + m_2 r_2^2 + \dots \quad (9.16)$$

$$K = \frac{1}{2} I \omega^2 \quad (9.17)$$



**Cálculo del momento de inercia:** El teorema de los ejes paralelos relaciona los momentos de inercia de un cuerpo rígido de masa  $M$  alrededor de dos ejes paralelos: un eje que pasa por el centro de masa (momento de inercia  $I_{\text{cm}}$ ) y un eje paralelo que se encuentra a una distancia  $d$  del primero (momento de inercia  $I_P$ ). (Vea el ejemplo 9.9). Si el cuerpo tiene una distribución continua de masa, el momento de inercia se calcula por integración (vea los ejemplos 9.10 y 9.11).

$$I_P = I_{\text{cm}} + M d^2 \quad (9.19)$$

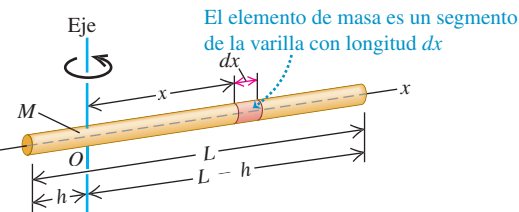


**PROBLEMA PRÁCTICO****VARILLA DELGADA UNIFORME QUE GIRA**

La **figura 9.25** muestra una varilla uniforme delgada con masa  $M$  y longitud  $L$ . Podría ser el bastón (sin las tapas de hule) de una bastonera que marcha en una banda. *a)* Use integración para calcular su momento de inercia alrededor de un eje que pasa por  $O$ , a una distancia arbitraria  $h$  de un extremo. *b)* Inicialmente la varilla está en reposo. Si adquiere una aceleración angular constante de magnitud  $\alpha$  alrededor del eje que pasa por  $O$ , calcule el trabajo realizado sobre la varilla en el tiempo  $t$ . *c)* En ese instante, ¿cuál es la aceleración lineal del punto de la varilla más lejano de su eje?

**GUÍA DE SOLUCIÓN****IDENTIFICAR Y PLANTEAR**

1. Elabore una lista de incógnitas de este problema.
2. Para calcular el momento de inercia de la varilla, tiene que dividirla en elementos de masa infinitesimales. Si un elemento tiene

**9.25 Varilla delgada con un eje que pasa por  $O$ .**

una longitud  $dx$ , ¿cuál es la masa del elemento? ¿Cuáles son los límites de integración?

3. ¿Cuál es la rapidez angular de la varilla en el instante  $t$ ? ¿Cómo se compara el trabajo requerido para acelerar la varilla desde el reposo hasta esa rapidez angular con la energía cinética de la varilla en ese instante  $t$ ?
4. En el instante  $t$ , ¿el punto más alejado del eje de la varilla tiene aceleración centrípeta? ¿Y aceleración tangencial? ¿Por qué?

**EJECUTAR**

5. Efectúe la integración requerida para calcular el momento de inercia.
6. Use el resultado del paso 5 para calcular el trabajo realizado en el tiempo  $t$  para acelerar la varilla a partir del reposo.
7. Calcule las componentes de aceleración lineal para el punto en cuestión en el instante  $t$ ; con base en esa información, calcule la magnitud de la aceleración.

**EVALUAR**

8. Verifique sus resultados para los casos especiales en que  $h = 0$  (el eje pasa por un extremo de la varilla) y  $h = L/2$  (el eje pasa por el punto medio de la varilla). ¿Son congruentes estos límites con la tabla 9.2? ¿Y con el teorema de los ejes paralelos?
9. ¿La magnitud de la aceleración obtenida en el paso 7 es constante? ¿Así lo esperaba?

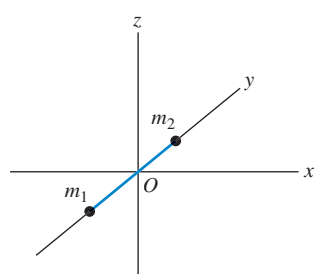
**Problemas**

•, •, ••: Niveles de dificultad. PA: Problemas acumulativos que incorporan material de capítulos anteriores. CALC: Problemas que requieren cálculo. DATOS: Problemas que incluyen datos reales, evidencia científica, diseño experimental y/o razonamiento estadístico. BIO: Problemas de ciencias biológicas.

**PREGUNTAS PARA ANÁLISIS**

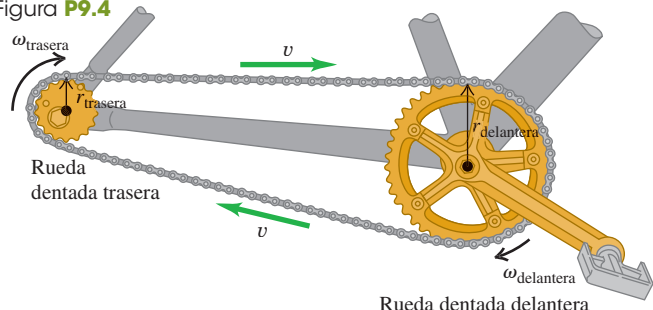
**P9.1** ¿Cuál de las siguientes ecuaciones es válida si la aceleración angular de un objeto *no* es constante? En cada caso, explique su razonamiento. *a)*  $v = r\omega$ ; *b)*  $a_{\tan} = r\alpha$ ; *c)*  $\omega = \omega_0 + \alpha t$ ; *d)*  $a_{\tan} = r\omega^2$ ; *e)*  $K = \frac{1}{2}I\omega^2$ .

**P9.2** Una molécula diatómica puede modelarse como dos masas puntuales,  $m_1$  y  $m_2$ , ligeramente separadas (**figura P9.2**). Si la molécula está orientada a lo largo del eje  $y$ , tiene energía cinética  $K$  cuando gira alrededor del eje  $x$ . ¿Cuál es su energía cinética (en términos de  $K$ ) si gira con la misma rapidez angular alrededor del *a)* eje  $z$  y *b)* eje  $y$ ?

**Figura P9.2**

**P9.3** ¿Qué diferencia hay entre aceleración tangencial y aceleración radial para un punto de un cuerpo que gira?

**P9.4** En la **figura P9.4**, todos los puntos de la cadena tienen la misma rapidez lineal. ¿La magnitud de la aceleración lineal también es igual para todos esos puntos? ¿Qué relación hay entre las aceleraciones angulares de las dos ruedas dentadas? Explique su respuesta.

**Figura P9.4**

**P9.5** En la figura P9.4, ¿qué relación hay entre las aceleraciones radiales de los puntos en los dientes de las dos ruedas? Justifique su respuesta.

**P9.6** Un volante gira con velocidad angular constante. ¿Un punto en su borde tiene aceleración tangencial? ¿Y aceleración radial?

¿Esas aceleraciones tienen magnitud constante? ¿Y dirección constante? Justifique sus respuestas en cada caso.

**P9.7** ¿Para qué sirve el ciclo de centrifugado de una lavadora? Explique en términos de las componentes de aceleración.

**P9.8** Está diseñando un volante para almacenar energía cinética. Si todos los siguientes objetos uniformes tienen la misma masa y la misma velocidad angular, ¿cuál almacenará la mayor cantidad de energía cinética? ¿Cuál almacenará la menor? Explique. *a)* Una esfera sólida de diámetro  $D$  que gira alrededor de un diámetro; *b)* un cilindro sólido de tapa de diámetro  $D$  que gira alrededor de un eje perpendicular a cada cara que pasa por su centro; *c)* un cilindro hueco de paredes delgadas de diámetro  $D$  que gira en torno a un eje perpendicular al plano de la cara circular en su centro; *d)* una barra delgada sólida de longitud  $D$  que gira en torno a un eje perpendicular a ésta que pasa por su centro.

**P9.9** ¿Puede imaginar un cuerpo que tenga el mismo momento de inercia para todos los ejes posibles? Si es así, mencione un ejemplo; si no, explique por qué no es posible. ¿Puede imaginar un cuerpo que tenga el mismo momento de inercia para todos los ejes que pasan por cierto punto? Si es así, dé un ejemplo e indique dónde se ubica el punto.

**P9.10** Para maximizar el momento de inercia de un volante mientras se minimiza su peso, ¿qué forma y distribución de masa debería tener? Explique su respuesta.

**P9.11** ¿Cómo se podría determinar experimentalmente el momento de inercia de un cuerpo de forma irregular alrededor de un eje dado?

**P9.12** Un cuerpo cilíndrico tiene masa  $M$  y radio  $R$ . ¿La masa puede estar distribuida dentro del cuerpo de modo tal que su momento de inercia alrededor de su eje de simetría sea mayor que  $MR^2$ ? Explique su respuesta.

**P9.13** Describa cómo podría usar el inciso *b)* de la tabla 9.2 para deducir el resultado del inciso *d)*.

**P9.14** Un cascarón esférico hueco de radio  $R$  que gira alrededor de un eje que pasa por su centro tiene una energía cinética de rotación  $K$ . Si usted quiere modificar esa esfera de manera que tenga tres veces más energía cinética con la misma rapidez angular manteniendo constante la masa, ¿cuál debería ser el radio en términos de  $R$ ?

**P9.15** Para que sean válidas las ecuaciones de  $I$  de los incisos *a)* y *b)* de la tabla 9.2, ¿la varilla debe tener sección transversal circular? ¿Hay alguna restricción sobre el tamaño de esta sección para que las ecuaciones sean válidas? Explique su respuesta.

**P9.16** En el inciso *d)* de la tabla 9.2, el espesor de la placa debe ser mucho menor que  $a$  para que la expresión de  $I$  sea válida. En el inciso *c)*, en cambio, la expresión para  $I$  es válida sin importar qué espesor tenga la placa. Explique por qué.

**P9.17** Dos esferas idénticas *A* y *B* están unidas cada una a una cuerda ligera, y cada cuerda se enrolla alrededor de una polea sin fricción de masa  $M$ . La única diferencia es que la polea para la esfera *A* es un disco sólido, mientras que la polea para la esfera *B* es un disco hueco, como el del inciso *e)* de la tabla 9.2. Si ambas esferas se liberan desde el reposo y descenden la misma distancia, ¿cuál tendrá mayor energía cinética? ¿O acaso tendrán la misma energía cinética? Explique su razonamiento.

**P9.18** Una polea complicada consiste en cuatro esferas idénticas colocadas en los extremos de unos rayos que se prolongan desde un tambor giratorio (**figura P9.18**). Una caja está atada a una cuerda delgada y ligera que se enrolla alrededor del borde del tambor. Cuando se libera desde el reposo, la caja adquiere una rapidez  $V$  después de descender una distancia  $d$ . Después, las cuatro esferas se mueven hacia adentro más cerca del tambor, y de nuevo la

caja se suelta desde el reposo. Después de descender una distancia  $d$ , ¿su rapidez será igual a  $V$ , mayor que  $V$ , o menor que  $V$ ? Demuestre o explique por qué.

**P9.19** Se puede usar cualquier medida angular (radianes, grados o revoluciones) en algunas de las ecuaciones del capítulo 9; sin embargo, en otras sólo se pueden usar radianes. Identifique las ecuaciones en las que es necesario usar radianes y aquéllas donde no. En cada caso, justifique sus respuestas.

**P9.20** Al calcular el momento de inercia de un objeto, ¿podemos tratar toda su masa como si estuviera concentrada en el centro de masa del objeto? Justifique su respuesta.

**P9.21** Una rueda gira en torno a un eje perpendicular al plano de la rueda y que pasa por el centro de ésta. La rapidez angular de la rueda está aumentando a tasa constante. El punto *A* está en el borde de la rueda; y el punto *B*, a la mitad de la distancia entre el borde y el centro. Para cada una de las siguientes cantidades, indique si la magnitud es mayor en el punto *A*, en el punto *B*, o si es igual en ambos puntos: *a)* rapidez angular, *b)* rapidez tangencial, *c)* aceleración angular, *d)* aceleración tangencial, *e)* aceleración radial. Justifique sus respuestas.

**P9.22** Estime su propio momento de inercia con respecto a un eje vertical que pasa por el centro de la parte superior de su cabeza cuando está de pie con los brazos extendidos. Realice aproximaciones razonables y mida o estime las cantidades necesarias.

## EJERCICIOS

### Sección 9.1 Velocidad y aceleración angulares

**9.1 • a)** ¿Qué ángulo en radianes es subtendido por un arco de 1.50 m en la circunferencia de un círculo cuyo radio mide 2.50 m? ¿Cuánto es esto en grados? **b)** Un arco de 14.0 cm de longitud en la circunferencia de un círculo subtende un ángulo de 128°. ¿Qué radio tiene el círculo? **c)** El ángulo entre dos radios de un círculo de 1.50 m de radio mide 0.700 rad. ¿Qué longitud tiene el arco delimitado en la circunferencia por estos dos radios?

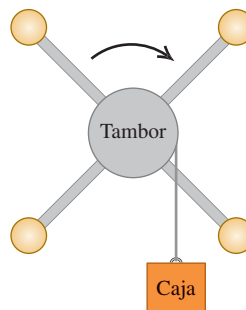
**9.2 •** La hélice de un avión gira a 1900 rpm (rev/min). **a)** Calcule la velocidad angular de la hélice en rad/s. **b)** ¿Cuántos segundos tarda la hélice en girar 35°?

**9.3 • PA CALC** La velocidad angular de un volante obedece la ecuación  $\omega_z(t) = A + Bt^2$ , donde  $t$  está en segundos, y  $A$  y  $B$  son constantes cuyos valores numéricos son 2.75 (para *A*) y 1.50 (para *B*). **a)** ¿Cuáles son las unidades de *A* y *B* si  $\omega_z$  está en rad/s? **b)** ¿Cuál es la aceleración angular del volante en  $\mathbf{i}$ ,  $t = 0$  y  $\mathbf{ii}$ ,  $t = 5.00$  s? **c)** ¿Qué ángulo gira el volante durante los primeros 2.00 s? (Sugerencia: Vea la sección 2.6).

**9.4 •• CALC** El aspa de un ventilador gira con una velocidad angular dada por  $\omega_z(t) = \gamma - \beta t^2$ , donde  $\gamma = 5.00$  rad/s y  $\beta = 0.800$  rad/s<sup>3</sup>. **a)** Calcule la aceleración angular en función del tiempo. **b)** Calcule la aceleración angular instantánea  $\alpha_z$  en  $t = 3.00$  s y la aceleración angular media  $\alpha_{med-z}$  para el intervalo de  $t = 0$  a  $t = 3.00$  s. ¿Qué diferencia hay entre ambas cantidades? Si son diferentes, ¿por qué lo son?

**9.5 •• CALC** Un niño está empujando un carrusel. El ángulo que describe el carrusel al girar varía con el tiempo según la ecuación  $\theta(t) = \gamma t + \beta t^3$ , donde  $\gamma = 0.400$  rad/s y  $\beta = 0.0120$  rad/s<sup>3</sup>. **a)** Calcule la velocidad angular del carrusel en función del tiempo. **b)** ¿Qué valor inicial tiene la velocidad angular? **c)** Calcule el valor instantáneo de la velocidad angular  $\omega_z$  en  $t = 5.00$  s y la velocidad angular media  $\omega_{med-z}$  en el intervalo de  $t = 0$  a  $t = 5.00$  s. Demuestre que  $\omega_{med-z}$  no es igual al promedio de las velocidades angulares instantáneas en  $t = 0$  y  $t = 5.00$  s, y explique por qué.

Figura P9.18



- 9.6 • CALC** En  $t = 0$ , se invierte la corriente de un motor eléctrico de corriente continua, causando un desplazamiento angular del eje del motor dado por  $\theta(t) = (250 \text{ rad/s})t - (20.0 \text{ rad/s}^2)t^2 - (1.50 \text{ rad/s}^3)t^3$ .  
 a) ¿En qué instante la velocidad angular del eje del motor es cero?  
 b) Calcule la aceleración angular en ese instante.  
 c) ¿Cuántas revoluciones gira el eje del motor entre el momento en que se invierte la corriente y el instante en el que la velocidad angular es cero?  
 d) ¿Con qué rapidez estaba girando el eje en  $t = 0$ , cuando se invirtió la corriente?  
 e) Calcule la velocidad angular media para el periodo entre  $t = 0$  y el tiempo calculado en el inciso a).

**9.7 • CALC** El ángulo  $\theta$  que describe una unidad de disco al girar está dado por  $\theta(t) = a + bt - ct^3$ , donde  $a$ ,  $b$  y  $c$  son constantes,  $t$  está en segundos y  $\theta$  en radianes. Cuando  $t = 0$ ,  $\theta = \pi/4$  rad y la velocidad angular es de  $2.00 \text{ rad/s}$ , y cuando  $t = 1.50 \text{ s}$ , la aceleración angular es  $1.25 \text{ rad/s}^2$ .  
 a) Calcule  $a$ ,  $b$  y  $c$  con sus unidades.  
 b) ¿Cuál es la aceleración angular cuando  $\theta = \pi/4$  rad?  
 c) ¿Cuáles son  $\theta$  y la velocidad angular cuando la aceleración angular es  $3.50 \text{ rad/s}^2$ ?

**9.8 •** Una rueda gira en torno a un eje que está en la dirección  $z$ . La velocidad angular  $\omega_z$  es de  $-6.00 \text{ rad/s}$  en  $t = 0$ ; ésta aumenta linealmente con el tiempo y su valor es de  $+4.00 \text{ rad/s}$  en  $t = 7.00 \text{ s}$ . La rotación en sentido contrario a las manecillas del reloj se considera positiva.  
 a) ¿La aceleración angular durante ese intervalo de tiempo es positiva o negativa?  
 b) ¿Durante qué intervalo está aumentando la rapidez de la rueda? ¿Y disminuyendo?  
 c) Determine el desplazamiento angular de la rueda en  $t = 7.00 \text{ s}$ .

## Sección 9.2 Rotación con aceleración angular constante

**9.9 •** La rueda de una bicicleta tiene una velocidad angular inicial de  $1.50 \text{ rad/s}$ .  
 a) Si su aceleración angular es constante e igual a  $0.200 \text{ rad/s}^2$ , ¿qué velocidad angular tiene en  $t = 2.50 \text{ s}$ ?  
 b) ¿Qué ángulo gira la rueda entre  $t = 0$  y  $t = 2.50 \text{ s}$ ?

**9.10 •** Un ventilador eléctrico se apaga, y su velocidad angular disminuye de manera uniforme de  $500 \text{ rev/min}$  a  $200 \text{ rev/min}$  en  $4.00 \text{ s}$ .  
 a) Calcule la aceleración angular en  $\text{rev/s}^2$  y el número de revoluciones que efectuó el motor en el intervalo de  $4.00 \text{ s}$ .  
 b) ¿Cuántos segundos más tardará el ventilador en detenerse, si la aceleración angular se mantiene constante en el valor calculado en el inciso a)?

**9.11 •** Las aspas de una licuadora giran con aceleración angular constante de  $1.50 \text{ rad/s}^2$ .  
 a) ¿Cuánto tiempo tarda en alcanzar una velocidad angular de  $36.0 \text{ rad/s}$ , partiendo del reposo?  
 b) ¿Cuántas revoluciones giran las aspas en ese tiempo?

**9.12 • a)** Deduzca la ecuación (9.12) combinando las ecuaciones (9.7) y (9.11) para eliminar  $t$ .  
**b)** La velocidad angular de la hélice de un avión aumenta de  $12.0$  a  $16.0 \text{ rad/s}$  mientras gira  $7.00 \text{ rad}$ . Calcule su aceleración angular en  $\text{rad/s}^2$ .

**9.13 •** Una tornamesa gira con aceleración angular constante de  $2.25 \text{ rad/s}^2$ . Después de  $4.00 \text{ s}$  ha girado un ángulo de  $30.0 \text{ rad}$ . ¿Cuál era su velocidad angular al iniciar el intervalo de  $4.00 \text{ s}$ ?

**9.14 •** La cuchilla de una sierra circular de  $0.200 \text{ m}$  de diámetro parte del reposo y acelera con aceleración angular constante hasta una velocidad angular de  $140 \text{ rad/s}$  en  $6.00 \text{ s}$ . Calcule la aceleración angular y el ángulo que ha girado la cuchilla.

**9.15 •** El volante de alta velocidad de un motor giraba a  $500 \text{ rpm}$  cuando se interrumpió la alimentación eléctrica. El volante tiene una masa de  $40.0 \text{ kg}$  y un diámetro de  $75.0 \text{ cm}$ . El motor no recibe electricidad durante  $30.0 \text{ s}$  y, en ese lapso, el volante disminuye su velocidad por la fricción en los cojinetes de su eje. Mientras la alimentación eléctrica está interrumpida, el volante realiza  $200$  revoluciones completas.  
 a) ¿Con qué rapidez está girando el volante cuando

se restablece la alimentación eléctrica?  
 b) ¿Cuánto tiempo después de la interrupción eléctrica se habría detenido el volante, si el suministro no se hubiera restablecido, y cuántas revoluciones habría girado el volante en ese tiempo?

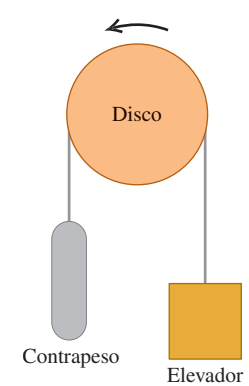
**9.16 •** En  $t = 0$ , la velocidad angular de una rueda de molino es de  $24.0 \text{ rad/s}$ , y tiene una aceleración angular constante de  $30.0 \text{ rad/s}^2$ , hasta que un interruptor de circuito se abre en  $t = 2.00 \text{ s}$ . A partir de ese momento, la rueda gira  $432 \text{ rad}$  con aceleración angular constante hasta detenerse.  
 a) ¿Qué ángulo total giró la rueda entre  $t = 0$  y el instante en que se detiene?  
 b) ¿En qué tiempo se detiene?  
 c) ¿Qué aceleración tiene al irse frenando?

**9.17 •** Un dispositivo de seguridad detiene la hoja de una podadora eléctrica, que tenía una rapidez angular inicial  $\omega_1$ , en  $1.00$  revolución. Con la misma aceleración constante, ¿cuántas revoluciones efectuaría la hoja hasta detenerse, si la rapidez angular inicial  $\omega_3$  fuera el triple:  $\omega_3 = 3\omega_1$ ?

## Sección 9.3 Relación entre cinemática lineal y angular

**9.18 •** En un encantador hotel del siglo XIX, un elevador antiguo está conectado a un contrapeso mediante un cable que pasa por un disco giratorio de  $2.50 \text{ m}$  de diámetro (figura E9.18). El elevador sube y baja al girar el disco; el cable no resbala en el borde del disco; más bien, gira con él.  
 a) ¿Cuántas rpm debe girar el disco para que el elevador suba a  $25.0 \text{ cm/s}$ ?  
 b) Para que el elevador empiece a moverse, debe acelerarse a  $\frac{1}{8}g$ . ¿Cuál debe ser la aceleración angular del disco en  $\text{rad/s}^2$ ?  
 c) ¿Qué ángulo (en radianes y grados) gira el disco cuando éste sube el elevador  $3.25 \text{ m}$  entre los pisos?

Figura E9.18



**9.19 •** Con los datos del apéndice F, junto con el hecho de que la Tierra gira sobre su propio eje una vez al día, calcule a) la rapidez angular orbital de la Tierra (en  $\text{rad/s}$ ) debida a su movimiento alrededor del Sol, b) su rapidez angular (en  $\text{rad/s}$ ) debida a su giro axial, c) la rapidez tangencial de la Tierra alrededor del Sol (suponiendo una órbita circular), d) la rapidez tangencial de un punto en el ecuador terrestre debida al giro axial del planeta, y e) las componentes de la aceleración radial y tangencial del punto descrito en el inciso d).

**9.20 • Disco compacto.** Un disco compacto (CD) almacena música en un patrón codificado de orificios diminutos de  $10^{-7} \text{ m}$  de profundidad, dispuestos en una pista espiral que va desde el centro hasta el borde del disco; los radios interior y exterior de la espiral son de  $25.0 \text{ mm}$  y  $58.0 \text{ mm}$ , respectivamente. Dentro del reproductor de CD, mientras el disco gira, la pista es escaneada con rapidez lineal constante de  $1.25 \text{ m/s}$ .  
 a) ¿Qué rapidez angular tiene el CD cuando se escanea la parte más interna de la pista? ¿Y cuándo se escanea la parte exterior?  
 b) La duración máxima de la reproducción de un CD es de  $74.0 \text{ min}$ . ¿Qué longitud tendría la pista del CD si se pudiera estirar en línea recta?  
 c) ¿Qué aceleración angular media tiene un CD durante los  $74.0 \text{ min}$  que dura la reproducción? Tome la dirección de rotación del disco como positiva.

**9.21 •** Una rueda con diámetro de  $40.0 \text{ cm}$  parte del reposo y gira con una aceleración angular constante de  $3.00 \text{ rad/s}^2$ . En el instante en que la rueda ha completado su segunda revolución, calcule la aceleración radial de un punto en el borde de dos maneras:  
 a) usando la relación  $a_{\text{rad}} = \omega^2 r$  y  
 b) a partir de la relación  $a_{\text{rad}} = v^2/r$ .

**9.22** • Usted está diseñando un eje cilíndrico giratorio para levantar cubetas de cemento de 800 N de peso, desde el suelo hasta una azotea a 78.0 m sobre éste. Las cubetas se colgarán de un gancho en el extremo libre de un cable que se enrolla en el eje; al girar éste, las cubetas ascienden. *a)* ¿Qué diámetro debe tener el eje para levantar las cubetas con una rapidez constante de 2.00 cm/s mientras gira a 7.5 rpm? *b)* Si el eje debe impartir a las cubetas una aceleración hacia arriba de 0.400 m/s<sup>2</sup>, ¿qué aceleración angular deberá tener el eje?

**9.23** • Un volante con radio de 0.300 m parte del reposo y acelera con aceleración angular constante de 0.600 rad/s<sup>2</sup>. Calcule la magnitud de las aceleraciones tangencial y radial, así como de la aceleración resultante de un punto en su borde *a)* al principio; *b)* después de girar 60.0°; *c)* después de girar 120.0°.

**9.24** • Un plato giratorio eléctrico de 0.750 m de diámetro gira sobre un eje fijo con velocidad angular inicial de 0.250 rev/s y aceleración angular constante de 0.900 rev/s<sup>2</sup>. *a)* Calcule la velocidad angular del plato después de 0.200 s. *b)* ¿Cuántas revoluciones giró el plato en ese tiempo? *c)* ¿Qué rapidez tangencial tiene un punto en el borde del plato en  $t = 0.200$  s? *d)* ¿Qué magnitud tiene la aceleración resultante de un punto en el borde en  $t = 0.200$  s?

**9.25** • **Centrifugador.** En un anuncio se asegura que un centrifugador sólo ocupa 0.127 m de espacio en una mesa de trabajo, pero que puede producir una aceleración radial de 3000g a 5000 rpm. Calcule el radio que debe tener el centrifugador. ¿Es verosímil el anuncio?

**9.26** • En  $t = 3.00$  s, un punto en el borde de una rueda con radio de 0.200 m tiene una rapidez tangencial de 50.0 m/s, mientras la rueda se frena con aceleración tangencial de magnitud igual a 10.0 m/s<sup>2</sup>. *a)* Calcule la aceleración angular constante de la rueda. *b)* Calcule las velocidades angulares en  $t = 3.00$  s y  $t = 0$ . *c)* ¿Qué ángulo giró la rueda entre  $t = 0$  y  $t = 3.00$  s? *d)* ¿En qué instante la aceleración radial es igual a  $g$ ?

**9.27** • **Taladro eléctrico.** Según el manual del usuario, para hacer un orificio de 12.7 mm de diámetro en madera, plástico o aluminio, se recomienda que la rapidez del taladro sea de 1250 rev/min. Para una broca de 12.7 mm de diámetro, que gira con rapidez constante de 1250 rev/min, calcule *a)* la rapidez lineal máxima de cualquier punto de la broca; *b)* la aceleración radial máxima de cualquier punto de la broca.

## Sección 9.4 Energía en el movimiento de rotación

**9.28** • Cuatro esferas pequeñas, que pueden considerarse como masas puntuales de 0.200 kg cada una, están colocadas en un cuadrado de 0.400 m de lado, conectadas por varillas muy ligeras (**figura E9.28**). Calcule el momento de inercia del sistema alrededor de un eje *a)* que pasa por el centro del cuadrado, perpendicular a su plano (que pasa por  $O$  en la figura); *b)* que biseca dos lados opuestos del cuadrado (a lo largo de la línea  $AB$  en la figura); *c)* que pasa por los centros de las esferas superior izquierda e inferior derecha y por el punto  $O$ .

**9.29** • Calcule el momento de inercia de cada uno de los siguientes objetos uniformes en torno a los ejes indicados. Consulte la tabla 9.2 si lo requiere. *a)* Una varilla delgada de 2.50 kg con longitud de 75.0 cm, alrededor de un eje perpendicular a ella y que pasa **i.** por un extremo, **ii.** por su centro y **iii.** alrededor de un eje paralelo a la varilla y que pasa a través de ella. *b)* Una esfera de 3.00 kg con diámetro de 38.0 cm, alrededor de un eje que pasa por su centro, si la esfera **i.** es

sólida y **ii.** es un cascarón hueco de pared delgada. *c)* Un cilindro de 8.00 kg con longitud de 19.5 cm y diámetro de 12.0 cm, alrededor del eje central del cilindro, si el cilindro es **i.** hueco de pared delgada y **ii.** sólido.

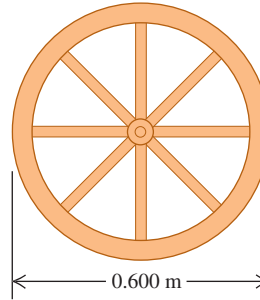
**9.30** • Bloques pequeños de masa  $m$  están sujetos en los extremos y en el centro de una varilla de longitud  $L$  y masa despreciable. Calcule el momento de inercia del sistema alrededor de un eje perpendicular a la varilla y que pasa por *a)* el centro de la varilla y *b)* un punto a un cuarto de su longitud a partir de un extremo.

**9.31** • Dos esferas pequeñas están pegadas a los extremos de una barra uniforme de 2.00 m de longitud y masa de 4.00 kg. Las esferas tienen masa de 0.300 kg cada una y se pueden tratar como masas puntuales. Calcule el momento de inercia de esta combinación en torno a cada uno de los siguientes ejes: *a)* un eje perpendicular a la barra que pasa por su centro; *b)* un eje perpendicular a la barra que pasa por una de las esferas; *c)* un eje paralelo a la barra que pasa por ambas esferas; *d)* un eje paralelo a la barra que está a 0.500 m de ella.

**9.32** • Usted es un gestor de proyectos para una empresa de manufactura. Una de las partes de la maquinaria de la línea de ensamble es una varilla delgada y uniforme que mide 60.0 cm de largo y tiene masa de 0.400 kg. *a)* ¿Cuál es el momento de inercia de esta varilla para un eje que pasa por su centro y es perpendicular a ésta? *b)* Uno de sus ingenieros propone reducir el momento de inercia doblando la varilla en su centro en forma de V, con un ángulo de 60.0° en su vértice. ¿Cuál sería el momento de inercia de la varilla dobrada sobre un eje perpendicular al plano de la V en su vértice?

**9.33** • La rueda de una carreta está construida como se muestra en la **figura E9.33**. El radio de la rueda es de 0.300 m y la masa de su borde es de 1.40 kg. Cada uno de sus ocho rayos que se encuentran sobre un diámetro tiene 0.300 m de longitud, y una masa de 0.280 kg. ¿Qué momento de inercia tiene la rueda con respecto a un eje que pasa por su centro y es perpendicular a su plano? (Use las fórmulas de la tabla 9.2).

Figura E9.33

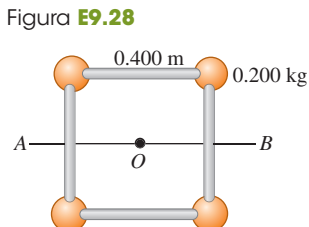


**9.34** • La hélice de un avión tiene 2.08 m de longitud (de punta a punta) y masa de 117 kg, y gira a 2400 rpm (rev/min) alrededor de un eje que pasa por su centro. Modele la hélice como una varilla delgada. *a)* ¿Qué energía cinética de rotación tiene? *b)* Suponga que, debido a restricciones de peso, usted tuviera que reducir la masa de la hélice al 75.0% de su masa original, pero siguiera requiriendo el mismo tamaño y la misma energía cinética. ¿Cuál tendría que ser su rapidez angular en rpm?

**9.35** • Un disco compuesto con diámetro exterior de 140.0 cm está constituido por un disco sólido uniforme de 50.0 cm de radio y densidad de área de 3.00 g/cm<sup>2</sup>, rodeado por un anillo concéntrico, cuyo radio interior es de 50.0 cm y radio exterior de 70.0 cm con densidad de área de 2.00 g/cm<sup>2</sup>. Calcule el momento de inercia de este objeto alrededor de un eje perpendicular al plano del objeto y que pasa por su centro.

**9.36** • Una rueda gira con aceleración angular constante alrededor de un eje que pasa por su centro. Partiendo del reposo, en  $t = 0$ , la rueda gira 8.20 revoluciones en 12.0 s y en ese instante tiene una energía cinética de 36.0 J. ¿Cuál es el momento de inercia de la rueda alrededor de un eje que pasa por su centro?

**9.37** • Una esfera uniforme con masa de 28.0 kg y radio de 0.380 m gira con velocidad angular constante alrededor de un eje fijo que se encuentra a lo largo de un diámetro de la esfera. Si la energía cinética de la esfera es de 236 J, ¿cuál es la velocidad tangencial de un punto en el borde de la esfera?



**9.38** • Un cascarón esférico hueco tiene una masa de 8.20 kg y radio de 0.220 m. Se encuentra inicialmente en reposo y luego gira con una aceleración constante de 0.890 rad/s<sup>2</sup> alrededor de un eje fijo que se encuentra a lo largo de un diámetro. ¿Cuál es la energía cinética del cascarón después de girar 6.00 rev?

**9.39** • El volante de un motor de gasolina debe ceder 500 J de energía cinética mientras su velocidad angular se reduce de 650 rev/min a 520 rev/min. ¿Qué momento de inercia se requiere?

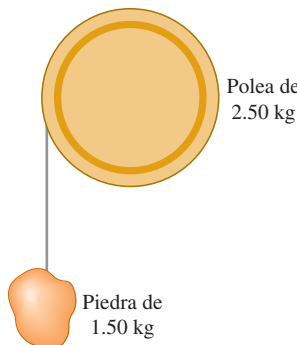
**9.40** • Usted necesita diseñar un plato giratorio industrial de 60.0 cm de diámetro con energía cinética de 0.250 J cuando gira a 45.0 rpm (rev/min). *a)* ¿Cuál debe ser el momento de inercia del plato alrededor de su eje de rotación? *b)* Si su taller elabora dicho plato con la forma de un disco sólido uniforme, ¿cuál debe ser su masa?

**9.41** • Se almacenará energía en un volante con forma de disco sólido uniforme con radio  $R = 1.20$  m y masa de 70.0 kg. Para evitar fallas estructurales del volante, la aceleración radial máxima permitida de un punto en su borde es de 3500 m/s<sup>2</sup>. ¿Qué energía cinética máxima puede almacenar el volante?

**9.42** • Una cuerda ligera y flexible se enrolla varias veces alrededor de un cilindro *hueco* con peso de 40.0 N y radio de 0.25 m, que gira sin fricción alrededor de un eje horizontal fijo. El cilindro está unido al eje mediante rayos cuyo momento de inercia es despreciable, e inicialmente está en reposo. Se tira del extremo libre de la cuerda con una fuerza constante  $P$  una distancia de 5.00 m, punto en el cual la cuerda se está moviendo a 6.00 m/s. Si la cuerda no resbala sobre el cilindro, ¿cuánto vale  $P$ ?

**9.43** • Una polea sin fricción tiene la forma de un disco sólido uniforme de masa igual a 2.50 kg y radio de 20.0 cm. Una piedra de 1.50 kg se sujetó a un alambre muy ligero que se enrolla alrededor del borde de la polea (**figura E9.43**), y el sistema se libera del reposo. *a)* ¿Qué distancia debe descender la piedra para que la polea tenga 4.50 J de energía cinética? *b)* ¿Qué porcentaje de la energía cinética total tiene la polea?

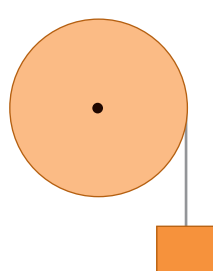
Figura E9.43



**9.44** • Una cubeta de masa  $m$  se ata a un cable de masa despreciable que se enrolla alrededor del borde exterior de una polea uniforme sin fricción de radio  $R$ , similar al sistema que se presenta en la figura E9.43. En términos de las variables indicadas, ¿cuál debe ser el momento de inercia de la polea, de forma que siempre tenga la mitad de la energía cinética de la cubeta?

**9.45** • PA Un alambre ligero y delgado se enrolla alrededor del borde de una rueda (**figura E9.45**). La rueda gira sin fricción alrededor de un eje horizontal fijo que pasa por su centro. La rueda es un disco uniforme de radio  $R = 0.280$  m. Del extremo libre del alambre se encuentra suspendido un objeto de masa  $m = 4.20$  kg. El sistema se libera del reposo y el objeto desciende con aceleración constante una distancia de 3.00 m en 2.00 s. ¿Cuál es la masa de la rueda?

Figura E9.45



**9.46** • Una escalera uniforme de 2.00 m de longitud y masa de 9.00 kg está apoyada contra un muro vertical formando un ángulo de 53.0° con el piso. Un trabajador empuja la escalera contra la pared hasta que queda vertical. ¿Cuál es el aumento de la energía potencial gravitacional de la escalera?

**9.47** • Cómo cambia *I*. Si multiplicamos todas las dimensiones de diseño de un objeto por un factor de escala  $f$ , su volumen y masa se multiplicarán por  $f^3$ . *a)* ¿Por qué factor se multiplicará su momento de inercia? *b)* Si un modelo a escala de  $\frac{1}{48}$  tiene una energía cinética de rotación de 2.5 J, ¿cuál será la energía cinética del objeto a escala normal fabricado con el mismo material y que gira con la misma velocidad angular?

### Sección 9.5 Teorema de los ejes paralelos

**9.48** • Calcule el momento de inercia de un aro (anillo hueco de paredes delgadas) con masa  $M$  y radio  $R$ , alrededor de un eje perpendicular al plano del aro y que pasa por el borde.

**9.49** • ¿Sobre qué eje tendrá una esfera uniforme de madera de balsa el mismo momento de inercia que una esfera de pared delgada, hueca, de plomo de igual masa y radio, con el eje a lo largo de un diámetro?

**9.50** • *a)* Para la placa rectangular delgada que se muestra en el inciso *d*) de la tabla 9.2, calcule el momento de inercia en torno a un eje que se encuentra en el plano de la placa, pasa por el centro de ésta y es paralelo al eje que se muestra en la figura. *b)* Calcule el momento de inercia de la placa en torno a un eje que está en el plano de la placa, pasa por el centro de ésta y es perpendicular al eje del inciso *a*).

**9.51** • Una lámina delgada y rectangular de metal tiene masa  $M$  y lados de longitud  $a$  y  $b$ . Utilice el teorema de los ejes paralelos para calcular el momento de inercia de la lámina para un eje perpendicular al plano de la lámina y que pasa a través de una esquina de ésta.

**9.52** • Una varilla delgada uniforme de masa  $M$  y longitud  $L$  se dobla por su centro de manera que los dos segmentos son ahora perpendiculares entre sí. Determine el momento de inercia alrededor de un eje perpendicular a su plano y que pasa por *a)* el punto donde se cruzan los dos segmentos, y *b)* el punto medio de la recta que conecta los dos extremos.

### Sección 9.6 Cálculos de momento de inercia

**9.53** • CALC Use la ecuación (9.20) para calcular el momento de inercia de un disco sólido uniforme de masa  $M$  y radio  $R$  con respecto a un eje perpendicular al plano del disco y que pasa por el centro.

**9.54** • CALC Use la ecuación (9.20) para calcular el momento de inercia de una varilla delgada uniforme con masa  $M$  y longitud  $L$  alrededor de un eje en un extremo, perpendicular a la varilla.

**9.55** • CALC La masa por unidad de longitud de una varilla delgada de longitud  $L$  varía con la distancia al extremo izquierdo, donde  $x = 0$ , según  $dm/dx = \gamma x$ , donde  $\gamma$  tiene unidades de kg/m<sup>2</sup>.

*a)* Calcule la masa total de la varilla en términos de  $\gamma$  y  $L$ . *b)* Use la ecuación (9.20) para calcular el momento de inercia de la varilla con respecto a un eje en el extremo izquierdo, perpendicular a la varilla. Use la expresión que dedujó en el inciso *a*) para expresar  $I$  en términos de  $M$  y  $L$ . Compare su resultado con el de una varilla uniforme y explique las diferencias. *c)* Repita el inciso *b*) para un eje en el extremo derecho de la varilla y compare los resultados de los incisos *b*) y *c*). Explique.

## PROBLEMAS

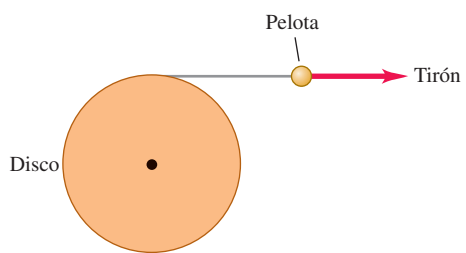
**9.56** • CALC Un disco uniforme con radio  $R = 0.400$  m y masa de 30.0 kg gira en un plano horizontal sobre un eje vertical sin fricción que pasa por el centro del disco. El ángulo que gira el disco varía con el tiempo de acuerdo con  $\theta(t) = (1.10 \text{ rad/s})t + (6.30 \text{ rad/s}^2)t^2$ . ¿Cuál es la aceleración lineal resultante de un punto sobre el borde del disco en el instante en que el disco ha girado 0.100 rev?

**9.57 • PA** La cuchilla de una sierra circular con radio de 0.120 m parte del reposo y gira en un plano vertical con una aceleración angular constante de 2.00 rev/s<sup>2</sup>. Después de que la cuchilla ha girado 155 rev, una pequeña pieza se rompe de la parte superior de la misma. Después de que la pieza se rompe, viaja inicialmente con una velocidad horizontal igual a la velocidad tangencial del borde de la cuchilla. La pieza recorre una distancia vertical de 0.820 m para llegar al piso. ¿Qué distancia recorre horizontalmente la pieza desde donde se desprendió hasta que llega al suelo?

**9.58 • CALC** El rodillo de una imprenta gira un ángulo  $\theta(t)$  dado por  $\theta(t) = \gamma t^2 - \beta t^3$ , donde  $\gamma = 3.20 \text{ rad/s}^2$  y  $\beta = 0.500 \text{ rad/s}^3$ . a) Calcule la velocidad angular del rodillo en función del tiempo. b) Calcule la aceleración angular del rodillo en función del tiempo. c) ¿Cuál es la máxima velocidad angular positiva que alcanza, y en qué instante  $t$  ocurre?

**9.59 • PA CALC** Un disco con radio de 25.0 cm tiene libertad para girar en torno a un eje perpendicular a él que pasa por su centro. Tiene una cuerda muy delgada, pero fuerte, enrollada alrededor de su borde, y la cuerda está unida a una pelota de la que se tira tangencialmente para alejarla del borde del disco (figura P9.59). El tirón aumenta en magnitud y produce una aceleración de la pelota que obedece la ecuación  $a(t) = At$ , donde  $t$  está en segundos y  $A$  es una constante. El cilindro parte del reposo y, al final del tercer segundo, la aceleración de la pelota es de 1.80 m/s<sup>2</sup>. a) Calcule  $A$ . b) Exprese la aceleración angular del disco en función del tiempo. c) ¿Cuánto tiempo después de que el disco comenzó a girar alcanzará una rapidez angular de 15.0 rad/s? d) ¿Qué ángulo ha girado el disco justo cuando alcanza 15.0 rad/s? (Sugerencia: Vea la sección 2.6).

Figura P9.59



**9.60 •** Usted está diseñando un volante metálico giratorio que se usará para almacenar energía. El volante va a ser un disco uniforme con radio de 25.0 cm. Comenzando a partir del reposo en  $t = 0$ , el volante gira con aceleración angular constante de 3.00 rad/s<sup>2</sup> sobre un eje perpendicular al volante en su centro. Si el volante tiene una densidad (masa por unidad de volumen) de 8600 kg/m<sup>3</sup>, ¿qué espesor debe tener para almacenar 800 J de energía cinética en  $t = 8.00 \text{ s}$ ?

**9.61 •** Usted está diseñando un dispositivo para disparar una canica verticalmente hacia arriba. La canica se encuentra en una taza pequeña que se ata al borde de una rueda de radio 0.260 m; la taza está cubierta por una tapa. La rueda comienza desde el reposo y gira en torno a un eje horizontal perpendicular a la rueda en su centro. Después de que la rueda ha girado 20.0 rev, la taza está a la misma altura que el centro de la rueda. En este punto del movimiento, la tapa se abre y la canica viaja verticalmente hacia arriba hasta una altura máxima  $h$  por arriba del centro de la rueda. Si la rueda gira con una aceleración angular constante  $\alpha$ , ¿qué valor de  $\alpha$  es necesario para que la canica alcance una altura de  $h = 12.0 \text{ m}$ ?

**9.62 •** Unos ingenieros están diseñando un sistema en el que una masa  $m$ , al caer, imparte energía cinética a un tambor uniforme giratorio, al cual está unida con un alambre delgado y muy ligero que

se encuentra enrollado alrededor del borde del tambor (figura P9.62). No hay fricción considerable en el eje del tambor y todo el sistema parte del reposo. Este sistema se probó en la Tierra, pero debe utilizarse en Marte, donde la aceleración debida a la gravedad es de 3.71 m/s<sup>2</sup>. En las pruebas en la Tierra, cuando  $m$  es de 15.0 kg y se le permite descender una distancia de 5.00 m, imparte 250.0 J de energía cinética al tambor. a) Si el sistema se opera en Marte, ¿qué distancia tendría que descender la masa de 15.0 kg para impartir la misma cantidad de energía cinética al tambor? b) ¿Con qué rapidez se moverá la masa de 15.0 kg en Marte justo cuando el tambor gane 250.0 J de energía inética?

**9.63 •** La banda de una aspiradora pasa sobre una flecha de 0.45 cm de radio y una rueda de 1.80 cm de radio. La disposición de estas piezas es similar a la de la cadena y las ruedas dentadas de la figura P9.4. El motor hace girar la flecha a 60.0 rev/s, y la banda hace girar la rueda, que se conecta mediante otra flecha al rodillo que saca el polvo de la alfombra que se está limpiando. Suponga que la banda no resbala ni en el eje ni en la rueda. a) ¿Qué rapidez tiene un punto en la banda? b) ¿Qué velocidad angular tiene la rueda en rad/s?

**9.64 •** El motor de una sierra de banco gira a 3450 rev/min. Una polea conectada al eje del motor impulsa una segunda polea con la mitad del diámetro mediante una correa en "V". La sierra circular de 0.208 m de diámetro está montada en el mismo eje giratorio de la segunda polea. a) El operador se descuida, y la sierra atrapa y lanza hacia atrás un trocito de madera, el cual se mueve con rapidez lineal igual a la rapidez tangencial del borde de la cuchilla. Calcule dicha rapidez. b) Calcule la aceleración radial de los puntos en el borde exterior de la cuchilla para saber por qué el aserrín no se adhiere a los dientes.

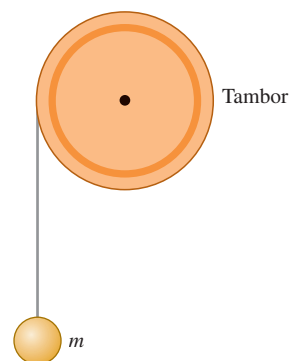
**9.65 •••** Al conducir una bicicleta de varias velocidades, el ciclista puede seleccionar el radio de la rueda dentada trasera, que está fija al eje posterior. La rueda dentada delantera tiene 12.0 cm de radio. Si la rapidez angular de la rueda dentada delantera es de 0.600 rev/s, ¿cuál es el radio de la rueda dentada trasera para el cual la rapidez tangencial de un punto en el borde de la rueda trasera es de 5.00 m/s? La rueda trasera tiene 0.330 m de radio.

**9.66 •••** Una unidad de disco de computadora se enciende partiendo del reposo y tiene aceleración angular constante. Si la unidad tardó 0.0865 s en realizar su *segunda* revolución completa, a) ¿cuánto tiempo le tomó efectuar su primera revolución completa, y b) ¿cuál es su aceleración angular en rad/s<sup>2</sup>?

**9.67 •••** Se ha sugerido que las plantas eléctricas deberían aprovechar las horas de bajo consumo (por ejemplo, después de mediodía) para generar energía mecánica y almacenarla hasta que se necesite durante los períodos de carga máxima, como a mediodía. Una propuesta consiste en almacenar la energía en enormes volantes que giren sobre cojinetes casi sin fricción. Considere un volante de hierro (con densidad de 7800 kg/m<sup>3</sup>) en forma de disco uniforme de 10.0 cm de espesor. a) ¿Qué diámetro debería tener ese disco para almacenar 10.0 megajoules de energía cinética al girar a 90.0 rpm en torno a un eje perpendicular al disco y que pasa por su centro? b) ¿Qué aceleración centrípeta tendría un punto en su borde al girar con esta rapidez?

**9.68 ••** Un disco uniforme tiene radio  $R_0$  y masa  $M_0$ . Su momento de inercia para un eje perpendicular al plano del disco en el centro del disco es  $\frac{1}{2}M_0R_0^2$ . Se le ha pedido reducir a la mitad el momento

Figura P9.62



de inercia del disco cortando una pieza circular en el centro de éste. En términos de  $R_0$ , ¿cuál debe ser el radio de la pieza circular que se retira?

**9.69 •• Medición de  $I$ .** Como pasante en una empresa de ingenieros, le piden que mida el momento de inercia de una rueda grande, que gira en torno a un eje que pasa de forma perpendicular por su centro. Mide la rueda y determina que su diámetro es de 0.640 m. Luego monta la rueda, sobre cojinetes sin fricción, en un eje horizontal que pasa por el centro de la rueda. Enrolla una cuerda ligera en el borde de la rueda y cuelga una masa de 8.20 kg del extremo libre, como se muestra en la figura E9.45. Libera el sistema desde el reposo y ve que el bloque desciende 12.0 m en 4.00 s. ¿Cuál es el momento de inercia de la rueda para este eje?

**9.70 ••** Un disco sólido uniforme de masa  $m$  y radio  $R$  pivotea sobre un eje horizontal que pasa por su centro, y un objeto pequeño con la misma masa  $m$  se sujetó al borde del disco. Si el disco se suelta del reposo con el objeto en el extremo de un radio horizontal, calcule la rapidez angular cuando el objeto esté directamente abajo del eje.

**9.71 •• PA** Un metro de madera de 0.180 kg pivotea sobre un extremo, de manera que puede girar sin fricción alrededor de un eje horizontal. El metro se sostiene en posición horizontal y se suelta. Conforme gira, al pasar por la vertical, calcule *a)* el cambio de energía potencial gravitacional que haya ocurrido; *b)* la rapidez angular del metro; *c)* la rapidez lineal del extremo opuesto al eje. *d)* Compare la respuesta del inciso *c*) con la rapidez de una partícula que ha caído 1.00 m desde el reposo.

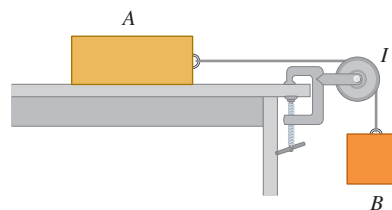
**9.72 ••** Una estudiante de física, cuya masa es de 43.0 kg, está de pie en el borde de la azotea plana de un edificio, a 12.0 m sobre la acera. Un perro antipático está corriendo por el techo hacia ella. Junto a la estudiante se encuentra una gran rueda montada sobre un eje horizontal que pasa por su centro. La rueda se utiliza para levantar objetos del suelo al techo, tiene una manivela ligera incorporada y una cuerda ligera enrollada alrededor: el extremo libre de la cuerda cuelga sobre el borde del techo. La estudiante toma el extremo de la cuerda y se baja del techo. Si la rueda tiene un radio de 0.300 m y un momento de inercia de  $9.60 \text{ kg}\cdot\text{m}^2$  para la rotación sobre el eje, ¿cuánto tiempo tarda la joven en llegar a la acera, y qué velocidad tendrá justo antes de llegar al suelo? Desprecie la fricción.

**9.73 ••** Una varilla delgada de 80.0 cm de largo tiene una masa de 0.120 kg. Una pequeña esfera de 0.0200 kg se suelda a un extremo de la varilla, y una pequeña esfera de 0.0500 kg se suelda al otro extremo. La varilla pivotea alrededor de un eje fijo en su centro, sin fricción, se mantiene horizontal y se suelta del reposo. ¿Cuál es la rapidez lineal de la esfera de 0.0500 kg cuando pasa por su punto más bajo?

**9.74 ••** Exactamente una vuelta de una cuerda flexible de masa  $m$  está enrollada en un cilindro uniforme de masa  $M$  y radio  $R$ , que gira sin fricción alrededor de un eje horizontal a lo largo del eje del cilindro. Un extremo de la cuerda está sujeto al cilindro, el cual inicia con rapidez angular  $\omega_0$ . Después de una revolución del cilindro, la cuerda se ha desenrollado y, en ese instante, cuelga verticalmente, tangente al cilindro. Calcule la rapidez angular del cilindro y la rapidez lineal del extremo inferior de la cuerda en ese instante. Puede ignorar el espesor de la cuerda. [Sugerencia: Use la ecuación (9.18)].

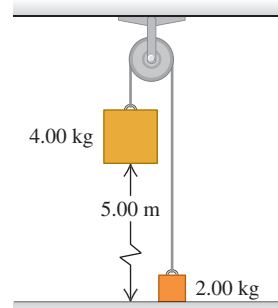
**9.75 •** La polea de la figura P9.75 tiene radio  $R$  y momento de inercia  $I$ . La cuerda no resbala sobre la polea y ésta gira sobre un eje sin fricción. El coeficiente de fricción cinética entre el bloque *A* y la mesa es  $\mu_k$ . El sistema se suelta del reposo y el bloque *B* desciende. El bloque *A* tiene masa  $m_A$ ; y la de *B* es  $m_B$ . Use métodos de energía para calcular la rapidez de *B* en función de la distancia  $d$  que ha descendido.

Figura P9.75



**9.76 ••** La polea de la figura P9.76 tiene 0.160 m de radio y su momento de inercia es de  $0.380 \text{ kg}\cdot\text{m}^2$ . La cuerda no resbala en la polea. Use métodos de energía para calcular la rapidez del bloque de 4.00 kg justo antes de golpear el piso.

Figura P9.76

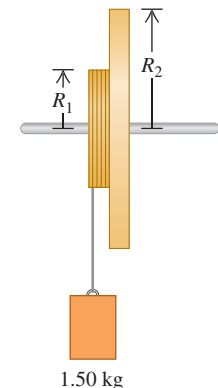


**9.77 ••** Dos discos metálicos, con radios  $R_1 = 2.50 \text{ cm}$  y  $R_2 = 5.00 \text{ cm}$ , y masas  $M_1 = 0.80 \text{ kg}$  y  $M_2 = 1.60 \text{ kg}$ , se sueldan y se montan en un eje sin fricción que pasa por el centro común (figura P9.77). *a)* ¿Qué momento de inercia total tienen los discos? *b)* Una cuerda ligera se enrolla en el extremo del disco más chico y del extremo libre de la cuerda se cuelga un bloque de 1.50 kg. Si el bloque se suelta del reposo a una altura de 2.00 m sobre el piso, ¿qué rapidez tiene justo antes de golpear el piso? *c)* Repita el inciso *b*), pero ahora con la cuerda enrollada en el borde del disco más grande. ¿En qué caso el bloque alcanza mayor rapidez? Explique su respuesta.

**9.78 ••** Un alambre ligero y delgado se enrolla alrededor del borde de una rueda, como se muestra en la figura E9.45. La rueda gira alrededor de un eje horizontal fijo que pasa por su centro. La rueda tiene un radio de 0.180 m y un momento de inercia alrededor de su eje de  $I = 0.480 \text{ kg}\cdot\text{m}^2$ . Del extremo libre del alambre se encuentra suspendido un pequeño bloque de masa igual a 0.340 kg. Cuando el sistema se libera del reposo, el bloque desciende con aceleración constante. Los cojinetes de la rueda en el eje están oxidados, de modo que la fricción realiza  $-9.00 \text{ J}$  de trabajo conforme el bloque desciende 3.00 m. ¿Cuál es la magnitud de la velocidad angular de la rueda después de que el bloque ha descendido 3.00 m?

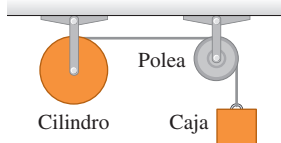
**9.79 ••** En el sistema que se ilustra en la figura 9.17, una masa de 12.0 kg se suelta desde el reposo y cae, haciendo que el cilindro uniforme con masa de 10.0 kg y diámetro de 30.0 cm gire en torno a un eje sin fricción que pasa por su centro. ¿Qué distancia deberá descender la masa para impartir al cilindro 480 J de energía cinética?

Figura P9.77



- 9.80** • En la figura P9.80, el cilindro y la polea giran sin fricción en torno a ejes horizontales estacionarios que pasan por sus respectivos centros. Se enrolla una cuerda ligera en el cilindro, la cual pasa por la polea y tiene una caja de 3.00 kg suspendida de su extremo libre. No hay deslizamiento entre la cuerda y la superficie de la polea. El cilindro uniforme tiene masa de 5.00 kg y radio de 40.0 cm. La polea es un disco uniforme con masa de 2.00 kg y radio de 20.0 cm. La caja se suelta desde el reposo y descende mientras la cuerda se desenrolla del cilindro. Calcule la rapidez que tiene la caja cuando ha descendido 2.50 m.

Figura P9.80



**9.81 • BIO Energía cinética en una caminata.** Si una persona de masa  $M$  simplemente se mueve hacia adelante con rapidez  $V$ , su energía cinética sería  $\frac{1}{2}MV^2$ . Sin embargo, además de tener movimiento hacia adelante, varias partes de su cuerpo (como los brazos y las piernas) experimentan una rotación. Por lo tanto, su energía cinética total es la suma de la energía de su cuerpo por el movimiento hacia adelante, más la energía cinética de rotación de sus brazos y piernas. El objetivo de este problema es ver cuánto contribuye el movimiento de rotación a la energía cinética de la persona. Mediciones biomédicas indican que los brazos y las manos, en conjunto, normalmente contribuyen con el 13% a la masa de la persona, mientras que las piernas y los pies, en conjunto, contribuyen con el 37%. Para un cálculo aproximado (pero razonable), conviene modelar brazos y piernas como barras uniformes delgadas que giran alrededor de los hombros y las caderas, respectivamente. Con paso ligero, los brazos y las piernas se pueden mover un ángulo de  $\pm 30^\circ$  (un total de  $60^\circ$ ) a partir de la vertical en aproximadamente 1 segundo. Supondremos que se mantienen rectos en lugar de doblados, lo cual no es completamente cierto. Consideremos a una persona de 75 kg que va caminando a 5 km/h, cuyos brazos miden 70 cm de largo y sus piernas 90 cm. *a)* ¿Cuál es la velocidad angular media de sus brazos y piernas? *b)* Usando la velocidad angular media del inciso *a*), calcule la cantidad de energía cinética de rotación en los brazos y las piernas de esa persona al caminar. *c)* ¿Cuál es la energía cinética total debida tanto al movimiento hacia adelante como a la rotación? *d)* ¿Qué porcentaje de esa energía cinética se debe a la rotación de las piernas y los brazos?

**9.82 • BIO La energía cinética en una carrera.** Usando como guía el problema 9.81, aplíquelo a una persona que corre a 12 km/h, con los brazos y las piernas girando  $\pm 30^\circ$  en  $\frac{1}{2}$ s. Como antes, suponga que los brazos y las piernas se mantienen rectos.

Figura P9.83

**9.83 • BIO Energía rotacional del ser humano.** Una bailarina gira a 72 rpm alrededor de un eje que pasa por su centro con los brazos extendidos (**figura P9.83**). Mediciones biomédicas indican que la distribución de la masa del cuerpo humano es como sigue:

Cabeza: 7.0%

Brazos: 13% (para los brazos)

Tronco y piernas: 80.0%

Suponga que usted es esa bailarina. Con base en esta información y considerando las mediciones de longitud de su propio cuerpo, calcule *a)* su momento de inercia alrededor de su eje de giro y *b)* su energía cinética de rotación. Use las figuras de la tabla 9.2 para modelar aproximaciones razonables de las partes pertinentes de su cuerpo.



- 9.84 •• Una varilla uniforme delgada se dobla formando un cuadrado de lado  $a$ .** Si la masa total es  $M$ , calcule el momento de inercia alrededor de un eje que pasa por el centro y es perpendicular al plano del cuadrado. (*Sugerencia:* Use el teorema de los ejes paralelos).

- 9.85 •• CALC** Una esfera de radio  $R = 0.200$  m tiene una densidad  $\rho$  que disminuye con la distancia  $r$  desde el centro de la esfera de acuerdo con  $\rho = 3.00 \times 10^3 \text{ kg/m}^3 - (9.00 \times 10^3 \text{ kg/m}^4)r$ . *a)* Calcule la masa total de la esfera. *b)* Calcule el momento de inercia de la esfera con respecto a un eje a lo largo de un diámetro.

- 9.86 •• CALC Estrellas de neutrones y restos de supernovas.**

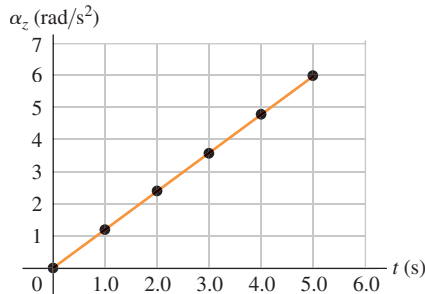
La Nebulosa del Cangrejo es una nube de gas brillante de unos 10 años luz de diámetro, localizada a una distancia aproximada de 6500 años luz de la Tierra (**figura P9.86**). Es el remanente de una estrella que experimentó una *explosión supernova* que se vio en la Tierra en el año 1054. Esta nebulosa libera energía a razón de aproximadamente  $5 \times 10^{31} \text{ W}$ , unas  $10^5$  veces la energía radiada por el Sol. El origen de esa energía es la rotación rápida de una *estrella de neutrones* en el centro de la nebulosa. Este objeto gira una vez cada 0.0331 s, y dicho periodo aumenta  $4.22 \times 10^{-13} \text{ s}$  cada segundo que transcurre. *a)* Si la rapidez con que la estrella de neutrones pierde energía es igual a la rapidez con que la nebulosa libera energía, calcule el momento de inercia de la estrella de neutrones. *b)* Las teorías sobre supernovas predicen que la estrella de neutrones de la Nebulosa del Cangrejo tiene una masa aproximadamente 1.4 veces mayor que la del Sol. Modelando la estrella de neutrones como una esfera sólida uniforme, calcule su radio en kilómetros. *c)* ¿Qué rapidez lineal tiene un punto en el ecuador de esa estrella? Compare esto con la rapidez de la luz. *d)* Suponga que la estrella de neutrones es uniforme y calcule su densidad, comparándola con la de una roca ordinaria ( $3000 \text{ kg/m}^3$ ) y con la de un núcleo atómico (aproximadamente  $10^{17} \text{ kg/m}^3$ ). Justifique la afirmación de que una estrella de neutrones es, en esencia, un núcleo atómico grande.

Figura P9.86



- 9.87 •• DATOS** Un técnico está probando un motor de velocidad variable controlado por computadora. El especialista ata un disco fino al eje del motor, con el eje en el centro del disco. El disco parte del reposo, y los sensores adjuntos al eje del motor miden la aceleración angular  $\alpha_z$  del eje como una función del tiempo. Los resultados de una prueba de funcionamiento se muestran en la **figura 9.87**:
- a)* ¿Cuántas revoluciones ha girado el disco en los primeros 5.0 s? ¿Se puede utilizar la ecuación (9.11)? Explique. ¿Cuál es la velocidad angular, en rad/s, del disco *b)* en  $t = 5.0$  s; *c)* y cuando ha girado 2.00 rev?

Figura P9.87



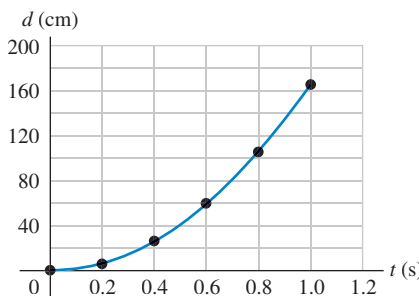
**9.88 •• DATOS** Usted está analizando el movimiento de un gran volante que tiene un radio de 0.800 m. En una prueba de funcionamiento, la rueda parte del reposo y gira con aceleración angular constante. Un acelerómetro en el borde del volante mide la magnitud de la aceleración resultante  $a$  de un punto en el borde del volante en función del ángulo  $\theta - \theta_0$  a través del cual ha girado la rueda. Usted recopila estos resultados:

$\theta - \theta_0$ (rad)	0.50	1.00	1.50	2.00	2.50	3.00	3.50	4.00
$a$ ( $\text{m/s}^2$ )	0.678	1.07	1.52	1.98	2.45	2.92	3.39	3.87

Construya una gráfica de  $a^2$  (en  $\text{m}^2/\text{s}^4$ ) contra  $(\theta - \theta_0)^2$  en ( $\text{rad}^2$ ). *a)* ¿Cuáles son la pendiente y la intersección en  $y$  de la recta que mejor se ajusta a los datos? *b)* Utilice la pendiente del inciso *a*) para encontrar la aceleración angular del volante. *c)* ¿Cuál es la rapidez lineal de un punto en el borde del volante cuando la rueda ha girado un ángulo de 135°? *d)* Cuando el volante ha girado a través de un ángulo de 90.0°, ¿cuál es el ángulo entre la velocidad lineal de un punto en su borde y la aceleración resultante de ese punto?

**9.89 •• DATOS** Está reconstruyendo un Chevrolet 1965. Para decidir si reemplaza el volante por uno nuevo, de peso más ligero, desea determinar el momento de inercia del volante original de 35.6 cm de diámetro. Éste no es un disco uniforme, por lo que no puede utilizar  $I = \frac{1}{2}MR^2$  para calcular el momento de inercia. Usted retira el volante del auto y utiliza cojinetes de baja fricción para montarlo sobre una varilla horizontal fija que pasa a través del centro del volante, el cual luego puede girar de manera libre (aproximadamente a 2 m arriba del suelo). Después de pegar un extremo de una pieza larga de cuerda flexible al borde del volante, usted la enrolla varias vueltas alrededor del borde y suspende un bloque del metal de 5.60 kg del extremo libre de la cuerda. Al soltar el bloque desde el reposo, desciende mientras el volante gira. Con ayuda de una cámara fotográfica de alta velocidad, mide la distancia  $d$  que se ha movido el bloque hacia abajo en función del tiempo desde que se liberó. La ecuación para la gráfica que se muestra en la figura P9.89 que da un buen ajuste para los puntos de datos es  $d = (165 \text{ cm/s}^2)t^2$ . *a)* Con base en la gráfica, ¿el bloque cae con aceleración constante? Explique. *b)* Utilice la gráfica para calcular la velocidad del bloque cuando ha descendido 1.50 m. *c)* Aplique conservación de la energía mecánica al sistema de volante y bloque para calcular el momento de inercia del volante. *d)* Usted se siente tranquilo al constatar que la cuerda no se rompió. Aplique la segunda ley de Newton al bloque para determinar la tensión en la cuerda conforme el bloque desciende.

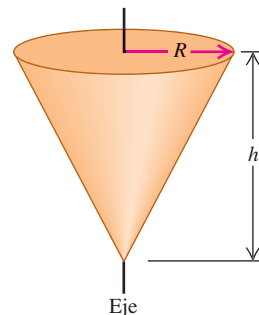
Figura P9.89



## PROBLEMAS DE DESAFÍO

**9.90 •• CALC** Calcule el momento de inercia de un cono sólido uniforme de masa  $M$  y altura  $h$  alrededor de un eje que pasa por su centro (figura P9.90). El radio de la base circular es  $R$ .

Figura P9.90



**9.91 ••• CALC** En un disco compacto (CD), la música se codifica en un patrón de orificios diminutos dispuestos en una pista que corre en espiral hacia el borde del disco. Al girar el disco dentro del reproductor, la pista es escaneada con una rapidez *lineal* constante de  $v = 1.25 \text{ m/s}$ . Puesto que el radio de la pista varía conforme la espiral se aleja del centro, la rapidez *angular* del disco debe cambiar al reproducirse el CD (vea el ejercicio 9.20). Veamos qué aceleración angular se necesita para mantener  $v$  constante. La ecuación de una espiral es  $r(\theta) = r_0 + \beta\theta$ , donde  $r_0$  es el radio de la espiral en  $\theta = 0$  y  $\beta$  es una constante. En un CD,  $r_0$  es el radio interior de la pista en espiral. Si tomamos la dirección de rotación del CD como positiva,  $\beta$  debe ser positiva para que  $r$  aumente conforme el disco gira y  $\theta$  se incrementa. *a)* Al girar el disco un ángulo pequeño  $d\theta$ , la distancia escaneada sobre la pista es  $ds = r d\theta$ . Usando la expresión anterior para  $r(\theta)$ , integre  $ds$  para obtener la distancia total  $s$  escaneada a lo largo de la pista en función del ángulo total  $\theta$  que ha girado el disco. *b)* Puesto que la pista se escanea con rapidez lineal constante  $v$ , la distancia  $s$  obtenida en el inciso *a*) es igual a  $vt$ . Use esto para obtener  $\theta$  en función del tiempo. Habrá dos soluciones para  $\theta$ ; elija la positiva y explique por qué es la adecuada. *c)* Con su expresión para  $\theta(t)$ , calcule la velocidad angular  $\omega_z$  y la aceleración angular  $\alpha_z$  en función del tiempo. ¿ $\alpha_z$  es constante? *d)* En un CD, el radio interior de la pista es de 25.0 mm, el radio aumenta  $1.55 \mu\text{m}$  cada revolución y la duración de la reproducción del CD es de 74.0 min. Calcule  $r_0$  y  $\beta$ , y determine el número total de revoluciones del disco durante su reproducción. *e)* Con sus resultados de *c*) y *d*), grafique  $\omega_z$  (en rad/s) contra  $t$ , y  $\alpha_z$  (en rad/s<sup>2</sup>) contra  $t$  entre  $t = 0$  y  $t = 74.0$  min.

## PROBLEMAS DE TRANSICIÓN

**BIO ANGUILA QUE GIRA.** Las anguilas americanas (*Anguilla rostrata*) son peces de agua dulce con cuerpos largos y delgados que podemos considerar como cilindros uniformes de 1.0 m de largo y 10 cm de diámetro. Una anguila compensa las pequeñas dimensiones de su mandíbula y de sus dientes sosteniendo a la presa con su boca y luego haciendo girar rápidamente su cuerpo alrededor de su eje largo para arrancar un trozo de carne. Se han grabado imágenes de anguilas capaces de girar hasta 14 revoluciones por segundo cuando se alimentan de esa manera. Aunque este método de alimentación es costoso en términos de energía, permite a las anguilas alimentarse de presas grandes a las que, de otra manera, no tendrían acceso.

**9.92** Un investigador de campo utiliza la función de movimiento lento en la cámara de su teléfono para grabar un video de una anguila girando a su velocidad máxima. La cámara graba 120 cuadros por segundo. ¿Qué ángulo gira la anguila de un cuadro al siguiente? *a)* 1°; *b)* 10°; *c)* 22°; *d)* 42°.

**9.93** Se observa que la anguila gira 14 vueltas por segundo en el sentido de las manecillas del reloj, y 10 segundos después se observa que gira 8 vueltas por segundo en sentido contrario al sentido de las manecillas del reloj. ¿Cuál es la magnitud de la aceleración angular media durante este tiempo? *a)*  $6/10 \text{ rad/s}^2$ ; *b)*  $6\pi/10 \text{ rad/s}^2$ ; *c)*  $12\pi/10 \text{ rad/s}^2$ ; *d)*  $44\pi/10 \text{ rad/s}^2$ .

**9.94** La anguila posee cierta cantidad de energía cinética de rotación al girar a 14 vueltas por segundo. Si en vez de ello, nadara en línea recta, ¿aproximadamente qué tan rápido tendría que nadar la anguila para alcanzar la misma cantidad de energía cinética que cuando está girando? *a)* 0.5 m/s; *b)* 0.7 m/s; *c)* 3 m/s; *d)* 5 m/s.

**9.95** Se descubre una nueva especie de anguila que tiene la misma masa, pero un cuarto de longitud y el doble del diámetro que la

anguila americana. ¿Cuál es su momento de inercia para girar alrededor de su eje largo en comparación con el de la anguila americana? La nueva especie tiene *a)* la mitad del momento de inercia que la anguila americana; *b)* el mismo momento de inercia que la anguila americana; *c)* el doble del momento de inercia que la anguila americana; *d) cuatro veces el momento de inercia de la anguila americana.*

## Respuestas

### Pregunta de inicio del capítulo ?

**ii.** La energía cinética rotacional de un cuerpo rígido que gira alrededor de un eje es  $K = \frac{1}{2}I\omega^2$ , donde  $I$  es el momento de inercia del cuerpo para ese eje y  $\omega$  es la rapidez de rotación. La tabla 9.2 indica que el momento de inercia de una varilla delgada de masa  $M$  y longitud  $L$  con un eje que pasa por un extremo (como el aspa de una turbina eólica) es  $I = \frac{1}{3}ML^2$ . Si duplicamos  $L$  mientras  $M$  y  $\omega$  permanecen constantes, tanto el momento de inercia  $I$  como la energía cinética  $K$  aumentarán en un factor de  $2^2 = 4$ .

### Respuesta a las secciones

#### Evalué su comprensión

**9.1 a) i. y iii., b) ii.** La rotación se está acelerando cuando la aceleración y la velocidad angulares tienen el mismo signo, y está frenando cuando tienen signos opuestos. Por lo tanto, acelera para  $0 < t < 2$  s ( $\omega_z$  y  $\alpha_z$  son positivas) y para  $4 < t < 6$  s ( $\omega_z$  y  $\alpha_z$  son negativas); pero frena para  $2 < t < 4$  s ( $\omega_z$  es positiva y  $\alpha_z$  es negativa). Observe que el cuerpo gira en una dirección para  $t < 4$  s ( $\omega_z$  es positiva) y en la dirección opuesta para  $t > 4$  s ( $\omega_z$  es negativa).

**9.2 a) i., b) ii.** Cuando el disco se detiene,  $\omega_z = 0$ . De acuerdo con la ecuación (9.7), esto sucede en el *instante*  $t = (\omega_z - \omega_{0z})/\alpha_z = -\omega_{0z}/\alpha_z$  (éste es un tiempo positivo porque  $\alpha_z$  es negativa). Si duplicamos la velocidad angular inicial  $\omega_{0z}$  y también duplicamos la aceleración angular  $\alpha_z$ , su cociente no cambia y la rotación se detiene en el mismo tiempo. El *ángulo* con el que gira el disco está dado por la ecuación (9.10):  $\theta - \theta_0 = \frac{1}{2}(\omega_{0z} + \omega_z)t = \frac{1}{2}\omega_{0z}t$  (ya que la velocidad angular final es  $\omega_z = 0$ ). La velocidad angular inicial  $\omega_{0z}$  se duplica,

pero el tiempo  $t$  es el mismo, así que el desplazamiento angular  $\theta - \theta_0$  (y, por lo tanto, el número de revoluciones) se duplica. Podemos usar la ecuación (9.12) para obtener la misma conclusión.

**9.3 ii.** De acuerdo con la ecuación (9.13),  $v = r\omega$ . Para mantener una rapidez lineal  $v$  constante, la rapidez angular  $\omega$  debe disminuir a medida que la cabeza lectora se mueve hacia afuera (mayor  $r$ ).

**9.4 i.** La energía cinética del objeto que desciende es  $\frac{1}{2}mv^2$ ; y la del cilindro que gira,  $\frac{1}{2}I\omega^2 = \frac{1}{2}(\frac{1}{2}mR^2)(v/R)^2 = \frac{1}{4}mv^2$ . Por lo tanto, la energía cinética total del sistema es  $\frac{3}{4}mv^2$ , de la cual dos tercios están en el bloque y un tercio en el cilindro.

**9.5 ii.** Más de la masa del taco de billar está concentrada en el extremo más grueso, así que el centro de masa está más cercano a dicho extremo. El momento de inercia en un punto  $P$  en cualquiera de sus extremos es  $I_P = I_{cm} + Md^2$ ; el extremo más delgado está más alejado del centro de masa, por lo que la distancia  $d$  y el momento de inercia  $I_P$  son mayores para el extremo más delgado.

**9.6 iii.** El resultado del ejemplo 9.10 *no* depende de la longitud del cilindro  $L$ . El momento de inercia depende sólo de la distribución *radial* de la masa, no de su distribución a lo largo del eje.

### Problema práctico

a)  $I = \left[ \frac{M}{L} \left( \frac{x^3}{3} \right) \right]_{-h}^{L-h} = \frac{1}{3}M(L^2 - 3Lh + 3h^2)$

b)  $W = \frac{1}{6}M(L^2 - 3Lh + 3h^2)\alpha^2 t^2$

c)  $a = (L - h)\alpha\sqrt{1 + \alpha^2 t^4}$



?

Estos malabaristas lanzan las clavas para que giren en el aire. Cada clava es de composición uniforme, por lo que su peso se concentra hacia su extremo grueso.

Si despreciamos la resistencia del aire, pero no los efectos de la gravedad, ¿la rapidez angular de una clava en el vuelo

- i. aumentará continuamente;
- ii. disminuirá de forma continua;
- iii. aumentará y disminuirá alternadamente;
- o iv. permanecerá constante?

# 10 DINÁMICA DEL MOVIMIENTO DE ROTACIÓN

## OBJETIVOS DE APRENDIZAJE

Al estudiar este capítulo, usted aprenderá:

- 10.1 Qués significado tiene una torca producida por una fuerza.
- 10.2 Cómo la torca neta sobre un cuerpo afecta su movimiento de rotación.
- 10.3 Cómo se analiza el movimiento de un cuerpo que gira y se mueve como un todo en el espacio.
- 10.4 Cómo resolver problemas que implican trabajo y potencia en el caso de cuerpos que giran.
- 10.5 Qué se entiende por momento angular (o cantidad de movimiento angular) de una partícula o de un cuerpo rígido.
- 10.6 Cómo el momento angular de un cuerpo puede permanecer constante incluso si éste cambia de forma.
- 10.7 ¿Por qué un giróscopo en movimiento experimenta precesión.

Repase lo estudiado en la sección ...

- 1.10 Producto vectorial de dos vectores.
- 5.2 Segunda ley de Newton.
- 6.1–6.4 Trabajo, el teorema trabajo-energía, y la potencia.
- 8.2, 8.3, Fuerzas externas contra internas,
- 8.5 colisiones e interacciones lásicas y movimiento del centro de masa.
- 9.1–9.5 Movimiento de rotación y el teorema de los ejes paralelos.

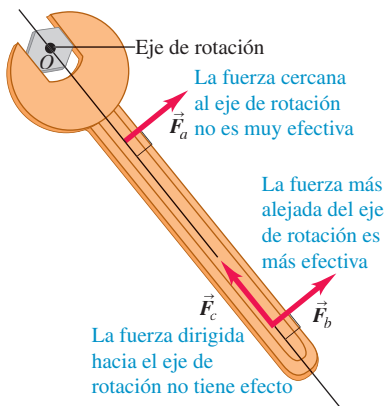
**E**n los capítulos 4 y 5 aprendimos que una fuerza neta aplicada a un cuerpo le produce una aceleración. Pero ¿qué se necesita para producir en un cuerpo una aceleración *angular*? Es decir, ¿qué se necesita para hacer girar a un cuerpo en reposo o para detener a uno que está girando? Se requiere una fuerza, pero se debe aplicar de manera que provoque una acción de torsión o un giro.

En este capítulo vamos a definir una nueva cantidad física, la *torca* (también conocida como *par de torsión o par*), la cual describe la acción de torsión o de giro producida por una fuerza. Encontraremos que la torca neta que actúa sobre un cuerpo rígido determina su aceleración angular, de la misma manera que la fuerza neta sobre un cuerpo determina su aceleración lineal. También estudiaremos el trabajo y la potencia en el movimiento de rotación para entender, por ejemplo, cómo es que un motor eléctrico transmite energía. Después, desarrollaremos un nuevo principio de conservación, la *conservación del momento angular*, que es sumamente útil para comprender el movimiento de rotación tanto de cuerpos rígidos como de los que no lo son. Terminaremos este capítulo con el estudio de los *giróscopos*, dispositivos giratorios que aparentemente desafían el sentido común y no se caen cuando se cree que deberían hacerlo, aunque en realidad se comportan en perfecta concordancia con la dinámica del movimiento de rotación.

## 10.1 TORCA

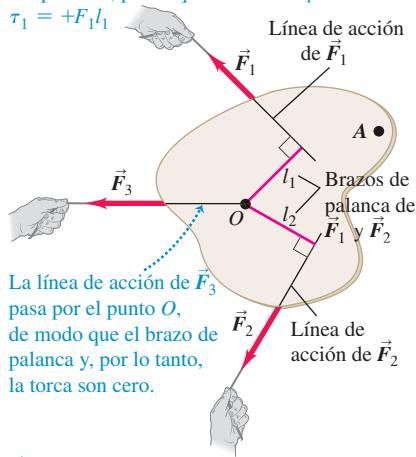
Sabemos que las fuerzas que actúan sobre un cuerpo pueden afectar su **movimiento de traslación**, es decir, el movimiento del cuerpo como un todo en el espacio. Ahora queremos aprender qué aspectos de una fuerza determinan qué tan efectiva es ésta para provocar o modificar el movimiento de *rotación*. La magnitud y la dirección de la fuerza son importantes, al igual que el punto de su aplicación sobre el cuerpo. En la **figura 10.1** se utiliza una llave para aflojar un tornillo apretado. La fuerza  $\vec{F}_b$  aplicada cerca del extremo del mango es más eficaz que una fuerza igual  $\vec{F}_a$  aplicada cerca del tornillo. La fuerza  $\vec{F}_c$  no sirve de nada, ya que se aplica en el mismo punto que  $\vec{F}_b$  y tiene la misma magnitud que ésta, pero se dirige a lo largo de la longitud del mango. La medida cuantitativa de la tendencia de una fuerza para provocar o modificar el movimiento de rotación de un cuerpo se conoce como *torca, par de torsión o par*; decimos

**10.1** ¿Cuál de estas tres fuerzas de igual magnitud tiene la mayor probabilidad de aflojar el tornillo apretado?



**10.2** La torca de una fuerza en torno a un punto es el producto de la magnitud de la fuerza por su brazo de palanca.

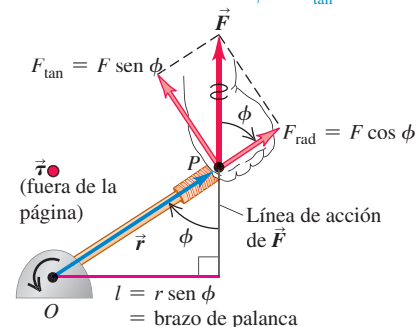
$\vec{F}_1$  tiende a provocar una *rotación en sentido contrario a las manecillas del reloj* alrededor del punto  $O$ , por lo que su torca es *positiva*:  
 $\tau_1 = +F_1 l_1$



$\vec{F}_2$  tiende a producir una rotación en *sentido de las manecillas del reloj* alrededor del punto  $O$ , por lo que su torca es *negativa*:  $\tau_2 = -F_2 l_2$

**10.3** Tres maneras de calcular la torca de la fuerza  $\vec{F}$  en torno al punto  $O$ . En esta figura,  $\vec{r}$  y  $\vec{F}$  se encuentran en el plano de la página, y el vector torca  $\vec{\tau}$  apunta saliendo de la página hacia usted.

Tres maneras de calcular la torca:  
 $\tau = Fl = rF \sin \phi = F_{\tan}r$



que  $\vec{F}_a$  genera una torca sobre el punto  $O$  a la llave de la figura 10.1,  $\vec{F}_b$  aplica una torca mayor en torno a  $O$ , y  $\vec{F}_c$  aplica una torca nula alrededor de  $O$ .

La **figura 10.2** muestra tres ejemplos de cómo calcular la torca. El cuerpo de la figura puede girar alrededor de un eje que es perpendicular al plano de la figura y que pasa por el punto  $O$ . Sobre el cuerpo actúan tres fuerzas en el plano de la figura. La tendencia de la primera de estas fuerzas,  $\vec{F}_1$ , a provocar una rotación alrededor de  $O$  depende de su magnitud  $F_1$ . También depende de la distancia *perpendicular*  $l_1$  entre el punto  $O$  y la **línea de acción** de la fuerza (es decir, la línea a lo largo de la cual se ubica el vector fuerza). Llamamos a la distancia  $l_1$  el **brazo de palanca** (o **brazo de momento**) de la fuerza  $\vec{F}_1$  alrededor de  $O$ . El esfuerzo de torsión es directamente proporcional tanto a  $F_1$  como a  $l_1$ , así que la **torca** (o el *momento*) de la fuerza  $\vec{F}_1$  con respecto a  $O$  se define como el producto  $F_1 l_1$ . Usamos la letra griega  $\tau$  (tau) para indicar la torca. En general, la torca para una fuerza de magnitud  $F$  cuya línea de acción es una distancia perpendicular  $l$  desde  $O$  es

$$\tau = Fl \quad (10.1)$$

Los físicos suelen utilizar el término “torca”, mientras que los ingenieros prefieren utilizar “momento de una fuerza” (a menos que se trate de un eje giratorio). Como mencionamos antes, también se utilizan los términos “par de torsión” y “par”; incluso en algunos textos llega a encontrarse el término “torque”.

El brazo de palanca de  $\vec{F}_1$  en la figura 10.2 es la distancia perpendicular  $l_1$ , y el brazo de palanca de  $\vec{F}_2$  es la distancia perpendicular  $l_2$ . La línea de acción de  $\vec{F}_3$  pasa por el punto  $O$ , de modo que el brazo de palanca para  $\vec{F}_3$  es cero y su torca con respecto a  $O$  es cero. De la misma manera, la fuerza  $\vec{F}_c$  en la figura 10.1 tiene una torca nula con respecto al punto  $O$ ;  $\vec{F}_b$  tiene una torca mayor que  $\vec{F}_a$  ya que su brazo de palanca es mayor.

**CUIDADO** La torca siempre se mide con respecto a un punto. Observe que la torca *siempre* se define con referencia a un punto específico. Si modificamos la posición de ese punto, la torca de cada fuerza también cambia. Por ejemplo, la torca de la fuerza  $\vec{F}_3$  de la figura 10.2 es cero con respecto al punto  $O$ , pero la torca *no* es cero con respecto al punto  $A$ . No es suficiente referirnos a “la torca de  $\vec{F}$ ”; se debe decir “la torca de  $\vec{F}$  con respecto al punto  $X$ ” o “la torca de  $\vec{F}$  alrededor del punto  $X$ ”. ■

La fuerza  $\vec{F}_1$  en la figura 10.2 tiende a provocar la rotación en *sentido contrario a las manecillas del reloj* (*sentido antihorario*) alrededor de  $O$ , mientras que  $\vec{F}_2$  ocasiona el giro en el *sentido de las manecillas del reloj* (*sentido horario*). Para distinguir entre estas dos posibilidades, tenemos que elegir un sentido de giro positivo. Con la elección de que las *torcas en sentido contrario a las manecillas del reloj son positivas* y *en sentido de las manecillas del reloj son negativas*, las torcas de  $\vec{F}_1$  y  $\vec{F}_2$  con respecto a  $O$  son

$$\tau_1 = +F_1 l_1 \quad \tau_2 = -F_2 l_2$$

La figura 10.2 muestra esta opción para el signo de la torca. A menudo se utiliza el símbolo  $\oplus$  para indicar nuestra elección del sentido de rotación positivo.

La unidad en el SI para la torca es el newton-metro. En nuestro análisis acerca del trabajo y la energía llamamos joule a esta combinación. Pero la torca *no* es trabajo ni energía, y se expresa en newton-metros, *no* en joules.

La **figura 10.3** muestra una fuerza  $\vec{F}$  aplicada en un punto  $P$  descrito por un vector de posición  $\vec{r}$  con respecto al punto  $O$ . Hay tres formas de calcular la torca de esta fuerza:

1. Encontrar el brazo de palanca  $l$  y utilizar  $\tau = Fl$ .
2. Determinar el ángulo  $\phi$  entre los vectores  $\vec{r}$  y  $\vec{F}$ ; el brazo de palanca es  $r \sin \phi$ , así que  $\tau = rF \sin \phi$ .
3. Representar  $\vec{F}$  en términos de una componente radial  $F_{\text{rad}}$  a lo largo de la dirección de  $\vec{r}$  y una componente tangencial  $F_{\tan}$  en ángulos rectos, perpendiculares a  $\vec{r}$  (esto se denomina una componente *tangencial* porque si el cuerpo gira, el punto donde actúa la fuerza se mueve en un círculo, y esa componente es tangente a dicho círculo). Entonces,  $F_{\tan} = F \sin \phi$  y  $\tau = r(F \sin \phi) = F_{\tan}r$ . La componente  $F_{\text{rad}}$  *no* produce torca con respecto a  $O$  ya que su brazo de palanca con respecto a ese punto es cero (compare las fuerzas  $\vec{F}_c$  en la figura 10.1 y  $\vec{F}_3$  en la figura 10.2).

Resumiendo estas tres expresiones para la torca, tenemos

$$\text{Magnitud de la torca debida a la fuerza } \vec{F} \text{ relativa al punto } O = \tau = Fl = rF \sin \phi = F_{\tan} r \quad (10.2)$$

Diagrama que muestra las componentes y el ángulo para la ecuación (10.2):

- Brazo de palanca de  $\vec{F}$ :  $l$
- Magnitud de  $\vec{r}$ :  $r$
- Magnitud de  $\vec{F}$ :  $F$
- Ángulo entre  $\vec{r}$  y  $\vec{F}$ :  $\phi$
- Componente tangencial de  $\vec{F}$ :  $F_{\tan}$
- Punto donde actúa  $\vec{F}$ :  $O$



DEMO

## Torca como un vector

En la sección 9.1 vimos que la velocidad y la aceleración angulares se pueden representar como vectores; lo mismo es cierto para la torca. Para ver cómo hacerlo, observe que la cantidad  $rF \sin \phi$  en la ecuación (10.2) es la magnitud del producto vectorial  $\vec{r} \times \vec{F}$  que se definió en la sección 1.10 (regrese y repase esa definición). Ahora se generaliza la definición de la torca de la siguiente manera: Cuando una fuerza  $\vec{F}$  actúa en un punto que tiene un vector de posición  $\vec{r}$  con respecto a un origen  $O$ , como se muestra en la figura 10.3, la torca  $\vec{\tau}$  de la fuerza con respecto a  $O$  es la cantidad vectorial

$$\text{Vector torca debido a la fuerza } \vec{F} \text{ con respecto al punto } O = \vec{\tau} = \vec{r} \times \vec{F} \quad (10.3)$$

Diagrama que muestra la definición de la torca como un vector:

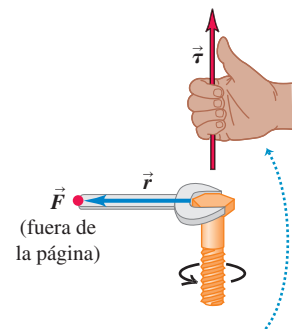
- Vector de  $O$  a donde actúa  $\vec{F}$ :  $\vec{r}$
- Fuerza  $\vec{F}$

La torca, tal como se define en la ecuación (10.2), es la magnitud del vector torca  $\vec{\tau} \times \vec{F}$ . La dirección de  $\vec{\tau}$  es perpendicular tanto a  $\vec{r}$  como a  $\vec{F}$ . En particular, si tanto  $\vec{r}$  como  $\vec{F}$  se encuentran en un plano perpendicular al eje de rotación, como en la figura 10.3, entonces el vector torca  $\vec{\tau} = \vec{r} \times \vec{F}$  se dirige a lo largo del eje de rotación, con un sentido indicado por la regla de la mano derecha (vea las figuras 1.30 y 10.4).

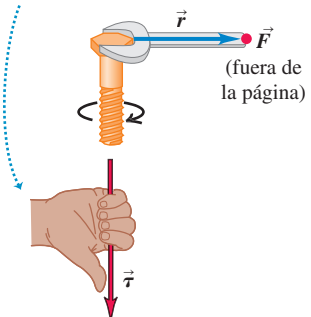
Debido a que  $\vec{\tau} = \vec{r} \times \vec{F}$  es perpendicular al plano formado por los vectores  $\vec{r}$  y  $\vec{F}$ , es común tener diagramas como los de la figura 10.4, en los que uno de los vectores es perpendicular a la página. Utilizaremos un punto ( $\bullet$ ) para representar un vector que apunta hacia afuera de la página, y una cruz ( $\times$ ) para representar un vector que apunta hacia adentro de la página (vea las figuras 10.3 y 10.4).

En las siguientes secciones, por lo general, nos interesará la rotación de un cuerpo alrededor de un eje orientado en una dirección constante determinada. En ese caso, sólo la componente de la torca a lo largo de ese eje es de interés, y con frecuencia la llamamos la componente de la torca con respecto al *eje* especificado.

**10.4** El vector torca  $\vec{\tau} = \vec{r} \times \vec{F}$  se dirige a lo largo del eje del tornillo, perpendicular tanto a  $\vec{r}$  como a  $\vec{F}$ . Los dedos de la mano derecha se enroscan en la dirección de la rotación que la torca tiende a generar.



Si usted apunta con los dedos de la mano derecha en la dirección de  $\vec{r}$  y luego los enrosca en la dirección de  $\vec{F}$ , su pulgar extendido apuntará en la dirección de  $\vec{\tau}$ .



## EJEMPLO 10.1 APLICACIÓN DE UNA TORCA

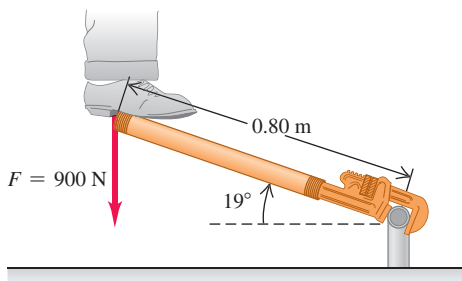


Para aflojar una junta de tubería, un plomero ensarta un pedazo de tubo (una “extensión”) en el mango de su llave. Se coloca de pie en el extremo del tubo, aplicando todo su peso de 900 N en un punto a 0.80 m

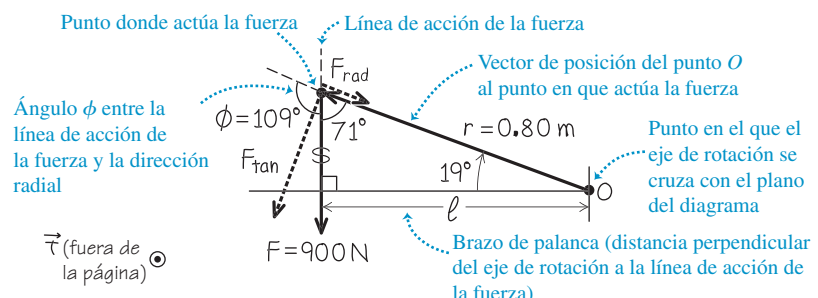
del centro de la junta (figura 10.5a). El mango de la llave y la extensión forman un ángulo de  $19^\circ$  con la horizontal. Encuentre la magnitud y dirección de la torca que se aplica en torno al centro de la junta.

**10.5 a)** Aflojar una junta de tubería colocándose de pie sobre una “extensión”. **b)** Diagrama vectorial para encontrar la torca en torno a  $O$ .

a) Diagrama de la situación



b) Diagrama de cuerpo libre



Continúa

**SOLUCIÓN**

**IDENTIFICAR y PLANTEAR:** La figura 10.5b muestra los vectores  $\vec{r}$  y  $\vec{F}$  y el ángulo entre ellos ( $\phi = 109^\circ$ ). La ecuación (10.1) o (10.2) nos indicará la magnitud de la torca. La regla de la mano derecha con la ecuación (10.3),  $\vec{\tau} = \vec{r} \times \vec{F}$ , nos indica la dirección de la torca.

**EJECUTAR:** Para utilizar la ecuación (10.1), primero se calcula el brazo de palanca  $l$ . Como se muestra en la figura 10.5b,

$$l = r \sin \phi = (0.80 \text{ m}) \sin 109^\circ = 0.76 \text{ m}$$

Entonces, la ecuación (10.1) nos dice que la magnitud de la torca es

$$\tau = Fl = (900 \text{ N})(0.76 \text{ m}) = 680 \text{ N} \cdot \text{m}$$

Se obtiene el mismo resultado con la ecuación (10.2):

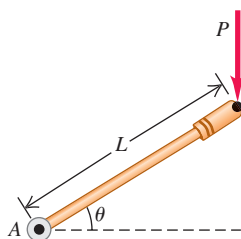
$$\tau = rF \sin \phi = (0.80 \text{ m})(900 \text{ N}) (\sin 109^\circ) = 680 \text{ N} \cdot \text{m}$$

Alternativamente, podemos encontrar  $F_{\tan}$ , la componente tangencial de  $\vec{F}$  que actúa de forma perpendicular a  $\vec{r}$ . La figura 10.5b indica que esta componente se encuentra en un ángulo de  $109^\circ - 90^\circ = 19^\circ$  de  $\vec{F}$ , de modo que  $F_{\tan} = F(\cos 19^\circ) = (900 \text{ N})(\cos 19^\circ) = 851 \text{ N}$ . Entonces, de acuerdo con la ecuación 10.2,

$$\tau = F_{\tan}r = (851 \text{ N})(0.80 \text{ m}) = 680 \text{ N} \cdot \text{m}$$

Doble los dedos de la mano derecha desde la dirección de  $\vec{r}$  (en el plano de la figura 10.5b, hacia la izquierda y hacia arriba) hacia la dirección de  $\vec{F}$  (verticalmente hacia abajo). Entonces su dedo pulgar derecho apuntará hacia afuera del plano de la figura: ésta es la dirección de  $\vec{\tau}$ .

**EVALUAR:** Para comprobar la dirección de  $\vec{\tau}$ , observe que la fuerza en la figura 10.5 tiende a producir una rotación en sentido contrario a las manecillas del reloj en torno a  $O$ . Si enrosca los dedos de su mano derecha en dirección antihoraria, el pulgar apuntará hacia afuera del plano de la figura 10.5, que es de hecho la dirección de la torca.



**EVALÚE SU COMPRENSIÓN DE LA SECCIÓN 10.1** La figura muestra una fuerza  $P$  que se aplica a un extremo de una palanca de longitud  $L$ . ¿Cuál es la magnitud de la torca de esta fuerza en torno al punto  $A$ ? **i.**  $PL \sin \theta$ ; **ii.**  $PL \cos \theta$ ; **iii.**  $PL \tan \theta$ , **iv.**  $PL/\sin \theta$ , **v.**  $PL$ . **I**

## 10.2 TORCA Y ACCELERACIÓN ANGULAR DE UN CUERPO RÍGIDO

Ahora estamos listos para desarrollar la relación fundamental de la dinámica rotacional de un cuerpo rígido. Vamos a demostrar que la aceleración angular de un cuerpo rígido que gira es directamente proporcional a la suma de las componentes de la torca a lo largo del eje de rotación. El factor de proporcionalidad es el momento de inercia.

Para desarrollar esta relación imagine, tal como lo hizo en la sección 9.4, que el cuerpo rígido se compone de un gran número de partículas. Elegimos a  $z$  como el eje de rotación; la primera partícula tiene masa  $m_1$  y la distancia que la separa de este eje es  $r_1$  (figura 10.6). La fuerza neta  $\vec{F}_1$  que actúa sobre esta partícula tiene una componente  $F_{1,\text{rad}}$  a lo largo de la dirección radial, una componente  $F_{1,\tan}$  que es tangente al círculo de radio  $r_1$  en el que la partícula se mueve conforme gira el cuerpo, y una componente  $F_{1z}$  a lo largo del eje de rotación. La segunda ley de Newton para la componente tangencial es

$$F_{1,\tan} = m_1 a_{1,\tan} \quad (10.4)$$

Podemos expresar la aceleración tangencial de la primera partícula en términos de la aceleración angular  $\alpha_z$  del cuerpo mediante la ecuación (9.14):  $a_{1,\tan} = r_1 \alpha_z$ . Utilizando esta relación y al multiplicar ambos lados de la ecuación (10.4) por  $r_1$ , obtenemos

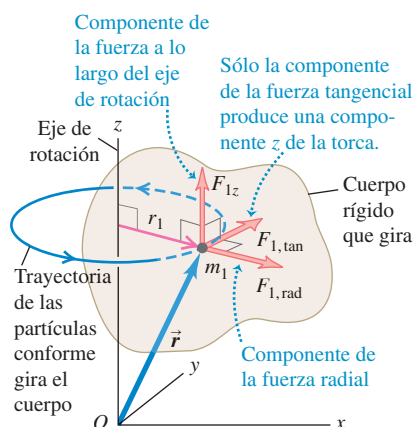
$$F_{1,\tan} r_1 = m_1 r_1^2 \alpha_z \quad (10.5)$$

De acuerdo con la ecuación (10.2),  $F_{1,\tan} r_1$  es justo la *torca* de la fuerza neta con respecto al eje de rotación, igual a la componente  $\tau_{1z}$  del vector torca a lo largo de dicho eje. El subíndice  $z$  nos recuerda que la torca afecta la rotación en torno al eje  $z$ , de la misma manera que el subíndice en  $F_{1z}$  nos recuerda que esa fuerza afecta el movimiento de la partícula 1 a lo largo del eje  $z$ .

Las componentes  $F_{1,\text{rad}}$  y  $F_{1z}$  no contribuyen a la torca alrededor del eje  $z$ , ya que ninguna de ellas tiende a modificar la rotación de la partícula alrededor de ese eje. Por lo tanto,  $\tau_{1z} = F_{1,\tan} r_1$  es la torca total que actúa sobre la partícula con respecto al eje de rotación. Además,  $m_1 r_1^2$  es  $I_1$ , el momento de inercia de la partícula alrededor del eje de rotación. De esta manera, rescribimos la ecuación (10.5) como:

$$\tau_{1z} = I_1 \alpha_z = m_1 r_1^2 \alpha_z$$

**10.6** Conforme un cuerpo rígido gira alrededor del eje  $z$ , una fuerza neta  $\vec{F}_1$  actúa sobre una partícula del cuerpo. Únicamente la componente de la fuerza  $F_{1,\tan}$  puede afectar la rotación, ya que sólo  $F_{1,\tan}$  ejerce una torca en torno a  $O$  con una componente  $z$  (a lo largo del eje de rotación).



Escribimos una ecuación similar para cada partícula del cuerpo y luego sumamos todas las ecuaciones:

$$\begin{aligned}\tau_{1z} + \tau_{2z} + \dots &= I_1\alpha_z + I_2\alpha_z + \dots \\ &= m_1r_1^2\alpha_z + m_2r_2^2\alpha_z + \dots\end{aligned}$$

o

$$\Sigma\tau_{iz} = (\Sigma m_i r_i^2) \alpha_z \quad (10.6)$$

El miembro izquierdo de la ecuación (10.6) es la suma de todas las torcas en torno al eje de rotación que actúan sobre todas las partículas. El miembro derecho es  $I = \sum m_i r_i^2$ , el momento de inercia total alrededor del eje de rotación, multiplicado por la aceleración angular  $\alpha_z$ . Observe que  $\alpha_z$  es la misma para todas las partículas, ya que éste es un cuerpo *rígido*. Así, la ecuación (10.6) dice que, para el cuerpo rígido como un todo,

#### Análogo rotacional de la segunda ley de Newton para un cuerpo rígido:

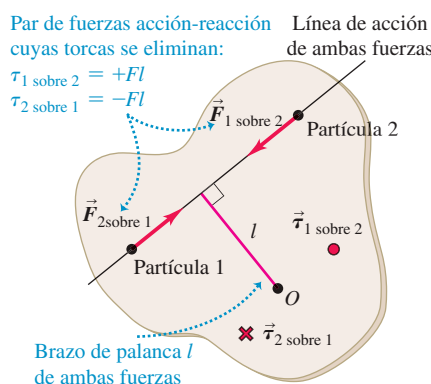
$$\text{Torca neta sobre un cuerpo rígido con respecto al eje z} \quad \sum\tau_z = I\alpha_z \quad \begin{array}{l} \text{Momento de inercia de un cuerpo rígido con respecto al eje z} \\ \text{Aceleración angular de un cuerpo rígido con respecto al eje z} \end{array} \quad (10.7)$$

Así como la segunda ley de Newton establece que la *fuerza neta* que actúa sobre una partícula causa una *aceleración* en la dirección de la fuerza neta, la ecuación (10.7) dice que la *torca neta* que actúa sobre un cuerpo rígido con respecto a un eje causa una *aceleración angular* en torno a ese eje (**figura 10.7**).

En nuestra deducción supusimos que la aceleración angular  $\alpha_z$  es la misma para todas las partículas del cuerpo, por lo que la ecuación (10.7) *sólo* es válida para cuerpos *rígidos*. Por consiguiente, esta ecuación no se aplica a un tanque de agua que gira o a un remolino de aire, donde la aceleración angular es diferente para distintas partes. Además, observe que como en la deducción utilizamos la ecuación (9.14),  $a_{tan} = r\alpha_z$ ,  $\alpha_z$  debe medirse en  $\text{rad/s}^2$ .

La torca que actúa sobre cada partícula se debe a la fuerza neta que actúa sobre esa partícula, la cual es la suma vectorial de las fuerzas externas e internas (vea la sección 8.2). De acuerdo con la tercera ley de Newton, las fuerzas *internas* que cualquier par de partículas del cuerpo rígido ejercen una sobre la otra son iguales en magnitud y opuestas en dirección (**figura 10.8**). Si esas fuerzas actúan a lo largo de la línea que une las dos partículas, sus brazos de palanca con respecto a cualquier eje también serán iguales. Así, las torcas para estas dos partículas son iguales y opuestas, y suman cero. De hecho, *todas* las torcas internas suman cero, así que la suma  $\sum\tau_z$  en la ecuación (10.7) incluye sólo las torcas de las fuerzas *externas*.

Con frecuencia, una fuerza externa importante que actúa sobre un cuerpo es su *peso*. Esta fuerza no se concentra en un solo punto, sino que actúa sobre todas las partículas del cuerpo. No obstante, resulta que si  $\vec{g}$  tiene el mismo valor en todos los puntos, siempre obtenemos la torca correcta (con respecto a cualquier eje dado), si suponemos que todo el peso se concentra en el *centro de masa* del cuerpo. Demostraremos esto en el capítulo 11, pero mientras tanto lo usaremos en algunos problemas de este capítulo.



**10.8** Por qué sólo las torcas *externas* afectan la rotación de un cuerpo rígido. Dos partículas cualesquiera de un cuerpo rígido ejercen fuerzas iguales y opuestas una sobre la otra. Si estas fuerzas actúan a lo largo de la línea que une las partículas, los brazos de palanca de las fuerzas con respecto a un eje que pasa por  $O$  son iguales, y las torcas debidas a las dos fuerzas son iguales y opuestas.

## LOS DATOS HABLAN

### Torca y aceleración angular

Cuando a los estudiantes se les planteó un problema relacionado con torcas y movimiento de rotación, más del 22% dio una respuesta incorrecta.

Errores comunes:

- Olvidar que la torca debida a una fuerza depende de la magnitud de la fuerza, de dónde se aplique esta última y de su dirección.
- Confundir el signo de la torca y de la aceleración angular: en sentido contrario a las manecillas del reloj es positivo, y en sentido de las manecillas del reloj es negativo.

**10.7** Para aflojar o apretar un tornillo, es preciso darle una aceleración angular y, así, aplicar una torca. Esto se facilita si se usa un destornillador con un mango de radio grande, pues de esa manera se aumenta el brazo de palanca de la fuerza que aplicamos con la mano.



**ESTRATEGIA PARA RESOLVER PROBLEMAS 10.1****DINÁMICA ROTACIONAL DE CUERPOS RÍGIDOS**

Nuestra estrategia para resolver problemas de dinámica rotacional es muy similar a la estrategia para resolver problemas 5.2, donde interviene la segunda ley de Newton.

**IDENTIFICAR** los conceptos relevantes: La ecuación (10.7),  $\sum \tau_z = I\alpha_z$ , es útil en todos los casos en que actúan torcas sobre un cuerpo rígido. En algunos casos, tal vez se prefiera un método de energía, como se hizo en la sección 9.4. Sin embargo, cuando la incógnita es una fuerza, una torca, una aceleración, una aceleración angular o un tiempo transcurrido, usar  $\sum \tau_z = I\alpha_z$  casi siempre es lo mejor.

**PLANTEAR** el problema: siguiendo estos pasos:

1. Elabore un diagrama de la situación e identifique el cuerpo o los cuerpos que va a analizar. Indique el eje de rotación.
2. Para cada cuerpo, dibuje un diagrama de cuerpo libre que muestre la forma de cada uno, incluyendo todas las dimensiones y los ángulos. Etiquete las cantidades pertinentes con símbolos algebraicos.
3. Elija ejes de coordenadas para cada cuerpo e indique un sentido de rotación positivo (en el sentido de las manecillas del reloj o en el sentido contrario) para cada cuerpo que gire. Si conoce el sentido de  $\alpha_z$ , elíjalo como el sentido de rotación positivo.

**EJECUTAR** la solución:

1. Para cada cuerpo del problema, determine si experimenta movimiento de traslación, movimiento de rotación o ambos. Luego, aplique  $\sum \vec{F} = m\vec{a}$  (como en la sección 5.2),  $\sum \tau_z = I\alpha_z$ , o ambas al cuerpo.
2. Exprese en forma algebraica cualquier relación geométrica entre los movimientos de dos o más cuerpos. Un ejemplo es una cuerda que se desenrolla, sin resbalar, de una polea, o un volante que rueda sin deslizar (esto se analiza en la sección 10.3). Esas relaciones, por lo general, aparecen como relaciones entre aceleraciones lineal y/o angular.
3. Asegúrese de que el número de ecuaciones coincida con el número de incógnitas. Resuelva las ecuaciones para obtener la(s) incógnita(s).

**EVALUAR** la respuesta: Compruebe que los signos algebraicos de sus resultados sean lógicos. Por ejemplo, si está desenrollando hilo de un carrete, ¿sus respuestas no deberán decirnos que el carrete gira en el sentido en que el hilo se enrolla? Compruebe que cualquier resultado algebraico sea correcto para casos especiales o valores extremos de las cantidades.

**EJEMPLO 10.2 CABLE QUE SE DESENROLLA I**

La figura 10.9a ilustra la situación que analizamos en el ejemplo 9.7 usando métodos de energía. ¿Cuál es la aceleración del cable?

**SOLUCIÓN**

**IDENTIFICAR y PLANTEAR:** No se puede utilizar el método de energía de la sección 9.4, ya que no implica aceleración. En vez de ello, vamos a aplicar la dinámica rotacional para encontrar la aceleración angular del cilindro (figura 10.9b). Después se encontrará una relación entre el movimiento del cable y el movimiento del borde del cilindro, y ésta se utilizará para determinar la aceleración del cable. El cilindro gira en sentido contrario a las manecillas del reloj cuando se tira del cable, así que tomamos la rotación contraria a las manecillas del reloj como positiva. La fuerza neta sobre el cilindro debe ser cero debido a que su centro de masa permanece en reposo. La fuerza  $F$  ejercida por el cable produce una torca alrededor del eje de rotación. El peso ( $Mg$ ) y la fuerza normal ( $n$ ) ejercida por los cojinetes del cilindro *no* producen torca alrededor del eje de rotación, ya que ambos actúan a lo largo de rectas que pasan por dicho eje.

**EJECUTAR:** El brazo de palanca de  $F$  es igual al radio  $R = 0.060\text{ m}$  del cilindro, así que la torca es  $\tau_z = FR$  (esta torca es positiva porque

tiende a producir una rotación contraria a las manecillas del reloj). De acuerdo con la tabla 9.2, caso f), el momento de inercia del cilindro en torno al eje de rotación es  $I = \frac{1}{2}MR^2$ . Por lo tanto, la ecuación (10.7) nos indica que

$$\alpha_z = \frac{\tau_z}{I} = \frac{FR}{MR^2/2} = \frac{2F}{MR} = \frac{2(9.0\text{ N})}{(50\text{ kg})(0.060\text{ m})} = 6.0\text{ rad/s}^2$$

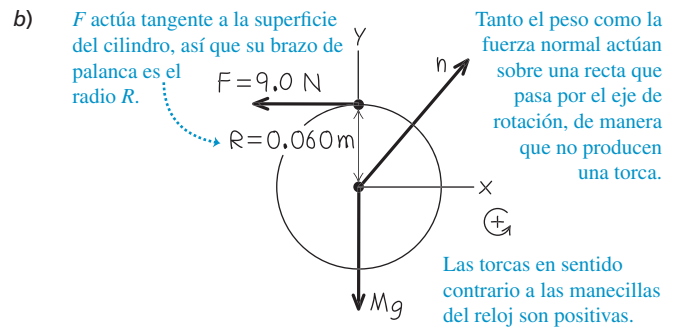
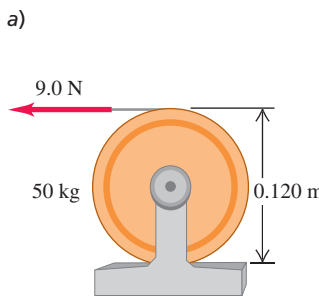
(Podemos agregar “rad” a nuestro resultado porque los radianes son adimensionales).

Para obtener la aceleración lineal del cable, recuerde de la sección 9.3 que la aceleración de un cable que se desenrolla de un cilindro es igual a la componente tangencial de la aceleración de un punto en la superficie del cilindro donde el cable es tangente a éste. Dicha aceleración tangencial está dada por la ecuación (9.14):

$$a_{\tan} = R\alpha_z = (0.060\text{ m})(6.0\text{ rad/s}^2) = 0.36\text{ m/s}^2$$

**EVALUAR:** ¿Puede usar este resultado, junto con una ecuación del capítulo 2, para determinar la rapidez del cable después de que se ha desenrollado 2.0 m? ¿Concuerda su resultado con el del ejemplo 9.7?

**10.9 a)** Cilindro y cable. **b)** Nuestro diagrama de cuerpo libre para el cilindro.





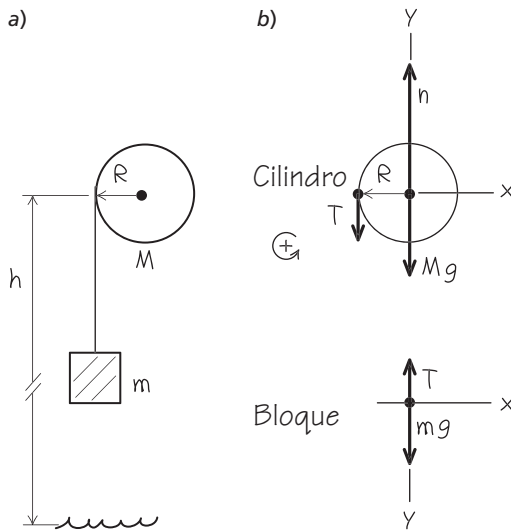
### EJEMPLO 10.3 CABLE QUE SE DESENROLLA II

En el ejemplo 9.8 (sección 9.4), ¿cuáles son la aceleración del bloque que cae y la tensión en el cable?

#### SOLUCIÓN

**IDENTIFICAR y PLANTEAR:** Aplicaremos dinámica translacional al bloque y dinámica rotacional al cilindro. Como en el ejemplo 10.2, relacionaremos la aceleración lineal del bloque (nuestra incógnita) con la aceleración angular del cilindro. En la **figura 10.10** esbozamos la situación y dibujamos un diagrama de cuerpo libre para cada cuerpo. Tomamos el sentido de rotación contrario a las manecillas del reloj como positivo para el cilindro, y la dirección hacia abajo de la coordenada y como positiva para el bloque.

**10.10 a)** Nuestro diagrama de la situación. **b)** Nuestros diagramas de cuerpo libre para el cilindro y el bloque. Suponemos que el cable tiene masa despreciable.



**EJECUTAR:** La segunda ley de Newton aplicada al bloque da  $\sum F_y = mg + (-T) = ma_y$

Para el cilindro, la única torca alrededor de su eje es la debida a la tensión del cable  $T$ . Por lo tanto, al aplicar la ecuación (10.7) se obtiene

$$\sum \tau_z = RT = I\alpha_z = \frac{1}{2}MR^2\alpha_z$$

Como en el ejemplo 10.2, la aceleración del cable es igual a la aceleración tangencial de un punto en el borde del cilindro. De acuerdo con la ecuación (9.14), esta aceleración es  $a_y = a_{tan} = R\alpha_z$ . Usamos esto para sustituir  $R\alpha_z$  con  $a_y$  en la ecuación anterior del cilindro y después dividimos entre  $R$ . El resultado es  $T = \frac{1}{2}Ma_y$ . Ahora sustituimos esta expresión para  $T$  en la segunda ley de Newton en el caso del bloque y despejamos la aceleración  $a_y$ :

$$mg - \frac{1}{2}Ma_y = ma_y$$

$$a_y = \frac{g}{1 + M/2m}$$

Para encontrar la tensión del cable  $T$ , sustituimos nuestra expresión para  $a_y$  en la ecuación del bloque:

$$T = mg - ma_y = mg - m\left(\frac{g}{1 + M/2m}\right) = \frac{mg}{1 + 2m/M}$$

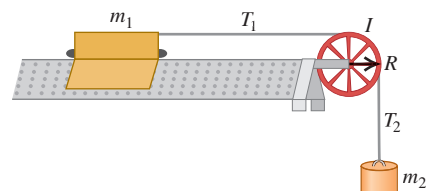
**EVALUAR:** La aceleración es positiva (en la dirección hacia abajo) y menor que  $g$ , como debería ser, ya que el cable está frenando al bloque. La tensión en el cable *no* es igual al peso  $mg$  del bloque; si así fuera, el objeto no se podría acelerar.

Revisemos algunos casos específicos. Cuando  $M$  es mucho mayor que  $m$ , la tensión es casi igual a  $mg$ , y la aceleración, en consecuencia, es mucho menor que  $g$ . Cuando  $M$  es cero,  $T = 0$  y  $a_y = g$ ; el objeto cae libremente. Si el objeto parte del reposo ( $v_{0y} = 0$ ) a una altura  $h$  sobre el piso, su velocidad en  $y$  cuando golpea al piso está dada por  $v_y^2 = v_{0y}^2 + 2a_yh = 2a_yh$ , así que

$$v_y = \sqrt{2a_yh} = \sqrt{\frac{2gh}{1 + M/2m}}$$

Éste es el mismo resultado que obtuvimos a partir de consideraciones de energía en el ejemplo 9.8.

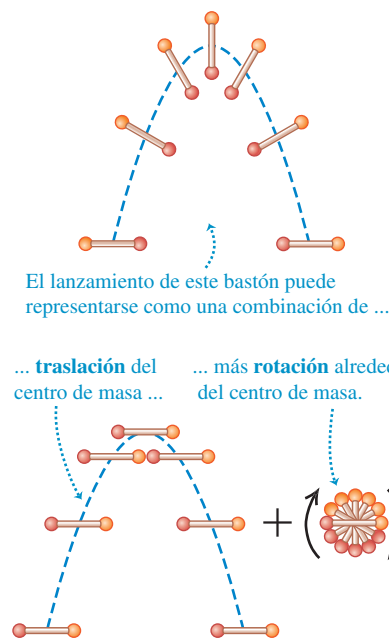
**EVALÚE SU COMPRENSIÓN DE LA SECCIÓN 10.2** La figura muestra un deslizador de masa  $m_1$  que se desplaza sin fricción sobre un riel horizontal de aire. Está sujeto a un objeto de masa  $m_2$  con una cuerda de masa despreciable. La polea tiene radio  $R$  y momento de inercia  $I$  en torno a su eje de rotación. Cuando el objeto colgante se libera, el deslizador acelera a la derecha y la cuerda hace girar la polea sin deslizarse ni estirarse. Ordene, de mayor a menor, las magnitudes de las siguientes fuerzas que actúan durante el movimiento. **i.** La fuerza de tensión (magnitud  $T_1$ ) en la parte horizontal de la cuerda; **ii.** la fuerza de tensión (magnitud  $T_2$ ) en la parte vertical de la cuerda; **iii.** el peso  $m_2g$  del objeto colgante. **■**



## 10.3 ROTACIÓN DE UN CUERPO RÍGIDO EN TORNO A UN EJE MÓVIL

Podemos extender nuestro análisis de la dinámica del movimiento de rotación a algunos casos en los que se mueve el eje de rotación. Cuando esto ocurre, el movimiento del cuerpo es de **traslación y rotación combinadas**. La clave para entender estas situaciones es la siguiente: cada posible movimiento de un cuerpo rígido puede representarse como una combinación de *movimiento de traslación del centro de masa*

**10.11** El movimiento de un cuerpo rígido es una combinación de traslación del centro de masa y rotación alrededor de ese centro.



y de rotación alrededor de un eje que pasa por el centro de masa. Esto se cumple aun si el centro de masa se acelera, de modo que no está en reposo en ningún sistema de referencia inercial. La figura 10.11 ilustra esto para el movimiento de un bastón que se lanza: el centro de masa del bastón sigue una parábola, como si el bastón fuera una partícula situada en el centro de masa. Otro ejemplo de movimiento de traslación y de rotación combinados son una pelota que rueda.

### Traslación y rotación combinadas: Relaciones de energía

Está más allá del alcance de este libro demostrar que el movimiento de un cuerpo rígido siempre puede dividirse en movimientos independientes de traslación del centro de masa y de rotación alrededor del centro de masa. Pero podemos comprobar que esto es cierto para la *energía cinética*  $K$  de un cuerpo rígido con movimiento tanto de traslación como de rotación. En este caso, la energía cinética  $K$  del cuerpo es la suma de dos partes:

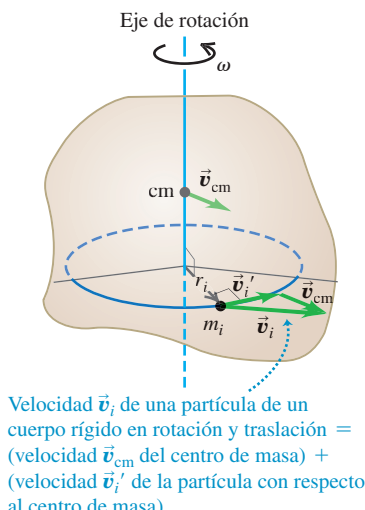
<b>Energía cinética de un cuerpo rígido tanto con traslación como con rotación</b>	<b>Energía cinética de traslación del centro de masa (cm)</b>	<b>Energía cinética de rotación en torno a un eje que pasa por el cm</b>
$K = \frac{1}{2}Mv_{\text{cm}}^2 + \frac{1}{2}I_{\text{cm}}\omega^2$	Masa del cuerpo Rapidez del cm	Rapidez angular del cuerpo Momento de inercia del cuerpo en torno de un eje que pasa por el cm

(10.8)

Para demostrar esta relación, imaginemos de nuevo que el cuerpo rígido se compone de partículas. Consideremos una partícula representativa de masa  $m_i$  (figura 10.12). La velocidad  $\vec{v}_i$  de esta partícula con respecto a un sistema de referencia inercial es la suma vectorial de la velocidad del centro de masa  $\vec{v}_{\text{cm}}$  y la velocidad  $\vec{v}'_i$  de la partícula *relativa* al centro de masa:

$$\vec{v}_i = \vec{v}_{\text{cm}} + \vec{v}'_i \quad (10.9)$$

**10.12** Cuerpo rígido con movimiento de traslación y de rotación.



La energía cinética  $K_i$  de esta partícula en el sistema de referencia inercial es  $\frac{1}{2}m_i v_i^2$ , que también podemos expresar como  $\frac{1}{2}m_i(\vec{v}_i \cdot \vec{v}_i)$ . Sustituyendo la ecuación (10.9) en esta expresión, obtenemos

$$\begin{aligned} K_i &= \frac{1}{2}m_i(\vec{v}_{\text{cm}} + \vec{v}'_i) \cdot (\vec{v}_{\text{cm}} + \vec{v}'_i) \\ &= \frac{1}{2}m_i(\vec{v}_{\text{cm}} \cdot \vec{v}_{\text{cm}} + 2\vec{v}_{\text{cm}} \cdot \vec{v}'_i + \vec{v}'_i \cdot \vec{v}'_i) \\ &= \frac{1}{2}m_i(v_{\text{cm}}^2 + 2\vec{v}_{\text{cm}} \cdot \vec{v}'_i + v'_i)^2 \end{aligned}$$

La energía cinética total es la suma  $\sum K_i$  para todas las partículas del cuerpo. Expresando los tres términos de la ecuación como sumas individuales, obtenemos

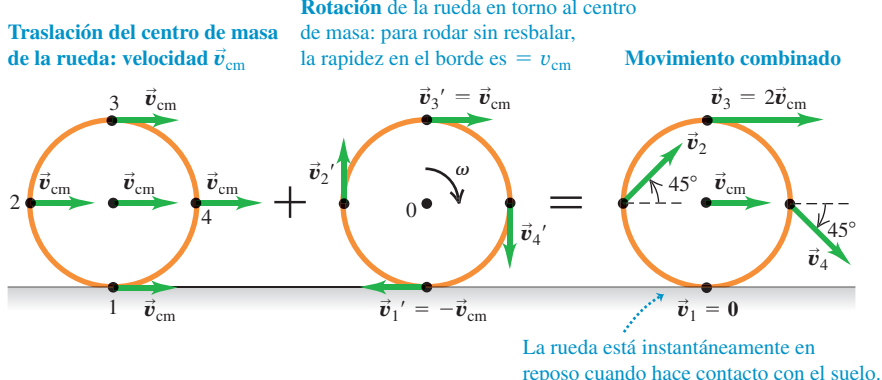
$$K = \sum K_i = \sum \left( \frac{1}{2}m_i v_{\text{cm}}^2 \right) + \sum (m_i \vec{v}_{\text{cm}} \cdot \vec{v}'_i) + \sum \left( \frac{1}{2}m_i v'_i^2 \right)$$

Los primeros dos términos tienen factores comunes que pueden sacarse de la suma:

$$K = \frac{1}{2}(\sum m_i)v_{\text{cm}}^2 + \vec{v}_{\text{cm}} \cdot (\sum m_i \vec{v}'_i) + \sum \left( \frac{1}{2}m_i v'_i^2 \right) \quad (10.10)$$

Aquí viene la recompensa a nuestro esfuerzo. En el primer término,  $\sum m_i$  es la masa total  $M$ . El segundo término es cero porque  $\sum m_i \vec{v}'_i$  es  $M$  multiplicada por la velocidad del centro de masa *con respecto al centro de masa*, que es cero por definición. El último término es la suma de las energías cinéticas de las partículas, cuyo cálculo se realiza a partir de sus rapideces con respecto al centro de masa; ésta es exactamente la energía cinética de rotación alrededor del centro de masa. Siguiendo los mismos pasos que nos condujeron a la ecuación (9.17) para la energía cinética de rotación de un cuerpo rígido, podemos escribir este último término como  $\frac{1}{2}I_{\text{cm}}\omega^2$ , donde  $I_{\text{cm}}$  es el momento de inercia con respecto al eje que pasa por el centro de masa, y  $\omega$  es la rapidez angular. Así, la ecuación (10.10) se convierte en la ecuación (10.8):

$$K = \frac{1}{2}Mv_{\text{cm}}^2 + \frac{1}{2}I_{\text{cm}}\omega^2$$



## Rodar sin resbalar

Un caso importante de traslación y rotación combinadas es el de **rodar sin resbalar**, como el movimiento de la rueda que se ilustra en la **figura 10.13**. La rueda es simétrica, así que su centro de masa se encuentra en su centro geométrico. Visualizamos el movimiento en un sistema de referencia inercial, en el cual la superficie sobre la que se desplaza la rueda está en reposo. En este sistema de referencia, el punto de la rueda que toca la superficie debe estar instantáneamente *en reposo* para que no resbale. Por lo tanto, la velocidad  $\vec{v}_1'$  del punto de contacto, con respecto al centro de masa, debe tener la misma magnitud pero dirección opuesta que la velocidad del centro de masa  $\vec{v}_{cm}$ . Si el radio de la rueda es  $R$  y su rapidez angular alrededor del centro de masa es  $\omega$ , entonces la magnitud de  $\vec{v}_1'$  es  $R\omega$ ; por lo tanto, debemos tener

**Condición para rodar sin resbalar:**

$$\text{Rapidez del centro de masa de la rueda} \quad v_{cm} = R\omega \quad \text{Radio de la rueda} \quad (10.11)$$

Rapidez angular de la rueda

Como muestra la figura 10.13, la velocidad de un punto en la rueda es la suma vectorial de la velocidad del centro de masa y la velocidad del punto con respecto al centro de masa. Así, mientras el punto 1 (el de contacto) está instantáneamente en reposo, el punto 3 en la parte superior de la rueda se mueve hacia adelante con el *doble de la rapidez* del centro de masa, y los puntos 2 y 4 a los lados tienen velocidades a  $45^\circ$  con respecto a la horizontal.

En cualquier instante, podemos pensar que la rueda gira alrededor de un “eje de rotación instantáneo” que pasa por el punto de contacto con el suelo. La velocidad angular  $\omega$  es la misma para este eje que para un eje que pase por el centro de masa; un observador en el centro de masa ve que el borde realiza el mismo número de revoluciones por segundo que el que ve un observador ubicado en el borde y que presta atención al centro de masa que gira a su alrededor. Si vemos así el movimiento de la rueda de la figura 10.13, la energía cinética de la rueda es  $K = \frac{1}{2}I_1\omega^2$ , donde  $I_1$  es el momento de inercia de la rueda alrededor de un eje que pasa por el punto 1. Pero, por el teorema de los ejes paralelos, ecuación (9.19),  $I_1 = I_{cm} + MR^2$ , donde  $M$  es la masa total de la rueda e  $I_{cm}$  es el momento de inercia con respecto a un eje que pasa por el centro de masa. Usando la ecuación (10.11), encontramos que la energía cinética de la rueda está dada por la ecuación (10.8):

$$K = \frac{1}{2}I_1\omega^2 = \frac{1}{2}I_{cm}\omega^2 + \frac{1}{2}MR^2\omega^2 = \frac{1}{2}I_{cm}\omega^2 + \frac{1}{2}Mv_{cm}^2$$

**CUIDADO Rodar sin resbalar** La relación  $v_{cm} = R\omega$  se cumple *únicamente* para el caso de rodar sin resbalar. Cuando un automóvil de “arranques” comienza a moverse, los neumáticos traseros giran con gran rapidez mientras que el vehículo casi no se mueve, así que  $R\omega$  es mayor que  $v_{cm}$  (**figura 10.14**). Si el conductor aplica los frenos con demasiada fuerza y el auto derrapa, los neumáticos casi no girarán y  $R\omega$  será menor que  $v_{cm}$ .

Si un cuerpo rígido cambia de altura al moverse, también debemos considerar la energía potencial gravitacional. Como se analizó en la sección 9.4, la energía potencial gravitacional asociada a cualquier cuerpo de masa  $M$ , rígido o no, es la misma que si sustituimos el cuerpo por una partícula de masa  $M$  situada en el centro de masa del cuerpo. Esto es,

$$U = Mgy_{cm}$$

**10.13** El movimiento de una rueda es la suma del movimiento de traslación del centro de masa y del movimiento de rotación de la rueda alrededor del centro de masa.

### BIO Aplicación Combinación de movimiento de traslación y de rotación

Una semilla de arce consiste en una vaina unida a un ala aplanada, mucho más ligera. El aire alrededor del ala ralentiza la caída a aproximadamente 1 m/s y hace que la semilla gire alrededor de su centro de masa. La lenta caída de la semilla significa que una brisa puede llevar a la semilla a cierta distancia del árbol. En ausencia de viento, el centro de masa de la semilla cae directamente abajo.



**10.14** El humo que se eleva de los neumáticos traseros de este auto de arranques indica que los neumáticos están resbalando sobre el pavimento, así que  $v_{cm}$  no es igual a  $R\omega$ .





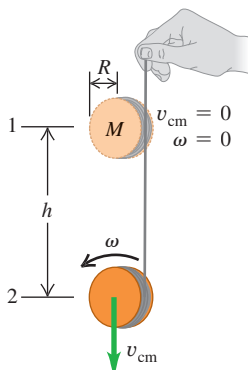
## EJEMPLO 10.4 RAPIDEZ DE UN YOYO

Un yoyo se fabrica enrollando una cuerda con masa despreciable varias veces alrededor de un cilindro sólido de masa  $M$  y radio  $R$  (**figura 10.15**). Se sostiene fijo el extremo libre de la cuerda mientras se suelta el cilindro desde el reposo. La cuerda se desenrolla sin resbalar ni estirarse conforme el cilindro cae y gira. Use consideraciones de energía para calcular la rapidez  $v_{\text{cm}}$  del centro de masa del cilindro después de caer una distancia  $h$ .

### SOLUCIÓN

**IDENTIFICAR y PLANTEAR:** Como usted mantiene fijo el extremo superior de la cuerda, su mano no efectúa trabajo sobre el sistema de la cuerda y el cilindro. Hay fricción entre la cuerda y el cilindro pero, como la cuerda no resbala sobre la superficie del cilindro, no

**10.15** Cálculo de la rapidez de un yoyo.



se pierde energía mecánica. Por lo tanto, podemos usar la conservación de la energía mecánica. La energía cinética inicial del cilindro es  $K_1 = 0$ , y su energía cinética final  $K_2$  está dada por la ecuación (10.8); la cuerda carece de energía cinética porque no tiene masa. El momento de inercia es  $I_{\text{cm}} = \frac{1}{2}MR^2$  y, por la ecuación (9.13),  $\omega = v_{\text{cm}}/R$ , ya que la cuerda no resbala. Las energías potenciales son  $U_1 = Mgh$  y  $U_2 = 0$ .

**EJECUTAR:** Utilizando la ecuación (10.8), la energía cinética en el punto 2 es

$$K_2 = \frac{1}{2}Mv_{\text{cm}}^2 + \frac{1}{2}\left(\frac{1}{2}MR^2\right)\left(\frac{v_{\text{cm}}}{R}\right)^2 = \frac{3}{4}Mv_{\text{cm}}^2$$

La energía cinética es  $1\frac{1}{2}$  veces mayor que si el yoyo estuviera cayendo a una rapidez  $v_{\text{cm}}$  sin girar. Dos tercios de la energía cinética total ( $\frac{1}{2}Mv_{\text{cm}}^2$ ) son de traslación y un tercio ( $\frac{1}{4}Mv_{\text{cm}}^2$ ) es de rotación. Utilizando conservación de la energía,

$$K_1 + U_1 = K_2 + U_2$$

$$0 + Mgh = \frac{3}{4}Mv_{\text{cm}}^2 + 0$$

$$v_{\text{cm}} = \sqrt{\frac{4}{3}gh}$$

**EVALUAR:** No se pierde ni se gana energía mecánica, así que desde el punto de vista de la energía, la cuerda no es sino una manera de convertir parte de la energía potencial gravitacional (que se libera conforme cae el cilindro) en energía cinética de rotación, más que en energía cinética de traslación. Debido a que no toda la energía liberada participa en la traslación,  $v_{\text{cm}}$  es menor que la velocidad  $\sqrt{2gh}$  de un objeto que se deja caer desde una altura  $h$ .

## EJEMPLO 10.5 CARRERA DE CUERPOS RODANTES

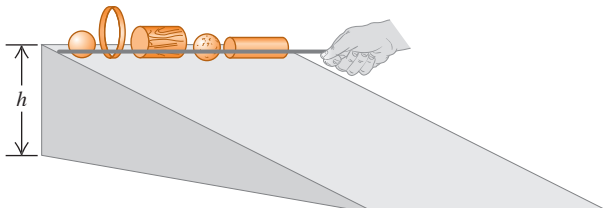


En la demostración de una clase de física, un profesor “pone a competir” diversos cuerpos que ruedan sin resbalar, soltándolos del reposo desde la parte superior de un plano inclinado (**figura 10.16**). ¿Qué forma debe tener un cuerpo para ser el primero en llegar a la base?

### SOLUCIÓN

**IDENTIFICAR y PLANTEAR:** La fricción cinética no efectúa trabajo si los cuerpos ruedan sin resbalar. También podemos despreciar los efectos de la *fricción al rodar*, introducida en la sección 5.3, si los cuerpos y la superficie inclinada sobre la que ruedan son rígidos (más adelante en esta sección explicaremos por qué). Por lo tanto, podemos utilizar conservación de la energía. Cada cuerpo parte del reposo desde arriba de una pendiente de altura  $h$ , así que  $K_1 = 0$ ,  $U_1 = Mgh$  y  $U_2 = 0$ . La energía cinética en la base del plano está dada por la ecuación (10.8); ya que los cuerpos ruedan sin resbalar,  $\omega = v_{\text{cm}}/R$ . Podemos expresar

**10.16** ¿Cuál cuerpo rueda hacia abajo por la superficie inclinada más rápido y por qué?



los momentos de inercia de los cuatro cuerpos redondos de la tabla 9.2, casos *f* a *i*), como  $I_{\text{cm}} = cMR^2$ , donde  $c$  es un número menor o igual a 1 que depende de la forma del cuerpo. Nuestro objetivo es hallar el valor de  $c$  que da al cuerpo la mayor rapidez  $v_{\text{cm}}$  después de que su centro de masa ha descendido una distancia vertical  $h$ .

**EJECUTAR:** Por conservación de la energía,

$$K_1 + U_1 = K_2 + U_2$$

$$0 + Mgh = \frac{1}{2}Mv_{\text{cm}}^2 + \frac{1}{2}cMR^2\left(\frac{v_{\text{cm}}}{R}\right)^2 + 0$$

$$Mgh = \frac{1}{2}(1 + c)Mv_{\text{cm}}^2$$

$$v_{\text{cm}} = \sqrt{\frac{2gh}{1 + c}}$$

**EVALUAR:** Para un valor dado de  $c$ , la rapidez  $v_{\text{cm}}$  una vez que se ha descendido una distancia  $h$  *no depende* de la masa  $M$  del cuerpo ni de su radio  $R$ . *Todos* los cilindros sólidos uniformes ( $c = \frac{1}{2}$ ) tienen la misma rapidez abajo, sin importar sus masas ni sus radios. Todos los valores de  $c$  nos indican que el orden de llegada para los cuerpos uniformes será el siguiente: **1.** cualquier esfera sólida ( $c = \frac{2}{5}$ ), **2.** cualquier cilindro sólido ( $c = \frac{1}{2}$ ), **3.** cualquier esfera hueca de pared delgada ( $c = \frac{2}{3}$ ) y **4.** cualquier cilindro hueco de pared delgada ( $c = 1$ ). Los cuerpos con  $c$  pequeña siempre vencen a los cuerpos con  $c$  grande porque menos de su energía cinética se dedica a la rotación y más a la traslación.

## Traslación y rotación combinadas: Dinámica

También podemos analizar los movimientos de traslación y de rotación combinados de un cuerpo rígido desde la perspectiva de la dinámica. En la sección 8.5 mostramos que, para un cuerpo, la aceleración del centro de masa es igual a la de una partícula de igual masa sobre la que actúan todas las fuerzas externas a las que está sujeto el cuerpo:

$$\text{Fuerza neta externa sobre un cuerpo} \rightarrow \sum \vec{F}_{\text{ext}} = M \vec{a}_{\text{cm}} \quad \begin{array}{l} \text{Masa total del cuerpo} \\ \text{Aceleración del centro de masa} \end{array} \quad (10.12)$$

El movimiento de rotación alrededor del centro de masa se describe mediante el análogo rotacional de la segunda ley de Newton, ecuación (10.7):

$$\text{Torca neta sobre un cuerpo rígido en torno del eje } z \text{ a través del centro de masa} \rightarrow \sum \tau_z = I_{\text{cm}} \alpha_z \quad \begin{array}{l} \text{Momento de inercia del cuerpo rígido con respecto al eje } z \\ \text{Aceleración angular del cuerpo rígido con respecto al eje } z \end{array} \quad (10.13)$$

No es evidente de inmediato que la ecuación (10.13) sea aplicable al movimiento de un cuerpo rígido en traslación; después de todo, nuestra deducción de  $\sum \tau_z = I \alpha_z$  en la sección 10.2 supuso que el eje de rotación era estacionario. Pero la ecuación (10.13) es válida *aun si el eje de rotación se mueve*, siempre y cuando se cumplan las siguientes dos condiciones:

1. El eje que pasa por el centro de masa debe ser un eje de simetría.
2. El eje no debe cambiar de dirección.

Estas condiciones se satisfacen en muchos tipos de rotación (**figura 10.17**). Observe que, en general, este eje de rotación móvil *no* está en reposo en un sistema de referencia inercial.

Ahora podemos resolver problemas de dinámica donde intervengan cuerpos rígidos con movimientos de traslación y de rotación simultáneos, siempre que el eje de rotación satisfaga las dos condiciones anteriores. La estrategia para resolver problemas 10.1 (sección 10.2) es igualmente útil aquí, y le recomendamos repasarla. Tenga presente que cuando un cuerpo experimenta movimientos de traslación y de rotación al mismo tiempo, necesitamos dos ecuaciones de movimiento independientes *para el mismo cuerpo*. Una de ellas, la ecuación (10.12), describe la traslación del centro de masa. La otra, ecuación (10.13), describe la rotación alrededor del eje que pasa por el centro de masa.

**10.17** El eje de una rueda de bicicleta pasa por el centro de masa de la rueda y es un eje de simetría. Por lo tanto, la rotación de la rueda está descrita por la ecuación (10.13), siempre que la bicicleta no dé la vuelta ni se incline hacia un lado (lo que alteraría la orientación del eje).



### EJEMPLO 10.6 ACELERACIÓN DE UN YOYO

Para el yoyo del ejemplo 10.4 (**figura 10.18a**), calcule la aceleración hacia abajo del cilindro y la tensión en la cuerda.

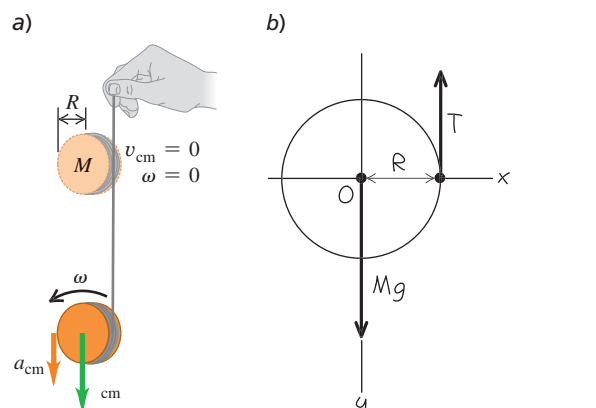
#### SOLUCIÓN

**IDENTIFICAR y PLANTEAR:** La figura 10.18b es un diagrama de cuerpo libre del yoyo, donde se indican las direcciones de las coordenadas positivas. Nuestras incógnitas son  $a_{\text{cm-y}}$  y  $T$ . Usaremos la ecuación (10.12) para el movimiento de traslación del centro de masa, y la ecuación (10.13) para el movimiento de rotación alrededor del centro de masa. También utilizaremos la ecuación (10.11), la cual indica que la cuerda se desenrolla sin resbalar. Como en el ejemplo 10.4, el momento de inercia del yoyo para un eje que pasa por su centro de masa es  $I_{\text{cm}} = \frac{1}{2}MR^2$ .

**EJECUTAR:** A partir de la ecuación (10.12),

$$\sum F_y = Mg + (-T) = Ma_{\text{cm-y}} \quad (10.14)$$

**10.18** Dinámica de un yoyo común (vea la figura 10.15).



Continúa

De acuerdo con la ecuación (10.13),

$$\sum \tau_z = TR = I_{cm} \alpha_z = \frac{1}{2} MR^2 \alpha_z \quad (10.15)$$

Según la ecuación (10.11),  $v_{cm-z} = R\omega_z$ ; la derivada de esta expresión con respecto al tiempo es

$$a_{cm-y} = R\alpha_z \quad (10.16)$$

Ahora usamos la ecuación (10.16) para eliminar  $\alpha_z$  de la ecuación (10.15) y resolvemos las ecuaciones (10.14) y (10.15) de manera simultánea para obtener  $T$  y  $a_{cm-y}$ . Los resultados son

$$a_{cm-y} = \frac{2}{3}g \quad T = \frac{1}{3}Mg$$

**EVALUAR:** La cuerda detiene la caída del yoyo, pero no lo suficiente para detenerlo por completo. Por lo tanto,  $a_{cm-y}$  es menor que el valor de  $g$  de caída libre, y  $T$  es menor que el peso  $Mg$  del yoyo.



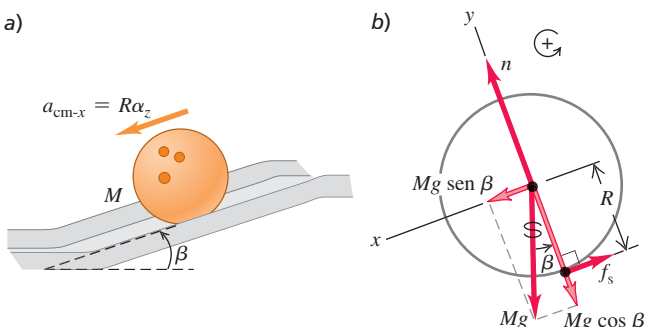
## EJEMPLO 10.7 ACELERACIÓN DE UNA ESFERA RODANTE

Una bola de bolos rueda sin resbalar bajando por una rampa que está inclinada un ángulo  $\beta$  con respecto a la horizontal (**figura 10.19a**). ¿Qué aceleración tiene la bola y cuál es la magnitud de la fuerza de fricción sobre ésta? Consideré la bola como esfera sólida uniforme, despreciando los agujeros.

### SOLUCIÓN

**IDENTIFICAR y PLANTEAR:** El diagrama de cuerpo libre de la figura 10.19b muestra que sólo la fuerza de fricción ejerce una torca en torno al centro de masa. Nuestras incógnitas son la aceleración  $a_{cm-x}$  del centro de masa de la bola y la magnitud  $f$  de la fuerza de fricción (ya que la bola no resbala en el punto instantáneo de contacto con la rampa, se trata de una fuerza de fricción *estática*; evita el deslizamiento e imparte a la bola su aceleración angular). Usaremos las ecuaciones (10.12) y (10.13) como en el ejemplo 10.6.

**10.19** Una bola de bolos baja rodando una rampa.



**EJECUTAR:** El momento de inercia de una esfera es  $I_{cm} = \frac{2}{5}MR^2$ . Las ecuaciones de movimiento son

$$\sum F_x = Mg \sin \beta + (-f) = Ma_{cm-x} \quad (10.17)$$

$$\sum \tau_z = fR = I_{cm}\alpha_z = \left(\frac{2}{5}MR^2\right)\alpha_z \quad (10.18)$$

Si la bola rueda sin resbalar, como en el ejemplo 10.6, se usa  $a_{cm-x} = R\alpha_z$  para eliminar  $\alpha_z$  de la ecuación (10.18):

$$fR = \frac{2}{5}M Ra_{cm-x}$$

Esta ecuación y la (10.17) son dos ecuaciones para las incógnitas  $a_{cm-x}$  y  $f$ . Despejamos  $f$  de la ecuación (10.17), y la sustituimos en la ecuación anterior para eliminar  $f$  y despejar  $a_{cm-x}$ :

$$a_{cm-x} = \frac{5}{7}g \sin \beta$$

Por último, sustituimos esto en la ecuación (10.17) y despejamos  $f$ :

$$f = \frac{2}{7}Mg \sin \beta$$

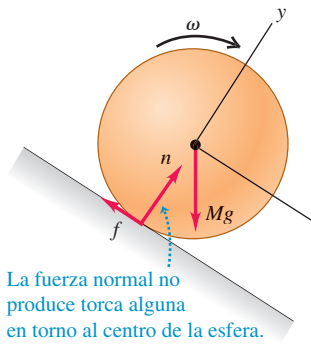
**EVALUAR:** La aceleración de la bola es exactamente  $\frac{5}{7}$  de la de un objeto que se *desliza* por la pendiente sin fricción. Si la bola desciende una distancia vertical  $h$  a medida que rueda por la rampa, su desplazamiento a lo largo de la rampa es  $h/\sin \beta$ . Es posible demostrar que la velocidad de la bola en la parte inferior de la rampa es  $v_{cm} = \sqrt{\frac{10}{7}gh}$ , lo mismo que nuestro resultado del ejemplo 10.5 con  $c = \frac{2}{5}$ .

Si la bola se hiciera rodar *cuesta arriba* sin resbalar, la fuerza de fricción aún estaría dirigida hacia arriba como se muestra en la figura 10.19b. ¿Sabe usted por qué?

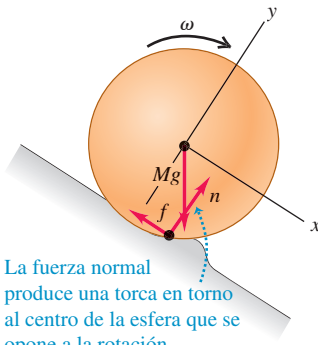
## Fricción por rodamiento

En el ejemplo 10.5 dijimos que podemos despreciar la fricción por rodamiento, si tanto el cuerpo como la superficie sobre la que rueda son perfectamente rígidos. En la **figura 10.20a** una esfera perfectamente rígida baja rodando una pendiente perfectamente rígida. La línea de acción de la fuerza normal pasa por el centro de la esfera, de manera que su torca es cero; no hay deslizamiento en el punto de contacto, así que la fricción no efectúa trabajo. La figura 10.20b muestra una situación más realista donde la superficie “se amontona” delante de la esfera y ésta rueda en una zanja poco profunda. Debido a estas deformaciones, las fuerzas de contacto sobre la esfera ya no actúan en un solo punto, sino sobre un área, concentrándose en el frente de la esfera como se indica. En consecuencia, la fuerza normal ejerce ahora una torca que se opone a la rotación. Además, hay cierto deslizamiento de la esfera en la superficie debido a la deformación, causando pérdida de energía mecánica. La combinación de estos dos efectos es el fenómeno de *fricción por rodamiento*. La fricción por rodamiento también ocurre

- a) Esfera perfectamente rígida que baja rodando por una superficie perfectamente rígida



- b) Esfera rígida que rueda sobre una superficie deformable



- 10.20** Rodamiento descendente sobre  
a) una superficie perfectamente rígida  
y b) una superficie deformable. En el inciso b), la deformación se muestra muy exagerada, y la fuerza  $n$  es la componente de la fuerza de contacto que apunta en la dirección perpendicular (o normal) al plano de la superficie antes de deformarse.

#### BIO Aplicación Rodar para reproducirse

Uno de los pocos organismos que utiliza el rodamiento como medio de locomoción es la maleza llamada cardo ruso (*Kali tragus*). La planta se rompe en su base, formando una zarza redondeada que dispersa sus semillas mientras rueda. Debido a que una zarza se deforma fácilmente, está sujeta a la fricción sustancial del rodamiento. Por lo tanto, rápidamente se ralentiza hasta detenerse, a menos que sea impulsada por el viento.



si el cuerpo que rueda es deformable, como el neumático de un automóvil. Es común que el cuerpo que rueda y la superficie tengan la suficiente rigidez como para despreciar la fricción por rodamiento, y esto es lo que hemos hecho en los ejemplos de la sección.

**EVALÚE SU COMPRENSIÓN DE LA SECCIÓN 10.3** Suponga que el cilindro sólido que utilizó como yoyo en el ejemplo 10.6 se reemplaza con un cilindro hueco de igual masa y radio. a) ¿La aceleración del yoyo i. aumentará, ii. disminuirá o iii. permanecerá constante? b) ¿La tensión en la cuerda i. aumentará, ii. disminuirá o iii. permanecerá constante?

## 10.4 TRABAJO Y POTENCIA EN MOVIMIENTO DE ROTACIÓN

Cuando pedaleamos una bicicleta, aplicamos fuerzas a un cuerpo en rotación y efectuamos trabajo sobre él. Algo similar ocurre en otras situaciones de la vida real, como el eje de un motor que gira e impulsa una herramienta de potencia, o el motor que impulsa un vehículo. Veremos cómo aplicar el trabajo del capítulo 6 al movimiento de rotación.

Suponga que una fuerza tangencial  $\vec{F}_{\tan}$  actúa en el borde de un disco pivotado; por ejemplo, una niña que corre empujando un carrusel común (figura 10.21a). El disco gira un ángulo infinitesimal  $d\theta$  alrededor de un eje fijo durante un intervalo de tiempo infinitesimal  $dt$  (figura 10.21b). El trabajo  $dW$  efectuado por la fuerza  $\vec{F}_{\tan}$  mientras que un punto del borde se mueve una distancia  $ds$  es  $dW = F_{\tan} ds$ . Si  $d\theta$  se mide en radianes, entonces,  $ds = R d\theta$  y

$$dW = F_{\tan} R d\theta$$

Ahora  $F_{\tan} R$  es la *torca*  $\tau_z$  debida a la fuerza  $\vec{F}_{\tan}$ , así que

$$dW = \tau_z d\theta \quad (10.19)$$

El trabajo total  $W$  efectuado por la torca mientras el disco gira de  $\theta_1$  a  $\theta_2$  es

Trabajo efectuado por una torca constante  $\tau_z$

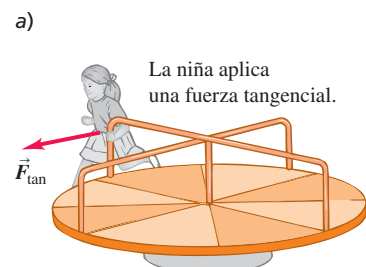
$$W = \int_{\theta_1}^{\theta_2} \tau_z d\theta \quad \begin{array}{l} \text{Límite superior = posición angular final} \\ \text{Integral de la torca con respecto a un ángulo} \\ \text{Límite inferior = posición angular inicial} \end{array} \quad (10.20)$$

Si la torca es *constante* mientras el ángulo cambia, entonces el trabajo es el producto de la torca por el desplazamiento angular:

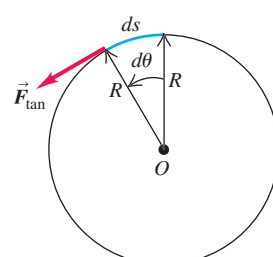
Trabajo efectuado por una torca constante  $\tau_z$

$$W = \tau_z(\theta_2 - \theta_1) = \tau_z \Delta\theta \quad \begin{array}{l} \text{Torca} \\ \text{Posición angular final menos inicial = desplazamiento angular} \end{array} \quad (10.21)$$

- 10.21** Una fuerza tangencial aplicada a un cuerpo en rotación efectúa trabajo.



- b) El carrusel visto desde arriba.



Si la torca se expresa en (N·m) y el desplazamiento angular en radianes, el trabajo está en joules. La ecuación (10.21) es el análogo rotacional de la ecuación (6.1),  $W = Fs$ , y la ecuación (10.20) es el análogo de la ecuación (6.7),  $W = \int F_x dx$ , para el trabajo realizado por una fuerza en un desplazamiento rectilíneo.

Si la fuerza de la figura 10.21 tuviera una componente axial (paralela al eje de rotación) o radial (dirigida hacia el eje o alejándose de éste), dicha componente no efectuaría trabajo, porque el desplazamiento del punto de aplicación sólo tiene componente tangencial. Una componente de fuerza axial o radial tampoco contribuiría a la torca alrededor del eje de rotación, por lo que las ecuaciones (10.20) y (10.21) son correctas para *cualquier* fuerza, independientemente de sus componentes.

Si una torca efectúa trabajo sobre un cuerpo rígido que gira, la energía cinética experimenta un cambio en una cantidad igual a ese trabajo. Podemos demostrar esto usando exactamente el mismo procedimiento que en las ecuaciones (6.11) a (6.13) para la energía cinética de traslación de una partícula. Sea  $\tau_z$  la torca neta sobre el cuerpo, de modo que, de acuerdo con la ecuación (10.7),  $\tau_z = I\alpha_z$ , suponiendo que el cuerpo es rígido y, por lo tanto, tiene momento de inercia  $I$  constante. Transformamos el integrando de la ecuación (10.20) en una integral sobre  $\omega_z$  como se muestra a continuación:

$$\tau_z d\theta = (I\alpha_z) d\theta = I \frac{d\omega_z}{dt} d\theta = I \frac{d\theta}{dt} d\omega_z = I\omega_z d\omega_z$$

Puesto que  $\tau_z$  es la torca neta, la integral de la ecuación (10.20) es el trabajo *total* efectuado sobre el cuerpo rígido en rotación. Así, la ecuación se convierte en

Trabajo total efectuado sobre.....  
un cuerpo rígido que gira  
= trabajo realizado por la  
torca externa neta

Energía cinética rotacional final  
 $W_{\text{tot}} = \int_{\omega_1}^{\omega_2} I\omega_z d\omega_z = \frac{1}{2}I\omega_2^2 - \frac{1}{2}I\omega_1^2$   
Energía cinética rotacional inicial

El cambio de energía cinética de rotación de un cuerpo *rígido* es igual al trabajo efectuado por fuerzas ejercidas desde afuera del cuerpo (**figura 10.22**). Esta ecuación es análoga a la ecuación (6.13), el teorema trabajo-energía para una partícula.

¿Cómo se relaciona la *potencia* con la torca? Si dividimos ambos miembros de la ecuación (10.19) entre el intervalo  $dt$  durante el cual ocurre el desplazamiento angular, encontramos

$$\frac{dW}{dt} = \tau_z \frac{d\theta}{dt}$$

Pero,  $dW/dt$  es la rapidez con la que se efectúa trabajo, o *potencia P*, y  $d\theta/dt$  es velocidad angular  $\omega_z$ , así que

Potencia debida a .....  
una torca que actúa  
sobre un cuerpo rígido

Torca con respecto al eje de rotación  
 $P = \tau_z \omega_z$  Velocidad angular del cuerpo con respecto  
al eje de rotación

Esto es el análogo de la relación  $P = \vec{F} \cdot \vec{v}$  que desarrollamos en la sección 6.4 para el movimiento de partículas.



### EJEMPLO 10.8 CÁLCULO DE POTENCIA A PARTIR DE LA TORCA

Un motor eléctrico ejerce una torca constante de 10 N·m sobre una piedra de afilar montada que tiene un momento de inercia de  $2.0 \text{ kg}\cdot\text{m}^2$  en torno a su eje. El sistema parte del reposo. Calcule el trabajo  $W$  efectuado por el motor en 8.0 s y la energía cinética  $K$  de la piedra de afilar en ese tiempo. ¿Qué potencia media  $P_{\text{med}}$  desarrolló el motor?

#### SOLUCIÓN

**IDENTIFICAR Y PLANTEAR:** La única torca que actúa se debe al motor. Puesto que la torca es constante, la piedra de afilar tiene una aceleración angular constante  $\alpha_z$ . Usaremos la ecuación (10.7) para

calcular el valor de  $\alpha_z$ , y luego usaremos esto en las ecuaciones cinemáticas de la sección 9.2 para calcular el ángulo  $\Delta\theta$  que la piedra de afilar gira en 8.0 s y su velocidad angular final  $\omega_z$ . Podemos calcular  $W$ ,  $K$  y  $P_{\text{med}}$ .

**EJECUTAR:** Tenemos  $\sum\tau_z = 10 \text{ N}\cdot\text{m}$  e  $I = 2.0 \text{ kg}\cdot\text{m}^2$ , de manera que  $\sum\tau_z = I\alpha_z$  produce  $\alpha_z = 5.0 \text{ rad/s}^2$ . Según las ecuaciones (9.11) y (10.21),

$$\Delta\theta = \frac{1}{2}\alpha_z t^2 = \frac{1}{2}(5.0 \text{ rad/s}^2)(8.0 \text{ s})^2 = 160 \text{ rad}$$

$$W = \tau_z \Delta\theta = (10 \text{ N}\cdot\text{m})(160 \text{ rad}) = 1600 \text{ J}$$



De acuerdo con las ecuaciones (9.7) y (9.17),

$$\begin{aligned}\omega_z &= \alpha_z t = (5.0 \text{ rad/s}^2)(8.0 \text{ s}) = 40 \text{ rad/s} \\ K &= \frac{1}{2} I \omega_z^2 = \frac{1}{2}(2.0 \text{ kg} \cdot \text{m}^2)(40 \text{ rad/s})^2 = 1600 \text{ J}\end{aligned}$$

La potencia media es el trabajo realizado dividido entre el intervalo de tiempo:

$$P_{\text{med}} = \frac{1600 \text{ J}}{8.0 \text{ s}} = 200 \text{ J/s} = 200 \text{ W}$$

**EVALUAR:** La energía cinética inicial era cero, de manera que el trabajo efectuado  $W$  debe ser igual a la energía cinética final  $K$  [ecuación (10.22)]. Así es como lo calculamos. Podemos comprobar nuestro resultado  $P_{\text{med}} = 200 \text{ W}$  considerando la potencia *instantánea*,  $P = \tau_z \omega_z$ . Dado que  $\omega_z$  aumenta de forma continua,  $P$  también aumenta continuamente; este valor se incrementa de cero en  $t = 0$  a  $(10 \text{ N} \cdot \text{m})(40 \text{ rad/s}) = 400 \text{ W}$  en  $t = 8.0 \text{ s}$ . Tanto  $\omega_z$  como  $P$  aumentan *de manera uniforme* con el tiempo, así que la potencia *media* es tan sólo la mitad de ese valor máximo, es decir,  $200 \text{ W}$ .

**EVALÚE SU COMPRENSIÓN DE LA SECCIÓN 10.4** Se aplican torcas iguales a dos cilindros distintos. El cilindro 1 tiene un momento de inercia dos veces mayor que el cilindro 2. Cada cilindro está inicialmente en reposo. Después de una rotación completa, ¿cuál cilindro tiene mayor energía cinética? **i.** El cilindro 1; **ii.** el cilindro 2; **iii.** ambos cilindros tienen la misma energía cinética. ■

## 10.5 MOMENTO ANGULAR

Todas las cantidades rotacionales que hemos estudiado en los capítulos 9 y 10 son análogas a alguna cantidad en el movimiento de traslación de una partícula. El análogo de la *cantidad de movimiento* de una partícula es el **momento angular** (también llamado **cantidad de movimiento angular**), una cantidad vectorial denotada con  $\vec{L}$ . Su relación con el momento  $\vec{p}$  (que llamaremos *momento lineal* por claridad) es exactamente la misma relación que hay entre la torca y la fuerza,  $\vec{\tau} = \vec{r} \times \vec{F}$ . Para una partícula de masa constante  $m$  y velocidad  $\vec{v}$ , el momento angular es

<b>Momento angular de una partícula respecto al origen <math>O</math> de un sistema de referencia inercial</b>	<b>Vector de posición de una partícula con respecto a <math>O</math></b>	$\vec{L} = \vec{r} \times \vec{p} = \vec{r} \times m\vec{v}$
<b>Momento lineal de una partícula = masa por velocidad</b>		

(10.24)

El valor de  $\vec{L}$  depende del origen  $O$  elegido, ya que en él interviene el vector de posición de la partícula con respecto al origen. Las unidades del momento angular son  $\text{kg} \cdot \text{m}^2/\text{s}$ .

En la **figura 10.23**, una partícula se mueve en el plano  $xy$ ; se muestran su vector de posición  $\vec{r}$  y su cantidad de movimiento  $\vec{p} = m\vec{v}$ . El vector momento angular  $\vec{L}$  es perpendicular al plano  $xy$ . La regla de la mano derecha para productos vectoriales nos indica que su dirección está a lo largo del eje  $+z$ , y su magnitud es

$$L = mv r \sin \phi = mvl \quad (10.25)$$

donde  $l$  es la distancia perpendicular desde la línea de  $\vec{v}$  a  $O$ . Esta distancia hace las veces de “brazo de palanca” para el vector cantidad de movimiento.

Si una fuerza neta  $\vec{F}$  actúa sobre una partícula, cambian su velocidad y su momento lineal, y también puede cambiar su momento angular. Podemos demostrar que la *razón de cambio* del momento angular es igual a la torca de la fuerza neta. Derivamos la ecuación (10.24) con respecto al tiempo usando la regla de la derivada de un producto:

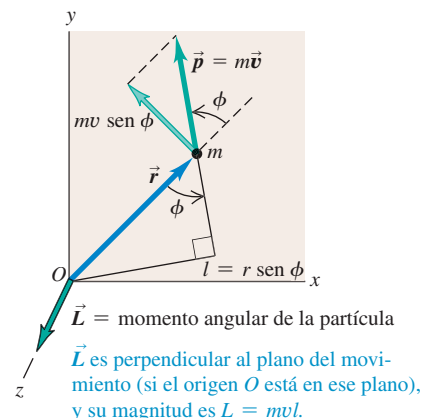
$$\frac{d\vec{L}}{dt} = \left( \frac{d\vec{r}}{dt} \times m\vec{v} \right) + \left( \vec{r} \times m \frac{d\vec{v}}{dt} \right) = (\vec{v} \times m\vec{v}) + (\vec{r} \times m\vec{a})$$

El primer término es cero porque contiene el producto vectorial del vector  $\vec{v} = d\vec{r}/dt$  consigo mismo. En el segundo término sustituimos  $m\vec{a}$  con la fuerza neta  $\vec{F}$ , para obtener

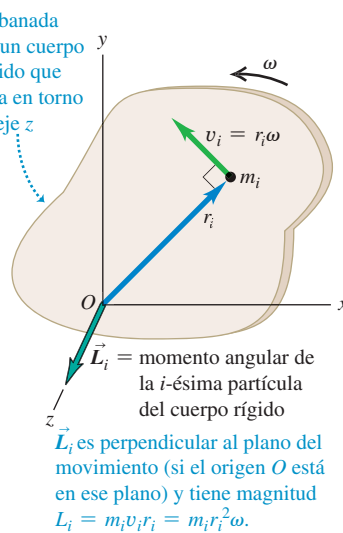
$$\frac{d\vec{L}}{dt} = \vec{r} \times \vec{F} = \vec{\tau} \quad (\text{para una partícula sobre la que actúa una fuerza neta } \vec{F}) \quad (10.26)$$

**La razón de cambio del momento angular de una partícula es igual a la torca de la fuerza neta que actúa sobre ella.** Compare este resultado con la ecuación (8.4), la cual dice que la razón de cambio  $d\vec{p}/dt$  del momento *lineal* de una partícula es igual a la fuerza neta que actúa sobre ésta.

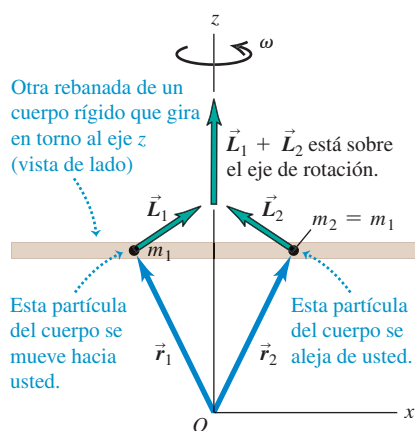
**10.23** Cálculo del momento angular  $\vec{L} = \vec{r} \times m\vec{v} = \vec{r} \times \vec{p}$  de una partícula de masa  $m$  que se mueve en el plano  $xy$ .



**10.24** Cálculo del momento angular de una partícula de masa  $m_i$  en un cuerpo rígido que gira con rapidez angular  $\omega$  (compare con la figura 10.23).



**10.25** Dos partículas con la misma masa están situadas simétricamente a cada lado del eje de rotación de un cuerpo rígido. Aunque los vectores de momento angular  $\vec{L}_1$  y  $\vec{L}_2$  de las dos partículas no están a lo largo del eje de rotación, su suma vectorial  $\vec{L}_1 + \vec{L}_2$  sí lo está.



**10.26** En la rotación alrededor de un eje de simetría,  $\vec{\omega}$  y  $\vec{L}$  son paralelos y están sobre el eje. Las direcciones de ambos vectores están dadas por la regla de la mano derecha (compare con la figura 9.5).

## Momento angular de un cuerpo rígido

Podemos usar la ecuación (10.25) para calcular el momento angular total de un *cuerpo rígido* que gira en torno al eje  $z$  con rapidez angular  $\omega$ . Consideremos primero una rebanada delgada del cuerpo que está en el plano  $xy$  (**figura 10.24**). Cada partícula de la rebanada se mueve en un círculo centrado en el origen, y en cada instante su velocidad  $\vec{v}_i$  es perpendicular a su vector de posición  $\vec{r}_i$ , como se indica. Por consiguiente, en la ecuación (10.25),  $\phi = 90^\circ$  para toda partícula. Una partícula de masa  $m_i$  que está a una distancia  $r_i$  de  $O$  tiene una rapidez  $v_i$  igual a  $r_i\omega$ . De acuerdo con la ecuación (10.25), la magnitud  $L_i$  de su momento angular es

$$L_i = m_i(r_i\omega)r_i = m_i r_i^2 \omega \quad (10.27)$$

La dirección del momento angular de cada partícula, dada por la regla de la mano derecha para el producto vectorial, está sobre el eje  $+z$ .

El momento angular *total* de la rebanada del cuerpo que está en el plano  $xy$  es la suma  $\sum L_i$  de las cantidades de movimiento angular  $L_i$  de las partículas. Haciendo la suma de la ecuación (10.27), tenemos

$$L = \sum L_i = (\sum m_i r_i^2) \omega = I\omega$$

donde  $I$  es el momento de inercia de la rebanada alrededor del eje  $z$ .

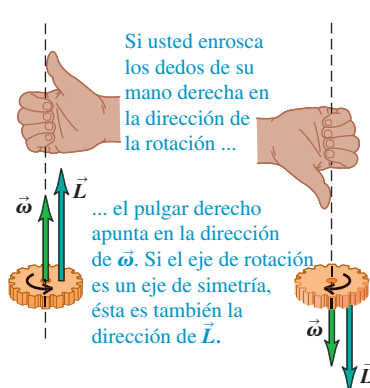
Podemos efectuar ese mismo cálculo para las demás rebanadas del cuerpo, todas paralelas al plano  $xy$ . Para los puntos que no están en ese plano, surge una complicación porque los vectores  $\vec{r}$  tienen componentes en la dirección  $z$  además de las direcciones  $x$  y  $y$ ; esto da al momento angular de cada partícula una componente perpendicular al eje  $z$ . Pero si *el eje  $z$  es un eje de simetría*, las componentes perpendiculares de partículas en lados opuestos de este eje suman cero (**figura 10.25**). Así, cuando un cuerpo gira alrededor de un eje de simetría, su vector momento angular  $\vec{L}$  queda sobre el eje de simetría y su magnitud es  $L = I\omega$ .

El vector velocidad angular  $\vec{\omega}$  también está sobre el eje de rotación, como vimos en la sección 9.1. Por lo tanto, para un cuerpo rígido que gira alrededor de un eje de simetría,  $\vec{L}$  y  $\vec{\omega}$  tienen la misma dirección (**figura 10.26**). Así, tenemos la relación *vectorial*

Momento angular de un cuerpo rígido que gira alrededor de un eje de simetría	$\vec{L} = I\vec{\omega}$ con respecto al eje de simetría	Momento de inercia del cuerpo
		Vector velocidad angular del cuerpo

(10.28)

De acuerdo con la ecuación (10.26), la razón de cambio del momento angular de una partícula es igual a la torca de la fuerza neta que actúa sobre ella. Para cualquier sistema de partículas (incluidos cuerpos rígidos y no rígidos), la razón de cambio del momento angular *total* es igual a la suma de las torcas de todas las fuerzas que actúan sobre todas las partículas. Las torcas de las fuerzas *internas* suman cero si las fuerzas actúan sobre la línea que va de una partícula a otra, como en la figura 10.8, así que la suma de las torcas sólo incluye las torcas de las fuerzas *externas*. Vimos una



eliminación similar cuando hablamos del movimiento del centro de masa en la sección 8.5). Así, concluimos que

**Para un sistema de partículas:**

$$\text{Suma de las torcas externas sobre el sistema} \rightarrow \sum \vec{\tau} = \frac{d\vec{L}}{dt} \quad \begin{array}{l} \text{Razón de cambio del} \\ \text{momento angular total } \vec{L} \\ \text{del sistema} \end{array} \quad (10.29)$$

Por último, si el sistema de partículas es un cuerpo rígido que gira alrededor de un eje de simetría (el eje  $z$ ),  $L_z = I\omega_z$  e  $I$  es constante. Si el eje tiene dirección fija en el espacio, entonces los vectores  $\vec{L}$  y  $\vec{\omega}$  sólo cambian de magnitud, no de dirección. En tal caso,  $dL_z/dt = I d\omega_z/dt = I\alpha_z$ ,

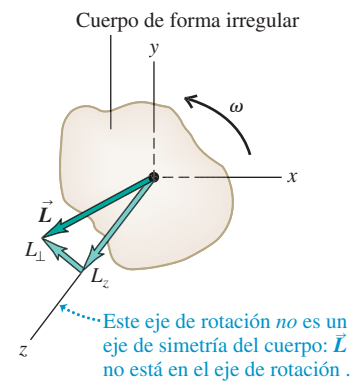
$$\sum \tau_z = I\alpha_z$$

que es otra vez nuestra relación básica para la dinámica de la rotación de un cuerpo rígido. Si el cuerpo *no* es rígido,  $I$  puede cambiar y, en tal caso,  $L$  cambiará aun si  $\omega$  es constante. Para un cuerpo que no es rígido, la ecuación (10.29) seguirá siendo válida, pero la ecuación (10.7) no.

Si el eje de rotación *no* es un eje de simetría, el momento angular, en general, *no* es paralelo al eje (**figura 10.27**). Al girar el cuerpo, el vector momento angular  $\vec{L}$  describe un cono alrededor del eje de rotación. Puesto que  $\vec{L}$  cambia, debe estar actuando una torca externa neta sobre el cuerpo, aun cuando la magnitud de la velocidad angular  $\omega$  sea constante. Si el cuerpo es una rueda desbalanceada de un automóvil, esta torca provendrá de la fricción en los cojinetes, la cual hace que éstos se desgasten. “Balancear” una rueda implica distribuir la masa de modo que el eje de rotación sea un eje de simetría; entonces,  $\vec{L}$  apuntará a lo largo del eje de rotación y no se requerirá una torca neta para que la rueda siga girando.

En rotación de eje fijo, solemos usar el término “momento angular del cuerpo” para referirnos sólo a la *componente* de  $\vec{L}$  sobre el eje de rotación del cuerpo (el eje  $z$  en la figura 10.27), con un signo positivo o negativo para indicar el sentido de rotación, igual que ocurre con la velocidad angular.

**10.27** Si el eje de rotación de un cuerpo rígido no es un eje de simetría,  $\vec{L}$  no está en general sobre el eje de rotación. Aun si  $\vec{\omega}$  es constante, la dirección de  $\vec{L}$  cambia, y se requiere una torca neta para mantener la rotación.



### EJEMPLO 10.9 MOMENTO ANGULAR Y TORCA

Una hélice de turbina del motor a reacción de un avión tiene un momento de inercia de  $2.5 \text{ kg}\cdot\text{m}^2$  alrededor de su eje de rotación. Al arrancar la turbina, su velocidad angular es  $\omega_z = (40 \text{ rad/s}^3)t^2$ . *a)* Calcule momento angular de la hélice en función del tiempo y su valor en  $t = 3.0 \text{ s}$ . *b)* Determine la torca neta que actúa sobre la hélice en función del tiempo, y su valor en  $t = 3.0 \text{ s}$ .

#### SOLUCIÓN

**IDENTIFICAR y PLANTEAR:** La hélice de una turbina gira alrededor de su eje de simetría (el eje  $z$ ). Por lo tanto, el vector momento angular tiene sólo una componente  $z$ ,  $L_z$ , que podemos determinar a partir de la velocidad angular  $\omega_z$ . Puesto que la dirección del momento angular es constante, la torca también tiene sólo una componente  $\tau_z$  a lo largo del eje de rotación. Usaremos la ecuación (10.28) para encontrar  $L_z$  a partir de  $\omega_z$  y luego la ecuación (10.29) para calcular  $\tau_z$ .

**EJECUTAR:** *a)* De acuerdo con la ecuación (10.28),

$$L_z = I\omega_z = (2.5 \text{ kg}\cdot\text{m}^2)(40 \text{ rad/s}^3)t^2 = (100 \text{ kg}\cdot\text{m}^2/\text{s}^3)t^2$$

(Omitimos “rad” de la respuesta porque el radián es una cantidad adimensional). En  $t = 3.0 \text{ s}$ ,  $L_z = 900 \text{ kg}\cdot\text{m}^2/\text{s}^2$ .

*b)* De acuerdo con la ecuación (10.29),

$$\tau_z = \frac{dL_z}{dt} = (100 \text{ kg}\cdot\text{m}^2/\text{s}^3)(2t) = (200 \text{ kg}\cdot\text{m}^2/\text{s}^3)t$$

En  $t = 3.0 \text{ s}$ ,

$$\tau_z = (200 \text{ kg}\cdot\text{m}^2/\text{s}^3)(3.0 \text{ s}) = 600 \text{ kg}\cdot\text{m}^2/\text{s}^2 = 600 \text{ N}\cdot\text{m}$$

**EVALUAR:** Para comprobar nuestro resultado de  $\tau_z$ , vemos que la aceleración angular de la turbina es  $\alpha_z = d\omega_z/dt = (40 \text{ rad/s}^3)(2t) = (80 \text{ rad/s}^3)t$ . Por lo tanto, de acuerdo con la ecuación (10.7), la torca que actúa sobre la hélice es  $\tau_z = I\alpha_z = (2.5 \text{ kg}\cdot\text{m}^2)(80 \text{ rad/s}^3)t = (200 \text{ kg}\cdot\text{m}^2/\text{s}^3)t$ , lo que coincide con nuestro cálculo anterior.

**EVALÚE SU COMPRENSIÓN DE LA SECCIÓN 10.5** Una pelota está unida al extremo de una cuerda. Usted sostiene la cuerda por el otro extremo y hace girar a la pelota alrededor de su mano. *a)* Si la rapidez de la pelota es constante, ¿será constante su momento lineal  $\vec{p}$ ? ¿Por qué? *b)* ¿Es constante su momento angular  $\vec{L}$ ? ¿Por qué?



## 10.6 CONSERVACIÓN DEL MOMENTO ANGULAR

Acabamos de ver que el momento angular puede servir para expresar de otro modo el principio básico de la dinámica del movimiento de rotación. También es la base del **principio de conservación del momento angular**. Al igual que la conservación de la energía y del momento lineal, este principio es una ley de conservación universal, ya que es válido en todas las escalas, desde los sistemas atómicos y nucleares hasta los movimientos de las galaxias. Este principio es consecuencia directa de la ecuación (10.29):  $\sum \vec{\tau} = d\vec{L}/dt$ . Si  $\sum \vec{\tau} = \mathbf{0}$ , entonces  $d\vec{L}/dt = \mathbf{0}$  y  $\vec{L}$  es constante.



**10.28** Un gato que cae tuerce diversas partes de su cuerpo en direcciones distintas para caer de pie. En todo momento durante ese proceso, el momento angular total del gato sigue siendo cero.



**Si la torca externa neta que actúa sobre un sistema es cero, el momento angular total del sistema es constante (se conserva).**

Una trapecista, un clavadista y un patinador que realiza piruetas en la punta de un patín aprovechan este principio. Suponga que la trapecista acaba de separarse de un columpio con los brazos y las piernas extendidos, y gira en sentido contrario a las manecillas del reloj alrededor de su centro de masa. Al encoger los brazos y las piernas, su momento de inercia  $I_{cm}$  con respecto a su centro de masa cambia de un valor grande  $I_1$  a uno mucho menor  $I_2$ . La única fuerza externa que actúa sobre ella es su peso, que no tiene torca con respecto a un eje que pasa por su centro de masa. Así, su momento angular  $L_z = I_{cm}\omega_z$  permanece constante, y su velocidad angular  $\omega_z$  aumenta al disminuir  $I_{cm}$ . Esto es,

$$I_1\omega_{1z} = I_2\omega_{2z} \quad (\text{torca externa neta cero}) \quad (10.30)$$

Cuando una patinadora o una bailarina giran con los brazos extendidos y luego los encogen, su velocidad angular aumenta al disminuir su momento de inercia. En ambos casos, se conserva el momento angular en un sistema donde la torca externa neta es cero.

Si un sistema tiene varias partes, las fuerzas internas que esas partes ejercen entre sí provocan cambios en sus cantidades de movimiento angulares; pero el momento angular *total* no cambia. Por ejemplo, considere dos cuerpos *A* y *B* que interactúan entre sí pero con nada más, como los astronautas de la sección 8.2 (vea la figura 8.9). Suponga que el cuerpo *A* ejerce una fuerza  $\vec{F}_A$  sobre *B* sobre el cuerpo *B*; la torca correspondiente (con respecto a cualquier punto que elijamos) es  $\vec{\tau}_A$  sobre *B*. De acuerdo con la ecuación (10.29), esa torca es igual a la razón de cambio del momento angular de *B*:

$$\vec{\tau}_A \text{ sobre } B = \frac{d\vec{L}_B}{dt}$$

Al mismo tiempo, el cuerpo *B* ejerce una fuerza  $\vec{F}_B$  sobre *A* sobre el cuerpo *A*, con una torca correspondiente  $\vec{\tau}_B$  sobre *A*, y

$$\vec{\tau}_B \text{ sobre } A = \frac{d\vec{L}_A}{dt}$$

Por la tercera ley de Newton,  $\vec{F}_B$  sobre *A* =  $-\vec{F}_A$  sobre *B*. Además, si las fuerzas actúan en la misma línea, como en la figura 10.8, sus brazos de palanca con respecto al eje elegido son iguales. Así, las *torcas* de estas dos fuerzas son iguales y opuestas, y  $\vec{\tau}_B$  sobre *A* =  $-\vec{\tau}_A$  sobre *B*. Por lo tanto, si sumamos las dos ecuaciones anteriores, obtenemos

$$\frac{d\vec{L}_A}{dt} + \frac{d\vec{L}_B}{dt} = \mathbf{0}$$

o, puesto que  $\vec{L}_A + \vec{L}_B$  es el momento angular *total*  $\vec{L}$  del sistema,

$$\frac{d\vec{L}}{dt} = \mathbf{0} \quad (\text{torca externa neta cero}) \quad (10.31)$$

Es decir, el momento angular total del sistema es constante. Las torcas de las fuerzas internas pueden transferir momento angular de un cuerpo al otro, pero no pueden cambiar el momento angular *total* del sistema (**figura 10.28**).



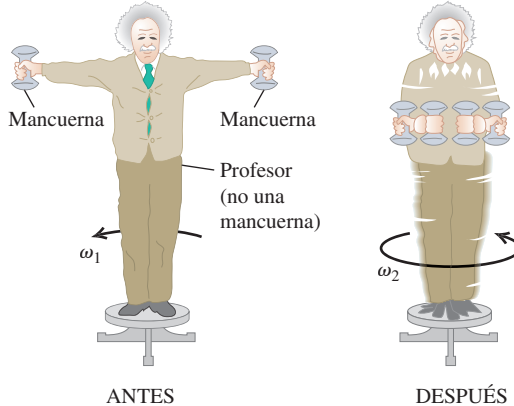
### EJEMPLO 10.10 CUALQUIERA PUEDE BAILAR BALLET

Un ágil profesor de física se pone de pie en el centro de una mesita giratoria y sin fricción, con los brazos extendidos horizontalmente y una mancuerna de 5.0 kg en cada mano (**figura 10.29**). Se le pone a girar sobre un eje vertical, dando una revolución cada 2.0 s. Calcule la velocidad angular final del profesor si él pega las mancuernas a su abdomen. Su momento de inercia (sin las mancuernas) es de  $3.0 \text{ kg} \cdot \text{m}^2$  con los brazos extendidos, y baja a  $2.2 \text{ kg} \cdot \text{m}^2$  si coloca las manos en el abdomen. Las mancuernas están a 1.0 m del eje al principio y a 0.20 m al final.

#### SOLUCIÓN

**IDENTIFICAR, PLANTEAR y EJECUTAR:** Ninguna torca externa actuará alrededor del eje vertical ( $z$ ), así que  $L_z$  será constante.

#### 10.29 Diversión con la conservación del momento angular.



Utilizaremos la ecuación (10.30) para encontrar la velocidad angular final  $\omega_{2z}$ . El momento de inercia del sistema es  $I = I_{\text{prof}} + I_{\text{manc}}$ . Tratamos a cada mancuerna como una partícula de masa  $m$  que aporta  $mr^2$  a  $I_{\text{manc}}$ , donde  $r$  es la distancia perpendicular del eje de rotación a la mancuerna. Inicialmente, tenemos

$$I_1 = 3.0 \text{ kg} \cdot \text{m}^2 + 2(5.0 \text{ kg})(1.0 \text{ m})^2 = 13 \text{ kg} \cdot \text{m}^2$$

$$\omega_{1z} = \frac{1 \text{ rev}}{2.0 \text{ s}} = 0.50 \text{ rev/s}$$

El momento de inercia final es

$$I_2 = 2.2 \text{ kg} \cdot \text{m}^2 + 2(5.0 \text{ kg})(0.20 \text{ m})^2 = 2.6 \text{ kg} \cdot \text{m}^2$$

De acuerdo con la ecuación (10.30), la velocidad angular final es

$$\omega_{2z} = \frac{I_1}{I_2} \omega_{1z} = \frac{13 \text{ kg} \cdot \text{m}^2}{2.6 \text{ kg} \cdot \text{m}^2} (0.50 \text{ rev/s}) = 2.5 \text{ rev/s} = 5\omega_{1z}$$

Observe que no tuvimos que cambiar “revoluciones” a “radianes” en este cálculo. ¿Por qué?

**EVALUAR:** El momento angular permanece constante, pero la velocidad angular aumenta por un factor de 5, de  $\omega_{1z} = (0.50 \text{ rev/s}) \times (2\pi \text{ rad/rev}) = 3.14 \text{ rad/s}$  a  $\omega_{2z} = (2.5 \text{ rev/s})(2\pi \text{ rad/rev}) = 15.7 \text{ rad/s}$ . Las energías cinéticas inicial y final son entonces

$$K_1 = \frac{1}{2} I_1 \omega_{1z}^2 = \frac{1}{2} (13 \text{ kg} \cdot \text{m}^2)(3.14 \text{ rad/s})^2 = 64 \text{ J}$$

$$K_2 = \frac{1}{2} I_2 \omega_{2z}^2 = \frac{1}{2} (2.6 \text{ kg} \cdot \text{m}^2)(15.7 \text{ rad/s})^2 = 320 \text{ J}$$

La energía cinética quintuplicada proviene del trabajo que el profesor realizó para llevar sus brazos y las mancuernas junto al abdomen.

### EJEMPLO 10.11 UN “CHOQUE” ROTACIONAL

La **figura 10.30** muestra dos discos. Uno ( $A$ ) es un volante motor o volante de inercia y el otro ( $B$ ), una placa de embrague sujetada a un eje de transmisión. Sus momentos de inercia son  $I_A$  e  $I_B$ ; al inicio, los discos están girando con rapideces angulares constantes  $\omega_A$  y  $\omega_B$ , respectivamente. Juntamos los discos con fuerzas que actúan sobre el eje, con la finalidad de no aplicar una torca a ningún disco. Los discos se frotan entre sí y finalmente alcanzan una rapidez angular común  $\omega$ . Deduzca una expresión para  $\omega$ .

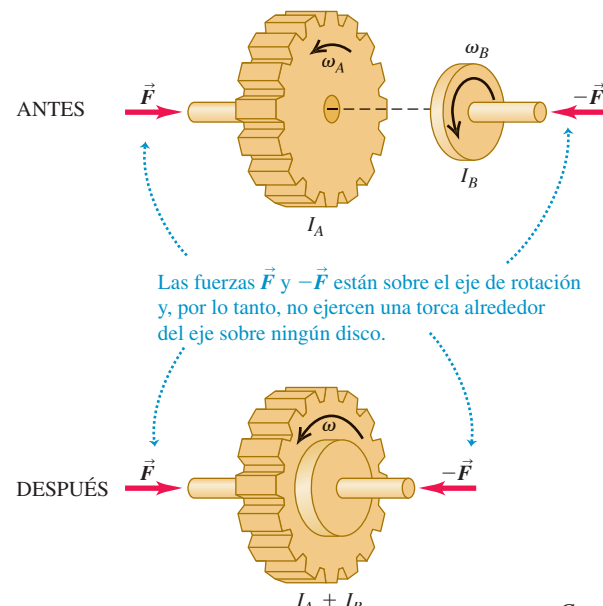
#### SOLUCIÓN

**IDENTIFICAR, PLANTEAR y EJECUTAR:** No hay torcas externas, así que la única torca que actúa sobre cualquiera de los discos es la aplicada por el otro disco. Por lo tanto, el momento angular total del sistema de los dos discos se conserva. Al final, giran como un solo cuerpo con momento de inercia total  $I = I_A + I_B$  y rapidez angular  $\omega$ . La figura 10.30 muestra que todas las velocidades angulares tienen la misma dirección, así que podemos considerar que  $\omega_A$ ,  $\omega_B$  y  $\omega$  son componentes de velocidad angular a lo largo del eje de rotación. La conservación del momento angular da

$$I_A \omega_A + I_B \omega_B = (I_A + I_B) \omega$$

$$\omega = \frac{I_A \omega_A + I_B \omega_B}{I_A + I_B}$$

**10.30** Cuando la torca externa neta es cero, se conserva el momento angular.



Continúa

**EVALUAR:** Este “choque” entre dos discos es similar a un choque totalmente inelástico (vea la sección 8.3). Cuando dos objetos en movimiento de traslación a lo largo del mismo eje se juntan y quedan adheridos, se conserva el momento lineal del sistema. En este caso, dos objetos en movimiento *de rotación* a lo largo del mismo eje “chocan” y se adhieren, y se conserva el momento *angular*.

La energía cinética de un sistema disminuye en un choque completamente inelástico. Aquí la energía cinética se pierde porque fuerzas

internas no conservativas (fricción) actúan mientras se rozan los dos discos. Supongamos que un volante *A* tiene una masa de 2.0 kg, un radio de 0.20 m, y una velocidad angular inicial de 50 rad/s (aproximadamente 500 rpm), en tanto que la placa de embrague *B* tiene una masa de 4.0 kg, un radio de 0.10 m, y una rapidez angular inicial de 200 rad/s. ¿Puede demostrar que la energía cinética final es sólo dos tercios de la energía cinética inicial?

### EJEMPLO 10.12 MOMENTO ANGULAR EN UNA ACCIÓN POLICIACA

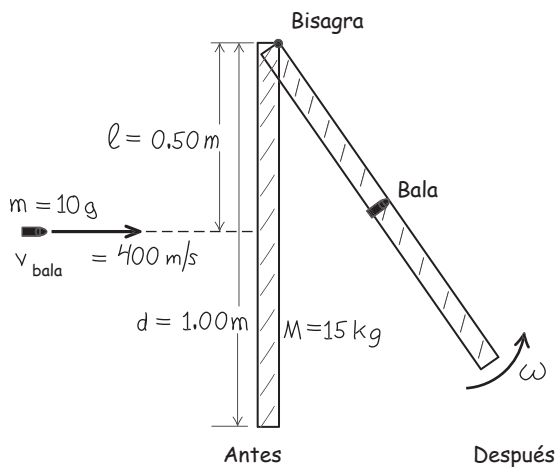


Una puerta de 1.00 m de ancho y masa de 15 kg tiene bisagras en un costado, de modo que puede girar sin fricción sobre un eje vertical. Una bala de 10 g de masa con rapidez de 400 m/s pega en el centro de la puerta, en dirección perpendicular al plano de la puerta, y se incrusta dentro de ésta. Calcule la rapidez angular de la puerta. ¿Se conserva la energía cinética?

#### SOLUCIÓN

**IDENTIFICAR y PLANTEAR:** Consideramos la puerta y la bala como un sistema. No hay torca externa alrededor del eje definido por las bisagras, por lo que se conserva el momento angular con respecto a este eje. La figura 10.31 ilustra nuestro esquema. El momento angular inicial es la de la bala y está dada por la ecuación (10.25).

**10.31** La puerta que se balancea vista desde arriba.



El momento angular final es la de un cuerpo rígido formado por la puerta y la bala incrustada. Igualaremos estas dos cantidades y despejaremos la rapidez angular  $\omega$  de la puerta y de la bala.

**EJECUTAR:** De acuerdo con la ecuación (10.25), el momento angular inicial de la bala es:

$$L = mvl = (0.010 \text{ kg})(400 \text{ m/s})(0.50 \text{ m}) = 2.0 \text{ kg} \cdot \text{m}^2/\text{s}$$

El momento angular final es  $I\omega$ , donde  $I = I_{\text{puerta}} + I_{\text{bala}}$ . De acuerdo con la tabla 9.2, caso *d*, para una puerta de ancho  $d = 1.00 \text{ m}$ ,

$$I_{\text{puerta}} = \frac{Md^2}{3} = \frac{(15 \text{ kg})(1.00 \text{ m})^2}{3} = 5.0 \text{ kg} \cdot \text{m}^2$$

El momento de inercia de la bala (con respecto al eje que pasa por las bisagras) es

$$I_{\text{bala}} = ml^2 = (0.010 \text{ kg})(0.50 \text{ m})^2 = 0.0025 \text{ kg} \cdot \text{m}^2$$

La conservación del momento angular requiere que  $mvl = I\omega$ , o

$$\omega = \frac{mvl}{I} = \frac{2.0 \text{ kg} \cdot \text{m}^2/\text{s}}{5.0 \text{ kg} \cdot \text{m}^2 + 0.0025 \text{ kg} \cdot \text{m}^2} = 0.40 \text{ rad/s}$$

Las energías cinéticas inicial y final son

$$K_1 = \frac{1}{2}mv^2 = \frac{1}{2}(0.010 \text{ kg})(400 \text{ m/s})^2 = 800 \text{ J}$$

$$K_2 = \frac{1}{2}I\omega^2 = \frac{1}{2}(5.0025 \text{ kg} \cdot \text{m}^2)(0.40 \text{ rad/s})^2 = 0.40 \text{ J}$$

**EVALUAR:** ¡La energía cinética final es tan sólo  $\frac{1}{2000}$  del valor inicial! No esperábamos que la energía cinética se conservara: el choque es inelástico, ya que las fuerzas de fricción no conservativas actúan durante el impacto. La rapidez angular final de la puerta es bastante baja: a 0.40 rad/s, la puerta tardará 3.9 s en oscilar  $90^\circ$  ( $\pi/2$  radianes).

**EVALÚE SU COMPRENSIÓN DE LA SECCIÓN 10.6** Si los casquetes polares se derritieran totalmente por el calentamiento global, el hielo derretido se redistribuiría en toda la Tierra. Este cambio haría que la duración del día (el tiempo que la Tierra tarda en girar sobre su eje) **i.** aumentara; **ii.** disminuyera; **iii.** permaneciera igual. (*Sugerencia:* Use ideas relacionadas con el momento angular. Suponga que el Sol, la Luna y los planetas ejercen torcas despreciables sobre la Tierra). **|**

## 10.7 GÍROSCOPOS Y PRECESIÓN

En todas las situaciones que hemos examinado hasta ahora en este capítulo, el eje de rotación se ha mantenido fijo o, si acaso se ha movido, ha mantenido su dirección (como en el caso de rodar sin resbalar). Sin embargo, se presentan diversos fenómenos físicos nuevos, algunos inesperados, si el eje de rotación cambia de dirección. Por ejemplo, considere un giróscopo de juguete apoyado en un extremo (figura 10.32). Si

lo sostenemos con el eje del volante horizontal y lo soltamos, el extremo libre del eje cae debido a la gravedad, *sí* el volante no está girando. Pero si el volante *está* girando, lo que sucede es muy distinto. Una posibilidad es un movimiento circular uniforme del eje en un plano horizontal, combinado con la rotación del volante alrededor del eje. Este sorprendente movimiento del eje, que se opone a la intuición, se denomina **precesión**. La precesión se observa en la naturaleza, no sólo en máquinas giratorias como los giróscopos. En este momento la Tierra está en precesión: su eje de rotación (que pasa por los polos norte y sur) cambia lentamente de dirección, completando un ciclo de precesión cada 26,000 años.

Para estudiar el extraño fenómeno de la precesión, debemos recordar que la velocidad angular, el momento angular y la torca son cantidades *vectoriales*. En particular, necesitamos la relación general entre la torca neta  $\sum \vec{\tau}$  que actúa sobre un cuerpo y la razón de cambio del momento angular  $\vec{L}$  del cuerpo dada por la ecuación (10.29),  $\sum \vec{\tau} = d\vec{L}/dt$ . Aplicaremos primero esta ecuación al caso en que el volante *no* gira (**figura 10.33a**). Tomamos el origen  $O$  en el pivote y suponemos que el volante es simétrico, con masa  $M$  y momento de inercia  $I$  alrededor de su eje. El eje del volante inicialmente está sobre el eje  $x$ . Las únicas fuerzas externas que actúan sobre el giróscopo son la fuerza normal  $\vec{n}$  que actúa en el pivote (donde suponemos que no hay fricción) y el peso  $\vec{w}$  del volante que actúa en su centro de masa, a una distancia  $r$  del pivote. La fuerza normal tiene torca cero con respecto al pivote, y el peso tiene una torca  $\vec{\tau}$  en la dirección  $y$ , como se muestra en la figura 10.33a. Al principio, no hay rotación y el momento angular inicial  $\vec{L}_i$  es cero. De acuerdo con la ecuación (10.29), el *cambio*  $d\vec{L}$  del momento angular en un intervalo corto  $dt$  después de ese instante es

$$d\vec{L} = \vec{\tau} dt \quad (10.32)$$

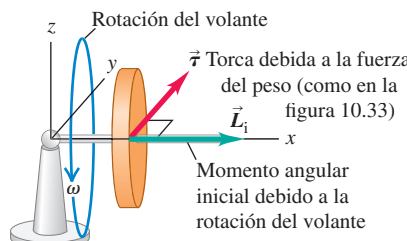
Este cambio es en la dirección  $y$ , la de  $\vec{\tau}$ . Al transcurrir cada intervalo adicional  $dt$ , el momento angular cambia en incrementos  $d\vec{L}$  en la dirección  $y$  porque la dirección de la torca es constante (figura 10.33b). El aumento constante del momento angular horizontal implica que el giróscopo girará hacia abajo alrededor del eje  $y$  con rapidez creciente, hasta golpear la base o la mesa en la que ésta se encuentra.

Veamos ahora qué sucede si el volante *está* girando inicialmente, de modo que el momento angular inicial  $\vec{L}_i$  no es cero (**figura 10.34a**). Puesto que el volante gira alrededor de su eje de simetría,  $\vec{L}_i$  está sobre el eje. Pero cada cambio de momento angular  $d\vec{L}$  es perpendicular al eje del volante, porque la torca  $\vec{\tau} = \vec{r} \times \vec{w}$  también lo es (figura 10.34b). Esto hace que cambie la *dirección* de  $\vec{L}$ , pero no su magnitud. Los cambios  $d\vec{L}$  siempre se presentan en el plano horizontal  $xy$ , por lo que el vector momento angular y el eje del volante junto con el cual se mueve siempre son horizontales. En otras palabras, el eje no cae, sólo tiene precesión.

**10.34 a)** El volante está girando inicialmente con momento angular  $\vec{L}_i$ . Las fuerzas (que no se muestran) son las mismas que las de la figura 10.33a. **b)** Puesto que el momento angular inicial no es cero, cada cambio  $d\vec{L} = \vec{\tau} dt$  en el momento angular es perpendicular a  $\vec{L}$ . Como resultado, la magnitud de  $\vec{L}$  permanece igual, pero su dirección cambia continuamente.

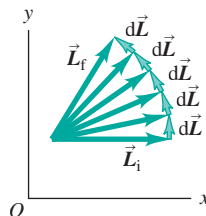
#### a) Volante giratorio

Cuando el volante gira, el sistema inicia con un momento angular  $\vec{L}_i$  paralelo al eje de rotación del volante.

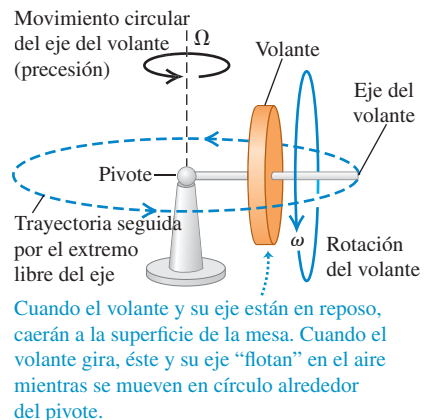


#### b) Vista desde arriba

Ahora el efecto de la torca es provocar que el momento angular preceda alrededor del pivote. El giróscopo gira alrededor de su pivote sin caer.

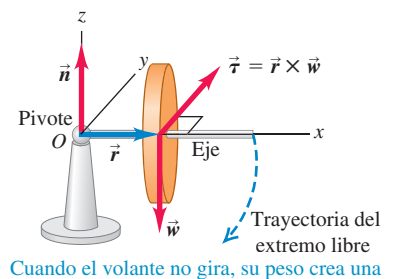


**10.32** Un giróscopo apoyado en un extremo. El movimiento circular horizontal del volante y el eje se llama precesión. La rapidez angular de la precesión es  $\Omega$ .

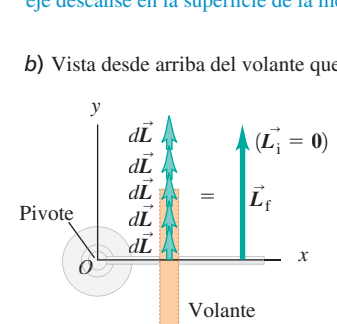


**10.33 a)** Si el volante de la figura 10.32 no está girando inicialmente, su momento angular inicial es cero. **b)** En cada intervalo sucesivo de tiempo  $dt$ , la torca produce un cambio  $d\vec{L} = \vec{\tau} dt$  en momento angular. El volante adquiere momento angular  $\vec{L}$  con la misma dirección que  $\vec{\tau}$ , y el eje del volante cae.

#### a) El volante que no gira cae



#### b) Vista desde arriba del volante que cae



Al caer, el volante gira alrededor del pivote y, por ello, adquiere un momento angular  $\vec{L}$ . La dirección de  $\vec{L}$  permanece constante.

Si esto todavía le parece misterioso, imagine una pelota atada a una cuerda. Si la pelota está inicialmente en reposo y tiramos de la cuerda, la pelota se moverá hacia nosotros. Pero si la bola se está moviendo inicialmente y tiramos continuamente de la cuerda en una dirección perpendicular al movimiento de la pelota, ésta se moverá en un círculo alrededor de nuestra mano sin acercarse a ella. En el primer caso, la pelota tiene cero momento lineal  $\vec{p}$  al principio; cuando aplicamos una fuerza  $\vec{F}$  hacia nosotros durante un tiempo  $dt$ , la pelota adquiere un cantidad de movimiento  $d\vec{p} = \vec{F} dt$ , también hacia nosotros. No obstante, si la pelota ya tiene un momento lineal  $\vec{p}$ , un cambio en la cantidad de movimiento  $d\vec{p}$  perpendicular a  $\vec{p}$  cambiará la dirección del movimiento, no la rapidez. Sustituya  $\vec{p}$  por  $\vec{L}$  y  $\vec{F}$  por  $\vec{\tau}$  en este argumento, y verá que la precesión es simplemente el análogo rotacional del movimiento circular uniforme.

En el instante que se muestra en la figura 10.34a, el giróscopo tiene momento angular  $\vec{L}$ . Un intervalo corto  $dt$  después, el momento angular es  $\vec{L} + d\vec{L}$ ; el cambio infinitesimal en el momento angular es  $d\vec{L} = \vec{\tau} dt$ , que es perpendicular a  $\vec{L}$ . Como se muestra en el diagrama vectorial de la figura 10.35, esto implica que el eje de volante del giróscopo giró un ángulo pequeño  $d\phi$  dado por  $d\phi = |d\vec{L}|/|\vec{L}|$ . La rapidez con que se mueve el eje,  $d\phi/dt$ , se denomina **rapidez angular de precesión**; denotando esta cantidad con  $\Omega$ , tenemos

$$\Omega = \frac{d\phi}{dt} = \frac{|d\vec{L}|/|\vec{L}|}{dt} = \frac{\tau_z}{L_z} = \frac{wr}{Iw} \quad (10.33)$$

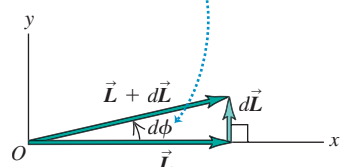
Así, la rapidez angular de precesión es *inversamente* proporcional a la rapidez angular de giro alrededor del eje. Un giróscopo que gira rápidamente tiene precesión lenta; si la fricción en su cojinete hace que el volante se frene, ¡se *incrementa* la rapidez angular de precesión! La rapidez angular de precesión de la Tierra es muy lenta (1 rev/26,000 años), porque su momento angular  $L_z$  es grande y la torca  $\tau_z$  debida a las influencias gravitacionales de la Luna y el Sol es relativamente pequeña.

Cuando un giróscopo tiene un movimiento de precesión, su centro de masa describe un círculo de radio  $r$  en un plano horizontal. Su componente vertical de aceleración es cero, así que la fuerza normal ascendente  $\vec{n}$  ejercida por el pivote debe ser igual en magnitud al peso. El movimiento circular del centro de masa con rapidez angular  $\Omega$  requiere una fuerza  $\vec{F}$  dirigida hacia el centro del círculo, con magnitud  $F = M\Omega^2 r$ . Esta fuerza también debe ser suministrada por el pivote.

Una suposición clave que hicimos en nuestro análisis del giróscopo fue que el vector momento angular  $\vec{L}$  sólo está asociado a la rotación del volante y es puramente horizontal. Pero también habrá una componente vertical de momento angular asociada a la precesión del giróscopo. Al ignorar esto, hemos supuesto tácitamente que la precesión es *lenta*, es decir, que la rapidez angular de precesión  $\Omega$  es mucho menor que la rapidez angular de rotación  $\omega$ . Como muestra la ecuación (10.33), un valor grande de  $\omega$  automáticamente produce un valor pequeño de  $\Omega$ , así que la aproximación es razonable. Cuando la precesión no es lenta, aparecen efectos adicionales, incluido un bamboleo vertical o *nutación* del eje del volante, superpuesto a la precesión. Podemos ver la nutación en un giróscopo cuando su rotación se hace lenta, de modo que  $\Omega$  aumenta y la componente vertical de  $\vec{L}$  ya no puede despreciarse.

**10.35** Vista detallada de parte de la figura 10.34b.

En un tiempo  $dt$ , el vector momento angular y el eje del volante (al que es paralelo) tienen un movimiento de precesión juntos en un ángulo  $d\phi$ .





### EJEMPLO 10.13 GIRÓSCOPO EN PRECESIÓN

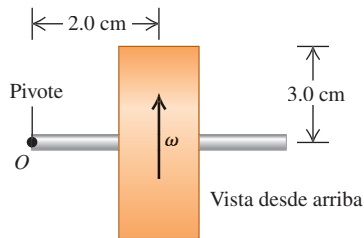
La figura 10.36a es una vista desde arriba de una rueda de giróscopo cilíndrica. El pivote está en  $O$  y la masa del eje es insignificante. a) Vista de arriba, ¿la precesión es en el sentido de las manecillas del reloj o en sentido contrario? b) Si el giróscopo tarda 4.0 s para completar una revolución de precesión, ¿qué rapidez angular tiene la rueda?

#### SOLUCIÓN

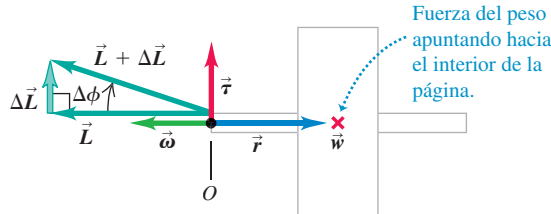
**IDENTIFICAR y PLANTEAR:** Determinaremos la dirección de la precesión utilizando la regla de la mano derecha de la figura 10.34, que muestra el mismo tipo de giróscopo que la figura 10.36. Utilizaremos

**10.36** ¿Qué dirección y qué rapidez tiene la precesión del giróscopo?

a) Vista desde arriba



b) Diagrama vectorial



la relación entre rapidez angular de precesión  $\Omega$  y la rapidez angular de giro  $\omega$ , ecuación (10.33), para obtener el valor de  $\omega$ .

**EJECUTAR:** a) La regla de la mano derecha indica que  $\vec{\omega}$  y  $\vec{L}$  están dirigidos hacia la izquierda en la figura 10.36b. El peso  $\vec{w}$  apunta hacia adentro de la página en esta vista desde arriba y actúa en el centro de masa (denotado con  $\times$  en la figura). La torca  $\vec{\tau} = \vec{r} \times \vec{\omega}$  está dirigida hacia arriba de la página, por lo que  $d\vec{L}/dt$  también está dirigido hacia arriba de la página. Sumar un pequeño  $d\vec{L}$  al vector inicial  $\vec{L}$  cambia la dirección de  $\vec{L}$  como se muestra, así que la precesión es en el sentido de las manecillas del reloj cuando se ve desde arriba.

b) ¡Tenga cuidado de no confundir  $\omega$  y  $\Omega$ ! La rapidez de precesión angular es  $\Omega = (1 \text{ rev})/(4.0 \text{ s}) = (2\pi \text{ rad}/4.0 \text{ s}) = 1.57 \text{ rad/s}$ . El peso es  $mg$ , y si la rueda es un cilindro uniforme sólido, su momento de inercia alrededor de su eje de simetría será  $I = \frac{1}{2}mR^2$ . De acuerdo con la ecuación (10.33),

$$\begin{aligned}\omega &= \frac{wr}{I\Omega} = \frac{mgr}{(mR^2/2)\Omega} = \frac{2gr}{R^2\Omega} \\ &= \frac{2(9.8 \text{ m/s}^2)(2.0 \times 10^{-2} \text{ m})}{(3.0 \times 10^{-2} \text{ m})^2 (1.57 \text{ rad/s})} \\ &= 280 \text{ rad/s} = 2600 \text{ rev/min}\end{aligned}$$

**EVALUAR:** La rapidez angular de precesión  $\Omega$  es sólo aproximadamente el 0.6% de la rapidez angular de rotación  $\omega$ , así que tenemos un ejemplo de precesión lenta.

**EVALÚE SU COMPRENSIÓN DE LA SECCIÓN 10.7** Suponga que la masa del volante de la figura 10.34 se duplica, pero manteniendo constantes todas las demás dimensiones y la rapidez angular de rotación. ¿Qué efecto tendría esto sobre la rapidez angular de precesión  $\Omega$ ? i.  $\Omega$  aumentaría en un factor de 4; ii.  $\Omega$  se duplicaría; iii.  $\Omega$  no se vería afectada; iv.  $\Omega$  se reduciría a la mitad; v.  $\Omega$  se reduciría a la cuarta parte. |



**Torca:** Cuando una fuerza  $\vec{F}$  actúa sobre un cuerpo, la torca de esa fuerza con respecto a un punto  $O$  tiene una magnitud dada por el producto de la magnitud de la fuerza  $F$  y el brazo de palanca  $l$ . En términos más generales, la torca es un vector  $\vec{\tau}$  igual al producto vectorial de  $\vec{r}$  (el vector de posición del punto donde actúa la fuerza) y  $\vec{F}$  (vea el ejemplo 10.1).

**Dinámica rotacional:** El análogo rotacional de la segunda ley de Newton dice que la torca neta que actúa sobre un cuerpo es igual al producto del momento de inercia del cuerpo y su aceleración angular (vea los ejemplos 10.2 y 10.3).

**Traslación y rotación combinadas:** Si un cuerpo rígido se mueve en el espacio al tiempo que gira, su movimiento puede considerarse como la suma de un movimiento de traslación del centro de masa y un movimiento de rotación en torno a un eje que pasa por el centro de masa. De esta manera, la energía cinética es la suma de las energías cinéticas translacional y rotacional. En dinámica, la segunda ley de Newton describe el movimiento del centro de masa y el equivalente rotacional de esa ley describe la rotación en torno al centro de masa. En el caso de un cuerpo que rueda sin resbalar, existe una relación especial entre el movimiento del centro de masa y el movimiento de rotación (vea los ejemplos 10.4 a 10.7).

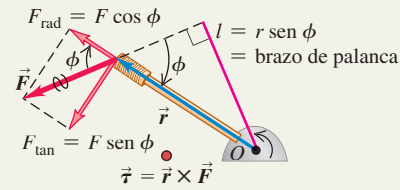
**Trabajo efectuado por una torca:** Si una torca actúa sobre un cuerpo rígido que gira, efectúa trabajo sobre el cuerpo. Ese trabajo puede expresarse como una integral de la torca. El teorema trabajo-energía dice que el trabajo rotacional total efectuado sobre un cuerpo rígido es igual al cambio de energía cinética de rotación. La potencia, o la tasa con que la torca efectúa trabajo, es el producto de la torca y la velocidad angular (vea el ejemplo 10.8).

**Momento angular:** El momento angular de una partícula con respecto a un punto  $O$  es el producto vectorial del vector de posición  $\vec{r}$  de la partícula con respecto a  $O$  y a su cantidad de movimiento  $\vec{p} = m\vec{v}$ . Si un cuerpo simétrico gira alrededor de un eje de simetría estacionario, su momento angular es el producto de su momento de inercia y su vector velocidad angular  $\vec{\omega}$ . Si el cuerpo no es simétrico o el eje de rotación ( $z$ ) no es un eje de simetría, la componente del momento angular sobre el eje de rotación es  $I\omega_z$  (vea el ejemplo 10.9).

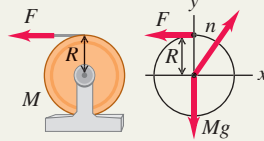
**Dinámica rotacional y momento angular:** La torca externa neta sobre un sistema es igual a la razón de cambio de su momento angular. Si la torca externa neta que actúa sobre el sistema es cero, el momento angular total del sistema es constante (se conserva). (Vea los ejemplos del 10.10 al 10.13).

$$\tau = Fl = rF \sin \phi = F_{\tan} r \quad (10.2)$$

$$\vec{\tau} = \vec{r} \times \vec{F} \quad (10.3)$$



$$\sum \tau_z = I\alpha_z \quad (10.7)$$

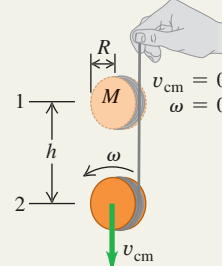


$$K = \frac{1}{2}Mv_{\text{cm}}^2 + \frac{1}{2}I_{\text{cm}}\omega^2 \quad (10.8)$$

$$\sum \vec{F}_{\text{ext}} = M\vec{a}_{\text{cm}} \quad (10.12)$$

$$\sum \tau_z = I_{\text{cm}}\alpha_z \quad (10.13)$$

$$v_{\text{cm}} = R\omega \quad (\text{rodando sin resbalar}) \quad (10.11)$$

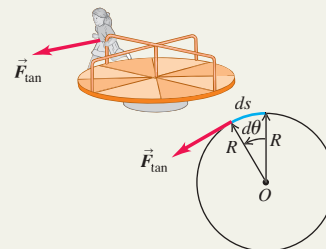


$$W = \int_{\theta_1}^{\theta_2} \tau_z d\theta \quad (10.20)$$

$$W = \tau_z(\theta_2 - \theta_1) = \tau_z \Delta\theta \quad (10.21) \quad (\text{sólo torca constante})$$

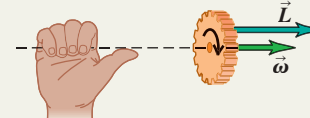
$$W_{\text{tot}} = \frac{1}{2}I\omega_2^2 - \frac{1}{2}I\omega_1^2 \quad (10.22)$$

$$P = \tau_z \omega_z \quad (10.23)$$

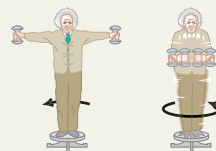


$$\vec{L} = \vec{r} \times \vec{p} = \vec{r} \times m\vec{v} \quad (\text{partícula}) \quad (10.24)$$

$$\vec{L} = I\vec{\omega} \quad (\text{cuerpo rígido que gira en torno a un eje de simetría}) \quad (10.28)$$



$$\sum \vec{\tau} = \frac{d\vec{L}}{dt} \quad (10.29)$$



**PROBLEMA PRÁCTICO****FÍSICA EN EL BILLAR**

SOLUCIÓN

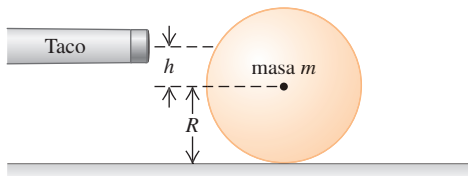
Una bola blanca (una esfera sólida de masa  $m$  y radio  $R$ ) se encuentra en reposo sobre una mesa de billar a nivel. Usando un taco de billar, usted da un golpe fuerte y horizontal de magnitud  $F$  a la bola a una altura  $h$  arriba del centro de ésta (figura 10.37). La fuerza del golpe es mucho mayor que la fuerza de fricción  $f$  que ejerce la superficie de la mesa sobre la bola. El impacto dura un tiempo corto  $\Delta t$ . a) ¿Para qué valor de  $h$  la bola rodará sin resbalar? b) Si usted golpea el centro de la bola ( $h = 0$ ), ésta se resbalará sobre la mesa por un rato, pero finalmente rodará sin resbalar. ¿Cuál será entonces la rapidez de su centro de masa?

**GUÍA DE SOLUCIÓN****IDENTIFICAR y PLANTEAR**

- Dibuje un diagrama de cuerpo libre para la bola en la situación del inciso a), incluyendo la elección de los ejes de coordenadas. Observe que el taco ejerce tanto una fuerza de impulso sobre la bola como una torca alrededor del centro de masa.
- La fuerza del taco aplicada durante un tiempo  $\Delta t$  da al centro de masa de la bola una rapidez  $v_{cm}$ , y la torca aplicada por el taco para ese mismo tiempo da a la bola una rapidez angular  $\omega$ . ¿Cuál debe ser la relación entre  $v_{cm}$  y  $\omega$  para que la bola ruede sin resbalar?
- Dibuje dos diagramas de cuerpo libre de la bola del inciso b): uno que muestre las fuerzas durante el golpe y el otro que muestre las fuerzas después del golpe, pero antes de que la bola rueda sin resbalar.
- ¿Cuál es la rapidez angular de la bola en el inciso b) justo después del golpe? Mientras la bola resbala, ¿ $v_{cm}$  aumenta o disminuye? ¿ $\omega$  aumenta o disminuye? ¿Cuál es la relación entre  $v_{cm}$  y  $\omega$  cuando la bola finalmente rueda sin resbalar?

**EJECUTAR**

- En el inciso a), use el teorema impulso-cantidad de movimiento para encontrar la rapidez del centro de masa de la bola inmediatamente después del golpe. Luego, utilice la versión rotacional

**10.37**

del teorema impulso-cantidad de movimiento para encontrar la rapidez angular inmediatamente después del golpe. (Sugerencia: Para escribir la versión rotacional del teorema impulso-cantidad de movimiento, recuerde que la relación entre la torca y el momento angular es la misma que existe entre la fuerza y el momento lineal).

- Utilice los resultados del paso 5 para encontrar el valor de  $h$  que hará que la bola ruede sin resbalar inmediatamente después del golpe.
- En el inciso b), de nuevo encuentre la rapidez del centro de masa de la bola y la rapidez angular del centro de masa de la bola inmediatamente después del golpe. Despues, escriba la segunda ley de Newton para el movimiento de traslación y el movimiento de rotación de la bola cuando resbala. Utilice estas ecuaciones con la finalidad de escribir expresiones para  $v_{cm}$  y  $\omega$  como funciones del tiempo  $t$  transcurrido desde el impacto.
- Utilizando los resultados del paso 7, encuentre el tiempo  $t$  cuando  $v_{cm}$  y  $\omega$  tienen la relación correcta para rodar sin resbalar. Despues, encuentre el valor de  $v_{cm}$  en este tiempo.

**EVALUAR**

- Si tiene acceso a una mesa de billar, pruebe los resultados de los incisos a) y b) ¡por usted mismo!
- ¿Puede demostrar que si se utiliza un cilindro hueco en lugar de una bola sólida, tiene que pegar en la parte superior del cilindro para que éste ruede sin resbalar como en el inciso a)?

**Problemas**

•, •, ••: Niveles de dificultad. PA: Problemas acumulativos que incorporan material de capítulos anteriores. CALC: Problemas que requieren cálculo. DATOS: Problemas que incluyen datos reales, evidencia científica, diseño experimental y/o razonamiento estadístico. BIO: Problemas de ciencias biológicas.

**PREGUNTAS PARA ANÁLISIS**

**P10.1** ¿Una sola fuerza aplicada a un cuerpo puede alterar tanto su movimiento de traslación como su movimiento de rotación? Explique por qué.

**P10.2** Suponga que usted puede usar cualquier tipo de ruedas en el diseño de un carrito de 4 ruedas, sin motor para carreras cuesta abajo, partiendo del reposo. Respetando las reglas de peso total del vehículo y del conductor, ¿conviene usar ruedas grandes y masivas, o ruedas pequeñas y ligeras? ¿Convienen usar ruedas sólidas o ruedas con la mayor parte de la masa en el borde? Explique por qué.

**P10.3** Los ciclistas experimentados dicen que reducir el peso de una bicicleta es más efectivo si se hace en las ruedas que en el cuadro. ¿Por qué reducir el peso en las ruedas sería más fácil para el ciclista que reducir la misma cantidad en el cuadro?

**P10.4** Cuanto más fuerte pisa usted los frenos mientras conduce hacia adelante, más se moverá el extremo delantero de su auto hacia abajo (y el extremo trasero se moverá hacia arriba). ¿Por qué? ¿Qué sucede cuando los autos aceleran hacia adelante? ¿Por qué los pilotos de arranques no utilizan sólo tracción delantera?

**P10.5** Cuando un equilibrista camina sobre la cuerda floja, extiende sus brazos hacia los lados. Esto le facilita recuperarse en caso de inclinarse hacia un lado o hacia el otro. Explique cómo funciona esto. [Sugerencia: Piense en la ecuación (10.7)].

**P10.6** Al encenderse un motor eléctrico, tarda más en alcanzar su rapidez final si hay una rueda de afilar conectada al eje. ¿Por qué?

**P10.7** El trabajo efectuado por una fuerza es un producto de fuerza y distancia. La torca debida a una fuerza es el producto de fuerza y distancia. ¿Implica esto que la torca y el trabajo sean equivalentes? Explique por qué.

**P10.8** Imagine que usted pertenece a un despacho de ingenieros y un cliente importante le lleva una esfera preciada porque quiere saber si es hueca o sólida. Él ha probado dándole golpecitos, pero eso no lo ha sacado de dudas. Diseñe un experimento sencillo y de bajo costo que pueda efectuar rápidamente, sin dañar la valiosa esfera, para averiguar si es hueca o sólida.

**P10.9** Usted hace dos versiones del mismo objeto a partir del mismo material que tiene densidad uniforme. Para una versión, todas las dimensiones son exactamente el doble que las de la otra. Si actúa la misma torca en ambas versiones, dando a la más pequeña una aceleración angular  $\alpha$ , ¿cuál será la aceleración angular de la versión más grande en términos de  $\alpha$ ?

**P10.10** Dos masas idénticas están unidas a poleas sin fricción mediante cordeles muy ligeros, enrollados alrededor del borde de la polea, y se liberan partiendo del reposo. Ambas poleas tienen la misma masa y el mismo diámetro, pero una es sólida y la otra es un aro. Conforme las masas caen, ¿en qué caso es mayor la tensión en la cuerda, o es la misma en ambos casos? Justifique su respuesta.

**P10.11** La fuerza de gravedad actúa sobre el bastón de la figura 10.11. Las fuerzas producen torcas que alteran la velocidad angular de un cuerpo. Entonces, ¿por qué es constante la velocidad angular del bastón en la figura?

**P10.12** Cierta esfera sólida uniforme alcanza una altura máxima  $h_0$  cuando rueda cuesta arriba sin resbalarse. ¿Qué altura máxima (en términos de  $h_0$ ) alcanzará si *a)* se duplica su diámetro, *b)* se duplica su masa, *c)* se duplican tanto su diámetro como su masa, *d)* se duplica su rapidez angular en la base de la pendiente?

**P10.13** Una rueda está rodando sin resbalar por una superficie horizontal. En un sistema de referencia inercial en el que la superficie está en reposo, ¿hay algún punto de la rueda con velocidad puramente vertical? ¿Hay algún punto con componente horizontal de velocidad opuesta a la velocidad del centro de masa? Explique su respuesta. ¿Cambian sus respuestas si la rueda resbala al rodar? ¿Por qué?

**P10.14** Un aro, un cilindro sólido uniforme, una esfera hueca y una esfera sólida uniforme se sueltan del reposo en la parte superior de una pendiente. ¿En qué orden llegan a la base de la pendiente? ¿Importa si las masas y los radios de los objetos son iguales o no? Explique su respuesta.

**P10.15** Una bola rueda con rapidez  $v$  sin resbalar sobre una superficie horizontal, cuando llega a una colina que se alza con un ángulo constante sobre la horizontal. ¿En cuál caso alcanzará mayor altura: si la colina tiene suficiente fricción para evitar deslizamientos o si la colina es perfectamente lisa? En ambos casos, justifique sus respuestas en términos de conservación de la energía y de la segunda ley de Newton.

**P10.16** Imagine que, en la Casa de la Risa de una feria, usted está de pie en el centro de una mesa giratoria horizontal grande, que comienza a girar libremente sobre cojinetes sin fricción (ningún motor la impulsa). Si camina hacia el borde de la mesa giratoria, ¿qué pasa con el momento angular combinado de usted y la mesa? ¿Qué sucede con la rapidez de rotación de la mesa? Explique su respuesta.

**P10.17 Calentamiento global.** Si el clima de la Tierra continúa registrando calentamiento creciente, el hielo cerca de los polos se derritará, y se agregarán aguas a los océanos. ¿Qué efecto tendrá esto en la duración del día? Justifique su respuesta. (*Sugerencia:* Consulte un mapa para ver dónde se encuentran los océanos).

**P10.18** Si dos objetos giratorios tienen el mismo momento angular, ¿tienen necesariamente la misma energía cinética de rotación? Si tienen la misma energía cinética de rotación, ¿tienen necesariamente el mismo momento angular? Explique su respuesta.

**P10.19** Una estudiante está sentada en un taburete giratorio sin fricción con los brazos extendidos mientras sostiene objetos de igual

peso en cada mano. Si de repente suelta los pesos, ¿su rapidez angular aumentará, permanecerá constante, o disminuirá? Explique.

**P10.20** Una partícula puntual viaja en línea recta con rapidez constante y la distancia más cercana que parte del origen de las coordenadas es una distancia  $l$ . Con respecto a ese origen, ¿la partícula tiene momento lineal diferente de cero? Conforme la partícula se mueve en línea recta, ¿cambia su momento angular con respecto al origen?

**P10.21** En el ejemplo 10.10 (sección 10.6), la rapidez angular  $\omega$  cambia, lo que implica una aceleración angular distinta de cero. Sin embargo, no hay torca alrededor del eje de rotación, si las fuerzas que el profesor aplica a las mancuernas se dirigen radialmente hacia adentro. Entonces, de acuerdo con la ecuación (10.7),  $\alpha_z$  debe ser cero. Explique el error de este razonamiento que lleva a una aparente contradicción.

**P10.22** En el ejemplo 10.10 (sección 10.6) la energía cinética rotacional del profesor y las mancuernas aumenta. Sin embargo, como no hay torcas externas, no se efectúa trabajo para alterar la energía cinética de rotación. Entonces, según la ecuación (10.22), la energía cinética no debe cambiar! Explique el error de este razonamiento que lleva a una aparente contradicción. ¿De dónde sale la energía cinética adicional?

**P10.23** Como vimos en la sección 10.6, el momento angular de una trapecista se conserva al dar vueltas en el aire. ¿Se conserva su momento *lineal*? ¿Por qué?

**P10.24** Si usted detiene un huevo crudo en rotación durante el instante más corto que pueda y lo vuelve a soltar, el huevo comenzará a girar otra vez. Si hace lo mismo con un huevo duro, éste se quedará detenido. Inténtelo y explíquelo.

**P10.25** Un helicóptero tiene un rotor principal grande que gira en un plano horizontal y proporciona sustentación. También hay un rotor pequeño en la cola que gira en un plano vertical. ¿Para qué sirve? (*Sugerencia:* Considere que si no hubiera rotor de cola, ¿qué pasaría cuando el piloto alterara la rapidez angular del rotor principal?). Algunos helicópteros no tienen rotor de cola, pero tienen dos motores principales grandes que giran en un plano horizontal. ¿Por qué es importante que los dos motores principales giren en direcciones opuestas?

**P10.26** En un diseño de giróscopo común, el volante y su eje se encierran en un marco esférico ligero con el volante en el centro. El giróscopo se equilibra entonces sobre un pivote, de modo que el volante esté directamente encima del pivote. ¿El giróscopo tendrá un movimiento de precesión si se suelta mientras el volante está girando? Explique su respuesta.

**P10.27** Un giróscopo hace un movimiento de precesión respecto de un eje vertical. ¿Qué le sucede a la rapidez angular de precesión si se efectúan los siguientes cambios, mientras todas las demás variables permanecen iguales? *a)* Se duplica la rapidez angular del volante giratorio; *b)* se duplica el peso total; *c)* se duplica el momento de inercia sobre el eje del volante giratorio; *d)* se duplica la distancia desde el pivote hasta el centro de gravedad. *e)* ¿Qué sucede si se duplican todas las variables en los incisos *a)* a *d)*? En cada caso justifique su respuesta.

**P10.28** Un giróscopo tarda 3.8 s en hacer un movimiento de precesión de 1.0 revolución alrededor de un eje vertical. Dos minutos después, sólo tarda 1.9 s en hacer un movimiento de precesión de 1.0 revolución. Nadie tocó el giróscopo. Explique lo que sucedió.

**P10.29** Un giróscopo hace un movimiento de precesión como en la figura 10.32. ¿Qué sucede si, suavemente, agregamos peso al extremo del eje del volante opuesto al pivote?

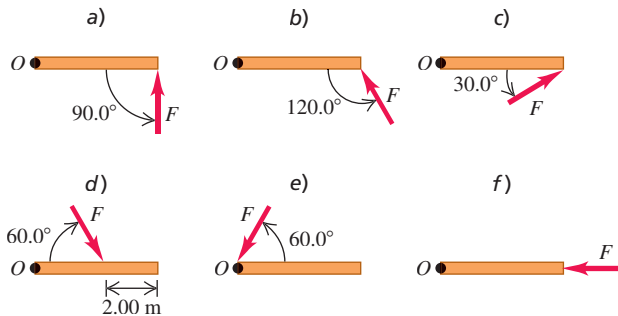
**P10.30** Una bala sale de un rifle girando sobre su eje. Explique cómo esto evita que la bala dé volteretas y mantiene la punta dirigida hacia adelante.

## EJERCICIOS

### Sección 10.1 Torca

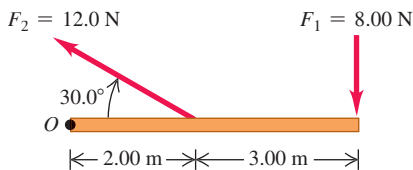
**10.1** • Calcule la torca (magnitud y dirección) alrededor del punto  $O$  debida a la fuerza  $\vec{F}$  en cada una de las situaciones que se representan en la **figura E10.1**. En todos los casos, la fuerza  $\vec{F}$  y la varilla están en el plano de la página, la varilla mide 4.00 m de largo y la fuerza tiene magnitud  $F = 10.0\text{ N}$ .

Figura E10.1



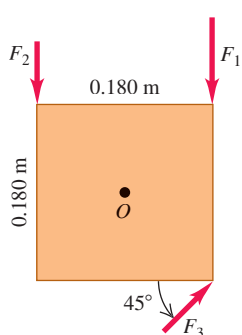
**10.2** • Calcule la torca alrededor del punto  $O$  para las dos fuerzas aplicadas como en la **figura E10.2**. La varilla y las dos fuerzas están en el plano de la página.

Figura E10.2



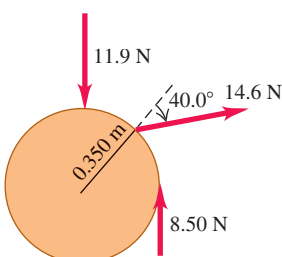
**10.3** • Una placa metálica cuadrada de 0.180 m por lado pivota sobre un eje que pasa por el punto  $O$  en su centro y es perpendicular a la placa (**figura E10.3**). Calcule la torca neta alrededor de este eje debido a las tres fuerzas que se muestran en la figura, si las magnitudes de las fuerzas son  $F_1 = 18.0\text{ N}$ ,  $F_2 = 26.0\text{ N}$  y  $F_3 = 14.0\text{ N}$ . La placa y todas las fuerzas están en el plano de la página.

Figura E10.3



**10.4** • Se aplican tres fuerzas a una rueda con radio de 0.350 m, como se indica en la **figura E10.4**. Una fuerza es perpendicular al borde, otra es tangente a éste y la otra forma un ángulo de  $40.0^\circ$  con el radio. ¿Cuál es la torca neta sobre la rueda debida a estas tres fuerzas para un eje perpendicular a la rueda y que pasa por su centro?

Figura E10.4

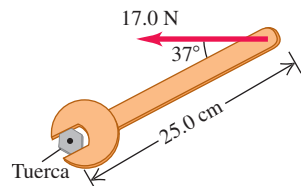


**10.5** • Una fuerza que actúa sobre una pieza mecánica es  $\vec{F} = (-5.00\text{ N})\hat{i} + (4.00\text{ N})\hat{j}$ . El vector del origen al punto de aplicación de la fuerza es  $\vec{r} = (-0.450\text{ N})\hat{i} + (0.150\text{ N})\hat{j}$ . a) Elabore un dibujo que muestre  $\vec{r}$ ,  $\vec{F}$  y el origen. b) Use la regla de la mano derecha para determinar la dirección de la torca. c) Calcule la torca vectorial producida por la fuerza para un eje en el origen. Verifique que la dirección de la torca sea la misma que obtuvo en el inciso b).

**10.6** • Una barra de metal está en el plano  $xy$  con un extremo de la barra en el origen. Se aplica una fuerza  $\vec{F} = (7.00\text{ N})\hat{i} + (-3.00\text{ N})\hat{j}$  a la barra en el punto  $x = 3.00\text{ m}$ ,  $y = 4.00\text{ m}$ . a) En términos de los vectores unitarios  $\hat{i}$  y  $\hat{j}$ , ¿cuál es el vector de posición  $\vec{r}$  para el punto donde se aplica la fuerza? b) ¿Cuáles son la magnitud y la dirección de la torca con respecto al origen producido por  $\vec{F}$ ?

**10.7** • Un maquinista usa una llave inglesa para aflojar una tuerca. La llave tiene 25.0 cm de longitud y él ejerce una fuerza de 17.0 N en el extremo del mango, formando un ángulo de  $37^\circ$  con el mango (**figura E10.7**). a) ¿Qué torca ejerce el maquinista alrededor del centro de la tuerca? b) ¿Cuál es la torca máxima que el maquinista podría ejercer con dicha fuerza y cómo debería orientarse esta última?

Figura E10.7



### Sección 10.2 Torca y aceleración angular de un cuerpo rígido

**10.8** • Un disco uniforme con masa de  $40.0\text{ kg}$  y radio de  $0.200\text{ m}$  pivota en su centro alrededor de un eje horizontal sin fricción que está fijo. El disco se encuentra inicialmente en reposo, y luego se aplica una fuerza constante  $F = 30.0\text{ N}$  tangente al borde del disco. a) ¿Cuál es la magnitud  $v$  de la velocidad tangencial de un punto en el borde del disco después de que el disco ha girado 0.200 revoluciones? b) ¿Cuál es la magnitud  $a$  de la aceleración resultante de un punto en el borde del disco después de que el disco ha girado 0.200 revoluciones?

**10.9** • El volante de un motor tiene momento de inercia de  $1.60\text{ kg}\cdot\text{m}^2$  alrededor de su eje de rotación. ¿Qué torca constante se requiere para que alcance una rapidez angular de  $400\text{ rev/min}$  en  $8.00\text{ s}$ , partiendo del reposo?

**10.10** • Una cuerda se enrolla en el borde de una rueda sólida uniforme de  $0.250\text{ m}$  de radio y masa de  $9.20\text{ kg}$ . Se tira de la cuerda con una fuerza horizontal constante de  $40.0\text{ N}$  hacia la derecha, retirándola tangencialmente de la rueda, la cual está montada con cojinetes sin fricción en un eje horizontal que pasa por su centro. a) Calcule la aceleración angular de la rueda y la aceleración de la parte de la cuerda que ya se haya retirado de la rueda. b) Determine la magnitud y la dirección de la fuerza que ejerce el eje sobre la rueda. c) ¿Por qué las respuestas a los incisos a) y b) cambiarían si el tirón fuera hacia arriba en vez de horizontal?

**10.11** • Una pieza de maquinaria tiene la forma de una esfera sólida uniforme con masa de  $225\text{ g}$  y diámetro de  $3.00\text{ cm}$ , y gira alrededor de un eje sin fricción que pasa por su centro, pero, en un punto de su ecuador roza contra un metal, lo que produce una fuerza de fricción de  $0.0200\text{ N}$  en ese punto. a) Calcule su aceleración angular. b) ¿Cuánto tiempo requerirá para disminuir su rapidez rotacional en  $22.5\text{ rad/s}$ ?

**10.12** • PA Una piedra cuelga del extremo libre de un cable enrollado en el borde exterior de una polea, como se muestra en la figura 10.10. La polea es un disco uniforme con masa de  $10.0\text{ kg}$  y radio de  $30.0\text{ cm}$ , que gira sobre cojinetes sin fricción. Se determina que la piedra recorre  $12.6\text{ m}$  en los primeros  $3.00\text{ s}$  partiendo del reposo. Calcule a) la masa de la piedra y b) la tensión en el cable.

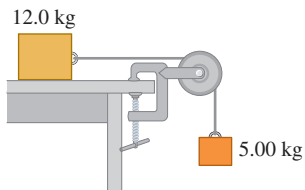
**10.13 • PA** Un libro de texto de 2.00 kg descansa sobre una superficie horizontal sin fricción. Un cable unido al libro pasa sobre una polea, cuyo diámetro es de 0.150 m, hacia un libro con masa de 3.00 kg que cuelga. El sistema se libera a partir del reposo, y se observa que los libros se mueven 1.20 m en 0.800 s. *a)* ¿Cuál es la tensión en cada parte de la cuerda? *b)* ¿Cuál es el momento de inercia de la polea alrededor de su eje de rotación?

**10.14 • PA** Una cubeta con agua de 15.0 kg se suspende de una cuerda ligera, enrollada en un cilindro sólido y uniforme de 0.300 m de diámetro y masa de 12.0 kg. El cilindro pivota en un eje sin fricción que pasa por su centro. La cubeta se suelta del reposo en la parte superior de un pozo y cae 10.0 m al agua. *a)* ¿Qué tensión hay en la cuerda mientras la cubeta cae? *b)* ¿Con qué rapidez golpea la cubeta el agua? *c)* ¿Cuánto tarda en caer? *d)* Mientras la cubeta cae, ¿qué fuerza ejerce el eje sobre el cilindro?

**10.15 •** Una rueda gira sin fricción alrededor de un eje horizontal estacionario en el centro de la rueda. Una fuerza constante tangencial igual a 80.0 N se aplica al borde de la rueda; esta última tiene un radio de 0.120 m. Partiendo del reposo, la rueda tiene una rapidez angular de 12.0 rev/s después de 2.00 s. ¿Cuál es el momento de inercia de la rueda?

**10.16 •** Una caja de 12.0 kg que descansa sobre una superficie horizontal sin fricción está unida a un peso de 5.00 kg con un alambre delgado y ligero que pasa por una polea sin fricción (**figura E10.16**). La polea tiene la forma de un disco sólido uniforme con masa de 2.00 kg y diámetro de 0.500 m. Después de que el sistema se libera, calcule *a)* la tensión en el alambre en ambos lados de la polea, *b)* la aceleración de la caja, y *c)* las componentes horizontal y vertical de la fuerza que ejerce el eje sobre la polea.

Figura E10.16



### Sección 10.3 Rotación de un cuerpo rígido alrededor de un eje móvil

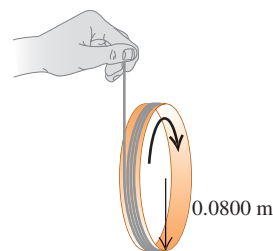
**10.17 •** Un aro de 2.20 kg y de 1.20 m de diámetro rueda hacia la derecha sin resbalar sobre un piso horizontal a 2.60 rad/s constantes. *a)* ¿Qué tan rápido se mueve su centro? *b)* ¿Cuál es la energía cinética total del aro? *c)* Calcule el vector velocidad de cada uno de los siguientes puntos, vistos por una persona en reposo en el suelo: **i.** el punto más alto del aro; **ii.** el punto más bajo del aro; **iii.** un punto al lado derecho del aro, a la mitad de la distancia entre la parte superior y la parte inferior. *d)* Calcule el vector velocidad de cada uno de los puntos del inciso *c*), pero esta vez desde el punto de vista de alguien que se mueve con la misma velocidad que el aro.

**10.18 • BIO Gimnasia.** A grandes rasgos, podemos modelar un equipo de gimnasia como un cilindro sólido uniforme de masa de 75 kg y diámetro de 1.0 m. Si el cilindro rueda hacia adelante a 0.50 rev/s, *a)* ¿cuánta energía cinética total tiene, y *b)* qué porcentaje de su energía cinética total es rotacional?

**10.19 •** ¿Qué fracción de la energía cinética total es rotacional para los siguientes objetos que ruedan sin resbalar sobre una superficie horizontal? *a)* Un cilindro sólido uniforme, *b)* una esfera uniforme, *c)* una esfera hueca de paredes delgadas, *d)* un cilindro hueco con radio exterior  $R$  y radio interior  $R/2$ .

**10.20 •** Se enrolla una cuerda varias veces en el borde de un aro pequeño de 8.00 cm de radio y masa de 0.180 kg. El extremo libre de la cuerda se sostiene fijo y el aro se suelta a partir del reposo (**figura E10.20**). Despues de que el aro ha descendido 75.0 cm, calcule: *a)* la rapidez angular del aro al girar y *b)* la rapidez de su centro.

Figura E10.20



**10.21 •** Una esfera sólida se libera a partir del reposo y baja por una ladera que forma un ángulo de 65.0° abajo de la horizontal. *a)* ¿Qué valor mínimo debe tener el coeficiente de fricción estática entre la ladera y la esfera para que no haya deslizamiento? *b)* ¿El coeficiente de fricción calculado en el inciso *a*) bastaría para evitar que una esfera hueca (como un balón de fútbol) resbale? Justifique su respuesta. *c)* En el inciso *a*), ¿por qué usamos el coeficiente de fricción estática y no el coeficiente de fricción cinética?

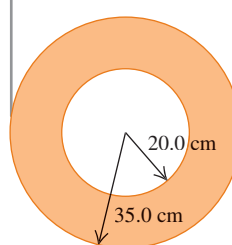
**10.22 •** Una esfera hueca con masa de 2.00 kg rueda sin resbalar bajando una pendiente de 38.0°. *a)* Calcule la aceleración, la fuerza de fricción y el coeficiente de fricción mínimo para que no resbale. *b)* ¿Cómo cambiarían sus respuestas al inciso *a*) si la masa se duplicara a 4.00 kg?

**10.23 •** Una rueda de 392 N se desprende de un camión en movimiento, rueda sin resbalar por una carretera y, al llegar al pie de una colina, gira a 25.0 rad/s. El radio de la rueda es de 0.600 m y su momento de inercia alrededor de su eje de rotación es de  $0.800MR^2$ . La fricción efectúa trabajo sobre la rueda mientras ésta sube la colina hasta que se detiene a una altura  $h$  sobre el pie de la colina; ese trabajo tiene valor absoluto de 2600 J. Calcule  $h$ .

**10.24 •** Una canica uniforme bája rodando por un tazón simétrico, partiendo del reposo en el borde izquierdo. El borde está una distancia  $h$  arriba del fondo del tazón. La mitad izquierda del tazón es lo bastante áspera como para que la canica ruede sin resbalar, pero la mitad derecha no tiene fricción porque está lubricada con aceite. *a)* ¿Qué altura alcanzará la canica en el lado resbaloso, medida verticalmente desde el fondo? *b)* ¿Qué altura alcanzará la canica si el lado derecho fuera tan áspero como el izquierdo? *c)* ¿Cómo explica el hecho de que la canica alcance *más altura* en el lado derecho con fricción que sin fricción?

**10.25 •** Una cuerda delgada y ligera se enrolla alrededor del borde exterior de un cilindro hueco uniforme de masa 4.75 kg que tiene radios interno y externo como se ilustra en la **figura E10.25**. El cilindro se libera a partir del reposo. *a)* ¿Qué distancia debe haber caído el cilindro antes de que su centro se mueva a 6.66 m/s? *b)* Si usted suelta ese cilindro sin cuerda, ¿con qué rapidez se mueve su centro cuando ha caído la distancia del inciso *a*)? *c)* ¿Por qué se obtienen dos respuestas diferentes cuando el cilindro cae la misma distancia en ambos casos?

Figura E10.25



**10.26 • Bola que rueda cuesta arriba.** Una bola de bolos sube rodando sin resbalar por una rampa que forma un ángulo  $\beta$  con la horizontal (vea el ejemplo 10.7 de la sección 10.3). Trate la bola como una esfera sólida uniforme, sin tomar en cuenta los orificios. *a)* Dibuje el diagrama de cuerpo libre de la bola. Explique por qué la

fricción debe tener dirección *cuesta arriba*. b) ¿Qué aceleración tiene el centro de masa de la bola? c) ¿Qué coeficiente mínimo de fricción estática se necesita para que la bola no resbale?

**10.27** • Una pelota de fútbol, de tamaño 5, con diámetro de 22.6 cm y masa de 426 g rueda hacia arriba por una colina sin resbalar, alcanzando una altura máxima de 5.00 m sobre la base de la colina. Podemos modelar esa pelota como una esfera hueca de paredes delgadas. a) ¿Con qué rapidez gira en la base de la colina? b) ¿Cuánta energía cinética de rotación tenía entonces?

**10.28** • Un ciclista va cuesta abajo a 11.0 m/s cuando, para su horror, se sale una de sus ruedas de 2.25 kg cuando él está a 75.0 m arriba del pie de la colina. Podemos modelar la rueda como un cilindro de pared delgada, de 85.0 cm de diámetro y se desprecia la pequeña masa de los radios. a) ¿Qué tan rápido se mueve la rueda cuando alcanza el pie de la colina si rodó sin resbalarse en la bajada? b) ¿Cuánta energía cinética total tiene la rueda cuando llega a la parte inferior de la colina?

## Sección 10.4 Trabajo y potencia en movimiento de rotación

**10.29** • Un carrusel con 2.40 m de radio tiene momento de inercia de  $2100 \text{ kg}\cdot\text{m}^2$  alrededor de un eje vertical que pasa por su centro y gira con fricción despreciable. a) Un niño aplica una fuerza de 18.0 N tangencialmente al borde del carrusel durante 15.0 s. Si el carrusel estaba inicialmente en reposo, ¿qué rapidez angular tiene al final de los 15.0 s? b) ¿Cuánto trabajo efectuó el niño sobre el carrusel? c) ¿Qué potencia media le suministró el niño?

**10.30** • El motor proporciona 175 hp a la hélice de un avión a 2400 rev/min. a) ¿Qué valor de la torca provee el motor del avión? b) ¿Cuánto trabajo realiza el motor en una revolución de la hélice?

**10.31** • Una rueda de afilar de 2.80 kg con forma de cilindro sólido tiene 0.100 m de radio. a) ¿Qué torca constante la llevará del reposo a una rapidez angular de 1200 rev/min en 2.5 s? b) ¿Qué ángulo habrá girado en ese tiempo? c) Use la ecuación (10.21) para calcular el trabajo efectuado por la torca. d) ¿Qué energía cinética tiene la rueda al girar a 1200 rev/min? Compare esto con el resultado del inciso c).

**10.32** • Un motor eléctrico consume 9.00 kJ de energía eléctrica en 1.00 min. Si un tercio de la energía se pierde en forma de calor y otras formas de energía interna del motor, y el resto se entrega como potencia al motor, ¿cuál será el valor de la torca que desarrollará ese motor si usted lo pone a 2500 rpm?

**10.33** • a) Calcule la torca producida por un motor industrial que desarrolla 150 kW a una rapidez angular de 4000 rev/min. b) Un tambor de 0.400 m de diámetro y masa despreciable se conecta al eje del motor, y la potencia del motor se utiliza para levantar un peso que cuelga de una cuerda enrollada en el tambor. ¿Qué peso máximo puede levantar el motor, con rapidez constante? c) ¿Con qué rapidez constante subirá el peso?

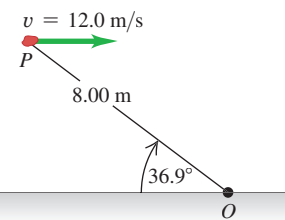
**10.34** • La hélice de un avión tiene longitud de 2.08 m (de punta a punta) y masa de 117 kg. Al arrancar, el motor del avión aplica una torca constante de 1950 N·m a la hélice, que parte del reposo. a) Calcule la aceleración angular de la hélice, considerándola como varilla delgada; vea la tabla 9.2. b) Calcule la rapidez angular de la hélice después de 5.00 revoluciones. c) ¿Cuánto trabajo efectúa el motor durante las primeras 5.00 revoluciones? d) ¿Qué potencia media desarrolla el motor durante las primeras 5.00 revoluciones? e) ¿Qué potencia instantánea desarrolla el motor en el instante en que la hélice ha girado 5.00 revoluciones?

## Sección 10.5 Momento angular

**10.35** • Una piedra de 2.00 kg tiene una velocidad horizontal con magnitud de 12.0 m/s cuando está en el punto *P* de la figura E10.35.

a) En ese instante, ¿qué momento angular (magnitud y dirección) tiene con respecto a *O*? b) Suponiendo que la única fuerza que actúa sobre la piedra es su peso, calcule la rapidez del cambio (magnitud y dirección) de su momento angular en ese instante.

Figura E10.35



**10.36** • Una mujer con masa de 50 kg está de pie en el borde de un disco grande, el cual gira a 0.80 rev/s alrededor de un eje que pasa por su centro. El disco tiene una masa de 110 kg y radio de 4.0 m. Calcule la magnitud del momento angular total del sistema mujer-disco (suponga que la mujer puede tratarse como un cuerpo puntual).

**10.37** • Calcule la magnitud del momento angular del segundero de un reloj alrededor de un eje que pasa por el centro de la carátula. La manecilla tiene una longitud de 15.0 cm y masa de 6.00 g. Trate la manecilla como una varilla delgada que gira con velocidad angular constante alrededor de un extremo.

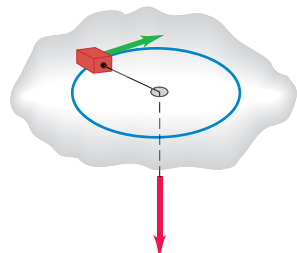
**10.38** • a) Calcule la magnitud del momento angular de la Tierra en órbita circular alrededor del Sol. ¿Es razonable considerar a la Tierra como partícula? b) Calcule la magnitud del momento angular de la Tierra debido a su rotación en torno a un eje que pasa por los polos norte y sur, tratando a la Tierra como una esfera uniforme. Consulte el apéndice E y los datos astronómicos del apéndice F.

**10.39** • **CALC** Una esfera hueca de pared delgada con masa de 12.0 kg y diámetro de 48.0 cm gira alrededor de un eje que pasa por su centro. El ángulo (en radianes) con el que gira en función del tiempo (en segundos) está dado por  $\theta(t) = At^2 + Bt^4$ , donde *A* tiene valor numérico de 1.50 y *B* tiene valor numérico de 1.10. a) ¿Cuáles son las unidades de las constantes *A* y *B*? b) En el instante *t* = 3.00 s, calcule i. el momento angular de la esfera y ii. la torca neta de la esfera.

## Sección 10.6 Conservación del momento angular

**10.40** • **PA** Un bloque pequeño de 0.0250 kg en una superficie horizontal sin fricción está atado a una cuerda de masa despreciable que pasa por un orificio en la superficie (figura E10.40). El bloque inicialmente está girando a una distancia de 0.300 m del orificio, con rapidez angular de 2.85 rad/s. Ahora se tira de la cuerda desde abajo, acortando el radio del círculo que describe el bloque a 0.150 m. El bloque puede tratarse como partícula. a) ¿Se conserva el momento angular del bloque? ¿Por qué? b) ¿Qué valor tiene ahora la rapidez angular? c) Calcule el cambio de energía cinética del bloque. d) ¿Cuánto trabajo se efectuó al tirar de la cuerda?

Figura E10.40



**10.41** • En ciertas circunstancias, una estrella puede colapsar formando un objeto extremadamente denso constituido sobre todo por neutrones y al que se conoce como *estrella de neutrones*. La densidad de tales estrellas es unas  $10^{14}$  veces mayor que la de la materia sólida ordinaria. Suponga que representamos la estrella como esfera sólida, rígida y uniforme, tanto antes como después del colapso. El radio inicial era de  $7.0 \times 10^5$  km (comparable al del Sol); y el radio final, de 16 km. Si la estrella original giraba una vez cada 30 días, calcule la rapidez angular de la estrella de neutrones.

**10.42** • Una clavadista se lanza de un trampolín con los brazos rectos hacia arriba y las piernas hacia abajo, dándose un momento de inercia sobre su eje de rotación de  $18 \text{ kg}\cdot\text{m}^2$ . Luego, con su cuerpo forma una pequeña bola, disminuyendo ese momento de inercia a  $3.6 \text{ kg}\cdot\text{m}^2$  mientras está en tal posición, y hace dos revoluciones completas en 1.0 s. Si no se hubiera hecho bolita, ¿cuántas revoluciones habría realizado en los 1.5 s del trampolín al agua?

**10.43** • **Patinador que gira.**

Los brazos extendidos de un patinador que prepara un giro pueden considerarse como una varilla delgada que pivota sobre un eje que pasa por su centro (**figura E10.43**). Cuando los brazos se juntan al cuerpo para ejecutar el giro, se pueden considerar como un cilindro hueco de pared delgada. Los brazos y las manos tienen una masa combinada de 8.0 kg. Cuando se extienden, abarcان 1.8 m; y encogidos, forman un cilindro con 25 cm de radio. El momento de inercia del resto del cuerpo alrededor del eje de rotación es constante e igual a  $0.40 \text{ kg}\cdot\text{m}^2$ . Si la rapidez angular original del patinador es de 0.40 rev/s, ¿cuál es la rapidez angular final?

**10.44** • Una puerta de madera sólida de 1.00 m de ancho y 2.00 m de alto tiene las bisagras en un lado y una masa total de 40.0 kg. La puerta, que inicialmente está abierta y en reposo, es golpeada en su centro por un puñado de lodo pegajoso con masa de 0.500 kg, que viaja en dirección perpendicular a la puerta a 12.0 m/s justo antes del impacto. Calcule la rapidez angular final de la puerta. ¿Es apreciable la aportación del lodo al momento de inercia?

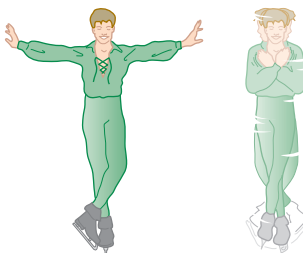
**10.45** • Una tornamesa de madera de 120 kg con forma de disco plano y uniforme tiene 2.00 m de radio y gira inicialmente alrededor de un eje vertical, que pasa por su centro, a 3.00 rad/s. De repente, un paracaidista de 70.0 kg se posa suavemente sobre la tornamesa en un punto cerca del borde. *a)* Calcule la rapidez angular de la tornamesa después de que el paracaidista se posa en ella (suponga que puede tratarse al paracaidista como partícula). *b)* Calcule la energía cinética del sistema antes y después de la llegada del paracaidista. ¿Por qué no son iguales estas energías cinéticas?

**10.46** • **Choque de asteroide!** Suponga que un asteroide que viaja en línea recta hacia el centro de la Tierra fuera a estrellarse contra nuestro planeta en el ecuador y se incrustara apenas por debajo de la superficie. En términos de la masa terrestre  $M$ , ¿cuál tendría que ser la masa de dicho asteroide para que, como resultado del choque, el día fuera un 25.0% más largo de lo que es actualmente? Suponga que el asteroide es muy pequeño en comparación con la Tierra y que ésta es un cuerpouniforme .

**10.47** • Un pequeño bicho de 10.0 g se encuentra sobre el extremo de una barra delgada y uniforme que inicialmente está en reposo en una mesa horizontal lisa. El otro extremo de la barra pivota en torno a un clavo incrustado en la mesa, y puede girar libremente sin fricción. La masa de la barra es de 50.0 g, y su longitud de 100 cm. El bicho salta en dirección horizontal, perpendicular a la barra, con rapidez de 20.0 cm/s con respecto a la mesa. *a)* ¿Cuál es la rapidez angular de la barra inmediatamente después del salto del insecto juguetón? *b)* Calcule la energía cinética total del sistema inmediatamente después del salto. *c)* ¿De dónde proviene la energía?

**10.48** • Una varilla delgada y uniforme tiene una longitud de 0.500 m, y está girando en un círculo sobre una mesa sin fricción. El eje de rotación es perpendicular a la longitud de la varilla en un extremo y está fijo. La varilla tiene una velocidad angular de 0.400 rad/s y un momento de inercia alrededor del eje de  $3.00 \times 10^{-3} \text{ kg}\cdot\text{m}^2$ . Un bicho, que inicialmente se encuentra sobre el

Figura E10.43



extremo de la varilla en el eje de rotación, decide arrastrarse hacia el otro extremo de la varilla. Cuando el bicho ha alcanzado el extremo de la varilla y se posa allí, su rapidez tangencial es de 0.160 m/s. El bicho se puede considerar como una masa puntual. *a)* ¿Cuál es la masa de la varilla? *b)* ¿Cuál es la masa del bicho?

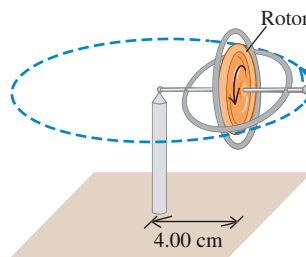
**10.49** • Una barra metálica delgada y uniforme, de 2.00 m de longitud y con un peso de 90.0 N, cuelga verticalmente del techo en un pivote sin fricción colocado en el extremo superior. De repente, una pelota de 3.00 kg, que viaja inicialmente a 10.0 m/s en dirección horizontal, golpea la barra 1.50 m abajo del techo. La pelota rebota en dirección opuesta con rapidez de 6.00 m/s. *a)* Calcule la rapidez angular de la barra inmediatamente después del choque. *b)* Durante el choque, ¿por qué se conserva el momento angular, pero no el momento lineal?

**10.50** • Un portón de madera sólida, cuadrado y uniforme, de 4.5 kg, de 1.5 m de lado cuelga verticalmente desde un pivote sin fricción en el centro de su extremo superior. Un cuervo de 1.1 kg que vuela horizontalmente a 5.0 m/s se dirige hacia el centro de la puerta y rebota en la dirección contraria 2.0 m/s. *a)* ¿Cuál es la rapidez angular de la puerta justo después de ser golpeada por el desafortunado cuervo? *b)* Durante la colisión, ¿por qué se conserva el momento angular, pero no el momento lineal?

## Sección 10.7 Giróscopos y precesión

**10.51** • El rotor (volante) de un giróscopo de juguete tiene una masa de 0.140 kg. Su momento de inercia alrededor de su eje es  $1.20 \times 10^{-4} \text{ kg}\cdot\text{m}^2$ . La masa del marco es de 0.0250 kg. El giróscopo se apoya en un solo pivote (**figura E10.51**) con su centro de masa a una distancia horizontal de 4.00 cm del pivote. El giróscopo hace un movimiento de precesión en un plano horizontal a razón de una revolución cada 2.20 s. *a)* Calcule la fuerza hacia arriba ejercida por el pivote. *b)* Calcule la rapidez angular en rev/min con que el rotor gira sobre su eje. *c)* Copie el diagrama e indique con vectores el momento angular del rotor y la torca que actúa sobre él.

Figura E10.51



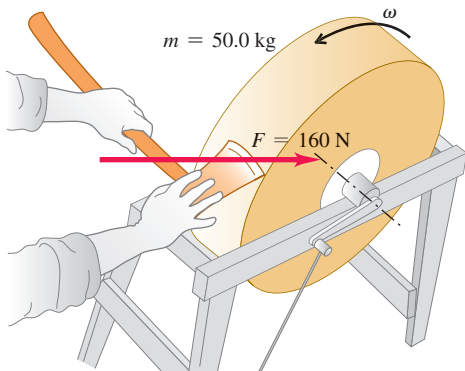
**10.52** • **Un giróscopo en la Luna.** Cierto giróscopo efectúa un movimiento de precesión con una rapidez de 0.50 rad/s cuando se utiliza en la Tierra. Si se transportara a una base lunar, donde la aceleración debida a la gravedad es de  $0.165g$ , ¿cuál sería su rapidez de precesión?

**10.53** • **Estabilización del Telescopio Espacial Hubble.** El Telescopio Espacial Hubble se estabiliza dentro de un ángulo de alrededor de 2 milésimas de grado mediante una serie de giróscopos que giran a 19,200 rpm. Aunque la estructura de esos giróscopos es bastante compleja, podemos modelar cada uno de ellos como un cilindro de pared delgada de 2.0 kg de masa y 5.0 cm de diámetro, girando alrededor de su eje central. ¿Qué magnitud de torca se necesita para hacer que esos giróscopos realicen un movimiento de precesión a través de un ángulo de  $1.0 \times 10^{-6}$  grados durante una exposición de 5.0 horas de una galaxia?

## PROBLEMAS

**10.54** Una piedra de afilar de 50.0 kg es un disco sólido de 0.520 m de diámetro. Se empuja un hacha contra el borde con una fuerza normal de 160 N (**figura P10.54**). El coeficiente de fricción cinética entre la piedra y el hacha es de 0.60, y hay una torca por fricción constante de 6.50 N·m entre el eje de la piedra y sus cojinetes. *a)* ¿Qué fuerza debe aplicarse tangencialmente al extremo de una manivela impulsora de 0.500 m para llevar la piedra del reposo a 120 rev/min en 9.00 s? *b)* Una vez que la piedra alcanza una rapidez angular de 120 rev/min, ¿qué fuerza tangencial se tendría que aplicar al extremo de la manivela impulsora para mantenerla con una rapidez angular constante de 120 rev/min? *c)* ¿Cuánto tiempo tarda la piedra en detenerse, si sólo la fricción del eje actúa sobre ella y está girando a 120 rev/min?

Figura P10.54



**10.55** Una piedra de afilar en forma de disco sólido con diámetro de 0.520 m y masa de 50.0 kg está girando a 850 rev/min. Se presiona un hacha contra el borde con una fuerza normal de 160 N (figura P10.54), y la piedra de afilar se detiene en 7.50 s. Encuentre el coeficiente de fricción entre el hacha y la piedra de afilar. Puede despreciar la fricción en los cojinetes.

**10.56** Una esfera hueca uniforme de 8.40 kg y 50.0 cm de diámetro tiene cuatro masas pequeñas de 2.00 kg pegadas a su superficie exterior, a distancias iguales. Esta combinación gira en torno a un eje que pasa por el centro de la esfera y dos de las masas pequeñas (**figura P10.56**). ¿Qué torca por fricción se requiere para reducir la rapidez angular del sistema de 75.0 rpm a 50.0 rpm en 30.0 s?

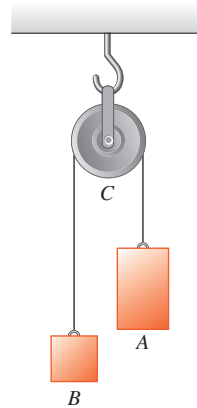
**10.57** Una barra delgada y uniforme de 3.80 kg y 80.0 cm de longitud tiene pegadas esferas muy pequeñas de 2.50 kg en cada uno de sus extremos (**figura P10.57**). La barra está apoyada horizontalmente en un eje delgado, horizontal y sin fricción que pasa por su centro y es perpendicular a la barra. De repente, la esfera del lado derecho se despega y se cae, aunque la otra permanece adherida a la barra. *a)* Calcule la aceleración angular de la barra justo después de que la esfera se cae. *b)* ¿La aceleración angular permanece constante mientras la barra continua balanceándose? Si no es así, ¿aumentará o disminuirá? *c)* Determine la velocidad angular de la barra justo cuando se balancee por su posición vertical.

Figura P10.57



**10.58** Usted está diseñando un sistema simple de elevador para un viejo almacén que se está convirtiendo en apartamentos *loft*. El elevador de 22,500 N se debe acelerar hacia arriba conectándolo a un contrapeso por medio de un cable ligero (¡pero fuerte!) que pasa sobre una polea sólida y uniforme en forma de disco. El cable no se desliza cuando está en contacto con la superficie de la polea. No hay fricción apreciable en el eje de la polea, pero su masa es de 875 kg y tiene 1.50 m de diámetro. *a)* ¿Qué masa debe tener el contrapeso para que el ascensor se acelere hacia arriba a lo largo de 6.75 m en los primeros 3.00 s, a partir del reposo? *b)* ¿Cuál es la tensión en el cable a cada lado de la polea?

Figura P10.59

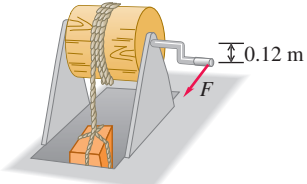


**10.59** **Máquina de Atwood.** La **figura P10.59** muestra una máquina de Atwood. Encuentre las aceleraciones lineales de los bloques *A* y *B*, la aceleración angular de la rueda *C*, y la tensión en cada lado del cable si no hay deslizamiento entre el cable y la superficie de la rueda. Sean las masas de los bloques *A* y *B*, 4.00 kg y 2.00 kg, respectivamente; el momento de inercia de la rueda en torno a su eje es 0.220 kg·m<sup>2</sup>, y el radio de la rueda es igual a 0.120 m.

**10.60** El mecanismo de la **figura P10.60** sirve para sacar una caja con provisiones de la bodega de un barco. La caja tiene una masa total de 50 kg. Una cuerda está enrollada en un cilindro de madera que gira sobre un eje metálico. El cilindro tiene un radio de 0.25 m y un momento de inercia  $I = 2.9 \text{ kg}\cdot\text{m}^2$

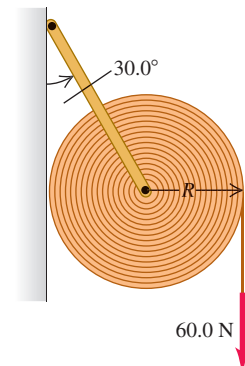
alrededor del eje. La caja cuelga del extremo libre de la cuerda. Un extremo del eje pivota sobre cojinetes sin fricción; una manivela está unida al otro extremo. Cuando se hace girar la manivela, el extremo del mango gira alrededor del eje en un círculo vertical de 0.12 m de radio; así, el cilindro gira y la caja sube. ¿Qué magnitud de la fuerza  $\vec{F}$  aplicada tangencialmente a la manivela se necesita para levantar la caja con una aceleración de 1.40 m/s<sup>2</sup>? (Pueden despreciarse la masa de la cuerda, así como los momentos de inercia del eje y la manivela).

Figura P10.60



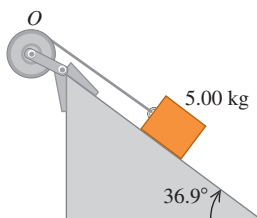
**10.61** Un rollo de 16.0 kg de papel con radio  $R = 18.0 \text{ cm}$  descansa contra la pared sostenido por un soporte unido a una varilla que pasa por el centro del rollo (**figura P10.61**). La varilla gira sin fricción en el soporte, y el momento de inercia del papel y la varilla alrededor del eje es de 0.260 kg·m<sup>2</sup>. El otro extremo del soporte está unido a la pared mediante una bisagra sin fricción, de modo que el soporte forma un ángulo de 30.0° con la pared. El peso del soporte es despreciable. El coeficiente de fricción cinética entre el papel y la pared es  $\mu_k = 0.25$ . Se aplica una fuerza vertical constante  $F = 60.0 \text{ N}$  al papel, el cual se desenrolla. *a)* ¿Qué magnitud tiene la fuerza que la varilla ejerce sobre el rollo de papel al desenrollarse éste? *b)* ¿Qué aceleración angular tiene el rollo?

Figura P10.61



**10.62** • Un bloque con masa  $m = 5.00 \text{ kg}$  baja deslizándose por una superficie inclinada  $36.9^\circ$  con respecto a la horizontal (**figura P10.62**). El coeficiente de fricción cinética es 0.25. Una cuerda atada al bloque está enrollada en un volante con su eje fijo en  $O$ . El volante tiene una masa de  $25.0 \text{ kg}$ , y un momento de inercia con respecto al eje de  $0.500 \text{ kg}\cdot\text{m}^2$ . La cuerda jala sin resbalar a una distancia perpendicular de  $0.200 \text{ m}$  con respecto a ese eje. *a)* ¿Qué aceleración tiene el bloque al bajar? *b)* ¿Qué tensión hay en la cuerda?

Figura P10.62

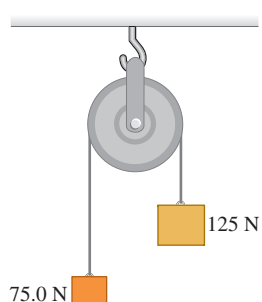


**10.63** • Dos discos metálicos, uno con radio  $R_1 = 2.50 \text{ cm}$  y masa  $M_1 = 0.80 \text{ kg}$  y el otro con radio  $R_2 = 5.00 \text{ cm}$  y masa  $M_2 = 1.60 \text{ kg}$ , se sueldan entre sí y se montan en un eje sin fricción que pasa por su centro común, como en el problema 9.77. *a)* Una cuerda ligera se enrolla en el borde del disco de menor tamaño, y un bloque de  $1.50 \text{ kg}$  se cuelga del extremo libre de la cuerda. ¿Qué magnitud tiene la aceleración hacia abajo del bloque una vez que se suelta? *b)* Repita el cálculo del inciso *a*), pero ahora con la cuerda enrollada en el borde del disco de mayor tamaño. ¿En qué caso es mayor la aceleración del bloque? ¿Es lógica la respuesta?

**10.64** • Un rodillo de césped en forma de un cilindro hueco de pared delgada, de masa  $M$  se jala horizontalmente con una fuerza horizontal constante  $F$  aplicada por un asa fija al eje. Si rueda sin resbalar, determine la aceleración y la fuerza de la fricción.

**10.65** • Dos pesos están conectados por una cuerda flexible muy ligera, que pasa por una polea sin fricción de  $80.0 \text{ N}$  y radio de  $0.300 \text{ m}$ . La polea es un disco sólido uniforme y pende de un gancho unido al techo (**figura P10.65**). ¿Qué fuerza ejerce el techo sobre el gancho?

Figura P10.65

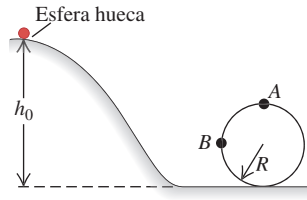


**10.66** • Usted se queja de la seguridad contra incendios con el propietario de su edificio de apartamentos de gran altura. Él está dispuesto a instalar un dispositivo de evacuación si es barato y confiable, y le pide que lo diseñe. Su propuesta es montar una rueda grande (con radio de  $0.400 \text{ m}$ ) con un eje en su centro y enrollar una cuerda larga y ligera alrededor de la rueda con el extremo libre de la cuerda colgando justo más allá del borde del techo. Los residentes evacuarían hacia el tejado y, uno a la vez, tomarían el extremo libre de la cuerda, bajarían del tejado y llegarían al suelo (desprecie la fricción en el eje). Usted quiere que una persona de  $90.0 \text{ kg}$  descienda con una aceleración de  $g/4$ . *a)* Si la rueda se puede considerar como un disco uniforme, ¿qué masa debe tener? *b)* Cuando la persona desciende, ¿cuál es la tensión en la cuerda?

**10.67** • **El yoyo.** Un yoyo consiste en dos discos uniformes, cada uno con masa  $m$  y radio  $R$ , conectados por un eje ligero de radio  $b$ . Una cuerda delgada y ligera se enrolla varias veces en el eje y luego se mantiene fija mientras el yoyo se libera del reposo; el yoyo cae al desenrollarse el hilo. Calcule las aceleraciones lineal y angular del yoyo, y la tensión en la cuerda.

**10.68** • **PA** Un cascarón esférico de pared delgada, con masa  $m$  y radio  $r$ , parte del reposo y rueda hacia abajo sin deslizarse por la pista que se ilustra en la **figura P10.68**. Los puntos  $A$  y  $B$  están en la parte circular de la pista, cuyo radio es  $R$ . El diámetro de la esfera es muy pequeño comparado con  $h_0$  y  $R$ , y el trabajo realizado por la fricción

Figura P10.68



por rodamiento es despreciable. *a)* ¿Cuál es la altura mínima  $h_0$  para la cual esa esfera dará una vuelta completa a la parte circular de la pista? *b)* ¿Qué tan fuerte empuja la pista sobre la esfera en el punto  $B$ , que está al mismo nivel que el centro del círculo? *c)* Suponga que la pista no tiene fricción y que la esfera se suelta desde la misma altura  $h_0$  que usted obtuvo en el inciso *a*). ¿Daría la vuelta completa al bucle? ¿Cómo lo sabe? *d)* En el inciso *c*), ¿qué tan fuerte empuja la pista sobre la esfera en el punto  $A$ , la cima del círculo? ¿Qué tan fuerte empujó a la esfera en el inciso *a*)?

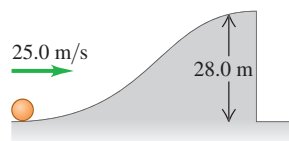
**10.69** • Una pelota de baloncesto (que se puede modelar muy bien como una esfera hueca) rueda por una ladera de la montaña en un valle y luego hasta el lado opuesto, partiendo del reposo a una altura  $H_0$  por encima del fondo. En la **figura P10.69**, la parte áspera del terreno impide el deslizamiento, mientras que la parte lisa no tiene fricción. *a)* A qué altura, en términos de  $H_0$ , subirá la pelota por el otro lado? *b)* ¿Por qué no regresa la pelota a la altura  $H_0$ ? ¿Ha perdido algo de su energía potencial original?

Figura P10.69



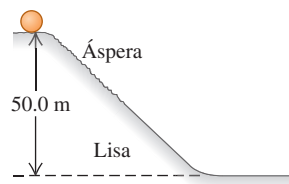
**10.70** • **PA** Una esfera sólida uniforme rueda sin resbalar subiendo una colina (**figura P10.70**). En la cima, la esfera se mueve horizontalmente y después cae por un acantilado vertical. *a)* A qué distancia del pie del acantilado cae la esfera y con qué rapidez se está moviendo justo antes de tocar el suelo? *b)* Observe que, al tocar tierra, la esfera tiene mayor rapidez de traslación que cuando estaba en la base de la colina. ¿Implica esto que la esfera obtuvo energía de algún lado? ¡Explique su respuesta!

Figura P10.70



**10.71** • **Piedras rodantes.** Un peñasco esférico, sólido y uniforme parte del reposo y bota rodando por la ladera de una colina de  $50.0 \text{ m}$  de altura (**figura P10.71**). La mitad superior de la colina es lo bastante áspera como para que el peñasco ruede sin resbalar; sin embargo, la mitad inferior está cubierta de hielo y no hay

Figura P10.71



fricción. Calcule la rapidez de traslación del peñasco al llegar al pie de la colina.

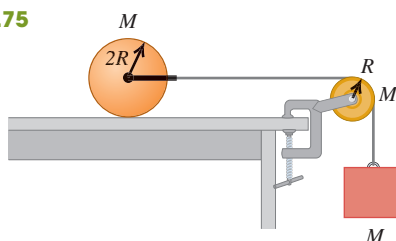
**10.72** Usted está diseñando un sistema para mover cilindros de aluminio del suelo a un muelle de carga. Utiliza una rampa de madera robusta de 6.00 m de largo e inclinada a  $37.0^\circ$  sobre la horizontal. Cada cilindro se equipa de un yugo ligero, sin fricción a través de su centro, y se ata una cuerda ligera (pero fuerte) al yugo. Cada cilindro es uniforme y tiene una masa de 460 kg y un radio de 0.300 m. Los cilindros se jalan hacia arriba por la rampa aplicando una fuerza constante  $\vec{F}$  en el extremo libre de la cuerda.  $\vec{F}$  es paralela a la superficie de la rampa y no ejerce ninguna torca sobre el cilindro. El coeficiente de fricción estática entre la superficie de la rampa y el cilindro es de 0.120. *a)* ¿Cuál es la mayor magnitud que puede tener  $\vec{F}$  de tal forma que el cilindro aún ruede sin resbalar mientras sube la rampa? *b)* Si el cilindro comienza desde el reposo en la parte inferior de la rampa y rueda sin resbalar mientras sube la rampa, ¿cuál es el tiempo más corto que puede tardar el cilindro para alcanzar la parte superior de la rampa?

**10.73** Una rueda de 42.0 cm de diámetro consiste en un borde y seis rayos; está hecha de un material plástico rígido y delgado con una densidad lineal de masa de 25.0 g/cm. Esta rueda se suelta desde el reposo en la cima de una colina de 58.0 m de altura. *a)* ¿Con qué rapidez rueda cuando llega a la base de la colina? *b)* ¿Cómo cambiaría su respuesta si la densidad lineal de masa y el diámetro de la rueda se duplicaran?

**10.74** Una varilla uniforme de 0.0300 kg y 0.400 m de longitud gira en un plano horizontal alrededor de un eje fijo que pasa por su centro y es perpendicular a la varilla. Dos anillos pequeños con masa de 0.0200 kg se montan, cada uno, de modo que puedan deslizarse a lo largo de la varilla, aunque inicialmente están sujetos con broches en posiciones a 0.0500 m del centro de la varilla a cada lado, y el sistema está girando a 48.0 rev/min. Sin alterar de otro modo el sistema, los broches se sueltan y los anillos se deslizan hacia afuera por la varilla, saliendo despedidos por los extremos. *a)* ¿Qué rapidez angular tiene el sistema en el instante en que los anillos llegan a los extremos de la varilla? *b)* ¿Qué rapidez angular tiene la varilla una vez que los anillos salen despedidos?

**10.75** Un cilindro sólido uniforme de masa  $M$  y radio  $2R$  descansa en una mesa horizontal. Se ata una cuerda mediante un yugo a un eje sin fricción que pasa por el centro del cilindro, de modo que éste pueda girar sobre el eje. La cuerda pasa por una polea con forma de disco de masa  $M$  y radio  $R$ , que está montada en un eje sin fricción que pasa por su centro. Un bloque de masa  $M$  se suspende del extremo libre del hilo (**figura P10.75**). La cuerda no resbala en la superficie de la polea, y el cilindro rueda sin resbalar sobre la mesa. Si el sistema se libera del reposo, determine la magnitud de la aceleración del bloque.

Figura P10.75



**10.76** Tarzán y Jane en el siglo XXI. Tarzán tontamente se ha metido en otro lío con los animales y Jane debe rescatarlo de nuevo. Jane, de 60.0 kg, parte del reposo a una altura de 5.00 m entre los árboles y se balancea hacia abajo al suelo con una delgada liana, pero muy rígida, de 30.0 kg y 8.00 m de largo. Llega justo a tiempo para arrebatar a Tarzán, de 72.0 kg, de las fauces de un hipopótamo

furioso. ¿Cuál es la rapidez angular de Jane (y de la liana) *a)* justo antes de que ella agarre a Tarzán y *b)* justo después de que lo agarra? *c)* ¿Hasta qué altura suben Tarzán y Jane en su primer balanceo después de este audaz rescate?

**10.77** Una esfera de 5.00 kg se deja caer desde una altura de 12.0 m arriba de un extremo de una barra uniforme que está pivotada en su centro. La masa de la barra es de 8.00 kg y su longitud es de 4.00 m. Sobre el otro extremo de la barra descansa otra esfera de 5.00 kg, no sujetada a la barra. La esfera que cae se queda pegada a la barra después del choque. ¿Qué altura alcanzará la otra esfera después del choque?

**10.78** La puerta de madera sólida de un gimnasio tiene 1.00 m de ancho y 2.00 m de altura, bisagras en un lado y una masa total de 35.0 kg. La puerta, que está abierta y en reposo, es golpeada en su centro por un balón de baloncesto que le aplica de frente una fuerza media de 1500 N durante 8.00 ms. Calcule la rapidez angular de la puerta después del impacto. [Sugerencia: Si integramos la ecuación (10.29), obtenemos  $\Delta L_z = \int_{t_1}^{t_2} (\sum \tau_z) dt = (\sum \tau_z)_{\text{med}} \Delta t$ . La cantidad  $\int_{t_1}^{t_2} (\sum \tau_z) dt$  se denomina impulso angular].

**10.79** Una varilla uniforme de longitud  $L$  descansa en una superficie horizontal sin fricción. La varilla pivota en un extremo sobre un eje fijo sin fricción y está inicialmente en reposo. Una bala que viaja paralela a la superficie horizontal y perpendicular a la varilla, con rapidez  $v$ , golpea la varilla en su centro y se incrusta en ella. La masa de la bala es un cuarto de la masa de la varilla. *a)* ¿Qué rapidez angular final tiene la varilla? *b)* ¿Qué proporción hay entre la energía cinética del sistema después del choque y la energía cinética de la bala antes del choque?

**10.80** PA Un gran plato giratorio con radio de 6.00 m gira alrededor de un eje vertical fijo, haciendo una revolución en 8.00 s. El momento de inercia del plato giratorio sobre ese eje es de 1200  $\text{kg}\cdot\text{m}^2$ . Usted está de pie, descalzo, en el borde del plato giratorio y muy lentamente camina hacia el centro, a lo largo de una línea radial pintada en la superficie del plato giratorio. Su masa es de 70.0 kg. Ya que el radio del plato giratorio es grande, es una buena aproximación que usted se considere como una masa puntual. Suponga que puede mantener su equilibrio ajustando las posiciones de sus pies. Usted encontrará que puede alcanzar un punto a 3.00 m del centro del plato giratorio antes de que sus pies comiencen a resbalar. ¿Cuál es el coeficiente de fricción estática entre las plantas de sus pies y la superficie del plato giratorio?

**10.81** En su trabajo como ingeniero mecánico, usted está diseñando un volante y un sistema del embrague-placa como el que se muestra en el ejemplo 10.11. El disco *A* se hace de un material más ligero que el disco *B*, y el momento de inercia del disco *A* sobre el eje es un tercio que el del disco *B*. El momento de inercia del eje es despreciable. Con el embrague desconectado, *A* tiene a una rapidez angular  $\omega_0$ ; inicialmente, *B* está en reposo. La torca de aceleración se retira de *A*, y *A* es acoplado a *B* (desprecie la fricción del cojinete). Las especificaciones de diseño permiten desarrollar un máximo de 2400 J de energía térmica cuando se realiza la conexión. ¿Cuál puede ser el valor máximo de la energía cinética original del disco *A*, para no exceder el valor de máximo permitido de energía térmica?

**10.82** Un equipo local de hockey sobre hielo le ha pedido que diseñe un aparato para medir la rapidez del disco de hockey después de ser golpeado. Su diseño es una varilla uniforme de 2.00 m de largo, pivotada alrededor de un extremo de modo que esté libre para girar horizontalmente en el hielo sin fricción. La varilla de 0.800 kg tiene una canasta ligera en el otro extremo para atrapar el disco de 0.163 kg. El disco se desliza a través del hielo con velocidad  $\vec{v}$  (perpendicular a la varilla), pega en la canasta, y se atrapa. Después de la colisión, la varilla gira. Si la varilla hace una revolución cada 0.736 s después de que se atrapa al disco, ¿cuál era la rapidez del disco justo antes de que pegara en la varilla?

**10.83** •• Está diseñando un tobogán para un parque acuático. Los visitantes del parque se deslizan sentados una distancia vertical  $h$  por el tobogán de agua, que tiene una fricción despreciable. Cuando llegan al fondo del tobogán, se agarran de un asa en el extremo inferior de un poste uniforme de 6.00 m de largo. El poste cuelga de forma vertical, inicialmente en reposo. El extremo superior del poste se pivota en un eje inmóvil, sin fricción. El poste con una persona que cuelga en el extremo se balancea hacia arriba un ángulo de  $72.0^\circ$ , y luego la persona se suelta del poste y cae en la alberca. Considere a la persona como una masa puntual. El momento de inercia del poste está dado por  $I = \frac{1}{3}ML^2$ , donde  $L = 6.00\text{ m}$  es la longitud del poste y  $M = 24.0\text{ kg}$  es su masa. Para una persona de masa  $70.0\text{ kg}$ , ¿cuál debe ser la altura  $h$  para que el poste tenga un ángulo máximo de oscilación de  $72.0^\circ$  después de la colisión?

**10.84** •• *Glitches de estrellas de neutrones.* A veces, una estrella de neutrones giratoria (vea el ejercicio 10.41) sufre una aceleración repentina e inesperada denominada *glitch*. Una explicación es que el *glitch* se presenta cuando la corteza de la estrella se asienta un poco, reduciendo el momento de inercia alrededor del eje de rotación. Una estrella de neutrones con rapidez angular  $\omega_0 = 70.4\text{ rad/s}$  sufrió un *glitch* en octubre de 1975, el cual aumentó su rapidez angular a  $\omega = \omega_0 + \Delta\omega$ , donde  $\Delta\omega/\omega_0 = 2.01 \times 10^{-6}$ . Si el radio de la estrella de neutrones antes del *glitch* era de 11 km, ¿en cuánto disminuyó su radio por el “sismo estelar”? Suponga que la estrella de neutrones es una esfera uniforme.

**10.85** •• Una ave de  $500.0\text{ g}$  vuela horizontal y distraídamente a  $2.25\text{ m/s}$ , cuando de repente viaja directo hacia una barra vertical estacionaria, golpeándola a  $25.0\text{ cm}$  debajo de la parte superior (**figura P10.85**). La barra es uniforme con longitud de  $0.750\text{ m}$  y masa de  $1.50\text{ kg}$ , y tiene una bisagra en la base. El choque aturde al ave, de modo que después simplemente cae hacia el suelo (aunque pronto se recupera para continuar volando felizmente). ¿Cuál es la velocidad angular de la barra, *a*) justo después de ser golpeada por el ave, y *b*) cuando ésta llega al suelo?

**10.86** •• PA Un bloque pequeño con masa de  $0.130\text{ kg}$  se ata a una cuerda que pasa por un orificio en una superficie horizontal sin fricción (vea la figura E10.40). El bloque originalmente gira en un círculo de  $0.800\text{ m}$  de radio alrededor del orificio, con rapidez tangencial de  $4.00\text{ m/s}$ . Se tira lentamente de la cuerda desde abajo, acortando el radio del círculo descrito por el bloque. La resistencia a la ruptura de la cuerda es de  $30.0\text{ N}$ . ¿Qué radio tendrá el círculo cuando la cuerda se rompa?

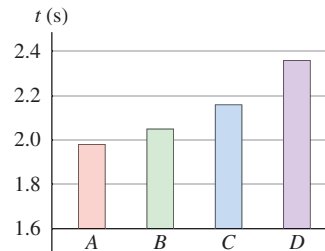
**10.87** • Un hombre de  $55\text{ kg}$  corre alrededor del borde de una tornamesa horizontal montada en un eje vertical sin fricción que pasa por su centro. La velocidad del corredor con respecto a la Tierra tiene magnitud de  $2.8\text{ m/s}$ . La tornamesa gira en la dirección opuesta con velocidad angular de magnitud  $0.20\text{ rad/s}$  con respecto a la Tierra. El radio de la tornamesa es de  $3.0\text{ m}$ , y su momento de inercia alrededor del eje de rotación es de  $80\text{ kg}\cdot\text{m}^2$ . Calcule la velocidad angular final del sistema, si el corredor se detiene con respecto a la tornamesa (el corredor puede considerarse como partícula).

**10.88** •• DATOS El motor V6 de un camioneta pickup Chevrolet Silverado 1500, modelo 2014, produce una potencia máxima de  $285\text{ hp}$  a  $5300\text{ rpm}$  y una torca máxima de  $305\text{ ft}\cdot\text{lb}$  a  $3900\text{ rpm}$ . *a*) Calcule la torca, tanto en  $\text{ft}\cdot\text{lb}$  como en  $\text{N}\cdot\text{m}$ , a  $5300\text{ rpm}$ . ¿Su respuesta en  $\text{ft}\cdot\text{lb}$  es menor que el valor máximo especificado? *b*) Calcule la potencia, tanto en caballos de fuerza como en watts, a  $3900\text{ rpm}$ . ¿Su respuesta

en hp es menor que el valor máximo especificado? *c*) La relación entre la potencia en caballos de fuerza y la torca en  $\text{ft}\cdot\text{lb}$  a una velocidad angular particular en rpm se escribe a menudo como  $\text{hp} = [\text{torca}(\text{en ft}\cdot\text{lb}) \times \text{rpm}]/c$ , donde  $c$  es una constante. ¿Cuál es el valor numérico de  $c$ ? *d*) El motor de un Chevrolet Camaro ZL1 2012 produce 580 caballos de fuerza en  $6000\text{ rpm}$ . ¿Cuál es la torca (en  $\text{ft}\cdot\text{lb}$ ) a  $6000\text{ rpm}$ ?

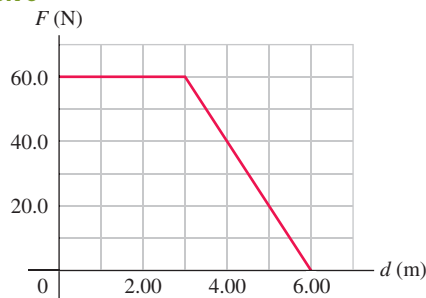
**10.89** •• DATOS Usted tiene un objeto de cada una de estas formas, todos con masa de  $0.840\text{ kg}$ : un cilindro sólido uniforme, un cilindro hueco de paredes delgadas, una esfera sólida uniforme y una esfera hueca de paredes delgadas. Suelta cada objeto desde el reposo a la misma altura vertical  $h$  sobre la parte inferior de una larga rampa de madera inclinada a  $35.0^\circ$  de la horizontal. Cada objeto rueda sin deslizarse por la rampa. Mide el tiempo  $t$  que le toma a cada uno en llegar a la base de la rampa; La **figura P10.89** presenta los resultados. *a*) En las gráficas de barras, identifique los objetos *A* a *D* por la forma. *b*) ¿Cuál de los objetos *A* a *D* tiene la mayor energía cinética total en la base de la rampa, o todos tienen la misma energía cinética? *c*) ¿Cuál de los objetos *A* a *D* tiene la mayor energía cinética rotacional  $\frac{1}{2}I\omega^2$  en la base de la rampa, o todos tienen la misma energía cinética de rotación? *d*) ¿Qué coeficiente mínimo de fricción estática se requiere para que los cuatro objetos rueden sin resbalar?

Figura P10.89



**10.90** •• DATOS Usted está probando un pequeño volante (radio  $0.166\text{ m}$ ) que se usará para almacenar una pequeña cantidad de energía. El volante se pivota con cojinetes de baja fricción sobre un eje horizontal que pasa por el centro del volante. Un cordón delgado y ligero se enrolla varias veces alrededor del borde del volante. Su laboratorio tiene un dispositivo que puede aplicar una fuerza horizontal especificada  $\vec{F}$  al extremo libre del cordón. El dispositivo registra la magnitud de esa fuerza como una función de la distancia horizontal que el extremo del cordón ha recorrido y el tiempo transcurrido desde la primera aplicación de la fuerza. El volante está inicialmente en reposo. *a*) Usted comienza con una prueba de funcionamiento para determinar el momento de inercia  $I$  del volante. La magnitud  $F$  de la fuerza es una constante de  $25.0\text{ N}$ , y el extremo del cordón se mueve  $8.35\text{ m}$  en  $2.00\text{ s}$ . ¿A qué es igual  $I$ ? *b*) En una segunda prueba, el volante comienza otra vez del reposo, pero el extremo libre del cordón viaja  $6.00\text{ m}$ . La **figura P10.90** muestra la magnitud de la fuerza  $F$  en función de la distancia  $d$  que se ha movido el extremo del cordón. ¿Cuál es la energía cinética del volante cuando  $d = 6.00\text{ m}$ ? *c*) ¿Cuál es la rapidez angular del volante, en rev/min, cuando  $d = 6.00\text{ m}$ ?

Figura P10.90



## PROBLEMAS DE DESAFÍO

**10.91 ... PA CALC** Un bloque con masa  $m$  gira con rapidez lineal  $v_1$  en un círculo de radio  $r_1$  sobre una superficie horizontal sin fricción (vea la figura E10.40). Se tira de la cuerda lentamente desde abajo, hasta que el radio del círculo descrito por el bloque se reduce a  $r_2$ . *a)* Calcule la tensión  $T$  en la cuerda en función de  $r$ , la distancia entre el bloque y el orificio. Su respuesta estará en términos de la velocidad inicial  $v_1$  y del radio  $r_1$ . *b)* Use  $W = \int_{r_1}^{r_2} \vec{T}(r) \cdot d\vec{r}$  para calcular el trabajo efectuado por  $\vec{T}$  cuando  $r$  cambia de  $r_1$  a  $r_2$ . *c)* Compare los resultados del inciso *b)* con el cambio en la energía cinética del bloque.

**10.92 ...** Cuando un objeto rueda sin resbalar, la fuerza de fricción por rodamiento es mucho menor que la fuerza de fricción cuando el objeto resbala; una moneda de plata rueda sobre su borde con mucho mayor rapidez que si resbala sobre su cara plana (vea la sección 5.3). Si un objeto rueda sin resbalar sobre una superficie horizontal, podemos suponer que la fuerza de fricción es cero, de modo que  $\alpha_x$  y  $\alpha_z$  son aproximadamente cero, y  $v_x$  y  $\omega_z$  son aproximadamente constantes. Rodar sin resbalar implica que  $v_x = r\omega_z$  y  $\alpha_x = r\alpha_z$ . Si un objeto se pone en movimiento en una superficie *sin* estas igualdades, la fricción por deslizamiento (cinética) actuará sobre el objeto mientras se desliza, hasta llegar al rodamiento sin resbalar. Un cilindro sólido de masa  $M$  y radio  $R$ , que gira con rapidez angular  $\omega_0$  alrededor de un eje que pasa por su centro, se coloca en una superficie horizontal para la que el coeficiente de fricción cinética es  $\mu_k$ . *a)* Dibuje un diagrama de cuerpo libre del cilindro en la superficie. Medite bien la dirección de la fuerza de fricción cinética que actúa sobre el cilindro. Calcule las aceleraciones  $\alpha_x$  del centro de masa y  $\alpha_z$  de rotación alrededor del centro de masa. *b)* Al inicio, el cilindro está resbalando totalmente, de manera que  $\omega_z = \omega_0$ , pero  $v_x = 0$ . El rodamiento sin resbalar inicia cuando  $v_x = r\omega_z$ . Calcule la *distancia* que el cilindro rueda antes de que deje de resbalar. *c)* Calcule el trabajo efectuado por la fuerza de fricción sobre el cilindro, mientras éste se movió desde el punto donde se colocó, hasta el punto donde comenzó a rodar sin resbalar.

**10.93 ...** Se construye una rueda de giróscopo para demostración quitando el neumático de una rueda de bicicleta de 0.650 m de diámetro, enrollando alambre de plomo en el borde y pegándolo con cinta. El eje se proyecta 0.200 m a cada lado de la rueda y una mujer sostiene los extremos del eje en sus manos. La masa del sistema es de 8.00 kg; puede suponerse que toda la masa se encuentra en el borde. El eje es horizontal y la rueda está girando alrededor del eje a 5.00 rev/s. Calcule la magnitud y la dirección de la fuerza que cada mano ejerce sobre el eje *a)* cuando el eje está en reposo; *b)* cuando el eje gira en un plano horizontal alrededor de su centro a 0.050 rev/s; *c)* cuando el eje está girando en un plano horizontal alrededor de su centro a 0.300 rev/s. *d)* ¿Con qué rapidez debe girar el eje para que pueda sostenerse sólo en un extremo?

## PROBLEMAS DE TRANSICIÓN

**BIO MOMENTO DE INERCIA HUMANO.** El momento de inercia del cuerpo humano sobre un eje que pasa por su centro de masa es importante en la aplicación de la biomecánica a los deportes como el buceo y la gimnasia. Podemos medir el momento de inercia del cuerpo en una posición particular mientras la persona permanece en esa posición en un plato giratorio horizontal, con el centro de masa del cuerpo sobre el eje rotacional del plato giratorio. El plato giratorio con la persona sobre éste es entonces acelerado desde el reposo por una torca que se produce utilizando una cuerda enrollada alrededor de una polea sobre el eje del plato giratorio. A partir de la tensión medida en la cuerda y de la aceleración angular, se puede calcular el momento de inercia del cuerpo en torno a un eje que pasa por su centro de masa.



Vista desde arriba de una gimnasta que yace en posición de salto mortal sobre un plato giratorio.

**10.94** El momento de inercia del plato giratorio vacío es de  $1.5 \text{ kg}\cdot\text{m}^2$ . Con una torca constante de  $2.5 \text{ N}\cdot\text{m}$ , al sistema persona-plato giratorio le toma 3.0 s girar del reposo a una rapidez angular de  $1.0 \text{ rad/s}$ . ¿Cuál es el momento de inercia de la persona en torno a un eje que pasa por su centro de masa? Desprecie la fricción en el eje del plato giratorio. *a)*  $2.5 \text{ kg}\cdot\text{m}^2$ ; *b)*  $6.0 \text{ kg}\cdot\text{m}^2$ ; *c)*  $7.5 \text{ kg}\cdot\text{m}^2$ ; *d)*  $9.0 \text{ kg}\cdot\text{m}^2$ .

**10.95** Mientras el plato giratorio acelera, la persona repentinamente extiende sus piernas. ¿Qué sucede con el plato giratorio? *a)* De repente se acelera; *b)* gira con rapidez constante; *c)* su aceleración disminuye; *d)* repentinamente deja de girar.

**10.96** Al duplicar la torca se obtiene una mayor aceleración angular. ¿Cuál de los siguientes casos haría esto, suponiendo que la tensión en la cuerda no cambia? *a)* Aumentar el diámetro de la polea en un factor de  $\sqrt{2}$ ; *b)* aumentar el diámetro de la polea en un factor 2; *c)* aumentar el diámetro de la polea en un factor de 4; *d)* disminuir el diámetro de la polea en un factor de  $\sqrt{2}$ .

**10.97** Si el centro de masa del cuerpo no se colocara en el eje de rotación del plato giratorio, ¿cómo se compararía el momento de inercia medido de la persona con el momento de inercia para la rotación con respecto al centro de masa? *a)* El momento de inercia medido sería demasiado grande; *b)* el momento de inercia medido sería demasiado pequeño; *c)* los dos momentos de inercia serían iguales; *d)* depende en dónde se coloque el centro de la masa del cuerpo con respecto al centro del plato giratorio.

## Respuestas

### Pregunta de inicio del capítulo ?

**iv.** Al lanzar una clava, ésta gira alrededor de su centro de masa (que se encuentra hacia su extremo grueso). Éste es también el punto en el cual el fuerza gravitacional actúa sobre la clava, así que esta fuerza no ejerce ninguna torca sobre la clava. Por lo tanto, la clava gira con un momento angular constante, y su rapidez angular permanece constante.

### Respuesta a las secciones

#### Evalúe su comprensión

**10.1 ii.** La fuerza  $P$  actúa a lo largo de una línea vertical, de manera que el brazo de palanca es la distancia horizontal desde  $A$  hasta la línea de acción. Ésta es la componente horizontal de la distancia  $L$ , que es  $L \cos \theta$ . Por lo tanto, la magnitud de la torca es el producto de la magnitud de la fuerza  $P$  por el brazo de palanca  $L \cos \theta$  o  $\theta = PL \cos \theta$ .

**10.2 iii., ii., i.** Para que el objeto colgante de masa  $m_2$  acelere hacia abajo, la fuerza neta sobre él debe ser hacia abajo. Por lo tanto, la magnitud  $m_2g$  de la fuerza del peso hacia abajo debe ser mayor que la magnitud  $T_2$  de la fuerza de tensión hacia arriba. Para que la polea tenga aceleración angular en el sentido de las manecillas del reloj, la torca neta sobre la polea debe ser en el sentido de las manecillas del reloj. La tensión  $T_2$  tiende a girar la polea en el sentido de las manecillas del reloj, en tanto que la tensión  $T_1$  tiende a girar la polea en el sentido contrario. Ambas fuerzas de tensión tienen el mismo brazo de palanca  $R$ , de manera que hay una torca  $T_2R$  en el sentido de las manecillas del reloj y una torca  $T_1R$  en el sentido contrario. Para que la torca neta sea en el sentido de las manecillas del reloj,  $T_2$  debe ser mayor que  $T_1$ . Por consiguiente,  $m_2g > T_2 > T_1$ .

**10.3 a) ii., b) i.** Si usted vuelve a realizar los cálculos del ejemplo 10.6 con un cilindro hueco (momento de inercia  $I_{\text{cm}} = MR^2$ ) en vez de un cilindro sólido (momento de inercia  $I_{\text{cm}} = \frac{1}{2}MR^2$ ), usted encontrará  $a_{\text{cm-y}} = \frac{1}{2}g$  y  $T = \frac{1}{2}Mg$  (en vez de  $a_{\text{cm-y}} = \frac{2}{3}g$  y  $T = \frac{1}{3}Mg$  para un cilindro sólido). Por lo tanto, la aceleración es menor, pero la tensión es mayor. Usted puede llegar a la misma conclusión sin efectuar el cálculo. Mayor momento de inercia significa que el cilindro hueco girará más lentamente y, por consiguiente, rodará hacia abajo con

mayor lentitud. Para hacer más lento el movimiento descendente, se requiere una mayor fuerza de tensión hacia arriba para oponerse a la fuerza de gravedad hacia abajo.

**10.4 iii.** Aplicamos la misma torca durante el mismo desplazamiento angular a ambos cilindros. Entonces, de acuerdo con la ecuación (10.21), efectuamos la misma cantidad de trabajo sobre los dos cilindros y les impartimos la misma energía cinética a ambos. (El que tiene menor momento de inercia desarrolla la mayor rapidez angular, aunque eso no es lo que se preguntó. Compare con el ejemplo conceptual 6.5 de la sección 6.2).

**10.5 a) no, b) sí** Conforme la pelota da vuelta al círculo, la magnitud de  $\vec{p} = m\vec{v}$  no cambia (la rapidez es constante), pero su dirección sí lo hace, así que el vector momento lineal no es constante. Sin embargo,  $\vec{L} = \vec{r} \times \vec{p}$  sí es constante: la magnitud se mantiene constante (la rapidez y la distancia perpendicular entre la mano y la pelota no cambian), y la dirección también es constante (sobre el eje de rotación, perpendicular al plano de movimiento de la pelota). El momento lineal cambia porque una fuerza neta  $\vec{F}$  actúa sobre la pelota (hacia el centro del círculo). El momento angular permanece constante porque no hay *torca neta*; el vector  $\vec{r}$  apunta de la mano a la pelota, y la fuerza  $\vec{F}$  que actúa sobre la pelota apunta hacia la mano, de modo que el producto vectorial  $\vec{\tau} = \vec{r} \times \vec{F}$  es cero.

**10.6 i.** En ausencia de torcas externas, el momento angular de la Tierra  $L_z = I\omega_z$  permanecería constante. El hielo derretido se desplazaría de los polos al ecuador (es decir, se alejaría del eje de rotación del planeta) y el momento de inercia  $I$  de la Tierra aumentaría un poco. Por lo tanto, la velocidad angular  $\omega_z$  disminuiría ligeramente y el día duraría un poco más.

**10.7 iii.** Al duplicar la masa del volante se duplicaría tanto su momento de inercia  $I$  como su peso  $w$ , así que la razón  $I/w$  no cambiaría. La ecuación (10.33) indica que la rapidez angular de precesión depende de esta razón, así que el valor de  $\Omega$  no cambiaría.

### Problema práctico

a)  $h = \frac{2R}{5}$    b)  $\frac{5}{7}$  de la rapidez que tenía justo después del golpe



Este acueducto romano utiliza el principio del arco para sostener el peso de la estructura y el agua que transporta. ¿Los bloques que forman el arco **i.** están comprimidos, **ii.** se encuentran estirados, **iii.** tienen una combinación de compresión y estiramiento, o **iv.** no están comprimidos ni estirados?

# 11 EQUILIBRIO Y ELASTICIDAD

## OBJETIVOS DE APRENDIZAJE

Al estudiar este capítulo, usted aprenderá:

- 11.1** Las condiciones que deben satisfacerse para que un cuerpo o una estructura estén en equilibrio.
- 11.2** Cuál es el centro de gravedad de un cuerpo, y cómo se relaciona con su estabilidad.
- 11.3** Cómo resolver problemas que implican cuerpos rígidos en equilibrio.
- 11.4** Cómo analizar situaciones en las que un cuerpo se deforma por tensión, compresión, presión o corte.
- 11.5** Qué sucede cuando un cuerpo se estira tanto que se deforma o se rompe.

Repase lo estudiado en la sección ...

- 4.2, 5.1** Primera ley de Newton.
- 5.3** Fricción estática.
- 6.3, 7.2** Ley de Hooke para un resorte ideal.
- 8.5** Centro de masa.
- 10.2, 10.5** Torca, dinámica rotacional y momento angular.

Nos hemos esforzado mucho por entender por qué y cómo los cuerpos aceleran en respuesta a las fuerzas que actúan sobre ellos; sin embargo, con frecuencia nos interesa asegurarnos de que los cuerpos *no* aceleren. Cualquier edificio, desde los rascacielos de muchos pisos hasta la cabaña más sencilla, debe diseñarse de modo que no se derrumbe. Lo mismo sucede con un puente colgante, una escalera recargada sobre una pared o una grúa que levanta un contenedor lleno de concreto.

Un cuerpo que se modela como *partícula* está en equilibrio siempre que la suma vectorial de todas las fuerzas que actúan sobre él sea cero. No obstante, en las situaciones que acabamos de describir, esa condición no basta. Si actúan fuerzas en diferentes puntos de un cuerpo, se debe satisfacer un requisito adicional para asegurar que el cuerpo no tenga tendencia a *girar*: la suma de todas las *torcas* alrededor de cualquier punto debe ser cero. Este requisito se basa en los principios de la dinámica rotacional que estudiamos en el capítulo 10. Es posible calcular la torca debida al peso de un cuerpo usando el concepto de centro de gravedad, que presentaremos en este capítulo.

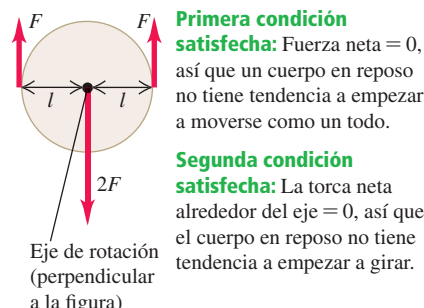
Los cuerpos rígidos idealizados no se doblan, no se estiran ni se comprimen cuando actúan fuerzas sobre ellos. Sin embargo, todos los materiales reales son *elásticos* y se deforman algo. Las propiedades elásticas de los materiales tienen enorme importancia. Se desea que las alas de un avión sean capaces de flexionarse un poco, pero que no se rompan. Los tendones de sus extremidades necesitan estirarse cuando usted hace ejercicio, pero deben regresar a la longitud relajada cuando usted se detiene. Muchas características de objetos cotidianos, desde las bandas de caucho hasta los puentes colgantes, dependen de las propiedades elásticas de los materiales. En este capítulo presentaremos los conceptos de *esfuerzo*, *deformación* y *módulo de elasticidad*, así como un principio sencillo, llamado *ley de Hooke*, que nos permite predecir las deformaciones que ocurrirán cuando se aplican fuerzas a un cuerpo real (que no es perfectamente rígido).

## 11.1 CONDICIONES DE EQUILIBRIO

**11.1** Para estar en equilibrio estático, un cuerpo en reposo debe satisfacer *ambas* condiciones de equilibrio: no tener propensión a acelerar como un todo ni empezar a girar.

a) **Este cuerpo está en equilibrio estático.**

Condiciones de equilibrio:



**Primera condición satisfecha:**

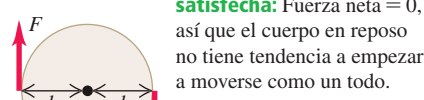
Fuerza neta = 0, así que un cuerpo en reposo no tiene tendencia a empezar a moverse como un todo.

**Segunda condición satisfecha:**

La torca neta alrededor del eje = 0, así que el cuerpo en reposo no tiene tendencia a empezar a girar.

b) **Este cuerpo no tiene tendencia a acelerar como un todo, pero tiene tendencia a empezar a girar.**

Condiciones de equilibrio:



**Primera condición satisfecha:**

Fuerza neta = 0, así que el cuerpo en reposo no tiene tendencia a empezar a moverse como un todo.

**Segunda condición NO satisfecha:**

Hay una torca neta en sentido de las manecillas del reloj alrededor del eje, así que el cuerpo en reposo comenzará a girar en sentido de las manecillas del reloj.

c) **Este cuerpo tiene tendencia a acelerar como un todo, pero no tiene tendencia a empezar a girar.**

Condiciones de equilibrio:



**Primera condición NO satisfecha:**

Hay una fuerza neta ascendente, así que el cuerpo en reposo comenzará a moverse hacia arriba.

**Segunda condición satisfecha:**

La torca neta alrededor del eje es igual a 0, así que el cuerpo en reposo no tiene tendencia a comenzar a girar.

En las secciones 4.2 y 5.1, aprendimos que una partícula está en *equilibrio* (es decir, no tiene aceleración) en un sistema de referencia inercial, si la suma vectorial de todas las fuerzas que actúan sobre ella es cero, de modo que  $\sum \vec{F} = \mathbf{0}$ . La expresión equivalente para un cuerpo es que el centro de masa del cuerpo no tiene aceleración cuando la resultante de la suma vectorial de todas las fuerzas externas que actúan sobre el cuerpo es cero, como vimos en la sección 8.5. Ésta suele denominarse **primera condición de equilibrio**. En términos de vectores y componentes,

**Primera condición de equilibrio:**

Para que el centro de masa de un cuerpo en reposo permanezca en reposo ...

$$\sum \vec{F} = \mathbf{0} \quad \text{sobre el cuerpo debe ser cero.} \quad (11.1)$$

Una segunda condición para que un cuerpo se encuentre en equilibrio es que no debe tener tendencia a *girar*. Un cuerpo rígido que, en un sistema de referencia inercial, no está girando alrededor de un punto tiene un momento angular cero alrededor de ese punto. Para que el cuerpo no comience a girar en torno a ese punto, la razón de cambio del momento angular *también* debe ser cero. Por lo que vimos en la sección 10.5, sobre todo por la ecuación (10.29), esto implica que la suma de torcas debidas a todas las fuerzas externas que actúan sobre el cuerpo debe ser cero. Un cuerpo rígido en equilibrio no debe tener tendencia a girar alrededor de *ningún* punto, por lo que la suma de todas las torcas externas con respecto a cualquier punto debe ser cero. Ésta es la **segunda condición de equilibrio**:

**Segunda condición de equilibrio:**

Para que un cuerpo que no está girando permanezca sin girar...

$$\sum \vec{\tau} = \mathbf{0} \quad \text{... la torca neta externa alrededor de cualquier punto en el cuerpo debe ser cero.} \quad (11.2)$$

En este capítulo aplicaremos estas dos condiciones de equilibrio a situaciones en las que un cuerpo rígido está en reposo (sin traslación ni rotación). Se dice que tal cuerpo se encuentra en **equilibrio estático** (**figura 11.1**). Sin embargo, las mismas condiciones son válidas para un cuerpo rígido con movimiento de *traslación uniforme* (sin rotación), como un avión que vuela con rapidez, dirección y altitud constantes. Un cuerpo así está en equilibrio, pero no es estático.

### EVALÚE SU COMPRENSIÓN DE LA SECCIÓN 11.1

¿Cuáles de las siguientes situaciones satisfacen las dos condiciones de equilibrio? i. Una gaviota que planea con un ángulo constante bajo la horizontal y mantiene su rapidez constante; ii. el cigüeñal del motor de un automóvil estacionado que gira con rapidez angular creciente; iii. una pelota de béisbol lanzada que no gira al desplazarse por el aire. |

## 11.2 CENTRO DE GRAVEDAD

En la mayoría de los problemas de equilibrio, una de las fuerzas que actúa sobre un cuerpo es su peso. Es necesario calcular la *torca* de esta fuerza. El peso no actúa en un solo punto, sino que se distribuye en todo el cuerpo. No obstante, siempre se puede calcular la torca debida al peso del cuerpo suponiendo que toda la fuerza de gravedad (el peso) se concentra en un punto llamado **centro de gravedad** (abreviado “cg”). La aceleración debida a la gravedad disminuye con la altura; sin embargo, si esta variación a lo largo de la dimensión vertical del cuerpo es despreciable, el centro de gravedad es idéntico al *centro de masa* (cm) que definimos en la sección 8.5. Este resultado lo expresamos en la sección 10.2 sin demostrarlo; ahora lo haremos.

Repasemos primero la definición de centro de masa. Para un conjunto de partículas con masas  $m_1, m_2, \dots$  y coordenadas  $(x_1, y_1, z_1), (x_2, y_2, z_2), \dots$ , las coordenadas  $x_{\text{cm}}$ ,  $y_{\text{cm}}$  y  $z_{\text{cm}}$  del centro de masa están dadas por

$$\begin{aligned} x_{\text{cm}} &= \frac{m_1 x_1 + m_2 x_2 + m_3 x_3 + \dots}{m_1 + m_2 + m_3 + \dots} = \frac{\sum_i m_i x_i}{\sum_i m_i} \\ y_{\text{cm}} &= \frac{m_1 y_1 + m_2 y_2 + m_3 y_3 + \dots}{m_1 + m_2 + m_3 + \dots} = \frac{\sum_i m_i y_i}{\sum_i m_i} \quad (\text{centro de masa}) \\ z_{\text{cm}} &= \frac{m_1 z_1 + m_2 z_2 + m_3 z_3 + \dots}{m_1 + m_2 + m_3 + \dots} = \frac{\sum_i m_i z_i}{\sum_i m_i} \end{aligned} \quad (11.3)$$

Además,  $x_{\text{cm}}$ ,  $y_{\text{cm}}$  y  $z_{\text{cm}}$  son las componentes del vector de posición  $\vec{r}_{\text{cm}}$  del centro de masa, de modo que las ecuaciones (11.3) son equivalentes a la ecuación vectorial

Vector de posición  
del centro de masa de  
un sistema de partículas

Vectores de posición de cada una de las partículas

Masas de cada una de las partículas

$$\vec{r}_{\text{cm}} = \frac{m_1 \vec{r}_1 + m_2 \vec{r}_2 + m_3 \vec{r}_3 + \dots}{m_1 + m_2 + m_3 + \dots} = \frac{\sum_i m_i \vec{r}_i}{\sum_i m_i} \quad (11.4)$$

Consideremos ahora la torca gravitacional que actúa sobre un cuerpo de forma arbitraria (**figura 11.2**). Suponemos que la aceleración debida a la gravedad  $\vec{g}$  es la misma en todos los puntos del cuerpo. Cada partícula del cuerpo experimenta una fuerza gravitacional, y el peso total es la suma vectorial de un gran número de fuerzas paralelas. Una partícula típica tiene masa  $m_i$  y peso  $\vec{w}_i = m_i \vec{g}$ . Si  $\vec{r}_i$  es el vector de posición de la partícula con respecto a un origen arbitrario  $O$ , entonces el vector torca  $\vec{\tau}_i$  del peso  $\vec{w}_i$  con respecto a  $O$  es, de acuerdo con la ecuación (10.3),

$$\vec{\tau}_i = \vec{r}_i \times \vec{w}_i = \vec{r}_i \times m_i \vec{g}$$

La torca *total* debida a las fuerzas gravitacionales que actúan sobre todas las partículas es

$$\begin{aligned} \vec{\tau} &= \sum_i \vec{\tau}_i = \vec{r}_1 \times m_1 \vec{g} + \vec{r}_2 \times m_2 \vec{g} + \dots \\ &= (m_1 \vec{r}_1 + m_2 \vec{r}_2 + \dots) \times \vec{g} \\ &= \left( \sum_i m_i \vec{r}_i \right) \times \vec{g} \end{aligned}$$

Si multiplicamos y dividimos esto por la masa total del cuerpo,

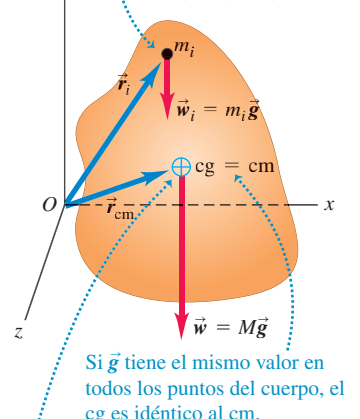
$$M = m_1 + m_2 + \dots = \sum_i m_i$$

obtenemos

$$\vec{\tau} = \frac{m_1 \vec{r}_1 + m_2 \vec{r}_2 + \dots}{m_1 + m_2 + \dots} \times M \vec{g} = \frac{\sum_i m_i \vec{r}_i}{\sum_i m_i} \times M \vec{g}$$

## 11.2 Centro de gravedad (cg) y centro de masa (cm) de un cuerpo.

La torca gravitacional alrededor de  $O$  sobre una partícula de masa  $m_i$  dentro del cuerpo es  $\vec{\tau}_i = \vec{r}_i \times \vec{w}_i$ .



Si  $\vec{g}$  tiene el mismo valor en todos los puntos del cuerpo, el cg es idéntico al cm.

La torca gravitacional neta alrededor de  $O$  en todo el cuerpo puede obtenerse suponiendo que todo el peso actúa en el cg:  $\vec{\tau} = \vec{r}_{\text{cm}} \times \vec{w}$ .

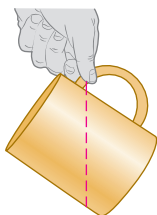
**11.3** La aceleración debida a la gravedad en la base de las Torres Petronas de Malasia, cuya altura es de 452 m, es sólo 0.014% mayor que en la punta. El centro de gravedad de las torres está sólo 2 cm abajo del centro de masa.



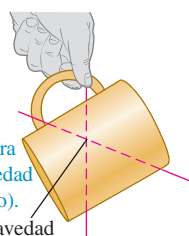
**11.4** Obtención del centro de gravedad de un objeto con forma irregular; en este caso, un tarro de café.

¿Cuál es el centro de gravedad de este tarro?

- ① Haga que el tarro cuelgue de un punto cualquiera. Una línea vertical que se extienda hacia abajo desde el punto de suspensión pasa por el centro de gravedad.



- ② Ahora cuelgue el tarro de un punto diferente. Una línea vertical que se extienda hacia abajo desde este punto interseca la primera línea del centro de gravedad (que está dentro del tarro).



Centro de gravedad

La fracción en esta ecuación es justamente el vector de posición  $\vec{r}_{\text{cm}}$  del centro de masa, con componentes  $x_{\text{cm}}$ ,  $y_{\text{cm}}$  y  $z_{\text{cm}}$  dadas por la ecuación (11.4), y  $M\vec{g}$  es igual al peso total  $\vec{w}$  del cuerpo. Por lo tanto,

$$\vec{\tau} = \vec{r}_{\text{cm}} \times M\vec{g} = \vec{r}_{\text{cm}} \times \vec{w} \quad (11.5)$$

La torca gravitacional total, dada por la ecuación (11.5), es la misma que si el peso total  $\vec{w}$  estuviera actuando en la posición  $\vec{r}_{\text{cm}}$  del centro de masa, que también llamamos *centro de gravedad*. Si  $\vec{g}$  tiene el mismo valor en todos los puntos de un cuerpo, su centro de gravedad es idéntico a su centro de masa. Observe, sin embargo, que el centro de masa se define independientemente de cualquier efecto gravitacional.

Si bien el valor de  $\vec{g}$  varía un poco con la altura, la variación es pequeñísima (**figura 11.3**). Por ello, en este capítulo supondremos que el centro de masa y el de gravedad son idénticos, a menos que se indique explícitamente otra cosa.

## Obtención y uso del centro de gravedad

A menudo se usan consideraciones de simetría para obtener el centro de gravedad de un cuerpo, al igual que hicimos con el centro de masa. El centro de gravedad de una esfera, un cubo, un disco o una placa rectangular homogéneos está en su centro geométrico. El centro de gravedad de un cilindro o cono circulares rectos está en su eje de simetría.

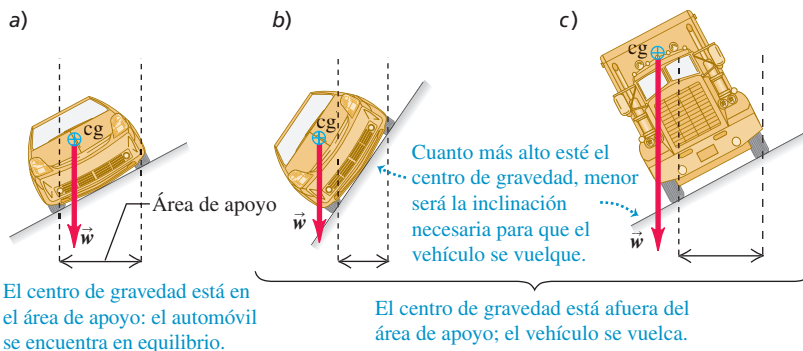
En los cuerpos de forma más compleja, en ocasiones es posible obtener el centro de gravedad dividiendo el cuerpo en piezas simétricas. Podríamos aproximar el cuerpo humano, por ejemplo, como un conjunto de cilindros sólidos, considerando la cabeza como una esfera. Luego podríamos ubicar el centro de gravedad de la combinación usando las ecuaciones (11.3), donde  $m_1, m_2, \dots$  son las masas de las piezas individuales y  $(x_1, y_1, z_1), (x_2, y_2, z_2), \dots$  son las coordenadas de sus centros de gravedad.

Cuando un cuerpo en equilibrio rotacional sobre el que actúa la gravedad se apoya o suspende en un solo punto, el centro de gravedad siempre está en dicho punto de apoyo, o directamente arriba o abajo de éste. Si estuviera en otro lugar, el peso tendría una torca con respecto al punto de suspensión, y el cuerpo no estaría en equilibrio rotacional. La **figura 11.4** muestra una aplicación de esta idea.

Siguiendo el mismo razonamiento, es evidente que un cuerpo apoyado en varios puntos debe tener su centro de gravedad en algún lugar dentro del área delimitada por los apoyos. Esto explica por qué un automóvil puede viajar por un camino recto pero inclinado hacia un lado si el ángulo de inclinación es relativamente pequeño (**figura 11.5a**), pero se volcará si el ángulo es muy pronunciado (**figura 11.5b**). El camión de la **figura 11.5c** tiene un centro de gravedad más alto que el del automóvil y se volcará en una pendiente menos inclinada.

Cuanto más bajo esté el centro de gravedad y mayor sea el área de apoyo, más difícil será volcar un cuerpo. Los cuadrúpedos como los venados y los caballos tienen un área de apoyo grande delimitada por sus patas; por lo tanto, son estables por naturaleza y sólo necesitan pies pequeños o cascos. Los animales que caminan erguidos en dos piernas, como el ser humano y las aves, necesitan piernas relativamente grandes para

**11.5** En a), el centro de gravedad está dentro del área delimitada por los soportes y el automóvil está en equilibrio. El automóvil en b) y el camión en c) se volcarán porque sus centros de gravedad están fuera del área de apoyo.



tener un área de apoyo razonable. Si un bípedo mantiene su cuerpo aproximadamente horizontal, como un pollo o un *Tyrannosaurus rex* (*T. rex*), deberá balancearse delicadamente al caminar para mantener su centro de gravedad sobre la pata que está en el suelo. El pollo lo hace moviendo la cabeza; el *T. rex* probablemente lo hacía moviendo la enorme cola.



DEMO



### EJEMPLO 11.1 CAMINANDO POR UNA TABLA

Una tabla uniforme, de longitud  $L = 6.0\text{ m}$  y masa  $M = 90\text{ kg}$ , descansa sobre dos caballetes separados una distancia  $D = 1.5\text{ m}$ , y equidistantes del centro de la tabla. El primo Throckmorton quiere ponerse de pie en el extremo derecho de la tabla. Si esta última no debe moverse, ¿qué masa máxima puede tener Throckmorton?

#### SOLUCIÓN

**IDENTIFICAR y PLANTEAR:** Justo para equilibrarse, la masa  $m$  de Throckmorton debe ser tal que el centro de gravedad del sistema tabla-Throcky esté directamente sobre el caballete de la derecha (**figura 11.6**). Tomamos el origen en  $C$ , el centro geométrico y centro de gravedad de la tabla, y tomamos el eje  $+x$  horizontalmente a la derecha. Entonces los centros de gravedad de la tabla y de Throcky están en  $x_p = 0$  y  $x_T = L/2 = 3.0\text{ m}$ , respectivamente, y el caballete

de la derecha está en  $x_S = D/2$ . Usaremos las ecuaciones (11.3) para ubicar el centro de gravedad  $x_{cg}$  del sistema tabla-Throcky.

**EJECUTAR:** De acuerdo con la primera de las ecuaciones (11.3),

$$x_{cg} = \frac{M(0) + m(L/2)}{M + m} = \frac{m}{M + m} \frac{L}{2}$$

Si consideramos que  $x_{cg} = x_S$  y despejamos  $m$ :

$$\frac{m}{M + m} \frac{L}{2} = \frac{D}{2}$$

$$mL = (M + m)D$$

$$m = M \frac{D}{L - D} = (90\text{ kg}) \frac{1.5\text{ m}}{6.0\text{ m} - 1.5\text{ m}} = 30\text{ kg}$$

**EVALUAR:** Para comprobar, repitamos el cálculo con el origen en el caballete de la derecha. Ahora  $x_S = 0$ ,  $x_p = -D/2$ , y  $x_T = (L/2) - (D/2)$ , y requerimos que  $x_{cg} = x_S = 0$ :

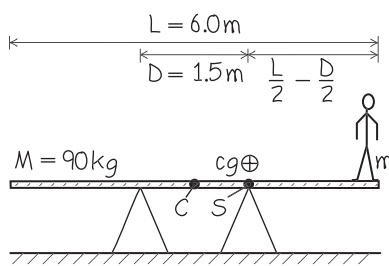
$$x_{cg} = \frac{M(-D/2) + m[(L/2) - (D/2)]}{M + m} = 0$$

$$m = \frac{MD/2}{(L/2) - (D/2)} = M \frac{D}{L - D} = 30\text{ kg}$$

El resultado no depende de la elección del origen.

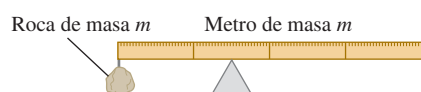
Un adulto de 60 kg sólo podría ponerse de pie a la mitad de la distancia entre el caballete de la derecha y el extremo de la tabla. ¿Sabe por qué?

#### 11.6 Diagrama para este problema.



**EVALÚE SU COMPRENSIÓN DE LA SECCIÓN 11.2** Una roca está sujetada al extremo izquierdo de un metro uniforme que tiene la misma masa que la roca. Para equilibrar la combinación de roca y metro en la cúspide del objeto triangular de la **figura 11.7**, ¿qué tan lejos del extremo izquierdo del metro debería colocarse el objeto triangular? **i.** A menos de 0.25 m; **ii.** a 0.25 m; **iii.** entre 0.25 m y 0.50 m; **iv.** a 0.50 m; **v.** a más de 0.50 m. |

**11.7** ¿En qué punto estarán en equilibrio el metro y la roca?



## 11.3 SOLUCIÓN DE PROBLEMAS DE EQUILIBRIO DE CUERPOS RÍGIDOS

Son sólo dos los principios clave del equilibrio de cuerpos rígidos: la suma vectorial de todas las fuerzas que actúan sobre el cuerpo debe ser cero, y la suma de todas las torcas con respecto a cualquier punto debe ser cero. Por sencillez, limitaremos nuestra atención a situaciones en las que podemos tratar a todas las fuerzas como si actuaran en un solo plano, que llamaremos  $xy$ . Entonces necesitamos considerar sólo las componentes  $x$  y  $y$  de la fuerza en la ecuación (11.1); y en la ecuación (11.2) necesitamos considerar únicamente las componentes  $z$  de la torca (perpendicular al plano). Entonces, la primera y segunda condiciones de equilibrio son

$$\begin{aligned} \sum F_x &= 0 & \text{y} & \sum F_y = 0 & \text{(primera condición de equilibrio, fuerzas en el plano } xy\text{)} \\ \sum \tau_z &= 0 & \text{(segunda condición de equilibrio, fuerzas en el plano } xy\text{)} \end{aligned} \quad (11.6)$$

**CUIDADO** Elección del punto de referencia para calcular torcas En problemas de equilibrio, la elección del punto de referencia para calcular torcas en  $\sum \tau_z$  es arbitraria por completo. No obstante, una vez que se elige un punto, se deberá usar el *mismo* punto para calcular *todas* las torcas que actúan sobre el cuerpo. Elija el punto que simplifique los cálculos tanto como sea posible. |

Lo difícil es aplicar estos principios sencillos a problemas específicos. La estrategia para resolver problemas 11.1 es muy similar a las sugerencias de la sección 5.1 para el equilibrio de una partícula; compárela con la estrategia para resolver problemas 10.1 (sección 10.2) para problemas de dinámica rotacional.

## ESTRATEGIA PARA RESOLVER PROBLEMAS 11.1 EQUILIBRIO DE UN CUERPO RÍGIDO

**IDENTIFICAR** los conceptos relevantes: La primera y la segunda condiciones de equilibrio ( $\sum F_x = 0$ ,  $\sum F_y = 0$  y  $\sum \tau_z = 0$ ) son aplicables a cualquier cuerpo rígido que no gire ni tenga una aceleración en el espacio.

**PLANTEAR** el problema aplicando los siguientes pasos:

1. Elabore un diagrama de la situación física e identifique el cuerpo en equilibrio que analizará. Dibuje el cuerpo con exactitud; *no* lo represente como un punto. Incluya dimensiones.
2. Dibuje un diagrama de cuerpo libre que muestre todas las fuerzas que actúan sobre el cuerpo. Muestre el punto del cuerpo donde actúa cada fuerza.
3. Elija los ejes de coordenadas y especifique su dirección. Defina el sentido positivo de rotación para las torcas. Represente las fuerzas en términos de sus componentes con respecto a los ejes elegidos.
4. Elija un punto de referencia alrededor del cual se calcularán las torcas. Elija cuidadosamente; se puede eliminar de la ecuación de

torcas cualquier fuerza cuya línea de acción pase por el punto que eligió. El cuerpo no necesariamente tiene que pivotar alrededor de un eje que pase por el punto de referencia.

**EJECUTAR** la solución como sigue:

1. Escriba ecuaciones que expresen las condiciones de equilibrio. Recuerde que  $\sum F_x = 0$ ,  $\sum F_y = 0$  y  $\sum \tau_z = 0$  son ecuaciones *individuales*. Se puede calcular la torca de una fuerza calculando por separado la torca de cada componente, cada una con su brazo de palanca y signo adecuados, y sumándolas.
2. Para obtener tantas ecuaciones como incógnitas haya, tal vez sea necesario calcular torcas con respecto a dos o más puntos de referencia; también elijalasc oncuidado.

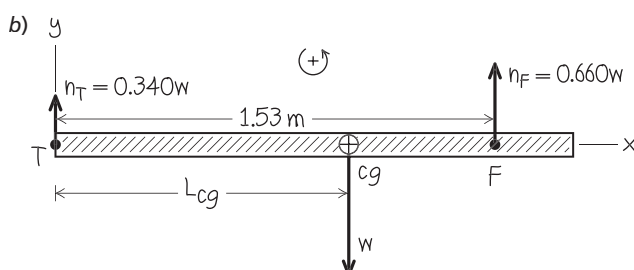
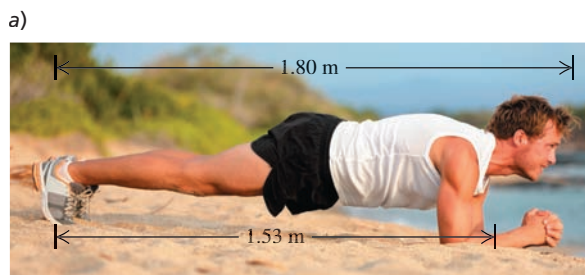
**EVALUAR** la respuesta: Compruebe los resultados escribiendo  $\sum \tau_z = 0$ , con respecto a un punto de referencia distinto. Se deben obtener las mismas respuestas.

## EJEMPLO 11.2 LOCALIZAR SU CENTRO DE GRAVEDAD MIENTRAS SE EJERCITA



La plancha (figura 11.8a) es una gran manera de fortalecer los músculos del abdomen, la espalda y los hombros. También puede utilizar esta posición de ejercicio para localizar su centro de gravedad. Sosteniendo la posición que simula una tabla con una báscula bajo sus dedos del pie y otra debajo de sus antebrazos, un atleta midió que el 66.0% de su peso estaba apoyado por sus antebrazos y el 34.0% por los dedos de los pies (es decir, las fuerzas normales totales de sus antebrazos y dedos de los pies eran de  $0.660w$  y  $0.340w$ , respectivamente, donde  $w$  es el peso del atleta). Él tiene una altura de 1.80 m y, en la posición de plancha, la distancia de sus dedos de los pies a la

11.8 Un atleta en posición de plancha.



mitad de sus antebrazos es de 1.53 m. ¿Qué tan lejos de sus dedos de los pies está su centro de gravedad?

### SOLUCIÓN

**IDENTIFICAR Y PLANTEAR:** Se pueden usar las dos condiciones de equilibrio, ecuaciones (11.6), para un atleta en reposo. Por lo tanto, la fuerza y la torca netas sobre el atleta son iguales a cero. La figura 11.8b muestra un diagrama de cuerpo libre, junto con los ejes  $x$  y  $y$ , y la convención de que las torcas positivas van en sentido contrario a las manecillas del reloj. El peso  $w$  actúa en el centro de gravedad, que está entre los dos apoyos (como debe ser; vea la sección 11.2). Nuestra incógnita es la distancia  $L_{cg}$ , el brazo de palanca del peso con respecto a los dedos de los pies es  $T$ , así que es razonable tomar las torcas con respecto a  $T$ . La torca debida al peso es negativa (tiende a causar una rotación en sentido de las manecillas del reloj alrededor de  $T$ ), y la torca debida a la fuerza normal hacia arriba  $F$  que actúa en los antebrazos es positiva (tiende a causar una rotación en sentido contrario a las manecillas del reloj alrededor de  $T$ ).

**EJECUTAR:** La primera condición de equilibrio se satisface (figura 11.8b):  $\sum F_x = 0$  porque no hay componentes de fuerza  $x$ , en tanto que  $\sum F_y = 0$  porque  $0.340w + 0.660w + (-w) = 0$ . Escribimos la ecuación de torca y despejamos  $L_{cg}$ :

$$\sum \tau_T = 0.340w(0) - wL_{cg} + 0.660w(1.53 \text{ m}) = 0 \\ L_{cg} = 1.01 \text{ m}$$

**EVALUAR:** El centro de gravedad está ligeramente debajo del ombligo de nuestro atleta (como sucede con la mayoría de la gente) y más cerca de sus antebrazos que de sus dedos de los pies; por eso sus antebrazos soportan la mayor parte de su peso. Puede comprobar nuestro resultado escribiendo la ecuación de la torca con respecto a los antebrazos  $F$ . Usted encontrará que su centro de gravedad está a 0.52 m de sus antebrazos, o  $(1.53 \text{ m}) - (0.52 \text{ m}) = 1.01 \text{ m}$  de sus dedos de los pies.



MÁS

### EJEMPLO 11.3 ¿SE DESLIZARÁ LA ESCALERA?

Sir Lancelot, quien pesa 800 N, está asaltando un castillo subiendo por una escalera uniforme de 5.0 m de longitud que pesa 180 N (**figura 11.9a**). La base de la escalera descansa sobre un extremo y se apoya en equilibrio a través del foso contra una pared vertical sin fricción del castillo. La escalera forma un ángulo de  $53.1^\circ$  con la horizontal. Lancelot hace una pausa a un tercio del camino hacia arriba de la escalera. *a)* Calcule las fuerzas normal y de fricción que actúan sobre la base de la escalera. *b)* Obtenga el coeficiente de fricción estática mínima que evita un deslizamiento de la base de la escalera. *c)* Calcule la magnitud y la dirección de la fuerza de contacto sobre la base de la escalera.

#### SOLUCIÓN

**IDENTIFICAR y PLANTEAR:** El sistema escalera-Lancelot está en reposo, así que podemos usar las dos condiciones de equilibrio para resolver el inciso *a*). En el inciso *b*) necesitaremos la relación entre la fuerza de fricción estática, el coeficiente de fricción estática y la fuerza normal (vea la sección 5.3). En el inciso *c*), la fuerza de contacto es la suma vectorial de las fuerzas normal y de fricción que actúan en la base de la escalera, obtenidas en el inciso *a*). La figura 11.9b) presenta el diagrama de cuerpo libre, con las direcciones *x* y *y* como se indica; tomamos las torcas en sentido contrario a las manecillas del reloj como positivas. El centro de gravedad de la escalera está en su centro geométrico. El peso de 800 N de Lancelot actúa en un punto a un tercio hacia arriba de la escalera.

La pared sólo ejerce una fuerza normal  $n_1$  en la parte superior de la escalera. Las fuerzas en la base son la fuerza normal  $n_2$  hacia arriba y la fuerza de fricción estática  $f_s$ , que debe apuntar a la derecha para evitar un deslizamiento; las magnitudes  $n_2$  y  $f_s$  son las incógnitas del inciso *a*). De acuerdo con la ecuación (5.4), estas magnitudes están relacionadas por  $f_s \leq \mu_s n_2$ , donde  $\mu_s$  es el coeficiente de fricción estática, la incógnita del inciso *b*).

**EJECUTAR:** *a)* De acuerdo con las ecuaciones (11.6), la primera condición de equilibrio da

$$\sum F_x = f_s + (-n_1) = 0$$

$$\sum F_y = n_2 + (-800 \text{ N}) + (-180 \text{ N}) = 0$$

Tenemos dos ecuaciones para las tres incógnitas:  $n_1$ ,  $n_2$  y  $f_s$ . La segunda ecuación da  $n_2 = 980 \text{ N}$ . Para obtener una tercera ecuación se usa la segunda condición de equilibrio. Tomamos torcas con respecto al punto *B*, alrededor del cual  $n_2$  y  $f_s$  no tienen torca. El ángulo de  $53.1^\circ$  forma un triángulo rectángulo de lados 3-4-5; entonces, a partir

de la figura 11.9b) el brazo de palanca del peso de la escalera es 1.5 m, el brazo de palanca del peso de Lancelot es 1.0 m, y el brazo de palanca de  $n_1$  es 4.0 m. La ecuación de torcas para *B* es

$$\begin{aligned}\sum \tau_B &= n_1(4.0 \text{ m}) - (180 \text{ N})(1.5 \text{ m}) \\ &\quad - (800 \text{ N})(1.0 \text{ m}) + n_2(0) + f_s(0) = 0\end{aligned}$$

Al despejar  $n_1$ , obtenemos  $n_1 = 268 \text{ N}$ . Sustituimos esto en la ecuación de  $\sum F_x = 0$  para obtener  $f_s = 268 \text{ N}$ .

*b)* La fuerza de fricción estática  $f_s$  no puede exceder  $\mu_s n_2$ , así que el coeficiente *mínimo* de fricción estática para evitar el deslizamiento es

$$(\mu_s)_{\min} = \frac{f_s}{n_2} = \frac{268 \text{ N}}{980 \text{ N}} = 0.27$$

*c)* Las componentes de la fuerza de contacto  $\vec{F}_B$  en la base son la fuerza de fricción estática  $f_s$  y la fuerza normal  $n_2$ , así que

$$\vec{F}_B = f_s \hat{i} + n_2 \hat{j} = (268 \text{ N}) \hat{i} + (980 \text{ N}) \hat{j}$$

La magnitud y la dirección de  $\vec{F}_B$  (figura 11.9c) son

$$F_B = \sqrt{(268 \text{ N})^2 + (980 \text{ N})^2} = 1020 \text{ N}$$

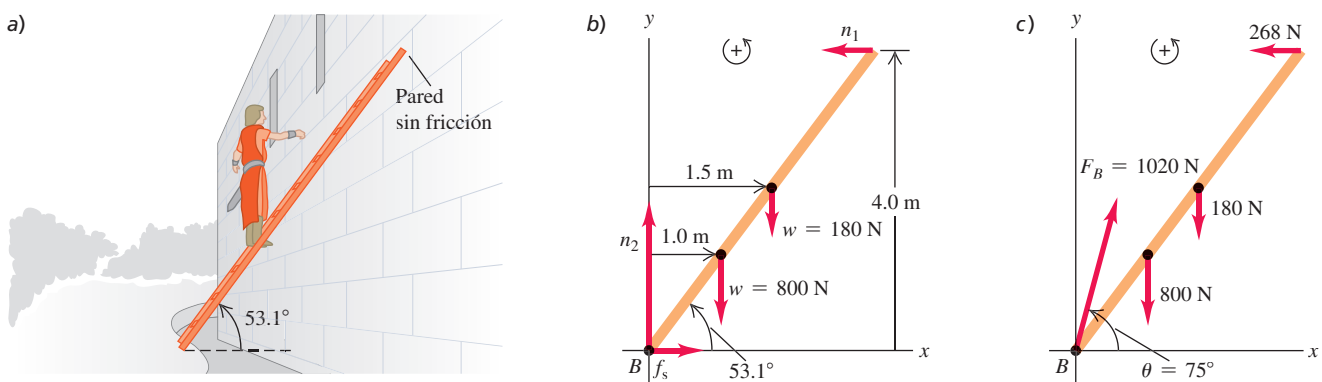
$$\theta = \arctan \frac{980 \text{ N}}{268 \text{ N}} = 75^\circ$$

**EVALUAR:** Como se aprecia en la figura 11.9c, la fuerza de contacto  $\vec{F}_B$  no está dirigida a lo largo de la escalera. ¿Puede usted demostrar que si  $\vec{F}_B$  estuviera dirigida a lo largo de la escalera, habría una torca neta en sentido contrario a las manecillas del reloj con respecto a la parte superior de la escalera y el equilibrio sería imposible?

Conforme Lancelot sube más por la escalera, el brazo de palanca y la torca de su peso con respecto a *B* aumentan. Esto incrementa los valores de  $n_1$ ,  $f_s$  y el coeficiente requerido de fricción  $(\mu_s)_{\min}$ ; entonces, será cada vez más probable que la escalera se deslice conforme sube (vea el ejercicio 11.10). Una manera sencilla de hacer menos probable el deslizamiento es usar un ángulo más grande de la escalera (digamos,  $75^\circ$  en lugar de  $53.1^\circ$ ). Esto reduce los brazos de palanca con respecto a *B* de los pesos de la escalera y Lancelot, y aumenta el brazo de palanca de  $n_1$ ; todo esto reduciría la fuerza de fricción requerida.

Si hubiéramos supuesto fricción en la pared además del piso, el problema no se hubiera resuelto usando sólo las condiciones de equilibrio (inténtelo!). La dificultad es que el cuerpo ya no puede tratarse como perfectamente rígido. Otro problema de este tipo es una mesa de cuatro patas; no podemos usar sólo las condiciones de equilibrio para calcular la fuerza que actúa en cada pata.

**11.9 a)** Sir Lancelot se detiene a un tercio en su trayecto hacia arriba de la escalera, temiendo que resbalará. **b)** Diagrama de cuerpo libre del sistema escalera-Lancelot. **c)** La fuerza de contacto en *B* es la superposición de la fuerza normal y la fuerza de fricción estática.





### EJEMPLO 11.4 EQUILIBRIO Y EJERCICIO FÍSICO

La figura 11.10a muestra un brazo humano horizontal que está levantando una mancuerna. El antebrazo está en equilibrio bajo la acción del peso  $\vec{w}$  de la mancuerna, la tensión  $\vec{T}$  del tendón conectado al bíceps, y la fuerza  $\vec{E}$  ejercida sobre el antebrazo por la parte superior del brazo, en el codo. Se desprecia el peso del antebrazo (por claridad, se exageró la distancia del codo al punto A donde se une el tendón). Dados el peso  $w$  y el ángulo  $\theta$  entre la fuerza de tensión y la horizontal, obtenga  $T$  y las dos componentes de  $\vec{E}$  (tres incógnitas escalares en total).

#### SOLUCIÓN

**IDENTIFICAR Y PLANTEAR:** El sistema está en reposo, así que usamos las condiciones de equilibrio. Representamos  $\vec{T}$  y  $\vec{E}$  en términos de sus componentes (figura 11.10b). Suponemos que las direcciones de  $E_x$  y  $E_y$  son las que se indican; los signos de  $E_x$  y  $E_y$  dados por la solución nos indicarán las direcciones reales. Las incógnitas son  $T$ ,  $E_x$  y  $E_y$ .

**EJECUTAR:** Para obtener  $T$ , tomamos las torcas con respecto al codo de modo que la ecuación de torca resultante no tenga  $E_x$ ,  $E_y$  ni  $T_x$ ; luego, despejamos  $T_y$  y, por lo tanto, a  $T$ :

$$\sum \tau_{\text{codo}} = Lw - DT_y = 0$$

$$T_y = \frac{Lw}{D} = T \sin \theta \quad \text{y} \quad T = \frac{Lw}{D \sin \theta}$$

Para calcular  $E_x$  y  $E_y$ , usamos las primeras condiciones de equilibrio:

$$\sum F_x = T_x + (-E_x) = 0$$

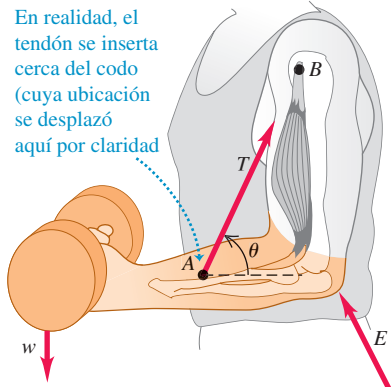
$$\begin{aligned} E_x &= T_x = T \cos \theta = \frac{Lw}{D \sin \theta} \cos \theta \\ &= \frac{Lw}{D} \cot \theta = \frac{Lw}{D} \frac{D}{h} = \frac{Lw}{h} \end{aligned}$$

$$\sum F_y = T_y + E_y + (-w) = 0$$

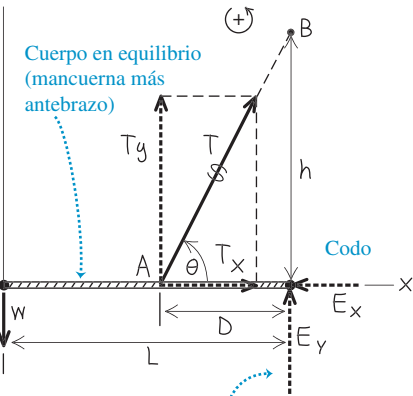
$$E_y = w - \frac{Lw}{D} = -\frac{(L-D)w}{D}$$

**11.10 a)** La situación. **b)** Diagrama de cuerpo libre del antebrazo. Se desprecia el peso del antebrazo y se exagera mucho la distancia  $D$  para efectos de claridad.

a)



b)



No sabemos cuál es el signo de esta componente; la dibujamos como positiva por conveniencia.

El signo negativo de  $E_y$  indica que en realidad debería apuntar *hacia abajo* en la figura 11.10b.

**EVALUAR:** Podemos comprobar los resultados de  $E_x$  y  $E_y$  tomando las torcas con respecto a los puntos A y B, alrededor de los cuales la torca de  $T$  es cero:

$$\sum \tau_A = (L - D)w + DE_y = 0 \quad \text{así que} \quad E_y = -\frac{(L - D)w}{D}$$

$$\sum \tau_B = Lw - hE_x = 0 \quad \text{así que} \quad E_x = \frac{Lw}{h}$$

Como ejemplo realista, supongamos que  $w = 200 \text{ N}$ ,  $D = 0.050 \text{ m}$ ,  $L = 0.30 \text{ m}$  y  $\theta = 80^\circ$ , de modo que  $h = D \tan \theta = (0.050 \text{ m})(5.67) = 0.28 \text{ m}$ . Usando los resultados de  $T$ ,  $E_x$  y  $E_y$ , obtenemos

$$T = \frac{Lw}{D \sin \theta} = \frac{(0.30 \text{ m})(200 \text{ N})}{(0.050 \text{ m})(0.98)} = 1220 \text{ N}$$

$$\begin{aligned} E_y &= -\frac{(L - D)w}{D} = -\frac{(0.30 \text{ m} - 0.050 \text{ m})(200 \text{ N})}{0.050 \text{ m}} \\ &= -1000 \text{ N} \end{aligned}$$

$$E_x = \frac{Lw}{h} = \frac{(0.30 \text{ m})(200 \text{ N})}{0.28 \text{ m}} = 210 \text{ N}$$

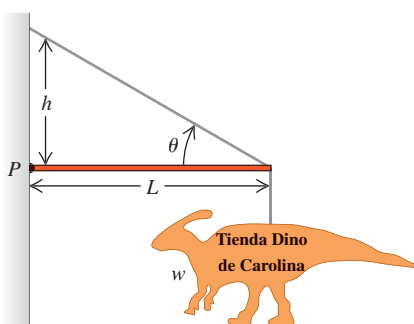
La magnitud de la fuerza en el codo es

$$E = \sqrt{E_x^2 + E_y^2} = 1020 \text{ N}$$

Observe que los valores de  $T$  y  $E$  son mucho más grandes que los 200 N de peso de la mancuerna. Un antebrazo pesa tan sólo unos 20 N, por lo que es razonable despreciar este peso.

### EVALÚE SU COMPRENSIÓN DE LA SECCIÓN 11.3 El anuncio metálico

(peso  $w$ ) de una tienda especializada cuelga del extremo de una varilla horizontal de longitud  $L$  y masa despreciable (**figura 11.11**). La varilla está sostenida por un cable que forma un ángulo  $\theta$  con la horizontal, y por una bisagra en el punto  $P$ . Ordene de mayor a menor las siguientes magnitudes de fuerza: **i.** el peso  $w$  del anuncio; **ii.** la tensión en el cable; **iii.** la componente vertical de la fuerza ejercida sobre la varilla por la bisagra en  $P$ . **¶**



## 11.4 ESFUERZO, DEFORMACIÓN Y MÓDULOS DE ELASTICIDAD

El cuerpo rígido es un modelo idealizado útil, pero en muchos casos el estiramiento, la compresión y la torsión de los cuerpos reales, cuando se les aplican fuerzas, son demasiado importantes para despreciarse. La **figura 11.12** muestra tres ejemplos. Nos interesa estudiar la relación entre las fuerzas y las deformaciones en cada caso.

No tiene que buscar mucho para encontrar un cuerpo deformable; es tan claro como el agua (**figura 11.13**). Si usted toma la punta de su nariz entre su índice dedo y pulgar, encontrará que cuanto más fuerte jala la nariz hacia afuera o la empuje hacia adentro, más se estira o comprime. Del mismo modo, cuánto más aprieta el dedo índice y el pulgar entre sí, más se comprime la punta de la nariz. Si intenta torcer la punta de la nariz, obtendrá una mayor cantidad de giro al aplicar fuerzas más intensas.

Estas observaciones ilustran una regla general. En cada caso, usted aplica un **esfuerzo** a su nariz: la cantidad de esfuerzo representa la intensidad de las fuerzas que causan la deformación, generalmente con base en la “fuerza por unidad de área”. Y en cada caso el esfuerzo causa **deformación** o tensión. Versiones más detalladas de los experimentos con la nariz sugieren que para esfuerzos relativamente pequeños, la tensión resultante es proporcional al esfuerzo: cuanto mayores sean las fuerzas de deformación, mayor será la deformación resultante. Esta proporcionalidad se llama **ley de Hooke**, y la razón entre esfuerzo y deformación se conoce como **módulo de elasticidad**:

$$\frac{\text{Esfuerzo}}{\text{Deformación}} = \text{Módulo de elasticidad}$$

(11.7)

**11.13** Cuando pellizca su nariz, la fuerza por área que le aplica se llama *presión*. El cambio fraccional en el tamaño de su nariz (el cambio en tamaño dividido entre el tamaño inicial) se llama *deformación*. La deformación es *elástica*, ya que su nariz regresa a su posición inicial cuando deja de pellizcarse.



**11.11** ¿Cuál es la tensión en el cable diagonal y cuál es la componente vertical de la fuerza que ejerce la bisagra en  $P$ ?

# LOS DATOS *HABLAN*

## Equilibrio del cuerpo rígido

Cuando a los estudiantes se les planteó un problema relacionado con el equilibrio de cuerpos rígidos, más del 24% dio una respuesta incorrecta.

## Erros comuns:

- No incluir un signo más o menos para considerar la dirección de la torca.
  - Olvidar que si una fuerza actúa en el punto con respecto al que se calculan las torcas, tal fuerza causa una torca cero.

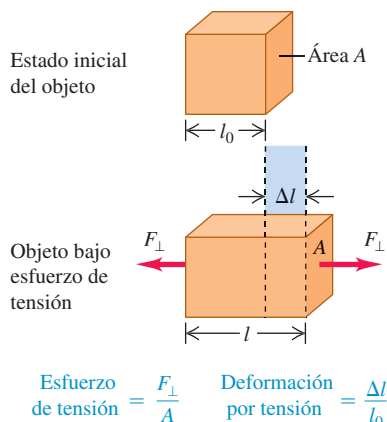
**11.12** Tres tipos de esfuerzos: a) Cuerdas de una guitarra sometidas a *esfuerzo de tensión*, estiradas por fuerzas que actúan en sus extremos. b) Buzo sometido a *esfuerzo volumétrico*, comprimido por todos lados por fuerzas debidas a la presión del agua. c) Listón sometido a *esfuerzo de corte*, que se deforma y finalmente se corta mediante la acción de las fuerzas que ejercen las tierras.



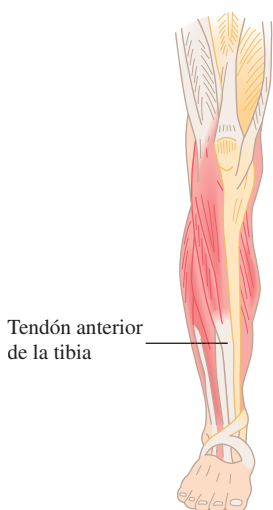
El valor del módulo elástico depende del material del cuerpo, pero no de su forma o tamaño. Si un material vuelve a su estado original después de que se elimina el esfuerzo, se llama **elástico**. La ley de Hooke es un caso especial del comportamiento elástico. En cambio, si el material permanece deformado después de que se ha eliminado el esfuerzo, se denomina **plástico**. Aquí consideraremos sólo comportamiento elástico; regresaremos al comportamiento plástico en la sección 11.5.

Usamos una forma de la ley de Hooke en la sección 6.3. El alargamiento de un resorte ideal es proporcional a la fuerza de estiramiento. Recuerde que la “ley” de Hooke en realidad no es una ley; es válida sólo sobre un rango limitado de esfuerzos. En la sección 11.5 veremos qué ocurre más allá del rango limitado.

**11.14** Un objeto en tensión. La fuerza neta que actúa sobre el objeto es cero, pero el objeto se deforma. El esfuerzo de tensión (la razón entre la fuerza y el área de sección transversal) produce una deformación por tensión (el alargamiento dividido entre la longitud inicial). Por claridad, se ha exagerado el alargamiento  $\Delta l$ .



**BIO Aplicación Módulo de Young de un tendón** El tendón anterior de la tibia une el pie con el músculo grande que va a lo largo de la tibia (se puede sentir este tendón en la parte frontal del tobillo). Las mediciones han demostrado que este tendón tiene un módulo de Young de  $1.2 \times 10^9$  Pa, mucho menor que el de los materiales sólidos mostrados en la tabla 11.1. Por lo tanto, este tendón se estira sustancialmente (hasta 2.5% de su longitud) en respuesta a los esfuerzos que se experimentan al caminar o al correr.



## Esfuerzo y deformación de tensión y compresión

El comportamiento elástico más fácil de entender es el estiramiento de una barra, una varilla o un alambre, cuando se tira de sus extremos (figura 11.12a). La **figura 11.14** muestra un objeto que inicialmente tiene un área de sección transversal uniforme  $A$  y una longitud  $l_0$ . Al aplicar fuerzas de igual magnitud  $F_{\perp}$  pero en sentidos opuestos en los extremos (lo cual garantiza que el objeto no tenderá a moverse a la izquierda ni a la derecha), decimos que el objeto está en tensión. Ya hablamos mucho de la tensión en cuerdas y cables; se trata del mismo concepto. El subíndice  $\perp$  nos recuerda que las fuerzas actúan en dirección perpendicular a la sección transversal.

Definimos el **esfuerzo de tensión** en la sección transversal como el cociente de la fuerza  $F_{\perp}$  y el área de la sección transversal  $A$ :

$$\text{Esfuerzo de tensión} = \frac{F_{\perp}}{A} \quad (11.8)$$

Ésta es una cantidad *escalar* porque  $F_{\perp}$  es la *magnitud* de la fuerza. La unidad de esfuerzo en el SI es el pascal (abreviado Pa y llamado así en honor del científico y filósofo francés del siglo XVII Blaise Pascal). La ecuación (11.8) indica que un pascal es igual a 1 newton por metro cuadrado ( $N/m^2$ ):

$$1 \text{ pascal} = 1 \text{ Pa} = 1 \text{ N/m}^2$$

En el sistema inglés, la unidad más común es la libra por pulgada cuadrada ( $\text{lb/in}^2$  o psi). Los factores de conversión son

$$1 \text{ psi} = 6895 \text{ Pa} \quad \text{y} \quad 1 \text{ Pa} = 1.450 \times 10^{-4} \text{ psi}$$

Las unidades de esfuerzo son las mismas que las de *presión*, que veremos a menudo en capítulos posteriores.

El objeto de la figura 11.14 se estira hasta una longitud  $l = l_0 + \Delta l$  cuando se le somete a tensión. El alargamiento (o elongación)  $\Delta l$  no se da sólo en los extremos; todas las partes del objeto se estiran en la misma proporción. La **deformación por tensión** del objeto es igual al cambio fraccionario de longitud, que es la razón del alargamiento  $\Delta l$  entre la longitud original  $l_0$ :

$$\text{Deformación por tensión} = \frac{l - l_0}{l_0} = \frac{\Delta l}{l_0} \quad (11.9)$$

La deformación por tensión es el alargamiento por unidad de longitud; es el cociente de dos longitudes medidas siempre en las mismas unidades, de modo que es un número puro (adimensional) sin unidades.

Experimentalmente, se ha observado que si el esfuerzo de tensión es lo suficiente pequeño, el esfuerzo y la deformación son proporcionales, como en la ecuación (11.7). El módulo de elasticidad correspondiente se denomina **módulo de Young** y se denota con  $Y$ :

<b>Módulo de Young por tensión</b>	<b>Fuerza perpendicular aplicada a la sección transversal</b>	<b>Longitud original (vea la figura 11.14)</b>
$Y =$	$\frac{\text{Esfuerzo de tensión}}{\text{Deformación por tensión}} = \frac{F_{\perp}/A}{\Delta l/l_0} = \frac{F_{\perp}}{A} \frac{l_0}{\Delta l}$	<b>Alargamiento (vea la figura 11.14)</b>
	<b>Área de la sección transversal del objeto</b>	

(11.10)

**TABLA 11.1** Módulos de elasticidad aproximados

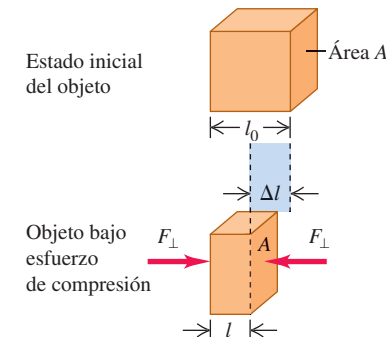
Material	Módulo de Young, $Y$ (Pa)	Módulo volumétrico, $B$ (Pa)	Módulo de corte, $S$ (Pa)
Aluminio	$7.0 \times 10^{10}$	$7.5 \times 10^{10}$	$2.5 \times 10^{10}$
Latón	$9.0 \times 10^{10}$	$6.0 \times 10^{10}$	$3.5 \times 10^{10}$
Cobre	$11 \times 10^{10}$	$14 \times 10^{10}$	$4.4 \times 10^{10}$
Hierro	$21 \times 10^{10}$	$16 \times 10^{10}$	$7.7 \times 10^{10}$
Plomo	$1.6 \times 10^{10}$	$4.1 \times 10^{10}$	$0.6 \times 10^{10}$
Níquel	$21 \times 10^{10}$	$17 \times 10^{10}$	$7.8 \times 10^{10}$
Goma de silicona	$0.001 \times 10^{10}$	$0.2 \times 10^{10}$	$0.0002 \times 10^{10}$
Aceros	$20 \times 10^{10}$	$16 \times 10^{10}$	$7.5 \times 10^{10}$
Tendón (típico)	$0.12 \times 10^{10}$	—	—

Puesto que la deformación es un número puro, las unidades del módulo de Young son las de esfuerzo: fuerza por unidad de área. En la **tabla 11.1** se presentan valores representativos (esta tabla también presenta valores de otros dos módulos de elasticidad que veremos más adelante en este capítulo). Un material con un valor grande de  $Y$  no se estira mucho; se requiere un esfuerzo considerable para ocasionar cierta deformación. Por ejemplo, el valor de  $Y$  para el acero colado ( $2 \times 10^{11}$  Pa) es mucho mayor que para el tendón ( $1.2 \times 10^9$  Pa).

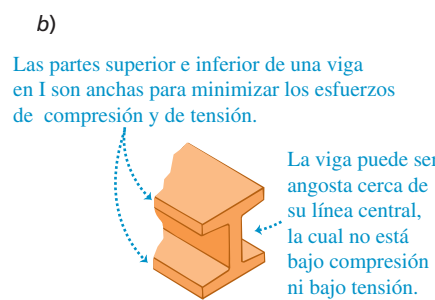
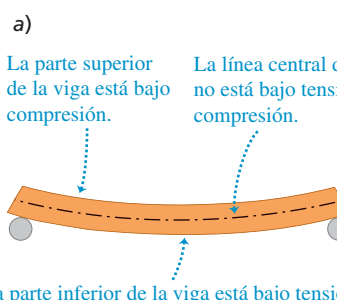
Si las fuerzas en los extremos de una barra empujan en lugar de jalar (**figura 11.15**), la barra está en **compresión**, y el esfuerzo es un esfuerzo de **compresión**. La **deformación por compresión** de un objeto en compresión se define del mismo modo que la deformación por tensión, sólo que  $\Delta l$  tiene la dirección opuesta. La ley de Hooke y la ecuación (11.10) son válidas para compresión y tensión si el esfuerzo de compresión no es muy grande. El módulo de Young de muchos materiales tiene el mismo valor para esfuerzos de tensión y de compresión. Los materiales compuestos como el concreto o el hormigón son una excepción; pueden soportar un esfuerzo de compresión, pero fallan bajo un esfuerzo de tensión comparable. En las antiguas civilizaciones como Babilonia, Asiria y Roma, la piedra fue el principal material utilizado en sus construcciones, de modo que éstas tuvieron que diseñarse para evitar esfuerzos de tensión. Esto explica por qué utilizaron los arcos en entradas y puentes, donde el peso del material que se encuentra encima comprime las piedras del arco, y no las pone en tensión.

En muchas situaciones, los cuerpos experimentan esfuerzos de tensión y compresión al mismo tiempo. Por ejemplo, una viga horizontal apoyada en sus extremos se pandea por su propio peso. En consecuencia, la parte superior de la viga está en compresión, y la inferior en tensión (**figura 11.16a**). Para reducir al mínimo el esfuerzo y, por ende, la deformación por flexión, las partes superior e inferior de la viga deben tener un área transversal grande. En la línea central de la viga no hay compresión ni tensión, así que esta parte puede tener una sección pequeña; esto ayuda a reducir al mínimo el peso de la viga y también a reducir el esfuerzo. El resultado es la conocida viga en forma de I utilizada en la construcción de edificios (**figura 11.16b**).

**11.15** Objeto en compresión. El esfuerzo y la deformación por compresión se definen igual que en el caso del esfuerzo y la deformación por tensión (vea la figura 11.13), excepto que ahora  $\Delta l$  denota la distancia que el objeto se contrae.



$$\text{Esfuerzo de compresión} = \frac{F_{\perp}}{A} \quad \text{Deformación por compresión} = \frac{\Delta l}{l_0}$$



**11.16** a) Una viga apoyada en sus extremos está sometida tanto a compresión como a tensión. b) La forma de la sección transversal de una viga en forma de I reduce al mínimo tanto el esfuerzo como el peso.



### EJEMPLO 11.5 ESFUERZO Y DEFORMACIÓN POR TENSIÓN

Una varilla de acero de 2.0 m de longitud tiene un área transversal de  $0.30 \text{ cm}^2$ . La varilla se cuelga por un extremo de un soporte y, después, una fresadora de 550 kg se cuelga del otro extremo. Determine el esfuerzo, la deformación y el alargamiento en la varilla.

#### SOLUCIÓN

**IDENTIFICAR, PLANTEAR y EJECUTAR:** La varilla está bajo tensión, de modo que se usa la ecuación (11.8) para obtener el esfuerzo de tensión; la ecuación (11.9), con el valor del módulo de Young  $Y$  del acero de la tabla 11.1, para calcular la deformación correspondiente; y la ecuación (11.10) para determinar el alargamiento  $\Delta l$ :

$$\text{Esfuerzo de tensión} = \frac{F_{\perp}}{A} = \frac{(550 \text{ kg})(9.8 \text{ m/s}^2)}{3.0 \times 10^{-5} \text{ m}^2} = 1.8 \times 10^8 \text{ Pa}$$

$$\text{Deformación} = \frac{\Delta l}{l_0} = \frac{\text{Esfuerzo}}{Y} = \frac{1.8 \times 10^8 \text{ Pa}}{20 \times 10^{10} \text{ Pa}} = 9.0 \times 10^{-4}$$

$$\begin{aligned}\text{Alargamiento} &= \Delta l = (\text{Deformación}) \times l_0 \\ &= (9.0 \times 10^{-4})(2.0 \text{ m}) = 0.0018 \text{ m} = 1.8 \text{ mm}\end{aligned}$$

**EVALUAR:** Este alargamiento tan pequeño, como resultado de una carga de más de media tonelada, pone de manifiesto la rigidez del acero (ignoramos el esfuerzo relativamente pequeño debido al peso de la propia viga).

#### BIO Aplicación Esfuerzo volumétrico

**sobre un pez** El rape (*Melanocetus johnsoni*) se encuentra en océanos de todo el mundo a profundidades del orden de 1000 m, donde la presión (es decir, la presión volumétrica) es de aproximadamente 100 atmósferas. El rape puede soportar esa presión debido a que no tiene espacios con aire en su interior, a diferencia de los peces que se encuentran a menor profundidad, donde las presiones son menores. El rape más grande mide aproximadamente 12 cm (5 in) de longitud.



### Esfuerzo y deformación volumétrica

Cuando un buzo se sumerge a cierta profundidad en el mar, el agua ejerce una presión casi uniforme en toda su superficie y reduce un poco su volumen (vea la figura 11.12b). Esta situación es diferente de los esfuerzos de tensión y compresión y de las deformaciones que hemos visto. La presión uniforme por todos lados en el cuerpo del buzo es un **esfuerzo volumétrico**, y la deformación resultante que implica un cambio de volumen es **deformación volumétrica**.

Si un objeto se sumerge en un fluido (ya sea líquido o gas) en reposo, el fluido ejerce fuerzas sobre todas las partes de la superficie del objeto; estas fuerzas son siempre *perpendiculares* a la superficie (si tratáramos de hacer que el fluido ejerciera una fuerza paralela a la superficie, el fluido se deslizaría hacia los lados para contrarrestar la acción). La fuerza  $F_{\perp}$  por unidad de área que el fluido ejerce sobre la superficie de un objeto sumergido es la **presión**  $p$  en el fluido:

$$\text{Presión en un fluido} \rightarrow p = \frac{F_{\perp}}{A} \quad \begin{array}{l} \text{Fuerza que el fluido aplica a la} \\ \text{superficie de un objeto sumergido} \\ \text{Área sobre la cual se ejerce la fuerza} \end{array} \quad (11.11)$$

La presión tiene las mismas unidades que el esfuerzo; las unidades de uso común incluyen 1 Pa (= 1 N/m<sup>2</sup>), 1 lb/in<sup>2</sup> (1 psi) y 1 **atmósfera** (1 atm). Una atmósfera es la presión media aproximada de la atmósfera terrestre al nivel del mar:

$$1 \text{ atmósfera} = 1 \text{ atm} = 1.013 \times 10^5 \text{ Pa} = 14.7 \text{ lb/in}^2$$

**CUIDADO** Presión contra fuerza A diferencia de la fuerza, la presión no tiene una dirección intrínseca: la presión en la superficie de un objeto sumergido es la misma, sea cual fuere la orientación de la superficie. Por lo tanto, la presión es una cantidad *escalar*, no vectorial. ■

La presión dentro de un fluido aumenta con la profundidad. La presión del agua en el océano aumenta aproximadamente 1 atm cada 10 m. No obstante, si un objeto sumergido es relativamente pequeño, se pueden ignorar las diferencias de presión al calcular el esfuerzo volumétrico. Por lo tanto, supondremos que la presión tiene el mismo valor para todos los puntos en la superficie del objeto sumergido.

La presión desempeña el papel del esfuerzo en una deformación volumétrica. La deformación correspondiente es el cambio fraccionario en el volumen (**figura 11.17**), es decir, la razón entre el cambio volumétrico  $\Delta V$  y el volumen original  $V_0$ :

$$\text{Deformación volumétrica} = \frac{\Delta V}{V_0} \quad (11.12)$$

La deformación volumétrica es el cambio volumétrico por unidad de volumen. Al igual que la deformación por tensión o compresión, es un número puro, sin unidades.

Si se cumple la ley de Hooke, un aumento en la presión (esfuerzo volumétrico) produce una deformación volumétrica (cambio fraccionario volumétrico) *proporcional*. El módulo de elasticidad correspondiente (relación esfuerzo-deformación) se denomina **módulo volumétrico** y se denota con  $B$ . Si la presión sobre un cuerpo cambia en una cantidad pequeña  $\Delta p$ , de  $p_0$  a  $p_0 + \Delta p$ , y la deformación volumétrica resultante es  $\Delta V/V_0$ , la ley de Hooke adopta la forma

$$\text{Módulo volumétrico para compresión} \quad B = \frac{\text{Esfuerzo volumétrico}}{\text{Deformación volumétrica}} = -\frac{\Delta p}{\Delta V/V_0} \quad \begin{array}{l} \text{Presión adicional sobre el objeto} \\ \text{Cambio en el volumen (vea la figura 11.17)} \end{array} \quad (11.13)$$

(vea la figura 11.17)

Se incluye un signo menos ( $-$ ) en esta ecuación porque un *aumento* de presión siempre causa una *reducción* volumétrica. En otras palabras, si  $\Delta p$  es positivo,  $\Delta V$  es negativo. El módulo volumétrico  $B$  en sí es una cantidad positiva.

En el caso de cambios de presión pequeños en un sólido o un líquido, se considera que  $B$  es constante. El módulo volumétrico de un *gas*, sin embargo, depende de la presión inicial  $p_0$ . La tabla 11.1 presenta valores de  $B$  para varios materiales sólidos. Sus unidades, fuerza por unidad de área, son las mismas de la presión (y del esfuerzo de tensión o compresión).

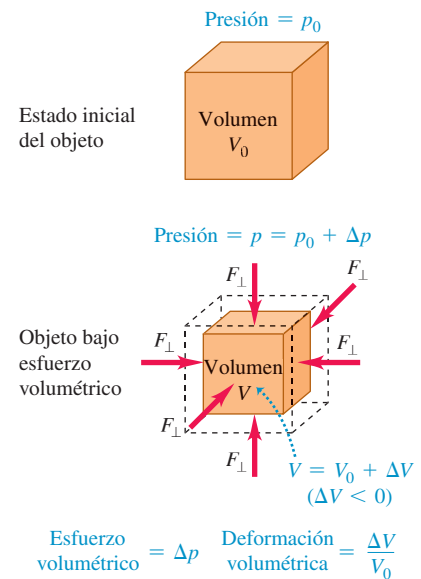
El recíproco del módulo volumétrico se denomina **compresibilidad** y se denota con  $k$ . De acuerdo con la ecuación (11.13),

$$k = \frac{1}{B} = -\frac{\Delta V/V_0}{\Delta p} = -\frac{1}{V_0} \frac{\Delta V}{\Delta p} \quad (\text{compresibilidad}) \quad (11.14)$$

La compresibilidad es la disminución fraccionaria volumétrica,  $-\Delta V/V_0$ , por unidad de aumento  $\Delta p$  de la presión. Las unidades de la compresibilidad son *inversas a las de presión*,  $\text{Pa}^{-1}$  (o  $\text{atm}^{-1}$ ).

En la **tabla 11.2** se presentan valores de compresibilidad  $k$  para varios líquidos. La compresibilidad del agua, por ejemplo, es de  $46.4 \times 10^{-6} \text{ atm}^{-1}$ , lo cual significa que, por cada aumento de 1 atm en la presión, el volumen del agua disminuye en 46.4 partes por millón. Los materiales con módulo volumétrico pequeño y compresibilidad grande  $k$  son fáciles de comprimir.

**11.17** Objeto sometido a un esfuerzo volumétrico. Si no hay esfuerzo, el cubo ocupa un volumen  $V_0$ ; cuando se aplica el esfuerzo, el cubo tiene un volumen menor,  $V$ . Por claridad, se exageró el cambio volumétrico  $\Delta V$ .



**Compresibilidades de líquidos**

**TABLA 11.2**

Líquido	Compresibilidad, $k$	
	$\text{Pa}^{-1}$	$\text{atm}^{-1}$
Disulfuro de carbono	$93 \times 10^{-11}$	$94 \times 10^{-6}$
Alcohol etílico	$110 \times 10^{-11}$	$111 \times 10^{-6}$
Glicerina	$21 \times 10^{-11}$	$21 \times 10^{-6}$
Mercurio	$3.7 \times 10^{-11}$	$3.8 \times 10^{-6}$
Agua	$45.8 \times 10^{-11}$	$46.4 \times 10^{-6}$

## EJEMPLO 11.6 ESFUERZO Y DEFORMACIÓN VOLUMÉTRICOS



Una prensa hidráulica contiene  $0.25 \text{ m}^3$  (250 L) de aceite. Calcule la disminución volumétrica del aceite cuando se somete a un aumento de presión  $\Delta p = 1.6 \times 10^7 \text{ Pa}$  (unas 160 atm o 2300 psi). El módulo volumétrico del aceite es  $B = 5.0 \times 10^9 \text{ Pa}$  (aproximadamente  $5.0 \times 10^4 \text{ atm}$ ) y su compresibilidad es  $k = 1/B = 20 \times 10^{-6} \text{ atm}^{-1}$ .

### SOLUCIÓN

**IDENTIFICAR, PLANTEAR y EJECUTAR:** Este ejemplo utiliza los conceptos de esfuerzo y deformación volumétricos. Nos dan el módulo volumétrico y la compresibilidad, y la incógnita es el cambio volumétrico  $\Delta V$ . Despejando  $\Delta V$  de la ecuación (11.13), obtenemos

$$\Delta V = -\frac{V_0 \Delta p}{B} = -\frac{(0.25 \text{ m}^3)(1.6 \times 10^7 \text{ Pa})}{5.0 \times 10^9 \text{ Pa}}$$

$$= -8.0 \times 10^{-4} \text{ m}^3 = -0.80 \text{ L}$$

O bien, podemos usar la ecuación (11.14) con las conversiones aproximadas de unidades proporcionadas anteriormente:

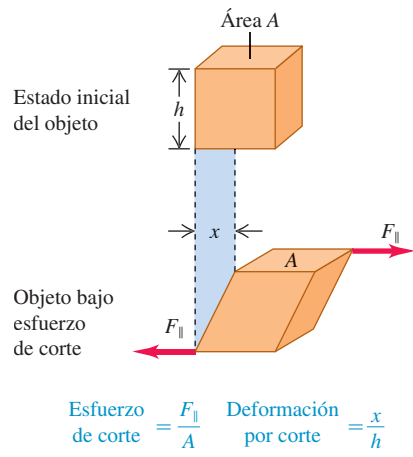
$$\Delta V = -kV_0 \Delta p = -(20 \times 10^{-6} \text{ atm}^{-1})(0.25 \text{ m}^3)(160 \text{ atm})$$

$$= -8.0 \times 10^{-4} \text{ m}^3$$

**EVALUAR:** El valor negativo de  $\Delta V$  indica que el volumen disminuye cuando la presión aumenta. Si bien el aumento de 160 atm de presión es grande, el cambio *fraccionario* volumétrico es muy pequeño:

$$\frac{\Delta V}{V_0} = \frac{-8.0 \times 10^{-4} \text{ m}^3}{0.25 \text{ m}^3} = -0.0032 \quad \text{o bien, } -0.32\%$$

**11.18** Objeto sometido a un esfuerzo de corte. Se aplican fuerzas tangentes a superficies opuestas del objeto (en contraste con la situación de la figura 11.14, donde las fuerzas actúan en forma perpendicular a las superficies). Por claridad, se exagera la deformación  $x$ .



## Esfuerzo y deformación por corte

El tercer tipo de situación de esfuerzo-deformación se denomina *corte*. El listón de la figura 11.12c está sometido a un **esfuerzo de corte**: una parte del listón se está empujando hacia arriba, mientras una parte adyacente se está empujando hacia abajo, lo que produce un cambio de forma del listón. La **figura 11.18** muestra un cuerpo deformado por un esfuerzo de corte. En la figura, fuerzas de igual magnitud pero sentido opuesto actúan de forma *tangente* a las superficies de extremos opuestos del objeto. Definimos el esfuerzo de corte como la fuerza  $F_{\parallel}$  que actúa de forma tangente a la superficie, dividida entre el área  $A$  sobre la que actúa:

$$\text{Esfuerzo de corte} = \frac{F_{\parallel}}{A} \quad (11.15)$$

Al igual que los otros dos tipos de esfuerzo, el esfuerzo de corte es una fuerza por unidad de área.

La figura 11.18 muestra que una cara del objeto sometido a esfuerzo de corte se desplaza una distancia  $x$  relativa a la cara opuesta. Definimos la **deformación por corte** como la razón entre el desplazamiento  $x$  y la dimensión transversal  $h$ :

$$\text{Deformación por corte} = \frac{x}{h} \quad (11.16)$$

En situaciones reales,  $x$  casi siempre es mucho menor que  $h$ . Como todas las deformaciones, la deformación por corte es un número adimensional: un cociente resultado de dividir dos longitudes.

Si las fuerzas son lo suficientemente pequeñas como para que se cumpla la ley de Hooke, la deformación por corte es *proporcional* al esfuerzo de corte. El módulo de elasticidad correspondiente (la razón entre el esfuerzo de corte y la deformación por corte) se denomina **módulo de corte** y se denota con  $S$ :

$$\text{Módulo de corte para corte} S = \frac{\text{Esfuerzo de corte}}{\text{Deformación por corte}} = \frac{F_{\parallel}/A}{x/h} = \frac{F_{\parallel} h}{A x} \quad (11.17)$$

Fuerza tangente aplicada a la superficie del objeto      Dimensión transversal (vea la figura 11.18)  
Área sobre la cual se ejerce la fuerza      Deformación (vea la figura 11.18)

En la tabla 11.1 se presentan varios valores de módulo de corte. Para un material dado,  $S$  suele ser de un tercio a un medio del valor del módulo de Young  $Y$  para el esfuerzo de tensión. Tenga en cuenta que los conceptos de esfuerzo de corte, deformación por corte y módulo de corte únicamente se aplican a materiales *sólidos*. La razón es que *corte* se refiere a la deformación de un objeto que tiene forma definida (vea la figura 11.18). Este concepto no se aplica a los gases y líquidos, pues no tienen formas definidas.



### EJEMPLO 11.7 ESFUERZO Y DEFORMACIÓN POR CORTE

Suponga que el objeto de la figura 11.18 es una placa de latón de la base de una escultura exterior, que experimenta fuerzas de corte causadas por un terremoto. La placa cuadrada mide 0.80 m por lado y tiene un espesor de 0.50 cm. ¿Qué fuerza se ejerce en cada uno de sus extremos si el desplazamiento  $x$  resultante es de 0.16 mm?

#### SOLUCIÓN

**IDENTIFICAR y PLANTEAR:** Este ejemplo utiliza la relación entre esfuerzo de corte, deformación por corte y módulo de corte. La incógnita es la fuerza  $F_{\parallel}$  ejercida en forma paralela a cada extremo, como se indica en la figura 11.18. La deformación por corte se calcula empleando la ecuación (11.16); luego determinamos el esfuerzo de corte con la ecuación (11.17), y  $F_{\parallel}$  con la ecuación (11.15). La tabla 11.1 indica el módulo de corte del latón. En la figura 11.18,  $h$  representa la longitud de 0.80 m de cada lado de la placa. El área  $A$  de la ecuación (11.15) es el producto de la longitud de 0.80 m por el espesor de 0.50 cm.

**EJECUTAR:** Según la ecuación (11.16),

$$\text{Deformación por corte} = \frac{x}{h} = \frac{1.6 \times 10^{-4} \text{ m}}{0.80 \text{ m}} = 2.0 \times 10^{-4}$$

De acuerdo con la ecuación (11.17),

$$\begin{aligned} \text{Esfuerzo de corte} &= (\text{Deformación por corte}) \times S \\ &= (2.0 \times 10^{-4})(3.5 \times 10^{10} \text{ Pa}) = 7.0 \times 10^6 \text{ Pa} \end{aligned}$$

Finalmente, al aplicar la ecuación (11.15),

$$\begin{aligned} F_{\parallel} &= (\text{Esfuerzo de corte}) \times A \\ &= (7.0 \times 10^6 \text{ Pa})(0.80 \text{ m})(0.0050 \text{ m}) = 2.8 \times 10^4 \text{ N} \end{aligned}$$

**EVALUAR:** ¡La fuerza de corte por el terremoto es de más de tres toneladas! El gran módulo de corte del latón lo hace difícil de deformar. Además, la placa es relativamente gruesa (0.50 cm), así que el área  $A$  es relativamente grande y se requiere una fuerza  $F_{\parallel}$  considerable para producir el esfuerzo necesario  $F_{\parallel}/A$ .

**EVALÚE SU COMPRENSIÓN DE LA SECCIÓN 11.4** Una varilla de cobre con área transversal de  $0.500 \text{ cm}^2$  y longitud de  $1.00 \text{ m}$  se alarga  $2.00 \times 10^{-2} \text{ mm}$ , y una varilla de acero con la misma área transversal pero longitud de  $0.100 \text{ m}$  se alarga  $2.00 \times 10^{-3} \text{ mm}$ . a) ¿Cuál varilla experimenta mayor *deformación* por tensión? i. La varilla de cobre; ii. la varilla de acero; iii. la deformación es igual en ambas. b) ¿Cuál varilla experimenta mayor *esfuerzo* de tensión? i. La varilla de cobre; ii. la varilla de acero; iii. el esfuerzo es igual en ambas.

## 11.5 ELASTICIDAD Y PLASTICIDAD

La ley de Hooke (la proporcionalidad entre el esfuerzo y la tensión en la deformación elástica) tiene un intervalo de validez. En la sección anterior usamos frases como “siempre que las fuerzas son suficientemente pequeñas, se cumple la ley de Hooke”. ¿Cuáles son exactamente las limitaciones de la ley de Hooke? Sabemos que si tiramos de *cualquier objeto*, lo comprimimos o lo torcemos lo suficiente, se doblará o se romperá. ¿Podemos ser más precisos que eso?

Para contestar estas preguntas examinemos una gráfica del esfuerzo de tensión como función de la deformación por tensión. La figura 11.19 muestra una gráfica de este tipo para un metal como cobre o acero suave (también conocido como hierro dulce o hierro forjado). La deformación se muestra como *porcentaje* de alargamiento; la escala horizontal no es uniforme después de la primera parte de la curva, hasta una deformación menor del 1%. La primera porción es una línea recta, lo que indica un comportamiento de la ley de Hooke con el esfuerzo directamente proporcional a la deformación. Esta porción rectilínea termina en el punto *a*; el esfuerzo en este punto se denomina *límite proporcional*.

Desde *a* hasta *b*, el esfuerzo y la deformación ya no son proporcionales, y *no* se cumple la ley de Hooke. Sin embargo, de *a* a *b* (y de *O* a *a*), el comportamiento del material es *elástico*. Si la carga se retira gradualmente, partiendo de cualquier punto entre *O* y *b*, la curva se retrae hasta que el material recupera su longitud original. Esta deformación elástica es *reversible*.

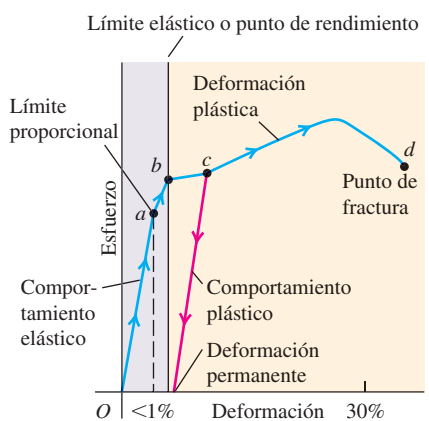
El punto *b*, donde termina la región elástica, es el *punto de rendimiento*; el esfuerzo en este punto se denomina *límite elástico*. Si aumentamos el esfuerzo más allá del punto *b*, la deformación sigue aumentando; pero si retiramos la carga en un punto más allá del límite elástico, digamos *c*, el material *no* recupera su longitud original, sino que sigue la línea roja de la figura 11.19. El material experimentó una deformación *irreversible* y adquirió una *deformación permanente*. Éste es el comportamiento *plástico* mencionado en la sección 11.4.

Una vez que el material se ha vuelto plástico, un pequeño esfuerzo adicional produce un aumento relativamente grande en la deformación, hasta llegar a un punto *d* en el que se presenta la *fractura*. Esto es lo que ocurre si una cuerda de acero de la guitarra de la figura 11.12a está muy apretada: la cuerda se rompe en el punto de fractura. El acero es *frágil* porque se rompe poco después de alcanzar su límite elástico; otros materiales, tales como el acero suave son *dúctiles*, ya que pueden experimentar un largo y permanente estiramiento sin romperse (el material que se presenta en la figura 11.19 es dúctil, ya que se puede estirar más del 30% antes de romperse).

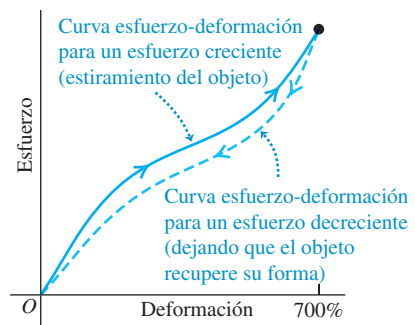
A diferencia de los materiales uniformes como los metales, los materiales biológicos que se estiran, como los tendones y los ligamentos, no tienen una región plástica verdadera. Esto se debe a que dichos materiales están hechos de un conjunto de fibras microscópicas; cuando se estiran más allá del límite elástico, las fibras se rompen separándose de las otras (un ligamento o tendón roto es uno que se ha fracturado de esta manera).

Si un material aún está dentro de la región elástica, puede ocurrir algo curioso cuando se estira y se le permite relajarse. La figura 11.20 es una curva de tensión-deformación para caucho vulcanizado estirado más de siete veces su longitud original. El esfuerzo no es proporcional a la deformación, pero el comportamiento es elástico porque, al retirarse la carga, el material recupera su longitud original. Sin embargo, el material sigue curvas *diferentes* cuando aumenta y cuando disminuye el esfuerzo. Esto se denomina *histéresis elástica*. El trabajo efectuado por el material cuando recupera su forma original es menor que el requerido para deformarlo; ello se debe a la fricción interna. El caucho con histéresis elástica grande es muy útil para absorber vibraciones, como en los soportes de motores y bujes amortiguadores para automóviles. Los tendones presentan un comportamiento similar.

**11.19** Diagrama de esfuerzo-deformación típico para un metal dúctil sometido a tensión.



**11.20** Diagrama esfuerzo-deformación típico para caucho vulcanizado. Las curvas son diferentes para un aumento y una disminución del esfuerzo; este fenómeno se denomina histéresis elástica.



**Esfuerzos de ruptura aproximados**  
**TABLA 11.3**

Material	Esfuerzos de ruptura (Pa o N/m <sup>2</sup> )
Aluminio	$2.2 \times 10^8$
Latón	$4.7 \times 10^8$
Vidrio	$10 \times 10^8$
Hierro	$3.0 \times 10^8$
Acero	$5-20 \times 10^8$
Tendón (típico)	$1 \times 10^8$

El esfuerzo requerido para causar la fractura de un material se denomina *esfuerzo de ruptura*, *resistencia límite* o (para el esfuerzo de tensión) *resistencia a la tensión*. Dos materiales, digamos dos tipos de acero, pueden tener constantes elásticas muy similares, pero esfuerzos de ruptura muy distintos. La **tabla 11.3** presenta valores típicos de esfuerzo de ruptura para varios materiales en tensión. Comparando las tablas 11.1 y 11.3 se ve que el hierro y el acero tienen *rígidez comparable* (tienen casi el mismo valor del módulo de Young), pero el acero es *más fuerte* (tiene mayor esfuerzo de ruptura que el hierro).

**EVALÚE SU COMPRENSIÓN DE LA SECCIÓN 11.5** Al estacionar su automóvil en una calle concurrida, golpea accidentalmente un poste de acero. Para examinar el daño, aleja un poco el auto del poste y desciende del vehículo. ¿Qué aspecto tiene el parachoques trasero, si la deformación durante el impacto fue *a*) menor que el límite proporcional; *b*) mayor que el límite proporcional, pero menor que el punto de rendimiento; *c*) mayor que el punto de rendimiento, pero menor que el punto de fractura; y *d*) mayor que el punto de fractura? ■

## CAPÍTULO 11 RESUMEN

[SOLUCIONES A TODOS LOS EJEMPLOS](#)


**Condiciones de equilibrio:** Para que un cuerpo rígido esté en equilibrio, deben cumplirse dos condiciones. Primera, la suma vectorial de todas las fuerzas sobre el cuerpo debe ser igual a cero. Segunda, la suma de todas las torcas con respecto a cualquier punto debe ser igual a cero. La torca debida al peso de un cuerpo se calcula suponiendo que todo el peso se concentra en el centro de gravedad, el cual está en el mismo punto que el centro de masa si  $\vec{g}$  tiene el mismo valor en todos los puntos (vea los ejemplos 11.1 a 11.4).

**Esfuerzo, deformación y ley de Hooke:** La ley de Hooke establece que, en las deformaciones elásticas, el esfuerzo (fuerza por unidad de área) es proporcional a la deformación (deformación fraccionaria). La constante de proporcionalidad se llama módulo de elasticidad.

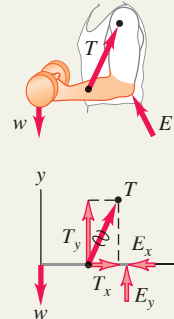
**Esfuerzo de tensión y de compresión:** El esfuerzo de tensión es la fuerza de tensión por unidad de área,  $F_{\perp}/A$ . La deformación por tensión es el cambio fraccionario de longitud,  $\Delta l/l_0$ . El módulo de elasticidad en el caso de la tensión se llama módulo de Young,  $Y$ . El esfuerzo y la deformación por compresión se definen de la misma forma (vea el ejemplo 11.5).

**Esfuerzo volumétrico:** La presión ejercida por un fluido es la fuerza por unidad de área. El esfuerzo volumétrico es un cambio de presión,  $\Delta p$ , y la deformación volumétrica es el cambio fraccionario volumétrico,  $\Delta V/V_0$ . El módulo de elasticidad para compresión se llama módulo volumétrico,  $B$ . La compresibilidad,  $k$ , es el recíproco del módulo volumétrico:  $k = 1/B$  (vea el ejemplo 11.6).

$$\sum \vec{F} = \mathbf{0} \quad (11.1)$$

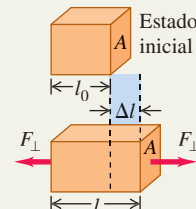
$$\sum \vec{\tau} = \mathbf{0} \quad \text{alrededor de cualquier punto} \quad (11.2)$$

$$\vec{r}_{cm} = \frac{m_1 \vec{r}_1 + m_2 \vec{r}_2 + m_3 \vec{r}_3 + \dots}{m_1 + m_2 + m_3 + \dots} \quad (11.4)$$



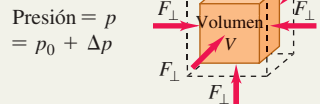
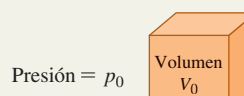
$$\frac{\text{Esfuerzo}}{\text{Deformación}} = \frac{\text{Módulo de elasticidad}}{} \quad (11.7)$$

$$Y = \frac{\text{Esfuerzo de tensión}}{\text{Deformación por tensión}} = \frac{F_{\perp}/A}{\Delta l/l_0} = \frac{F_{\perp}}{A} \frac{l_0}{\Delta l} \quad (11.10)$$



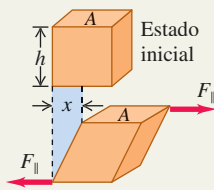
$$p = \frac{F_{\perp}}{A} \quad (11.11)$$

$$B = \frac{\text{Esfuerzo volumétrico}}{\text{Deformación volumétrica}} = -\frac{\Delta p}{\Delta V/V_0} \quad (11.13)$$



**Esfuerzo de corte:** El esfuerzo de corte es la fuerza por unidad de área,  $F_{\parallel}/A$ , para una fuerza aplicada en forma tangencial a una superficie. La deformación por corte es el desplazamiento  $x$  de un lado dividido entre la dimensión transversal  $h$ . El módulo de elasticidad se llama módulo de corte,  $S$  (vea el ejemplo 11.7).

$$S = \frac{\text{Esfuerzo de corte}}{\text{Deformación por corte}} = \frac{F_{\parallel}/A}{x/h} = \frac{F_{\parallel} h}{A x} \quad (11.17)$$



**Límites de la ley de Hooke:** El límite proporcional es el esfuerzo máximo para el que el esfuerzo y la deformación son proporcionales. Más allá del límite proporcional, la ley de Hooke no es válida. El límite elástico es el esfuerzo a partir del cual se presenta una deformación irreversible. El esfuerzo de ruptura, o resistencia límite, es el esfuerzo en el que el material se rompe.

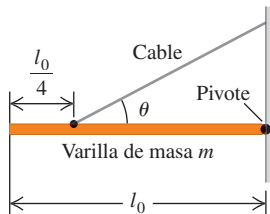
## PROBLEMA PRÁCTICO EN EQUILIBRIO Y BAJO ESFUERZO



Materiales

Una varilla sólida horizontal y uniforme de cobre de longitud inicial  $l_0$ , área transversal  $A$ , módulo de Young  $Y$ , módulo volumétrico  $B$ , módulo de corte  $S$  y masa  $m$  está sostenida por un pivote sin fricción en su extremo derecho y por un cable a una distancia  $l_0/4$  del extremo izquierdo (**figura 11.21**). Tanto el pivote como el cable se sujetan de modo que ejercen sus fuerzas de manera uniforme sobre la sección transversal de la varilla. El cable forma un ángulo  $\theta$  con la varilla y la comprime. *a)* Calcule la tensión en el cable. *b)* Calcule la magnitud y dirección de la fuerza ejercida por el pivote en el extremo derecho de la varilla. ¿Cómo se compara esta magnitud con la tensión del cable? ¿Cómo se compara el ángulo calculado con  $\theta$ ? *c)* Determine el cambio de longitud de la varilla causado por los esfuerzos ejercidos por el cable y el pivote (el cambio de longitud es pequeño en comparación con la longitud original  $l_0$ ). *d)* ¿En qué factor aumentaría su respuesta del inciso *c*) si la varilla fuera dos veces más larga, pero tuviera la misma sección transversal?

**11.21** ¿Cuáles son las fuerzas que actúan sobre la varilla? ¿Cuáles son el esfuerzo y la deformación?



### GUÍA DE SOLUCIÓN

#### IDENTIFICAR y PLANTEAR

1. Elabore un diagrama de cuerpo libre de la varilla. Asegúrese de colocar cada fuerza en la ubicación correcta.
2. Elabore una lista de las cantidades desconocidas e identifique cuáles son las incógnitas.
3. ¿Cuáles son las condiciones que se deben cumplir para que la varilla permanezca en reposo? ¿Qué clase de esfuerzo y deformación están implicados? Use las respuestas para elegir las ecuaciones adecuadas.

#### EJECUTAR

4. Use las ecuaciones para obtener las incógnitas. (*Sugerencia:* La solución se facilitará si elige con cuidado el punto con respecto al cual se calculan las torcas).
5. Use sus conocimientos de trigonometría para determinar si la magnitud de la fuerza del pivote es mayor que la de tensión en el cable, o viceversa, y si el ángulo de la fuerza del pivote es mayor, menor o igual que  $\theta$ .

#### EVALUAR

6. Compruebe si sus respuestas son lógicas. ¿Cuál de las fuerzas, la de tensión del cable o la del pivote, soporta más peso de la varilla? ¿Es lógico?

## Problemas

•, •, ••: Niveles de dificultad. PA: Problemas acumulativos que incorporan material de capítulos anteriores. CALC: Problemas que requieren cálculo. DATOS: Problemas que incluyen datos reales, evidencia científica, diseño experimental y/o razonamiento estadístico. BIO: Problemas de ciencias biológicas.

### PREGUNTAS PARA ANÁLISIS

**P11.1** Un objeto rígido en rotación uniforme alrededor de un eje fijo ¿satisface las dos condiciones de equilibrio? ¿Por qué? Entonces se concluye que todas las partículas del objeto están en equilibrio? Explique su respuesta.

**P11.2** a) ¿Es posible que un objeto esté en equilibrio traslacional (la primera condición), pero *no* en equilibrio rotacional (la segunda condición)? Ilustre su respuesta con un ejemplo sencillo. b) ¿Puede un objeto estar en equilibrio rotacional pero *no* en equilibrio traslacional? Justifique su respuesta con un ejemplo sencillo.

**P11.3** Los neumáticos de los automóviles a veces se “balancean” en una máquina que hace girar la rueda alrededor del centro. Se colocan pesas (plomos) en el borde de la rueda hasta que ésta no se inclina con respecto al plano horizontal. Comente este procedimiento en términos del centro de gravedad.

**P11.4** ¿El centro de gravedad de un cuerpo sólido siempre está dentro del material del cuerpo? Si no, dé un contraejemplo.

**P11.5** En la sección 11.2, supusimos siempre que el valor de  $g$  era el mismo en todos los puntos del cuerpo. Esta aproximación *no* es válida si el cuerpo es suficientemente grande, pues el valor de  $g$  disminuye con la altitud. Tomando esto en cuenta, ¿el centro de gravedad de una varilla vertical larga está arriba de su centro de masa, debajo de éste o coincide con él? Explique cómo esto puede ayudar a mantener el eje longitudinal de una nave en órbita dirigido hacia la Tierra (esto sería útil en el caso de un satélite meteorológico, que siempre debe apuntar la lente de su cámara a la Tierra). La Luna no es exactamente esférica, sino un tanto alargada. Explique por qué este mismo efecto hace que la Luna siempre dirija la misma cara hacia la Tierra.

**P11.6** Imagine que equilibra una llave de tuercas suspendiéndola de un solo punto. ¿El equilibrio es estable, inestable o neutral, si el punto está arriba del centro de gravedad de la llave, debajo de éste o coincide con él? Justifique su respuesta en cada caso (en el caso de la rotación, un cuerpo rígido se encuentra en equilibrio *estable* si una rotación pequeña genera una torca que tiende a hacer que el cuerpo regrese al equilibrio; está en equilibrio *inestable* si dicha rotación produce una torca que tiende a alejar el cuerpo aún más del equilibrio; y está en equilibrio *neutral* si dicha rotación no produce ninguna torca).

**P11.7** Usted seguramente es capaz de ponerse de pie apoyando bien las plantas de los pies sobre el piso y luego levantar los talones para equilibrarse sobre las puntas de los pies. ¿Por qué no puede hacerlo si los dedos de sus pies están tocando la pared? (¡inténtelo!).

**P11.8** Una herradura gira libremente sobre un clavo horizontal que atraviesa uno de sus orificios. Luego se cuelga del mismo clavo un hilo largo con un peso en la parte inferior, de modo que el hilo quede vertical frente a la herradura sin tocarla. ¿Cómo se sabe que el centro de gravedad de la herradura queda a lo largo de la línea del hilo? ¿Cómo se puede ubicar dicho centro colgando la herradura de otro orificio? ¿El centro de gravedad está dentro del material sólido de la herradura?

**P11.9** Un objeto consiste en una esfera de peso  $W$  adherida al extremo de una barra uniforme también con peso  $W$ . Si usted lo libera del reposo, manteniendo la barra horizontal, ¿cuál será su comportamiento mientras cae si la resistencia del aire es despreciable? a) Permanecerá horizontal, b) girará alrededor de su centro de gravedad, c) girará alrededor de la esfera, o d) girará de modo que la esfera gire hacia abajo? Explique su razonamiento.

**P11.10** Suponga que el objeto de la pregunta 11.9 se libera del reposo con la barra inclinada a  $60^\circ$  arriba de la horizontal, con la esfera

en el extremo superior. Conforme cae, a) girará alrededor de su centro de gravedad hasta que quede horizontal, b) girará alrededor de su centro de gravedad hasta que quede vertical con la esfera en la base, c) girará alrededor de la esfera hasta que quede vertical con la esfera en la base, o d) permanecerá a  $60^\circ$  arriba de la horizontal?

**P11.11** ¿Por qué un esquiador acuático que avanza con velocidad constante debe inclinarse hacia atrás? ¿Qué determina qué tanto debe inclinarse? Dibuje un diagrama de cuerpo libre del esquiador para justificar sus respuestas.

**P11.12** Cuando una carreta de pioneros se atascaba en el lodo, la gente sujetaba los rayos de las ruedas y trataba de hacerlas girar, en lugar de simplemente empujar la carreta. ¿Por qué?

**P11.13** El poderoso Zimbo asegura tener los músculos de las piernas tan fuertes, que podría pararse erguido sobre sus pies e inclinarse hacia adelante para recoger con sus dientes una manzana colocada sobre el piso. ¿Debería usted pagar para ver su desempeño o tendría alguna sospecha acerca de tal afirmación? ¿Por qué?

**P11.14** ¿Por qué es más fácil sostener una mancuerna de 10 kg con la mano junto al cuerpo que con el brazo extendido horizontalmente?

**P11.15** Ciertas características de una persona, como su estatura y su masa, son fijas (al menos durante períodos relativamente largos). ¿Las siguientes características también son fijas? a) La ubicación del centro de gravedad del cuerpo; b) el momento de inercia del cuerpo alrededor de un eje que pasa por el centro de masa de la persona. Explique su razonamiento.

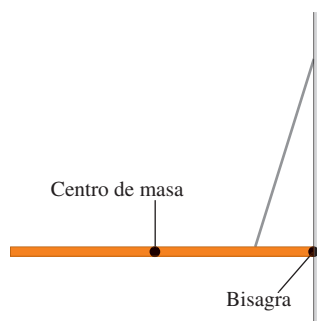
**P11.16** Durante el embarazo, con frecuencia las mujeres sufren dolores de espalda porque se tienen que inclinar hacia atrás mientras caminan. ¿Por qué tienen que caminar de esa manera?

**P11.17** ¿Por qué es más fácil volcar un vaso cónico de base angosta que uno de lados rectos? ¿Importa que el vaso esté lleno o vacío?

**P11.18** Si un refrigerador alto y pesado se empuja sobre un piso áspero, ¿qué factores determinan si resbala o se vuelca?

**P11.19** Una viga uniforme se suspende horizontalmente y se ata a una pared con una pequeña bisagra (**figura P11.19**). ¿Cuáles son las direcciones (hacia arriba o hacia abajo, y a la izquierda o a la derecha) de las componentes de la fuerza que ejerce la bisagra *sobre la viga*? Explique su respuesta.

Figura P11.19



**P11.20** Si un alambre metálico duplica su longitud y triplica su diámetro, ¿por cuál factor cambia su módulo de Young?

**P11.21** Un alambre metálico con diámetro  $D$  se estira 0.100 mm cuando sostiene un peso  $W$ . Si se utiliza un alambre con la misma longitud para soportar un peso tres veces mayor, ¿cuál tendría que ser su diámetro (en términos de  $D$ ), para aún así estirarse solamente 0.100 mm?

**P11.22** Compare las propiedades mecánicas de un cable de acero fabricado con muchos alambres delgados trenzados, con las propiedades de una varilla sólida de acero del mismo diámetro. ¿Qué ventajas tiene cada uno?

**P11.23** El material de los huesos humanos y el de los huesos de un elefante es básicamente el mismo; sin embargo, un elefante tiene extremidades mucho más gruesas. Explique por qué, en términos del esfuerzo de ruptura.

**P11.24** Existe cierta histéresis elástica, pequeña pero apreciable, en el tendón grande de la parte posterior de la pata de un caballo. Explique cómo esto puede dañar el tendón, si el caballo corre con demasiado esfuerzo durante mucho tiempo.

**P11.25** Si se usan monturas de caucho para absorber vibraciones de máquinas por histéresis elástica, como se mencionó en la sección 11.5, ¿qué pasa con la energía asociada a las vibraciones?

## EJERCICIOS

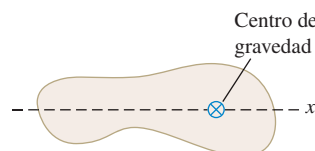
### Sección 11.2 Centro de gravedad

**11.1** • Una barra uniforme de 50.0 cm de longitud y 0.120 kg tiene adherida una masa pequeña de 0.055 kg a su extremo izquierdo, y una masa pequeña de 0.110 kg pegada al otro extremo. Las dos masas se consideran como partículas puntuales. Usted quiere equilibrar horizontalmente este sistema sobre un apoyo colocado justamente debajo de su centro de gravedad. ¿A qué distancia del extremo izquierdo debería colocarse el apoyo?

**11.2** • El centro de gravedad de un objeto irregular de 5.00 kg se muestra en la figura E11.2. Usted necesita mover el centro de gravedad 2.20 cm a la izquierda adhirriendo una masa de 1.50 kg, la cual se considera entonces como parte del objeto. ¿Dónde se debe ubicar el centro de gravedad de esta masa adicional?

**11.3** • Una varilla uniforme tiene 2.00 m de longitud y 1.80 kg de masa. La varilla está sujetada a una abrazadera de 2.40 kg. ¿A qué distancia debe estar el centro de gravedad de la abrazadera desde el extremo izquierdo de la varilla para que el centro de gravedad del objeto compuesto esté a 1.20 m del extremo izquierdo de la varilla?

Figura E11.2

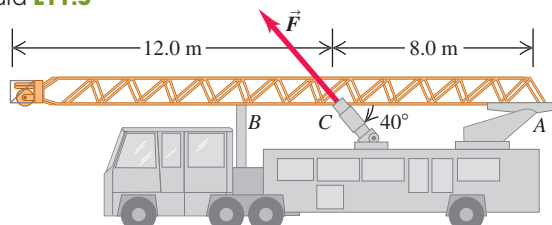


### Sección 11.3 Solución de problemas de equilibrio de cuerpos rígidos

**11.4** • Una escotilla uniforme de 300 N está cerrada, con bisagras en un lado, sobre el piso. Calcule la fuerza ascendente total necesaria para comenzar a abrirla, y la fuerza total ejercida sobre la escotilla por las bisagras: *a)* si la fuerza ascendente se aplica en el centro de la escotilla y *b)* si la fuerza ascendente se aplica en el centro del borde opuesto a las bisagras.

**11.5** • **Levantamiento de una escalera.** La escalera de un camión de bomberos mide 20.0 m de longitud, pesa 3400 N, tiene su centro de gravedad en su centro y puede girar sobre un perno en el extremo (A) (figura E11.5). Ignore la torca de la fricción en el perno. La escalera se eleva mediante una fuerza aplicada por un pistón hidráulico en el punto C, que está a 8.00 m de A, y la fuerza  $\vec{F}$  ejercida por el pistón forma un ángulo de  $40^\circ$  con la escalera. ¿Qué magnitud mínima debe tener  $\vec{F}$  para separar la escalera del apoyo en B? Inicie dibujando un diagrama de cuerpo libre de la escalera.

Figura E11.5



**11.6** • Dos personas llevan una tabla uniforme de madera de 3.00 m de longitud que pesa 160 N. Si una persona aplica una fuerza hacia arriba de 60 N en un extremo, ¿en qué punto sostiene la tabla la otra persona? Inicie dibujando un diagrama de cuerpo libre de la tabla.

**11.7** • Dos personas llevan un pesado motor eléctrico sobre una tabla ligera de 2.00 m de longitud. Una persona levanta un extremo con una fuerza de 400 N, y la otra levanta el extremo opuesto con una fuerza de 600 N. *a)* ¿Cuánto pesa el motor y dónde está el centro de gravedad a lo largo de la tabla? *b)* Suponga que la tabla no es ligera sino que pesa 200 N, con su centro de gravedad en el centro, y que las dos personas ejercen la misma fuerza que antes. En este caso, ¿cuál es el peso del motor y dónde se localiza su centro de gravedad?

**11.8** • Una repisa uniforme de 60.0 cm y 50.0 N se sostiene horizontalmente mediante dos alambres verticales sujetos al techo en pendiente (figura E11.8). Una herramienta muy pequeña de 25.0 N se coloca en la repisa en medio de los puntos donde se le unen los alambres. Calcule la tensión en cada alambre. Comience dibujando un diagrama de cuerpo libre para la repisa.

Figura E11.8

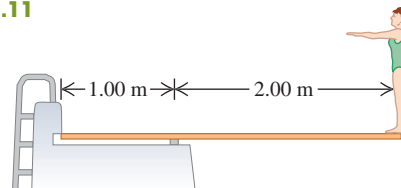


**11.9** • Una barra uniforme de 1.50 m y 350 N está suspendida horizontalmente con dos cables verticales en cada extremo. El cable A puede soportar una tensión máxima de 500.0 N sin romperse, y el cable B puede soportar hasta 400.0 N. Usted quiere colocar un peso pequeño sobre esta barra. *a)* ¿Cuál es el peso máximo que usted puede colocar sobre ella sin romper ninguno de los cables? *b)* ¿dónde debería colocar este peso?

**11.10** • Una escalera uniforme de 5.0 m de longitud que pesa 160 N descansa contra una pared vertical sin fricción con su base a 3.0 m de la pared. El coeficiente de fricción estática entre la base de la escalera y el suelo es de 0.40. Un hombre de 740 N sube lentamente la escalera. Comience por dibujar un diagrama de cuerpo libre de la escalera. *a)* ¿Qué fuerza de fricción máxima puede ejercer el suelo sobre la escalera en su base? *b)* ¿Cuál es la fuerza de fricción cuando el hombre ha subido 1.0 m a lo largo de la escalera? *c)* ¿Hasta dónde puede subir el hombre antes de que la escalera resbale?

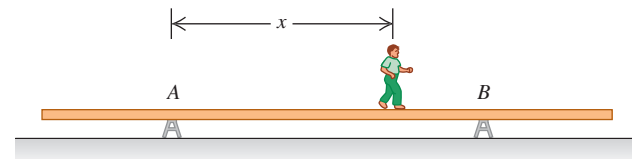
**11.11** • Un trampolín de 3.00 m de longitud se apoya en un punto a 1.00 m del extremo fijo, y una clavadista que pesa 500 N se pone de pie en el extremo libre (figura E11.11). El trampolín tiene sección transversal uniforme y pesa 280 N. Calcule *a)* la fuerza en el punto de apoyo; y *b)* la fuerza en el extremo izquierdo.

Figura E11.11



**11.12** • Una viga uniforme de aluminio de 9.00 m de longitud pesa 300 N y descansa simétricamente en dos apoyos separados 5.00 m (figura E11.12). Un niño que pesa 600 N parte de A y camina hacia

Figura E11.12

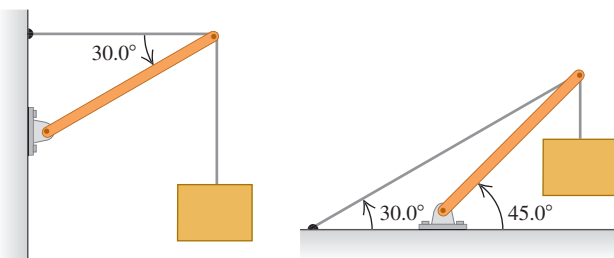


la derecha. *a)* Dibuje en la misma gráfica dos curvas que representen las fuerzas  $F_A$  y  $F_B$  ejercidas hacia arriba sobre la viga en los puntos *A* y *B*, en función de la coordenada *x* del niño. Use 1 cm = 100 N verticalmente y 1 cm = 1.00 m horizontalmente. *b)* Segundo la gráfica, ¿qué tanto después de *B* puede estar el niño sin que se incline la viga? *c)* ¿A qué distancia del extremo derecho de la viga debe estar *B* para que el niño pueda caminar hasta el extremo sin inclinar la viga?

**11.13** • Calcule la tensión  $T$  en cada cable, así como la magnitud y dirección de la fuerza ejercida sobre la viga por el pivote en los sistemas de la **figura E11.13**. En cada caso, sea  $w$  el peso de la caja suspendida, que contiene invaluables objetos de arte. La viga es uniforme y también pesa  $w$ . En cada caso inicie dibujando un diagrama de cuerpo libre de la viga.

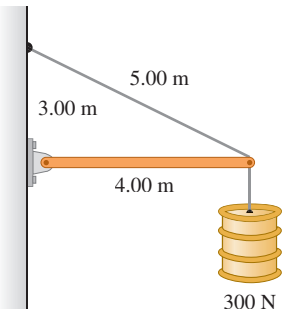
Figura E11.13

(a) (b)



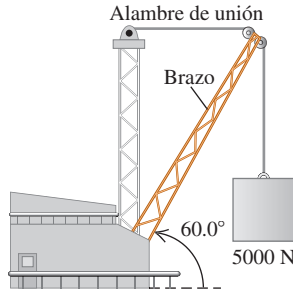
**11.14** • La viga horizontal de la **figura E11.14** pesa 190 N, y su centro de gravedad está en su centro. Calcule *a)* la tensión en el cable, y *b)* las componentes horizontal y vertical de la fuerza ejercida por la pared sobre la viga.

Figura E11.14



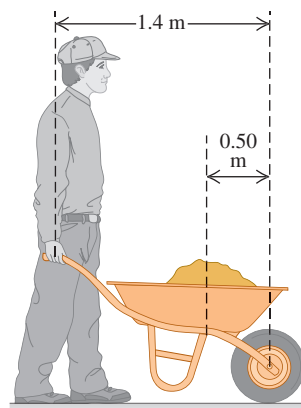
**11.15** • El brazo que se muestra en la **figura E11.15** pesa 2600 N y está conectado a un pivote sin fricción en su extremo inferior. No es uniforme; la distancia de su centro de gravedad desde el pivote está a 35% de su longitud. Encuentre *a)* la tensión en el alambre de unión y *b)* las componentes horizontal y vertical de la fuerza ejercida sobre el brazo en su extremo inferior. Comience con un diagrama de cuerpo libre del brazo.

Figura E11.15



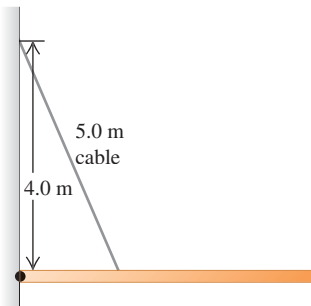
**11.16** • Suponga que no puede levantar más de 650 N (aproximadamente 150 lb) sin ayuda. *a)* ¿Cuánto podrá levantar empleando una carretilla de 1.4 m de longitud que pesa 80.0 N y cuyo centro de gravedad está a 0.50 m del centro de la rueda (**figura E11.16**)? El centro de gravedad de la carga que lleva en la carretilla también está a 0.50 m del centro de la rueda. *b)* ¿De dónde proviene la fuerza que le permite levantar más de 650 N cuando usa la carretilla?

Figura E11.16



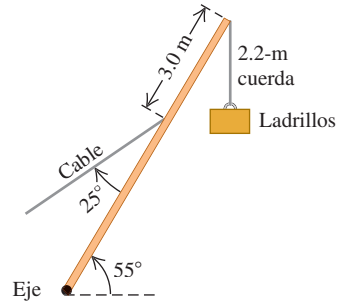
**11.17** • Una viga uniforme de 9.00 m de largo está articulada a una pared vertical y sostenida horizontalmente por un cable de 5.00 m de longitud unido a la pared a 4.00 m sobre la bisagra (**figura E11.17**). El metal de este cable tiene una resistencia de prueba de 1.00 kN, lo que significa que se romperá si la tensión sobre éste excede esa cantidad. *a)* Dibuje un diagrama de cuerpo libre de la viga. *b)* ¿Cuál es la viga más pesada que puede soportar el cable en este arreglo? *c)* Encuentre las componentes horizontal y vertical de la fuerza que ejerce la bisagra sobre la viga. ¿La componente vertical es hacia arriba o hacia abajo?

Figura E11.17



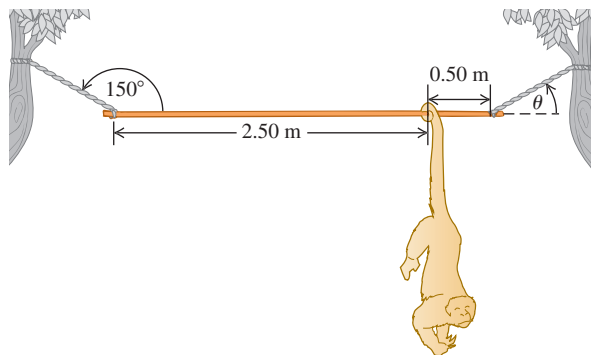
**11.18** • Una grúa de 15,000 N puede girar alrededor de un eje sin fricción en su base y está sostenida por un cable que forma un ángulo de 25° con la grúa (**figura E11.18**). La grúa tiene 16 m de largo y no es uniforme; su centro de gravedad está a 7.0 m del eje medidos a lo largo de la grúa. El cable está sujeto a 3.0 m del extremo superior de la grúa. La grúa se levanta a 55° por encima de la horizontal, sosteniendo un contenedor con ladrillos de 11,000 N mediante una cuerda muy ligera de 2.2 m. Calcule *a)* la tensión en el cable y *b)* las componentes vertical y horizontal de la fuerza ejercida por el eje sobre la grúa. Comience dibujando un diagrama de cuerpo libre de la grúa.

Figura E11.18



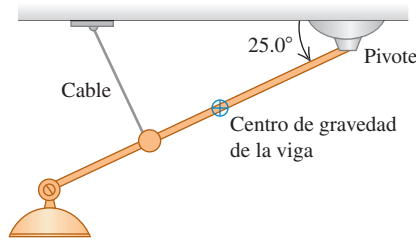
**11.19** En un zoológico, una varilla uniforme de 190 N y 3.00 m de longitud se sostiene en posición horizontal con dos cuerdas en sus extremos (**figura E11.19**). La cuerda izquierda forma un ángulo de  $150^\circ$  con la varilla, y la derecha forma un ángulo  $\theta$  con la horizontal. Un mono aullador (*Alouatta seniculus*) de 90 N cuelga inmóvil a 0.50 m del extremo derecho de la varilla y nos estudia detenidamente. Calcule el ángulo  $\theta$  y las tensiones en las dos cuerdas. Comience por dibujar un diagrama de cuerpo libre de la varilla.

Figura E11.19



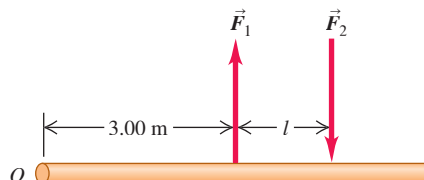
**11.20** Una viga no uniforme de 4.50 m de longitud, que pesa 1.40 kN y forma un ángulo de  $25.0^\circ$  debajo de la horizontal, está sostenida por un pivote sin fricción en su extremo superior derecho y por un cable a 3.00 m de la viga y perpendicular a ésta (**figura E11.20**). El centro de gravedad de la viga está a 2.00 m del pivote. Una lámpara ejerce una fuerza de 5.00 kN hacia abajo sobre el extremo inferior izquierdo de la viga. Calcule la tensión  $T$  en el cable, y las componentes horizontal y vertical de la fuerza ejercida sobre la viga por el pivote. Inicie dibujando un diagrama de cuerpo libre de la viga.

Figura E11.20



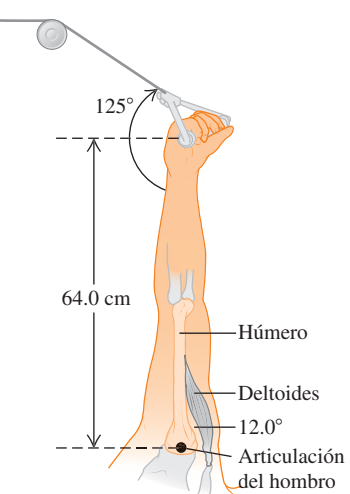
**11.21** • **Un par.** Dos fuerzas de igual magnitud y dirección opuesta que actúan sobre un objeto en dos puntos distintos forman un *par de fuerzas*. Dos fuerzas antiparalelas de magnitud  $F_1 = F_2 = 8.00 \text{ N}$  se aplican a una varilla como se muestra en la **figura E11.21**. *a)* ¿Qué distancia  $l$  debe haber entre las fuerzas para que produzcan una torca neta de  $6.40 \text{ N}\cdot\text{m}$  alrededor del extremo izquierdo de la varilla? *b)* ¿El sentido de esta torca es en el sentido de las manecillas del reloj o en sentido contrario a ellas? *c)* Repita los incisos *a)* y *b)* para un pivote en el punto de la varilla donde se aplica  $\vec{F}_2$ .

Figura E11.21



**11.22** • **BIO Un buen entrenamiento.** Usted se ejercita en un aparato Nautilus de un gimnasio para fortalecer los músculos deltoides (del hombro). Sus brazos están elevados verticalmente y pueden girar alrededor de la articulación del hombro; usted sostiene el cable de la máquina en su mano a 64.0 cm de la articulación del hombro. El deltoides está sujeto al húmero a 15.0 cm de la articulación del hombro y forma un ángulo de  $12.0^\circ$  con el hueso (**figura E11.22**).

Figura E11.22



Si usted produce una tensión en el cable del aparato de 36.0 N sobre cada brazo, ¿cuál es la tensión en cada músculo del deltoides si usted mantiene sus brazos estirados sin mover? (Sugerencia: Comience por elaborar un claro diagrama de cuerpo libre de su brazo).

**11.23** • **BIO Músculos del cuello.** Un estudiante flexiona su cabeza a  $40^\circ$  de la vertical mientras intenta leer su libro de física, girando la cabeza alrededor de una vértebra (punto  $P$  en la **figura E11.23**).

Su cabeza tiene una masa de 4.50 kg (que es típica), y su centro de masa está a 11.0 cm del punto  $P$ . Los músculos de su cuello están a 1.50 cm del punto  $P$  (el pivote), medidos de forma perpendicular a los músculos. El cuello y las vértebras se mantienen verticales. *a)* Elabore un diagrama de cuerpo libre de la cabeza del estudiante. *b)* Calcule la tensión en los músculos de su cuello.

#### Sección 11.4 Esfuerzo, deformación y módulos de elasticidad

**11.24** • **BIO Bíceps.** Un bíceps relajado requiere una fuerza de 25.0 N para alargarse 3.0 cm; el mismo músculo sometido a máxima tensión requiere de una fuerza de 500 N para el mismo alargamiento. Calcule el módulo de Young para el tejido muscular en ambas condiciones, si lo consideramos como un cilindro uniforme de 0.200 m de longitud y sección transversal de  $50.0 \text{ cm}^2$ .

**11.25** • Un alambre circular de acero de 2.00 m de longitud no debe estirarse más de 0.25 cm, cuando se le aplica una fuerza de tensión de 700 N en cada extremo. ¿Qué diámetro mínimo debe tener?

**11.26** • Dos varillas circulares, una de acero y la otra de cobre, se unen por los extremos. Cada una tiene 0.750 m de longitud y 1.50 cm de diámetro. La combinación se somete a una fuerza de tensión con magnitud de 4000 N. Para cada varilla, determine: *a)* la deformación y *b)* el alargamiento.

**11.27** • Una varilla metálica de 4.00 m de longitud y área transversal de  $0.50 \text{ cm}^2$  se estira 0.20 cm al someterse a una tensión de 5000 N. ¿Qué módulo de Young tiene este metal?

**11.28** • **Esfuerzo en una cuerda de alpinista.** Una cuerda de nailon se alarga 1.10 m sometida al peso de una alpinista de 65.0 kg. Si la cuerda mide 45.0 m de longitud y 7.0 mm de diámetro, ¿qué módulo de Young tiene el nailon?

**11.29** • Para construir una escultura grande en movimiento, un artista cuelga una esfera de aluminio con masa de 6.0 kg de un alambre vertical de acero de 0.50 m de longitud y área transversal de  $2.5 \times 10^{-3} \text{ cm}^2$ . En la parte inferior de la esfera, el artista sujeta un alambre de acero similar del que cuelga un cubo de latón de 10.0 kg. Para cada alambre, calcule *a)* la deformación por tensión y *b)* el alargamiento.

**11.30** • Un poste vertical de acero sólido de 25 cm de diámetro y 2.50 m de longitud debe soportar una carga de 8000 kg. Puede despreciarse el peso del poste. *a)* ¿A qué esfuerzo se somete el poste? *b)* ¿Qué deformación experimenta? *c)* ¿Cómo cambia su longitud al aplicarse la carga?

**11.31** • **BIO Compresión de un hueso humano.** El módulo volumétrico de un hueso es de 15 GPa. *a)* Si un buzo en entrenamiento se pone un traje presurizado, ¿cuánto tendría que aumentar la presión (en atmósferas) por arriba de la presión atmosférica para comprimir sus huesos el 0.10% de su volumen original? *b)* Considerando que la presión en el océano se incrementa en  $1.0 \times 10^4 \text{ Pa}$  por cada metro de profundidad, ¿a qué profundidad tendría que llegar este buzo para que sus huesos se comprimieran 0.10%? Al parecer, ¿la compresión es un problema por el que él debe preocuparse?

**11.32** • Se saca un lingote de oro sólido de la bodega del RMS *Titanic* hundido. *a)* ¿Qué sucede con su volumen al cambiar de la presión en el barco a la presión menor de la superficie del mar? *b)* La diferencia de presión es proporcional a la profundidad. ¿Cuántas veces mayor habría sido el cambio volumétrico, si el barco hubiera estado al doble de profundidad? *c)* El módulo volumétrico del plomo es la cuarta parte del módulo del oro. Calcule la razón de cambio volumétrico de un lingote sólido de plomo y uno de oro de igual volumen, para el mismo cambio de presión.

**11.33** • Una muestra de aceite con un volumen inicial de  $600 \text{ cm}^3$  se somete a un aumento de presión de  $3.6 \times 10^6 \text{ Pa}$ , y el volumen disminuye  $0.45 \text{ cm}^3$ . ¿Qué módulo volumétrico tiene el material? ¿Y qué compresibilidad tiene?

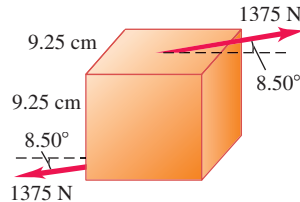
**11.34** • En el abismo Challenger de la Fosa de las Marianas, la profundidad del agua es de 10.9 km y la presión es de  $1.16 \times 10^8 \text{ Pa}$  (cerca de  $1.15 \times 10^3 \text{ atm}$ ). *a)* Si se lleva un metro cúbico de agua de la superficie a esa profundidad, ¿cuánto cambiará su volumen? (la presión atmosférica normal es del orden de  $1.0 \times 10^5 \text{ Pa}$ . Suponga que  $k$  para el agua de mar es igual al valor para el agua dulce de la tabla 11.2). *b)* ¿Qué densidad tiene el agua de mar a esta profundidad? (en la superficie, su densidad es de  $1.03 \times 10^3 \text{ kg/m}^3$ ).

**11.35** • Un cubo de cobre mide 6.00 cm de cada lado. Usando un pegamento muy fuerte, la base se sujetó a una superficie plana horizontal, mientras se aplica una fuerza horizontal  $F$  a la cara superior paralela a uno de los bordes (consulte la tabla 11.1). *a)* Demuestre que la fuerza  $F$  que ejerce el pegamento sobre la base es igual pero opuesta a la fuerza sobre la cara superior. *b)* ¿Qué tan grande debe ser  $F$  para hacer que el cubo se deforme 0.250 mm? *c)* Si se realizara el mismo experimento en un cubo de plomo del mismo tamaño que el de cobre, ¿qué distancia se deformaría al aplicarle la misma fuerza que en el inciso *b)*?

**11.36** • Una placa cuadrada de acero mide 10.0 cm por lado y tiene un espesor de 0.500 cm. *a)* Calcule la deformación por corte que se produce al aplicarse a cada uno de los cuatro lados una fuerza de  $9.0 \times 10^5 \text{ N}$  paralela a cada lado. *b)* Determine el desplazamiento  $x$  en centímetros.

**11.37** • En un laboratorio de pruebas, sobre un cubo de cierto material de 9.25 cm por lado, una fuerza de 1375 N dirigida a  $8.50^\circ$  en el cubo (figura E11.37) causa una deformación de  $1.24^\circ$  en el cubo. ¿Cuál es el módulo de corte del material?

Figura E11.37



## Sección 11.5 Elasticidad y plasticidad

**11.38** • Un alambre de latón debe resistir una fuerza de tensión de 350 N sin romperse. ¿Qué diámetro mínimo debe tener dicho alambre?

**11.39** • En un laboratorio de prueba de materiales, se determina que un alambre metálico elaborado con una nueva aleación se rompe cuando se aplica una fuerza de tensión de 90.8 N perpendicular a cada extremo. Si el diámetro del alambre es de 1.84 mm, ¿cuál es el esfuerzo de ruptura de la aleación?

**11.40** • Un alambre de acero de 4.0 m de longitud tiene área transversal de  $0.050 \text{ cm}^2$ , y un límite proporcional igual a 0.0016 veces su módulo de Young (vea la tabla 11.1). El esfuerzo de ruptura tiene un valor igual a 0.0065 veces su módulo de Young. El alambre está sujeto por arriba y cuelga verticalmente. *a)* ¿Qué peso puede colgarse del alambre sin exceder el límite proporcional? *b)* ¿Cuánto se estira el alambre con esta carga? *c)* ¿Qué peso máximo puedes oportar?

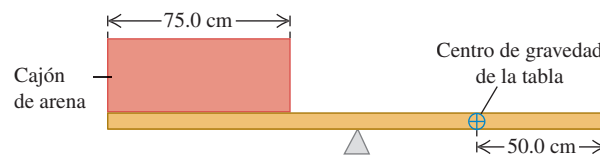
**11.41** • **PA** El límite elástico de un cable de acero es de  $2.40 \times 10^8 \text{ Pa}$  y su área transversal es de  $3.00 \text{ cm}^2$ . Calcule la aceleración máxima hacia arriba que puede darse a un elevador de 1200 kg sostenido por el cable sin que el esfuerzo exceda un tercio del límite elástico.

## PROBLEMAS

**11.42** • Una puerta de 1.00 m de ancho y 2.00 m de altura pesa 330 N y se apoya en dos bisagras, una a 0.50 m debajo del borde superior y otra a 0.50 m arriba del borde inferior. Cada bisagra soporta la mitad del peso de la puerta. Suponiendo que el centro de gravedad de la puerta está en su centro, calcule las componentes horizontales de la fuerza ejercida sobre la puerta por cada bisagra.

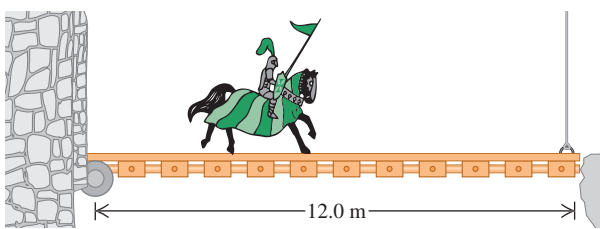
**11.43** • Un cajón de masa despreciable está en reposo en el extremo izquierdo de una tabla de 25.0 kg y 2.00 m de longitud (figura P11.43). El ancho del cajón es de 75.0 cm y se va a distribuir arena uniformemente en él. El centro de gravedad de la tabla no uniforme está a 50.0 cm del extremo derecho. ¿Qué masa de arena debería colocarse en el cajón para que la tabla se equilibre horizontalmente sobre el apoyo, que está colocado exactamente debajo de su punto medio?

Figura P11.43



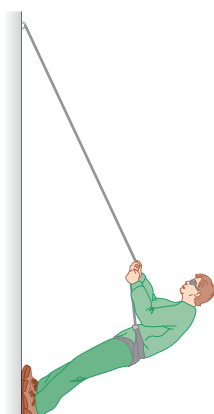
**11.44** • Sir Lancelot sale lentamente a caballo de la fortaleza de Camelot pasando por el puente levadizo de 12.0 m que salva el foso (figura P11.44). Él no sabe que sus enemigos cortaron parcialmente el cable vertical que sostiene el frente del puente, de modo que se romperá si se somete a una tensión de  $5.80 \times 10^3 \text{ N}$ . La masa del puente es de 200 kg y su centro de gravedad está en su centro. Lancelot, su lanza, su armadura y su caballo tienen una masa combinada de 600 kg. ¿Se romperá el cable antes de que Lancelot llegue al otro lado? Si así es, ¿a qué distancia del castillo estará el centro de gravedad del caballo más el jinete cuando se rompa el cable?

Figura P11.44



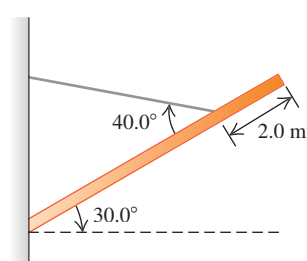
**11.45 •• Escalar montañas.** Los alpinistas a menudo utilizan una cuerda para descender por la pared de un acantilado (lo cual se conoce como *rapel*). Colocan su cuerpo casi horizontal y sus pies empujando contra el risco (figura P11.45). Suponga que un alpinista, de 82.0 kg y estatura de 1.90 m con centro de gravedad a 1.1 m de sus pies, desciende a rapel por un risco vertical manteniendo su cuerpo levantado a  $35.0^\circ$  sobre la horizontal. Él sostiene la cuerda a 1.40 m de sus pies y forma un ángulo de  $25.0^\circ$  con la pared del risco. *a)* ¿Qué tensión necesita soportar esta cuerda? *b)* Determine las componentes horizontal y vertical de la fuerza que la pared del risco ejerce sobre los pies del alpinista. *c)* ¿Qué coeficiente mínimo de fricción estática se necesita para evitar que los pies del alpinista se resbalen de la pared del risco, si él tiene un pie apoyado contra el risco a la vez?

Figura P11.45



**11.46 • Una viga uniforme** de 8.0 m y 1150 kg está unida por una bisagra a la pared y sostenida por un cable delgado sujeto a 2.0 m del extremo libre de la viga (figura P11.46). La viga está sostenida a un ángulo de  $30.0^\circ$  arriba de la horizontal. *a)* Dibuje un diagrama de cuerpo libre de la viga. *b)* Calcule la tensión en el cable. *c)* ¿Con qué intensidad empuja la viga hacia la pared?

Figura P11.46



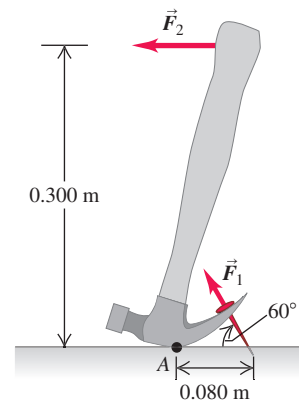
**11.47 • Una varilla uniforme** de 255 N y 2.00 m de longitud carga un peso de 225 N en su extremo derecho, y un peso desconocido  $W$  hacia su extremo izquierdo (figura P11.47). Si  $W$  se coloca a 50.0 cm del extremo izquierdo de la varilla, el sistema se equilibra horizontalmente cuando el apoyo está a 75.0 cm del extremo derecho. *a)* Calcule  $W$ . *b)* Si  $W$  se mueve ahora 25.0 cm a la derecha, ¿a qué distancia y en qué dirección debe moverse el apoyo para restablecer el equilibrio?

Figura P11.47



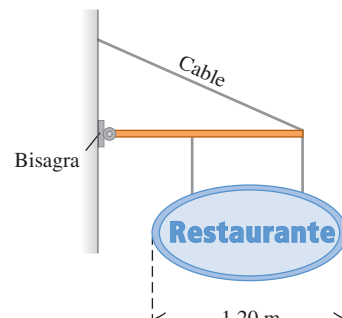
**11.48 •• Se usa un martillo de uña** para sacar un clavo de una tabla (figura P11.48). El clavo forma un ángulo de  $60^\circ$  con la tabla, y se necesita una fuerza  $\vec{F}_1$  de 400 N aplicada al clavo para sacarlo. La cabeza del martillo toca la tabla en el punto A, que está a 0.080 m de donde el clavo entra en la tabla. Se aplica una fuerza horizontal  $\vec{F}_2$  al mango del martillo a una altura de 0.300 m sobre la tabla. ¿Qué magnitud debe tener  $\vec{F}_2$  para aplicar al clavo la fuerza requerida de 400 N ( $F_1$ )? (se puede despreciar el peso del martillo).

Figura P11.48



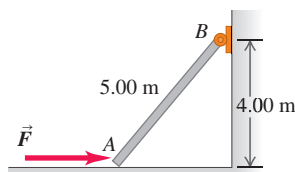
**11.49 ••** Suponga que usted inaugura un restaurante y espera atraer a sus clientes colgando un letrero en el exterior (figura P11.49). La viga horizontal uniforme que sostiene el letrero tiene 1.50 m de longitud y masa de 16.0 kg, y está sujetada a la pared mediante una bisagra. El letrero es uniforme con masa de 28.0 kg y longitud de 1.20 m. Los dos alambres que sostienen el letrero tienen una longitud de 32.0 cm cada uno, están separados 90.0 cm y se encuentran igualmente espaciados con respecto al punto medio del letrero. El cable que sostiene la viga tiene 2.00 m de longitud. *a)* ¿Qué tensión mínima debe soportar el cable sin que se caiga el letrero? *b)* ¿Qué fuerza vertical mínima debe soportar la bisagra sin salirse de la pared?

Figura P11.49



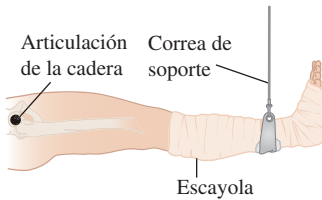
**11.50 •** El extremo A de la barra AB de la figura P11.50 descansa en una superficie horizontal sin fricción, y el extremo B tiene una bisagra. Se ejerce en A una fuerza horizontal  $\vec{F}$  con magnitud de 220 N. Desprecie el peso de la barra. Calcule las componentes horizontal y vertical de la fuerza ejercida por la barra sobre la bisagra en B.

Figura P11.50



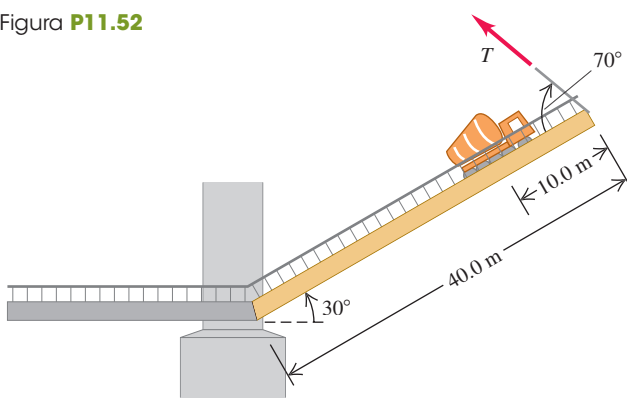
**11.51 •• BIO Sosteniendo una pierna rota.** Un terapeuta recomienda a un paciente de 74 kg que tiene una pierna rota que mantenga su pierna con una escayola sostenida horizontalmente. Para reducir la incomodidad, la pierna debe estar sostenida por una correa vertical en el centro de masa del sistema pierna-escayola (figura P11.51). Para cumplir estas instrucciones, el paciente consulta una tabla de distribuciones típicas de masa y se entera de que ambos muslos constituyen normalmente el 21.5% del peso del cuerpo, y que el centro de masa de cada muslo se encuentra a 18.0 cm de la articulación de la cadera. El paciente también se entera de que la parte inferior de las piernas (incluyendo los pies) forman el 14.0% del peso del cuerpo, con centro de masa a 69.0 cm de la articulación de la cadera. La escayola tiene una masa de 5.50 kg y su centro de masa está a 78.0 cm de la articulación de la cadera. ¿A qué distancia de la articulación de la cadera se debe atar la correa de soporte al molde?

Figura P11.51



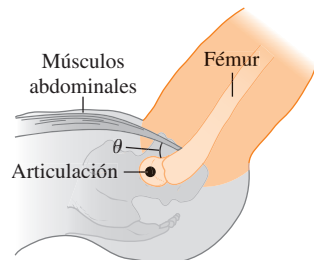
**11.52 • Camión en puente levadizo.** Una revolvedora de cemento cargada entra en un viejo puente levadizo, se descompone y se detiene con su centro de gravedad situado a tres cuartos del claro del puente. El conductor solicita ayuda por radio, pone el freno de mano y espera. Mientras tanto, se acerca un barco, así que el puente se levanta mediante un cable sujetado al extremo opuesto a la bisagra (**figura P11.52**). El puente levadizo mide 40.0 m de largo y tiene una masa de 18,000 kg; el centro de gravedad está en su punto medio. La revolvedora, junto con su conductor, tiene una masa de 30,000 kg. Cuando el puente se eleva formando un ángulo de  $30^\circ$  con la horizontal, el cable forma un ángulo de  $70^\circ$  con la superficie del puente. *a)* ¿Qué tensión  $T$  hay en el cable cuando el puente se sostiene en esa posición? *b)* Calcule las componentes horizontal y vertical de la fuerza que la bisagra ejerce sobre el puente.

Figura P11.52



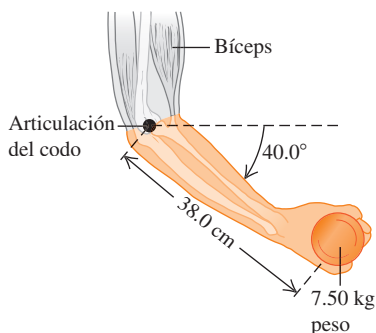
**11.53 • BIO Elevación de piernas.** En una versión simplificada de la acción de la musculatura para levantar las piernas, los músculos abdominales tiran del fémur (hueso del muslo) para elevar la pierna haciéndola girar alrededor de un extremo (**figura P11.53**). Cuando usted está en posición horizontal, estos músculos forman un ángulo aproximado de  $5^\circ$  con el fémur, y si usted eleva sus piernas, los músculos permanecen aproximadamente horizontales, de modo que  $\theta$  aumenta. Por sencillez, supondremos que estos músculos sujetan al fémur sólo en un punto, a 10 cm de la articulación de la cadera (aun cuando, en realidad, la situación es más complicada). Para una persona de 80 kg que tiene una pierna de 90 cm de longitud, la masa de la pierna es de 15 kg y su centro de masa está a 44 cm de su articulación de la cadera medidos a lo largo de la pierna. Si la persona eleva su pierna  $60^\circ$  arriba de la horizontal, el ángulo entre los músculos abdominales y su fémur es también de  $60^\circ$ . *a)* Con su pierna elevada  $60^\circ$ , calcule la tensión de los músculos abdominales sobre cada pierna. Como es usual, comience con un diagrama de cuerpo libre. *b)* ¿Cuándo es mayor la tensión en este músculo: cuando la pierna está elevada a  $60^\circ$  o cuando la persona inicia la elevación a partir del suelo? ¿Por qué? (intente comprobar la respuesta usted mismo). *c)* Si los músculos abdominales sujetos al fémur estuvieran perfectamente horizontales cuando una persona está acostada, ¿podría esa persona levantar su pierna? ¿Por qué?

Figura P11.53



**11.54 • BIO Levantar pesos.** Un atleta de 72 kg que levanta pesas para fortalecer sus brazos sostiene una pesa de 7.50 kg. Su brazo gira alrededor de la articulación del codo, comenzando  $40.0^\circ$  por debajo de la horizontal (**figura P11.54**). Mediciones biométricas han demostrado que, juntos, los antebrazos y las manos representan

Figura P11.54

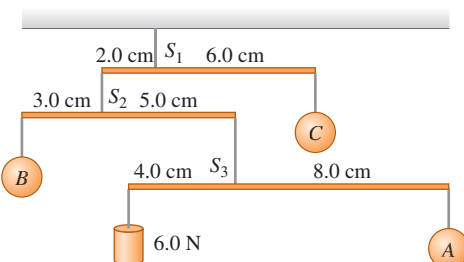


el 6.00% del peso de una persona. Ya que la parte superior del brazo se sostiene verticalmente, el músculo del bíceps actúa siempre de forma vertical y se une a los huesos del antebrazo a 5.50 cm de la articulación del codo. El centro de masa de la combinación antebrazo-mano de esta persona está a 16.0 cm de la articulación del codo, a lo largo de los huesos del antebrazo, y ella sostiene el peso a 38.0 cm de la articulación del codo. *a)* Dibuje un diagrama de cuerpo libre del antebrazo. *b)* ¿Qué fuerza ejerce el músculo bíceps en el antebrazo? *c)* Calcule la magnitud y dirección de la fuerza que ejerce la articulación del codo sobre el antebrazo. *d)* Cuando la persona levanta el brazo hacia una posición horizontal, ¿aumentará la fuerza en el músculo bíceps, disminuirá o permanecerá igual? Por qué?

**11.55 • BIO Dolores de espalda durante el embarazo.** Las mujeres a menudo sufren de dolores de espalda durante el embarazo. Modele a la mujer (sin incluir al feto) como un cilindro uniforme de 30 cm de diámetro y masa 60 kg. Modele el feto como una esfera de 10 kg que tiene 25 cm de diámetro y centrada unos 5 cm *afuera* del frente del cuerpo de la mujer. *a)* ¿Cuánto cambia el embarazo la ubicación horizontal del centro de masa de la mujer? *b)* De qué manera el cambio del inciso *a*) afecta la manera en que la mujer embarazada debe ponerse de pie y caminar? En otras palabras, ¿qué debe hacer a su postura para restituir su centro de masa desplazado? *c)* ¿Puede explicar por qué la mujer embarazada tiene dolores de espalda?

**11.56 •** Le piden diseñar la escultura móvil que se muestra en la **figura P11.56**. Los hilos y las varillas tienen peso despreciable, y las varillas deben colgar horizontales. *a)* Dibuje un diagrama de cuerpo libre para cada varilla. *b)* Calcule los pesos de las esferas A, B y C. Calcule las tensiones en los alambres  $S_1$ ,  $S_2$  y  $S_3$ . *c)* ¿Qué puede decir acerca de la ubicación horizontal del centro de gravedad del móvil? Explique su respuesta.

Figura P11.56

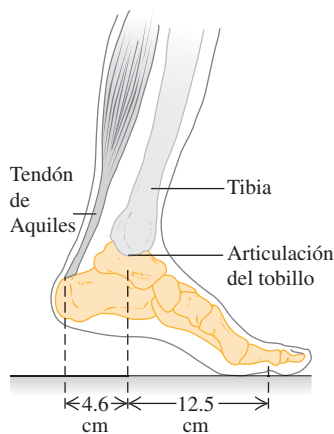


**11.57 •** Una viga uniforme de 7.5 m de longitud y 6490 N de peso está unida por una bisagra a una pared y sostenida por un cable delgado, sujetado a un punto que está a 1.5 m del extremo libre de la viga. El cable corre entre la pared y la viga, y forma un ángulo de  $40^\circ$  con esta última. Calcule la tensión en el cable cuando la viga está  $30^\circ$  arriba de la horizontal.

**11.58 • PA** Un puente levadizo uniforme debe sostenerse con un ángulo de  $37^\circ$  sobre la horizontal para que los barcos puedan pasar por abajo. El puente pesa 45,000 N y tiene una longitud de 14.0 m. Hay un cable conectado a un punto que está a 3.5 m de las bisagras donde el puente gira (medidos a lo largo del puente), y ejerce una tracción horizontal sobre el puente para mantenerlo fijo. *a)* Calcule la tensión en el cable. *b)* Determine la magnitud y la dirección de la fuerza que las bisagras ejercen sobre el puente. *c)* Si el cable se rompe súbitamente, ¿cuál es la magnitud de la aceleración angular del puente levadizo justo después de la ruptura? *d)* ¿Cuál es la rapidez angular del puente conforme regresa a la posición horizontal?

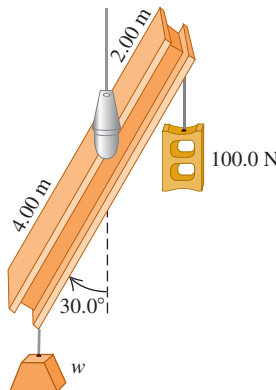
**11.59 • BIO Ejercicios de estiramiento del tendón.** Como parte de un programa de acondicionamiento físico, una persona de 75 kg eleva el peso total de su cuerpo sobre la articulación de un pie (**figura P11.59**). El tendón de Aquiles tira del hueso del talón del pie directamente hacia arriba. El tendón tiene 25 cm de longitud, un área de  $78 \text{ mm}^2$  en la sección transversal y un módulo de Young de 1470 MPa. *a)* Elabore un diagrama de cuerpo libre del pie de la persona (de todas las partes por debajo del tobillo). El peso del pie es despreciable. *b)* ¿Qué fuerza ejerce el tendón de Aquiles sobre el talón durante este ejercicio? Exprese su respuesta en newtons y en múltiplos del peso de la persona. *c)* ¿Cuántos milímetros se estira el tendón de Aquiles?

Figura P11.59



**11.60 • a)** En la **figura P11.60** una viga uniforme de 6.00 m de longitud cuelga de un punto 1.00 m a la derecha de su centro. La viga pesa 140 N y forma un ángulo de  $30.0^\circ$  con la vertical. Del extremo derecho de la viga cuelga un peso de 100.0 N; un peso desconocido  $w$  cuelga del otro extremo. Si el sistema está en equilibrio, ¿cuánto vale  $w$ ? Puede ignorar el grosor de la viga. **b)** Si el ángulo de la viga fuera de  $45.0^\circ$  con la vertical, ¿cuánto valdría  $w$ ?

Figura P11.60

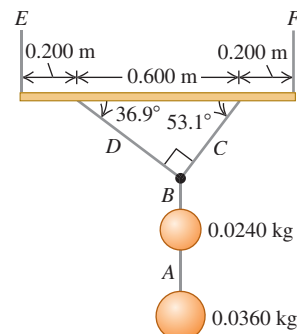


**11.61 •••** Un astabandera horizontal y uniforme, de 5.00 m de longitud y peso de 200 N, está unido por una bisagra a una pared vertical en un extremo, y una acróbata de 600 N cuelga del otro extremo. El asta es sostenida por un alambre que va de su extremo exterior a un punto en la pared directamente arriba del asta. *a)* Si la tensión en el alambre no debe exceder 1000 N, ¿a qué altura mínima sobre el asta

puede fijarse el alambre en la pared? *b)* Si el asta permanece horizontal, ¿cuántos newtons aumentaría la tensión si el alambre se sujetara 0.50 m debajo de ese punto?

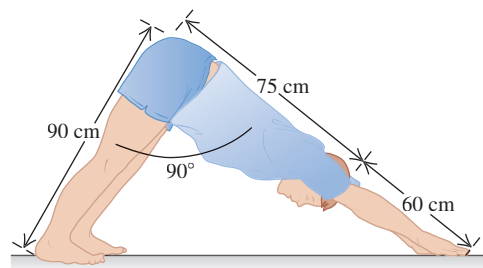
**11.62 •** Un adorno consiste en dos esferas de cristal relucientes con masas de 0.0240 y 0.0360 kg suspendidas de una varilla uniforme con masa de 0.120 kg y longitud de 1.00 m (**figura P11.62**). La varilla se cuelga del techo con una cuerda vertical en cada extremo, quedando horizontal. Calcule la tensión en cada una de las cuerdas *A* a *F*.

Figura P11.62



**11.63 •• BIO Perro boca abajo.** Una postura de yoga conocida como “perro boca abajo” requiere el estiramiento recto de las manos por encima de la cabeza y flexionarse apoyándose contra el suelo. Una persona de 750 N ejecuta este ejercicio como se ilustra en la **figura P11.63**. Cuando flexiona su cuerpo por la cadera a un ángulo de  $90^\circ$  entre sus piernas y el tronco, sus piernas, tronco, cabeza y brazos tienen las dimensiones que se indican. Además, sus piernas y pies pesan un total de 277 N, y su centro de masa se encuentra a 41 cm de su cadera, medidos a lo largo de sus piernas. El tronco, la cabeza y los brazos de la persona pesan 473 N, y su centro de gravedad se encuentra a 65 cm de la cadera medidos a lo largo de la parte superior del cuerpo. *a)* Calcule la fuerza normal que ejerce el piso sobre cada pie y sobre cada mano, suponiendo que la persona no favorece alguna mano o pie. *b)* Calcule la fuerza de fricción sobre cada pie y sobre cada mano, suponiendo que es la misma sobre ambos pies y sobre ambas manos (aunque no necesariamente la misma en pies y manos). [Sugerencia: Primero considere el cuerpo completo como un sistema, luego aísle sus piernas (o la parte superior del cuerpo)].

Figura P11.63



**11.64 •** Una barra de metal uniforme que tiene 8.00 m de largo y 30.0 kg de masa se une en un extremo al lado de un edificio con una bisagra sin fricción. La barra se mantiene en un ángulo de  $64.0^\circ$  sobre la horizontal por un cable delgado y ligero que va desde el extremo de la barra opuesta a la bisagra hasta un punto en la pared que está por encima de la bisagra. El cable forma un ángulo de  $37.0^\circ$  con la barra. Su masa es de 65.0 kg. Usted agarra la barra cerca de la bisagra y se cuelga debajo de ella, con las manos juntas y los pies en el aire. Para impresionar a sus amigos, intencionalmente cambia sus manos lentamente hacia la parte superior final de la barra. *a)* Si el cable se rompe cuando su tensión excede los 455 N, ¿qué tan lejos del extremo superior de la barra está usted cuando el cable se rompe? *b)* Justo antes de que el cable se rompa, ¿cuáles son la magnitud y dirección de la fuerza resultante que la bisagra ejerce sobre la barra?

**11.65** • Un trabajador quiere darle la vuelta a una caja rectangular uniforme de 1250 N jalando a  $53.0^\circ$  sobre uno de sus lados verticales (**figura P11.65**). El piso es lo suficientemente áspero para evitar que la caja se deslice. *a)* ¿Qué tirón se requiere para que la caja se empiece a inclinar? *b)* ¿Qué tan fuerte empuja el piso sobre la caja? *c)* Obtenga la fuerza de fricción sobre la caja. *d)* ¿Qué coeficiente mínimo de fricción estática se necesita para evitar que la caja se deslice por el piso?

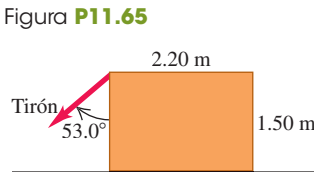


Figura P11.65

**11.66** •• Un extremo de un metro uniforme se coloca contra una pared vertical (**figura P11.66**); el otro extremo se sostiene con una cuerda ligera que forma un ángulo  $\theta$  con el metro. El coeficiente de fricción estática entre el extremo del metro y la pared es de 0.40. *a)* ¿Qué valor máximo puede tener el ángulo  $\theta$  si el metro debe permanecer en equilibrio? *b)* Sea  $\theta = 15^\circ$ . Un bloque que pesa lo mismo que el metro se suspende de él, como se muestra, a una distancia  $x$  de la pared. ¿Qué valor mínimo de  $x$  permite al metro seguir en equilibrio? *c)* Si  $\theta = 15^\circ$ , ¿qué valor debe tener el coeficiente de fricción estática para que el bloque pueda suspenderse a 10 cm del extremo izquierdo del metro sin que éste resbale?

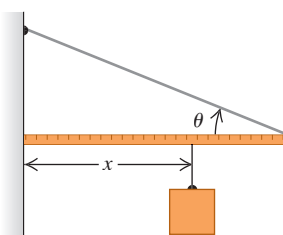


Figura P11.66

**11.67** •• Dos amigos suben un tramo de las escaleras cargando una caja de 200 kg. La caja mide 1.25 m de longitud y 0.500 m de altura, y el centro de gravedad está en su centro. Las escaleras forman un ángulo de  $45.0^\circ$  con respecto al piso. La caja también se carga inclinada  $45.0^\circ$ , de modo que su base está paralela a la pendiente de las escaleras (**figura P11.67**). Si la fuerza aplicada por cada persona es vertical, ¿qué magnitud tiene cada fuerza? ¿Es mejor ser la persona de arriba o la de abajo?

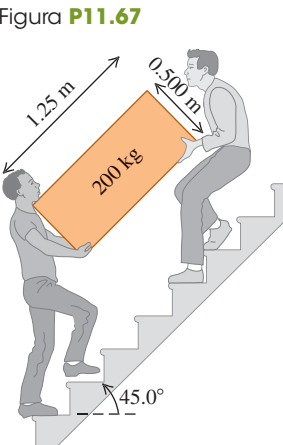


Figura P11.67

**11.68** •• **BIO Antebrazo.** En el brazo humano, el antebrazo y la mano giran alrededor de la articulación del codo. Considere un modelo simplificado donde el bíceps está unido al antebrazo a 3.80 cm del codo. Suponga que la mano y el antebrazo, juntos, pesan 15.0 N y que su centro de gravedad está a 15.0 cm del codo (menos de la mitad de la distancia a la mano). El antebrazo se mantiene en posición horizontal formando un ángulo recto con el brazo, y el bíceps ejerce su fuerza en dirección perpendicular al antebrazo. *a)* Dibuje un diagrama de cuerpo libre para el antebrazo y determine la fuerza ejercida por el bíceps cuando la mano está vacía. *b)* Ahora la persona sostiene una pesa de 80.0 N en la mano, manteniendo horizontal el antebrazo. Suponga que el centro de gravedad de esta pesa se ubica a 33.0 cm del codo. Dibuje un diagrama de cuerpo libre para el antebrazo y determine la fuerza que ahora ejerce el bíceps. Explique por qué el bíceps necesita ser muy fuerte. *c)* En las condiciones del inciso *b*), determine la magnitud y dirección de la fuerza que ejerce la articulación del codo sobre el antebrazo. *d)* Sosteniendo la pesa de 80.0 N, la persona levanta el antebrazo hasta que forma un ángulo de  $53.0^\circ$  arriba de la horizontal.

Si el bíceps sigue ejerciendo su fuerza perpendicularmente sobre el antebrazo, ¿qué magnitud tiene la fuerza cuando el antebrazo se encuentra en esa posición? ¿La fuerza aumentó o disminuyó con respecto a su valor en el inciso *b*)? Explique esto y compruebe su respuesta haciendo la prueba con su propio brazo.

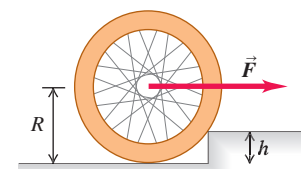
**11.69** •• **BIO CALC** Repase el ejemplo 11.4 (sección 11.3) donde se sostiene una mancuerna. El peso máximo que puede sostenerse de esa manera está limitado por la tensión máxima permisible  $T$  en el tendón (determinada por la resistencia de los tendones) y por la distancia  $D$  entre el codo y el punto de sujeción del tendón al antebrazo. *a)* Representaremos con  $T_{\text{máx}}$  el valor máximo de la tensión del tendón. Use los resultados del ejemplo 11.4 para expresar  $w_{\text{máx}}$  (el peso máximo que se puede sostener) en términos de  $T_{\text{máx}}$ ,  $L$ ,  $D$  y  $h$ . Su expresión no deberá incluir el ángulo  $\theta$ . *b)* Los tendones de diferentes primates se unen al antebrazo con distintos valores de  $D$ . Calcule la derivada de  $w_{\text{máx}}$  con respecto a  $D$  y determine si la derivada es positiva o negativa. *c)* Un tendón de chimpancé está unido al antebrazo en un punto más lejos del codo que en el ser humano. Considere este hecho para explicar por qué el chimpancé tiene brazos más fuertes que el ser humano (la desventaja es que los chimpancés tienen brazos menos flexibles que los humanos).

**11.70** •• En un parque de la ciudad, una viga de madera no uniforme de 4.00 m de largo está suspendida horizontalmente por un cable de acero ligero en cada extremo. El cable en el extremo izquierdo forma un ángulo de  $30.0^\circ$  con la vertical y tiene tensión 620 N. El cable de la parte derecha de la viga forma un ángulo de  $50.0^\circ$  con la vertical. Como empleado del departamento de parques de recreación, se le pide que determine el peso de la viga y la ubicación de su centro de gravedad.

**11.71** •• Usted es un pasante de verano para una firma arquitectónica. Una barra de acero uniforme de 8.00 m de longitud debe estar unida a una pared con una bisagra sin fricción en un extremo. La varilla debe sostenerse a  $22.0^\circ$  debajo de la horizontal con un cable ligero que se ata al extremo de la barra enfrente de la bisagra. El cable forma un ángulo de  $30.0^\circ$  con la varilla y se une a la pared en un punto arriba de la bisagra. El cable se romperá si su tensión excede los 650 N. *a)* ¿Para qué masa de la varilla se romperá el cable? *b)* Si la varilla tiene una masa de 10.0 kg menos que el valor calculado en el inciso *a*), ¿cuáles serán la magnitud y dirección de la fuerza que ejerce la bisagra sobre la varilla?

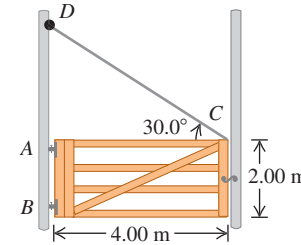
**11.72** •• Usted está tratando de subir una rueda de bicicleta de masa  $m$  y radio  $R$  a una acera de altura  $h$ ; para ello, aplica una fuerza horizontal  $\vec{F}$  (**figura P11.72**). ¿Qué magnitud mínima de  $\vec{F}$  logrará subir la rueda, si la fuerza se aplica *a)* en el centro de la rueda? *b)* ¿Y en la parte superior de la rueda? *c)* ¿En cuál caso se requiere menos fuerza?

Figura P11.72



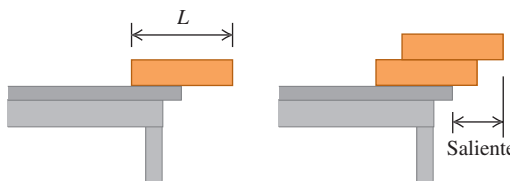
**11.73** • **La puerta del corral.** Una puerta de 4.00 m de ancho y 2.00 m de altura pesa 700 N; su centro de gravedad está en su centro, y tiene bisagras en *A* y *B*. Para aliviar la deformación en la bisagra superior, se instala el alambre *CD* como se muestra en la **figura P11.73**. La tensión en *CD* se aumenta hasta que la fuerza horizontal en la bisagra *A* es cero. *a)* ¿Qué tensión hay en el alambre *CD*? *b)* ¿Qué magnitud tiene la componente horizontal de la fuerza en la bisagra *B*? *c)* ¿Qué fuerza vertical combinada ejercen las bisagras *A* y *B*?

Figura P11.73



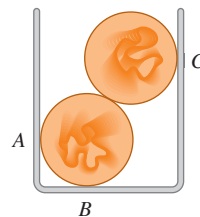
- 11.74** • Si se coloca un bloque uniforme en el borde de una mesa, el centro del bloque debe estar sobre la mesa para que el bloque no caiga. *a)* Si apilamos dos bloques idénticos en el borde de la mesa, el centro del bloque superior debe estar sobre el bloque inferior, y el centro de gravedad de los dos bloques juntos debe estar sobre la mesa. En términos de la longitud  $L$  de cada bloque, ¿cuál es la máxima saliente posible (**figura P11.74**)? *b)* Repita el inciso anterior con tres y cuatro bloques idénticos. *c)* ¿Es posible apilar bloques de modo que el de arriba no esté directamente sobre la mesa? ¿Cuántos bloques serían necesarios? (Inténtelo).

Figura P11.74



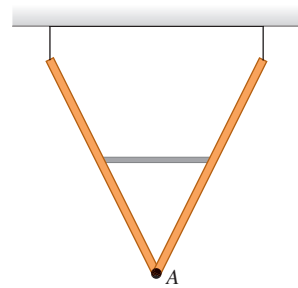
- 11.75** ... Dos canicas uniformes de 75.0 g y 2.00 cm de diámetro se apilan como se muestra en la **figura P11.75** en un recipiente de 3.00 cm de ancho. *a)* Calcule la fuerza que el recipiente ejerce sobre las canicas en los puntos de contacto *A*, *B* y *C*. *b)* ¿Qué fuerza ejerce cada canica sobre la otra?

Figura P11.75



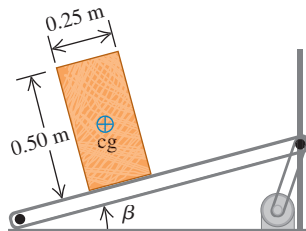
- 11.76** • Dos vigas uniformes idénticas que pesan 260 N cada una están unidas por un extremo con una bisagra sin fricción. Una barra horizontal ligera unida a los puntos medios de las vigas mantiene un ángulo de  $53.0^\circ$  entre las vigas, las cuales cuelgan del techo mediante alambres verticales, formando una "V" (**figura P11.76**). *a)* ¿Qué fuerza ejerce la barra horizontal sobre cada viga? *b)* ¿La barra horizontal está sometida a tensión o a compresión? *c)* ¿Qué fuerza (magnitud y dirección) ejerce la bisagra *A* sobre cada viga?

Figura P11.76



- 11.77** • Un ingeniero está diseñando un sistema transportador para cargar pacas de paja en una carreta (**figura P11.77**). Las pacas miden 0.25 m de ancho, 0.50 m de alto y 0.80 m de largo (la dimensión perpendicular al plano de la figura), con masa de 30.0 kg y centro de gravedad en el centro geométrico. El coeficiente de fricción estática entre una paca y la banda transportadora es de 0.60, y la banda se mueve con rapidez constante. *a)* El ángulo  $\beta$  del transportador se aumenta lentamente. En cierto ángulo crítico, las pacas se volcarán (si no se deslizan antes), y en otro ángulo crítico distinto resbalarán (si no se vuelcan antes). Calcule los dos ángulos críticos y determine qué sucede en el ángulo menor. *b)* ¿Sería diferente el resultado del inciso *a)* si el coeficiente de fricción fuera 0.40?

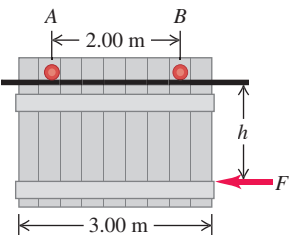
Figura P11.77



- 11.78** • Un peso  $W$  se sostiene unido a un poste metálico vertical y uniforme, mediante una cuerda ligera que pasa por una polea, cuya masa y fricción son despreciables. La cuerda está unida al poste 40.0 cm debajo de la parte superior y tira horizontalmente de él (**figura P11.78**). El poste pivota alrededor de una bisagra en su base, tiene 1.75 m de altura y pesa 55.0 N. Un alambre delgado conecta la parte superior del poste con una pared vertical. El clavo que une este alambre a la pared se saldrá si una fuerza *hacia afuera* mayor que 22.0 N actúa sobre él. *a)* ¿Cuál es el peso máximo  $W$  que puede soportarse de esta forma sin que se salga el clavo? *b)* ¿Cuál es la magnitud de la fuerza que la bisagra ejerce sobre el poste?

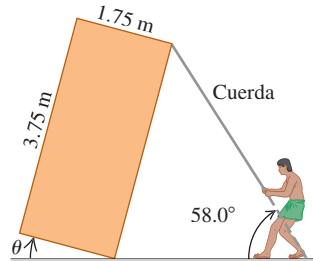
**11.79** • La puerta de una cochera está montada sobre un riel en la parte superior (**figura P11.79**). Las ruedas en *A* y *B* se oxidaron, de modo que no ruedan, sino que se deslizan sobre el riel. El coeficiente de fricción cinética es de 0.52. La distancia entre las ruedas es de 2.00 m, y cada una está a 0.50 m de los bordes verticales de la puerta. La puerta es uniforme y pesa 950 N. Una fuerza horizontal  $\vec{F}$  la empuja a la izquierda con rapidez constante. *a)* Si la distancia  $h$  es de 1.60 m, ¿cuál es la componente vertical de la fuerza que ejerce el riel sobre cada rueda? *b)* Calcule el valor máximo que  $h$  puede tener para que una rueda no se separe del riel.

Figura P11.79



- 11.80** ... **Constructores de pirámides.** Antiguos constructores de pirámides equilibran una losa de piedra rectangular y uniforme inclinándola a un ángulo  $\theta$  por encima de la horizontal y usando una cuerda (**figura P11.80**). Cinco trabajadores sostienen la cuerda compartiendo fuerzas iguales. *a)* Si  $\theta = 20.0^\circ$ , ¿qué fuerza ejerce cada trabajador sobre la cuerda? *b)* Al aumentar  $\theta$ , ¿cada trabajador tiene que ejercer más o menos fuerza que en el inciso *a)* suponiendo que no modifican el ángulo de la cuerda? ¿Por qué? *c)* ¿En qué ángulo los trabajadores ya no deben ejercer *ninguna fuerza* para equilibrar la losa? ¿Qué sucede si  $\theta$  excede este valor?

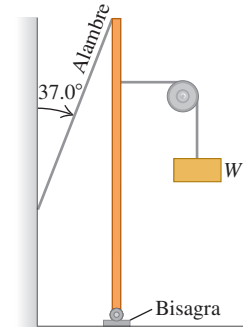
Figura P11.80



- 11.81** ... **PA** Una masa de 12.0 kg, sujetada al extremo de un alambre de aluminio con una longitud sin estirar de 0.70 m, se hace girar en un círculo vertical con una rapidez angular constante de 120 rev/min. El área seccionada transversalmente del alambre es de 0.014 cm<sup>2</sup>. Calcule la elongación del cable cuando la masa está *a)* en el punto más bajo de la trayectoria y *b)* en el punto más alto de su trayectoria.

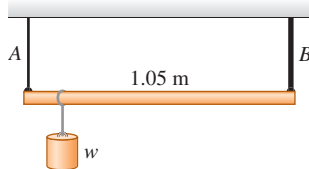
- 11.82** • **La ley de Hooke para un alambre.** Un alambre de longitud  $l_0$  y área transversal  $A$  sostiene un peso  $W$  que cuelga. *a)* Demuestre que si el cable cumple la ecuación  $AY/l_0$ , donde  $Y$  es el módulo de Young para el material del que está hecho el cable. *b)* ¿Cuál sería la constante de fuerza para un alambre de cobre de 75.0 cm de longitud y de calibre 16 (diámetro = 1.291 mm)? Vea la tabla 11.1. *c)* ¿Cuál tendría que ser  $W$  para que el alambre del inciso *b)* se estirara 1.25 mm?

Figura P11.78



**11.83 ••** Una varilla de 1.05 m de longitud con peso despreciable está sostenida en sus extremos por alambres *A* y *B* de igual longitud (**figura P11.83**). El área transversal de *A* es de  $2.00 \text{ mm}^2$ , y la de *B*,  $4.00 \text{ mm}^2$ . El módulo de Young del alambre *A* es de  $1.80 \times 10^{11} \text{ Pa}$ ; el de *B*,  $1.20 \times 10^{11} \text{ Pa}$ . ¿En qué punto de la varilla debe colgarse un peso *w* con la finalidad de producir *a)* esfuerzos iguales en *A* y *B*? *b)* Y deformaciones iguales en *A* y *B*?

Figura P11.83

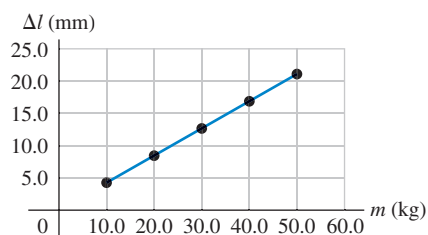


**11.84 •• PA** Un juego de feria (**figura P11.84**) consiste en pequeños aviones unidos a varillas de acero de 15.0 m de longitud y área transversal de  $8.00 \text{ cm}^2$ . *a)* ¿Cuánto se estira la varilla cuando el juego está en reposo? (Suponga que cada avión con dos personas en él pesa 1900 N en total). *b)* En movimiento, el juego tiene una rapidez angular máxima de 12.0 rev/min. ¿Cuánto se estira la varilla entonces?

**11.85 •• PA BIO** **Esfuerzo en la espinilla.** La resistencia a la compresión de nuestros huesos es importante en la vida diaria. El módulo de Young de los huesos es cerca de  $1.4 \times 10^{10} \text{ Pa}$ . Los huesos sólo pueden experimentar un cambio de longitud del 1.0% antes de romperse. *a)* ¿Qué fuerza máxima puede aplicarse a un hueso con área transversal mínima de  $3.0 \text{ cm}^2$ ? (Esto corresponde aproximadamente al área transversal de la tibia, o espinilla, en su punto más angosto). *b)* Estime la altura máxima desde la que puede saltar un hombre de 70 kg sin fracturarse la tibia. Suponga que el lapso entre que la persona toca el piso y que se detiene es de 0.030 s, y que el esfuerzo se distribuye igualmente entre las dos piernas.

**11.86 •• DATOS** Usted debe utilizar un alambre largo y delgado para construir un péndulo en un museo de ciencia. El alambre tiene una longitud sin estirar de 22.0 m y una sección transversal circular de diámetro 0.860 mm; está hecho de una aleación que tiene un gran esfuerzo de ruptura. Un extremo del alambre estará unido al techo, y una esfera de metal de 9.50 kg se unirá al otro extremo. A medida que el péndulo oscila hacia adelante y hacia atrás, el desplazamiento angular máximo del cable desde la vertical será de  $36.0^\circ$ . Debe determinar la cantidad máxima que se extenderá el cable durante este movimiento. Antes de conectar la esfera metálica, usted suspende una masa de prueba (masa *m*) del extremo inferior del cable. Luego, mide el aumento de longitud  $\Delta l$  del cable para varias masas de prueba. La **figura P11.86** muestra una gráfica de  $\Delta l$  contra *m*, con los resultados

Figura P11.86



y la recta de mejor ajuste a los datos. La ecuación de esta recta es  $\Delta l = (0.422 \text{ mm/kg})m$ . *a)* Suponga que  $g = 9.80 \text{ m/s}^2$ , y use la figura P11.86 para calcular el módulo de Young *Y* para este cable. *b)* Usted retira las masas de prueba, fija la esfera de 9.50 kg, y suelta la esfera desde el reposo, con el cable desplazado por  $36.0^\circ$ . Calcule la cantidad que se extenderá el cable a medida que se balancea a través de la vertical. Desprecie la resistencia del aire.

**11.87 •• DATOS** Usted necesita medir la masa *M* de una barra larga de 4.00 m. La barra tiene una sección transversal cuadrada, pero tiene algunos orificios perforados a lo largo de su longitud, por lo que se sospecha que su centro de gravedad no está en el centro de la barra. La barra es demasiado larga para pesarla en su báscula. Entonces, primero equilibra la barra en un pivote con borde en forma de cuchillo y determina que el centro de gravedad de la barra está a 1.88 m de su extremo izquierdo. Luego coloca la barra en el pivote de modo que el punto de apoyo esté a 1.50 m del extremo izquierdo de la barra. Después suspende una masa de 2.00 kg (*m*<sub>1</sub>) de la barra en un punto a 0.200 m del extremo izquierdo. Finalmente, suspende una masa *m*<sub>2</sub> = 1.00 kg de la barra a una distancia *x* del extremo izquierdo y ajusta *x* para que la barra esté equilibrada. Repite este paso para otros valores de *m*<sub>2</sub> y registra cada valor correspondiente de *x*. La tabla presenta sus resultados.

<i>m</i> <sub>2</sub> (kg)	1.00	1.50	2.00	2.50	3.00	4.00
<i>x</i> (m)	3.50	2.83	2.50	2.32	2.16	2.00

*a)* Dibuje un diagrama de cuerpo libre para la barra cuando *m*<sub>1</sub> y *m*<sub>2</sub> se suspenden de ésta. *b)* Aplique la ecuación de equilibrio estático  $\sum \tau_z = 0$  con el eje en la ubicación del pivote con borde en forma de cuchillo. Despeje *x* en la ecuación como función de *m*<sub>2</sub>. *c)* Trace *x* contra  $1/m_2$ . Utilice la pendiente de la línea recta de mejor ajuste y la ecuación que se deduce en el inciso *b)* para calcular la masa de la barra *M*. Considere  $g = 9.80 \text{ m/s}^2$ . *d)* ¿Cuál es la intersección en *y* de la línea recta que se ajusta a los datos? Explique por qué tiene este valor.

**11.88 •• DATOS** Usted es un ingeniero civil que trabaja en el diseño interior de una tienda al por menor en una plaza comercial. Una barra larga uniforme de 2.00 m y de 8.50 kg de masa se debe unir a un extremo en una pared, por medio de una bisagra que permita que la barra gire libremente con muy poca fricción. La barra se mantiene en posición horizontal con un cable ligero desde un punto de la barra (una distancia *x* desde la bisagra) hasta un punto en la pared arriba de la bisagra. El cable forma un ángulo *θ* con la barra. El arquitecto propone cuatro posibles maneras de conectar el cable y le pide que los evalúe:

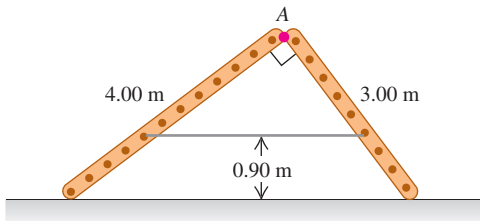
Alternativa	A	B	C	D
<i>x</i> (m)	2.00	1.50	0.75	0.50
<i>θ</i> (grados)	30	60	37	75

*a)* Hay preocupación acerca de la fuerza del cable que se requerirá. ¿Qué conjunto de valores *x* y *θ* en la tabla producen la menor tensión en el cable? ¿Y la mayor? *b)* Existe preocupación por la resistencia a la ruptura de la pared de yeso donde se acoplará la bisagra. ¿Qué conjunto de valores *x* y *θ* producen la menor componente horizontal de la fuerza que ejerce la barra sobre la bisagra? ¿Y la mayor? *c)* También hay preocupación acerca de la fuerza requerida de la bisagra y la fuerza de su unión a la pared. ¿Qué conjunto de valores *x* y *θ* producen la menor magnitud de la componente vertical de la fuerza que ejerce la barra sobre la bisagra? ¿Y la mayor? (*Sugerencia:* Pregúntese si la dirección de la componente vertical de la fuerza que ejerce la bisagra en la barra depende del punto a lo largo de la barra donde se une el cable). *d)* Es preferible una de las alternativas que se dan en la tabla? ¿Debería evitarse alguna de las alternativas? Explique su respuesta.

## PROBLEMAS DE DESAFÍO

**11.89** Dos escaleras, de 4.00 m y 3.00 m de longitud, tienen una bisagra en el punto A y están atadas por una cuerda horizontal 0.90 m arriba del piso (figura P11.89). Las escaleras pesan 480 N y 360 N, respectivamente, y el centro de gravedad de cada una está en su centro. Suponga que el piso está recién encerado y no tiene fricción. *a)* Calcule la fuerza hacia arriba en la base de cada escalera. *b)* Determine la tensión en la cuerda. *c)* Calcule la magnitud de la fuerza que ejerce una escalera sobre la otra en A. *d)* Si un pintor de 800 N se coloca de pie en A, calcule la tensión en la cuerda horizontal.

Figura P11.89

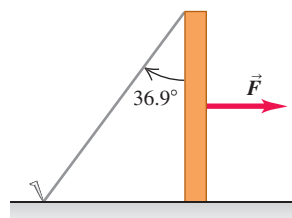


**11.90** **Tirar un poste.** El extremo de un poste de altura  $h$ , que pesa 400 N, descansa en una superficie horizontal áspera con  $\mu_s = 0.30$ . El extremo superior se sujetó con una cuerda fija a la superficie que forma un ángulo de  $36.9^\circ$  con el poste (figura P11.90). Se ejerce una fuerza horizontal  $\vec{F}$  sobre el poste como se muestra.

*a)* Si  $\vec{F}$  se aplica en el punto medio del poste, ¿qué valor máximo puede tener sin hacer que el poste resbale? *b)* ¿Y si el punto de aplicación está a  $\frac{6}{10}$  de la longitud del poste desde la base? *c)* Demuestre que si el punto de aplicación de la fuerza está a suficiente altura, no puede hacerse que el poste resbale, sin importar la intensidad de la fuerza. Calcule esta altura crítica para el punto de aplicación.

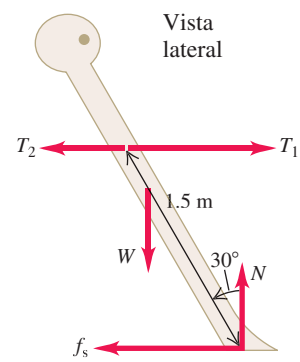
**11.91** **PA** Un pescador cuelga verticalmente un pez de 4.50 kg de un alambre de acero de 1.50 m de longitud y área transversal de  $5.00 \times 10^{-3} \text{ cm}^2$ . El extremo superior del alambre está bien sujetado a un soporte. *a)* Calcule cuánto se estira el alambre por el peso del pez. Ahora el pescador aplica una fuerza  $\vec{F}$  al pez, tirando lentamente de él hacia abajo y moviéndolo 0.500 mm con respecto a su posición de equilibrio. Para este movimiento hacia abajo, calcule *b)* el trabajo efectuado por la fuerza de gravedad; *c)* el trabajo realizado por la fuerza  $\vec{F}$ ; *d)* el trabajo efectuado por la fuerza que ejerce el alambre sobre el pez y *e)* el cambio de energía potencial elástica (la energía potencial asociada al esfuerzo de tensión en el alambre). Compare las respuestas de los incisos *d)* y *e)*.

Figura P11.90



## PROBLEMAS DE TRANSICIÓN

**BIO TORCAS Y TIRA Y AFLOJA.** En un estudio de biomecánica del tira y afloja, un competidor de 2.0 m de altura y 80.0 kg en el centro de la línea se considera como un cuerpo rígido que se inclina hacia atrás a un ángulo de  $30.0^\circ$  de la vertical. El competidor está tirando de una soga que se mantiene horizontal a una distancia de 1.5 m de sus pies (medida a lo largo de la línea del cuerpo). En el momento que se muestra en la figura, el hombre está quieto y la tensión en la cuerda que está adelante de él es  $T_1 = 1160 \text{ N}$ . Puesto que hay fricción entre la cuerda y sus manos, la tensión en la cuerda que está detrás de él,  $T_2$ , no es igual a  $T_1$ . Su centro de masa está a la mitad entre sus pies y la parte superior de la cabeza. El coeficiente de fricción estática entre sus pies y el suelo es 0.65.



**11.92** ¿Cuál es la tensión  $T_2$  en la cuerda detrás de él? *a)* 590 N; *b)* 650 N; *c)* 860 N; *d)* 1100 N.

**11.93** Si se inclina un poco más atrás (aumentando el ángulo entre su cuerpo y la vertical), pero permanece quieto en esta nueva posición, ¿cuál de las siguientes afirmaciones es verdadera? Suponga que la cuerda permanece horizontal. *a)* La diferencia entre  $T_1$  y  $T_2$  aumentará, equilibrando el aumento de torca sobre sus pies que produce su peso cuando se inclina más atrás; *b)* la diferencia entre  $T_1$  y  $T_2$  disminuirá, balanceando la torca creciente sobre sus pies que produce su peso cuando él se inclina más hacia atrás; *c)* ni  $T_1$  ni  $T_2$  van a cambiar, porque ninguna otra fuerza se modifica; *d)* tanto  $T_1$  como  $T_2$  van a cambiar, pero la diferencia entre ellas seguirá siendo la misma.

**11.94** Su cuerpo vuelve a inclinarse hacia atrás a  $30.0^\circ$  de la vertical, pero ahora se hace variar la altura con respecto al suelo a la que se sujetó la cuerda por arriba, pero aún está paralela al suelo. La tensión en la cuerda delante del competidor ( $T_1$ ) se mide en función de la distancia más corta entre la cuerda y el suelo (la altura de sujeción). Se encuentra que la tensión  $T_1$  disminuye a medida que aumenta la altura de sujeción. ¿Qué podría explicar esta observación? A medida que la altura de sujeción aumenta, *a)* el brazo de momento de la cuerda sobre sus pies disminuye debido al ángulo que forma su cuerpo con la vertical; *b)* el brazo de momento del peso sobre sus pies disminuye debido al ángulo que forma su cuerpo con la vertical; *c)* se necesita una tensión menor en la cuerda para producir una torca suficiente para balancear la torca del peso sobre sus pies; *d)* su centro de masa se desplaza hacia abajo para compensar, por lo que se requiere menos tensión en la cuerda para mantener el equilibrio.

**11.95** Su cuerpo se inclina de nuevo a  $30.0^\circ$  de la vertical, pero el coeficiente de fricción estática entre sus pies y el suelo se reduce repentinamente a 0.50. ¿Qué pasará? *a)* Todo su cuerpo se acelerará hacia adelante; *b)* sus pies se deslizarán hacia adelante; *c)* sus pies se deslizarán hacia atrás; *d)* sus pies no se deslizarán.

## Respuestas

### Pregunta de inicio del capítulo ?

**i.** Cada piedra en el arco experimenta compresión, no tensión. Esto se debe a que las fuerzas sobre las piedras tienden a empujarlas hacia el centro del arco, aplastándolas. En comparación con una pared sólida de carga, una pared con arcos es igualmente resistente, pero mucho menos costosa de construir.

### Respuesta a las secciones

#### Evalúe su comprensión

**11.1 i.** La situación **i** satisface ambas condiciones de equilibrio, ya que la gaviota tiene aceleración cero (así que  $\sum \vec{F} = \mathbf{0}$ ) y ninguna tendencia a comenzar a girar (así que  $\sum \vec{\tau} = \mathbf{0}$ ). La situación **ii** satisface la primera condición, pues el cigüeñal entero no acelera en el espacio, pero no satisface la segunda condición; el cigüeñal tiene una aceleración angular, así que  $\sum \vec{\tau}$  no es cero. La situación **iii** satisface la segunda condición (no hay tendencia a girar), pero no la primera; la pelota se acelera en su vuelo (debido a la gravedad y a la resistencia del aire), así que  $\sum \vec{F}$  no es cero.

**11.2 ii.** En el equilibrio, el centro de gravedad debe estar en el punto de apoyo. Puesto que la roca y el metro tienen la misma masa y, por lo tanto, el mismo peso, el centro de gravedad del sistema está a media distancia entre sus centros respectivos. El centro de gravedad del metro está a 0.50 m del extremo izquierdo (es decir, a la mitad del metro), por lo que el centro de gravedad de la combinación de roca y metro está a 0.25 m del extremo izquierdo.

**11.3 ii., i., iii.** Esta situación es igual a la descrita en el ejemplo 11.4, sustituyendo el antebrazo por una varilla, el codo por una bisagra y el tendón por un cable. La única diferencia es que el punto de sujeción del cable está en el extremo de la varilla, así que las distancias  $D$  y  $L$  son idénticas. Del ejemplo 11.4, la tensión es

$$T = \frac{Lw}{L \operatorname{sen} \theta} = \frac{w}{\operatorname{sen} \theta}$$

Como  $\operatorname{sen} \theta$  es menor que 1, la tensión  $T$  es mayor que el peso  $w$ . La componente vertical de la fuerza ejercida por la bisagra es:

$$E_y = -\frac{(L - L)w}{L} = 0$$

En esta situación, la bisagra *no* ejerce ninguna fuerza vertical. Usted puede ver esto con facilidad, si calcula las torcas alrededor del extremo derecho de la varilla horizontal: la única fuerza que ejerce una torca alrededor de este punto es la componente vertical de la fuerza de la bisagra, así que la componente de fuerza debe ser cero.

**11.4 a) iii., b) ii.** En *a*) la varilla de cobre tiene 10 veces el alargamiento  $\Delta l$  de la varilla de acero, pero también tiene 10 veces la longitud original  $l_0$ . Por lo tanto, la deformación por tensión  $\Delta l/l_0$  es la misma para ambas varillas. En *b*) el esfuerzo es igual al módulo de Young  $Y$  multiplicado por la deformación. De la tabla 11.1 el acero tiene un valor de  $Y$  más grande, así que se requiere un mayor esfuerzo para producir la misma deformación.

**11.5** En los casos *a*) y *b*), el paracaídas habrá recuperado su forma original (aunque probablemente la pintura se haya estropeado). En el caso *c*), el paracaídas tendrá una abolladura o deformación permanente. En el caso *d*), el paracaídas estará agrietado o roto.

### Problema práctico

**a)**  $T = \frac{2mg}{3 \operatorname{sen} \theta}$

**b)**  $F = \frac{2mg}{3 \operatorname{sen} \theta} \sqrt{\cos^2 \theta + \frac{1}{4} \operatorname{sen}^2 \theta}, \quad \phi = \arctan \left( \frac{1}{2} \tan \theta \right)$

**c)**  $\Delta l = \frac{2mgl_0}{3AY \tan \theta} \quad \text{d)} \quad 4$



Un pez de cola colorida (*Halichoeres melanurus*) tiene unos 10 cm de largo y puede flotar en el océano con poco esfuerzo, mientras que una mantarraya (*Manta birostris*) debe agitar continuamente sus aletas de más de 5 m para evitar hundirse. ¿Cuál de estos enunciados explica mejor la diferencia? Una mantarraya tiene **i.** una forma diferente; **ii.** mayor masa; **iii.** mayor volumen; **iv.** mayor producto masa y volumen; **v.** mayor proporción de masa a volumen.

# 12 MECÁNICA DE FLUIDOS

## OBJETIVOS DE APRENDIZAJE

Al estudiar este capítulo, usted aprenderá:

- 12.1** El significado de la densidad de un material y la densidad media de un cuerpo.
- 12.2** Qué es presión en un fluido, y cómo se mide.
- 12.3** Cómo calcular la fuerza de flotación que ejerce un fluido sobre un cuerpo sumergido en éste.
- 12.4** La importancia de un flujo laminar contra el flujo de un fluido turbulento, y cómo la rapidez del flujo en un tubo depende del tamaño de este último.
- 12.5** Cómo utilizar la ecuación de Bernoulli para relacionar la presión y la rapidez en el flujo en diferentes puntos en ciertos tipos de fluidos.
- 12.6** Cómo difieren los flujos viscosos y turbulentos con respecto al flujo ideal.

Repase lo estudiado en la sección ...

- 7.1** El cambio en la energía mecánica cuando actúan otras fuerzas distintas de la gravedad.
- 11.4** Presión y sus unidades.

Los fluidos desempeñan un papel crucial en muchos aspectos de la vida cotidiana. Los bebemos, los respiramos y nadamos en ellos; circulan por nuestro organismo y controlan el clima. Por lo tanto, la física de los fluidos es crucial en nuestro entendimiento de la naturaleza y la tecnología.

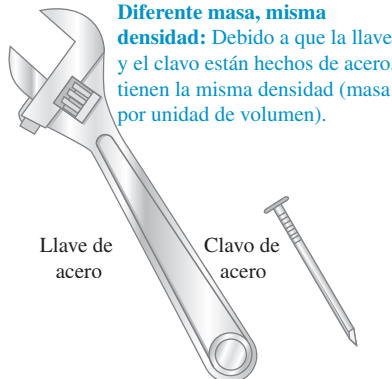
Comenzaremos nuestro estudio con la **estática de fluidos**, es decir, el estudio de fluidos en reposo en situaciones de equilibrio. Al igual que otras situaciones de equilibrio, ésta se basa en la primera y la tercera leyes de Newton. Exploraremos los conceptos clave de densidad, presión y flotación. La **dinámica de fluidos**, que es el estudio de fluidos en movimiento, es mucho más compleja; de hecho, es una de las ramas más complejas de la mecánica. Por fortuna, podemos analizar muchas situaciones importantes usando modelos idealizados sencillos y los principios que ya conocemos, como las leyes de Newton y la conservación de la energía. Aun así, estudiaremos muy superficialmente este tema tan amplio e interesante.

## 12.1 GASES, LÍQUIDOS Y DENSIDAD

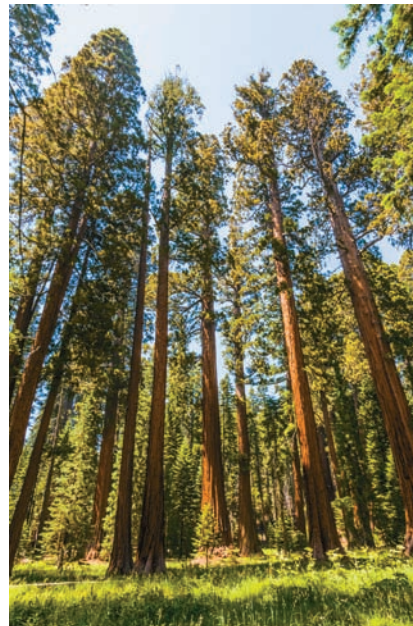
Un **fluido** es cualquier sustancia que puede fluir y cambiar su forma a la del volumen que ocupa (en cambio, un sólido tiende a mantener su forma). Usamos el término “**fluido**” tanto para gases como para líquidos. La diferencia principal entre éstos es que un líquido tiene **cohesión**, mientras que un gas no. Las moléculas en un líquido están cercanas entre sí, por lo que pueden ejercer fuerzas atractivas unas con otras y así tienden a permanecer juntas (esto es, a cohesionarse). Por eso, una cantidad de líquido mantiene el mismo volumen conforme fluye: si usted vierte 500 mL de agua en una sartén, el agua seguirá ocupando un volumen de 500 mL. En cambio, las moléculas de un gas están separadas, en promedio, por distancias más largas que el tamaño de una molécula. Por lo tanto, las fuerzas entre las moléculas son débiles, hay poca o ninguna cohesión, y el gas puede cambiar fácilmente de volumen. Si usted abre la válvula de un tanque de oxígeno comprimido que tiene un volumen de 500 mL, el oxígeno se expandirá a un volumen mucho mayor.

Una propiedad importante de *cualquier* material, ya sea fluido o sólido, es su **densidad**, la cual se define como su masa por unidad de volumen. Un material homogéneo,

**12.1** Dos objetos con diferentes masas y volúmenes, pero con la misma densidad.



**B10 Aplicación Cohesión líquida en los árboles** ¿De qué manera los árboles, algunos de los cuales crecen a alturas mayores de 100 m, logran abastecer de agua a sus hojas? La respuesta radica en las intensas fuerzas de cohesión entre las moléculas de agua líquida. Los conductos angostos dentro del árbol se extienden hacia arriba desde las raíces hasta las hojas. A medida que el agua se evapora de las hojas, las fuerzas de cohesión jalan hacia arriba el agua de reemplazo a través de esos conductos.



como el hielo o el hierro, tiene la misma densidad en todas partes. Usamos  $\rho$  (la letra griega rho) para denotar la densidad. En el caso de un material homogéneo,

$$\text{Densidad de un material homogéneo} \longrightarrow \rho = \frac{m}{V}$$

Masa del material  
Volumen ocupado por material      (12.1)

Dos objetos hechos del mismo material tienen la misma densidad, aunque pueden tener masas y volúmenes diferentes. Esto es porque la *proporción* de masa a volumen es la misma para los dos objetos (**figura 12.1**).

La unidad del SI de la densidad es el kilogramo por metro cúbico ( $1 \text{ kg/m}^3$ ). La unidad en el sistema cgs, el gramo por centímetro cúbico ( $1 \text{ g/cm}^3$ ), también se utiliza comúnmente:

$$1 \text{ g/cm}^3 = 1000 \text{ kg/m}^3$$

En la **tabla 12.1** se presentan las densidades de algunas sustancias comunes a temperaturas ordinarias. Observe la amplia gama de magnitudes. El material más denso que se encuentra en la Tierra es el metal osmio ( $\rho = 22,500 \text{ kg/m}^3$ ), pero su densidad es pequeña en comparación con las densidades de exóticos objetos astronómicos, como las estrellas enanas blancas y las estrellas de neutrones.

La **gravedad específica** de un material es la razón de su densidad entre la densidad del agua a  $4.0^\circ\text{C}$ ,  $1000 \text{ kg/m}^3$ ; es un número puro, sin unidades. Por ejemplo, la gravedad específica del aluminio es 2.7. La “gravedad específica” es un término inadecuado, ya que no tiene nada que ver con la gravedad; “densidad relativa” habría sido un mejor término.

La densidad de algunos materiales varía de un punto a otro dentro del material. Un ejemplo es el material del cuerpo humano, que incluye grasa de baja densidad (aproximadamente  $940 \text{ kg/m}^3$ ) y huesos de alta densidad (de  $1700$  a  $2500 \text{ kg/m}^3$ ). Otros dos ejemplos son la atmósfera de la Tierra (que es menos densa a grandes altitudes) y los océanos (que son más densos a mayor profundidad). Para estos materiales, la ecuación (12.1) describe la densidad media. En general, la densidad de un material depende de factores ambientales como la temperatura y la presión.

**TABLA 12.1 Densidades de algunas sustancias comunes**

Material	Densidad ( $\text{kg/m}^3$ )*	Material	Densidad ( $\text{kg/m}^3$ )*
Aire (1 atm, $20^\circ\text{C}$ )	1.20	Hierro, acero	$7.8 \times 10^3$
Etanol	$0.81 \times 10^3$	Bronce	$8.6 \times 10^3$
Benceno	$0.90 \times 10^3$	Cobre	$8.9 \times 10^3$
Hielo	$0.92 \times 10^3$	Plata	$10.5 \times 10^3$
Agua	$1.00 \times 10^3$	Plomo	$11.3 \times 10^3$
Agua de mar	$1.03 \times 10^3$	Mercurio	$13.6 \times 10^3$
Sangre	$1.06 \times 10^3$	Oro	$19.3 \times 10^3$
Glicerina	$1.26 \times 10^3$	Platino	$21.4 \times 10^3$
Cemento	$2 \times 10^3$	Estrella enana blanca	$10^{10}$
Aluminio	$2.7 \times 10^3$	Estrella de neutrones	$10^{18}$

\* Para obtener la densidad en gramos por centímetro cúbico, simplemente divida entre  $10^3$ .

### EJEMPLO 12.1 PESO DEL AIRE DENTRO DE UNA HABITACIÓN

Calcule la masa y el peso del aire en una habitación a  $20^\circ\text{C}$ . El piso mide  $4.0 \text{ m} \times 5.0 \text{ m}$ , el techo se ubica a una altura de  $3.0 \text{ m}$ , y la habitación tiene la masa y el peso de un volumen igual de agua.

#### SOLUCIÓN

**IDENTIFICAR Y PLANTEAR:** Suponemos que la densidad del aire es la misma en todo el cuarto (el aire es menos denso a grandes alturas que cerca del nivel del mar, pero la variación de densidad a lo largo de la altura de  $3.0 \text{ m}$  del cuarto es despreciable; vea la sección 12.2).

Utilizamos la ecuación (12.1) para relacionar la masa  $m_{\text{aire}}$  con el volumen  $V$  de la habitación (que vamos a calcular) y la densidad del aire  $\rho_{\text{aire}}$  (dada en la tabla 12.1).

**EJECUTAR:** Tenemos  $V = (4.0 \text{ m})(5.0 \text{ m})(3.0 \text{ m}) = 60 \text{ m}^3$ . De acuerdo con la ecuación (12.1),

$$m_{\text{aire}} = \rho_{\text{aire}} V = (1.20 \text{ kg/m}^3)(60 \text{ m}^3) = 72 \text{ kg}$$

$$w_{\text{aire}} = m_{\text{aire}} g = (72 \text{ kg})(9.8 \text{ m/s}^2) = 700 \text{ N} = 160 \text{ lb}$$



La masa y el peso de un volumen igual de agua son

$$\begin{aligned}m_{\text{agua}} &= \rho_{\text{agua}}V = (1000 \text{ kg/m}^3)(60 \text{ m}^3) = 6.0 \times 10^4 \text{ kg} \\w_{\text{agua}} &= m_{\text{agua}}g = (6.0 \times 10^4 \text{ kg})(9.8 \text{ m/s}^2) \\&= 5.9 \times 10^5 \text{ N} = 1.3 \times 10^5 \text{ lb} = 66 \text{ toneladas}\end{aligned}$$

**EVALUAR:** El aire dentro de una habitación pesa aproximadamente lo mismo que un adulto promedio. El agua es casi mil veces más densa que el aire, por lo que su masa y su peso son más grandes por el mismo factor. El peso del agua que llena por completo una habitación hundiría el piso de una casa común.

**EVALÚE SU COMPRENSIÓN DE LA SECCIÓN 12.1** Clasifique los siguientes objetos en orden decreciente de su densidad media: **i.** masa = 4.00 kg, volumen =  $1.60 \times 10^{-3} \text{ m}^3$ ; **ii.** masa = 8.00 kg, volumen =  $1.60 \times 10^{-3} \text{ m}^3$ ; **iii.** masa = 8.00 kg, volumen =  $3.20 \times 10^{-3} \text{ m}^3$ ; **iv.** masa = 2560 kg, volumen =  $0.640 \text{ m}^3$ ; **v.** masa = 2560 kg, volumen =  $1.28 \text{ m}^3$ .

## 12.2 PRESIÓN EN UN FLUIDO

Un fluido ejerce una fuerza perpendicular a cualquier superficie en contacto con éste, como la pared de un recipiente o un cuerpo sumergido en el fluido. Ésta es la fuerza que sentimos en las piernas al introducirlas en una alberca. Aunque el fluido considerado como un todo está en reposo, las moléculas que lo componen están en movimiento; la fuerza ejercida por el fluido se debe a los choques de las moléculas con su entorno.

Imagine una superficie *dentro* de un fluido en reposo. Para que esa superficie y el fluido sigan en reposo, el fluido debe ejercer fuerzas iguales en magnitud, pero opuestas en dirección, a ambos lados de la superficie. Considere una superficie pequeña de área  $dA$  centrada en un punto en el fluido; la fuerza normal que el fluido ejerce sobre cada lado es  $dF_{\perp}$  (**figura 12.2**). Definimos la presión  $p$  en ese punto como la fuerza normal por unidad de área, es decir, la razón entre  $dF_{\perp}$  y  $dA$  (**figura 12.3**):

$$\text{Presión en un punto en un fluido } p = \frac{dF_{\perp}}{dA} \quad \text{Fuerza normal ejercida por el fluido sobre una pequeña superficie en ese punto} \quad (12.2)$$

Área de la superficie

Si la presión es la misma en todos los puntos de una superficie plana finita de área  $A$ , entonces

$$p = \frac{F_{\perp}}{A} \quad (12.3)$$

donde  $F_{\perp}$  es la fuerza normal neta en un lado de la superficie. La unidad del SI para la presión es el pascal.

$$1 \text{ pascal} = 1 \text{ Pa} = 1 \text{ N/m}^2$$

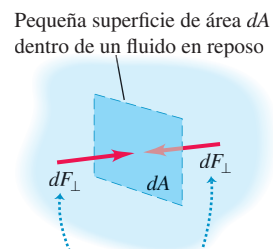
Ya presentamos el pascal en el capítulo 11. Dos unidades relacionadas, que se emplean sobre todo en meteorología, son el *bar*, igual a  $10^5 \text{ Pa}$ , y el *milibar*, igual a  $100 \text{ Pa}$ .

La **presión atmosférica**  $p_a$  es la presión de la atmósfera terrestre, es decir, la presión en el fondo de este mar de aire en el que vivimos. Dicha presión varía con el cambio de clima y con la altitud. La presión atmosférica normal al nivel del mar (un valor medio) es 1 *atmósfera* (atm), definida exactamente como  $101,325 \text{ Pa}$ . Con cuatro cifras significativas,

$$\begin{aligned}(p_a)_{\text{med}} &= 1 \text{ atm} = 1.013 \times 10^5 \text{ Pa} \\&= 1.013 \text{ bar} = 1013 \text{ millibar} = 14.70 \text{ lb/in}^2\end{aligned}$$

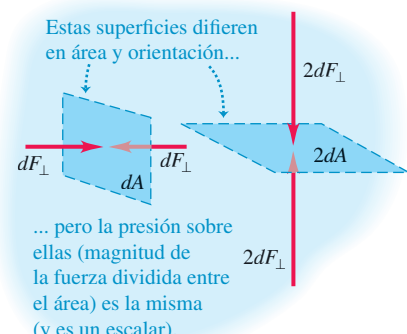
**CUIDADO** No confunda presión con fuerza En el lenguaje cotidiano, las palabras “presión” y “fuerza” significan casi lo mismo, pero en mecánica de fluidos describen cantidades muy distintas. La presión de fluidos actúa en forma perpendicular a cualquier superficie en el fluido, sin importar su orientación (**figura 12.3**). Por lo tanto, la presión no tiene una dirección intrínseca; es un escalar. En cambio, la fuerza es un vector con dirección definida. Recuerde que la presión es fuerza por unidad de área. Como muestra la figura 12.3, una superficie con el doble de área recibe el doble de fuerza ejercida por un fluido, por lo que la presión es igual.

**12.2** Las fuerzas actúan sobre una pequeña superficie dentro de un fluido en reposo.



La superficie no se acelera, por lo que el fluido circundante ejerce fuerzas normales iguales sobre ambos lados de ella (el fluido no puede ejercer ninguna fuerza paralela a la superficie, ya que eso provocaría que la superficie se acelerara).

**12.3** La presión es un escalar y sus unidades son newtons por metro cuadrado. En cambio, la fuerza es un vector y sus unidades son newtons.





## EJEMPLO 12.2 LA FUERZA DEL AIRE

En la habitación descrita en el ejemplo 12.1, ¿qué fuerza total descendente actúa sobre el piso debido a una presión del aire de 1.00 atm?

### SOLUCIÓN

**IDENTIFICAR Y PLANTEAR:** Este ejemplo utiliza la relación entre la presión  $p$  de un fluido (aire), el área  $A$  sometida a esa presión, y la fuerza normal resultante  $F_{\perp}$  ejercida por el fluido. La presión es uniforme, así que usamos la ecuación (12.3),  $F_{\perp} = pA$ , para determinar la fuerza  $F_{\perp}$ . El piso es horizontal, por lo que  $F_{\perp}$  es vertical (hacia abajo).

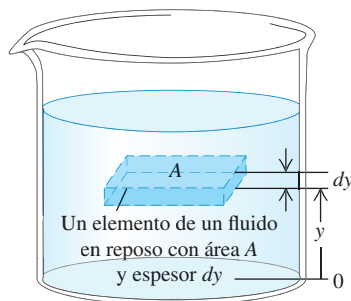
**EJECUTAR:** Tenemos  $A = (4.0 \text{ m})(5.0 \text{ m}) = 20 \text{ m}^2$ , así que de acuerdo con la ecuación (12.3),

$$\begin{aligned} F_{\perp} &= pA = (1.013 \times 10^5 \text{ N/m}^2)(20 \text{ m}^2) \\ &= 2.0 \times 10^6 \text{ N} = 4.6 \times 10^5 \text{ lb} = 230 \text{ tons} \end{aligned}$$

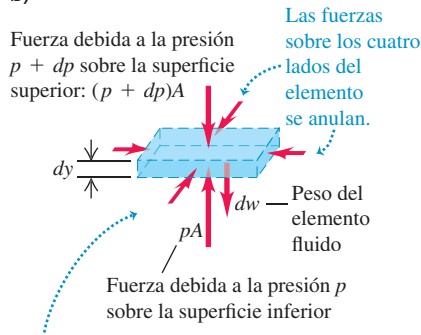
**EVALUAR:** A diferencia del agua del ejemplo 12.1,  $F_{\perp}$  no hunde el piso aquí, porque hay una fuerza de igual magnitud *hacia arriba* en el lado de abajo del piso. Si la casa tiene sótano, esa fuerza es ejercida por el aire bajo el piso. En este caso, si despreciamos el espesor del piso, la fuerza *neta* debida a la presión del aire es cero.

## 12.4 Las fuerzas sobre un elemento de un fluido en equilibrio.

a)



b)



Como el fluido está en equilibrio, la suma vectorial de las fuerzas verticales sobre el elemento fluido debe ser cero:  
 $pA - (p + dp)A - dw = 0$ .

## Presión, profundidad y la ley de Pascal

Si podemos despreciar el peso del fluido, la presión en el fluido es la misma en todo su volumen. Usamos esta aproximación al ver el esfuerzo y la deformación de volumen en la sección 11.4. Pero con frecuencia el peso del fluido *no* es despreciable, y las variaciones de presión son importantes. La presión atmosférica a gran altitud es menor que al nivel del mar, lo que obliga a presurizar la cabina de un avión que vuela a gran altitud. Cuando usted se sumerge en agua profunda, puede sentir en sus oídos que la presión se incrementa al aumentar la profundidad.

Podemos deducir una relación general entre la presión  $p$  en cualquier punto de un fluido en reposo y la altura  $y$  del punto. Supondremos que la densidad  $\rho$  tiene el mismo valor en todo el fluido (es decir, la densidad es *uniforme*), al igual que la aceleración debida a la gravedad  $g$ . Si el fluido se encuentra en equilibrio, cualquier elemento delgado del fluido con espesor  $dy$  también está en equilibrio (**figura 12.4a**). Las superficies inferior y superior tienen área  $A$ , y están a distancias  $y$  y  $y + dy$  por arriba de algún nivel de referencia donde  $y = 0$ . El volumen del elemento fluido es  $dV = A dy$ , su masa es  $dm = \rho dV = \rho A dy$ , y su peso es  $dw = dm g = \rho g A dy$ .

¿Qué otras fuerzas actúan sobre este elemento fluido (**figura 12.4b**)? Llamemos  $p$  a la presión en la superficie inferior; la componente  $y$  de fuerza total hacia arriba que actúa sobre esa superficie es  $pA$ . La presión en la superficie superior es  $p + dp$ , y la componente  $y$  de fuerza total (hacia abajo) sobre esta superficie superior es  $-(p + dp)A$ . El elemento fluido está en equilibrio, así que la componente  $y$  de fuerza total, incluyendo el peso y las fuerzas en las superficies superior e inferior, debe ser cero:

$$\Sigma F_y = 0 \quad \text{por lo que} \quad pA - (p + dp)A - \rho g A dy = 0$$

Al dividir entre el área  $A$  y reordenando, obtenemos

$$\frac{dp}{dy} = -\rho g \quad (12.4)$$

Esta ecuación indica que si  $y$  aumenta,  $p$  disminuye; es decir, conforme se sube por el fluido, la presión disminuye, como esperaríamos. Si  $p_1$  y  $p_2$  son las presiones en las alturas  $y_1$  y  $y_2$ , respectivamente, y si  $\rho$  y  $g$  son constantes, entonces

<b>La diferencia de presión entre dos puntos en un fluido de densidad uniforme</b>	<b>Densidad uniforme de un fluido</b>
	$p_2 - p_1 = -\rho g(y_2 - y_1)$
	<small>Altura de los dos puntos</small>
	<small>Aceleración debida a la gravedad (<math>g &gt; 0</math>)</small>

Con frecuencia es útil expresar la ecuación (12.5) en términos de la *profundidad* bajo la superficie de un fluido (**figura 12.5**). Tomemos el punto 1 en cualquier nivel en el fluido y sea  $p$  la presión en ese punto. Tomemos el punto 2 en la *superficie* del



DEMO



DEMO

fluido, donde la presión es  $p_0$  (el subíndice indica profundidad cero). La profundidad del punto 1 bajo la superficie es  $h = y_2 - y_1$ , y la ecuación (12.5) se convierte en

$$p_0 - p = -\rho g(y_2 - y_1) = -\rho gh \quad \text{o}$$

<b>Presión a una profundidad <math>h</math> en un fluido de densidad uniforme</b> $p = p_0 + \rho gh$	<b>Densidad uniforme de un fluido</b> $p_0$ <b>Presión en la superficie de un fluido</b> $y_2 - y_1 = h$ <b>Profundidad debajo de la superficie</b> $\rho$ <b>Aceleración debida a la gravedad (<math>g &gt; 0</math>)</b>	$(12.6)$
--	--	----------

La presión  $p$  a una profundidad  $h$  es mayor que la presión  $p_0$  en la superficie, en una cantidad  $\rho gh$ . Observe que la presión es igual en dos puntos cualesquiera situados en el mismo nivel en el fluido. La forma del recipiente no importa (**figura 12.6**).

La ecuación (12.6) nos dice que si aumentamos la presión  $p_0$  en la superficie superior, tal vez usando un pistón que embona herméticamente en el recipiente para empujar contra la superficie del fluido, la presión  $p$  a cualquier profundidad aumenta exactamente en la misma cantidad. El enunciado de esta observación se denomina *ley de Pascal*.

**LEY DE PASCAL:** La presión aplicada a un fluido encerrado se transmite sin disminución a todas las partes del fluido y a las paredes del recipiente.

El elevador hidráulico (**figura 12.7**) ilustra la ley de Pascal. Un pistón con área transversal pequeña  $A_1$  ejerce una fuerza  $F_1$  sobre la superficie de un líquido, como el aceite. La presión aplicada  $p = F_1/A_1$  se transmite a través del tubo conector a un pistón mayor de área  $A_2$ . La presión aplicada es la misma en ambos cilindros, por lo que

$$p = \frac{F_1}{A_1} = \frac{F_2}{A_2} \quad \text{y} \quad F_2 = \frac{A_2}{A_1} F_1 \quad (12.7)$$

El elevador hidráulico es un dispositivo multiplicador de la fuerza con un factor de multiplicación igual al cociente de las áreas de los dos pistones. Los sillones de los dentistas, los gatos hidráulicos para autos, muchos elevadores y los frenos hidráulicos se basan en este principio.

En el caso de los gases, la suposición de que la densidad  $\rho$  es uniforme sólo es realista en distancias verticales cortas. En un cuarto de 3.0 m de altura lleno de aire con densidad uniforme de  $1.2 \text{ kg/m}^3$ , la diferencia de presión entre el piso y el techo, dada por la ecuación (12.6), es

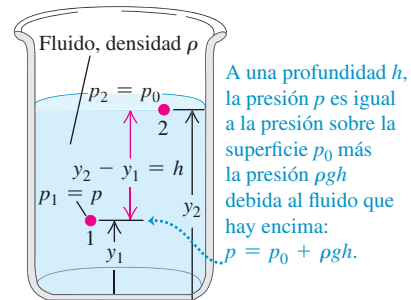
$$\rho gh = (1.2 \text{ kg/m}^3)(9.8 \text{ m/s}^2)(3.0 \text{ m}) = 35 \text{ Pa}$$

o aproximadamente  $0.00035 \text{ atm}$ , una diferencia muy pequeña. En cambio, entre el nivel del mar y la cumbre del Monte Everest (8882 m), la densidad del aire cambia casi en un factor de 3, y en este caso no podemos usar la ecuación (12.6). Los líquidos, por su parte, son casi incompresibles, y suele ser una buena aproximación considerar su densidad como independiente de la presión.

## Presión absoluta y presión manométrica

Si la presión dentro de un neumático es igual a la presión atmosférica, el neumático estará desinflado. La presión debe ser *mayor* que la atmosférica para poder sostener el vehículo, así que la cantidad significativa es la *diferencia* entre las presiones interior y exterior. Cuando decimos que la presión de un neumático es de “32 libras” (en realidad,  $32 \text{ lb/in}^2$ , igual a  $220 \text{ kPa}$  o  $2.2 \times 10^5 \text{ Pa}$ ), queremos decir que es *mayor* que la presión atmosférica ( $14.7 \text{ lb/in}^2$  o  $1.01 \times 10^5 \text{ Pa}$ ) en esa cantidad. La presión *total* en el neumático es de  $47 \text{ lb/in}^2$ , o  $320 \text{ kPa}$ . El exceso de presión más allá de la atmosférica suele llamarse **presión manométrica**, y la presión total se denomina **presión absoluta**. Los ingenieros usan las abreviaturas psig y psia para “lb/in<sup>2</sup> manométrica” y “lb/in<sup>2</sup> absoluta”, respectivamente (por las siglas en inglés de *pounds per square inch gauge* y *pounds per square inch absolute*). Si la presión es menor que la atmosférica, como en un vacío parcial, la presión manométrica es negativa.

**12.5** Cómo varía la presión en función de la profundidad en un fluido con densidad uniforme.

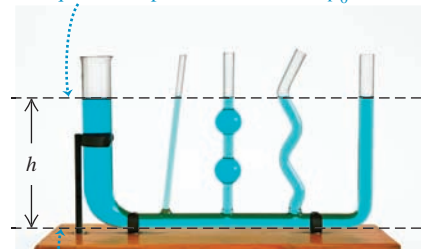


Diferencia de presión entre los niveles 1 y 2:  
 $p_2 - p_1 = -\rho g(y_2 - y_1)$

La presión es mayor en un nivel más bajo.

**12.6** Todas las columnas de fluido tienen la misma altura, sin importar cuál sea su forma.

La presión en la parte superior de cada columna de líquido es la presión atmosférica,  $p_0$ .

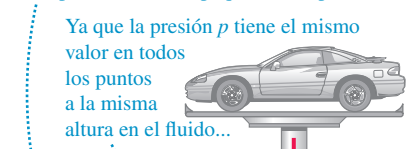


La presión en la parte inferior de cada columna de líquido tiene el mismo valor  $p$ .

La diferencia entre  $p$  y  $p_0$  es  $\rho gh$ , donde  $h$  es la distancia que hay de la parte superior a la parte inferior de la columna de líquido. Por lo tanto, todas las columnas tienen la misma altura.

**12.7** El elevador hidráulico es una aplicación de la ley de Pascal. El tamaño del recipiente lleno de fluido se ha exagerado por claridad.

Se aplica una fuerza pequeña a un pistón.



Ya que la presión  $p$  tiene el mismo valor en todos los puntos a la misma altura en el fluido...

... un pistón con una mayor área, a la misma altura, experimenta una gran fuerza.



### EJEMPLO 12.3 DETERMINACIÓN DE LAS PRESIONES ABSOLUTA Y MANOMÉTRICA

Un tanque de almacenamiento de 12.0 m de profundidad está lleno de agua. La parte superior del tanque está abierta por lo que está a la presión que ejerza el aire sobre la superficie. ¿Cuál es la presión absoluta en el fondo del tanque? ¿Y la presión manométrica?

#### SOLUCIÓN

**IDENTIFICAR Y PLANTEAR:** La tabla 11.2 indica que el agua es casi incompresible. Por lo tanto, consideramos que el fluido tiene densidad uniforme. El nivel de la parte superior del tanque corresponde al punto 2 de la figura 12.5, y el nivel del fondo del tanque corresponde al punto 1. La incógnita es  $p$  en la ecuación (12.6). Tenemos  $h = 12.0 \text{ m}$  y  $p_0 = 1 \text{ atm} = 1.01 \times 10^5 \text{ Pa}$ .

**EJECUTAR:** De acuerdo con la ecuación (12.6), las presiones son

Absoluta:

$$\begin{aligned} p &= p_0 + \rho gh \\ &= (1.01 \times 10^5 \text{ Pa}) + (1000 \text{ kg/m}^3)(9.80 \text{ m/s}^2)(12.0 \text{ m}) \\ &= 2.19 \times 10^5 \text{ Pa} = 2.16 \text{ atm} = 31.8 \text{ lb/in}^2 \end{aligned}$$

$$\begin{aligned} \text{Manométrica: } p - p_0 &= (2.19 - 1.01) \times 10^5 \text{ Pa} \\ &= 1.18 \times 10^5 \text{ Pa} = 1.16 \text{ atm} = 17.1 \text{ lb/in}^2 \end{aligned}$$

**EVALUAR:** Un medidor de presión instalado en el fondo de un tanque seguramente estará calibrado para indicar la presión manométrica, no la presión absoluta.

## Medidores de presión

El medidor de presión más sencillo es el *manómetro de tubo abierto* (**figura 12.8a**). El tubo en forma de U contiene un líquido de densidad  $\rho$ , con frecuencia mercurio o agua. El extremo izquierdo del tubo se conecta al recipiente donde se medirá la presión  $p$ , y el extremo derecho está abierto a la atmósfera, con  $p_0 = p_{\text{atm}}$ . La presión en el fondo del tubo debida al fluido de la columna izquierda es  $p + \rho gy_1$ , y la debida al fluido de la columna derecha es  $p_{\text{atm}} + \rho gy_2$ . Estas presiones se miden al mismo nivel, así que deben ser iguales:

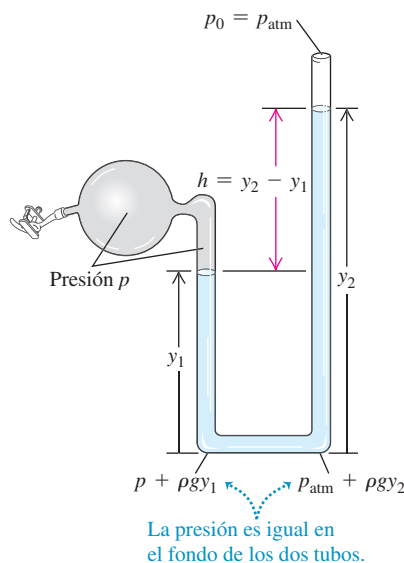
$$\begin{aligned} p + \rho gy_1 &= p_{\text{atm}} + \rho gy_2 \\ p - p_{\text{atm}} &= \rho g(y_2 - y_1) = \rho gh \end{aligned} \tag{12.8}$$

En la ecuación (12.8),  $p$  es la *presión absoluta*, y la diferencia  $p - p_{\text{atm}}$  entre la presión absoluta y la atmosférica es la presión manométrica. Así, la presión manométrica es proporcional a la diferencia de altura  $h = y_2 - y_1$  de las columnas de líquido.

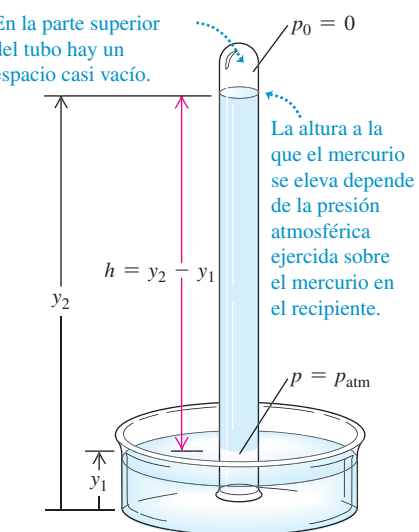
Otro medidor de presión común es el **barómetro de mercurio**, que consiste en un largo tubo de vidrio, cerrado por un extremo, que se llena con mercurio y luego se invierte sobre un plato con mercurio (**figura 12.8b**). El espacio arriba de la columna sólo

**12.8** Dos tipos de medidores de presión.

a) Manómetro de tubo abierto



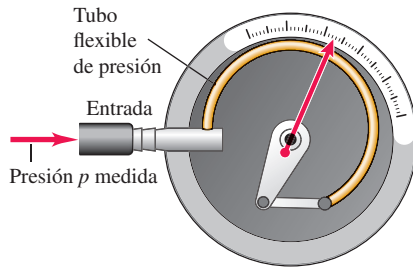
b) Barómetro de mercurio



**12.9** a) Medidor de presión de Bourdon. Al aumentar la presión dentro del tubo flexible, éste se endereza un poco y desvía la aguja unida a él. b) Este tipo de medidor de presión tipo Bourdon se conecta a una línea de gas a alta presión. La presión manométrica indica que está casi sobre los 5 bars (1 bar =  $10^5$  Pa).

a)

Los cambios en la presión de entrada causan que el tubo se enrolle o desenrolle, lo que mueve al indicador.



b)



contiene vapor de mercurio, cuya presión es insignificante, así que la presión  $p_0$  arriba de la columna es prácticamente cero. De acuerdo con la ecuación (12.6),

$$p_{\text{atm}} = p = 0 + \rho g(y_2 - y_1) = \rho gh \quad (12.9)$$

Así, el barómetro de mercurio indica la presión atmosférica  $p_{\text{atm}}$  directamente a partir de la altura de la columna de mercurio.

Las presiones a menudo se describen en términos de la altura de la columna de mercurio correspondiente, como “pulgadas de mercurio” o “milímetros de mercurio” (que se abrevia mm Hg). Una presión de 1 mm Hg es 1 torr, en honor de Evangelista Torricelli, el inventor del barómetro de mercurio. Sin embargo, estas unidades dependen de la densidad del mercurio, que varía con la temperatura, y del valor de  $g$ , que varía con el lugar, y por ello se prefiere el pascal como unidad de presión.

Muchos tipos de medidores de presión usan un recipiente flexible sellado (**figura 12.9**). Un cambio en la presión adentro o afuera del recipiente provoca un cambio en sus dimensiones, que se detecta de manera óptica, eléctrica o mecánica.

**BIO Aplicación Manómetro para medir la presión arterial** Lecturas de presión arterial, como el 130/80, dan las presiones manométricas máxima y mínima en las arterias, medidas en mm Hg o en torr. La presión arterial varía con la posición vertical dentro del cuerpo; el punto de referencia estándar es la parte superior del brazo, a la altura del corazón.



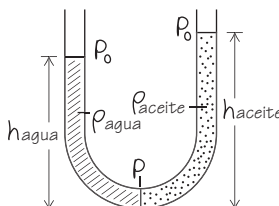
#### EJEMPLO 12.4 HISTORIA DE DOS FLUIDOS

Un tubo de manómetro se llena parcialmente con agua. Después se vierte aceite (que no se mezcla con el agua) en el brazo izquierdo del tubo hasta que la interfase aceite-agua se ubica en el punto medio del tubo, como se muestra en la **figura 12.10**. Ambos brazos del tubo están abiertos al aire. Determine la relación entre las alturas  $h_{\text{aceite}}$  y  $h_{\text{agua}}$ .

#### SOLUCIÓN

**IDENTIFICAR y PLANTEAR:** La figura 12.10 muestra nuestro esquema. La relación entre presión y profundidad en un fluido dada por la ecuación (12.6) sólo es válida para fluidos de densidad uniforme;

**12.10** Diagrama para este problema.



tenemos dos fluidos de densidades diferentes, así que debemos escribir una relación presión-profundidad para cada fluido por separado. Ambas columnas de fluido tienen la misma presión  $p$  en la base (donde están en contacto y en equilibrio), y ambas están a la presión atmosférica  $p_0$  en la parte superior (donde ambas están en contacto y en equilibrio con el aire).

**EJECUTAR:** Para los dos fluidos, la ecuación (12.6) se convierte en

$$\begin{aligned} p &= p_0 + \rho_{\text{agua}}gh_{\text{agua}} \\ p &= p_0 + \rho_{\text{aceite}}gh_{\text{aceite}} \end{aligned}$$

Puesto que la presión  $p$  en la base del tubo es la misma para ambos fluidos, igualamos las dos expresiones y despejamos  $h_{\text{aceite}}$  en términos de  $h_{\text{agua}}$ :

$$h_{\text{aceite}} = \frac{\rho_{\text{agua}}}{\rho_{\text{aceite}}}h_{\text{agua}}$$

**EVALUAR:** El agua ( $\rho_{\text{agua}} = 1000 \text{ kg/m}^3$ ) es más densa que el aceite ( $\rho_{\text{aceite}} \approx 850 \text{ kg/m}^3$ ), por lo que  $h_{\text{aceite}}$  es mayor que  $h_{\text{agua}}$ , como se observa en la figura 12.10. Es decir, se necesita una mayor altura de aceite menos denso para producir la misma presión  $p$  en el fondo del tubo.

**EVALÚE SU COMPRENSIÓN DE LA SECCIÓN 12.2** El mercurio es menos denso a altas temperaturas que a bajas temperaturas. Suponga que coloca en el exterior un barómetro de mercurio que estaba dentro de un refrigerador bien sellado, en un caluroso día de verano, y observa que la columna de mercurio se mantiene a la misma altura en el tubo. En comparación con la presión del aire en el interior del refrigerador, la presión del aire en el exterior es **i. mayor**, **ii. menor** o **iii. igual** (desprecie el pequeño cambio en las dimensiones del tubo de vidrio debido al cambio de temperatura). **I**

## 12.3 FLOTACIÓN



DEMO

Un cuerpo sumergido en agua parece pesar menos que en el aire. Si el cuerpo es menos denso que el fluido, entonces flota. El cuerpo humano normalmente flota en el agua, y un globo lleno de helio flota en el aire. Éstos son ejemplos de **flotación**, un fenómeno descrito por el *principio de Arquímedes*:

**PRINCIPIO DE ARQUÍMEDES:** Si un cuerpo está parcial o totalmente sumergido en un fluido, éste ejerce una fuerza hacia arriba sobre el cuerpo igual al peso del fluido desplazado por el cuerpo.

## LOS DATOS HABLAN

### Flotabilidad

Cuando a los estudiantes se les planteó un problema relacionado con la flotabilidad, más del 25% dio una respuesta incorrecta.

#### Errores comunes:

- Olvidar que la fuerza de flotación sobre un objeto depende de la densidad del fluido y del volumen sumergido del objeto, pero no de la densidad del objeto.
- Olvidar que la fuerza de flotación sobre un objeto es igual al peso del fluido desplazado, el cual no necesariamente es igual al peso del objeto.

Para demostrar este principio, consideremos un elemento arbitrario del fluido en reposo. En la **figura 12.11a**, el contorno punteado es la superficie que delimita este elemento de fluido. Las flechas denotadas por  $dF_{\perp}$  representan las fuerzas que el fluido circundante ejerce sobre la superficie del elemento.

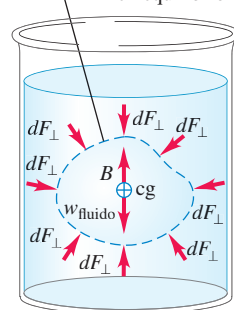
Todo el fluido está en equilibrio, así que la suma de todas las componentes y de fuerza sobre este elemento de fluido es cero. Por lo tanto, la suma de todas las componentes y de las fuerzas de *superficie* debe ser una fuerza ascendente de igual magnitud que el peso  $mg$  del fluido dentro de la superficie. Además, la suma de las torcas sobre el elemento de fluido debe ser cero, así que la línea de acción de la componente y resultante de las fuerzas de superficie debe pasar por el centro de gravedad de este elemento de fluido.

Ahora retiramos el fluido que está dentro de la superficie y lo sustituimos por un cuerpo sólido cuya forma es idéntica (figura 12.11b). La presión en cada punto es exactamente la misma que antes, de manera que la fuerza total hacia arriba ejercida por el fluido sobre el cuerpo también es la misma, igual en magnitud al peso  $mg$  del fluido que se desplazó para colocar el cuerpo. Llamamos a esta fuerza ascendente la **fuerza de flotación o empuje** que actúa sobre el cuerpo sólido. La línea de acción de la fuerza de flotación pasa por el centro de gravedad del fluido desplazado (que no necesariamente coincide con el centro de gravedad del cuerpo).

Si un globo flota en equilibrio en el aire, su peso (incluido el gas en su interior) debe ser igual al del aire desplazado por el globo. La carne de un pez es más densa que el agua; sin embargo, el pez puede flotar mientras está sumergido porque tiene una cavidad llena de gas dentro de su cuerpo. Esto hace que la densidad *media* del

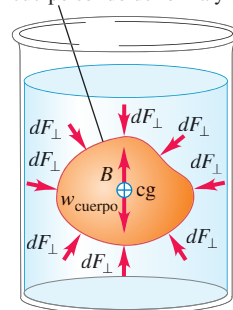
### 12.11 Principio de Arquímedes.

a) Elemento arbitrario de un fluido en equilibrio



Las fuerzas en el elemento de fluido debidas a la presión deben sumarse a la fuerza de flotación de igual magnitud al peso del elemento.

b) El elemento de fluido se sustituye por un cuerpo sólido de forma y tamaño idénticos



Las fuerzas debidas a la presión son iguales, por lo que sobre el cuerpo debe actuar la misma fuerza de flotación que sobre el elemento de fluido, sin importar el peso del cuerpo.

pez sea igual a la del agua, de manera que su peso neto es igual al peso del agua que desplaza. Un cuerpo cuya densidad media es *menor* que la de un líquido puede flotar parcialmente sumergido en la superficie superior libre del líquido. Un barco de acero (el cual es mucho más denso que el agua) puede flotar porque es hueco, y el aire ocupa buena parte de ese volumen interior, de manera que su densidad media es menor que la del agua. Cuanto mayor es la densidad del líquido, menor será la parte sumergida del cuerpo. Si nadamos en agua de mar (densidad de  $1030 \text{ kg/m}^3$ ), flotamos más que en agua dulce ( $1000 \text{ kg/m}^3$ ).

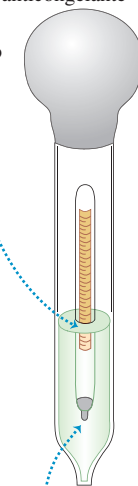
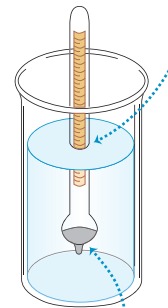
Otro ejemplo conocido de flotación es el hidrómetro, empleado para medir la densidad de los líquidos (**figura 12.12a**). El flotador calibrado se hunde en el fluido hasta que el peso del fluido que desplaza es exactamente igual a su propio peso. El hidrómetro flota *más alto* en los líquidos más densos que en los menos densos, y tiene una escala en el tallo superior que permite leer directamente la densidad. Los hidrómetros como éste se utilizan en diagnósticos médicos para medir la densidad de la orina (la cual depende del nivel de hidratación del paciente). La figura 12.12b ilustra un tipo de hidrómetro de uso común para medir la densidad del ácido de un acumulador o del anticongelante. La base del tubo grande se sumerge en el líquido; se aprieta el bulbo para expulsar el aire y luego se suelta, como si fuera un gotero gigante. El líquido sube por el tubo exterior, y el hidrómetro flota en este líquido.

### 12.12 Medición de la densidad de un fluido.

**b)** Uso de un hidrómetro para medir la densidad del ácido de un acumulador o del anticongelante

a) Hidrómetro sencillo

La profundidad a la que se hunde la escala de medición indica la densidad del fluido.



El peso en la base hace que la escala flote en posición erguida.



### EJEMPLO 12.5 FLOTACIÓN

Una estatua de oro sólido de  $15.0 \text{ kg}$  de peso está siendo levantada de un barco hundido (**figura 12.13a**). ¿Qué tensión hay en el cable (que se supone de masa despreciable) cuando la estatua está *a*) en reposo y totalmente sumergida, y *b*) en reposo y fuera del agua?

#### SOLUCIÓN

**IDENTIFICAR Y PLANTEAR:** En ambos casos, la estatua se encuentra en equilibrio y experimenta tres fuerzas: su peso, la tensión en el cable y la fuerza de flotación hacia arriba igual en magnitud al peso del fluido desplazado [agua de mar en el inciso *a*), aire en el inciso *b*]. La figura 12.13b muestra el diagrama de cuerpo libre de la estatua. Nuestras incógnitas son los valores de la tensión en agua de mar ( $T_{\text{am}}$ ) y en el aire ( $T_{\text{aire}}$ ). Conocemos la masa  $m_{\text{estatua}}$  y podemos

calcular la fuerza de flotación en agua de mar ( $B_{\text{am}}$ ) y en el aire ( $B_{\text{aire}}$ ) usando el principio de Arquímedes.

**EJECUTAR:** *a)* Para calcular la fuerza de flotación  $B_{\text{am}}$ , primero calculamos el volumen  $V$  de la estatua usando la densidad del oro de la tabla 12.1:

$$V = \frac{m_{\text{estatua}}}{\rho_{\text{oro}}} = \frac{15.0 \text{ kg}}{19.3 \times 10^3 \text{ kg/m}^3} = 7.77 \times 10^{-4} \text{ m}^3$$

La fuerza de flotación  $B_{\text{am}}$  es igual al peso del mismo volumen de agua de mar. Usando otra vez la tabla 12.1:

$$\begin{aligned} B_{\text{am}} &= w_{\text{am}} = m_{\text{am}}g = \rho_{\text{am}}Vg \\ &= (1.03 \times 10^3 \text{ kg/m}^3)(7.77 \times 10^{-4} \text{ m}^3)(9.80 \text{ m/s}^2) \\ &= 7.84 \text{ N} \end{aligned}$$

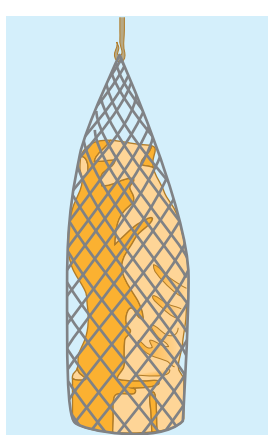
La estatua se encuentra en reposo, así que la fuerza externa neta que actúa sobre ella es igual a cero. A partir de la figura 12.13b,

$$\begin{aligned} \Sigma F_y &= B_{\text{am}} + T_{\text{am}} + (-m_{\text{estatua}}g) = 0 \\ T_{\text{am}} &= m_{\text{estatua}}g - B_{\text{am}} = (15.0 \text{ kg})(9.80 \text{ m/s}^2) - 7.84 \text{ N} \\ &= 147 \text{ N} - 7.84 \text{ N} = 139 \text{ N} \end{aligned}$$

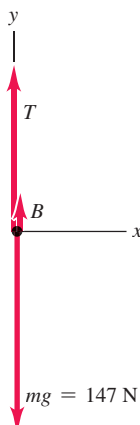
Si hay una balanza de resorte unida al extremo superior del cable, marcará  $7.84 \text{ N}$  menos que su peso real  $m_{\text{estatua}}g = 147 \text{ N}$ .

*b)* La densidad del aire es de aproximadamente  $1.2 \text{ kg/m}^3$ , así que la fuerza de flotación del aire sobre la estatua es

$$\begin{aligned} B_{\text{aire}} &= \rho_{\text{aire}}Vg \\ &= (1.2 \text{ kg/m}^3)(7.77 \times 10^{-4} \text{ m}^3)(9.80 \text{ m/s}^2) \\ &= 9.1 \times 10^{-3} \text{ N} \end{aligned}$$



b) Diagrama de cuerpo libre de la estatua



Continúa

Esto es despreciable comparado con el peso real de la estatua  $m_{\text{estatua}}g = 147 \text{ N}$ . Por lo tanto, dentro de la precisión de nuestros datos, la tensión en el cable con la estatua en el aire es  $T_{\text{aire}} = m_{\text{estatua}}g = 147 \text{ N}$ .

**EVALUAR:** Observe que la fuerza de flotación es proporcional a la densidad del *fluido* en el que está sumergida la estatua, *no* a la densidad de la estatua. Cuanto más denso es el fluido, mayor será la fuerza de flotación y menor será la tensión en el cable. Si el fluido tuviera

la misma densidad que la estatua, la fuerza de flotación sería igual al peso de la estatua y la tensión sería cero (el cable se aflojaría). Si el fluido fuera más denso que la estatua, la tensión sería *negativa*: la fuerza de flotación sería mayor que el peso de la estatua, y se requeriría una fuerza hacia abajo para evitar que la estatua se elevara.

**12.14** La superficie del agua actúa como membrana sometida a tensión, y permite a este insecto tejedor o zapatero de agua caminar literalmente sobre el agua.



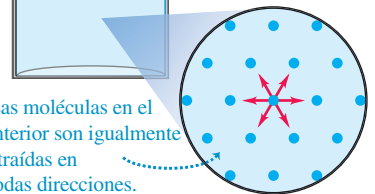
**12.15** Una molécula en la superficie es atraída hacia el volumen del líquido, y esto tiende a reducir el área superficial del líquido.

Las moléculas en un líquido son atraídas por moléculas vecinas.

En la superficie, las atracciones desequilibradas hacen que la superficie resista al ser estirada.



Las moléculas en el interior son igualmente atraídas en todas direcciones.



## Tensión superficial

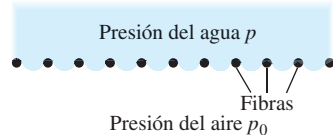
Como hemos visto, un objeto menos denso que el agua flota con una parte de su volumen bajo la superficie. Sin embargo, un clip puede permanecer *sobre* una superficie de agua aunque su densidad es varias veces mayor que la del agua. Esto es un ejemplo de **tensión superficial**: la superficie del líquido se comporta como una membrana en tensión (**figura 12.14**). La tensión superficial se debe a que las moléculas del líquido ejercen fuerzas de atracción entre sí. La fuerza neta sobre una molécula dentro del volumen del líquido es cero, pero una molécula en la superficie es atraída hacia el interior (**figura 12.15**). Por esa razón, el líquido tiende a minimizar su área superficial, tal como lo hace una membrana estirada.

La tensión superficial explica por qué las gotas de lluvia en caída libre son esféricas (*no* con forma de lágrima): para un volumen dado, una esfera tiene menor área superficial que cualquier otra forma. También explica por qué se usa agua jabonosa caliente en el lavado de la ropa. Para lavarla bien, se debe hacer pasar el agua por los diminutos espacios entre las fibras (**figura 12.16**). Esto implica aumentar el área superficial del agua, lo que es difícil de lograr por la tensión superficial. La tarea se facilita aumentando la temperatura del agua y añadiendo jabón, ya que ambos factores reducen la tensión superficial.

La tensión superficial es importante para una gota de agua de un milímetro de diámetro, que tiene un área relativamente grande en comparación con su volumen. [Una esfera de radio  $r$  tiene área  $4\pi r^2$  y volumen  $(4\pi/3)r^3$ . La razón entre la superficie y el volumen es  $3/r$ , y aumenta al disminuir el radio]. En cambio, si la cantidad de líquido es grande, la razón entre la superficie y el volumen es relativamente pequeña, y la tensión superficial es insignificante en comparación con las fuerzas de presión. En el resto del capítulo, sólo consideraremos volúmenes grandes de fluidos, así que ignoraremos los efectos de la tensión superficial.

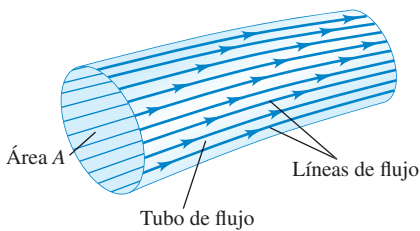
**EVALÚE SU COMPRENSIÓN DE LA SECCIÓN 12.3** Usted coloca un recipiente con agua de mar sobre una báscula y toma nota de la lectura que indica esta última. Ahora suspende la estatua del ejemplo 12.5 en el agua (**figura 12.17**). ¿Cómo cambia la lectura de la báscula? **i.** Se incrementa en 7.84 N; **ii.** disminuye en 7.84 N; **iii.** permanece igual; **iv.** ninguna de las respuestas anteriores es correcta. |

**12.16** La tensión superficial dificulta el paso del agua por aberturas pequeñas. La presión requerida  $p$  del agua puede reducirse usando agua caliente con jabón, lo que reduce la tensión superficial.



**12.17** ¿Cómo cambia la lectura de la báscula cuando la estatua se sumerge en el agua?





**12.18** Tubo de flujo delimitado por líneas de flujo. En flujo estable, el fluido no puede cruzar las paredes de un tubo de flujo.

## 12.4 FLUJO DE UN FLUIDO

Ahora ya estamos preparados para considerar el *movimiento* de un fluido. El flujo de fluidos suele ser extremadamente complejo, como se aprecia en las corrientes de los rápidos de los ríos o en las llamas de una fogata. Sin embargo, algunas situaciones se pueden representar con modelos idealizados relativamente sencillos. Un **fluido ideal** es *incompresible* (es decir, su densidad no puede cambiar) y no tiene fricción interna (llamada **viscosidad**). Los líquidos son aproximadamente incompresibles en casi todas las situaciones, y también podemos tratar un gas como incompresible si las diferencias de presión de una región a otra no son muy grandes. La fricción interna en un fluido causa esfuerzos de corte cuando dos capas adyacentes de fluido se mueven una en relación con la otra, como cuando un fluido fluye dentro de un tubo o alrededor de un obstáculo. En algunos casos, podemos despreciar estas fuerzas de corte en comparación con las fuerzas debidas a la gravedad y a diferencias de presión.

La trayectoria de una partícula individual en un fluido en movimiento se llama **línea de flujo**. Si el patrón global de flujo no cambia con el tiempo, el flujo se llama **flujo estable**. En un flujo estable, cada elemento que pasa por un punto dado sigue la misma línea de flujo. En este caso, el “mapa” de las velocidades del fluido en distintos puntos del espacio permanece constante, aunque la velocidad de una partícula específica pueda cambiar tanto en magnitud como en dirección durante su movimiento. Una **línea de corriente** es una curva cuya tangente en cualquier punto tiene la dirección de la velocidad del fluido en ese punto. Si el patrón de flujo cambia con el tiempo, las líneas de corriente no coinciden con las de flujo. Consideraremos sólo situaciones de flujo estable, en las que las líneas de flujo y las de corriente son idénticas.

Las líneas de flujo que pasan por el borde de un elemento de área imaginario, como el área *A* en la figura 12.18, forman un tubo llamado **tubo de flujo**. A partir de la definición de línea de flujo, si el flujo es estable, el fluido no puede cruzar las paredes laterales de un tubo de flujo.

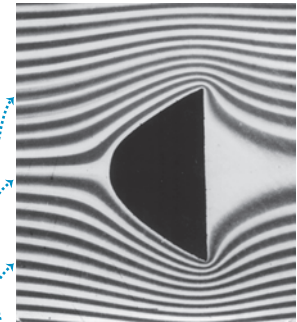
La figura 12.19 ilustra un patrón de flujo de fluidos de izquierda a derecha alrededor de un obstáculo. La fotografía se tomó inyectando tinta en el agua que fluye entre dos placas de vidrio cercanas. Este patrón es representativo del **flujo laminar**, en el que capas adyacentes de fluido se deslizan suavemente una sobre otra, y el flujo es estable (una *lámina* es una hoja delgada). Si la rapidez de flujo es suficientemente alta, o si las superficies de frontera causan cambios abruptos en la velocidad, el flujo puede volverse irregular y caótico. Esto se llama **flujo turbulento** (figura 12.20). En un flujo turbulento no hay un patrón de estado estable; el patrón de flujo cambia continuamente.

### La ecuación de continuidad

La masa de un fluido en movimiento no cambia al fluir. Esto conduce a una relación cuantitativa importante llamada **ecuación de continuidad**. Considere una parte de un tubo de flujo entre dos secciones transversales estacionarias con áreas  $A_1$  y  $A_2$  (figura 12.21). Los valores de la rapidez del fluido en estas secciones son  $v_1$  y  $v_2$ , respectivamente. Como se mencionó, no fluye fluido a través de los costados de un tubo de ese tipo. Durante un breve intervalo de tiempo  $dt$ , el fluido en  $A_1$  se mueve una distancia  $ds_1 = v_1 dt$ , así que un cilindro de fluido de longitud  $v_1 dt$  y volumen  $dV_1 = A_1 v_1 dt$  fluye hacia el tubo a través de  $A_1$ . Durante ese mismo intervalo, un cilindro de volumen  $dV_2 = A_2 v_2 dt$  sale del tubo a través de  $A_2$ .

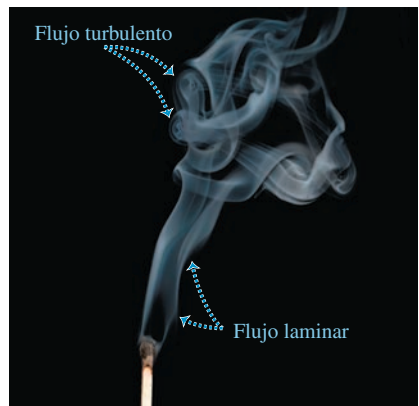
Consideremos primero el caso de un fluido incompresible cuya densidad  $\rho$  tiene el mismo valor en todos los puntos. La masa  $dm_1$  que fluye al tubo por  $A_1$  en el tiempo

**12.19** Flujo laminar alrededor de un obstáculo.

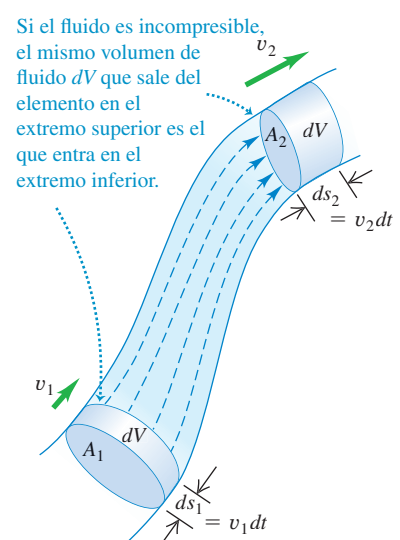


El tinte de color oscuro sigue líneas de corriente del flujo laminar (el flujo va de izquierda a derecha).

**12.20** El flujo de humo que sale de este cerillo es laminar hasta cierto punto; luego se vuelve turbulento.



**12.21** Tubo de flujo con área de sección transversal cambiante.



Si el fluido es incompresible, el producto  $Av$  (área del tubo por rapidez) tiene el mismo valor en todos los puntos a lo largo del tubo.

$dt$  es  $dm_1 = \rho A_1 v_1 dt$ . De manera similar, la masa  $dm_2$  que sale por  $A_2$  en el mismo tiempo es  $dm_2 = \rho A_2 v_2 dt$ . En flujo estable, la masa total en el tubo es constante, por lo que  $dm_1 = dm_2$  y

$$\rho A_1 v_1 dt = \rho A_2 v_2 dt \quad o$$

Ecuación de continuidad para un fluido incompresible

Área de la sección transversal del flujo en un tubo (vea la figura 12.21) (12.10)

Rapidez del flujo en dos puntos

El producto  $Av$  es la *rapidez del flujo de volumen*  $dV/dt$ , la rapidez con que el volumen cruza una sección del tubo:

Rapidez de flujo de volumen de un fluido  $\frac{dV}{dt} = Av$  Área de la sección transversal del flujo en un tubo (12.11)

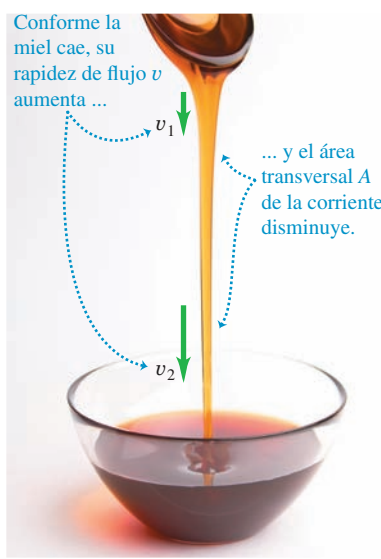
La *rapidez de flujo de masa* es el flujo de masa por unidad de tiempo a través de una sección transversal, y es igual a la densidad  $\rho$  multiplicada por la rapidez de flujo de volumen  $dV/dt$ .

La ecuación (12.10) indica que la rapidez de flujo de volumen tiene el mismo valor en todos los puntos a lo largo de cualquier tubo de flujo (**figura 12.22**). Si la sección transversal de un tubo de flujo disminuye, la rapidez aumenta y viceversa. La parte ancha y profunda de un río tiene mayor área transversal y una corriente más lenta que la parte angosta y poco profunda, pero las rapideces de flujo de volumen son iguales en los dos puntos. Ésta es la esencia de la conocida frase “Las aguas tranquilas son profundas” o “Cuídate de las aguas mansas”. Si un tubo de agua de 2 cm de diámetro se conecta a un tubo de 1 cm de diámetro, la rapidez de flujo es cuatro veces mayor en el segundo tubo que en el primero.

Podemos generalizar la ecuación (12.10) para el caso en que el fluido no es incompresible. Si  $\rho_1$  y  $\rho_2$  son las densidades en las secciones 1 y 2, entonces

$$\rho_1 A_1 v_1 = \rho_2 A_2 v_2 \quad (\text{ecuación de continuidad, fluido compresible}) \quad (12.12)$$

Si el fluido es más denso en el punto 2 que en el punto 1 ( $\rho_2 > \rho_1$ ), la rapidez de flujo de volumen en el punto 2 será menor que en el punto 1 ( $A_2 v_2 < A_1 v_1$ ). Dejamos los detalles al lector. Si el fluido es incompresible, de manera que  $\rho_1$  y  $\rho_2$  siempre son iguales, la ecuación (12.12) se reduce a la ecuación (12.10).



La rapidez de flujo de volumen  $dV/dt = Av$  permanece constante.



## EJEMPLO 12.6 FLUJO DE UN FLUIDO INCOMPRESIBLE

Un aceite incompresible con densidad de  $850 \text{ kg/m}^3$  se bombea a través de un tubo cilíndrico a razón de  $9.5 \text{ litros por segundo}$ . a) La primera sección de la tubería tiene un diámetro de  $8.0 \text{ cm}$ . ¿Cuál es la rapidez de flujo del aceite? ¿Cuál es la rapidez de flujo de masa?

b) La segunda sección de la tubería tiene un diámetro de  $4.0 \text{ cm}$ . En esta sección, ¿cuál es la rapidez del flujo y la rapidez de flujo de masa?

### SOLUCIÓN

**IDENTIFICAR Y PLANTEAR:** Ya que el aceite es incompresible, la rapidez de flujo de volumen tiene el *mismo* valor ( $9.5 \text{ L/s}$ ) en ambas secciones de la tubería. La rapidez de flujo de masa (densidad por la rapidez del flujo del volumen) también tiene el mismo valor en ambas secciones (éste es exactamente el enunciado que afirma que ningún fluido se pierde o se agrega a lo largo de la tubería). Usaremos la ecuación de la rapidez de flujo de volumen, ecuación (12.11), para determinar la rapidez  $v_1$  en la sección de  $8.0 \text{ cm}$  de diámetro y la ecuación de continuidad para flujos incompresibles, ecuación (12.10), para determinar la rapidez  $v_2$  en la sección de  $4.0 \text{ cm}$  de diámetro.

**EJECUTAR:** a) De acuerdo con la ecuación (12.11), la rapidez de flujo de volumen en la primera sección es  $dV/dt = A_1 v_1$ , donde  $A_1$  es el área de sección transversal del tubo de  $8.0 \text{ cm}$  de diámetro y radio de  $4.0 \text{ cm}$ . Por lo tanto,

$$v_1 = \frac{dV/dt}{A_1} = \frac{(9.5 \text{ L/s})(10^{-3} \text{ m}^3/\text{L})}{\pi(4.0 \times 10^{-2} \text{ m})^2} = 1.9 \text{ m/s}$$

La rapidez de flujo de masa es  $\rho dV/dt = (850 \text{ kg/m}^3)(9.5 \times 10^{-3} \text{ m}^3/\text{s}) = 8.1 \text{ kg/s}$ .

b) De acuerdo con la ecuación de continuidad, ecuación (12.10),

$$v_2 = \frac{A_1}{A_2} v_1 = \frac{\pi(4.0 \times 10^{-2} \text{ m})^2}{\pi(2.0 \times 10^{-2} \text{ m})^2} (1.9 \text{ m/s}) = 7.6 \text{ m/s} = 4v_1$$

Los valores de la rapidez de flujo de volumen y de masa son los mismos que en el inciso a).

**EVALUAR:** La segunda sección del tubo tiene la mitad del diámetro y la cuarta parte del área transversal de la primera sección. Por consiguiente, la rapidez debe ser cuatro veces mayor en la segunda sección, y eso es precisamente lo que indica nuestro resultado.

**EVALÚE SU COMPRENSIÓN DE LA SECCIÓN 12.4** Una cuadrilla de mantenimiento está trabajando en una sección de una carretera de tres carriles, dejando un solo carril abierto al tránsito. El resultado es un flujo de tránsito mucho más lento (un embotellamiento). ¿Los automóviles en la carretera se comportan como **i.** moléculas de un fluido incompresible o **ii.** moléculas de un fluido compresible? **|**

## 12.5 ECUACIÓN DE BERNOULLI

Según la ecuación de continuidad, la rapidez de flujo de un fluido puede variar a lo largo de las trayectorias del fluido. La presión también puede variar; ello depende de la altura, al igual que en la situación estática (vea la sección 12.2), y también de la rapidez de flujo. Podemos deducir una relación importante, llamada ecuación de Bernoulli, que relaciona la presión, la rapidez de flujo y la altura para el flujo de un fluido ideal incompresible. La *ecuación de Bernoulli* es una herramienta indispensable para analizar diferentes clases de flujo de fluidos.

La dependencia de la presión con respecto a la rapidez se deduce de la ecuación de continuidad, ecuación (12.10). Si un fluido incompresible fluye por un tubo con sección transversal variable, su rapidez *debe* cambiar, así que un elemento de fluido debe tener una aceleración. Si el tubo es horizontal, el fluido circundante debe aplicar la fuerza que causa esta aceleración. Esto implica que la presión debe ser distinta en regiones con diferente sección transversal; si fuera la misma en todos los lados, la fuerza neta sobre cada elemento de fluido sería cero. Cuando un tubo horizontal se estrecha y un elemento de fluido se acelera, debe estarse moviendo hacia una región de menor presión para tener una fuerza neta hacia adelante que lo acelere. Si la altura también cambia, esto provoca una diferencia de presión adicional.

### Deducción de la ecuación de Bernoulli

Para deducir la ecuación de Bernoulli, aplicamos el teorema trabajo-energía al fluido en una sección de un tubo de flujo. En la **figura 12.23**, consideramos el elemento de fluido que en algún instante inicial está entre las dos secciones transversales *a* y *c*. Los valores de la rapidez en los extremos inferior y superior son  $v_1$  y  $v_2$ . En un pequeño intervalo de tiempo  $dt$ , el fluido que está inicialmente en *a* se mueve a *b*, una distancia  $ds_1 = v_1 dt$ , y el fluido que está inicialmente en *c* se mueve a *d*, una distancia  $ds_2 = v_2 dt$ . Las áreas transversales en los dos extremos son  $A_1$  y  $A_2$ , como se indica. El fluido es incompresible; por lo tanto, de acuerdo con la ecuación de continuidad [ecuación (12.10)], el volumen de fluido  $dV$  que pasa por cualquier sección transversal durante el tiempo  $dt$  es el mismo. Es decir,  $dV = A_1 ds_1 = A_2 ds_2$ .

Calculemos el *trabajo* efectuado sobre este elemento de fluido durante  $dt$ . Suponemos que la fricción interna del fluido es despreciable (es decir, no hay viscosidad), así que las únicas fuerzas no gravitacionales que efectúan trabajo sobre el elemento fluido se deben a la presión del fluido circundante. Las presiones en los dos extremos son  $p_1$  y  $p_2$ ; la fuerza sobre la sección transversal en *a* es  $p_1 A_1$ , y la fuerza en *c* es  $p_2 A_2$ . El trabajo neto  $dW$  efectuado sobre el elemento por el fluido circundante durante este desplazamiento es, por lo tanto,

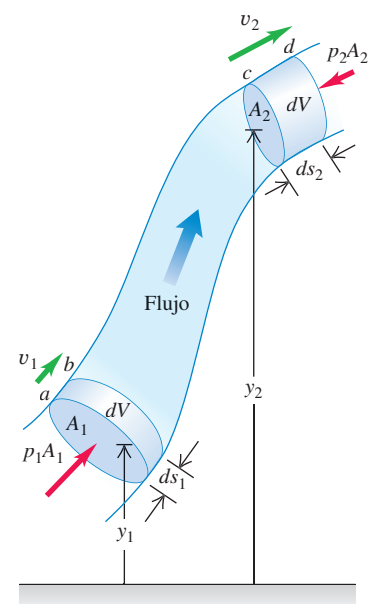
$$dW = p_1 A_1 ds_1 - p_2 A_2 ds_2 = (p_1 - p_2) dV \quad (12.13)$$

El término  $p_2 A_2 ds_2$  tiene signo negativo porque la fuerza en *c* se opone al desplazamiento del fluido.

El trabajo  $dW$  se debe a fuerzas distintas de la fuerza conservativa de la gravedad, así que es igual al cambio en la energía mecánica total (energía cinética más energía potencial gravitacional) asociada al elemento fluido. La energía mecánica para el fluido entre las secciones *b* y *c* no cambia. Al principio de  $dt$ , el fluido entre *a* y *b* tiene volumen  $A_1 ds_1$ , masa  $\rho A_1 ds_1$  y energía cinética  $\frac{1}{2} \rho (A_1 ds_1) v_1^2$ . Al final de  $dt$ , el fluido entre *c* y *d* tiene energía cinética  $\frac{1}{2} \rho (A_2 ds_2) v_2^2$ . El cambio neto de energía cinética  $dK$  durante  $dt$  es

$$dK = \frac{1}{2} \rho dV (v_2^2 - v_1^2) \quad (12.14)$$

**12.23** Deducción de la ecuación de Bernoulli. El trabajo neto realizado sobre un elemento de fluido por la presión del fluido circundante es igual al cambio en la energía cinética más el cambio en la energía potencial gravitacional.



### BIO Aplicación Por qué las jirafas tienen presión sanguínea alta

La ecuación de Bernoulli indica que cuando la sangre fluye hacia arriba aproximadamente con rapidez constante  $v$  del corazón al cerebro, la presión  $p$  disminuye conforme la altura de la sangre y aumenta. Para que la sangre alcance el cerebro con la presión mínima requerida, el corazón humano proporciona una presión manométrica máxima (sistólica) de aproximadamente 120 mm Hg. La distancia vertical del corazón al cerebro es mucho más grande para una jirafa, por lo que su corazón produce una presión manométrica máxima mucho mayor (aproximadamente 280 mm de Hg).



¿Y qué hay del cambio en la energía potencial gravitacional? Al iniciar el intervalo de tiempo  $dt$ , la energía potencial para la masa que está entre  $a$  y  $b$  es  $dm gy_1 = \rho dV gy_1$ . Al final de  $dt$ , la energía potencial para la masa que está entre  $c$  y  $d$  es  $dm gy_2 = \rho dV gy_2$ . El cambio neto de energía potencial  $dU$  durante  $dt$  es

$$dU = \rho dV g(y_2 - y_1) \quad (12.15)$$

Combinando las ecuaciones (12.13), (12.14) y (12.15) en la ecuación de energía  $dW = dK + dU$ , obtenemos

$$(p_1 - p_2)dV = \frac{1}{2}\rho dV(v_2^2 - v_1^2) + \rho dV g(y_2 - y_1) \quad (12.16)$$

$$p_1 - p_2 = \frac{1}{2}\rho(v_2^2 - v_1^2) + \rho g(y_2 - y_1)$$

Ésta es la **ecuación de Bernoulli**, y dice que el trabajo efectuado sobre una unidad de volumen de fluido por el fluido circundante es igual a la suma de los cambios de las energías cinética y potencial por unidad de volumen que ocurren durante el flujo. También podemos interpretar la ecuación (12.16) en términos de presiones. El primer término de la derecha es la diferencia de presión asociada al cambio de rapidez del fluido; el segundo término a la derecha es la diferencia de presión adicional causada por el peso del fluido y la diferencia de altura de los dos extremos.

También podemos expresar la ecuación (12.16) en una forma más práctica:

$$p_1 + \rho gy_1 + \frac{1}{2}\rho v_1^2 = p_2 + \rho gy_2 + \frac{1}{2}\rho v_2^2 \quad (12.17)$$

Los subíndices 1 y 2 se refieren a dos puntos *cualesquiera* del tubo de flujo, por lo que también podemos escribir

<b>Ecuación de Bernoulli</b> para un fluido ideal incompresible: <i>Aceleración debida a la gravedad</i>	<i>Presión</i> $p + \rho gy$ <i>Densidad del fluido</i> $\frac{1}{2}\rho v^2$ <i>Altura</i> <i>Rapidez del flujo</i>	<i>El valor es igual en todos los puntos del tubo de flujo .</i>
---	---	--

(12.18)

Observe que si el fluido *no* se mueve (de manera que  $v_1 = v_2 = 0$ ), la ecuación (12.17) se reduce a la relación de presión que dedujimos para un fluido en reposo [ecuación (12.5)].



DEMO

**CUIDADO** El principio de Bernoulli se aplica sólo en ciertas situaciones Subrayamos de nuevo que la ecuación de Bernoulli sólo es válida para un flujo estable de un fluido incompresible sin fricción interna (sin viscosidad). Es una ecuación sencilla y fácil de usar; ¡cuide de no aplicarla en situaciones en que no es válida! ■

## ESTRATEGIA PARA RESOLVER PROBLEMAS 12.1 ECUACIÓN DE BERNOULLI

Recalcamos que la ecuación de Bernoulli se deduce del teorema trabajo-energía, así que no debe sorprender que gran parte de la estrategia para resolver problemas 7.1 (sección 7.1) se aplique aquí.

**IDENTIFICAR** *los conceptos relevantes:* La ecuación de Bernoulli es aplicable al flujo estable de un fluido incompresible que no tiene fricción interna (vea la sección 12.6). Generalmente es aplicable a flujos que corren a lo largo de grandes tubos y a flujos dentro de grandes cantidades de fluido (por ejemplo, el aire que fluye alrededor de un avión o el agua que fluye alrededor de un pez).

**PLANTEAR** *el problema* siguiendo estos pasos:

- Identifique los puntos 1 y 2 a los que se refiere la ecuación de Bernoulli, ecuación (12.17).
- Defina su sistema de coordenadas, en particular el origen  $y = 0$ . Tome la dirección de  $y$  hacia arriba como positiva.

- Elabore listas de las cantidades conocidas y desconocidas de la ecuación (12.17). Determine cuáles son las incógnitas.

**EJECUTAR** *la solución* como sigue: Escriba la ecuación de Bernoulli y despeje las incógnitas. En algunos problemas, habrá que usar la ecuación de continuidad, ecuación (12.10), para obtener una relación entre los dos valores de la rapidez en términos de áreas transversales de tubos o recipientes. Tal vez necesite también la ecuación (12.11) para calcular la rapidez de flujo de volumen.

**EVALUAR** *la respuesta:* Verifique que los resultados sean lógicos desde el punto de vista de la física. Compruebe que las unidades sean congruentes. En el SI, la presión está en pascales, la densidad en kilogramos por metro cúbico, y la rapidez en metros por segundo. Recuerde también que las presiones deben ser *todas* absolutas o *todas* manométricas.



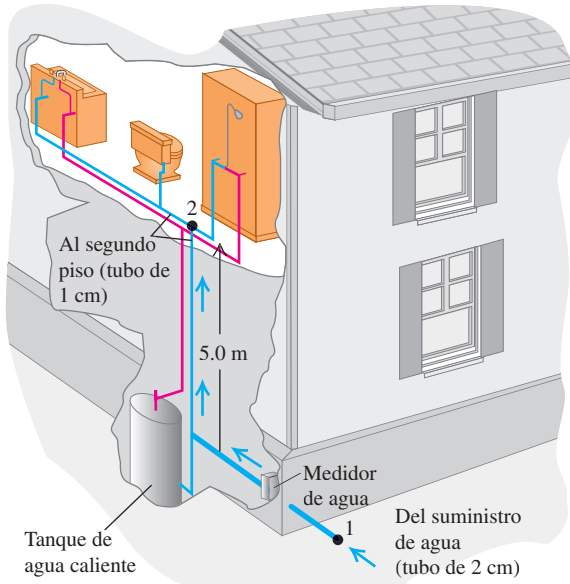
### EJEMPLO 12.7 PRESIÓN DE AGUA EN EL HOGAR

En una casa entra agua (**figura 12.24**) por un tubo con diámetro interior de 2.0 cm a una presión absoluta de  $4.0 \times 10^5$  Pa (aproximadamente 4 atm). Un tubo de 1.0 cm de diámetro va al cuarto de baño del segundo piso, 5.0 m más arriba. Calcule la rapidez de flujo, la presión y la rapidez de flujo de volumen en el cuarto de baño, cuando la rapidez de flujo en el tubo de entrada es de 1.5 m/s.

#### SOLUCIÓN

**IDENTIFICAR Y PLANTEAR:** Suponemos que el agua fluye con una rapidez constante. El agua es efectivamente incompresible, por lo que es una buena aproximación utilizar la ecuación de continuidad. Es razonable despreciar los efectos de fricción interna ya que la

**12.24** ¿Qué presión tiene el agua en el cuarto de baño del segundo piso de esta casa?



### EJEMPLO 12.8 RAPIDEZ DE SALIDA

La **figura 12.25** muestra un tanque de almacenamiento de gasolina con área transversal  $A_1$ , lleno hasta una altura  $h$ . El espacio arriba de la gasolina contiene aire a una presión  $p_0$  y la gasolina sale por un tubo corto de área transversal  $A_2$ , ubicado en la parte inferior del tanque. Deduzca expresiones para la rapidez de flujo en el tubo y la rapidez de flujo de volumen.

#### SOLUCIÓN

**IDENTIFICAR Y PLANTEAR:** Podemos considerar todo el volumen de líquido en movimiento como un solo tubo de flujo de un fluido incompresible con fricción interna despreciable. Por lo tanto, podemos usar la ecuación de Bernoulli. Los puntos 1 y 2 están en la superficie de la gasolina y en el tubo de salida, respectivamente. En el punto 1, la presión es  $p_0$ , que se supone fija; en el punto 2, la presión es la atmosférica,  $p_{\text{atm}}$ . Tomamos  $y = 0$  en el tubo de salida, así que  $y_1 = h$  y  $y_2 = 0$ . Puesto que  $A_1$  es mucho mayor que  $A_2$ , el nivel de la gasolina en el tanque bajará con mucha lentitud y podemos considerar que  $v_1$  es esencialmente igual a cero. Encontramos  $v_2$  a partir de la ecuación (12.17) y la rapidez de flujo de volumen con la ecuación (12.11).

tubería tiene un diámetro relativamente grande, por lo que también podemos utilizar la ecuación de Bernoulli. Tomamos los puntos 1 y 2 en el tubo de entrada y el cuarto de baño, respectivamente. Nos dan los diámetros de los tubos en los puntos 1 y 2 (con lo cual podemos calcular las áreas  $A_1$  y  $A_2$ ), así como la rapidez  $v_1 = 1.5$  m/s y la presión  $p_1 = 4.0 \times 10^5$  Pa en el tubo de entrada. Tomamos  $y_1 = 0$  y  $y_2 = 5.0$  m. Encontramos la rapidez  $v_2$  usando la ecuación de continuidad, y la presión  $p_2$  con la ecuación de Bernoulli. Conociendo  $v_2$ , calcularemos la rapidez de flujo de volumen  $v_2 A_2$ .

**EJECUTAR:** De acuerdo con la ecuación de continuidad, ecuación (12.10):

$$v_2 = \frac{A_1}{A_2} v_1 = \frac{\pi(1.0 \text{ cm})^2}{\pi(0.50 \text{ cm})^2} (1.5 \text{ m/s}) = 6.0 \text{ m/s}$$

Según la ecuación de Bernoulli, ecuación (12.16),

$$\begin{aligned} p_2 &= p_1 - \frac{1}{2}\rho(v_2^2 - v_1^2) - \rho g(y_2 - y_1) \\ &= 4.0 \times 10^5 \text{ Pa} \\ &\quad - \frac{1}{2}(1.0 \times 10^3 \text{ kg/m}^3)(36 \text{ m}^2/\text{s}^2 - 2.25 \text{ m}^2/\text{s}^2) \\ &\quad - (1.0 \times 10^3 \text{ kg/m}^3)(9.8 \text{ m/s}^2)(5.0 \text{ m}) \\ &= 4.0 \times 10^5 \text{ Pa} - 0.17 \times 10^5 \text{ Pa} - 0.49 \times 10^5 \text{ Pa} \\ &= 3.3 \times 10^5 \text{ Pa} = 3.3 \text{ atm} = 48 \text{ lb/in}^2 \end{aligned}$$

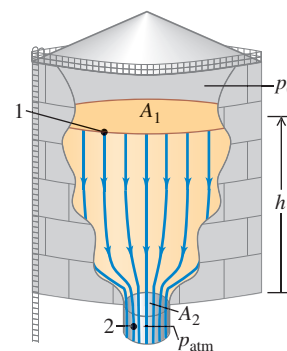
La rapidez de flujo de volumen es

$$\begin{aligned} \frac{dV}{dt} &= A_2 v_2 = \pi(0.50 \times 10^{-2} \text{ m})^2 (6.0 \text{ m/s}) \\ &= 4.7 \times 10^{-4} \text{ m}^3/\text{s} = 0.47 \text{ L/s} \end{aligned}$$

**EVALUAR:** Ésta es una rapidez de flujo razonable para un lavabo o una ducha. Observe que, al cerrar el agua,  $v_1$  y  $v_2$  son cero, el término  $\frac{1}{2}\rho(v_2^2 - v_1^2)$  de la ecuación de Bernoulli desaparece, y la  $p_2$  se eleva de  $3.3 \times 10^5$  Pa a  $3.5 \times 10^5$  Pa.



**12.25** Cálculo de la rapidez de salida de gasolina por el fondo de un tanque de almacenamiento.



Continúa

**EJECUTAR:** Al aplicar la ecuación de Bernoulli a los puntos 1 y 2, tenemos

$$p_0 + \frac{1}{2}\rho v_1^2 + \rho gh = p_{\text{atm}} + \frac{1}{2}\rho v_2^2 + \rho g(0)$$

$$v_2^2 = v_1^2 + 2\left(\frac{p_0 - p_{\text{atm}}}{\rho}\right) + 2gh$$

Usando  $v_1 = 0$ , tenemos

$$v_2 = \sqrt{2\left(\frac{p_0 - p_{\text{atm}}}{\rho}\right) + 2gh}$$

De acuerdo con la ecuación (12.11), la rapidez de flujo de volumen es  $dV/dt = v_2 A_2$ .

**EVALUAR:** La rapidez  $v_2$ , algunas veces llamada *rapidez de salida*, depende tanto de la diferencia de presión ( $p_0 - p_{\text{atm}}$ ) como de la

altura  $h$  del líquido en el tanque. Si el tanque está abierto por arriba a la atmósfera,  $p_0 = p_{\text{atm}}$  y  $p_0 - p_{\text{atm}} = 0$ . Entonces,

$$v_2 = \sqrt{2gh}$$

Esto es, la rapidez de salida por una abertura a una distancia  $h$  bajo la superficie del líquido es la misma que adquiriría un cuerpo al caer libremente una altura  $h$ . Este resultado es el *teorema de Torricelli*. Es válido no sólo para una abertura en la base de un recipiente, sino también para un orificio en una pared a una profundidad  $h$  bajo la superficie. En este caso, la rapidez de flujo de volumen es

$$\frac{dV}{dt} = A_2 \sqrt{2gh}$$

### EJEMPLO 12.9 EL MEDIDOR VENTURI



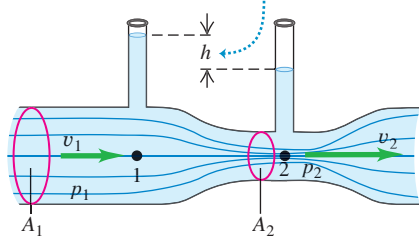
La figura 12.26 muestra un *medidor Venturi*, que se usa para medir la rapidez de flujo en un tubo. Deduzca una expresión para la rapidez de flujo  $v_1$  en términos de las áreas transversales  $A_1$  y  $A_2$  y la diferencia de altura  $h$  del líquido en los dos tubos verticales.

#### SOLUCIÓN

**IDENTIFICAR y PLANTEAR:** El flujo es estable y suponemos que el fluido es incompresible y que tiene fricción interna despreciable. Por lo tanto, podemos utilizar la ecuación de Bernoulli a las partes ancha

#### 12.26 El medidor Venturi.

La diferencia de altura es resultado de la presión reducida en la garganta (punto 2).



(punto 1) y angosta (punto 2, la *garganta*) del tubo. La ecuación (12.6) relaciona  $h$  con la diferencia de presión  $p_1 - p_2$ :

**EJECUTAR:** Los dos puntos tienen la misma coordenada vertical ( $y_1 = y_2$ ), así que la ecuación (12.17) dice

$$p_1 + \frac{1}{2}\rho v_1^2 = p_2 + \frac{1}{2}\rho v_2^2$$

De acuerdo con la ecuación de continuidad,  $v_2 = (A_1/A_2)v_1$ . Al sustituir y reordenar, obtenemos

$$p_1 - p_2 = \frac{1}{2}\rho v_1^2 \left[ \left( \frac{A_1}{A_2} \right)^2 - 1 \right]$$

De acuerdo con la ecuación (12.6), la diferencia de presión  $p_1 - p_2$  también es igual a  $\rho gh$ . Al sustituir esto y despejar  $v_1$ , obtenemos

$$v_1 = \sqrt{\frac{2gh}{\left(A_1/A_2\right)^2 - 1}}$$

**EVALUAR:** Puesto que  $A_1$  es mayor que  $A_2$ ,  $v_2$  es mayor que  $v_1$ , y la presión  $p_2$  en la garganta es menor que  $p_1$ . Estas diferencias de presión producen una fuerza neta a la derecha que acelera el fluido al entrar en la garganta, y una fuerza neta a la izquierda que lo frena al salir.



### EJEMPLO CONCEPTUAL 12.10 SUSTENTACIÓN EN EL ALA DE UN AVIÓN

La figura 12.27a muestra líneas de flujo alrededor de un corte transversal del ala de un avión. Las líneas se juntan arriba del ala, lo que corresponde a una mayor rapidez de flujo y una presión reducida en esta región, igual que en la garganta del medidor Venturi del ejemplo 12.9. Por lo tanto, la fuerza hacia abajo del aire en la parte superior del ala es menor que la fuerza hacia arriba en la parte inferior del ala, y hay una fuerza neta ascendente o *sustentación*. La sustentación no se debe sólo al impulso del aire que incide bajo el ala; de hecho, la presión reducida en la superficie superior del ala es lo que más contribuye a la sustentación (esta explicación muy simplificada no considera la formación de vórtices).

También podemos entender la fuerza de sustentación en términos de cambios en la cantidad de movimiento o momento. El diagrama vectorial de la figura 12.27a indica que hay un cambio neto *hacia*

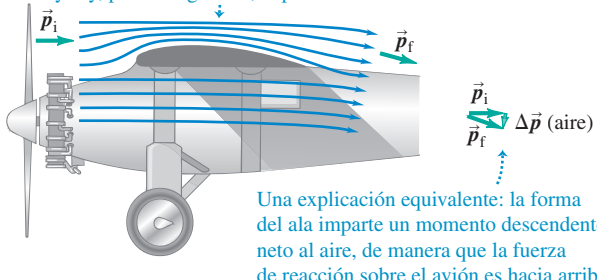
*abajo* en la componente vertical del momento del aire que fluye por el ala, correspondiente a la fuerza descendente que el ala ejerce sobre el aire. La fuerza de reacción que actúa sobre el ala es *hacia arriba*, como habíamos visto.

Se observan patrones de flujo y fuerzas de sustentación similares en las inmediaciones de cualquier objeto saliente cuando hace viento. Un viento moderado hace que un paraguas “flete”; cuando sopla un viento bastante intenso, la fuerza de sustentación hace que el paraguas se doble hacia arriba. A gran velocidad, la sustentación puede reducir la tracción de los neumáticos de un automóvil; por eso, muchos vehículos están equipados con un alerón aerodinámico (*spoiler*) en la parte trasera. El alerón tiene la forma de ala invertida y proporciona una fuerza descendente de compensación.

### 12.27 Flujo alrededor del ala de un avión.

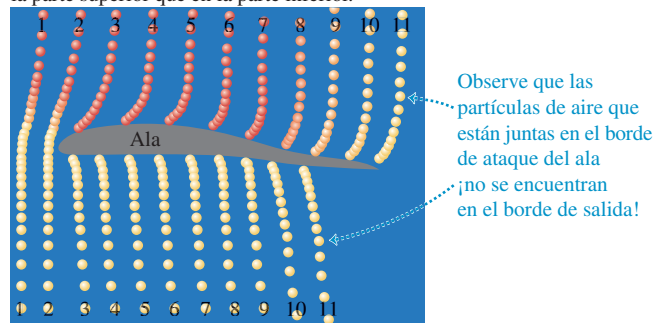
#### a) Flujo alrededor del ala de un avión

Las líneas de flujo de aire que se desplazan por encima de la parte superior del ala se acercan, por lo que la rapidez de flujo es mayor y, por consiguiente, la presión es menor.



**CUIDADO** Una interpretación errónea acerca de las alas Algunas explicaciones de la sustentación afirman que el aire viaja más rápido sobre la parte superior de un ala porque “tiene que viajar una mayor distancia”. Esta afirmación supone que dos moléculas adyacentes de aire que toman direcciones distintas en la parte delantera del ala (una se dirige por encima de la superficie superior del ala y la otra por debajo de la superficie inferior) deben encontrarse de nuevo en el borde de salida. ¡Pero no es así! La figura 12.27b presenta una simulación

b) Simulación de computadora de las placas de aire que fluyen alrededor de un ala, donde se observa que el aire se mueve mucho más rápido en la parte superior que en la parte inferior.



de computadora de placas de aire que fluyen alrededor del ala de un avión. Las placas de aire adyacentes en el frente del ala *no* se encuentran en el borde de salida; el flujo sobre la parte superior del ala es mucho más rápido que si las placas tuvieran que encontrarse. De acuerdo con la ecuación de Bernoulli, esta mayor rapidez significa que hay una presión aún menor por encima del ala (y, por lo tanto, una mayor sustentación) que lo que sugiere la afirmación “viajar una mayor distancia”. ■

**EVALÚE SU COMPRENSIÓN DE LA SECCIÓN 12.5** ¿Cuál es el enunciado más exacto del principio de Bernoulli? i. El aire que se desplaza rápidamente provoca presión más baja. ii. La presión más baja provoca que el aire se desplace rápido. iii. Ambas afirmaciones (i y ii) son igualmente exactas. ■

## 12.6 VISCOSIDAD Y TURBULENCIA

Al hablar del flujo de fluidos, asumimos que el fluido no tenía fricción interna y que el flujo era laminar. Aunque en muchos casos esas suposiciones son válidas, en muchas situaciones físicas importantes, los efectos de la viscosidad (fricción interna) y la turbulencia (flujo no laminar) son extremadamente trascendentales. Examinemos de forma superficial algunas de esas situaciones.

### Viscosidad

La **viscosidad** es fricción interna en un fluido. Las fuerzas viscosas se oponen al movimiento de una parte de un fluido en relación con otra. La viscosidad es la razón por la que se dificulta remar una canoa en aguas tranquilas, pero también es lo que hace que funcione el remo. Los efectos de la viscosidad son importantes en el flujo de fluidos en las tuberías, en el flujo de la sangre, en la lubricación de las partes de un motor y en muchas otras situaciones.

Los fluidos que fluyen con facilidad, como el agua y la gasolina, tienen menor viscosidad que los líquidos “espesos” como la miel o el aceite para motor. Las viscosidades de todos los fluidos dependen mucho de la temperatura: aumentan para los gases y disminuyen para los líquidos al subir la temperatura (**figura 12.28**). Los aceites para lubricación de motores deben fluir igualmente bien en condiciones frías y calientes, por lo que están diseñados para tener una variación *tan pequeña* como sea posible de la viscosidad en función de la temperatura.

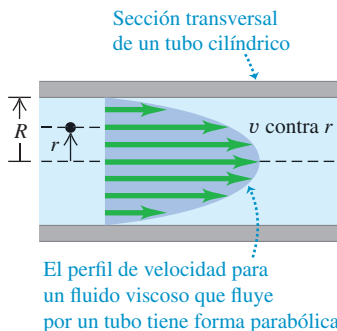
Un fluido viscoso tiende a adherirse a una superficie sólida que está en contacto con ella. Siempre hay una *capa de frontera* delgada de fluido cerca de la superficie, en la que el fluido está casi en reposo con respecto a ella. Por eso, las partículas de polvo pueden adherirse al aspa de un ventilador aun cuando esté girando rápidamente, y por eso no podemos limpiar bien un auto con sólo dirigir el chorro de agua de una manguera hacia él.

La viscosidad tiene efectos importantes sobre el flujo de los líquidos a través de tuberías, y esto incluye el flujo de la sangre por el sistema circulatorio. Pensemos primero en un fluido con viscosidad nula para poder aplicar la ecuación de Bernoulli, ecuación (12.17). Si

**12.28** La lava es un ejemplo de fluido viscoso. La viscosidad disminuye al aumentar la temperatura: cuanto más caliente está la lava, más fácilmente fluye.



**12.29** Perfil de velocidad para un fluido viscoso en un tubo cilíndrico.



### BIO Aplicación Escuchar un flujo turbulento

El flujo normal de sangre en la aorta humana es laminar, pero una leve perturbación como una patología cardiaca puede hacer que el flujo se vuelva turbulento. La turbulencia hace ruido; por eso, una técnica diagnóstica útil consiste en escuchar el flujo de sangre con un estetoscopio.



**12.30** El flujo de agua de un grifo puede ser a) laminar b) turbulento.

los dos extremos de un tubo cilíndrico largo están a la misma altura ( $y_1 = y_2$ ) y la rapidez de flujo es la misma en ambos extremos (de manera que  $v_1 = v_2$ ), la ecuación de Bernoulli nos indica que la presión es la misma en ambos extremos de la tubería. Sin embargo, este resultado no es válido si tomamos en cuenta la viscosidad. Para ver por qué, considere la figura 12.29, que muestra el perfil de rapidez de flujo para el flujo laminar de un fluido viscoso en un tubo cilíndrico largo. Debido a la viscosidad, la rapidez es *cero* en las paredes del tubo (a las que se adhiere el fluido) y máxima en el centro del tubo. El movimiento semeja muchos tubos concéntricos que se deslizan unos en relación con otros, con el tubo central moviéndose más rápidamente y el más exterior en reposo. Las fuerzas viscosas entre los tubos se oponen a este deslizamiento, de manera que si queremos mantener el flujo, debemos aplicar atrás del flujo una presión mayor que adelante de él. Por eso también necesitamos seguir apretando un tubo de pasta dentífrica o un envase de salsa de tomate (ambos fluidos viscosos) para que siga saliendo el fluido del interior. Los dedos aplican detrás del flujo una presión mucho mayor que la presión atmosférica al frente del flujo.

La diferencia de presión requerida para mantener una rapidez determinada de flujo de volumen a través de un tubo cilíndrico de longitud  $L$  y radio  $R$  resulta ser proporcional a  $L/R^4$ . Si disminuimos  $R$  a la mitad, la presión requerida aumenta  $2^4 = 16$  veces; si disminuimos  $R$  en un factor de 0.90 (una reducción del 10%), la diferencia de presión requerida aumentará en un factor de  $(1/0.90)^4 = 1.52$  (un aumento del 52%). Esta sencilla relación explica el vínculo entre una dieta alta en colesterol (que tiende a reducir el diámetro de las arterias) y una presión arterial elevada. Debido a la dependencia de  $R^4$ , incluso un leve estrechamiento de las arterias puede elevar considerablemente la presión arterial y forzar el músculo cardíaco.

### Turbulencia

Si la rapidez de un fluido que fluye excede cierto valor crítico, el flujo deja de ser laminar. El patrón de flujo se vuelve muy irregular y complejo, y cambia continuamente con el tiempo; no hay patrón de estado estable. Este flujo irregular y caótico se denomina **turbulencia**. La figura 12.20 muestra el contraste entre flujos laminar y turbulento para humo que asciende en el aire. La ecuación de Bernoulli *no* es aplicable a regiones de turbulencia, pues el flujo no es estable.

El hecho de que un flujo sea laminar o turbulento depende en parte de la viscosidad del fluido. Cuanto mayor es la viscosidad, mayor es la tendencia del fluido a fluir en capas y es más probable que el flujo sea laminar (cuando analizamos la ecuación de Bernoulli en la sección 12.5, asumimos que el flujo era laminar y que el fluido tenía viscosidad cero. De hecho, se requiere un *poco* de viscosidad para asegurar que el flujo sea laminar).

En el caso de un fluido con cierta viscosidad, la rapidez de flujo es un factor determinante para que exista turbulencia. Un patrón de flujo que es estable a baja velocidad se vuelve inestable de repente cuando se alcanza una rapidez crítica. Las irregularidades en el patrón de flujo pueden deberse a asperezas en la pared del tubo, variaciones en la densidad del fluido y a muchos otros factores. Si la rapidez de flujo es baja, esas perturbaciones se eliminan por amortiguamiento; el patrón de flujo es *estable* y tiende a mantener su naturaleza laminar (figura 12.30a). Sin embargo, cuando se alcanza la rapidez crítica, el patrón de flujo se vuelve inestable. Las perturbaciones ya no se amortiguan, sino que crecen hasta destruir el patrón de flujo laminar (figura 12.30b).

a) Baja rapidez:  
flujo laminar



b) Alta rapidez:  
flujo turbulento




**EJEMPLO CONCEPTUAL 12.11 LA BOLA CURVA**

¿Un lanzamiento en forma de curva en béisbol es *realmente* una curva? Sin duda, y la razón es la turbulencia. La figura 12.31a ilustra una bola que se mueve en el aire de izquierda a derecha. Las líneas de flujo indican que para un observador que se mueve junto con la pelota, la corriente de aire parece moverse de derecha a izquierda. A causa de las velocidades que están usualmente implicadas (cerca de 35 m/s, o 75 mi/h), hay una región de flujo *turbulento* detrás de la bola.

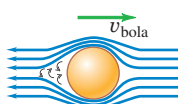
La figura 12.31b ilustra una bola que *gira* con “*top spin*” (giro superior). Las capas de aire cerca de la superficie de la bola son llevadas en la dirección del giro por la fricción entre la bola y el aire, así como por la fricción interna (viscosidad) del aire. Por lo tanto, el aire se mueve con respecto a la superficie de la bola más lentamente en la parte de arriba de la bola que en la parte de abajo, y la turbulencia se presenta más hacia adelante en el lado de arriba que en el de abajo. Como resultado, la presión media en la parte de arriba de la bola ahora es mayor que abajo, y la fuerza neta resultante desvía la bola hacia abajo (figura 12.31c). El “*top spin*” en tenis se usa para que el saque en la cancha sea más rápido (figura 12.31d).

En un lanzamiento de bola curva en béisbol, la bola gira alrededor de un eje casi *vertical*, y la desviación real es hacia un lado. En un caso así, la figura 12.31c es una vista *superior* de la situación. Una bola lanzada por un lanzador zurdo gira, como se muestra en la figura 12.31e, se curva *hacia* un bateador diestro, y es más difícil golpearla.

Un efecto similar se presenta con las pelotas de golf, que siempre tienen un “giro hacia atrás” por el impacto con la cara inclinada del palo. Después de impactar a la bola de golf, la diferencia de presión resultante entre las partes superior e inferior de la bola provoca una fuerza de *sustentación* que la mantiene en el aire mucho más tiempo del que sería posible sin el giro. Un golpe fuerte bien dado parece hacer que la bola “flete” o incluso se curve *hacia arriba* durante la parte inicial del vuelo. Éste es un efecto real, no una ilusión. Los hoyuelos de la pelota desempeñan un papel fundamental; la viscosidad del aire hace que una bola con hoyuelos tenga una trayectoria mucho más larga que una sin hoyuelos a la que se imprimen velocidad y giro iniciales idénticos.

**12.31 a) a e) Análisis del movimiento de una pelota rotatoria en el aire.**

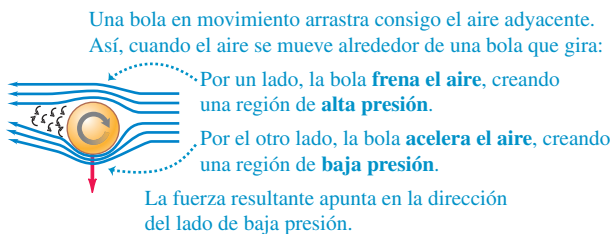
a) Movimiento del aire con respecto a una bola que no gira



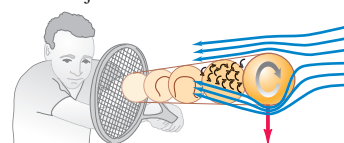
b) Movimiento de una bola que gira



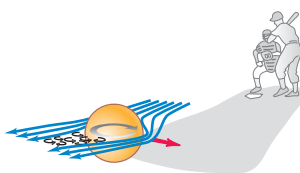
c) Fuerza generada cuando una bola que gira se desplaza a través del aire



d) Giro que empuja una pelota de tenis hacia abajo



e) Giro que hace que una bola curva se desvíe hacia un lado



**EVALÚE SU COMPRENSIÓN DE LA SECCIÓN 12.6** ¿Cuánta más presión deberá aplicar una enfermera con el pulgar para administrar una inyección con una aguja hipodérmica cuyo diámetro interno mide 0.30 mm, en comparación con una aguja con diámetro interno de 0.60 mm? Suponga que las dos agujas tienen la misma longitud y que la rapidez de flujo de volumen es la misma en ambos casos. **i.** El doble; **ii.** 4 veces más; **iii.** 8 veces más; **iv.** 16 veces más; **v.** 32 veces más. |



**Densidad y presión:** Densidad es masa por unidad de volumen. Si una masa  $m$  de material homogéneo tiene un volumen  $V$ , su densidad  $\rho$  es la proporción  $m/V$ . La gravedad específica es la proporción entre la densidad de un material y la del agua (vea el ejemplo 12.1).

La presión es fuerza normal por unidad de área. La ley de Pascal establece que la presión aplicada a la superficie de un fluido encerrado se transmite sin disminución a todas las partes del fluido. La presión absoluta es la presión total en un fluido; la presión manométrica es la diferencia entre la presión absoluta y la atmosférica. La unidad de presión del SI es el pascal (Pa):  $1 \text{ Pa} = 1 \text{ N/m}^2$  (vea el ejemplo 12.2).

**Presiones en un fluido en reposo:** La diferencia de presión entre los puntos 1 y 2 en un fluido estático con densidad uniforme  $\rho$  (un fluido incompresible) es proporcional a la diferencia entre las alturas  $y_1$  y  $y_2$ . Si la presión en la superficie de un líquido incompresible en reposo es  $p_0$ , entonces la presión a una profundidad  $h$  es mayor en una cantidad  $\rho gh$  (vea los ejemplos 12.3 y 12.4).

**Flotación:** El principio de Arquímedes dice que cuando un cuerpo se sumerge en un fluido, éste ejerce sobre el cuerpo una fuerza de flotación hacia arriba igual al peso del fluido que el cuerpo desplaza (vea el ejemplo 12.5).

**Flujo en un fluido:** Un fluido ideal es incompresible y no tiene viscosidad (no hay fricción interna). Una línea de flujo es la trayectoria de una partícula de fluido; una línea de corriente es una curva tangente en todo punto al vector velocidad en ese punto. Un tubo de flujo es un tubo delimitado en sus costados por líneas de flujo. En flujo laminar, las capas de fluido se deslizan suavemente unas sobre otras. En flujo turbulento, hay gran desorden y el patrón de flujo cambia constantemente.

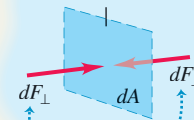
La conservación de la masa en un fluido incompresible se expresa con la ecuación de continuidad, la cual relaciona las rapideces de flujo  $v_1$  y  $v_2$  para dos secciones transversales  $A_1$  y  $A_2$  de un tubo de flujo. El producto  $Av$  es igual a la rapidez de flujo de volumen,  $dV/dt$ , la rapidez con que el volumen cruza una sección del tubo (vea el ejemplo 12.6).

La ecuación de Bernoulli establece que una cantidad que implica la presión  $p$ , la rapidez de flujo  $v$  y la altura  $y$  tiene el mismo valor en cualquier parte de un tubo de flujo, suponiendo flujo estable en un fluido ideal. Esta ecuación puede utilizarse para relacionar las propiedades del flujo en dos puntos cualesquiera (vea los ejemplos 12.7 a 12.10).

$$\rho = \frac{m}{V} \quad (12.1)$$

$$p = \frac{dF_{\perp}}{dA} \quad (12.2)$$

Pequeña área  $dA$  dentro del fluido en reposo



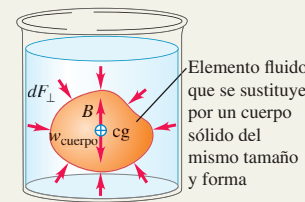
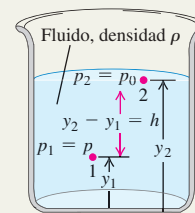
Fuerzas normales iguales ejercidas sobre ambos lados por el fluido circundante.

$$p_2 - p_1 = -\rho g(y_2 - y_1) \quad (12.5)$$

(presión en un fluido de densidad uniforme)

$$p = p_0 + \rho gh \quad (12.6)$$

(presión en un fluido de densidad uniforme)



$$A_1 v_1 = A_2 v_2 \quad (12.10)$$

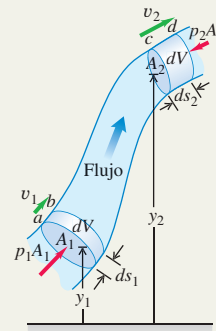
(ecuación de continuidad, fluido incompresible)

$$\frac{dV}{dt} = Av \quad (12.11)$$

(rapidez de flujo de volumen)

$$p + \rho gy + \frac{1}{2}\rho v^2 = \text{constante} \quad (12.18)$$

(ecuación de Bernoulli)





SOLUCIÓN

**PROBLEMA PRÁCTICO****¿CUÁNTO TIEMPO SE TARDA EN VACIAR?**

Un gran tanque cilíndrico de diámetro  $D$  está abierto al aire libre en la parte superior. El tanque contiene agua hasta una altura  $H$ . Luego, se abre en la parte inferior del tanque un pequeño orificio circular con un diámetro  $d$ , donde  $d \ll D$  (**figura 12.32**). Desprecie los efectos de la viscosidad. *a)* Encuentre  $y$ , la altura del agua en el tanque un tiempo  $t$  después de que se ha abierto el orificio, como una función de  $t$ . *b)* ¿Cuánto tiempo se tarda en vaciar el tanque por completo? *c)* Si se duplica la altura  $H$  inicial del agua en el tanque, ¿en qué factor aumenta el tiempo en que se vacía el tanque?

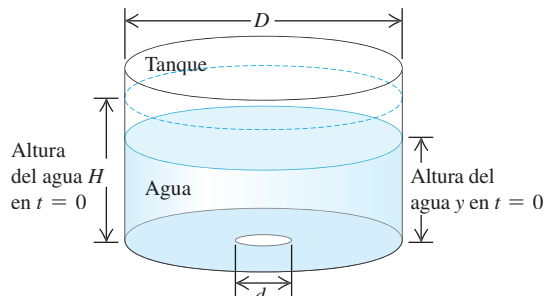
**GUÍA DE SOLUCIÓN****IDENTIFICAR y PLANTEAR**

- Dibuje un bosquejo de la situación que muestre todas las dimensiones importantes.
- Elabore una lista de las cantidades desconocidas, y determine cuáles de éstas son las incógnitas que queremos despejar.
- ¿Cuál es la rapidez con que el agua sale de la parte inferior del tanque? ¿Cómo se relaciona ésta con la rapidez del flujo de volumen de agua de salida del tanque? ¿Cómo está relacionada la rapidez de flujo de volumen con la razón de cambio de  $y$ ?

**EJECUTAR**

- Utilice los resultados del paso 3 para escribir una ecuación para  $dy/dt$ .
- Su resultado del paso 4 es una ecuación diferencial relativamente sencilla. Con sus conocimientos de cálculo, integre para encontrar  $y$  como una función de  $t$ . (*Sugerencia:* Una vez que haya hecho la integración, aún tendrá que hacer un poco de álgebra).

- 12.32** Un tanque de agua abierto y con un orificio en el fondo.



- Utilice el resultado del paso 5 para determinar el momento en que el tanque está vacío. ¿Cómo dependerá su resultado de la altura  $H$  inicial?

**EVALUAR**

- Compruebe si sus respuestas son razonables. Una buena comprobación es dibujar una gráfica de  $y$  en función de  $t$ . Según la gráfica, ¿cuál es el signo algebraico de  $dy/dt$  a diferentes horas? ¿Esto tiene sentido?

**Problemas**

•, \*\*, \*\*\*: Niveles de dificultad. PA: Problemas acumulativos que incorporan material de capítulos anteriores. CALC: Problemas que requieren cálculo. DATOS: Problemas que incluyen datos reales, evidencia científica, diseño experimental y/o razonamiento estadístico. BIO: Problemas de ciencias biológicas.

**PREGUNTAS PARA ANÁLISIS**

**P12.1** Un cubo de madera de roble con caras muy lisas normalmente flota en el agua. Suponga que usted sumerge ese cubo por completo y presiona una de sus caras contra el fondo del tanque, de manera que no haya agua debajo de esa cara. ¿El bloque flotará a la superficie? ¿Existe una fuerza de flotación sobre él? Explique su respuesta.

**P12.2** Una manguera de hule se conecta a un embudo y el extremo libre se dobla hacia arriba. Si se vierte agua en el embudo, sube al mismo nivel en la manguera que en el embudo, a pesar de que éste tiene mucho más agua. ¿Por qué? ¿Qué es lo que soporta el peso adicional del agua en el embudo?

**P12.3** Si compara el ejemplo 12.1 (sección 12.1) y el ejemplo 12.2 (sección 12.2), parece que 700 N de aire ejercen una fuerza hacia abajo de  $2.0 \times 10^6$  N sobre el piso. ¿Cómo es posible?

**P12.4** La ecuación (12.7) indica que una razón de área de 100 a 1 puede dar 100 veces más fuerza de salida que de entrada. ¿Acaso esto no viola la conservación de la energía? Explique.

**P12.5** Tal vez haya notado que, cuanto menor es la presión de un neumático, mayor es el área de contacto entre éste y el pavimento. ¿Por qué?

**P12.6** Un globo de aire caliente se llena con aire calentado por un quemador en la base. ¿Por qué debe calentarse el aire? ¿Cómo se controla el ascenso y el descenso?

**P12.7** Al describir el tamaño de un barco grande, se dice, por ejemplo, que “desplaza 20,000 toneladas”. ¿Qué significa esto? ¿Se puede obtener el peso del barco a partir de este dato?

**P12.8** Se deja caer una esfera sólida de aluminio en un balde de agua que descansa en el suelo. La fuerza de flotación es igual al peso del agua desplazada, que es menor que el peso de la esfera, así que ésta se hunde. Si llevamos el balde a un elevador que acelera hacia arriba, el peso aparente del agua aumenta y, por lo tanto, aumenta la fuerza de flotación que actúa sobre la esfera. ¿La aceleración del elevador podría ser tan grande para hacer que la esfera flote en el agua? Explique su respuesta.

**P12.9** Un dirigible rígido más ligero que el aire, lleno de helio, no puede elevarse indefinidamente. ¿Por qué no? ¿Qué determina la altitud máxima alcanzable?

**P12.10** ¿Cuál tiene una mayor fuerza de empuje sobre sí: una pieza de 25 cm<sup>3</sup> de madera que flota con parte de su volumen sobre el agua o una pieza de 25 cm<sup>3</sup> de hierro sumergido? ¿O acaso debe conocer sus masas antes de que pueda contestar? Explique.

**P12.11** Es posible probar la pureza del oro pesándolo en aire y en agua. ¿Cómo? ¿Cree que podría hacer pasar por oro un lingote de material más barato chapado con oro?

**P12.12** Durante la gran inundación del Río Mississippi de 1993, los diques en San Luis tendían a romperse primero en la base. ¿Por qué?

**P12.13** Un barco carguero viaja del Océano Atlántico (agua salada) al Lago Ontario (agua dulce) por el Río San Lorenzo. El barco se sume varios centímetros más en el agua del lago que en el océano. Explique por qué.

**P12.14** Usted empuja un trozo de madera para que quede bajo la superficie de una alberca. Después de que está sumergido por completo, usted sigue empujándolo más y más profundamente. Conforme usted hace esto, ¿qué sucederá a la fuerza de flotación sobre el trozo de madera? ¿Esta fuerza seguirá aumentando, permanecerá igual o disminuirá? ¿Por qué?

**P12.15** Una antigua pregunta es: “¿Qué pesa más, una libra de plumas o una de plomo?”. Si el peso en libras es la fuerza gravitacional, ¿una libra de plumas equilibrará una libra de plomo en charolas opuestas de una balanza de brazos iguales? Explique, considerando las fuerzas de flotación.

**P12.16** Suponga que la puerta de un cuarto embona herméticamente, pero sin fricción en su marco. ¿Cree que podría abrir la puerta si la presión del aire en un lado fuera la presión atmosférica estándar y en el otro difiriera en un 1%? Explique su respuesta.

**P12.17** A cierta profundidad en un líquido incompresible, la presión absoluta es  $p$ . Al doble de esa profundidad, ¿la presión absoluta será igual a  $2p$ , mayor que  $2p$  o menor que  $2p$ ? Justifique su respuesta.

**P12.18** Un trozo de hierro está pegado encima de un bloque de madera. Si éste se coloca en una cubeta de agua con el hierro arriba, flota. Ahora se volteó el bloque para que el hierro quede sumergido bajo el bloque. ¿El bloque flotará o se hundirá? ¿El nivel de agua en la cubeta subirá, bajará o permanecerá igual? Explique.

**P12.19** Se toma una jarra de vidrio vacía y se introduce en un tanque de agua con la boca hacia abajo, atrapando el aire dentro de la jarra. Si se empuja más la jarra dentro del agua, ¿la fuerza de flotación que actúa sobre la jarra permanece igual? Si no es así, ¿aumenta o disminuye? Explique su respuesta.

**P12.20** Usted flota en una canoa en el centro de una alberca. Una amiga está en la orilla, tomando nota del nivel exacto del agua en la pared de la alberca. Usted lleva consigo en la canoa una bola para jugar a los bolos, la cual deja caer cuidadosamente por la borda. La bola se hunde hasta el fondo de la alberca. ¿El nivel de agua en la alberca sube o baja?

**P12.21** Usted flota en una canoa en el centro de una alberca. Una gran ave llega volando y se posa en su hombro. ¿El nivel de agua en la alberca sube o baja?

**P12.22** Dos cubetas idénticas se llenan hasta el borde con agua, pero una tiene un trozo de madera flotando en ella. ¿Qué cubeta de agua pesa más? Explique.

**P12.23** Un cubo de hielo flota en un vaso de agua. Al derretirse el hielo, ¿el nivel de agua en el vaso subirá, bajará o permanecerá igual? Explique.

**P12.24** Un globo lleno de helio está unido a una cuerda ligera dentro de un auto en reposo. El otro extremo de la cuerda se une al piso del auto, así que el globo tira de la cuerda vertical. El auto ahora acelera hacia adelante. ¿Se moverá el globo? Si es así, ¿se mueve hacia adelante o hacia atrás? Justifique su razonamiento con referencia a la flotabilidad. (Si usted tiene oportunidad, realice este experimento usted mismo, pero con otra persona conduciendo!)

**P12.25** Si en un fluido en estado estable, la velocidad en cada punto es constante, ¿cómo puede acelerar una partícula de fluido?

**P12.26** En una exhibición de escaparate, una pelota de ping-pong está suspendida en un chorro de aire expulsado por la manguera de

salida de una aspiradora de tanque. La pelota se mueve un poco, pero siempre regresa al centro del chorro, aunque éste no sea vertical. ¿Cómo ilustra este comportamiento la ecuación de Bernoulli?

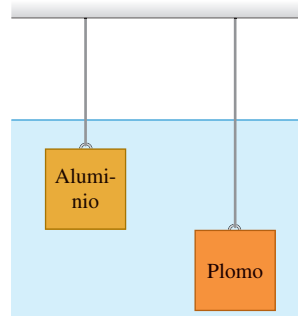
**P12.27** Un tornado consiste en un vórtice de aire que gira rápidamente. ¿Por qué la presión es mucho más baja en el centro que afuera? ¿Cómo explica esto la potencia destructiva de un tornado?

**P12.28** Los aeropuertos a gran altitud tienen pistas más largas para los despegues y aterrizajes, que los aeropuertos que están al nivel del mar. Una razón para ello es que los motores de los aviones desarrollan menos potencia en el aire enrarecido presente a mayor altitud. ¿Cuál es otra razón?

**P12.29** Cuando un chorro de agua fluye suavemente de un grifo, se adelgaza al caer. Explique este fenómeno.

**P12.30** Dos cubos de idéntico tamaño, uno de plomo y el otro de aluminio, están suspendidos a diferentes profundidades por medio de dos alambres en un tanque de agua (**figura P12.30**). a) ¿Cuál de los cubos experimenta una mayor fuerza de flotación? b) ¿Para cuál de los dos es mayor la tensión en el alambre? c) ¿Cuál de los cubos experimenta una mayor fuerza sobre su cara inferior? d) ¿Para cuál de los cubos la diferencia en la presión entre las caras superior e inferior es mayor?

Figura P12.30



## EJERCICIOS

### Sección 12.1 Gases, líquidos y densidad

**12.1** • Usted realiza un trabajo de medio tiempo, y un supervisor le pide traer del almacén una varilla cilíndrica de acero de 85.8 cm de longitud y 2.85 cm de diámetro. ¿Necesitará usted un carrito? (Para contestar, calcule el peso de la varilla).

**12.2** • Un cubo de 5.0 cm por lado está hecho de una aleación de metal. Después de perforar un orificio cilíndrico de 2.0 cm de diámetro para atravesarlo por completo en forma perpendicular a una cara, encuentra que el cubo pesa 6.30 N. a) ¿Cuál es la densidad de este metal? b) ¿Cuánto pesaba el cubo antes de taladrar el orificio en éste?

**12.3** • Usted compra una pieza rectangular de metal de  $5.0 \times 15.0 \times 30.0$  mm y masa de 0.0158 kg. El vendedor le dice que es de oro. Para verificarlo, usted calcula la densidad media de la pieza. ¿Qué valor obtiene? ¿Fue una estafa?

**12.4** • **Lingote de oro.** Se gana la lotería y decide impresionar a sus amigos exhibiendo un cubo de oro de un millón de dólares. En ese momento, el oro tiene un precio de venta de \$1282 por onza troy, y 1.0000 onza troy es igual a 31.1035 g. ¿Qué altura debe tener su cubo de un millón de dólares?

**12.5** • Una esfera uniforme de plomo y una de aluminio tienen la misma masa. ¿Cuál es la razón entre el radio de la esfera de aluminio y el de la esfera de plomo?

**12.6** • a) ¿Cuál es la densidad media del Sol? b) ¿Cuál es la densidad media de una estrella de neutrones que tiene la misma masa que el Sol pero un radio de sólo 20.0 km?

**12.7** • Un tubo cilíndrico hueco de cobre mide 1.50 m de longitud, tiene un diámetro exterior de 3.50 cm y un diámetro interior de 2.50 cm. ¿Cuánto pesa?

## Sección 12.2 Presión en un fluido

**12.8** • **Fumarolas oceánicas.** Las fumarolas oceánicas son respiraderos volcánicos calientes que emiten humo en las profundidades del lecho oceánico. En muchas de ellas pululan criaturas exóticas, y algunos biólogos piensan que la vida en la Tierra pudo haberse originado alrededor de esos respiraderos. Las fumarolas varían en profundidad de unos 1500 a 3200 m por debajo de la superficie. ¿Cuál es la presión manométrica en una fumarola oceánica de 3200 m de profundidad, suponiendo que la densidad del agua no varía? Exprese su respuesta en pascales y atmósferas.

**12.9** • **Océanos en Marte.** Los científicos han encontrado evidencia de que en Marte pudo haber existido alguna vez un océano de 0.500 km de profundidad. La aceleración debida a la gravedad en Marte es de  $3.71 \text{ m/s}^2$ . a) ¿Cuál habría sido la presión manométrica en el fondo de tal océano, suponiendo que era de agua dulce? b) ¿A qué profundidad de los océanos terrestres se experimenta la misma presión manométrica?

**12.10** • **BIO** a) Calcule la diferencia en la presión arterial entre los pies y la parte superior de la cabeza o coronilla de una persona que mide 1.65 m de estatura. b) Considere un segmento cilíndrico de un vaso sanguíneo de 2.00 cm de longitud y 1.50 mm de diámetro. ¿Qué fuerza externa adicional tendría que resistir este vaso sanguíneo en los pies de la persona, en comparación con un vaso similar en su cabeza?

**12.11** • **BIO** En la alimentación intravenosa, se inserta una aguja en una vena del brazo del paciente y se conecta un tubo entre la aguja y un depósito de fluido (densidad  $1050 \text{ kg/m}^3$ ) que está a una altura  $h$  sobre el brazo. El depósito está abierto a la atmósfera por arriba. Si la presión manométrica dentro de la vena es de 5980 Pa, ¿qué valor mínimo de  $h$  permite que entre fluido en la vena? Suponga que el diámetro de la aguja es suficientemente grande como para despreciar la viscosidad (vea la sección 12.6) del fluido.

**12.12** • Un barril contiene una capa de aceite de 0.120 m sobre 0.250 m de agua. La densidad del aceite es de  $600 \text{ kg/m}^3$ . a) ¿Qué presión manométrica hay en la interfase aceite-agua? b) ¿Qué presión manométrica hay en el fondo del barril?

**12.13** • **BIO Parado de cabeza.** a) ¿Cuál es la diferencia entre la presión de la sangre en el cerebro cuando uno se para sobre su cabeza y la presión al estar de pie? Suponga que usted mide 1.85 m de altura. La densidad de la sangre es  $1060 \text{ kg/m}^3$ . b) ¿Qué efecto tiene el aumento de la presión sobre los vasos sanguíneos en el cerebro?

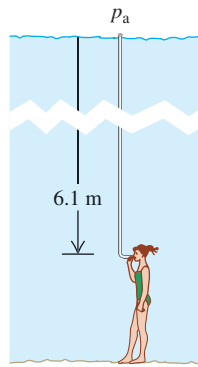
**12.14** • Se está diseñando una campana de buceo que resista la presión del mar a 250 m de profundidad. a) ¿Cuánto vale la presión manométrica a esa profundidad? (Desprecie el cambio en la densidad del agua con la profundidad). b) A esa profundidad, ¿qué fuerza neta ejercen el agua exterior y el aire interior sobre una ventanilla de vidrio circular de 30.0 cm de diámetro si la presión dentro de la campana es la que hay en la superficie del agua? (Desprecie la pequeña variación de presión sobre la superficie de la ventanilla).

**12.15** • **BIO Daños causados en el oído por el buceo.** Si la fuerza sobre la membrana timpánica (tímpano) aumenta en aproximadamente 1.5 N por encima de la fuerza de la presión atmosférica, la membrana sufre daños. Al bucear en el océano, ¿debajo de qué profundidad podrían comenzar a dañarse sus timpanos? El timpano generalmente tiene un diámetro de 8.2 mm (consulte la tabla 12.1).

**12.16** • El líquido del manómetro de tubo abierto de la figura 12.8a es mercurio,  $y_1 = 3.00 \text{ cm}$  y  $y_2 = 7.00 \text{ cm}$ . La presión atmosférica es de 980 milibares. a) ¿Qué presión absoluta hay en la base del tubo en U? b) ¿Y en el tubo abierto de 4.00 cm debajo de la superficie libre? c) ¿Qué presión absoluta tiene el gas en el recipiente? d) ¿Qué presión manométrica tiene el gas en pascales?

**12.17** • **BIO** Hay una profundidad máxima a la que un buzo puede respirar por un tubo de esnórquel (figura E12.17) pues, al aumentar la profundidad, se incrementa la diferencia de presión que tiende a colapsar los pulmones del buzo. Como el esnórquel conecta los pulmones con la atmósfera, la presión en ellos es la atmosférica. ¿Cuál es la diferencia de presión interna-externa cuando los pulmones del buzo están a 6.1 m de profundidad (aproximadamente 20 ft)? Suponga que el buzo está en agua dulce (un buzo que respira el aire comprimido de un tanque puede operar a mayores profundidades que uno que usa esnórquel, porque la presión del aire dentro de los pulmones aumenta hasta equilibrar la presión externa del agua).

Figura E12.17



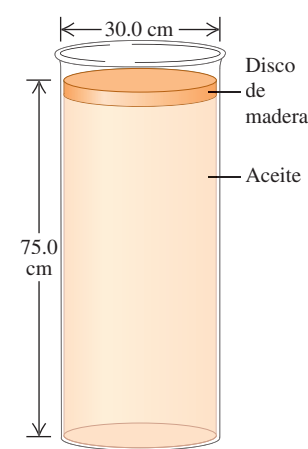
**12.18** • **BIO** El extremo inferior de una pajilla de plástico larga se sumerge por debajo de la superficie del agua en una taza de plástico. Una persona promedio que succiona en el extremo superior de la pajilla puede jalar el agua en esta última a una altura vertical de 1.1 m por encima de la superficie del agua en la taza. a) ¿Cuál es la presión manométrica más baja que la persona promedio puede alcanzar dentro de sus pulmones? b) Explique por qué su respuesta en la parte a) es negativa.

**12.19** • Un cortocircuito deja sin electricidad a un submarino que está 30 m por debajo de la superficie del mar. Para escapar, la tripulación debe empujar hacia fuera una escotilla ubicada en el fondo, la cual tiene un área de  $0.75 \text{ m}^2$  y pesa 300 N. Si la presión interior es de 1.0 atm, ¿qué fuerza hacia abajo se debe ejercer sobre la escotilla para abrirla?

**12.20** • Un cilindro alto con un área de sección transversal de  $12.0 \text{ cm}^2$  está parcialmente lleno de mercurio; la superficie del mercurio está 8.00 cm arriba de la parte inferior del cilindro. El agua se vierte lentamente encima del mercurio, y los dos líquidos no se mezclan. ¿Qué volumen de agua se debe agregar para duplicar la presión manométrica en la parte inferior del cilindro?

**12.21** • Un disco cilíndrico de madera que pesa 45.0 N y tiene un diámetro de 30.0 cm flota sobre un cilindro de aceite cuya densidad es de  $0.850 \text{ g/cm}^3$  (figura E12.21). El cilindro de aceite mide 75.0 cm de alto y tiene un diámetro igual al cilindro de madera. a) Calcule la presión manométrica en la parte superior de la columna de aceite. b) Ahora suponga que alguien coloca un peso de 83.0 N en la parte superior del disco de madera, pero el aceite no se escurre alrededor del borde de la madera. ¿Cuál es el cambio en la presión i. en la base del aceite y ii. a la mitad de la columna de aceite?

Figura E12.21



**12.22** • Un recipiente cerrado está parcialmente lleno de agua. Inicialmente, el aire sobre el agua está a la presión atmosférica ( $1.01 \times 10^5 \text{ Pa}$ ), y la presión manométrica en la parte inferior del agua es de 2500 Pa. Entonces se bombea hacia adentro aire adicional, aumentando la presión del aire sobre el agua en 1500 Pa. a) ¿Cuál es la presión manométrica en el fondo del agua? b) ¿En cuánto se debe reducir el nivel de agua en el contenedor, sacando algo de agua por medio de una válvula en la parte inferior del contenedor, para regresar la presión manométrica en la parte inferior del agua a su valor original de 2500 Pa? La presión del aire sobre el agua se mantiene a 1500 Pa arriba de la presión atmosférica.

**12.23 • Elevador hidráulico I.** Para el elevador hidráulico que se ilustra en la figura 12.7, ¿cuál debe ser la proporción entre el diámetro del recipiente bajo el auto y el diámetro del recipiente donde se aplica la fuerza  $F_1$ , de manera que el auto de 1520 kg pueda ser levantado con una fuerza  $F_1$  de solo 125N ?

**12.24 • Elevador hidráulico II.** El pistón de un elevador hidráulico para autos tiene 0.30 m de diámetro. ¿Qué presión manométrica, en pascales y en atmósferas, se requiere para levantar un auto de 1200 kg? También exprese esa presión en atmósferas.

**12.25 • Exploración de Venus.** La presión superficial en Venus es de 92 atm, y la aceleración debida a la gravedad ahí es de 0.894g. En una futura misión exploratoria, un tanque cilíndrico vertical de benceno está sellado en el extremo superior, pero aun así sigue presurizado a 92 atm justo por encima del benceno. El tanque tiene un diámetro de 1.72 m, y la columna de benceno mide 11.50 m de alto. Ignore los efectos debidos a la temperatura extremadamente alta de Venus. a) ¿Cuál es la fuerza total ejercida sobre la superficie interior de la base del tanque? b) ¿Qué fuerza ejerce la atmósfera de Venus sobre la superficie exterior de la base del tanque? c) ¿Cuál es la fuerza total interior que ejerce la atmósfera sobre las paredes verticales del tanque?

### Sección 12.3 Flotación

**12.26 •** Una roca tiene una masa de 1.80 kg. Cuando la roca se suspende del extremo inferior de una cuerda y se sumerge totalmente en agua, la tensión en la cuerda es de 12.8 N. ¿Cuál es la menor densidad de un líquido en el que la roca va a flotar?

**12.27 •** Una boyá cilíndrica de 950 kg puede flotar verticalmente en agua salada. El diámetro de la boyá es de 0.900 m. Calcule la distancia adicional que se hundirá la boyá cuando un hombre de 80.0 kg se coloca encima de ésta.

**12.28 •** Un bloque de hielo flota en un lago de agua dulce. ¿Qué volumen mínimo debe tener el bloque para que una mujer de 65.0 kg pueda ponerse de pie sobre éste sin mojarse los pies?

**12.29 •** Una muestra de mineral pesa 17.50 N en el aire. Cuando se cuelga de un hilo ligero y se sumerge por completo en agua, la tensión en el hilo es de 11.20 N. Calcule el volumen total y la densidad de la muestra.

**12.30 •** Usted está preparando un aparato para hacer una visita a un planeta recientemente descubierto llamado Caasi, que tiene océanos de glicerina y una aceleración superficial debida a la gravedad de  $5.40 \text{ m/s}^2$ . Si el aparato flota en los océanos de la Tierra con el 25.0% de su volumen sumergido, ¿qué porcentaje se sumergirá en los océanos de glicerina de Caasi?

**12.31 •** Una roca con densidad  $1200 \text{ kg/m}^3$  se suspende del extremo inferior de una cuerda ligera. Cuando la roca está en el aire, la tensión en la cuerda es de 28.0 N. ¿Cuál es la tensión en la cuerda cuando la roca está totalmente sumergida en un líquido con densidad de  $750 \text{ kg/m}^3$ ?

**12.32 •** Una esfera hueca de plástico se mantiene por debajo de la superficie de un lago de agua dulce mediante una cuerda anclada al fondo del lago. La esfera tiene un volumen de  $0.650 \text{ m}^3$  y la tensión en la cuerda es de 1120 N. a) Calcule la fuerza de flotación que ejerce el agua sobre la esfera. b) ¿Cuál es la masa de la esfera? c) La cuerda se rompe y la esfera se eleva a la superficie. Cuando la esfera llega al reposo, ¿qué fracción de su volumen estará sumergida?

**12.33 •** Un bloque cúbico de madera de 10.0 cm por lado flota en la interfase entre aceite y agua con

su superficie inferior 1.50 cm bajo la interfase (figura E12.33). La densidad del aceite es de  $790 \text{ kg/m}^3$ . a) ¿Qué presión manométrica hay en la superficie superior del bloque? b) ¿Y en la cara inferior? c) ¿Qué masa y densidad tiene el bloque?

**12.34 •** Un lingote de aluminio sólido pesa 89 N en el aire. a) ¿Qué volumen tiene? b) El lingote se cuelga de una cuerda y se sumerge por completo en agua. ¿Qué tensión hay en la cuerda (el peso aparente del lingote en agua)?

**12.35 •** Una roca cuelga de un hilo ligero. Cuando está en el aire, la tensión en el hilo es de 39.2 N. Cuando está totalmente sumergida en agua, la tensión es de 28.4 N. Cuando está totalmente sumergida en un líquido desconocido, la tensión es de 21.5 N. Determine la densidad del líquido desconocido.

### Sección 12.4 Flujo de un fluido

**12.36 •** Corre agua hacia una fuente, llenando todos los tubos con una rapidez constante de  $0.750 \text{ m}^3/\text{s}$ . a) ¿Qué tan rápido saldrá por un orificio de 4.50 cm de diámetro? b) ¿Con qué rapidez saldrá si el diámetro del orificio es tres veces más grande?

**12.37 •** Una ducha tiene 20 orificios circulares cuyo radio es de 1.00 mm. La ducha está conectada a un tubo de 0.80 cm de radio. Si la rapidez del agua en el tubo es de 3.0 m/s, ¿con qué rapidez saldrá de los orificios de la ducha?

**12.38 •** Fluye agua por un tubo de sección transversal variable, llenándolo en todos sus puntos. En el punto 1, el área transversal del tubo es de  $0.070 \text{ m}^2$ , y la rapidez del fluido es de 3.50 m/s. ¿Qué rapidez tiene el fluido en puntos donde el área transversal es de a)  $0.105 \text{ m}^2$ ? b)  $0.047 \text{ m}^2$ ? c) Calcule el volumen de agua descargada del extremo abierto del tubo en una hora.

**12.39 •** Fluye agua por un tubo circular de sección transversal variable, llenándolo en todos sus puntos. a) En un punto, el radio del tubo es de 0.150 m. ¿Qué rapidez tiene el agua en este punto si el agua fluye en el tubo a una rapidez constante de  $1.20 \text{ m}^3/\text{s}$ ? b) En un segundo punto, la rapidez del agua es de 3.80 m/s. ¿Qué radio tiene el tubo en este punto?

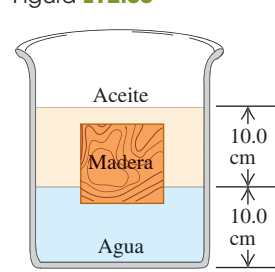
**12.40 • Reparación doméstica.** Usted necesita extender una tubería de 2.50 pulgadas de diámetro, pero sólo dispone de un tubo de 1.00 pulgada de diámetro. Hace un ajuste para conectar estos tubos de extremo a extremo. Si el agua está fluyendo a 6.00 cm/s en el tubo ancho, ¿qué tan rápido va a fluir a través del estrecho?

### Sección 12.5 Ecuación de Bernoulli

**12.41 •** Un tanque sellado que contiene agua de mar hasta una altura de 11.0 m contiene también aire sobre el agua a una presión manométrica de 3.00 atm. Sale agua del tanque a través de un orificio pequeño en el fondo. ¿Qué tan rápido se está moviendo el agua?

**12.42 • BIO Obstrucción de una arteria.** Un técnico en medicina está tratando de determinar qué porcentaje de la arteria de un paciente está bloqueado por una placa. Para ello, mide la presión sanguínea justo antes de la región de bloqueo y encuentra que ésta es de  $1.20 \times 10^4 \text{ Pa}$ , mientras que en la región de bloqueo es de  $1.15 \times 10^4 \text{ Pa}$ . Además, se sabe que la sangre que fluye a través de la arteria normal justo antes del punto de bloqueo se desplaza a  $30.0 \text{ cm/s}$ , y que la gravedad específica de la sangre de este paciente es 1.06. ¿Qué porcentaje de la superficie de sección transversal de la arteria del paciente está bloqueado por la placa?

**12.43 •** ¿Qué presión manométrica se requiere en una toma municipal de agua para que el chorro de una manguera de bomberos conectada a ella alcance una altura vertical de 15.0 m? (Suponga que la toma tiene un diámetro mucho mayor que la manguera).



**12.44** • Se corta un orificio circular de 6.00 mm de diámetro en el costado de un tanque grande de agua, 14.0 m debajo del nivel del agua en el tanque. El tanque está abierto al aire por arriba. Calcule *a*) la rapidez de salida del agua y *b*) el volumen descargado por segundo.

**12.45** • En un punto de una tubería horizontal, la rapidez del agua es de 2.50 m/s y la presión manométrica es de  $1.80 \times 10^4$  Pa. Calcule la presión manométrica en un segundo punto donde el área transversal es el doble que en el primero.

**12.46** • En cierto punto de una tubería, la rapidez del agua es de 3.00 m/s y la presión manométrica es de  $5.00 \times 10^4$  Pa. Calcule la presión manométrica en un segundo punto de la tubería, 11.0 m más abajo que el primero, si el diámetro del tubo ahí es el doble que en el primer punto.

**12.47** • Un sistema de riego de un campo de golf descarga agua de un tubo horizontal a razón de  $7200 \text{ cm}^3/\text{s}$ . En un punto del tubo, donde el radio es de 4.00 cm, la presión absoluta del agua es de  $2.40 \times 10^5$  Pa. En un segundo punto del tubo, el agua pasa por una constricción cuyo radio es de 2.00 cm. ¿Qué presión absoluta tiene el agua al fluir por esa constricción?

**12.48** • Una bebida refrescante (principalmente agua) fluye por una tubería de una planta embotelladora con una tasa de flujo de masa que llenaría 220 latas de 0.355 L por minuto. En el punto 2 del tubo, la presión manométrica es de 152 kPa y el área transversal es de  $8.00 \text{ cm}^2$ . En el punto 1, ubicado 1.35 m arriba del punto 2, el área transversal es de  $2.00 \text{ cm}^2$ . Calcule *a*) la rapidez de flujo de masa; *b*) la rapidez de flujo de volumen; *c*) la rapidez de flujo en los puntos 1 y 2; *d*) la presión manométrica en el punto 1.

## Sección 12.6 Viscosidad y turbulencia

**12.49** • **BIO Arteria obstruida.** Sangre viscosa fluye a través de una arteria parcialmente obstruida por el colesterol. Un cirujano quiere eliminar suficiente colesterol para duplicar la rapidez de flujo de sangre a través de esta arteria. Si el diámetro original de la arteria es  $D$ , ¿cuál debería ser el nuevo diámetro (en términos de  $D$ ) para lograr esto con el mismo gradiente de presión?

**12.50** • Se requiere una diferencia de presión de  $6.00 \times 10^4$  Pa para mantener una velocidad de flujo de volumen de  $0.800 \text{ m}^3/\text{s}$  para un fluido viscoso que fluye a través de una sección de tubo cilíndrico que tiene un radio de 0.210 m. ¿Qué diferencia de presión es necesaria para mantener la misma rapidez de volumen del flujo si el radio de la tubería se reduce a 0.0700 m?

## PROBLEMAS

**12.51** • En una demostración en clase, el profesor separa con facilidad dos cascos hemisféricos de acero (diámetro  $D$ ) usando las asas con las que están provistos. Luego los une, extrae el aire hasta una presión absoluta  $p$ , y se los da a un fisicoculturista que está sentado en la última fila del salón para que los separe. *a*) Si la presión atmosférica es  $p_0$ , ¿qué fuerza deberá ejercer el fisicoculturista sobre cada casco? *b*) Evalúe su respuesta para el caso en que  $p = 0.025 \text{ atm}$  y  $D = 10.0 \text{ cm}$ .

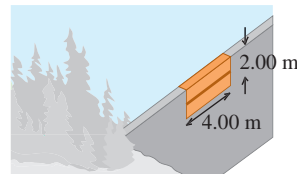
**12.52** • **PA** El punto más profundo conocido de los océanos es la Fosa de las Marianas, con una profundidad de 10.92 km. *a*) Suponiendo que el agua es incompresible, ¿qué presión hay a esa profundidad? Use la densidad del agua de mar. *b*) La presión real es de  $1.16 \times 10^8$  Pa; su valor calculado será menor porque la densidad en realidad varía con la profundidad. Usando la compresibilidad del agua y la presión real, calcule la densidad del agua en el fondo de la fosa. ¿Cuál es el cambio porcentual que se registra en la densidad del agua?

**12.53** • **CALC** Una piscina mide 5.0 m de longitud, 4.0 m de ancho y 3.0 m de profundidad. Calcule la fuerza que ejerce el agua contra *a*) el fondo y *b*) cualquiera de las paredes. (*Sugerencia:* Calcule la fuerza que actúa sobre una tira horizontal y delgada a una profundidad  $h$ , e integre a lo largo del extremo de la piscina). No incluya la fuerza debida a la presión del aire.

**12.54** • **BIO Navegación de peces.** *a*) Como se puede observar en un acuario, los peces son capaces de permanecer a cualquier profundidad en el agua sin ningún esfuerzo. ¿Qué nos dice esta habilidad acerca de su densidad? *b*) Los peces son capaces de inflarse utilizando un saco (llamado *vejiga natatoria*) ubicado debajo de su columna vertebral. Estas bolsas se pueden llenar con una mezcla de oxígeno-nitrógeno que proviene de la sangre. Si un pez de 2.75 kg en agua dulce se infla y aumenta su volumen en 10%, encuentre la fuerza *neta* que ejerce el agua sobre él. *c*) ¿Cuál es la fuerza neta *externa* sobre el pez? ¿El pez sube o baja cuando se infla?

**12.55** • **PA CALC** El borde superior de una compuerta en una presa está al nivel de la superficie del agua. La compuerta mide 2.00 m de altura y 4.00 m de ancho, y pivota sobre una línea horizontal que pasa por su centro (**figura P12.55**). Calcule la torca en torno al pivote causado por la fuerza que ejerce el agua. (*Sugerencia:* Use un procedimiento similar al del problema 12.53; calcule la torca de una tira horizontal delgada a una profundidad  $h$  e integre a lo alto de la compuerta).

Figura P12.55

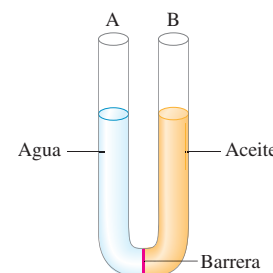


**12.56** • **Globos en Marte.** Se ha propuesto que podría explorarse Marte utilizando globos inflados sostenidos justo arriba de la superficie. La flotación de la atmósfera marciana es de  $0.0154 \text{ kg/m}^3$  (aunque esto varía con la temperatura). Suponga que se fabrican estos globos de un plástico delgado, pero resistente, con una densidad que cada metro cuadrado tiene una masa de 5.00 g. Los inflamos con un gas muy ligero cuya masa puede despreciarse. *a*) ¿Cuáles deberían ser el radio y la masa de estos globos de manera que se sostengan en el aire justo arriba de la superficie de Marte? *b*) Si liberamos uno de esos globos del inciso *a*) en la Tierra, donde la densidad atmosférica es de  $1.20 \text{ kg/m}^3$ , ¿cuál sería su aceleración inicial suponiendo que el globo tiene el mismo tamaño que en Marte? ¿Ascendería o descendería? *c*) Si en Marte estos globos tienen cinco veces el radio determinado en el inciso *a*), ¿qué peso de un paquete de instrumentos podrían cargar?

**12.57** • Un cubo de 0.180 kg de hielo (agua congelada) está flotando en glicerina. La glicerina se encuentra en un cilindro alto que tiene un radio interno de 3.50 cm. El nivel de la glicerina está muy por debajo de la parte superior del cilindro. Si el hielo se derrite por completo, ¿en qué distancia cambia la altura del líquido en el cilindro? ¿El nivel de líquido aumenta o disminuye? Es decir, ¿la superficie del agua está arriba o debajo del nivel original de glicerina antes de que se derritiera el hielo?

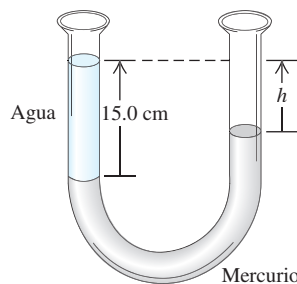
**12.58** • Un estrecho tubo de vidrio en forma de U, con extremos abiertos, se llena con 25.0 cm de aceite (de gravedad específica 0.80) y 25.0 cm de agua en los lados opuestos, con una barrera que separa los líquidos (**figura P12.58**). *a*) Suponga que los dos líquidos no se mezclan, y encuentre las alturas finales de las columnas de líquido en cada lado del tubo después de que se retira la barrera. *b*) En los casos siguientes, obtenga la respuesta por razonamiento físico simple y no por cálculos: **i.** ¿Cuál sería la altura en cada lado si el aceite y el agua tuvieran densidades iguales? **ii.** ¿Cuál sería la altura si la densidad del aceite fuera mucho menor que la del agua?

Figura P12.58



**12.59** • Un tubo en forma de U abierto por ambos extremos contiene un poco de mercurio. Se vierte con cuidado un poco de agua en el brazo izquierdo del tubo hasta que la altura de la columna de agua es de 15.0 cm (**figura P12.59**). *a)* ¿Cuál es la presión manométrica en la interfase agua-mercurio? *b)* Calcule la distancia vertical  $h$  entre la superficie del mercurio en el brazo derecho del tubo y la superficie del agua en el brazo izquierdo.

Figura P12.59



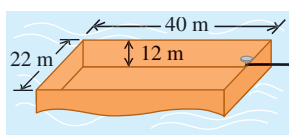
**12.60** •• **CALC** **La gran inundación de melaza.** En la tarde del 15 de enero de 1919, un día inusitadamente cálido en Boston, se rompió un tanque metálico cilíndrico de 17.7 m de altura y 27.4 m de diámetro usado para almacenar melaza. El líquido fluyó por las calles en una corriente de 5 m de profundidad, matando peatones y caballos, y derribando edificios. La melaza tenía una densidad de  $1600 \text{ kg/m}^3$ . Si el tanque estaba lleno antes del accidente, ¿qué fuerza total ejercía la melaza contra los costados? (*Sugerencia:* Considera la fuerza hacia afuera que actúa sobre un anillo de la pared del tanque de ancho  $dy$  y profundidad y bajo la superficie. Integre para calcular la fuerza total hacia afuera. Suponga que, antes de que el tanque se rompiera, la presión en la superficie de la melaza era igual a la presión del aire afuera del tanque).

**12.61** •• Un gran bloque cúbico de 40.0 kg de madera con densidad uniforme está flotando en un lago de agua dulce con el 20.0% de su volumen sobre la superficie del agua. Usted quiere cargar ladrillos en el bloque flotante y luego empujarlo horizontalmente a través del agua hasta una isla donde está construyendo una parrilla al aire libre. *a)* ¿Cuál es el volumen del bloque? *b)* ¿Cuál es la masa máxima de ladrillos que usted puede colocar en el bloque sin ocasionar que se hunda debajo de la superficie del agua?

**12.62** •• Un globo de aire caliente tiene un volumen de  $2200 \text{ m}^3$ . La tela del globo (la envoltura) pesa 900 N. La canasta con su equipo y tanques de propano llenos pesa 1700 N. Si el globo apenas puede levantar otros 3200 N de pasajeros, desayuno y champán cuando la densidad del aire exterior es de  $1.23 \text{ kg/m}^3$ , ¿qué densidad media tienen los gases calientes del interior?

**12.63** • Una barcaza abierta tiene las dimensiones que se muestran en la **figura P12.63**. Si la barcaza está hecha de una placa de acero de 4.0 cm de espesor en cada uno de sus cuatro lados y en su parte inferior, ¿qué masa de carbón puede transportar la barcaza en agua dulce sin hundirse? ¿Hay suficiente espacio en la barcaza para mantener esta cantidad de carbón? (La densidad del carbón es aproximadamente de  $1500 \text{ kg/m}^3$ ).

Figura P12.63



**12.64** • Un cubo de hielo de 16.4 g flota en un vaso totalmente lleno con  $420 \text{ cm}^3$  de agua. Ignore la tensión superficial del agua y su variación de densidad con la temperatura (mientras siga líquida). *a)* ¿Qué volumen de agua desplaza el cubo de hielo? *b)* Una vez derretido el hielo, ¿se habrá desbordado algo de agua? Si así fue, ¿cuánta? Si no, explique por qué. *c)* Suponga que el agua del vaso era muy salada, con densidad de  $1050 \text{ kg/m}^3$ . ¿Qué volumen de agua salada desplazaría el cubo de hielo de 9.70 g? *d)* Repita el inciso *b)* para el cubo de agua dulce en agua salada.

**12.65** •• Los anuncios de cierto auto aseguran que éste flota en agua. *a)* Si la masa del auto es de 900 kg y su volumen interior es de  $3.0 \text{ m}^3$ , ¿qué fracción queda sumergida al flotar? Puede despreciarse

el volumen del acero y demás materiales. *b)* Poco a poco se filtra agua y desplaza el aire en el auto. ¿Qué fracción del volumen interior está lleno de agua cuando el auto se hunde?

**12.66** •• Un trozo de madera de 0.600 m de longitud, 0.250 m de ancho y 0.080 m de espesor tiene una densidad de  $700 \text{ kg/m}^3$ . ¿Qué volumen de plomo debe sujetarse a su base para hundir la madera en agua tranquila de manera que su cara superior quede al ras del agua? ¿Qué masa tiene ese volumen de plomo?

**12.67** •• Las densidades del aire, el helio y el hidrógeno ( $a = 1.0 \text{ atm}$  y  $T = 20^\circ\text{C}$ ) son  $1.20 \text{ kg/m}^3$ ,  $0.166 \text{ kg/m}^3$  y  $0.0899 \text{ kg/m}^3$ , respectivamente. *a)* ¿Qué volumen en metros cúbicos desplaza un dirigible lleno de hidrógeno que tiene una “sustentación” total de  $90.0 \text{ kN}$ ? (La “sustentación” es la cantidad en que la fuerza de flotación excede el peso del gas que llena el dirigible). *b)* ¿Cuál sería la “sustentación” si se usara helio en vez de hidrógeno? A la luz de su respuesta, ¿por qué se usa helio en los modernos dirigibles publicitarios?

**12.68** •• Si un barco tiene una masa de 5750 kg, incluyendo la carga y los pasajeros, flota en el agua justo hasta la parte superior de sus bordas (lados) en un lago de agua dulce. *a)* ¿Cuál es el volumen de este barco? *b)* El capitán determina que es demasiado peligroso flotar con su barco que está a punto de hundirse, por lo que decide arrojar algo de carga por la borda, de manera que el 20% del volumen de la embarcación esté por encima del agua. ¿Cuánta masa debería tirar?

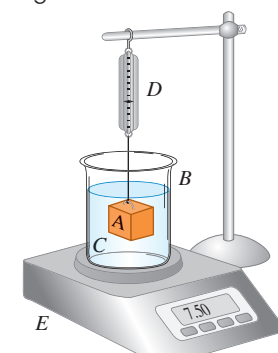
**12.69** •• **PA** Una manguera de bomberos debe ser capaz de lanzar agua hacia la parte superior de un edificio de 28.0 m de altura cuando se apunta recta hacia arriba. El agua entra a esa manguera con una rapidez constante de  $0.500 \text{ m}^3/\text{s}$  y sale por una boquilla redonda. *a)* ¿Cuál es el diámetro máximo que esta boquilla puede tener? *b)* Si la única boquilla disponible tiene un diámetro que es el doble de grande, ¿cuál es el punto más alto que puede alcanzar el agua?

**12.70** •• En agua de mar, un salvavidas con un volumen de  $0.0400 \text{ m}^3$  soportará una persona de 75.0 kg (densidad media  $980 \text{ kg/m}^3$ ), con un 20% del volumen de la persona arriba de la superficie del agua cuando el salvavidas esté completamente sumergido. ¿Cuál es la densidad del material que compone el salvavidas?

**12.71** •• **CALC** Un tanque cilíndrico vertical cerrado y elevado con diámetro de 2.00 m contiene agua a una profundidad de 0.800 m. Un trabajador accidentalmente hace un orificio circular con diámetro de 0.0200 m en la parte inferior del tanque. A medida que el agua sale del tanque, aire comprimido arriba del agua en el tanque mantiene una presión manométrica de  $5.00 \times 10^3 \text{ Pa}$  en la superficie del agua. Desprecie los efectos de la viscosidad. *a)* Inmediatamente después de que se hace el orificio, ¿cuál es la rapidez con que el agua sale por ahí? ¿Cuál es la razón entre esta rapidez y la rapidez de flujo de salida, si la parte superior del tanque está abierta al aire? *b)* ¿Cuánto tiempo se necesita para que salga toda el agua del tanque? ¿Cuál es la razón entre ese tiempo y el tiempo que tarda el tanque en vaciarse, si la parte superior del tanque está abierta al aire?

**12.72** •• El bloque *A* en la **figura P12.72** se cuelga de un cable de la balanza de resorte *D* y se sumerge en un líquido *C* contenido en el vaso de precipitados *B*. La masa del vaso de precipitados es de 1.00 kg; la masa del líquido es 1.80 kilogramos. La balanza *D* lee 3.50 kg, y la balanza *E* lee 7.50 kg. El volumen del bloque *A* es  $3.80 \times 10^{-3} \text{ m}^3$ . *a)* ¿Cuál es la densidad del líquido? *b)* ¿Cuál será la lectura de cada balanza si se saca el bloque *A* del líquido?

Figura P12.72



**12.73** • Una pelota de plástico tiene 12.0 cm de radio y flota en agua con el 24.0% de su volumen sumergido. *a)* ¿Qué fuerza debemos aplicar a la pelota para sostenerla en reposo totalmente bajo la superficie del agua? *b)* Si se suelta la pelota, ¿qué aceleración tendrá en el instante en que se libera?

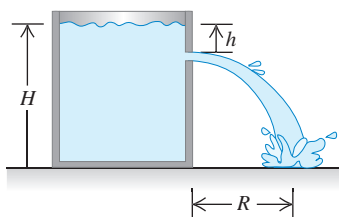
**12.74** • Suponga que el petróleo crudo de un buque-tanque tiene densidad de  $750 \text{ kg/m}^3$ . El buque encalla en un banco de arena. Para desencallarlo, el petróleo se bombea a barriles de acero que, cuando están vacíos, tienen una masa de 15.0 kg y capacidad para  $0.120 \text{ m}^3$  de petróleo. Puede despreciarse el volumen ocupado por el acero del barril. *a)* Si un rescatista accidentalmente deja caer al mar un barril lleno y sellado, este ¿flotará o se hundirá? *b)* Si el barril flota, ¿qué fracción de su volumen estará por arriba de la superficie? Si se hunde, ¿qué tensión mínima habría que ejercer con una cuerda para subir el barril desde el fondo del océano? *c)* Repita los incisos *a)* y *b)* considerando que la densidad del petróleo es de  $910 \text{ kg/m}^3$  y los barriles vacíos tienen una masa de 32.0 kg.

**12.75** • Un bloque cúbico con densidad  $\rho_B$  y lados de longitud  $L$  flota en un líquido con densidad mayor  $\rho_L$ . *a)* ¿Qué fracción del volumen del bloque está sobre la superficie del líquido? *b)* El líquido es más denso que el agua (densidad  $\rho_A$ ) y no se mezcla con ella. Si se vierte agua en la superficie del líquido, ¿qué espesor debe tener la capa de agua para que su superficie esté al ras de la cara superior del bloque? Exprese su respuesta en términos de  $L$ ,  $\rho_B$ ,  $\rho_L$  y  $\rho_W$ . *c)* Calcule la profundidad de la capa de agua en el inciso *b)* si el líquido es mercurio, el bloque está hecho de hierro y la longitud de su lado es de 10.0 cm.

**12.76** • Una barcaza se encuentra en una esclusa rectangular en un río de agua dulce. La esclusa mide 60.0 m de longitud y 20.0 m de ancho, y las puertas de acero en sus extremos están cerradas. Con la barcaza flotando en la esclusa, una carga de  $2.50 \times 10^6 \text{ N}$  de chatarra se coloca en la barcaza. El metal tiene una densidad de  $7200 \text{ kg/m}^3$ . *a)* Cuando la carga, que inicialmente estaba en tierra, se coloca en la barcaza, ¿qué distancia vertical sube el agua en la esclusa? *b)* Ahora la chatarra se tira de la barcaza al agua. ¿El nivel del agua en la esclusa sube, baja o permanece igual? Si sube o baja, ¿qué distancia vertical cambia?

**12.77** • PA Hay agua hasta una altura  $H$  en un tanque abierto grande con paredes verticales (figura P12.77). Se perfora un orificio en una de las paredes a una profundidad  $h$  bajo la superficie del agua. *a)* A qué distancia  $R$  del pie de la pared tocará el piso el chorro que sale? *b)* A qué distancia sobre la base del tanque debería perforarse un segundo orificio de manera que el chorro que salga por él tenga el mismo alcance que el que sale por el primero?

Figura P12.77



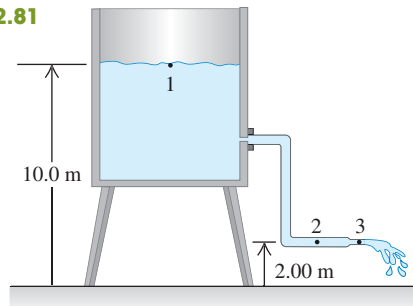
**12.78** • Su tío está en la galera de abajo de la cubierta de su barco, mientras que usted está pescando con arpón en el agua cercana. Un arpón errante hace un pequeño orificio en el casco del barco, y el agua comienza a filtrarse en la galera. *a)* Si el orificio está a 0.900 m debajo de la superficie del agua y tiene un área de  $1.20 \text{ cm}^2$ , ¿cuánto tiempo le toma a 10.0 L de agua filtrarse en el barco? *b)* Necesita considerar el hecho de que el barco se hunde más bajo en el agua conforme se filtra el agua?

**12.79** • PA Usted sostiene una manguera a la altura de la cintura y riega agua horizontalmente con ella. La boquilla de la manguera tiene un diámetro de 1.80 cm y riega agua en el suelo a una distancia de 0.950 m horizontalmente desde la boquilla. Si usted restringe la boquilla a un diámetro de 0.750 cm, ¿qué tan lejos horizontalmente, de la boquilla, va a viajar el agua antes de llegar al suelo? (Desprecie la resistencia del aire).

**12.80** • Una cubeta cilíndrica, abierta por la parte superior, tiene 25.0 cm de altura y 10.0 cm de diámetro. Se perfura un orificio circular con área de  $1.50 \text{ cm}^2$  en el centro del fondo de la cubeta. Se vierte agua en la cubeta mediante un tubo situado arriba, a razón de  $2.40 \times 10^{-4} \text{ m}^3/\text{s}$ . ¿A qué altura subirá el agua en la cubeta?

**12.81** • Fluye agua continuamente de un tanque abierto como en la figura P12.81. La altura del punto 1 es de 10.0 m, y la de los puntos 2 y 3 es de 2.00 m. El área transversal en el punto 2 es de  $0.0480 \text{ m}^2$ ; en el punto 3 es de  $0.0160 \text{ m}^2$ . El área transversal del tanque es muy grande en comparación con la del tubo. Suponiendo que puede aplicarse la ecuación de Bernoulli, calcule *a)* la rapidez de descarga en metros cúbicos por segundo y *b)* la presión manométrica en el punto 2.

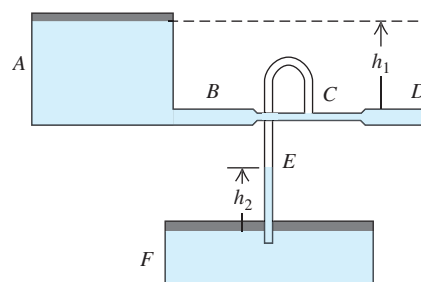
Figura P12.81



**12.82** • PA El radio del huracán Emily de 1993 fue de unos 350 km. La rapidez del viento cerca del centro (el “ojo”) del huracán, cuyo radio fue de unos 30 km, alcanzó cerca de 200 km/h. Al entrar aire del borde del huracán hacia el ojo, su momento angular se mantuvo casi constante. *a)* Estime la rapidez del viento en el borde del huracán. *b)* Estime la diferencia de presión en la superficie terrestre entre el ojo y el borde del huracán. (Sugerencia: Consulte la tabla 12.1). ¿Dónde es mayor la presión? *c)* Si la energía cinética del aire arremolinado en el ojo pudiera convertirse totalmente en energía potencial gravitacional, ¿cuánto subiría el aire? *d)* De hecho, el aire en el ojo sube a alturas de varios kilómetros. ¿Cómo puede conciliar esto con su respuesta del inciso *c)*?

**12.83** • Dos tanques abiertos muy grandes *A* y *F* (figura P12.83) contienen el mismo líquido. Un tubo horizontal *BCD*, con una constricción en *C* y abierto al aire en *D*, sale del fondo del tanque *A*. Un tubo vertical *E* se abre en la constricción en *C* y baja al líquido del tanque *F*. Suponga flujo de línea de corriente y cero viscosidad. Si el área transversal en *C* es la mitad del área en *D*, y si *D* está a una distancia  $h_1$  bajo el nivel del líquido en *A*, ¿a qué altura  $h_2$  subirá el líquido en el tubo *E*? Exprese su respuesta en términos de  $h_1$ .

Figura P12.83

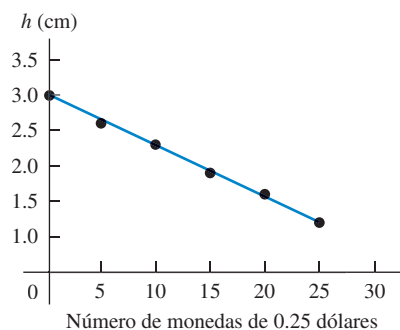


**12.84** • Un líquido que fluye de un tubo vertical produce un chorro con una forma bien definida. Para obtener la ecuación de esta forma, suponga que el líquido está en caída libre una vez que sale del tubo. Al salir, el líquido tiene rapidez  $v_0$ , y el radio del chorro es  $r_0$ .  
 a) Obtenga una ecuación para la rapidez del líquido en función de la distancia y que ha caído. Combinando esto con la ecuación de continuidad, obtenga una expresión para el radio del chorro en función de  $y$ . b) Si fluye agua de un tubo vertical con rapidez de salida de 1.20 m/s, ¿a qué distancia bajo la salida se habrá reducido a la mitad el radio original del chorro?

**12.85** •• DATOS Los valores de densidad en la tabla 12.1 se presentan en orden creciente. Un estudiante de química nota que los primeros cuatro elementos químicos que se incluyen también se presentan en orden de aumento de la masa atómica. a) Vea si hay una relación simple entre la densidad y la masa atómica trazando una gráfica de densidad (en g/cm<sup>3</sup>) contra masa atómica para los ocho elementos de esa tabla (vea el apéndice D para consultar sus masas atómicas en gramos por mol). b) ¿Puede dibujar una línea recta o una curva simple a través de los puntos para encontrar una relación “simple”? c) Explique por qué la frase “cuanto más masivos sean los átomos dan como resultado sólidos más densos” no cuenta la historia completa.

**12.86** •• DATOS Tiene una cubeta que contiene un líquido desconocido. Usted también tiene un bloque de madera en forma de cubo que mide de 8.0 cm de lado, pero no conoce la masa ni la densidad del bloque. Para encontrar la densidad del líquido, realiza un experimento. Primero coloca el bloque de madera en el líquido y mide la altura de la parte superior del bloque flotante arriba de la superficie líquida. Luego, apila diferentes cantidades de monedas de un cuarto de dólar de Estados Unidos en el bloque y mide el nuevo valor de  $h$ . La línea recta que da el mejor ajuste de los datos que ha registrado se muestra en la figura P12.86. Encuentre la masa de un cuarto de dólar (vea [www.usmint.gov](http://www.usmint.gov) para los cuartos de dólar fechados en 2012). Utilice esta información, la pendiente y la intersección del ajuste lineal de sus datos para calcular a) la densidad del líquido (en kg/m<sup>3</sup>) y b) la masa del bloque (en kg).

Figura P12.86



**12.87** •• DATOS La Agencia de Protección Ambiental está investigando una planta química abandonada. Un tanque cilíndrico grande y cerrado contiene un líquido desconocido. Usted debe determinar la densidad y la altura del líquido en el tanque (la distancia vertical de la superficie del líquido al fondo del tanque). Para mantener diferentes valores de la presión manométrica en el aire que está por arriba del líquido en el tanque, se puede utilizar aire comprimido. Usted perfora un pequeño orificio en la parte inferior del lado del tanque, que está sobre una plataforma de cemento, por lo que el orificio se localiza a 50.0 cm sobre el suelo. La siguiente tabla da sus mediciones de la distancia horizontal  $R$  que viaja la corriente inicialmente horizontal

del líquido vertido fuera del tanque antes de llegar al suelo, y la presión manométrica  $p_g$  del aire en el tanque.

$p_g$ (atm)	0.50	1.00	2.00	3.00	4.00
$R$ (m)	5.4	6.5	8.2	9.7	10.9

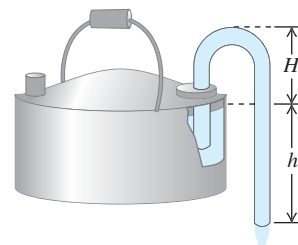
a) Trace la gráfica  $R^2$  en función de  $p_g$ . Explique por qué los puntos de datos se encuentran cerca de una línea recta. Encuentre la pendiente y la intersección de esa recta. b) Utilice la pendiente y la intersección encontradas en el inciso a) para calcular la altura  $h$  (en metros) del líquido en el tanque y la densidad del líquido (en kg/m<sup>3</sup>). Utilice  $g = 9.80 \text{ m/s}^2$ . Suponga que el líquido es no viscoso y que el orificio es lo suficientemente pequeño en comparación con el diámetro del tanque para que el cambio en  $h$  durante las mediciones sea muy pequeño.

## PROBLEMA DE DESAFÍO

**12.88** •• Un sifón (figura P12.88)

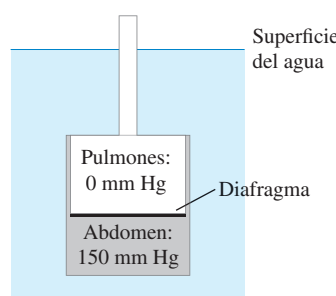
P12.88) es un dispositivo útil para extraer líquidos de recipientes. Con la finalidad de establecer el flujo, el tubo debe llenarse inicialmente con fluido. Sea  $\rho$  la densidad del fluido y  $p_{\text{atm}}$  la presión atmosférica. Suponga que el área transversal del tubo es igual en toda su longitud. a) Si el extremo inferior del sifón está a una distancia  $h$  bajo el nivel del líquido en el recipiente, ¿con qué rapidez fluye el líquido por ese extremo? (Suponga que el recipiente tiene un diámetro muy grande y desprecie los efectos de viscosidad). b) Una característica curiosa del sifón es que el fluido inicialmente fluye hacia arriba. ¿Qué altura máxima  $H$  puede tener el punto alto del tubo sin que deje de haber flujo?

Figura P12.88



## PROBLEMAS DE TRANSICIÓN

**BIO ELEFANTES BAJO PRESIÓN.** Un elefante puede nadar o caminar apoyándose sobre su pecho a varios metros bajo el agua mientras el animal respira a través de su trompa, la cual permanece arriba de la superficie y actúa como un esnórquel. Los tejidos del elefante están en una presión creciente debido al agua circundante, pero los pulmones están a la presión atmosférica porque están conectados con el aire por medio de su trompa. La figura muestra las presiones manométricas en los pulmones y el abdomen de un elefante cuando su pecho se sumerge a una profundidad particular en un lago. En esta situación, el diafragma del elefante, que separa los pulmones del abdomen, debe mantener la diferencia de presión entre los pulmones y el abdomen. El diafragma de un elefante mide, por lo general, 3.0 cm de grosor y 120 cm de diámetro (vea “Why Doesn’t the



Elephant Have a Pleural Space?", de John B. West, *Physiology*, vol. 17:47-50, 1 de abril de 2002).

**12.89** Para la situación que se muestra, los tejidos del abdomen del elefante están a una presión manométrica de 150 mm Hg. ¿A qué distancia corresponde esta presión debajo de la superficie de un lago? a) 1.5 m; b) 2.0 m; c) 3.0 m; d) 15 m.

**12.90** La fuerza máxima que pueden ejercer los músculos del diafragma es de 24,000 N. ¿Qué diferencia de presión máxima puede soportar el diafragma? a) 160 mm Hg; b) 760 mm Hg; c) 920 mm Hg; d) 5000 mm Hg.

**12.91** ¿En qué forma la fuerza que experimenta el diafragma debido a la diferencia de presión entre los pulmones y el abdomen depende de la distancia del abdomen por debajo de la superficie del agua? La

fuerza a) aumenta linealmente con la distancia; b) aumenta como la distancia al cuadrado; c) aumenta como la distancia al cubo; d) aumenta exponencialmente con la distancia.

**12.92** Si el elefante fuera a bucear en agua salada, que es más densa que el agua dulce, ¿la profundidad máxima a la que podría bucear sería diferente de la de agua dulce? a) Sí, esa profundidad aumentaría, ya que la presión sería más baja a una profundidad dada en agua salada que en agua dulce. b) Sí, esa profundidad disminuiría, ya que la presión sería mayor a una profundidad dada en el agua salada que en agua dulce. c) No, porque las diferencias de la presión dentro del elefante sumergido dependen solamente de la densidad del aire, no de la densidad del agua. d) No, porque la fuerza de flotación sobre el elefante sería igual en ambosc asos.

## Respuestas

### Pregunta de inicio del capítulo ?

v. La razón entre masa y volumen es la densidad. La carne tanto del pez de cola colorida como de la mantarraya es más densa que el agua de mar, pero el pez tiene en el cuerpo una cavidad llena de gas llamada vejiga natatoria. Por lo tanto, la densidad *media* del cuerpo del pez es la misma que la del agua de mar y el pez ni se hunde ni se eleva. Las mantarrayas carecen de esa cavidad, por lo que deben nadar continuamente para evitar hundirse: sus aletas les proporcionan elevación, de la misma manera que las alas de un pájaro o un avión (vea la sección 12.5).

### Respuesta a las secciones

#### Evalué su comprensión

**12.1 ii., iv., i. y iii. (empatados), v.** En cada caso, la densidad media es igual a la masa dividida entre el volumen. Por lo tanto, tenemos

- (i)  $\rho = (4.00 \text{ kg})/(1.60 \times 10^{-3} \text{ m}^3) = 2.50 \times 10^3 \text{ kg/m}^3$ ;
- (ii)  $\rho = (8.00 \text{ kg})/(1.60 \times 10^{-3} \text{ m}^3) = 5.00 \times 10^3 \text{ kg/m}^3$ ;
- (iii)  $\rho = (8.00 \text{ kg})/(3.20 \times 10^{-3} \text{ m}^3) = 2.50 \times 10^3 \text{ kg/m}^3$ ;
- (iv)  $\rho = (2560 \text{ kg})/(0.640 \text{ m}^3) = 4.00 \times 10^3 \text{ kg/m}^3$ ;
- (v)  $\rho = (2560 \text{ kg})/(1.28 \text{ m}^3) = 2.00 \times 10^3 \text{ kg/m}^3$ .

Observe que, en comparación con el objeto i, el objeto ii tiene el doble de masa, pero el mismo volumen y, por lo tanto, tiene el doble de densidad media. El objeto iii tiene el doble de masa y el doble de volumen que el objeto i, de manera que i y iii tienen la misma densidad media. Por último, el objeto v tiene igual masa que el objeto iv, pero el doble de volumen, de manera que v tiene la mitad de la densidad media de iv.

**12.2 ii.** De acuerdo con la ecuación (12.9), la presión afuera del barómetro es igual al producto  $\rho gh$ . Cuando se saca el barómetro del refrigerador, la densidad  $\rho$  decrece, mientras que la altura  $h$  de la columna de mercurio permanece igual; por lo tanto, la presión debe ser menor afuera que dentro del refrigerador.

**12.3 i.** Considere el agua, la estatua y el recipiente juntos como un sistema; el peso total del sistema no depende de si la estatua se encuentra sumergida. La fuerza total de soporte, incluyendo la tensión  $T$  y la fuerza ascendente  $F$  de la báscula sobre el recipiente (igual a la

lectura de la báscula), es la misma en ambos casos. Pero en el ejemplo 12.5 vimos que  $T$  disminuye en 7.84 N cuando la estatua se encuentra sumergida, por lo que la lectura de la báscula debe aumentar en 7.84 N. Un punto de vista alternativo indica que el agua ejerce una fuerza de flotación hacia arriba de 7.84 N sobre la estatua, de manera que ésta ejerce una fuerza igual, sólo que hacia abajo, sobre el agua, haciendo que la lectura de la báscula sea 7.84 N mayor que el peso del agua y el recipiente.

**12.4 ii.** Una carretera cuyo ancho se reduce de tres carriles a uno es como un tubo cuya área transversal se estrecha a un tercio de su valor. Si los vehículos se comportaran como las moléculas de un fluido incompresible, entonces conforme los autos llegaran a la sección de un solo carril, el espaciamiento entre ellos (la "densidad") permanecería igual, pero triplicarían su rapidez. Esto mantendría constante la "rapidez de flujo de volumen" (el número de autos por segundo que pasan por un punto de la carretera). En la vida real, los autos se comportan como las moléculas de un fluido compresible: quedan más juntos unos de otros (la "densidad" aumenta) y menos autos por segundo pasan por un punto de la carretera (la "rapidez de flujo de volumen" disminuye).

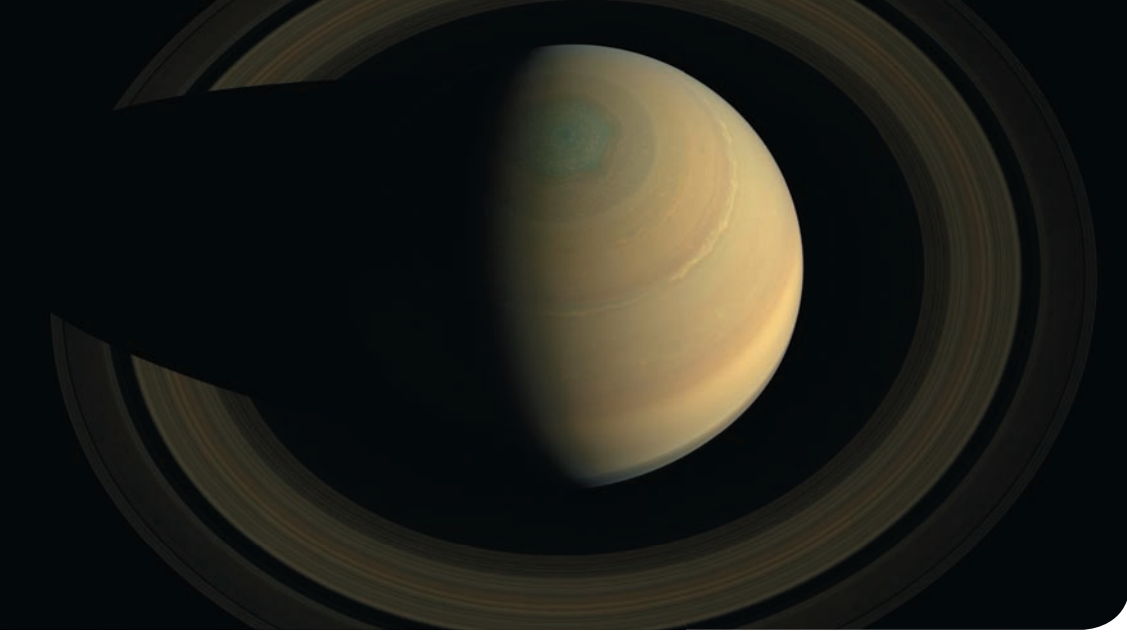
**12.5 ii.** La segunda ley de Newton nos dice que un cuerpo acelera (su velocidad cambia) en respuesta a la fuerza neta. En el flujo de un fluido, una diferencia de presión entre dos puntos significa que las partículas del fluido que se mueven entre esos dos puntos experimentan una fuerza, y esta fuerza hace que las partículas del fluido se aceleren y, por tanto, cambien su rapidez.

**12.6 iv.** La presión requerida es proporcional a  $1/R^4$ , donde  $R$  es el radio interior de la aguja (la mitad del diámetro interior). Con la aguja de menor diámetro, la presión es mayor en un factor de  $[(0.60 \text{ mm})/(0.30 \text{ mm})]^4 = 2^4 = 16$ .

### Problema práctico

a)  $y = H - \left(\frac{d}{D}\right)^2 \sqrt{2gH} t + \left(\frac{d}{D}\right)^4 \frac{gt^2}{2}$

b)  $T = \sqrt{\frac{2H}{g}} \left(\frac{D}{d}\right)^2$  (c)  $\sqrt{2}$



**?** Los anillos de Saturno están compuestos de incontables partículas en órbita. En comparación con un anillo de partículas que orbita lejos de Saturno, un anillo de partículas cercano a Saturno orbita con **i.** la misma rapidez y una aceleración mayor, **ii.** una rapidez mayor y la misma aceleración; **iii.** una rapidez menor y la misma aceleración; **iv.** mayor rapidez y aceleración **v.** ninguna de las opciones anteriores es correcta.

# 13 GRAVITACIÓN

## OBJETIVOS DE APRENDIZAJE

Al estudiar este capítulo, usted aprenderá:

- 13.1 Cómo calcular las fuerzas gravitacionales que dos cuerpos cualesquiera ejercen uno sobre el otro.
- 13.2 Cómo se relaciona el peso de un objeto con la expresión general de la fuerza gravitacional.
- 13.3 Cómo utilizar e interpretar la expresión general de la energía potencial gravitacional.
- 13.4 Cómo calcular la rapidez, el periodo orbital y la energía mecánica de un satélite en una órbita circular.
- 13.5 Cómo aplicar e interpretar las leyes que describen los movimientos de los planetas.
- 13.6 Por qué la fuerza gravitacional ejercida por un planeta simétricamente esférico es la misma que si toda la masa del planeta estuviera concentrada en su centro.
- 13.7 Cómo la rotación de la Tierra afecta el peso aparente de un objeto en diferentes latitudes.
- 13.8 Qué son los agujeros negros, cómo calcular sus propiedades y cómo se descubren.

Repase lo estudiado en la sección...

- 3.3 Movimiento de proyectiles.
- 4.4 Peso.
- 5.2 Ingravidez aparente.
- 5.4 Fuerza y aceleración en el movimiento circular uniforme.
- 5.5 Las fuerzas fundamentales de la naturaleza.
- 7.1 Energía potencial gravitacional y conservación de la energía mecánica.
- 7.4 Fuerza y energía potencial.

**A**lgunas de las primeras investigaciones en el campo de la física nacieron de preguntas que la gente se hacía acerca del firmamento. ¿Por qué la Luna no se cae hacia la Tierra? ¿Por qué los planetas se mueven en el cielo? ¿Y por qué la Tierra no sale despedida hacia el espacio exterior, en lugar de permanecer en órbita alrededor del Sol? El estudio de la gravitación responde a éstas y muchas otras preguntas relacionadas.

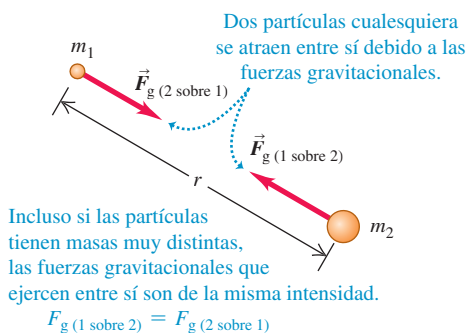
Como enfatizamos en el capítulo 5, la gravitación es una de las cuatro clases de interacciones fundamentales que observamos en la naturaleza, y fue la primera que se estudió ampliamente. En el siglo XVII, Newton descubrió que la misma interacción que hace que una manzana caiga de un árbol mantiene a los planetas en órbita alrededor del Sol. Ése fue el nacimiento de la *mecánica celeste*, es decir, el estudio de la dinámica de los objetos en el espacio. En la actualidad, nuestro conocimiento de la mecánica celeste nos permite determinar cómo poner un satélite en una órbita deseada alrededor de la Tierra, o cómo elegir la trayectoria correcta para enviar una nave a otro planeta.

En este capítulo estudiaremos la ley básica que rige las interacciones gravitacionales. Se trata de una ley *universal*: la fuerza de gravedad actúa fundamentalmente de la misma manera entre la Tierra y nuestro cuerpo, entre el Sol y un planeta, y entre un planeta y sus lunas. Aplicaremos la ley de la gravitación a fenómenos como la variación del peso con la altitud, las órbitas de los satélites alrededor de la Tierra y las de los planetas alrededor del Sol.

## 13.1 LEY DE NEWTON DE LA GRAVITACIÓN

El ejemplo de atracción gravitacional que probablemente resulta más conocido para el lector es su *peso*, la fuerza que lo atrae hacia la Tierra. Al estudiar el movimiento de los planetas y la Luna, Newton descubrió una **ley de la gravitación** fundamental, que describe la atracción gravitacional entre dos cuerpos *cualesquiera*. Newton publicó esta ley en 1687, junto con sus tres leyes del movimiento. En lenguaje moderno, dice:

**Toda partícula de materia en el universo atrae a todas las demás partículas con una fuerza directamente proporcional al producto de las masas de las partículas, e inversamente proporcional al cuadrado de la distancia que las separa.**



### 13.1 Fuerzas gravitacionales entre dos partículas de masas $m_1$ y $m_2$ .

La **figura 13.1** describe esta ley, la cual se puede expresar como una ecuación:

**Ley de la gravitación de Newton:**

Magnitud de la fuerza gravitacional atractiva entre dos partículas cualesquiera:

$$F_g = \frac{Gm_1m_2}{r^2}$$

Constante gravitacional (la misma para dos partículas cualesquiera)

Masas de las partículas

Distancia entre partículas

(13.1)

La **constante gravitacional  $G$**  en la ecuación (13.1) es una constante física fundamental y tiene el mismo valor para dos partículas *cualesquiera*. Pronto veremos qué es el valor  $G$  y cómo se mide.

La ecuación (13.1) nos indica que la fuerza gravitacional entre dos partículas disminuye al aumentar la distancia  $r$ ; por ejemplo, si se duplica la distancia, la fuerza se reducirá a la cuarta parte, y así sucesivamente. Aunque muchas estrellas del firmamento tienen una masa mucho mayor que la del Sol, están tan lejos que la fuerza gravitacional que ejercen sobre la Tierra es insignificante.

**CUIDADO** No confunda  $g$  con  $G$  Como los símbolos  $g$  y  $G$  son muy parecidos, es común confundir las dos cantidades gravitacionales tan diferentes que representan. Por un lado,  $g$  minúscula es la aceleración debida a la gravedad, que relaciona el peso  $w$  de un cuerpo con su masa  $m$ :  $w = mg$ . El valor de  $g$  varía en diferentes puntos de la superficie terrestre y en la superficie de otros planetas. En cambio,  $G$  mayúscula relaciona la fuerza gravitacional entre dos cuerpos con sus masas y la distancia entre ellos. Decimos que  $G$  es una constante *universal* porque tiene el mismo valor para dos cuerpos cualesquiera, sin importar dónde se encuentren. Pronto veremos la relación entre los valores de  $g$  y  $G$ . ■

Las fuerzas gravitacionales siempre actúan a lo largo de la línea que une las dos partículas, y forman un par acción-reacción. Aun si las masas de las partículas difieren, las dos fuerzas de interacción tienen la misma magnitud (figura 13.1). La fuerza de atracción que el cuerpo del lector ejerce sobre la Tierra tiene la misma magnitud de la fuerza que la Tierra ejerce sobre el lector. Si caemos de un trampolín a una alberca, ¡toda la Tierra sube hacia nosotros! (No lo notamos porque la masa de la Tierra es unas  $10^{23}$  veces mayor que la de una persona, así que la aceleración de la Tierra es sólo  $10^{-23}$  veces la de la persona).

## Gravitación y cuerpos esféricamente simétricos

Hemos planteado la ley de la gravitación en términos de la interacción entre dos *partículas*. Resulta que la interacción gravitacional entre dos cuerpos con distribuciones de masa *esféricamente simétricas* (ya sean sólidas o huecas) es la misma que si toda la masa estuviera concentrada en el centro, como se muestra en la **figura 13.2**. Así, si modelamos la Tierra como un cuerpo esféricamente simétrico de masa  $m_T$ , la fuerza que ejerce sobre una partícula o un cuerpo esféricamente simétrico con masa  $m$ , a una distancia  $r$  entre los centros, es

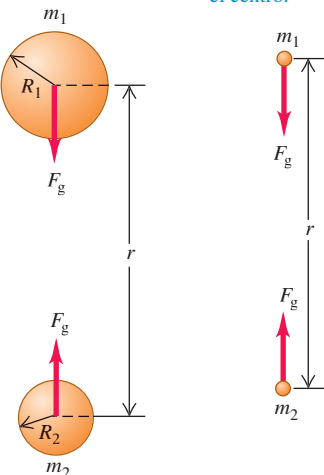
$$F_g = \frac{Gm_Tm}{r^2} \quad (13.2)$$

siempre y cuando el cuerpo se encuentre en el exterior de la Tierra. El cuerpo ejerce una fuerza de la misma magnitud *sobre* la Tierra (demostraremos esto en la sección 13.6).

**13.2** El efecto gravitacional *afuera* de cualquier distribución de masa esféricamente simétrica es el mismo que si toda la masa estuviera concentrada en su centro.

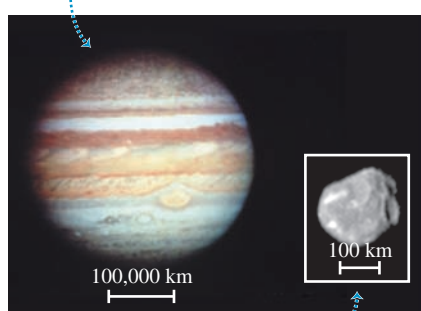
a) La fuerza gravitacional entre dos masas esféricamente simétricas  $m_1$  y  $m_2$ ...

b) ...es la misma que si se considera que toda la masa de cada esfera estuviera concentrada en su centro.



**13.3** Cuerpos esféricos y no esféricos:  
Júpiter y una de sus lunas pequeñas,  
Amaltea.

La masa de Júpiter es muy grande ( $1.90 \times 10^{27}$  kg), así que la atracción gravitacional mutua de sus partes ha hecho que el planeta adquiera una forma casi esférica.



Amaltea, una de las lunas de Júpiter, tiene una masa relativamente pequeña ( $7.17 \times 10^{18}$  kg, alrededor de  $3.8 \times 10^{-9}$  la masa de Júpiter) y su atracción gravitacional mutua es débil, por lo que tiene una forma irregular.

En puntos *dentro* de la Tierra, la situación es diferente. Si pudiéramos taladrar un orificio hasta el centro de la Tierra y medir la fuerza gravitacional sobre un cuerpo a diferentes profundidades, veríamos que *disminuye* hacia el centro, en lugar de aumentar según  $1/r^2$ . Conforme el cuerpo entra a la Tierra (o a otro cuerpo esférico), parte de la masa de la Tierra queda del lado del cuerpo opuesto al centro y tira en la dirección contraria. En el centro exacto de la Tierra, la fuerza gravitacional sobre el cuerpo es cero.

Los cuerpos esféricamente simétricos son casos importantes porque las lunas, los planetas y las estrellas tienden a ser esféricos. Puesto que todas las partículas de un cuerpo se atraen gravitacionalmente entre sí, tienden a moverse para reducir al mínimo la distancia que las separa. El resultado es que el cuerpo tiende naturalmente a adoptar una forma esférica, como sucede con un trozo de arcilla que forma una esfera cuando apretamos con fuerzas iguales por todos lados. Este efecto se reduce mucho en los cuerpos celestes de masa pequeña porque la atracción gravitacional es menor, y estos cuerpos tienden a *no* ser esféricos (**figura 13.3**).

### Determinación del valor de $G$

Para determinar el valor de la constante gravitacional  $G$ , debemos *medir* la fuerza gravitacional entre dos cuerpos de masas conocidas  $m_1$  y  $m_2$  separados por una distancia conocida  $r$ . La fuerza es muy pequeña para cuerpos que caben en un laboratorio, aunque puede medirse con un instrumento llamado *balanza de torsión*, que Sir Henry Cavendish usó en 1798 para determinar  $G$ .

En la **figura 13.4** se muestra una versión moderna de la balanza de torsión de Cavendish. Una varilla ligera y rígida en forma de T invertida es sostenida por una fibra vertical de cuarzo muy delgada. Dos esferas pequeñas de masa  $m_1$  se montan en los extremos de los brazos horizontales de la T. Si colocamos dos esferas grandes de masa  $m_2$  en las posiciones indicadas, las fuerzas de atracción gravitacional hacen girar la T un ángulo pequeño. Para medir el ángulo, hacemos incidir un rayo de luz en un espejo sujeto a la T. El haz reflejado incide en una escala, y al girar la T, la luz reflejada se mueve en la escala.

Después de calibrar la balanza de Cavendish, podemos medir las fuerzas gravitacionales y así determinar  $G$ . El valor aceptado actualmente es

$$G = 6.67384(80) \times 10^{-11} \text{ N} \cdot \text{m}^2/\text{kg}^2$$

Con tres cifras significativas,  $G = 6.67 \times 10^{-11} \text{ N} \cdot \text{m}^2/\text{kg}^2$ . Como  $1 \text{ N} = 1 \text{ kg} \cdot \text{m/s}^2$ , las unidades de  $G$  también pueden expresarse como  $\text{m}^3/(\text{kg} \cdot \text{s}^2)$ .

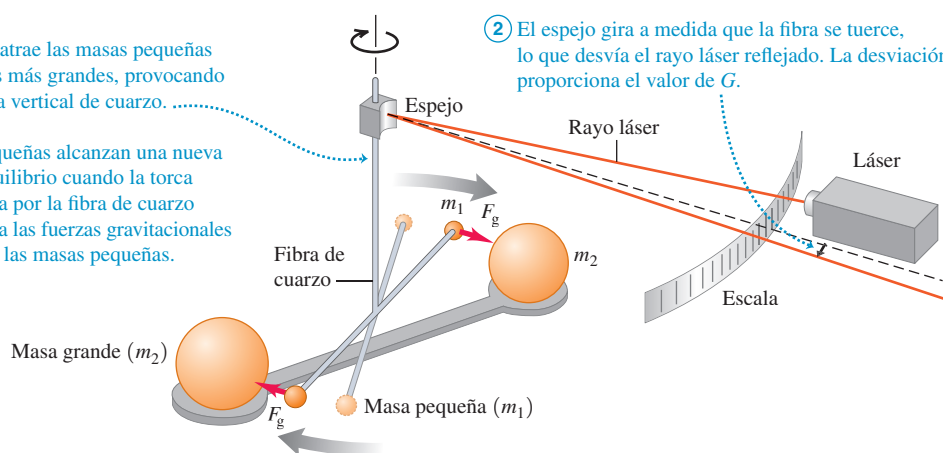
Las fuerzas gravitacionales se combinan vectorialmente. Si cada una de dos masas ejerce una fuerza sobre una tercera, la fuerza *total* que actúa sobre ésta es la suma vectorial de las fuerzas individuales de las dos primeras. El ejemplo 13.3 aprovecha esta propiedad, la cual se conoce como *superposición de fuerzas* (vea la sección 4.1).

**13.4** Principio de la balanza de Cavendish, la cual se emplea para determinar el valor de  $G$ . El ángulo de desviación se exageró para efectos de claridad.

① La gravedad atrae las masas pequeñas hacia las masas más grandes, provocando que gire la fibra vertical de cuarzo.

Las esferas pequeñas alcanzan una nueva posición de equilibrio cuando la torca elástica ejercida por la fibra de cuarzo torcida equilibra las fuerzas gravitacionales ejercidas sobre las masas pequeñas.

② El espejo gira a medida que la fibra se tuerce, lo que desvía el rayo láser reflejado. La desviación proporciona el valor de  $G$ .





### EJEMPLO 13.1 CÁLCULO DE LA FUERZA GRAVITACIONAL

La masa  $m_1$  de una de las esferas pequeñas de una balanza de Cavendish es de 0.0100 kg, la masa  $m_2$  de la esfera grande es de 0.500 kg, y la distancia entre centros es de 0.0500 m. Calcule la fuerza gravitacional  $F_g$  que actúa sobre cada esfera debida a la otra.

#### SOLUCIÓN

**IDENTIFICAR, PLANTEAR Y EJECUTAR:** Como los objetos son esféricamente simétricos, podemos calcular  $F_g$  suponiendo que son *partículas* que están separadas 0.0500 m, como en la figura 13.2. Cada esfera experimenta una fuerza de la *misma* magnitud

proveniente de la otra esfera. Usamos la ley de la gravitación de Newton, ecuación (13.1), para determinar  $F_g$ .

$$F_g = \frac{(6.67 \times 10^{-11} \text{ N} \cdot \text{m}^2/\text{kg}^2)(0.0100 \text{ kg})(0.500 \text{ kg})}{(0.0500 \text{ m})^2}$$

$$= 1.33 \times 10^{-10} \text{ N}$$

**EVALUAR:** Es notable que una fuerza tan pequeña pudiera medirse, o inclusive detectarse, hace más de 200 años. Sólo un objeto en verdad masivo, como la Tierra, ejerce una fuerza gravitacional que podemos percibir.



### EJEMPLO 13.2 ACELERACIÓN DEBIDA A LA ATRACCIÓN GRAVITACIONAL

Suponga que las dos esferas del ejemplo 13.1 se colocan con sus centros separados 0.0500 m en un punto del espacio lejos de otros cuerpos. ¿Qué magnitud tiene la aceleración de cada una, relativa a un sistema inercial?

#### SOLUCIÓN

**IDENTIFICAR, PLANTEAR y EJECUTAR:** Cada esfera ejerce sobre la otra una fuerza gravitacional de la misma magnitud  $F_g$ , la cual se calculó en el ejemplo 13.1. Se desprecia cualquier otra fuerza. Las magnitudes de las *aceleraciones*  $a_1$  y  $a_2$  de las dos esferas son

diferentes porque sus masas son distintas. Para determinarlas usaremos la segunda ley de Newton:

$$a_1 = \frac{F_g}{m_1} = \frac{1.33 \times 10^{-10} \text{ N}}{0.0100 \text{ kg}} = 1.33 \times 10^{-8} \text{ m/s}^2$$

$$a_2 = \frac{F_g}{m_2} = \frac{1.33 \times 10^{-10} \text{ N}}{0.500 \text{ kg}} = 2.66 \times 10^{-10} \text{ m/s}^2$$

**EVALUAR:** La esfera más grande tiene 50 veces la masa de la esfera más pequeña y, por lo tanto, tiene  $\frac{1}{50}$  de su aceleración. Estas aceleraciones *no* son constantes; las fuerzas gravitacionales aumentan cuando las esferas comienzan a moverse una hacia la otra.



### EJEMPLO 13.3 SUPERPOSICIÓN DE FUERZAS GRAVITACIONALES

Muchas estrellas pertenecen a *sistemas* de dos o más estrellas que se mantienen juntas gracias a su atracción gravitacional mutua. La figura 13.5 muestra un sistema de tres estrellas en un instante en que están en los vértices de un triángulo rectángulo de  $45^\circ$ . Calcule la fuerza gravitacional total ejercida sobre la estrella pequeña por las dos grandes.

#### SOLUCIÓN

**IDENTIFICAR, PLANTEAR y EJECUTAR:** Usaremos el principio de superposición: la fuerza total  $\vec{F}$  que actúa sobre la estrella pequeña es la suma vectorial de las fuerzas  $\vec{F}_1$  y  $\vec{F}_2$  debidas a cada estrella grande, como se muestra en la figura 13.5. Suponemos que las estrellas son esferas como en la figura 13.2. Primero calculamos las magnitudes  $F_1$  y  $F_2$  usando la ecuación (13.1); luego, calculamos la suma vectorial empleando componentes.

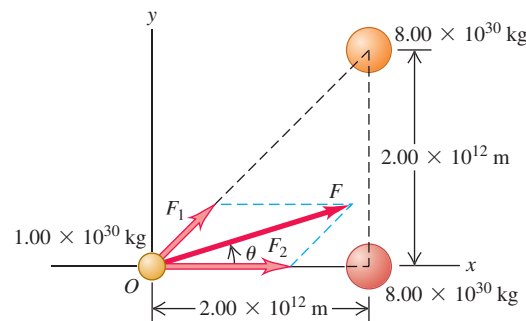
$$F_1 = \frac{\left[ (6.67 \times 10^{-11} \text{ N} \cdot \text{m}^2/\text{kg}^2) \times (8.00 \times 10^{30} \text{ kg})(1.00 \times 10^{30} \text{ kg}) \right]}{(2.00 \times 10^{12} \text{ m})^2 + (2.00 \times 10^{12} \text{ m})^2}$$

$$= 6.67 \times 10^{25} \text{ N}$$

$$F_2 = \frac{\left[ (6.67 \times 10^{-11} \text{ N} \cdot \text{m}^2/\text{kg}^2) \times (8.00 \times 10^{30} \text{ kg})(1.00 \times 10^{30} \text{ kg}) \right]}{(2.00 \times 10^{12} \text{ m})^2}$$

$$= 1.33 \times 10^{26} \text{ N}$$

**13.5** La fuerza gravitacional total que actúa sobre la estrella pequeña (en  $O$ ) es la suma vectorial de las fuerzas ejercidas sobre ella por las dos estrellas más grandes (como comparación, la masa del Sol, una estrella típica, es de  $1.99 \times 10^{30}$  kg, y la distancia entre la Tierra y el Sol es de  $1.50 \times 10^{11}$  m).



Las componentes  $x$  y  $y$  de estas fuerzas son

$$F_{1x} = (6.67 \times 10^{25} \text{ N})(\cos 45^\circ) = 4.72 \times 10^{25} \text{ N}$$

$$F_{1y} = (6.67 \times 10^{25} \text{ N})(\sin 45^\circ) = 4.72 \times 10^{25} \text{ N}$$

$$F_{2x} = 1.33 \times 10^{26} \text{ N}$$

$$F_{2y} = 0$$

Continúa

Las componentes de la fuerza total  $\vec{F}$  que actúa sobre la estrella pequeña son

$$F_x = F_{1x} + F_{2x} = 1.81 \times 10^{26} \text{ N}$$

$$F_y = F_{1y} + F_{2y} = 4.72 \times 10^{25} \text{ N}$$

La magnitud de  $\vec{F}$  y su ángulo  $\theta$  (vea la figura 13.5) son

$$F = \sqrt{F_x^2 + F_y^2} = \sqrt{(1.81 \times 10^{26} \text{ N})^2 + (4.72 \times 10^{25} \text{ N})^2}$$

$$= 1.87 \times 10^{26} \text{ N}$$

$$\theta = \arctan \frac{F_y}{F_x} = \arctan \frac{4.72 \times 10^{25} \text{ N}}{1.81 \times 10^{26} \text{ N}} = 14.6^\circ$$

**EVALUAR:** Si bien la magnitud  $F$  de la fuerza es enorme, la magnitud de la aceleración resultante no lo es:  $a = F/m = (1.87 \times 10^{26} \text{ N})/(1.00 \times 10^{30} \text{ kg}) = 1.87 \times 10^{-4} \text{ m/s}^2$ . Además, la fuerza  $\vec{F}$  no está dirigida hacia el centro de masa de las dos estrellas grandes.

## LOS DATOS HABLAN

### Gravitación

Cuando a los estudiantes se les planteó un problema relacionado con la superposición de fuerzas gravitacionales, más del 60% dio una respuesta incorrecta.

Errores comunes:

- Suponer que objetos de igual masa  $A$  y  $B$  deben ejercer atracción gravitacional de la misma intensidad sobre un objeto  $C$  (lo que no es cierto cuando  $A$  y  $B$  están a diferentes distancias de  $C$ ).
- No considerar la naturaleza vectorial de la fuerza (al sumar dos fuerzas que apuntan en direcciones diferentes, no es posible tan sólo sumar las magnitudes de las fuerzas).

**13.6** Nuestro Sistema Solar forma parte de una galaxia espiral como ésta, que contiene aproximadamente  $10^{11}$  estrellas, junto con gas, polvo y otros materiales. El conjunto total se mantiene unido gracias a la atracción gravitacional mutua de toda la materia en la galaxia.



### ¿Por qué son importantes las fuerzas gravitacionales?

Una comparación de los ejemplos 13.1 y 13.3 revela que las fuerzas gravitacionales son insignificantes entre objetos como los que tenemos en nuestras casas; pero son considerables entre objetos del tamaño de las estrellas. De hecho, la gravitación es la fuerza más importante a la escala de planetas, estrellas y galaxias (**figura 13.6**). La gravitación mantiene la integridad de la Tierra y los planetas en órbitas alrededor del Sol. La atracción gravitacional mutua de diferentes partes del Sol comprime los materiales en su centro, hasta alcanzar densidades y temperaturas muy elevadas que hacen posible las reacciones nucleares que ocurren ahí. Tales reacciones generan las emisiones de energía solar, sin las cuales la vida no existiría en la Tierra.

La fuerza gravitacional es tan importante a escala cósmica porque actúa a *distancia*, sin contacto directo entre los cuerpos. Las fuerzas eléctricas y magnéticas tienen esta misma propiedad notable, aunque son menos importantes en la escala astronómica porque las acumulaciones grandes de materia son eléctricamente neutras; es decir, contienen cantidades iguales de cargas negativas y positivas. Por ello, las fuerzas eléctricas y magnéticas entre estrellas o planetas son muy pequeñas o valen cero. Las interacciones fuerte y débil que analizamos en la sección 5.5 también actúan a distancia; no obstante, su influencia es despreciable a distancias mayores que el diámetro de un núcleo atómico (cerca de  $10^{-14} \text{ m}$ ).

Una forma útil de describir las fuerzas que actúan a distancia es en términos de un *campo*. Un cuerpo produce una perturbación o un campo en todos los puntos del espacio, y la fuerza que actúa sobre otro cuerpo en un punto determinado es su respuesta al campo del primer cuerpo en ese punto. Hay un campo asociado a cada fuerza que actúa a distancia y, por ello, nos referimos a campos gravitacionales, eléctricos, magnéticos, etcétera. En este capítulo no necesitaremos el concepto de campo para estudiar la gravitación, así que no hablaremos más de él. Sin embargo, en capítulos posteriores, veremos que el concepto de campo es una herramienta extremadamente útil para describir las interacciones eléctricas y magnéticas.

**EVALÚE SU COMPRENSIÓN DE LA SECCIÓN 13.1** Saturno tiene aproximadamente 100 veces la masa de la Tierra y está alejado del Sol casi 10 veces más que nuestro planeta. En comparación con la aceleración de la Tierra causada por la atracción gravitacional solar, ¿qué tan grande es la aceleración de Saturno debida a la gravitación solar? **i.** 100 veces mayor; **ii.** 10 veces mayor; **iii.** es igual; **iv.**  $\frac{1}{10}$ ; **v.**  $\frac{1}{100}$ .

## 13.2 PESO

En la sección 4.4 definimos el *peso* de un cuerpo como la fuerza de atracción gravitacional que la Tierra ejerce sobre él. Ahora vamos a ampliar nuestra definición: *el peso de un cuerpo es la fuerza gravitacional total ejercida sobre éste por todos los demás cuerpos del universo*. Si un cuerpo está cerca de la superficie terrestre, se pueden despreciar las demás fuerzas gravitacionales y considerar el peso tan sólo como la atracción gravitacional de la Tierra. En la superficie de la *Luna*, tomaremos el peso de un cuerpo como la atracción gravitacional de la Luna, y así sucesivamente.

Si de nuevo modelamos la Tierra como un cuerpo esféricamente simétrico con radio  $R_T$ , el peso de un cuerpo pequeño en la superficie terrestre (a una distancia  $R_T$  del centro) es

Constante gravitacional Masa de la Tierra  
 El peso de un cuerpo de masa  $w = F_g = \frac{Gm_T m}{R_T^2}$  Masa del cuerpo (13.3)  
 $m$  en la superficie terrestre...  
 ...es igual a la fuerza gravitacional Radio de la Tierra  
 que ejerce la Tierra sobre el cuerpo.

Sin embargo, en la sección 4.4 también vimos que el peso  $w$  de un cuerpo es la fuerza que provoca la aceleración  $g$  en caída libre, de modo que por la segunda ley de Newton,  $w = mg$ . Si igualamos esto con la ecuación (13.3) y dividimos entre  $m$ , obtenemos

$$\text{Aceleración debida a la gravedad en la superficie terrestre} \quad g = \frac{Gm_T}{R_T^2} \quad \begin{matrix} \text{Constante gravitacional} \\ \text{en la superficie terrestre} \end{matrix} \quad \begin{matrix} \text{Masa de la Tierra} \\ \text{Radio de la Tierra} \end{matrix} \quad (13.4)$$

La aceleración debida a la gravedad  $g$  es independiente de la masa  $m$  del cuerpo porque  $m$  no aparece en esta ecuación. Ya lo sabíamos, pero ahora vemos cómo se deduce a partir de la ley de la gravitación.

Podemos *medir* todas las cantidades de la ecuación (13.4) excepto  $m_T$ , así que esta relación nos permite calcular la masa de la Tierra. Al despejar  $m_T$  de la ecuación (13.4) y usando  $R_T = 6370 \text{ km} = 6.37 \times 10^6 \text{ m}$  y  $g = 9.80 \text{ m/s}^2$ , se obtiene

$$m_T = \frac{g R_T^2}{G} = 5.96 \times 10^{24} \text{ kg}$$

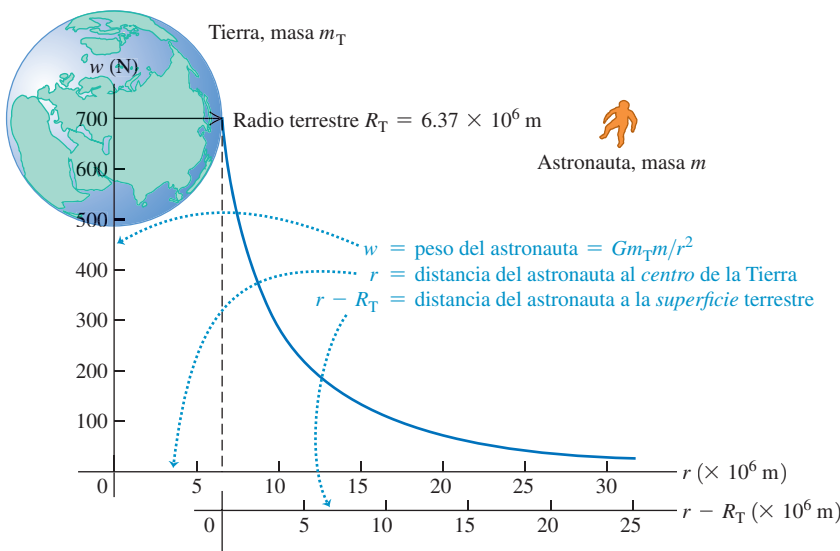
que está muy cerca del valor actualmente aceptado de  $5.972 \times 10^{24}$  kg. Una vez que Cavendish midió  $G$ , calculó la masa terrestre precisamente así.

En un punto arriba de la superficie terrestre a una distancia  $r$  del centro de la Tierra (una distancia  $r - R_T$  sobre la superficie), el peso de un cuerpo está dado por la ecuación (13.3) sustituyendo  $R_T$  por  $r$ :

$$w = F_g = \frac{Gm_T m}{r^2} \quad (13.5)$$

El peso de un cuerpo disminuye inversamente con el cuadrado de su distancia al centro de la Tierra (**figura 13.7**). La **figura 13.8** muestra cómo varía el peso de un astronauta en función de su altura sobre la Tierra, si su peso es de 700 N en la superficie.

**13.8** Un astronauta que pesa 700 N en la superficie terrestre experimenta menos atracción gravitacional cuando está por arriba de dicha superficie. La distancia  $r$  que importa es la del astronauta al *centro* de la Tierra (*no* del astronauta a la superficie terrestre).



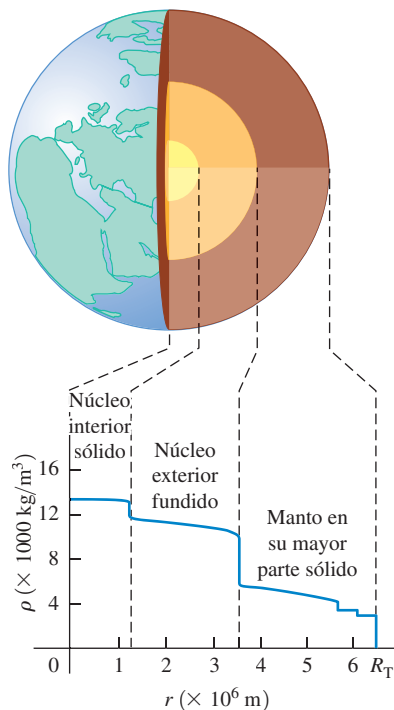
**Aplicación: Caminata y carrera en la Luna** Usted convierte automáticamente su caminata en carrera cuando la fuerza vertical que ejerce sobre el suelo —que por la tercera ley de Newton es igual a la fuerza vertical que el suelo ejerce sobre usted— rebasa su peso. Esta transición, de caminata a carrera, sucede con rapideces mucho menores en la Luna, donde los objetos sólo pesan el 17% de lo quepesan en la Tierra. De ahí que los astronautas del Apolo corrían inclusive cuando se movían con relativa lentitud durante sus “caminatas” en la Luna.



**13.7** En un avión comercial a gran altitud, estamos más lejos del centro de la Tierra que cuando estamos en el suelo, por lo que pesamos ligeramente menos. ¿Puede usted demostrar que a una altitud de 10 km pesaría 0.3% menos que en el suelo?



**13.9** La densidad  $\rho$  de la Tierra disminuye al aumentar la distancia  $r$  al centro.



El peso *aparente* de un cuerpo en la Tierra difiere un poco de la fuerza gravitacional terrestre porque la Tierra gira y, por lo tanto, no es precisamente un sistema inercial de referencia. Hasta ahora hemos ignorado este efecto, pero en la sección 13.7 lo consideraremos con detenimiento.

Aun cuando la Tierra es una distribución de masa con simetría esférica aproximada, *no* es uniforme volumétricamente. Para demostrar esto, calculemos primero su *densidad media* o masa por unidad de volumen. Si suponemos una Tierra esférica, el volumen es

$$V_T = \frac{4}{3}\pi R_T^3 = \frac{4}{3}\pi(6.37 \times 10^6 \text{ m})^3 = 1.08 \times 10^{21} \text{ m}^3$$

La densidad media  $\rho$  (la letra griega rho) de la Tierra es la masa total dividida entre el volumen total:

$$\begin{aligned} \rho &= \frac{m_T}{V_T} = \frac{5.97 \times 10^{24} \text{ kg}}{1.08 \times 10^{21} \text{ m}^3} \\ &= 5500 \text{ kg/m}^3 = 5.5 \text{ g/cm}^3 \end{aligned}$$

(Como referencia, la densidad del agua es de  $1000 \text{ kg/m}^3 = 1.00 \text{ g/cm}^3$ ). Si la Tierra fuera uniforme, cabría esperar que la densidad de las rocas cerca de la superficie tuviera ese mismo valor. De hecho, la densidad de las rocas superficiales es significativamente menor: de  $2000 \text{ kg/m}^3$  para rocas sedimentarias, a cerca de  $3300 \text{ kg/m}^3$  para el basalto (un tipo de roca volcánica). Por lo tanto, la Tierra *no puede* ser uniforme, y el interior debe ser mucho más denso que la superficie para que la densidad *media* sea de  $5500 \text{ kg/m}^3$ . Según modelos geofísicos del interior de la Tierra, la densidad máxima en el centro es de aproximadamente  $13,000 \text{ kg/m}^3$ . La **figura 13.9** es una gráfica de la densidad en función de la distancia al centro.

### EJEMPLO 13.4 GRAVEDAD EN MARTE

Un módulo robótico de descenso, que pesa en la Tierra  $3430 \text{ N}$ , es enviado a Marte, cuyo radio es  $R_M = 3.39 \times 10^6 \text{ m}$  y cuya masa es  $m_M = 6.42 \times 10^{23} \text{ kg}$  (vea el apéndice F). Calcule su peso  $F_g$  en la superficie marciana y la aceleración  $g_M$  debida a la gravedad de Marte.

#### SOLUCIÓN

**IDENTIFICAR y PLANTEAR:** Para calcular  $F_g$  usamos la ecuación (13.3), después de sustituir  $m_T$  y  $R_T$  por  $m_M$  y  $R_M$ . Determinamos la masa  $m$  del módulo de descenso a partir del peso  $w$  en la Tierra y luego calculamos  $g_M$  a partir de  $F_g = mg_M$ .

**EJECUTAR:** El peso del módulo en la Tierra es  $w = mg$ , de modo que

$$m = \frac{w}{g} = \frac{3430 \text{ N}}{9.80 \text{ m/s}^2} = 350 \text{ kg}$$

La masa es la misma sin importar dónde se encuentra el módulo. De acuerdo con la ecuación (13.3), el peso del módulo en Marte es

$$\begin{aligned} F_g &= \frac{Gm_M m}{R_M^2} \\ &= \frac{(6.67 \times 10^{-11} \text{ N} \cdot \text{m}^2/\text{kg}^2)(6.42 \times 10^{23} \text{ kg})(350 \text{ kg})}{(3.39 \times 10^6 \text{ m})^2} \\ &= 1.30 \times 10^3 \text{ N} \end{aligned}$$

La aceleración debida a la gravedad de Marte es

$$g_M = \frac{F_g}{m} = \frac{1.30 \times 10^3 \text{ N}}{350 \text{ kg}} = 3.7 \text{ m/s}^2$$

**EVALUAR:** Aun cuando Marte tiene el 11% de la masa de la Tierra ( $6.42 \times 10^{23} \text{ kg}$  contra  $5.97 \times 10^{24} \text{ kg}$ ), la aceleración  $g_M$  debida a la gravedad (y por lo tanto, el peso  $F_g$  del objeto) es de aproximadamente el 40% del valor en la superficie terrestre. Esto se debe a que  $g_M$  es inversamente proporcional al cuadrado del radio del planeta, y Marte sólo tiene el 53% del radio de la Tierra ( $3.39 \times 10^6 \text{ m}$  contra  $6.37 \times 10^6 \text{ m}$ ).

Se puede comprobar el resultado de  $g_M$  usando la ecuación (13.4), con las sustituciones adecuadas. ¿Obtuvo la misma respuesta?



**EVALÚE SU COMPRENSIÓN DE LA SECCIÓN 13.2** Ordene de mayor a menor el valor de  $g$  en la superficie de los siguientes planetas ficticios:

- i. masa = 2 veces la masa de la Tierra, radio = 2 veces el radio de la Tierra;
- ii. masa = 4 veces la masa de la Tierra, radio = 4 veces el radio de la Tierra;
- iii. masa = 4 veces la masa de la Tierra, radio = 2 veces el radio de la Tierra;
- iv. masa = 2 veces la masa de la Tierra, radio = 4 veces el radio de la Tierra.

### 13.3 ENERGÍA POTENCIAL GRAVITACIONAL

Cuando presentamos el concepto de energía potencial gravitacional en la sección 7.1, supusimos que la fuerza gravitacional de la Tierra que actúa sobre un cuerpo de masa  $m$  no depende de la altura del cuerpo. Esto llevó a la expresión  $U = mgy$ . Pero la ecuación (13.2),  $F_g = Gm_T m/r^2$ , indica que la fuerza gravitacional que ejerce la Tierra (masa  $m_T$ ), en general, sí depende de la distancia  $r$  del cuerpo al centro de la Tierra. En problemas en los que un cuerpo puede estar lejos de la superficie terrestre, necesitamos una expresión más general para la energía potencial gravitacional.

Para obtener esa expresión, seguimos los mismos pasos que en la sección 7.1. Consideramos un cuerpo de masa  $m$  fuera de la Tierra, y calculamos primero el trabajo  $W_{\text{grav}}$  efectuado por la fuerza gravitacional cuando el cuerpo se aleja o se acerca al centro de la Tierra, desde  $r = r_1$  hasta  $r = r_2$  como en la figura 13.10. Este trabajo está dado por

$$W_{\text{grav}} = \int_{r_1}^{r_2} F_r dr \quad (13.6)$$

donde  $F_r$  es la componente radial de la fuerza gravitacional  $\vec{F}_g$ , es decir, la componente dirigida *hacia afuera* desde el centro de la Tierra. Dado que  $\vec{F}_g$  apunta *hacia el centro* de la Tierra,  $F_r$  es negativa y difiere de la ecuación (13.2), la magnitud de la fuerza gravitacional, por un signo menos:

$$F_r = -\frac{Gm_T m}{r^2} \quad (13.7)$$

Al sustituir la ecuación (13.7) en la (13.6), vemos que  $W_{\text{grav}}$  está dado por

$$W_{\text{grav}} = -Gm_T m \int_{r_1}^{r_2} \frac{dr}{r^2} = \frac{Gm_T m}{r_2} - \frac{Gm_T m}{r_1} \quad (13.8)$$

La trayectoria no tiene que ser recta; puede ser una curva como la de la figura 13.10. Por un argumento similar al de la sección 7.1, este trabajo sólo depende de los valores inicial y final de  $r$ , no del camino seguido. Esto también demuestra que la fuerza gravitacional siempre es *conservativa*.

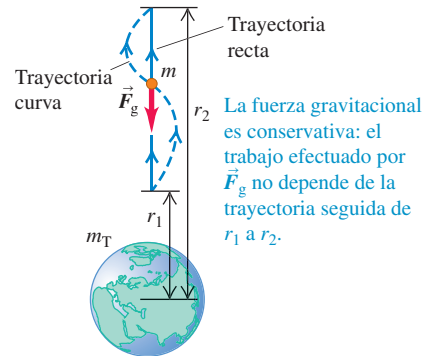
Ahora definimos la energía potencial correspondiente  $U$  de modo que  $W_{\text{grav}} = U_1 - U_2$  como en la ecuación (7.3). Al comparar esto con la ecuación (13.8), vemos que la definición adecuada de **energía potencial gravitacional** es

Constante gravitacional  $G$   
**Energía potencial gravitacional**  $U = -\frac{Gm_T m}{r}$   
 (expresión general)

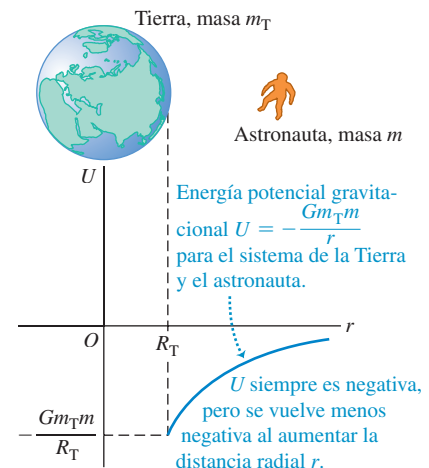
La figura 13.11 muestra cómo la energía potencial gravitacional depende de la distancia  $r$  entre el cuerpo de masa  $m$  y el centro de la Tierra. Si el cuerpo se aleja de la Tierra,  $r$  aumenta, la fuerza gravitacional efectúa trabajo negativo, y  $U$  aumenta (se vuelve menos negativa). Si el cuerpo “cae” hacia la Tierra,  $r$  disminuye, el trabajo gravitacional es positivo, y la energía potencial disminuye (se hace más negativa).

La ecuación (13.9) quizás parezca extraña porque indica que la energía potencial gravitacional siempre es negativa; pero ya hemos visto valores negativos de  $U$ . Al usar la fórmula  $U = mgy$  en la sección 7.1, vimos que  $U$  era negativa, siempre que el cuerpo de masa  $m$  estuviera en un valor de  $y$  menor que la altura arbitraria que elegimos como  $y = 0$ ; es decir, si el cuerpo y la Tierra estaban más cerca que cierta distancia arbitraria (vea el ejemplo 7.2 de la sección 7.1). Al definir  $U$  con la ecuación (13.9), elegimos que  $U$  es cero cuando el cuerpo de masa  $m$  está infinitamente lejos de la Tierra ( $r = \infty$ ). Al acercarse el cuerpo a la Tierra, la energía potencial gravitacional disminuye y se hace negativa.

**13.10** Cálculo del trabajo efectuado sobre un cuerpo por la fuerza gravitacional, cuando el cuerpo se mueve de la coordenada radial  $r_1$  a  $r_2$ .



**13.11** Gráfica de energía potencial gravitacional  $U$  para el sistema de la Tierra (masa  $m_T$ ) y un astronauta (masa  $m$ ) contra la distancia  $r$  entre el astronauta y el centro de la Tierra.



**CUIDADO** Fuerza gravitacional contra energía potencial gravitacional Asegúrese de no confundir las expresiones de fuerza gravitacional, ecuación (13.7), y de energía potencial gravitacional, ecuación 13.9. La fuerza  $F_g$  es proporcional a  $1/r^2$ , y la energía potencial  $U$  es proporcional a  $1/r$ .

Si quisieramos, podríamos tomar  $U = 0$  en la superficie terrestre, donde  $r = R_T$ , sólo con sumar la cantidad  $Gm_T m/R_T$  a la ecuación (13.9). Esto haría a  $U$  positiva cuando  $r > R_T$ . No lo haremos por dos razones: una, se complicaría la expresión para  $U$ ; y dos, el término sumado no afectaría la *diferencia* en energía potencial entre dos puntos, que es la única cantidad físicamente significativa.

Si la fuerza gravitacional terrestre es la única que efectúa trabajo sobre el cuerpo, la energía mecánica total del sistema conformado por la Tierra y el cuerpo es constante, es decir, *se conserva*. En el ejemplo que sigue usaremos este principio para calcular la **rapidez de escape** (en algunos casos, denominada también como **velocidad de escape**), es decir, la rapidez que debe tener un cuerpo para escapar por completo de un planeta.



### EJEMPLO 13.5 "DE LA TIERRA A LA LUNA"

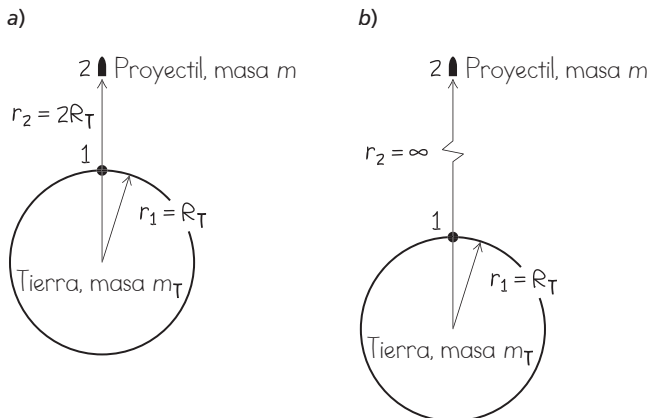
En 1865 Julio Verne publicó una novela con ese título. En ella se narra que tres hombres viajan a la Luna en un proyectil disparado desde un cañón gigante hundido en el suelo de Florida. *a)* Calcule la rapidez inicial mínima necesaria para disparar el proyectil verticalmente hasta una altura sobre la Tierra igual al radio  $R_T$  de ésta. *b)* Calcule la rapidez inicial mínima que permitiría al proyectil escapar de la Tierra (la *rapidez de escape*). Desprecie la resistencia del aire, la rotación de la Tierra y la atracción gravitacional de la Luna. El radio de la Tierra es  $R_T = 6.37 \times 10^6$  m y su masa es  $m_T = 5.97 \times 10^{24}$  kg.

#### SOLUCIÓN

**IDENTIFICAR y PLANTEAR:** Una vez que el proyectil sale del cañón, sólo la fuerza gravitacional (que es conservativa) efectúa trabajo, por lo que podemos usar la conservación de energía mecánica para calcular la rapidez del proyectil a la que debe salir del cañón hasta que se detenga *a*) a dos radios terrestres con respecto al centro del planeta, y *b*) a una distancia infinita de la Tierra. La ecuación de conservación de la energía es  $K_1 + U_1 = K_2 + U_2$ , donde  $U$  está dada por la ecuación (13.9).

En la **figura 13.12** el punto 1 está en  $r_1 = R_T$ , donde el proyectil sale del cañón con rapidez  $v_1$  (la incógnita). El punto 2 se localiza donde el proyectil alcanza su altura máxima; en el inciso *a*)  $r_2 = 2R_T$

**13.12** Diagrama para este problema.



(figura 13.12*a*); y en el inciso *b*)  $r_2 = \infty$  (figura 13.12*b*). En ambos casos,  $v_2 = 0$  y  $K_2 = 0$ . Sea  $m$  la masa del proyectil (con pasajeros).

**EJECUTAR:** *a)* Obtenemos  $v_1$  con la ecuación de conservación de la energía:

$$K_1 + U_1 = K_2 + U_2$$

$$\frac{1}{2}mv_1^2 + \left(-\frac{Gm_T m}{R_T}\right) = 0 + \left(-\frac{Gm_T m}{2R_T}\right)$$

$$v_1 = \sqrt{\frac{Gm_T}{R_T}} = \sqrt{\frac{(6.67 \times 10^{-11} \text{ N} \cdot \text{m}^2/\text{kg}^2)(5.97 \times 10^{24} \text{ kg})}{6.37 \times 10^6 \text{ m}}} \\ = 7910 \text{ m/s} (= 28,500 \text{ km/h} = 17,700 \text{ mi/h})$$

*b)* Ahora  $r_2 = \infty$ , así que  $U_2 = 0$  (vea la figura 13.11). Como  $K_2 = 0$ , la energía mecánica total  $K_2 + U_2$  es cero. Nuevamente, obtenemos  $v_1$  de la ecuación de conservación de la energía:

$$\frac{1}{2}mv_1^2 + \left(-\frac{Gm_T m}{R_T}\right) = 0 + 0$$

$$v_1 = \sqrt{\frac{2Gm_T}{R_T}} \\ = \sqrt{\frac{2(6.67 \times 10^{-11} \text{ N} \cdot \text{m}^2/\text{kg}^2)(5.97 \times 10^{24} \text{ kg})}{6.37 \times 10^6 \text{ m}}} \\ = 1.12 \times 10^4 \text{ m/s} (= 40,200 \text{ km/h} = 25,000 \text{ mi/h})$$

**EVALUAR:** El resultado del inciso *b*) no depende de la masa del proyectil ni de la dirección en que se lanza. Las naves modernas lanzadas desde Florida deben alcanzar prácticamente la misma rapidez que en el inciso *b*) para escapar de la Tierra; sin embargo, antes del lanzamiento ya se están moviendo a 410 m/s hacia el este por la rotación terrestre; si el lanzamiento es hacia el este, la nave aprovecha esta contribución "gratuita" a la rapidez de escape.

Generalizando nuestro resultado, la rapidez inicial  $v_1$  que necesita un cuerpo para escapar de la superficie de un cuerpo esférico de masa  $M$  y radio  $R$  (despreciando la resistencia del aire) es  $v_1 = \sqrt{2GM/R}$  (rapidez de escape). Esta ecuación da por resultado  $5.03 \times 10^3$  m/s para Marte,  $6.02 \times 10^4$  m/s para Júpiter, y  $6.18 \times 10^5$  m/s para el Sol.

### Más sobre la energía potencial gravitacional

Como nota final, demostremos que si estamos cerca de la superficie terrestre, la ecuación (13.9) se reduce a  $U = mgy$  que conocimos en el capítulo 7. Primero reescribimos la ecuación (13.8) como:

$$W_{\text{grav}} = Gm_T m \frac{r_1 - r_2}{r_1 r_2}$$

Si el cuerpo se mantiene cerca de la Tierra, en el denominador podemos sustituir  $r_1$  y  $r_2$  por  $R_T$ , el radio de la Tierra, así que

$$W_{\text{grav}} = Gm_T m \frac{r_1 - r_2}{R_T^2}$$

Según la ecuación (13.4),  $g = Gm_T/R_T^2$ , por lo cual

$$W_{\text{grav}} = mg(r_1 - r_2)$$

Si sustituimos las  $r$  por  $y$ , ésta es la ecuación (7.1) para el trabajo efectuado por una fuerza gravitacional constante. En la sección 7.1 usamos esta ecuación para deducir la ecuación (7.2),  $U = mgy$ , así que podemos considerar la ecuación (7.2) de la energía potencial gravitacional como un caso especial de la ecuación (13.9) que es más general.

**EVALÚE SU COMPRENSIÓN DE LA SECCIÓN 13.3** Si un planeta tiene la misma gravedad superficial que la Tierra (es decir, el mismo valor de  $g$  en la superficie), ¿cuál es su rapidez de escape? **i.** La misma que la de la Tierra; **ii.** menor que la de la Tierra; **iii.** mayor que la de la Tierra; **iv.** cualquiera de las opciones anteriores es posible. **I**

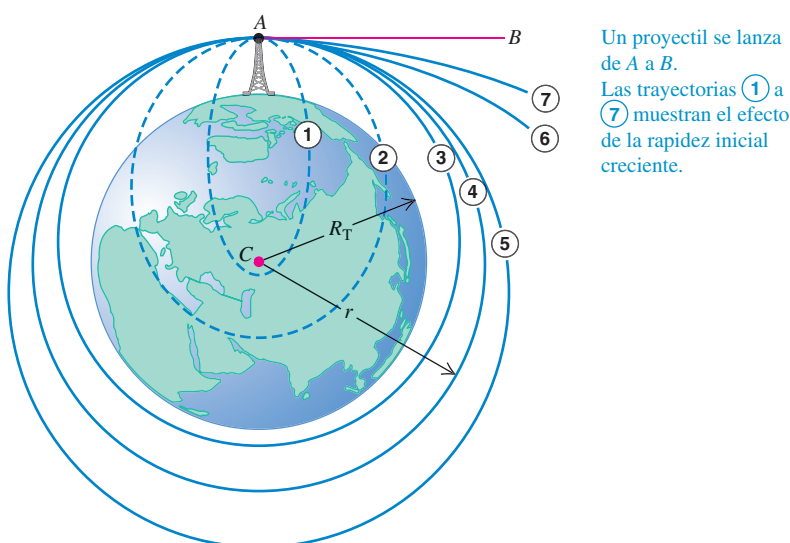
## 13.4 MOVIMIENTO DE SATÉLITES

Los satélites artificiales que orbitan la Tierra son parte cotidiana de la tecnología moderna (**figura 13.13**). Pero, ¿cómo se mantienen en órbita y qué determina las propiedades de sus órbitas? Podemos usar las leyes del movimiento y la ley de la gravitación de Newton para obtener las respuestas. En la siguiente sección veremos cómo el movimiento de los planetas se puede analizar del mismo modo.

Para comenzar, recordemos lo dicho sobre el movimiento de proyectiles en la sección 3.3. En el ejemplo 3.6, un motociclista se lanza horizontalmente del borde de un acantilado en una trayectoria parabólica que termina en terreno plano en la base del acantilado. Si sobrevive y repite el experimento aumentando su rapidez de lanzamiento, caerá más lejos del punto de partida. Podemos imaginarlo lanzándose con tal rapidez que la curvatura de la Tierra se hace significativa. Conforme cae, la Tierra se curva debajo de él. Si la rapidez del motociclista es suficiente, y si su punto de lanzamiento es tan alto que pueda evitar las montañas, podría seguir dando vueltas a la Tierra, sin tocar jamás el suelo.

La **figura 13.14** muestra una variación de este tema. Lanzamos un proyectil del punto  $A$  en la dirección  $AB$ , tangente a la superficie terrestre. Las trayectorias 1 a 7 muestran el efecto de aumentar la rapidez inicial. En las trayectorias 3 a 5, el proyectil no choca contra la Tierra y se convierte en su satélite. Si no hay una fuerza que frene

**13.13** Con una masa de  $4.5 \times 10^5$  kg y un ancho de más de 108 m, la Estación Espacial Internacional es el satélite más grande que se ha puesto en órbita.

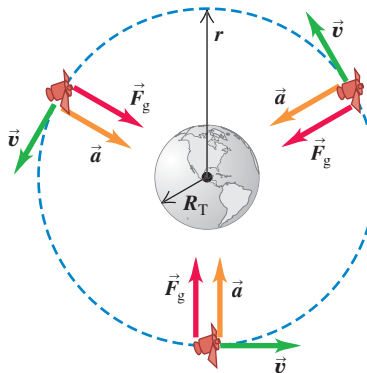


**13.14** Trayectorias de un proyectil lanzado desde una gran altura (ignorando la resistencia del aire). Las órbitas 1 y 2 se completarían como se muestra, si la Tierra fuera una masa puntual en  $C$  (esta ilustración se basa en uno de los *Principia* de Isaac Newton).

al proyectil, como la resistencia del aire, su rapidez al volver al punto A es la que tenía inicialmente, y el movimiento se repite indefinidamente.

Las trayectorias 1 a 5 terminan donde comenzaron y se denominan **órbitas cerradas**. Todas las órbitas cerradas son elipses o segmentos de elipses; la trayectoria 4 es un círculo, un caso especial de la elipse (analizaremos las propiedades de una elipse en la sección 13.5). Las trayectorias 6 y 7 son **órbitas abiertas**; el proyectil nunca vuelve a su punto de partida y se aleja cada vez más de la Tierra.

**13.15** La fuerza  $\vec{F}_g$  debida a la atracción gravitacional de la Tierra proporciona la aceleración centrípeta que mantiene a un satélite en órbita. Compare esta figura con la 5.28.



El satélite está en órbita circular: su aceleración  $\vec{a}$  es siempre perpendicular a su velocidad  $\vec{v}$ ; por ello, la rapidez  $v$  es constante.

**13.16** Estos astronautas se encuentran en un estado de ingravidez aparente. ¿Quiénes están de pie y quiénes de cabeza?



## Satélites: Órbitas circulares

Una órbita *circular*, como la trayectoria 4 de la figura 13.14, es el caso más sencillo. También es un caso importante, pues muchos satélites artificiales tienen órbitas casi circulares, y las órbitas de los planetas alrededor del Sol también son aproximadamente circulares. La única fuerza que actúa sobre un satélite en órbita circular alrededor de la Tierra es la atracción gravitacional terrestre, dirigida hacia el centro de la Tierra y, por lo tanto, hacia el centro de la órbita (**figura 13.15**). Como vimos en la sección 5.4, esto implica que el satélite está en movimiento circular *uniforme* y su rapidez es constante. El satélite no cae *hacia* la Tierra; más bien, cae constantemente *alrededor* de la Tierra. En una órbita circular, la rapidez es exactamente la necesaria para mantener constante la distancia entre el satélite y el centro de la Tierra.

Veamos cómo calcular la rapidez constante  $v$  de un satélite en órbita circular. El radio de la órbita es  $r$ , medido desde el *centro* de la Tierra; la aceleración del satélite tiene magnitud  $a_{\text{rad}} = v^2/r$  y siempre está dirigida hacia el centro del círculo. Por la ley de la gravedad, la fuerza neta (la gravitacional) que actúa sobre el satélite de masa  $m$  tiene magnitud  $F_g = Gm_T m/r^2$  y tiene la misma dirección de la aceleración. La segunda ley de Newton ( $\sum \vec{F} = m\vec{a}$ ) nos dice entonces que

$$\frac{Gm_T m}{r^2} = \frac{mv^2}{r}$$

Al despejar  $v$ , tenemos que

<b>Rapidez del satélite en una órbita circular alrededor de la Tierra</b>	<b>Constante gravitacional</b> $v = \sqrt{\frac{Gm_T}{r}}$	<b>Masa de la Tierra</b> $Gm_T$
		<b>Radio de la órbita</b> $r$

(13.10)

Esta relación señala que no podemos elegir el radio  $r$  de la órbita y la rapidez  $v$  de forma independiente; para un radio  $r$  dado, la rapidez  $v$  de la órbita circular ya está predeterminada.

La masa  $m$  del satélite no aparece en la ecuación (13.10), lo cual indica que el movimiento del satélite no depende de su masa. Un astronauta a bordo de una estación espacial también es como un satélite de la Tierra, retenido por la atracción gravitacional en la misma órbita que la estación. El astronauta tiene la misma velocidad y aceleración que la estación, así que nada lo empuja contra el piso o las paredes de la nave. Se encuentra en un estado de *ingravidez aparente*, como en un elevador en caída libre; vea la explicación que sigue al ejemplo 5.9 en la sección 5.2 (la ingravidez *verdadera* sólo se lograría si el astronauta estuviera infinitamente lejos de cualquier otra masa, de modo que la fuerza gravitacional sobre él sería cero). De hecho, cada parte de su cuerpo está aparentemente ingravida; él no siente que algo empuje su estómago contra los intestinos ni la cabeza contra los hombros (**figura 13.16**).

La ingravidez aparente no se da sólo en órbitas circulares; existe siempre que la gravedad sea la única fuerza que actúa sobre una nave espacial; por lo tanto, se experimenta en órbitas de cualquier forma, incluidas las abiertas como las 6 y 7 de la figura 13.14.

Podemos deducir una relación entre el radio  $r$  de una órbita circular y el periodo  $T$ , la duración de una revolución. La rapidez  $v$  es la distancia  $2\pi r$  recorrida en una revolución, dividida entre el periodo:

$$v = \frac{2\pi r}{T} \quad (13.11)$$

Si despejamos  $T$  de la ecuación (13.11) y sustituimos  $v$  de la ecuación (13.10):

$$\text{Periodo de una órbita circular } T = \frac{2\pi r}{v} = 2\pi r \sqrt{\frac{r}{Gm_T}} = \frac{2\pi r^{3/2}}{\sqrt{Gm_T}} \quad (13.12)$$

Radio de la órbita      Rapidez de la órbita      Constante gravitacional      Masa de la Tierra

Las ecuaciones (13.10) y (13.12) indican que las órbitas más grandes corresponden a rapideces más bajas y a períodos más largos. Como un ejemplo, la Estación Espacial Internacional (figura 13.13) orbita la Tierra a 6800 km del centro de nuestro planeta (400 km arriba de la superficie terrestre) con una rapidez orbital de 7.7 km/s y un período orbital de 93 minutos. La Luna gira alrededor de la Tierra en una órbita mucho más grande de radio igual a 384,000 km, y por lo tanto tiene una rapidez orbital menor (1.0 km/s) y un período orbital mucho más prolongado (27.3 días).

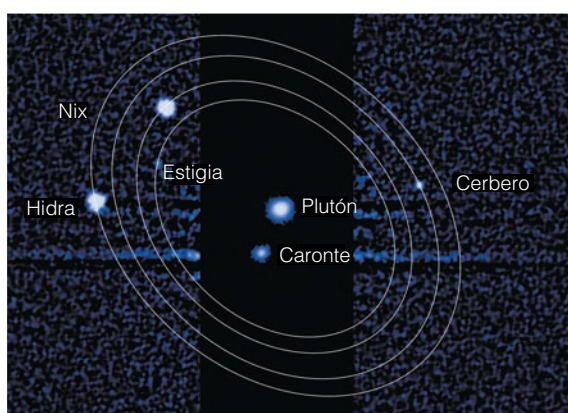
Es interesante comparar la ecuación (13.10) con el cálculo de la rapidez de escape en el ejemplo 13.5. Vemos que la rapidez de escape de un cuerpo esférico con radio  $R$  es  $\sqrt{2}$  veces mayor que la rapidez de un satélite en una órbita circular con ese radio. Si nuestra nave está en órbita circular alrededor de *cualquier* planeta, debemos multiplicar nuestra rapidez por  $\sqrt{2}$  para escapar al infinito, sin importar la masa del planeta.

Puesto que la rapidez  $v$  en una órbita circular está determinada por la ecuación (13.10) para un radio orbital  $r$  dado, la energía mecánica total  $E = K + U$  también está predeterminada. Usando las ecuaciones (13.9) y (13.10), tenemos

$$\begin{aligned} E &= K + U = \frac{1}{2}mv^2 + \left( -\frac{Gm_T m}{r} \right) \\ &= \frac{1}{2}m\left( \frac{Gm_T}{r} \right) - \frac{Gm_T m}{r} \\ &= -\frac{Gm_T m}{2r} \quad (\text{órbita circular}) \end{aligned} \quad (13.13)$$

La energía mecánica total en una órbita circular es negativa e igual a la mitad de la energía potencial. Aumentar el radio orbital  $r$  implica incrementar la energía mecánica (es decir,  $E$  se hace menos negativa). Si el satélite está en una órbita relativamente baja y toca las orillas de la atmósfera, la energía mecánica disminuirá a causa del trabajo negativo efectuado por la resistencia del aire; en consecuencia, el radio orbital disminuirá hasta que el satélite caiga a tierra o se queme en la atmósfera.

Hemos hablado casi exclusivamente de satélites terrestres; no obstante, podemos aplicar el mismo análisis al movimiento circular de *cualquier* cuerpo sometido a la atracción gravitacional de un cuerpo estacionario. En la figura 13.17 se muestra un ejemplo.



**13.17** El planeta enano Plutón es conocido por tener al menos cinco satélites. De acuerdo con las ecuaciones 13.10 y 13.12, cuanto más grande es la órbita de un satélite alrededor de Plutón, menor será la rapidez orbital del satélite y más prolongado será su período orbital.



## EJEMPLO 13.6 UNA ÓRBITA DE SATÉLITE

Suponga que desea poner un satélite de 1000 kg en una órbita circular a una altura de 300 km sobre la superficie terrestre. *a)* ¿Qué rapidez, periodo y aceleración radial debe tener? *b)* ¿Cuánto trabajo se requiere para poner el satélite en órbita? *c)* ¿Cuánto trabajo adicional se necesita para que el satélite escape de la Tierra? El radio y la masa de la Tierra se dan en el ejemplo 13.5 (sección 13.3).

### SOLUCIÓN

**IDENTIFICAR y PLANTEAR:** El satélite tendrá una órbita circular, así que podemos usar las ecuaciones que dedujimos en esta sección. En el inciso *a*) primero determinamos el radio  $r$  de la órbita del satélite a partir de su altitud. Luego calculamos la rapidez  $v$  y el periodo  $T$  usando las ecuaciones (13.10) y (13.12), y la aceleración con la fórmula  $a_{\text{rad}} = v^2/r$ . En los incisos *b*) y *c*), el trabajo requerido es la diferencia entre las energías mecánicas inicial y final que, en el caso de una órbita circular, está dada por la ecuación (13.13).

**EJECUTAR:** *a)* El radio de la órbita del satélite es  $r = 6370 \text{ km} + 300 \text{ km} = 6670 \text{ km} = 6.67 \times 10^6 \text{ m}$ . De acuerdo con la ecuación (13.10), la rapidez orbital es

$$v = \sqrt{\frac{Gm_T}{r}} = \sqrt{\frac{(6.67 \times 10^{-11} \text{ N} \cdot \text{m}^2/\text{kg}^2)(5.97 \times 10^{24} \text{ kg})}{6.67 \times 10^6 \text{ m}}} = 7730 \text{ m/s}$$

Calculamos el periodo orbital con la ecuación (13.12):

$$T = \frac{2\pi r}{v} = \frac{2\pi(6.67 \times 10^6 \text{ m})}{7730 \text{ m/s}} = 5420 \text{ s} = 90.4 \text{ min}$$

Por último, la aceleración radial es

$$a_{\text{rad}} = \frac{v^2}{r} = \frac{(7730 \text{ m/s})^2}{6.67 \times 10^6 \text{ m}} = 8.96 \text{ m/s}^2$$

Éste es el valor de  $g$  a una altura de 300 km sobre la superficie terrestre; es aproximadamente 10% menor que en la superficie.

*b)* El trabajo requerido es la diferencia entre  $E_2$ , la energía mecánica total cuando el satélite está en órbita, y  $E_1$ , la energía mecánica total cuando el satélite estaba en reposo en su plataforma de lanzamiento. Según la ecuación (13.13), la energía en órbita es

$$\begin{aligned} E_2 &= -\frac{Gm_T m}{2r} \\ &= -\frac{(6.67 \times 10^{-11} \text{ N} \cdot \text{m}^2/\text{kg}^2)(5.97 \times 10^{24} \text{ kg})(1000 \text{ kg})}{2(6.67 \times 10^6 \text{ m})} \\ &= -2.98 \times 10^{10} \text{ J} \end{aligned}$$

La energía cinética del satélite es cero en la plataforma de lanzamiento ( $r = R_T$ ), así que:

$$\begin{aligned} E_1 &= K_1 + U_1 = 0 + \left(-\frac{Gm_T m}{R_T}\right) \\ &= -\frac{(6.67 \times 10^{-11} \text{ N} \cdot \text{m}^2/\text{kg}^2)(5.97 \times 10^{24} \text{ kg})(1000 \text{ kg})}{6.37 \times 10^6 \text{ m}} \\ &= -6.25 \times 10^{10} \text{ J} \end{aligned}$$

Por lo tanto, el trabajo requerido es

$$\begin{aligned} W_{\text{requerido}} &= E_2 - E_1 = (-2.98 \times 10^{10} \text{ J}) - (-6.25 \times 10^{10} \text{ J}) \\ &= 3.27 \times 10^{10} \text{ J} \end{aligned}$$

*c)* En el inciso *b*) del ejemplo 13.5 vimos que, para que un satélite escape al infinito, la energía mecánica total mínima debe ser cero. Aquí, la energía mecánica total en la órbita circular es  $E_2 = -2.98 \times 10^{10} \text{ J}$ ; para llevar esto a cero, tendríamos que efectuar un trabajo de  $2.98 \times 10^{10} \text{ J}$  sobre el satélite, presumiblemente por los motores de la nave que lo transportará.

**EVALUAR:** En el inciso *b*), despreciamos la energía cinética inicial que tenía el satélite por la rotación terrestre (cuando aún estaba en la plataforma de lanzamiento). ¿Cuánta diferencia implica esto? (Vea el ejemplo 13.5, donde se incluyen datos útiles).

**EVALÚE SU COMPRENSIÓN DE LA SECCIÓN 13.4** Imagine que una nave espacial está en una órbita circular a baja altitud alrededor de la Tierra. La resistencia del aire de las regiones exteriores de la atmósfera efectúa trabajo negativo sobre la nave, haciendo que el radio orbital disminuya ligeramente. ¿La rapidez de la nave **i.** permanece igual, **ii.** aumenta o **iii.** disminuye? **I**

## 13.5 LAS LEYES DE KEPLER Y EL MOVIMIENTO DE LOS PLANETAS

La palabra *planeta* viene de un vocablo griego que significa “errante o vagabundo”, y efectivamente, los planetas cambian continuamente su posición en el cielo en relación con el fondo estrellado. Uno de los grandes logros intelectuales de los siglos XVI y XVII fue darse cuenta de que la Tierra es un planeta, que todos los planetas están en órbita alrededor del Sol, y que los movimientos aparentes de los planetas vistos desde la Tierra pueden servir para determinar con precisión sus órbitas.

Los primeros dos descubrimientos fueron publicados por Nicolás Copérnico en Polonia en 1543. La deducción de la naturaleza de las órbitas planetarias entre 1601 y 1619 corrió a cargo del astrónomo y matemático alemán Johannes Kepler, utilizando

un voluminoso conjunto de datos precisos acerca de los movimientos planetarios aparentes compilado por su maestro, el astrónomo danés Tycho Brahe. Por medio de ensayo y error, Kepler descubrió tres leyes empíricas que describían con exactitud los movimientos de los planetas:

1. Cada planeta se mueve en una órbita elíptica, con el Sol en uno de los focos de la elipse.
2. Una recta del Sol a un planeta dado barre áreas iguales en tiempos iguales.
3. El periodo orbital de un planeta elevado al cuadrado es proporcional al cubo de la longitud del semieje mayor de la órbita elíptica de dicho planeta.

Kepler no sabía *por qué* los planetas se movían así. Tres generaciones después, cuando Newton dirigió su atención al movimiento planetario, descubrió que las leyes de Kepler pueden *deducirse*; son consecuencia de las leyes de Newton del movimiento y de la ley de la gravitación. Veamos de dónde surge cada una de las leyes de Kepler.

### Primera ley de Kepler

Consideremos primero las órbitas elípticas descritas en la primera ley de Kepler. La figura 13.18 muestra la geometría de una elipse. La dimensión más larga es el **eje mayor**, siendo “a” la mitad de su longitud; esta distancia se denomina **semieje mayor**. La suma de las distancias de  $S$  a  $P$  y de  $S'$  a  $P$  es la misma para todos los puntos de la curva.  $S$  y  $S'$  son los **focos**. El Sol está en  $S$  (no en el centro de la elipse), y el planeta está en  $P$ ; consideramos a ambos como puntos porque su tamaño es muy pequeño en comparación con la distancia entre ellos. No hay nada en el otro foco  $S'$ .

La distancia de cada foco al centro de la elipse es  $ea$ , donde  $e$  es un número adimensional entre 0 y 1 llamado **excentricidad**. Si  $e = 0$ , los dos focos coinciden y la curva en realidad es un círculo. Las órbitas reales de los planetas son casi circulares; sus excentricidades varían entre 0.007 para Venus y 0.206 para Mercurio (la órbita de la Tierra tiene  $e = 0.017$ ). El punto de la órbita más cercano al Sol es el *perihelio*; y el más lejano, el *afelio*.

Newton logró demostrar que, para un cuerpo sobre el que actúa una fuerza de atracción proporcional a  $1/r^2$ , las únicas órbitas cerradas posibles son un círculo o una elipse; también demostró que las órbitas abiertas (las trayectorias 6 y 7 en la figura 13.14) deben ser paráolas o hipérbolas. Estos resultados pueden deducirse aplicando directamente las leyes de Newton del movimiento y la ley de la gravitación, junto con muchas ecuaciones diferenciales que estamos listos para enfrentar.

### Segunda ley de Kepler

La figura 13.19 ilustra la segunda ley de Kepler. En un lapso de tiempo pequeño  $dt$ , la recta del Sol  $S$  al planeta  $P$  describe un ángulo  $d\theta$ . El área barrida es el triángulo coloreado de altura  $r$ , base  $r d\theta$  y área  $dA = \frac{1}{2} r^2 d\theta$  en la figura 13.19b. La rapidez con la que se barre el área,  $dA/dt$ , se denomina *velocidad areolar* o *velocidad de sector*:

$$\frac{dA}{dt} = \frac{1}{2} r^2 \frac{d\theta}{dt} \quad (13.14)$$

La esencia de la segunda ley de Kepler es que la velocidad areolar tiene el mismo valor en todos los puntos de la órbita. Cuando el planeta está cerca del Sol,  $r$  es pequeña y  $d\theta/dt$  es grande; cuando el planeta está lejos del Sol,  $r$  es grande y  $d\theta/dt$  es pequeña.

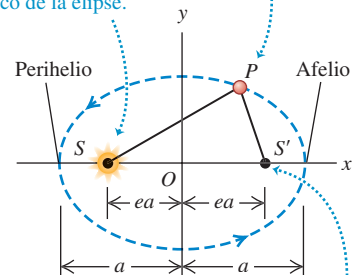
Para ver por qué la segunda ley de Kepler es consecuencia de las leyes de Newton, expresamos  $dA/dt$  en términos del vector velocidad  $\vec{v}$  del planeta  $P$ . La componente de  $\vec{v}$  perpendicular a la línea radial es  $v_{\perp} = v \sin \phi$ . Según la figura 13.19b, el desplazamiento en la dirección de  $v_{\perp}$  durante el tiempo  $dt$  es  $r d\theta$ , de modo que tenemos  $v_{\perp} = r d\theta/dt$ . Usando esta relación en la ecuación (13.14), obtenemos

$$\frac{dA}{dt} = \frac{1}{2} r v_{\perp} \sin \phi \quad (\text{velocidad areolar}) \quad (13.15)$$

**13.18** Geometría de una elipse. La suma de las distancias  $SP$  y  $S'P$  es la misma para todos los puntos de la curva. Se exageraron los tamaños del Sol ( $S$ ) y del planeta ( $P$ ) por claridad.

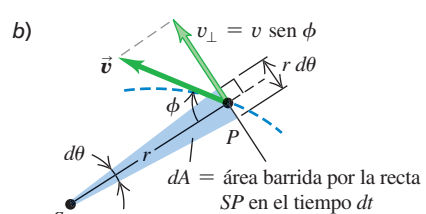
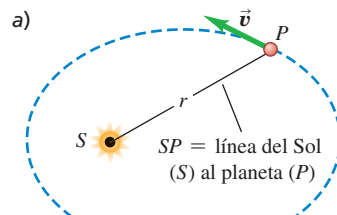
Un planeta  $P$  describe una órbita elíptica.

El Sol  $S$  está en un foco de la elipse.



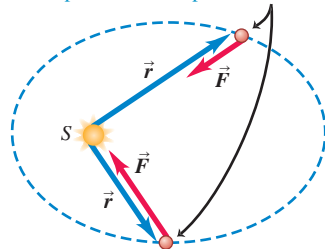
No hay nada en el otro foco.

**13.19** a) El planeta ( $P$ ) se mueve alrededor del Sol ( $S$ ) en una órbita elíptica. b) En un tiempo  $dt$ , la línea  $SP$  barre un área  $dA = \frac{1}{2}(r d\theta)r = \frac{1}{2}r^2 d\theta$ . c) La rapidez del planeta varía de modo que la línea  $SP$  barre la misma área  $A$  en un tiempo dado  $t$ , sea cual fuere la posición del planeta en su órbita.



**13.20** Debido a la fuerza gravitacional que el Sol ejerce sobre un planeta, se produce torca cero alrededor del Sol, y el momento angular del planeta en torno Sol permanece constante.

#### El mismo planeta en dos puntos en su órbita.



- La fuerza gravitacional  $\vec{F}$  sobre el planeta tiene diferentes magnitudes en distintos puntos, pero es siempre opuesta al vector  $\vec{r}$  del Sol  $S$  al planeta.
- Por lo tanto,  $\vec{F}$  produce torca cero alrededor del Sol.

#### BIO Aplicación: Riesgos biológicos

#### de un viaje interplanetario

Una nave espacial enviada de la Tierra a otro planeta destina la mayor parte de su jornada a realizar un rodeo a lo largo de una órbita elíptica, con el Sol en uno de sus focos. Los cohetes se usan sólo al principio y al final del viaje, e incluso el viaje a un planeta cercano como Marte toma varios meses. Durante su viaje, la nave espacial está expuesta a los rayos cósmicos, la radiación que emerge de otros puntos de nuestra galaxia (en la Tierra, estamos protegidos de esta radiación por el campo magnético de nuestro planeta, como se describirá en el capítulo 27). Esto no es un problema para una nave espacial robótica, pero representa un problema médico serio para los astronautas que realicen este viaje.



De esta manera,  $rv \sin \phi$  es la magnitud del producto vectorial  $\vec{r} \times \vec{v}$ , que es  $1/m$  veces el momento angular  $\vec{L} = \vec{r} \times m\vec{v}$  del planeta con respecto al Sol. Tenemos, entonces,

$$\frac{dA}{dt} = \frac{1}{2m} |\vec{r} \times m\vec{v}| = \frac{L}{2m} \quad (13.16)$$

Por lo tanto, la segunda ley de Kepler establece que la velocidad areolar es constante, ¡e implica que el momento angular es constante!

Es fácil saber por qué el momento angular del planeta *debe* ser constante. Según la ecuación (10.26), la rapidez de cambio de  $\vec{L}$  es igual a la torca debida a la fuerza gravitacional  $\vec{F}$  que actúa sobre el planeta:

$$\frac{d\vec{L}}{dt} = \vec{\tau} = \vec{r} \times \vec{F}$$

En nuestra situación,  $\vec{r}$  es el vector del Sol al planeta, y la fuerza  $\vec{F}$  está dirigida del planeta al Sol (**figura 13.20**). Por lo tanto, esos vectores siempre están en la misma recta y su producto vectorial  $\vec{r} \times \vec{F}$  es cero. De ahí que  $d\vec{L}/dt = \mathbf{0}$ . Esta conclusión no depende del comportamiento según  $1/r^2$  de la fuerza; el momento angular se conserva para *cualquier* fuerza que siempre actúe sobre la línea que une la partícula a un punto fijo, denominada *fuerza central* (la primera y la tercera leyes de Kepler *sólo* son válidas para fuerzas  $1/r^2$ ).

La conservación del momento angular también explica por qué la órbita está en un plano. El vector  $\vec{L} = \vec{r} \times m\vec{v}$  siempre es perpendicular al plano de los vectores  $\vec{r}$  y  $\vec{v}$ ; como  $\vec{L}$  es constante en magnitud y dirección,  $\vec{r}$  y  $\vec{v}$  siempre están en el mismo plano, que es el plano de la órbita del planeta.

### Tercera ley de Kepler

Ya dedujimos la tercera ley de Kepler para el caso específico de órbitas circulares. La ecuación (13.12) indica que el periodo de un satélite o planeta en una órbita circular es proporcional al radio de la órbita elevado a la potencia **3/2** (es decir, que el **cuadrado** del periodo del satélite o planeta es proporcional al **cubo** del radio de la órbita circular). Newton logró demostrar que esta misma relación se cumple para una órbita *elíptica*, sustituyendo el radio  $r$  por el semieje mayor  $a$ :

$$T^2 = \frac{4\pi^2}{Gm_s} a^3 \quad (\text{órbita elíptica alrededor del Sol}) \quad (13.17)$$

Como el planeta está en órbita alrededor del Sol, no de la Tierra, en la ecuación (13.12) sustituimos la masa de la Tierra  $m_T$  por la masa del Sol  $m_S$ . Observe que el periodo no depende de la excentricidad  $e$ . Un asteroide en una órbita elíptica alargada con semieje mayor  $a$  tiene el mismo periodo orbital que un planeta en una órbita circular de radio  $a$ . La diferencia clave es que la rapidez del asteroide varía a lo largo de su órbita elíptica (figura 13.19c), mientras que la rapidez del planeta es constante en su órbita circular.

### EJEMPLO CONCEPTUAL 13.7 RAPIDEZES ORBITALES

¿En qué punto de una órbita elíptica (vea la figura 13.19) un planeta tiene la mayor rapidez? ¿Y la menor?

#### SOLUCIÓN

La energía mecánica se conserva al desplazarse el planeta en su órbita. La energía cinética del planeta  $K = \frac{1}{2}mv^2$  es máxima cuando la energía potencial  $U = -Gm_S m/r$  es mínima (es decir, la más negativa; vea la figura 13.11), lo cual ocurre cuando la distancia  $r$

entre el Sol y el planeta es mínima. Por lo tanto, la rapidez  $v$  es máxima en el perihelio. De manera análoga,  $K$  es mínima cuando  $r$  es máxima, de modo que la rapidez es mínima en el afelio.

Aquí podemos aprovechar lo que nos dice la intuición acerca de los cuerpos que caen. Al caer el planeta hacia el Sol, aumenta su rapidez, y su rapidez es máxima cuando está más cerca del Sol. Por el mismo razonamiento, el planeta se frena al alejarse del Sol, y su rapidez es mínima en el afelio.





### EJEMPLO 13.8 TERCERA LEY DE KEPLER

El asteroide Palas tiene un periodo orbital de 4.62 años y una excentricidad orbital de 0.233. Calcule el semieje mayor de su órbita.

#### SOLUCIÓN

**IDENTIFICAR Y PLANTEAR:** Este ejemplo utiliza la tercera ley de Kepler, la cual relaciona el periodo  $T$  con el semieje mayor  $a$  para un objeto (como un asteroide) en órbita. Usamos la ecuación (13.17) para determinar  $a$ ; en el apéndice F observamos que  $m_S = 1.99 \times 10^{30}$  kg, y el factor de conversión del apéndice E da  $T = (4.62 \text{ años})(3.156 \times 10^7 \text{ s/año}) = 1.46 \times 10^8 \text{ s}$ . Observe que no necesitamos el valor de la excentricidad.

**EJECUTAR:** De acuerdo con la ecuación (13.17),  $a^{3/2} = [(Gm_S)^{1/2}T]/2\pi$ . Para despejar  $a$ , elevamos ambos lados de esta expresión a la potencia  $\frac{2}{3}$  y luego sustituimos los valores de  $G$ ,  $m_S$  y  $T$ :

$$a = \left( \frac{Gm_S T^2}{4\pi^2} \right)^{1/3} = 4.15 \times 10^{11} \text{ m}$$

(Realice el cálculo para comprobarlo).

**EVALUAR:** Nuestro resultado es intermedio entre los semiejes mayores de Marte y Júpiter (vea el apéndice F). Efectivamente, la mayoría de los asteroides conocidos se localizan en un “cinturón de asteroides” entre las órbitas de esos dos planetas.

### EJEMPLO 13.9 EL COMETA HALLEY



El cometa Halley se desplaza en una órbita elíptica alargada alrededor del Sol (**figura 13.21**). Sus distancias del Sol al perihelio y al afelio son  $8.75 \times 10^7$  km y  $5.26 \times 10^9$  km, respectivamente. Calcule el semieje mayor, la excentricidad y el periodo.

#### SOLUCIÓN

**IDENTIFICAR y PLANTEAR:** Vamos a calcular el semieje mayor  $a$ , la excentricidad  $e$  y el periodo de la órbita  $T$ . Podemos usar la figura 13.18 para calcular  $a$  y  $e$  a partir de las distancias al perihelio y al afelio. Una vez que conozcamos el valor de  $a$ , podremos obtener  $T$  con la tercera ley de Kepler, ecuación (13.17).

**EJECUTAR:** A partir de la figura 13.18, vemos que la longitud del eje mayor  $2a$  es igual a la suma de las distancias entre el cometa y el Sol en el perihelio y en el afelio. Así que

$$a = \frac{(8.75 \times 10^7 \text{ km}) + (5.26 \times 10^9 \text{ km})}{2} = 2.67 \times 10^9 \text{ km}$$

La figura 13.18 también indica que la distancia entre el cometa y el Sol en el perihelio es  $a - ea = a(1 - e)$ . Esta distancia es  $8.75 \times 10^7$  km, por lo que

$$e = 1 - \frac{8.75 \times 10^7 \text{ km}}{a} = 1 - \frac{8.75 \times 10^7 \text{ km}}{2.67 \times 10^9 \text{ km}} = 0.967$$

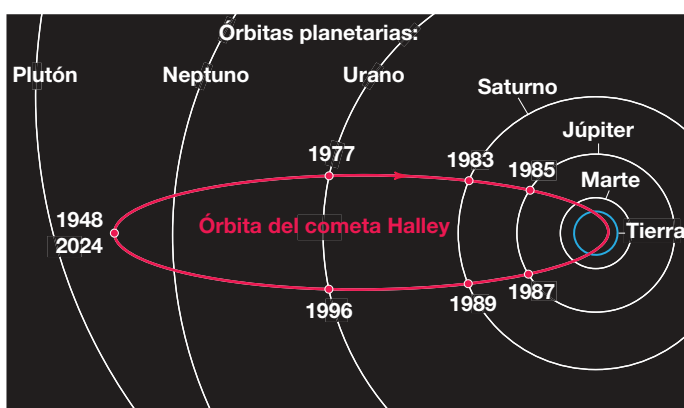
Despejando  $T$  de la ecuación (13.17), el periodo es

$$T = \frac{2\pi a^{3/2}}{\sqrt{Gm_S}} = \frac{2\pi (2.67 \times 10^{12} \text{ m})^{3/2}}{\sqrt{(6.67 \times 10^{-11} \text{ N} \cdot \text{m}^2/\text{kg}^2)(1.99 \times 10^{30} \text{ kg})}} \\ = 2.38 \times 10^9 \text{ s} = 75.5 \text{ años}$$

**EVALUAR:** La excentricidad es casi 1, así que la órbita del cometa es muy alargada (vea la figura 13.21a). El cometa Halley estuvo en su perihelio a principios de 1986 (figura 13.21b); llegará otra vez al perihelio un periodo después, en el año 2061.

**13.21** a) Órbita del cometa Halley. b) El cometa en 1986. En el corazón del cometa hay un cuerpo helado, llamado núcleo, de unos 10 km de diámetro. Cuando el cometa se acerca al Sol, el calor de éste hace que el núcleo se evapore parcialmente. El material evaporado forma la cauda, que llega a medir decenas de millones de kilómetros de longitud.

a)

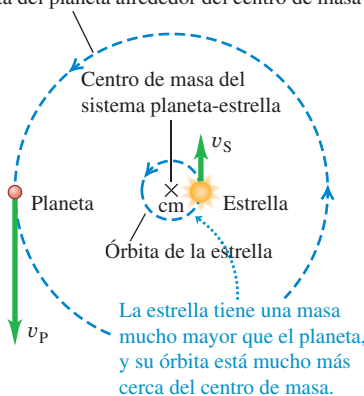


b)



**13.22** Una estrella y su planeta están en órbita alrededor de su centro de masa común.

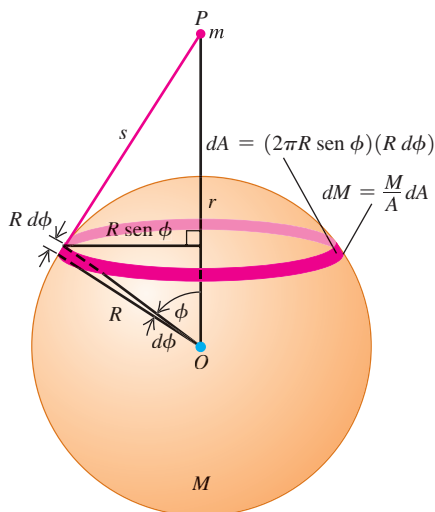
Órbita del planeta alrededor del centro de masa



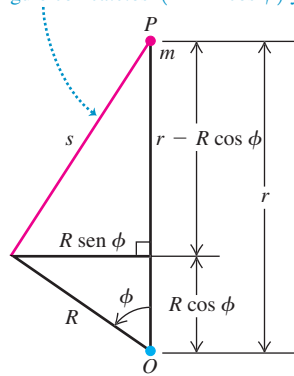
El planeta y la estrella están siempre en lados opuestos del centro de masa.

**13.23** Cálculo de la energía potencial gravitacional de interacción entre una masa puntual  $m$  afuera de un cascarón esférico y un anillo en la superficie del cascarón de masa  $M$ .

a) Geometría de la situación



b) La distancia  $s$  es la hipotenusa de un triángulo rectángulo con catetos ( $r - R \cos \phi$ ) y  $R \operatorname{sen} \phi$ .



## Movimientos planetarios y el centro de masa

Hemos supuesto que, mientras un planeta o un cometa se mueven alrededor del Sol, éste permanece absolutamente estacionario. Desde luego, esto no es correcto; como el Sol ejerce una fuerza gravitacional sobre el planeta, este último ejerce una fuerza gravitacional sobre el Sol de la misma magnitud pero en sentido opuesto. De hecho, tanto el Sol como el planeta giran alrededor de su centro de masa común (figura 13.22). No obstante, nuestro error al despreciar este efecto es pequeño; la masa del Sol es unas 750 veces mayor que la masa combinada de todos los planetas, de modo que el centro de masa del Sistema Solar no está lejos del centro del Sol. Resulta interesante que los astrónomos hayan aprovechado este efecto para detectar la presencia de planetas en órbita alrededor de otras estrellas. Los telescopios más sensibles pueden detectar el “bamboleo” aparente de una estrella en órbita alrededor del centro de masa común de la estrella y un planeta acompañante que no puede verse (los planetas son demasiado tenues para observarse directamente). Analizando los “bamboleos”, los astrónomos han descubierto planetas en órbita alrededor de cientos de estrellas.

El resultado más notable de la labor de Newton acerca del movimiento planetario es que los movimientos de los cuerpos celestes obedecen las *mismas* leyes del movimiento que los cuerpos en la Tierra. Esta *síntesis newtoniana*, como se ha llamado, es uno de los grandes principios unificadores de la ciencia y afecta profundamente la forma en que vemos el universo: no como un reino de misterio impenetrable, sino como una extensión directa del mundo cotidiano, sujeta al estudio y cálculo científicos.

**EVALÚE SU COMPRENSIÓN DE LA SECCIÓN 13.5** La órbita del cometa X tiene un semieje mayor cuatro veces más grande que el semieje mayor del cometa Y. Calcule la razón del periodo orbital de X con respecto al periodo orbital de Y. **i.** 2; **ii.** 4; **iii.** 8; **iv.** 16; **v.** 32; **vi.** 64. **I**

## 13.6 DISTRIBUCIONES ESFÉRICAS DE MASA

Hemos enunciado, sin demostrarlo, que la interacción gravitacional entre dos distribuciones de masa esféricamente simétricas es la misma que existiría si la masa de cada una estuviera concentrada en su centro. Ya estamos en condiciones de demostrarlo. Newton buscó varios años una demostración, y aplazó la publicación de la ley de la gravedad hasta que la encontró.

En lugar de comenzar con dos masas esféricamente simétricas, atacaremos el problema más sencillo de una masa puntual  $m$  que interactúa con un cascarón esférico delgado con masa total  $M$ . Demostraremos que, si  $m$  está afuera de la esfera, la *energía potencial* asociada a esta interacción gravitacional es la misma que habría si  $M$  estuviera concentrada en un punto en el centro de la esfera. En la sección 7.4 vimos que la fuerza es la derivada negativa de la energía potencial, así que la *fuerza* que actúa sobre  $m$  es la misma que para la masa puntual  $M$ . Nuestro resultado también es válido para *cualquier* distribución de masa esféricamente simétrica, la cual puede considerarse formada por muchos cascarones esféricos concéntricos.

### Una masa puntual afuera de un cascarón esférico

Comenzamos considerando un anillo en la superficie de un cascarón (figura 13.23a), con centro en la recta que va del centro del cascarón a  $m$ . Hacemos esto porque todas las partículas del anillo están a la misma distancia  $s$  de la masa puntual  $m$ . De acuerdo con la ecuación (13.9), la energía potencial de la interacción entre la Tierra (masa  $m_T$ ) y una masa puntual  $m$  separada una distancia  $r$  es  $U = -Gm_T m/r$ . A partir de esta expresión, vemos que la energía potencial de interacción entre la masa puntual  $m$  y una partícula de masa  $m_i$  del anillo está dada por

$$U_i = -\frac{Gmm_i}{s}$$

Para calcular la energía potencial  $dU$  de la interacción entre  $m$  y el anillo entero de masa  $dM = \sum_i m_i$ , sumamos esta expresión de  $U_i$  para todas las partículas del anillo:

$$dU = \sum_i U_i = \sum_i \left( -\frac{Gmm_i}{s} \right) = -\frac{Gm}{s} \sum_i m_i = -\frac{Gm dM}{s} \quad (13.18)$$

Para continuar, necesitamos conocer la masa  $dM$  del anillo, que podemos calcular con un poco de geometría. El radio del cascarón es  $R$ , así que, en términos del ángulo  $\phi$  de la figura, el radio del anillo es  $R \sin \phi$ , y su circunferencia es  $2\pi R \sin \phi$ . El ancho del anillo es  $R d\phi$ , y su área  $dA$  es aproximadamente igual a su ancho multiplicado por su circunferencia:

$$dA = 2\pi R^2 \sin \phi \, d\phi$$

La razón entre la masa  $dM$  del anillo y la masa total  $M$  del cascarón es la misma que hay entre el área  $dA$  del anillo y el área total  $A = 4\pi R^2$  del cascarón:

$$\frac{dM}{M} = \frac{2\pi R^2 \sin \phi \, d\phi}{4\pi R^2} = \frac{1}{2} \sin \phi \, d\phi \quad (13.19)$$

Ahora despejamos  $dM$  de esta ecuación y sustituimos el resultado en la ecuación (13.18) para obtener la energía potencial de interacción entre la masa puntual  $m$  y el anillo:

$$dU = -\frac{GMm \sin \phi \, d\phi}{2s} \quad (13.20)$$

La energía potencial total de interacción entre la masa puntual y el *cascarón* es la integral de la ecuación (13.20) para toda la esfera, conforme  $\phi$  varía de 0 a  $\pi$  (*no*  $2\pi$ !), y  $s$  varía de  $r - R$  a  $r + R$ . Para realizar la integración, debemos expresar el integrando en términos de una sola variable; elegimos  $s$ . Para expresar  $\phi$  y  $d\phi$  en términos de  $s$  necesitamos otro poco de geometría. En la figura 13.23b es evidente que  $s$  es la hipotenusa de un triángulo rectángulo con catetos  $(r - R \cos \phi)$  y  $R \sin \phi$ , así que, por el teorema de Pitágoras:

$$\begin{aligned} s^2 &= (r - R \cos \phi)^2 + (R \sin \phi)^2 \\ &= r^2 - 2rR \cos \phi + R^2 \end{aligned} \quad (13.21)$$

Tomamos las diferenciales de ambos miembros:

$$2s \, ds = 2rR \sin \phi \, d\phi$$

Ahora dividimos esto entre  $2rR$  y sustituimos el resultado en la ecuación (13.20):

$$dU = -\frac{GMm}{2s} \frac{s \, ds}{rR} = -\frac{GMm}{2rR} \, ds \quad (13.22)$$

Ahora podemos integrar la ecuación (13.22), recordando que  $s$  varía desde  $r - R$  hasta  $r + R$ :

$$U = -\frac{GMm}{2rR} \int_{r-R}^{r+R} ds = -\frac{GMm}{2rR} [(r + R) - (r - R)] \quad (13.23)$$

Por último, tenemos

$$U = -\frac{GMm}{r} \quad (\text{masa puntual } m \text{ afuera de un cascarón esférico } M) \quad (13.24)$$

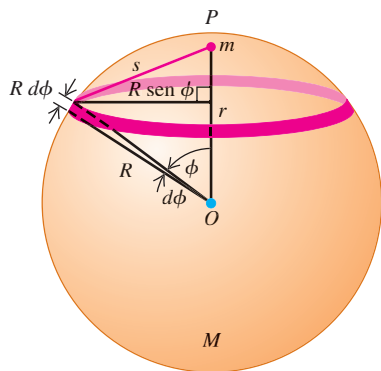
Esto es igual a la energía potencial de dos masas puntuales  $m$  y  $M$  a una distancia  $r$ , así que hemos demostrado que la energía potencial gravitacional del cascarón esférico  $M$  y la masa puntual  $m$  a cualquier distancia  $r$  es la misma que habría si fueran masas puntuales. Como la fuerza está dada por  $F_r = -dU/dr$ , la fuerza es la misma.

## Fuerza gravitacional entre distribuciones esféricicas de masa

Cualquier distribución esféricamente simétrica de masa puede considerarse como una combinación de cascarones esféricos concéntricos. Por el principio de superposición de las fuerzas, lo que es válido para un cascarón es válido para la combinación. Por lo tanto, hemos demostrado la mitad de lo que nos propusimos: que la interacción gravitacional entre cualquier distribución esféricamente simétrica de masa y una masa puntual es la misma que existiría si toda la masa de la distribución esféricamente simétrica estuviera concentrada en su centro.

La otra mitad consiste en demostrar que *dos* distribuciones esféricamente simétricas de masa interactúan como si fueran puntos. Esto es más fácil. En la figura 13.23a, las fuerzas que los dos cuerpos ejercen entre sí son un par acción-reacción, y cumplen la tercera ley de Newton. De esta manera, hemos demostrado que la fuerza que  $m$  ejerce sobre la esfera  $M$  es la misma que ejercería si  $M$  fuera un punto. Pero si ahora sustituimos  $m$  por una distribución esféricamente simétrica de masa centrada en la posición de  $m$ , la fuerza gravitacional resultante que actúa sobre cualquier parte de  $M$  es la misma que antes, y lo mismo se cumple para la fuerza total. Esto completa la demostración.

**13.24** Si una masa puntual  $m$  está *dentro* de un cascarón esférico uniforme de masa  $M$ , la energía potencial es la misma sin importar en qué punto del interior del cascarón esté la masa puntual. La fuerza de la interacción gravitacional mutua de las masas es cero.



### Masa puntual dentro de un cascarón esférico

Supusimos al principio que la masa puntual  $m$  estaba afuera del cascarón esférico, así que nuestra demostración sólo es válida si  $m$  está afuera de una distribución esféricamente simétrica de masa. Si  $m$  está *dentro* de un cascarón esférico, la geometría es la que se muestra en la **figura 13.24**. El análisis es el mismo; las ecuaciones (13.18) a (13.22) siguen siendo válidas; sin embargo, en la ecuación (13.23) los límites de integración deben cambiarse a  $R - r$  y  $R + r$ . De esta manera,

$$U = -\frac{GMm}{2rR} \int_{R-r}^{R+r} ds = -\frac{GMm}{2rR} [(R+r) - (R-r)] \quad (13.25)$$

y el resultado final es

$$U = -\frac{GMm}{R} \quad (\text{masa puntual } m \text{ dentro de un cascarón esférico } M) \quad (13.26)$$

Compare este resultado con la ecuación (13.24): en lugar de tener  $r$ , la distancia entre  $m$  y el centro de  $M$ , en el denominador, tenemos  $R$ , el radio del cascarón. Esto implica que en la ecuación (13.26)  $U$  no depende de  $r$  y, por ello, tiene el mismo valor en todo el interior del cascarón. Si  $m$  se mueve dentro del cascarón, no se efectúa trabajo sobre ella, por lo que la fuerza que actúa sobre  $m$  en cualquier punto dentro del cascarón debe ser cero.

En términos más generales, en cualquier punto del interior de una distribución esféricamente simétrica de masa (no necesariamente hueca), a una distancia  $r$  del centro, la fuerza gravitacional que actúa sobre una masa puntual  $m$  es la misma que existiría si elimináramos toda la masa situada a una distancia mayor que  $r$  del centro y concentráramos la masa restante en el centro.

### EJEMPLO 13.10 "VIAJE AL CENTRO DE LA TIERRA"

Suponga que usted perfora un orificio que atraviesa la Tierra siguiendo un diámetro y deja caer un saco de correo por él. Deduzca una expresión para la fuerza gravitacional  $F_g$  que actúa sobre el saco en función de su distancia al centro de la Tierra. Suponga que la densidad de la Tierra es uniforme (un modelo no muy realista; vea la figura 13.9).

#### SOLUCIÓN

**IDENTIFICAR y PLANTEAR:** Partiendo de nuestro análisis anterior, el valor de  $F_g$  a una distancia  $r$  del centro de la Tierra está determinado sólo por la masa  $M$  dentro de una región esférica de radio  $r$

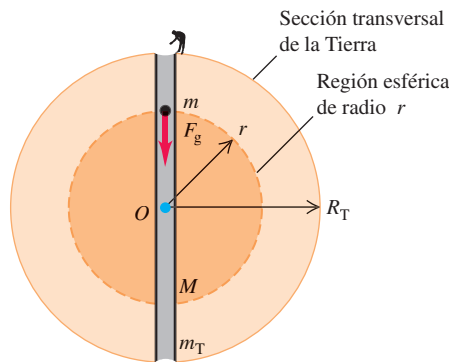
(**figura 13.25**). Por lo tanto,  $F_g$  es la misma que si toda la masa dentro del radio  $r$  estuviera concentrada en el centro de la Tierra. La masa de una esfera uniforme es proporcional al volumen de la esfera, que es  $\frac{4}{3}\pi r^3$  para la esfera de radio  $r$  y  $\frac{4}{3}\pi R_T^3$  para toda la Tierra.

**EJECUTAR:** El cociente de la masa  $M$  de la esfera de radio  $r$  y la masa terrestre,  $m_T$ , es

$$\frac{M}{m_T} = \frac{\frac{4}{3}\pi r^3}{\frac{4}{3}\pi R_T^3} = \frac{r^3}{R_T^3} \quad \text{de modo que} \quad M = m_T \frac{r^3}{R_T^3}$$



**13.25** Orificio que pasa por el centro de la Tierra (la cual suponemos uniforme). Si un objeto está a una distancia  $r$  del centro, sólo la masa dentro de una esfera de radio  $r$  ejerce una fuerza gravitacional neta sobre él.



La magnitud de la fuerza gravitacional que actúa sobre  $m$  está dada por

$$F_g = \frac{GMm}{r^2} = \frac{Gm}{r^2} \left( m_T \frac{r^3}{R_T^3} \right) = \frac{Gm_T m}{R_T^3 r}$$

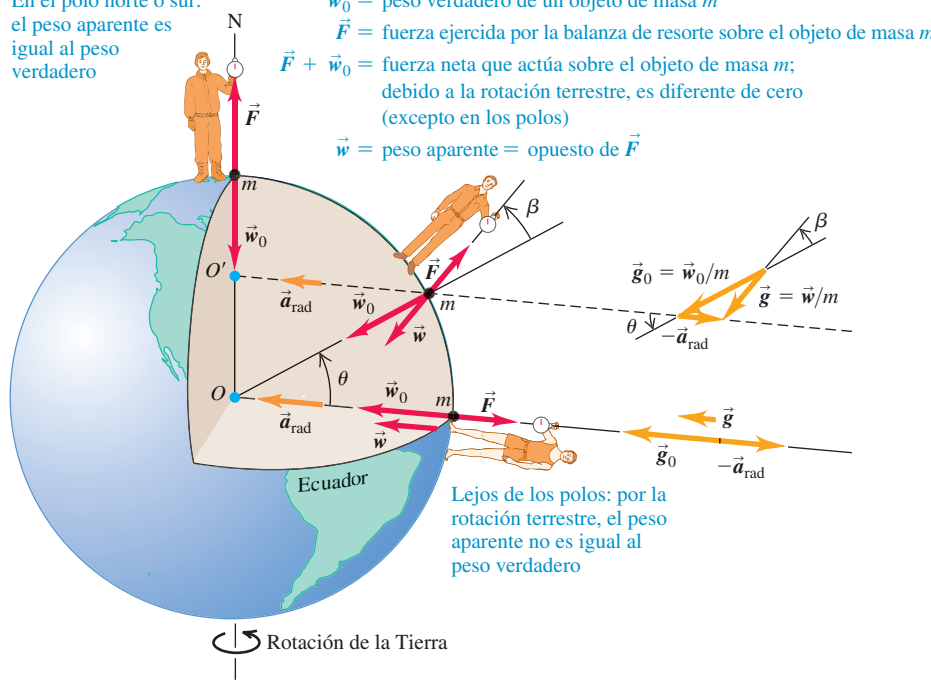
**EVALUAR:** Dentro de esta esfera de densidad uniforme,  $F_g$  es *directamente proporcional* a la distancia  $r$  del centro, no a  $1/r^2$  como sucede afuera de la esfera. En la superficie, donde  $r = R_T$ , tenemos que  $F_g = Gm_T m / R_T^2$ , como es de esperarse. En el siguiente capítulo aprenderemos a calcular el tiempo que el saco tardaría en llegar al otro lado de la Tierra.

**EVALÚE SU COMPRENSIÓN DE LA SECCIÓN 13.6** En la novela clásica de ciencia ficción *En el centro de la Tierra*, escrita en 1913 por Edgar Rice Burroughs, ciertos exploradores descubren que la Tierra es una esfera hueca y que toda una civilización vive en el interior de ella. ¿Sería posible ponerse de pie y caminar en la superficie interior de un planeta hueco que no gira?

## 13.7 PESO APARENTE Y ROTACIÓN TERRESTRE

Puesto que la Tierra gira sobre su eje, no es precisamente un sistema de referencia inercial. Por tal razón, el peso aparente de un cuerpo en la Tierra no es exactamente igual a la atracción gravitacional terrestre, a la que llamaremos **peso verdadero**  $\vec{w}_0$  del cuerpo. La **figura 13.26** es la vista de un corte de la Tierra donde hay tres observadores. Cada uno sostiene una balanza de resorte, de la cual cuelga un cuerpo de masa  $m$ . Cada balanza aplica una fuerza de tensión  $\vec{F}$  al cuerpo que cuelga, y la lectura de cada

En el polo norte o sur:  
el peso aparente es  
igual al peso  
verdadero



**13.26** Excepto en los polos, la lectura de una báscula en la que se pesa un objeto (el **peso aparente**) es menor que la fuerza de atracción gravitacional que actúa sobre el objeto (el **peso verdadero**). Ello se debe a que se requiere una fuerza neta que proporcione la aceleración centrípeta, pues el objeto gira junto con la Tierra. Por claridad, en el dibujo se exagera considerablemente el ángulo  $\beta$  entre los vectores de peso verdadero y peso aparente.

balanza es la magnitud  $F$  de dicha fuerza. Si los observadores no están conscientes de la rotación terrestre, *piensan* que la lectura de la báscula es igual al peso del cuerpo porque creen que éste se encuentra en equilibrio. Así, cada observador piensa que a la tensión  $\vec{F}$  debe oponerse una fuerza igual y en sentido contrario  $\vec{w}$ , a la que llamamos **peso aparente**. Pero si los cuerpos giran junto con la Tierra, *no* están precisamente en equilibrio. Nuestro problema es encontrar la relación entre el peso aparente  $\vec{w}$  y el peso verdadero  $\vec{w}_0$ .

Si suponemos que la Tierra es esféricamente simétrica, el peso verdadero  $\vec{w}_0$  tendrá magnitud  $Gm_T m / R_T^2$ , donde  $m_T$  y  $R_T$  son la masa y el radio de la Tierra, respectivamente. Este valor es el mismo para todos los puntos en la superficie terrestre. Si podemos tomar el centro de la Tierra como el origen de un sistema inercial de coordenadas, entonces el cuerpo que se encuentra en el polo norte realmente *está* en equilibrio en el sistema inercial, y la lectura de la balanza de resorte de ese observador es igual a  $w_0$ . En cambio, el cuerpo en el ecuador se mueve en un círculo de radio  $R_T$  con rapidez  $v$ , y debe haber una fuerza neta hacia adentro igual a la masa multiplicada por la aceleración centrípeta:

$$w_0 - F = \frac{mv^2}{R_T}$$

Por lo tanto, la magnitud del peso aparente (igual a la magnitud de  $F$ ) es

$$w = w_0 - \frac{mv^2}{R_T} \quad (\text{en el ecuador}) \quad (13.27)$$

Si la Tierra no girara y el cuerpo se soltara, éste tendría una aceleración de caída libre  $g_0 = w_0/m$ . Como la Tierra *sí* gira, la aceleración real del cuerpo que cae relativa al observador en el ecuador es  $g = w/m$ . Dividiendo la ecuación (13.27) entre  $m$  y usando estas relaciones, obtenemos

$$g = g_0 - \frac{v^2}{R_T} \quad (\text{en el ecuador})$$

Para evaluar  $v^2/R_T$ , observamos que en 86,164 s, un punto en el ecuador se mueve una distancia igual a la circunferencia de la Tierra,  $2\pi R_T = 2\pi(6.37 \times 10^6 \text{ m})$  (el día solar, 86,400 s, es  $\frac{1}{365}$  más largo porque, en un día, la Tierra también recorre  $\frac{1}{365}$  de su órbita alrededor del Sol). Entonces,

$$v = \frac{2\pi(6.37 \times 10^6 \text{ m})}{86,164 \text{ s}} = 465 \text{ m/s}$$

$$\frac{v^2}{R_T} = \frac{(465 \text{ m/s})^2}{6.37 \times 10^6 \text{ m}} = 0.0339 \text{ m/s}^2$$

Así, para una Tierra esféricamente simétrica, la aceleración debida a la gravedad debería ser aproximadamente  $0.03 \text{ m/s}^2$  menor en el ecuador que en los polos.

En puntos intermedios entre el ecuador y los polos, el peso verdadero  $\vec{w}_0$  y la aceleración centrípeta no están en la misma recta, y necesitamos escribir la ecuación vectorial correspondiente a la ecuación (13.27). En la figura 13.26, vemos que la ecuación adecuada es

$$\vec{w} = \vec{w}_0 - m\vec{a}_{\text{rad}} = m\vec{g}_0 - m\vec{a}_{\text{rad}} \quad (13.28)$$

La diferencia en las magnitudes de  $g$  y  $g_0$  está entre cero y  $0.0339 \text{ m/s}^2$ . Como se aprecia en la figura 13.26, la dirección del peso aparente difiere de la dirección hacia el centro de la Tierra en un ángulo pequeño  $\beta$ , que es de  $0.1^\circ$  o menos.

La **tabla 13.1** da los valores de  $g$  en varios lugares. Además de las variaciones moderadas relacionadas con la latitud, hay otras variaciones pequeñas debidas a la elevación, las diferencias en la densidad local y la desviación de la Tierra con respecto a una simetría esférica perfecta.

Variaciones de  $g$  con la latitud y la elevación

ESTACIÓN	LATITUD NORTE	ELEVACIÓN (m)	$g$ ( $\text{m/s}^2$ )
Zona del Canal	09°	0	9.78243
Jamaica	18°	0	9.78591
Bermudas	32°	0	9.79806
Denver, CO	40°	1638	9.79609
Pittsburgh, PA	40.5°	235	9.80118
Cambridge, MA	42°	0	9.80398
Groenlandia	70°	0	9.82534

**EVALÚE SU COMPRENSIÓN DE LA SECCIÓN 13.7** Imagine un planeta que tiene la misma masa y radio que la Tierra; no obstante, realiza 10 rotaciones durante el tiempo en que la Tierra hace una. ¿Cuál sería la diferencia entre la aceleración debida a la gravedad en el ecuador del planeta y la aceleración debida a la gravedad en sus polos? **i.**  $0.00339 \text{ m/s}^2$ ; **ii.**  $0.0339 \text{ m/s}^2$ ; **iii.**  $0.339 \text{ m/s}^2$ ; **iv.**  $3.39 \text{ m/s}^2$ .

## 13.8 AGUJEROS NEGROS

En 1916 Albert Einstein presentó su teoría general de la relatividad, que incluye un nuevo concepto de la naturaleza de la gravitación. En su teoría, un objeto masivo realmente cambia la geometría del espacio y del tiempo a su alrededor. Otros objetos sienten estas alteraciones en el espacio y el tiempo y responden al ser atraídos por el primer objeto. La teoría general de la relatividad está más allá de nuestro enfoque de este capítulo, pero podemos revisar una de sus predicciones más asombrosas: la existencia de los **agujeros negros**, objetos cuya influencia gravitacional es tan grande que nada, ni siquiera la luz, puede escapar de ellos. La idea básica puede entenderse con base en los principios newtonianos.

### La rapidez de escape de una estrella

Pensemos primero en las propiedades de nuestro Sol. Su masa  $M = 1.99 \times 10^{30} \text{ kg}$  y radio  $R = 6.96 \times 10^8 \text{ m}$  son mucho mayores que los de cualquier planeta; sin embargo, en comparación con otras estrellas, nuestro Sol no es excepcionalmente masivo. Se puede calcular la densidad media  $\rho$  del Sol del mismo modo en que se calculó la densidad media de la Tierra en la sección 13.2:

$$\rho = \frac{M}{V} = \frac{M}{\frac{4}{3}\pi R^3} = \frac{1.99 \times 10^{30} \text{ kg}}{\frac{4}{3}\pi(6.96 \times 10^8 \text{ m})^3} = 1410 \text{ kg/m}^3$$

La temperatura del Sol varía entre 5800 K (unos 5500°C o 10,000°F) en la superficie y  $1.5 \times 10^7 \text{ K}$  (unos  $2.7 \times 10^7 \text{ F}$ ) en el interior, así que seguramente no contiene sólidos ni líquidos. No obstante, la atracción gravitacional junta los átomos de gas hasta volver al Sol 41%, en promedio, más denso que el agua y unas 1200 veces más denso que el aire que respiramos.

Veamos ahora la rapidez de escape de un cuerpo en la superficie del Sol. En el ejemplo 13.5 (sección 13.3), vimos que la rapidez de escape de la superficie de una masa esférica de masa  $M$  y radio  $R$  es  $v = \sqrt{2GM/R}$ . Podemos relacionar esto con la densidad media. Al sustituir  $M = \rho V = \rho(\frac{4}{3}\pi R^3)$  en la expresión para la rapidez de escape:

$$v = \sqrt{\frac{2GM}{R}} = \sqrt{\frac{8\pi G\rho}{3}}R \quad (13.29)$$

Con cualquier forma de esta ecuación, podemos demostrar que la rapidez de escape para un cuerpo en la superficie solar es  $v = 6.18 \times 10^5 \text{ m/s}$  (cerca de 2.2 millones de km/h o 1.4 millones de mi/h). Este valor, que es aproximadamente  $\frac{1}{500}$  de la rapidez de la luz en el vacío, es independiente de la masa del cuerpo que escapa; sólo depende de la masa y del radio (o de la densidad media y el radio) del Sol.

Consideremos ahora diversas estrellas con la misma densidad media  $\rho$  y diferentes radios  $R$ . La ecuación (13.29) indica que, para un valor dado de la densidad  $\rho$ , la rapidez de escape  $v$  es directamente proporcional a  $R$ . En 1783 el reverendo John Mitchell, un astrónomo aficionado, señaló que si un cuerpo con la misma densidad media del Sol tuviera un radio 500 veces mayor, la magnitud de su rapidez de escape sería mayor que la rapidez de la luz en el vacío  $c$ . Al apuntar que “toda la luz emitida por semejante cuerpo tendría que regresar a él”, Mitchell se convirtió en la primera persona en sugerir la existencia de lo que ahora llamamos agujero negro.

## Agujeros negros, el radio de Schwarzschild y el horizonte de eventos

La primera expresión para la rapidez de escape de la ecuación (13.29) sugiere que un cuerpo de masa  $M$  actúa como agujero negro, si su radio  $R$  es menor o igual a cierto radio crítico. ¿Cómo podemos determinar ese radio crítico? Podríamos pensar que se puede determinar su valor con sólo establecer que  $v = c$  en la ecuación (13.29). De hecho, esto sí da el resultado correcto, pero sólo porque dos errores se compensan. La energía cinética de la luz *no* es  $mc^2/2$ , y la energía potencial gravitacional cerca de un agujero negro *no* está dada por la ecuación (13.9). En 1916 Karl Schwarzschild usó la teoría general de la relatividad de Einstein con la finalidad de deducir una expresión para el radio crítico  $R_S$ , llamado ahora **radio de Schwarzschild**. El resultado es el mismo que si hubiéramos igualado  $v$  a  $c$  en la ecuación (13.29):

$$c = \sqrt{\frac{2GM}{R_S}}$$

Al despejar el radio de Schwarzschild  $R_S$ , tenemos

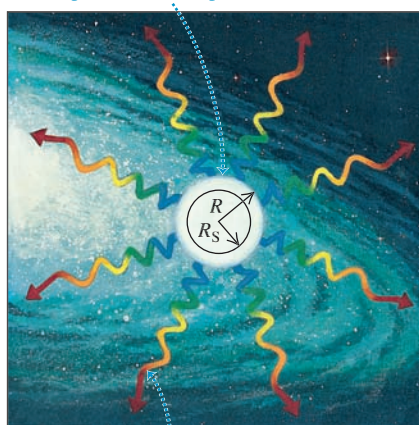
$$\text{Radio de Schwarzschild de un agujero negro} \quad R_S = \frac{2GM}{c^2} \quad \begin{matrix} \text{Constante gravitacional} \\ \text{Masa de un agujero negro} \\ \text{Rapidez de la luz en el vacío} \end{matrix} \quad (13.30)$$

Si un cuerpo esférico sin rotación con masa  $M$  tiene un radio menor que  $R_S$ , entonces *nada* (ni siquiera la luz) podrá escapar de su superficie, y el cuerpo es un agujero negro (**figura 13.27**). En este caso, todos los cuerpos que estén a menos de una distancia  $R_S$  del centro del agujero negro quedarán atrapados por su atracción gravitacional y no podrán escapar de él.

La superficie de la esfera con radio  $R_S$  que rodea a un agujero negro se denomina **horizonte de eventos** porque, como la luz no puede escapar del interior de la esfera, no podemos ver los eventos que ocurren ahí. Lo único que un observador afuera del horizonte de eventos puede conocer acerca de un agujero negro es su masa (por sus efectos gravitacionales sobre otros cuerpos), su carga eléctrica (por las fuerzas eléctricas que ejerce sobre otros cuerpos cargados) y su momento angular (porque un agujero negro en rotación tiende a arrastrar el espacio que hay a su alrededor y todo lo que contiene). Toda la demás información acerca del cuerpo se pierde irremediablemente cuando se colapsa dentro de su horizonte de eventos.

**13.27** a) Un cuerpo con radio  $R$  mayor que el radio de Schwarzschild  $R_S$ . b) Si el cuerpo colapsa a un radio menor que  $R_S$ , es un agujero negro con una rapidez de escape mayor que la rapidez de la luz. La superficie de la esfera de radio  $R_S$  se denomina el horizonte de eventos del agujero negro.

- a) Si el radio  $R$  de un cuerpo es mayor que el radio de Schwarzschild  $R_S$ , la luz puede escapar de la superficie del cuerpo.



- b) Si toda la masa del cuerpo está dentro del radio  $R_S$ , este cuerpo es un agujero negro: ninguna luz puede escapar de éste.



Gravedad que actúa sobre la luz que escapa y hace “un corrimiento al rojo” hacia longitudes de onda mayores.



### EJEMPLO 13.11 CÁLCULOS SOBRE AGUJEROS NEGROS

Una teoría astrofísica sugiere que una estrella consumida puede colapsarse bajo su propia gravedad para formar un agujero negro, si su masa es de cuando menos tres masas solares. En tal caso, ¿qué radio tendría el horizonte de eventos?

#### SOLUCIÓN

**IDENTIFICAR, PLANTEAR Y EJECUTAR:** El radio en cuestión es el radio de Schwarzschild. Usamos la ecuación (13.30) con un valor de  $M$  de tres masas solares, es decir,  $M = 3(1.99 \times 10^{30} \text{ kg}) = 6.0 \times 10^{30} \text{ kg}$ :

$$R_S = \frac{2GM}{c^2} = \frac{2(6.67 \times 10^{-11} \text{ N} \cdot \text{m}^2/\text{kg}^2)(6.0 \times 10^{30} \text{ kg})}{(3.00 \times 10^8 \text{ m/s})^2}$$

$$= 8.9 \times 10^3 \text{ m} = 8.9 \text{ km} = 5.5 \text{ mi}$$

**EVALUAR:** La densidad media de este objeto es

$$\rho = \frac{M}{\frac{4}{3}\pi R^3} = \frac{6.0 \times 10^{30} \text{ kg}}{\frac{4}{3}\pi(8.9 \times 10^3 \text{ m})^3} = 2.0 \times 10^{18} \text{ kg/m}^3$$

Esto es aproximadamente  $10^{15}$  veces la densidad de la materia ordinaria en la Tierra y es comparable con la densidad de los núcleos atómicos. De hecho, una vez que el cuerpo se colapsa a un radio de  $R_S$ , nada puede evitar que se colapse más. Toda la masa se comprime a un solo punto llamado *singularidad* en el centro del horizonte de eventos. Ese punto tiene volumen cero y, por ende, densidad *infinita*.

### Visita a un agujero negro

En puntos alejados de un agujero negro, sus efectos gravitacionales son los mismos que los de cualquier cuerpo normal con la misma masa. Si el Sol se colapsara para formar un agujero negro, las órbitas de los planetas no resultarían afectadas. Sin embargo, en las cercanías del agujero negro las cosas son drásticamente distintas. Si el lector decidiera convertirse en un héroe de la ciencia y saltara a un agujero negro, quienes se quedaran atrás observarían varios efectos extraños al moverse usted hacia el horizonte de eventos, casi todos asociados con la relatividad general.

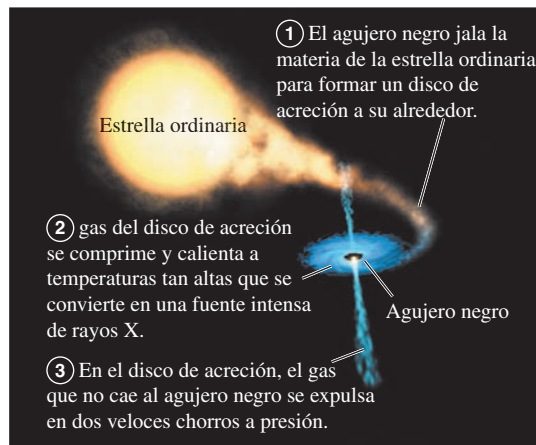
Si usted llevara un radiotransmisor para informar de sus experiencias, habría que sintonizar el receptor continuamente a frecuencias cada vez más bajas por el efecto denominado *corrimiento gravitacional al rojo*. Junto con este corrimiento, los observadores percibirían que los relojes de usted (electrónicos o biológicos) avanzarían cada vez más lentamente por el efecto llamado *dilatación del tiempo*. De hecho, a los observadores no les alcanzaría la vida para ver cómo usted llega al horizonte de eventos.

En su sistema de referencia, usted llegaría al horizonte de eventos en un tiempo muy corto, pero de forma un tanto desconcertante. Al caer con los pies por delante hacia el agujero negro, la atracción gravitacional sobre los pies sería mayor que sobre la cabeza, la cual estaría un poco más lejos del agujero. Las *diferencias* en la fuerza gravitacional que actúa sobre las distintas partes de su cuerpo serían suficientes para estirarlo a usted en la dirección hacia el agujero negro y comprimirlo en la dirección perpendicular. Estos efectos (llamados *fuerzas de marea*) separarían sus átomos y luego los desgarrarían, antes de que usted llegara al horizonte de eventos.

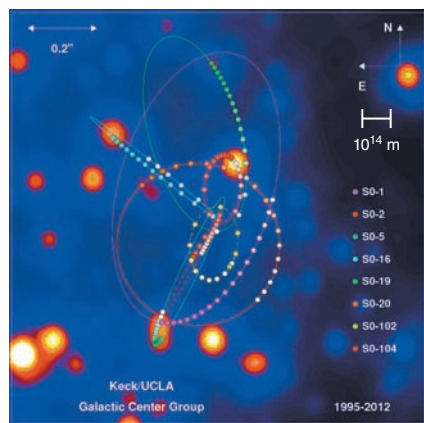
### Detección de agujeros negros

Si la luz no puede escapar de un agujero negro, y si los agujeros negros son tan pequeños como sugiere el ejemplo 13.11, ¿cómo sabemos que tales entidades existen? La respuesta es que si hay gas o polvo cerca de un agujero negro, tenderá a formar un *disco de acreción* que girará en torno del agujero y caerá en él, como en un remolino (**figura 13.28**, siguiente página). La fricción dentro del material del disco hace que pierda energía mecánica y caiga en espiral hacia el agujero negro, comprimiéndose al hacerlo. Esto causa un calentamiento del material, como sucede con el aire comprimido en una bomba para bicicleta. Se pueden alcanzar temperaturas por encima de  $10^6 \text{ K}$  en el disco de acreción, de modo que no sólo se emite luz visible (como hacen los cuerpos al “rojo vivo” o al “blanco vivo”), sino también rayos X. Los astrónomos buscan estos rayos X (emitidos *antes* de que el material cruce el horizonte de eventos), para detectar la presencia de un agujero negro. Se han hallado varios candidatos prometedores, y los astrónomos han expresado una confianza considerable en la existencia de los agujeros negros.

**13.28** En un sistema de estrellas *binarias*, dos estrellas orbitan una alrededor de la otra; en el caso especial que se muestra, una de las estrellas es un agujero negro. El agujero negro no puede verse, pero pueden detectarse los rayos X de su disco de acreción.



**13.29** Esta imagen de color falso muestra los movimientos de las estrellas en el centro de nuestra galaxia durante un periodo de 17 años. Un análisis de esas órbitas con la tercera ley de Kepler indica que las estrellas se mueven alrededor de un objeto invisible, cuya masa es de unas  $4.1 \times 10^6$  veces la masa del Sol. La barra de la escala indica una longitud de  $10^{14}$  m (670 veces la distancia entre la Tierra y el Sol).



La masa de los agujeros negros en sistemas de estrellas binarias, como el de la figura 13.28, es unas cuantas veces mayor que la del Sol, y cada vez hay más pruebas de la existencia de *agujeros negros supermasivos* mucho mayores. Se cree que hay uno en el centro de nuestra galaxia, la Vía Láctea, a unos 26,000 años luz de la Tierra en la dirección de la constelación Sagitario. Imágenes de alta definición del centro galáctico revelan estrellas que giran a más de 1500 km/s en torno a un objeto invisible que coincide con la posición de una fuente de ondas de radio llamada Sgr A\* (**figura 13.29**). Al analizar esos movimientos, los astrónomos pueden inferir el periodo  $T$  y el semieje mayor  $a$  de la órbita de cada estrella. Así, se puede calcular la masa  $m_X$  del objeto invisible utilizando la tercera ley de Kepler en la forma que se da en la ecuación (13.17), sustituyendo la masa del Sol  $m_S$  por  $m_X$ :

$$T = \frac{2\pi a^{3/2}}{\sqrt{Gm_X}} \quad \text{así que} \quad m_X = \frac{4\pi^2 a^3}{GT^2}$$

La conclusión es que el misterioso objeto oscuro en el centro de la galaxia tiene una masa de  $8.2 \times 10^{36}$  kg, es decir, 4.1 *millones* de veces la masa del Sol. Sin embargo, observaciones efectuadas con radiotelescopios revelan que su radio no es mayor que  $4.4 \times 10^{10}$  m, aproximadamente un tercio de la distancia que hay entre la Tierra y el Sol. Estas observaciones sugieren que tal objeto masivo y compacto es un agujero negro con un radio de Schwarzschild de  $1.1 \times 10^{10}$  m. Los astrónomos confían en mejorar la resolución de sus observaciones a tal grado que, en unos pocos años, podrán “ver” el horizonte de eventos de ese agujero negro.

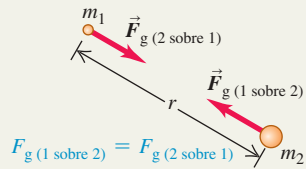
Otras líneas de investigación sugieren que podría haber agujeros negros aún más grandes, con más de  $10^9$  masas solares, en el centro de otras galaxias. Los estudios de observación y teóricos sobre agujeros negros de todos tamaños siguen siendo un área de investigación estimulante tanto en la física como en la astronomía.

**EVALÚE SU COMPRENSIÓN DE LA SECCIÓN 13.8** Si el Sol llegara a colapsarse para formar un agujero negro, ¿qué efecto tendría este suceso sobre la órbita de la Tierra? **i.** La órbita se encogería; **ii.** la órbita se expandiría; **iii.** la órbita permanecería del mismo tamaño. ■



**Ley de Newton de la gravitación:** Dos cuerpos cualesquiera con masas  $m_1$  y  $m_2$ , separados por una distancia  $r$ , se atraen con fuerzas inversamente proporcionales a  $r^2$ . Tales fuerzas forman un par acción-reacción y obedecen la tercera ley de Newton. Si dos o más cuerpos ejercen fuerzas gravitacionales sobre un cuerpo dado, la fuerza gravitacional total que actúa sobre ese cuerpo es la suma vectorial de las fuerzas ejercidas por los otros cuerpos. La interacción gravitacional entre distribuciones esféricas de masa, como los planetas o las estrellas, es igual que si toda la masa estuviera concentrada en el centro (vea los ejemplos 13.1 a 13.3 y 13.10).

$$F_g = \frac{Gm_1m_2}{r^2} \quad (13.1)$$



**Fuerza gravitacional, peso y energía potencial gravitacional:** El peso  $w$  de un cuerpo es la fuerza gravitacional total ejercida sobre él por todos los demás cuerpos del universo. Cerca de la superficie de la Tierra (masa  $m_T$  y radio  $R_T$ ), el peso en esencia es igual a la fuerza gravitacional de la Tierra sola. La energía potencial gravitacional  $U$  de dos masas  $m$  y  $m_T$  separadas por una distancia  $r$  es inversamente proporcional a  $r$ . La energía potencial nunca es positiva; es cero sólo cuando los dos cuerpos están infinitamente distantes (vea los ejemplos 13.4 y 13.5).

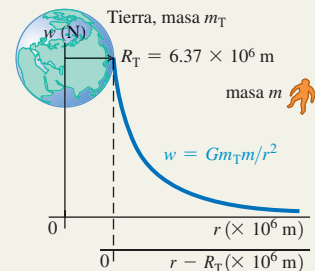
$$w = F_g = \frac{Gm_T m}{R_T^2} \quad (13.3)$$

(peso en la superficie de la Tierra)

$$g = \frac{Gm_T}{R_T^2} \quad (13.4)$$

(aceleración debida a la gravedad en la superficie terrestre)

$$U = -\frac{Gm_T m}{r} \quad (13.9)$$



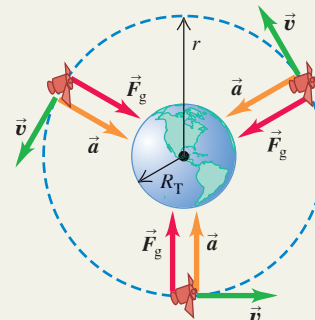
**Órbitas:** Si un satélite se mueve en una órbita circular, la atracción gravitacional de la Tierra proporciona la aceleración centrípeta. Las tres leyes de Kepler describen el caso más general: la órbita elíptica de un planeta alrededor del Sol o de un satélite alrededor de un planeta (vea ejemplos 13.6 a 13.9).

$$v = \sqrt{\frac{Gm_T}{r}} \quad (13.10)$$

(rapidez en órbita circular)

$$T = \frac{2\pi r}{v} = 2\pi r \sqrt{\frac{r}{Gm_T}} = \frac{2\pi r^{3/2}}{\sqrt{Gm_T}} \quad (13.12)$$

(periodo en órbita circular)



**Agujeros negros:** Si una distribución esférica de masa sin rotación, con masa total  $M$ , tiene un radio menor que su radio de Schwarzschild,  $R_S$ , se clasifica como agujero negro. La interacción gravitacional impide que cualquier cosa, incluida la luz, escape de una esfera con radio  $R_S$  (vea el ejemplo 13.11).

$$R_S = \frac{2GM}{c^2} \quad (13.30)$$

(radio de Schwarzschild)



Si todo el cuerpo está dentro del radio de Schwarzschild  $R_S = 2GM/c^2$ , el cuerpo es un agujero negro.

**PROBLEMA PRÁCTICO****RAPIDESES EN UNA ÓRBITA ELÍPTICA**

Un cometa gira en torno al Sol (masa  $m_S$ ) en una órbita elíptica con semieje mayor  $a$  y excentricidad  $e$ . a) Obtenga las expresiones para las rapideces del cometa en el perihelio y en el afelio. b) Evalúe estas expresiones para el cometa Halley (vea el ejemplo 13.9), y calcule la energía cinética, energía potencial gravitacional y energía mecánica total para este cometa en el perihelio y en el afelio. Considere la masa del cometa Halley igual a  $2.2 \times 10^{14}$  kg.

**GUÍA DE SOLUCIÓN****IDENTIFICAR y PLANTEAR**

1. Elabore un dibujo de la situación; muestre todas las dimensiones relevantes. Identifique el perihelio y el afelio (vea la figura 13.18).
2. Liste las cantidades desconocidas e identifique las incógnitas.
3. Igual que sucede con un satélite que gira alrededor de la Tierra, la energía mecánica de un cometa alrededor del Sol se conserva (¿por qué?). ¿Qué otra cantidad se conserva conforme el cometa se mueve en su órbita? (Sugerencia: Vea la sección 13.5).

**EJECUTAR**

4. Por lo menos serán necesarias dos ecuaciones que incluyan las dos incógnitas, y expresiones para las distancias entre el Sol y el cometa en el perihelio y el afelio (sugerencia: Vea la figura 13.18).
5. Resuelva las ecuaciones para obtener las incógnitas. Compare las expresiones: ¿Cuál es la menor rapidez? ¿Es lógico?
6. Use las expresiones del paso 5 para obtener los valores de la rapidez en el perihelio y el afelio para el cometa Halley (sugerencia: Vea el apéndice F).
7. Use sus resultados del paso 6 para determinar la energía cinética  $K$ , la energía potencial gravitacional  $U$  y la energía mecánica total  $E$  para el cometa Halley en el afelio y en el perihelio.

**EVALUAR**

8. Compruebe si sus resultados del inciso a) son lógicos para el caso especial de una órbita circular ( $e = 0$ ).
9. En el inciso b), ¿cómo se comparan los valores calculados de  $E$  en el perihelio y en el afelio? ¿Son lógicos? ¿Qué significa que  $E$  sea negativa?

**Problemas**

•, •, ••: Niveles de dificultad. PA: Problemas acumulativos que incorporan material de capítulos anteriores. CALC: Problemas que requieren cálculo. DATOS: Problemas que incluyen datos reales, evidencia científica, diseño experimental y/o razonamiento estadístico. BIO: Problemas de ciencias biológicas.

**PREGUNTAS PARA ANÁLISIS**

**P13.1** Un estudiante escribió: “La única razón por la que una manzana cae hacia la Tierra en lugar de que ésta suba hacia la manzana es que la Tierra tiene una masa mucho mayor y, por lo tanto, jala con una fuerza mucho mayor”. Comente esta aseveración.

**P13.2** Si todos los planetas tuvieran la misma densidad media, ¿cómo dependería del radio del planeta la aceleración en la superficie debida a la gravedad?

**P13.3** ¿Una libra de mantequilla es la misma cantidad en la Tierra que en Marte? ¿Y un kilogramo de mantequilla? Explique su respuesta.

**P13.4** El ejemplo 13.2 (sección 13.1) muestra que la aceleración de cada esfera causada por la fuerza gravitacional es inversamente proporcional a la masa de dicha esfera. ¿Por qué entonces esa fuerza da a todas las masas la misma aceleración cuando se dejan caer cerca de la superficie terrestre?

**P13.5** ¿Usted atrae más al Sol al mediodía o a la medianoche? Explique su respuesta.

**P13.6** Puesto que la Luna es atraída constantemente hacia la Tierra por la interacción gravitacional, ¿por qué no choca contra la Tierra?

**P13.7** Una nave espacial hace una órbita circular con periodo  $T$  alrededor de una estrella. Si estuviera orbitando, a la misma distancia, una estrella con tres veces la masa de la estrella original, ¿cuál sería el nuevo periodo (en términos de  $T$ )? a)  $3T$ , b)  $T\sqrt{3}$ , c)  $T$ , d)  $T/\sqrt{3}$  o e)  $T/3$

**P13.8** Un planeta se mueve en una órbita circular con periodo  $T$  alrededor de una estrella. Si el planeta estuviera en órbita a la misma distancia alrededor de esa estrella, pero su masa fuera tres veces mayor, ¿cuál sería el nuevo periodo (en términos de  $T$ )? a)  $3T$ , b)  $T\sqrt{3}$ , c)  $T$ , d)  $T/\sqrt{3}$  o e)  $T/3$ .

**P13.9** El Sol tira de la Luna con una fuerza cuya magnitud es más del doble de la magnitud de la fuerza con que la Tierra atrae a la Luna. ¿Por qué entonces el Sol no aleja a la Luna de la Tierra?

**P13.10** ¿Qué viaje requiere más combustible, de la Tierra a la Luna o de la Luna a la Tierra? Explique su respuesta.

**P13.11** Un planeta se mueve con rapidez constante en una órbita circular alrededor de una estrella. En una órbita completa, ¿la fuerza gravitacional que la estrella ejerce sobre el planeta realiza trabajo neto positivo, negativo o cero? ¿Y si la órbita del planeta fuera elíptica, de modo que la rapidez del planeta no sea constante? Explique sus respuestas.

**P13.12** ¿La rapidez de escape para un objeto en la superficie terrestre depende de la dirección en que se lanza? Explique su respuesta. ¿Su respuesta depende de si incluye o no los efectos de la resistencia del aire?

**P13.13** Si un proyectil se dispara verticalmente hacia arriba desde la superficie terrestre, ¿qué sucederá si la energía mecánica total (cinética más potencial) es a) menor que cero y b) mayor que cero? En cada caso, desprecie la resistencia del aire y los efectos gravitacionales del Sol, la Luna y los demás planetas.

**P13.14** Diga si la siguiente afirmación es correcta: “En ausencia de resistencia del aire, la trayectoria de un proyectil lanzado cerca de la superficie terrestre es una *elipse*, no una parábola”.

**P13.15** La Tierra está más cerca del Sol en noviembre que en mayo. ¿En cuál de estos meses es mayor su rapidez orbital? Explique su respuesta.

**P13.16** Una empresa de comunicaciones desea poner en órbita un satélite que siempre esté directamente sobre el paralelo 45 de la Tierra (latitud  $45^\circ$  norte). Esto implica que el plano de la órbita no pasará por el centro de la Tierra. ¿Es posible tal órbita? ¿Por qué?

**P13.17** ¿En qué punto de una órbita elíptica es máxima la aceleración? ¿Y mínima? Justifique sus respuestas.

**P13.18** ¿Cuál sería la tercera ley de Kepler para órbitas circulares, si una modificación a la ley de Newton de la gravitación hiciera a la fuerza gravitacional inversamente proporcional a  $r^3$ ? ¿Este cambio alteraría las otras dos leyes de Kepler? Explique su respuesta.

**P13.19** En la órbita elíptica del cometa Halley que se ilustra en la figura 13.21a, la fuerza de gravedad del Sol hace que el cometa caiga desde el afelio hasta el perihelio. Pero, ¿qué hace que el cometa suba otra vez del perihelio al afelio?

**P13.20** Muchas personas creen que los astronautas en órbita sienten que no tienen peso porque están “fuera del alcance de la gravedad terrestre”. ¿Qué tan lejos tendría que viajar una nave para estar realmente fuera de la influencia gravitacional de la Tierra? En tal caso, ¿permanecería en órbita la nave? Explique su respuesta. ¿Cuál es la razón real por la que los astronautas en órbita se sienten sin peso?

**P13.21** Como parte de su capacitación, los astronautas viajan en un avión que vuela en la misma trayectoria parabólica que un proyectil en caída libre. Explique por qué esto provoca la misma sensación de ingravidez aparente que estar en órbita.

## EJERCICIOS

### Sección 13.1 Ley de Newton de la gravitación

**13.1** • ¿Cuál es la razón que existe entre la atracción gravitacional del Sol sobre la Luna y la de la Tierra sobre la Luna? (Suponga que la distancia entre la Luna y el Sol es aproximadamente la misma que entre la Tierra y el Sol). Use los datos del apéndice F. ¿Es más preciso decir que la Luna está en órbita alrededor de la Tierra o del Sol?

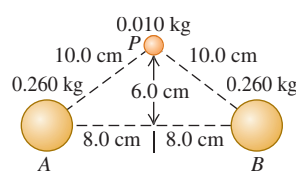
**13.2 • PA Experimento de Cavendish.** En la balanza de Cavendish que se ilustra en la figura 13.4, suponga que  $m_1 = 1.10 \text{ kg}$ ,  $m_2 = 25.0 \text{ kg}$ , y la varilla que conecta a las esferas de masa  $m_1$  mide 30.0 cm de longitud. Si, en cada par, la distancia del centro de la esfera de masa  $m_1$  al centro de la esfera de masa  $m_2$  es de 12.0 cm, calcule *a)* la fuerza neta y *b)* la torca neta (alrededor del eje de rotación) en la parte giratoria del aparato. *c)* Parece que la torca del inciso *b)* sería suficiente para hacer girar la varilla con facilidad? Sugiera algunas maneras de mejorar la sensibilidad de este experimento.

**13.3** • ¡Cita en el espacio! Una pareja de astronautas acuerda citarse en el espacio después de unas horas. Su plan es dejar que la fuerza de gravedad los reúna. Uno de ellos tiene una masa de 65 kg y el otro una masa de 72 kg, y parten del reposo estando separados una distancia de 20.0 m. *a)* Elabore un diagrama de cuerpo libre de cada astronauta y úselo para determinar la aceleración inicial del individuo. Como una aproximación burda, se puede modelar a los astronautas como esferas uniformes. *b)* Si la aceleración de los astronautas es constante, ¿cuántos días tendrían que esperar para estar juntos? (¡Cuidado! Ambos astronautas aceleran el uno hacia el otro). *c)* De hecho, ¿su aceleración permanecería constante? Si no, ¿aumentaría o disminuiría? ¿Por qué?

**13.4** • Dos esferas uniformes, ambas con masa  $M$  y radio  $R$ , se tocan entre sí. ¿Qué magnitud tiene su fuerza de atracción gravitacional?

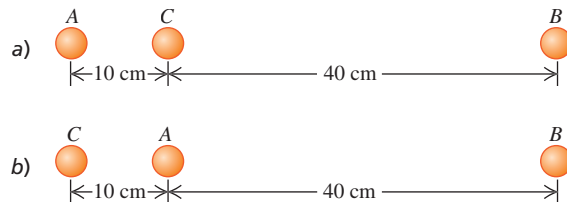
**13.5** • Dos esferas uniformes de 0.260 kg están fijas en los puntos *A* y *B* (figura E13.5). Calcule la magnitud y la dirección de la aceleración inicial de una esfera uniforme con masa de 0.010 kg que se suelta del reposo en *P*, suponiendo que sólo actúan sobre ella las fuerzas gravitacionales ejercidas por las esferas *A* y *B*.

Figura E13.5



**13.6** • Obtenga la magnitud y la dirección de la fuerza gravitacional neta que las masas *B* y *C* ejercen sobre la masa *A* en la figura E13.6. Cada masa es de 2.00 kg.

Figura E13.6



**13.7** • Una persona adulta promedio tiene una masa aproximada de 70 kg. *a)* ¿Qué fuerza ejerce la Luna llena sobre ella, si está directamente arriba de su cabeza y tiene su centro a 378,000 km? *b)* Compare esta fuerza con la que ejerce la Tierra sobre la persona.

**13.8** • Una masa puntual de 8.00 kg y una masa puntual de 12.0 kg están separadas 50.0 cm. Se suelta una partícula de masa  $m$  desde un punto entre las dos masas a 20.0 cm de la masa de 8.00 kg en la línea que conecta las dos masas fijas. Obtenga la magnitud y la dirección de la aceleración de la partícula.

**13.9** • Una partícula de masa  $3m$  se localiza a 1.00 m de una partícula de masa  $m$ . *a)* ¿Dónde debería colocar usted una tercera masa *M*, de manera que la fuerza gravitacional neta sobre *M* debida a las dos masas sea exactamente igual a cero? *b)* En este punto, el equilibrio de *M* es estable o inestable, **i.** para puntos en la línea que une *m* y *3m*, y **ii.** para puntos en una recta que pasa por *M* y es perpendicular a la recta que conecta *m* y *3m*?

**13.10** • Las masas puntuales  $m$  y  $2m$  están sobre el eje  $x$ , con  $m$  en el origen y  $2m$  en  $x = L$ . Una tercera masa puntual *M* se mueve a lo largo del eje  $x$ . *a)* En qué punto la fuerza gravitacional neta sobre *M*, debida a las otras dos masas, es igual a cero? *b)* Elabore un diagrama de la componente  $x$  de la fuerza neta sobre *M* debida a *m* y a *2m*, considerando las cantidades a la derecha como positivas. Incluya las regiones  $x < 0$ ,  $0 < x < L$  y  $x > L$ . Tenga especial cuidado en mostrar el comportamiento de la gráfica a los lados de  $x = 0$  y  $x = L$ .

### Sección 13.2 Peso

**13.11** • ¿A qué distancia sobre la superficie terrestre la aceleración debida a la gravedad es de  $0.980 \text{ m/s}^2$ , si en la superficie tiene una magnitud de  $9.80 \text{ m/s}^2$ ?

**13.12** • La masa de Venus es el 81.5% de la masa de la Tierra, y su radio es el 94.9% del radio de la Tierra. *a)* Calcule la aceleración debida a la gravedad en la superficie de Venus con estos datos. *b)* Si una roca pesa 75.0 N en la Tierra, ¿cuánto pesará en la superficie de Venus?

**13.13** • Titania, la luna más grande de Urano, tiene  $\frac{1}{8}$  del radio terrestre y  $\frac{1}{1700}$  de la masa de la Tierra. *a)* Calcule la aceleración debida a la gravedad en su superficie. *b)* Obtenga la densidad media de Titania (es menor que la densidad de las rocas, lo cual es una evidencia de que Titania está constituida principalmente por hielo).

**13.14** • Rea, una de las lunas de Saturno, tiene un radio de 764 km y una aceleración debida a la gravedad de  $0.265 \text{ m/s}^2$  en su superficie. Calcule su masa y densidad media.

**13.15** • Calcule la fuerza gravitacional que la Tierra ejerce sobre un astronauta de 75 kg, quien está reparando el telescopio espacial Hubble a una altura de 600 km sobre la superficie terrestre, y compare ese valor con su peso en la superficie de la Tierra. Con base en su resultado, explique por qué decimos que los astronautas no tienen peso cuando están en órbita alrededor de la Tierra en un satélite como el transbordador espacial. ¿Se debe a que la atracción gravitacional terrestre es tan pequeña que se puede despreciar?

### Sección 13.3 Energía potencial gravitacional

**13.16 • Volcanes en Io.** La luna de Júpiter llamada Io tiene volcanes activos (de hecho, es el cuerpo volcánico más activo del Sistema Solar), que expulsa material hasta 500 km arriba de la superficie (o inclusive más alto). Io tiene una masa de  $8.93 \times 10^{22}$  kg y un radio de 1821 km. Al efectuar el cálculo, desprecie cualquier variación de la gravedad en un intervalo de 500 km de escombros. ¿A qué altura subiría este material en la Tierra si fuera expulsado con la misma rapidez que en Io?

**13.17 •** Use los resultados del ejemplo 13.5 (sección 13.3) para calcular la rapidez de escape de una nave: *a)* desde la superficie de Marte, y *b)* desde la superficie de Júpiter. Use los datos del apéndice F. *c)* ¿Por qué la rapidez de escape de la nave es independiente de su masa?

**13.18 •** Diez días después de lanzarse hacia Marte en diciembre de 1998, la nave *Mars Climate Orbiter* (masa de 629 kg) estaba a  $2.87 \times 10^6$  km de la Tierra, viajando con rapidez de  $1.20 \times 10^4$  km/h relativa a la Tierra. Para ese instante, calcule *a)* la energía cinética de la nave relativa a la Tierra y *b)* la energía potencial del sistema Tierra-nave.

**13.19 •** Un planeta que orbita una estrella distante tiene un radio de  $3.24 \times 10^6$  m. La rapidez de escape de un objeto lanzado desde la superficie de este planeta es de  $7.65 \times 10^3$  m/s. ¿Cuál es la aceleración debida a la gravedad en la superficie del planeta?

### Sección 13.4 Movimiento de satélites

**13.20 •** Un satélite de la Tierra se mueve en una órbita circular con una rapidez orbital de 6200 m/s. Determine *a)* el tiempo de una revolución del satélite; *b)* la aceleración radial del satélite en su órbita.

**13.21 •** Para que un satélite tenga una órbita circular de 890 km arriba de la superficie terrestre, *a)* ¿qué rapidez orbital debe tener? y *b)* ¿cuál es el periodo de la órbita (en horas)?

**13.22 • Misión Aura.** El 15 de julio de 2004, la NASA lanzó la nave espacial *Aura* para estudiar el clima y la atmósfera terrestres. Este satélite fue puesto en una órbita a 705 km sobre la superficie terrestre. Suponga una órbita circular. *a)* ¿Cuántas horas le tomará a ese satélite completar una órbita? *b)* ¿Qué tan rápido (en km/s) se mueve la nave espacial *Aura*?

**13.23 •** Dos satélites tienen órbitas circulares alrededor de un planeta de radio igual a  $9.00 \times 10^6$  m. Un satélite tiene una masa de 68.0 kg, radio orbital de  $7.00 \times 10^7$  m, y rapidez orbital de 4800 m/s. El segundo satélite tiene una masa de 84.0 kg y radio orbital de  $3.00 \times 10^7$  m. ¿Cuál es la rapidez orbital de este segundo satélite?

**13.24 • Estación Espacial Internacional.** La Estación Espacial Internacional efectúa 15.65 revoluciones por día en su órbita alrededor de la Tierra. Suponiendo una órbita circular, ¿qué tan alto con respecto a la superficie terrestre está dicho satélite?

**13.25 •** Deimos, una luna de Marte, tiene un diámetro aproximado de 12 km y una masa de  $1.5 \times 10^{15}$  kg. Suponga que usted está varado solo en Deimos y quiere jugar béisbol. ¡Usted mismo sería el lanzador y el bateador! *a)* Con qué rapidez tendría que lanzar la pelota para que entre en órbita justo por encima de la superficie y vuelva a donde usted está listo para batearla? ¿Cree que podría lanzarla con esa rapidez? *b)* ¿Cuánto tiempo (en horas) después del lanzamiento, la pelota debería estar lista para ser bateada? ¿Sería un juego de béisbol emocionante?

### Sección 13.5 Las leyes de Kepler y el movimiento de los planetas

**13.26 • Planeta Vulcano.** Suponga que se descubre un planeta entre el Sol y Mercurio, con una órbita circular de radio igual a  $\frac{2}{3}$  del radio orbital medio de Mercurio. ¿Qué periodo orbital tendría ese planeta? (Alguna vez llegó a postularse la existencia de tal planeta, en parte para explicar la precesión de la órbita de Mercurio.

Incluso recibió el nombre de Vulcano, aunque no tenemos pruebas de que realmente exista. La precesión de Mercurio se ha explicado con base en la relatividad general).

**13.27 •** La estrella Rho<sup>1</sup> Cancri está a 57 años luz de la Tierra y su masa es 0.85 veces la del Sol. Se ha detectado un planeta en órbita circular en torno a Rho<sup>1</sup> Cancri, con un radio orbital igual a 0.11 veces el radio de la órbita de la Tierra alrededor del Sol. Calcule *a)* la rapidez orbital y *b)* el periodo orbital del planeta de Rho<sup>1</sup> Cancri.

**13.28 •** En marzo de 2006, se descubrieron dos satélites pequeños en órbita alrededor de Plutón: uno a una distancia de 48,000 km y el otro a 64,000 km. Ya se sabe que Plutón tiene un satélite grande, Caronte, el cual orbita a 19,600 km y tiene un periodo orbital de 6.39 días. Suponiendo que los satélites no se afectan mutuamente, encuentre los periodos orbitales de los dos satélites pequeños *sin* considerar la masa de Plutón.

**13.29 •** El planeta enano Plutón tiene una órbita elíptica con un semieje mayor de  $5.91 \times 10^{12}$  m y excentricidad de 0.249. *a)* Calcule el periodo orbital de Plutón. Exprese su respuesta en segundos y en años terrestres. *b)* Durante la órbita de Plutón alrededor del Sol, ¿cuál es su distancia más cercana y más lejana del Sol?

**13.30 • Júpiter caliente.** En 2004 los astrónomos informaron el descubrimiento de un planeta del tamaño de Júpiter con una órbita muy cercana a la estrella HD 179949 (de ahí el término “Júpiter caliente”). La órbita estaba sólo a  $\frac{1}{9}$  de la distancia de Mercurio al Sol, y al planeta le toma únicamente 3.09 días completar una órbita (que se supone circular). *a)* ¿Cuál es la masa de la estrella? Exprese su respuesta en kilogramos y como múltiplo de la masa del Sol. *b)* ¿Qué tan rápido (en km/s) se mueve este planeta?

**13.31 • Planetas más allá del Sistema Solar.** El 15 de octubre de 2001, se descubrió un planeta orbitando alrededor de la estrella HD 68988. Su distancia orbital se midió en 10.5 millones de kilómetros a partir del centro de la estrella, y su periodo orbital se estimó en 6.3 días. ¿Cuál es la masa de HD 68988? Exprese su respuesta en kilogramos y en términos de la masa de nuestro Sol (consulte el apéndice F).

### Sección 13.6 Distribuciones esféricas de masa

**13.32 •** Un cascarón esférico uniforme de 1000.0 kg tiene un radio de 5.00 m. *a)* Calcule la fuerza gravitacional que dicho cascarón ejerce sobre una masa puntual de 2.00 kg colocada a las siguientes distancias del centro del cascarón: **i.** 5.01 m, **ii.** 4.99 m, **iii.** 2.72 m. *b)* Dibuje una gráfica cualitativa de la magnitud de la fuerza gravitacional que esta esfera ejerce sobre una masa puntual *m* en función de la distancia *r* de *m* desde el centro de la esfera. Incluya la región desde *r* = 0 hasta *r* → ∞.

**13.33 •** Una esfera sólida y uniforme de 1000.0 kg tiene un radio de 5.00 m. *a)* Calcule la fuerza gravitacional que esa esfera ejerce sobre una masa puntual de 2.00 kg colocada a las siguientes distancias del centro de la esfera: **i.** 5.01 m y **ii.** 2.50 m. *b)* Dibuje una gráfica cualitativa de la magnitud de la fuerza gravitacional que esta esfera ejerce sobre una masa puntual *m* en función de la distancia *r* de *m* desde el centro de la esfera. Incluya la región desde *r* = 0 hasta *r* → ∞.

**13.34 • CALC** Una varilla delgada y uniforme tiene longitud *L* y masa *M*. Una esfera uniforme pequeña de masa *m* se coloca a una distancia *x* de un extremo de la varilla, sobre el eje de ésta (**figura E13.34**). *a)* Calcule la energía potencial gravitacional del sistema varilla-esfera. Tome la energía potencial igual a cero cuando la varilla y la esfera están separadas una distancia infinita. Demuestre que su

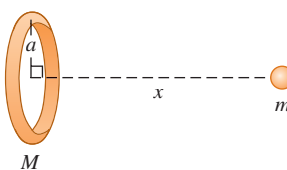
Figura E13.34



respuesta se reduce al resultado esperado cuando  $x$  es mucho mayor que  $L$ . [Sugerencia: Use el desarrollo en serie de potencias que se da en el apéndice B para  $\ln(1 + x)$ .] b) Utilice  $F_x = -dU/dx$  para calcular la magnitud y la dirección de la fuerza gravitacional que la varilla ejerce sobre la esfera (vea la sección 7.4). Demuestre que su respuesta se reduce al resultado esperado cuando  $x$  es mucho mayor que  $L$ .

**13.35 • CALC** Considere el cuerpo Figura E13.35

con forma de anillo de la figura E13.35. Una partícula de masa  $m$  se coloca a una distancia  $x$  del centro del anillo, sobre la recta que pasa por el centro y es perpendicular al plano del anillo. a) Calcule la energía potencial gravitacional  $U$  de este sistema. Tome la energía potencial igual a cero cuando los dos objetos están muy alejados. b) Demuestre que su respuesta al inciso a) se reduce al resultado esperado cuando  $x$  es mucho mayor que el radio  $a$  del anillo. c) Use  $F_x = -dU/dx$  para obtener la magnitud y la dirección de la fuerza que actúa sobre la partícula (vea la sección 7.4). d) Demuestre que su respuesta al inciso c) se reduce al resultado esperado cuando  $x$  es mucho mayor que  $a$ . e) ¿Cuánto valen  $U$  y  $F_x$  cuando  $x = 0$ ? Explique por qué son lógicos estos resultados.



### Sección 13.7 Peso aparente y rotación terrestre

**13.36 • Una visita a Santa.** Usted decide visitar a Santa Claus en el polo norte para ponerlo al corriente de su excelente comportamiento durante el año. Mientras está ahí, observa que el elfo Sneezy, cuando cuelga de una cuerda, genera una tensión de 395.0 N en ésta. Si Sneezy cuelga de una cuerda similar mientras entrega regalos en el ecuador de la Tierra, ¿cuál será la tensión en ella? (Recuerde que la Tierra gira alrededor de un eje que pasa por los polos norte y sur). Consulte el apéndice F y comience con un diagrama de cuerpo libre de Sneezy en el ecuador.

**13.37 •** La aceleración debida a la gravedad en el polo norte de Neptuno es cercana a  $11.2 \text{ m/s}^2$ . Neptuno tiene una masa de  $1.02 \times 10^{26} \text{ kg}$ , un radio de  $2.46 \times 10^4 \text{ km}$  y gira una vez alrededor de su eje en aproximadamente 16 h. a) Calcule la fuerza gravitacional que actúa sobre un objeto de 3.00 kg en el polo norte de Neptuno. b) ¿Qué peso aparente tiene ese mismo objeto en el ecuador de Neptuno? (Nota: La "superficie" de Neptuno es gaseosa, no sólida, así que no podríamos ponernos de pie ahí).

### Sección 13.8 Agujeros negros

**13.38 • Miniagueros negros.** Los cosmólogos han especulado que agujeros negros del tamaño de un protón pudieron haberse formado en los días posteriores al Big Bang cuando inició el universo. Si tomamos el diámetro de un protón como  $1.0 \times 10^{-15} \text{ m}$ , ¿cuál sería la masa de un miniagujero negro?

**13.39 • En el centro de la galaxia.** Los astrónomos han observado un objeto pequeño y masivo en el centro de nuestra galaxia, la Vía Láctea (vea la sección 13.8). Un anillo de material orbita ese objeto masivo; el anillo tiene un diámetro aproximado de 15 años luz y rapidez orbital aproximada de 200 km/s. a) Determine la masa del objeto central de la Vía Láctea. Dé su respuesta en kg y en masas solares (una masa solar es la masa del Sol). b) Observaciones de estrellas y las teorías acerca de su estructura sugieren que es imposible que una sola estrella tenga una masa mayor de unas 50 masas solares. ¿Podría el objeto masivo ser una simple estrella ordinaria? c) Muchos astrónomos creen que el objeto masivo en el centro de la Vía Láctea es un agujero negro. De ser así, ¿qué radio de Schwarzschild tendría? ¿Un agujero negro de este tamaño cabría dentro de la órbita de la Tierra en torno al Sol?

**13.40 •** En 2005 los astrónomos anunciaron el descubrimiento de un enorme agujero negro en la galaxia Markarian 766 que tenía aglomeraciones de materia orbitando alrededor una vez cada 27 horas y moviéndose a 30,000 km/s. a) ¿Qué tan lejos están esas aglomeraciones del centro del agujero negro? b) ¿Cuál es la masa de ese agujero negro suponiendo órbitas circulares? Exprese su respuesta en kilogramos y como múltiplos de la masa de nuestro Sol. c) ¿Cuál es el radio de su horizonte de eventos?

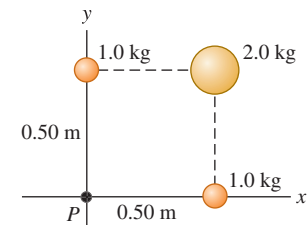
### PROBLEMAS

**13.41 •••** Las estrellas de neutrones, como la que está en el centro de la nebulosa del Cangrejo, tienen aproximadamente la misma masa que el Sol, pero un diámetro *mucho* más pequeño. Si una persona pesa 675 N en la Tierra, ¿cuánto pesaría en la superficie de una estrella de neutrones que tuviera la misma masa que el Sol y un diámetro de 20 km?

**13.42 •••** En las esquinas de un cuadrado que mide 2.00 m por lado, se colocan cuatro masas idénticas de 8.00 kg cada una. ¿Qué fuerza gravitacional neta (magnitud y dirección) actúa sobre una de las masas, debida a las otras tres?

**13.43 •** Tres esferas uniformes están fijas en las posiciones indicadas en la figura P13.43. a) ¿Qué magnitud y dirección tiene la fuerza que actúa sobre una partícula de 0.0150 kg colocada en  $P$ ? b) Si las esferas están en el espacio profundo y una partícula de 0.0150 kg se suelta del reposo a 300 m del origen sobre una línea inclinada  $45^\circ$  abajo del eje  $-x$ , ¿qué rapidez tendrá la partícula cuando llegue al origen?

Figura P13.43



**13.44 ••• PA Exploración de Europa.** Hay evidencia contundente de que Europa, un satélite de Júpiter, tiene un océano líquido debajo de su superficie congelada. Muchos científicos creen que se debería enviar un vehículo explorador ahí para buscar señales de vida. Antes de lanzarlo, se debería probar tal vehículo en las condiciones de la gravedad en la superficie de Europa. Una forma de hacerlo consiste en colocar el vehículo explorador en el extremo de un brazo giratorio en un satélite en órbita en torno a la Tierra. Si el brazo tiene 4.25 m de longitud y pivota en uno de sus extremos, ¿con qué rapidez angular (en rpm) debería girar para que la aceleración del vehículo fuera la misma que la aceleración debida a la gravedad en la superficie de Europa? La masa de Europa es de  $4.8 \times 10^{22} \text{ kg}$  y tiene un diámetro de 3120 km.

**13.45 ••** Una esfera uniforme con masa de 50.0 kg se sostiene con su centro en el origen, y una segunda esfera uniforme con masa de 80.0 kg se sostiene con su centro en el punto  $x = 0, y = 3.00 \text{ m}$ . a) ¿Qué magnitud y dirección tiene la fuerza gravitacional neta que estas esferas ejercen sobre una tercera esfera uniforme con masa de 0.500 kg cuyo centro está en el punto  $x = 4.00 \text{ m}, y = 0$ ? b) ¿En qué posición, que no sea a una distancia infinita, podría colocarse la tercera esfera de modo que la fuerza gravitacional neta que actúa sobre ella debida a las otras dos esferas sea cero?

**13.46 •• Misión a Titán.** El 25 de diciembre de 2004, la sonda Huygens se separó de la nave espacial Cassini que orbitaba Saturno e inició una misión de 22 días en la luna gigante de Saturno, Titán, sobre cuya superficie se posó. Además de los datos del apéndice F, es importante saber que Titán está a  $1.22 \times 10^6 \text{ km}$  del centro de Saturno y tiene una masa de  $1.35 \times 10^{23} \text{ kg}$  y un diámetro de 5150 km. ¿A qué distancia de Titán su atracción gravitacional equilibrará la atracción gravitacional de Saturno?

**13.47 •• PA** Se realiza un experimento en el espacio profundo con dos esferas uniformes, una con masa de 50.0 kg y la otra con masa de 100.0 kg. Los radios de las dos esferas son iguales:  $r = 0.20$  m. Las esferas se sueltan del reposo con sus centros separados 40.0 m, y aceleran una hacia la otra por su atracción gravitacional mutua. Desprecie todas las demás fuerzas gravitacionales. *a)* Explique por qué se conserva la cantidad de movimiento lineal. *b)* Cuando sus centros están separados 20.0 m, *i.* ¿qué rapidez tiene cada esfera? y *ii.* ¿con qué magnitud de velocidad relativa se acerca una esfera a la otra? *c)* ¿A qué distancia de la posición inicial del centro de la esfera de 50.0 kg chocan las superficies de las dos esferas?

**13.48 ••** En cierto instante, la Tierra, la Luna y una nave estacionaria de 1250 kg están en los vértices de un triángulo equilátero, cuyos lados miden  $3.84 \times 10^5$  km de longitud. *a)* Calcule la magnitud y dirección de la fuerza gravitacional neta que la Tierra y la Luna ejercen sobre la nave. Exprese la dirección en términos de un ángulo medido a partir de una línea que conecta a la Tierra y la nave. En un dibujo, muestre la Tierra, la Luna, la nave y el vector fuerza. *b)* ¿Qué cantidad mínima de trabajo tendría que efectuarse para desplazar la nave a un punto distante de la Tierra y la Luna? Pueden despreciarse los efectos gravitacionales debidos a los demás planetas y al Sol.

**13.49 • Satélites geosíncronos.** Muchos satélites se mueven en un círculo en el plano ecuatorial de la Tierra y están a tal altura que siempre permanecen sobre el mismo punto. *a)* Determine la altitud de estos satélites sobre la superficie terrestre (una órbita con estas características se llama *geosíncrona o geoestacionaria*). *b)* Explique, con un dibujo, por qué las señales de radio de esos satélites no pueden llegar directamente a receptores terrestres situados a más de  $81.3^\circ$  de latitud norte.

**13.50 •• PA Submarinos en Europa.** Algunos científicos están deseosos de enviar un submarino de control remoto a la luna de Júpiter, Europa, con la finalidad de buscar vida en sus océanos debajo de la capa de hielo. Se ha medido la masa de Europa como  $4.8 \times 10^{22}$  kg, su diámetro es de 3120 km, y no tiene atmósfera apreciable. Suponga que la capa de hielo en la superficie no es lo suficientemente gruesa para ejercer una fuerza considerable sobre el agua. Si las ventanas del submarino que se diseñó tienen un área de  $625 \text{ cm}^2$ , y pueden resistir una fuerza máxima hacia adentro de 8750 N por ventana, ¿cuál es la máxima profundidad a la que puede viajar con seguridad el submarino?

**13.51 ••** Determine la rapidez de escape desde un asteroide de 300 km de diámetro y densidad de  $2500 \text{ kg/m}^3$ .

**13.52 ••** Un módulo de descenso con masa de 12,500 kg está en órbita circular a una distancia de  $5.75 \times 10^5$  m sobre la superficie de un planeta. El periodo de la órbita es de 5800 s. Los astronautas del módulo han determinado que el diámetro del planeta es de  $9.60 \times 10^6$  m. El módulo desciende en el polo norte del planeta. ¿Cuánto pesará un astronauta de 85.6 kg al ponerse de pie en la superficie del planeta?

**13.53 ••** El planeta X gira de forma análoga a la Tierra alrededor de un eje que pasa por sus polos norte y sur, y es perfectamente esférico. Un astronauta que pesa 943.0 N en la Tierra pesa 915.0 N en el polo norte del planeta X y sólo 850.0 N en su ecuador. La distancia entre el polo norte y el ecuador es de 18,850 km, medidos sobre la superficie del planeta X. *a)* ¿Qué duración tiene el día en el planeta X? *b)* Si un satélite de 45,000 kg se coloca en órbita circular 2000 km arriba de la superficie del planeta X, ¿qué periodo orbital tendrá?

**13.54 ••** *a)* Suponga que usted se encuentra en el ecuador de la Tierra y observa un satélite que pasa directamente arriba en dirección oeste a este. Exactamente 12.0 horas después, observa otra vez el satélite directamente arriba de su cabeza. ¿A qué altura sobre la superficie terrestre está la órbita del satélite? *b)* Ahora observa otro satélite que se mueve de este a oeste y pasa directamente arriba de su cabeza. El satélite vuelve a estar en esa posición 12.0 horas después. ¿A qué distancia sobre la superficie terrestre está su órbita?

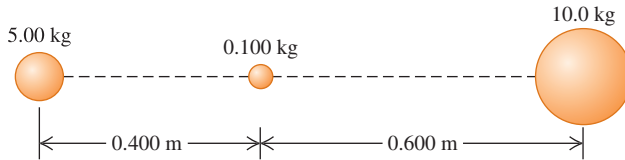
**13.55 •• PA** Un astronauta, cuya misión es ir a donde nadie ha ido antes, desciende sobre un planeta esférico en una galaxia lejana. Cuando se encuentra en la superficie del planeta, libera del reposo una roca pequeña y determina que ésta tarda 0.480 s en caer 1.90 m. Si el radio del planeta es de  $8.60 \times 10^7$  m, ¿cuál es la masa del planeta?

**13.56 •• PA** Imagine que usted es el principal ingeniero científico de la nave *Despistado Errante*, la cual se posa en el misterioso planeta Mongo. Usted efectúa estas mediciones: una piedra de 2.50 kg lanzada hacia arriba desde el suelo a 12.0 m/s vuelve al suelo en 4.80 s; la circunferencia de Mongo en el ecuador es de  $2.00 \times 10^5$  km; y el planeta carece prácticamente de atmósfera. El capitán Confusión, comandante de la nave, pide la siguiente información: *a)* ¿Qué masa tiene Mongo? *b)* Si el *Despistado Errante* se coloca en una órbita circular 30,000 km arriba de la superficie de Mongo, ¿cuántas horas tardará en dar una vuelta completa al planeta?

**13.57 •• PA** Usted está explorando un planeta lejano. Cuando su nave espacial se encuentra en una órbita circular a una distancia de 630 km arriba de la superficie del planeta, la rapidez orbital de la nave es de 4900 m/s. Observando el planeta, determina que su radio es de  $4.48 \times 10^6$  m. Luego aterriza en la superficie y, en un lugar donde el suelo está a nivel, lanza un pequeño proyectil con rapidez inicial de 12.6 m/s a un ángulo de  $30.8^\circ$  sobre la horizontal. Si la resistencia debida a la atmósfera del planeta es despreciable, ¿cuál es el alcance horizontal del proyectil?

**13.58 ••** La esfera de 0.100 kg de la figura P13.58 se libera del reposo en la posición que se indica en el diagrama, con su centro a 0.400 m del centro de la masa de 5.00 kg. Suponga que las únicas fuerzas sobre la esfera de 0.100 kg son las fuerzas gravitacionales ejercidas por las otras dos esferas (de 5.00 y 10.0 kg), las cuales se mantienen en su lugar. ¿Cuál es la rapidez de la esfera de 0.100 kg cuando se ha movido 0.400 m a la derecha de su posición inicial?

Figura P13.58



**13.59 ••** Una nave no tripulada está en órbita circular alrededor de la Luna, observando la superficie lunar desde una altura de 50.0 km (vea el apéndice F). Para consternación de los científicos en la Tierra, un desperfecto eléctrico hace que un motor a bordo se incendie y que la rapidez de la nave se reduzca en 20.0 m/s. Si no se corrige la órbita, ¿con qué rapidez (en km/h) chocará la nave contra la superficie lunar?

**13.60 •• Masa de un cometa.** El 4 de julio de 2005, la nave espacial de la NASA *Deep Impact* disparó un proyectil a la superficie del cometa Tempel 1, el cual mide aproximadamente 9.0 km de diámetro. Observaciones de los restos superficiales liberados por el impacto mostraron que el polvo, con una rapidez tan baja como 1.0 m/s, podía escapar del cometa. *a)* Suponiendo una forma esférica, ¿cuál es la masa de este cometa? (Sugerencia: Vea el ejemplo 13.5 en la sección 13.3). *b)* ¿Qué tan alejados del centro del cometa estarán los restos cuando hayan perdido *i.* el 90.0% de la energía cinética inicial en la superficie, y *ii.* toda su energía cinética inicial en la superficie?

**13.61 • Martillo que cae.** Un martillo de masa  $m$  se deja caer del reposo desde una altura  $h$  arriba de la superficie terrestre, no necesariamente pequeña en comparación con el radio  $R_T$  de la Tierra. Despreciando la resistencia del aire, deduzca una expresión para la rapidez  $v$  del martillo cuando llega a la superficie terrestre. Su expresión deberá incluir  $h$ ,  $R_T$  y  $m_T$ , la masa de la Tierra.

**13.62** • a) Calcule cuánto trabajo se requiere para lanzar una nave espacial de masa  $m$  desde la superficie de la Tierra (masa  $m_T$ , radio  $R_T$ ) y colocarla en una órbita *baja* circular, es decir, una órbita cuya altura sobre la superficie terrestre es mucho menor que  $R_T$  (por ejemplo, la Estación Espacial Internacional está en órbita baja a una altitud aproximada de 400 km, mucho menor que  $R_T = 6370$  km). Se puede despreciar la energía cinética que la nave tiene en el suelo debido a la rotación de nuestro planeta. b) Calcule la cantidad mínima de trabajo adicional requerida para pasar la nave de una órbita baja a una distancia muy grande desde la Tierra. Se pueden ignorar los efectos gravitacionales del Sol, la Luna y los demás planetas. c) Justifique la afirmación de que “en términos de energía, una órbita baja está a la mitad de la distancia a los confines del universo”.

**13.63** • **Estrella binaria: Masas iguales.** Dos estrellas idénticas de masa  $M$  están en órbita alrededor de su centro de masa. Las dos órbitas son circulares con radio  $R$ , de modo que las dos estrellas siempre están en lados opuestos del círculo. a) Calcule la fuerza gravitacional que una estrella ejerce sobre la otra. b) Calcule la rapidez orbital de cada estrella y el periodo de la órbita. c) ¿Cuánta energía se requeriría para separar las estrellas hasta el infinito?

**13.64** •• **PA Estrella binaria: Masas distintas.** Dos estrellas, de masas  $M_1$  y  $M_2$ , están en órbitas circulares alrededor de su centro de masa. La primera tiene una órbita de radio  $R_1$ ; y la segunda,  $R_2$ . a) Demuestre que la relación de los radios orbitales de las dos estrellas es igual al recíproco de la relación de sus masas, es decir,  $R_1/R_2 = M_2/M_1$ . b) Explique por qué las dos estrellas tienen el mismo periodo orbital  $T$  y demuestre que este último está dado por  $T = 2\pi(R_1 + R_2)^{3/2}/\sqrt{G(M_1 + M_2)}$ . c) Las dos estrellas de cierto sistema binario se mueven en órbitas circulares. La primera estrella, Alfa, tiene una rapidez orbital de 36.0 km/s; y la segunda estrella, Beta, de 12.0 km/s. El periodo orbital es de 137 días. Calcule las masas de las estrellas. d) Uno de los mejores candidatos para agujero negro está en el sistema binario llamado A0620-0090. Los dos objetos del sistema son una estrella anaranjada, V616 Monocerotis, y un objeto compacto que se cree es un agujero negro (vea la figura 13.28). El periodo orbital de A0620-0090 es de 7.75 horas. Se estima que la masa de V616 Monocerotis es 0.67 veces la masa del Sol, y la del agujero negro, 3.8 veces la masa del Sol. Suponiendo que las órbitas son circulares, determine el radio de la órbita y la rapidez orbital de cada objeto. Compare sus respuestas con el radio orbital de la Tierra y su rapidez orbital alrededor del Sol.

**13.65** •• Los cometas viajan alrededor del Sol en órbitas elípticas de gran excentricidad. Si un cometa tiene una rapidez de  $2.0 \times 10^4$  m/s cuando está a una distancia de  $2.5 \times 10^{11}$  m del centro del Sol, ¿qué rapidez tiene cuando se encuentra a  $5.0 \times 10^{10}$  m?

**13.66** • Urano tiene un radio de 25,360 km y en la superficie de sus polos la aceleración debida a la gravedad es de  $9.0 \text{ m/s}^2$ . Su luna Miranda (descubierta en 1948 por Kuiper) está en una órbita circular a una altura de 104,000 km sobre la superficie del planeta; además, tiene una masa de  $6.6 \times 10^{19}$  kg y un radio de 236 km. a) Calcule la masa de Urano a partir de estos datos. b) Calcule la magnitud de la aceleración de Miranda debida a su movimiento orbital alrededor de Urano. c) Calcule la aceleración debida a la gravedad de Miranda en su superficie. d) ¿Las respuestas a los incisos b) y c) implican que un objeto soltado 1 m arriba de la superficie de Miranda en el lado que da hacia Urano caerá *hacia arriba* relativo a Miranda? Explique.

**13.67** •• **PA** Considere una nave en órbita elíptica alrededor de la Tierra. En el punto bajo, o perigeo, de su órbita, la nave está 400 km arriba de la superficie de la Tierra; en el punto alto, o apogeo, está a 4000 km de la superficie de la Tierra. a) Calcule el periodo de la nave en esa órbita. b) Usando la conservación del momento angular, calcule la razón entre la rapidez de la nave en el perigeo y la rapidez de la nave en el apogeo. c) Usando la conservación de la

energía, determine la rapidez de la nave tanto en el perigeo como en el apogeo. d) Se desea que la nave escape totalmente de la Tierra. Si sus cohete se encienden en el perigeo, ¿cuánto tendrá que aumentarse la rapidez para lograrlo? ¿Qué ocurre si los cohete se disparan en el apogeo? ¿Qué punto de la órbita se puede usar con mayor eficiencia?

**13.68** •• Un cohete con la masa  $5.00 \times 10^3$  kg está en una órbita circular de radio  $7.20 \times 10^6$  m alrededor de la Tierra. Los motores del cohete se encienden por un periodo de tiempo para aumentar ese radio a  $8.80 \times 10^6$  m, con la órbita otra vez circular. a) ¿Cuál es el cambio en la energía cinética del cohete? ¿La energía cinética aumenta o disminuye? b) ¿Cuál es el cambio en la energía potencial gravitacional del cohete? ¿La energía potencial aumenta o disminuye? c) ¿Cuánto trabajo realizan los motores del cohete para cambiar el radio orbital?

**13.69** •• Una nave de 5000 kg está en órbita circular 2000 km arriba de la superficie de Marte. ¿Cuánto trabajo deben efectuar sus motores para llevarla a una órbita circular 4000 km arriba de la superficie?

**13.70** •• Un satélite con masa de 848 kilogramos está en una órbita circular con una rapidez orbital de 9640 m/s alrededor de la Tierra. ¿Cuál es la nueva rapidez orbital después de que la fricción de la atmósfera superior de la Tierra ha efectuado  $-7.50 \times 10^9$  J de trabajo sobre el satélite? ¿La rapidez aumenta o disminuye?

**13.71** •• **CALC** Los planetas no son uniformes en su interior. Normalmente, son más densos en el centro, y su densidad se reduce hacia la superficie. Modele un planeta esféricamente simétrico, con el mismo radio que la Tierra, suponiendo que su densidad disminuye linealmente al aumentar la distancia al centro. Sea la densidad en el centro de  $15.0 \times 10^3 \text{ kg/m}^3$ , y en la superficie, de  $2.0 \times 10^3 \text{ kg/m}^3$ . Determine la aceleración debida a la gravedad en la superficie de ese planeta.

**13.72** •• Uno de los cometas más brillantes del siglo xx fue el cometa Hyakutake, que pasó cerca del Sol a principios de 1996. Se estimó que el periodo orbital de ese cometa es de unos 30,000 años. Calcule el semieje mayor de la órbita de este cometa y compare ese valor con la distancia media entre Plutón y el Sol, y con la distancia a Alfa Centauri, la estrella más cercana al Sol, que se encuentra a 4.3 años luz.

**13.73** •• **CALC** Un objeto en forma de anillo circular delgado tiene radio  $a$  y masa  $M$ . Una esfera uniforme de masa  $m$  y radio  $R$  se coloca con su centro a una distancia  $x$  a la derecha del centro del anillo, sobre una línea que pasa por el centro del anillo y es perpendicular a su plano (vea la figura E13.35). ¿Qué fuerza gravitacional ejerce la esfera sobre el anillo? Demuestre que su resultado se reduce al valor esperado cuando  $x$  es mucho mayor que  $a$ .

**13.74** •• **CALC** Un alambre uniforme con masa  $M$  y longitud  $L$  se dobla para formar una semicircunferencia. Calcule la magnitud y la dirección de la fuerza gravitacional que este alambre ejerce sobre una masa puntual  $m$  colocada en el centro de curvatura de la semicircunferencia.

**13.75** • **CALC** Se perfura un pozo de la superficie al centro de la Tierra (vea la figura 13.25). Como en el ejemplo 13.10 (sección 13.6), suponga que la densidad de la Tierra es uniforme. Con esta aproximación poco realista, la fuerza gravitacional que actúa sobre un objeto de masa  $m$ , ubicado dentro de la Tierra a una distancia  $r$  del centro, tiene magnitud  $F_g = Gm_Tmr/R_T^3$  (como se demostró en el ejemplo 13.10) y apunta hacia el centro de la Tierra. a) Deduzca una expresión para la energía potencial gravitacional  $U(r)$  del sistema objeto-Tierra en función de la distancia del objeto al centro de la Tierra. Considere la energía potencial igual a cero cuando el objeto está en el centro de la Tierra. b) Si un objeto se deja caer por el pozo desde la superficie terrestre, ¿qué rapidez tendrá cuando llegue al centro de la Tierra?

**13.76 •• DATOS** Para cada uno de los ocho planetas de Mercurio a Neptuno, el semieje mayor  $a$  de su órbita y su periodo orbital  $T$  son los siguientes:

Planeta	Semieje mayor ( $10^6$ km)	Periodo orbital (días)
Mercurio	57.9	88.0
Venus	108.2	224.7
Tierra	149.6	365.2
Marte	227.9	687.0
Júpiter	778.3	4331
Saturno	1426.7	10,747
Urano	2870.7	30,589
Neptuno	4498.4	59,800

a) Explique por qué esos valores, cuando se grafican como  $T^2$  contra  $a^3$ , se encuentran cerca de una línea recta. ¿Cuál de las leyes de Kepler se está probando? Sin embargo, los valores de  $T^2$  y  $a^3$  cubren un rango muy amplio, por lo que no es muy práctico trazar la gráfica de los datos (inténtelo!). En cambio, trace la gráfica de  $\log(T)$  (con  $T$  en segundos) contra  $\log(a)$  (con  $a$  en metros). Explique por qué los datos se deben encontrar también cerca de una línea recta en esta gráfica. b) Según las leyes de Kepler, ¿cuál debería ser la pendiente de la gráfica de  $\log(T)$  contra  $\log(a)$  en el inciso a)? ¿Su gráfica tiene esta pendiente? c) Usando  $G = 6.674 \times 10^{-11} \text{ N} \cdot \text{m}^2/\text{kg}^2$ , calcule la masa del Sol a partir de la intersección de su gráfica en  $y$ . ¿Cómo se compara su valor calculado con el valor dado en el apéndice F? d) El único asteroide visible a simple vista (y sólo en condiciones visuales ideales) es Vesta, que tiene un periodo orbital de 1325.4 días. ¿Cuál es la longitud del semieje mayor de la órbita de Vesta? ¿En qué lugar está la órbita de Vesta en relación con las órbitas de los ocho planetas principales? Algunos científicos argumentan que Vesta debería considerarse un planeta menor y no un asteroide.

**13.77 •• DATOS** Para un planeta esférico con masa  $M$ , volumen  $V$ , y radio  $R$ , deduzca una expresión para la aceleración debida a la gravedad en la superficie del planeta,  $g$ , en términos de la densidad media del planeta,  $\rho = M/V$ , y del diámetro del planeta,  $D = 2R$ . La tabla presenta los valores de  $D$  y  $g$  para los ocho planetas principales:

Planeta	$D$ (km)	$g$ ( $\text{m/s}^2$ )
Mercurio	4879	3.7
Venus	12,104	8.9
Tierra	12,756	9.8
Marte	6792	3.7
Júpiter	142,984	23.1
Saturno	120,536	9.0
Urano	51,118	8.7
Neptuno	49,528	11.0

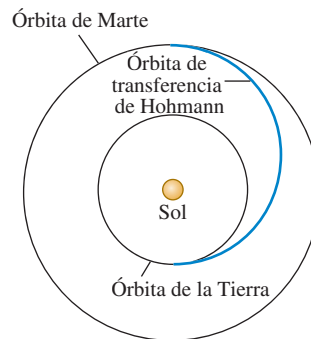
a) Trate a los planetas como esferas. Su ecuación para  $g$  en función de  $\rho$  y  $D$  demuestra que, si la densidad media de los planetas es constante, una gráfica de  $g$  contra  $D$  estará bien representada por una línea recta. Trace la gráfica de  $g$  en función de  $D$  para los ocho planetas principales. ¿Qué le dice la gráfica acerca de la variación en la densidad media? b) Calcule la densidad media para cada planeta principal. Enumere los planetas en orden decreciente de densidad, e indique la densidad media calculada de cada uno. c) La Tierra no es una esfera uniforme y tiene mayor densidad cerca de su centro. Es razonable suponer que esto podría ser cierto para los otros planetas. Analice el efecto que tiene esta no uniformidad en su análisis. d) Si Saturno tuviera la misma densidad media que la Tierra, ¿cuál sería el valor de  $g$  en la superficie de Saturno?

**13.78 ••• DATOS** Para un planeta en nuestro Sistema Solar, supongamos que el eje de órbita está en el Sol y es circular. Entonces el momento angular sobre ese eje debido al movimiento orbital del planeta es  $L = MvR$ . a) Deducza una expresión para  $L$  en términos de la masa del planeta  $M$ , radio orbital  $R$ , y periodo  $T$  de la órbita. b) Con base en el apéndice F, calcule la magnitud del momento angular orbital para cada uno de los ocho planetas principales (suponga una órbita circular). Sume estos valores para obtener el momento angular total de los planetas principales debido a su movimiento orbital (todos los planetas principales orbitan en la misma dirección cerca del mismo plano, por lo que sumar magnitudes para obtener el total es una aproximación razonable). c) El periodo de rotación del Sol es de 24.6 días. Con base en el apéndice F, calcule el momento angular que tiene el Sol debido a la rotación sobre su eje (suponga que el Sol es una esfera uniforme). d) ¿Cómo se compara el momento angular rotacional del Sol con el momento angular orbital total de los planetas? ¿Cómo se compara la masa del Sol con la masa total de los planetas? El hecho de que el Sol tiene la mayor parte de la masa del Sistema Solar, pero sólo una pequeña fracción de su momento angular total se debe considerar en los modelos de cómo se formó el Sistema Solar. e) El Sol tiene una densidad que decrece con la distancia con respecto a su centro. ¿Esto significa que en su cálculo del inciso c) sobrestima o subestima el momento angular rotacional del Sol? ¿O acaso la densidad no uniforme no tiene ningún efecto?

## PROBLEMAS DE DESAFÍO

**13.79 •• Navegación interplanetaria.** La forma más eficiente de enviar una nave desde la Tierra a otro planeta es usar una *órbita de transferencia de Hohmann* (figura P13.79). Si las órbitas de los planetas de origen y destino son circulares, la órbita de transferencia de Hohmann es una órbita elíptica, cuyo perihelio y afelio son tangentes a las órbitas de los dos planetas. Los cohetes se encienden brevemente en el planeta de origen para colocar la nave en la órbita de transferencia; a continuación, la nave viaja sin motor hasta llegar al planeta de destino. En ese instante, los cohetes se encienden otra vez para poner a la nave en la misma órbita alrededor del Sol que el planeta de destino. a) Para un vuelo de la Tierra a Marte, ¿en qué dirección se deben disparar los cohetes en la Tierra y en Marte: en la dirección del movimiento o en la dirección opuesta? b) ¿Y en un vuelo de Marte a la Tierra? c) ¿Cuánto tarda un viaje de ida de la Tierra a Marte, entre los encendidos de los cohetes? c) Para llegar a Marte desde la Tierra, el instante del lanzamiento debe calcularse de modo que Marte esté en el lugar correcto cuando la nave llegue a la órbita de Marte alrededor del Sol. En el lanzamiento, ¿qué ángulo deben formar las líneas Sol-Marte y Sol-Tierra? Use datos del apéndice F.

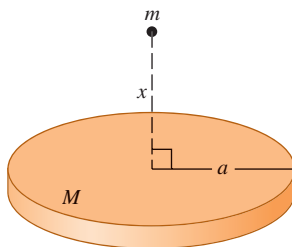
Figura P13.79



**13.80 ... PA Fuerzas de marea cerca de un agujero negro.** Un astronauta, dentro de una nave que lo protege de las radiaciones dañinas, está en órbita alrededor de un agujero negro a una distancia de 120 km de su centro. El agujero negro tiene 5.00 veces la masa del Sol y un radio de Schwarzschild de 15.0 km. El astronauta está situado dentro de la nave, de modo tal que una de sus orejas de 0.030 kg está 6.0 cm más lejos del agujero negro que el centro de masa de la nave, y la otra oreja está 6.0 cm más cerca. *a)* ¿Qué tensión hay entre sus orejas? ¿Sería difícil para el astronauta evitar ser desgarrado por las fuerzas gravitacionales? (Puesto que todo su cuerpo está en órbita con la misma velocidad angular, una oreja se mueve con demasiada lentitud para el radio de su órbita y la otra lo hace con demasiada rapidez. Por ello, la cabeza debe ejercer fuerzas sobre las orejas para mantenerlas en sus órbitas). *b)* ¿El centro de gravedad de su cabeza está en el mismo punto que su centro de masa? Explique.

**13.81 ... CALC** La masa  $M$  está distribuida de manera uniforme en un disco de radio  $a$ . Calcule la fuerza gravitacional (magnitud y dirección) que actúa entre esta masa y una partícula de masa  $m$  situada a una distancia  $x$  arriba del centro del disco (**figura P13.81**). ¿Su resultado se reduce a la expresión correcta cuando  $x$  se hace muy grande? (*Sugerencia:* Divida el disco en anillos concéntricos infinitesimalmente delgados, use la expresión deducida en el ejercicio 13.35 para la fuerza gravitacional debida a cada anillo, e integre para obtener la fuerza total).

Figura P13.81



## PROBLEMAS DE TRANSICIÓN

**EXOPLANETAS.** A medida que se descubren planetas con una amplia variedad de propiedades fuera de nuestro Sistema Solar, los astrobiólogos se preguntan si acaso la vida podría evolucionar en planetas muy diferentes a la Tierra y, si es así, cómo. Un planeta extrasolar o exoplaneta, descubierto recientemente, orbita una estrella cuya masa es 0.70 veces la masa de nuestro Sol. Se ha encontrado que este planeta tiene 2.3 veces el diámetro de la Tierra y 7.9 veces la masa de la Tierra. Para los planetas de este rango de tamaños, los modelos de computadora indican una relación entre la densidad y la composición del planeta:

Densidad comparada con la de la Tierra	Composición
2-3 veces	Principalmente hierro
0.9-2 veces	Núcleo de hierro con una capa de roca
0.4-0.9 veces	Núcleo de hierro con un manto de roca y algunos elementos más ligeros, tales como hielo (agua)
< 0.4	Hidrógeno y/o gas helio

Con base en S. Seager *et al.*, “Mass-Radius Relationships for Solid Exoplanets”; arXiv:0707.2895[astro-ph]

**13.82** Con base en los datos, ¿cuál es la composición más probable de ese planeta? *a)* Principalmente hierro; *b)* hierro y roca; *c)* hierro y roca con algunos elementos ligeros; *d)* gases de hidrógeno y helio.

**13.83** ¿Cuántas veces la aceleración debida a la gravedad  $g$  cerca de la superficie de la Tierra es la aceleración debida a la gravedad cerca de la superficie de ese exoplaneta? Aproximadamente *a)* 0.29 $g$ ; *b)* 0.65 $g$ ; *c)* 1.5 $g$ ; *d)* 7.9 $g$ .

**13.84** Las observaciones de este planeta a lo largo del tiempo demuestran que está en una órbita casi circular alrededor de su estrella y que completa la órbita en tan sólo 9.5 días. ¿Cuántas veces el radio orbital  $r$  de la Tierra alrededor de nuestro Sol es el radio orbital de ese exoplaneta alrededor de su sol? Suponga que la Tierra está también en una órbita casi circular. *a)* 0.026 $r$ ; *b)* 0.078 $r$ ; *c)* 0.70 $r$ ; *d)* 2.3 $r$ .

## Respuestas

### Pregunta de inicio del capítulo ?

**iv.** Para un satélite a una distancia  $r$  desde el centro de su planeta, la rapidez orbital es proporcional a  $\sqrt{1/r}$  y la aceleración debida a la gravedad es proporcional a  $1/r^2$  (vea la sección 13.4). Por lo tanto, una partícula que orbita cerca de Saturno tiene una rapidez y una aceleración mayores que la que orbita a una distancia lejana.

### Respuesta a las secciones

#### Evalúe su comprensión

**13.1 v.** De acuerdo con la ecuación (13.1), la fuerza gravitacional del Sol (masa  $m_1$ ) sobre un planeta (masa  $m_2$ ) que está a una distancia  $r$  tiene magnitud  $F_g = Gm_1m_2/r^2$ . En comparación con la Tierra, Saturno tiene un valor de  $r^2$  que es  $10^2 = 100$  veces más grande y un valor de  $m_2$  que también es 100 veces mayor. Por lo tanto, la fuerza que el Sol ejerce sobre Saturno tiene la misma magnitud que la fuerza que el Sol ejerce sobre la Tierra. La aceleración de un planeta es igual a la fuerza neta dividida entre la masa del planeta. Como Saturno tiene 100 veces más masa que la Tierra, su aceleración es  $\frac{1}{100}$  de la aceleración terrestre.

**13.2 iii, i, ii, iv.** De acuerdo con la ecuación (13.4), la aceleración debida a la gravedad en la superficie de un planeta de masa  $m_p$  y radio  $R_p$  es  $g_p = Gm_p/R_p^2$ . Es decir,  $g_p$  es directamente proporcional a la masa del planeta e inversamente proporcional al cuadrado de su radio. Entonces, comparado con el valor de  $g$  en la superficie terrestre, el valor de  $g_p$  en cada planeta es de **i.**  $2/2^2 = \frac{1}{2}$ ; **ii.**  $4/4^2 = \frac{1}{4}$ ; **iii.**  $4/2^2 = 1$ , es decir, el mismo que en la Tierra; y **iv.**  $2/4^2 = \frac{1}{8}$ .

**13.3 iv.** Para un planeta de masa  $m_p$  y radio  $R_p$ , la gravedad de la superficie es  $g = Gm_p/R_p^2$ , mientras que la rapidez de escape es  $v_{\text{esc}} = \sqrt{2Gm_p/R_p}$ . Comparando estas dos expresiones, obtendrá  $v_{\text{esc}} = \sqrt{2gR_p}$ . Así que incluso si un planeta tiene el mismo valor de  $g$  que la Tierra, su rapidez de escape puede ser diferente, dependiendo de cómo se compara su radio  $R_p$  con el radio de la Tierra. Para el planeta Saturno, por ejemplo,  $m_p$  es aproximadamente 100 veces la masa de la Tierra y  $R_p$  es aproximadamente 10 veces el radio de la Tierra. El valor de  $g$  es diferente del de la Tierra por un factor de  $(100)/(10)^2 = 1$  (es decir, es igual que en la Tierra), mientras que la rapidez de escape es mayor por un factor de  $\sqrt{100}/10 = 3.2$ .

**13.4 ii.** La ecuación (13.10) indica que en una órbita de radio menor, la nave espacial tiene una rapidez mayor. El trabajo negativo efectuado por la resistencia del aire disminuye la energía mecánica total  $E = K + U$ ; la energía cinética  $K$  aumenta (se vuelve más positiva), pero la energía

potencial gravitacional  $U$  disminuye (se vuelve más negativa) en una cantidad mayor.

**13.5 iii.** La ecuación (13.17) indica que el periodo orbital  $T$  es proporcional a la potencia  $\frac{3}{2}$  del semieje mayor  $a$  (es decir, que cuadrado del periodo orbital  $T$  es proporcional al cubo del semieje mayor  $a$ ). Por lo tanto, el periodo orbital del cometa X es más largo que el del cometa Y por un factor de  $4^{3/2} = 8$ .

**13.6 No.** Nuestro análisis revela que la fuerza gravitacional dentro de un cascarón esférico hueco es *cero*. Por consiguiente, quienes visitaran el interior de un planeta hueco experimentarían ingravidez, y no podrían ponerse de pie ni caminar sobre la superficie interior del planeta.

**13.7 iv.** El análisis de la ecuación (13.27) indica que la diferencia entre la aceleración debida a la gravedad en el ecuador y en los polos es  $v^2/R_T$ . Puesto que este planeta tiene el mismo radio y, por consiguiente, la misma circunferencia que la Tierra, la rapidez  $v$  en su ecuador debe ser 10 veces la rapidez del ecuador terrestre. Por lo tanto,  $v^2/R_T$  es  $10^2 = 100$  veces mayor que en la Tierra, o bien,  $100(0.0339 \text{ m/s}^2) = 3.39 \text{ m/s}^2$ . La aceleración debida a la gravedad en los polos es  $9.80 \text{ m/s}^2$ , en tanto que en el ecuador es significativamente menor:  $9.80 \text{ m/s}^2 - 3.39 \text{ m/s}^2 = 6.41 \text{ m/s}^2$ . Usted puede demostrar que si el planeta girara 17.0 veces más rápido que la Tierra, la aceleración debida a la gravedad en el ecuador sería *cero* ¡y los objetos sueltos saldrían disparados de la superficie del ecuador!

**13.8 iii.** Si el Sol se colapsara para formar un agujero negro (lo cual, según lo que actualmente sabemos acerca de las estrellas, no puede suceder), tendría la misma masa pero un radio mucho menor. Como la fuerza gravitacional que el Sol ejerce sobre la Tierra no depende del radio del Sol, no se alteraría la órbita de la Tierra.

#### Problema práctico

a) Perihelio:  $v_p = \sqrt{\frac{Gm_S}{a} \frac{(1+e)}{(1-e)}}$

Afelio:  $v_A = \sqrt{\frac{Gm_S}{a} \frac{(1-e)}{(1+e)}}$

b)  $v_p = 54.4 \text{ km/s}$ ,  $v_A = 0.913 \text{ km/s}$ ;  $K_p = 3.26 \times 10^{23} \text{ J}$ ,

$U_p = -3.31 \times 10^{23} \text{ J}$ ,  $E_p = -5.47 \times 10^{21} \text{ J}$ ;

$K_A = 9.17 \times 10^{19} \text{ J}$ ,  $U_A = -5.56 \times 10^{21} \text{ J}$ ,

$E_A = -5.47 \times 10^{21} \text{ J}$



Los perros caminan mucho más rápido que los humanos. ¿Esto se debe principalmente a que las patas de los perros **i.** son más cortas que las piernas de los humanos; **ii.** son menos masivas; **iii.** su razón entre músculo y grasa es más alta; **iv.** carecen de dedos; o **v.** es resultado de más de uno de estos factores?

# 14 MOVIMIENTO PERIÓDICO

## OBJETIVOS DE APRENDIZAJE

Al estudiar este capítulo, usted aprenderá:

- 14.1** Cómo describir las oscilaciones en términos de amplitud, periodo, frecuencia lineal y frecuencia angular.
- 14.2** Cómo hacer cálculos de movimiento armónico simple, un tipo de oscilación importante.
- 14.3** Cómo utilizar los conceptos de energía para analizar el movimiento armónico simple.
- 14.4** Cómo aplicar los conceptos relacionados con el movimiento armónico simple en diferentes situaciones físicas.
- 14.5** Cómo analizar los movimientos de un péndulo simple.
- 14.6** Qué es un péndulo físico y cómo calcular las propiedades de su movimiento.
- 14.7** Qué determina la duración de una oscilación.
- 14.8** Cómo una fuerza aplicada a un oscilador en la frecuencia adecuada puede causar una respuesta o resonancia muy grande.

Repase lo estudiado en la sección ...

- 1.3** Unidades de tiempo.
- 3.4** Movimiento circular uniforme.
- 6.3** Ley de Hooke.
- 7.2, 7.4** Energía potencial elástica; relación con fuerza y energía potencial.
- 9.3** Relación entre el movimiento angular y el movimiento lineal.
- 10.2** Segunda ley de Newton para el movimiento de rotación.

**M**uchos tipos de movimiento se repiten una y otra vez: la vibración de un cristal de cuarzo en un reloj de pulso, el péndulo oscilante de un reloj con pedestal, las vibraciones sonoras producidas por un clarinete o un tubo de órgano y el movimiento periódico de los pistones de un motor de combustión. A esta clase de movimiento le llamamos **movimiento periódico u oscilación**, y será el tema del presente capítulo. Su comprensión será indispensable para nuestro estudio posterior de las ondas, el sonido, la corriente alterna y la luz.

Un cuerpo que experimenta un movimiento periódico se caracteriza por una posición de equilibrio estable; cuando se le aleja de esa posición y se libera, entra en acción una fuerza o torca para hacerlo regresar al equilibrio. Sin embargo, para cuando llega ahí, ya ha adquirido cierta energía cinética que le permite continuar su movimiento hasta detenerse del otro lado, de donde será impulsado nuevamente hacia su posición de equilibrio. Imagine una pelota que rueda de un lado a otro dentro de un tazón redondo, o un péndulo que oscila pasando por su posición vertical.

En este capítulo nos concentraremos en dos ejemplos sencillos de sistemas con movimiento periódico: los sistemas resorte-masa y los péndulos. También veremos por qué algunas oscilaciones tienden a detenerse con el tiempo, y otras tienen desplazamientos cada vez mayores con respecto a su posición de equilibrio cuando actúan fuerzas periódicamente variables.

## 14.1 DESCRIPCIÓN DE LA OSCILACIÓN

Uno de los sistemas más sencillos que puede tener movimiento periódico se muestra en la **figura 14.1**. Un cuerpo con masa  $m$  se mantiene sobre una guía horizontal sin fricción, como una pista o un riel de aire, de modo que sólo puede desplazarse a lo largo del eje  $x$ . El cuerpo está conectado a un resorte de masa despreciable que puede estirarse o comprimirse. El extremo izquierdo del resorte está fijo, y el derecho está unido al cuerpo. La fuerza del resorte es la única fuerza horizontal que actúa sobre el cuerpo; en este caso, las fuerzas normal vertical y gravitacional suman cero.

Lo más sencillo es definir nuestro sistema de coordenadas con el origen  $O$  en la posición de equilibrio, donde el resorte no está estirado ni comprimido. Así,  $x$  es la

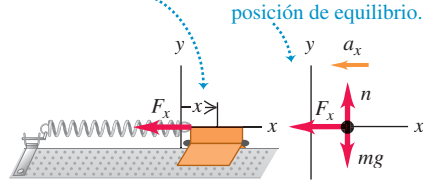
### 14.1 Sistema que puede tener movimiento periódico.

#### 14.2 Modelo de movimiento periódico.

Cuando el cuerpo está desplazado con respecto a la posición de equilibrio en  $x = 0$ , el resorte ejerce una fuerza de restitución dirigida hacia la posición de equilibrio.

a)

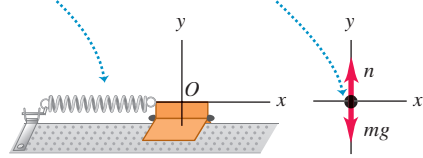
$x > 0$ : El deslizador se desplaza a la derecha desde la posición de equilibrio



$F_x < 0$ , así que  
 $a_x < 0$ : El resorte estirado tira del deslizador hacia la posición de equilibrio.

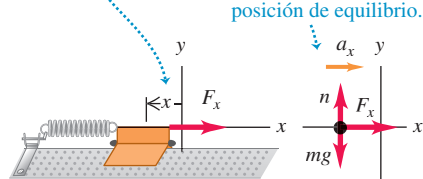
b)

$x = 0$ : El resorte relajado no ejerce ninguna fuerza sobre el deslizador, de manera que éste tiene aceleración cero.



c)

$x < 0$ : El deslizador se desplaza a la izquierda desde la posición de equilibrio.



$F_x > 0$ , así que  
 $a_x > 0$ : El resorte comprimido empuja el deslizador hacia la posición de equilibrio.

componente  $x$  del **desplazamiento** del cuerpo con respecto al equilibrio y también es el cambio de longitud del resorte. La componente  $x$  de la fuerza que el resorte ejerce sobre el cuerpo es  $F_x$  y la componente  $x$  de la aceleración es  $a_x = F_x/m$ .

La figura 14.2 muestra el cuerpo para tres desplazamientos diferentes del resorte. Siempre que el cuerpo se desplaza con respecto a su posición de equilibrio, la fuerza del resorte tiende a regresarlo a dicha posición. Llamamos a una fuerza con esa característica **fuerza de restitución**. Sólo puede haber oscilación si hay una fuerza de restitución que tiende a regresar al sistema a la posición de equilibrio.

Analicemos cómo se da la oscilación en este sistema. Si desplazamos el cuerpo a la derecha hasta  $x = A$  y lo soltamos, la fuerza neta y la aceleración son hacia la izquierda (figura 14.2a). La rapidez aumenta conforme el cuerpo se approxima a la posición de equilibrio  $O$ . Cuando el cuerpo está en  $O$ , la fuerza neta que actúa sobre él es cero (figura 14.2b), pero, a causa de su movimiento, *rebasa* la posición de equilibrio. En el otro lado de esa posición, el cuerpo se sigue moviendo a la izquierda, pero la fuerza neta y la aceleración son a la derecha (figura 14.2c); por lo tanto, la rapidez disminuye hasta que el cuerpo se detiene. Despues demostraremos que, con un resorte ideal, el punto en el que se detiene es  $x = -A$ . Ahora el cuerpo acelera hacia la derecha, rebasa otra vez el equilibrio, y se detiene en el punto inicial  $x = A$ , listo para repetir todo el proceso. ¡El cuerpo está oscilando! Si no hay fricción u otra fuerza que elimine energía mecánica del sistema, el movimiento se repetirá eternamente; la fuerza de restitución llevará de manera perpetua el cuerpo hacia la posición de equilibrio, por la cual el cuerpo pasará una y otra vez.

En situaciones diferentes, la fuerza puede depender de diversas maneras del desplazamiento  $x$  con respecto al equilibrio, pero *siempre* habrá oscilación si la fuerza es de **restitución** y tiende a regresar al sistema al punto de equilibrio.

### Amplitud, periodo, frecuencia lineal y frecuencia angular

Veamos algunos términos que usaremos al analizar movimientos periódicos de todo tipo:

La **amplitud** del movimiento, denotada con  $A$ , es la magnitud máxima del desplazamiento con respecto al equilibrio, es decir, el valor máximo de  $|x|$  y siempre es positiva. Si el resorte de la figura 14.2 es ideal, el rango global del movimiento es  $2A$ . La unidad de  $A$  en el SI es el metro. Una vibración completa, o **ciclo**, es un viaje redondo (de ida y vuelta), digamos de  $A$  a  $-A$  y de regreso a  $A$ , o bien, de  $O$  a  $A$ , regresando por  $O$  hasta  $-A$  y volviendo a  $O$ . Observe que el movimiento de un lado al otro (digamos, de  $-A$  a  $A$ ) es medio ciclo, no un ciclo completo.

El **periodo**,  $T$ , es el tiempo que tarda un ciclo, y siempre es positivo. La unidad del periodo en el SI es el segundo, aunque a veces se expresa como “segundos por ciclo”.

La **frecuencia lineal** o simplemente, **frecuencia**,  $f$ , es el número de ciclos en la unidad de tiempo, y siempre es positiva. La unidad de la frecuencia en el SI es el *hertz* en honor del físico alemán del siglo XIX Heinrich Hertz:

$$1 \text{ hertz} = 1 \text{ Hz} = 1 \text{ ciclo/s} = 1 \text{ s}^{-1}$$

La **frecuencia angular**,  $\omega$ , es  $2\pi$  veces la frecuencia lineal:

$$\omega = 2\pi f$$



Pronto veremos para qué sirve  $\omega$ ; representa la rapidez de cambio de una cantidad angular (no necesariamente relacionada con un movimiento de rotación) que siempre se mide en radianes, de modo que sus unidades son rad/s. Puesto que  $f$  está en ciclos/s, podemos considerar que el número  $2\pi$  tiene unidades de rad/ciclo.

Por las definiciones de periodo  $T$  y frecuencia  $f$ , es evidente que uno es el recíproco del otro:

En el movimiento periódico la frecuencia y el periodo son recíprocos entre sí.

$$f = \frac{1}{T} \quad T = \frac{1}{f}$$

Periodo  
Frecuencia

(14.1)

También, por la definición de  $\omega$ ,

La frecuencia angular está relacionada con la frecuencia y el periodo

$$\omega = 2\pi f = \frac{2\pi}{T}$$

Frecuencia  
Periodo

(14.2)



### EJEMPLO 14.1 PERÍODO, FRECUENCIA LINEAL Y FRECUENCIA ANGULAR

Un transductor ultrasónico empleado para el diagnóstico médico oscila con una frecuencia de  $6.7 \text{ MHz} = 6.7 \times 10^6 \text{ Hz}$ . ¿Cuánto tarda cada oscilación, y qué frecuencia angular tiene?

#### SOLUCIÓN

**IDENTIFICAR Y PLANTEAR:** Nuestras incógnitas son el periodo  $T$  y la frecuencia angular  $\omega$ . Podemos obtener esas variables empleando la frecuencia  $f$  en las ecuaciones (14.1) y (14.2).

**EJECUTAR:** De las ecuaciones (14.1) y (14.2),

$$T = \frac{1}{f} = \frac{1}{6.7 \times 10^6 \text{ Hz}} = 1.5 \times 10^{-7} \text{ s} = 0.15 \mu\text{s}$$

$$\omega = 2\pi f = 2\pi(6.7 \times 10^6 \text{ Hz})$$

$$= (2\pi \text{ rad/ciclo})(6.7 \times 10^6 \text{ ciclos/s}) = 4.2 \times 10^7 \text{ rad/s}$$

**EVALUAR:** Ésta es una vibración muy rápida, con  $f$  y  $\omega$  grandes y  $T$  pequeño. Una vibración lenta tiene  $f$  y  $\omega$  pequeñas, y  $T$  grande.

**EVALÚE SU COMPRENSIÓN DE LA SECCIÓN 14.1** Un cuerpo como el de la figura 14.2 oscila de un lado a otro. Para cada uno de los siguientes valores de la velocidad  $v_x$  y la aceleración  $a_x$  del cuerpo, indique si el desplazamiento  $x$  es positivo, negativo o cero.  
 a)  $v_x > 0$  y  $a_x > 0$ ; b)  $v_x > 0$  y  $a_x < 0$ ; c)  $v_x < 0$  y  $a_x > 0$ ; d)  $v_x < 0$  y  $a_x < 0$ ; e)  $v_x = 0$  y  $a_x < 0$ ;  
 f)  $v_x > 0$  y  $a_x = 0$ .

## 14.2 MOVIMIENTO ARMÓNICO SIMPLE

El tipo de oscilación más sencillo sucede cuando la fuerza de restitución  $F_x$  es *directamente proporcional* al desplazamiento  $x$  con respecto al equilibrio. Esto ocurre si el resorte de las figuras 14.1 y 14.2 es ideal y obedece la *ley de Hooke* (vea la sección 6.3). La constante de proporcionalidad entre  $F_x$  y  $x$  es la constante de fuerza  $k$ . En ambos lados de la posición de equilibrio,  $F_x$  y  $x$  siempre tienen signos opuestos. En la sección 6.3, representamos la fuerza que actúa sobre un resorte ideal estirado como  $F_x = kx$ . La componente  $x$  de la fuerza que el resorte ejerce sobre el cuerpo es el negativo de ésta, de manera que

Fuerza de restitución ejercida por un resorte ideal

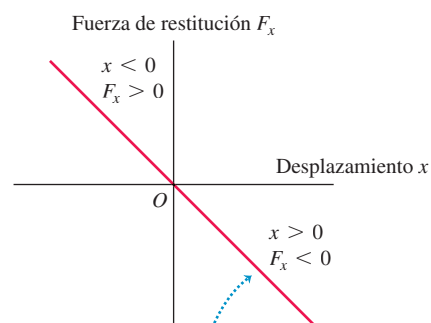
$$F_x = -kx$$

Componente  $x$  de fuerza  
Desplazamiento  
Constante de fuerza del resorte

(14.3)

Esta ecuación da la magnitud y el signo correctos de la fuerza, independientemente de que  $x$  sea positiva, negativa o cero (**figura 14.3**). La constante de fuerza  $k$  siempre es positiva y tiene unidades de N/m (también resultan útiles las unidades de kg/s<sup>2</sup>). Estamos suponiendo que no hay fricción, así que la ecuación (14.3) da la fuerza *neta* que actúa sobre el cuerpo.

**14.3** Un resorte ideal ejerce una fuerza de restitución que obedece la ley de Hooke,  $F_x = -kx$ . La oscilación con esta fuerza de restitución se denomina movimiento armónico simple.



La fuerza de restitución ejercida por un resorte ideal es directamente proporcional al desplazamiento (ley de Hooke,  $F_x = -kx$ ): la gráfica de  $F_x$  contra  $x$  es una recta.

Cuando la fuerza de restitución es directamente proporcional al desplazamiento con respecto al equilibrio, como en la ecuación (14.3), la oscilación se denomina **movimiento armónico simple (MAS)**. La aceleración  $a_x = d^2x/dt^2$  de un cuerpo en MAS está dada por

<b>Ecuación para el movimiento armónico simple</b>	$a_x = \frac{d^2x}{dt^2} = -\frac{k}{m}x$	Componente x de la aceleración Segunda derivada del desplazamiento Constante de fuerza de la fuerza de restitución Desplazamiento Masa del objeto
--	---	---

(14.4)

El signo menos indica que en el MAS la aceleración y el desplazamiento siempre tienen signos opuestos. Esta aceleración *no* es constante, así que olvídate de usar las ecuaciones para aceleración constante del capítulo 2. Más adelante veremos cómo resolver esta ecuación para obtener el desplazamiento  $x$  en función del tiempo. Un cuerpo que está en movimiento armónico simple se denomina **oscilador armónico**.

¿Por qué es importante el movimiento armónico simple? Tenga presente que no todos los movimientos periódicos son armónicos simples; en el movimiento periódico en general, la relación entre la fuerza de restitución y el desplazamiento es más complicada que la ecuación (14.3). No obstante, en muchos sistemas, la fuerza de restitución es *aproximadamente* proporcional al desplazamiento si éste es lo suficientemente pequeño (**figura 14.4**). Es decir, si la amplitud es pequeña, las oscilaciones de tales sistemas son más o menos armónicas simples y, por lo tanto, la ecuación (14.4) las describe en forma aproximada. Así, podemos usar el MAS como modelo aproximado de muchos movimientos periódicos distintos, como la vibración de un diapasón, la corriente eléctrica en un circuito de corriente alterna, y las oscilaciones de los átomos en moléculas y sólidos.

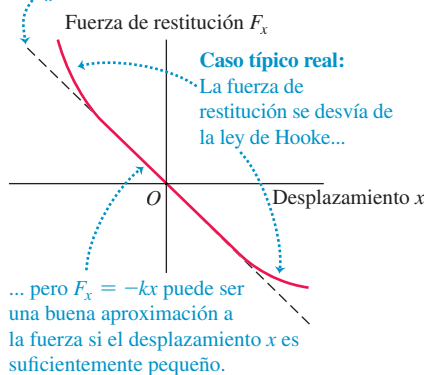
## Movimiento circular y ecuaciones del MAS

Para explorar las propiedades del movimiento armónico simple, debemos expresar el desplazamiento  $x$  del cuerpo oscilante en función del tiempo,  $x(t)$ . La segunda derivada de esta función,  $d^2x/dt^2$ , debe ser igual a  $(-k/m)$  multiplicado por la función misma, como lo pide la ecuación (14.4). Ya hemos mencionado que las fórmulas para aceleración constante de la sección 2.4 no son útiles aquí, porque la aceleración cambia constantemente al modificarse el desplazamiento  $x$ . En vez de ello, obtendremos  $x(t)$  haciendo notar que el MAS está relacionado con el *movimiento circular uniforme*, que estudiamos en la sección 3.4.

La **figura 14.5a** muestra la vista superior de un disco horizontal de radio  $A$  con una esfera adherida a su borde en el punto  $Q$ . El disco gira con rapidez angular constante  $\omega$  (que se mide en rad/s), así que la esfera tiene movimiento circular uniforme. Un haz

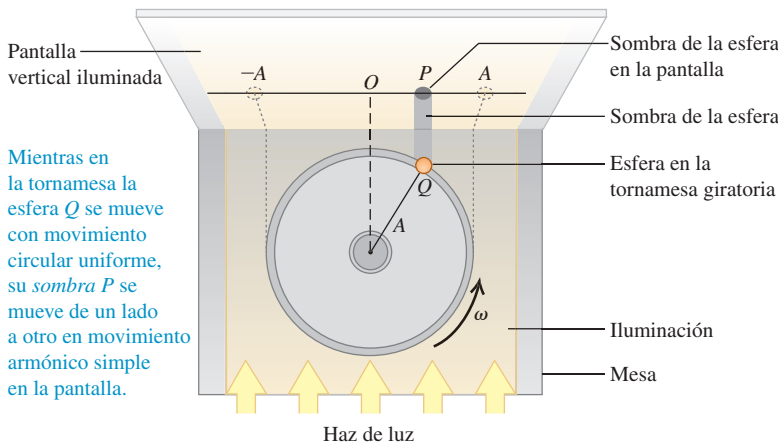
**14.4** En casi todas las oscilaciones reales, se aplica la ley de Hooke siempre que el cuerpo no se aleje tanto del equilibrio. En tal caso, las oscilaciones tienen amplitud pequeña y son casi armónicas simples.

**Caso ideal:** La fuerza de restitución obedece la ley de Hooke ( $F_x = -kx$ ), así que la gráfica de  $F_x$  contra  $x$  es una recta

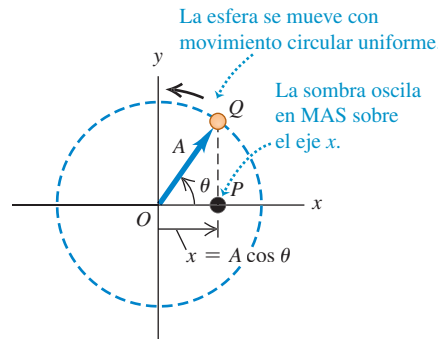


**14.5 a)** Relación entre movimiento circular uniforme y movimiento armónico simple. **b)** La sombra de la esfera se mueve exactamente como un cuerpo que oscila unido a un resorte ideal.

a) Parte superior del aparato para crear el círculo de referencia



b) Representación abstracta del movimiento en a)



de luz horizontal incide en el disco y proyecta la sombra de la esfera en una pantalla. La sombra en el punto  $P$  oscila conforme la esfera se mueve en un círculo. Luego instalamos un cuerpo sujeto a un resorte ideal, como la combinación de las figuras 14.1 y 14.2, de modo que el cuerpo oscile paralelo a la sombra. Demostraremos que el movimiento del cuerpo y el movimiento de la sombra de la esfera son *idénticos*, cuando la amplitud de la oscilación del cuerpo es igual al radio  $A$  del disco, y si la frecuencia angular  $2\pi f$  del cuerpo oscilante es igual a la rapidez angular  $\omega$  del disco. Esto es, *el movimiento armónico simple es la proyección del movimiento circular uniforme sobre un diámetro*.

Podemos comprobar esta notable afirmación calculando la aceleración de la sombra en  $P$  y comparándola con la aceleración de un cuerpo en MAS, dada por la ecuación (14.4). El círculo en el que la esfera se mueve, de modo que su proyección coincide con el movimiento del cuerpo oscilante, se denomina **círculo de referencia**; llamaremos a  $Q$  el *punto de referencia*. Tomamos el círculo de referencia en el plano  $xy$ , con el origen  $O$  en el centro del círculo (figura 14.5b). En el instante  $t$ , el vector  $OQ$  del origen al punto de referencia  $Q$  forma un ángulo  $\theta$  con el eje  $+x$ . Al girar  $Q$  alrededor del círculo de referencia con rapidez angular constante  $\omega$ , el vector  $OQ$  gira con la misma rapidez angular. Un vector giratorio así se denomina **fasor** (este término estaba en uso mucho antes de inventarse el arma del mismo nombre del programa de TV “Viaje a las estrellas”). Usaremos los fasores cuando estudiemos los circuitos de corriente alterna en el capítulo 31 y la interferencia de la luz en los capítulos 35 y 36.

La componente  $x$  del fasor en el instante  $t$  es la coordenada  $x$  del punto  $Q$ :

$$x = A \cos \theta \quad (14.5)$$

Ésta es también la coordenada  $x$  de la sombra  $P$ , que es la *proyección* de  $Q$  sobre el eje  $x$ . Por lo tanto, la velocidad  $x$  de la sombra  $P$  en el eje  $x$  es igual a la componente  $x$  del vector velocidad del punto  $Q$  (**figura 14.6a**), y la aceleración  $x$  de  $P$  es igual a la componente  $x$  del vector aceleración de  $Q$  (**figura 14.6b**). Puesto que  $Q$  está en movimiento circular uniforme, su vector aceleración  $\vec{a}_Q$  siempre apunta hacia  $O$ . Además, la magnitud de  $\vec{a}_Q$  es constante y es igual a la velocidad angular al cuadrado multiplicada por el radio del círculo (vea la sección 9.3):

$$a_Q = \omega^2 A \quad (14.6)$$

La figura 14.6b muestra que la componente  $x$  de  $\vec{a}_Q$  es  $a_x = -a_Q \cos \theta$ . Combinando esto con las ecuaciones (14.5) y (14.6), vemos que la aceleración del punto  $P$  es

$$a_x = -a_Q \cos \theta = -\omega^2 A \cos \theta \quad \text{o} \quad (14.7)$$

$$a_x = -\omega^2 x \quad (14.8)$$

La aceleración del punto  $P$  es directamente proporcional al desplazamiento  $x$  y siempre tiene el signo opuesto. Éstas son precisamente las características distintivas del movimiento armónico simple.

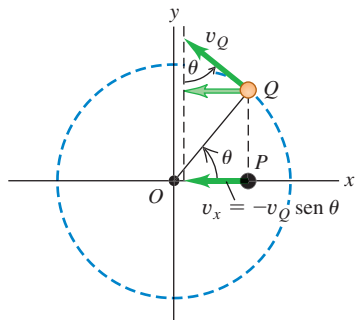
La ecuación (14.8) es *exactamente* igual a la ecuación (14.4) para la aceleración de un oscilador armónico, siempre que la rapidez angular  $\omega$  del punto de referencia  $Q$  esté relacionada con la constante de fuerza  $k$  y la masa  $m$  del cuerpo oscilante por

$$\omega^2 = \frac{k}{m} \quad \text{o} \quad \omega = \sqrt{\frac{k}{m}} \quad (14.9)$$

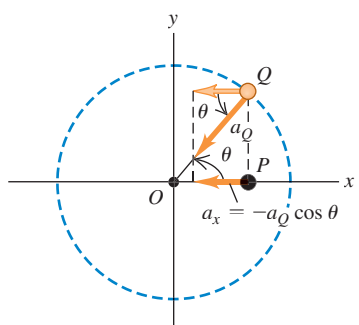
Hemos estado usando el mismo símbolo  $\omega$  para la *rapidez angular* del punto de referencia  $Q$  y la *frecuencia angular* del punto oscilante  $P$ . La razón es que ¡estas cantidades son iguales! Si  $Q$  completa una revolución en un tiempo  $T$ , el punto  $P$  completa un ciclo de oscilación en el mismo tiempo; por lo tanto,  $T$  es el periodo de la oscilación.

**14.6** a) La velocidad  $x$  y b) la aceleración de  $x$  de la sombra de la esfera representada por el punto  $P$  (vea la figura 14.5) son las componentes  $x$  de los vectores velocidad y aceleración, respectivamente, de la esfera  $Q$ .

a) Uso del círculo de referencia para determinar la velocidad  $x$  del punto  $P$



b) Uso del círculo de referencia para determinar la aceleración  $x$  del punto  $P$



Durante el tiempo  $T$ , el punto  $Q$  gira  $2\pi$  radianes, así que su rapidez angular es  $\omega = 2\pi/T$ . Ésta es la ecuación (14.2) para la frecuencia angular del punto  $P$ , lo cual verifica nuestra afirmación acerca de las dos interpretaciones de  $\omega$ . Por ello, introdujimos la frecuencia angular en la sección 14.1; es la cantidad que vincula la oscilación y el movimiento circular. Así, reinterpretamos la ecuación (14.9) como una expresión de la frecuencia angular del movimiento armónico simple:

$$\text{Frecuencia angular para el movimiento armónico simple} \quad \omega = \sqrt{\frac{k}{m}} \quad \begin{array}{l} \text{Constante de fuerza de la fuerza de restitución} \\ \text{Masa del objeto} \end{array} \quad (14.10)$$

Cuando un cuerpo comienza a oscilar en un MAS, no podemos elegir el valor de  $\omega$ , pues está predeterminado por los valores de  $k$  y  $m$ . Las unidades de  $k$  son N/m, o bien, kg/s<sup>2</sup>, así que  $k/m$  está en (kg/s<sup>2</sup>)/kg = s<sup>-2</sup>. Cuando obtenemos la raíz cuadrada en la ecuación (14.10), obtenemos s<sup>-1</sup> o, mejor dicho, rad/s, porque se trata de una frecuencia angular (recuerde que el radián no es una unidad verdadera).

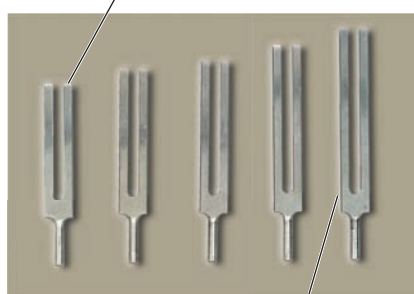
De acuerdo con las ecuaciones (14.1) y (14.2), la frecuencia  $f$  y el periodo  $T$  son

$$\text{Frecuencia del movimiento armónico simple} \quad f = \frac{\omega}{2\pi} = \frac{1}{2\pi} \sqrt{\frac{k}{m}} \quad \begin{array}{l} \text{Constante de fuerza de la fuerza de restitución} \\ \text{Masa del objeto} \end{array} \quad (14.11)$$

$$\text{Periodo del movimiento armónico simple} \quad T = \frac{1}{f} = \frac{2\pi}{\omega} = 2\pi \sqrt{\frac{m}{k}} \quad \begin{array}{l} \text{Masa del objeto} \\ \text{Constante de fuerza de la fuerza de restitución} \end{array} \quad (14.12)$$

**14.7** Cuanto mayor sea la masa  $m$  de los brazos de un diapasón, más baja será la frecuencia de oscilación  $f = (1/2\pi)\sqrt{k/m}$  y más bajo será el tono del sonido producido por el diapasón.

Brazos con masa  $m$  pequeña:  
frecuencia alta  $f = 4096$  Hz



Brazos con masa  $m$  grande:  
frecuencia baja  $f = 128$  Hz

A partir de la ecuación (14.12), vemos que una masa mayor  $m$  tiene menos aceleración y tarda más en completar un ciclo (**figura 14.7**). Un resorte más rígido (con mayor constante de fuerza  $k$ ) ejerce una mayor fuerza para una deformación  $x$  dada, causando una mayor aceleración y menor tiempo  $T$  por ciclo.

**CUIDADO** No confunda frecuencia (frecuencia lineal) con frecuencia angular Podemos meternos en problemas, si no distinguimos entre frecuencia  $f$  y frecuencia angular  $\omega = 2\pi f$ . La frecuencia nos indica cuántos ciclos de oscilación ocurren por segundo, mientras que la frecuencia angular nos dice a cuántos radianes por segundo corresponde esto en el círculo de referencia. Al resolver problemas, fíjese bien si el objetivo es obtener  $f$  o  $\omega$ .

## Periodo y amplitud en el MAS

Las ecuaciones (14.11) y (14.12) indican que el periodo y la frecuencia del movimiento armónico simple están determinados por completo por la masa  $m$  y la constante de fuerza  $k$ . *En el movimiento armónico simple, el periodo y la frecuencia no dependen de la amplitud A.* Para valores dados de  $m$  y  $k$ , el tiempo de una oscilación completa es el mismo, independientemente de que la amplitud sea grande o pequeña. La ecuación (14.3) muestra por qué esto es lógico. Una mayor  $A$  implica que la masa alcanza valores mayores de  $|x|$  y está sujeta a fuerzas de restitución mayores. Esto aumenta la rapidez media del cuerpo durante un ciclo completo, lo cual compensa exactamente la necesidad de recorrer una mayor distancia, de modo que el tiempo total es el mismo.

En esencia, las oscilaciones de un diapasón son movimiento armónico simple, lo que significa que tal instrumento siempre vibra con la misma frecuencia, sea cual fuere la amplitud. Esto permite usar el diapasón como estándar para el tono musical. Si no fuera por esta característica del movimiento armónico simple, sería imposible tocar afinadamente la mayoría de los instrumentos musicales. Si encontráramos un cuerpo oscilante cuyo periodo *sí* depende de la amplitud, su movimiento *no* es armónico simple.



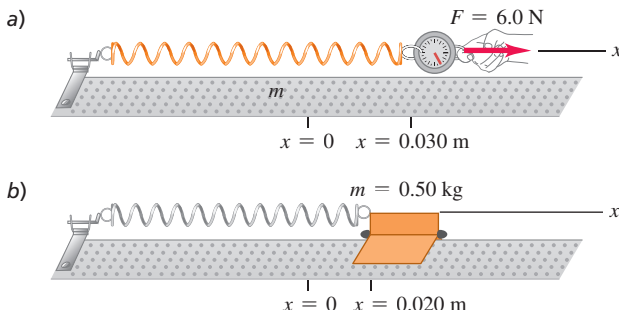
## EJEMPLO 14.2 FRECUENCIA ANGULAR, FRECUENCIA LINEAL Y PERÍODO DEL MAS

Un resorte se monta horizontalmente con su extremo izquierdo fijo. Se conecta una balanza de resorte al extremo libre y se da un tirón hacia la derecha (**figura 14.8a**), indicando que la fuerza de estiramiento es proporcional al desplazamiento y que una fuerza de 6.0 N causa un desplazamiento de 0.030 m. Quitamos la balanza de resorte y conectamos un deslizador de 0.50 kg al extremo, tiramos de él hasta moverlo 0.020 m a la derecha por un riel de aire sin fricción, y lo soltamos a partir del reposo (**figura 14.8b**). *a)* Determine la constante de fuerza del resorte. *b)* Calcule la frecuencia angular  $\omega$ , la frecuencia  $f$  y el período  $T$  de la oscilación resultante.

### SOLUCIÓN

**IDENTIFICAR y PLANTEAR:** Puesto que la fuerza del resorte (con magnitud igual a la fuerza de estiramiento) es proporcional al desplazamiento, el movimiento es armónico simple. Encontramos la constante

- 14.8** *a)* La fuerza ejercida sobre el resorte (indicada por el vector  $F$ ) tiene componente  $x$ :  $F_x = +6.0 \text{ N}$ . La fuerza ejercida por el resorte tiene componente  $x$ :  $F_x = -6.0 \text{ N}$ . *b)* Un deslizador está unido al mismo resorte y se le permite oscilar.



de la fuerza  $k$  usando la ley de Hooke, ecuación (14.3), y  $\omega$ ,  $f$  y  $T$ , usando las ecuaciones (14.10), (14.11) y (14.12), respectivamente.

**EJECUTAR:** *a)* Cuando  $x = 0.030 \text{ m}$ , la fuerza que el resorte ejerce sobre la balanza de resorte es  $F_x = -6.0 \text{ N}$ . De acuerdo con la ecuación (14.3),

$$k = -\frac{F_x}{x} = -\frac{-6.0 \text{ N}}{0.030 \text{ m}} = 200 \text{ N/m} = 200 \text{ kg/s}^2$$

*b)* Usando  $m = 0.50 \text{ kg}$  en la ecuación (14.10), vemos que

$$\omega = \sqrt{\frac{k}{m}} = \sqrt{\frac{200 \text{ kg/s}^2}{0.50 \text{ kg}}} = 20 \text{ rad/s}$$

$$f = \frac{\omega}{2\pi} = \frac{20 \text{ rad/s}}{2\pi \text{ rad/ciclo}} = 3.2 \text{ ciclos/s} = 3.2 \text{ Hz}$$

$$T = \frac{1}{f} = \frac{1}{3.2 \text{ ciclos/s}} = 0.31 \text{ s}$$

**EVALUAR:** La amplitud de la oscilación es de 0.020 m, la distancia que movimos el deslizador conectado al resorte antes de soltarlo. En el MAS, la frecuencia angular, la frecuencia y el período son independientes de la amplitud. El período por lo regular se da en “segundos”, y no en “segundos por ciclo”.

## Desplazamiento, velocidad y aceleración en el MAS

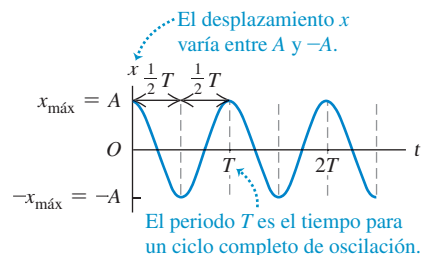
Aún necesitamos obtener el desplazamiento  $x$  en función del tiempo para un oscilador armónico. La ecuación (14.4) para un cuerpo en MAS en el eje  $x$  es idéntica a la ecuación (14.8), para la coordenada  $x$  del punto de referencia en movimiento circular uniforme con rapidez angular constante  $\omega = \sqrt{k/m}$ . Por lo tanto, la ecuación (14.5),  $x = A \cos \theta$ , describe la coordenada  $x$  para ambas situaciones. Si en  $t = 0$ , el fotor OQ forma un ángulo  $\phi$  (letra griega phi) con el eje positivo  $x$ , entonces en cualquier instante posterior  $t$ , este ángulo será  $\theta = \omega t + \phi$ . Sustituimos esto en la ecuación (14.5) para obtener

<b>Desplazamiento en el movimiento armónico simple como una función del tiempo</b>	<b>Amplitud</b>	<b>Tiempo</b>	<b>Ángulo de fase</b>	$x = A \cos(\omega t + \phi)$	$\text{Frecuencia angular} = \sqrt{k/m}$	<span style="background-color: #e0f2e0; border-radius: 10px; padding: 2px;">(14.13)</span>
--	-----------------	---------------	-----------------------	-------------------------------	--	--

La **figura 14.9** muestra una gráfica de la ecuación (14.13) para el caso específico en que  $\phi = 0$ . También podríamos haber escrito la ecuación (14.13) en términos de la función seno en vez de coseno, usando la identidad  $\cos \alpha = \sin(\alpha + \pi/2)$ . *En el movimiento armónico simple, el desplazamiento es una función periódica sinusoidal del tiempo.* Hay muchas otras funciones periódicas, pero ninguna tan sencilla como una función seno o coseno.

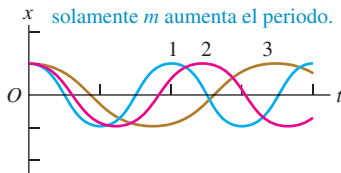
El valor del coseno siempre está entre  $-1$  y  $1$ , por lo que en la ecuación (14.13)  $x$  siempre está entre  $-A$  y  $A$ . Esto confirma que  $A$  es la amplitud del movimiento.

**14.9** Gráfica de  $x$  contra  $t$  [vea la ecuación (14.13)] para el movimiento armónico simple. El caso mostrado tiene  $\phi = 0$ .

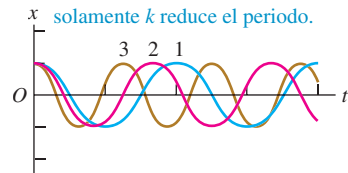


**14.10** Variaciones del movimiento armónico simple. En todos los casos,  $\phi = 0$  [vea la ecuación (14.13)].a)  $m$  aumenta;  $A$  y  $k$  son iguales

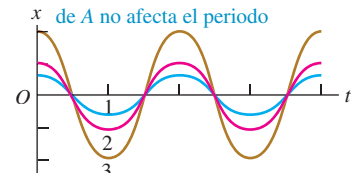
La masa  $m$  aumenta de la curva 1 a la 2 a la 3; incrementar solamente  $m$  aumenta el periodo.

b)  $k$  aumenta;  $A$  y  $m$  son iguales

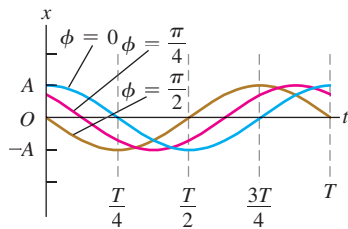
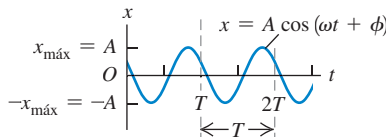
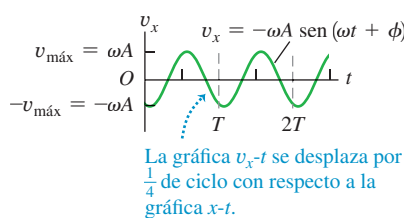
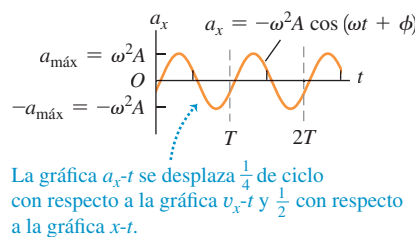
La constante de fuerza  $k$  aumenta de la curva 1 a la 2 a la 3; incrementar solamente  $k$  reduce el periodo.

c)  $A$  aumenta;  $k$  y  $m$  son iguales

La amplitud  $A$  aumenta de la curva 1 a la 2 a la 3. El cambio de  $A$  no afecta el periodo.

**14.11** Variaciones del movimiento armónico simple:  $m$ ,  $k$  y  $A$  son iguales, pero los ángulos de fase  $\phi$  son distintos.

Estas tres curvas muestran el MAS con periodo  $T$  y amplitud  $A$  iguales, pero ángulos de fase  $\phi$  distintos.

**14.12** Gráficas de: a)  $x$  contra  $t$ , b)  $v_x$  contra  $t$ , y c)  $a_x$  contra  $t$  para un cuerpo en MAS. Para el movimiento representado en estas gráficas,  $\phi = \pi/3$ .a) Desplazamiento  $x$  en función del tiempo  $t$ b) Velocidad  $v_x$  en función del tiempo  $t$ c) Aceleración  $a_x$  en función del tiempo  $t$ 

La función coseno en la ecuación (14.13) se repite siempre que el tiempo  $t$  aumenta en un periodo  $T$ , o cuando  $\omega t + \phi$  aumenta en  $2\pi$  radianes. Si comenzamos en  $t = 0$ , el tiempo  $T$  para completar un ciclo está dado por

$$\omega T = \sqrt{\frac{k}{m}} T = 2\pi \quad \text{o} \quad T = 2\pi \sqrt{\frac{m}{k}}$$

que es exactamente la ecuación (14.12). Un cambio de  $m$  o de  $k$  modifica el periodo de oscilación (figuras 14.10a y 14.10b), pero  $T$  no depende de la amplitud  $A$  (figura 14.10c).

La constante  $\phi$  de la ecuación (14.13) es el **ángulo de fase**, y nos indica en qué punto del ciclo se encontraba el movimiento cuando  $t = 0$  (o en qué parte del círculo estaba el punto  $Q$  en  $t = 0$ ). Denotamos la posición en  $t = 0$  con  $x_0$ . Sustituyendo  $t = 0$  y  $x = x_0$  en la ecuación (14.13) obtenemos

$$x_0 = A \cos \phi \quad (14.14)$$

Si  $\phi = 0$ , entonces  $x_0 = A \cos 0 = A$ ; por lo tanto, el cuerpo parte del desplazamiento positivo máximo. Si  $\phi = \pi$ , entonces  $x_0 = A \cos \pi = -A$ ; por lo tanto, la partícula parte del desplazamiento negativo máximo. Si  $\phi = \pi/2$ , entonces  $x_0 = A \cos(\pi/2) = 0$ ; por lo tanto, la partícula parte del origen. La figura 14.11 muestra el desplazamiento  $x$  contra el tiempo para tres diferentes ángulos de fase.

Encontramos la velocidad  $v_x$  y la aceleración  $a_x$  en función del tiempo para un oscilador armónico derivando la ecuación (14.13) con respecto al tiempo:

$$v_x = \frac{dx}{dt} = -\omega A \sin(\omega t + \phi) \quad (\text{velocidad en el MAS}) \quad (14.15)$$

$$a_x = \frac{dv_x}{dt} = \frac{d^2x}{dt^2} = -\omega^2 A \cos(\omega t + \phi) \quad (\text{aceleración en el MAS}) \quad (14.16)$$

La velocidad  $v_x$  oscila entre  $v_{\max} = +\omega A$  y  $-v_{\max} = -\omega A$ , y la aceleración  $a_x$  oscila entre  $a_{\max} = +\omega^2 A$  y  $-a_{\max} = -\omega^2 A$  (figura 14.12). Si comparamos la ecuación (14.16) con la (14.13) y recordamos que  $\omega^2 = k/m$  [ecuación (14.9)], vemos que

$$a_x = -\omega^2 x = -\frac{k}{m} x$$

que es justamente la ecuación (14.4) para el movimiento armónico simple. Esto confirma que es correcta la ecuación (14.13) para  $x$  en función del tiempo.

Ya antes dedujimos geométricamente la ecuación (14.16), tomando la componente  $x$  del vector aceleración del punto de referencia  $Q$ . Esto se hizo en la figura 14.6b y la ecuación (14.7) (recuerde que  $\theta = \omega t + \phi$ ). Del mismo modo, podríamos haber derivado la ecuación (14.15) tomando la componente  $x$  del vector velocidad de  $Q$  como se muestra en la figura 14.6b. Dejamos los detalles al lector.

Observe que la gráfica sinusoidal de desplazamiento contra tiempo (figura 14.12a) está desplazada un cuarto de periodo con respecto a la de velocidad contra tiempo (figura 14.12b), y medio periodo con respecto a la de aceleración contra tiempo (figura 14.12c).

La figura 14.13 muestra por qué ocurre así. Cuando el cuerpo pasa por la posición de equilibrio de manera que  $x = 0$ , la velocidad es  $v_{\text{máx}}$ , o bien,  $-v_{\text{máx}}$  (dependiendo de la dirección de movimiento) y la aceleración es cero. Cuando el cuerpo está en su desplazamiento máximo positivo ( $x = +A$ ) o máximo negativo ( $x = -A$ ), la velocidad es cero y el cuerpo se encuentra momentáneamente en reposo. En esos puntos, la fuerza de restitución  $F_x = -kx$  y la aceleración del cuerpo tienen su magnitud máxima. En  $x = +A$  la aceleración es negativa e igual a  $-a_{\text{máx}}$ . En  $x = -A$ , la aceleración es positiva:  $a_x = +a_{\text{máx}}$ .

Si conocemos la posición y la velocidad iniciales  $x_0$  y  $v_{0x}$  del cuerpo oscilante, podemos determinar la amplitud  $A$  y el ángulo de fase  $\phi$  como sigue.  $v_{0x}$  es la velocidad inicial en  $t = 0$ ; si sustituimos  $v_x = v_{0x}$  y  $t = 0$  en la ecuación (14.15), vemos que

$$v_{0x} = -\omega A \operatorname{sen} \phi \quad (14.17)$$

Para calcular  $\phi$ , divida la ecuación (14.17) entre la (14.14). Esto elimina  $A$  y produce una ecuación de la que podemos despejar  $\phi$ :

$$\frac{v_{0x}}{x_0} = \frac{-\omega A \operatorname{sen} \phi}{A \cos \phi} = -\omega \tan \phi$$

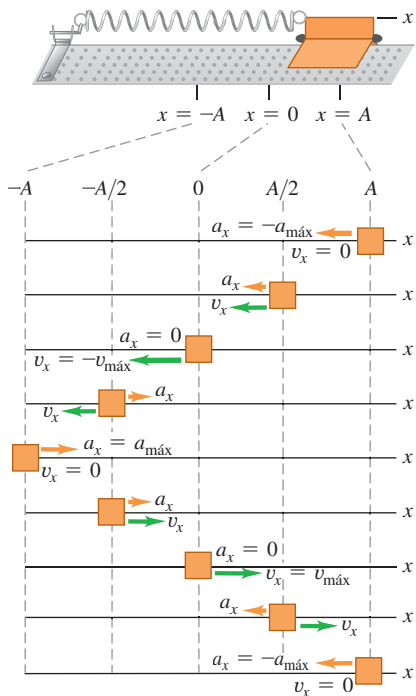
$$\phi = \arctan \left( -\frac{v_{0x}}{\omega x_0} \right) \quad (\text{ángulo de fase en el MAS}) \quad (14.18)$$

También es fácil calcular la amplitud  $A$  si conocemos  $x_0$  y  $v_{0x}$ . Bosquejaremos la deducción y dejaremos los detalles al lector. Eleve al cuadrado la ecuación (14.14); luego divida la ecuación (14.17) entre  $\omega$ , élévela al cuadrado y súmela al cuadrado de la ecuación (14.14). El miembro derecho será  $A^2(\operatorname{sen}^2 \phi + \cos^2 \phi)$ , que es igual a  $A^2$ . El resultado final es

$$A = \sqrt{x_0^2 + \frac{v_{0x}^2}{\omega^2}} \quad (\text{amplitud en el MAS}) \quad (14.19)$$

Observe que si el cuerpo tiene tanto un desplazamiento inicial  $x_0$  como una velocidad inicial  $v_{0x}$  distinta de cero, la amplitud  $A$  no es igual al desplazamiento inicial. Eso es lógico; si el cuerpo parte de un  $x_0$  positivo y se le imparte una velocidad positiva  $v_{0x}$ , llegará más lejos que  $x_0$  antes de girar y regresar, y así  $A > x_0$ .

**14.13** Cómo varían la velocidad  $v_x$  y la aceleración  $a_x$  durante un ciclo en un MAS.



## ESTRATEGIA PARA RESOLVER PROBLEMAS 14.1 | MOVIMIENTO ARMÓNICO SIMPLE I: DESCRIPCIÓN DEL MOVIMIENTO

**IDENTIFICAR** los conceptos importantes: Un sistema oscilante tiene movimiento armónico simple (MAS) sólo si la fuerza de restitución es directamente proporcional al desplazamiento.

**PLANTEAR** el problema siguiendo estos pasos:

- Identifique las cantidades conocidas y desconocidas, y determine cuáles son las incógnitas.
- Distinga entre dos clases de cantidades. Las *propiedades básicas del sistema* incluyen la masa  $m$ , la constante de fuerza  $k$  y las cantidades derivadas de  $m$  y  $k$ , como el periodo  $T$ , la frecuencia  $f$  y la frecuencia angular  $\omega$ . Éstas son independientes de las *propiedades del movimiento*, que describen cómo se comporta el sistema cuando se pone en movimiento de una forma específica, e incluyen la amplitud  $A$ , la velocidad máxima  $v_{\text{máx}}$ , el ángulo de fase  $\phi$  y los valores de  $x$ ,  $v_x$  y  $a_x$  en un instante dado.
- Si es necesario, defina un eje  $x$  como en la figura 14.13, con la posición de equilibrio en  $x = 0$ .

**EJECUTAR** la solución como sigue:

- Use las ecuaciones dadas en las secciones 14.1 y 14.2 para obtener las incógnitas.
- Para encontrar los valores de  $x$ ,  $v_x$  y  $a_x$  en diversos instantes, use las ecuaciones (14.13), (14.15) y (14.16), respectivamente. Si se dan el desplazamiento  $x_0$  y la velocidad inicial  $v_{0x}$ , se puede determinar el ángulo de fase  $\phi$  y la amplitud  $A$  a partir de las ecuaciones (14.18) y (14.19). Si el cuerpo tiene un desplazamiento inicial positivo  $x_0$  pero velocidad inicial cero ( $v_{0x} = 0$ ), la amplitud es  $A = x_0$  y el ángulo de fase es  $\phi = 0$ . Si el cuerpo tiene velocidad inicial positiva  $v_{0x}$  pero ningún desplazamiento inicial ( $x_0 = 0$ ), la amplitud es  $A = v_{0x}/\omega$  y el ángulo de fase es  $\phi = -\pi/2$ . Exprese todos los ángulos de fase en radianes.

**EVALUAR** la respuesta: Compruebe sus resultados para asegurarse de que sean congruentes. Por ejemplo, suponga que usó  $x_0$  y  $v_{0x}$  con la finalidad de obtener expresiones generales para  $x$  y  $v_x$  en el instante  $t$ . Si sustituye  $t = 0$  en estas expresiones, deberá obtener los valores correctos de  $x_0$  y  $v_{0x}$ .



### EJEMPLO 14.3 DESCRIPCIÓN DEL MAS

Al deslizador del ejemplo 14.2 le impartiremos un desplazamiento inicial  $x_0 = +0.015 \text{ m}$  y una velocidad inicial  $v_{0x} = +0.40 \text{ m/s}$ . a) Determine el periodo, la amplitud y el ángulo de fase del movimiento resultante. b) Escriba ecuaciones para desplazamiento, velocidad y aceleración en función del tiempo.

#### SOLUCIÓN

**IDENTIFICAR y PLANTEAR:** Como en el ejemplo 14.2, las oscilaciones son de un MAS. Usamos las ecuaciones desarrolladas en esta sección y los valores dados  $k = 200 \text{ N/m}$ ,  $m = 0.50 \text{ kg}$ ,  $x_0$  y  $v_{0x}$  para calcular las incógnitas  $A$  y  $\phi$  y las expresiones para  $x$ ,  $v_x$  y  $a_x$ .

**EJECUTAR:** a) En el MAS el periodo y la frecuencia angular son *propiedades del sistema* que dependen sólo de  $k$  y  $m$ , no de la amplitud, y por lo tanto son iguales que en el ejemplo 14.2 ( $T = 0.31 \text{ s}$  y  $\omega = 20 \text{ rad/s}$ ). De acuerdo con la ecuación (14.19), la amplitud es

$$A = \sqrt{x_0^2 + \frac{v_{0x}^2}{\omega^2}} = \sqrt{(0.015 \text{ m})^2 + \frac{(0.40 \text{ m/s})^2}{(20 \text{ rad/s})^2}} = 0.025 \text{ m}$$

Para obtener el ángulo de fase, usamos la ecuación (14.18):

$$\begin{aligned}\phi &= \arctan\left(-\frac{v_{0x}}{\omega x_0}\right) \\ &= \arctan\left(-\frac{0.40 \text{ m/s}}{(20 \text{ rad/s})(0.015 \text{ m})}\right) = -53^\circ = -0.93 \text{ rad}\end{aligned}$$

b) El desplazamiento, la velocidad y la aceleración en cualquier instante están dados por las ecuaciones (14.13), (14.15) y (14.16), respectivamente. Sustituyendo los valores, obtenemos

$$\begin{aligned}x &= (0.025 \text{ m}) \cos[(20 \text{ rad/s})t - 0.93 \text{ rad}] \\ v_x &= -(0.50 \text{ m/s}) \sin[(20 \text{ rad/s})t - 0.93 \text{ rad}] \\ a_x &= -(10 \text{ m/s}^2) \cos[(20 \text{ rad/s})t - 0.93 \text{ rad}]\end{aligned}$$

**EVALUAR:** Podrá comprobar los resultados para  $x$  y  $v_x$  sustituyendo  $t = 0$  y evaluando el resultado. Deberá obtener  $x = x_0 = 0.015 \text{ m}$  y  $v_x = v_{0x} = 0.40 \text{ m/s}$ .

## LOS DATOS HABLAN

### Oscilaciones y MAS

Cuando a los estudiantes se les planteó un problema relacionado con oscilaciones y movimiento armónico simple, más del 26% dio una respuesta incorrecta.

Errores comunes:

- Olvidar que el periodo  $T$  es el tiempo para un ciclo completo de movimiento, *no* del tiempo en que viaja entre  $x = -A$  y  $x = +A$ .
- No utilizar la ecuación (14.18) para determinar el ángulo de fase  $\phi$ .

**EVALÚE SU COMPRENSIÓN DE LA SECCIÓN 14.2** Se une un deslizador a un resorte, como se indica en la figura 14.13. Si el deslizador se mueve a  $x = 0.10 \text{ m}$  y se suelta del reposo en el tiempo  $t = 0$ , oscilará con amplitud  $A = 0.10 \text{ m}$  y ángulo de fase  $\phi = 0$ . a) Suponga ahora que en  $t = 0$  el deslizador está en  $x = 0.10 \text{ m}$  y se mueve a la derecha como se indica en la figura 14.13. En tal situación, ¿la amplitud es mayor, menor o igual que  $0.10 \text{ m}$ ? ¿El ángulo de fase es mayor, menor o igual que cero? b) Suponga ahora que en  $t = 0$  el deslizador se encuentra en  $x = 0.10 \text{ m}$  y se mueve a la izquierda como se muestra en la figura 14.13. En tal situación, ¿la amplitud es mayor, menor o igual que  $0.10 \text{ m}$ ? ¿El ángulo de fase es mayor, menor o igual que cero?

## 14.3 ENERGÍA EN EL MOVIMIENTO ARMÓNICO SIMPLE

Podemos aprender aún más acerca del movimiento armónico simple usando consideraciones de energía. La única fuerza horizontal que actúa sobre el cuerpo en el MAS en las figuras 14.2 y 14.3 es la fuerza conservativa ejercida por un resorte ideal. Las fuerzas verticales no efectúan trabajo, así que se *conserva* la energía mecánica total del sistema. También supondremos que la masa del resorte es despreciable.

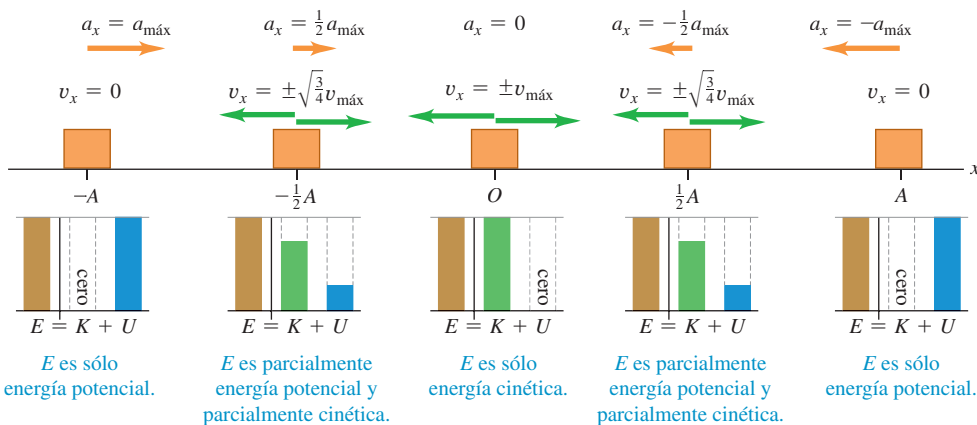
La energía cinética del cuerpo es  $K = \frac{1}{2}mv^2$  y la energía potencial del resorte es  $U = \frac{1}{2}kx^2$ , igual que en la sección 7.2. No hay fuerzas no conservativas que efectúen trabajo, así que se conserva la energía mecánica total  $E = K + U$ :

$$E = \frac{1}{2}mv_x^2 + \frac{1}{2}kx^2 = \text{constante} \quad (14.20)$$

(Puesto que el movimiento es unidimensional,  $v^2 = v_x^2$ ).

La energía mecánica total  $E$  también está relacionada directamente con la amplitud  $A$  del movimiento. Cuando el cuerpo llega al punto  $x = A$ , su desplazamiento máximo con respecto al equilibrio, se detiene momentáneamente antes de volver hacia la posición de equilibrio. Es decir, cuando  $x = A$  (o bien,  $-A$ ),  $v_x = 0$ . Aquí, la energía es sólo potencial, y  $E = \frac{1}{2}kA^2$ . Puesto que  $E$  es constante, esta cantidad es igual a  $\frac{1}{2}kA^2$  en cualquier otro punto. Combinando esta expresión con la ecuación (14.20), obtenemos

<b>Energía mecánica total en un movimiento armónico simple</b>	$\rightarrow E = \frac{1}{2}mv_x^2 + \frac{1}{2}kx^2 = \frac{1}{2}kA^2 = \text{constante}$	<b>Masa</b> <b>Velocidad</b> <b>Constante de fuerza de la fuerza de restitución</b> <b>Desplazamiento</b> <b>Amplitud</b>
--	--	---



Podemos verificar esta ecuación sustituyendo  $x$  y  $v_x$  de las ecuaciones (14.13) y (14.15), y usando  $\omega^2 = k/m$  de la ecuación (14.9):

$$\begin{aligned} E &= \frac{1}{2}mv_x^2 + \frac{1}{2}kx^2 = \frac{1}{2}m[-\omega A \operatorname{sen}(\omega t + \phi)]^2 + \frac{1}{2}k[A \cos(\omega t + \phi)]^2 \\ &= \frac{1}{2}kA^2 \operatorname{sen}^2(\omega t + \phi) + \frac{1}{2}kA^2 \cos^2(\omega t + \phi) = \frac{1}{2}kA^2 \end{aligned}$$

(Recuerde que  $\operatorname{sen}^2\alpha + \cos^2\alpha = 1$ ). Por lo tanto, nuestras expresiones para el desplazamiento y la velocidad en un MAS son congruentes con la conservación de la energía, como debe ser.

Podemos usar la ecuación (14.21) para calcular la velocidad  $v_x$  del cuerpo en cierto desplazamiento  $x$ :

$$v_x = \pm \sqrt{\frac{k}{m}} \sqrt{A^2 - x^2} \quad (14.22)$$

El signo  $\pm$  implica que, para un valor de  $x$  dado, el cuerpo se puede estar moviendo en cualquiera de las dos direcciones. Por ejemplo, cuando  $x = \pm A/2$ ,

$$v_x = \pm \sqrt{\frac{k}{m}} \sqrt{A^2 - \left(\pm \frac{A}{2}\right)^2} = \pm \sqrt{\frac{3}{4}} \sqrt{\frac{k}{m}} A$$

La ecuación (14.22) también indica que la rapidez máxima  $v_{\max}$  se da en  $x = 0$ . Utilizando la ecuación (14.10),  $\omega = \sqrt{k/m}$ , encontramos que

$$v_{\max} = \sqrt{\frac{k}{m}} A = \omega A \quad (14.23)$$

Esto concuerda con la ecuación (14.15), la cual reveló que  $v_x$  oscila entre  $-\omega A$  y  $+\omega A$ .

### Interpretación de $E$ , $K$ y $U$ en el MAS

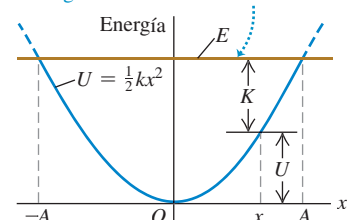
La figura 14.14 muestra las energías  $E$ ,  $K$  y  $U$  en  $x = 0$ ,  $x = \pm A/2$  y  $x = \pm A$ . La figura 14.15 es una representación gráfica de la ecuación (14.21); la energía (cinética, potencial y total) se grafica verticalmente, y la coordenada  $x$ , horizontalmente. La curva parabólica de la figura 14.15a representa la energía potencial  $U = \frac{1}{2}kx^2$ . La línea horizontal representa la energía mecánica total  $E$ , que es constante y no varía con  $x$ . En cualquier valor de  $x$  entre  $-A$  y  $A$ , la distancia vertical entre el eje  $x$  y la parábola es  $U$ ; como  $E = K + U$ , la distancia vertical restante hasta la línea horizontal es  $K$ . La figura 14.15b muestra tanto  $K$  como  $U$  en función de  $x$ . La línea horizontal para  $E$  interseca la curva de energía potencial en  $x = -A$  y  $x = A$ , donde la energía es sólo potencial, la energía cinética es cero y el cuerpo está momentáneamente en reposo antes de invertir

**14.14** Gráficas de  $E$ ,  $K$  y  $U$  contra desplazamiento en un MAS.  
La velocidad del cuerpo *no* es constante, de manera que las imágenes del cuerpo en posiciones equidistantes *no* están igualmente espaciadas en el tiempo.

**14.15** Energía cinética  $K$ , energía potencial  $U$  y energía mecánica total  $E$  en función del desplazamiento en un MAS.  
Para cada valor de  $x$ , la suma de  $K$  y  $U$  es igual al valor constante de  $E$ . ¿Puede usted demostrar que en  $x = \pm \sqrt{\frac{1}{2}A}$ , la energía es mitad cinética y mitad potencial?

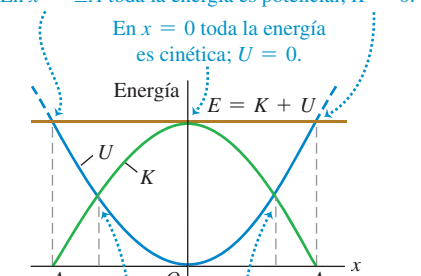
a) La energía potencial  $U$  y la energía mecánica total  $E$  para un cuerpo en un MAS en función del desplazamiento  $x$

La energía mecánica total  $E$  es constante.



b) La misma gráfica que en a), ahora también muestra K, la energía cinética

En  $x = \pm A$  toda la energía es potencial;  $K = 0$ .



En estos puntos la energía es mitad cinética y mitad potencial.

su dirección. Cuando el cuerpo oscila entre  $-A$  y  $A$ , la energía se transforma continuamente de potencial a cinética, y viceversa.

La figura 14.15a muestra la relación entre la amplitud  $A$  y la energía mecánica total correspondiente,  $E = \frac{1}{2}kA^2$ . Si tratáramos de hacer que  $x$  fuera mayor que  $A$  (o menor que  $-A$ ),  $U$  sería mayor que  $E$ , y  $K$  tendría que ser negativa. Esto es imposible, así que  $x$  no puede ser mayor que  $A$  ni menor que  $-A$ .

### ESTRATEGIA PARA RESOLVER PROBLEMAS 14.2

### MOVIMIENTO ARMÓNICO SIMPLE II: ENERGÍA

La ecuación de energía del MAS (ecuación 14.21) es una relación útil entre velocidad, desplazamiento y energía mecánica total. Si el problema implica una relación entre desplazamiento, velocidad y aceleración sin referencia al tiempo, considere usar la ecuación (14.4) (de la segunda ley de Newton) o la (14.21) (de la conservación de la

energía); puesto que en esta última intervienen  $x^2$  y  $v_x^2$ , debemos inferir los *signos* de  $x$  y de  $v_x$  de la situación. Por ejemplo, si el cuerpo se mueve de la posición de equilibrio hacia al punto de desplazamiento positivo máximo,  $x$  y  $v_x$  serán valores positivos.

### EJEMPLO 14.4 VELOCIDAD, ACCELERACIÓN Y ENERGÍA EN EL MAS



a) Calcule las velocidades máxima y mínima que alcanza el deslizador oscilante del ejemplo 14.2. b) Calcule las aceleraciones máxima y mínima. c) Determine la velocidad  $v_x$  y la aceleración  $a_x$  cuando el deslizador se ha movido a la mitad del camino desde su posición inicial a la posición de equilibrio  $x = 0$ . d) Determine las energías total, potencial y cinética en esta posición.

b) De acuerdo con la ecuación (14.4),  $a_x = -(k/m)x$ . La aceleración máxima del deslizador (más positiva) ocurre en el valor más negativo de  $x$ , esto es,  $x = -A$ :

$$a_{\max} = -\frac{k}{m}(-A) = -\frac{200 \text{ N/m}}{0.50 \text{ kg}}(-0.020 \text{ m}) = 8.0 \text{ m/s}^2$$

La aceleración mínima (más negativa) es  $a_{\min} = -8.0 \text{ m/s}^2$  y ocurre en  $x = +A = +0.020 \text{ m}$ .

c) El punto a la mitad del camino de  $x = x_0 = A$  a  $x = 0$  es  $x = A/2 = 0.010 \text{ m}$ . Según la ecuación (14.22), en este punto

$$\begin{aligned} v_x &= -\sqrt{\frac{200 \text{ N/m}}{0.50 \text{ kg}}} \sqrt{(0.020 \text{ m})^2 - (0.010 \text{ m})^2} \\ &= -0.35 \text{ m/s} \end{aligned}$$

Elegimos la raíz cuadrada negativa porque el deslizador se mueve de  $x = A$  hacia  $x = 0$ . A partir de la ecuación (14.4),

$$a_x = -\frac{200 \text{ N/m}}{0.50 \text{ kg}}(0.010 \text{ m}) = -4.0 \text{ m/s}^2$$

En la figura 14.14, se muestran las condiciones en  $x = 0$ ,  $\pm A/2$  y  $\pm A$ .

d) Las energías son

$$E = \frac{1}{2}kA^2 = \frac{1}{2}(200 \text{ N/m})(0.020 \text{ m})^2 = 0.040 \text{ J}$$

$$U = \frac{1}{2}kx^2 = \frac{1}{2}(200 \text{ N/m})(0.010 \text{ m})^2 = 0.010 \text{ J}$$

$$K = \frac{1}{2}mv_x^2 = \frac{1}{2}(0.50 \text{ kg})(-0.35 \text{ m/s})^2 = 0.030 \text{ J}$$

### SOLUCIÓN

**IDENTIFICAR y PLANTEAR:** El problema se refiere a propiedades del movimiento en diversas *posiciones*, no en *instantes* específicos. Esto nos sugiere que podemos usar las relaciones de energía que dedujimos en esta sección. La figura 14.13 muestra que elegimos el eje  $x$ . El desplazamiento máximo con respecto al equilibrio es  $A = 0.020 \text{ m}$ . Usaremos las ecuaciones (14.22) y (14.4) con la finalidad de obtener  $v_x$  y  $a_x$  para una  $x$  dada. Entonces usaremos la ecuación (14.21) para  $x$  y  $v_x$  dadas para obtener las energías total, potencial y cinética  $E$ ,  $U$  y  $K$ .

**EJECUTAR:** a) De acuerdo con la ecuación (14.22), la velocidad  $v_x$  para cualquier desplazamiento  $x$  es

$$v_x = \pm \sqrt{\frac{k}{m}} \sqrt{A^2 - x^2}$$

La *rapidez* máxima del deslizador ocurre cuando el cuerpo pasa por  $x = 0$ :

$$v_{\max} = \sqrt{\frac{k}{m}} A = \sqrt{\frac{200 \text{ N/m}}{0.50 \text{ kg}}} (0.020 \text{ m}) = 0.40 \text{ m/s}$$

Sus *velocidades* máxima y mínima (más negativa) son  $+0.40 \text{ m/s}$  y  $-0.40 \text{ m/s}$ , que ocurren cuando el cuerpo pasa por  $x = 0$  hacia la derecha y hacia la izquierda, respectivamente.

**EVALUAR:** En  $x = A/2$ , la energía es una cuarta parte energía potencial y tres cuartas partes energía cinética. Podrá comprobar este resultado examinando la figura 14.15b.



## EJEMPLO 14.5 ENERGÍA Y CANTIDAD DE MOVIMIENTO EN EL MAS

Un bloque con masa  $M$ , unido a un resorte horizontal con constante de fuerza  $k$ , se desplaza en MAS con amplitud  $A_1$ . En el instante en que el bloque pasa por su posición de equilibrio, un trozo de masilla con masa  $m$  se deja caer verticalmente sobre el bloque desde una altura moderada y se adhiere a él. *a)* Calcule la amplitud y el periodo nuevos del movimiento. *b)* Repita el inciso *a*) suponiendo que la masilla se deja caer sobre el bloque cuando éste se encuentra en un extremo de su trayectoria.

### SOLUCIÓN

**IDENTIFICAR y PLANTEAR:** El problema implica el movimiento en una posición dada, no un instante dado, así que usaremos métodos de energía para resolverlo. La figura 14.16 muestra nuestros bosquejos. Antes de que la masilla caiga, la energía mecánica del sistema constituido por el bloque y el resorte es constante. En el inciso *a*) la colisión entre la masilla y el bloque es un choque totalmente inelástico: se conserva la componente horizontal de la cantidad de movimiento o momento lineal, pero disminuye la energía cinética, y aumenta la cantidad de masa que oscila. Después del choque, la energía mecánica se mantiene constante con su nuevo valor. En el inciso *b*) también aumenta la masa que oscila, pero el bloque no se está moviendo cuando se agrega la masilla; no hay efectivamente una colisión, y no hay pérdida de energía mecánica. Calculamos la amplitud  $A_2$  después del choque considerando la energía final del sistema usando la ecuación (14.21) y la conservación de la cantidad de movimiento. El periodo  $T_2$  después del choque es igual en los incisos *a*) y *b*) porque la masa final es la misma; lo encontramos mediante la ecuación (14.12).

**EJECUTAR:** *a)* Antes del choque, la energía mecánica total del bloque y el resorte es  $E_1 = \frac{1}{2}kA_1^2$ . El bloque está en  $x = 0$ , por lo que  $U = 0$  y la energía es puramente cinética (figura 14.16a). Si  $v_1$  es la rapidez del bloque en ese punto, entonces  $E_1 = \frac{1}{2}kA_1^2 = \frac{1}{2}Mv_1^2$  y

$$v_1 = \sqrt{\frac{k}{M}}A_1$$

Durante el choque, se conserva la componente  $x$  de la cantidad de movimiento del sistema conformado por el bloque y la masilla. (*¿Por qué?*) Justo antes del choque, esta componente es la suma de  $Mv_1$  (para el bloque) y cero (para la masilla). Justo después del choque, el bloque y la masilla se mueven juntos con rapidez  $v_2$ , y su componente  $x$  de la cantidad de movimiento combinada es  $(M+m)v_2$ . Por la conservación de la cantidad de movimiento,

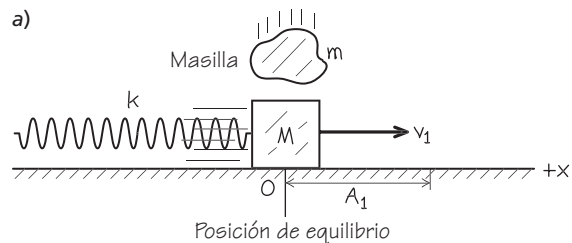
$$Mv_1 + 0 = (M+m)v_2 \quad \text{así que} \quad v_2 = \frac{M}{M+m}v_1$$

Suponemos que el choque no dura mucho, así que poco después, el bloque y la masilla aún están en la posición de equilibrio. La energía sigue siendo exclusivamente cinética, pero menor que antes del choque:

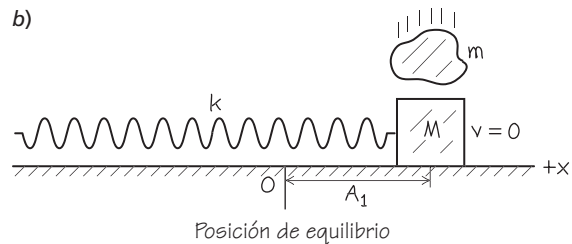
$$\begin{aligned} E_2 &= \frac{1}{2}(M+m)v_2^2 = \frac{1}{2}\frac{M^2}{M+m}v_1^2 \\ &= \frac{M}{M+m}\left(\frac{1}{2}Mv_1^2\right) = \left(\frac{M}{M+m}\right)E_1 \end{aligned}$$

**14.16** Nuestros diagramas para este problema.

a)



b)



Puesto que  $E_2 = \frac{1}{2}kA_2^2$ , donde  $A_2$  es la amplitud después del choque, tenemos

$$\begin{aligned} \frac{1}{2}kA_2^2 &= \left(\frac{M}{M+m}\right)\frac{1}{2}kA_1^2 \\ A_2 &= A_1 \sqrt{\frac{M}{M+m}} \end{aligned}$$

Usando la ecuación (14.12), el periodo de oscilación después del choque es

$$T_2 = 2\pi \sqrt{\frac{M+m}{k}}$$

*b)* Al caer la masilla sobre el bloque, éste se encuentra momentáneamente en reposo (figura 14.16b); la componente  $x$  de la cantidad de movimiento es cero tanto antes como después del choque. El bloque y la masilla tienen energía cinética cero justo antes del choque, y también inmediatamente después. Toda la energía es energía potencial almacenada en el resorte, por lo que la adición de la masa *no afecta* la energía mecánica. Es decir,  $E_2 = E_1 = \frac{1}{2}kA_1^2$ , y la amplitud después del choque es la misma:  $A_2 = A_1$ . El periodo es de nuevo  $T_2 = 2\pi \sqrt{(M+m)/k}$ .

**EVALUAR:** La energía se pierde en el inciso *a*) porque la masilla se desliza contra el bloque en movimiento durante el choque, y la energía se disipa por fricción cinética. No se pierde energía en el inciso *b*), ya que no hay deslizamiento durante la colisión.

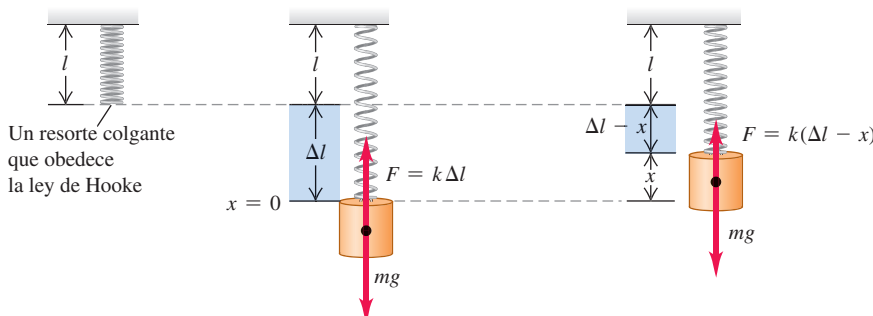
- EVALÚE SU COMPRENSIÓN DE LA SECCIÓN 14.3**
- a)* Para duplicar la energía total de un sistema masa-resorte que oscila con MAS, ¿en qué factor se debe aumentar la amplitud? **i.** 4; **ii.** 2; **iii.**  $\sqrt{2} = 1.414$ ; **iv.**  $\sqrt[4]{2} = 1.189$ . *b)* ¿En qué factor cambiará la frecuencia como resultado de tal incremento de amplitud? **i.** 4; **ii.** 2; **iii.**  $\sqrt{2} = 1.414$ ; **iv.**  $\sqrt[4]{2} = 1.189$ ; **v.** no cambia.

### 14.17 Un cuerpo se adhiere a un resorte colgante.

a)

- b) Cuerpo suspendido del resorte. Se encuentra en equilibrio cuando el resorte estirado ejerce una fuerza hacia arriba de igual magnitud que el peso del objeto.

- c) Si el cuerpo se desplaza con respecto al equilibrio, la fuerza neta sobre él será proporcional a su desplazamiento. Las oscilaciones son propias de un MAS.



## 14.4 APLICACIONES DEL MOVIMIENTO ARMÓNICO SIMPLE

Hasta ahora, hemos examinado globalmente *una* situación donde hay movimiento armónico simple (MAS): un cuerpo conectado a un resorte ideal horizontal. No obstante, el MAS se puede presentar en cualquier sistema donde haya una fuerza de restitución que sea directamente proporcional al desplazamiento con respecto al equilibrio, de acuerdo con la ecuación (14.3),  $F_x = -kx$ . La fuerza de restitución se originará de diferentes maneras y en distintas situaciones, por lo que se debe determinar la constante de fuerza  $k$  para cada caso examinando la fuerza neta que actúa sobre el sistema. Una vez hecho esto, es fácil calcular la frecuencia angular  $\omega$ , la frecuencia  $f$  y el periodo  $T$ ; basta con sustituir el valor de  $k$  en las ecuaciones (14.10), (14.11) y (14.12), respectivamente. Utilicemos estas ideas para examinar varios ejemplos de movimiento armónico simple.

### MAS vertical

Suponga que colgamos un resorte con constante de fuerza  $k$  (**figura 14.17a**) y suspendemos de éste un cuerpo de masa  $m$ . Las oscilaciones ahora serán verticales; ¿seguirán definiéndose como MAS? En la figura 14.17b, el cuerpo cuelga en reposo y en equilibrio. En tal posición, el resorte se estira una distancia  $\Delta l$  apenas lo suficiente para que la fuerza vertical hacia arriba  $k \Delta l$  del resorte sobre el cuerpo equilibre su peso  $mg$ :

$$k \Delta l = mg$$

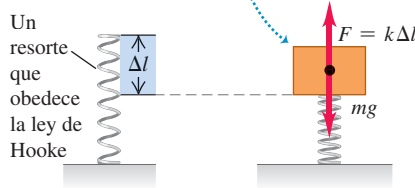
Sea  $x = 0$  la posición de equilibrio, con la dirección  $+x$  hacia arriba. Cuando el cuerpo está una distancia  $x$  arriba de su posición de equilibrio (figura 14.17c), la extensión del resorte es  $\Delta l - x$ . Entonces, la fuerza hacia arriba que ejerce sobre el cuerpo es  $k(\Delta l - x)$ , y la componente  $x$  neta de la fuerza sobre el cuerpo es

$$F_{\text{neta}} = k(\Delta l - x) + (-mg) = -kx$$

esto es, una fuerza neta hacia abajo de magnitud  $kx$ . Asimismo, cuando el cuerpo está debajo de la posición de equilibrio, hay una fuerza neta hacia arriba de magnitud  $kx$ . En ambos casos, hay una fuerza de restitución de magnitud  $kx$ . Si el cuerpo se pone en movimiento vertical, oscilará en MAS con la misma frecuencia angular que si fuera horizontal,  $\omega = \sqrt{k/m}$ . Por lo tanto, el MAS vertical no difiere en esencia del horizontal. El único cambio real es que la posición de equilibrio  $x = 0$  ya no corresponde al punto donde el resorte no está estirado. Las mismas ideas son válidas cuando un cuerpo con peso  $mg$  se coloca sobre un resorte compresible (**figura 14.18**) y éste se comprime una distancia  $\Delta l$ .

- 14.18** Si el peso  $mg$  comprime el resorte una distancia  $\Delta l$ , la constante de fuerza es  $k = mg/\Delta l$  y la frecuencia angular para un MAS vertical es  $\omega = \sqrt{k/m}$ ; igual que si el cuerpo estuviera suspendido del resorte (vea la figura 14.17).

Se coloca un cuerpo en la parte superior del resorte; el equilibrio se presenta cuando la fuerza hacia arriba ejercida por el resorte comprimido es igual al peso del cuerpo.





### EJEMPLO 14.6 MAS VERTICAL EN UN AUTOMÓVIL VIEJO

Los amortiguadores de un automóvil viejo con masa de 1000 kg están gastados. Cuando una persona de 980 N se sube lentamente al auto en su centro de gravedad, el auto baja 2.8 cm. Cuando el auto (con la persona a bordo) cae en un bache, comienza a oscilar verticalmente en MAS. Modele el auto y a la persona como un solo cuerpo unido únicamente a un resorte, y calcule el periodo y la frecuencia de la oscilación.

#### SOLUCIÓN

**IDENTIFICAR y PLANTEAR:** La situación es similar a la de la figura 14.18. La compresión del resorte cuando se agrega el peso del individuo nos da la constante de fuerza, que podemos usar para obtener el periodo y la frecuencia (las incógnitas).

**EJECUTAR:** Cuando la fuerza aumenta en 980 N, el resorte se comprime otros 0.028 m, y la coordenada  $x$  del auto cambia en  $-0.028 \text{ m}$ .

Por lo tanto, la constante de fuerza efectiva (incluido el efecto de toda la suspensión) es

$$k = -\frac{F_x}{x} = -\frac{980 \text{ N}}{-0.028 \text{ m}} = 3.5 \times 10^4 \text{ kg/s}^2$$

La masa de la persona es  $w/g = (980 \text{ N})/(9.8 \text{ m/s}^2) = 100 \text{ kg}$ . La masa oscilante *total* es  $m = 1000 \text{ kg} + 100 \text{ kg} = 1100 \text{ kg}$ . El periodo  $T$  es

$$T = 2\pi \sqrt{\frac{m}{k}} = 2\pi \sqrt{\frac{1100 \text{ kg}}{3.5 \times 10^4 \text{ kg/s}^2}} = 1.11 \text{ s}$$

y la frecuencia es  $f = 1/T = 1/(1.11 \text{ s}) = 0.90 \text{ Hz}$ .

**EVALUAR:** Una oscilación persistente con un periodo aproximado de 1 segundo es muy molesta. El propósito de los amortiguadores es eliminar estas oscilaciones (vea la sección 14.7).

## MAS angular

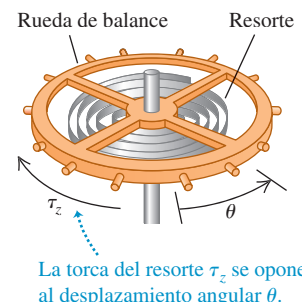
Un reloj mecánico lleva registro del tiempo con las oscilaciones de una rueda de balance (**figura 14.19**). La rueda tiene un momento de inercia  $I$  alrededor de su eje. Un resorte en espiral ejerce una torca de restitución  $\tau_z$  que es proporcional al desplazamiento angular  $\theta$  con respecto a la posición de equilibrio. Escribimos  $\tau_z = -\kappa\theta$ , donde  $\kappa$  (la letra griega kappa) es una constante llamada *constante de torsión*. Empleando la analogía rotacional de la segunda ley de Newton para un cuerpo rígido,  $\sum \tau_z = I\alpha_z = I d^2\theta/dt^2$ , podemos encontrar la ecuación del movimiento:

$$-\kappa\theta = I\alpha \quad \text{o} \quad \frac{d^2\theta}{dt^2} = -\frac{\kappa}{I}\theta$$

Esta ecuación es idéntica a la (14.4) para el movimiento armónico simple, sustituyendo  $x$  por  $\theta$  y  $k/m$  por  $\kappa/I$ . Así, estamos tratando con una forma de movimiento armónico simple *angular*. La frecuencia angular  $\omega$  y la frecuencia  $f$  están dadas por las ecuaciones (14.10) y (14.11), respectivamente, con la misma sustitución:

<b>Movimiento armónico simple angular</b>	Frecuencia angular $\omega = (\frac{\kappa}{I})^{1/2}$	Frecuencia $f = \frac{1}{2\pi}(\frac{\kappa}{I})^{1/2}$	(14.24)
<i>Constante de torsión dividida entre el momento de inercia</i>			

**14.19** Rueda de balance de un reloj mecánico. El resorte ejerce una torca de restitución que es proporcional al desplazamiento angular  $\theta$ ; por lo tanto, el movimiento es MAS angular.



La torca del resorte  $\tau_z$  se opone al desplazamiento angular  $\theta$ .

El desplazamiento angular  $\theta$  como una función del tiempo está dado por

$$\theta = \Theta \cos(\omega t + \phi)$$

donde  $\Theta$  (la letra griega theta mayúscula) desempeña el papel de una amplitud angular.

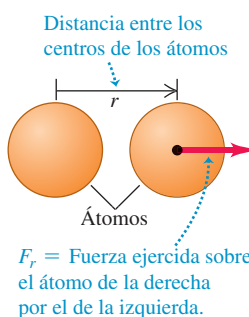
Es bueno que el movimiento de una rueda de balance sea armónico simple. Si no lo fuera, la frecuencia podría depender de la amplitud, y el reloj se adelantaría o se retraría, al ir disminuyendo la tensión del resorte.

## Vibraciones de moléculas

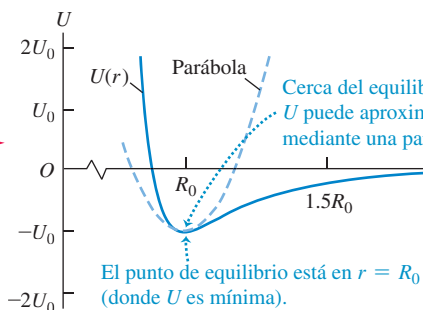
En la siguiente explicación de las vibraciones de las moléculas se usa el teorema binomial. Si el lector no está familiarizado con dicho teorema, le recomendamos estudiar la sección respectiva de su libro de matemáticas.

**14.20** a) Dos átomos con sus centros separados una distancia  $r$ . b) La energía potencial  $U$  y c) la fuerza  $F_r$  en la interacción de Van der Waals.

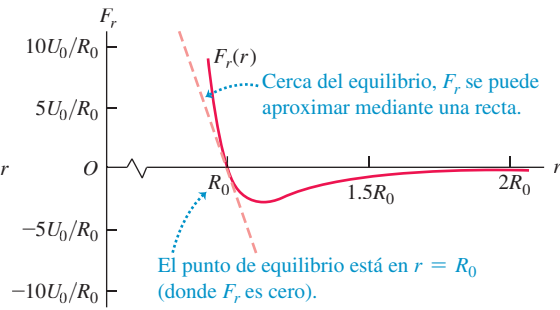
a) Sistema de dos átomos



b) Energía potencial  $U$  del sistema de dos átomos en función de  $r$



c) La fuerza  $F_r$  sobre el átomo de la derecha en función de  $r$



Cuando dos átomos están separados menos de unos cuantos diámetros atómicos, pueden ejercer fuerzas de atracción entre sí. Sin embargo, si los átomos están tan cercanos que sus capas electrónicas se traslanan, las fuerzas entre ellos son de repulsión. Entre estos límites, hay una separación de equilibrio donde los átomos forman una *molécula*. Si los átomos se desplazan ligeramente de la posición de equilibrio, oscilarán.

Consideremos un tipo de interacción entre átomos llamada *interacción de Van der Waals*. Nuestro objetivo inmediato es estudiar las oscilaciones, así que no entraremos en detalles con respecto al origen de la interacción. Tomemos el centro de un átomo como el origen; el otro estará a una distancia  $r$  (**figura 14.20a**). La distancia de equilibrio entre los centros es  $r = R_0$ . Se ha observado experimentalmente que tal interacción se puede describir con la función de energía potencial

$$U = U_0 \left[ \left( \frac{R_0}{r} \right)^{12} - 2 \left( \frac{R_0}{r} \right)^6 \right] \quad (14.25)$$

donde  $U_0$  es una constante positiva con unidades de joules. Si los átomos están muy separados,  $U = 0$ ; si están separados por la distancia de equilibrio  $r = R_0$ ,  $U = -U_0$ . La fuerza sobre el segundo átomo es la derivada negativa de la ecuación (14.25):

$$F_r = -\frac{dU}{dr} = U_0 \left[ \frac{12R_0^{12}}{r^{13}} - 2 \frac{6R_0^6}{r^7} \right] = 12 \frac{U_0}{R_0} \left[ \left( \frac{R_0}{r} \right)^{13} - \left( \frac{R_0}{r} \right)^7 \right] \quad (14.26)$$

La energía potencial y la fuerza se grafican en las figuras 14.20b y 14.20c, respectivamente. La fuerza es positiva para  $r < R_0$  y negativa para  $r > R_0$ , así que es una fuerza de *restitución*.

Examinemos la fuerza de restitución  $F_r$  en la ecuación (14.26). Introducimos la cantidad  $x$  para representar el desplazamiento con respecto al equilibrio:

$$x = r - R_0 \quad \text{así que} \quad r = R_0 + x$$

En términos de  $x$ , la fuerza  $F_r$  de la ecuación (14.26) se convierte en

$$\begin{aligned} F_r &= 12 \frac{U_0}{R_0} \left[ \left( \frac{R_0}{R_0 + x} \right)^{13} - \left( \frac{R_0}{R_0 + x} \right)^7 \right] \\ &= 12 \frac{U_0}{R_0} \left[ \frac{1}{(1 + x/R_0)^{13}} - \frac{1}{(1 + x/R_0)^7} \right] \end{aligned} \quad (14.27)$$

Esto no se parece a la ley de Hooke,  $F_x = -kx$ , y podríamos precipitarnos a la conclusión de que las oscilaciones moleculares no pueden ser MAS. Sin embargo, limitémonos a oscilaciones de *amplitud pequeña*, de modo que el valor absoluto del desplazamiento  $x$  sea pequeño en comparación con  $R_0$ , y el valor absoluto de la razón

$x/R_0$  sea mucho menor que 1. Ahora podemos simplificar la ecuación (14.27) usando el *teorema binomial*:

$$(1+u)^n = 1 + nu + \frac{n(n-1)}{2!}u^2 + \frac{n(n-1)(n-2)}{3!}u^3 + \dots \quad (14.28)$$

Si  $|u|$  es mucho menor que 1, cada término sucesivo de la ecuación (14.28) es mucho menor que el anterior, y podemos aproximar  $(1+u)^n$  con sólo los dos primeros términos. En la ecuación (14.27),  $u$  se reemplaza con  $x/R_0$  y  $n$  es igual a  $-13$  o  $-7$ , de manera que

$$\begin{aligned}\frac{1}{(1+x/R_0)^{13}} &= (1+x/R_0)^{-13} \approx 1 + (-13)\frac{x}{R_0} \\ \frac{1}{(1+x/R_0)^7} &= (1+x/R_0)^{-7} \approx 1 + (-7)\frac{x}{R_0} \\ F_r &\approx 12\frac{U_0}{R_0} \left[ \left( 1 + (-13)\frac{x}{R_0} \right) - \left( 1 + (-7)\frac{x}{R_0} \right) \right] = -\left(\frac{72U_0}{R_0^2}\right)x \quad (14.29)\end{aligned}$$

Ésta es la ley de Hooke con constante de fuerza  $k = 72U_0/R_0^2$  (observe que  $k$  tiene las unidades correctas,  $\text{J/m}^2$  o bien,  $\text{N/m}$ ). Así, las oscilaciones de las moléculas unidas por interacción de Van der Waals pueden ser movimiento armónico simple, si la amplitud es pequeña en comparación con  $R_0$ , haciendo válida la aproximación  $|x/R_0| \ll 1$  empleada al deducir la ecuación (14.29).

También podemos usar el teorema binomial para demostrar que la energía potencial  $U$  de la ecuación (14.25) se puede escribir como  $U \approx \frac{1}{2}kx^2 + C$ , donde  $C = -U_0$  y  $k$  es de nuevo igual a  $72U_0/R_0^2$ . La suma de una constante a la función de energía potencial no afecta la interpretación física, así que el sistema de dos átomos no es fundamentalmente distinto de una masa unida a un resorte horizontal, para el que  $U = \frac{1}{2}kx^2$ .



### EJEMPLO 14.7 VIBRACIÓN MOLECULAR

Dos átomos de argón pueden formar una molécula  $\text{Ar}_2$ , gracias a una interacción de Van der Waals con  $U_0 = 1.68 \times 10^{-21} \text{ J}$  y  $R_0 = 3.82 \times 10^{-10} \text{ m}$ . Calcule la frecuencia de oscilaciones pequeñas de un átomo de Ar alrededor de su posición de equilibrio.

#### SOLUCIÓN

**IDENTIFICAR Y PLANTEAR:** Es como la situación que se muestra en la figura 14.20. Puesto que las oscilaciones son pequeñas, podemos usar la ecuación (14.29) para obtener la constante de fuerza  $k$ , y la ecuación (14.11) para encontrar la frecuencia del MAS.

**EJECUTAR:** De acuerdo con la ecuación (14.29),

$$k = \frac{72U_0}{R_0^2} = \frac{72(1.68 \times 10^{-21} \text{ J})}{(3.82 \times 10^{-10} \text{ m})^2} = 0.829 \text{ J/m}^2 = 0.829 \text{ N/m}$$

(Esta constante de fuerza es comparable con la de los resortes de juguete laxos, como Slinky<sup>MR</sup>). Según el apéndice D, la masa atómica media del argón es  $(39.948 \text{ u})(1.66 \times 10^{-27} \text{ kg/u}) = 6.63 \times 10^{-26} \text{ kg}$ .

De acuerdo con la ecuación (14.11), si uno de los átomos está fijo y el otro oscila,

$$f = \frac{1}{2\pi} \sqrt{\frac{k}{m}} = \frac{1}{2\pi} \sqrt{\frac{0.829 \text{ N/m}}{6.63 \times 10^{-26} \text{ kg}}} = 5.63 \times 10^{11} \text{ Hz}$$

**EVALUAR:** Nuestra respuesta para  $f$  no es del todo correcta. Si no actúa una fuerza externa neta sobre la molécula, su centro de masa (situado a la mitad de la distancia entre los dos átomos) no tiene aceleración, así que *ambos* átomos deben oscilar con la misma amplitud en direcciones opuestas. Podemos explicar esto sustituyendo  $m$  por  $m/2$  en la expresión para  $f$ . Esto aumenta  $f$  en un factor de  $\sqrt{2}$ , así que la frecuencia correcta es  $f = \sqrt{2}(5.63 \times 10^{11} \text{ Hz}) = 7.96 \times 10^{11} \text{ Hz}$ . Una complicación adicional es que, para la escala atómica, debemos usar *mecánica cuántica*, en lugar de mecánica newtoniana, para describir el movimiento; por fortuna, la frecuencia tiene el mismo valor en mecánica cuántica:  $f = 7.96 \times 10^{11} \text{ Hz}$ .

**EVALÚE SU COMPRENSIÓN DE LA SECCIÓN 14.4** Un bloque unido a un resorte ideal colgante oscila verticalmente con un periodo de 10 s en la Tierra. Si usted se lleva el bloque y el resorte a Marte, donde la aceleración debida a la gravedad es sólo el 40% de la terrestre, ¿cuál será el nuevo periodo de oscilación? **i.** 10 s; **ii.** más de 10 s; **iii.** menos de 10 s. ||

## 14.5 EL PÉNDULO SIMPLE

Un **péndulo simple** es un modelo idealizado que consiste en una masa puntual suspendida de una cuerda inextensible y de masa despreciable. Si la masa se mueve a un lado de su posición de equilibrio vertical descendente y se libera, oscilará alrededor de dicha posición. Situaciones ordinarias como una bola de demolición en el cable de una grúa o una persona en un columpio (**figura 14.21a**) se modelan como péndulos simples.

La trayectoria de la masa puntual (llamada en ocasiones *pesa* o *lenteja del péndulo*) no es una recta, sino el arco de un círculo de radio  $L$  igual a la longitud de la cuerda (**figura 14.21b**). Usamos como coordenada la distancia  $x$  medida sobre el arco. Si el movimiento es armónico simple, la fuerza de restitución debe ser directamente proporcional a  $x$ , o bien a  $\theta$  (porque  $x = L\theta$ ). ¿Lo es?

En la figura 14.21b, representamos las fuerzas que actúan sobre la masa en términos de componentes tangencial y radial. La fuerza de restitución  $F_\theta$  es la componente tangencial de la fuerza neta:

$$F_\theta = -mg \operatorname{sen} \theta \quad (14.30)$$

La fuerza de restitución  $F_\theta$  se debe a la gravedad; la tensión  $T$  sólo actúa para hacer que la masa puntual describa un arco. La fuerza de restitución  $F_\theta$  es proporcional a  $\operatorname{sen} \theta$ , y no a  $\theta$ , así que el movimiento *no* es armónico simple. Sin embargo, si el ángulo  $\theta$  es *pequeño*,  $\operatorname{sen} \theta$  es aproximadamente igual a  $\theta$  en radianes (**figura 14.22**). [Por ejemplo, si  $\theta = 0.1$  rad (unos  $6^\circ$ ),  $\operatorname{sen} \theta = 0.0998$ , una diferencia de sólo 0.2%]. Con esta aproximación, la ecuación (14.30) se convierte en

$$F_\theta = -mg\theta = -mg\frac{x}{L} = -\frac{mg}{L}x \quad (14.31)$$

La fuerza de restitución es entonces proporcional a la coordenada para desplazamientos pequeños, y la constante de fuerza es  $k = mg/L$ . De acuerdo con la ecuación (14.10), la frecuencia angular  $\omega$  de un péndulo simple con amplitud pequeña es

$$\text{Frecuencia angular del péndulo simple, amplitud pequeña} \quad \omega = \sqrt{\frac{k}{m}} = \sqrt{\frac{mg/L}{m}} = \sqrt{\frac{g}{L}} \quad \begin{array}{l} \text{Aceleración debida} \\ \text{a la gravedad} \\ \text{Masa del péndulo (se elimina)} \end{array} \quad (14.32)$$

Las relaciones de frecuencia y periodo correspondientes son

$$\text{Frecuencia del péndulo simple, amplitud pequeña} \quad f = \frac{\omega}{2\pi} = \frac{1}{2\pi} \sqrt{\frac{g}{L}} \quad \begin{array}{l} \text{Frecuencia angular} \\ \text{a la gravedad} \\ \text{Longitud del péndulo} \end{array} \quad (14.33)$$

$$\text{Frecuencia del péndulo simple, amplitud pequeña} \quad T = \frac{2\pi}{\omega} = \frac{1}{f} = 2\pi\sqrt{\frac{L}{g}} \quad \begin{array}{l} \text{Frecuencia angular} \\ \text{Frecuencia} \\ \text{Longitud del péndulo} \\ \text{Aceleración debida} \\ \text{a la gravedad} \end{array} \quad (14.34)$$

En estas expresiones no interviene la *masa* de la partícula. La razón es que la fuerza de restitución gravitacional es proporcional a  $m$ . Así, la masa aparece en *ambos* miembros de  $\sum \vec{F} = m\vec{a}$  y se elimina (se trata del mismo principio físico que explica por qué dos cuerpos con diferente masa caen con la misma aceleración en el vacío). Si la oscilación es pequeña, el periodo de un péndulo para un valor dado de  $g$  depende sólo de su longitud.

Las ecuaciones (14.32) a (14.34) nos dicen que un péndulo largo (de longitud  $L$ ) tiene un periodo más prolongado que uno corto. Si aumenta  $g$ , aumenta la fuerza de restitución, causando un aumento de la frecuencia y una disminución del periodo.

El movimiento de un péndulo es *aproximadamente* armónico simple. Cuando el desplazamiento angular máximo  $\Theta$  (amplitud) no es pequeño, la desviación del movimiento armónico simple puede ser importante. En general, el periodo  $T$  está dado por

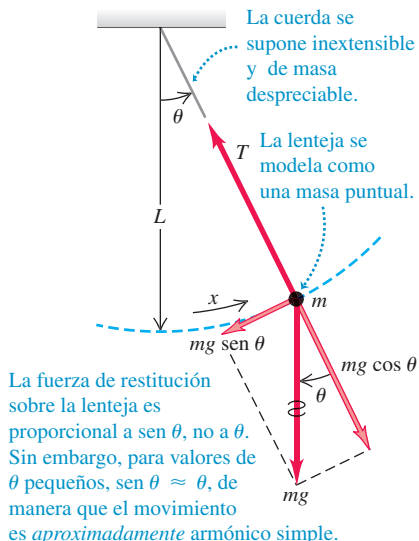
$$T = 2\pi \sqrt{\frac{L}{g}} \left( 1 + \frac{1^2}{2^2} \operatorname{sen}^2 \frac{\Theta}{2} + \frac{1^2 \cdot 3^2}{2^2 \cdot 4^2} \operatorname{sen}^4 \frac{\Theta}{2} + \dots \right) \quad (14.35)$$

### 14.21 Dinámica de un péndulo simple.

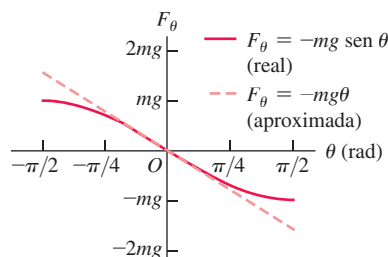
a) Un péndulo real



b) Un péndulo simple idealizado



**14.22** Para pequeños desplazamientos angulares  $\theta$ , la fuerza de restitución en un péndulo simple  $F_\theta = -mg \operatorname{sen} \theta$  es aproximadamente igual a  $-mg\theta$ ; es decir, es aproximadamente proporcional al desplazamiento  $\theta$ . Por lo tanto, para ángulos pequeños, las oscilaciones son armónicas simples.



Podemos calcular el periodo con la precisión deseada tomando suficientes términos de la serie. Compruebe que si  $\Theta = 15^\circ$ , el periodo verdadero es más largo que la aproximación dada por la ecuación (14.34) en menos del 0.5%.

La utilidad del péndulo en relojes depende de que el periodo sea *prácticamente* independiente de la amplitud, siempre que ésta sea pequeña. Así, cuando un reloj de péndulo pierde impulso y la amplitud de las oscilaciones disminuye un poco, la exactitud del reloj casi no se altera.

### EJEMPLO 14.8 UN PÉNDULO SIMPLE

Calcule el periodo y la frecuencia de un péndulo simple de 1.000 m de longitud en un lugar donde  $g = 9.800 \text{ m/s}^2$ .

#### SOLUCIÓN

**IDENTIFICAR Y PLANTEAR:** Éste es un péndulo simple, así que utilizaremos la ecuación (14.34) para determinar el periodo  $T$  de un péndulo a partir de su longitud, y la ecuación (14.1) para obtener la frecuencia  $f$  a partir de  $T$ .

**EJECUTAR:** De acuerdo con las ecuaciones (14.34) y (14.1),

$$T = 2\pi \sqrt{\frac{L}{g}} = 2\pi \sqrt{\frac{1.000 \text{ m}}{9.800 \text{ m/s}^2}} = 2.007 \text{ s}$$



**EVALUAR:** El periodo es aproximadamente de 2 s. De hecho, cuando se estableció el sistema métrico, el segundo se *definió* como la mitad del periodo de un péndulo de 1 m. Sin embargo, éste no fue un estándar muy adecuado para el tiempo, porque el valor de  $g$  varía según el lugar. Ya hablamos de estándares de tiempo más modernos en la sección 1.3.

**EVALÚE SU COMPRENSIÓN DE LA SECCIÓN 14.5** Cuando un cuerpo que oscila en un resorte horizontal pasa por su posición de equilibrio, su aceleración es cero (vea la figura 14.2b). Cuando la lenteja de un péndulo simple que oscila pasa de izquierda a derecha por su posición de equilibrio, su aceleración es **i.** cero; **ii.** a la izquierda; **iii.** A la derecha; **iv.** hacia arriba; o **v.** hacia abajo. **I**

## 14.6 EL PÉNDULO FÍSICO

Un **péndulo físico** es cualquier péndulo *real* que usa un cuerpo, en contraste con el modelo idealizado de péndulo *simple* en el que toda la masa se concentra en un punto. La **figura 14.23** muestra un cuerpo de forma irregular que puede girar sin fricción alrededor de un eje que pasa por el punto  $O$ . En la posición de equilibrio, el centro de gravedad está directamente abajo del pivote; en la posición que se muestra en la figura, el cuerpo está desplazado del equilibrio un ángulo  $\theta$  que usamos como coordenada para el sistema. La distancia de  $O$  al centro de gravedad es  $d$ , el momento de inercia del cuerpo alrededor del eje de rotación a través de  $O$  es  $I$ , y la masa total es  $m$ . Cuando el cuerpo se desplaza como se muestra, el peso  $mg$  causa una torca de restitución

$$\tau_z = -(mg)(d \operatorname{sen} \theta) \quad (14.36)$$

El signo negativo indica que la torca de restitución es en sentido contrario a las manecillas del reloj si el desplazamiento es en sentido contrario a las manecillas del reloj, y viceversa.

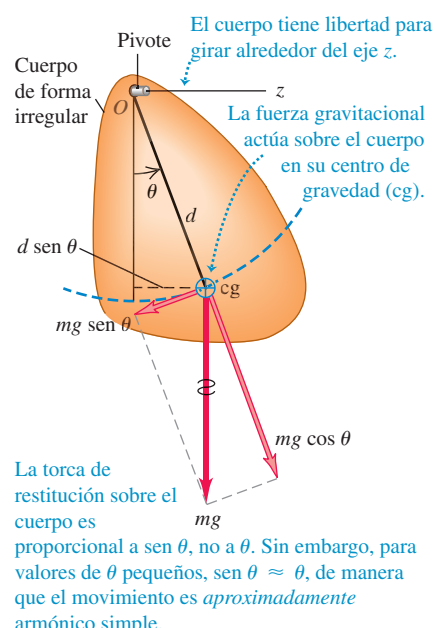
Cuando el cuerpo se libera, oscila alrededor de su posición de equilibrio. El movimiento no es armónico simple porque la torca  $\tau_z$  es proporcional a  $\operatorname{sen} \theta$ , y no a  $\theta$ . No obstante, si  $\theta$  es pequeño, podemos aproximar  $\operatorname{sen} \theta$  con  $\theta$  en radianes, tal como lo hicimos al analizar el péndulo simple. Entonces, el movimiento es *aproximadamente* armónico simple. Con esta aproximación,

$$\tau_z = -(mg)d\theta$$

De acuerdo con la sección 10.2, la ecuación de movimiento es  $\sum \tau_z = I\alpha_z$ , así que

$$\begin{aligned} -(mgd)\theta &= I\alpha_z = I \frac{d^2\theta}{dt^2} \\ \frac{d^2\theta}{dt^2} &= -\frac{mgd}{I}\theta \end{aligned} \quad (14.37)$$

#### 14.23 Dinámica de un péndulo físico.



Si comparamos esto con la ecuación (14.4), vemos que el papel de  $(k/m)$  en el sistema masa-resorte lo desempeña aquí la cantidad  $(mgd/I)$ . Por lo tanto, la frecuencia angular está dada por

$$\omega = \sqrt{\frac{mgd}{I}} \quad \begin{array}{l} \text{Masa} \\ \text{Aceleración debida a la gravedad} \\ \text{Distancia del eje de rotación} \\ \text{al centro de gravedad} \\ \text{Momento de inercia} \end{array} \quad (14.38)$$

La frecuencia  $f$  es  $1/2\pi$  veces esto, y el periodo  $T$  es  $1/f$ :

$$T = 2\pi \sqrt{\frac{I}{mgd}} \quad \begin{array}{l} \text{Periodo del} \\ \text{péndulo físico,} \\ \text{amplitud pequeña} \\ \text{Masa} \\ \text{Aceleración debida a la gravedad} \\ \text{Distancia del eje de rotación} \\ \text{al centro de gravedad} \\ \text{Momento de inercia} \end{array} \quad (14.39)$$

La ecuación (14.39) es la base de un método común para determinar experimentalmente el momento de inercia de un cuerpo de forma compleja. Primero, se localiza el centro de gravedad del cuerpo por balanceo. Luego, se suspende el cuerpo de modo que oscile libremente alrededor de un eje, y se mide el periodo  $T$  de oscilaciones de amplitud pequeña. Por último, usando la ecuación (14.39) se puede calcular el momento de inercia  $I$  del cuerpo alrededor de ese eje a partir de  $T$ , la masa  $m$  del cuerpo y la distancia  $d$  del eje al centro de gravedad (vea el ejercicio 14.55). Los investigadores en biomecánica usan este método para calcular los momentos de inercia de las extremidades de un animal. Esta información es importante para analizar la forma en que camina un animal, como veremos en el segundo de los dos ejemplos que siguen.



### EJEMPLO 14.9 PÉNDULO FÍSICO CONTRA PÉNDULO SIMPLE

Suponga que el cuerpo de la figura 14.23 es una varilla uniforme de longitud  $L$  cuyo pivote se encuentra en un extremo. Calcule el periodo de su movimiento.

#### SOLUCIÓN

**IDENTIFICAR y PLANTEAR:** Nuestra incógnita es el periodo de *oscilación* de una varilla, la cual actúa como un péndulo físico. Necesitamos encontrar el momento de inercia de la varilla en la tabla 9.2, y después determinar  $T$  usando la ecuación (14.39).

**EJECUTAR:** El momento de inercia de una varilla uniforme con respecto a un eje en su extremo es  $I = \frac{1}{3}ML^2$ . La distancia del pivote al centro de gravedad de la varilla es  $d = L/2$ . Así, de acuerdo con la ecuación (14.39),

$$T = 2\pi \sqrt{\frac{I}{mgd}} = 2\pi \sqrt{\frac{\frac{1}{3}ML^2}{MgL/2}} = 2\pi \sqrt{\frac{2L}{3g}}$$

**EVALUAR:** Si la varilla es un metro ( $L = 1.00 \text{ m}$ ) y  $g = 9.80 \text{ m/s}^2$ , entonces,

$$T = 2\pi \sqrt{\frac{2(1.00 \text{ m})}{3(9.80 \text{ m/s}^2)}} = 1.64 \text{ s}$$

El periodo es menor en un factor de  $\sqrt{\frac{2}{3}} = 0.816$  que el de un péndulo simple con la misma longitud (vea el ejemplo 14.8). El momento de inercia de la varilla alrededor de un extremo,  $I = \frac{1}{3}ML^2$ , es un tercio del que tiene un péndulo simple, y el cg de la varilla está a la mitad de la distancia a partir del pivote, en comparación con un péndulo simple. Se puede demostrar que, junto con la ecuación (14.39), estas dos diferencias contribuyen al factor  $\sqrt{\frac{2}{3}}$  con el que los péndulos difieren.



### EJEMPLO 14.10 TYRANNOSAURUS REX Y EL PÉNDULO FÍSICO

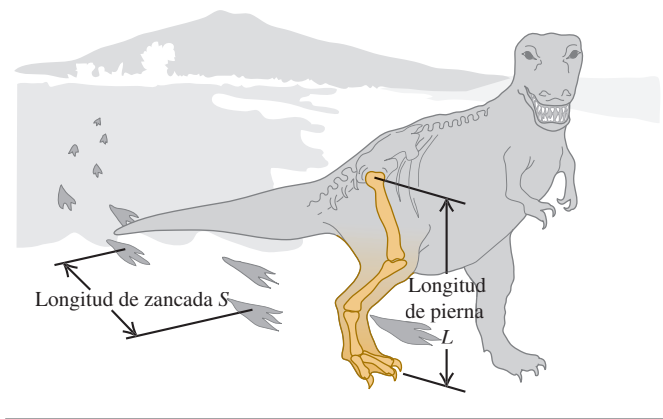
Todos los animales que caminan, incluido el ser humano, tienen un ritmo (paso) natural para desplazarse, es decir, un número de pasos por minuto que resulta más cómodo que un ritmo más rápido o más lento. Suponga que este ritmo natural corresponde a la oscilación de las piernas como un péndulo físico. a) ¿Cómo depende el paso natural de la longitud  $L$  de la pierna, medida de la cadera al pie? Considere la pierna como una varilla uniforme con pivote en la cadera. b) Pruebas fósiles demuestran que el *Tyrannosaurus rex* (*T. rex*), un dinosaurio bípedo que vivió hace 65 millones de años, tenía una longitud de pierna  $L = 3.1 \text{ m}$  y una longitud de zancada  $S = 4.0 \text{ m}$  (la distancia de una huella a la siguiente del mismo pie; **figura 14.24**). Estime la rapidez con que caminaba el *T. rex*.

#### SOLUCIÓN

**IDENTIFICAR Y PLANTEAR:** Nuestras incógnitas son a) la relación entre el ritmo al caminar y la longitud de la pierna, y b) la rapidez con que caminaba el *T. rex*. Trataremos la pierna como un péndulo físico, con el periodo de oscilación que determinamos en el ejemplo 14.9. Podemos encontrar la rapidez a pie desde el periodo y la longitud de zancada.

**EJECUTAR:** a) De acuerdo con el ejemplo 14.9, el periodo de oscilación de la pierna es  $T = 2\pi \sqrt{2L/3g}$ , que es proporcional a  $\sqrt{L}$ . Cada paso toma medio periodo, así que el ritmo de la caminata (en pasos

**14.24** La rapidez al caminar del *Tyrannosaurus rex* se puede estimar a partir de la longitud de su pierna  $L$  y la de su zancada  $S$ .



por segundo) es el doble de la frecuencia de oscilación  $f = 1/T$ , que es proporcional a  $1/\sqrt{L}$ . A mayor longitud  $L$  de pierna, menor será el ritmo del paso.

b) De acuerdo con nuestro modelo, el tiempo que el *T. rex* tardaba en dar una zancada era

$$T = 2\pi \sqrt{\frac{2L}{3g}} = 2\pi \sqrt{\frac{2(3.1 \text{ m})}{3(9.8 \text{ m/s}^2)}} = 2.9 \text{ s}$$

de manera que su rapidez al caminar era

$$v = \frac{S}{T} = \frac{4.0 \text{ m}}{2.9 \text{ s}} = 1.4 \text{ m/s} = 5.0 \text{ km/h} = 3.1 \text{ mi/h}$$

Ésta es más o menos la rapidez con que camina un ser humano.

**EVALUAR:** Una varilla uniforme no es un buen modelo de una pierna. Las piernas de muchos animales, entre ellos el *T. rex* y los humanos, no son uniformes; hay mucho más masa entre la cadera y la rodilla que entre ésta y el pie. Así, el centro de masa está a menos de  $L/2$  de la cadera; una estimación razonable sería  $L/4$ . Por lo tanto, el momento de inercia es *significativamente* menor que  $ML^2/3$ , tal vez del orden de  $ML^2/15$ . Use el análisis del ejemplo 14.9 con estas correcciones; obtendrá un periodo de oscilación más corto y una rapidez al andar aún mayor para el *T. rex*.

**EVALÚE SU COMPRENSIÓN DE LA SECCIÓN 14.6** El centro de gravedad de un péndulo simple de masa  $m$  y longitud  $L$  se ubica en la lenteja del péndulo, a una distancia  $L$  del punto del pivote. El centro de gravedad de una varilla uniforme de la misma masa  $m$  y longitud  $2L$  que pivota en un extremo también está a una distancia  $L$  del punto del pivote. ¿Cómo se compara el periodo de esta varilla uniforme con el periodo de un péndulo simple?  
**i.** La varilla tiene un periodo más largo; **ii.** la varilla tiene un periodo más corto; **iii.** la varilla tiene el mismo periodo. **I**

## 14.7 OSCILACIONES AMORTIGUADAS

Los sistemas oscilantes idealizados que hemos visto hasta ahora no tienen fricción; no hay fuerzas no conservativas, la energía mecánica total es constante, y un sistema puesto en movimiento sigue oscilando eternamente sin disminución de la amplitud.

Sin embargo, los sistemas del mundo real siempre tienen fuerzas disipativas, y las oscilaciones cesan con el tiempo, a menos que un mecanismo reponga la energía mecánica disipada (**figura 14.25**). Un reloj mecánico de péndulo sigue andando porque la energía potencial almacenada en el resorte, o en un sistema de pesos colgantes, repone la energía mecánica perdida por fricción en el pivote y los engranes. A final de cuentas, el resorte perderá su tensión o los pesos llegarán al fondo de su trayecto. Al no haber más energía disponible, la amplitud de las oscilaciones del péndulo disminuirá, y el reloj se detendrá.

La disminución de la amplitud causada por fuerzas disipativas se denomina **amortiguamiento**, y el movimiento correspondiente se llama **oscilación amortiguada**. El caso más sencillo para un análisis detallado es un oscilador armónico simple, con una fuerza de amortiguamiento por fricción directamente proporcional a la *velocidad* del cuerpo oscilante. Este comportamiento se observa en la fricción por flujo de fluidos viscosos, como en los amortiguadores de los automóviles o el deslizamiento entre superficies lubrificadas con aceite. Así, sobre el cuerpo actúa una fuerza adicional debida a la fricción,  $F_x = -bv_x$ , donde  $v_x = dx/dt$  es la velocidad y  $b$  es una constante que describe la intensidad de la fuerza amortiguadora. El signo menos indica que la fuerza siempre tiene dirección opuesta a la velocidad. La fuerza neta que actúa sobre el cuerpo es, entonces,

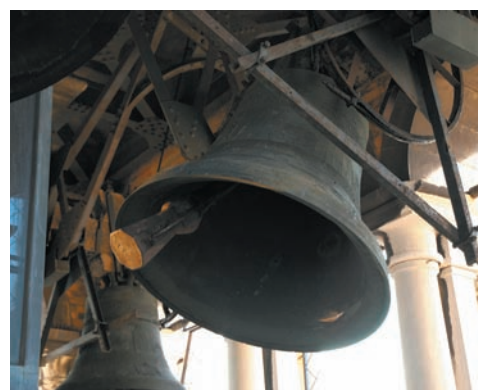
$$\sum F_x = -kx - bv_x \quad (14.40)$$

y la segunda ley de Newton para el sistema es

$$-kx - bv_x = ma_x \quad \text{o} \quad -kx - b \frac{dx}{dt} = m \frac{d^2x}{dt^2} \quad (14.41)$$

La ecuación (14.41) es una ecuación diferencial en  $x$ ; sería igual a la ecuación (14.4), que da la aceleración en un MAS, excepto por el término adicional  $-b dx/dt$ . No

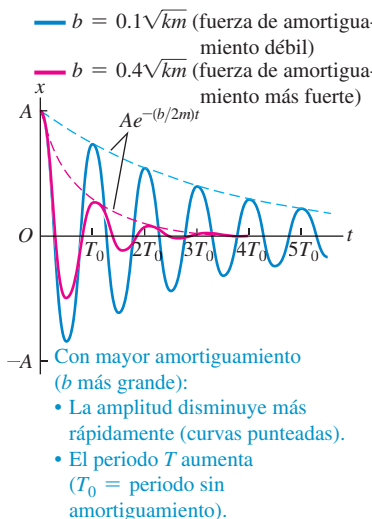
**14.25** Si una campana que oscila se deja de impulsar, tarde o temprano las fuerzas amortiguadoras (resistencia del aire y fricción en el punto de suspensión) harán que deje de moverse.



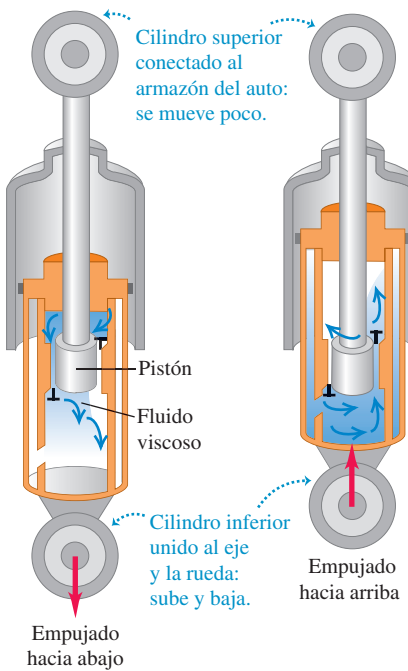
daremos detalles de cómo resolver esta ecuación; sólo presentaremos su solución. Si la fuerza de amortiguamiento es relativamente pequeña, el movimiento está descrito por

<b>Desplazamiento del oscilador, poco amortiguamiento</b>	<b>Amplitud inicial</b> $x = Ae^{-(b/2m)t} \cos(\omega' t + \phi)$	<b>Constante de amortiguamiento</b> <b>Masa</b> <b>Tiempo</b> <b>Frecuencia angular de oscilaciones amortiguadas</b> <b>Ángulo de fase</b>	<span style="float: right;">(14.42)</span>
---	---	--	--

**14.26** Gráfica de desplazamiento contra tiempo para un oscilador con poco amortiguamiento [vea la ecuación (14.42)] y ángulo de fase  $\phi = 0$ . Se muestran curvas para dos valores de la constante de amortiguamiento  $b$ .



**14.27** Un amortiguador de automóvil. El fluido viscoso causa una fuerza amortiguadora que depende de la velocidad relativa de los dos extremos de la unidad.



La frecuencia angular de estas oscilaciones amortiguadas está dada por

<b>Frecuencia angular del oscilador, poco amortiguamiento</b>	<b>Constante de fuerza de la fuerza de restitución</b> $\omega' = \sqrt{\frac{k}{m} - \frac{b^2}{4m^2}}$	<b>Constante de amortiguamiento</b> <b>Masa</b>	<span style="float: right;">(14.43)</span>
---	---	--	--

El lector podrá verificar que la ecuación (14.42) es una solución de la ecuación (14.41) calculando la primera y segunda derivadas de  $x$ , sustituyéndolas en la ecuación (14.41) y comprobando que los miembros derecho e izquierdo son iguales.

El movimiento descrito por la ecuación (14.42) difiere del caso no amortiguado en dos aspectos. Primero, la amplitud  $Ae^{-(b/2m)t}$  no es constante, sino que disminuye con el tiempo a causa del factor exponencial  $e^{-(b/2m)t}$ . La **figura 14.26** es una gráfica de la ecuación (14.42) para el caso  $\phi = 0$ ; indica que, cuanto mayor sea el valor de  $b$ , más rápidamente disminuirá la amplitud.

Segundo, la frecuencia angular  $\omega'$ , dada por la ecuación (14.43), ya no es igual a  $\omega = \sqrt{k/m}$ , sino un poco menor, y se vuelve cero si  $b$  es tan grande que

$$\frac{k}{m} - \frac{b^2}{4m^2} = 0 \quad \text{o} \quad b = 2\sqrt{km} \quad (14.44)$$

Si se satisface la ecuación (14.44), la condición se denomina **amortiguamiento crítico**. El sistema ya no oscila, sino que vuelve a su posición de equilibrio sin oscilar cuando se le desplaza y suelta.

Si  $b$  es mayor que  $2\sqrt{km}$ , la condición se denomina **sobreamortiguamiento**. Aquí tampoco hay oscilación, pero el sistema regresa al equilibrio más lentamente que con amortiguamiento crítico. Para el caso sobreamortiguado, las soluciones de la ecuación (14.41) tienen la forma

$$x = C_1 e^{-a_1 t} + C_2 e^{-a_2 t}$$

donde  $C_1$  y  $C_2$  son constantes que dependen de las condiciones iniciales, y  $a_1$  y  $a_2$  son constantes determinadas por  $m$ ,  $k$  y  $b$ .

Cuando  $b$  es menor que el valor crítico, como en la ecuación (14.42), la condición se llama **subamortiguamiento**. El sistema oscila con amplitud constantemente decreciente.

En un diapasón o una cuerda de guitarra que vibra, normalmente queremos el mínimo amortiguamiento posible. En cambio, el amortiguamiento es benéfico en las oscilaciones de la suspensión de un automóvil. Los amortiguadores proveen una fuerza amortiguadora dependiente de la velocidad para que, cuando el auto pase por un bache, no siga rebotando eternamente (**figura 14.27**). Para optimizar la comodidad de los pasajeros, el sistema debería estar críticamente amortiguado o un poco subamortiguado. Demasiado amortiguamiento sería contraproducente: si la suspensión está sobreamortiguada y el auto cae en otro bache, justo después del primero, los resortes de la suspensión todavía estarán comprimidos un poco por el primer golpe, y no podrán absorber plenamente el impacto.

## Energía en oscilaciones amortiguadas

En oscilaciones amortiguadas, la fuerza amortiguadora no es conservativa; la energía mecánica del sistema no es constante, sino que disminuye continuamente, acercándose a cero después de un tiempo largo. Con la finalidad de deducir una expresión para la rapidez de cambio de energía, primero escribimos una expresión para la energía mecánica total  $E$  en cualquier instante:

$$E = \frac{1}{2}mv_x^2 + \frac{1}{2}kx^2$$

Para calcular la rapidez de cambio de esta cantidad, la derivamos con respecto al tiempo:

$$\frac{dE}{dt} = mv_x \frac{dv_x}{dt} + kx \frac{dx}{dt}$$

Pero  $dv_x/dt = a_x$ , y  $dx/dt = v_x$ , así que

$$\frac{dE}{dt} = v_x(ma_x + kx)$$

De acuerdo con la ecuación (14.41),  $ma_x + kx = -b dx/dt = -bv_x$ , por lo que

$$\frac{dE}{dt} = v_x(-bv_x) = -bv_x^2 \quad (\text{oscilaciones amortiguadas}) \quad (14.45)$$

El miembro derecho de la ecuación (14.45) es negativo, siempre que el cuerpo que oscila esté en movimiento, independientemente de que la velocidad  $v_x$  sea positiva o negativa. Esto indica que conforme el cuerpo se mueve, la energía disminuye, aunque no con una tasa uniforme. El término  $-bv_x^2 = (-bv_x)v_x$  (fuerza multiplicada por velocidad) es la rapidez con que la fuerza amortiguadora efectúa trabajo (negativo) sobre el sistema (es decir, la *potencia* amortiguadora). Esto es igual a la tasa de cambio de la energía mecánica total del sistema.

Se observa un comportamiento similar en circuitos eléctricos que contienen inductancia, capacitancia y resistencia. Hay una frecuencia natural de oscilación, y la resistencia desempeña el papel de la constante de amortiguamiento  $b$ . Estudiaremos estos circuitos con detalle en los capítulos 30 y 31.

**EVALÚE SU COMPRENSIÓN DE LA SECCIÓN 14.7** Un avión vuela en línea recta a una altitud constante. Si una ráfaga de viento golpea la punta de la aeronave y la eleva, la punta se balanceará verticalmente hasta que finalmente el avión regrese a su altitud original. ¿Estas oscilaciones son **i.** no amortiguadas; **ii.** subamortiguadas; **iii.** críticamente amortiguadas o **iv.** sobreamortiguadas? ■

## 14.8 OSCILACIONES FORZADAS Y RESONANCIA

Un oscilador amortiguado aislado dejará de moverse tarde o temprano; no obstante, podemos mantener una oscilación de amplitud constante aplicando una fuerza que varíe con el tiempo de forma periódica. Por ejemplo, considere que su primo Throckmorton está sentado en un columpio. Puede mantenerlo oscilando con amplitud constante dándole un empujoncito a la vez en cada ciclo. Llamamos a esta fuerza adicional **fuerza impulsora**.

### Oscilación amortiguada con una fuerza impulsora periódica

Si aplicamos a un oscilador armónico amortiguado una fuerza impulsora que varíe periódicamente con frecuencia angular  $\omega_d$  (el subíndice  $d$  de *damped* o amortiguado), el movimiento resultante se llama **oscilación forzada**, o bien, *oscilación impulsada*, y es diferente del movimiento que se da cuando el sistema simplemente se desplaza del equilibrio y luego se deja solo; en tal caso, el sistema oscilará con una **frecuencia angular natural**  $\omega'$  determinada por  $m$ ,  $k$  y  $b$ , como en la ecuación (14.43). En una oscilación forzada, en cambio, la frecuencia angular con que la masa oscila es igual a la frecuencia angular de la fuerza impulsora,  $\omega_d$ , la cual *no* tiene que ser igual a la frecuencia angular natural  $\omega'$ . Si usted sujetara las cuerdas del columpio de Throckmorton, puede obligar al columpio a oscilar con cualquier frecuencia que desee.

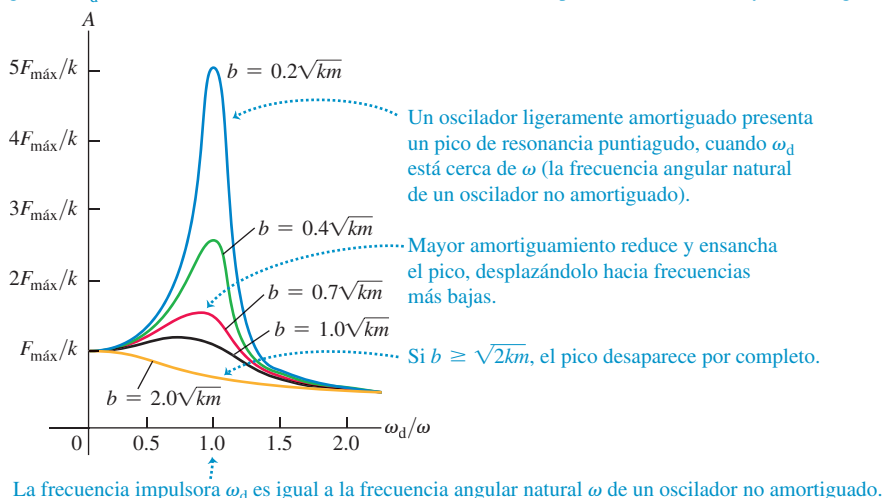
Suponga que se obliga al oscilador a vibrar con una frecuencia angular  $\omega_d$  casi *igual* a la frecuencia angular  $\omega'$  que tendría sin una fuerza impulsora. ¿Qué sucede? El oscilador tiende naturalmente a oscilar con  $\omega = \omega'$ , y esperaríamos que la amplitud de la oscilación resultante fuera mayor que cuando las dos frecuencias son muy diferentes. Análisis y experimentos detallados indican que esto es lo que sucede. El caso más fácil de analizar es una fuerza impulsora que varía *sinusoidalmente*, digamos,  $F(t) = F_{\max} \cos \omega_d t$ . Si variamos la frecuencia  $\omega_d$  de la fuerza impulsora, la amplitud de la

**BIO Aplicación Oscilaciones forzadas** Este escarabajo (o "mariposa", familia *Coccinellidae*) vuela por medio de una oscilación forzada. A diferencia de las alas de los pájaros, las alas de este insecto son extensiones de su exoesqueleto. Los músculos adheridos al interior del exoesqueleto aplican una fuerza motriz periódica que lo deforma rítmicamente, causando que las alas unidas puedan batirse hacia arriba y hacia abajo. La frecuencia de oscilación de las alas y el exoesqueleto es la misma que la frecuencia de la fuerza impulsora.



**14.28** Gráfica de la amplitud  $A$  de oscilación forzada en función de la frecuencia angular  $\omega_d$  de la fuerza impulsora. El eje horizontal indica el cociente de  $\omega_d$  y la frecuencia angular  $\omega = \sqrt{k/m}$  de un oscilador no amortiguado. Cada curva tiene un valor distinto de la constante de amortiguamiento  $b$ .

Cada curva muestra la amplitud  $A$  de un oscilador sujeto a una fuerza impulsora con diversas frecuencias angulares  $\omega_d$ . Desde el azul hasta el dorado, las curvas sucesivas representan cada vez mayor amortiguamiento



Un oscilador ligeramente amortiguado presenta un pico de resonancia puntiagudo, cuando  $\omega_d$  está cerca de  $\omega$  (la frecuencia angular natural de un oscilador no amortiguado).

Mayor amortiguamiento reduce y ensancha el pico, desplazándolo hacia frecuencias más bajas.

Si  $b \geq \sqrt{2km}$ , el pico desaparece por completo.

La frecuencia impulsora  $\omega_d$  es igual a la frecuencia angular natural  $\omega$  de un oscilador no amortiguado.

oscilación forzada resultante variará de manera interesante (**figura 14.28**). Cuando hay muy poco amortiguamiento ( $b$  pequeña), la amplitud tendrá un pico marcado conforme la frecuencia angular impulsora  $\omega_d$  se acerca a la frecuencia angular de oscilación natural  $\omega'$ . Cuando aumenta el amortiguamiento ( $b$  mayor), el pico se ensancha y se hace más bajo, desplazándose hacia menores frecuencias.

Usando más ecuaciones diferenciales para las que estamos preparados, se podría encontrar una expresión para la amplitud  $A$  de la oscilación forzada como función de la frecuencia angular impulsora. El resultado sería:



$$\text{Amplitud de un oscilador forzado} \quad A = \frac{F_{\max}}{\sqrt{(k - m\omega_d^2)^2 + b^2\omega_d^2}} \quad \begin{array}{l} \text{Valor máximo de la fuerza impulsora} \\ \text{Constante de amortiguamiento} \\ \text{Constante de fuerza de la fuerza de restitución} \\ \text{Masa} \\ \text{Frecuencia angular impulsora} \end{array} \quad (14.46)$$

Cuando  $k - m\omega_d^2 = 0$ , el primer término bajo el radical es cero, de manera que  $A$  tiene un máximo cerca de  $\omega_d = \sqrt{k/m}$ . La altura de la curva en este punto es proporcional a  $1/b$ ; cuanto menor sea el amortiguamiento, más alto será el pico. En el extremo de baja frecuencia, con  $\omega_d = 0$ , obtenemos  $A = F_{\max}/k$ . Esto corresponde a una fuerza constante  $F_{\max}$  y un desplazamiento constante  $A = F_{\max}/k$  con respecto al equilibrio, como esperaríamos.

#### B10 Aplicación Resonancia canina

A diferencia de los humanos, los perros no tienen glándulas sudoríparas, de manera que deben jadear para enfriarse. La frecuencia con la que jadea un perro está muy cerca de la frecuencia de resonancia de su aparato respiratorio. Esto hace que la máxima cantidad de aire entre y salga del cuerpo del perro, y así se minimiza el esfuerzo que el animal debe ejercer para enfriarse por sí mismo.



#### Resonancia y sus consecuencias

El hecho de que haya un pico de amplitud a frecuencias impulsoras cercanas a la frecuencia natural del sistema se denomina **resonancia**. En física, abundan los ejemplos de resonancia; uno es aumentar las oscilaciones de un niño en un columpio, empujando con una frecuencia igual a la frecuencia natural del columpio. Un ruido vibratorio en un automóvil que se escucha sólo a cierta rapidez del motor es un ejemplo muy conocido. Los altavoces de bajo costo a menudo retumban o emiten un zumbido molesto, cuando una nota musical coincide con la frecuencia de resonancia del cono del altavoz o de la carcasa. En el capítulo 16 estudiaremos otros ejemplos de resonancia que implican sonido. La resonancia también ocurre en los circuitos eléctricos, como veremos en el capítulo 31; un circuito sintonizado en un radio o un televisor responden vigorosamente a ondas con frecuencias cercanas a su frecuencia natural, y aprovechamos esto para seleccionar una estación específica y rechazar las demás.

La resonancia en los sistemas mecánicos puede ser destructiva. Un escuadrón de soldados una vez destruyó un puente marchando sobre él al mismo paso; la frecuencia de sus pasos era cercana a una frecuencia de vibración natural del puente, y la oscilación resultante tuvo suficiente amplitud para resquebrajar el puente. Desde entonces,

se ha ordenado a los soldados que rompan el paso antes de cruzar un puente. Hace algunos años, las vibraciones de los motores de cierto avión tuvieron justo la frecuencia adecuada para resonar con las frecuencias naturales de las alas. Las grandes oscilaciones se acumularon y, finalmente, las alas se desprendieron.

**EVALÚE SU COMPRENSIÓN DE LA SECCIÓN 14.8** Al impulsarse con una frecuencia cercana a su frecuencia natural, un oscilador con muy poco amortiguamiento tiene mucho mayor respuesta que el mismo oscilador con más amortiguamiento. Cuando se impulsa con una frecuencia que es mucho mayor o mucho menor que la frecuencia natural, ¿qué oscilador tendrá la mayor respuesta: i. uno con muy poco amortiguamiento o ii. el que tiene más amortiguamiento?

## CAPÍTULO 14 RESUMEN

SOLUCIONES A TODOS LOS EJEMPLOS



**Movimiento periódico:** Un movimiento periódico se repite en un ciclo definido; se presenta siempre que un cuerpo tiene una posición de equilibrio estable y una fuerza de restitución que actúa cuando el cuerpo se desplaza a partir del equilibrio. El periodo  $T$  es el tiempo que tarda un ciclo. La frecuencia  $f$  es el número de ciclos por unidad de tiempo. La frecuencia angular  $\omega$  es  $2\pi$  veces la frecuencia (vea el ejemplo 14.1).

**Movimiento armónico simple:** Si en el movimiento periódico la fuerza de restitución  $F_x$  es directamente proporcional al desplazamiento  $x$ , el movimiento se denomina armónico simple (MAS). En muchos casos, esta condición se satisface si el desplazamiento con respecto al equilibrio es pequeño. La frecuencia angular, la frecuencia y el periodo en un MAS no dependen de la amplitud, sino sólo de la masa  $m$  y la constante de fuerza  $k$ . En un MAS, el desplazamiento, la velocidad y la aceleración son funciones sinusoidales del tiempo; la amplitud  $A$  y el ángulo de fase  $\phi$  de la oscilación están determinados por la posición y velocidad iniciales del cuerpo (vea los ejemplos 14.2, 14.3, 14.6 y 14.7).

**Energía en el movimiento armónico simple:** La energía se conserva en un MAS. La energía total se puede expresar en términos de la constante de fuerza  $k$  y la amplitud  $A$  (vea los ejemplos 14.4 y 14.5).

$$f = \frac{1}{T} \quad T = \frac{1}{f} \quad (14.1)$$

$$\omega = 2\pi f = \frac{2\pi}{T} \quad (14.2)$$

$$F_x = -kx \quad (14.3)$$

$$a_x = \frac{F_x}{m} = -\frac{k}{m}x \quad (14.4)$$

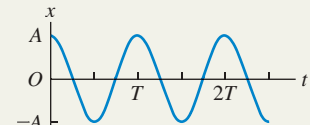
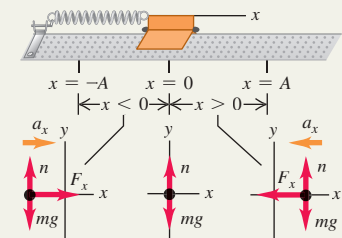
$$\omega = \sqrt{\frac{k}{m}} \quad (14.10)$$

$$f = \frac{\omega}{2\pi} = \frac{1}{2\pi} \sqrt{\frac{k}{m}} \quad (14.11)$$

$$T = \frac{1}{f} = 2\pi \sqrt{\frac{m}{k}} \quad (14.12)$$

$$x = A \cos(\omega t + \phi) \quad (14.13)$$

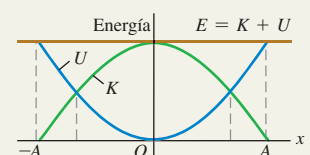
$$E = \frac{1}{2}mv_x^2 + \frac{1}{2}kx^2 = \frac{1}{2}kA^2 = \text{constante} \quad (14.21)$$



**Movimiento armónico simple angular:** En el MAS angular, la frecuencia y la frecuencia angular están relacionadas con el momento de inercia  $I$  y la constante de torsión  $\kappa$ .

$$\omega = \sqrt{\frac{\kappa}{I}} \quad y \quad (14.24)$$

$$f = \frac{1}{2\pi} \sqrt{\frac{\kappa}{I}}$$

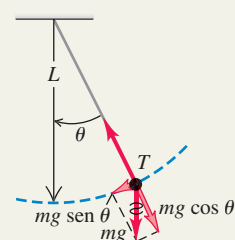


**Péndulos simples:** Un péndulo simple consiste en una masa puntual  $m$  en el extremo de una cuerda de longitud  $L$  y masa despreciable. Su movimiento es aproximadamente armónico simple si la amplitud es lo bastante pequeña; entonces, la frecuencia angular, la frecuencia y el periodo dependen sólo de  $g$  y  $L$ , no de la masa ni de la amplitud (vea el ejemplo 14.8).

$$\omega = \sqrt{\frac{g}{L}} \quad (14.32)$$

$$f = \frac{\omega}{2\pi} = \frac{1}{2\pi} \sqrt{\frac{g}{L}} \quad (14.33)$$

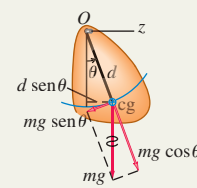
$$T = \frac{2\pi}{\omega} = \frac{1}{f} = 2\pi \sqrt{\frac{L}{g}} \quad (14.34)$$



**Péndulofísico:** Un péndulofísico es un cuerpo suspendido de un eje de rotación. La frecuencia angular y el periodo para oscilaciones de amplitud pequeña son independientes de la amplitud, aunque dependen de la masa  $m$ , de la distancia  $d$  del eje de rotación a su centro de gravedad, y del momento de inercia  $I$  con respecto al eje (vea los ejemplos 14.9 y 14.10).

$$\omega = \sqrt{\frac{mgd}{I}} \quad (14.38)$$

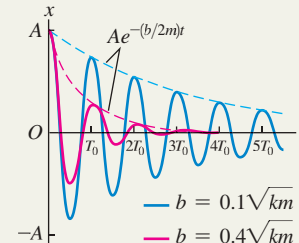
$$T = 2\pi \sqrt{\frac{I}{mgd}} \quad (14.39)$$



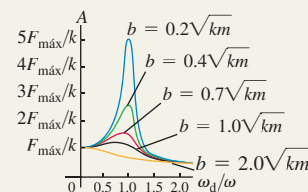
**Oscilaciones amortiguadas:** Si a un oscilador armónico simple se le aplica una fuerza  $F_x = -bv_x$  proporcional a la velocidad, el movimiento se denomina oscilación amortiguada. Si  $b < 2\sqrt{km}$  (condición de subamortiguamiento), el sistema oscila con amplitud decreciente y una frecuencia angular  $\omega'$  que es más baja que la que tendría sin amortiguamiento. Si  $b = 2\sqrt{km}$  (condición de amortiguamiento crítico) o  $b > 2\sqrt{km}$  (condición de sobreamortiguamiento), cuando el sistema se desplaza regresa a su posición de equilibrio sin oscilar.

$$x = Ae^{-(b/2m)t} \cos(\omega't + \phi) \quad (14.42)$$

$$\omega' = \sqrt{\frac{k}{m} - \frac{b^2}{4m^2}} \quad (14.43)$$



$$A = \frac{F_{\max}}{\sqrt{(k - m\omega_d^2)^2 + b^2\omega_d^2}} \quad (14.46)$$

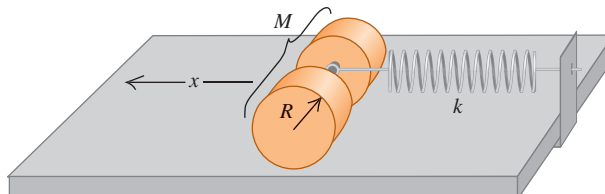


**Oscilaciones impulsadas y resonancia:** Si a un oscilador armónico amortiguado se le aplica una fuerza impulsora que varía sinusoidalmente, el movimiento resultante se denomina oscilación forzada. La amplitud es función de la frecuencia impulsora  $\omega_d$  y alcanza un máximo con una frecuencia impulsora cercana a la frecuencia natural del sistema. Este comportamiento se denomina resonancia.

## PROBLEMA PRÁCTICO OSCILAR Y RODAR

Dos cilindros sólidos uniformes, de radio  $R$  y masa total  $M$ , están conectados a lo largo de su eje común mediante una varilla corta y ligera, y descansan sobre una mesa horizontal (**figura 14.29**). Un anillo sin fricción en el centro de la varilla está unido a un resorte con constante de fuerza  $k$ ; el otro extremo del resorte está fijo. Se tira de los cilindros hacia la izquierda una distancia  $x$ , estirando el resorte, y luego se suelta el sistema a partir del reposo. Debido a la fricción entre la mesa y los cilindros, estos últimos ruedan sin resbalar, conforme oscilan. Demuestre que el movimiento del centro de masa de los cilindros es armónico simple, y encuentre su periodo.

**14.29** Cilindros rodando unidos a un resorte.



SOLUCIÓN

### GUÍA DE SOLUCIÓN

#### IDENTIFICAR y PLANTEAR

1. ¿Qué condición se debe cumplir para que el movimiento del centro de masa de los cilindros sea armónico simple?
2. ¿Cuáles ecuaciones se deberían utilizar para describir los movimientos de traslación y de rotación de los cilindros? ¿Qué ecuación se debe utilizar para describir la condición de que los cilindros ruedan sin resbalar? (Sugerencia: Vea la sección 10.3).
3. Dibuje la situación y elija un sistema de coordenadas. Elabore una lista de las cantidades desconocidas y determine cuál es la incógnita.

#### EJECUTAR

4. Dibuje un diagrama de cuerpo libre para los cilindros cuando se desplazan una distancia  $x$  a partir del equilibrio.
5. Resuelva las ecuaciones con la finalidad de encontrar una expresión para la aceleración del centro de masa de los cilindros. ¿Qué le dice esta expresión?
6. Utilice el resultado del paso 5 para encontrar el periodo de oscilación del centro de masa de los cilindros.

#### EVALUAR

7. ¿Cuál sería el periodo de oscilación si no hubiera fricción y los cilindros no hubieran rodado? ¿Este periodo es mayor o menor que el resultado del paso 6? ¿Es esto razonable?

## Problemas

•, •, ••: Niveles de dificultad. **PA:** Problemas acumulativos que incorporan material de capítulos anteriores. **CALC:** Problemas que requieren cálculo. **DATOS:** Problemas que incluyen datos reales, evidencia científica, diseño experimental y/o razonamiento estadístico. **BIO:** Problemas de ciencias biológicas.

### PREGUNTAS PARA ANÁLISIS

**P14.1** Un objeto se mueve con MAS de amplitud  $A$  en el extremo de un resorte. Si la amplitud se duplica, ¿qué sucede con la distancia total que el objeto recorre en un periodo? ¿Qué sucede con el periodo? ¿Qué sucede con la rapidez máxima del objeto? Analice la relación entre estas respuestas.

**P14.2** Piense en varios ejemplos cotidianos de movimiento que sea, al menos aproximadamente, armónico simple. ¿Cómo difiere cada uno del MAS?

**P14.3** ¿Un diapasón u otro instrumento de afinación similar experimenta MAS? ¿Por qué es algo esencial para los músicos?

**P14.4** Una caja que contiene un guijarro se conecta a un resorte ideal horizontal y oscila sobre una mesa de aire sin fricción. Cuando la caja ha alcanzado su distancia máxima a partir del punto de equilibrio, de forma repentina el guijarro se retira verticalmente sin perturbar la caja. ¿Las siguientes características del movimiento aumentarán, disminuirán o permanecerán iguales en el movimiento subsiguiente de la caja? Justifique cada respuesta. *a)* Frecuencia; *b)* periodo; *c)* amplitud; *d)* energía cinética máxima de la caja; *e)* rapidez máxima de la caja.

**P14.5** Si un resorte uniforme se corta a la mitad, ¿qué constante de fuerza tendrá cada mitad? Justifique su respuesta. ¿Cómo diferiría la frecuencia del MAS usando la mitad del resorte en comparación con la frecuencia producida usando la misma masa y el resorte completo?

**P14.6** Un deslizador está conectado a un resorte ideal fijo y oscila sobre un riel de aire horizontal sin fricción. Se coloca una moneda encima del deslizador para que oscile con éste. ¿En qué puntos del movimiento es máxima la fuerza de fricción sobre la moneda? ¿En qué puntos es mínima? Justifique sus respuestas.

**P14.7** Dos deslizadores idénticos en un riel de aire están conectados por un resorte ideal. ¿Podría tal sistema experimentar un MAS? Explique su respuesta. ¿Cómo sería el periodo en comparación con el de un solo deslizador unido a un resorte, donde el otro extremo está unido rígidamente a un objeto estacionario? Explique su respuesta.

**P14.8** Imagine que lo capturan unos marcianos, lo llevan a su nave y lo hacen dormir con un sedante. Tiempo después, despierta y se encuentra encerrado en un compartimento pequeño sin ventanas. Lo único que le dejaron es su reloj digital, su anillo de graduación y su larga cadena de plata. Explique cómo podría determinar si todavía está en la Tierra o si se encuentra en Marte.

**P14.9** El sistema que se muestra en la figura 14.17 se monta en un elevador. ¿Qué sucede con el periodo del movimiento (aumenta, disminuye o permanece igual), cuando el elevador *a)* acelera hacia arriba a  $5.0 \text{ m/s}^2$ ; *b)* se mueve hacia arriba a  $5.0 \text{ m/s}$  constantes; *c)* acelera hacia abajo a  $5.0 \text{ m/s}^2$ ? Justifique sus respuestas.

**P14.10** Si un péndulo tiene un periodo de  $2.5 \text{ s}$  en la Tierra, ¿qué periodo tendría en una estación espacial en órbita terrestre? Si una masa colgada de un resorte vertical tiene un periodo de  $5.0 \text{ s}$  en la Tierra, ¿qué periodo tendrá en la estación espacial? Justifique sus respuestas.

**P14.11** Un péndulo simple se monta en un elevador. ¿Qué sucede con el periodo del péndulo (aumenta, disminuye o permanece igual), cuando el elevador *a)* acelera hacia arriba a  $5.0 \text{ m/s}^2$ ; *b)* se mueve hacia arriba a  $5.0 \text{ m/s}$  constantes; *c)* acelera hacia abajo a  $5.0 \text{ m/s}^2$ ; *d)* acelera hacia abajo a  $9.8 \text{ m/s}^2$ ? Justifique sus respuestas.

**P14.12** ¿Qué debe hacerse a la longitud de la cuerda de un péndulo simple para *a)* duplicar su frecuencia, *b)* duplicar su periodo, *c)* duplicar su frecuencia angular?

**P14.13** Si un reloj de péndulo se sube a la cima de una montaña, ¿se adelanta o se atrasa? Suponga que marca la hora correcta a menor altitud. Explique su respuesta.

**P14.14** Si la amplitud de un péndulo simple aumenta, ¿debería aumentar o disminuir su periodo? Mencione un argumento cualitativo; no se base en la ecuación (14.35). ¿Su argumento también es válido para un péndulo físico?

**P14.15** ¿Por qué los perros pequeños (como los chihuahueños) caminan con zancadas más rápidas que los perros grandes (como el granda nés)?

**P14.16** ¿En qué punto del movimiento de un péndulo simple es máxima la tensión en la cuerda? ¿Y mínima? En cada caso, explique su razonamiento.

**P14.17** ¿Un estándar de tiempo podría basarse en el periodo de cierto péndulo estándar? ¿Qué ventajas y desventajas tendría tal estándar con respecto al estándar real actual descrito en la sección 1.3?

**P14.18** Para un péndulo simple, diferencie claramente entre  $\omega$  (la rapidez angular) y  $\omega$  (la frecuencia angular). ¿Cuál es constante y cuál es variable?

**P14.19** Al diseñar estructuras en una región de alta sismicidad, ¿qué relación debe haber entre las frecuencias naturales de oscilación de una estructura y las frecuencias típicas de un terremoto? ¿Por qué? ¿La estructura debe tener mucho o poco amortiguamiento?

### EJERCICIOS

#### Sección 14.1 Descripción de la oscilación

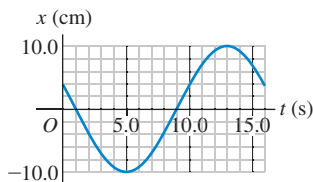
**14.1 • BIO *a)* Música.** Cuando una persona canta, sus cuerdas vocales vibran en un patrón repetitivo que tiene la misma frecuencia que la nota que está vocalizando. Si alguien canta la nota si bemol, que tiene una frecuencia de  $466 \text{ Hz}$ , ¿cuánto tiempo duran las cuerdas vocales de la persona vibrando para completar un ciclo completo, y cuál es la frecuencia angular de las cuerdas? *b)* **Oído.** Cuando las ondas sonoras inciden sobre el tímpano, esta membrana vibra con la misma frecuencia que el sonido. El tono más alto que los seres humanos jóvenes pueden oír tiene un periodo de  $50.0 \mu\text{s}$ . ¿Cuáles son la frecuencia y la frecuencia angular del tímpano que vibra por este sonido? *c)* **Vista.** Cuando la luz que tiene vibraciones de frecuencia angular que van de  $2.7 \times 10^{15} \text{ rad/s}$  a  $4.7 \times 10^{15} \text{ rad/s}$  incide en la retina del ojo, estimula las células receptoras ubicadas ahí y se percibe como luz visible. ¿Cuáles son los límites del periodo y la frecuencia de la luz? *d)* **Ultrasonido.** Se utilizan ondas sonoras de alta frecuencia (ultrasonido) para examinar el interior del cuerpo, de forma similar a como lo hacen los rayos X. Para detectar objetos pequeños, como tumores, se utiliza una frecuencia de alrededor de  $5.0 \text{ MHz}$ . ¿Cuáles son el periodo y la frecuencia angular de las vibraciones moleculares causadas por este pulso de sonido?

**14.2 •** Si un objeto en una superficie horizontal sin fricción se une a un resorte, se desplaza y después se suelta, oscilará. Si se desplaza  $0.120 \text{ m}$  a partir de su posición de equilibrio y se suelta con rapidez inicial cero, luego de  $0.800 \text{ s}$  su desplazamiento es de  $0.120 \text{ m}$  en el lado opuesto, habiendo pasado la posición de equilibrio una vez durante este intervalo. Calcule *a)* la amplitud, *b)* el periodo y *c)* la frecuencia.

**14.3 •** La punta de un diapasón efectúa 440 vibraciones completas en  $0.500 \text{ s}$ . Calcule la frecuencia angular y el periodo del movimiento.

- 14.4** • En la figura E14.4 se muestra el desplazamiento de un objeto oscilante en función del tiempo. Calcule *a)* la frecuencia, *b)* la amplitud, *c)* el periodo y *d)* la frecuencia angular de este movimiento.

Figura E14.4



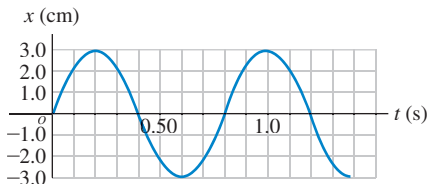
- 14.5** • Una pieza de una máquina está en MAS con frecuencia de 4.00 Hz y amplitud de 1.80 cm. ¿Cuánto tarda la pieza en ir de  $x = 0$  a  $x = -1.80$  cm?

- 14.6** • **BIO** Las alas de un colibrí de garganta azul (*Lampornis clemenciae*) que habita en México y en el suroeste de Estados Unidos, aletea a razón de hasta 900 veces por minuto. Calcule *a)* el periodo de vibración de las alas del colibrí, *b)* la frecuencia de vibración y *c)* la frecuencia angular de aleteos de sus alas.

## Sección 14.2 Movimiento armónico simple

- 14.7** • Una pelota de 2.40 kg está unida a un resorte desconocido y se hace oscilar. En la figura E14.7 se muestra una gráfica de la posición  $x$  de la pelota como función del tiempo  $t$ . Para las oscilaciones, calcule *a)* el periodo, *b)* la frecuencia, *c)* la frecuencia angular y *d)* la amplitud. *e)* ¿Cuál es la constante de fuerza del resorte?

Figura E14.7



- 14.8** • En un laboratorio de física, se conecta un deslizador de riel de aire de 0.200 kg al extremo de un resorte ideal de masa despreciable y se pone a oscilar. El tiempo transcurrido entre la primera vez que el deslizador pasa por la posición de equilibrio y la segunda vez que pasa por ese punto es de 2.60 s. Determine la constante de fuerza del resorte.

- 14.9** • Un cuerpo de masa desconocida se une a un resorte ideal con constante de fuerza de 120 N/m. Se observa que vibra con una frecuencia de 6.00 Hz. Calcule *a)* el periodo del movimiento; *b)* la frecuencia angular; y *c)* la masa del cuerpo.

- 14.10** • Cuando una masa de 0.750 kg oscila en un resorte ideal, la frecuencia es de 1.75 Hz. *a)* ¿Cuál será la frecuencia si se agregan 0.220 kg a la masa original, y *b)* si se quitan de la masa original? Intenta resolver este problema *sin* calcular la constante de fuerza del resorte.

- 14.11** • Un objeto está experimentando MAS con un periodo de 0.900 s y una amplitud de 0.320 m. En  $t = 0$  el objeto está en  $x = 0.320$  m y se encuentra instantáneamente en reposo. Calcule el tiempo que tarda en ir *a)* de  $x = 0.320$  m a  $x = 0.160$  m, y *b)* de  $x = 0.160$  m a  $x = 0$ .

- 14.12** • Un pequeño bloque está unido a un resorte ideal y se mueve con MAS sobre una superficie horizontal, sin fricción. Cuando el bloque se encuentra en  $x = 0.280$  m, su aceleración es  $-5.30 \text{ m/s}^2$ . ¿Cuál es la frecuencia del movimiento?

- 14.13** • Un bloque de 2.00 kg, que resbala sin fricción, se conecta a un resorte ideal con constante de fuerza de 300 N/m. En  $t = 0$ , el resorte no está estirado ni comprimido, y el bloque se mueve en la dirección negativa a 12.0 m/s. Calcule *a)* la amplitud y *b)* el ángulo de fase. *c)* Escriba una ecuación para la posición en función del tiempo.

- 14.14** • Repita el ejercicio 14.13, pero suponga que en  $t = 0$  el bloque tiene una velocidad de -4.00 m/s y un desplazamiento de +0.200 m.

- 14.15** • La punta de la aguja de una máquina de coser se mueve en MAS, sobre el eje  $x$  con una frecuencia de 2.5 Hz. En  $t = 0$ , sus componentes de posición y velocidad son, respectivamente, +1.1 cm y -15 cm/s. *a)* Calcule la componente de aceleración de la aguja en  $t = 0$ . *b)* Escriba ecuaciones para las componentes de posición, velocidad y aceleración de la punta en función del tiempo.

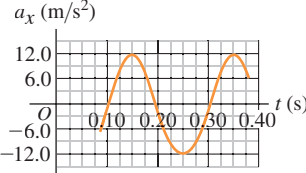
- 14.16** • Un pequeño bloque está unido a un resorte ideal y se mueve con MAS sobre una superficie horizontal, sin fricción. Cuando la amplitud del movimiento es 0.090 m, el bloque tarda 2.70 s en viajar de  $x = 0.090$  m a  $x = -0.090$  m. Si se duplica la amplitud, a 0.180 m, ¿cuánto tiempo tarda el bloque en viajar *a)* de  $x = 0.180$  m a  $x = -0.180$  m y *b)* de  $x = 0.090$  m a  $x = -0.090$  m?

- 14.17** • **BIO Peso de los astronautas.** Este procedimiento se utiliza realmente para “pesar” a los astronautas en el espacio. Se une una silla de 42.5 kg a un resorte y se le deja oscilar; cuando está vacía, la silla tarda 1.30 s en efectuar una vibración completa. En cambio, con un astronauta sentado en ella, sin tocar el piso con sus pies, la silla tarda 2.54 s en completar un ciclo. ¿Cuál debe ser la masa del astronauta?

- 14.18** • Un objeto de 0.400 kg en MAS tiene  $a_x = -1.80 \text{ m/s}^2$  cuando  $x = 0.300$  m. ¿Cuánto tarda una oscilación?

- 14.19** • Sobre un riel de aire horizontal sin fricción, un deslizador oscila en el extremo de un resorte ideal, cuya constante de fuerza es 2.50 N/cm. En la figura E14.19 la gráfica muestra la aceleración del deslizador en función del tiempo. Calcule *a)* la masa del deslizador; *b)* el desplazamiento máximo del deslizador desde el punto de equilibrio; *c)* la fuerza máxima que el resorte ejerce sobre el deslizador.

Figura E14.19



- 14.20** • La velocidad de una masa de 0.500 kg en un resorte está dada en función del tiempo por  $v_x(t) = -(3.60 \text{ cm/s}) \operatorname{sen}[(4.71 \text{ rad/s})t - (\pi/2)]$ . Calcule *a)* el periodo, *b)* la amplitud, *c)* la aceleración máxima de la masa, y *d)* la constante de fuerza del resorte.

- 14.21** • El desplazamiento en función del tiempo de una masa de 1.50 kg en un resorte está dado por la ecuación

$$x(t) = (7.40 \text{ cm}) \cos[(4.16 \text{ rad/s})t - 2.42]$$

- Calcule *a)* el tiempo que tarda una vibración completa; *b)* la constante de fuerza del resorte; *c)* la rapidez máxima de la masa; *d)* la fuerza máxima que actúa sobre la masa; *e)* la posición, rapidez y aceleración de la masa en  $t = 1.00$  s; y *f)* la fuerza que actúa sobre la masa en ese momento.

- 14.22** • **BIO Peso de un virus.** En febrero de 2004, científicos de la Universidad de Purdue utilizaron una técnica altamente sensible para medir la masa de un virus *vaccinia* (del tipo usado en la vacuna contra la viruela). El procedimiento implicó la medición de la frecuencia de oscilación de una pequeña placa de silicio (de tan sólo 30 nm de largo) con un láser, primero sin virus y luego con el virus

unido al silicio. La diferencia de masa provocó un cambio en la frecuencia. Podemos modelar este proceso como una masa en un resorte. *a)* Demuestre que la proporción entre la frecuencia con el virus adjunto ( $f_{S+v}$ ) y la frecuencia sin el virus ( $f_S$ ) está dada por la fórmula  $f_{S+v}/f_S = 1/\sqrt{1 + (m_V/m_S)}$ , donde  $m_V$  es la masa del virus y  $m_S$  es la masa de la placa de silicio. Observe que *no* es necesario conocer o medir la constante de fuerza del resorte. *b)* En algunos datos, la placa de silicio tiene una masa de  $2.10 \times 10^{-16}$  g y una frecuencia de  $2.00 \times 10^{15}$  Hz sin el virus, y  $2.87 \times 10^{14}$  Hz con el virus. ¿Cuál es la masa del virus, en gramos y en femtogramos?

**14.23 •• CALC Tirón.** Una cuerda de guitarra vibra a una frecuencia de 440 Hz. Un punto en su centro se mueve con MAS con una amplitud de 3.0 mm y un ángulo de fase de cero. *a)* Escriba una ecuación para la posición del centro de la cuerda como función del tiempo. *b)* ¿Cuáles son los valores máximos de las magnitudes de la velocidad y la aceleración del centro de la cuerda? *c)* La derivada de la aceleración con respecto al tiempo es una cantidad llamada el *tirón*. Escriba una ecuación para el tirón del centro de la cuerda como función del tiempo, y encuentre el valor máximo de la magnitud del tirón.

### Sección 14.3 Energía en el movimiento armónico simple

**14.24 •** Para el objeto oscilante de la figura E14.4, ¿cuáles son *a)* su rapidez máxima y *b)* su aceleración máxima?

**14.25 •** Un pequeño bloque está unido a un resorte ideal y se mueve con MAS sobre una superficie horizontal, sin fricción. La amplitud del movimiento es de 0.165 m. La rapidez máxima del bloque es 3.90 m/s. ¿Cuál es la magnitud máxima de la aceleración del bloque?

**14.26 •** Un pequeño bloque está unido a un resorte ideal y se mueve con MAS sobre una superficie horizontal, sin fricción. La amplitud del movimiento es de 0.250 m y el periodo es de 3.20 s. ¿Cuáles son la rapidez y la aceleración del bloque cuando  $x = 0.160\text{m}$ ?

**14.27 •** Un juguete de 0.150 kg está en MAS en el extremo de un resorte horizontal con constante de fuerza  $k = 300\text{ N/m}$ . Cuando el juguete está a 0.0120 m de su posición de equilibrio, tiene una rapidez de 0.400 m/s. Calcule *a)* la energía total del juguete en cualquier punto de su movimiento; *b)* la amplitud del movimiento; *c)* la rapidez máxima que alcanza el juguete durante su movimiento.

**14.28 •** Un oscilador armónico tiene frecuencia angular  $\omega$  y amplitud  $A$ . *a)* Calcule la magnitud del desplazamiento y la velocidad cuando la energía potencial elástica es igual a la energía cinética (suponga que  $U = 0$  en el equilibrio). *b)* ¿Cuántas veces sucede eso en cada ciclo? ¿Cada cuándo sucede? *c)* En un instante en que el desplazamiento es igual a  $A/2$ , ¿qué fracción de la energía total del sistema es cinética y qué fracción es potencial?

**14.29 •** Un deslizador de 0.500 kg, conectado al extremo de un resorte ideal con constante de fuerza  $k = 450\text{ N/m}$ , está en MAS con una amplitud de 0.040 m. Calcule *a)* la rapidez máxima del deslizador; *b)* su rapidez cuando está en  $x = -0.015\text{ m}$ ; *c)* la magnitud de su aceleración máxima; *d)* su aceleración en  $x = -0.015\text{ m}$ ; y *e)* su energía mecánica total en cualquier punto de su movimiento.

**14.30 ••** Una porrista ondea un pompón en MAS con amplitud de 18.0 cm y frecuencia de 0.850 Hz. Calcule *a)* la magnitud máxima de la aceleración y de la velocidad; *b)* la aceleración y rapidez cuando la coordenada del pompón es  $x = +9.0\text{ cm}$ ; *c)* el tiempo que tarda en moverse directamente de la posición de equilibrio a un punto situado a 12.0 cm de distancia. *d)* ¿Cuáles de las cantidades pedidas en los incisos *a), b) y c)* pueden obtenerse empleando el método de energía de la sección 14.3 y cuáles no? Explique su respuesta.

**14.31 • PA** Para la situación descrita en el inciso *a)* del ejemplo 14.5, ¿qué masa  $m$  deberá tener la masilla para que la amplitud después del choque sea la mitad de la amplitud original? Con ese valor de  $m$ , ¿qué fracción de la energía mecánica original se convierte en energía térmica?

**14.32 ••** Un bloque con masa  $m = 0.300\text{ kg}$  está unido a un extremo de un resorte ideal y se mueve sobre una superficie horizontal sin fricción. El otro extremo del resorte está unido a la pared. Cuando el bloque se encuentra en  $x = +0.240\text{ m}$ , su aceleración es  $a_x = -12.0\text{ m/s}^2$  y su velocidad es  $v_x = +4.00\text{ m/s}$ . Calcule *a)* la constante de fuerza  $k$  del resorte, *b)* la amplitud de su movimiento, *c)* la máxima rapidez del bloque durante su movimiento, y *d)* la magnitud máxima de la aceleración del bloque durante su movimiento.

**14.33 •** Usted observa un objeto que se mueve en MAS. Cuando dicho objeto está desplazado 0.600 m a la derecha de su posición de equilibrio, tiene una velocidad de 2.20 m/s a la derecha y una aceleración de  $8.40\text{ m/s}^2$  a la izquierda. ¿A qué distancia de este punto se desplazará el objeto, antes de detenerse momentáneamente para iniciar su movimiento de regreso a la izquierda?

**14.34 •** Un bloque de 2.00 kg sin fricción se sujetó a un resorte ideal, cuya constante de fuerza es de  $315\text{ N/m}$ . Inicialmente el resorte no se encuentra estirado ni comprimido, pero el bloque se mueve en dirección negativa a 12.0 m/s. Calcule *a)* la amplitud del movimiento, *b)* la máxima aceleración del bloque, y *c)* la fuerza máxima que el resorte ejerce sobre el bloque.

**14.35 •** Un bloque de 2.00 kg sin fricción se sujetó a un resorte ideal, cuya constante de fuerza es de  $315\text{ N/m}$ , y experimenta un movimiento armónico simple. Cuando el bloque se ha desplazado  $+0.200\text{ m}$ , se mueve en la dirección  $x$  negativa con una rapidez de 4.0 m/s. Calcule *a)* la amplitud del movimiento, *b)* la máxima aceleración del bloque, y *c)* la fuerza máxima que el resorte ejerce sobre el bloque.

**14.36 ••** Una masa oscila con amplitud  $A$  en el extremo de un resorte. ¿A qué distancia (en términos de  $A$ ) se encuentra esta masa con respecto a la posición de equilibrio del resorte cuando la energía potencial elástica es igual a la energía cinética?

### Sección 14.4 Aplicaciones del movimiento armónico simple

**14.37 •** Un deslizador de 175 g sobre una pista de aire horizontal sin fricción está unido a un resorte ideal fijo, cuya constante de fuerza es de  $155\text{ N/m}$ . En el momento en que usted mide el deslizador, éste se mueve a 0.815 m/s y se ubica a 3.00 cm de su posición de equilibrio. Utilice la *conservación de la energía* para calcular *a)* la amplitud del movimiento y *b)* la rapidez máxima del deslizador. *c)* ¿Cuál es la frecuencia angular de las oscilaciones?

**14.38 •** Un orgulloso pescador de alta mar cuelga un pescado de 65.0 kg de un resorte ideal de masa despreciable. El pescado estira el resorte 0.180 m. *a)* Calcule la constante de fuerza del resorte. Ahora se jala el pescado 5.00 cm hacia abajo y luego se suelta. *b)* ¿Qué periodo de oscilación tiene el pescado? *c)* ¿Qué rapidez máxima alcanzará?

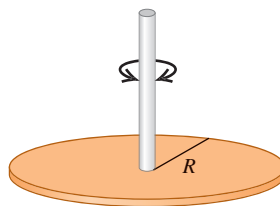
**14.39 •** Un gato con masa de 4.00 kg que gusta de las emociones fuertes está unido mediante un arnés a un resorte ideal de masa despreciable y oscila verticalmente con MAS. La amplitud es de 0.050 m y, en el punto más alto del movimiento, el resorte tiene su longitud natural sin estirarse. Calcule la energía potencial elástica del resorte (suponga que es cero cuando el resorte no está estirado); la energía cinética del gato; la energía potencial gravitacional del sistema relativa al punto más bajo del movimiento; y la suma de estas tres energías cuando el gato está *a)* en su punto más alto, *b)* en su punto más bajo y *c)* en su posición de equilibrio.

**14.40** • Un disco uniforme sólido de metal con masa de 6.50 kg y diámetro de 24.0 cm cuelga en un plano horizontal, apoyado en su centro con un alambre metálico vertical. Usted sabe que se requiere una fuerza horizontal de 4.23 N tangente al borde del disco para girarlo  $3.34^\circ$ , y así torcer el alambre. Ahora usted elimina esta fuerza y suelta el disco del reposo. a) ¿Cuál es la constante de torsión para el alambre metálico? b) ¿Cuáles son la frecuencia y el periodo de las oscilaciones de torsión del disco? c) Escriba la ecuación del movimiento para  $\theta(t)$  del disco.

**14.41** • Ciertos reloj despertador hacen tic cuatro veces cada segundo, y cada tic representa medio periodo. La rueda de balance consiste en un aro delgado con 0.55 cm de radio, conectado al vástago de balance por rayos de masa despreciable. La masa total de la rueda es de 0.90 g. a) ¿Qué momento de inercia tiene la rueda con respecto a su eje? b) ¿Qué constante de torsión tiene el resorte (figura 14.19)?

**14.42** • Un disco metálico delgado con masa de  $2.00 \times 10^{-3}$  kg y radio de 2.20 cm se une en su centro a una fibra larga (figura 14.42). Si el disco se hace girar y se suelta, oscilará con un periodo de 1.00 s. Calcule la constante de torsión de la fibra.

Figura E14.42



**14.43** • Usted desea determinar el momento de inercia de una pieza mecánica complicada, con respecto a un eje que pasa por su centro de masa, así que la cuelga de un alambre a lo largo de ese eje. El alambre tiene una constante de torsión de 0.450 N·m/rad. Usted gira un poco la pieza alrededor del eje y la suelta, cronometrando 165 oscilaciones en 265 s. ¿Cuál es el momento de inercia?

**14.44** • **CALC** La rueda de balance de un reloj vibra con amplitud angular  $\Theta$ , frecuencia angular  $\omega$  y ángulo de fase  $\phi = 0$ . a) Deduzca expresiones para la velocidad angular  $d\theta/dt$  y la aceleración angular  $d^2\theta/dt^2$  en función del tiempo. b) Calcule la velocidad angular y la aceleración angular de la rueda de balance, cuando su desplazamiento angular sea  $\Theta$ , y cuando su desplazamiento angular sea  $\Theta/2$  y  $\theta$  esté disminuyendo. (Sugerencia: Trace una gráfica de  $\theta$  contra  $t$ ).

### Sección 14.5 El péndulo simple

**14.45** • Se tira de un péndulo simple de 0.240 m de longitud para moverlo  $3.50^\circ$  hacia un lado y luego se suelta. a) ¿Cuánto tarda la lenteja del péndulo en alcanzar su rapidez máxima? b) ¿Cuánto tarda si el péndulo se suelta a un ángulo de  $1.75^\circ$  en vez de  $3.50^\circ$ ?

**14.46** • Un alpinista de 85.0 kg planea balancearse, partiendo del reposo, desde una saliente utilizando una cuerda ligera de 6.50 m de largo. Sujeta un extremo de la cuerda, en tanto que el otro extremo está unido más arriba a la cara de una roca. Como la saliente no está muy lejos de la cara de la roca, la cuerda forma un ángulo pequeño con la vertical. En el punto más bajo de su balanceo, el alpinista planea soltarse y dejarse caer una distancia corta hacia el suelo. a) ¿Cuánto tiempo después de que comienza a balancearse el alpinista alcanzará su punto más bajo? b) Si falla en la primera oportunidad de soltarse, ¿cuánto tiempo después de iniciar su balanceo, el alpinista llegará a su punto más bajo por segunda vez?

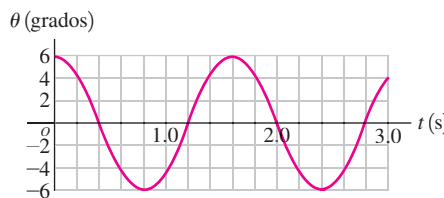
**14.47** • En San Francisco un edificio tiene lámparas que consisten en bombillas pequeñas de 2.35 kg con pantallas que cuelgan del techo en el extremo de cuerdas ligeras y delgadas de 1.50 m de longitud. Si ocurre un terremoto leve, ¿cuántas oscilaciones por segundo realizarán las lámparas?

**14.48** • **Un péndulo en Marte.** En la Tierra cierto péndulo simple tiene un periodo de 1.60 s. ¿Qué periodo tendrá en la superficie de Marte, donde  $g = 3.71 \text{ m/s}^2$ ?

**14.49** • Despues de posarse en un planeta desconocido, un explorador espacial fabrica un péndulo simple con longitud de 50.0 cm y determina que efectúa 100 oscilaciones completas en 136 s. ¿Cuánto vale  $g$  en ese planeta?

**14.50** • En el laboratorio, un estudiante examina un péndulo al graficar el ángulo  $\theta$  que forma la cuerda con la vertical como una función del tiempo  $t$ , y obtiene la gráfica mostrada en la figura E14.50. a) Determine el periodo, la frecuencia, la frecuencia angular y la amplitud del movimiento del péndulo. b) ¿Cuál es la longitud del péndulo? c) ¿Es posible determinar la masa de la lenteja?

Figura E14.50



**14.51** • Un péndulo simple de 2.00 m de largo oscila con un ángulo máximo de  $30.0^\circ$  con la vertical. Obtenga su periodo, a) suponiendo una amplitud pequeña, y b) utilizando los primeros tres términos de la ecuación (14.35). c) ¿Cuál de las respuestas a los incisos a) y b) es más exacta? Para la que es menos exacta, ¿de qué porcentaje es el error con respecto a la más exacta?

**14.52** • Una esfera pequeña de masa  $m$  está unida a una varilla de masa despreciable de longitud  $L$  con un pivote en el extremo superior, formando un péndulo simple. Se tira del péndulo hacia un lado, de manera que la varilla forme un ángulo  $\theta$  con la vertical y se suelta desde el reposo. a) Dibuje un diagrama del péndulo justo después de soltarse; incluya vectores que representen las fuerzas que actúan sobre la esfera pequeña y la aceleración de esta última. ¡La exactitud es importante! En este punto, ¿qué aceleración lineal tiene la esfera? b) Repita el inciso a) para el instante en que el ángulo de la varilla con la vertical es  $\theta/2$ . c) Repita el inciso a) para el instante en que la varilla del péndulo está en posición vertical. En ese punto, ¿qué rapidez lineal tiene la esfera?

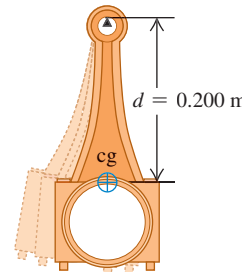
### Sección 14.6 El péndulo físico

**14.53** • Dos péndulos tienen las mismas dimensiones (longitud  $L$ ) y masa total ( $m$ ). El péndulo A es una esfera muy pequeña que oscila en el extremo de una varilla uniforme de masa despreciable. En el péndulo B, la mitad de la masa está en la esfera y la otra mitad en la varilla uniforme. Calcule el periodo de cada péndulo para oscilaciones pequeñas. ¿Cuál tarda más tiempo en una oscilación?

**14.54** • Queremos colgar un aro delgado de un clavo horizontal y hacer que tenga una oscilación completa con ángulo pequeño una vez cada 2.0 s. ¿Qué radio debe tener el aro?

**14.55** • Una biela de motor de 1.80 kg pivota en torno al filo de un cuchillo horizontal, como se muestra en la figura E14.55. El centro de gravedad de la biela se localiza al balancearla y se determina que está a 0.200 m de su pivote. Cuando la biela se ajusta a una oscilación de pequeña amplitud, realiza 100 oscilaciones completas en 120 s. Calcule el momento de inercia de la biela con respecto al eje de rotación que pasa por el pivote.

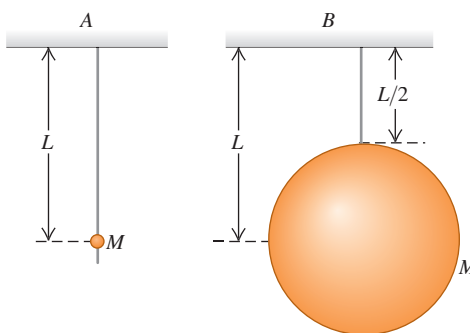
Figura E14.55



**14.56** • Una llave inglesa de 1.80 kg tiene su pivote a 0.250 m de su centro de masa y puede oscilar como péndulo físico. El periodo para oscilaciones de ángulo pequeño es de 0.940 s. a) ¿Qué momento de inercia tiene la llave con respecto a un eje que pasa por el pivote? b) Si la llave inicialmente se desplaza 0.400 rad de la posición de equilibrio, ¿qué rapidez angular tiene al pasar por la posición de equilibrio?

**14.57** • Cada uno de los dos péndulos que se ilustran en la figura E14.57 consiste en una esfera sólida uniforme de masa  $M$  sostenida por una varilla de masa despreciable; no obstante, la esfera del péndulo A es muy pequeña, en tanto que la esfera del péndulo B es mucho más grande. Obtenga el periodo de cada péndulo para desplazamientos cortos. ¿Qué esfera tarda más en completar una oscilación?

Figura E14.57



**14.58** • PA Un adorno navideño con forma de esfera hueca de masa  $M = 0.015 \text{ kg}$  y radio  $R = 0.050 \text{ m}$  se cuelga de una rama mediante una pequeña espira de alambre unida a la superficie de la esfera. Si el adorno se desplaza una distancia corta y se suelta, oscila como péndulo físico con fricción despreciable. Calcule su periodo. (Sugerencia: Use el teorema de los ejes paralelos para determinar el momento de inercia de la esfera con respecto al pivote en la rama).

### Sección 14.7 Oscilaciones amortiguadas

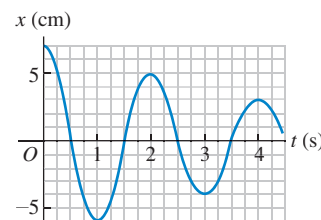
**14.59** • Un objeto de 1.35 kg está unido a un resorte horizontal de constante de fuerza de 2.5 N/cm. El objeto comienza su oscilación cuando se estira el resorte 6.0 cm a partir de su posición de equilibrio y se suelta de manera que pueda oscilar con libertad sobre un riel de aire horizontal sin fricción. Se observa que después de ocho ciclos su desplazamiento máximo desde el equilibrio es de sólo 3.5 cm. a) ¿Cuánta energía ha perdido este sistema durante esos ocho ciclos? b) ¿Qué pasó con la energía "perdida"? Explique cómo el sistema pudo perder energía.

**14.60** • Un huevo duro (cocido) de 50.0 g se mueve en el extremo de un resorte cuya constante de fuerza es  $k = 25.0 \text{ N/m}$ . Su desplazamiento inicial es de 0.300 m. Una fuerza amortiguadora  $F_x = -bv_x$  actúa sobre el huevo, y la amplitud del movimiento disminuye a 0.100 m en 5.00 s. Calcule la constante de amortiguamiento  $b$ .

**14.61** • Un ratón de 0.300 kg, nada contento, se mueve en el extremo de un resorte con constante de fuerza  $k = 2.50 \text{ N/m}$ , sometido a la acción de una fuerza amortiguadora  $F_x = -bv_x$ . a) Si la constante  $b = 0.900 \text{ kg/s}$ , ¿qué frecuencia de oscilación tiene el ratón? b) ¿Con qué valor de  $b$  el amortiguamiento será crítico?

**14.62** • Una masa está vibrando en el extremo de un resorte cuya constante de fuerza es de 225 N/m. La figura E14.62 muestra una gráfica de la posición  $x$  como una función del tiempo  $t$ . a) ¿En qué momentos no se mueve la masa? b) ¿Cuánta energía tenía este sistema originalmente? c) ¿Cuánta energía perdió el sistema entre  $t = 1.0 \text{ s}$  y  $t = 4.0 \text{ s}$ ? ¿A dónde se fue esta energía?

Figura E14.62



### Sección 14.8 Oscilaciones forzadas y resonancia

**14.63** • Una fuerza impulsora que varía sinusoidalmente se aplica a un oscilador armónico amortiguado con constante de fuerza  $k$  y masa  $m$ . Si la constante de amortiguamiento tiene el valor  $b_1$ , la amplitud es  $A_1$  cuando la frecuencia angular impulsora es  $\sqrt{km}$ . En términos de  $A_1$ , ¿cuánto vale la amplitud con la misma frecuencia impulsora y la misma amplitud de la fuerza impulsora  $F_{\max}$ , si la constante de amortiguamiento es a)  $3b_1$  y b)  $b_1/2$ ?

### PROBLEMAS

**14.64** • Un objeto experimenta un MAS con periodo de 0.300 s y una amplitud de 6.00 cm. En  $t = 0$  el objeto se encuentra instantáneamente en reposo en  $x = 6.00 \text{ cm}$ . Calcule el tiempo que tarda el objeto en pasar de  $x = 6.00 \text{ cm}$  a  $x = -1.50 \text{ cm}$ .

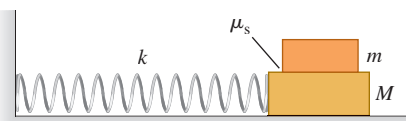
**14.65** • Un objeto experimenta un MAS con periodo de 1.200 s y amplitud de 0.600 m. En  $t = 0$  el objeto está en  $x = 0$  y se mueve en la dirección negativa  $x$ . ¿Qué tan lejos se encuentra el objeto con respecto a la posición de equilibrio cuando  $t = 0.480 \text{ s}$ ?

**14.66** • Cuatro pasajeros, cuya masa combinada es de 250 kg, comprimen 4.00 cm los resortes de un automóvil con amortiguadores muy gastados cuando se suben en él. Modele el auto y a los pasajeros como un solo cuerpo sobre un solo resorte ideal. Si el automóvil cargado tiene un periodo de vibración de 1.92 s, ¿qué periodo tiene cuando está vacío?

**14.67** • Al final del viaje en un parque de diversiones invernal, un trineo con masa de 250 kg (incluyendo dos pasajeros) se desliza sin fricción a lo largo de una superficie horizontal cubierta de nieve. El trineo golpea un extremo de un resorte ligero horizontal que sigue la ley de Hooke, mientras el otro extremo está unido a la pared. El trineo se engancha con el extremo del resorte y se mueve hacia adelante y hacia atrás en MAS hasta que un mecanismo de freno se acciona, llevando al reposo al trineo. La frecuencia del MAS es 0.225 Hz y la amplitud es 0.950 m. Determine a) la velocidad del trineo justo antes de golpear el extremo del resorte, y b) la magnitud máxima de la aceleración del trineo durante el MAS.

**14.68** • PA Un bloque de masa  $M$  descansa en una superficie sin fricción y está conectado a un resorte horizontal con constante de fuerza  $k$ . El otro extremo del resorte está fijo a una pared (figura P14.68). Un segundo bloque de masa  $m$  está sobre el primero. El coeficiente de fricción estática entre los bloques es  $\mu_s$ . Determine la amplitud de oscilación máxima que no permite que el bloque superior resbale.

Figura P14.68



**14.69** Una charola horizontal uniforme de 1.50 kg está unida a un resorte ideal vertical con constante de fuerza de 185 N/m, y una esfera metálica de 275 g está en la charola. El resorte está debajo de la charola, así que puede oscilar verticalmente. La charola se empuja hacia abajo al punto A, el cual está 15.0 cm por debajo de la posición de equilibrio, y se suelta del reposo. a) ¿Qué tan alto por encima del punto A estará la charola cuando la esfera metálica salga de la charola? (*Sugerencia:* Esto no ocurre cuando la esfera y la charola llegan a sus rapideces máximas). b) ¿Cuánto tiempo transcurre desde que el sistema se libera en el punto A hasta que la esfera sale de la charola? c) ¿Qué tan rápido se mueve la esfera justo cuando sale de la charola?

**14.70** • PA Una masa de 10.0 kg viaja hacia la derecha con rapidez de 2.00 m/s sobre una superficie horizontal lisa, y choca contra una segunda masa de 10.0 kg y se queda adherida a ésta. La segunda masa inicialmente se encuentra en reposo, pero está unida a un resorte ligero con constante de fuerza de 170.0 N/m. a) Calcule la frecuencia, la amplitud y el periodo de las oscilaciones subsiguientes. b) ¿Cuánto tiempo tarda el sistema en regresar por primera vez a la posición que tenía inmediatamente después del choque?

**14.71** Una manzana pesa 1.00 N. Cuando se cuelga del extremo de un resorte largo con constante de fuerza 1.50 N/m y de masa despreciable, rebota hacia arriba y hacia abajo en MAS. Si se detiene el rebote y la manzana oscila de un lado al otro a través de un ángulo pequeño, la frecuencia de este péndulo simple es la mitad de la frecuencia de rebote (debido a que el ángulo es pequeño, las oscilaciones hacia adelante y hacia atrás no causan ningún cambio apreciable en la longitud del resorte). ¿Cuál es la longitud del resorte sin estirar (quitando la manzana)?

**14.72** • PA **MAS de un objeto flotante.** Un objeto con altura  $h$ , masa  $M$  y área de sección transversal uniforme  $A$  flota en posición vertical en un líquido con densidad  $\rho$ . a) Calcule la distancia vertical desde la superficie del líquido a la parte inferior del objeto flotante en equilibrio. b) Una fuerza hacia abajo con magnitud  $F$  se aplica en la parte superior del objeto. En la nueva posición de equilibrio, ¿a qué distancia por debajo de la superficie del líquido está la parte inferior del objeto con respecto a su posición en el inciso a)? (Suponga que parte del objeto permanece por encima de la superficie del líquido). c) El resultado del inciso b) indica que si la fuerza se retira de repente, el objeto va a oscilar hacia arriba y abajo en MAS. Calcule el periodo de este movimiento en términos de la densidad  $\rho$  del líquido, la masa  $M$  y el área de sección transversal  $A$  del objeto. Puede despreciar el amortiguamiento debido a la fricción del fluido (vea la sección 14.7).

**14.73** • PA Un objeto cuadrado de masa  $m$  se construye con cuatro varas uniformes idénticas, cada una con longitud  $L$ , unidas entre sí. Este objeto se cuelga de su esquina superior en un gancho (figura P14.73). Si se hace girar ligeramente a la izquierda y luego se suelta, ¿con qué frecuencia oscilará de un lado a otro?

**14.74** • A un objeto con masa de 0.200 kg se le aplica una fuerza de restitución elástica con constante de fuerza de 10.0 N/m. a) Trace la gráfica de la energía potencial elástica  $U$  en función del desplazamiento  $x$  en un intervalo de  $x$  que va de  $-0.300$  m a  $+0.300$  m. En su gráfica, sea  $1 \text{ cm} = 0.05 \text{ J}$  verticalmente y  $1 \text{ cm} = 0.05 \text{ m}$  horizontalmente. El objeto se pone en oscilación con una energía potencial inicial de 0.140 J y una energía cinética inicial de 0.060 J. Conteste las siguientes preguntas en relación con la gráfica. b) ¿Cuál es la amplitud de la oscilación? c) ¿Cuál es la energía potencial cuando el desplazamiento es la mitad de la amplitud? d) ¿En qué desplazamiento son iguales las energías cinética y potencial? e) ¿Cuál es el valor del ángulo de fase  $\phi$  si la velocidad inicial es positiva y el desplazamiento inicial es negativo?

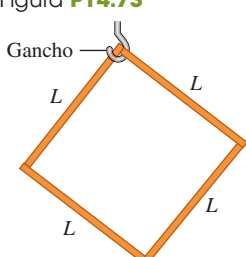


Figura P14.73

**14.75** • CALC Una cubeta de 2.00 kg que contiene 10.0 kg de agua cuelga de un resorte ideal vertical, cuya constante de fuerza es de 450 N/m, y oscila verticalmente con una amplitud de 3.00 cm. De repente, en la cubeta se registra una fuga en la base, y el agua sale a una tasa constante de 2.00 g/s. Cuando la cubeta queda a la mitad de su capacidad, calcule a) el periodo de oscilación y b) la razón con la que el periodo cambia con respecto al tiempo. c) El periodo se vuelve más largo o más corto? d) ¿Cuál es el periodo de oscilación más corto que este sistema puede tener?

**14.76** • Una viga uniforme se suspende horizontalmente de dos resortes verticales idénticos que sujetan cada extremo de la viga con el techo. La viga tiene una masa de 225 kg y sobre su punto medio se coloca un saco de 175 kg de grava. La viga oscila con MAS de amplitud de 40.0 cm y frecuencia de 0.600 ciclos/s. a) El saco de grava se cae de la viga cuando ésta tiene su desplazamiento máximo hacia arriba. Calcule la frecuencia y amplitud del MAS subsiguiente de la viga. b) Suponga ahora que el saco de grava se cae cuando la viga tiene su rapidez máxima. Realice los mismos cálculos del inciso a).

**14.77** • Una perdiz de 5.00 kg cuelga de un peral mediante un resorte ideal de masa despreciable. Si se tira de la perdiz para bajarla 0.100 m con respecto a su posición de equilibrio y se suelta, vibra con un periodo de 4.20 s. a) ¿Qué rapidez tiene al pasar por su posición de equilibrio? b) ¿Qué aceleración tiene cuando está 0.050 m arriba de dicha posición? c) Cuando está subiendo, ¿qué tiempo tarda en moverse de un punto 0.050 m debajo de su posición de equilibrio a un punto que está 0.050 m arriba? d) La perdiz se detiene y se retira del resorte. ¿Cuánto se acorta este último?

**14.78** • Un perno de 0.0200 kg se mueve en MAS con amplitud de 0.240 m y periodo de 1.500 s. El desplazamiento del perno es de +0.240 m cuando  $t = 0$ . Calcule a) el desplazamiento del perno cuando  $t = 0.500$  s; b) la magnitud y dirección de la fuerza que actúa sobre el perno en  $t = 0.500$  s; c) el tiempo mínimo que el perno tarda en moverse de su posición inicial al punto donde  $x = -0.180$  m; d) la rapidez del perno cuando  $x = -0.180$  m.

**14.79** • PA **MAS de una báscula de carnicero.** Un resorte de masa despreciable y constante de fuerza  $k = 400$  N/m cuelga verticalmente, y una bandeja de 0.200 kg se suspende de su extremo inferior. Un carnicero deja caer un filete de 2.2 kg sobre la bandeja desde una altura de 0.40 m. El choque es totalmente inelástico y el sistema queda en MAS vertical. Calcule a) la rapidez de la bandeja y el filete justo después del choque; b) la amplitud del movimiento posterior; y c) el periodo de ese movimiento.

**14.80** • Una fuerza de 40.0 N estira un resorte vertical 0.250 m. a) ¿Qué masa debe colgarse del resorte para que el sistema oscile con un periodo de 1.00 s? b) Si la amplitud del movimiento es de 0.050 m y el periodo es el especificado en a), ¿dónde está el objeto y en qué dirección se mueve 0.35 s después de haber pasado la posición de equilibrio cuando se dirige hacia abajo? c) ¿Qué fuerza (magnitud y dirección) ejerce el resorte sobre el objeto cuando este se encuentra 0.030 m bajo la posición de equilibrio al subir?

**14.81** • Que no lo deje el barco. En una visita a Minnesota (“la Tierra de los 10,000 lagos”), un turista se inscribe en una excursión por uno de los lagos más grandes. Cuando llega al muelle donde está atracado el barco de 1500 kg, ve que la embarcación oscila verticalmente sobre las olas, en movimiento armónico simple con amplitud de 20 cm. El barco tarda 3.5 s en efectuar un ciclo completo de subida y bajada. Cuando se encuentra en su punto más alto, la cubierta está a la misma altura que el muelle estacionario. Al ver cómo se mece el barco, el turista (con masa de 60 kg) comienza a sentirse mareado, debido en parte a que la noche anterior cenó bacalao noruego,

por lo que se niega a subir a bordo, a menos que la cubierta se encuentre a menos de 10 cm del nivel del muelle. ¿De cuánto tiempo dispone para abordar el barco cómodamente durante cada ciclo de movimiento vertical?

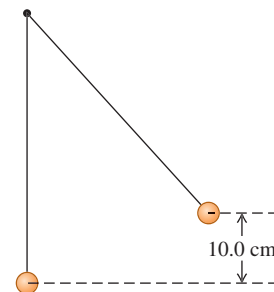
**14.82 • PA** Un ejemplo interesante, aunque muy poco práctico, de oscilación es el movimiento de un objeto que se deja caer por una oquedad que va de un lado de la Tierra a otro pasando por el centro. Suponiendo que la Tierra es una esfera con densidad uniforme (una suposición que no es realista), demuestre que el movimiento es armónico simple y calcule el periodo. [Nota: La fuerza gravitacional sobre el objeto en función de la distancia  $r$  del objeto al centro de la Tierra se dedujo en el ejemplo 13.10 (sección 13.6). El movimiento es armónico simple si la aceleración  $a_x$  y el desplazamiento con respecto al equilibrio  $x$  están relacionados por la ecuación (14.8), y el periodo es entonces  $T = 2\pi/\omega$ .]

**14.83 ... PA** Una bala de un rifle con masa de 8.00 g y una velocidad horizontal inicial de 280 m/s se dispara y se incrusta en un bloque con masa de 0.992 kg, que descansa sobre una superficie sin fricción y está unido a un extremo de un resorte ideal. El otro extremo del resorte está unido a la pared. El impacto comprime el resorte una distancia máxima de 15.0 cm. Después del impacto, el bloque se mueve con MAS. Calcule el periodo de este movimiento.

**14.84 ... PA** Dos esferas sólidas uniformes, cada una con masa  $M = 0.800$  kg y radio  $R = 0.0800$  m, están conectadas por una varilla corta ligera que pasa a lo largo de un diámetro de cada esfera y se encuentran en reposo sobre una mesa horizontal. Un resorte con constante de fuerza  $k = 160$  N/m tiene un extremo fijo a la pared y el otro extremo unido a un anillo sin fricción que pasa por encima de la varilla en el centro de masa de las esferas, que está a la mitad de la distancia entre los centros de ambas. Se tira de cada una de las esferas la misma distancia desde la pared, estirando el resorte, y luego se suelta. Hay una fricción suficiente entre la mesa y las esferas para que éstas rueden sin resbalar conforme se mueven hacia atrás y hacia adelante en el extremo del resorte. Demuestre que el movimiento del centro de masa de las esferas es armónico simple y calcule el periodo.

**14.85 • PA** En la figura P14.85, la esfera superior se suelta del reposo, choca contra la esfera inferior estacionaria y queda unida a ella. Ambas cuerdas tienen 50.0 cm de longitud. La esfera superior tiene una masa de 2.00 kg y está inicialmente 10.0 cm más alta que la inferior, cuya masa es de 3.00 kg. Calcule la frecuencia y el desplazamiento angular máximo del movimiento después del choque.

Figura P14.85

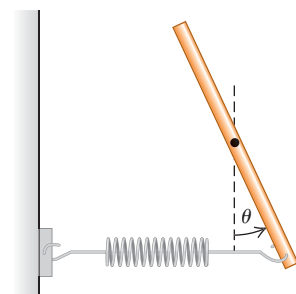


**14.86 • El problema de la campana que suena en silencio.** Una campana grande de 34.0 kg cuelga de una viga de madera, de modo que puede oscilar con fricción despreciable. Su centro de masa está 0.60 m bajo el pivote, y su momento de inercia con respecto a un eje que pasa por el pivote es de 18.0 kg·m<sup>2</sup>. El badajo es pequeño, con una masa de 1.8 kg, y cuelga del extremo de una varilla delgada de longitud  $L$  y masa despreciable. El otro extremo de la varilla está sujeto al interior de la campana, de modo que puede oscilar libremente sobre el mismo eje de la campana. ¿Qué longitud  $L$  debe tener la varilla para que la campana suene en silencio, es decir, para que el periodo de oscilación de la campana sea igual al del badajo?

**14.87 • CALC** Una varilla metálica delgada y uniforme con masa  $M$  pivota sin fricción sobre un eje que pasa por su punto medio y es perpendicular a la varilla. Un resorte horizontal con constante de fuerza  $k$  se conecta al extremo inferior de la varilla, y el otro extremo

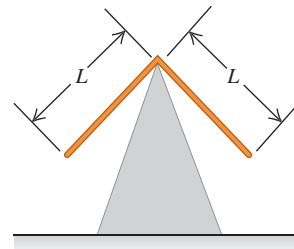
del resorte se fija a un soporte rígido. La varilla se desplaza un ángulo pequeño  $\Theta$  con respecto a la vertical (figura P14.87) y se suelta. Demuestre que se mueve con MAS angular y calcule su periodo. (Sugerencia: Suponga que  $\Theta$  es suficientemente pequeño para que las aproximaciones  $\sin \Theta \approx \Theta$  y  $\cos \Theta \approx 1$  sean válidas. El movimiento es armónico simple si  $d^2\theta/dt^2 = -\omega^2\theta$  y el periodo es entonces  $T = 2\pi/\omega$ ).

Figura P14.87



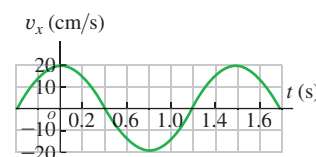
**14.88 ...** Dos varillas delgadas idénticas, cada una con masa  $m$  y longitud  $L$ , se unen en ángulo recto para constituir un objeto en forma de L, el cual se balancea sobre la cúspide de un triángulo agudo (figura P14.88). El objeto en forma de L oscila cuando se desvía un poco. Calcule la frecuencia de oscilación.

Figura P14.88



**14.89 • DATOS** Una masa  $m$  está unida a un resorte con constante de fuerza de 75 N/m y puede oscilar. La figura P14.89 muestra una gráfica de su componente de velocidad  $v_x$  como una función del tiempo  $t$ . Calcule *a*) el periodo, *b*) la frecuencia, *c*) la frecuencia angular de su movimiento, *d*) su amplitud (en cm) y las veces en que la masa alcanza esa posición, *e*) la magnitud de la aceleración máxima de la masa y las veces en que esto ocurre, y *f*) el valor de  $m$ .

Figura P14.89



**14.90 • DATOS** Se cuelgan varias masas  $m$  en el extremo de un resorte vertical de 0.250 kg que sigue la ley de Hooke y es cónico, lo que significa que el diámetro cambia a lo largo de la longitud del resorte. Como la masa del resorte se toma en cuenta, se debe reemplazar  $m$  en la ecuación  $T = 2\pi\sqrt{m/k}$  por  $m + m_{\text{efec}}$ , donde  $m_{\text{efec}}$  es la masa efectiva del resorte oscilante (vea el problema de desafío 14.93). Se hace variar la masa  $m$  y se mide el tiempo de 10 oscilaciones completas. Los datos obtenidos son:

$m$ (kg)	0.100	0.200	0.300	0.400	0.500
Tiempo (s)	8.7	10.5	12.2	13.9	15.1

- Trace la gráfica del cuadrado del periodo  $T$  contra la masa suspendida del resorte, y encuentre la línea recta que mejor se ajusta.
- A partir de la pendiente de la recta, determine la constante de fuerza del resorte.
- A partir de la intersección de la recta, determine la masa efectiva del resorte.
- ¿Qué fracción es  $m_{\text{efec}}$  de la masa del resorte?
- Si una masa de 0.450 kg oscila sobre el extremo del resorte, calcule su periodo, su frecuencia y su frecuencia angular.

**14.91 ... DATOS** Al experimentar con péndulos, se cuelga una cuerda ligera del techo y se fija una esfera metálica pequeña al extremo inferior de la cuerda. Cuando la esfera se desplaza 2.00 m a la izquierda, casi toca una pared vertical; con la cuerda tensa, se libera la esfera desde el reposo. La esfera oscila hacia adelante y hacia atrás como un péndulo simple y se mide el periodo  $T$ . Se repite este procedimiento con cuerdas de diferentes longitudes  $L$ , y cada vez se comienza el movimiento con la esfera desplazada 2.00 m hacia la izquierda de la posición vertical de la cuerda. En cada caso, el radio de la esfera es muy pequeño comparado con  $L$ . Los resultados se indican en la tabla:

$L$ (m)	12.00	10.00	8.00	6.00	5.00	4.00	3.00	2.50	2.30
$T$ (s)	6.96	6.36	5.70	4.95	4.54	4.08	3.60	3.35	3.27

- a) Para los cinco valores más grandes de  $L$ , grafique  $T^2$  contra  $L$ . Explique por qué los datos recolectados se encuentran cerca de una línea recta. ¿La pendiente de esta recta tiene el valor esperado? b) Agregue los datos remanentes a la gráfica. Explique por qué los datos comienzan a desviarse del ajuste de línea recta conforme disminuye  $L$ . Para ver más claramente este efecto, trace  $T/T_0$  contra  $L$ , donde  $T_0 = 2\pi\sqrt{L/g}$  y  $g = 9.80 \text{ m/s}^2$ . c) Use la gráfica de  $T/T_0$  contra  $L$  para calcular la amplitud angular del péndulo (en grados) para la cual la ecuación  $T = 2\pi\sqrt{L/g}$  tiene un error del 5%.

## PROBLEMAS DE DESAFÍO

### 14.92 ... Constante de fuerza efectiva de dos resortes.

Dos resortes con la misma longitud, sin estirar, pero diferentes constantes de fuerza  $k_1$  y  $k_2$ , se unen a un bloque de masa  $m$  en una superficie nivelada y sin fricción. Calcule la constante de fuerza efectiva  $k_{\text{efec}}$  en cada uno de los tres casos a), b) y c) de la figura P14.92 (la constante de fuerza efectiva está definida por  $\sum F_x = -k_{\text{efec}}x$ ). d) Un objeto de masa  $m$ , suspendido de un resorte uniforme con constante de fuerza  $k$ , vibra con una frecuencia  $f_1$ . Si el resorte se parte a la mitad y el mismo objeto se cuelga de una de las mitades, la frecuencia es  $f_2$ . Determine el cociente  $f_2/f_1$ .

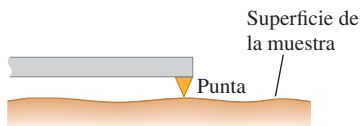
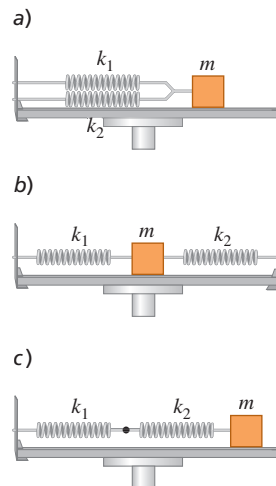
**14.93 ... CALC Resorte con masa.** En todos los problemas anteriores del capítulo, hemos supuesto que los resortes tienen masa despreciable, aunque, desde luego, ningún resorte carece por completo de masa. Para determinar el efecto de la masa de un resorte, considere uno con masa  $M$ , longitud de equilibrio  $L_0$  y constante de fuerza  $k$ . Si el resorte se estira o se comprime a una longitud  $L$ , la energía potencial es  $\frac{1}{2}kx^2$ , donde  $x = L - L_0$ . a) Considere un resorte como éste con un extremo fijo y el otro en movimiento con rapidez  $v$ . Suponga que la rapidez de los puntos a lo largo del resorte varía linealmente con la distancia  $l$  al extremo fijo, y que la masa  $M$  del resorte está

distribuida de manera uniforme a todo lo largo del resorte. Calcule la energía cinética del resorte en términos de  $M$  y  $v$ . (Sugerencia: Divida el resorte en partes de longitud  $dl$ ; determine la rapidez de cada parte en términos de  $l$ ,  $v$  y  $L$ ; determine la masa de cada parte en términos de  $dl$ ,  $M$  y  $L$ ; e integre de 0 a  $L$ . El resultado no es  $\frac{1}{2}Mv^2$ , ya que no todo el resorte se mueve con la misma rapidez). b) Obtenga la derivada de la ecuación de conservación de la energía (ecuación 14.21) con respecto al tiempo, para una masa  $m$  que se mueve en el extremo de un resorte de *masa despreciable*. Comparando sus resultados con la ecuación (14.8), que define  $\omega$ , demuestre que la frecuencia angular de oscilación es  $\omega = \sqrt{k/m}$ . c) Aplique el procedimiento del inciso b) para obtener la frecuencia angular de oscilación  $\omega$  del resorte considerado en el inciso a). Si la *masa efectiva*  $M'$  del resorte está definida por  $\omega = \sqrt{k/M'}$ , exprese  $M'$  en términos de  $M$ .

## PROBLEMAS DE TRANSICIÓN

**BIO “OBSERVAR” SUPERFICIES A NANOESCALA.** Una técnica para realizar imágenes sobre superficies a escala nanométrica, incluyendo membranas y biomoléculas, es la microscopía de fuerza atómica dinámica. En esta técnica, una punta pequeña se coloca a un cantilever, que es una losa rectangular flexible sostenida en un extremo, a la manera de un trampolín. El cantilever vibra, de modo que la punta se mueve hacia arriba y abajo en movimiento armónico simple. En un modo de operación, la frecuencia resonante para un cantilever con constante de fuerza  $k = 1000 \text{ N/m}$  es 100 kHz. A medida que la punta oscilante se coloca a unos cuantos nanómetros de la superficie de una muestra (como en la figura), experimenta una fuerza de atracción de la superficie. Para una oscilación con una pequeña amplitud (por lo general, de 0.050 nm), la fuerza  $F$  que la superficie de la muestra ejerce sobre la punta varía de manera lineal con el desplazamiento  $x$  de la punta,  $|F| = k_{\text{sup}}x$ , donde  $k_{\text{sup}}$  es la constante de la fuerza efectiva para esta fuerza. La fuerza neta sobre la punta es, por lo tanto,  $(k + k_{\text{sup}})x$ , y la frecuencia de la oscilación cambia ligeramente debido a la interacción con la superficie. Mediciones de la frecuencia conforme la punta se mueve sobre diferentes partes de la superficie de la muestra brindan información acerca de la muestra.

Figura P14.92



**14.94** Si se modela el sistema que vibra como una masa sobre un resorte, ¿cuál es la masa necesaria para lograr la frecuencia resonante deseada cuando la punta no está interactuando con la superficie? a) 25 ng; b) 100 ng; c) 2.5  $\mu\text{g}$ ; d) 100  $\mu\text{g}$ .

**14.95** En el modelo del problema 14.94, ¿cuál es la energía mecánica de la vibración cuando la punta no interactúa con la superficie?

- a)  $1.2 \times 10^{-18} \text{ J}$ ; b)  $1.2 \times 10^{-16} \text{ J}$ ; c)  $1.2 \times 10^{-9} \text{ J}$ ; d)  $5.0 \times 10^{-8} \text{ J}$ .

**14.96** ¿En qué porcentaje cambia la frecuencia de oscilación si  $k_{\text{sup}} = 5 \text{ N/m}$ ? a) 0.1%, b) 0.2%, c) 0.5%, d) 1.0%.

## Respuestas

### Pregunta de inicio del capítulo ?

**i.** El movimiento hacia adelante y hacia atrás de una pierna al caminar es como un péndulo físico, para el cual el periodo de oscilación es  $T = 2\pi\sqrt{I/mgd}$  [vea la ecuación (14.39)]. En esta expresión  $I$  es el momento de inercia del péndulo,  $m$  es su masa, y  $d$  es la distancia desde el eje de rotación en el centro de masa del péndulo. El momento de inercia  $I$  es proporcional a  $m$ , por lo que la masa se elimina de esta expresión para el periodo  $T$ . Por consiguiente, sólo importan las dimensiones de la pierna (vea los ejemplos 14.9 y 14.10).

### Respuesta a las secciones

#### Evalué su comprensión

**14.1 a)  $x < 0$ , b)  $x > 0$ , c)  $x < 0$ , d)  $x > 0$ , e)  $x > 0$ , f)  $x = 0$**

La figura 14.2 indica que la componente  $x$  neta de la fuerza  $F_x$  y la aceleración  $a_x$  son positivas cuando  $x < 0$  (así que el cuerpo se desplaza hacia la izquierda y el resorte se comprime);  $F_x$  y  $a_x$  son negativas cuando  $x > 0$  (así que el cuerpo se desplaza hacia la derecha y el resorte se estira). Por lo tanto,  $x$  y  $a_x$  siempre tienen signos *opuestos*. Esto es válido si el objeto se mueve a la derecha ( $v_x > 0$ ), a la izquierda ( $v_x < 0$ ), o no se mueve ( $v_x = 0$ ), ya que la fuerza ejercida por el resorte sólo depende de si se comprime o se estira, y con qué distancia. Esto explica las respuestas de los incisos a) a e). Si la aceleración es cero como en f), la fuerza neta también debe ser cero y, por ello, el resorte debe estar relajado; por lo tanto,  $x = 0$ .

**14.2 a)  $A > 0.10 \text{ m}$ ,  $\phi < 0$ ; b)  $A > 0.10 \text{ m}$ ,  $\phi > 0$**  En ambas situaciones, la velocidad  $v_{0x}$  inicial ( $t = 0$ ) no es cero, de manera que de acuerdo con la ecuación (14.19), la amplitud  $A = \sqrt{x_0^2 + (v_{0x}^2/\omega^2)}$  es mayor que la coordenada inicial  $x_0 = 0.10 \text{ m}$ . Según la ecuación (14.18), el ángulo de fase es  $\phi = \arctan(-v_{0x}/\omega x_0)$ , el cual es positivo si la cantidad  $-v_{0x}/\omega x_0$  (el argumento de la función arctangente) es positiva, y es negativo si  $-v_{0x}/\omega x_0$  es un valor negativo. En el inciso a)  $x_0$  y  $v_{0x}$  son positivos, así que  $-v_{0x}/\omega x_0 < 0$  y  $\phi < 0$ . En el inciso b)  $x_0$  es positivo y  $v_{0x}$  es negativo, por lo que  $-v_{0x}/\omega x_0 > 0$  y  $\phi > 0$ .

**14.3 a) iii., b) v.** Para aumentar la energía total  $E = \frac{1}{2}kA^2$  en un factor de 2, la amplitud  $A$  debe aumentar en un factor de  $\sqrt{2}$ . Puesto que se trata de MAS, un cambio de amplitud no afecta la frecuencia.

**14.4 i.** El periodo de oscilación de un cuerpo de masa  $m$  unido a un resorte colgante con constante de fuerza  $k$  está dado por  $T = 2\pi\sqrt{m/k}$ , la misma expresión que para el cuerpo unido al resorte horizontal. Ni  $m$  ni  $k$  se modifican cuando el aparato se lleva a Marte,

por lo que el periodo permanece inalterable. La única diferencia es que, en equilibrio, el resorte se estirará una distancia más corta en Marte que en la Tierra, debido a la fuerza de gravedad más débil.

**14.5 iv.** Al igual que para un objeto que oscila en un resorte, en la posición de equilibrio la *rapidez* de la lenteja del péndulo no cambia instantáneamente (aquí, la rapidez es máxima, así que su derivada en este tiempo es cero). Sin embargo, la *dirección* del movimiento es variable porque la lenteja del péndulo sigue una trayectoria circular. Por ello, la lenteja debe tener una componente de aceleración perpendicular a la trayectoria y hacia el centro del círculo (vea la sección 3.4). Para originar esta aceleración en la posición de equilibrio cuando la cuerda está en posición vertical, la fuerza de tensión hacia arriba en esta posición debe ser mayor que el peso de la lenteja. Esto provoca una fuerza neta hacia arriba sobre la lenteja y una aceleración hacia arriba, dirigida al centro de la trayectoria circular.

**14.6 i.** El periodo de un péndulo físico está dado por la ecuación (14.39),  $T = 2\pi\sqrt{I/mgd}$ . La distancia  $d = L$  desde el pivote hasta el centro de gravedad es la misma tanto para la varilla como para el péndulo simple, al igual que la masa  $m$ . Esto significa que para cualquier ángulo de desplazamiento  $\theta$ , actúa la misma torca de restitución sobre la varilla y sobre el péndulo simple. Sin embargo, la varilla tiene un momento de inercia mayor:  $I_{\text{varilla}} = \frac{1}{3}m(2L)^2 = \frac{4}{3}mL^2$  e  $I_{\text{simple}} = mL^2$  (toda la masa del péndulo está a una distancia  $L$  del pivote). Por lo tanto, la varilla tiene un periodo mayor.

**14.7 ii.** Las oscilaciones son subamortiguadas con una amplitud decreciente en cada ciclo de oscilación, como las que se grafican en la figura 14.26. Si las oscilaciones fueran no amortiguadas, continuarian con la misma amplitud indefinidamente. Si fueran críticamente amortiguadas o sobreamortiguadas, la punta no se balancearía en forma vertical, sino que regresaría suavemente a su posición de equilibrio original sin sobrepasarla.

**14.8 i.** La figura 14.28 indica que la curva de amplitud contra frecuencia impulsora se mueve hacia arriba con *todas* las frecuencias, conforme el valor de la constante de amortiguamiento  $b$  disminuye. Así, para valores fijos de  $k$  y  $m$ , el oscilador con el amortiguamiento mínimo (el menor valor de  $b$ ) tendrá la respuesta más grande en cualquier frecuencia impulsora.

### Problema práctico

$$T = 2\pi\sqrt{3M/2k}$$



¿ Cuando se presenta un terremoto, las señales del suceso viajan por el globo terráqueo en forma de ondas sísmicas. ¿Qué aspectos de una onda sísmica determinan la magnitud de la potencia que transporta? **i.** La amplitud; **ii.** la frecuencia; **iii.** tanto la amplitud como la frecuencia; o **iv.** ni la amplitud ni la frecuencia.

# 15 ONDAS MECÁNICAS

## OBJETIVOS DE APRENDIZAJE

Al estudiar este capítulo, usted aprenderá:

- 15.1 Qué se entiende por onda mecánica y cuáles son las diferentes variedades de éstas.
- 15.2 Cómo utilizar la relación entre rapidez, frecuencia y longitud de onda en una onda periódica.
- 15.3 Cómo interpretar y utilizar la expresión matemática de una onda periódica sinusoidal.
- 15.4 Cómo calcular la rapidez de las ondas en una cuerda.
- 15.5 Cómo calcular la rapidez con la que una onda mecánica transporta energía.
- 15.6 Qué sucede cuando las ondas mecánicas se superponen y se interfieren entre sí.
- 15.7 Las propiedades de las ondas estacionarias en una cuerda y cómo analizar tales ondas.
- 15.8 Cómo los instrumentos musicales de cuerda producen sonidos de frecuencias específicas.

Repase lo estudiado en la sección...

- 8.1 El teorema impulso-cantidad de movimiento.
- 14.1, 14.2 Movimiento periódico y movimiento armónico simple.

Las ondas que se producen en un estanque, los sonidos musicales y los movimientos causados por un terremoto son fenómenos *ondulatorios*. Las ondas se generan cuando se perturba el estado de equilibrio de un sistema, y tal perturbación viaja o se *propaga* de una región del sistema a otra. Al propagarse una onda, transporta energía. La energía de las ondas de la luz solar calienta la superficie terrestre, en tanto que la energía de las ondas sísmicas puede agrietar la corteza de nuestro planeta.

Este capítulo y el siguiente tratan de las ondas mecánicas, ondas que viajan por un material llamado *medio* (el capítulo 16 se ocupa del sonido, que es un tipo importante de onda mecánica). Iniciaremos este capítulo deduciendo las ecuaciones básicas que describen las ondas, incluyendo el importante caso especial de las ondas *sinusoidales* donde el patrón de la onda es una función repetitiva seno o coseno. Para entender mejor las ondas en general, examinaremos el caso sencillo de las ondas que viajan por una cuerda estirada.

Las ondas en una cuerda desempeñan un papel importante en la música. Cuando un individuo toca una guitarra o un violín, produce ondas que viajan en direcciones opuestas a lo largo de las cuerdas del instrumento. Al superponerse estas ondas de dirección opuesta, se genera *interferencia*. Descubriremos que, en una cuerda de guitarra o de violín, únicamente pueden darse ondas sinusoidales de ciertas frecuencias especiales, llamadas *frecuencias de modo normal*, determinadas por las propiedades de la cuerda. Las frecuencias de modo normal de los instrumentos de cuerda determinan el tono de los sonidos musicales que se producen (en el capítulo siguiente veremos que la interferencia también ayuda a explicar los tonos de los instrumentos de *viento*, como las flautas y los órganos de tubos).

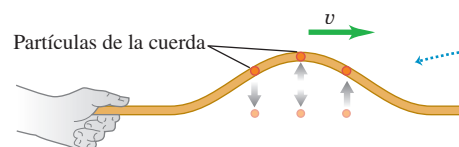
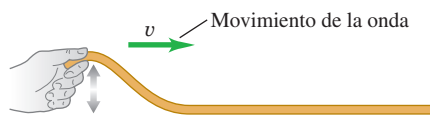
En la naturaleza no todas las ondas son mecánicas. Las ondas *electromagnéticas*, que incluyen la luz, las ondas de radio, las radiaciones infrarroja y ultravioleta, y los rayos X, se pueden propagar incluso en el espacio vacío, donde *no* hay un medio. Exploraremos éstas y otras ondas no mecánicas en capítulos posteriores.

## 15.1 TIPOS DE ONDAS MECÁNICAS

Una **onda mecánica** es una perturbación que viaja a través de un material o una sustancia que es el **medio** de la onda. Al viajar la onda por el medio, las partículas que constituyen el medio experimentan desplazamientos de varios tipos, según la naturaleza de la onda.

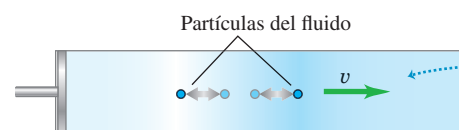
**15.1** Tres formas de producir una onda que se mueve hacia la derecha. *a)* La mano mueve la cuerda hacia arriba y luego regresa, produciendo una onda transversal. *b)* El pistón se mueve a la derecha, comprimiendo el líquido o gas, y regresa produciendo una onda longitudinal. *c)* La tabla se mueve a la derecha y regresa, generando una combinación de ondas longitudinales y transversales.

(a) Onda transversal en una cuerda



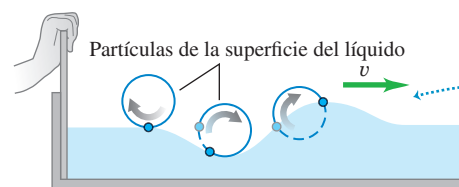
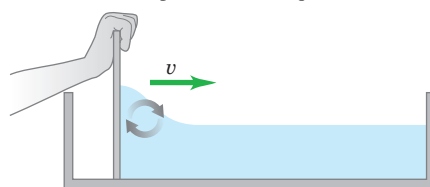
Conforme pasa la onda, cada partícula de la cuerda se mueve hacia arriba y hacia abajo, *transversalmente* al movimiento de la onda misma.

(b) Onda longitudinal en un fluido



Conforme pasa la onda, cada partícula del fluido se mueve hacia adelante y hacia atrás, *paralelamente* al movimiento de la onda misma.

(c) Ondas en la superficie de un líquido



Conforme pasa la onda, cada partícula de la superficie del líquido se mueve en círculo.

La figura 15.1 muestra tres variedades de ondas mecánicas. En la figura 15.1a, el medio es una cuerda tensada. Si damos al extremo izquierdo un ligero impulso hacia arriba, el impulso viaja a lo largo de la cuerda. Secciones sucesivas de la cuerda repiten el mismo movimiento que dimos al extremo, pero en instantes posteriores sucesivos. Como los desplazamientos del medio son perpendiculares o *transversales* a la dirección en que la onda viaja por el medio, decimos que se trata de una **onda transversal**.

En la figura 15.1b, el medio es un líquido o un gas en un tubo con una pared rígida en el extremo derecho y un pistón móvil en el izquierdo. Si damos al pistón un solo movimiento hacia adelante y hacia atrás, el desplazamiento y las fluctuaciones de presión viajarán a lo largo del medio. En este caso, los movimientos de las partículas del medio son hacia adelante y hacia atrás en la *misma* dirección en que viaja la onda, y decimos que se trata de una **onda longitudinal**.

En la figura 15.1c, el medio es un líquido en un canal, como agua en una zanja de irrigación. Si movemos la tabla plana de la izquierda hacia adelante y hacia atrás una vez, una perturbación de onda viajará a lo largo del canal. En este caso, los desplazamientos del agua tienen componentes  *tanto longitudinales como transversales*.

Cada uno de estos sistemas tiene un estado de equilibrio. En el caso de la cuerda estirada, es el estado en que el sistema está en reposo, con la cuerda estirada en línea recta. Para el fluido en un tubo, es el estado en que el fluido está en reposo con presión uniforme; y para el agua en una zanja, es una superficie lisa y horizontal. En todos los casos, el movimiento ondulatorio es una perturbación del estado de equilibrio que viaja de una región del medio a otra, y siempre hay fuerzas que tienden a regresar al sistema a su posición de equilibrio cuando se le desplaza, así como la fuerza de gravedad tiende a llevar un péndulo hacia su posición de equilibrio directamente hacia abajo cuando se le desplaza.

Estos ejemplos tienen tres cuestiones en común. Primera, en todos los casos la perturbación viaja o *se propaga* por el medio con una rapidez definida llamada rapidez de propagación o, simplemente, **rapidez de onda**, y su valor se determina, en cada caso, por las propiedades mecánicas del medio. Usaremos el símbolo  $v$  para identificar esta rapidez (la rapidez de la onda *no* es la rapidez con que se mueven las partículas cuando son perturbadas por la onda. Retomaremos este asunto en la sección 15.3). Segunda, el medio mismo no viaja en el espacio; sus partículas individuales realizan movimientos hacia atrás y hacia adelante, o hacia arriba y hacia abajo, con respecto

**BIO Aplicación Ondas en el cuerpo de una serpiente** Una serpiente se mueve en el suelo produciendo ondas que viajan hacia atrás de su cuerpo, desde su cabeza hasta su cola. Las ondas son estacionarias con respecto al suelo cuando empujan contra él, de manera que la serpiente se mueve hacia adelante.



**15.2** “Hacer la ola” en un estadio deportivo es un ejemplo de onda mecánica: la perturbación se propaga en la multitud, pero no transporta materia (ninguno de los espectadores se mueve de un asiento a otro).



a sus posiciones de equilibrio. Lo que viaja es el patrón completo de la perturbación ondulatoria. Tercera, para poner en movimiento cualquiera de estos sistemas, debemos aportar energía realizando trabajo mecánico sobre el sistema. El movimiento de la onda transporta esta energía de una región del medio a otra. *Las ondas transportan energía, pero no materia, de una región a otra (figura 15.2).*

**EVALÚE SU COMPRENSIÓN DE LA SECCIÓN 15.1** ¿Qué tipo de onda es “la ola” que se muestra en la figura 15.2? **i.** Transversal, **ii.** longitudinal; **iii.** una combinación de transversal y longitudinal.

## 15.2 ONDAS PERIÓDICAS

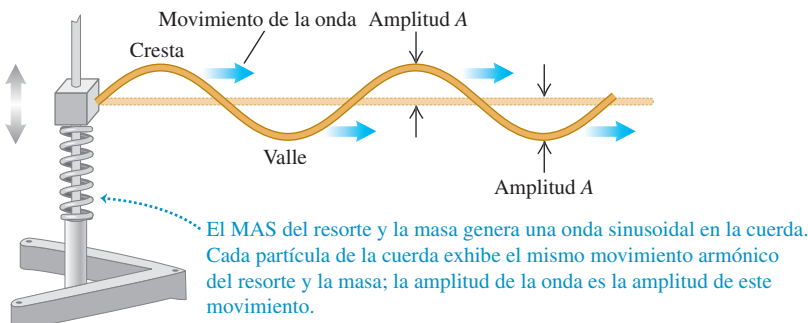
La onda transversal en la cuerda estirada de la figura 15.1a es un ejemplo de *un pulso de onda*. La mano sacude la cuerda verticalmente una vez, ejerciendo una fuerza transversal sobre ella. El resultado es una sola “sacudida” o pulso que viaja a lo largo de la cuerda. La tensión de la cuerda restablece su forma recta una vez que el pulso haya pasado.

Ocurre una situación más interesante cuando impartimos un movimiento repetitivo, *o periódico*, al extremo libre de la cuerda (quizás el lector desee repasar el análisis del movimiento periódico del capítulo 14 antes de continuar). Entonces, cada partícula de la cuerda experimenta un movimiento periódico al propagarse la onda, y tenemos una **onda periódica**.

### Ondas periódicas transversales

Suponga que movemos un extremo de la cuerda hacia arriba y hacia abajo con un *movimiento armónico simple* (MAS) como en la **figura 15.3**, de amplitud  $A$ , frecuencia  $f$ , frecuencia angular  $\omega = 2\pi f$  y periodo  $T = 1/f = 2\pi/\omega$ . La onda producida es una sucesión simétrica de *crestas* y *valles*. Como veremos, las ondas periódicas con MAS son especialmente fáciles de analizar; las llamamos **ondas sinusoidales**. Resulta también

**15.3** Un bloque con masa  $m$  unido a un resorte tiene un movimiento armónico simple y produce una onda sinusoidal que viaja a la derecha por la cuerda (en un sistema real, se tendría que aplicar una fuerza impulsora al bloque para reponer la energía transportada por la onda).



que *cualquier* onda periódica puede representarse como una combinación de ondas sinusoidales. Por lo tanto, este tipo específico de movimiento ondulatorio merece atención especial.

En la figura 15.3, la onda es una *sucesión continua* de perturbaciones sinusoidales transversales. La **figura 15.4** muestra la forma de una parte de la cuerda cerca del extremo izquierdo a intervalos de tiempo de  $\frac{1}{8}$  de periodo, en un tiempo total de un periodo. La forma de onda avanza de manera uniforme hacia la derecha, como indica el área sombreada. Al moverse la onda, cualquier punto de la cuerda (cualquiera de los puntos rojos, por ejemplo) oscila hacia arriba y hacia abajo con respecto a su posición de equilibrio, con movimiento armónico simple. *Cuando una onda sinusoidal pasa a través de un medio, todas las partículas del medio experimentan movimiento armónico simple con la misma frecuencia.*

**CUIDADO** **Movimiento ondulatorio contra movimiento de las partículas** No confunda el movimiento de la *onda transversal* a lo largo de la cuerda con el de una *partícula* de la cuerda. La onda avanza con rapidez constante  $v$  a lo largo de la cuerda, mientras que el movimiento de la partícula es armónico simple y *transversal* (perpendicular) a la longitud de la cuerda. ■

Para una onda periódica, la forma de la cuerda en cualquier instante es un patrón repetitivo. La **longitud de onda**  $\lambda$  (letra griega lambda) de la onda es la distancia entre una cresta y la siguiente, o bien, entre un valle y el siguiente, o de cualquier punto al punto correspondiente en la siguiente repetición de la forma de la onda. El patrón de onda viaja con rapidez constante  $v$  y avanza una longitud de onda  $\lambda$  en el lapso de un periodo  $T$ . Por lo tanto, la rapidez  $v$  de la onda está dada por  $v = \lambda/T$ , o bien, puesto que  $f = 1/T$ , de acuerdo con la ecuación (14.1),

$$\text{Rapidez de la onda} \quad v = \lambda f \quad \text{Longitud de onda} \quad \text{Frecuencia} \quad (15.1)$$

La rapidez de propagación es igual al producto de la longitud de onda por la frecuencia. La frecuencia es una propiedad de *toda* la onda periódica, porque todos los puntos de la cuerda oscilan con la misma frecuencia  $f$ .

Las ondas en una cuerda se propagan en una sola dimensión (en la figura 15.4, a lo largo del eje  $x$ ). No obstante, los conceptos de frecuencia, longitud de onda y amplitud son igualmente aplicables a las ondas que se propagan en dos o en tres dimensiones. La **figura 15.5** ilustra una onda que se propaga en dos dimensiones en la superficie de un tanque de agua. Igual que en las ondas de una cuerda, la longitud de onda es la distancia entre una cresta y la siguiente, y la amplitud es la altura de una cresta sobre el nivel de equilibrio.

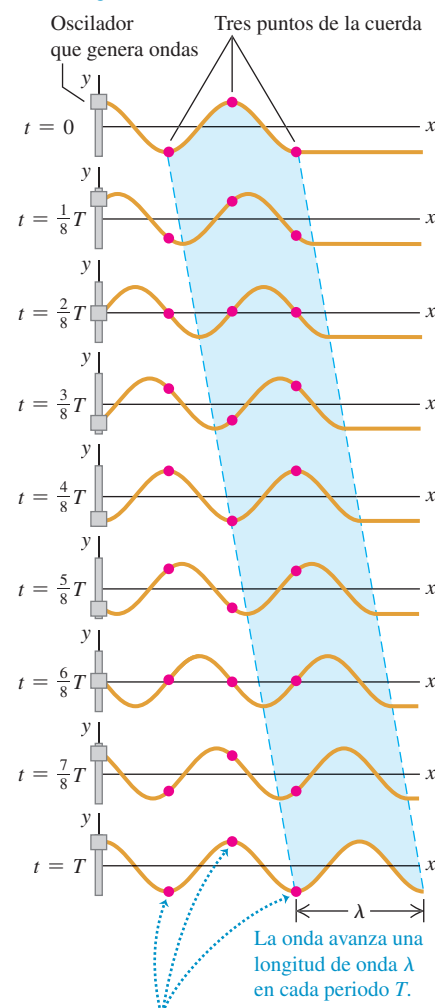
En muchas situaciones importantes, que involucran ondas en cuerdas, la rapidez de la onda  $v$  depende únicamente de las propiedades mecánicas del medio. En este caso, aumentar  $f$  hace que  $\lambda$  disminuya, de modo que el producto  $v = \lambda f$  no cambia, y las ondas de *todas* las frecuencias se propagan con la misma rapidez. En este capítulo, sólo consideraremos las ondas de este tipo (en capítulos posteriores estudiaremos la propagación de las ondas de luz en materiales transparentes donde la rapidez de la onda depende de la frecuencia; ésta es la causa por la cual las gotas de lluvia forman un arcoíris).



**15.5** Una serie de gotas que caen en agua produce una onda periódica que se extiende radialmente hacia afuera. Las crestas y los valles de la onda son círculos concéntricos. La longitud de onda  $\lambda$  es la distancia radial entre crestas o valles adyacentes.

**15.4** Onda sinusoidal transversal que viaja a la derecha por una cuerda. La escala vertical está exagerada.

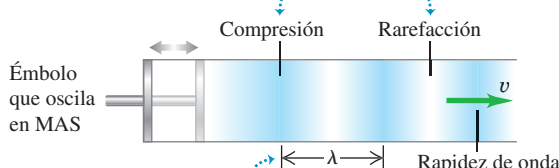
La cuerda se muestra a intervalos de  $\frac{1}{8}$  de periodo en un tiempo total de un periodo  $T$ . El área sombreada presenta el movimiento de una longitud de onda.



Cada punto se mueve hacia arriba y hacia abajo en su lugar. Las partículas separadas una longitud de onda se mueven en fase entre sí.

### 15.6 Uso de un pistón que oscila para crear una onda longitudinal sinusoidal en un fluido.

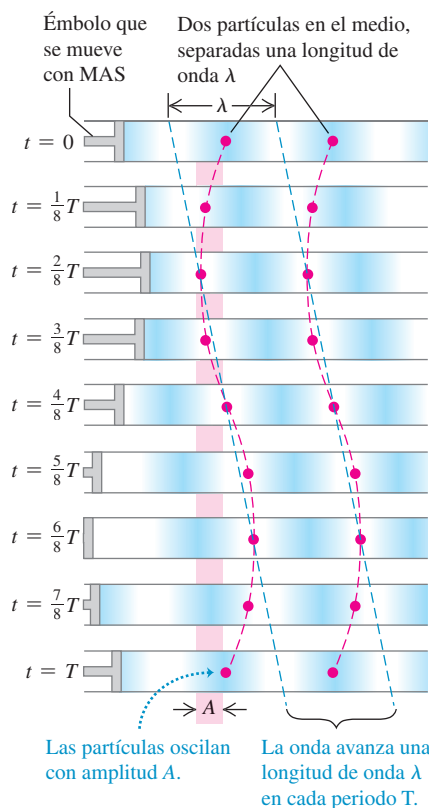
El movimiento hacia adelante del émbolo crea una compresión (una zona de alta densidad); el movimiento hacia atrás genera una rarefacción (una zona de baja densidad).



La longitud de onda  $\lambda$  es la distancia entre los puntos correspondientes de ciclos sucesivos.

**15.7** Onda sinusoidal longitudinal que viaja a la derecha en un fluido. La onda tiene la misma amplitud  $A$  y periodo  $T$  que la oscilación del pistón.

Se muestran ondas longitudinales en intervalos de  $\frac{1}{8}$  de  $T$  durante un periodo  $T$ .



### Ondas periódicas longitudinales

Para entender la mecánica de una onda periódica *longitudinal*, consideremos un tubo largo lleno con un fluido, con un pistón en el extremo izquierdo como en la figura 15.1b. Si empujamos el pistón, comprimimos el fluido cerca de él, aumentando la presión en esta región. Luego, esa región empuja la región vecina de fluido, y así sucesivamente, de modo que un pulso de onda viaja por el tubo.

Ahora suponga que movemos el pistón hacia atrás y hacia adelante con un MAS a lo largo de una línea paralela al eje del tubo (**figura 15.6**). Este movimiento forma regiones en el fluido donde la presión y la densidad son mayores o menores que los valores de equilibrio. Llamamos *compresión* a una región donde se ha aumentado la densidad, y *rarefacción* a una donde se ha reducido. En la figura 15.6 se muestran las compresiones con regiones oscuras y las rarefacciones con regiones claras. La longitud de onda es la distancia de una compresión a la siguiente, o de una rarefacción a la siguiente.

La **figura 15.7** ilustra la onda que se propaga en el tubo lleno de fluido a intervalos de  $\frac{1}{8}$  de un periodo, en un tiempo total de un periodo. El patrón de compresiones y rarefacciones se mueve de manera uniforme a la derecha, exactamente igual que el patrón de crestas y valles de una onda transversal sinusoidal (compare con la figura 15.4). Cada partícula en el fluido oscila con MAS de forma paralela a la dirección de la propagación de la onda (es decir, de izquierda a derecha), con la misma amplitud  $A$  y periodo  $T$  que el pistón. Las partículas mostradas con los dos puntos rojos de la figura 15.7 están separadas una longitud de onda, por lo que oscilan en fase entre sí.

Al igual que la onda transversal sinusoidal de la figura 15.4, en un periodo  $T$  la onda longitudinal de la figura 15.7 viaja una longitud de onda  $\lambda$  a la derecha. Por lo tanto, la ecuación fundamental  $v = \lambda f$  se cumple para las ondas longitudinales igual que para las transversales y, de hecho, para *todos* los tipos de ondas periódicas. Al igual que en el caso de las ondas transversales, en este capítulo y en el siguiente solamente consideraremos las situaciones en que la rapidez de las ondas longitudinales no depende de la frecuencia.

### EJEMPLO 15.1 LONGITUD DE ONDA DE UN SONIDO MUSICAL

Las ondas sonoras son ondas longitudinales en el aire. La rapidez del sonido depende de la temperatura; a 20°C, es de 344 m/s (1130 ft/s). Calcule la longitud de onda de una onda sonora en el aire a 20°C, si la frecuencia es de 262 Hz (la frecuencia aproximada del do central de un piano).

#### SOLUCIÓN

**IDENTIFICAR y PLANTEAR:** Este problema involucra la ecuación (15.1),  $v = \lambda f$ , que relaciona la rapidez de onda  $v$ , la longitud de onda  $\lambda$  y la frecuencia  $f$  de una onda periódica. La incógnita es la longitud de onda  $\lambda$ . Conocemos  $v = 344 \text{ m/s}$  y  $f = 262 \text{ Hz} = 262 \text{ s}^{-1}$ .

**EJECUTAR:** D espejamos  $\lambda$  de la ecuación (15.1):

$$\lambda = \frac{v}{f} = \frac{344 \text{ m/s}}{262 \text{ Hz}} = \frac{344 \text{ m/s}}{262 \text{ s}^{-1}} = 1.31 \text{ m}$$

**EVALUAR:** La rapidez  $v$  de las ondas sonoras *no* depende de la frecuencia, así que la relación  $\lambda = v/f$  nos indica que la longitud de onda cambiará en proporción inversa con la frecuencia. Por ejemplo, el do alto que cantan las sopranos está dos octavas arriba del do central. Cada octava corresponde a un factor de 2 en la frecuencia, así que la frecuencia del do alto es cuatro veces la del do central:  $f = 4(262 \text{ Hz}) = 1048 \text{ Hz}$ . Por lo tanto, la *longitud de onda* del do alto es la cuarta parte de la del do central:  $\lambda = (1.31 \text{ m})/4 = 0.328 \text{ m}$ .



**EVALÚE SU COMPRENSIÓN DE LA SECCIÓN 15.2** Si se duplica la longitud de onda en cierta cuerda, ¿qué sucede con la rapidez  $v$  de la onda, y con su frecuencia  $f$ ? **i.**  $v$  se duplica y  $f$  no cambia; **ii.**  $v$  no cambia y  $f$  se duplica; **iii.**  $v$  disminuye a la mitad y  $f$  no cambia; **iv.**  $v$  no cambia y  $f$  disminuye a la mitad; **v.** ninguna de las opciones anteriores. **I**

## 15.3 DESCRIPCIÓN MATEMÁTICA DE UNA ONDA

Muchas características de las ondas periódicas pueden describirse usando los conceptos de rapidez, amplitud, periodo, frecuencia y longitud de onda; sin embargo, es común que necesitemos una descripción más detallada de las posiciones y los movimientos de las partículas individuales del medio en determinados instantes durante la propagación de la onda.

Como ejemplo específico, examinemos las ondas en una cuerda estirada. Si despreciamos la curvatura de la cuerda por la gravedad, su posición de equilibrio es una línea recta, la cual tomamos como el eje  $x$  de un sistema de coordenadas. Las ondas en una cuerda son *transversales*; durante el movimiento ondulatorio una partícula en la posición de equilibrio  $x$  se desplaza cierta distancia  $y$  en la dirección perpendicular al eje  $x$ . El valor de  $y$  depende de cuál partícula estemos considerando (es decir,  $y$  depende de  $x$ ) y también del instante  $t$  en que la consideremos. Así,  $y$  es *función* tanto de  $x$  como de  $t$ ;  $y = y(x, t)$ . Llamamos a  $y(x, t)$  la **función de onda** que describe la onda. Si conocemos esta función para un movimiento ondulatorio específico, podemos usarla para calcular el desplazamiento (con respecto al equilibrio) de cualquier partícula en cualquier instante. A partir de esto podemos calcular la velocidad y la aceleración de cualquier partícula, la forma de la cuerda y todo lo que nos interese acerca del comportamiento de la cuerda en cualquier instante.

### Función de onda de una onda sinusoidal

Veamos cómo se determina la forma de la función de onda para una onda sinusoidal. Supongamos que una onda sinusoidal viaja de izquierda a derecha (dirección de  $x$  creciente) en la cuerda, como en la **figura 15.8**. Cada partícula de la cuerda oscila con movimiento armónico simple con la misma amplitud y frecuencia; sin embargo, las oscilaciones de partículas en diferentes puntos de la cuerda *no* están todas en fase. La partícula en el punto  $B$  en la figura 15.8 está en su máximo valor positivo de  $y$  en  $t = 0$ , y vuelve a  $y = 0$  en  $t = \frac{2}{8}T$ ; esto mismo sucede con una partícula en el punto  $A$  o en el punto  $C$  en  $t = \frac{4}{8}T$  y  $t = \frac{6}{8}T$ , exactamente medio periodo después. Para dos partículas cualesquiera de la cuerda, el movimiento de la partícula de la derecha (en términos de la onda, la partícula “de bajada”) se retrasa con respecto al movimiento de la partícula de la izquierda en una cantidad proporcional a la distancia entre las partículas.

Así, los movimientos cíclicos de diversos puntos de la cuerda están desfasados entre sí en diversas fracciones de un ciclo. Llamamos a tales diferencias, *diferencias de fase*, y decimos que la *fase* del movimiento es diferente para puntos distintos. Por ejemplo, si un punto tiene su desplazamiento positivo máximo al mismo tiempo que otro tiene su desplazamiento negativo máximo, ambos están desfasados medio ciclo. (Éste es el caso de los puntos  $A$  y  $B$ , o de los puntos  $B$  y  $C$ ).

Suponga que el desplazamiento de una partícula en el extremo izquierdo de la cuerda ( $x = 0$ ), donde la onda se origina, está dado por

$$y(x = 0, t) = A \cos \omega t = A \cos 2\pi f t \quad (15.2)$$

Es decir, la partícula oscila con MAS con amplitud  $A$ , frecuencia  $f$  y frecuencia angular  $\omega = 2\pi f$ . La notación  $y(x = 0, t)$  nos recuerda que el movimiento de esta partícula es un caso especial de la función de onda  $y(x, t)$  que describe toda la onda. En  $t = 0$ , la partícula en  $x = 0$  tiene su máximo desplazamiento positivo ( $y = A$ ) y está en reposo por un instante (porque el valor de  $y$  es un máximo).

La perturbación ondulatoria viaja de  $x = 0$  a algún punto  $x$  a la derecha del origen en un tiempo dado por  $x/v$ , donde  $v$  es la rapidez de la onda. Así, el movimiento del punto  $x$  en el instante  $t$  es el mismo que el movimiento del punto  $x = 0$  en el instante anterior  $t - x/v$ . Por lo tanto, obtendremos el desplazamiento del punto  $x$  en el instante  $t$

## LOS DATOS HABLAN

### Ondas periódicas

Cuando a los estudiantes se les planteó un problema relacionado con las propiedades de las ondas periódicas, más del 25% dio una respuesta incorrecta.

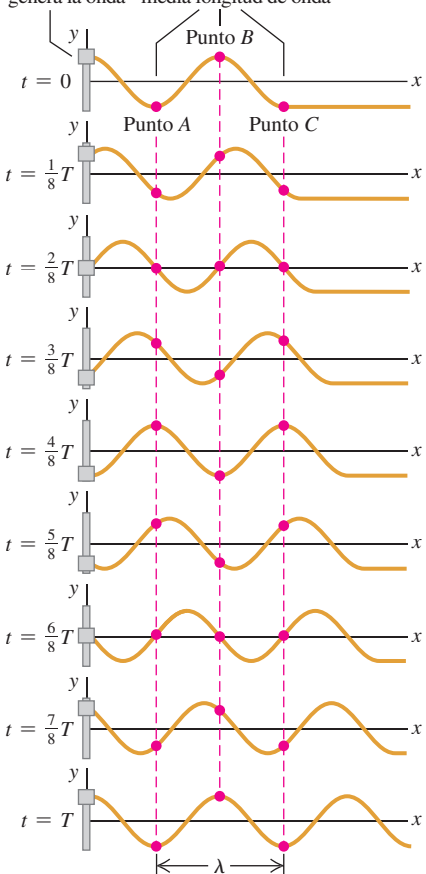
Errores comunes:

- Olvidar que para una onda en la cuerda, la longitud de onda y la frecuencia son independientes de la amplitud.
- Malinterpretar la amplitud de la onda sinusoidal. La diferencia de altura entre una cresta y un valle es, en realidad, *dos veces* la amplitud.

**15.8** Seguimiento de las oscilaciones de tres puntos en una cuerda, conforme la onda sinusoidal se propaga por ella.

La cuerda se muestra en intervalos de tiempo de  $\frac{1}{8}$  de periodo durante un periodo total  $T$ .

Oscilador que genera la onda Tres puntos en la cuerda, separados media longitud de onda



al sustituir  $t$  en la ecuación (15.2) por  $(t - x/v)$ .

$$y(x, t) = A \cos \left[ \omega \left( t - \frac{x}{v} \right) \right]$$

Puesto que  $\cos(-\theta) = \cos \theta$ , podemos reescribir la función de onda como

Función de onda para una onda sinusoidal que se propaga en la dirección +x      Amplitud:  $A$       Posición:  $x$       Tiempo:  $t$   
 $y(x, t) = A \cos \left[ \omega \left( \frac{x}{v} - t \right) \right]$   
 Frecuencia angular:  $= 2\pi f$       Rapidez de la onda:  $v$

(15.3)

El desplazamiento  $y(x, t)$  es función tanto de la posición  $x$  del punto como del tiempo  $t$ . Podemos hacer más general la ecuación (15.3) considerando diferentes valores del ángulo de fase, como hicimos para el MAS en la sección 14.2, pero por ahora omitiremos esto.

Es posible reescribir la función de onda dada por la ecuación (15.3) de varias formas distintas pero útiles. Una es expresarla en términos del periodo  $T = 1/f$  y la longitud de onda  $\lambda = v/f = 2\pi v/\omega$ .

Función de onda para una onda sinusoidal que se propaga en la dirección +x      Amplitud:  $A$       Posición:  $x$       Tiempo:  $t$   
 $y(x, t) = A \cos \left[ 2\pi \left( \frac{x}{\lambda} - \frac{t}{T} \right) \right]$   
 Longitud de onda:  $\lambda$       Período:  $T$

(15.4)

Nos conviene definir una cantidad  $k$  llamada **número de onda**:

$$k = \frac{2\pi}{\lambda} \quad (\text{número de onda}) \quad (15.5)$$

Al sustituir  $\lambda = 2\pi/k$  y  $f = \omega/2\pi$  en la ecuación (15.1),  $v = \lambda f$ , obtenemos

$$\omega = vk \quad (\text{onda periódica}) \quad (15.6)$$

Ahora podemos reescribir la ecuación (15.4) como

Función de onda para una onda sinusoidal que se propaga en la dirección +x      Amplitud:  $A$       Posición:  $x$       Tiempo:  $t$   
 $y(x, t) = A \cos(kx - \omega t)$   
 Número de onda:  $= 2\pi/\lambda$       Frecuencia angular:  $= 2\pi f$

(15.7)

Determinar cuál de estas formas de la función de onda  $y(x, t)$  se usa en un problema específico es cuestión de conveniencia. Observe que  $\omega$  está en rad/s, así que, para tener consistencia en las unidades, el número de onda  $k$  debe estar en rad/m en las ecuaciones (15.6) y (15.7). (Cuidado: Algunos libros definen el número de onda como  $1/\lambda$  en vez de  $2\pi/\lambda$ ).

### Gráfica de la función de onda

En la **figura 15.9a**, se grafica la función de onda  $y(x, t)$  en función de  $x$  para un instante específico  $t$ . Esta gráfica da el desplazamiento  $y$  de una partícula con respecto a su posición de equilibrio como función de la coordenada  $x$  de la partícula. Si se trata de una onda transversal en una cuerda, la gráfica de la figura 15.9a representa la forma de la cuerda en ese instante, como una fotografía instantánea de la cuerda. En particular, en  $t = 0$ ,

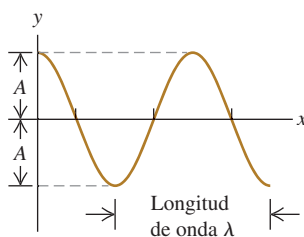
$$y(x, t = 0) = A \cos kx = A \cos \frac{x}{\lambda}$$

En la figura 15.9b, se muestra una gráfica de la función de onda contra el tiempo  $t$  para una coordenada  $x$  específica. Esta curva da el desplazamiento  $y$  de la partícula en esa coordenada en función del tiempo; es decir, describe el movimiento de la partícula. En particular, en la posición  $x = 0$ ,

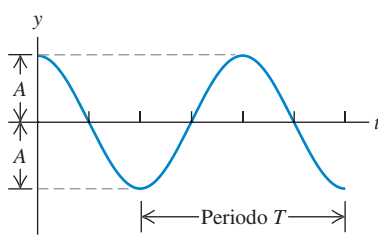
$$y(x = 0, t) = A \cos(-\omega t) = A \cos \omega t = A \cos \frac{t}{T}$$

**15.9** Dos gráficas de la función de onda  $y(x, t)$  en la ecuación (15.7). *a)* La gráfica de desplazamiento  $y$  contra la coordenada  $x$  en el tiempo  $t = 0$ . *b)* La gráfica de desplazamiento  $y$  contra el tiempo  $t$  en la coordenada  $x = 0$ . La escala vertical se exageró tanto en *a)* como en *b)*.

(a) Si usamos la ecuación (15.7) para graficar  $y$  en función de  $x$  para el tiempo  $t = 0$ , la curva muestra la *forma* de la cuerda en  $t = 0$ .



(b) Si usamos la ecuación (15.7) para graficar  $y$  en función de  $t$  para la posición  $x = 0$ , la curva muestra el *desplazamiento y* de la partícula en  $x = 0$  en función del tiempo.



Esto es congruente con lo que dijimos originalmente acerca del movimiento en  $x = 0$ , ecuación (15.2).

**CUIDADO** **Gráficas de ondas** Aunque a primera vista las figuras 15.9a y 15.9b parecerían iguales, *no* son idénticas. La figura 15.9a es una imagen de la forma de la cuerda en  $t = 0$ , en tanto que la figura 15.9b es una gráfica del desplazamiento  $y$  de una partícula en  $x = 0$  en función del tiempo. ■

## Más acerca de la función de onda

Podemos modificar las ecuaciones (15.3) a (15.7) para representar una onda que viaja en la dirección  $x$  *negativa*. En este caso, el desplazamiento del punto  $x$  en el instante  $t$  es el mismo que el movimiento del punto  $x = 0$  en un instante *posterior* ( $t + x/v$ ), así que sustituimos  $t$  por  $(t + x/v)$  en la ecuación (15.2). Para una onda que viaja en la dirección  $-x$ ,

$$y(x, t) = A \cos\left[\omega\left(\frac{x}{v} + t\right)\right] = A \cos\left[2\pi\left(\frac{x}{\lambda} + \frac{t}{T}\right)\right] = A \cos(kx + \omega t) \quad (15.8)$$

(onda sinusoidal que se mueve en la dirección  $-x$ )

En la expresión  $y(x, t) = A \cos(kx \pm \omega t)$  para una onda que viaja en la dirección  $-x$  o bien  $+x$ , la cantidad  $(kx \pm \omega t)$  se denomina **fase**, y desempeña el papel de una cantidad angular (siempre en radianes) en la ecuación (15.7) o la (15.8); su valor para valores cualesquiera de  $x$  y  $t$  determina qué parte del ciclo sinusoidal está ocurriendo en un punto y tiempo particulares. Para una cresta (donde  $y = A$  y la función coseno vale 1), la fase podría ser  $0, \pm 2\pi, \pm 4\pi$ , etcétera; para un valle (donde  $y = -A$  y el coseno tiene el valor  $-1$ ), podría ser  $\pm\pi, \pm 3\pi, \pm 5\pi$ , etcétera.

La rapidez de onda es la rapidez con que tenemos que movernos con la onda para mantenernos junto a un punto que tiene una fase dada, como una cresta específica de una onda en una cuerda. Para una onda que viaja en la dirección  $+x$ , eso implica  $kx - \omega t = \text{constante}$ . Al derivar con respecto a  $t$ , obtenemos  $k dx/dt = \omega$ , o bien,

$$\frac{dx}{dt} = \frac{\omega}{k}$$

Si comparamos esto con la ecuación (15.6), vemos que  $dx/dt$  es igual a la rapidez  $v$  de la onda. Por esta relación, a veces  $v$  se denomina la *velocidad de fase* de la onda. (Aunque *rapidez de fase* sería más correcto).

### ESTRATEGIA PARA RESOLVER PROBLEMAS 15.1 ONDAS MECÁNICAS

**IDENTIFICAR** los conceptos relevantes: Como siempre, identifique las incógnitas; éstas podrían incluir *expresiones* matemáticas (por ejemplo, la función de onda para una situación específica). Los problemas de ondas se dividen en dos categorías. Los problemas de *cinemática* se ocupan de describir el movimiento de las ondas; en ellos intervienen la rapidez de onda  $v$ , la longitud de onda  $\lambda$  (o el número de onda  $k$ ), la frecuencia  $f$  (o la frecuencia angular  $\omega$ ) y la amplitud  $A$ . También podrían intervenir la posición, la velocidad y la aceleración de partículas individuales del medio. En problemas de *dinámica*, también se usan conceptos de las leyes de Newton. Más adelante en este capítulo encontraremos problemas donde interviene la relación entre la rapidez de onda y las propiedades mecánicas del medio.

**PLANTEAR** el problema siguiendo estos pasos:

1. Elabore una lista de las cantidades conocidas. Dibuje gráficas de  $y$  contra  $x$  (como la figura 15.9a) y de  $y$  contra  $t$  (como la figura 15.9b), y anote en ellas los valores de las cantidades conocidas.

2. Identifique las ecuaciones útiles. Éstas pueden ser la ecuación (15.1), ( $v = \lambda f$ ), la ecuación (15.6) ( $\omega = vk$ ), y las ecuaciones (15.3), (15.4) y (15.7), las cuales expresan la función de onda de varias formas. Con la definición de la función de onda, se obtiene el valor de  $y$  en cualquier punto (valor de  $x$ ) y en cualquier tiempo  $t$ .
3. Si es necesario determinar la rapidez de onda  $v$  y no se conocen  $\lambda$  ni  $f$ , se utiliza una relación entre  $v$  y las propiedades mecánicas del sistema. (En la siguiente sección desarrollaremos esta relación para ondas en una cuerda).

**EJECUTAR** la solución: Despeje las incógnitas empleando las ecuaciones que seleccionó. Para determinar la función de onda con las ecuaciones (15.3), (15.4) o (15.7), se debe conocer  $A$  y dos cualesquiera de las cantidades  $v$ ,  $\lambda$  y  $f$  (o bien,  $v$ ,  $k$  y  $\omega$ ).

**EVALUAR** la respuesta: Compruebe que los valores de  $v$ ,  $f$  y  $\lambda$  (o bien, de  $v$ ,  $\omega$  y  $k$ ) concuerden con las relaciones dadas en la ecuación (15.1) o la (15.6). Si calculó la función de onda, revise uno o más casos especiales para los cuales pueda predecir los resultados.



SOLUCIÓN

Su primo Throckmorton mantiene tenso el extremo de una cuerda de un tendedero y lo mueve hacia arriba y hacia abajo sinusoidalmente, con una frecuencia de 2.00 Hz y una amplitud de 0.075 m. La rapidez de onda es  $v = 12.0 \text{ m/s}$ . En  $t = 0$ , el extremo en manos de Throckmorton tiene desplazamiento positivo máximo y está en reposo por un instante. Suponga que ninguna onda rebota del extremo lejano. *a)* Calcule la amplitud de onda  $A$ , la frecuencia angular  $\omega$ , el periodo  $T$ , la longitud de onda  $\lambda$  y el número de onda  $k$ . *b)* Obtenga una función de onda que la describa. *c)* Escriba las ecuaciones para el desplazamiento, en función del tiempo, del extremo del tendedero que Throcky sujetó y de un punto a 3.00 m de ese extremo.

### SOLUCIÓN

**IDENTIFICAR Y PLANTEAR:** Se trata de un problema de cinemática acerca del movimiento ondulatorio de una cuerda. Throcky genera una onda sinusoidal que se propaga por la cuerda, de modo que podemos usar todas las expresiones que desarrollamos en esta sección. Las incógnitas en el inciso *a*) son  $A$ ,  $\omega$ ,  $T$ ,  $\lambda$  y  $k$ , así que usaremos las relaciones  $\omega = 2\pi f$ ,  $f = 1/T$ ,  $v = \lambda f$  y  $k = 2\pi/\lambda$ . En los incisos *b*) y *c*), las “incógnitas” son en realidad expresiones de desplazamiento; para obtenerlas, usaremos las ecuaciones adecuadas de la función de onda. Tomaremos la dirección de  $x$  positiva como la dirección en la cual se propaga la onda, de modo que cualquiera de las ecuaciones (15.4) o (15.7) producirá la expresión deseada. Una fotografía de la cuerda en el instante  $t = 0$  se vería como la figura 15.9a, con el desplazamiento máximo en  $x = 0$  (el extremo que sujetó Throcky).

**EJECUTAR:** *a)* La amplitud y frecuencia de la onda son las mismas que las de las oscilaciones del extremo de Throcky,  $A = 0.075 \text{ m}$  y  $f = 2.00 \text{ Hz}$ . Por lo tanto,

$$\begin{aligned}\omega &= 2\pi f = \left(2\pi \frac{\text{rad}}{\text{ciclo}}\right)\left(2.00 \frac{\text{ciclos}}{\text{s}}\right) \\ &= 4.00\pi \text{ rad/s} = 12.6 \text{ rad/s}\end{aligned}$$

El periodo es  $T = 1/f = 0.500 \text{ s}$ , y según la ecuación (15.1):

$$\lambda = \frac{v}{f} = \frac{12.0 \text{ m/s}}{2.00 \text{ s}^{-1}} = 6.00 \text{ m}$$

Calculamos el número de onda con la ecuación (15.5) o la (15.6):

$$k = \frac{2\pi}{\lambda} = \frac{2\pi \text{ rad}}{6.00 \text{ m}} = 1.05 \text{ rad/m}$$

o bien,

$$k = \frac{\omega}{v} = \frac{4.00\pi \text{ rad/s}}{12.0 \text{ m/s}} = 1.05 \text{ rad/m}$$

*b)* Escribimos la función de onda empleando la ecuación (15.4) y los valores de  $A$ ,  $T$  y  $\lambda$  del inciso *a*):

$$\begin{aligned}y(x, t) &= A \cos 2\pi \left(\frac{x}{\lambda} - \frac{t}{T}\right) \\ &= (0.075 \text{ m}) \cos 2\pi \left(\frac{x}{6.00 \text{ m}} - \frac{t}{0.500 \text{ s}}\right) \\ &= (0.075 \text{ m}) \cos [(1.05 \text{ rad/m})x - (12.6 \text{ rad/s})t]\end{aligned}$$

Podemos obtener esta misma expresión de la ecuación (15.7) usando los valores de  $\omega$  y  $k$  que obtuvimos del inciso *a*).

*c)* Determinamos el desplazamiento en función del tiempo en  $x = 0$  y  $x = +3.00 \text{ m}$  sustituyendo estos valores en la función de onda obtenida en el inciso *b*):

$$\begin{aligned}y(x = 0, t) &= (0.075 \text{ m}) \cos 2\pi \left(\frac{0}{6.00 \text{ m}} - \frac{t}{0.500 \text{ s}}\right) \\ &= (0.075 \text{ m}) \cos(12.6 \text{ rad/s})t\end{aligned}$$

$$\begin{aligned}y(x = +3.00 \text{ m}, t) &= (0.075 \text{ m}) \cos 2\pi \left(\frac{3.00 \text{ m}}{6.00 \text{ m}} - \frac{t}{0.500 \text{ s}}\right) \\ &= (0.075 \text{ m}) \cos [\pi - (12.6 \text{ rad/s})t] \\ &= -(0.075 \text{ m}) \cos(12.6 \text{ rad/s})t\end{aligned}$$

**EVALUAR:** En el inciso *b*), la cantidad  $(1.05 \text{ rad/m})x - (12.6 \text{ rad/s})t$  es la *fase* de un punto  $x$  de la cuerda en el instante  $t$ . Los dos puntos del inciso *c*) oscilan con MAS con la misma frecuencia y amplitud; pero sus oscilaciones están desfasadas por  $(1.05 \text{ rad/m})(3.00 \text{ m}) = 3.15 \text{ rad} = \pi \text{ rad}$ , es decir, medio ciclo, porque los puntos están separados por media longitud de onda:  $\lambda/2 = (6.00 \text{ m})/2 = 3.00 \text{ m}$ . Así, mientras que una gráfica de  $y$  contra  $t$  para el punto en  $x = 0$  es una curva de seno (como la figura 15.9b), una gráfica de  $y$  contra  $t$  para el punto  $x = 3.00 \text{ m}$  es una curva de seno *negativo* (igual a una curva de seno desplazada medio ciclo).

Utilizando la expresión para  $y(x = 0, t)$  del inciso *c*), ¿puede demostrar que el extremo de la cuerda en  $x = 0$  está en reposo por un instante en  $t = 0$ , como se indicó al inicio del ejemplo? (Sugerencia: Calcule la velocidad en este punto derivando  $y$  con respecto a  $t$ ).

### Velocidad y aceleración de partículas en una onda sinusoidal

Con la función de onda obtenemos una expresión para la velocidad transversal de cualquier *partícula* en una onda transversal. La llamaremos  $v_y$  para distinguirla de la rapidez  $v$  de propagación de la onda. Para calcular  $v_y$  en un punto  $x$  específico, derivamos la función de onda  $y(x, t)$  con respecto a  $t$ , manteniendo  $x$  constante. Si la función de onda es

$$y(x, t) = A \cos(kx - \omega t)$$

entonces,

$$v_y(x, t) = \frac{\partial y(x, t)}{\partial t} = \omega A \sin(kx - \omega t) \quad (15.9)$$

En esta expresión,  $\partial$  es una  $d$  modificada para recordarnos que  $y(x, t)$  es una función de *dos* variables y que solamente estamos permitiendo que una de ellas ( $t$ ) varíe. La otra ( $x$ ) es constante, ya que estamos examinando un punto dado de la cuerda. Esta derivada se llama *derivada parcial*. Si no ha llegado a ese punto en sus cursos de cálculo, no se preocupe; es una idea sencilla.

La ecuación (15.9) indica que la velocidad transversal de una partícula varía con el tiempo, como se espera en movimiento armónico simple. La rapidez máxima de una partícula es  $\omega A$ ; ésta puede ser mayor, menor o igual que la rapidez de onda  $v$ , según la amplitud y la frecuencia de la onda.

La *aceleración* de cualquier partícula es la *segunda* derivada parcial de  $y(x, t)$  con respecto a  $t$ :

$$\begin{aligned} a_y(x, t) &= \frac{\partial^2 y(x, t)}{\partial t^2} = -\omega^2 A \cos(kx - \omega t) \\ &= -\omega^2 y(x, t) \end{aligned} \quad (15.10)$$

La aceleración de una partícula es igual a  $-\omega^2$  multiplicada por su desplazamiento, que es el resultado que obtuvimos en la sección 14.2 para el movimiento armónico simple.

También podemos calcular las derivadas parciales de  $y(x, t)$  con respecto a  $x$ , manteniendo  $t$  constante. La primera derivada  $\partial y(x, t)/\partial x$  es la *pendiente* de la cuerda en el punto  $x$  en el tiempo  $t$ . La segunda derivada parcial con respecto a  $x$  es la *curvatura* de la cuerda:

$$\frac{\partial^2 y(x, t)}{\partial x^2} = -k^2 A \cos(kx - \omega t) = -k^2 y(x, t) \quad (15.11)$$

Por las ecuaciones (15.10) y (15.11), y la relación  $\omega = vk$ , vemos que

$$\frac{\partial^2 y(x, t)/\partial t^2}{\partial^2 y(x, t)/\partial x^2} = \frac{\omega^2}{k^2} = v^2 \quad \text{y}$$

**La ecuación de onda**  
implica las segundas  
derivadas parciales  
de la función de onda:

Segunda derivada con respecto a  $x$

$$\frac{\partial^2 y(x, t)}{\partial x^2} = \frac{1}{v^2} \frac{\partial^2 y(x, t)}{\partial t^2}$$
 Segunda derivada  
con respecto a  $t$

Rapidez de onda

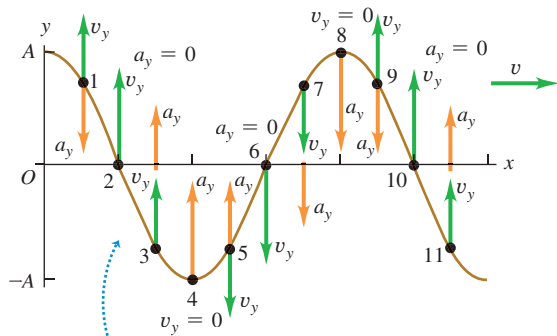
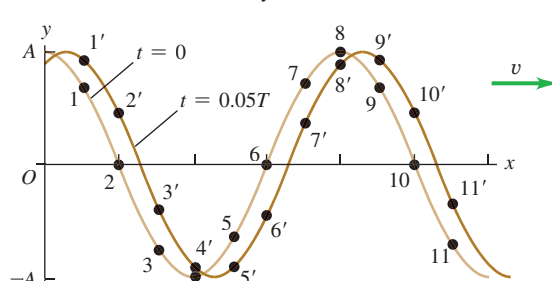
$$(15.12)$$

Dedujimos la ecuación (15.12) para una onda que viaja en la dirección  $+x$ . Se pueden seguir los mismos pasos para demostrar que la función de onda para una onda sinusoidal que se propaga en la dirección  $x$  negativa,  $y(x, t) = A \cos(kx + \omega t)$ , también satisface esta ecuación.

La ecuación (15.12), llamada **ecuación de onda**, es una de las más importantes en física. Siempre que se presenta, sabemos que una perturbación puede propagarse como onda a lo largo del eje  $x$  con rapidez  $v$ . La perturbación no tiene que ser una onda sinusoidal; en la siguiente sección veremos que *cualquier* onda en una cuerda cumple la ecuación (15.12), sea periódica o no. En el capítulo 32 veremos que los campos eléctricos y magnéticos satisfacen la ecuación de onda; la rapidez de la onda resultará ser la rapidez de la luz, lo cual nos llevará a la conclusión de que la luz es una onda electromagnética.

La **figura 15.10a** (página siguiente) muestra la velocidad transversal  $v_y$  y la aceleración transversal  $a_y$ , dadas por las ecuaciones (15.9) y (15.10), para varios puntos de una cuerda cuando una onda sinusoidal pasa por ella. Observe que, en puntos donde la cuerda tiene curvatura hacia arriba ( $\partial^2 y/\partial x^2 > 0$ ), la aceleración es positiva ( $a_y = \partial^2 y/\partial t^2 > 0$ ); esto se deduce de la ecuación de onda, ecuación (15.12). Por la misma razón, la aceleración es negativa ( $a_y = \partial^2 y/\partial t^2 < 0$ ) en puntos donde la cuerda tiene curvatura hacia abajo ( $\partial^2 y/\partial x^2 < 0$ ), y la aceleración es cero ( $a_y = \partial^2 y/\partial t^2 = 0$ ) en los puntos de inflexión donde la curvatura es cero ( $\partial^2 y/\partial x^2 = 0$ ). Recuerde que  $v_y$  y  $a_y$  son la

**15.10** *a)* Otra vista de la onda en  $t = 0$  de la figura 15.9a. Los vectores muestran la velocidad transversal  $v_y$  y la aceleración transversal  $a_y$  en varios puntos de la cuerda. *b)* Desde  $t = 0$  hasta  $t = 0.05T$ , una partícula en el punto 1 se desplaza al punto 1', una partícula en el punto 2 se desplaza al punto 2', y así sucesivamente.

(a) Onda en  $t = 0$ (b) La misma onda en  $t = 0$  y  $t = 0.05T$ 

- La aceleración  $a_y$  en cada punto de la cuerda es proporcional al desplazamiento  $y$  en ese punto.
- La aceleración es hacia arriba donde la cuerda tiene curvatura hacia arriba, y hacia abajo donde la cuerda tiene curvatura hacia abajo.

velocidad y la aceleración *transversales* de puntos en la cuerda; estos puntos se mueven en la dirección  $y$ , no en la dirección de propagación de la onda. Los movimientos de varios puntos de la cuerda se observan en la figura 15.10b.

Para las ondas *longitudinales*, la función de onda  $y(x, t)$  sigue midiendo el desplazamiento de una partícula del medio con respecto a su posición de equilibrio; la diferencia es que, para una onda longitudinal, el desplazamiento es *paralelo* al eje  $x$  en lugar de perpendicular a él. Veremos las ondas longitudinales con detalle en el capítulo 16.

**EVALÚE SU COMPRENSIÓN DE LA SECCIÓN 15.3** La figura 15.8 muestra una onda sinusoidal de periodo  $T$  en una cuerda en los instantes  $0, \frac{1}{8}T, \frac{2}{8}T, \frac{3}{8}T, \frac{4}{8}T, \frac{5}{8}T, \frac{6}{8}T, \frac{7}{8}T$  y  $T$ . *a)* ¿En qué instante el punto  $A$  de la cuerda se mueve hacia arriba con rapidez máxima? *b)* En qué instante el punto  $B$  de la cuerda tiene la máxima aceleración hacia arriba? *c)* ¿En qué instante el punto  $C$  de la cuerda tiene aceleración hacia abajo y velocidad hacia abajo? ■

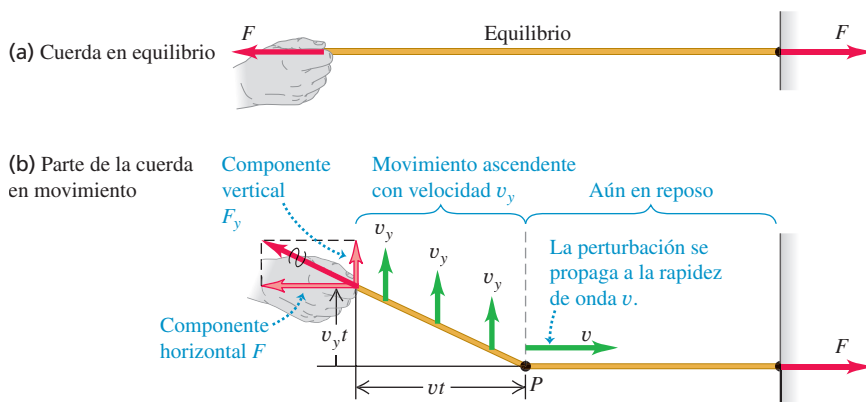
## 15.4 RAPIDEZ DE UNA ONDA TRANSVERSAL

Una de las propiedades clave de cualquier onda es su *rapidez*. Las ondas de luz en el aire tienen una rapidez de propagación mucho mayor que las del sonido ( $3.00 \times 10^8$  m/s contra 344 m/s); por eso vemos el destello de un relámpago antes de escuchar el trueno. En esta sección veremos qué determina la rapidez de propagación de un tipo de onda específico: las ondas transversales en una cuerda. Es importante entender la rapidez de estas ondas porque es una parte fundamental del análisis de los instrumentos musicales de cuerda, como veremos más adelante en este capítulo. Asimismo, la rapidez de muchos tipos de ondas mecánicas tiene la misma expresión matemática básica de la rapidez de onda en una cuerda.

Las cantidades físicas que determinan la rapidez de las ondas transversales en una cuerda son la *tensión* de la cuerda y su *masa por unidad de longitud* (también llamada *densidad lineal de masa*). Al aumentar la tensión se incrementan las fuerzas de restitución que tienden a alinear la cuerda cuando se le perturba, aumentando así la rapidez de la onda. Aumentar la masa por unidad de longitud hace el movimiento más lento, reduciendo la rapidez. Desarrollaremos la relación exacta entre rapidez de onda, tensión y masa por unidad de longitud usando dos métodos distintos. El primero es conceptualmente sencillo y considera una forma de onda específica; el segundo es más general y también más formal.

### Rapidez de onda en una cuerda: Primer método

Consideremos una cuerda perfectamente flexible (figura 15.11). En la posición de equilibrio, la tensión es  $F$  y la densidad lineal de masa (masa por unidad de longitud) es  $\mu$ . (Cuando partes de la cuerda se desplazan con respecto al equilibrio, la masa por



**15.11** Propagación de una onda transversal en una cuerda.

unidad de longitud disminuye un poco y la tensión aumenta un poco). Despreciamos el peso de la cuerda, de modo que cuando la cuerda está en reposo en la posición de equilibrio forma una línea perfectamente recta como en la figura 15.11a.

Comenzando en el instante  $t = 0$ , aplicamos una fuerza constante hacia arriba  $F_y$  al extremo izquierdo de la cuerda. Esperaríamos que el extremo se moviera con aceleración constante; eso sucedería si la fuerza se aplicara a una masa *puntual*. Pero aquí, el efecto de la fuerza  $F_y$  es poner sucesivamente cada vez más masa en movimiento. La onda viaja con rapidez constante  $v$ , así que el punto de división  $P$  entre las partes en movimiento y estáticas se mueve con la misma rapidez constante  $v$  (figura 15.11b).

La figura 15.11b muestra que todas las partículas de la parte en movimiento de la cuerda se mueven hacia arriba con *velocidad* constante  $v_y$ , pero no con aceleración constante. Para entender esto, observamos que el *impulso* de la fuerza  $F_y$  hasta el instante  $t$  es  $F_y t$ . Según el teorema impulso-cantidad de movimiento (sección 8.1), el impulso es igual al cambio en la componente transversal total de la cantidad de movimiento o momento lineal de la parte en movimiento de la cuerda. Como el sistema inició *sin* cantidad de movimiento transversal, esto es igual a la cantidad de movimiento transversal total  $m v_y$  en el instante  $t$ :

$$\begin{aligned} \text{Impulso transversal} &= \text{cantidad de movimiento transversal} \\ F_y t &= m v_y \end{aligned} \quad (15.13)$$

La cantidad de movimiento total debe aumentar proporcionalmente con el tiempo. Sin embargo, dado que el punto de división  $P$  se mueve con rapidez constante, la longitud de la cuerda que está en movimiento y, por lo tanto, la masa total  $m$  en movimiento, también son proporcionales al tiempo  $t$  durante el cual la fuerza ha estado actuando. De esta manera, el *cambio* de la cantidad de movimiento lineal debe estar asociado únicamente a la cantidad creciente de masa en movimiento, no a una velocidad creciente de un elemento de masa individual. Es decir,  $m v_y$  cambia porque  $m$  cambia, no porque  $v_y$  cambie.

En el instante  $t$ , el extremo izquierdo de la cuerda ha subido una distancia  $v_y t$ , y el punto de frontera  $P$  ha avanzado una distancia  $v t$ . La fuerza total en el extremo izquierdo de la cuerda tiene componentes  $F$  y  $F_y$ . ¿Por qué  $F$ ? No hay movimiento en la dirección a lo largo de la cuerda, así que no hay ninguna fuerza horizontal desbalanceada. Por lo tanto,  $F$ , la magnitud de la componente horizontal, no cambia cuando la cuerda se desplaza. En la posición desplazada, la tensión es  $(F^2 + F_y^2)^{1/2}$ , esto es mayor que  $F$ , de manera que la cuerda se estira un poco.

Para deducir una expresión para la rapidez de onda  $v$ , observamos que en la figura 15.11b el triángulo rectángulo cuyo vértice está en  $P$ , con lados  $v_y t$  y  $v t$ , es semejante al triángulo rectángulo cuyo vértice está en la posición de la mano, con lados  $F_y$  y  $F$ . Por lo tanto,

$$\frac{F_y}{F} = \frac{v_y t}{v t} \quad F_y = F \frac{v_y}{v}$$

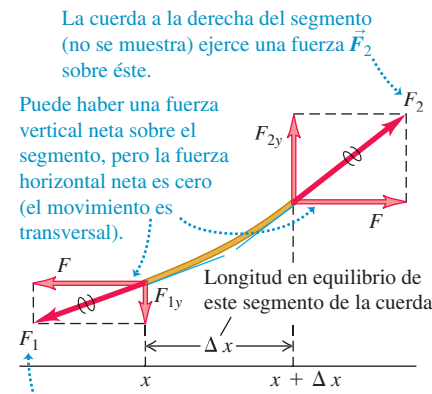
e

$$\text{Impulso transversal} = F_y t = F \frac{v_y}{v} t$$

**15.12** Estos cables de transmisión tienen una cantidad relativamente grande de masa por unidad de longitud ( $\mu$ ) y una tensión ( $F$ ) baja. Si los cables experimentan una perturbación, como cuando se posa un avión, viajarán ondas transversales por ellos con una rapidez pequeña  $v = \sqrt{F/\mu}$ .



**15.13** Diagrama de cuerpo libre de un segmento de cuerda. La fuerza en cada extremo de la cuerda es tangente a la cuerda en el punto de aplicación.



La masa  $m$  de la parte en movimiento de la cuerda es el producto de la masa por unidad de longitud  $\mu$  y la longitud  $vt$ , es decir,  $\mu vt$ . La cantidad de movimiento transversal es el producto de esta masa y la velocidad transversal  $v_y$ :

$$\text{Cantidad de movimiento transversal} = mv_y = (\mu vt)v_y$$

Al sustituir esto en la ecuación (15.13), se obtiene

$$F \frac{v_y}{v} t = \mu v t v_y$$

Despejando la rapidez de la onda  $v$ ,

$$\text{Rapidez de una onda transversal } v = \sqrt{\frac{F}{\mu}} \quad \begin{array}{l} \text{Tensión en la cuerda} \\ \text{en una cuerda} \end{array} \quad (15.14)$$

La ecuación (15.14) confirma que la rapidez de onda  $v$  aumenta al incrementarse la tensión  $F$ , pero disminuye cuando la masa por unidad de longitud  $\mu$  aumenta (**figura 15.12**).

Observe que  $v_y$  no aparece en la ecuación (15.14); por lo tanto, la rapidez de la onda no depende de  $v_y$ . Nuestro cálculo tomó en cuenta únicamente un tipo muy especial de pulso, pero podemos considerar *cualquier* forma de perturbación ondulatoria como una serie de pulsos con diferentes valores de  $v_y$ . Así, aunque dedujimos la ecuación (15.14) para un caso especial, es válida para *cualquier* movimiento ondulatorio transversal en una cuerda, incluidas la onda sinusoidal y otras ondas periódicas que vimos en la sección 15.3. Observe también que la rapidez de onda no depende de la amplitud ni de la frecuencia de la onda, de acuerdo con nuestros supuestos de la sección 15.3.

## Rapidez de onda en una cuerda: Segundo método

Veamos una deducción alternativa de la ecuación (15.14). Si el lector no maneja con confianza las derivadas parciales, puede omitirlas. Aplicamos la segunda ley de Newton,  $\sum \vec{F} = m\vec{a}$ , a un pequeño segmento de cuerda, cuya longitud en la posición de equilibrio es  $\Delta x$  (**figura 15.13**). La masa del segmento es  $m = \mu \Delta x$ . Las componentes  $x$  de las fuerzas tienen igual magnitud  $F$  y suman cero, porque el movimiento es transversal y no hay componente de aceleración en la dirección  $x$ . Para obtener  $F_{1y}$  y  $F_{2y}$ , observamos que el cociente  $F_{1y}/F$  es igual en magnitud a la pendiente de la cuerda en el punto  $x$  y que  $F_{2y}/F$  es igual a la pendiente en el punto  $x + \Delta x$ . Teniendo cuidado con los signos, vemos que

$$\frac{F_{1y}}{F} = -\left(\frac{\partial y}{\partial x}\right)_x \quad \frac{F_{2y}}{F} = \left(\frac{\partial y}{\partial x}\right)_{x+\Delta x} \quad (15.15)$$

La notación nos recuerda que las derivadas se evalúan en los puntos  $x$  y  $x + \Delta x$ , respectivamente. Por la ecuación (15.15), vemos que la componente  $y$  de fuerza neta es

$$F_y = F_{1y} + F_{2y} = F \left[ \left(\frac{\partial y}{\partial x}\right)_{x+\Delta x} - \left(\frac{\partial y}{\partial x}\right)_x \right] \quad (15.16)$$

Ahora igualamos  $F_y$  de la ecuación (15.16) a la masa  $\mu \Delta x$  multiplicada por la componente  $y$  de aceleración,  $\partial^2 y / \partial t^2$ :

$$F \left[ \left(\frac{\partial y}{\partial x}\right)_{x+\Delta x} - \left(\frac{\partial y}{\partial x}\right)_x \right] = \mu \Delta x \frac{\partial^2 y}{\partial t^2} \quad (15.17)$$

o bien, dividiendo la ecuación (15.17) entre  $F \Delta x$ ,

$$\frac{\left(\frac{\partial y}{\partial x}\right)_{x+\Delta x} - \left(\frac{\partial y}{\partial x}\right)_x}{\Delta x} = \frac{\mu}{F} \frac{\partial^2 y}{\partial t^2} \quad (15.18)$$

Ahora tomamos el límite cuando  $\Delta x \rightarrow 0$ . En este límite, el lado izquierdo de la ecuación (15.18) se convierte en la derivada de  $\partial y / \partial x$  con respecto a  $x$  (con  $t$  constante),

es decir, la *segunda* derivada (parcial) de  $y$  con respecto a  $x$ :

$$\frac{\partial^2 y}{\partial x^2} = \frac{\mu}{F} \frac{\partial^2 y}{\partial t^2} \quad (15.19)$$

Ahora la ecuación (15.19) tiene exactamente la misma forma que la *ecuación de onda*, ecuación (15.12), que dedujimos al final de la sección 15.3. Esta ecuación y la (15.19) describen el mismo movimiento ondulatorio, así que deben ser idénticas. Si comparamos las dos ecuaciones, vemos que, para que suceda así, debemos tener

$$v = \sqrt{\frac{F}{\mu}}$$

que es la misma expresión de la ecuación (15.14).

En esta deducción no hicimos supuestos especiales acerca de la forma de la onda. Puesto que nuestra deducción nos llevó a redescubrir la ecuación (15.12), la ecuación de onda, concluimos que la ecuación de onda es válida para las ondas en una cuerda que tienen *cualquier* forma.

## Rapidez de las ondas mecánicas

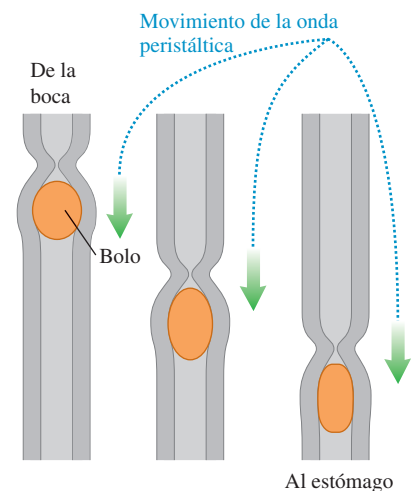
La ecuación (15.14) da la rapidez de onda únicamente para el caso especial de las ondas mecánicas en un alambre o una cuerda estirados. Curiosamente, para muchos tipos de ondas mecánicas, incluidas las ondas en una cuerda, la expresión para la rapidez de la onda tiene la misma forma general:

$$v = \sqrt{\frac{\text{Fuerza de restitución que regresa el sistema al equilibrio}}{\text{Inercia que se opone a volver al equilibrio}}}$$

Para interpretar esta expresión, examinemos una vez más el caso, ahora conocido, de ondas en una cuerda. La tensión  $F$  en la cuerda desempeña el papel de la fuerza de restitución; tiende a hacer que la cuerda vuelva a su configuración de equilibrio: sin perturbación. La masa de la cuerda, o mejor dicho, la densidad lineal de masa  $\mu$ , proporciona la inercia que se opone a que la cuerda regrese instantáneamente al equilibrio. Por lo tanto, tenemos que  $v = \sqrt{F/\mu}$  para la rapidez de ondas en una cuerda.

En el capítulo 16 veremos una expresión similar para la rapidez de las ondas sonoras en un gas. A grandes rasgos, la presión del gas proporciona la fuerza que tiende a regresar al gas a su estado no perturbado, después de que una onda sonora pasa por él. La inercia proviene de la densidad, o masa por unidad de volumen, del gas.

**BIO Aplicación Comer y las ondas transversales** La ingesta de alimento causa la peristalsis, en la cual una onda transversal se propaga hacia abajo del esófago. La onda es una contracción radial del esófago que empuja el bolo alimenticio (la masa del alimento deglutido) hacia el estómago. A diferencia de la rapidez de la onda en una cuerda uniforme, la rapidez de esta onda peristáltica no es constante: promedia cerca de 3 cm/s en el esófago superior, cerca de 5 cm/s en el esófago medio y cerca de 2.5 cm/s en el esófago inferior.



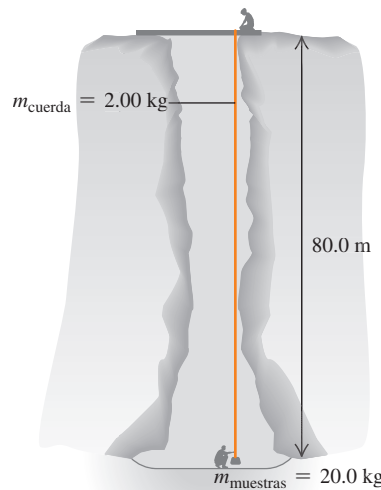
### EJEMPLO 15.3 CÁLCULO DE LA RAPIDEZ DE ONDA

Un extremo de una cuerda de 2.00 kg está atado a un soporte en la parte superior del tiro de una mina vertical de 80.0 m de profundidad (**figura 15.14**). La cuerda está tensada por una caja de rocas de 20.0 kg sujetada al extremo inferior. *a)* El geólogo que está en la parte inferior envía señales a su colega de arriba tirando lateralmente de la cuerda. Calcule la rapidez de una onda transversal en la cuerda. *b)* Si un punto de la cuerda tiene MAS transversal con  $f = 2.00$  Hz, ¿cuántos ciclos de la onda hay en la longitud de la cuerda?

#### SOLUCIÓN

**IDENTIFICAR y PLANTEAR:** En el inciso *a*), se puede obtener la rapidez de la onda (la incógnita) mediante la relación de *dinámica*  $v = \sqrt{F/\mu}$  [ecuación (15.14)]. En el inciso *b*) calculamos la longitud de onda a partir de la relación *cinemática*  $v = f\lambda$ , con lo cual obtenemos la incógnita, el número de longitudes de onda que caben en la longitud de 80.0 m de la cuerda. Supondremos que la cuerda no tiene masa (aun cuando su peso equivale al 10% del de la caja), de modo que únicamente la caja produce tensión en la cuerda.

**15.14 Envío de señales mediante ondas transversales en una cuerda vertical.**



Continúa

**EJECUTAR:** a) La tensión en la cuerda debida a la caja es:

$$F = m_{\text{caja}} g = (20.0 \text{ kg})(9.80 \text{ m/s}^2) = 196 \text{ N}$$

y la densidad lineal de masa de la cuerda es

$$\mu = \frac{m_{\text{cuerda}}}{L} = \frac{2.00 \text{ kg}}{80.0 \text{ m}} = 0.0250 \text{ kg/m}$$

Entonces, por la ecuación (15.14), la rapidez de la onda es:

$$v = \sqrt{\frac{F}{\mu}} = \sqrt{\frac{196 \text{ N}}{0.0250 \text{ kg/m}}} = 88.5 \text{ m/s}$$

b) Por la ecuación (15.1), la longitud de onda es

$$\lambda = \frac{v}{f} = \frac{88.5 \text{ m/s}}{2.00 \text{ s}^{-1}} = 44.3 \text{ m}$$

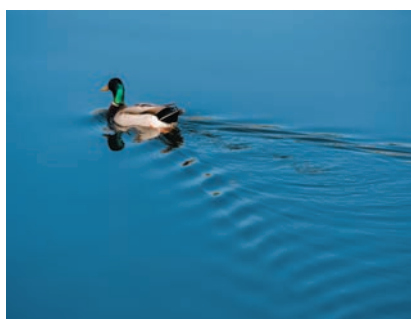
Hay  $(80.0 \text{ m})/(44.3 \text{ m}) = 1.81$  longitudes de onda (es decir, ciclos de la onda) en la cuerda.

**EVALUAR:** Debido al peso de la cuerda, la tensión es mayor en la parte superior de la cuerda que en la parte inferior. Por consiguiente, tanto la rapidez de la onda como la longitud de onda aumentan conforme la onda sube por la cuerda. Si toma en cuenta esto, ¿puede comprobar que la rapidez de la onda al llegar a la parte superior es de 92.9 m/s?

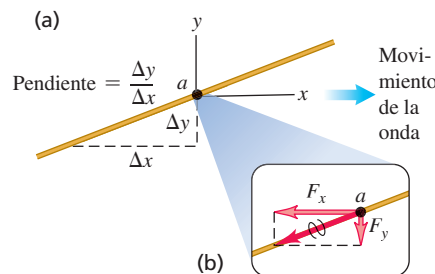
**EVALÚE SU COMPRENSIÓN DE LA SECCIÓN 15.4** Las seis cuerdas de una guitarra tienen la misma longitud y están sujetas a una tensión muy similar, pero tienen diferente espesor. ¿En qué cuerda viajan con mayor rapidez las ondas? **i.** En la cuerda más gruesa; **ii.** en la cuerda más delgada; **iii.** la rapidez de onda es la misma en todas las cuerdas. **|**

### BIO Aplicación Ondas superficiales y rapidez de nado de los patos

**patos** Cuando un pato nada, produce ondas en la superficie del agua. Cuanto más rápido nade, mayor será la amplitud de las ondas y más energía debe utilizar el pato para producir tales ondas. La potencia máxima de los músculos de las patas limita la rapidez máxima de nado del ave a tan sólo 0.7 m/s (2.5 km/h = 1.6 mi/h) aproximadamente.



- 15.15** a) Punto *a* en una cuerda que lleva una onda de izquierda a derecha.  
b) Componentes de la fuerza ejercida sobre la parte de la cuerda a la derecha de *a* por la parte de la cuerda a la izquierda del punto *a*.



## 15.5 ENERGÍA DEL MOVIMIENTO ONDULATORIO

Todo movimiento ondulatorio tiene *energía* asociada. La energía que recibimos del Sol y los efectos destructivos del oleaje y de los terremotos lo atestiguan. Para generar cualquiera de los movimientos ondulatorios que hemos examinado en este capítulo, necesitamos aplicar una fuerza a una parte del medio de la onda; el punto de aplicación se mueve, así que efectuamos *trabajo* sobre el sistema. Al propagarse la onda, cada parte del medio ejerce una fuerza y realiza trabajo sobre la porción adyacente. De este modo, una onda transporta energía de una región del espacio a otra.

Como ejemplo, examinemos otra vez las ondas transversales en una cuerda. ¿Cómo se transfiere energía de una parte de la cuerda a otra? Imagine una onda que viaja de izquierda a derecha (dirección  $+x$ ) y considere un punto *a* específico de la cuerda (**figura 15.15a**). La cuerda a la izquierda del punto *a* ejerce una fuerza sobre la cuerda a la derecha de *a*, y viceversa. En la figura 15.15b, se muestran las componentes  $F_x$  y  $F_y$  de la fuerza que la cuerda a la izquierda de *a* ejerce sobre la cuerda a la derecha de *a*. Como en las figuras 15.11 y 15.13, la magnitud de la componente horizontal  $F_x$  es igual a la tensión  $F$  en la cuerda sin perturbación. Observamos que  $F_y/F$  es igual al negativo de la *pendiente* de la cuerda en *a*, que también está dada por  $\partial y/\partial x$ . Al reunir esto, tenemos

$$F_y(x, t) = -F \frac{\partial y(x, t)}{\partial x} \quad (15.20)$$

Necesitamos el signo negativo porque  $F_y$  es negativa cuando la pendiente es positiva (como en la figura 15.15b). Representamos la fuerza vertical como  $F_y(x, t)$  para recordar que su valor puede variar en diferentes puntos de la cuerda y con el tiempo.

Cuando el punto *a* se mueve en la dirección *y*, la fuerza  $F_y$  efectúa *trabajo* sobre ese punto *y*, por lo tanto, transfiere energía a la parte de la cuerda que está a la derecha de *a*. La potencia correspondiente *P* (rapidez con que se efectúa trabajo) en el punto *a* es la fuerza transversal  $F_y(x, t)$  en *a* multiplicada por la velocidad transversal  $v_y(x, t) = \partial y(x, t)/\partial x$  de ese punto:

$$P(x, t) = F_y(x, t)v_y(x, t) = -F \frac{\partial y(x, t)}{\partial x} \frac{\partial y(x, t)}{\partial t} \quad (15.21)$$

Esta potencia es la razón *instantánea* con que se transfiere energía a lo largo de la cuerda en la posición *x* y el tiempo *t*. Observe que tan sólo se transfiere energía en los puntos donde la cuerda tiene pendiente distinta de cero ( $\partial y/\partial x$  es diferente de cero), de modo que hay una componente transversal de la fuerza de tensión, y donde la cuerda tiene velocidad transversal distinta de cero ( $\partial y/\partial t$  es diferente de cero), de manera que la fuerza transversal realiza trabajo.

La ecuación (15.21) es válida para *cualquier* onda en una cuerda, sea sinusoidal o no. Para una onda sinusoidal con función de onda dada por la ecuación (15.7), tenemos

$$\begin{aligned} y(x, t) &= A \cos(kx - \omega t) \\ \frac{\partial y(x, t)}{\partial x} &= -kA \sin(kx - \omega t) \\ \frac{\partial y(x, t)}{\partial t} &= \omega A \sin(kx - \omega t) \\ P(x, t) &= Fk\omega A^2 \sin^2(kx - \omega t) \end{aligned} \quad (15.22)$$

Usando las relaciones  $\omega = vk$  y  $v^2 = F/\mu$ , también podemos expresar la ecuación (15.22) en la forma alternativa

$$P(x, t) = \sqrt{\mu F} \omega^2 A^2 \sin^2(kx - \omega t) \quad (15.23)$$

La función  $\sin^2$  nunca es negativa, así que la potencia instantánea en una onda sinusoidal es positiva (con flujo de energía en la dirección  $+x$ ), o bien, cero (en los puntos donde no hay transferencia de energía). Nunca se transfiere energía en la dirección opuesta a la dirección de propagación de la onda (**figura 15.16**).

El valor máximo de la potencia instantánea  $P(x, t)$  se da cuando la función  $\sin^2$  es igual a la unidad:

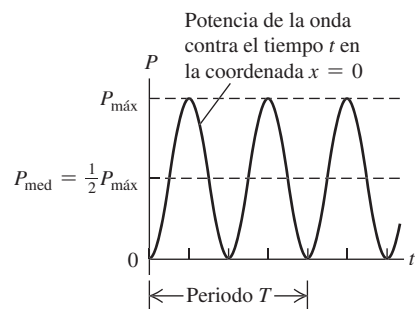
$$P_{\max} = \sqrt{\mu F} \omega^2 A^2 \quad (15.24)$$

El valor *medio* de la función  $\sin^2$  obtenido a partir de cualquier número entero de ciclos es  $\frac{1}{2}$ . Por consiguiente, a partir de la ecuación (15.23), vemos que la potencia *media*  $P_{\text{med}}$  es sólo un medio de la potencia instantánea máxima  $P_{\max}$  (figura 15.16):

Frecuencia angular de la onda  
**Potencia media,**  
 onda sinusoidal en  
 una cuerda       $P_{\text{med}} = \frac{1}{2} \sqrt{\mu F} \omega^2 A^2$       Amplitud de onda  
 Masa por unidad de longitud      Tensión en la cuerda

$$(15.25)$$

**15.16** La potencia instantánea  $P(x, t)$  de una onda sinusoidal, dada por la ecuación (15.23), se muestra en función del tiempo en la coordenada  $x = 0$ . La potencia nunca es negativa, lo que implica que la energía nunca fluye en dirección opuesta a la de propagación de la onda.



La razón media de transferencia de energía es proporcional al cuadrado de la amplitud y al cuadrado de la frecuencia. Esta proporcionalidad es un resultado general para ondas mecánicas de todo tipo, incluidas las ondas sísmicas (vea la fotografía de inicio del capítulo). En el caso de una onda mecánica, la razón de transferencia de energía se cuadriplica si la frecuencia se duplica (para la misma amplitud) o si la amplitud se duplica (para la misma frecuencia).

Las ondas electromagnéticas son un tanto diferentes. Aunque la razón media de transferencia de energía en una onda electromagnética es proporcional al cuadrado de la amplitud, como sucede con las ondas mecánicas, es independiente del valor de  $\omega$ .

#### EJEMPLO 15.4 POTENCIA EN UNA ONDA

- a) En el ejemplo 15.2 (sección 15.3), ¿con qué rapidez máxima Throcky aporta energía a la cuerda? Es decir, ¿cuál es su potencia instantánea máxima? La densidad lineal de masa de la cuerda es  $\mu = 0.250 \text{ kg/m}$ , y Throcky aplica una tensión  $F = 36.0 \text{ N}$ . b) ¿Cuál es su potencia media? c) Al cansarse Throcky, la amplitud disminuye. Calcule la potencia media cuando la amplitud es de 7.50 mm.

#### SOLUCIÓN

**IDENTIFICAR y PLANTEAR:** La incógnita en el inciso a) es la potencia instantánea máxima  $P_{\max}$ , en tanto que en b) y en c) es la

potencia media. En el inciso a) usaremos la ecuación (15.24); en b) y c), emplearemos la ecuación (15.25); el ejemplo 15.2 nos da todas las cantidades necesarias.

**EJECUTAR:** a) De acuerdo con la ecuación (15.24),

$$\begin{aligned} P_{\max} &= \sqrt{\mu F} \omega^2 A^2 \\ &= \sqrt{(0.250 \text{ kg/m})(36.0 \text{ N})(4.00\pi \text{ rad/s})^2(0.075 \text{ m})^2} \\ &= 2.66 \text{ W} \end{aligned}$$



b) De acuerdo con las ecuaciones (15.24) y (15.25), la potencia media es la mitad de la potencia instantánea máxima, así que

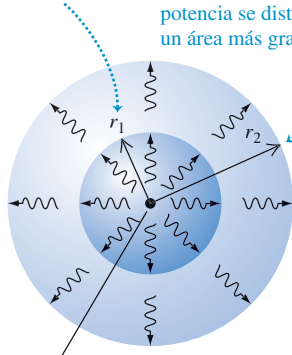
$$P_{\text{med}} = \frac{1}{2} P_{\text{máx}} = \frac{1}{2} (2.66 \text{ W}) = 1.33 \text{ W}$$

c) La nueva amplitud es  $\frac{1}{10}$  del valor empleado en los incisos a) y b). Según la ecuación (15.25), la potencia media es proporcional a  $A^2$ , de modo que ahora es

$$P_{\text{med}} = \left(\frac{1}{10}\right)^2 (1.33 \text{ W}) = 0.0133 \text{ W} = 13.3 \text{ mW}$$

**15.17** Cuanto mayor sea la distancia desde la fuente de una onda, mayor será el área sobre la cual se distribuye la potencia de la onda, y menor será la intensidad de la onda.

A una distancia  $r_1$  de la fuente, la intensidad es  $I_1$ .



Fuente de ondas

A una mayor distancia  $r_2 > r_1$ , la intensidad  $I_2$  es menor que  $I_1$ ; la misma potencia se distribuye en un área más grande.

**EVALUAR:** La ecuación (15.23) indica que la  $P_{\text{máx}}$  ocurre cuando  $\sin^2(kx - \omega t) = 1$ . En cualquier valor de  $x$ , eso sucede dos veces durante cada periodo de la onda: una vez cuando la función seno es igual a +1 y otra vez cuando es igual a -1. La potencia instantánea mínima es cero; se da cuando  $\sin^2(kx - \omega t) = 0$ , lo cual también sucede dos veces por periodo.

¿Puede usted confirmar que los valores de  $\mu$  y  $F$  dan por resultado la rapidez de onda mencionada en el ejemplo 15.2?

## Intensidad de las ondas

Las ondas en una cuerda transfieren energía en una sola dimensión del espacio (a lo largo de la cuerda). Sin embargo, otros tipos de ondas, como las ondas sonoras en el aire y las ondas sísmicas en la Tierra, transportan energía en las tres dimensiones espaciales. En el caso de las ondas que viajan en tres dimensiones, definimos su **intensidad** (denotada con  $I$ ) como *la rapidez media con que la onda transporta energía, por unidad de área*, a través de una superficie perpendicular a la dirección de propagación. Es decir, la intensidad  $I$  es la potencia media por unidad de área. Por lo regular, se mide en watts por metro cuadrado ( $\text{W/m}^2$ ).

Si las ondas se propagan igualmente en todas direcciones desde una fuente, la intensidad a una distancia  $r$  de la fuente es inversamente proporcional a  $r^2$  (**figura 15.17**). Este resultado, que se conoce como *ley del cuadrado inverso de la intensidad*, es consecuencia directa de la conservación de la energía. Si la potencia desarrollada por la fuente es  $P$ , entonces la intensidad media  $I_1$  en una esfera con radio  $r_1$  y superficie  $4\pi r_1^2$  es

$$I_1 = \frac{P}{4\pi r_1^2}$$

La intensidad media  $I_2$  en una esfera con diferente radio  $r_2$  está dada por una expresión similar. Si no se absorbe energía entre las dos esferas, la potencia  $P$  deberá ser la misma en ambas, así que

$$4\pi r_1^2 I_1 = 4\pi r_2^2 I_2$$

### Ley del cuadrado inverso de la intensidad:

La intensidad es inversamente proporcional al cuadrado de la distancia desde la fuente.

$$\frac{\text{Intensidad en el punto 1} \cdot I_1}{\text{Intensidad en el punto 2} \cdot I_2} = \frac{r_2^2}{r_1^2}$$

Distancia de la fuente al punto 2      Distancia de la fuente al punto 1

(15.26)

## EJEMPLO 15.5 LA LEY DEL CUADRADO INVERSO

La sirena en un poste alto irradia ondas sonoras de manera uniforme en todas direcciones. A una distancia de 15.0 m, la intensidad del sonido es de  $0.250 \text{ W/m}^2$ . ¿A qué distancia de la sirena la intensidad es de  $0.010 \text{ W/m}^2$ ?

### SOLUCIÓN

**IDENTIFICAR y PLANTEAR:** Puesto que el sonido se irradia de manera uniforme en todas direcciones, podemos usar la ley del cuadrado inverso, ecuación (15.26). En  $r_1 = 15.0 \text{ m}$  la intensidad es  $I_1 = 0.250 \text{ W/m}^2$  y la incógnita es la distancia  $r_2$  a la cual la intensidad es  $I_2 = 0.010 \text{ W/m}^2$ .

**EJECUTAR:** Despejamos  $r_2$  de la ecuación (15.26):

$$r_2 = r_1 \sqrt{\frac{I_1}{I_2}} = (15.0 \text{ m}) \sqrt{\frac{0.250 \text{ W/m}^2}{0.010 \text{ W/m}^2}} = 75.0 \text{ m}$$

**EVALUAR:** Para comprobar nuestra respuesta, observamos que  $r_2$  es cinco veces mayor que  $r_1$ . Según la ley del cuadrado inverso, la intensidad  $I_2$  debería ser  $1/5^2 = 1/25$  de la intensidad de  $I_1$ , y así es.

Al usar la ley del cuadrado inverso, hemos supuesto que las ondas sonoras viajan en línea recta desde la sirena. Una solución más realista, que está más allá de nuestro alcance, tomaría en cuenta la reflexión de las ondas sonoras en el suelo.



SOLUCIÓN

**EVALÚE SU COMPRENSIÓN DE LA SECCIÓN 15.5** Cada una de cuatro cuerdas idénticas transporta una onda sinusoidal con una frecuencia de 10 Hz. La tensión de la cuerda y la amplitud de onda son diferentes para distintas cuerdas. Ordene de mayor a menor los valores de la potencia media de la onda en las siguientes cuerdas: **i.** Tensión 10 N, amplitud 1.0 mm; **ii.** tensión 40 N, amplitud 1.0 mm; **iii.** tensión 10 N, amplitud 4.0 mm; **iv.** tensión 20 N, amplitud 2.0 mm. **I**

## 15.6 INTERFERENCIA DE ONDAS, CONDICIONES DE FRONTERA Y SUPERPOSICIÓN

Hasta aquí, hemos hablado de ondas que se propagan continuamente en la misma dirección. Sin embargo, cuando una onda choca contra las fronteras de su medio, se *refleja* parcial o totalmente. Si gritamos hacia la pared de un edificio o de un acantilado que está a cierta distancia, la onda sonora se refleja en la superficie rígida y escuchamos un eco. Si da un impulso al extremo de una cuerda y el otro extremo está sujeto a un soporte rígido, una pulsación viajará a lo largo de la cuerda y se reflejará de regreso hacia usted. En ambos casos, la onda inicial y la reflejada se superponen en la misma región del medio. Se utiliza el término **interferencia** para referirnos a lo que sucede cuando dos o más ondas pasan por la misma región al mismo tiempo.

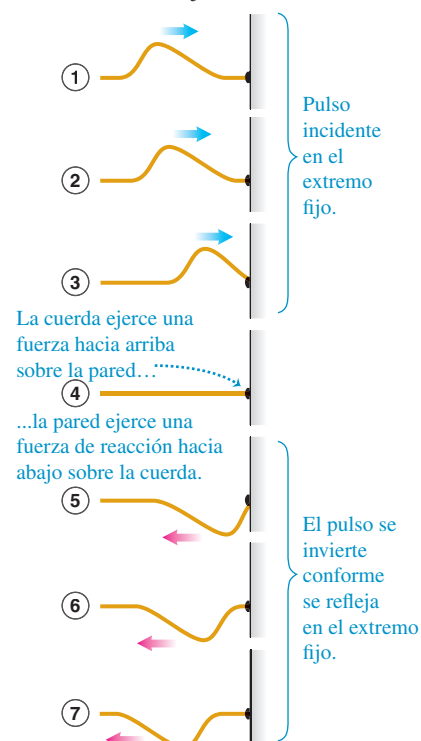
Como un ejemplo sencillo de reflexión de ondas y del papel de la frontera del medio de la onda, examinemos otra vez las ondas transversales en una cuerda estirada. ¿Qué sucede cuando un pulso de onda o una onda sinusoidal llegan al *extremo* de la cuerda?

Si el extremo está sujeto a un soporte rígido, como en la **figura 15.18**, se trata de un *extremo fijo* que no puede moverse. La onda incidente ejerce una fuerza sobre el soporte (dibujo 4 en la figura 15.18); la reacción a esta fuerza, ejercida por el soporte sobre la cuerda, “regresa” sobre la cuerda y crea una pulsación u onda reflejada que viaja en la dirección opuesta (dibujo 7). El pulso reflejado se mueve en la dirección opuesta a la del pulso inicial, o *incidente*, y su desplazamiento también es opuesto.

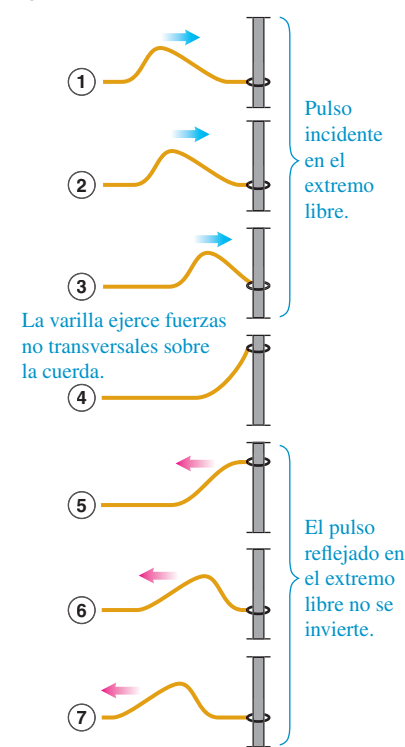
La situación opuesta a un extremo fijo es un extremo *libre* que puede moverse sin resistencia en la dirección perpendicular a la longitud de la cuerda. Por ejemplo, la cuerda podría estar atada a un anillo ligero que se desliza sin fricción en una varilla perpendicular a la cuerda, como en la **figura 15.19**. El anillo y la varilla mantienen la tensión, pero no ejercen una fuerza transversal. Cuando una onda llega a ese extremo libre, el anillo se desliza a lo largo de la varilla. El anillo alcanza un desplazamiento máximo y tanto éste como la cuerda se detienen momentáneamente, como en el dibujo 4 de la figura 15.19. La cuerda ahora está estirada, aumentando la tensión, así que el extremo libre de la cuerda es llevado otra vez hacia abajo, produciéndose nuevamente un pulso reflejado (dibujo 7). Como en la situación del extremo fijo, el pulso reflejado se mueve en dirección opuesta a la del pulso inicial, pero ahora la dirección del desplazamiento es la misma que en el pulso inicial. Las condiciones en el extremo de la cuerda, como un soporte rígido o la ausencia total de fuerza transversal, se denominan **condiciones de frontera**.

La formación del pulso reflejado es similar a la superposición de dos pulsos que viajan en direcciones opuestas. La **figura 15.20** (página siguiente) muestra dos pulsos con la misma forma, pero una invertida con respecto a la otra, que viajan en direcciones opuestas. Al superponerse los pulsos y pasarse mutuamente, el desplazamiento total de la cuerda es la *suma algebraica* de los desplazamientos en ese punto de los pulsos individuales. Puesto que estos dos pulsos tienen la misma forma, el desplazamiento total en el punto *O* a la mitad de la figura es cero en todo

**15.18** Reflexión de un pulso de onda en un extremo fijo de una cuerda. El tiempo aumenta hacia abajo.

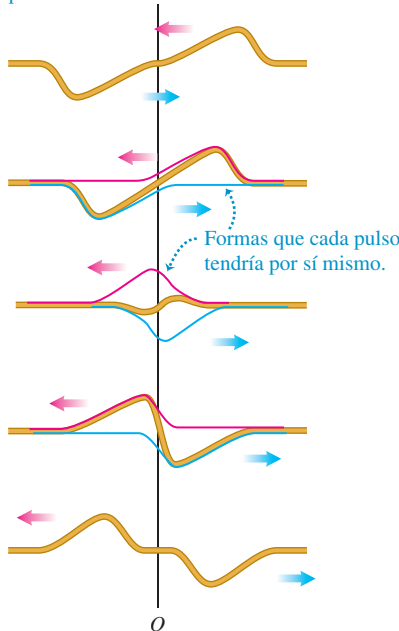


**15.19** Reflexión de un pulso de onda en un extremo fijo de una cuerda. El tiempo aumenta hacia abajo. (Compare con la figura 15.18).

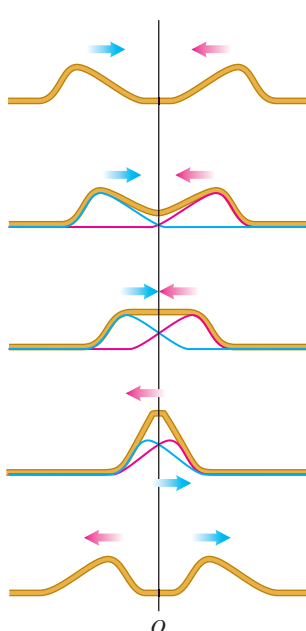


**15.20** Superposición de dos pulsos de onda (uno arriba de la cuerda, el otro invertido) que viajan en direcciones opuestas. El tiempo aumenta hacia abajo.

Cuando los pulsos se superponen, el desplazamiento de la cuerda en cualquier punto es la suma algebraica de los desplazamientos debidos a los pulsos individuales.



**15.21** Superposición de dos pulsos de onda (ambos arriba de la cuerda) que viajan en direcciones opuestas. El tiempo aumenta hacia abajo. Compare con la figura 15.20.



momento. Así, el movimiento de la mitad izquierda de la cuerda sería el mismo si cortáramos la cuerda en el punto  $O$ , desecharáramos el lado derecho, y sostuviéramos el extremo en  $O$  fijo. Así, los dos pulsos del lado izquierdo corresponden a los pulsos incidente y reflejado, combinándose de modo que el desplazamiento total en  $O$  siempre es cero. Para que esto ocurra, el pulso reflejado debe estar invertido en relación con el pulso incidente, tal como sucede con la reflexión de partir del extremo fijo en la figura 15.18.

La figura 15.21 muestra dos pulsos con la misma forma, que viajan en direcciones opuestas pero *no* invertidas entre sí. El desplazamiento en el punto  $O$  a la mitad de la figura no es cero, pero la pendiente de la cuerda en ese punto siempre es cero. Según la ecuación (15.20), esto corresponde a la ausencia de fuerza transversal en dicho punto. Entonces, el movimiento de la mitad izquierda de la cuerda sería el mismo si cortáramos la cuerda en  $O$  y ancláramos el extremo con un anillo deslizante sin fricción (figura 15.19) que mantiene la tensión sin ejercer fuerza transversal. En otras palabras, esta situación corresponde a la reflexión de un pulso en un extremo libre de una cuerda en el punto  $O$ . En tal situación, *no* se invierte el pulso reflejado.

## Principio de superposición

La combinación de los desplazamientos de los pulsos individuales en cada punto para obtener el desplazamiento real es un ejemplo del **principio de superposición**: cuando dos ondas se superponen, el desplazamiento real de cualquier punto de la cuerda en cualquier instante se obtiene sumando el desplazamiento que tendría el punto si tan sólo estuviera presente la primera onda, con el desplazamiento que tendría si únicamente estuviera presente la segunda. Dicho de otro modo, la función de onda  $y(x, t)$  que describe el movimiento resultante en esta situación se obtiene *sumando* las dos funciones de onda de las ondas individuales.

**Principio de superposición:** Funciones de onda de dos ondas superpuestas

$$y(x, t) = y_1(x, t) + y_2(x, t) \quad (15.27)$$

Función de onda de la onda combinada = suma de las funciones de onda individuales

Matemáticamente, esta propiedad aditiva de las funciones de onda es consecuencia de la forma de la ecuación de onda, ecuación (15.12) o (15.19), que debe satisfacer cualquier función de onda físicamente posible. En específico, la ecuación de onda es *lineal*; es decir, incluye la función  $y(x, t)$  sólo a la primera potencia [no hay términos en  $y(x, t)^2$ ,  $y(x, t)^{1/2}$ , etcétera]. Por lo tanto, si dos funciones cualesquiera  $y_1(x, t)$  y  $y_2(x, t)$  satisfacen por separado la ecuación de onda, entonces su suma  $y_1(x, t) + y_2(x, t)$  también la satisface y, por consiguiente, es un movimiento físicamente posible. Como este principio depende de la linealidad de la ecuación de onda y de la propiedad de combinación lineal correspondiente de sus soluciones, también se denomina *principio de superposición lineal*. En algunos sistemas físicos, como un medio que no obedece la ley de Hooke, la ecuación de onda *no* es lineal, y el principio no se cumple en estos sistemas.

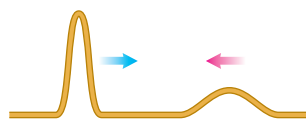
El principio de superposición es muy importante para todo tipo de ondas. Si un amigo nos habla mientras escuchamos música, podemos distinguir el sonido de su voz del sonido de la música. Esto ocurre precisamente porque la onda sonora total que llega a nuestros oídos es la suma algebraica de la onda producida por la voz del amigo y la producida por los altavoces (bocinas) de su equipo modular. Si dos ondas sonoras *no* se combinaran de esta sencilla forma lineal, el sonido que oiríamos en esta situación sería una revolución incomprensible. La superposición también se aplica a las ondas electromagnéticas (como la luz).



DEMO

**EVALÚE SU COMPRENSIÓN DE LA SECCIÓN 15.6** La figura 15.22 muestra dos pulsos de onda con diferente forma que viajan en direcciones opuestas por una cuerda. Elabore una serie de dibujos como los de la figura 15.21 que muestren la forma de la cuerda cuando los dos pulsos se aproximan, se superponen y se pasan.

**15.22** Dos pulsos de onda con diferente forma.



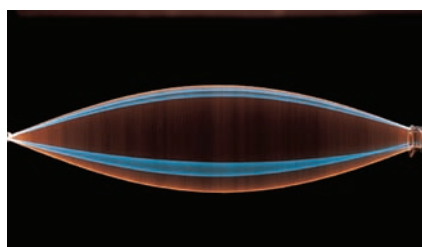
## 15.7 ONDAS ESTACIONARIAS EN UNA CUERDA

Hemos hablado de la reflexión de un *pulso* de onda en una cuerda cuando llega a una frontera (ya sea un extremo fijo o uno libre). Veamos ahora lo que sucede cuando una onda *sinusoidal* es reflejada por el extremo fijo de una cuerda. Otra vez trataremos el problema considerando la superposición de dos ondas que se propagan a través de la cuerda: una que representa la onda original o incidente, y otra que representa la onda reflejada en el extremo fijo.

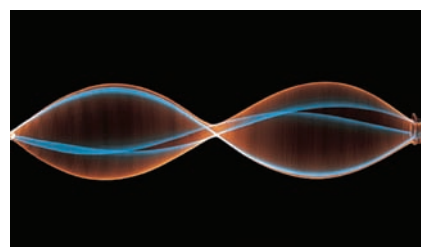
La figura 15.23 muestra una cuerda fija en su extremo izquierdo. El extremo derecho sube y baja con movimiento armónico simple para producir una onda que viaja a la izquierda; la onda reflejada en el extremo fijo viaja a la derecha. El movimiento resultante cuando se combinan las dos ondas ya no se observa como dos ondas que viajan en direcciones opuestas. La cuerda parece subdividirse en varios segmentos, como en las exposiciones en diferentes tiempos de las figuras 15.23a, 15.23b, 15.23c y 15.23d. La figura 15.23e muestra dos formas instantáneas de la cuerda de la figura 15.23b. Comparemos este comportamiento con las ondas que estudiamos en las secciones 15.1 a 15.5. En una onda que viaja a través de la cuerda, la amplitud es constante y el patrón de la onda se mueve con rapidez igual a la rapidez de la onda. Aquí, en cambio, el patrón de onda permanece en la misma posición a lo largo de la cuerda, y su amplitud fluctúa. Existen ciertos puntos llamados **nodos** (identificados con *N* en la figura 15.23e) que nunca se mueven. A la mitad del camino entre los nodos hay puntos llamados **antinodos** (identificados con *A* en la figura 15.23e), donde la amplitud de movimiento es máxima. Como el patrón de onda no parece estarse moviendo a lo largo de la cuerda, se denomina **onda estacionaria** (para enfatizar la diferencia, una onda que *sí* se mueve por la cuerda se conoce como **onda viajera**).

**15.23 (a a d)** Exposiciones sucesivas de ondas estacionarias en una cuerda estirada. De a) a d), aumenta la frecuencia de oscilación del extremo derecho, en tanto que disminuye la longitud de onda de la onda estacionaria. e) Los extremos del movimiento de la onda estacionaria de b), con nodos en el centro y en los extremos. El extremo derecho de la cuerda se mueve muy poco en comparación con los antinodos, así que es prácticamente un nodo.

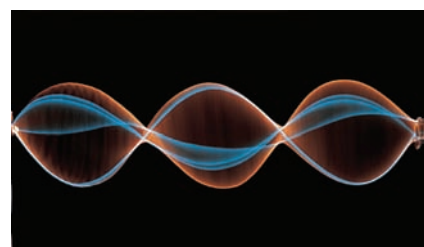
(a) La cuerda tiene media longitud de onda.



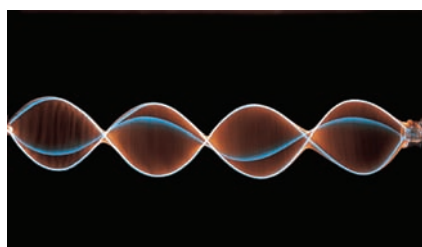
(b) La cuerda es de una longitud de onda.



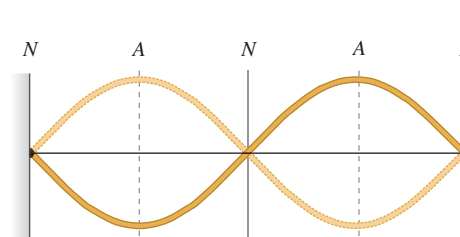
(c) La cuerda es de una y media longitudes de onda.



(d) La cuerda es de dos longitudes de onda.



(e) La forma de la cuerda en b) en dos instantes diferentes.



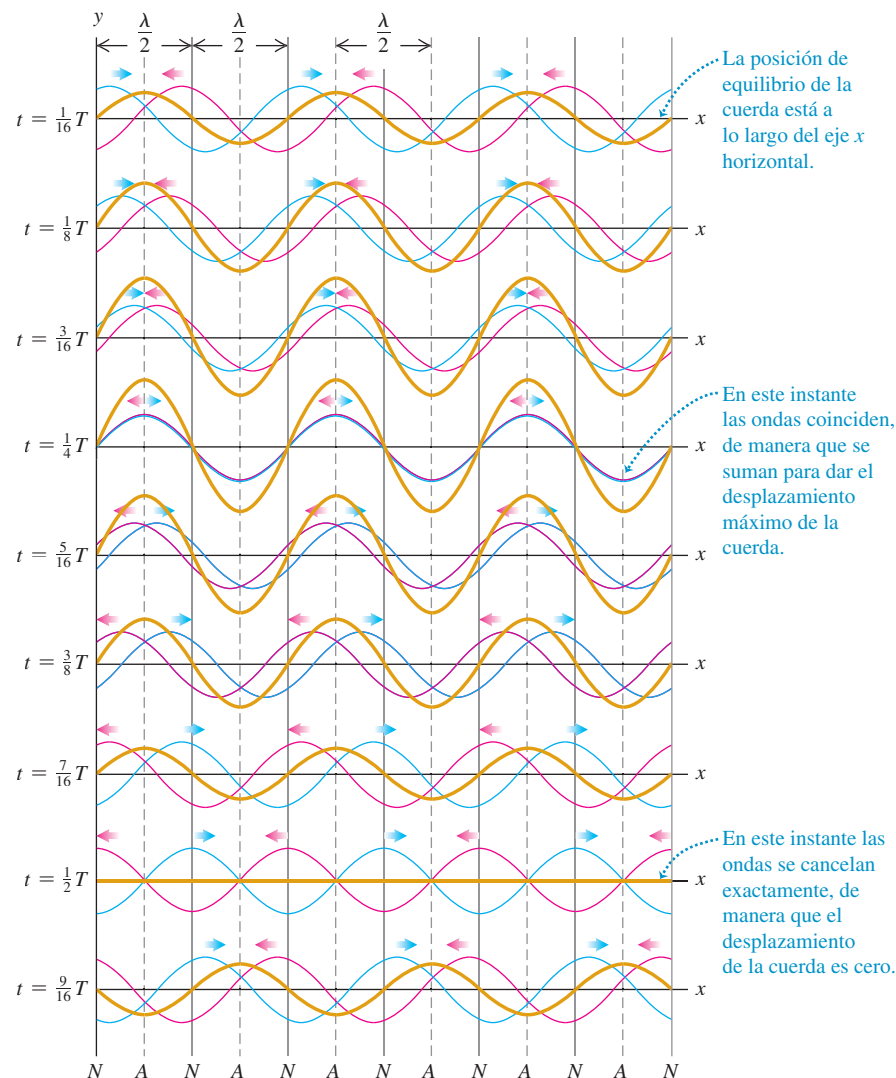
*N* = **nodos**: puntos donde la cuerda nunca se mueve

*A* = **antinodos**: puntos donde la amplitud del movimiento de la cuerda es máxima

El principio de superposición explica cómo las ondas incidente y reflejada se combinan para formar una onda estacionaria. En la **figura 15.24**, las curvas rojas indican una onda que viaja a la izquierda. Las curvas azules muestran una onda que viaja a la derecha con la misma rapidez de propagación, longitud de onda y amplitud. Las ondas se muestran en nueve instantes, separados por  $\frac{1}{16}$  de periodo. En cada punto de la cuerda, sumamos los desplazamientos (valores de  $y$ ) para las dos ondas individuales; el resultado es la onda total en la cuerda, dibujada en color marrón.

En ciertos instantes, como  $t = \frac{1}{4}T$ , los dos patrones de onda están exactamente en fase entre sí, y la forma de la cuerda es una curva seno con el doble de amplitud de las ondas individuales. En otros instantes, como  $t = \frac{1}{2}T$ , las dos ondas están totalmente desfasadas y la onda total en ese instante es cero. El desplazamiento resultante *siempre* es cero en los lugares marcados con  $N$  en la parte inferior de la figura 15.24. Éstos son los *nodos*, donde los desplazamientos de las dos ondas en rojo y azul siempre son iguales y opuestos, y se cancelan. Esa cancelación se llama **interferencia destructiva**. A la mitad del camino entre los nodos están los puntos de *máxima amplitud* o *antinodos*, marcados con  $A$ . En los antinodos, los desplazamientos de las dos ondas en rojo y azul siempre son idénticos, dando un desplazamiento resultante grande; este fenómeno se llama **interferencia constructiva**. Podemos ver en la figura que la distancia entre nodos o antinodos sucesivos es media longitud de onda,  $\lambda/2$ .

**15.24** Formación de una onda estacionaria. Una onda que viaja a la izquierda (curvas rojas) se combina con otra que viaja a la derecha (curvas azules) para formar una onda estacionaria (curvas marrón).



Podemos deducir una función de onda para la onda estacionaria de la figura 15.24, sumando las funciones de onda  $y_1(x, t)$  y  $y_2(x, t)$  de dos ondas con amplitud, periodo y longitud de onda iguales que viajan en direcciones opuestas. Aquí,  $y_1(x, t)$  (las curvas rojas de la figura 15.24) representa una onda *incidente* que viaja a la izquierda por el eje  $+x$ , llegando al punto  $x = 0$  y reflejándose;  $y_2(x, t)$  (las curvas azules de la figura 15.24) representa la onda *reflejada* que viaja a la derecha desde  $x = 0$ . En la sección 15.6 señalamos que la onda reflejada del extremo fijo de una cuerda se invierte, así que anteponemos un signo negativo a una de las ondas:

$$y_1(x, t) = -A \cos(kx + \omega t) \quad (\text{onda incidente que viaja a la izquierda})$$

$$y_2(x, t) = A \cos(kx - \omega t) \quad (\text{onda reflejada que viaja a la derecha})$$

El cambio de signo corresponde a un *desfasamiento* de  $180^\circ$  o  $\pi$  radianes. En  $x = 0$ , el movimiento de la onda reflejada es  $A \cos \omega t$ ; y el de la incidente,  $-A \cos \omega t$ , que también podemos escribir como  $A \cos(\omega t + \pi)$ . Por la ecuación (15.27), la función de onda para la onda estacionaria es la suma de las funciones de onda individuales:

$$y(x, t) = y_1(x, t) + y_2(x, t) = A[-\cos(kx + \omega t) + \cos(kx - \omega t)]$$

Podemos replantear los términos coseno usando las identidades para el coseno de la suma y la diferencia de dos ángulos:  $\cos(a \pm b) = \cos a \cos b \mp \sin a \sin b$ . Al aplicarla y combinar términos, obtenemos la función de la onda estacionaria:

$$y(x, t) = y_1(x, t) + y_2(x, t) = (2A \sin kx) \sin \omega t \quad \text{o bien,}$$

<b>Onda estacionaria en una cuerda, extremo fijo en <math>x = 0</math>:</b>	<b>Función de onda</b> $y(x, t) = (A_{OE} \sin kx) \sin \omega t$	<b>Amplitud de onda estacionaria</b> $\dots$ Tiempo $\dots$ Número de onda $\dots$ Posición $\dots$ Frecuencia angular
---	--	--

(15.28)

La amplitud de la onda estacionaria,  $A_{OE}$ , es dos veces la amplitud  $A$  de cualquiera de las ondas viajeras originales:  $A_{OE} = 2A$

La ecuación (15.28) tiene dos factores: una función de  $x$  y una de  $t$ . El factor  $A_{OE} \sin kx$  indica que, en cada instante, la forma de la cuerda es una curva seno. No obstante, a diferencia de una onda que viaja por una cuerda, la forma de la onda permanece en la misma posición, oscilando verticalmente según el factor  $\sin \omega t$ . Este comportamiento se muestra gráficamente en las curvas de color marrón de la figura 15.24. Todos los puntos de la cuerda aún experimentan movimiento armónico simple, pero todos los que están entre cualquier par sucesivo de nodos oscilan *en fase*. Esto contrasta con las diferencias de fase entre oscilaciones de puntos adyacentes, que vemos en las ondas viajeras.

Podemos usar la ecuación (15.28) para determinar las posiciones de los nodos; éstos son los puntos donde  $\sin kx = 0$ , de modo que el desplazamiento *siempre* es cero. Esto sucede cuando  $kx = 0, \pi, 2\pi, 3\pi, \dots$ , es decir, usando  $k = 2\pi/\lambda$ ,

$$\begin{aligned} x &= 0, \frac{\pi}{k}, \frac{2\pi}{k}, \frac{3\pi}{k}, \dots && (\text{nodos de una onda estacionaria} \\ &= 0, \frac{\lambda}{2}, \frac{2\lambda}{2}, \frac{3\lambda}{2}, \dots && \text{en una cuerda, extremo fijo en } x = 0) \end{aligned} \quad (15.29)$$

En particular, hay un nodo en  $x = 0$ , como debería ser, ya que este punto es un extremo fijo de la cuerda.

A diferencia de una onda viajera, una onda estacionaria *no* transfiere energía de un extremo al otro. Las dos ondas que la forman transportarían individualmente cantidades iguales de energía en direcciones opuestas. Hay un flujo local de energía de cada nodo a los antinodos adyacentes, y de regreso; pero la razón *media* de transferencia de energía es cero en todos los puntos. Si usted evalúa la potencia de onda dada por la ecuación (15.21) usando la función de onda de la ecuación (15.28), encontrará que la potencia media es cero.

## ESTRATEGIA PARA RESOLVER PROBLEMAS 15.2 ONDAS ESTACIONARIAS

**IDENTIFICAR** *los conceptos relevantes:* Identifique las incógnitas. Luego, determine si el problema es únicamente *cinemático* (sólo involucra cantidades como la rapidez de onda  $v$ , la longitud de onda  $\lambda$  y la frecuencia  $f$ ) o incluye también propiedades *dinámicas* del medio (como  $F$  y  $\mu$  para ondas transversales en una cuerda).

**PLANTEAR** *el problema* siguiendo estos pasos:

1. Dibuja la forma de la onda estacionaria en un instante específico. Esto le ayudará a visualizar los nodos (identificados con  $N$ ) y los antinodos ( $A$ ). La distancia entre nodos (o antinodos) adyacentes es  $\lambda/2$ ; y entre un nodo y el antinodo adyacente es  $\lambda/4$ .
2. Elija las ecuaciones que utilizará. La función de onda para la onda estacionaria casi siempre es útil, como la ecuación (15.28).

3. Es posible calcular la rapidez de onda si se conocen  $\lambda$  y  $f$  (o, lo que es equivalente,  $k = 2\pi/\lambda$  y  $\omega = 2\pi f$ ) o las propiedades importantes del medio (en el caso de una cuerda,  $F$  y  $\mu$ ).

**EJECUTAR** *la solución:* Despeje las incógnitas. Una vez que tenga la función de onda, podrá obtener el valor del desplazamiento y en cualquier punto  $x$  y en cualquier instante  $t$ . Es posible calcular la velocidad y aceleración de una partícula en el medio, obteniendo la primera y segunda derivadas parciales de  $y$  con respecto al tiempo.

**EVALUAR** *la respuesta:* Compare sus respuestas numéricas con su diagrama. Compruebe que la función de onda satisface las condiciones de frontera (por ejemplo, el desplazamiento debería ser cero en un extremo fijo).

### EJEMPLO 15.6 ONDAS ESTACIONARIAS EN UNA CUERDA DE GUITARRA

La cuerda de una guitarra está en el eje  $x$  cuando se encuentra en equilibrio. El extremo en  $x = 0$  (el puente de la guitarra) está fijo. Una onda sinusoidal de amplitud  $A = 0.750 \text{ mm} = 7.50 \times 10^{-4} \text{ m}$  y frecuencia  $f = 440 \text{ Hz}$ , correspondiente a las curvas rojas de la figura 15.24, viaja por la cuerda en la dirección  $-x$  a  $143.0 \text{ m/s}$ . Esta onda se refleja en el extremo fijo, y la superposición de las ondas incidente y reflejada forma una onda estacionaria. *a)* Determine la ecuación que da el desplazamiento de un punto de la cuerda en función de la posición y el tiempo. *b)* Ubique los nodos. *c)* Calcule la amplitud de la onda estacionaria, así como la velocidad y la aceleración transversales máximas.

#### SOLUCIÓN

**IDENTIFICAR y PLANTEAR:** Se trata de un problema de *cinemática* (vea la estrategia para resolver problemas 15.1 de la sección 15.3). Las incógnitas son: en el inciso *a*), la función de onda de la onda estacionaria; en el inciso *b*), la ubicación de los nodos; y en el inciso *c*), el desplazamiento máximo y, la velocidad transversal  $v_y$  y la aceleración transversal  $a_y$ . Como hay un extremo fijo en  $x = 0$ , podemos usar las ecuaciones (15.28) y (15.29) para describir esta onda estacionaria. También usaremos las relaciones  $\omega = 2\pi f$ ,  $v = \omega/k$  y  $v = \lambda f$ .

**EJECUTAR:** *a)* La amplitud de la onda estacionaria es  $A_{OE} = 2A = 1.50 \times 10^{-3} \text{ m}$  (el doble de la amplitud de las ondas incidente o reflejada). La frecuencia angular y el número de onda son

$$\omega = 2\pi f = (2\pi \text{ rad})(440 \text{ s}^{-1}) = 2760 \text{ rad/s}$$

$$k = \frac{\omega}{v} = \frac{2760 \text{ rad/s}}{143 \text{ m/s}} = 19.3 \text{ rad/m}$$

Entonces, la ecuación (15.28) da

$$\begin{aligned} y(x, t) &= (A_{OE} \operatorname{sen} kx) \operatorname{sen} \omega t \\ &= [(1.50 \times 10^{-3} \text{ m}) \operatorname{sen}(19.3 \text{ rad/m})x] \operatorname{sen}(2760 \text{ rad/s})t \end{aligned}$$

*b)* Según la ecuación (15.29), las posiciones de los nodos son  $x = 0, \lambda/2, \lambda, 3\lambda/2, \dots$ . La longitud de onda es  $\lambda = v/f = (143 \text{ m/s})/(440 \text{ Hz}) =$

$0.325 \text{ m}$ , de modo que los nodos están en  $x = 0, 0.163 \text{ m}, 0.325 \text{ m}, 0.488 \text{ m}, \dots$

*c)* De acuerdo con la expresión del inciso *a*) para  $y(x, t)$ , vemos que el desplazamiento máximo con respecto al equilibrio es  $A_{OE} = 1.50 \times 10^{-3} \text{ m} = 1.50 \text{ mm}$ . Esto ocurre en los *antinodos*, que están a medio camino entre los nodos adyacentes (es decir, en  $x = 0.081 \text{ m}, 0.244 \text{ m}, 0.406 \text{ m}, \dots$ ).

Para una partícula de la cuerda en cualquier punto  $x$ , la velocidad transversal (en la dirección  $y$ ) es

$$\begin{aligned} v_y(x, t) &= \frac{\partial y(x, t)}{\partial t} \\ &= [(1.50 \times 10^{-3} \text{ m}) \operatorname{sen}(19.3 \text{ rad/m})x] \\ &\quad \times [(2760 \text{ rad/s}) \operatorname{cos}(2760 \text{ rad/s})t] \\ &= [(4.15 \text{ m/s}) \operatorname{sen}(19.3 \text{ rad/m})x] \operatorname{cos}(2760 \text{ rad/s})t \end{aligned}$$

En un antinodo,  $\operatorname{sen}(19.3 \text{ rad/m})x = \pm 1$ , y el valor de la velocidad transversal varía entre  $+4.15 \text{ m/s}$  y  $-4.15 \text{ m/s}$ . Como sucede siempre en el MAS, la velocidad máxima se da cuando la partícula pasa por la posición de equilibrio ( $y = 0$ ).

La aceleración transversal  $a_y(x, t)$  es la *segunda* derivada parcial de  $y(x, t)$  con respecto al tiempo. Usted puede demostrar que

$$\begin{aligned} a_y(x, t) &= \frac{\partial v_y(x, t)}{\partial t} = \frac{\partial^2 y(x, t)}{\partial t^2} \\ &= [(-1.15 \times 10^4 \text{ m/s}^2) \operatorname{sen}(19.3 \text{ rad/m})x] \\ &\quad \times \operatorname{sen}(2760 \text{ rad/s})t \end{aligned}$$

En los antinodos, la aceleración transversal varía entre  $+1.15 \times 10^4 \text{ m/s}^2$  y  $-1.15 \times 10^4 \text{ m/s}^2$ .

**EVALUAR:** La velocidad transversal máxima en un antinodo es muy respetable (unos  $15 \text{ km/h}$  o unas  $9.3 \text{ mi/h}$ ); pero la aceleración transversal máxima es formidable: ¡1170 veces la aceleración debida a la gravedad! En realidad, las cuerdas de guitarra se fijan en *ambos* extremos. Veremos las consecuencias de esto en la siguiente sección.



**EVALÚE SU COMPRENSIÓN DE LA SECCIÓN 15.7** Suponga que se duplica la frecuencia de la onda estacionaria del ejemplo 15.6, de 440 Hz a 880 Hz. ¿Todos los nodos con  $f = 440$  Hz serían también nodos con  $f = 880$  Hz? Si es así, ¿habría nodos adicionales con  $f = 880$  Hz? Si no, ¿qué nodos están ausentes con  $f = 880$  Hz? ■

## 15.8 MODOS NORMALES DE UNA CUERDA

Cuando describimos las ondas estacionarias en una cuerda sujetada rígidamente por un extremo, como en la figura 15.23, no hicimos suposiciones acerca de la longitud de la cuerda ni de lo que sucedía en el otro extremo. Consideremos ahora una cuerda de longitud definida  $L$ , sujetada rígidamente en *ambos* extremos. Este tipo de cuerdas se encuentran en muchos instrumentos musicales, como pianos, violines y guitarras. Cuando se pulsa una cuerda de guitarra, se produce una onda en ella; esa onda se refleja una y otra vez en los extremos de la cuerda, formando una onda estacionaria. Ésta, a la vez, produce una onda sonora en el aire, cuya frecuencia está determinada por las propiedades de la cuerda. Ésta es la causa de que los instrumentos de cuerda sean tan adecuados para hacer música.

Para entender estas propiedades de las ondas estacionarias en una cuerda fija en ambos extremos, primero observamos que la onda estacionaria debe tener un nodo en *ambos* extremos de la cuerda. En la sección anterior, vimos que los nodos adyacentes están separados media longitud de onda ( $\lambda/2$ ), así que la longitud de la cuerda debe ser  $\lambda/2$ , o  $2(\lambda/2)$ , o  $3(\lambda/2)$  o, en general, un número entero de medias longitudes de onda:

$$L = n \frac{\lambda}{2} \quad (n = 1, 2, 3, \dots) \quad (\text{cuerda fija en ambos extremos}) \quad (15.30)$$

Esto es, si una cuerda de longitud  $L$  está fija en ambos extremos, solamente puede existir una onda estacionaria si su longitud de onda satisface la ecuación (15.30).

Al despejar  $\lambda$  de esta ecuación y denotando los valores posibles de  $\lambda$  con  $\lambda_n$ , entonces,

$$\lambda_n = \frac{2L}{n} \quad (n = 1, 2, 3, \dots) \quad (\text{cuerda fija en ambos extremos}) \quad (15.31)$$

Pueden existir ondas en la cuerda si la longitud de onda *no* es igual a uno de estos valores; sin embargo, no puede haber un patrón de onda estacionaria con nodos y anti-nodos, y la onda total no puede ser estacionaria. Las ondas estacionarias de las figuras 15.23a, 15.23b, 15.23c y 15.23d ilustran la ecuación (15.31); éstas representan  $n = 1, 2, 3$  y 4, respectivamente.

A la serie de posibles longitudes de onda estacionaria  $\lambda_n$  corresponde una serie de posibles frecuencias de onda estacionaria  $f_n$ , cada una relacionada con su longitud de onda correspondiente por  $f_n = v / \lambda_n$ . La frecuencia  $f_1$  más pequeña corresponde a la mayor longitud de onda (el caso  $n = 1$ ),  $\lambda_1 = 2L$ :

$$f_1 = \frac{v}{2L} \quad (\text{cuerda fija en ambos extremos}) \quad (15.32)$$

Ésta se llama **frecuencia fundamental**. Las otras frecuencias de onda estacionaria son  $f_2 = 2v/2L$ ,  $f_3 = 3v/2L$ , etcétera. Todas éstas son múltiplos enteros de la frecuencia fundamental  $f_1$ , como  $2f_1$ ,  $3f_1$ ,  $4f_1$  y así sucesivamente, y expresamos *todas* las frecuencias como

<b>Frecuencias de onda estacionaria en una cuerda fija en ambos extremos:</b>	<b>Rapidez de onda</b>	<b>Frecuencia fundamental = <math>v/2L</math></b>
	$f_n = \frac{v}{2L} = nf_1$	$(n = 1, 2, 3, \dots)$
	<b>Longitud de la cuerda</b>	

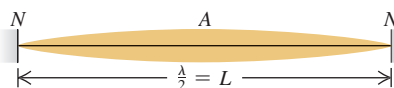
Estas frecuencias se conocen como **armónicos**, y la serie es una **serie armónica**. En ocasiones, los músicos llaman a  $f_2$ ,  $f_3$ , etcétera, **sobretonos**;  $f_2$  es el segundo armónico o el primer sobretono,  $f_3$  es el tercer armónico o el segundo sobretono, y así sucesivamente. El primer armónico es igual a la frecuencia fundamental (**figura 15.25**).

**15.25** Cada cuerda de un violín oscila naturalmente en sus frecuencias armónicas, produciendo en el aire ondas sonoras con las mismas frecuencias.



**15.26** Los primeros cuatro modos normales de una cuerda fija en ambos extremos. (Compárelas con las fotografías de la figura 15.23).

(a)  $n = 1$ : frecuencia fundamental,  $f_1$



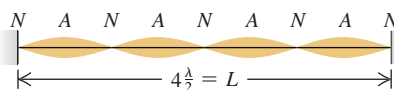
(b)  $n = 2$ : segundo armónico,  $f_2$  (primer sobretono)



(c)  $n = 3$ : tercer armónico,  $f_3$  (segundo sobretono)



(d)  $n = 4$ : cuarto armónico,  $f_4$  (tercer sobretono)



Para una cuerda con extremos fijos en  $x = 0$  y  $x = L$ , la función de onda  $y(x, t)$  de la  $n$ -ésima onda estacionaria está dada por la ecuación (15.28) (que satisface la condición de que haya un nodo en  $x = 0$ ), con  $\omega = \omega_n = 2\pi f_n$  y  $k = k_n = 2\pi/\lambda_n$ :

$$y_n(x, t) = A_{OE} \operatorname{sen} k_n x \operatorname{sen} \omega_n t \quad (15.34)$$

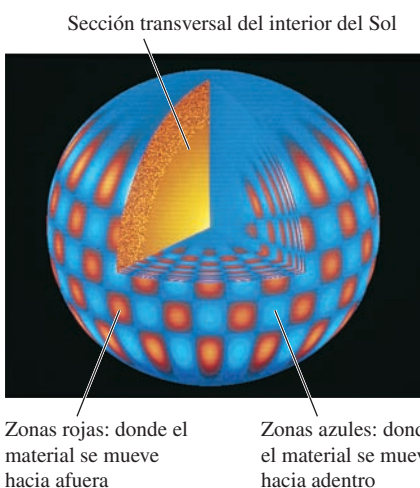
Puede confirmar que esta función de onda tiene nodos en  $x = 0$  y en  $x = L$ .

El **modo normal** de un sistema oscilante es un movimiento en el cual todas las partículas del sistema se mueven sinusoidalmente con la misma frecuencia. En el caso de un sistema compuesto por una cuerda de longitud  $L$  fija en ambos extremos, cada una de las frecuencias dadas por la ecuación (15.33) corresponde al patrón y a la frecuencia de un posible modo normal. La **figura 15.26** muestra los primeros cuatro patrones de modo normal, así como sus respectivas frecuencias y longitudes de onda, que corresponden a la ecuación (15.34) con  $n = 1, 2, 3$  y  $4$ . En contraste, un oscilador armónico, que únicamente tiene una partícula oscilante, posee un solo modo normal y una sola frecuencia característica. La cuerda fija en ambos extremos tiene un número infinito de modos normales ( $n = 1, 2, 3, \dots$ ), ya que se compone de un número muy grande (efectivamente infinito) de partículas. La mayoría de los sistemas oscilantes más complejos también tienen una infinidad de modos normales, aunque con patrones más complejos de modo normal que una cuerda (**figura 15.27**).

### Ondas estacionarias complejas

Si pudiéramos desplazar una cuerda de manera que su forma fuera la de uno de los patrones de modo normal, y luego la soltáramos, vibraría con la frecuencia de ese modo. Tal cuerda vibratoria desplazaría el aire circundante con la misma frecuencia, produciendo una onda sonora sinusoidal viajera que nuestro oído percibiría como un tono puro. Sin embargo, cuando una cuerda se golpea (como en un piano) o se pulsa (como en una guitarra), la forma de la cuerda desplazada *no* es tan sencilla como uno de los patrones de la figura 15.26. Por lo tanto, ese movimiento es una combinación o *superposición* de muchos modos normales. Varios movimientos armónicos simples de diferentes frecuencias están presentes simultáneamente, y el desplazamiento de cualquier punto de la cuerda es la superposición de los desplazamientos asociados con los modos individuales. El sonido producido por la cuerda vibratoria es igualmente una superposición de ondas sonoras sinusoidales viajeras, que percibimos como un tono rico y complejo con la frecuencia fundamental  $f_1$ . La onda estacionaria en la cuerda y la onda sonora viajera en el aire tienen el mismo **contenido armónico** (la presencia de frecuencias más altas que la fundamental). El contenido armónico depende de cómo

**15.27** Los astrónomos han descubierto que el Sol oscila en varios modos normales distintos. Esta simulación por computadora muestra uno de esos modos.



se pone inicialmente en movimiento la cuerda. Si pulsamos las cuerdas de una guitarra acústica en el lugar normal sobre el hueco, el sonido tendrá diferente contenido armónico que si las pulsamos cerca del extremo fijo en el cuerpo de la guitarra.

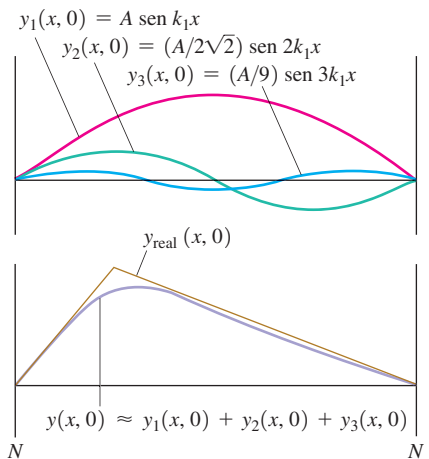
Cada movimiento posible de la cuerda se puede representar como una superposición de movimientos de modo normal. Encontrar tal representación para un patrón de vibración dado se denomina *análisis armónico*. La suma de funciones sinusoidales que representa una onda compleja se llama *série de Fourier*. La figura 15.28 ilustra cómo una onda estacionaria que se produce pulsando una cuerda de guitarra de longitud  $L$ , en un punto a una distancia  $L/4$  de un extremo, se representa como una combinación de funciones sinusoidales.

## Ondas estacionarias e instrumentos de cuerda

De acuerdo con la ecuación (15.32) la frecuencia fundamental de una cuerda que vibra es  $f_1 = v/2L$ . La rapidez  $v$  de las ondas en la cuerda está determinada por la ecuación (15.14),  $v = \sqrt{F/\mu}$ . Al combinar estas ecuaciones, encontramos que

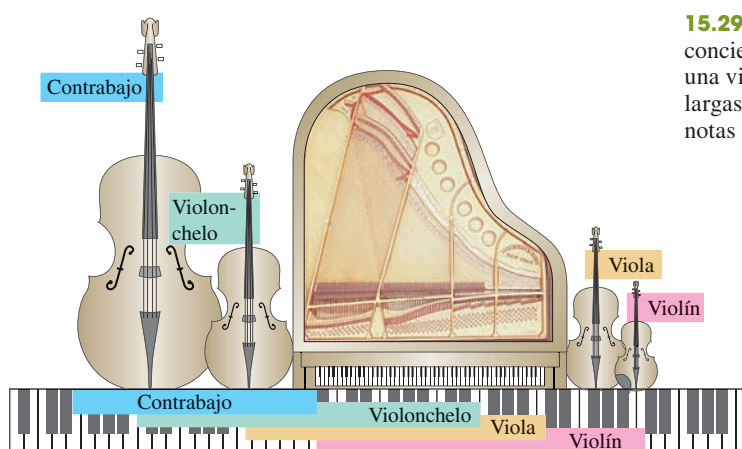
$$\text{Frecuencia fundamental de una cuerda fija en ambos extremos} \quad f_1 = \frac{1}{2L} \sqrt{\frac{F}{\mu}} \quad \begin{array}{l} \text{Tensión en la cuerda} \\ \text{Masa por unidad de longitud} \\ \text{Longitud de la cuerda} \end{array} \quad (15.35)$$

**15.28** Cuando se pulsa una cuerda de guitarra (dándole una forma triangular) y se suelta, se produce una onda estacionaria, la cual se representa bien (excepto en el punto agudo máximo) con la suma de tres funciones sinusoidales. Si incluimos funciones sinusoidales adicionales, mejora aún más la representación.



Ésta también es la frecuencia fundamental de la onda sonora creada en el aire circundante por la cuerda al vibrar. La dependencia inversa de la frecuencia con respecto a la longitud  $L$  se ilustra con las cuerdas largas de los bajos (de baja frecuencia) de un piano o de un contrabajo, comparadas con las cuerdas más cortas de la sección aguda de un piano o del violín (figura 15.29). El tono de un violín o una guitarra normalmente se varía presionando las cuerdas con los dedos contra el diapasón (bastidor) para cambiar la longitud  $L$  de la parte vibrante de la cuerda. Al aumentar la tensión  $F$ , se incrementa la rapidez de la onda  $v$ , y por lo tanto, también la frecuencia (y el tono). Todos los instrumentos de cuerda se “afinan” a las frecuencias correctas variando la tensión; se tensa cada vez más la cuerda para aumentar el tono. Por último, al aumentar la masa por unidad de longitud  $\mu$ , disminuye la rapidez de la onda  $v$ , y por lo tanto, la frecuencia. Las notas más bajas de una guitarra de acero se producen con cuerdas más gruesas, y un motivo para enrollar con alambre las cuerdas graves de un piano es obtener la baja frecuencia deseada de una cuerda relativamente corta.

Los instrumentos de viento, como los saxofones y los trombones, tienen también modos normales. Como en los instrumentos de cuerda, las frecuencias de estos modos normales determinan los tonos musicales que producen tales instrumentos. En el capítulo 16 estudiaremos estos instrumentos y muchos otros aspectos del sonido.



**15.29** Comparación de la gama de un piano de cola para concierto, con las gamas de un contrabajo, un violonchelo, una viola y un violín. En todos los casos, las cuerdas más largas producen notas graves y las más cortas producen notas agudas.



SOLUCIÓN

**EJEMPLO 15.7 CONTRABAJO GIGANTE**

En un intento por entrar en el *Libro Guinness de récords mundiales*, usted se propone construir un contrabajo con cuerdas de 5.00 m de longitud entre puntos fijos. Una cuerda tiene una densidad lineal de masa de 40.0 g/m y una frecuencia fundamental de 20.0 Hz (la frecuencia más baja que logra detectar el oído humano). Calcule *a*) la tensión de esta cuerda, *b*) la frecuencia y la longitud de onda del segundo armónico en la cuerda, y *c*) la frecuencia y la longitud de onda del segundo sobretono en la cuerda.

**SOLUCIÓN**

**IDENTIFICAR Y PLANTEAR:** La incógnita en el inciso *a*) es la tensión  $F$  de la cuerda; usaremos la ecuación (15.35) que relaciona  $F$  con los valores conocidos  $f_1 = 20.0 \text{ Hz}$ ,  $L = 5.00 \text{ m}$  y  $\mu = 40.0 \text{ g/m}$ . En los incisos *b*) y *c*), las incógnitas son la frecuencia y la longitud de onda de un armónico y un sobretono conocidos. Las determinaremos a partir de la longitud dada de la cuerda y la frecuencia fundamental, usando las ecuaciones (15.31) y (15.33).

**EJECUTAR:** *a)* Despejamos  $F$  de la ecuación (15.35):

$$\begin{aligned} F &= 4\mu L^2 f_1^2 = 4(40.0 \times 10^{-3} \text{ kg/m})(5.00 \text{ m})^2 (20.0 \text{ s}^{-1})^2 \\ &= 1600 \text{ N} = 360 \text{ lb} \end{aligned}$$

*b)* Según las ecuaciones (15.33) y (15.31), la frecuencia y la longitud de onda del segundo armónico ( $n = 2$ ) son:

$$f_2 = 2f_1 = 2(20.0 \text{ Hz}) = 40.0 \text{ Hz}$$

$$\lambda_2 = \frac{2L}{2} = \frac{2(5.00 \text{ m})}{2} = 5.00 \text{ m}$$

*c)* El segundo sobretono es el “segundo tono sobre” (por arriba de) la fundamental, es decir,  $n = 3$ . Su frecuencia y longitud de onda son

$$f_3 = 3f_1 = 3(20.0 \text{ Hz}) = 60.0 \text{ Hz}$$

$$\lambda_3 = \frac{2L}{3} = \frac{2(5.00 \text{ m})}{3} = 3.33 \text{ m}$$

**EVALUAR:** La tensión en la cuerda de un contrabajo real es normalmente de unos cuantos cientos de newtons; en el inciso *a*) la tensión es un poco mayor que eso. Las longitudes de onda de los incisos *b*) y *c*) son iguales a la longitud de la cuerda y dos tercios de esa longitud, respectivamente; estos resultados concuerdan con los dibujos de ondas estacionarias de la figura 15.26.



SOLUCIÓN

**EJEMPLO 15.8 DE ONDAS EN UNA CUERDA A ONDAS SONORAS EN EL AIRE**

Calcule la frecuencia y longitud de onda de las ondas sonoras que se producen en el aire cuando la cuerda del ejemplo 15.7 vibra a su frecuencia fundamental. La rapidez del sonido en el aire a 20°C es de 344 m/s.

**SOLUCIÓN**

**IDENTIFICAR Y PLANTEAR:** Las incógnitas son la frecuencia y la longitud de onda de la *onda sonora* producida por la cuerda del contrabajo. La frecuencia de la onda sonora es la misma que la de la frecuencia fundamental  $f_1$  de la onda estacionaria, ya que la cuerda obliga al aire circundante a vibrar a la misma frecuencia. La longitud de onda de la onda de sonido es  $\lambda_{1(\text{sonido})} = v_{\text{sonido}}/f_1$ .

**EJECUTAR:** Tenemos que  $f = f_1 = 20.0 \text{ Hz}$ , así que

$$\lambda_{1(\text{sonido})} = \frac{v_{\text{sonido}}}{f_1} = \frac{344 \text{ m/s}}{20.0 \text{ Hz}} = 17.2 \text{ m}$$

**EVALUAR:** En el ejemplo 15.7, la longitud de onda fundamental de la cuerda fue  $\lambda_{1(\text{cuerda})} = 2L = 2(5.00 \text{ m}) = 10.0 \text{ m}$ . Aquí,  $\lambda_{1(\text{sonido})} = 17.2 \text{ m}$  es mayor por un factor de  $17.2/10.0 = 1.72$ . Esto debe ser así: ya que la frecuencia de la onda sonora y la de la onda estacionaria son iguales,  $\lambda = v/f$  nos indica que las longitudes de onda en el aire y en la cuerda tienen la misma razón que las rapideces de onda correspondientes; aquí,  $v_{\text{sonido}} = 344 \text{ m/s}$  es mayor que  $v_{\text{cuerda}} = (10.0 \text{ m})/(20.0 \text{ Hz}) = 200 \text{ m/s}$  por exactamente el factor 1.72.

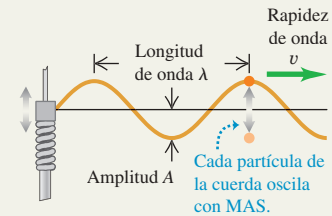
**EVALÚE SU COMPRENSIÓN DE LA SECCIÓN 15.8** Mientras vibra una cuerda de guitarra, se toca suavemente el punto medio de la cuerda para asegurarse de que no vibre en ese punto. ¿Cuáles modos normales *no pueden* estar presentes en la cuerda, cuando se está tocando de este modo? ■



**Ondas y sus propiedades** Una onda es cualquier perturbación que se propaga de una región a otra. Una onda mecánica viaja dentro de un material llamado medio. La rapidez de onda  $v$  depende del tipo de onda y de las propiedades del medio.

En una onda periódica, el movimiento de cada punto del medio es periódico con frecuencia  $f$  y periodo  $T$ . La longitud de onda  $\lambda$  es la distancia en la que se repite el patrón de la onda, y la amplitud  $A$  es el desplazamiento máximo de una partícula en el medio. El producto de  $\lambda$  por  $f$  es igual a la rapidez de la onda. Una onda sinusoidal es un caso especial de onda periódica donde un punto se mueve con movimiento armónico simple. (Vea el ejemplo 15.1).

$$v = \lambda f \quad (15.1)$$



**Funciones de onda y dinámica de onda:** La función de onda  $y(x, t)$  describe los desplazamientos de partículas individuales del medio. Las ecuaciones (15.3), (15.4) y (15.7) dan la ecuación de una onda sinusoidal que viaja en la dirección  $+x$ . Si la onda se mueve en la dirección  $-x$ , el signo menos en las funciones coseno se cambia por un signo más. (Vea el ejemplo 15.2).

La función de onda obedece a una ecuación diferencial parcial llamada ecuación de onda, ecuación (15.12).

La rapidez de una onda transversal en una cuerda depende de la tensión  $F$  y de la masa por unidad de longitud  $\mu$ . (Vea el ejemplo 15.3).

$$y(x, t) = A \cos\left[\omega\left(\frac{x}{v} - t\right)\right] \quad (15.3)$$

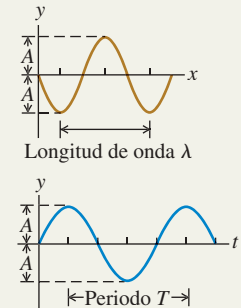
$$y(x, t) = A \cos 2\pi\left[\left(\frac{x}{\lambda} - \frac{t}{T}\right)\right] \quad (15.4)$$

$$y(x, t) = A \cos(kx - \omega t) \quad (15.7)$$

donde  $k = 2\pi/\lambda$  y  $\omega = 2\pi f = vk$

$$\frac{\partial^2 y(x, t)}{\partial x^2} = \frac{1}{v^2} \frac{\partial^2 y(x, t)}{\partial t^2} \quad (15.12)$$

$$v = \sqrt{\frac{F}{\mu}} \text{ (ondas en una cuerda)} \quad (15.14)$$



**Potencia de onda:** El movimiento ondulatorio transporta energía de una región a otra. En el caso de una onda mecánica sinusoidal, la potencia media  $P_{\text{med}}$  es proporcional al cuadrado de la amplitud de la onda y al cuadrado de la frecuencia. En el caso de ondas que se propagan en tres dimensiones, la intensidad de onda  $I$  es inversamente proporcional al cuadrado de la distancia a partir de la fuente. (Vea los ejemplos 15.4 y 15.5).

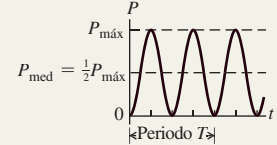
$$P_{\text{med}} = \frac{1}{2} \sqrt{\mu F} \omega^2 A^2 \quad (15.25)$$

(potencia media, onda sinusoidal)

$$\frac{I_1}{I_2} = \frac{r_2^2}{r_1^2} \quad (15.26)$$

(ley del cuadrado inverso para la intensidad)

Potencia de onda contra tiempo  $t$  en la coordenada  $x = 0$



**Superposición de ondas:** Una onda que llega a una frontera del medio de propagación se refleja. El desplazamiento de onda total, en cualquier punto donde se superponen dos o más ondas, es la suma de los desplazamientos de las ondas individuales (principio de superposición).

$$y(x, t) = y_1(x, t) + y_2(x, t) \quad (15.27)$$



**Ondas estacionarias en una cuerda:** Cuando una onda sinusoidal se refleja en un extremo fijo o libre de una cuerda estirada, las ondas incidente y reflejada se combinan para formar una onda sinusoidal estacionaria que incluye nodos y antinodos. Los nodos adyacentes están separados una distancia  $\lambda/2$ , lo mismo que dos antinodos adyacentes. (Vea el ejemplo 15.6).

Si ambos extremos de una cuerda con longitud  $L$  están fijos, sólo puede haber ondas estacionarias si  $L$  es un múltiplo entero de  $\lambda/2$ . Cada frecuencia con su patrón de vibración asociado se denomina modo normal. (Vea los ejemplos 15.7 y 15.8).

$$y(x, t) = (A_{OE} \operatorname{sen} kx) \operatorname{sen} \omega t \quad (15.28)$$

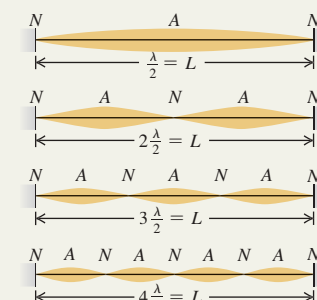
(onda estacionaria en una cuerda, extremo fijo en  $x = 0$ )

$$f_n = n \frac{v}{2L} = n f_1 \quad (15.33)$$

( $n = 1, 2, 3, \dots$ )

$$f_1 = \frac{1}{2L} \sqrt{\frac{F}{\mu}} \quad (15.35)$$

(cuerda fija en ambos extremos)





## PROBLEMA PRÁCTICO ONDAS EN UNA CUERDA QUE GIRA

Una cuerda uniforme con longitud  $L$  y masa  $m$  se sujetó por un extremo y se hace girar en un círculo horizontal con velocidad angular  $\omega$ . Desprecie el efecto de la fuerza de gravedad sobre la cuerda. *a)* En un punto de la cuerda a una distancia  $r$  del extremo fijo, ¿cuál es la tensión  $F$ ? *b)* ¿Cuál es la rapidez de las ondas transversales en este punto? *c)* Calcule el tiempo que una onda transversal tarda en viajar de un extremo de la cuerda al otro.

### GUÍA DE SOLUCIÓN

#### IDENTIFICAR y PLANTEAR

1. Trace un esquema de la situación e identifique las distancias  $r$  y  $L$ . La tensión en la cuerda es distinta en diferentes valores de  $r$ . ¿Sabe por qué? ¿Dónde espera que la tensión sobre la cuerda sea máxima? ¿Y mínima?
2. ¿En qué parte de la cuerda espera usted que la rapidez de onda sea máxima? ¿Dónde espera que sea mínima?
3. Piense en el trozo de la cuerda más alejado de  $r$  a partir del extremo fijo. ¿Qué fuerzas actúan en esta parte? (Recuerde que la gravedad se desprecia). ¿Cuál es la masa de esa parte? ¿A qué distancia está el centro de masa del eje de rotación?
4. Elabore una lista de las cantidades desconocidas e identifique las incógnitas.

#### EJECUTAR

5. Elabore un diagrama de cuerpo libre de la parte de la cuerda que está más lejos de  $r$  a partir del extremo fijo.
6. Utilice el diagrama de cuerpo libre para determinar la tensión en la cuerda a una distancia  $r$ .
7. Use el resultado del paso 6 para calcular la rapidez de la onda a una distancia  $r$ .
8. Utilice el resultado del paso 7 para determinar el tiempo que debe viajar una onda de un extremo al otro. (*Sugerencia:* La rapidez de onda es  $v = dr/dt$ , de modo que el tiempo para que la onda viaje una distancia  $dr$  a lo largo de la cuerda es  $dt = dr/v$ . Integre esto para calcular el tiempo total. Consulte el apéndice B).

#### EVALUAR

9. ¿Los resultados de los incisos *a*) y *b*) concuerdan con las expectativas a partir de los pasos 1 y 2? ¿Las unidades son correctas?
10. Verifique el resultado del inciso *a*) considerando la fuerza neta sobre un segmento pequeño de la cuerda a una distancia  $r$  con una longitud  $dr$  y masa  $dm = (m/L)dr$ . [*Sugerencia:* Las fuerzas de tensión sobre este segmento son  $F(r)$  sobre un lado y  $F(r+dr)$  sobre el otro. Usted obtendrá una ecuación para  $dF/dr$  que puede integrar para calcular  $F$  en función de  $r$ ].

## Problemas

•, •, ••: Niveles de dificultad. PA: Problemas acumulativos que incorporan material de capítulos anteriores. CALC: Problemas que requieren cálculo. DATOS: Problemas que incluyen datos reales, evidencia científica, diseño experimental y/o razonamiento estadístico. BIO: Problemas de ciencias biológicas.

### PREGUNTAS PARA ANÁLISIS

**P15.1** Dos ondas viajan en la misma cuerda. ¿Es posible que ambas tengan *a)* diferentes frecuencias, *b)* diferentes longitudes de onda, *c)* diferentes rapideces, *d)* diferentes amplitudes, *e)* la misma frecuencia, pero diferentes longitudes de onda? Explique su razonamiento.

**P15.2** Bajo una tensión  $F$ , un pulso tarda 2.00 s en recorrer la longitud de un alambre tensado. ¿Qué tensión se requiere (en términos de  $F$ ) para que el pulso tarde 6.00 s en efectuar ese recorrido? Explique cómo llegó a su respuesta.

**P15.3** ¿Qué tipos de energía se asocian con las ondas en una cuerda estirada? ¿Cómo podría detectarse experimentalmente tal energía?

**P15.4** La amplitud de una onda disminuye gradualmente a medida que la onda viaja por una cuerda larga y estirada. ¿Qué sucede con la energía de la onda en ese caso?

**P15.5** Para los movimientos ondulatorios estudiados en el capítulo, ¿la rapidez de propagación depende de la amplitud? ¿Cómo lo sabe?

**P15.6** La rapidez de las olas oceánicas depende de la profundidad del agua; cuanto más profunda sea ésta, más rápidamente viajará la ola. Con base en esto, explique por qué las olas forman crestas y “rompen” al acercarse a la costa.

**P15.7** ¿Es posible tener una onda longitudinal en una cuerda estirada? ¿Por qué? ¿Es posible tener una onda transversal en una varilla de acero? ¿Por qué? En caso de una respuesta afirmativa, explique cómo generaría tal onda.

**P15.8** En el caso de ondas transversales en una cuerda, ¿la rapidez de la onda es igual que la rapidez de cualquier parte de la cuerda? Explique la diferencia entre ambas rapideces. ¿Cuál de ellas es constante?

**P15.9** Las cuatro cuerdas de un violín tienen diferente espesor, pero aproximadamente la misma tensión. ¿Las ondas viajan más rápidamente en las cuerdas gruesas o en las delgadas? ¿Por qué? Compare la frecuencia fundamental de vibración de las cuerdas gruesas y las delgadas.

**P15.10** Una onda sinusoidal se puede describir con una función seno, que es tan frecuentemente negativa como positiva. Entonces, ¿por qué la potencia media suministrada por esta onda no es cero?

**P15.11** Dos cuerdas con diferente masa por unidad de longitud  $\mu_1$  y  $\mu_2$  se unen y se estiran con una tensión  $F$ . Una onda viaja por la cuerda y pasa por la discontinuidad de  $\mu$ . Indique cuáles de las siguientes propiedades de la onda serán iguales en ambos lados de la discontinuidad y cuáles cambiarán: rapidez de la onda, frecuencia, longitud de onda. Justifique con argumentos físicos cada respuesta.

**P15.12** Una cuerda larga con masa  $m$  se sujetó del techo y cuelga verticalmente. Se produce un pulso de onda en el extremo inferior, el cual viaja hacia arriba por la cuerda. ¿La rapidez del pulso cambia al subir por la cuerda y, si lo hace, aumenta o disminuye? Explique su respuesta.

**P15.13** En una onda transversal en una cuerda, el movimiento de la cuerda es perpendicular a su longitud. ¿Cómo es posible entonces que se transporte energía a lo largo de la cuerda?

**P15.14** Podemos transferir energía por una cuerda con un movimiento ondulatorio; sin embargo, en una onda estacionaria en una cuerda, nunca podremos transferir energía más allá de un nodo. ¿Por qué?

**P15.15** ¿Podemos producir una onda estacionaria en una cuerda superponiendo dos ondas que viajan en direcciones opuestas con la misma frecuencia, pero con diferente amplitud? ¿Por qué? ¿Podemos producirla superponiendo dos ondas que viajen en direcciones opuestas con diferente frecuencia, pero con la misma amplitud? ¿Por qué?

**P15.16** Si estiramos una liga de hule y la pulsamos, oímos un tono (más o menos) musical. ¿Cómo cambia la frecuencia de este tono, si estiramos más la liga? (¡Inténtelo!). ¿Esto coincide con la ecuación (15.35) para una cuerda fija en ambos extremos? Explique su respuesta.

**P15.17** El intervalo musical de una *octava* corresponde a un factor de 2 en frecuencia. ¿En qué factor debe aumentarse la tensión en una cuerda de guitarra o violín para aumentar su tono una octava? ¿Y dos octavas? Explique su razonamiento. ¿Se corre algún riesgo al intentar esos cambios de tono?

**P15.18** Si un violinista toca una cuerda levemente en su centro mientras la frota con el arco, puede producir una nota exactamente una octava arriba de aquella para la cual se afinó la cuerda, es decir, una nota con una frecuencia exactamente duplicada. ¿Cómo es posible esto?

**P15.19** Como vimos en la sección 15.1, las olas en el agua son una combinación de ondas longitudinales y transversales. Defienda la siguiente afirmación: “Cuando las olas chocan contra una pared vertical, ese punto es un nodo del desplazamiento longitudinal, pero un antinodo del desplazamiento transversal”.

**P15.20** Los violines son instrumentos cortos, en tanto que los violonchelos y los contrabajos son largos. Explique por qué esto es así en términos de la frecuencia de las ondas que producen.

**P15.21** ¿Para qué sirven los trastes de una guitarra? Explique su uso en términos de la frecuencia de la vibración de las cuerdas.

## EJERCICIOS

### Sección 15.2 Ondas periódicas

**15.1** • La rapidez del sonido en el aire a 20°C es de 344 m/s. *a)* Calcule la longitud de onda de una onda sonora con frecuencia de 784 Hz, que corresponde a la nota sol de la segunda octava (G<sub>5</sub>) de un piano, y cuántos milisegundos dura cada vibración. *b)* Calcule la longitud de onda de una onda sonora una octava más alta (se duplica la frecuencia) que la nota del inciso *a*).

**15.2 • BIO Sonido audible.** Siempre que la amplitud sea lo suficientemente grande, el oído humano puede responder a ondas longitudinales dentro de un intervalo de frecuencias que va aproximadamente de los 20.0 Hz a los 20.0 kHz. *a)* Si usted tuviera que marcar el comienzo de cada patrón de onda completo con un punto rojo para el sonido de longitud de onda larga, y con un punto azul para el sonido de longitud de onda corta, ¿qué distancia habría entre los puntos rojos y qué distancia habría entre los puntos azules? *b)* En realidad, ¿los puntos adyacentes en cada conjunto estarían suficientemente alejados para que usted pudiera medir fácilmente su distancia de separación con una cinta métrica? *c)* Suponga que repite el inciso *a*) en agua, donde el sonido viaja a 1480 m/s. ¿Qué tan alejados estarían los puntos en cada conjunto? ¿Podría medir fácilmente su separación con una cinta métrica?

**15.3 • ¡Tsunami!** El 26 de diciembre de 2004 ocurrió un gran terremoto en las costas de Sumatra, y desencadenó olas inmensas (un tsunami) que provocaron la muerte de 200,000 personas. Por medio de los satélites que observaron esas olas desde el espacio, se pudo establecer que había 800 km de la cresta de una ola a la siguiente, y que el periodo entre una y otra fue de 1.0 hora. ¿Cuál fue la rapidez de esas olas en m/s y en km/h? ¿Su respuesta le ayudaría a comprender por qué las olas causaron tal devastación?

**15.4 • BIO Imágenes por ultrasonido.** Se llama *ultrasonido* a las frecuencias por encima de la gama que puede detectar el oído humano (aproximadamente 20,000 Hz). Se pueden usar ondas de ultrasonido para penetrar en el cuerpo y producir imágenes al reflejarse en las superficies. En una exploración típica con ultrasonido, las ondas viajan a través de los tejidos del cuerpo con una rapidez de 1500 m/s. Para obtener una buena imagen detallada, la longitud de onda no debería ser mayor que 1.0 mm. ¿Qué frecuencia se requiere entonces para obtener una buena imagen?

**15.5 • BIO a) Longitudes de onda audibles.** El rango de frecuencias audibles es de 20 Hz a 20,000 Hz aproximadamente. ¿Cuál es el rango de las longitudes de onda audibles en el aire? *b)* **Luz visible.** El rango de luz visible va de 380 a 750 nm. ¿Cuál es el rango de las frecuencias visibles de la luz? *c)* **Cirugía en el cerebro.** Los cirujanos pueden eliminar tumores cerebrales usando un aspirador quirúrgico ultrasónico, que produce ondas sonoras de 23 kHz de frecuencia. ¿Cuál es la longitud de onda de esas ondas en el aire? *d)* **Sonido en el cuerpo.** ¿Cuál sería la longitud de onda del sonido del inciso *c*) en los fluidos corporales, si la rapidez del sonido es de 1480 m/s pero la frecuencia es la misma?

**15.6** • Un pescador observa que su bote se mueve periódicamente hacia arriba y hacia abajo, debido a las olas en la superficie del agua. Al bote le toma 2.5 s pasar de su punto más alto al más bajo, una distancia total de 0.53 m. El pescador nota que las crestas de las olas están separadas 4.8 m. *a)* ¿Con qué rapidez se mueven las olas? *b)* ¿Cuál es la amplitud de cada ola? *c)* Si la distancia vertical total que viaja el bote fuera de 0.30 m y los otros datos fueran los mismos, ¿cómo variarían las respuestas de los incisos *a*) y *b*)?

### Sección 15.3 Descripción matemática de una onda

**15.7** • Ciertas ondas transversales en una cuerda tienen rapidez de 8.00 m/s, amplitud de 0.0700 m y longitud de onda de 0.320 m. Las ondas viajan en la dirección  $-x$ , y en  $t = 0$  el extremo  $x = 0$  de la cuerda tiene su máximo desplazamiento hacia arriba. *a)* Calcule la frecuencia, el periodo y el número de onda de estas ondas. *b)* Escriba una función de onda que describa la onda. *c)* Calcule el desplazamiento transversal de una partícula en  $x = 0.360$  m en el instante  $t = 0.150$  s. *d)* ¿Cuánto tiempo debe pasar después de  $t = 0.150$  s para que la partícula en  $x = 0.360$  m vuelva a tener su desplazamiento máximo hacia arriba?

**15.8** • La ecuación de cierta onda transversal es

$$y(x, t) = (6.50 \text{ mm}) \cos 2\pi \left( \frac{x}{28.0 \text{ cm}} - \frac{t}{0.0360 \text{ s}} \right)$$

Determine *a)* amplitud, *b)* longitud de onda, *c)* frecuencia, *d)* rapidez de propagación y *e)* dirección de propagación de la onda.

**15.9 • CALC** ¿Cuál de las siguientes funciones de onda satisface la ecuación (15.12)? *a)*  $y(x, t) = A \cos(kx + \omega t)$ ; *b)*  $y(x, t) = A \sin(kx + \omega t)$ ; *c)*  $y(x, t) = A(\cos kx + \cos \omega t)$ . *d)* Para la onda del inciso *b*), escriba las ecuaciones de la velocidad y aceleración transversales de una partícula en el punto  $x$ .

**15.10** • Una onda de agua que viaja en línea recta en un lago queda descrita por la ecuación

$$y(x, t) = (2.75 \text{ cm}) \cos(0.410 \text{ rad/cm} x + 6.20 \text{ rad/s} t)$$

donde  $y$  es el desplazamiento perpendicular a la superficie tranquila del lago. *a)* ¿Cuánto tiempo tarda un patrón de onda completo en pasar ante un pescador en un bote anclado, y qué distancia horizontal viaja la cresta de la onda en ese tiempo? *b)* ¿Cuál es el número de onda y el número de ondas por segundo que pasan ante el pescador? *c)* ¿Qué tan rápido pasa una cresta de onda ante el pescador y cuál es la rapidez máxima de su flotador de corcho cuando la onda provoca que éste oscile verticalmente?

- 15.11** • Una onda sinusoidal se propaga por una cuerda estirada a lo largo del eje  $x$ . El desplazamiento de la cuerda en función del tiempo se grafica en la figura E15.11 para partículas en  $x = 0$  y en  $x = 0.0900\text{ m}$ .
- Calcule la amplitud de la onda.
  - Calcule el periodo de la onda.
  - Se sabe que los puntos en  $x = 0$  y  $x = 0.0900\text{ m}$  están separados una longitud de onda. Si la onda se mueve en la dirección  $+x$ , determine la longitud de onda y la rapidez de la onda.
  - Si ahora la onda se mueve en la dirección  $-x$ , determine la longitud de onda y la rapidez de la onda.
  - ¿Sería posible determinar de manera definitiva las longitudes de onda en los incisos c) y d), si no supiéramos que los dos puntos están separados una longitud de onda? ¿Por qué?

**15.12 • CALC Rapidez de propagación contra rapidez de las partículas.** a) Demuestre que la ecuación (15.3) puede escribirse como

$$y(x, t) = A \cos\left[\frac{2\pi}{\lambda}(x - vt)\right]$$

- b) Utilice  $y(x, t)$  para obtener una expresión de la velocidad transversal  $v_y$  de una partícula de la cuerda en la que viaja la onda. c) Calcule la rapidez máxima de una partícula de la cuerda. ¿En qué circunstancias esa rapidez es igual a la rapidez de propagación  $v$ ? Menor que  $v$ ? Mayor que  $v$ ?

**15.13 •** Una onda transversal que viaja en una cuerda tiene amplitud de 0.300 cm, longitud de onda de 12.0 cm y rapidez de 6.00 cm/s, y se representa mediante la  $y(x, t)$  dada en el ejercicio 15.12. a) En el tiempo  $t = 0$ , calcule  $y$  a intervalos de  $x$  de 1.5 cm (es decir, en  $x = 0, x = 1.5\text{ cm}, x = 3.0\text{ cm}$ , etcétera) desde  $x = 0$  hasta  $x = 12.0\text{ cm}$ . Presente los resultados en una gráfica. Ésta es la forma de la cuerda en el tiempo  $t = 0$ . b) Repita los cálculos para los mismos valores de  $x$  en  $t = 0.400\text{ s}$  y  $t = 0.800\text{ s}$ . Muestre gráficamente la forma de la cuerda en esos instantes. ¿En qué dirección viaja la onda?

**15.14 •** Una onda en una cuerda queda descrita por  $y(x, t) = A \cos(kx - \omega t)$ . a) Grafique  $y$ ,  $v_y$  y  $a_y$  en función de  $x$  para  $t = 0$ . b) Consideré los siguientes puntos de la cuerda: i.  $x = 0$ ; ii.  $x = \pi/4k$ ; iii.  $x = \pi/2k$ ; iv.  $x = 3\pi/4k$ ; v.  $x = \pi/k$ ; vi.  $x = 5\pi/4k$ ; vii.  $x = 3\pi/2k$ ; viii.  $x = 7\pi/4k$ . Para una partícula en cada uno de esos puntos en  $t = 0$ , describa con palabras si la partícula se está moviendo y en qué dirección, y si se está acelerando, frenando o no tiene aceleración instantánea.

#### Sección 15.4 Rapidez de una onda transversal

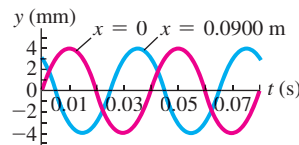
**15.15** • El extremo de una cuerda horizontal se conecta a la punta de un diapasón eléctrico que hace vibrar transversalmente la cuerda a 120 Hz. El otro extremo pasa por una polea y sostiene una masa de 1.50 kg. La densidad lineal de masa de la cuerda es de 0.0480 kg/m. a) ¿Qué rapidez tiene una onda transversal en la cuerda? b) ¿Cuál es su longitud de onda? c) ¿Cómo cambian las respuestas de los incisos a) y b), si la masa aumenta a 3.00 kg?

**15.16** • ¿Con qué tensión debe estirarse una cuerda de 2.50 m de longitud y masa de 0.120 kg, para que ondas transversales con frecuencia de 40.0 Hz tengan una longitud de onda de 0.750 m?

**15.17 •** El extremo superior de un alambre de acero de 3.80 m de longitud está sujeto al techo, y del extremo inferior se suspende un objeto de 54.0 kg. Usted observa que un pulso transversal tarda 0.0492 s en viajar de la parte inferior a la parte superior del alambre. ¿Cuál es la masa del alambre?

**15.18 •** Una cuerda de 1.50 m que pesa 0.0125 N está atada al techo por su extremo superior, mientras que el extremo inferior

Figura E15.11



sostiene un peso  $W$ . Desprecie la pequeña variación de la tensión a lo largo de la cuerda producida por el peso de ésta. Cuando usted da un leve pulso a la cuerda, las ondas que viajan hacia arriba de ésta obedecen la ecuación

$$y(x, t) = (8.50\text{ mm}) \cos(172\text{ rad/m } x - 4830\text{ rad/s } t)$$

Suponga que la tensión de la cuerda es constante e igual a  $W$ . a) ¿Cuánto tiempo tarda un pulso en recorrer toda la cuerda? b) ¿Cuál es el peso  $W$ ? c) ¿Cuántas longitudes de onda hay en la cuerda en cualquier instante? d) ¿Cuál es la ecuación para las ondas que viajan *hacia abajo* de la cuerda?

**15.19 •** Un alambre delgado de 75.0 cm tiene una masa de 16.5 g. Un extremo está sujeto a un clavo y el otro a un tornillo que puede ajustarse para variar la tensión en el alambre. a) ¿A qué tensión (en newtons) debe ajustarse el tornillo para que una onda transversal cuya longitud de onda es de 3.33 cm ejecute 625 vibraciones por segundo? b) ¿Con qué rapidez viajaría esa onda?

**15.20 •** Una cuerda pesada de 6.00 m de longitud y pesa 29.4 N; uno de sus extremos está fijo al techo y cuelga verticalmente. Una masa de 0.500 kg está suspendida del extremo inferior. Calcule la rapidez de las ondas transversales en la cuerda en a) en la parte inferior, b) en la parte media y c) en la parte superior. d) La tensión en la parte media de la cuerda es el promedio de las tensiones en la parte superior y en la parte inferior? La rapidez de onda en la parte media es el promedio de las rapideces en la parte superior e inferior? Explique.

**15.21 •** Un oscilador armónico simple en el punto  $x = 0$  genera una onda en una cuerda. El oscilador opera con una frecuencia de 40.0 Hz y una amplitud de 3.00 cm. La cuerda tiene una densidad lineal de masa de 50.0 g/m y se estira con una tensión de 5.00 N. a) Determine la rapidez de la onda. b) Calcule la longitud de onda. c) Escriba la función  $y(x, t)$  de la onda. Suponga que el oscilador tiene su desplazamiento máximo hacia arriba en el instante  $t = 0$ . d) Determine la aceleración transversal máxima de los puntos de la cuerda. e) En el análisis de las ondas transversales en este capítulo, despreciamos la fuerza de la gravedad. ¿Esa aproximación es razonable en el caso de esta onda? Explique su respuesta.

#### Sección 15.5 Energía del movimiento ondulatorio

**15.22 •** La cuerda de un piano con masa de 3.00 g y longitud de 80.0 cm se estira con una tensión de 25.0 N. Una onda con frecuencia de 120.0 Hz y amplitud de 1.6 mm viaja por la cuerda. a) Calcule la potencia media que transporta esa onda. b) ¿Qué sucede con la potencia media si la amplitud de la onda se reduce a la mitad?

**15.23 •** Un alambre horizontal se estira con una tensión de 94.0 N, y la rapidez de las ondas transversales en el alambre es de 406 m/s. ¿Cuál debe ser la amplitud de una onda viajera de 69.0 Hz de frecuencia para que la potencia media transportada sea de 0.365 W?

**15.24 •** Un alambre ligero se estira firmemente con una tensión  $F$ . Las ondas que viajan transversalmente, de amplitud  $A$  y longitud de onda  $\lambda_1$ , transportan una potencia media  $P_{\text{med},1} = 0.400\text{ W}$ . Si la longitud de onda se duplica, de modo que  $\lambda_2 = 2\lambda_1$ , mientras que la tensión  $F$  y la amplitud  $A$  no se alteran, ¿cuál es entonces la potencia media  $P_{\text{med},2}$  transportada por las ondas?

**15.25 •** Cuando despegue un avión a propulsión, produce un sonido con intensidad de  $10.0\text{ W/m}^2$  a 30.0 m de distancia. No obstante, usted prefiere el tranquilo sonido de la conversación normal, que es de  $1.0\text{ }\mu\text{W/m}^2$ . Suponga que el avión se comporta como una fuente puntual de sonido. a) ¿Cuál es la distancia mínima a la pista de aterrizaje a la que usted podría vivir para conservar su estado de paz mental? b) ¿Qué intensidad del sonido experimenta un amigo suyo, quien vive a una distancia de la pista de aterrizaje que es el doble de la distancia a la que usted vive? c) ¿Qué potencia de sonido produce el avión en el despegue?

**15.26 • Umbral de dolor.** Imagine que investiga un informe del aterrizaje de un OVNI en una región despoblada de Nuevo México, y encuentra un objeto extraño que radia ondas sonoras de manera uniforme en todas direcciones. Suponga que el sonido proviene de una fuente puntual y que puede ignorar las reflexiones. Camina lentamente hacia la fuente y cuando está a 7.5 m de ella, determina que la intensidad es de  $0.11 \text{ W/m}^2$ . Comúnmente, se considera que una intensidad de  $1.0 \text{ W/m}^2$  es el “umbral de dolor”. ¿Cuánto más podrá acercarse a la fuente, antes de que la intensidad del sonido alcance ese umbral?

**15.27 • Energía de salida.** Usando mediciones determina que se están propagando ondas sonoras igualmente en todas direcciones desde una fuente puntual y que la intensidad es de  $0.026 \text{ W/m}^2$  a una distancia de 4.3 m de la fuente. *a)* Calcule la intensidad a una distancia de 3.1 m de la fuente. *b)* ¿Cuánta energía sonora emite la fuente en una hora, si su emisión se mantiene constante?

**15.28 •** Un compañero con dotes matemáticas le dice que la función de onda de una onda que viaja en una cuerda delgada es  $y(x, t) = 2.30 \text{ mm} \cos[(6.98 \text{ rad/m})x + (742 \text{ rad/s})t]$ . Usted, que es más práctico, efectúa mediciones y determina que la cuerda tiene una longitud de 1.35 m y una masa de 0.00338 kg. Ahora le piden determinar lo siguiente: *a)* amplitud, *b)* frecuencia, *c)* longitud de onda, *d)* rapidez de la onda, *e)* dirección en que viaja la onda, *f)* tensión en la cuerda, y *g)* potencia media transmitida por la onda.

**15.29 •** A una distancia de  $7.00 \times 10^{12} \text{ m}$  de una estrella, la intensidad de su radiación es de  $15.4 \text{ W/m}^2$ . Suponiendo que la estrella irradia de manera uniforme en todas direcciones, ¿cuál es la potencia total de salida de la estrella?

## Sección 15.6 Interferencia de ondas, condiciones de frontera y superposición

**15.30 • Reflexión.** Un pulso de onda en una cuerda tiene las dimensiones que se muestran en la figura E15.30 en  $t = 0$ . La rapidez de la onda es de 40 cm/s. *a)* Si el punto  $O$  es el extremo fijo, dibuje la onda completa en  $t = 15 \text{ ms}, 20 \text{ ms}, 25 \text{ ms}, 30 \text{ ms}, 35 \text{ ms}, 40 \text{ ms}$  y  $45 \text{ ms}$ .

*b)* Repita el inciso *a)* para el caso en que  $O$  es el extremo libre.

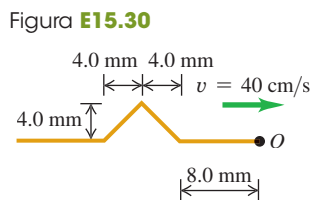


Figura E15.30

**15.31 • Reflexión.** Un pulso ondulatorio en una cuerda tiene las dimensiones que se indican en la figura E15.31 en  $t = 0$ . La rapidez de la onda es de 5.0 m/s. *a)* Si el punto  $O$  es el extremo fijo, dibuje la onda completa en  $t = 1.0 \text{ ms}, 2.0 \text{ ms}, 3.0 \text{ ms}, 4.0 \text{ ms}, 5.0 \text{ ms}, 6.0 \text{ ms}$  y  $7.0 \text{ ms}$ . *b)* Repita el inciso *a)* para el caso en que el punto  $O$  es el extremo libre.

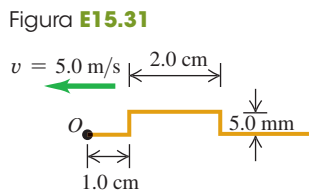


Figura E15.31

**15.32 • Interferencia de pulsos triangulares.** Dos pulsos ondulatorios triangulares viajan uno hacia el otro por una cuerda estirada, como se ilustra en la figura E15.32. Los pulsos son idénticos y viajan a 2.00 cm/s. Los bordes delanteros de los pulsos están separados 1.00 cm en  $t = 0$ . Dibuje la forma de la cuerda en  $t = 0.250 \text{ s}, t = 0.500 \text{ s}, t = 0.750 \text{ s}, t = 1.000 \text{ s}$  y  $t = 1.250 \text{ s}$ .

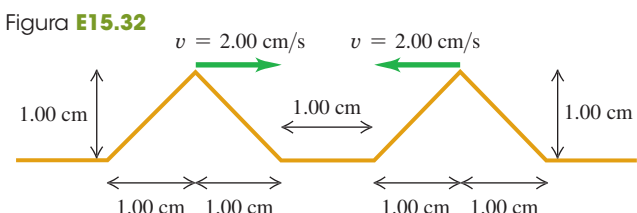


Figura E15.32

**15.33 •** Suponga que el pulso que viaja hacia la izquierda en el ejercicio 15.32 está por *debajo* del nivel de la cuerda sin estirar y no por encima. Trace los dibujos que realizó en ese ejercicio, pero considerando esta variante.

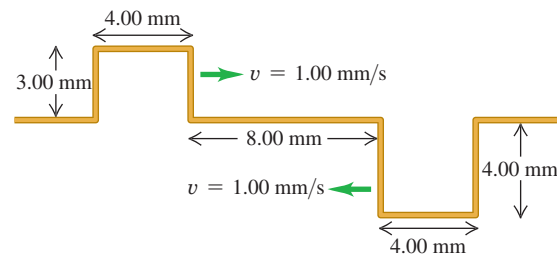
**15.34 •** Dos pulsos se desplazan en sentidos opuestos a 1.0 cm/s en una cuerda tensada, como se ilustra en la figura E15.34. Cada cuadro representa 1.0 cm. Dibuje la forma de la cuerda al final de *a)* 6.0 s, *b)* 7.0 s, *c)* 8.0 s.

Figura E15.34



**15.35 • Interferencia de pulsos rectangulares.** La figura E15.35 muestra dos pulsos ondulatorios rectangulares en una cuerda estirada, que viajan uno hacia el otro. Su rapidez es de 1.00 mm/s, y su altura y ancho se indican en la figura. Los bordes delanteros de los pulsos están separados 8.00 mm en  $t = 0$ . Dibuje la forma de la cuerda en  $t = 4.00 \text{ s}, t = 6.00 \text{ s}$  y  $t = 10.0 \text{ s}$ .

Figura E15.35



## Sección 15.7 Ondas estacionarias en una cuerda

### Sección 15.8 Modos normales de una cuerda

**15.36 • CALC** Los antinodos adyacentes de una onda estacionaria en una cuerda están separados 15.0 cm. Una partícula en un antinodo oscila con movimiento armónico simple con amplitud igual a 0.850 cm y periodo de 0.0750 s. La cuerda está en el eje  $+x$ , fija en  $x = 0$ . *a)* ¿Qué tan separados están los nodos adyacentes? *b)* ¿Cuáles son la longitud de onda, la amplitud y la rapidez de las dos ondas viajeras que forman este patrón? *c)* Calcule las rapideces transversales máxima y mínima de un punto en un antinodo. *d)* ¿Cuál es la distancia mínima en la cuerda entre un nodo y un antinodo?

**15.37 •** Las ondas estacionarias en un alambre se describen con la ecuación (15.28), con  $A_{OE} = 2.50 \text{ mm}$ ,  $\omega = 942 \text{ rad/s}$  y  $k = 0.750\pi \text{ rad/m}$ . El extremo izquierdo del alambre está en  $x = 0$ . *a)* A qué distancias de ese extremo están *a)* los nodos y *b)* los antinodos de la onda estacionaria?

**15.38 •** Una cuerda de 1.50 m de largo se estira entre dos soportes con una tensión que hace que la rapidez de las ondas transversales sea de 62.0 m/s. ¿Cuáles son la longitud de onda y la frecuencia *a)* fundamental, *b)* del segundo sobretono y *c)* del cuarto armónico?

**15.39 •** Un alambre con masa de 40.0 g está estirado de modo que sus extremos se encuentran fijos en puntos separados 80.0 cm. El alambre vibra en su modo fundamental con frecuencia de 60.0 Hz y amplitud en los antinodos de 0.300 cm. *a)* Calcule la rapidez de propagación de las ondas transversales en el alambre. *b)* Calcule la tensión en el alambre. *c)* Determine la velocidad y aceleración transversales máximas de las partículas del alambre.

**15.40** • Un afinador de pianos estira la cuerda de acero de un piano, con una tensión de 800 N. La cuerda tiene 0.400 m de longitud y una masa de 3.00 g. *a)* Calcule la frecuencia de su modo fundamental de vibración. *b)* Determine el número del armónico más alto que podría escuchar una persona capaz de oír frecuencias de hasta 10,000 Hz.

**15.41** • **CALC** La forma de una cuerda delgada tensa sujetada por ambos extremos y que oscila en su tercer armónico se describe con la ecuación  $y(x, t) = (5.60 \text{ cm}) \operatorname{sen}[(0.0340 \text{ rad/cm})x] \operatorname{sen}[(50.0 \text{ rad/s})t]$ , donde el origen está en el extremo izquierdo de la cuerda, el eje  $x$  está a lo largo de la cuerda y el eje  $y$  es perpendicular a ésta. *a)* Dibuje el patrón de onda estacionaria. *b)* Calcule la amplitud de las dos ondas viajeras que forman esta onda estacionaria. *c)* ¿Qué longitud tiene la cuerda? *d)* Calcule la longitud de onda, la frecuencia, el periodo y la rapidez de las ondas viajeras. *e)* Calcule la rapidez transversal máxima de un punto de la cuerda. *f)* ¿Qué ecuación  $y(x, t)$  tendría esta cuerda si vibrara en su octavo armónico?

**15.42** • La función de onda de una onda estacionaria es  $y(x, t) = 4.44 \text{ mm} \operatorname{sen}[(32.5 \text{ rad/m})x] \operatorname{sen}[(754 \text{ rad/s})t]$ . Para las dos ondas viajeras que forman esta onda estacionaria, determine *a)* la amplitud, *b)* la longitud de onda, *c)* la frecuencia, *d)* la rapidez y *e)* las funciones de onda. *f)* Con la información dada, ¿puede determinar de qué armónico se trata? Explique su respuesta.

**15.43** • **Ondas en una vara.** Una vara flexible de 2.0 m de longitud no está fija de ningún modo y está libre para vibrar. Elabore dibujos claros de esta vara cuando vibra en sus primeros tres armónicos y, luego, utilice sus dibujos para determinar las longitudes de onda de cada uno de estos armónicos. (Sugerencia: Pregúntese si los extremos deben ser nodos o antinodos).

**15.44** • La cuerda de cierto instrumento musical mide 75.0 cm de longitud y tiene una masa de 8.75 g. Se utiliza en una habitación donde la rapidez del sonido es de 344 m/s. *a)* ¿A qué tensión debe ajustarse la cuerda de manera que, cuando vibre en su segundo sobretono, produzca un sonido cuya longitud de onda sea de 0.765 m? (Suponga que el esfuerzo de rotura de la cuerda es muy grande y no se rebasa). *b)* ¿Qué frecuencia de sonido produce la cuerda en su modo fundamental de vibración?

**15.45** • La parte de una cuerda de cierto instrumento musical que está entre el puente y el extremo superior del dedo en el tablero (es decir, la parte que puede vibrar libremente) mide 60.0 cm y tiene una masa de 2.00 g. La cuerda produce una nota la (identificada como A<sub>4</sub>, 440 Hz) al tocarse. *a)* ¿A qué distancia  $x$  del puente debe una ejecutante poner un dedo para tocar una nota re (D<sub>5</sub>, 587 Hz)? (Vea la figura E15.45). En ambos casos, la cuerda vibra en su modo fundamental. *b)* Sin afinar de nuevo, ¿es posible tocar una nota sol (G<sub>4</sub>, 392 Hz) en esta cuerda? ¿Por qué?

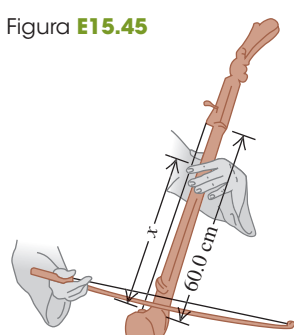


Figura E15.45

**15.46** • *a)* Una cuerda horizontal atada en ambos extremos vibra en su modo fundamental. Las ondas viajeras tienen rapidez  $v$ , frecuencia  $f$ , amplitud  $A$  y longitud de onda  $\lambda$ . Calcule la velocidad y la aceleración transversales máximas de puntos situados en **i.**  $x = \lambda/2$ , **ii.**  $x = \lambda/4$  y **iii.**  $x = \lambda/8$  con respecto al extremo izquierdo de la cuerda. *b)* En cada uno de los puntos del inciso *a*), ¿qué amplitud tiene el movimiento? *c)* En cada uno de los puntos del inciso *a*), ¿cuánto tarda la cuerda en ir desde su desplazamiento máximo hacia arriba hasta su desplazamiento máximo hacia abajo?

**15.47** • **Cuerda de guitarra.** Una de las cuerdas de 63.5 cm de una guitarra normal se afina para producir la nota si (B<sub>3</sub>, frecuencia

de 245 Hz) vibrando en su modo fundamental. *a)* Calcule la rapidez de las ondas transversales en esta cuerda. *b)* Si la tensión de la cuerda se aumenta en 1.0%, ¿cuál será su nueva frecuencia fundamental? *c)* Si la rapidez del sonido en el aire circundante es de 344 m/s, calcule la frecuencia y la longitud de onda de la onda sonora producida en el aire por la vibración de la cuerda en el tono si (B<sub>3</sub>). Compárelas con la frecuencia y la longitud de onda de la onda estacionaria en la cuerda.

## PROBLEMAS

**15.48** • La onda transversal de una onda que viaja por una cuerda está dada por

$$y(x, t) = (0.750 \text{ cm}) \cos \pi [(0.400 \text{ cm}^{-1})x + (250 \text{ s}^{-1})t]$$

*a)* Calcule la amplitud, el periodo, la frecuencia, la longitud de onda y la rapidez de propagación. *b)* Dibuje la forma de la cuerda en los siguientes valores de  $t$ : 0, 0.0005 s y 0.0010 s. *c)* ¿La onda viaja en la dirección  $+x$  o  $-x$ ? *d)* La masa por unidad de longitud de la cuerda es de 0.0500 kg/m. Calcule la tensión. *e)* Determine la potencia media de esta onda.

**15.49** • **CALC** Una onda sinusoidal transversal con amplitud de 2.50 mm y longitud de onda de 1.80 m viaja de izquierda a derecha por una cuerda horizontal larga y estirada, con una rapidez de 36.0 m/s. Tome como origen el extremo izquierdo de la cuerda no perturbada. En  $t = 0$  el extremo izquierdo de la cuerda tiene su desplazamiento máximo hacia arriba. *a)* Calcule la frecuencia, la frecuencia angular y el número de onda. *b)* ¿Qué función  $y(x, t)$  describe la onda? *c)* Determine  $y(t)$  para una partícula en el extremo izquierdo de la cuerda. *d)* Determine  $y(t)$  para una partícula situada 1.35 m a la derecha del origen. *e)* Calcule la magnitud máxima de la velocidad transversal de cualquier partícula de la cuerda. *f)* Calcule el desplazamiento transversal y la velocidad transversal de una partícula que está 1.35 m a la derecha del origen en  $t = 0.0625$  s.

**15.50** • **PA** Una viga irregular de 1750 N cuelga horizontalmente del techo sujetada por sus extremos mediante dos alambres verticales (*A* y *B*), cada uno de los cuales mide 1.25 m de longitud y pesa 0.290 N. El centro de gravedad de la viga está a un tercio de la viga a partir del extremo donde el alambre *A* está atado. Si usted da un tirón a ambas cuerdas que sujetan la viga al mismo tiempo, ¿cuál es la diferencia entre las llegadas de los dos pulsos al techo? ¿Qué pulso llega primero? (Ignore el efecto del peso de los alambres sobre la tensión en ellos).

**15.51** • Tres trozos de cuerda, cada una con longitud  $L$ , se atan extremo con extremo para formar una cuerda combinada de longitud  $3L$ . La masa por unidad de longitud de los tres trozos es, respectivamente,  $\mu_1, \mu_2 = 4\mu_1$  y  $\mu_3 = \mu_1/4$ . *a)* Si la cuerda combinada tiene una tensión  $F$ , ¿cuánto tiempo tarda una onda transversal en recorrer la longitud total  $3L$ ? Dé su respuesta en términos de  $L, F$  y  $\mu_1$ . *b)* ¿Su respuesta al inciso *a*) depende del orden en que se unieron las tres cuerdas? Explique su respuesta.

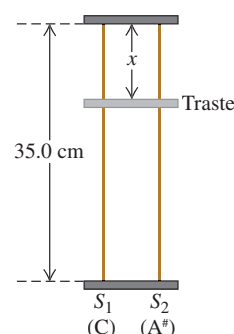
**15.52** • **Hormiga en ingrávida.** Una hormiga con masa  $m$  está parada tranquilamente sobre una cuerda horizontal con masa por unidad de longitud  $\mu$  y estirada mediante una tensión  $F$ . Repentinamente, su primo Throckmorton comienza a propagar por la cuerda una onda sinusoidal transversal con longitud de onda  $\lambda$ . El movimiento de la cuerda es en un plano vertical. ¿Qué amplitud mínima de la onda hará que la hormiga momentáneamente no tenga peso? Suponga que  $m$  es tan pequeña que la presencia de la hormiga no afecta la propagación de la onda.

**15.53** • Usted debe determinar la longitud de un alambre delgado y largo, que está suspendido del techo del vestíbulo de un edificio

alto. Una pieza de alambre de 2.00 cm de longitud sobró de la instalación. Utilizando una báscula analítica, encuentra que la masa de la pieza que sobró es de  $14.5 \mu\text{g}$ . Entonces, usted coloca una masa de 0.400 kg en el extremo inferior del alambre largo suspendido. Cuando envía un pulso de onda transversal de pequeña amplitud al alambre, los sensores en ambos extremos miden que el pulso de onda tarda 26.7 ms en recorrer la longitud del alambre. *a)* Use estas mediciones para calcular la longitud del alambre. Suponga que el peso del alambre no tiene efecto sobre la rapidez de las ondas transversales. *b)* Analice la exactitud de la aproximación que se hace en el inciso *a*.

**15.54 •• Música.** Imagine que diseña un instrumento de dos cuerdas con dos cuerdas metálicas de 35.0 cm de longitud, como se ilustra en la figura P15.54. Ambas cuerdas están bajo la misma tensión. La cuerda  $S_1$  tiene una masa de 8.00 g y produce la nota do central (frecuencia de 262 Hz) en su modo fundamental. *a)* ¿Cuál debería ser la tensión en la cuerda? *b)* ¿Cuál debería ser la masa en la cuerda  $S_2$  de modo que produzca un la sostenido (frecuencia de 466 Hz) como su frecuencia fundamental? *c)* Para ampliar el rango de su instrumento, incluye un traste ubicado exactamente bajo las cuerdas pero sin tocarlas. ¿A qué distancia del extremo superior debería colocar el traste, de modo que cuando presione  $S_1$  firmemente contra él, esta cuerda produzca un do sostenido (frecuencia de 277 Hz) en su fundamental? Es decir, ¿cuál es  $x$  en la figura? *d)* Si usted presiona  $S_2$  contra el traste, ¿qué frecuencia de sonido producirá en su fundamental?

Figura P15.54



**15.55 •• PA** Un alambre de 5.00 m y 0.732 kg se utiliza para sostener dos postes uniformes de 235 N de igual longitud (figura P15.55). Suponga que, en esencia, el alambre es horizontal y que la rapidez del sonido es de 344 m/s. Está soplando un fuerte viento, lo cual provoca que el alambre vibre en su quinto sobretono. ¿Cuáles son la frecuencia y la longitud de onda del sonido que produce el alambre?

**15.56 •• PA** Usted está explorando un planeta descubierto recientemente. El radio del planeta es de  $7.20 \times 10^7$  m. Usted sostiene una pesa de plomo del extremo inferior de una cuerda ligera de 4.00 m de longitud y masa de 0.0280 kg. Luego determina que un pulso transversal tarda 0.0685 s en viajar del extremo inferior al extremo superior de la cuerda. En la Tierra, para la misma cuerda y la misma pesa, un pulso transversal tarda 0.0390 s en recorrer la longitud de la cuerda. El peso de la cuerda es tan pequeño que se puede ignorar su efecto sobre la tensión de la cuerda. Suponiendo que la masa del planeta tiene simetría esférica, ¿cuál es su masa?

**15.57 ••** En una cuerda estirada entre dos soportes, dos frecuencias sucesivas de ondas estacionarias son de 525 Hz y 630 Hz. También hay otras frecuencias de ondas estacionarias menores de 525 Hz y mayores de 630 Hz. Si la rapidez de las ondas transversales de la cuerda es de 384 m/s, ¿cuál es la longitud de la cuerda? Suponga que la masa de la cuerda es lo suficientemente pequeña que se puede ignorar su efecto sobre la tensión de la cuerda.

**15.58 ••** Una cuerda de 0.800 m de longitud con una densidad lineal de masa  $\mu = 7.50 \text{ g/m}$  se estira entre dos soportes. La cuerda tiene una tensión  $F$  y un patrón de onda estacionaria (no es la

fundamental) de 624 Hz. Con la misma tensión, la siguiente onda estacionaria mayor tiene una frecuencia de 780 Hz. *a)* Para esta cuerda, determine la frecuencia y la longitud de onda de la onda estacionaria fundamental. *b)* Calcule el valor de  $F$ .

**15.59 •• PA** Una barra uniforme de 1.80 m de longitud que pesa 638 N está suspendida en posición horizontal por dos alambres verticales sujetos al techo. Un alambre es de aluminio y el otro es de cobre. El alambre de aluminio está sujeto al extremo izquierdo de la barra, y el de cobre está sujeto a 0.40 m a la izquierda del extremo derecho. Cada alambre tiene una longitud de 0.600 m y una sección transversal circular con radio de 0.280 mm. ¿Cuál es la frecuencia fundamental de las ondas estacionarias transversales en cada alambre?

**15.60 ••** Se produce una sucesión continua de pulsos ondulatorios sinusoidales en un extremo de una cuerda muy larga, y los pulsos viajan a lo largo de ésta. La onda tiene una frecuencia de 70.0 Hz, amplitud de 5.00 mm y longitud de onda de 0.600 m. *a)* ¿Cuánto tarda la onda en recorrer una distancia de 8.00 m a lo largo de la cuerda? *b)* ¿Cuánto tarda un punto de la cuerda en recorrer una distancia de 8.00 m, una vez que el tren de ondas ha llegado al punto y lo ha puesto en movimiento? *c)* En los incisos *a* y *b*, ¿cómo cambia el tiempo si se duplica la amplitud?

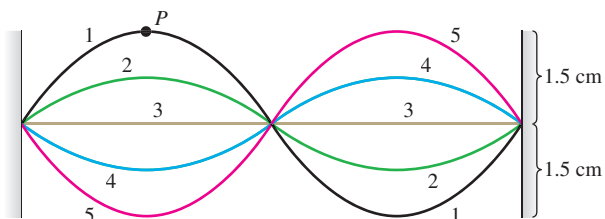
**15.61 ••** Un alambre horizontal se ata a dos soportes y vibra en su segundo sobretono de onda estacionaria. La tensión en el alambre es de 5.00 N, y la distancia de nodo a nodo de la onda estacionaria es de 6.28 cm. *a)* ¿Cuál es la longitud del alambre? *b)* Un punto en el antinodo de la onda estacionaria en el alambre viaja desde su máximo desplazamiento hacia arriba hasta su máximo desplazamiento hacia abajo en 8.40 ms. ¿Cuál es la masa del alambre?

**15.62 •• PA** Un alambre de cobre vertical, de 1.20 m de largo y de calibre 18 (diámetro de 1.024 mm), tiene atada una esfera de 100.0 N. *a)* ¿Cuál es la longitud de onda del tercer armónico para este alambre? *b)* Ahora una esfera de 500.0 N sustituye la esfera original. ¿Cuál es el cambio en la longitud de onda del tercer armónico provocado por la sustitución de la esfera ligera por la más pesada? (Sugerencia: Vea la tabla 11.1 sobre el módulo de Young).

**15.63 ••** Una onda sinusoidal transversal viaja por una cuerda con longitud de 8.00 m y masa de 6.00 g. Su rapidez es de 30.0 m/s y su longitud de onda es de 0.200 m. *a)* ¿Qué amplitud debe tener la onda para que su potencia media sea de 50.0 W? *b)* En esa misma cuerda, si la amplitud y la longitud de onda son las del inciso *a*, ¿qué potencia media tendrá la onda si la tensión se aumenta de modo que la rapidez de la onda sea el doble?

**15.64 ••** Una cuerda de 50.0 cm de longitud vibra sometida a una tensión de 1.00 N. La figura P15.64 muestra cinco imágenes estroboscópicas sucesivas de la cuerda. La lámpara produce 5000 destellos por minuto y las observaciones revelan que el desplazamiento máximo se dio en los destellos 1 y 5, sin otros máximos intermedios. *a)* Calcule el periodo, la frecuencia y la longitud de onda de las ondas que viajan por esta cuerda. *b)* ¿En qué modo normal (armónico) vibra la cuerda? *c)* Calcule la rapidez de las ondas viajeras en la cuerda. *d)* ¿Con qué rapidez se está moviendo el punto  $P$  cuando la cuerda está en *i.* la posición 1 y *ii.* la posición 3? *e)* Calcule la masa de la cuerda.

Figura P15.64



**15.65 • Nodos en el tendedero.** El primo Throckmorton está jugando otra vez con la cuerda del tendedero del ejemplo 15.2 (sección 15.3). Un extremo está sujeto a un poste vertical. Morton sostiene holgadamente con la mano el otro extremo y produce ondas relativamente lentas, de  $0.720 \text{ m/s}$ , en la cuerda. Él encuentra varias frecuencias con las que puede oscilar el extremo de la cuerda, de modo que una pinza ligera que está a  $45.0 \text{ cm}$  del poste no se mueva. Determine esas frecuencias.

**15.66 •• Una cuerda fuerte** con masa de  $3.00 \text{ g}$  y longitud de  $2.20 \text{ m}$  se fija a soportes en cada extremo y se hace vibrar en su modo fundamental. La rapidez máxima transversal en un punto a la mitad de la cuerda es de  $9.00 \text{ m/s}$ . La tensión en la cuerda es de  $330 \text{ N}$ . *a)* ¿Cuál es la amplitud de la onda estacionaria en su antinodo? *b)* ¿Cuál es la magnitud de la aceleración transversal máxima de un punto en el antinodo?

**15.67 •• Una cuerda delgada** de  $2.50 \text{ m}$  de longitud se estira y tiene una tensión entre sus dos soportes de  $90.0 \text{ N}$ . Cuando la cuerda vibra en su primer sobretono, un punto en un antinodo de la onda estacionaria en la cuerda tiene una amplitud de  $3.50 \text{ cm}$  y una rapidez transversal máxima de  $28.0 \text{ m/s}$ . *a)* ¿Cuál es la masa de la cuerda? *b)* ¿Cuál es la magnitud de la aceleración transversal máxima de este punto en la cuerda?

**15.68 ••• CALC** Una cuerda de guitarra vibra en su modo fundamental, con nodos en sus extremos. La longitud del segmento de cuerda que vibra libremente es de  $0.386 \text{ m}$ . La aceleración transversal máxima de un punto a la mitad del segmento es de  $8.40 \times 10^3 \text{ m/s}^2$ , y la velocidad transversal máxima es de  $3.80 \text{ m/s}$ . *a)* Calcule la amplitud de esta onda estacionaria. *b)* ¿Qué rapidez tienen las ondas viajeras transversales en esta cuerda?

**15.69 ••• Un alambre de acero,** uniforme y cilíndrico, de  $55.0 \text{ cm}$  de largo y  $1.14 \text{ mm}$  de diámetro, está fijo por ambos extremos. ¿A qué tensión debe ajustarse de manera que, cuando vibre en su primer sobretono, produzca la nota *re* sostenido cuya frecuencia es de  $311 \text{ Hz}$ ? Suponga que el alambre se estira una cantidad insignificante. (*Sugerencia:* Vea la tabla 12.1).

**15.70 •• Una cuerda** con ambos extremos fijos está vibrando en su tercer armónico. Las ondas tienen una rapidez de  $192 \text{ m/s}$  y una frecuencia de  $240 \text{ Hz}$ . La amplitud de la onda estacionaria en un antinodo es de  $0.400 \text{ cm}$ . *a)* Calcule la amplitud del movimiento de los puntos de la cuerda a una distancia de **i.**  $40.0 \text{ cm}$ ; **ii.**  $20.0 \text{ cm}$ ; y **iii.**  $10.0 \text{ cm}$  del extremo izquierdo de la cuerda. *b)* En cada uno de los puntos del inciso *a*), ¿cuánto tiempo tarda la cuerda en ir de su mayor desplazamiento hacia arriba, hasta su mayor desplazamiento hacia abajo? *c)* Calcule la velocidad y la aceleración transversales máximas de la cuerda en cada uno de los puntos del inciso *a*).

**15.71 •• PA** Una gran roca que pesa  $164.0 \text{ N}$  está suspendida del extremo inferior de un alambre delgado de  $3.00 \text{ m}$  de longitud. La densidad de la roca es de  $3200 \text{ kg/m}^3$ . La masa del alambre es lo suficientemente pequeña para ignorar su efecto sobre la tensión en el alambre. El extremo superior del alambre está fijo. Cuando la roca se encuentra en el aire, la frecuencia fundamental de las ondas estacionarias transversales en el alambre es de  $42.0 \text{ Hz}$ . Cuando la roca está completamente sumergida en un líquido, con la parte superior justo debajo de la superficie, la frecuencia fundamental del alambre es de  $28.0 \text{ Hz}$ . ¿Cuál es la densidad del líquido?

**15.72 • Resistencia al esfuerzo.** Un hilo o una cuerda se rompen si se someten a un esfuerzo de tensión excesivo [ecuación (11.8)]. Las cuerdas más gruesas pueden resistir una mayor tensión sin romperse ya que, cuanto mayor sea el grosor, mayor será el área transversal y menor será el esfuerzo. Un tipo de acero tiene densidad de  $7800 \text{ kg/m}^3$  y se rompe si el esfuerzo de tensión excede  $7.0 \times 10^8 \text{ N/m}^2$ .

Se desea hacer una cuerda para guitarra con  $4.0 \text{ g}$  de este tipo de acero. En uso, la cuerda debe soportar una tensión de  $900 \text{ N}$  sin romperse. *a)* Determine la longitud máxima y el radio mínimo que puede tener la cuerda. *b)* Calcule la frecuencia fundamental posible más alta de las ondas estacionarias en esta cuerda, si la longitud total de la cuerda está libre para vibrar.

**15.73 •• Afinación de un instrumento.** Un músico afina la cuerda correspondiente al *do* de su instrumento a una frecuencia fundamental de  $65.4 \text{ Hz}$ . La parte vibrante de la cuerda tiene una longitud de  $0.600 \text{ m}$  y una masa de  $14.4 \text{ g}$ . *a)* ¿Con qué tensión debe estirarse? *b)* ¿Qué porcentaje se debe aumentar la tensión para elevar la frecuencia de  $65.4 \text{ Hz}$  a  $73.4 \text{ Hz}$ , correspondiente a un aumento de tono de *do* a *re*?

**15.74 •• DATOS** *Longitud de la escala* es la longitud de la parte de la cuerda de una guitarra que puede vibrar. Un valor estándar de la longitud de la escala para una guitarra acústica es  $25.5 \text{ pulgadas}$ . La frecuencia de la onda estacionaria fundamental en una cuerda se determina con la longitud de la longitud de la escala, la tensión y la densidad lineal de masa. En la siguiente tabla se indican las frecuencias estándar *f* para afinar una guitarra de seis cuerdas:

Cuerda	E2	A2	D3	G3	B3	E4
<i>f</i> (Hz)	82.4	110.0	146.8	196.0	246.9	329.6

Suponga que un valor típico de tensión de un cuerda de guitarra es  $78.0 \text{ N}$  (aunque la tensión varía para diferentes cuerdas). *a)* Calcule la densidad lineal de masa *μ* (en  $\text{g/cm}$ ) para las cuerdas E2, G3 y E4. *b)* Justo antes de que el grupo musical comience a tocar, se rompe la cuerda G3 y el único reemplazo que se tiene es una E2. Si las cuerdas tienen las densidades lineales de masa calculadas en el inciso *a*), ¿cuál debe ser la tensión en la cuerda reemplazada para llevar su frecuencia fundamental al valor de la de G3 de  $196.0 \text{ Hz}$ ?

**15.75 •• DATOS** En el laboratorio de física, se coloca un oscilador a un extremo de una cuerda horizontal. El otro extremo de la cuerda pasa sobre una polea sin fricción. Se coloca una masa *M* al extremo libre de la cuerda, produciendo en ésta una tensión *Mg*. El oscilador produce ondas transversales de frecuencia *f* en la cuerda. No se cambia esta frecuencia durante el experimento, pero se intenta con cuerdas con tres diferentes densidades lineales de masa *μ*. En el experimento se mantiene una distancia fija entre el extremo de la cuerda donde está unido el oscilador y el punto donde la cuerda está en contacto con el borde de la polea. Para producir ondas estacionarias en la cuerda, usted varía *M* y mide la distancia *d* de nodo a nodo para cada patrón de onda estacionaria y obtiene los siguientes datos:

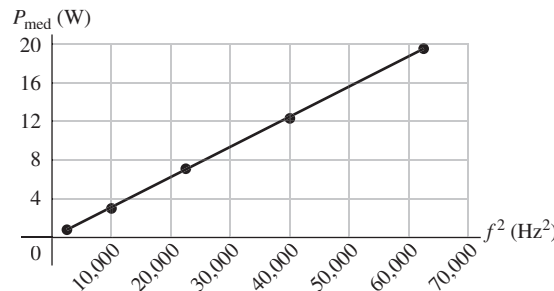
Cuerda	A	A	B	B	C
<i>μ</i> (g/cm)	0.0260	0.0260	0.0374	0.0374	0.0482
<i>M</i> (g)	559	249	365	207	262
<i>d</i> (cm)	48.1	31.9	32.0	24.2	23.8

*a)* Explique por qué sólo se obtuvieron ciertos valores de *d*. *b)* Grafique  $\mu d^2$  (en  $\text{kg} \cdot \text{m}$ ) contra *M* (en kg). Explique por qué los datos graficados de esta forma deberían caer cerca de una línea recta. *c)* Use la pendiente de la recta de mejor ajuste para los datos con la finalidad de determinar la frecuencia *f* de las ondas producidas en la cuerda por el oscilador. Tome  $g = 9.80 \text{ m/s}^2$ . *d)* Para la cuerda A ( $\mu = 0.0260 \text{ g/cm}$ ), ¿qué valor de *M* (en gramos) se requiere para producir una onda estacionaria con una distancia de nodo a nodo de  $24.0 \text{ cm}$ ? Use el valor de *f* que calculó en el inciso *c*).

**15.76 •• DATOS** Usted está midiendo la dependencia de la frecuencia de la potencia media *P<sub>prom</sub>* transmitida por ondas viajeras en un alambre. En su experimento, utiliza un alambre con densidad lineal

de masa de  $3.5 \text{ g/m}$ . Para una onda transversal en el alambre con amplitud de  $4.0 \text{ mm}$ , usted mide  $P_{\text{med}}$  (en watts) como una función de la frecuencia  $f$  de la onda (en Hz). Usted elige graficar  $P_{\text{med}}$  como una función de  $f^2$  (**figura P15.76**). a) Explique por qué los valores de  $P_{\text{med}}$  contra  $f^2$  deberían ajustarse muy bien a una línea recta. b) Use la pendiente de la línea recta con los datos mostrados en la figura P15.76 para calcular la rapidez de las ondas. c) ¿Qué frecuencia angular  $\omega$  daría por resultado  $P_{\text{med}} = 10.0 \text{ W}$ ?

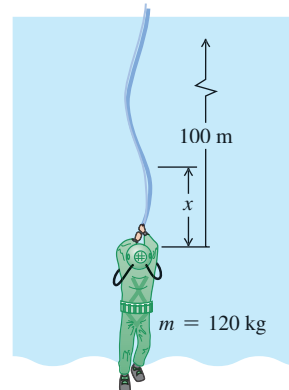
Figura P15.76



### PROBLEMA DE DESAFÍO

**15.77 ... PA CALC** Un buzo está suspendido bajo la superficie del lago Loch Ness por un cable de  $100 \text{ m}$  conectado a un bote en la superficie (**figura P15.77**). El buzo y su traje tienen una masa total de  $120 \text{ kg}$  y un volumen de  $0.0800 \text{ m}^3$ . El cable tiene un diámetro de  $2.00 \text{ cm}$  y una densidad lineal de masa  $\mu = 1.10 \text{ kg/m}$ . El buzo cree ver algo que se mueve en las profundidades turbias y tira del extremo del cable horizontalmente para enviar ondas transversales por el cable, como señal para sus compañeros en el bote. a) Calcule la tensión en el cable en el extremo inferior, en el punto donde está conectado al buzo. No olvide incluir la fuerza de flotación que el agua (densidad de  $1000 \text{ kg/m}^3$ ) ejerce sobre él. b) Calcule la tensión en el cable a una distancia  $x$  arriba del buzo, incluyendo en el cálculo la fuerza de flotación sobre el cable. c) La rapidez de las ondas transversales en el cable está dada por  $v = \sqrt{F/\mu}$  (ecuación 15.14). Por lo tanto, la rapidez varía a lo largo del cable, ya que la tensión no es constante. (Esta expresión no considera la fuerza de amortiguación que el agua ejerce sobre el cable en movimiento). Integre para obtener el tiempo requerido para que la primera señal llegue a la superficie.

Figura P15.77

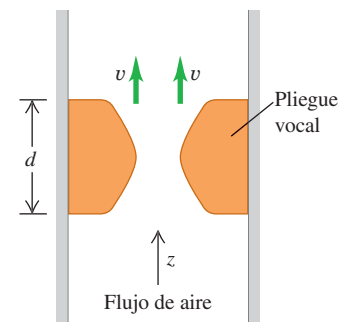


sus compañeros en el bote. a) Calcule la tensión en el cable en el extremo inferior, en el punto donde está conectado al buzo. No olvide incluir la fuerza de flotación que el agua (densidad de  $1000 \text{ kg/m}^3$ ) ejerce sobre él. b) Calcule la tensión en el cable a una distancia  $x$  arriba del buzo, incluyendo en el cálculo la fuerza de flotación sobre el cable. c) La rapidez de las ondas transversales en el cable está dada por  $v = \sqrt{F/\mu}$  (ecuación 15.14). Por lo tanto, la rapidez varía a lo largo del cable, ya que la tensión no es constante. (Esta expresión no considera la fuerza de amortiguación que el agua ejerce sobre el cable en movimiento). Integre para obtener el tiempo requerido para que la primera señal llegue a la superficie.

### PROBLEMAS DE TRANSICIÓN

#### BIO ONDAS SOBRE PLIEGUES VOCALES

En la laringe, el sonido se produce por la vibración de los pliegues vocales, también conocidos como “cuerdas vocales”. En la siguiente figura se muestra la sección transversal del tracto vocal en cierto instante. El aire fluye hacia arriba (en la dirección  $+z$ ) a través del tracto vocal, lo que ocasiona que la onda se propague verticalmente hacia arriba a lo largo de la superficie de los pliegues vocales. En un hombre adulto promedio, el espesor de los pliegues vocales en la dirección del flujo de aire es  $d = 2.0 \text{ mm}$ . Con ayuda de fotografía de alta velocidad se sabe que para una frecuencia de vibración de  $f = 125 \text{ Hz}$ , la onda a lo largo de la superficie de los pliegues vocales viaja hacia arriba con una rapidez  $v = 375 \text{ cm/s}$ . Use  $t$  para denotar el tiempo,  $z$  para el desplazamiento en la dirección  $+z$  y  $\lambda$  para la longitud de onda.

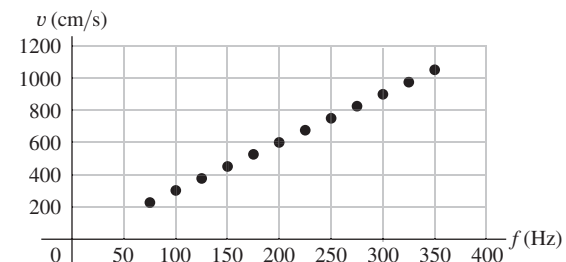


**15.78** ¿Cuál es la longitud de onda de la onda que viaja en la superficie de los pliegues vocales cuando éstos vibran a la frecuencia  $f$  de a)  $2.0 \text{ mm}$ ; b)  $3.3 \text{ mm}$ ; c)  $0.50 \text{ cm}$ ; d)  $3.0 \text{ cm}$ ?

**15.79** ¿Cuál de las siguientes es una descripción matemática posible de la onda del problema 15.78? a)  $A \sin [2\pi f(t + z/v)]$ ; b)  $A \sin [2\pi f(t - z/v)]$ ; c)  $A \sin (2\pi ft) \cos(2\pi z/\lambda)$ ; d)  $A \sin (2\pi ft) \sin(2\pi z/\lambda)$ .

**15.80** Se mide la rapidez de onda para diferentes frecuencias de vibración. Una gráfica de la rapidez de onda como una función de la frecuencia (**figura P15.80**) indica que conforme aumenta la frecuencia la rapidez, la longitud de onda a) aumenta, b) disminuye, c) no cambia, d) se vuelve indefinida.

Figura P15.80



## Respuestas

### Pregunta de inicio del capítulo ?

iii. La potencia de una onda mecánica depende de su frecuencia y su amplitud [vea la ecuación (15.25)].

### Respuesta a las secciones

#### Evalúe su comprensión

**15.1 i.** La “ola” viaja horizontalmente de un espectador al siguiente en cada fila del estadio, pero el desplazamiento de cada espectador es vertical hacia arriba. Puesto que el desplazamiento es perpendicular a la dirección en que la onda viaja, la onda es transversal.

**15.2 iv** La rapidez  $v$  de las ondas en una cuerda no depende de su longitud de onda. Podemos reescribir la relación  $v = \lambda f$  como  $f = v/\lambda$ , la cual nos indica que si se duplica la longitud de onda  $\lambda$ , la frecuencia  $f$  se reduce a la mitad.

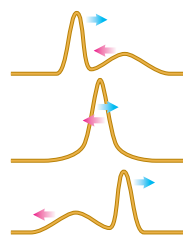
**15.3** a)  $\frac{2}{8}T$ , b)  $\frac{4}{8}T$ , c)  $\frac{5}{8}T$  Puesto que la onda es sinusoidal, cada punto en la cuerda oscila con movimiento armónico simple (MAS). Por lo tanto, podemos aplicar todas las ideas del capítulo 14 acerca del MAS a la onda descrita en la figura 15.8. a) Una partícula con MAS alcanza su rapidez máxima cuando pasa por la posición de equilibrio ( $y = 0$  en la figura 15.8). La partícula en el punto A se mueve hacia arriba pasando por esta posición en  $t = \frac{2}{8}T$ . b) En MAS vertical la aceleración máxima *hacia arriba* ocurre cuando una partícula está en su desplazamiento máximo *hacia abajo*. Esto sucede para la partícula en el punto B en  $t = \frac{4}{8}T$ . c) Una partícula en MAS vertical tiene una aceleración *hacia abajo* cuando su desplazamiento es *hacia arriba*. La partícula en C tiene un desplazamiento hacia arriba y se mueve hacia abajo en  $t = \frac{5}{8}T$ .

**15.4 ii.** La relación  $v = \sqrt{F/\mu}$  [ecuación (15.14)] indica que la rapidez de onda es máxima en la cuerda con densidad lineal de masa mínima. Ésa es la cuerda más delgada, que tiene la menor masa  $m$  y, por lo tanto, la menor densidad lineal de masa  $\mu = m/L$  (todas las cuerdas tienen la misma longitud).

**15.5 iii, iv, ii, i.** La ecuación (15.25) indica que la potencia media en una onda sinusoidal en una cuerda es  $P_{\text{med}} = \frac{1}{2}\sqrt{\mu F}\omega^2 A^2$ . Las cuatro cuerdas son idénticas, así que todas tienen masa, longitud y densidad lineal de masa  $\mu$  iguales. La frecuencia  $f$  es la misma para

cada onda, así como la frecuencia angular  $\omega = 2\pi f$ . Por lo tanto, la potencia media de onda para cada cuerda es proporcional a la raíz cuadrada de la tensión de la cuerda  $F$  y al cuadrado de la amplitud  $A$ . En comparación con la cuerda i, la potencia media en cada cuerda es ii.  $\sqrt{4} = 2$  veces mayor; iii.  $4^2 = 16$  veces mayor; y iv.  $\sqrt{2}(2)^2 = 4\sqrt{2}$  veces mayor.

### 15.6



**15.7** Sí, sí Un aumento de la frecuencia al doble reduce la longitud de onda a la mitad. Por lo tanto, el espacio entre nodos (igual a  $\lambda/2$ ) también es de la mitad. Hay nodos en todas las posiciones anteriores, aunque también hay un nuevo nodo entre cada par de nodos anteriores.

**15.8 n = 1, 3, 5,...** Al tocar la cuerda en el centro, se está provocando que haya un nodo en el centro. Por ello, solamente estarán permitidas ondas estacionarias que tengan un nodo en  $x = L/2$ . En la figura 15.26, se observa que se excluyen los modos normales  $n = 1, 3, 5, \dots$

### Problema práctico

a)  $F(r) = \frac{m\omega^2}{2L}(L^2 - r^2)$

b)  $v(r) = \omega\sqrt{\frac{L^2 - r^2}{2}}$

c)  $\frac{\pi}{\omega\sqrt{2}}$



El sonido de un cuerno viaja más lentamente en un día frío de invierno en las montañas que en un día cálido de verano a nivel del mar. Esto se debe a que a grandes alturas en invierno el aire tiene menor **i.** presión; **ii.** densidad; **iii.** humedad; **iv.** temperatura; **v.** masa por mol.

# 16 SONIDO Y OÍDO

## OBJETIVOS DE APRENDIZAJE

Al estudiar este capítulo, usted aprenderá:

- 16.1 Cómo describir una onda sonora en términos de los desplazamientos de una partícula o de las fluctuaciones de presión.
- 16.2 Cómo calcular la rapidez de las ondas sonoras en diferentes materiales.
- 16.3 Cómo calcular la intensidad de una onda sonora.
- 16.4 Qué determina la frecuencia del sonido producido por un órgano o una flauta.
- 16.5 Cómo ocurre la resonancia en los instrumentos musicales.
- 16.6 Qué sucede cuando se traslanan las ondas sonoras de diferentes fuentes.
- 16.7 Cómo describir lo que ocurre cuando se combinan dos ondas sonoras de frecuencias ligeramente diferentes.
- 16.8 Por qué el tono de una sirena cambia conforme ésta se va alejando.
- 16.9 Por qué un avión que viaja más rápido que el sonido produce una onda de choque.

Repase lo estudiado en la sección ...

- 6.4 Potencia.
- 8.1 El teorema impulso-cantidad de movimiento.
- 11.4 Módulo volumétrico y módulo de Young.
- 12.2 Presión manométrica y presión absoluta.
- 14.8 Oscilaciones forzadas y resonancia.
- 15.1-15.8 Ondas mecánicas.

**D**e todas las ondas mecánicas que se presentan en la naturaleza, las más importantes en nuestra vida diaria son las ondas longitudinales en un medio (generalmente aire) llamadas ondas *sonoras*. La razón es que el oído humano es muy sensible y puede detectar ondas sonoras incluso de muy baja intensidad. La capacidad para escuchar a un depredador nocturno fue fundamental para la supervivencia de nuestros antepasados, así que no es exagerado decir que los seres humanos debemos la existencia a nuestro sentido del oído altamente evolucionado.

En el capítulo 15 describimos las ondas mecánicas primordialmente en términos de desplazamiento; no obstante, en general, resulta más adecuado describir las ondas sonoras en términos de fluctuaciones de *presión*, sobre todo porque el oído es sensible, principalmente, a cambios de presión. Examinaremos las relaciones entre desplazamiento, fluctuación de presión e intensidad, así como los vínculos entre estas cantidades y la percepción humana del sonido.

Cuando una fuente de sonido o un receptor se mueven en el aire, el receptor podría registrar una frecuencia distinta de la emitida por la fuente. Éste es el efecto Doppler, el cual tiene aplicaciones importantes en medicina y en tecnología.

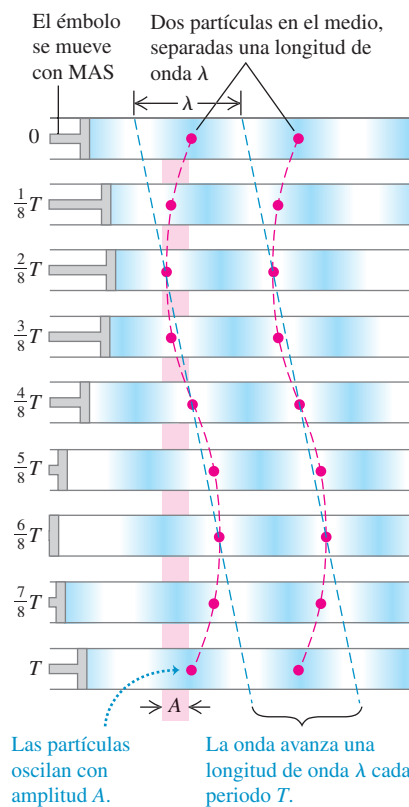
## 16.1 ONDAS SONORAS

La definición más general del **sonido** nos dice que éste es una onda longitudinal en un medio. Lo que más nos interesa en el presente capítulo son las ondas sonoras en el aire, aunque el sonido puede viajar a través de cualquier gas, líquido o sólido. Quizás el lector conozca muy bien la propagación del sonido a través de un sólido, si los altavoces del aparato de sonido del vecino están junto a la pared que colinda con la casa de usted.

Las ondas sonoras más sencillas son las sinusoidales, las cuales tienen frecuencia, amplitud y longitud de onda definidas. El oído humano es sensible a las ondas en el intervalo de frecuencias de 20 a 20,000 Hz, llamado **intervalo audible**, pero también usamos el término “sonido” para ondas similares con frecuencias mayores (**ultrasónicas**) y menores (**infrasónicas**) del intervalo audible humano.

**16.1** Onda sinusoidal longitudinal que viaja hacia la derecha en un fluido (compare con la figura 15.7).

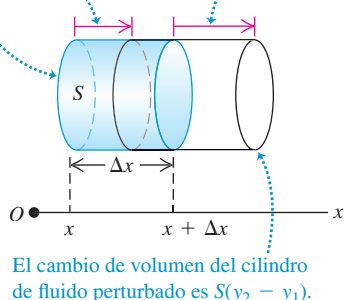
Las ondas longitudinales se muestran a intervalos de  $\frac{1}{8}T$  para un periodo  $T$ .



**16.2** Al propagarse una onda sonora a lo largo del eje  $x$ , los extremos izquierdo y derecho experimentan desplazamientos distintos  $y_1$  y  $y_2$ .

Cilindro no perturbado de fluido con área transversal  $S$ , longitud  $\Delta x$  y volumen  $S\Delta x$ .

Una onda sonora desplaza el extremo izquierdo del cilindro según la relación  $y_1 = y(x, t)$ ...  
... y el extremo derecho de acuerdo con  $y_2 = y(x + \Delta x, t)$ .



Las ondas sonoras suelen dispersarse en todas direcciones a partir de la fuente de sonido, con una amplitud que depende de la dirección y la distancia de la fuente. Volveremos a este asunto en la siguiente sección. Por ahora, nos concentraremos en el caso idealizado de una onda sonora que se propaga sólo en la dirección  $+x$ . Como vimos en la sección 15.3, esta onda se describe con una función de onda  $y(x, t)$ , que da información del desplazamiento instantáneo y de una partícula en el medio, en la posición  $x$  en el instante  $t$ . Si la onda es sinusoidal, podemos expresarla usando la ecuación (15.7):

$$y(x, t) = A \cos(kx - \omega t) \quad (\text{onda sonora que se propaga en la dirección } +x) \quad (16.1)$$

En una onda longitudinal, los desplazamientos son *paralelos* a la dirección en que viaja la onda, así que las distancias  $x$  y  $y$  se miden paralelas entre sí, no perpendicularmente como en las ondas transversales. La amplitud  $A$  es el desplazamiento máximo de una partícula en el medio con respecto a su posición de equilibrio (**figura 16.1**). Por eso,  $A$  también se conoce como **amplitud de desplazamiento**.

## Ondas sonoras como fluctuaciones de presión

Las ondas sonoras también pueden describirse en términos de variaciones de *presión* en varios puntos. En una onda sonora sinusoidal en el aire, la presión fluctúa por arriba y por debajo de la presión atmosférica  $p_a$  en forma sinusoidal con la misma frecuencia que los movimientos de las partículas de aire. El oído humano funciona detectando esas variaciones de presión. Una onda sonora que entra en el canal auditivo ejerce una presión variable sobre un lado del tímpano; el aire del otro lado, comunicado con el exterior por la trompa de Eustaquio, está a presión atmosférica. La diferencia de presión entre ambos lados del tímpano lo pone en movimiento. Los micrófonos y dispositivos similares por lo regular también detectan diferencias de presión, no desplazamientos.

Sea  $p(x, t)$  la variación de presión instantánea en una onda sonora en cualquier punto  $x$  en el instante  $t$ . Es decir,  $p(x, t)$  es la cantidad en que la presión *difiere* de la presión atmosférica normal  $p_a$ . Pensemos en  $p(x, t)$  como la *presión manométrica* definida en la sección 12.2, que puede ser positiva o negativa. La presión *absoluta* en un punto es entonces  $p_a + p(x, t)$ .

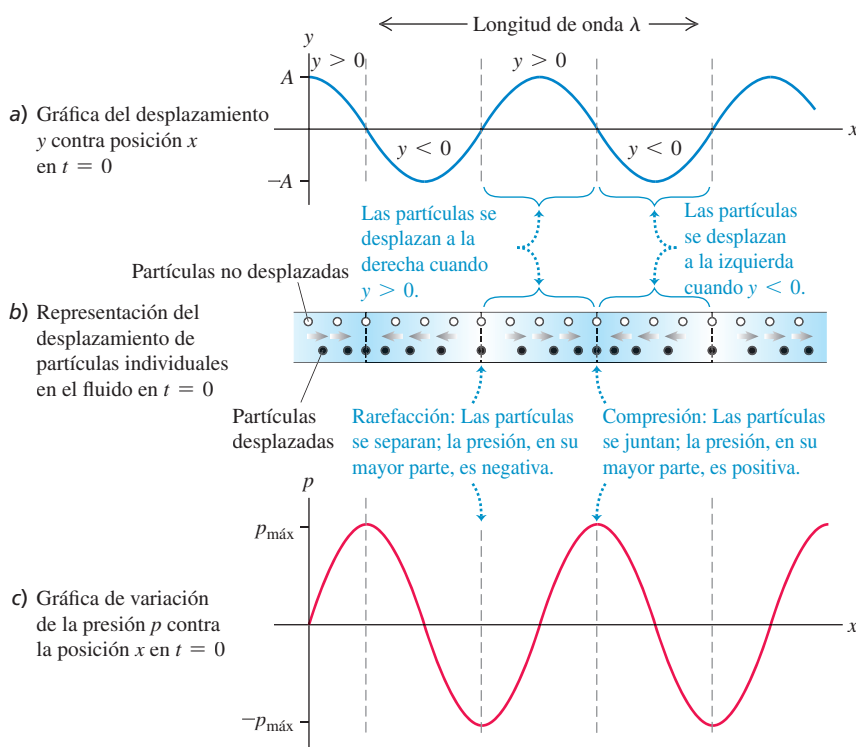
Para ver el vínculo entre la variación de presión  $p(x, t)$  y el desplazamiento  $y(x, t)$  en una onda sonora que se propaga en la dirección  $+x$ , considere un cilindro imaginario de un material (gas, líquido o sólido) con área transversal  $S$  y su eje a lo largo de la dirección de propagación (**figura 16.2**). Si no está presente una onda sonora, el cilindro tiene longitud  $\Delta x$  y volumen  $V = S\Delta x$ , el volumen sombreado en la figura 16.2. Si una onda está presente, en el tiempo  $t$  el extremo del cilindro que inicialmente estaba en  $x$  tiene un desplazamiento dado por  $y_1 = y(x, t)$ , y el extremo que estaba en  $x + \Delta x$  experimenta un desplazamiento dado por  $y_2 = y(x + \Delta x, t)$ ; esto se indica con líneas rojas. Si  $y_2 > y_1$  como en la figura 16.2, el volumen del cilindro aumentó, originando una disminución de la presión. Si  $y_2 < y_1$ , el volumen disminuyó, y la presión aumentó. Si  $y_2 = y_1$ , el cilindro simplemente se desplazó a la izquierda o a la derecha; no hay cambio de volumen ni variación de presión. La fluctuación de presión depende de la *diferencia* entre el desplazamiento de puntos vecinos del medio.

Cuantitativamente, el cambio de volumen  $\Delta V$  del cilindro es

$$\Delta V = S(y_2 - y_1) = S[y(x + \Delta x, t) - y(x, t)]$$

En el límite en que  $\Delta x \rightarrow 0$ , el cambio fraccionario de volumen  $dV/V$  (cambio de volumen dividido entre volumen original) es

$$\frac{dV}{V} = \lim_{\Delta x \rightarrow 0} \frac{S[y(x + \Delta x, t) - y(x, t)]}{S \Delta x} = \frac{\partial y(x, t)}{\partial x} \quad (16.2)$$



### 16.3 Tres formas de describir una onda sonora.

El cambio de volumen fraccionario se relaciona con la variación de presión mediante el módulo volumétrico  $B$  que, por definición [ecuación (11.13)], es  $B = -p(x, t)/(dV/V)$  (vea la sección 11.4). Despejando  $p(x, t)$ , tenemos

$$p(x, t) = -B \frac{\partial y(x, t)}{\partial x} \quad (16.3)$$

El signo negativo se debe a que, cuando  $\partial y(x, t)/\partial x$  es positiva, el desplazamiento es mayor en  $x + \Delta x$  que en  $x$ , lo cual implica un aumento de volumen, una disminución de la presión y una fluctuación negativa de la presión.

Al evaluar  $\partial y(x, t)/\partial x$  para la onda sinusoidal de la ecuación (16.1), vemos que

$$p(x, t) = BkA \operatorname{sen}(kx - \omega t) \quad (16.4)$$

La figura 16.3 muestra a  $y(x, t)$  y  $p(x, t)$  para una onda sonora sinusoidal en  $t = 0$ . También muestra cómo partículas individuales de la onda se desplazan en ese instante. Si bien  $y(x, t)$  y  $p(x, t)$  describen la misma onda, estas dos funciones están desfasadas un cuarto de ciclo; en un instante dado, el desplazamiento es máximo donde la variación de presión es cero, y viceversa. En particular, observe que las compresiones (puntos de máxima presión y densidad) y las rarefacciones (puntos de mínima presión y densidad) son puntos con desplazamiento igual a *cero*.

La ecuación (16.4) indica que la cantidad  $BkA$  representa la variación máxima de presión, que llamamos **amplitud de presión** y denotamos con  $p_{\max}$ :

Amplitud de presión de una onda sonora sinusoidal	$p_{\max} = BkA$	Módulo volumétrico del medio
		Amplitud de desplazamiento
		Número de onda = $2\pi/\lambda$

**CUIDADO** Gráficas de una onda sonora  
Las gráficas de la figura 16.3 muestran la onda en *un* instante. Puesto que la onda se está propagando en la dirección  $+x$ , conforme pasa el tiempo, los patrones de onda descritos por las funciones  $y(x, t)$  y  $p(x, t)$  se desplazan a la derecha con la rapidez de onda  $v = \omega/k$ . Las partículas, en cambio, simplemente oscilan hacia adelante y hacia atrás con movimiento armónico simple (MAS), como se observa en la figura 16.1. ■

Las ondas con longitud de onda  $\lambda$  más corta (número de onda  $k = 2\pi/\lambda$  más grande) tienen mayores variaciones de presión para una amplitud de desplazamiento dada porque los máximos y mínimos están más cerca unos de otros. Un medio con un módulo volumétrico  $B$  grande es menos compresible, por lo que requiere una amplitud de presión mayor, para un cambio de volumen determinado (es decir, una amplitud de desplazamiento dada).



## EJEMPLO 16.1 AMPLITUD DE UNA ONDA SONORA EN EL AIRE

En una onda sonora sinusoidal de intensidad moderada, las variaciones máximas de presión son del orden de  $3.0 \times 10^{-2}$  Pa por arriba y por debajo de la presión atmosférica. Calcule el desplazamiento máximo correspondiente, si la frecuencia es de 1000 Hz. En el aire, a presión atmosférica y densidad normales, la rapidez del sonido es de 344 m/s y el módulo volumétrico es de  $1.42 \times 10^5$  Pa.

### SOLUCIÓN

**IDENTIFICAR y PLANTEAR:** Este problema implica la relación entre dos formas de describir una onda sonora: en términos del desplazamiento y en términos de la presión. La incógnita es la amplitud del desplazamiento  $A$ . Nos dan la amplitud de presión  $p_{\text{máx}}$ , la rapidez  $v$  de la onda, la frecuencia  $f$  y el módulo volumétrico  $B$ . La incógnita  $A$  está relacionada con  $p_{\text{máx}}$  en la ecuación (16.5). Usamos la

relación  $\omega = vk$  [ecuación (15.6)] para determinar el número de onda  $k$  a partir de  $v$  y la frecuencia angular  $\omega = 2\pi f$ .

**EJECUTAR:** De acuerdo con la ecuación (15.6),

$$k = \frac{\omega}{v} = \frac{2\pi f}{v} = \frac{(2\pi \text{ rad})(1000 \text{ Hz})}{344 \text{ m/s}} = 18.3 \text{ rad/m}$$

Entonces, por la ecuación (16.5), el desplazamiento máximo es

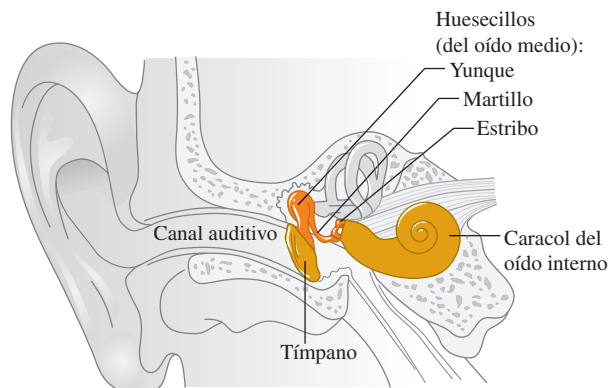
$$A = \frac{p_{\text{máx}}}{Bk} = \frac{3.0 \times 10^{-2} \text{ Pa}}{(1.42 \times 10^5 \text{ Pa})(18.3 \text{ rad/m})} = 1.2 \times 10^{-8} \text{ m}$$

**EVALUAR:** La amplitud de desplazamiento es de sólo  $\frac{1}{100}$  del tamaño de una célula humana aproximadamente. El oído en realidad detecta variaciones de presión; la detección de estos minúsculos desplazamientos es indirecta.

## EJEMPLO 16.2 AMPLITUD DE UNA ONDA SONORA EN EL OÍDO INTERNO

Cuando una onda sonora entra en el oído humano, hace oscilar el tímpano que, a la vez, hace oscilar los tres *huesecillos* diminutos localizados en el oído medio (**figura 16.4**). Los huesecillos transmiten esta oscilación al fluido (agua en su mayoría) del oído interno; allí, el movimiento del fluido perturba a las células pilosas que transmiten impulsos nerviosos al cerebro, con información del sonido. La parte móvil del tímpano tiene un área de unos  $43 \text{ mm}^2$ , y la del estribo (el huesecillo más pequeño), donde se conecta con el oído interno, es de unos  $3.2 \text{ mm}^2$ . Para el sonido del ejemplo 16.1, determine *a*) la amplitud de presión y *b*) la amplitud de desplazamiento de la onda en el fluido del oído interno, en el que la rapidez del sonido es de 1500 m/s.

**16.4 Anatomía del oído humano.** El oído medio tiene el tamaño de una canica pequeña; los huesecillos (martillo, yunque y estribo) son los huesos más pequeños del cuerpo humano.



### SOLUCIÓN

**IDENTIFICAR y PLANTEAR:** Aunque la onda sonora aquí viaja por un líquido y no por el aire, son válidos los mismos principios y relaciones entre las propiedades de la onda. Podemos despreciar la masa de los huesecillos (unos  $58 \text{ mg} = 5.8 \times 10^{-5} \text{ kg}$ ), así que la fuerza ejercida por ellos sobre el fluido del oído interno es la misma que la ejercida sobre el tímpano y los huesecillos por la onda sonora incidente (aplicamos esta misma idea en los capítulos 4 y 5, cuando dijimos que la tensión es la misma en los dos extremos de una cuerda de masa despreciable). Por lo tanto, la amplitud de presión en el oído interno,  $p_{\text{máx}}$  (oído interno), es mayor que en el aire exterior,  $p_{\text{máx}}$  (aire), porque se ejerce la misma fuerza sobre un área menor (el área del estribo en lugar del área del tímpano). Teniendo  $p_{\text{máx}}$  (oído interno), obtendremos la amplitud del desplazamiento  $A_{\text{oído interno}}$  empleando la ecuación (16.5).

**EJECUTAR:** *a)* Utilizando el área del tímpano y la amplitud de presión en el aire obtenida en el ejemplo 16.1, vemos que la fuerza máxima ejercida por la onda sonora en el aire sobre el tímpano es  $F_{\text{máx}} = p_{\text{máx}}(\text{aire})S_{\text{tímpano}}$ . Por lo tanto,

$$\begin{aligned} p_{\text{máx}}(\text{oído interno}) &= \frac{F_{\text{máx}}}{S_{\text{estribo}}} = p_{\text{máx}}(\text{aire}) \frac{S_{\text{tímpano}}}{S_{\text{estribo}}} \\ &= (3.0 \times 10^{-2} \text{ Pa}) \frac{43 \text{ mm}^2}{3.2 \text{ mm}^2} = 0.40 \text{ Pa} \end{aligned}$$

*b)* Para calcular el desplazamiento máximo  $A_{\text{oído interno}}$ , usamos  $A = p_{\text{máx}}/Bk$  como en el ejemplo 16.1. El fluido del oído interno es principalmente agua, que tiene un módulo volumétrico  $B$  mucho mayor que el del aire. De acuerdo con la tabla 11.2, la compresibilidad del agua (desafortunadamente también llamada  $k$ ) es de  $45.8 \times 10^{-11} \text{ Pa}^{-1}$ , así que  $B_{\text{agua}} = 1/(45.8 \times 10^{-11} \text{ Pa}^{-1}) = 2.18 \times 10^9 \text{ Pa}$ .

La onda en el oído interno tiene la misma frecuencia angular  $\omega$  que la onda en el aire, porque el aire, el tímpano, los huesecillos y el fluido del oído interno oscilan juntos (vea el ejemplo 15.8 de la sección 15.8). Pero como la rapidez  $v$  de la onda es mayor en el oído interno que en el aire (1500 m/s contra 344 m/s), el número de onda  $k = \omega/v$  es menor. Utilizando el valor de  $\omega$  del ejemplo 16.1

$$k_{\text{oído interno}} = \frac{\omega}{v_{\text{oído interno}}} = \frac{(2\pi \text{ rad})(1000 \text{ Hz})}{1500 \text{ m/s}} = 4.2 \text{ rad/m}$$

Al relacionar todo, tenemos

$$\begin{aligned} A_{\text{oído interno}} &= \frac{P_{\text{máx (oído interno)}}}{B_{\text{fluído}} k_{\text{oído interno}}} = \frac{0.40 \text{ Pa}}{(2.18 \times 10^9 \text{ Pa})(4.2 \text{ rad/m})} \\ &= \frac{0.40 \text{ Pa}}{(2.18 \times 10^9 \text{ Pa})(4.2 \text{ rad/m})} \\ &= 4.4 \times 10^{-11} \text{ m} \end{aligned}$$

**EVALUAR:** En el inciso *a*) vimos que los huesecillos aumentan la amplitud de la presión por un factor de  $(43 \text{ mm}^2)/(3.2 \text{ mm}^2) = 13$ . Esta amplificación contribuye a la gran sensibilidad del oído humano.

La amplitud de desplazamiento en el oído interno es aún menor que en el aire; sin embargo, lo que mueve las células pilosas son las variaciones de *presión* en el fluido del oído interno; de este modo, lo que importa es que la amplitud de presión sea mayor en el oído interno que en el aire.

## Percepción de las ondas sonoras

Las características físicas de una onda sonora tienen una relación directa con la percepción de ese sonido por un receptor. Para una frecuencia dada, cuanto mayor sea la amplitud de presión de una onda sonora sinusoidal, mayor será el **volumen** percibido. La relación entre la amplitud de presión y el volumen no es sencilla, y varía de una persona a otra. Un factor importante es que el oído no es igualmente sensible a todas las frecuencias del intervalo audible. Un sonido de cierta frecuencia puede parecer más fuerte que otro con igual amplitud de presión pero distinta frecuencia. A 1000 Hz, la amplitud de presión mínima perceptible con un nivel normal de audición es de aproximadamente  $3 \times 10^{-5}$  Pa; para producir el mismo volumen a 200 Hz o 15,000 Hz, se requieren cerca de  $3 \times 10^{-4}$  Pa. El volumen percibido también depende de la salud del oído. Es natural que con la edad se pierda la sensibilidad a altas frecuencias.

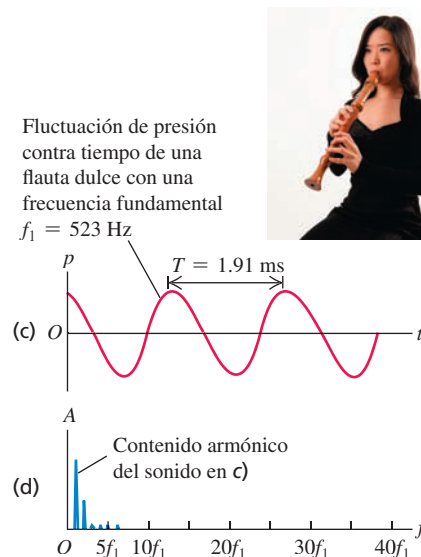
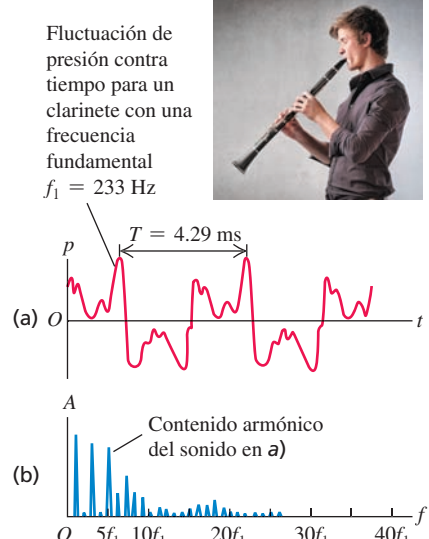
La frecuencia de una onda sonora es el factor principal que determina el **tono** de un sonido, la característica que nos permite clasificarlo como “agudo” o “grave”. Cuanto más alta sea la frecuencia de un sonido (dentro del intervalo audible), más agudo será el tono percibido. La amplitud de presión también ayuda a determinar el tono. Cuando un receptor compara dos ondas sonoras sinusoidales con la misma frecuencia pero diferente amplitud de presión, la de mayor amplitud suele percibirse más fuerte, pero también con un tono ligeramente más grave.

Los sonidos musicales tienen funciones de onda más complicadas que una función seno sencilla. En la **figura 16.5a** se muestra la variación de presión en la onda sonora producida por un clarinete. El patrón es muy complejo porque la columna de aire de un instrumento de aliento como el clarinete vibra con la frecuencia fundamental y muchos armónicos al mismo tiempo. (En la sección 15.8, describimos el mismo comportamiento en una cuerda punteada, frotada o golpeada. Examinaremos la física de los instrumentos de viento en la sección 16.4). La onda sonora producida en el aire circundante tiene la misma cantidad de cada armónico, es decir, un *contenido armónico* similar. La figura 16.5b muestra el contenido armónico del sonido de un clarinete. El proceso matemático de traducir una gráfica de presión-tiempo (figura 16.5a) en una gráfica de contenido armónico (figura 16.5b) se denomina *análisis de Fourier*.

Dos tonos producidos por diferentes instrumentos podrían tener la misma frecuencia fundamental (y por lo tanto el mismo tono), pero sonar distinto debido al contenido de diversos armónicos. La diferencia en el sonido se llama **timbre**, y a menudo se describe con términos subjetivos como delgado, suave y metálico. Un tono rico en armónicos, como el del clarinete (figuras 16.5a y b), suele sonar “delgado”; en cambio, uno que contiene principalmente una fundamental, como el tono de la flauta dulce de las figuras 16.5c y d, es más suave. El mismo principio se aplica a la voz humana, que es otro ejemplo de instrumento de viento; las vocales “a” y “e” suenan distintas por las diferencias en su contenido armónico.

Otro factor que determina la calidad de un tono es el comportamiento al principio (*ataque*) y al final (*decaimiento*) del tono. Un tono de piano comienza con un golpe y luego se desvanece gradualmente. Un tono de clavicordio, además de tener diferente contenido armónico, comienza mucho más rápido con un chasquido, y los armónicos más altos comienzan antes que los más bajos. Al soltarse la tecla, el sonido se desvanece con mucho mayor rapidez que en un piano. En otros instrumentos musicales se presentan efectos similares.

**16.5** Diferentes representaciones del sonido de un clarinete [figuras *a*) y *b*)] y una flauta dulce o vertical [*c*) y *d*)]. (Gráficas adaptadas de R. E. Berg y D. G. Stork, *The Physics of Sound*, Prentice-Hall, 1982).



### BIO Aplicación Pérdida del oído por la amplificación del sonido

**nido** Debido a la exposición a música considerablemente amplificada, muchos músicos jóvenes populares han sufrido un daño auditivo permanente y tienen el oído característico de individuos de 65 años de edad. Los auriculares de los reproductores musicales personales usados con volumen alto tienen resultados similares en los oídos. ¡Tenga cuidado!



**16.6** Cuando se toca un instrumento de viento como este corno francés, las ondas sonoras se propagan por el aire dentro de los tubos del instrumento. Las propiedades del sonido que sale del pabellón dependen de la rapidez de estas ondas.



A diferencia de los tonos creados por instrumentos musicales, el **ruido** es una combinación de *todas* las frecuencias, no sólo de las que son múltiplos enteros de una frecuencia fundamental (un caso extremo es el “ruido blanco”, que contiene cantidades iguales de todas las frecuencias del intervalo audible). Como ejemplos están el sonido del viento y el siseo que hacemos al pronunciar la consonante “s”.

**EVALÚE SU COMPRENSIÓN DE LA SECCIÓN 16.1** Se produce una onda sonora sinusoidal en el aire con un generador de señales electrónico. Luego, se aumenta la frecuencia de la onda de 100 a 400 Hz manteniendo constante la amplitud de presión. ¿Qué efecto tiene esto sobre la amplitud de desplazamiento de la onda sonora? **i.** Se cuadriplica; **ii.** se duplica, **iii.** permanece sin cambio; **iv.** se reduce a la mitad; **v.** se reduce a la cuarta parte. **|**

## 16.2 RAPIDEZ DE LAS ONDAS SONORAS

En la sección 15.4, vimos que la rapidez  $v$  de una onda transversal en una *cuerda* depende de la tensión  $F$  en la cuerda y la densidad lineal de masa  $\mu$ :  $v = \sqrt{F/\mu}$ . ¿Cuál es la expresión correspondiente para la rapidez de las ondas sonoras en un gas o un líquido? ¿De qué propiedades del medio depende la rapidez?

Podemos hacer una conjectura acertada acerca de estas preguntas, recordando algo que dijimos en la sección 15.4: para las ondas mecánicas en general, la expresión de la rapidez de onda tiene la forma

$$v = \sqrt{\frac{\text{Fuerza de restitución que regresa el sistema al equilibrio}}{\text{Inercia que se opone al retorno al equilibrio}}}$$

Una onda sonora en un volumen de fluido genera compresiones y rarefacciones en el fluido, de modo que el término de fuerza de restitución en la expresión anterior debe tener que ver con la dificultad para comprimir el fluido. Esto es precisamente lo que nos dice el módulo volumétrico  $B$  del medio. Según la segunda ley de Newton, la inercia está relacionada con la masa. Lo “masivo” de un fluido se describe con su densidad o masa por unidad de volumen,  $\rho$ . Por lo tanto, cabe esperar que la rapidez de las ondas sonoras tenga la forma  $v = \sqrt{B/\rho}$ .

Para verificar nuestra conjectura, deduciremos la rapidez de las ondas sonoras en un fluido dentro de un tubo. Este tema es importante, ya que todos los instrumentos musicales de viento son básicamente tubos, en los que una onda longitudinal (sonido) se propaga en un fluido (aire) (**figura 16.6**). La voz funciona con el mismo principio: ondas sonoras que se propagan en el tracto vocal, que es básicamente un tubo lleno de aire conectado a los pulmones en un extremo (la laringe) y al aire exterior en el otro (la boca). Los pasos de nuestra deducción son similares a los que usamos en la sección 15.4 para obtener la rapidez de ondas transversales.

### Rapidez del sonido en un fluido

La **figura 16.7** muestra un fluido con densidad  $\rho$  en un tubo con área transversal  $A$ . En equilibrio (figura 16.7a) el fluido está en reposo y a presión uniforme  $p$ . Tomamos el eje  $x$  a lo largo del tubo. Ésta es también la dirección en que hacemos que se propague una onda longitudinal, así que el desplazamiento y se mide a lo largo del tubo, igual que en la sección 16.1 (vea la figura 16.2).

En el instante  $t = 0$ , el pistón del extremo izquierdo comienza a moverse hacia la derecha con rapidez constante  $v_y$ . Esto inicia un movimiento ondulatorio que viaja a la derecha a lo largo del tubo, donde secciones sucesivas de fluido comienzan a moverse y a comprimirse en instantes sucesivamente posteriores.

La figura 16.7b muestra el fluido en el instante  $t$ . Todas las porciones del fluido a la izquierda de  $P$  se mueven hacia la derecha con rapidez  $v_y$ , y todas las porciones a la derecha de  $P$  aún están en reposo. La frontera entre la porción en movimiento y la porción estacionaria viaja a la derecha con una rapidez igual a la rapidez de propagación o rapidez de onda  $v$ . En el tiempo  $t$ , el pistón se ha movido una distancia  $v_y t$  y la frontera se ha movido una distancia  $v t$ . Al igual que con las perturbaciones transversales en una cuerda, podemos calcular la rapidez de propagación a partir del teorema impulsocantidad de movimiento.

La cantidad de fluido que se pone en movimiento en el tiempo  $t$  es la cantidad que originalmente ocupaba una sección del cilindro de longitud  $vt$ , área transversal  $A$ , volumen  $vtA$  y masa  $\rho vtA$ . Su cantidad de movimiento o momento longitudinal (es decir, a lo largo del tubo) es

$$\text{Cantidad de movimiento longitudinal} = (\rho vtA)v_y$$

Ahora calculamos el aumento de presión,  $\Delta p$ , en el fluido en movimiento. El volumen original de este fluido en movimiento,  $Avt$ , disminuyó en una cantidad  $Av_y t$ . Por la definición del módulo volumétrico  $B$ , ecuación (11.13) de la sección 11.5,

$$B = \frac{-\text{Cambio de presión}}{\text{Cambio fraccionario de volumen}} = \frac{-\Delta p}{-Av_y t/Avt} \quad \text{y} \quad \Delta p = B \frac{v_y}{v}$$

La presión en el fluido en movimiento es  $p + \Delta p$ , y la fuerza ejercida sobre él por el pistón es  $(p + \Delta p)A$ . La fuerza neta sobre el fluido en movimiento (vea la figura 16.7b) es  $\Delta pA$ , y el impulso longitudinal es

$$\text{Impulso longitudinal} = \Delta pAt = B \frac{v_y}{v} At$$

Como el fluido estaba en reposo en  $t = 0$ , el cambio de cantidad de movimiento hasta el instante  $t$  es igual a la cantidad de movimiento en  $t$ . Aplicando el teorema impulsocantidad de movimiento (sección 8.1), obtenemos

$$B \frac{v_y}{v} At = \rho vtAv_y \quad (16.6)$$

Cuando despejamos  $v$ , obtenemos

$$\text{Rapidez de una onda longitudinal en un fluido} \quad v = \sqrt{\frac{B}{\rho}} \quad \begin{array}{l} \text{Módulo volumétrico del fluido} \\ \text{Densidad del fluido} \end{array} \quad (16.7)$$

lo que concuerda con nuestra conjectura.

Aunque dedujimos la ecuación (16.7) para ondas en un tubo, también es válida para ondas longitudinales en un gran volumen de fluido, incluyendo las ondas sonoras que viajan en aire o agua.

## Rapidez del sonido en un sólido

Si una onda longitudinal se propaga en una varilla o barra *sólida*, la situación es un tanto diferente. La varilla se expande un poco a los lados cuando se comprime longitudinalmente, mientras que un fluido en un tubo con sección transversal constante no puede hacerlo. Usando el mismo razonamiento que nos llevó a la ecuación (16.7), podemos demostrar que la rapidez de un pulso longitudinal en la varilla está dada por

$$\text{Rapidez de una onda longitudinal en una varilla sólida} \quad v = \sqrt{\frac{Y}{\rho}} \quad \begin{array}{l} \text{Módulo de Young del material} \\ \text{de la varilla} \\ \text{Densidad del material de la varilla} \end{array} \quad (16.8)$$

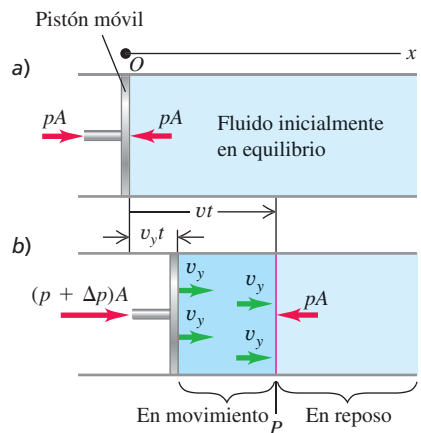
El módulo de Young se definió en la sección 11.4.

**CUIDADO** Varillas sólidas contra sólidos voluminosos La ecuación (16.8) es válida sólo para varillas o barras cuyos lados pueden arquearse y encogerse libremente un poco al viajar la onda; no es válida para ondas longitudinales en un sólido *voluminoso*, ya que en estos materiales el material circundante impide el movimiento lateral de cualquier elemento. La rapidez de las ondas longitudinales en un material sólido voluminoso depende de la densidad, el módulo volumétrico y el módulo de corte. ■

Observe que las ecuaciones (16.7) y (16.8) son válidas para ondas sinusoidales y otras ondas periódicas, no sólo para el caso especial que vimos aquí.

La tabla 16.1 muestra los valores de la rapidez del sonido en varios materiales. Las ondas sonoras viajan más lentamente en plomo que en aluminio o acero, ya que el plomo tiene valores menores de módulo volumétrico y de corte, así como mayor densidad.

**16.7** Propagación de una onda sonora en un fluido confinado en un tubo. a) Fluido en equilibrio. b) Un tiempo  $t$  después de que el pistón comienza a moverse a la derecha con rapidez  $v_y$ , y el fluido entre el pistón y el punto  $P$  está en movimiento. La rapidez de las ondas sonoras es  $v$ .



Rapidez del sonido en varios materiales

Material	Rapidez del sonido (m/s)
Gases	
Aire (20°C)	344
Helio (20°C)	999
Hidrógeno (20°C)	1330
Líquidos	
Helio líquido (4 K)	211
Mercurio (20°C)	1451
Agua (0°C)	1402
Agua (20°C)	1482
Agua (100°C)	1543
Sólidos	
Aluminio	6420
Plomo	1960
Acero	5941



### EJEMPLO 16.3 LONGITUD DE ONDA DE LAS ONDAS DEL SONAR

Un barco usa un sistema de sonar para detectar objetos bajo el agua (**figura 16.8**). Determine la rapidez de las ondas sonoras en el agua con la ecuación (16.7) y calcule la longitud de onda de una onda de 262 Hz.

#### SOLUCIÓN

**IDENTIFICAR y PLANTEAR:** Nuestras incógnitas son la rapidez y la longitud de onda de una onda sonora en el agua. En la ecuación (16.7) se usa la densidad del agua,  $\rho = 1.00 \times 10^3 \text{ kg/m}^3$ , y el módulo volumétrico del agua que calculamos a partir de la compresibilidad (tabla 11.2). Dadas la rapidez y la frecuencia  $f = 262 \text{ Hz}$ , calculamos la longitud de onda a partir de  $v = f\lambda$ .

**EJECUTAR:** En el ejemplo 16.2 se usó la tabla 11.2 para calcular  $B = 2.18 \times 10^9 \text{ Pa}$ . Entonces,

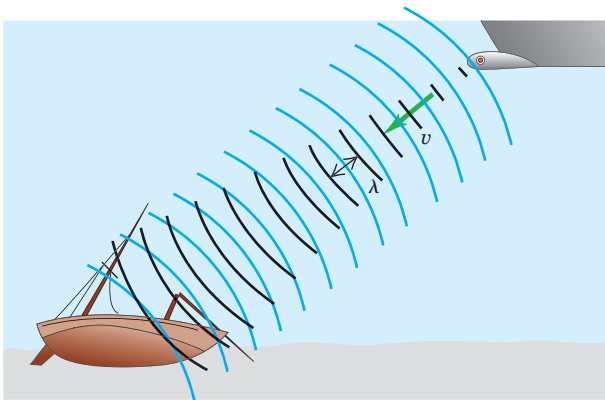
$$v = \sqrt{\frac{B}{\rho}} = \sqrt{\frac{2.18 \times 10^9 \text{ Pa}}{1.00 \times 10^3 \text{ kg/m}^3}} = 1480 \text{ m/s}$$

y

$$\lambda = \frac{v}{f} = \frac{1480 \text{ m/s}}{262 \text{ s}^{-1}} = 5.65 \text{ m}$$

**EVALUAR:** El valor calculado de  $v$  concuerda con el valor de la tabla 16.1. Aunque el agua es más densa que el aire ( $\rho$  es mayor), también

**16.8** A Un sistema de sonar usa ondas sonoras submarinas para detectar y localizar objetos bajo el agua.



es mucho más incompresible ( $B$  es mucho mayor); de modo que la rapidez  $v = \sqrt{B/\rho}$  es mayor que los 344 m/s del sonido en el aire a temperatura ambiente. La relación  $\lambda = v/f$  nos dice que una onda de sonido en el agua debe tener mayor longitud de onda que una onda de la misma frecuencia en el aire. Efectivamente, en el ejemplo 15.1 (sección 15.2) calculamos que una onda sonora de 262 Hz en el aire tiene longitud de onda de sólo 1.31 m.

**16.9** Esta imagen tridimensional de un feto en la matriz se obtuvo mediante una sucesión de exploraciones con ultrasonido. Cada exploración revela una “rebanada” bidimensional del feto; después, se combinaron digitalmente muchas de esas imágenes. El ultrasonido también se usa para estudiar la operación de las válvulas cardíacas y detectar tumores.



Los delfines emiten ondas sonoras de alta frecuencia (del orden de 100,000 Hz), y utilizan los ecos para guiarse y cazar. La longitud de onda correspondiente en el agua es de 1.48 cm. Con este sistema de “sonar” de alta frecuencia, pueden detectar objetos del tamaño de la longitud de onda (pero no mucho menores). La *imagen ultrasónica* es una técnica médica que usa el mismo principio físico: ondas sonoras de muy alta frecuencia y longitud de onda muy corta, conocidas como *ultrasonido*, realizan un barrido del cuerpo humano, y luego los “ecos” de los órganos internos se utilizan para crear una imagen. Con ultrasonido de frecuencia de 5 MHz =  $5 \times 10^6 \text{ Hz}$ , la longitud de onda en agua (principal constituyente del cuerpo) es de 0.3 mm, y características tan pequeñas como esto pueden distinguirse en la imagen (**figura 16.9**). El ultrasonido es más sensible que los rayos X para distinguir los diversos tipos de tejidos y no presenta los riesgos de radiación de esos rayos.

### Rapidez del sonido en un gas

Casi todas las ondas sonoras que escuchamos cotidianamente se propagan en el aire. Al usar la ecuación (16.7) para obtener la rapidez de ondas sonoras en el aire, debemos tener presente que el módulo volumétrico de un gas depende de la presión del gas: cuanto mayor sea la presión que se aplica a un gas para comprimirlo, mayor resistencia opondrá a una compresión adicional, y mayor será su módulo volumétrico (por esa razón, no se dan valores específicos del módulo volumétrico para gases en la tabla 11.1). La expresión del módulo volumétrico de un gas para su uso en la ecuación (16.7) es

$$B = \gamma p_0 \quad (16.9)$$

donde  $p_0$  es la presión de equilibrio del gas. La cantidad  $\gamma$  (la letra griega gamma) se denomina la *razón de capacidades caloríficas*. Es un número adimensional que caracteriza las propiedades térmicas del gas (aprenderemos más acerca de esta cantidad en el capítulo 19). Por ejemplo, la razón de capacidades caloríficas del aire es  $\gamma = 1.40$ . A presión atmosférica normal  $p_0 = 1.013 \times 10^5 \text{ Pa}$ , de manera que  $B = (1.40)(1.013 \times 10^5 \text{ Pa}) = 1.42 \times 10^5 \text{ Pa}$ . Este valor es minúsculo en comparación con el

módulo volumétrico de un sólido típico (tabla 11.1), que es del orden de  $10^{10}$  a  $10^{11}$  Pa. Esto es lógico: simplemente nos indica que el aire es mucho más fácil de comprimir que el acero.

La densidad  $\rho$  de un gas también depende de la presión que, a la vez, depende de la temperatura. Resulta que la razón  $B/\rho$  para un tipo dado de gas ideal *no* depende de la presión, sólo de la temperatura. De acuerdo con la ecuación (16.7), esto significa que la rapidez del sonido en un gas es fundamentalmente función de la temperatura  $T$ :

$$\text{Cociente de capacidades caloríficas} \cdot \text{Constante de los gases} \\ \text{Rapidez del sonido en un gas ideal} \cdot v = \sqrt{\frac{\gamma RT}{M}} \cdot \text{Temperatura absoluta} \quad (16.10) \\ \text{en un gas ideal} \quad \text{Masa molar}$$

Esta expresión incorpora varias cantidades que veremos en los capítulos 17, 18 y 19. La temperatura  $T$  es la temperatura *absoluta* en grados kelvin (K), que es igual a la temperatura Celsius más 273.15; por lo tanto,  $20.00^\circ\text{C}$  corresponde a  $T = 293.15$  K. La cantidad  $M$  es la *masa molar* o masa por mol de la sustancia de que se compone el gas. La *constante R de los gases* tiene el mismo valor para todos los gases. El mejor valor numérico de  $R$  actualmente aceptado es

$$R = 8.3144621(75) \text{ J/mol} \cdot \text{K}$$

aunque en cálculos prácticos usaremos  $8.314 \text{ J/mol} \cdot \text{K}$ .

Para un gas dado,  $\gamma$ ,  $R$  y  $M$  son constantes, y la rapidez de la onda es proporcional a la raíz cuadrada de la temperatura absoluta. En el capítulo 18 veremos que la ecuación (16.10) es casi idéntica a la expresión para la rapidez media de las moléculas en un gas ideal. Esto demuestra que las rapideces de sonido y las rapideces moleculares están íntimamente relacionadas.



### EJEMPLO 16.4 RAPIDEZ DEL SONIDO EN EL AIRE

Calcule la rapidez del sonido en el aire a  $T = 20^\circ\text{C}$  y determine el intervalo de longitudes de onda en el aire a la que es sensible el oído humano (que puede escuchar frecuencias de entre 20 y 20,000 Hz). La masa molar media del aire (cuyos componentes principales son nitrógeno y oxígeno) es  $M = 28.8 \times 10^{-3} \text{ kg/mol}$  y la razón de capacidades caloríficas es  $\gamma = 1.40$ .

#### SOLUCIÓN

**IDENTIFICAR y PLANTEAR:** Usaremos la ecuación (16.10) para obtener la rapidez del sonido a partir de  $\gamma$ ,  $T$  y  $M$ , y la relación  $v = f\lambda$  para determinar las longitudes de onda correspondientes a los límites de frecuencia. Observe que en la ecuación (16.10) la temperatura  $T$  se *debe* expresar en grados kelvin, no en grados Celsius.

**EJECUTAR:** A  $T = 20^\circ\text{C} = 293$  K, vemos que

$$v = \sqrt{\frac{\gamma RT}{M}} = \sqrt{\frac{(1.40)(8.314 \text{ J/mol} \cdot \text{K})(293 \text{ K})}{28.8 \times 10^{-3} \text{ kg/mol}}} = 344 \text{ m/s}$$

Si usamos este valor de  $v$  en la expresión  $\lambda = v/f$ , vemos que, a  $20^\circ\text{C}$ , la frecuencia de 20 Hz corresponde a  $\lambda = 17$  m, y una frecuencia de 20,000 Hz corresponde a  $\lambda = 1.7$  cm.

**EVALUAR:** El valor de  $v$  que calculamos coincide con la rapidez medida del sonido a  $T = 20^\circ\text{C}$ .

En realidad, los gases se componen de moléculas con movimiento aleatorio, separadas por distancias grandes en comparación con su diámetro. Las vibraciones que constituyen una onda en un gas se superponen en el movimiento térmico aleatorio. A la presión atmosférica, una molécula recorre una distancia media del orden de  $10^{-7}$  m entre una colisión y otra, mientras que la amplitud de desplazamiento de un sonido tenue podría ser de sólo  $10^{-9}$  m. Podríamos comparar un gas por el que pasa una onda sonora con un enjambre de abejas; el enjambre en conjunto oscila levemente, mientras que los insectos individuales se mueven dentro del enjambre, aparentemente al azar.

**EVALÚE SU COMPRENSIÓN DE LA SECCIÓN 16.2** El mercurio es 13.6 veces más denso que el agua. De acuerdo con la tabla 16.1, a  $20^\circ\text{C}$ , ¿cuál de estos líquidos tiene el mayor módulo volumétrico? **i.** El mercurio; **ii.** el agua; **iii.** ambos tienen el mismo; **iv.** no se dispone de suficiente información para determinarlo. **I**

## 16.3 INTENSIDAD DEL SONIDO

Las ondas sonoras viajeras, al igual que todas las ondas viajeras, transfieren energía de una región del espacio a otra. En la sección 15.5 presentamos el concepto de *intensidad I de la onda*, que es igual a la rapidez media con que la onda transporta energía, por unidad de área, a través de una superficie perpendicular a la dirección de propagación. Veamos cómo expresar la intensidad de una onda sonora en términos de la amplitud  $A$  de desplazamiento o la amplitud de presión  $p_{\text{máx}}$ .

Consideremos una onda sonora que se propaga en la dirección  $+x$ , de modo que se pueden usar las expresiones de la sección 16.1 para el desplazamiento  $y(x, t)$  y la variación de la presión  $p(x, t)$ , expresadas en las ecuaciones (16.1) y (16.4), respectivamente. En la sección 6.4 vimos que la potencia es el producto de la fuerza por la velocidad [vea la ecuación (6.18)]. Por lo tanto, la potencia por unidad de área en esta onda sonora es igual al producto de  $p(x, t)$  (fuerza por unidad de área) por la velocidad de la *partícula*,  $v_y(x, t)$ , que es la velocidad en el tiempo  $t$  de la porción del medio de la onda que está en la coordenada  $x$ . Utilizando las ecuaciones (16.1) y (16.4), tenemos

$$v_y(x, t) = \frac{\partial y(x, t)}{\partial t} = \omega A \operatorname{sen}(kx - \omega t)$$

$$\begin{aligned} p(x, t)v_y(x, t) &= [BkA \operatorname{sen}(kx - \omega t)] [\omega A \operatorname{sen}(kx - \omega t)] \\ &= B\omega k A^2 \operatorname{sen}^2(kx - \omega t) \end{aligned}$$

**CUIDADO** **Velocidad de onda contra velocidad de partículas** Recuerde que la velocidad de la onda como un todo *no* es igual a la velocidad de las partículas. Mientras que la onda se sigue moviendo en la dirección de propagación, las partículas individuales del medio de la onda simplemente oscilan hacia adelante y hacia atrás, como se muestra en la figura (16.1). Además, la rapidez máxima de una partícula del medio puede ser muy diferente de la rapidez de la onda. ■

La intensidad es el valor promedio en el tiempo de la potencia por unidad de área  $p(x, t)v_y(x, t)$ . Para cualquier valor de  $x$ , el valor medio de la función  $\operatorname{sen}^2(kx - \omega t)$  durante un periodo  $T = 2\pi/\omega$  es  $\frac{1}{2}$ , así que

$$I = \frac{1}{2}B\omega k A^2 \quad (16.11)$$

Utilizando las relaciones  $\omega = vk$  y  $v = \sqrt{B/p}$ , transformamos la ecuación (16.11) a

<b>Intensidad de una onda sonora sinusoidal en un fluido</b>	$I = \frac{1}{2}\sqrt{\rho B} \omega^2 A^2$	<b>Frecuencia angular = <math>2\pi f</math></b>
<b>Densidad del fluido</b>	<b>Amplitud de desplazamiento</b>	<b>(16.12)</b>
<b>Modulo volumétrico del fluido</b>		

Por lo regular, es más útil expresar  $I$  en términos de la amplitud de presión  $p_{\text{máx}}$ . Al considerar las ecuaciones (16.5) y (16.12), y la relación  $\omega = vk$ , vemos que

$$I = \frac{\omega p_{\text{máx}}^2}{2Bk} = \frac{vp_{\text{máx}}^2}{2B} \quad (16.13)$$

Utilizando la relación de rapidez de onda  $v = \sqrt{B/p}$ , también podemos escribir la ecuación (16.13) de formas alternativas:

<b>Intensidad de una onda sonora sinusoidal en un fluido</b>	$I = \frac{p_{\text{máx}}^2}{2\rho v} = \frac{p_{\text{máx}}^2}{2\sqrt{\rho B}}$	<b>Amplitud de presión</b>
<b>Densidad del fluido</b>	<b>Rapidez de la onda</b>	<b>Módulo volumétrico del fluido</b>
		<b>(16.14)</b>

Invitamos al lector a verificar estas expresiones. Al comparar las ecuaciones (16.12) y (16.14), vemos que ondas sonoras sinusoidales con la misma intensidad y distinta frecuencia tienen diferente amplitud  $A$  de desplazamiento, pero la *misma* amplitud de

presión  $p_{\text{máx}}$ . Ésta es otra razón por la que suele ser más útil describir una onda sonora en términos de variaciones de presión, no del desplazamiento.

La potencia media *total* transportada a través de una superficie por una onda sonora es igual al producto de la intensidad en la superficie por el área de esta última, si la intensidad sobre la superficie es uniforme. La potencia sonora total media emitida por una persona que habla con voz normal es del orden de  $10^{-5}$  W, en tanto que un grito fuerte corresponde a  $3 \times 10^{-2}$  W aproximadamente. Si todos los residentes de Nueva York hablaran al mismo tiempo, la potencia sonora total sería de unos 100 W, equivalentes al consumo de potencia eléctrica de una bombilla mediana. Por otro lado, la potencia requerida para llenar un auditorio grande o un estadio con sonido fuerte es considerable (vea el ejemplo 16.7).

Si la fuente de sonido emite ondas en todas direcciones por igual, la intensidad disminuye al aumentar la distancia  $r$  a partir de la fuente, según la ley del cuadrado inverso (sección 15.5): la intensidad es proporcional a  $1/r^2$ . La intensidad puede aumentar confinando las ondas sonoras a que viajen sólo en la dirección deseada (**figura 16.10**), aunque la ley  $1/r^2$  aún es aplicable.

La relación del cuadrado inverso no es válida en interiores porque la energía sonora también puede llegar a un receptor reflejada por las paredes y el techo. Efectivamente, una parte de la labor del arquitecto al diseñar un auditorio es planear las reflexiones de modo que la intensidad sea lo más constante posible en todo el recinto.

**16.10** Al ahuecar las manos cerca del rostro, como en la imagen, las ondas sonoras que salen de la boca se dirigen de manera que no se propaguen lateralmente. Así, el sonido se puede escuchar a mayores distancias.



## ESTRATEGIA PARA RESOLVER PROBLEMAS 16.1 INTENSIDAD DEL SONIDO

**IDENTIFICAR** los conceptos relevantes: Las relaciones entre la intensidad y la amplitud de una onda sonora son relativamente sencillas. No obstante, intervienen otras cantidades en esas relaciones, por lo que es muy importante identificar cuál es la incógnita.

**PLANTEAR** el problema de acuerdo con los siguientes pasos:

1. Clasifique las cantidades físicas en categorías. Las propiedades de la onda incluyen las amplitudes de desplazamiento y de presión,  $A$  y  $p_{\text{máx}}$ . La frecuencia  $f$  puede determinarse a partir de la frecuencia angular  $\omega$ , el número de onda  $k$  o la longitud de onda  $\lambda$ . Estas cantidades se relacionan mediante la rapidez de onda  $v$ , que a la vez depende de las propiedades del medio ( $B$  y  $\rho$  en el caso de un líquido, y  $\gamma$ ,  $T$  y  $M$  en el caso de un gas).

2. Ordene las cantidades que se dan e identifique las incógnitas. Elija relaciones que lo lleven adonde desea ir.

**EJECUTAR** la solución: Use las ecuaciones que seleccionó para despejar las incógnitas. Exprese la temperatura en kelvins (temperatura Celsius más 273.15) para calcular la rapidez del sonido en un gas.

**EVALUAR** la respuesta: Si es posible, considere una relación alternativa para comprobar los resultados.



## EJEMPLO 16.5 INTENSIDAD DE UNA ONDA SONORA EN EL AIRE

Calcule la intensidad de la onda sonora del ejemplo 16.1, con  $p_{\text{máx}} = 3.0 \times 10^{-2}$  Pa, suponiendo que la temperatura es de  $20^\circ\text{C}$ , de modo que la densidad del aire es  $\rho = 1.20 \text{ kg/m}^3$  y la rapidez del sonido es  $v = 344 \text{ m/s}$ .

### SOLUCIÓN

**IDENTIFICAR y PLANTEAR:** La incógnita es la intensidad  $I$  de la onda sonora. Conocemos la amplitud de presión,  $p_{\text{máx}}$ , la densidad  $\rho$  y la rapidez de onda  $v$  en el medio. Podemos calcular  $I$  con  $p_{\text{máx}}$ ,  $\rho$  y  $v$  de la ecuación (16.14).

**EJECUTAR:** De acuerdo con la ecuación (16.14),

$$I = \frac{p_{\text{máx}}^2}{2\rho v} = \frac{(3.0 \times 10^{-2} \text{ Pa})^2}{2(1.20 \text{ kg/m}^3)(344 \text{ m/s})}$$

$$= 1.1 \times 10^{-6} \text{ J/(s} \cdot \text{m}^2) = 1.1 \times 10^{-6} \text{ W/m}^2$$

**EVALUAR:** Ésta parece una intensidad muy baja, pero está dentro del intervalo de intensidades de sonido que percibimos a diario. Una onda sonora muy fuerte en el umbral del dolor tiene una amplitud de presión cercana a 30 Pa y una intensidad de  $1 \text{ W/m}^2$  aproximadamente. La amplitud de presión de la onda sonora más tenue que puede escucharse es del orden de  $3 \times 10^{-5}$  Pa, y la intensidad correspondiente es de cerca de  $10^{-12} \text{ W/m}^2$ . [Pruebe estos valores de  $p_{\text{máx}}$  en la ecuación (16.14) para verificar que las intensidades correspondientes sean las que mencionamos].



## EJEMPLO 16.6 MISMA INTENSIDAD, DIFERENTES FRECUENCIAS

¿Cuáles son las amplitudes de desplazamiento y de presión de una onda sonora de 20 Hz con la misma intensidad de la onda sonora de 1000 Hz de los ejemplos 16.1 y 16.5?

### SOLUCIÓN

**IDENTIFICAR y PLANTEAR:** En los ejemplos 16.1 y 16.5 determinamos que para una onda sonora de 1000 Hz con  $p_{\text{máx}} = 3.0 \times 10^{-2}$  Pa,  $A = 1.2 \times 10^{-8}$  m, e  $I = 1.1 \times 10^{-6}$  W/m<sup>2</sup>. Nuestras incógnitas son  $p_{\text{máx}}$  y  $A$  para una onda sonora de 20 Hz de la misma intensidad  $I$ . Esto se puede calcular usando las ecuaciones (16.14) y (16.12), respectivamente.

**EJECUTAR:** Podemos reagrupar las ecuaciones (16.14) y (16.12) como  $p_{\text{máx}}^2 = 2I/\sqrt{\rho B}$  y  $\omega^2 A^2 = 2I/\sqrt{\rho B}$ , respectivamente. Esto nos dice que para una intensidad sonora  $I$  dada en un medio determinado

( $\rho$  y  $B$  constantes), las cantidades  $p_{\text{máx}}$  y  $\omega A$  ( $\omega$ , de manera equivalente,  $fA$ ) son *constantes* que no dependen de la frecuencia. Del primer resultado obtenemos inmediatamente  $p_{\text{máx}} = 3.0 \times 10^{-2}$  Pa para  $f = 20$  Hz, lo mismo que para  $f = 1000$  Hz. Si escribimos el segundo resultado como  $f_{20}A_{20} = f_{1000}A_{1000}$ , tenemos

$$\begin{aligned} A_{20} &= \left( \frac{f_{1000}}{f_{20}} \right) A_{1000} \\ &= \left( \frac{1000 \text{ Hz}}{20 \text{ Hz}} \right) (1.2 \times 10^{-8} \text{ m}) = 6.0 \times 10^{-7} \text{ m} = 0.60 \mu\text{m} \end{aligned}$$

**EVALUAR:** Nuestro resultado refuerza la idea de que la amplitud de presión es una descripción más conveniente de una onda sonora y de su intensidad que la amplitud de desplazamiento.

## EJEMPLO 16.7 ¡QUE SE OIGA!



En un concierto al aire libre, se desea que la intensidad del sonido a 20 m de los altavoces sea de 1 W/m<sup>2</sup>. Si la intensidad del sonido tiene la misma intensidad en todas direcciones, ¿qué potencia de salida acústica media debe tener el conjunto de altavoces?

### SOLUCIÓN

**IDENTIFICAR, PLANTEAR y EJECUTAR:** Aquí se usa la definición de intensidad del sonido como potencia por unidad de área. La potencia total es la incógnita, y el área en cuestión es un hemisferio centrado en el arreglo de altavoces. Suponemos que los altavoces están

en el suelo y que no se dirige potencia acústica hacia este último, así que la potencia acústica se dispersa de manera uniforme en un hemisferio de 20 m de radio. El área superficial de este hemisferio es  $(\frac{1}{2})(4\pi)(20 \text{ m})^2$  o aproximadamente 2500 m<sup>2</sup>. La potencia requerida es el producto de esa área por la intensidad:  $(1 \text{ W/m}^2)(2500 \text{ m}^2) = 2500 \text{ W} = 2.5 \text{ kW}$ .

**EVALUAR:** La entrada de potencia eléctrica a los altavoces tendría que ser mucho mayor que 2.5 kW, porque su eficiencia no es muy alta (normalmente un pequeño porcentaje para altavoces normales, y de hasta el 25% para los de tipo de bocina).

## La escala de decibeles

Puesto que el oído es sensible a una amplia gama de intensidades, suele usarse una escala de intensidad *logarítmica* llamada **nivel de intensidad de sonido**:

$$\beta = (10 \text{ dB}) \log \frac{I}{I_0} \quad \begin{array}{l} \text{Intensidad de la onda sonora} \\ \text{Nivel de intensidad de sonido} \\ \text{Logaritmo de base 10} \end{array} \quad \begin{array}{l} \text{Intensidad de referencia} \\ = 10^{-12} \text{ W/m}^2 \end{array} \quad (16.15)$$

En la ecuación (16.15), la intensidad elegida de referencia  $I_0$  es aproximadamente el umbral de la audición humana a 1000 Hz. Los niveles de intensidad de sonido se expresan en **decibeles**, cuya abreviatura es dB. Un decibel es  $\frac{1}{10}$  de un bel, unidad llamada así en honor de Alexander Graham Bell (el inventor del teléfono). El bel es demasiado grande para casi todos los fines, así que el decibel es la unidad usual de nivel de intensidad de sonido.

Si la intensidad de una onda sonora es igual a  $I_0$  o  $10^{-12}$  W/m<sup>2</sup>, su nivel de intensidad de sonido es  $\beta = 0$  dB. Una intensidad de 1 W/m<sup>2</sup> corresponde a 120 dB. La **tabla 16.2** indica los niveles de intensidad de sonido de varios sonidos comunes. Se puede usar la ecuación (16.15) para verificar el valor de  $\beta$  dado para cada intensidad en la tabla.

Como el oído no tiene la misma sensibilidad para todas las frecuencias del intervalo audible, algunos medidores de nivel de sonido ponderan de manera diferente las diversas frecuencias. Un esquema de ese tipo da origen a la llamada escala dBA, la cual otorga menos importancia a las frecuencias bajas y muy altas, a las que el oído es menos sensible.

### Niveles de intensidad de sonido de diversas fuentes

**TABLA 16.2** (valores representativos)

Fuente o descripción del sonido	Nivel de intensidad del sonido, $\beta$ (dB)	Intensidad, $I$ ( $\text{W/m}^2$ )
Avión militar a reacción a 30 m de distancia	140	$10^2$
Umbral de dolor	120	1
Remachador	95	$3.2 \times 10^{-3}$
Tren elevado	90	$10^{-3}$
Tránsito urbano intenso	70	$10^{-5}$
Conversación ordinaria	65	$3.2 \times 10^{-6}$
Automóvil silencioso	50	$10^{-7}$
Radio con volumen bajo en el hogar	40	$10^{-8}$
Murmullo normal	20	$10^{-10}$
Susurro de hojas	10	$10^{-11}$
Umbral del oído a 1000 Hz	0	$10^{-12}$



### EJEMPLO 16.8 SORDERA TEMPORAL O PERMANENTE

Una exposición de 10 min a un sonido de 120 dB suele desplazar temporalmente el umbral del oído a 1000 Hz, de 0 dB a 28 dB. Diez años de exposición al sonido de 92 dB causan un desplazamiento *permanente* a 28 dB. ¿Qué intensidades corresponden a 28 y 92 dB?

#### SOLUCIÓN

**IDENTIFICAR y PLANTEAR:** Se nos indican dos niveles de intensidades de sonido  $\beta$ ; nuestras incógnitas son las intensidades correspondientes. Despejaremos la intensidad  $I$  de la ecuación (16.15) para cada valor de  $\beta$ .

**EJECUTAR:** Despejamos  $I$  de la ecuación (16.15), dividiendo ambos miembros entre 10 dB y usando la relación  $10^{\log x} = x$ :

$$I = I_0 10^{\beta/(10 \text{ dB})}$$

Cuando  $\beta = 28$  dB y  $\beta = 92$  dB, los exponentes son  $\beta/(10 \text{ dB}) = 2.8$  y 9.2, respectivamente, de modo que

$$I_{28 \text{ dB}} = (10^{-12} \text{ W/m}^2) 10^{2.8} = 6.3 \times 10^{-10} \text{ W/m}^2$$

$$I_{92 \text{ dB}} = (10^{-12} \text{ W/m}^2) 10^{9.2} = 1.6 \times 10^{-3} \text{ W/m}^2$$

**EVALUAR:** Si sus respuestas son demasiado grandes por un factor de 10, tal vez haya registrado  $10 \times 10^{-12}$  en su calculadora en lugar de  $1 \times 10^{-12}$ . ¡Tenga cuidado!



### EJEMPLO 16.9 UN PÁJARO CANTA EN UNA PRADERA

Considere un modelo idealizado en el que un pájaro (considerado como fuente puntual) emite una potencia de sonido constante, cuya intensidad cumple con la ley del cuadrado inverso (**figura 16.11**). ¿Cuántos decibeles bajaría el nivel de intensidad del sonido si nos alejamos al doble de la distancia del ave?

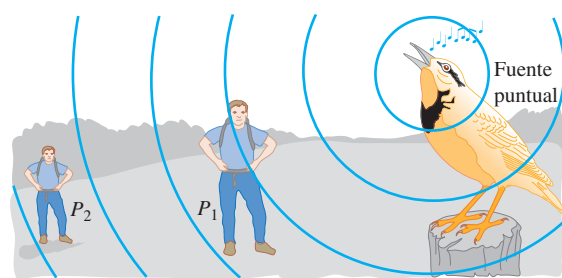
#### SOLUCIÓN

**IDENTIFICAR y PLANTEAR:** Puesto que la escala de decibeles es logarítmica, la *diferencia* entre dos niveles de intensidad de sonido (la incógnita) corresponde a *la razón* de las intensidades correspondientes, la cual está determinada por la ley del cuadrado inverso. Identificamos los dos puntos  $P_1$  y  $P_2$  (figura 16.11) y usamos la ecuación (16.15), la definición de nivel de intensidad de sonido, en cada punto. Usaremos la ecuación (15.26), la ley del cuadrado inverso, para relacionar las intensidades en los dos puntos.

**EJECUTAR:** La diferencia  $\beta_2 - \beta_1$  entre dos niveles de intensidad de sonido cualesquiera está relacionada con las intensidades correspondientes por

$$\begin{aligned} \beta_2 - \beta_1 &= (10 \text{ dB}) \left( \log \frac{I_2}{I_0} - \log \frac{I_1}{I_0} \right) \\ &= (10 \text{ dB}) [(\log I_2 - \log I_0) - (\log I_1 - \log I_0)] \\ &= (10 \text{ dB}) \log \frac{I_2}{I_1} \end{aligned}$$

**16.11** Si duplicamos la distancia a una fuente puntual de sonido, ¿en cuánto disminuye el nivel de intensidad del sonido?



Para esta fuente, que se ajusta a la ley del cuadrado inverso, la ecuación (15.26) produce  $I_2/I_1 = r_1^2/r_2^2 = \frac{1}{4}$ , por lo que

$$\beta_2 - \beta_1 = (10 \text{ dB}) \log \frac{I_2}{I_1} = (10 \text{ dB}) \log \frac{1}{4} = -6.0 \text{ dB}$$

Continúa

**EVALUAR:** El resultado es negativo, lo cual nos indica (correctamente) que el nivel de intensidad de sonido es menor en  $P_2$  que en  $P_1$ . La diferencia de 6 dB no depende del nivel de intensidad del sonido en  $P_1$ ; para *cualquier* duplicación de la distancia desde una fuente que cumple la ley del cuadrado inverso, el nivel de intensidad del sonido se reduce en 6 dB.

Observe que el *volumen* percibido de un sonido no es directamente proporcional a su intensidad. Por ejemplo, la mayoría de las personas interpretan un aumento de 8 a 10 dB en el nivel de intensidad del sonido (que corresponde a un aumento de la intensidad por un factor de 6 a 10), como un aumento al doble del volumen.

**EVALÚE SU COMPRENSIÓN DE LA SECCIÓN 16.3** Se duplica la intensidad de una onda sonora en el aire, sin alterar su frecuencia (la presión, la densidad y la temperatura del aire también permanecen constantes). ¿Qué efecto tiene esto sobre la amplitud de desplazamiento, la amplitud de presión, el módulo volumétrico, la rapidez del sonido y el nivel de intensidad del sonido? ■

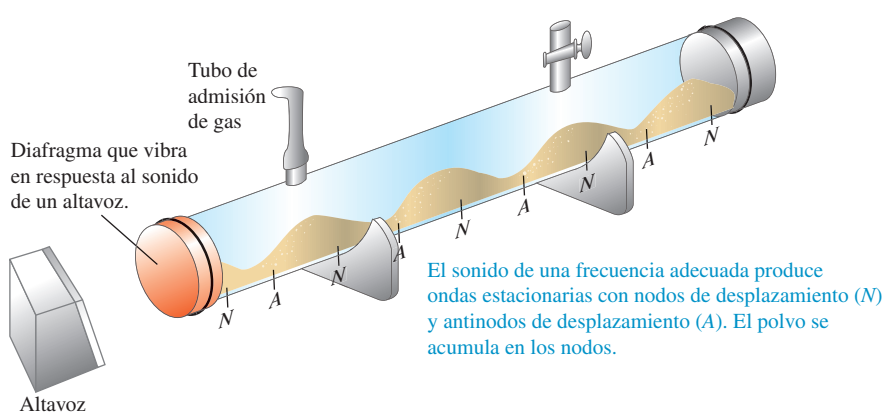
## 16.4 ONDAS SONORAS ESTACIONARIAS Y MODOS NORMALES

Cuando ondas longitudinales (de sonido) se propagan en un fluido dentro de un tubo, se reflejan en los extremos igual que las ondas transversales en los extremos de una cuerda. La superposición de las ondas que viajan en direcciones opuestas forma también una onda estacionaria. Al igual que las ondas estacionarias transversales en una cuerda (sección 15.7), las ondas sonoras estacionarias en un tubo pueden servir para crear ondas de sonido en el aire circundante. Éste es el principio de operación de la voz humana y de muchos instrumentos musicales, incluidos los de viento tanto de madera como de metal, y los órganos.

Las ondas transversales en una cuerda, incluidas las estacionarias, suelen describirse sólo en términos del desplazamiento de la cuerda. En cambio, ya vimos que las ondas sonoras en un fluido pueden describirse en términos del desplazamiento del fluido, o bien, en términos de variaciones en la presión del fluido. Para evitar confusiones, usaremos los términos **nodo de desplazamiento** y **antinodo de desplazamiento** para referirnos a puntos donde las partículas del fluido tienen cero desplazamiento y máximo desplazamiento, respectivamente.

Podemos mostrar las ondas sonoras estacionarias en una columna de gas con un aparato llamado tubo de Kundt (**figura 16.12**). Se trata de un tubo horizontal de vidrio de aproximadamente 1 m de longitud cerrado en un extremo; en el otro se instala un diafragma flexible que puede transmitir vibraciones. Un altavoz cercano se conecta a un oscilador y amplificador de audio, y produce ondas sonoras que obligan al diafragma a vibrar sinusoidalmente con una frecuencia que podemos variar. Las ondas sonoras dentro del tubo se reflejan en el extremo cerrado. Esparcimos uniformemente un poco de polvo fino en el interior del tubo, en la parte inferior. Al variar la frecuencia del sonido, pasamos por frecuencias en las que la amplitud de las ondas estacionarias es lo bastante grande para que el polvo sea barrido a lo largo del tubo en los puntos donde se mueve el gas. Entonces, el polvo se acumula en los nodos de desplazamiento (donde el gas no se mueve). Los nodos adyacentes están separados una distancia igual a  $\lambda/2$ .

**16.12** Representación de ondas sonoras estacionarias en un tubo de Kundt. El sombreado azul representa la densidad del gas en un instante en el que la presión del gas en los nodos de desplazamiento es máxima o mínima.



La figura 16.13 muestra los movimientos de nueve partículas diferentes dentro de un tubo lleno de gas, donde hay una onda sonora estacionaria. Una partícula en un nodo de desplazamiento (*N*) no se mueve, mientras que una partícula en un antinodo de desplazamiento (*A*) oscila con amplitud máxima. Observe que las partículas en lados opuestos del nodo de desplazamiento vibran en fase opuesta. Cuando estas partículas se acercan entre sí, el gas entre ellas se comprime y la presión aumenta; cuando se alejan, hay una expansión y la presión baja. Así, en un *nodo* de desplazamiento el gas experimenta compresión y expansión máximas, y las variaciones de presión y densidad arriba y abajo de la media tienen su valor máximo. En contraste, las partículas en lados opuestos de un *antinodo* de desplazamiento vibran *en fase*; la distancia entre ellas es casi constante, y la presión y la densidad *no* varían en el antinodo.

Usamos el término **nodo de presión** para describir un punto de una onda sonora estacionaria en el que la presión y la densidad no varían, y el término **antinodo de presión** para describir un punto donde las variaciones de presión y densidad son máximas. Con estos términos, podemos resumir nuestras observaciones acerca de las ondas sonoras estacionarias como sigue:

**Un nodo de presión siempre es un antinodo de desplazamiento, y un antinodo de presión siempre es un nodo de desplazamiento.**

La figura 16.12 muestra una onda sonora estacionaria en el instante en el que las variaciones de presión son máximas; el sombreado azul indica que la densidad y presión del gas tienen sus máximos y mínimos en los nodos de desplazamiento.

Cuando hay reflexión en el extremo *cerrado* de un tubo (con una barrera o un tapón rígido), el desplazamiento de las partículas en ese extremo siempre debe ser cero, como en el extremo fijo de una cuerda. Así, el extremo cerrado del tubo es un nodo de desplazamiento y un antinodo de presión; las partículas no se mueven, pero las variaciones de presión son máximas. El extremo *abierto* de un tubo es un nodo de presión porque está abierto a la atmósfera, donde la presión es constante. Por ello, ese extremo siempre es un *antinodo* de desplazamiento, análogo al extremo libre de una cuerda; las partículas oscilan con amplitud máxima, pero la presión no varía. (En sentido estricto, el nodo de presión realmente se presenta un poco más allá del extremo abierto de un tubo; pero si el diámetro del tubo es pequeño en comparación con la longitud de onda, como en casi todos los instrumentos musicales, podemos despreciar este efecto). Así, las ondas sonoras longitudinales en una columna de fluido se reflejan en los extremos cerrado y abierto de un tubo, igual que las ondas transversales en una cuerda se reflejan en los extremos fijo y libre, respectivamente.

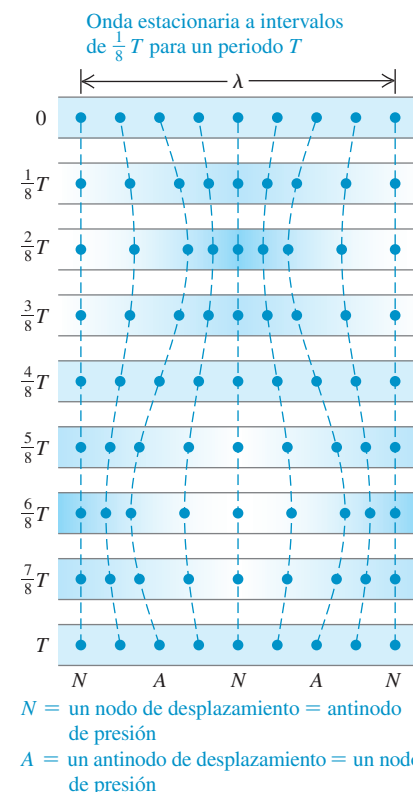
### EJEMPLO 16.10 EL SONIDO DEL SILENCIO

Un altavoz direccional dirige una onda sonora de longitud de onda  $\lambda$  a una pared (figura 16.14). ¿A qué distancias de la pared podríamos ubicarnos y no escuchar nada?

#### SOLUCIÓN

El oído detecta variaciones de presión en el aire; por lo tanto, no escucharemos ningún sonido si los oídos están en un *nodo de presión*, que es un antinodo de desplazamiento. La pared está en un nodo de desplazamiento; la distancia de un nodo a un antinodo adyacente es  $\lambda/4$ , y entre un antinodo y el siguiente,  $\lambda/2$  (figura 16.14). Por consiguiente, los antinodos de desplazamiento (nodos de presión), en los que no se escuchará el sonido, son las distancias  $d = \lambda/4$ ,  $d = \lambda/4 + \lambda/2 = 3\lambda/4$ ,  $d = 3\lambda/4 + \lambda/2 = 5\lambda/4$ ... con respecto a la pared. Si el altavoz no es perfectamente direccional, este efecto es difícil de notar debido a las reflexiones de las ondas sonoras en el piso, el techo y otras paredes.

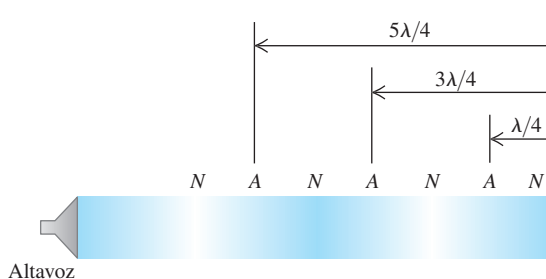
**16.13** En una onda sonora estacionaria, un nodo de desplazamiento *N* es un antinodo de presión (un punto en el que la fluctuación de la presión es máxima) y un antinodo de desplazamiento *A* es un nodo de presión (un punto donde la presión no fluctúa).



*N* = un nodo de desplazamiento = antinodo de presión

*A* = un antinodo de desplazamiento = un nodo de presión

**16.14** Cuando una onda sonora se dirige a una pared, interfiere con la onda reflejada para formar una onda estacionaria. Las *N* y *A* son nodos y antinodos de desplazamiento.

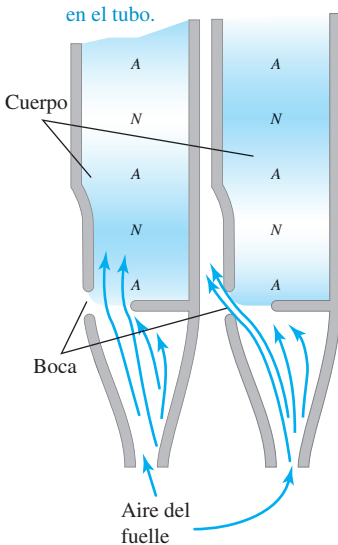


**16.15** Tubos de órgano de distinto tamaño producen tonos de diferente frecuencia.



**16.16** Cortes transversales de un tubo de órgano en dos instantes separados medio periodo. Las  $N$  y  $A$  son nodos y antinodos de desplazamiento; como indica el sombreado azul, éstos son puntos de variación máxima de presión y cero variación de presión, respectivamente.

Las vibraciones del flujo turbulento de aire crean ondas estacionarias en el tubo.



## Tubos de órgano e instrumentos de viento

La aplicación más importante de las ondas sonoras estacionarias es la producción de tonos musicales. Los tubos de órgano son uno de los ejemplos más sencillos (**figura 16.15**). Un fuelle suministra aire en el extremo inferior del tubo (**figura 16.16**). Una corriente de aire sale por la abertura angosta en el borde de la superficie horizontal y se dirige hacia el borde superior de la abertura, llamada *boca* del tubo. La columna de aire en el tubo comienza a vibrar, y hay una serie de modos normales posibles, igual que en una cuerda estirada. La boca siempre actúa como extremo abierto, así que es un nodo de presión y un antinodo de desplazamiento. El otro extremo del tubo (en la parte superior de la figura 16.16) puede estar abierto o cerrado.

En la **figura 16.17**, ambos extremos del tubo están abiertos, así que son nodos de presión y antinodos de desplazamiento. Un tubo de órgano abierto en ambos extremos se llama *tubo abierto*. La frecuencia fundamental  $f_1$  corresponde a un patrón de onda estacionaria con un antinodo de desplazamiento en cada extremo y un nodo de desplazamiento en medio (figura 16.17a). La distancia entre antinodos adyacentes siempre es igual a media longitud de onda que, en este caso, es igual a la longitud  $L$  del tubo:  $\lambda/2 = L$ . La frecuencia correspondiente, obtenida de la relación  $f = v/\lambda$ , es

$$f_1 = \frac{v}{2L} \quad (\text{tubo abierto}) \quad (16.16)$$

Las figuras 16.17b y 16.17c muestran el segundo y tercer armónicos; sus patrones de vibración tienen dos y tres nodos de desplazamiento, respectivamente. Para éstos, media longitud de onda es igual a  $L/2$  y  $L/3$ , respectivamente, y las frecuencias son dos y tres veces la fundamental, respectivamente. Es decir,  $f_2 = 2f_1$  y  $f_3 = 3f_1$ . Para todo modo normal de un tubo abierto, la longitud  $L$  debe ser un número entero de medias longitudes de onda, y las longitudes de onda posibles  $\lambda_n$  están dadas por

$$L = n \frac{\lambda_n}{2} \quad \text{o bien, } \lambda_n = \frac{2L}{n} \quad (n = 1, 2, 3, \dots) \quad (\text{tubo abierto}) \quad (16.17)$$

Las frecuencias correspondientes  $f_n$  están dadas por  $f_n = v/\lambda_n$ , así que todas las frecuencias de modo normal para un tubo abierto por ambos extremos están dadas por

Ondas estacionarias,  
tubo abierto

Frecuencia del enésimo armónico  $n = 1, 2, 3, \dots$

$f_n = \frac{nv}{2L}$  Rapidez del sonido en el tubo  
Longitud del tubo

$$f_n = \frac{nv}{2L} \quad (16.18)$$

El valor  $n = 1$  corresponde a la frecuencia fundamental,  $n = 2$  al segundo armónico (o primer sobretono), etcétera. O bien, podemos decir

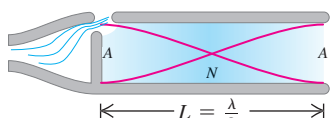
$$f_n = nf_1 \quad (n = 1, 2, 3, \dots) \quad (\text{tubo abierto}) \quad (16.19)$$

con  $f_1$  dada por la ecuación (16.16).

La **figura 16.18** muestra un *tubo cerrado*: está abierto en el extremo izquierdo, pero cerrado en el derecho. El extremo izquierdo (abierto) es un antinodo de desplazamiento (nodo de presión), pero el derecho (cerrado) es un nodo de desplazamiento (antinodo de presión). La figura 16.18a muestra el modo de más baja frecuencia; la longitud del

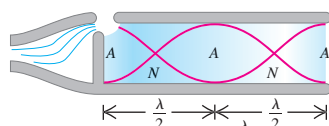
**16.17** Corte transversal de un tubo abierto en el que se muestran los primeros tres modos normales. El sombreado indica las variaciones de presión. Las curvas rojas indican el desplazamiento a lo largo del eje del tubo en dos instantes separados por medio periodo. Las  $N$  y  $A$  son los nodos y antinodos de desplazamiento; intercambíelos para ubicar los nodos y antinodos de presión.

a) Fundamental:  $f_1 = \frac{v}{2L}$

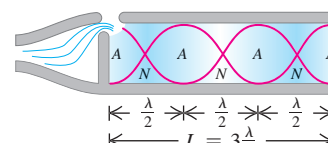


El extremo abierto siempre es un antinodo de desplazamiento.

b) Segundo armónico:  $f_2 = 2 \frac{v}{2L} = 2f_1$

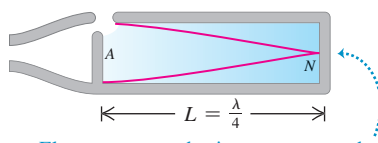


c) Tercer armónico:  $f_3 = 3 \frac{v}{2L} = 3f_1$



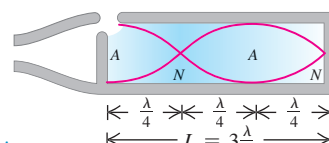
**16.18** Corte transversal de un tubo cerrado que muestra los primeros tres modos normales, así como los nodos y antinodos de desplazamiento. Sólo son posibles armónicos impares.

a) Fundamental:  $f_1 = \frac{v}{4L}$

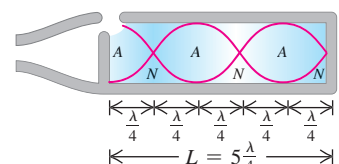


El extremo cerrado siempre es un nodo de desplazamiento.

b) Tercer armónico:  $f_3 = 3\frac{v}{4L} = 3f_1$



c) Quinto armónico:  $f_5 = 5\frac{v}{4L} = 5f_1$



tubo es la distancia entre un nodo y el antinodo adyacente, o un cuarto de longitud de onda ( $L = \lambda_1/4$ ). La frecuencia fundamental es  $f_1 = v/\lambda_1$ , o bien,

$$f_1 = \frac{v}{4L} \quad (\text{tubo cerrado}) \quad (16.20)$$

Ésta es la mitad de la frecuencia fundamental de un tubo *abierto* de la misma longitud. En el lenguaje musical, el *tono* de un tubo cerrado es una octava más bajo (un factor de 2 en la frecuencia) que el de un tubo abierto con la misma longitud. La figura 16.18b muestra el siguiente modo, para el cual la longitud del tubo es *tres cuartas partes* de una longitud de onda, correspondiente a una frecuencia de  $3f_1$ . Para la figura 16.18c,  $L = 5\lambda/4$  y la frecuencia es  $5f_1$ . Las posibles longitudes de onda están dadas por

$$L = \frac{\lambda_n}{4} \quad \text{o bien,} \quad \lambda_n = \frac{4L}{n} \quad (n = 1, 3, 5, \dots) \quad (\text{tubo cerrado}) \quad (16.21)$$

Las frecuencias de modo normal están dadas por  $f_n = v/\lambda_n$ , es decir,

Frecuencia del enésimo armónico ( $n = 1, 3, 5, \dots$ )  
**Ondas estacionarias, tubo cerrado:**  $f_n = \frac{nv}{4L}$  Rapidez del sonido en el tubo Longitud del tubo

o bien,

$$f_n = nf_1 \quad (n = 1, 3, 5, \dots) \quad (\text{tubo cerrado}) \quad (16.23)$$

donde  $f_1$  está dada por la ecuación (16.20). Vemos que faltan el segundo, cuarto y todos los demás armónicos *pares*. En un tubo cerrado por un extremo, la frecuencia fundamental es  $f_1 = v/4L$ , y sólo son posibles los armónicos impares de la serie ( $3f_1, 5f_1, \dots$ ).

Una última posibilidad es un tubo cerrado por *ambos* extremos, con nodos de desplazamiento y antinodos de presión en esos extremos. Esto no sería útil como instrumento musical porque las vibraciones no podrían salir del tubo.



### EJEMPLO 16.11 HISTORIA DE DOS TUBOS

En un día en que la rapidez del sonido es de 345 m/s, la frecuencia fundamental de un tubo de órgano cerrado es 220 Hz. a) ¿Qué longitud tiene el tubo? b) El segundo *sobretono* de ese tubo tiene la misma longitud de onda que el tercero armónico de un tubo *abierto*. ¿Qué longitud tiene el tubo abierto?

#### SOLUCIÓN

**IDENTIFICAR y PLANTEAR:** Este problema utiliza la relación entre la longitud y las frecuencias de modo normal de un tubo abierto (figura 16.17) y un tubo cerrado (figura 16.18). En el inciso a) determinaremos la longitud del tubo cerrado con la ecuación (16.22). En el inciso b), debemos determinar la longitud de un tubo abierto, cuyas frecuencias están dadas por la ecuación (16.18).

**EJECUTAR:** a) Para un tubo cerrado,  $f_1 = v/4L$ , de manera que

$$L_{\text{cerrado}} = \frac{v}{4f_1} = \frac{345 \text{ m/s}}{4(220 \text{ s}^{-1})} = 0.392 \text{ m}$$

b) La frecuencia del segundo sobretono de un tubo cerrado (la tercera frecuencia posible) es  $f_5 = 5f_1 = 5(220 \text{ Hz}) = 1100 \text{ Hz}$ . Si las longitudes de onda para los dos tubos son iguales, las frecuencias también son iguales. Por lo tanto, la frecuencia del tercero armónico del tubo abierto que está en  $3f_1 = 3(v/2L)$  es igual a 1100 Hz. Entonces,

$$1100 \text{ Hz} = 3 \left( \frac{345 \text{ m/s}}{2L_{\text{abierto}}} \right) \quad \text{y} \quad L_{\text{abierto}} = 0.470 \text{ m}$$

**EVALUAR:** El tubo cerrado tiene una longitud de 0.392 m y una frecuencia fundamental de 220 Hz; el abierto es *más largo* (0.470 m), pero tiene una frecuencia fundamental *más alta*,  $(1100 \text{ Hz})/3 = 367 \text{ Hz}$ . Esto no es una contradicción, como se observa al comparar las figuras 16.17a y 16.18a.

En un tubo de órgano real, siempre están presentes simultáneamente varios modos; el movimiento del aire es una superposición de estos modos. Tal situación es similar a una cuerda golpeada o punteada, como en la figura 15.28. Al igual que en una cuerda vibrante, una onda estacionaria compleja en el tubo produce una onda sonora viajera en el aire circundante con un contenido armónico similar al de la onda estacionaria. Un tubo muy angosto produce una onda sonora rica en armónicos altos; un tubo más grueso produce principalmente el modo fundamental, que suena más suave, “como flauta”. El contenido armónico también depende de la forma de la boca del tubo.

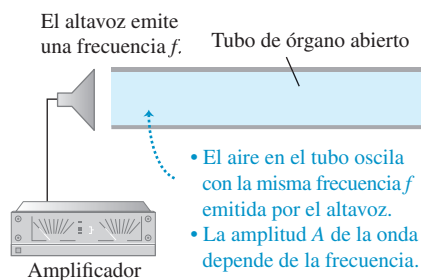
Hemos hablado de tubos de órgano, pero este análisis también es válido para otros instrumentos de viento. La flauta común y la flauta dulce son directamente análogas. La diferencia más importante es que esos instrumentos tienen orificios a lo largo del tubo. Al taparse y destaparse esos orificios con los dedos, se modifica la longitud efectiva  $L$  de la columna de aire y, por consiguiente, el tono. Un tubo de órgano, en cambio, sólo puede tocar una nota. Las flautas se comportan como tubos *abiertos*, mientras que el clarinete actúa como tubo *cerrado* (cerrado en el extremo de la lengüeta, abierto en el pabellón).

Las ecuaciones (16.18) y (16.22) indican que las frecuencias de cualquier instrumento de viento son proporcionales a la rapidez  $v$  del sonido en la columna de aire dentro del instrumento. Como indica la ecuación (16.10),  $v$  depende de la temperatura; aumenta cuando esta última se incrementa. Por lo tanto, el tono de los instrumentos de viento aumenta con la temperatura. Un órgano que tiene algunos tubos a una temperatura y otros a una temperatura distinta sonará desafinado.

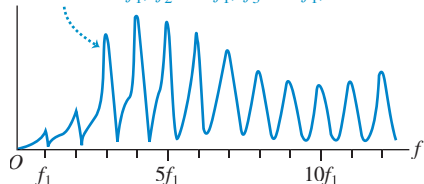
**EVALÚE SU COMPRENSIÓN DE LA SECCIÓN 16.4** Si se conecta una manguera a un extremo de un tubo metálico y se introduce por ella aire comprimido, el tubo producirá un tono musical. Si en el tubo se inyecta helio comprimido a la misma presión y temperatura, ¿el tubo producirá **i.** el mismo tono, **ii.** un tono más alto, o **iii.** un tono más bajo? |

**16.19** a) Se obliga al aire dentro de un tubo abierto a oscilar a la misma frecuencia que las ondas sonoras sinusoidales provenientes del altavoz. b) La curva de resonancia del tubo abierto representa la amplitud de la onda sonora estacionaria en el tubo en función de la frecuencia impulsora.

a)



b) Curva de resonancia: gráfica de amplitud  $A$  contra frecuencia impulsora  $f$ . Los picos ocurren en las frecuencias de modo normal del tubo:  $f_1, f_2 = 2f_1, f_3 = 3f_1, \dots$



## 16.5 RESONANCIA Y SONIDO

Muchos sistemas mecánicos tienen modos normales de oscilación. Como vimos, estos sistemas incluyen columnas de aire (como en un tubo de órgano) y cuerdas estiradas (como en una guitarra; vea la sección 15.8). En cada modo, todas las partículas del sistema oscilan con movimiento armónico simple con la misma frecuencia que la del modo. Las columnas de aire y las cuerdas estiradas tienen una serie infinita de modos normales; pero el concepto básico está íntimamente relacionado con el oscilador armónico simple, descrito en el capítulo 14, que sólo tiene un modo normal (es decir, una sola frecuencia con la que oscila cuando se le perturba).

Suponga que aplicamos una fuerza que varía periódicamente a un sistema que puede oscilar. Así, se fuerza a éste a oscilar con una frecuencia igual a la frecuencia de la fuerza aplicada (llamada *frecuencia impulsora*). Este movimiento se denomina *oscilación forzada*. Ya hablamos de oscilaciones forzadas del oscilador armónico en la sección 14.8; en particular, describimos el fenómeno de **resonancia** mecánica. Un ejemplo sencillo de resonancia es empujar al primo Throckmorton en un columpio. El columpio es un péndulo; sólo tiene un modo normal, con una frecuencia determinada por su longitud. Si empujamos el columpio periódicamente con esta frecuencia, podemos incrementar la amplitud del movimiento; pero si empujamos con una frecuencia muy distinta, el columpio casi no se moverá.

También hay resonancia cuando una fuerza que varía periódicamente se aplica a un sistema con muchos modos normales. En la **figura 16.19a**, un tubo de órgano abierto se coloca junto a un altavoz alimentado por un amplificador que emite ondas sonoras sinusoidales puras con frecuencia  $f$ , la cual puede variarse ajustando el amplificador. El aire del tubo es forzado a vibrar con la misma frecuencia  $f$  de la *fuerza impulsora* provista por el altavoz. En general, la amplitud de este movimiento es relativamente pequeña y el movimiento del aire dentro del tubo no corresponderá a ninguno de los patrones de modo normal de la figura 16.17. No obstante, si la frecuencia  $f$  de la fuerza es cercana a la frecuencia de uno de los modos normales, el aire en el tubo se moverá

según el patrón de modo normal para esa frecuencia, y la amplitud puede aumentar mucho. La figura 16.19b muestra la amplitud de oscilación del aire en el tubo en función de la frecuencia impulsora  $f$ . Esta gráfica se denomina **curva de resonancia** y tiene picos donde  $f$  es igual a las frecuencias de los modos normales del tubo. La forma detallada de la curva de resonancia depende de la geometría del tubo.

Si la frecuencia de la fuerza es exactamente *igual* a una frecuencia de modo normal, el sistema está en resonancia, y la amplitud de la oscilación forzada es máxima. Si no hubiera fricción ni otro mecanismo de disipación de la energía, una fuerza impulsora a una frecuencia de modo normal continuaría agregando energía al sistema, la amplitud aumentaría indefinidamente, y los picos de la curva de resonancia de la figura 16.19b serían infinitamente altos. En un sistema real, sin embargo, siempre hay disipación de energía, o amortiguamiento, como vimos en la sección 14.8; la amplitud de oscilación en resonancia puede ser grande, pero no infinita.

El “sonido del océano” que escuchamos cuando acercamos el oído a un caracol grande se debe a la resonancia. El ruido del aire exterior que roza el caracol es una mezcla de ondas sonoras de casi todas las frecuencias audibles, que obliga al aire dentro del caracol a oscilar. El caracol se comporta como un tubo de órgano, con una serie de frecuencias de modos normales; por ello, el aire interior oscila con más fuerza a esas frecuencias, produciendo el sonido característico del caracol. Para escuchar un fenómeno similar, destape una botella llena de su bebida preferida y sople al ras de la abertura. El ruido lo produce su aliento soplando a través de la boca de la botella, y el “tubo de órgano” es la columna de aire dentro de la botella arriba de la superficie del líquido. Si toma un trago y repite el experimento, oirá un tono más bajo porque el “tubo” es más largo y las frecuencias de modos normales son más bajas.

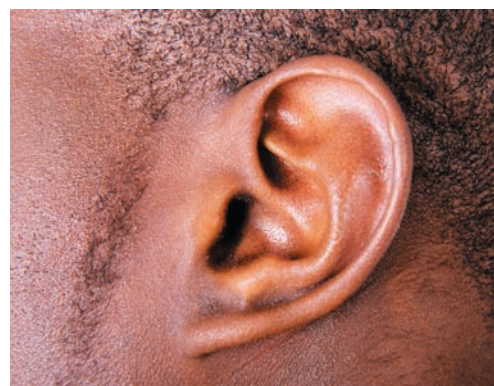
También hay resonancia cuando se hace oscilar una cuerda estirada (sección 15.8). Suponga que un extremo de la cuerda estirada se mantiene fijo, mientras al otro se le imparte un movimiento sinusoidal transversal de amplitud pequeña, creando así ondas estacionarias. Si la frecuencia del mecanismo impulsor *no* es igual a una de las frecuencias de modo normal de la cuerda, la amplitud en los antinodos es pequeña; pero si la frecuencia es igual a cualquiera de las frecuencias de modo normal, la cuerda estará en resonancia y la amplitud en los antinodos será mucho mayor que en el extremo impulsado. Este último no es precisamente un nodo, aunque se encuentra mucho más cerca de un nodo que de un antinodo cuando la cuerda está en resonancia. Las fotografías de ondas estacionarias de la figura 15.23 se obtuvieron así, con el extremo izquierdo de la cuerda fijo y el derecho oscilando verticalmente con amplitud pequeña.

Es fácil demostrar la resonancia con un piano. Pise el pedal del amortiguador (el derecho) para que los amortiguadores se levanten y las cuerdas puedan vibrar libremente; luego, cante con un tono constante hacia el piano. Cuando deje de cantar, parecerá que el piano sigue generando la misma nota. Las ondas sonoras de su voz excitan vibraciones en las cuerdas, cuyas frecuencias naturales son cercanas a las frecuencias (fundamental y armónica) que estaban presentes en la nota que usted vocalizó.

Un ejemplo más espectacular es cuando una cantante rompe una copa de cristal con su voz amplificada. Una copa de buena calidad tiene frecuencias de modo normal que podemos escuchar dándole un golpecito. Si la cantante emite una nota fuerte con una frecuencia exactamente igual a una de estas frecuencias de modo normal, se pueden crear oscilaciones de gran amplitud y romper el cristal (**figura 16.20**).

### BIO Aplicación Resonancia y la sensibilidad del oído

El canal auditivo del oído humano (vea la figura 16.4) es un tubo lleno de aire, abierto por uno de sus extremos y cerrado en el otro (tímpano). El canal mide aproximadamente 2.5 cm = 0.025 m de longitud, de manera que tiene una resonancia en su frecuencia fundamental  $f_1 = v / 4L = (344 \text{ m/s}) / [4(0.025 \text{ m})] = 3440 \text{ Hz}$ . La resonancia significa que un sonido en esta frecuencia produce una oscilación considerable del timpano. Por eso, el oído es más sensible cerca de los 3440 Hz.



**16.20** La frecuencia del sonido de esta trompeta coincide exactamente con una de las frecuencias de modo normal de la copa. Las vibraciones de resonancia de la copa tienen una amplitud tan grande que el cristal se hace añicos.



### EJEMPLO 16.12 DUETO ÓRGANO-GUITARRA

El tubo cerrado de un órgano se hace sonar cerca de una guitarra, haciendo que una de las cuerdas vibre con gran amplitud. Variamos la tensión de la cuerda hasta obtener la amplitud máxima. La longitud de la cuerda es el 80% de la del tubo. Si tanto el tubo como la cuerda vibran en su frecuencia fundamental, calcule la razón entre la rapidez de la onda en la cuerda y la del sonido en el aire.

### SOLUCIÓN

**IDENTIFICAR y PLANTEAR:** La gran respuesta de la cuerda es un ejemplo de resonancia; se da porque el tubo y la cuerda tienen la misma frecuencia fundamental. Si usamos los subíndices a y s para identificar el aire dentro del tubo y la cuerda, respectivamente, la



Continúa

condición de resonancia es  $f_{1a} = f_{1s}$ . La ecuación (16.20) da la frecuencia fundamental de un tubo cerrado; y la frecuencia fundamental de una cuerda de guitarra sujetada por ambos extremos está dada por la ecuación (15.32). En estas expresiones interviene la rapidez de la onda en el aire ( $v_a$ ) y en la cuerda ( $v_s$ ), así como las longitudes del tubo y de la cuerda; nos dicen que  $L_s = 0.80L_a$ , y la incógnita es la razón  $v_s/v_a$ .

**EJECUTAR:** De acuerdo con las ecuaciones (16.20) y (15.32),  $f_{1a} = v_a/4L_a$  y  $f_{1s} = v_s/2L_s$ . Estas frecuencias son iguales, por lo que

$$\frac{v_a}{4L_a} = \frac{v_s}{2L_s}$$

Al sustituir  $L_s = 0.80L_a$  y reacomodando, obtenemos  $v_s/v_a = 0.40$ .

**EVALUAR:** Como ejemplo, si la rapidez del sonido en el aire es de 345 m/s, la rapidez de la onda en la cuerda es  $(0.40)(345 \text{ m/s}) = 138 \text{ m/s}$ . Observe que, si bien las ondas estacionarias en el tubo y en la cuerda son de la misma frecuencia, tienen diferente *longitud de onda*  $\lambda = v/f$  porque los dos medios tienen distinta rapidez de onda  $v$ . ¿Cuál onda estacionaria tiene mayor longitud de onda?

**EVALÚE SU COMPRENSIÓN DE LA SECCIÓN 16.5** Un tubo de órgano cerrado, de longitud  $L$ , tiene una frecuencia fundamental de 220 Hz. ¿En cuál de los siguientes tubos de órgano habrá resonancia, si un diapasón con una frecuencia de 660 Hz se hace sonar cerca del tubo? (Tal vez haya más de una respuesta correcta). **i.** Un tubo de órgano cerrado de longitud  $L$ ; **ii.** un tubo de órgano cerrado de longitud  $2L$ ; **iii.** un tubo de órgano abierto de longitud  $L$ ; **iv.** un tubo de órgano abierto de longitud  $2L$ .

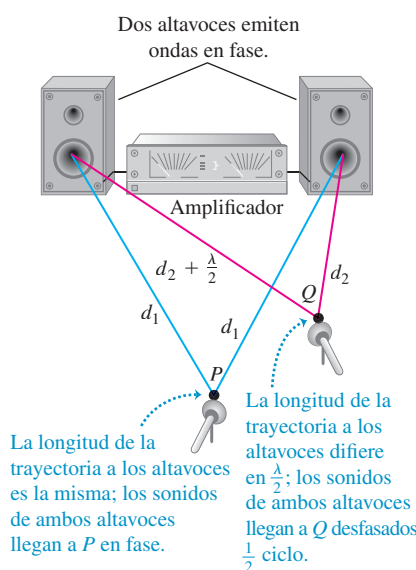
## 16.6 INTERFERENCIA DE ONDAS

Los fenómenos ondulatorios que se presentan cuando dos o más ondas se traslanan en la misma región del espacio integran el concepto de *interferencia*. Como hemos visto, las ondas estacionarias son un ejemplo sencillo de un efecto de interferencia: dos ondas que viajan en direcciones opuestas en un medio se combinan para producir un patrón de onda estacionaria con nodos y antinodos que no se mueven.

La figura 16.21 muestra un ejemplo de otro tipo de interferencia, que implica ondas que se propagan en el espacio. Dos altavoces, alimentados en fase por el mismo amplificador, emiten ondas sonoras sinusoidales idénticas con la misma frecuencia constante. Colocamos un micrófono en el punto  $P$ , equidistante de los altavoces. Las crestas de las ondas emitidas por los dos altavoces al mismo tiempo viajan distancias iguales y llegan a  $P$  de forma simultánea; por lo tanto, las ondas llegan en fase, y hay interferencia constructiva. La amplitud total de la onda en  $P$  es el doble de la amplitud de cada onda individual.

Movamos ahora el micrófono al punto  $Q$ , donde las distancias de los altavoces al micrófono difieren en media longitud de onda. Las dos ondas llegan *desfasadas* medio ciclo; una cresta positiva de un altavoz llega al mismo tiempo que una cresta negativa del otro. Hay interferencia destructiva, y la amplitud medida por el micrófono es mucho *menor* que cuando sólo está presente un altavoz. Si las amplitudes de los dos altavoces son iguales, las dos ondas se cancelan por completo en el punto  $Q$ , y la amplitud total ahí es cero.

**16.21** Dos altavoces alimentados por el mismo amplificador. Hay interferencia constructiva en el punto  $P$ , e interferencia destructiva en el punto  $Q$ .



**CUIDADO** Interferencia y ondas viajeras La onda total de la figura 16.21 es una onda *viajera*, no una estacionaria. En una onda estacionaria no hay flujo neto de energía en ninguna dirección; en cambio, en la figura 16.21 *hay* un flujo total de energía de los altavoces al aire circundante; esto es característico de las ondas viajeras. La interferencia entre las ondas de los dos altavoces simplemente hace que el flujo de energía se *canalice* en ciertas direcciones (por ejemplo, hacia  $P$ ), alejándolo de otras direcciones (por ejemplo, de  $Q$ ). Podemos ver otra diferencia entre la figura 16.21 y una onda estacionaria si consideramos un punto, como  $Q$ , donde se presenta una interferencia destructiva. Ese punto es *tanto* un nodo de desplazamiento como un nodo de presión, ya que no hay onda en tal punto. En una onda estacionaria, un nodo de presión es un antinodo de desplazamiento, y viceversa.

a) Las longitudes de la trayectoria de los altavoces al micrófono difieren en  $\lambda$  ...



... y el micrófono detecta un sonido fuerte.

b) Las longitudes de la trayectoria de los altavoces al micrófono difieren en  $\frac{\lambda}{2}$  ...



... y el micrófono detecta poco o ningún sonido.

Hay interferencia constructiva siempre que las distancias recorridas por las dos ondas difieren en un número entero de longitudes de onda,  $0, \lambda, 2\lambda, 3\lambda, \dots$ ; en todos estos casos, las ondas llegan al micrófono en fase (**figura 16.22a**). Si las distancias de los dos altavoces al micrófono difieren en cualquier número semientero de longitudes de onda,  $\lambda/2, 3\lambda/2, 5\lambda/2, \dots$ , las ondas llegan al micrófono desfasadas y habrá interferencia destructiva (figura 16.22b). En este caso, poca o ninguna energía sonora fluye hacia el micrófono. En lugar de esto, la energía se dirige hacia otras direcciones, donde hay interferencia constructiva.

### EJEMPLO 16.13 INTERFERENCIA DE ALTAVOCES

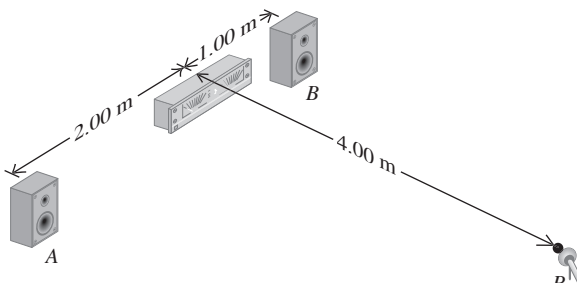


Dos altavoces pequeños, A y B (**figura 16.23**), son alimentados por el mismo amplificador y emiten ondas sinusoidales puras en fase. a) ¿En qué frecuencias se presenta interferencia constructiva en el punto P? b) ¿En qué frecuencias ocurre interferencia destructiva? La rapidez del sonido es de 350 m/s.

#### SOLUCIÓN

**IDENTIFICAR y PLANTEAR:** La naturaleza de la interferencia en P depende de la diferencia  $d$  en las longitudes de las trayectorias de A a P y de B a P. Calculamos las longitudes de las trayectorias usando el teorema de Pitágoras. Hay interferencia constructiva cuando  $d$  es un número entero de longitudes de onda, mientras que hay interferencia destructiva cuando  $d$  es un número semientero de longitudes de onda. Para obtener las frecuencias correspondientes, usamos la relación  $v = f\lambda$ .

**16.23** ¿Qué clase de interferencia se presenta en P?



**EJECUTAR:** La distancia de A a P es  $\sqrt{(2.00 \text{ m})^2 + (4.00 \text{ m})^2} = 4.47 \text{ m}$ ; la distancia de B a P es  $\sqrt{(1.00 \text{ m})^2 + (4.00 \text{ m})^2} = 4.12 \text{ m}$ . La diferencia entre las trayectorias es  $d = 4.47 \text{ m} - 4.12 \text{ m} = 0.35 \text{ m}$ .

a) Hay interferencia constructiva cuando  $d = 0, \lambda, 2\lambda, \dots$  es decir,  $d = 0, v/f, 2v/f, \dots = nv/f$ . Por lo tanto, las posibles frecuencias son

$$f_n = \frac{nv}{d} = n \frac{350 \text{ m/s}}{0.35 \text{ m}} \quad (n = 1, 2, 3, \dots)$$

$$= 1000 \text{ Hz}, 2000 \text{ Hz}, 3000 \text{ Hz}, \dots$$

b) Hay interferencia destructiva cuando  $d = \lambda/2, 3\lambda/2, 5\lambda/2, \dots$  es decir,  $d = v/2f, 3v/2f, 5v/2f, \dots$  Las posibles frecuencias son

$$f_n = \frac{nv}{2d} = n \frac{350 \text{ m/s}}{2(0.35 \text{ m})} \quad (n = 1, 3, 5, \dots)$$

$$= 500 \text{ Hz}, 1500 \text{ Hz}, 2500 \text{ Hz}, \dots$$

**EVALUAR:** Conforme aumentemos la frecuencia, el sonido en P alternará entre amplitudes grandes y pequeñas (cerca de cero), con los máximos y mínimos en las frecuencias que calculamos. Este efecto podría no ser considerable en un recinto ordinario debido a las reflexiones en paredes, piso y techo.

**16.24** Estos auriculares de aviación utilizan interferencia destructiva para reducir al mínimo la cantidad de ruido del viento y de las hélices que alcanza los oídos de quien lo usa.



La interferencia es el principio activo detrás de los auriculares capaces de reducir el ruido, que se utilizan en ambientes ruidosos como las cabinas de los aviones (**figura 16.24**). El micrófono de los auriculares detecta el ruido exterior, y el circuito del dispositivo lo reproduce dentro de los auriculares con un desplazamiento de fase de medio ciclo. Este sonido con desplazamiento de fase interfiere de manera destructiva con los sonidos que entran a los auriculares desde el exterior, por lo que el portador del equipo escucha muy poco ruido.

**EVALÚE SU COMPRENSIÓN DE LA SECCIÓN 16.6** Suponga que el altavoz *A* en la figura 16.23 emite una onda sonora sinusoidal con frecuencia de 500 Hz, y el altavoz *B* emite una onda sonora sinusoidal con frecuencia de 1000 Hz. ¿Qué clase de interferencia habrá entre estas dos ondas? **i.** Interferencia constructiva en varios puntos, incluyendo el punto *P*, y destructiva en otros puntos; **ii.** interferencia destructiva en varios puntos, incluyendo el punto *P*, y constructiva en otros puntos; **iii.** ninguna de las opciones **i.** o **ii.**

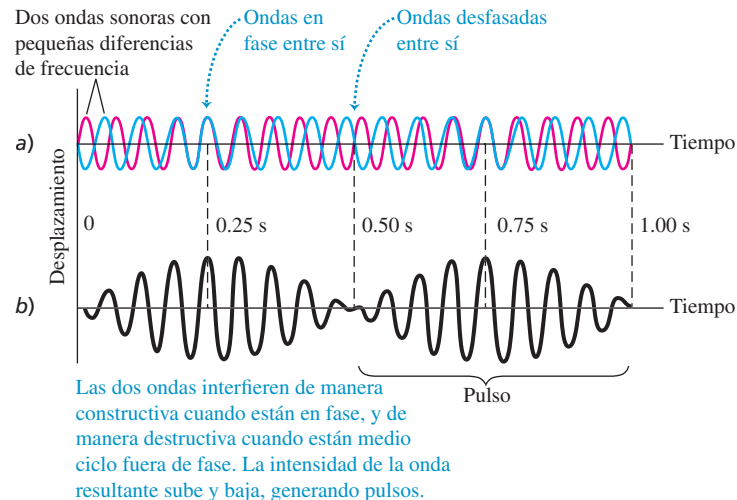
## 16.7 PULSOS

En la sección 16.6 hablamos de efectos de *interferencia* que se presentan cuando dos ondas distintas pero con igual frecuencia se traslanan en la misma región del espacio. Veamos ahora lo que sucede cuando tenemos dos ondas de la misma amplitud, pero frecuencias ligeramente distintas. Esto ocurre, por ejemplo, cuando dos diapasones con frecuencias un poco diferentes suenan juntos, o cuando dos tubos de órgano que deberían tener exactamente la misma frecuencia están un poco “desafinados”.

Considere un punto en el espacio donde las dos ondas se traslanan. En la **figura 16.25a**, se grafican los desplazamientos de las ondas individuales en este punto en función del tiempo. La longitud total del eje del tiempo representa un segundo, y las frecuencias son de 16 Hz (azul) y de 18 Hz (rojo). Aplicando el principio de superposición, sumamos las dos funciones de desplazamiento para obtener el desplazamiento total. El resultado es la curva de la **figura 16.25b**. En ciertos momentos, las ondas están en fase; sus máximos coinciden y sus amplitudes se suman. Sin embargo, en ciertos instantes (como  $t = 0.50$  s en la figura 16.25), las dos ondas están completamente *desfasadas*. Las ondas se cancelan y la amplitud total es cero.

La onda resultante en la figura 16.25b parece una onda sinusoidal con amplitud variable que va de un máximo a cero y de regreso. En este ejemplo, la amplitud pasa por dos máximos y dos mínimos en 1 s, así que la frecuencia de esta variación de amplitud es de 2 Hz. La variación de amplitud causa variaciones de volumen llamadas **pulsos**, y la frecuencia con que varía el volumen es la **frecuencia del pulso**. En este ejemplo, la frecuencia del pulso es la *diferencia* de las dos frecuencias. Si la frecuencia del pulso es de unos cuantos hertz, la oímos temblorosa o como un pulso del tono.

**16.25** Los pulsos son fluctuaciones de la amplitud producidas por dos ondas sonoras con pequeñas diferencias de frecuencia; en este caso de 16 y 18 Hz. **a)** Ondas individuales. **b)** Onda resultante formada por superposición de las dos ondas. La frecuencia del pulso es  $18 \text{ Hz} - 16 \text{ Hz} = 2 \text{ Hz}$ .



Podemos demostrar que la frecuencia del pulso *siempre* es la diferencia de las dos frecuencias  $f_a$  y  $f_b$ . Suponga que  $f_a$  es mayor que  $f_b$ ; los períodos correspondientes son  $T_a$  y  $T_b$ , con  $T_a < T_b$ . Si las dos ondas inician desfasadas en  $t = 0$ , volverán a estar en fase cuando la primera onda haya pasado por exactamente un ciclo más que la segunda. Esto sucederá cuando  $t$  sea igual a  $T_{\text{pulso}}$ , el *periodo* del pulso. Sea  $n$  el número de ciclos de la primera onda en un tiempo  $T_{\text{pulso}}$ ; entonces, el número de ciclos de la segunda onda en el mismo tiempo es  $(n - 1)$ , y tenemos las relaciones

$$T_{\text{pulso}} = nT_a \quad \text{y} \quad T_{\text{pulso}} = (n - 1)T_b$$

Al eliminar  $n$  en estas dos ecuaciones:

$$T_{\text{pulso}} = \frac{T_a T_b}{T_b - T_a}$$

El recíproco del período de pulso es la *frecuencia* del pulso,  $f_{\text{pulso}} = 1/T_{\text{pulso}}$ ; así que

$$f_{\text{pulso}} = \frac{T_b - T_a}{T_a T_b} = \frac{1}{T_a} - \frac{1}{T_b}$$

y por último

Frecuencia del pulso .....  $f_{\text{pulso}} = f_a - f_b$  ..... Frecuencia de la onda  $a$   
para las ondas  $a$  y  $b$  ..... ..... Frecuencia de la onda  $b$   
(menor que  $f_a$ )

## LOS DATOS HABLAN

### Pulso

Cuando a los estudiantes se les planteó un problema sobre pulsos, más del 40% dio una respuesta incorrecta.

Errores comunes:

- Pensar que la frecuencia del pulso indica cuál de las dos fuentes está a la mayor frecuencia. Lo único que indica es la diferencia entre sus frecuencias.
- Olvidar que el tono está determinado principalmente por la frecuencia de onda, mientras que la sonoridad está determinada, sobre todo, por la amplitud de la onda.

Comodijimos, la frecuencia del pulso es la diferencia de las dos frecuencias.

Otra forma de deducir la ecuación (16.24) es escribir funciones que describan las curvas de la figura 16.25a y luego sumarlas. Suponga que, en cierta posición, las dos ondas están dadas por  $y_a(t) = A \operatorname{sen} 2\pi f_a t$  y  $y_b(t) = -A \operatorname{sen} 2\pi f_b t$ . Usamos la identidad trigonométrica

$$\operatorname{sen} a - \operatorname{sen} b = 2 \operatorname{sen} \frac{1}{2}(a - b) \cos \frac{1}{2}(a + b)$$

Ahora podemos expresar la onda total  $y(t) = y_a(t) + y_b(t)$  como

$$y_a(t) + y_b(t) = [2A \operatorname{sen} \frac{1}{2}(2\pi)(f_a - f_b)t] \cos \frac{1}{2}(2\pi)(f_a + f_b)t$$

El factor de amplitud (en corchetes) varía lentamente con la frecuencia  $\frac{1}{2}(f_a - f_b)$ . El factor coseno varía con un valor igual a la frecuencia media  $\frac{1}{2}(f_a + f_b)$ . El *cuadrado* del factor de amplitud, que es proporcional a la intensidad que el oído percibe, pasa por dos máximos y dos mínimos por ciclo. Así, la frecuencia del pulso  $f_{\text{pulso}}$  que se escucha es dos veces la cantidad  $\frac{1}{2}(f_a - f_b)$ , es decir,  $f_a - f_b$ , en concordancia con la ecuación (16.24).

Se pueden escuchar pulsaciones entre dos tonos hasta una frecuencia del pulso de 6 o 7 Hz. Dos cuerdas de piano o dos tubos de órgano que difieren en su frecuencia en 2 o 3 Hz emiten sonidos temblorosos y “desafinados”, aunque algunos órganos contienen dos juegos de tubos deliberadamente afinados a frecuencias de pulso de 1 o 2 Hz, para dar un efecto suave y ondulante. La identificación de pulsos es una técnica importante al afinar todos los instrumentos musicales. Por otro lado, *evitar* pulsos es parte de la tarea al pilotar un avión de varias hélices (**figura 16.26**).

Con diferencias de frecuencia mayores que 6 o 7 Hz, ya no oímos pulsos individuales, y la sensación se funde en una de *consonancia* o *disonancia*, según la relación de frecuencia de los dos tonos. En algunos casos, el oído percibe un tono llamado *tono de diferencia*, igual a la frecuencia del pulso de los dos tonos. Por ejemplo, si escuchamos un silbato que produce sonidos a 1800 Hz y 1900 Hz, oiremos no sólo esos tonos, sino también un tono mucho más bajo de 100 Hz.

**16.26** Si las dos hélices de este avión no se sincronizan con precisión, los pilotos, pasajeros y escuchas en tierra oirán pulsos como sonidos muy ruidosos, molestos y punzantes. En algunos aviones las hélices están sincronizadas electrónicamente; en otros, el piloto lo hace por oído, como afinando un piano.



**EVALÚE SU COMPRENSIÓN DE LA SECCIÓN 16.7** Un diapasón vibra a 440 Hz, mientras que otro lo hace a una frecuencia desconocida. Cuando ambos diapasones se hacen sonar de modo simultáneo, se escucha un tono que sube y baja en intensidad tres veces por segundo. ¿Cuál es la frecuencia del segundo diapasón? **i.** 434 Hz; **ii.** 437 Hz; **iii.** 443 Hz; **iv.** 446 Hz **v.** ya sea 434 o 446 Hz; **vi.** ya sea 437 Hz o 443 Hz. **|**

## 16.8 EFECTO DOPPLER

Quizás usted ha notado que cuando un automóvil se acerca tocando el claxon, el tono parece bajar conforme el vehículo se aleja. Este fenómeno, descrito por primera vez por el científico austriaco del siglo XIX Christian Doppler, se llama **efecto Doppler**. Cuando una fuente de sonido y un receptor están en movimiento relativo, la frecuencia del sonido que escucha el receptor no es la misma que la frecuencia de la fuente. Se presenta un efecto similar con las ondas de luz y radio; volveremos a esto más adelante en esta sección.

Para analizar el efecto Doppler en el caso del sonido, deduciremos una relación entre el cambio de frecuencia y las velocidades de la fuente y el receptor relativas al medio (por lo general, aire) por el que se propagan las ondas sonoras. Por sencillez, sólo consideraremos el caso especial en que las velocidades de la fuente y el receptor se encuentran a lo largo de la línea que los une. Sean  $v_S$  y  $v_L$  las componentes de velocidad en esta línea para la fuente y el receptor, respectivamente, relativas al medio. Elegimos como dirección positiva, tanto para  $v_S$  como para  $v_L$ , la que va del receptor L a la fuente S. La rapidez del sonido  $v$  relativa al medio siempre se considera positiva.

### Receptor en movimiento y fuente estacionaria

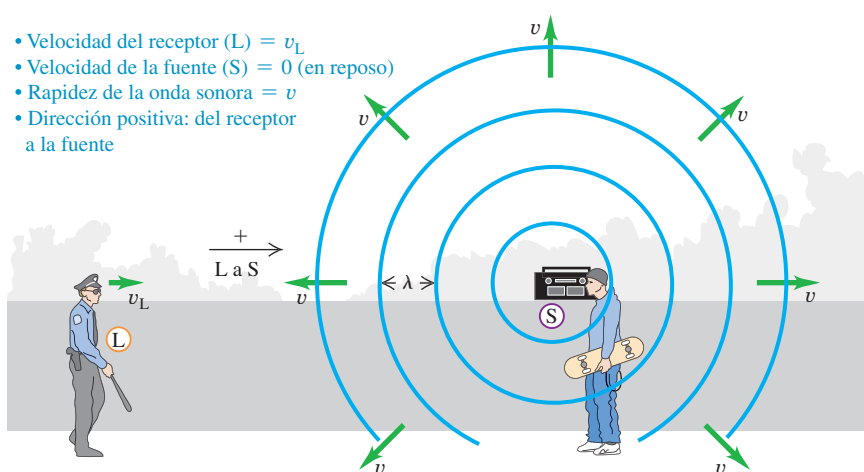
Consideremos primero un receptor L que se mueve con velocidad  $v_L$  hacia una fuente estacionaria S (**figura 16.27**). La fuente emite una onda sonora con frecuencia  $f_S$  y longitud de onda  $\lambda = v/f_S$ . La figura muestra varias crestas de onda, separadas por distancias iguales  $\lambda$ . Las crestas que se acercan al receptor en movimiento tienen una rapidez de propagación *relativa al receptor* de  $(v + v_L)$ , así que la frecuencia  $f_L$  con que llegan a la posición del receptor (esto es, la frecuencia que el receptor oye) es

$$f_L = \frac{v + v_L}{\lambda} = \frac{v + v_L}{v/f_S} \quad (16.25)$$

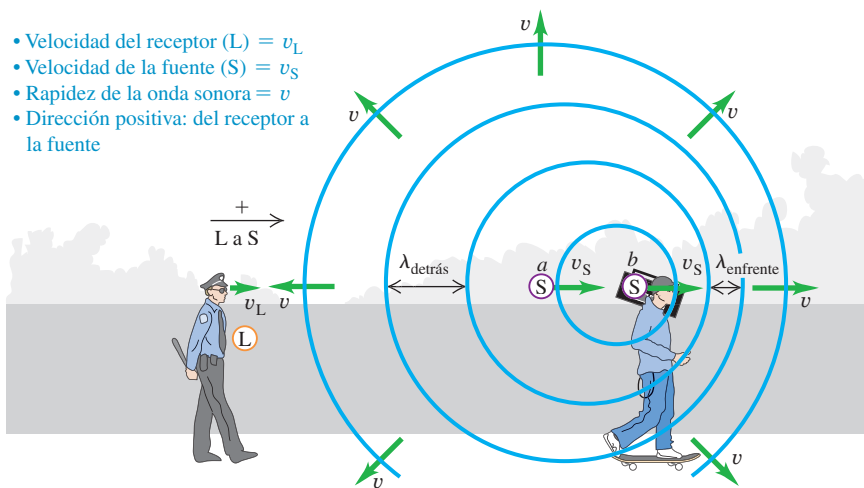
o bien,

$$f_L = \left( \frac{v + v_L}{v} \right) f_S = \left( 1 + \frac{v_L}{v} \right) f_S \quad (\text{receptor móvil, fuente estacionaria}) \quad (16.26)$$

**16.27** Un receptor que se mueve hacia una fuente estacionaria oye una frecuencia más alta que la frecuencia de la fuente. Esto es porque la rapidez relativa del receptor y de la onda es mayor que la rapidez  $v$  de la onda.



- Velocidad del receptor ( $L$ ) =  $v_L$
- Velocidad de la fuente ( $S$ ) =  $v_S$
- Rapidez de la onda sonora =  $v$
- Dirección positiva: del receptor a la fuente



**16.28** Las crestas de ondas emitidas por una fuente que se mueve de  $a$  a  $b$  se juntan al frente de la fuente (a la derecha en este caso) y se separan detrás (a la izquierda de la fuente).

Así, un receptor que se mueve hacia una fuente ( $v_L > 0$ ), como en la figura 16.27, oye una frecuencia más alta (tono más agudo) que un receptor estacionario. Un receptor que se aleja de la fuente ( $v_L < 0$ ) oye una frecuencia más baja (tono más grave).

### Fuente en movimiento y receptor en movimiento

Suponga ahora que la fuente también se mueve, con velocidad  $v_S$  (figura 16.28). La rapidez de la onda relativa al medio (aire) sigue siendo  $v$ ; está determinada por las propiedades del medio y no cambia por el movimiento de la fuente. Sin embargo, la longitud de onda ya no es igual a  $v/f_S$ ; veamos por qué. El tiempo que tarda en emitirse un ciclo de la onda es el periodo  $T = 1/f_S$ . Durante este tiempo, la onda viaja una distancia  $vT = v/f_S$  y la fuente se mueve una distancia  $v_S T = v_S/f_S$ . La longitud de onda es la distancia entre crestas sucesivas, y depende del desplazamiento *relativo* de la fuente y la onda. Como muestra la figura 16.28, éste es diferente adelante y atrás de la fuente. En la región a la derecha de la fuente en la figura 16.28 (es decir, adelante de la fuente), la longitud de onda es

$$\lambda_{\text{enfrente}} = \frac{v}{f_S} - \frac{v_S}{f_S} = \frac{v - v_S}{f_S} \quad (\text{longitud de onda enfrente de una fuente móvil}) \quad (16.27)$$

En la región a la izquierda de la fuente (es decir, atrás de ella), es

$$\lambda_{\text{atrás}} = \frac{v + v_S}{f_S} \quad (\text{longitud de onda atrás de una fuente móvil}) \quad (16.28)$$

Las ondas adelante y atrás de la fuente se comprimen y se estiran, respectivamente, por el movimiento de la fuente.

Para obtener la frecuencia que oye el receptor detrás de la fuente, sustituimos la ecuación (16.28) en la primera forma de la ecuación (16.25):

$$f_L = \frac{v + v_L}{\lambda_{\text{atrás}}} = \frac{v + v_L}{(v + v_S)/f_S}$$

Efecto Doppler para receptor en movimiento  $L$  y fuente móvil  $S$ :

$$f_L = \frac{v + v_L}{v + v_S} f_S \quad (16.29)$$

Diagrama explicativo:

- Rapidez del sonido
- Frecuencia emitida por la fuente
- Velocidad de la fuente (+ si es de L a S, - si es opuesta)
- Frecuencia escuchada por el receptor
- Velocidad del escucha (+ si es de L a S, - si es opuesta)

**16.29** El efecto Doppler explica por qué la sirena de un carro de bomberos o de una ambulancia tiene un tono alto ( $f_L > f_S$ ) cuando se acerca ( $v_S < 0$ ) y un tono bajo ( $f_L < f_S$ ) cuando se aleja ( $v_S > 0$ ).



Aunque la dedujimos para la situación específica de la figura 16.28, la ecuación (16.29) incluye *todas* las posibilidades de movimiento de la fuente y el receptor (relativas al medio) a lo largo de la línea que los une. Si el receptor está en reposo en el medio,  $v_L = 0$ . Cuando la fuente y el receptor están en reposo o tienen la misma velocidad relativa al medio, entonces  $v_L = v_S$  y  $f_L = f_S$ . Siempre que la dirección de la velocidad de la fuente o del receptor sea opuesta a la dirección del receptor a la fuente (que definimos como positiva), la velocidad correspondiente que debemos usar en la ecuación (16.29) es negativa.

Como ejemplo, la frecuencia que oye un receptor en reposo ( $v_L = 0$ ) es  $f_L = [v/(v+v_S)]f_S$ . Si la fuente se mueve hacia el receptor (en la dirección negativa), entonces  $v_S < 0$ ,  $f_L > f_S$ , y el receptor escucha una frecuencia mayor que la emitida por la fuente. En cambio, si la fuente se mueve alejándose del receptor (en la dirección positiva), entonces  $v_S > 0$ ,  $f_L < f_S$ , y el receptor oye una frecuencia menor. Esto explica el cambio de tono de la sirena que se escucha conforme una ambulancia pasa cerca de usted y lo rebasa (**figura 16.29**).

## ESTRATEGIA PARA RESOLVER PROBLEMAS 16.2 EFECTO DOPPLER

**IDENTIFICAR** los conceptos relevantes: El efecto Doppler se presenta siempre que una fuente de ondas, el detector de las ondas (receptor) o ambos están en movimiento.

**PLANTEAR** el problema de acuerdo con los siguientes pasos:

- Defina un sistema de coordenadas, con la dirección positiva del receptor a la fuente. Determine cuidadosamente los signos de todas las velocidades relevantes. Una velocidad en la dirección del receptor a la fuente es positiva; la velocidad en la dirección opuesta es negativa. Todas las velocidades deben medirse en relación con el aire en el que viaja el sonido.
- Use subíndices de manera consistente para identificar las diferentes cantidades: subíndice S para la fuente, y L para el receptor.
- Determine cuáles de las cantidades desconocidas son las incógnitas que debe despejar.

**EJECUTAR** la solución de la siguiente manera:

- Use la ecuación (16.29) para relacionar las frecuencias de la fuente y del receptor, la rapidez del sonido y las velocidades de la fuente

y del receptor de acuerdo con la convención de signos del paso 1. Si la fuente está en movimiento, se puede obtener la longitud de onda medida por el receptor empleando la ecuación (16.27) o la (16.28).

- Si una onda se refleja en una superficie, ya sea estacionaria o móvil, resuelva el problema en dos pasos. En el primero, la superficie hace las veces de receptor; la frecuencia con la que las crestas de onda llegan a la superficie es  $f_L$ . En el segundo, la superficie es la “fuente” que emite ondas con esta misma frecuencia  $f_L$ . Por último, determine qué frecuencia oye un receptor que detecta esa nueva onda.

**EVALUAR** la respuesta: ¿La dirección del cambio de frecuencia es razonable? Si la fuente y el receptor se están acercando entre sí,  $f_L > f_S$ ; si se están alejando,  $f_L < f_S$ . Si la fuente y el receptor no tienen movimiento relativo,  $f_L = f_S$ .

## EJEMPLO 16.14 EFECTO DOPPLER I: LONGITUDES DE ONDA

La sirena de una patrulla emite una onda sinusoidal con una frecuencia  $f_S = 300 \text{ Hz}$ . La rapidez del sonido es de  $340 \text{ m/s}$  y el aire está tranquilo. *a)* Calcule la longitud de onda de las ondas de la sirena si está en reposo. *b)* Si la sirena se mueve a  $30 \text{ m/s}$ , calcule las longitudes de onda para las ondas enfrente y detrás de la fuente.

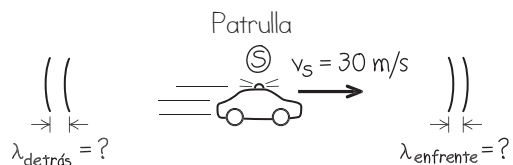
### SOLUCIÓN

**IDENTIFICAR y PLANTEAR:** El efecto Doppler no interviene en el inciso *a*), ya que ni la fuente ni el receptor están en movimiento con respecto al aire;  $v = \lambda f$  proporciona la longitud de onda. La **figura 16.30** muestra la situación del inciso *b*): la fuente está en movimiento, así que obtenemos las longitudes de onda usando las ecuaciones (16.27) y (16.28) para el efecto Doppler.

**EJECUTAR:** *a)* Cuando la fuente está en reposo,

$$\lambda = \frac{v}{f_S} = \frac{340 \text{ m/s}}{300 \text{ Hz}} = 1.13 \text{ m}$$

**16.30** Diagrama de este problema.



*b)* Según la ecuación (16.27), enfrente de la sirena,

$$\lambda_{\text{enfrente}} = \frac{v - v_S}{f_S} = \frac{340 \text{ m/s} - 30 \text{ m/s}}{300 \text{ Hz}} = 1.03 \text{ m}$$

De acuerdo con la ecuación (16.28), detrás de la sirena,

$$\lambda_{\text{detras}} = \frac{v + v_S}{f_S} = \frac{340 \text{ m/s} + 30 \text{ m/s}}{300 \text{ Hz}} = 1.23 \text{ m}$$

**EVALUAR:** La longitud de onda es menor enfrente de la sirena y mayor detrás de ella, como se esperaba.



### EJEMPLO 16.15 EFECTO DOPPLER II: FRECUENCIAS

Si un receptor L está en reposo y la sirena del ejemplo 16.14 se aleja de L a 30 m/s, ¿qué frecuencia oye el receptor?

#### SOLUCIÓN

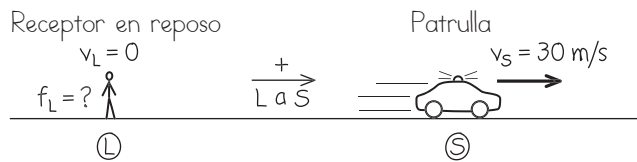
**IDENTIFICAR y PLANTEAR:** Nuestra incógnita es la frecuencia  $f_L$  que escucha el receptor, quien está detrás de la fuente móvil. La figura 16.31 ilustra la situación. Tenemos  $v_L = 0$  y  $v_S = +30 \text{ m/s}$  (positiva porque la velocidad de la fuente va del receptor a la fuente).

**EJECUTAR:** De acuerdo con la ecuación (16.29),

$$f_L = \frac{v}{v + v_S} f_S = \frac{340 \text{ m/s}}{340 \text{ m/s} + 30 \text{ m/s}} (300 \text{ Hz}) = 276 \text{ Hz}$$

**EVALUAR:** La fuente y el receptor se están alejando, así que  $f_L < f_S$ . Veamos la comprobación de nuestro resultado numérico. Por el

**16.31** Diagrama de este problema.



ejemplo 16.14, la longitud de onda detrás de la fuente (que es donde se encuentra el receptor de la figura 16.31) es 1.23 m. La rapidez de la onda en relación con el receptor estacionario es  $v = 340 \text{ m/s}$  aunque la fuente se esté moviendo, así que

$$f_L = \frac{v}{\lambda} = \frac{340 \text{ m/s}}{1.23 \text{ m}} = 276 \text{ Hz}$$

### EJEMPLO 16.16 EFECTO DOPPLER III: UN RECEPTOR MÓVIL

Si la sirena está en reposo y el receptor se mueve alejándose de la sirena a 30 m/s, ¿qué frecuencia oye?

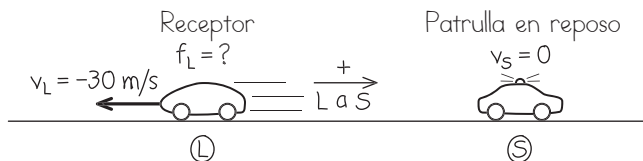
#### SOLUCIÓN

**IDENTIFICAR y PLANTEAR:** De nuevo, nuestra incógnita es la frecuencia  $f_L$ , pero ahora L está en movimiento y S en reposo. La figura 16.32 ilustra la situación. La velocidad del receptor es  $v_L = -30 \text{ m/s}$  (negativa porque el movimiento es de la fuente al receptor).

**EJECUTAR:** Se gún la ecuación (16.29),

$$f_L = \frac{v + v_L}{v} f_S = \frac{340 \text{ m/s} + (-30 \text{ m/s})}{340 \text{ m/s}} (300 \text{ Hz}) = 274 \text{ Hz}$$

**16.32** Diagrama de este problema.



**EVALUAR:** Otra vez, la fuente y el receptor se alejan, de modo que  $f_L < f_S$ . Observe que la *velocidad relativa* de la fuente y el receptor es la misma que en el ejemplo 16.15, pero el desplazamiento Doppler es distinto porque  $v_S$  y  $v_L$  son diferentes.

### EJEMPLO 16.17 EFECTO DOPPLER IV: LA FUENTE Y EL RECEPTOR ESTÁN EN MOVIMIENTO

Si la sirena se está alejando del receptor con una rapidez de 45 m/s relativa al aire, y el receptor se mueve hacia la sirena con una rapidez de 15 m/s relativa al aire, ¿qué frecuencia oye el receptor?

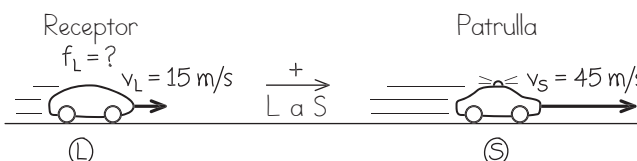
#### SOLUCIÓN

**IDENTIFICAR y PLANTEAR:** Ahora, tanto L como S están en movimiento (figura 16.33). Una vez más, la incógnita es la frecuencia  $f_L$ . Tanto la velocidad de la fuente  $v_S = +45 \text{ m/s}$  como la velocidad del receptor  $v_L = +15 \text{ m/s}$  son positivas porque ambas velocidades van en la dirección del receptor a la fuente.

**EJECUTAR:** De acuerdo con la ecuación (16.29),

$$f_L = \frac{v + v_L}{v + v_S} f_S = \frac{340 \text{ m/s} + 15 \text{ m/s}}{340 \text{ m/s} + 45 \text{ m/s}} (300 \text{ Hz}) = 277 \text{ Hz}$$

**16.33** Diagrama para este problema.



**EVALUAR:** Como en los ejemplos 16.15 y 16.16, la fuente y el receptor se alejan uno de otro a 30 m/s, así que, de nuevo  $f_L < f_S$ . Pero  $f_L$  es diferente en los tres casos porque el efecto Doppler para el sonido depende de cómo la fuente y el receptor se mueven en relación con el *aire*, no nada más de cómo se mueven uno con respecto al otro.



### EJEMPLO 16.18 EFECTO DOPPLER V: DESPLAZAMIENTO DOPPLER DOBLE

La patrulla se dirige hacia una bodega a 30 m/s. ¿Qué frecuencia escucha el conductor reflejada en la bodega?

#### SOLUCIÓN

**IDENTIFICAR:** En esta situación, hay *dos* efectos Doppler (figura 16.34). En el primero, la bodega es el “receptor” estacionario. La frecuencia del sonido que llega a la bodega, que llamaremos  $f_W$ , es mayor que 300 Hz porque la fuente se está aproximando. En el segundo, la bodega actúa como fuente de un sonido con frecuencia  $f_W$ , y el receptor es el conductor de la patrulla, quien oye una frecuencia mayor que  $f_W$  porque se está acercando a la fuente.

**PLANTEAR:** Para determinar  $f_W$ , usamos la ecuación (16.29) cambiando  $f_L$  por  $f_W$ . En esta parte del problema,  $v_L = v_W = 0$  (la bodega está en reposo) y  $v_S = -30 \text{ m/s}$  (la sirena se mueve en la dirección negativa de la fuente al receptor).

Para determinar la frecuencia que oye el conductor (la incógnita), usamos de nuevo la ecuación (16.29), pero ahora cambiando  $f_S$  por  $f_W$ . En esta segunda parte del problema,  $v_S = 0$  porque la bodega estacionaria es la fuente y la velocidad del receptor (el conductor) es  $v_L = +30 \text{ m/s}$  (positiva porque va del receptor a la fuente).

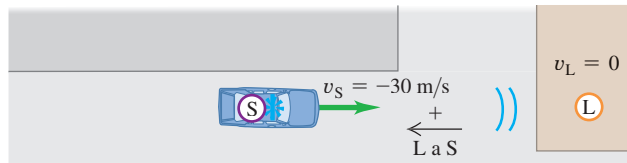
**EJECUTAR:** La frecuencia que llega a la bodega es

$$f_W = \frac{v}{v + v_S} f_S = \frac{340 \text{ m/s}}{340 \text{ m/s} + (-30 \text{ m/s})} (300 \text{ Hz}) = 329 \text{ Hz}$$

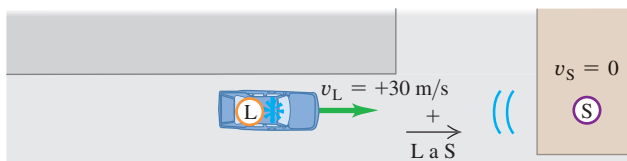
Entonces, la frecuencia que el conductor oye es

**16.34** Dos etapas del movimiento de la onda sonora, de la patrulla hacia la bodega, y de regreso a la patrulla.

- a) El sonido viaja de la sirena de la patrulla (fuente S) a la bodega (“receptor” L).



- b) El sonido reflejado viaja de la bodega (fuente S) a la patrulla (receptor L).



$$f_L = \frac{v + v_L}{v} f_W = \frac{340 \text{ m/s} + 30 \text{ m/s}}{340 \text{ m/s}} (329 \text{ Hz}) = 358 \text{ Hz}$$

**EVALUAR:** Como hay dos desplazamientos Doppler, el sonido reflejado que escucha el conductor tiene una frecuencia aún más alta que el que oye un receptor estacionario en la bodega.

### Efecto Doppler para ondas electromagnéticas

En el efecto Doppler para el sonido, las velocidades  $v_L$  y  $v_S$  siempre se miden relativas al *aire* o al medio que consideremos. También hay un efecto Doppler para ondas *electromagnéticas* en el espacio vacío, como las de luz o de radio. En este caso, no hay un medio que podamos usar como referencia para medir velocidades, y lo único que importa es la velocidad *relativa* entre la fuente y el receptor (en contraste, el efecto Doppler para el sonido no depende simplemente de esta velocidad relativa, como vimos en el ejemplo 16.17).

Si queremos deducir la expresión del cambio de frecuencia Doppler para la luz, tenemos que usar la teoría de la relatividad especial. Explicaremos esta teoría en el capítulo 37, pero por ahora citaremos el resultado sin deducirlo. La rapidez de onda es la rapidez de la luz, denotada con  $c$ , y es la misma para la fuente y el receptor. En el sistema de referencia en el que el receptor está en reposo, la fuente se aleja del receptor con velocidad  $v$  (si la fuente se *acerca* al receptor,  $v$  es negativa). La frecuencia de la fuente es otra vez  $f_S$ . La frecuencia  $f_R$  medida por el receptor R (la frecuencia con la que llegan las ondas al receptor) está dada por

$$f_R = \sqrt{\frac{c - v}{c + v}} f_S \quad (\text{efecto Doppler para la luz}) \quad (16.30)$$

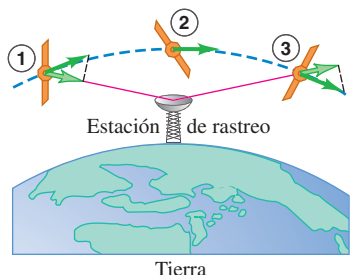
Si  $v$  es positiva, la fuente se *aleja* directamente del receptor y  $f_R$  siempre es *menor* que  $f_S$ ; si  $v$  es negativa, la fuente se mueve directamente *hacia* el receptor y  $f_R$  es *mayor* que  $f_S$ . El efecto cualitativo es el mismo que con el sonido, pero la relación cuantitativa es diferente.

Una aplicación conocida del efecto Doppler para ondas de radio es el radar montado en la ventana de una patrulla de policía para registrar la rapidez de otros vehículos. La onda electromagnética emitida por el dispositivo se refleja en un auto en movimiento, que actúa como fuente móvil, y la onda reflejada hacia el dispositivo experimenta un desplazamiento Doppler de frecuencia. Las señales transmitida y reflejada se combinan para producir pulsos, y la rapidez se puede calcular a partir de la frecuencia de los pulsos. Se usan técnicas similares (“radar Doppler”) para medir las velocidades del viento en la atmósfera.

El efecto Doppler también se usa para rastrear satélites y otros vehículos espaciales. En la **figura 16.35**, un satélite emite una señal de radio de frecuencia constante  $f_S$ . Al pasar el satélite en su órbita, primero se acerca y luego se aleja del receptor; la frecuencia  $f_R$  de la señal recibida en la Tierra cambia de un valor mayor que  $f_S$  a uno menor cuando el satélite pasa por arriba.

**EVALÚE SU COMPRENSIÓN DE LA SECCIÓN 16.8** Imagine que está en un concierto al aire libre y que el viento sopla a 10 m/s de los músicos hacia usted. ¿El sonido que escucha ha sufrido un desplazamiento Doppler? Si es así, ¿se desplazó a frecuencias más bajas o más altas?

**16.35** Cambio de la componente de velocidad a lo largo de la línea visual de un satélite que pasa por una estación de rastreo. La frecuencia recibida en la estación cambia de alta a baja cuando el satélite pasa por arriba.



## 16.9 ONDAS DE CHOQUE

El lector tal vez haya experimentado “estruendos sónicos” causados por un avión que pasa volando con una rapidez mayor que la del sonido. La **figura 16.36** muestra cualitativamente por qué sucede esto. Denotemos con  $v_S$  la *rapidez* del avión relativa al aire, de modo que siempre sea positiva. El movimiento del avión en el aire produce sonido; si  $v_S$  es menor que la rapidez del sonido  $v$ , las ondas enfrente del avión se apretarán con una longitud de onda dada por la ecuación (16.27):

$$\lambda_{\text{enfrente}} = \frac{v - v_S}{f_S}$$

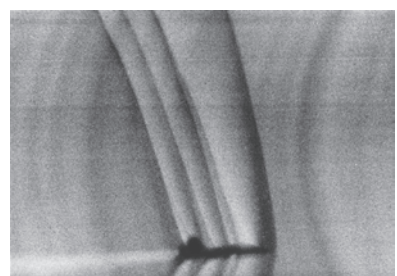
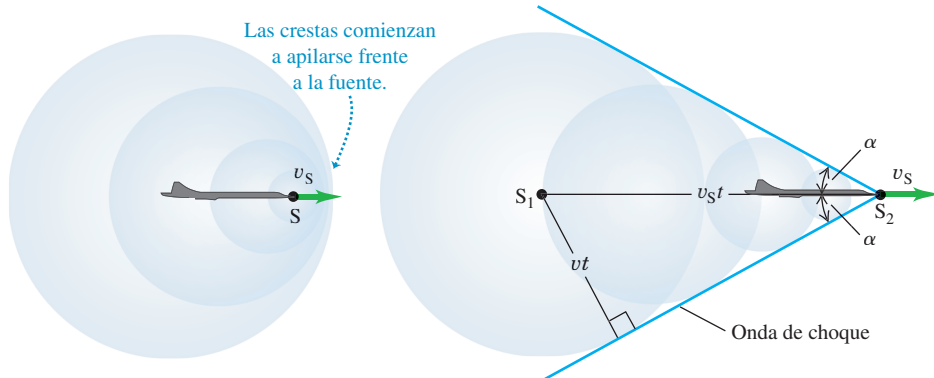
Conforme la rapidez  $v_S$  del avión se acerca a la rapidez  $v$  del sonido, la longitud de onda se approxima a cero y las crestas de la onda se apilan (figura 16.36a). El avión debe ejercer una gran fuerza para comprimir el aire frente a él; por la tercera ley de Newton, el aire ejerce una fuerza igualmente grande sobre el avión. Por lo tanto, hay un aumento considerable en el arrastre aerodinámico (resistencia del aire) conforme el avión se acerca a la rapidez del sonido; se trata de un fenómeno llamado “barrera del sonido”.

**16.36** Crestas de onda alrededor de una fuente de sonido S que se mueve *a) ligeramente más lento que la rapidez  $v$  del sonido y b) más rápido que la rapidez  $v$  del sonido. c) La fotografía muestra un jet T-38 que se desplaza a 1.1 veces la rapidez del sonido. Las ondas de choque individuales son producidas por la punta, las alas y la cola de la aeronave. Los ángulos de estas ondas varían porque la rapidez del aire aumenta y disminuye al moverse alrededor del avión, así que la rapidez relativa  $v_S$  del avión y del aire es distinta para las ondas de choque producidas en diferentes puntos del avión.*

*a) La fuente de sonido S (el avión) se mueve casi a la rapidez del sonido*

*b) La fuente de sonido se mueve con mayor rapidez que el sonido*

*c) Ondas de choque alrededor de un avión supersónico*



Cuando  $v_S$  es mayor en magnitud que  $v$ , la fuente del sonido es **supersónica**, y las ecuaciones (16.27) y (16.29) para el efecto Doppler ya no describen la onda sonora enfrente de la fuente. La figura 16.36b muestra un corte transversal de lo que sucede. Al avanzar el avión, desplaza el aire circundante y produce sonido. La punta del avión emite una serie de crestas de onda; cada una se expande en un círculo centrado en la posición del avión cuando emitió esa cresta. Después de un tiempo  $t$ , la cresta emitida desde un punto  $S_1$  se extendió a un círculo de radio  $vt$ , y el avión se ha movido una distancia mayor  $v_S t$ , a la posición  $S_2$ . Podemos ver que las crestas circulares se interfieren constructivamente en puntos a lo largo de la línea azul que forma un ángulo  $\alpha$  con la dirección de la velocidad del avión, dando lugar a una cresta de onda de amplitud muy grande sobre la línea. Esta cresta de amplitud grande se llama **onda de choque** (figura 16.36c).

A partir del triángulo rectángulo de la figura 16.36b, vemos que  $\sin \alpha = vt/v_S t$ , o

<b>Onda de choque producida por una fuente de sonido que se mueve más rápido que el sonido.</b>	$\sin \alpha = \frac{v}{v_S}$ <div style="text-align: right;">Ángulo de la onda de choque Rapidez del sonido Rapidez de la fuente</div>
---	---

(16.31)

**16.37** El primer avión supersónico, el Bell X-1, tenía una forma parecida a la de una bala calibre 50, de la cual se sabía que podía viajar más rápidamente que el sonido.



La relación  $v_S/v$  se llama **número Mach**; es mayor que 1 para todas las rapideces supersónicas, y  $\sin \alpha$  en la ecuación (16.31) es su recíproco. El primer ser humano que rompió la barrera del sonido fue el capitán Chuck Yeager de la fuerza aérea estadounidense, volando en el Bell X-1 a Mach 1.06 el 14 de octubre de 1947 (**figura 16.37**).

En realidad, las ondas de choque son tridimensionales; la onda de choque forma un *cono* alrededor de la dirección del movimiento de la fuente. Si la fuente (digamos, un avión supersónico o la bala de un rifle) se mueve con velocidad constante, el ángulo  $\alpha$  es constante, y el cono de la onda de choque se mueve junto con la fuente. Es la llegada de esta onda de choque lo que causa el estruendo sónico que oímos después de que pasó un avión supersónico. Cuanto más grande sea el avión, más fuerte será el estruendo sónico. Frente al cono de la onda de choque, no hay sonido. Dentro del cono, un receptor estacionario oye el sonido con desplazamiento Doppler del avión que se aleja.

**CUIDADO** **Ondas de choque** Se produce una onda de choque *continuamente* por cualquier objeto que se mueve a través del aire con rapidez supersónica, no sólo en el instante en que “rompe la barrera del sonido”. Las ondas sonoras que se combinan para formar la onda de choque, como en la figura 16.36b, son creadas por el movimiento del objeto mismo, no por alguna fuente de sonido que el objeto pudiera llevar. El chasquido de una bala y el de la punta de un látigo se deben a su movimiento supersónico. Un avión supersónico podría tener motores muy ruidosos, pero éstos no causan la onda de choque. Si el piloto apagara los motores, el avión continuaría produciendo una onda de choque mientras su rapidez siguiera siendo supersónica. ▀

Las ondas de choque tienen otras aplicaciones además de la aviación; se usan para desintegrar cálculos renales y biliares sin cirugía invasiva, usando una técnica con el llamativo nombre de *litotricia extracorpórea por onda de choque*. Una onda de choque producida fuera del cuerpo se enfoca con un reflector o una lente acústica, de modo que la mayor parte posible de la onda converja en el cálculo. Cuando los esfuerzos resultantes en el cálculo exceden la resistencia de éste a la tensión, el cálculo se deshace formando partículas pequeñas que pueden eliminarse. Esta técnica requiere una determinación exacta de la ubicación del cálculo, lo cual se logra con técnicas de visualización por ultrasonido (vea la figura 16.9).

### EJEMPLO 16.19 ESTRUENDO SÓNICO DE UN AVIÓN SUPERSÓNICO

Un avión vuela a Mach 1.75 a 8000 m de altura, donde la rapidez del sonido es de 320 m/s. ¿Cuánto tiempo después de pasar el avión directamente arriba de nosotros oiremos el estruendo sónico?

#### SOLUCIÓN

**IDENTIFICAR y PLANTEAR:** La onda de choque forma un cono que se extiende hacia atrás desde el avión, así que lo que el problema realmente pregunta es cuánto tiempo transcurre entre que el avión pasa por arriba y el momento en que la onda de choque llega al observador

en el punto L (**figura 16.38**). Durante el tiempo  $t$  (la incógnita) desde que el avión pasó por arriba a la rapidez  $v_S$ , recorrió una distancia  $v_S t$ . La ecuación (16.31) da el ángulo  $\alpha$  del cono de choque; usaremos trigonometría para despejar  $t$ .

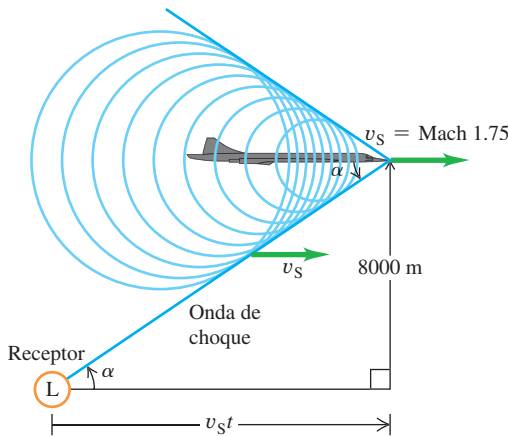
**EJECUTAR:** De acuerdo con la ecuación (16.31), el ángulo  $\alpha$  del cono de choque es

$$\alpha = \arcsen \frac{1}{1.75} = 34.8^\circ$$



SOLUCIÓN

**16.38** Oímos un estruendo sónico cuando la onda de choque nos alcanza en L (*no* sólo cuando el avión rompe la barrera del sonido). Un receptor a la derecha de L todavía no oye el estruendo, pero pronto lo escuchará; un receptor a la izquierda de L ya lo oyó.



La rapidez del avión es la rapidez del sonido multiplicada por el número Mach:

$$v_S = (1.75)(320 \text{ m/s}) = 560 \text{ m/s}$$

A partir de la figura 16.38, tenemos

$$\tan \alpha = \frac{8000 \text{ m}}{v_S t}$$

$$t = \frac{8000 \text{ m}}{(560 \text{ m/s})(\tan 34.8^\circ)} = 20.5 \text{ s}$$

**EVALUAR:** Oímos el estruendo 20.5 s después de que el avión pasa por arriba de nosotros; para entonces, el avión ha recorrido  $(560 \text{ m/s})(20.5 \text{ s}) = 11.5 \text{ km}$  desde que pasó arriba de nosotros. En este cálculo, supusimos que la rapidez del sonido es la misma a todas las alturas, de modo que  $\alpha = \arcsen v/v_S$  es constante y la onda de choque forma un cono perfecto. De hecho, la rapidez del sonido disminuye al aumentar la altura. ¿Cómo afectaría esto el valor de  $t$ ?

**EVALÚE SU COMPRENSIÓN DE LA SECCIÓN 16.9** ¿Qué escucharía usted si estuviera directamente detrás (a la izquierda) del avión supersónico de la figura 16.38? **i.** Un estruendo sónico; **ii.** el sonido del avión, modificado por el desplazamiento Doppler a frecuencias mayores; **iii.** el sonido del avión, modificado por el desplazamiento Doppler a menores frecuencias; **iv.** nada. **I**

## CAPÍTULO 16 RESUMEN

SOLUCIONES A TODOS LOS EJEMPLOS



**Ondas ondas** El sonido consiste en ondas longitudinales en un medio. Una onda sonora sinusoidal se caracteriza por su frecuencia  $f$  y longitud de onda  $\lambda$  (o frecuencia angular  $\omega$  y número de onda  $k$ ), y por su amplitud de desplazamiento  $A$ . La amplitud de presión  $p_{\max}$  es directamente proporcional a la amplitud de desplazamiento, el número de onda y el módulo volumétrico  $B$  del medio de la onda (vea los ejemplos 16.1 y 16.2).

La rapidez de una onda sonora en un fluido depende del módulo volumétrico  $B$  y de la densidad  $\rho$ . Si el fluido es un gas ideal, la rapidez se puede expresar en términos de la temperatura  $T$ , masa molar  $M$ , y la razón de capacidades térmicas  $\gamma$  del gas. La rapidez de las ondas longitudinales en una varilla sólida depende de la densidad y del módulo de Young  $Y$  (vea los ejemplos 16.3 y 16.4).

$$p_{\max} = B k A \quad (16.5)$$

(onda sonora sinusoidal)

$$v = \sqrt{\frac{B}{\rho}} \quad (16.7)$$

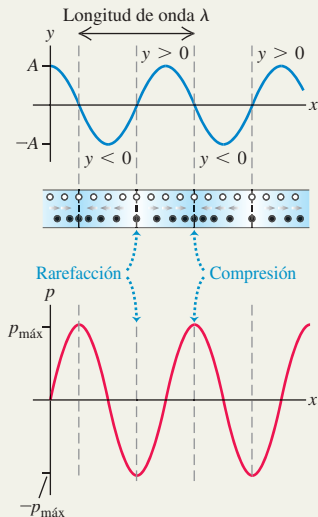
(onda longitudinal en un fluido)

$$v = \sqrt{\frac{\gamma RT}{M}} \quad (16.10)$$

(onda sonora en un gas ideal)

$$v = \sqrt{\frac{Y}{\rho}} \quad (16.8)$$

(onda longitudinal en una varilla sólida)



**Intensidad y nivel de intensidad de un sonido** La intensidad  $I$  de una onda sonora es la rapidez media con la que transporta energía por unidad de área. Para una onda sinusoidal, la intensidad puede expresarse en términos de la amplitud de desplazamiento  $A$  o la amplitud de presión  $p_{\max}$  (vea los ejemplos 16.5 a 16.7).

El nivel de intensidad de sonido  $\beta$  de una onda sonora es una medida logarítmica de su intensidad. Se mide en relación con  $I_0$ , una intensidad arbitraria que, por definición, es  $10^{-12} \text{ W/m}^2$ . Los niveles de intensidad del sonido se expresan en decibeles (dB). (Vea los ejemplos 16.8 y 16.9).

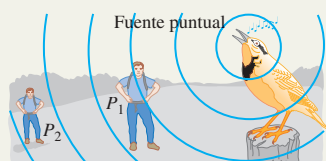
$$I = \frac{1}{2} \sqrt{\rho B} \omega^2 A^2 = \frac{p_{\max}^2}{2 \rho v} \quad (16.12)$$

$$= \frac{p_{\max}^2}{2 \sqrt{\rho B}} \quad (16.14)$$

(intensidad de una onda sonora sinusoidal en un fluido)

$$\beta = (10 \text{ dB}) \log \frac{I}{I_0} \quad (16.15)$$

(definición de nivel de intensidad del sonido)



**Ondas sonoras estacionarias:** Sepueden generar ondas sonoras estacionarias en un tubo. Un extremo cerrado es un nodo de desplazamiento y un antinodo de presión; un extremo abierto es un antinodo de desplazamiento y un nodo de presión. En el caso de un tubo de longitud  $L$  abierto por ambos extremos, las frecuencias de modo normal son múltiplos enteros de la rapidez del sonido entre  $2L$ . En el caso de un tubo cerrado (abierto sólo en un extremo), las frecuencias de modo normal son los múltiplos impares de la rapidez del sonido entre  $4L$  (vea los ejemplos 16.10 y 16.11).

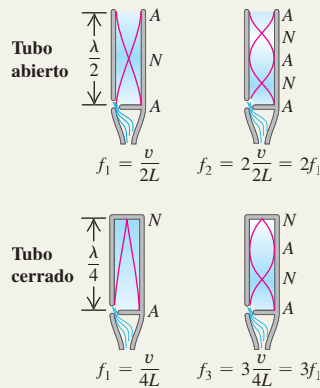
Un tubo o cualquier sistema de modos normales puede forzarse a oscilar con cualquier frecuencia. Se presenta una respuesta máxima, o resonancia, si la frecuencia impulsora es cercana a una de las frecuencias de modo normal del sistema (vea el ejemplo 16.12).

$$f_n = \frac{nv}{2L} \quad (n = 1, 2, 3, \dots) \quad (16.18)$$

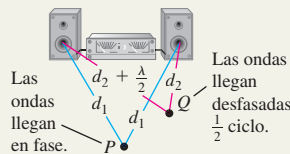
(tubo abierto)

$$f_n = \frac{nv}{4L} \quad (n = 1, 3, 5, \dots) \quad (16.22)$$

(tubo cerrado)



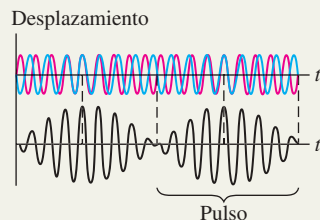
**Interferencia:** Si dos o más ondas se traslanan en la misma región del espacio, los efectos resultantes se llaman interferencia. La amplitud resultante puede ser mayor o menor que la de cada onda individual, dependiendo de si las ondas están en fase (interferencia constructiva) o desfasadas (interferencia destructiva). (Vea el ejemplo 16.13).



**Pulso:** Se escuchan pulsos cuando dos tonos con frecuencias ligeramente distintas  $f_a$  y  $f_b$  suenan juntos. La frecuencia del pulso  $f_{\text{pulso}}$  es la diferencia entre  $f_a$  y  $f_b$ .

$$f_{\text{pulso}} = f_a - f_b \quad (16.24)$$

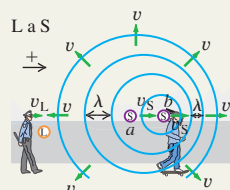
(frecuencia del pulso)



**Efecto Doppler:** El efecto Doppler para el sonido es el cambio de frecuencia que se da cuando hay movimiento de la fuente de sonido, del receptor o de ambos, en relación con el medio. Las frecuencias en la fuente y el receptor  $f_s$  y  $f_L$  están relacionadas con las velocidades de la fuente y del receptor  $v_s$  y  $v_L$  relativas al medio, y con la rapidez del sonido  $v$  (vea los ejemplos 16.14 a 16.18).

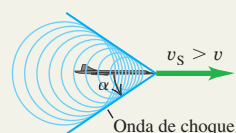
$$f_L = \frac{v + v_L}{v + v_S} f_s \quad (16.29)$$

(efecto Doppler, fuente móvil y receptor móvil)



**Ondas de choque:** Una fuente de sonido que se mueve con rapidez  $v_s$  mayor que la del sonido  $v$  crea una onda de choque. El frente de onda es un cono con ángulo  $\alpha$  (vea el ejemplo 16.19).

$$\sin \alpha = \frac{v}{v_s} \quad (\text{onda de choque}) \quad (16.31)$$





## PROBLEMA PRÁCTICO

## INTERFERENCIA DE ALTAZOES

Dos altavoces, A y B, están separados 7.00 m y vibran en fase a 172 Hz. Los altavoces radian sonido de manera uniforme en todas direcciones. Las potencias de salida acústica son de  $8.00 \times 10^{-4}$  W y  $6.00 \times 10^{-5}$  W, respectivamente. La temperatura del aire es de 20°C.

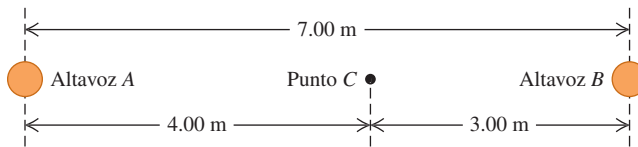
a) Determine la diferencia de fase de las dos señales en un punto C sobre la línea que une A y B, a 3.00 m de B y 4.00 m de A (**figura 16.39**). b) Determine la intensidad y el nivel de intensidad del sonido en C debido sólo al altavoz A (B apagado), y haga lo mismo para el altavoz B (A apagado). c) Con ambos altavoces encendidos, determine la intensidad y el nivel de intensidad del sonido en C.

### GUÍA DE SOLUCIÓN

#### IDENTIFICAR y PLANTEAR

1. Seleccione las ecuaciones que relacionan la potencia, la distancia desde la fuente, la intensidad, la amplitud de presión y el nivel de intensidad del sonido.

**16.39** La situación para este problema.



2. Determine cómo calculará la diferencia de fase en el inciso a). Teniendo la diferencia de fase, ¿cómo la usará para obtener la amplitud de la onda combinada en C debida a las dos fuentes?
3. Elabore una lista de las cantidades desconocidas en cada parte del problema e identifique las incógnitas que hay que despejar.

### EJECUTAR

4. Determine la diferencia de fase en el punto C.
5. Calcule la intensidad, el nivel de intensidad del sonido y la amplitud de la presión en C para cada uno de los altavoces.
6. Use los resultados de los pasos 4 y 5 para calcular la amplitud de presión en C para los dos altavoces juntos.
7. Use el resultado del paso 6 para calcular la intensidad y el nivel de intensidad del sonido en C para los dos altavoces juntos.

### EVALUAR

8. ¿Cómo se comparan los resultados del inciso c) de la intensidad y del nivel de intensidad del sonido en C con los del inciso b)? ¿Esto es lógico?
9. ¿Qué resultado habría obtenido en el inciso c) si hubiera combinado (incorrectamente) las *intensidades* de A y B de manera directa, en lugar de combinar (correctamente) las *amplitudes de presión*, como en el paso 6?

## Problemas

•, \*\*, \*\*\*: Niveles de dificultad. PA: Problemas acumulativos que incorporan material de capítulos anteriores. CALC: Problemas que requieren cálculo. DATOS: Problemas que incluyen datos reales, evidencia científica, diseño experimental y/o razonamiento estadístico. BIO: Problemas de ciencias biológicas.

### PREGUNTAS PARA ANÁLISIS

**P16.1** Cuando el sonido viaja del aire al agua, ¿cambia la frecuencia de la onda? ¿La rapidez? ¿Y la longitud de onda? Explique su razonamiento.

**P16.2** El héroe de una película del oeste oye si un tren se aproxima colocando su oreja en la vía. ¿Por qué obtiene así una advertencia temprana de la llegada del tren en lugar de oír de manera usual?

**P16.3** ¿Esperaría que el tono (o la frecuencia) de un tubo de órgano aumentara o disminuyera al incrementarse la temperatura? Explique su respuesta.

**P16.4** En casi todos los instrumentos de viento modernos, el tono se modifica usando llaves o válvulas para cambiar la longitud de la columna de aire que vibra. La corneta, en cambio, no tiene válvulas ni llaves, pero puede tocar muchas notas. ¿Cómo es posible esto? ¿Hay restricciones en cuanto a las notas que puede tocar?

**P16.5** Los músicos de una sinfónica siempre “calientan” sus instrumentos de viento soplándolos antes de un concierto. ¿Para qué sirve esto?

**P16.6** En una conocida y divertida demostración científica, cuando una persona inhala helio, su voz se torna aguda y chillona. ¿Por qué sucede esto? (Advertencia: Inhalar demasiado helio puede provocar un estado de inconciencia o incluso la muerte).

**P16.7** En ciertas autopistas los divisores de carriles tienen a veces pequeñas protuberancias equidistantes. Cuando los neumáticos de un automóvil ruedan sobre éstas, se produce una nota musical. ¿Por qué?

qué? Explique cómo podría usarse este fenómeno para medir la rapidez del vehículo.

**P16.8** a) ¿Un sonido de 0 dB significa que no hay sonido? b) ¿Existe un significado físico para un sonido que tenga un nivel de intensidad negativo? c) ¿Una intensidad sonora de cero significa que no hay sonido? d) ¿Hay un significado físico para un sonido que tiene una intensidad negativa? ¿Por qué?

**P16.9** ¿Qué influye de manera más directa sobre el volumen de una onda sonora: la amplitud de *desplazamiento* o la amplitud de *presión*? Explique su razonamiento.

**P16.10** Si se reduce a la mitad la amplitud de presión de una onda sonora, ¿en qué factor disminuirá su intensidad? ¿En qué factor debe aumentarse la amplitud de presión de una onda sonora para aumentar la intensidad en un factor de 16? Explique su respuesta.

**P16.11** ¿El nivel de intensidad del sonido  $\beta$  cumple la ley del cuadrado inverso? ¿Por qué?

**P16.12** Una pequeña fracción de la energía de una onda sonora es absorbida por el aire por el que pasa el sonido. ¿Cómo modifica esto la relación del cuadrado inverso entre la intensidad y la distancia a partir de la fuente? Explique su razonamiento.

**P16.13** Una pequeña banda metálica se desliza por una de las varillas de un diapasón. Conforme esta banda se mueve cada vez más cerca del extremo de la varilla, ¿qué efecto tiene esto sobre la longitud de onda y la frecuencia del sonido que produce la varilla? ¿Por qué?

**P16.14** El organista de una catedral toca un acorde fuerte y luego libera las teclas. El sonido persiste unos segundos y luego se desvanece gradualmente. ¿Por qué persiste? ¿Qué pasa con la energía del sonido cuando éste se desvanece?

**P16.15** Dos altavoces, A y B, se conectan al mismo amplificador y emiten ondas sinusoidales en fase. La frecuencia de las ondas emitidas por cada bocina es de 860 Hz. El punto P está a 12.0 m de A y a 13.4 m de B. ¿La interferencia en P es constructiva o destructiva? Explique su razonamiento.

**P16.16** Dos diapasones que vibran tienen frecuencias idénticas, pero uno se encuentra estacionario y el otro está montado en el borde de una plataforma giratoria. ¿Qué oye un receptor? Explique su respuesta.

**P16.17** Una iglesia grande tiene parte del órgano al frente y parte al fondo. Una persona que camina rápidamente por el pasillo, mientras ambos segmentos están tocando, afirma que los dos segmentos suenan desafinados. ¿Por qué?

**P16.18** Una fuente de sonido y un receptor están en reposo en la Tierra, pero un viento fuerte sopla desde la fuente al receptor. ¿Hay un efecto Doppler? ¿Por qué?

**P16.19** ¿Puede imaginar circunstancias en las que se observaría un efecto Doppler en ondas superficiales en agua? ¿Y en ondas elásticas que se propagan en un cuerpo de agua a gran profundidad? Si así es, describa las circunstancias y explique su razonamiento. Si no, explique por qué.

**P16.20** Las estrellas diferentes de nuestro Sol normalmente parecen sin rasgos sobresalientes cuando se observan a través de telescopios. Sin embargo, los astrónomos pueden utilizar fácilmente la luz proveniente de esas estrellas para determinar que están girando e incluso para medir la rapidez de su superficie. ¿Cómo cree que hacen esto?

**P16.21** Si usted se detiene al lado de una vía férrea cuando un tren se aproxima y pasa, oye el desplazamiento Doppler del sonido. Pero si escucha más de cerca, oye que el cambio en la frecuencia es continuo; es decir, no va súbitamente de una frecuencia alta a una frecuencia baja. En lugar de ello, la frecuencia cambia *suavemente* (pero rápido) de alta a baja conforme el tren pasa. ¿Por qué ocurre este cambio de manera suave?

**P16.22** En el caso 1, una fuente de sonido se aproxima a un observador estacionario con rapidez  $v$ . En el caso 2, el observador se mueve hacia una fuente estacionaria con la misma rapidez  $v$ . Si la fuente siempre produce un sonido con la misma frecuencia, en vista de que la rapidez relativa es la misma en ambas situaciones, ¿el observador escuchará la misma frecuencia en ambos casos? ¿Porq ue?

**P16.23** ¿Un avión sólo produce un estruendo sónico en el instante en que su rapidez excede de Mach 1? Explique su razonamiento.

**P16.24** Si va en un avión supersónico, ¿qué oye? Explique su razonamiento. En particular, ¿escucha un estruendo sónico continuo? ¿Por qué?

**P16.25** Un avión a reacción vuela con altitud constante y rapidez  $v_s$  también constante y mayor que la rapidez del sonido. Describa qué oyen los observadores en los puntos A, B y C en el instante que se indica en la figura P16.25, cuando la onda de choque llega justamente al punto B. Explique su razonamiento.

## EJERCICIOS

A menos que se indique algo diferente, suponga que la rapidez del sonido en el aire es  $v = 344 \text{ m/s}$ .

### Sección 16.1 Ondas sonoras

**16.1** • El ejemplo 16.1 (sección 16.1) mostró que, para ondas sonoras en el aire con frecuencia de 1000 Hz, una amplitud de desplazamiento de  $1.2 \times 10^{-8} \text{ m}$  produce una amplitud de presión de  $3.0 \times 10^{-2} \text{ Pa}$ . a) ¿Qué longitud de onda tienen esas ondas? b) Para ondas de 1000 Hz en aire, ¿qué amplitud de desplazamiento se requeriría para que la amplitud de presión esté en el umbral de dolor, la cual es de 30 Pa? c) ¿Qué longitud de onda y frecuencia deben tener ondas con amplitud de desplazamiento de  $1.2 \times 10^{-8} \text{ m}$  para producir una amplitud de presión de  $1.5 \times 10^{-3} \text{ Pa}$ ?

**16.2** • El ejemplo 16.1 (sección 16.1) mostró que, para ondas sonoras en aire con frecuencia de 1000 Hz, una amplitud de desplazamiento de  $1.2 \times 10^{-8} \text{ m}$  produce una amplitud de presión de  $3.0 \times 10^{-2} \text{ Pa}$ . A  $20^\circ\text{C}$  el agua tiene un módulo volumétrico de  $2.2 \times 10^9 \text{ Pa}$ , y la rapidez del sonido en ella es de 1480 m/s. Para ondas sonoras de 1000 Hz en agua a  $20^\circ\text{C}$ , ¿qué amplitud de desplazamiento se produce si la amplitud de presión es de  $3.0 \times 10^{-2} \text{ Pa}$ ? Explique por qué su respuesta es mucho menor que  $1.2 \times 10^{-8} \text{ m}$ .

**16.3** • Considere una onda sonora en el aire con amplitud de desplazamiento de 0.0200 mm. Calcule la amplitud de presión para frecuencias de a) 150 Hz; b) 1500 Hz; c) 15,000 Hz. En cada caso, compare el resultado con el umbral de dolor, que es de 30 Pa a.

**16.4** • La ruidosa máquina de una fábrica produce un sonido que tiene una amplitud de desplazamiento de  $1.00 \mu\text{m}$ , pero la frecuencia de este sonido puede ajustarse. Para evitar el daño auditivo en los trabajadores, se limita la amplitud de presión máxima de las ondas sonoras a 10.0 Pa. En las condiciones de esta fábrica, el módulo volumétrico del aire es  $1.42 \times 10^5 \text{ Pa}$ . ¿Cuál es el sonido de frecuencia más alta al que esta máquina puede ajustarse sin exceder el límite prescrito? ¿Dicha frecuencia es audible para los trabajadores?

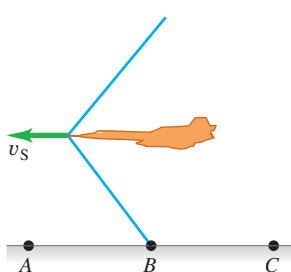
**16.5** • **BIO Ultrasonido e infrasonido.** a) **Comunicación entre ballenas.** Las ballenas azules aparentemente se comunican entre sí emitiendo sonido de frecuencia igual a 17 Hz, que se puede oír a 1000 km de distancia en el océano. ¿Cuál es la longitud de onda de este sonido en el agua de mar, donde la rapidez del sonido es de  $1531 \text{ m/s}$ ? b) **Chasquidos entre delfines.** Un tipo de sonido que emiten los delfines en el océano es un chasquido agudo con longitud de onda de 1.5 cm. ¿Cuál es la frecuencia de estos chasquidos?

c) **Silbidos entre perros.** Una raza de perros llama a sus cachorros con un silbido de frecuencia igual a 25 kHz. ¿Cuál es la longitud de onda de este sonido? d) **Murciélagos.** Aunque los murciélagos emiten una amplia variedad de sonidos, cierto tipo produce pulsos de sonido que tienen una frecuencia de entre 39 y 78 kHz. ¿Cuál es el intervalo de longitudes de onda de este sonido? e) **Sonogramas.** Se usa ultrasonido para observar el interior del cuerpo tanto como los rayos x. Para obtener imágenes claras, la longitud de onda del sonido debe ser de aproximadamente una cuarta parte (o menos) del tamaño de los objetos que se observan. ¿Aproximadamente qué frecuencia de sonido se necesita para producir la imagen clara de un tumor que mide 1.0 mm de ancho si la rapidez del sonido en un tejido es de 1550 m/s?

### Sección 16.2 Rapidez de las ondas sonoras

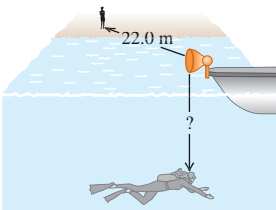
**16.6** • a) En un líquido con densidad de  $1300 \text{ kg/m}^3$ , se determina que ondas longitudinales con frecuencia de 400 Hz tienen una longitud de onda de 8.00 m. Calcule el módulo volumétrico del líquido. b) Una barra metálica de 1.50 m de longitud tiene una densidad de  $6400 \text{ kg/m}^3$ . Las ondas sonoras longitudinales tardan  $3.90 \times 10^{-4} \text{ s}$  en llegar de un extremo de la barra al otro. Calcule el módulo de Young del material.

Figura P16.25



**16.7** • Un buzo bajo la superficie de un lago escucha el sonido de la sirena de un bote en la superficie directamente arriba de él; al mismo tiempo, un amigo que se encuentra en tierra firme a 22.0 m del bote también lo escucha (**figura E16.7**). La sirena está 1.2 m arriba de la superficie del agua. ¿A qué distancia (marcada con “?”) de la sirena está el buzo? Tanto el aire como el agua están a 20°C.

Figura E16.7



**16.8** • A 27°C, ¿qué rapidez tienen las ondas longitudinales en *a)* hidrógeno (masa molar 2.02 g/mol); *b)* helio (masa molar 4.00 g/mol); y *c)* argón (masa molar 39.9 g/mol)? Tome los valores de  $\gamma$  de la tabla 19.1. *d)* Compare sus respuestas de los incisos *a), b) y c)* con la rapidez en el aire a la misma temperatura.

**16.9** • Un oscilador vibra a 1250 Hz y produce una onda sonora que viaja a través de un gas ideal a 325 m/s, cuando la temperatura del gas es de 22.0°C. Para cierto experimento, usted necesita que el oscilador produzca un sonido con longitud de onda de 28.5 cm en ese gas. ¿Cuál debería ser la temperatura del gas para que se alcance esa longitud de onda?

**16.10** • **CALC** *a)* Demuestre que el cambio fraccionario en la rapidez del sonido ( $dv/v$ ) debido a un cambio muy pequeño  $dT$  en la temperatura está dado por  $dv/v = \frac{1}{2}dT/T$ . (*Sugerencia:* Inicie con la ecuación 16.10). *b)* La rapidez del sonido en el aire a 20°C es de 344 m/s. Utilice el resultado del inciso *a)* para determinar el cambio en la rapidez del sonido que corresponde a un cambio de 1.0°C en la temperaturad ela ire.

**16.11** • Se golpea un extremo de una varilla de latón de 60.0 m de longitud. Una persona en el otro extremo escucha dos sonidos causados por dos ondas longitudinales, una que viaja por la varilla y otra que viaja por el aire. Calcule el intervalo de tiempo entre los dos sonidos (la rapidez del sonido en el aire es de 344 m/s; la información pertinente para el latón se halla en las tablas 11.1 y 12.1).

**16.12** • ¿Qué esfuerzo ( $F/A$ ) debe haber en un alambre estirado de un material cuyo módulo de Young es  $Y$ , para que la rapidez de ondas longitudinales sea igual a 30 veces la rapidez de ondas transversales?

### Sección 16.3 Intensidad de sonido

**16.13** • **BIO Energía que llega al oído.** El sonido se detecta cuando una onda sonora provoca que el tímpano vibre. Normalmente, el diámetro de esa membrana es de 8.4 mm en los humanos. *a)* ¿Cuánta energía llega al tímpano de una persona cada segundo cuando alguien le murmura (20 dB) un secreto en el oído? *b)* Para entender el grado de sensibilidad del oído ante cantidades muy pequeñas de energía, calcule la rapidez (en mm/s) a la que debe volar un mosquito normal de 2.0 mg para tener esa cantidad de energía cinética.

**16.14** • *a)* En qué factor se debe incrementar la intensidad del sonido para elevar el nivel de intensidad del sonido en 13.0 dB? *b)* Explique por qué usted no necesita conocer la intensidad original de sonido.

**16.15** • **Escuchar secretamente.** Usted intenta oír una conversación interesante, pero se encuentra a una distancia de 15.0 m, y la escucha como si fuera un murmullo promedio de 20.0 dB. ¿Qué tan cerca de los parlantes debería colocarse de manera que el nivel sonoro fuera de 60.0 dB?

**16.16** • **BIO Oído humano.** En un concierto de rock, un asistente se encuentra a 30 m del escenario, y en ese punto el nivel de intensidad del sonido es de 110 dB. *a)* ¿Cuánta energía se transfiere a los oídos de ese individuo cada segundo? *b)* Con qué rapidez (en mm/s) tendría que volar un mosquito de 2.0 mg para tener esa cantidad de energía cinética. Compare la rapidez del mosquito con la del murmullo del inciso *a)* del ejercicio 16.13.

**16.17** • Una onda sonora en el aire a 20°C tiene una frecuencia de 320 Hz y amplitud de desplazamiento de  $5.00 \times 10^{-3}$  mm. Para esa

onda, calcule *a)* la amplitud de presión (en Pa); *b)* la intensidad (en  $\text{W/m}^2$ ); y *c)* el nivel de intensidad del sonido (en decibeles).

**16.18** • Usted vive en una calle con mucho tránsito vehicular, pero como amante de la música, desea reducir el nivel de ruido. *a)* Si usted instala ventanas especiales para reflejar el sonido que reducen el nivel de intensidad del sonido (en dB) en 30 dB, ¿en qué cantidad disminuye la intensidad del sonido (en  $\text{W/m}^2$ )? *b)* Por otro lado, si usted reduce la intensidad a la mitad, ¿cuál es el cambio (en dB) en el nivel de intensidad del sonido?

**16.19** • **BIO** El sonido más tenue que un ser humano con oído normal puede escuchar a una frecuencia de 400 Hz tiene una amplitud de presión aproximada de  $6.0 \times 10^{-5}$  Pa. Calcule *a)* la intensidad; *b)* el nivel de intensidad del sonido; y *c)* la amplitud de desplazamiento de esta onda sonora a 20°C.

**16.20** • La intensidad debida a varias fuentes de sonido independientes es la suma de las intensidades individuales. *a)* Cuando unos cuatrillizos lloran simultáneamente, ¿por cuántos decibeles es mayor el nivel de intensidad de sonido en comparación con el caso en que llora uno solo? *b)* Para aumentar el nivel de intensidad de sonido, otra vez en el mismo número de decibeles que en *a)*, ¿cuántos bebés más necesitan llorar?

**16.21** • **PA** La boca de un bebé está a 30 cm del oído del padre y a 1.50 m del de la madre. ¿Qué diferencia hay entre los niveles de intensidad de sonido que escuchan ambos?

**16.22** • El ayuntamiento de Sacramento hace poco decretó una ley que reduce el nivel permitido de intensidad sonora de los odiados recogedores de hojas, de 95 a 70 dB. Con esa nueva ley, ¿cuál es la razón entre la nueva intensidad permitida y la intensidad que se permitía antes?

**16.23** • **PA** El punto *A* se encuentra a 3.0 m de una pequeña fuente de sonido, la cual emite de manera uniforme en todas direcciones; el nivel de intensidad del sonido es de 53 dB. *a)* ¿Cuál es la intensidad del sonido en *A*? *b)* ¿A qué distancia de la fuente debe estar usted para que la intensidad sea de un cuarto de su valor en *A*? *c)* ¿A qué distancia de la fuente debe estar usted para que el nivel de intensidad del sonido sea de un cuarto de su valor en *A*? *d)* ¿La intensidad cumple la ley del cuadrado inverso? ¿Y el nivel de intensidad del sonido?

**16.24** • *a)* Si dos sonidos difieren en 5.00 dB, determine la razón entre la intensidad del sonido más fuerte y la del sonido más suave. *b)* Si un sonido es 100 veces más intenso que el otro, ¿cuál es la diferencia en el nivel de intensidad del sonido (en decibeles)? *c)* Si se incrementa el volumen de su aparato estereofónico, de modo que la intensidad se duplica, ¿cuánto aumenta el nivel de intensidad del sonido?

### Sección 16.4 Ondas sonoras estacionarias y modos normales

**16.25** • Se producen ondas sonoras estacionarias en un tubo de 1.20 m de longitud. Para la fundamental y los dos primeros sobretonos, ¿en qué puntos del tubo (midiendo desde el extremo izquierdo) están los nodos de desplazamiento y los nodos de presión, si *a)* el tubo está abierto en ambos extremos, y *b)* el tubo está cerrado en el extremo izquierdo y abierto en el derecho?

**16.26** • La frecuencia fundamental de un tubo abierto en ambos extremos es de 524 Hz. *a)* ¿Qué longitud tiene ese tubo? Si se tapa uno de los extremos del tubo, calcule *b)* la longitud de onda y *c)* la frecuencia de la nueva fundamental.

**16.27** • **BIO La voz humana.** El tracto vocal humano es un tubo que se extiende unos 17 cm desde los labios hasta los pliegues vocales (también llamados “cuerdas vocales”) cerca de la mitad de la garganta. Los pliegues se comportan como la lengüeta de un clarinete; y el tracto vocal, como tubo cerrado. Estime las primeras tres frecuencias de onda estacionaria del tracto vocal. Use  $v = 344$  m/s (las respuestas sólo son una estimación, ya que las posiciones de los labios y de la lengua afectan el movimiento del aire dentro del tracto).

**16.28 • BIO El tracto vocal.** Muchos cantantes de ópera (y algunos cantantes de pop) tienen un rango vocal de aproximadamente 2½ octavas o incluso mayor. Suponga que el rango vocal de una soprano va de una frecuencia de 220 Hz hasta una de 1244 Hz. Aun cuando el tracto vocal es bastante complicado, podemos modelarlo como una columna de aire en resonancia, como el tubo de un órgano que está abierto en la parte superior y cerrado en la parte inferior. La columna va desde la boca hasta el diafragma en la cavidad del pecho, y suponemos también que la nota más baja es la fundamental. ¿Qué longitud tiene esta columna de aire si  $v = 354 \text{ m/s}$ ? ¿El resultado es razonable, considerando las observaciones de su propio cuerpo?

**16.29 •** En órganos de tubo de tamaño mediano, el tubo más grande mide 4.88 m (16 ft). ¿Cuál es la frecuencia de la nota que corresponde al modo fundamental si el tubo está *a)* abierto en ambos extremos, *b)* abierto en un extremo y cerrado en el otro?

**16.30 • Cantando bajo la ducha.** Un tubo cerrado por ambos extremos puede tener ondas estacionarias en su interior, pero normalmente no las escuchamos porque sólo una pequeña parte del sonido puede salir. Sin embargo, usted *puede* oírlas si se encuentra *dentro* del tubo, como cuando alguien canta bajo la ducha. *a)* Demuestre que las longitudes de onda de las ondas estacionarias en un tubo de longitud  $L$ , cerrado por ambos extremos, son  $\lambda_n = 2L/n$  y que las frecuencias están dadas por  $f_n = nv/2L = nf_1$ , donde  $n = 1, 2, 3, \dots$  *b)* Considerando un modelo de tubo, determine la frecuencia de la fundamental y de los primeros dos sobretones para una ducha de 2.50 m de altura. ¿Son audibles esas frecuencias?

### Sección 16.5 Resonancia y sonido

**16.31 •** Usted sopla a través de la boca de un tubo de ensayo vacío y produce la onda estacionaria fundamental de la columna de aire en su interior. La rapidez del sonido en el aire es de 344 m/s y el tubo de ensayo actúa como un tubo cerrado. *a)* Si la longitud de la columna de aire es de 14.0 cm, ¿qué frecuencia tiene esa onda estacionaria? *b)* Determine la frecuencia de la onda estacionaria fundamental en la columna de aire, si el tubo de ensayo se llena hasta la mitad con agua.

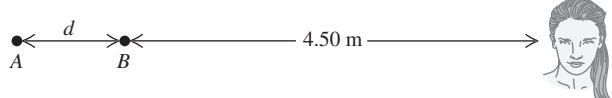
**16.32 • PA** Un tubo cerrado por un extremo y de longitud ajustable se encuentra cerca de un alambre de 62.0 cm y 7.25 g, que está sometido a una tensión de 4110 N. Usted desea ajustar la longitud del tubo de manera que, cuando produzca sonido a su frecuencia fundamental, este sonido haga que el alambre vibre en su segundo *sobretono* con una amplitud muy grande. ¿De qué longitud debe ser el tubo?

**16.33 •** Un alambre de 75.0 cm de longitud y 5.625 g de masa se sujetó a dos extremos para tener una tensión de 35.0 N. Cuando vibra en su segundo sobretono, calcule *a)* la frecuencia y la longitud de onda a la cual vibra y *b)* la frecuencia y la longitud de onda de las ondas sonoras que produce.

### Sección 16.6 Interferencia de ondas

**16.34 •** Dos pequeños altavoces, *A* y *B*, son alimentados en fase a 725 Hz por el mismo oscilador de audio. Ambos altavoces se encuentran a 4.50 m de una persona, pero el altavoz *A* se aleja lentamente (**figura E16.34**). *a)* ¿A qué distancia  $d$ , el sonido de los altavoces producirá una interferencia destructiva en la ubicación de la persona que escucha? *b)* Si *A* se mueve aún más que en el inciso *a)*, ¿a qué distancia  $d$ , los altavoces producirán la siguiente interferencia destructiva en la ubicación de la persona? *c)* Despues de

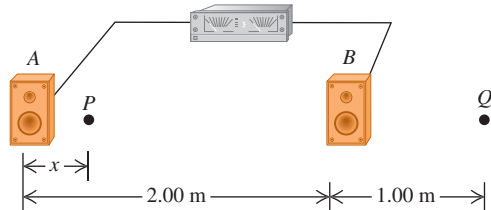
Figura E16.34



que *A* comienza a alejarse de su ubicación original, ¿a qué distancia  $d$ , los altavoces producirán la primera interferencia constructiva en la ubicación de la persona?

**16.35 •** Dos altavoces, *A* y *B* (**figura E16.35**), son alimentados por el mismo amplificador y emiten ondas sinusoidales en fase. El altavoz *B* está 2.00 m a la derecha de *A*. Considere el punto *Q* a lo largo de la extensión de la línea que une los altavoces, 1.00 m a la derecha del altavoz *B*. Ambos altavoces emiten ondas sonoras que viajan directamente del altavoz a *Q*. Determine la frecuencia más baja con la que habrá *a)* interferencia *constructiva* en el punto *Q* y *b)* interferencia *destructiva* en el punto *Q*.

Figura E16.35



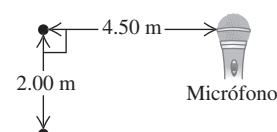
**16.36 •** Dos altavoces, *A* y *B* (**figura E16.35**), son alimentados por el mismo amplificador y emiten ondas sinusoidales en fase. El altavoz *B* está 2.00 m a la derecha de *A*. La frecuencia de las ondas sonoras producidas por los altavoces es de 206 Hz. Considere el punto *P* entre los altavoces a lo largo de la línea que los une, a una distancia  $x$  a la derecha de *A*. Ambos altavoces emiten ondas sonoras que viajan directamente del altavoz a *P*. *a)* ¿Con qué valores de  $x$  habrá interferencia *destructiva* en *P*? *b)* ¿Y *constructiva*? *c)* Los efectos de interferencia como los de los incisos *a)* y *b)* casi nunca son un factor al escuchar los equipos estereofónicos caseros. ¿Por qué no?

**16.37 •** Dos altavoces, *A* y *B*, son alimentados por el mismo amplificador y emiten ondas sinusoidales en fase. El altavoz *B* está 12.0 m a la derecha de *A*. La frecuencia de las ondas emitidas por los altavoces es de 688 Hz. Imagine que está de pie entre los altavoces, sobre la línea que los une, y se encuentra en un punto de interferencia constructiva. ¿Qué distancia deberá moverse hacia el altavoz *B*, para estar en un punto de interferencia destructiva?

**16.38 •** Dos altavoces, *A* y *B*, son alimentados por el mismo amplificador y emiten ondas sinusoidales en fase. La frecuencia de las ondas emitidas por los altavoces es de 172 Hz. Imagine que está a 8.00 m de *A*. ¿Cuánto es lo más cerca que puede estar de *B* y encontrarse en un punto de interferencia destructiva?

**16.39 •** Dos altavoces estereofónicos pequeños son alimentados alternativamente por el mismo oscilador de frecuencia variable. Su sonido es detectado por un micrófono como se muestra en el arreglo de la **figura E16.39**. ¿En qué frecuencias su sonido en los altavoces produce *a)* interferencia constructiva y *b)* interferencia destructiva?

Figura E16.39



### Sección 16.7 Pulses

**16.40 •** Dos guitarristas intentan tocar la misma nota con longitud de onda de 64.8 cm al mismo tiempo, pero uno de los instrumentos está ligeramente desafinado y, en lugar de ello, toca una nota cuya longitud de onda es de 65.2 cm. ¿Cuál es la frecuencia de los pulsos que estos músicos escuchan cuando tocan juntos?

**16.41 • Afinación de un violín.** Una violinista afina su violín en 440 Hz. Ella toca la nota mientras escucha un tono, generado electrónicamente, de esa frecuencia exacta y oye un pulso de 3 Hz de frecuencia, que se incrementa a 4 Hz cuando aprieta ligeramente la cuerda de su violín. *a)* ¿Cuál es la frecuencia de la nota tocada por su violín cuando oye el pulso de 3 Hz? *b)* Para tener su violín perfectamente afinado en 440 Hz, ¿debe apretar o aflojar la cuerda cuando oye el pulso de 3 Hz?

**16.42 • Ajuste de los motores de un avión.** Los motores que impulsan las hélices de un avión se afinan, en algunos casos, usando pulsos. El zumbido del motor produce una onda sonora que tiene la misma frecuencia de la hélice. *a)* Si una hélice de una sola aspa gira a 575 rpm y usted oye un pulso de 2.0 Hz cuando hace funcionar la segunda hélice, ¿cuáles son las dos posibles frecuencias (en rpm) de la segunda hélice? *b)* Suponga que se incrementa ligeramente la rapidez de la segunda hélice y se determina que la frecuencia del pulso cambia a 2.1 Hz. En el inciso *a)* ¿cuál de las dos respuestas es la correcta para la frecuencia de la segunda hélice de una aspa? ¿Cómo lo sabe?

**16.43 •** Dos tubos de órgano, abiertos por un lado, pero cerrados por el otro, miden 1.14 m de largo cada uno. Uno se alargó por 2.00 cm. Determine la frecuencia del pulso que producen cuando tocan juntos en su fundamental.

### Sección 16.8 Efecto Doppler

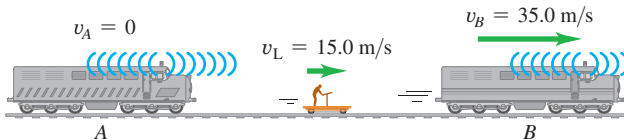
**16.44 •** En el ejemplo 16.18 (sección 16.8), suponga que la patrulla se aleja de la bodega a 20 m/s. ¿Qué frecuencia escucha el conductor reflejada en la bodega?

**16.45 •** En el planeta Arrakis, un ornitóide macho vuela hacia su compañera a 25.0 m/s mientras emite un aullido a una frecuencia de 1200 Hz. Si la hembra que se encuentra sin moverse oye un tono de 1240 Hz, ¿cuál es la rapidez del sonido en la atmósfera de Arrakis?

**16.46 •** Un tren viaja a 25.0 m/s en aire tranquilo. La frecuencia de la nota emitida por el silbato de la locomotora es de 400 Hz. Calcule la longitud de las ondas sonoras *a)* enfrente de la locomotora; *b)* detrás de la locomotora. Calcule la frecuencia del sonido que oye un receptor estacionario *c)* enfrente de la locomotora, y *d)* detrás de la locomotora.

**16.47 •** Dos silbatos de tren, *A* y *B*, tienen cada uno una frecuencia de 392 Hz. *A* se encuentra estacionario y *B* se mueve a la derecha (alejándose de *A*) a 35.0 m/s. Un receptor está entre los dos trenes y se mueve a la derecha a 15.0 m/s (**figura E16.47**). No sopla viento. Según el receptor, *a)* ¿qué frecuencia tiene *A*? *b)* ¿Y *B*? *c)* ¿Qué frecuencia del pulso detecta el receptor?

Figura E16.47



**16.48 • Fuente móvil contra receptor móvil.** *a)* Una fuente sonora que produce ondas de 1.00 kHz se mueve hacia un receptor estacionario a la mitad de la rapidez del sonido. ¿Qué frecuencia oírá el receptor? *b)* Suponga ahora que la fuente se encuentra estacionaria y que el receptor se mueve hacia ella a la mitad de la rapidez del sonido. ¿Qué frecuencia oye el receptor? Compare su respuesta con la del inciso *a)* y explique la diferencia con base en principios de la física.

**16.49 •** Al nadar, un pato patea una vez cada 1.6 s, produciendo ondas superficiales con ese periodo. El pato avanza con rapidez constante en un estanque donde la rapidez de las ondas superficiales es de 0.32 m/s, y las crestas de las olas adelante del pato están espaciadas 0.12 m. *a)* Calcule la rapidez del pato. *b)* ¿Qué tan separadas están las crestas detrás del pato?

**16.50 •** Un tren viaja a 30.0 m/s en aire tranquilo. La frecuencia de la nota emitida por su silbato es de 352 Hz. ¿Qué frecuencia oye un pasajero de un tren que se mueve en dirección opuesta a 18.0 m/s cuando *a)* se acerca al primer tren, y *b)* cuando se aleja de él?

**16.51 •** La alarma de un automóvil emite ondas sonoras con frecuencia de 520 Hz. Usted va en una motocicleta, alejándose del auto que se encuentra estacionado. ¿Con qué rapidez se desplaza usted si detecta una frecuencia de 490 Hz?

**16.52 •** Mientras usted se encuentra estacionado en su auto a un lado del camino, en un automóvil idéntico se acerca su amigo, y usted hace sonar su claxon, que tiene una frecuencia de 260 Hz. Al mismo tiempo su amigo hace sonar su claxon, que es idéntico, y usted escucha una frecuencia de pulso de 6.0 Hz. ¿Qué tan rápido se acerca su amigo hacia usted?

**16.53 •** Dos veloces canarios vuelan uno hacia el otro moviéndose cada uno a 15.0 m/s en relación con el suelo y cantando una nota con frecuencia de 1750 Hz. *a)* ¿Cuál es la frecuencia de la nota que cada ave oye de la otra? *b)* ¿Qué longitud de onda mide cada canario para la nota del otro?

**16.54 •** La sirena de un camión de bomberos que viaja hacia el norte a 30.0 m/s emite un sonido con una frecuencia de 2000 Hz. Un camión enfrente del carro de bomberos se desplaza hacia el norte a 20 m/s. *a)* ¿Cuál es la frecuencia del sonido de la sirena que el conductor del carro de bomberos oye reflejado en la parte trasera del camión? *b)* ¿Cuál sería la longitud de onda medida por el conductor del carro de bomberos para estas ondas sonoras reflejadas?

**16.55 •** Una patrulla estacionada a un lado de una autopista emite una frecuencia de sonido de 1200 Hz que rebota en un automóvil en la autopista y regresa con una frecuencia de 1250 Hz. La patrulla está justo al lado de la autopista, de manera que el automóvil se desplaza directamente hacia el vehículo de policía o se aleja de éste. *a)* ¿Qué tan rápido viajaba el automóvil? *b)* ¿Qué frecuencia habría recibido la patrulla si hubiera avanzado hacia el otro vehículo a 20.0 m/s?

**16.56 •** ¿Qué tan rápido (como un porcentaje de la rapidez de la luz) tendría que desplazarse una estrella para que la frecuencia de la luz que recibimos de ella sea un 10.0% mayor que la frecuencia de la luz que emite? ¿Se estaría alejando de nosotros o se estaría acercando? (Suponga que se mueve directamente hacia nosotros o que se aleja directamente de nosotros).

### Sección 16.9 Ondas de choque

**16.57 •** Un avión a reacción pasa volando a Mach 1.70 y a una altitud constante de 1250 m. *a)* ¿Qué ángulo  $\alpha$  tiene el cono de la onda de choque? *b)* ¿Cuánto tiempo después de pasar el avión directamente arriba de nosotros oímos el estruendo sónico? Desprecie la variación de la rapidez del sonido con la altitud.

**16.58 •** El cono de ondas de choque que genera el transbordador espacial, en un instante durante su reingreso a la atmósfera, forma un ángulo de 58.0° con la dirección de su movimiento. La rapidez del sonido a esa altitud es de 331 m/s. *a)* ¿Cuál es el número Mach del transbordador en ese instante, y *b)* cuál es su rapidez relativa (en m/s y mi/h) a la atmósfera? *c)* ¿Cuál sería su número Mach y el ángulo del cono de las ondas de choque, si volara con la misma rapidez, pero a una menor altitud donde la rapidez del sonido es de 344 m/s?

## PROBLEMAS

**16.59** • Una soprano y un bajo están cantando a dueto. Mientras la soprano canta un la sostenido a 932 Hz, el bajo canta un la sostenido, pero tres octavas más abajo. En esta sala de conciertos, la densidad del aire es de  $1.20 \text{ kg/m}^3$  y su módulo volumétrico es de  $1.42 \times 10^5 \text{ Pa}$ . Para que sus notas tengan el mismo nivel de intensidad de sonido, ¿cuál debe ser *a)* la razón entre las amplitudes de presión del bajo y de la soprano, y *b)* la razón entre las amplitudes de desplazamiento del bajo y de la soprano? *c)* ¿Qué amplitud de desplazamiento (en m y nm) produce la soprano para cantar su la sostenido a 72.0 dB?

**16.60** • PA El sonido de una trompeta radia uniformemente en todas direcciones en aire a  $20^\circ\text{C}$ . A una distancia de 5.00 m de la trompeta, el nivel de intensidad de sonido es de 52.0 dB. La frecuencia es de 587 Hz. *a)* Determine la amplitud de presión a esta distancia. *b)* Calcule la amplitud de desplazamiento. *c)* ¿A qué distancia el nivel de intensidad del sonido es de 30.0 dB?

**16.61** • PA Una persona toca una flauta pequeña de 10.75 cm de largo, abierta en un extremo y cerrada en el otro; cerca se tiene una cuerda tensa cuya frecuencia fundamental es de 600.0 Hz. Si la rapidez del sonido es de 344.0 m/s, ¿en cuál armónico de la flauta resonará la cuerda? En cada caso, ¿cuál armónico de la cuerda está en resonancia?

**16.62** • PA Una barra uniforme de 165 N está sostenida horizontalmente por dos alambres idénticos *A* y *B* (figura P16.62). Un pequeño cubo de plomo de 185 N está colocado a  $\frac{3}{2}$  del camino entre *A* y *B*. Cada uno de los alambres mide 75.0 cm de largo y tiene una masa de 5.50 g. Si ambos son pulsados simultáneamente en el centro, ¿cuál es la frecuencia de los pulsos que se producirán cuando cada uno de los alambres vibre en su fundamental?

**16.63** • Un tubo de órgano tiene dos armónicos sucesivos con frecuencias de 1372 y 1764 Hz. *a)* ¿El tubo está abierto o cerrado? Explique su respuesta. *b)* ¿De qué armónicos se trata? *c)* ¿Qué longitud tiene el tubo?

**16.64** • La frecuencia de la nota fa ( $F_4$ ) es de 349 Hz. *a)* Si un tubo de órgano está abierto en un extremo y cerrado en el otro, ¿qué longitud deberá tener para que su modo fundamental produzca esa nota a  $20.0^\circ\text{C}$ ? *b)* ¿Con qué temperatura del aire la frecuencia será de 370 Hz, correspondiente a un aumento de tono de fa a fa sostenido? (Desprecie el cambio de longitud del tubo debido al cambio de temperatura).

**16.65** • Dos altavoces idénticos están situados en los puntos *A* y *B*, separados 2.00 m. Los altavoces son alimentados por el mismo amplificador y producen ondas sonoras con una frecuencia de 784 Hz. La rapidez del sonido en el aire es de 344 m/s. Un micrófono pequeño se aleja del punto *B* sobre una línea perpendicular a la línea que une *A* y *B* (línea *BC* en la figura P16.65).

**P16.65.** *a)* ¿A qué distancias de *B* habrá interferencia *destructiva*? *b)* ¿Y *constructiva*? *c)* Si la frecuencia es lo bastante baja, no habrá posiciones sobre la línea *BC* en las que haya interferencia destructiva. ¿Qué tan baja deberá ser la frecuencia para que esto suceda?

**16.66** • Un murciélagos vuela hacia una pared, emitiendo un sonido constante cuya frecuencia es de 1.70 kHz. El murciélagos escucha su propio sonido más el sonido reflejado por la pared. ¿Con qué rapidez deberá volar para escuchar una frecuencia de pulso de 8.00 Hz?



Figura P16.62

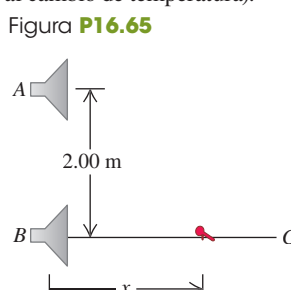


Figura P16.65

**16.67** • La fuente de sonido del sistema de sonar de un barco opera a una frecuencia de 18.0 kHz. La rapidez del sonido en agua (que suponemos está a una temperatura uniforme de  $20^\circ\text{C}$ ) es de 1482 m/s. *a)* Calcule la longitud de onda de las ondas emitidas por la fuente. *b)* Calcule la diferencia en frecuencia entre las ondas radiadas directamente y las reflejadas en una ballena que viaja directamente hacia el barco a 4.95 m/s. El barco está en reposo en el agua.

**16.68** ••• BIO Ultrasonido en medicina. Una onda sonora de 2.00 MHz viaja por el abdomen de una mujer embarazada y se refleja en la pared cardiaca del feto. La pared cardiaca se mueve hacia el receptor de sonido al latir el corazón. El sonido reflejado se mezcla con el transmitido, y se detectan 72 pulsos por segundo. La rapidez del sonido en el tejido corporal es de 1500 m/s. Calcule la rapidez de la pared cardiaca fetal, en el instante en que se efectúa la medición.

**16.69** ••• BIO Los murciélagos de hendidura (género *Rhinolophus*) emiten sonidos por las fosas nasales y luego escuchan la frecuencia del sonido reflejado en su presa para determinar la rapidez de ésta. (La “hendidura” que da al animal su nombre es una depresión alrededor de las fosas nasales que actúa como espejo de enfoque y permite al animal emitir sonido en un haz angosto, como una linterna). Un *Rhinolophus* que vuela con una rapidez  $v_{\text{murciélagos}}$  emite sonidos de frecuencia  $f_{\text{murciélagos}}$ ; la frecuencia que oye reflejada en un insecto que vuela hacia él tiene un valor más alto  $f_{\text{refl}}$ . *a)* Demuestre que la rapidez del insecto es

$$v_{\text{insecto}} = v \left[ \frac{f_{\text{refl}}(v - v_{\text{murciélagos}}) - f_{\text{murciélagos}}(v + v_{\text{murciélagos}})}{f_{\text{refl}}(v - v_{\text{murciélagos}}) + f_{\text{murciélagos}}(v + v_{\text{murciélagos}})} \right]$$

donde  $v$  es la rapidez del sonido. *b)* Si  $f_{\text{murciélagos}} = 80.7 \text{ kHz}$ ,  $f_{\text{refl}} = 83.5 \text{ kHz}$  y  $v_{\text{murciélagos}} = 3.9 \text{ m/s}$ , calcule la rapidez del insecto.

**16.70** • PA Una sirena policiaca con frecuencia  $f_{\text{sirena}}$  está sujetada a una plataforma que vibra. La plataforma y la sirena oscilan verticalmente en movimiento armónico simple, con amplitud  $A_p$  y frecuencia  $f_p$ . *a)* Calcule las frecuencias máxima y mínima del sonido que usted escucharía en una posición directamente arriba de la sirena. *b)* ¿En qué punto del movimiento de la plataforma se escucha la máxima frecuencia? ¿Y la mínima? Explique su respuesta.

**16.71** • PA Una tornamesa de 1.50 m de diámetro gira a 75 rpm. Dos altavoces, que emiten cada uno un sonido de 31.3 cm de longitud de onda, están sujetos en el borde de la mesa en los extremos opuestos de un diámetro. Un receptor se encuentra enfrente de la tornamesa. *a)* ¿Cuál es la frecuencia máxima del pulso que percibirá el receptor de este sistema? *b)* ¿El receptor podrá distinguir los pulsos individuales?

**16.72** •• DATOS Un tanque cilíndrico grande y cerrado contiene un gas diatómico que es mantenido a temperatura uniforme que puede variar. Cuando usted mide la rapidez del sonido  $v$  en el gas como una función de la temperatura  $T$  del gas, obtiene los siguientes resultados.

$T (\text{ }^\circ\text{C})$	-20.0	0.0	20.0	40.0	60.0	80.0
$v (\text{m/s})$	324	337	349	361	372	383

*a)* Explique cómo trazar estos resultados de manera que la gráfica se ajuste a una línea recta. Construya esa gráfica y verifique que los puntos trazados caigan muy cerca de una línea recta. *b)* Ya que el gas es diatómico,  $\gamma = 1.40$ . Utilice la pendiente de la recta del inciso *a)* para calcular  $M$ , la masa molar del gas. Exprese  $M$  en gramos/mol. ¿Qué tipo de gas está en el tanque?

**16.73** •• DATOS Un tubo largo contiene aire a una presión de 1.00 atm y temperatura de  $77.0^\circ\text{C}$ . El tubo está abierto en un extremo

y cerrado en el otro por un pistón móvil. Un diapasón cerca del extremo abierto está vibrando con una frecuencia de 500 Hz. Se produce resonancia cuando el pistón está a distancias de 18.0, 55.5 y 93.0 cm del extremo abierto. a) Con estos datos, determine la rapidez del sonido en el aire a 77.0°C. b) Con el resultado del inciso a), calcule el valor de  $\gamma$ . c) Estos datos muestran que hay un antinodo de desplazamiento un poco afuera del extremo abierto del tubo. ¿Qué tan afuera está?

**16.74 ... DATOS** ¡Supernova! a) La ecuación 16.30 puede escribirse como:

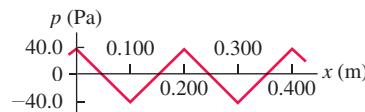
$$f_R = f_S \left(1 - \frac{v}{c}\right)^{1/2} \left(1 + \frac{v}{c}\right)^{-1/2}$$

donde  $c$  es la velocidad de la luz en el vacío,  $3.00 \times 10^8$  m/s. La mayoría de los objetos se mueven mucho más lentamente que esto ( $v/c$  es muy pequeño), de manera que los cálculos realizados con la ecuación 16.30 se deben realizar con cuidado para evitar errores de redondeo. Use el teorema binomial para demostrar que si  $v \ll c$ , la ecuación (16.30) se reduce aproximadamente a  $f_R = f_S[1 - (v/c)]$ . b) La nube de gas conocida como Nebulosa del Cangrejo puede verse incluso con un telescopio pequeño; es lo que queda de una supernova, es decir, la explosión colossal de una estrella (la explosión se vio en la Tierra el 4 de julio de 1054 de nuestra era). Los destellos brillan con el color rojo característico de hidrógeno gaseoso caliente. En un laboratorio en la Tierra, el hidrógeno calentado produce luz roja con frecuencia de  $4.568 \times 10^{14}$  Hz; la luz roja recibida de los destellos de la Nebulosa del Cangrejo que apuntan hacia la Tierra tiene una frecuencia de  $4.586 \times 10^{14}$  Hz. Estime la rapidez con que los bordes exteriores de la nebulosa se están expandiendo. Suponga que la rapidez del centro de la nebulosa relativa a la Tierra es despreciable. c) Suponiendo que la rapidez de expansión ha sido constante desde la explosión de la supernova, estime el diámetro de la nebulosa en metros y en años luz. d) El diámetro angular de la Nebulosa del Cangrejo vista desde la Tierra es de unos 5 minutos de arco (1 minuto de arco =  $\frac{1}{60}$  de grado). Estime la distancia (en años luz) a la nebulosa, y estime el año en que tuvo lugar la explosión.

## PROBLEMAS DE DESAFÍO

**16.75 ... CALC** La figura P16.75 muestra la fluctuación de presión  $p$  de una onda sonora no sinusoidal en función de  $x$  para  $t = 0$ . La onda viaja en la dirección  $+x$ . a) Dibuje una gráfica que muestre la fluctuación de presión  $p$  como función de  $t$  para  $x = 0$ . Muestre al menos dos ciclos de oscilación. b) Dibuje una gráfica que muestre el desplazamiento  $y$  en esta onda sonora en función de  $x$  en  $t = 0$ . En  $x = 0$ , el desplazamiento en  $t = 0$  es cero. Muestre al menos dos longitudes de onda. c) Dibuje una gráfica que muestre el desplazamiento  $y$  en función de  $t$  para  $x = 0$ . Represente al menos dos ciclos de oscilación. d) Calcule la velocidad y aceleración máximas de un elemento del aire por el que viaja esta onda sonora. e) Describa cómo debe moverse el cono de un altavoz en función del tiempo para producir la onda sonora de este problema.

Figura P16.75



**16.76 ... PA** Ondas longitudinales en un resorte. A menudo se usa un resorte largo, como el Slinky<sup>MR</sup>, para mostrar las ondas longitudinales. a) Demuestre que si un resorte que cumple la ley de Hooke tiene masa  $m$ , longitud  $L$  y constante de fuerza  $k'$ , la rapidez de las ondas longitudinales en el resorte es  $v = L\sqrt{k'/m}$  (vea la sección 16.2). b) Evalúe  $v$  para un resorte con  $m = 0.250$  kg,  $L = 2.00$  m, y  $k' = 1.50$  N/m.

## PROBLEMAS DE TRANSICIÓN

**BIO IMÁGENES POR ULTRASONIDO.** Un transductor de ultrasonido típico, empleado para realizar diagnósticos médicos, produce un haz de ultrasonido con una frecuencia de 1.0 MHz. El haz viaja del transductor, pasa por el tejido y se refleja parcialmente cuando encuentra estructuras diferentes en el tejido. El mismo transductor que produce el ultrasonido también detecta las reflexiones. El transductor emite un pulso corto de ultrasonido y espera recibir el eco reflejado antes de emitir el siguiente pulso. Al medir el tiempo entre el pulso inicial y la llegada de la señal reflejada, se puede usar la rapidez del ultrasonido en el tejido, 1540 m/s, para determinar la distancia desde el transductor a la estructura que produce la reflexión.

A medida que el haz pasa por el tejido, se atenúa por absorción. Así, estructuras más profundas regresan ecos más débiles. Una atenuación típica en tejido es  $-100$  dB/m·MHz; en huesos es  $-500$  dB/m · MHz. Al determinar la atenuación, se toma la intensidad de referencia como la intensidad producida por el transductor.

**16.77** Si la estructura más profunda de la que usted desea obtener una imagen está a 10.0 cm del transductor, ¿cuál es el número máximo de pulsos por segundo que pueden ser emitidos? a) 3850; b) 7700; c) 15,400; d) 1,000,000.

**16.78** Después de que el haz pasa por 10 cm de tejido, ¿cuál es la intensidad del haz como una fracción de su intensidad inicial desde el transductor? a)  $1 \times 10^{-11}$ ; b) 0.001; c) 0.01; d) 0.1.

**16.79** Debido a que la rapidez del ultrasonido en hueso es cerca del doble de la rapidez en tejido suave, se puede medir de manera incorrecta la distancia a la estructura que está más allá del hueso. Si un haz pasa a través de 4 cm de tejido, luego 2 cm de hueso y por último 1 cm de tejido antes de registrar un eco de un quiste y regresarlo al transductor, ¿cuál es la diferencia entre la distancia verdadera al quiste y la distancia que se mide suponiendo siempre una rapidez de 1540 m/s? Al comparar con la distancia medida, la estructura en realidad está a) 1 cm más lejos; b) 2 cm más lejos; c) 1 cm más cerca; d) 2 cm más cerca.

**16.80** En algunas aplicaciones del ultrasonido, tales como en tejidos craneales, grandes reflexiones de los huesos circundantes pueden producir ondas estacionarias. Esto es de importancia debido a que la gran amplitud de presión en un antinodo puede dañar los tejidos. Para una frecuencia de 1.0 MHz, ¿cuál es la distancia entre los antinodos en el tejido? a) 0.38 mm; b) 0.75 mm; c) 1.5 mm; d) 3.0 mm.

**16.81** Para el caso del ultrasonido craneal, ¿por qué es ventajoso usar frecuencias en el intervalo de kHz en lugar de utilizar el intervalo en MHz? a) Los antinodos de las ondas estacionarias estarán más cercanos a bajas frecuencias que a altas frecuencias; b) no habrá ondas estacionarias a frecuencias más bajas; c) los huesos craneales atenuarán más el ultrasonido a frecuencias bajas que a altas frecuencias; d) los huesos craneales atenuarán menos el ultrasonido a frecuencias bajas que a altas frecuencias.

## Respuestas

### Pregunta de inicio del capítulo ?

**iv.** La ecuación (16.10) en la sección 16.2 indica que la rapidez del sonido en un gas depende de la temperatura y del tipo de gas (por medio del cociente entre las capacidades caloríficas y las masas mоляres). En el invierno el aire de las montañas tiene una temperatura menor que el aire del verano a nivel del mar, pero en esencia tienen la misma composición. De aquí que una temperatura menor explica, por sí sola, la velocidad menor del sonido en las montañas en época de invierno.

### Respuesta a las secciones

#### Evalúe su comprensión

**16.1 v.** De acuerdo con la ecuación (16.5), la amplitud de desplazamiento es  $A = p_{\text{máx}}/Bk$ . La amplitud de presión  $p_{\text{máx}}$  y el módulo volumétrico  $B$  no cambian; pero la frecuencia  $f$  aumenta en un factor de 4. Por lo tanto, el número de onda  $k = \omega/v = 2\pi f/v$  también aumenta en un factor de 4. Puesto que  $A$  es inversamente proporcional a  $k$ , la amplitud de desplazamiento disminuye a  $\frac{1}{4}$ . Dicho de otro modo, a una frecuencia más alta se requiere un menor desplazamiento máximo para producir la misma fluctuación de la presión máxima.

**16.2 i.** De acuerdo con la ecuación (16.7), la rapidez de las ondas longitudinales (sonido) en un fluido es  $v = \sqrt{B/\rho}$ . Podemos escribir esto para obtener una expresión del módulo volumétrico  $B$ , en términos de la densidad  $\rho$  del fluido y la rapidez del sonido  $v$ :  $B = \rho v^2$ . A 20°C la rapidez del sonido en el mercurio es ligeramente menor que en el agua (1451 m/s contra 1482 m/s); sin embargo, la densidad del mercurio es mayor que la del agua por un factor grande (13.6). De esta manera, el módulo volumétrico del mercurio es mayor que el del agua en un factor de  $(13.6)(1451/1482)^2 = 13.0$ .

**16.3 A y  $p_{\text{máx}}$  aumentan en un factor de  $\sqrt{2}$ , B y v permanecen sin cambio, v aumenta en 3.0 dB.** Las ecuaciones (16.9) y (16.10) indican que el módulo volumétrico  $B$  y la rapidez del sonido  $v$  no cambian porque tampoco cambian las propiedades físicas del aire. De acuerdo con las ecuaciones (16.12) y (16.14), la intensidad es proporcional al cuadrado de la amplitud de desplazamiento o al cuadrado de la amplitud de presión. Por lo tanto, un aumento al doble de la intensidad implica un aumento tanto de  $A$  como de  $p_{\text{máx}}$  en un factor de  $\sqrt{2}$ . El ejemplo 16.9 muestra que una multiplicación de la intensidad por un factor de  $2(I_2/I_1 = 2)$  corresponde a sumar (10 dB)  $\log(I_2/I_1) = (10 \text{ dB})\log 2 = 3.0 \text{ dB}$  al nivel de intensidad de sonido.

**16.4 ii.** El helio es menos denso que el aire y su masa molar es menor, así que el sonido viaja con mayor rapidez en helio que en aire. Las frecuencias de modo normal de un tubo son proporcionales a la rapidez del sonido  $v$ , así que la frecuencia y, por ende, el tono aumentan cuando el tubo se llena con helio en lugar de aire.

**16.5 i y iv.** Habrá resonancia si una de las frecuencias del modo normal del tubo es de 660 Hz. Un tubo de órgano cerrado tiene frecuencias de modo normal que son múltiplos impares de su frecuencia fundamental [vea la ecuación (16.22) y la figura 16.18]. Por lo tanto, el tubo **i**, cuya frecuencia fundamental es

220 Hz, también tiene una frecuencia de modo normal de  $3(220 \text{ Hz}) = 660 \text{ Hz}$ . El tubo **ii** tiene el doble de la longitud del tubo **i**; según la ecuación (16.20), la frecuencia fundamental de un tubo cerrado es inversamente proporcional a la longitud, así que el tubo **ii** tiene una frecuencia fundamental de  $(\frac{1}{2})(220 \text{ Hz}) = 110 \text{ Hz}$ . Las otras frecuencias del modo normal son 330 Hz, 550 Hz, 770 Hz,..., por lo que un diapasón de 660 Hz no causará resonancia. El tubo **iii** es un tubo abierto de la misma longitud que el tubo **i**; por ello, su frecuencia fundamental es dos veces mayor que la del tubo **i**. [Compare las ecuaciones (16.16) y (16.20)], o bien,  $2(220 \text{ Hz}) = 440 \text{ Hz}$ . Sus otras frecuencias de modo normal son múltiplos enteros de la frecuencia fundamental [vea la ecuación (16.19)], o bien, 880 Hz, 1320 Hz,..., ninguna de las cuales coincide con la frecuencia de 660 Hz del diapasón. El tubo **iv** también es un tubo abierto pero con el doble de longitud que el tubo **iii** [vea la ecuación (16.18)]; por ello, sus frecuencias de modo normal son de  $\frac{1}{2}$  de las del tubo **iii**: 220 Hz, 440 Hz, 660 Hz,..., de manera que el tercer armónico resonará con el diapasón.

**16.6 iii.** Las interferencias constructiva y destructiva entre las dos ondas sólo pueden ocurrir si las dos ondas tienen la misma frecuencia. En este caso las frecuencias son diferentes, por lo que no hay puntos donde las dos ondas siempre se refuercen mutuamente (interferencia constructiva) o siempre se cancelen (interferencia destructiva).

**16.7 vi.** La frecuencia del pulso es de 3 Hz, así que la diferencia entre las frecuencias de los dos diapasones también es de 3 Hz. Por lo tanto, el segundo diapasón vibra a una frecuencia de 443 Hz, o bien, de 437 Hz. Podemos distinguir entre las dos posibilidades comparando los tonos de los dos diapasones cuando suenan simultáneamente: la frecuencia será de 437 Hz si el segundo diapasón tiene tono más grave, y de 443 Hz si tiene un tono más agudo.

**16.8 no** El aire (el medio de las ondas sonoras) se está moviendo desde la fuente hacia el receptor. Por lo tanto, en relación con el aire, tanto la fuente como el receptor se están moviendo en la dirección del receptor a la fuente. Entonces, ambas velocidades son positivas, y  $v_S = v_L = +10 \text{ m/s}$ . La igualdad de estas dos velocidades implica que el numerador y el denominador en la ecuación (16.29) son iguales, así que  $f_L = f_S$  y no hay desplazamiento Doppler.

**16.9 (iii)** La figura 16.38 indica que hay ondas sonoras dentro del cono de la onda de choque. Detrás del avión las crestas de las ondas se dispersan, igual que sucede en la figura 16.28, donde se dispersan detrás de la fuente en movimiento. Por lo tanto, las ondas que llegarán a usted tienen una longitud de onda ampliada y una menor frecuencia.

### Problema práctico

a)  $180^\circ = \pi \text{ rad}$

b) Sólo A:  $I = 3.98 \times 10^{-6} \text{ W/m}^2$ ,  $\beta = 66.0 \text{ dB}$ ;  
Sólo B:  $I = 5.31 \times 10^{-7} \text{ W/m}^2$ ,  $\beta = 57.2 \text{ dB}$

c)  $I = 1.60 \times 10^{-6} \text{ W/m}^2$ ,  $\beta = 62.1 \text{ dB}$



En una acería, se calienta hierro fundido a 1500° Celsius para eliminar las impurezas. Es más preciso decir que el hierro fundido tiene una gran cantidad de **i.** temperatura; **ii.** calor; **iii.** energía; **iv.** dos de éstos; **v.** los tres.

# 17 TEMPERATURA Y CALOR

## OBJETIVOS DE APRENDIZAJE

Al estudiar este capítulo, usted aprenderá:

- 17.1 El significado de equilibrio térmico y lo que realmente miden los termómetros.
- 17.2 Cómo funcionan los diferentes tipos de termómetros.
- 17.3 La física que subyace en la escala de temperatura absoluta o Kelvin.
- 17.4 De qué manera se modifican las dimensiones de un objeto, como resultado del cambio de temperatura.
- 17.5 El significado de calor, y cómo difiere del concepto de temperatura.
- 17.6 A efectuar cálculos relacionados con flujo de calor, cambios de temperatura y cambios de fase.
- 17.7 Cómo se transfiere calor mediante conducción, convección y radiación.

Repase lo estudiado en la sección...

- 11.4 Esfuerzo y deformación.
- 12.2 Medición de presión.
- 14.4 Fuerzas de resorte y fuerzas interatómicas.

Tanto en un sofocante día de verano como en una helada noche invernal, nuestro organismo necesita mantenerse a una temperatura casi constante. El cuerpo cuenta con mecanismos eficaces para controlar la temperatura, aunque a veces necesita ayuda. En un día caluroso, usamos menos ropa para mejorar la transferencia de calor del cuerpo al aire y el enfriamiento por evaporación del sudor. En un día frío, tal vez nos sentemos cerca de una chimenea para absorber la energía que irradian. Los conceptos de este capítulo nos ayudarán a entender la física básica del calentamiento y el enfriamiento.

Es común usar indistintamente los términos *temperatura* y *calor* en el habla cotidiana. En física, no obstante, los dos términos tienen significado muy distinto. En este capítulo, definiremos la temperatura en términos de su medición y veremos cómo los cambios de temperatura afectan las dimensiones de los objetos. Estudiaremos cómo el calor se refiere a la transferencia de energía causada por las diferencias de temperatura, y aprenderemos a calcular y controlar estas transferencias de energía.

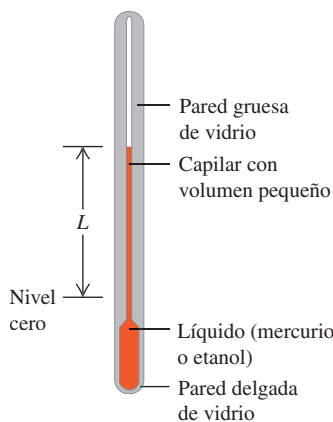
Nuestro énfasis en este capítulo es en cómo se relacionan los conceptos de temperatura y calor con objetos *macroscópicos* como cilindros de gas, cubos de hielo y el cuerpo humano. En el capítulo 18 analizaremos estos mismos conceptos desde una perspectiva *microscópica*, en términos del comportamiento de los átomos y las moléculas individuales. Estos dos capítulos establecen las bases de la **termodinámica**, que es el estudio de las transformaciones de energía donde intervienen calor, trabajo mecánico y otras formas de energía, así como la relación entre estas transformaciones y las propiedades de la materia. La termodinámica es una parte fundamental e indispensable de la física, la química y las ciencias biológicas; sus aplicaciones aparecen en motores de combustión, refrigeradores, procesos bioquímicos y la estructura de las estrellas. Exploraremos las ideas clave de la termodinámica en los capítulos 19 y 20.

## 17.1 TEMPERATURA Y EQUILIBRIO TÉRMICO

El concepto de **temperatura** se origina en las ideas cualitativas de “caliente” y “frío” basadas en nuestro sentido del tacto. Un cuerpo que se siente “caliente” suele tener una temperatura más alta que un cuerpo similar que se siente “frío”. Esto es un tanto

### 17.1 Dos dispositivos para medir la temperatura.

a) Los cambios de temperatura hacen que se modifique el volumen del líquido.



b) Los cambios de temperatura hacen que se modifique la presión del gas.



ambiguo y los sentidos pueden ser engañados. Sin embargo, muchas propiedades de la materia que podemos *medir* dependen de la temperatura, incluyendo la longitud de una varilla de metal, la presión del vapor en una caldera, la capacidad de un alambre para conducir corriente eléctrica y el color brillante de un objeto muy caliente.

La temperatura también se relaciona con la energía cinética de las moléculas de un material. En general, esta relación es muy compleja, por lo que no es un buen punto de partida para *definir* la temperatura. En el capítulo 18 examinaremos la relación entre la temperatura y la energía del movimiento molecular de un gas ideal. No obstante, es importante entender que la temperatura y el calor pueden definirse independientemente de cualquier enfoque molecular detallado. En esta sección, desarrollaremos una definición *macroscópica* de la temperatura.

Para usar la temperatura como medida de calidez o de frialdad, necesitamos establecer una escala de temperatura. Para ello, podemos usar cualquier propiedad medible de un sistema que varíe con su “calidez” o “frialdad”. La **figura 17.1a** muestra un sistema común para medir la temperatura. Cuando el sistema se calienta, el líquido colorido (por lo general, mercurio o etanol) se expande y sube por el tubo, y el valor de  $L$  aumenta. Otro sistema sencillo es una cantidad de gas en un recipiente de volumen constante (figura 17.1b). La presión  $p$  medida por el manómetro aumenta o disminuye al calentarse o enfriarse el gas. Un tercer ejemplo es la resistencia eléctrica  $R$  de un alambre conductor, que también varía al calentarse o enfriarse el alambre. Todas estas propiedades nos dan un número ( $L$ ,  $p$  o  $R$ ) que varía con la calidez y la frialdad, así que pueden usarse para fabricar un **termómetro**.

Para medir la temperatura de un cuerpo, colocamos el termómetro en contacto con él. Si queremos conocer la temperatura de una taza de café, introducimos el termómetro en el líquido; cuando ambos interactúan, el termómetro se calienta y el café se enfriá un poco. Una vez que el termómetro se estabiliza, leemos la temperatura. El sistema está en una condición de *equilibrio*, en la cual la interacción entre el termómetro y el café ya no causa un cambio en el sistema. Llamamos **equilibrio térmico** a dicho estado.

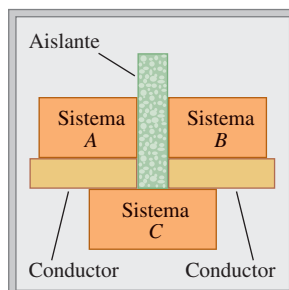
Si dos sistemas están separados por un material **aislante**, como madera, espuma de plástico o fibra de vidrio, se afectan mutuamente con más lentitud. Las hieleras portátiles se fabrican con materiales aislantes para retardar el calentamiento de los alimentos fríos en su interior, que tratan de llegar al equilibrio térmico con el aire veraniego. Un *aislante ideal* es un material idealizado que no permite la interacción entre los dos sistemas; evita que alcancen el equilibrio térmico si es que éste no existía inicialmente. Los aislantes reales, como los de las hieleras, distan de ser ideales, así que finalmente su contenido se calentará. Sin embargo, un aislante ideal es una idea útil, como una cuerda sin masa o un plano inclinado sin fricción.

### Ley cero de la termodinámica

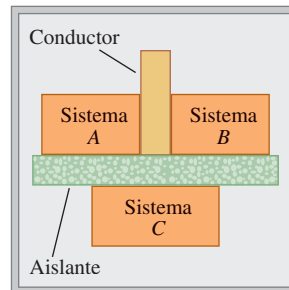
Podemos descubrir una propiedad importante del equilibrio térmico considerando tres sistemas, *A*, *B* y *C*, que inicialmente no están en equilibrio térmico (figura 17.2). Rodeamos los sistemas con una caja aislante ideal para que sólo puedan interactuar

### 17.2 Ley cero de la termodinámica.

a) Si los sistemas *A* y *B* están cada uno en equilibrio térmico con el sistema *C*...



b) ...entonces los sistemas *A* y *B* están en equilibrio térmico entre sí.



entre sí. Separamos *A* y *B* con una pared aislante ideal (la barra verde en la figura 17.2a); pero dejamos que *C* interactúe tanto con *A* como con *B*. Esta interacción se indica en la figura con una barra amarilla que representa un **conductor** térmico, es decir, un material que *permite* la interacción térmica. Esperamos hasta que se alcance el equilibrio térmico; entonces, *A* y *B* están en equilibrio térmico con *C* pero, ¿están en equilibrio térmico *entre sí*?

Para averiguarlo, sepáramos el sistema *C* de los sistemas *A* y *B* con una pared aislante ideal (figura 17.2b) y sustituimos la pared aislante entre *A* y *B* por una pared *conductora* que permite que *A* y *B* interactúen. ¿Qué sucede? Los experimentos indican que *nada* sucede; no hay cambios adicionales en *A* ni en *B*. Este resultado se llama **ley cero de la termodinámica**:

**Si inicialmente *C* está en equilibrio térmico con *A* y con *B*, entonces *A* y *B* también están en equilibrio térmico entre sí.**

(La importancia de esta ley se reconoció sólo después de que se había dado nombre a la primera, segunda y tercera leyes de la termodinámica. Puesto que es fundamental para todas ellas, el nombre “cero” pareció adecuado).

Suponga ahora que el sistema *C* es un termómetro, como el sistema de tubo y líquido de la figura 17.1a. En la figura 17.2a, el termómetro *C* está en contacto con *A* y con *B*. En equilibrio térmico, cuando la lectura del termómetro se estabiliza, el termómetro mide la temperatura tanto de *A* como de *B*; por lo tanto, ambos tienen la *misma* temperatura. Los experimentos indican que el equilibrio térmico no se ve afectado si se agregan o se retiran aislantes, así que la lectura de *C* no cambiaría si sólo estuviera en contacto con *A* o sólo con *B*. Concluimos que

**Dos sistemas están en equilibrio térmico si y sólo si tienen la misma temperatura.**

En esto radica la utilidad de los termómetros; un termómetro realmente mide *su propia* temperatura, pero cuando está en equilibrio térmico con otro cuerpo, las temperaturas de ambos deben ser iguales. Si difieren las temperaturas de dos sistemas, *no pueden* estar en equilibrio térmico.

**EVALÚE SU COMPRENSIÓN DE LA SECCIÓN 17.1** Si se introduce un termómetro en una olla de agua caliente y se registra la lectura del termómetro, ¿qué temperatura se registrará? **i.** La temperatura del agua; **ii.** la temperatura del termómetro; **iii.** un promedio igual de las temperaturas del agua y el termómetro; **iv.** un promedio ponderado de las temperaturas del agua y del termómetro, con mayor énfasis en la temperatura del agua; **v.** un promedio ponderado del agua y del termómetro, con mayor énfasis en la temperatura del termómetro. **|**

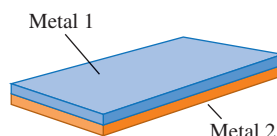
## 17.2 TERMÓMETROS Y ESCALAS DE TEMPERATURA

Para que el dispositivo de líquido en un tubo de la figura 17.1a sea un termómetro útil, necesitamos marcar una escala numerada en la pared del tubo. Suponga que marcamos con “0” el nivel del líquido del termómetro a la temperatura de congelación del agua pura, y con “100” el nivel a la temperatura de ebullición, y luego dividimos la distancia entre ambos puntos en cien intervalos iguales llamados *grados*. El resultado es la **escala de temperatura Celsius** (antes llamada *centígrada* en los países de habla inglesa). La temperatura en la escala Celsius para un estado más frío que el agua al momento de congelarse es un número negativo. La escala Celsius se usa, tanto en la vida cotidiana como en la ciencia y la industria, en casi todo el mundo.

Otro tipo de termómetro común usa *una tira bimetalica*, que se fabrica pegando tiras de dos metales distintos (**figura 17.3a**). Al aumentar la temperatura de la tira compuesta, un metal se expande más que el otro y la tira se dobla (figura 17.3b). La tira usualmente se moldea en espiral, con el extremo exterior anclado a la caja y el interior unido a un puntero (figura 17.3c). El puntero gira en respuesta a cambios de temperatura.

### 17.3 Uso de una tira bimetalica como termómetro.

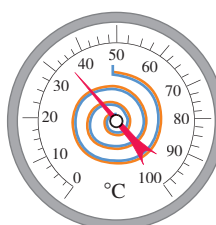
a) Una tira bimetalica



b) La tira se dobla al aumentar su temperatura.



c) Una tira bimetalica usada en un termómetro



**17.4** Existen termómetros que pueden medir la temperatura por medio de la radiación infrarroja, como el termómetro de arteria temporal que mide la radiación infrarroja de la piel cerca de alguna región de interés. Aunque la cubierta del termómetro pueda tocar la piel directamente, el detector infrarrojo no la toca.



En un *termómetro de resistencia*, se mide el cambio en la resistencia eléctrica de una bobina de alambre muy delgado, un cilindro de carbono o un cristal de germanio. Los termómetros de resistencia suelen ser más precisos que los de otro tipo.

Algunos termómetros detectan (ver **figura 17.4**) la cantidad de radiación infrarroja emitida por un objeto (en la sección 17.7 veremos que *todos* los objetos emiten radiación electromagnética, incluyendo la infrarroja, como consecuencia de su temperatura). Un ejemplo es el *termómetro de radiación infrarroja* como el que registra la temperatura de un paciente cerca de una región de interés; por ejemplo, una arteria principal. Esto se logra midiendo la radiación de la piel. Instrumentos de este tipo dan valores más exactos de la temperatura corporal que los termómetros orales o de oído.

En la **escala de temperatura Fahrenheit**, aún usada en la vida cotidiana en Estados Unidos, la temperatura de congelación del agua es de  $32^{\circ}\text{F}$  (32 grados Fahrenheit) y la de ebullición es de  $212^{\circ}\text{F}$ , ambas a presión atmosférica estándar. Hay 180 grados entre los puntos de congelación y de ebullición, en vez de 100 como en la escala Celsius, así que  $1^{\circ}\text{F}$  representa un cambio de temperatura de sólo  $\frac{100}{180}$ , o  $\frac{5}{9}$ , de  $1^{\circ}\text{C}$ .

Para convertir temperaturas de Celsius a Fahrenheit, observamos que una temperatura Celsius  $T_C$  es el número de grados Celsius por arriba de la temperatura de congelación del agua; el número de grados Fahrenheit arriba de dicha temperatura es  $\frac{9}{5}$  de esa cantidad, pero la temperatura de congelación del agua en la escala Fahrenheit ocurre a  $32^{\circ}\text{F}$ , así que, para obtener la temperatura Fahrenheit  $T_F$ , multiplicamos el valor Celsius por  $\frac{9}{5}$  y le sumamos  $32^{\circ}$ . Con símbolos,

$$\text{Temperatura Fahrenheit} \rightarrow T_F = \frac{9}{5}T_C + 32^{\circ} \quad \text{Temperatura Celsius} \quad (17.1)$$

Para convertir de Fahrenheit a Celsius, despejamos  $T_C$  de esta ecuación:

$$\text{Temperatura Celsius} \rightarrow T_C = \frac{5}{9}(T_F - 32^{\circ}) \quad \text{Temperatura Fahrenheit} \quad (17.2)$$

Es decir, restamos  $32^{\circ}$  para obtener el número de grados Fahrenheit por arriba de la temperatura de congelación y luego multiplicamos por  $\frac{5}{9}$  para obtener el número de grados Celsius por arriba de la temperatura de congelación, esto es, la temperatura Celsius.

No recomendamos memorizar las ecuaciones (17.1) y (17.2). En vez de ello, trate de entender el razonamiento que condujo a esas ecuaciones para deducirlas cuando las necesite, verificando su razonamiento con la relación  $100^{\circ}\text{C} = 212^{\circ}\text{F}$ .

Conviene distinguir entre un valor de temperatura y un *intervalo* de temperatura (una diferencia o un cambio de temperatura). Una temperatura de  $20^{\circ}$  se escribe  $20^{\circ}\text{C}$  (veinte grados Celsius), y un *intervalo* de temperatura de  $10^{\circ}$  se escribe  $10\text{ C}^{\circ}$  (diez grados Celsius). Un vaso de agua que se calienta de  $20^{\circ}\text{C}$  a  $30^{\circ}\text{C}$  tiene un cambio de temperatura de  $10\text{ C}^{\circ}$ .

**EVALÚE SU COMPRENSIÓN DE LA SECCIÓN 17.2** ¿Cuáles de los siguientes tipos de termómetros tienen que estar en equilibrio térmico con el objeto que se mide, con la finalidad de dar lecturas exactas? **i.** Una tira bimetálica; **ii.** un termómetro de resistencia; **iii.** un termómetro para la arteria temporal; **iv.** tanto **i.** como **ii.**; **v.** todos: **i.**, **ii.** y **iii.** **I**

**BIO Aplicación Temperaturas corporales de los mamíferos** La mayoría de los mamíferos mantienen la temperatura del cuerpo en el intervalo de 36 a  $40^{\circ}\text{C}$  (de 309 a 313 K). Una alta tasa metabólica del animal calienta desde adentro, y el aislamiento (por ejemplo, pieles, plumas y grasa corporal) reduce la pérdida de calor.



## 17.3 TERMÓMETROS DE GAS Y LA ESCALA KELVIN

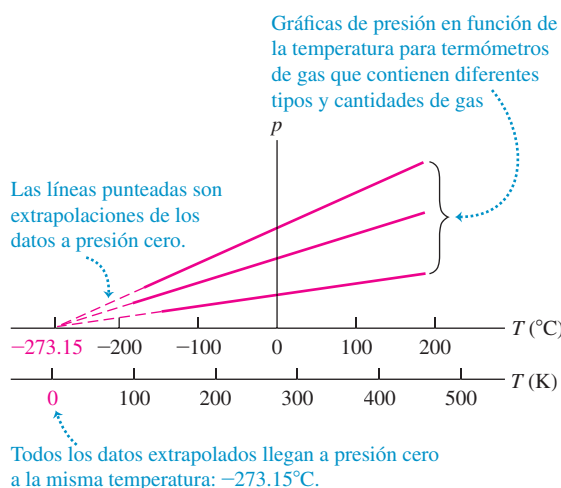
Cuando calibrámos dos termómetros, como un sistema de líquido en tubo y un termómetro de resistencia, de modo que coincidan en  $0^{\circ}\text{C}$  y  $100^{\circ}\text{C}$ , podrían no coincidir exactamente a temperaturas intermedias. Cualquier escala de temperatura definida de este modo siempre depende tanto de las propiedades específicas del material

**17.5 a)** Uso del termómetro de gas a volumen constante para medir temperatura. **b)** Cuanto mayor sea la cantidad de gas en el termómetro, más alta será la gráfica de presión  $p$  contra temperatura  $T$ .

a) Termómetro de gas a volumen constante



b) Gráfica de presión contra temperatura a volumen constante para tres tipos y cantidades de gas



empleado. De manera ideal, nos gustaría definir una escala de temperatura que *no* dependa de las propiedades de un material específico. Para establecer una escala en verdad independiente del material, necesitamos desarrollar algunos principios de termodinámica. Volveremos a este problema fundamental en el capítulo 20. Aquí veremos un termómetro que se acerca al ideal, el *termómetro de gas a volumen constante*.

El principio de un termómetro de gas se basa en que la presión de un gas a volumen constante aumenta con la temperatura. Una cantidad de gas se coloca en un recipiente de volumen constante (**figura 17.5a**) y se mide su presión con uno de los dispositivos descritos en la sección 12.2. Para calibrar dicho termómetro, medimos la presión a dos temperaturas, digamos,  $0^{\circ}\text{C}$  y  $100^{\circ}\text{C}$ , graficamos esos puntos y trazamos una recta entre ellos. Así, podemos leer en la gráfica la temperatura correspondiente a cualquier otra presión. La figura 17.5b muestra los resultados de tres experimentos de este tipo, utilizando en cada caso diferente tipo y cantidad de gas.

Si extrapolamos esta gráfica, vemos que hay una temperatura hipotética,  $-273.15^{\circ}\text{C}$ , en la que la presión absoluta del gas sería cero. Esta temperatura resulta ser la *misma* para muchos gases distintos (al menos en el límite cuando la densidad del gas es muy baja). En realidad, no podemos observar esta condición de ausencia de presión; los gases se licuan y solidifican a temperaturas muy bajas, y la presión deja de ser proporcional a la temperatura.

Usamos esta temperatura extrapolada a presión cero como base para una escala de temperatura, con su cero en dicha temperatura: la **escala de temperatura Kelvin**, así llamada en honor del físico inglés Lord Kelvin (1824-1907). Las unidades tienen el mismo tamaño que las de la escala Celsius, pero el cero se desplaza de modo que  $0\text{ K} = -273.15^{\circ}\text{C}$  y  $273.15\text{ K} = 0^{\circ}\text{C}$  (figura 17.5b); es decir,

$$\text{Temperatura Kelvin} \xrightarrow{\text{...}} T_{\text{K}} = T_{\text{C}} + 273.15 \quad \text{Temperatura Celsius} \quad (17.3)$$

Una temperatura ambiente común,  $20^{\circ}\text{C}$  ( $= 68^{\circ}\text{F}$ ), es  $20 + 273.15$  o aproximadamente  $293\text{ K}$ .

**CUIDADO** Nunca diga "grados kelvin" En la nomenclatura del SI, la temperatura anterior se lee "293 kelvins", no "grados Kelvin" (**figura 17.6**). Kelvin con mayúscula se refiere a la escala de temperatura; pero la *unidad* de temperatura es el *kelvin*, con minúscula (aunque se denota K).

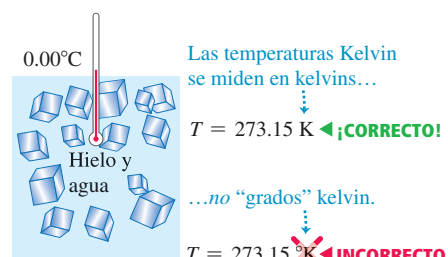
## LOS DATOS HABLAN

### Escalas de temperatura

Cuando a los estudiantes se les planteó un problema consistente en hacer conversiones entre las escalas de temperatura Celsius, Fahrenheit y Kelvin, más del 46% dio una respuesta incorrecta. Errores comunes:

- Olvidar que las ecuaciones (17.1) y (17.2) se aplican *temperaturas*, no a *diferencias de temperaturas*. Para convertir una diferencia de temperatura en  $\text{F}^{\circ}$  a una en  $\text{C}^{\circ}$ , multiplique por  $\frac{5}{9}$ ; para convertir una diferencia de temperaturas en  $\text{C}^{\circ}$  a una en  $\text{F}^{\circ}$ , multiplique por  $\frac{9}{5}$ .
- Olvidar que las diferencias de temperatura son iguales en las escalas Celsius y Kelvin. Aumentar la temperatura  $5\text{ }^{\circ}\text{C}$  es lo mismo que aumentar  $5\text{ K}$ .

### 17.6 Usos correcto e incorrecto de la escala Kelvin.





## EJEMPLO 17.1 TEMPERATURA CORPORAL

Imagine que coloca un trozo de hielo en la boca. En algún momento, todo el hielo a  $T_1 = 32.00^\circ\text{F}$  se convertirá en agua a la temperatura corporal,  $T_2 = 98.60^\circ\text{F}$ . Expresé estas temperaturas tanto en grados Celsius como en kelvins, y calcule  $\Delta T = T_2 - T_1$  en ambos casos.

### SOLUCIÓN

**IDENTIFICAR Y PLANTEAR:** Nuestras incógnitas ya se han establecido. Convertimos las temperaturas Fahrenheit a Celsius mediante la ecuación (17.2), y las Celsius a Kelvin con la ecuación (17.3).

**EJECUTAR:** De acuerdo con la ecuación (17.2),  $T_1 = 0.00^\circ\text{C}$  y  $T_2 = 37.00^\circ\text{C}$ ; entonces,  $\Delta T = T_2 - T_1 = 37.00^\circ\text{C}$ . Para obtener las temperaturas Kelvin, sumamos 273.15 a cada una de las temperaturas Celsius:  $T_1 = 273.15\text{ K}$  y  $T_2 = 310.15\text{ K}$ . La diferencia de temperaturas es  $\Delta T = T_2 - T_1 = 37.00\text{ K}$ .

**EVALUAR:** Las escalas Celsius y Kelvin tienen diferentes puntos cero, pero grados del mismo tamaño. Por lo tanto, *cualquier* diferencia de temperatura  $\Delta T$  es la *misma* en las escalas Celsius y Kelvin, pero *no* en la escala Fahrenheit. Aquí, por ejemplo,  $\Delta T = 66.60^\circ\text{F}$ .

## La escala Kelvin y la temperatura absoluta

La escala Celsius tiene dos puntos fijos: los puntos de congelación y ebullición normales del agua. No obstante, podemos definir la escala Kelvin usando un termómetro de gas con una sola temperatura de referencia. La figura 17.5b muestra que la presión  $p$  en un termómetro de gas es directamente proporcional a la temperatura Kelvin. Definimos el cociente de dos temperaturas cualesquiera  $T_1$  y  $T_2$  en la escala Kelvin, como el cociente de las presiones correspondientes del termómetro de gas  $p_1$  y  $p_2$ :

Definición de la escala Kelvin:  
cociente de dos temperaturas  
en kelvins...

$$\frac{T_2}{T_1} = \frac{p_2}{p_1} \quad \dots \text{es igual al cociente correspondiente de las presiones en un termómetro a volumen constante.} \quad (17.4)$$

Para completar la definición de  $T$ , sólo necesitamos especificar la temperatura Kelvin de un solo estado específico. Por razones de precisión y de reproducibilidad, el estado elegido es el *punto triple* del agua. Ésta es una combinación única de temperatura y presión en la que pueden coexistir agua sólida (hielo), agua líquida y vapor de agua. Esto ocurre a una temperatura de  $0.01^\circ\text{C}$  y una presión de vapor de agua de 610 Pa (cerca de 0.006 atm) (ésta es la presión del *agua*; nada tiene que ver directamente con la presión del gas del *termómetro*). La temperatura del punto triple del agua es, *por definición*,  $T_{\text{triple}} = 273.16\text{ K}$ , que corresponde a  $0.01^\circ\text{C}$ . De acuerdo con la ecuación (17.4), si  $p_{\text{triple}}$  es la presión en un termómetro de gas a la temperatura  $T_{\text{triple}}$  y  $p$  es la presión a otra temperatura  $T$ , entonces  $T$  está dada en la escala Kelvin por

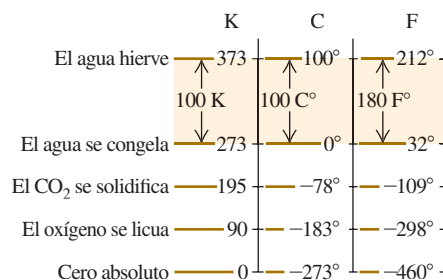
$$T = T_{\text{triple}} \frac{p}{p_{\text{triple}}} = (273.16\text{ K}) \frac{p}{p_{\text{triple}}} \quad (17.5)$$

Los termómetros de gas son imprácticos para el uso diario. Son grandes y voluminosos, y tardan mucho en llegar al equilibrio térmico; se usan básicamente para establecer estándares de alta precisión y para calibrar otros termómetros.

Las relaciones entre las tres escalas de temperatura que hemos visto se muestran gráficamente en la figura 17.7. La escala Kelvin se denomina **escala de temperatura absoluta** y su punto cero ( $T = 0\text{ K} = -273.15^\circ\text{C}$ , la temperatura en que  $p = 0$  en la ecuación [17.5]) se llama **cero absoluto**. En el cero absoluto, un sistema de moléculas (como una cantidad de gas, un líquido o un sólido) tiene su energía total (cinética + potencial) *mínima* posible; sin embargo, debido a efectos cuánticos, *no* es correcto decir que en el cero absoluto todo movimiento molecular cesa. En el capítulo 20 definiremos de forma más completa el cero absoluto, mediante los principios termodinámicos que veremos en los siguientes capítulos.

**EVALÚE SU COMPRENSIÓN DE LA SECCIÓN 17.3** Ordene de mayor a menor las siguientes temperaturas: **i.**  $0.00^\circ\text{C}$ ; **ii.**  $0.00^\circ\text{F}$ ; **iii.**  $260.00\text{ K}$ ; **iv.**  $77.00\text{ K}$ ; **v.**  $-180.00^\circ\text{C}$ .

**17.7 Relaciones entre las escalas de temperatura Kelvin (K), Celsius (C) y Fahrenheit (F). Las temperaturas se redondearon al grado más cercano.**



## 17.4 EXPANSIÓN TÉRMICA

Casi todos los materiales se expanden al aumentar su temperatura. El aumento en la temperatura hace que el líquido se expanda en los termómetros de líquido en un tubo (figura 17.1a) y que las tiras bimetálicas se doblen (figura 17.3b). Una botella totalmente llena de agua y tapada se revienta al calentarse; pero podemos aflojar la tapa metálica de un frasco vertiendo agua caliente sobre ella. Éstos son ejemplos de *expansión térmica*.

### Expansión lineal

Suponga que una varilla de material tiene longitud  $L_0$  a una temperatura inicial  $T_0$ . Si la temperatura cambia en  $\Delta T$ , la longitud cambia en  $\Delta L$ . Se observa experimentalmente que si  $\Delta T$  no es muy grande (digamos, menos de 100 C°),  $\Delta L$  es *directamente proporcional a  $\Delta T$*  (figura 17.8a). Si dos varillas del mismo material tienen el mismo cambio de temperatura, pero una es dos veces más larga que la otra, su *cambio* de longitud también será del doble. Por lo tanto,  $\Delta L$  también debe ser proporcional a  $L_0$  (figura 17.8b). Podemos expresar estas relaciones en una ecuación:

**Expansión térmica lineal:**  
Cambio en la longitud

$$\Delta L = \alpha L_0 \Delta T$$

Longitud original      Cambio de temperatura  
Coeficiente de expansión lineal

(17.6)

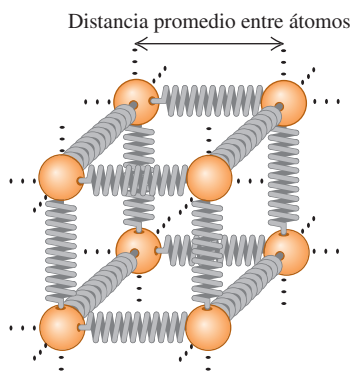
La constante  $\alpha$ , que tiene diferentes valores para distintos materiales, se denomina **coeficiente de expansión lineal**. Las unidades de  $\alpha$  son K<sup>-1</sup>, o bien, (°C)<sup>-1</sup>. (Recuerde que un intervalo de temperatura es igual en las escalas Kelvin y Celsius). Si un cuerpo tiene longitud  $L_0$  a la temperatura  $T_0$ , su longitud  $L$  a la temperatura  $T = T_0 + \Delta T$  es

$$L = L_0 + \Delta L = L_0 + \alpha L_0 \Delta T = L_0 (1 + \alpha \Delta T) \quad (17.7)$$

En muchos materiales, todas las dimensiones lineales cambian según la ecuación (17.6) o la (17.7). Así,  $L$  podría ser el espesor de una varilla, la longitud del lado de una lámina cuadrada o el diámetro de un orificio. Algunos materiales, como la madera o los cristales simples, se expanden de diferente forma en distintas direcciones. No consideraremos esta complicación.

Podemos entender la expansión térmica cualitativamente desde una perspectiva molecular. Imaginemos las fuerzas interatómicas en un sólido como si fueran resortes, como en la figura 17.9a (ya exploramos la analogía entre las fuerzas de resortes e interatómicas en la sección 14.4). Cada átomo vibra alrededor de su posición de equilibrio. Al aumentar la temperatura, también se incrementan la energía y la amplitud de la vibración. Las fuerzas de resorte interatómicas no son simétricas alrededor de la posición de equilibrio; suelen comportarse como un resorte que es más fácil de estirar que de comprimir. En consecuencia, al aumentar la amplitud de las vibraciones, también se incrementa la distancia *media* entre los átomos (figura 17.9b). Al separarse los átomos, todas las dimensiones aumentan.

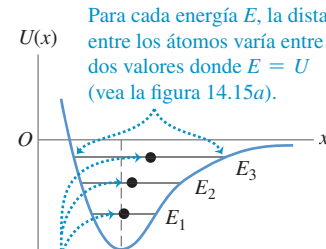
a) Modelo de las fuerzas entre átomos vecinos de un sólido



b) Gráfica de la energía potencial del “resorte”  $U(x)$

$x$  = distancia entre átomos  
● = distancia promedio entre átomos

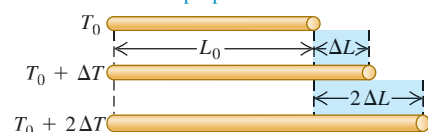
Para cada energía  $E$ , la distancia entre los átomos varía entre los dos valores donde  $E = U$  (vea la figura 14.15a).



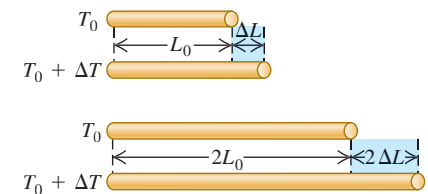
La distancia media entre los átomos está a la mitad entre los dos límites. Al aumentar la energía de  $E_1$  a  $E_2$  y a  $E_3$ , se incrementa la distancia media entre los átomos.

**17.8** Cómo se modifica la longitud de una varilla con un cambio en su temperatura (por claridad, se exageraron los cambios de longitud).

a) *Para cambios de temperatura moderados,  $\Delta L$  es directamente proporcional a  $\Delta T$ .*

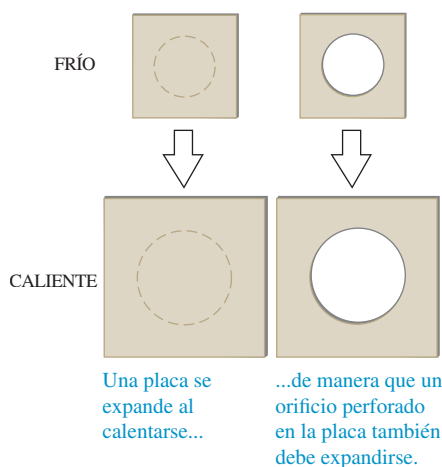


b)  *$\Delta L$  también es directamente proporcional a  $L_0$*



**17.9** a) Podemos modelar los átomos en un sólido como si estuvieran unidos por “resortes” que son más fáciles de estirar que de comprimir. b) La curva de la energía potencial de “resorte”  $U(x)$  contra distancia  $x$  entre átomos vecinos no es simétrica (compare con la figura 14.20b). Al aumentar la energía, los átomos oscilan con mayor amplitud y se incrementa la distancia promedio.

**17.10** Cuando un objeto sufre una expansión térmica, todos los huecos que contiene también se expanden (se exageró la expansión).



**17.11** Esta vía ferroviaria tiene una separación entre los segmentos para permitir la expansión térmica (el “traqueteo” que suena familiar a los pasajeros del ferrocarril proviene de las ruedas al pasar sobre tales separaciones). En días calurosos, los segmentos se expanden y llenan la separación. Si no hubiera separaciones, la vía podría torcerse en condiciones muy calientes.



**CUIDADO** **Calentamiento de un objeto que tiene un orificio** Si un objeto sólido tiene un orificio, ¿qué sucede con el tamaño de este último al aumentar la temperatura del objeto? Un error común consiste en suponer que, si el objeto se expande, el orificio se encoge porque el material se expande hacia el orificio; no obstante, la verdad es que el orificio también se expande (**figura 17.10**). Todas las dimensiones lineales de un objeto cambian del mismo modo al cambiar la temperatura. Imagine que los átomos de la figura 17.9a delimitan un orificio cúbico. Al expandirse el objeto, los átomos se separan y el tamaño del orificio aumenta. La única situación en que un “orificio” se llena debido a la expansión térmica es cuando dos objetos separados se expanden cerrando el espacio entre ellos (**figura 17.11**). ■

La proporcionalidad directa expresada por la ecuación (17.6) no es exacta; sólo es *aproximadamente* correcta para cambios de temperatura pequeños. Para un material dado,  $\alpha$  varía ligeramente con la temperatura inicial  $T_0$  y el tamaño del intervalo de temperatura. Aquí ignoraremos tal complicación. En la **tabla 17.1**, se dan valores promedio de  $\alpha$  para varios materiales. Dentro de la precisión de estos valores, no necesitamos preocuparnos si  $T_0$  es 0°C o 20°C o alguna otra temperatura. Observe que los valores típicos de  $\alpha$  son muy pequeños; aun para un cambio de temperatura de 100°C, el cambio de longitud fraccionario  $\Delta L/L_0$  es del orden de  $\frac{1}{1000}$  para los metales de la tabla.

## Expansión de volumen

Un aumento de temperatura suele aumentar el *volumen* de materiales tanto líquidos como sólidos. Al igual que en la expansión lineal, se ha visto experimentalmente que, si el cambio de temperatura  $\Delta T$  no es muy grande (menos de 100°C), el aumento de volumen  $\Delta V$  es aproximadamente proporcional al cambio de temperatura  $\Delta T$  y al volumen inicial  $V_0$ :

$$\text{Expansión térmica de volumen: } \Delta V = \beta V_0 \Delta T \quad (17.8)$$

Cambio en volumen...      Volumen original  
Cambio de temperatura      Coeficiente de expansión volumétrica

La constante  $\beta$  caracteriza las propiedades de expansión de volumen de un material dado; se llama **coeficiente de expansión volumétrica**. Las unidades de  $\beta$  son  $K^{-1}$ , o bien,  $(C^\circ)^{-1}$ . Al igual que en la expansión lineal,  $\beta$  varía un poco con la temperatura, y la ecuación (17.8) es una relación aproximada válida sólo para cambios de temperatura pequeños. En muchas sustancias,  $\beta$  disminuye a bajas temperaturas. En la **tabla 17.2** se dan algunos valores de  $\beta$  a temperatura ambiente. Observe que, en general, los valores para los líquidos son mucho mayores que para los sólidos.

En el caso de los materiales sólidos, hay una relación sencilla entre el coeficiente de expansión volumétrica  $\beta$  y el coeficiente de expansión lineal  $\alpha$ . Consideremos un cubo de material con longitud de lado  $L$  y volumen  $V = L^3$ . A la temperatura inicial, los valores son  $L_0$  y  $V_0$ . Al aumentar la temperatura en  $dT$ , la longitud del lado aumenta en  $dL$  y el volumen aumenta en una cantidad  $dV$  dada por

$$dV = \frac{dV}{dL} dL = 3L^2 dL$$

**Coeficientes de expansión lineal**

**TABLA 17.1**

Material	$\alpha [K^{-1} \text{ o } (C^\circ)^{-1}]$
Aluminio	$2.4 \times 10^{-5}$
Latón	$2.0 \times 10^{-5}$
Cobre	$1.7 \times 10^{-5}$
Vidrio	$0.4\text{--}0.9 \times 10^{-5}$
Invar (aleación níquel-hierro)	$0.09 \times 10^{-5}$
Cuarzo (fundido)	$0.04 \times 10^{-5}$
Acero	$1.2 \times 10^{-5}$

**Coeficientes de expansión volumétrica**

Sólidos	$\beta [K^{-1} \text{ o } (C^\circ)^{-1}]$	Líquidos	$\beta [K^{-1} \text{ o } (C^\circ)^{-1}]$
Aluminio	$7.2 \times 10^{-5}$	Etanol	$75 \times 10^{-5}$
Latón	$6.0 \times 10^{-5}$	Disulfuro de carbono	$115 \times 10^{-5}$
Cobre	$5.1 \times 10^{-5}$	Glicerina	$49 \times 10^{-5}$
Vidrio	$1.2\text{--}2.7 \times 10^{-5}$	Mercurio	$18 \times 10^{-5}$
Invar	$0.27 \times 10^{-5}$		
Cuarzo (fundido)	$0.12 \times 10^{-5}$		
Acero	$3.6 \times 10^{-5}$		

Ahora sustituimos  $L$  y  $V$  por los valores iniciales  $L_0$  y  $V_0$ . De acuerdo con la ecuación (17.6),  $dL$  es

$$dL = \alpha L_0 dT$$

Puesto que  $V_0 = L_0^3$ , esto implica que  $dV$  también puede expresarse como

$$dV = 3L_0^2 \alpha L_0 dT = 3\alpha V_0 dT$$

Esto es congruente con la forma infinitesimal de la ecuación (17.8),  $dV = \beta V_0 dT$ , sólo si

$$\beta = 3\alpha \quad (17.9)$$

(Verifique esta relación para algunos de los materiales de las tablas 17.1 y 17.2).

## ESTRATEGIA PARA RESOLVER PROBLEMAS 17.1 EXPANSIÓN TÉRMICA

**IDENTIFICAR** los conceptos relevantes: Determine si el problema involucra cambios de longitud (expansión térmica lineal) o de volumen (expansión térmica volumétrica).

**PLANTEAR** el problema siguiendo estos pasos:

1. Liste las cantidades conocidas y desconocidas e identifique las incógnitas a despejar.
2. Elija la ecuación (17.6) para la expansión lineal y la ecuación (17.8) para la expansión volumétrica.

**EJECUTAR** la solución como sigue:

1. Despeje las incógnitas. Si se da una temperatura inicial  $T_0$  y hay que determinar la temperatura final que corresponde a un cambio

de volumen o longitud dado, obtenga  $\Delta T$  y calcule  $T = T_0 + \Delta T$ . Recuerde que el tamaño de un orificio en un material varía con la temperatura de igual forma que cualquier otra dimensión lineal, y que el volumen de una cavidad (tal como el interior de un recipiente) varía de igual forma que su correspondiente forma sólida.

2. Mantener la consistencia de unidades es importante. Tanto  $L_0$  como  $\Delta L$  (o  $V_0$  y  $\Delta V$ ) deben tener las mismas unidades, y si usa un valor de  $\alpha$  o de  $\beta$  en  $K^{-1}$  o en  $(C^\circ)^{-1}$ , entonces  $\Delta T$  debe estar en kelvins o grados Celsius; de acuerdo con el ejemplo 17.1, las dos escalas son equivalentes para diferencias de temperaturas.

**EVALUAR** su respuesta: Compruebe que sus resultados sean lógicos.



## EJEMPLO 17.2 CAMBIO DE LONGITUD DEBIDO A UN CAMBIO DE TEMPERATURA

Un topógrafo usa una cinta métrica de acero que tiene exactamente 50.000 m de longitud a una temperatura de 20°C. Las marcas en la cinta están calibradas para esa temperatura. a) ¿Qué longitud tiene la cinta cuando la temperatura es de 35°C? b) Cuando ésta es 35°C, el topógrafo utiliza la cinta para medir una distancia. El valor que se lee en la cinta es de 35.794 m. ¿Cuál es la distancia real?

### SOLUCIÓN

**IDENTIFICAR Y PLANTEAR:** Se trata de un problema de expansión lineal de una cinta métrica. Se nos dan la longitud y la temperatura iniciales de la cinta,  $L_0 = 50.000$  m y  $T_0 = 20^\circ\text{C}$ . En el inciso a) utilizamos la ecuación (17.6) para calcular el cambio  $\Delta L$  en la longitud de la cinta en  $T = 35^\circ\text{C}$ , y usamos la ecuación (17.7) para encontrar  $L$  (en la tabla 17.1 se presenta el valor de  $\alpha$  para el acero). Puesto que la cinta se expande, a 35°C la distancia entre dos marcas sucesivas del metro es mayor que 1 m. Por lo tanto, la distancia real en el inciso b) es mayor que la distancia de lectura de la cinta por un factor igual a la razón entre la longitud  $L$  de la cinta a 35°C y su longitud  $L_0$  a 20°C.

**EJECUTAR:** a) De acuerdo con las ecuaciones (17.6) y (17.7), el cambio de temperatura es  $\Delta T = T - T_0 = 15^\circ\text{C}$ ,

$$\Delta L = \alpha L_0 \Delta T = (1.2 \times 10^{-5} \text{ K}^{-1})(50 \text{ m})(15 \text{ K})$$

$$= 9.0 \times 10^{-3} \text{ m} = 9.0 \text{ mm}$$

$$L = L_0 + \Delta L = 50.000 \text{ m} + 0.009 \text{ m} = 50.009 \text{ m}$$

b) Nuestro resultado del inciso a) indica que a 35°C en la cinta ligeramente expandida se lee una distancia de 50.000 m cuando la distancia real es 50.009 m. Podemos describir el álgebra del inciso a), como  $L = L_0(1 + \alpha \Delta T)$ ; a 35°C, cualquier distancia real será mayor que la lectura por el factor  $50.009/50.000 = 1 + \alpha \Delta T = 1 + 1.8 \times 10^{-4}$ . La distancia real es, por consiguiente,

$$(1 + 1.8 \times 10^{-4})(35.794 \text{ m}) = 35.800 \text{ m}$$

**EVALUAR:** Observe que en el inciso a) sólo necesitamos dos de las cinco cifras significativas de  $L_0$  para calcular  $\Delta L$  con el mismo número de cifras decimales que  $L_0$ . Nuestro resultado demuestra que los metales se expanden muy poco con cambios de temperatura moderados. Sin embargo, aun la pequeña diferencia 0.009 m = 9 mm entre la lectura y la distancia real que se encuentra en el inciso b) puede ser importante en un trabajo de precisión.



### EJEMPLO 17.3 CAMBIO DE VOLUMEN DEBIDO A UN CAMBIO DE TEMPERATURA

Un frasco de vidrio con volumen de  $200 \text{ cm}^3$  se llena hasta el borde con mercurio a  $20^\circ\text{C}$ . ¿Cuánto mercurio se desbordará si la temperatura del sistema se eleva a  $100^\circ\text{C}$ ? El coeficiente de expansión *lineal* del vidrio es de  $0.40 \times 10^{-5} \text{ K}^{-1}$ .

#### SOLUCIÓN

**IDENTIFICAR Y PLANTEAR:** Este problema implica la expansión volumétrica del vidrio y del mercurio. La cantidad derramada depende de la *diferencia* entre los cambios de volumen  $\Delta V$  para estos dos materiales, ambos dados por la ecuación (17.8). El mercurio se derramará si el coeficiente de expansión volumétrica  $\beta$  (que se especifica en la tabla 17.2) es mayor que el del vidrio, que se encuentra a partir de la ecuación (17.9) utilizando el valor dado de  $\alpha$ .

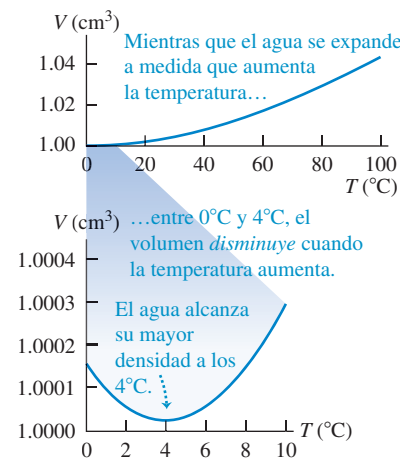
**EJECUTAR:** De acuerdo con la tabla 17.2,  $\beta_{\text{Hg}} = 18 \times 10^{-5} \text{ K}^{-1}$ . Esto, de hecho, es mayor que  $\beta_{\text{vidrio}}$ : según la ecuación (17.9),  $\beta_{\text{vidrio}} = 3\alpha_{\text{vidrio}} = 3(0.40 \times 10^{-5} \text{ K}^{-1}) = 1.2 \times 10^{-5} \text{ K}^{-1}$ . El volumen de mercurio que se desborda es entonces

$$\begin{aligned}\Delta V_{\text{Hg}} - \Delta V_{\text{vidrio}} &= \beta_{\text{Hg}} V_0 \Delta T - \beta_{\text{vidrio}} V_0 \Delta T \\ &= V_0 \Delta T (\beta_{\text{Hg}} - \beta_{\text{vidrio}}) \\ &= (200 \text{ cm}^3)(80 \text{ }^\circ\text{C})(18 \times 10^{-5} - 1.2 \times 10^{-5}) \\ &= 2.7 \text{ cm}^3\end{aligned}$$

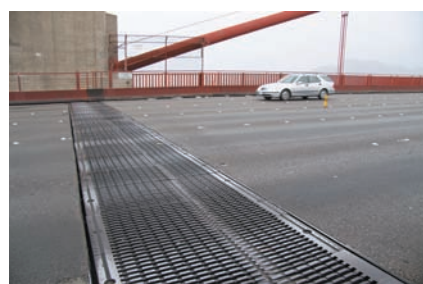
**EVALUAR:** Básicamente, así es como funciona un termómetro de mercurio en vidrio; la columna de mercurio dentro del tubo sellado se eleva conforme  $T$  aumenta, porque el mercurio se expande más rápidamente que el vidrio.

Como muestran las tablas 17.1 y 17.2, el vidrio tiene coeficientes de expansión  $\alpha$  y  $\beta$  menores que la mayoría de los metales. Por ello, podemos usar agua caliente para aflojar la tapa metálica de un frasco de vidrio: el metal se expande más que el vidrio.

**17.12** Volumen en gramo de agua en el intervalo de temperaturas de 0 a  $100^\circ\text{C}$ . A los  $100^\circ\text{C}$ , el volumen aumenta a  $1.043 \text{ cm}^3$ . Si el coeficiente de expansión volumétrica fuera constante, la curva sería una línea recta.



**17.13** Los dientes de una articulación o juntas de expansión de un puente son necesarios para permitir los cambios de longitud que son resultado de la expansión térmica.



### Expansión térmica del agua

El agua, en el intervalo de temperaturas de 0 a  $4^\circ\text{C}$ , se *contrae* al aumentar la temperatura. En este intervalo, su coeficiente de expansión volumétrica es *negativo*. Por arriba de  $4^\circ\text{C}$ , el agua se expande al calentarse (**figura 17.12**). Por lo tanto, el agua tiene su mayor densidad a  $4^\circ\text{C}$ . El agua también se expande al congelarse, lo cual explica por qué se forman protuberancias en el centro de los compartimentos de una charola para hacer cubitos de hielo. En cambio, la mayoría de los materiales se contraen al congelarse.

Este comportamiento anómalo del agua tiene un efecto importante sobre la vida vegetal y animal en los lagos. Un lago se enfriá de la superficie hacia abajo; por arriba de los  $4^\circ\text{C}$ , el agua fría de la superficie fluye hacia el fondo debido a su mayor densidad; sin embargo, cuando la temperatura superficial es menor que  $4^\circ\text{C}$ , el agua cerca de la superficie es menos densa que la de abajo, que es más caliente. Por lo tanto, el flujo hacia abajo cesa y el agua cerca de la superficie sigue siendo más fría que en el fondo. Al congelarse la superficie, el hielo flota porque es menos denso que el agua. El agua en el fondo sigue a  $4^\circ\text{C}$  hasta que casi todo el lago se congela. Si el agua se comportara como la mayoría de las sustancias, contrayéndose continuamente al enfriarse y congelarse, los lagos se congelarían de abajo hacia arriba. La circulación por diferencias de densidad haría subir continuamente el agua más caliente para un enfriamiento más eficiente, y los lagos se congelarían por completo con mucho mayor facilidad. Esto destruiría todas las plantas y animales que no resisten el congelamiento. Si el agua no tuviera esta propiedad especial, la evolución de la vida habría seguido un curso muy diferente.

### Esfuerzo térmico

Si sujetamos rígidamente los extremos de una varilla para evitar su expansión o contracción y luego variemos la temperatura, aparecerán esfuerzos de tensión o compresión llamados **esfuerzos térmicos**. La varilla quiere expandirse o contraerse, pero las abrazaderas no la dejan. Los esfuerzos pueden ser tan grandes que deformen irreversiblemente la varilla o incluso la rompan (quizá sea conveniente repasar la explicación de esfuerzo y deformación en la sección 11.4).

Los ingenieros deben tomar en cuenta el esfuerzo térmico al diseñar estructuras (vea la figura 17.11). Las autopistas de concreto y las cubiertas de puentes suelen tener espacios entre secciones, llenos con material flexible o salvados por dientes que embonan (**figura 17.13**), con la finalidad de permitir la expansión y contracción del concreto. Las tuberías de vapor largas tienen juntas de expansión o secciones con forma

de U para evitar que se pandeen o estiren al cambiar la temperatura. Si un extremo de un puente de acero está fijo rígidamente a su estribo, el otro por lo regular descansa en rodillos.

Para calcular los esfuerzos térmicos en una varilla sujetada, calculamos qué tanto se *expandiría* (o contraería) si no estuviera sujetada, y luego calculamos el esfuerzo necesario para comprimirla (o estirarla) a su longitud original. Suponga que una varilla de longitud  $L_0$  y área transversal  $A$  se mantiene con longitud constante, mientras se reduce la temperatura ( $\Delta T$  negativo), causando un esfuerzo de tensión. De acuerdo con la ecuación (17.16), el cambio fraccionario de longitud si la varilla estuviera libre para contraerse sería

$$\left(\frac{\Delta L}{L_0}\right)_{\text{térmico}} = \alpha \Delta T \quad (17.10)$$

Tanto  $\Delta L$  como  $\Delta T$  son negativos. La tensión debe aumentar en una cantidad  $F$  apenas suficiente para producir un cambio fraccionario de longitud igual y opuesto ( $\Delta L/L_0$ )<sub>tenso</sub>. Según la definición del módulo de Young, ecuación (11.10),

$$Y = \frac{F/A}{\Delta L/L_0} \quad \text{así que} \quad \left(\frac{\Delta L}{L_0}\right)_{\text{tenso}} = \frac{F}{AY} \quad (17.11)$$

Si la longitud tiene que ser constante, el cambio fraccionario *total* de longitud debe ser cero. De acuerdo con las ecuaciones (17.10) y (17.11), esto implica que

$$\left(\frac{\Delta L}{L_0}\right)_{\text{térmico}} + \left(\frac{\Delta L}{L_0}\right)_{\text{tenso}} = \alpha \Delta T + \frac{F}{AY} = 0$$

Al despejar el esfuerzo de tensión  $F/A$  necesario para mantener constante la longitud de la varilla, se obtiene

**Esfuerzo térmico:**

Fuerza necesaria para mantener constante la longitud de la varilla

$$\frac{F}{A} = -Y\alpha \Delta T$$

Módulo de Young  
Cambio en la temperatura  
Coeficiente de expansión lineal  
Área de la sección transversal de la varilla

(17.12)

Si la temperatura disminuye,  $\Delta T$  es negativo, así que  $F$  y  $F/A$  son positivos; esto implica que se requieren una fuerza y un esfuerzo *de tensión* para mantener la longitud. Si  $\Delta T$  es positivo,  $F$  y  $F/A$  son negativos, y la fuerza y el esfuerzo requeridos son *de compresión*.

Si hay diferencias de temperatura dentro de un cuerpo, habrá expansión o contracción no uniformes, y pueden inducirse esfuerzos térmicos. Es factible romper un tazón de vidrio vertiendo en él agua muy caliente; el esfuerzo térmico entre las partes caliente y fría excede el esfuerzo de rotura del vidrio, agrietándolo. El mismo fenómeno hace que se rompa un cubo de hielo si se deja caer en agua tibia.



#### EJEMPLO 17.4 ESFUERZO TÉRMICO

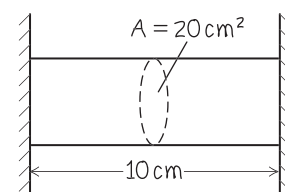
Un cilindro de aluminio de 10 cm de longitud, con área de sección transversal de  $20 \text{ cm}^2$ , se usará como espaciador entre dos paredes de acero. A  $17.2^\circ\text{C}$ , el cilindro apenas se desliza entre las paredes. Si se calienta a  $22.3^\circ\text{C}$ , ¿qué esfuerzo habrá en el cilindro y qué fuerza total ejercerá éste sobre cada pared, suponiendo que las paredes son perfectamente rígidas y están separadas por una distancia constante?

#### SOLUCIÓN

**IDENTIFICAR Y PLANTEAR:** La figura 17.14 muestra un diagrama de la situación. Las incógnitas son el esfuerzo térmico  $F/A$  en el cilindro cuya área de sección transversal  $A$  está dada, y la fuerza asociada  $F$  que ésta ejerce sobre las paredes. Usaremos la ecuación

(17.12) para relacionar  $F/A$  con el cambio de temperatura  $\Delta T$  y de ahí calcularemos  $F$  (la longitud del cilindro es irrelevante). Encontramos el módulo de Young  $Y_{\text{Al}}$  y el coeficiente de expansión lineal  $\alpha_{\text{Al}}$  a partir de las tablas 11.1 y 17.1, respectivamente.

**17.14** Nuestro diagrama de este problema.



Continúa

**EJECUTAR:** Tenemos,  $Y_{\text{Al}} = 7.0 \times 10^{10} \text{ Pa}$ ,  $\alpha_{\text{Al}} = 2.4 \times 10^{-5} \text{ K}^{-1}$  y  $\Delta T = 22.3^\circ\text{C} - 17.2^\circ\text{C} = 5.1 \text{ K}$ . De acuerdo con la ecuación (17.12), el esfuerzo es

$$\begin{aligned}\frac{F}{A} &= -Y_{\text{Al}}\alpha_{\text{Al}}\Delta T \\ &= -(7.0 \times 10^{10} \text{ Pa})(2.4 \times 10^{-5} \text{ K}^{-1})(5.1 \text{ K}) \\ &= -8.6 \times 10^6 \text{ Pa} = -1200 \text{ lb/in}^2\end{aligned}$$

La fuerza total  $F$  es el área de la sección transversal multiplicada por el esfuerzo:

$$\begin{aligned}F &= A\left(\frac{F}{A}\right) = (20 \times 10^{-4} \text{ m}^2)(-8.6 \times 10^6 \text{ Pa}) \\ &= -1.7 \times 10^4 \text{ N} = -1.9 \text{ tons}\end{aligned}$$

**EVALUAR:** El esfuerzo en el cilindro y la fuerza que ejerce sobre cada pared son inmensos. Esto destaca la importancia de contemplar tales esfuerzos térmicos en ingeniería.

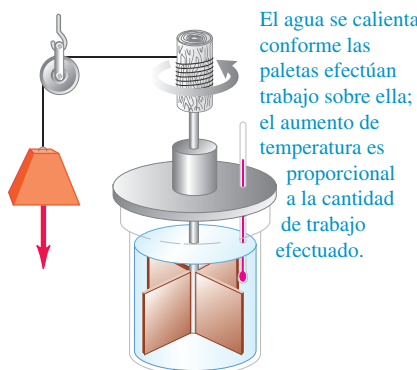
**EVALÚE SU COMPRENSIÓN DE LA SECCIÓN 17.4** En la tira bimetálica de la figura 17.3a, el metal 1 es cobre. ¿Cuál de los siguientes materiales podría usarse como metal 2? (Quizás haya más de una respuesta correcta). **i.** Acero; **ii.** latón; **iii.** aluminio. █

## 17.5 CANTIDAD DE CALOR

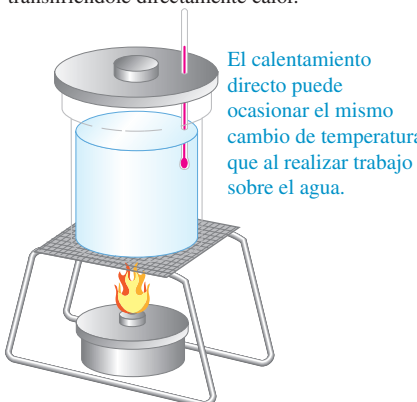
**17.15** El mismo cambio de temperatura del mismo sistema puede lograrse

- a) realizando trabajo sobre él o
- b) agregándole calor.

a) Aumento de la temperatura del agua al efectuar trabajo sobre ella.



b) Incremento de la temperatura del agua transfiriéndole directamente calor.



Si introducimos una cuchara fría en una taza de café caliente, la cuchara se calienta y el café se enfriá hasta que ambos alcanzan equilibrio térmico. La interacción que causa estos cambios de temperatura es básicamente una transferencia de *energía* de una sustancia a otra. La transferencia de *energía* que se da exclusivamente por una diferencia de temperatura se denomina *flujo de calor* o *transferencia de calor*, en tanto que la energía así transferida se llama **calor**.

Durante los siglos XVIII y XIX, se fue entendiendo poco a poco la relación entre el calor y otras formas de energía. Sir James Joule (1818-1889) estudió cómo puede calentarse el agua al agitarla vigorosamente con una rueda de paletas (**figura 17.15a**), la cual agrega energía al agua realizando un *trabajo* sobre ella. Joule observó que *el aumento de temperatura es directamente proporcional a la cantidad de trabajo realizado*. Es posible lograr el mismo cambio de temperatura poniendo el agua en contacto con un cuerpo más caliente (**figura 17.15b**); por lo tanto, esta interacción también implica un intercambio de energía. Exploraremos la relación entre calor y energía mecánica con mayor detalle en los capítulos 19 y 20.

**CUIDADO** Temperatura contra calor Es absolutamente indispensable tener bien clara la distinción entre *temperatura* y *calor*. La temperatura depende del estado físico de un material y es una descripción cuantitativa de su calidez o frialdad. En física, el término “calor” siempre se refiere a transferencia de energía de un cuerpo o sistema a otro, debido a una diferencia de temperatura, nunca a la cantidad de energía contenida en un sistema dado. Podemos modificar la temperatura de un cuerpo agregándole o quitándole calor, o bien, agregándole o quitándole energía de otras formas, como trabajo mecánico (**figura 17.15a**). Si cortamos un cuerpo a la mitad, cada mitad tiene la misma temperatura que el todo; no obstante, para elevar la temperatura de una mitad un intervalo dado, le agregamos la *mitad* del calor que agregaríamos al todo. █

Podemos definir una *unidad* de cantidad de calor con base en el cambio de temperatura de un material específico. La **caloría** (abreviada cal) se define como *la cantidad de calor necesaria para elevar la temperatura de 1 g de agua de 14.5 a 15.5°C*. También se usa la kilocaloría (kcal), igual a 1000 cal; las calorías de valor alimentario son en realidad kilocalorías. Una unidad correspondiente de calor que usa grados Fahrenheit y unidades inglesas es la **unidad térmica británica** o Btu. Una Btu es la cantidad de calor necesaria para elevar la temperatura de una libra (peso) de agua 1 F°, de 63 a 64°F.

Puesto que el calor es una transferencia de energía, debe haber una relación definida entre estas unidades y las de energía mecánica que conocemos, como el joule (**figura 17.16**). Experimentos similares en concepto al de Joule han demostrado que

$$1 \text{ cal} = 4.186 \text{ J}$$

$$1 \text{ kcal} = 1000 \text{ cal} = 4186 \text{ J}$$

$$1 \text{ Btu} = 778 \text{ ft} \cdot \text{lb} = 252 \text{ cal} = 1055 \text{ J}$$

La caloría no es una unidad fundamental del SI. El Comité Internacional de Pesos y Medidas recomienda usar el joule como unidad básica de energía en todas sus formas, incluido el calor. Seguiremos esa recomendación en el presente libro.

## Calor específico

Usamos el símbolo  $Q$  para denotar calor. Cuando el calor está asociado a un cambio de temperatura infinitesimal  $dT$ , lo llamamos  $dQ$ . Se observa que la cantidad de calor  $Q$  necesaria para elevar la temperatura de una masa  $m$  de cierto material de  $T_1$  a  $T_2$  es aproximadamente proporcional al cambio de temperatura  $\Delta T = T_2 - T_1$  y a la masa  $m$  del material. Si calentamos agua para hacer té, necesitamos el doble de calor para dos tazas que para una, si el cambio de temperatura es el mismo. La cantidad de calor requerida también depende de la naturaleza del material; se requieren 4190 J de calor para elevar la temperatura de 1 kilogramo de agua 1 C°, pero sólo 910 J para elevar en 1 C° la temperatura de 1 kilogramo de aluminio.

Juntando todas estas relaciones, tenemos

$$\text{Calor requerido para el cambio de temperatura de una masa dada} \quad Q = mc \Delta T \quad (17.13)$$

Masa de material  
Cambio de temperatura  
Calor específico del material

El **calor específico**  $c$  tiene valores diferentes para distintos materiales. Para un cambio infinitesimal de temperatura  $dT$  y la cantidad de calor correspondiente  $dQ$ ,

$$dQ = mc dT \quad (17.14)$$

$$c = \frac{1}{m} \frac{dQ}{dT} \quad (\text{calor específico}) \quad (17.15)$$

En las ecuaciones (17.13), (17.14) y (17.15), cuando  $Q$  (o  $dQ$ ) y  $\Delta T$  (o  $dT$ ) son positivos, entra calor en el cuerpo y aumenta su temperatura; si son negativos, sale calor del cuerpo y disminuye su temperatura.

**CUIDADO** La definición de calor Recuerde que  $dQ$  no representa un cambio en la cantidad de calor contenida en un cuerpo. El calor siempre es *transferencia* de energía a causa de una diferencia de temperatura. No existe algo que pueda denominarse “la cantidad de calor de un cuerpo”. ■

El calor específico del agua es aproximadamente

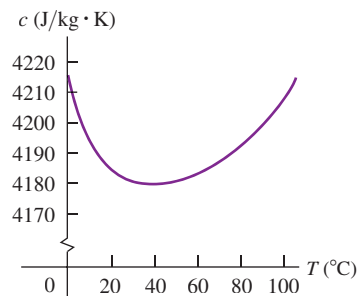
$$4190 \text{ J/kg} \cdot \text{K} \quad 1 \text{ cal/g} \cdot \text{C}^\circ \quad \text{o bien,} \quad 1 \text{ Btu/lb} \cdot \text{F}^\circ$$

El calor específico de un material siempre depende un poco de la temperatura inicial y del intervalo de temperatura. La **figura 17.17** muestra esta dependencia para el caso del agua. En los problemas y ejemplos de este capítulo normalmente ignoraremos esta pequeña variación.

**17.16** La palabra “energía” es de origen griego. Esta etiqueta en una lata de café griego indica que 100 mililitros de café preparado tiene un contenido de energía (*ενέργεια*) de 9.6 kilojoules o 2.3 kilocalorías.



**17.17** Calor específico del agua en función de la temperatura. El valor de  $c$  varía menos del 1% entre 0°C y 100°C.



### EJEMPLO 17.5 ¿CUÁNTO CALOR SE REQUIERE PARA PRODUCIR LA FIEBRE ASOCIADA A UN RESFRIADO?

Con un cuadro de gripe, un hombre de 80 kg tuvo fiebre y registró una temperatura de 39.0°C (102.2°F), en vez de la temperatura normal de 37.0°C (98.6°F). Considerando que el cuerpo humano es agua en su mayor parte, ¿cuánto calor se requirió para elevar su temperatura esa cantidad?

#### SOLUCIÓN

**IDENTIFICAR Y PLANTEAR:** Este problema usa la relación entre calor (la incógnita), masa, calor específico y cambio de temperatura. Usaremos la ecuación (17.13) para determinar el calor requerido  $Q$ , con  $m = 80 \text{ kg}$ ,  $c = 4190 \text{ J/kg} \cdot \text{K}$  (para agua) y  $\Delta T = 39.0^\circ\text{C} - 37.0^\circ\text{C} = 2.0 \text{ C}^\circ = 2.0 \text{ K}$ .

**EJECUTAR:** De acuerdo con la ecuación (17.13),

$$Q = mc \Delta T = (80 \text{ kg})(4190 \text{ J/kg} \cdot \text{K})(2.0 \text{ K}) = 6.7 \times 10^5 \text{ J}$$

**EVALUAR:** Esto corresponde a 160 kcal. De hecho, el calor específico del cuerpo humano es casi de 3480 J/kg-K, el 83% de valor correspondiente al agua porque las proteínas, las grasas y los minerales tienen menores calores específicos. Por lo tanto, una respuesta más exacta es  $Q = 5.6 \times 10^5 \text{ J} = 133 \text{ kcal}$ . Cualquiera de los resultados demuestra que, si no fuera por los sistemas reguladores de la temperatura del cuerpo, ingerir energía en forma de alimentos produciría cambios medibles en la temperatura corporal (en el caso de una persona con gripe, el aumento en la temperatura es resultado de la actividad que realiza el cuerpo al combatir la infección).



## EJEMPLO 17.6 CIRCUITOS SOBRECALENTADOS

Se está diseñando un elemento de circuito electrónico elaborado con 23 mg de silicio. La corriente que pasa por él agrega energía a razón de  $7.4 \text{ mW} = 7.4 \times 10^{-3} \text{ J/s}$ . Si el diseño no contempla la eliminación de calor del elemento, ¿con qué rapidez aumentará su temperatura? El calor específico del silicio es de  $705 \text{ J/kg} \cdot \text{K}$ .

### SOLUCIÓN

**IDENTIFICAR Y PLANTEAR:** La energía agregada al elemento del circuito hace que se incremente la temperatura, al igual que si el calor fluyera en el elemento a una tasa  $dQ/dt = 7.4 \times 10^{-3} \text{ J/s}$ . La incógnita es la tasa de cambio de la temperatura  $dT/dt$ . Podemos utilizar la ecuación (17.14), que relaciona los cambios infinitesimales de

temperatura  $dT$  con los correspondientes  $dQ$  de calor, con la finalidad de obtener una expresión para  $dQ/dt$  en términos de  $dT/dt$ .

**EJECUTAR:** Al dividir ambos lados de la ecuación (17.14) entre  $dt$  y reacomodando,

$$\frac{dT}{dt} = \frac{dQ/dt}{mc} = \frac{7.4 \times 10^{-3} \text{ J/s}}{(23 \times 10^{-6} \text{ kg})(705 \text{ J/kg} \cdot \text{K})} = 0.46 \text{ K/s}$$

**EVALUAR:** Con esta rapidez en el aumento de la temperatura (27 K/min), el elemento de circuito pronto se autodestruiría. La transferencia de calor es una consideración importante en el diseño de elementos de circuitos electrónicos.

## Capacidad calorífica molar

A veces resulta más útil describir una cantidad de sustancia en términos del número de *moles*  $n$ , en vez de la *masa*  $m$  del material. Recuerde (de sus clases de química) que un mol de cualquier sustancia pura siempre contiene el mismo número de moléculas (veremos esto con mayor detalle en el capítulo 18). La *masa molar* de cualquier sustancia, denotada con  $M$ , es la masa por mol (a veces se llama a *M peso molecular*, aunque es preferible *masa molar*; la cantidad depende de la masa de una molécula, no de su peso). Por ejemplo, la masa molar del agua es de  $18.0 \text{ g/mol} = 18.0 \times 10^{-3} \text{ kg/mol}$ ; un mol de agua tiene una masa de  $18.0 \text{ g} = 0.0180 \text{ kg}$ . La masa total  $m$  de material es la masa por mol  $M$  multiplicada por el número de moles  $n$ :

$$m = nM \quad (17.16)$$

Sustituyendo la masa  $m$  de la ecuación (17.13) por el producto  $nM$ , tenemos

$$Q = nMc \Delta T \quad (17.17)$$

El producto  $Mc$  se denomina **capacidad calorífica molar** (o *calor específico molar*) y se denota con  $C$  (mayúscula). Con esta notación, rescribimos la ecuación (17.17) de la siguiente manera:

<b>Calor requerido para cambiar la temperatura ..... de cierto número de moles</b>	$\rightarrow Q = nC\Delta T$	<b>Número de moles de material Cambio de temperatura Capacidad calorífica molar del material</b>	<span style="font-size: 2em;">(17.18)</span>
--	------------------------------	--	--

Comparando con la ecuación (17.15), podemos expresar la capacidad calorífica molar  $C$  (calor por mol por cambio de temperatura) en términos del calor específico  $c$  (calor por masa por cambio de temperatura) y la masa molar  $M$  (masa por mol):

$$C = \frac{1}{n} \frac{dQ}{dT} = Mc \quad (\text{capacidad calorífica molar}) \quad (17.19)$$

Por ejemplo, la capacidad calorífica molar del agua es

$$C = Mc = (0.0180 \text{ kg/mol})(4190 \text{ J/kg} \cdot \text{K}) = 75.4 \text{ J/mol} \cdot \text{K}$$

En la **tabla 17.3** se dan valores de calor específico y capacidad calorífica molar para varias sustancias. Observe el valor extraordinariamente elevado del calor específico del agua (**figura 17.18**).

**CUIDADO** El significado de "capacidad calorífica" Es lamentable que se haya generalizado el uso del término *capacidad calorífica* porque da la impresión errónea de que un cuerpo *tiene* cierta cantidad de calor. Recuerde que el calor es transferencia de energía desde o hacia un cuerpo, no la energía que reside en el cuerpo. ■



**Valores aproximados de calor específico y capacidad calorífica molar (a presión constante)**
**TABLA 17.3**

Sustancia	Calor específico, $c$ (J/kg · K)	Masa molar, $M$ (kg/mol)	Capacidad calorífica molar, $C$ (J/mol · K)
Aluminio	910	0.0270	24.6
Berilio	1970	0.00901	17.7
Cobre	390	0.0635	24.8
Etanol	2428	0.0461	111.9
Etilenglicol	2386	0.0620	148.0
Hielo (cerca de 0°C)	2100	0.0180	37.8
Hierro	470	0.0559	26.3
Plomo	130	0.207	26.9
Mármol ( $\text{CaCO}_3$ )	879	0.100	87.9
Mercurio	138	0.201	27.7
Sal ( $\text{NaCl}$ )	879	0.0585	51.4
Plata	234	0.108	25.3
Agua (líquida)	4190	0.0180	75.4

Las mediciones de calores específicos y capacidades caloríficas molares de materiales sólidos suelen hacerse a presión atmosférica constante; los valores correspondientes se llaman *calor específico y capacidad calorífica molar a presión constante*, denotados con  $c_p$  y  $C_p$ , respectivamente. En el caso de un gas, suele ser más fácil mantener la sustancia en un recipiente con *volumen constante*; los valores correspondientes son *calor específico y capacidad calorífica molar a volumen constante*, denotados con  $c_V$  y  $C_V$ , respectivamente. Para una sustancia dada,  $C_V$  y  $C_p$  son diferentes. Si el sistema puede expandirse al agregar calor, hay un intercambio adicional de energía para que el sistema realice *trabajo* sobre sus alrededores. Si el volumen es constante, el sistema no efectúa trabajo. En los gases, la diferencia entre  $C_p$  y  $C_V$  es sustancial. Estudiaremos las capacidades caloríficas de los gases a fondo en la sección 19.7.

La última columna de la tabla 17.3 muestra algo interesante. Las capacidades caloríficas molares de la mayoría de los sólidos elementales son casi iguales, alrededor de 25 J/mol·K. Esta correlación, llamada *regla de Dulong y Petit* (en honor de sus descubridores), es la base de una idea muy importante. El número de átomos en un mol es el mismo para todas las sustancias elementales. Esto significa que, *por átomo*, se requiere más o menos la misma cantidad de calor para elevar la temperatura de cada uno de estos elementos una cantidad dada, aunque las *masas* de los átomos sean muy diferentes. El calor requerido para un aumento de temperatura dado sólo depende de *cuántos* átomos haya en la muestra, no de la masa del átomo individual. Veremos por qué la regla de Dulong y Petit funciona tan bien cuando estudiemos las bases moleculares de la capacidad calorífica con detalle en el capítulo 18.

**EVALÚE SU COMPRENSIÓN DE LA SECCIÓN 17.5** Suponga que quiere elevar la temperatura, de 20 a 21°C, en cada una de las siguientes muestras. Ordénelas de mayor a menor, según la cantidad de calor que se requiere para lograrlo. **i.** Un kilogramo de mercurio; **ii.** un kilogramo de etanol; **iii.** un mol de mercurio; **iv.** un mol de etanol. **I**

## 17.6 CALORIMETRÍA Y CAMBIOS DE FASE

Calorimetría significa “medición de calor”. Hemos hablado de la transferencia de energía (calor) durante los cambios de temperatura. El calor también interviene en *los cambios de fase*, como la fusión del hielo o la ebullición del agua. Una vez que entendamos estas relaciones de calor, podremos analizar diversos problemas de cantidad de calor.

**17.19** El aire circundante se encuentra a temperatura ambiente, pero esta mezcla de hielo y agua se mantiene a 0°C hasta que todo el hielo se funda y el cambio de fase sea total.



## Cambios de fase

Usamos el término **fase** para describir un estado específico de la materia, como sólido, líquido o gas. El compuesto H<sub>2</sub>O existe en la *fase sólida* como hielo, en la *fase líquida* como agua y en la *fase gaseosa* como vapor de agua (también llamamos a estas fases **estados de la materia**: el estado sólido, el estado líquido y el estado gaseoso). Una transición de una fase a otra es un **cambio de fase** o una *transición de fase*. Para una presión dada, los cambios de fase se dan a una temperatura definida, generalmente acompañados por absorción o emisión de calor, y un cambio de volumen y densidad.

Un ejemplo conocido de cambio de fase es la fusión del hielo. Si agregamos calor al hielo a 0°C y a presión atmosférica normal, la temperatura del hielo *no* aumenta. En vez de ello, parte de él se funde para formar agua líquida. Si agregamos calor lentamente, manteniendo el sistema muy cerca del equilibrio térmico, la temperatura seguirá en 0°C hasta que todo el hielo se haya fundido (**figura 17.19**). El efecto de agregar calor a este sistema no es elevar su temperatura, sino cambiar su *fase* de sólida a líquida.

Para convertir 1 kg de hielo a 0°C en 1 kg de agua líquida a 0°C y a presión atmosférica normal, necesitamos  $3.34 \times 10^5$  J de calor. El calor requerido por unidad de masa se llama **calor de fusión** (o *calor latente de fusión*), denotado con  $L_f$ . Para agua a presión atmosférica normal, el calor de fusión es

$$L_f = 3.34 \times 10^5 \text{ J/kg} = 79.6 \text{ cal/g} = 143 \text{ Btu/lb}$$

En términos más generales, para fundir una masa  $m$  de material con calor de fusión  $L_f$  se requiere una cantidad de calor  $Q$  dada por

$$Q = mL_f$$

Este proceso es *reversible*. Para congelar agua líquida a 0°C tenemos que *eliminar* calor; la magnitud es la misma, pero ahora  $Q$  es negativa porque se extrae calor en vez de agregarse. Para cubrir ambas posibilidades e incluir otros tipos de cambios de fase, escribimos

$$\text{Transferencia .....} Q = \pm mL \quad \begin{array}{l} \text{Masa de material que cambia de fase} \\ \text{de calor en un} \\ \text{cambio de fase} \end{array} \quad \begin{array}{l} \text{Calor latente para este cambio de fase} \\ + \text{ si entra calor al material, } - \text{ si sale calor} \end{array} \quad (17.20)$$

Usamos el signo más (entra calor) cuando el material se funde, y el signo menos (sale calor) cuando se congela. El calor de fusión es diferente para distintos materiales, y también varía un poco con la presión.

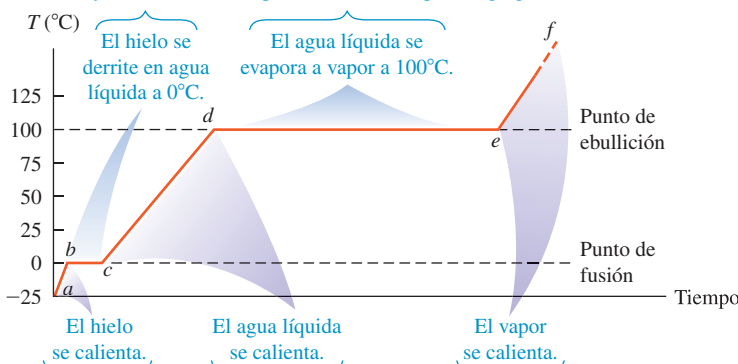
Para un material dado, a una presión determinada, la temperatura de congelación es la misma que la de fusión. En esta temperatura única, las fases líquida y sólida (agua líquida y hielo, por ejemplo) pueden coexistir en una condición llamada **equilibrio de fases**.

Algo similar sucede con la *ebullición* o *evaporación*, una transición de fase entre líquido y gas. El calor correspondiente (por unidad de masa) se llama **calor de vaporización**  $L_v$ . A presión atmosférica normal, el calor de vaporización  $L_v$  del agua es

$$L_v = 2.256 \times 10^6 \text{ J/kg} = 539 \text{ cal/g} = 970 \text{ Btu/lb}$$

Es decir, necesitamos  $2.256 \times 10^6$  J para convertir 1 kg de agua líquida a 100°C en 1 kg de vapor de agua a 100°C. En contraste, para elevar la temperatura de 1 kg de agua de 0 a 100°C se requieren  $Q = mc \Delta T = (1.00 \text{ kg})(4190 \text{ J/kg}\cdot^\circ\text{C}) \times (100 \text{ }^\circ\text{C}) = 4.19 \times 10^5 \text{ J}$ , menos de la quinta parte del calor necesario para la vaporización a 100°C. Esto concuerda con nuestra experiencia en la cocina: el agua en una olla puede alcanzar la temperatura de ebullición en unos minutos, pero tarda mucho más tiempo en evaporarse por completo.

**Cambios de fase del agua.** Durante estos períodos, la temperatura permanece constante y el cambio de fase procede a medida que se agrega calor:  $Q = +mL$ .



**La temperatura del agua cambia.** Durante estos períodos, la temperatura se eleva conforme se añade calor:  $Q = mc\Delta T$ .

Al igual que la fusión, la ebullición es una transición reversible. Si quitamos calor a un gas a la temperatura de ebullición, el gas vuelve a la fase líquida (se *condensa*), cediendo a sus alrededores la misma cantidad de calor (calor de vaporización) que se necesitó para vaporizarlo. A una presión determinada, las temperaturas de ebullición y condensación siempre son las mismas; a esta temperatura, las fases líquida y gaseosa pueden coexistir en equilibrio de fases.

Tanto  $L_v$  como la temperatura de ebullición de un material dependen de la presión. El agua hiere a menor temperatura (cerca de 95°C) en Denver que en Pittsburgh, porque Denver está a mayor altura y la presión atmosférica promedio es menor. El calor de vaporización es un poco más alto a esta presión reducida: aproximadamente  $2.27 \times 10^6 \text{ J/kg}$ .

La figura 17.20 resume estas ideas acerca de los cambios de fase. La tabla 17.4 presenta calores de fusión y vaporización para varios materiales, así como sus temperaturas de fusión y ebullición, a presión atmosférica normal. Muy pocos *elementos* tienen temperaturas de fusión cercanas a la temperatura ambiente; uno de ellos es el metal galio (figura 17.21).

**17.20** Gráfica de temperatura contra tiempo para una muestra de agua inicialmente en la fase sólida (hielo). Se añade calor a la muestra a un ritmo constante. La temperatura permanece constante durante cada cambio de fase, siempre que la presión permanezca constante.

- $a \rightarrow b$ : El hielo inicialmente a  $-25^\circ\text{C}$  se calienta a  $0^\circ\text{C}$ .
- $b \rightarrow c$ : La temperatura permanece a  $0^\circ\text{C}$  hasta que todo el hielo se derrite.
- $c \rightarrow d$ : El agua se calienta a partir de  $0^\circ\text{C}$  a  $100^\circ\text{C}$ .
- $d \rightarrow e$ : La temperatura permanece en  $100^\circ\text{C}$  hasta que toda el agua se vaporiza.
- $e \rightarrow f$ : El vapor se calienta a temperaturas por encima de  $100^\circ\text{C}$ .

**17.21** El metal galio, que vemos aquí fundiéndose en la mano de una persona, es uno de los pocos elementos que se funden cerca de la temperatura ambiente. Su temperatura de fusión es de  $29.8^\circ\text{C}$  y su calor de fusión es de  $8.04 \times 10^4 \text{ J/kg}$ .



**TABLA 17.4** Calores de fusión y de vaporización

Sustancia	Punto de fusión normal		Calor de fusión, $L_f$ (J/kg)	Punto de ebullición normal		Calor de vaporización, $L_v$ (J/kg)
	K	°C		K	°C	
Helio	*	*	*	4.216	$-268.93$	$20.9 \times 10^3$
Hidrógeno	13.84	$-259.31$	$58.6 \times 10^3$	20.26	$-252.89$	$452 \times 10^3$
Nitrógeno	63.18	$-209.97$	$25.5 \times 10^3$	77.34	$-195.8$	$201 \times 10^3$
Oxígeno	54.36	$-218.79$	$13.8 \times 10^3$	90.18	$-183.0$	$213 \times 10^3$
Etanol	159	$-114$	$104.2 \times 10^3$	351	78	$854 \times 10^3$
Mercurio	234	$-39$	$11.8 \times 10^3$	630	357	$272 \times 10^3$
Agua	273.15	0.00	$334 \times 10^3$	373.15	100.00	$2256 \times 10^3$
Azufre	392	119	$38.1 \times 10^3$	717.75	444.60	$326 \times 10^3$
Plomo	600.5	327.3	$24.5 \times 10^3$	2023	1750	$871 \times 10^3$
Antimonio	903.65	630.50	$165 \times 10^3$	1713	1440	$561 \times 10^3$
Plata	1233.95	960.80	$88.3 \times 10^3$	2466	2193	$2336 \times 10^3$
Oro	1336.15	1063.00	$64.5 \times 10^3$	2933	2660	$1578 \times 10^3$
Cobre	1356	1083	$134 \times 10^3$	1460	1187	$5069 \times 10^3$

\*Se requiere una presión mayor de 25 atmósferas para solidificar el helio. A presión de 1 atmósfera, el helio sigue siendo líquido hasta el cero absoluto.

**17.22** Cuando este avión voló dentro de una nube a una temperatura justo por debajo de la congelación, golpeó las gotas de agua superenfriadas en la nube que se cristalizaron rápidamente y formaron hielo en la nariz de la aeronave (aquí se muestra) y en las alas. Tal cantidad de hielo durante el vuelo puede ser extremadamente peligroso, por lo que las aerolíneas comerciales están equipadas con dispositivos para eliminar el hielo.



**17.23** Aunque el agua esté tibia y el día sea caluroso, estos niños sentirán frío cuando salgan de la alberca. Ello se debe a que, al evaporarse el agua de su piel, extrae de su cuerpo el calor de vaporización. Para mantenerse calientes, tendrán que secarse de inmediato.



A veces, una sustancia puede cambiar directamente de la fase sólida a la gaseosa. Este proceso se llama *sublimación* y se dice que el sólido se *sublima*. El calor correspondiente es el *calor de sublimación*  $L_s$ . El dióxido de carbono líquido no puede existir a una presión menor de  $5 \times 10^5$  Pa (unas 5 atm), y el “hielo seco” (dióxido de carbono sólido) se sublima a presión atmosférica. La sublimación del agua de alimentos congelados causa las quemaduras de congelador. El proceso inverso, un cambio de fase de gas a sólido, se presenta cuando se forma escarcha en cuerpos fríos como las espiras de enfriamiento de los refrigeradores.

El agua muy pura llega a enfriarse varios grados por debajo del punto de congelación sin congelarse; el estado inestable que resulta se describe como *sobreenfriado*. Si se introduce un pequeño cristal de hielo o se agita el agua, se cristalizará en un segundo o menos (**figura 17.22**). El *vapor* de agua sobreenfriado se condensa rápidamente para formar neblina, si se introduce una alteración como partículas de polvo o radiación ionizante. Este principio se usa para “bombardear” las nubes que a menudo contienen vapor de agua sobreenfriado, y así causar condensación y lluvia.

A veces es posible *sobreentalentar* un líquido por encima de su temperatura de ebullición normal. Cualquier alteración pequeña, como agitación, causa ebullición local con formación de burbujas.

Los sistemas de calefacción por vapor de agua usan un proceso de ebullición-condensación para transferir calor del horno a los radiadores. Cada kilogramo de agua convertido en vapor en la caldera absorbe más de  $2 \times 10^6$  J (el calor de vaporización  $L_v$  del agua) de la caldera y lo cede al condensarse en los radiadores. También se usan procesos de ebullición-condensación en los refrigeradores, acondicionadores de aire y bombas de calor. Veremos estos sistemas en el capítulo 20.

Los mecanismos de control de temperatura de muchos animales de sangre caliente aprovechan el calor de vaporización: eliminan calor del cuerpo usándolo para evaporar agua de la lengua (lo que produce jadeo), o de la piel (lo cual se manifiesta como sudor). El *enfriamiento por evaporación* permite al ser humano mantener su temperatura corporal normal en climas calurosos y desérticos, donde la temperatura del aire puede alcanzar los 55°C (aproximadamente 130°F). La temperatura de la piel puede ser hasta 30°C menor que la del aire circundante. En tales condiciones, una persona llega a sudar varios litros al día, y debe reponer esa agua. El enfriamiento por evaporación también explica por qué sentimos frío al salir de una alberca (**figura 17.23**).

El enfriamiento por evaporación también se usa para condensar y reciclar vapor de agua “usado” en plantas generadoras nucleares o que queman carbón. Eso es lo que sucede en las grandes torres de enfriamiento hechas de concreto que vemos en esas plantas.

Las reacciones químicas, como la combustión, son análogas a los cambios de fase en cuanto a que implican cantidades definidas de calor. La combustión total de 1 gramo de gasolina produce unos 46,000 J (casi 11,000 cal), así que el **calor de combustión**  $L_c$  de la gasolina es

$$L_c = 46,000 \text{ J/g} = 4.6 \times 10^7 \text{ J/kg}$$

Los valores energéticos de los alimentos se definen de forma similar. Al decir que un gramo de mantequilla de maní “contiene 6 calorías”, queremos decir que se liberan 6 kcal de calor (6000 cal o 25,000 J) cuando los átomos de carbono e hidrógeno de la mantequilla reaccionan con oxígeno (con la ayuda de enzimas) y se convierten por completo en CO<sub>2</sub> y H<sub>2</sub>O. No toda esta energía se puede convertir directamente en trabajo mecánico. Estudiaremos la *eficiencia* de la utilización de la energía en el capítulo 20.

## Cálculos de calor

Veamos algunos ejemplos de cálculos calorimétricos (cálculos con calor). El principio básico es sencillo: si fluye calor entre dos cuerpos aislados de sus alrededores, el calor perdido por un cuerpo debe ser igual al ganado por el otro. El calor es transferencia de energía, así que este principio es en realidad el de la conservación de la energía. La calorimetría, que sólo se ocupa de una cantidad que se conserva, es en varios sentidos ¡la más sencilla de todas las teorías físicas!

## ESTRATEGIA PARA RESOLVER PROBLEMAS 17.2 | PROBLEMAS DE CALORIMETRÍA

**IDENTIFICAR** los conceptos relevantes: Cuando fluye calor entre dos o más cuerpos que están aislados de sus alrededores, la *suma algebraica* de las cantidades de calor transferido a todos los cuerpos es cero. Consideramos que una cantidad de calor *agregada* a un cuerpo es *positiva* y una cantidad que *sale* de un cuerpo es *negativa*.

**PLANTEAR** el problema siguiendo estos pasos:

- Identifique los objetos que intercambian calor.
- Cada objeto experimentará un cambio de temperatura, un cambio de fase a temperatura constante, o ambos. Use la ecuación (17.13) para la transferencia de calor con un cambio de temperatura, y la ecuación (17.20) para la transferencia de calor en un cambio de fase.
- Consulte en la tabla 17.3 valores de calor específico o de capacidad calorífica molar, y en la 17.4, calores de fusión o de vaporización.
- Liste las cantidades conocidas e identifique las incógnitas.

**EJECUTAR** la solución como sigue:

- Utilice la ecuación (17.13) y/o la (17.20) y la relación de conservación de la energía para despejar las incógnitas. Asegúrese de utilizar los signos algebraicos correctos para los términos  $Q$  y  $\Delta T$ , y de escribir correctamente  $\Delta T = T_{\text{final}} - T_{\text{inicial}}$ , y no al revés.
- Si se produce un cambio de fase, tal vez no sepa de antemano si todo el material, o sólo una parte de éste, experimenta un cambio de fase. Haga una suposición razonable; si esto lo conduce a un resultado poco razonable (como una temperatura final superior o inferior a cualquier temperatura inicial), la suposición era errónea. ¡Intente de nuevo!

**EVALUAR** la respuesta: Vuelva a revisar sus cálculos y asegúrese de que los resultados finales sean físicamente lógicos.



### EJEMPLO 17.7 CAMBIO DE TEMPERATURA SIN CAMBIO DE FASE

Un campista vierte 0.300 kg de café, inicialmente en una olla a  $70.0^{\circ}\text{C}$ , en una taza de aluminio de 0.120 kg que inicialmente está a  $20.0^{\circ}\text{C}$ . ¿Cuál es la temperatura de equilibrio? Suponga que el café tiene el mismo calor específico que el agua y que no intercambia calor con el entorno.

#### SOLUCIÓN

**IDENTIFICAR Y PLANTEAR:** La incógnita es la temperatura final común  $T$  de la taza y el café. No hay cambios de fase, así que sólo necesitamos la ecuación (17.13). Usaremos los subíndices C para café, W para agua, y Al para aluminio. Así, tenemos  $T_{0C} = 70.0^{\circ}\text{C}$  y  $T_{0Al} = 20.0^{\circ}\text{C}$ ; en la tabla 17.3, se encuentra  $c_W = 4190 \text{ J/kg}\cdot\text{K}$  y  $c_{Al} = 910 \text{ J/kg}\cdot\text{K}$ .

**EJECUTAR:** El calor (negativo) ganado por el café es  $Q_C = m_C c_W \Delta T_C$ . El calor (positivo) ganado por la taza es  $Q_{Al} = m_{Al} c_{Al} \Delta T_{Al}$ . Establecemos que  $Q_C + Q_{Al} = 0$  (vea la estrategia de resolución de problemas 17.2), y sustituyendo  $\Delta T_C = T - T_{0C}$  y  $\Delta T_{Al} = T - T_{0Al}$ :

$$Q_C + Q_{Al} = m_C c_W \Delta T_C + m_{Al} c_{Al} \Delta T_{Al} = 0$$

$$m_C c_W (T - T_{0C}) + m_{Al} c_{Al} (T - T_{0Al}) = 0$$

Luego, despejamos la temperatura final  $T$  en esta expresión. Después de un poco de álgebra se obtiene

$$T = \frac{m_C c_W T_{0C} + m_{Al} c_{Al} T_{0Al}}{m_C c_W + m_{Al} c_{Al}} = 66.0^{\circ}\text{C}$$

**EVALUAR:** La temperatura final es mucho más cercana a la temperatura inicial del café que a la de la taza; el agua tiene un calor específico mucho mayor que el aluminio, y tenemos más del doble de masa de agua. También podemos calcular las cantidades de calor sustituyendo el valor  $T = 66.0^{\circ}\text{C}$  en las ecuaciones originales. Encontramos que  $Q_C = -5.0 \times 10^3 \text{ J}$  y  $Q_{Al} = +5.0 \times 10^3 \text{ J}$ . Como se esperaba,  $Q_C$  es negativo, lo que implica que el café pierde calor en favor de la taza.



### EJEMPLO 17.8 CAMBIOS TANTO DE TEMPERATURA COMO DE FASE

Un vaso contiene 0.25 kg de Omni-Cola (constituida sobre todo por agua) inicialmente a  $25^{\circ}\text{C}$ . ¿Cuánto hielo, inicialmente a  $-20^{\circ}\text{C}$ , se debe agregar para obtener una temperatura final de  $0^{\circ}\text{C}$  con todo el hielo derretido? Desprecie la capacidad calorífica del vidrio.

#### SOLUCIÓN

**IDENTIFICAR Y PLANTEAR:** El hielo y la Omni-Cola intercambian calor. La Omni-Cola sufre sólo un cambio de temperatura; el hielo sufre tanto un cambio de temperatura como un cambio de fase, de sólido a líquido. Usaremos los subíndices C para Omni-Cola, I para hielo y W para agua. La incógnita es la masa de hielo,  $m_I$ . Utilizamos la ecuación (17.13) con la finalidad de calcular la cantidad de calor necesaria para enfriar la Omni-Cola a  $0^{\circ}\text{C}$  y calentar el hielo a  $0^{\circ}\text{C}$ , y la ecuación (17.20) para calcular el calor requerido para fundir el hielo a  $0^{\circ}\text{C}$ . Tenemos  $T_{0C} = 25^{\circ}\text{C}$  y  $T_{0I} = -20^{\circ}\text{C}$ ; en la tabla 17.3 se obtiene  $c_W = 4190 \text{ J/kg}\cdot\text{K}$  y  $c_I = 2100 \text{ J/kg}\cdot\text{K}$ , y de acuerdo con la tabla 17.4,  $L_f = 3.34 \times 10^5 \text{ J/kg}$ .

**EJECUTAR:** De la ecuación (17.13) el calor (negativo) ganado por la Omni-Cola es  $Q_C = m_C c_W \Delta T_C$ . El calor (positivo) ganado por el hielo al calentarse es  $Q_I = m_I c_I \Delta T_I$ . El calor adicional (positivo) necesario para fundir esta masa de hielo es  $Q_2 = m_I L_f$ . Al establecer que  $Q_C + Q_I + Q_2 = 0$  y sustituyendo  $\Delta T_C = T - T_{0C}$  y  $\Delta T_I = T - T_{0I}$ , despejamos  $m_I$ :

$$m_C c_W \Delta T_C + m_I c_I \Delta T_I + m_I L_f = 0$$

$$m_C c_W (T - T_{0C}) + m_I c_I (T - T_{0I}) + m_I L_f = 0$$

$$m_I [c_I (T - T_{0I}) + L_f] = -m_C c_W (T - T_{0C})$$

$$m_I = m_C \frac{c_W (T_{0C} - T)}{c_I (T - T_{0I}) + L_f}$$

Sustituyendo los valores numéricos, encontramos que  $m_I = 0.070 \text{ kg} = 70 \text{ g}$ .

**EVALUAR:** Esta masa de hielo de 70 g corresponde a tres o cuatro cubitos de hielo de tamaño mediano, lo cual parece razonable para la cantidad de Omni-Cola (250 g) a enfriar.



SOLUCIÓN

**EJEMPLO 17.9 ¿QUÉ COCINA?**

Una olla gruesa de cobre con masa de 2.0 kg (incluida su tapa) está a una temperatura de 150°C. Usted vierte en ella 0.10 kg de agua a 25°C y rápidamente tapa la olla para que no se escape el vapor. Calcule la temperatura final de la olla y de su contenido, y determine la fase (líquido, gas o una mezcla de ambos) del agua. Suponga que no se pierde calor al entorno.

**SOLUCIÓN**

**IDENTIFICAR Y PLANTEAR:** El agua y la olla intercambian calor. Hay tres posibles situaciones finales: **1.** nada del agua hierve y la temperatura final  $T$  es menor que 100°C; **2.** parte del agua hierve, y se produce una mezcla de agua y vapor a 100°C; o **3.** toda el agua hierve, y se producen 0.10 kg de vapor a una temperatura de 100°C o más. Utilizamos la ecuación (17.13) para el calor transferido en un cambio de temperatura y la ecuación (17.20) para el calor transferido en un cambio de fase.

**EJECUTAR:** Primero consideremos el caso 1, que es exactamente igual al ejemplo 17.8. La ecuación que indica que el flujo de calor hacia el agua es igual al flujo de calor fuera de la olla es

$$Q_W + Q_{Cu} = m_W c_W(T - T_{0W}) + m_{Cu} c_{Cu}(T - T_{0Cu}) = 0$$

Aquí se usan los subíndices W para agua y Cu para cobre, con  $m_W = 0.10 \text{ kg}$ ,  $m_{Cu} = 2.0 \text{ kg}$ ,  $T_{0W} = 25^\circ\text{C}$  y  $T_{0Cu} = 150^\circ\text{C}$ . De la tabla 17.3,  $c_W = 4190 \text{ J/kg}\cdot\text{K}$  y  $c_{Cu} = 390 \text{ J/kg}\cdot\text{K}$ . Despejando la temperatura final  $T$  y sustituyendo estos valores, obtenemos

$$T = \frac{m_W c_W T_{0W} + m_{Cu} c_{Cu} T_{0Cu}}{m_W c_W + m_{Cu} c_{Cu}} = 106^\circ\text{C}$$

Pero esto rebasa el punto de ebullición del agua, ¡lo que contradice nuestra suposición de que nada de agua hierve! Por lo tanto, al menos un poco de agua hierve.

Por lo que respecta al caso 2, en el cual la temperatura final es  $T = 100^\circ\text{C}$  y alguna fracción desconocida  $x$  del agua hierve, donde (si el caso es correcto)  $x$  es mayor que cero y menor o igual a 1. La cantidad de calor (positiva) necesaria para evaporar esta agua es  $x m_W L_v$ . La condición de conservación de la energía  $Q_W + Q_{Cu} = 0$  es entonces

$$m_W c_W (100^\circ\text{C} - T_{0W}) + x m_W L_v + m_{Cu} c_{Cu} (100^\circ\text{C} - T_{0Cu}) = 0$$

Se despeja la incógnita  $x$ :

$$x = \frac{-m_{Cu} c_{Cu} (100^\circ\text{C} - T_{0Cu}) - m_W c_W (100^\circ\text{C} - T_{0W})}{m_W L_v}$$

Con  $L_v = 2.256 \times 10^6 \text{ J}$  de la tabla 17.4, se obtiene  $x = 0.034$ . Concluimos que la temperatura final del agua y del cobre es 100°C y que  $0.034(0.10 \text{ kg}) = 0.0034 \text{ kg} = 3.4 \text{ g}$  de agua se convierten en vapor a 100°C.

**EVALUAR:** Si  $x$  hubiera resultado mayor que 1, habría sucedido el caso 3; toda el agua se habría evaporado, y la temperatura final habría sido mayor que 100°C. ¿Puede demostrar que esto es lo que habría sucedido si originalmente hubiéramos vertido menos de 15 g de agua a 25°C en la olla?



SOLUCIÓN

**EJEMPLO 17.10 COMBUSTIÓN, CAMBIO DE TEMPERATURA Y CAMBIO DE FASE**

En cierta estufa de gasolina portátil, 30% de la energía liberada al quemar el combustible calienta el agua de la olla sobre la estufa. Si calentamos 1.00 L (1.00 kg) de agua, de 20°C a 100°C, y evaporamos 0.25 kg de ella, ¿cuánta gasolina habremos quemado en el proceso?

**SOLUCIÓN**

**IDENTIFICAR Y PLANTEAR:** Toda el agua se somete a un cambio de temperatura y parte de ella experimenta un cambio de fase, de líquido a gas. Determinamos el calor requerido para provocar estos dos cambios, y después utilizamos la eficiencia de combustión de 30% para determinar la cantidad de gasolina que se debe quemar (la incógnita). Utilizamos las ecuaciones (17.13) y (17.20) y la idea de calor de combustión.

**EJECUTAR:** Para elevar la temperatura del agua de 20 a 100°C se requiere

$$\begin{aligned} Q_1 &= mc \Delta T = (1.00 \text{ kg})(4190 \text{ J/kg}\cdot\text{K})(80 \text{ K}) \\ &= 3.35 \times 10^5 \text{ J} \end{aligned}$$

Para hervir 0.25 kg de agua a 100°C necesitamos

$$Q_2 = mL_v = (0.25 \text{ kg})(2.256 \times 10^6 \text{ J/kg}) = 5.64 \times 10^5 \text{ J}$$

La energía total requerida es  $Q_1 + Q_2 = 8.99 \times 10^5 \text{ J}$ . Entonces, el 30% = 0.30 del calor total de combustión es  $(8.99 \times 10^5 \text{ J})/0.30 = 3.00 \times 10^6 \text{ J}$ . Como ya se mencionó, la combustión de 1 gramo de gasolina libera 46,000 J, así que la masa de gasolina requerida es  $(3.00 \times 10^6 \text{ J})/(46,000 \text{ J/g}) = 65 \text{ g}$ , o un volumen de cerca de 0.09 L de gasolina.

**EVALUAR:** Este resultado sugiere la increíble cantidad de energía que puede liberarse quemando incluso una cantidad pequeña de gasolina. ¿Puede demostrar que se necesitarían otros 123 g de gasolina para evaporar el resto del agua?

**EVALÚE SU COMPRENSIÓN DE LA SECCIÓN 17.6** Usted toma un bloque de hielo a 0°C y le agrega calor a ritmo constante. Después de un tiempo  $t$  todo el hielo se habrá convertido en vapor de agua a 100°C. ¿Qué tendrá en el tiempo  $t/2$ ? **i.** Sólo hielo a 0°C; **ii.** una mezcla de hielo y agua a 0°C; **iii.** agua a una temperatura entre 0 y 100°C; **iv.** una mezcla de agua y vapor a 100°C. **|**

## 17.7 MECANISMOS DE TRANSFERENCIA DE CALOR

Hemos hablado de *conductores* y *aislantes* que son, respectivamente, los materiales que permiten o impiden la transferencia de calor entre cuerpos. Veamos ahora más a fondo las *tasas* de transferencia de energía. En la cocina, usamos una olla de metal o de vidrio para tener buena transferencia de calor de la estufa a lo que cocinamos, pero el refrigerador está aislado con un material que *evita* que fluya calor hacia la comida que está en el interior. ¿Cómo describimos la diferencia entre estos dos materiales?

Los tres mecanismos de transferencia de calor son conducción, convección y radiación. Hay *conducción* dentro de un cuerpo o entre dos cuerpos que están en contacto. La *convección* depende del movimiento de una masa de una región del espacio a otra. La *radiación* es transferencia de calor por radiación electromagnética, como la luz del Sol, sin que sea necesario que exista materia en el espacio entre los cuerpos.

### Conducción

Si sujetamos el extremo de una varilla de cobre y colocamos el otro en una flama, el extremo que sostenemos se calienta cada vez más, aunque no esté en contacto directo con la flama. El calor llega al extremo más frío por **conducción** a través del material. Los átomos de las regiones más calientes tienen más energía cinética, en promedio, que sus vecinos más fríos. Así que empujan a sus vecinos, transfiriéndoles algo de su energía. A la vez, los vecinos empujan a *sus* vecinos, continuando así a través del material. Los átomos en sí no se mueven de una región del material a otra, pero su energía sí.

La mayoría de los metales usan otro mecanismo más eficaz para conducir calor. Dentro del metal, algunos electrones pueden abandonar sus átomos originales y vagar por el metal. Esos electrones “libres” pueden llevar energía rápidamente de las regiones más calientes del metal a las más frías; por ello, los metales generalmente son buenos conductores del calor. Una varilla metálica a 20°C se siente más fría que un trozo de madera a 20°C porque el calor puede fluir más fácilmente de la mano al metal. La presencia de electrones “libres” también hace que, en general, los metales sean buenos conductores eléctricos.

En conducción, la dirección de flujo de calor siempre es de la temperatura más alta a la más baja. La **figura 17.24a** muestra una varilla de material conductor con área de sección transversal  $A$  y longitud  $L$ . El extremo izquierdo de la varilla se mantiene a una temperatura  $T_H$ , y el derecho a una temperatura menor  $T_C$ , así que fluye calor de izquierda a derecha. Los costados de la varilla están cubiertos con un aislante ideal, de modo que no hay transferencia de calor por los lados.

Si se transfiere una cantidad de calor  $dQ$  por la varilla en un tiempo  $dt$ , la rapidez de flujo de calor es  $dQ/dt$ . Llamamos a ésta la **corriente de calor**, denotada por  $H$ . Es decir,  $H = dQ/dt$ . Se observa experimentalmente que la corriente de calor es proporcional al área de la sección transversal  $A$  de la varilla (figura 17.24b) y a la diferencia de temperatura ( $T_H - T_C$ ), e inversamente proporcional a la longitud de la varilla  $L$  (figura 17.24c).

$$\text{Corriente de calor en conducción} \quad H = \frac{dQ}{dt} = kA \frac{T_H - T_C}{L} \quad (17.21)$$

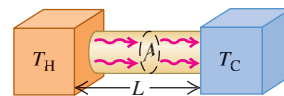
Razón de flujo de calor      Temperaturas de los extremos caliente y frío de la varilla  
 Conductividad térmica del material de la varilla      Área de la sección transversal de la varilla      Longitud de la varilla

La cantidad  $(T_H - T_C)/L$  es la diferencia de temperatura *por unidad de longitud*, llamada **gradiente de temperatura**. El valor numérico de la **conductividad térmica  $k$**  depende del material de la varilla. Los materiales con  $k$  grande son buenos conductores del calor; aquéllos con  $k$  pequeña son malos conductores o aislantes. La ecuación (17.21) también sirve para calcular la corriente de calor que pasa a través de una placa, o por *cualquier* cuerpo homogéneo con área de sección transversal  $A$  uniforme y perpendicular a la dirección de flujo;  $L$  es la longitud de la trayectoria de flujo del calor.

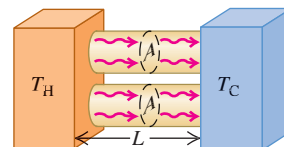
Las unidades de corriente de calor  $H$  son unidades de energía por tiempo, es decir, de potencia; la unidad del SI para la corriente de calor es el watt (1 W = 1 J/s). Podemos determinar las unidades de  $k$  despejándola de la ecuación (17.21). Verifique que las unidades sean W/m·K. En la **tabla 17.5** se dan algunos valores de  $k$ .

**17.24** Flujo de calor en estado estable debido a la conducción en una varilla uniforme.

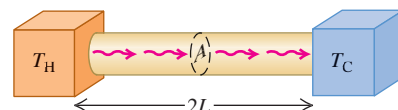
a) **Corriente de calor  $H$**



b) Al duplicar el área de la sección transversal del conductor, se duplica la corriente de calor ( $H$  es proporcional a  $A$ ).



c) Al duplicar la longitud del conductor, se reduce a la mitad la corriente de calor ( $H$  es inversamente proporcional a  $L$ ).



### Conductividades térmicas

**TABLA 17.5**

Sustancia	$k$ (W/m · K)
<i>Metales</i>	
Aluminio	205.0
Latón	109.0
Cobre	385.0
Plomo	34.7
Mercurio	8.3
Plata	406.0
Acero	50.2
<i>Sólidos (valores representativos)</i>	
Ladrillo aislante	0.15
Tabique (ladrillo rojo)	0.6
Concreto (hormigón)	0.8
Corcho	0.04
Fieltro	0.04
Fibra de vidrio	0.04
Vidrio	0.8
Hielo	1.6
Lana mineral	0.04
Espuma de poliestireno	0.027
Madera	0.12–0.04
<i>Gases</i>	
Aire	0.024
Argón	0.016
Helio	0.14
Hidrógeno	0.14
Oxígeno	0.023

**BIO Aplicación Piel contra grasa de ballena**

La piel de un zorro del Ártico es un buen aislante térmico porque atrapa aire, el cual tiene un valor bajo de  $k$ , es decir, de conductividad térmica (el valor de  $k = 0.04 \text{ W/m}\cdot\text{K}$  para la piel es superior a la del aire,  $k = 0.024 \text{ W/m}\cdot\text{K}$ , porque la piel también incluye pelo sólido). La capa de grasa debajo de la piel de una ballena jorobada de Groenlandia, llamada sebo, tiene seis veces la conductividad térmica de la piel ( $k = 0.24 \text{ W/m}\cdot\text{K}$ ). Así, se requiere un espesor de 6 cm de grasa de ballena ( $L = 6 \text{ cm}$ ) para proporcionar el mismo aislamiento que 1 cm de la piel del zorro.



La conductividad térmica del aire “muerto” (inmóvil) es muy baja. Un suéter de lana nos mantiene calientes porque atrapa aire entre las fibras. En realidad, muchos materiales aislantes como la espuma de poliestireno y la fibra de vidrio son, en su mayor parte, aire muerto.

Si la temperatura varía de manera no uniforme a lo largo de la varilla conductora, introducimos una coordenada  $x$  a lo largo y generalizamos el gradiente de temperatura como  $dT/dx$ . La generalización correspondiente de la ecuación (17.21) es

$$H = \frac{dQ}{dt} = -kA \frac{dT}{dx} \quad (17.22)$$

El signo negativo indica que el calor siempre fluye en la dirección de temperatura *decreciente*. Si la temperatura aumenta conforme aumenta  $x$ , entonces  $dT/dx > 0$  y  $H < 0$ ; en este caso el valor negativo de  $H$  significa que el calor fluye en la dirección negativa  $x$ , de alta a baja temperatura.

Para el aislamiento térmico de edificios, los ingenieros usan el concepto de **resistencia térmica**, denotada con  $R$ . La resistencia térmica  $R$  de una placa de material con área  $A$  se define de modo que la corriente de calor  $H$  que atraviesa la placa es

$$H = \frac{A(T_H - T_C)}{R} \quad (17.23)$$

donde  $T_H$  y  $T_C$  son las temperaturas a los dos lados de la placa. Comparando esto con la ecuación (17.21), vemos que  $R$  está dada por

$$R = \frac{L}{k} \quad (17.24)$$

donde  $L$  es el espesor de la placa. La unidad del SI para  $R$  es  $1 \text{ m}^2\text{K/W}$ . En las unidades empleadas para materiales aislantes comerciales en Estados Unidos,  $H$  se expresa en  $\text{Btu/h}$ ,  $A$  en  $\text{ft}^2$ , y  $T_H - T_C$  en  $\text{F}^\circ$  ( $1 \text{ Btu/h} = 0.293 \text{ W}$ ). Las unidades de  $R$  son entonces  $\text{ft}^2\text{F}^\circ\text{h/Btu}$ , aunque los valores de  $R$  suelen citarse sin unidades; una capa de 6 in de espesor de fibra de vidrio tiene un valor  $R$  de 19 (es decir,  $R = 19 \text{ ft}^2\text{F}^\circ\text{h/Btu}$ ), una placa de 2 in de espuma de poliestireno tiene un valor de 12, y así sucesivamente. Al duplicarse el espesor, también se duplica el valor  $R$ . En climas nórdicos severos, es práctica común para construcciones nuevas especificar valores  $R$  cercanos a 30 para paredes exteriores y techos. Si el material aislante está en capas, como en una pared enyesada con aislante de fibra de vidrio y vista exterior de madera, los valores  $R$  son aditivos. ¿Sabe por qué?

### ESTRATEGIA PARA RESOLVER PROBLEMAS 17.3 CONDUCCIÓN DE CALOR

**IDENTIFICAR** los conceptos relevantes: La conducción de calor entra en juego siempre que dos objetos a diferente temperatura están en contacto.

**PLANTEAR** el problema siguiendo estos pasos:

- Identifique la dirección de flujo de calor en el problema (de caliente a frío). En la ecuación (17.21),  $L$  siempre se mide en esta dirección, y  $A$  es un área perpendicular a ella. Con frecuencia se aproxima una caja u otro recipiente con forma irregular, pero es espesor de paredes uniforme con una placa plana con el mismo espesor y área total de las paredes.
- Liste las cantidades conocidas e identifique la incógnita.

**EJECUTAR** la solución como sigue:

- Si fluye calor a través de un solo objeto, despeje la incógnita de la ecuación (17.21).
- Si el calor fluye por dos materiales distintos en sucesión (en serie), la temperatura  $T$  en la interfase de los materiales es

intermedia entre  $T_H$  y  $T_C$ , así que las diferencias de temperatura para los dos materiales son:  $(T_H - T)$  y  $(T - T_C)$ . En estado estable, debe pasar el mismo calor a través de los dos materiales, por lo que la corriente de calor  $H$  debe ser *la misma* en ambos.

- Si el flujo de calor sigue dos o más trayectorias *paralelas*, la corriente de calor total  $H$  es la suma de las cantidades  $H_1, H_2, \dots$  para las trayectorias individuales. Un ejemplo es el flujo de calor que sale de una habitación, tanto por el cristal de una ventana como por la pared que la rodea. En este caso, la diferencia de temperatura es la misma para ambas trayectorias, pero  $L, A$  y  $k$  podrían ser diferentes.
- Utilice unidades consistentes. Si  $k$  se expresa en  $\text{W/m}\cdot\text{K}$ , por ejemplo, use distancias en metros, calor en joules y  $T$  en kelvins.

**EVALUAR** la respuesta: ¿Los resultados son físicamente lógicos?



### EJEMPLO 17.11 CONDUCCIÓN A TRAVÉS DE UNA HIELERA PORTÁTIL

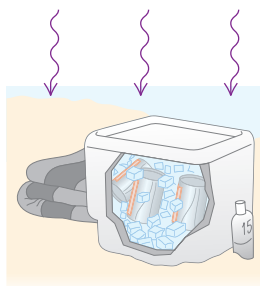
Una hielera de poliestireno (**figura 17.25a**) tiene un área de pared total (incluida la tapa) de  $0.80 \text{ m}^2$  y un espesor de pared de 2.0 cm; está llena con hielo, agua y latas de Omni-Cola a  $0^\circ\text{C}$ . Calcule la tasa de flujo de calor hacia el interior de la caja, si la temperatura de la pared exterior es de  $30^\circ\text{C}$ . ¿Cuánto hielo se derrite en 3 horas?

#### SOLUCIÓN

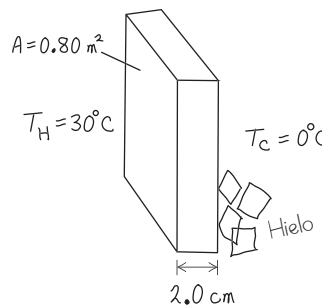
**IDENTIFICAR Y PLANTEAR:** Las incógnitas son las corrientes de calor  $H$  y la masa  $m$  de hielo que se derrite. Utilice la ecuación (17.21) para determinar  $H$  y la ecuación (17.20) para determinar  $m$ .

**17.25** Conducción de calor a través de las paredes de una hielera de poliestireno.

a) Una hielera en la playa



b) Nuestro diagrama para este problema



**EJECUTAR:** Suponemos que el flujo total de calor es aproximadamente el que habría a través de una placa plana de  $0.80 \text{ m}^2$  de área y 2.0 cm = 0.020 m de espesor (figura 17.25a). Obtenemos  $k$  de la tabla 17.5. De acuerdo con la ecuación (17.21),

$$H = kA \frac{T_H - T_C}{L} = (0.027 \text{ W/m} \cdot \text{K})(0.80 \text{ m}^2) \frac{30^\circ\text{C} - 0^\circ\text{C}}{0.020 \text{ m}} \\ = 32.4 \text{ W} = 32.4 \text{ J/s}$$

El flujo total de calor es  $Q = Ht$ , donde  $t = 3 \text{ h} = 10,800 \text{ s}$ . A partir de la tabla 17.4, el calor de fusión del hielo es  $L_f = 3.34 \times 10^5 \text{ J/kg}$ , así que la cantidad de hielo fundida por ese calor, de acuerdo con la ecuación (17.20), es

$$m = \frac{Q}{L_f} = \frac{(32.4 \text{ J/s})(10,800 \text{ s})}{3.34 \times 10^5 \text{ J/kg}} = 1.0 \text{ kg}$$

**EVALUAR:** La baja corriente de calor es resultado de la baja conductividad térmica de la espuma de poliestireno.

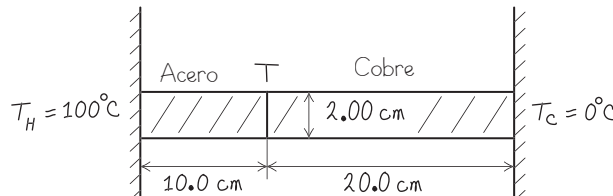
### EJEMPLO 17.12 CONDUCCIÓN A TRAVÉS DE DOS BARRAS I

Una barra de acero de 10.0 cm de longitud se suelda extremo con extremo a una barra de cobre de 20.0 cm de longitud. Las barras tienen la misma sección transversal cuadrada de 2.00 cm por lado. El extremo libre de la barra de acero se mantiene a  $100^\circ\text{C}$  poniéndolo en contacto con vapor de agua, y el de la barra de cobre se mantiene a  $0^\circ\text{C}$  poniéndolo en contacto con hielo. Ambas barras están perfectamente aisladas por sus costados. Calcule la temperatura de estado estable en la unión de las dos barras y la tasa de flujo de calor total.

#### SOLUCIÓN

**IDENTIFICAR Y PLANTEAR:** La **figura 17.26** ilustra la situación. Las corrientes de calor en estas barras de extremo a extremo deben ser iguales (vea la estrategia para resolver problemas 17.3). Se conocen las temperaturas “caliente” (denotada con subíndice H por la palabra en inglés *hot*) y “fría” (denotada con subíndice C por la palabra en inglés *cold*):  $T_H = 100^\circ\text{C}$  y  $T_C = 0^\circ\text{C}$ . Con subíndices S para el acero y Cu para el cobre, escribimos la ecuación (17.21) por separado para las corrientes de calor  $H_S$  y  $H_{Cu}$  igualando las expresiones resultantes entre sí.

**17.26** Nuestro esquema para este problema.



**EJECUTAR:** Al establecer que  $H_S = H_{Cu}$  tenemos, de acuerdo con la ecuación (17.21),

$$H_S = k_S A \frac{T_H - T}{L_S} = H_{Cu} = k_{Cu} A \frac{T - T_C}{L_{Cu}}$$

Dividimos las áreas de sección transversal  $A$  porque son iguales y despejamos  $T$ :

$$T = \frac{\frac{k_S}{L_S} T_H + \frac{k_{Cu}}{L_{Cu}} T_C}{\left( \frac{k_S}{L_S} + \frac{k_{Cu}}{L_{Cu}} \right)}$$

Al sustituir  $L_S = 10.0 \text{ cm}$ ,  $L_{Cu} = 20.0 \text{ cm}$ , los valores dados de  $T_H$  y  $T_C$ , y los valores de  $k_S$  y  $k_{Cu}$  de la tabla 17.5, obtenemos  $T = 20.7^\circ\text{C}$ .

Podemos calcular la corriente de calor total sustituyendo este valor de  $T$  en cualquiera de las expresiones anteriores:

$$H_S = (50.2 \text{ W/m} \cdot \text{K})(0.0200 \text{ m})^2 \frac{100^\circ\text{C} - 20.7^\circ\text{C}}{0.100 \text{ m}} \\ = 15.9 \text{ W}$$

$$H_{Cu} = (385 \text{ W/m} \cdot \text{K})(0.0200 \text{ m})^2 \frac{20.7^\circ\text{C} - 0^\circ\text{C}}{0.200 \text{ m}} = 15.9 \text{ W}$$

**EVALUAR:** Aunque la barra de acero es más corta, la caída de temperatura a través de ella (de 100 a  $20.7^\circ\text{C}$ ) es mucho mayor que a través de la barra de cobre (de  $20.7$  a  $0^\circ\text{C}$ ). Esto se debe a que el acero es mal conductor en comparación con el cobre.



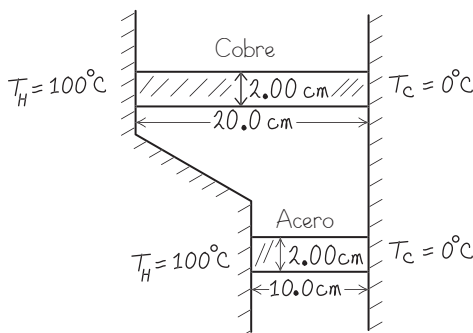
### EJEMPLO 17.13 CONDUCCIÓN A TRAVÉS DE DOS BARRAS II

Suponga que las dos barras del ejemplo 17.12 se separan. Un extremo de cada una se mantiene a  $100^{\circ}\text{C}$ , y el otro a  $0^{\circ}\text{C}$ . Determine la tasa total de flujo de calor en las dos barras.

#### SOLUCIÓN

**IDENTIFICAR Y PLANTEAR:** La figura 17.27 ilustra la situación. Para cada barra,  $T_H - T_C = 100^{\circ}\text{C} - 0^{\circ}\text{C} = 100\text{ K}$ . La corriente total de calor es la suma de las corrientes en las dos barras,  $H_S + H_{Cu}$ .

**17.27** Nuestro esquema de este problema.



**EJECUTAR:** Escribimos individualmente las corrientes de calor para cada barra y después las sumamos para obtener la corriente de calor total:

$$\begin{aligned} H &= H_S + H_{Cu} = k_S A \frac{T_H - T_C}{L_S} + k_{Cu} A \frac{T_H - T_C}{L_{Cu}} \\ &= (50.2 \text{ W/m} \cdot \text{K})(0.0200 \text{ m})^2 \frac{100 \text{ K}}{0.100 \text{ m}} \\ &\quad + (385 \text{ W/m} \cdot \text{K})(0.0200 \text{ m})^2 \frac{100 \text{ K}}{0.200 \text{ m}} \\ &= 20.1 \text{ W} + 77.0 \text{ W} = 97.1 \text{ W} \end{aligned}$$

**EVALUAR:** El flujo de calor en la barra de cobre es mucho mayor que en la de acero, a pesar de ser más larga, porque la conductividad térmica del cobre es mucho mayor. El flujo total de calor es mayor que en el ejemplo 17.12, en parte porque la sección transversal total para el flujo es mayor y, además, porque hay un gradiente de temperatura completo de 100 K en cada barra.



DEMO

### Convección

La **convección** es transferencia de calor por movimiento de una masa de fluido de una región del espacio a otra. Como ejemplos conocidos tenemos los sistemas de calefacción domésticos de aire caliente y de agua caliente, el sistema de enfriamiento de un motor de combustión y el flujo de sangre en el cuerpo. Si el fluido circula impulsado por un ventilador o una bomba, el proceso se llama *convección forzada*; si el flujo se debe a diferencias de densidad causadas por expansión térmica, como el ascenso de aire caliente, el proceso se llama *convección natural* o *convección libre* (figura 17.28).

La convección libre en la atmósfera desempeña un papel dominante en la determinación del clima, y la convección en los océanos es un mecanismo importante de transferencia global de calor. En una escala menor, los halcones que planean y los pilotos de planeadores aprovechan las corrientes térmicas que suben del suelo caliente. El mecanismo de transferencia de calor más importante dentro del cuerpo humano (necesario para mantener una temperatura casi constante en diversos entornos) es la convección *forzada* de sangre, bombeada por el corazón.

La transferencia de calor por convección es un proceso muy complejo, y no puede describirse con una ecuación sencilla. Veamos algunos hechos experimentales:

1. La corriente de calor causada por convección es directamente proporcional al área superficial. Esto explica las áreas superficiales grandes de los radiadores y las aletas de enfriamiento, los cuales utilizan la convección para transferir calor.
2. La viscosidad de los fluidos frena la convección natural cerca de una superficie estacionaria, formando una película superficial que, en una superficie vertical, suele tener el mismo valor aislante que 1.3 cm de madera terciada (valor  $R = 0.7$ ). La convección forzada reduce el espesor de esta película, aumentando la tasa de transferencia de calor. Esto explica el “factor de congelación”: nos enfriamos más rápidamente en un viento frío que en aire tranquilo a la misma temperatura.
3. La corriente de calor causada por convección es aproximadamente proporcional a la potencia  $\frac{5}{4}$  de la diferencia de temperatura entre la superficie y el cuerpo principal del fluido.

**17.28** Un elemento de calefacción en la punta de este tubo sumergido calienta el agua circundante, produciendo un patrón complejo de convección libre.



## Radiación

La **radiación** es la transferencia de calor por ondas electromagnéticas como la luz visible, los rayos infrarrojos y la radiación ultravioleta. Todos hemos sentido el calor de la radiación solar y el intenso calor de un asador de carbón o las brasas de una chimenea. Casi todo el calor de estos cuerpos tan calientes no nos llega por conducción ni por convección en el aire intermedio, sino por *radiación*. Habrá esta transferencia de calor aunque sólo hubiera vacío entre nosotros y la fuente de calor.

Todo cuerpo, aun a temperaturas ordinarias, emite energía en forma de radiación electromagnética. A temperaturas ordinarias, digamos 20°C, casi toda la energía se transporta en ondas de infrarrojo con longitudes de onda mucho mayores que las de la luz visible (vea las figuras 17.4 y 17.29). Al aumentar la temperatura, las longitudes de onda se desplazan hacia valores mucho menores. A 800°C, un cuerpo emite suficiente radiación visible para convertirse en objeto luminoso “al rojo vivo”, aunque incluso a esta temperatura la mayor parte de la energía se transporta en ondas de infrarrojo. A 3000°C, la temperatura del filamento de bombilla incandescente, la radiación contiene suficiente luz visible para que el cuerpo se vea “al blanco vivo”.

La tasa de radiación de energía de una superficie es proporcional a su área superficial  $A$ , y a la cuarta potencia de la temperatura  $T$  absoluta (Kelvin). La tasa también depende de la naturaleza de la superficie; esta dependencia se describe con una cantidad  $e$  llamada **emisividad**: un número adimensional entre 0 y 1 que representa la relación entre la tasa de radiación de una superficie dada y la de un área igual de una superficie radiante ideal a la misma temperatura. La emisividad también depende un poco de la temperatura. Así, la corriente de calor  $H = dQ/dt$  debida a radiación de un área superficial se puede expresar como

$$\text{Corriente de calor por radiación} \quad H = \frac{\text{Área de la superficie emisora}}{\text{Emisividad de la superficie}} \cdot \frac{\text{Temperatura absoluta de la superficie}^4}{\text{Constante de Stefan-Boltzmann}} \quad (17.25)$$

Esta relación se llama **ley de Stefan-Boltzmann** en honor de sus descubridores a finales del siglo XIX. La **constante de Stefan-Boltzmann**  $\sigma$  (letra griega sigma) es una constante fundamental; su mejor valor numérico actual es

$$\sigma = 5.670373(21) \times 10^{-8} \text{ W/m}^2 \cdot \text{K}^4$$

Le invitamos a comprobar la consistencia de unidades de la ecuación (17.25). La emisividad ( $e$ ) suele ser mayor para superficies oscuras que claras. La emisividad de una superficie de cobre lisa es del orden de 0.3, pero  $e$  para una superficie negra opaca puede ser cercana a la unidad.

**17.29** Esta fotografía infrarroja de colores falsos revela la radiación emitida por diversas partes del cuerpo de este hombre. La emisión más intensa (color rojo) proviene de las áreas más calientes, mientras que la bebida fría casi no produce emisión.



### EJEMPLO 17.14 TRANSFERENCIA DE CALOR POR RADIACIÓN



Una placa de acero delgada cuadrada, de 10 cm por lado, se calienta en una forja de herrero a una temperatura de 800°C. Si su emisividad es de 0.60, calcule la tasa total de emisión de energía por radiación.

#### SOLUCIÓN

**IDENTIFICAR Y PLANTEAR:** La incógnita es  $H$ , la tasa de emisión de energía de las dos superficies de la placa. Utilizamos la ecuación (17.25) para calcular  $H$ .

**EJECUTAR:** El área superficial total es  $2(0.10 \text{ m})^2 = 0.020 \text{ m}^2$  y  $T = 800^\circ\text{C} = 1073 \text{ K}$ . La ecuación (17.25) da, entonces,

$$\begin{aligned} H &= Ae\sigma T^4 \\ &= (0.020 \text{ m}^2)(0.60)(5.67 \times 10^{-8} \text{ W/m}^2 \cdot \text{K}^4)(1073 \text{ K})^4 \\ &= 900 \text{ W} \end{aligned}$$

**EVALUAR:** Un herrero que se encuentra cerca de la placa fácilmente sentirá el calor que esta radia.

## Radiación y absorción

Si bien un cuerpo a temperatura  $T$  está irradiando, su entorno a temperatura  $T_s$  también lo hace, y el cuerpo *absorbe* parte de esta radiación. Si el cuerpo está en equilibrio térmico con su entorno,  $T = T_s$  y las tasas de radiación y absorción deben ser

iguales. Para ello, la tasa de absorción debe estar dada en general por  $H = Ae\sigma T_s^4$ . La tasa *neta* de radiación de un cuerpo a temperatura  $T$  con un entorno a temperatura  $T_s$  es  $Ae\sigma T^4 - Ae\sigma T_s^4$ , o bien,

$$\text{Corriente de calor neto en la radiación} = H_{\text{net}} = Ae\sigma(T^4 - T_s^4) \quad (17.26)$$

Área de la superficie emisora  
Constante de Stefan-Boltzmann  
Emisividad de la superficie  
Temperaturas absolutas de la superficie ( $T$ ) y sus alrededores ( $T_s$ )

En la ecuación (17.26), un valor positivo de  $H$  implica *salida* neta de calor del cuerpo. Éste será el caso si  $T > T_s$ .



### EJEMPLO 17.15 RADIACIÓN DEL CUERPO HUMANO

Si el área superficial total del cuerpo humano es de  $1.20 \text{ m}^2$  y la temperatura superficial es de  $30^\circ\text{C} = 303 \text{ K}$ , calcule la tasa total de radiación de energía del cuerpo. Si el entorno está a una temperatura de  $20^\circ\text{C}$ , calcule la tasa *neta* de pérdida de calor del cuerpo por radiación. La emisividad del cuerpo humano es muy cercana a la unidad, sea cual fuere la pigmentación de la piel.

#### SOLUCIÓN

**IDENTIFICAR Y PLANTEAR:** Debemos tomar en cuenta tanto la radiación que emite el cuerpo como la radiación que éste absorbe de su ambiente. La tasa de radiación de energía proveniente del cuerpo está dada por la ecuación (17.25) y la tasa neta de pérdida de calor está dada por la ecuación (17.26).

**EJECUTAR:** Tomando  $e = 1$  en la ecuación (17.25), encontramos que el cuerpo irradia a razón de

$$\begin{aligned} H &= Ae\sigma T^4 \\ &= (1.20 \text{ m}^2)(1)(5.67 \times 10^{-8} \text{ W/m}^2 \cdot \text{K}^4)(303 \text{ K})^4 = 574 \text{ W} \end{aligned}$$

Esta pérdida se compensa en parte por absorción de radiación, que depende de la temperatura del entorno. La tasa *neta* de transferencia de energía por radiación está dada por la ecuación (17.26):

$$\begin{aligned} H_{\text{neta}} &= Ae\sigma(T^4 - T_s^4) \\ &= (1.20 \text{ m}^2)(1)(5.67 \times 10^{-8} \text{ W/m}^2 \cdot \text{K}^4) \\ &\quad \times [(303 \text{ K}) - (293 \text{ K})^4] \\ &= 72 \text{ W} \end{aligned}$$

**EVALUAR:** El valor de  $H_{\text{neta}}$  es positivo, ya que el cuerpo pierde calor hacia un entorno más frío.

## Aplicaciones de la radiación

La transferencia de calor por radiación es importante en algunos lugares sorprendentes. Un bebé prematuro en una incubadora se puede enfriar peligrosamente por radiación cuando las paredes de la incubadora están frías, aunque el *aire* de la incubadora esté tibio. Algunas incubadoras regulan la temperatura del aire midiendo la temperatura de la piel del bebé.

Un cuerpo que es buen absorbedor debe ser buen emisor. Un radiador ideal, con emisividad de  $e = 1$ , también es un absorbedor ideal, y absorbe *toda* la radiación que incide en él. Tal superficie ideal se denomina *cuerpo negro ideal* o simplemente **cuerpo negro**. En cambio, un *reflector* ideal, que *no* absorbe radiación, es un radiador muy poco eficaz.

A esto se debe el recubrimiento plateado de las botellas de vacío (“termos”), inventadas por Sir James Dewar (1842-1923). Dichas botellas tienen doble pared de vidrio, y se extrae el aire del espacio entre las paredes; esto elimina casi toda la transferencia de calor por conducción y convección. El plateado de las paredes refleja casi toda la radiación del contenido de vuelta al recipiente, y la pared en sí es muy mal emisor. De esta manera, la botella puede conservar caliente el café o la sopa durante varias horas. El frasco Dewar, empleado para almacenar gases licuados muy fríos, se basa exactamente en el mismo principio.

## Radiación, clima y cambio climático

Nuestro planeta constantemente absorbe la radiación proveniente del Sol. En el equilibrio térmico, la rapidez con la que nuestro planeta absorbe la radiación solar debe ser igual a la rapidez con la que emite radiación al espacio. La presencia de una atmósfera en nuestro planeta tiene un efecto significativo en este equilibrio.

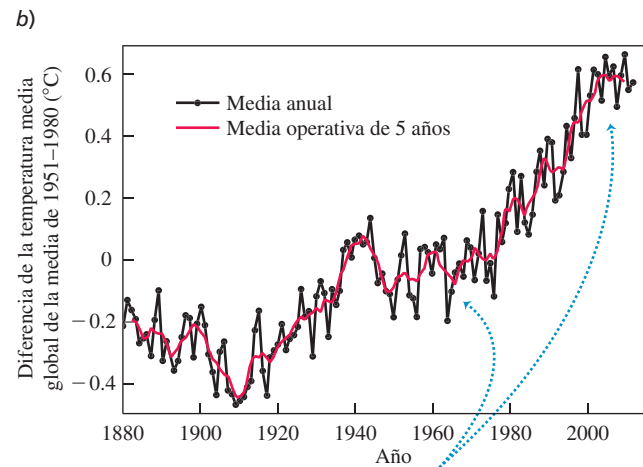
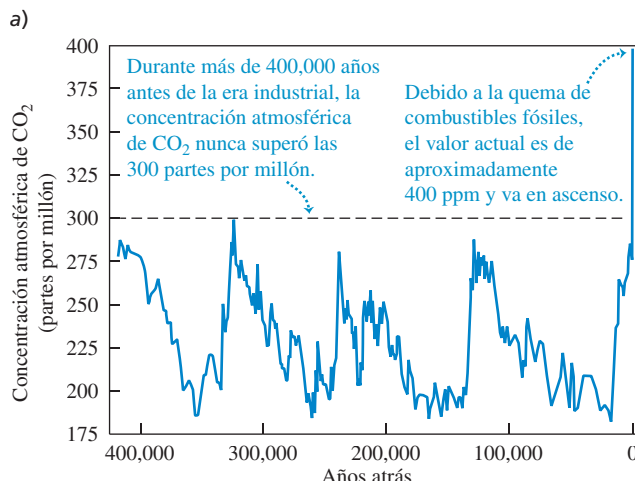
La mayor parte de la radiación emitida por el Sol (que tiene una temperatura superficial de  $5800 \text{ K}$ ) está en la parte visible del espectro, a la que la atmósfera es transparente. No obstante, la temperatura media de la superficie de la Tierra es sólo  $287 \text{ K}$  ( $14^\circ\text{C}$ ). Por

lo tanto, la mayor parte de la radiación que nuestro planeta emite al espacio es la radiación infrarroja, al igual que la radiación de la persona que se muestra en la figura 17.29. Sin embargo, nuestra atmósfera *no* es completamente transparente a la radiación infrarroja. Esto se debe a que nuestra atmósfera contiene dióxido de carbono ( $\text{CO}_2$ ), que es su cuarto constituyente más abundante (después del nitrógeno, oxígeno y argón). Las moléculas de  $\text{CO}_2$  de la atmósfera tienen la propiedad de *absorber* parte de la radiación infrarroja que se dirige hacia arriba desde la superficie. Entonces, se irradia de nuevo la energía absorbida, pero parte de la energía que se vuelve a irradiar se dirige de nuevo hacia abajo, hacia la superficie, en lugar de escapar hacia el espacio. Para mantener el equilibrio térmico, la superficie de la Tierra debe compensar esto aumentando su temperatura  $T$  y, por ende, su tasa total de energía radiante (que es proporcional a  $T^4$ ). Este fenómeno, llamado **efecto de invernadero**, hace que la temperatura de la superficie de nuestro planeta se eleve aproximadamente  $33^\circ\text{C}$  con respecto a la que registraría si no hubiera  $\text{CO}_2$  atmosférico. Sin  $\text{CO}_2$ , la temperatura media de la superficie terrestre estaría por debajo del punto de congelación del agua, y la vida como la conocemos, sería imposible.

Mientras que el  $\text{CO}_2$  atmosférico tiene un efecto benéfico, demasiado  $\text{CO}_2$  puede tener consecuencias extremadamente negativas. Las mediciones de aire atrapado en el antiguo hielo de la Antártida revelan que durante los últimos 650,000 años el  $\text{CO}_2$  ha constituido menos de 300 partes por millón de la atmósfera. Sin embargo, desde el inicio de la era industrial, la quema de combustibles fósiles, como el carbón y el petróleo, ha elevado la concentración de  $\text{CO}_2$  en la atmósfera a niveles sin precedentes (figura 17.30a). Como consecuencia de ello, a partir de 1950 la temperatura media mundial de la superficie ha aumentado en  $0.6^\circ\text{C}$ , y la Tierra ha experimentado los años más cálidos jamás registrados (figura 17.30b). Si seguimos consumiendo combustibles fósiles al mismo ritmo, en el año 2050 la concentración atmosférica de  $\text{CO}_2$  llegará a 600 partes por millón, muy por encima de la escala de la figura 17.30a. El aumento de temperatura resultante tendrá efectos dramáticos en el clima de todo el mundo. En las regiones polares enormes cantidades de hielo se derretirían y correrían de tierra firme hacia el mar, lo que aumentaría los niveles del mar en todo el mundo y amenazaría los hogares y las vidas de cientos de millones de personas que viven cerca de la costa. Hacer frente a estas amenazas es uno de los mayores desafíos que tiene ante sí la civilización del siglo XXI.

**EVALÚE SU COMPRENSIÓN DE LA SECCIÓN 17.7** Una habitación tiene una pared hecha de concreto, otra de cobre y otra más de acero. Todas las paredes son del mismo tamaño y tienen la misma temperatura de  $20^\circ\text{C}$ . ¿Qué pared se sentirá más fría al tocarla? **i.** La pared de concreto; **ii.** la pared de cobre; **iii.** la pared de acero, **iv.** las tres paredes se sentirán igual de frías al tocarlas. **I**

**17.30 a)** Debido a la quema de combustibles fósiles, la concentración de dióxido de carbono atmosférico ha aumentado un 33% en comparación con el que existía antes de la era preindustrial. **b)** El aumento de la concentración de  $\text{CO}_2$  durante los últimos 50 años ha aumentado la temperatura media global a una tasa promedio de aproximadamente  $0.13^\circ\text{C}$  por década.





**Temperatura y escalas de temperatura.** Dos cuerpos en equilibrio térmico deben tener la misma temperatura. Un material conductor entre dos cuerpos les permite interactuar y llegar al equilibrio térmico; un material aislante evita o dificulta esa interacción.

Las escalas de temperatura Celsius y Fahrenheit se basan en las temperaturas de congelación ( $0^\circ\text{C} = 32^\circ\text{F}$ ) y de ebullición ( $100^\circ\text{C} = 212^\circ\text{F}$ ) del agua. Un grado Celsius es igual a grados Fahrenheit (vea el ejemplo 17.1).

La escala Kelvin tiene su cero en la temperatura extrapolada de presión cero para un termómetro de gas,  $-273.15^\circ\text{C} = 0\text{ K}$ . En la escala de un termómetro de gas, el cociente de dos temperaturas  $T_1$  y  $T_2$  es igual, por definición, al cociente de las dos presiones correspondientes del termómetro de gas,  $p_1$  y  $p_2$ .

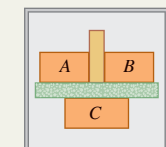
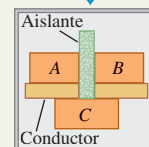
$$T_F = \frac{9}{5}T_C + 32^\circ \quad (17.1)$$

$$T_C = \frac{5}{9}(T_F - 32^\circ) \quad (17.2)$$

$$T_K = T_C + 273.15 \quad (17.3)$$

$$\frac{T_2}{T_1} = \frac{p_2}{p_1} \quad (17.4)$$

Si los sistemas *A* y *B* están cada uno en equilibrio térmico con el sistema *C*...



...entonces *A* y *B* están en equilibrio térmico entre sí.

**Expansión térmica y esfuerzo térmico:** Un cambio de temperatura  $\Delta T$  provoca un cambio en toda dimensión lineal  $L_0$  de un cuerpo sólido. El cambio  $\Delta L$  es aproximadamente proporcional a  $L_0$  y  $\Delta T$ . Asimismo, un cambio de temperatura causa un cambio  $\Delta V$  en el volumen  $V_0$  de cualquier material líquido o sólido;  $\Delta V$  es aproximadamente proporcional a  $V_0$  y  $\Delta T$ . Las cantidades  $\alpha$  y  $\beta$  son los coeficientes de expansión lineal y de expansión volumétrica, respectivamente. En sólidos,  $\beta = 3\alpha$  (vea los ejemplos 17.2 y 17.3).

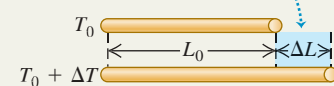
Si un material se enfriá o se calienta sujetándolo de modo que no pueda contraerse ni expandirse, estará sometido a un esfuerzo de tensión  $F/A$  (vea el ejemplo 17.4).

$$\Delta L = \alpha L_0 \Delta T \quad (17.6)$$

$$\Delta V = \beta V_0 \Delta T \quad (17.8)$$

$$\frac{F}{A} = -Y\alpha \Delta T \quad (17.12)$$

$$L = L_0 + \Delta L \\ = L_0(1 + \alpha \Delta T)$$



**Calor, cambios de fase y calorimetría:** El calor es transferencia de energía de un cuerpo a otro a causa de una diferencia de temperaturas. Las ecuaciones (17.13) y (17.18) dan la cantidad de calor  $Q$  necesaria para provocar un cambio de temperatura  $\Delta T$  en una cantidad de material con masa  $m$  y calor específico  $c$  (de manera alternativa, en términos del número de moles  $n$  y la capacidad calorífica molar  $C = Mc$ , donde  $M$  es la masa molar y  $m = nM$ ). Cuando se agrega calor a un cuerpo,  $Q$  es positiva; cuando se extrae,  $Q$  es negativa (vea los ejemplos 17.5 y 17.6).

Para que una masa  $m$  de material cambie de fase a la misma temperatura (como de líquido a vapor), hay que agregarle o quitarle una cantidad de calor dada por la ecuación (17.20). Aquí  $L$  es el calor de fusión, vaporización o sublimación.

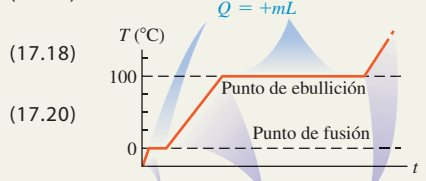
En un sistema aislado, cuyas partes interactúan intercambiando calor, la suma algebraica de las  $Q$  para todas las partes del sistema debe ser cero (vea los ejemplos 17.7 a 17.10).

$$Q = mc \Delta T \quad (17.13)$$

$$Q = nC \Delta T \quad (17.18)$$

$$Q = \pm mL \quad (17.20)$$

La fase cambia, la temperatura es constante:  $Q = +mL$



La temperatura aumenta, la fase no cambia:  
 $Q = mc \Delta T$

**Conducción, convección y radiación.** La conducción es transferencia de calor dentro de un material, sin movimiento del material. La corriente de calor  $H$  depende del área  $A$  por la que fluye el calor, de la longitud  $L$  del trayecto de flujo del calor, de la diferencia de temperatura ( $T_H - T_C$ ) y de la conductividad térmica  $k$  del material (vea los ejemplos 17.11 a 17.13).

La convección es un proceso complejo de transferencia de calor, que implica movimiento de masa de una región a otra.

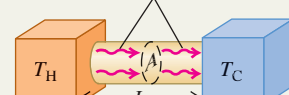
La radiación es transferencia de energía por radiación electromagnética. La corriente de calor  $H$  causada por radiación depende del área superficial  $A$ , la emisividad  $\epsilon$  de la superficie (un número puro entre 0 y 1) y la temperatura Kelvin  $T$ . Aquí  $\sigma$  es la constante de Stefan-Boltzmann. La corriente de calor neta por radiación  $H_{\text{neta}}$  de un cuerpo (a una temperatura  $T$ ) a su entorno (a una temperatura  $T_s$ ) depende tanto de  $T$  como de  $T_s$  (vea los ejemplos 17.14 y 17.15).

$$H = \frac{dQ}{dt} = kA \frac{T_H - T_C}{L} \quad (17.21)$$

$$H = Ae\sigma T^4 \quad (17.25)$$

$$H_{\text{neta}} = Ae\sigma(T^4 - T_s^4) \quad (17.26)$$

Corriente de calor  $H$



$$\text{Corriente de calor } H = ka \frac{T_H - T_C}{L}$$

**PROBLEMA PRÁCTICO****FLUJO DE CALOR EN ESTADO ESTABLE: RADIACIÓN Y CONDUCCIÓN**

Uno de los extremos de una varilla de cobre sólida cilíndrica de 0.200 m de largo y de 0.0250 m de radio se inserta en un bloque grande de hidrógeno sólido a su temperatura de fusión, 13.84 K. El otro extremo se ennegrece y se expone a la radiación térmica de las paredes que lo rodean a 500.0 K. (Algunos telescopios en el espacio emplean un arreglo similar. Un refrigerante sólido mantiene el telescopio muy frío —una condición indispensable para su operación—, aun cuando esté expuesto a la luz solar de manera directa). Los lados de la varilla están aislados, por lo que no se pierde ni se gana energía, excepto en los extremos de la varilla. *a)* Cuando se alcanza el equilibrio, ¿cuál es la temperatura del extremo ennegrecido? La conductividad térmica del cobre a temperaturas cercanas a 20 K es 1670 W/m · K. *b)* ¿Con qué rapidez (en kg/h) se funde el hidrógeno sólido?

**GUÍA DE SOLUCIÓN****IDENTIFICAR Y PLANTEAR**

- Dibuje un esquema de la situación, que muestre todas las dimensiones relevantes.
- Liste las cantidades conocidas y desconocidas, e identifique las incógnitas.
- Para que la varilla esté en equilibrio, ¿cómo debe ser la corriente de calor por radiación desde las paredes hacia el extremo de la

varilla ennegrecido en comparación con la corriente de calor por conducción desde este extremo hasta el otro extremo dentro del hidrógeno sólido? Con base en sus respuestas, seleccione las ecuaciones adecuadas para el inciso *a*.

- ¿Cómo es que la corriente de calor de la varilla hacia el hidrógeno determina la rapidez con la que se derrite el hidrógeno? (*Sugerencia:* Vea la tabla 17.4). Con base en su respuesta, seleccione las ecuaciones adecuadas para el inciso *b*).

**EJECUTAR**

- Despeje la temperatura del extremo ennegrecido de la varilla. (*Sugerencia:* Como el cobre es un excelente conductor de calor a baja temperatura, se puede suponer que la temperatura de la punta ennegrecida es sólo ligeramente superior a 13.84 K).
- Utilice el resultado del paso 5 para encontrar la rapidez con la que se funde el hidrógeno.

**EVALUAR**

- El resultado del paso 5 es congruente con la sugerencia que se hace en ese paso?
- ¿Cómo se verían afectados los resultados de los pasos 5 y 6 si el radio de la varilla fuera diferente?

**Problemas**

**•, •, ••:** Niveles de dificultad. **PA:** Problemas acumulativos que incorporan material de capítulos anteriores. **CALC:** Problemas que requieren cálculo. **DATOS:** Problemas que incluyen datos reales, evidencia científica, diseño experimental y/o razonamiento estadístico. **BIO:** Problemas de ciencias biológicas.

**PREGUNTAS PARA ANÁLISIS**

**P17.1** Explique por qué no tendría sentido utilizar un termómetro de vidrio de tamaño normal, para medir la temperatura de unas gotas de agua caliente.

**P17.2** Si usted calienta el aire dentro de un recipiente rígido y sellado hasta que su temperatura en la escala Kelvin se duplique, la presión del aire en el recipiente también se duplica. ¿Esto es cierto si se duplica la temperatura Celsius del aire en el recipiente? Explique su respuesta.

**P17.3** Muchos motores de automóviles tienen cilindros de hierro fundido y pistones de aluminio. ¿Qué tipos de problemas se podrían presentar si el motor se sobrecalienta? (El coeficiente de expansión volumétrica del hierro fundido es aproximadamente el mismo que el del acero).

**P17.4** ¿Por qué se revientan las tuberías de agua congelada? ¿Se rompería un termómetro de mercurio a temperaturas por debajo del punto de congelación del mercurio? ¿Por qué?

**P17.5** Dos cuerpos del mismo material tienen las mismas dimensiones y aspecto exteriores, pero uno está hueco y el otro no. Si se aumenta su temperatura por igual, ¿su expansión de volumen global sería la misma o distinta? ¿Por qué?

**P17.6** ¿Por qué en ocasiones es posible aflojar tapas de botellas con cuerda al introducir poco tiempo la botella tapada en agua caliente?

**P17.7** El interior de un horno está a 200°C (392°F). Podemos meter la mano en él sin sufrir daño, en tanto no toquemos nada. Puesto que el aire dentro del horno también está a 200°C, ¿por qué no se quema la mano?

**P17.8** Un artículo periodístico acerca del clima dice que “la temperatura de un cuerpo mide cuánto calor contiene el cuerpo”. ¿Esta descripción es correcta? ¿Por qué?

**P17.9** Un estudiante dijo que  $1 \text{ m}^2/\text{s}^2\text{°C}$  es una unidad adecuada para el calor específico. ¿Tiene razón? ¿Por qué?

**P17.10** En algunos acondicionadores de aire domésticos para climas secos, el aire se enfriá soplando a través de un filtro saturado de agua, evaporando parte del agua. ¿Cómo es que esto enfriá el aire? ¿Funcionaría este sistema en un clima muy húmedo? ¿Por qué?

**P17.11** Las unidades de calor específico  $c$  son  $\text{J}/\text{kg}\cdot\text{K}$ , pero las unidades de calor de fusión  $L_f$  o de vaporización  $L_v$  son simplemente  $\text{J}/\text{kg}$ . ¿Por qué las unidades de  $L_f$  y  $L_v$  no incluyen el factor  $(\text{K})^{-1}$  para dar cuenta del cambio de temperatura?

**P17.12** ¿Por qué un día caluroso y húmedo en el trópico generalmente es más incómodo para los seres humanos que un día caluroso y seco en el desierto?

**P17.13** Un trozo de papel de aluminio para envolver una papa y cocerla en un horno caliente, por lo general, puede manejarse con seguridad unos cuantos segundos después de que la papa se retiró del horno. Sin embargo, ¡no puede decirse lo mismo de la papa! Dé dos razones para esta diferencia.

**P17.14** Los viajeros del desierto a veces guardan agua en bolsas de lona. Algo de agua se filtra por la lona y se evapora. ¿Cómo enfriá esto el agua del interior?

**P17.15** Recién que salimos de la ducha, sentimos frío; pero apenas nos secamos sentimos menos frío, aunque la temperatura del cuarto no haya cambiado. ¿Por qué?

**P17.16** El clima de regiones adyacentes a cuerpos grandes de agua (como las costas del Pacífico o el Atlántico) suele variar menos que el de regiones alejadas de cuerpos grandes de agua (como las praderas). ¿Por qué?

**P17.17** ¿Por qué el agua de una bandeja para preparar cubitos de hielo no se congela repentinamente cuando la temperatura alcanza 0°C? De hecho, el agua se congela primero en una capa adyacente a las paredes de la bandeja. ¿Por qué?

**P17.18** Antes de inyectar a un paciente, el médico limpia su brazo con alcohol isopropílico a temperatura ambiente. ¿Por qué el paciente siente frío en el brazo? (*Sugerencia:* ¡No es por miedo a la inyección! El punto de ebullición del alcohol isopropílico es 82.4°C).

**P17.19** Un bloque de metal frío se siente más frío que uno de madera a la misma temperatura. ¿Por qué? Un bloque de metal *caliente* se siente más caliente que uno de madera a la misma temperatura. ¿Por qué? ¿Hay alguna temperatura a la que ambos bloques se sientan igualmente calientes o fríos? ¿Cuál es ésta?

**P17.20** Una persona vierte café caliente en una taza, pensando en beberlo 5 minutos después. Si desea mantener el café lo más caliente posible, ¿deberá ponerle la crema cuando vierte el café, o esperar hasta justo antes de beberlo? Explique su respuesta.

**P17.21** Recién que sacamos una tarta de manzana del horno, la corteza y el relleno están a la misma temperatura; sin embargo, si probamos la tarta, el relleno nos quema la lengua, pero la corteza no. ¿A qué se debe la diferencia? (*Sugerencia:* Tome en cuenta que el relleno está húmedo, y la corteza está seca).

**P17.22** Antes se decía que los alimentos se cocinan mejor (con más uniformidad y sin quemarse) en ollas de hierro fundido gruesas. ¿Qué características deseables tienen estas ollas?

**P17.23** En invierno, las tierras costeras tienen menor temperatura que el mar, pero en verano sucede lo contrario. Explique por qué. (*Sugerencia:* El calor específico de la tierra es sólo de 0.2 a 0.8 veces el del agua).

**P17.24** Es bien sabido que una papa se hornea en menos tiempo si se atraviesa con un clavo grande. ¿Por qué? ¿Sería mejor usar un clavo de aluminio que uno de acero? ¿Por qué? (*Nota:* ¡No intente esto en un horno de microondas!). También se vende un aparato para acelerar el rostizado de carne, que consiste en un tubo metálico hueco que contiene una mecha y un poco de agua; se dice que esto es mucho mejor que una varilla metálica sólida. ¿Cómo funciona?

**P17.25** Los pilotos de planeadores en el Medio Oeste de Estados Unidos saben que son comunes las corrientes térmicas ascendentes cerca de campos recién arados. ¿Porq ue?

**P17.26** Hay quienes dicen que los cubos de hielo se congelan en menos tiempo, si las bandejas se llenan con agua caliente, porque ésta se enfriá más rápidamente que la fría. ¿Qué opina usted?

**P17.27** Tenemos suerte de que la Tierra no esté en equilibrio térmico con el Sol (cuya temperatura superficial es de 5800 K). Pero, ¿por qué no lo está?

**P17.28** Cuando hay escasez de energía, algunas revistas recomiendan mantener las casas a temperatura constante día y noche para ahorrar combustible. El argumento es que, al apagar la calefacción de noche, las paredes, los techos y otras áreas se enfrián y deberán volver a calentarse a la mañana siguiente. Así, al mantener la temperatura constante, esas partes de la casa no se enfriarán y no tendrán que volver a calentarse. ¿Tiene sentido este argumento? ¿Realmente se ahorrará energía siguiendo ese consejo?

## EJERCICIOS

### Sección 17.2 Termómetros y escalas de temperatura

**17.1** • Convierta las siguientes temperaturas Celsius a Fahrenheit: a)  $-62.8^{\circ}\text{C}$ , la temperatura más baja registrada en Norteamérica

(3 de febrero de 1947, Snag, Yukón); b) 56.7°C, la temperatura más alta registrada en Estados Unidos (10 de julio de 1913, Valle de la Muerte, California); c) 31.1°C, la temperatura media anual más alta del mundo (LughF errandi,S omalia).

**17.2 • BIO Temperaturas en biomedicina.** a) **Temperatura corporal normal.** La temperatura corporal normal promedio medida en la boca es de 310 K. ¿Cuál es la temperatura en grados Celsius y Fahrenheit? b) **Temperatura corporal elevada.** Durante el ejercicio muy vigoroso, la temperatura del cuerpo puede elevarse hasta 40°C. ¿Cuál es la temperatura en kelvins y en grados Fahrenheit? c) **Diferencia de temperatura en el cuerpo.** La temperatura de la superficie del cuerpo es aproximadamente 7 C° más baja que la temperatura interna. Exprese esta diferencia de temperatura en kelvins y en grados Fahrenheit. d) **Almacenamiento de sangre.** La sangre almacenada a 4.0°C dura aproximadamente 3 semanas, mientras que la sangre almacenada a -160°C tiene una duración de 5 años. Exprese ambas temperaturas en las escalas Fahrenheit y Kelvin. e) **Insolación.** Si la temperatura del cuerpo está arriba de 105°F durante un periodo prolongado, se puede sufrir insolación. Exprese esta temperatura en las escalas Celsius y Kelvin.

**17.3 •** a) El 22 de enero de 1943, la temperatura en Spearfish, Dakota del Sur, se elevó de -4.0°F a 45.0°F en sólo dos minutos. ¿Cuál fue el cambio de temperatura en grados Celsius? b) La temperatura en Browning, Montana, fue de 44.0°F el 23 de enero de 1916. El día siguiente la temperatura se desplomó a -56°F. ¿Cuál fue el cambio de temperatura en grados Celsius?

### Sección 17.3 Termómetros de gas y la escala Kelvin

**17.4 •** a) Calcule la única temperatura a la que los termómetros Fahrenheit y Celsius coinciden. b) Calcule la única temperatura a la que los termómetros Fahrenheit y Kelvin coinciden.

**17.5 ••** Se coloca una botella de bebida gaseosa en un refrigerador y se deja ahí hasta que su temperatura haya bajado 10.0 K. Calcule el cambio de temperatura en a) F° y b) C°.

**17.6 •** Convierta las siguientes temperaturas Kelvin a las escalas Celsius y Fahrenheit: a) la temperatura al mediodía en la superficie de la Luna (400 K); b) la temperatura en la parte alta de las nubes de la atmósfera de Saturno (95 K); c) la temperatura en el centro del Sol ( $1.55 \times 10^7$  K).

**17.7 •** La presión de un gas al punto triple del agua es de 1.35 atm. Si este volumen permanece constante, ¿cuál será su presión a la temperatura a la que el CO<sub>2</sub> se solidifica?

**17.8 ••** Un termómetro de gas registra una presión absoluta correspondiente a 325 mm de mercurio, estando en contacto con agua en el punto triple. ¿Qué presión indicará en contacto con agua en el punto de ebullición normal?

**17.9 •• Termómetro de gas de volumen constante** Usando un termómetro de gas, un experimentador determinó que la presión en el punto triple del agua (0.01°C) era  $4.80 \times 10^4$  Pa; y en el punto de ebullición normal del agua (100°C) era  $6.50 \times 10^4$  Pa. a) Suponiendo que la presión varía linealmente con la temperatura, use estos datos para calcular la temperatura Celsius en la que la presión del gas sería cero (es decir, obtenga la temperatura Celsius del cero absoluto). b) ¿El gas de este termómetro obedece con precisión la ecuación (17.4)? Si es así y la presión a 100°C fuera  $6.50 \times 10^4$  Pa, ¿qué presión habría medido el experimentador a 0.01°C? [Como veremos en la sección 18.1, la ecuación (17.4) sólo es exacta para gases a muy baja densidad].

**17.10 •** Al igual que la escala Kelvin, la *escala Rankine* es una escala de temperatura absoluta: el cero absoluto es cero grados Rankine (0°R). Sin embargo, las unidades de esta escala tienen el mismo tamaño que las de la escala Fahrenheit, no las de la escala Celsius. ¿Cuál es el valor numérico de la temperatura del punto triple del agua en la escala Rankine?

## Sección 17.4 Expansión térmica

**17.11** • El puente Humber de Inglaterra tiene el claro individual más largo del mundo (1410 m). Calcule el cambio de longitud de la cubierta de acero del claro, si la temperatura aumenta de  $-5.0^{\circ}\text{C}$  a  $18.0^{\circ}\text{C}$ .

**17.12** • Uno de los edificios más altos del mundo, de acuerdo con ciertos estándares arquitectónicos, es el Taipei 101 en Taiwán, con una altura de 1671 ft. Suponga que esa altura se midió en un fresco día primaveral, cuando la temperatura era de  $15.5^{\circ}\text{C}$ . Este edificio podría utilizarse como una especie de termómetro gigante en un día caluroso de verano, midiendo con cuidado su altura. Suponga que usted realiza esto y descubre que el Taipei 101 es 0.471 ft más alto que su altura oficial. ¿Cuál es la temperatura, suponiendo que el edificio está en equilibrio térmico con el aire y que toda su estructura está hecha de acero?

**17.13** • Un centavo de dólar tiene 1.9000 cm de diámetro a  $20.0^{\circ}\text{C}$ , y está hecho de una aleación (principalmente zinc) con un coeficiente de expansión lineal de  $2.6 \times 10^{-5} \text{ K}^{-1}$ . ¿Qué diámetro tendría: en un día caluroso en el Valle de la Muerte ( $48.0^{\circ}\text{C}$ )? ¿Y en una noche fría en las montañas de Groenlandia ( $-53.0^{\circ}\text{C}$ )?

**17.14 • Ajuste estrecho.** Los remaches de aluminio para construcción de aviones se fabrican un poco más grandes que sus orificios y se enfrián con “hielo seco” ( $\text{CO}_2$  sólido) antes de insertarse. Si el diámetro de un orificio es de 4.500 mm, ¿qué diámetro debe tener un remache a  $23.0^{\circ}\text{C}$  para que su diámetro sea igual al del orificio cuando se enfriá a  $-78.0^{\circ}\text{C}$ , la temperatura del hielo seco? Suponga que el coeficiente de expansión es constante, con el valor dado en la tabla 17.1.

**17.15 •** Un cilindro de cobre está inicialmente a  $20.0^{\circ}\text{C}$ . ¿A qué temperatura su volumen aumentará en un 0.150% con respecto al que tiene a  $2.0^{\circ}\text{C}$ ?

**17.16 •** Un domo geodésico construido con una estructura de aluminio está muy cerca de ser un hemisferio perfecto; su diámetro mide 55.0 m en un día de invierno a una temperatura de  $-15^{\circ}\text{C}$ . ¿Cuánto más espacio interior tiene el domo en el verano, cuando la temperatura es de  $35^{\circ}\text{C}$ ?

**17.17 •** Un matraz de vidrio con volumen de  $1000.00 \text{ cm}^3$  a  $0.0^{\circ}\text{C}$  se llena al tope con mercurio a esa temperatura. Cuando el frasco y el mercurio se calientan a  $55.0^{\circ}\text{C}$ , se derraman  $8.95 \text{ cm}^3$  de mercurio. Si el coeficiente de expansión volumétrica del mercurio es de  $18.0 \times 10^{-5} \text{ K}^{-1}$ , calcule el coeficiente de expansión volumétrica del vidrio.

**17.18 •** Un tanque de acero se llena totalmente con  $1.90 \text{ m}^3$  de etanol cuando ambos, tanto el tanque como el etanol, están a  $32.0^{\circ}\text{C}$ . Una vez que el tanque y el contenido se hayan enfriado a  $18.0^{\circ}\text{C}$ , ¿qué volumen adicional de etanol podrá introducirse en el tanque?

**17.19 •** Un operario hace un orificio de 1.35 cm de diámetro en una placa de acero a una temperatura de  $25.0^{\circ}\text{C}$ . ¿Cuál es el área de la sección transversal del orificio *a)* a  $25.0^{\circ}\text{C}$ ; y *b)* cuando la placa se calienta a  $175^{\circ}\text{C}$ ? Suponga que el coeficiente de expansión lineal es constante dentro de ese intervalo de temperatura.

**17.20 •** Acaba de comenzar a trabajar como ingeniero mecánico en Motores, S.A. y le encargan diseñar pistones de latón que se deslizarán dentro de cilindros de acero. Los motores en los que se usarán los pistones operarán a temperaturas entre  $20.0$  y  $150.0^{\circ}\text{C}$ . Suponga que los coeficientes de expansión son constantes dentro de ese intervalo de temperatura. *a)* Si el pistón apenas cabe dentro del cilindro a  $20.0^{\circ}\text{C}$ , ¿los motores podrán operar a temperaturas más altas? Explique su respuesta. *b)* Si los pistones cilíndricos tienen un diámetro de 25.000 cm a  $20.0^{\circ}\text{C}$ , ¿qué diámetro mínimo deberán tener los cilindros a esa temperatura, para que los pistones operen a  $150.0^{\circ}\text{C}$ ?

**17.21 •** Los rieles de acero para un tren se tienden en segmentos de 12.0 m de longitud, colocados extremo con extremo en un día de invierno en que la temperatura es de  $-9.0^{\circ}\text{C}$ . *a)* ¿Cuánto espacio

debe dejarse entre rieles adyacentes para que apenas se toquen en verano, cuando la temperatura suba a  $33.0^{\circ}\text{C}$ ? *b)* Si los rieles se tienden en contacto, ¿a qué esfuerzo se someterán un día de verano en el que la temperatura sea de  $33.0^{\circ}\text{C}$ ?

**17.22 •** Una varilla de latón mide 185 cm de longitud y 1.60 cm de diámetro. ¿Qué fuerza debe aplicarse a cada extremo para impedir que la varilla se contraiga al enfriarse de  $120.0$  a  $10.0^{\circ}\text{C}$ ?

## Sección 17.5 Cantidad de calor

**17.23 •** Una tetera de aluminio de 1.10 kg que contiene 1.80 kg de agua se coloca sobre la estufa. Si no se transfiere calor al entorno, ¿cuánto calor debe agregarse para elevar la temperatura de  $20.0$  a  $85.0^{\circ}\text{C}$ ?

**17.24 •** Tratando de mantenerse despierto para estudiar toda la noche, un estudiante prepara una taza de café colocando una resistencia eléctrica de inmersión de 200 W en 0.320 kg de agua. *a)* ¿Cuánto calor debe agregarse al agua para elevar su temperatura de  $20.0$  a  $80.0^{\circ}\text{C}$ ? *b)* ¿Cuánto tiempo se requiere? Suponga que toda la potencia se invierte en calentar el agua.

**17.25 • BIO** Al correr, un estudiante de 70 kg genera energía térmica a razón de 1200 W. Para mantener una temperatura corporal constante de  $37^{\circ}\text{C}$ , esta energía debe eliminarse por sudor u otros mecanismos. Si dichos mecanismos fallaran y no pudiera salir calor del cuerpo, ¿cuánto tiempo podría correr el estudiante antes de sufrir un daño irreversible? (*Nota:* Las estructuras proteínicas del cuerpo se dañan irreversiblemente a  $44^{\circ}\text{C}$  o más. El calor específico del cuerpo humano es de alrededor de  $3480 \text{ J/kg}\cdot\text{K}$ , poco menos que el del agua; la diferencia se debe a la presencia de proteínas, grasas y minerales, cuyos calores específicos son menores que el del agua).

**17.26 • BIO Pérdida de calor al respirar.** Cuando hace frío, un mecanismo importante de pérdida de calor del cuerpo humano es la energía invertida en calentar el aire que entra en los pulmones al respirar. *a)* En un frío día de invierno cuando la temperatura es de  $-20^{\circ}\text{C}$ , ¿cuánto calor se necesita para calentar a la temperatura corporal ( $37^{\circ}\text{C}$ ) los 0.50 L de aire intercambiados con cada respiración? Suponga que el calor específico del aire es de  $1020 \text{ J/kg}\cdot\text{K}$  y que 1.0 L de aire tiene una masa de  $1.3 \times 10^{-3} \text{ kg}$ . *b)* ¿Cuánto calor se pierde por hora si se respira 20 veces por minuto?

**17.27 •** Imagine que le dan una muestra de metal y le piden determinar su calor específico. Pesa la muestra y obtiene un valor de 28.4 N. Agrega con mucho cuidado  $1.25 \times 10^4 \text{ J}$  de energía calorífica a la muestra, y observa que su temperatura aumenta  $18.0^{\circ}\text{C}$ . ¿Qué calor específico tiene la muestra?

**17.28 • Calentadores de agua por demanda.** Los calentadores convencionales de agua caliente consisten en un tanque de agua a una temperatura fija. El agua caliente se va a utilizar cuando sea necesario. Las desventajas son que se desperdicia energía porque el tanque pierde calor cuando no está en uso y que puede quedarse sin agua caliente si se utiliza demasiado. Algunas empresas de servicios públicos están fomentando el uso de calentadores de agua *por demanda* (también conocidos como *calentadores flash*), que consisten en unidades de calefacción para calentar el agua conforme se use. No se utiliza ningún tanque de agua, así que no se desperdicia calor. Una ducha típica de una casa tiene una rapidez de flujo de 2.5 gal/min (9.46 L/min) con agua de la llave que se calienta de  $50^{\circ}\text{F}$  ( $10^{\circ}\text{C}$ ) a  $120^{\circ}\text{F}$  ( $49^{\circ}\text{C}$ ) con el calentador por demanda. ¿Qué rapidez de entrada de calor (ya sea eléctrica o de gas) se requiere para operar dicha unidad, suponiendo que todo el calor entra en el agua?

**17.29 • PA** Al pintar la punta de una antena de 225 m de altura, un trabajador deja caer accidentalmente una botella de agua de 1.00 L de su lonchera. La botella cae sobre unos arbustos en el suelo y no se rompe. Si una cantidad de calor igual a la magnitud del cambio de energía mecánica pasa al agua, ¿cuánto aumentará su temperatura?

**17.30 • PA** Un tren subterráneo de 25,000 kg viaja inicialmente a 15.5 m/s y frena para detenerse en una estación; ahí permanece el tiempo suficiente para que sus frenos se enfrién. Las dimensiones de la estación son 65.0 m de largo, 20.0 m de ancho y 12.0 m de alto. Suponiendo que todo el trabajo para detener el tren que realizan los frenos se transfiere como calor de manera uniforme a todo el aire en la estación, ¿en cuánto se eleva la temperatura del aire en la estación? Tome la densidad del aire como 1.20 kg/m<sup>3</sup> y su calor específico como 1020 J/kg·K.

**17.31 • PA** Un clavo que se clava en una tabla sufre un aumento de temperatura. Si suponemos que el 60% de la energía cinética de un martillo de 1.80 kg que se mueve a 7.80 m/s se transforma en calor, que fluye hacia el clavo y no sale de él, ¿cuánto aumentará la temperatura de un clavo de aluminio de 8.00 g que es golpeado diez veces?

**17.32 •** Un técnico mide el calor específico de un líquido desconocido sumergiendo en él una resistencia eléctrica. La energía eléctrica se convierte en calor transferido al líquido durante 120 s a una tasa constante de 65.0 W. La masa del líquido es de 0.780 kg y su temperatura aumenta de 18.55 a 22.54°C. *a)* Calcule el calor específico promedio del líquido en ese intervalo de temperatura. Suponga que la cantidad de calor que se transfiere al recipiente es despreciable y que no se transfiere calor al entorno. *b)* Suponga que no es posible despreciar la transferencia de calor del líquido al recipiente o al entorno en este experimento. ¿El resultado de *a)* es mayor o menor que el calor específico promedio real del líquido? Explique su respuesta.

**17.33 • PA** Una bala de 15.0 g viaja horizontalmente a 865 m/s y pasa a través de un tanque que contiene 13.5 kg de agua y emerge con una velocidad de 534 m/s. ¿Cuál es el incremento máximo en la temperatura que el agua podría tener como resultado de este evento?

## Sección 17.6 Calorimetría y cambios de fase

**17.34 •** Tiene usted 750 g de agua a 10.0°C en un gran vaso aislado. ¿Cuánta agua hirviendo a 100°C se debe agregar al vaso de manera que la temperatura final de la mezcla sea de 75°C?

**17.35 •** Un trozo de 500.0 g de un metal desconocido, que ha estado en agua en ebullición durante varios minutos, se deja caer rápidamente en un vaso de espuma de poliestireno, que contiene 1.00 kg de agua a temperatura ambiente (20.0°C). Después de esperar y agitar suavemente durante 5.00 minutos, se observa que la temperatura del agua ha alcanzado un valor constante de 22.0°C. *a)* Suponiendo que el vaso absorbe una cantidad despreciable de calor y que no se pierde calor al entorno, ¿qué calor específico tiene el metal? *b)* ¿Qué es más útil para almacenar energía térmica: este metal o un peso igual de agua? Explique su respuesta. *c)* Suponga que el calor absorbido por el vaso no es despreciable. ¿Qué tipo de error tendría el calor específico calculado en el inciso *a)*? ¿Sería demasiado grande, demasiado pequeño o correcto? Explique su respuesta.

**17.36 • BIO Tratamiento de un ACV.** Un tratamiento sugerido para una persona que ha sufrido un accidente cerebrovascular es la inmersión en un baño de hielo y agua a 0°C para reducir la temperatura corporal, lo que evita daños en el cerebro. En un conjunto de pruebas, los pacientes fueron sometidos a enfriamiento hasta que su temperatura interna alcanzó los 32.0°C. Para tratar a un paciente de 70.0 kg, ¿cuál es la cantidad mínima de hielo (a 0°C) que se necesita en el baño para que su temperatura se mantenga a 0°C? El calor específico del cuerpo humano es 3480 J/kg·C°, y recuerde que la temperatura normal del cuerpo es 37.0°C.

**17.37 •** Un herrero enfriaba un pedazo de hierro de 1.20 kg, que inicialmente está a 650.0°C, rociándole agua a 15.0°C. Toda el agua rociada se evapora y el trozo alcanza 120.0°C. ¿Cuánta agua se vertió en el hierro?

**17.38 •** Un calorímetro de cobre tipo lata con masa de 0.100 kg contiene 0.160 kg de agua y 0.0180 kg de hielo en equilibrio térmico a presión atmosférica. Si 0.750 kg de plomo a 255°C se introducen al calorímetro, ¿cuál es la temperatura final? Suponga que no hay pérdida de calor a los alrededores.

**17.39 •** Una olla de cobre con una masa de 0.500 kg contiene 0.170 kg de agua, y ambas están a una temperatura de 20.0°C. Un bloque de 0.250 kg de hierro a 85.0°C se deja caer en la olla. Encuentre la temperatura final del sistema, suponiendo que no hay pérdida de calor a los alrededores.

**17.40 •** En un recipiente de masa despreciable, 0.200 kg de hielo a una temperatura inicial de -40.0°C se mezclan con una masa *m* de agua que tiene una temperatura inicial de 80.0°C. No se pierde calor al entorno. Si la temperatura final del sistema es 20.0°C, ¿cuál es la masa *m* del agua que estaba inicialmente a 80.0°C?

**17.41 •** Una pieza metálica de 6.00 kg de cobre sólido a una temperatura inicial *T* se coloca con 2.00 kg de hielo que se encuentran inicialmente a -20.0°C. El hielo está en un contenedor aislado de masa despreciable y no se intercambia calor con el entorno. Después de que se alcanza el equilibrio térmico, hay 1.20 kg de hielo y 0.80 kg de agua líquida. ¿Cuál era la temperatura inicial de la pieza de cobre?

**17.42 • BIO** Antes de someterse a su examen médico anual, un hombre de 70.0 kg cuya temperatura corporal es de 37.0°C consume una lata entera de 0.355 L de una bebida gaseosa (principalmente agua), que está a 12.0°C. *a)* Determine su temperatura corporal una vez alcanzado el equilibrio. Desprecie cualquier calentamiento por el metabolismo del hombre. El calor específico del cuerpo del hombre es de 3480 J/kg·K. *b)* ¿El cambio en su temperatura corporal es lo bastante grande como para medirse con un termómetro médico?

**17.43 • BIO Tasa metabólica basal.** En la situación descrita en el ejercicio 17.42, el metabolismo del hombre hará que, en algún momento, la temperatura de su cuerpo (y de la bebida que consumió) vuelva a 37.0°C. Si su cuerpo libera energía a una tasa de  $7.00 \times 10^3$  kJ/día (la *tasa metabólica basal*, TMB), ¿cuánto tardará en hacerlo? Suponga que toda la energía liberada se invierte en elevar la temperatura.

**17.44 •** Una bandeja de masa despreciable para hacer hielo contiene 0.290 kg de agua a 18.0°C. ¿Cuánto calor debe extraerse para enfriar el agua a 0.00°C y congelarla? Exprese su respuesta en joules, calorías y Btu.

**17.45 •** ¿Cuánto calor se requiere para transformar 18.0 g de hielo a -10.0°C en vapor a 100.0°C? Exprese su respuesta en joules, calorías y Btu.

**17.46 •** Un recipiente abierto con masa despreciable contiene 0.550 kg de hielo a -15.0°C. Se suministra calor al recipiente a una tasa constante de 800.0 J/min durante 500.0 min. *a)* ¿Después de cuántos minutos comienza a fundirse el hielo? *b)* ¿Cuántos minutos después de iniciado el calentamiento, la temperatura comienza a elevarse por encima de 0.0°C? *c)* Dibuje la curva obtenida en una gráfica de la temperatura en función del tiempo transcurrido.

**17.47 • PA** ¿Qué rapidez inicial debe tener una bala de plomo a 25.0°C, para que el calor generado para llegar al reposo sea apenas suficiente para fundirla? Suponga que toda la energía mecánica inicial de la bala se convierte en calor y que no fluye calor de la bala a su entorno (un rifle ordinario tiene una rapidez de salida mayor que la rapidez del sonido en el aire, que es de 347 m/s a 25.0°C).

**17.48 • BIO Quemaduras de vapor contra quemaduras de agua.** ¿Cuánto calor entra en su piel si recibe el calor liberado *a)* por 25.0 g de vapor de agua que inicialmente está a 100.0°C, al enfriarse a la temperatura de la piel (34.0°C)? *b)* ¿Y por 25.0 g de agua que inicialmente están a 100.0°C al enfriarse a 34.0°C? *c)* ¿Qué le dice esto acerca de la severidad relativa de las quemaduras con vapor y con agua caliente?

**17.49 • BIO “El barco del desierto”.** Los camellos necesitan muy poca agua porque pueden tolerar cambios relativamente grandes en su temperatura corporal. Mientras que las personas mantienen su temperatura corporal constante dentro de un intervalo de uno a dos grados Celsius, un camello deshidratado deja que su temperatura corporal baje a  $34.0^{\circ}\text{C}$  de noche y suba a  $40.0^{\circ}\text{C}$  de día. Para ver qué tan eficaz es este mecanismo para ahorrar agua, calcule cuántos litros de agua tendría que beber un camello de 400 kg, si tratara de mantener su temperatura corporal en  $34.0^{\circ}\text{C}$  mediante evaporación de sudor durante el día (12 horas), en vez de dejar que suba a  $40.0^{\circ}\text{C}$ . (Nota: El calor específico de un camello u otro mamífero es aproximadamente igual al de una persona promedio,  $3480 \text{ J/kg}\cdot\text{K}$ . El calor de vaporización del agua a  $34^{\circ}\text{C}$  es de  $2.42 \times 10^6 \text{ J/kg}$ ).

**17.50 • BIO** La evaporación del sudor es un mecanismo importante para controlar la temperatura de algunos animales de sangre caliente. *a)* ¿Qué masa de agua debe evaporarse de la piel de un hombre de 70.0 kg para enfriar su cuerpo en  $1.00^{\circ}\text{C}$ ? El calor de vaporización del agua a la temperatura corporal de  $37^{\circ}\text{C}$  es de  $2.42 \times 10^6 \text{ J/kg}$ . El calor específico del cuerpo humano promedio es de  $3480 \text{ J/kg}\cdot\text{K}$  (vea el ejercicio 17.25). *b)* ¿Qué volumen de agua debe beber el hombre para reponer la que evaporó? Compárela con el volumen de una lata de bebida gaseosa ( $355 \text{ cm}^3$ ).

**17.51 • PA** Un asteroide con diámetro de 10 km y una masa de  $2.60 \times 10^5 \text{ kg}$  impacta la Tierra a una rapidez de  $32.0 \text{ km/s}$  y cae en el Océano Pacífico. Si el 1.00% de la energía cinética del asteroide se destina a hacer que entre en ebullición el agua del océano (suponga que la temperatura inicial del agua es de  $10.0^{\circ}\text{C}$ ), ¿cuál es la masa de agua que se evaporará por completo como resultado de la colisión? (Para comparar, la masa del agua contenida en el Lago Superior es aproximadamente de  $2 \times 10^{15} \text{ kg}$ ).

**17.52 •** Un técnico de laboratorio pone una muestra de 0.0850 kg de un material desconocido, que está a  $100.0^{\circ}\text{C}$ , en un calorímetro cuyo recipiente, inicialmente a  $19.0^{\circ}\text{C}$ , está hecho con 0.150 kg de cobre y contiene 0.200 kg de agua. La temperatura final del calorímetro y su contenido es de  $26.1^{\circ}\text{C}$ . Calcule el calor específico de la muestra.

**17.53 •** Un vaso aislado con masa despreciable contiene 0.250 kg de agua a  $75.0^{\circ}\text{C}$ . ¿Cuántos kilogramos de hielo a  $-20.0^{\circ}\text{C}$  deben introducirse en el agua para que la temperatura final del sistema sea de  $40.0^{\circ}\text{C}$ ?

**17.54 •** Un lingote de plata de 4.00 kg se saca de un horno a  $750.0^{\circ}\text{C}$  y se coloca sobre un gran bloque de hielo a  $0.0^{\circ}\text{C}$ . Suponiendo que todo el calor cedido por la plata se usa para fundir el hielo, ¿cuánto hielo se funde?

**17.55 •** Un recipiente con paredes térmicamente aisladas contiene 2.40 kg de agua y 0.450 kg de hielo, todo a  $0.0^{\circ}\text{C}$ . El tubo de salida de una caldera en la que hiere agua a presión atmosférica se inserta en el agua del recipiente. ¿Cuántos gramos de vapor deben condensarse dentro del recipiente (que también está a presión atmosférica), para elevar la temperatura del sistema a  $28.0^{\circ}\text{C}$ ? Desprecie el calor transferido al recipiente.

### Sección 17.7 Mecanismos de transferencia de calor

**17.56 •** Dos barras, una de latón y otra de cobre, están unidas extremo con extremo. La longitud de la barra de latón es 0.300 m y la de cobre es 0.800 m. Cada segmento tiene un área de sección transversal de  $0.00500 \text{ m}^2$ . El extremo libre del segmento de latón está en agua hirviendo y el extremo libre del segmento de cobre se encuentra en una mezcla de hielo y agua, en ambos casos a la presión atmosférica normal. Los lados de las varillas están aislados, por lo que no hay pérdida de calor a los alrededores. *a)* ¿Cuál es la temperatura del punto en el que los segmentos de latón y cobre se unen? *b)* ¿Qué masa de hielo se funde en 5.00 min por el calor conducido por la varilla compuesta?

**17.57 •** Suponga que la varilla de la figura 17.24a es de cobre, tiene 45.0 cm de longitud y área de sección transversal de  $1.25 \text{ cm}^2$ . Sea  $T_H = 100.0^{\circ}\text{C}$  y  $T_C = 0.0^{\circ}\text{C}$ . En el estado estable final, calcule: *a)* el gradiente de la temperatura a lo largo de la varilla, *b)* la corriente de calor en la varilla, y *c)* la temperatura de la varilla a 12.0 cm de su extremo izquierdo.

**17.58 ••** Un extremo de una varilla metálica aislada se mantiene a  $100.0^{\circ}\text{C}$ , y el otro se mantiene a  $0.00^{\circ}\text{C}$  con una mezcla de hielo y agua. La varilla tiene 60.0 cm de longitud y área de sección transversal de  $1.25 \text{ cm}^2$ . El calor conducido por la varilla funde 8.50 g de hielo en 10.0 min. Calcule la conductividad térmica  $k$  del metal.

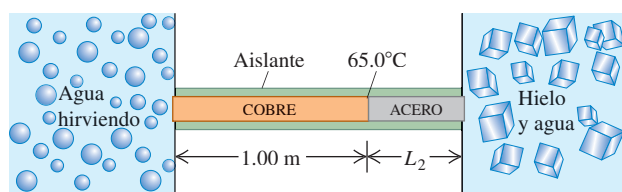
**17.59 ••** Un carpintero construye una pared exterior con una capa externa de madera de 3.0 cm de espesor y una capa interna de espuma de poliestireno de 2.2 cm de espesor. La madera tiene  $k = 0.080 \text{ W/m}\cdot\text{K}$  y el poliestireno  $k = 0.027 \text{ W/m}\cdot\text{K}$ . La temperatura de la superficie interior es de  $19.0^{\circ}\text{C}$ , y la exterior,  $-10.0^{\circ}\text{C}$ . *a)* Calcule la temperatura en la unión entre la madera y la espuma de poliestireno. *b)* Calcule la rapidez de flujo de calor por metro cuadrado a través de esta pared.

**17.60 •** Un horno de cocina eléctrico tiene un área de pared total de  $1.40 \text{ m}^2$  y está aislado con una capa de fibra de vidrio de 4.00 cm de espesor. La superficie interior de la fibra de vidrio está a  $175^{\circ}\text{C}$ , y la exterior a  $35.0^{\circ}\text{C}$ . La fibra de vidrio tiene una conductividad térmica de  $0.040 \text{ W/m}\cdot\text{K}$ . *a)* Calcule la corriente de calor en el aislante, tratándolo como una placa plana con un área de  $1.40 \text{ m}^2$ . *b)* ¿Qué aporte de potencia eléctrica requiere el elemento calentador para mantener esta temperatura?

**17.61 • BIO Conducción a través de la piel.** La sangre desempeña un papel importante en la eliminación de calor del cuerpo al llevarlo directamente a la superficie, donde se puede irradiar. Sin embargo, este calor aún tiene que viajar a través de la piel antes de que se pueda irradiar. Supondremos que la sangre es llevada a la capa inferior de la piel a una temperatura de  $37.0^{\circ}\text{C}$  y que la superficie externa de la piel está a  $30.0^{\circ}\text{C}$ . La piel varía en espesor de 0.50 mm a unos cuantos milímetros en las palmas y plantas, de manera que supondremos un espesor medio de 0.75 mm. Una persona de 165 lb y 6 ft de altura tiene un área superficial de aproximadamente  $2.0 \text{ m}^2$  y pierde calor con una rapidez neta de 75 W mientras descansa. Con base en nuestras suposiciones, ¿cuál es la conductividad térmica de la piel de esta persona?

**17.62 •** Una varilla larga y aislada para evitar pérdidas de calor por sus costados está en contacto térmico perfecto con agua hirviendo (a presión atmosférica) en un extremo y con una mezcla de agua y hielo en el otro (figura E17.62). La varilla consiste en un tramo de 1.00 m de cobre (con un extremo en contacto con agua hirviendo) unido por su extremo a un tramo de acero de longitud  $L_2$  (con un extremo en contacto con la mezcla de hielo y agua). Ambos tramos de la varilla tienen un área de sección transversal de  $4.00 \text{ cm}^2$ . La temperatura en la unión cobre-acero es de  $65.0^{\circ}\text{C}$  una vez que se alcanza el estado de equilibrio. *a)* ¿Cuánto calor por segundo fluye del agua hirviendo a la mezcla de hielo y agua? *b)* ¿Qué longitud  $L_2$  tiene el tramo de acero?

Figura E17.62



**17.63 •** Una olla con base de acero de 8.50 mm de espesor y área de  $0.150 \text{ m}^2$  descansa en una estufa caliente. El agua dentro de la olla está a  $100.0^{\circ}\text{C}$  y se evapora 0.390 kg cada 3.00 min. Calcule la temperatura de la superficie inferior de la olla, que está en contacto con la estufa.

**17.64** • Imagine que le piden diseñar una varilla cilíndrica de acero de 50.0 cm de longitud, con sección transversal circular, que conducirá 190.0 J/s desde un horno a 400.0°C a un recipiente con agua en ebullición que está a 1 atmósfera. ¿Qué diámetro debe tener la varilla?

**17.65** • Una ventana tiene dimensiones de 1.40 m × 2.50 m y está hecha de vidrio de 5.20 mm de espesor. En un día de invierno, la temperatura exterior es de -20.0°C, mientras que la confortable temperatura en el interior es de 19.5°C. *a)* A qué tasa se ha perdido calor a través de la ventana por conducción? *b)* A qué tasa se perdería el calor a través de la ventana, si usted la cubriera con una capa de papel de 0.750 mm de espesor (conductividad térmica de 0.0500 W/m · K)?

**17.66** • Calcule la tasa de radiación de energía por unidad de área de un cuerpo negro *a)*: 273 K y *b)* 2730 K.

**17.67** • Una olla esférica contiene 0.75 L de café caliente (en esencia sólo agua) a una temperatura de 95°C. La olla tiene una emisividad de 0.60 y los alrededores están a 20.0°C. Para el café, calcule la tasa de pérdida de calor por radiación.

**17.68** • La emisividad del tungsteno es de 0.350. Una esfera de tungsteno con radio de 1.50 cm se suspende dentro de una cavidad grande, cuyas paredes están a 290.0 K. ¿Qué aporte de potencia se requiere para mantener la esfera a una temperatura de 3000.0 K, si se desprecia la conducción de calor por los soportes?

**17.69** • **Tamaño de un filamento de bombilla.** La temperatura de operación del filamento de tungsteno de una bombilla incandescente es de 2450 K, y su emisividad es de 0.350. Calcule el área superficial del filamento de una bombilla de 150 W, si toda la energía eléctrica consumida por la bombilla es irradiada por el filamento en forma de ondas electromagnéticas (sólo una fracción de la radiación aparece como luz visible).

**17.70** • **El tamaño de las estrellas.** La superficie caliente luminescente de las estrellas emite energía en forma de radiación electromagnética. Es una buena aproximación suponer que  $e = 1$  para estas superficies. Calcule los radios de las siguientes estrellas (supóngalas esféricas): *a)* Rigel, la estrella azul brillante de la constelación de Orión, que irradiana energía a una tasa de  $2.7 \times 10^{32}$  W y tiene una temperatura superficial de 11,000 K; *b)* Procyon B (visible sólo con un telescopio), que irradiana energía a una tasa de  $2.1 \times 10^{23}$  W y tiene temperatura superficial de 10,000 K. *c)* Compare sus respuestas con el radio de la Tierra, el del Sol, y la distancia entre la Tierra y el Sol (Rigel es un ejemplo de estrella *supergigante*; Procyon B es un ejemplo de estrella *enana blanca*).

## PROBLEMAS

**17.71** • **PA** Un péndulo de Foucault consiste en una esfera de latón con un diámetro de 35.0 cm, suspendida de un cable de acero de 10.5 m de largo (ambas mediciones se hicieron a 20.0°C). Por una negligencia en el diseño, la esfera oscilante libra el suelo por una distancia de sólo 2.00 mm, cuando la temperatura es de 20.0°C. ¿A qué temperatura la esfera comenzará a rozar el suelo?

**17.72** • Suponga que pudiera construirse un aro de acero ajustado al ecuador terrestre a una temperatura de 20.0°C. ¿Cuánto se separaría el aro de la Tierra, si la temperatura del aro aumentara en 0.500°C?

**17.73** • Imagine que propone una nueva escala de temperatura en la que las temperaturas se dan en °M. Usted define 0.0°M como el punto de fusión normal del mercurio, y 100.0°M, como el punto de ebullición normal del mercurio. *a)* Exprese el punto de ebullición normal del agua en °M. *b)* A cuántos °C correspondería un cambio de temperatura de 10.0 M°?

**17.74** • **PA CALC** Una masa de 250 kg cuelga del techo atado con un alambre delgado de cobre. En su modo fundamental, este alambre

vibra a la frecuencia de la nota *la* de concierto (440 Hz). Después se incrementa la temperatura del alambre en 40°C. *a)* ¿Cuánto cambiará la frecuencia fundamental? ¿Aumentará o disminuirá? *b)* Calcule el cambio porcentual de la rapidez de la onda en el alambre. *c)* Calcule el cambio porcentual de la longitud de la onda estacionaria fundamental en el alambre. ¿Aumentará o disminuirá?

**17.75** •• Imagine que está elaborando pesto para una pasta italiana y tiene una taza medidora cilíndrica de 10.0 cm de altura hecha de vidrio ordinario [ $\beta = 2.7 \times 10^{-5} (\text{C}^\circ)^{-1}$ ] llena con aceite de olivo [ $\beta = 6.8 \times 10^{-4} (\text{C}^\circ)^{-1}$ ] hasta una altura de 3.00 mm por debajo del borde de la taza. En un principio, la taza y el aceite están a temperatura ambiente (22.0°C). El teléfono suena y usted se olvida del aceite de olivo, que por descuido dejó calentando sobre la estufa encendida. La taza y el aceite se calientan lentamente, y tienen la misma temperatura. ¿A qué temperatura comenzará a derramarse el aceite?

**17.76** •• La cinta de acero de 30.0 m de un topógrafo es correcta a una temperatura de 20.0°C. La distancia entre dos puntos, medida por esta cinta en un día en que la temperatura es de 5.00°C, es 25.970 m. ¿Cuál es la distancia real entre los puntos?

**17.77** •• Una varilla metálica de 30.0 cm de longitud se expande 0.0650 cm cuando se calienta de 0.0 a 100.0°C. Una varilla de otro metal con la misma longitud se expande 0.0350 cm con el mismo aumento de temperatura. Una tercera varilla, también de 30.0 cm, se compone de tramos de los metales anteriores unidos extremo con extremo y se expande 0.0580 cm entre 0.0°C y 100.0°C. Calcule la longitud de cada tramo de la varilla compuesta.

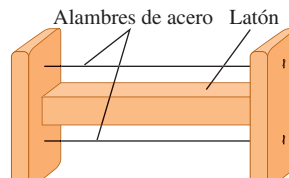
**17.78** •• Una fresca mañana de sábado (4.0°C), un piloto llena los tanques de su Pitts S-2C (un avión biplaza para acrobacias) hasta su capacidad máxima de 106.0 L. Antes de volar el domingo por la mañana, cuando la temperatura es otra vez de 4.0°C, el piloto revisa el nivel de combustible y encuentra sólo 103.4 L de gasolina en los tanques de aluminio. Recuerda que el sábado en la tarde hizo calor, y que la expansión térmica de la gasolina hizo que el combustible faltante saliera por la ventila del tanque. *a)* ¿Qué temperatura máxima (en °C) alcanzaron el combustible y el tanque esa tarde de sábado? El coeficiente de expansión volumétrica de la gasolina es de  $9.5 \times 10^{-4} \text{ K}^{-1}$ . *b)* Si el piloto quería tener el máximo de combustible disponible para su vuelo, ¿con cuántos litros debió llenar los tanques?

**17.79** •• *a)* La ecuación (17.12) da el esfuerzo requerido para mantener constante la longitud de una varilla cuando su temperatura cambia. Demuestre que, si se permite que la longitud cambie una cantidad  $\Delta L$  cuando la temperatura varía una cantidad  $\Delta T$ , el esfuerzo será igual a

$$\frac{F}{A} = Y \left( \frac{\Delta L}{L_0} - \alpha \Delta T \right)$$

donde  $F$  es la tensión en la varilla,  $L_0$  es su longitud original,  $A$  es el área de la sección transversal,  $\alpha$  es su coeficiente de expansión lineal y  $Y$  es su módulo de Young. *b)* Una barra de latón gruesa tiene proyecciones en sus extremos (**figura P17.79**). Dos alambres finos de

Figura P17.79



**17.80** •• **PA** Un alambre de metal, con densidad  $\rho$  y módulo de Young  $Y$ , se estira entre soportes rígidos. A la temperatura  $T$ , la rapidez de una onda transversal es  $v_1$ . Cuando la temperatura aumenta a  $T + \Delta T$ , la rapidez disminuye a  $v_2 < v_1$ . Determine el coeficiente de expansión lineal del alambre.

**17.81** • Un anillo de acero con diámetro interior de 2.5000 in a 20.0°C se calienta y se ensambla alrededor de un eje de latón con diámetro exterior de 2.5020 in a 20.0°C. *a)* ¿A qué temperatura debe calentarse el anillo? *b)* Si el anillo y el eje se enfrián juntos, digamos con aire líquido, ¿a qué temperatura se saldrá el anillo del eje?

**17.82 • BIO Rosquillas: ¡Desayuno de campeones!** Una rosquilla típica contiene 2.0 g de proteína, 17.0 g de carbohidratos y 7.0 g de grasa. Los valores energéticos de los alimentos, en promedio, son 4.0 kcal/g en el caso de las proteínas y los carbohidratos, y 9.0 kcal/g en el de las grasas. *a)* Durante ejercicio vigoroso, una persona promedio usa energía a razón de 510 kcal/h. ¿Cuánto tiempo tendría que ejercitarse para “quemar” una rosquilla? *b)* Si una persona pudiera convertir totalmente la energía de una rosquilla en energía cinética, ¿qué tan rápido podría ir esa persona después de comer una rosquilla? Suponga que la masa de la persona es de 60 kg, y exprese su respuesta en m/s y en km/h.

**17.83 • BIO Temblando.** El hacer temblar el cuerpo es una forma de generar calor para restaurar su temperatura interna al valor normal de 37°C, y con esto se producen aproximadamente 290 W de potencia de calor por metro cuadrado de área del cuerpo. Una mujer de 1.78 m de altura y 68 kg tiene aproximadamente 1.8 m<sup>2</sup> de área superficial. ¿Cuánto tiempo tiene que estar temblando esta mujer de manera que la temperatura de su cuerpo se incremente en 1.0°C? Suponga que el cuerpo no pierde calor. La capacidad calorífica específica del cuerpo es cercana a 3500 J/kg · K.

**17.84** • Usted enfriá un trozo de hierro de 100.0 g al rojo vivo (temperatura 745°C) dejándolo caer en una taza aislada con masa insignificante, que contiene 85.0 g de agua a 20.0°C. Suponiendo que no hay intercambio de calor con los alrededores, *a)* ¿cuál será la temperatura final del agua y *b)* cuál será la masa final del hierro y del agua restante?

**17.85 • CALC Ley de Debye T<sup>3</sup>.** A temperaturas muy bajas, la capacidad calorífica molar de la sal de roca varía con la temperatura como T<sup>3</sup> según la ley de Debye:

$$C = k \frac{T^3}{\theta^3}$$

donde  $k = 1940 \text{ J/mol} \cdot \text{K}$  y  $\theta = 281 \text{ K}$ . *a)* ¿Cuánto calor se requiere para elevar la temperatura de 1.50 moles de sal de roca de 10.0 a 40.0 K? [Sugerencia: Use la ecuación (17.18) en la forma  $dQ = nC \cdot dT$  e integre]. *b)* Calcule la capacidad calorífica molar media en ese intervalo. *c)* Calcule la capacidad calorífica molar verdadera a 40.0 K.

**17.86 • PA** Una persona con masa de 70.0 kg está sentada en una tina de 190.0 cm por 80.0 cm; antes de que la persona entrara, el agua tenía 24.0 cm de profundidad. El agua está a una temperatura de 37.0°C. Suponga que el agua se enfriá espontáneamente para formar hielo a 0.0°C y que toda la energía liberada se usa para lanzar al infeliz bañista verticalmente hacia arriba. ¿Qué altura alcanzaría? (Como veremos en el capítulo 20, la conservación de la energía permite este suceso, pero la segunda ley de la termodinámica lo prohíbe).

**17.87 • Aire caliente en una clase de física.** Un estudiante promedio que escucha atentamente una clase de física produce 100 W de calor. ¿Cuánto calor desprende un grupo de 140 estudiantes de física, en una aula durante una clase de 50 min? *b)* Suponga que toda la energía térmica del inciso *a)* se transfiere a los 3200 m<sup>3</sup> de aire del aula. El aire tiene un calor específico de 1020 J/kg · K y una densidad de 1.20 kg/m<sup>3</sup>. Si no hay fugas de calor y el sistema de aire acondicionado está apagado, ¿cuánto aumentará la temperatura del aire durante la clase de 50 min? *c)* Si el grupo está en examen, la producción de calor por estudiante aumenta a 280 W. ¿Cuánto aumenta la temperatura en 50 min en este caso?

**17.88 ••• CALC** La capacidad calorífica molar de cierta sustancia varía con la temperatura, según la ecuación empírica:

$$C = 29.5 \text{ J/mol} \cdot \text{K} + (8.20 \times 10^{-3} \text{ J/mol} \cdot \text{K}^2)T$$

¿Cuánto calor se necesita para modificar la temperatura de 3.00 moles de la sustancia de 27°C a 227°C? [Sugerencia: Use la ecuación (17.18) en la forma  $dQ = nC \cdot dT$  e integre].

**17.89 ••• BIO Ejercitándose con bicicleta en un día caluroso.** Si la temperatura del aire es la misma temperatura de su piel (cerca a los 30°C), su cuerpo no puede retirar calor transfiriéndolo al aire. En ese caso, se retira calor al evaporar agua (sudor). Durante el pedaleo con bicicleta, el cuerpo de una persona promedio de 70 kg produce energía a razón de 500 W, debido al metabolismo, y el 80% de ese valor se convierte en calor. *a)* ¿Cuántos kilogramos de agua debe evaporar la persona en una hora para desechar ese calor? El calor de vaporización del agua a temperatura corporal es  $2.42 \times 10^6 \text{ J/kg}$ . *b)* Desde luego, el agua evaporada debe reponerse o la persona se deshidratará. ¿Cuántas botellas de agua de 750 mL debe beber el ciclista por hora para recuperar el agua perdida? (Recuerde que la masa de un litro de agua es 1.0 kg).

**17.90 ••• BIO Sobrecalentamiento.** *a)* En una hora, ¿en cuánto se incrementará la temperatura del cuerpo del ciclista del problema 17.89 si no pudiera desechar el calor en exceso? *b)* ¿Este aumento de temperatura es lo suficientemente grande para causar daño? Para saberlo, ¿a qué nivel de fiebre sería equivalente en °F? (Recuerde que la temperatura interna normal del cuerpo es 98.6°F y que el calor específico del cuerpo es 3480 J/kg · °C).

**17.91 ••• BIO Proceso termodinámico en un insecto.** El escarabajo africano Bombardier (*Stenaptinus insignis*) puede emitir un chorro defensivo de spray de una punta móvil de su abdomen (figura P17.91). El cuerpo del escarabajo tiene depósitos que contienen dos sustancias químicas; cuando se molesta al escarabajo, estos dos químicos se combinan en una cámara de reacción, produciendo un compuesto que se calienta de 20°C a 100°C por el calor de la reacción. La alta presión producida permite impulsar el compuesto a rápidos de hasta 19 m/s (68 km/h), logrando intimidar a los depredadores de todo tipo. El escarabajo mostrado en la figura P17.91 es de 2 cm de longitud. Calcule el calor de reacción de los dos químicos (en J/kg). Suponga que el calor específico de los químicos y del spray es el mismo que el del agua,  $4.19 \times 10^3 \text{ J/kg} \cdot \text{K}$  y que la temperatura inicial de los químicos es de 20°C.

Figura P17.91



**17.92 •• Calefacción con agua caliente o con vapor.** En un sistema doméstico de calefacción por agua caliente, entra agua a 70.0°C (158.0°F) a los radiadores, de donde sale a 28.0°C (82.4°F). El sistema se va a reemplazar por uno de vapor de agua, en el que el vapor a presión atmosférica se condensa en los radiadores, y sale de éstos a 35.0°C (95.0°F). ¿Cuántos kilogramos de vapor suministrarán la misma cantidad de calor que suministraba 1.00 kg de agua caliente en el primer sistema?

**17.93** • Usted tiene 1.50 kg de agua a 28°C en un recipiente aislado de masa despreciable. Usted agrega 0.600 kg de hielo que inicialmente está a -22.0°C. Suponga que no hay intercambio de calor con el entorno. *a)* Despues de que se ha alcanzado el equilibrio térmico, ¿se ha derretido todo el hielo? *b)* Si todo el hielo se ha derretido, ¿cuál es la temperatura final del agua en el recipiente? Si todavía quedan algunos hielos, ¿cuál es la temperatura final del sistema, y cuánto hielo queda?

**17.94** • Una enfermera con sed, enfriá una botella con 2.00 L de una bebida que es casi toda agua, vertiendo la bebida en un recipiente grande de aluminio de masa 0.257 kg y agregando 0.120 kg de hielo, inicialmente a -15.0°C. Si la bebida y el recipiente están al inicio a 20.0°C, ¿cuál es la temperatura final del sistema, suponiendo que no hay pérdida de calor?

**17.95** • Un calorímetro de cobre con masa de 0.446 kg contiene 0.0950 kg de hielo. El sistema está inicialmente a 0.0°C. *a)* Si se le agregan 0.0350 kg de vapor de agua a 100.0°C y 1.00 atm de presión, ¿qué temperatura final alcanzarán el calorímetro y su contenido? *b)* A la temperatura final, ¿cuántos kilogramos habrá de hielo, cuántos de agua líquida y cuántos de vapor?

**17.96** • Un recipiente de espuma de poliestireno de masa despreciable contiene 1.75 kg de agua y 0.450 kg de hielo. Más hielo, proveniente de un refrigerador a -15.0°C, se agrega a la mezcla en el recipiente, y cuando se alcanza el equilibrio térmico, la masa total del hielo en el recipiente es de 0.884 kg. Suponiendo que no hay intercambio de calor con los alrededores, ¿cuál es la masa de hielo que se agregó?

**17.97** • En un recipiente de masa despreciable, 0.0400 kg de vapor de agua a 100°C y presión atmosférica se agregan a 0.200 kg de agua a 50.0°C. *a)* Si no se transfiere calor al entorno, ¿qué temperatura final alcanzará el sistema? *b)* A la temperatura final, ¿cuántos kilogramos hay de vapor de agua y cuántos de agua líquida?

**17.98** • **BIO Aislamiento de los mamíferos.** Los animales en climas fríos a menudo dependen de *dos* capas de aislamiento: una capa de grasa en el cuerpo (de conductividad térmica 0.20 W/m · K) rodeada por una capa de aire atrapado dentro de la piel o debajo. Podemos modelar un oso negro (*Ursus americanus*) como una esfera de 1.5 m de diámetro que tiene una capa de grasa de 4.0 cm de espesor (en realidad, el espesor varía según la estación, pero estamos interesados en la hibernación, cuando la capa de grasa es más gruesa). En los estudios de hibernación del oso, se encontró que la superficie externa de la capa de la piel está a 2.7°C durante ese periodo, mientras que la superficie interior de la capa de grasa está a 31.0°C. *a)* ¿Cuál es la temperatura en la interfase grasa interna-piel hará que el oso pierda calor a una tasa de 50.0 W? *b)* ¿Qué espesor debe tener la capa de aire ( contenida dentro de la piel)?

**17.99** • **Efecto de una ventana en una puerta.** Un carpintero construye una puerta de madera sólida de 2.00 m × 0.95 m × 5.0 cm. Su conductividad térmica es  $k = 0.120 \text{ W/m} \cdot \text{K}$ . Las películas de aire en las superficies interior y exterior de la puerta tienen la misma resistencia térmica combinada que un espesor adicional de 1.8 cm de madera sólida. La temperatura interior es de 20.0°C, y la exterior de -8.0°C. *a)* Calcule la tasa de flujo de calor a través de la puerta. *b)* ¿En qué factor aumenta el flujo de calor, si en la puerta se coloca una ventana cuadrada de 0.500 m por lado? El vidrio tiene un espesor de 0.450 cm y una conductividad térmica de 0.80 W/m · K. Las películas de aire a ambos lados del vidrio tienen una resistencia térmica total igual a la de otros 12.0 cm de vidrio.

**17.100** • Un método experimental para medir la conductividad térmica de un material aislante consiste en construir una caja del material y medir el aporte de potencia a un calentador eléctrico dentro de la caja, que mantiene el interior a una temperatura medida por encima de la temperatura de la superficie exterior. Suponga que en un aparato así se requiere un aporte de potencia de 180 W para mantener la superficie interior de la caja 65.0°C (aproximadamente 120°F) arriba de la temperatura de la superficie exterior. El área total de la caja es de 2.18 m<sup>2</sup>, y el espesor de la pared es de 3.90 cm. Calcule la conductividad térmica del material en unidades del SI.

**17.101** • Calcule el cociente entre las tasas de pérdida de calor a través de una ventana de un solo vidrio con área de 0.15 m<sup>2</sup> y a través de una ventana de doble vidrio con la misma área. Cada vidrio tiene un espesor de 4.2 mm, y el espacio entre los dos vidrios de la ventana doble es de 7.0 mm. El vidrio tiene una conductividad térmica de 0.80 W/m · K. Las películas de aire en las superficies interior y exterior de ambas ventanas tienen una resistencia térmica combinada de 0.15 m<sup>2</sup> · K/W.

**17.102** • Se sueldan varillas de cobre, latón y acero para formar una Y. El área de sección transversal de cada varilla es de 2.00 cm<sup>2</sup>. El extremo libre de la varilla de cobre se mantiene a 100.0°C; y los extremos libres de las varillas de latón y acero, a 0.0°C. Suponga que no hay pérdida de calor por los costados de las varillas, cuyas longitudes son: cobre, 13.0 cm; latón, 18.0 cm; acero, 24.0 cm. *a)* ¿Qué temperatura tiene el punto de unión? *b)* Calcule la corriente de calor en cada una de las tres varillas.

**17.103** • Una barra de latón de 12.0 cm de longitud, una de cobre de 18.0 cm y una de aluminio de 24.0 cm, todas con sección transversal de 2.30 cm<sup>2</sup>, se sueldan para formar una barra de 54.0 cm de largo, colocando la de cobre en la parte media. El extremo libre de la de latón se mantiene a 100.0°C, y el extremo libre de la de aluminio se mantiene a 0.0°C. Suponga que no hay pérdida de calor en las superficies curvas y que se ha establecido una corriente de calor en estado estable. Determine *a)* la temperatura  $T_1$  en la unión de las secciones de latón y cobre; *b)* la temperatura  $T_2$  en la unión de las secciones de cobre y aluminio; *c)* la corriente de calor en la sección de aluminio.

**17.104** • **BIO Tasa metabólica basal.** La *tasa metabólica basal* es la rapidez a la que la energía se produce en el cuerpo cuando una persona está en reposo. Una persona de 75 kg (165 lb) y 1.83 m (6 ft) de estatura tiene una superficie corporal de aproximadamente 2.0 m<sup>2</sup>. *a)* ¿Cuál es la cantidad neta de calor que esta persona podría irradiar por segundo en una habitación a 18°C (alrededor de 65°F) si la temperatura de la superficie de la piel es de 30°C? (A estas temperaturas, casi todo el calor es la radiación infrarroja, para la que la emisividad del cuerpo es 1.0, independientemente de la cantidad de pigmento). *b)* Normalmente, el 80% de la energía producida por el metabolismo deriva en calor, mientras que el resto se dedica a funciones como el bombeo de la sangre y la reparación de las células. También normalmente, una persona en reposo puede deshacerse de este exceso de calor sólo a través de la radiación. Utilice su respuesta del inciso *a)* para determinar la tasa metabólica basal de esta persona.

**17.105** • **CALC Tiempo que tarda un lago en cubrirse de hielo.** *a)* Cuando la temperatura del aire está por debajo de 0°C, el agua en la superficie de un lago se congela para formar una plancha de hielo. ¿Por qué no se congela todo el volumen del lago? *b)* Demuestre que el espesor del hielo formado en la superficie de un lago es proporcional a la raíz cuadrada del tiempo, si el calor de fusión del agua que se congela en la cara inferior de la capa de hielo atraviesa dicha capa por conducción. *c)* Suponiendo que la superficie superior del hielo está a -10°C y que la de abajo está a 0°C, calcule el tiempo que tardará en formarse una capa de hielo de 25 cm de espesor. *d)* Si el lago del inciso *c)* tiene una profundidad uniforme de 40 m, ¿cuánto tardaría en congelarse totalmente? ¿Es probable que eso ocurra?

**17.106** • La tasa de energía radiante que llega del Sol a la atmósfera superior de la Tierra es de cerca de 1.50 kW/m<sup>2</sup>. La distancia de la Tierra al Sol es de  $1.50 \times 10^{11}$  m, y el radio del Sol es de  $6.96 \times 10^8$  m. *a)* Calcule la tasa de radiación de energía por unidad de área de la superficie solar. *b)* Si el Sol irradian como cuerpo negro ideal, ¿qué temperatura tiene en su superficie?

**17.107** • **Termo para helio líquido.** Un físico usa una lata cilíndrica de metal de 0.250 m de altura y 0.090 m de diámetro para guardar helio líquido a 4.22 K; a esa temperatura, el calor de vaporización del helio es de  $2.09 \times 10^4$  J/kg. La lata está rodeada por completo de paredes que se mantienen a la temperatura del nitrógeno líquido a 77.3 K, con un vacío entre la lata y dichas paredes. ¿Cuánto helio se pierde por hora? La emisividad de la lata metálica

es de 0.200. La única transferencia de calor entre la lata metálica y las paredes es por radiación.

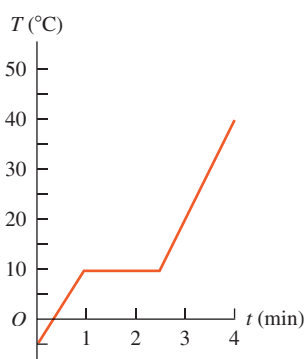
**17.108** Una esfera metálica con radio de 3.20 cm, se encuentra suspendida en una caja metálica grande cuyas paredes interiores se mantienen a 30.0°C. Un calentador eléctrico pequeño se coloca junto a la esfera y se le suministra calor a razón de 0.660 J/s para mantenerla a una temperatura constante de 41.0°C. a) ¿Cuál es la emisividad de la esfera de metal? b) ¿Qué potencia se requiere para mantener la esfera a 82.0°C? ¿Cuál es el cociente de potencia requerida para 82.0°C con respecto a la potencia requerida para mantenerla a 41.0°C? ¿Cómo se compara este cociente con  $2^4$ ? Explique su respuesta.

**17.109** **BIO Trotar en un día caluroso.** Usted probablemente ha visto a la gente correr en un clima demasiado caliente y se pregunta por qué lo hace. Como veremos, ¡hay buenas razones para no hacerlo! Al moverse energicamente, un corredor promedio de 68 kg de masa y área superficial de 1.85 m<sup>2</sup> produce energía a una tasa de hasta 1300 W, 80% de la cual se convierte en calor. El corredor irradia calor, pero en realidad absorbe más calor del que irradia. En esos altos niveles de actividad, la temperatura de la piel se puede elevar a alrededor de 33°C en lugar de los usuales 30°C (vamos a despreciar la conducción, lo que aportaría aún más calor a su cuerpo). La única forma de que el cuerpo se deshaga de este calor adicional es por evaporación de agua (sudoración). a) ¿Cuánto calor se produce por segundo sólo por el acto de correr? b) ¿Cuánto calor neto por segundo gana el corredor sólo por la radiación si la temperatura del aire es de 40.0°C (104°F)? (Recuerde que él irradia hacia afuera, pero el ambiente irradia hacia adentro). c) ¿Cuál es la cantidad total de exceso de calor que el cuerpo de este corredor debe eliminar por segundo? d) ¿Cuánta agua debe evaporar el cuerpo del corredor cada minuto debido a su actividad? El calor de vaporización del agua a la temperatura del cuerpo es  $2.42 \times 10^6$  J/kg. e) ¿Cuántas botellas de 750 mL de agua debe beber después (o ¡de preferencia antes!) de correr durante media hora? Recordemos que un litro de agua tiene una masa de 1.0 kg.

**17.110** Las capas de hielo de Groenlandia y la Antártida contienen aproximadamente el 1.75% del agua total (por masa) de la superficie terrestre; los océanos contienen alrededor de un 97.5%, y el otro 0.75% es agua subterránea. Suponga que las capas de hielo, que actualmente se encuentran a una temperatura media aproximada de -30°C, de algún modo se deslizan hacia el océano y se derriten. ¿Cuál sería la disminución de temperatura del océano que se produciría como resultado de ello? Suponga que la temperatura media del agua del océano es actualmente de 5.00°C.

**17.111** **DATOS** Como físico, a una muestra sólida de 500.0 g le agrega calor a una tasa de 10 kJ/min, mientras registra su temperatura como función del tiempo. Usted grafica sus datos como se muestra en la figura P17.111. a) ¿Cuál es el calor latente de fusión para este sólido? b) ¿Cuáles son los calores específicos de los estados líquido y sólido de este material?

Figura P17.111



**17.112** **DATOS** En una planta química donde usted es el ingeniero, se tiene un depósito con un líquido desconocido. Usted debe

determinar la capacidad calorífica específica del líquido. Vierte 0.500 kg de líquido en una taza de metal aislada cuya masa es de 0.200 kg. Inicialmente el líquido y la taza están a 20.0°C. Agrega 0.500 kg de agua que tiene una temperatura de 80.0°C. Después de que se ha alcanzado el equilibrio térmico, la temperatura final de los dos líquidos y la taza es de 58.1°C. Ahora usted vacía la taza y repite el experimento con las mismas temperaturas iniciales, pero esta vez con 1.00 kg del líquido desconocido. La temperatura final es 49.3°C. Suponga que las capacidades caloríficas específicas son constantes en todo el rango de temperatura del experimento y que no hay pérdida de calor hacia los alrededores. Calcule la capacidad calorífica específica del líquido y del metal con que se hizo lat azu.

**17.113** **DATOS** Durante sus prácticas como ingeniero mecánico, le dan dos barras metálicas uniformes A y B, las cuales están hechas de metales diferentes, para determinar sus conductividades térmicas. Al medir las barras, usted determina que ambas tienen una longitud de 40.0 cm y un área de sección transversal de 2.50 cm<sup>2</sup>. Usted coloca un extremo de la barra A en contacto térmico con una tina muy grande con agua hirviendo a 100.0°C y el otro extremo en contacto térmico con una mezcla de hielo y agua a 0.0°C. Para prevenir pérdida de calor a lo largo de los lados de la barra, usted coloca aislante alrededor de ésta. Pesa la cantidad de hielo al inicio y observa que son 300 g. Después de 45.0 minutos, pesa el hielo nuevamente y encuentra que hay 191 g de hielo. La mezcla de hielo y agua está en un contenedor aislado, de manera que el único calor que entra o sale es el calor conducido por la barra metálica.

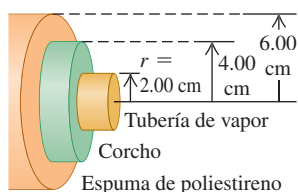
Usted confía en que los datos le permitirán calcular la conductividad térmica  $k_A$  de la barra A. Pero este procedimiento fue tedioso, y no quiere repetirlo para la barra B. En lugar de esto, pega las dos barras, extremo con extremo, con un adhesivo que tiene una alta conductividad térmica, y así tiene una barra compuesta de 80.0 m de largo. Usted coloca el extremo de A en contacto térmico con el agua hirviendo y el extremo B en contacto térmico con la mezcla de hielo y agua. Al igual que en el primer experimento, la barra compuesta está térmicamente aislada. Usted va a comer; cuando regresa, observa restos de hielo en la mezcla de hielo y agua. Al medir la temperatura en la unión de las dos barras, registra 62.4°C. Después de 10 minutos usted repite el experimento y obtiene la misma temperatura, con restos de hielo en la mezcla de hielo y agua. A partir de sus datos, calcule las conductividades térmicas de las barras A y B.

## PROBLEMAS DE DESAFÍO

**17.114** **BIO Un paseo en el Sol.** Considere una pobre alma perdida que camina a 5 km/h en un día caluroso en el desierto, vestida sólo con un traje de baño. La temperatura de la piel de esta persona tiende a aumentar por cuatro mecanismos: i. se genera energía por reacciones metabólicas en el cuerpo a una tasa de 280 W, y casi toda esta energía se convierte en calor que fluye hacia la piel; ii. se suministra calor a la piel por convección del aire exterior con una rapidez de  $k' A_{piel} (T_{aire} - T_{piel})$ , donde  $k'$  es 54 J/h·C° · m<sup>2</sup>, el área de piel expuesta  $A_{piel}$  es de 1.5 m<sup>2</sup>, la temperatura del aire  $T_{aire}$  es de 47°C, y la temperatura de la piel  $T_{piel}$  es de 36°C; iii. la piel absorbe energía radiante del Sol a una tasa de 1400 W/m<sup>2</sup>; iv. la piel absorbe energía radiante del entorno, que tiene una temperatura de 47°C. a) Calcule la tasa neta (en watts) con que estos cuatro mecanismos calientan la piel de la persona. Suponga que la emisividad de la piel es  $\epsilon = 1$  y que su temperatura inicial es de 36°C. ¿Qué mecanismo es el más importante? b) Con qué rapidez (en L/h) debe evaporarse sudor de la piel de esta persona para mantener una temperatura constante en la piel? (El calor de vaporización del agua a 36°C es de  $2.42 \times 10^6$  J/kg). c) Suponga ahora que la persona está protegida por ropa clara ( $\epsilon \approx 0$ ), de modo que el área de piel expuesta es de sólo 0.45 m<sup>2</sup>. ¿Qué tasa de transpiración se requiere ahora? Analice la utilidad de la ropa tradicional que usa la gente del desierto.

**17.115** Un cilindro hueco tiene longitud  $L$ , radio interno  $a$  y radio externo  $b$ ; las temperaturas de las superficies interna y externa son  $T_2$  y  $T_1$  (el cilindro se puede considerar como un tubo de agua caliente aislado). La conductividad térmica del material del que está hecho el cilindro es  $k$ . Obtenga una ecuación para *a*) la corriente de calor total a través de las paredes del cilindro; y *b*) la variación de temperatura dentro de las paredes del cilindro. *c*) Demuestre que la ecuación para la corriente de calor total se reduce a la ecuación (17.21) para flujo de calor lineal, cuando la pared del cilindro es muy delgada. *d*) Un tubo de vapor con un radio de 2.00 cm, que transporta vapor a 140°C, está rodeado por una camisa cilíndrica con radios interior y exterior de 2.00 cm y 4.00 cm, y que está hecha de un tipo de corcho con conductividad térmica de  $4.00 \times 10^{-2}$  W/m · K. Esta camisa, a la vez, está rodeada por una camisa cilíndrica hecha de espuma de poliestireno con conductividad térmica de  $2.70 \times 10^{-2}$  W/m · K que tiene radios interno y externo de 4.00 y 6.00 cm, respectivamente (**figura P17.115**). La superficie exterior de la espuma de poliestireno tiene una temperatura de 15°C. ¿Cuál es la temperatura a un radio de 4.00 cm, donde coinciden las dos capas aislantes? *e*) ¿Cuál es la tasa total de transferencia de calor a 2.00 m de longitud de la tubería?

Figura P17.115



### PROBLEMAS DE TRANSICIÓN

#### BIO PRESERVACIÓN DE CÉLULAS A TEMPERATURAS FRÍAS.

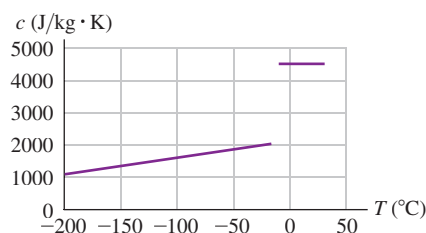
En el proceso de preservación criogénica, los materiales biológicos son enfriados a muy bajas temperaturas con la finalidad de retardar las reacciones químicas que pudieran dañar las células o los tejidos. Es importante evitar la formación de cristales de hielo durante la congelación. Un método para evitar la formación de hielo es colocar el material en una solución protectora llamada *crioprotectora*. A continuación, se listan valores de propiedades térmicas de un protector criogénico:

Punto de fusión	-20°C
Calor latente de fusión	$2.80 \times 10^5$ J/kg
Calor específico (líquido)	$4.5 \times 10^3$ J/kg · K
Calor específico (solido)	$2.0 \times 10^3$ J/kg · K
Conductividad térmica (líquido)	1.2 W/m · K
Conductividad térmica (sólido)	2.5 W/m · K

**17.116** Usted coloca 35 g de este protector criogénico a 22°C en contacto con una placa fría que se mantiene a la temperatura de ebullición del nitrógeno líquido (77 K). El protector criogénico está aislado térmicamente de todo, excepto de la placa fría. Use los valores en la tabla para determinar cuánto calor se transferirá del protector criogénico hasta que alcance el equilibrio térmico con la placa fría. *a*)  $1.5 \times 10^4$  J; *b*)  $2.9 \times 10^4$  J; *c*)  $3.4 \times 10^4$  J; *d*)  $4.4 \times 10^4$  J.

**17.117** Mediciones cuidadosas indican que el calor específico de la fase sólida depende de la temperatura (**figura P17.117**). ¿Cómo se compara el tiempo real necesario para que este protector criogénico llegue al equilibrio con la placa fría en comparación con el tiempo predecible usando los valores de la tabla? Suponga que son correctos todos los valores diferentes del calor específico (sólido). El tiempo real *a*) será más corto; *b*) será más largo; *c*) será igual; *d*) depende de la densidad del protector criogénico.

Figura P17.117



**17.118** En otro experimento, usted coloca una capa de este protector criogénico entre una placa fría de  $10 \times 10$  cm mantenida a -40°C y una segunda placa fría del mismo tamaño mantenida a la temperatura de ebullición del nitrógeno líquido (77 K). Posteriormente, usted mide la tasa de transferencia de calor. Otro laboratorio quiere repetir el experimento, pero usa placas frías de 20 cm × 20 cm, con una placa a -40°C y la otra a 77 K. ¿Qué tan gruesa debe ser la capa de protector criogénico de manera que la tasa de transferencia de calor por conducción sea la misma que si se usaran placas pequeñas? *a*) De un cuarto del espesor; *b*) la mitad del espesor; *c*) el doble del espesor; *d*) cuatro veces el espesor.

**17.119** Para medir el calor específico en la fase líquida de un protector criogénico recientemente desarrollado, se coloca una muestra de éste en contacto con una placa fría hasta que la temperatura de la solución cae de la temperatura ambiente a su punto de congelación. Despues se mide el calor transferido a la placa fría. Si el sistema no está lo suficientemente aislado de los alrededores a temperatura ambiente, ¿cuál será el efecto sobre la medición del calor específico? *a*) El calor específico medido será mayor que el calor específico real; *b*) el calor específico medido será menor que el calor específico real; *c*) no habrá ningún efecto ya que la conductividad térmica del protector criogénico es muy baja; *d*) no tendrá ningún efecto en el calor específico, pero cambiará la temperatura del punto de congelamiento.

## Respuestas

### Pregunta de inicio del capítulo ?

**iii** El hierro fundido contiene una gran cantidad de energía. Un cuerpo *tiene* una temperatura, pero no *contiene* temperatura. El término “calor” significa energía que está en tránsito de un cuerpo a otro como resultado de la diferencia de temperatura entre los cuerpos. Los cuerpos no *contienen* calor.

### Respuesta a las secciones

#### Evalúe su comprensión

**17.1 ii.** Un termómetro de líquido en tubo en realidad mide su propia temperatura. Si el termómetro permanece en agua caliente suficiente tiempo, llegará al equilibrio térmico con el agua y su temperatura será la misma que la del agua.

**17.2 iv.** Tanto una tira bimetálica como un termómetro de resistencia miden su propia temperatura. Para que ésta sea igual a la temperatura del objeto que se está midiendo, el termómetro y el objeto deben estar en equilibrio térmico. Un termómetro arterial temporal detecta la radiación infrarroja en la piel de una persona; así que no hay necesidad de que el detector y la piel estén a la misma temperatura.

**17.3 i, iii, ii, v, iv.** Para comparar estas temperaturas, conviértalas todas a la escala Kelvin. Para **i**, la temperatura Kelvin es  $T_K = T_C + 273.15 = 0.00 + 273.15 = 273.15$  K; para **ii**,  $T_C = \frac{5}{9}(T_F - 32^\circ) = \frac{5}{9}(0.00^\circ - 32^\circ) = -17.78^\circ\text{C}$  y  $T_K = T_C + 273.15 = -17.78 + 273.15 = 255.37$  K; para **iii**,  $T_K = 260.00$  K; para **iv**,  $T_K = 77.00$  K; y para **v**,  $T_K = T_C + 273.15 = -180.00 + 273.15 = 93.15$  K.

**17.4 ii y iii.** El metal 2 debe expandirse más que el metal 1 cuando se calienta, así que debe tener un mayor coeficiente de expansión lineal  $\alpha$ . En la tabla 17.1 vemos que dos metales con valores de  $\alpha$  más grandes que el del cobre son el aluminio y el latón, aunque no el acero.

**17.5 ii, i, iv, iii.** En los casos **i** y **ii**, la cantidad relevante es el calor específico  $c$  de la sustancia, que es la cantidad de calor requerido para elevar la temperatura de 1 *kilogramo* de esa sustancia en 1 K (1 C°). De acuerdo con la tabla 17.3, estos valores son **i**. 138 J para el mercurio y **ii**. 2428 J para el etanol. En los casos **iii** y **iv** necesitamos la capacidad calorífica molar  $C$ , que es la cantidad de calor requerida para elevar la temperatura de 1 *mol* de esa sustancia en 1 C°. De nuevo, a partir de la tabla 17.3, estos valores son **iii**. 27.7 J para el mercurio y **iv**. 111.9 J para el etanol (el cociente de capacidades caloríficas molares es diferente del cociente de calores específicos porque un mol de mercurio y un mol de etanol tienen masas diferentes).

**17.6 iv.** En un tiempo  $t$ , el sistema va del punto *b* al punto *e* de la figura 17.20. De acuerdo con esta figura, en el tiempo  $t/2$  (a la mitad de la distancia sobre el eje horizontal entre *b* y *e*), el sistema está a 100°C y todavía está en ebullición; es decir, es una mezcla de líquido y gas. Esto implica que la mayor parte del calor agregado se invierte en evaporar el agua.

**17.7 ii.** Cuando usted toca una de las paredes, el calor fluye de su mano a la pared que está a temperatura más baja. Cuanto más rápido fluya el calor desde su mano, más frío percibirá usted. La ecuación (17.21) indica que la tasa de flujo de calor es proporcional a la conductividad térmica  $k$ . De acuerdo con la tabla 17.5, el cobre tiene conductividad térmica mucho más alta (385.0 W/m·K) que el acero (50.2 W/m·K) o que el concreto (0.8 W/m·K); por ello, la pared de cobre se siente más fría al tacto.

### Problema práctico

**a)** 14.26 K   **b)** 0.427 kg/h



¿ Cuanto más elevada es la temperatura de un gas, mayor es la energía cinética media de sus moléculas. ¿Qué tan rápidas son las moléculas que se mueven en el aire encima de una sartén ( $100^{\circ}\text{C}$ ) en comparación con las que se encuentran en el aire circundante de la cocina ( $25^{\circ}\text{C}$ )?  
**i.** 4 veces más rápidas; **ii.** 2 veces más rápidas; **iii.** 1.25 veces más rápidas; **iv.** 1.12 veces más rápidas; **v.** 1.06 veces más rápidas.

# 18 PROPIEDADES TÉRMICAS DE LA MATERIA

## OBJETIVOS DE APRENDIZAJE

Al estudiar este capítulo, usted aprenderá:

- 18.1** Cómo reaccionar la presión, el volumen y la temperatura de un gas.
- 18.2** Cómo las interacciones entre las moléculas de una sustancia determinan las propiedades de ésta.
- 18.3** De qué forma la presión y la temperatura de un gas se relacionan con la energía cinética de sus moléculas.
- 18.4** Cómo las propiedades caloríficas de un gas revelan si sus moléculas giran o vibran.
- 18.5** Cómo están distribuidas en un gas las rapideces de sus moléculas.
- 18.6** Qué determina si una sustancia es un gas, un líquido o un sólido.

Repase lo estudiado en la sección ...

- 7.4** Energía potencial y fuerza.
- 11.4** Esfuerzo volumétrico.
- 12.2** Fluidos en equilibrio.
- 13.3** Rapidez de escape.
- 14.4** Fuerzas interatómicas y oscilaciones.
- 17.1-17.6** Temperatura, calor, expansión térmica, calor específico, capacidad calorífica molar, cambios de fase.

**L**a cocina es un lugar excelente para estudiar la forma en que las propiedades de la materia dependen de la temperatura. Cuando hervimos agua en una tetera, el aumento de temperatura produce vapor que sale silbando a alta presión. Si olvidamos perforar una papa antes de hornearla, el vapor a alta presión que se produce en su interior puede hacer que reviente. El vapor de agua del aire se condensa en gotitas de líquido en las paredes de un vaso de agua helada; y si acabamos de sacar el vaso del congelador, se formará escarcha en las paredes al solidificarse el vapor.

Todos estos ejemplos muestran las interrelaciones de las propiedades a gran escala, o *macroscópicas*, de una sustancia, como presión, volumen, temperatura y masa. Sin embargo, también podemos describir una sustancia desde una perspectiva *microscópica*. Esto implica investigar cantidades a pequeña escala, como las masas, rapideces, energías cinéticas y los momentos lineales de las moléculas individuales que constituyen una sustancia.

Las descripciones macroscópica y microscópica están íntimamente relacionadas. Por ejemplo, las fuerzas de choque (microscópicas) que se presentan cuando las moléculas de aire inciden en una superficie sólida (como la piel) causan la presión atmosférica (macroscópica). La presión atmosférica estándar es de  $1.01 \times 10^5 \text{ Pa}$ ; para generar esta presión,  $10^{32}$  moléculas golpean la piel cada día ¡con una rapidez media de más de  $1700 \text{ km/h}$  ( $1000 \text{ mi/h}$ )!

En este capítulo comenzaremos por examinar algunos aspectos macroscópicos de la materia en general. Prestaremos especial atención al *gas ideal*, una de las formas de la materia más fáciles de entender. Relacionaremos las propiedades macroscópicas del gas ideal con el comportamiento microscópico de sus moléculas individuales. También usaremos las ideas microscópicas para entender las capacidades caloríficas de los gases y sólidos. Por último, examinaremos las distintas fases de la materia (gasosa, líquida y sólida) y las condiciones en que se presenta cada una.

## 18.1 ECUACIONES DE ESTADO

Las condiciones en que existe un material dado se describen con cantidades físicas como presión, volumen, temperatura y cantidad de sustancia. (Por ejemplo, un tanque de oxígeno para usos médicos tiene un manómetro y una etiqueta que indica su volumen. Podríamos agregar un termómetro y pesar el tanque para determinar su masa). Estas cantidades se denominan **variables de estado**.

El volumen  $V$  de una sustancia suele estar determinado por su presión  $p$ , temperatura  $T$  y cantidad de sustancia, descrita por la masa  $m_{\text{total}}$  o por el número de moles  $n$ . (Designamos a la masa total de una sustancia  $m_{\text{total}}$  porque más adelante en este capítulo usaremos  $m$  para referirnos a la masa de una molécula). Normalmente, no es posible cambiar una de estas variables sin alterar otra. Si el tanque de oxígeno se calienta, la presión aumenta; si se calienta demasiado, hace explosión.

En unos cuantos casos, la relación entre  $p$ ,  $V$ ,  $T$  y  $m_{\text{total}}$  (o  $n$ ) es tan sencilla que podemos expresarla mediante una **ecuación de estado**; si es demasiado complicada, podemos usar gráficas o tablas numéricas. Aun así, la relación entre las variables sigue existiendo; la llamaremos ecuación de estado aunque no conozcamos la ecuación real.

He aquí una ecuación de estado sencilla (aunque aproximada) para un material sólido. El coeficiente térmico de expansión de volumen  $\beta$  (vea la sección 17.4) es el cambio fraccionario de volumen  $\Delta V/V_0$  por cambio unitario de temperatura, y la compresibilidad  $k$  (vea la sección 11.4) es el negativo del cambio fraccionario de volumen  $\Delta V/V_0$  por cambio unitario de presión. Si cierta cantidad de material tiene un volumen  $V_0$  cuando la presión es  $p_0$  y la temperatura es  $T_0$ , el volumen  $V$  a una presión  $p$  y temperatura  $T$  ligeramente distintas es aproximadamente

$$V = V_0[1 + \beta(T - T_0) - k(p - p_0)] \quad (18.1)$$

[El término  $k(p - p_0)$  tiene signo negativo porque un *aumento* en la presión causa una *disminución* del volumen].

### La ecuación del gas ideal

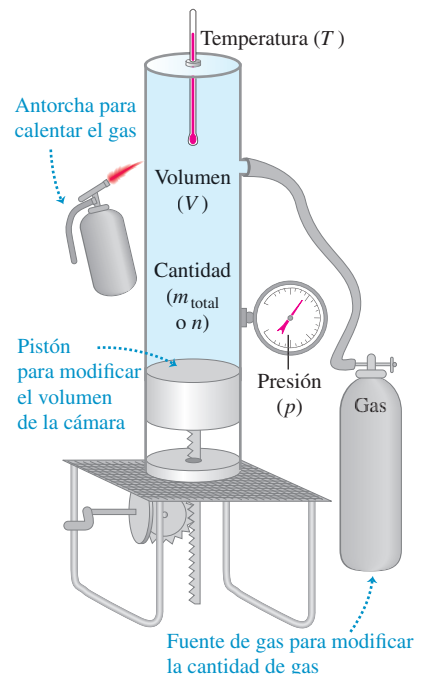
Otra ecuación de estado sencilla es la del *gas ideal*. La **figura 18.1** muestra un sistema experimental para estudiar el comportamiento de un gas. El cilindro tiene un pistón móvil para variar el volumen, la temperatura puede modificarse por calentamiento, y podemos bombear cualquier cantidad de gas que deseemos al cilindro. Luego medimos la presión, el volumen, la temperatura y la cantidad de gas. Observe que *presión* se refiere tanto a la fuerza por unidad de área ejercida por el cilindro sobre el gas como a la fuerza ejercida por el gas sobre el cilindro; por la tercera ley de Newton, éstas deben ser iguales.

Por lo general, lo más fácil es describir la cantidad de un gas en términos del número de moles  $n$ , en vez de la masa. (Hicimos esto al definir la capacidad calorífica molar en la sección 17.5). La **masa molar**  $M$  de un compuesto (de manera confusa a veces llamada *peso molecular*) es la masa de un mol:

$$\text{Masa total de la sustancia} \cdots \cdots \cdots m_{\text{total}} = nM \cdots \cdots \cdots \text{Número de moles de la sustancia} \cdots \cdots \cdots \text{Masa molar de la sustancia} \quad (18.2)$$

De esta forma, si conocemos el número de moles de gas en el cilindro, podemos determinar la masa del gas mediante la ecuación (18.2).

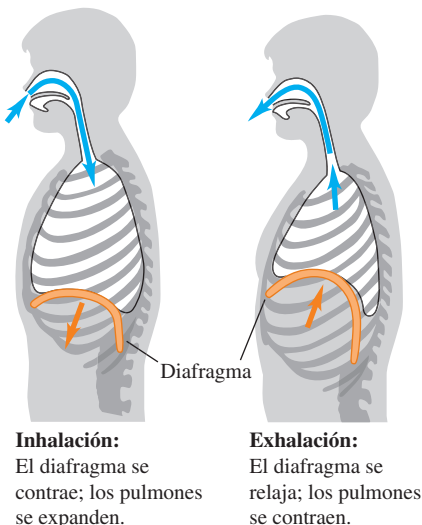
**18.1** Sistema hipotético para estudiar el comportamiento de los gases. Si calentamos el gas, variaremos el volumen con un pistón móvil y añadimos más gas, podremos controlar la presión  $p$ , el volumen  $V$ , la temperatura  $T$  y el número  $n$  de moles del gas.



**18.2** La ecuación del gas ideal  $pV = nRT$  da una buena descripción del aire dentro de un neumático inflado, donde la presión es aproximadamente de 3 atmósferas y la temperatura es demasiado alta para que el nitrógeno o el oxígeno se licuen. Conforme el neumático se calienta ( $T$  aumenta), el volumen  $V$  cambia sólo ligeramente, pero la presión  $p$  aumenta.



**BIO Aplicación Respiración y la ecuación del gas ideal** Al respirar, usted depende de la ecuación del gas ideal  $pV = nRT$ . La contracción del músculo del diafragma en forma de cúpula aumenta el volumen  $V$  de la cavidad torácica (que encierra los pulmones), disminuyendo su presión  $p$ . La presión baja hace que los pulmones se expandan y se llenen de aire. (La temperatura  $T$  se mantiene constante). Al exhalar, el diafragma se relaja, permitiendo que los pulmones se contraigan y expulsen el aire.



**CUIDADO Densidad contra presión** Al usar la ecuación (18.5), cerciórese de distinguir entre la letra griega  $\rho$  (“rho”) para la densidad y la letra  $p$  para la presión. ■

Las mediciones del comportamiento de diversos gases dan origen a tres conclusiones:

1. El volumen  $V$  es proporcional al número de moles  $n$ . Si duplicamos  $n$ , manteniendo constantes la temperatura y la presión, el volumen se duplica.
2. El volumen varía *inversamente* con la presión absoluta  $p$ . Si duplicamos la presión  $p$  manteniendo constantes la temperatura  $T$  y el número de moles  $n$ , el gas se comprime a la mitad de su volumen inicial. Dicho de otro modo,  $pV = \text{constante}$  cuando  $n$  y  $T$  son constantes.
3. La presión es proporcional a la temperatura *absoluta*  $T$ . Si duplicamos  $T$ , manteniendo constantes el volumen y el número de moles, la presión se duplica. En otras palabras,  $p = (\text{constante}) \times T$  si  $n$  y  $V$  son constantes.

Estas tres relaciones se pueden combinar en una sola ecuación, llamada **ecuación del gas ideal**:

<b>Ecuación</b>	<b>Presión del gas</b>	<b>Número de moles del gas</b>
<b>del gas ideal:</b>	$pV = nRT$	<b>Temperatura absoluta del gas</b>
	<b>Volumen del gas</b>	<b>Constante de los gases</b>

(18.3)

El **gas ideal** es aquél para el cual la ecuación (18.3) se cumple con precisión para *todas* las presiones y temperaturas. Se trata de un modelo idealizado; funciona mejor a presiones muy bajas y altas temperaturas, cuando las moléculas del gas están muy separadas y en rápido movimiento. El modelo es válido (dentro de un escaso margen porcentual) a presiones moderadas (unas cuantas atmósferas) y temperaturas muy por encima de aquélla en la que el gas se licua (**figura 18.2**).

Se podría esperar que la constante de proporcionalidad  $R$  de la ecuación del gas ideal tuviera distintos valores para diferentes gases, pero resulta ser la misma para *todos* los gases, al menos a baja presión y alta temperatura. Llamamos a  $R$  la **constante de los gases** (o *constante del gas ideal*). En unidades del SI, con  $p$  en Pa (1 Pa = 1 N/m<sup>2</sup>) y  $V$  en m<sup>3</sup>, el mejor valor numérico actual de  $R$  es

$$R = 8.3144621(75) \text{ J/mol} \cdot \text{K}$$

o  $R = 8.314 \text{ J/mol} \cdot \text{K}$  con cuatro cifras significativas. Observe que las unidades de presión multiplicada por volumen son las unidades de trabajo o energía (por ejemplo, N/m<sup>2</sup> por m<sup>3</sup>); por eso,  $R$  tiene unidades de energía por mol por unidad de temperatura absoluta. En los cálculos químicos, los volúmenes suelen expresarse en litros (L) y las presiones en atmósferas (atm). En este sistema, con cuatro cifras significativas,

$$R = 0.08206 \frac{\text{L} \cdot \text{atm}}{\text{mol} \cdot \text{K}}$$

Podemos expresar la ecuación del gas ideal, ecuación (18.3), en términos de la masa  $m_{\text{total}}$  del gas, usando  $m_{\text{total}} = nM$  de la ecuación (18.2):

$$pV = \frac{m_{\text{total}}}{M} RT \quad (18.4)$$

De esto, podemos obtener una expresión para la densidad  $\rho = m_{\text{total}}/V$  del gas:

$$\rho = \frac{pM}{RT} \quad (18.5)$$

Para una *masa constante* (o número constante de moles) del gas ideal, el producto  $nR$  es constante, por lo que la cantidad  $pV/T$  también es constante. Si los subíndices 1 y 2 se refieren a dos estados cualesquiera de la misma masa de gas, entonces

$$\frac{p_1 V_1}{T_1} = \frac{p_2 V_2}{T_2} = \text{constante} \quad (\text{gas ideal, masa constante}) \quad (18.6)$$

Observe que usted no necesita el valor de  $R$  para usar esta ecuación.

Ya utilizamos la proporcionalidad entre la presión y la temperatura absoluta en el capítulo 17 para definir una escala de temperatura en términos de la presión en un termómetro de gas a volumen constante. Esto podría hacer parecer que la relación entre presión y temperatura de la ecuación del gas ideal, ecuación (18.3), es sólo un resultado de la forma como definimos temperatura. Sin embargo, la ecuación del gas ideal también nos dice qué sucede cuando cambiamos el volumen o la cantidad de sustancia. Además, como veremos en el capítulo 20, la escala del termómetro de gas tiene una correspondencia cercana con una escala de temperatura que *no* depende de las propiedades de ningún material específico. Por ahora, consideremos que la ecuación (18.6) se basa en tal escala de temperatura independiente del material.

## LOS DATOS HABLAN

### La ecuación de gas ideal

Cuando a los estudiantes se les planteó un problema para usar la ecuación (18.3), más del 47% dio una respuesta incorrecta. Errores comunes:

- Olvidar que en la ecuación (18.13) la presión  $p$  es *absoluta*, no manométrica (sección 12.2), y que la temperatura  $T$  es temperatura *absoluta* (Kelvin), no Celsius.
- No interpretar correctamente la ecuación (18.3) para graficar  $p$  contra  $V$  para  $T$  constante,  $p$  contra  $T$  para  $V$  constante, o  $V$  contra  $T$  para  $p$  constante.

## ESTRATEGIA PARA RESOLVER PROBLEMAS 18.1 GASES IDEALES

**IDENTIFICAR** los conceptos relevantes: A menos que se especifique otra cosa en el problema, se puede usar la ecuación del gas ideal para encontrar cantidades relacionadas con el estado de un gas, como presión  $p$ , volumen  $V$ , temperatura  $T$  y/o número de moles  $n$ .

**PLANTEAR** el problema de acuerdo con los siguientes pasos:

1. Liste las cantidades conocidas y desconocidas. Identifique las incógnitas.
2. Si el problema sólo se refiere a un estado del sistema, utilice la ecuación (18.3),  $pV = nRT$  [o la ecuación (18.5),  $\rho = pM/RT$  si el problema implica la densidad  $\rho$  más que  $n$  y  $V$ ].
3. En problemas que se relacionan con dos estados (digamos 1 y 2) de la misma cantidad de gas, si conoce todas menos una de las seis cantidades  $p_1$ ,  $p_2$ ,  $V_1$ ,  $V_2$ ,  $T_1$ ,  $T_2$ , utilice la ecuación (18.6),  $p_1V_1/T_1 = p_2V_2/T_2 = \text{constante}$ . De otra manera, utilice la ecuación (18.3) o la (18.5).

**EJECUTAR** la solución como sigue:

1. Use unidades consistentes (las unidades del SI son totalmente consistentes). El enunciado del problema implicará que un sistema de unidades es claramente mejor que otros. Realice las conversiones pertinentes, tal como de atmósferas a pascales o de litros a metros cúbicos.

2. A veces tendrá que convertir entre masa  $m_{\text{total}}$  y número de moles  $n$ . La relación es  $m_{\text{total}} = Mn$ , donde  $M$  es la masa molar. Tenga cuidado: si usa la ecuación (18.4), *deberá* usar las mismas unidades de masa para  $m_{\text{total}}$  y  $M$ . Si  $M$  está en gramos por mol (como es habitual para masas molares), entonces  $m_{\text{total}}$  también deberá estar en gramos. Si quiere usar  $m_{\text{total}}$  en kg, deberá convertir  $M$  a kg/mol. Por ejemplo, la masa molar del oxígeno es de 32 g/mol o  $32 \times 10^{-3}$  kg/mol.
3. Recuerde que en las ecuaciones de los gases ideales,  $T$  siempre es una temperatura *absoluta* (Kelvin) y  $p$  es una presión absoluta (no manométrica).
4. Despeje las incógnitas.

**EVALUAR** la respuesta: ¿Sus resultados tienen sentido físico? Utilice puntos de referencia, tales como el resultado del ejemplo 18.1, que veremos a continuación, donde un mol de gas ideal a una atmósfera de presión ocupa un volumen de 22.4 litros.

### EJEMPLO 18.1 VOLUMEN DE UN GAS A TPE



¿Cuál es el volumen de un recipiente que contiene exactamente 1 mol de un gas ideal a *temperatura y presión estándar* (TPE), que se define como  $T = 0^\circ\text{C} = 273.15\text{ K}$  y  $p = 1\text{ atm} = 1.013 \times 10^5\text{ Pa}$ ?

#### SOLUCIÓN

**IDENTIFICAR y PLANTEAR:** Este problema implica las propiedades de un solo estado de un gas ideal, por lo que utilizaremos la ecuación (18.3). Nos dan la presión  $p$ , la temperatura  $T$  y el número de moles  $n$ ; nuestra incógnita es el correspondiente volumen  $V$ .

**EJECUTAR:** Con la ecuación (18.3), usando  $R$  en  $\text{J/mol} \cdot \text{K}$ , obtenemos

$$V = \frac{nRT}{p} = \frac{(1\text{ mol})(8.314\text{ J/mol} \cdot \text{K})(273.15\text{ K})}{1.013 \times 10^5\text{ Pa}} \\ = 0.0224\text{ m}^3 = 22.4\text{ L}$$

**EVALUAR:** A TPE, 1 mol de un gas ideal ocupa 22.4 L. Éste es el volumen de un cubo de 0.282 m (11.1 in) por un lado, o de una esfera de 0.350 m (13.8 in) de diámetro.



SOLUCIÓN

## EJEMPLO 18.2 COMPRESIÓN DE GAS EN UN MOTOR DE AUTOMÓVIL

En un motor de automóvil, una mezcla de aire y gasolina vaporizada se comprime en los cilindros antes de encenderse. Un motor representativo tiene una razón de compresión de 9.00 a 1: esto implica que el gas en los cilindros se comprime a  $\frac{1}{9.00}$  de su volumen original (**figura 18.3**). Las válvulas de admisión y de escape están cerradas durante la compresión, por lo que la cantidad de gas es constante. ¿Cuál es la temperatura final del gas comprimido si su temperatura inicial es de  $27^\circ\text{C}$ , y sus presiones inicial y final son 1.00 atm y 21.7 atm, respectivamente?

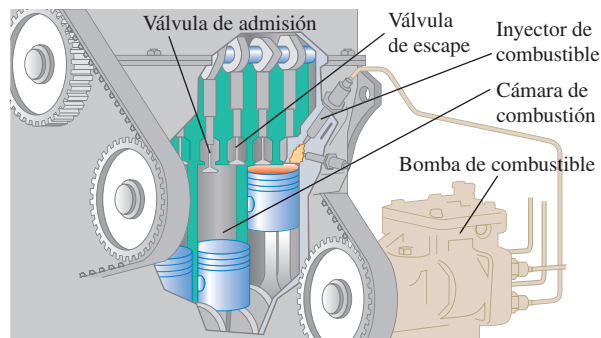
### SOLUCIÓN

**IDENTIFICAR y PLANTEAR:** Debemos comparar dos estados de la misma cantidad de gas ideal, por lo que utilizaremos la ecuación (18.6). En el estado no comprimido 1,  $p_1 = 1.00 \text{ atm}$  y  $T_1 = 27^\circ\text{C} = 300 \text{ K}$ . En el estado comprimido 2,  $p_2 = 21.7 \text{ atm}$ . No nos dan los volúmenes de los cilindros, pero se sabe que  $V_1 = 9.00V_2$ . La temperatura  $T_2$  del gas comprimido es la incógnita.

**EJECUTAR:** Despejamos  $T_2$  de la ecuación (18.6):

$$T_2 = T_1 \frac{p_2 V_2}{p_1 V_1} = (300 \text{ K}) \frac{(21.7 \text{ atm}) V_2}{(1.00 \text{ atm})(9.00 V_2)} = 723 \text{ K} = 450^\circ\text{C}$$

**18.3** Vista recortada de un motor de automóvil. Mientras la mezcla de aire y gasolina se comprime antes del encendido, las válvulas de admisión y escape están en la posición cerrada (arriba).



**EVALUAR:** Ésta es la temperatura de la mezcla de aire y gasolina *antes* de encenderse; al iniciar la combustión, la temperatura sube aún más.



SOLUCIÓN

## EJEMPLO 18.3 MASA DE AIRE EN UN TANQUE DE BUCEO

Un tanque “vacío” para buceo, hecho de aluminio, tiene 11.0 L de aire a  $21^\circ\text{C}$  y 1 atm. Cuando el tanque se llena rápidamente con una compresora, la temperatura del aire es de  $42^\circ\text{C}$  y la presión manométrica es de  $2.10 \times 10^7 \text{ Pa}$ . ¿Qué masa de aire se agregó? (El aire es una mezcla de gases: aproximadamente 78% de nitrógeno, 21% de oxígeno y 1% de otros gases; su masa molar media es de  $28.8 \text{ g/mol} = 28.8 \times 10^{-3} \text{ kg/mol}$ ).

### SOLUCIÓN

**IDENTIFICAR y PLANTEAR:** Nuestra incógnita es la diferencia  $m_2 - m_1$  entre la masa presente al final (estado 2) y al principio (estado 1). Nos dan la masa molar  $M$  del aire, por lo que podemos usar la ecuación (18.2) para obtener la incógnita si conocemos el número de moles presentes en los estados 1 y 2. Determinamos  $n_1$  y  $n_2$  aplicando individualmente la ecuación (18.3) a cada estado.

**EJECUTAR:** Debemos convertir las temperaturas a la escala Kelvin sumándoles 273, y convertir las presiones a absolutas sumándoles

$1.013 \times 10^5 \text{ Pa}$ . El volumen del tanque apenas se ve afectado por el aumento de la temperatura y la presión, por lo que  $V_2 = V_1$ . De acuerdo con la ecuación (18.3), los números de moles en el tanque vacío ( $n_1$ ) y en el tanque lleno ( $n_2$ ) son

$$n_1 = \frac{p_1 V_1}{RT_1} = \frac{(1.013 \times 10^5 \text{ Pa})(11.0 \times 10^{-3} \text{ m}^3)}{(8.314 \text{ J/mol} \cdot \text{K})(294 \text{ K})} = 0.46 \text{ mol}$$

$$n_2 = \frac{p_2 V_2}{RT_2} = \frac{(2.11 \times 10^7 \text{ Pa})(11.0 \times 10^{-3} \text{ m}^3)}{(8.314 \text{ J/mol} \cdot \text{K})(315 \text{ K})} = 88.6 \text{ mol}$$

Agregamos  $n_2 - n_1 = 88.6 \text{ moles} - 0.46 \text{ moles} = 88.1 \text{ moles}$  al tanque. De acuerdo con la ecuación (18.2), la masa agregada es:  $M(n_2 - n_1) = (28.8 \times 10^{-3} \text{ kg/mol})(88.1 \text{ moles}) = 2.54 \text{ kg}$ .

**EVALUAR:** La masa agregada es considerable; bien podríamos usar una báscula para determinar si el tanque está vacío o lleno.



SOLUCIÓN

## EJEMPLO 18.4 VARIACIÓN DE LA PRESIÓN ATMOSFÉRICA CON LA ALTURA

Calcule la variación de la presión atmosférica con la altura en la atmósfera terrestre, suponiendo que en todas sus elevaciones  $T = 0^\circ\text{C}$  y  $g = 9.80 \text{ m/s}^2$ .

### SOLUCIÓN

**IDENTIFICAR y PLANTEAR:** Conforme la altura  $y$  aumenta, tanto la presión atmosférica  $p$  como la densidad  $\rho$  disminuyen. Por lo tanto, tenemos *dos* funciones desconocidas de  $y$ ; para despejarlas, necesitamos dos ecuaciones independientes. Una de ellas es la del gas ideal, ecuación (18.5), que se expresa en términos de  $p$  y  $\rho$ . La otra

es la ecuación (12.4), la relación entre  $p$ ,  $\rho$  y  $y$  en un fluido en equilibrio, que se encuentra en la sección 12.2:  $dp/dy = -\rho g$ . Se nos dijo que supusimos que  $g$  y  $T$  son iguales en todas las elevaciones; también se supuso que la atmósfera tiene la misma composición química  $y$ , por consiguiente, la misma masa molar  $M$  en todas las alturas. Combinamos las dos ecuaciones y despejamos  $p(y)$ .

**EJECUTAR:** Sustituimos  $\rho = pM/RT$  en  $dp/dy = -\rho g$ , separamos variables e integramos, tomando  $p_1$  como la presión a la altura  $y_1$  y  $p_2$  como la presión a  $y_2$ :

$$\begin{aligned}\frac{dp}{dy} &= -\frac{pM}{RT}g \\ \int_{p_1}^{p_2} \frac{dp}{p} &= -\frac{Mg}{RT} \int_{y_1}^{y_2} dy \\ \ln \frac{p_2}{p_1} &= -\frac{Mg}{RT}(y_2 - y_1) \\ \frac{p_2}{p_1} &= e^{-Mg(y_2-y_1)/RT}\end{aligned}$$

Sea ahora  $y_1 = 0$  en el nivel del mar, y sea la presión en ese punto  $p_0 = 1.013 \times 10^5$  Pa. Entonces, la presión  $p$  a cualquier altura  $y$  es

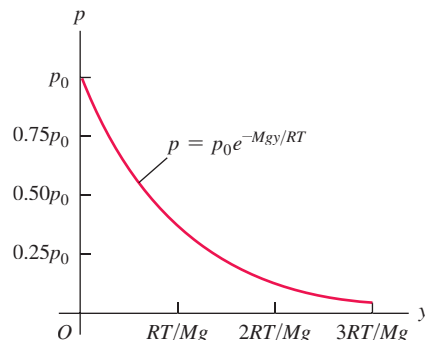
$$p = p_0 e^{-Mgy/RT}$$

**EVALUAR:** De acuerdo con nuestro cálculo, la presión disminuye exponencialmente con la altura. La curva de la **figura 18.4** muestra que la pendiente  $dp/dy$  se vuelve menos negativa a mayor elevación. Ese resultado es lógico, ya que  $dp/dy = -\rho g$  y la densidad también disminuye al aumentar la altura. En la cima del monte Everest, donde  $y = 8848$  m,

$$\frac{Mgy}{RT} = \frac{(28.8 \times 10^{-3} \text{ kg/mol})(9.80 \text{ m/s}^2)(8848 \text{ m})}{(8.314 \text{ J/mol} \cdot \text{K})(273 \text{ K})} = 1.10$$

$$p = (1.013 \times 10^5 \text{ Pa})e^{-1.10} = 0.337 \times 10^5 \text{ Pa} = 0.33 \text{ atm}$$

**18.4** Variación de la presión atmosférica  $p$  con la altura  $y$ , suponiendo una temperatura  $T$  constante.



La suposición de temperatura constante no es realista, y  $g$  disminuye un poco al aumentar la altura (vea el problema de desafío 18.84). Aun así, el ejemplo revela por qué los montañistas deben llevar oxígeno en el Monte Everest. También indica por qué los aviones a reacción, que comúnmente vuelan a altitudes comprendidas entre 8000 y 12,000 m, *deben* tener cabinas presurizadas para garantizar la comodidad y la salud de los pasajeros.

## La ecuación de Van der Waals

En la sección 18.3 obtendremos la ecuación del gas ideal, ecuación (18.3), a partir de un modelo molecular sencillo que desprecia los volúmenes de las moléculas mismas y las fuerzas de atracción entre ellas (**figura 18.5a**). Otra ecuación de estado, la **ecuación de Van der Waals**, hace correcciones aproximadas por estas dos omisiones (figura 18.5b). Tal ecuación fue desarrollada en el siglo XIX por el físico holandés J. D. van der Waals; la interacción atómica que vimos en la sección 14.4 se llamó *interacción de Van der Waals* en su honor. La ecuación de Van der Waals es

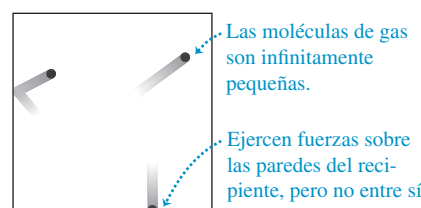
$$\left(p + \frac{an^2}{V^2}\right)(V - nb) = nRT \quad (18.7)$$

Las constantes  $a$  y  $b$  son diferentes para distintos gases. En términos generales,  $b$  representa el volumen de un mol de moléculas, por lo que el volumen total de las moléculas es  $nb$  y el volumen disponible para que se muevan es  $V - nb$ . La constante  $a$  depende de las fuerzas de atracción intermoleculares, que reducen la presión del gas juntando las moléculas al tiempo que éstas *empujan* las paredes del recipiente. La reducción de presión es proporcional al número de moléculas por unidad de volumen en una capa cerca de la pared (las moléculas que ejercen la presión sobre la pared), y también es proporcional al número por unidad de volumen en la siguiente capa más allá de la pared (que son las que atraen). Así, la reducción de presión debida a fuerzas intermoleculares es proporcional a  $n^2/V^2$ .

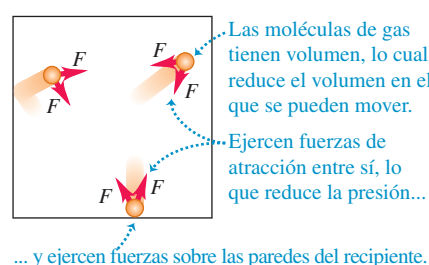
Cuando  $n/V$  es un valor pequeño (es decir, cuando el gas está *diluido*), la distancia media entre moléculas es grande, las correcciones de la ecuación de Van der Waals se vuelven insignificantes y la ecuación (18.7) se reduce a la ecuación del gas ideal. Por ejemplo, para dióxido de carbono ( $\text{CO}_2$ ) gaseoso, las constantes de la ecuación de Van der Waals son  $a = 0.364 \text{ J} \cdot \text{m}^3/\text{mol}^2$  y  $b = 4.27 \times 10^{-5} \text{ m}^3/\text{mol}$ . En el ejemplo 18.1 vimos que un mol de un gas ideal a  $T = 0^\circ\text{C} = 273.15 \text{ K}$  y  $p = 1 \text{ atm} = 1.013 \times 10^5 \text{ Pa}$

**18.5** Un gas modelado mediante a) la ecuación del gas ideal y b) la ecuación de Van der Waals.

a) Modelo idealizado de un gas



b) Un modelo más realista de un gas

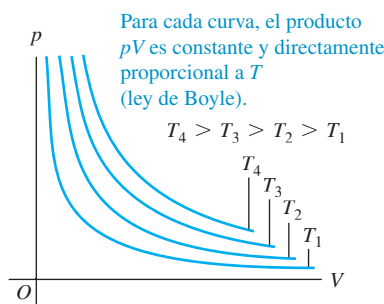


ocupa un volumen  $V = 0.0224 \text{ m}^3$ ; de acuerdo con la ecuación (18.7), un mol de CO<sub>2</sub> que ocupara tal volumen a esa temperatura estaría a una presión 532 Pa menor que 1 atm, una diferencia de sólo 0.5% con respecto al valor para el gas ideal.

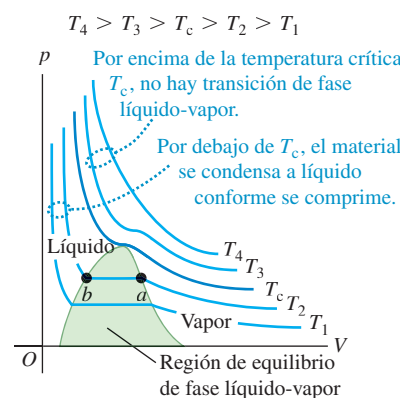
## Gráficas pV

**18.6** Isotermas o curvas de temperatura constante, para una cantidad constante de un gas ideal. La temperatura más alta es  $T_4$ ; la inferior es  $T_1$ . Ésta es una representación gráfica de la ecuación de estado del gas ideal.

Cada curva representa la presión como una función del volumen para un gas ideal a una temperatura única.



**18.7** Gráfica pV para un gas no ideal, que muestra isotermas para temperaturas mayores y menores que la temperatura crítica  $T_c$ . La región de equilibrio líquido-vapor se muestra como el área sombreada. A temperaturas aún menores, el material podría experimentar transiciones de fase de líquido a sólido o de gas a sólido; esto no se muestra en la gráfica.



En principio, podríamos representar la relación  $p\text{-}V\text{-}T$  gráficamente como una *superficie* en un espacio tridimensional con coordenadas  $p$ ,  $V$  y  $T$ . Esta representación a veces resulta útil (vea la sección 18.6), pero las gráficas bidimensionales ordinarias suelen ser más adecuadas. Una de las más útiles es un conjunto de curvas de presión en función del volumen, cada una para una temperatura constante dada. Una gráfica de este tipo se llama **gráfica pV**. Cada curva, que representa el comportamiento a cierta temperatura, se denomina **isoterma**, o *isoterma pV*.

La **figura 18.6** muestra isotermas  $pV$  para una cantidad constante de gas ideal. Ya que  $p = nRT/V$  de la ecuación (18.3), a lo largo de una isoterma ( $T$  constante), la presión  $p$  es inversamente proporcional al volumen  $V$ , y las isotermas son curvas hiperbólicas.

La **figura 18.7** presenta una gráfica  $pV$  para un material que *no* obedece la ecuación del gas ideal. A temperaturas por debajo de  $T_c$ , las isotermas tienen regiones planas en las que podemos comprimir el material (esto es, reducir el volumen  $V$ ) sin aumentar la presión  $p$ . La observación del gas revela que se está *condensando* de la fase de vapor (gas) a la de líquido. Las partes planas de las isotermas en la parte sombreada de la figura 18.7 representan condiciones de *equilibrio de fase líquido-vapor*. Al disminuir el volumen, más y más material pasa de vapor a líquido, pero la presión no cambia. (Para mantener la temperatura constante durante la condensación, debemos eliminar el calor de vaporización, como se explicó en la sección 17.6).

Cuando comprimimos un gas así a temperatura constante  $T_2$  en la figura 18.7, es vapor hasta llegar al punto  $a$ , donde comienza a licuarse; al reducirse más el volumen, más material se licua, y *tanto* la presión *como* la temperatura permanecen constantes. En el punto  $b$ , todo el material se encuentra en estado líquido. Cualquier compresión posterior requiere un aumento muy rápido de la presión, porque los líquidos en general son mucho menos compresibles que los gases. A una temperatura constante menor  $T_1$  se presenta un comportamiento similar, pero la condensación comienza a menor presión y mayor volumen que a  $T_2$  constante. A temperaturas mayores que  $T_c$ , *no* hay transición de fase al comprimirse el material; a las temperaturas más altas, como  $T_4$ , las curvas semejan las de gas ideal de la figura 18.6. Llamamos a  $T_c$  la *temperatura crítica* del material. En la sección 18.6 veremos qué pasa con la fase del gas por encima de la temperatura crítica.

Usaremos gráficas  $pV$  a menudo en los siguientes dos capítulos. Mostraremos que el *área* bajo una curva  $pV$  (sea o no isoterma) representa el *trabajo* efectuado por el sistema durante un cambio de volumen. Este trabajo, a la vez, está directamente relacionado con la transferencia de calor y con los cambios en la *energía interna* del sistema.

**EVALÚE SU COMPRENSIÓN DE LA SECCIÓN 18.1** Clasifique los siguientes gases ideales en orden decreciente de acuerdo con el número de moles: **i.** 1 atm de presión, 1 L de volumen y 300 K de temperatura; **ii.** 2 atm de presión, 1 L de volumen y 300 K de temperatura; **iii.** 1 atm de presión, 2 L de volumen y 300 K de temperatura; **iv.** 1 atm de presión, 1 L de volumen y 600 K de temperatura; **v.** 2 atm de presión, 1 L de volumen y 600 K de temperatura. |

## 18.2 PROPIEDADES MOLECULARES DE LA MATERIA

Hemos estudiado varias propiedades de la materia en volumen, como elasticidad, densidad, tensión superficial, capacidad calorífica y ecuaciones de estado. Ahora queremos examinar con mayor detalle la relación entre el comportamiento en volumen y la estructura *molecular*. Comenzaremos con un análisis general de la estructura molecular de la materia. En las dos secciones siguientes desarrollaremos el modelo cinético-molecular de un gas ideal, y obtendremos de ese modelo molecular la ecuación de estado y una expresión para la capacidad calorífica.

## Moléculas y fuerzas intermoleculares

Toda sustancia química conocida se compone de **moléculas** idénticas. Las moléculas más pequeñas contienen un solo átomo y su tamaño es del orden de  $10^{-10}$  m; las más grandes contienen muchos átomos y son al menos 10,000 veces más grandes. En los gases, las moléculas se mueven de forma casi independiente; en líquidos y sólidos se mantienen unidas por fuerzas intermoleculares, las cuales surgen de las interacciones de las partículas con carga eléctrica que constituyen las moléculas. Las fuerzas gravitacionales entre las moléculas son insignificantes en comparación con las fuerzas eléctricas.

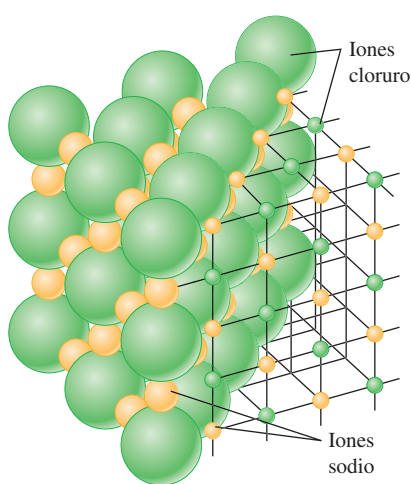
La interacción de dos cargas eléctricas *puntuales* se describe con una fuerza (de repulsión para cargas iguales, de atracción para cargas distintas) cuya magnitud es proporcional a  $1/r^2$ , donde  $r$  es la distancia entre los puntos. Estudiaremos esta relación, llamada *ley de Coulomb*, en el capítulo 21. Las moléculas *no* son cargas puntuales, sino estructuras complejas que contienen carga tanto positiva como negativa, y sus interacciones son más complejas. La fuerza entre las moléculas de un gas varía con la distancia  $r$  entre las moléculas aproximadamente como se muestra en la **figura 18.8**, donde una  $F_r$  positiva corresponde a una fuerza de repulsión, y una  $F_r$  negativa corresponde a una fuerza de atracción. Cuando las moléculas están alejadas, las fuerzas intermoleculares son muy pequeñas y generalmente de atracción. Al comprimirse un gas y juntarse sus moléculas, las fuerzas de atracción aumentan. La fuerza intermolecular es cero a una separación de equilibrio  $r_0$ , que corresponde aproximadamente al espaciado de las moléculas en los estados líquido y sólido. En los líquidos y sólidos se requieren presiones relativamente grandes para comprimir apreciablemente la sustancia. Esto indica que, a distancias moleculares un poco menores que  $r_0$ , las fuerzas se vuelven *repulsivas* y relativamente grandes.

La figura 18.8 también muestra la energía potencial en función de  $r$ . Esta función tiene un *mínimo* en  $r_0$ , donde la fuerza es cero. Las dos curvas están relacionadas por  $F_r(r) = -dU/dr$ , como vimos en la sección 7.4. Semejante función de energía potencial se denomina **pozo de potencial**. Una molécula en reposo a una distancia  $r_0$  de otra necesitaría una energía adicional  $|U_0|$ , la “profundidad” del pozo de potencial, para “escapar” a un valor indefinidamente grande de  $r$ .

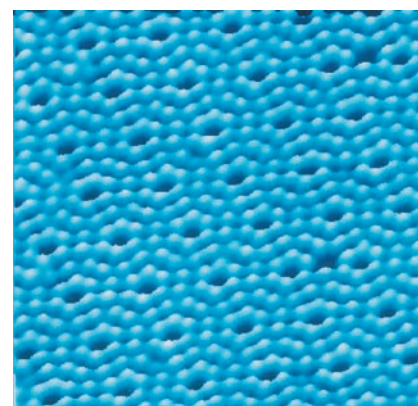
Las moléculas siempre están en movimiento; su energía cinética normalmente aumenta con la temperatura. A temperaturas muy bajas, la energía cinética media de una molécula puede ser mucho *menor* que la profundidad del pozo de potencial. Las moléculas se condensan entonces a la fase líquida o sólida con distancias intermoleculares medianas cercanas a  $r_0$ . En cambio, a temperaturas mayores, la energía cinética media se hace mayor que la profundidad  $|U_0|$  del pozo de potencial. Las moléculas pueden entonces escapar de la fuerza intermolecular y quedar libres para moverse independientemente, como en la fase gaseosa de la materia.

En los *sólidos*, las moléculas vibran alrededor de puntos más o menos fijos (vea la sección 17.4). En un sólido cristalino, esos puntos están dispuestos en una *red cristalina*. La **figura 18.9** representa la estructura cúbica cristalina del cloruro de sodio, y la **figura 18.10** es una imagen de microscopio de barrido por tunelamiento de los átomos de silicio individuales en la superficie de un cristal.

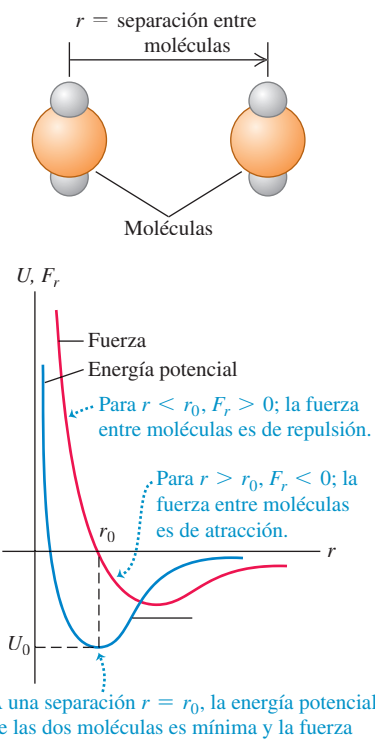
**18.9** Representación esquemática de la estructura cristalina cúbica del cloruro de sodio (sal de mesa).



**18.10** Imagen de microscopio de barrido por tunelamiento de la superficie de un cristal de silicio. El área que se muestra sólo mide  $9.0 \text{ nm} (9.0 \times 10^{-9} \text{ m})$  de ancho. Cada “cuenta” azul es un átomo individual de silicio; se puede ver claramente cómo estos átomos están dispuestos en una matriz (casi) perfecta de hexágonos.



**18.8** La fuerza entre moléculas y su energía potencial de interacción dependen de su separación  $r$ .



A una separación  $r = r_0$ , la energía potencial de las dos moléculas es mínima y la fuerza entre las moléculas es cero.

En un *líquido*, las distancias intermoleculares por lo regular son apenas ligeramente mayores que en la fase sólida de la misma sustancia, pero las moléculas tienen una libertad de movimiento mucho mayor. Los líquidos sólo muestran estructuras regulares en las inmediaciones de unas cuantas moléculas.

Las moléculas de un *gas* suelen estar muy separadas y, por ello, sólo tienen fuerzas de atracción muy pequeñas. Una molécula de gas se mueve en línea recta hasta chocar con otra molécula o con una pared del recipiente. En términos moleculares, el *gas ideal* es un gas cuyas moléculas *no ejercen fuerzas de atracción entre sí* (vea la figura 18.5a) y, por lo tanto, no tienen energía *potencial*.

A bajas temperaturas, casi todas las sustancias comunes están en la fase sólida. Al aumentar la temperatura, las sustancias se funden y luego se evaporan. Desde un punto de vista molecular, estas transiciones van en la dirección de energía cinética molecular creciente, por lo que la temperatura y la energía cinética molecular están íntimamente relacionadas.

## Moles y número de Avogadro

Hemos usado el mol como medida de cantidad de sustancia. Un **mol** de cualquier elemento o compuesto químico puro contiene un número definido de moléculas, igual para todos los elementos y compuestos. La definición oficial del SI es:

**Un mol es la cantidad de sustancia que contiene tantas entidades elementales como átomos hay en 0.012 kg de carbono 12.**

En nuestra explicación, las “entidades elementales” son moléculas. (En una sustancia monoatómica como el carbono o el helio, cada molécula tiene un solo átomo). Los átomos de un elemento dado pueden existir en varios isótopos que son químicamente idénticos, pero tienen diferente masa atómica; “carbono-12” se refiere a un isótopo específico del carbono.

El número de moléculas en un mol se denomina **número de Avogadro** y se denota con  $N_A$ . El mejor valor numérico actual para  $N_A$  es

$$N_A = 6.02214129(27) \times 10^{23} \text{ moléculas/mol (número de Avogadro)}$$

La *masa molar*  $M$  de un compuesto es la masa de un mol. Es igual a la masa  $m$  de una sola molécula multiplicada por el número de Avogadro.

$$\text{Masa molar de una sustancia} \longrightarrow M = N_A m \longleftarrow \begin{array}{c} \text{Número de Avogadro} \\ \text{Masa de una molécula de sustancia} \end{array} \quad (18.8)$$

Cuando la molécula consiste en un solo átomo, es común usar el término *masa atómica* en vez de masa molar.



### EJEMPLO 18.5 MASA ATÓMICA Y MOLECULAR

Calcule la masa de un solo átomo de hidrógeno y la masa de una molécula de oxígeno.

#### SOLUCIÓN

**IDENTIFICAR y PLANTEAR:** Este problema implica la relación entre la masa de una molécula o de un átomo (nuestra incógnita) y la correspondiente masa molar  $M$ . Usaremos la ecuación (18.8) en la forma  $m = M/N_A$  y tomaremos los valores de las masas atómicas de la tabla periódica de los elementos (vea el apéndice D).

**EJECUTAR:** La masa atómica (masa molar) del hidrógeno atómico es  $M_H = 1.008 \text{ g/mol}$ . Por lo tanto, la masa  $m_H$  de un solo átomo de hidrógeno es

$$m_H = \frac{1.008 \text{ g/mol}}{6.022 \times 10^{23} \text{ átomos/mol}} = 1.674 \times 10^{-24} \text{ g/átomo}$$

La masa atómica del oxígeno es de  $16.0 \text{ g/mol}$ , por lo que la masa molar del oxígeno, que tiene moléculas diatómicas (dos átomos), es de  $32.0 \text{ g/mol}$ . La masa de una sola molécula de oxígeno es

$$m_{O_2} = \frac{32.0 \text{ g/mol}}{6.022 \times 10^{23} \text{ moléculas/mol}} = 53.1 \times 10^{-24} \text{ g/molécula}$$

**EVALUAR:** Cabe señalar que los valores del apéndice D son las masas atómicas *medias* de una muestra natural de cada elemento. Tal muestra podría contener varios *isótopos* del elemento, cada uno con masa atómica distinta. Las muestras naturales de hidrógeno y oxígeno se componen casi exclusivamente de un solo isótopo.

**EVALÚE SU COMPRENSIÓN DE LA SECCIÓN 18.2** Suponga que pudiera ajustar el valor de  $r_0$  para las moléculas de cierto compuesto químico (figura 18.8) haciendo girar una perilla. Si se duplicara el valor de  $r_0$ , la densidad de la forma sólida del compuesto sería:

- i. dos veces mayor; ii. cuatro veces mayor; iii. ocho veces mayor; iv.  $\frac{1}{2}$ ; v.  $\frac{1}{4}$ ; vi.  $\frac{1}{8}$ .

## 18.3 MODELO CINÉTICO-MOLECULAR DEL GAS IDEAL

El objetivo de cualquier teoría molecular de la materia es comprender las propiedades *macroscópicas* de la materia en términos de su estructura y comportamiento atómicos o moleculares. Una vez que comprendemos esto, podemos diseñar materiales con las propiedades específicas deseadas. Las teorías han conducido al desarrollo de aceros de alta resistencia, materiales semiconductores para dispositivos electrónicos, y un sinnúmero de otros materiales esenciales para la tecnología contemporánea.

Consideraremos un modelo molecular sencillo del gas ideal. Este *modelo cinético-molecular* representa el gas como un gran número de partículas que rebotan dentro de un recipiente cerrado. En esta sección usaremos el modelo cinético-molecular para entender la relación entre la ecuación de estado del gas ideal (ecuación 18.3) y las leyes de Newton. En la siguiente sección usaremos el modelo cinético-molecular para predecir la capacidad calorífica molar de un gas ideal. Luego ampliaremos el modelo para incluir “partículas” que no sean puntos, sino que tengan tamaño finito.

La siguiente explicación del modelo cinético-molecular abarca varios pasos, y tal vez usted tenga que repasarla varias veces para entender cómo funciona todo. ¡No se desanime!

A continuación se presentan las suposiciones de nuestro modelo:

1. Un recipiente con volumen  $V$  contiene un número muy grande  $N$  de moléculas idénticas, cada una con masa  $m$ .
2. Las moléculas se comportan como partículas puntuales; su tamaño es pequeño en comparación con la distancia media entre partículas y las dimensiones del recipiente.
3. Las moléculas están en constante movimiento. Las moléculas chocan ocasionalmente con las paredes del recipiente. Estos choques son perfectamente elásticos.
4. Las paredes del recipiente son perfectamente rígidas y con masa infinita; no se mueven.

**CUIDADO Moléculas contra moles** Asegúrese de no confundir  $N$ , el número de *moléculas* del gas, con  $n$ , el número de *moles*. El número de moléculas es igual al número de moles multiplicado por el número de Avogadro:  $N = nN_A$ .

### Colisiones y presión de gas

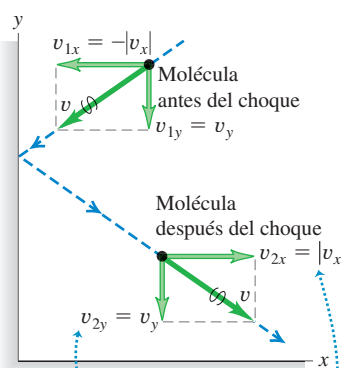
Durante los choques, las moléculas ejercen *fuerzas* sobre las paredes del recipiente; éste es el origen de la *presión* del gas. En un choque representativo (figura 18.11) la componente de velocidad paralela a la pared no cambia, y la componente perpendicular a la pared invierte su dirección sin cambiar de magnitud.

Primero determinaremos el *número* de choques por unidad de tiempo para cierta área de pared  $A$ . Luego calcularemos el cambio del momento lineal total asociado con estos choques y la fuerza necesaria para provocar ese cambio. Así podremos determinar la presión (fuerza por unidad de área) y comparar el resultado con la ecuación del gas ideal. Encontraremos una conexión directa entre la temperatura del gas y la energía cinética de sus moléculas.

Para comenzar, supondremos que todas las moléculas del gas tienen la misma *magnitud* de la componente  $x$  de velocidad,  $|v_x|$ . Despues veremos que nuestros resultados no dependen de hacer esta suposición excesivamente simplista.

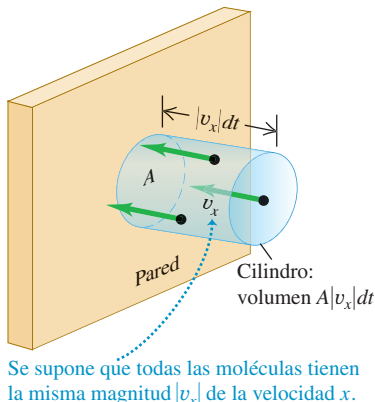
Como se muestra en la figura 18.11, en cada choque la componente  $x$  de velocidad cambia de  $-|v_x|$  a  $+|v_x|$ . Así, la componente  $x$  del momento lineal  $p_x$  cambia de  $-m|v_x|$  a  $+m|v_x|$ , y el *cambio* en  $p_x$  es  $m|v_x| - (-m|v_x|) = 2m|v_x|$ .

**18.11** Choque elástico de una molécula con la pared de un recipiente idealizado.



- La componente de velocidad paralela a la pared (componente  $y$ ) no cambia.
- La componente de velocidad perpendicular a la pared (componente  $x$ ) invierte su dirección.
- La rapidez  $v$  no cambia.

**18.12** Para que una molécula golpee la pared dentro del área  $A$  durante un intervalo de tiempo  $dt$ , debe moverse en dirección hacia la pared y estar dentro del cilindro sombreado de altura  $|v_x|dt$  al principio del intervalo.



Si una molécula va a chocar con cierta área de pared  $A$  durante un breve intervalo de tiempo  $dt$ , al comenzar  $dt$  deberá estar, cuando mucho, a una distancia  $|v_x|dt$  de la pared (**figura 18.12**) y dirigida hacia la pared. Así, el número de moléculas que chocan con  $A$  durante  $dt$  es igual al número de moléculas que están dentro de un cilindro con área de la base  $A$  y longitud  $|v_x|dt$  cuya velocidad  $x$  está dirigida hacia la pared. El volumen de este cilindro es  $A|v_x|dt$ . Suponiendo que el número de moléculas por unidad de volumen ( $N/V$ ) es uniforme, el *número* de moléculas en este cilindro es  $(N/V)(A|v_x|dt)$ . En promedio, la mitad de estas moléculas se están acercando a la pared y la mitad se está alejando, por lo que el *número* de choques con  $A$  durante  $dt$  es

$$\frac{1}{2} \left( \frac{N}{V} \right) (A|v_x| dt)$$

Para el sistema de todas las moléculas del gas, el cambio total del momento lineal  $dP_x$  durante  $dt$  es el *número* de choques multiplicado por  $2m|v_x|$ :

$$dP_x = \frac{1}{2} \left( \frac{N}{V} \right) (A|v_x| dt) (2m|v_x|) = \frac{NAmv_x^2 dt}{V} \quad (18.9)$$

(Estamos usando  $P$  mayúscula para el momento lineal total y  $p$  para la presión. ¡Tenga cuidado!). Escribimos  $v_x^2$  en vez de  $|v_x|^2$  en la expresión final porque el cuadrado del valor absoluto de un número es igual al cuadrado de ese número. La *tasa* de cambio de la componente del momento lineal  $P_x$  es

$$\frac{dP_x}{dt} = \frac{NAmv_x^2}{V} \quad (18.10)$$

De acuerdo con la segunda ley de Newton, esta razón de cambio del momento lineal es igual a la fuerza ejercida por el área de pared  $A$  sobre las moléculas del gas. Por la *tercera ley* de Newton, ésta es igual y opuesta a la fuerza ejercida *sobre* la pared *por* las moléculas. La presión  $p$  es la magnitud de la fuerza ejercida sobre la pared por unidad de área:

$$p = \frac{F}{A} = \frac{Nmv_x^2}{V} \quad (18.11)$$

La presión ejercida por el gas depende del número de moléculas por volumen ( $N/V$ ), la masa  $m$  por molécula y la rapidez de las moléculas.

## Presión y energías cinéticas moleculares

Mencionamos que  $|v_x|$  no es realmente igual para todas las moléculas, pero podríamos haber organizado las moléculas en grupos con la misma  $|v_x|$  dentro de cada grupo, y luego sumado las contribuciones resultantes a la presión. El efecto neto de esto es simplemente sustituir  $v_x^2$  en la ecuación (18.11) por el valor *medio* de  $v_x^2$ , que denotamos con  $(v_x^2)_{\text{med}}$ . Además, podemos relacionar  $(v_x^2)_{\text{med}}$  con la *rapidez* de las moléculas. La rapidez  $v$  de cualquier molécula está relacionada con las componentes de velocidad  $v_x$ ,  $v_y$  y  $v_z$  mediante

$$v^2 = v_x^2 + v_y^2 + v_z^2$$

Podemos promediar esta relación para todas las moléculas:

$$(v^2)_{\text{med}} = (v_x^2)_{\text{med}} + (v_y^2)_{\text{med}} + (v_z^2)_{\text{med}}$$

Sin embargo, en nuestro modelo no hay una diferencia real entre las direcciones  $x$ ,  $y$  y  $z$ . (Las rapideces moleculares son muy altas en un gas típico, por lo que los efectos de la gravedad son insignificantes). Se deduce que  $(v_x^2)_{\text{med}}$ ,  $(v_y^2)_{\text{med}}$  y  $(v_z^2)_{\text{med}}$  deben ser *iguales*. Por lo tanto,  $(v^2)_{\text{med}}$  es igual a  $3(v_x^2)_{\text{med}}$ , y

$$(v_x^2)_{\text{med}} = \frac{1}{3}(v^2)_{\text{med}}$$

por lo que la ecuación (18.11) se convierte en

$$pV = \frac{1}{3}Nm(v^2)_{\text{med}} = \frac{2}{3}N\left[\frac{1}{2}m(v^2)_{\text{med}}\right] \quad (18.12)$$

Observamos que  $\frac{1}{2}m(v^2)_{\text{med}}$  es la energía cinética de traslación media de una sola molécula. El producto de esto por el número de moléculas  $N$  es igual a la energía cinética aleatoria total  $K_{\text{tr}}$  del movimiento de traslación de todas las moléculas. (La notación  $K_{\text{tr}}$  nos recuerda que esta energía está asociada al movimiento de *traslación*. Podría haber energías adicionales relacionadas con la rotación y la vibración de las moléculas). El producto  $pV$  es igual a dos tercios de la energía cinética de traslación total:

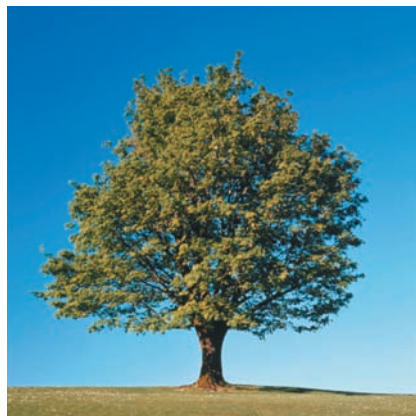
$$pV = \frac{2}{3}K_{\text{tr}} \quad (18.13)$$

Ahora comparamos esto con la ecuación del gas ideal,  $pV = nRT$ , la ecuación (18.3), que se basa en estudios experimentales del comportamiento de los gases. Para que las dos ecuaciones concuerden, debemos tener

**Energía cinética de traslación promedio de un gas ideal**

$$K_{\text{tr}} = \frac{3}{2}nRT \quad \begin{array}{l} \text{Número de moles de gas} \\ \text{Temperatura absoluta de gas} \\ \text{Constante de los gases} \end{array} \quad (18.14)$$

**18.13** El aire veraniego (arriba) es más cálido que el aire invernal (abajo); es decir, la energía cinética de traslación media de las moléculas de aire es mayor durante el verano.



Por lo tanto,  $K_{\text{tr}}$  es *directamente proporcional* a la temperatura absoluta  $T$  (**figura 18.13**).

La energía cinética de traslación media de una sola molécula es la energía cinética de traslación total  $K_{\text{tr}}$  de todas las moléculas dividida entre el número de moléculas,  $N$ :

$$\frac{K_{\text{tr}}}{N} = \frac{1}{2}m(v^2)_{\text{med}} = \frac{3nRT}{2N}$$

También, el número total de moléculas  $N$  es el número de moles  $n$  multiplicado por el número de Avogadro  $N_A$ , de manera que  $N = nN_A$  y  $n/N = 1/N_A$ . Así, la ecuación anterior será

$$\frac{K_{\text{tr}}}{N} = \frac{1}{2}m(v^2)_{\text{med}} = \frac{3}{2}\left(\frac{R}{N_A}\right)T \quad (18.15)$$



La razón  $R/N_A$  se llama **constante de Boltzmann**,  $k$ :

$$k = \frac{R}{N_A} = \frac{8.314 \text{ J/mol} \cdot \text{K}}{6.022 \times 10^{23} \text{ moléculas/mol}} = 1.381 \times 10^{-23} \text{ J/molécula} \cdot \text{K}$$

(El mejor valor numérico actual de  $k$  es  $1.3806488(13) \times 10^{-23} \text{ J/molécula} \cdot \text{K}$ ). Podemos replantear la ecuación (18.15) en términos de  $k$ :

**Energía cinética de traslación media de una molécula de gas**

$$\frac{1}{2}m(v^2)_{\text{med}} = \frac{3}{2}kT \quad \begin{array}{l} \text{Masa de una molécula} \\ \text{Temperatura absoluta del gas} \\ \text{Constante de Boltzmann} \end{array} \quad (18.16)$$

Valor promedio de las rapideces moleculares al cuadrado

Esto muestra que la energía cinética de traslación media *por molécula* depende sólo de la temperatura; no de la presión ni del volumen, ni tampoco del tipo de molécula. Podemos obtener la energía cinética de traslación media *por mol* multiplicando la ecuación (18.16) por el número de Avogadro y usando la relación  $M = N_A m$ :

$$N_A \frac{1}{2}m(v^2)_{\text{med}} = \frac{1}{2}M(v^2)_{\text{med}} = \frac{3}{2}RT \quad \begin{array}{l} \text{(energía cinética de traslación media por mol de gas)} \end{array} \quad (18.17)$$

La energía cinética de traslación de un mol de gas ideal depende sólo de  $T$ .

Por último, a veces es útil replantear la ecuación del gas ideal sobre una base molecular. Usamos  $N = N_A n$  y  $R = N_A k$  para obtener esta forma alternativa:

$$pV = NkT \quad (18.18)$$

Esto indica que podemos considerar la constante de Boltzmann  $k$  como una constante de los gases “por molécula”, en vez de la  $R$  “por mol”.

## Rapideces moleculares

A partir de las ecuaciones (18.16) y (18.17), podemos obtener expresiones para la raíz cuadrada de  $(v^2)_{\text{med}}$ , llamada **rapidez eficaz** o **raíz cuadrática media** (o **rapidez rms**, por las siglas de *root-mean-square speed*)  $v_{\text{rms}}$ :

$$v_{\text{rms}} = \sqrt{(v^2)_{\text{med}}} = \sqrt{\frac{3kT}{m}} = \sqrt{\frac{3RT}{M}} \quad (18.19)$$

Rapidez eficaz de una molécula de gas  
 Constante de Boltzman  
 Temperatura absoluta de gas  
 Valor medio del cuadrado de la rapidez molecular  
 Masa de una molécula  
 Constante de gases molar  
 Masa molar

**18.14** Mientras el hidrógeno es un combustible deseable para los vehículos, es sólo un componente traza en nuestra atmósfera (sólo hay el 0.00005% de hidrógeno por volumen). Por consiguiente, el combustible de hidrógeno tiene que generarse mediante electrólisis del agua, que por sí solo es un proceso intensivo de energía.



Tal vez parezca más natural caracterizar las rapideces moleculares por su valor *medio* y no por  $v_{\text{rms}}$ , pero vemos que  $v_{\text{rms}}$  se obtiene más directamente de las ecuaciones (18.16) y (18.17). Para calcular la rapidez eficaz, elevamos al cuadrado cada rapidez molecular, sumamos, dividimos entre el número de moléculas y sacamos la raíz cuadrada;  $v_{\text{rms}}$  es la *raíz de la media de los cuadrados* (el subíndice rms por *root mean square*, en inglés).

Las ecuaciones (18.16) y (18.19) indican que, a una temperatura dada  $T$ , las moléculas de gas con diferente masa  $m$  tienen la misma energía cinética media, pero diferente rapidez eficaz. En promedio, las moléculas de nitrógeno ( $M = 28$  g/mol) del aire se mueven más rápidamente que las de oxígeno ( $M = 32$  g/mol). Las moléculas de hidrógeno ( $M = 2$  g/mol) son las más rápidas; por eso casi no hay hidrógeno en la atmósfera terrestre, a pesar de ser el elemento más común del universo (figura 18.14). Una fracción apreciable de cualesquier moléculas de  $H_2$  en la atmósfera rebasaría la “rapidez de escape” de la Tierra, que es de  $1.12 \times 10^4$  m/s (calculada en el ejemplo 13.5, sección 13.3) y escaparía al espacio. Los gases más pesados y lentos no pueden escapar con tanta facilidad, y por ello predominan en nuestra atmósfera.

La suposición de que los choques de las moléculas con las paredes del recipiente son perfectamente elásticos es una simplificación excesiva. En la mayoría de los casos, las moléculas en realidad se adhieren a las paredes durante un breve lapso y luego salen con una rapidez que es característica de la temperatura *de la pared*. No obstante, el gas y la pared por lo regular están en equilibrio térmico y tienen la misma temperatura, por lo que no hay transferencia neta de energía entre el gas y la pared, y nuestras conclusiones siguen siendo válidas.

### ESTRATEGIA PARA RESOLVER PROBLEMAS 18.2 TEORÍA CINÉTICA-MOLECULAR

**IDENTIFICAR** *los conceptos relevantes*: Use los resultados del modelo cinético-molecular siempre que le pidan relacionar las propiedades macroscópicas de un gas, como presión y temperatura, con propiedades microscópicas, como la rapidez molecular.

**PLANTEAR** *el problema* de acuerdo con los siguientes pasos:

- Identifique las cantidades conocidas y las incógnitas que se van a calcular.
- Elija la ecuación (o ecuaciones) a usar del grupo de las ecuaciones (18.14), (18.16) y (18.19).

**EJECUTAR** *la solución* como sigue: Utilice las unidades de manera consistente.

- Las unidades usuales para la masa molar  $M$  son gramos/mol; estas unidades suelen omitirse en las tablas. En ecuaciones como la (18.19), cuando se usan unidades del SI, se debe expresar  $M$  en kilogramos por mol. Por ejemplo, para el oxígeno  $M_{O_2} = 32$  g/mol =  $32 \times 10^{-3}$  kg/mol.

- ¿Está trabajando “por molécula” (con  $m$ ,  $N$  y  $k$ ) o “por mol” (con  $M$ ,  $n$  y  $R$ )? Para comprobar unidades, piense que  $N$  tiene unidades de “moléculas”; entonces  $m$  tiene unidades de “masa por molécula” y  $k$  tiene unidades de “joules por molécula por kelvin”. De manera similar,  $n$  tiene unidades de moles; entonces  $M$  tiene unidades de masa por mol, y  $R$  tiene unidades de joules por mol por kelvin.
- Recuerde que  $T$  siempre es temperatura *absoluta* (Kelvin).

**EVALUAR** *la respuesta*: ¿Son razonables sus respuestas? He aquí un punto de referencia: las rapideces moleculares típicas a temperatura ambiente son de varios cientos de metros por segundo.



SOLUCIÓN

**EJEMPLO 18.6 CÁLCULO DE ENERGÍA CINÉTICA MOLECULAR Y  $v_{rms}$** 

a) Calcule la energía cinética de traslación media de una molécula de un gas ideal a 27°C. b) Calcule la energía cinética de traslación aleatoria total de las moléculas de un mol de ese gas. c) Calcule la rapidez eficaz de las moléculas de oxígeno a esa temperatura.

**SOLUCIÓN**

**IDENTIFICAR y PLANTEAR:** Este problema implica la energía cinética de traslación de un gas ideal por molécula y por mol, así como la rapidez eficaz  $v_{rms}$  de las moléculas en el gas. Nos dan la temperatura  $T = 27^\circ\text{C} = 300\text{ K}$  y  $n = 1\text{ mol}$ ; utilizaremos la masa molecular  $m$  del oxígeno. Usaremos la ecuación (18.16) para determinar la energía cinética media de una molécula, la ecuación (18.14), para obtener la energía cinética molecular total  $K_{\text{tr}}$  de un mol, y la ecuación (18.19) para encontrar  $v_{rms}$ .

**EJECUTAR:** a) De acuerdo con la ecuación (18.16),

$$\frac{1}{2}m(v^2)_{\text{med}} = \frac{3}{2}kT = \frac{3}{2}(1.38 \times 10^{-23}\text{ J/K})(300\text{ K}) \\ = 6.21 \times 10^{-21}\text{ J}$$

b) Segundo la ecuación (18.14), la energía cinética de un mol es

$$K_{\text{tr}} = \frac{3}{2}nRT = \frac{3}{2}(1\text{ mol})(8.314\text{ J/mol} \cdot \text{K})(300\text{ K}) = 3740\text{ J}$$

c) Encontramos la masa por molécula  $m$  y la masa molar  $M$  del oxígeno molecular en el ejemplo 18.5. Usando la ecuación (18.19), podemos calcular  $v_{rms}$  de dos maneras:

$$v_{rms} = \sqrt{\frac{3kT}{m}} = \sqrt{\frac{3(1.38 \times 10^{-23}\text{ J/K})(300\text{ K})}{5.31 \times 10^{-26}\text{ kg}}} \\ = 484\text{ m/s} = 1740\text{ km/h} = 1080\text{ mi/h}$$

$$v_{rms} = \sqrt{\frac{3RT}{M}} = \sqrt{\frac{3(8.314\text{ J/mol} \cdot \text{K})(300\text{ K})}{32.0 \times 10^{-3}\text{ kg/mol}}} = 484\text{ m/s}$$

**EVALUAR:** La respuesta del inciso a) no depende de la masa de la molécula. Podemos comprobar nuestro resultado del inciso b) observando que la energía cinética de traslación por mol debe ser igual a la media de la energía cinética de traslación por molécula del inciso a) multiplicada por el número de Avogadro  $N_A$ :  $K_{\text{tr}} = (6.21 \times 10^{-21}\text{ J/molécula})(6.022 \times 10^{23}\text{ moléculas}) = 3740\text{ J}$ .

**EJEMPLO 18.7 CÁLCULO DE RMS Y DE RAPIDEZ MEDIA**

SOLUCIÓN

Cinco moléculas de gas viajan con rapideces de 500, 600, 700, 800 y 900 m/s. Calcule la rapidez rms. ¿Cuál es la rapidez media?

**SOLUCIÓN**

**IDENTIFICAR y PLANTEAR:** Para resolver este problema, usamos la definición del valor eficaz (rms) y la media de un conjunto de números. Para encontrar el valor cuadrático medio (rms), elevamos al cuadrado cada valor de rapidez, obtenemos el promedio (la media) de esos cuadrados y luego calculamos la raíz cuadrada del resultado. Encontramos  $v_{\text{med}}$  de la manera habitual.

**EJECUTAR:** El valor medio de  $v^2$  y la  $v_{rms}$  resultante para las cinco moléculas son

$$(v^2)_{\text{med}} = \frac{500^2 + 600^2 + 700^2 + 800^2 + 900^2}{5}\text{ m}^2/\text{s}^2 \\ = 5.10 \times 10^5\text{ m}^2/\text{s}^2$$

$$v_{rms} = \sqrt{(v^2)_{\text{med}}} = 714\text{ m/s}$$

La rapidez media  $v_{\text{med}}$  es

$$v_{\text{med}} = \frac{500 + 600 + 700 + 800 + 900}{5}\text{ m/s} = 700\text{ m/s}$$

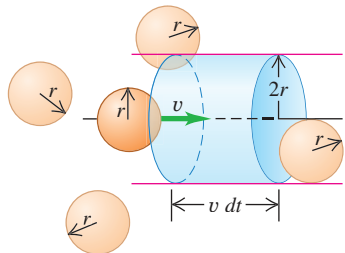
**EVALUAR:** En general,  $v_{rms}$  y  $v_{\text{med}}$  no son iguales. En términos generales,  $v_{rms}$  da más peso a las rapideces más altas que  $v_{\text{med}}$ .

**Choques entre moléculas**

No hemos considerado la posibilidad de que dos moléculas de gas choquen. Si realmente son puntos, *nunca* chocan; pero consideremos un modelo más realista en el que las moléculas son esferas rígidas con radio  $r$ . ¿Con qué frecuencia chocan con otras moléculas? ¿Cuánto viajan, en promedio, entre choques? Podemos obtener respuestas aproximadas del siguiente modelo, un tanto primitivo.

Considere  $N$  moléculas esféricas con radio  $r$  en un volumen  $V$ . Suponga que sólo una molécula se mueve: chocará con otra molécula cuando la distancia entre sus centros sea  $2r$ . Suponga que dibujamos un cilindro con radio  $2r$ , con su eje paralelo a la

**18.15** En un tiempo  $dt$  una molécula con radio  $r$  chocará con cualquier otra molécula que esté dentro de un volumen cilíndrico con radio  $2r$  y longitud  $v dt$ .



velocidad de la molécula (**figura 18.15**). La molécula que se mueve choca con cualquier otra molécula cuyo centro está dentro de este cilindro. En un tiempo corto  $dt$ , una molécula con rapidez  $v$  recorre una distancia  $v dt$ , chocando con cualquier molécula que esté en el volumen cilíndrico con radio  $2r$  y longitud  $v dt$ . El volumen del cilindro es  $4\pi r^2 v dt$ . Hay  $N/V$  moléculas por unidad de volumen, por lo que el número  $dN$  de las que tienen su centro en este cilindro es

$$dN = 4\pi r^2 v dt N/V$$

Así, el número de choques por *unidad de tiempo* es

$$\frac{dN}{dt} = \frac{4\pi r^2 v N}{V}$$

Este resultado supone que sólo se mueve una molécula. Sin embargo, resulta que los choques son más frecuentes cuando todas las moléculas se mueven a la vez, y la ecuación anterior debe multiplicarse por un factor de  $\sqrt{2}$ :

$$\frac{dN}{dt} = \frac{4\pi \sqrt{2} r^2 v N}{V}$$

El tiempo medio  $t_{\text{med}}$  entre choques, llamado *tiempo libre medio*, es el recíproco de esta expresión:

$$t_{\text{med}} = \frac{V}{4\pi \sqrt{2} r^2 v N} \quad (18.20)$$

La distancia media recorrida entre choques se llama **trayectoria libre media**. En nuestro sencillo modelo, esta trayectoria es simplemente la rapidez  $v$  de la molécula multiplicada por  $t_{\text{med}}$ :

<b>Trayectoria libre media de una molécula de gas</b>	<b>Rapidez de la molécula</b>	<b>Volumen del gas</b>
<b>Tiempo libre entre colisiones</b>	$\lambda = vt_{\text{med}}$	$= \frac{V}{4\pi \sqrt{2} r^2 N}$
	<b>Radio de una molécula</b>	<b>Número de moléculas en un gas</b>

(18.21)

La trayectoria libre media  $\lambda$  (letra griega lambda) es inversamente proporcional al número de moléculas por unidad de volumen ( $N/V$ ) e inversamente proporcional al área de sección transversal  $\pi r^2$  de una molécula; cuantas más moléculas haya y mayor sea su tamaño, más corta será la distancia media entre choques (**figura 18.16**). Observe que la trayectoria libre media *no* depende de la rapidez de la molécula.

Podemos expresar la ecuación (18.21) en términos de propiedades macroscópicas del gas, utilizando la ecuación del gas ideal en la forma de la ecuación (18.18),  $pV = NkT$ . Tenemos

$$\lambda = \frac{kT}{4\pi \sqrt{2} r^2 p} \quad (18.22)$$

Si se aumenta la temperatura a presión constante, el gas se expande, la distancia media entre moléculas se incrementa, y  $\lambda$  aumenta. Si se aumenta la presión a temperatura constante, el gas se comprime y  $\lambda$  disminuye.



### EJEMPLO 18.8 CÁLCULO DE LA TRAYECTORIA LIBRE MEDIA

- a) Estime la trayectoria libre media de una molécula de aire a  $27^\circ\text{C}$  y 1 atm. Modele las moléculas como esferas con radio  $r = 2.0 \times 10^{-10}\text{ m}$ . b) Estime la trayectoria libre media de una molécula de oxígeno con  $v = v_{\text{rms}}$  a  $27^\circ\text{C}$  y 1 atm.

#### SOLUCIÓN

**IDENTIFICAR y PLANTEAR:** Este problema utiliza los conceptos de trayectoria libre media y tiempo libre medio (que son nuestras incógnitas).

Usaremos la ecuación (18.22) para determinar la trayectoria libre media  $\lambda$ . Luego, utilizamos la relación básica  $\lambda = vt_{\text{med}}$  de la ecuación (18.21) con  $v = v_{\text{rms}}$  para encontrar el tiempo libre medio  $t_{\text{med}}$ .

**EJECUTAR:** a) A partir de la ecuación (18.22):

$$\begin{aligned} \lambda &= \frac{kT}{4\pi \sqrt{2} r^2 p} = \frac{(1.38 \times 10^{-23}\text{ J/K})(300\text{ K})}{4\pi \sqrt{2}(2.0 \times 10^{-10}\text{ m})^2(1.01 \times 10^5\text{ Pa})} \\ &= 5.8 \times 10^{-8}\text{ m} \end{aligned}$$



b) De acuerdo con el ejemplo 18.6, para oxígeno a 27°C, la rapidez eficaz es  $v_{\text{rms}} = 484 \text{ m/s}$ , por lo que el tiempo libre medio para una molécula con esta rapidez es

$$t_{\text{med}} = \frac{\lambda}{v} = \frac{5.8 \times 10^{-8} \text{ m}}{484 \text{ m/s}} = 1.2 \times 10^{-10} \text{ s}$$

¡Esta molécula choca unas  $10^{10}$  veces por segundo!

**EVALUAR:** Observe que a partir de las ecuaciones (18.21) y (18.22) la trayectoria libre media no depende de la rapidez de la molécula, pero el *tiempo* libre medio sí. Las moléculas más lentas tienen un intervalo de tiempo medio  $t_{\text{med}}$  mayor entre choques que las rápidas, pero la *distancia* media  $\lambda$  entre choques es la misma, sea cual fuere la rapidez de la molécula. Nuestra respuesta al inciso a) indica que la molécula no va lejos entre colisiones, pero la trayectoria libre media es de varios cientos de veces el radio molecular  $r$ .

### EVALÚE SU COMPRENSIÓN DE LA SECCIÓN 18.3

- a) de mayor a menor rapidez rms de las moléculas y b) de mayor a menor energía cinética de traslación media de una molécula: **i.** oxígeno ( $M = 32.0 \text{ g/mol}$ ) a 300 K; **ii.** nitrógeno ( $M = 28.0 \text{ g/mol}$ ) a 300 K; **iii.** oxígeno a 330 K; **iv.** nitrógeno a 330 K. |

## 18.4 CAPACIDADES CALORÍFICAS

Cuando presentamos el concepto de capacidad calorífica en la sección 17.5, hablamos de maneras de *medir* el calor específico o la capacidad calorífica molar de un material. Ahora veremos cómo *predecir* esos valores a partir de la teoría.

### Capacidades caloríficas de los gases

La base de nuestro análisis es que el calor es *energía* en tránsito. Si agregamos calor a una sustancia, aumentamos su energía molecular. Supondremos que el volumen del gas permanece constante; si dejamos que el gas se expanda, efectuará trabajo empujando las paredes móviles de su recipiente, y tendríamos que incluir esa transferencia de energía adicional en los cálculos. Volveremos a este caso más general en el capítulo 19. Por ahora, nos interesa  $C_V$ , la capacidad calorífica molar a *volumen constante*.

En el sencillo modelo cinético-molecular de la sección 18.3, la energía molecular consiste sólo en la energía cinética de traslación  $K_{\text{tr}}$  de las moléculas puntuales. Esta energía es directamente proporcional a la temperatura absoluta  $T$ , como se muestra en la ecuación (18.14),  $K_{\text{tr}} = \frac{3}{2}nRT$ . Cuando el cambio de temperatura  $dT$  es pequeño, el cambio correspondiente de la energía cinética es

$$dK_{\text{tr}} = \frac{3}{2}nR dT \quad (18.23)$$

A partir de la definición de capacidad calorífica molar a volumen constante,  $C_V$  (vea la sección 17.5), también tenemos

$$dQ = nC_V dT \quad (18.24)$$

donde  $dQ$  es el aporte de calor necesario para un cambio de temperatura  $dT$ . Ahora, si  $K_{\text{tr}}$  representa la energía molecular total, como hemos supuesto,  $dQ$  y  $dK_{\text{tr}}$  deben ser *iguales* (figura 18.17). Igualando las ecuaciones (18.23) y (18.24), obtenemos

$$nC_V dT = \frac{3}{2}nR dT$$

Capacidad calorífica molar a volumen constante, gas ideal de partículas puntuales

$$C_V = \frac{3}{2}R \quad \text{Constante de gases} \quad (18.25)$$

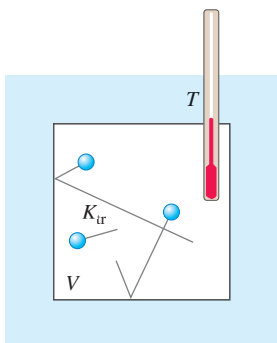
Este resultado sorprendentemente sencillo indica que la capacidad calorífica molar a volumen constante es  $3R/2$  para *todo* gas cuyas moléculas pueden representarse como puntos.

¿La ecuación (18.25) concuerda con este experimento? En unidades del SI, la ecuación (18.25) da

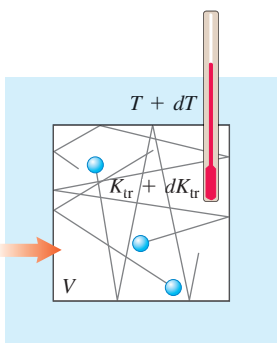
$$C_V = \frac{3}{2}(8.314 \text{ J/mol} \cdot \text{K}) = 12.47 \text{ J/mol} \cdot \text{K}$$

**18.17** a) Volumen fijo  $V$  de un gas ideal monoatómico. b) Si se agrega una cantidad de calor  $dQ$  al gas, la energía cinética de traslación total aumenta en  $dK_{\text{tr}} = dQ$ , y la temperatura se incrementa en  $dT = dQ/nC_V$ .

a)



b)

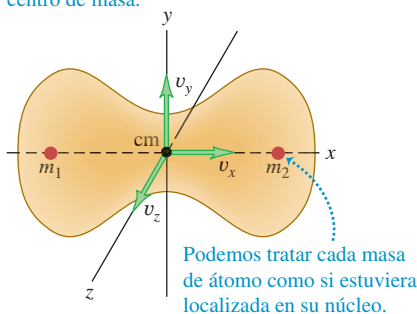


**Capacidades caloríficas molares de gases**
**TABLA 18.1**

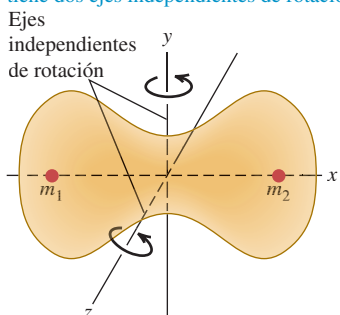
Tipo de gas	Gas	$C_V$ (J/mol · K)
Monoatómico	He	12.47
	Ar	12.47
Diatómico	H <sub>2</sub>	20.42
	N <sub>2</sub>	20.76
	O <sub>2</sub>	20.85
Poliatómico	CO	20.85
	CO <sub>2</sub>	28.46
	SO <sub>2</sub>	31.39
	H <sub>2</sub> S	25.95

**18.18 Movimientos de una molécula diatómica**

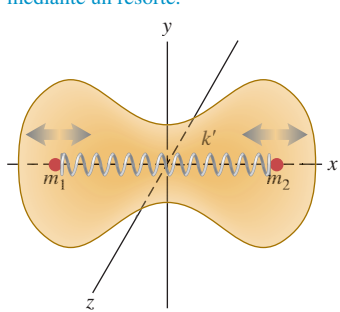
a) **Movimiento de traslación.** La molécula se mueve como un todo; su velocidad puede describirse como las componentes  $x$ ,  $y$  y  $z$  de su centro de masa.



b) **Movimiento de rotación.** La molécula gira alrededor de su centro de masa. Esta molécula tiene dos ejes independientes de rotación.



c) **Movimiento vibracional.** La molécula oscila como si los núcleos estuvieran conectados mediante un resorte.



Como comparación, la **tabla 18.1** presenta valores medidos de  $C_V$  para varios gases. Vemos que, para los gases *monoatómicos*, nuestra predicción es excelente, pero difiere mucho para los gases diatómicos y poliatómicos.

Esta comparación nos dice que nuestro modelo de moléculas puntuales es bueno para gases monoatómicos, pero para moléculas diatómicas y poliatómicas necesitamos algo más complejo. Por ejemplo, podemos visualizar una molécula diatómica como *dos masas puntuales*, como una pequeña mancuerna elástica (vea la **figura 18.8**), con una fuerza de interacción entre átomos como la que se representa en la figura 18.8. Una molécula así podría tener energía cinética adicional asociada con la *rotación* alrededor de ejes que pasan por su centro de masa. Los átomos también podrían tener un movimiento *vibratorio* sobre la línea que los une, con energías cinética y potencial adicionales.

Cuando fluye calor hacia un gas *monoatómico* a volumen constante, *toda* la energía agregada aumenta la energía cinética molecular de *traslación*. La ecuación (18.23) indica que esto aumenta la temperatura. Pero cuando la temperatura aumenta en la misma cantidad en un gas *diatómico* o *poliatómico*, se requiere calor adicional para el aumento en las energías rotacional y vibracional. Por ello, los gases poliatómicos tienen capacidades caloríficas molares *mayores* que los monoatómicos, como se aprecia en la tabla 18.1.

¿Cómo sabemos cuánta energía corresponde a cada tipo de movimiento adicional de una molécula compleja, en comparación con la energía cinética de traslación? El nuevo principio que necesitamos es el de **equipartición de la energía**. Este principio se deduce de consideraciones complejas de mecánica estadística que rebasan nuestro alcance, por lo que lo trataremos como un axioma.

El principio de equipartición de la energía afirma que cada componente de velocidad (ya sea lineal o angular) tiene, en promedio, una energía cinética asociada por molécula de  $\frac{1}{2}kT$ , o la mitad del resultado de multiplicar la constante de Boltzmann por la temperatura absoluta. El número de componentes de velocidad necesarias para describir cabalmente el movimiento de una molécula se denomina número de **grados de libertad**. En el caso de un gas monoatómico, hay tres grados de libertad (para las componentes de velocidad  $v_x$ ,  $v_y$  y  $v_z$ ); esto da una energía cinética media total por molécula de  $3(\frac{1}{2}kT)$ , lo que es congruente con la ecuación (18.16).

En el caso de una molécula *diatómica*, hay dos posibles ejes de rotación, perpendiculares entre sí y perpendiculares al eje de la molécula. (No incluimos la rotación alrededor del eje de la molécula porque en choques ordinarios no hay forma de que este movimiento cambie). Si agregamos dos grados de libertad a una molécula diatómica, la energía cinética media total por molécula es  $\frac{5}{2}kT$  en vez de  $\frac{3}{2}kT$ . La energía cinética total de  $n$  moles es  $K_{\text{total}} = nN_A(\frac{5}{2}kT) = \frac{5}{2}n(kN_A)T = \frac{5}{2}nRT$ , y la capacidad calorífica molar (a volumen constante) es

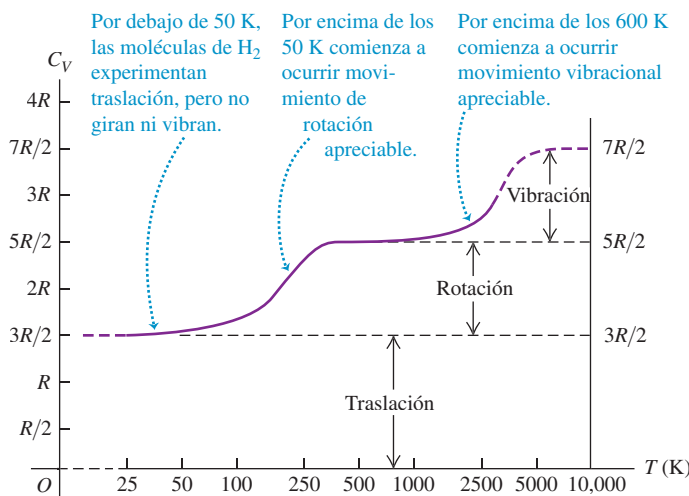
$$\text{Capacidad calorífica molar a volumen constante, gas diatómico ideal} \quad C_V = \frac{5}{2}R \quad \text{Constante de los gases} \quad (18.26)$$

En unidades del SI,

$$C_V = \frac{5}{2}(8.314 \text{ J/mol} \cdot \text{K}) = 20.79 \text{ J/mol} \cdot \text{K}$$

Esto concuerda muy cercanamente con los valores medidos para gases diatómicos que aparecen en la tabla 18.1.

El movimiento *vibracional* también puede contribuir a las capacidades caloríficas de los gases. Los enlaces moleculares no son rígidos, ya que pueden estirarse y doblarse, y las vibraciones resultantes dan lugar a grados de libertad y energías adicionales. Sin embargo, en la mayoría de los gases diatómicos, la vibración *no* contribuye apreciablemente a la capacidad calorífica. La razón implica conceptos de mecánica cuántica. En pocas palabras, la energía de vibración sólo puede cambiar en pasos finitos. Si el cambio de energía del primer paso es mucho mayor que la energía de la mayoría de las moléculas, entonces casi todas éstas permanecerán en el estado de movimiento de mínima energía. En tal caso, un cambio de temperatura no altera apreciablemente su energía vibracional media, y los grados de libertad vibracionales quedan "excluidos". En moléculas más complejas, las diferencias entre los niveles de energía



**18.19** Valores experimentales de  $C_V$ , la capacidad calorífica molar a volumen constante, para el hidrógeno gaseoso ( $H_2$ ). La temperatura está graficada en una escala logarítmica.

permitidos llegan a ser mucho menores, y la vibración sí contribuye a la capacidad calorífica. La energía de rotación de una molécula también cambia en pasos finitos, pero éstos suelen ser mucho más pequeños; la “exclusión” de grados de libertad rotacionales sólo se da en unos cuantos casos raros.

En la tabla 18.1, los valores grandes de  $C_V$  para moléculas poliatómicas revelan los efectos de la energía de vibración. Además, una molécula con tres o más átomos que no están en línea recta tiene *tres* grados de libertad rotacionales.

A partir de este análisis, cabe esperar que la capacidad calorífica dependa de la temperatura y que, en general, aumente al incrementarse esta última. La **figura 18.19** muestra la dependencia de  $C_V$  con respecto a la temperatura para hidrógeno gaseoso ( $H_2$ ), e indica las temperaturas a las que las energías de rotación y de vibración comienzan a contribuir a la capacidad calorífica.

## Capacidades caloríficas de sólidos

Podemos realizar un análisis similar para la capacidad calorífica de un sólido cristalino. Consideremos un cristal formado por  $N$  átomos idénticos (un *sólido monoatómico*). Cada átomo está acotado a una posición de equilibrio por fuerzas interatómicas. La elasticidad de los materiales sólidos demuestra que tales fuerzas permiten el estiramiento y la flexión de los enlaces. Podemos visualizar un cristal como una matriz de átomos conectados por pequeños resortes (**figura 18.20**).

Cada átomo puede *vibrar* alrededor de su posición de equilibrio y tiene tres grados de libertad, correspondientes a sus tres componentes de velocidad. Según el principio de equipartición, cada átomo tiene una energía cinética media de  $\frac{1}{2}kT$  por cada grado de libertad. Además, cada átomo tiene energía *potencial* asociada con la deformación elástica. En el caso de un oscilador armónico simple (que se explicó en el capítulo 14), no es difícil demostrar que la energía cinética media de un átomo es *igual* a su energía potencial media. En nuestro modelo de un cristal, cada átomo es básicamente un oscilador armónico tridimensional; es posible demostrar que la igualdad de las energías cinética y potencial también se cumple aquí, siempre que las fuerzas de “resorte” obedezcan la ley de Hooke.

Así, cabe esperar que cada átomo tenga una energía cinética media de  $\frac{3}{2}kT$ , y una energía potencial media de  $\frac{3}{2}kT$ , es decir, una energía total media de  $3kT$  por átomo. Si el cristal contiene  $N$  átomos o  $n$  moles, su energía total es

$$E_{\text{total}} = 3NkT = 3nRT \quad (18.27)$$

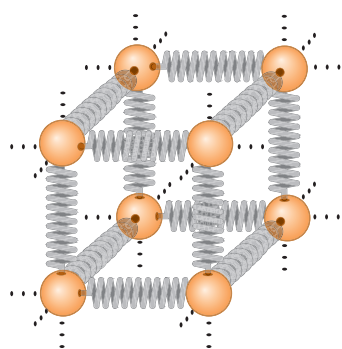
De lo anterior, concluimos que la capacidad calorífica molar de un cristal debería ser

<b>Capacidad calorífica molar de un sólido monoatómico ideal</b> (regla de Dulong y Petit)	$C_V = 3R$ Constante de los gases	(18.28)
---	-----------------------------------	---------

En unidades del SI,

$$C_V = (3)(8.314 \text{ J/mol} \cdot \text{K}) = 24.9 \text{ J/mol} \cdot \text{K}$$

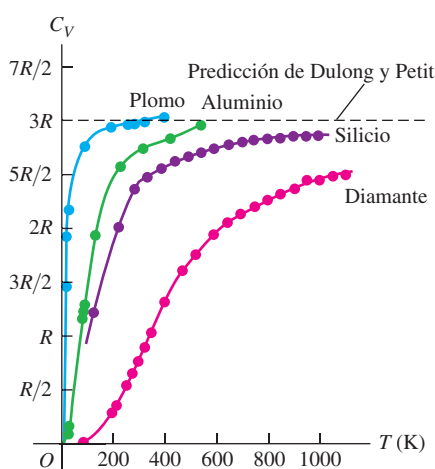
**18.20** Para visualizar las fuerzas entre átomos vecinos de un cristal, imagine que cada átomo está conectado a sus vecinos mediante resortes.



Dedujimos la **regla de Dulong y Petit**, que conocimos como resultado *empírico* en la sección 17.5: todos los sólidos monoatómicos tienen capacidades caloríficas molares cercanas a  $25 \text{ J/mol}\cdot\text{K}$ . La concordancia sólo es aproximada pero, dada la sencillez de nuestro modelo, resulta muy significativa.

A bajas temperaturas, las capacidades caloríficas de la mayoría de los sólidos *disminuyen* al bajar la temperatura (**figura 18.21**) por la misma razón que los grados de libertad vibracionales de las moléculas se excluyen a bajas temperaturas. A muy bajas temperaturas, la cantidad  $kT$  es mucho *menor* que el paso de energía más pequeño que pueden dar los átomos en vibración. Por ello, casi todos los átomos permanecen en sus estados de mínima energía; el siguiente nivel de energía más alto está fuera de su alcance. La energía vibracional media por átomo es entonces *menor* que  $3kT$ , y la capacidad calorífica por molécula es *menor* que  $3k$ . A temperaturas más altas, cuando  $kT$  es *grande* en comparación con el paso de energía mínimo, se cumple el principio de equipartición y la capacidad calorífica total es de  $3k$  por molécula o  $3R$  por mol, como predice la regla de Dulong y Petit. El entendimiento cuantitativo de la variación de las capacidades caloríficas con la temperatura fue uno de los triunfos de la mecánica cuántica durante su desarrollo inicial en la década de 1920.

**EVALÚE SU COMPRENSIÓN DE LA SECCIÓN 18.4** Un cilindro con volumen fijo contiene hidrógeno gaseoso ( $\text{H}_2$ ) a 25 K. Ahora se agrega calor al gas a ritmo constante hasta que su temperatura llega a 500 K. ¿La temperatura del gas aumenta a ritmo constante? ¿Por qué? Si no, ¿la temperatura aumenta con mayor rapidez cerca del principio o cerca del final de este proceso?



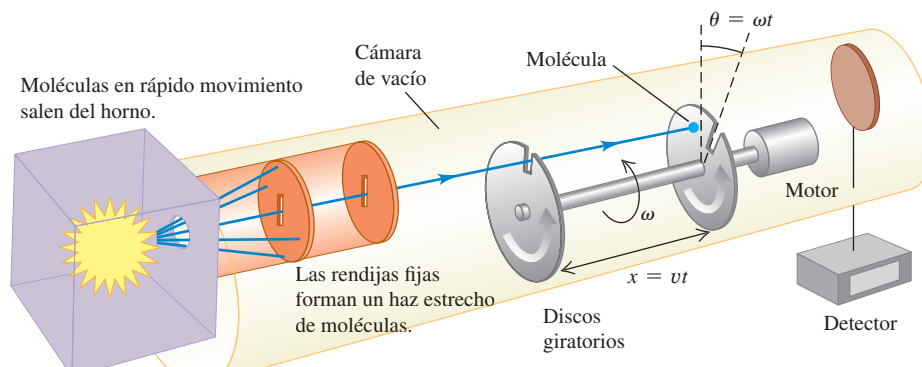
## 18.5 RAPIDECES MOLECULARES

Como mencionamos en la sección 18.3, no todas las moléculas de un gas tienen la misma rapidez. La **figura 18.22** ilustra un sistema experimental para medir la distribución de las rapideces moleculares. Una sustancia se vaporiza en un horno; las moléculas de vapor escapan por una abertura en la pared del horno hacia una cámara de vacío. Una serie de rendijas bloquea el paso de todas las moléculas excepto las de un haz angosto, dirigido a un par de discos giratorios. Una molécula que pasa por la rendija del primer disco es bloqueada por el segundo disco a menos que llegue justo cuando la rendija del segundo disco está alineada con el haz. Los discos funcionan como un selector de rapidez que deja pasar sólo moléculas dentro de un intervalo estrecho de velocidades. Ese intervalo puede variarse alterando la rapidez de rotación de los discos, y podemos medir cuántas moléculas hay en cada intervalo de rapidez.

Para describir los resultados de estas mediciones, definimos una función  $f(v)$  llamada *función de distribución*. Si observamos un total de  $N$  moléculas, el número  $dN$  cuya rapidez se ubica en el intervalo entre  $v$  y  $v + dv$  está dado por

$$dN = Nf(v)dv \quad (18.29)$$

**18.22** Una molécula con rapidez  $v$  pasa por la rendija del primer disco giratorio. Al llegar la molécula al segundo disco giratorio, los discos han girado el ángulo de desfasamiento  $\theta$ . Si  $v = \omega x/\theta$ , la molécula pasará por la rendija del segundo disco giratorio y llegará al detector.



La probabilidad de que una molécula elegida al azar tenga una rapidez en el intervalo de  $v$  a  $v + dv$  es  $f(v)dv$ . Por lo tanto,  $f(v)$  es la probabilidad por unidad de intervalo de rapidez; no es igual a la probabilidad de que una molécula tenga una rapidez exactamente igual a  $v$ . Como las probabilidades son números puros,  $f(v)$  tiene unidades del recíproco de la rapidez ( $\text{s/m}$ ).

La figura 18.23a muestra funciones de distribución para tres temperaturas distintas. A cada temperatura, la altura de la curva para cualquier valor de  $v$  es proporcional al número de moléculas cuya rapidez es cercana a  $v$ . El máximo de la curva representa la rapidez más probable  $v_{\text{mp}}$  para la temperatura en cuestión. Al aumentar la temperatura, la energía cinética molecular media aumenta, y el máximo de  $f(v)$  se desplaza a rapideces cada vez más altas.

La figura 18.23b muestra que el área bajo la curva entre dos valores cualesquiera de  $v$  representa la fracción de todas las moléculas cuya rapidez está en ese intervalo. Toda molécula debe tener algún valor de  $v$ , por lo que la integral de  $f(v)$  sobre toda  $v$  debe ser 1 para cualquier  $T$ .

Si conocemos  $f(v)$ , podemos calcular la rapidez más probable  $v_{\text{mp}}$ , la rapidez media  $v_{\text{med}}$  y la rapidez eficaz  $v_{\text{rms}}$ . Para obtener  $v_{\text{mp}}$ , basta con encontrar el punto donde  $df/dv = 0$ ; esto da el valor de la rapidez en el que la curva alcanza su máximo. Para obtener  $v_{\text{med}}$ , tomamos el número  $Nf(v)dv$  de moléculas cuya rapidez está dentro de cada intervalo  $dv$ , multiplicamos cada número por la rapidez correspondiente  $v$ , sumamos todos esos productos (integrandos desde  $v = 0$  hasta infinito) y dividimos entre  $N$ . Es decir,

$$v_{\text{med}} = \int_0^{\infty} vf(v) dv \quad (18.30)$$

La rapidez rms se obtiene de forma similar; la media de  $v^2$  está dada por

$$(v^2)_{\text{med}} = \int_0^{\infty} v^2 f(v) dv \quad (18.31)$$

y  $v_{\text{rms}}$  es la raíz cuadrada de esto.

## La distribución de Maxwell-Boltzmann

La función  $f(v)$  que describe la distribución real de la rapidez molecular se llama **distribución de Maxwell-Boltzmann**, y se deduce de consideraciones de mecánica estadística que rebasan nuestro alcance. He aquí el resultado:

<b>Función de distribución de Maxwell-Boltzmann</b>	$f(v) = 4\pi \left( \frac{m}{2\pi kT} \right)^{3/2} v^2 e^{-mv^2/2kT}$	<b>Rapidez molecular</b> <b>Masa de una molécula de gas</b> <b>Masa de una molécula de gas</b> <b>Rapidez molecular</b> <b>Constante de Boltzmann</b> <b>Constante de Boltzmann</b> <b>Temperatura absoluta del gas</b>
---	--	---

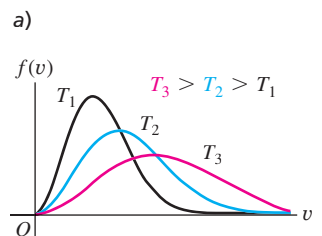
También podemos expresar esta función en términos de la energía cinética de traslación de una molécula, que denotamos con  $\epsilon$ . Es decir,  $\epsilon = \frac{1}{2}mv^2$ . Invitamos al lector a que compruebe que, cuando esto se sustituye en la ecuación (18.32), el resultado es

$$f(\epsilon) = \frac{8\pi}{m} \left( \frac{m}{2\pi kT} \right)^{3/2} \epsilon e^{-\epsilon/kT} \quad (18.33)$$

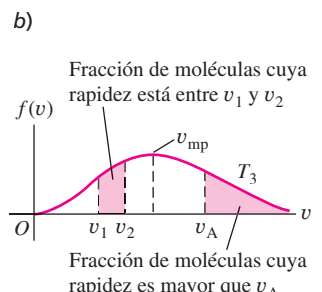
Esta forma indica que el exponente de la función de distribución de Maxwell-Boltzmann es  $-\epsilon/kT$  y que la forma de la curva depende de la magnitud relativa de  $\epsilon$  y  $kT$  en cada punto. Dejamos que el lector demuestre que el *máximo* de cada curva se presenta donde  $\epsilon = kT$  y corresponde a la rapidez más probable  $v_{\text{mp}}$  dada por

$$v_{\text{mp}} = \sqrt{\frac{2kT}{m}} \quad (18.34)$$

**18.23 a)** Curvas de la función de distribución de Maxwell-Boltzmann  $f(v)$  para tres temperaturas. a) Las áreas sombreadas bajo cada curva representan la fracción de moléculas cuya rapidez está dentro de cierto intervalo. La rapidez más probable  $v_{\text{mp}}$  para una temperatura dada está en el máximo de la curva.



Conforme aumenta la temperatura:  
• La curva se aplana.  
• El valor máximo se desplaza hacia mayor rapidez.



**Fracciones de moléculas de un gas ideal cuya rapidez es menor que diversos múltiplos de  $v_{\text{rms}}$**

TABLA 18.2

$v/v_{\text{rms}}$	Fracción
0.20	0.011
0.40	0.077
0.60	0.218
0.80	0.411
1.00	0.608
1.20	0.771
1.40	0.882
1.60	0.947
1.80	0.979
2.00	0.993

### BIO Aplicación Energía de activación y actividad de la polilla

Este esfíngido (polilla) del género *Manduca* no puede volar si la temperatura de sus músculos es inferior a 29°C. La razón es que las reacciones catalizadas por enzimas y que hacen posible el metabolismo aeróbico y la acción muscular requieren una energía molecular mínima (energía de activación). Al igual que sucede con las moléculas en un gas ideal, a bajas temperaturas muy pocas de las moléculas implicadas en estas reacciones tienen energía alta. Al aumentar la temperatura, más moléculas tienen la energía mínima requerida y las reacciones tienen lugar a una velocidad mayor. Arriba de 29°C, se genera suficiente energía para permitir que el esfíngido vuela.



Para calcular la rapidez media, sustituimos la ecuación (18.32) en la ecuación (18.30), hacemos un cambio de variable  $v^2 = x$  e integramos por partes. El resultado es

$$v_{\text{med}} = \sqrt{\frac{8kT}{\pi m}} \quad (18.35)$$

Por último, para calcular la rapidez eficaz ( $v_{\text{rms}}$ ), sustituimos la ecuación (18.32) en la (18.31). La evaluación de la integral resultante requiere algo de acrobacia matemática, pero podemos encontrarla en una tabla de integrales. El resultado es

$$v_{\text{rms}} = \sqrt{\frac{3kT}{m}} \quad (18.36)$$

Tal resultado concuerda con la ecuación (18.19); debe concordar para que la distribución de Maxwell-Boltzmann sea congruente con nuestros cálculos de teoría cinética.

La **tabla 18.2** muestra la fracción de todas las moléculas de gas ideal cuya rapidez es menor que diversos múltiplos de  $v_{\text{rms}}$ . Estas cifras se obtuvieron por integración numérica, y son las mismas para todos los gases que se comportan como gas ideal.

La distribución de rapideces moleculares en los líquidos es similar, pero no idéntica, a la distribución en gases. Podemos entender la presión de vapor de un líquido y el fenómeno de ebullición con base en ella. Suponga que una molécula necesita una rapidez mínima  $v_A$  (figura 18.23b) para escapar de la superficie de un líquido al vapor adyacente. El número de tales moléculas, representado por el área bajo la “cola” de cada curva (a la derecha de  $v_A$ ), aumenta rápidamente con la temperatura. Así, la rapidez con la que pueden escapar las moléculas depende mucho de la temperatura. Este proceso se equilibra con otro en el que moléculas de la fase de vapor chocan inelásticamente con la superficie y quedan atrapadas en la fase líquida. El número de moléculas que corren esta suerte por unidad de tiempo es proporcional a la presión en la fase de vapor. El equilibrio de fases entre líquido y vapor se presenta cuando estos dos procesos en competencia se efectúan exactamente con la misma rapidez. De esa forma, si conocemos las distribuciones de rapidez de las moléculas a diversas temperaturas, estaremos en condiciones de predecir teóricamente la presión de vapor en función de la temperatura. Cuando se evapora líquido, son las moléculas de alta velocidad las que escapan de la superficie. Las demás tienen menor energía en promedio, y nos permiten ver el enfriamiento por evaporación desde una perspectiva molecular.

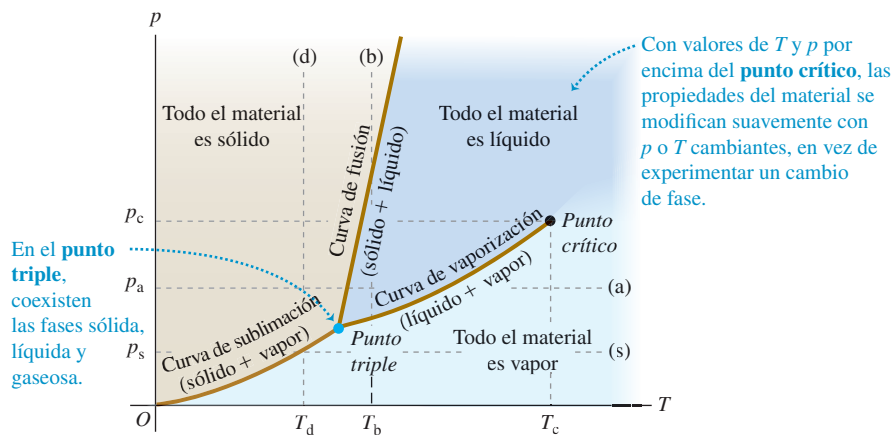
La rapidez de muchas reacciones químicas a menudo depende notablemente de la temperatura, y esto se explica con la distribución de Maxwell-Boltzmann. Cuando chocan dos moléculas que podrían reaccionar, sólo habrá reacción si las moléculas están tan cerca que sus electrones pueden interactuar fuertemente. Esto requiere una energía mínima, llamada *energía de activación* y, por lo tanto, cierta rapidez molecular mínima. La figura 18.23a indica que el número de moléculas en la cola de elevada rapidez de la curva aumenta rápidamente con la temperatura. Además, cabe esperar que la rapidez de cualquier reacción que dependa de una energía de activación aumente rápidamente con la temperatura.

**EVALÚE SU COMPRENSIÓN DE LA SECCIÓN 18.5** Una cantidad de gas que contiene  $N$  moléculas tiene una función de distribución de rapidez  $f(v)$ .

- ¿Cuántas moléculas tienen rapidez entre  $v_1$  y  $v_2 > v_1$ ? i.  $\int_0^{v_2} f(v) dv - \int_0^{v_1} f(v) dv$ ; ii.  $N[\int_0^{v_2} f(v) dv - \int_0^{v_1} f(v) dv]$ ; iii.  $\int_0^{v_1} f(v) dv - \int_0^{v_2} f(v) dv$ ; iv.  $N[\int_0^{v_1} f(v) dv - \int_0^{v_2} f(v) dv]$ ; v. ninguna de las anteriores. □

## 18.6 FASES DE LA MATERIA

Un gas ideal es el sistema más simple que podemos analizar desde una perspectiva molecular porque despreciamos las interacciones entre las moléculas. Sin embargo, son precisamente esas interacciones las que hacen que la materia se condense en las fases líquida y sólida en ciertas condiciones. Por ello, no es sorprendente que el análisis teórico de la estructura y el comportamiento de líquidos y sólidos sea mucho más complicado que en el caso de los gases. No trataremos de llevar muy lejos la perspectiva microscópica, pero podemos hablar en general de fases de la materia, equilibrio de fases y transiciones de fase.



En la sección 17.6, vimos que cada fase es estable sólo en ciertos intervalos de temperatura y presión. La transición de una fase a otra normalmente se da en condiciones de **equilibrio de fases** entre las dos fases y, para una presión dada, esto sólo ocurre a una temperatura específica. Podemos representar dichas condiciones en una gráfica con ejes  $p$  y  $T$ , llamada **diagrama de fases**; la figura 18.24 es un ejemplo. Cada punto del diagrama representa un par de valores de  $p$  y  $T$ .

En cada punto de la figura 18.24, sólo puede existir una fase, excepto sobre las líneas continuas, donde es posible que coexistan dos fases en equilibrio de fase. La curva de fusión separa las áreas de sólido y de líquido, y representa posibles condiciones de equilibrio de fases sólido-líquido. De manera similar, la curva de vaporización separa las áreas de líquido y de vapor, y la de sublimación separa las áreas de sólido y de vapor. Las tres curvas se unen en el **punto triple**, la única condición en que pueden coexistir las tres fases (figura 18.25). En la sección 17.3, usamos la temperatura de punto triple del agua para definir la escala de temperatura Kelvin. En la **tabla 18.3** se incluyen datos de punto triple para varias sustancias.

Si calentamos una sustancia a una presión constante  $p_a$ , la sustancia pasa por una serie de estados representados por la línea horizontal (a) de la figura 18.24. Las temperaturas de fusión y ebullición a esta presión son aquéllas donde la línea interseca las curvas de fusión y vaporización, respectivamente. Si la presión es  $p_s$ , el calentamiento a presión constante transforma la sustancia de sólido directamente a vapor. Este proceso se llama *sublimación*; la intersección de la línea (s) con la curva de sublimación indica la temperatura  $T_s$  a la que ocurre sublimación a una presión  $p_s$ . A cualquier presión menor que la del punto triple, no puede existir fase líquida. La presión de punto triple para el dióxido de carbono ( $\text{CO}_2$ ) es de 5.1 atm. A presión atmosférica normal, el dióxido de carbono sólido (“hielo seco”) se sublima; no hay fase líquida a esa presión.

La línea (b) de la figura 18.24 representa compresión a temperatura constante  $T_b$ . El material pasa de vapor a líquido y luego a sólido en los puntos en que la línea (b) cruza las curvas de vaporización y fusión, respectivamente. La línea (d) muestra compresión a temperatura constante a una temperatura más baja  $T_d$ ; el material pasa de vapor a sólido donde la línea (d) cruza la curva de sublimación.

En la gráfica  $pV$  de la figura 18.7 vimos que sólo hay una transición de fase líquido-vapor cuando la temperatura y la presión son menores que en el punto de la parte superior del área sombreada rotulada “Región de equilibrio de fase líquido-vapor”. Ese punto corresponde al punto final en la parte superior de la curva de vaporización en la figura 18.24; se llama **punto crítico**, y los valores correspondientes de  $p$  y  $T$  se denominan presión y temperatura críticas,  $p_c$  y  $T_c$ . Un gas a presión *mayor* que la crítica no se separa en dos fases cuando se enfriá a presión constante (sobre una línea horizontal arriba del punto crítico en la figura 18.24). En vez de ello, sus propiedades cambian, de forma gradual y continua, de las que ordinariamente asociamos con los gases (baja densidad, alta compresibilidad) a las propiedades de un líquido (alta densidad, baja compresibilidad) *sin transición de fase*.

**18.24** Diagrama de fases  $pT$  representativo, con regiones de temperatura y presión en las que existen las distintas fases y en las que se dan cambios de fase.

**18.25** La presión atmosférica terrestre es más alta que la presión del punto triple del agua [vea la línea (a) en la figura 18.24]. Dependiendo de la temperatura, el agua puede existir como vapor (en la atmósfera), como líquido (en el océano) o como sólido (en el iceberg que vemos aquí).



**TABLA 18.3** **Datos de punto triple**

Sustancia	Temperatura (K)	Presión (Pa)
Hidrógeno	13.80	$0.0704 \times 10^5$
Deuterio	18.63	$0.171 \times 10^5$
Neón	24.56	$0.432 \times 10^5$
Nitrógeno	63.18	$0.125 \times 10^5$
Oxígeno	54.36	$0.00152 \times 10^5$
Amoniaco	195.40	$0.0607 \times 10^5$
Dióxido de carbono	216.55	$5.17 \times 10^5$
Dióxido de azufre	197.68	$0.00167 \times 10^5$
Agua	273.16	$0.00610 \times 10^5$

Podemos entender esto, al considerar las transiciones a la fase líquida en puntos cada vez más altos en la curva de vaporización. Al acercarnos al punto crítico, las *diferencias* en las propiedades físicas (como densidad y compresibilidad) entre las fases de líquido y de vapor se reducen cada vez más. Exactamente *en* el punto crítico, las diferencias se vuelven cero, y desaparece la distinción entre líquido y vapor. El calor de vaporización también se reduce al acercarnos al punto crítico, y se vuelve cero en ese punto.

Para casi todos los materiales conocidos, las presiones críticas son mucho mayores que la presión atmosférica, y por ello no observamos tal comportamiento en la vida diaria. Por ejemplo, el punto crítico del agua está en  $647.4\text{ K}$  y  $221.2 \times 10^5\text{ Pa}$  (aproximadamente 218 atm o 3210 psi). Sin embargo, las calderas de vapor a alta presión en las plantas generadoras de electricidad suelen operar a presiones y temperaturas muy por encima del punto crítico.

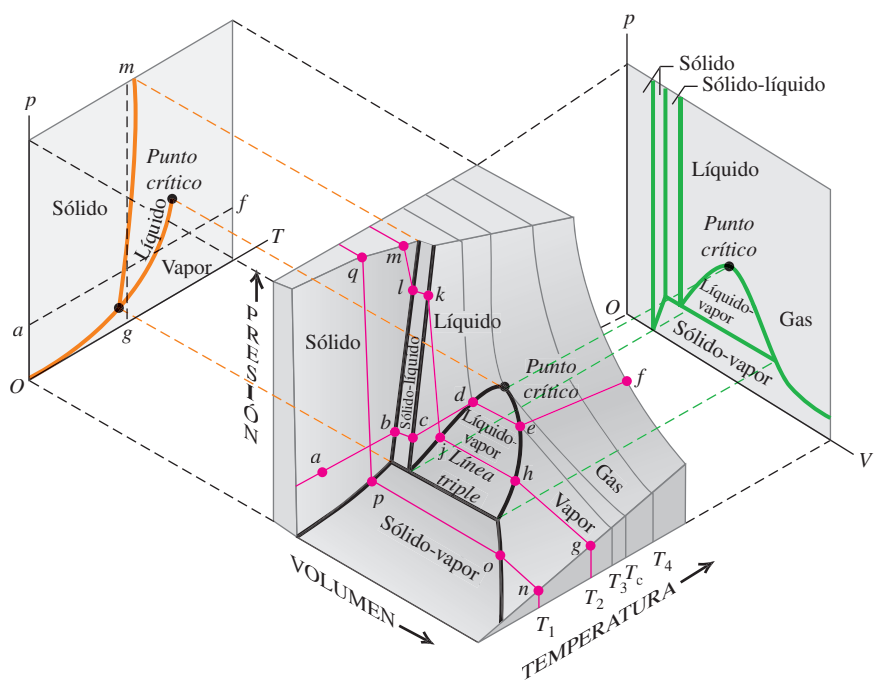
Muchas sustancias pueden existir en más de una fase sólida. Un ejemplo conocido es el carbono, que existe como hollín no cristalino, grafito cristalino y diamante. El agua es otro ejemplo; se ha observado hasta más de una docena de tipos de hielo, con diferentes estructuras cristalinas y propiedades físicas, a presiones muy altas.

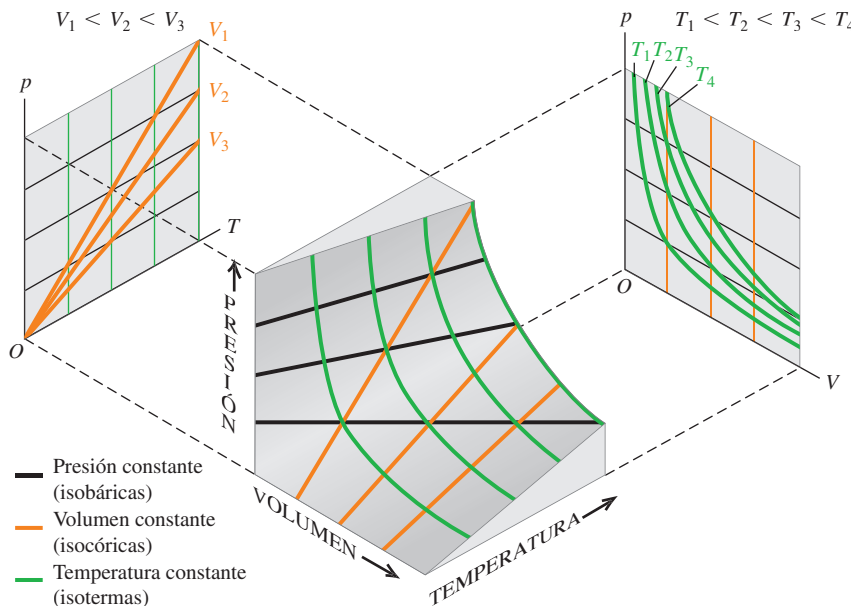
## Superficies pVT

En la sección 18.1 comentamos que para cualquier material resulta útil representar la ecuación de estado como una superficie en un espacio tridimensional con coordenadas  $p$ ,  $V$  y  $T$ . La figura 18.26 muestra una superficie  $pVT$  típica. Las líneas delgadas representan isotermas  $pV$ ; su proyección en el plano  $pV$  daría una gráfica similar a la de la figura 18.7. Estas isotermas  $pV$  representan líneas de contorno de la superficie  $pVT$ , de manera análoga a como las líneas de contorno de un mapa topográfico representan la elevación (la tercera dimensión) en cada punto. Las proyecciones de los bordes de la superficie en el plano  $pT$  dan el diagrama de fases  $pT$  de la figura 18.24.

La línea  $abcdef$  en la figura 18.26 representa calentamiento a presión constante, con fusión en  $bc$  y vaporización en  $de$ . Observe los cambios de volumen que se presentan al aumentar  $T$  siguiendo esta línea. La línea  $ghjklm$  corresponde a una compresión isotérmica (a temperatura constante), con licuefacción en  $hj$  y solidificación en  $kl$ . Entre éstas, los segmentos  $gh$  y  $jk$  representan compresión isotérmica con aumento de presión; estos aumentos son mucho mayores en la región líquida  $jk$  y en la región sólida  $lm$  que en la región de vapor  $gh$ . Por último,  $nopq$  representa solidificación isotérmica directamente de la fase de vapor, como en la formación de copos de nieve o escarcha.

**18.26** Superficie  $pVT$  para una sustancia que se expande al fundirse. También se muestran proyecciones de las fronteras sobre la superficie en los planos  $pT$  y  $pV$ .





**18.27** Superficie  $pVT$  para un gas ideal. A la izquierda, cada línea naranja corresponde a cierto volumen constante; a la derecha, cada línea verde corresponde a cierta temperatura constante.

La figura 18.27 muestra la superficie  $pVT$  mucho más sencilla para una sustancia que obedece la ecuación de estado del gas ideal en todas las condiciones. Las proyecciones de las curvas de temperatura constante en el plano  $pV$  corresponden a las curvas de la figura 18.6, y las proyecciones de las curvas de volumen constante en el plano  $pT$  indican que la presión es directamente proporcional a la temperatura absoluta. La figura 18.27 también muestra las *isobáricas* (esto es, curvas de presión constante) y las *isocóricas* (curvas de volumen constante) para un gas ideal.

**EVALÚE SU COMPRENSIÓN DE LA SECCIÓN 18.6** La presión atmosférica media en Marte es de  $6.0 \times 10^2$  Pa. ¿Podría haber lagos o ríos en Marte en la actualidad? ¿Y en el pasado, cuando —según se cree— la presión atmosférica era considerablemente mayor que ahora?

## CAPÍTULO 18 RESUMEN

**Ecuaciones de estado:** La presión  $p$ , el volumen  $V$  y la temperatura absoluta  $T$  de una cantidad dada de una sustancia están relacionadas por una ecuación de estado. Esa relación implica únicamente estados de equilibrio, con  $p$  y  $T$  uniformes en todo el sistema. La ecuación de estado del gas ideal, ecuación (18.3), implica el número de moles  $n$  y una constante  $R$  que es la misma para todos los gases (vea los ejemplos 18.1 a 18.4).

$$pV = nRT$$

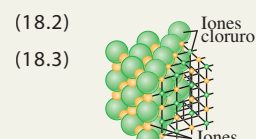
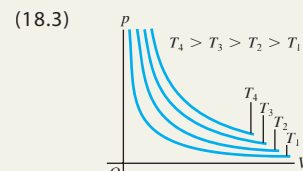
SOLUCIONES A TODOS LOS EJEMPLOS



**Propiedades moleculares de la materia:** La masa molar  $M$  de una sustancia pura es la masa por mol. La masa total  $m_{\text{total}}$  de una cantidad de sustancia es igual a  $M$  multiplicada por el número de moles  $n$ . El número de Avogadro  $N_A$  es el número de moléculas que hay en un mol. La masa  $m$  de una molécula individual es  $M$  dividida entre  $N_A$  (vea el ejemplo 18.5).

$$m_{\text{total}} = nM$$

$$M = N_A m$$



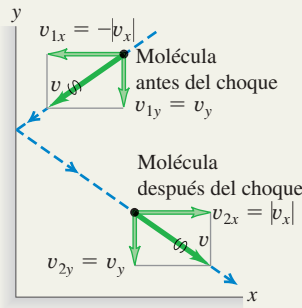
**Modelo cinético-molecular de un gas ideal:** En un gas ideal, la energía cinética de traslación total del gas en conjunto ( $K_{\text{tr}}$ ) y la energía cinética de traslación media por molécula [ $\frac{1}{2}m(v^2)_{\text{med}}$ ] son proporcionales a la temperatura absoluta  $T$ . La rapidez eficaz de las moléculas de un gas ideal es proporcional a la raíz cuadrada de  $T$ . En estas expresiones interviene la constante de Boltzmann  $k = R/N_A$  (vea los ejemplos 18.6 y 18.7). La trayectoria libre media  $\lambda$  de las moléculas de un gas ideal depende del número de moléculas por volumen ( $N/V$ ) y del radio molecular  $r$  (vea el ejemplo 18.8).

$$K_{\text{tr}} = \frac{3}{2}nRT \quad (18.14)$$

$$\frac{1}{2}m(v^2)_{\text{med}} = \frac{3}{2}kT \quad (18.16)$$

$$v_{\text{rms}} = \sqrt{(v^2)_{\text{med}}} = \sqrt{\frac{3kT}{m}} \quad (18.19)$$

$$\lambda = vt_{\text{med}} = \frac{V}{4\pi\sqrt{2}r^2N} \quad (18.21)$$



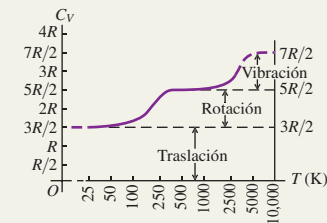
**Capacidades caloríficas:** La capacidad calorífica molar  $C_V$  a volumen constante se puede expresar como múltiplo sencillo de la constante de los gases  $R$  en ciertos casos idealizados: el gas monoatómico ideal [ecuación (18.25)]; el gas diatómico ideal con energía rotacional [ecuación (18.26)]; y el sólido monoatómático ideal [ecuación (18.28)]. Podemos aproximar satisfactoriamente muchos sistemas reales con esas idealizaciones.

**Rapidez molecular:** Las rapideces de las moléculas de un gas ideal se distribuyen según la distribución de Maxwell-Boltzmann  $f(v)$ . La cantidad  $f(v)dv$  describe la fracción de las moléculas con rapidez entre  $v$  y  $v + dv$ .

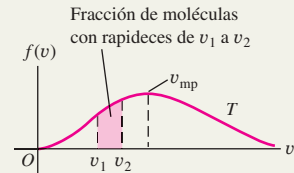
$$C_V = \frac{3}{2}R \text{ (gas monoatómico)} \quad (18.25)$$

$$C_V = \frac{5}{2}R \text{ (gas diatómico)} \quad (18.26)$$

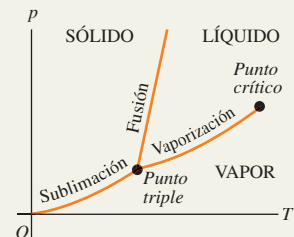
$$C_V = 3R \text{ (sólido monoatómico)} \quad (18.28)$$



$$f(v) = 4\pi\left(\frac{m}{2\pi kT}\right)^{3/2} v^2 e^{-mv^2/2kT} \quad (18.32)$$



**Fases de la materia:** La materia ordinaria existe en las fases sólida, líquida y gaseosa. Un diagrama de fases muestra las condiciones en las que dos fases pueden coexistir en equilibrio. Las tres fases pueden coexistir en el punto triple. La curva de vaporización termina en el punto crítico, arriba del cual desaparece la distinción entre las fases líquida y gaseosa.



## PROBLEMA PRÁCTICO GAS EN EUROPA, LA LUNA DE JÚPITER



Un astronauta que visita un satélite de Júpiter, Europa, deja en la superficie un recipiente de 1.20 moles de gas nitrógeno (28.0 g/mol) a 25.0°C. Europa no tiene una atmósfera significativa, y la aceleración de la gravedad en su superficie es de 1.30 m/s<sup>2</sup>. El recipiente tiene una fuga, permitiendo que las moléculas escapen por un orificio pequeño.

a) ¿Cuál es la altura máxima (en km) arriba de la superficie de Europa a la que llega una molécula de nitrógeno cuya rapidez es igual a la rapidez rms? Suponga que la molécula se disparó hacia arriba fuera del orificio del recipiente, y desprecie la variación de  $g$  con la altura.

b) La rapidez de escape de Europa es 2025 m/s. ¿Puede alguna de las moléculas de nitrógeno escapar de Europa e ir al espacio?

### GUÍA DE SOLUCIÓN

#### IDENTIFICAR Y PLANTEAR

- Dibuja un esquema de la situación, que muestre todas las dimensiones relevantes.
- Lista las cantidades conocidas y desconocidas, e identifique las incógnitas.

- ¿Cómo va a encontrar la rapidez rms de las moléculas de nitrógeno? ¿Qué principio utilizará para encontrar la altura máxima que una molécula puede alcanzar con esta rapidez?
- ¿La rapidez rms de moléculas en un gas ideal representa la rapidez máxima de las moléculas? Si no es así, ¿cuál es la rapidez máxima?

#### EJECUTAR

- Despeje la rapidez rms y utilícela para calcular la altura máxima que puede alcanzar una molécula con esa rapidez.
- Utilice el resultado del paso 5 para responder a la pregunta del inciso b).

#### EVALUAR

- ¿Sus resultados dependen de la cantidad de gas en el recipiente? ¿Por qué?
- ¿Cómo cambiarían los resultados de los pasos 5 y 6 si el cilindro de gas se hubiera dejado en Ganímedes, el satélite de Júpiter que tiene una mayor gravedad en la superficie que Europa y una rapidez de escape superior? Al igual que Europa, Ganímedes no tiene una atmósfera significativa.

## Problemas

•, •, ••: Niveles de dificultad. PA: Problemas acumulativos que incorporan material de capítulos anteriores. CALC: Problemas que requieren cálculo. DATOS: Problemas que incluyen datos reales, evidencia científica, diseño experimental y/o razonamiento estadístico. BIO: Problemas de ciencias biológicas.

### PREGUNTAS PARA ANÁLISIS

**P18.1** En la sección 18.1 se dice que, en condiciones ordinarias, no es posible modificar individualmente la presión, el volumen o la temperatura sin afectar las demás. Sin embargo, al evaporarse un líquido, su volumen cambia, aunque su presión y temperatura sean constantes. ¿Es incongruente esto? ¿Por qué?

**P18.2** En la ecuación del gas ideal, ¿podría emplearse la temperatura Celsius equivalente en vez de la temperatura Kelvin si se usara un valor numérico adecuado de la constante  $R$ ? ¿Por qué?

**P18.3** Cuando se conduce un automóvil cierta distancia, la presión del aire en los neumáticos aumenta. ¿Por qué? ¿Es aconsejable extraer aire para reducir la presión? ¿Porq ué?

**P18.4** El refrigerante de un radiador de automóvil se mantiene a una presión mayor que la atmosférica. ¿Por qué es deseable esto? La tapa del radiador libera refrigerante si la presión manométrica de éste alcanza cierto valor, por lo regular 15 lb/in<sup>2</sup>. ¿Por qué no simplemente se sella el sistema?

**P18.5** Los alimentos sin envolver que se guardan en un congelador sufren deshidratación, conocida como “quemadura de congelador”. ¿Por qué?

**P18.6** Un grupo de estudiantes viajaron en auto desde su universidad (casi al nivel del mar) a las montañas para esquiar el fin de semana. Al llegar, descubrieron que las bolsas de papas fritas que llevaban se habían reventado. ¿Qué causó esto?

**P18.7** La deducción de la ecuación del gas ideal incluyó la suposición de que el número de moléculas es muy grande y podemos calcular la fuerza media debida a muchos choques. Sin embargo, esa ecuación sólo se cumple con exactitud a bajas presiones, donde las moléculas son pocas y dispersas. ¿Hay una incongruencia aquí? Explique.

**P18.8** Un recipiente rígido y perfectamente aislado tiene una membrana que divide su volumen en mitades. Un lado contiene un gas a una temperatura absoluta  $T_0$  y presión  $p_0$ , mientras que la otra mitad está completamente vacía. De repente, se forma un pequeño orificio en la membrana, permitiendo que el gas se filtre hacia la otra mitad hasta que termina por ocupar el doble de su volumen original. En términos de  $T_0$  y  $p_0$ , ¿cuál será la nueva temperatura y presión del gas cuando se distribuye equitativamente en ambas mitades del recipiente? Explique su razonamiento.

**P18.9** a) ¿Qué tiene más átomos, 1 kg de hidrógeno o 1 kg de plomo? ¿Cuál tiene más masa? b) ¿Qué tiene más átomos, un mol de hidrógeno o un mol de plomo? ¿Cuál tiene más masa? Explique su razonamiento.

**P18.10** Use los conceptos del modelo cinético-molecular para explicar a) por qué la presión de un gas en un recipiente rígido aumenta al añadirse calor al gas, y b) por qué la presión de un gas aumenta cuando lo comprimimos, aunque no cambiemos su temperatura.

**P18.11** La proporción de diversos gases en la atmósfera cambia un poco con la altura. ¿Cabría esperar que la proporción de oxígeno a gran altura fuera mayor o menor que en el nivel del mar, en comparación con la proporción de nitrógeno? ¿Porq ué?

**P18.12** Comente esta afirmación: *Si se mezclan dos gases, para que estén en equilibrio térmico deben tener la misma rapidez molecular media.* ¿Es correcta? Explique por qué.

**P18.13** El modelo cinético-molecular incluye un supuesto oculto con respecto a la temperatura de las paredes del recipiente. ¿Cuál es? ¿Qué sucedería si no fuera válido?

**P18.14** La temperatura de un gas ideal es directamente proporcional a la energía cinética media de sus moléculas. Si un contenedor con gas ideal pasa junto a usted a 2000 m/s, ¿es mayor su temperatura que si estuviera en reposo? Explique su razonamiento.

**P18.15** Si se aumenta la presión de un gas monoatómico ideal mientras se mantiene constante el número de moles, ¿qué sucede con la energía cinética de traslación media de un átomo del gas? ¿Es posible modificar tanto el volumen como la presión del gas ideal y mantener constante la energía cinética de traslación media de sus átomos? Explique.

**P18.16** Al deducir la ecuación del gas ideal del modelo cinético-molecular, despreciamos la energía potencial debida a la gravedad terrestre. ¿Se justifica esta omisión? ¿Por qué?

**P18.17** Imagine un filtro de aire especial en la ventana de una casa. Los diminutos orificios del filtro sólo dejan salir moléculas que se mueven con más de cierta rapidez mínima, y únicamente dejan entrar moléculas que se mueven con menor rapidez. ¿Qué efecto tendría este filtro sobre la temperatura interior de la casa? (La segunda ley de la termodinámica, que veremos en el capítulo 20, nos dice que tan maravilloso filtro es imposible de fabricar).

**P18.18** Un tanque de almacenamiento de gas tiene una pequeña fuga. La presión en el tanque baja con mayor rapidez si el gas es hidrógeno o helio que si es oxígeno. ¿Porqué?

**P18.19** Considera dos muestras de gas ideal que están a la misma temperatura. La muestra A tiene la misma masa total que B, pero sus moléculas tienen mayor masa molar. ¿En cuál muestra es mayor la energía cinética total? ¿Su respuesta depende de la estructura molecular de los gases? ¿Por qué?

**P18.20** La temperatura de un gas monoatómico ideal aumenta de 25 a 50°C. ¿Aumenta al doble la energía cinética de traslación media de cada átomo de gas? Explique. Si su respuesta es no, ¿cuál sería la temperatura final si la energía cinética de traslación media se duplicara?

**P18.21** Si se quiere aumentar al doble la rapidez eficaz de los átomos de un gas ideal, ¿en qué factor deberá aumentarse la temperatura Kelvin del gas? Explique.

**P18.22** a) Si usted aplica la misma cantidad de calor a 1.00 mol de un gas monoatómico ideal y a 1.00 mol de un gas diatómico ideal, ¿cuál de ellos (si acaso) aumentará más su temperatura? b) Físicamente, ¿por qué los gases diatómicos tienen mayor capacidad calorífica molar que los gases monoatómicos?

**P18.23** La explicación en la sección 18.4 concluyó que todos los gases diatómicos ideales tienen la misma capacidad calorífica  $C_V$ . ¿Significa esto que se requiere la misma cantidad de calor para elevar la temperatura de 1.0 g de cada uno de ellos en 1.0 K? Explique su razonamiento.

**P18.24** Con respecto a un gas que contiene  $N$  moléculas, ¿sería correcto decir que el número de moléculas con rapidez  $v$  es igual a  $f(v)$ ? ¿O que ese número está dado por  $Nf(v)$ ? Explique sus respuestas.

**P18.25** La atmósfera del planeta Marte es 95.3% dióxido de carbono ( $\text{CO}_2$ ) y aproximadamente 0.03% es vapor de agua. La presión atmosférica es de sólo aproximadamente 600 Pa, y la temperatura superficial varía de -30°C a -100°C. Los casquetes polares contienen hielo de  $\text{CO}_2$  y agua helada. ¿Podría haber  $\text{CO}_2$  líquido en la superficie de Marte? ¿Podría haber agua líquida? ¿Por qué?

**P18.26** Un vaso con agua a temperatura ambiente se coloca dentro de una campana en la que se va reduciendo gradualmente la presión del aire. Cuando la presión del aire se reduce lo suficiente, el agua comienza a hervir. La temperatura del agua no aumenta al hervir; de hecho, *baja* un poco. Explique estos fenómenos.

**P18.27** Es fácil resbalar caminando sobre hielo, sobre todo si usamos patines de hielo. ¿Qué nos dice esto acerca de cómo el punto de fusión del hielo depende de la presión? Explique su respuesta.

**P18.28** Las ventosas hidrotermales son aberturas en el fondo oceánico que descargan agua muy caliente. El agua que sale de una de ellas cerca de la costa de Oregon, a 2400 m de profundidad, está a 279°C. A pesar de su alta temperatura, el agua no hierve. ¿Por qué?

**P18.29** Las áreas oscuras de la superficie lunar se llaman *mares*, y en alguna época se pensó que eran cuerpos de agua. En realidad, esos "mares" son llanuras de lava solidificada. Considerando que no hay atmósfera en la Luna, ¿cómo se explica la ausencia de agua líquida en su superficie?

**P18.30** Además de las instrucciones normales impresas en una caja de arroz, hay "instrucciones para cocer a gran altura". La única diferencia es que se sugiere usar un mayor volumen de agua y dar mayor tiempo a la cocción para cocer el arroz a gran altura. ¿Por qué las instrucciones dependen de la altura?

## EJERCICIOS

### Sección 18.1 Ecuaciones de estado

**18.1** • Un tanque de 20.0 L contiene  $4.86 \times 10^{-4}$  kg de helio a 18.0°C. La masa molar del helio es de 4.00 g/mol. *a)* ¿Cuántos moles de helio hay en el tanque? *b)* ¿Cuál es la presión en el tanque en pascals y atmósferas?

**18.2** ••• Helio gaseoso con un volumen de 3.20 L, a 0.180 atm de presión y una temperatura de 41.0°C, se calienta hasta duplicar la presión y el volumen. *a)* Calcule la temperatura final. *b)* ¿Cuántos gramos de helio hay? La masa molar del helio es de 4.00 g/mol.

**18.3** • Un tanque cilíndrico tiene un pistón ajustado que permite modificar el volumen del tanque. Originalmente, el tanque contiene 0.110 m<sup>3</sup> de aire a 0.355 atm de presión. Se tira lentamente del pistón hasta aumentar el volumen del aire a 0.390 m<sup>3</sup>. Si la temperatura permanece constante, ¿qué valor final tiene la presión?

**18.4** • Un tanque de 3.00 L contiene aire a 3.00 atm y 20.0°C. El tanque se sella y se enfriá hasta que la presión es de 1.00 atm. *a)* ¿Qué temperatura tiene ahora el gas en grados Celsius? Suponga que el volumen del tanque es constante. *b)* Si la temperatura se mantiene en el valor determinado en el inciso *a)* y el gas se comprime, ¿qué volumen tendrá cuando la presión vuelva a ser de 3.00 atm?

**18.5** • **Atmósferas planetarias.** *a)* Calcule la densidad de la atmósfera en la superficie de Marte (donde la presión es de 650 Pa y la temperatura es normalmente de 253 K, con una atmósfera de CO<sub>2</sub>), en Venus (con una temperatura media de 730 K y presión de 92 atm, con una atmósfera de CO<sub>2</sub>), y en la luna de Saturno, Titán (donde la presión es de 1.5 atm y la temperatura de -178°C con una atmósfera de N<sub>2</sub>). *b)* Compare cada una de estas densidades con la de la atmósfera terrestre, que es de 1.20 kg/m<sup>3</sup>. Consulte el apéndice D para determinar las masas molares.

**18.6** •• Usted tiene varios globos idénticos y determina experimentalmente que uno de ellos se revienta si su volumen excede 0.900 L. La presión del gas dentro del globo es igual a la atmosférica (1.00 atm). *a)* Si el aire dentro del globo está a una temperatura constante de 22.0°C y se comporta como gas ideal, ¿qué masa de aire

podrá introducir en uno de esos globos sin que se reviente? *b)* Repita el inciso *a)* considerando que el gas es helio en vez de aire.

**18.7** •• Un Jaguar XK8 convertible tiene un motor de ocho cilindros. Al principio de su carrera de compresión, uno de los cilindros contiene 499 cm<sup>3</sup> de aire a presión atmosférica ( $1.01 \times 10^5$  Pa) y temperatura de 27.0°C. Al final de la carrera, el aire se ha comprimido a un volumen de 46.2 cm<sup>3</sup> y la presión manométrica aumentó a  $2.72 \times 10^6$  Pa. Calcule la temperatura final.

**18.8** •• Un soldador llena un tanque de 0.0750 m<sup>3</sup> con oxígeno (masa molar = 32.0 g/mol) a una presión manométrica de  $3.00 \times 10^5$  Pa y una temperatura de 37.0°C. El tanque tiene una pequeña fuga, y con el tiempo se escapa algo de oxígeno. Cierta día en que la temperatura es de 22.0°C, la presión manométrica del oxígeno en el tanque es de  $1.80 \times 10^5$  Pa. Calcule *a)* la masa inicial de oxígeno y *b)* la masa que se fugó.

**18.9** •• Un tanque cilíndrico grande contiene 0.750 m<sup>3</sup> de nitrógeno gaseoso a 27°C y  $7.50 \times 10^3$  Pa (presión absoluta). El tanque tiene un pistón ajustado que permite modificar el volumen. Determine la presión si el volumen se reduce a 0.410 m<sup>3</sup> y la temperatura se aumenta a 157°C.

**18.10** • Un recipiente cilíndrico y vacío de 1.50 m de largo y 90.0 cm de diámetro se va a llenar con oxígeno puro a 22.0°C para almacenarse en una estación espacial. Para guardar tanto como sea posible, la presión absoluta del oxígeno será de 21.0 atm. La masa molar del oxígeno es 32.0 g/mol. *a)* ¿Cuántos moles de oxígeno puede almacenar este recipiente? *b)* Para alguien que levante este recipiente, ¿por cuántos kilogramos aumenta este gas la masa que habrá de ser levantada?

**18.11** • El gas dentro de un globo siempre tiene una presión casi igual a la presión atmosférica, pues ésta es la presión aplicada al exterior del globo. Un globo se llena con helio (un gas casi ideal) hasta un volumen de 0.600 L a 19.0°C. ¿Qué volumen tendrá el globo si se le enfriá hasta el punto de ebullición del nitrógeno líquido (77.3 K)?

**18.12** • Un gas ideal tiene una densidad de  $1.33 \times 10^{-6}$  g/cm<sup>3</sup> en 1.00 × 10<sup>-3</sup> atm y 20.0°C. Identifique el gas.

**18.13** •• Si una cierta cantidad de gas ideal ocupa un volumen *V* a TPE en la Tierra, ¿cuál sería su volumen (en términos de *V*) en Venus, donde la temperatura es de 1003°C y la presión es de 92 atm?

**18.14** • Un buzo observa una burbuja de aire que sube del fondo de un lago (donde la presión absoluta es de 3.50 atm) a la superficie (donde es de 1.00 atm). La temperatura en el fondo es de 4.0°C, y en la superficie, de 23.0°C. *a)* Calcule la razón entre el volumen de la burbuja al llegar a la superficie y el que tenía en el fondo. *b)* ¿Puede el buzo detener la respiración sin peligro mientras sube del fondo del lago a la superficie? ¿Por qué?

**18.15** • Un tanque metálico con un volumen de 3.10 L revienta si la presión absoluta del gas que contiene excede 100 atm. *a)* Si 11.0 moles de gas ideal se ponen en el tanque a 23.0°C, ¿a qué temperatura podrá calentarse el gas antes de que se rompa el tanque? Desprecie la expansión térmica del tanque. *b)* Con base en su respuesta al inciso *a)*, ¿es razonable despreciar la expansión térmica del tanque? Explique su respuesta.

**18.16** • Tres moles de gas ideal están en una caja cúbica rígida que mide 0.300 m por lado. *a)* ¿Qué fuerza ejerce el gas sobre cada una de las seis caras de la caja cuando su temperatura es de 20.0°C? *b)* ¿Qué fuerza ejerce si su temperatura se aumenta a 100.0°C?

**18.17** • Con las suposiciones del ejemplo 18.4 (sección 18.1), ¿a qué altura sobre el nivel del mar la presión del aire es el 90% de la presión en el nivel del mar?

**18.18** • Suponiendo que el aire tiene una temperatura uniforme de  $0.0^{\circ}\text{C}$ , ¿cuál es la densidad del aire a una altura de 1.00 km como un porcentaje de la densidad en la superficie?

**18.19** • *a)* Calcule la masa de nitrógeno presente en un volumen de  $3000 \text{ cm}^3$  si la temperatura del gas es de  $22.0^{\circ}\text{C}$  y la presión absoluta de  $2.00 \times 10^{-13} \text{ atm}$  es un vacío parcial que se obtiene fácilmente en los laboratorios. *b)* ¿Cuál es la densidad (en  $\text{kg/m}^3$ ) del  $\text{N}_2$ ?

**18.20** • A una altitud de 11,000 m (altitud de crucero de un avión a reacción comercial), la temperatura del aire es de  $-56.5^{\circ}\text{C}$  y su densidad es de  $0.364 \text{ kg/m}^3$ . ¿Cuál es la presión de la atmósfera a esa altitud? (Nota: La temperatura a esa altitud no es la misma que en la superficie, por lo que no se aplica el cálculo del ejemplo 18.4 de la sección 18.1).

### Sección 18.2 Propiedades moleculares de la materia

**18.21** • ¿Cuántos moles hay en una botella con 1.00 kg de agua? ¿Cuántas moléculas? La masa molar del agua es de 18.0 g/mol.

**18.22** • Una molécula orgánica grande tiene una masa de  $1.41 \times 10^{-21} \text{ kg}$ . ¿Cuál es la masa molar de este compuesto?

**18.23** • Las bombas de vacío modernas alcanzan fácilmente presiones del orden de  $10^{-13} \text{ atm}$  en el laboratorio. Considere un volumen de aire y trátelo como un gas ideal. *a)* A una presión de  $9.00 \times 10^{-14} \text{ atm}$  y una temperatura ordinaria de  $300.0 \text{ K}$ , ¿cuántas moléculas hay en un volumen de  $1.00 \text{ cm}^3$ ? *b)* ¿Cuántas moléculas estarían presentes a la misma temperatura, pero a una presión de 1.00 atm?

**18.24** • La Nebulosa Laguna (**figura E18.24**) es una nube de hidrógeno gaseoso que está a 3900 años luz de la Tierra. La nube tiene unos 45 años luz de diámetro y brilla a causa de su elevada temperatura de  $7500 \text{ K}$ . (El gas alcanza esa temperatura gracias a las estrellas que están dentro de la nebulosa). La nube es muy poco densa; apenas hay 80 moléculas por  $\text{cm}^3$ . *a)* Calcule la presión del gas (en atm) en la Nebulosa Laguna, y compárela con la presión de laboratorio mencionada en el ejercicio 18.23. *b)* Las películas de ciencia ficción a veces presentan naves que son sacudidas por turbulencia al viajar por nubes de gas como la Nebulosa Laguna. ¿Le parece realista eso? ¿Por qué?

Figura E18.24



**18.25** • En un gas en condiciones estándar, ¿cuánto mide una arista de un cubo que contiene tantas moléculas como personas hay en la Tierra (aproximadamente  $7 \times 10^9$ )?

**18.26** • **¿Qué tan cerca están las moléculas de gas?** Considere un gas ideal a  $27^{\circ}\text{C}$  y a una presión de 1.00 atm. Para tener una idea de qué tan cerca están estas moléculas entre sí, en promedio, imagine que se encuentran separadas de manera uniforme, cada una en el centro de un pequeño cubo. *a)* ¿Cuál es la longitud de la arista de cada cubo si cubos adyacentes se tocan pero no se traslanan? *b)* ¿Cómo se compara esta distancia con el diámetro de una molécula típica? *c)* ¿Cómo se compara esta separación con la que existe entre los átomos de sólidos, los cuales comúnmente se encuentran a 0.3 nm de distancia?

### Sección 18.3 Modelo cinético-molecular del gas ideal

**18.27** • *a)* ¿Cuál es la energía cinética de traslación total del aire en una habitación vacía que tiene dimensiones  $8.00 \text{ m} \times 12.00 \text{ m} \times 4.00 \text{ m}$  si el aire se trata como un gas ideal a 1.00 atm? *b)* ¿Cuál es la rapidez de un automóvil de 2000 kg si su energía cinética es igual a la energía cinética traslacional calculada en el inciso *a*)?

**18.28** • Un matraz contiene una mezcla de los gases neón (Ne), criptón (Kr) y radón (Rn). Compare *a)* las energías cinéticas medias de los tres tipos de átomos, y *b)* la rapidez eficaz de sus moléculas. [Sugerencia: El apéndice D presenta la masa molar (en g/mol) de todos los elementos, bajo el símbolo químico correspondiente].

**18.29** • Tenemos dos cajas del mismo tamaño, *A* y *B*. Cada una contiene gas que se comporta como gas ideal. Insertamos un termómetro en cada caja y vemos que el gas de la caja *A* está a  $50^{\circ}\text{C}$ , mientras que el de la caja *B* está a  $10^{\circ}\text{C}$ . Esto es todo lo que sabemos acerca del gas contenido en las cajas. ¿Cuáles de las siguientes afirmaciones *deben* ser verdad? ¿Cuáles *podrían* ser verdad? *a)* La presión en *A* es mayor que en *B*. *b)* Hay más moléculas en *A* que en *B*. *c)* *A* y *B* no contienen el mismo tipo de gas. *d)* Las moléculas en *A* tienen en promedio más energía cinética por molécula que las de *B*. *e)* Las moléculas en *A* se mueven con mayor rapidez que las de *B*.

**18.30** • Un recipiente con volumen de  $1.64 \text{ L}$  está inicialmente vacío. Entonces se llena con  $0.226 \text{ g}$  de  $\text{N}_2$ . Suponga que la presión del gas es lo suficientemente baja como para que el gas obedezca la ley de los gases ideales con un alto grado de exactitud. Si la rapidez eficaz de las moléculas de gas es  $182 \text{ m/s}$ , ¿cuál es la presión del gas?

**18.31** • *a)* Un deuterón,  ${}^2\text{H}$ , es el núcleo de un isótopo de hidrógeno y consiste en un protón y un neutrón. El plasma de deuterones en un reactor de fusión nuclear debe calentarse a cerca de 300 millones de K. Calcule la rapidez rms de los deuterones. ¿Es una fracción apreciable de la rapidez de la luz en el vacío ( $c = 3.0 \times 10^8 \text{ m/s}$ )? *b)* ¿Qué temperatura tendría el plasma si la rapidez rms de los deuterones fuera igual a  $0.10c$ ?

**18.32** • **Clima en Marte.** La atmósfera de Marte está constituida en su mayor parte por  $\text{CO}_2$  (masa molar de 44.0 g/mol) bajo una presión de 650 Pa, y supondremos que se mantiene constante. En muchos lugares la temperatura varía de  $0.0^{\circ}\text{C}$  en el verano a  $-100^{\circ}\text{C}$  en el invierno. En el transcurso de un año de Marte, ¿cuáles son los intervalos *a)* de rapidez rms de las moléculas de  $\text{CO}_2$  y *b)* de la densidad (en moles/ $\text{m}^3$ ) de la atmósfera?

**18.33** • *a)* El oxígeno ( $\text{O}_2$ ) tiene una masa molar de 32.0 g/mol. *a)* Calcule la energía cinética de traslación media de una molécula de oxígeno a  $300 \text{ K}$ . *b)* ¿Cuál es el valor medio del cuadrado de su rapidez? *c)* Calcule su rapidez rms. *d)* Calcule el momento lineal de una molécula de oxígeno que viaja con esa rapidez. *e)* Suponga que una molécula de oxígeno que viaja con esa rapidez rebota entre los costados opuestos de un recipiente cúbico de  $0.10 \text{ m}$  por lado. ¿Qué fuerza media ejerce la molécula sobre cada una de las paredes del recipiente? (Suponga que la velocidad de la molécula es perpendicular a los dos costados que golpea). *f)* Calcule la fuerza media por unidad

de área. *g*) ¿Cuántas moléculas de oxígeno que viajan con esa rapidez se necesitan para producir una presión media de 1 atm? *h*) Calcule el número de moléculas de oxígeno contenidas realmente en un recipiente de ese tamaño a 300 K y presión atmosférica. *i*) Su respuesta al inciso *h*) deberá ser 3 veces mayor que su respuesta en *g*). ¿Cuál es el origen de esta discrepancia?

**18.34** • Calcule la trayectoria libre media de las moléculas de aire a una presión de  $3.50 \times 10^{-13}$  atm y una temperatura de 300 K. (Esta presión se puede obtener fácilmente en el laboratorio; vea el ejercicio 18.23). Al igual que en el ejemplo 18.8, modele las moléculas de aire como esferas con radio de  $2.0 \times 10^{-10}$  m.

**18.35** • ¿A qué temperatura la rapidez eficaz de las moléculas de nitrógeno es igual a la de las moléculas de hidrógeno a 20.0°C? [Sugerencia: El apéndice D indica la masa molar (en g/mol) de todos los elementos, bajo el símbolo químico correspondiente. La masa molar del H<sub>2</sub> es dos veces la de un átomo de hidrógeno; algo análogo sucede con el N<sub>2</sub>.]

**18.36** • Las partículas de humo en el aire suelen tener masas del orden de  $10^{-16}$  kg. El movimiento browniano (rápido e irregular) de estas partículas, resultado de choques con las moléculas de aire, se puede observar con un microscopio. *a*) Calcule la rapidez eficaz del movimiento browniano de una partícula con una masa de  $3.00 \times 10^{-16}$  kg en aire a 300 K. *b*) ¿Sería diferente la rapidez eficaz si la partícula estuviera en hidrógeno gaseoso a la misma temperatura? Explique su respuesta.

### Sección 18.4 Capacidades caloríficas

**18.37** • ¿Cuánto calor se requiere para aumentar la temperatura de 1.80 moles de un gas ideal en 50.0 K cerca de la temperatura ambiente si el gas se mantiene a volumen constante y es *a*) diatómico *b*) monoatómico?

**18.38** • Recipientes perfectamente rígidos contienen cada uno *n* moles de gas ideal: uno de ellos es hidrógeno (H<sub>2</sub>) y el otro es neón (Ne). Si se requieren 300 J de calor para aumentar la temperatura del hidrógeno en 2.50°C, ¿en cuántos grados elevará la misma cantidad de calor la temperatura del neón?

**18.39** • *a*) Calcule el calor específico a volumen constante del nitrógeno gaseoso (N<sub>2</sub>) y compárelo con el del agua líquida. La masa molar del N<sub>2</sub> es 28.0 g/mol. *b*) Se calienta 1.00 kg de agua, con volumen constante de 1.00 L, de 20.0 a 30.0°C en una tetera. Con la misma cantidad de calor, ¿cuántos kilogramos de aire a 20.0°C se podrían calentar a 30.0°C? ¿Qué volumen (en litros) ocuparía ese aire a 20.0°C y 1.00 atm de presión? Suponga, para simplificar, que el aire es 100% N<sub>2</sub>.

**18.40** • *a*) Calcule el calor específico a volumen constante del vapor de agua, suponiendo que la molécula triatómica no lineal tiene tres grados de libertad de traslación y tres rotacionales, y que el movimiento vibracional no contribuye. La masa molar del agua es 18.0 g/mol. *b*) El calor específico real del vapor de agua a baja presión es de cerca de 2000 J/kg·K. Compare esto con su cálculo y comente el papel real del movimiento vibracional.

### 18.5 Rapideces moleculares

**18.41** • Para dióxido de carbono diatómico gaseoso (CO<sub>2</sub>, masa molar = 44.0 g/mol) a T = 300 K, calcule *a*) la rapidez más probable *v*<sub>mp</sub>; *b*) la rapidez media *v*<sub>med</sub>; *c*) la rapidez eficaz *v*<sub>rms</sub>.

**18.42** • Para nitrógeno gaseoso (N<sub>2</sub>), ¿cuál debe ser la temperatura si la rapidez del 94.7% de las moléculas es menor que *a*) 1500 m/s; *b*) 1000 m/s; *c*) 500 m/s? Use la tabla 18.2. La masa molar del N<sub>2</sub> es 28.0 g/mol.

### Sección 18.6 Fases de la materia

**18.43** • Se calienta lentamente agua sólida (hielo) desde una temperatura muy baja. *a*) ¿Qué presión externa mínima *p*<sub>1</sub> debe aplicársele para observar una transición de fase de fusión? Describa la sucesión de transiciones de fase que se da si la presión aplicada *p* es tal que *p* < *p*<sub>1</sub>. *b*) Por arriba de cierta presión máxima *p*<sub>2</sub>, no se observa transición de ebullición. ¿Cuál es esa presión? Describa la sucesión de transiciones de fase que se presenta si *p*<sub>1</sub> < *p* < *p*<sub>2</sub>.

**18.44** • **Meteorología.** La *presión de vapor* es la presión de la fase de vapor de una sustancia cuando está en equilibrio con la fase sólida o líquida de la sustancia. La *humedad relativa* es la presión parcial del vapor de agua en el aire dividida entre la presión de vapor del agua a esa misma temperatura, expresada como porcentaje. El aire está saturado cuando la humedad es del 100%. *a*) La presión de vapor del agua a 20.0°C es de  $2.34 \times 10^3$  Pa. Si la temperatura del aire es de 20.0°C y la humedad relativa es de 60%, determine la presión parcial del vapor de agua en la atmósfera (esto es, la presión debida exclusivamente al vapor de agua). *b*) En las condiciones del inciso *a*), ¿qué masa de agua hay en 1.00 m<sup>3</sup> de aire? (La masa molar del agua es de 18.0 g/mol. Suponga que el vapor de agua puede tratarse como gas ideal).

**18.45** • Calcule el volumen de 1.00 mol de agua líquida a 20°C (en la que su densidad es de 998 kg/m<sup>3</sup>), y compare con el volumen ocupado por 1.00 mol de agua en el punto crítico, que es  $56 \times 10^{-6}$  m<sup>3</sup>. El agua tiene una masa molar de 18.0 g/mol.

### PROBLEMAS

**18.46** • Un aula de física tiene un volumen de 216 m<sup>3</sup> a una presión de 1.00 atm y una temperatura de 27.0°C. *a*) Con base en la ley de los gases ideales, calcule el número de moléculas de aire en la habitación. Suponga que todo el aire es N<sub>2</sub>. Calcule *b*) la densidad de partículas, es decir, el número de moléculas de N<sub>2</sub> por centímetro cúbico, y *c*) la masa del aire del aula.

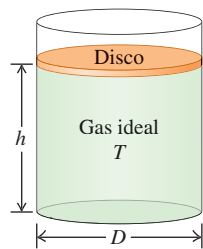
**18.47** • **PA BIO Efecto de la altitud sobre los pulmones.** *a*) Calcule el *cambio* en la presión de aire que experimentará si sube una montaña de 1000 m, suponiendo que la temperatura y la densidad del aire no cambian en esta distancia y que estos valores eran de 22°C y 1.2 kg/m<sup>3</sup>, respectivamente, en la parte inferior de la montaña. (*Nota:* El resultado del ejemplo 18.4 no es aplicable, ya que la expresión que se deduce en ese ejemplo considera la variación de la densidad del aire con la altitud, mientras que en este problema se nos pide despreciar dicha variación). *b*) Si tomó una inhalación de 0.50 L a los pies de la montaña y lograra retener el aire hasta llegar a la cima, ¿cuál sería el volumen de éste cuando lo exhale allí?

**18.48** • **PA BIO Descompresiones.** Si los buzos de aguas profundas salen a la superficie demasiado rápido, burbujas de nitrógeno en la sangre podrían expandirse y ocasionar la muerte. Este fenómeno se conoce como *descompresión*. Si un buzo se eleva rápidamente desde una profundidad de 25 m en el Lago Michigan (que es agua dulce), ¿cuál será el volumen en la superficie de una burbuja de N<sub>2</sub> que ocupó 1.0 mm<sup>3</sup> en su sangre en la profundidad más baja? ¿Le parece que esta diferencia es lo suficientemente grande como para constituir un problema? (Suponga que la diferencia de presión se debe sólo a que cambia la presión del agua, no a una diferencia de temperatura, una suposición que es razonable, ya que somos criaturas de sangre caliente).

**18.49** • **PA** Un globo de aire caliente permanece suspendido porque el aire caliente a presión atmosférica es menos denso que el aire frío a la misma presión. Si el volumen del globo es 500.0 m<sup>3</sup> y el aire circundante está a 15.0°C, ¿cuál debe ser la temperatura del aire en el globo para levantar una carga total de 290 kg (además de la masa de aire caliente)? La densidad del aire a 15.0°C y a presión atmosférica es 1.23 kg/m<sup>3</sup>.

**18.50** • En un recinto evacuado, un tanque cilíndrico vertical de diámetro  $D$  está sellado con un disco circular de 3.00 kg que se puede mover hacia arriba y hacia abajo sin fricción. Debajo del disco hay una cantidad de gas ideal a la temperatura  $T$  en el cilindro (**figura P18.50**). Inicialmente el disco está en reposo a una distancia de  $h = 4.00$  m arriba de la parte inferior del tanque. Cuando un ladrillo de plomo con masa de 9.00 kg se coloca suavemente sobre el disco, éste se desplaza hacia abajo. Si la temperatura del gas se mantiene constante y éste no se escapa del tanque, ¿a qué distancia por arriba de la parte inferior del tanque estará el disco cuando alcanza de nuevo el reposo?

Figura P18.50



**18.51** •• Un cilindro de 1.00 m de altura con diámetro interior de 0.120 m contiene gas propano (masa molar 44.1 g/mol) que se usará en una parrillada. Inicialmente, el tanque se llena hasta que la presión manométrica es de  $1.30 \times 10^6$  Pa y la temperatura es 22.0°C. La temperatura del gas se mantiene constante mientras el tanque se vacía parcialmente hasta que la presión manométrica es de  $3.40 \times 10^5$  Pa. Calcule la masa de propano que se utilizó.

**18.52** • PA Durante una inmersión de prueba en 1939 antes de ser aceptado por la Marina de Estados Unidos, el submarino *Squalus* se hundió en un punto donde la profundidad del agua era de 73.0 m. La temperatura en la superficie era de 27.0°C, y en el fondo, 7.0°C. La densidad del agua de mar es de 1030 kg/m<sup>3</sup>. a) Se usó una campana de inmersión con forma de cilindro circular de 2.30 m de altura, abierto abajo y cerrado arriba, para rescatar a 33 tripulantes atrapados en el *Squalus*. Al bajar la campana al fondo, ¿a qué altura subió el agua dentro de la campana? (Sugerencia: Puede despreciarse la relativamente pequeña variación en la presión del agua entre el fondo de la campana y la superficie del agua dentro de la campana). b) ¿Con qué presión manométrica debió haberse suministrado aire comprimido a la campana en el fondo para expulsar de ella toda el agua?

**18.53** • Atmósfera de Titán. Titán, el satélite más grande de Saturno, tiene una gruesa atmósfera de nitrógeno. En su superficie, la presión es de 1.5 atmósferas terrestres y la temperatura es de 94 K. a) ¿Cuál es la temperatura de la superficie en °C? b) Calcule la densidad de la superficie en la atmósfera de Titán en moléculas por metro cúbico. c) Compare la densidad de la atmósfera superficial de Titán con la densidad de la atmósfera de la Tierra a 22°C. ¿Cuál de ellos tiene la atmósfera más densa?

**18.54** • Presión en Venus. En la superficie de Venus la temperatura media es de 460°C como resultado del efecto de invernadero (¡calentamiento global!), la presión es de 92 atmósferas terrestres y la aceleración debida a la gravedad es de 0.894g<sub>Tierra</sub>. La atmósfera es casi toda CO<sub>2</sub> (masa molar, 44.0 g/mol) y la temperatura permanece notablemente constante. Supondremos que la temperatura no cambia en lo absoluto con la altitud. a) ¿Cuál es la presión atmosférica 1.00 km arriba de la superficie de Venus? Exprese su respuesta en atmósferas de Venus y en atmósferas de la Tierra. b) ¿Cuál es la rapidez eficaz de las moléculas de CO<sub>2</sub> en la superficie de Venus y a una altura de 1.00 km?

**18.55** • Un neumático de automóvil tiene un volumen de 0.0150 m<sup>3</sup> en un día frío cuando la temperatura del aire en el neumático es de 5.0°C y la presión atmosférica es de 1.02 atm. En esas condiciones,

la presión manométrica en el neumático es de 1.70 atm (aproximadamente 25 lb/in<sup>2</sup>). Después de 30 min de viajar en carretera, la temperatura del aire en los neumáticos aumenta a 45.0°C, y el volumen a 0.0159 m<sup>3</sup>. Determine la presión manométrica ahora.

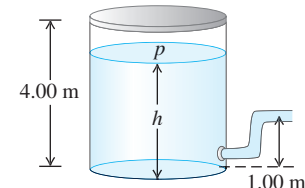
**18.56** • Un matraz de 1.50 L, provisto de una llave de paso, contiene etano gaseoso (C<sub>2</sub>H<sub>6</sub>) a 300 K y presión atmosférica ( $1.01 \times 10^5$  Pa). La masa molar del etano es de 30.1 g/mol. El sistema se calienta a 550 K, con la llave abierta a la atmósfera. Luego se cierra la llave y el matraz se enfriá a su temperatura original. a) Calcule la presión final del etano en el matraz. b) ¿Cuántos gramos de etano quedan en el matraz?

**18.57** • PA Un globo con un volumen de 750 m<sup>3</sup> se va a llenar con hidrógeno a presión atmosférica ( $1.01 \times 10^5$  Pa). a) Si el hidrógeno se guarda en cilindros de 1.90 m<sup>3</sup> a una presión manométrica de  $1.20 \times 10^6$  Pa, ¿cuántos cilindros se necesitarán? Suponga que la temperatura del hidrógeno se mantiene constante. b) ¿Qué peso total (además del peso del gas) puede sostener el globo si el gas y el aire circundante están a 15.0°C? La masa molar del hidrógeno (H<sub>2</sub>) es de 2.02 g/mol. La densidad del aire a 15.0°C y a presión atmosférica es de 1.23 kg/m<sup>3</sup>. Vea el capítulo 12 para una explicación de la flotación. c) ¿Qué peso se podría sostener si el globo se llenara con helio (masa molar de 4.00 g/mol) en vez de hidrógeno, también a 15.0°C?

**18.58** • Un tanque cilíndrico vertical contiene 1.80 moles de un gas ideal a una presión de 0.300 atm y a 20.0°C. La parte circular del tanque tiene un radio de 10.0 cm y el gas está sometido a la acción de un pistón que puede moverse sin fricción hacia arriba y hacia abajo en el cilindro. Hay vacío encima del pistón. a) ¿Cuál es la masa de ese pistón? b) ¿Qué altura tiene la columna de gas que sostiene el pistón?

**18.59** • PA Un tanque grande de agua tiene una manguera conectada (**figura P18.59**). El tanque está sellado por arriba y tiene aire comprimido entre la superficie del agua y la tapa. Cuando la altura del agua  $h$  es de 3.50 m, la presión absoluta  $p$  del aire comprimido es de  $4.20 \times 10^5$  Pa. Suponga que ese aire se expande a temperatura constante, y considere que la presión atmosférica es  $1.00 \times 10^5$  Pa. a) ¿Con qué rapidez sale agua por la manguera cuando  $h = 3.50$  m? b) Al salir agua del tanque,  $h$  disminuye. Calcule la rapidez de flujo para  $h = 3.00$  m y  $h = 2.00$  m. c) ¿En qué valor de  $h$  se detiene el flujo?

Figura P18.59



**18.60** • PA Una esfera ligera y plástica con masa  $m = 9.00$  g y densidad  $\rho = 4.00$  kg/m<sup>3</sup> se suspende en el aire con hilo de masa despreciable. a) ¿Cuál es la tensión  $T$  en el hilo si el aire está a 5.00°C y  $p = 1.00$  atm? La masa molar del aire es 28.8 g/mol. b) ¿Cuánto cambia la tensión en el hilo si la temperatura del gas aumenta a 35.0°C? Desprecie el cambio en el volumen de la esfera plástica cuando se modifica la temperatura.

**18.61** • BIO ¿Cuántos átomos tiene? Estime el número de átomos que hay en el cuerpo de una estudiante de física de 50 kg. Considere que el cuerpo humano es en su mayor parte agua, que tiene una masa molar de 18.0 g/mol y que cada molécula de agua contiene tres átomos.

**18.62** • BIO Una persona en reposo inhala 0.50 L de oxígeno a 1.00 atm y 20.0°C. El aire inhalado es 21.0% oxígeno. a) ¿Cuántas moléculas de oxígeno consume esa persona con cada inhalación? b) Suponga que esa persona ahora está descansando a una altura de 2000 m, pero la temperatura sigue siendo de 20.0°C. Suponiendo que el porcentaje de oxígeno y el volumen por inhalación son los mismos

que los que se mencionaron antes, ¿cuántas moléculas de oxígeno consume ahora esa persona con cada inhalación? c) Si el cuerpo aún requiere el mismo número de moléculas de oxígeno por segundo que a nivel del mar para realizar sus funciones, explique por qué algunas personas afirman que “les falta aire” a grandes alturas.

**18.63** • Usted tiene dos recipientes idénticos, uno contiene el gas A y el otro contiene el gas B. Las masas de estas moléculas son  $m_A = 3.34 \times 10^{-27}$  kg y  $m_B = 5.34 \times 10^{-26}$  kg. Ambos gases están a la misma presión y a 10.0°C. a) ¿Cuáles moléculas (A o B) tienen la mayor energía cinética de traslación por molécula y la mayor rapidez rms? Ahora usted desea elevar la temperatura de sólo uno de esos recipientes, de manera que ambos gases tengan la misma rapidez rms. b) ¿De cuál gas elevaría la temperatura? c) ¿A qué temperatura logrará su cometido? d) Una vez que haya logrado su meta, ¿qué moléculas (A o B) tienen ahora la mayor energía cinética de traslación media por molécula?

**18.64** • El tamaño de una molécula de oxígeno es del orden de  $2 \times 10^{-10}$  m. Haga una estimación de la presión a la que el volumen finito de las moléculas debería causar desviaciones apreciables con respecto al comportamiento de gas ideal a temperaturas ordinarias ( $T = 300$  K).

**18.65** • Una caja sellada contiene un gas ideal monoatómico. El número de átomos de gas por unidad de volumen es  $5.00 \times 10^{20}$  átomos/cm<sup>3</sup>, y la energía cinética traslacional media de cada átomo es  $1.80 \times 10^{-23}$  J. a) ¿Cuál es la presión del gas? b) Si el gas es neón (masa molar 20.18 g/mol), ¿cuál es la  $v_{rms}$  para los átomos de gas?

**18.66** • Gas helio está en un cilindro que tiene paredes rígidas. Si la presión del gas es de 2.00 atm, entonces la rapidez eficaz de los átomos de helio es  $v_{rms} = 176$  m/s. ¿En cuánto (en atmósferas) se debe aumentar la presión para aumentar la  $v_{rms}$  de los átomos de He en 100 m/s? Desprecie cualquier cambio en el volumen del cilindro.

**18.67** • Usted infla un globo esférico hasta que alcance un diámetro de 50.0 cm y la presión absoluta en su interior sea de 1.25 atm y la temperatura de 22.0°C. Suponga que todo el gas es N<sub>2</sub> con masa molar de 28.0 g/mol. a) Calcule la masa de una sola molécula de N<sub>2</sub>. b) ¿Cuánta energía cinética de traslación tiene una molécula promedio de N<sub>2</sub>? c) ¿Cuántas moléculas de N<sub>2</sub> hay en el globo? d) ¿Cuál es la energía cinética de traslación *total* de las moléculas en el globo?

**18.68** • **PA** a) Calcule el aumento de energía potencial gravitacional de una molécula de nitrógeno (masa molar, 28.0 g/mol) para un aumento de elevación de 400 m cerca de la superficie terrestre. b) ¿A qué temperatura obtendremos la misma energía cinética media de una molécula de nitrógeno en ese cambio de altura? c) ¿Es posible que una molécula de nitrógeno cerca del nivel del mar, donde  $T = 15.0^\circ\text{C}$ , suba a 400 m? ¿Es probable que lo haga sin chocar con otras moléculas en el camino? Explique.

**18.69** • **PA CALC** **El potencial Lennard-Jones.** Una función de energía potencial de uso común para la interacción de dos moléculas (vea la figura 18.8) es el potencial Lennard-Jones 6-12:

$$U(r) = U_0 \left[ \left( \frac{R_0}{r} \right)^{12} - 2 \left( \frac{R_0}{r} \right)^6 \right]$$

donde  $r$  es la distancia entre los centros de las moléculas, y  $U_0$  y  $R_0$  son constantes positivas. La fuerza  $F(r)$  que corresponde a ese potencial está dada por la ecuación (14.26). a) Grafique  $U(r)$  y  $F(r)$  contra  $r$ . b) Sea  $r_1$  el valor de  $r$  en el que  $U(r) = 0$ , y sea  $r_2$  el valor de  $r$  en el que  $F(r) = 0$ . Indique la ubicación de  $r_1$  y  $r_2$  en sus gráficas de  $U(r)$  y  $F(r)$ . ¿Cuál de esos valores representa la separación de equilibrio entre las moléculas? c) Determine los valores de  $r_1$  y  $r_2$  en términos de  $R_0$ . Además, determine la razón  $r_1/r_2$ . d) Si las moléculas están separadas una distancia  $r_2$ , como se calculó en el inciso c), ¿cuánto trabajo debe efectuarse para separarlas de manera que  $r \rightarrow \infty$ ?

**18.70** • a) Calcule la energía cinética de traslación aleatoria total de 5.00 L de hidrógeno gaseoso (masa molar, 2.016 g/mol) a una presión de  $1.01 \times 10^5$  Pa y temperatura de 300 K. (Sugerencia: Utilice el procedimiento del problema 18.67 como guía). b) Si el tanque que contiene el gas se coloca en un rápido avión que se desplaza a 300.0 m/s, ¿en qué porcentaje aumenta la energía cinética *total* del gas? c) Como la energía cinética de las moléculas de gas es mayor cuando éste se encuentra en el avión, ¿significa esto que su temperatura aumentó? Explique.

**18.71** • Es posible crear sólidos cristalinos con un espesor de una sola capa de átomos. Estos cristales “bidimensionales” se crean depositando átomos en una superficie muy plana. a) Si los átomos de un cristal bidimensional sólo pueden moverse dentro del plano del cristal, ¿qué capacidad calorífica molar tendrán a temperatura ambiente? Dé su respuesta como múltiplo de  $R$  y en J/mol·K. b) A muy bajas temperaturas, ¿la capacidad calorífica molar de un cristal bidimensional será mayor, menor o igual que el resultado obtenido en el inciso a)? Explique por qué.

**18.72** • **Hidrógeno en el Sol.** La superficie del Sol está aproximadamente a 5800 K y consiste principalmente en átomos de hidrógeno. a) Calcule la rapidez rms de un átomo de hidrógeno a esa temperatura. (La masa de un átomo de hidrógeno es de  $1.67 \times 10^{-27}$  kg). b) La rapidez de escape para que una partícula salga de la influencia gravitacional del Sol está dada por  $(2GM/R)^{1/2}$ , donde  $M$  es la masa del Sol,  $R$  es su radio y  $G$  es la constante gravitacional (vea el ejemplo 13.5, sección 13.3). Use los datos del apéndice F para calcular esa rapidez de escape. c) ¿Pueden escapar cantidades apreciables de hidrógeno del Sol? ¿Podrá escapar *algo* de hidrógeno? Explique.

**18.73** • **PA** a) Demuestre que un proyectil con masa  $m$  puede “escapar” de la superficie de un planeta si se lanza verticalmente hacia arriba con una energía cinética mayor que  $mgR_p$ , donde  $g$  es la aceleración debida a la gravedad en la superficie del planeta y  $R_p$  es el radio del planeta. Ignore la resistencia del aire (vea el problema 18.72). b) Si el planeta en cuestión es la Tierra, ¿a qué temperatura la energía cinética de traslación media de una molécula de nitrógeno (masa molar, 28.0 g/mol) es igual a la requerida para escapar? ¿Y de una molécula de hidrógeno (masa molar, 2.02 g/mol)? c) Repita el inciso b) para la Luna, para la que  $g = 1.63$  m/s<sup>2</sup> y  $R_p = 1740$  km. d) Aunque la Tierra y la Luna tienen temperaturas superficiales medianas similares, la Luna prácticamente no tiene atmósfera. Use sus resultados de los incisos b) y c) para explicar por qué.

**18.74** • **Atmósferas planetarias.** a) La temperatura en la parte superior de la capa de nubes multicolores de Júpiter es de cerca de 140 K. La temperatura en la parte superior de la troposfera de la Tierra, a una altura aproximada de 20 km, es de cerca de 220 K. Calcule la rapidez rms de las moléculas de hidrógeno en ambos entornos. Dé sus respuestas en m/s y como una fracción de la rapidez de escape del planeta respectivo (vea el problema 18.72). b) El hidrógeno gaseoso (H<sub>2</sub>) es poco común en la atmósfera terrestre; en cambio, en la atmósfera de Júpiter, el 89% de las moléculas son de H<sub>2</sub>. Explique por qué, usando sus resultados del inciso a). c) Suponga que un astrónomo afirma haber descubierto una atmósfera de oxígeno (O<sub>2</sub>) en el asteroide Ceres. ¿Es creíble esto? Ceres tiene una masa igual a 0.014 veces la de la Luna, una densidad de 2400 kg/m<sup>3</sup> y una temperatura superficial de cerca de 200 K.

**18.75** • **CALC** Calcule la integral de la ecuación (18.31),  $\int_0^\infty v^2 f(v) dv$ , y compare este resultado con  $\langle v^2 \rangle_{\text{med}}$  dada por la ecuación (18.16). (Sugerencia: Puede usar la integral tabulada

$$\int_0^\infty x^{2n} e^{-\alpha x^2} dx = \frac{1 \cdot 3 \cdot 5 \cdots (2n-1)}{2^{n+1} \alpha^n} \sqrt{\frac{\pi}{\alpha}}$$

donde  $n$  es un entero positivo y  $\alpha$  es una constante positiva).

**18.76** • a) Calcule la energía cinética *rotacional* total de las moléculas de 1.00 mol de un gas diatómico a 300 K. b) Calcule el

momento de inercia de una molécula de oxígeno ( $O_2$ ) para rotación sobre el eje  $y$  o el eje  $z$  de la figura 18.18b. Trate la molécula como dos puntos masivos (que representan los átomos de oxígeno) separados una distancia de  $1.21 \times 10^{-10}$  m. La masa molar de los átomos de oxígeno es de 16.0 g/mol. c) Calcule la velocidad angular rms de rotación de una molécula de oxígeno alrededor del eje  $y$  o del eje  $z$  de la figura 18.18b. Compare su respuesta con la velocidad angular de un componente giratorio típico de una máquina (10,000 rev/min).

**18.77 •• CALC** a) Explique por qué en un gas de  $N$  moléculas, el número de moléculas cuya rapidez está en el intervalo *finito* de  $v$  a  $v + \Delta v$  es  $\Delta N = N \int_v^{v+\Delta v} f(v) dv$ . b) Si  $\Delta v$  es pequeño,  $f(v)$  es aproximadamente constante en el intervalo, y  $\Delta N \approx N f(v) \Delta v$ . Para oxígeno gaseoso ( $O_2$ , masa molar = 32.0 g/mol) a  $T = 300$  K, use esta aproximación para calcular el número de moléculas cuya rapidez está a  $\Delta v = 20$  m/s o menos de  $v_{mp}$ . Exprese su respuesta como múltiplo de  $N$ . c) Repita el inciso b) para velocidades dentro de  $\Delta v = 20$  m/s o menos de  $7v_{mp}$ . d) Repita los incisos b) y c) para una temperatura de 600 K. e) Repita los incisos b) y c) para una temperatura de 150 K. f) ¿Qué le dicen estos resultados acerca de la forma de la distribución en función de la temperatura? ¿Concuerdan sus conclusiones con lo que se muestra en la figura 18.23?

**18.78 •• CALC** Calcule la integral de la ecuación (18.30),  $\int_0^\infty v f(v) dv$ , y compare su resultado con  $v_{med}$  dada por la ecuación (18.35). (Sugerencia: Haga el cambio de variable  $v^2 = x$  y use la integral tabulada

$$\int_0^\infty x^n e^{-\alpha x} dx = \frac{n!}{\alpha^{n+1}}$$

donde  $n$  es un entero positivo y  $\alpha$  es una constante positiva).

**18.79 •• PA Oscilaciones de un pistón.** Un cilindro vertical de radio  $r$  contiene un gas ideal y está equipado con un pistón de masa  $m$  que tiene libertad de movimiento (figura P18.79). El pistón y las paredes del cilindro no tienen fricción, y el cilindro entero se coloca en un baño de temperatura constante. La presión de aire exterior es  $p_0$ . En equilibrio, el pistón se asienta a una altura  $h$  arriba de la parte inferior del cilindro. a) Encuentre la presión absoluta del gas atrapado debajo del pistón cuando está en equilibrio.

b) El pistón se levanta una pequeña distancia y se libera. Encuentre la fuerza neta que actúa sobre el pistón cuando su base está a una distancia  $h + y$  arriba de la parte inferior del cilindro, donde  $y \ll h$ . c) Despues de que el pistón se desplaza del equilibrio y se libera, oscila hacia arriba y hacia abajo. Encuentre la frecuencia de estas pequeñas oscilaciones. Si el desplazamiento no es pequeño, ¿las oscilaciones son armónicas simples? ¿Cómo lo puede saber?

**18.80 •• DATOS** Un cilindro de acero con paredes rígidas es evacuado a un alto grado de vacío; luego, usted coloca en el cilindro una pequeña cantidad de helio. El cilindro tiene un manómetro que mide la presión del gas en el interior. Usted coloca el cilindro en varios ambientes de temperatura, espera que se establezca el equilibrio térmico, y luego mide la presión del gas. Obtiene estos resultados:

	$T$ (°C)	$p$ (Pa)
Punto de ebullición normal del nitrógeno	-195.8	254
Mezcla de hielo y agua	0.0	890
Al aire libre en un cálido día	33.3	999
Punto de ebullición normal del agua	100.0	1214
Horno caliente	232	1635

a) Recuerde (capítulo 17) que el cero absoluto es la temperatura en que la presión de un gas ideal se convierte en cero. Utilice los datos de la tabla para calcular el valor del cero absoluto en °C. Suponga que la presión del gas es lo suficientemente baja como para ser tratada como un gas ideal, y desprecie el cambio en el volumen del cilindro cuando cambia la temperatura. b) Utilice el coeficiente de expansión volumétrica para el acero en la tabla 17.2 para calcular el cambio porcentual en el volumen del cilindro entre las temperaturas más baja y más alta en la tabla. ¿Es correcto ignorar el cambio de volumen del cilindro cuando la temperatura cambia? Justifique su respuesta.

**18.81 ••• DATOS** El punto de rocío y las nubes. La presión de vapor del agua (vea el problema 18.44) disminuye al bajar la temperatura. La tabla presenta la presión de vapor del agua a diferentes temperaturas:

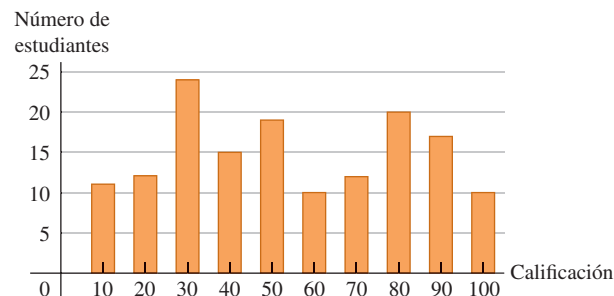
Temperatura (°C)	Presión de vapor (Pa)
10.0	$1.23 \times 10^3$
12.0	$1.40 \times 10^3$
14.0	$1.60 \times 10^3$
16.0	$1.81 \times 10^3$
18.0	$2.06 \times 10^3$
20.0	$2.34 \times 10^3$
22.0	$2.65 \times 10^3$
24.0	$2.99 \times 10^3$
26.0	$3.36 \times 10^3$
28.0	$3.78 \times 10^3$
30.0	$4.25 \times 10^3$

Si se mantiene constante la cantidad de vapor de agua en el aire mientras éste se enfria, se llega a una temperatura, llamada *punto de rocío*, en la que la presión parcial y la presión de vapor coinciden y el vapor está saturado. Si el aire se enfria más, el vapor se condensará a líquido hasta que la presión parcial otra vez sea igual a la presión de vapor a esa temperatura. La temperatura en un cuarto es de 30.0°C.

a) Un meteorólogo enfriá una lata metálica agregándole gradualmente agua fría. Cuando la temperatura de la lata llega a 16.0°C, se forman gotitas de agua en la superficie exterior de la lata. Calcule la humedad relativa del aire del cuarto a 30.0°C. En un día de primavera en el Medio Oeste de Estados Unidos, la temperatura del aire en la superficie es de 28.0°C. Los cúmulos de nubes blancas y esponjosas se forman a una altitud donde la temperatura del aire equivale al punto de rocío. Si la temperatura del aire disminuye con la altitud a una velocidad de  $0.6^\circ\text{C}/100$  m, ¿a aproximadamente qué altura sobre el suelo se formarán nubes si la humedad relativa en la superficie es de b) 35%; c) 80%?

**18.82 •• DATOS** Las cantidades estadísticas “valor medio” y “valor de la raíz cuadrática media” se pueden aplicar a cualquier distribución. La figura P18.82 muestra las calificaciones de un grupo de 150 estudiantes en una prueba de 100 puntos. a) Encuentre la calificación media para el grupo. b) Determine la calificación rms del grupo. c) ¿Qué es mayor: la calificación media o la calificación rms? ¿Por qué?

Figura P18.82



## PROBLEMAS DE DESAFÍO

**18.83 ... PA Nebulosas oscuras y el medio interestelar.** El área oscura de la figura P18.83 en la que parece no haber estrellas es una *nebulosa oscura*, una nube de gas frío en el espacio interestelar que contiene suficiente material para tapar la luz de las estrellas que están detrás. Una nebulosa oscura típica tiene un diámetro del orden de 20 años luz y contiene unos 50 átomos de hidrógeno por cm<sup>3</sup> (hidrógeno monoatómico, *no* H<sub>2</sub>) a una temperatura cercana a 20 K. (Un año luz es la distancia que viaja la luz en el vacío en un año y es igual a 9.46 × 10<sup>15</sup> m). *a)* Estime la trayectoria libre media de un átomo de hidrógeno en una nebulosa oscura. El radio de un átomo de hidrógeno es de 5.0 × 10<sup>-11</sup> m. *b)* Estime la rapidez rms de un átomo de hidrógeno y el tiempo libre medio (el tiempo medio entre choques para un átomo dado). Con base en este resultado, ¿cree que los choques atómicos, como los que originan la formación de moléculas de H<sub>2</sub>, son muy importantes para determinar la composición de la nebulosa? *c)* Estime la presión dentro de una nebulosa oscura. *d)* Compare la rapidez rms de un átomo de hidrógeno con la rapidez de escape en la superficie de la nebulosa (que se supone esférica). Si el espacio que rodea a la nebulosa estuviera vacío, ¿sería estable una nube así, o tendería a evaporarse? *e)* La estabilidad de las nebulosas oscuras se explica por la presencia de *medio interestelar* (MIE), un gas menos denso aún que permea el espacio y en el que están incrustadas las nebulosas oscuras. Demuestre que, para que las nebulosas oscuras estén en equilibrio con el MIE, el número de átomos por volumen (*N/V*) y la temperatura (*T*) de las nebulosas oscuras y el MIE deben estar relacionados por

$$\frac{(N/V)_{\text{nebulosa}}}{(N/V)_{\text{MIE}}} = \frac{T_{\text{MIE}}}{T_{\text{nebulosa}}}$$

*f)* En las cercanías del Sol, el MIE contiene cerca de 1 átomo de hidrógeno en 200 cm<sup>3</sup>. Estime la temperatura del MIE en las cercanías del Sol, y compárela con la temperatura de la superficie solar cuyo valor es cercano a 5800 K. ¿Se quemaría una nave que viaja en el espacio interestelar? ¿Por qué?

Figura P18.83



**18.84 ... CALC Atmósfera de la Tierra.** En la *troposfera*, la parte de la atmósfera que se extiende desde la superficie hasta una

altura aproximada de 11 km, la temperatura no es uniforme, sino que disminuye al aumentar la altura. *a)* Demuestre que si la variación de temperatura se approxima con la relación lineal

$$T = T_0 - \alpha y$$

donde *T*<sub>0</sub> es la temperatura en la superficie terrestre y *T* es la temperatura a una altura *y*, la presión *p* a la altura *y* estará dada por

$$\ln\left(\frac{p}{p_0}\right) = \frac{Mg}{R\alpha} \ln\left(\frac{T_0 - \alpha y}{T_0}\right)$$

donde *p*<sub>0</sub> es la presión en la superficie terrestre y *M* es la masa molar del aire. El coeficiente *α* se denomina razón de decaimiento de temperatura, y varía con las condiciones atmosféricas; pero un valor medio sería 0.6°C/100 m. *b)* Demuestre que el resultado anterior se reduce al resultado del ejemplo 18.4 (sección 18.1) en el límite en el que *α* → 0. *c)* Con *α* = 0.6°C/100 m, calcule *p* para *y* = 8863 m y compare su respuesta con el resultado del ejemplo 18.4. Tome *T*<sub>0</sub> = 288 K y *p*<sub>0</sub> = 1.00 atm.

## PROBLEMAS DE TRANSICIÓN

**AISLAMIENTO DE VENTANAS.** Una manera de mejorar el aislamiento en ventanas es llenar un espacio sellado entre dos placas de vidrio con un gas que tiene una conductividad térmica más baja que la del aire. La conductividad térmica *k* de un gas depende de su capacidad calorífica molar *C<sub>V</sub>*, masa molar *M*, y el radio molecular *r*. La dependencia en esas cantidades a una temperatura dada se approxima por *k* ∝ *C<sub>V</sub>/r<sup>2</sup>√M*. Los gases nobles tienen propiedades que los hacen particularmente buenas opciones como gases aislantes. El rango de los gases nobles va del helio (masa molar 4.0 g/mol, radio molecular 0.13 nm) al xenón (masa molar 131 g/mol, radio molecular 0.22 nm). (El gas noble radón es más pesado que el xenón, pero el radón es radiactivo y, por lo tanto, no es adecuado para este propósito).

**18.85** ¿Cuál es una razón por la que los gases nobles son *preferibles* al aire (que es principalmente nitrógeno y oxígeno) como material aislante? *a)* Los gases nobles son monoatómicos, así que no hay modos rotacionales que contribuyan a su capacidad calorífica molar; *b)* los gases nobles son monoatómicos, por lo que tienen masas moleculares más bajas que el nitrógeno y el oxígeno; *c)* los radios moleculares en los gases nobles son mucho más grandes que los de los gases que consisten en moléculas diatómicas; *d)* como los gases nobles son monoatómicos, tienen muchos más grados de libertad que las moléculas diatómicas, y su capacidad calorífica molar se reduce por el número de grados de libertad.

**18.86** Calcule la razón entre la conductividad térmica del Xe y la del He. *a)* 0.015; *b)* 0.061; *c)* 0.10; *d)* 0.17.

**18.87** La tasa de *efusión*, es decir, la fuga de un gas a través de pequeñas grietas, es proporcional a *v<sub>rms</sub>*. Si existen pequeñas grietas en el material que se utiliza para sellar el espacio entre dos placas de vidrio, ¿cuántas veces es mayor la tasa de fuga del He fuera del espacio entre las placas de vidrio en comparación con la velocidad de salida de Xe a la misma temperatura? *a)* 370 veces; *b)* 19 veces; *c)* 6 veces; *d)* no es mayor: la tasa de fuga del He es la misma que la del Xe.

## Respuestas

### Pregunta de inicio del capítulo ?

**iv.** De acuerdo con la ecuación (18.19), la rapidez eficaz de una molécula de gas es proporcional a la raíz cuadrada de la temperatura absoluta  $T$ . El intervalo de temperaturas que estamos considerando es de  $(25 + 273.15)$  K = 298 K a  $(100 + 273.15)$  K = 313 K. Por lo tanto, las rapideces aumentan en un factor de  $\sqrt{(313\text{ K})/(298\text{ K})} = 1.12$ ; es decir, hay un aumento del 12%. Si bien 100°C se siente mucho más caliente que 25°C, la diferencia de rapideces moleculares es relativamente pequeña.

### Respuesta a las secciones

#### Evalué su comprensión

**18.1 ii y iii (empate), i y v (empate), iv.** Podemos reescribir la ecuación del gas ideal, ecuación (18.3), como  $n = pV/RT$ . Esto nos dice que el número de moles  $n$  es proporcional a la presión y al volumen, e inversamente proporcional a la temperatura absoluta. Por lo tanto, en comparación con **i**, el número de moles en cada caso es **ii**.  $(2)(1)/(1) = 2$  veces más, **iii**.  $(1)(2)/(1) = 2$  veces más, **iv**.  $(1)(1)/(2) = \frac{1}{2}$  y **v**.  $(2)(1)/(2) = 1$ , es decir, igual.

**18.2 vi.** El valor de  $r_0$  determina la separación en equilibrio de las moléculas de la fase sólida, así que un aumento de  $r_0$  al doble implica duplicar la separación. Por lo tanto, un cubo sólido de este compuesto aumentaría de 1 cm de lado a 2 cm. El volumen sería entonces  $2^3 = 8$  veces mayor y la densidad (masa dividida entre volumen) sería  $\frac{1}{8}$  de la original.

**18.3 a) iv, ii, iii, i; b) iii y iv (empate), i y ii (empate)**  
**a)** La ecuación (18.19) nos dice que  $v_{\text{rms}} = \sqrt{3RT/M}$ , de manera que la rapidez eficaz es proporcional a la raíz cuadrada del cociente de la temperatura absoluta  $T$  y la masa molar  $M$ . En comparación con **i**, el oxígeno a 300 K,  $v_{\text{rms}}$  en los otros casos es **ii**.  $\sqrt{(32.0\text{ g/mol})/(28.0\text{ g/mol})} = 1.07$  veces más rápido, **iii**.  $\sqrt{(330\text{ K})/(300\text{ K})} = 1.05$  veces más rápido y **iv**.  $\sqrt{(330\text{ K})(32.0\text{ g/mol})/(300\text{ K})(28.0\text{ g/mol})} = 1.12$  veces más rápido. **b)** De acuerdo con la ecuación (18.16), la energía cinética de traslación media por molécula es  $\frac{1}{2}m(v^2)_{\text{med}} = \frac{3}{2}kT$ , que es

directamente proporcional a  $T$  e independiente de  $M$ . Tenemos  $T = 300$  K para los casos **i** y **ii**, y  $T = 330$  K para los casos **iii** y **iv**, de manera que  $\frac{1}{2}m(v^2)_{\text{med}}$  tiene valores iguales para los casos **iii** y **iv**, y valores iguales (pero más pequeños) para los casos **i** y **ii**.

**18.4 no, cerca del principio** La adición de una cantidad pequeña de calor  $dQ$  al gas produce un cambio de temperatura  $dT$ , donde  $dQ = nC_VdT$ , ecuación (18.24). La figura 18.19 muestra que  $C_V$  para el H<sub>2</sub> varía con la temperatura entre 25 y 500 K, así que una cantidad dada de calor produce diferentes cambios de temperatura durante el proceso. Por lo tanto, la temperatura *no* aumentará a ritmo constante. El cambio de temperatura  $dT = dQ/nC_V$  es inversamente proporcional a  $C_V$ , por lo que la temperatura aumenta más rápidamente al principio del proceso cuando la temperatura es la más baja y el valor de  $C_V$  es el menor (vea la figura 18.19).

**18.5 ii.** La figura 18.23b muestra que la *fracción* de moléculas con rapideces entre  $v_1$  y  $v_2$  es igual al área bajo la curva de  $f(v)$  contra  $v$  desde  $v = v_1$  hasta  $v = v_2$ . Esto es igual a la integral  $\int_{v_1}^{v_2} f(v) dv$ , que a la vez es igual a la diferencia entre las integrales  $\int_0^{v_2} f(v) dv$  (la fracción de moléculas con rapideces de 0 a  $v_2$ ) y  $\int_0^{v_1} f(v) dv$  (la fracción de moléculas con rapideces de 0 a la menor rapidez  $v_1$ ). El *número* de moléculas con rapideces de  $v_1$  a  $v_2$  es igual a la fracción de moléculas en este intervalo de rapidez multiplicada por  $N$ , el número total de moléculas.

**18.6 no, sí** La presión de punto triple del agua de la tabla 18.3 es  $6.10 \times 10^2$  Pa. La presión atmosférica actual en Marte es un poco menor y corresponde a la línea rotulada  $p_s$  en la figura 18.24. Por lo tanto, no puede existir agua líquida en la superficie de Marte, así que no hay lagos ni ríos. Los científicos dedicados al estudio de los planetas han llegado a la conclusión de que, en el pasado, cuando la atmósfera era más densa, pudo haber existido —y casi seguramente existió— agua líquida en Marte.

### Problema práctico

- a)** 102 km    **b)** sí



Una locomotora de vapor opera utilizando la primera ley de la termodinámica: el agua se calienta y hierve, y el vapor al expandirse efectúa trabajo que impulsa a la locomotora.

¿Sería posible que el vapor de agua que impulsa a la locomotora efectúe trabajo al *condensarse*?

i. Sí; ii. no; iii. la respuesta depende de los detalles de cómo se condensa el vapor.

# 19 PRIMERA LEY DE LA TERMODINÁMICA

## OBJETIVOS DE APRENDIZAJE

Al estudiar este capítulo, usted aprenderá:

- 19.1 El significado de los sistemas y procesos termodinámicos.
- 19.2 Cómo calcular el trabajo efectuado por un sistema cuando cambia su volumen.
- 19.3 Qué entiende por trayectoria entre estados termodinámicos.
- 19.4 Cómo interpretar y utilizar la primera ley de la termodinámica.
- 19.5 Cuatro lases importantes de procesos termodinámicos.
- 19.6 Por qué la energía interna de un gas ideal depende sólo de la temperatura.
- 19.7 La diferencia entre capacidades caloríficas molares a volumen y a presión constantes.
- 19.8 Cómo analizar los procesos adiabáticos en un gas ideal.

Repase lo estudiado en la sección ...

- 6.3 Trabajo realizado por una fuerza.
- 7.3 Energía interna.
- 17.5, 18.4 Calor específico y capacidad calorífica molar.
- 18.1 Diagramas pV.

Cada vez que conducimos un automóvil impulsado por gasolina, que encendemos un acondicionador de aire o cocinamos algún alimento, recibimos los beneficios prácticos de la *termodinámica*, es decir, el estudio de las relaciones donde intervienen calor, trabajo mecánico, y otros aspectos de la energía y de su transferencia. Por ejemplo, en el motor de un automóvil, se genera calor por la reacción química entre el oxígeno y la gasolina vaporizada en sus cilindros. El gas caliente empuja los pistones de los cilindros, efectuando trabajo mecánico que se utiliza para impulsar el vehículo. Éste es un ejemplo de *proceso termodinámico*.

La primera ley de la termodinámica resulta fundamental para entender estos procesos y es una extensión del principio de conservación de la energía. Dicha ley amplía este principio para incluir el intercambio de energía tanto por transferencia de calor como por trabajo mecánico, e introduce el concepto de la *energía interna* de un sistema. La conservación de la energía desempeña un papel vital en todas las áreas de la física, en tanto que la primera ley de la termodinámica tiene una utilidad muy amplia. Para plantear las relaciones de energía con precisión, necesitaremos el concepto de *sistema termodinámico*, y estudiaremos el *calor* y el *trabajo* como dos formas de introducir energía en tal sistema o de extraerla de él.

## 19.1 SISTEMAS TERMODINÁMICOS

Ya estudiamos la transferencia de energía mediante trabajo mecánico (capítulo 6) y por transferencia de calor (capítulos 17 y 18). Ahora podemos combinar y generalizar estos principios.

Siempre hablaremos de transferencia de energía hacia o desde algún *sistema* específico. El sistema podría ser un dispositivo mecánico, un organismo biológico o cierta cantidad de material como el refrigerante de un acondicionador de aire o el vapor de agua que se expande en una turbina. En general, un **sistema termodinámico** es cualquier conjunto de objetos que conviene considerar como una unidad, y que podría intercambiar energía con el entorno. Un ejemplo conocido es una cantidad de granos de maíz para elaborar rosetas (palomitas) en una olla con tapa. Al colocarse la olla sobre una estufa, se agrega energía al maíz por conducción de calor. Al reventarse el maíz y

expandirse, realiza trabajo ejerciendo una fuerza hacia arriba sobre la tapa y la desplaza (**figura 19.1**). El *estado* del maíz cambia en este proceso, ya que su volumen, temperatura y presión se modifican cuando revienta. Un proceso así, donde hay cambios en el estado de un sistema termodinámico, se denomina **proceso termodinámico**.

En mecánica, a menudo usamos el concepto de *sistema* en relación con los diagramas de cuerpo libre, y la conservación de la energía y la cantidad de movimiento o momento. En los sistemas *termodinámicos*, al igual que en todos los demás, es indispensable definir con claridad desde un principio exactamente lo que está incluido en el sistema y lo que no. Sólo así podremos describir sin ambigüedad las transferencias de energía al sistema y desde éste. En nuestro ejemplo del maíz para elaborar rosetas, definimos el sistema como el maíz, sin incluir la olla, la tapa ni la estufa.

La termodinámica tiene sus raíces en muchos problemas prácticos además del inflado del maíz para elaborar rosetas (**figura 19.2**). El motor de gasolina en un automóvil, los motores a reacción de un avión y los motores de los cohetes de lanzamiento usan el calor de la combustión del combustible para realizar trabajo mecánico e impulsar el vehículo. El tejido muscular de los organismos vivos metaboliza la energía química del alimento y realiza trabajo mecánico sobre el entorno del organismo. Una máquina o una turbina de vapor usa el calor de combustión del carbón u otro combustible para realizar trabajo mecánico, como al impulsar un generador eléctrico o impulsar un tren.

**19.1** El maíz en la olla es un sistema termodinámico. En el proceso termodinámico que se muestra aquí, se agrega calor al sistema y éste efectúa trabajo sobre el entorno para levantar la tapa de la olla.



## Signos del calor y del trabajo en termodinámica

Describimos las relaciones de energía de cualquier proceso termodinámico en términos de la cantidad de calor  $Q$  agregada *al* sistema y el trabajo  $W$  realizado *por* éste. Tanto  $Q$  como  $W$  pueden ser positivos, negativos o cero (**figura 19.3**). Un valor positivo de  $Q$  representa flujo de calor *hacia el sistema*, con un suministro de energía correspondiente; una  $Q$  negativa representa flujo de calor *hacia fuera del sistema*. Un valor positivo de  $W$  representa trabajo realizado *por el sistema* sobre el entorno, como el de un gas en expansión y, por lo tanto, corresponde a la energía que *sale* del sistema. Un  $W$  negativo, como el realizado durante la compresión de un gas, cuando el entorno realiza trabajo *sobre el gas*, representa energía que *entra al sistema*. Usaremos estas convenciones de manera consistente en los ejemplos de este capítulo y el siguiente.

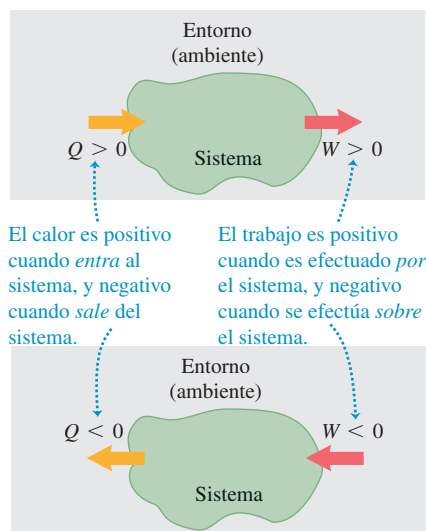
**EVALÚE SU COMPRENSIÓN DE LA SECCIÓN 19.1** En el ejemplo 17.7 (sección 17.6), ¿qué signo tiene  $Q$  para el café? ¿Y para la taza de aluminio? Si un bloque se desliza por una superficie horizontal con fricción, ¿qué signo tiene  $W$  para el bloque? ■

**CUIDADO** Tenga en cuenta el signo del trabajo  $W$  Observe que nuestra regla de signos para el trabajo es *opuesta* a la que usamos en mecánica, donde siempre hablamos del trabajo realizado por las fuerzas que actúan *sobre* un cuerpo. En termodinámica, suele ser más conveniente tomar  $W$  como el trabajo efectuado *por* el sistema, de modo que cuando un sistema se expanda, la presión, el cambio de volumen y el trabajo sean todos positivos. ¡Tenga cuidado de usar las reglas de signos para el trabajo y el calor de forma consistente! ■

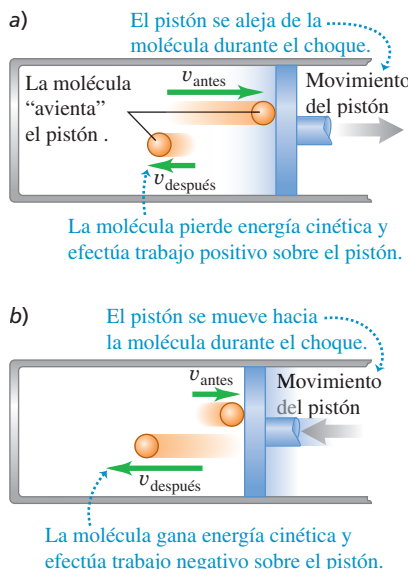
- 19.2** a) Un motor de cohete usa el calor de combustión de su combustible para realizar trabajo impulsando el lanzamiento del vehículo.  
b) El ser humano y otros organismos biológicos son sistemas demasiado complicados como para analizarlos por completo en este libro; no obstante, los mismos principios básicos de termodinámica son válidos en ellos.



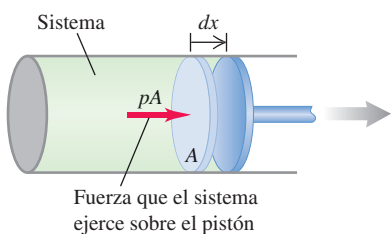
**19.3** Un sistema termodinámico podría intercambiar energía con su entorno (ambiente) mediante calor, trabajo o ambos. Tome nota de las convenciones de signos para  $Q$  y  $W$ .



**19.4** Una molécula que golpea un pistón *a)* efectúa trabajo positivo si el pistón se aleja de la molécula y *b)* efectúa trabajo negativo si el pistón se acerca a la molécula. Por lo tanto, un gas efectúa trabajo positivo cuando se expande como en *a)*, y trabajo negativo cuando se comprime como en *b)*.



**19.5** El trabajo infinitesimal realizado por el sistema durante la pequeña expansión  $dx$  es  $dW = pA dx$ .



## 19.2 TRABAJO REALIZADO AL CAMBIAR EL VOLUMEN

Una cantidad de gas en un cilindro con un pistón móvil es un ejemplo sencillo de sistema termodinámico. Los motores de combustión interna, las máquinas de vapor, y las compresoras de refrigeradores y acondicionadores de aire usan alguna versión de este tipo de sistema. En las siguientes secciones emplearemos el sistema de gas en un cilindro para explorar varios tipos de procesos termodinámicos.

Usaremos una perspectiva microscópica, basada en las energías cinética y potencial de las moléculas individuales de un material, para desarrollar nuestra intuición con respecto a las cantidades termodinámicas. No obstante, es importante entender que los principios centrales de la termodinámica pueden tratarse *macroscópicamente*, sin hacer referencia a modelos microscópicos. De hecho, parte de la utilidad y generalidad de la termodinámica radica en que *no* depende de los detalles estructurales de la materia.

Consideraremos primero el *trabajo* efectuado por un sistema durante un cambio de volumen. Al expandirse un gas, empuja las superficies de sus fronteras, las cuales se mueven hacia afuera; por lo tanto, siempre realiza trabajo positivo. Lo mismo sucede con cualquier material que se expande a presión, como las rosetas de maíz de la figura 19.1.

Podemos entender el trabajo efectuado por un gas en un cambio de volumen considerando sus moléculas. Cuando una de ellas choca contra una superficie estacionaria, ejerce una fuerza momentánea sobre ella pero no realiza trabajo porque la superficie no se mueve. En cambio, si la superficie se mueve, como un pistón de un motor de gasolina, la molécula *sí* realiza trabajo sobre la superficie durante el choque. Si el pistón de la **figura 19.4a** se mueve a la derecha, de modo que aumente el volumen del gas, las moléculas que golpean el pistón ejercen una fuerza a lo largo de una distancia y realizan trabajo *positivo* sobre el pistón. Si éste se mueve a la izquierda (figura 19.4b), reduciendo el volumen del gas, se realiza trabajo *positivo* sobre la molécula durante el choque. Por lo tanto, las moléculas de gas realizan trabajo *negativo* sobre el pistón.

La **figura 19.5** muestra un sistema cuyo volumen puede cambiar (un gas, líquido o sólido) en un cilindro con pistón móvil. Suponga que el área transversal del cilindro es  $A$  y la presión ejercida por el sistema en la cara del pistón es  $p$ . La fuerza total  $F$  ejercida por el sistema sobre el pistón es  $F = pA$ . Si el pistón se mueve hacia afuera una distancia infinitesimal  $dx$ , el trabajo  $dW$  realizado por dicha fuerza es

$$dW = F dx = pA dx$$

Pero

$$A dx = dV$$

donde  $dV$  es el cambio infinitesimal de volumen del sistema. Así, podemos expresar el trabajo efectuado por el sistema en este cambio infinitesimal de volumen como

$$dW = p dV \quad (19.1)$$

En un cambio finito de volumen de  $V_1$  a  $V_2$ ,

Trabajo efectuado en un cambio de volumen  $\rightarrow W = \int_{V_1}^{V_2} p dV$

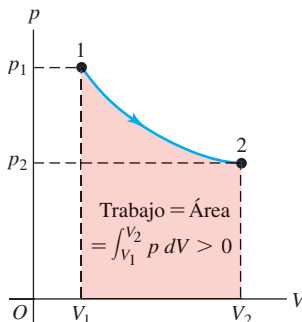
Límite superior = volumen final  
Integral de la presión con respecto al volumen  
Límite inferior = volumen inicial

$$(19.2)$$

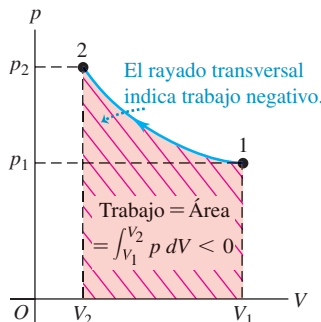
En general, la presión del sistema puede variar durante un cambio de volumen; por ejemplo, en los cilindros de un motor de automóvil durante el movimiento hacia arriba y hacia abajo de los pistones. Para evaluar la integral de la ecuación (19.2), hay que saber cómo varía la presión en función del volumen. Podemos representar esta relación en una gráfica de  $p$  en función de  $V$  (una gráfica  $pV$ , que describimos al final de la sección 18.1). La **figura 19.6** muestra un ejemplo sencillo. En esta figura, la ecuación (19.2) se representa gráficamente como el *área* bajo la curva de  $p$  contra  $V$  entre los límites  $V_1$  y  $V_2$  (en la sección 6.3 usamos una interpretación similar del trabajo efectuado por una fuerza  $F$  como el *área* bajo la curva de  $F$  contra  $x$  entre los límites  $x_1$  y  $x_2$ ).

### 19.6 El trabajo efectuado es igual al área bajo la curva en un diagrama $pV$ .

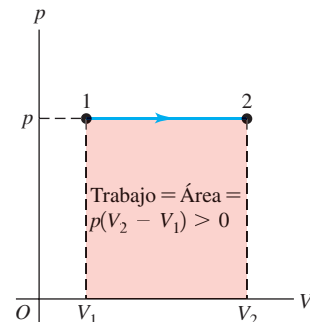
a) Diagrama  $pV$  para un sistema que sufre una expansión con presión variable



b) Diagrama  $pV$  para un sistema que sufre una compresión con presión variable



c) Diagrama  $pV$  para un sistema que sufre una expansión con presión constante



De acuerdo con la regla planteada en la sección 19.1, el trabajo es *positivo* cuando el sistema se *expande*. En una expansión del estado 1 al 2 en la figura 19.6a, el área bajo la curva y el trabajo son positivos. Una *compresión* de 1 a 2 en la figura 19.6b da un área *negativa*; cuando un sistema se comprime, su volumen disminuye y realiza trabajo *negativo* sobre su entorno (vea también la figura 19.4b).

Si la presión  $p$  permanece constante mientras el volumen cambia de  $V_1$  a  $V_2$  (figura 19.6c), el trabajo efectuado por el sistema es

Trabajo efectuado en un cambio de volumen a presión constante  $\rightarrow W = p(V_2 - V_1)$  (19.3)  
 Presión  
 Volumen final  
 Volumen inicial

**CUIDADO** Use los subíndices 1 y 2 con precaución En la ecuación (19.2),  $V_1$  es el volumen *initial* y  $V_2$  es el volumen *final*. Por ello, se invirtieron los subíndices 1 y 2 en la figura 19.6b, en comparación con la figura 19.6a, aunque ambos procesos se dan entre los mismos dos estados termodinámicos. ■

Si el volumen es *constante*, el sistema no efectúa trabajo porque no hay desplazamiento.



#### EJEMPLO 19.1 EXPANSIÓN ISOTÉRMICA DE UN GAS IDEAL

Un gas ideal sufre una expansión *isotérmica* (a temperatura constante) a una temperatura  $T$ , durante la cual su volumen cambia de  $V_1$  a  $V_2$ . ¿Cuánto trabajo efectúa el gas?

##### SOLUCIÓN

**IDENTIFICAR y PLANTEAR:** La ecuación del gas ideal, ecuación (18.3), nos indica que si se mantiene constante la temperatura  $T$  de  $n$  moles de un gas ideal, la cantidad  $pV = nRT$  también permanece constante. Si  $V$  cambia, también debe cambiar  $p$ , por lo cual no podemos usar la ecuación (19.3) para calcular el trabajo efectuado. En vez de ello, debemos evaluar la integral en la ecuación (19.2), así que necesitamos conocer  $p$  en función de  $V$ ; para esto se utiliza la ecuación (18.3).

**EJECUTAR:** De acuerdo con la ecuación (18.3),

$$p = \frac{nRT}{V}$$

Sustituimos esto en la integral de la ecuación (19.2), sacamos el factor constante  $nRT$ , y evaluamos la integral:

$$\begin{aligned} W &= \int_{V_1}^{V_2} p dV = nRT \int_{V_1}^{V_2} \frac{dV}{V} \\ &= nRT \ln \frac{V_2}{V_1} \quad (\text{gas ideal, proceso isotérmico}) \end{aligned}$$

Podemos reescribir esta expresión para  $W$  en términos de  $p_1$  y  $p_2$ . Ya que  $pV = nRT$  es constante,

$$p_1 V_1 = p_2 V_2 \quad \text{o} \quad \frac{V_2}{V_1} = \frac{p_1}{p_2}$$

por lo que

$$W = nRT \ln \frac{p_1}{p_2} \quad (\text{gas ideal, proceso isotérmico})$$

**EVALUAR:** Comprobamos nuestro resultado recordando que, en una expansión,  $V_2 > V_1$  y el cociente  $V_2/V_1$  es mayor que 1. El logaritmo de un número mayor que 1 es positivo, por lo que  $W > 0$ , como debería ser. Como comprobación adicional, examinemos nuestra segunda expresión para  $W$ : en una expansión isotérmica, el volumen aumenta y la presión disminuye, por lo que  $p_2 < p_1$ , el cociente  $p_1/p_2 > 1$  y  $W = nRT \ln(p_1/p_2)$  es de nuevo positivo.

Este resultado para  $W$  también es válido para una compresión isotérmica de un gas, en la que  $V_2 < V_1$  y  $p_2 > p_1$ .

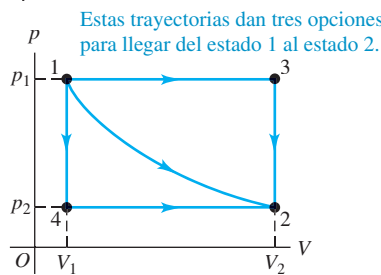
**EVALÚE SU COMPRENSIÓN DE LA SECCIÓN 19.2** Una cantidad de un gas ideal sufre una expansión que duplica su volumen. ¿El gas efectúa más trabajo sobre su ambiente, si la expansión es a *presión constante* o a *temperatura constante*? **i.** A presión constante; **ii.** a temperatura constante; **iii.** se efectúa la misma cantidad de trabajo en ambos casos; **iv.** no hay suficiente información para determinarlo. **I**

## 19.3 TRAYECTORIAS ENTRE ESTADOS TERMODINÁMICOS

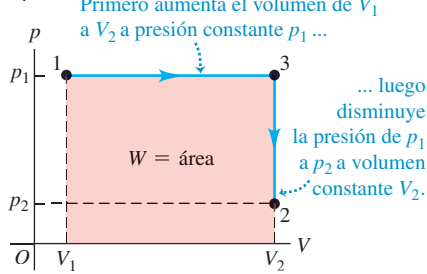
Hemos visto que, si un proceso termodinámico implica un cambio de volumen, el sistema realiza trabajo (positivo o negativo) sobre su entorno. También entrará o saldrá calor del sistema durante el proceso si hay una diferencia de temperatura entre el sistema y su entorno. Veamos ahora cómo el trabajo efectuado por el sistema y el calor agregado a éste durante un proceso termodinámico dependen de la forma en que se realiza el proceso.

**19.7** El trabajo realizado por un sistema durante una transición entre dos estados depende de la trayectoria elegida.

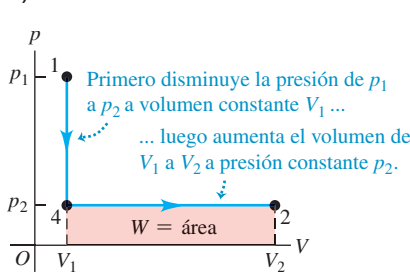
a)



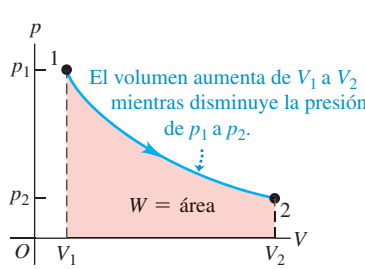
b)



c)



d)



### Trabajo efectuado en un proceso termodinámico

Cuando un sistema termodinámico cambia de un estado inicial a uno final, pasa por una serie de estados intermedios, a los que llamamos **trayectoria**. Siempre hay un número infinito de posibilidades para dichos estados intermedios. Si todos son estados de equilibrio, la trayectoria podrá representarse en un diagrama  $pV$  (figura 19.7a). El punto 1 representa un estado inicial con presión  $p_1$  y volumen  $V_1$ , y el punto 2 representa un estado final con presión  $p_2$  y volumen  $V_2$ . Para pasar del estado 1 al 2, podríamos mantener la presión constante en  $p_1$  mientras el sistema se expande al volumen  $V_2$  (punto 3, figura 19.7b), y luego reducir la presión a  $p_2$  (tal vez reduciendo la temperatura) mientras se mantiene el volumen en  $V_2$  (al punto 2 del diagrama). El trabajo efectuado por el sistema durante este proceso es el área bajo la línea 1 → 3; no se efectúa trabajo durante el proceso a volumen constante 3 → 2. O bien, el sistema podría seguir la trayectoria 1 → 4 → 2 (figura 19.7c); en tal caso, el trabajo es el área bajo la línea 4 → 2, ya que no se efectúa trabajo durante el proceso a volumen constante 1 → 4. La curva continua de 1 a 2 (figura 19.7d) es otra posibilidad, y el trabajo para esta trayectoria es diferente del que se realiza en cualquiera de las otras.

Concluimos que *el trabajo realizado por el sistema depende no sólo de los estados inicial y final, sino también de los estados intermedios, es decir, de la trayectoria*. Además, podemos llevar al sistema por una serie de estados que formen un ciclo completo, como 1 → 3 → 2 → 4 → 1. En este caso, el estado final será el mismo que el inicial, pero el trabajo total efectuado por el sistema *no* es cero (de hecho, se representa en la gráfica con el área encerrada por el ciclo; vea el ejercicio 19.7). Por lo tanto, no tiene sentido hablar de la cantidad de trabajo *contenido* en un sistema. En cierto estado, un sistema puede tener valores definidos de las coordenadas de estado  $p$ ,  $V$  y  $T$ ; no obstante, sería absurdo decir que tiene un valor definido de  $W$ .

### Calor agregado en un proceso termodinámico

Al igual que el trabajo, el *calor agregado* a un sistema termodinámico cuando cambia de estado depende de la trayectoria del estado inicial al final. Por ejemplo, suponga que nos interesa cambiar el volumen de cierta cantidad de gas ideal de 2.0 L a 5.0 L manteniendo la temperatura en  $T = 300$  K. La figura 19.8 muestra dos formas diferentes de hacerlo. En la figura 19.8a, el gas está en un cilindro provisto de un pistón, con un volumen inicial de 2.0 L. Dejamos que el gas se expanda lentamente, suministrando calor con el calentador eléctrico para mantener la temperatura en 300 K hasta que el gas alcanza su volumen final de 5.0 L. El gas absorbe una cantidad definida de calor en este proceso isotérmico.

La figura 19.8b ilustra un proceso distinto que conduce al mismo estado final. El recipiente está rodeado por paredes aislantes y se encuentra dividido en dos compartimentos por una membrana delgada rompible. La parte inferior tiene un volumen de 2.0 L, y la superior, de 3.0 L. En el compartimento inferior colocamos igual cantidad

del mismo gas que en la figura 19.8a, también a  $T = 300\text{ K}$ . El estado inicial es el mismo que antes. Ahora rompemos la membrana; el gas se expande rápidamente, sin que pase calor por las paredes aislantes. El volumen final es de 5.0 L, como en la figura 19.8a. El gas no realiza trabajo durante esta expansión porque no empuja contra algo que se mueva. Esta expansión sin control de un gas a un vacío se denomina **expansión libre**; hablaremos más de ella en la sección 19.6.

Se ha observado experimentalmente que, si un gas con comportamiento ideal sufre una expansión libre, no hay cambio de temperatura. Por lo tanto, el estado final del gas es el mismo que en la figura 19.8a. Los estados intermedios (presiones y volúmenes) durante la transición del estado 1 al 2 son muy diferentes en ambos casos; las figuras 19.8a y 19.8b representan *dos trayectorias distintas* que conectan los *mismos estados* 1 y 2. En la trayectoria de la figura 19.8b, no se transfiere calor al sistema, y éste no efectúa trabajo. Al igual que el trabajo, *el calor depende no sólo de los estados inicial y final, sino también de la trayectoria*.

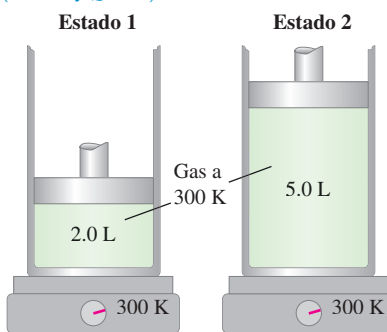
Por esta dependencia de la trayectoria, sería absurdo decir que un sistema “*tiene*” cierta cantidad de calor. Para ver esto, suponga que asignamos un valor arbitrario al “*calor de un cuerpo*” en algún estado de referencia. Entonces, es de suponer que el “*calor en el cuerpo*” en algún otro estado sería igual al calor en el estado de referencia más el calor agregado cuando el cuerpo pasa al segundo estado. Pero eso es ambiguo, como acabamos de ver: el calor agregado depende de la *trayectoria* que se siga del estado de referencia al segundo estado. Debemos concluir que *no hay una forma congruente de definir el “calor en un cuerpo”*; no es un concepto útil.

Si bien no tiene sentido hablar del “trabajo en un cuerpo” o el “calor en un cuerpo”, sí lo tiene hablar de la cantidad de *energía interna* en un cuerpo. Este importante concepto es nuestro siguiente tema.

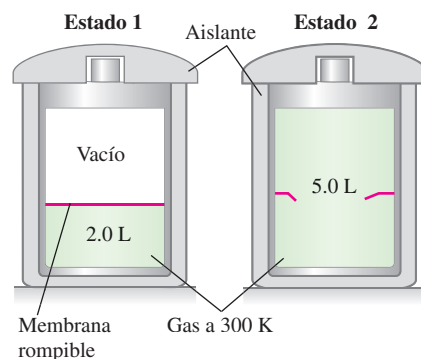
**EVALÚE SU COMPRENSIÓN DE LA SECCIÓN 19.3** El sistema que se describe en la figura 19.7a experimenta cuatro procesos termodinámicos. Cada proceso se representa en una gráfica  $pV$  como una recta que va de un estado inicial a uno final (estos procesos son diferentes de los que se representan en las gráficas  $pV$  de la figura 19.7). Ordene los procesos del más positivo al más negativo, con base en la cantidad de trabajo efectuado por el sistema. i.  $1 \rightarrow 2$ ; ii.  $2 \rightarrow 1$ ; iii.  $3 \rightarrow 4$ ; iv.  $4 \rightarrow 3$ . |

**19.8 a)** Expansión isotérmica lenta y controlada de un gas de un estado inicial 1 a un estado final 2, con la misma temperatura pero menor presión. **b)** Expansión rápida, sin control, del mismo gas, partiendo del mismo estado 1 y terminando en el mismo estado 2.

**a) El sistema realiza trabajo sobre el pistón:** la plancha caliente agrega calor al sistema ( $W > 0$  y  $Q > 0$ ).



**b) El sistema no efectúa trabajo; no entra ni sale calor del sistema ( $W = 0$  y  $Q = 0$ ).**



## 19.4 ENERGÍA INTERNA Y LA PRIMERA LEY DE LA TERMODINÁMICA

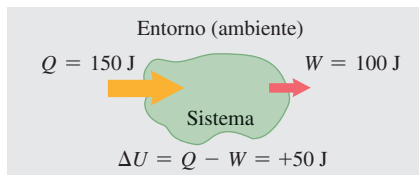
La energía interna es uno de los conceptos más importantes de la termodinámica. En la sección 7.3, cuando hablamos de los cambios de energía de un cuerpo que se desliza con fricción, mencionamos que calentar un cuerpo aumentaba su energía interna y que enfriarlo la disminuía. Pero, ¿qué es energía interna? Podemos verla de varios modos; comencemos con uno basado en las ideas de la mecánica. La materia consiste en átomos y moléculas, y éstos se componen de partículas que tienen energías cinética y potencial. Definimos *tentativamente* la **energía interna** de un sistema como la suma de las energías cinéticas de todas sus partículas constitutivas, más la suma de todas las energías potenciales de interacción entre ellas.

**CUIDADO** ¿Es interna? La energía interna *no* incluye la energía potencial debida a la interacción entre el sistema y su entorno. Si el sistema es un vaso de agua, colocarlo en una repisa alta aumenta su energía potencial gravitacional debida a la interacción entre el vaso y la Tierra; sin embargo, esto no afecta las interacciones de las moléculas del agua entre sí, por lo que la energía interna del agua no cambia. |

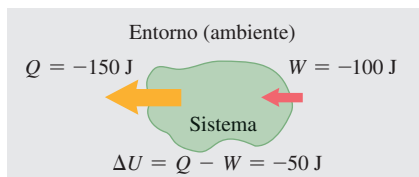
Usamos el símbolo  $U$  para la energía interna (empleamos el mismo símbolo para representar la energía potencial en mecánica. Sin embargo,  $U$  tiene un significado distinto en termodinámica). Durante un cambio de estado del sistema, la energía interna podría cambiar de un valor inicial  $U_1$  a uno final  $U_2$ . Denotamos el cambio en energía interna como  $\Delta U = U_2 - U_1$ .

**19.9** En un proceso termodinámico, la energía interna  $U$  de un sistema puede *a)* aumentar ( $\Delta U > 0$ ), *b)* disminuir ( $\Delta U < 0$ ) o *c)* permanecer sin cambio ( $\Delta U = 0$ ).

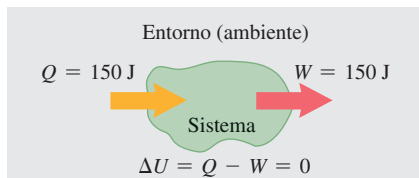
**a) Se agrega al sistema más calor que el trabajo efectuado por éste: aumenta la energía interna del sistema.**



**b) Sale del sistema más calor que el trabajo efectuado: disminuye la energía interna del sistema.**



**c) El calor agregado al sistema es igual al trabajo que éste realiza: la energía interna del sistema no cambia.**



#### B10 Aplicación La primera ley de la termodinámica durante el ejercicio

Su cuerpo es un sistema termodinámico. Cuando hace ejercicio, su cuerpo realiza trabajo (por ejemplo, el trabajo que implica levantar el cuerpo como un todo impulsándose hacia arriba con los brazos). Por lo tanto,  $W > 0$ . Su cuerpo también se calienta durante el ejercicio; mediante la transpiración y algunos otros medios, el cuerpo se deshace de ese calor, así que  $Q < 0$ . Puesto que  $Q$  es negativo y  $W$  es positivo,  $\Delta U = Q - W < 0$  y la energía interna del cuerpo disminuye. Por eso el ejercicio ayuda a bajar de peso: utiliza un poco de la energía almacenada en el cuerpo en forma de grasa.



Cuando agregamos cierta cantidad de calor  $Q$  a un sistema y éste no realiza trabajo durante el proceso (por lo que  $W = 0$ ), la energía interna aumenta en una cantidad igual a  $Q$ ; es decir,  $\Delta U = Q$ . Cuando el sistema efectúa un trabajo  $W$  expandiéndose contra su entorno y no se agrega calor durante ese proceso, sale energía del sistema y disminuye la energía interna:  $W$  es positivo,  $Q$  es cero y  $\Delta U = -W$ . Si hay tanto transferencia de calor como trabajo, el cambio total de energía interna es

<b>Primera ley de la termodinámica:</b>	<b>Cambio en la energía interna del sistema termodinámico</b> $\Delta U = Q - W$
	Calor agregado al sistema ..... Trabajo hecho por el sistema

(19.4)

Podemos reacomodar esto así:

$$Q = \Delta U + W \quad (19.5)$$

El mensaje de la ecuación (19.5) es que cuando se agrega calor  $Q$  a un sistema, una parte de esta energía agregada permanece en el sistema, modificando su energía interna en una cantidad  $\Delta U$ ; el resto sale del sistema cuando éste efectúa un trabajo  $W$  sobre su entorno. Puesto que  $W$  y  $Q$  pueden ser positivos, negativos o cero,  $\Delta U$  puede ser positivo, negativo o cero para diferentes procesos (**figura 19.9**).

La ecuación (19.4) o la (19.5) es la **primera ley de la termodinámica**, que es una generalización del principio de conservación de la energía para incluir la transferencia de energía como calor y trabajo mecánico. Como veremos en capítulos posteriores, este principio se puede extender a clases de fenómenos aún más amplias, mediante la identificación de formas adicionales de energía y de transferencia de energía. En las situaciones donde parecía que la energía total en todas las formas conocidas no se conserva, fue posible identificar una nueva forma de energía tal que la energía total, incluida la nueva forma, *sí* se conserva.

#### Comprendiendo la primera ley de la termodinámica

Al principio de esta explicación, definimos tentativamente la energía interna en términos de energías cinética y potencial microscópicas. No obstante, en realidad, *calcular* la energía interna de este modo para cualquier sistema real sería demasiado complicado. Además, esta definición no es *operativa* porque no describe cómo determinar la energía interna a partir de cantidades físicas que podamos medir directamente.

Veamos la energía interna de otro modo. Para empezar, definimos el *cambio* de energía interna  $\Delta U$  durante cualquier cambio de un sistema como la cantidad dada por la ecuación (19.4),  $\Delta U = Q - W$ . Ésta sí es una definición operativa, porque podemos medir  $Q$  y  $W$ ; no define la  $U$  misma, sólo  $\Delta U$ . Ésta *no* es una deficiencia, ya que podemos *definir* que la energía interna de un sistema tiene cierto valor en algún estado de referencia, y luego usar la ecuación (19.4) para definir la energía interna en cualquier otro estado. Esto es análogo a la forma como manejamos la energía potencial en el capítulo 7, donde definimos arbitrariamente que la energía potencial de un sistema mecánico era cero en cierta posición.

Esta nueva definición intercambia una dificultad por otra. Si definimos  $\Delta U$  con la ecuación (19.4), entonces, cuando el sistema pase del estado 1 al 2 por dos trayectorias distintas, ¿cómo sabemos que  $\Delta U$  es el mismo para las dos trayectorias? Ya vimos que, en general,  $Q$  y  $W$  *no* son iguales para diferentes trayectorias. Si  $\Delta U$ , que es igual a  $Q - W$ , también depende de la trayectoria, entonces  $\Delta U$  será ambiguo. De ser así, el concepto de energía interna de un sistema merecerá la misma crítica que el concepto erróneo de cantidad de calor contenida en un sistema, como vimos al final de la sección 19.3.

La única forma de contestar esta pregunta es *experimentando*. Medimos  $Q$  y  $W$  para varios materiales, cambios de estado y trayectorias, con la finalidad de saber si  $\Delta U$  depende o no de la trayectoria. Los resultados de todas esas investigaciones son claros e inequívocos: en tanto que  $Q$  y  $W$  dependen de la trayectoria,  $\Delta U = Q - W$  es *independiente de la trayectoria*. *El cambio de energía interna de un sistema durante cualquier proceso termodinámico depende sólo de los estados inicial y final, no de la trayectoria que lleva de uno al otro.*

De esta manera, la experimentación es la justificación definitiva para creer que un sistema termodinámico en cierto estado tiene una energía interna única que depende sólo de ese estado. Un planteamiento equivalente es que la energía interna  $U$  de un sistema es función de las coordenadas de estado:  $p$ ,  $V$  y  $T$  (de hecho, de cualesquiera dos de ellas, ya que las tres variables están relacionadas por la ecuación de estado).

Es correcto decir que la primera ley de la termodinámica, dada por la ecuación (19.4) o la (19.5), representa la conservación de la energía en procesos termodinámicos. No obstante, un aspecto *adicional* importante de la primera ley es el hecho de que la energía interna depende sólo del estado del sistema (**figura 19.10**). En cambios de estado, el cambio de energía interna es independiente de la trayectoria.

Todo esto parecería un tanto abstracto si nos contentamos con pensar que la energía interna es energía mecánica microscópica. No hay nada incorrecto en esa perspectiva, y la usaremos varias veces en nuestra explicación. Sin embargo, si queremos definiciones *operativas* precisas, la energía interna, como el calor, debe definirse de forma independiente de la estructura microscópica detallada del material.

## Procesos cíclicos y sistemas aislados

Vale la pena mencionar dos casos especiales de la primera ley de la termodinámica. Un proceso que tarde o temprano hace volver un sistema a su estado inicial es un *proceso cíclico*. En un proceso así, el estado final es igual que el inicial, por lo que el cambio total de energía interna debe ser cero. Entonces,

$$U_2 = U_1 \quad \text{y} \quad Q = W$$

Si el sistema realiza una cantidad neta de trabajo  $W$  durante este proceso, deberá haber entrado en el sistema una cantidad igual de energía como calor  $Q$ . Pero no es necesario que  $Q$  o  $W$  individualmente sean cero (**figura 19.11**).

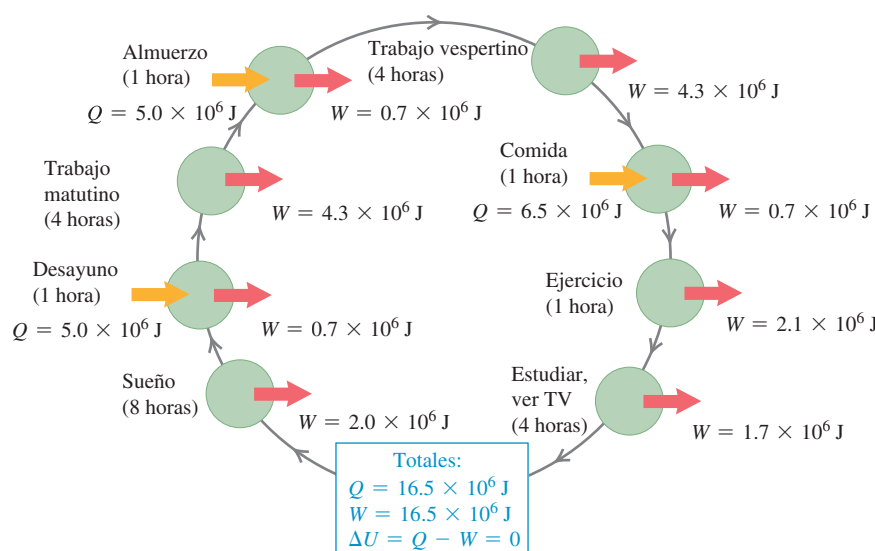
Otro caso especial se da en un *sistema aislado*, que no realiza trabajo sobre su entorno ni intercambia calor con él. Para cualquier proceso que se efectúa en un sistema aislado:

$$W = Q = 0$$

y, por lo tanto,

$$U_2 = U_1 = \Delta U = 0$$

En otras palabras, *la energía interna de un sistema aislado es constante*.



**19.10** La energía interna de una taza de café depende únicamente de su estado termodinámico: cuánta agua y café molido contiene, y a qué temperatura está. No depende de cómo se preparó el café, es decir, de la trayectoria termodinámica que llevó a su estado actual.



**19.11** Todos los días, nuestro cuerpo (un sistema termodinámico) realiza un proceso termodinámico cíclico como el que se representa aquí. Se agrega calor  $Q$  metabolizando alimento, y el cuerpo realiza un trabajo  $W$  al respirar, caminar y efectuar otras actividades. Si volvemos al mismo estado al final del día,  $Q = W$  y el cambio neto de nuestra energía interna es cero.

**ESTRATEGIA PARA RESOLVER PROBLEMAS 19.1****PRIMERA LEY DE LA TERMODINÁMICA**

**IDENTIFICAR** los conceptos relevantes: La primera ley de la termodinámica es el planteamiento de la ley de conservación de la energía en su forma más general. Podemos aplicarla a *cualquier* situación en la que nos interesen los cambios de energía interna de un sistema, el flujo de calor hacia un sistema o desde éste, o el trabajo efectuado por o sobre un sistema.

**PLANTEAR** el problema siguiendo estos pasos:

1. Defina cuidadosamente el sistema termodinámico.
2. Si el proceso termodinámico tiene más de un paso, identifique los estados inicial y final para cada uno.
3. Identifique las cantidades conocidas y las incógnitas que va a despejar.
4. Compruebe que tiene suficientes ecuaciones. La primera ley,  $\Delta U = Q - W$ , sólo puede aplicarse una vez a cada paso de un proceso termodinámico, por lo que en muchos casos se necesitarán ecuaciones adicionales. Las más utilizadas son la ecuación (19.2),  $W = \int_{V_1}^{V_2} p dV$ , que da el trabajo  $W$  efectuado durante un cambio de volumen y la ecuación de estado del material que constituye el sistema termodinámico (para un gas ideal,  $pV = nRT$ ).

**EJECUTAR** la solución como sigue:

1. Asegúrese de utilizar las unidades de manera consistente. Si  $p$  está en Pa y  $V$  en  $m^3$ , entonces  $W$  deberá estar en joules. Si una capacidad calorífica se da en calorías, lo más fácil suele ser convertirla

en joules. Cuando utilice  $n = m_{\text{total}}/M$  para convertir masa total a número  $n$  de moles, recuerde que si  $m_{\text{total}}$  está en kilogramos,  $M$  debe estar en *kilogramos* por mol; y usualmente las unidades para  $M$  son *gramos* por mol.

2. El cambio de energía interna  $\Delta U$  en cualquier proceso termodinámico o serie de procesos es independiente de la trayectoria, ya sea que la sustancia se comporte como gas ideal o no. Si puede calcular  $\Delta U$  para *cualquier* trayectoria entre los estados final e inicial dados, entonces conoce  $\Delta U$  para cada *trayectoria posible* entre esos estados; así podrá relacionar las diversas cantidades de energía para otras trayectorias.
3. Si un proceso consta de varios pasos, tabule  $Q$ ,  $W$  y  $U$  para cada paso, con un renglón por paso y con las  $Q$ ,  $W$  y  $\Delta U$  formando las columnas (vea el ejemplo 19.4). Puede aplicar la primera ley a cada renglón y sumar cada columna y aplicar la primera ley a las sumas. ¿Entiende por qué?
4. Despeje las incógnitas siguiendo los pasos la 3.

**EVALUAR** la respuesta: Verifique que sus resultados sean razonables. En particular, asegúrese de que cada respuesta tenga el signo algebraico correcto. Recuerde que  $Q$  positivo implica *entrada* de calor en el sistema, y  $Q$  negativo implica *salida* de calor del sistema.  $W$  positivo significa que el sistema efectúa trabajo *sobre su entorno*, mientras que un valor negativo de  $W$  implica que el entorno efectúa trabajo *sobre el sistema*.

**EJEMPLO 19.2 PARA QUEMAR EL POSTRE**

Se le propone comer un helado con crema batida de 900 calorías y luego subir corriendo varios tramos de escaleras para quemar la energía que ingirió. ¿A qué altura debe subir? Suponga que su masa es de 60.0 kg.

**SOLUCIÓN**

**IDENTIFICAR y PLANTEAR:** El sistema termodinámico es su cuerpo. El objetivo de subir corriendo las escaleras es lograr que el estado final del sistema sea igual al inicial (ni más gordo ni más delgado). Por lo tanto, no hay cambio neto de energía interna:  $\Delta U = 0$ . Comer helado corresponde a un flujo de calor hacia su cuerpo, y usted efectúa trabajo al subir las escaleras. Podemos relacionar estas cantidades usando la primera ley de la termodinámica. Nos dicen que  $Q = 900$  calorías alimentarias (900 kcal) de calor entran en su organismo. El trabajo necesario para elevar su masa  $m$  una altura  $h$  es  $W = mgh$ ; la incógnita es  $h$ .



**EJECUTAR:** Usamos la primera ley de la termodinámica:  $\Delta U = 0 = Q - W$ , por lo que  $W = mgh = Q$ . Por lo tanto, la altura que hay que subir es  $h = Q/mg$ . Primero convertimos unidades:  $Q = (900 \text{ kcal}) (4186 \text{ J}/1 \text{ kcal}) = 3.77 \times 10^6 \text{ J}$ . Entonces,

$$h = \frac{Q}{mg} = \frac{3.77 \times 10^6 \text{ J}}{(60.0 \text{ kg})(9.80 \text{ m/s}^2)} = 6410 \text{ m}$$

**EVALUAR:** Hemos supuesto una eficiencia del 100% en la conversión de energía proveniente de los alimentos en trabajo mecánico; esto no es muy realista. La eficiencia real es aproximadamente del 25%, por lo que el trabajo  $W$  que realiza cuando “quema” el helado es de sólo  $(0.25)(900 \text{ kcal}) = 225 \text{ kcal}$  (el restante 75%, o 675 kcal, se transfiere a su entorno como calor). Por consiguiente, en realidad debe subir unos  $(0.25)(6410 \text{ m}) = 1600 \text{ m}$ , o una *milla*! ¿De verdad quiere ese helado?

**EJEMPLO 19.3 UN PROCESO CÍCLICO**

La **figura 19.12** es una gráfica  $pV$  para un proceso *cíclico*, donde los estados inicial y final de un sistema termodinámico son iguales. El estado del sistema inicia en el punto  $a$  y procede en sentido contrario a las manecillas del reloj en la gráfica  $pV$  hasta  $b$  y vuelve a  $a$ ; el trabajo total es  $W = -500 \text{ J}$ . a) ¿Por qué es negativo el trabajo? b) Calcule el cambio de energía interna y el calor agregado en el proceso.

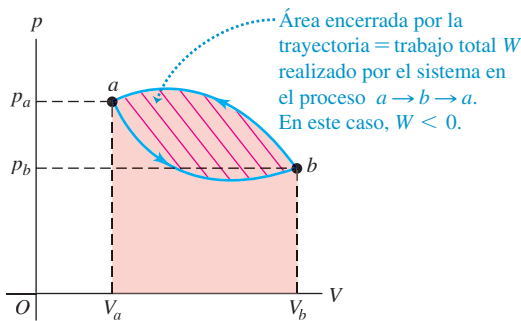
**SOLUCIÓN**

**IDENTIFICAR y PLANTEAR:** Debemos relacionar el cambio de energía interna, el calor agregado y el trabajo realizado en un proceso

termodinámico. Por ello, podemos aplicar la primera ley de la termodinámica. El proceso es cíclico y tiene dos pasos:  $a \rightarrow b$  siguiendo la curva inferior de la figura 19.12, y de  $b \rightarrow a$  siguiendo la curva superior. Sin embargo, las preguntas se refieren al proceso cíclico *completo*:  $a \rightarrow b \rightarrow a$ .

**EJECUTAR:** a) El trabajo realizado en cualquier paso es igual al área bajo la curva en el diagrama  $pV$ , tomando el área como positiva si  $V_2 > V_1$  y negativa si  $V_2 < V_1$ ; esta regla obtiene los signos que resultan de las integraciones reales de la ecuación (19.2),  $W = \int_{V_1}^{V_2} p dV$ . Por

**19.12** El trabajo neto efectuado por el sistema en el proceso  $a \rightarrow b \rightarrow a$  es de  $-500 \text{ J}$ . ¿Cuál habría sido si el proceso se hubiera realizado en sentido de las manecillas del reloj en esta gráfica  $pV$ ?



consiguiente, el área bajo la curva inferior de  $a \rightarrow b$  es positiva, pero menor que el valor absoluto del área (negativa) bajo la curva superior de  $b \rightarrow a$ . Por lo tanto, el área neta (la encerrada por la trayectoria y marcada con diagonales rojas) y el trabajo neto  $W$  son negativos. En otras palabras, se realizan  $500 \text{ J}$  más de trabajo *sobre* el sistema, en comparación con el trabajo efectuado *por* el sistema en el proceso completo.

b) En cualquier otro proceso cíclico,  $\Delta U = 0$ , por lo que  $Q = W$ . Aquí, esto significa  $Q = -500 \text{ J}$ , es decir, deben *salir*  $500 \text{ joules}$  de calor del sistema.

**EVALUAR:** En los procesos cíclicos, el trabajo total es positivo si el proceso se recorre en dirección horaria en el diagrama  $pV$  que representa el ciclo, y es negativo si el proceso se recorre en dirección contraria a las manecillas del reloj (como a quí).



### EJEMPLO 19.4 COMPARACIÓN DE PROCESOS TERMODINÁMICOS

La gráfica  $pV$  de la figura 19.13 muestra una serie de procesos termodinámicos. En el proceso  $ab$ , se agregan  $150 \text{ J}$  de calor al sistema; en el proceso  $bd$ , se agregan  $600 \text{ J}$ . Calcule a) el cambio de energía interna en el proceso  $ab$ ; b) el cambio de energía interna en el proceso  $abd$  (azul claro); y c) el calor total agregado en el proceso  $acd$  (azul oscuro).

#### SOLUCIÓN

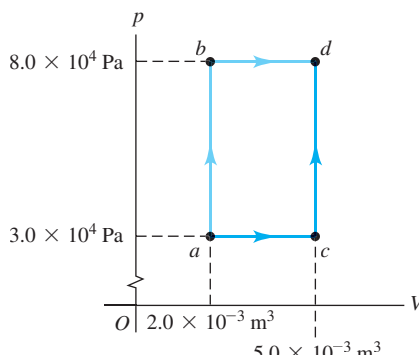
**IDENTIFICAR y PLANTEAR:** En todos los procesos, usaremos  $\Delta U = Q - W$  para determinar la cantidad deseada. Nos dan  $Q_{ab} = +150 \text{ J}$  y  $Q_{bd} = +600 \text{ J}$  (los dos valores son positivos porque se agrega calor al sistema). Las incógnitas son a)  $\Delta U_{ab}$ , b)  $\Delta U_{abd}$  y c)  $Q_{acd}$ .

**EJECUTAR:** a) No hay cambio de volumen durante el proceso  $ab$ , por lo que el sistema no realiza trabajo:  $W_{ab} = 0$  y  $\Delta U_{ab} = Q_{ab} = 150 \text{ J}$ .

b) El proceso  $bd$  es una expansión a presión constante, por lo que de acuerdo con la ecuación (19.3),

$$\begin{aligned} W_{bd} &= p(V_2 - V_1) \\ &= (8.0 \times 10^4 \text{ Pa})(5.0 \times 10^{-3} \text{ m}^3 - 2.0 \times 10^{-3} \text{ m}^3) \\ &= 240 \text{ J} \end{aligned}$$

**19.13** Gráfica  $pV$  que muestra los diversos procesos termodinámicos.



El trabajo total para el proceso  $abd$  es

$$W_{abd} = W_{ab} + W_{bd} = 0 + 240 \text{ J} = 240 \text{ J}$$

y el calor total es

$$Q_{abd} = Q_{ab} + Q_{bd} = 150 \text{ J} + 600 \text{ J} = 750 \text{ J}$$

Aplicando la ecuación (19.4) a  $abd$ , obtenemos

$$\Delta U_{abd} = Q_{abd} - W_{abd} = 750 \text{ J} - 240 \text{ J} = 510 \text{ J}$$

c) Puesto que  $\Delta U$  es *independiente de la trayectoria*, de  $a$  a  $d$ , el cambio de energía interna es el mismo para la trayectoria  $acd$  que para la  $abd$ :

$$\Delta U_{acd} = \Delta U_{abd} = 510 \text{ J}$$

El trabajo total para la trayectoria  $acd$  es

$$\begin{aligned} W_{acd} &= W_{ac} + W_{cd} = p(V_2 - V_1) + 0 \\ &= (3.0 \times 10^4 \text{ Pa})(5.0 \times 10^{-3} \text{ m}^3 - 2.0 \times 10^{-3} \text{ m}^3) \\ &= 90 \text{ J} \end{aligned}$$

Ahora aplicamos la ecuación (19.5) al proceso  $acd$ :

$$Q_{acd} = \Delta U_{acd} + W_{acd} = 510 \text{ J} + 90 \text{ J} = 600 \text{ J}$$

Realizamos una tabulación de las cantidades anteriores:

Paso	$Q$	$W$	$\Delta U = Q - W$	Paso	$Q$	$W$	$\Delta U = Q - W$
$ab$	$150 \text{ J}$	$0 \text{ J}$	$150 \text{ J}$	$ac$	$?$	$90 \text{ J}$	$?$
$bd$	$600 \text{ J}$	$240 \text{ J}$	$360 \text{ J}$	$cd$	$?$	$0 \text{ J}$	$?$
$abd$	$750 \text{ J}$	$240 \text{ J}$	$510 \text{ J}$	$acd$	$600 \text{ J}$	$90 \text{ J}$	$510 \text{ J}$

**EVALUAR:** Asegúrese de que entiende cómo se determinó cada entrada de la tabla anterior. Aunque  $\Delta U$  es igual ( $510 \text{ J}$ ) para  $abd$  y  $acd$ ,  $W$  ( $240 \text{ J}$  contra  $90 \text{ J}$ ) y  $Q$  ( $750 \text{ J}$  contra  $600 \text{ J}$ ) tienen valores muy diferentes para los dos procesos. Observe que aunque no tenemos suficiente información para obtener  $Q$  o  $\Delta U$  en los procesos  $ac$  y  $cd$ , pudimos analizar el proceso compuesto  $acd$  comparándolo con el proceso  $abd$ , que tiene los mismos estados inicial y final, y para el cual poseemos información más completa.



## EJEMPLO 19.5 TERMODINÁMICA DEL AGUA EN EBULLICIÓN

Un gramo de agua ( $1 \text{ cm}^3$ ) se convierte en  $1671 \text{ cm}^3$  de vapor cuando se hierve a presión constante de 1 atm ( $1.013 \times 10^5 \text{ Pa}$ ). El calor de vaporización a esta presión es  $L_v = 2.256 \times 10^6 \text{ J/kg}$ . Calcule *a)* el trabajo efectuado por el agua al evaporarse y *b)* su aumento de energía interna.

### SOLUCIÓN

**IDENTIFICAR y PLANTEAR:** El calor agregado hace que el sistema (el agua) cambie de la fase líquida a la gaseosa. Podemos analizar este proceso mediante la primera ley de la termodinámica. El agua se evapora a presión constante, por lo que podemos usar la ecuación (19.3) para calcular el trabajo  $W$  efectuado por el agua en evaporación conforme se expande. Conocemos la masa del agua y el calor de vaporización, por lo que podemos utilizar la ecuación (17.20),  $Q = mL_v$ , para calcular el calor  $Q$  agregado al agua. Podemos entonces determinar el cambio de energía interna empleando la ecuación (19.4),  $\Delta U = Q - W$ .

**EJECUTAR:** *a)* De acuerdo con la ecuación (19.3), el agua realiza trabajo

$$\begin{aligned} W &= p(V_2 - V_1) \\ &= (1.013 \times 10^5 \text{ Pa})(1671 \times 10^{-6} \text{ m}^3 - 1 \times 10^{-6} \text{ m}^3) \\ &= 169 \text{ J} \end{aligned}$$

*b)* Según la ecuación (17.20), el calor agregado al agua es

$$Q = mL_v = (10^{-3} \text{ kg})(2.256 \times 10^6 \text{ J/kg}) = 2256 \text{ J}$$

Entonces, a partir de la ecuación (19.4),

$$\Delta U = Q - W = 2256 \text{ J} - 169 \text{ J} = 2087 \text{ J}$$

**EVALUAR:** Para evaporar 1 gramo de agua, debemos agregar 2256 J de calor; casi toda esta energía (2087 J) permanece en el sistema como aumento de la energía interna. Los 169 J restantes salen del sistema cuando éste efectúa trabajo contra su entorno al expandirse de líquido a vapor (el aumento de energía interna se asocia en su mayor parte a las fuerzas intermoleculares de atracción. Las energías potenciales correspondientes son mayores después de realizarse trabajo para separar las moléculas en el líquido y formar el estado de vapor. Es como aumentar la energía potencial gravitacional de un elevador alejándolo del centro de la Tierra).

## Cambios infinitesimales de estado

En los ejemplos anteriores, los estados inicial y final difieren en una cantidad finita. Más adelante consideraremos cambios *infinitesimales* de estado donde se agrega una cantidad pequeña de calor  $dQ$  al sistema, éste efectúa poco trabajo  $dW$  y la energía interna cambia en una cantidad  $dU$ . Para tal proceso:

**Primera ley de la termodinámica, proceso infinitesimal:**

**Cambio infinitesimal de energía interna**

$$dU = dQ - dW$$

(19.6)

Calor infinitesimal agregado Trabajo infinitesimal efectuado

En los sistemas que analizaremos, el trabajo  $dW$  está dado por  $dW = p dV$ , por lo que también podemos escribir la primera ley como:

$$dU = dQ - p dV \quad (19.7)$$

**EVALÚE SU COMPRENSIÓN DE LA SECCIÓN 19.4** Ordene los siguientes procesos termodinámicos del más positivo al más negativo, de acuerdo con el cambio de energía interna en cada uno. **i.** Cuando usted realiza 250 J de trabajo sobre un sistema, éste transfiere 250 J de calor a su entorno; **ii.** cuando usted efectúa 250 J de trabajo sobre un sistema, éste absorbe 250 J de calor de su entorno; **iii.** cuando un sistema realiza 250 J de trabajo sobre usted, se transfieren 250 J de calor a su entorno; **iv.** cuando un sistema efectúa 250 J de trabajo sobre usted, el sistema absorbe 250 J de calor desde el entorno. **I**

## 19.5 TIPOS DE PROCESOS TERMODINÁMICOS

En esta sección, describiremos cuatro clases específicas de procesos termodinámicos que ocurren con frecuencia en situaciones prácticas y que podemos resumir como “sin transferencia de calor” o *adiabáticos*, “a volumen constante” o *isocóricos*, “a presión constante” o *isobáricos*, y “a temperatura constante” o *isotérmicos*. Con algunos de ellos, podremos usar una versión simplificada de la primera ley de la termodinámica.

## Proceso adiabático

Definimos un **proceso adiabático** como aquél donde no hay transferencia de calor desde el sistema ni tampoco hacia éste:  $Q = 0$ . Podemos evitar el flujo de calor ya sea rodeando el sistema con material térmicamente aislante o realizando el proceso con tal rapidez que no haya tiempo para un flujo de calor apreciable. Por la primera ley, para todo proceso adiabático,

$$U_2 - U_1 = \Delta U = -W \quad (\text{proceso adiabático}) \quad (19.8)$$

Cuando un sistema se expande adiabáticamente,  $W$  es positivo (el sistema efectúa trabajo sobre su entorno), por lo que  $\Delta U$  es negativo y la energía interna disminuye. Si un sistema se *comprime* adiabáticamente,  $W$  es negativo (el entorno efectúa trabajo sobre el sistema) y  $U$  aumenta. En muchos sistemas (aunque no en todos), el incremento de energía interna va acompañado por un aumento de temperatura, mientras que una disminución de energía interna va acompañada de un descenso en la temperatura (**figura 19.14**).

La carrera de compresión en un motor de combustión interna es un proceso aproximadamente adiabático. La temperatura aumenta al comprimirse la mezcla aire-combustible en el cilindro. La expansión del combustible quemado durante la carrera de potencia también es aproximadamente adiabática con un descenso de temperatura. En la sección 19.8 consideraremos procesos adiabáticos en un gas ideal.

**19.14** Cuando salta el corcho de una botella de champaña, los gases presurizados dentro de la botella se expanden rápidamente y realizan trabajo sobre el aire del exterior ( $W > 0$ ). No hay tiempo para que intercambien calor con su entorno. Por ende, la expansión es casi adiabática ( $Q = 0$ ). La energía interna de los gases en expansión disminuye ( $\Delta U = -W < 0$ ), y su temperatura baja. Esto hace que el vapor de agua se condense y forme una nube en miniatura.



## Proceso isocórico

Un **proceso isocórico** se efectúa a *volumen constante*. Si el volumen de un sistema termodinámico es constante, no efectúa trabajo sobre su entorno; por lo tanto,  $W = 0$  y

$$U_2 - U_1 = \Delta U = Q \quad (\text{proceso isocórico}) \quad (19.9)$$

En un proceso isocórico, toda la energía agregada como calor permanece en el sistema como aumento de energía interna. Calentar un gas en un recipiente cerrado de volumen constante es un ejemplo de proceso isocórico. Los procesos *ab* y *cd* del ejemplo 19.4 son también ejemplos de procesos isocóricos. (Observe que hay tipos de trabajo que no implican un cambio de volumen. Por ejemplo, efectuamos trabajo sobre un fluido agitándolo. En algunos libros, “isocórico” implica que no se efectúa ningún tipo de trabajo).

## Proceso isobárico

Un **proceso isobárico** se efectúa a *presión constante*. En general, ninguna de las tres cantidades  $\Delta U$ ,  $Q$  y  $W$  es cero en un proceso isobárico, pero aun así es fácil calcular  $W$ . De acuerdo con la ecuación (19.3),

$$W = p(V_2 - V_1) \quad (\text{proceso isobárico}) \quad (19.10)$$

Hervir agua a presión constante es un ejemplo de proceso isobárico (**figura 19.15**).

**19.15** Casi todos los procesos de cocción son isobáricos, pues la presión del aire sobre una cazuela o sartén, o dentro de un horno de microondas, se mantiene prácticamente constante mientras se calientan los alimentos.

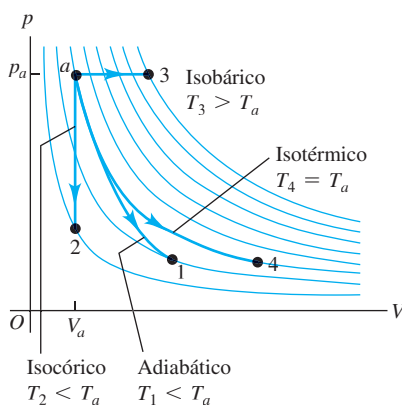


## Proceso isotérmico

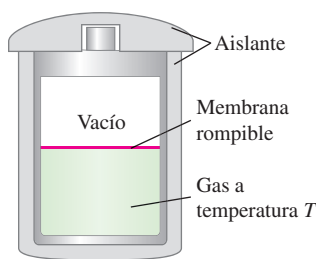
Un **proceso isotérmico** se efectúa a *temperatura constante*. Para ello, todo intercambio de calor con el entorno debe efectuarse con lentitud suficiente para que se mantenga el equilibrio térmico. En general, ninguna de las cantidades  $\Delta U$ ,  $Q$  o  $W$  es cero en un proceso isotérmico.

En algunos casos especiales, la energía interna de un sistema depende *únicamente* de su temperatura, no de su presión ni de su volumen. El sistema más conocido que posee esta propiedad especial es el gas ideal, como veremos en la siguiente sección. En tales sistemas, si la temperatura es constante, la energía interna también lo es;  $\Delta U = 0$  y  $Q = W$ . Es decir, toda la energía que entre al sistema como calor  $Q$  deberá

**19.16** Cuatro procesos para una cantidad constante de gas ideal; todos parten del estado  $a$ . Para el proceso adiabático,  $Q = 0$ ; para el isocórico,  $W = 0$ ; y para el isotérmico,  $\Delta U = 0$ . La temperatura sólo aumenta durante la expansión isobárica.



**19.17** La membrana se rompe (o se retira) para iniciar la expansión libre del gas hacia la región al vacío.



salir como trabajo  $W$  efectuado por el sistema. El ejemplo 19.1, que implica un gas ideal, es un ejemplo de proceso isotérmico donde  $U$  también es constante. En casi todos los demás sistemas que no involucran gases ideales, la energía interna depende de la presión y de la temperatura, por lo que  $U$  podría variar incluso cuando  $T$  es constante.

La figura 19.16 muestra una gráfica  $pV$  para cada uno de estos cuatro procesos con una cantidad constante de gas ideal. La trayectoria seguida en un proceso adiabático ( $a$  a 1) se llama **adiabática**. Una línea vertical (volumen constante) es una **isocórica**; una línea horizontal (presión constante) es una **isobárica**; y una curva de temperatura constante (las líneas azul claro en la figura 19.16) es una **isotérmica**.

**EVALÚE SU COMPRENSIÓN DE LA SECCIÓN 19.5** ¿Cuáles de los procesos de la figura 19.7 son isocóricos? ¿Cuáles son isobáricos? ¿Es posible saber si alguno de los procesos es isotérmico o adiabático? ■

## 19.6 ENERGÍA INTERNA DE UN GAS IDEAL

Ahora demostraremos que, para un gas ideal, la energía interna  $U$  depende sólo de la temperatura, no de la presión ni del volumen. Consideremos de nuevo el experimento de expansión libre descrito en la sección 19.3. Un recipiente térmicamente aislado con paredes rígidas se divide en dos compartimentos usando una membrana (figura 19.17). Un compartimento tiene una cantidad de gas ideal; el otro está al vacío.

Cuando la membrana se rompe o se retira, el gas se expande para llenar ambas partes del recipiente. No fluye calor a través del aislante, y el gas no efectúa trabajo sobre su entorno porque las paredes del recipiente no se mueven. Por lo tanto,  $Q$  y  $W$  son cero, y la energía interna  $U$  es constante.

¿Cambia la *temperatura T* durante una expansión libre? Supongamos que *sí* cambia, aunque la energía interna no lo hace. En tal caso, debemos concluir que la energía interna depende de la temperatura  $T$  y del volumen  $V$ , o bien, de la temperatura  $T$  y la presión  $p$ , aunque desde luego no sólo de la temperatura. Por otro lado, si  $T$  es constante durante una expansión libre, para la cual sabemos que  $U$  es constante a pesar de que tanto  $p$  como  $V$  cambian, tendremos que concluir que  $U$  depende sólo de  $T$ , no de  $p$  ni de  $V$ .

Muchos experimentos han demostrado que, cuando un gas de baja densidad (en esencia, un gas ideal) sufre una expansión libre, su temperatura *no* cambia. La conclusión es:

**La energía interna  $U$  de un gas ideal depende sólo de su temperatura, no de su presión ni de su volumen.**

Esta propiedad, además de la ecuación de estado del gas ideal, forma parte del modelo de gas ideal, y la emplearemos con frecuencia.

En el caso de los gases que no se comportan como gas ideal, hay cambios de temperatura durante las expansiones libres, aunque la energía interna sea constante. Esto indica que la energía interna no puede depender *sólo* de la temperatura; debe depender también de la presión. Desde la perspectiva microscópica, en la que la energía interna  $U$  es la suma de las energías cinéticas y potenciales de todas las partículas que constituyen el sistema, esto no es sorprendente. Los gases de comportamiento no ideal suelen tener fuerzas de atracción intermoleculares y, cuando sus moléculas se separan, aumentan las energías potenciales correspondientes. Si la energía interna total es constante, las energías cinéticas deben disminuir. La temperatura está relacionada directamente con la energía *cinética molecular*; por lo tanto, en un gas así, una expansión libre usualmente va acompañada de una *caída* en la temperatura.

**EVALÚE SU COMPRENSIÓN DE LA SECCIÓN 19.6** ¿Es probable que la energía interna de un sólido sea independiente de su volumen, como sucede con el gas ideal? Explique su razonamiento. (Sugerencia: Vea la figura 18.20). ■

## LOS DATOS HABLAN

### Energía interna de un gas ideal

Cuando a los estudiantes se les planteó un problema relacionado con la energía interna de un gas ideal, más del 27% dio una respuesta incorrecta.

Errores comunes:

- Olvidar que para una cantidad dada de gas ideal, si  $pV$  permanece constante, entonces la temperatura  $T$  permanece constante porque  $pV = nRT$ . En este caso, la energía  $U$  también permanece constante.
- Olvidar utilizar la primera ley de la termodinámica,  $\Delta U = Q - W$ . Por ejemplo, si un gas ideal se expande y empuja un pistón (por lo que  $W > 0$ ), pero no hay flujo de calor al gas (de manera que  $Q = 0$ ), entonces  $\Delta U = 0 - W < 0$ . Puesto que  $U$  disminuye,  $T$  también.

## 19.7 CAPACIDAD CALORÍFICA DE UN GAS IDEAL

Definimos el calor específico y la capacidad calorífica molar en la sección 17.5. También comentamos al final de esa sección que el calor específico o la capacidad calorífica molar de una sustancia dependen de las condiciones en que se agrega calor. Suele ser más fácil medir la capacidad calorífica de un gas en un recipiente cerrado en condiciones de volumen constante. La cantidad correspondiente es la **capacidad calorífica molar a volumen constante**, que se denota con  $C_V$ . En el caso de sólidos y líquidos, las mediciones de capacidad calorífica generalmente se realizan en condiciones de presión atmosférica constante, y llamamos a la cantidad correspondiente **capacidad calorífica molar a presión constante**,  $C_p$ .

Consideremos la  $C_V$  y  $C_p$  de un gas ideal. Para medir  $C_V$ , elevamos la temperatura de un gas ideal en un recipiente rígido de volumen constante despreciando su expansión térmica (figura 19.18a). Para medir  $C_p$ , dejamos que el gas se expanda apenas lo suficiente como para mantener la presión constante al aumentar la temperatura (figura 19.18b).

¿Por qué son diferentes estas dos capacidades caloríficas molares? La respuesta está en la primera ley de la termodinámica. En un aumento de temperatura con volumen constante, el sistema no efectúa trabajo, y el cambio de energía interna  $\Delta U$  es igual al calor agregado  $Q$ . Por el contrario, en un aumento de temperatura a presión constante, el volumen *debe* aumentar; si no, la presión (dada por la ecuación de estado del gas ideal,  $p = nRT/V$ ) no podría permanecer constante. Al expandirse el material, realiza un trabajo  $W$ . De acuerdo con la primera ley,

$$Q = \Delta U + W \quad (19.11)$$

Para un aumento de temperatura dado, el cambio de energía interna  $\Delta U$  de un gas con comportamiento ideal tiene el mismo valor sin importar el proceso (recuerde que la energía interna del gas ideal sólo depende de la temperatura, no de la presión ni del volumen). La ecuación (19.11) indica entonces que el suministro de calor en un proceso a presión constante debe ser *mayor* que en uno a volumen constante, porque se requiere energía adicional para el trabajo  $W$  realizado durante la expansión. Así,  $C_p$  del gas ideal es mayor que  $C_V$ . La gráfica  $pV$  de la figura 19.19 muestra esta relación. Para el aire,  $C_p$  es un 40% mayor que  $C_V$ .

En el caso de unas cuantas sustancias (una de las cuales es el agua entre 0 y 4°C), el volumen *disminuye* durante el calentamiento. En este caso,  $W$  es negativo, y el cambio de energía interna  $\Delta U$  es mayor que la entrada de calor  $Q$ .

### Relación entre $C_p$ y $C_V$ para un gas ideal

Podemos deducir una relación sencilla entre  $C_p$  y  $C_V$  para el gas ideal. Considere primero el proceso a *volumen constante*. Colocamos  $n$  moles de gas ideal a temperatura  $T$  en un recipiente de volumen constante, que colocamos en contacto térmico con un cuerpo más caliente; una cantidad infinitesimal de calor  $dQ$  fluye hacia el gas, y su temperatura aumenta en una cantidad infinitesimal  $dT$ . Por la definición de  $C_V$ , la capacidad calorífica molar a volumen constante,

$$dQ = nC_V dT \quad (19.12)$$

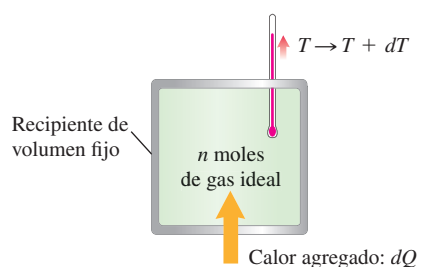
La presión aumenta durante este proceso, pero el gas no realiza trabajo ( $dW = 0$ ) porque el volumen es constante. La primera ley en forma diferencial, ecuación (19.6), es  $dQ = dU + dW$ . Puesto que  $dW = 0$ ,  $dQ = dU$  y la ecuación (19.12) también puede escribirse como

$$dU = nC_V dT \quad (19.13)$$

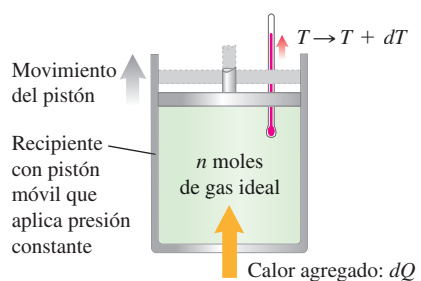
Considere ahora un proceso a *presión constante* con el mismo cambio de temperatura  $dT$ . Colocamos el mismo gas en un cilindro con un pistón que permitimos moverse apenas lo suficiente para mantener una presión constante (figura 19.18b). Otra vez, ponemos el sistema en contacto con un cuerpo más caliente. Al fluir calor hacia el gas, se expande a presión constante y efectúa trabajo. Por la definición de  $C_p$ , la capacidad

**19.18** Medición de la capacidad calorífica molar de un gas ideal a) a volumen constante y b) a presión constante.

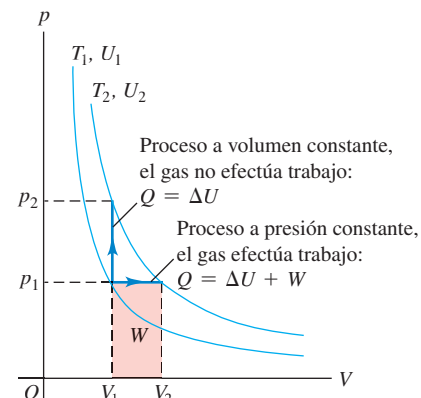
a) Volumen constante:  $dQ = nC_V dT$



b) Presión constante:  $dQ = nC_p dT$



**19.19** Elevación de la temperatura del gas ideal de  $T_1$  a  $T_2$  mediante un proceso a volumen o a presión constante. En el gas ideal,  $U$  depende sólo de  $T$ , por lo que  $\Delta U$  es el mismo en ambos procesos. Sin embargo, en el proceso a presión constante, es preciso agregar más calor  $Q$  para aumentar  $U$  y también efectuar un trabajo  $W$ . Por lo tanto,  $C_p > C_V$ .



calorífica molar a presión constante, la cantidad de calor  $dQ$  que entra en el gas es

$$dQ = nC_p dT \quad (19.14)$$

El trabajo  $dW$  efectuado por el gas en este proceso a presión constante es

$$dW = p dV$$

También podemos expresar  $dW$  en términos del cambio de temperatura  $dT$  usando la ecuación de estado del gas ideal,  $pV = nRT$ . Al ser  $p$  constante, el cambio de  $V$  es proporcional al cambio de  $T$ :

$$dW = p dV = nR dT \quad (19.15)$$

Ahora sustituimos las ecuaciones (19.14) y (19.15) en la primera ley,  $dQ = dU + dW$ . Obtenemos

$$nC_p dT = dU + nR dT \quad (19.16)$$

Llegamos ahora al meollo del cálculo. El cambio de energía interna  $dU$  para el proceso a presión constante está dado de nuevo por la ecuación (19.13),  $dU = nC_V dT$ , *pese a que ahora el volumen no es constante*. ¿Por qué? Recuerde lo dicho en la sección 19.6: una de las propiedades especiales del gas ideal es que su energía interna depende *sólo* de la temperatura. Por lo tanto, el *cambio* de energía interna durante cualquier proceso debe estar determinado únicamente por el cambio de temperatura. Si la ecuación (19.13) es válida para el gas ideal durante un proceso, debe ser válida para el gas ideal durante cualquier proceso con el mismo  $dT$ . Por lo tanto, sustituimos  $dU$  en la ecuación (19.16) por  $nC_V dT$ :

$$nC_p dT = nC_V dT + nR dT$$

Al dividir cada término entre el factor común  $ndT$ , se obtiene

<b>Para un gas ideal:</b>	<b>Capacidad calorífica molar a presión constante</b> $C_p = C_V + R$ Constante de los gases <b>Capacidad calorífica molar a volumen constante</b>	(19.17)
-------------------------------	--	---------

Como lo anticipamos, la capacidad calorífica molar del gas ideal a presión constante es *mayor* que a volumen constante; la diferencia es la constante de los gases  $R$ .

Hemos usado el modelo del gas ideal para deducir la ecuación (19.17), pero resulta que muchos gases reales a presiones moderadas se ajustan a él con muy poco error. En la **tabla 19.1** se dan valores medidos de  $C_p$  y  $C_V$  para varios gases reales a baja presión; la diferencia en casi todos los casos es aproximadamente  $R = 8.314 \text{ J/mol}\cdot\text{K}$ .

La tabla también muestra que la capacidad calorífica molar de un gas está relacionada con su estructura molecular, como vimos en la sección 18.4. De hecho, las dos primeras columnas de la tabla 19.1 son las mismas de la tabla 18.1.

**TABLA 19.1** Capacidades caloríficas molares de gases a baja presión

Tipo de gas	Gas	$C_V$ (J/mol·K)	$C_p$ (J/mol·K)	$C_p - C_V$ (J/mol·K)	$\gamma = C_p/C_V$
Monoatómico	He	12.47	20.78	8.31	1.67
	Ar	12.47	20.78	8.31	1.67
Diatómico	H <sub>2</sub>	20.42	28.74	8.32	1.41
	N <sub>2</sub>	20.76	29.07	8.31	1.40
	O <sub>2</sub>	20.85	29.17	8.32	1.40
	CO	20.85	29.16	8.31	1.40
Poliatómico	CO <sub>2</sub>	28.46	36.94	8.48	1.30
	SO <sub>2</sub>	31.39	40.37	8.98	1.29
	H <sub>2</sub> S	25.95	34.60	8.65	1.33

## El cociente de capacidades caloríficas

La última columna de la tabla 19.1 da los valores adimensionales del **cociente de capacidades caloríficas**,  $C_p/C_V$ , que se denota con  $\gamma$  (la letra griega gamma).

$$\text{Cocientes de capacidades caloríficas} \rightarrow \gamma = \frac{C_p}{C_V} \begin{array}{l} \xrightarrow{\text{Capacidad calorífica molar a presión constante}} \\ \xleftarrow{\text{Capacidad calorífica molar a volumen constante}} \end{array} \quad (19.18)$$

(Este cociente es equivalente al de los calores específicos, por lo que también se conoce como “cociente de calores específicos”). En el caso de los gases,  $C_p$  siempre es mayor que  $C_V$ , y  $\gamma$  siempre es mayor que 1. Esta cantidad desempeña un papel importante en los procesos adiabáticos de gases ideales, como veremos en la siguiente sección.

Podemos usar nuestro análisis de la capacidad calorífica molar del gas ideal según la teoría cinética (sección 18.4) para predecir los valores de  $\gamma$ . Por ejemplo, un gas monoatómico con comportamiento ideal tiene  $C_V = \frac{3}{2}R$ . De acuerdo con la ecuación (19.17),

$$C_p = C_V + R = \frac{3}{2}R + R = \frac{5}{2}R$$

por lo que

$$\gamma = \frac{C_p}{C_V} = \frac{\frac{5}{2}R}{\frac{3}{2}R} = \frac{5}{3} = 1.67$$

Como muestra la tabla 19.1, esto concuerda a grandes rasgos con los valores de  $\gamma$  calculados a partir de capacidades caloríficas medidas. Para la mayoría de los gases diatómicos a temperatura ambiente,  $C_V = \frac{5}{2}R$ ,  $C_p = C_V + R = \frac{7}{2}R$ , y

$$\gamma = \frac{C_p}{C_V} = \frac{\frac{7}{2}R}{\frac{5}{2}R} = \frac{7}{5} = 1.40$$

lo cual también concuerda aproximadamente con los valores medidos.

Veamos un recordatorio final: para un gas ideal, el cambio de energía interna en cualquier proceso está dado por  $\Delta U = nC_V \Delta T$ , sea constante el volumen o no. Esta relación se cumple para otras sustancias sólo si el volumen es constante.



### EJEMPLO 19.6 ENFRIAMIENTO DE UNA HABITACIÓN

Un dormitorio común contiene unos 2500 moles de aire. Calcule el cambio de energía interna de esa cantidad de aire cuando se enfriá de 35.0°C a 26.0°C, a presión constante de 1.00 atm. Trate el aire como gas ideal con  $\gamma = 1.400$ .

#### SOLUCIÓN

**IDENTIFICAR y PLANTEAR:** Nuestra incógnita es el cambio de energía interna  $\Delta U$  de un gas ideal en un proceso a presión constante. Se nos dan el número de moles, el cambio de temperatura y el valor de  $\gamma$  del aire. Usaremos la ecuación (19.13),  $\Delta U = nC_V \Delta T$ , que nos da el cambio de energía interna para un gas ideal en cualquier proceso, sea constante el volumen o no. [Vea el análisis que sigue a la ecuación (19.16)]. Usaremos las ecuaciones (19.17) y (19.18) para encontrar  $C_V$ .

**EJECUTAR:** De acuerdo con las ecuaciones (19.17) y (19.18),

$$\gamma = \frac{C_p}{C_V} = \frac{C_V + R}{C_V} = 1 + \frac{R}{C_V}$$

$$C_V = \frac{R}{\gamma - 1} = \frac{8.314 \text{ J/mol} \cdot \text{K}}{1.400 - 1} = 20.79 \text{ J/mol} \cdot \text{K}$$

Entonces de la ecuación (19.13),

$$\begin{aligned} \Delta U &= nC_V \Delta T \\ &= (2500 \text{ mol})(20.79 \text{ J/mol} \cdot \text{K})(26.0^\circ\text{C} - 35.0^\circ\text{C}) \\ &= -4.68 \times 10^5 \text{ J} \end{aligned}$$

**EVALUAR:** Para enfriar 2500 moles de aire de 35.0°C a 26.0°C, un aparato de aire acondicionado debe extraer esa cantidad de energía interna del aire y transferirla al aire exterior. En el capítulo 20 analizaremos cómo se hace esto.

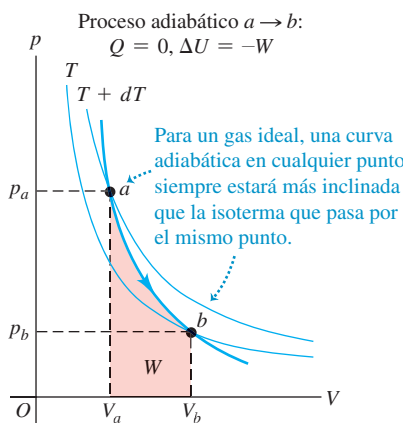
**EVALÚE SU COMPRENSIÓN DE LA SECCIÓN 19.7** Se quiere enfriar un cilindro de almacenamiento, que contiene 10 moles de gas comprimido, de 30°C a 20°C. ¿Para qué clase de gas sería más sencillo? **i.** Un gas monoatómico; **ii.** un gas diatómico; **iii.** un gas poliatómico; **iv.** sería igual de sencillo para todos éstos. **I**

## 19.8 PROCESO ADIABÁTICO PARA UN GAS IDEAL

Un proceso adiabático, definido en la sección 19.5, es un proceso en el que no hay transferencia de calor entre un sistema y su entorno. Esto es una idealización; no obstante, un proceso es aproximadamente adiabático si el sistema está bien aislado, o si el proceso se efectúa con tal rapidez que no hay tiempo suficiente para que ocurra un flujo de calor apreciable.

En un proceso adiabático,  $Q = 0$  y, por la primera ley,  $\Delta U = -W$ . En la gráfica  $pV$  de la figura 19.20 se muestra un proceso adiabático para el gas ideal. Al expandirse el gas de  $V_a$  a  $V_b$ , efectúa un trabajo positivo  $W$  sobre su entorno, su energía interna disminuye ( $\Delta U = -W < 0$ ), y su temperatura baja de  $T + dT$  a  $T$  (también se muestra un proceso adiabático en la figura 19.16).

**19.20** Gráfica  $pV$  de un proceso adiabático ( $Q = 0$ ) para un gas ideal. Al expandirse el gas de  $V_a$  a  $V_b$ , efectúa un trabajo positivo  $W$  sobre su entorno, su energía interna disminuye ( $\Delta U = -W < 0$ ), y su temperatura baja de  $T + dT$  a  $T$  (también se muestra un proceso adiabático en la figura 19.16).



El aire en los tubos de salida de los compresores de aire usados para inflar neumáticos o para llenar tanques de buceo siempre está más caliente que el aire que entra en el compresor; esto se debe a que la compresión es rápida y, por ende, casi adiabática. Hay *enfriamiento adiabático* cuando abrimos una botella de una refrescante bebida gaseosa. El gas inmediatamente arriba de la superficie del líquido se expande con rapidez en un proceso casi adiabático; la temperatura del gas baja tanto que el vapor de agua que contiene se condensa, formando una nube miniatura (vea la figura 19.14).

**CUIDADO** “Calentamiento” y “enfriamiento” sin calor Tenga presente que, al hablar de “calentamiento adiabático” y “enfriamiento adiabático”, en realidad queremos decir “subir la temperatura” y “bajar la temperatura”, respectivamente. En un proceso adiabático, el cambio de temperatura se debe al trabajo realizado por el sistema o sobre él; no hay flujo de calor. ■

### Gas ideal adiabático: Relación entre $V$ , $T$ y $p$

Podemos deducir una relación entre el volumen y los cambios de temperatura para un proceso adiabático infinitesimal en un gas ideal. La ecuación (19.13) da el cambio de energía interna  $dU$  para *cualquier* proceso del gas ideal, adiabático o no, por lo que tenemos  $dU = nC_V dT$ . Además, el trabajo efectuado por el gas durante el proceso está dado por  $dW = p dV$ . Entonces, como  $dU = -dW$  para un proceso adiabático, tenemos

$$nC_V dT = -p dV \quad (19.19)$$

Para obtener una relación que contenga sólo el volumen  $V$  y la temperatura  $T$ , eliminamos  $p$  usando la ecuación del gas ideal en la forma  $p = nRT/V$ . Después de sustituir esto en la ecuación (19.19) y reacomodar:

$$\begin{aligned} nC_V dT &= -\frac{nRT}{V} dV \\ \frac{dT}{T} + \frac{R}{C_V} \frac{dV}{V} &= 0 \end{aligned}$$

El coeficiente  $R/C_V$  se puede expresar en términos de  $\gamma = C_p/C_V$ . Tenemos

$$\begin{aligned} \frac{R}{C_V} &= \frac{C_p - C_V}{C_V} = \frac{C_p}{C_V} - 1 = \gamma - 1 \\ \frac{dT}{T} + (\gamma - 1) \frac{dV}{V} &= 0 \end{aligned} \quad (19.20)$$

Como  $\gamma$  siempre es mayor que 1 para un gas,  $(\gamma - 1)$  siempre es positivo. Esto implica que, en la ecuación (19.20),  $dV$  y  $dT$  siempre tienen signos opuestos. Una *expansión adiabática* de un gas ideal ( $dV > 0$ ) siempre sucede con una caída de temperatura ( $dT < 0$ ), y una *compresión adiabática* ( $dV < 0$ ) siempre va acompañada de un aumento de temperatura ( $dT > 0$ ); esto confirma nuestra predicción.

Para cambios finitos de temperatura y volumen, integramos la ecuación (19.20):

$$\ln T + (\gamma - 1) \ln V = \text{constante}$$

$$\ln T + \ln V^{\gamma-1} = \text{constante}$$

$$\ln(TV^{\gamma-1}) = \text{constante}$$

y, por último,

$$TV^{\gamma-1} = \text{constante} \quad (19.21)$$

Así, para un estado inicial ( $T_1, V_1$ ) y un estado final ( $T_2, V_2$ ),

$$T_1 V_1^{\gamma-1} = T_2 V_2^{\gamma-1} \quad (\text{proceso adiabático, gas ideal}) \quad (19.22)$$

Puesto que usamos la ecuación del gas ideal para deducir las ecuaciones (19.21) y (19.22), las  $T$  siempre deben ser temperaturas *absolutas* (kelvin).

También podemos convertir la ecuación (19.21) en una relación entre la presión y el volumen, eliminando  $T$  con la ayuda de la ecuación del gas ideal en la forma  $T = pV/nR$ . Al sustituir esto en la ecuación (19.21), obtenemos

$$\frac{pV}{nR} V^{\gamma-1} = \text{constante}$$

o bien, puesto que  $n$  y  $R$  son constantes,

$$pV^\gamma = \text{constante} \quad (19.23)$$

Para un estado inicial ( $p_1, V_1$ ) y un estado final ( $p_2, V_2$ ), la ecuación (19.23) se convierte en

$$p_1 V_1^\gamma = p_2 V_2^\gamma \quad (\text{proceso adiabático, gas ideal}) \quad (19.24)$$

También podemos calcular el *trabajo* efectuado por un gas ideal durante un proceso adiabático. Sabemos que  $Q = 0$  y  $W = -\Delta U$  para *cualquier* proceso adiabático. Para un gas ideal,  $\Delta U = nC_V(T_2 - T_1)$ . Si conocemos el número  $n$  de moles y las temperaturas inicial y final,  $T_1$  y  $T_2$ , tenemos simplemente

$$\begin{aligned} \text{Trabajo efectuado} & \text{ por un gas ideal,} \\ & \text{proceso adiabático} \end{aligned} \quad W = nC_V(T_1 - T_2) \quad \begin{aligned} & \text{Número de moles} \\ & \text{Temperatura inicial} \\ & \text{Temperatura final} \\ & \text{Capacidad calorífica molar a volumen constante} \end{aligned} \quad (19.25)$$

También podemos usar  $pV = nRT$  en esta ecuación para obtener

$$\begin{aligned} \text{Trabajo efectuado} & \text{ por un gas ideal,} \\ & \text{proceso adiabático} \end{aligned} \quad W = \frac{C_V}{R}(p_1 V_1 - p_2 V_2) = \frac{1}{\gamma - 1}(p_1 V_1 - p_2 V_2) \quad \begin{aligned} & \text{Presión y volumen iniciales} \\ & \text{Presión y volumen finales} \\ & \text{Constante de los gases} \\ & \text{Capacidad calorífica molar a volumen constante} \\ & \text{Cociente de capacidades caloríficas} \end{aligned} \quad (19.26)$$

(Usamos el resultado  $C_V = R/(\gamma - 1)$  del ejemplo 19.6). Si el proceso es una expansión, la temperatura baja,  $T_1$  es mayor que  $T_2$ ,  $p_1 V_1$  es mayor que  $p_2 V_2$ , y el trabajo es *positivo*. Si el proceso es una compresión, el trabajo es *negativo*.

En todo este análisis de los procesos adiabáticos, hemos usado la ecuación de estado del gas ideal, que sólo es válida para estados de *equilibrio*. En sentido estricto, nuestros resultados sólo son válidos para un proceso tan rápido, que no permite un intercambio de calor apreciable con el entorno (así que  $Q = 0$  y el proceso es adiabático), pero que es lo bastante lento como para que el sistema no se aleje mucho del equilibrio térmico y mecánico. Aun si no se satisfacen estrictamente estas condiciones, las ecuaciones (19.22), (19.24) y (19.26) dan aproximaciones útiles.

### BIO Aplicación Exhalando adiabáticamente

Coloque su mano unos centímetros delante de su boca, abra la boca y exhale. Sentirá que su aliento está tibio en su mano, porque los gases exhalados surgen aproximadamente a la temperatura del interior de su cuerpo. Ahora fruncir los labios como si fuera a silbar, y otra vez soplar en la mano. Los gases exhalados se sentirán mucho más frescos. En este caso, los gases experimentan una expansión rápida, esencialmente adiabática a medida que emergen de entre sus labios, por lo que la temperatura de los gases exhalados disminuye.





## EJEMPLO 19.7 COMPRESIÓN ADIABÁTICA EN UN MOTOR DIÉSEL

La razón de compresión de un motor diésel es de 15.0 a 1; esto implica que el aire de los cilindros se comprime a  $\frac{1}{(15.0)}$  de su volumen inicial (**figura 19.21**). *a)* Si la presión inicial es de  $1.01 \times 10^5$  Pa y la temperatura inicial es de  $27^\circ\text{C}$  (300 K), calcule la presión y la temperatura finales después de la compresión adiabática. *b)* ¿Cuánto trabajo realiza el gas durante la compresión si el volumen inicial del cilindro es  $1.00 \text{ L} = 1.00 \times 10^{-3} \text{ m}^3$ ? Utilice los valores  $C_V = 20.8 \text{ J/mol}\cdot\text{K}$  y  $\gamma = 1.400$  para el aire.

### SOLUCIÓN

**IDENTIFICAR y PLANTEAR:** Como este problema tiene que ver con la compresión adiabática de un gas ideal, podemos utilizar los conceptos de esta sección. En el inciso *a*) nos dan la presión y la temperatura iniciales  $p_1 = 1.01 \times 10^5$  Pa y  $T_1 = 300$  K, y nos dicen que el cociente entre los volúmenes inicial y final es  $V_1/V_2 = 15.0$ . Podemos obtener la temperatura final  $T_2$  con la ecuación (19.22), y la presión final  $p_2$  con la ecuación (19.24). En el inciso *b*) nuestra incógnita es  $W$ , el trabajo realizado por el gas durante la compresión adiabática. Usamos la ecuación (19.26) para calcular  $W$ .

**EJECUTAR:** *a)* De acuerdo con las ecuaciones (19.22) y (19.24),

$$T_2 = T_1 \left( \frac{V_1}{V_2} \right)^{\gamma-1} = (300 \text{ K}) (15.0)^{0.40} = 886 \text{ K} = 613^\circ\text{C}$$

$$p_2 = p_1 \left( \frac{V_1}{V_2} \right)^\gamma = (1.01 \times 10^5 \text{ Pa}) (15.0)^{1.40}$$

$$= 44.8 \times 10^5 \text{ Pa} = 44 \text{ atm}$$

*b)* Según la ecuación (19.26), el trabajo efectuado es

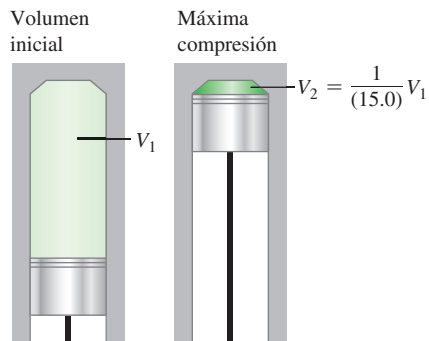
$$W = \frac{1}{\gamma - 1} (p_1 V_1 - p_2 V_2)$$

Utilizando  $V_1/V_2 = 15.0$ , se obtiene

$$W = \frac{1}{1.400 - 1} \left[ (1.01 \times 10^5 \text{ Pa})(1.00 \times 10^{-3} \text{ m}^3) - (44.8 \times 10^5 \text{ Pa}) \left( \frac{1.00 \times 10^{-3} \text{ m}^3}{15.0} \right) \right]$$

$$= -494 \text{ J}$$

**19.21** Compresión adiabática del aire en un cilindro de un motor diésel.



**EVALUAR:** Si la compresión hubiera sido isotérmica, la presión final habría sido 15.0 atm. Sin embargo, como la temperatura también aumenta durante una compresión adiabática, la presión final es mucho mayor. Cuando se inyecta combustible en los cilindros cerca del final de la carrera de compresión, la alta temperatura que el aire alcanza durante la compresión hace que el combustible se encienda espontáneamente, sin necesidad de bujías.

Podemos comprobar nuestro resultado del inciso *b*) mediante la ecuación (19.25). El número de moles de gas en el cilindro es

$$n = \frac{p_1 V_1}{R T_1} = \frac{(1.01 \times 10^5 \text{ Pa})(1.00 \times 10^{-3} \text{ m}^3)}{(8.314 \text{ J/mol}\cdot\text{K})(300 \text{ K})} = 0.0405 \text{ mol}$$

Entonces, la ecuación (19.25) da

$$W = n C_V (T_1 - T_2)$$

$$= (0.0405 \text{ mol})(20.8 \text{ J/mol}\cdot\text{K})(300 \text{ K} - 886 \text{ K})$$

$$= -494 \text{ J}$$

El trabajo es negativo ya que el gas se comprime.

**EVALÚE SU COMPRENSIÓN DE LA SECCIÓN 19.8** Usted tiene cuatro muestras de gas ideal, cada una de las cuales contiene el mismo número de moles de gas y tiene igual temperatura, volumen y presión iniciales. Luego comprime cada muestra a la mitad de su volumen inicial. Ordene de mayor a menor las cuatro muestras, de acuerdo con el valor de su presión final. **i.** Un gas monoatómico comprimido isotérmicamente; **ii.** un gas monoatómico comprimido adiabáticamente; **iii.** un gas diatómico comprimido isotérmicamente; **iv.** un gas diatómico comprimido adiabáticamente. |



**Calor y trabajo en los procesos termodinámicos:** Un sistema termodinámico puede intercambiar energía potencial con su entorno por transferencia de calor o mediante trabajo mecánico. Cuando un sistema a presión  $p$  cambia su volumen de  $V_1$  a  $V_2$ , efectúa una cantidad de trabajo  $W$  dada por la integral de  $p$  con respecto al volumen. Si la presión es constante, el trabajo efectuado es igual a  $p$  multiplicada por el cambio de volumen. Un valor negativo de  $W$  implica que se efectúa trabajo sobre el sistema (vea el ejemplo 19.1).

En cualquier proceso termodinámico, el calor agregado al sistema y el trabajo efectuado por el sistema no sólo dependen de los estados inicial y final, sino también de la trayectoria (la serie de estados intermedios por los que pasa el sistema).

**Primera ley de la termodinámica:** La primera ley de la termodinámica establece que, cuando se agrega calor  $Q$  a un sistema mientras éste efectúa un trabajo  $W$ , la energía interna  $U$  cambia en una cantidad igual a  $Q - W$ . Esta ley también se puede plantear para un proceso infinitesimal (vea los ejemplos 19.2, 19.3 y 19.5).

La energía interna de cualquier sistema termodinámico depende exclusivamente de su estado. El cambio de energía interna durante cualquier proceso depende únicamente de los estados inicial y final, no de la trayectoria seguida. La energía interna de un sistema aislado es constante (vea el ejemplo 19.4).

#### Tipos de procesos termodinámicos importantes:

- Proceso adiabático: no entra calor al sistema ni sale de él,  $Q = 0$ .
- Proceso isocórico: volumen constante,  $W = 0$ .
- Proceso isobárico: presión constante,  $W = p(V_2 - V_1)$ .
- Proceso isotérmico: temperatura constante.

**Termodinámica de los gases ideales:** La energía interna de un gas ideal depende únicamente de su temperatura, no de su presión ni de su volumen. En el caso de otras sustancias, la energía interna generalmente depende tanto de la presión como de la temperatura.

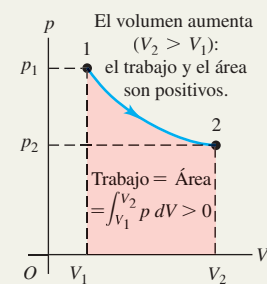
Las capacidades caloríficas molares  $C_V$  y  $C_p$  de un gas ideal difieren por  $R$ , la constante del gas ideal. El cociente adimensional de capacidades caloríficas,  $C_p/C_V$ , se denota con  $\gamma$ . (Vea el ejemplo 19.6).

**Procesos adiabáticos en gases ideales:** En un proceso adiabático de un gas ideal, las cantidades  $TV^{\gamma-1}$  y  $pV^\gamma$  son constantes. El trabajo efectuado por el gas ideal durante una expansión adiabática se puede expresar en términos de los valores inicial y final de la temperatura, o en términos de los valores inicial y final de la presión y el volumen (vea el ejemplo 19.7).

$$W = \int_{V_1}^{V_2} p \, dV \quad (19.2)$$

$$W = p(V_2 - V_1) \quad (19.3)$$

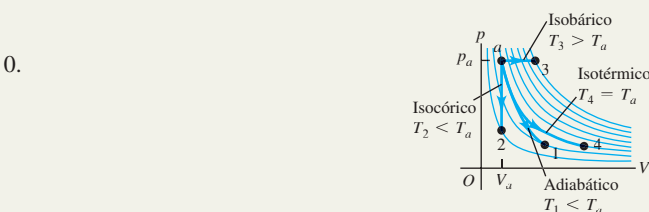
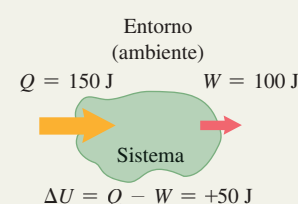
(sólo presión constante)



$$\Delta U = Q - W \quad (19.4)$$

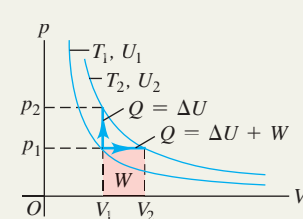
$$dU = dQ - dW \quad (19.6)$$

(proceso infinitesimal)



$$C_p = C_V + R \quad (19.17)$$

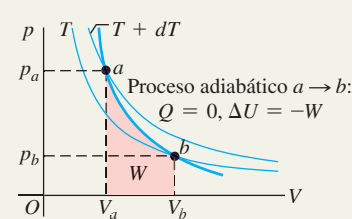
$$\gamma = \frac{C_p}{C_V} \quad (19.18)$$



$$W = nC_V(T_1 - T_2) \quad (19.25)$$

$$= \frac{C_V}{R}(p_1 V_1 - p_2 V_2) \quad (19.26)$$

$$= \frac{1}{\gamma - 1}(p_1 V_1 - p_2 V_2)$$



## PROBLEMA PRÁCTICO

## TRABAJO REALIZADO POR UN GAS DE VAN DER WAALS



La ecuación de estado de Van der Waals, una representación aproximada del comportamiento de los gases a alta presión, está dada por la ecuación (18.7):  $[p + (an^2/V^2)](V - nb) = nRT$ , donde  $a$  y  $b$  son constantes que tienen valores distintos para diferentes gases (en el caso especial de  $a = b = 0$ , ésta es la ecuación de los gases ideales). *a)* Calcule el trabajo realizado por un gas con la ecuación de estado en una expansión isotérmica de  $V_1$  a  $V_2$ . *b)* Para el gas etano ( $C_2H_6$ ),  $a = 0.554 \text{ J}\cdot\text{m}^3/\text{mol}^2$  y  $b = 6.38 \times 10^{-5} \text{ m}^3/\text{mol}$ . Calcule el trabajo  $W$  efectuado por 1.80 moles de etano cuando se expande de  $2.00 \times 10^{-3} \text{ m}^3$  a  $4.00 \times 10^{-3} \text{ m}^3$  a una temperatura constante de 300 K. Realice el cálculo usando *i.* la ecuación de estado de Van der Waals y *ii.* la ecuación de los gases ideales. *c)* ¿Para cuál ecuación de estado  $W$  es más grande? ¿Por qué habría de ser así?

## GUÍA DE SOLUCIÓN

## IDENTIFICAR y PLANTEAR

- Revise el análisis de la ecuación de estado de Van der Waals en la sección 18.1. ¿Cuál es la importancia de las cantidades  $a$  y  $b$ ?
- Determine cómo encontrar el trabajo realizado por un gas en expansión cuya presión  $p$  no depende de  $V$  en la misma forma que para un gas ideal. (Sugerencia: Vea la sección 19.2).
- ¿Cómo va a calcular el trabajo realizado por un gas ideal en expansión?

## EJECUTAR

- Encuentre la expresión general para el trabajo realizado por el gas de Van der Waals cuando se expande del volumen  $V_1$  al volumen

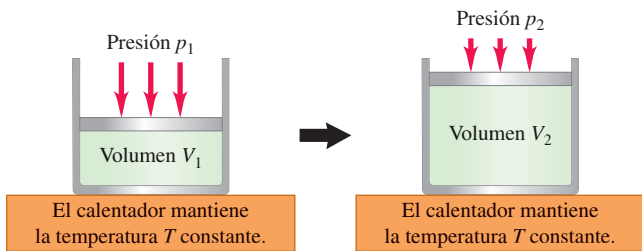
$V_2$  (figura 19.22). (Sugerencia: Si en su resultado establece que  $a = b = 0$ , esto se debe reducir a la expresión para el trabajo realizado por un gas ideal en expansión).

- Utilice su resultado del paso 4 para resolver el inciso *b*) para el etano tratado como un gas de Van der Waals.
- Utilice la fórmula que eligió en el paso 3 para resolver el inciso *b*) para el etano tratado como un gas ideal.

## EVALUAR

- ¿La diferencia entre  $W$  para las dos ecuaciones de estado es suficientemente grande como para ser significativa?
- ¿El término con  $a$  en la ecuación de estado de Van der Waals aumenta o disminuye la cantidad de trabajo realizado? ¿Qué pasa con el término con  $b$ ? ¿Cuál es más importante para el etano en este problema?

## 19.22 Un gas experimenta una expansión isotérmica.



## Problemas

•, •, ••: Niveles de dificultad. PA: Problemas acumulativos que incorporan material de capítulos anteriores. CALC: Problemas que requieren cálculo. DATOS: Problemas que incluyen datos reales, evidencia científica, diseño experimental y/o razonamiento estadístico. BIO: Problemas de ciencias biológicas.

## PREGUNTAS PARA ANÁLISIS

**P19.1** En los siguientes procesos, ¿el trabajo efectuado por el sistema (definido como un gas que se expande o se contrae) sobre el ambiente es positivo o negativo? *a)* La expansión de una mezcla aire-gasolina quemada en el cilindro de un motor de automóvil; *b)* abrir una botella de champaña; *c)* llenar un tanque de buceo con aire comprimido; *d)* la abolladura parcial de una botella de agua vacía y cerrada, al conducir descendiendo desde las montañas hacia el nivel del mar.

**P19.2** No es correcto decir que un cuerpo contiene cierta cantidad de calor; no obstante, un cuerpo puede transferir calor a otro. Entonces, ¿cómo un cuerpo puede ceder algo que no tiene?

**P19.3** ¿En qué situaciones debe usted efectuar más trabajo: al inflar un globo al nivel del mar o al inflar el mismo globo con el mismo volumen en la cima del Monte McKinley? Explique su respuesta en términos de presión y cambio de volumen.

**P19.4** Si le indican cuáles son los estados inicial y final de un sistema y el cambio correspondiente de energía interna, ¿podría determinar si dicho cambio se debió a trabajo o a transferencia de calor? Explique su respuesta.

**P19.5** Analice la aplicación de la primera ley de la termodinámica a un alpinista que ingiere alimentos, se calienta y suda mucho durante un ascenso, y efectúa mucho trabajo mecánico para subir su cuerpo a la cima. El alpinista también se acalora durante el descenso. ¿La fuente de esa energía es la misma que durante el ascenso?

**P19.6** Cuando se derrite hielo a 0°C, su volumen disminuye. ¿El cambio de energía interna es mayor, menor o igual que el calor agregado? ¿Cómo lo sabe?

**P19.7** Usted sostiene un globo inflado sobre un conducto de aire caliente de su casa y observa que se expande lentamente. Después, usted lo aleja del conducto y lo deja enfriar a la temperatura ambiente. Durante la expansión, ¿cuál era mayor: el calor agregado al globo o el trabajo efectuado por el aire dentro de éste? Explique su respuesta (suponga que el aire es un gas ideal). Una vez que el globo regresa a la temperatura ambiente, ¿cómo se compara el calor neto ganado o perdido por el aire dentro del globo con el trabajo neto efectuado sobre el aire circundante o con el trabajo realizado por este último?

**P19.8** Usted hornea galletas con chispas de chocolate y las coloca, aún calientes, dentro un recipiente con una tapa suelta (sin cerrar herméticamente). ¿Qué tipo de proceso sufre el aire, dentro del recipiente, conforme las galletas se enfrian gradualmente a temperatura ambiente? (isotérmico, isocórico, adiabático, isobárico o alguna combinación de ellos). Explique su respuesta.

**P19.9** Imagine un gas constituido exclusivamente por electrones con carga negativa. Las cargas iguales se repelen, por lo que los electrones ejercen fuerzas de repulsión entre sí. ¿Cabría esperar que la temperatura de semejante gas aumentara, disminuyera o se mantuviera igual durante una expansión libre? ¿Porq ué?

**P19.10** En un proceso adiabático para un gas ideal, la presión disminuye. En este proceso, ¿la energía interna del gas aumenta o disminuye? Explique.

**P19.11** Si soplamos sobre el dorso de nuestra mano con la boca bien abierta, el aliento se siente tibio. En cambio, si cerramos parcialmente la boca como para pronunciar una “o” y soplamos sobre la mano, el aliento se siente fresco. ¿Porq ué?

**P19.12** Un gas ideal se expande mientras que la presión se mantiene constante. Durante este proceso, ¿hay flujo de calor hacia el gas o hacia afuera de éste? Explique su respuesta.

**P19.13** Se agita un líquido en forma irregular en un recipiente bien aislado y de ese modo experimenta un aumento de la temperatura. Considere el líquido como el sistema. ¿Se ha transferido calor? ¿Cómo lo sabe? ¿Se efectuó trabajo? ¿Cómo lo sabe? ¿Por qué es importante que la agitación sea irregular? ¿Cuál es el signo de  $\Delta U$ ? ¿Cómo lo sabe?

**P19.14** Cuando se usa una bomba manual para inflar los neumáticos de una bicicleta, la bomba se calienta después de un rato. ¿Por qué? ¿Qué sucede con la temperatura del aire en la bomba al comprimirse? ¿Por qué sucede así? Cuando se levanta el mango de la bomba para succionar aire exterior hacia el interior de ésta, ¿qué sucede con la temperatura del aire admitido? De nuevo, ¿por qué sucede eso?

**P19.15** En el carburador de un motor para automóvil o avión, el aire fluye por una abertura relativamente pequeña y luego se expande. Si el tiempo es fresco y con niebla, llega a formarse hielo en esa abertura, aun cuando la temperatura del aire exterior esté por arriba del punto de congelación. ¿Porqué?

**P19.16** En un día soleado, se forman grandes “burbujas” de aire sobre la tierra que calienta el sol, las cuales se expanden gradualmente y, por último, se liberan para subir por la atmósfera. Las aves y los planeadores aprovechan estas “corrientes térmicas” para ganar altitud con facilidad. Esta expansión es, en esencia, un proceso adiabático. ¿Por qué?

**P19.17** Los vientos prevalecientes en la isla hawaiana de Kauai soplan del noreste. Los vientos se enfrian al subir por las faldas del Monte Waialeale (altura 1523 m), haciendo que se condense vapor de agua y que llueva. Hay mucha más precipitación en la cima que en la base de la montaña. De hecho, el Monte Waialeale es el lugar más lluvioso del planeta, con una precipitación media de 11.7 m al año. ¿Qué hace que los vientos se enfrién?

**P19.18** Aplicando las mismas consideraciones que en la pregunta P19.17, explique por qué la isla de Niihau, unos cuantos kilómetros al suroeste de Kauai, es casi un desierto, y los campos agrícolas de esa isla necesitan riego.

**P19.19** En un proceso a volumen constante,  $dU = nCV dT$ . En cambio, en un proceso a presión constante, no se cumple que  $dU = nC_p dT$ . ¿Por qué no?

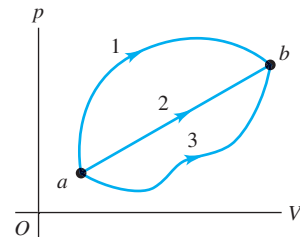
**P19.20** Cuando un gas se comprime adiabáticamente contra el aire circundante, su temperatura aumenta aunque no fluya calor hacia el gas. ¿De dónde proviene la energía que eleva la temperatura?

**P19.21** Cuando un gas se expande adiabáticamente, efectúa trabajo sobre su entorno. Pero, si no fluye calor hacia el gas, ¿de dónde proviene la energía para efectuar trabajo?

**P19.22** El gas que se utiliza para separar los dos isótopos de uranio  $^{235}\text{U}$  y  $^{238}\text{U}$  tiene la fórmula  $\text{UF}_6$ . Si se agrega calor a tasas iguales a un mol de  $\text{UF}_6$  gaseoso y a un mol de  $\text{H}_2$  gaseoso, ¿cuál temperatura esperaría usted que se elevara más rápido? Explique su respuesta.

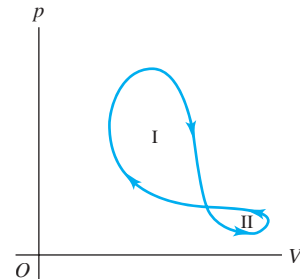
**P19.23** Un sistema se toma del estado *a* al estado *b* a lo largo de las tres trayectorias que se muestran en la figura P19.23. *a)* A lo largo de qué trayectoria el trabajo realizado por el sistema es el mayor? ¿Y el menor? *b)* Si  $U_b > U_a$ , ¿a lo largo de qué trayectoria el valor absoluto de la transferencia de calor,  $|Q|$ , es el mayor? Para esta trayectoria, ¿el calor es absorbido o liberado por el sistema? Explique.

Figura P19.23



**P19.24** Un sistema termodinámico experimenta un proceso cíclico como se muestra en la figura P19.24. El ciclo consta de dos bucles cerrados: I y II. *a)* En un ciclo completo, ¿el sistema realiza trabajo positivo o negativo? *b)* En cada bucle, ¿el trabajo neto realizado por el sistema es positivo o negativo? *c)* Durante un ciclo completo, ¿fluye calor hacia adentro o hacia afuera del sistema? *d)* En cada bucle, ¿fluye calor hacia adentro o hacia afuera del sistema? Explique.

Figura P19.24



## EJERCICIOS

### Sección 19.2 Trabajo realizado al cambiar el volumen y Sección 19.3 Trayectorias entre estados termodinámicos

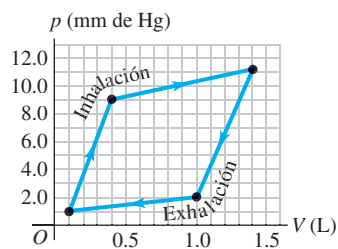
**19.1** • Dos moles de gas ideal se calientan a presión constante desde  $T = 27^\circ\text{C}$  hasta  $107^\circ\text{C}$ . *a)* Dibuje una gráfica  $pV$  para este proceso. *b)* Calcule el trabajo efectuado por el gas.

**19.2** • Seis moles de gas ideal están en un cilindro provisto en un extremo con un pistón móvil. La temperatura inicial del gas es  $27.0^\circ\text{C}$  y la presión es constante. Como parte de un proyecto de diseño de maquinaria, calcule la temperatura final del gas una vez que haya efectuado  $2.40 \times 10^3 \text{ J}$  de trabajo.

**19.3** • **CALC** Dos moles de gas ideal están comprimidos en un cilindro a temperatura constante de  $65.0^\circ\text{C}$  hasta que se triplique la presión original. *a)* Dibuje una gráfica  $pV$  para este proceso. *b)* Calcule la cantidad de trabajo efectuado.

**19.4 • BIO Trabajo realizado por los pulmones.** La gráfica de la figura E19.4 muestra un diagrama  $pV$  del aire en un pulmón humano cuando una persona inhala y luego exhala una respiración profunda. Esas gráficas, obtenidas en la práctica clínica, normalmente están algo curvadas, pero modelamos una como un conjunto de líneas rectas de la misma forma general. (*Importante:* La presión indicada es la presión manométrica, *no* la presión absoluta). *a)* ¿Cuántos joules de trabajo neto realiza el pulmón de esta persona durante una respiración completa? *b)* El proceso que aquí se representa es algo diferente de los que se han estudiado, ya que el cambio de presión se debe a los cambios en la cantidad de gas en el pulmón, y no a los cambios de temperatura. (Piense en su propia respiración. Sus pulmones no se expanden porque se hayan calentado). Si la temperatura del aire en el pulmón permanece en un valor razonable de  $20^\circ\text{C}$ , ¿cuál es el número máximo de moles en el pulmón de esta persona durante una respiración?

Figura E19.4



**19.5 • CALC** Durante el tiempo en que 0.305 moles de un gas ideal experimentan una compresión isotérmica a  $22.0^\circ\text{C}$ , su entorno efectúa 392 J de trabajo sobre él. *a)* Si la presión final es de 1.76 atm, ¿cuál fue la presión inicial? *b)* Dibuja una gráfica  $pV$  para este proceso.

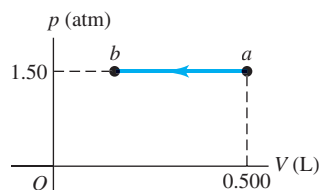
**19.6 •** Un gas se somete a dos procesos. En el primero, el volumen permanece constante en  $0.200 \text{ m}^3$  y la presión aumenta de  $2.00 \times 10^5 \text{ Pa}$  a  $5.00 \times 10^5 \text{ Pa}$ . El segundo proceso es una compresión a un volumen de  $0.120 \text{ m}^3$ , a presión constante de  $5.00 \times 10^5 \text{ Pa}$ . *a)* Represente ambos procesos en una gráfica  $pV$ . *b)* Calcule el trabajo total efectuado por el gas durante los dos procesos.

**19.7 • Trabajo efectuado en un proceso cíclico.** *a)* En la figura 19.7a, considere el ciclo cerrado  $1 \rightarrow 3 \rightarrow 2 \rightarrow 4 \rightarrow 1$ , que es un proceso cíclico donde los estados inicial y final son iguales. Calcule el trabajo total efectuado por el sistema en este proceso cíclico y demuestre que es igual al área encerrada por dicho ciclo. *b)* ¿Qué relación hay entre el trabajo efectuado por el proceso del inciso a) y el que se realiza si se recorre el ciclo en el sentido opuesto,  $1 \rightarrow 4 \rightarrow 2 \rightarrow 3 \rightarrow 1$ ? Explique su respuesta.

#### Sección 19.4 Energía interna y la primera ley de la termodinámica

**19.8 •** La figura E19.8 muestra un diagrama  $pV$  para un gas ideal en el que la temperatura absoluta en *b* es un cuarto de la temperatura absoluta en *a*. *a)* ¿Qué volumen ocupa este gas en el punto *b*? *b)* ¿Cuántos joules de trabajo se realizó el gas en este proceso o se realizaron sobre el gas? ¿El trabajo fue realizado por el gas o sobre éste? *c)* ¿La energía interna del gas aumentó o disminuyó de *a* a *b*? ¿Cómo lo sabe? *d)* ¿El calor entró o salió del gas de *a* a *b*? ¿Cómo lo sabe?

Figura E19.8

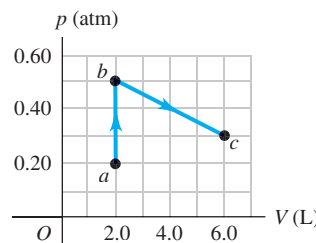


**19.9 •** Un gas en un cilindro se expande desde un volumen de  $0.110 \text{ m}^3$  a  $0.320 \text{ m}^3$ . Fluye calor hacia el gas con la rapidez mínima que permite mantener la presión constante a  $1.65 \times 10^5 \text{ Pa}$  durante la expansión. El calor total agregado es de  $1.15 \times 10^5 \text{ J}$ . *a)* Calcule el trabajo efectuado por el gas. *b)* Calcule el cambio de energía interna del gas. *c)* ¿Importa si el gas tiene comportamiento ideal o no? ¿Por qué?

**19.10 •** Cinco moles de un gas monoatómico con comportamiento ideal y temperatura inicial de  $127^\circ\text{C}$  se expanden y, en el proceso, absorben 1500 J de calor y efectúan 2100 J de trabajo. Calcule la temperatura final del gas.

**19.11 •** En la figura E19.11 se muestra el diagrama  $pV$  del proceso *abc* que implica 0.0175 moles de un gas ideal. *a)* ¿Cuál fue la temperatura más baja que alcanzó el gas en este proceso? ¿Dónde ocurrió? *b)* ¿Cuánto trabajo se efectuó el gas o se realizó sobre éste de *a* a *b*? ¿Y de *b* a *c*? *c)* Si se agregaron 215 J de calor en el gas durante *abc*, ¿cuántos de esos joules se destinaron a la energía interna?

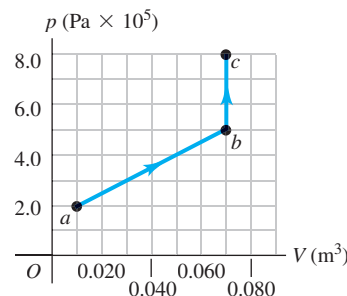
Figura E19.11



**19.12 •** Un gas en un cilindro se mantiene a presión constante de  $1.80 \times 10^5 \text{ Pa}$  mientras se enfriá y se comprime de  $1.70 \text{ m}^3$  a  $1.20 \text{ m}^3$ . La energía interna del gas disminuye en  $1.40 \times 10^5 \text{ J}$ . *a)* Calcule el trabajo efectuado por el gas. *b)* Obtenga el valor absoluto del flujo de calor,  $|Q|$ , hacia o desde el gas, e indique la dirección de tal flujo. *c)* ¿Importa si el gas tiene comportamiento ideal o no? ¿Por qué?

**19.13 •** El diagrama  $pV$  en la figura E19.13 muestra un proceso *abc* que implica 0.450 moles de un gas ideal. *a)* ¿Cuál fue la temperatura de este gas en los puntos *a*, *b*, y *c*? *b)* ¿Cuánto trabajo se ha realizado por el gas o sobre éste en el proceso? *c)* ¿Cuánto calor había que añadir durante el proceso para aumentar la energía interna del gas en 15,000 J?

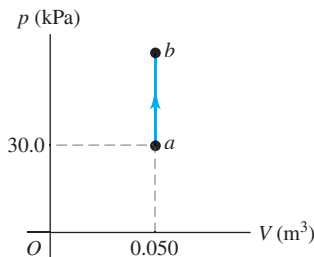
Figura E19.13



**19.14 • Agua en ebullición a alta presión.** Cuando se hiere agua a una presión de 2.00 atm, el calor de vaporización es de  $2.20 \times 10^6 \text{ J/kg}$  y el punto de ebullición es de  $120^\circ\text{C}$ . A esa presión, 1.00 kg de agua tiene un volumen de  $1.00 \times 10^{-3} \text{ m}^3$ , y 1.00 kg de vapor de agua tiene un volumen de  $0.824 \text{ m}^3$ . *a)* Calcule el trabajo efectuado cuando se forma 1.00 kg de vapor de agua a esa temperatura. *b)* Calcule el incremento en la energía interna del agua.

- 19.15** • Un gas ideal se lleva de *a* a *b* en la gráfica *pV* que se aprecia en la figura E19.15. Durante este proceso, se agregan 700 J de calor y se duplica la presión. *a)* ¿Cuánto trabajo realiza el gas o se efectúa sobre éste? Explique su respuesta. *b)* ¿Cómo se compara la temperatura del gas en *a* con su temperatura en *b*? Especifique. *c)* ¿Cómo se compara la energía interna del gas en *a* con la energía interna en *b*? De nuevo, especifique y explique su respuesta.

Figura E19.15



### Sección 19.5 Tipos de procesos termodinámicos, Sección 19.6 Energía interna de un gas ideal, y Sección 19.7 Capacidad calorífica de un gas ideal

- 19.16** • Durante una compresión isotérmica de gas ideal, es preciso extraer 410 J de calor al gas para mantener la temperatura constante. *a)* ¿Cuánto trabajo efectúa el gas durante el proceso?

- 19.17** • Un cilindro contiene 0.250 moles de dióxido de carbono ( $\text{CO}_2$ ) gaseoso a una temperatura de  $27.0^\circ\text{C}$ . El cilindro cuenta con un pistón sin fricción, el cual mantiene una presión constante de 1.00 atm sobre el gas. El gas se calienta hasta que su temperatura aumenta a  $127.0^\circ\text{C}$ . Suponga que el  $\text{CO}_2$  se puede tratar como gas ideal. *a)* Dibuje una gráfica *pV* para este proceso. *b)* ¿Cuánto trabajo efectúa el gas en este proceso? *c)* ¿Sobre qué se efectúa ese trabajo? *d)* ¿Cuánto cambia la energía interna del gas? *e)* ¿Cuánto calor se suministró al gas? *f)* ¿Cuánto trabajo se habría efectuado si la presión hubiera sido de 0.50 atm?

- 19.18** • Un cilindro contiene 0.0100 moles de helio a  $T = 27.0^\circ\text{C}$ . *a)* ¿Cuánto calor se requiere para elevar la temperatura a  $67.0^\circ\text{C}$  manteniendo constante el volumen? Dibuje una gráfica *pV* para este proceso. *b)* Si, en vez del volumen, se mantiene constante la presión del helio, ¿cuánto calor se requiere para elevar la temperatura de  $27.0^\circ\text{C}$  a  $67.0^\circ\text{C}$ ? Dibuje una gráfica *pV* para este proceso. *c)* ¿Qué explica la diferencia entre sus respuestas a los incisos *a)* y *b)*? ¿En qué caso se requiere más calor? ¿Qué sucede con el calor adicional? *d)* Si el gas tiene comportamiento ideal, ¿cuánto cambia la energía interna en el inciso *a*)? ¿Y en el inciso *b*)? Compare las respuestas y explique cualquiera diferencia.

- 19.19** • En un experimento para simular las condiciones dentro de un motor de automóvil, 0.185 moles de aire a una temperatura de  $780\text{ K}$  y a una presión de  $3.00 \times 10^6\text{ Pa}$  están contenidos en un cilindro cuyo volumen es de  $40.0\text{ cm}^3$ . Después se transfieren 645 J de calor al cilindro. *a)* Si el volumen del cilindro se mantiene fijo mientras se agrega el calor, ¿qué temperatura final alcanza el aire? Suponga que el aire es prácticamente nitrógeno puro y use los datos de la tabla 19.1 aunque la presión no sea baja. Dibuje una gráfica *pV* para este proceso. *b)* Si en cambio, se permite que el volumen del cilindro aumente mientras que la presión permanece constante, repita el inciso *a*).

- 19.20** • Cuando una cantidad de gas ideal monoatómico se expande a una presión constante de  $4.00 \times 10^4\text{ Pa}$ , el volumen del gas aumenta de  $2.00 \times 10^{-3}\text{ m}^3$  a  $8.00 \times 10^{-3}\text{ m}^3$ . ¿Cuánto cambia la energía interna del gas?

- 19.21** • Fluye calor  $Q$  hacia un gas monoatómico con comportamiento ideal y el volumen aumenta mientras la presión se mantiene constante. ¿Qué fracción de la energía calorífica se usa para efectuar el trabajo de expansión del gas?

- 19.22** • Tres moles de un gas monoatómico ideal se expanden a una presión constante de 2.50 atm; el volumen del gas cambia de  $3.20 \times 10^{-2}\text{ m}^3$  a  $4.50 \times 10^{-2}\text{ m}^3$ . Calcule *a)* las temperaturas inicial y final del gas; *b)* la cantidad de trabajo que efectúa el gas al expandirse; *c)* la cantidad de calor agregado al gas; y *d)* el cambio de energía interna del gas.

- 19.23** • Un experimentador agrega 970 J de calor a 1.75 moles de un gas ideal, para calentarlo de  $10.0^\circ\text{C}$  a  $25.0^\circ\text{C}$  a presión constante. El gas realiza +223 J de trabajo al expandirse. *a)* Calcule el cambio en la energía interna del gas. *b)* Calcule  $\gamma$  para el gas.

- 19.24** • Propano ( $\text{C}_3\text{H}_8$ ) gaseoso se comporta como gas ideal con  $\gamma = 1.127$ . Determine la capacidad calorífica molar a volumen y presión constantes.

- 19.25** • **CALC** La temperatura de 0.150 moles de gas ideal se mantiene constante en  $77.0^\circ\text{C}$ , mientras su volumen se reduce al 25.0% de su volumen inicial. La presión inicial del gas es de 1.25 atm. *a)* Determine el trabajo efectuado por el gas. *b)* Determine el cambio de energía interna. *c)* ¿El gas intercambia calor con su entorno? Si lo hace, ¿de cuánto es el intercambio? ¿El gas absorbe o desprende calor?

### Sección 19.8 Proceso adiabático para un gas ideal

- 19.26** • Cinco moles de gas ideal monoatómico tienen una presión inicial de  $2.50 \times 10^3\text{ Pa}$  y volumen inicial de  $2.10\text{ m}^3$ . A la vez que experimenta una expansión adiabática, el gas realiza 1480 J de trabajo. ¿Cuál es la presión final del gas después de la expansión?

- 19.27** • Un gas monoatómico con comportamiento ideal que está a una presión inicial de  $1.50 \times 10^5\text{ Pa}$  y ocupa un volumen de  $0.0800\text{ m}^3$  se comprime adiabáticamente a un volumen de  $0.0400\text{ m}^3$ . *a)* Calcule la presión final. *b)* ¿Cuánto trabajo efectúa el gas? *c)* Determine la razón entre las temperaturas final e inicial del gas. ¿Esta compresión calienta o enfriá el gas?

- 19.28** • El motor de un automóvil deportivo Ferrari F355 admite aire a  $20.0^\circ\text{C}$  y 1.00 atm, y lo comprime adiabáticamente a 0.0900 veces el volumen original. El aire se puede tratar como gas ideal con  $\gamma = 1.40$ . *a)* Dibuje una gráfica *pV* para este proceso. *b)* Calcule la temperatura y la presión finales.

- 19.29** • Durante una expansión adiabática, la temperatura de 0.450 moles de argón (Ar) baja de  $66.0^\circ\text{C}$  a  $10.0^\circ\text{C}$ . El argón se puede tratar como gas ideal. *a)* Dibuje una gráfica *pV* para este proceso. *b)* ¿Cuánto trabajo realiza el gas? *c)* ¿Cuánto cambia la energía interna del gas?

- 19.30** • Un jugador rebota un balón de básquetbol en el piso, comprimiéndolo a un 80.0% de su volumen original. Dentro del balón, el aire (que se supone esencialmente  $\text{N}_2$  gaseoso) está originalmente a una temperatura de  $20.0^\circ\text{C}$  y a una presión de 2.00 atm. El diámetro interno del balón es de 23.9 cm. *a)* A qué temperatura el aire en el balón alcanzará su compresión máxima? Suponga que la compresión es adiabática y considere que el gas tiene un comportamiento ideal. *b)* ¿Cuánto cambia la energía interna del aire entre el estado original del balón y su máxima compresión?

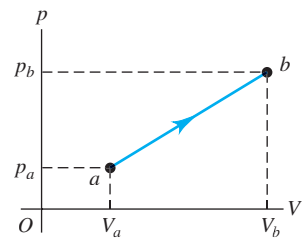
- 19.31** • En un cálido día de verano, una masa grande de aire (presión atmosférica de  $1.01 \times 10^5\text{ Pa}$ ) se calienta con el suelo a una temperatura de  $26.0^\circ\text{C}$  y luego empieza a ascender por el aire circundante más frío (éste puede tratarse aproximadamente como un proceso adiabático. ¿Por qué?). Calcule la temperatura de la masa del aire cuando se ha elevado a un nivel donde la presión atmosférica es de sólo  $0.850 \times 10^5\text{ Pa}$ . Suponga que el aire es un gas ideal con  $\gamma = 1.40$  (esta tasa de enfriamiento para aire seco ascendente, que corresponde aproximadamente a  $1^\circ\text{C}$  por 100 m de altura, se denomina *gradiante adiabático seco*).

- 19.32** • Un cilindro contiene 0.100 moles de un gas monoatómico con comportamiento ideal a una presión inicial de  $1.00 \times 10^5$  Pa, en un volumen de  $2.50 \times 10^{-3}$  m<sup>3</sup>. a) Calcule la temperatura inicial del gas en kelvins. b) Se permite que el gas se expanda al doble de su volumen inicial. Calcule la temperatura (en kelvins) y la presión del gas al final del proceso, si la expansión es i. isotérmica, ii. isobárica, iii. adiabática.

## PROBLEMAS

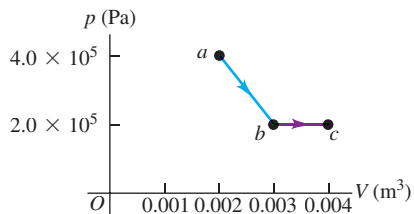
- 19.33** • Una cantidad de aire se lleva del estado *a* al *b* siguiendo una trayectoria en línea recta en una gráfica *pV* (**figura P19.33**). a) En este proceso, ¿la temperatura del gas aumenta, disminuye o permanece constante? Explique su respuesta. b) Si  $V_a = 0.0700$  m<sup>3</sup>,  $V_b = 0.1100$  m<sup>3</sup>,  $p_a = 1.00 \times 10^5$  Pa, y  $p_b = 1.40 \times 10^5$  Pa, ¿cuánto trabajo *W* efectúa el gas en este proceso? Suponga que el gas tiene comportamiento ideal.

Figura P19.33



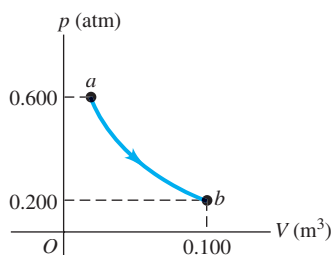
- 19.34** • Medio mol de un gas ideal se lleva del estado *a* al *c*, como se indica en la **figura P19.34**. a) Calcule la temperatura final del gas. b) Determine el trabajo efectuado por el gas (o sobre él), conforme pasa del estado *a* al *c*. c) En el proceso, ¿sale calor del sistema o entra a éste? ¿Qué tanto calor? Explique su respuesta.

Figura P19.34



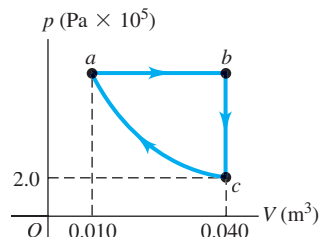
- 19.35** • La **figura P19.35** muestra el diagrama *pV* para un proceso en el que la temperatura del gas ideal permanece constante a 85°C. a) ¿Cuántos moles de gas están implicados? b) ¿Qué volumen ocupa este gas en *a*? c) ¿Cuánto trabajo efectuó el gas o se realizó sobre éste de *a* a *b*? d) ¿Cuánto cambió la energía interna del gas durante este proceso?

Figura P19.35



- 19.36** • La gráfica en la **figura P19.36** muestra un diagrama *pV* para 3.25 moles de helio (He) *ideal* gaseoso. La parte *ca* de este proceso es isotérmico. a) Encuentre la presión del He en el punto *a*.

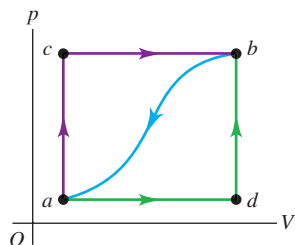
Figura P19.36



- b) Determine la temperatura del He en los puntos *a*, *b* y *c*. c) ¿Cuánto calor entró o salió del He durante los segmentos *ab*, *bc* y *ca*? En cada segmento, ¿el calor entra o sale? d) ¿En cuánto cambió la energía interna del He de *a* a *b*, de *b* a *c* y de *c* a *a*? Indique si esta energía aumenta o disminuye.

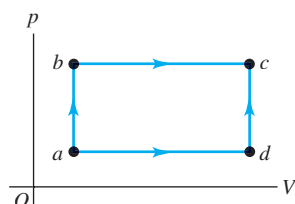
- 19.37** • Cuando un sistema se lleva del estado *a* al *b* de la **figura P19.37** por la trayectoria *acb*, 90.0 J de calor entran en el sistema y éste efectúa 60.0 J de trabajo. a) ¿Cuánto calor entra en el sistema por la trayectoria *adb* si el trabajo efectuado por el sistema es de 15.0 J? b) Cuando el sistema regresa de *b* a *a* siguiendo la trayectoria curva, el valor absoluto del trabajo efectuado por el sistema es de 35.0 J. ¿El sistema absorbe o desprende calor? ¿Cuánto? c) Si  $U_a = 0$  y  $U_d = 8.0$  J, calcule el calor que se absorbe en los procesos *ad* y *db*.

Figura P19.37



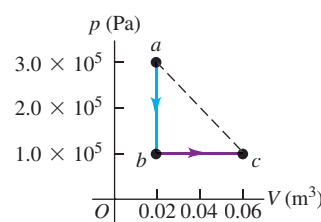
- 19.38** • Un sistema termodinámico se lleva del estado *a* al estado *c* de la **figura P19.38** siguiendo la trayectoria *abc*, o bien, la trayectoria *adc*. Por la trayectoria *abc*, el trabajo *W* efectuado por el sistema es de 450 J. Por la trayectoria *adc*, *W* es de 120 J. Las energías internas de los cuatro estados que se ilustran en la figura son:  $U_a = 150$  J,  $U_b = 240$  J,  $U_c = 680$  J y  $U_d = 330$  J. Calcule el flujo de calor *Q* para cada uno de los cuatro procesos: *ab*, *bc*, *ad* y *dc*. En cada proceso, ¿el sistema absorbe o desprende calor?

Figura P19.38



- 19.39** • Un volumen de aire (que se supone gas ideal) primero se enfria sin modificar su volumen y, luego, se expande sin cambiar su presión, como se indica en la trayectoria *abc* de la **figura P19.39**. a) ¿Cómo se compara la temperatura final del gas con su temperatura inicial? b) ¿Cuánto calor intercambia el aire con su entorno durante el proceso *abc*? ¿El aire absorbe o libera calor en el proceso? Explique su respuesta. c) Si ahora el aire se expande del estado *a* al *c* por la trayectoria rectilínea que se indica, ¿cuánto calor intercambia con su entorno?

Figura P19.39



- 19.40** • Tres moles de argón gaseoso (que se supone gas ideal) originalmente están a presión de  $1.50 \times 10^4$  Pa y a un volumen de

0.0280 m<sup>3</sup>. Primero se calientan y se expanden a presión constante a un volumen de 0.0435 m<sup>3</sup>, luego se calientan a volumen constante hasta que la presión llega a  $3.50 \times 10^4$  Pa; después se enfrián y se comprimen a presión constante hasta que otra vez el volumen es de 0.0280 m<sup>3</sup>, y por último se enfrián a volumen constante hasta que la presión se reduce a su valor original de  $1.50 \times 10^4$  Pa. a) Elabore una gráfica  $pV$  para este ciclo. b) Calcule el trabajo total efectuado por el gas (o sobre éste) durante el ciclo. c) Determine el calor neto intercambiado con el entorno. En general, ¿el gas pierde o gana calor?

**19.41 ••** Dos moles de un gas monoatómico con comportamiento ideal se someten al ciclo abc. En un ciclo completo, salen 800 J de calor del gas. El proceso ab se efectúa a presión constante; y el proceso bc, a volumen constante. Los estados a y b tienen temperaturas  $T_a = 200$  K y  $T_b = 300$  K. a) Dibuja una gráfica  $pV$  para el ciclo. b) ¿Cuánto trabajo W se efectúa en el proceso ca?

**19.42 ••** Tres moles de gas ideal se llevan por el ciclo abc de la figura P19.42. Para este gas,  $C_p = 29.1$  J/mol·K. El proceso ac se efectúa a presión constante, el proceso ba se realiza a volumen constante, y el proceso cb es adiabático. La temperatura del gas en los estados a, c y b es  $T_a = 300$  K,  $T_c = 492$  K y  $T_b = 600$  K. Calcule el trabajo total  $W$  del ciclo.

**19.43 ••** La figura P19.43 muestra un diagrama  $pV$  de 0.0040 moles del gas ideal H<sub>2</sub>. La temperatura del gas no cambia durante el segmento bc. a) ¿Qué volumen ocupa este gas en el punto c? b) Encuentre la temperatura del gas en los puntos a, b y c. c) ¿Cuánto calor entró al gas o salió de éste durante los segmentos ab, ca y bc? Indique si el calor ha entrado o salido del gas. d) Determine el cambio de la energía interna de este hidrógeno durante los segmentos ab, bc y ca. Indique si la energía interna aumenta o disminuye durante cada uno de estos segmentos.

**19.44 ••** a) Una tercera parte de un mol de gas He se toma a lo largo de la trayectoria abc representada por la línea continua en la figura P19.44. Suponga que el gas se puede tratar como ideal. ¿Cuánto calor se transfiere dentro o fuera del gas? b) Si, en vez de ello, el gas pasa directamente del estado a al estado c a lo largo de la línea horizontal punteada en

Figura P19.42

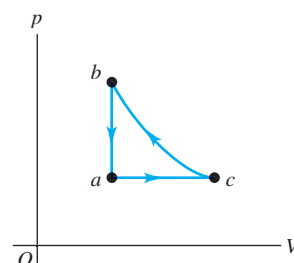


Figura P19.43

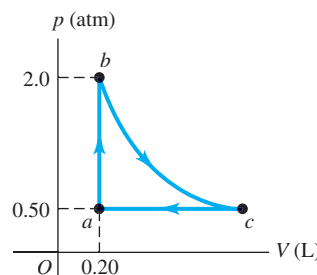
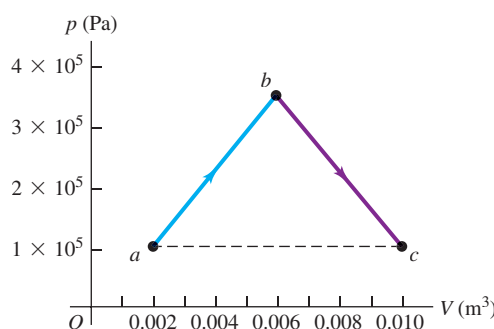


Figura P19.44



la figura P19.44, ¿cuánto calor se transfiere hacia adentro o hacia afuera del gas? c) ¿Cómo se compara  $Q$  en el inciso b) con  $Q$  del inciso a)? Explique su respuesta.

**19.45 ••** Al empezar con 2.50 moles de N<sub>2</sub> gaseoso (que se supone ideal) en un cilindro a 1.00 atm y 20.0°C, un químico calienta primero el gas a volumen constante, agrega 1.36 × 10<sup>4</sup> J de calor, luego continúa calentando y permite que el gas se expanda a presión constante al doble de su volumen original. Calcule a) la temperatura final del gas; b) la cantidad de trabajo efectuado por el gas; c) la cantidad de calor agregado al gas mientras se expande; y d) el cambio de energía interna del gas en todo el proceso.

**19.46 ••** Nitrógeno gaseoso en un recipiente expandible se enfriá de 50.0°C a 10.0°C manteniendo constante la presión en  $3.00 \times 10^5$  Pa. El calor total desprendido por el gas es  $2.50 \times 10^4$  J. Suponga que el gas tiene comportamiento ideal. Calcule a) el número de moles del gas; b) el cambio de energía interna del gas; c) el trabajo efectuado por el gas. d) ¿Cuánto calor desprendería el gas con el mismo cambio de temperatura si el volumen fuera constante?

**19.47 • CALC** Un cilindro con un pistón móvil sin fricción, como el de la figura 19.5, contiene una cantidad de helio gaseoso. En un principio, su presión es de  $1.00 \times 10^5$  Pa, su temperatura es de 300 K y ocupa un volumen de 1.50 L. Despues, el gas se somete a dos procesos. En el primero, el gas se calienta y se permite que el pistón se mueva a modo de mantener la temperatura constante en 300 K. Esto continúa hasta que la presión alcanza  $2.50 \times 10^4$  Pa. En el segundo proceso, el gas se comprime a presión constante hasta que vuelve a su volumen original de 1.50 L. Suponga que el gas tiene comportamiento ideal. a) Muestre ambos procesos en una gráfica  $pV$ . b) Calcule el volumen del gas al final del primer proceso, y la presión y temperatura del gas al final del segundo proceso. c) Calcule el trabajo total efectuado por el gas durante ambos procesos. d) ¿Qué tendría que hacer con el gas para hacerlo volver a su presión y temperatura originales?

**19.48 • PA Proceso termodinámico en un sólido.** Un cubo de cobre de 2.00 cm por lado cuelga de una cuerda (las propiedades físicas del cobre se dan en las tablas 14.1, 17.2 y 17.3). Con un mechero, el cubo se calienta de 20.0°C a 90.0°C. El aire que rodea al cubo está a presión atmosférica ( $1.01 \times 10^5$  Pa). Calcule a) el aumento de volumen del cubo; b) el trabajo mecánico efectuado por el cubo para expandirse contra la presión del aire circundante; c) la cantidad de calor agregada al cubo; d) el cambio de energía interna del cubo. e) Con base en sus resultados, explique si hay una diferencia sustancial entre los calores específicos  $c_p$  (a presión constante) y  $c_V$  (a volumen constante) del cobre en estas condiciones.

**19.49 •• Chinook.** En ciertas épocas del año, fuertes vientos llamados chinooks soplan desde el oeste, bajando por las faldas orientales de las Rocallosas hacia Denver y regiones circunvecinas. Aunque las montañas son frías, el viento en Denver es muy caliente; pocos minutos después de llegar el chinook, la temperatura llega a subir 20°C. (Chinook se refiere a un pueblo indígena norteamericano del noroeste del Pacífico). Se presentan vientos similares en los Alpes (llamados foehn) y en el sur de California (donde se llaman "Santa Anas"). a) Explique por qué la temperatura del viento chinook aumenta al descender las laderas. ¿Por qué es importante que el viento sea rápido? b) Suponga que sopla un viento fuerte hacia Denver (elevación, 1630 m) desde el Pico Grays (80 km al oeste de Denver, con una elevación de 4350 m), donde el aire tiene una presión de  $5.60 \times 10^4$  Pa y una temperatura de -15.0°C. La temperatura y la presión en Denver antes de que llegue el viento son 2.0°C y  $8.12 \times 10^4$  Pa, respectivamente. ¿En cuántos grados Celsius subirá la temperatura en Denver cuando llegue el chinook?

**19.50 •• Investigación de gran altura.** Un globo grande de investigación contiene  $2.00 \times 10^3 \text{ m}^3$  de helio gaseoso a  $1.00 \text{ atm}$  y a una temperatura de  $15.0^\circ\text{C}$ . El globo se eleva rápidamente desde el nivel del suelo hasta una altura donde la presión atmosférica es de sólo  $0.900 \text{ atm}$  (**figura P19.50**). Suponga que el helio se comporta como un gas ideal y que el globo sube tan rápido que permite mucho intercambio de calor con el aire circundante. *a)* Calcule el volumen del gas a la máxima altura. *b)* Determine la temperatura del gas a la máxima altura. *c)* ¿Cuál es el cambio en la energía interna del helio conforme el globo se eleva a su máxima altura?

**19.51 ••** Una bomba de aire tiene un cilindro de  $0.250 \text{ m}$  de longitud, con un pistón móvil. La bomba se utiliza para comprimir aire de la atmósfera (a una presión absoluta de  $1.01 \times 10^5 \text{ Pa}$ ) e introducirlo en un tanque muy grande, cuya presión manométrica es de  $3.80 \times 10^5 \text{ Pa}$  (para el aire,  $C_V = 20.8 \text{ J/mol}\cdot\text{K}$ ). *a)* El pistón inicia la carrera de compresión en el extremo abierto del cilindro. ¿Qué distancia se ha movido el pistón en el cilindro cuando comienza a fluir aire del cilindro al tanque? Suponga que la compresión es adiabática. *b)* Si el aire se introduce en la bomba a  $27.0^\circ\text{C}$ , ¿qué temperatura tendrá una vez comprimido? *c)* ¿Cuánto trabajo efectúa la bomba al introducir 20.0 moles de aire en el tanque?

**19.52 •** La capacidad calorífica molar a volumen constante de cierto gas con comportamiento ideal es  $C_V$ . Una muestra de este gas ocupa inicialmente un volumen  $V_0$  a una presión  $p_0$  y una temperatura absoluta  $T_0$ . El gas se expande isobáricamente a un volumen  $2V_0$  y luego se sigue expandiendo adiabáticamente hasta un volumen final de  $4V_0$ . *a)* Dibuje una gráfica  $pV$  para esta sucesión de procesos. *b)* Calcule el trabajo total efectuado por el gas en esta sucesión de procesos. *c)* Calcule la temperatura final del gas. *d)* Determine el valor absoluto del flujo total de calor  $|Q|$  que entra en el gas o sale de él durante esta sucesión de procesos, e indique la dirección del flujo.

**19.53 •** Un gas monoatómico con comportamiento ideal se expande lentamente al doble de su volumen original, efectuando 450 J de trabajo en el proceso. Calcule el calor agregado al gas y el cambio de energía interna del gas, si el proceso es *a)* isotérmico, *b)* adiabático, *c)* isobárico.

**19.54 •• CALC** Un cilindro con pistón contiene 0.250 moles de oxígeno a  $2.40 \times 10^5 \text{ Pa}$  y  $355 \text{ K}$ . El oxígeno se puede tratar como gas ideal. Primero, el gas se expande isobáricamente al doble de su volumen original. Despues, se comprime isotérmicamente a su volumen original y, por último, se enfriá isocóricamente hasta su presión original. *a)* Muestre esta serie de procesos en una gráfica  $pV$ . Calcule *b)* la temperatura durante la compresión isotérmica; *c)* la presión máxima; y *d)* el trabajo total efectuado por el pistón sobre el gas durante la serie de procesos.

**19.55 •** Considere las condiciones y los procesos del problema 19.54 para calcular *a)* el trabajo efectuado por el gas, el calor agregado a éste y su cambio de energía interna durante la expansión inicial; *b)* el trabajo efectuado, el calor agregado y el cambio de energía interna durante el enfriamiento final; y *c)* el cambio de energía interna durante la compresión isotérmica.

**19.56 •• CALC** Un cilindro con pistón contiene 0.150 moles de nitrógeno a  $1.80 \times 10^5 \text{ Pa}$  y  $300 \text{ K}$ . El nitrógeno se puede tratar como un gas ideal. Primero, el gas se comprime isobáricamente a la mitad

Figura P19.50



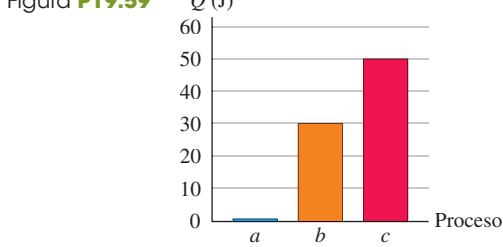
de su volumen original. Luego, se expande adiabáticamente hasta su volumen original. Por último, se calienta isocóricamente hasta su presión original. *a)* Muestre esta serie de procesos en una gráfica  $pV$ . *b)* Calcule las temperaturas al principio y al final de la expansión adiabática. *c)* Calcule la presión mínima.

**19.57 •** Considere las condiciones y los procesos del problema 19.56 para calcular *a)* el trabajo efectuado por el gas, el calor agregado a éste y su cambio de energía interna durante la compresión inicial; *b)* el trabajo efectuado por el gas, el calor agregado a éste y el cambio de energía interna durante la expansión adiabática; *c)* el trabajo efectuado, el calor agregado y el cambio de energía interna durante el calentamiento final.

**19.58 • Comparación de procesos termodinámicos.** En un cilindro, 1.20 moles de un gas monoatómico con comportamiento ideal, a  $3.60 \times 10^5 \text{ Pa}$  y  $300 \text{ K}$ , se expande hasta triplicar su volumen. Calcule el trabajo efectuado por el gas, si la expansión es *a)* isotérmica, *b)* adiabática, *c)* isobárica. *d)* Muestre cada proceso en una gráfica  $pV$ . ¿En qué caso es máximo el valor absoluto del trabajo efectuado por el gas? ¿Y mínimo? *e)* ¿En qué caso es máximo el valor absoluto de la transferencia de calor? ¿Y mínimo? *f)* ¿En qué caso es máximo el valor absoluto del cambio de energía interna del gas? ¿Y mínimo?

**19.59 •• DATOS** Usted ha registrado mediciones de flujo de calor  $Q$  en 0.300 moles de un gas que comienza en  $T_1 = 20.0^\circ\text{C}$  y termina a una temperatura  $T_2$ . Usted midió  $Q$  para tres procesos: uno isobárico, uno isocórico y uno adiabático. En cada caso,  $T_2$  era la misma. La **figura P19.59** resume sus resultados. Pero usted perdió una página de su cuaderno de laboratorio y no tiene un registro del valor de  $T_2$ ; tampoco sabe cuál proceso era isobárico, isocórico o adiabático. Cada proceso se realizó a un nivel con suficiente presión baja para que el gas sea tratado como ideal. *a)* Identifique cada proceso *a*, *b* o *c* como isobárico, isocórico o adiabático. *b)* ¿Cuál es el valor de  $T_2$ ? *c)* ¿Cuánto trabajo realiza el gas en cada proceso? *d)* ¿Para cuál proceso el cambio en la magnitud del volumen es máximo? *e)* Para cada uno de los procesos, ¿el volumen del gas aumenta, disminuye o permanece constante?

Figura P19.59



**19.60 •• DATOS** Usted comprime un gas en un cilindro aislado: ningún calor fluye hacia adentro ni hacia afuera del gas. La presión del gas es bastante baja, por lo que tratar el gas como ideal es una buena aproximación. Cuando se mide la presión en función del volumen del gas, obtiene los siguientes resultados:

$V (\text{L})$	2.50	2.02	1.48	1.01	0.50
$p (\text{atm})$	0.101	0.139	0.202	0.361	0.952

*a)* Trace la gráfica de  $\log(p)$  contra  $\log(V)$ , con  $p$  en Pa y  $V$  en  $\text{m}^3$ . Explique por qué los puntos de datos se encuentran cerca de una línea recta. *b)* Utilice su gráfica para calcular  $\gamma$  para el gas. ¿El gas es monoatómico, diatómico o poliatómico? *c)* Cuando  $p = 0.101 \text{ atm}$  y  $V = 2.50 \text{ L}$ , la temperatura es  $22.0^\circ\text{C}$ . Aplique la ecuación de gas ideal y calcule la temperatura para cada uno de los otros pares de valores  $p$  y  $V$ . En esta compresión, ¿la temperatura del gas aumenta, disminuye o permanece constante?

**19.61 •• DATOS** Se coloca una cantidad de gas en un cilindro metálico que tiene un pistón móvil en un extremo. No hay fugas de gas del cilindro cuando se mueve el pistón. La fuerza externa aplicada al pistón se puede variar para modificar la presión del gas a medida que se mueve el pistón para cambiar el volumen del gas. Un manómetro conectado a la pared interior del cilindro mide la presión del gas, y usted puede calcular el volumen de este último a partir de una medida de la posición del pistón en el cilindro.

Al inicio, la presión es de 1.0 atm y el volumen del gas de 3.0 L. Manteniendo la presión constante, usted aumenta el volumen a 5.0 L. Luego, manteniendo el volumen constante a 5.0 L, aumenta la presión a 3.0 atm. Después, usted disminuye la presión linealmente como función del volumen hasta que éste es de 3.0 L y la presión es de 2.0 atm. Por último, mantiene el volumen constante a 3.0 L y disminuye la presión a 1.0 atm, regresando el gas a su presión y volumen iniciales. Las paredes del cilindro son buenos conductores del calor, y usted suministra las fuentes y los sumideros de calor requeridos para que puedan ocurrir los flujos de calor necesarios. En estas relativamente altas presiones, usted sospecha que la ecuación de gas ideal no se aplicará con mucha precisión. No sabe si el gas que está en el cilindro es monoatómico, diatómico o poliatómico.

a) Trace el ciclo en el plano  $pV$ . b) ¿Cuál es el flujo de calor neto para el gas durante este ciclo? ¿Hay flujo de calor neto hacia adentro o hacia afuera del gas?

### PROBLEMA DE DESAFÍO

**19.62 •• Turbocargadores e interenfriadores para motores.** La potencia de salida de un motor de automóvil es directamente proporcional a la masa de aire que se puede introducir en el volumen de los cilindros del motor, para reaccionar químicamente con la gasolina. Muchos automóviles tienen un *turbocargador* que comprime el aire antes de que entre en el motor, para que haya mayor masa de aire en el mismo volumen. Esta compresión rápida, prácticamente adiabática, también calienta el aire. Con la finalidad de comprimir el aire aún más, se le hace pasar por un *interenfriador*, en el cual intercambia calor con su entorno a presión prácticamente constante. Después, el aire es succionado hacia los cilindros. En una instalación típica, se introduce aire en el turbocargador a presión atmosférica ( $1.01 \times 10^5$  Pa), densidad  $\rho = 1.23 \text{ kg/m}^3$  y temperatura de  $15.0^\circ\text{C}$ . Se le comprime adiabáticamente a  $1.45 \times 10^5$  Pa. En el interenfriador, el aire se enfriá a la temperatura original de  $15.0^\circ\text{C}$  a presión constante de  $1.45 \times 10^5$  Pa. a) Dibuje una gráfica  $pV$  para esta sucesión de procesos. b) Si el volumen de uno de los cilindros del motor es de  $575 \text{ cm}^3$ , ¿qué masa de aire que sale del interenfriador llenará el cilindro a  $1.45 \times 10^5$  Pa? En comparación con la potencia desarrollada por un motor que admite aire a  $1.01 \times 10^5$  Pa a  $15.0^\circ\text{C}$ , ¿qué porcentaje de aumento de potencia se obtiene empleando un turbocargador y un

interenfriador? c) Si no se usa el interenfriador, ¿qué masa de aire que sale del turbocargador llenará el cilindro a  $1.45 \times 10^5$  Pa? En comparación con la potencia de salida de un motor que admite aire a  $1.01 \times 10^5$  Pa a  $15.0^\circ\text{C}$ , ¿qué porcentaje de aumento de potencia se obtiene empleando un turbocargador solo?

### PROBLEMAS DE TRANSICIÓN

**BIO GASES ANESTÉSICOS.** Un tipo de gas que se emplea en anestesiología es una mezcla al 50%/50% (por volumen) de óxido nitroso ( $\text{N}_2\text{O}$ ) y oxígeno ( $\text{O}_2$ ), los cuales se pueden premezclar y guardar en un cilindro para su uso posterior. Como estos dos gases no reaccionan químicamente a 2000 psi o por debajo de ese valor, a temperaturas ambiente típicas forman una sola fase homogénea que se puede considerar un gas ideal. Sin embargo, si la temperatura desciende por debajo de  $-6^\circ\text{C}$ , el  $\text{N}_2\text{O}$  puede empezar a condensarse fuera de la fase de gas. Luego, cualquier gas eliminado del cilindro será inicialmente casi  $\text{O}_2$  puro; cuando se vacía el cilindro, la proporción de  $\text{O}_2$  disminuirá hasta que el gas que proviene del cilindro sea  $\text{N}_2\text{O}$  casi puro.

**19.63** En una prueba de efectos de bajas temperaturas sobre la mezcla de gases, un cilindro llenado a  $20.0^\circ\text{C}$  a 2000 psi (presión manométrica) se enfriá lentamente y se monitorea la presión. ¿Cuál es la presión esperada a  $-5.00^\circ\text{C}$  si el gas sigue siendo una mezcla homogénea? a) 500 psi; b) 1500 psi; c) 1830 psi; d) 1920 psi.

**19.64** En otra prueba, la válvula de un cilindro de 500 L lleno de mezcla de gases a 2000 psi (presión manométrica) se abre para que el gas salga del cilindro muy rápidamente. ¿Por qué podría condensarse algo del  $\text{N}_2\text{O}$  durante este proceso? a) Éste es un proceso isocórico en el que la presión disminuye, por lo que la temperatura también se reduce. b) Debido a la rápida expansión, se retira calor del sistema, así que la energía interna y la temperatura del gas disminuyen. c) Éste es un proceso isobárico, por lo que a medida que el volumen aumenta, la temperatura disminuye proporcionalmente. d) Con la rápida expansión, el gas que se expande hace trabajo sin entrada del calor, por lo que la energía interna y la temperatura del gas disminuyen.

**19.65** Tiene un cilindro que contiene 500 L de la mezcla de gas presurizado a 2000 psi (presión manométrica). Un regulador fija el flujo de gas para entregar 8.2 L/min a la presión atmosférica. Suponga que este flujo es suficientemente lento como para que la expansión sea isotérmica y los gases permanezcan mezclados. ¿Cuánto tiempo se tarda en vaciarse el cilindro? a) 1 h; b) 33 h; c) 57 h; d) 140 h.

**19.66** En un hospital, el oxígeno puro puede suministrarse a 50 psi (presión manométrica) y después mezclarse con  $\text{N}_2\text{O}$ . ¿Qué volumen de oxígeno a  $20^\circ\text{C}$  y 50 psi (presión manométrica) debería mezclarse con 1.7 kg de  $\text{N}_2\text{O}$  para obtener una mezcla de 50%/50% por volumen a  $20^\circ\text{C}$ ? a)  $0.21 \text{ m}^3$ ; b)  $0.27 \text{ m}^3$ ; c)  $1.9 \text{ m}^3$ ; d)  $100 \text{ m}^3$ .

## Respuestas

### Pregunta de inicio del capítulo ?

**ii.** El trabajo efectuado por un gas cuando su volumen cambia de  $V_1$  a  $V_2$  es igual a la integral  $\int p \, dV$  entre esos dos límites de volumen. Si el gas se contrae, el volumen final  $V_2$  será menor que el volumen inicial  $V_1$ , y el gas efectúa trabajo negativo. Para impulsar la locomotora, el gas debe efectuar trabajo positivo, por lo que el gas no contribuye a la propulsión mientras se contrae.

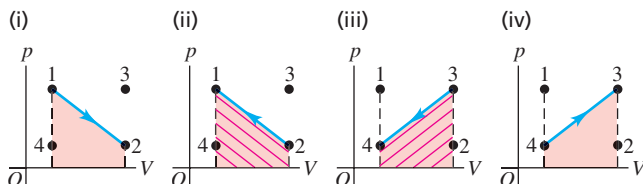
### Respuesta a las secciones

#### Evalúe su comprensión

**19.1 negativo, positivo, positivo** Sale calor del café, por lo que  $Q_{\text{café}} < 0$ ; entra calor en la taza de aluminio, por lo que  $Q_{\text{aluminio}} > 0$ . En mecánica, dirímos que se efectúa trabajo negativo sobre el bloque, porque la superficie ejerce sobre éste una fuerza que se opone al movimiento del bloque. En termodinámica, en cambio, usamos la convención opuesta y decimos que  $W > 0$ , lo cual implica que el bloque efectúa trabajo positivo sobre la superficie.

**19.2 ii.** El trabajo efectuado en una expansión se representa mediante el área bajo la curva de presión  $p$  contra volumen  $V$ . En una expansión isotérmica, la presión se reduce conforme el volumen aumenta, por lo que la gráfica  $pV$  se asemeja a la figura 19.6a y el trabajo efectuado es igual al área sombreada bajo la curva azul desde el punto 1 hasta el punto 2. No obstante, si la expansión es a presión constante, la curva de  $p$  contra  $V$  sería la misma que la línea horizontal punteada a presión  $p_2$  de la figura 19.6a. El área bajo esta línea punteada es menor que el área bajo la curva azul para una expansión isotérmica, de manera que se efectúa menos trabajo en una expansión a presión constante que en una expansión isotérmica.

**19.3 i. y iv. (empate), ii. y iii. (empate)** La siguiente figura muestra las gráficas  $pV$  para cada uno de los cuatro procesos. El área trapezoidal bajo la curva y, por lo tanto, el valor absoluto del trabajo, son iguales en los cuatro casos. En los casos **i** y **iv** el volumen aumenta, de manera que el sistema realiza trabajo positivo conforme se expande en su entorno. En los casos **ii** y **iii** el volumen se reduce, por lo que el sistema efectúa trabajo negativo (como se indica con las líneas diagonales) conforme el entorno empuja hacia adentro contra él.



**19.4 ii., i. y iv. (empate), iii.** En la expresión  $\Delta U = Q - W$ ,  $Q$  es el calor agregado al sistema y  $W$  es el trabajo efectuado por el sistema. Si se transfiere calor desde el sistema hacia su entorno,  $Q$  es negativo; si se realiza trabajo sobre el sistema,  $W$  es negativo. Por ello, tenemos **i.**  $Q = -250 \text{ J}$ ,  $W = -250 \text{ J}$ ,  $U = -250 \text{ J} - (-250 \text{ J}) = 0$ ; **ii.**  $Q = 250 \text{ J}$ ,  $W = -250 \text{ J}$ ,  $U = 250 \text{ J} - (-250 \text{ J}) = 500 \text{ J}$ ; **iii.**  $Q = -250 \text{ J}$ ,  $W = 250 \text{ J}$ ,  $U = -250 \text{ J} - 250 \text{ J} = -500 \text{ J}$ ; y **iv.**  $Q = 250 \text{ J}$ ,  $W = 250 \text{ J}$ ,  $U = 250 \text{ J} - 250 \text{ J} = 0$ .

**19.5 1 → 4 y 3 → 2 son isocóricos; 1 → 3 y 4 → 2 son isobáricos;**

**no** En un diagrama  $pV$  como los de la figura 19.7, los procesos isocóricos se representan con líneas verticales (de volumen constante); y los procesos isobáricos, con líneas horizontales (de presión constante). El proceso  $1 \rightarrow 2$  de la figura 19.7 se representa con una línea curva que, a primera vista, se parece a los procesos adiabático e isotérmico del gas ideal en la figura 19.16. Pero sin más información, es imposible saber si el proceso  $1 \rightarrow 2$  es isotérmico, adiabático o ninguno de ellos.

**19.6 no** Utilizando el modelo de un sólido de la figura 18.20, vemos que la energía interna de un sólido sí depende de su volumen. Comprimir el sólido implica comprimir los “resortes” entre los átomos, aumentando la energía potencial que almacenan y, por ende, la energía interna del sólido.

**19.7 i.** Para un número determinado  $n$  de moles y un cambio de temperatura  $\Delta T$  dado, la cantidad de calor que se debe transferir fuera de un volumen fijo de aire es  $Q = nC_V\Delta T$ . Así, la cantidad de transferencia de calor necesaria es menor para el gas con el valor de  $C_V$  menor. De acuerdo con la tabla 19.1, el menor valor de  $C_V$  corresponde a los gases monoatómicos.

**19.8 ii., iv., i. y iii. (empate)** Las muestras **i** y **iii** están isotérmicamente comprimidas, por lo que  $pV = \text{constante}$ . El volumen de cada muestra disminuye a la mitad de su valor inicial, por lo que la presión final es del doble de la presión inicial. En cambio, las muestras **ii** y **iv** están adiabáticamente comprimidas, de manera que  $pV^\gamma = \text{constante}$  y la presión aumenta en un factor de  $2^\gamma$ . La muestra **ii** es un gas monoatómico para el que  $\gamma = \frac{5}{3}$ , y su presión final es  $2^{5/3} = 3.17$  veces mayor que la presión inicial. La muestra **iv** es un gas diatómico para el que  $\gamma = \frac{7}{5}$ , y su presión final es mayor que la presión inicial en un factor de  $2^{7/5} = 2.64$ .

### Problema práctico

a) 
$$W = nRT \ln \left[ \frac{V_2 - nb}{V_1 - nb} \right] + an^2 \left[ \frac{1}{V_2} - \frac{1}{V_1} \right]$$

b) **i.**  $W = 2.80 \times 10^3 \text{ J}$ , **ii.**  $W = 3.11 \times 10^3 \text{ J}$

c) Gas ideal, para el cual no haya tracción entre las moléculas



La segunda ley de la termodinámica nos indica que el calor fluye naturalmente de un cuerpo caliente (como la lava fundida que se muestra aquí fluyendo hacia el océano en Hawái) a uno frío (como el agua del océano, la cual se calienta generando vapor). ¿Es posible que *alguna vez* el calor fluya de un cuerpo frío a uno caliente? **i.** Sí, no importa cuál sea la diferencia de temperatura; **ii.** sí, pero para sólo ciertas diferencias de temperatura; **iii.** no; **iv.** la respuesta depende de la composición de los dos cuerpos.

# 20 SEGUNDA LEY DE LA TERMODINÁMICA

## OBJETIVOS DE APRENDIZAJE

Al estudiar este capítulo, usted aprenderá:

- 20.1** La diferencia entre procesos reversibles e irreversibles.
- 20.2** Qué es una máquina térmica y cómo se calcula su eficiencia.
- 20.3** La física del motor de combustión interna.
- 20.4** Cómo se relacionan los refrigeradores y las máquinas térmicas, y cómo analizar el funcionamiento de un refrigerador.
- 20.5** Cómo la segunda ley de la termodinámica establece límites sobre la eficiencia de las máquinas y del coeficiente de rendimiento de refrigeradores.
- 20.6** Cómo efectuar cálculos con el ciclo de Carnot ideal para máquinas y refrigeradores.
- 20.7** Qué es entropía y cómo utilizar este concepto para analizar los procesos termodinámicos.
- 20.8** Cómo emplear el concepto de estados microscópicos para entender la entropía.

Repase lo estudiado en la sección ...

- 17.3** La escala Kelvin.
- 18.3** La constante de Boltzmann.
- 19.1-19.8** Procesos termodinámicos, primera ley de la termodinámica; expansión libre de un gas.

Muchos procesos termodinámicos se efectúan de manera natural en una dirección pero no en la opuesta. Por ejemplo, el calor siempre fluye de un cuerpo caliente a uno más frío, nunca a la inversa. El flujo de calor de un cuerpo frío a uno caliente no violaría la primera ley de la termodinámica, pues se conservaría la energía; sin embargo, esto no ocurre en la naturaleza. ¿Por qué? Como otro ejemplo, observe que es fácil convertir energía mecánica totalmente en calor; esto sucede cada vez que aplicamos los frenos de un automóvil para detenerlo. En la dirección inversa, hay muchos dispositivos que convierten calor *parcialmente* en energía mecánica (el motor del automóvil es un ejemplo). Pero nadie ha logrado nunca construir una máquina que convierta el calor *totalmente* en energía mecánica. Nuevamente, ¿por qué?

La respuesta a ambas preguntas tiene que ver con la *dirección* de los procesos termodinámicos y constituye la *segunda ley de la termodinámica*. Esta ley impone limitaciones fundamentales a la eficiencia de un motor o de una planta de electricidad, así como al aporte de energía mínimo necesario para hacer funcionar un refrigerador. Así, la segunda ley se aplica directamente a muchos problemas prácticos importantes.

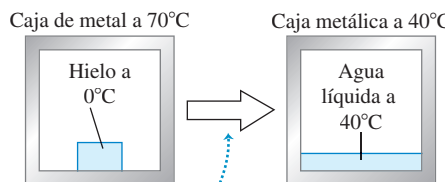
También podemos plantear la segunda ley en términos del concepto de *entropía*, una medida cuantitativa del grado de desorden o aleatoriedad de un sistema. El concepto de entropía ayuda a explicar por qué la tinta mezclada con agua nunca se separa espontáneamente y por qué nunca observamos una gran cantidad de otros procesos aparentemente posibles.

## 20.1 DIRECCIÓN DE LOS PROCESOS TERMODINÁMICOS

Todos los procesos termodinámicos que se dan en la naturaleza son **procesos irreversibles**, es decir, se efectúan espontáneamente en una dirección pero no en la otra (**figura 20.1a**, página siguiente). El flujo de calor de un cuerpo caliente a uno más frío es irreversible, lo mismo que la expansión libre de un gas que vimos en las secciones 19.3 y 19.6. Al deslizar un libro sobre una mesa, convertimos la energía mecánica en calor

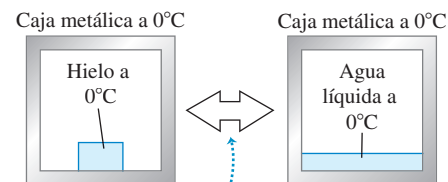
## 20.1 Procesos reversibles e irreversibles.

a) Un bloque de hielo se derrite *irreversiblemente* cuando lo colocamos dentro de una caja metálica caliente ( $70^{\circ}\text{C}$ ).



El calor fluye de la caja al hielo y al agua, nunca a la inversa.

b) Un bloque de hielo a  $0^{\circ}\text{C}$  se puede derretir *reversiblemente* si lo colocamos en una caja metálica a  $0^{\circ}\text{C}$ .



Si aumentamos o reducimos infinitesimalmente la temperatura de la caja, podemos hacer que fluya calor hacia el hielo para derretirlo, o extraer calor del agua para volverla a congelar.

por fricción; este proceso es irreversible, pues nadie ha observado el proceso inverso (en el que un libro inicialmente en reposo sobre una mesa comience a moverse espontáneamente, y se enfrién la mesa y el libro). El tema principal de este capítulo es la *segunda ley de la termodinámica*, la cual determina la dirección preferente de tales procesos.

A pesar de esta dirección preferente para todos los procesos naturales, podemos imaginar un tipo de procesos idealizados que *serían* reversibles. Un sistema que experimenta este **proceso reversible** idealizado siempre está muy cerca del equilibrio termodinámico en su interior y con sus alrededores. Cualquier cambio de estado que se presente podría revertirse con sólo modificar infinitesimalmente las condiciones del sistema. Por ejemplo, el flujo de calor entre dos cuerpos cuyas temperaturas difieran sólo infinitesimalmente puede revertirse haciendo un cambio muy pequeño en una temperatura o en la otra (figura 20.1b).

Entonces, los procesos reversibles son **procesos en equilibrio**, con el sistema siempre en equilibrio termodinámico. Desde luego, si semejante sistema estuviera *realmente* en equilibrio termodinámico, no habría cambio de estado. No habría flujo de calor hacia adentro o hacia afuera de un sistema que tiene una temperatura verdaderamente uniforme en todas sus partes, y un sistema que en verdad está en equilibrio mecánico no se expandiría ni realizaría trabajo sobre sus alrededores. Los procesos reversibles son una idealización que nunca puede lograrse perfectamente en el mundo real, pero, si los gradientes de temperatura y las diferencias de presión en la sustancia son muy pequeños, mantendríamos al sistema muy cerca de estados de equilibrio y haríamos el proceso casi reversible.

En contraste, el flujo de calor debido a una diferencia finita de temperatura, la expansión libre de un gas y la conversión de trabajo en calor por fricción son procesos *irreversibles*; ningún cambio pequeño en las condiciones podría hacer que uno de ellos ocurriera en la dirección opuesta. Estos procesos *no son de equilibrio*, ya que el sistema no está en equilibrio termodinámico en ningún punto sino hasta el final del proceso.

## Desorden y procesos termodinámicos

Hay una relación entre la dirección de un proceso y el *desorden* o la *aleatoriedad* del estado resultante. Por ejemplo, imagine un millar de nombres escritos en tarjetas clasificadas en orden alfabético. Lance la pila de tarjetas clasificadas al aire, y probablemente caerán en un estado aleatorio desordenado. En la expansión libre de un gas que vimos en las secciones 19.3 y 19.6, el aire está más desordenado después de expandirse en todo el recipiente que cuando estaba confinado en un lado, exactamente como nuestra ropa está más desordenada cuando se encuentra esparcida en el piso que cuando está guardada en un armario.

De forma análoga, la energía cinética macroscópica es la energía asociada a movimientos organizados y coordinados de muchas moléculas, mientras que la transferencia de calor supone cambios de energía en un movimiento molecular desordenado, aleatorio. Por lo tanto, la conversión de energía mecánica en calor implica un aumento de la aleatoriedad o el desorden.

En las siguientes secciones presentaremos la segunda ley de la termodinámica considerando dos grandes grupos de dispositivos: las *máquinas térmicas*, que tienen un éxito parcial al transformar calor en trabajo, y los *refrigeradores*, que logran transportar parcialmente calor de cuerpos fríos a cuerpos más calientes.

**EVALÚE SU COMPRENSIÓN DE LA SECCIÓN 20.1** Nuestras manos normalmente están a la misma temperatura, como la caja metálica y el hielo de la figura 20.1b. Frotarnos las manos para calentarlas es **i.** un proceso reversible, o **ii.** un proceso irreversible? **■**

## 20.2 MÁQUINAS TÉRMICAS

La base de nuestra sociedad tecnológica es la capacidad de usar fuentes de energía distintas de la potencia muscular. Hay casos en los que la energía mecánica está disponible directamente, como la del agua y la del viento; sin embargo, casi toda nuestra energía proviene de la quema de combustibles fósiles (carbón, petróleo y gas) y de reacciones nucleares. De esa forma, se obtiene energía que se transfiere como *calor*, el cual se usa directamente para calentar edificios, cocinar y realizar procesos químicos; no obstante, para hacer funcionar una máquina o impulsar un vehículo, necesitamos energía *mecánica*.

Por lo tanto, es importante saber cómo tomar calor de una fuente y convertirlo, tanto como sea posible, en energía mecánica o trabajo. Esto es lo que sucede en los motores de gasolina de los automóviles, los motores a reacción de los aviones, las turbinas de vapor en las plantas de electricidad y muchos otros sistemas. Procesos similares se efectúan en el reino animal; la energía de los alimentos ingeridos se “quema” (es decir, los carbohidratos se combinan con oxígeno para producir agua, dióxido de carbono y energía), y esa energía se convierte parcialmente en energía mecánica cuando los músculos del animal efectúan trabajo sobre sus alrededores.

Un dispositivo que transforma calor parcialmente en trabajo o energía mecánica es una **máquina térmica** (**figura 20.2**). Por lo regular, una cantidad de materia dentro de la máquina experimenta entrada y salida de calor, expansión y compresión, y a veces cambia de fase. Llamamos a ésta la **sustancia de trabajo** de la máquina. En los motores de combustión interna, como los que se usan en los automóviles, la sustancia de trabajo es una mezcla de aire y combustible; en una turbina de vapor, es el agua.

El tipo de máquina más fácil de analizar es aquél donde la sustancia de trabajo efectúa un **proceso cíclico**, es decir, una sucesión de procesos que al final deja la sustancia en el estado en que inició. En una turbina de vapor, el agua se recicla usándose una y otra vez. Los motores de combustión interna no usan el mismo aire una y otra vez, pero de todos modos podemos analizarlos en términos de procesos cíclicos que se aproximan a su funcionamiento real.

### Depósitos de calor y frío

Todas las máquinas térmicas *absorben* calor de una fuente a una temperatura relativamente alta, realizan un trabajo mecánico y *desechan* o *rechazan* algo de calor a una temperatura más baja. En lo que a la máquina concierne, el calor desecharido se desperdicia. En los motores de combustión interna, éste es el calor que se elimina en los gases de escape y en el sistema de enfriamiento; en una turbina de vapor, es el calor que sale del vapor usado para condensar y reciclar el agua.

Cuando un sistema realiza un proceso cíclico, sus energías internas inicial y final son iguales. En tal caso, la primera ley de la termodinámica establece que

$$U_2 - U_1 = 0 = Q - W \quad \text{así que} \quad Q = W$$

Es decir, el calor neto que fluye en la máquina en un proceso cíclico es igual al trabajo neto realizado por la máquina.

Al analizar máquinas térmicas, es útil considerar dos cuerpos con los cuales la sustancia de trabajo puede interactuar. Uno, llamado *depósito caliente*, representa la fuente de calor; proporciona a la sustancia de trabajo grandes cantidades de calor a temperatura constante  $T_H$  sin cambiar apreciablemente su propia temperatura. El otro cuerpo, llamado *depósito frío*, puede absorber grandes cantidades del calor desecharido por la

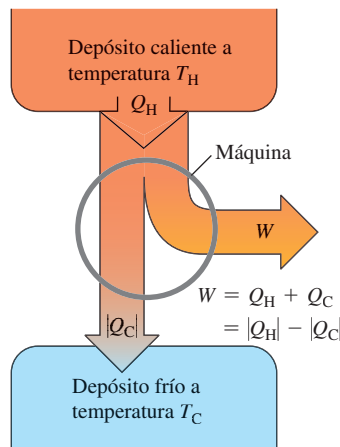
**20.2** Todos los vehículos motorizados, excepto los exclusivamente eléctricos, usan máquinas térmicas para impulsarse (los vehículos híbridos emplean su motor de combustión interna para ayudar a cargar las baterías del motor eléctrico).



máquina a una temperatura constante menor  $T_C$ . En un sistema de turbina de vapor, las llamas y los gases calientes de la caldera son el depósito caliente; y el agua fría y el aire empleados para condensar y enfriar el vapor usado corresponden al depósito frío.

Denotamos las cantidades de calor transferido de los depósitos caliente y frío como  $Q_H$  y  $Q_C$  (por las siglas de *hot* y *cold*), respectivamente. Una cantidad de calor  $Q$  es positiva cuando se transfiere *a la* sustancia de trabajo, y negativa si sale de dicha sustancia. Así, en una máquina térmica,  $Q_H$  es positivo pero  $Q_C$  es negativo, pues representa el calor *que sale* de la sustancia de trabajo. Esta convención de signos es congruente con las reglas establecidas en la sección 19.1, y que seguiremos empleando aquí. Para efectos de claridad, las relaciones se definirán a menudo con valores absolutos de  $Q$  y  $W$ , porque los valores absolutos siempre son positivos.

### 20.3 Diagrama de flujo de energía de una máquina térmica



### BIO Aplicación Eficiencia biológica

Aun cuando un organismo biológico no es una máquina térmica, el concepto de eficiencia también se aplica. En este caso, *e* es la razón entre el trabajo realizado y la energía utilizada para efectuarlo. Al ejercitarse en una bicicleta estacionaria, su cuerpo debe convertir primero la energía de los enlaces químicos de la glucosa en trifosfato de adenosina o adenosín trifosfato (ATP), luego convertir la energía de este último en movimiento de los músculos de sus piernas y, finalmente, convertir el movimiento muscular en movimiento de los pedales. La eficiencia total de este proceso completo es del 25% aproximadamente. El 75% de energía restante liberada de la glucosa se destina a calentar su cuerpo.



### Diagramas de flujo de energía y eficiencia

Podemos representar las transformaciones de energía en una máquina térmica con el *diagrama de flujo de energía* de la figura 20.3. La máquina en sí se representa con un círculo. El calor  $Q_H$  suministrado a la máquina por el depósito caliente es proporcional al ancho de la “tubería” de entrada en la parte superior del diagrama. El ancho de la tubería de salida en la parte inferior es proporcional a la magnitud  $|Q_C|$  del calor expulsado por el escape. El ramal de la derecha representa la porción del calor suministrado que la máquina convierte en trabajo mecánico,  $W$ .

Si una máquina repite el mismo ciclo una y otra vez,  $Q_H$  y  $Q_C$  representan el calor absorbido y cedido por la máquina *durante un ciclo*;  $Q_H$  es positivo, y  $Q_C$ , negativo. El calor neto  $Q$  absorbido por ciclo es

$$Q = Q_H + Q_C = |Q_H| - |Q_C| \quad (20.1)$$

La salida útil de la máquina es el trabajo neto  $W$  efectuado por la sustancia de trabajo. De acuerdo con la primera ley,

$$W = Q = Q_H + Q_C = |Q_H| - |Q_C| \quad (20.2)$$

Idealmente, nos gustaría convertir *todo* el calor  $Q_H$  en trabajo; en tal caso, tendríamos  $Q_H = W$  y  $Q_C = 0$ . La experiencia indica que esto es imposible; siempre se desperdicia algo de calor y  $Q_C$  nunca es cero. Definimos la **eficiencia térmica** de una máquina, denotada con  $e$ , como el cociente

$$e = \frac{W}{Q_H} \quad (20.3)$$

La eficiencia térmica  $e$  representa la fracción de  $Q_H$  que se convierte en trabajo. Dicho de otro modo,  $e$  es igual a lo que se obtiene dividido entre lo que se paga, y siempre es menor que 1: ¡una experiencia demasiado común! En términos del diagrama de flujo de la figura 20.3, la máquina más eficiente es aquélla en la que el ramal que representa la salida de trabajo es lo más ancho posible, y la tubería de salida que representa el calor cedido es lo más angosta posible.

Si sustituimos las dos expresiones de  $W$  dadas por la ecuación (20.2) en la ecuación (20.3), obtenemos las siguientes expresiones equivalentes para  $e$ :

<b>Eficiencia térmica de una máquina</b>	Trabajo realizado por una máquina $e = \frac{W}{Q_H} = 1 + \frac{Q_C}{Q_H} = 1 - \left  \frac{Q_C}{Q_H} \right $ Calor absorbido por la máquina	Calor expulsado por la máquina
--	---	--------------------------------

$$(20.4)$$

Observe que  $e$  es el cociente de dos cantidades de energía y, por lo tanto, es un número puro, sin unidades. Desde luego, siempre debemos expresar  $W$ ,  $Q_H$  y  $Q_C$  en las mismas unidades.

## ESTRATEGIA PARA RESOLVER PROBLEMAS 20.1

## MÁQUINAS TÉRMICAS

Los problemas en los que intervienen máquinas térmicas son, ante todo, problemas relacionados con la primera ley de la termodinámica. Por eso, es conveniente revisar la estrategia para resolver problemas 19.1 (sección 19.4).

**IDENTIFICAR** los conceptos relevantes: Una máquina térmica es cualquier dispositivo que convierte parcialmente calor en trabajo, como se muestra esquemáticamente en la figura 20.3. En la sección 20.4, veremos que un refrigerador es, en esencia, una máquina térmica que opera a la inversa, así que son válidos muchos de los mismos conceptos.

**PLANTEAR** el problema como se sugiere en la estrategia para resolver problemas 19.1. Se usa la ecuación (20.4), si la eficiencia térmica de la máquina es importante. Dibuje un diagrama de flujo de energía como el de la figura 20.3.

**EJECUTAR** la solución como sigue:

1. Tenga mucho cuidado con las convenciones de signos para  $W$  y las diversas  $Q$ .  $W$  es positivo si el sistema se expande y efectúa trabajo,

y negativo cuando se comprime y el trabajo se realiza sobre él.  $Q$  es positiva si representa calor que entra en el sistema y negativa si representa calor que sale del sistema. Si se sabe que una cantidad es negativa, como  $Q_C$  en el análisis anterior, es útil escribirla como  $Q_C = -|Q_C|$ .

2. La potencia es trabajo por unidad de tiempo ( $P = W/t$ ), y la rapidez de transferencia de calor (corriente de calor)  $H$  es calor transferido por unidad de tiempo ( $H = Q/t$ ). En los problemas que incluyen estos conceptos conviene preguntarse: “¿Cuál es  $W$  o  $Q$  en un segundo (o una hora)?”.
3. Teniendo presentes los pasos 1 y 2, despeje las incógnitas.

**EVALUAR** la respuesta: Use la primera ley de la termodinámica para comprobar sus resultados, prestando especial atención a los signos algebraicos.

### EJEMPLO 20.1 ANÁLISIS DE UNA MÁQUINA TÉRMICA

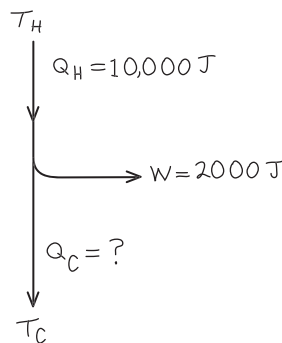


El motor de gasolina de un camión toma 10,000 J de calor y produce 2000 J de trabajo mecánico por ciclo. El calor se obtiene quemando gasolina, cuyo calor de combustión es  $L_c = 5.0 \times 10^4 \text{ J/g}$ . a) Calcule la eficiencia térmica del motor. b) ¿Cuánto calor se desecha en cada ciclo? c) Si el motor realiza 25 ciclos por segundo, ¿qué potencia de salida desarrolla en watts y en hp? d) ¿Cuánta gasolina se quema en cada ciclo? e) ¿Cuánta gasolina se quema por segundo? f) Y por hora?

#### SOLUCIÓN

**IDENTIFICAR y PLANTEAR:** El problema se refiere a una máquina térmica, de manera que podemos usar las ideas de esta sección. La **figura 20.4** es el diagrama de flujo de energía para un ciclo. En cada ciclo el motor realiza  $W = 2000 \text{ J}$  y toma  $Q_H = 10,000 \text{ J}$  de calor. Por lo tanto, se usa la ecuación (20.4) en la forma  $e = W/Q_H$  para obtener la eficiencia térmica. Se emplea la ecuación (20.2) para calcular la cantidad de calor  $Q_C$  cedido en el ciclo. El calor de combustión nos dice cuánta gasolina se quema por ciclo y, por lo tanto, por unidad de tiempo. La potencia de salida es la rapidez a la cual se realiza el trabajo  $W$ .

#### 20.4 Diagrama para este problema.



**EJECUTAR:** a) Según la ecuación (20.4), la eficiencia térmica es

$$e = \frac{W}{Q_H} = \frac{2000 \text{ J}}{10,000 \text{ J}} = 0.20 = 20\%$$

b) De acuerdo con la ecuación (20.2),  $W = Q_H + Q_C$ , de manera que

$$Q_C = W - Q_H = 2000 \text{ J} - 10,000 \text{ J} = -8000 \text{ J}$$

Es decir, 8000 J de calor salen del motor en cada ciclo.

c) La potencia  $P$  es el trabajo por ciclo multiplicado por el número de ciclos por segundo:

$$\begin{aligned} P &= (2000 \text{ J/ciclo})(25 \text{ ciclos/s}) = 50,000 \text{ W} = 50 \text{ kW} \\ &= (50,000 \text{ W}) \frac{1 \text{ hp}}{746 \text{ W}} = 67 \text{ hp} \end{aligned}$$

d) Sea  $m$  la masa de gasolina quemada en cada ciclo. Entonces,  $Q_H = m L_c$

$$m = \frac{Q_H}{L_c} = \frac{10,000 \text{ J}}{5.0 \times 10^4 \text{ J/g}} = 0.20 \text{ g}$$

e) La masa de gasolina quemada por segundo es la masa por ciclo multiplicada por el número de ciclos por segundo:

$$(0.20 \text{ g/ciclo})(25 \text{ ciclos/s}) = 5.0 \text{ g/s}$$

La masa quemada por hora es

$$(5.0 \text{ g/s}) \frac{3600 \text{ s}}{1 \text{ h}} = 18,000 \text{ g/h} = 18 \text{ kg/h}$$

**EVALUAR:** Una eficiencia del 20% es bastante común en automóviles y camiones si  $W$  incluye sólo el trabajo suministrado a las ruedas. Podemos verificar la masa quemada por hora expresándola en millas por galón (“kilometraje”). La densidad de la gasolina es de cerca de  $0.70 \text{ g/cm}^3$ , así que esto es aproximadamente  $25,700 \text{ cm}^3$ ,  $25.7 \text{ L}$  o  $6.8$  galones de gasolina por hora. Si el camión viaja a  $55 \text{ mi/h}$  ( $88 \text{ km/h}$ ), esto representa un consumo de combustible de  $8.1 \text{ millas/galón}$  ( $3.4 \text{ km/L}$ ). Éste es un kilometraje bastante común en los camiones grandes.

**EVALÚE SU COMPRENSIÓN DE LA SECCIÓN 20.2** Ordene en forma decreciente las siguientes máquinas térmicas, según su eficiencia térmica. **i.** Una máquina en la que en un ciclo absorbe 5000 J de calor y cede 4500 J de calor; **ii.** una máquina que en un ciclo absorbe 25,000 J de calor y realiza 2000 J de trabajo; **iii.** una máquina que en un ciclo realiza 400 J de trabajo y cede 2800 J de calor.

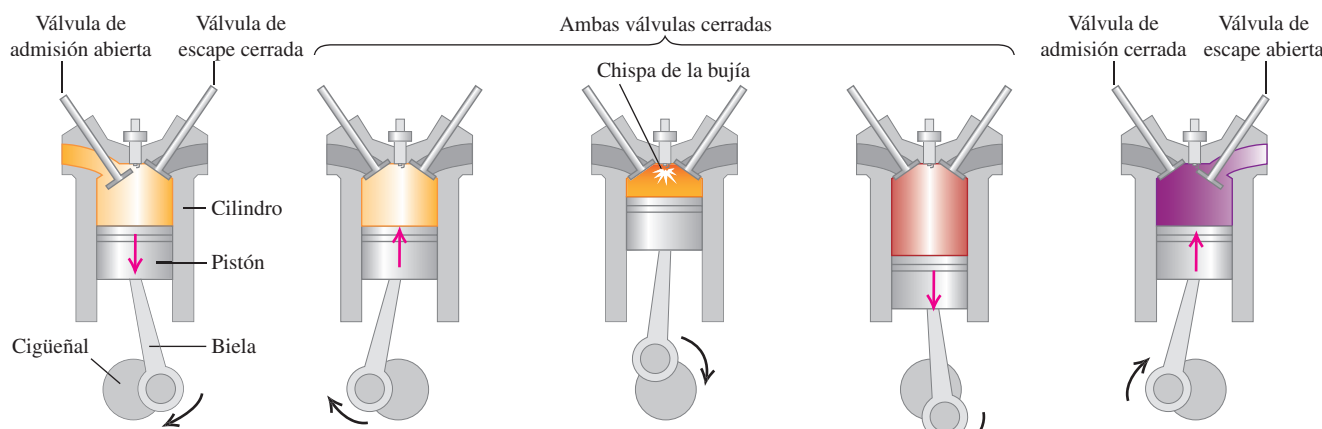
## 20.3 MOTORES DE COMBUSTIÓN INTERNA

El motor de gasolina, empleado en automóviles y muchos otros tipos de maquinaria, es un ejemplo común de máquina térmica. Examinemos su eficiencia térmica. La figura 20.5 muestra el funcionamiento de un tipo de motor de gasolina. Primero, una mezcla de aire y vapor de gasolina fluye al interior de un cilindro por una válvula de admisión abierta mientras el pistón desciende, aumentando el volumen del cilindro desde un mínimo  $V$  (cuando el pistón está arriba) hasta un máximo  $rV$  (cuando está abajo). La cantidad  $r$  se llama **razón de compresión**; en los motores de automóviles modernos,  $r$  suele estar entre 8 y 10. Al final de esta *carrera de admisión*, la válvula de admisión se cierra y la mezcla se comprime, de forma aproximadamente adiabática, a un volumen  $V$  durante la *carrera de compresión*. Luego, la bujía enciende la mezcla y el gas caliente se expande, de forma aproximadamente adiabática, otra vez al volumen  $rV$ , empujando el pistón y efectuando trabajo; ésta es la *carrera de potencia*. Por último, se abre la válvula de escape y se expulsan los productos de la combustión (durante la *carrera de escape*) dejando el cilindro listo para la siguiente carrera de admisión.

### El ciclo Otto

La figura 20.6 es un diagrama  $pV$  de un modelo idealizado de los procesos termodinámicos en un motor de gasolina. Este modelo se llama **ciclo Otto**. En el punto  $a$ , la mezcla de aire y gasolina ya entró en el cilindro. La mezcla se comprime adiabáticamente hasta el punto  $b$  y se enciende. Al quemarse, la gasolina agrega calor  $Q_H$  al sistema, siguiendo la línea  $bc$ , y la carrera de potencia es la expansión adiabática al punto  $d$ . El gas se enfriá a la temperatura del aire exterior a lo largo de la línea  $da$ , expulsando calor  $|Q_C|$ . Este gas sale del motor como escape y no vuelve a entrar en él, pero, como entra una cantidad de aire y gasolina equivalente, podemos considerar que el proceso es cíclico.

**20.5** Ciclo de un motor de combustión interna de cuatro tiempos.



**① Carrera de admisión:** El pistón baja, creando un vacío parcial en el cilindro; una mezcla de aire y gasolina entra en el cilindro por la válvula de admisión.

**② Carrera de compresión:** La válvula de admisión se cierra y la mezcla se comprime conforme el pistón sube.

**③ Encendido:** La chispa de la bujía enciende la mezcla.

**④ Carrera de potencia:** La mezcla quemada se expande y empuja el pistón hacia abajo.

**⑤ Carrera de escape:** La válvula de escape se abre y el pistón sube, expulsando la mezcla quemada, dejándolo listo para la siguiente carrera de admisión.

Podemos calcular la eficiencia de este ciclo idealizado. Los procesos *bc* y *da* son a volumen constante, así que  $Q_H$  y  $Q_C$  tienen una relación simple con las temperaturas en los puntos *a*, *b*, *c* y *d*:

$$Q_H = nC_V(T_c - T_b) > 0$$

$$Q_C = nC_V(T_a - T_d) < 0$$

La eficiencia térmica está dada por la ecuación (20.4). Insertando las expresiones anteriores y cancelando el factor común  $nC_V$ , obtenemos

$$e = \frac{Q_H + Q_C}{Q_H} = \frac{T_c - T_b + T_a - T_d}{T_c - T_b} \quad (20.5)$$

Para simplificar más esto, usamos la relación temperatura-volumen para procesos adiabáticos de un gas ideal, ecuación (19.22). Para los dos procesos adiabáticos *ab* y *cd*,

$$T_a(rV)^{\gamma-1} = T_b V^{\gamma-1} \quad \text{y} \quad T_d(rV)^{\gamma-1} = T_c V^{\gamma-1}$$

donde  $\gamma$  es la proporción de las capacidades caloríficas para el gas en el motor (vea la sección 19.7). Dividimos ambas ecuaciones entre el factor común  $V^{\gamma-1}$  y sustituimos las expresiones resultantes para  $T_b$  y  $T_c$  de nuevo en la ecuación (20.5). El resultado es

$$e = \frac{T_d r^{\gamma-1} - T_a r^{\gamma-1} + T_a - T_d}{T_d r^{\gamma-1} - T_a r^{\gamma-1}} = \frac{(T_d - T_a)(r^{\gamma-1} - 1)}{(T_d - T_a)r^{\gamma-1}}$$

Eliminando por división el factor común  $(T_d - T_a)$ , obtenemos

**Eficiencia térmica en el ciclo Otto**  $e = 1 - \frac{1}{r^{\gamma-1}}$

Razón de compresión  $r$  Razón de capacidades caloríficas

La eficiencia térmica dada por la ecuación (20.6) siempre es menor que 1, aun para este modelo idealizado. Si  $r = 8$  y  $\gamma = 1.4$  (el valor para el aire), la eficiencia teórica es  $e = 0.56$ , es decir, 56%. La eficiencia puede aumentarse incrementando  $r$ ; sin embargo, esto también aumenta la temperatura al final de la compresión adiabática de la mezcla aire-combustible. Cuando la temperatura es excesiva, la mezcla explota espontáneamente durante la compresión, en lugar de quemarse de manera uniforme después de que la bujía la enciende. Esto se llama *preignición* o *detonación*; causa un golpeteo y puede dañar el motor. El octanaje de una gasolina es una medida de sus cualidades antidetonantes. La razón de compresión práctica máxima para gasolina de alto octanaje ("premium") es de aproximadamente 10 a 13.

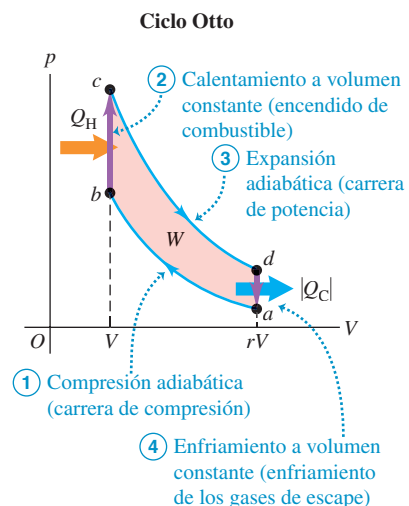
El ciclo Otto es un modelo muy idealizado; supone que la mezcla se comporta como un gas ideal, no toma en cuenta fricción, turbulencia, pérdida de calor en las paredes del cilindro ni muchos otros efectos que reducen la eficiencia de un motor. Las eficiencias de los motores de gasolina reales suelen ser del orden del 35%.

## El ciclo Diesel

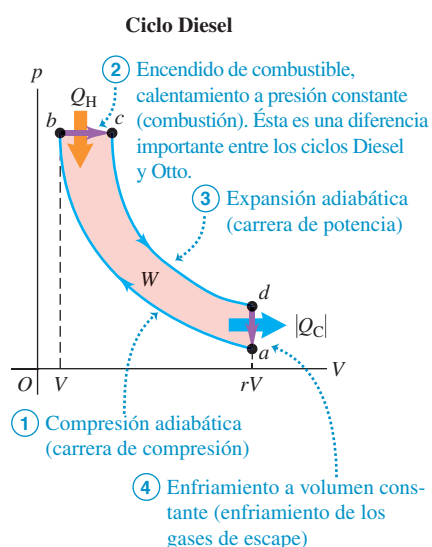
La operación del motor diesel es similar a la del motor de gasolina. La diferencia más importante es que no hay combustible en el cilindro al principio de la carrera de compresión. Un poco antes de iniciar la carrera de potencia, los inyectores comienzan a inyectar combustible directamente al cilindro, con la rapidez justa para mantener la presión casi constante durante la primera parte de la carrera de potencia. Debido a la elevada temperatura alcanzada durante la compresión adiabática, el combustible se enciende espontáneamente al inyectarse; no se requiere ninguna chispa.

El **ciclo Diesel** idealizado se ilustra en la figura 20.7. Comenzando en el punto *a*, el aire se comprime adiabáticamente hasta el punto *b*, se calienta a presión constante hasta el punto *c*, se expande adiabáticamente hasta el punto *d* y se enfriá a volumen constante hasta el punto *a*. Como no hay combustible en el cilindro durante la mayor

**20.6** Diagrama *pV* del ciclo Otto, un modelo idealizado de los procesos termodinámicos de un motor de gasolina.



**20.7** Diagrama *pV* del ciclo Diesel idealizado.



parte de la carrera de compresión, no hay preignición, y la razón de compresión  $r$  puede ser mucho mayor que en un motor de gasolina. Esto mejora la eficiencia y asegura un encendido confiable al inyectarse el combustible (por la alta temperatura alcanzada durante la compresión adiabática). Son comunes valores de  $r$  de 15 a 20; con estos valores y  $\gamma = 1.4$ , la eficiencia teórica del ciclo Diesel idealizado es de 0.65 a 0.70. Al igual que en el ciclo Otto, la eficiencia de un motor real es mucho menor. Si bien los motores diesel son muy eficientes, deben construirse con tolerancias mucho más estrictas que los motores de gasolina, y el sistema de inyección de combustible requiere un mantenimiento cuidadoso.

**EVALÚE SU COMPRENSIÓN DE LA SECCIÓN 20.3** Para un motor de ciclo Otto con cilindros de tamaño fijo y razón de compresión constante, ¿cuál de los siguientes aspectos del diagrama  $pV$  de la figura 20.6 cambiarían al duplicarse la cantidad de combustible quemado por ciclo? (Tal vez haya más de una respuesta correcta). **i.** La distancia vertical entre los puntos  $b$  y  $c$ ; **ii.** la distancia vertical entre los puntos  $a$  y  $d$ ; **iii.** la distancia horizontal entre los puntos  $b$  y  $a$ .

## 20.4 REFRIGERADORES

Podemos visualizar un **refrigerador** como una máquina térmica que opera en forma inversa. Una máquina térmica toma calor de un lugar caliente y cede calor a un lugar más frío. Un refrigerador hace lo contrario: toma calor de un lugar frío (el interior del refrigerador) y cede calor a un lugar más caliente (generalmente al aire del sitio donde está el refrigerador). Una máquina térmica tiene una *salida* neta de trabajo mecánico; el refrigerador requiere de una *entrada* neta de trabajo mecánico. Aplicando las convenciones de signo de la sección 20.2, para un refrigerador  $Q_C$  es positivo, pero tanto  $W$  como  $Q_H$  son negativos, de modo que  $|W| = -W$  y  $|Q_H| = -Q_H$ .

La **figura 20.8** muestra un diagrama de flujo de energía de un refrigerador. Por la primera ley para un proceso cíclico,

$$Q_H + Q_C - W = 0 \quad \text{o bien,} \quad -Q_H = Q_C - W$$

es decir, como  $Q_H$  y  $W$  son negativos,

$$|Q_H| = Q_C + |W| \quad (20.7)$$

Como muestra el diagrama, el calor  $|Q_H|$  que sale de la sustancia de trabajo y entra al depósito caliente siempre es *mayor* que el calor  $Q_C$  tomado del depósito frío. Observe que la relación de valor absoluto

$$|Q_H| = |Q_C| + |W| \quad (20.8)$$

es válida tanto para máquinas térmicas como para refrigeradores.

Desde un punto de vista económico, el mejor ciclo de refrigeración es el que saca la cantidad máxima de calor  $|Q_C|$  del refrigerador, con el menor gasto de trabajo mecánico,  $|W|$ . Por lo tanto, la razón relevante es  $|Q_C|/|W|$ ; cuanto mayor sea dicha razón, mejor será el refrigerador. Llamamos a esta razón **coeficiente de rendimiento**, denotado con  $K$ . Por la ecuación (20.8),  $|W| = |Q_H| - |Q_C|$ , así que

$$K = \frac{|Q_C|}{|W|} = \frac{|Q_C|}{|Q_H| - |Q_C|}$$

Coeficiente de rendimiento de un refrigerador

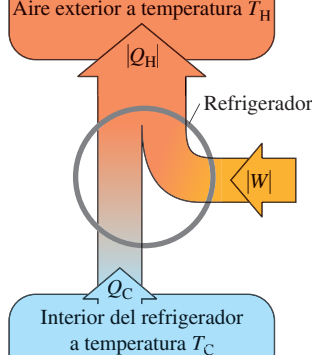
Trabajo que entra al refrigerador

Calor expulsado al aire exterior

Calor que se elimina del interior del refrigerador

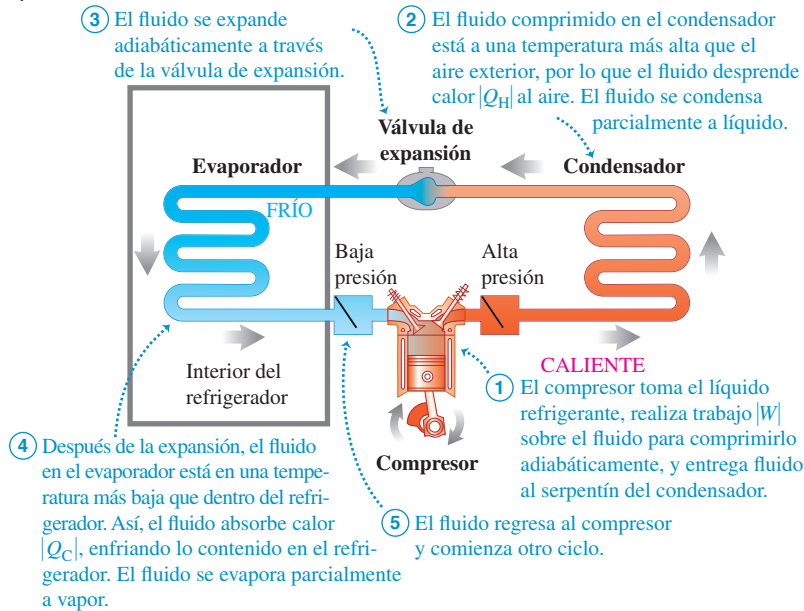
Como siempre, medimos  $Q_H$ ,  $Q_C$  y  $W$  en las mismas unidades de energía;  $K$  es entonces un número adimensional.

**20.8** Diagrama de flujo de energía de un refrigerador.

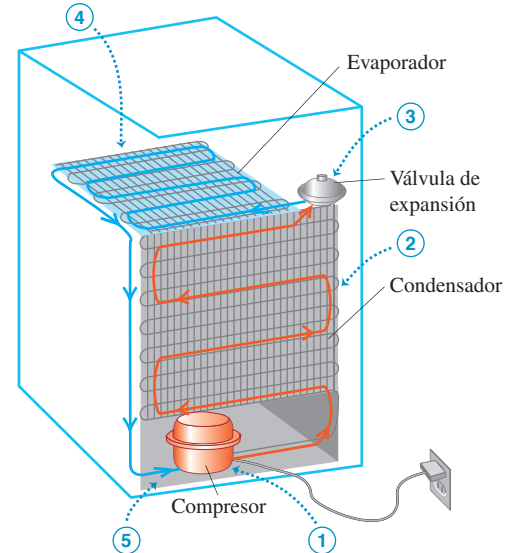


**20.9** a) Principio del ciclo mecánico de refrigeración. b) Cómo están dispuestos los elementos clave en un refrigerador doméstico.

a)



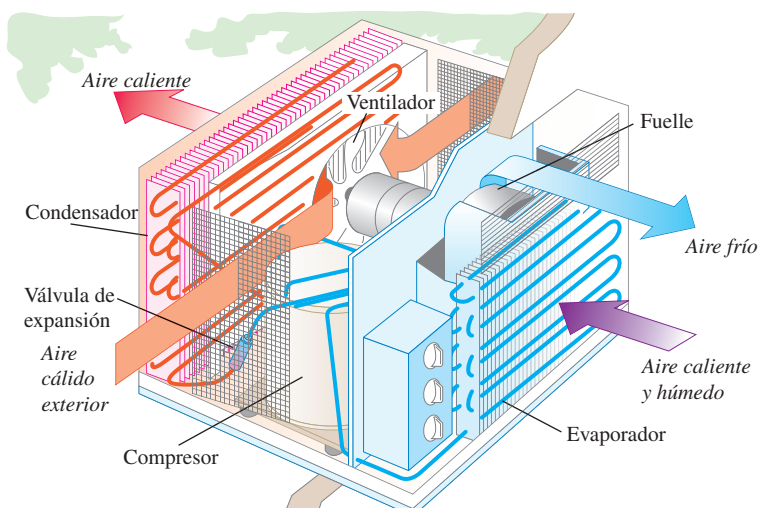
b)



## Refrigeradores domésticos

En la figura 20.9a se muestran esquemáticamente los fundamentos del ciclo de refrigeración común. El “circuito” contiene un fluido refrigerante (la sustancia de trabajo). El lado izquierdo del circuito (que incluye los serpentines de enfriamiento dentro del refrigerador) está a baja temperatura y baja presión; el lado derecho (que incluye los serpentines de condensación fuera del refrigerador) tiene alta temperatura y alta presión. Por lo regular, ambos lados contienen líquido y vapor en equilibrio de fases. En cada ciclo el fluido absorbe calor  $|Q_C|$  desde el interior del refrigerador en el lado izquierdo y emite calor  $|Q_H|$  al aire circundante en el lado derecho. El compresor, por lo general impulsado por un motor eléctrico (figura 20.9b), realiza trabajo  $|W|$  sobre el fluido durante cada ciclo. Ya que el compresor requiere entrada de energía, los refrigeradores tienen que estar conectados.

Los dispositivos de aire acondicionado operan exactamente con el mismo principio. En este caso, la caja del refrigerador es una habitación o todo un edificio. Los serpentines del evaporador están adentro, el condensador está afuera, y los ventiladores hacen circular aire por ellos (figura 20.10). En instalaciones grandes, los serpentines del condensador a menudo se enfrian con agua. En los dispositivos de aire acondicionado,



**20.10** Un dispositivo de aire acondicionado funciona con el mismo principio de un refrigerador.

las cantidades de mayor importancia práctica son la *rapidez* de remoción de calor (la corriente de calor  $H$  de la región que está siendo enfriada) y la *potencia* de entrada  $P = W/t$  al compresor. Si se extrae un calor  $|Q_C|$  en un tiempo  $t$ , entonces  $H = |Q_C|/t$ , y podemos expresar el coeficiente de rendimiento como

$$K = \frac{|Q_C|}{|W|} = \frac{Ht}{Pt} = \frac{H}{P}$$

Los dispositivos de aire acondicionado comunes domésticos tienen rapideces de remoción de calor  $H$  de 1500 a 3000 W aproximadamente, y requieren de una potencia eléctrica de entrada de 600 a 1200 W. Los coeficientes de rendimiento son del orden de 3; los valores reales dependen de las temperaturas interior y exterior.

Una variación sobre este tema es la **bomba de calor**, empleada para calentar edificios al enfriar el aire exterior. La bomba funciona como un refrigerador al revés. Los serpentines del evaporador están afuera, donde toman calor del aire frío, y los del condensador están adentro, donde ceden calor al aire más caliente. Con un diseño adecuado, el calor  $|Q_H|$  suministrado al interior cada ciclo puede ser mucho mayor que el trabajo  $|W|$  necesario para llevarlo ahí.

*Siempre* se necesita trabajo para transferir calor de un cuerpo más frío a uno más caliente. El calor fluye espontáneamente de lo más caliente hacia lo más frío, y para revertir el flujo, se requiere trabajo del exterior. La experiencia muestra que es imposible hacer un refrigerador que transporte calor de un cuerpo más frío a uno más caliente sin agregar trabajo. Si no se necesitara trabajo, el coeficiente de rendimiento sería infinito. Este dispositivo que se conoce como *refrigerador sin trabajo* es un mito, como el unicornio y las comidas gratuitas.

**EVALÚE SU COMPRENSIÓN DE LA SECCIÓN 20.4** ¿Es posible enfriar una casa dejando abierta la puerta del refrigerador? 

## 20.5 SEGUNDA LEY DE LA TERMODINÁMICA

Las pruebas experimentales sugieren que es *imposible* construir una máquina térmica que convierta calor totalmente en trabajo, es decir, una máquina con una eficiencia térmica del 100%. Esta imposibilidad es la base del siguiente enunciado de la **segunda ley de la termodinámica**:

**Es imposible que un sistema efectúe un proceso en el que absorba calor de un depósito de temperatura uniforme y lo convierta totalmente en trabajo mecánico, terminando en el mismo estado en que inició.**

Llamaremos a éste el enunciado de la segunda ley de la “máquina” (los físicos también se conoce como *enunciado de Kelvin-Planck*).

El fundamento de la segunda ley de la termodinámica es la diferencia entre la naturaleza de la energía interna y la de la energía mecánica macroscópica. En un cuerpo que se mueve, las moléculas tienen un movimiento aleatorio, al que se superpone un movimiento coordinado de todas las moléculas en la dirección de la velocidad del cuerpo. La energía cinética asociada a este movimiento macroscópico *coordinado* es lo que llamamos energía cinética del cuerpo en movimiento. Las energías cinéticas y potenciales asociadas al movimiento *aleatorio* constituyen la energía interna.

Si un cuerpo que se desliza sobre una superficie se detiene a causa de la fricción, el movimiento organizado del cuerpo se convierte en movimiento aleatorio de las moléculas del cuerpo y de la superficie. Como no podemos controlar los movimientos de moléculas individuales, es imposible convertir todo este movimiento aleatorio otra vez en movimiento organizado. Podemos convertir *una parte*, y esto es lo que hace la máquina térmica.

Si la segunda ley *no* se cumpliera, podríamos impulsar un automóvil u operar una planta de electricidad enfriando el aire circundante. Ninguna de estas imposibilidades viola la *primera* ley de la termodinámica. La segunda, por lo tanto, no se deduce de la

primera; más bien es una ley natural independiente. La primera ley niega la posibilidad de crear o destruir energía; la segunda limita la *disponibilidad* de la energía y las formas en que puede usarse y convertirse.

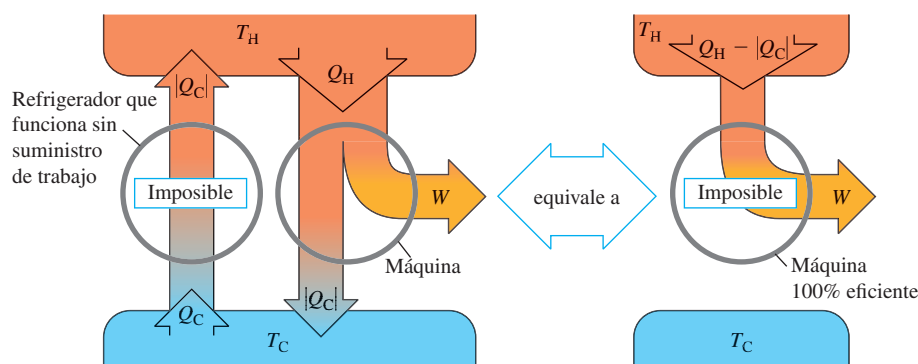
## Replanteamiento de la segunda ley

El análisis de los refrigeradores de la sección 20.4 es la base de un planteamiento alternativo de la segunda ley de la termodinámica. El calor fluye espontáneamente de los cuerpos más calientes a los más fríos, nunca a la inversa. Un refrigerador lleva calor de un cuerpo más frío a uno más caliente, aunque para funcionar requiere un aporte de energía mecánica o trabajo. Generalizando esta observación, decimos:

**Es imposible que un proceso tenga como único resultado la transferencia de calor de un cuerpo más frío a uno más caliente.**

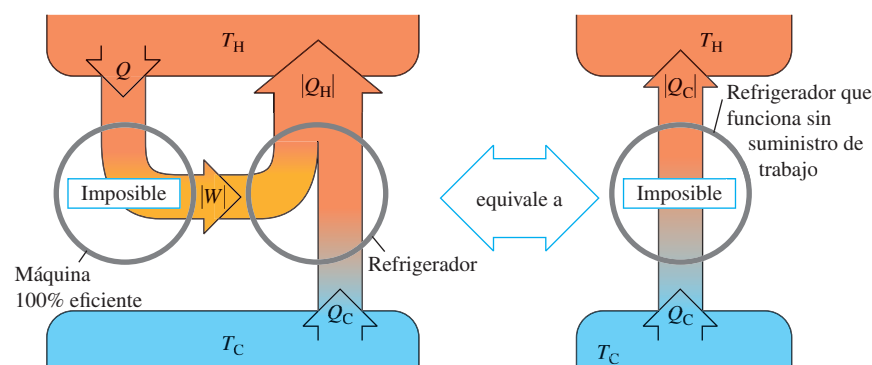
Llamamos a éste el enunciado de la segunda ley del “refrigerador” (también se conoce como *enunciado de Clausius*). Tal vez no parezca muy relacionado con el enunciado de la “máquina”; pero en realidad son totalmente equivalentes. Por ejemplo, si pudiéramos construir un refrigerador sin trabajo, violando el enunciado de la segunda ley del “refrigerador”, podríamos usarlo junto con una máquina térmica, bombeando el calor rechazado por la máquina de vuelta al depósito caliente para reutilizarlo. Esta máquina compuesta (**figura 20.11a**) violaría el planteamiento de la “máquina” de la segunda ley, porque su efecto neto sería tomar una cantidad neta de calor  $Q_H - |Q_C|$  del depósito caliente y transformarlo totalmente en trabajo  $W$ .

a) Enunciado de la segunda ley de la termodinámica de la “máquina”



Si fuera posible que un refrigerador funcionara sin suministro de trabajo, podría usarse junto con una máquina térmica ordinaria para crear una máquina 100% eficiente, convirtiendo el calor  $Q_H - |Q_C|$  completamente en trabajo.

b) Enunciado de la segunda ley de la termodinámica del “refrigerador”



Si fuera posible una máquina 100% eficiente, podría usarse junto con un refrigerador doméstico para crear un refrigerador que funcione sin suministro de trabajo, transfiriendo el calor  $Q_C$  del depósito frío al caliente sin aporte de trabajo.

**20.11** Diagramas de flujo de energía que muestran que las dos formas de la segunda ley son equivalentes.

Alternativamente, si pudiéramos crear una máquina con una eficiencia térmica del 100%, violando el primer enunciado, podríamos operarla tomando calor del depósito caliente y usar el trabajo producido para operar un refrigerador que extraiga calor del depósito frío para entregarlo al caliente (figura 20.11b). Este dispositivo compuesto violaría el enunciado del “refrigerador”, porque su efecto neto sería tomar un calor  $Q_C$  del depósito frío y llevarlo al caliente, sin necesidad de aporte de trabajo. Así, cualquier dispositivo que viole una forma de la segunda ley puede servir para construir un dispositivo que viole la otra forma. Si es imposible violar la primera forma, ¡también lo es la violación de la segunda!

Tanto la conversión de trabajo en calor como el flujo de calor de caliente a frío a través de un gradiente de temperatura finito son procesos *irreversibles*. Los planteamientos de “máquina” y “refrigerador” de la segunda ley establecen que tales procesos sólo pueden revertirse parcialmente. Podríamos citar otros ejemplos. Los gases siempre fluyen espontáneamente de una región de alta presión a una de baja presión; los gases y líquidos miscibles sin perturbación siempre tienden a mezclarse, no a separarse. La segunda ley de la termodinámica es una expresión del aspecto inherentemente unidireccional de éstos y muchos otros procesos irreversibles. La conversión de energía es un aspecto esencial en la vida de plantas y animales, y también de la tecnología, así que la segunda ley de la termodinámica tiene una importancia fundamental.

**EVALÚE LA COMPRENSIÓN DE LA SECCIÓN 20.5** ¿Una máquina 100% eficiente (figura 20.11a) violaría la *primera ley de la termodinámica*? ¿Y un refrigerador sin suministro de trabajo (figura 20.11b)?

## 20.6 EL CICLO DE CARNOT

De acuerdo con la segunda ley, ninguna máquina térmica puede tener una eficiencia del 100%. ¿Qué tanta eficiencia *puede* tener una máquina, dados dos depósitos de calor a temperaturas  $T_H$  y  $T_C$ ? El ingeniero francés Sadi Carnot (1796-1832) contestó esta pregunta en 1824, cuando desarrolló una máquina térmica idealizada hipotética con la máxima eficiencia posible, congruente con la segunda ley. El ciclo de esta máquina se denomina **ciclo de Carnot**.

Para entender la lógica del ciclo de Carnot, volvamos a la *reversibilidad* y su relación con la dirección de los procesos termodinámicos. La conversión de trabajo en calor es un proceso irreversible; el objetivo de una máquina térmica es una reversión parcial de este proceso, la conversión de calor en trabajo con la máxima eficiencia posible. Entonces, para lograrlo, *debemos eliminar todos los procesos irreversibles* (figura 20.12).

El *flujo de calor* a través de una disminución finita de temperatura es un proceso irreversible. Por lo tanto, durante la transferencia de calor en el ciclo de Carnot, *no* debe haber una diferencia finita de temperatura. Cuando la máquina toma calor del depósito caliente a temperatura  $T_H$ , la sustancia de trabajo de la máquina también debe estar a  $T_H$ ; si no, habría un flujo de calor irreversible. Asimismo, cuando la máquina cede calor al depósito frío a  $T_C$ , la máquina misma debe estar a  $T_C$ . Es decir, todo proceso que implique transferencia de calor debe ser *isotérmico* ya sea a  $T_H$  o a  $T_C$ .

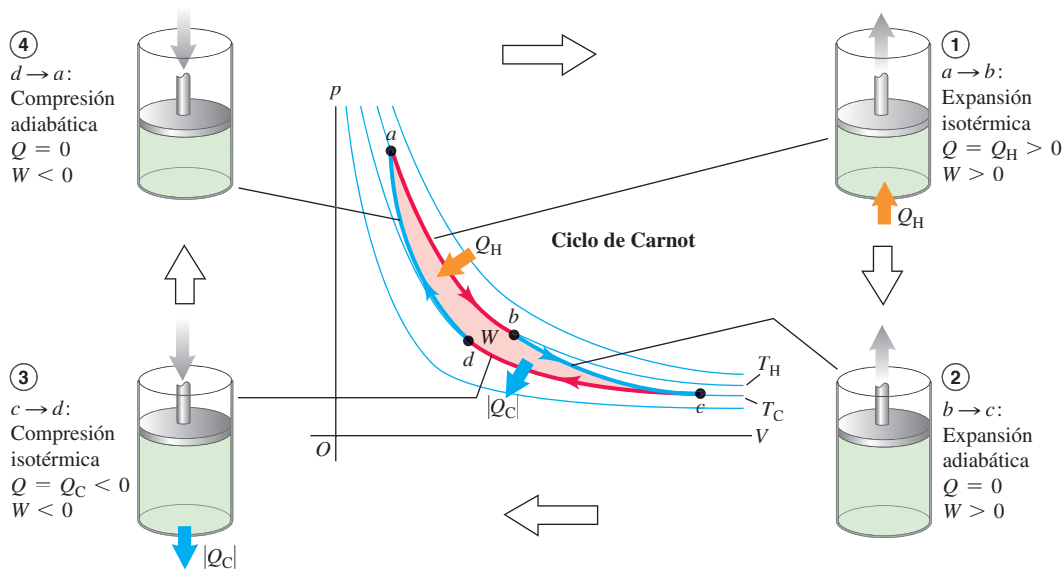
Por otro lado, en cualquier proceso en el que la temperatura de la sustancia de trabajo de la máquina sea intermedia entre  $T_H$  y  $T_C$ , *no* deberá haber transferencia de calor entre la máquina y cualquiera de los depósitos, ya que no podría ser reversible. Por lo tanto, cualquier proceso en el que cambia la temperatura  $T$  de la sustancia de trabajo deberá ser *adiabático*.

Lo crucial es que todo proceso de nuestro ciclo idealizado sea isotérmico, o bien, adiabático. Además, se debe mantener el equilibrio térmico y mecánico en todo momento para que cada proceso sea totalmente reversible.



**20.12** La temperatura de la cámara de combustión de una máquina de vapor es mucho mayor que la temperatura del agua en la caldera, así que el calor fluye irreversiblemente de la cámara de combustión al agua. La búsqueda de Carnot para entender la eficiencia de las máquinas de vapor lo llevó a la idea de que una máquina ideal implicaría sólo procesos *reversibles*.

**20.13** Ciclo de Carnot para un gas ideal. Las líneas azul claro del diagrama  $pV$  son isotermas (curvas de temperatura constante); las líneas azul oscuro son adiabáticas (curvas con cero flujo de calor).



### Pasos del ciclo de Carnot

El ciclo de Carnot consiste en dos procesos isotérmicos y dos adiabáticos, todos reversibles. La figura 20.13 muestra un ciclo de Carnot que emplea como sustancia de trabajo un gas ideal en un cilindro con un pistón, y consta de los siguientes pasos:

1. El gas se expande isotérmicamente a temperatura  $T_H$ , absorbiendo calor  $Q_H$  ( $ab$ ).
2. El gas se expande adiabáticamente hasta que su temperatura disminuye a  $T_C$  ( $bc$ ).
3. El gas se comprime isotérmicamente a  $T_C$ , cediendo calor  $|Q_C|$  ( $cd$ ).
4. El gas se comprime adiabáticamente hasta su estado inicial a temperatura  $T_H$  ( $da$ ).

Se puede calcular la eficiencia térmica  $e$  de una máquina de Carnot en el caso especial mostrado en la figura 20.13, donde la sustancia de trabajo es un *gas ideal*. Para realizar este cálculo, primero se obtiene la relación  $Q_C/Q_H$  de las cantidades de calor transferidas en los dos procesos isotérmicos, y luego se emplea la ecuación (20.4) para calcular  $e$ .

La energía interna  $U$  de un gas ideal depende sólo de la temperatura y, por lo tanto, es constante en cualquier proceso isotérmico. Para la expansión isotérmica  $ab$ ,  $\Delta U_{ab} = 0$ , y  $Q_H$  es igual al trabajo  $W_{ab}$  realizado por el gas durante su expansión isotérmica a temperatura  $T_H$ . Ya calculamos este trabajo en el ejemplo 19.1 (sección 19.2); usando este resultado, tenemos

$$Q_H = W_{ab} = nRT_H \ln \frac{V_b}{V_a} \quad (20.10)$$

De forma similar,

$$Q_C = W_{cd} = nRT_C \ln \frac{V_d}{V_c} = -nRT_C \ln \frac{V_c}{V_d} \quad (20.11)$$

Puesto que  $V_d$  es menor que  $V_c$ ,  $Q_C = -|Q_C|$ ; el gas cede calor durante la compresión isotérmica a temperatura  $T_C$ .

El cociente de las dos cantidades de calor es entonces

$$\frac{Q_C}{Q_H} = -\left(\frac{T_C}{T_H}\right) \frac{\ln(V_c/V_d)}{\ln(V_b/V_a)} \quad (20.12)$$

Esto puede simplificarse aún más usando la relación entre temperatura y volumen para un proceso adiabático, ecuación (19.22). Para los dos procesos adiabáticos, obtenemos:

$$T_H V_b^{\gamma-1} = T_C V_c^{\gamma-1} \quad \text{y} \quad T_H V_a^{\gamma-1} = T_C V_d^{\gamma-1}$$

Al dividir la primera expresión entre la segunda:

$$\frac{V_b^{\gamma-1}}{V_a^{\gamma-1}} = \frac{V_c^{\gamma-1}}{V_d^{\gamma-1}} \quad \text{y} \quad \frac{V_b}{V_a} = \frac{V_c}{V_d}$$

Por lo tanto, los dos logaritmos de la ecuación (20.12) son iguales, y esa ecuación se reduce a

$$\frac{Q_C}{Q_H} = -\frac{T_C}{T_H} \quad \text{o bien, } \frac{|Q_C|}{|Q_H|} = \frac{T_C}{T_H} \quad (\text{transferencia de calor en una máquina de Carnot}) \quad (20.13)$$

El cociente entre el calor cedido a  $T_C$  y el absorbido a  $T_H$  es igual al cociente  $T_C/T_H$ . Entonces, por la ecuación (20.4), la eficiencia de la máquina de Carnot es

**Eficiencia de una máquina de Carnot**  $e_{\text{Carnot}} = 1 - \frac{T_C}{T_H} = \frac{T_H - T_C}{T_H}$

Temperatura de depósito frío  
Temperatura de depósito caliente

$$e_{\text{Carnot}} = 1 - \frac{T_C}{T_H} = \frac{T_H - T_C}{T_H} \quad (20.14)$$

**CUIDADO** Use temperaturas Kelvin en los cálculos de Carnot En todos los cálculos del ciclo de Carnot asegúrese de usar sólo temperaturas *absolutas* (Kelvin), porque las ecuaciones (20.10) a (20.14) provienen de la ecuación del gas ideal  $pV = nRT$ , en la que  $T$  es la temperatura absoluta. ■

Este sencillo resultado indica que la eficiencia de una máquina de Carnot sólo depende de las temperaturas de los dos depósitos de calor. La eficiencia es grande si la *diferencia* de temperaturas es grande, y muy pequeña cuando las temperaturas son casi iguales. La eficiencia nunca puede ser exactamente 1, a menos que  $T_C = 0$ ; más adelante veremos que esto también es imposible.

## EJEMPLO 20.2 ANÁLISIS DE UNA MÁQUINA DE CARNOT I



Una máquina de Carnot absorbe 2000 J de calor de un depósito a 500 K, realiza trabajo y cede algo de calor a un depósito a 350 K. ¿Cuánto trabajo efectúa, cuánto calor cede y qué eficiencia tiene?

### SOLUCIÓN

**IDENTIFICAR y PLANTEAR:** Este problema está relacionado con una máquina de Carnot, así que podemos usar las ideas de esta sección y las de la sección 20.2 (que se aplican a las máquinas térmicas de todas clases). La **figura 20.14** muestra el diagrama de flujo de energía. Sabemos que  $Q_H = 2000$  J,  $T_H = 500$  K y  $T_C = 350$  K. Usamos la ecuación (20.13) para calcular  $Q_C$ , y luego la primera ley de la termodinámica dada por la ecuación (20.2) para calcular  $W$ . La eficiencia  $e$  se calcula a partir de  $T_C$  y  $T_H$  de la ecuación (20.14).

**EJECUTAR:** De acuerdo con la ecuación (20.13),

$$Q_C = -Q_H \frac{T_C}{T_H} = -(2000 \text{ J}) \frac{350 \text{ K}}{500 \text{ K}} = -1400 \text{ J}$$

Luego, según la ecuación (20.2), el trabajo realizado es

$$W = Q_H + Q_C = 2000 \text{ J} + (-1400 \text{ J}) = 600 \text{ J}$$

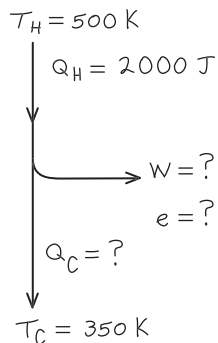
Por la ecuación (20.14), la eficiencia térmica es

$$e = 1 - \frac{T_C}{T_H} = 1 - \frac{350 \text{ K}}{500 \text{ K}} = 0.30 = 30\%$$

**EVALUAR:** El signo negativo de  $Q_C$  es correcto: indica que 1400 J de calor *salen* de la máquina hacia el depósito frío. Podemos comprobar nuestro resultado para  $e$  utilizando la definición básica de eficiencia térmica, la ecuación (20.3):

$$e = \frac{W}{Q_H} = \frac{600 \text{ J}}{2000 \text{ J}} = 0.30 = 30\%$$

**20.14** Diagrama para este problema.





### EJEMPLO 20.3 ANÁLISIS DE UNA MÁQUINA DE CARNOT II

Suponga que 0.200 moles de un gas ideal diatómico ( $\gamma = 1.40$ ) efectúa un ciclo de Carnot entre  $227^\circ\text{C}$  y  $27^\circ\text{C}$ , partiendo de  $p_a = 10.0 \times 10^5 \text{ Pa}$  en el punto  $a$  del diagrama  $pV$  de la figura 20.13. El volumen se duplica durante la expansión isotérmica  $a \rightarrow b$ . a) Calcule la presión y el volumen en los puntos  $a$ ,  $b$ ,  $c$  y  $d$ . b) Calcule  $Q$ ,  $W$  y  $\Delta U$  para cada paso y para todo el ciclo. c) Determine la eficiencia directamente de los resultados del inciso b) y compárela con el resultado de la ecuación (20.14).

#### SOLUCIÓN

**IDENTIFICAR y PLANTEAR:** En este problema intervienen las propiedades del ciclo de Carnot y las de un gas ideal. Nos dan el número  $n$  de moles, y la presión y temperatura en el punto  $a$  (que es la más alta de las temperaturas de los dos depósitos), así que podemos calcular el volumen en  $a$  utilizando la ecuación del gas ideal  $pV = nRT$ . Despues, obtendremos la presión y el volumen en los puntos  $b$ ,  $c$  y  $d$  sabiendo que el volumen se duplica de  $a \rightarrow b$ , utilizando tanto las ecuaciones dadas en esta sección como  $pV = nRT$ . Despues, para cada paso del ciclo, usaremos las ecuaciones (20.10) y (20.11) para obtener el flujo de calor y el trabajo efectuado, y la ecuación (19.13) para calcular el cambio de energía interna.

**EJECUTAR:** a) Con  $T_H = (227 + 273.15) \text{ K} = 500 \text{ K}$ ; y  $T_C = (27 + 273.15) \text{ K} = 300 \text{ K}$ , de la ecuación  $pV = nRT$  se obtiene

$$\begin{aligned} V_a &= \frac{nRT_H}{p_a} = \frac{(0.200 \text{ mol})(8.314 \text{ J/mol} \cdot \text{K})(500 \text{ K})}{10.0 \times 10^5 \text{ Pa}} \\ &= 8.31 \times 10^{-4} \text{ m}^3 \end{aligned}$$

El volumen se duplica durante la expansión isotérmica  $a \rightarrow b$ , así que

$$V_b = 2V_a = 2(8.31 \times 10^{-4} \text{ m}^3) = 16.6 \times 10^{-4} \text{ m}^3$$

Como la expansión  $a \rightarrow b$  es isotérmica,  $p_a V_a = p_b V_b$ , así que

$$p_b = \frac{p_a V_a}{V_b} = 5.00 \times 10^5 \text{ Pa}$$

Para la expansión adiabática  $b \rightarrow c$ , usamos la ecuación  $T_H V_b^{\gamma-1} = T_C V_c^{\gamma-1}$ , que sigue la ecuación (20.12) así como la ecuación de los gases ideales:

$$\begin{aligned} V_c &= V_b \left( \frac{T_H}{T_C} \right)^{1/(\gamma-1)} = (16.6 \times 10^{-4} \text{ m}^3) \left( \frac{500 \text{ K}}{300 \text{ K}} \right)^{2.5} \\ &= 59.6 \times 10^{-4} \text{ m}^3 \\ p_c &= \frac{nRT_C}{V_c} = \frac{(0.200 \text{ mol})(8.314 \text{ J/mol} \cdot \text{K})(300 \text{ K})}{59.6 \times 10^{-4} \text{ m}^3} \\ &= 0.837 \times 10^5 \text{ Pa} \end{aligned}$$

Para la compresión adiabática  $d \rightarrow a$ , tenemos  $T_C V_d^{\gamma-1} = T_H V_a^{\gamma-1}$ , y entonces

$$\begin{aligned} V_d &= V_a \left( \frac{T_H}{T_C} \right)^{1/(\gamma-1)} = (8.31 \times 10^{-4} \text{ m}^3) \left( \frac{500 \text{ K}}{300 \text{ K}} \right)^{2.5} \\ &= 29.8 \times 10^{-4} \text{ m}^3 \\ p_d &= \frac{nRT_C}{V_d} = \frac{(0.200 \text{ mol})(8.314 \text{ J/mol} \cdot \text{K})(300 \text{ K})}{29.8 \times 10^{-4} \text{ m}^3} \\ &= 1.67 \times 10^5 \text{ Pa} \end{aligned}$$

b) Para la expansión isotérmica  $a \rightarrow b$ ,  $\Delta U_{ab} = 0$ . De la ecuación (20.10):

$$\begin{aligned} W_{ab} &= Q_H = nRT_H \ln \frac{V_b}{V_a} \\ &= (0.200 \text{ mol})(8.314 \text{ J/mol} \cdot \text{K})(500 \text{ K})(\ln 2) = 576 \text{ J} \end{aligned}$$

Para la expansión adiabática  $b \rightarrow c$ ,  $Q_{bc} = 0$ . Por la primera ley de la termodinámica,  $\Delta U_{bc} = Q_{bc} - W_{bc} = -W_{bc}$ ; así que el trabajo  $W_{bc}$  realizado por el gas en esta expansión adiabática es el negativo del cambio de energía interna del gas. Por la ecuación (19.13), tenemos  $\Delta U = nC_V\Delta T$ , donde  $\Delta T = T_C - T_H$ . Usando  $C_V = 20.8 \text{ J/mol} \cdot \text{K}$  para un gas diatómico ideal, obtenemos

$$\begin{aligned} W_{bc} &= -\Delta U_{bc} = -nC_V(T_C - T_H) = nC_V(T_H - T_C) \\ &= (0.200 \text{ mol})(20.8 \text{ J/mol} \cdot \text{K})(500 \text{ K} - 300 \text{ K}) = 832 \text{ J} \end{aligned}$$

Para la compresión isotérmica  $c \rightarrow d$ ,  $\Delta U_{cd} = 0$ ; la ecuación (20.11) da

$$\begin{aligned} W_{cd} &= Q_C = nRT_C \ln \frac{V_d}{V_c} \\ &= (0.200 \text{ mol})(8.314 \text{ J/mol} \cdot \text{K})(300 \text{ K}) \left( \ln \frac{29.8 \times 10^{-4} \text{ m}^3}{59.6 \times 10^{-4} \text{ m}^3} \right) \\ &= -346 \text{ J} \end{aligned}$$

Para la compresión adiabática  $d \rightarrow a$ ,  $Q_{da} = 0$ , y

$$\begin{aligned} W_{da} &= -\Delta U_{da} = -nC_V(T_H - T_C) = nC_V(T_C - T_H) \\ &= (0.200 \text{ mol})(20.8 \text{ J/mol} \cdot \text{K})(300 \text{ K} - 500 \text{ K}) = -832 \text{ J} \end{aligned}$$

Podemos tabular los resultados como sigue:

Proceso	$Q$	$W$	$\Delta U$
$a \rightarrow b$	576 J	576 J	0
$b \rightarrow c$	0	832 J	-832 J
$c \rightarrow d$	-346 J	-346 J	0
$d \rightarrow a$	0	-832 J	832 J
Total	230 J	230 J	0

c) A partir de la tabla anterior,  $Q_H = 576 \text{ J}$  y el trabajo total es 230 J. Así,

$$e = \frac{W}{Q_H} = \frac{230 \text{ J}}{576 \text{ J}} = 0.40 = 40\%$$

Podemos comparar esto con el resultado de la ecuación (20.14):

$$e = \frac{T_H - T_C}{T_H} = \frac{500 \text{ K} - 300 \text{ K}}{500 \text{ K}} = 0.40 = 40\%$$

**EVALUAR:** La tabla del inciso b) indica que para todo el ciclo,  $Q = W$  y  $\Delta U = 0$ , como se esperaba: en un ciclo completo, el aporte neto de calor se utiliza para realizar trabajo con un cambio neto en la energía interna del sistema igual a cero. Observe tambien que la cantidad de trabajo en los dos procesos adiabáticos es igual pero con signo opuesto. A partir del análisis que condujo a la ecuación (20.13), ¿puede demostrar que esto siempre sucede en un ciclo de Carnot?

## El refrigerador de Carnot

Puesto que cada paso del ciclo de Carnot es reversible, *todo el ciclo* podría invertirse, convirtiendo la máquina en un refrigerador. El coeficiente de rendimiento del refrigerador de Carnot se obtiene combinando la definición general de  $K$ , ecuación (20.9), con la ecuación (20.13) para el ciclo de Carnot. Primero reescribimos la ecuación (20.9) como:

$$K = \frac{|Q_C|}{|Q_H| - |Q_C|} = \frac{|Q_C|/|Q_H|}{1 - |Q_C|/|Q_H|}$$

Luego sustituimos la ecuación (20.13),  $|Q_C|/|Q_H| = T_C/T_H$ , en esta expresión:

Coeficiente de rendimiento de un refrigerador de Carnot

$$K_{\text{Carnot}} = \frac{T_C}{T_H - T_C}$$

Temperatura del depósito frío

Temperatura del depósito caliente

(20.15)

Si la diferencia de temperatura  $T_H - T_C$  es pequeña,  $K$  es mucho mayor que 1; en este caso, puede “bombearse” mucho calor de la temperatura inferior a la superior con muy poco gasto de trabajo. Cuanto mayor sea la diferencia de temperatura, menor será  $K$  y se requerirá más trabajo para transferir una cantidad dada de calor.



### EJEMPLO 20.4 ANÁLISIS DE UN REFRIGERADOR DE CARNOT

Si el ciclo descrito en el ejemplo 20.3 se efectúa en sentido inverso como refrigerador, ¿qué coeficiente de rendimiento tiene?

y requiere un aporte de trabajo  $W = -230 \text{ J}$ . De acuerdo con la ecuación (20.9),

$$K = \frac{|Q_C|}{|W|} = \frac{346 \text{ J}}{230 \text{ J}} = 1.50$$

Como se trata de un ciclo de Carnot, también podemos usar la ecuación (20.15):

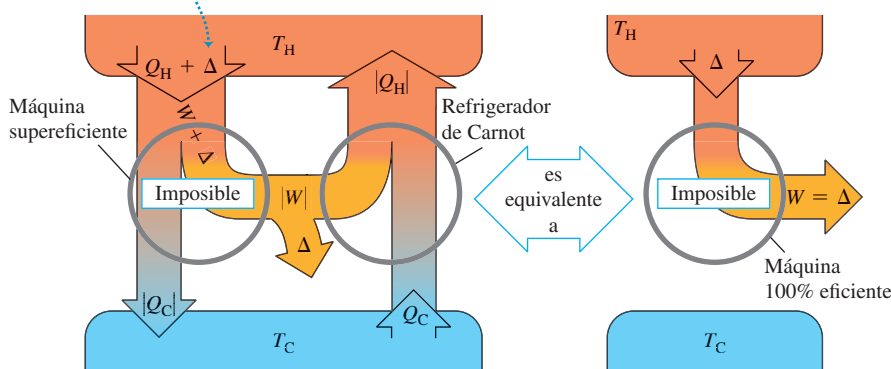
$$K = \frac{T_C}{T_H - T_C} = \frac{300 \text{ K}}{500 \text{ K} - 300 \text{ K}} = 1.50$$

**EVALUAR:** Las ecuaciones (20.14) y (20.15) muestran que en un ciclo de Carnot,  $e$  y  $K$  sólo dependen de  $T_H$  y  $T_C$ , y no necesitamos calcular  $Q$  y  $W$ . Sin embargo, si el ciclo incluye procesos irreversibles, estas ecuaciones no son válidas y se requieren cálculos más detallados.

## Ciclo de Carnot y la segunda ley

Es posible demostrar que **ninguna máquina puede ser más eficiente que una máquina de Carnot que opera entre las mismas dos temperaturas**. La clave para demostrarlo es la observación anterior de que, puesto que cada paso del ciclo de Carnot es reversible, *todo el ciclo* puede invertirse. Operada en reversa, la máquina se convierte en un refrigerador. Suponga que tenemos una máquina más eficiente que una de Carnot (**figura 20.15**). La máquina de Carnot, operada en reversa como refrigerador mediante un aporte de trabajo negativo  $-|W|$ , toma calor  $Q_C$  del depósito frío y cede calor  $|Q_H|$  al depósito caliente. La máquina supereficiente expulsa calor  $|Q_C|$  pero, para hacerlo, toma una cantidad mayor de calor  $Q_H + \Delta$ . Así, el trabajo realizado es  $W + \Delta$ , y el efecto neto de las dos máquinas juntas es tomar una cantidad de calor  $\Delta$  y convertirla totalmente en trabajo. Esto viola el planteamiento de máquina de la segunda ley. Podríamos elaborar un argumento similar diciendo que una máquina supereficiente podría utilizarse para violar el planteamiento de refrigerador de la segunda ley. Observe que no tuvimos que suponer que la máquina supereficiente es reversible. Del mismo modo, es posible demostrar que **ningún refrigerador puede tener un coeficiente de**

Si fuera posible una máquina supereficiente, podría utilizarse junto con un refrigerador de Carnot para convertir el calor  $\Delta$  totalmente en trabajo, sin transferencia neta de calor al depósito frío.



rendimiento mayor que el de un refrigerador de Carnot que opera entre las mismas dos temperaturas.

Así, la afirmación de que ninguna máquina puede ser más eficiente que una máquina de Carnot es otro planteamiento equivalente de la segunda ley de la termodinámica, y de él se deduce directamente que **todas las máquinas de Carnot que operan entre las mismas dos temperaturas tienen la misma eficiencia, sea cual fuere la naturaleza de la sustancia de trabajo**. Aunque dedujimos la ecuación (20.14) para una máquina de Carnot usando un gas ideal como sustancia de trabajo, la ecuación es válida para *cualquier* máquina de Carnot, sea cual fuere la sustancia de trabajo.

La ecuación (20.14), que expresa la eficiencia de una máquina de Carnot, establece un límite superior para la eficiencia de una máquina real, como una turbina de vapor. Para maximizar este límite y la eficiencia real de la máquina, el diseñador debe hacer la temperatura de admisión  $T_H$  lo más alta posible, y la de escape  $T_C$ , lo más baja posible (**figura 20.16**).

La temperatura de escape no puede ser menor que la temperatura más baja con que se cuenta para enfriar el escape. En el caso de una turbina de vapor en una planta eléctrica,  $T_C$  podría ser la temperatura de un río o lago; entonces, queremos que la temperatura de la caldera  $T_H$  sea lo más alta posible. La presión de vapor de todos los líquidos aumenta rápidamente con la temperatura, así que estamos limitados por la resistencia mecánica de la caldera. A 500°C, la presión del vapor de agua es de alrededor de  $240 \times 10^5$  Pa (235 atm); ésta es aproximadamente la máxima presión práctica en las calderas grandes de vapor actuales.

## La escala de temperatura Kelvin

En el capítulo 17 indicamos la necesidad de una escala de temperatura que no dependiera de las propiedades de un material específico. Ahora podemos usar el ciclo de Carnot para definir tal escala. La eficiencia térmica de una máquina de Carnot que opera entre dos depósitos de calor a temperaturas  $T_H$  y  $T_C$  es independiente de la naturaleza de la sustancia de trabajo y depende únicamente de las temperaturas. De acuerdo con la ecuación (20.4), la eficiencia térmica es

$$e = \frac{Q_H + Q_C}{Q_H} = 1 + \frac{Q_C}{Q_H}$$

Por lo tanto, la razón  $Q_C/Q_H$  es la misma para *todas* las máquinas de Carnot que operan entre dos temperaturas dadas  $T_H$  y  $T_C$ .

Kelvin propuso que, *por definición*, la razón de temperaturas  $T_C/T_H$  fuera igual a la magnitud de la razón de la cantidad de calor absorbida y cedida,  $Q_C/Q_H$ :

$$\frac{T_C}{T_H} = \frac{|Q_C|}{|Q_H|} = -\frac{Q_C}{Q_H} \quad (\text{definición de temperatura Kelvin}) \quad (20.16)$$

**20.15** Demostración de que la máquina de Carnot tiene la máxima eficiencia posible. Una máquina “supereficiente” (más eficiente que una máquina de Carnot), combinada con un refrigerador de Carnot, podría convertir el calor totalmente en trabajo sin transferencia neta de calor al depósito frío. Esto violaría la segunda ley de la termodinámica.

**20.16** Para obtener la eficiencia máxima, se busca que las temperaturas dentro de un motor a reacción sean lo más altas posible. Se usan materiales cerámicos raros que resisten temperaturas de más de 1000°C sin fundirse ni reblandecerse.



La ecuación (20.16) parece idéntica a la (20.13), pero hay una sutil y crucial diferencia. Las temperaturas de la ecuación (20.13) se basan en un termómetro de gas ideal, definido en la sección 17.3, mientras que la ecuación (20.16) *define* una escala de temperatura con base en el ciclo de Carnot y la segunda ley de la termodinámica, y es independiente del comportamiento de cualquier sustancia específica. Por lo tanto, la **escala de temperatura Kelvin** es en verdad *absoluta*. Para completar la definición de la escala Kelvin, asignamos, como en la sección 17.3, el valor arbitrario de 273.16 K a la temperatura del punto triple del agua. Cuando llevamos una sustancia por un ciclo de Carnot, la razón de los calores absorbido y cedido,  $|Q_H|/|Q_C|$ , es igual a la razón de las temperaturas de los depósitos *expresadas en la escala de termómetro de gas* definida en la sección 17.3. Puesto que el punto triple del agua se elige como 273.16 K en ambas escalas, se deduce que *las escalas Kelvin y de gas ideal son idénticas*.

El punto cero de la escala Kelvin se denomina **cero absoluto**. En el cero absoluto, el sistema tiene su *mínima* energía interna total (cinética más potencial) posible. Sin embargo, a causa de efectos cuánticos, *no* es cierto que en  $T = 0$  cese todo el movimiento molecular. Hay razones teóricas para creer que no es posible lograr el cero absoluto experimentalmente, aunque se hayan alcanzado temperaturas por debajo de  $10^{-7}$  K. Cuanto más nos acercamos al cero absoluto, mayor dificultad habrá para acercarse más. Un planteamiento de la *tercera ley de la termodinámica* es que es imposible alcanzar el cero absoluto en un número finito de pasos termodinámicos.

**EVALÚE SU COMPRENSIÓN DE LA SECCIÓN 20.6** Imagine que un inventor en busca de apoyo financiero acude a usted con una idea para fabricar un motor de gasolina que opera según un novedoso tipo de ciclo termodinámico. El diseño requiere usar exclusivamente cobre en la construcción, y enfriamiento con aire. El inventor asegura que la eficiencia del motor será del 85%. ¿Le conviene invertir en ese maravilloso motor? (*Sugerencia:* Vea la tabla 17.4). ■

## 20.7 ENTROPÍA

La segunda ley de la termodinámica, tal como la planteamos, no es una ecuación ni una relación cuantitativa, sino un planteamiento de *imposibilidad*. No obstante, *sí podemos* expresar esta ley como una relación cuantitativa empleando el concepto de *entropía*, que es el tema de esta sección.

Hemos mencionado varios procesos que se efectúan naturalmente en la dirección de desorden creciente. El flujo de calor irreversible aumenta el desorden porque las moléculas inicialmente están acomodadas en regiones más calientes y más frías; ese ordenamiento se pierde cuando el sistema alcanza el equilibrio térmico. La adición de calor a un cuerpo también aumenta su desorden porque incrementa las velocidades moleculares medias y, con ello, la aleatoriedad del movimiento molecular. En la expansión libre de un gas, las moléculas tienen mayor aleatoriedad de posición después de la expansión que antes. La **figura 20.17** muestra otro proceso donde aumenta el desorden.

**20.17** Cuando estallan los juegos pirotécnicos, aumenta el desorden. Las sustancias químicas esmeradamente envueltas dentro de cada petardo se dispersan en todas direcciones, y la energía química almacenada se convierte en energía cinética aleatoria de los fragmentos.



## Entropía y desorden

La **entropía** es una medida *cuantitativa* del desorden. Para introducir este concepto, consideremos una expansión isotérmica infinitesimal de un gas ideal. Agregamos calor  $dQ$  y dejamos que el gas se expanda apenas lo suficiente para mantener constante la temperatura. Puesto que la energía interna de un gas ideal sólo depende de su temperatura, la energía interna también es constante; por lo tanto, por la primera ley, el trabajo  $dW$  efectuado por el gas es igual al calor  $dQ$  agregado. Es decir,

$$dQ = dW = p \, dV = \frac{nRT}{V} \, dV \quad \text{así que} \quad \frac{dV}{V} = \frac{dQ}{nRT}$$

El gas está más desordenado después de la expansión, porque las moléculas se mueven en un volumen mayor y tienen más aleatoriedad de posición. Por lo tanto, el cambio fraccionario de volumen  $dV/V$  es una medida del aumento del desorden, y la ecuación anterior indica que es proporcional a la cantidad  $dQ/T$ . Introducimos el símbolo  $S$  para la entropía del sistema, y definimos el cambio infinitesimal de entropía  $dS$  durante un proceso reversible infinitesimal a la temperatura absoluta  $T$  como

$$dS = \frac{dQ}{T} \quad (\text{proceso infinitesimal reversible}) \quad (20.17)$$

Si se agrega un calor total  $Q$  durante un proceso isotérmico reversible a la temperatura absoluta  $T$ , el cambio de entropía total  $\Delta S = S_2 - S_1$  está dado por

$$\Delta S = S_2 - S_1 = \frac{Q}{T} \quad (\text{proceso isotérmico reversible}) \quad (20.18)$$

La entropía tiene unidades de energía divididas entre unidades de temperatura; la unidad de entropía en el SI es 1 J/K.

Ahora vemos cómo se relaciona el cociente  $Q/T$  con el aumento del desorden. Una temperatura más alta implica mayor aleatoriedad de movimiento. Si la sustancia inicialmente está fría, con poco movimiento molecular, la adición de  $Q$  causa un aumento fraccionario considerable en el movimiento molecular y la aleatoriedad. Pero si la sustancia ya está caliente, la misma cantidad de calor aumenta relativamente poco el mayor movimiento molecular que ya existe. Así, el cociente  $Q/T$  es una caracterización adecuada del aumento de aleatoriedad o desorden, cuando hay flujo de calor hacia un sistema.



### EJEMPLO 20.5 CAMBIO DE ENTROPÍA DURANTE LA FUSIÓN

Calcule el cambio de entropía de 1 kg de hielo que se funde a 0°C, suponiendo que la fusión es reversible y luego se convierte en agua a 0°C. El calor de fusión del agua es  $L_f = 3.34 \times 10^5$  J/kg.

#### SOLUCIÓN

**IDENTIFICAR Y PLANTEAR:** La fusión se efectúa a una temperatura constante de  $T = 0^\circ\text{C} = 273^\circ\text{K}$ , así que se trata de un proceso *isotérmico* reversible. Podemos calcular el calor agregado  $Q$  requerido para fundir el hielo, y luego calcular el cambio de entropía  $\Delta S$  usando la ecuación (20.18).

**EJECUTAR:** El calor necesario para fundir el hielo es  $Q = mL_f = 3.34 \times 10^5$  J. Según la ecuación (20.18),

$$\Delta S = S_2 - S_1 = \frac{Q}{T} = \frac{3.34 \times 10^5 \text{ J}}{273 \text{ K}} = 1.22 \times 10^3 \text{ J/K}$$

**EVALUAR:** Este incremento en la entropía corresponde al aumento del desorden cuando las moléculas de agua pasan del estado altamente ordenado de un sólido cristalino, al estado mucho más desordenado de un líquido. En *todo* proceso isotérmico reversible, el cambio de entropía es igual al calor transferido dividido entre la temperatura absoluta. Si volvemos a congelar el agua,  $Q$  tendrá el signo opuesto, y el cambio de entropía del agua será  $\Delta S = -1.22 \times 10^3$  J/K. Las moléculas de agua se reacomodan en un cristal para formar hielo, disminuyendo el desorden y la entropía.

## Entropía en los procesos reversibles

Podemos generalizar la definición de cambio de entropía para incluir *cualquier* proceso reversible que lleva de un estado a otro, sea isotérmico o no. Representamos el

proceso como una serie de pasos reversibles infinitesimales. Durante un paso típico, se agrega una cantidad infinitesimal de calor  $dQ$  al sistema a temperatura absoluta  $T$ . Luego sumamos (integramos) los cocientes  $dQ/T$  para todo el proceso, es decir:

$$\text{Cambio de entropía en un proceso reversible} \Delta S = \int_{\text{Límite inferior = estado inicial}}^{\text{Límite superior = estado final}} \frac{dQ}{T} \quad (20.19)$$

Flujo de calor infinitesimal que entra al sistema  
Temperatura absoluta

Como la entropía es una medida del desorden de un sistema en un estado específico, depende sólo del estado actual del sistema, no de su historia (después demostraremos esto). Cuando un sistema pasa de un estado inicial con entropía  $S_1$  a uno final con entropía  $S_2$ , el cambio de entropía  $\Delta S = S_2 - S_1$  definido por la ecuación (20.19) no depende de la trayectoria que lleva del estado inicial al final; es el mismo para *todos* los procesos posibles que conduzcan del estado 1 al 2. Por lo tanto, la entropía de un sistema también debe tener un valor definido para cualquier estado dado del sistema. Recordemos que la *energía interna*, que examinamos en el capítulo 19, también tiene esta propiedad, aunque la entropía y la energía interna son cantidades muy distintas.

Puesto que la entropía sólo es función del estado de un sistema, también podemos calcular cambios de entropía en procesos *irreversibles* (de no equilibrio), para los que no son válidas las ecuaciones (20.17) y (20.19). Basta con inventar una trayectoria que conecte los estados inicial y final dados, que *esté* formada totalmente con procesos reversibles en equilibrio, y calcular el cambio de entropía total para esa trayectoria. No será la trayectoria real, pero el cambio de entropía debe ser el mismo que el de la trayectoria verdadera.

Al igual que con la energía interna, el análisis anterior no nos indica cómo calcular la entropía en sí, sólo el cambio de entropía en un proceso dado. Al igual que procedimos con la energía interna, podemos asignar arbitrariamente un valor a la entropía de un sistema en un estado de referencia específico y luego calcular la entropía de cualquier otro estado en relación con éste.

## EJEMPLO 20.6 CAMBIO DE ENTROPÍA EN UN CAMBIO DE TEMPERATURA

Un kilogramo de agua a 0°C se calienta a 100°C. Calcule su cambio de entropía. Suponga que el calor específico del agua es constante, a 4190 J/kg·K en este rango de temperatura.

### SOLUCIÓN

**IDENTIFICAR y PLANTEAR:** El cambio de entropía del agua sólo depende de los estados inicial y final del sistema, sin importar si el proceso es reversible o irreversible. Podemos imaginar un proceso reversible en el que la temperatura del agua se eleva en una serie de pasos infinitesimales una cantidad  $dT$ . Entonces usamos la ecuación (20.19) para integrar sobre todos esos pasos y calcular el cambio de entropía para este proceso reversible. (Calentar el agua en una estufa cuya superficie de cocción se mantiene a 100°C sería un proceso irreversible. Sin embargo, el cambio de entropía sería el mismo).

**EJECUTAR:** De acuerdo con la ecuación (17.14), el calor requerido para efectuar cada paso infinitesimal es  $dQ = mc dT$ . Al sustituir esto en la ecuación (20.19) e integrando, obtenemos

$$\begin{aligned} \Delta S &= S_2 - S_1 = \int_{T_1}^{T_2} \frac{dQ}{T} = \int_{T_1}^{T_2} mc \frac{dT}{T} = mc \ln \frac{T_2}{T_1} \\ &= (1.00 \text{ kg})(4190 \text{ J/kg} \cdot \text{K}) \left( \ln \frac{373 \text{ K}}{273 \text{ K}} \right) = 1.31 \times 10^3 \text{ J/K} \end{aligned}$$

**EVALUAR:** El cambio de entropía es positivo, como debe ser en un proceso en el que el sistema absorbe calor. Nuestro supuesto acerca del calor específico es muy bueno, pues  $c$  del agua varía menos de 1% entre 0°C y 100°C (vea la figura 17.17).

**CUIDADO** Cuándo se puede (y no) usar  $\Delta S = Q/T$  Al resolver este problema, el lector podría sentirse tentado a evitar la integración empleando la expresión más sencilla de la ecuación (20.18),  $\Delta S = Q/T$ . Sin embargo, sería un error, porque esa ecuación sólo es válida para procesos *isotérmicos*, y en nuestro ejemplo las temperaturas inicial y final *no* son iguales. La *única* forma correcta de calcular el cambio de entropía en un proceso en el que las temperaturas inicial y final son distintas es usar la ecuación (20.19). ■





## EJEMPLO CONCEPTUAL 20.7 CAMBIO DE ENTROPÍA EN UN PROCESO ADIABÁTICO REVERSIBLE

Un gas se expande de forma adiabática y reversible. Calcule el cambio de entropía.

### SOLUCIÓN

En un proceso adiabático, no entra ni sale calor del sistema. Por lo tanto,  $dQ = 0$  y la entropía *no* cambia en este proceso reversible:

$\Delta S = 0$ . Todo proceso adiabático *reversible* es de entropía constante (por ello, estos procesos se conocen también como procesos *isoentrópicos*). El aumento en el desorden debido a que el gas ocupa un volumen mayor se equilibra de manera exacta por la disminución en el desorden asociada al descenso de temperatura y la reducción de las rapideces moleculares.



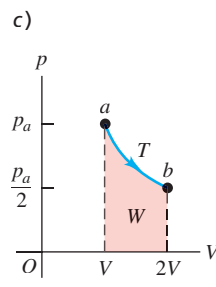
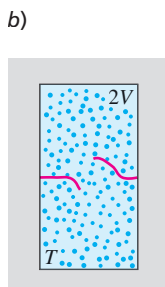
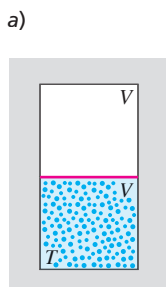
## EJEMPLO 20.8 CAMBIO DE ENTROPÍA EN UNA EXPANSIÓN LIBRE

Una caja térmicamente aislada está dividida en dos compartimentos, cada uno con volumen  $V$  (**figura 20.18**). Inicialmente, un compartimento contiene  $n$  moles de gas ideal a temperatura  $T$ , y el otro está vacío. Se rompe la división de los compartimentos y el gas se expande hasta llenar ambos. Calcule el cambio de entropía en este proceso de expansión libre.

### SOLUCIÓN

**IDENTIFICAR y PLANTEAR:** Para este proceso,  $Q = 0$ ,  $W = 0$ ,  $\Delta U = 0$  y (puesto que el sistema es un gas ideal)  $\Delta T = 0$ . Podríamos pensar que el cambio de entropía es cero porque no hay intercambio de calor. Pero la ecuación (20.19) sólo se puede usar para calcular los cambios de entropía en procesos *reversibles*; esta expansión libre *no* es reversible, y *sí* hay un cambio de entropía. Como mencionamos

**20.18 a), b)** Expansión libre de un gas ideal aislado. **c)** El proceso de expansión libre no pasa por estados de equilibrio de *a* a *b*, pero el cambio de entropía  $S_b - S_a$  puede calcularse usando la trayectoria isotérmica mostrada o *cualquier* trayectoria reversible de *a* a *b*.



al principio de esta sección, la entropía aumenta en una expansión libre porque las posiciones de las moléculas son más aleatorias que antes de la expansión. Para calcular  $\Delta S$ , recordemos que el cambio de entropía depende sólo de los estados inicial y final. Podemos diseñar un proceso *reversible* que tenga los mismos extremos que los de la expansión libre y, en general, podemos usar entonces la ecuación (20.19) para calcular el cambio de entropía, el cual será el mismo de la expansión libre. Un proceso reversible adecuado sería una expansión *isotérmica* de  $V$  a  $2V$  a temperatura  $T$ , que permita el uso de la ecuación más sencilla (20.18) para calcular  $\Delta S$ . El gas efectúa un trabajo  $W$  durante esta expansión, así que debe suministrarse una cantidad de calor  $Q$  igual para mantener constante la energía interna.

**EJECUTAR:** Vimos en el ejemplo 19.1 que el trabajo efectuado por  $n$  moles de gas ideal en una expansión isotérmica de  $V_1$  a  $V_2$  es  $W = nRT \ln(V_2/V_1)$ . Usando  $V_1 = V$  y  $V_2 = 2V$ , tenemos

$$Q = W = nRT \ln \frac{2V}{V} = nRT \ln 2$$

Según la ecuación (20.18), el cambio de entropía es

$$\Delta S = \frac{Q}{T} = nR \ln 2$$

**EVALUAR:** Para 1 mol,  $\Delta S = (1 \text{ mol})(8.314 \text{ J/mol}\cdot\text{K})(\ln 2) = 5.76 \text{ J/K}$ . El cambio de entropía es positivo, como lo anticipamos. El factor  $(\ln 2)$  de nuestra respuesta es resultado de que el volumen haya aumentado en un factor de 2, de  $V$  a  $2V$ . ¿Puede demostrar que, si el volumen hubiera aumentado de  $V$  a  $xV$  durante la expansión libre, donde  $x$  es un número arbitrario, el cambio de entropía habría sido  $\Delta S = nR \ln x$ ?



## EJEMPLO 20.9 ENTROPÍA Y EL CICLO DE CARNOT

Para la máquina de Carnot del ejemplo 20.2 (sección 20.6), calcule el cambio de entropía total durante un ciclo.

### SOLUCIÓN

**IDENTIFICAR y PLANTEAR:** Los cuatro pasos del ciclo de Carnot son reversibles (vea figura 20.13), de manera que podemos utilizar la expresión para el cambio de entropía  $\Delta S$  en un proceso reversible. Calcularemos  $\Delta S$  para cada paso y los sumaremos para obtener  $\Delta S$  para el ciclo completo.

**EJECUTAR:** No hay cambio de entropía durante la expansión adiabática  $b \rightarrow c$  ni durante la compresión adiabática  $d \rightarrow a$ . Durante la expansión isotérmica  $a \rightarrow b$  a  $T_H = 500 \text{ K}$ , la máquina admite 2000 J de calor, y por la ecuación (20.18),

$$\Delta S_H = \frac{Q_H}{T_H} = \frac{2000 \text{ J}}{500 \text{ K}} = 4.0 \text{ J/K}$$

Continúa

Durante la compresión isotérmica  $c \rightarrow d$  a  $T_C = 350$  K, la máquina cede 1400 J de calor y

$$\Delta S_C = \frac{Q_C}{T_C} = \frac{-1400 \text{ J}}{350 \text{ K}} = -4.0 \text{ J/K}$$

El cambio total de entropía en la máquina durante un ciclo es  $\Delta S_{\text{total}} = \Delta S_H + \Delta S_C = 4.0 \text{ J/K} + (-4.0 \text{ J/K}) = 0$ .

**EVALUAR:** El resultado  $\Delta S_{\text{total}} = 0$  nos dice que, cuando la máquina de Carnot completa un ciclo, tiene la misma entropía que tenía al principio del ciclo. Exploraremos este resultado en el siguiente apartado.

¿Cuál es el cambio total de entropía del *entorno* de la máquina durante este ciclo? En la expansión isotérmica reversible  $a \rightarrow b$ ,

el depósito caliente (500 K) cede 2000 J de calor, así que su cambio de entropía es  $(-2000 \text{ J})/(500 \text{ K}) = -4.0 \text{ J/K}$ . En la expansión isotérmica reversible  $c \rightarrow d$ , el depósito frío (350 K) absorbe 1400 J de calor, así que su cambio de entropía es  $(+1400 \text{ J})/(350 \text{ K}) = +4.0 \text{ J/K}$ . Por lo tanto, cada depósito individual experimenta un cambio de entropía; pero la suma de esos cambios, es decir, el cambio total de entropía del entorno del sistema es cero.

Estos resultados son válidos para el caso especial del ciclo de Carnot, en el que *todos* los procesos son reversibles. En este caso, vemos que el cambio total de entropía del sistema y su entorno es cero. Veremos que, si el ciclo incluye procesos irreversibles (como sucede con el ciclo Otto o el ciclo Diesel de la sección 20.3), el cambio total de entropía del sistema y del entorno *no puede* ser cero; además, debe ser positivo.

## Entropía en procesos cíclicos

El ejemplo 20.9 mostró que el cambio total de entropía para un ciclo de una máquina de Carnot dada, con gas ideal como sustancia de trabajo, es cero. Este resultado es consecuencia directa de la ecuación (20.13), que podemos reescribir como

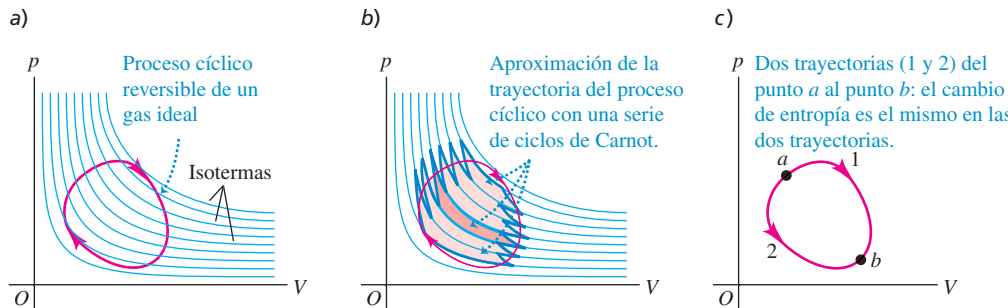
$$\frac{Q_H}{T_H} + \frac{Q_C}{T_C} = 0 \quad (20.20)$$

El cociente  $Q_H/T_H$  es igual a  $\Delta S_H$ , el cambio de entropía de la máquina que se da en  $T = T_H$ . Asimismo,  $Q_C/T_C$  es igual a  $\Delta S_C$ , el cambio de entropía (negativo) de la máquina que se da en  $T = T_C$ . Por lo tanto, la ecuación (20.20) indica que  $\Delta S_H + \Delta S_C = 0$ ; es decir, el cambio neto de entropía en un ciclo es cero.

¿Qué sucede con las máquinas de Carnot que usan una sustancia de trabajo distinta? La segunda ley nos dice que *cualquier* máquina de Carnot que opere entre dos temperaturas dadas  $T_H$  y  $T_C$  tiene la misma eficiencia  $e = 1 - T_C/T_H$  [ecuación (20.14)]. Si combinamos esta expresión con la ecuación (20.4),  $e = 1 + Q_C/Q_H$ , reproducimos la ecuación (20.20). Por lo tanto, la ecuación (20.20) es válida para cualquier máquina de Carnot que opere entre estas temperaturas, independientemente de que su sustancia de trabajo sea un gas ideal o no. Concluimos que *el cambio de entropía total en un ciclo de cualquier máquina de Carnot es cero*.

Este resultado puede generalizarse para demostrar que el cambio total de entropía durante *cualquier* proceso reversible cíclico es cero. En un diagrama  $pV$ , un proceso cíclico reversible aparece como una trayectoria cerrada (**figura 20.19a**). Podemos aproximar esta trayectoria tanto como queramos con una sucesión de procesos isotérmicos y adiabáticos que formen parte de muchos ciclos de Carnot largos y delgados

**20.19** a) Proceso cíclico reversible para un gas ideal, identificado con una trayectoria cerrada roja en un diagrama  $pV$ . Se muestran varias isotermas de gas ideal en azul. b) Podemos aproximar la trayectoria de a) con una serie de ciclos de Carnot largos y delgados; se destaca un ciclo en tono más oscuro. El cambio de entropía total es cero para cada ciclo de Carnot y para el proceso cíclico real. c) El cambio de entropía entre los puntos  $a$  y  $b$  es independiente de la trayectoria.



(figura 20.19b). El cambio de entropía total para el ciclo completo es la suma de los cambios para cada ciclo de Carnot pequeño, cada uno de los cuales es cero. Por lo tanto, **el cambio de entropía total en cualquier ciclo reversible es cero**:

$$\int \frac{dQ}{T} = 0 \quad (\text{proceso cíclico reversible}) \quad (20.21)$$

Se deduce que, cuando un sistema experimenta un proceso reversible que lo lleva de un estado *a*, hacia cualquier otro estado *b*, *el cambio de entropía del sistema es independiente de la trayectoria* (figura 20.19c). Si el cambio de entropía para la trayectoria 1 fuera diferente del cambio para la trayectoria 2, el sistema podría llevarse por la trayectoria 1 y regresar por la 2 al punto de partida, con un cambio neto de entropía distinto de cero. Esto violaría la conclusión de que el cambio total de entropía en un proceso cíclico debe ser cero. Como el cambio de entropía en estos procesos es independiente de la trayectoria, concluimos que, en cualquier estado dado, el sistema tiene un valor definido de entropía que sólo depende del estado, no de los procesos que lo llevaron a él.

**BIO Aplicación Cambios de entropía en un organismo vivo** Cuando un perrito u otro animal en crecimiento comen, toman energía química ordenada del alimento y la utilizan para formar nuevas células que tienen incluso un mayor grado de orden. Este proceso, por sí solo, reduce la entropía. Pero la mayor parte de la energía en el alimento se excreta en las heces del animal, o bien, se utiliza para generar calor; ambos procesos conducen a un gran aumento de la entropía. Así que, mientras la entropía del animal disminuye, la entropía *total* del animal más el alimento *aumenta*.



## Entropía en procesos irreversibles

En un proceso reversible idealizado que incluye sólo estados de equilibrio, el cambio total de entropía del sistema y sus alrededores es cero. En cambio, todos los procesos *irreversibles* implican un aumento de entropía. A diferencia de la energía, *la entropía no se conserva*. La entropía de un sistema aislado *puede* cambiar, pero, como veremos, nunca disminuye. La expansión libre de un gas, descrita en el ejemplo 20.8, es un proceso irreversible en un sistema aislado en el que hay un aumento de entropía.



### EJEMPLO 20.10 CAMBIO DE ENTROPÍA EN UN PROCESO IRREVERSIBLE

Suponga que 1.00 kg de agua a 100°C se coloca en contacto térmico con 1.00 kg de agua a 0°C. Calcule el cambio total de entropía. Considere que el calor específico del agua tiene un valor constante de 4190 J/kg·K en este intervalo de temperatura.

#### SOLUCIÓN

**IDENTIFICAR y PLANTEAR:** Este proceso implica flujo irreversible de calor debido a la diferencia de temperaturas. Como hay masas iguales de agua a 0°C y 100°C, la temperatura final es el promedio de estas dos temperaturas, es decir,  $50^\circ\text{C} = 323\text{ K}$ . Aunque los procesos son irreversibles, calcularemos los cambios de entropía para el agua (initialmente) caliente y el agua (initialmente) fría suponiendo que el proceso es reversible. Como en el ejemplo 20.6, se debe usar la ecuación (20.19) con la finalidad de calcular  $\Delta S$  para cada sustancia porque las temperaturas no son constantes.

**EJECUTAR:** Los cambios de entropía del agua caliente (subíndice H) y el agua fría (subíndice C) son

$$\begin{aligned}\Delta S_H &= mc \int_{T_1}^{T_2} \frac{dT}{T} = (1.00 \text{ kg})(4190 \text{ J/kg} \cdot \text{K}) \int_{373 \text{ K}}^{323 \text{ K}} \frac{dT}{T} \\ &= (4190 \text{ J/K}) \left( \ln \frac{323 \text{ K}}{373 \text{ K}} \right) = -603 \text{ J/K} \\ \Delta S_C &= (4190 \text{ J/K}) \left( \ln \frac{323 \text{ K}}{273 \text{ K}} \right) = +705 \text{ J/K}\end{aligned}$$

El cambio *total* de entropía del sistema es

$$\Delta S_{\text{tot}} = \Delta S_H + \Delta S_C = (-603 \text{ J/K}) + 705 \text{ J/K} = +102 \text{ J/K}$$

**EVALUAR:** Un flujo irreversible de calor en un sistema aislado va acompañado de un aumento de entropía. Podríamos haber llegado al mismo estado final mezclando las dos cantidades de agua (fría y caliente), lo cual también es un proceso irreversible; el cambio total de entropía, que sólo depende de los estados inicial y final del sistema, sería otra vez el mismo, 102 J/K.

Observe que la entropía del sistema aumenta *continuamente* conforme las dos cantidades de agua se acercan al equilibrio térmico. Por ejemplo, los primeros 4190 J de calor transferido enfrián el agua caliente a 99°C y calientan el agua fría a 1°C. El cambio neto de entropía para este paso es aproximadamente

$$\Delta S = \frac{-4190 \text{ J}}{373 \text{ K}} + \frac{4190 \text{ J}}{273 \text{ K}} = +4.1 \text{ J/K}$$

¿Puede demostrar de manera similar que el cambio neto de entropía es positivo para *cualquier* cambio de temperatura de un grado que conduce a la condición de equilibrio?

**20.20** La mezcla de tinta y agua parte de un estado de baja entropía en el que cada fluido está separado y es distinto del otro. En el estado final, las moléculas de tinta y de agua están dispersas aleatoriamente por todo el volumen del líquido. La separación espontánea de la tinta y el agua, un proceso en el que habría una disminución neta de la entropía, nunca se ha visto.



## LOS DATOS HABLAN

### La segunda ley de la termodinámica

Cuando a los estudiantes se les planteó un problema relacionado con la segunda ley de la termodinámica, más del 40% dio una respuesta incorrecta.

Errores comunes:

- Perder el seguimiento del signo algebraico del calor.  $Q$  es positivo si el calor fluye hacia un sistema, pero negativo si el calor fluye hacia afuera del sistema (es decir, se rechaza del sistema).
- Perder el seguimiento del signo del cambio de entropía. La entropía de un sistema aumenta ( $\Delta S > 0$ ) si el calor fluye hacia dentro, pero disminuye ( $\Delta S < 0$ ) si el calor fluye hacia afuera de éste. Si el calor fluye del objeto  $A$  al objeto  $B$ ,  $\Delta S$  es negativo para  $A$  pero positivo para  $B$ .

### Entropía y la segunda ley

Los resultados del ejemplo 20.10 con respecto al flujo de calor de una temperatura mayor a una menor son característicos de *todos* los procesos naturales (es decir, irreversibles). Si incluimos los cambios de entropía de todos los sistemas que participan en un proceso, los aumentos de entropía siempre son mayores que las disminuciones. En el caso especial de un proceso *reversible*, los aumentos y las disminuciones son iguales, por lo que podemos enunciar el siguiente principio general: **Si se incluyen todos los sistemas que participan en un proceso, la entropía se mantiene constante, o bien, aumenta.** En otras palabras, **no es posible un proceso en el que la entropía total disminuya, si se incluyen todos los sistemas que participan en el proceso.** Ésta es otra formulación de la segunda ley de la termodinámica en términos de entropía, así que es equivalente a los planteamientos de “máquina” y “refrigerador” que vimos antes. La **figura 20.20** muestra un ejemplo específico de este principio general.

El aumento de entropía en todos los procesos naturales irreversibles mide el aumento del desorden o la aleatoriedad del universo asociados con ese proceso. Consideremos otra vez el ejemplo de mezclar agua caliente y fría (ejemplo 20.10). Podríamos haber usado el agua caliente y la fría como depósitos de alta y baja temperatura de una máquina térmica. Al tomar calor del agua caliente y cederlo a la fría, podríamos haber obtenido algo de trabajo mecánico. Sin embargo, una vez que las dos aguas se mezclan y alcanzan una temperatura uniforme, esa oportunidad de convertir calor en trabajo mecánico se pierde irremediablemente. El agua tibia nunca se *separará* en porciones fría y caliente. No hay disminución de *energía* cuando se mezclan las aguas fría y caliente; lo que se pierde es la *oportunidad* de convertir parte del calor del agua caliente en trabajo mecánico. Por lo tanto, cuando la entropía aumenta, la energía está menos *disponible*, y el universo se vuelve más aleatorio o “gastado”.

**EVALÚE SU COMPRENSIÓN DE LA SECCIÓN 20.7** Suponga que 2.00 kg de agua a 50°C cambian espontáneamente de temperatura, de manera que la mitad del agua se enfriá a 0°C mientras que la otra mitad se calienta a 100°C (toda el agua sigue siendo líquida: no se congela ni se evapora). ¿Cuánto cambiaría la entropía del agua? ¿Es posible este proceso? (Sugerencia: Vea el ejemplo 20.10). □

## 20.8 INTERPRETACIÓN MICROSCÓPICA DE LA ENTROPÍA

En la sección 19.4 vimos que podemos calcular la energía interna de un sistema, al menos en principio, sumando todas las energías cinéticas de sus partículas constituyentes y todas las energías potenciales de interacción entre las partículas. Esto se llama cálculo *microscópico* de la energía interna. También podemos realizar un cálculo microscópico de la entropía  $S$  de un sistema. A diferencia de la energía, sin embargo, la

entropía no es algo que pertenezca a cada partícula o par de partículas individuales del sistema; más bien, es una medida del desorden del sistema en su totalidad. Para saber cómo calcular microscópicamente la entropía, primero debemos analizar la idea de los *estados macroscópicos* y *microscópicos*.

Suponga que lanza  $N$  monedas idénticas al piso, y la mitad muestra cara y la mitad cruz. Ésta es una descripción del **estado macroscópico** del sistema de  $N$  monedas. Una descripción del **estado microscópico** del sistema incluye información acerca de cada moneda individual: la moneda 1 es cara, la 2 cruz, la 3 cruz, etcétera. Puede haber muchos estados microscópicos que correspondan a la misma descripción macroscópica. Por ejemplo, con  $N = 4$  monedas hay seis posibles estados en los que la mitad son cara y la mitad cruz (**figura 20.21**). El número de estados microscópicos crece rápidamente al aumentar  $N$ ; con  $N = 100$  hay  $2^{100} = 1.27 \times 10^{30}$  estados microscópicos, de los que  $1.01 \times 10^{29}$  son mitad cara y mitad cruz.

Los resultados menos probables del lanzamiento de monedas son los casos en que aparecen sólo caras o sólo cruces. Sin duda es posible lanzar 100 caras seguidas, pero no apueste a ello; la probabilidad de lograrlo es de sólo 1 en  $1.27 \times 10^{30}$ . El resultado más probable de lanzar  $N$  monedas es que la mitad sean cara y la mitad cruz. La razón es que este estado *macroscópico* tiene el mayor número de estados *microscópicos* correspondientes, como se aprecia en la figura 20.21.

Para vincular esto con el concepto de entropía, observe que la descripción “todas cara” especifica por completo el estado de cada una de las  $N$  monedas. Lo mismo se cumple si todas las monedas son cruz. En cambio, la descripción macroscópica “mitad cara, mitad cruz” por sí sola nos dice muy poco acerca del estado (cara o cruz) de cada moneda individual. Decimos que el sistema está *desordenado* porque sabemos muy poco acerca de su estado microscópico. En comparación con el estado “todas cara” o “todas cruz”, el estado “mitad cara, mitad cruz” tiene mucho mayor *desorden* porque el sistema podría estar en cualquiera de un número mucho mayor de posibles estados microscópicos. Por lo tanto, el estado “mitad cara, mitad cruz” tiene mucha mayor entropía (que es una medida cuantitativa del desorden).

Ahora, en lugar de  $N$  monedas, consideremos un mol de gas ideal que contiene el número de Avogadro de moléculas. El estado macroscópico de este gas está dado por su presión  $p$ , volumen  $V$  y temperatura  $T$ ; una descripción del estado microscópico implica dar la posición y velocidad de cada molécula del gas. A una presión, volumen y temperatura dados, el gas podría estar en cualquiera de un número astronómicamente grande de estados microscópicos, dependiendo de las posiciones y velocidades de sus  $6.02 \times 10^{23}$  moléculas. Si el gas se expande libremente para alcanzar un mayor volumen, el rango de posibles posiciones aumenta, al igual que el número de estados microscópicos posibles. El sistema se desordena más y la entropía aumenta como se calculó en el ejemplo 20.8 (sección 20.7).

Podemos obtener la siguiente conclusión general. **Para cualquier sistema termodinámico, el estado macroscópico más probable es el que tiene el mayor número de estados microscópicos correspondientes, el cual es también el estado macroscópico con el mayor desorden y la mayor entropía.**

## Cálculo de la entropía: Estados microscópicos

Sea  $w$  el número de posibles estados microscópicos para un estado macroscópico dado (para las cuatro monedas de la figura 20.21, el estado de cuatro caras tiene  $w = 1$ , el de tres caras y una cruz tiene  $w = 4$ , y así sucesivamente). Entonces, puede demostrarse que la entropía  $S$  de un estado macroscópico es

$$\text{Expresión de la entropía en términos microscópicos} \quad S = k \ln w \quad \text{Número de estados microscópicos para el estado macroscópico dado}$$

Constante de Boltzmann  
(constante de los gases por molécula)

(20.22)

(Introdujimos la constante de Boltzmann en la sección 18.3). Como muestra la ecuación (20.22), al aumentar el número de estados microscópicos posibles  $w$  se incrementa la entropía  $S$ .

**20.21** Todos los posibles estados microscópicos de cuatro monedas. Puede haber varios estados microscópicos posibles para cada estado macroscópico.

Estado macroscópico	Estados microscópicos correspondientes
Cuatro caras	
Tres caras, una cruz	
Dos caras, dos cruces	
Una cara, tres cruces	
Cuatro cruces	

Lo que importa en un proceso termodinámico no es la entropía absoluta  $S$ , sino la *diferencia* de entropía entre los estados inicial y final. Por lo tanto, una definición igualmente válida y útil sería  $S = k \ln w + C$ , donde  $C$  es una constante, ya que  $C$  se cancela en cualquier cálculo de diferencia de entropía entre dos estados. No obstante, es mejor igualar esta constante a cero y usar la ecuación (20.22). Así, y dado que el valor más pequeño posible de  $w$  es 1, el valor más pequeño posible de  $S$  para cualquier sistema es  $k \ln 1 = 0$ . La entropía *nunca* puede ser negativa.

En la práctica resulta difícil calcular  $w$ , por lo que la ecuación (20.22) sólo suele usarse para calcular la entropía absoluta  $S$  de ciertos sistemas especiales. No obstante, podemos usar esta relación para calcular *diferencias* de entropía entre un estado y otro. Considere un sistema que experimenta un proceso termodinámico que lo lleva del estado macroscópico 1, que tiene  $w_1$  posibles estados microscópicos, al estado macroscópico 2, que tiene  $w_2$  estados microscópicos. El cambio de entropía en este proceso es

$$\Delta S = S_2 - S_1 = k \ln w_2 - k \ln w_1 = k \ln \frac{w_2}{w_1} \quad (20.23)$$

La *diferencia* de entropía entre los dos estados macroscópicos depende de la *razón* de los números de posibles estados microscópicos.

Como ilustra el siguiente ejemplo, usar la ecuación (20.23) para calcular un cambio de entropía de un estado macroscópico a otro da el mismo resultado que considerar un proceso reversible que conecta esos dos estados y usar la ecuación (20.19).



### EJEMPLO 20.11 CÁLCULO MICROSCÓPICO DE UN CAMBIO DE ENTROPÍA

Use la ecuación (20.23) para calcular el cambio de entropía en la expansión libre de  $n$  moles del gas a temperatura  $T$  que se describió en el ejemplo 20.8 (**figura 20.22**).

Puesto que  $N = nN_A$  y  $k = R/N_A$ , esto se convierte en

$$\begin{aligned}\Delta S &= (nN_A)(R/N_A) \ln 2 \\ &= nR \ln 2\end{aligned}$$

**EVALUAR:** Éste es el mismo resultado del ejemplo 20.8, pero sin referencia a la trayectoria termodinámica seguida.

**20.22** En una expansión libre de  $N$  moléculas en la que el volumen se duplica, el número de posibles estados microscópicos aumenta en  $2^N$ .

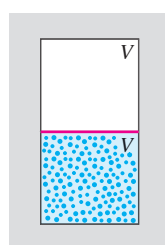
#### SOLUCIÓN

**IDENTIFICAR y PLANTEAR:** Se nos pide calcular el cambio de entropía con base en el número de microestados en los estados macroscópicos inicial y final (figuras 20.22a y b). Cuando se rompe la división, las velocidades de las moléculas no cambian, ya que no se efectúa trabajo; pero ahora cada molécula tiene el doble de volumen para moverse y, por lo tanto, dos veces más de posiciones posibles. Esto es todo lo que necesitamos para calcular el cambio de entropía con la ecuación (20.23).

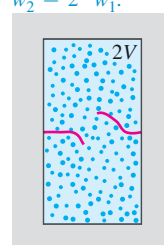
**EJECUTAR:** Sea  $w_1$  el número de estados microscópicos del sistema como un todo cuando el gas ocupa el volumen  $V$  (figura 20.22a). El número de moléculas es  $N = nN_A$  y cada molécula tiene el doble de posibles estados después de romperse la división. Por lo tanto, el número  $w_2$  de posibles estados microscópicos cuando el gas ocupa el volumen  $2V$  (figura 20.22b) aumenta en un factor de  $2^N$ ; es decir,  $w_2 = 2^N w_1$ . El cambio de entropía en este proceso es

$$\begin{aligned}\Delta S &= k \ln \frac{w_2}{w_1} = k \ln \frac{2^N w_1}{w_1} \\ &= k \ln 2^N = Nk \ln 2\end{aligned}$$

a) El gas ocupa un volumen  $V$ ; número de microestados =  $w_1$ .



b) El gas ocupa un volumen  $2V$ ; número de microestados =  $w_2 = 2^N w_1$ .



## Estados microscópicos y la segunda ley

La relación entre entropía y el número de estados microscópicos nos permite entender mejor el planteamiento de entropía de la segunda ley de la termodinámica: la entropía de un sistema cerrado nunca disminuye. De acuerdo con la ecuación (20.22), esto significa que un sistema cerrado nunca puede experimentar espontáneamente un proceso que reduzca el número de estados microscópicos posibles.

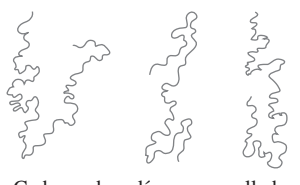
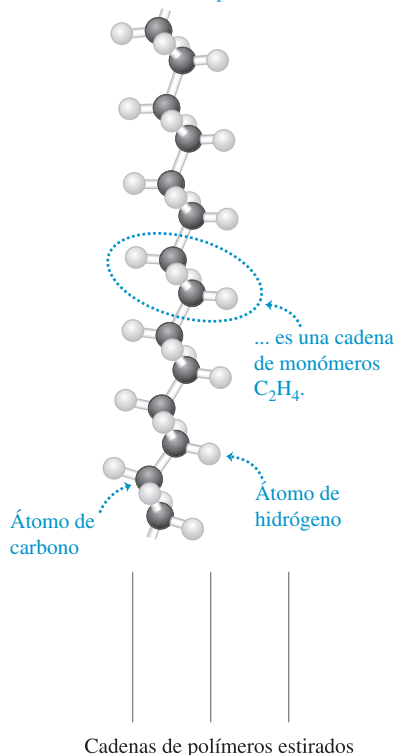
Un ejemplo de semejante proceso prohibido sería si todo el aire de una habitación se moviera espontáneamente a una mitad de la habitación, dejando vacía la otra mitad. Tal “compresión libre” sería lo contrario de la expansión libre de los ejemplos 20.8 y 20.11, y reduciría en un factor de  $2^N$  el número de posibles estados microscópicos. En sentido estricto, ¡este proceso no es imposible! La probabilidad de hallar una molécula dada en una mitad de la habitación es de  $\frac{1}{2}$ , así que la probabilidad de hallar todas las moléculas en la misma mitad es  $(\frac{1}{2})^N$  (esta es exactamente la probabilidad de obtener  $N$  caras seguidas al lanzar una moneda). Esta probabilidad *no* es cero. Sin embargo, por si le preocupa encontrarse repentinamente sin aire en la mitad evacuada de su habitación, considere que ésta podría contener 1000 moles de aire, de manera que  $N = 1000N_A = 6.02 \times 10^{26}$  moléculas. La probabilidad de que todas las moléculas estén en la misma mitad del cuarto es entonces  $(\frac{1}{2})^{6.02 \times 10^{26}}$ . Expresado como decimal, ¡este número tiene más de  $10^{26}$  ceros a la derecha del punto decimal!

Considerando la probabilidad tan insignificante de que tal “compresión libre” ocurra, es casi seguro que nunca ha ocurrido en el universo desde el principio del tiempo. Concluimos que, en la práctica, la segunda ley de la termodinámica nunca se viola.

**EVALÚE SU COMPRENSIÓN DE LA SECCIÓN 20.8** Una cantidad de  $N$  moléculas de un gas ideal ocupa inicialmente un volumen  $V$ . Luego, el gas se expande a un volumen  $2V$ . El número de estados microscópicos del gas aumenta con esta expansión. ¿En cuál de las siguientes circunstancias aumentará al máximo este número? **i.** La expansión es reversible e isotérmica; **ii.** la expansión es reversible y adiabática; **iii.** el número cambiará en la misma cantidad para ambas circunstancias. ■

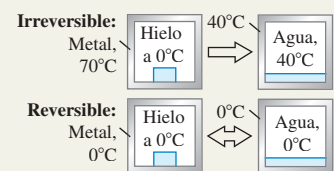
**Aplicación Polímeros enrollados en solución** Una molécula de polietileno, el plástico más común, es un polímero, una larga cadena de unidades de monómeros ( $C_2H_4$ ). En solución estas moléculas se enrollan sobre sí mismas, y el concepto de entropía explica por qué. El polímero puede enrollarse de muchas maneras (estados microscópicos), pero hay sólo un estado microscópico en el que el polímero se estira completamente. Así, la entropía del polímero enrollado es mucho mayor que la de un polímero estirado. La segunda ley de la termodinámica dice que los sistemas aislados siempre se mueven hacia una mayor entropía, por lo que se espera que una cadena de polímeros en solución estará en un estado enrollado.

Una molécula de polietileno ...



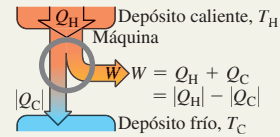


**Procesos reversibles e irreversibles:** Un proceso reversible es uno cuya dirección puede invertirse con un cambio infinitesimal en sus condiciones, y en el cual el sistema siempre está en equilibrio térmico o muy cerca de él. Todos los demás procesos termodinámicos son irreversibles.



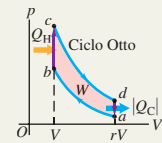
**Máquinas térmicas:** Una máquina térmica toma calor  $Q_H$  de un depósito, convierte parte de él en trabajo  $W$  y cede el resto  $|Q_C|$  a una temperatura menor. La eficiencia térmica  $e$  de una máquina térmica mide qué tanto del calor absorbido se convierte en trabajo (vea el ejemplo 20.1).

$$e = \frac{W}{Q_H} = 1 + \frac{Q_C}{Q_H} = 1 - \left| \frac{Q_C}{Q_H} \right| \quad (20.4)$$



**Ciclo Otto:** Un motor de gasolina que opera según el ciclo Otto tiene una eficiencia térmica máxima teórica  $e$  que depende de la razón de compresión  $r$  y de la razón de capacidades caloríficas  $\gamma$  de la sustancia de trabajo.

$$e = 1 - \frac{1}{r^{\gamma-1}} \quad (20.6)$$

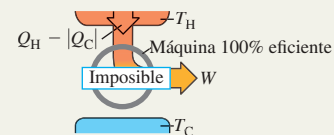


**Refrigeradores:** Un refrigerador toma el calor  $Q_C$  de un lugar más frío, tiene una entrada de trabajo  $|W|$  y desecha el calor  $|Q_H|$  a un lugar más caliente. La eficiencia del refrigerador está dada por su coeficiente de rendimiento  $K$ .

$$K = \frac{|Q_C|}{|W|} = \frac{|Q_C|}{|Q_H| - |Q_C|} \quad (20.9)$$



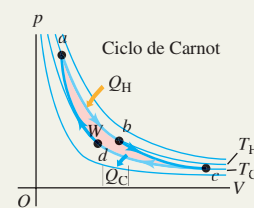
**Segunda ley de la termodinámica:** La segunda ley de la termodinámica describe la direccionalidad de los procesos termodinámicos naturales y puede plantearse de varias formas equivalentes. El planteamiento de *máquina* es que ningún proceso cíclico puede convertir calor totalmente en trabajo; el planteamiento de *refrigerador* es que ningún proceso cíclico puede transferir calor de un lugar más frío a uno más caliente sin aporte de trabajo mecánico.



**Ciclo de Carnot:** El ciclo de Carnot opera entre dos depósitos de calor a temperaturas  $T_H$  y  $T_C$  y está formado sólo por procesos reversibles. Su eficiencia térmica depende únicamente de  $T_H$  y  $T_C$ . Otro planteamiento equivalente de la segunda ley es que ninguna máquina que opere entre dos temperaturas dadas puede ser más eficiente que una máquina de Carnot que opera entre las mismas temperaturas (vea los ejemplos 20.2 y 20.3).

Unamáquina de Carnot operada a la inversa es un refrigerador de Carnot; su coeficiente de rendimiento depende únicamente de  $T_H$  y  $T_C$ . Otra forma de la segunda ley dice que ningún refrigerador que opere entre dos temperaturas dadas puede tener un mayor coeficiente de rendimiento que un refrigerador de Carnot (vea el ejemplo 20.4).

$$e_{\text{Carnot}} = 1 - \frac{T_C}{T_H} = \frac{T_H - T_C}{T_H} \quad (20.14)$$



$$K_{\text{Carnot}} = \frac{T_C}{T_H - T_C} \quad (20.15)$$

**Entropía:** La entropía es una medida cuantitativa del desorden de un sistema. El cambio de entropía en cualquier proceso reversible depende de la cantidad de flujo de calor y de la temperatura absoluta  $T$ . La entropía sólo depende del estado del sistema, y el cambio de entropía entre un estado inicial y uno final es el mismo para todos los procesos que llevan de un estado al otro. Esto puede servir para calcular el cambio de entropía en un proceso irreversible (vea los ejemplos 20.5 a 20.10).

Un planteamiento importante de la segunda ley de la termodinámica es que la entropía de un sistema aislado puede aumentar pero nunca disminuir. Si un sistema interactúa con sus alrededores, el cambio total de entropía del sistema y de los alrededores nunca disminuye. Si la interacción implica sólo procesos reversibles, la entropía total es constante y  $\Delta S = 0$ ; si hay procesos irreversibles, la entropía total aumenta y  $\Delta S > 0$ .

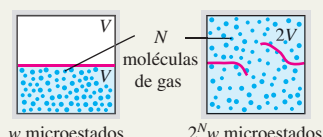
$$\Delta S = \int_1^2 \frac{dQ}{T} \quad (20.19)$$

(proceso reversible)



**Entropía y estados microscópicos:** Cuando un sistema se encuentra en cierto estado macroscópico, las partículas que lo componen pueden estar en cualquiera de  $w$  posibles estados microscópicos. Cuanto mayor es  $w$ , mayor será la entropía (vea el ejemplo 20.11).

$$S = k \ln w \quad (20.22)$$



## PROBLEMA PRÁCTICO

## CAMBIOS DE ENTROPÍA: HIELO FRÍO EN AGUA CALIENTE



SOLUCIÓN

Un recipiente aislado de masa despreciable contiene 0.600 kg de agua a  $45.0^\circ\text{C}$ . Se coloca un cubo de hielo de 0.0500 kg a  $-15.0^\circ\text{C}$  en el agua (**figura 20.23**). a) Calcule la temperatura final del agua una vez que el hielo se haya fundido. b) Calcule el cambio en la entropía del sistema.

### GUÍA DE SOLUCIÓN

#### IDENTIFICAR y PLANTEAR

- Elabore una lista de las cantidades conocidas y desconocidas e identifique las incógnitas que hay que despejar.
- ¿Cómo calculará la temperatura final de la mezcla hielo-agua? ¿Cómo sabrá si todo el hielo se funde o no?
- Una vez que conoce la temperatura final de la mezcla, ¿cómo determinará los cambios de entropía en i. el hielo inicialmente a  $-15.0^\circ\text{C}$  y ii. el agua inicialmente a  $45.0^\circ\text{C}$ ?

#### EJECUTAR

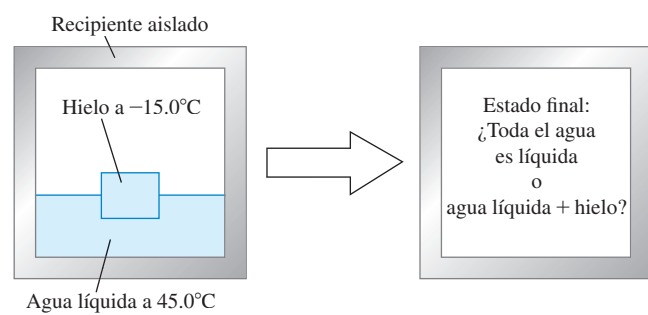
- Use los métodos del capítulo 17 para calcular la temperatura final  $T$ . (*Sugerencia:* Primero suponga que se funde todo el hielo, luego escriba una ecuación que diga que el calor que fluye hacia el hielo es igual al calor que fluye hacia afuera del agua. Si el supuesto es correcto, la temperatura final que se calcule será mayor que  $0^\circ\text{C}$ . Si el supuesto es incorrecto, la temperatura final será  $0^\circ\text{C}$  o menor, lo cual quiere decir que sobra algo de hielo. Entonces será necesario rehacer los cálculos para explicar esto).

- Use el resultado del paso 4 para calcular los cambios de entropía del hielo y del agua. (*Sugerencia:* Se debe incluir el flujo de calor asociado con los cambios de temperatura, igual que en el ejemplo 20.6, así como el flujo de calor asociado con el cambio de fase).
- Calcule el cambio total de entropía del sistema.

#### EVALUAR

- ¿Los signos de los cambios de entropía son lógicos? ¿Por qué?

#### 20.23 ¿Qué pasa con esta mezcla de hielo-agua?



## Problemas

•, •, ••: Niveles de dificultad. PA: Problemas acumulativos que incorporan material de capítulos anteriores. CALC: Problemas que requieren cálculo. DATOS: Problemas que incluyen datos reales, evidencia científica, diseño experimental y/o razonamiento estadístico. BIO: Problemas de ciencias biológicas.

### PREGUNTAS PARA ANÁLISIS

**P20.1** Una olla está llena a la mitad con agua y se tapa con un sello hermético que no permite el escape de vapor. La olla se calienta en una estufa, formándose vapor de agua dentro de ella. La estufa se apaga y el vapor se condensa. ¿Este ciclo es reversible o irreversible? ¿Por qué?

**P20.2** Cite dos ejemplos de procesos reversibles y dos de procesos irreversibles en sistemas puramente mecánicos, como bloques que se deslizan por planos, resortes, poleas y cuerdas. Explique qué hace a cada proceso reversible o irreversible.

**P20.3** Los refrigeradores domésticos tienen arreglos o tuberías en forma de serpentines en el exterior, por lo general en la parte posterior o inferior. Cuando el refrigerador está funcionando, la tubería se calienta bastante. ¿De dónde proviene el calor?

**P20.4** Suponga que trata de enfriar su cocina dejando abierta la puerta del refrigerador. ¿Qué sucede? ¿Por qué? ¿El resultado sería el mismo si se dejara abierta una hielera llena de hielo? Explique las diferencias, si las hay.

**P20.5** ¿Por qué se debe colocar un dispositivo de aire acondicionado en una ventana en lugar de sólo ponerlo en el suelo y conectarlo? ¿Por qué se puede colocar un refrigerador en el suelo y conectarlo?

**P20.6** Convertir energía mecánica totalmente en calor, ¿viola la segunda ley de la termodinámica? ¿Y convertir calor totalmente en trabajo? Explique sus respuestas.

**P20.7** Imagine un filtro de aire especial colocado en la ventana de una casa. Los diminutos orificios en el filtro sólo permiten la salida de moléculas de aire cuya rapidez sea mayor de cierto valor, y sólo permiten la entrada de moléculas cuya rapidez sea menor que ese valor. Explique por qué este filtro enfriaría la casa y por qué la segunda ley de la termodinámica imposibilita la construcción de semejante filtro.

**P20.8** El eje de un motor eléctrico está acoplado al de un generador eléctrico. El motor impulsa al generador, y una parte de la corriente de éste se utiliza para hacer funcionar el motor. El resto de la corriente se usa para iluminar una casa. ¿Qué defecto tiene este esquema?

**P20.9** Si un trapo mojado se cuelga en el desierto, donde hay viento caliente, se enfriá por evaporación a una temperatura hasta 20°C menor que la del aire. Analice esto a la luz de la segunda ley de la termodinámica.

**P20.10** Compare el diagrama  $pV$  para el ciclo Otto en la figura 20.6 con el diagrama para la máquina térmica de Carnot de la figura 20.13. Explique algunas diferencias importantes entre los dos ciclos.

**P20.11** La eficiencia de las máquinas térmicas se eleva cuando la diferencia de temperatura entre los depósitos caliente y frío es grande. Por otro lado, los refrigeradores funcionan mejor cuando la diferencia de temperatura es pequeña. Considerando el ciclo mecánico del refrigerador de la figura 20.9, explique en términos físicos por qué requiere menos trabajo para extraer calor de la sustancia de trabajo si los dos depósitos (el interior del refrigerador y el aire exterior) están casi a la misma temperatura, que si el aire exterior está mucho más caliente que el interior del refrigerador.

**P20.12** ¿Qué eficiencia tendría una máquina de Carnot que opera con  $T_H = T_C$ ? ¿Y si  $T_C = 0\text{ K}$  y  $T_H$  fuera cualquier temperatura mayor que 0 K? Interprete sus respuestas.

**P20.13** Las máquinas térmicas reales, como el motor de gasolina de un automóvil, siempre tienen cierta fricción entre sus piezas móviles,

aunque los lubricantes la reducen al mínimo. ¿Una máquina térmica con piezas totalmente sin fricción sería 100% eficiente? ¿Por qué? ¿La respuesta depende de si la máquina realiza un ciclo de Carnot o no? ¿Por qué?

**P20.14** ¿Un refrigerador lleno de alimentos consume más potencia si la temperatura ambiente es de 20°C que si la temperatura es de 15°C? ¿O el consumo es el mismo? Explique su razonamiento.

**P20.15** En el ejemplo 20.4, un refrigerador de Carnot requiere un trabajo de entrada de sólo 230 J para extraer 346 J de calor del depósito frío. ¿Esta discrepancia implica una violación de la ley de conservación de la energía? Explique por qué.

**P20.16** ¿Cómo es que la conducción térmica de calor de un objeto caliente a uno frío aumenta la entropía cuando la misma cantidad de calor que sale del objeto caliente fluye hacia el objeto frío?

**P20.17** Explique por qué cada uno de los siguientes procesos es un ejemplo de desorden o aleatoriedad creciente: la mezcla de agua caliente y fría; expansión libre de un gas; flujo irreversible de calor; producción de calor por fricción mecánica. ¿Hay aumentos de entropía en todos ellos? ¿Por qué?

**P20.18** La expansión libre de un gas es un proceso adiabático, por lo que no hay transferencia de calor. No se realiza trabajo, de manera que la energía interna no cambia. Por lo tanto,  $Q/T = 0$ ; sin embargo, el desorden del sistema y, por consiguiente, la entropía se incrementan después de la expansión. ¿Por qué la ecuación (20.19) no se aplica a esta situación?

**P20.19** ¿La Tierra y el Sol están en equilibrio térmico? ¿Hay cambios de entropía asociados a la transmisión de energía del Sol a la Tierra? ¿La radiación es diferente de otros modos de transferencia de calor con respecto a los cambios de entropía? Explique su razonamiento.

**P20.20** Suponga que usted pone un objeto caliente en contacto térmico con un objeto frío y observa (para su sorpresa) que el calor fluye del objeto frío al objeto caliente, haciendo al frío más frío y al caliente más caliente. ¿Este proceso viola necesariamente la primera ley de termodinámica? ¿Y la segunda ley de la termodinámica? Explique.

**P20.21** Si proyectamos una película en reversa, es como si se invirtiera la dirección del tiempo. En esta proyección, ¿veríamos procesos que violan la conservación de la energía? ¿Y la conservación de la cantidad de movimiento o momento lineal? ¿Y la segunda ley de la termodinámica? En cada caso, si hay procesos que violan una ley, dé ejemplos.

**P20.22** BIO Algunos críticos de la evolución biológica aseguran que ésta viola la segunda ley de la termodinámica, pues implica organismos simples que dan origen a otros más complejos y ordenados. Explique por qué éste no es un argumento válido contra la evolución.

**P20.23** BIO Al crecer, una planta crea una estructura muy compleja y organizada a partir de materiales simples, como aire, agua y minerales. ¿Viola esto la segunda ley de la termodinámica? Explique por qué. ¿Cuál es la fuente de energía final de la planta? Explique su razonamiento.

### EJERCICIOS

#### Sección 20.2 Máquinas térmicas

**20.1** • Un motor diesel realiza 2200 J de trabajo mecánico y cede 4300 J de calor en cada ciclo. a) ¿Cuánto calor debe suministrarse al motor en cada ciclo? b) Calcule la eficiencia térmica del motor.

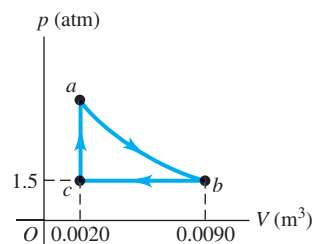
**20.2** • Un motor de avión recibe 9000 J de calor y cede 6400 J cada ciclo. *a)* Calcule el trabajo mecánico efectuado por el motor en un ciclo. *b)* Calcule la eficiencia térmica del motor.

**20.3 • Motor de gasolina.** Un motor de gasolina recibe  $1.61 \times 10^4$  J de calor y realiza 3700 J de trabajo por ciclo. El calor se obtiene quemando gasolina que tiene un calor de combustión de  $4.60 \times 10^4$  J/g. *a)* Calcule la eficiencia térmica. *b)* ¿Cuánto calor cede en cada ciclo? *c)* ¿Qué masa de gasolina se quema en cada ciclo? *d)* Si el motor opera a 60.0 ciclos/s, determine su potencia de salida en kilowatts y en caballos de potencia.

**20.4** • Un motor de gasolina desarrolla una potencia de 180 kW (aproximadamente 241 hp). Su eficiencia térmica es del 28.0%. *a)* ¿Cuánto calor debe suministrarse al motor por segundo? *b)* ¿Cuánto calor desecha el motor cada segundo?

**20.5** • El diagrama  $pV$  de la figura E20.5 muestra un ciclo de una máquina térmica que usa 0.250 moles de un gas ideal que tiene  $\gamma = 1.40$ . La parte curva *ab* del ciclo es adiabática. *a)* Calcule la presión del gas en el punto *a*. *b)* ¿Cuánto calor absorbe este gas por ciclo, y en qué parte del ciclo ocurre? *c)* ¿Cuánto calor cede este gas por ciclo, y en qué parte del ciclo ocurre? *d)* ¿Cuánto trabajo realiza esta máquina en un ciclo? *e)* ¿Cuál es la eficiencia térmica de la máquina?

Figura E20.5



### Sección 20.3 Motores de combustión interna

**20.6** • *a)* Calcule la eficiencia teórica de una máquina con ciclo Otto que tiene  $\gamma = 1.40$  y  $r = 9.50$ . *b)* Si este motor consume 10,000 J de calor de la quema de su combustible, ¿cuánto calor desecha hacia el aire exterior?

**20.7** • El ciclo Otto de un motor Mercedes Benz SLK230 tiene una razón de compresión de 8.8. *a)* ¿Cuál es la eficiencia ideal del motor? Use  $\gamma = 1.40$ . *b)* El motor de un Dodge Viper GT2 tiene una razón de compresión un poco arriba de 9.6. ¿Qué aumento en la eficiencia ideal resulta de este aumento en la razón de compresión?

### Sección 20.4 Refrigeradores

**20.8** • El coeficiente de rendimiento  $K = H/P$  es un número adimensional. Su valor es independiente de las unidades de  $H$  y  $P$ , siempre y cuando se utilicen las mismas unidades, como watts, para las dos cantidades. Sin embargo, es práctica común expresar  $H$  en Btu/h y  $P$  en watts. Cuando se usan estas unidades juntas, la razón  $H/P$  se conoce como tasa de eficiencia de energía (EER, por las siglas de *energy efficiency rating*). Si una habitación con aire acondicionado tiene un coeficiente de rendimiento  $K = 3.0$ , ¿cuál es su EER?

**20.9** • Un refrigerador tiene un coeficiente de rendimiento de 2.10. Durante cada ciclo, absorbe  $3.10 \times 10^4$  J de calor del depósito frío. *a)* ¿Cuánta energía mecánica se requiere en cada ciclo para operar el refrigerador? *b)* Durante cada ciclo, ¿cuánto calor se desecha al depósito caliente?

**20.10** • Un congelador tiene un coeficiente de rendimiento de 2.40, y debe convertir 1.80 kg de agua a 25.0°C en 1.80 kg de hielo a -5.0°C en una hora. *a)* ¿Cuánto calor es necesario extraer del agua a 25.0°C para convertirla en hielo a -5.0°C? *b)* ¿Cuánta energía eléctrica consume el congelador en esa hora? *c)* ¿Cuánto calor es cedido al cuarto donde está el congelador?

**20.11** • Un refrigerador tiene un coeficiente de rendimiento de 2.25, opera con 135 W de energía eléctrica y su compartimento interior tiene una temperatura de 5°C. Si se coloca una docena de botellas de plástico con 1.0 L de agua a 31°C en este refrigerador, ¿cuánto tiempo les tomará enfriarse a 5°C? (ignore el calor que desecha el plástico).

### Sección 20.6 El ciclo de Carnot

**20.12** • Una máquina de Carnot opera entre dos depósitos de calor a 520 K y 300 K. *a)* Si la máquina recibe 6.45 kJ de calor del depósito a 520 K en cada ciclo, ¿cuántos joules por ciclo cede al depósito a 300 K? *b)* ¿Cuánto trabajo mecánico realiza la máquina en cada ciclo? *c)* Determine la eficiencia térmica de la máquina.

**20.13** • Una máquina de Carnot cuyo depósito de alta temperatura está a 620 K recibe 550 J de calor a esta temperatura en cada ciclo y cede 335 J al depósito de baja temperatura. *a)* ¿Cuánto trabajo mecánico realiza la máquina en cada ciclo? *b)* ¿A qué temperatura está el depósito de baja temperatura? *c)* Calcule la eficiencia térmica del ciclo.

**20.14** • Una máquina para fabricar hielo opera en un ciclo de Carnot; toma calor de agua a 0.0°C y desecha calor a una habitación a 24.0°C. Suponga que 85.0 kg de agua a 0.0°C se convierten en hielo a 0.0°C. *a)* ¿Cuánto calor se descarga hacia la habitación? *b)* ¿Cuánta energía debe suministrarse al aparato?

**20.15** • Una máquina de Carnot tiene una eficiencia del 66% y realiza  $2.5 \times 10^4$  J de trabajo en cada ciclo. *a)* ¿Cuánto calor extrae la máquina de su fuente de calor en cada ciclo? *b)* Suponga que la máquina expulsa calor a temperatura ambiente (20.0°C). ¿Cuál es la temperatura de su fuente de calor?

**20.16** • Cierta marca de congeladores afirma en su publicidad que sus productos utilizan 730 kW·h al año. *a)* Suponiendo que el congelador opera durante 5 horas cada día, ¿cuánta potencia requiere mientras está operando? *b)* Si el congelador mantiene su interior a una temperatura de -5.0°C en una habitación a 20.0°C, ¿cuál es el coeficiente de rendimiento máximo teórico? *c)* ¿Cuál es la cantidad teórica máxima de hielo que este congelador puede elaborar en una hora, comenzando con agua a 20.0°C?

**20.17** • Un refrigerador de Carnot opera entre dos depósitos de calor a temperaturas de 320 K y 270 K. *a)* Si en cada ciclo el refrigerador recibe 415 J de calor del depósito a 270 K, ¿cuántos joules de energía calorífica cede al depósito a 320 K? *b)* Si el refrigerador realiza 165 ciclos/min, ¿qué potencia de entrada se requiere para operarlo? *c)* Calcule el coeficiente de rendimiento del refrigerador.

**20.18** • Una máquina térmica de Carnot utiliza un depósito caliente que consiste en una gran cantidad de agua en ebullición y un depósito frío que consiste en una tina grande llena de hielo y agua. En 5 minutos de operación, el calor expulsado por la máquina derrete 0.0400 kg de hielo. En ese tiempo, ¿cuánto trabajo  $W$  efectúa la máquina?

**20.19** • Usted diseña una máquina que toma  $1.50 \times 10^4$  J de calor a 650 K en cada ciclo y expulsa calor a una temperatura de 290 K. La máquina completa 240 ciclos en 1 minuto. ¿Cuál es la potencia de salida teórica máxima de esa máquina en caballos de potencia?

### Sección 20.7 Entropía

**20.20** • Un bloque de hielo de 4.50 kg a 0.00°C cae en el océano y se funde. La temperatura media del océano es de 3.50°C, incluyendo las aguas profundas. ¿En qué medida la fusión de este hielo cambia la entropía del mundo? ¿La aumenta o la disminuye? (Sugerencia: ¿Usted cree que el océano cambia significativamente su temperatura cuando el hielo se derrite?).

**20.21** • Un estudiante de segundo grado no tiene nada mejor que hacer que calentar un hielo de 0.350 kg a 0.0°C hasta fundirlo. *a)* ¿Cuál es el cambio de la entropía del agua? *b)* La fuente de calor es un cuerpo de gran masa a una temperatura de 25.0°C. ¿Cuál es el cambio en la entropía de este cuerpo? *c)* ¿Cuál es el cambio total en la entropía del agua y de la fuente de calor?

**20.22** • **CALC** Usted decide tomar un reconfortante baño caliente, pero descubre que su desconsiderado compañero de cuarto consumió casi toda el agua caliente. Usted llena la tina con 195 kg de agua a 30.0°C e intenta calentarla más vertiendo 5.00 kg de agua que alcanzó la ebullición en una estufa. *a)* ¿Se trata de un proceso reversible o irreversible? Utilice un razonamiento de física para explicar el hecho. *b)* Calcule la temperatura final del agua para el baño. *c)* Calcule el cambio neto de entropía del sistema (agua del baño + agua en ebullición), suponiendo que no hay intercambio de calor con el aire o con la tina misma.

**20.23** • Un bloque de hielo de 15.0 kg a 0.0°C se convierte en agua líquida a 0.0°C dentro de una habitación grande cuya temperatura es de 20.0°C. Considere el hielo y la habitación como un sistema aislado y suponga que la habitación es lo bastante grande como para despreciar su cambio de temperatura. *a)* ¿El proceso de la fusión del hielo es reversible o irreversible? Explique su razonamiento con argumentos físicos sencillos, sin recurrir a ninguna ecuación. *b)* Calcule el cambio neto de entropía del sistema durante este proceso. Explique si el resultado es congruente o no con su respuesta en el inciso *a*.

**20.24** • **CALC** Usted prepara té con 0.250 kg de agua a 85.0°C y lo deja enfriar a temperatura ambiente (20.0°C) antes de beberlo. *a)* Calcule el cambio de entropía del agua mientras se enfriá. *b)* En esencia, el proceso de enfriamiento es isotérmico para el aire de su cocina. Calcule el cambio de entropía del aire mientras el té se enfriá, suponiendo que todo el calor que pierde el agua va al aire. ¿Cuál es el cambio total de entropía del sistema constituido por el té + aire?

**20.25** • Tres moles de gas ideal experimentan una compresión isotérmica reversible a 20.0°C, durante la cual se realizan 1850 J de trabajo sobre el gas. Calcule el cambio de entropía del gas.

**20.26** • Calcule el cambio de entropía de 0.130 kg de helio gaseoso en el punto de ebullición normal del helio cuando todo se condensa isotérmicamente en 1.00 L de helio líquido. (*Sugerencia:* Vea la tabla 17.4 de la sección 17.6).

**20.27** • *a)* Calcule el cambio de entropía cuando 1.00 kg de agua a 100°C se vaporiza y se convierte en vapor a 100°C (vea la tabla 17.4). *b)* Compare su respuesta con el cambio de entropía cuando 1.00 kg de hielo se funde a 0°C, calculado en el ejemplo 20.5 (sección 20.7). ¿El cambio de entropía es mayor para la fusión o para la vaporización? Interprete su respuesta con base en la idea de que la entropía es una medida de la aleatoriedad de un sistema.

**20.28** • **Cambio de la entropía debido a la conducción.** La gasolina premium produce  $1.23 \times 10^8$  J de calor por galón cuando se quema a aproximadamente 400°C (aunque la cantidad puede variar con la mezcla de combustible). Si el motor del auto es 25% eficiente, tres cuartas partes de ese calor se expulsan al aire, a alrededor de 20°C. Si su auto le da 35 millas por galón de gasolina, ¿cuánto cambia el motor de su auto la entropía del mundo cuando conduce 1.0 milla? ¿Disminuye o aumenta?

## Sección 20.8 Interpretación microscópica de la entropía

**20.29** • **CALC** Dos moles de gas ideal ocupan un volumen  $V$ . El gas se expande isotérmica y reversiblemente a un volumen de  $3V$ . *a)* ¿Cambia la distribución de velocidades por esta expansión isotérmica? Explique. *b)* Use la ecuación (20.23) para calcular el cambio de entropía del gas. *c)* Use la ecuación (20.18) para calcular el cambio de entropía del gas. Compare este resultado con el del inciso *b*.

**20.30** • Una caja se divide, mediante una membrana, en dos partes de igual volumen. El lado izquierdo contiene 500 moléculas de nitrógeno gaseoso; el derecho contiene 100 moléculas de oxígeno gaseoso. Los dos gases están a la misma temperatura. La membrana se perfora y finalmente se logra el equilibrio. Suponga que el volumen de la caja es suficientemente grande para que cada gas sufra una expansión libre y no cambie de temperatura. *a)* En promedio, ¿cuántas moléculas de cada tipo habrá en cada mitad de la caja? *b)* Calcule el cambio de entropía del sistema cuando se perfora la membrana. *c)* Calcule la probabilidad de que las moléculas se encuentren en la misma distribución que tenían antes de la perforación, esto es, 500 moléculas de nitrógeno en la mitad izquierda y 100 moléculas de oxígeno en la derecha.

**20.31** • **CALC** Un solitario globo de una fiesta con un volumen de 2.40 L y que contiene 0.100 moles de aire se deja a la deriva en la Estación Espacial Internacional, temporalmente inhabitada y despresurizada. La luz solar que pasa por una ventanilla incide sobre el globo y hace que estalle provocando que el aire en su interior experimente una expansión libre en la estación vacía, cuyo volumen total es de 425 m<sup>3</sup>. Calcule el cambio de entropía del aire durante la expansión.

## PROBLEMAS

**20.32** • Usted está diseñando una máquina de Carnot que usa dos moles de CO<sub>2</sub> como sustancia de trabajo; el gas puede tratarse como ideal. El gas debe tener una temperatura máxima de 527°C y una presión máxima de 5.00 atm. Con una entrada de calor de 400 J por ciclo, se desea obtener 300 J de trabajo útil. *a)* Calcule la temperatura del depósito frío. *b)* ¿Durante cuántos ciclos debe operar esta máquina para derretir por completo un bloque de hielo con masa de 10.0 kg que inicialmente estaba a 0.0°C, empleando tan sólo el calor cedido por la máquina?

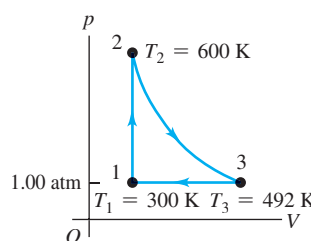
**20.33** • **PA** Una máquina de Carnot ideal opera entre 500°C y 100°C con un suministro de calor de 250 J por ciclo. *a)* ¿Cuánto calor se entrega al depósito frío en cada ciclo? *b)* ¿Qué número mínimo de ciclos se requieren para que la máquina levante una piedra de 500 kg a una altura de 100 m?

**20.34** • **BIO Entropía del metabolismo.** Una persona promedio, durante el sueño, metaboliza a razón de 80 W mediante la digestión o quemando grasa. Normalmente, el 20% de esa energía se usa en funciones corporales, como reparación de células, bombeo de sangre y otras aplicaciones de energía mecánica, y el resto se disipa como calor. La mayoría de las personas se deshacen de todo este exceso de calor transfiriéndolo (por conducción y por el flujo de sangre) a la superficie del cuerpo, donde es irradiado. La temperatura interna normal del cuerpo (donde se realiza el metabolismo) es de 37°C, y la piel normalmente es 7°C más fría. ¿Cuánto cambia por segundo la entropía de la persona debido a esta transferencia de calor?

**20.35** • **PA** Cierta máquina térmica que opera en un ciclo de Carnot absorbe 450 J de calor por ciclo de su depósito de calor a 135°C y tiene una eficiencia térmica de 22.0%. *a)* ¿Cuánto trabajo realiza esta máquina por ciclo? *b)* ¿Cuánto calor cede la máquina cada ciclo? *c)* ¿Cuál es la temperatura del depósito frío? *d)* ¿Cuánto cambia la máquina la entropía del mundo en cada ciclo? *e)* ¿Qué masa de agua puede bombear por ciclo esta máquina desde un pozo de 35.0 m de profundidad?

**20.36** • Una máquina térmica usa como sustancia de trabajo 0.350 moles de un gas diatómico ideal que efectúa el ciclo que se muestra en el diagrama  $pV$  de la figura 20.36. El proceso 1 → 2 es a volumen constante, de 2 → 3

Figura P20.36



es adiabático, y de  $3 \rightarrow 1$  es a presión constante de 1.00 atm. Para este gas,  $\gamma = 1.40$ . a) Calcule la presión y el volumen en los puntos 1, 2 y 3. b) Calcule  $Q$ ,  $W$  y  $\Delta U$  para cada uno de los tres procesos. c) Calcule el trabajo neto efectuado por el gas en el ciclo. d) Calcule el flujo neto de calor de la máquina en un ciclo. e) Determine la eficiencia térmica de la máquina y compárela con la de una máquina de Carnot que opera entre las mismas temperaturas mínima y máxima  $T_1$  y  $T_2$ .

**20.37 •• BIO Cambio de entropía por digestión de la grasa.** La digestión de la grasa produce 9.3 calorías alimenticias por gramo de grasa y normalmente el 80% de esta energía se convierte en calor cuando se metaboliza (una caloría alimenticia equivale a 1000 calorías y, por lo tanto, es igual a 4186 J). Entonces el cuerpo mueve todo este calor a la superficie en una combinación de conductividad térmica y circulación de la sangre. La temperatura interna del cuerpo (donde se realiza la digestión) es normalmente de 37°C, y la superficie está normalmente a unos 30°C. ¿En cuánto cambia la entropía del cuerpo la digestión y el metabolismo de 2.50 g de mantequilla? ¿Aumenta o disminuye?

**20.38 ••** Calcule la eficiencia térmica de una máquina en la que  $n$  moles de un gas ideal diatómico realizan el ciclo  $1 \rightarrow 2 \rightarrow 3 \rightarrow 4 \rightarrow 1$  que se muestra en la figura P20.38.

**20.39 •• CALC** Usted construye una máquina térmica que somete 1.00 mol de un gas diatómico ideal al ciclo mostrado en la figura P20.39. a) Demuestre que el segmento  $ab$  es una compresión isotérmica. b) ¿Durante cuál segmento (o segmentos) del ciclo el gas absorbe calor? ¿Durante cuál segmento (o segmentos) se cede calor?

¿Cómo lo sabe? Calcule c) la temperatura en los puntos  $a$ ,  $b$  y  $c$ ; d) el calor neto intercambiado con el entorno y el trabajo neto que realiza la máquina en un ciclo. e) Calcule la eficiencia térmica de la máquina.

Figura P20.38

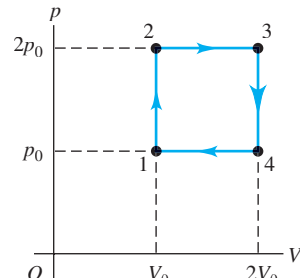
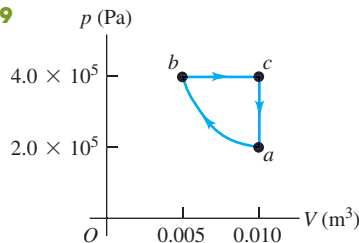


Figura P20.39

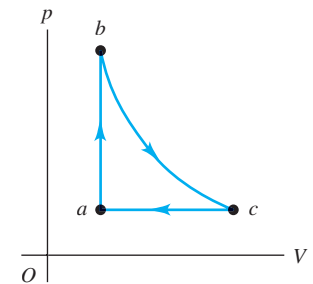


**20.40 • PA** Como un ingeniero mecánico en ciernes, le piden diseñar una máquina de Carnot que use como sustancia de trabajo 2.00 moles de un gas ideal monoatómico y que opere con un depósito caliente a 500°C. La máquina debe levantar 2.00 m una masa de 15.0 kg en cada ciclo, empleando un suministro de calor de 500 J. El gas en la cámara de la máquina puede tener un volumen mínimo de 5.00 L durante el ciclo. a) Dibuje un diagrama  $pV$  para este ciclo, indicando dónde entra calor en el gas y dónde sale de él. b) ¿A qué temperatura debe estar el depósito frío? c) Calcule la eficiencia térmica de la máquina. d) ¿Cuánta energía térmica gasta esta máquina en cada ciclo? e) Calcule la presión máxima que tendrá que resistir la cámara de gas.

**20.41 • CALC** Una máquina térmica opera empleando el ciclo de la figura P20.41. La sustancia de trabajo es de 2.00 moles de helio gaseoso, que alcanza una temperatura máxima de 327°C. Suponga que el helio se puede tratar como gas ideal. El proceso  $bc$  es isotérmico.

La presión en los estados  $a$  y  $c$  es de  $1.00 \times 10^5$  Pa, y en el estado  $b$ , de  $3.00 \times 10^5$  Pa. a) ¿Cuánto calor entra en el gas y cuánto sale del gas en cada ciclo? b) ¿Cuánto trabajo efectúa la máquina en cada ciclo y qué eficiencia tiene? c) Compare la eficiencia de esta máquina con la máxima eficiencia posible que puede lograrse con los depósitos caliente y frío que se usan en este ciclo.

Figura P20.41



**20.42 •• PA BIO Entropía humana.** Una persona, cuya piel tiene un área de  $1.85 \text{ m}^2$  y una temperatura de 30.0°C, está descansando en una habitación aislada donde la temperatura ambiente es de 20.0°C. En esta situación, la persona se deshace del calor excesivo por radiación. ¿Cuánto cambia la persona la entropía del aire cada segundo en esta habitación? (Recuerde que la habitación devuelve radiación a la persona y que la emisividad de la piel es de 1.00).

**20.43 ••** Una planta de electricidad experimental en el Laboratorio de Energía Natural de Hawái genera electricidad a partir del gradiente de temperatura del océano. Las temperaturas superficial y de aguas profundas son de 27°C y 6°C, respectivamente. a) Calcule la eficiencia teórica máxima de esta planta. b) Si la planta debe producir 210 kW de potencia, ¿con qué rapidez debe extraerse calor del agua tibia? ¿Con qué rapidez debe absorber calor el agua fría? Suponga la eficiencia teórica máxima. c) El agua fría que ingresa en la planta sale a 10°C. Calcule la rapidez, en kg/h y en L/h, con que debe fluir el agua fría por el sistema.

**20.44 •• PA BIO Máquina humana.** Usted decide usar su cuerpo como una máquina térmica de Carnot. El gas de operación está en un tubo con uno de sus extremos en su boca (donde la temperatura es de 37.0°C) y el otro en la superficie de su piel, a 30.0°C. a) ¿Cuál es la eficiencia máxima de esta máquina térmica? ¿Tal máquina tendría alguna utilidad? b) Suponga que desea utilizar esta máquina humana para levantar una caja de 2.50 kg del piso a una mesa de 1.20 m arriba del suelo. ¿Cuánto debe aumentar la energía potencial gravitacional y cuánto calor de entrada se necesita para hacer esto? c) Si una barra de su caramelito favorito tiene 350 calorías alimenticias (1 caloría alimenticia = 4186 J) y el 80% de la energía alimenticia se convierte en calor, ¿cuántas barras de caramelito debe consumir para levantar la caja de este modo?

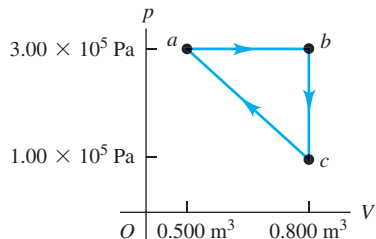
**20.45 • CALC** Un cilindro contiene oxígeno a una presión de 2.00 atm. El volumen es de 4.00 L y la temperatura de 300 K. Suponga que el oxígeno se puede tratar como gas ideal, y que se somete a los siguientes procesos:

- Calentamiento a presión constante del estado inicial (estado 1) al estado 2, donde  $T = 450$  K.
- Enfriamiento a volumen constante a 250 K (estado 3).
- Compresión a temperatura constante a un volumen de 4.00 L (estado 4).
- Calentamiento a volumen constante a 300 K, regresando el sistema al estado 1.

a) Muestre estos cuatro procesos en un diagrama  $pV$ , dando los valores numéricos de  $p$  y  $V$  en cada estado. b) Calcule  $Q$  y  $W$  para cada proceso. c) Calcule el trabajo neto efectuado por el oxígeno en el ciclo completo. d) Determine la eficiencia de este dispositivo como máquina térmica y compárela con la de una máquina de ciclo de Carnot que opera entre las mismas temperaturas mínima y máxima de 250 K y 450 K.

**20.46** • Un gas ideal monoatómico realiza el ciclo de la figura P20.46 en el sentido que se indica. La trayectoria del proceso  $c \rightarrow a$  es una recta en el diagrama  $pV$ . *a)* Calcule  $Q$ ,  $W$  y  $\Delta U$  para cada proceso:  $a \rightarrow b$ ,  $b \rightarrow c$  y  $c \rightarrow a$ . *b)* Calcule  $Q$ ,  $W$  y  $\Delta U$  para un ciclo completo. *c)* Determine la eficiencia del ciclo.

Figura P20.46



**20.47** • Una máquina de Carnot opera entre dos depósitos de calor a temperaturas  $T_H$  y  $T_C$ . Un inventor propone aumentar la eficiencia operando una máquina entre  $T_H$  y una temperatura intermedia  $T'$ , y una segunda máquina entre  $T'$  y  $T_C$  usando el calor expulsado por la primera. Calcule la eficiencia de este sistema compuesto y compárela con la de la máquina original.

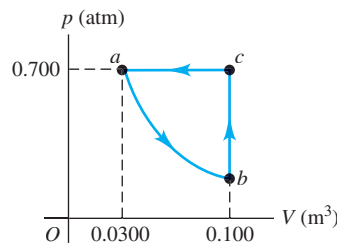
**20.48** • Una planta generadora de energía eléctrica de 1000 MW, alimentada con carbón, tiene una eficiencia térmica del 40%. *a)* ¿Cuál es la rapidez de suministro de calor a la planta? *b)* La planta quema carbón de piedra (antracita), que tiene un calor de combustión de  $2.65 \times 10^7 \text{ J/kg}$ . ¿Cuánto carbón consume la planta al día, si opera de manera continua? *c)* ¿Con qué rapidez se cede calor hacia el depósito frío, que es un río cercano? *d)* La temperatura del río es de 18.0°C antes de llegar a la planta de energía y de 18.5°C después de que recibe el calor de desecho de la planta. Calcule la rapidez de flujo del río en metros cúbicos por segundo. *e)* ¿En cuánto aumenta la entropía del río cada segundo?

**20.49** • **Termodinámica de un motor de automóvil.** Un Volkswagen Passat tiene un motor de ciclo Otto de seis cilindros con razón de compresión  $r = 10.6$ . El diámetro de cada cilindro, llamado *barrreno* del motor, es de 82.5 mm. La distancia que el pistón se mueve durante la compresión en la figura 20.5, la *carrera* del motor, es de 86.4 mm. La presión inicial de la mezcla aire-combustible (en el punto *a* de la figura 20.6) es de  $8.50 \times 10^4 \text{ Pa}$ , y la temperatura inicial es de 300 K (la del aire exterior). Suponga que, en cada ciclo, se agregan 200 J de calor a cada cilindro al quemarse la gasolina y que el gas tiene  $C_V = 20.5 \text{ J/mol}\cdot\text{K}$  y  $\gamma = 1.40$ . *a)* Calcule el trabajo total que realiza cada cilindro del motor en un ciclo y el calor disipado cuando el gas se enfria a la temperatura del aire exterior. *b)* Calcule el volumen de la mezcla aire-combustible en el punto *a* del ciclo. *c)* Calcule la presión, el volumen y la temperatura del gas en los puntos *b*, *c* y *d* del ciclo. Dibuje un diagrama  $pV$  que muestre los valores numéricos de  $p$ ,  $V$  y  $T$  para cada uno de los cuatro estados. *d)* Compare la eficiencia de este motor con la de una máquina de Carnot que opera entre las mismas temperaturas máxima y mínima.

**20.50** • Un sistema de aire acondicionado opera con 800 W de potencia y tiene un coeficiente de rendimiento de 2.80 a una temperatura ambiente de 21.0°C y una temperatura exterior de 35.0°C. *a)* Calcule la rapidez a la que esta unidad elimina el calor. *b)* Calcule la rapidez a la que se descarga calor al aire exterior. *c)* Calcule el cambio total de entropía en la habitación si el sistema de aire acondicionado funciona durante una hora. Calcule el cambio total de entropía en el aire exterior durante el mismo periodo. *d)* Calcule el cambio neto de entropía para el sistema (habitación + aire exterior).

**20.51** • El diagrama  $pV$  en la figura P20.51 muestra el ciclo para un refrigerador que opera en 0.850 moles de H<sub>2</sub>. Suponga que el gas se puede tratar como ideal. El proceso *ab* es isotérmico. Calcule el coeficiente de rendimiento de este refrigerador.

Figura P20.51



**20.52** • **BIO Entropía humana.** Una persona con un área total de piel de  $2.05 \text{ m}^2$  y una temperatura  $36.5^\circ\text{C}$ , está en una sala de espera donde la temperatura es de  $18.0^\circ\text{C}$ . En esta situación, la persona se deshace del calor excesivo por radiación. ¿Cuánto cambia la persona la entropía del aire durante un minuto en esta habitación? (Recuerde que la habitación devuelve radiación a la persona y que la emisividad de la piel es 1.00).

**20.53** • **CALC** Un objeto de masa  $m_1$ , calor específico  $c_1$  y temperatura  $T_1$  se coloca en contacto con otro de masa  $m_2$ , calor específico  $c_2$  y temperatura  $T_2 > T_1$ . Como resultado, la temperatura del primer objeto aumenta a  $T$  y la del segundo baja a  $T'$ . *a)* Demuestre que el aumento de entropía del sistema es

$$\Delta S = m_1 c_1 \ln \frac{T}{T_1} + m_2 c_2 \ln \frac{T'}{T_2}$$

y que la conservación de la energía requiere que

$$m_1 c_1 (T - T_1) = m_2 c_2 (T_2 - T')$$

*b)* Demuestre que el cambio de entropía  $\Delta S$ , considerado como función de  $T$ , es *máximo* si  $T = T'$ , la condición de equilibrio termodinámico. *c)* Analice el resultado del inciso *b*) en términos de la idea de entropía como medida del desorden.

**20.54** • **CALC** Imagine que para calentar una taza de agua ( $250 \text{ cm}^3$ ) y preparar café, coloca un calentador eléctrico en la taza. Mientras la temperatura del agua aumenta de  $20^\circ\text{C}$  a  $78^\circ\text{C}$ , la temperatura del elemento calefactor permanece en  $120^\circ\text{C}$ . Calcule el cambio de entropía de *a)* el agua, *b)* el elemento calefactor, *c)* el sistema de agua y el elemento calefactor (use el mismo supuesto acerca del calor específico del agua que usamos en el ejemplo 20.10 de la sección 20.7, y desprecie el calor que fluye a la taza de cerámica en sí). *d)* ¿Este proceso es reversible o irreversible? Explique.

**20.55** • **DATOS** En su trabajo de verano con una empresa de capital de riesgo, le dan solicitudes de financiamiento de cuatro inventores de máquinas térmicas. Los inventores presentan los siguientes datos de sus prototipos en operación:

	Prototipo			
	A	B	C	D
$T_C$ (°C), depósito a bajate mperatura	47	17	-33	37
$T_H$ (°C), depósito a alta temperatura	177	197	247	137
Eficiencia supuesta $\epsilon$ (%)	21	35	56	20

*a)* Con base en los valores  $T_C$  y  $T_H$  para cada prototipo, encuentre la máxima eficiencia posible para cada uno. *b)* ¿Alguna de las eficiencias supuestas es imposible? Explique. *c)* Considerando todos los

prototipos con una eficiencia que sea posible, clasifíquelo en orden descendente de la razón entre la eficiencia supuesta y la eficiencia posible máxima.

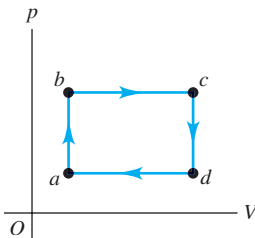
**20.56 •• DATOS** Para un refrigerador o un dispositivo de aire acondicionado, el coeficiente de rendimiento  $K$  (a menudo se denota como COP) es, como en la ecuación (20.9), la razón entre la salida de enfriamiento  $|Q_C|$  y la energía eléctrica requerida de entrada  $|W|$ , ambas en joules. El coeficiente de rendimiento también se expresa como una razón de potencias,

$$K = \frac{|Q_C|/t}{|W|/t}$$

donde  $|Q_C|/t$  es la potencia de enfriamiento y  $|W|/t$  es la entrada de potencia eléctrica al dispositivo, ambos en watts. La tasa de eficiencia de energía (EER) es la misma cantidad expresada en unidades de Btu para  $|Q_C|$  y W·h para  $|W|$ . a) Deduczca una relación general que exprese EER en términos de K. b) Para un dispositivo de aire acondicionado casero, EER se determina generalmente para una temperatura exterior de 95°F y una temperatura del aire de retorno de 80°F. Calcule la EER para un dispositivo de Carnot que opera entre 95°F y 80°F. c) Usted tiene un aire acondicionado con una EER de 10.9. Su casa, en promedio, requiere una salida de enfriamiento total de  $|Q_C| = 1.9 \times 10^{10}$  J por año. Si la electricidad le cuesta 15.3 centavos por kW·h, ¿cuánto gasta por año, en promedio, para operar su dispositivo de aire acondicionado? [Suponga que la EER de la unidad representa con precisión el funcionamiento de su dispositivo de aire acondicionado. A menudo se utiliza una *tasa estacional de eficiencia de energía* (SEER). La SEER se calcula sobre un rango de temperaturas externas para obtener un promedio estacional más preciso]. d) Usted está considerando reemplazar su dispositivo de aire acondicionado por uno más eficiente con una EER de 14.6. Con base en la EER, ¿cuánto ahorraría usted en los costos de electricidad en un promedio anual?

**20.57 ••• DATOS** Usted está realizando experimentos para estudiar prototipos de máquinas térmicas. En una prueba, 4.00 moles de gas argón siguen el ciclo que se muestra en la figura P20.57. La presión es lo suficientemente baja para que el gas se considere ideal. Se mide la temperatura del gas en los estados  $a$ ,  $b$ ,  $c$  y  $d$  y encuentra que  $T_a = 250.0$  K,  $T_b = 300.0$  K,  $T_c = 380.0$  K, y  $T_d = 316.7$  K. a) Calcule la eficiencia  $e$  del ciclo. b) Decepcionado por la baja eficiencia del ciclo, considera duplicar el número de moles de gas manteniendo la presión y el volumen iguales. ¿Cuál sería  $e$  entonces? c) Usted recuerda que la eficiencia de un ciclo de Carnot aumenta si se incrementa la temperatura del depósito caliente. Así, vuelve a utilizar 4.00 moles de gas, pero el doble de volumen en los estados  $c$  y  $d$  manteniendo las presiones iguales. Las temperaturas resultantes en estos estados son  $T_c = 760.0$  K y  $T_d = 633.4$  K.  $T_a$  y  $T_b$  siguen siendo igual que en el inciso a). Calcule  $e$  para este ciclo con los nuevos valores  $T_c$  y  $T_d$ . d) Alentado por el aumento de la eficiencia, eleva  $T_c$  y  $T_d$  aún más. Pero  $e$  no aumenta mucho; parece estar acercándose a un valor límite. Si  $T_a = 250.0$  K y  $T_b = 300.0$  K y mantiene los volúmenes  $V_a$  y  $V_b$  iguales que en el inciso a), entonces  $T_c/T_d = T_b/T_a$  y  $T_c = 1.20T_d$ . Deduczca una expresión para  $e$  en función de  $T_d$  para este ciclo. ¿A qué valor se aproxima  $e$  cuando  $T_d$  se hace muy grande?

Figura P20.57



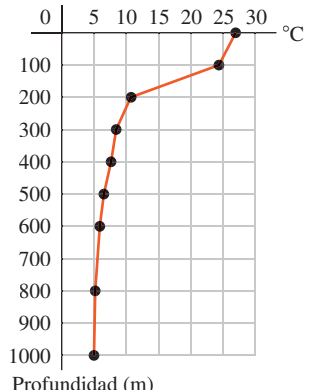
## PROBLEMA DE DESAFÍO

**20.58 ••** Considere un ciclo Diesel que inicia (punto  $a$  de la figura 20.7) con aire a una temperatura  $T_a$ . El aire puede tratarse como gas ideal. a) Si la temperatura en el punto  $c$  es  $T_c$ , deduzca una expresión para la eficiencia del ciclo en términos de la razón de compresión  $r$ . b) Calcule la eficiencia si  $T_a = 300$  K,  $T_c = 950$  K,  $\gamma = 1.40$  y  $r = 21.0$ .

## PROBLEMAS DE TRANSICIÓN

### ENERGÍA DEL MAR.

La conversión de la energía térmica oceánica es un proceso que utiliza la diferencia de temperatura entre el agua caliente de la superficie de los océanos tropicales y el agua fría de las profundidades del mar para operar una máquina térmica. La gráfica muestra una disminución normal de la temperatura con la profundidad debajo de la superficie en los océanos tropicales. En la máquina térmica, el agua superficial más caliente evapora un fluido de bajo punto de ebullición, como el amoniaco. El calor de vaporización del amoniaco es de 260 cal/g a 27°C, la temperatura del agua superficial. El vapor se utiliza para hacer girar una turbina y luego se condensa convirtiéndose en un líquido por medio del agua fría traída de lo profundo debajo de la superficie mediante una tubería de entrada grande. Una planta de energía que produce 10 MW de energía útil requeriría un flujo de agua fría del mar de aproximadamente 30,000 kg/s.



**20.59** Si la central eléctrica utiliza un ciclo de Carnot y la eficiencia teórica deseada es del 6.5%, ¿desde qué profundidad se debe traer el agua fría? a) 100 m; b) 400 m; c) 800 m; d) mayor profundidad que 1000 m.

**20.60** ¿Cuál es el cambio en la entropía del amoniaco evaporado por segundo en la central eléctrica de 10 MW, suponiendo una eficiencia de Carnot ideal del 6.5%? a)  $+6 \times 10^6$  J/K por segundo; b)  $+5 \times 10^5$  J/K por segundo; c)  $+1 \times 10^5$  J/K por segundo; d) 0.

**20.61** Compare el cambio de entropía del agua más caliente con la del agua más fría durante un ciclo de la máquina térmica, suponiendo un ciclo ideal de Carnot. a) La entropía no cambia durante un ciclo en ningún caso. b) La entropía de ambas aumenta, pero la entropía del agua más fría aumenta más porque su temperatura inicial es menor. c) La entropía del agua más caliente disminuye mucho más de lo que aumenta la entropía del agua más fría, debido a que parte del calor retirado del agua caliente se aprovecha como trabajo realizado por la máquina. d) La entropía del agua caliente disminuye en la misma cantidad que aumenta la entropía del agua más fría.

**20.62** Si la planta propuesta se construye y produce 10 MW, pero la tasa a la que el calor residual es expulsado al agua fría es de 165 MW, ¿cuál es la eficiencia real de la planta? a) 5.7%; b) 6.1%; c) 6.5%; d) 16.5%.

## Respuestas

### Pregunta de inicio del capítulo ?

**i.** Esto es lo que hace un refrigerador: logra que fluya calor del interior frío al exterior caliente. La segunda ley de la termodinámica dice que no puede haber un flujo *espontáneo* de calor de un cuerpo frío a uno caliente. El refrigerador cuenta con un motor que efectúa trabajo sobre el sistema *para forzar* al calor a que fluya en ese sentido.

### Respuesta a las secciones

#### Evalué su comprensión

**20.1 ii.** Al igual que deslizar un libro por una mesa, el hecho de frotarse las manos utiliza fricción para convertir energía mecánica en calor. En el proceso opuesto (que es imposible), ¡las manos se enfriarían espontáneamente y la energía así liberada haría que las manos se movieran rítmicamente hacia atrás y hacia adelante!

**20.2 iii, i, ii.** A partir de la ecuación (20.4), la eficiencia es  $e = W/Q_H$ , y de la ecuación (20.2),  $W = Q_H + Q_C = |Q_H| - |Q_C|$ . Para la máquina **i**,  $Q_H = 5000 \text{ J}$  y  $Q_C = -4500 \text{ J}$ , de manera que  $W = 5000 \text{ J} + (-4500 \text{ J}) = 500 \text{ J}$  y  $e = (500 \text{ J})/(5000 \text{ J}) = 0.100$ . Para la máquina **ii**,  $Q_H = 25,000 \text{ J}$  y  $W = 2000 \text{ J}$ , por lo que  $e = (2000 \text{ J})/(25,000 \text{ J}) = 0.080$ . Para la máquina **iii**,  $W = 400 \text{ J}$  y  $Q_C = -2800 \text{ J}$ , de manera que  $Q_H = W - Q_C = 400 \text{ J} - (-2800 \text{ J}) = 3200 \text{ J}$  y  $e = (400 \text{ J})/(3200 \text{ J}) = 0.125$ .

**20.3 i, ii.** Duplicar la cantidad de combustible quemado por ciclo significa que  $Q_H$  se duplica, de manera que el aumento resultante en la presión de  $b$  a  $c$  en la figura 20.6 es mayor. La razón de compresión y, por lo tanto, la eficiencia permanecen iguales, así que  $|Q_C|$  (la cantidad de calor expulsado hacia el ambiente) debe incrementarse en el mismo factor que  $Q_H$ . Por consiguiente, la caída de presión de  $d$  a  $a$  en la figura 20.6 también es mayor. El volumen  $V$  y la razón de compresión  $r$  no cambian, de manera que las dimensiones horizontales del diagrama  $pV$  no se alteran.

**20.4 no** Un refrigerador utiliza un suministro de trabajo para transferir calor de un sistema (el interior del refrigerador) a otro (su exterior, que incluye la casa donde el refrigerador está instalado). Si la puerta está abierta, estos dos sistemas son en realidad el *mismo* sistema, y tarde o temprano estarán a la misma temperatura. Por la primera ley de la termodinámica, todo el suministro de trabajo al motor del refrigerador se convertirá en calor y la temperatura de la casa en realidad *aumentará*. Para enfriar la casa se requiere un sistema que transfiera calor de ésta al mundo exterior, como un dispositivo de aire acondicionado o una bomba de calor.

**20.5 no, no** Tanto la máquina 100% eficiente de la figura 20.11a como el refrigerador de la figura 20.11b al que no se le suministra

trabajo, al final de un ciclo, regresan al mismo estado que al principio, así que el cambio neto en energía interna de cada sistema es cero ( $\Delta U = 0$ ). Para la máquina 100% eficiente, el flujo neto de calor hacia la máquina es igual que el trabajo neto realizado, por lo que  $Q = W$ ,  $Q - W = 0$ , y se cumple la primera ley ( $\Delta U = Q - W$ ). En el caso del refrigerador, no se realiza ningún trabajo neto (así que  $W = 0$ ) y fluye tanto calor hacia dentro como hacia fuera ( $Q = 0$ ); de nuevo,  $Q - W = 0$  y  $\Delta U = Q - W$  de acuerdo con la primera ley. La *segunda* ley de la termodinámica nos dice que tanto la máquina 100% eficiente como el refrigerador al que no se le suministra trabajo son imposibles.

**20.6 no** La eficiencia no puede ser mayor que la de una máquina de Carnot que opera entre los mismos límites de temperatura,  $e_{\text{Carnot}} = 1 - (T_C/T_H)$  [ecuación (20.14)]. La temperatura  $T_C$  del depósito frío de este motor enfriado por aire es cercana a 300 K (temperatura ambiente) y la temperatura  $T_H$  del depósito caliente no puede exceder el punto de fusión del cobre, 1356 K (vea la tabla 17.4). Por lo tanto, la máxima eficiencia posible de Carnot que puede lograrse es  $e = 1 - (300 \text{ K})/(1356 \text{ K}) = 0.78$ , es decir, 78%. La temperatura de cualquier motor real sería menor que esto, así que el motor del inventor jamás podrá alcanzar una eficiencia del 85%. Mejor invierta su dinero en otro proyecto.

**20.7 –102 J/K, no** El proceso descrito es exactamente opuesto al empleado en el ejemplo 20.10. Este resultado viola la segunda ley de la termodinámica, que establece que la entropía de un sistema aislado no puede disminuir.

**20.8 i.** Para el caso **i**, en el ejemplo 20.8 (sección 20.7) vimos que, para un gas ideal, el cambio de entropía durante una expansión libre es igual al de una expansión isotérmica. De acuerdo con la ecuación (20.23), esto implica que la razón del número de estados microscópicos después y antes de la expansión,  $w_2/w_1$ , también es la misma en los dos casos. Por el ejemplo 20.11,  $w_2/w_1 = 2^N$ , así que el número de estados microscópicos aumenta en un factor de  $2^N$ . Para el caso **ii**, en una expansión reversible, el cambio de entropía es  $\Delta S = \int dQ/T = 0$ . Si la expansión es adiabática, no hay flujo de calor, así que  $\Delta S = 0$ . Según la ecuación (20.23),  $w_2/w_1 = 1$  y el número de estados microscópicos *no* cambia. La diferencia es que, durante una expansión adiabática, la temperatura disminuye y las moléculas se mueven más lentamente, de manera que pueden estar en menos estados microscópicos que durante una expansión isotérmica.

### Problema práctico

- a)** 34.8°C    **b)** +10 J/K

# APÉNDICE A

## EL SISTEMA INTERNACIONAL DE UNIDADES

El Sistema Internacional de Unidades, abreviado SI (por las siglas de *Système International d'Unités*), es el sistema desarrollado por la Conferencia General de Pesos y Medidas y adoptado por casi todas las naciones industriales del mundo. El siguiente material es una adaptación del Instituto Nacional de Estándares y Tecnología de Estados Unidos (<http://physics.nist.gov/cuu>).

Cantidad	Nombre de la unidad	Símbolo
<b>Unidades básicas del SI</b>		
longitud	metro	m
masa	kilogramo	kg
tiempo	segundo	s
corriente eléctrica	ampere	A
temperatura termodinámica	kelvin	K
cantidad de sustancia	mol	mol
intensidad lumínica	candela	cd
<b>Unidades derivadas del SI</b>		
área	metro cuadrado	$m^2$
volumen	metro cúbico	$m^3$
frecuencia	hertz	Hz
densidad de masa (densidad)	kilogramo por metro cúbico	$kg/m^3$
rapidez, velocidad	metro por segundo	$m/s$
velocidad angular	radián por segundo	$rad/s$
aceleración	metro por segundo al cuadrado	$m/s^2$
aceleración angular	radián por segundo al cuadrado	$rad/s^2$
fuerza	newton	N
presión (esfuerzo mecánico)	pascal	Pa
viscosidad cinemática	metro cuadrado por segundo	$m^2/s$
viscosidad dinámica	newton-segundo por metro cuadrado	$N\cdot s/m^2$
trabajo, energía, cantidad de calor	joule	J
potencia	watt	W
cantidad de electricidad	coulomb	C
diferencia de potencial, fuerza electromotriz	volt	V
intensidad de campo eléctrico	volt por metro	$V/m$
resistencia eléctrica	ohm	$\Omega$
capacitancia	farad	F
flujo magnético	weber	Wb
inductancia	henry	H
densidad de flujo magnético	tesla	T
intensidad de campo magnético	ampere por metro	$A/m$
fuerza magnetomotriz	ampere	A
flujo luminoso	lumen	lm
luminancia	candela por metro cuadrado	$cd/m^2$
iluminancia	lux	lx
número de onda	1 por metro	$m^{-1}$
entropía	joule por kelvin	$J/K$
capacidad de calor específico	joule por kilogramo-kelvin	$J/kg\cdot K$
conductividad térmica	watt por metro-kelvin	$W/m\cdot K$

Cantidad	Nombre de la unidad	Símbolo	Unidades equivalentes
intensidad radiante	watt por esterradián	W/sr	
actividad (de una fuente radiactiva)	becquerel	Bq	s <sup>-1</sup>
dósis de radiación	gray	Gy	J/kg
dósis de radiación equivalente	sievert	Sv	J/kg
<b>Unidades complementarias del SI</b>			
ángulo plano	radián	rad	
ángulo sólido	esterorradián	sr	

## Definiciones de las unidades del SI

**metro (m)** El *metro* es la longitud igual a la distancia recorrida por la luz, en el vacío, en un tiempo de 1/299,792,458 segundos.

**kilogramo (kg)** El *kilogramo* es la unidad de masa; es igual a la masa del prototipo internacional del kilogramo (que es un cilindro fabricado con una aleación de platino-iridio que la Oficina Internacional de Pesas y Medidas conserva en una bóveda de seguridad en Sèvres, Francia).

**segundo (s)** El *segundo* es la duración de 9,192,631,770 periodos de la radiación correspondiente a la transición entre los dos niveles hiperfinos del estado fundamental del átomo de cesio 133.

**ampere (A)** El *ampere* es la corriente constante que, si se mantiene en dos conductores rectos y paralelos de longitud infinita, de sección transversal circular despreciable y separados por una distancia de 1 metro en el vacío, produciría entre ellos una fuerza igual a  $2 \times 10^{-7}$  newtons por metro de longitud.

**kelvin (K)** El *kelvin*, unidad de temperatura termodinámica, es la fracción 1/273.16 de la temperatura termodinámica del punto triple del agua.

**ohm (Ω)** El *ohm* es la resistencia eléctrica entre dos puntos de un conductor cuando una diferencia constante de potencial de 1 volt, aplicada entre ellos, produce una corriente de 1 ampere, sin que el conductor sea fuente de ninguna fuerza electromotriz.

**coulomb (C)** El *coulomb* es la cantidad de electricidad transportada en 1 segundo por una corriente de 1 ampere.

**candela (cd)** La *candela* es la intensidad luminosa, en una dirección dada, de una fuente que emite radiación monocromática de frecuencia  $540 \times 10^{12}$  hertz y que tiene una intensidad radiante en esa dirección de 1/683 watts por esterradián.

**mol (mol)** El *mol* es la cantidad de sustancia de un sistema que contiene tantas entidades elementales como átomos de carbono hay en 0.012 kg de carbono 12. Las entidades elementales deben estar especificadas y pueden ser átomos, moléculas, iones, electrones, otras partículas o grupos específicos de esas partículas.

**newton (N)** El *newton* es la fuerza que da a una masa de 1 kilogramo una aceleración de 1 metro por segundo por segundo.

**joule (J)** El *joule* es el trabajo realizado cuando el punto de aplicación de una fuerza constante de 1 newton se desplaza una distancia de 1 metro en la dirección de esa fuerza.

**watt (W)** El *watt* es la potencia que da lugar a la generación de energía a razón de 1 joule por segundo.

**volt (V)** El *volt* es la diferencia de potencial eléctrico entre dos puntos de un alambre conductor que transporta una corriente constante de 1 ampere, cuando la potencia disipada entre tales puntos es igual a 1 watt.

**weber (Wb)** El *weber* es el flujo magnético que, al cerrar un circuito de una vuelta, produce en éste una fuerza electromotriz de 1 volt conforme se reduce a cero a una tasa uniforme de 1 segundo.

**lumen (lm)** El *lumen* es el flujo luminoso emitido en un ángulo sólido de 1 esterradián por una fuente puntual uniforme que tiene una intensidad de 1 candela.

**farad (F)** El *farad* es la capacitancia de un capacitor entre cuyas placas hay una diferencia de potencial de 1 volt cuando tiene una carga de electricidad igual a 1 coulomb.

**henry (H)** El *henry* es la inductancia de un circuito cerrado en el que se produce una fuerza electromotriz de 1 volt cuando la corriente eléctrica en el circuito varía de manera uniforme a razón de 1 ampere por segundo.

**radián (rad)** El *radian* es el ángulo plano entre dos radios de un círculo que recorre en la circunferencia un arco igual a la longitud del radio.

**esterorradián (sr)** El *esterorradián* es el ángulo sólido que, cuando tiene su vértice en el centro de una esfera, recorre un área de la superficie de la esfera igual a la de un cuadrado cuyos lados tienen una longitud igual al radio de la esfera.

**prefijos del SI** Los nombres de los múltiplos y submúltiplos de unidades del SI se forman con la aplicación de los prefijos listados en el apéndice F.

# APÉNDICE B

## RELACIONES MATEMÁTICAS ÚTILES

### Álgebra

$$a^{-x} = \frac{1}{a^x} \quad a^{(x+y)} = a^x a^y \quad a^{(x-y)} = \frac{a^x}{a^y}$$

**Logaritmos:** Si  $\log a = x$ , entonces  $a = 10^x$ .  $\log a + \log b = \log(ab)$   $\log a - \log b = \log(a/b)$   $\log(a^n) = n \log a$

Si  $\ln a = x$ , entonces  $a = e^x$ .  $\ln a + \ln b = \ln(ab)$   $\ln a - \ln b = \ln(a/b)$   $\ln(a^n) = n \ln a$

**Fórmula cuadrática:** Si  $ax^2 + bx + c = 0$ ,  $x = \frac{-b \pm \sqrt{b^2 - 4ac}}{2a}$ .

### Teorema del binomio

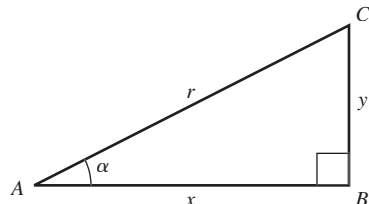
$$(a+b)^n = a^n + na^{n-1}b + \frac{n(n-1)a^{n-2}b^2}{2!} + \frac{n(n-1)(n-2)a^{n-3}b^3}{3!} + \dots$$

### Trigonometría

En el triángulo rectángulo  $ABC$ ,  $x^2 + y^2 = r^2$ .

**Definiciones de las funciones trigonométricas:**

$$\sin \alpha = y/r \quad \cos \alpha = x/r \quad \tan \alpha = y/x$$



**Identidades:**  $\sin^2 \alpha + \cos^2 \alpha = 1$

$$\tan \alpha = \frac{\sin \alpha}{\cos \alpha}$$

$$\sin 2\alpha = 2 \sin \alpha \cos \alpha$$

$$\begin{aligned} \cos 2\alpha &= \cos^2 \alpha - \sin^2 \alpha = 2 \cos^2 \alpha - 1 \\ &= 1 - 2 \sin^2 \alpha \end{aligned}$$

$$\sin \frac{1}{2}\alpha = \sqrt{\frac{1 - \cos \alpha}{2}}$$

$$\cos \frac{1}{2}\alpha = \sqrt{\frac{1 + \cos \alpha}{2}}$$

$$\sin(-\alpha) = -\sin \alpha$$

$$\sin(\alpha \pm \beta) = \sin \alpha \cos \beta \pm \cos \alpha \sin \beta$$

$$\cos(-\alpha) = \cos \alpha$$

$$\cos(\alpha \pm \beta) = \cos \alpha \cos \beta \mp \sin \alpha \sin \beta$$

$$\sin(\alpha \pm \pi/2) = \pm \cos \alpha$$

$$\sin \alpha + \sin \beta = 2 \sin \frac{1}{2}(\alpha + \beta) \cos \frac{1}{2}(\alpha - \beta)$$

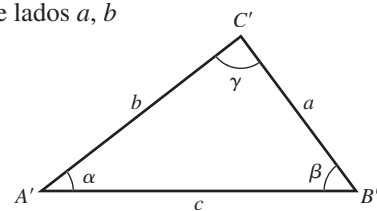
$$\cos(\alpha \pm \pi/2) = \mp \sin \alpha$$

$$\cos \alpha + \cos \beta = 2 \cos \frac{1}{2}(\alpha + \beta) \cos \frac{1}{2}(\alpha - \beta)$$

Para cualquier triángulo  $A'B'C'$  (no necesariamente un triángulo rectángulo) de lados  $a, b$  y  $c$  y ángulos  $\alpha, \beta$  y  $\gamma$ :

**Ley de los senos:**  $\frac{\sin \alpha}{a} = \frac{\sin \beta}{b} = \frac{\sin \gamma}{c}$

**Ley de los cosenos:**  $c^2 = a^2 + b^2 - 2ab \cos \gamma$



### Geometría

Circunferencia de un círculo de radio  $r$ :  $C = 2\pi r$

Área de un círculo de radio  $r$ :  $A = \pi r^2$

Volumen de una esfera de radio  $r$ :  $V = 4\pi r^3/3$

Área de la superficie de una esfera de radio  $r$ :  $A = 4\pi r^2$

Volumen de un cilindro de radio  $r$  y altura  $h$ :  $V = \pi r^2 h$

## Cálculo

**Derivadas:**

$$\frac{d}{dx}x^n = nx^{n-1}$$

$$\frac{d}{dx}\ln ax = \frac{1}{x}$$

$$\frac{d}{dx}e^{ax} = ae^{ax}$$

$$\frac{d}{dx}\sen{ax} = a\cos{ax}$$

$$\frac{d}{dx}\cos{ax} = -a\sen{ax}$$

**Integrales:**

$$\int x^n dx = \frac{x^{n+1}}{n+1} \quad (n \neq -1)$$

$$\int \frac{dx}{x} = \ln x$$

$$\int e^{ax} dx = \frac{1}{a}e^{ax}$$

$$\int \sen{ax} dx = -\frac{1}{a}\cos{ax}$$

$$\int \cos{ax} dx = \frac{1}{a}\sen{ax}$$

$$\int \frac{dx}{\sqrt{a^2 - x^2}} = \arcsen \frac{x}{a}$$

$$\int \frac{dx}{\sqrt{x^2 + a^2}} = \ln(x + \sqrt{x^2 + a^2})$$

$$\int \frac{dx}{x^2 + a^2} = \frac{1}{a}\arctan \frac{x}{a}$$

$$\int \frac{dx}{(x^2 + a^2)^{3/2}} = \frac{1}{a^2} \frac{x}{\sqrt{x^2 + a^2}}$$

$$\int \frac{xdx}{(x^2 + a^2)^{3/2}} = -\frac{1}{\sqrt{x^2 + a^2}}$$

**Series de potencias** (convergentes para el intervalo de  $x$  que se indica):

$$(1+x)^n = 1 + nx + \frac{n(n-1)x^2}{2!} + \frac{n(n-1)(n-2)}{3!}x^3 + \cdots \quad (\text{para } |x| < \infty)$$

$$\tan x = x + \frac{x^3}{3} + \frac{2x^5}{15} + \frac{17x^7}{315} + \cdots \quad (|x| < \pi/2)$$

$$+ \cdots \quad (|x| < 1)$$

$$e^x = 1 + x + \frac{x^2}{2!} + \frac{x^3}{3!} + \cdots \quad (\text{todas las } x)$$

$$\sen x = x - \frac{x^3}{3!} + \frac{x^5}{5!} - \frac{x^7}{7!} + \cdots \quad (\text{todas las } x)$$

$$\ln(1+x) = x - \frac{x^2}{2} + \frac{x^3}{3} - \frac{x^4}{4} + \cdots \quad (|x| < 1)$$

$$\cos x = 1 - \frac{x^2}{2!} + \frac{x^4}{4!} - \frac{x^6}{6!} + \cdots \quad (\text{todas las } x)$$

## APÉNDICE C

### EL ALFABETO GRIEGO

Nombre	Mayúscula	Minúscula	Nombre	Mayúscula	Minúscula	Nombre	Mayúscula	Minúscula
Alfa	A	$\alpha$	Iota	I	$\iota$	Ro	P	$\rho$
Beta	B	$\beta$	Kappa	K	$\kappa$	Sigma	$\Sigma$	$\sigma$
Gamma	$\Gamma$	$\gamma$	Lambda	$\Lambda$	$\lambda$	Tau	T	$\tau$
Delta	$\Delta$	$\delta$	Mu	M	$\mu$	Ípsilon	$\Upsilon$	$\upsilon$
Épsilon	E	$\epsilon$	Nu	N	$\nu$	Fi	$\Phi$	$\phi$
Zeta	Z	$\zeta$	Xi	$\Xi$	$\xi$	Chi	X	$\chi$
Eta	H	$\eta$	Ómicron	O	$\o$	Psi	$\Psi$	$\psi$
Theta	$\Theta$	$\theta$	Pi	$\Pi$	$\pi$	Omega	$\Omega$	$\omega$

# APÉNDICE D

## TABLA PERIÓDICA DE LOS ELEMENTOS

Grupo    1    2    3    4    5    6    7    8    9    10    11    12    13    14    15    16    17    18  
 Período

1	<b>H</b> 1.008															2	<b>He</b> 4.003	
2	<b>Li</b> 6.941	<b>Be</b> 9.012														10	<b>Ne</b> 20.180	
3	<b>Na</b> 22.990	<b>Mg</b> 24.305														18	<b>Ar</b> 39.948	
4	<b>K</b> 39.098	<b>Ca</b> 40.078	<b>Sc</b> 44.956	<b>Ti</b> 47.867	<b>V</b> 50.942	<b>Cr</b> 51.996	<b>Mn</b> 54.938	<b>Fe</b> 55.845	<b>Co</b> 58.933	<b>Ni</b> 58.693	<b>Cu</b> 63.546	<b>Zn</b> 65.409	<b>Ga</b> 69.723	<b>Ge</b> 72.64	<b>As</b> 74.922	<b>Se</b> 78.96	<b>Br</b> 79.904	<b>Kr</b> 83.798
5	<b>Rb</b> 85.468	<b>Sr</b> 87.62	<b>Y</b> 88.906	<b>Zr</b> 91.224	<b>Nb</b> 92.906	<b>Mo</b> 95.94	<b>Tc</b> (98)	<b>Ru</b> 101.07	<b>Rh</b> 102.906	<b>Pd</b> 106.42	<b>Ag</b> 107.868	<b>Cd</b> 112.411	<b>In</b> 114.818	<b>Sn</b> 118.710	<b>Sb</b> 121.760	<b>Te</b> 127.60	<b>I</b> 126.904	<b>Xe</b> 131.293
6	<b>Cs</b> 132.905	<b>Ba</b> 137.327	<b>Lu</b> 174.967	<b>Hf</b> 178.49	<b>Ta</b> 180.948	<b>W</b> 183.84	<b>Re</b> 186.207	<b>Os</b> 190.23	<b>Ir</b> 192.217	<b>Pt</b> 195.078	<b>Au</b> 196.967	<b>Hg</b> 200.59	<b>Tl</b> 204.383	<b>Pb</b> 207.2	<b>Bi</b> 208.980	<b>Po</b> (209)	<b>At</b> (210)	<b>Rn</b> (222)
7	<b>Fr</b> (223)	<b>Ra</b> (226)	<b>Lr</b> (262)	<b>Rf</b> (261)	<b>Db</b> (262)	<b>Sg</b> (266)	<b>Bh</b> (270)	<b>Hs</b> (269)	<b>Mt</b> (278)	<b>Ds</b> (281)	<b>Rg</b> (281)	<b>Cn</b> (285)	<b>Uut</b> (284)	<b>Fl</b> (289)	<b>Uup</b> (288)	<b>Lv</b> (292)	<b>Uus</b> (294)	<b>Uuo</b> (294)

Lantánidos	<b>La</b> 138.905	<b>Ce</b> 140.116	<b>Pr</b> 140.908	<b>Nd</b> 144.24	<b>Pm</b> (145)	<b>Sm</b> 150.36	<b>Eu</b> 151.964	<b>Gd</b> 157.25	<b>Tb</b> 158.925	<b>Dy</b> 162.500	<b>Ho</b> 164.930	<b>Er</b> 167.259	<b>Tm</b> 168.934	<b>Yb</b> 173.04
Actínidos	<b>Ac</b> (227)	<b>Th</b> (232)	<b>Pa</b> (231)	<b>U</b> (238)	<b>Np</b> (237)	<b>Pu</b> (244)	<b>Am</b> (243)	<b>Cm</b> (247)	<b>Bk</b> (247)	<b>Cf</b> (251)	<b>Es</b> (252)	<b>Fm</b> (257)	<b>Md</b> (258)	<b>No</b> (259)

Para cada elemento, se indica la masa atómica media del conjunto de isótopos que se presentan en la naturaleza. Para los elementos que no tienen un isótopo estable, la masa atómica aproximada del isótopo de vida más larga se indica entre paréntesis. Todas las masas atómicas están expresadas en unidades de masa atómica [1 u =  $1.660538921(73) \times 10^{-27}$  kg], equivalente a gramos por mol (g/mol).

# APÉNDICE E

## FACTORES DE CONVERSIÓN DE UNIDADES

### Longitud

$$1 \text{ m} = 100 \text{ cm} = 1000 \text{ mm} = 10^6 \mu\text{m} = 10^9 \text{ nm}$$

$$1 \text{ km} = 1000 \text{ m} = 0.6214 \text{ mi}$$

$$1 \text{ m} = 3.281 \text{ ft} = 39.37 \text{ in}$$

$$1 \text{ cm} = 0.3937 \text{ in}$$

$$1 \text{ in} = 2.540 \text{ cm}$$

$$1 \text{ ft} = 30.48 \text{ cm}$$

$$1 \text{ yd} = 91.44 \text{ cm}$$

$$1 \text{ mi} = 5280 \text{ ft} = 1.609 \text{ km}$$

$$1 \text{ \AA} = 10^{-10} \text{ m} = 10^{-8} \text{ cm} = 10^{-1} \text{ nm}$$

$$1 \text{ milla náutica} = 6080 \text{ ft}$$

$$1 \text{ año luz} = 9.461 \times 10^{15} \text{ m}$$

### Área

$$1 \text{ cm}^2 = 0.155 \text{ in}^2$$

$$1 \text{ m}^2 = 10^4 \text{ cm}^2 = 10.76 \text{ ft}^2$$

$$1 \text{ in}^2 = 6.452 \text{ cm}^2$$

$$1 \text{ ft}^2 = 144 \text{ in}^2 = 0.0929 \text{ m}^2$$

### Volumen

$$1 \text{ litro} = 1000 \text{ cm}^3 = 10^{-3} \text{ m}^3 = 0.03531 \text{ ft}^3 = 61.02 \text{ in}^3$$

$$1 \text{ ft}^3 = 0.02832 \text{ m}^3 = 28.32 \text{ litros} = 7.477 \text{ galones}$$

$$1 \text{ galón} = 3.788 \text{ litros}$$

### Tiempo

$$1 \text{ min} = 60 \text{ s}$$

$$1 \text{ h} = 3600 \text{ s}$$

$$1 \text{ día} = 86,400 \text{ s}$$

$$1 \text{ año} = 365.24 \text{ días} = 3.156 \times 10^7 \text{ s}$$

### Ángulo

$$1 \text{ rad} = 57.30^\circ = 180^\circ/\pi$$

$$1^\circ = 0.01745 \text{ rad} = \pi/180 \text{ rad}$$

$$1 \text{ revolución} = 360^\circ = 2\pi \text{ rad}$$

$$1 \text{ rev/min (rpm)} = 0.1047 \text{ rad/s}$$

### Rapidez

$$1 \text{ m/s} = 3.281 \text{ ft/s}$$

$$1 \text{ ft/s} = 0.3048 \text{ m/s}$$

$$1 \text{ mi/min} = 60 \text{ mi/h} = 88 \text{ ft/s}$$

$$1 \text{ km/h} = 0.2778 \text{ m/s} = 0.6214 \text{ mi/h}$$

$$1 \text{ mi/h} = 1.466 \text{ ft/s} = 0.4470 \text{ m/s} = 1.609 \text{ km/h}$$

$$1 \text{ Furlong}/14 \text{ días} = 1.662 \times 10^{-4} \text{ m/s}$$

### Aceleración

$$1 \text{ m/s}^2 = 100 \text{ cm/s}^2 = 3.281 \text{ ft/s}^2$$

$$1 \text{ cm/s}^2 = 0.01 \text{ m/s}^2 = 0.03281 \text{ ft/s}^2$$

$$1 \text{ ft/s}^2 = 0.3048 \text{ m/s}^2 = 30.48 \text{ cm/s}^2$$

$$1 \text{ mi/h} \cdot \text{s} = 1.467 \text{ ft/s}^2$$

### Masa

$$1 \text{ kg} = 10^3 \text{ g} = 0.0685 \text{ slugs}$$

$$1 \text{ g} = 6.85 \times 10^{-5} \text{ slugs}$$

$$1 \text{ slug} = 14.59 \text{ kg}$$

$$1 \text{ u} = 1.661 \times 10^{-27} \text{ kg}$$

1 kg tiene un peso de 2.205 lb cuando  $g = 9.80 \text{ m/s}^2$

### Fuerza

$$1 \text{ N} = 10^5 \text{ dinas} = 0.2248 \text{ lb}$$

$$1 \text{ lb} = 4.448 \text{ N} = 4.448 \times 10^5 \text{ dinas}$$

### Presión

$$1 \text{ Pa} = 1 \text{ N/m}^2 = 1.450 \times 10^{-4} \text{ lb/in}^2 = 0.0209 \text{ lb/ft}^2$$

$$1 \text{ bar} = 10^5 \text{ Pa}$$

$$1 \text{ lb/in}^2 = 6895 \text{ Pa}$$

$$1 \text{ lb/ft}^2 = 47.88 \text{ Pa}$$

$$\begin{aligned} 1 \text{ atm} &= 1.013 \times 10^5 \text{ Pa} = 1.013 \text{ bar} \\ &= 14.7 \text{ lb/in}^2 = 2117 \text{ lb/ft}^2 \end{aligned}$$

$$1 \text{ mm Hg} = 1 \text{ torr} = 133.3 \text{ Pa}$$

### Energía

$$1 \text{ J} = 10^7 \text{ ergs} = 0.239 \text{ cal}$$

$$1 \text{ cal} = 4.186 \text{ J} \text{ (basada en caloría de } 15^\circ)$$

$$1 \text{ ft} \cdot \text{lb} = 1.356 \text{ J}$$

$$1 \text{ Btu} = 1055 \text{ J} = 252 \text{ cal} = 778 \text{ ft} \cdot \text{lb}$$

$$1 \text{ eV} = 1.602 \times 10^{-19} \text{ J}$$

$$1 \text{ kWh} = 3.600 \times 10^6 \text{ J}$$

### Equivalencia masa-energía

$$1 \text{ kg} \leftrightarrow 8.988 \times 10^{16} \text{ J}$$

$$1 \text{ u} \leftrightarrow 931.5 \text{ MeV}$$

$$1 \text{ eV} \leftrightarrow 1.074 \times 10^{-9} \text{ u}$$

### Potencia

$$1 \text{ W} = 1 \text{ J/s}$$

$$1 \text{ hp} = 746 \text{ W} = 550 \text{ ft} \cdot \text{lb/s}$$

$$1 \text{ Btu/h} = 0.293 \text{ W}$$

# APÉNDICE F

## CONSTANTES NUMÉRICAS

### Constantes físicas fundamentales\*

Nombre	Símbolo	Valor
Rapidez de la luz en el vacío	$c$	$2.99792458 \times 10^8$ m/s
Magnitud de la carga eléctrica de un electrón	$e$	$1.602176565(35) \times 10^{-19}$ C
Constante gravitacional	$G$	$6.67384(80) \times 10^{-11}$ N·m <sup>2</sup> /kg <sup>2</sup>
Constante de Planck	$h$	$6.62606957(29) \times 10^{-34}$ J·s
Constante de Boltzmann	$k$	$1.3806488(13) \times 10^{-23}$ J/K
Número de Avogadro	$N_A$	$6.02214129(27) \times 10^{23}$ moléculas/mol
Contante de los gases	$R$	$8.3144621(75)$ J/mol·K
Masa del electrón	$m_e$	$9.10938291(40) \times 10^{-31}$ kg
Masa del protón	$m_p$	$1.672621777(74) \times 10^{-27}$ kg
Masa del neutrón	$m_n$	$1.674927351(74) \times 10^{-27}$ kg
Constante magnética	$\mu_0$	$4\pi \times 10^{-7}$ Wb/A·m
Constante eléctrica	$\epsilon_0 = 1/\mu_0 c^2$ $1/4\pi\epsilon_0$	$8.854187817\dots \times 10^{-12}$ C <sup>2</sup> /N·m <sup>2</sup> $8.987551787\dots \times 10^9$ N·m <sup>2</sup> /C <sup>2</sup>

### Otras constantes útiles\*

Equivalente mecánico del calor		4.186 J/cal (caloría de 15°)
Presión atmosférica estándar	1 atm	$1.01325 \times 10^5$ Pa
Cero absoluto	0 K	-273.15°C
Electrón-volt	1 eV	$1.602176565(35) \times 10^{-19}$ J
Unidad de masa atómica	1 u	$1.660538921(73) \times 10^{-27}$ kg
Energía del electrón en reposo	$m_e c^2$	0.510998928(11) MeV
Volumen del gas ideal (0°C y 1 atm)		22.413968(20) litros/mol
Aceleración debida a la gravedad (estándar)	g	9.80665 m/s <sup>2</sup>

\*Fuente: Instituto Nacional de Estándares y Tecnología de Estados Unidos (<http://physics.nist.gov/cuu>). Los números entre paréntesis indican la incertidumbre en los dígitos finales del número principal; por ejemplo, el número 1.6454(21) significa  $1.6454 \pm 0.0021$ . Los valores sin incertidumbre son exactos.

# APÉNDICE G

## DATOS ASTRONÓMICOS Y PREFIJOS DE LAS POTENCIAS DE 10

### Datos astronómicos<sup>†</sup>

Cuerpo	Masa (kg)	Radio (m)	Radio de la órbita (m)	Periodo de la órbita
Sol	$1.99 \times 10^{30}$	$6.96 \times 10^8$	—	—
Luna	$7.35 \times 10^{22}$	$1.74 \times 10^6$	$3.84 \times 10^8$	27.3 días
Mercurio	$3.30 \times 10^{23}$	$2.44 \times 10^6$	$5.79 \times 10^{10}$	88.0 días
Venus	$4.87 \times 10^{24}$	$6.05 \times 10^6$	$1.08 \times 10^{11}$	224.7 días
Tierra	$5.97 \times 10^{24}$	$6.37 \times 10^6$	$1.50 \times 10^{11}$	365.3 días
Marte	$6.42 \times 10^{23}$	$3.39 \times 10^6$	$2.28 \times 10^{11}$	687.0 días
Júpiter	$1.90 \times 10^{27}$	$6.99 \times 10^7$	$7.78 \times 10^{11}$	11.86 años
Saturno	$5.68 \times 10^{26}$	$5.82 \times 10^7$	$1.43 \times 10^{12}$	29.45 años
Urano	$8.68 \times 10^{25}$	$2.54 \times 10^7$	$2.87 \times 10^{12}$	84.02 años
Neptuno	$1.02 \times 10^{26}$	$2.46 \times 10^7$	$4.50 \times 10^{12}$	164.8 años
Plutón <sup>‡</sup>	$1.31 \times 10^{22}$	$1.15 \times 10^6$	$5.91 \times 10^{12}$	247.9 años

<sup>†</sup>Fuente: NASA (<http://solarsystem.nasa.gov/planets/>) Para cada cuerpo, el “radio” es su radio promedio, y el “radio de la órbita” es su distancia promedio desde el Sol o desde la Tierra (en el caso de la Luna).

<sup>‡</sup>En agosto de 2006, la Unión Astronómica Internacional reclasificó a Plutón y a otros cuerpos pequeños que giran en órbita alrededor del Sol como “planetas enanos”.

### Prefijos para potencias de 10

Potencia de 10	Prefijo	Abreviatura
$10^{-24}$	yocto-	y
$10^{-21}$	zepto-	z
$10^{-18}$	atto-	a
$10^{-15}$	femto-	f
$10^{-12}$	pico-	p
$10^{-9}$	nano-	n
$10^{-6}$	micro-	$\mu$
$10^{-3}$	milli-	m
$10^{-2}$	centi-	c
$10^3$	kilo-	k
$10^6$	mega-	M
$10^9$	giga-	G
$10^{12}$	tera-	T
$10^{15}$	peta-	P
$10^{18}$	exa-	E
$10^{21}$	zetta-	Z
$10^{24}$	yotta-	Y

#### Ejemplos:

1 femtómetro = 1 fm =  $10^{-15}$  m  
1 picosegundo = 1 ps =  $10^{-12}$  s  
1 nanocoulomb = 1 nC =  $10^{-9}$  C  
1 microkelvin = 1  $\mu$ K =  $10^{-6}$  K

1 milivolt = 1 mV =  $10^{-3}$  V  
1 kilopascal = 1 kPa =  $10^3$  Pa  
1 megawatt = 1 MW =  $10^6$  W  
1 gigahertz = 1 GHz =  $10^9$  Hz

# RESPUESTAS A LOS PROBLEMAS DE NÚMERO IMPAR

## Capítulo 1

- 1.1 a) 1.61 km b)  $3.28 \times 10^3$  ft  
 1.3 1.02 ns  
 1.5 5.36 L  
 1.7 31.7 y  
 1.9 a) 23.4 km/L b) 1.4 tanques  
 1.11 9.0 cm  
 1.13  $4.2 \times 10^{-12}$  cm<sup>3</sup>,  $1.3 \times 10^{-5}$  mm<sup>2</sup>  
 1.15 0.45%  
 1.17 a) no b) no c) no d) no e) no  
 1.19  $\approx 4 \times 10^8$   
 1.21  $\approx \$70$  millones  
 1.23  $2 \times 10^5$   
 1.25 7.8 km, 38° al norte del este  
 1.27  $A_x = 0$ ,  $A_y = -8.00$  m,  $B_x = 7.50$  m,  
 $B_y = 13.0$  cm,  $C_x = -10.9$  cm,  
 $C_y = -5.07$  m,  $D_x = -7.99$  m,  $D_y = 6.02$  m  
 1.29 a) -6.00 m b) 11.3 m  
 1.31 a) 9.01 m, 33.7° b) 9.01 m, 33.7°  
 c) 22.3 m, 250° d) 22.3 m, 70.3°  
 1.33 2.81 km, 38.5° al norte del oeste  
 1.35 a) 2.48 cm, 18.4° b) 4.09 cm, 83.7°  
 c) 4.09 cm, 264°  
 1.37  $\vec{A} = -(8.00 \text{ m})\hat{j}$ ,  
 $\vec{B} = (7.50 \text{ m})\hat{i} + (+13.0 \text{ m})\hat{j}$ ,  
 $\vec{C} = (-10.9 \text{ m})\hat{i} + (-5.07 \text{ m})\hat{j}$ ,  
 $\vec{D} = (-7.99 \text{ m})\hat{i} + (6.02 \text{ m})\hat{j}$   
 1.39 a)  $\vec{A} = (1.23 \text{ m})\hat{i} + (3.38 \text{ m})\hat{j}$ ,  
 $\vec{B} = (-2.08 \text{ m})\hat{i} + (-1.20 \text{ m})\hat{j}$   
 b)  $\vec{C} = (12.0 \text{ m})\hat{i} + (14.9 \text{ m})\hat{j}$   
 c) 19.2 m, 51.2°  
 1.41 a)  $A = 5.38$ ,  $B = 4.36$   
 b)  $-5.00\hat{i} + 2.00\hat{j} + 7.00\hat{k}$   
 c) 8.83, sí  
 1.43 a)  $-104 \text{ m}^2$  b)  $-148 \text{ m}^2$  c)  $40.6 \text{ m}^2$   
 1.45 a) 165° b) 28° c) 90°  
 1.47 a)  $(-63.9 \text{ m}^2)\hat{k}$  b)  $(63.9 \text{ m}^2)\hat{k}$   
 1.49 a) 5.51 g/cm<sup>3</sup>  
 b)  $1.1 \times 10^6$  g/cm<sup>3</sup>  
 c)  $4.7 \times 10^{14}$  g/cm<sup>3</sup>  
 1.51 a)  $1.64 \times 10^4$  km b)  $2.57 r_E$   
 1.53 a) 2200 g b) 2.1 m  
 1.55 a)  $(2.8 \pm 0.3)$  cm<sup>3</sup> b)  $170 \pm 20$   
 1.57  $\approx 6 \times 10^{27}$   
 1.59 179 N, 358 N, 45.8° al este del norte, o 393 N,  
 786 N, 45.8° al sur del este  
 1.61 144 m, 41° al sur del oeste  
 1.63 7.55 N  
 1.65 60.9 km, 33.0° al sur del oeste  
 1.67 28.8 m, 11.4° al norte del este  
 1.69 71.9 m, 64.1° al norte del oeste  
 1.71 160 N, 13° debajo de la horizontal  
 1.73 a) 818 m, 15.8° al oeste del sur  
 1.75 18.6° al este del sur, 29.6 m  
 1.77 28.2 m  
 1.79 124°  
 1.81 156 m<sup>2</sup>  
 1.83 28.0 m  
 1.85  $C_x = -8.0$ ,  $C_y = -6.1$   
 1.87 D, F, B, C, A, E  
 1.89 b) (i) 0.9857 UA (ii) 1.3820 UA  
 (iii) 1.695 UA c) 54.6°  
 1.91 a) 76.21 años b) 129°  
 1.93 opción (a)

## Capítulo 2

- 2.1 25.0 m  
 2.3 55 min  
 2.5 a) 0.312 m/s b) 1.56 m/s  
 2.7 a) 12.0 m/s b) (i) 0 (ii) 15.0 m/s  
 (iii) 12.0 m/s c) 13.3 m/s  
 2.9 a) 2.33 m/s, 2.33 m/s  
 b) 2.33 m/s, 0.33 m/s  
 2.11 6.7 m/s, 6.7 m/s, 0, -40.0 m/s, -40.0 m/s,  
 -40.0 m/s, 0  
 2.13 a) no b) (i)  $12.8 \text{ m/s}^2$  (ii)  $3.50 \text{ m/s}^2$   
 (iii)  $0.718 \text{ m/s}^2$   
 2.15 a) 2.00 cm/s, 50.0 cm, -0.125 cm/s<sup>2</sup>  
 b) 16.0 s c) 32.0 s  
 d) 6.20 s, 1.23 cm/s;  
 25.8 s, -1.23 cm/s; 36.4 s, -2.55 cm/s  
 2.17 a)  $0.500 \text{ m/s}^2$  b)  $0, 1.00 \text{ m/s}^2$   
 2.19 a)  $8.33 \text{ m/s}$  b)  $1.11 \text{ m/s}^2$   
 2.21 a)  $675 \text{ m/s}^2$  b)  $0.0667 \text{ s}$   
 2.23 1.70 m  
 2.25 0.38 m  
 2.27 a)  $3.1 \times 10^6 \text{ m/s}^2 = 3.2 \times 10^5 \text{ g}$   
 b) 1.6 ms c) no  
 2.29 a) (i)  $5.59 \text{ m/s}^2$  (ii)  $7.74 \text{ m/s}^2$   
 b) (i) 179 m (ii)  $1.28 \times 10^4$  m  
 2.31 a)  $0, 6.3 \text{ m/s}^2, -11.2 \text{ m/s}^2$   
 b) 100 m, 230 m, 320 m  
 2.33 2.69 m/s  
 2.35 a) 2.94 m/s b) 0.600 s  
 2.37 1.67 s  
 2.39 a) 33.5 m b) 15.8 m/s  
 2.41 a)  $t = \sqrt{2d/g}$  b) 0.190 s  
 2.43 a) 646 m b) 16.4 s, 112 m/s  
 2.45 a)  $249 \text{ m/s}^2$  b) 25.4 c) 101 m  
 d) no (si  $a$  es constante)  
 2.47  $0.0868 \text{ m/s}^2$   
 2.49 37.6 m/s  
 2.51 a) 467 m b) 110 m/s  
 2.53 a)  $x = (0.25 \text{ m/s}^3)t^3 - (0.010 \text{ m/s}^4)t^4$ ,  
 $v_x = (0.75 \text{ m/s}^2)t^2 - (0.040 \text{ m/s}^4)t^3$   
 b) 39.1 m/s  
 2.55 a) 10.0 m b) (i) 8.33 m/s (ii) 9.09 m/s  
 (iii) 9.52 m/s  
 2.57 250 km  
 2.59 a) 197 m/s b) 169 m/s  
 2.61 a) 92.0 m b) 92.0 m  
 2.63 67 m  
 2.65 a) 7.56 s b) 37.2 m  
 c) 25.7 m/s (automóvil), 15.9 m/s (camión)  
 2.67 a) 15.9 s b) 393 m c) 29.5 m/s  
 2.69 a) -4.00 m/s b) 12.0 m/s  
 2.71 a)  $2.64H$  b)  $2.64T$   
 2.73 a) 6.69 m/s b) 4.49 m c) 1.42 s  
 2.75 a) 3.3 s b) 9H  
 2.77 6.75 s  
 2.79 a) 380 m b) 184 m  
 2.81 a)  $0.625 \text{ m/s}^3$  b) 107 m  
 2.83 a) automóvil A b) 2.27 s, 5.73 s  
 c) 1.00 s, 433 s d) 2.67 s  
 2.85 a)  $0.0510 \text{ s}^2/\text{m}$  b) menor que c) no  
 2.87 4.8  
 2.89 a) 8.3 m/s b) (i) 0.411 m (ii) 1.15 km  
 c) 9.8 m/s d) 4.9 m/s  
 2.91 opción (b)

## Capítulo 3

- 3.1 a) 1.4 m/s, -1.3 m/s b) 1.9 m/s, 317°  
 3.3 a) 7.1 cm/s, 45°  
 b) 5.0 cm/s, 90°; 7.1 cm/s, 45°; 11 cm/s, 27°  
 3.5 b)  $-8.67 \text{ m/s}^2, -2.33 \text{ m/s}^2$   
 c)  $8.98 \text{ m/s}^2, 195^\circ$   
 3.7 b)  $\vec{v} = \alpha\hat{i} - 2\beta\hat{j}$ ,  $\vec{a} = -2\beta\hat{j}$   
 c) 5.4 m/s, 297°; 2.4 m/s<sup>2</sup>, 270°  
 d) acelerando y girando a la derecha  
 3.9 a) 1.13 m b) 0.528 m  
 c)  $v_x = 1.10 \text{ m/s}$ ,  $v_y = -4.70 \text{ m/s}$ , 4.83 m/s,  
 76.8° debajo de la horizontal  
 3.11 2.57 m  
 3.13 a) 24.1 m/s b) 31.0 m/s  
 3.15  $1.28 \text{ m/s}^2$   
 3.17 a) 0.683 s, 2.99 s  
 b) 24.0 m/s, 11.3 m/s; 24.0 m/s, -11.3 m/s  
 c) 30.0 m/s, 36.9° debajo de la horizontal  
 3.19 a) 1.5 m b) -0.89 m/s  
 3.21 a) 13.6 m b) 34.6 m/s c) 103 m  
 3.23 a)  $0.034 \text{ m/s}^2 = 0.0034 \text{ g}$  b) 1.4 h  
 3.25  $120 \text{ m/s}^2, 270 \text{ mph}$   
 3.27 a)  $2.57 \text{ m/s}^2$  hacia arriba  
 b)  $2.57 \text{ m/s}^2$  hacia abajo  
 c) 14.7 s  
 3.29 a) 32.9 m/s b)  $27.7 \text{ m/s}^2$  c) 35.5 rpm  
 3.31 a) 14 s b) 70 s  
 3.33 0.36 m/s, 52.5° al sur del oeste  
 3.35 a) 4.7 m/s, 25° al sur del este b) 120 s  
 c) 240 m  
 3.37 a) 24° al oeste del sur b) 5.5 h  
 3.39 a)  $A = 0, B = 2.00 \text{ m/s}^2$ ,  
 $C = 50.0 \text{ m}, D = 0.500 \text{ m/s}^3$   
 b)  $\vec{a} = (4.00 \text{ m/s}^2)\hat{i}, \vec{v} = 0$   
 c)  $v_x = 40.0 \text{ m/s}$ ,  $v_y = 150 \text{ m/s}$ , 155 m/s  
 d)  $\vec{r} = (200 \text{ m})\hat{i} + (550 \text{ m})\hat{j}$   
 3.41  $2b/3c$   
 3.43 a) 128 m b) 315 m  
 3.45 31 m/s  
 3.47 274 m  
 3.49 795 m  
 3.51 33.7 m  
 3.53 a) 42.8 m/s b) 42.0 m  
 3.55 a) 16.6 m/s  
 b) 10.9 m/s, 40.5° debajo de la horizontal  
 3.57 a) 1.50 m/s b) 4.66 m  
 3.59 a) 6.91 m c) no  
 3.61 a) 4.25 m/s b) 10.6 m  
 3.63 a) 17.8 m/s b) en el río, 28.4 m  
 horizontalmente desde el punto de lanzamiento  
 3.65 a) 49.5 m/s b) 50 m  
 3.67 a) 81.6 m b) 245 m  
 c) en el carrito  
 3.69 a) 13.3 m/s b) 3.8 m  
 3.71 a) 44.7 km/h, 26.6° al oeste del sur  
 b) 10.5° al norte del oeste  
 3.73 7.39 m/s, 12.4° al norte del este  
 3.75 3.01 m/s, 33.7° al norte del este  
 3.77 a) gráfica de  $R^2$  contra  $h$  b) 16.4 m/s  
 c) 23.8 m  
 3.79 70.5°  
 3.81 5.15 s  
 3.83 opción (b)  
 3.85 opción (c)

## Capítulo 4

- 4.1 494 N,  $31.8^\circ$   
 4.3 3.15 N  
 4.5 a)  $-8.10 \text{ N}$ ,  $3.00 \text{ N}$  b)  $8.64 \text{ N}$   
 4.7  $46.7 \text{ N}$ , opuesta al movimiento del patinador  
 4.9  $21.8 \text{ kg}$   
 4.11 a)  $3.12 \text{ m}$ ,  $3.12 \text{ m/s}$  b)  $21.9 \text{ m}$ ,  $6.24 \text{ m/s}$   
 4.13 a)  $45.0 \text{ N}$ , entre  $2.0 \text{ s}$  y  $4.0 \text{ s}$   
 b) entre  $2.0 \text{ s}$  y  $4.0 \text{ s}$  c)  $0 \text{ s}$ ,  $6.0 \text{ s}$   
 4.15 a)  $A = 100 \text{ N}$ ,  $B = 12.5 \text{ N/s}^2$   
 b) (i)  $21.6 \text{ N}$ ,  $2.70 \text{ m/s}^2$  (ii)  $134 \text{ N}$ ,  $16.8 \text{ m/s}^2$   
 c)  $26.6 \text{ m/s}^2$   
 4.17  $2940 \text{ N}$   
 4.19 a)  $4.49 \text{ kg}$  b)  $4.49 \text{ kg}$ ,  $8.13 \text{ N}$   
 4.21  $825 \text{ N}$ , los bloques  
 4.23  $50 \text{ N}$   
 4.25 b) sí  
 4.27 a) sí b) no  
 4.29 b)  $142 \text{ N}$   
 4.31  $2.58 \text{ s}$   
 4.33 a)  $17 \text{ N}$ ,  $90^\circ$  en sentido de las manecillas del reloj a partir del eje  $+x$  b)  $840 \text{ N}$   
 4.35 a)  $4.85 \text{ m/s}$  b)  $16.2 \text{ m/s}^2$  hacia arriba  
 c)  $1470 \text{ N}$  hacia arriba (sobre él),  $2360 \text{ N}$  hacia abajo (sobre el suelo)  
 4.37 a)  $153 \text{ N}$   
 4.39 a)  $2.50 \text{ m/s}^2$  b)  $10.0 \text{ N}$   
 c) a la derecha,  $F > T$  d)  $25.0 \text{ N}$   
 4.41 a)  $4.4 \text{ m}$  b)  $300 \text{ m/s}$   
 c) (i)  $2.7 \times 10^4 \text{ N}$  (ii)  $9.0 \times 10^3 \text{ N}$   
 4.43 b)  $0.049 \text{ N}$  c)  $410 \text{ mg}$   
 4.45 a)  $0.603 \text{ m/s}^2$ , hacia arriba  
 b)  $1.26 \text{ m/s}^2$ , hacia abajo  
 4.47 a)  $7.79 \text{ m/s}$  b)  $50.6 \text{ m/s}^2$  hacia arriba  
 c)  $F_{\text{suelo}} - mg$  hacia arriba,  $4530 \text{ N}$  hacia arriba,  $6.16mg$   
 4.49 a)  $4.34 \text{ kg}$  b)  $5.30 \text{ kg}$   
 4.51  $7.78 \text{ m}$   
 4.53 a) la mayor: Ferrari; la menor: Alfa Romeo y Honda Civic b) la mayor: Ferrari; la menor: Volvo c)  $7.5 \text{ kN}$ , es menor d) cero  
 4.55 b)  $26 \text{ kg}$ ,  $8.3 \text{ m/s}^2$   
 4.57 opción (d)  
 4.59 opción (a)

## Capítulo 5

- 5.1 a)  $25.0 \text{ N}$  b)  $50.0 \text{ N}$   
 5.3 a)  $990 \text{ N}$ ,  $735 \text{ N}$  b)  $926 \text{ N}$   
 5.5  $48^\circ$   
 5.7 a)  $T_A = 0.732w$ ,  $T_B = 0.897w$ ,  $T_C = w$   
 b)  $T_A = 2.73w$ ,  $T_B = 3.35w$ ,  $T_C = w$   
 5.9 a)  $574 \text{ N}$  b)  $607 \text{ N}$   
 5.11 a)  $1.10 \times 10^8 \text{ N}$  b)  $5w$  c)  $8.4 \text{ s}$   
 5.13 a)  $4610 \text{ m/s}^2 = 470g$   
 b)  $9.70 \times 10^5 \text{ N} = 471w$  c)  $0.0187 \text{ s}$   
 5.15 b)  $2.96 \text{ m/s}^2$  c)  $191 \text{ N}$ ; mayor que; menor que  
 5.17 b)  $3.75 \text{ m/s}^2$  c)  $2.48 \text{ kg}$   
 d)  $T <$  peso del bloque colgado  
 5.19 a)  $0.832 \text{ m/s}^2$  b)  $17.3 \text{ s}$   
 5.21 a)  $3.4 \text{ m/s}$  c)  $2.2w$   
 5.23 a)  $14.0 \text{ m}$  b)  $18.0 \text{ m/s}$   
 5.25  $50^\circ$   
 5.27 a)  $33 \text{ N}$  b)  $3.1 \text{ m}$   
 5.29 a)  $\mu_s: 0.710$ ;  $\mu_k: 0.472$  b)  $258 \text{ N}$   
 c) (i)  $51.8 \text{ N}$  (ii)  $4.97 \text{ m/s}^2$   
 5.31 a)  $18.3 \text{ m/s}^2$  b)  $2.29 \text{ m/s}^2$   
 5.33 a)  $57.1 \text{ N}$  b)  $146 \text{ N}$  arriba de la rampa  
 5.35 a)  $52.5 \text{ m}$  b)  $16.0 \text{ m/s}$   
 5.37 a)  $\mu_k(m_A + m_B)g$  b)  $\mu_k m_A g$

- 5.39 a)  $0.218 \text{ m/s}$  b)  $11.7 \text{ N}$   
 5.41 a)  $\frac{\mu_k mg}{\cos \theta - \mu_k \sin \theta}$  b)  $1/\tan \theta$   
 5.43 b)  $8.2 \text{ m/s}$   
 5.45 a)  $61.8 \text{ N}$  b)  $30.4 \text{ N}$   
 5.47  $3.66 \text{ s}$   
 5.49 a)  $21.0^\circ$ , no  
 b)  $11,800 \text{ N}$  (automóvil),  $23,600 \text{ N}$  (camión)  
 5.51  $6200 \text{ N}$  (cable horizontal),  $1410 \text{ N}$  (cable superior)  
 5.53 a)  $1.5 \text{ rev/min}$  b)  $0.92 \text{ rev/min}$   
 5.55 a)  $38.3 \text{ m/s} = 138 \text{ km/h}$  b)  $3580 \text{ N}$   
 5.57  $2.42 \text{ m/s}$   
 5.59 a)  $1.73 \text{ m/s}^2$  c)  $0.0115 \text{ N}$  hacia arriba  
 d)  $0.0098 \text{ N}$   
 5.61 a) la cuerda que forma un ángulo de  $60^\circ$  b)  $6400 \text{ N}$   
 5.63  $T_B = 4960 \text{ N}$ ,  $T_C = 1200 \text{ N}$   
 5.65 a)  $470 \text{ N}$  b)  $163 \text{ N}$   
 5.67  $762 \text{ N}$   
 5.69 a) (i)  $-3.80 \text{ m/s}$  (ii)  $24.6 \text{ m/s}$  b)  $4.36 \text{ m}$   
 c)  $2.45 \text{ s}$   
 5.71 a)  $11.4 \text{ N}$  b)  $2.57 \text{ kg}$   
 5.73  $12.3 \text{ m/s}$   
 5.75  $1.78 \text{ m/s}$   
 5.77 a)  $m_1(\sin \alpha + \mu_k \cos \alpha)$   
 b)  $m_1(\sin \alpha - \mu_k \cos \alpha)$   
 c)  $m_1(\sin \alpha - \mu_s \cos \alpha) \leq m_2 \leq m_1(\sin \alpha + \mu_s \cos \alpha)$   
 5.79 a)  $1.44 \text{ N}$  b)  $1.80 \text{ N}$   
 5.81  $920 \text{ N}$   
 5.83 a)  $88.0 \text{ N}$  hacia el norte b)  $78 \text{ N}$  hacia el sur  
 5.85 a)  $294 \text{ N}$  (alambre de  $18 \text{ cm}$ ),  $152 \text{ N}$ ,  $152 \text{ N}$   
 b)  $40.0 \text{ N}$   
 5.87  $3.0 \text{ N}$   
 5.89 a)  $12.9 \text{ kg}$  b)  $T_{AB} = 47.2 \text{ N}$ ,  $T_{BC} = 101 \text{ N}$   
 5.91  $a_1 = \frac{2m_2g}{4m_1 + m_2}$ ,  $a_2 = \frac{m_2g}{4m_1 + m_2}$   
 5.93  $1.46 \text{ m}$  arriba del piso  
 5.95  $g/\mu_s$   
 5.97 b)  $0.452$   
 5.99 0.34  
 5.101 b)  $8.8 \text{ N}$  c)  $31.0 \text{ N}$  d)  $1.54 \text{ m/s}^2$   
 5.103  $v = (2mg/k) \left[ \frac{1}{2} + e^{-(k/m)t} \right]$   
 5.105 b)  $0.28 \text{ s}$  c) no  
 5.107 a)  $81.1^\circ$  b) no c) La cuenta se mueve en la parte inferior del aro  
 5.109 a)  $0.371 \text{ s}$  b)  $0.290 \text{ s}$  c) sí, igual pendiente, intersección menos negativa  
 5.111 a)  $5/8 \text{ in}$  b)  $23.9 \text{ kN}$  c)  $3.57 \text{ kN}$ , menor d) mayor; exacto  
 5.113  $F = (M + m)g \tan \alpha$   
 5.115  $\cos^2 \beta$   
 5.117 opción (b)
- ## Capítulo 6
- 6.1 a)  $3.60 \text{ J}$  b)  $-0.900 \text{ J}$  c)  $0 \text{ J}$  d)  $0 \text{ J}$  e)  $2.70 \text{ J}$   
 6.3 a)  $74 \text{ N}$  b)  $333 \text{ J}$  c)  $-330 \text{ J}$  d)  $0,0 \text{ J}$  e)  $0 \text{ J}$   
 6.5 a)  $-1750 \text{ J}$  b) no  
 6.7 a) (i)  $9.00 \text{ J}$  (ii)  $-9.00 \text{ J}$   
 b) (i)  $0 \text{ J}$  (ii)  $9.00 \text{ J}$  (iii)  $-9.00 \text{ J}$  (iv)  $0 \text{ J}$   
 c) cero para cada bloque  
 6.9 a) (i)  $0 \text{ J}$  (ii)  $0 \text{ J}$  (iii)  $(0 \text{ J})$  (iv)  $-25.1 \text{ J}$   
 6.11 a)  $374 \text{ J}$  b)  $-333 \text{ J}$  c)  $0 \text{ J}$  d)  $41 \text{ J}$   
 e)  $352 \text{ J}$   
 6.13  $-572 \text{ J}$   
 6.15 a)  $120 \text{ J}$  b)  $-108 \text{ J}$  c)  $24.3 \text{ J}$   
 6.17 a)  $36,000 \text{ J}$  b)  $4 \text{ J}$   
 6.19 a)  $1.0 \times 10^{16} \text{ J}$  b)  $2.4 \text{ veces}$   
 6.21 a)  $43.2 \text{ m/s}$  b)  $101 \text{ m/s}$   
 6.23  $\sqrt{2gh(1 + \mu_k \tan \alpha)}$
- 6.25  $48.0 \text{ N}$   
 6.27 a)  $4.48 \text{ m/s}$  b)  $3.61 \text{ m/s}$   
 6.29 a)  $4.96 \text{ m/s}$  b)  $1.43 \text{ m/s}^2$ ;  $4.96 \text{ m/s}$ , igual  
 6.31 a)  $v_0^2/2\mu_k g$  b) (i)  $\frac{1}{2}$  (ii) 4 (iii) 2  
 6.33 a)  $40.0 \text{ N/m}$  b)  $0.456 \text{ N}$   
 6.35 b)  $13.1 \text{ cm}$  (parte inferior),  $14.1 \text{ cm}$  (en medio),  $15.2 \text{ cm}$  (parte superior)  
 6.37 a)  $2.83 \text{ m/s}$  b)  $3.46 \text{ m/s}$   
 6.39  $8.5 \text{ cm}$   
 6.41 a)  $1.76 \text{ J}$  b)  $0.666 \text{ m/s}$   
 6.43 a)  $4.0 \text{ J}$  b)  $0 \text{ J}$  c)  $-1.0 \text{ J}$  d)  $3.0 \text{ J}$   
e)  $-1.0 \text{ J}$   
6.45 a)  $2.83 \text{ m/s}$  b)  $2.40 \text{ m/s}$   
6.47 a)  $0.0565 \text{ m}$  b) no,  $0.57 \text{ J}$   
6.49  $8.17 \text{ m/s}$   
6.51  $360,000 \text{ J}$ ;  $100 \text{ m/s}$   
6.53  $(3.9 \times 10^{13})P$   
6.55  $745 \text{ W} \approx 1 \text{ hp}$   
6.57 a)  $84.6/\text{min}$  b)  $22.7/\text{min}$   
6.59  $29.6 \text{ kW}$   
6.61  $0.20 \text{ W}$   
6.63 a)  $608 \text{ J}$  b)  $-395 \text{ J}$  c)  $0 \text{ J}$  d)  $-189 \text{ J}$   
e)  $24 \text{ J}$  f)  $1.5 \text{ m/s}$   
6.65 a)  $5.62 \text{ J}$  (bloque de  $20.0 \text{ N}$ ),  $3.38 \text{ J}$  (bloque de  $12.0 \text{ N}$ ) b)  $2.58 \text{ J}$  (bloque de  $20.0 \text{ N}$ ),  $1.54 \text{ J}$  (bloque de  $12.0 \text{ N}$ )  
6.67 a)  $1.8 \text{ m/s} = 4.0 \text{ mi/h}$   
b)  $180 \text{ m/s}^2 \approx 18g$ ,  $900 \text{ N}$   
6.69 a)  $5.11 \text{ m}$  b)  $0.304 \text{ m}$  c)  $10.3 \text{ m}$   
6.71 a)  $0.074 \text{ N}$  b)  $4.7 \text{ N}$  c)  $0.22 \text{ J}$   
6.73  $6.3 \times 10^4 \text{ N/m}$   
6.75  $1.1 \text{ m}$   
6.77 a)  $2.39 \text{ m/s}$  b)  $9.42 \text{ m/s}$ , alejándose de la pared  
6.79 a)  $0.600 \text{ m}$  b)  $1.50 \text{ m/s}$   
6.81  $0.786$   
6.83  $1.3 \text{ m}$   
6.85 a)  $1.10 \times 10^5 \text{ J}$  b)  $1.30 \times 10^5 \text{ J}$   
c)  $3.99 \text{ kW}$   
6.87  $3.6 \text{ h}$   
6.89 a)  $1.26 \times 10^5 \text{ J}$  b)  $1.46 \text{ W}$   
6.91 b)  $v^2 = -\frac{k}{m}d^2 + 2d \left[ \frac{k}{m}(0.400 \text{ m}) - \mu_k g \right]$   
c)  $1.29 \text{ m/s}$ ,  $0.204 \text{ m}$  d)  $12.0 \text{ N/m}$ ,  $0.800$   
6.93 a)  $Mv^2/6$  b)  $6.1 \text{ m/s}$  c)  $3.9 \text{ m/s}$   
d)  $0.40 \text{ J}$ ,  $0.60 \text{ J}$   
6.95 opción (a)  
6.97 opción (d)
- ## Capítulo 7
- 7.1 a)  $6.6 \times 10^5 \text{ J}$  b)  $-7.7 \times 10^5 \text{ J}$   
 7.3 a)  $610 \text{ N}$  b) (i)  $0 \text{ J}$  (ii)  $550 \text{ J}$   
 7.5 a)  $24.0 \text{ m/s}$  b)  $24.0 \text{ m/s}$  c) inciso (b)  
 7.7 a)  $2.0 \text{ m/s}$  b)  $9.8/10^{-7} \text{ J}$ ,  $2.0 \text{ J/kg}$  c)  $200 \text{ m}$ ,  $63 \text{ m/s}$  d)  $5.9 \text{ J/kg}$  e) en sus patas tensas  
 7.9 a) (i)  $0 \text{ J}$  (ii)  $0.98 \text{ J}$  b)  $2.8 \text{ m/s}$   
c) Sólo la gravedad es constante. d)  $5.1 \text{ N}$   
7.11  $-5400 \text{ J}$   
7.13 a)  $660 \text{ J}$  b)  $-118 \text{ J}$  c)  $353 \text{ J}$  d)  $190 \text{ J}$   
e)  $3.16 \text{ m/s}^2$ ,  $6.16 \text{ m/s}$ ,  $190 \text{ J}$   
7.15 a)  $52.0 \text{ J}$  b)  $3.25 \text{ J}$   
7.17 a) (i)  $4U_0$  (ii)  $U_0/4$   
b) (i)  $x_0\sqrt{2}$  (ii)  $x_0/\sqrt{2}$   
7.19 a)  $5.48 \text{ cm}$  b)  $3.92 \text{ cm}$   
7.21 a)  $6.32 \text{ cm}$  b)  $12 \text{ cm}$   
7.23 a)  $3.03 \text{ m/s}$ , cuando ya no hay contacto con el resorte b)  $95.9 \text{ m/s}^2$ , cuando el resorte tiene su compresión máxima  
7.25 a)  $4.46 \times 10^5 \text{ N/m}$  b)  $0.128 \text{ m}$   
7.27 a)  $-5.4 \text{ J}$  b)  $-5.4 \text{ J}$  c)  $-10.8 \text{ J}$   
d) no conservativa

- 7.29 a) 8.16 m/s b) 766 J  
 7.31 1.29 N, dirección  $+x$   
 7.33  $130 \text{ m/s}^2$ ,  $132^\circ$  sentido contrario a las manecillas del reloj a partir del eje  $+x$   
 7.35 a)  $F(r) = (12a/r^{13}) - (6b/r^7)$  b)  $(2a/b)^{1/6}$ , sí c)  $b^2/4a$  d)  $a = 6.67 \times 10^{-138} \text{ J} \cdot \text{m}^{12}$ ,  $b = 6.41 \times 10^{-78} \text{ J} \cdot \text{m}^6$   
 7.37 a) cero (grava), 637 N (caja) b) 2.99 m/s  
 7.39 0.41  
 7.41 a) 16.0 m/s b) 11,500 N  
 7.43 a) 20.0 m a lo largo de la parte inferior áspera b)  $-78.4^\circ$   
 7.45 a) 22.2 m/s b) 16.4 m c) no  
 7.47 0.602 m  
 7.49 15.5 m/s  
 7.51 4.4 m/s  
 7.53 a) 7.00 m/s b) 8.82 N  
 7.55  $48.2^\circ$   
 7.57 a) 0.392 b)  $-0.83 \text{ J}$   
 7.59 a)  $U(x) = \frac{1}{2}\alpha x^2 + \frac{1}{3}\beta x^3$  b) 7.85 m/s  
 7.61 a)  $\alpha/(x + x_0)$  b) 3.27 m/s  
 7.63 7.01 m/s  
 7.65 a) 0.747 m/s b) 0.931 m/s  
 7.67 a) 0.480 m/s b) 0.566 m/s  
 7.69 a) 3.87 m/s b) 0.10 m  
 7.71 0.456 N  
 7.73 119 J  
 7.75 a)  $-50.6 \text{ J}$  b)  $-67.5 \text{ J}$  c) no conservativa  
 7.77 a) 57.0 m b) 16.5 m c) trabajo negativo realizado por la resistencia del aire  
 7.79 a) sí b)  $0.14 \text{ J}$  d)  $-1.0 \text{ m}, 0, 1.0 \text{ m}$  e) positiva:  $-1.5 \text{ m} < x < -1.0 \text{ m y } 0 < x < 1.0 \text{ m};$  negativa:  $-1.0 \text{ m} < x < 0 \text{ y } 1.0 \text{ m} < x < 1.5 \text{ m}$  f)  $-0.55 \text{ m}, 0.12 \text{ J}$   
 7.81 opción (c)  
 7.83 opción (b)

## Capítulo 8

- 8.1 a)  $1.20 \times 10^5 \text{ kg} \cdot \text{m/s}$   
 b) (i) 60.0 m/s (ii) 26.8 m/s  
 8.3 a)  $-30 \text{ kg} \cdot \text{m/s}, -55 \text{ kg} \cdot \text{m/s}$   
 b) 0, 52 kg  $\cdot$  m/s c) 0,  $-3.0 \text{ kg} \cdot \text{m/s}$   
 8.5 a) 22.5 kg  $\cdot$  m/s, a la izquierda b) 838 J  
 8.7 562 N, no significativo  
 8.9 a) 10.8 m/s, a la derecha  
 b) 0.750 m/s, a la izquierda  
 8.11 a)  $500 \text{ N/s}^2$  b) 5810 N  $\cdot$  s c) 2.70 m/s  
 8.13 a) 2.50 N  $\cdot$  s, en la dirección de la fuerza  
 b) (i) 6.25 m/s, a la derecha (ii) 3.75 m/s, a la derecha  
 8.15 0.593 kg  $\cdot$  m/s  
 8.17 0.87 kg  $\cdot$  m/s, en la misma dirección en que viaja la bala  
 8.19 a) 6.79 m/s b) 55.2 J  
 8.21 a) 0.790 m/s b)  $-0.0023 \text{ J}$   
 8.23 1.97 m/s  
 8.25 a) 0.0559 m/s b) 0.0313 m/s  
 8.27 a) 7.20 m/s,  $38.0^\circ$  desde la dirección original de Rebeca b)  $-680 \text{ J}$   
 8.29 a) 4.3 m/s c) 4.3 m/s  
 8.31 a)  $A: 29.3 \text{ m/s}; B: 20.7 \text{ m/s}$  b) 19.6%  
 8.33 a) 0.846 m/s b) 2.10 J  
 8.35 a)  $-1.4 \times 10^{-6} \text{ km/h, no}$   
 b)  $-6.7 \times 10^{-8} \text{ km/h, no}$   
 8.37 5.9 m/s,  $58^\circ$  al norte del este  
 8.39 5.46 m/s,  $36.0^\circ$  al sur del este  
 8.41 19.5 m/s (automóvil), 21.9 m/s (camión)  
 8.43 a) 2.93 cm b) 866 J c) 1.73 J  
 8.45 13.6 N

- 8.47 a) 3.00 J; 0.500 m/s para ambos  
 b)  $A: -1.00 \text{ m/s}; B: 1.00 \text{ m/s}$   
 8.49 a)  $v_1/3$  b)  $K_1/9$  c) 10  
 8.51 (0.0444 m, 0.0556 m)  
 8.53 2520 km  
 8.55 0.700 m a la derecha y 0.700 m hacia arriba  
 8.57 0.73 m/s  
 8.59  $F_x = -(1.50 \text{ N/s})t, F_y = 0.25 \text{ N}, F_z = 0$   
 8.61 a) 0.053 kg b) 5.19 N  
 8.63 a)  $7.2 \times 10^{-66}$  b) 0.223  
 8.65 a)  $-1.14 \text{ N} \cdot \text{s}, 0.330 \text{ N} \cdot \text{s}$   
 b) 0.04 m/s, 1.8 m/s  
 8.67 a) 5.21 J,  $-0.0833 \text{ m/s}$   
 b)  $-2.17 \text{ m/s (A)}, 0.333 \text{ m/s (B)}$   
 8.69 a) 0.75 m/s, 0.260 m/s b)  $-0.092 \text{ J}$   
 8.71 0.946 m  
 8.73 1.8 m  
 8.75 a)  $a_A = 162 \text{ m/s}^2, a_B = 54.0 \text{ m/s}^2$   
 b)  $v_A = 5.23 \text{ m/s}, v_B = 1.74 \text{ m/s}$   
 8.77 12 m/s (SUV), 21 m/s (sedán)  
 8.79 a) 2.60 m/s b) 325 m/s  
 8.81 a) 5.3 m/s b) 5.7 m  
 8.83 53.7°  
 8.85 a) 0.0781 b) 248 J c) 0.441 J  
 8.87 a) 9.35 m/s b) 3.29 m/s  
 8.89  $1.61 \times 10^{-22} \text{ kg} \cdot \text{m/s, a la izquierda}$   
 8.91 1.33 m  
 8.93 0.400 m/s  
 8.95 250 J  
 8.97 a) 71.6 m/s (el fragmento de 0.28 kg),  
 14.3 m/s (fragmento de 1.40 kg) b) 347 m  
 8.99 a) sí b) no, disminuye en 4800 J  
 8.101 a) máxima: C, mínima: B  
 b) 69 N/m c) 0.12 m  
 8.103 a)  $g/3$  b) 14.7 m c) 29.4 g  
 8.105 0,  $4a/3\pi$   
 8.107 opción (b)  
 8.109 opción (b)
- 9.41  $7.35 \times 10^4 \text{ J}$   
 9.43 a) 0.673 m b) 45.5%  
 9.45 46.5 kg  
 9.47 a)  $f^5$  b)  $6.37 \times 10^8 \text{ J}$   
 9.49 un eje que es paralelo a un diámetro y se encuentra a  $0.516R$  del centro  
 9.51  $M(a^2 + b^2)/3$   
 9.53  $\frac{1}{2}MR^2$   
 9.55 a)  $\gamma L^2/2$  b)  $ML^2/2$  c)  $ML^2/6$   
 9.57 7.68 m  
 9.59 a) 0.600 m/s<sup>3</sup> b)  $\alpha = (2.40 \text{ rad/s}^3)t$   
 c) 3.54 s d) 17.7 rad  
 9.61 13.8 rad/s<sup>2</sup>  
 9.63 a) 1.70 m/s b) 94.2 rad/s  
 9.65 2.99 cm  
 9.67 a) 7.36 m b) 327 m/s<sup>2</sup>  
 9.69 4.65 kg  $\cdot$  m<sup>2</sup>  
 9.71 a)  $-0.882 \text{ J}$  b) 5.42 rad/s c) 5.42 m/s  
 d) 5.42 m/s en comparación con 4.43 m/s  
 9.73 1.46 m/s  
 9.75  $\sqrt{\frac{2gd(m_B - \mu_k m_A)}{m_A + m_B + I/R^2}}$   
 9.77 a)  $2.25 \times 10^{-3} \text{ kg} \cdot \text{m}^2$  b) 3.40 m/s  
 c) 4.95 m/s  
 9.79 13.9 m  
 9.81 a) 1.05 rad/s b) 5.0 J c) 78.5 J d) 6.4%  
 9.85 a) 55.3 kg b) 0.804 kg  $\cdot$  m<sup>2</sup>  
 9.87 a) 4.0 rev, no b) 15 rad/s c) 9.5 rad/s  
 9.89 a) sí b) 3.15 m/s c) 0.348 kg  $\cdot$  m<sup>2</sup>  
 d) 36.4 N  
 9.91 a)  $s(\theta) = r_0\theta + \frac{\beta}{2}\theta^2$   
 b)  $\theta(t) = \frac{1}{\beta}(\sqrt{r_0^2 + 2\beta vt} - r_0)$   
 c)  $\omega_z(t) = \frac{v}{\sqrt{r_0^2 + 2\beta vt}},$   
 $\alpha_z(t) = -\frac{\beta v^2}{(r_0^2 + 2\beta vt)^{3/2}}$ , no  
 d) 25.0 mm, 0.247  $\mu\text{m}/\text{rad}$ ,  $2.13 \times 10^4$  rev  
 9.93 opción (d)  
 9.95 opción (d)

## Capítulo 9

- 9.1 a) 0.600 rad,  $34.4^\circ$  b) 6.27 cm c) 1.05 m  
 9.3 a) rad/s, rad/s<sup>3</sup> b) (i) 0 (ii) 15.0 rad/s<sup>2</sup>  
 c) 9.50 rad  
 9.5 a)  $\omega_z = \gamma + 3\beta t^2$  b) 0.400 rad/s  
 c) 1.30 rad/s, 0.700 rad/s  
 9.7 a)  $\pi/4$  rad, 2.00 rad/s,  $-0.139 \text{ rad/s}^3$   
 b) 0 c) 19.5 rad, 9.36 rad/s  
 9.9 a) 2.00 rad/s b) 4.38 rad  
 9.11 a) 24.0 s b) 68.8 rev  
 9.13 3.00 rad/s  
 9.15 a) 300 rpm b) 75.0 s, 312 rev  
 9.17 9.00 rev  
 9.19 a)  $1.99 \times 10^{-7} \text{ rad/s}$   
 b)  $7.27 \times 10^{-5} \text{ rad/s}$  c)  $2.98 \times 10^4 \text{ m/s}$   
 d) 463 m/s e) 0.0337 m/s<sup>2</sup>, 0  
 9.21 a)  $15.1 \text{ m/s}^2$  b)  $15.1 \text{ m/s}^2$   
 9.23 a)  $0.180 \text{ m/s}^2, 0, 0.180 \text{ m/s}^2$   
 b)  $0.180 \text{ m/s}^2, 0.377 \text{ m/s}^2, 0.418 \text{ m/s}^2$   
 c)  $0.180 \text{ m/s}^2, 0.754 \text{ m/s}^2, 0.775 \text{ m/s}^2$   
 9.25 0.107 m, no  
 9.27 a) 0.831 m/s b) 109 m/s<sup>2</sup>  
 9.29 a) (i)  $0.469 \text{ kg} \cdot \text{m}^2$  (ii)  $0.117 \text{ kg} \cdot \text{m}^2$  (iii) 0  
 b) (i)  $0.0433 \text{ kg} \cdot \text{m}^2$  (ii)  $0.0722 \text{ kg} \cdot \text{m}^2$   
 c) (i)  $0.0288 \text{ kg} \cdot \text{m}^2$  (ii)  $0.0144 \text{ kg} \cdot \text{m}^2$   
 9.31 a)  $1.93 \text{ kg} \cdot \text{m}^2$  b)  $6.53 \text{ kg} \cdot \text{m}^2$   
 c)  $1.15 \text{ kg} \cdot \text{m}^2$   
 9.33 0.193 kg  $\cdot$  m<sup>2</sup>  
 9.35 8.52 kg  $\cdot$  m<sup>2</sup>  
 9.37 6.49 m/s  
 9.39 0.600 kg  $\cdot$  m<sup>2</sup>

## Capítulo 10

- 10.1 a) 40.0 N  $\cdot$  m, hacia afuera de la página  
 b) 34.6 N  $\cdot$  m, hacia afuera de la página  
 c) 20.0 N  $\cdot$  m, hacia afuera de la página  
 d) 17.3 N  $\cdot$  m, hacia la página e) 0 f) 0  
 10.3 2.50 N  $\cdot$  m, hacia afuera de la página  
 10.5 b)  $-\hat{k}$  c)  $(-1.05 \text{ N} \cdot \text{m})\hat{k}$   
 10.7 a) 2.56 N  $\cdot$  m  
 b) 4.25 N  $\cdot$  m, perpendicular al mango  
 10.9 8.38 N  $\cdot$  m  
 10.11 a) 14.8 rad/s<sup>2</sup> b) 1.52 s  
 10.13 a) 7.5 N (en el libro sobre la mesa),  
 18.2 N (en el libro que cuelga) b) 0.16 kg  $\cdot$  m<sup>2</sup>  
 10.15 0.255 kg  $\cdot$  m<sup>2</sup>  
 10.17 a) 1.56 m/s b) 5.35 J  
 c) (i) 3.12 m/s a la derecha (ii) 0  
 (iii) 2.21 m/s a  $45^\circ$  debajo de la horizontal  
 d) (i) 1.56 m/s a la derecha (ii) 1.56 m/s a la izquierda (iii) 1.56 m/s hacia abajo  
 10.19 a)  $\frac{1}{3}$  b)  $\frac{2}{7}$  c)  $\frac{2}{5}$  d)  $\frac{5}{13}$   
 10.21 a) 0.613 b) no c) sin deslizamiento  
 10.23 14.0 m  
 10.25 a) 3.76 m b) 8.58 m/s  
 10.27 a) 67.9 rad/s b) 8.35 J  
 10.29 a) 0.309 rad/s b) 100 J c) 6.67 W  
 10.31 a) 0.704 N  $\cdot$  m b) 157 rad c) 111 J  
 d) 111 J

## A-12 Respuestas a los problemas de número impar

- 10.33 a) 358 N·m b) 1790 N c) 83.8 m/s  
 10.35 a)  $115 \text{ kg} \cdot \text{m}^2/\text{s}$  hacia la página  
     b)  $125 \text{ kg} \cdot \text{m}^2/\text{s}^2$  hacia afuera de la página  
 10.37  $4.71 \times 10^{-6} \text{ kg} \cdot \text{m}^2/\text{s}$   
 10.39 a)  $A: \text{rad/s}^2; B: \text{rad/s}^4$   
     b) (i)  $59.0 \text{ kg} \cdot \text{m}^2/\text{s}$  (ii)  $56.1 \text{ N} \cdot \text{m}$   
 10.41 4600 rad/s  
 10.43 1.14 rev/s  
 10.45 a) 1.38 rad/s b) 1080 J, 495 J  
 10.47 a)  $0.120 \text{ rad/s}$  b)  $3.20 \times 10^{-4} \text{ J}$   
     c) del trabajo realizado por el bicho  
 10.49 a) 5.88 rad/s  
 10.51 a) 1.62 N b) 1800 rev/min  
 10.53  $2.4 \times 10^{-12} \text{ N} \cdot \text{m}$   
 10.55 0.483  
 10.57 a)  $16.3 \text{ rad/s}^2$  b) no, disminuye c)  $5.70 \text{ rad/s}$   
 10.59  $0.921 \text{ m/s}^2$ ,  $7.68 \text{ rad/s}^2$ ,  $35.5 \text{ N}$  (en A),  
     21.4 N (en B)  
 10.61 a) 293 N b)  $16.2 \text{ rad/s}^2$   
 10.63 a)  $2.88 \text{ m/s}^2$  b)  $6.13 \text{ m/s}^2$   
 10.65 270 N  
 10.67  $a = \frac{2g}{2 + (R/b)^2}, \alpha = \frac{2g}{2b + R^2/b}$ ,  
      $T = \frac{2mg}{2(b/R)^2 + 1}$   
 10.69 a)  $3H_0/5$   
 10.71 29.0 m/s  
 10.73 a) 26.0 m/s b) sin cambio  
 10.75 g/3  
 10.77 1.87 m  
 10.79 a)  $\frac{6}{19}v/L$  b)  $\frac{3}{19}$   
 10.81 3200 J  
 10.83 5.41 m  
 10.85 a) 2.00 rad/s b)  $6.58 \text{ rad/s}$   
 10.87 0.776 rad/s  
 10.89 a) A: esfera sólida, B: cilindro sólido,  
     C: esfera hueca, D: cilindro hueco  
     b) igual c) D d) 0.350  
 10.91 a)  $mv_1^2 r_1^2/r^3$  b)  $\frac{mv_1^2}{2} r_1^2 \left( \frac{1}{r_2^2} - \frac{1}{r_1^2} \right)$   
     c) iguales  
 10.93 a) 39.2 N hacia arriba, 39.2 N hacia arriba  
     b) 60.0 N hacia arriba, 18.4 N hacia arriba  
     c) 165 N hacia arriba, 86.2 N hacia abajo  
     d) 0.0940 rev/s  
 10.95 opción (c)  
 10.97 opción (a)
- 11.33  $4.8 \times 10^9 \text{ Pa}$ ,  $2.1 \times 10^{-10} \text{ Pa}^{-1}$   
 11.35 b)  $6.6 \times 10^5 \text{ N}$  c) 1.8 mm  
 11.37  $7.36 \times 10^6 \text{ Pa}$   
 11.39  $3.41 \times 10^7 \text{ Pa}$   
 11.41  $10.2 \text{ m/s}^2$   
 11.43 20.0 kg  
 11.45 a) 525 N b) 222 N, 328 N c) 1.48  
 11.47 a) 140 N b) 6 cm a la derecha  
 11.49 a) 409 N b) 161 N  
 11.51 49.9 cm  
 11.53 a) 370 N b) cuando comienza a elevar  
     su pierna c) no  
 11.55 a) 3 cm b) se inclina hacia atrás  
 11.57 5500 N  
 11.59 b) 2000 N =  $2.72mg$  c) 4.4 mm  
 11.61 a) 4.90 m b) 60 N  
 11.63 a) 175 N en cada mano, 200 N en cada pie  
     b) 91 N en cada mano y en cada pie  
 11.65 a) 1150 N b) 1940 N c) 918 N d) 0.473  
 11.67 590 N (persona de arriba), 1370 N (persona  
     de abajo); persona de arriba  
 11.69 a)  $\frac{T_{\max} h D}{L \sqrt{h^2 + D^2}}$   
     b)  $\frac{T_{\max} h}{L \sqrt{h^2 + D^2}} \left( 1 - \frac{D^2}{h^2 + D^2} \right)$ , positiva  
 11.71 a) 71.5 kg  
     b) 380 N,  $25.2^\circ$  arriba de la horizontal  
 11.73 a) 375 N b) 325 N c) 512 N  
 11.75 a) 0.424 N (A), 1.47 N (B), 0.424 N (C)  
     b) 0.848 N  
 11.77 a)  $27^\circ$  para volcarse,  $31^\circ$  para deslizarse, se vuelca  
     primero b)  $27^\circ$  para volcarse,  $22^\circ$  para deslizarse,  
     se desliza primero  
 11.79 a) 80 N (A), 870 N (B) b) 1.92 m  
 11.81 a) 1.0 cm b) 0.86 cm  
 11.83 a) 0.70 m de A b) 0.60 m de A  
 11.85 a)  $4.2 \times 10^4 \text{ N}$  b) 65 m  
      $(1.30 \text{ m})m_1 - (0.38 \text{ m})M$   
 11.87 b)  $x = 1.50 \text{ m} + \frac{(1.30 \text{ m})m_1 - (0.38 \text{ m})M}{m_2}$   
     c) 1.59 kg d) 1.50 m  
 11.89 a) 391 N (escalera de 4.00 m), 449 N (escalera  
     de 3.00 m) b) 322 N c) 334 N d) 937 N  
 11.91 a) 0.66 mm b) 0.022 J c)  $8.35 \times 10^{-3} \text{ J}$   
     d)  $-3.04 \times 10^{-2} \text{ J}$  e)  $3.04 \times 10^{-2} \text{ J}$   
 11.93 opción (a)  
 11.95 opción (d)
- 12.1 no (41.8 N)  
 12.3  $7020 \text{ kg/m}^3$ ; sí  
 12.5 1.6  
 12.7 61.6 N  
 12.9 a)  $1.86 \times 10^6 \text{ Pa}$  b) 184 m  
 12.11 0.581 m  
 12.13 a)  $1.90 \times 10^4 \text{ Pa}$  b) provoca una fuerza adicional sobre las paredes de los vasos sanguíneos  
 12.15 2.8 m  
 12.17  $6.0 \times 10^4 \text{ Pa}$   
 12.19  $2.27 \times 10^5 \text{ N}$   
 12.21 a) 636 Pa b) (i) 1170 Pa (ii) 1170 Pa  
 12.23 10.9  
 12.25 a)  $2.19 \times 10^7 \text{ N}$  b)  $2.17 \times 10^7 \text{ N}$   
     c)  $5.79 \times 10^8 \text{ N}$   
 12.27 0.122 m  
 12.29  $6.43 \times 10^{-4} \text{ m}^3$ ,  $2.78 \times 10^3 \text{ kg/m}^3$   
 12.31 10.5 N  
 12.33 a) 116 Pa b) 921 Pa  
     c)  $0.822 \text{ kg}$ ,  $822 \text{ kg/m}^3$   
 12.35  $1640 \text{ kg/m}^3$   
 12.37 9.6 m/s  
 12.39 a) 17.0 m/s b) 0.317 m
- 12.41 28.4 m/s  
 12.43  $1.47 \times 10^5 \text{ Pa}$   
 12.45  $2.03 \times 10^4 \text{ Pa}$   
 12.47  $2.25 \times 10^5 \text{ Pa}$   
 12.49 1.19D  
 12.51 a)  $(p_0 - p)\pi D^2/4$  b) 776 N  
 12.53 a)  $5.9 \times 10^5 \text{ N}$  b)  $1.8 \times 10^5 \text{ N}$   
 12.55  $2.61 \times 10^4 \text{ N} \cdot \text{m}$   
 12.57 0.964 cm, aumenta  
 12.59 a) 1470 Pa b) 13.9 cm  
 12.61 a)  $0.0500 \text{ m}^3$  b) 10.0 kg  
 12.63  $9.8 \times 10^6 \text{ kg, sí}$   
 12.65 a) 0.30 b) 0.70  
 12.67 a)  $8.27 \times 10^3 \text{ m}^3$  b) 83.8 kN  
 12.69 a) 16.5 cm b) 1.75 m  
 12.71 a)  $5.07 \text{ m/s}$ ,  $1.28^\circ$  b) 32.4 min, 2.08  
 12.73 a) 53.9 N b)  $31.0 \text{ m/s}^2$   
 12.75 a)  $1 - \frac{\rho_B}{\rho_L}$  b)  $\left( \frac{\rho_L - \rho_B}{\rho_L - \rho_w} \right)L$  c) 4.60 cm  
 12.77 a)  $2\sqrt{h(H-h)}$  b) h  
 12.79 5.47 m  
 12.81 a) 0.200 m<sup>3</sup>/s b)  $6.97 \times 10^4 \text{ Pa}$   
 12.83  $3h_1$   
 12.85 b) no  
 12.87 a)  $2.5 \times 10^{-4} \text{ m}^2/\text{Pa}$  (pendiente),  $16 \text{ m}^2$   
     (intersección) b) 8.2 m,  $800 \text{ kg/m}^3$   
 12.89 opción (b)  
 12.91 opción (a)

## Capítulo 13

- 13.1 a) 2.18  
 13.3 a)  $1.2 \times 10^{-11} \text{ m/s}^2$  b) 15 días  
     c) no, aumenta  
 13.5  $2.1 \times 10^{-9} \text{ m/s}^2$ , hacia abajo  
 13.7 a)  $2.4 \times 10^{-3} \text{ N}$   
     b)  $F_{\text{Luna}}/F_{\text{Tierra}} = 3.5 \times 10^{-6}$   
 13.9 a) 0.634 m de 3m  
     b) (i) inestable (ii) estable  
 13.11  $1.38 \times 10^7 \text{ m}$   
 13.13 a)  $0.37 \text{ m/s}^2$  b)  $1700 \text{ kg/m}^3$   
 13.15 610 N, 735 N (sobre la Tierra), el astronauta y  
     el satélite tienen la misma aceleración; no  
 13.17 a) 5030 m/s b) 60,200 m/s  
 13.19  $9.03 \text{ m/s}^2$   
 13.21 a) 7410 m/s b) 1.71 h  
 13.23 7330 m/s  
 13.25 a)  $4.1 \text{ m/s} = 9.1 \text{ mph}$ , sí b) 2.6 h  
 13.27 a) 82,700 m/s b) 14.5 días  
 13.29 a)  $7.84 \times 10^9 \text{ s} = 248 \text{ y}$   
     b)  $4.44 \times 10^{12} \text{ m}$ ,  $7.38 \times 10^{12} \text{ m}$   
 13.31  $2.3 \times 10^{30} \text{ kg} = 1.2M_S$   
 13.33 a) (i)  $5.31 \times 10^{-9} \text{ N}$  (ii)  $2.67 \times 10^{-9} \text{ N}$   
 13.35 a)  $-\frac{GmM}{\sqrt{x^2 + a^2}}$  b)  $-GmM/x$   
     c)  $\frac{GmMx}{(x^2 + a^2)^{3/2}}$ , hacia el aro d)  $GmM/x^2$   
     e)  $U = -GmM/a$ ,  $F_x = 0$   
 13.37 a) 33.7 N b) 32.8 N  
 13.39 a)  $4.3 \times 10^{37} \text{ kg} = (2.1 \times 10^7)M_S$  b) no  
     c)  $6.32 \times 10^{10} \text{ m}$ , sí  
 13.41  $9.16 \times 10^{13} \text{ N}$   
 13.43 a)  $9.67 \times 10^{-12} \text{ N}$ , a  $45^\circ$  arriba del eje +x  
     b)  $3.02 \times 10^{-5} \text{ m/s}$   
 13.45 a)  $2.00 \times 10^{-10} \text{ N}$ ,  $161^\circ$  arriba del eje +x  
     b)  $x = 0$ ,  $y = 1.32 \text{ m}$   
 13.47 b) (i)  $1.49 \times 10^{-5} \text{ m/s}$  (esfera de 50.0 kg),  
      $7.46 \times 10^{-6} \text{ m/s}$  (esfera de 100.0 kg)  
     (ii)  $2.24 \times 10^{-5} \text{ m/s}$   
     c) 26.6 m  
 13.49 a)  $3.59 \times 10^7 \text{ m}$

## Capítulo 12

- 12.1 no (41.8 N)  
 12.3  $7020 \text{ kg/m}^3$ ; sí  
 12.5 1.6  
 12.7 61.6 N  
 12.9 a)  $1.86 \times 10^6 \text{ Pa}$  b) 184 m  
 12.11 0.581 m  
 12.13 a)  $1.90 \times 10^4 \text{ Pa}$  b) provoca una fuerza adicional sobre las paredes de los vasos sanguíneos  
 12.15 2.8 m  
 12.17  $6.0 \times 10^4 \text{ Pa}$   
 12.19  $2.27 \times 10^5 \text{ N}$   
 12.21 a) 636 Pa b) (i) 1170 Pa (ii) 1170 Pa  
 12.23 10.9  
 12.25 a)  $2.19 \times 10^7 \text{ N}$  b)  $2.17 \times 10^7 \text{ N}$   
     c)  $5.79 \times 10^8 \text{ N}$   
 12.27 0.122 m  
 12.29  $6.43 \times 10^{-4} \text{ m}^3$ ,  $2.78 \times 10^3 \text{ kg/m}^3$   
 12.31 10.5 N  
 12.33 a) 116 Pa b) 921 Pa  
     c)  $0.822 \text{ kg}$ ,  $822 \text{ kg/m}^3$   
 12.35  $1640 \text{ kg/m}^3$   
 12.37 9.6 m/s  
 12.39 a) 17.0 m/s b) 0.317 m

## Capítulo 11

- 11.1 29.8 cm  
 11.3 1.35 m  
 11.5 6.6 kN  
 11.7 a) 1000 N, 0.800 m a partir del extremo donde se aplica la fuerza de 600 N b) 800 N, 0.75 m a partir del extremo donde se aplica la fuerza de 600 N  
 11.9 a) 550 N b) 0.614 m de A  
 11.11 a) 1920 N b) 1140 N  
 11.13 a)  $T = 2.60w$ ;  $3.28w$ ,  $37.6^\circ$   
     b)  $T = 4.10w$ ;  $5.39w$ ,  $48.8^\circ$   
 11.15 a) 3410 N b) 3410 N, 7600 N  
 11.17 b) 533 N c) 600 N, 267 N; hacia abajo  
 11.19 220 N (izquierda), 255 N (derecha),  $42^\circ$   
 11.21 a) 0.800 m b) en sentido de las manecillas del reloj c) 0.800 m, en sentido de las manecillas del reloj  
 11.23 b) 208 N  
 11.25 1.9 mm  
 11.27  $2.0 \times 10^{11} \text{ Pa}$   
 11.29 a)  $3.1 \times 10^{-3}$  (superior),  $2.0 \times 10^{-3}$  (inferior)  
     b) 1.6 mm (superior), 1.0 mm (inferior)  
 11.31 a) 150 atm b) 1.5 km, no

- 13.51 177 m/s  
 13.53 a) 7.36 h b) 2.47 h  
 13.55  $1.83 \times 10^{27}$  kg  
 13.57 22.8 m  
 13.59 6060 km/h
- 13.61  $\sqrt{v = \frac{2Gm_E h}{R_E(R_E + h)}}$
- 13.63 a)  $GM^2/4R^2$   
 b)  $v = \sqrt{GM/4R}$ ,  $T = 4\pi\sqrt{R^3/GM}$   
 c)  $GM^2/4R$
- 13.65  $6.8 \times 10^4$  m/s  
 13.67 a) 7900 s b) 1.53  
 c) 8430 m/s (perigeo), 5510 m/s (apogeo)  
 d) 2420 m/s; 3250 m/s; perigeo
- 13.69  $5.38 \times 10^9$  J  
 13.71 9.34 m/s<sup>2</sup>  
 13.73  $GmMx/(a^2 + x^2)^{3/2}$
- 13.75 a)  $U(r) = \frac{Gm_E m}{2R_E} r^2$  b)  $7.91 \times 10^3$  m/s
- 13.77 a) Es considerable y no muestra un patrón aparente.  
 b) Tierra (5500 kg/m<sup>3</sup>), Mercurio (5400 kg/m<sup>3</sup>), Venus (5300 kg/m<sup>3</sup>), Marte (3900 kg/m<sup>3</sup>), Neptuno (1600 kg/m<sup>3</sup>), Urano (1200 kg/m<sup>3</sup>), Júpiter (1200 kg/m<sup>3</sup>), Saturno (530 kg/m<sup>3</sup>)  
 c) sin efecto d) 93 m/s<sup>2</sup>
- 13.79 a) opuesta; opuesta b) 259 dfas  
 c) 44.1°
- 13.81  $\frac{2GmM}{a^2} \left(1 - \frac{x}{\sqrt{a^2 + x^2}}\right)$
- 13.83 opción (c)

## Capítulo 14

- 14.1 a) 2.15 ms, 2930 rad/s  
 b)  $2.00 \times 10^4$  Hz,  $1.26 \times 10^5$  rad/s  
 c)  $1.3 \times 10^{-15}$  s  $\leq T \leq 2.3 \times 10^{-15}$  s,  
 $4.3 \times 10^{14}$  Hz  $\leq f \leq 7.5 \times 10^{14}$  Hz  
 d)  $2.0 \times 10^{-7}$  s,  $3.1 \times 10^7$  rad/s
- 14.3 5530 rad/s, 1.14 ms  
 14.5 0.0625 s  
 14.7 a) 0.80 s b) 1.25 Hz c) 7.85 rad/s  
 d) 3.0 cm e) 148 N/m  
 14.9 a) 0.167 s b) 37.7 rad/s c) 0.0844 kg  
 14.11 a) 0.150 s b) 0.0750 s  
 14.13 a) 0.98 m b)  $\pi/2$  rad  
 $c) x = (-0.98 \text{ m}) \text{ sen}[(12.2 \text{ rad/s})t]$   
 14.15 a)  $-2.71 \text{ m/s}^2$  b)  $x = (1.46 \text{ cm}) \times \cos[(15.7 \text{ rad/s})t + 0.715 \text{ rad}]$ ,  
 $v_x = (-22.9 \text{ cm/s}) \times \text{sen}[(15.7 \text{ rad/s})t + 0.715 \text{ rad}]$ ,  
 $a_x = (-359 \text{ cm/s}^2) \times \cos[(15.7 \text{ rad/s})t + 0.715 \text{ rad}]$
- 14.17 120 kg  
 14.19 a) 0.253 kg b) 1.21 cm c) 3.03 N  
 14.21 a) 1.51 s b) 26.0 N/m  
 c) 30.8 cm/s d) 1.92 N  
 e)  $-0.0125$  m, 30.4 cm/s,  $0.216 \text{ m/s}^2$   
 f) 0.324 N
- 14.23 a)  $x = (0.0030 \text{ m}) \cos[(2760 \text{ rad/s})t]$   
 b)  $8.3 \text{ m/s}, 2.3 \times 10^4 \text{ m/s}^2$   
 c)  $da_x/dt = (6.3 \times 10^7 \text{ m/s}^3) \times \text{sen}[(2760 \text{ rad/s})t], 6.3 \times 10^7 \text{ m/s}^3$
- 14.25 92.2 m/s<sup>2</sup>  
 14.27 a) 0.0336 J b) 0.0150 m c) 0.669 m/s  
 14.29 a) 1.20 m/s b) 1.11 m/s c) 36 m/s<sup>2</sup>  
 d)  $13.5 \text{ m/s}^2$  e) 0.36 J
- 14.31  $3M; \frac{3}{4}$   
 14.33 0.240 m  
 14.35 a) 0.376 m b)  $59.3 \text{ m/s}^2$  c) 119 N

- 14.37 a) 4.06 cm b) 1.21 m/s c) 29.8 rad/s  
 14.39 a) 0, 0, 3.92 J, 3.92 J b) 3.92 J, 0, 0, 3.92 J  
 c) 0.98 J, 0.98 J, 1.96 J, 3.92 J  
 14.41 a)  $2.7 \times 10^{-8}$  kg · m<sup>2</sup>  
 b)  $4.3 \times 10^{-6}$  N · m/rad  
 14.43 0.0294 kg · m<sup>2</sup>  
 14.45 a) 0.25 s b) 0.25 s  
 14.47 0.407 balanceos por segundo  
 14.49 10.7 m/s<sup>2</sup>  
 14.51 a) 2.84 s b) 2.89 s c) 2.89 s; -2%  
 14.53 A:  $2\pi\sqrt{\frac{L}{g}}, B: \frac{2\sqrt{2}}{3}\left(2\pi\sqrt{\frac{L}{g}}\right)$ ; péndulo A  
 14.55 0.129 kg · m<sup>2</sup>  
 14.57 A:  $2\pi\sqrt{\frac{L}{g}}, B: \sqrt{\frac{11}{10}}\left(2\pi\sqrt{\frac{L}{g}}\right)$ , péndulo B  
 14.59 a) 0.30 J  
 14.61 a) 0.393 Hz b) 1.73 kg/s  
 14.63 a)  $A_1/3$  b)  $2A_1$   
 14.65 0.353 m  
 14.67 a) 1.34 m/s b) 1.90 m/s<sup>2</sup>  
 14.69 a) 24.4 cm b) 0.221 s c) 1.19 m/s  
 14.71 2.00 m  
 14.73  $0.921\left(\frac{1}{2\pi}\sqrt{\frac{g}{L}}\right)$   
 14.75 a) 0.784 s b)  $-1.12 \times 10^{-4}$  s por s; más corto  
 c) 0.419 s  
 14.77 a) 0.150 m/s b) 0.112 m/s<sup>2</sup> hacia abajo  
 c) 0.700 s d) 4.38 m  
 14.79 a) 2.6 m/s b) 0.21 m c) 0.49 s  
 14.81 1.17 s  
 14.83 0.421 s  
 14.85 0.705 Hz, 14.5°  
 14.87  $2\pi\sqrt{\frac{M}{3k}}$   
 14.89 a) 1.60 s b) 0.625 Hz c) 3.93 rad/s  
 d) 5.1 cm; 0.4 s, 1.2 s, 1.8 s  
 e)  $79 \text{ cm}^2/2$ ; 0.4 s, 1.2 s, 1.8 s f) 4.9 kg  
 14.91 a) La amplitud angular aumenta conforme  $L$  disminuye. c) 53° aproximadamente  
 14.93 a)  $Mv^2/6$  c)  $\omega = \sqrt{3k/M}, M' = M/3$   
 14.95 opción (a)
- Capítulo 15**
- 15.1 a) 0.439 m, 1.28 ms b) 0.219 m  
 15.3 220 m/s = 800 km/h  
 15.5 a) 1.7 cm a 17 m  
 b)  $4.3 \times 10^{14}$  Hz to  $7.5 \times 10^{14}$  Hz  
 c) 1.5 cm d) 6.4 cm  
 15.7 a) 25.0 Hz, 0.0400 s, 19.6 rad/m  
 b)  $y(x, t) = (0.0700 \text{ m}) \times \cos[(19.6 \text{ m}^{-1})x + (157 \text{ rad/s})t]$   
 c) 4.95 cm d) 0.0050 s  
 15.9 a) sí b) sí c) no  
 d)  $v_y = \omega A \cos(kx + \omega t)$ ,  
 $a_y = -\omega^2 A \text{ sen}(kx + \omega t)$   
 15.11 a) 4 mm b) 0.040 s c) 0.14 m, 3.6 m/s  
 d) 0.24 m, 6.0 m/s e) no  
 15.13 b) dirección +x  
 15.15 a) 17.5 m/s b) 0.146 m  
 c) ambos se incrementarían en un factor de  $\sqrt{2}$   
 15.17 0.337 kg  
 15.19 a) 9.53 N b) 20.8 m/s  
 15.21 a) 10.0 m/s b) 0.250 m  
 c)  $y(x, t) = (3.00 \text{ cm}) \times \cos[(8.00\pi \text{ rad/m})x - (80.0\pi \text{ rad/s})t]$   
 d)  $1890 \text{ m/s}^2$  e) sí  
 15.23 4.10 mm  
 15.25 a) 95 km b)  $0.25 \mu\text{W/m}^2$  c) 110 kW  
 15.27 a) 0.050 W/m<sup>2</sup> b) 22 kJ  
 15.29  $9.48 \times 10^{27}$  W
- 15.37 a)  $(1.33 \text{ m})n, n = 0, 1, 2, \dots$   
 b)  $(1.33 \text{ m})(n + \frac{1}{2}), n = 0, 1, 2, \dots$   
 15.39 a) 96.0 m/s b) 461 N  
 c) 1.13 m/s, 4.26 m/s<sup>2</sup>  
 15.41 b) 2.80 cm c) 277 cm  
 d) 185 cm, 7.96 Hz, 0.126 s, 1470 cm/s  
 e) 280 cm/s  
 f)  $y(x, t) = (5.60 \text{ cm}) \times \text{sen}[(0.0906 \text{ rad/cm})x] \text{ sen}[(133 \text{ rad/s})t]$   
 15.43 4.0 m, 2.0 m, 1.33 m  
 15.45 a) 45.0 cm b) no  
 15.47 a) 311 m/s b) 246 Hz c) 245 Hz, 1.40 m  
 15.49 a) 20.0 Hz, 126 rad/s, 3.49 rad/m  
 b)  $y(x, t) = (2.50 \times 10^{-3} \text{ m}) \times \cos[(3.49 \text{ rad/m})x - (126 \text{ rad/s})t]$   
 c)  $y(0, t) = (2.50 \times 10^{-3} \text{ m}) \cos[(126 \text{ rad/s})t]$   
 d)  $y(1.35 \text{ m}, t) = (2.50 \times 10^{-3} \text{ m}) \times \cos[(126 \text{ rad/s})t - 3\pi/2 \text{ rad}]$   
 e) 0.315 m/s f)  $-2.50 \times 10^{-3} \text{ m}, 0$   
 15.51 a)  $\frac{7L}{2}\sqrt{\frac{\mu_1}{F}}$  b) no  
 15.53 a) 62.1 m  
 15.55 13.7 Hz, 25.0 m  
 15.57 1.83 m  
 15.59 361 Hz (cobre), 488 Hz (aluminio)  
 15.61 a) 18.8 cm b) 0.0169 kg  
 15.63 a) 7.07 cm b) 0.400 kW  
 15.65  $(0.800 \text{ Hz})n, n = 1, 2, 3, \dots$   
 15.67 a) 2.22 g b)  $2.24 \times 10^4 \text{ m/s}^2$   
 15.69 233 N  
 15.71 1780 kg/m<sup>3</sup>  
 15.73 a) 148 N b) 26%  
 c) 47.5 Hz d) 138 g  
 15.77 a) 392 N b)  $392 \text{ N} + (7.70 \text{ N/m})x$   
 c) 3.89 s  
 15.79 opción (b)
- Capítulo 16**
- 16.1 a) 0.344 m b)  $1.2 \times 10^{-5}$  m  
 c) 6.9 m, 50 Hz  
 16.3 a) 7.78 Pa b) 77.8 Pa c) 778 Pa  
 16.5 a) 90 m b) 102 kHz c) 1.4 cm  
 d) 4.4 mm a 8.8 mm e) 6.2 MHz  
 16.7 90.8 m  
 16.9 81.4°C  
 16.11 0.16 s  
 16.13 a)  $5.5 \times 10^{-15}$  J b) 0.074 mm/s  
 16.15 15.0 cm  
 16.17 a) 4.14 Pa b) 0.0208 W/m<sup>2</sup> c) 103 dB  
 16.19 a)  $4.4 \times 10^{-12}$  W/m<sup>2</sup> b) 6.4 dB  
 c)  $5.8 \times 10^{-11}$  m  
 16.21 14.0 dB  
 16.23 a)  $2.0 \times 10^{-7}$  W/m<sup>2</sup> b) 6.0 m  
 c) 290 m d) sí, no  
 16.25 a) fundamental: 0.60 m; 0, 1.20 m; primer sobretono: 0.30 m, 0.90 m; 0, 0.60 m, 1.20 m; segundo sobretono: 0.20 m, 0.60 m, 1.00 m; 0, 0.40 m, 0.80 m, 1.20 m  
 b) fundamental: 0; 1.20 m; primer sobretono: 0, 0.80 m; 0.40 m, 1.20 m; segundo sobretono: 0, 0.48 m, 0.96 m; 0.24 m, 0.72 m, 1.20 m  
 16.27 506 Hz, 1517 Hz, 2529 Hz  
 16.29 a) 35.2 Hz b) 17.6 Hz  
 16.31 a) 614 Hz b) 1230 Hz  
 16.33 a) 137 Hz, 0.50 m b) 137 Hz, 2.51 m  
 16.35 a) 172 Hz b) 86 Hz  
 16.37 0.125 m  
 16.39 a)  $(820 \text{ Hz})n, n = 1, 2, 3, \dots$   
 b)  $(410 \text{ Hz})(2n + 1), n = 0, 1, 2, \dots$   
 16.41 a) 433 Hz b) aflojar  
 16.43 1.3 Hz

- 16.45 780 m/s  
 16.47 a) 375 Hz b) 371 Hz c) 4 Hz  
 16.49 a) 0.25 m/s b) 0.91 m  
 16.51 19.8 m/s  
 16.53 a) 1910 Hz b) 0.188 m  
 16.55 a) 7.02 m/s, hacia el vehículo de policía  
     b) 1404 Hz  
 16.57 a) 36.0° b) 2.94 s  
 16.59 a) 1.00 b) 8.00 c)  $4.73 \times 10^{-8} \text{ m} = 47.3 \text{ nm}$   
 16.61 El armónico 3n de la flauta resuena con el  
     armónico 4n de la cuerda,  $n = 1, 3, 5, \dots$   
 16.63 a) cerrado b) séptimo y noveno c) 0.439 m  
 16.65 a) 0.026 m, 0.53 m, 1.27 m, 2.71 m, 9.01 m  
     b) 0.26 m, 0.86 m, 1.84 m, 4.34 m c) 86 Hz  
 16.67 a) 0.0823 m b) 120 Hz  
 16.69 b) 2.0 m/s  
 16.71 a) 38 Hz b) no  
 16.73 a) 375 m/s b) 1.39 c) 0.8 cm  
 16.75 d) 9.69 cm/s, 667 m/s<sup>2</sup>  
 16.77 opción (b)  
 16.79 opción (a)  
 16.81 opción (b)

## Capítulo 17

- 17.1 a)  $-81.0^\circ\text{F}$  b)  $134.1^\circ\text{F}$  c)  $88.0^\circ\text{F}$   
 17.3 a)  $27.2^\circ\text{C}$  b)  $-55.6^\circ\text{C}$   
 17.5 a)  $-18.0^\circ\text{F}$  b)  $-10.0^\circ\text{C}$   
 17.7 0.964 atm  
 17.9 a)  $-282^\circ\text{C}$  b) no, 47,600 Pa  
 17.11 0.39 m  
 17.13 1.9014 cm; 1.8964 cm  
 17.15  $49.4^\circ\text{C}$   
 17.17  $1.7 \times 10^{-5} (\text{C}^\circ)^{-1}$   
 17.19 a)  $1.431 \text{ cm}^2$  b)  $1.436 \text{ cm}^2$   
 17.21 a) 6.0 mm b)  $-1.0 \times 10^8 \text{ Pa}$   
 17.23 555 kJ  
 17.25 23 min  
 17.27  $240 \text{ J/kg} \cdot \text{K}$   
 17.29  $0.526^\circ\text{C}$   
 17.31  $45.2^\circ\text{C}$   
 17.33  $0.0613^\circ\text{C}$   
 17.35 a)  $215 \text{ J/kg} \cdot \text{K}$  b) agua c) demasiado pequeño  
 17.37 0.114 kg  
 17.39  $27.5^\circ\text{C}$   
 17.41  $150^\circ\text{C}$   
 17.43 7.6 min  
 17.45 54.5 kJ, 13.0 kcal, 51.7 Btu  
 17.47 357 m/s  
 17.49 3.45 L  
 17.51  $5.05 \times 10^{15} \text{ kg}$   
 17.53 0.0674 kg  
 17.55 190 g  
 17.57 a)  $222 \text{ K/m}$  b)  $10.7 \text{ W}$  c)  $73.3^\circ\text{C}$   
 17.59 a)  $-0.86^\circ\text{C}$  b)  $24 \text{ W/m}^2$   
 17.61  $4.0 \times 10^{-3} \text{ W/m} \cdot \text{C}^\circ$   
 17.63  $105.5^\circ\text{C}$   
 17.65 a) 21 kW b) 6.4 kW  
 17.67 15 W  
 17.69  $2.1 \text{ cm}^2$   
 17.71  $35.0^\circ\text{C}$   
 17.73 a)  $35.1^\circ\text{M}$  b)  $39.6^\circ\text{C}$   
 17.75  $69.4^\circ\text{C}$   
 17.77 23.0 cm (primera varilla), 7.0 cm (segunda varilla)  
 17.79 b)  $1.9 \times 10^8 \text{ Pa}$   
 17.81 a)  $87^\circ\text{C}$  b)  $-80^\circ\text{C}$   
 17.83 460 s  
 17.85 a)  $83.6 \text{ J}$  b)  $1.86 \text{ J/mol} \cdot \text{K}$   
     c)  $5.60 \text{ J/mol} \cdot \text{K}$   
 17.87 a)  $4.20 \times 10^7 \text{ J}$  b)  $10.7^\circ\text{C}$  c)  $30.0^\circ\text{C}$   
 17.89 a) 0.60 kg b) 0.80 botellas/h  
 17.91  $3.4 \times 10^5 \text{ J/kg}$

- 17.93 a) no b)  $0.0^\circ\text{C}$ , 0.156 kg  
 17.95 a)  $86.1^\circ\text{C}$   
     b) sin hielo, 0.130 kg de agua líquida, sin vapor  
 17.97 a)  $100^\circ\text{C}$   
     b) 0.0214 kg de vapor, 0.219 kg de agua líquida  
 17.99 a) 93.9 W b) 1.35  
 17.101 2.9  
 17.103 a)  $59.8^\circ\text{C}$  b)  $42.7^\circ\text{C}$  c) 8.40 W  
 17.105 c) 170 h d)  $1.5 \times 10^{10} \text{ s} \approx 500 \text{ y}$ , no  
 17.107 5.82 g  
 17.109 a) 1.04 kW b) 87.1 W c) 1.13 kW  
     d) 28 g e) 1.1 botellas  
 17.111 a)  $3.00 \times 10^4 \text{ J/kg}$  b)  $1.00 \times 10^3 \text{ J/kg} \cdot \text{K}$   
     (líquido),  $1.33 \times 10^3 \text{ J/kg} \cdot \text{K}$  (sólido)  
 17.113 A:  $216 \text{ W/m} \cdot \text{K}$ ; B:  $130 \text{ W/m} \cdot \text{K}$   

$$17.115 \text{ a)} H = \frac{(T_2 - T_1)2\pi kL}{\ln(b/a)}$$
  

$$\text{b)} T = T_2 - \frac{(T_2 - T_1)\ln(r/a)}{\ln(b/a)}$$
  
     d)  $73^\circ\text{C}$  e) 49 W  
 17.117 opción (a)  
 17.119 opción (a)
- Capítulo 18**
- 18.1 a) 0.122 mol b) 14,700 Pa, 0.145 atm  
 18.3 0.100 atm  
 18.5 a)  $0.0136 \text{ kg/m}^3$ ,  $67.6 \text{ kg/m}^3$ ,  $5.39 \text{ kg/m}^3$   
     b)  $0.011\rho_E$ ,  $56\rho_E$ ,  $4.5\rho_E$   
 18.7  $503^\circ\text{C}$   
 18.9 19.7 kPa  
 18.11 0.159 L  
 18.13 0.0508V  
 18.15 a)  $70.2^\circ\text{C}$  b) sí  
 18.17 850 m  
 18.19 a)  $6.95 \times 10^{-16} \text{ kg}$  b)  $2.32 \times 10^{-13} \text{ kg/m}^3$   
 18.21 55.6 mol,  $3.35 \times 10^{25}$  moléculas  
 18.23 a)  $2.20 \times 10^6$  moléculas  
     b)  $2.44 \times 10^{19}$  moléculas  
 18.25  $6.4 \times 10^{-6} \text{ m}$   
 18.27 a)  $5.83 \times 10^7 \text{ J}$  b) 242 m/s  
 18.29 (d) debe ser verdadera, los otros pueden ser  
     verdaderas  
 18.31 a)  $1.93 \times 10^6 \text{ m/s}$ , no b)  $7.3 \times 10^{10} \text{ K}$   
 18.33 a)  $6.21 \times 10^{-21} \text{ J}$  b)  $2.34 \times 10^5 \text{ m}^2/\text{s}^2$   
     c) 484 m/s d)  $2.57 \times 10^{-23} \text{ kg} \cdot \text{m/s}$   
     e)  $1.24 \times 10^{-19} \text{ N}$  f)  $1.24 \times 10^{-17} \text{ Pa}$   
     g)  $8.17 \times 10^{21}$  moléculas  
     h)  $2.45 \times 10^{22}$  moléculas  
 18.35  $3800^\circ\text{C}$   
 18.37 a) 1870 J b) 1120 J  
 18.39 a)  $741 \text{ J/kg} \cdot \text{K}$ ,  $c_w = 5.65c_{N_2}$   
     b) 5.65 kg; 4850 L  
 18.41 a) 337 m/s b) 380 m/s c) 412 m/s  
 18.43 a) 610 Pa b) 22.12 MPa  
 18.45  $18.0 \text{ cm}^3$ ,  $V_{20^\circ\text{C}} = 0.32V_{ep}$   
 18.47 a) 11.8 kPa b) 0.566 L  
 18.49  $272^\circ\text{C}$   
 18.51 0.195 kg  
 18.53 a)  $-179^\circ\text{C}$  b)  $1.2 \times 10^{26}$  moléculas/m<sup>3</sup>  
     c)  $\rho_T = 4.8\rho_e$   
 18.55 1.92 atm  
 18.57 a) 30.7 cilindros b) 8420 N c) 7800 N  
 18.59 a) 26.2 m/s b) 16.1 m/s, 5.44 m/s c) 1.74 m  
 18.61  $\approx 5 \times 10^{27}$  átomos  
 18.63 a) A b) B c)  $4250^\circ\text{C}$  d) B  
 18.65 a)  $6.00 \times 10^3 \text{ Pa}$  b) 32.8 m/s  
 18.67 a)  $4.65 \times 10^{-26} \text{ kg}$  b)  $6.11 \times 10^{-21} \text{ J}$   
     c)  $2.04 \times 10^{24}$  moléculas d) 12.5 kJ  
 18.69 b)  $r_2$  c)  $r_I = \frac{R_0}{2^{1/6}}$ ,  $r_2 = R_0 \cdot 2^{-1/6}$  d)  $U_0$   
 18.71 a)  $2R = 16.6 \text{ J/mol} \cdot \text{K}$  b) menor que
- Capítulo 19**
- 19.1 b) 1330 J  
 19.3 b)  $-6180 \text{ J}$   
 19.5 a) 1.04 atm  
 19.7 a)  $(p_1 - p_2)(V_2 - V_1)$  b) El negativo  
     del trabajo realizado en dirección inversa  
 19.9 a) 34.7 kJ b) 80.4 kJ c) No  
 19.11 a) 278 K, en a b) 0; 162 J c) 53 J  
 19.13 a)  $T_a = 535 \text{ K}$ ,  $T_b = 9350 \text{ K}$ ,  $T_c = 15,000 \text{ K}$   
     b) 21 kJ realizado por el gas c) 36 kJ  
 19.15 a) 0 b)  $T_b = 2T_a$  c)  $U_b = U_a + 700 \text{ J}$   
 19.17 a) 208 J c) sobre el pistón d) 712 J  
     e) 920 J f) 208 J  
 19.19 a) 948 K b) 900 K  
 19.21  $\frac{2}{5}$   
 19.23 a) 747 J b) 1.30  
 19.25 a)  $-605 \text{ J}$  b) 0 c) sí, 605 J, libera calor  
 19.27 a) 476 kPa b)  $-10.6 \text{ kJ}$  c) 1.59, lo calienta  
 19.29 b) 314 J c)  $-314 \text{ J}$   
 19.31  $11.6^\circ\text{C}$   
 19.33 a) aumenta b) 4.8 kJ  
 19.35 a) 0.681 moles b)  $0.0333 \text{ m}^3$   
     c) 2.23 kJ d) 0  
 19.37 a) 45.0 J b) libera, 65.0 J c) 23.0 J, 22.0 J  
 19.39 a) igual b) 4.0 kJ, absorbe c) 8.0 kJ  
 19.41 b)  $-2460 \text{ J}$   
 19.43 a) 0.80 L b) 305 K, 1220 K, 1220 K  
     c)  $ab$ : 76 J, entra al gas;  
     ca:  $-107 \text{ J}$ , sale del gas  
     bc: 56 J, entra al gas  
     d)  $ab$ : 76 J, aumenta  
     bc: 0, no cambia  
     ca:  $-76 \text{ J}$ , disminuye  
 19.45 a)  $837^\circ\text{C}$  b)  $11.5 \text{ kJ}$  c)  $40.3 \text{ kJ}$  d)  $42.4 \text{ kJ}$   
 19.47 b)  $6.00 \text{ L}$ ,  $2.5 \times 10^4 \text{ Pa}$ ,  $75.0 \text{ K}$   
     c)  $95 \text{ J}$  d) calentarlo a volumen constante  
 19.49 b)  $11.9^\circ\text{C}$   
 19.51 a)  $0.168 \text{ m}$  b)  $196^\circ\text{C}$  c)  $70.1 \text{ kJ}$   
 19.53 a)  $Q = 450 \text{ J}$ ,  $\Delta U = 0$   
     b)  $Q = 0$ ,  $\Delta U = -450 \text{ J}$   
     c)  $Q = 1125 \text{ J}$ ,  $\Delta U = 675 \text{ J}$   
 19.55 a)  $W = 738 \text{ J}$ ,  $Q = 2590 \text{ J}$ ,  $\Delta U = 1850 \text{ J}$   
     b)  $W = 0$ ,  $Q = -1850 \text{ J}$ ,  $\Delta U = -1850 \text{ J}$   
     c)  $\Delta U = 0$   
 19.57 a)  $W = -187 \text{ J}$ ,  $Q = -654 \text{ J}$ ,  $\Delta U = -467 \text{ J}$   
     b)  $W = 113 \text{ J}$ ,  $Q = 0$ ,  $\Delta U = -113 \text{ J}$   
     c)  $W = 0$ ,  $Q = 580 \text{ J}$ ,  $\Delta U = 580 \text{ J}$   
 19.59 a) a: adiabático, b: isocórico, c: isobárico  
     b)  $28.0^\circ\text{C}$  c) a:  $-30.0 \text{ J}$ , a: 0, a: 20.0 J  
     d) a  
     e) a: disminuye, b: permanece igual, c: aumenta

19.61 b)  $-300 \text{ J}$ , hacia afuera del gas

19.63 opción (c)

19.65 opción (d)

## Capítulo 20

20.1 a)  $6500 \text{ J}$  b) 34%

20.3 a) 23% b)  $12,400 \text{ J}$  c)  $0.350 \text{ g}$   
d)  $222 \text{ kW} = 298 \text{ hp}$

20.5 a)  $12.3 \text{ atm}$  b)  $5470 \text{ J}$ , *ca* c)  $3723 \text{ J}$ , *bc*  
d)  $1747 \text{ J}$  e) 31.9%

20.7 a) 58% b) 1.4%

20.9 a)  $14.8 \text{ kJ}$  b)  $45.8 \text{ kJ}$

20.11 1.2 h

20.13 a)  $215 \text{ J}$  b)  $378 \text{ K}$  c) 39.0%

20.15 a)  $38 \text{ kJ}$  b)  $590^\circ\text{C}$

20.17 a)  $492 \text{ J}$  b)  $212 \text{ W}$  c) 5.4

20.19 44.5 hp

20.21 a)  $429 \text{ J/K}$  b)  $-393 \text{ J/K}$  c)  $36 \text{ J/K}$

20.23 a) irreversible b)  $1250 \text{ J/K}$

20.25  $-6.31 \text{ J/K}$

20.27 a)  $6.05 \times 10^3 \text{ J/K}$

b) aproximadamente cinco veces más grande para la vaporización

20.29 a) no b)  $18.3 \text{ J/K}$  c)  $18.3 \text{ J/K}$

20.31  $10.0 \text{ J/K}$

20.33 a)  $121 \text{ J}$  b) 3800 ciclos

20.35 a)  $90.2 \text{ J}$  b)  $320 \text{ J}$  c)  $45^\circ\text{C}$  d) 0 e)  $263 \text{ g}$

20.37  $-5.8 \text{ J/K}$ , disminuye

20.39 b) absorbido durante *bc*, rechazado durante *ab* y *ca*

c)  $T_a = T_b = 241 \text{ K}$ ,  $T_c = 481 \text{ K}$

d)  $610 \text{ J}$ ,  $610 \text{ J}$  e) 8.7%

20.41 a)  $21.0 \text{ kJ}$  (entra),  $16.6 \text{ kJ}$  (sale)

b)  $4.4 \text{ kJ}$ , 21% c)  $e = 0.31e_{\text{máx}}$

20.43 a) 7.0% b) 3.0 MW; 2.8 MW

c)  $6 \times 10^5 \text{ kg/h} = 6 \times 10^5 \text{ L/h}$

20.45 a) 1:  $2.00 \text{ atm}$ ,  $4.00 \text{ L}$ ; 2:  $2.00 \text{ atm}$ ,  $6.00 \text{ L}$

3:  $1.11 \text{ atm}$ ,  $6.00 \text{ L}$ ; 4:  $1.67 \text{ atm}$ ,  $4.00 \text{ L}$

b)  $1 \rightarrow 2$ :  $1422 \text{ J}$ ,  $405 \text{ J}$ ;  $2 \rightarrow 3$ :  $-1355 \text{ J}$ , 0;

$3 \rightarrow 4$ :  $-274 \text{ J}$ ,  $-274 \text{ J}$ ;  $4 \rightarrow 1$ :  $339 \text{ J}$ , 0

c)  $131 \text{ J}$  d) 7.44%;  $e = 0.168e_C$

20.47  $1 - T_C/T_H$ , igual

20.49 a)  $122 \text{ J}$ ,  $-78 \text{ J}$  b)  $5.10 \times 10^{-4} \text{ m}^3$

c)  $b$ :  $2.32 \text{ MPa}$ ,  $4.81 \times 10^{-5} \text{ m}^3$ ,  $771 \text{ K}$

c:  $4.01 \text{ MPa}$ ,  $4.81 \times 10^{-5} \text{ m}^3$ ,  $1332 \text{ K}$

d:  $0.147 \text{ MPa}$ ,  $5.10 \times 10^{-4} \text{ m}^3$ ,  $518 \text{ K}$

d) 61.1%, 77.5%

20.51 6.23

20.55 a) A: 28.9%, B: 38.3%, C: 53.8%, D: 24.4%

b) C c) B > D > A

20.57 a) 4.83% b) 4.83% c) 6.25%

d)  $e = \frac{0.80T_d - 200}{12T_d - 2700}$ , 6.67%

20.59 opción (b)

20.61 opción (d)



**Capítulo 1** Fotografía de inicio: Minerva Studio/Shutterstock; 1.1a: Michele Perbellini/Shutterstock; 1.1b: Studio Bazile/Thales/ESA; 1.4: AFP/Getty Images/Newscom; 1.5ab: NASA; 1.5c: JPL/NASA; 1.5d: Photodisc/Getty Images; 1.5e: Chad Baker/Photodisc/Getty Images; 1.5f: Veeco Instruments, Inc; 1.6: Pearson; 1.7: ND/Roger Viollet/Getty Images; Aplicación p. 10: Tyler Olsen/Shutterstock

**Capítulo 2** Fotografía de inicio: Vibe Images/Fotolia; 2.4: Michael Dalder/Reuters/Landov; 2.5: Wolfgang Rattay/Reuters; Aplicación p. 46: NASA; 2.22: Richard Megna/Fundamental Photographs; 2.26: Andreas Sternberg/Getty Images; 2.27: Guichaoa/Alamy; E2.54 (gráfica): Fuente: "The Flying Leap of the Flea", por M. Rothschild, Y. Schlein, K. Parker, C. Neville y S. Sternberg en *Scientific American*, noviembre de 1973.

**Capítulo 3** Fotografía de inicio: Feng Li/Getty Images; Aplicación p. 71: Luca Lozzi/Getty Images; 3.8: Dominique Douieb/PhotoAlto Agency/Getty Images; 3.16: Richard Megna/Fundamental Photographs; 3.19: Fundamental Photographs; Aplicación p. 85: David Wall/Alamy; 3.31: Hart Matthews JHM/GAC/Reuters

**Capítulo 4** Fotografía de inicio: Monkey Business/Fotolia; p. 105 (ley): Newton, Isaac. 1845. *Newton's Principia: The Mathematical Principles*. Andrew Mott (traductor) Nueva York: Daniel Ade; Aplicación p. 106: Prisca Koller/Fotolia; 4.11: Wayne Eastep/The Image Bank/Getty Images; 4.16: Albert Gea/Reuters; p. 111 (ley): Newton, Isaac. 1845. *Newton's Principia: The Mathematical Principles*. Andrew Mott (traductor) Nueva York: Daniel Ade; Aplicación p. 111: Kadmy/Fotolia; 4.19: Cheryl A. Meyer/Shutterstock; p. 116 (ley): Newton, Isaac. 1845. *Newton's Principia: The Mathematical Principles*. Andrew Mott (traductor) Nueva York: Daniel Ade; 4.28: Maksym Gorpenyuk/Shutterstock; 4.29a: PCN Black Photography/Alamy; 4.29b: John W. McDonough/Sports Illustrated/Getty Images; 4.29c: Roy Pedersen/Fotolia; P4.53 (tabla): Datos de [www.autosnout.com](http://www.autosnout.com)

**Capítulo 5** Fotografía de inicio: Brian A Jackson/Shutterstock; 5.11: NASA; 5.16: Efired/Shutterstock; Aplicación p. 144: Alex Kosev/Shutterstock; Aplicación p. 148: Eye of Science/Science Source; 5.26b: 2happy/Shutterstock; Aplicación p. 155: Suthep/Shutterstock; 5.38a: JPL/Space Science Institute/NASA; 5.38b: Jason Stitt/Shutterstock; 5.38c: FikMik/Shutterstock; 5.38d: Shots Studio/Shutterstock; P5.78 (gráfica): Fuente: "The Flying Leap of the Flea", por M. Rothschild, Y. Schlein, K. Parker, C. Neville y S. Sternberg en *Scientific American*, noviembre de 1973; P5.111 (tabla): Cortesía de The Engineering Toolbox. [www.engineeringtoolbox.com/wire-rope-strength-d\\_1518.html](http://www.engineeringtoolbox.com/wire-rope-strength-d_1518.html)

**Capítulo 6** Fotografía de inicio: Brocreative/Shutterstock; 6.1: mariya/Fotolia; Aplicación p. 173: Steve Gschmeissner/Science Source; 6.13: Mikadun/Shutterstock; Aplicación p. 186: Steve Gschmeissner/Science Source; 6.26: Fox Photos/Hulton Archive/Getty Images; Aplicación p. 190: Gayvoronskaya\_Yana/Shutterstock; 6.27a: Keystone/Hulton Archive/Getty Images; 6.27b: Anthony Hall/ Fotolia; 6.28: Fandu/Fotolia; P6.90 (gráfica): Datos de Science buddies. [www.sciencebuddies.org/science-fair-projects/project\\_ideas/Physics\\_Springs\\_Tutorial.shtml](http://www.sciencebuddies.org/science-fair-projects/project_ideas/Physics_Springs_Tutorial.shtml)

**Capítulo 7** Fotografía de inicio: Nagel Photography/Shutterstock; 7.1: Alistair Michael Thomas/Shutterstock; Aplicación p. 205: Erni/Shutterstock; 7.3: Robert F. Bukaty/AP Images; 7.5: hinnamsaisuy/Shutterstock; 7.12: ejwhite/Shutterstock; Aplicación p. 214: G. Ronald Austing/Science Source; 7.15: JNP/Shutterstock; Aplicación p. 220: fotoedu/Shutterstock; 7.21: Kletf/Shutterstock; Aplicación p. 223: LaiQuocAnh/Shutterstock; Aplicación p. 224: Peter Menzel/Science Source; P7.78 (tabla): Cortesía de EngineersHandbook.com

**Capítulo 8** Fotografía de inicio: Colorful High Speed Photographs/Moment Select/Getty Images; 8.2: Alex Emanuel Koch/Shutterstock; Aplicación p. 239: Willie Linn/Shutterstock; 8.4: Vereshchagin Dmitry/Shutterstock; 8.5: Jim Cummins/The Image Bank/Getty Images; 8.7ab: Andrew Davidhazy; 8.17: FPG/Archive Photos/Getty Images; 8.22: David Leah/The Image Bank/Getty Images; 8.30: Richard Megna/Fundamental Photographs; Aplicación p. 258: Elliott Rusty Harold/Shutterstock; 8.34: NASA; P8.101 (tabla): Cortesía de Chuck Hawks. [www.chuckhawks.com/handgun\\_power\\_chart.htm](http://www.chuckhawks.com/handgun_power_chart.htm)

**Capítulo 9** Fotografía de inicio Blanscape/Shutterstock; 9.3b: connel/Shutterstock; Aplicación p. 278: Hybrid Medical Animation/Science Source; Aplicación p. 285 (arriba): Dan Rodney/Shutterstock; Aplicación p. 285 (abajo): Ammit Jack/Shutterstock; 9.18: David J. Phillip/AP Images; 9.19: DenisNata/Shutterstock; 9.22: NASA; P9.86: NASA

**Capítulo 10** Fotografía de inicio: Lonely Planet Images; 10.7: 68/Ocean/Corbis; Aplicación p. 311 (derecha): Bruce MacQueen/Shutterstock; Aplicación p. 311 (izquierda): David Lentink/Science Source; 10.14: Robert Young/Fotolia; 10.17: gorillaimages/Shutterstock; Aplicación p. 315: Chris DeRidder/Shutterstock; 10.22: Bjorn Heller/Shutterstock; 10.28: Gerard Lacz/Photoshot; P10.88: Datos de Chevrolet

**Capítulo 11** Fotografía de inicio: nito/Shutterstock; 11.3: Turley/Fotolia; 11.8a: Maridav/Shutterstock; 11.12a: Benjamin Marin Rubio/Shutterstock; 11.12b: Richard Carey/Fotolia; 11.12c: Andrew Bret Wallis/Photodisc/Getty Images; 11.13: Djomas/Shutterstock; Aplicación p. 350: Dante Fenolio/Science Source

**Capítulo 12** Fotografía de inicio (izquierda): orlandin/Shutterstock; Fotografía de inicio (derecha): Isabelle Kuehn/Shutterstock; Aplicación p. 370: Jorg Hackemann/Shutterstock; 12.6: Milan B/Shutterstock; 12.9b: Andrey Jitkov/Shutterstock; Aplicación p. 375: Lisa F. Young/Shutterstock; p. 376 (principio): Fuente: Arquimedes; 12.14: Pali A/Fotolia; 12.19: Pearson; 12.20: Popov Nikolay/Shutterstock; 12.22: Tribus Ekaterina/Shutterstock; Aplicación p. 382: Kairios69/Shutterstock; 12.28: Shutterstock; Aplicación p. 386: Edward Lara/Shutterstock; 12.30a: jupear/Shutterstock; 12.30b: Btrseller/Shutterstock

**Capítulo 13** Fotografía inicial: JPL-Caltech/SSI/Cornell/NASA; p. 398 (ley): Fuente: Publicación de la ley de gravitación de Newton en 1687. *Philosophiae naturalis principia mathematica* (MacLehose, 1726) [1871] Reimpresa por Sir William Thomson y Hugh Blackburn; 13.3 (Júpiter): JPL/University of Arizona/NASA; 13.3 (recuadro): JPL/Cornell University/NASA; 13.6: ESA/Hubble/NASA; Aplicación p. 403: NASA; 13.7: swisshippo/Fotolia; 13.13: National Aeronautics and Space Administration/NASA; 13.14: Con base en Newton, Isaac. 1728. *A Treatise on the System of the World*; 13.16: John F. Kennedy/Space Center/NASA; 13.17: ESA y M. Showalter/NASA; p. 411 (leyes): Kepler, Johannes. 1597. *Mysterium Cosmographicum*; Aplicación p. 412: NASA; 13.21b: NASA; p. 419 (cita): Fuente: John Michell, (1784) "On the Means of Discovering the Distance, Magnitude, & c. of the Fixed Stars, in Consequence of the Diminution of the Velocity of Their Light, in Case Such a Diminution Should be Found to Take Place in any of Them, and Such Other Data Should be Procured from Observations, as Would be Farther Necessary for That Purpose". *Philosophical Transactions of the Royal Society* 74 (0): 35–57; 13.27ab: NASA; 13.28: NASA; 13.29: Andrea Ghez/UCLA; P13.76 (tabla): Fuente: ssd.jpl.nasa.gov; P13.77 (tabla): Fuente: nssdc.gsfc.nasa.gov/planetary/factsheet

**Capítulo 14** Fotografía de inicio: Best dog photo/Shutterstock; Aplicación p. 434: Steve Byland/Shutterstock; 14.21a: Zurijeta/Shutterstock; 14.25: Christopher Griffin/Alamy; Aplicación p. 455: Symbiot/Shutterstock; Aplicación p. 456: Sonya Etchison/Shutterstock

**Capítulo 15** Fotografía de inicio: Walter D. Mooney/U.S. Geological Survey; Aplicación p. 469: Marco PoloCollection/Balan Madhavan/Alamy; 15.2: Charles Platiau/Reuters; 15.5: EpicStockMedia/Shutterstock; 15.12: Kodda/Shutterstock; Aplicación p. 482: Christian Delbert/Shutterstock; 15.23a-d: Richard Megna/Fundamental Photographs; 15.25: Shmeliova Natalia/Shutterstock; 15.27: National Optical Astronomy Observatories

**Capítulo 16** Fotografía de inicio: Eduard Kyslynskyy/Shutterstock; 16.5 (arte lineal): Berg, Richard E.; Stork, David G., *The Physics Of Sound*, 1a. ed., ©1982. Reimpreso y reproducido electrónicamente con autorización de Pearson Education, Inc., Upper Saddle River, Nueva Jersey; 16.5a: olly/Shutterstock; 16.5b: Lebrecht Music and Arts Photo Library/Alamy; Aplicación p. 510: Steve Thorne/Getty Images; 16.6: Geoff Dann/DK Images; 16.9: Kretztechnik/Science Source; 16.10: auremar/Shutterstock; 16.15: Digarpi/Shutterstock; Aplicación p. 523: Piotr Marcinski/Shutterstock; 16.20: Martin Bough/Fundamental Photographs; 16.24: Roger A. Freedman; 16.26: R. Gino Santa Maria/Shutterstock; 16.29: Aaron Kohn/Shutterstock; 16.36c: NASA; 16.37: NASA

**Capítulo 17** Fotografía de inicio: huyangshu/Shutterstock; 17.4: AlexLMX/Shutterstock; Aplicación p. 548 (arriba): David Thyberg/Shutterstock; Aplicación p. 548 (abajo): Hofhauser/Shutterstock; 17.5a: Roger A. Freedman; 17.11: Eugene Sergeev/Shutterstock; 17.13: Eric Schrader/Pearson Education; 17.16: Hugh D. Young; 17.18: Roman Sigaev/Shutterstock; 17.19: Science Source; 17.21: Richard Megna/Fundamental Photographs; 17.22: NASA; 17.23: MaszaS/Shutterstock; Aplicación p. 566 (arriba): Dmitry Deshevyykh/Getty Images; Aplicación p. 566 (abajo): Paul Nicklen/National Geographic/Getty Images; 17.28: Hugh D. Young; 17.29: Steve Gschmeissner/Science Source; 17.30a: Fuente: *Trends: A Compendium of Data on Global Change*, U.S. Department of Energy's Carbon Dioxide Information Analysis Center, <http://cdiac.esdornl.gov/trends/co2/contents.htm>; 17.30b: Fuente: [http://data.giss.nasa.gov/gistemp/graphs\\_v3/](http://data.giss.nasa.gov/gistemp/graphs_v3/), primera gráfica; P17.91: Satoshi Kuribayashi/Nature Production/Nature Picture Library

**Capítulo 18** Fotografía de inicio: stockyimages/Shutterstock; 18.2: Topham/The Image Works; 18.10: Cortesía de Bruker Corporation; 18.13: Rich Iwasaki/Stone/Getty Images; 18.14: Arctic Images/Alamy; 18.16: David Grossman/The Image Works; Aplicación p. 604: Ray Coleman/Science Source; 18.25: PhotoDisc/Getty Images; E18.24: National Optical Astronomy Observatory; P18.83: National Optical Astronomy Observatory

**Capítulo 19** Fotografía de inicio: Ken Paul/All Canada Photos/Getty Images; 19.1: Roger A. Freedman vía John P. Surey; 19.2a: Stocktrek/Photodisc/Getty Images; 19.2b: Alin Dragulin/Alamy; Aplicación p. 624: Diego Cervo/Shutterstock; 19.10: Liv friis-larsen/Shutterstock; 19.14: Tom Branch/Science Source; 19.15: Rob Byron/Shutterstock; Aplicación p. 635: Dean Bertoncelj/Shutterstock

**Capítulo 20** Fotografía de inicio: George Burba/Shutterstock; 20.2: James Morgan/Shutterstock; Aplicación p. 650: Tyler Olson/Shutterstock; 20.12: Bill Bachman/Science Source; 20.16: Fotografía de la Fuerza Aérea de Estados Unidos, por el sargento Robert Zoellner; 20.17: cowardlion/Shutterstock; Aplicación p. 669: DenisNata/Shutterstock; 20.20 abc: Eric Schrader/Pearson Education; Resumen p. 675: Eric Schrader/Pearson Education; PP20.59–62 (gráfica): Fuente: Dominio público de Wikimedia: <http://commons.wikimedia.org/wiki/File:Thermocline.jpg>

**Capítulo 21** Fotografía de inicio: Mikael Damkier/Shutterstock; 21.5: Clayton Stalter/Journal-Courier/The Image Works; 21.8a: Richard Megna/Fundamental Photographs; Aplicación p. 690: Knape/Getty Images; Aplicación p. 695: Matt9122/Shutterstock; 21.29a: Richard Megna/Fundamental Photographs; 21.30b: OtnaYdur/Shutterstock; Aplicación p. 709: Mark Smith/Science Source; PP21.98–101: Datos de “Detection and Learning of Floral Electric Fields by Bumblebees”, Dominic Clarke *et al.*, *Science*, 5 de abril de 2013: vol. 340, núm. 6128, pp. 66–69: <http://www.sciencemag.org>

**Capítulo 22** Fotografía de inicio: Departamento de Energía de los Estados Unidos; Aplicación p. 726: Oxford Scientific/Getty Images; 22.10: Akg-images; Aplicación p. 738: David Furness, Keele University/Science Source; 22.27b: Peter Terren/Tesladownunder; Aplicación p. 741: Yevgeniy11/Shutterstock

**Capítulo 23** Fotografía de inicio: Ted Kurihara Photography/The Image Bank/Getty Images; 23.9: John F. Kennedy/NASA; 23.11: Vladyslav Danilin/Fotolia; Aplicación p. 760: StockLite/Shutterstock; Aplicación p. 762: BSIP/Newscom; 23.17: Keystone/Hulton Archive/Getty Images; 23.22: USGS; Aplicación p. 773: 3d4Medical.com/Motif/Corbis

**Capítulo 24** Fotografía de inicio: Damir Sagolj/Reuters; 24.3: Nejron Photo/Shutterstock; 24.4: Andrew Lambert Photography/Science Source; 24.7: Eric Schrader/Pearson Education; Aplicación p. 791: OtnaYdur/Shutterstock; 24.11: Sandia National Laboratories; Aplicación p. 800: Ernest Prim/Getty Images; Aplicación p. 802: Pearson Science

**Capítulo 25** Fotografía de inicio: JGI/Tom Grill/Getty Images; 25.4: Eric Schrader/Pearson Education; 25.5: Stockbyte/Stockbyte/Getty Images; Aplicación p. 822: Dr. David Furness, Keele University/Science Source; 25.8: TFoxFoto/Shutterstock; 25.12: Laurence Gough/Shutterstock; Aplicación p. 828: Andrew J. Martinez/Science Source; 25.15: Richard Megna/Fundamental Photographs; p. 847 (tabla): Fuente: Con base en F. Vollrath y D. Edmonds, “Consequences of electrical conductivity in an orb spider’s capture web”, *Naturwissenschaften*: diciembre de 2013, 100:12, pp. 1163–69

**Capítulo 26** Fotografía de inicio: 06photo/Shutterstock; 26.2: Claro Cortes/Reuters; 26.5: John P. Surey; 26.13: John P. Surey; Aplicación p. 859: Gary

Omler/Dorling Kindersley; 26.18: Richard Megna/Fundamental Photographs; Aplicación p. 864: Science Source; 26.25a: Vladimir Arndt/Shutterstock; 26.25b: Evgeny Tomeev/Shutterstock

**Capítulo 27** Fotografía de inicio: Michael Flippo/Fotolia; 27.2b: Fotolia; Aplicación p. 884: Robert Smith/age fotostock/Getty Images; Aplicación p. 885: luminaimages/Shutterstock; 27.14ab: Richard Megna/Fundamental Photographs; 27.17b: Tsz-shan Kwok/Pearson Education Asia Ltd; 27.20a: NASA; 27.20b: Roman Krochuk/Shutterstock; 27.21: Lawrence Berkeley National Laboratory; Aplicación p. 901: Simon Fraser/Science Source; 27.40: Jeremy Burgess/Science Source

**Capítulo 28** Fotografía de inicio: CERN/European Organization for Nuclear Research; Aplicación p. 925 (Tierra): NASA; Aplicación p. 925 (Luna): Godrick/Shutterstock; 28.8: Pearson Education; 28.11: Jeremy Walker/Science Source; Aplicación p. 932: James Steidl/Fotolia; Aplicación p. 939: Pearson Education; Aplicación p. 944: Dr. Kenneth Scarberry

**Capítulo 29** Fotografía de inicio: Jabejon/E+/Getty Images; Aplicación p. 956: Simon Fraser/University of Durham/Science Source; 29.9: Maximilian Stock Ltd/Science Source; 29.19a: Kim Kulish/Corbis News/Corbis; 29.19b: Susan & Allan Parker/Alamy; Aplicación p. 973: NASA/JPL/Caltech; 29.27: Richard Megna/Fundamental Photographs

**Capítulo 30** Fotografía de inicio: EschCollection/Photonica/Getty Images; 30.2: Shutterstock; Aplicación p. 994: Ron Chapple/The Image Bank/Getty Images; 30.7: Turley/Fotolia; Aplicación p. 999: SOHO/NASA; 30.10: Science Source

**Capítulo 31** Fotografía de inicio: Roger A. Freedman; 31.5: Rubberball/Mike Kemp/Getty Images; 31.14: Lawrence Migdale/Science Source; Aplicación p. 1030: Mauro Fermariello/Science Source; Aplicación p. 1039: Katharina Wittfeld/Shutterstock; 31.22: Thomas Barat/Shutterstock; 31.23: Roger A. Freedman

**Capítulo 32** Fotografía de inicio: JLImages/Alamy; 32.1 (cita): Fuente: Albert Einstein, en James Clerk Maxwell, *A Commemoration Volume* (Nueva York: The Macmillan Company, 1931), p. 71; 32.1: Bettmann/Corbis; 32.2a: Daniel Laflor/Vetta/Getty Images; 32.2b: sss78/Fotolia; Aplicación p. 1054: Ted Kinsman/Science Source; 32.16: Dudarev Mikhail/Shutterstock; 32.18: Craig Holmes Premium/Alamy; Aplicación p. 1065: Alexander Tsiaras/Science Source; 32.20: NASA; 32.23: grzymkiewicz/Getty Images; PP32.54–56: Datos de ICNIRP Guidelines For Limiting Exposure To Time-Varying Electric, Magnetic and Electromagnetic Fields (up to 300 Ghz). *Health Physics* 74 (4): 494–522; 1998

**Capítulo 33** Fotografía de inicio: Rozaliya/Getty Images; 33.1: bradleyem/E+/Getty Images; 33.2: National Institute of Health/Science Source; 33.9a: Roger A. Freedman; Aplicación p. 1083: Image Quest Marine; 33.10a: NASA; 33.10b: Stephen Meece/Getty Images; 33.13b: Ken Kay/Fundamental Photographs; 33.16: VEM/Science Source; 33.19a: mtilghma/Fotolia; 33.21a: Dougal Waters/Photographer’s Choice/Getty Images; 33.21b: Pixtal/AGE Fotostock; 33.25: Diane Hirsch/Fundamental Photographs; Aplicación p. 1097: Kzenon/Shutterstock; Aplicación p. 1098 (arriba): Linda Hirst; Aplicación p. 1098 (abajo): Cefo design/Shutterstock; 33.30: Peter Aprahamian/Sharples Stress Engineers Ltd./Science Source; Aplicación p. 1099: Laurie Knight/Getty Images; 33.32: Roger A. Freedman; 33.36 (izquierda): K. Nomachi/Science Source

**Capítulo 34** Fotografía de inicio: Cardinal/Corbis; 34.8: Pearson Education; 34.12abc: NASA; Aplicación p. 1118: OlegD/Shutterstock; 34.23: Vaclav Volrab/Shutterstock; 34.27: Richard Megna/Fundamental Photographs; 34.34: Hoby Finn/Photodisc/Getty Images; 34.41abcd: John Hedgecoe/The Image Works; Aplicación p. 1138: kak2s/Shutterstock; 34.43c: THK Photo Products; 34.44b: Science Source; Aplicación p. 1140: ethylalkohol/Shutterstock; Aplicación p. 1143: Jan Zoetekouw/Shutterstock; 34.52c: Jan Hinsch/Science Source; 34.54d: National Optical Astronomy Observatories

**Capítulo 35** Fotografía de inicio: Ilya Andriyanov/Shutterstock; Aplicación p. 1163: Peter Dazeley/The Image Bank/Getty Images; 35.4: Roger A. Freedman; 35.6: Pearson; 35.11b: Rob Friedman/E+/Getty Images; 35.16b: Bausch & Lomb Incorporated; 35.17: Bausch & Lomb Incorporated; Aplicación p. 1176 (arriba a la izquierda): Laurie Knight/Getty Images; Aplicación p. 1176 (arriba a la derecha, abajo): Peter Vukusic; Aplicación p. 1177: Jason Reed

**Capítulo 36** Fotografía de inicio: Tomatito/Shutterstock; 36.2b: Pearson; 36.6: Pearson; 36.9b: Richard Megna/Fundamental Photographs; 36.11: Roger A. Freedman; 36.12d: Pearson; 36.17: Dr. OGA/Shutterstock; 36.18a: National Solar Observatory; 36.18b: Science Source; Aplicación p. 1200: Tek Image/Science Source; 36.20b: Estate of Bertram Eugene Warren; 36.24: SPL/Science Source; 36.26: Pearson; 36.27abc: Pearson; Aplicación p. 1206: National Radio Astronomy Observatory; Aplicación p. 1207: Michal Ninger/Shutterstock; 36.3: Paul Silverman/Fundamental Photographs; Resumen p. 1210: Pearson; P36.90: NASA

**Capítulo 37** Fotografía de inicio: Brookhaven National Laboratory; 37.4: Adimas/Fotolia; 37.7: John F. Kennedy Space Center/NASA; Aplicación p. 1228: Getty Images; 37.11: Science Source; Aplicación p. 1234: bikeriderlondon/Shutterstock; 37.18: Science Source; 37.19: John F. Kennedy Space Center/NASA; Aplicación p. 1242: Imaginechina/AP Images; 37.25: Matt Cooper/Shutterstock

**Capítulo 38** Fotografía de inicio: Photolibrary/Getty Images; 38.2a: Fuerza aérea de los Estados Unidos; 38.2b: Bill Corwin; Aplicación p. 1260: National Cancer Institute; 38.9: Jupiterimages/Getty Images; Aplicación p. 1263: Gianluca Padovani/E+/Getty Images; 38.14a: Lawrence Berkeley National Laboratory; 38.16: Pearson; Aplicación p. 1270: glenda/Shutterstock; P38.44 (tabla): Fuente: <http://physics.nist.gov/PhysRef-Data/Xcom/html/xcom1.html>

**Capítulo 39** Fotografía de inicio: Eye of Science/Science Source; 39.1: American Institute of Physics/Emilio Segre Visual Archives; 39.4: Education Development Center; 39.6: Scimat/Science Source; 39.8: Ted Kinsman/Science Source; Aplicación p. 1286: NASA; 39.9: Kitt Peak National Observatory; 39.10: American Institute of Physics/Emilio Segre Visual Archives; p. 1288 (cita): Fuente: Ernest Rutherford citado en Ratcliffe, J. A. (1938). "Forty Years of Physics". En Needham, J., Pagel, W. *Background to Modern Science*. Cambridge University Press, p. 61; 39.15: Boyer/Roger Viollet/Getty Images; 39.19b: Andrew Lambert Photography/Science Source; Aplicación p. 1293: Louise Murray/Science Source; 39.31: Ambio-Royal Swedish Academy of Sciences; Aplicación p. 1305 (a): Piotr Krzeslak/Shutterstock; Aplicación p. 1305 (b): Africa Studio/Shutterstock; Aplicación p. 1305 (c): Kletr/Shutterstock; Aplicación p. 1306 (arriba): NASA Images; 39.34b: From Huggins, *Physics I*, © 1968 by W. A. Benjamin, Inc. Reimpreso con autorización de Addison Wesley Longman; 39.36: NASA; PP39.88–91: Fuente: "Whole-Cell Imaging at Nanometer Resolutions Using Fast and Slow Focused Helium Ions", Xiao Chen *et al.*, *Biophysical Journal*, 5 de octubre de 2011; 101(7): 1788–1793

**Capítulo 40** Fotografía de inicio: Dmitri Talapin; 40.1: JGI/Blend Images/Age Fotostock; 40.2: Bettmann/Corbis; 40.4: Churchill Archives Centre; 40.17: Media Services/NASA; Aplicación p. 1342: Dr. Mark J. Winter/Science Source; 40.21b: Hewlett-Packard Laboratories/Science Source

**Capítulo 41** Fotografía de inicio (izquierda): Fundamental Photographs; Fotografía de inicio (derecha): Syda Productions/Fotolia; 41.7: NASA; 41.11ab: National Optical Astronomy Observatories; Aplicación p. 1381: Creativemark/Fotolia; 41.19a: National Radio Astronomy Observatory; 41.20: Cortesía de AIP Emilio Segre Visual Archives; 41.22: Felipe Oliveira/Brazil/Fotolia; Aplicación p. 1389: SPL/Science Source; Aplicación p. 1393 (arriba): Andrea Danti/Getty Images; Aplicación p. 1393 (abajo): Science Source; PP41.70–73: Source: G. Günter *et al.*, "Observing the Dynamics of Dipole-Mediated Energy Transport by Interaction Enhanced Imaging". *Science*, noviembre de 2013, 342(6161): 954–956. [http://www.phys.uni-heidelberg.de/Forschung/QD/datafiles/publications/2013\\_Guenter.pdf](http://www.phys.uni-heidelberg.de/Forschung/QD/datafiles/publications/2013_Guenter.pdf)

**Capítulo 42** Fotografía de inicio: JPL/NASA; Aplicación p. 1410: Alfred Pasieka/Science Source; 42.9: Roger A. Freedman; Aplicación p. 1414: Marshall Space Flight Center/NASA; 42.17: Mondadori/Contributor/Getty Images; Aplicación p. 1430: Andy Crump/Science Source; 42.36: full image/Fotolia; P42.42: NASA

**Capítulo 43** Fotografía de inicio: Newscom; Aplicación p. 1442: National Science Foundation; T43.2 Fuente: G. Audi, A. H. Wapstra y C. Thibault, *Nuclear Physics* A729, 337 (2003); 43.1b: Science Source; Aplicación p. 1446: Steve Gschmeissner & Carol Upton/Science Source; 43.6: Lloyd Cluff/Encyclopedia Corbis; Aplicación p. 1463: f1photo/Fotolia; 43.10: Science Source; Aplicación p. 1468: Argonne National Laboratory; 43.17: National Optical Astronomy Observatory; 43.18: LLNL/Science Source; Resumen p. 1473: Science Source

**Capítulo 44** Fotografía de inicio: ESA and The Hubble Heritage Team (STScI/AURA)/NASA; 44.1: Ernest Orlando Lawrence Berkeley National Laboratory; 44.3a: Ernest Orlando Lawrence Berkeley National Laboratory; Aplicación p. 1484: Susan Landau; Aplicación p. 1486: Mark Kostich/E+/Getty Images; 44.7ab: CERN/European Organization for Nuclear Research; 44.8: CERN/European Organization for Nuclear Research; 44.9: Roger A. Freedman vía Mark R. Lowenstein; p. 1497 (cita): De *Finnegans Wake* por James Joyce, citado en J. Joyce (1982) [1939]. *Finnegans Wake*. Penguin Books, p. 383. ISBN 0-14-006286-6; 44.15: ICRR Institute for Cosmic Ray Research; 44.16ab: NASA; 44.20: NASA; Aplicación p. 1509: Natursports/Shutterstock; 44.23: National Optical Astronomy Observatories; 44.24: European Space; Resumen p. 1518: National Optical Astronomy Observatories



# ÍNDICE

NOTA: Los números de página seguidos por una “f” indican figuras; los que están seguidos por una “t”, tablas.

## A

Abdus, Salam, 1500-1501  
Aberración esférica, 1116, 1132  
Aberturas circulares, difracción y, 1204-1207  
Accidente(s)  
    de Chernobyl, 1470  
    de Three Mile Island, 1470  
    nucleares, 1470  
Acción fantasmagórica a distancia, 1398  
Aceleración, 40  
    alrededor de una curva, 71  
    angular, 277-280, 279t, 306-309  
        cálculo de, 277  
        como vector, 278  
        constante, 278-280, 279t  
        contra aceleración lineal, 279  
        instantánea, 277  
        media, 277  
        torca y, 306-309  
        velocidad angular y, 277  
caída libre y, 2, 50-53, 114-115  
cálculo por integración, 53-55  
centrípeta, 84-85, 150  
componente(s)  
    centrípeta de la, 281  
    componente paralela de, 73-75, 85  
    perpendicular de la, 73-75, 85  
    radial de la, 85  
    tangencial de la, 85, 281  
constante, 45-50  
    de cuerpos en caída libre, 50-53  
    de proyectiles, 75  
    debida a la gravedad, 50-53  
    ecuaciones de movimiento con, 47  
contra velocidad, 41  
convenciones de signos de, 43  
de un cohete, 258-260  
de un proyectil, 75-76  
de un yo-yo, 313  
de una esfera que gira, 314  
de una partícula en una onda, 476-478  
debida a la gravedad, 50, 114-115, 696  
    contra gravitación, 399  
    en diferentes latitudes y elevaciones, 418  
    magnitud de la, 401  
    peso aparente y, 417-419  
en el movimiento armónico simple, 440-441  
fuerza neta y, 108-113  
instantánea, 42-44, 71-73.  
    angular, 277  
lineal, 277, 279t  
    constante, 279t  
    contra aceleración angular, 279t  
    de un cuerpo rígido en rotación, 281-283  
masa y, 110, 114-115, 117  
media, 40-42, 71-73  
movimiento circular y, 82-83  
    uniforme y, 84-85  
obtención de la posición y velocidad a partir de, 53-55  
peso y, 110, 114-115  
primera ley de Newton y, 105-108  
resistencia de fluidos y, 148-150  
segunda ley de Newton y, 108-112  
sistema de referencia inercial y, 107-108, 112  
tolerancia humana a la, 46, 85  
unidades de, 113  
variable, obtención de la posición y velocidad de, 53-55

Aceleradores, 1486  
    de partículas, 1486  
        ciclotrones, 891, 913, 1486-1488  
        lineales, 1486  
        sincrotrones, 1488  
    lineales, 1486  
Aceptor, 1427  
Acondicionadores de aire, 655-656

Acoplamiento espín-órbita, 1382  
Actividad, en el decaimiento radiactivo, 1457  
Adiabático, 630  
Adición, de vectores, 12-14, 16-17  
ADN, 235, 777, 1410  
    aparejamiento fundamental en, 714  
    difracción de rayos X de, 1200, 1203  
Afelio, 411  
Afinidad electrónica, 1408  
Agua  
    expansión térmica del, 554  
    sobreenfriada, 562  
Agujeros negros, 419, 420-422  
    supermasivos, 422  
Aire  
    como aislante, 566  
    ionización del, 766-767  
    resistencia dieléctrica del, 766, 802  
Airy, George, 1205  
Aislantes, 546, 687-688  
    bandas de energía en, 1418-1419  
Alambre(s)  
    campo magnético de, 926-929, 933-936, 937  
    fuerza de interacción entre, 929-930  
    ley de Ampere para, 933-936, 937  
Aleatoriedad, en procesos termodinámicos, 648  
Alimentos, valor energético de, 562  
Almacenamiento de energía, en capacitores, 786, 794-797.  
    Vea también Capacitores  
Altavoces, 898, 1028  
Alternadores, 961, 1020-1021  
Amortiguación, 453  
    crítica, 454  
Ampere, 691, 818, 929-930  
Ampère, André, 883  
Amperímetros, 829, 858-859  
    voltímetros y, 860, 1023  
Ampliación  
    angular, 1144  
    lateral, 1114, 1118, 1137, 1144, 1145  
    contra amplificación angular, 1144  
    de una cámara, 1137  
    de un microscopio, 1145  
Amplitud  
    de corriente, 1021  
    de desplazamiento, 506  
    de ondas  
        electromagnéticas, 1061  
        sonoras, 506-509  
    de oscilaciones, 434  
    de presión, 507-509  
    de un péndulo, 454  
    de voltaje, 1021, 1024  
desplazamiento, 505, 514-516  
intensidad del sonido y, 514-516  
presión, 507-509, 514-515  
Análisis  
    armónico, 493  
    de Fourier, 509  
    de la razón del isótopo estable (ARIE), 916-917  
    por activación de neutrones, 1466  
Analizadores, 1093-1094  
Ancho de línea natural, 1310  
Anderson, Carl D., 1482, 1485  
Ángulo(s)  
    crítico, 1087  
    de desviación, 1108  
    de fase, 440, 1025, 1030-1031  
    de incidencia, crítico, 1087  
    de polarización, 1095  
    de reflexión, 1082  
    radianes y, 274, 281  
Anillo de aceleración, 1488  
Aniquilación de un par, 1484  
    electrón-positrón, 1266

- Anteojos  
correctivos, 1140-1143  
para el sol, polarizados, 1092, 1096
- Antibariones, 1497
- Antimateria, 1517
- Antineutrinos, 1453-1454, 1492
- Antineutrones, 1492
- Antinodos, 487  
de desplazamiento, 518-519  
de presión, 487
- Antipartículas, 1484
- Antiprotones, 1492
- Antiquarks, 1497, 1499
- Años luz, 1504
- Apantallamiento, 1389-1391
- Aparatos de radio  
sintonización, 1037  
transmisores y receptores, 1053
- Aproximación  
de campo central, 1386  
paraxial, 1116  
WKB, 1357-1358
- Arcofris, 1090-1091  
secundarios, 1090, 1110
- Aristóteles, 50
- Armónico, 491
- Arrastre, 148-150  
del aire, 148-150
- Arriba (quark), 1497
- Astigmatismo, 1141
- Aston, Francis, 895
- Atardeceres, 1099
- Atmósfera, 350, 371
- Átomo(s), 1481  
con muchos electrones, 1385-1391  
de helio, modelo de Bohr del, 1299  
de hidrógeno, 1367-1375  
átomos hidrogénicos y, 1374-1375  
distribuciones de probabilidad electrónica del, 1372-1374  
ecuación de Schrödinger del, 1368-1369  
en un campo magnético, 1375-1378  
energía de ionización del, 1298  
estados cuánticos del, 1369-1370, 1371  
masa reducida del, 1299  
modelo de Bohr del, 1294-1299  
momento angular orbital del, 1369-1370  
movimiento nuclear en, 1299  
niveles de energía en el, 1294-1299, 1375-1378  
de Rydberg, 1300, 1404, 1405  
en un campo magnético, 1375-1378  
estructura de. *Vea Estructura atómica*  
excitados, 1291  
hidrogénicos  
análisis de Schrödinger de los, 1374-1375  
modelo de Bohr de, 1299-1300  
interacciones entre, 447-449  
modelo de Thomson del, 748-749  
muónicos, 1375  
niveles de energía de. *Vea Niveles de energía atómica*  
núcleo del, 685, 1288
- Audición, 509, 510, 517, 1163f
- Aumento angular, 1144
- Autoinductancia, 990, 994-998. *Vea también Inductancia*
- Automóvil(es)  
compresión de combustible en, 588  
movimiento armónico simple vertical en, 447  
sistema(s)  
de distribución de potencia en, 867, 869-870  
de ignición en, 999
- Autorradiografía, 1463
- Aviones  
control del ruido de, 526  
curvas peraltadas y, 154  
estampido sónico de, 533  
resonancia del ala y, 456-457  
sustentación de las alas, 384-385
- B  
Bacterias magnetotácticas, 953
- Balanza(s)  
de Cavendish (de torsión), 400
- de resorte, 102  
de torsión, 400
- Balastro magnético, 996
- Bandas  
de conducción, 1418  
de energía, 1418-1419  
de valencia, 1418-1419  
en aislantes, 1418-1419
- Bar, 371
- Bardeen, John, 1432
- Bariones, 1494, 1497
- Barómetros de mercurio, 374-375
- Barreras de potencial, 1340-1343
- Batería(s)  
carga de, 834  
como fuente de corriente, 829  
energía en, 832
- Becker, Herbert, 1482
- Beckerel Henri, 1452
- Becquerel, 1458
- Bednorz, Johannes, 822
- Beisbol, bola curva en, 387
- Bell, Alexander Graham, 516
- Berilio, 1388
- Big Bang, 1504-1505
- Big Crunch, 1506
- Binoculares, 1147  
de prismas, 1147
- Birrefrigerancia, 1098
- Bits cuánticos, 1398
- Blackett, Patrick, 1265
- Blindaje electrostático, 740-741
- Bloch, Félix, 1418
- Bobina(s)  
campos magnéticos de, 930-933  
de búsqueda, 981  
de Helmotz, 952  
de rastreo, 981  
de Tesla, 993  
inductancia de. *Vea Inductancia*  
torca magnética en, 902-903
- Bobinados primarios, 1039
- Bohr, Niels, 1267, 1387, 1448
- Bola curva, 387
- Bolsas de aire, 240
- Bombas de calor, 660
- Born, Max, 1326
- Bosón(es), 1492, 1501, 1502  
de Higgs, 1501
- Botella(s)  
de vacío, 570  
magnéticas, 892
- Bothe, Walter, 1482
- Bragg, Laurence, 1202
- Bragg, William, 1202
- Brahe, Tycho, 411
- Brazo  
de momento, 304  
de palanca, 304
- Bremssstrahlung, 1261, 1392
- Brillouin, Léon, 1357
- Bronceados, 1258
- Bujías, 999
- C  
Caballo de fuerza, 190
- Cable(s)  
a tierra, 868-869  
coaxial, 939  
enrollados/desenrollados, 286-287, 308-309
- Cadena(s)  
atenuadoras, 879-880  
protón-protón, 1470-1471
- Caída libre  
aceleración y, 2, 50-53, 114  
resistencia de fluidos y, 148-150
- Calcita, birrefrigerancia en, 1098
- Cálculos  
de calor, 562-564  
de calorimetría, 562-564  
unidades de medida en. *Vea Unidades de medida*

- Calentamiento global, 571  
 Calor, 556, 557  
     agregado en un proceso termodinámico, 622-623  
     calentamiento global y, 571  
     cambios de fase y, 560-562  
     cantidad de, 556-559  
     como energía en tránsito, 599  
     contra temperatura, 556  
     de combustión, 562  
     de fusión, 560  
     de sublimación, 562  
     de vapor, 562  
     de vaporización, 560, 562  
     energía mecánica y, 556  
     específico, 557  
         molar, 558-559  
     fusión y, 560-561  
     latente de fusión, 560  
     reglas de signos para, 619  
     transferencia de energía y, 556-559  
     unidades de medida de, 556-557  
     vapor, 562  
 Caloría(s) (cal), 556-557  
     de los alimentos, 228  
 Calorimetría, cambios de fase y, 560-562  
 Cámara(s), 1136-1139  
     de alambre, 1490  
     de niebla, 1483  
     de rayos gamma, 1463  
     enfoque en una, 1133  
     unidad de flash de, 795  
 Cambio(s)  
     climático, 571  
     de fase, 560-562  
         interferencia y, 1171-1173  
         de volumen, trabajo realizado durante, 590  
 Camino óctuple, 1498-1499  
 Campo(s), 402  
     críticos, 977  
     de fuerza, 402  
     de Higgs, 1501  
     eléctrico(s), 695-704  
         almacenamiento de energía en, 786  
         cálculo de, 699-704, 733  
         campos magnéticos y, 973-975  
         carga de prueba para, 695-696  
         como cantidad vectorial, 773  
         corriente y, 817-818  
         de carga lineal uniforme, 735  
         de carga puntual, 696, 698  
         de distribuciones simétricas de carga, 743  
         de la Tierra, 742  
         de lámina plana cargada, 736  
         de ondas electromagnéticas, 1052, 1060, 1068-1069  
         de placas conductoras paralelas, 736-737, 787  
         de un capacitor, 78  
         de una esfera conductora cargada, 734-735  
         de una esfera hueca, 738  
         de una esfera uniformemente cargada, 737-738  
         dipolo eléctrico y, 706-710  
         dirección de, 697, 705  
         distribución de carga y, 722-725, 731-732, 743t  
         en conductores, 697, 741-742  
         en el vacío, 795  
         flujo de, 722-725, 726-729 *Vea también Flujo eléctrico*  
         fuerzas eléctricas y, 695-699  
         inducido, 969-971  
         integral de línea de, 936  
         Ley de Gauss para, 722-743, 933, 1051, 1055  
         magnitud de, 697, 705  
         no electrostáticos, 957, 971  
         orientación molecular en, 803-804  
         planos nodales/antinodales de, 1069  
         potencial eléctrico y, 759, 760-761, 771-773  
         resistividad y, 821  
         superposición de, 700  
         trabajo realizado por, 753-758  
         unidades para, 696, 761  
         uniformes, 705  
     gravitacional, 696  
     magnético(s), 882, 883-886  
         átomo de hidrógeno en, 1375-1378  
         cálculo de, 925  
         cargas de prueba para, 885-886  
         críticos, 977  
         de espiras circulares de corriente, 930-933  
         de la Tierra, 882, 885  
         de motores, 896  
         de ondas electromagnéticas, 1054-1056, 1060-1062, 1068-1069  
         de un conductor largo cilíndrico, 937, 946  
         de un conductor largo recto, 933-935, 933-936, 937, 946  
         de un conductor recto que transporta corriente, 926-929  
         de un elemento de corriente, 924-925  
         de un solenoide, 938-939, 946  
         de una carga en movimiento, 884, 921-924  
         del cuerpo humano, 885  
         dirección de, 884-885  
         efecto Hall y, 907-908  
         efecto Zeeman y, 1375-1378  
         fuentes de, 921-946, 973-975, 1445  
         integral de línea del, 936  
         ley de Gauss para, 889, 933, 1051, 1055  
         magnitud de, 885, 890  
         medición de, 885-886, 978  
         movimiento en, 890-892  
         notación para, 884  
         planos nodales/antinodales de, 1069  
         sobre el eje de una espira, 931-932  
         superposición de, 924  
         vector de, 884, 922  
     no electrostáticos, 957, 971  
     vectorial, 697  
 Cáncer, 762f, 944f, 1262, 1277  
 Cantidad(es)  
     de calor, 556-559  
     de movimiento *Vea Momento lineal*  
     de movimiento lineal. *Vea Momento lineal*  
     de movimiento angular. *Vea Momento angular*  
     escalares, 11  
     físicas, 4  
         unidades de, 4-7  
     vectorial, 11  
 Capacidad calorífica, 599-602  
     de los gases, 599-601, 631-633, 632t  
     de sólidos, 601-602  
     modelo de la molécula puntual para, 599-600  
     molar, 558-559, 599-601, 631-633, 632t  
     razón de, 633  
     variación de temperatura de, 602  
     vibración y, 600-602  
 Capacitancia, 785, 786  
     cálculo de, 786-790  
     contra coulombs, 786  
     equivalencia, 786  
     equivalente, 791  
     unidades de, 786  
 Capacitores, 786-797  
     almacenamiento de  
         carga en, 794-795  
         energía en, 786, 794-797  
         aplicaciones de, 785, 795  
     capacitancia de, 786. *Vea también Capacitancia*  
     carga de, 862-864, 973-974  
     cilíndricos, 789-790  
     contra resistores, 850  
     de placas paralelas, 787, 797-802  
     descarga de, 865-866  
     dieléctricos en, 797-803  
     electrolíticos con doble recubrimiento, 800  
     en circuitos, 793  
         de ca, 1026-1028, 1028, 1034  
         en el vacío, 786-788, 795  
         en paralelo, 791-793, 850  
         en serie, 790-791, 792-793, 850  
         energía de campo eléctrico y, 795, 796  
         esféricos, 789  
         reactancia capacitiva de, 1027  
         recubrimiento electrolítico doble, 800  
         símbolos de, 786  
 Capas  
     de electrones, 1371, 1387, 1388-1389, 1392-1395  
     huecos en, 1393-1394  
 Captura de electrón, 1454-1455

- Carga(s)  
 de enlace, 803-804  
 de prueba, 965-966  
 para campos magnéticos, 885-886  
 eléctrica, 683, 684-687  
 atracción y repulsión y, 683  
 campo eléctrico y, 722-725, 731-732. *Vea también Ley de Gauss*  
 conservación de, 686, 854  
 contra polos magnéticos, 883  
 cuantizada, 687  
 densidad de, 700  
 dipolo eléctrico y, 706-710  
 distribución de. *Vea Distribución de carga*  
 en capacitores, 786. *Vea también Capacitores en una superficie cerrada*, 723  
 en células nerviosas, 738, 880  
 en conductores, 733, 738-740  
 estructura de la materia y, 685-686  
 flujo y, 722-725. *Vea también Flujo eléctrico*  
 fuerza magnética sobre, 884-885  
 inducida, 688, 689, 803-804  
 libre, 804  
 límite, 803, 804  
 magnitud de, 690  
 negativa, 684  
 notación para, 863  
 positiva, 684  
 puntual. *Vea Cargas puntuales*  
 superposición de fuerzas y, 692  
 valores típicos de, 692  
 variable con el tiempo, 863  
 y las abejas, 720
- libres, 804  
 por inducción, 688  
 polarización y, 689  
 puntuales, 690  
 campos eléctricos de, 722-723. *Vea también Carga eléctrica*  
 dentro de una superficie cerrada, 722  
 dentro de una superficie esférica, 729-730  
 dentro de una superficie no esférica, 730-731  
 dipolo eléctrico y, 706-710  
 energía potencial eléctrica de, 754-757  
 fuerza entre, 693  
 líneas de campo magnético de, 922-923  
 ondas electromagnéticas de, 1052  
 superposición de, 692
- Catástrofe ultravioleta, 1305  
 Celdas solares, 1430  
 Células nerviosas, 738f, 822f, 880  
 Centelleo, 1287  
 Centímetro, 5, 113  
 Centro(s)  
 de curvatura, 1115  
 de gravedad, 340-343  
 de masa, 254-258  
 centro de gravedad y, 340-343  
 fuerzas externas y, 256-258  
 movimiento combinado de rotación-traslación y, 310  
 movimiento del, 255-25  
 movimiento planetario y, 414  
 torca y, 307
- Cero absoluto, 550, 664  
 Chadwick, James, 1482  
 Ciclo(s), 434  
 de Carnot, 658-664  
 de un gas ideal, 659-660  
 de un refrigerador, 662  
 de una máquina térmica, 658-661  
 eficiencia del, 662-663  
 entropía y, 668-669  
 escala de temperatura Kelvin y, 663-664  
 reversibilidad del, 662-663  
 segunda ley de la termodinámica y, 662-663  
 de oscilación, 434  
 Diesel, 653-654  
 Otto, 652-653  
 Ciclotrón, 891, 913, 1486-1488  
 Cifras significativas, 8-9  
 Cilindros, momento de inercia de, 286t, 290-291  
 Cinemática, 34  
 angular contra cinemática lineal, 280-283  
 lineal contra cinemática angular, 280-283
- Cinturones de radiación de Van Allen, 892  
 Circuito(s)  
 abierto, 868  
 amortiguado críticamente, 1010  
 autoductancia y, 994-997  
 cambios de potencial alrededor de, 831-832  
 completos, 820, 826-829  
 con amortiguamiento crítico, 1010  
 constantes de tiempo para, 864, 1002  
 corto, 831, 868-869  
 de corriente alterna, 820, 848  
 ángulo de fase y, 1025, 1030-1031  
 capacitores en, 1026-1028  
 fasores y, 1021  
 impedancia de, 1030-1031  
 inductores en, 1024-1025, 1028  
*L-R-C* en serie, 1028-1032  
 potencia en, 1033-1036  
 resistencia y reactancia en, 1023-1028  
 resistores en, 1023-1024, 1028  
 resonancia en, 1036-1038  
 transformadores y, 1038-1041  
 de corriente directa, 820, 848-871  
 en automóviles, 867  
 en sistemas de distribución de potencia, 867-870  
 instrumentos de medición para, 858-862  
*R-C*, 862-86  
 reglas de Kirchhoff para, 853-858  
 resistores en serie y en paralelo en, 848-853  
 de referencia, 437  
 diagramas de, 829  
 eléctricos. *Vea Circuito(s)*  
 emisores comunes, 1431  
 energía en, 832-834  
 espiras en, 853  
 fuerza electromotriz y, 827-829  
 incompleto, 826  
 inductores en, 994-997. *Vea también Inductancia*  
 integrado, 1431  
*L-C*, 1004-1008  
*L-R-C*  
 en paralelo, resonancia en, 1037  
 en serie, 1008-1010, 1028-1032  
 mallas en, 853  
 oscilante, 1004-1008  
 potencia en, 832-834  
 puente, 853-858  
*R-C*, 862-866, 880  
 reglas de Kirchhoff para, 853-858  
*R-L*, 1000-1004  
 decadimento de corriente en, 1003  
 sobreamortiguado, 1010  
 sobrecargado, 868-869  
 subamortiguado, 454, 1009-1010  
 tiempos de relajación de, 864  
 uniones en, 853
- Círculo  
 circunferencia, 274  
 de referencia, 437  
 vertical, movimiento circular uniforme en, 154-155
- Cirugía(s)  
 del ojo con láser, 1302  
 PRK, 1315
- Coeficiente(s)  
 de expansión  
 lineal, 551  
 volumétrica, 552-553  
 de fricción  
 cinética, 143  
 estática, 144  
 de rendimiento, 654  
 de resistividad, temperatura, 822  
 de temperatura, de resistividad, 822
- Cohesión(es)  
 completamente inelásticas, 247-251  
 en árboles, 370f
- Colisiones, 247-254  
 clasificación de, 250-251  
 conservación de momento lineal y, 247-251  
 de partículas  
 en aceleradores, 1486

- en experimentos con haces que colisionan, 1489-1490  
 energía disponible y, 1488  
 elásticas, 247, 250, 251-254  
 velocidad relativa y, 252-254  
 energía cinética en, 248  
 inelásticas, 247-251  
 moleculares, 597-599  
 presión gaseosa y, 593-594  
 niveles de energía atómica y, 1290-1291
- Colores, de quarks, 1499
- Combustibles fósiles, cambio climático y, 571
- Combustión, 562
- Cometa Halley, 413  
 órbita del, 413
- Complementariedad, principio de, 1267
- Componente(s)  
 centrípeta de la aceleración, 281-287  
 de vectores, 14-18, 20-21, 103-104  
 tangencial de aceleración, 281  
 vectoriales, 14
- Compresibilidad de un fluido, 351, 379
- Compresión, 349  
 densidad de fluidos y, 472
- Computación cuántica, 1398
- Computadoras cuánticas, 1398
- Concentración de partículas, en una corriente, 818
- Condensación, 560  
 de materia, 1414
- Condición(es)  
 de Bragg, 1202  
 de frontera  
 para un oscilador armónico, 1344-1345  
 para ondas, 485  
 de normalización, 1335, 1361  
 de polaridad, 1428, 1429
- Conducción, 565-568  
 de huecos, 908  
 metálica, 836-838
- Conductividad  
 eléctrica, 821, 847  
 intrínseca, 1425  
 modelo microscópico de, 836-837  
 térmica, 565, 821
- Conductor(es), 687-688  
 bandas de energía en, 1419  
 campos  
 eléctricos en, 697, 741-742  
 magnéticos de, 926-929  
 carga eléctrica en, 733, 738-740  
 concentración de partículas en, 818-819  
 conductividad de, 821  
 densidad de corriente en, 819-820  
 diodos de, 825  
 en capacitores, 786  
 flujo de corriente en, 818-820  
 fuerza  
 de interacción entre, 929-930  
 magnética de, 929-930  
 magnética sobre, 896-899  
 lineales, 821  
 metálicos, 836-838  
 movimiento de los electrones en, 817  
 no lineales, 821  
 no óhmicos (no lineales), 821  
 óhmicos (lineales), 821  
 orificios en, 908  
 resistencia de, 823-826, 828, 832  
 resistividad de, 820-823  
 semiconductores, 821, 825, 909  
 superconductores, 822, 966  
 superficies equipotenciales y, 770-771  
 térmicos, 547  
 transportador de corriente, fuerzas magnéticas en, 896-899
- Conexión(es)  
 en paralelo, 791-793  
 en serie, 790-791, 792-793
- Confinamiento  
 inercial, 1472  
 magnético, 1472
- Comutadores, 905-906, 962
- Conservación  
 de la carga eléctrica, 686  
 regla de la unión de Kirchhoff y, 854  
 de la energía, 172, 205, 220  
 con fuerza eléctrica, 756  
 en el movimiento armónico simple, 442-445  
 mecánica, 752-753  
 de la fuerza electrostática, 854  
 de la masa  
 en un fluido, 379-384  
 y energía, 1241-1242
- del momento  
 angular, 320-322  
 lineal, 243-247, 1238
- del número  
 bariónico, 1494  
 leptónico, 1493
- Consonancia, 527
- Constante(s)  
 de acoplamiento, 1491  
 de Boltzmann, 595  
 de Curie, 942  
 de decaimiento, 1457  
 de estructura fina, 1383  
 de fuerza, 184  
 de gas ideal, 586  
 de Hubble, 1504  
 de los gases, 586  
 de Planck, 940, 1257  
 de resorte, 184  
 de Rydberg, 1297  
 de Stefan-Boltzmann, 569, 1304  
 de tiempo, para un circuito, 864, 1002  
 de torsión, 447  
 dielectrífica, 798  
 eléctricas  
 contra constante dielectrífica, 798  
 fundamentales, 691-692  
 gravitacional, 399  
 cálculo de 400
- Contadores Geiger, 781
- Contenido armónico, 492-493, 509
- Continuo espacio-tiempo, 1502
- Contracción de la longitud, 1229, 1230
- Control del ruido, interferencia de ondas en, 526
- Convección, 565, 568
- Conversión de energía térmica oceánica, 681
- Coordenadas  
 angulares, 274  
 esféricas, 1362  
 espacio-tiempo, 1233
- Copérnico, Nicolás, 410
- Córnea, 1139, 1153
- Corriente(s), 816, 817  
 alterna, 820, 848, 1020-1043  
 aplicaciones de la, 867-880  
 media rectificada, 1022  
 medición de la, 1021-1023  
 rectificada, 1021-1022  
 riesgos de la, 1038, 1039  
 valor cuadrático medio de la, 1022-1023
- calor, 565
- campo eléctrico y, 817-818
- capacitor, 1026-1028, 1028
- carga eléctrica en, 817-818
- concentración de partículas en, 818
- conducción, 973
- contra densidad de corriente, 819
- convencional, 818
- cuadrática media, 1022-1023
- de calor, 565
- de conducción, 973
- de desplazamiento, 973-975
- de generación, 1428
- de recombinación, 1428
- de saturación, 1428
- dirección de la, 817-818, 823, 897
- directa, 820, 848. Vea también Circuitos de corriente directa  
 riesgos de la, 1038, 1039
- en circuitos, 826-829
- fuerza electromotriz y, 817

- generación de, 1428  
inducida, 956-957, 965-966  
dirección de, 965-966, 968  
magnitud de, 966  
inductancia *y*, 990. *Vea también* Inductancia  
inductor, 1024-1025, 1028  
ley de Ohm *y*, 820, 823-824  
media rectificada, 1022  
medición de, 858-859  
notación de, 863  
parásita, 972-973, 1040-1041  
en transformadores, 1040-1041  
recombinación, 1428  
rectificadora de onda completa, 1022  
reglas de Kirchhoff para, 853-858  
resistencia *y*, 823-826  
resistor, 1023-1024, 1028  
retrasada, 1035  
saturación de, 1428  
sinusoidal, 1021-1023. *Vea también* Corriente alterna  
unidades de, 691, 818  
variable con el tiempo, 863  
velocidad de deriva *y*, 817, 818  
voltaje *y*, 823-826
- Corrimiento  
al rojo cosmológico, 1506  
Doppler, 1237  
contra corrimiento al rojo, 1503
- Cortocircuito, 831, 868
- Coulomb, 691-692  
contra capacitancia, 786
- Cowan, Clyde, 1453
- Cremalleras moleculares, 1410f
- Cristal(es)  
covalentes, 1417  
dislocaciones en, 1417  
estructura de, 1414-1417  
imperfectos, 1417  
individuales ideales, 1415  
iónicos, 1416  
líquidos, 1098f, 1414  
metálicos, 1417  
monocristales ideales, 1415  
perfectos, 1415-1416  
tipos de, 1417
- Criterio de Rayleigh, 1205, 1206
- Cromodinámica cuántica, 1499
- Cuantos, 1079. *Vea también* Fotones
- Cuásares, 1215
- Cuerpo  
humano  
campos magnéticos del, 885  
como sistema termodinámico, 624  
momento angular del, 319  
momento de inercia del, 337  
radiación del, 570  
volumen pulmonar en el, 33
- negro, 570  
rígido, 273
- Curie, 1458  
Marie, 1452  
Pierre, 942, 1452
- Curva(s)  
aceleración alrededor de, 71  
antinodales, 1163  
de magnetización, 943, 944  
de resonancia, 523, 1037  
de respuesta, 1037  
energía potencial gravitacional *y*, 208-212  
movimiento a lo largo de, 187-189  
nodales, 1163  
peraltadas, 154  
teorema trabajo-energía para, 182
- D  
Dalton, John, 1481  
Davisson, Clinton, 1280-1281  
De Broglie, Louis, 1279-1280  
Decaimiento  
alfa, 1452-1453  
beta, 1453-1455  
-más, 1454  
de protones, 1501  
gamma, 1455  
radiactivo, 1452-1461  
actividad *n*, 1457  
alfa, 1452-1453  
beta, 1453-1455  
gamma, 1455  
razón *dd* 457-1458  
vida *m*, 1458
- Declinación magnética, 882
- Defecto de masa, 1446
- Definición operacional, 4
- Deformación, 347-353  
de compresión, 349  
de corte, 352-353  
del borde, 1417  
elásticas, Ley de Hooke *y*, 347, 352, 353  
elasticidad *y*, 353  
esfuerzo *y*, 347-352  
deformación *y*, 347-353  
ley de Hooke *y*, 347, 352, 353  
módulo elástico *y*, 347
- plástica, 353  
por corte, 352  
por tensión, 347-350  
elasticidad *y*, 353  
plasticidad *y*, 353  
reversible, 353  
tensión *y*, 347-350  
volumen *y*, 350-351  
volumétrica, 350-351
- Degeneración, 1366-1367, 1370
- Demócrito, 1481
- Densidad, 369-371, 370t  
contra presión, 586  
corriente de desplazamiento, 974  
crítica, 1506-1507  
de corriente, 819  
contra oriente, 819  
resistividad *y*, 821  
vector, 819
- de energía, 795, 1063-1064  
magnética, 998-1000
- de estados, 1420-1421
- de fluido, 377, 472  
magnético, 890
- de fluidos, 369-371  
compresión *y*, 472  
flotación *y*, 376-381  
medición de, 377  
rarefacción *y*, 472
- de la Tierra, 404
- de probabilidad, 1326
- lineal  
de aega, 700  
de ma, 478
- media, 370  
medición de, 370
- nuclear, 1441  
probabilidad de, 1326
- razón masa-volumen *y*, 370  
superficie de carga, 700  
volumétrica de carga, 700
- Depósito(s)  
de calor, 649-650  
de frío, 649-650
- Derivadas, 37  
parciales, 222-223, 477
- Desaceleración, 43
- Desacoplamiento de interacciones, 1510-1511
- Descarga de corona, 766-767
- Desplazamiento, 11, 17  
al rojo  
cosmológicos, 1503, 1506, 1508  
gravitacionales, 421, 422f, 1244, 1245
- angular, 275  
torca *y*, 315, 317
- en movimiento armónico simple, 436, 439-440  
en oscilación, 434

- principio de superposición y, 486  
pulso de onda y, 485-486  
trabajo y, 173-174, 177-179  
velocidad media y, 35-37  
Desubicaciones, en cristales, 1417  
Desviación estándar, 1269  
Detector(es), 1490  
  de neutrinos, 1490  
  de partículas, 1490  
  neutrinos, 1490  
  super-Kamiokande, 1490, 1502  
Deuterio, 1446  
Deuterones, 1299, 1446, 1514  
Devanados, 1038-1039  
  secundarios, 1039  
Dewar, James, 570  
Diagrama(s)  
  de circuito, 829  
  de cuerpo libre, 120-121  
  de energía, 224-225  
  de esfuerzo-deformación, 353  
  de fase, 605  
  de fasores, 1021  
  de flujo de energía  
    de máquinas térmicas, 650  
    de refrigeradores, 654  
  de movimiento, 40  
  de rayos principales, 1121-1123, 1133-1136  
  de Segré, 1450, 1456  
  pV, 590  
Diamagnetismo, 942-943, 978  
Diamantes, 1088, 1089  
Diapasones, 438  
Dicroísmo, 1092  
Dieléctricos, 797-803  
  ley de Gauss y, 805  
  ondas electromagnéticas en, 1062-1063  
  permittividad de, 799-800  
  polarización de, 799-800, 803-804  
Diferencia  
  de potencial, 761. *Vea también Voltaje*  
  capacitancia y, 786  
  medición de, 859-860  
  notación de, 863  
  resistencia y, 850  
  variable con el tiempo, 863  
de tono, 527  
en trayectorias, y difracción, 1191-1192, 1196, 1198, 1202  
Difracción, 1186-1210  
  con aberturas circulares, 1204-1207  
  con rendijas múltiples, 1195-1197  
  con una rendija, 1188-1195. *Vea también Difracción*  
  contra interferencia, 1188, 1196  
  de campo cercano, 1187  
  de electrones, 1281-1282  
  de Fraunhofer, 1187, 1188  
  de Fresnel, 1187, 1188  
  de rayos X, 1201-1204  
  del electrón, 1281-1282  
  del sonido, 1186, 1194  
  formación de imágenes y, 1205-1206  
  fotones y, 1266, 1267  
  franjas  
    brillantes en, 1190  
    oscuras en, 1189-1191  
  holografía y, 1207-1209  
  intensidad en la, 1191-1195  
  poder de resolución de, 1205-1206  
  principio  
    de complementariedad y, 1267  
    de Huygens y, 1187-1188  
Dilatación del tiempo, 421, 1224-1228  
Dina, 113  
Dinámica, 101  
  celeste, 398  
  de fluidos, 369, 384-387  
  del movimiento  
    circular, 150-155  
    de rotación, 303-326  
Dínamo de disco de Faraday, 969  
Dinosaurios, péndulo físico y, 245  
Diodo(s), 825  
  de túnel, 1342  
  de Zener, 1430  
  emisores de luz, 1430  
  túnel, 1342  
  unión p-n, 1428, 1438  
Dioptrías, 1142  
Dióxido de carbono, efecto invernadero y, 571  
Dipolos  
  eléctricos, 706-710, 803, 902-903  
  campo de, 709-710  
  energía potencial de, 708-709  
  fuerza sobre, 707-708  
  torca n̄ 707-708, 902-903  
  magnéticos, 901-902, 904-905  
    de imanes, 904-905  
    en campos magnéticos no uniformes, 904  
    energía potencial de, 902  
    fuerza y torca en, 900-905  
Dirac, Paul, 1381, 1483-148  
distribución Fermi-Dirac, 1421, 1492  
Dirección, 10  
  de una fuerza, 10  
  de ondas, 475, 477-478  
  de vectores, 10, 14-16  
Disco(s)  
  con tecnología Blu-Ray, 1206, 1303  
  de acreción, 421  
  de Airy, 1205, 1207  
  flujo eléctrico a través de un, 728  
Disonancia, 527  
Dispersión, 1084, 1089-1091  
  de la luz, 1099-1100  
  de semillas, balística, 33  
Dispositivos  
  de interferencia cuántica de superconducción, 978  
  semiconductores, 1427-1431  
    celdas solares, 1430  
    circuitos integrados, 1431  
    diodos emisores de luz, 1430  
    fotoceldas, 1427  
    transistores, 1430-1431  
    uniones p-n en, 1427-1430  
  superconductores de interferencia cuántica, 978  
Distancia  
  a la imagen, 1113  
  astronómica, 1504  
    unidades dd 504  
  del objeto, 1112  
  relatividad de, 1228-1232  
  unidades de, 113  
Distribución  
  de Bose-Einstein, 1492  
  de carga, 699-700, 1388  
    campos eléctricos y, 722-725, 731-732, 743t  
    estática, 757  
  de Compton, 1263-1265  
  de Fermi-Dirac, 1421, 1492  
  de Maxwell-Boltzmann, 603-604, 1301, 1421  
  de probabilidad, 1372-1374  
Doblete del sodio, 1200  
Dominios magnéticos, 943  
Donador, 1426  
Dopaje, 1424-1427  
Doppler, Christian, 528  
Dosimetría, radiación, 1461  
Dosis  
  biológicamente equivalente, 1461  
  de radiación, 1461  
Dualidad onda-partícula, 1079, 1254, 1266-1273, 1279  
  espectros atómicos y, 1285-1290  
  índice de refracción y, 1084  
  luz y, 1254-1256. *Vea también Fotones*  
  ondas como electrones y, 1279-1285  
  principio de complementariedad y, 1267  
  probabilidad e incertidumbre y, 1267-1271, 1308-1310  
  teoría ondulatoria de Maxwell y, 1051-1056, 1255-1256, 1260-1261

**E**

- Ebullición, 560  
 Ecuación(es)  
     de Bernoulli, 381-382  
     de continuidad, 379-380  
     de Dirac, 1483-1484  
     de estado, 585-590, 606  
     de los gases ideales, 585-587  
     de Maxwell, 883, 955, 975-977  
         en física, 1083  
         ondas electromagnéticas y, 1051-1056  
     principio de Huygens y, 1100-1102  
 de movimiento  
     armónico simple, 436-438  
     con aceleración constante, 47  
 de onda, 477, 481  
     enunciado dd332  
     para ondas como partículas, 1323-1325  
     para ondas electromagnéticas, 1057-1059  
     para ondas mecánicas, 477, 481, 1322-1325  
 pozos de potencial y, 1336-1340  
 de Schrödinger, 1325  
     con energía potencial, 1329  
     espectros de rayos X y, 1392-1395  
     independiente del tiempo, 1330, 1361  
     para átomos hidrogénicos, 1374-1375  
     para el átomo de hidrógeno, 1368-1369  
     tridimensional, 1360-1362  
     unidimensional, 1325, 1329  
 de una onda electromagnética, 1057-1059  
 de Van der Waals, 589-590  
 del fabricante de lentes, 1130-1132  
 del gas ideal, 585-587  
     para lentes delgadas, 1129, 1131  
 Edison, Thomas, 1020  
 Efectividad biológica relativa, 1461  
 Efecto  
     de campo en transistores, 1431  
 Doppler  
     de ondas sonoras, 528-533, 1236-1237  
     para ondas electromagnéticas, 532-533, 1236-1237  
 fotoeléctrico, 1079, 1254-1260  
 fotovoltaico, 1430  
 Hall, 907-908  
 invernadero, 571  
 Meissner, 977-978  
 normal, 1378  
 Zeeman, 1375-1378  
 Eficiencia térmica, de una máquina de calor, 650, 653  
 Einstein, Albert, 89, 419, 1218, 1256-1257, 1398. *Vea también Relatividad*  
 Eje  
     de polarización, 1092  
     de rotación, 276, 281  
         a través del centro de masa, 289  
         cambio en la dirección del, 276, 281  
         fijo, 273-274  
         momento de inercia para el, 306-307  
         móvil, 309, 315  
         teorema del eje paralelo y, 288-289  
     de simetría, momento angular y, 318-319  
 elíptico, 411  
 óptico, 1115  
     de un espejo, 1115  
 semieje mayor, 411, 412  
 Elasticidad, 339-355  
 Electrocardiografía, 760f  
 Electrodinámica cuántica, 1079, 1381  
 Electrodomésticos, sistemas de distribución de potencia en, 867-870  
 Electromagnetismo, 683, 883  
 Electrómetros, 798  
 Electromigración, 859f  
 Electrón(es)  
     acoplamiento espín-órbita y, 1382  
     apantallamiento por, 1389-1391  
     carga de, 685-686, 691. *Vea también Carga eléctrica*  
     concentración de, 1422  
     configuraciones de estado base de, 1386-1387, 1389  
     creación y destrucción de, 1483  
     de valencia, 1388, 1418  
     descubrimiento de, 895, 1481-1482  
     distribuciones de probabilidad de, 1372-1374  
     efecto  
         fotoeléctrico y, 1254-1260  
         Zeeman y, 1375-1378  
     en campos magnéticos, 892  
     enlaces y, 1407-1410  
     espín del, 941  
     estado  
         cuántico de, 1387  
         excitado, 1413  
     masa de, 685, 895, 1441  
     momento angular de, 940-941  
         de spin de, 1380-1381, 1383-1385  
         orbital dd369-1370, 1380-1381, 1383-1385  
     momento lineal magnético de, 1375-1378  
     movimiento orbital de, 817, 1382  
     principio de exclusión y, 1386-1387  
     razón carga-masa de, 894-895  
     -volt, 762  
 Electrostática, 684  
 Elemento(s)  
     alcalinotérreos, 1388  
     estado base de, 1386-1387, 1389  
     isótopos de, 895, 1442  
     propiedades de, 1388-1389  
     tabla periódica de los, 1388-1389  
     transuránicos, 1466  
 Elevación, 1497t, 1500t  
     presión atmosférica y, 588-589  
 Emisión  
     estimulada, 1300-1303  
     termiónica, 1260  
 Emisividad, 569  
 Emitancia espectral, 1303-1308  
     contra intensidad, 1304  
     hipótesis cuántica y, 1305-1307  
 Empacamiento compacto, 1417  
 Encanto, 1497t, 1499-1500  
 Endoscopios, 1088, 1430f  
 Energía  
     cinética, 178  
         capacidades atróficas y, 599-602  
         como cantidad escalar, 178  
         con fuerzas constantes, 173-174  
         con fuerzas variables, 182-189  
         contra momento lineal, 238-239, 240-242  
         de foton, 1257  
         de rotación, 283-288, 310  
         en oclusiones, 248  
         en el movimiento armónico simple, 442-445  
         en sistemas compuestos, 182  
         energía potencial y, 203, 204, 217-218  
         equipartición de, 600  
         fuerzas conservativas y, 217-218  
         molecular, 591, 594-595, 599, 630  
         momento de inercia y, 283-286  
         potencial de frenado y, 1255-1256  
         presión de un gas y, 594-595  
         relativista, 1240-1241  
         rotacional, 283-288, 310  
         teorema trabajo-energía y, 177-182  
         torca y, 316  
         unidades de, 178-179  
         conservación de, 172, 220  
         conversión de, 22  
         costos de, 869-870  
         cuantizada, 1254  
         de activación, 604  
         de campo  
             eléctrico, 795  
             magnético, 997-1000  
         de electrones libres, media, 1423  
         de enlace, 1408, 1446  
         de Fermi, 1421-1423  
             concentración de electrones y, 1422  
         de ionización, 1407  
             del átomo de hidrógeno, 1298  
         de locomoción, 201  
         de reacción, 1464-1465  
         de umbral, 1464  
         de un campo eléctrico, 795

- disponible, 1488  
 eléctrica, 190
  - unidades de, 190
 en circuitos eléctricos, 832-834
  - L-C, 1004-1008
 en movimiento
  - armónico simple, 442-445
  - ondulatorio, 482-485
 en ondas electromagnéticas, 1064-1066  
 en oscilaciones amortiguadas, 454-455  
 en reposo, 1241-1242  
 en un campo magnético, 997-1000  
 equipartición de, 600  
 incertidumbre en, 1271-1272  
 interna, 220, 618, 623, 624, 666
  - cambio en, 624-625, 633
  - de procesos cíclicos, 626-628
  - de sistemas aislados, 625-628
  - de un gas ideal, 630
  - entropía y, 666
  - notación de, 623
  - primera ley de la termodinámica y, 623-628
  - temperatura y, 630
 mecánica
  - calor y, 556
  - conservación de, 205, 442-445, 752-753
  - en movimiento armónico simple, 442-445
  - fuerzas conservativas contra no conservativas, 217-220
    - total, 205
  - molecular, 591
  - oscura, 1509
  - potencia y, 869-870
  - potencial, 203-227, 753
    - alrededor de circuitos, 831-832
    - barreras de potencial y, 1340-1343
    - de dipolos magnéticos, 902
    - de moléculas, 591
    - de un capacitor, 794-797
    - de un dipolo eléctrico, 708-709
    - de una partícula en una caja, 1332
    - diagramas de energía y, 224-225
    - elástica, 212-217, 221
    - eléctrica, 752-775
    - en movimiento armónico simple, 442-445
    - energía cinética y, 203, 204, 217-218
    - equilibrio y, 224-225
    - fuerza y, 221-224
    - fuerzas conservativas y, 217-225
    - fuerzas eléctricas y, 222-224
    - fuerzas intermoleculares y, 591-592
    - gradiente de, 223
    - gravitacional, 203-212, 288, 311, 405-407
    - posición y, 204
    - pozos de potencial y, 591, 1336-1340
    - trabajo y, 753
  - punto cero, 1318
  - total, 172, 1241
  - trabajo y, 173-189. *Vea también Trabajo*
  - unidades de, 762
 Enfriamiento, por evaporación, 562  
 Enlace(s), 1407-1410
  - covalentes, 1408-1409
  - de hidrógeno, 1409-1410
  - de un par neutrón-protón, 1448
  - de Van der Waals, 1409
  - débiles, 1409
  - del hidrógeno, 1409-1410
  - del par protón-neutrón, 1448
  - en sólidos, 1416, 1417
  - fuertes, 1409
  - iónicos, 1407-1408, 1409
  - metálicos, 1410
  - nucleares, 1446-1450
 Entrelazamiento cuántico, 1395-1398
  - acción fantasmagórica a distancia y, 1398
  - computación y, 1398
  - función de onda para partículas idénticas y, 1395-1396
  - medición en, 1396-1398
 Entropía, 647, 664-670
  - aleatoriedad y, 664-665
 cálculo de, 671-672
 ciclo de Carnot y, 668-669
 de polímeros en espiral, 669
 en organismos vivos, 669
 en procesos
  - cíclicos, 668-669
  - irreversibles, 669, 670
 energía interna y, 666
 interpretación microscópica, 671-673
 reversibilidad de, 665-666, 670
 segunda ley de Newton y, 670, 673  
 Enunciado
  - de Clausius, 657
  - de Kelvin-Planck, 656
  - de máquina, de la segunda ley de la termodinámica, 656
  - del refrigerador, de la segunda ley de la termodinámica, 657
 Enzimas, tunelamiento electrónico en, 1342f  
 Equilibrio, 106, 339-355
  - centro de gravedad y, 340-343
  - de cuerpo extenso, 340-347
  - de cuerpo rígido, 340, 343-347
  - de fase, 560, 605
  - de ondas mecánicas, 469
  - de un cuerpo
    - extenso, 340-347
    - rígido, 340, 343-347
  - energía potencial y, 224-225
  - estable, 224
  - estático, 340
  - inestable, 224
  - levantamiento de peso y, 340-343
  - peso y, 340-343
  - primera condición de, 340
  - primera ley de Newton y, 106
  - rotación y, 340
  - segunda condición de, 340
  - térmico, 546
  - torca y, 340
 Equipartición, de energía, 600  
 Equivalente Röntgen para un hombre, 1461  
 Error(es)
  - fraccionario, 8
  - medición, 8
  - porcentual, 8
 Escala(s)
  - de decibeles, 516-518
  - de temperatura, 546
    - absoluta, 550, 663-664
    - Celsius, 547
    - centígrada, 547
    - conversión *entre*, 548
    - de temperatura absoluta, 550, 663-664
    - de temperatura de gases ideales, 549, 550, 664
    - de *gas* ideal, 549, 550, 664
    - Fahrenheit, 548
    - Kelvin, 549-550, 660, 663-664
 Escintilograma, 1463  
 Esfera(s)
  - campo eléctrico de, 734-735, 738
  - carga puntual en el interior de, 729-730
  - distribuciones de masa y, 414-417
  - flujo eléctrico a través de, 729
  - gravitación y, 399-400
  - momento de inercia de, 286t, 291
  - rodamiento, aceleración de, 314
 Esfuerzo, 347-353
  - cortante, 352
  - de compresión, 349
  - de corte, 352
  - de ruptura, 354, 354t
  - de tensión, 347-350, 555
    - elasticidad y, 353
    - esfuerzo *máximo* y, 554-556
    - plasticidad y, 353
  - deformación y, 347-352
  - elasticidad y, 353
  - módulo elástico y, 347
  - térmico, 554-556
  - unidades de, 348
  - volumen y, 350-351
  - volumétrico, 350-351

- Espacio. *Vea también* Universo  
 dimensiones del, 1505-1506  
 expansión del, 1503-1509  
 -tiempo, 1233
- Espectro(s), 1089  
 atómicos, 1285-1287, 1290-1293  
 continuos, 1303-1308  
 de absorción  
   de rayos X, 1394-1395  
   líneas de, 1286, 1290-1293, 1303-1308  
 de bandas, 1413  
 de líneas, 1285-1287, 1290-1293, 1297-1298  
   continuos, 1303-1308  
 de absorción, 1286, 1290-1293  
 de emisión, 1286, 1290-1293  
 efecto Zeeman y, 1375-1378  
 moleculares, 1293  
 de rayos X, 1392-1395  
   absorción de, 1394-1395  
 electromagnético, 1053-1054  
 moleculares, 1293, 1410-1414
- Espectrógrafo  
 de masas, 916  
 de rejillas, 1199, 1200-1201
- Espectrometría de retrodispersión de Rutherford, 784
- Espectrómetros de masas, 895  
 de Bainbridge, 895
- Espejismos, 1102
- Espejos  
 cóncavos, 1115-1119  
 convergentes, 1116  
 convexos, 1119-1121  
 esféricos, 1115-1123  
   cóncavos, 1115-1119  
   convexos, 1119-1121  
   formación de imágenes por, 1115-1123  
   métodos gráficos para, 1121-1122  
   objetos extensos en, 1117-1119  
   punto/longitud focal de, 1116-1117  
   formación de imágenes en, 1111-1123  
   métodos gráficos para, 1121-1122  
 parabólicos, 1117  
 planos, 1112-1114  
   formación de imágenes por, 1111-1114  
   métodos gráficos para, 1121-1122
- Espín  
 del electrón, 941, 1378-1385  
 nuclear, 1443-1444
- Espira(s)  
 con histéresis, 944  
 de corriente. *Vea también* Dipolos magnéticos  
   campos magnéticos de, 930-933  
   en magnetización, 940-941  
   fuerza y torca en, 900-905  
   momento magnético de, 901, 932  
 de Helmholtz, 952  
 en circuitos, 853
- Estabilidad nuclear, 1450-1452
- Estación Espacial Internacional, 407, 426
- Estado(s)  
 base  
   atómico, 1386-1387, 1389  
   nuclear, 1455  
 confinados, 1336-1337  
 contra niveles de energía, 1300  
 de enlace, 1336-1337  
 de materia, 560  
 de partícula libre, 1339  
 degenerados, 1366-1367, 1370  
 densidad de, 1420-1421  
 estacionario(s), 1329-1331, 1362-1367  
   tridimensional, 1362-1367  
   unidimensional, 1329-1331  
 excitados, 1455  
 macroscópico, 671  
 metaestables, 1302  
 microscópico, 671-673  
 partículas libres, 1339
- Estándares de referencia, 4
- Estática de fluidos, 369
- Esterilización y fotones de alta energía, 1260f
- Estimación(es)  
 de orden de magnitud, 10  
 magnética transcraneal, 956f, 988
- Estrangulamientos, 994-997
- Estrella(s)  
 binarias, 422, 1252  
 color de, 1306f  
 de segunda generación, 1515  
 enanas blancas, 1438  
 fusión del helio en, 1515  
 masa de, 1252  
 sistemas de, 401-402, 422  
 supernovas, 1225, 1515
- Estructura(s)  
 atómica, 685, 1360-1400  
   aproximación de campo central y, 138  
   de átomos con muchos electrones, 1385-1391  
   de átomos hidrogénicos, 1374-1375  
   del átomo de hidrógeno, 1367-1374  
   ecuación de Schrödinger y, 1360-1362  
   efecto Zeeman y, 1375-1378  
   espectros de rayos X y, 1392-1395  
   espín del electrón y, 1378-1385  
   ley de Moseley y, 1392-1395  
   partícula en una caja tridimensional y, 1362-1367  
   principio de exclusión y, 1386-1387  
   tabla periódica y, 1388-1389  
   de diamante, 1415-1416  
   fina, 1383-1384  
   hiperfina, 1445
- Estudios por imágenes. *Vea* Imágenes médicas
- Éter, propagación de la luz a través del, 1177, 1219
- Evaporación, 562
- Evento, en un sistema de referencia, 1221
- Exactitud, 8  
 contra precisión, 9
- Excentricidad orbital, 411
- Exoplanetas, 431
- Expansión  
 isotérmica de un gas ideal, 621  
 libre, 623, 630  
 lineal, 551-552, 552t  
 térmica, 551-556  
   del agua, 554  
   en un objeto con un orificio, 552  
   lineal, 551-552  
   volumen, 552-554  
 volumétrica, 552-554
- Experimento(s)  
 de Cavendish, 425  
 de Davisson-Germer, 1280-1281  
 de Franck-Hertz, 1293-1294  
 de interferencia de Young, 1164-1166, 1176  
 de la cubeta de hielo de Faraday, 740  
 de Michelson-Morley, 1177-1178, 1219  
 de Millikan de la gota de aceite, 783  
 de Stern-Gerlach, 1379-1380, 1404  
 del cubo de hielo de Faraday, 740  
 el/m de Thomson, 894-895  
 con choques de haces, 1489-1490  
 con rayos cósmicos, 1490  
 mentales, 1222-1223  
 teorías y, 2
- Exposición a la radiación  
 fuentes de, 1460-1461, 1462-1463  
 límites de la, 1462  
 riesgos de la, 1262, 1462-1463
- Extrañeza, 1494t, 1495-1496, 1497t, 1500t
- Extraño (quark), 1497
- F**
- Factor(es)  
 de calidad, 1461  
 de escala, 1505, 1506  
 de Lorentz, 1225, 1229  
 de potencia, 1035
- Farad, 786, 787
- Faraday, Michael, 705, 786, 883
- Fase(s), 560  
 de la materia, 604-607  
 diagramas  $pV$  y, 590

- interacciones moleculares y, 604  
 punto crítico y, 605  
 punto triple y, 605  
 sublimación y, 605  
 superficies  $pVT$  y, 606  
 de onda, 475  
 gaseosa, 560-561  
 líquida, 560-561
- Fasor, 437, 1021
- Fechado  
 con carbono, 157, 1459-1460  
 con radiocarbono, 157, 1460  
 radiactivo, 1459-1460
- Fem  
 alterna sinusoidal, 1020  
 autoinducida, reactancia inductiva y, 1025  
 contraelectromotriz, 906  
 inducida, 906, 956-957. *Vea también* Inducción electromagnética  
 aplicaciones de, 957  
 dirección de, 959-960  
 flujo magnético y, 957, 960
- Fenómeno de movimiento con tirón, 144, 145
- Fermi, Enrico, 10, 1466
- Fermiones, 1492, 1494, 1502
- Ferromagnetismo, 943-944
- Feynmann, Richard, 1484
- Fibras  
 musculares, trabajo realizado por, 173  
 ópticas, 1088
- Fibrosis quística, 690f
- Filtro(s)  
 pasa altas, 1027  
 pasa bajas, 1025  
 polarización y, 1091, 1092-1094, 1096  
 polarizadores, 1091, 1092-1094, 1096  
 polaroid, 1092
- Física  
 como ciencia experimental, 2  
 como proceso, 2  
 cuántica, 1321-1352  
 de partículas, 1440, 1481-1485  
 perspectiva histórica de la, 1481-1486  
 estrategias para resolver problemas de, 2-4  
 naturaleza de la, 2  
 nuclear, 1439-1471  
 panorama de la, 2
- Fisiología  
 inducida, 1466  
 nuclear, 1242, 1466-1470  
 dinámica de reacción en, 1466-1467  
 en reactores, 1468, 1470  
 modelo de gota líquida de, 1467  
 reacciones en cadena en, 1468  
 tunelamiento en, 1467
- Flotación, 376-381
- Fluido(s)  
 compresibilidad de, 351, 379  
 ideal, 379  
 movimiento de, 379-380  
 rapidez del sonido en, 510-511  
 viscoso, 385-386
- Flujo(s)  
 de calor, 556  
 de corriente, dirección de, 817-818  
 de energía electromagnética, 1064-1065  
 de fluidos, 379-380. *Vea también* Flujo  
 constante, 379  
 ecuación de Bernoulli y, 381-382  
 ecuación de continuidad y, 379-380  
 laminar, 379, 386  
 medición de, 384  
 presión y, 381-385  
 rapidez de, 381-385  
 razón de, 379-380  
 turbulento, 379, 386  
 de la sangre, 65, 386  
 de momento lineal electromagnético, 1066-1068  
 de salida, rapidez de, 383-384  
 eléctrico  
 analogía del flujo de un fluido para, 725-726  
 cálculo de, 725-729
- carga y, 722-725  
 carga encerrada y, 723-725  
 de campo eléctrico no uniforme, 727  
 de un campo eléctrico uniforme, 726-727  
 hacia afuera contra un flujo hacia adentro, 723, 725  
 ley de Gauss para, 722-746  
 estable, 379  
 laminar, 379, 386  
 magnético, 888-890  
 cálculo d057-958  
 campos eléctricos inducidos y, 969-971  
 efecto *M*ssner y, 978  
 en transformadores, 1039  
 fem individual y, 956-957  
 ley de Faraday y, 957-964  
 ley de Gauss del magnetismo y, 889  
 ley de Lenz y, 965-966  
 superconductividad y, 977-978  
 unidades d889  
 plástico, 353  
 turbulento, 379, 386
- Flúor, 1388
- Fluorescencia, 1293, 1359
- Foco, 411
- Formación de imágenes  
 por cámaras, 1136-1139  
 por difracción, 1205-1206  
 por reflexión, 1111-1123. *Vea también* Espejos  
 por refracción, 1123-1127  
 por una lente, 1128-1130
- Fórmula  
 de Euler, 1332  
 semiempírica de masa, 1449
- Fotinos, 1502
- Fotoceldas, 1427
- Fotoelasticidad, 1098
- Fotoelectrones, 1255
- Fotografía. *Vea* Cámaras
- Fotomicrografías, 1146
- Fotomultiplicadores, 1267
- Fotones, 1079, 1242, 1254-1274  
 absorción de, 1254-1260, 1484  
 como mediadores de fuerza, 1484-1485  
 como partículas, 1256-1257  
 de rayos X, 1260-1263  
 descubrimiento de, 1482  
 difracción y, 1267  
 dispersión de Compton y, 1263-1265  
 dualidad onda-partícula y, 1266-1273. *Vea también* Dualidad onda-partícula  
 efecto fotoeléctrico y, 1254-1260  
 emisión de, 1260-1263, 1484  
 espontánea de, 1300  
 estimulada de, 1300-1303
- en el modelo  
 atómico de Bohr, 1290-1300  
 estándar, 1500-1501
- en interacciones de partículas cargadas, 1484
- explicación de Einstein para los, 1256-1257
- frecuencia de umbral y, 1256
- incertidumbre y, 1267-1271
- interacciones electrodébiles y, 1500-1501
- interferencia y, 1267
- luz emitida como, 1260-1263, 1484-1485
- momento lineal de, 1258, 1267-1271, 1270
- posición de, 1267-1271, 1270
- potencial de frenado y, 1255-1256
- probabilidad y, 1267-1268
- producción de pares y, 1265-1266
- rayos gamma, 1455
- virtuales, 1485
- Fotosíntesis, 1405
- Fractura, 353
- Fragmentos de fisión, 1466
- Franck, James, 1293-1294
- Franjas  
 brillantes, 1190  
 de interferencia, 1165, 1171, 1175-1176  
 de *Newton*, 1174-1175  
 oscuras, 1189-1191
- Franklin, Benjamin, 684

- Franklin, Rosalind, 1203  
 Frecuencia, 434  
 angular, 434-435  
 contra frecuencia, 438  
 de ondas como partículas, 1323-1325  
 de ondas electromagnéticas, 1060  
 de resonancia, 1036  
 en el movimiento armónico simple, 437-438  
 natural, 455-456  
 periodo y, 434-435  
 contra frecuencia angular, 438  
 de ondas estacionarias, 491  
 de resonancia, 1036  
 de umbral, 1256  
 de un ciclotrón, 891  
 fundamental, 491  
 modo normal de, 492  
 periodo y, 434-435  
 pulso, 526-528  
 Frentes de onda, 1079-1080  
 Fricción, 105, 142-150  
 cinética, 143, 145, 218  
 coeficiente de, 143  
 como fuerza no conservativa, 218  
 coeficientes de, 143, 147  
 de rodamiento, 147, 314-315  
 estática, 143-145  
 fenómeno de movimiento con tirón, 144, 145  
 magnitud de, 143  
 resistencia de fluidos y, 147-150  
 rodamiento, 147, 314-315  
 y zapatos de alpinista, 170
- Fuente  
 de CA, 1021. *Vea también* Circuitos de corriente alterna  
 de fem, 827  
 potencia de entrada a, 834  
 potencia de salida de, 833-834  
 resistencia interna de, 829
- Fuerza(s), 102-105  
 acción a distancia, 402  
 central, 412  
 centrífuga, 151  
 componentes de, 222-224  
 conservativa, 217-225, 224-225  
 colisiones elásticas y, 250-251  
 trabajo realizado por, 753  
 constante, 173-174  
 contra presión, 350, 371  
 de contacto, 102, 117, 142  
 de flotación, 376  
 de fricción, 102, 105, 142-150. *Vea también* Fricción  
 de interacción, 929-930  
 de largo alcance, 102  
 de marea, 421  
 de tensión, 102. *Vea también* Tensión  
 diagramas de cuerpo libre para, 120-121  
 dirección de, 10. *Vea también* Vector(es)  
 disipativas, 218  
 eléctrica, 155-156  
 campo eléctrico y, 695-699  
 conservación de la energía con, 756  
 contra energía potencial eléctrica, 755  
 contra fuerza gravitacional, 691  
 dirección de, 690-691  
 en partículas sin carga, 689  
 energía potencial y, 222-22  
 ley de Coulomb y, 690-695  
 suma de vectores de, 694  
 trabajo realizado por, 753-758, 759  
 unidades de, 691-692
- electromotriz (fem), 827-829  
 autoinducida, 994, 1025  
 contraelectromotriz, 906  
 corriente y. *Vea* Inductancia  
 de movimiento, 967-969  
 de un motor eléctrico, 906  
 en transformadores, 1039  
 fuente de, 827, 829, 834  
 Hall, 907-908  
 inducida, 906, 956-957  
 medición de, 862
- sinusoidal alterna, 1020  
 teoría de la relatividad y, 1219
- electrostática, 854  
 conservación de, 854  
 integral de línea de, 752, 936  
 energía potencial y, 221-224  
 externa(s), 243  
 movimiento del centro de masa y, 256-258  
 torca y, 307
- fundamental(es), 155-157, 1491-1492  
 gravitacional(es), 102, 155-156, 416  
 contra energía potencial gravitacional, 406  
 contra fuerza eléctrica, 691  
 entre distribuciones esféricas de masa, 416  
 por unidad de masa, 696  
 sobre una masa puntual dentro de un cascarón esférico, 416
- igual y opuesta, 116-119  
 impulsora, 455-456  
 oscilación amortiguada y, 455-456  
 periódica, 455-456
- interacción(es)  
 débiles, 156-157, 1491-1492  
 entre partículas y, 155-157  
 fuertes, 157, 1447, 1491, 1492
- intermoleculares, 591-592  
 interna(s), 243, 307  
 torca y, 307
- línea de acción de, 304
- magnética(s), 155-156, 884-885  
 como fuerza fundamental, 155-156  
 dirección d884-885  
 efecto Hall y, 907-908  
 en lávoces, 898  
 en oductores que transportan corriente, 896-899  
 en spiras de corriente, 900-905  
 en motores eléctricos, 896  
 entre oductores paralelos, 929-930  
 magnitud de, 885  
 unidades d885
- magnitud de, 11, 14-16, 102
- masa y, 110  
 medición de, 102  
 neta, 103-104, 243-244  
 aceleración y, 108-113  
 cero, 106-107, 108  
 momento lineal y, 238-240  
 movimiento circular y, 109  
 movimiento del centro de masa y, 256-258  
 primera ley de Newton y, 105-107, 108  
 segunda ley de Newton y, 108-112  
 torca y, 306, 317, 318
- no conservativas, 218-220
- normal, 102, 142
- nuclear, 1447-1448, 1484-1485, 1491-1492  
 fuerte, 156, 685  
 función de energía potencial para, 1450, 1491  
 mesones y, 1485
- pares acción-reacción y, 116-119
- peso como, 102  
 por unidad de área, 349  
 potencia y, 190  
 propiedades de, 102  
 resistencia de un fluido, 147-150  
 restauradora, 434  
 en el movimiento armónico simple, 436  
 en péndulo, 454
- sobre el cuerpo de un bailarín, 128
- superposición de, 103, 400-402, 692  
 torca de, 303-307  
 unidades de, 6, 102
- Función(es)  
 de distribución, 602-603, 1326  
 de probabilidad radial, 1373, 1390
- de energía potencial  
 para la fuerza nuclear, 1450, 1491  
 para un oscilador armónico, 1343-1344, 1347  
 para una partícula en una caja, 1332
- de Hermite, 1346-1347
- de onda, 473  
 colapso de, 1350, 1396  
 de estado estacionario, 1329-1331, 1362-1367

- de límite, 1346-1347  
 de una partícula en una caja, 1332-1333  
 dependencia del tiempo de, 1329-1331, 1336  
 ecuación tridimensional de Schrödinger y, 1360-1362  
 ecuación unidimensional de Schrödinger y, 1325, 1329  
 gráfica de, 474-475  
 híbrida, 1409  
 interpretación de, 1325-1327  
 interpretación de la probabilidad de, 1326, 1334  
 medición y, 1350  
 normalizada, 1335, 1361  
 notación de, 1322  
 paquetes de ondas y, 1328  
 para ondas como partículas, 1321-1331, 1323-1325  
 para ondas electromagnéticas, 1060  
 para ondas en una cuerda, 1322-1323  
 para ondas longitudinales, 478  
 para ondas mecánicas, 473-475  
 para ondas sinusoidales, 473-475  
 para ondas transversales, 476-478  
 para partículas idénticas, 1395-1396  
 para un oscilador armónico, 1344-1345  
 principio de superposición y, 486  
 propiedad aditiva de, 486  
 universal, 1350  
 dieléctrica, 1063  
 trabajo, 1255, 1257-1258  
 universal de onda, 1350
- Fusibles, 868
- Fusión, 560-561  
 catalizada de muón, 1472  
 del helio, 1515  
 en frío, 1472  
 nuclear, 1470-1472  
     calor d<sub>660</sub>  
     helio, 1515  
     solar, 1502  
 tunelamiento n<sub>e</sub> 1342-1343
- G**
- g* (magnitud de la aceleración debida a la gravedad), 50, 114-115  
 Galaxias, rapidez de recesión de, 1504  
 Galileo Galilei, 2, 50, 101, 1078  
 Galio, temperatura de fusión, 561  
 Galvanómetro de D'Ansorval, 858, 861, 903, 1021  
 Gamow, George, 1448  
 Gas(es)  
     anestésicos, 645  
     capacidades caloríficas de, 599-601  
     diagramas *PV* de, 590  
     energía cinética de, 599  
     fuerzas intermoleculares en, 591-592  
     ideal(es), 586  
         capacidades caloríficas de, 631-633  
         ciclo de Carnot de, 659-660  
         energía interna de, 630  
         expansión isotérmica de, 621  
         modelo inético-molecular, 593-599  
         proceso adiabático de, 634-636  
         volumen d<sub>687</sub>  
     isotermas y, 590  
     masa de, 585-586  
     módulo volumétrico de, 351  
     moléculas en, 591-592  
     nobles, 1388  
     ondas sonoras en, 512-513  
     poliatómicos, 600  
     rapidez molecular en, 603-604  
     volumen de, 587
- Gauss, 885
- Gauss, Carl Friedrich, 729
- Geiger, Hans, 1287
- Gell-Mann, Murray, 1497, 1498-1499
- Generador(es)  
     de conductor corredizo, 963-964, 965  
     de corriente alterna, 1020  
         conversión de energía en, 964  
         de conductor corredizo, 963-964, 965  
         de corriente directa, 962-963  
             homopolares, 969  
         de corriente directa, 962-963
- electrostático de Van de Graaf, 740  
 homopolares, 969
- Gerlach, Walter, 1379
- Germer, Lester, 1280-1281
- Giroscopios, 322-325
- Glashow, Sheldon, 1500-1501
- Gluones, 1491, 1499, 1500
- Gradiente(s), 772  
     de energía potencial, 223  
     de potencial, 772, 773  
     de temperatura, 565
- Grados, 547, 549  
     de libertad, 600
- Gráfica(s)  
     a<sub>x-t</sub>, 45  
     de barras, de energía, 206  
     de función de onda, 474-475  
     de ondas sonoras, 507  
     parabólicas, 46  
     v<sub>xt</sub>, 43-44  
     x-t, 36-37, 39-40  
         velocidad en, 39-40
- Gramo, 5, 113
- Gran Colisionador de Hadrones, 1250, 1488f, 1489, 1490f
- Gran Telescopio Canarias, 1148
- Gran teoría unificada (GTU), 157, 1501-1502, 1510, 1517
- Gravedad, 102  
     aceleración debida a la. Vea Aceleración debida a la gravedad específica, 370  
     peso y, 102
- Gravitación, 102, 155-156, 398-423  
     a escala cósmica, 402  
     aceleración debida a. Vea Aceleración debida a la gravedad  
     agujeros negros y, 420-422  
     como fuerza  
         conservativa, 405  
         fundamental, 155-156  
     cuerpos con simetría esférica y, 399-400  
     distribuciones esféricas de masa y, 414-417  
     expansión del Universo y, 1502-1503, 1506-1507  
     gravedad específica y, 370  
     ley de Newton de, 398-402  
     medición de la, 400  
     órbitas satelitales y, 407-410  
     pares de acción-reacción y, 399  
     peso y, 402-404  
     rapidez de escape y, 406, 409, 1506-1507  
     superposición de fuerzas y, 400-401  
     teoría de la relatividad general y, 1244-1245  
     trabajo realizado por, 405-406
- Gravitón de espín 2, 1491
- Gravitones, 1491, 1500
- Gray, 1277, 1461
- H**
- h*  
     constante de Planck, 940, 1257  
     contra *h*, 1269
- Haces, 1080
- Hadrones, 1492, 1494, 1496-1497, 1498
- Hahn, Otto, 1466
- Halógenos, 1388
- Heisenberg, Werner, 1269
- Helio 1388
- Henry, 992
- Henry, Joseph, 883
- Hertz, 434, 1052
- Hertz, Gustav, 1293-1294
- Hertz, Heinrich, 1052, 1069, 1079
- Hidrógeno  
     en reacciones de fusión, 1470-1472  
     estado base del, 1388  
     pesado, 1299
- Hidrómetros, 377
- Hielo, fusión del, 560-561
- Hipermetropía, 1140-1143
- Hiperones, 1495
- Hipótesis cuántica, 1305-1307
- Histéresis, 944  
     elástica, 353

- Holografía, 1207-1209  
 Horizontes de eventos, 421  
 Hubble, Edwin, 1503  
 Huecos  
   en capas de electrones, 1393-1394  
   en semiconductores, 818, 1425-1426  
 Humason, Milton, 1503
- I**
- Imagen(es)  
   derecha, 1114  
   en medicina  
     isótopos radiactivos en, 1463, 1479  
     rayos X en, 1262, 1263f  
   en óptica, 1112  
   invertida, 1114  
     en lentes para cámaras, 1138  
   por resonancia magnética (IRM), 901f, 919, 932f, 1019, 1445  
   real, 1112  
   virtual, 1112, 1134
- Imán(es)  
   atracción de objetos no magnetizados, 905  
   de barra, 904-905  
   dipolos magnéticos de, 904-905  
   momento magnético de, 904-905  
   permanentes, 881-882, 939-940
- Impedancia, 1030-1031  
 Impresoras láser, 685, 766, 1303  
 Impulso, 239  
 Impurezas sustitutas, 1426  
 Incertidumbre, 1267-1272  
   dualidad onda-partícula y, 1267-1271, 1308-1310  
   en la medición, 8  
   energía-tiempo, 1271-1272  
   fraccionaria (porcentual), 8  
   momento lineal-posición, 1268-1275, 1309
- Inclinación magnética, 882  
 Incógnitas, 3  
 Incubadoras, 570  
 Índice de refracción, 1062, 1081-1085  
   aspectos ondulatorios de la luz y, 1084  
   birrefrigerancia y, 1098  
   de las piedras preciosas, 1088  
   de recubrimientos reflexivos/no reflexivos, 1175-1176  
   de una lente, 1130-1131  
   del ojo, 1140  
   dispersión e, 1089-1091  
   leyes de reflexión y refracción e, 1083-1084  
   reflexión total interna e, 1086-1088  
   transparencia y, 1083
- Inducción electromagnética, 955-979  
   campos eléctricos inducidos y, 969-971  
   corrientes parásitas y, 972-973  
   ecuaciones de Maxwell y, 955, 975-977  
   experimentos en, 956-957  
   flujo magnético variable y, 956-957  
   fuerza electromotriz de movimiento y, 967-969  
   ley  
     de Faraday y, 955, 957-964  
     de Lenz y, 965-966  
   superconductores y, 966, 977-978
- Inductancia, 990-1011  
   autoinductancia, 994-997  
   circuitos  $R-L$  e, 1000-1004  
   energía del campo magnético e, 997-1000  
   mutua, 990-993
- Inductor(es), 994-997  
   contra resistores, 998  
   en circuitos de ca, 1024-1025, 1028, 1034  
   energía almacenada en, 997-1000  
   reactancia inductiva de, 1025
- Inercia, 105  
   de rotación, 284  
   ley de la, 107  
   masa e, 110  
   momento de. Vea Momento de inercia
- Inflación cósmica, 1514
- Ingravidez  
   aparente, 408  
   real, 408
- Instrumentos  
   de cuerda, ondas estacionarias y, 493-494  
   de viento, 522  
   musicales  
     de cuerda, 493-494  
     de viento, 522  
     ondas estacionarias y, 493-494  
     órganos de tubos, 520-522
- Integración, velocidad y posición por, 53-55  
 Integral(es)  
   de línea, 187, 188, 752  
     de amperios eléctricos, 936  
     de campos magnéticos, 936  
     de fuerza electrostática, 752, 936  
     de superficie, 727  
     momento de inercia, 289-290
- Intensidad  
   amplitud de presión e, 514-515  
   contra emitancia espectral, 1304  
   de onda, 484  
   de radiación electromagnética, 1064-1065  
   del sonido, 514-518  
     escala de decibeles para, 516-518  
     pérdida de la audición y, 509, 510, 517  
     valores presentativos para, 517t
- en la difracción con una sola rendija, 1191-1195  
 ley del cuadrado inverso para, 484, 515
- Interacción(es)  
   de partículas, 1490-1496  
     débiles, 156, 157, 1491-1492  
     electromagnéticas, 155-156, 1491, 1492  
     extrañeza  $\eta$ , 1495-1496  
     fuertes, 156, 1491, 1492  
     gravitacionales, 155-156, 1491-1492  
     isoespín y, 1496  
     leyes de conservación para, 1496  
     paridad en, 1496  
     ruptura de simetría, 1496  
     tipos fundamentales de, 155-157, 1491-1492  
   de ruptura de simetría, 1496  
   de Van der Waals, 448-449, 589-590  
   débiles, 156-157  
   electrodébil, 157, 1500-1501  
   electromagnética, 155-160, 1491  
   fuertes, 156, 1447, 1491, 1492  
   gravitacional, 155-156, 1491
- Interferencia, 485-486, 524-526, 1160-1179  
   amplitud en, 1167-1168  
   anillos de Newton e, 1174-1175  
   cambios de fase e, 1171-1173  
   con dos rendijas/fuentes, 1164-1170, 1309  
   constructiva, 488, 524, 525, 1161-1163, 1165-1166, 1203  
     en holografía, 1207-1209  
     en la difracción de rayos X, 1203  
   contra difracción, 1188, 1196  
   curvas nodales/antinodales e, 1163  
   de ondas viajeras, 524  
   destructiva, 488, 524, 1161-1163, 1165-1166  
   diferencia  
     de fase e, 1168-1169  
     de trayectorias e, 1168-1169  
   en dos dimensiones, 1161  
   en el control del ruido, 526  
   en holografía, 1207-1209  
   en películas  
     delgadas, 1171-1176  
     gruesas, 1173  
   en tres dimensiones, 1161  
   experimento  
     de Michelson-Morley e, 1177-1178  
     de当局 de, 1164-1166, 1176  
   fotones e, 1267  
   fuentes coherentes y, 1162-1163  
   interferómetro de Michelson e, 1176-1178  
   ondas  
     de gama e, 1164  
     estacionarias , 488, 1161, 1163  
     sinusoidales , d 161  
     sonoras , 524-526, 1185  
   principio de complementariedad e, 1267  
   recubrimientos reflexivos/no reflexivos e, 1175-1176

- reflexión durante, 1171-1173  
superposición e, 1160-1161
- Interferómetro, 1176-1178  
de Michelson, 1176-1178
- Interioridad, 1497t, 1500
- Interpretación de mundos múltiples, 1350
- Interruptores  
con falla a tierra, 869  
de circuito, 868
- Intervalo(s)  
de temperatura, 548  
de tiempo  
medición de, 1225  
relatividad de, 1223-1228
- Inversiones de población, 1301-1302
- Iones, 686  
negativos, 686  
positivos, 686
- Ionización, 686  
descarga de corona y, 766-767
- Ípsilon, 1500
- IRM (imágenes por resonancia magnética), 901f, 919, 932f, 1019, 1445
- Isobárica, 630
- Isocórica, 630
- Isoespín, 1496
- Isotermas(s),  $pV$ , 590, 630
- Isótopos, 895, 1442  
radiactivos, en medicina, 1389f, 1463, 1468f, 1479
- Isotrópico, 1080, 1403
- J**
- Jaula de Faraday, 741
- Joule, 173, 178-179, 556, 557  
por Coulomb, 759
- Joule, James, 173, 556
- K**
- Kaones, 1252, 1494
- Kelvin, 549
- Kepler, Johannes, 410-411
- Kilocaloría (kcal), 556
- Kilogramo, 5, 110
- Kilómetro, 5
- Kiloohm, 824
- Kilowatt, 189  
/hora, 190, 869
- Kramers, Hendrik, 1357
- L**
- Laboratorio como sistema, 1488
- Láser(es), 1079, 1163, 1300-1303  
continuos, 1302-1303  
de pulsos, 1302  
emisión  
espontánea y, 1300  
estimulada y, 1300-1303
- en holografía, 1207, 1209
- estados metaestables y, 1302
- inversiones de población y, 1301-1302
- producción de, 1301-1302
- pulsos de, 1302
- semiconductores, 1303
- Lawrence, E. O., 1486
- Lente(s), 1128  
amplificación, 1143-1144  
convergentes, 1128-1130  
correctivas, 1140-1143  
cristalinas, 1139-1140  
de ángulo amplio, 1137  
de cámara, 1136-1139  
de contacto, 1140-1142  
de microscopios, 1144  
de telefoto, 1137  
de telescopios, 1146-1148  
delgada(s), 1128-1136  
convergentes, 1128-1130  
divergentes, 1130  
formación de imágenes por, 1132-1136  
índice de refracción de, 1130-1131  
longitud focal de, 1128, 1130-1132
- métodos gráficos para, 1132-1134  
positivas, 1128  
propiedades de, 1128  
punto focal de, 1128  
radio de curvatura de, 1130-1131
- divergentes, 1130  
para acercamiento (zoom), 1138  
para los ojos, 1139-1140  
propiedades de las, 1128  
recubrimientos  
con flexión para, 1175, 1176  
sin flexión para, 1175
- Leptones, 1493-1494, 1496, 1499, 1500  
en el modelo estándar, 1511
- Leucipo, 1481
- Levantamiento de un peso, equilibrio y, 346
- Ley(es)  
cero de la termodinámica, 547-548  
de Ampere, 933-939. Vea también Ecuaciones de Maxwell  
aplicaciones de, 936-939  
corriente de desplazamiento y, 974  
enunciado general, 935-936  
generalización de la, 973-974  
ondas electromagnéticas y, 1051, 1056, 1062  
para un conductor recto y largo, 933-935
- de Biot y Savart, 925
- de Brewster, 1095-1096
- de conservación  
absoluta, 1496  
condicionales, 1496  
de energía-masa, 1241-1242  
de la energía, 172, 205, 220  
de la masa-energía, 1241-1242  
universales, 686
- de Coulomb, 591, 690-695  
constante proporcionalidad en la, 691  
enunciado de la, 690  
ley de Gauss y, 729  
superposición de fuerzas y, 692
- de Curie, 942
- de Gauss, 722-743  
aplicaciones de la, 733-738  
carga puntual dentro de una superficie esférica y, 729-730  
carga puntual dentro de una superficie no esférica y, 730-731  
carga y flujo eléctrico y, 722-725  
conductores con cavidades y, 738-739, 771  
conductores sólidos y, 733-738  
dieléctricos y, 80  
enunciado cualitativo de, 725  
forma general de, 731-732  
panorama de, 729-733  
para campos eléctricos, 933, 1051, 1055  
para campos magnéticos, 933, 1051, 1055  
para el magnetismo, 889  
prueba experimental de, 739-741
- de Hooke, 184, 347, 352  
deformaciones lásticas y, 347, 353  
límites d853  
movimiento armónico simple y, 435
- de Hubble, 1504
- de inducción de Faraday, 955, 957-964, 968  
ondas electromagnéticas y, 1051, 1055, 1062
- de Kirchhoff. Vea Regla(s) de Kirchhoff
- de la inercia, 107. Vea también Primera ley del movimiento  
de Newton
- de Lenz, 965-966, 968
- de Malus, 1094
- de Moseley, 1393
- de Newton del movimiento, 101-158  
aplicación de, 120  
de la gravitación, 398-402  
diagramas de cuerpo libre para, 120  
incertidumbre y, 1267-1268  
leyes de Kepler y, 411-423, 41  
modelo de partícula y, 1267-126  
primera y e 101, 105-108  
relatividad y, 1238-1240, 1244-1245  
segunda ley, 108-116  
sistema inercial de referencia y, 107-108  
tercera y e 116-119
- de Ohm, 820, 823-824

- de Pascal, 373  
de radiación de Planck, 1305-1307  
de reflexión, 1082-1084  
de refracción, 1082-1084  
de Snell, 1082  
de Stefan-Boltzmann, 569, 1304, 1306-1307  
del cuadrado inverso, para la intensidad, 484, 515  
del desplazamiento de Wien, 1304, 1306-1307  
físicas, 2  
universales de conservación, 686
- Libra(s)**  
-fuerza, 113  
-pie, 173  
por pulgada cuadrada, 348  
absolutas (psia), 373  
manométricas (psig), 373
- Límite(s)**  
de resolución, 1205  
elástico, 353
- Linac**, 1486
- Línea(s)**  
con corriente, 867, 869  
de absorción, 1199  
de acción, 304  
de campo eléctrico, 705-706  
cargas puntuales y, 731-732, 1052  
ondas electromagnéticas y, 1052  
superficies equipotenciales y, 769
- de campo magnético, 882, 887-888  
contra líneas de fuerza magnética, 887  
de un elemento de corriente, 925  
de una carga en movimiento, 922-923  
dirección de, 922  
extremos de, 889  
flujo magnético y, 888-890  
de corriente, 379, 705  
de flujo, 379. *Vea también* Flujo de fluidos eléctricas  
con corriente, 867, 868  
domésticas, 867-870  
lado neutro de, 867, 868  
espectrales, 1286, 1290-1293  
efecto Zeeman y, 1375-1378  
magnéticas de fuerza, 887  
neutra, 867, 869
- Líquido(s)**  
como materia condensada, 1414  
compresibilidad de, 351  
fases de, 604-607  
moléculas en, 592  
propiedades de, 1414  
rapidez molecular en, 604
- Litio**, 1388  
modelo de Bohr del, 1299
- Litotricia con ondas de choque extracorpóreas**, 534
- Livingston, M. Stanley**, 1486
- Localidad**, 1397
- Longitud(es)**  
adecuada, 1230  
de onda, 471  
de Broglie, 1280, 1283  
de la luz, 1053-1054  
en la serie de Balmer, 1297-1298  
en la serie de Brackett, 1298  
en la serie de Lyman, 1298  
en la serie de Pfund, 1298  
frecuencia y, 1060  
medición de, 1176-1178
- de Planck, 1510-1511
- focal**  
de espejos, 1116-1117  
de lentes de cámara, 1137  
de lentes de microscopios, 1145-1146  
de lentes de telescopios, 1147  
de lentes delgadas, 1128, 1130-1132
- relatividad de, 1228-1232  
unidades de, 4-5, 6
- Luz**, 1078-1103  
absorción de, 1254-1260  
coherente, 1162  
como fotones, 1254-1274. *Vea también* Fotones  
como onda y partícula. *Vea* Dualidad onda-partícula
- difracción de, 1186-1210  
dispersión de, 1084, 1089-1091  
efecto  
Doppler para, 532-533, 1236-1237  
fotoeléctrico y, 1254-1260  
fluorescente, 996, 1079  
frentes de onda de la, 1079-1080  
haces de, 1080  
intensidades de, 1083  
interferencia y, 1164-1167. *Vea también* Interferencia láser, 1054, 1079, 1161, 1163  
longitudes de onda de la, 1053-1054  
monocromática, 1053-1054, 1161  
natural, 1092  
no polarizada, 1092  
polarizada, 1091-1098  
primeros estudios acerca de la, 1078-1079  
principio de Huygens y, 1100-1102  
rapidez de la, 4, 1053, 1079, 1219-1221, 1252  
rayos de, 1080  
reflexión de la, 1080-1089. *Vea también* Reflexión interna total de, 1086-1088  
refracción de la, 1080-1086, *Vea también* Refracción visible, 1053
- Luna, 402, 403f, 406, 409
- Lupas, 1143-1144
- M**
- Magnetismo**, 881-883  
ley de Gauss para, 889, 933  
movimiento de electrones y, 883
- Magnetización**, 904-905, 925, 939-944  
de saturación, 942-943  
diamagnetismo y, 942-943  
ferromagnetismo y, 943-944  
magnetón de Bohr y, 940-941  
paramagnetismo y, 941-942
- Magnetón(es)**  
de Bohr, 940-941, 1376, 1443-1444  
nuclear, 1444
- Magnetrón(es)**, 891
- Magnitud**, de vectores, 11, 14-16
- Manómetros**, 374  
presión, 374-376
- Máquina(s)**  
fotocopiadoras, 766  
térmicas, 649-650  
combustión interna, 636, 652-654  
de Carnot, 658-661, 668-669. *Vea también* Ciclo de Carnot  
depósitos de frío y calor, 649-650  
diagramas de flujo de energía y, 650  
eficiencia térmica de, 650  
refrigeradores como, 654-656
- Z, 795
- Marcapasos**, 864f
- Marco de referencia**. *Vea* Sistema de referencia
- Marconi, Guillermo**, 1053
- Marsden, Ernest**, 1287
- Marte**, gravitación en, 404
- Masa(s)**, 110, 114  
aceleración y, 110  
centro de, 254-258  
de gases, 585-586  
de moléculas, 592, 895  
de prueba, 696  
de un péndulo, 450  
de una estrella, 1252  
del átomo, 592, 685, 895, 1299, 1441, 1442  
del electrón, 685, 894-895, 1441  
del neutrón, 685, 1441  
del núcleo, 1441  
del protón, 685, 1441  
densidad y, 370  
en reposo, 1238-1240  
fuerza y, 110  
inercial, 110  
medición de, 110, 115  
molar, 558, 585, 592  
molecular, 592  
medición de, 895  
peso y, 110, 114-116

- por unidad de longitud, 478  
 puntual, dentro de un cascarón esférico, 416  
 rapidez terminal y, 148-150  
 reducida, 1299, 1410-1411  
 segunda ley de Newton y, 110, 112, 114-116  
 unidades de, 5, 110, 113
- Materia  
 antimateria y, 1517  
 condensada, 1414. *Vea también Líquido(s); Sólidos*  
 fases de la, 604-607  
 luminosa, 1508  
 oscura, 1508  
 propiedades moleculares de la, 590-592
- Material(es)  
 dúctil, 353  
 elástico, 348  
 frágil, 353  
 magnéticos, 905, 939-944  
     diamagnéticos, 942-943  
     ferromagnéticos, 943-944  
     magnetón de Bohr, 940-941  
     paramagnéticos, 941-942  
     permeabilidad relativa de, 941  
 plástico, 348, 353
- Máximos  
 de intensidad, 1193  
 de interferencia, 1196  
 principales, 1197
- Maxwell, James Clerk, 974, 1051, 1079
- Mecánica, 34  
 clásica (newtoniana), 101  
 cuántica, 1321-1352  
     barreras de potencial y, 1340-1343  
     ecuación de Schrödinger y, 1325, 1329, 1360-1362  
     entrelazamiento y, 1395-1398  
     estados confinados y, 1336-1337  
     estados estacionarios y, 1329-1331, 1362  
     estructura atómica y, 1360-1400, 1405  
     función de distribución de probabilidad y, 1326, 1346-1347, 1361-1362  
     funciones de onda y, 1321-1331  
     interpretación de mundos múltiples en, 1350  
     medición en, 1348-1351, 1396-1398  
     momento lineal en, 1348-1350  
     ondas unidimensionales en, 1322-1325  
     oscilador armónico en, 1346-1347  
     paquetes de onda y, 1328  
     partícula en una caja y, 1331-1334, 1362-1367  
     pozos de potencial y, 1336-1340  
     tunelamiento y, 1340-1343  
 de fluidos, 369-388  
     densidad y, 369-371, 377  
     ecuación de Bernoulli y, 381-385  
     flotación y, 376-381  
     flujo de fluidos y, 379-380  
     presión y, 371-37  
     tensión superficial y, 378  
 newtoniana, 101
- Mediadores de fuerza, 1484-1485
- Medicina nuclear, 1463
- Medición  
 cifras significativas en, 8-9  
 de la grasa corporal, 1030f  
 en mecánica cuántica, 1348-1351, 1396-1398  
 exactitud en, 8, 9  
 incertidumbre en, 8  
 precisión en, 9  
 unidades de, 4-7. *Vea también Unidades de medida*
- Medidor(es)  
 de presión, 374-376  
 de Venturi, 384
- Medio, 468, 469
- Megaohm, 824
- Meitner, Lise, 1466
- Membrana celular, 771-774, 802f, 812
- Mesones, 1485-1486, 1492, 1494-1496, 1499  
 $\pi$ , 1485, 1521. *Vea también Piones*  
 K, 1494  
 quarks en, 1497
- Metal(es)  
 alcalinos, 1300, 1388  
 modelo atómico de Bohr para, 1300
- alcalinotérreos, 1388  
 como conductores, 565  
 configuraciones electrónicas de, 1388-1389  
 de tierras raras, 1388, 1389  
 energía promedio de un electrón libre en, 1423  
 modelo  
     de electrón libre en, 1417, 1420-1424  
     de electrones como gas, 1417  
 tierras raras como, 1388
- Metano, estructura del, 1409
- Método  
 de componentes, 14  
 gráfico, para ubicación de imágenes, 1121-1122
- Metro, 5  
 Michelson, Albert, 1177-1178
- Microcoulomb, 692
- Microfarad, 788
- Micrófonos condensadores, 787
- Micrografías, 1146
- Microgramo, 5
- Micrómetro, 5
- Microscopios, 1144-1146  
 compuesto, 1144-1146  
 de barrido  
     electrónico, 1284-1285  
     por tunelamiento, 1342-1343  
 de fuerza atómica dinámica, 466  
 electrónicos, 1283-1285  
     de transmisión, 1284  
 iónicos, 1319  
 poder de resolución de, 1206  
 rastreo por tunelamiento, 1342-1343
- Microsegundo, 5
- Miliampere, 818
- Milibar, 371
- Miligramo, 5
- Milímetro, 5
- Milisegundo, 5
- Millikan, Robert, 895, 1257, 1286
- Miopía, 1140-1143
- Mitchel, John, 419
- Modelo(s), 3  
 atómico  
     contra el análisis de Schrödinger, 1369  
     de Bohr, 1290-1300  
     de Rutherford, 1287-1289  
     de Thomas, 1286-1287, 1288  
     del hidrógeno, 1294-1299, 1367  
     emisión y absorción de fotones y, 1290-1293  
     limitaciones de 1367  
     niveles de energía y, 1290-1294  
     principio de incertidumbre y, 1310  
     cinético-molecular, de un gas ideal, 593-599  
     de capas, 1449-1450  
     de gas de electrones, 1417  
     de gota líquida  
         de la fisión nuclear, 1467  
         del nitrógeno, 1448-1449  
     de molécula puntual, de la capacidad calorífica de un gas, 599-600  
 del electrón libre, 1417, 1420-1424  
 estándar, 1500-1502, 1511-1514  
 idealizados, 3-4
- Moderador, 1468-1469
- Modo normal, 492
- Módulo(s)  
 de corte, 352  
 de Young, 348-349  
 elástico, 347  
     de ócte, 352-353  
     de Young, 348-349  
     volumétrico, 350-351  
 volumétrico, 351
- Molécula(s), 1407-1433  
 diatómicas, 600  
 fuerzas intermoleculares y, 591-592  
 gaseosas, 591, 593-594  
 líquidas, 592  
 polares, 803-804, 1409  
 poliatómicas, 600  
 sólidas, 591

- Moles, 558, 592  
 Momento, 237-261  
 angular, 317  
 como vector, 318, 323  
 conservación del, 320-322  
 de electrones, 940-941  
 de spín, 1380-1381, 1383-1385, 1443  
 de un cuerpo, 319  
 de umbráscopio, 322-325  
 eje de simetría y, 318-319  
 nuclear, 1443  
 orbital, 1369-1370, 1380-1381, 1383-1385  
 precesión y, 322-325  
 razón de cambio de, 317, 318  
 rotación y, 317-322  
 torca y, 317, 318-319  
 total, 1383, 1443  
 colisiones y, 247-251  
 como vector, 238, 244  
 componentes de, 238  
 conservación del, 243-247, 250-251, 1238  
 contra energía cinética, 238-239, 240-242  
 de fotones, 1270  
 de inercia, 283-286  
 cálculo de, 285, 289-291, 452  
 de un cilindro, 286t, 290-291  
 de una esfera, 286t, 291  
 de una placa rectangular, 286t  
 de una varilla delgada, 286t  
 en movimiento armónico simple, 447  
 teorema del eje paralelo y, 288-289  
 torca y, 304, 306-307  
 dipolar eléctrico, 707  
 electromagnético, 1066-1068  
 en mecánica cuántica, 1348-1350  
 en movimiento armónico simple, 445  
 fuerza neta y, 238  
 impulso y, 238-242  
 lineal, 238, 317  
 relativista, 1238-1240  
 total, 243, 256  
 magnético, 901, 904-905, 1375, 1443-1444  
 alineación de, 939-944  
 anómalo, 1444  
 de spín, 1444  
 de un electrón en órbita, 1375-1378  
 de umbrón, 1444  
 de una espira de corriente, 901, 932  
 del neutrón, 1444, 1498  
 dirección de, 901  
 efecto Zeman y, 1375-1378  
 magnitud de, 941-944  
 notación de, 941  
 nuclear, 1443-1444  
 vector de, 901-902  
 magnitud de, 238  
 propulsión de un cohete y, 258-260  
 rapidez de onda y, 479-480  
 razón de cambio de, 238  
 relativista, 1238-1240  
 segunda ley de Newton y, 238  
 teorema impulso-momento lineal, 238-240, 479-480  
 tercera ley de Newton y, 243  
 total, 243, 256  
 transversal, 479-480  
 unidades de, 238  
 y pez arquero, 271  
 Momentum. Vea Momento lineal  
 Monopolos magnéticos, 883, 1501  
 Montañas rusas, 85  
 Morley, Edward, 1177-1178  
 MOSFET de Enriquecimiento, 1431  
 Motor(es)  
 de combustión interna, 636, 652-654  
 ciclo Diesel en, 653-654  
 ciclo Otto en, 652-653  
 de corriente directa, 905-907  
 de derivación, 906  
 de gasolina, 652-654  
 diesel, 653-654  
 compresión adiabática en, 636
- eléctricos, 896, 905-907  
 de corriente directa, 905-907  
 fuerza magnética en, 896  
 en serie, 906  
 Movimiento  
 a lo largo de una curva. Vea Curva(s)  
 armónico simple (MAS), 435-450. Vea también Oscilación  
 aceleración de, 440-441  
 amplitud en, 438-439  
 angular, 447  
 aplicaciones del, 446-449  
 como modelo de movimiento periódico, 436  
 contra oscilación eléctrica, 1007  
 desplazamiento en, 439-440  
 ecuaciones de, 436-438  
 energía en, 442-445  
 momento lineal en el, 445  
 movimiento circular y, 436-438  
 periodo en el, 438-439  
 velocidad en, 440-441  
 vertical, 446  
 circular, 82-85, 436-438  
 aceleración y, 82-83  
 contra movimiento de proyectiles, 84  
 dinámica de, 50-155  
 fuerza de y, 109  
 no uniforme, 15  
 uniforme, 82-85  
 circular uniforme, 82-85, 150-155  
 aceleración centrípeta y, 84-85  
 contra movimiento circular no uniforme, 85  
 contra movimiento de proyectiles, 84  
 dinámica de, 50-155  
 en un círculo vertical, 154-155  
 fuerza de y, 109  
 periodo de, 84  
 de partículas contra movimiento de ondas, 471  
 de proyectiles, 75-82  
 aceleración y, 75-76  
 componentes de, 75-76  
 contra movimiento circular, 84  
 resistencia del aire y, 77  
 trayectoria y, 75, 77  
 velocidad y, 75-76  
 de rotación  
 aceleración angular y, 277-280, 306-309  
 aceleración lineal en, 281-283  
 alrededor de un eje de simetría, 318-319  
 con aceleración angular constante, 278-280  
 con eje fijo, 273-274, 278  
 con movimiento de traslación, 309-315  
 con un eje en movimiento, 309-315  
 coordenadas para, 274  
 de la Tierra, 417-419  
 de un cuerpo rígido, 273-292. Vea también Rotación de un cuerpo rígido  
 de umbráscopio, 322-325  
 dinámica de, 803-826  
 dirección de, 274, 304  
 en damiento sin deslizamiento, 311-312  
 energía cinética y, 283-288  
 energía en, 283-288  
 equilibrio y, 340  
 molecular, 1412-1413  
 momento angular y, 317-322  
 potencia y, 316-317  
 precesión y, 322-325  
 rapidez lineal en, 280-281  
 segunda ley de Newton del movimiento y, 307, 313-315  
 torca y, 303-309  
 trabajo y, 315-317  
 unidades de, 274  
 velocidad angular y, 274-276  
 de satélites, 407-410  
 de traslación, 303, 309-315, 600  
 con movimiento de rotación, 309-315  
 energía cinética molecular y, 600  
 vibratorio, 600  
 del centro de masa, 255-258  
 en dos o tres dimensiones, 67-100

- leyes  
 de Kepler del, 411-413  
 de Newton del, 101-171. *Vea también Leyes de Newton del movimiento*  
 ondulatorio contra movimiento de una partícula, 471  
 orbital, 407-410  
 periódico, 433-458. *Vea también Oscilación*  
 amplitud del, 434  
 de ondas, 470-473  
 de un péndulo, 450-453  
 de un resorte, 433-434  
 desplazamiento en el, 434  
 en osciladores armónicos, 436  
 frecuencia del, 434-435  
 movimiento armónico simple y, 435-450  
 panorama del, 433-435  
 resonancia y, 456-457  
 vibración molecular y, 447-449  
 planetario, 410-414  
 centro de masa y, 414  
 leyes de Kepler del, 411-413  
 rectilíneo, 34-66  
 con aceleración constante, 45-50  
 con aceleración instantánea, 41-44  
 con aceleración media, 40-41  
 con aceleración variable, 53-55  
 con velocidad media, 35-37  
 de cuerpos en caída libre, 50-53  
 desplazamiento y, 35-37  
 diagramas de movimiento del, 40  
 gráfica de, 36-37, 39-40, 43-45  
 obtención de la posición y velocidad por integración, 53-55  
 teorema trabajo-energía del, 182-189  
 tiempo y, 35-37  
 velocidad instantánea y, 37-40  
 velocidad relativa y, 86-88  
 sistema de referencia para, 86-87  
 Müller, Karl, 822  
 Multímetros digitales, 861  
 Multipletes, 1379  
 Multiplicación de vectores, 16  
 Muones, 1248, 1485, 1491, 1492  
 Música, ondas sonoras en, 509-510
- N**
- Nanómetro, 5  
 Nanopartículas, 944f  
 Nanosegundo, 5  
 Ne'man, Yu'val, 1498  
 Neddermeyer, Seth, 1485  
 Neón, 1388  
 Neutrino(s), 1453-1454, 1492  
 masa de los, 1502  
 solares, 1502  
 Neutrón(es)  
 absorción de, 1465-1466  
 descubrimiento del, 1482  
 masa de, 685, 1441  
 momento  
     angular de espín del, 1443  
     magnético de, 1443-1444, 1498  
 Newton (N), 6, 105, 110  
 -metro, 173, 304  
 por coulomb, 696  
 Newton, Isaac, 1078  
 Niebla, 562  
 Nivel(es)  
 de donador, 1426  
 de energía atómica, 1290-1300. *Vea también Niveles de energía atómica*, 1290-1300, 1301, 1375-1378011  
 base, 1291  
 colisiones y, 1290-1291  
 contra estados de energía, 1301  
 cuantización de, 1305-1306  
 de un oscilador armónico, 1344-1345  
 de una partícula en una caja, 1333-1334  
 degeneración y, 1366-1367  
 del átomo de hidrógeno, 1294-199, 1375-1378  
 ecuación de Schrödinger y, 1375-1378  
 efecto Zeeman y, 1375-1378  
 entre transiciones, 1290  
 excitados, 1291  
 fundamental, 1291  
 ley de Moseley y, 1392-1395  
 molecular, 1293  
 reglas de selección y, 1378  
 rotacional, 1410-1411  
 tiempo de vida de, 1291  
 vibratoria, 1412  
 de intensidad del sonido, 516, 517t  
 del aceptor, 1427  
 excitados, 1291  
 fundamental, 1291  
 Nodos, 487  
 -antinodos  
     de desplazamiento, 518-519  
     de presión, 519  
 de desplazamiento, 518-519  
 de presión, 519  
 Notación  
 científica, 9  
 de potencias de 10, 9  
 espectroscópica, 1371  
 Nubes moleculares, 1437  
 Nucleidos, 1442  
 decaimiento de, 1452-1461. *Vea también Decaimiento radiactivo*  
 estables, 1450-1452  
 impar-impar, 1451  
 radiactivos, 1452-1457  
     decaimiento d<sup>d</sup> 452-1461  
     síntesis de, 1514-1515  
 Núcleo(s), 1440-1473  
 atómico, 685, 1288  
 densidad del, 1441  
 derivado, 1452  
 en estado(s)  
     base, 1455  
     excitados, 1455  
 estructura del, 1445  
 formación de, 1514-1515  
 hijo, 1452  
 masa del, 1441  
 modelo  
     de apas del, 1449-1450  
     de gota líquida de, 1448-1449  
 precursor, 1452  
 propiedades del, 1440-1441  
 radio del, 1441  
 superpesados, 1467  
 tiempo de vida del, 1458  
 vida media del, 1458  
 volumen del, 1441  
 Nucleones, 1440-1441  
 Nucleosíntesis, 1514-1515  
 Número(s)  
 atómico, 686, 1299, 1375, 1385, 1441  
 efectivo, 1390  
 cuántico  
     de espín, 1381  
     de momento angular total, 1383  
     magnético, 1370  
     magnético de espín, 1380-1381  
     magnético orbital, 1370  
     momento angular total, 1383  
     notación para, 1370-1371  
     orbital, 1369  
     principal, 1294, 1369  
 de Avogadro, 592  
 de Faraday, 814  
 de masa, 1441  
 de neutrones, 1441  
 de nucleones, 1441  
 de onda, 474, 1060, 1322  
 f, 1137-1138  
 mach, 534  
 mágicos, 1450
- O**
- Objetivo, microscopio, 1145  
 Objeto(s)  
 energía potencial gravitacional de, 288, 311  
 formación de imágenes por lentes y, 1128-1130  
 formación de imágenes por espejos y, 1117-1119

- en óptica, 1111  
 extensos, 1112  
 puntuales, 112  
     formación de imágenes de, 1115-1116, 1123-1127,  
     1205-1206  
     resolución de, 1205-1206  
     virtual, 1134
- Occhialini, Giuseppe, 1265
- Ocular(es), 1145  
     microscopio, 1145
- Oersted, Hans Cristian, 883
- Ohm, 824
- Óhmetros, 861
- Oído humano, 508-509, 523
- Ojo, 1139-1143  
     cirugía láser del, 1302, 1315  
     estructura del, 1139-1140  
     índice de refracción de, 1140  
     resolución del, 1215
- Onda(s)  
     coherentes, 1162  
     como partícula, 1321-1331  
         ecuación de onda para, 1322-1325  
         frecuencia angular de, 1323  
         número de onda para, 1323-1324  
         unidimensionales, 1322-1325  
     de agua, interferencia y, 1164  
     de Broglie, 1283  
     de choque, 533-535  
     de radio, 1050, 1053-1054  
     de sonar, 512  
     electromagnética(s), 1050-1071  
         amplitud de, 1061  
         aplicaciones de, 1053  
         campos eléctricos de, 1052, 1060, 1068-1069  
         campos magnéticos de, 1060, 1068-1069  
         dirección de, 1057  
         ecuaciones de Maxwell y, 1051-1056  
         efecto Doppler para, 532-533, 1236-1237  
         en dieléctricos, 1062-1063  
         en la materia, 1062-1063  
         energía en, 1064-1066  
         estacionarias, 1052, 1068-1070  
         frecuencia angular de, 1060  
         frecuencia de, 1060  
         funciones de onda de, 1060  
         generación de, 1052  
         intensidad de, 1064-1065  
         magnitud de, 1057  
         momento lineal de, 1066-1068  
         número de onda de, 1060  
         planas, 1054-1056  
         polarización de, 1057. *Vea también* Polarización  
         potencia en, 482-483  
         presión de radiación y, 1067  
         propiedades de las, 1057  
         rapidez de, 1057, 1060, 1070  
         reflejadas, 1068-1070  
         regla de la mano derecha para, 1057  
         sinusoidales, 1059-1063  
         superposición de, 1068-1069  
         transversales, 1055, 1059  
         unidades para, 1052  
         vector de Poynting de, 1064-1065  
         y seguridad, 1077
- electrónicas, 1279-1285, 1294-1296  
     estructura atómica y, 1285-1290  
     modelo de Bohr para el hidrógeno y, 1294-1296
- en cuerdas vocales, 503  
 estacionarias, 487-494  
     armónicos y, 491  
     complejas, 492-493  
     electromagnéticas, 1052, 1068-1070  
     en un resorte fijo, 491-494  
     frecuencias de, 491-492  
     instrumentos de cuerda y, 493-494  
     interferencia y, 488, 1161, 1163  
     nodos y antinodos y, 487  
     sonido, 518-522  
     incertidumbre y, 1270-1271  
     incidentes, 489
- longitudinales, 469. *Vea también* Ondas mecánicas; Onda(s)  
     funciones de onda de, 478  
     periódicas, 472  
     sonoras, 472  
 mecánicas, 468-495  
     condiciones de frontera para, 485  
     descripción matemática de, 473-478  
     dirección de, 475, 477-478  
     ecuación de onda para, 477, 481  
     energía de, 482-485  
     estacionarias, 487-494  
     estado de equilibrio para, 469  
     incidentes, 489  
     intensidad de, 484  
     interferencia y, 485  
     longitud de onda de, 471  
     longitudinales. *Vea* Ondas longitudinales  
     patrones de modo normal en, 491-494  
     periódicas, 470-473. *Vea también* Ondas periódicas  
     potencia de, 482-483  
     propagación de, 469-470  
     rapidez de. *Vea* Rapidez de onda  
     sinusoidales, 471-478. *Vea también* Ondas sinusoidales  
     sonido, 472  
     superposición de, 486, 492  
     tipos de, 469  
     transporte de energía por, 470  
     transversales. *Vea* Ondas transversales  
     viajeras, 487, 489  
     medio para, 468, 469  
     periódicas, 470-473. *Vea también* Ondas mecánicas  
         descripción matemática de, 473-478  
         longitudinales, 472. *Vea también* Ondas longitudinales  
             sinusoidales, 471, 473-478. *Vea también* Ondas sinusoidales  
             transversales, 470-471  
     planas, electromagnéticas, 1054-1056, 1059  
     polarización de. *Vea* Polarización  
     reflejadas, 485  
         sinusoidales, 486  
         sinusoidales, 471-478, 473-478  
             electromagnéticas, 1021-1023  
             energía de, 482-485  
             estacionarias, 487-494  
             función de onda de, 473-475  
             interferencia y, 1161  
             reflejadas, 486  
             velocidad/acceleración de partículas en, 476-478  
             viajeras, 487, 489  
         sonoras, 472, 505-536  
             amplitud de desplazamiento de, 506, 514-516  
             amplitud de presión de, 507-509, 514-515  
             como fluctuación de presión, 506-509  
             contenido armónico de, 492-493  
             de hóque, 533-535  
             difracción de, 186, 1194  
             dirección de, 506  
             efecto Doppler y, 528-533, 1236-1237  
             en óxidos, 511-512  
             en un fluido, 510-511  
             en ugas, 512-513  
             estacionarias, 518-522  
             frecuencia de, 509-510  
             gráficas de, 507  
             instrumentos de viento y, 522  
             interferencia de, 524-525, 1185  
             musical, 509-510  
             órganos de tubos y, 520-522  
             percepción de, 509-510  
             potencia de, 514-515  
             pulsos y, 526-528  
             rango audible de, 505  
             rapidez de, 472, 481, 510-513  
             superposición de, 486  
             transversales, 469, 1055, 1059  
                 electromagnéticas, 1055, 1059  
                 función de onda para, 476-478  
                 periódicas, 470-471  
                 rapidez de, 478-482  
             viajeras, 487, 489  
                 interferencia de, 524
- Onnes, Heike Kamerlingh, 822

- Óptica, 1078. *Vea también Luz*  
 física, 1080, 1160  
 geométrica, 1080, 1111  
   cámaras y, 1136-1139  
   el *j*o y, 1139-1143  
   lentes *ll*egadas y, 1128-1136  
   lupas y, 1143-1144  
   microscopios y, 1144-1146  
   reflexión en una superficie esférica y, 1115-1123  
   reflexión en una superficie plana y, 1111-1114  
   refracción en una superficie esférica y, 1123-1127  
   refracción en una superficie plana y, 1111-1114  
   reglas de signos en, 1113  
   telescopios y, 1146-1148  
   imagen en, 1112  
   objeto en, 1111
- Órbita(s)  
 abierta, 408  
 centro de masa y, 414  
 cerradas, 408  
 circular, 408-410, 412  
 de transferencia de Hohmann, 430  
 de un satélite, 407-410  
 del cometa Halley, 413  
 elíptica, 411-412  
 satelitales, 407-410  
 semieje mayor de, 411, 412  
 velocidad de un sector y, 411
- Órganos de tubos, 520-522
- Orígenes del ser humano, fechado, 1381f
- Oscilación(es), 433-438  
 amortiguadas, 453-455  
 amplitud de, 434  
 conducida, 455-456  
 de neutrinos, 1502  
 de ondas periódicas, 470-472  
 de un péndulo, 450-453  
 desplazamiento en, 434  
 eléctrica, 1004, 1008  
 en circuitos *L-C*, 1005-1008  
 en osciladores armónicos. *Vea Osciladores armónicos*  
 en resorte, 433-434  
 forzadas, 455-456, 522  
 frecuencia de, 434-435  
 impulsada, 455-456  
 movimiento armónico simple y, 435-450  
 neutrino, 1502  
 panorama de, 433-435  
 resonancia y, 456-457, 522-524  
 vibración molecular y, 447-449
- Osciladores armónicos, 436, 1343-1347  
 anisotrópicos, 1404  
 cuánticos, 1346-1347  
 funciones de Hermite para, 1346-1347  
 isotrópicos, 1403  
 newtonianos, 436, 1346-1347
- P**  
 Pantalla de cristal líquido (LCD), 1098, 1138  
 Paquetes de ondas, 1328  
 Parábola, ecuación de la, 77  
 Paradoja de los gemelos, 1228  
 Paramagnetismo, 941-942  
 Pararrayos, 766  
 Pares  
   de acción-reacción, 116-119  
     fuerzas gravitacionales como, 399  
   de cobre, 1432  
   protón-antiproton, 1492  
 Paridad, 1496  
 Parsec, 1504  
 Partícula(s), 3, 35  
   alfa, 1287-1288, 1342-1343  
     emisión *dd*452  
     tunelamiento y, 1342-1343  
   antipartículas y, 1484  
   atómicas, 685-686  
   beta-más, 1453  
   beta-menos, 1453-1455  
   cargadas, movimiento en campos magnéticos, 890-892  
   como mediadores de fuerza, 1484-1485
- distinguibles, 1421  
 en el modelo estándar, 1500-1502  
 en estado confinado, 1336-1337  
 en mecánica newtoniana, 1267-1268  
 en una caja  
   en tres dimensiones, 1362-1367  
   en *u*ndimisión, 1331-1334  
   medición y, 1348-1350  
 entrelazadas, 1395-1398  
 extrañas, 1495-1496  
 fotones como, 1256-1257. *Vea también Fotones; Dualidad onda-partícula*  
 función de onda para, 1321-1331  
 fundamentales, 1481-1502  
   perspectiva histórica de, 1481-1486  
 libres, 1323  
 mediadoras, 1484-1489, 1491-1492  
 ondas de luz como, 1254-1274  
 Pascal, 348, 371  
 Pascal, Blaise, 348, 373  
 Patrones de interferencia, 1163  
   intensidad en, 1167-1170  
 Pauli, Wolfgang, 1387  
 Péndulo  
   balístico, 249  
   físico, 451-453  
   movimiento periódico de, 450-453  
   simple, 450-451, 452  
     contra péndulo físico, 452  
 Penzias, Arno, 1516  
 Perihelio, 411  
   precesión del, 1244  
 Periodo  
   de oscilación, 434  
   en el movimiento armónico simple, 438-439  
   en el movimiento circular uniforme, 84  
   frecuencia y, 434-435  
 GUT, 1511  
   orbital, 412  
 Permeabilidad, 941  
   relativa, 941  
 Permitividad, de un dieléctrico, 799-800  
 Peso, 102, 114  
   aceleración y, 110, 114-115  
   aparente, 417-419  
     aceleración debida a la gravedad y, 417-419  
     magnitud de, 418  
     rotación de la Tierra y, 417-419  
   equilibrio y, 340-343  
   gravitación y, 402-404  
   masa y, 110, 114-116  
   medición de, 115  
   molecular, 558, 585  
   real, 427  
     torca y, 307  
 Pi, valor de, 8  
 Pianos, vibración de cuerdas y, 523  
 Picoampere, 818  
 Picofarad, 788  
 Piedras preciosas, 1088, 1089  
 Piones, 1485, 1491, 1492, 1494  
 Placas de cuarto de onda, 1098  
 Planck, Max, 1305-1307  
 Planetas, detección de, 258f  
 Planilandia, 1505  
 Plano(s)  
   antinodales, 1069  
   de incidencia, 1082  
   nodales, 1069  
 Plantas de energía nuclear, 1242, 1468-1470  
 Plasma, 1472  
 Poder de resolución, 1205-1206  
   criterio de Rayleigh y, 1205, 1206  
   cromática, 1200-1214, 1206  
   de espectrógrafos de rejilla, 1200-1201  
   de un microscopio, 1283-1284  
   en la difracción, 1205-1206  
   límite de, 1205  
 Polaridad de la célula, 1049  
 Polarización, 689, 786, 803-804, 1091-1098  
   cargas inducidas y, 689, 804  
   circular, 1097-1098

- cuerpos cargados y, 689, 804  
de dieléctricos, 899-800, 803-804  
de ondas de luz, 1091-1098  
de ondas electromagnéticas, 1057, 1091-1098  
directa, 1428, 1429  
elíptica, 1097-1098  
fotoelasticidad y, 1098  
inversa, 1428  
lineal, 1057, 1091, 1093  
    de ondas electromagnéticas, 1057  
líneas de campo eléctrico y, 706  
parcial, 1095  
por reflexión, 1095-1096  
Polarizadores, 1091  
Polo(s)  
    magnéticos, 882  
        contra carga eléctrica, 883  
    norte (N), 882  
    sur (S), 882  
Polvo interplanetario, 1075  
Posición. *Vea también Desplazamiento*  
    como función del tiempo  
        con aceleración variable, 53-55  
        con aceleración constante, 45-47  
    energía potencial y, 204  
    por integración, 53-55  
Positrones, 1454, 1482-1484  
    descubrimiento de, 1482-1483  
    en la aniquilación de un par, 1484  
    en la producción de un par, 1265-1266, 1483-1484  
    movimiento en campos magnéticos, 892  
    primeros estudios de, 1482-1484  
Positronio, 1375  
Potencia, 189-191  
    de lentes correctivas, 1142  
    de motores eléctricos, 906  
    de ondas, 482-483  
        sonoras, 514-515  
    eléctrica, 190  
    en circuitos eléctricos, 832-834, 1033-1036  
    energía y, 869-870  
    fuerza y, 190  
    instantánea, 189, 190  
        en ondas, 482-483  
    media, 189, 483  
    medición de, 860  
    movimiento de rotación y, 316-317  
    trabajo y, 482-483  
        velocidad y, 190  
Potencial(es)  
    de acción, 880, 988  
    de frenado, 1255-1256  
    eléctrico, 759-769. *Vea también Potencial*  
        cálculo de, 760  
        campo eléctrico y, 759, 760-761, 771-773  
        circuitos eléctricos y, 832-834  
        como cantidad escalar, 759, 773  
        de  $a$  con respecto a  $b$ , 759  
        energía potencial eléctrica y, 761  
        líneas de campo y, 769-770  
        máximo, 766-767  
        superficies equipotenciales y, 769-771  
        trabajo realizado por, 759  
            unidades de, 759, 761  
    en una membrana, 771-773, 814  
Potenciómetros, 862  
Pozo(s)  
    cuadrados  
        finitos contra infinitos, 1338-1339  
        de potencial, 1336-1340  
    de potencial, 591, 1336-1340  
    finitos, 1336  
Precesión, 322-325  
    del perihelio, 1244  
Precipitadores electrostáticos, 781-782  
Precisión contra exactitud, 9  
Prefijos, para unidades de medición, 5  
Presbicia, 1140  
Preservación criogénica, 582  
Presión, 350, 351  
    absoluta, 373-374  
atmosférica, 350, 371  
    elevación y, 588-589  
    medición d874-375  
    como cantidad escalar, 350  
    contra  
        densidad, 586  
        fuerza, 350, 371  
    de fluidos, 350, 371-376  
        ley de Pascal y, 373  
        medición d874-376  
        profundidad y, 372-373  
    de radiación, 1067  
    del agua doméstica, 383  
    del aire, 371  
    en gases  
        colisiones modulares y, 593-594  
        energía cinética molecular y, 594-595  
        temperatura y, 549  
esfuerzo/deformación volumétrica y, 350-351  
flujo de fluidos y, 381-385  
manométrica, 373-374  
medición de, 374-376  
rapidez y, 381-385  
recíproca, 351  
sanguínea, 375f, 382f  
sobre un elefante en el agua, 396  
unidades de, 348, 351  
Primera(s)  
    condición de equilibrio, 340  
ley(es)  
    de dpler, 411  
    de la termodinámica, 618-637  
    de Newton del movimiento, 101, 105-108  
Principio(s)  
    cosmológico, 1504  
    de Arquímedes, 376  
    de correspondencia, 1244  
    de exclusión, 1386-1387, 1396  
        colores de quarks y, 1499  
        enlaces y, 1408  
        tabla periódica y, 1388-1389  
    de Huygens, 1100-1102  
        difracción y, 1187-1188  
    de incertidumbre, 1269-1271, 1308-1310  
        de Hnsenberg, 1269-1271, 1308-1310  
        energía-tiempo, 1271-1272, 1309, 1310  
        modelo de Bohr y, 1310  
        momento lineal-posición, 1269-1271, 1272, 1309  
        oscilador rmónico y, 1347  
        para la materia, 1309  
        posición-momento lineal, 1267-1271, 1272, 1309  
        tiempo-energía, 1271-1272, 1309, 1310  
    de integración, 241  
    de relatividad, 1218-1219  
    diferencial, 241  
    físicos, 2  
Prisma  
    dispersión por, 1089  
    de Porro, 1087-1088  
Probabilidad  
    de tunelamiento, 1341  
    dualidad onda-partícula y, 1267-1271  
Problemas de electrostática, 692  
Proceso(s)  
    a presión constante, 629  
    a temperatura constante, 629  
    a volumen constante, 629  
    adiabático, 629  
        ciclo de Carnot y, 658  
        de gas ideal, 634-636  
    cíclicos en máquinas térmicas, 649  
    de equilibrio, 648  
    irreversible, 647-648  
    isobárico, 630  
    isocórico, 630  
    isotérmico, 629-630  
        ciclo de Carnot y, 658  
    reversible, 648  
    termodinámicos, 618, 619  
        adiabáticos, 629, 634-636, 658  
        calor gregado en, 622-623

- cambios infinitesimales de estado en, 628  
desorden en, 648  
dirección de, 647-648  
en máquinas de calor, 649-652  
equilibrio en, 648  
estados intermedios (trayectorias) en, 622-623  
isobáricos, 629  
isocóricos, 629  
isotérmicos, 629, 658  
reversibilidad de, 647-648, 658  
tipos de, 628-630  
trabajo realizado en, 620-621  
triple alfa, 1515  
Producción de un par, 1265-1266, 1483-1484  
electrón-positrón, 1265-1266, 1483-1484  
positróns en, 1483-1484  
Producto(s)  
cruz. Vea Producto vectorial  
escalar, 19-22  
punto. Vea Producto escalar  
vectorial, 19, 22-24  
Profundidad  
presión de fluidos y, 372-373  
Propiedades  
de simetría, de sistemas, 722  
macroscópicas contra propiedades microscópicas, 584  
microscópicas contra propiedades macroscópicas, 584  
teorías de la materia y, macroscópicas, 593  
térmicas de la materia, 584-608  
Propulsión de un cohete, 258-260  
Protección de radiación espacial, 750  
Proteínas, estructura de, 1414f  
Protón(es)  
apantallamiento electrónico de, 1389-1391  
carga de, 691  
masa de, 685, 1141  
momento  
angular de espín del, 1443  
magnético de, 1444  
tiempo de vida de, 1501  
Proyectiles, 75  
Proyectores, 1138  
Psia (libras por pulgada cuadrada absolutas), 373  
Psig (libras por pulgada cuadrada manométricas), 373  
Puente de Wheatstone, 878  
Pulsos, 526-528  
de onda, 470  
Punto(s)  
cercano, del ojo, 1140  
crítico, 605  
cuánticos, 1359  
de campo, 696-697, 922  
de fusión, de sólidos, 1414  
de la imagen, 1111-1112  
de origen, 696-697, 922  
de referencia, 437  
de retorno clásico, 1358  
focal  
de espejos, 1116-1117  
de lentes de microscopios, 1145  
de lentes delgadas, 1128  
virtual, 1120  
lejano del ojo, 1140  
objeto, 1112  
triple, 605
- Q**  
Quarks, 685, 918, 1444, 1496-1500  
abajo, 1497  
antiquarks y, 1497, 1499  
arriba, 1497  
camino óctuple y, 1498-1499  
colores de, 1499  
en el modelo estándar, 1500-1501, 1511  
encanto, 1499  
extraño, 1497  
sabores de, 1497
- R**  
Rad, 1461  
Radar, Doppler, 533
- Radiación, 565, 569-571  
absorción de, 569-570  
aplicación de, 570  
calentamiento global y, 571  
cáncer y, 762f, 944f, 1262, 1277  
cósmica de fondo, 1516  
de Čerenkov, 1250, 1468f  
de cuerpo negro, 570, 1303-1308  
de fondo, 1516  
de frenado, 1261-1392  
de ionización, 1461  
de sincrotrón, 1488  
del cuerpo humano, 570  
efectos biológicos de, 1262, 1462-1463  
electromagnética, 569-571, 1052-1053  
factor de calidad para, 1461  
gamma, 1265-1266, 1455, 1463  
ionizante, 1461  
ley/constante de Stefan-Boltzmann y 569  
riesgos, 1462-1463  
solar, 570-571, 1258  
térmica, 1079  
usos benéficos de, 1463  
Radiactividad, 1450  
unidades de, 1458  
Radiador ideal, 570  
Radianes, 274, 281  
Radio  
de Bohr, 1295  
de curvatura  
de una lente, 1130-1131  
de una superficie esférica, 1113, 1125  
de Schwarzschild, 420  
decaimiento alfa del, 1452-1453  
del núcleo, 1441  
Radiología, 1262  
Radón, 1460-1461  
Rango  
audible, 505  
de validez, 2  
Rapidez, 38  
angular, 275, 280-281, 324  
de precesión, 324  
instantánea, 281  
razón de cambio de, 280-281  
arrastre del aire y, 148-150  
contra velocidad, 38, 68, 281  
cuadrática media, 596  
de escape, 406, 409, 419, 1506-1507  
de flujo de salida, 383-384  
de la luz, 4, 1053, 1079, 1219-1221, 1252  
de onda(s), 469, 471, 475, 478-482  
cálculo de, 479-481  
contra rapidez de una partícula, 514  
electromagnéticas, 1057, 1070  
en ondas transversales, 476-482  
en una cuerda, 478-481  
sonoras, 510-513  
teoría de impulso-momento lineal y, 479-480  
de partículas contra rapidez de ondas, 514  
de propagación, 469, 471  
de recesión, 1504, 1505, 1506  
de un cohete, 258-260  
de un proyectil, 77  
instantánea, 38  
lineal, en un cuerpo rígido en rotación, 280-281  
media, 38  
medición de la, 4-5  
molecular, 596-597, 602-604  
distribución de Maxwell-Boltzmann y, 603-604  
orbital, 412  
raíz cuadrática media (rms), 596  
relativista contra no relativista, 1225  
rms, 596  
supersónica, 534  
terminal, 148-150  
trabajo y, 177-179  
de un yo-yo, 312  
unidades de, 6  
Rarefacción, 472  
Rayleigh, Lord, 1205, 1304-1305, 1307

- Rayo(s), 1080, 1132  
 gamma, 1455, 1463  
 producción de pares y, 1265-1266  
 paraxiales, 1116  
 principal, 1121-1122, 1132-1133  
 de espejos, 1121-1122  
 de lentes, 1132-1133  
 X, 1260-1263. *Vea también Radiación*  
 aplicaciones de, 1262, 1393f
- Razón(es)  
 de capacidades caloríficas, 512-513, 633  
 de compresión, 652  
 de flujo, 379-380  
 masa-volumen, densidad y, 370
- Reacción(es)  
 en cadena, 1468  
 endoenergéticas, 1464  
 endotérmicas, 1464  
 energía de activación para, 604  
 exoenergéticas, 1464  
 exotérmicas, 1464  
 nucleares, 1464-1472  
 absorción de neutrones en, 1465-1466  
 en cadena, 1468  
 endoenergéticas, 1464  
 endotérmicas, 1464  
 energía de reacción en, 1464-1465  
 energía de umbral de, 1464  
 exoenergéticas, 1464  
 exotérmicas, 1464  
 fisión, 1242, 1466-1470  
 fusión, 1470-1472  
 termonuclear, 1472  
 químicas, 604  
 termonucleares, 1472
- Reactancia  
 capacitiva, 1027  
 inductiva, 1025
- Reactores nucleares, 1242, 1468-1470
- Rectificador(es), 1022, 1428  
 de corriente de onda completa, 1022  
 de diodo, 1428, 1438
- Recubrimientos no reflexivos, 1175-1176
- Red cristalina, 591, 1415-1416
- Redondeo, cifras significativas en, 9
- Reflector ideal, 570
- Reflexión, 1080-1089  
 cambios de fase durante, 1171-1173  
 de Bragg, 1203, 1216  
 de ondas electromagnéticas, 1070  
 difusa, 1081, 1112  
 durante interferencia, 1171-1173  
 en la difracción de rayos X, 1202-1203  
 en una superficie esférica, 1115-1123  
 en una superficie plana, 1111, 1114  
 especular, 1081, 1112  
 formación de imágenes y, 1111-1114  
 interna total, 1086-1088  
 ley de, 1082-1084  
 polarización por, 1095-1096  
 principio de Huygens y, 1100-1101
- Refracción, 1080-1086  
 en el ojo, 1140  
 en una superficie  
 esférica, 1123-1127  
 plana, 1111-1114  
 índice de. *Vea Índice de refracción*  
 ley de, 1082-1084  
 principio de Huygens y, 1101-1102
- Refrigerador(es), 654-656  
 de Carnot, 662  
 prácticos, 655-656  
 sin trabajo, 656
- Regla(s)  
 de Dulong y Petit, 559, 602  
 de Kirchhoff, 853-858, 974  
 de la mano derecha, 22-23  
 de selección, 1378
- Reines, Frederick, 1453
- Rejillas  
 de difracción, 1197-1201  
 de transmisión, 1198
- Relatividad, 1218-1246  
 de intervalos de tiempo, 1223-1228  
 de la longitud, 1228-1232  
 de la simultaneidad, 1221, 1223  
 efecto Doppler y, 532, 1236-1237  
 envejecimiento y, 1228  
 invariancia de las leyes físicas y, 1218-1221  
 mecánica newtoniana y, 1238-1240, 1244-1245  
 paradoja de los gemelos y, 1228  
 postulados de Einstein de la, 1218-1219  
 principio de, 1218-1219  
 rapidez de la luz y, 1219-1221  
 sistema inercial de referencia y, 1218, 1219, 1220-1221  
 teoría de la,  
 especial 1218-1243  
 general 419, 1244-1245, 1505  
 transformaciones de coordenadas galileanas y, 1220-1221  
 transformadas de Lorentz y, 1232-1236
- rem, 1461
- Reproductores de DVD, 1198, 1206, 1303
- Resistencia, 823-826  
 a la tensión, 354  
 última, 354  
 a la tracción, 147  
 de acceso, 1049  
 de fluidos, 147-150  
 del aire, movimiento de proyectiles y, 77  
 dieléctrica, 802  
 del *íre*, 766, 802  
 equivalente, 849, 850  
 interna, 828-829, 832  
 medición de la, 858-859, 860-861  
 térmica, 566  
 última, 354
- Resistividad, 820-823  
 de un metal, 836-838  
 temperatura y, 822-823
- Resistor(es), 824-825  
 contra  
 capacitores, 850  
 inductores, 998  
 de derivación, 859  
 disipación de energía en, 833  
 en circuitos  
 de ca, 1023-1024, 1028, 1033  
 de dc 848-853  
 en paralelo, 849, 850-851  
 en serie, 849-850  
 potencia en, 1033  
 de entrada a, 833  
 resistencia equivalente y, 849-853
- Resonancia, 456-457, 522-524, 1036  
 en sistemas mecánicos, 456-457  
 en un circuito de ca, 1036-1038  
 magnética nuclear, 1445
- Resorte(s)  
 energía potencial elástica, 212-217  
 ideal, 435  
 oscilación en, 433-434  
 trabajo realizado sobre/por, 183-184
- Resta  
 cifras significativas en, 9  
 de vectores, 13
- Resultante, 12
- Revestimientos reflexivos, 1175-1176
- Rodamiento sin deslizamiento, 311-312
- Röntgen, Wilhelm, 1201, 1260, 1452
- Rotación  
 con eje fijo, 273-274, 278  
 Rotación de un cuerpo rígido, 273-292  
 aceleración  
 angular en, 277-280  
 lineal en, 281-283  
 alrededor de un eje  
 fijo, 273-274  
 móvil, 309-315  
 con movimiento de traslación, 309-315  
 de un eje en movimiento, 309-320  
 dinámica de, 303-326  
 energía cinética en, 283-288  
 molecular, vibración y, 1412-1413

momento de inercia y, 283-286  
rapidez lineal en, 280-281  
velocidad angular en, 274-276  
Rotores, 905-906  
Rubbia, Carlo, 1492  
Ruido, 510  
Ruptura  
  de Zener, 1430  
  del dieléctrico, 797-798, 802, 1419  
  por avalancha, 1430  
Rutherford, Ernest, 1287-1288, 1290, 1343, 1452, 1464, 1482

**S**

Sabores, de quarks, 1497  
Saturación, 144  
Schrieffer, Robert, 1432  
Schrödinger, Erwin, 1325  
Segré, Emilio, 1450  
Segunda  
  condición de equilibrio, 340  
  ley de Kepler, 411-412  
  ley de la termodinámica, 647-674  
    ciclo de Carnot y, 662-663  
    enunciado de Clausius de, 657  
    enunciado de Kelvin-Planck de, 656  
    enunciado de máquina de, 656  
    enunciado de refrigerador de, 657  
  ley de Newton del movimiento, 108-116  
    aceleración y, 108-112  
    análogo rotacional de la, 307, 313-315  
    aplicación de, 111-112, 120  
    ecuaciones de componentes para, 111-112  
    entropía y, 670, 673  
    enunciado de la, 111  
    fuerza neta y, 108-112  
    masa y, 110, 112, 114-116  
    momento lineal y, 238  
    peso y, 110, 114-116  
    relatividad y, 1238-1240, 1244-1245  
    resistencia de fluidos y, 148-150  
    sistemas inerciales de referencia y, 112

Segundo(s), 4, 434  
  por ciclo, 434

Selectores de velocidad, 894

Selectrones, 1502

Semiconductor(es), 908, 1424-1427  
  bandas de energía en, 1419  
  cargas en movimiento en, 817-818  
  compensados, 1427  
  condiciones de polarización y, 1428-1429  
  conducción en, 817-818  
  de germanio, 1424-1427  
  de silicio, 1424-1427  
  diodos de, 825  
  dopaje y, 1426-1427  
  huecos en, 908, 1425-1426  
  impurezas en, 1426-1427  
  intrínsecos, 1425-1426  
  puros, 1425  
  resistividad de, 821  
  tipo *n*, 1426  
  tipo *p*, 1427

Semieje mayor, 411, 412

Sensores de semáforos, 996

Separación de variables, 1363, 1395

Serie(s)

  armónica, 491  
  de Brackett, 1298  
  de decaimiento radiactivo, 1456-1457  
  de Fourier, 493  
  de Lyman, 1298  
  de Pfund, 1298  
  resistores en, 849-850  
Sievert, 1461  
Simetría, 1366-1367  
  degeneración y, 1367  
  en teoría de partículas, 1498-1499  
  esférica, 1362, 1368, 1386  
    gravitación y, 399-400  
  leyes de conservación y, 1496  
  supersimetría, 1502

Simultaneidad, relatividad de la, 1221-1223  
Sincrociclotrones, 1487-1488  
Sincrotrones, 1488  
Síntesis newtoniana, 414  
Sistema(s)  
  aislados, 243  
    energía interna de, 625-628  
    propiedades de simetría de, 722  
  de alambrado  
    de automóviles, 867, 869-870  
    domésticos, 867-870, 1039-1040  
  de centro de momento lineal, 1266, 1488  
  de distribución de potencia, 867-870  
  de estrellas binarias, 422, 1252  
  de mano derecha, 24  
  de posicionamiento global, 1183, 1245  
  GPS, 1075, 1183, 1245  
  inglés, 6. Vea también Unidades de medida  
  métrico cgs, 113  
  permanente, 353  
  termodinámicos, 618-619  
    cuerpo humano como, 624  
    energía interna de. Vea Energía interna  
    trayectorias en, 622-623  
    trabajo realizado en, 620-621  
Sistema de referencia, 86  
  inercial, 107-108, 1112, 1218, 1219, 1220  
    primera ley de Newton y, 107-108  
    segunda ley de Newton y, 112  
    simultaneidad y, 1221-1223  
    teoría de la relatividad y, 1218  
  simultaneidad y, 1221-1223  
  suceso en, 1221  
  velocidad relativa y, 86-87  
Slipher, Vesto, 1503  
Slug, 113  
Sobreamortiguamiento, 454  
Sobrecalentamiento, 562  
Sobreenfriamiento, 562  
Sobretonos, 491  
Sol, 999f, 1471, 1472, 1510, 1515  
Solenoide(s), 902-903, 904, 938-939, 946  
  toroidal, campo magnético de, 939, 946

Sólidos

  amorfos, 1414  
  bandas de energía en, 1418-1419  
  capacidades caloríficas de, 601-602  
  como materia condensada, 1414  
  cristalinos, 1414-1417  
  enlaces en, 1416, 1417  
  estructura de, 1414-1417  
  fases de, 604-607  
  moléculas en, 591  
  ondas de sonido en, 511-512  
  puntos de fusión de, 1414

Solución de problemas  
  estrategias para, 2-4  
  modelos idealizados para, 3-4

Sonido, 505

  infrasónico, 505  
  resonancia y, 522-524  
  timbre del, 509  
  tono del, 509  
  ultrasónico, 505  
  volumen del, 509

Strassman, Fritz, 1466

Subamortiguamiento, 454, 1009-1010

Sublimación, 562, 605

Sudbury Neutrino Observatory, 1502

Suma vectorial, 12, 16-17

Superconductividad, 1432

Superconductores, 822, 966, 977-978

  de alta temperatura, 1432

Superficie

  cerrada, flujo eléctrico a través de, 722  
  equipoéticas, 769-771  
    conductores y, 770-771  
  esférica  
    radio de curvatura de, 1113, 1125  
    reflexión en, 1115-1123  
    refracción en, 1123-1127

- gaussiana, 731, 771
    - contra superficie equipotencial, 771
  - plana
    - reflexión en, 1111-1114
    - refracción en, 1126
  - pVT*, 606
  - Supernovas, 1225, 1515
  - Superposición
    - de campos
      - eléctricos, 700
      - magnéticos, 924
    - de fuerzas, 103, 400-402, 692
    - de ondas, 486, 492
    - lineal, 486
      - principio de, 486, 692, 700, 1160-1161
  - Supersimetría, 1502
  - Susceptibilidad magnética, 942
  - Sustancia de trabajo, 649, 650
- T**
- Tabla periódica, 1388-1389
  - Tamaño angular, 1143
  - Tanque de buceo, masa de aire en, 588
  - Taus, 1493
  - Tecnicio 99, 1463
  - Telescopio(s), 1116, 1146-1148
    - astronómicos, 1116, 1146-1148
    - de Arecibo, 1214
    - de reflexión, 1148
    - de refracción, 1146-1147
    - Espacial Hubble, 1116, 1214, 1504
    - poder de resolución de, 1206
  - Temperatura, 545-550
    - absoluta, 513
    - como escalar, 10
    - contra
      - calor, 556
      - un intervalo de temperatura, 548
    - critica, 590, 977
    - de ebullición, 561
    - de fusión, 560
    - de un cuerpo, 548f, 574
    - definición macroscópica de, 546
    - del Universo primitivo, 1509
    - energía
      - cinética molecular y, 630
      - interna y, 630
    - presión de un gas y, 549
    - resistividad y, 822-823
    - unidades de medida para, 547, 549
    - y diodos de unión *p-n*, 1438
  - Tensión, 102, 348, 349
    - ficción estática y, 144
    - superficial, 378
    - tercera ley de Newton y, 119
  - Teorema(s)
    - binomial, 447, 449
    - de Torricelli, 384
    - del eje paralelo, 288-289
    - impulso-momento lineal, 238-240, 479-480
    - trabajo-energía, 177-182, 753
      - para fuerzas constantes, 173-174
      - para fuerzas variables, 183-189
      - para movimiento a lo largo de una curva, 187-189
      - para movimiento rectilíneo, 183-187
      - para sistemas compuestos, 182
  - Teoría(s), 2
    - de la relatividad
      - especial, 89, 1218-1243
      - general, 419, 1244-1245, 1505
    - de todo (TDT), 157, 1502
    - electrodébil, 1500-1501
    - físicas, 2
    - ondulatoria de Maxwell, 1051-1056, 1255-1256, 1261
    - rango de validez, 2
  - Tercera ley
    - de Kepler, 412, 422
    - de la termodinámica, 664
    - de Newton del movimiento, 116-119
      - aplicación de, 117-118, 120
      - enunciado de la, 116
  - momento lineal y, 243
  - pares de acción-reacción y, 116-119
  - resistencia de fluidos y, 147-150
  - tensión y, 119
  - Termistores, 822
  - Termo de Dewar, 570
  - Termodinámica, 545
    - aplicaciones de la, 619
    - ley cero de la, 547-548
    - primera ley de, 618-637
    - reglas de signos de la, 619
    - segunda ley de la, 647-674
    - tercera ley de la, 664
  - Termómetros, 546
    - de arteria temporal, 548
    - de gas, 548-549, 587, 664
      - a volumen constante, 549
    - de resistencia, 558
    - de tira bimetálica, 547
      - resistencia de, 558
  - Termos, 570
  - Tesla, Nikola 885
  - Thomson, G. P., 1281-1282
  - Thomson, J. J., 748, 894, 1281, 1286, 1486
  - Tiempo
    - adecuado, 1224-1227, 1228
    - de Planck, 1510
    - de relajación, 864
    - de vida, 1458
    - espacio y, 1233
    - historia del, 1509-1517
    - libre medio, 837
    - movimiento rectilíneo y, 35-37
    - potencia y, 189
    - unidades de, 4, 5, 6
  - Tierra
    - campos magnéticos de la, 882, 885
    - densidad de la, 404
    - rotación de la, 417-419
    - temperatura superficial de la, 571
  - Timbre, 509
  - Tira y afloja, 256, 367
  - Tirón cósmico, 1521
  - Tomografía
    - computarizada, 1262
    - por emisión de positrones (TEP), 1522
  - Tono, 509
  - Torca, 303-309
    - aceleración angular y, 306-309
    - aplicación de, 305-306
    - cálculo de, 304
    - centro de masa y, 307
    - como vector, 305-306
    - constante, 315
    - de fuerzas internas contra fuerzas externas, 307
    - desplazamiento angular y, 315-317
    - dirección de, 304
    - en dipolos eléctricos, 902
    - en espiras de corriente, 900-905
    - energía cinética y, 316
    - equilibrio y, 340
    - ficción y, 314
    - fuerza neta y, 306, 317, 318
    - gravitacional, 341-342
    - magnéticas, 900-905
    - magnitud de, 305
    - medición de, 304
    - momento
      - angular y, 317, 318-319
      - de inercia y, 304, 306-307
    - neta, 316
    - peso y, 307
    - positiva contra negativa, 304
    - trabajo realizado por, 315-317
    - unidad de, 304
  - Torr, 375
  - Torre inclinada de Pisa, 2
  - Toxicidad del agua pesada, 1446f
  - Trabajo, 173-189
    - cambio en la rapidez y, 177-179
    - cerro, 175

- como cantidad escalar, 174  
desplazamiento y, 173-174, 177-179  
en sistemas compuestos, 182  
energía  
  cinética *lativista* y, 1240-1241  
  cinética y, 177-182  
  potencial y, 753  
negativo, 175-176, 178  
positivo, 175, 178  
potencia y, 189-191, 482-483  
razón de, 189-191  
realizado durante  
  un cambio de volumen, 590  
  una transferencia de calor, 656  
  una arga de capacitor, 794-795  
por campos eléctricos, 753-758  
por el flujo de un fluido, 381-385  
por fuerzas  
  constantes, 173-175  
  variables, 183-187  
realizado por  
  gravitación, 405-406  
  ondas, 482-483  
  un potencial eléctrico, 759  
  un sistema termodinámico, 620-621  
una fuerza conservativa, 752-753  
una fuerza eléctrica, 754-755, 759  
una fuerza electromotriz, 827-828  
una sustancia de trabajo, 650  
una *torc* 315-317  
/sobre un resorte, 183-184  
reglas de signos de, 175-176, 178, 619  
total, 176-177, 240  
unidades de, 173  
y energía relativistas, 1240-1241
- Trampolines, 214
- Transferencia de calor, 556-559  
  mecanismos de, 565-568  
  por conducción, 565-568  
  por convección, 565-568  
  por radiación, 569-571  
  razones de, 565
- Transformación galileana  
  de coordenadas, 1220-1221  
  de velocidad, 88, 1221
- Transformadas de Lorentz, 1232-1236  
  coordenadas, 1232-1233  
  velocidad, 1233-1234
- Transformadores, 992, 1038-1041  
  de paso alto, 1038f, 1039  
  de paso bajo, 1039
- Transiciones  
  de fase, 604-607  
  permitidas, 1378  
  prohibidas, 1378
- Transistores, 1430-1431  
  de unión bipolar, 1430
- Trayectoria, 75, 77  
  en un sistema termodinámico, 622-623  
  libre media, 598  
  parabólica, 77
- Trazadores radiactivos, 1463
- Trineo(s)  
  cohete, 71  
  primera ley de Newton y, 106
- Tritio, 1463
- Tritones, 1472
- Tsunamis, 1211
- Tubo(s)  
  de flujo, 379  
  de Kundt, 518  
  de rayos catódicos, para medición de campos magnéticos, 885-886
- Tunelamiento, 1340-1343, 1467
- Tyrannosaurus rex*, péndulo físico y, 452-453
- U**
- Ultrasonido, 512, 543
- Unidad(es)  
  de medida, 4-7  
    cifras significativas y, 8-9  
  consistencia *d6*
- consistencia dimensional de, 6  
conversión *d6-7*  
de alor, 556-557  
de energía cinética, 178-179  
de frecuencia, 434  
de fuerza, 6, 102  
de longitud, 4-5, 6  
derivadas, 5  
en áculos, 6  
en caciones, 6  
en el sistema inglés, 6  
en el sistema métrico cgs, 113  
en el sistema SI, 4, 6  
incertidumbre y, 8  
para caleración, 113  
para campo eléctrico, 696, 762  
para capacitancia, 786  
para corriente eléctrica, 691-692, 818  
para distancias astronómicas, 1504  
para dosis de radiación, 1461  
para flujo magnético, 889  
para fuerza eléctrica, 691-692  
para fuerza magnética, 885  
para inductancia mutua, 992  
para la amplitud, 434  
para la frecuencia angular, 434-435  
para *masa*, 5, 110, 113  
para momento lineal, 238  
para ondas electromagnéticas, 1052  
para periodo, 434  
para *po*, 113  
para potencial eléctrico, 759, 762  
para *prón*, 348, 371  
para radiactividad, 1458  
para *sistencia*, 824  
para rotación, 274  
para *temperatura*, 547, 549  
para tiempo, 4, 5, 6  
para *torc* 304  
para *trabajo*, 173  
para *locidad*, 37  
para volumen, 7  
prefijos para, 5  
del flash de una cámara, 795  
del Sistema Internacional (SI), 4, 6  
dimensionalmente consistentes, 6  
térmica británica (Btu), 556
- Uniones  
  de Josephson, 1342  
  en circuitos, 853  
  *p-n*, 1427-1430
- Universo. *Vea también Espacio*  
  densidad crítica del, 1506-1507  
  desacoplamiento de interacciones y, 1510-1511  
  expansión del, 1502-1503  
  factor de escala para, 1505, 1506  
  historia del, 1509-1517  
  línea de tiempo para, 1512-1513  
  modelo estándar del, 1511-1514  
  tamaño del, 1505-1506  
  temperatura de, 1509
- Urano  
  en la fisión nuclear, 1466-1470  
  serie de desintegración del, 1456-1457
- Urey, Harold, 1299
- V**
- Vacantes, 818
- Vacio  
  campos eléctricos en, 795  
  capacitores en, 786-788, 795  
  energía de un campo eléctrico en, 795  
  permittividad de, 800
- Validez, rango de, 2
- Valor(es)  
  cuadráticos medios, 596, 1022-1023  
  de *R*, 566
- Van der Mer, Simon, 1492
- Vaporización, 560  
  calor de, 526, 560

- Variables  
de estado, 585  
incógnitas, 3  
separación de, 1363, 1395  
Variación magnética, 882  
Varillas de control, 1469  
Vector(es), 10-24  
antiparalelos, 11  
componente, 14  
componentes de, 14-18, 20-21, 103-104  
de aceleración, 34, 70-75, 278  
instantánea, 71-72  
media, 71-72  
de densidad de corriente, 819  
de fuerza, 10, 102-104  
de momento angular, 318, 323  
de posición, 67-70  
de Poynting, 1064-1065  
de velocidad, 34, 67-70, 276  
angular, 276  
instantánea, 68-70  
media, 68-70  
desplazamiento, 11, 17  
dirección de, 10, 14-16  
fuerza de, 10, 102-104  
magnitud de, 11, 14-16  
momento lineal, 238, 244  
multiplicación de, 16  
negativo de, 11  
notación para, 11  
paralelos, 11  
posición, 67-70  
regla de la mano derecha para, 22-23  
resta de, 13  
suma de, 12-14, 16-17  
torca, 305-306  
unitarios, 18-19  
velocidad de, 34, 67-70, 276
- Velocidad  
angular, 274-276, 281  
aceleración angular y, 277  
cálculo de, 275-276  
como vector, 276  
contra velocidad lineal, 275  
instantánea, 275  
media, 274-275  
razón de cambio de, 281  
areolar, 411  
con aceleración  
constante, 45-47  
variable, 53-55  
contra  
aceleración, 41  
rapidez, 38, 68, 281  
convenciones de signos de, 36, 43  
de deriva, 817, 818  
corriente y, 818  
efecto  $\Delta t$  y, 907-908  
de fase, 475  
de onda, contra velocidad de una partícula, 514  
de partículas contra velocidad de ondas, 514  
de un proyectil, 75-76  
de un sector. *Vea Velocidad areolar*  
de una partícula en una onda, 476-478  
en movimiento armónico simple, 440-441  
gráficas de, 36-37, 39-40  
instantánea, 37-40, 68-70  
contra velocidad media, 37, 68-69  
movimiento rectilíneo y, 37-40  
lineal, 275, 277  
contra velocidad angular, 275  
magnitud de, 37  
media, 35-37, 68-70  
contra rapidez media, 38  
contra velocidad instantánea, 37, 68-69  
movimiento en dos o tres dimensiones y, 68-70  
movimiento rectilíneo y, 35-37  
movimiento rectilíneo y, 35-40, 53-55
- potencia y, 190  
primera ley de Newton y, 105-108  
relativa, 86-90  
colisiones elásticas y, 252-254  
en dos o tres dimensiones, 88-90  
en una dimensión, 86-88  
sistema de referencia para, 86, 1234f  
transformación de velocidad galileana y, 88  
transformada  
de Lorentz para, 1233-1234  
de velocidad galileana y, 88  
unidades de, 37
- Ventanas aislantes, 616  
Verne, Julio, 406  
Vértice, de un espejo, 1115  
Viaje interplanetario, 412f, 430  
efectos biológicos de, 412, 1228  
paradoja de los gemelos y, 1228
- Vibración, 434  
capacidades de calor y, 600-602  
molecular, 447-449, 591, 600, 1412-1414  
rotación y, 1412-1413
- Vida media, 1458  
Vidrio, como sólido amorfo, 1414
- Viscosidad, 379, 385-386  
dinámica de fluidos y, 385-386
- Visión  
cirugía láser para, 1302  
defectos en la, 1140-1143  
en animales, 1099f, 1140, 1158, 1207f  
normal, 1140  
ultravioleta, 1054  
y luz polarizada, 1110
- Volt, 759  
electrónico, 762  
por metro, 762
- Voltaje, 759  
capacitor, 1026-1027, 1028  
corriente y, 824-826  
cuadrático medio, 867  
doméstico, 867  
Hall, 907-908  
inductor, 1024-1025  
medición de, 859-860  
resistores, 1024, 1028  
sinusoidal, 1021  
terminal, 828-829  
transformadores y, 1038-1041
- Voltímetro(s), 759, 829, 859-860  
amperímetros y, 860, 1023  
digital, 861
- Volumen  
de un gas, 587  
del sonido, 509  
densidad y, 369-370  
equipotencial, 771  
unidades de, 7
- W**  
Wa-, 1491-1492, 1501  
Wa+, 1491-1492, 1501  
Watt, 189-190  
Watt, James, 189, 190  
Weber, 889  
Weinberg, Steven, 1500-1501  
Wentzel, Gregor, 1357  
Westinghouse, George, 1020  
Wilson, Robert, 1516
- Y**  
Yeager, Chuck, 534  
Yodo, 1463, 1479  
Yukawa, Hideki, 1485
- Z**  
Z0, 1491-1492, 1501

## NOTAS

## NOTAS

## NOTAS

## NOTAS

# CONSTANTES NUMÉRICAS

## Constantes físicas fundamentales\*

Nombre	Símbolo	Valor
Rapidez de la luz en el vacío	$c$	$2.99792458 \times 10^8$ m/s
Magnitud de la carga eléctrica de un electrón	$e$	$1.602176565(35) \times 10^{-19}$ C
Constante gravitacional	$G$	$6.67384(80) \times 10^{-11}$ N · m <sup>2</sup> /kg <sup>2</sup>
Constante de Planck	$h$	$6.62606957(29) \times 10^{-34}$ J · s
Constante de Boltzmann	$k$	$1.3806488(13) \times 10^{-23}$ J/K
Número de Avogadro	$N_A$	$6.02214129(27) \times 10^{23}$ moléculas/mol
Contante de los gases	$R$	$8.3144621(75)$ J/mol · K
Masa del electrón	$m_e$	$9.10938291(40) \times 10^{-31}$ kg
Masa del protón	$m_p$	$1.672621777(74) \times 10^{-27}$ kg
Masa del neutrón	$m_n$	$1.674927351(74) \times 10^{-27}$ kg
Constante magnética	$\mu_0$	$4\pi \times 10^{-7}$ Wb/A · m
Constante eléctrica	$\epsilon_0 = 1/\mu_0 c^2$	$8.854187817\dots \times 10^{-12}$ C <sup>2</sup> /N · m <sup>2</sup>
	$1/4\pi\epsilon_0$	$8.987551787\dots \times 10^9$ N · m <sup>2</sup> /C <sup>2</sup>

## Otras constantes útiles\*

Equivalente mecánico del calor		4.186 J/cal (caloría de 15°)
Presión atmosférica estándar	1 atm	$1.01325 \times 10^5$ Pa
Cero absoluto	0 K	-273.15°C
Electrón-volt	1 eV	$1.602176565(35) \times 10^{-19}$ J
Unidad de masa atómica	1 u	$1.660538921(73) \times 10^{-27}$ kg
Energía del electrón en reposo	$m_e c^2$	0.510998928(11) MeV
Volumen del gas ideal (0°C y 1 atm)		22.413968(20) litros/mol
Aceleración debida a la gravedad (estándar)	$g$	9.80665 m/s <sup>2</sup>

\*Fuente: National Institute of Standards and Technology (<http://physics.nist.gov/cuu>). Los números entre paréntesis indican la incertidumbre en los dígitos finales del número principal; por ejemplo, el número 1.6454(21) significa  $1.6454 \pm 0.0021$ . Los valores sin incertidumbre son exactos.



A casi 70 años desde su primera edición, *Física universitaria con física moderna*, escrito en sus inicios por Francis Sears y Mark Zemansky, y continuado por Hugh D. Young y Roger A. Freedman, con la colaboración de A. Lewis Ford en esta edición, sigue siendo uno de los textos más importantes a nivel mundial para las carreras de ingeniería, física y química; y un libro de referencia para los profesionales de estas áreas.

Gracias a una exposición clara, didácticamente amable y enriquecida por cientos de reflexiones y ejemplos desarrollados, este libro ofrece una excelente opción al estudiante de la física, desde sus fundamentos hasta el desarrollo de la física moderna. El volumen 1 cubre las áreas de mecánica, mecánica de fluidos, ondas, acústica y termodinámica. Mientras que el volumen 2 trata las áreas de electromagnetismo, óptica y física moderna, que incluye temas de relatividad, física de partículas y astrofísica.

Entre las novedades más importantes de la presente edición destacan las siguientes:

- Los temas de física están totalmente actualizados, tanto en la parte de aplicación como en el aspecto didáctico.
- Los temas de física moderna fueron revisados para incluir los descubrimientos más recientes.
- Las ecuaciones importantes incluyen descripciones de los términos utilizados para una mejor referencia y comprensión.
- En la resolución de problemas se aplicó la estrategia: Identificar–plantear–ejecutar–evaluar.
- Se actualizaron las secciones “Cuidado”, que muestran los errores más frecuentes de cada tema.
- Un mayor número de problemas de aplicación, incluyendo en especial las áreas de biociencias.
- Muchos más ejemplos y reflexiones conceptuales.
- Más notas informativas de interés al margen del texto.
- Tablas resumen al final de cada capítulo con un atractivo contenido visual.
- Actualización de la mayoría de los diagramas y fotografías.
- Códigos QR con vínculo a videos ilustrativos en su idioma original (inglés).

Para más información sobre este libro y los recursos adicionales que ofrece, visite:

[www.pearsonenespañol.com/sears](http://www.pearsonenespañol.com/sears)

[www.pearsonenespañol.com](http://www.pearsonenespañol.com)

ISBN 978-607-32-4439-8

9 786073 244398